

Prof. dr. ing. Gheorghe Amza
Prof. dr. ing. Gabriel Marius Dumitru
Conf. dr. ing. Viorel Ovidiu Rândașu
As. dr. ing. Cătălin Gheorghe Amza

TRATAT DE TEHNOLOGIA MATERIALELOR



EDITURA ACADEMIEI ROMÂNE

București, 2002

CUPRINS

Prefață	17
L Rolul și importanța tehnologiei. Principiile tehnologiei (prof. dr. ing. Gh. Amza).....	19
1.1. Generalități	19
1.2. Principiile tehnologiei	21
1.2.1. Principiul multidimensional	21
1.2.2. Principiul eficienței	29
1.2.3. Principiul informației. Principiul proiectării proceselor tehnologice	43
2. Materiale - clasificare, proprietăți, utilizare (prof. dr. ing. Gh. Amza).....	66
2.1. Generalități.....	66
2.2. Interdependența structură - proprietăți	69
2.3. Clasificarea proprietăților materialelor	71
2.3.1. Proprietățile funcționale.....	74
2.3.2. Proprietățile tehnologice	95
2.3.3. Proprietățile economice	97
2.4. Metode pentru determinarea, studiul și controlul proprietăților materialelor	98
2.4.1. Metode pentru determinarea compoziției chimice	99
2.4.2. Determinarea microstructurii și macrostructurii	101
2.4.3. Metode pentru determinarea principalelor proprietăți funcționale	116
2.4.4. Metode pentru determinarea principalelor proprietăți tehnologice	134
2.4.5. Metode speciale pentru determinarea, studiul și controlul proprietăților materialelor ...	149
2.5. Elaborarea materialelor metalice (prof. dr. ing. G. M. Dumitru, prof. dr. ing. Gh. Amza)	156
2.5.1. Generalități	156
2.5.2. Prepararea minereurilor	160
2.5.3. Bazele teoretice ale extragerii metalurgice	161
2.5.4. Purificarea metalului brut	165
2.5.5. Obținerea monocristalelor.....	168
2.5.6. Elaborarea primară a fontei.....	175
2.5.7. Elaborarea feroaliajelor.....	181
2.5.8. Elaborarea secundară a fontei	182
2.5.9. Elaborarea oțelurilor	186
2.5.10. Procedee speciale de elaborare și tratare a oțelurilor	195
2.5.11. Elaborarea cuprului și a aliajelor de cupru.....	198
2.5.12. Elaborarea aluminiului.....	203
2.5.13. Elaborarea magneziului și a aliajelor de magneziu	207
2.5.14. Elaborarea plumbului	210
2.5.15. Elaborarea zincului	212
2.5.16. Elaborarea nichelului și a aliajelor de nichel.....	217
2.5.17. Elaborarea titanului și a aliajelor de titan	218

2.6. Clasificarea și standardizarea principalelor materiale metalice utilizate în construcția de sisteme tehnologice	221
2.6.1 . Noțiuni introductive	221
2.6.2. Fontele.....	222
2.6.3. Oțelurile	224
2.6.4. Metalele și aliajele neferoase.....	236
2.7. Alegerea materialului optim pentru confecționarea unei piese	241
2.8 Tendințe și perspective privind utilizarea materialelor	247
2.9. Materialul și procedeele de transformare ale acestuia	249
2.9.1. Comportarea sub acțiunea forțelor de transformare.....	249
2.9.2. Metode de generare a suprafețelor.	
3. Obținerea pieselor prin turnare	
(conf. dr. ing. Viorel Rîndașu, prof. dr. ing. Gh. Amza).....	259
3.1. Generalități	259
3.2. Bazele teoretice ale turnării. Particularitățile solidificării materialelor turnate	263
3.2.1. Noțiuni generale despre solidificarea pieselor turnate	263
3.2.2. Influența parametrilor de turnare asupra solidificării.....	265
3.2.3. Particularitățile procesului de solidificare	267
3.3. Proprietățile de turnare ale materialelor	268
3.3.1. Proprietățile de turnare ale metalelor și aliajelor	268
3.3.2. Determinarea practică a proprietăților de turnare	270
3.3.3. Proprietățile de turnare ale materialelor nemetalice.....	273
3.4. Principiul obținerii unei piese prin turnare	274
3.4.1. Generalități privind obținerea unei piese prin turnare.....	274
3.4.2. Principiul de obținere a pieselor prin turnare.....	275
3.5. Pregătirea materialelor în vederea turnării.....	276
3.5.1. Pregătirea materialelor metalice în vederea turnării	276
3.5.2. Elaborarea materialelor compozite metalice în vederea turnării	283
3.5.3. Elaborarea materialelor nemetalice în vederea turnării.....	284
3.6. Clasificarea procedeelor de turnare.....	287
3.6.1. Criterii de clasificare	287
3.6.2. Procede de turnare	289
3.7. Turnarea în forme temporare	292
3.7.1. Schema procesului tehnologic	292
3.7.2. Bazele proiectării modelelor și cutiilor de miez.....	294
3.7.3. Amplasarea piesei în forma de turnare.....	298
3.7.4. Metode de formare.....	299
3.7.5. Metode de extragere a modelelor.....	309
3.7.6. Rețele de turnare.	310
3.7.7. Metode de turnare	313
3.7.8. Turnarea în forme temporare din amestec de formare obișnuit.....	314
3.7.9. Turnarea în forme temporare din amestec de formare special.....	322
3.7.10. Proccsul tehnologic de obținere a unei piese prin turnare în forme temporare (în rame, în solul turnătoriei, în miezuri, în forme coji)	327
3.7.11. Tehnologii tip pentru piese turnate în forme temporare.....	345
3.8. Turnarea în forme permanente.....	353
3.8.1. Generalități	353
3.8.2. Turnarea în forme permanente fără suprapresiune	355
3.8.3. Turnarea în forme permanente cu sub presiune	357
3.8.4. Turnarea prin aspirație	365
3.8.5. Turnarea centrifugală	369

3.8.6. Turnarea continuă	375
3.8.7. Procesul tehnologic de obținere a unei piese prin turnare în forme permanente..	381
3.9. Procedee speciale de turnare	392
3.9.1. Turnarea prin expulzarea progresivă a jetului de aliaj topit	393
3.9.2. Turnarea prin matrițare lichidă	395
3.9.3. Turnarea cu modele ușor volatile	396
3.9.4. Turnarea în forme vidate	397
3.9.5. Turnarea în forme ceramice cu pereți subțiri	399
3.9.6. Turnarea în forme hibride	400
3.9.7. Turnarea în forme criogenice	401
3.9.8. Turnarea în câmp ultrasonor	403
3.9.9. Turnarea prin retopire în baie de zgură	405
3.9.10. Obținerea prin turnare a materialelor cu proprietăți speciale	409
3.10. Particularitățile turnării pieselor din metale și aliaje industriale	410
3.10.1. Turnarea în piese a metalelor și aliajelor	410
3.10.2. Turnarea materialelor compozite metalice	414
3.11. Particularitățile turnării pieselor din materiale nemetalice	415
3.11.1. Turnarea betonului	416
3.11.2. Turnarea maselor plastice	417
3.11.3. Turnarea sticlei	418
3.11.4. Turnarea cauciucului	418
3.11.5. Turnarea materialelor compozite nemetalice	418
3.12. Tratamente aplicate pieselor turnate după solidificare	419
3.12.1. Dezbaterea formelor	419
3.12.2. Curățirea pieselor după turnare	421
3.12.3. Tratamentele termice și termochimice	422
3.13. Defectele pieselor turnate	425
3.13.1. Generalități	425
3.13.2. Defectele cauzate de fenomenul de contracție	426
3.13.3. Defectele cauzate de fenomenul de segregare	439
3.13.4. Defectele cauzate de pătrunderea gazelor în metalul sau aliajul lichid	440
3.14. Controlul pieselor turnate	440
3.15. Remanierea pieselor cu defecte de turnare	443
3.16. Tendințe și perspective în obținerea semifabricatelor prin turnare	453
3.17. Norme specifice de protecția muncii	454
4. Obținerea pieselor din pulberi metalice (prof. dr. ing. G. Dumitru)	456
4.1. Noțiuni introductive	456
4.2. Obținerea pulberilor metalice	459
4.2.1. Obținerea pulberilor metalice prin așchiere	461
4.2.2. Obținerea pulberilor metalice prin măcinare	461
4.2.3. Obținerea pulberilor metalice prin procedeul Coldstream	462
4.2.4. Obținerea pulberilor metalice prin pulverizare	463
4.2.5. Obținerea pulberilor metalice prin atomizare	464
4.2.6. Obținerea pulberilor metalice prin reducerea oxizilor	464
4.2.7. Obținerea pulberilor metalice prin electroliză	465
4.2.8. Obținerea pulberilor metalice prin metoda carbonil	465
4.2.9. Obținerea pulberilor metalice aliate	466
4.3. Proprietățile pulberilor metalice	467
4.3.1. Proprietățile fizice ale pulberilor metalice	467
4.3.2. Proprietățile chimice ale pulberilor metalice	467
4.3.3. Proprietățile mecanice ale pulberilor metalice	468

4.3.4. Proprietățile tehnologice ale pulberilor metalice	468
4.4. Pregătirea amestecurilor din pulberi metalice	470
4.5. Formarea pieselor din pulberi metalice	470
4.5.1. Etapele procesului de compactare	471
4.5.2. Construcția sculelor pentru compactare	475
4.5.3. Procedee de compactare a pulberilor metalice	477
4.6. Sintetizarea pulberilor	483
4.6.1. Mecanismul sinterizării	483
4.6.2. Parametrii tehnologici ai sinterizării	485
4.6.3. Medii de sinterizare	487
4.6.4. Utilaje pentru sinterizare	488
4.7. Procedee speciale de obținere a pieselor din pulberi metalice	490
4.7.1. Sintermatritarea	490
4.7.2. Obținerea pieselor din pulberi metalice prin injecție în matriță	491
4.8. Operații de prelucrare finală a pieselor din pulberi metalice	493
4.8.1. Ajustarea prin aşchiere a pieselor din pulberi metalice	493
4.8.2. Calibrarea pieselor din pulberi metalice	494
4.8.3. Impregnarea pieselor din pulberi metalice	494
4.9. Proprietățile pieselor din pulberi metalice	495
4.9.1. Proprietăți fizice	495
4.9.2. Proprietăți chimice	496
4.9.3. Proprietăți mecanice	496
4.10. Forma tehnologică a pieselor din pulberi metalice	497
4.11. Domeniile de utilizare a pieselor din pulberi metalice	499
4.12. Eficiența economică a pieselor din pulberi metalice	502
5. Obținerea pieselor prin deformare plastică (prof. dr. ing. Gh. Amza)	504
5.1. Introducere	504
5.2. Mecanismul prelucrării prin deformare plastică	506
5.2.1. Comportarea la deformare a materialelor	506
5.2.2. Deformarea materialelor	509
5.3. Noțiuni de teoria plasticității	513
5.3.1. Starea de tensiune	513
5.3.2. Starea de deformare	517
5.3.3. Starea plastică. Ipoteze de plasticitate	522
5.3.4. Legile de bază ale deformării plastice	525
5.4. Fenomene ce însoțesc prelucrarea prin deformare plastică a materialelor	532
5.4.1. Creșterea compactității și a greutății specifice	533
5.4.2. Ecrisarea	533
5.4.3. Recristalizarea	534
5.4.4. Apariția structurii fibroase	536
5.4.5. Modificarea proprietăților funcționale și tehnologice	537
5.5. Încălzirea materialelor metalice în scopul prelucrării prin deformare plastică	539
5.5.1. Parametrii regimului termic al deformării	539
5.5.2. Instalații folosite la încălzire în scopul prelucrării prin deformare plastică	547
5.5.3. Defecte posibile la încălzire	551
5.6. Materiale prelucrabile prin deformare plastică. Clasificarea procedeeleor de prelucrare prin deformare plastică	552
5.6.1. Materiale prelucrabile prin deformare plastică	552
5.6.2. Clasificarea procedeeleor de prelucrare prin deformare plastică	553
5.7. Laminarea	554
5.7.1. Definiție. Scheme de principiu	554

5.7.2. Materiale prelucrabile prin laminare. Semifabricate inițiale și produse obținute	556
5.7.3. Bazele teoretice ale laminării	559
5.7.4. Utilajul folosit la laminare	564
5.7.5. Clasificarea laminoarelor	566
5.7.6. Defectele produselor laminate	567
5.7.7. Tehnologia laminării	572
5.7.8. Procedee speciale de laminare	574
5.8. Extrudarea	584
5.8.1. Definiție și scheme de principiu	584
5.8.2. Bazele teoretice ale extrudării	586
5.8.3. Calculul forței necesare la extrudare	589
5.8.4. Produse obținute prin laminare	593
5.8.5. Scule folosite la extrudare	594
5.8.6. Criterii de alegere a condițiilor de extrudare	597
5.8.7. Defectele produselor extrudate	598
5.8.8. Tehnologia extrudării	598
5.8.9. Procedee speciale de extrudare	599
5.9. Tragerea - trefilarea	604
5.9.1. Definiție și scheme de principiu	604
5.9.2. Bazele teoretice ale tragerii - trefilării	605
5.9.3. Calculul forței de tragere și a numărului de treceri	606
5.9.4. Scule și dispozitive folosite la tragere - trefilare	609
5.9.5. Produse obținute prin tragere - trefilare	613
5.9.6. Tehnologia tragerii - trefilării	615
5.9.7. Defectele produselor obținute prin tragere-trefilare	616
5.9.8. Procedee speciale de tragere	618
5.10. Forjarea	619
5.10.1. Definiție	619
5.10.2. Materiale și semifabricate destinate forjării	619
5.10.3. Forjarea liberă	622
5.10.4. Forjarea în matrită	638
5.11. Obținerea pieselor din table	678
5.11.1. Generalități	678
5.11.2. Procedee tehnologice de prelucrare a tablelor prin tăiere	679
5.11.3. Procedee tehnologice de prelucrare a tablelor prin deformare plastică	690
5.11.4. Procedee speciale de prelucrare a tablelor	715
6. Obținerea pieselor prin sudare	
(prof. dr. ing. Gh. Amza)	724
6.1. Generalități	724
6.2. Principiul fizic al sudării	726
6.3. Clasificarea procedeelor de sudare	726
6.4. Macrostructura și microstructura unei îmbinări sudate	728
6.5. Sudabilitatea (comportarea la sudare) materialelor	735
6.5.1. Generalități	735
6.5.2. Încercări pentru determinarea sudabilității	736
6.5.3. Sudabilitatea oțelurilor	739
6.5.4. Sudabilitatea fontelor	741
6.5.5. Sudabilitatea metalelor și aliajelor neferoase	741
6.6. Materiale de adaos folosite la sudare	742
6.7. Sudarea prin topire cu energie electrică	743
6.7.1. Formarea și elementele arcului electric	749

6.7.2. Trecerea materialului de adaos prin arc electric	748
6.7.3. Surse de curent pentru sudarea prin topire cu arc electric	749
6.7.4. Sudarea manuală cu arc electric descoperit	752
6.7.5. Sudarea cu arc electric acoperii sub strat de flux	783
6.7.6. Sudarea în mediu de gaze protectoare	806
6.7.7. Sudarea electrică prin topire sub baie de zgură	829
6.7.8. Sudarea cu plasma	833
6.8. Sudarea prin topire cu energie chimică	836
6.8.1. Sudarea cu flacără de gaze	836
6.8.2. Sudarea prin topire cu termit	851
6.9. Sudarea prin topire cu energie de radiație	853
6.9.1. Sudarea cu fascicul de electroni	853
6.9.2. Sudarea cu fascicul de fotoni	856
6.10. Sudarea prin presiune	860
6.10.1. Generalități. Clarificarea procedeele de sudare prin presiune	860
6.10.2. Sudarea prin presiune cu energie electrică	860
6.10.3. Sudarea prin presiune cu energie mecanică	879
6.10.4. Sudarea prin presiune cu energie chimică	888
6.11. Tensiuni și deformări în cusăturile sudate	889
6.11.1. Tensiuni remanente datorate sudării	889
6.11.2. Deformații remanente datorate sudării	892
6.11.3. Măsuri constructive și tehnologice pentru reducerea tensiunilor și deformațiilor datorate sudării	894
6.12. Defectele îmbinărilor sudate	897
6.12.1. Fisurile și crăpăturile	898
6.12.2. Porii și suflurile	899
6.12.3. Incluziunile	900
6.12.4. Lipsa de pătrundere	901
6.12.5. Lipsa de topire	902
6.12.6. Supraîncălzirea și arderea	902
6.12.7. Formarea unor compuși cu fragilitate ridicată sau rezistență mică la coroziune	903
6.12.8. Defectele de formă	903
6.13. Tratamentele termice ale îmbinărilor sudate	904
6.14. Construcții (structuri) sudate	906
6.14.1. Generalități	906
6.14.2. Construcții sudate specifice organelor de mașini	907
6.14.3. Construcții sudate de tipul conductelor	911
6.14.4. Construcții sudate de tipul recipientilor	912
7. Obținerea pieselor prin lipire	913
(conf. dr. ing. V. Rîndașu, prof. dr. ing. Gh. Amza)	913
7.1. Generalități	913
7.2. Clasificarea procedeele de asamblare prin lipire	915
7.3. Lipirea cu adezivi	916
7.3.1. Tipuri de adezivi și lianți	918
7.3.2. Proiectarea formei asamblărilor lipite cu adezivi	920
7.4. Lipirea cu aliaje de lipit	924
7.4.1. Materiale pentru lipirea cu aliaje	924
7.4.2. Proiectarea asamblărilor lipite cu aliaje	928
7.4.3. Tehnologii de lipire cu aliaje	931
8. Obținerea pieselor prin aschiere	

8.1.1. Noțiuni generale	934
8.1.2. Probleme actuale și de perspectivă ale prelucrării prin aşchiere.....	935
8.1.3. Aspecte ale dezvoltării în timp a teoriei aşchierii și a teoriei mașinilor-unelte....	936
8.1.4. Noțiuni de bază privind generarea suprafețelor prin aşchiere.....	937
8.1.5. Noțiuni generale despre principalele procedee de generare prin aşchiere	943
8.2. Elemente de teoria generării suprafețelor pe mașini-unelte.....	950
8.2.1. Generarea teoretică și generarea reală a suprafețelor.....	950
8.2.2. Realizarea traiectoriei generatoarei	952
8.2.3. Realizarea traiectoriei directoarei	955
8.2.4. Mișcările necesare la generarea suprafețelor reale pe mașini-unelte.....	958
8.3. Bazele aşchierii materialelor.....	962
8.3.1. Geometria sculelor aşchietoare.....	962
8.3.2. Parametrii geometrici ai stratului de aşchiere.	969
8.3.3. Procesul fizic de aşchiere	972
8.3.4. Forțele și rezistențele de aşchiere	975
8.3.5. Fenomene ce însoțesc procesul de aşchiere.....	979
8.4. Elemente de teoria lanțurilor cinematice ale mașinilor-unelte	996
8.4.1. Definirea și clasificarea lanțurilor cinematice	996
8.4.2. Funcțiile și caracteristicile lanțurilor cinematice	999
8.4.3. Câteva mecanisme cu largă utilizare în lanțurile cinematice ale mașinilor-unelte	1001
8.5. Dispozitive folosite la prelucrarea prin aşchiere	1008
8.5.1. Definiția, rolul și structura dispozitivelor	1008
8.5.2. Orientarea pieselor-semifabricat în dispozitive	1011
8.5.3. Fixarea semifabricatelor în dispozitive	1025
8.5.4. Sistemele de acționare a mecanismelor de fixare a dispozitivelor.....	1032
8.6. Prelucrarea prin strunjire	1040
8.6.1. Definiție. Scheme de principiu	1040
8.6.2. Generarea suprafețelor prin strunjire	1040
8.6.3. Geometria sculelor aşchietoare. Tipuri de scule folosite la strunjire	1044
8.6.4. Mașini-unelte și dispozitive specifice la prelucrarea prin strunjire.....	1046
8.6.5. Stabilirea condițiilor de lucru la strunjire	1056
8.6.6. Tipuri de prelucrări executate pe strunguri.....	1063
8.7. Prelucrarea prin rabotare	1068
8.7.1. Definiție. Scheme de principiu	1068
8.7.2. Generarea suprafețelor prin rabotare.....	1069
8.7.3. Geometria sculelor aşchietoare. Tipuri de scule folosite la rabotare	1070
8.7.4. Mașini-unelte și dispozitive specifice la prelucrarea prin rabotare	1072
8.7.5. Stabilirea condițiilor de lucru la rabotare	1076
8.7.6. Tipuri de prelucrări executate pe mașinile de rabotat	1080
8.8. Prelucrarea prin mortezare.....	1081
8.8.1. Definiție. Scheme de principiu	1081
8.8.2. Generarea suprafețelor prin mortezare.....	1082
8.8.3. Geometria sculelor aşchietoare. Tipuri de scule folosite la mortezare.....	1083
8.8.4. Mașini-unelte și dispozitive specifice la prelucrarea prin mortezare	1085
8.8.5. Stabilirea condițiilor de lucru la mortezare	1086
8.8.6. Tipuri de prelucrări executate pe mașinile de mortezat.....	1087
8.9. Prelucrarea prin frezare	1087
8.9.1. Definiție. Scheme de principiu	1087
8.9.2. Generarea suprafețelor prin frezare.....	1088
8.9.3. Geometria sculelor aşchietoare. Tipuri de scule folosite la frezare	1089

8.9.5. Stabilirea condițiilor de lucru la frezare	1100
8.9.6. Tipuri de prelucrări executate pe mașinile de frezat	1105
8.10. Prelucrarea prin burghiere, lărgire, adâncire, lamare, tarodare și alezare	1107
8.10.1. Definire. Scheme de principiu	1107
8.10.2. Generarea suprafețelor prin burghiere.....	1109
8.10.3. Geometria sculor așchietoare. Tipuri de scule folosite la burghiere, lărgire, adâncire, alezare și tarodare	1110
8.10.4. Mașini-unelte și dispozitive specifice la prelucrarea prin burghiere, lărgire, adâncire, alezare și tarodare.....	1114
8.10.5. Stabilirea condițiilor de lucru la burghiere, lărgire, adâncire, alezare și tarodare	1121
8.10.6. Tipuri de prelucrări executate pe mașinile de găurit și pe mașinile de alezat și frezat orizontale	1126
8.11. Prelucrarea prin broșare	1127
8.11.1. Definire. Scheme de principiu	1127
8.11.2. Generarea suprafețelor prin broșare	1128
8.11.3. Geometria sculelor așchietoare. Tipuri de scule folosite la broșare	1131
8.11.4. Mașini-unelte și dispozitive specifice la prelucrarea prin broșare	1132
8.11.5. Stabilirea condițiilor de lucru la broșare.....	1135
8.11.6. Tipuri de prelucrări executate pe mașinile de broșat.....	1137
8.12. Prelucrarea prin rectificare	1137
8.12.1. Definire. Scheme de principiu	1137
8.12.2. Generarea suprafețelor prin rectificare.....	1138
8.12.3. Geometria sculelor așchietoare. Tipuri de scule folosite la rectificare.....	1145
8.12.4. Mașini-unelte și dispozitive specifice folosite la prelucrarea prin rectificare....	1146
8.12.5. Stabilirea condițiilor de lucru la rectificare	1149
8.12.6. Tipuri de prelucrări executate pe mașinile de rectificat.....	1154
8.13. Procedee de suprafinisare.....	1155
8.13.1. Generalități	1155
8.13.2. Stănjirea fină.....	1155
8.13.3. Lepuirea.....	1156
8.13.4. Honuirea	1157
8.13.5. Superfinisarea.....	1158
8.13.6. Lustruirea.....	1159
8.13.7. Rodarea	1159
8.13.8. Superfinisarea în câmp ultrasonor.....	1159
8.14. Prelucrarea pe mașini-unelte cu comandă numerică sau adaptivă și pe mașini-unelte agregat ..	1160
8.14.1. Prelucrarea pe mașini-unelte cu comandă numerică	1160
8.14.2. Prelucrarea pe mașini-unelte cu comandă adaptivă	1165
8.14.3. Centre de prelucrare	1166
8.14.4. Mașini-unelte agregate, linii automate și sisteme flexibile.....	1167
8.15. Optimizarea procesului de așchiere	1169
8.15.1. Considerații generale	1169
8.15.2. Stabilirea condițiilor optime ale procesului de așchiere	1170
8.16. Principiile generale de proiectare a proceselor tehnologice de prelucrare	1182
8.16.1. Datele inițiale necesare proiectării proceselor tehnologice de prelucrare.....	1182
8.16.2. Sinteza proceselor tehnologice	1183
8.16.3. Dimensionarea proceselor tehnologice	1196
8.16.4. Analiza proceselor tehnologice	1205
8.16.5. Intocmirea documentației tehnologice	1207

Cuprins

8.17.1. Caracteristici constructive și condiții tehnice impuse.....	1208
8.17.2. Alegerea materialului și semifabricatelor pentru arbori.....	1209
8.17.3. Structura proceselor tehnologice de prelucrare a arborilor dreپți	1209
8.17.4. Particularități ale prelucrării arborilor cotiți	1215
8.17.5. Particularități ale prelucrării axelor cu came.....	1216
8.18 Tehnologia de prelucrare a pieselor din clasa „bucșe”	1124
8.18.1. Caracteristici constructive și condiții tehnice impuse.....	1224
8.18.2. Alegerea materialelor și semifabricatelor	1224
8.18.3. Structura procesului tehnologic de prelucrare pieselor din clasa „bucșe”	1225
8.19. Tehnologia de prelucrare a pieselor din clasa „corpuri complexe”	1234
8.19.1. Caracteristici constructive și condiții tehnice impuse.....	1234
8.19.2. Alegerea materialelor și semifabricatelor	12.35
8.19.3. Structura procesului tehnologic de prelucrare a pieselor din clasa „corpuri complexe”	1236
8.20. Tehnologia de prelucrare a pieselor din clasa „roți dințate”	1249
8.20.1. Caracteristici constructive și condiții tehnice impuse	1249
8.20.2. Alegerea materialelor și semifabricatelor	1250
8.20.3. Structura procesului tehnologic de prelucrare a pieselor din clasa „roți dințate”	1251
9 Prelucrarea materialelor prin microașchiere	
(prof. dr. ing. Gh. Amza, as. dr. ing. C. Amza).....	1265
9.1. Generalități	1265
9.2. Prelucrarea dimensională prin eroziune electrică (electroeroziune).	1267
9.2.1. Schema de principiu	1267
9.2.2. Mecanismul fizic al prelucrării dimensionale prin electroeroziune.....	1268
9.2.3. Utilaje folosite la prelucrarea prin electroeroziune	1271
9.2.4. Parametrii regimului de prelucrare.....	1274
9.2.5. Posibilitățile de utilizare a prelucrării prin electroeroziune	1276
9.2.6. Variante ale prelucrării prin electroeroziune. Prelucrarea prin electroeroziune cu electrod fir sau bandă.....	1278
9.3. Prelucrarea dimensională prin electrochimie.....	1279
9.3.1. Schema de principiu a procedului	1279
9.3.2. Mecanismul fizic al prelucrării dimensionale prin electrochimie	1280
9.3.3. Utilaje folosite la prelucrarea dimensională prin electrochimie	1283
9.3.4. Parametrii regimului de prelucrare.....	1285
9.3.5. Posibilitățile de utilizare a prelucrării dimensionale prin electrochimie.....	1285
9.3.6. Variante ale prelucrării prin electrochimie. Prelucrarea prin eroziune chimică...	1287
9.4. Prelucrarea dimensională prin eroziune complexă (prelucrarea anodo-mecanică).....	1288
9.4.1. Schema de principiu a procedului	1288
9.4.2. Mecanismul fizic al prelucrării anodo-mecanice	1288
9.4.3. Utilajul folosit la prelucrarea dimensională prin eroziune complexă.....	1289
9.4.4. Parametrii regimului de prelucrare.....	1290
9.4.5. Posibilitățile de utilizare a prelucrării dimensionale prin eroziune complexă	1290
9.5. Prelucrarea dimensională prin eroziune cu ultrasunete	1292
9.5.1. Schema de principiu a procedului	1292
9.5.2. Mecanismul fizic al prelucrării dimensionale cu ultrasunete.....	1294
9.5.3. Utilaje folosite la prelucrarea dimensională cu ultrasunete	1295
9.5.4. Parametrii regimului de prelucrare dimensională cu ultrasunete	1297
9.5.5. Posibilitățile de utilizare ale prelucrării dimensionale cu ultrasunete.....	1300
9.5.6. Variante ale prelucrării dimensionale cu ultrasunete. Intensificarea procedeelor clasice de prelucrare prin așchiere folosind energia ultrasonoră	1302
9.6. Prelucrarea dimensională cu plasmă	1306

9.6.1. Schema de principiu.....	1306
9.6.2. Mecanismul fizic la prelucrarea dimensională cu plasmă	1307
9.6.3. Utilaje folosite la prelucrarea dimensională cu plasmă.....	1308
9.6.4. Parametrii regimului de prelucrare dimensională cu plasmă.....	1310
9.6.5. Posibilitățile de utilizare a prelucrării dimensionale cu plasmă.....	1311
9.6.6. Variante ale prelucrării dimensionale cu plasmă. Prelucrarea cu microplasmă...	1312
9.7. Prelucrarea dimensională prin eroziune cu radiații	1312
9.7.1. Generalități	1312
9.7.2. Prelucrarea cu fascicul de electroni.....	1313
9.7.3. Prelucrarea dimensională prin eroziune cu fascicul de fotoni	1318
10. CIM- Computer integrated manufacturing	
(as. dr. ing. C. Amza).....	1329
10.1. Introducere	1329
10.2. Proiectare și producție asistată de calculator CAD/CAM.....	1333
10.2.1. Generalități.....	1333
10.2.2. Ciclul de producție	1335
10.2.3. Automatizarea și CAD/CAM.....	1337
10.2.4. Fundamentele CAD.....	1339
10.2.5 Producția asistată de calculator-CAM.....	1361
10.3. Aplicație CAD/CAM.....	1383
10.3.1. Definiție	1383
10.3.2. Principii de bază ale RP.....	1384
10.3.3. Avantajele și dezavantajele RP	1385
10.3.4. Ciclul de producție IU	1385
10.3.5. Implicațiile RP	1387
10.3.6. Aplicații practice ale RP	1387
10.3.7. Tehnici de RP	1389
10.3.8. Viitorul tehnologiei de RP	1403
10.4. Planificarea asistată de calculator	1404
10.4.1. Planificarea muncii pentru procesele de producție convenționale	1404
10.4.2. Programul de lucru pentru mașini cu CN.....	1405
10.4.3. Planificarea automatizată a proceselor de producție.....	1407
10.5. Controlul calității asistate de calculator (CAQ)	1408
10.5.1. Metode de inspecție cu contact.....	1410
10.5.2. Metode de inspecție fără contact	1411
10.5.3. Testare asistată de calculator (CAT).....	1415
10.5.4. Integrarea CAQ cu CAD/CAM	1415
10.6. Planificarea și controlul producției.....	1416
10.6.1. PP&C tradițional	1416
10.6.2. Planificarea și controlul producției asistate de calculator.	1419
10.7. Viitorul CIM/CAD/CAM.....	1421
11. Obținerea pieselor prin tăiere	
(conf. dr. ing. V. Rîndașu, prof. dr. ing. Gh. Amza).....	1423
11.1. Generalități.....	1423
11.2. Clasificarea procedeelor de tăiere.....	1423
11.3. Tăierea termică.....	1424
11.3.1. Tăierea cu flăcără	1425
11.3.2. Tăierea cu arc electric.....	1428
11.3.3. Tăierea cu plasmă	1429
11.3.4. Tăierea cu laser	1432
11.3.5. Tăierea cu fascicul de electroni.....	1433
11.4. Debavurarea termică.....	1435

11.5. Tăierea cu jet de apă.	1436
11.6. Norme specifice de protecția muncii	1438
12. Degradarea materialelor și protecția contra degradării	
(conf. dr. ing. V. Rindașu)	1441
12.1. Generalități.	1441
12.2. Degradarea materialelor metalice	1442
12.2.1. Clasificarea formelor de coroziune.....	1442
12.2.2. Alte procese de degradare	1463
12.3. Degradarea materialelor nemetalice	1464
12.3.1. Degradarea materialelor plastice	1464
12.3.2. Degradarea materialelor compozite cu matrice organică	1465
12.3.3. Degradarea bcloanclor	1465
12.3.4. Degradarea calcarelor	1466
12.4. Protecția materialelor împotriva degradării.	1466
12.4.1. Tratamente de suprafață.....	1467
12.4.2. Protecția electrochimică	1471
12.4.3. Tratarea mediului.....	1474
12.4.4. Alegerea metodei optime de protecție anticorozivă.	1477
12.5. Proiectarea formei pieselor.....	1478
13.Recondiționarea și reciclarea	
(conf. dr. ing. V. Rindașu).....	1481
13.1. Generalități.....	1481
13.2. Menținerea.....	1483
13.3. Repararea. Tehnologii de reparare.....	1487
13.4. Recondiționarea	1496
13.5. Proiectarea pentru reciclare	1504
13.6. Recuperarea materialelor degradate. Protecția mediului.....	1507
14. Controlul produselor în construcția de mașini și de aparate	
(conf. dr. ing. V. Rindașu).....	1510
14.1. Generalități.....	1510
14.2. Tipuri de procese de control în construcția de mașini și aparate	1513
14.2.1. Criterii de clasificare.....	1513
14.2.2. Controlul inițial (la recepție)	1516
14.2.3. Controlul pe fluxul de fabricație.....	1516
14.2.4. Controlul final.....	1516
14.2.5. Controlul integral.....	1517
14.2.6. Controlul statistic.....	1517
14.3. Asigurarea calității.....	1518
14.3.1. Asigurarea calității în proiectare.....	1519
14.3.2. Asigurarea calității în aprovizionare.....	1522
14.3.3. Asigurarea calității în producție.....	1523
14.3.4. Asigurarea calității în testare/încercări finale	1524
14.3.5. Asigurarea calității în activitățile post producție	1524
14.4. Metode de inspectare a produselor materiale (hardware)	1527
14.4.1. Metode de inspectare distructivă	1527
14.4.2. Metode de inspectare nedistructivă	1530
14.4.3. Inspectarea automata	1531
14.5. Metode de inspectare a produselor cu suport material (software)	1532
14.6. Metode de inspectare a serviciilor	1533
14.7. Stabilirea tehnologiei de control	1537

14.7.3. Alegerea metodei de inspectare.....	1539
14.7.4. Intocmirea procedurilor de control	1539
14.7.5. Intocmirea planului calității.	1540
14.7.6. Utilizarea, supravegherea și gestionarea mijloacelor de control.....	1540
14.8. Tendințe și perspective în controlul produselor	1541
14.8.1. Fiabilitatea previzională.....	1541
14.8.2. Evaluarea rapidă	1543
15. Tehnologii ecologice	
(conf. dr. ing. V. Rîndașu, prof. dr. ing. Gh. Amza).....	1545
15.1. Dezvoltarea durabilă	1545
15.2. Eficiența utilizării materialelor	1549
15.3. Marcajul ecologic.....	1551
15.4. Tehnologii ecologice	1552
15.5. Consumul durabil.....	1558
15.6. Auditul de mediu.....	1563
Bibliografic	1565
Contens.....	1571



OBȚINEREA PIESELOR PRIN TURNARE

3.1. GENERALITĂȚI

Turnarea, ca metodă tehnologică este una din cele mai vechi metode de obținere a pieselor prin punere în formă, dezvoltate de om. Turnarea intervine întotdeauna ca metodă tehnologică distinctă la materialele care sunt elaborate în stare lichidă sau vâscoasă. Împreună cu prelucrările prin matrițare și cu cele de formare prin sinterizare sunt utilizate în mod nemijlocit la realizarea formei pieselor spre deosebire de alte prelucrări, unde forma rezultă prin mijlocirea unor procedee tehnologice preliminare distincte (laminare, tragere, forjare liberă, aşchiere şi microaşchiere).

Prin turnare se pot realiza forme practic nelimitate, piese cu mase diverse, de la fracţiuni de gram şi până la sute de tone, care îşi găsesc utilizări în toate domeniile de activitate.

Procedeele de execuţie a pieselor prin turnare se remarcă prin următoarele avantaje:

- permit realizarea de piese cu configuraţii diverse, în clasele de precizie 6...16, cu suprafeţe de rugozitate: $R_a = 1,6...200 \mu\text{m}$;
- permit realizarea de piese cu proprietăţi diferite în secţiune (unimaterial sau polimaterial);
- creează posibilitatea obţinerii de adaosuri de prelucrare minime (faţă de forjarea liberă sau prelucrările prin aşchiere);
- creează posibilitatea de automatizare complexă a procesului tehnologic, fapt ce permite repetabilitatea preciziei şi a caracteristicilor mecanice, la toate loturile de piese de acelaşi tip;

- permit obținerea unei structuri uniforme a materialului piesei, fapt ce îi conferă acestea o rezistență multidirecțională. În general, compactitatea, structura și rezistența mecanică a pieselor turnate sunt inferioare pieselor similare realizate prin deformare plastică (deoarece acestea posedă o rezistență unidirecțională, după direcții preferențiale).

Dintre dezavantajele procedeelor de realizare a pieselor prin turnare se pot enumera:

- consum mare de manoperă, îndeosebi la turnarea în forme temporare;
- costuri ridicate pentru materialele auxiliare;
- consum mare de energie pentru elaborarea și menținerea materialelor în stare lichidă la temperatura de turnare;
- necesită măsuri eficiente contra poluării mediului și pentru îmbunătățirea condițiilor de muncă.

Se pot prelucra prin turnare materiale metalice și nemetalice, în producție de serie mare sau de unicate. Materialele metalice cele mai des prelucrate prin turnare se prezintă comparativ în figura 3.1, astfel:

- în țara noastră: fontele 85% (73% cu grafit lamelar, 7% maleabile, 5% cu grafit nodular), oțelul 8%, neferoasele 7% (alame, bronzuri, aliaje de Al, aliaje de Mg, etc.);

- în Statele Unite: fonte 77% (55% cu grafit lamelar, 7% maleabile, 15% cu grafit nodular), oțel 15%, aliaje neferoase 7%.

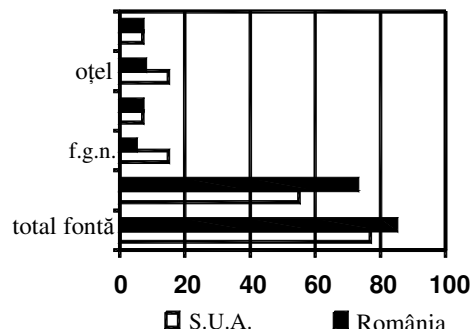


Fig. 3.1. Ponderea principalelor materiale metalice turnate în piese și lingouri.

Gama materialelor nemetalice este mult mai diversă, principalul material turnat oriunde în lume este betonul (material compus din granule de nisip și pietriș legate cu ciment, utilizat cel mai frecvent sub formă de matrice a materialului compozit cunoscut sub denumirea de beton armat, armătura fiind constituită din oțel beton), pus în operă, exclusiv prin turnare (intermitentă sau continuă), și utilizat în construcții civile, industriale, hidrotehnice, agrozootehnice, mi-

litare, infrastructură pentru transporturi etc. Urmează apoi cauciucul (anvelope, garnituri, furtunuri, benzi transportoare etc.), masele plastice (produse industriale și bunuri de larg consum), sticla, ceramica tehnică, bazaltul, rășinile și altele.

De menționat că, prin turnare se pot realiza atât piese/semifabricate dintr-un material unic sau din cel puțin două materiale (acoperiri prin turnare statică sau centrifugală, utilizarea turnării cu inserții, obținerea prin turnare a mate-

rialelor compozite etc.).

Tendința actuală este de a se eficientiza procesele de producție prin reducerea adaosurilor de prelucrare și a operațiilor de prelucrare dimensională ulterioare. Din acest motiv, procedeele de punere în formă, între care și turnarea, capătă o atenție deosebită, cunoscând un grad mai ridicat de perfecționare și inovare față de alte procedee.

În funcție de domeniul de aplicare al procedeului de turnare (tehnologii mecanice, metalurgice, de mecanică fină, de tehnică dentară, de prelucrări din industria chimică, de construcții etc.), pot exista *denumiri specifice*, care sunt sinonime.

Principalele denumiri cu care se operează se prezintă în continuare.

Amestecul de formare este materialul din care se realizează interiorul formei de turnare (la turnarea în forme temporare), fiind compus din două elemente: un material granulat, care are rolul de a se modela după configurația modelului și de a umple rama de formare, și un liant, care conferă rezistență și stabilitate formei de turnare, permițând ulterior dezbaterea formei pentru extragerea piesei. Amestecul de formare trebuie să aibă o bună refractaritate, pentru a rezista la contactul cu topitura, precum și o granulație corespunzătoare, pentru a asigura etanșeitate pereților cavității formei. Sinonime: *masă de ambalat* (în tehnica dentară).

Forma de turnare este scula specifică procedeului tehnologic de turnare, care conține cavitatea de turnare, rețeaua de turnare și canalele de evacuare a gazelor. Cu ajutorul ei se realizează configurația, gabaritul și calitatea suprafeței piesei. Sinonime: *cochilă*, *matriță de injecție* (la turnarea în forme permanente, turnarea sub presiune); *cofraje* - realizează și poziționarea și susținerea elementelor din structura unei construcții; *tipare* - servesc la realizarea elementelor prefabricate din beton, în șantier sau industrial; tot tipare sunt denumite și formele de turnare din tehnica dentară.

Formarea este denumirea generică a operațiilor prin care se realizează forma de turnare; acest termen se referă numai la realizarea formelor temporare și semipermanente, confecționate din amestecuri de formare. Formele permanente, de tipul matrițelor și a cochilelor se realizează prin turnare sau forjare, urmate de prelucrări mecanice, tratamente termice și de suprafață. Sinonime: *ambalarea* (în tehnica dentară).

Extragerea piesei denumește operația de scoatere a piesei solidificate din forma de turnare. Sinonime: *dezbaterea* - desemnează operația de distrugere a formei temporare și a miezurilor din piesă; *decofrarea* - în tehnica construcțiilor; *dezambalarea* - în tehnica dentară.

Miezul este o parte distinctă a formei de turnare, cu ajutorul căruia se obțin golurile interioare ale pieselor turnate. Miezurile pot fi permanente (la turnarea în matrițe sau cochile) sau temporare (la turnarea în cochile sau în forme temporare). Formarea miezurilor se face cu ajutorul cutiilor de miez.

Modelul de turnătorie este o machetă tridimensională care reproduce aproape identic piesa, mărită corespunzător în funcție de caracteristica de contracție la solidificare a materialului piesei și servește în operațiile de formare. Sinonime: *macheta* - model fuzibil sau volatil, utilizat în tehnica dentară (modelul utilizat în tehnica dentară are o altă semnificație: el desemnează negativul amprente, servind la realizarea machetei).

Mulajul este un model intermediar (negativul formei piesei reale); servește la realizarea modelului de turnătorie (pozitivul formei piesei). Sinonime: *amprenta* (în tehnica dentară).

Rețeaua de turnare este partea tehnologică a cavității formei de turnare, care conține: pâlnia de turnare, totalitatea canalelor de conducere a materialului lichid spre cavitatea piesei, precum și maselotele. Pentru formarea rețelei de turnare se utilizează modele corespunzătoare.

Turnabilitatea este proprietatea tehnologică a unui material ce definește capacitatea acestuia de a căpăta după solidificare configurația geometrică și dimensiunile unei forme geometrice în care se introduce în stare lichidă sau lichido - vâscoasă. Este o proprietate tehnologică complexă, care determină posibilitățile unui material de a fi prelucrat prin turnare; ea este influențată de mărimi fizice precum: fuzibilitatea, fluiditatea, contracția de solidificare etc. Sinonime: *lucrabilitatea* (în tehnologia construcțiilor).

Turnarea este denumirea generică a unei grupe de procedee tehnologice de realizare a pieselor semifabricat și/ sau finite, care folosesc materiale în stare lichidă sau lichido-vâscoasă, cu care sunt umplute cavitățile unei forme speciale; piesa se obține în urma solidificării materialului.

Sub denumirea de turnare, majoritatea autorilor includ și procesele de realizare a sculelor specifice, în special pentru procedeele de turnare în forme temporare, precum și prelucrările de: extragere, finisare și tratamente aplicate pieselor solidificate (acestea pot fi considerate și drept procese separate, de pregătire a turnării, respectiv post-turnare).

O consecință importantă a acestei definiții este cuprinderea în grupa procedeele de turnare și a altor procedee care utilizează materiale în stare vâscoasă, dar care nu conțin explicit în denumire particula „turnare”, din care cauză ele au fost incluse în mod tradițional în alte grupe. În funcție de viscozitate se deosebesc două stări pentru materiale:

- starea *lichido-vâscoasă* – apropiată prin proprietăți de starea lichidă;
- starea *vâsco-plastică* – apropiată de starea solidă.

Ținând cont de aceste comportări, rezultă următoarele grupări:

- procedeele de prelucrare prin punere în formă, care utilizează materiale în stare lichidă sau lichido-vâscoasă, la care piesa se obține în urma solidificării materialului în cavitatea formei și care se numesc procedee de prelucrare prin turnare;

- procedeele de prelucrare prin punere în formă, care utilizează materiale în

stare plastică sau vâsco-plastică, la care piesa se obține în urma deformării plastice și se numesc procedee de prelucrare prin deformare plastică.

3.2. BAZELE TEORETICE ALE TURNĂRII. PARTICULARITĂȚILE SOLIDIFICĂRII MATERIALELOR TURNATE ÎN PIESE

3.2.1. Noțiuni generale despre solidificarea pieselor turnate

Proprietățile fizice cele mai importante ale materialelor în stare lichidă, de care depinde calitatea procesului de turnare, sunt viscozitatea și tensiunea superficială.

Viscozitatea exprimă frecarea dintre straturile interioare ale unui lichid care se deplasează cu viteze diferite. Ea este proprietatea fizică determinantă pentru viteza de curgere a topiturii și, implicit, definește capacitatea materialului de a umple toate volumele cavității forme de turnare, precum și posibilitatea separării incluziunilor din masa piesei turnate (ambele procese sunt favorizate de valori mici ale viscozității). Viscozitatea influențează și caracterul curgerii (laminar sau turbulent) materialului lichid în interiorul forme de turnare. Pentru o umplere ușoară a forme este preferat regimul turbulent, dar o turbulență excesivă poate cauza deteriorarea pereților forme (la formele temporare sau la celelalte, când se folosesc rețele de turnare temporare) și, implicit, generarea de incluziuni în piesă. Viscozitatea depinde de gradul de mobilitate al particulelor din topitură (astfel, ea variază în funcție de compoziția chimică a topiturii, de exemplu, aliajele eutectice au viscozitatea minimă datorită unei mobilități mai ridicate a particulelor elementare) și de temperatură (viscozitatea scade cu creșterea temperaturii topiturii). O altă posibilitate de scădere a viscozității materialului de turnat este creșterea presiunii la care se desfășoară procesul tehnologic (turnarea cu suprapresiune).

Tensiunea superficială exprimă comportarea unui lichid la interfața cu un alt mediu, luând în considerare energia superficială. Datorită acesteia, topiturile tind să își micșoreze suprafața liberă, corespunzător unei energii minime. De această proprietate fizică depind procesele de elaborare și de turnare a materialelor, precum și fenomenele de coagulare, segregare și de adsorbție a gazelor. Tensiunea superficială oferă posibilitatea separării materialului piesei în raport cu materialul forme de turnare (fără ca materialul piesei să pătrundă în porii materialului forme), precum și modul de umplere a cavității forme. Pentru valori ridicate ale tensiunii superficiale se obține o separare bună, dar cu un grad redus de umplere a forme (de exemplu în cazul turnării la presiuni joase unde, pentru a se preîntâmpina acest fenomen, se poate recurge, după caz, fie la proiectarea corespunzătoare a forme piesei și a rețelei de turnare, și/sau alegerea judicioasă a procedurii de turnare, cu sau fără suprapresiune). Proiectarea forme piesei turnate

trebuie să țină seama de mărimea tensiunii superficiale a materialului aflat în stare lichidă sau lichido-vâscoasă, astfel încât să se realizeze umplerea completă a cavității forme (din această cauză există prescripții care limitează grosimea minimă a peretelui piesei, precum și diametrul minim al canalelor rețelei de turnare). De tensiunea superficială depinde și rugozitatea suprafeței piesei turnate.

De modul în care se desfășoară procesul de solidificare depinde nivelul calitativ al piesei realizate prin turnare, atât în ceea ce privește structura, cât și apariția defectelor specifice. Drept parametri care influențează solidificarea pot fi considerați: materialul de turnat, forma de turnare, forma piesei, condițiile de turnare, viteza de solidificare.

La topirea materialelor cristaline (metale și aliaje) se consumă o cantitate de energie, sub forma căldurii de topire, pentru mărirea oscilațiilor termice a atomilor și asigurarea mobilității acestora în volumul cavității forme. Caracteristica distinctivă principală a stării lichide a materialelor cristaline este lipsa forțelor de orientare, care în cazul solidelor mențin atomii în poziții medii de echilibru bine determinate.

La temperatura de turnare ($\theta_{\text{tur}} = \theta_{\text{top}} + 50 \dots 100^\circ\text{C}$) metalele și aliajele păstrează parțial structura cristalină, în ceea ce privește ordinea apropiată de distribuție a atomilor, structura lichidă conținând zone cu cristale mici, legate între ele prin zone amorfe (atomi ieșiți din câmpul forțelor de orientare). Prin supraîncălzire, metalele și aliajele devin în întregime amorfe. La temperatura de turnare, viscozitatea metalului lichid este de circa 1,5 – 3 ori mai mare decât a apei, iar tensiunea superficială este de circa 5 – 15 ori mai ridicată decât a apei (acest fapt face posibilă turnarea în forme din amestec de formare pe bază de nisip cuarțos, metalul lichid neputând pătrunde în porii forme de turnare).

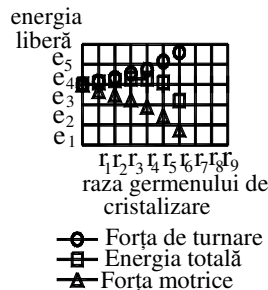


Fig. 3.2. Variația energiei libere la formarea germenilor de fază nouă.

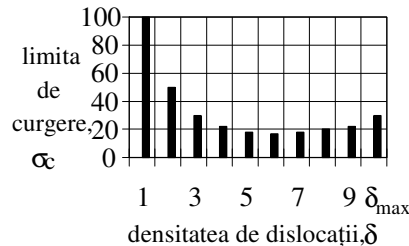


Fig. 3.3. Variația limitei de curgere în funcție de densitatea dislocațiilor.

În timpul solidificării se produce modificarea aranjamentului atomic, prin realizarea ordinii îndepărtate a rețelei cristaline. Procesul de solidificare implică două etape: *germinarea* și *creșterea*. Prin germinare se formează nucleele de cristalizare, la răcirea materialului sub temperatura de solidificare, energia liberă a

atomilor scade, ea fiind asociată interfețelor solid/lichid. Pe măsură ce are loc procesul de separare a solidului din lichid crește energia liberă a suprafeței (fig.3.2).

Calitatea procesului de cristalizare primară influențează hotărâtor proprietățile mecanice ale piesei turnate. În această etapă, se pot îmbunătăți proprietățile, fie pe cale directă, prin modificarea densității de dislocații (micșorare sau mărire), conform figurii 3.3, fie pe cale indirectă, prin dirijarea procesului de solidificare (astfel se pot realiza structuri amorfe, monocristale orientate sau structuri fine și compacte - după cum este condus procesul).

Un procedeu larg utilizat la turnarea metalelor și aliajelor (pentru obținerea unei structuri compacte, care limitează deplasarea dislocațiilor) constă în introducerea de modificatori în topitură, care să mărească numărul germenilor de cristalizare (ca modificatori se folosesc elemente chimice cu o afinitate mai mare față de oxigen decât elementele aliajului). De exemplu, în cazul fontelor și oțelurilor ca modificatori se introduc calciul, magneziul, aluminiul, ceriul, titanul și altele.

Vibrarea băii de material topit, cu o anumită frecvență, în scopul măririi numărului de germeni de cristalizare prin sfărâmarea cristalelor columnare și limitarea creșterii acestora, este un procedeu modern, aplicabil pentru diverse materiale. Prin vibrație se poate obține și evacuarea gazelor din piesa aflată în curs de solidificare.

3.2.2. Influența parametrilor de turnare asupra solidificării

Natura materialului piesei. Experimental s-a constatat că aliajele cu căldura specifică și cu căldura latentă de solidificare mari, dar cu o conductibilitate termică redusă, se răcesc mai lent, față de celelalte, care au conductibilitatea termică mai ridicată.

Forma de turnare. Viteza de răcire a piesei depinde în primul rând de capacitatea forme de turnare de a acumula și evacua căldura. Astfel, dacă forma de turnare se încălzește mai puțin, gradientul de temperatură dintre formă și piesă este mai mare, iar viteza de solidificare a piesei crește (fig.3.4).

În figura 3.5 este prezentat exemplul unui lingou de oțel carbon (0,45% C) de $\varnothing 200 \times 200$ mm turnat într-o formă mixtă din amestec de formare și fontă. Se observă, din pozițiile diferite ale izotermelor, modul diferențiat de răcire a piesei, în funcție de natura materialului din care este confecționată cavitatea de turnare. În timpul elaborării aliajul lichid înmagazinează o cantitate de căldură

$$Q = m \cdot c_s \cdot (\theta_{top} - \theta_0) + m \cdot \lambda_t + m \cdot c_l \cdot (\theta_{ur} - \theta_{top}) \quad [J], \quad (3.1)$$

unde m este masa aliajului topit, în [kg]; c_s - căldura masică a aliajului în stare solidă, în [J/kg·grd]; c_l - căldura masică a aliajului în stare lichidă, în [J/kg·grd];

λ_t - căldura latentă masică de topire, în [J/kg]; θ_{top} - temperatura de topire, în [°C];
 θ_0 - temperatura mediului ambiant, în [°C]; θ_{tur} - temperatura de turnare, în [°C].

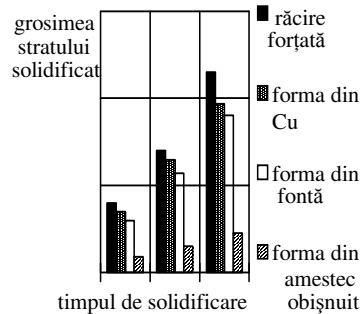


Fig. 3.4. Dependența vitezei de răcire a materialului piesei de natura formei de turnare.

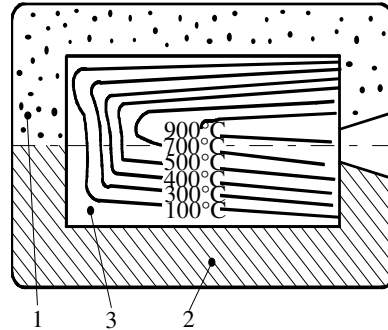


Fig. 3.5. Solidificarea într-o formă de turnare mixtă: 1 - semiformă temporară; 2 - semiformă permanentă; 3 - lingou.

Termenii relației (3.1) reprezintă, în ordine, cantitățile de căldură necesare încălzirii, topirii și supraîncălzirii.

În timpul răcirii, trecerea căldurii de la topitură la pereții formei se face în mai multe etape:

- formarea unui gradient de temperatură în piesă, pornind de la axa termică spre suprafețele de contact cu forma de turnare și cu atmosfera;
- transferul căldurii între suprafața piesei și cea a formei;
- formarea unui gradient de temperatură în forma de turnare, pornind de la interfața de contact cu topitura (peretele interior) spre peretele exterior, aflat în contact cu atmosfera, și acumularea unei cantități de căldură în materialul formei;
- transferul căldurii între peretele exterior al formei de turnare și mediul înconjurător (solul turnătoriei sau atmosfera).

În cazul formelor permanente, se poate reduce viteza de răcire fie prin acoperirea cavității formei cu un material refractar, fie prin menținerea acestora într-un mediu termic controlat. În cazul formelor din material refractar, pentru accelerarea locală a solidificării, sau pentru a controla procesul de cristalizare, se pot prevedea răcitori, amplasați corespunzător.

Forma piesei. Viteza de răcire a piesei turnate este direct proporțională cu mărimea suprafeței relative de răcire a piesei (raportul dintre suprafața și volumul piesei) și invers proporțională cu grosimea peretelui piesei.

Condițiile de turnare. Viteza de răcire a piesei depinde de temperatura de turnare a materialului piesei și deci de modul de ajungere și menținere a acestuia la temperatura de turnare. *Viteza de solidificare* este viteza de deplasare

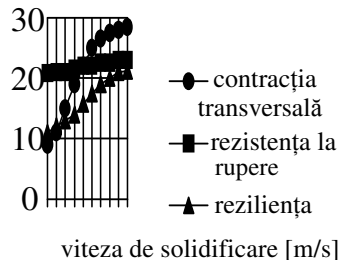


Fig. 3.6. Variația proprietăților mecanice ale materialului piesei turnate în funcție de mărimea vitezei de solidificare.

a frontului de cristalizare. La început, după umplerea formei, viteza de solidificare este foarte mare, însă, pe măsură ce se încălzește forma, gradientul de temperatură scade, și din această cauză, în structura piesei obținute pot apare trei zone de solidificare distincte: una interioară – complet lichidă, o alta intermediară bi-fazică, și una exterioară – complet solidă.

3.2.3. Particularitățile procesului de solidificare

În funcție de natura materialelor din care se confecționează piesele turnate există o serie de particularități specifice ale procesului de solidificare.

Metalele pure: solidificarea are loc cu formarea la exterior a unei cruste; frontul de solidificare este plan; macrostructura pieselor turnate din metale pure este columnară (fig.3.7).

Aliajele: solidificarea începe cu formarea la exterior a unei zone cu cristale fine, datorită gradientului de temperatură ridicat, urmată spre interiorul piesei de o zonă dendritică și de una cu cristale mari echiaxiale, în centrul piesei (fig.3.8).

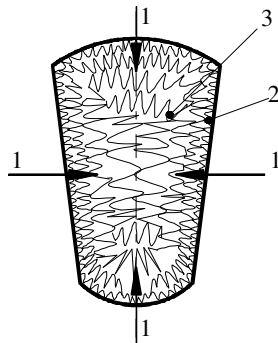


Fig. 3.7. Solidificarea metalelor pure:
1 - propagarea frontului de solidificare;
2 - crustă exterioară; 3 - cristale columnare.

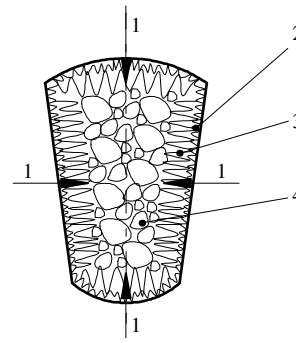


Fig. 3.8. Solidificarea aliajelor:
1 - propagarea frontului de solidificare;
2 - cristale fine în crusta exterioară; 3 - cristale dendritice columnare; 4 - cristale echiaxiale mari.

Materialele compozite metalice: prezența armăturii, ca fază dispersă în matricea aflată în curs de solidificare, influențează apariția și creșterea fazei solide,

prin:

- modificarea condițiilor de germinare (omogenă și eterogenă);
- schimbarea proprietăților termice ale materialului;
- frânarea mișcării convective;
- limitarea fizică a spațiului de dezvoltare a grăunților cristalini.

Armătura, și în special cea sub formă de fibre, limitează alimentarea cu aliaj lichid a microcavităților generate de contracția la solidificare, cauzând apariția porozităților (de aceea se recomandă folosirea unei solidificări dirijate, unidirecționale).

3.3. PROPRIETĂȚILE DE TURNARE ALE MATERIALELOR

3.3.1. Proprietățile de turnare ale metalelor și aliajelor

Turnabilitatea este proprietatea tehnologică globală, care reflectă comportarea materialelor în raport cu procedeele tehnologice din grupa turnării. Turnabilitatea este o mărime relativă, apreciată comparativ, pe tipuri de materiale. Ea este exprimată prin calificative: foarte bună, bună, satisfăcătoare, slabă, necorespunzătoare.

Turnabilitatea materialelor metalice depinde implicit de proprietățile fizico-chimice care influențează turnarea materialului. Ea poate fi îmbunătățită prin alegerea judicioasă a procedului de turnare și a parametrilor procesului tehnologic de turnare (calitatea formei de turnare, regimul de lucru etc.).

Proprietățile fizice care influențează turnarea materialului sunt:

- *fuzibilitatea* este proprietatea materialului de a trece în stare topită. Cantitativ, ea este exprimată prin temperatura de topire, specifică fiecărui material în parte. Această proprietate interesează în cazul turnării la cald.

- *fluiditatea* este proprietatea materialului aflat în stare lichidă/vâscoasă de a curge și umple toate detaliile cavității formei de turnare. Fluiditatea depinde de elementele implicate în procesul de turnare (tab.3.1).

După cum se poate remarca, fluiditatea unui aliaj dat poate fi îmbunătățită prin adaptarea corespunzătoare a elementelor variabile ale procesului de turnare (natura materialului, forma de turnare și tehnologia de lucru).

- *contracția* este proprietatea materialului metalic de a-și micșora volumul în timpul solidificării (majoritatea materialelor au o densitate mai mare în stare solidă decât în stare lichidă). Datorită contracției, în piesele turnate se pot forma goluri de contracție, numite *retasuri*. O altă consecință a contracției este apariția tensiunilor interne la piesele cu secțiuni variabile, care duc la deformarea sau la fisurarea piesei.

Tabelul 3.1. Factorii de influență a fluidității

Elementele procesului	Caracteristicile fizice	Fluiditatea crește pentru:
Materialul topit	Viscozitatea	Scăzută
	Tensiunea superficială	
	Conductibilitatea termică	
	Căldura latentă de solidificare	Ridicată
	Mărimea intervalului de solidificare	Mic
	Gradul de impurificare	Redus
Forma de turnare	Conductibilitatea termică	Redusă
Tehnologia de turnare	Calitatea suprafețelor	Bună
	Temperatura de turnare	Ridicată
	Viteza de turnare	

Valorile contracției liniare k , date în tabelul 3.2, servesc la determinarea dimensiunilor modelului d_m , pornind de la dimensiunile corespundente ale piesei d_p , conform relației (3.2)

$$d_m = d_p \left(1 + \frac{k}{100} \right) \quad [\text{mm}]; \quad (3.2)$$

- *segregarea* este separarea constituenților unui amestec eterogen, astfel încât distribuția acestora nu mai este uniformă; ea se manifestă prin neomogenitatea compoziției aliajului la solidificare, în diferitele zone ale piesei turnate, putând să apară segregatii zonale (macrosegreații) și segregatii dendritice (microsegreații).

Tabelul 3.2. Valorile contracției liniare k , pentru aliajele turnate uzuale

Aliajul	k [%]	Aliajul	k [%]	Aliajul	k [%]
Fontă cenușie	1,00	Oțel manganos	2,50	Al-Cu	1,25
Fontă maleabilă	1,50	Oțel silicios	1,88	Si-Al	1,00
Fontă grafit nodular	1,25	Bronz Sn	1,25	Aliaje Mg	1,25
Oțel carbon	2,00	Bronz Al	1,50	Aliaje Zn	1,50

Tendință mai mare de segregare au aliajele care sunt constituite din componenți cu densități mult diferite. Pentru a preîntâmpina apariția segregatiilor se pot folosi procedee speciale de turnare, cum ar fi: turnarea centrifugală, vibrarea formei de turnare, răcirea rapidă în intervalul de solidificare, urmată de o răcire lentă, pentru eliminarea tensiunilor interne, sau de aplicarea unui tratament termic de recoacere de omogenizare;

- *absorbția gazelor* exprimă proprietatea topiturilor de a dizolva gaze. Gradul de absorbție crește o dată cu mărirea fluidității aliajului. Gazele înglobate în topitură, dacă nu sunt eliminate la timp, pot produce la solidificare goluri în materialul piesei, numite *sufhuri*.

Între proprietățile de turnare și defectele pieselor turnate există o strânsă legătură, de aceea, pentru prevenirea apariției defectelor trebuie avute în vedere, în primul rând, îmbunătățirea acestor proprietăți, adică a turnabilității materialului (aceasta se poate realiza printr-o alegere judicioasă a procedului și a tehnologiei de turnare).

3.3.2. Determinarea practică a proprietăților de turnare

Determinarea fluidității. Ca măsură a fluidității se folosește lungimea parcursă de topitură printr-un canal de secțiune standardizată, executat din amestec de formare sau din fontă (vezi Capitolul 2). Turnarea probelor comparative trebuie făcută în aceleași condiții de temperatură și de viteză de umplere (tab.3.3).

Tabelul 3.3. Metode de determinare a fluidității aliajelor

Metoda	Proba	Zona măsurată	Utilizări
Canalului cu secțiune descrescătoare (măsurarea secțiunii)	Pană	Grosimea vârfului penei	Aliaje cu tensiune superficială mare
	Sferică	Diametrul sferei	Oțeluri, fonte
	Spirală	Spirala	Neferoase
Canalului cu secțiune constantă (măsurarea lungimii)	Dreapta	Lungimea probei	Neferoase ușoare
	În "U"	Ramura ascendentă	Oțeluri
	Harfă	Înălțimea	Pentru corelațiile: fluiditate-grosime și structură-viteză de răcire

Analitic, fluiditatea f_0 poate fi exprimată în raport cu parametrii procesului de turnare, astfel

$$f_0 = \frac{v \times c \times \gamma \cdot \left[\left(\theta_t - \theta_0 \right) + \lambda \right]}{\alpha_1 \cdot \left(\theta_m - \theta_f \right)} \quad [\text{mm}] , \quad (3.3)$$

unde: v este viteza medie de curgere topiturii la umplerea formei; c - căldura specifică a materialului de turnat; γ - greutatea specifică a materialului de turnat; θ_t - temperatura de turnare a materialului; θ_0 - temperatura corespunzătoare fluidității nule a materialului; θ_m - temperatura medie a materialului; θ_f - temperatura medie a formei de turnare; α_1 - coeficientul de transmitere a căldurii; λ - căldura latentă de solidificare.

Deoarece determinarea tuturor termenilor relației de mai sus este dificilă, în practică se preferă compararea probelor de fluiditate prin măsurarea lungimii parcurse de topitură. Ca metode de laborator sunt utilizate:

Determinarea contracției (în stare lichidă sau la solidificare: volumică, liniară). Se face prin punerea în evidență a variației volumului specific al materialului aflat în stare topită, în funcție de temperatură. Pe durata răcirii topiturii, de la temperatura de turnare până la cea ambiantă, pot fi evidențiate trei stadii distincte:

- răcirea până la temperatura lichidus;
- cristalizarea topiturii, până la temperatura solidus;
- răcirea aliajului solidificat, până la temperatura ambiantă.

Contracția volumică totală ϵ_{vt} , pe cele trei stadii, se poate determina cu relația

$$\epsilon_{vt} = \epsilon_l + \epsilon_{l-s} \pm \epsilon_{eut} + \epsilon_s, \quad (3.4)$$

unde: ϵ_l este contracția volumică în stare lichidă

$$\epsilon_l = \alpha_l(\theta_t - \theta_l); \quad (3.5)$$

ϵ_{l-s} - contracția volumică pe intervalul de solidificare

$$\epsilon_{l-s} = \alpha_{l-s}(\theta_l - \theta_s); \quad (3.6)$$

ϵ_{eut} - contracția volumică la temperatura eutectică

$$\epsilon_{eut} = \alpha_{eut}; \quad (3.7)$$

ϵ_s - contracția volumică în stare solidă

$$\epsilon_s = \alpha_s(\theta_{eut} - \theta_0); \quad (3.8)$$

α_l - coeficientul de contracție volumică în stare lichidă; α_{l-s} - coeficientul de contracție volumică pe intervalul de solidificare; α_{eut} - coeficientul de contracție (dilatare) volumică, la temperatura de transformare eutectică; α_s - coeficientul de contracție volumică în stare solidă; θ_t , θ_l , θ_s , θ_{eut} , θ_0 - temperaturile corespunzătoare, respectiv: t - de turnare; l - lichidus; s - solidus; eut - eutectică; 0 - ambiantă. Experimental, contracția volumică totală se determină cu relația

$$\epsilon_{vt} = \frac{V_{cf} - V_p}{V_{cf}} \times 100 \quad [\%] \quad (3.9)$$

unde V_{cf} este volumul cavității forme de turnare; V_p - volumul piesei turnate, la temperatura ambiantă (θ_0).

Determinarea viscozității se poate face prin punerea în evidență a frecării existente între straturile de lichid aflate în mișcare relativă

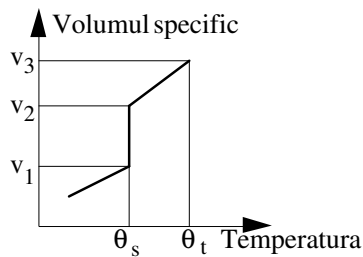


Fig. 3.9. Variația volumului specific cu temperatura aliajului.

$$F = \eta \times S \frac{dv}{dr} \quad [\text{N}] \quad (3.10)$$

unde F este forța de frecare dintre straturile de lichid, aflate în mișcare relativă; η - este viscozitatea dinamică (Poise). Între aceasta și cea cinematică ν , există relația $\nu = \eta/\gamma$ [Stokes]; S - suprafața de contact; dv - diferența de viteză dintre straturi; dr - distanța dintre straturi.

Pentru determinarea viscozității se folosesc metode staționare (metoda curgerii

prin capilar, a corpului căzător, a corpului rotitor, a corpului oscilant) și metode nestaționare (Mayer-Svidkovski).

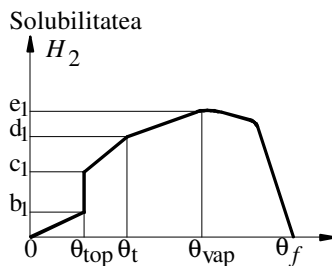


Fig. 3.10 Solubilitatea H_2 în aliaje:

θ_{top} - temperatura de topire; θ_t - temperatura de turnare; θ_f - temperatura de fierbere; θ_{vap} - temperatura corespunzătoare tensiunii de vapori maxime.

Determinarea tensiunii superficiale se poate face prin:

- metoda presiunii maxime în bula de gaz;
- metoda picăturii pe placă;
- metoda Pohl-Schell.

Cea mai utilizată metodă este cea a bulei de gaz, în care, printr-un tub capilar din oțel se insuflă un gaz inert (față de aliajul studiat) în topitură. Pentru ca bulele de gaz astfel formate să atingă suprafața este nevoie ca presiunea internă a gazului să învingă tensiunea superficială a topiturii, astfel

$$p_{max} = 2\sigma/r, \quad (3.11)$$

unde: σ este tensiunea superficială; r - raza la interiorul tubului capilar; p_{max} - presiunea maximă a gazului din bulă.

Determinarea tendinței de degajare a gazelor. Prezența gazelor în piesele turnate afectează grav caracteristicile de rezistență și de etanșeitate. Gazele se pot găsi sub următoarele forme:

- sufluri (defecte de turnare, sub formă de goluri în materialul piesei);
- strat adsorbit;
- soluție și combinații chimice.

Din figura 3.10 se observă că solubilitatea în stare lichidă este maximă la

θ_{vap} .

Pentru determinarea tendinței de degajare a gazelor, precum și a cantității

de gaze conținute în aliajele turnate, se pot utiliza metode de solidificare în vid, care realizează degazarea aliajului topit (determinarea se poate face fie în raport cu aspectul probei solidificate, fie cu presiunile parțiale ale gazelor din incintă).

3.3.3. Proprietățile de turnare ale materialelor nemetalice

În general exprimarea proprietăților de turnare este aceeași și pentru materialele nemetalice, deoarece turnabilitatea definește comportarea materialului (cristalin sau amorf, simplu sau compus) în raport cu procedeele de prelucrare prin turnare.

Experimental se constată că valorile acestor proprietăți sunt diferite, ceea ce conduce la utilizarea unor procedee și tehnologii de turnare specifice.

În cazul turnării betoanelor, constructorii operează cu noțiunea de lucrabilitate, care exprimă aptitudinea betonului de a umple cofrajele sau tiparele și de a îngloba armăturile bine și ușor, sub efectul unui mijloc de compactare, cu o cheltuială minimă de energie și de forță de muncă, precum și aptitudinea de a conserva omogenitatea amestecului în timpul transportului, manipulării și punerii în operă.

Pentru comparație, se prezintă doar valorile contracției liniare pentru câteva din cele mai des utilizate materiale nemetalice turnate (tab.3.4).

Tabelul 3.4. Valorile contracției liniare pentru unele materiale nemetalice

Materialul	k [%]	Materialul	k [%]
Termoplaste:		Termorigide:	
1. Acetat	2,0-2,5	1. Fenolice	0,1-0,9
2. Acril	0,3-0,8	2. Melamină	0,8-1,2
3. ABS	0,3-0,8	3. Alchidice	0,5-1,0
4. Polietilenă joasă densitate înalță densitate	1,3-3,5 2,0-4,0	4. Poliester	max 0,7
5. Polipropilenă	1,0-2,5	5. Epoxidice	0,1-1,0
6. PVC rigidă suplu	0,1-0,5 0,8-3,0	6. Siliconice	max 0,5
7. Polistiren	0,2-0,6	Cauciuc	max 0,8
8. Polioximetilenă	2,0	Sticlă	max 1,5
9. Poliamidă	0,7-2,0	Ceramică	max 1
10. Policarbonat	0,5-0,7	Bazalt	max 1,5
11. Polisulfonă	0,7	Beton	max 2
12. Nylon	0,3-1,5		

3.4. PRINCIPIUL OBTINERII UNEI PIESE PRIN TURNARE

3.4.1. Generalități privind obținerea unei piese prin turnare

Cea mai simplă formă de turnare se realizează din amestec de formare și se utilizează pentru o unică utilizare (formă temporară). Obținerea unei piese prin turnare se poate face (fig.3.11):

- plecând de la o piesă reală, pe baza mulajului;
- plecând de la o piesă virtuală, pe baza desenului de execuție.

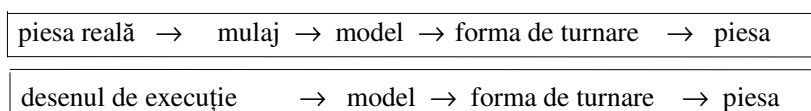


Fig. 3.11. Moduri de obținere a unei piese prin turnare.

Obținerea piesei după mulaj se aplică în cazul producției de unicate, în cazul pieselor cu configurație complexă (inclusiv în tehnica dentară), în cazul realizării pieselor de schimb și când nu se dispune de un atelier de modelărie specializat. În acest caz, piesele sau semifabricatele turnate se obțin prin solidificarea materialului (aflat inițial în stare lichidă sau lichido-vâscoasă), cu care au fost umplute cavitățile formei de turnare. Umplerea cavității formei se poate face prin curgere liberă (la presiune atmosferică), sub acțiunea forței gravitaționale (în cazul pieselor cu pereți groși, cu configurație simplă, din materiale cu turnabilitate bună și foarte bună); sub acțiunea și a altor forțe, precum forța centrifugă; sau cu suprapresiune (pentru piesele cu pereți subțiri și configurație complexă, din materiale cu turnabilitate bună sau satisfăcătoare). Piesele realizate copiază configurația cavității formei de turnare. Ceea ce se obține prin solidificarea materialului în interiorul formei de turnare este, pe de o parte, piesa, iar, pe de altă parte, modelul rețelei de turnare și al maselotelor materializate la umplerea formei. Această ultimă parte se detașează și se recuperează prin retopire.

Solidificarea piesei în formă poate fi:

- *completă* - când sunt utilizate forme temporare sau semipermanente, la care răcirea se face lent;
- *parțială* - până la formarea unei cruste exterioare portante (la utilizarea formelor permanente, când răcirea se face rapid); extragerea piesei din formă se face astfel mai devreme când se folosesc formele permanente, pentru a se preîntâmpina apariția retasurilor.

Forma de turnare este *scula specifică pentru turnare*. Ea conține sau asigură:

- la interior {
 - cavitatea în care se generează piesa;
 - miezurile;
 - cavitățile în care se sprijină miezurile, numite mărci;
 - cavitățile prin care este alimentată cavitatea de turnare cu materialul lichid, care alcătuiesc rețeaua de turnare și maselotele;
 - canalele de evacuare a gazelor;
- la exterior {
 - partea de susținere;
 - partea de centrare și poziționare;
 - partea de închidere/deschidere a formei

3.4.2. Principiul de obținere a pieselor prin turnare

Pentru realizarea piesei 1 (fig.3.12), prevăzută cu golul interior 2, se utilizează un model demontabil după planul de separație ($x-x$), alcătuit din semimodelul superior 3, asamblat cu cel inferior 4. Modelul este prevăzut cu marca 5, destinată rezemării miezului 6 în cavitatea formei. Cu ajutorul modelului piesei se execută cavitatea de generare a piesei 7, iar cu ajutorul modelului rețelei de turnare se execută cavitatea tehnologică, alcătuită din pâlnia de turnare 12, piciorul

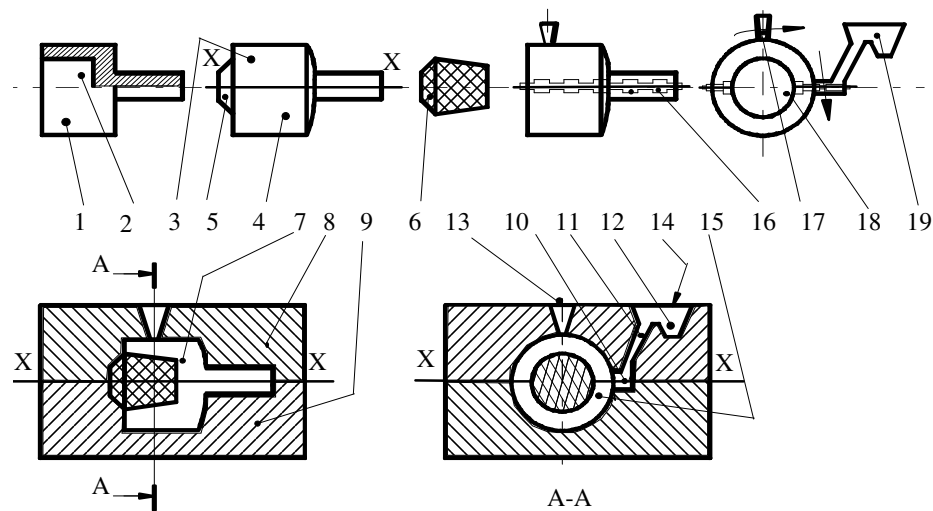


Fig. 3.12. Principiul obținerii unei piese prin turnare:

- 1 - piesa; 2 - gol interior; 3 - semimodel superior; 4 - semimodel inferior; 5 - marcă; 6 - miez;
 7 - cavitatea generatoare a piesei; 8 - semiforma superioară; 9 - semiforma inferioară;
 10 - cavitatea canalului de alimentare; 11 - cavitatea piciorului pâlniei; 12 - cavitatea pâlniei de
 turnare; 13 - cavitatea maselotei; 14 - admisă aliajului topit; 15 - cavitatea formei; 16 - bavară;
 17 - maselota; 18 - piesa solidificată; 19 - rețeaua de turnare.

pâlniei 11, canalul de alimentare 10, maselota (uneori răsuflătoarea) 13. Ambele cavități 17 și 19 întregesc cavitatea formei 15, conținută atât în semiforma inferioară 8, cât și în cea superioară 9.

În cavitatea formei se toarnă metalul sau aliajul topit 14 care va umple cavitatea formei și va ieși prin răsuflătoarea 13. Volumul de material conținut aici va contribui la compensarea volumului pierdut prin contracția de solidificare a piesei. Piesa solidificată 18, extrasă din formă, înglobează și elementele rețelei de turnare 17, 19, precum și o bavură 16 în planul de separație ($x-x$). Aceste surplusuri de material se îndepărtează prin tăiere, fiind ulterior retopite și reintroduse în circuitul productiv.

3.5. PREGĂTIREA MATERIALELOR ÎN VEDEREA TURNĂRII

Pentru a putea fi turnate în piese, materialele trebuie aduse la starea lichidă sau lichido-vâscoasă, care să asigure o umplere corectă a cavității de turnare și o structură corespunzătoare a piesei. Această stare se obține prin încălzire și topire până la temperatura de turnare, în instalații speciale numite cuptoare metalurgice.

3.5.1. Pregătirea materialelor metalice în vederea turnării

Materialele metalice se toarnă întotdeauna la cald. Datorită acestui fapt utilajele de topire și de alimentare a formelor trebuie să asigure următoarele condiții minime:

- încărcare și descărcare/curățire ușoară;
- topirea aliajului sau, după caz, și elaborarea aliajului;
- menținerea topiturii la temperatura de turnare optimă;
- menținerea caracteristicilor fizico-chimice ale aliajului topit;
- posibilitatea efectuării de tratamente metalurgice;
- capacitatea și viteza de lucru suficiente pentru alimentarea formelor de turnare;
- posibilitatea de reglare continuă a temperaturii și compoziției topiturii;
- pierderi minime prin oxidare.

Pregătirea materialelor metalice în vederea turnării implică mai multe etape distincte:

- *elaborarea* constă în topirea și aducerea materialului de turnat la compoziția chimică prescrisă; această ultimă etapă este necesară, deoarece, pe de o parte, piesele turnate pot avea compoziții chimice diferite față de cele ale produselor metalurgice uzuale destinate turnării în piese, iar, pe de altă parte, în procesul topirii pot apare modificări ale compoziției chimice ca urmare a oxidării;
- *supraîncălzirea* constă în ridicarea temperaturii aliajului aflat deja în stare

topită, în scopul măririi fluidității, precum și al evacuării gazelor și separării incluziunilor nemetalice;

- *menținerea* constă în păstrarea aliajului în stare lichidă (la temperatura de turnare), până la turnarea sa în forme (adesea, se preferă crearea unei rezerve tampon de material lichid, în scopul asigurării continuității procesului tehnologic);

- *modificarea* constă în tratarea specială a topiturii, în forma sau oala de turnare, cu scopul obținerii unei anumite structuri a aliajului la solidificare.

La rândul său, *elaborarea poate cuprinde* mai multe etape distincte:

- *ajustarea* constă în compensarea deteriorărilor care apar de la o șarjă la alta în zona căptușelii refractare a cuptorului (se face prin curățirea cavităților create și umplerea lor cu un amestec de magnetită, dolomită și zgură); ajustarea se poate face manual sau mecanic;

- *încărcarea* constă în așezarea și aranjarea materiilor prime în cuptor, după anumite reguli, specifice procesului tehnologic ales (de modul de încărcare depinde starea băii de metal topit); de obicei, durata de încărcare a cuptorului ocupă circa 1/3 din durata de elaborare a unei șarje;

- *topirea* constă în trecerea încărcăturii în stare lichidă; trebuie avut în vedere că, în paralel, au loc procese de oxidare a aliajului și de formare a zgurei, precum și de trecere a gazelor din atmosfera cuptorului în topitură; din această cauză, sunt preferate utilajele care lucrează cu viteze mari de încălzire; tehnologiile folosite pentru topire pot prevedea, de asemenea, încălzirea cuptorului simultan cu încărcarea acestuia;

- *afinarea* este un proces metalurgic de eliminare totală sau numai parțială din aliajul metalic a unor elemente chimice însoțitoare, care nu sunt considerate utile (impurități), prin: oxidarea din topitură, reducerea oxizilor metalului de bază cu ajutorul unor dezoxidanți (care au afinitate mai mare față de O_2 decât metalul de bază), separarea și evacuarea din topitură a oxizilor formați odată cu impuritățile și cu dezoxidanții;

- *rafinarea* este un proces metalurgic de separare a unui metal și de creștere a purității acestuia și se folosește la extragerea și elaborarea metalelor pure sau a aliajelor. Ca metode de rafinare se utilizează: flotația (licuația), rafinarea termică și cea electrolitică, distilarea în vid etc. Afinarea este un caz particular de rafinare, care utilizează oxigenul;

- *fierberea* se face cu scopul agitării băii metalice, pentru accelerarea reacțiilor chimice, și evacuării gazelor din topitură;

- *alierea* se face după ce au fost înlăturate impuritățile, în scopul atingerii compoziției chimice dorite (alierea se poate face în cuptor sau în oala de turnare).

Pentru elaborarea și menținerea materialelor în stare topită sunt utilizate cuptoare; ele se fabrică într-o paletă largă de capacități, de la 25 [kg/șarjă] la 100 [t/șarjă], adaptate diverselor tipuri de turnătorii (piese de serie, unicate, piese de schimb, piese grele). O clasificare a cuptoarelor și a materialelor prime necesare elaborării este prezentată succint în tabelele 3.5 – 3.9.

Tabelul 3.5. Clasificarea cuptoarelor de elaborare a fontelor pentru turnare

Denumirea	Tipul	Caracteristici	Încărcătura	Destinație	Observații
0	1	2	3	4	5
Cubilouri Fig.2.95	Cu cocs, Cu cocs și gaz metan, Cu combustibil lichid	Cuptor înalt, cu vatră, funcționare continuă, în contracurent	Fontă brută și veche, fier vechi, feroaliaje, fondanți, combustibil	Elaborarea fontelor, posibilități de afinare	1,5-20 [t/h], pornire greoaie
Cuptoare cu inducție	Cu creuzet Fig.2.102	Randament superior cubiloului,	Fier vechi, span de fontă și oțel, deșeuri, surse de carbon,	Elaborarea fon- telor, compoziție omogenă, ușor controlabilă,	0,8-12 [t/h], eliminarea gazelor și a incluziunilor nemetalice, supraîncălzire și menținere
	Cu canal Fig.3.13	funcționare intermitentă	CaC ₂ pentru desulfurare	defecte reduse la turnare	
Cuptoare cu arc	Cu trei electrozi Fig.2.101	Randament ridicat	Mai ieftină	Topire rapidă	10-50[t]
Cuptoare cu flacără - inclusiv Siemens- Martin	Rotative <10[t] Cu vatră fixă >10[t]	Randament scăzut, calitate mai bună decât la cubilou	—	—	Înlocuite de cuptoarele cu inducție
Procedee duplex	Cubilou-cuptor inducție cu canal	Rezervă de fontă pentru turnări dese	—	Compoziție controlată	Supraîncălzire și menținere
	Cubilou-cuptor inducție cu creuzet	Turnări de piese cu pereți subțiri	—	Fonte maleabile sau modificate	Supraîncălzire mare
	Cubilou- cuptor cu arc	Pentru turnări de piese grele	—	Fonte speciale	—
	Cuptor inducție cu creuzet-canal	Funcționare de noapte (tarif redus)	Materii prime foarte bune, încărcătura metalică nesortată	Calitate ridicată a fontei	Menținerea fontei lichide
	Cuptor arc- cuptor inducție cu canal				Turnătorii cu grad ridicat de mecanizare
	Furnal-cuptor inducție	Pentru turnări de piese grele		Necesită desulfurare avansată	În incinta combinatelor siderurgice

Dacă la începuturile producției de piese turnate, acestea erau realizate din fonte de primă fuziune (elaborată în furnal prin reducerea minereurilor de fier), în prezent este utilizată exclusiv fonta de a doua fuziune, elaborată în turnătorii.

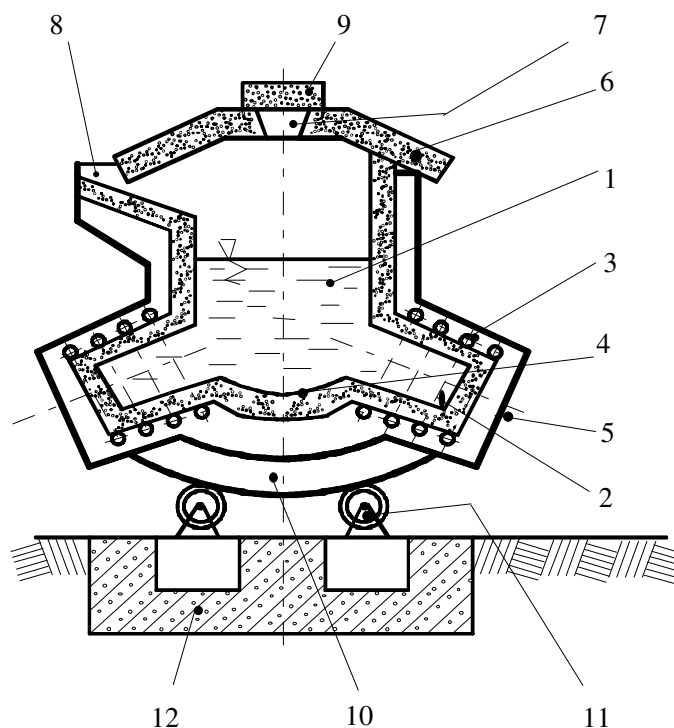


Fig. 3.13 Construcția cuptorului cu inducție cu canal:

1 - aliajul topit; 2 - canal; 3 - inductor; 4 - vatră; 5 - manta metalică; 6 - boltă; 7 - gură de încărcare; 8 - gură de evacuare; 9 - capac; 10 - cale de rulare; 11 - role de basculare; 12 - fundație.

Tabelul 3.6. Materii prime pentru elaborarea fontelor de turnătorie

Denumirea	Simbolizarea	Compoziția [%]	Utilizări	Observații
1	2	3	4	5
Fonta de furnal pentru turnătorie	FK1...6 (% Si: 0,75...3,75)	C: 3,5...4,5; Mn: 0,2...2; P: 0,05...0,7; S: 0,02...0,07;	10-50% din încărcătura cubiloului; tendința de reducere a utilizării lor datorită costului ridicat	Prezintă: separări de grafit, gaze, incluziuni
Fonta specială pentru turnătorie	FX0...5 (% Si: 0,15...3)	P: 0,08...0,2; S: 0,01...0,05	—	—
Fonta aliată pentru turnătorie	FS FOg; FSOg	Si min.9%; Mn 10-25%; min. 9% Si; 18% Mn	Ca adaosuri pentru corectarea compoziției încărcăturii	—
Fonta de afinare	FAK0...2 (% Si: 0,75...1,75)	Mn: 0,5...3,5	Ca înlocuitor pentru FK în cubilouri (15-25%)	Mai economicoasă decât FK și FX

Tabelul 3.6. (continuare)

1	2	3	4	5
Deșeuri de fontă		Diversă	20-60%	
Deșeuri de oțel		Diversă	0-70%	T _{top} ridicată
Feroaliaje	FeCr; FeSi; FeMn; FeTi; FeW; FeMo		Corectarea compoziției	T _{top} ridicată
Fondanți	Calcar metalurgic, Fluorină	CaO; MgO: min.50%; CaF ₂ : 80%	Formarea zgurei Mărirea fluidității	–
Combustibil	Cocs de turnătorie, Gaz metan	C: 75...90%; CH ₄	Topire și carburare	Reactivitate scăzută

Tabelul 3.7. Clasificarea cuptoarelor de elaborare a oțelurilor pentru turnare

Denumirea	Tipul	Caracteristici	Încărcătura	Destinație	Observații
1	2	3	4	5	6
Cuptor cu rezistență	Fig.3.14	Rezervă de oțel lichid	Oțel topit, dez-oxidanți, feroaliaje	Mentținerea oțelului topit	Consum ridicat
Cuptor cu arc	Cu trei electrozi	Elaborare rapidă, generează zgomot și noxe, căpușeală acidă sau bazică	Fier vechi, deșeuri, fontă, dezoxidanți, feroaliaje	Oțeluri aliate, posibilitatea de afinare, desulfurare	1,5-24 [t/h] Turnarea pieselor mari și grele
	Cu creuzet, în vid Fig.3.15	Topire cu electrod consumabil, sub zgură	Retopirea lingourilor	Aliaje înalt rafinate	Turnarea pieselor și lingourilor
Cuptor cu inducție	În vid	Căpușeală acidă, oxidare scăzută, agitare bună a băii, incluziuni reduse, control bun al temperaturii, pierderi de Si și Mn	Încărcătura precis aleasă și cântărită, deoarece nu se poate face afinarea, alierea cu feroaliaje	Oțeluri înalt aliate speciale, conținut redus de: O ₂ , H ₂ , N ₂	0,05-6,7[t/h] 0,08-0,5[t/h]
	Cu creuzet			Oțeluri înalt aliate speciale	–
Cuptor cu fascicol de electroni	–	Cuptoare speciale, experimentale, nestandardizate	Retopirea lingourilor	Oțeluri înalt aliate, speciale	Turnări speciale, aliaje pretențioase
Cuptor cu plasmă					

La începuturile producției de piese turnate din oțel, elaborarea oțelurilor în vederea turnării se făcea exclusiv în cuptoare cu vatră tip Siemens-Martin și în convertizoare Bessemer. Astăzi, aceste procedee au o utilizare restrânsă, numai în turnătoriile de piese grele, de pe lângă oțelării, integrate de regulă marilor combinate siderurgice.

Elaborarea aliajelor neferoase de turnătorie trebuie să respecte următoarele reguli generale:

Tabelul 3.8. Materii prime pentru elaborarea oțelurilor de turnătorie

Denumirea	Simbolizarea	Compoziția [%]	Utilizări	Observații
Deșeuri de oțel	Sortare conform STAS 6058-78	Diversă	Materie primă	De evitat resturile de: Sn, Bi, Zn, Cu, Pb
Fontă de afinare	FAK0...2 (% Si: 0,75...1,75)	Mn: 0,5...3,5	Materie primă	Pentru îmbogățirea în Mn se adaugă Fc oglindă
Minereu de Fe	–	> 90% Fe ₂ O ₃	Oxidant	Max. 7% SiO ₂
Minereu de Mn	–	> 70% MnO	Oxidant	–
Feroaliaje	–	FeMn, FeSi, SiMn	Dezoxidant, elemente de aliere	–
Calcar metalurgic	–	CaCO ₃	Fondant	–

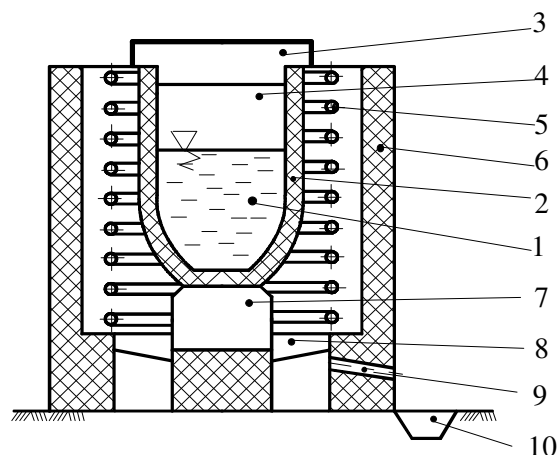


Fig. 3.14. Construcția cuptorului cu rezistență:

1 - aliajul topit; 2 - creuzet; 3 - capac; 4 - gura de încărcare; 5 - rezistențe; 6 - izolație;
7 - postament; 8 - jgheab de golire; 9 - canal de golire; 10 - colector.

- topirea rapidă, evitându-se supraîncălzirea aliajului topit;
- evitarea umidității în zona de elaborare (scule, căpușeli refractare, creuzete, încărcătură);
- evitarea mișcărilor inutile la suprafața băii;
- reducerea parcursului prin aer al jetului de metal topit, la golirea cuptorului și la umplerea formelor.

În procesul de elaborare în vederea turnării se pot folosi:

- aliaje turnate în lingouri;
- metale pure turnate în lingouri (Al - STAS 7607-80; Bi - STAS 8906-76; Cd - STAS 8615-76; Cr - STAS 7386-75; Cu - STAS 270-8; Mg - STAS 10273-75; Mn - STAS 7387-81; Ni - STAS 10502-76; Pb - STAS 663-76; Si - STAS 9675-80; Sn - STAS 10309-75; Sb - STAS 10262-75; Zn - STAS 646-76),

destinate turnătoriilor mari, care își elaborează singure aliajele, sau direct la realizarea topiturilor pentru turnare, în cazul turnătoriilor mici;

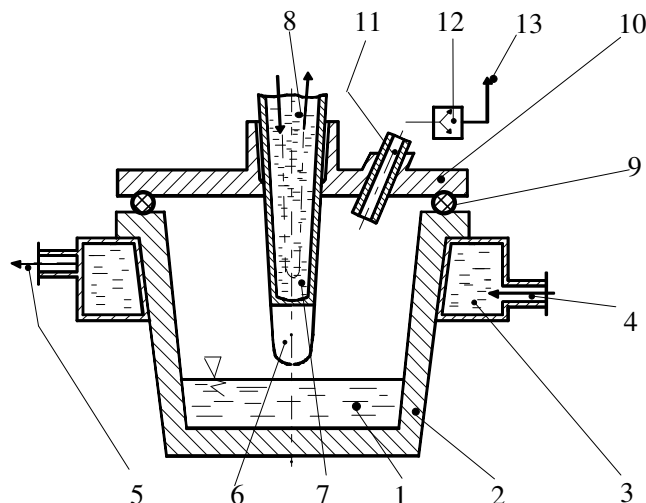


Fig. 3.15. Construcția cuptorului cu arc în vid cu creuzet:

1 - aliajul topit; 2 - creuzet; 3 - instalație de răcire; 4 - admisie apă; 5 - evacuare apă; 6 - electrod neconsumabil (W); 7 - port-electrod; 8 - circuit de răcire; 9 - etanșare; 10 - capac; 11 - conductă de evacuare; 12 - pompă de vid; 13 - coș de evacuare.

- prealiaje destinate elaborării aliajelor:
- pe bază de metale ușor fuzibile (Al, Mg, Zn) cu metale greu fuzibile (Ni, Fe, Mn, Ti, Zr), caz în care se evită supraîncălzirea topiturii;

Tabelul 3.9. Clasificarea cuptoarelor de elaborare a aliajelor neferoase pentru turnare

Denumirea	Tipul	Caracteristici	Încărcătura	Destinație	Observații
Cuptor cu flacără și creuzet	fixe fig.3.16		—	—	Golire manuală
	basculante	până la 1 000 kg			
	rotative				
Cuptor cu rezistență	cu creuzet, fixe	până la 700 kg	Elaborată anterior, transferată topită	De așteptare	Golire manuală
	cu vatră, basculante	Până la 1 200 kg			
Cuptor cu inducție	cu canal		—	—	—
	în vid	până la 5 t			
Cuptor cu electroni	în vid	—	—	Topirea Ti și aliaje	—
Cuptoare cu plasmă					
Cuptoare cu arc					

- cu compoziție precisă, limitând pierderile prin oxidare sau volatilizare;
- deșeuri metalice și material recirculat din turnătorie;
- fondați având următoarele destinații:
 - pentru acoperirea băii metalice, în scopul izolării de interacțiunea cu atmosfera (fluxuri);
 - pentru rafinarea aliajului topit;
 - modificatori, pentru realizarea unei structuri cristaline omogene și compacte.

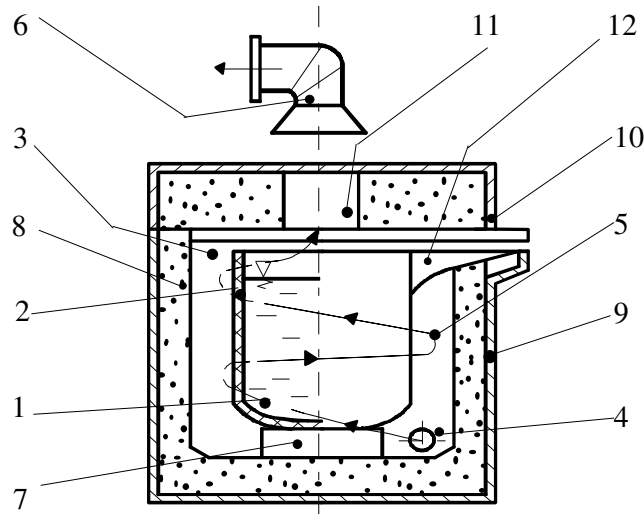


Fig. 3.16. Construcția cuptorului cu flacără și cu creuzet:

- 1 - aliaj topit; 2 - creuzet; 3 - cuvă; 4 - admisia flăcării; 5 - traseul gazelor; 6 - hotă de evacuare; 7 - suportul creuzetului; 8 - căptușeala refractară; 9 - manta metalică; 10 - capac; 11 - gura de încărcare; 12 - gura de evacuare.

3.5.2. Elaborarea materialelor compozite metalice în vederea turnării

Compozitele metalice sunt acele materiale compozite, la care matricea este metalică, armătura putând fi metalică sau nemetalică. Punerea în formă presupune topirea materialului matricei, în cazul producerii materialelor compozite metalice cu matrice lichidă.

Realizarea prin turnare a materialelor compozite este o tehnică relativ simplă, ieftină și accesibilă.

Pentru aducerea în contact a armăturii solide cu matricea lichidă sau semisolidă trebuie învinse forțele de tensiune superficială, de viscozitate și cele arhimedice. Din această cauză, ca și pentru a se realiza o amestecare bună a componentelor sunt utilizate următoarele procedee:

- agitarea mecanică a topiturii;
- pulverizarea materialului solid pulverulent în topitură prin intermediul unui gaz purtător inert;
- înglobarea particulelor solide în jetul de topitură la turnarea în formă;
- înglobarea materialului solid, sub formă de brichete sau pelete în topitură, și agitarea mecanică ulterioară a acesteia;
- dispersarea fazei solide în masa topiturii în câmp ultrasonor;
- dispersarea fazei solide în masa topiturii în câmp electromagnetic;
- dispersarea fazei solide în masa topiturii centrifugal;
- producerea dispersiei în masa topiturii pe cale chimică.

3.5.3. Elaborarea materialelor nemetalice în vederea turnării

După temperatura de proces se disting două categorii de materiale nemetalice:

- *turnate la cald* (sticla, bazaltul, ceramicile turnate, cauciucul, masele plastice, materialele compozite cu matricea din materiale turnate la cald);
- *turnate la rece* (betoanele, materialele compozite cu matricea din rășini).

Elaborarea materialelor nemetalice în vederea turnării cuprinde mai multe etape caracteristice, și anume:

- granulara și sortarea componentelor prin măcinare și cernere;
- dozarea componentelor;
- amestecarea;

La aceste etape se pot adăuga încălzirea sau topirea, după caz, pentru accelerarea reacțiilor chimice (această etapă poate însă lipsi în cazul materialelor turnate la rece).

În cazul elaborării materialelor din mai multe componente, se pune problema evitării segregării. Aceasta se face prin amestecarea cât mai omogenă, prin menținerea omogenității materialului pe durata transportului, a alimentării formei și a solidificării acesteia.

3.5.3.1. Elaborarea betonului

Ca volum de material turnat, betonul este, oriunde în lume, pe primul loc. În componența betonului pot intra:

- cimentul;
- agregatele - materiale granulare naturale: nisip (0..7 mm); pietriș (7...70 mm); bolovani de râu (71...160 mm); balast (amestec de nisip cu pietriș) sau artificiale: nisip de concasaj; piatră spartă; criblură. Spre deosebire de agregatele naturale, cele artificiale au muchii ascuțite și rugozitate mare.
- apă de amestecare (este preferată apa potabilă, care nu are resturi organice, sau industriale, și care are o reacție neutră);

- aditivi (plastifianți, acceleratori de priză și de întărire, întârziatori de priză, antigeli, impermeabilizatori).

3.5.3.2. Elaborarea maselor plastice în vederea turnării

Masele plastice au o structură amorfă. Ele pot fi: *termoplaste* (devin plastice la încălzire, iar la răcire își mențin forma luată, fără a suferi transformări chimice, formarea este reversibilă) sau *termorigide* (devin plastice prin încălzire, își mențin forma luată, suferă transformări chimice astfel încât formarea este ireversibilă). În alcătuirea maselor plastice intră:

- materialul de constituție (granule sau fibre naturale sau sintetice; trebuie să fie omogen, rezistent la umiditate, ușor impregnabil cu liant);
- liantul (rășini de polimerizare sau de policondensare, termoplaste sau termorigide - ele dau numele masei plastice respective);
- plastifiantul (îmbunătățește elasticitatea și fluiditatea, mărind prelucrabilitatea masei plastice);
- coloranții;
- lubrifiantul (facilitează prelucrarea, împiedicând lipirea de scule);
- stabilizatorii (limitează degradarea masei plastice la prelucrare și prin îmbătrânire);
- fungicidele, insecticidele (protejează masa plastică față de acțiunea ciupercilor și insectelor);
- materialele auxiliare (conferă anumite proprietăți secundare).

3.5.3.3. Elaborarea materialelor ceramice în vederea turnării

Prin material ceramic se înțelege orice material solid, anorganic, nemetalic, care este obținut și/sau utilizat la temperaturi înalte. Din punct de vedere istoric, se face distincție între:

- *ceramica de primă generație* (tradițională): porțelan, gresie, faianță, teracotă, șamotă - cu utilizări la: scule abrazive, materiale refractare, materiale de construcții, articole sanitare, articole decorative;
- *ceramica de a doua generație* (tehnică avansată fină), dintre utilizările acestora se pot enumera: plachete de siliciu, materiale piezoceramice și magneto-ceramice, izolatori, semiconductori și supraconductori, turbine și motoare ceramice, scuturi termice, filtre ceramice, materiale antifricțiune, plăcuțe aşchiitoare, materiale biocompatibile etc.

În alcătuirea ceramicelor pot intra:

- oxizi metalici și ai metaloizilor (SiO_2 ; SiO_4 ; Al_2O_3 ; AlO_6 ; MgO ; MgO_6 ; CaO ; SrO ; BaO ; CdO ; Cr_2O_3 ; MnO ; FeO ; CoO ; NiO ; BeO ; Be_2O_3 ; ZrO_2 ; TiO ; BaTiO_3 etc.);
- carburi (SiC ; BC ; B_4C ; CW ; TiC ; VC etc.);

- nitruri (AlN ; Si_3N_4 ; TiN etc.);
- boruri (TiB_2 ; ZrB_2 etc.);
- silicați;
- forme ale carbonului.

3.5.3.4. Elaborarea sticlei în vederea turnării

Sticla este un material amorf, termoplast, înrudit cu ceramicele. La elaborarea sticlei se folosesc:

- vitrifianti (SiO_2 ; B_2O_3 ; GeO_2 ; P_2O_5 ; As_2O_5), ca material de bază;
- fondanți (Na_2O , K_2O), care coboară temperatura de topire a sticlei;
- stabilizatori (MgO ; PbO ; Al_2O_3), care cresc duritatea, rezistența mecanică și stabilitatea chimică;
- transparenți (As_2O_3 ; KNO_3);
- opacizanti (CaF_2);
- coloranți (oxizi metalici).

3.5.3.5. Elaborarea cauciucului în vederea turnării

Cauciucul este un material amorf, macromolecular, extensibil. În componența cauciucului industrial, utilizat la realizarea diverselor produse tehnice prin turnare pot intra:

- cauciucul natural;
- cauciucul sintetic brut;
- sulf (2...12%) pentru vulcanizare (modificarea structurii și a proprietăților prin trecerea din stare plastică în elastică);
- acceleratori de vulcanizare, care reduc sulful și scad temperatura și durata de vulcanizare;
- ingrediente active (C - negru de fum), care îmbunătățesc proprietățile mecanice;
- ingrediente pasive (talc, caolin), care scad costul cauciucului;
- plastifianți, care îmbunătățesc proprietățile mecanice la temperaturi joase;
- antioxidanți, care cresc stabilitatea cauciucului în timp;
- coloranți;
- cauciuc regenerat.

3.5.3.6. Elaborarea materialelor compozite nemetalice în vederea turnării

Materialele compozite nemetalice sunt materiale compuse, la care matricea este nemetalică, iar armătura poate fi metalică sau nemetalică. De regulă, înainte de punerea în formă se face elaborarea matricei (prin una dintre metodele prezentate), iar materialul în totalitatea sa (asamblarea matricei cu armătura) este obținut direct

în forma de turnare.

3.6. CLASIFICAREA PROCEDEELOR DE TURNARE

3.6.1. Criterii de clasificare

Există mai multe criterii de clasificare, cele mai des întrebuițate fiind:

a. după natura materialului de turnat

- metalic (metale pure, fonte, oțeluri, metale și aliafe neferoase etc.);
- nemetalic (bazalt, betoane, cauciuc, mase plastice, materiale compozite, materiale ceramice, sticlă etc.);

b. după numărul de utilizări ale formei

- pentru o singură utilizare (forme temporare);
- pentru utilizări multiple (forme permanente și semipermanente);

c. după tipul formei

- forme deschise;
- forme închise;

d. după modul de formare

- cu modele permanente (demontabile, monobloc, cu schelet, cu șablon, cu placă model, cu pat fals etc.);
- cu modele temporare (ușor fuzibile sau volatile, liant termoreactiv etc.);

e. după natura materialului formei

- după natura liantului:
 - solid (argilă, bachelită, ciment, ipsos etc.);
 - lichid (sticlă solubilă, apă, silicat de etil, rășini etc.);
 - gazos (vid);
- după natura materialului de umplere:
 - metalic;
 - nemetalic;
 - granular;

f. după gradul de uscare a formei:

- forme crude (umed);
- forme uscate;

g. după grosimea pereților formei

- pereți groși;
- pereți de grosime medie;
- forme coji;

h. după metoda de turnare

- directă;
- indirectă;
- continuă;
- intermitență;
- în planul de separație;
- cu rețea în fantă;
- cu rețea etajată.

i. după presiunea la care are loc procesul

- depresiune;
- presiune normală;
- suprapresiune - joasă, medie și înaltă;

j. după mișcarea relativă a formei

- statică;
- centrifugală;
- oscilatorie (vibrarea materialului în curs de solidificare);
- agitarea electromagnetică a materialului în stare lichidă în forma de

turnare;

k. după numărul planelor de separație

- fără plan de separație;
- cu un plan de separație;
- cu două plane de separație;

l. după masa și gabaritul piesei

- miniaturale (piese de orologerie, dentare, micromecanică, cu masa de ordinul gramelor și dimensiuni mai mici de 10 mm);
- mici (mecanică fină, cu mase mai mici de 0,1 kg și dimensiuni mai mici de 100 mm);
- medii (piese uzuale cu mase mai mici de 100 kg și dimensiuni mai mici de 800 mm);
- mari (piese uzuale cu mase mai mici de 3 000 kg și dimensiuni mai mici de 2 000 mm);

- grele (piese agabaritice cu mase mai mari de 3 000 kg și dimensiuni mai mari de 2 000 mm);

m. după modul de răcire (solidificare) a piesei

- lentă;
- rapidă;
- nederijată;
- derijată;

n. după gradul de automatizare a procesului

- manual;
- mecanizat;
- automatizat;

Pot exista și situații intermediare, de procese parțial mecanizate sau parțial automatizate, referitoare numai la unele dintre operațiile procedeului de turnare, cum ar fi: realizarea sculei, pregătirea turnării, extragerea piesei, finisarea piesei, tratamentele aplicate piesei etc.;

o. după caracterul producției

- unicate;
- serie mică;
- serie mare;
- masă.

3.6.2. Procede de turnare

Procedeele de turnare cu cea mai largă utilizare în industrie, clasificate după numărul de turnări, ce se pot efectua în aceeași formă și după mișcarea formei, se prezintă în tabelul 3.10.

Tabelul 3.10. *Procedeele cele mai răspândite de turnare a metalelor, utilizate în industrie*

Tipul de utilizare a formei	Tipul constructiv al formei	Denumirea procedeului de turnare	Mișcarea formei
0	1	2	3
a. Turnare în forme temporare	a.1. Din amestec de formare obișnuit:	a.1.1. în solul turnătoriei	Static
		a.1.2. în rame	Static, arareori oscilant
		a.2.1. în miezuri	Static
		a.2.2. cu liant termoreactiv	
		a.2.3. cu modele ușor fuzibile	Static sau centrifugal
		a.2.4. cu modele volatile	Static

Tabelul 3.10. (continuare)

0	1	2	3
	a.2. Din amestec de formare special:	a.2.5. cu ciment 10 %	Static sau centrifugal
		a.2.6. cu autoîntărire	Arareori oscilant
		a.2.7. cu întărire cu CO ₂	Static
		a.2.8. cu întărire în vid	Cu agitare electromagnetică
		a.2.9. cu întărire criogenică	Static
		a.2.10. cu întărire în câmp magnetic	Static
b. Turnarea în forme semipermanente		b.0.1. în rame	Static
		b.0.2. în miezuri	
c. Turnarea în forme permanente	c.1. Cochile	c.1. fără suprapresiune	Centrifugal sau static
	c.2. Matrițe	c.2.1. cu suprapresiune	Static
		c.2.2. prin aspirație	
	c.3. Continuă	c.3. continuă în bare sau plăci	

Cele mai importante utilizări și coeficientul de utilizare a materialului în cazul procedeelor clasificate conform tabelului 3.10 se prezintă în tabelul 3.11.

Tabelul 3.11. Utilizările procedeelor de turnare a metalelor și aliajelor

Procedeul de turnare	Caracteristici	Precizia 1-ridică 2-medie 3-redușă	Coeficientul de utilizare a materialului	Aplicații recomandate
0	1	2	3	4
Forme din amestec de formare obișnuit	Formare manuală sau mecanizată (bătătoare pneumatice și aruncătoare de amestec)	2-3	max. 0,5	Producția de unicate, piese cu configurație complexă, medii, mari și grele
	Formare mecanizată, cu modele din lemn montate pe plăci model metalice	2-3	max. 0,65	Producția de serie mică, piese complexe, cu pereți subțiri
	Formare mecanizată, cu modele metalice, miezuri calibrate	2	max. 0,7	Producția de serie mare și masă, piese complexe cu pereți subțiri
Forme coji, cu modele ușor fuzibile	Formare manuală sau mecanizată, la producția de serie	1-2	max. 0,9	Producția de unicate, serie, piese complexe, miniaturale, mici sau medii
Forme coji, cu liant termoreactiv	Proces mecanizat integral	2	max. 0,75	Producția de serie și masă, piese complexe
Forme permanente, fără suprapresiune	Forme metalice demontabile, cu miezuri din amestec de formare	2-3	max. 0,9	Producția de serie și masă, piese masive, cu pereți groși, din fontă sau oțel

Tabelul 3.11. (continuare)

0	1	2	3	4
	Forme metalice demontabile, cu miezuri metalice sau din amestec de formare	2	max. 0,7	Producția de serie și masă, piese din aliaje neferoase
Forme permanente, cu suprapresiune	Forme metalice, mașini de turnat cu dozare manuală sau automată	1	max.0,92	Producția de serie și masă, piese cu pereți subțiri din aliaje neferoase
Centrifugală	Forme permanente sau temporare, proces mecanizat	2-3	max.1,0	Producția de unicate sau de serie se pretează la combinații diverse cu celelalte procedee

Clasificarea principalelor procedee de turnare, ținând cont de mai multe criterii de clasificare se prezintă în tabelul 3.12.

Tabelul 3.12. Clasificarea generală a procedeeelor de turnare

Proce- deul	Criteriul de clasificare													
	1	2	3	4	5	6	7	8	9	10	11	12	13	14
Turnarea în forme temporare din amestec de formare obișnuit														
În rame	m&	un	p	md pm	agl	c &u	g	i	pa	s & o	0,1 2	m-M	l, nd	mnmz
În sol		a		ș sch		c				s	0,1			
Turnarea în forme temporare din amestec de formare special														
În rame	m a	un	p	pm	aî	u	g	i	pa	s, o, c	1,2	m-mj	l, nd	mz aut pt/ tot
					vd									
					CO ₂									
					cr									
					cm									
					șm									
	t	mv	cp. mg	mj-M	r									
În coji			p			pm	tr	s			1	m-mj	l, nd /d l, nd	pt aut
În mie- zuri			t	mf cmz	ss afs	g	s							
Turnarea în forme permanente a:														
m & a	ml	-	ccl mț	m	-	m	i & c	pa sp dp	s/o/c s	1	m-mj	r,d/nd	mn mz	
bazalt			fm mt					sp	s					0,1

Tabelul 3.12. (continuare)

1	2	3	4	5	6	7	8	9	10	11	12	13	14
bn, ips, gp	un ml		cj tp	lm oț				pa vb					
sticlă	ml		fm	oț				pa/ sp		1			
cauciuc			mț										
mat. compoz.													
mat. plastice													

Criteriile de clasificare a procedeeelor de turnare sunt:

- 1-materialul piesei: m & a - metale și aliaje; bn-beton; ips-ipsos; gp-ghips;
- 2-numărul de utilizări ale formei de turnare: un-unică utilizare; ml-multiplă;
- 3-caracterul modelului: p-permanent; t-temporar;
- 4-modul de formare/tipul formei: md-cu model demontabil; pm-placă model; ș-șablon; sch-schelet; mv-modele volatile; ccl-cochilă; mț-matriță; fm-forme; cj-cofraje; tp-tipare;
- 5-materialul formei/liantul: agl-argilă; af-amestec cu autoîntărire; vd-forme vidate; CO₂-forme întărite cu CO₂; cr-forme criogenice; cm-forme întărite cu ciment; șm-forme din șamotă; cp.mg-forme întărite în câmp electromagnetic; tr-liant termoreactiv; ss-sticlă solubilă; afs-amestec de formare special; m-forme metalice; lm-forme din lemn; oț-oțel;
- 6-gradul de uscare a formei: c-forme crude; u-forme uscate;
- 7-grosimea pereților formei: g-groși; s-subțiri; m-medii;
- 8-metoda de turnare: i-intermitentă; c-continuă;
- 9-presiunea de turnare: pa-presiune atmosferică; sp-suprapresiune; dp-depresiune;
- 10-mișcarea formei: s-statică; o-oscilantă; c-centrifugală;
- 11-numărul planelor de separație: 0, 1, 2;
- 12-gabaritul piesei: m-mic; mj-mijlociu; M-mare;
- 13-modul de solidificare a piesei: l-lent; nd-nedirijat; d-dirijat; r-rapid;
- 14-gradul de automatizare: mn-manual; mz-mecanizat; aut-automatizat; pt-parțial; tot-total.

3.7. TURNAREA ÎN FORME TEMPORARE

3.7.1. Schema procesului tehnologic

Procesul tehnologic de obținere a pieselor prin turnare în forme temporare (figura 3.17) - de unică utilizare - poate fi structurat în următoarele etape distincte:

- prepararea amestecului de formare și a amestecului de miez;
- realizarea modelelor și a cutiilor de miez pornind de la desenul piesei brut turnate sau de la desenele de execuție ale modelelor, miezurilor, rețelei de turnare și răsuflătorilor;
- realizarea cavității de formare și a miezurilor;
- asamblarea miezurilor în cavitatea de formare și obținerea cavității de turnare;
- execuția rețelei de turnare și a canalelor de aerisire și asamblarea semiformelor în vederea obținerii formei de turnare;

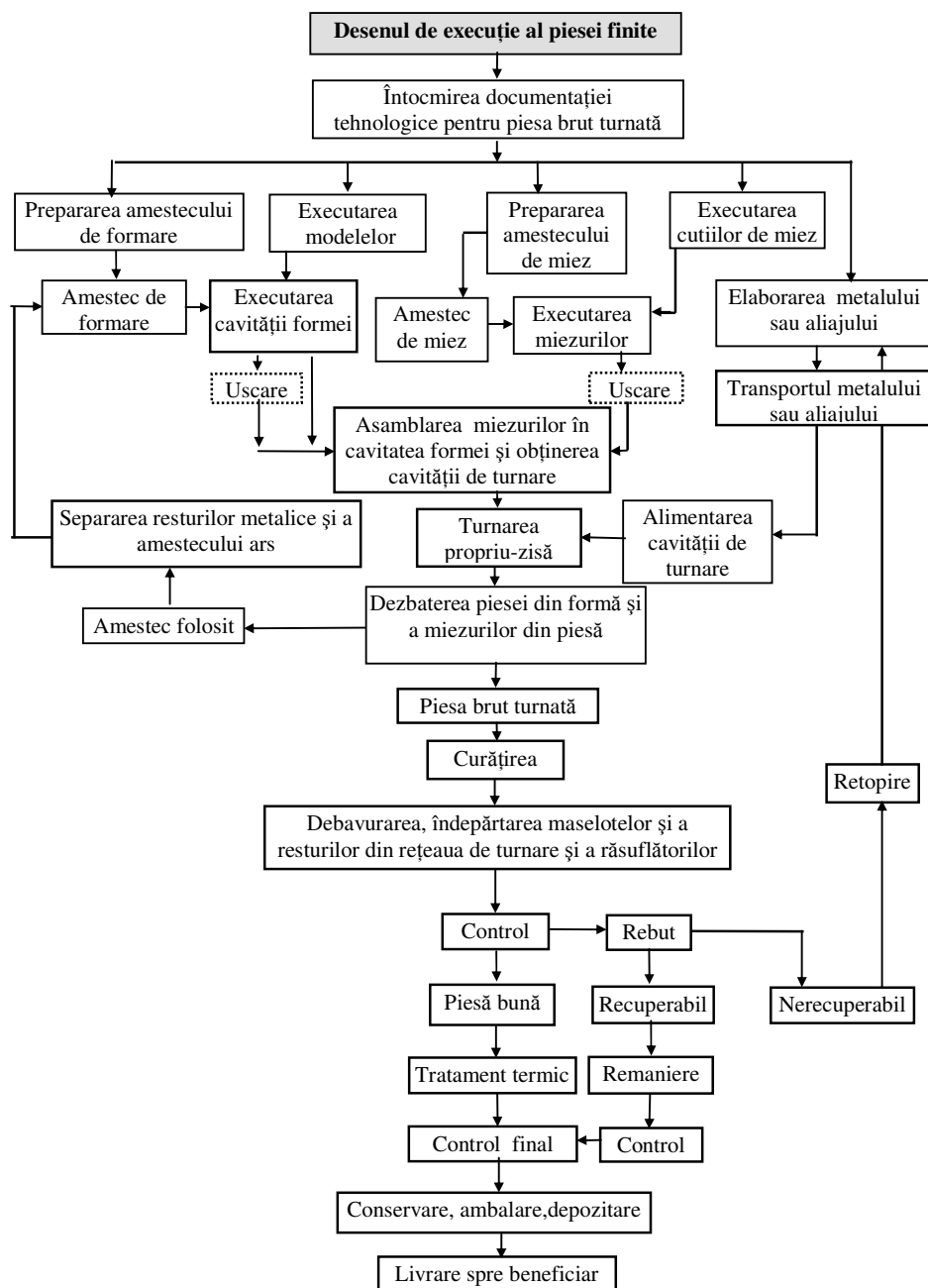


Fig. 3.17. Procesul tehnologic la turnarea în forme temporare din amestec de formare obișnuit.

- elaborarea metalului sau aliajului la temperatura de turnare, transportul și alimentarea formelor de turnare;
- eventuale tratamente aplicate metalului sau aliajului lichid la umplerea formei și asupra piesei în curs de solidificare;
- turnarea propriu-zisă (solidificarea piesei);
- dezbaterea piesei din formă și a miezurilor din piesă;
- curățirea, debavurarea și îndepărtarea maselotelor, resturilor din rețeaua de turnare și a răsuflătorilor;
- tratamente termice aplicate piesei turnate;
- controlul final al piesei;
- remedierea eventualelor defecte;
- operații post-producție (manipulare, marcarea, conservare, ambalare, depozitare și livrarea spre beneficiar).

3.7.2. Bazele proiectării modelelor și a cutiilor de miez

Proiectarea modelelor și cutiilor de miez este cea mai importantă operație, deoarece modelele și cutiile de miez determină configurația exterioară, respectiv interioară a viitoarei piese realizate prin turnare.

Modelele, ca și cutiile de miez pot fi confecționate din lemn, ipsos, ciment, materiale metalice sau mase plastice, în funcție de volumul de producție.

Modelele reproduc forma și configurația piesei turnate, la dimensiuni majorate corespunzător cu valoarea contracției liniare a materialului de turnat. Din această cauză, este necesară identificarea ușoară a modelului destinat turnării unui anumit material. Acest lucru se face prin vopsirea în culori convenționale: roșu - pentru fontă, albastru - pentru oțel, galben - pentru aliaje neferoase; negru - pentru zonele de rezervă a miezurilor numite *mărci*. Pentru confecționarea miezurilor se folosesc cutii de miez. Cavitățile unei astfel de cutii reproduc configurația golului interior din piesă: total - când se utilizează un singur miez, sau parțial - când se folosesc mai multe miezuri. Dimensiunile cavității cutiei sunt mai mici decât ale golului corespunzător din piesă, ținând cont de valoarea contracției liniare a materialului de turnat (invers decât la modele). Pentru identificarea destinației cutiei de miez aceasta se vopsește cu aceleași culori ca și modelul.

Lemnul cel mai folosit în modelări este teiul, datorită caracteristicilor sale: esența moale, ușor prelucrabilă (inclusiv prin sculptare); stabilitate bună în timp, rezistă la formări multiple; raport calitate/preț accesibil.

Pentru modele de precizie ridicată, se pot folosi și alte esențe de lemn, mai scumpe (fag, stejar, arțar, frasin, nuc, pâr).

Modelele metalice sunt utilizate de regulă la formarea mecanizată. Ele pot fi asamblate cu modelul rețelei de turnare pe plăcile model.

La proiectarea modelelor și a cutiilor de miez trebuie parcurse următoarele

etape (fig. 3.18):

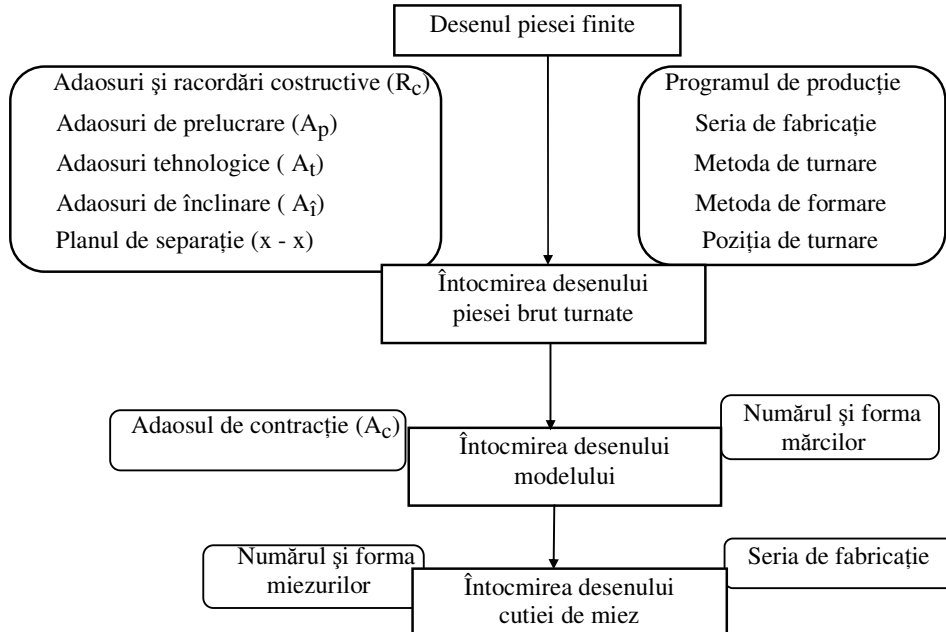


Fig. 3.18. Schema proiectării modelelor și a cutiilor de miez.

1 - *stabilirea rolului funcțional al piesei* - se face pe baza metodei de analiză morfofuncțională a suprafețelor;

2 - *alegerea materialului optim pentru confecționarea piesei* - se folosește metoda de analiză a valorilor optime;

3 - *întocmirea desenului piesei brut turnate* - se face pornind de la desenul piesei finite (fig. 3.19), rezolvând următoarele:

a) *stabilirea programului de producție* – se face ținând cont de volumul de producție (numărul de bucăți) ce trebuie realizat în total, anual, lunar, zilnic etc.;

b) *alegerea metodei de formare* – se face în funcție de programa de producție, astfel: pentru producția de serie mică sau unicat se folosește formarea manuală; pentru producția de serie mare și masă se folosește formarea mecanizată; pentru piese de greutate și gabarite mari se folosește formarea manuală și turnarea în solul turnătoriei, iar pentru piese complexe, dimensiuni mici și medii, în producție de serie se folosește formarea în miezuri;

c) *stabilirea poziției de turnare* – se face în funcție de complexitatea și configurația geometrică a piesei care se toarnă. Se recomandă ca suprafața de dimensiuni maxime să fie în plan orizontal, iar

suprafețele care nu mai necesită prelucrări ulterioare prin așchiere să fie în plan vertical;

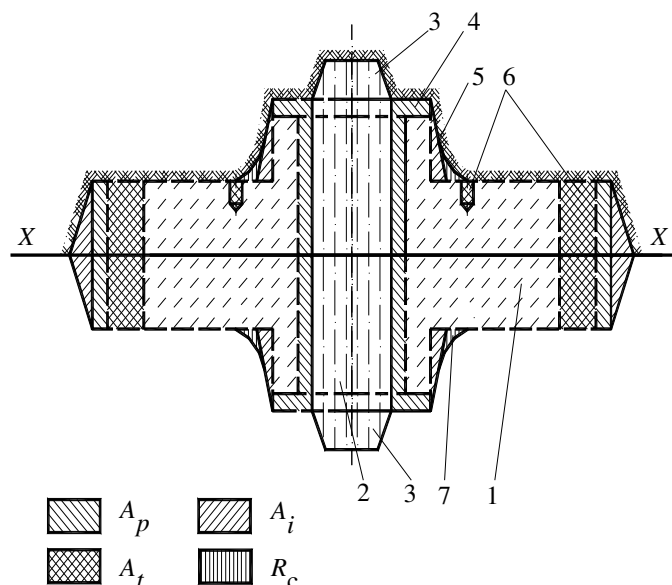



Fig. 3.19 Schema întocmirii desenului piesei brut turnate și a configurației modelului:
1- piesa finită; 2 - miezul; 3 - mărcile miezului; 4 - adaosul de prelucrare A_p ; 5 - adaosul de înclinare A_i ; 6 - adaosul tehnologic A_t ; 7 - razele de racordare constructive R_c ;  - conturul semimodelului superior; X-X - planul de separație.

d) stabilirea metodei de turnare – se face în funcție de dimensiunile de gabarit, configurația geometrică a piesei, caracterul solidificării (simultane sau dirijate) și în scopul umplerii complete a cavității de turnare și al evitării apariției diferitelor defecte de turnare;

e) alegerea planului de separație X-X este o problemă importantă în economia de material consumat cu realizarea piesei turnate, deoarece mărimea adaosurilor de înclinare depinde de poziția planului de separație. La alegerea planului de separație trebuie să se țină seama de următoarele recomandări:

- să fie pe cât posibil plan de simetrie;
- să fie pe cât posibil un plan drept și nu în trepte, deoarece complică foarte mult realizarea semiformelor de turnare;
- să fie situat numai în poziție orizontală;
- să conțină suprafața de dimensiuni maxime;
- să necesite cele mai mici valori pentru adaosurile de înclinare;

- să permită extragerea modelului din cavitatea de formare cât mai ușor posibil și fără distrugerea ei;
- suprafețele ce urmează a fi prelucrate prin așchiere să rămână în semiforma inferioară sau lateral, deoarece suprafețele care se găsesc în partea de sus a formei sunt mai puțin pure;
- să permită umplerea completă a cavității de turnare și fără apariția unor posibile defecte de turnare.

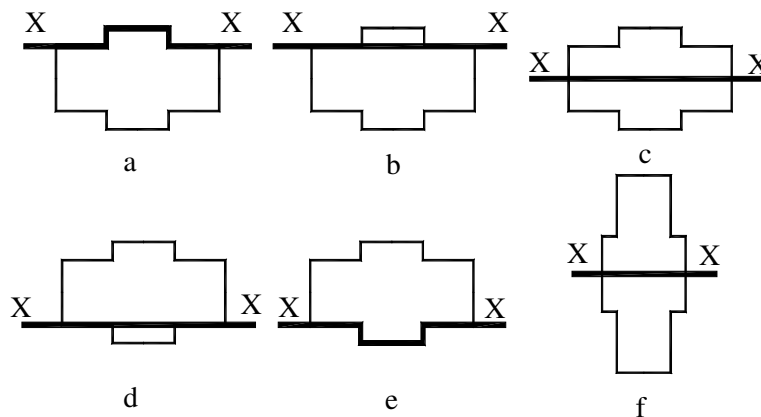


Fig. 3.20. Diferitele poziții ale planului de separație X-X pentru piesa din figura 3.19.

Pentru piesa din figura 3.19 poziția cea mai favorabilă este cea din figura 3.20. c, deoarece răspunde la cele mai multe recomandări;

f) stabilirea adaosurilor de prelucrare, A_p – pe toate suprafețele a căror precizie geometrică și rugozitate nu pot rezulta în urma turnării, ci doar în urma prelucrării prin așchiere. Mărimea adaosurilor de prelucrare se stabilește în funcție de: calitatea materialului din care se toarnă piesa; dimensiunile și complexitatea suprafețelor; clasa de precizie ce se vrea obținută; metoda de formare și poziția suprafeței de prelucrat în timpul turnării (în partea de jos a formei, lateral sau sus). Valorile adaosurilor de prelucrare sunt standardizate și se aleg din tabele;

g) stabilirea adaosurilor tehnologice, A_t – pe toate suprafețele a căror configurație și poziție nu pot rezulta direct prin turnare. De asemenea, se prevăd adaosuri tehnologice pentru a simplifica forma tehnologică a piesei și pentru a crește tehnologicitatea construcției piesei turnate. În general, ele reprezintă: adaosuri la turnarea găurilor (când diametrul găurii $\varnothing < 20\text{mm}$) sau a altor suprafețe complicate (danturi, filete, caneluri etc.); adaosuri suplimentare pentru fixarea piesei în timpul prelucrărilor mecanice (bosaje, găuri de centrare, umere etc.); nervuri sau pereți care să prevină apariția crăpăturilor și să crească rigiditatea piesei;

adaosuri suplimentare pentru a crea o solidificare dirijată și pentru a transfera anumite defecte de contracție în afara piesei etc.;

h) stabilirea adaosului de înclinare, A_i – se face funcție de poziția planului de separație X-X. De fapt, adaosul de înclinare și poziția planului de separație se aleg simultan, deoarece trebuie să asigure scoaterea ușoară a modelului din cavitatea de turnare (demularea) și a miezurilor din cutia de miez. Mărimea adaosurilor de înclinare este funcție de dimensiunile piesei turnate, natura materialului care se toarnă și poziția planului de separație. În general, unghiul de înclinare pentru suprafețele exterioare $\alpha_{ie} = 1^\circ \dots 3^\circ$, iar pentru suprafețele interioare $\alpha_{ii} = 3^\circ \dots 7^\circ$;

i) stabilirea razelor de racordare constructive exterioare R_c și interioare r_c – se face cu scopul de a evita apariția defectelor de tipul fisurilor și crăpăturilor, precum și pentru a facilita execuția cavității de turnare. Mărimea razelor de racordare se alege în funcție de: natura materialului care se toarnă; configurația geometrică a piesei turnate; mărimea dimensiunilor suprafețelor ce urmează a fi racordate și poziția suprafețelor în formă.

4 - *întocmirea desenului modelului* – se face pornind de la desenul piesei brut turnate rezolvând următoarele probleme:

a) stabilirea adaosurilor de contracție – se face ținând cont de natura materialului care se toarnă și care se contractă diferit la solidificare. Fiecare dimensiune a modelului d_m se va calcula cu relația (3.2), iar mărimea contracției k se alege din tabelele 3.2 și respectiv 3.4.

b) stabilirea numărului și formei mărcilor – se face funcție de configurația geometrică a miezurilor și de poziția acestora în cavitatea de turnare în timpul turnării și solidificării.

c) stabilirea seriei de fabricație – se face în funcție de programa de producție și de volumul de producție. Ținând cont de acestea se alege și materialul din care se confecționează modelul. De regulă, se alege: lemnul – pentru a executa până la 2 000 de formări; aliajele de aluminiu – până la 70 000 de formări; fontele aliate – până la 120 000 de formări; alamele și bronzurile – până la 150 000 de formări și rășinile sintetice – până la 30 000 de formări.

5 - *întocmirea desenului cutiei de miez* – se face ținând cont de configurația interiorului piesei brut turnate care indică forma și numărul miezurilor, adaosul de contracție și seria de fabricație.

3.7.3. Amplasarea piesei în forma de turnare

Alegerea modului de amplasare a piesei în forma de turnare se face ținând seama de următoarele recomandări:

- la turnarea pieselor de dimensiuni mari și de complexitate ridicată din fontă (batiuri și montanți de mașini-unelte, carcase de turbine sau de motoare etc.), părțile cele mai importante se amplasează la partea inferioară a formei, pentru a fi protejate de apariția defectelor de turnare - care se formează la partea superioară (incluziuni, sufluri, retasuri);
- piesele sub formă de plăci mari (mese de trasaj, mese și platouri de mașini-unelte) se formează în poziție înclinată pentru a se favoriza eliminarea gazelor și incluziunilor din piesă, prin deplasarea lor spre maselote și răsuflători;
- dacă suprafețe importante ale pieselor trebuie plasate la partea superioară a formei de turnare, atunci volumul maselotelor și al adaosurilor de prelucrare trebuie majorat corespunzător, pentru ca defectele să nu se formeze în piesă;
- în cazul pieselor din aliaje cu contracții mari la solidificare (oțeluri, bronzuri cu Al, fonte cu grafit nodular), poziția piesei în formă se va alege astfel încât să se asigure o solidificare dirijată a aliajului dinspre zonele subțiri spre cele mai groase și de aici spre maselote;
- planul de separație și poziția piesei în ramă trebuie astfel alese încât să se asigure un consum minim de materiale (rețeaua de turnare să fie cât mai mică și simplă, miezurile cât mai puține, dimensiunile formei cât mai mici);
- pereții plani subțiri se vor plasa în partea inferioară a formei pentru a se asigura umplerea lor completă;
- la formarea în solul turnătoriei piesa turnată va fi amplasată în întregime în sol, capacul având numai rolul de închidere a formei;
- la turnarea în forme coji cu liant termoreactiv se recomandă ca suprafețele de precizie ridicată ale piesei să nu se intersecteze cu planul de separație al piesei;
- planul de separație la formele coji cu liant termoreactiv se va alege astfel încât numărul de miezuri să fie minim.

3.7.4. Metode de formare

Executarea cavității de turnare, denumită pe scurt *formare* este operația principală a procesului tehnologic de obținere a piesei turnate, deoarece de aceasta depinde, în cea mai mare măsură, calitatea pieselor turnate. Formarea cu amestec de formare obișnuit se face prin diferite metode (fig.3.21).

3.7.4.1. Formarea mecanizată

Rămâne metoda de bază în fabricarea pieselor turnate, mai ales în producția de unicate, serie mică și chiar serie mijlocie. Se poate aplica atât la piesei mici și simple, cât și la piese foarte mari și deosebit de complexe. Rămâne singura metodă prin care se obțin cavitățile de turnare la piesele de cea mai mare complexitate în producția de unicate sau la piesele complexe, cu greutate și gabarite mari.

Formarea manuală se poate aplica la toate metodele de formare prezentate

în figura 3.21, dar cea mai mare pondere o are *formarea manuală în două rame*. Etapele ce trebuie parcurse pentru a obține piesa din figura 3.22. a, folosind formarea manuală pentru a obține cavitatea de turnare corespunzătoare sunt:

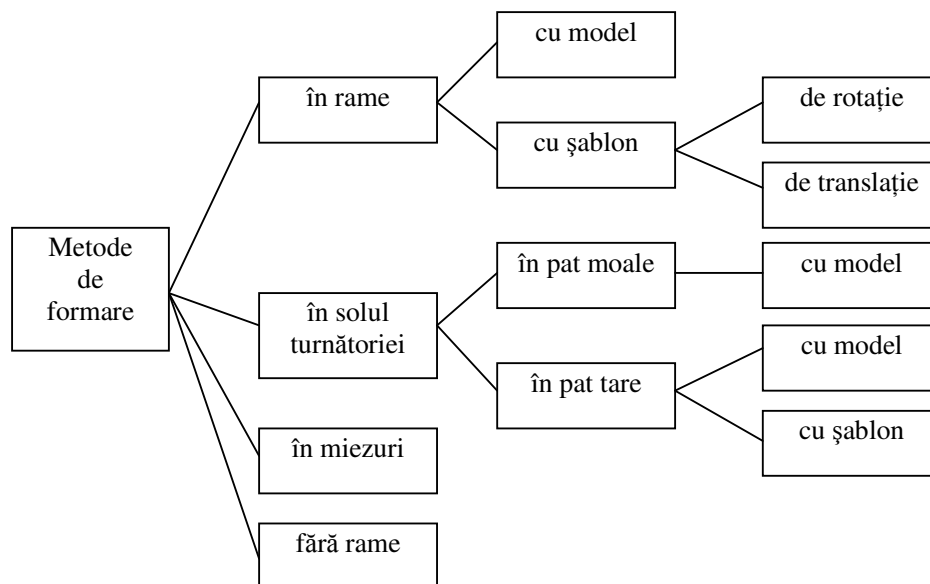


Fig. 3.21. Clasificarea metodelor de formare.

1) *Executarea semiformei inferioare* (fig. 3.22. e), ce cuprinde următoarele faze:

- pe placa model 1 se așează semimodelul inferior 2 (fig.3.22. b), prevăzut cu găurile de centrare 3 și semirama inferioară 4, prevăzută cu găurile de centrare 5;
- peste model și placă se pune un strat 6 de pudră de izolație (pentru ca amestecul să nu adere la model), apoi se pune un strat de amestec de model 7, de 30...40 mm grosime;
- se îndeasă amestecul de model, de la margine spre centru pentru a se mula bine pe semimodelul inferior;
- se pune amestec de umplere 8 și se îndeasă de la margine spre centru, apoi se netezește amestecul de umplere cu o rigletă până la nivelul superior al semiramei inferioare;
- se execută canalele de aerisire 9 ce vor permite evacuarea gazelor formate la contactul dintre pereții reci ai cavității de turnare și metalul sau aliajul lichid la temperatura de turnare;

2) *Executarea semiformei superioare* (fig. 3.22. f), ce cuprinde următoarele faze:

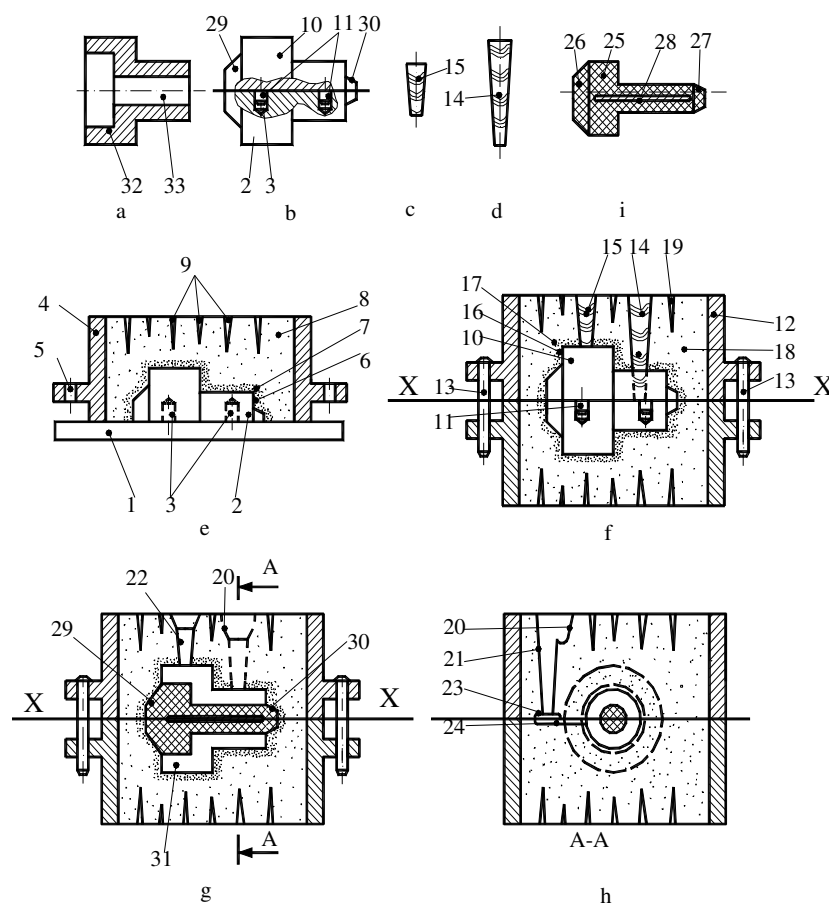


Fig. 3.22. Obținerea cavității de turnare:

1-placa model; 2-semimodelul inferior; 3-găurile de centrare; 4-semirama inferioară; 5-găuri de centrare și fixare; 6, 16-pudra de izolație; 7, 17- amestec de model; 8, 18-amestec de umplere; 9, 19-canale de aerisire; 10-semimodelul superior; 11-știfturi de centrare; 12-semirama superioară; 13-știfturi de centrare și fixare; 14-modelul rețelei de turnare; 15-modelul răsuflătorilor; 20-pâlnia de turnare; 21-piciorul pâlniei de turnare; 22-canalul răsuflătorilor; 23-canalul de distribuție; 24-canalul de alimentare; 25-miezul; 26,27-mărcile miezului; 28-armătura miezului; 29, 30-mărcile modelului; 31-cavitatea de turnare; 32-piesa brut turnată; 33-golul interior al piesei.

- se rotește semiforma inferioară cu 180° și se așează din nou pe placa model;

- se centrează și fixează semimodelul superior 10, prin intermediul știfturilor de centrare 11, de semimodelul inferior și se assemblează semirama superioară 12, cu semirama inferioară 4, prin intermediul știfturilor de fixare 13;

- se fixează modelul rețelei de turnare 14 și al răsuflătorilor 15;
- se pune pudra de izolație 16, amestec de model 17 și amestec de umplere 18, în mod analog ca la executarea semiformei inferioare;
- se execută operația de îndesare, netezire și de realizare a canalelor de aerisire 19;
- se execută pâlnia de turnare 20, se extrag modelele rețelei de turnare și ale răsuflătorilor, rămânând piciorul pâlniei de turnare 21, și canalele răsuflătorilor 22;

3) *Execuția cavității de formare*, ce cuprinde următoarele faze:

- se ridică semiforma superioară și se rotește cu 180°, în planul de separație X-X, rămânând cele două semimodele, inferior și superior înglobate în amestecul de formare obținut;
- se realizează demularea (se extrag cu grijă cele două semimodele) și rezultă semicavitatea inferioară de turnare și respectiv superioară;
- se execută canalul de distribuție 23 și canalele de alimentare 24;
- se fac eventuale retușuri ale suprafețelor în contact cu semimodelele, care în timpul demulării s-au deteriorat;

4) *Obținerea cavității de turnare* (fig.3.22. g și h) cuprinde următoarele faze:

- se așează miezul 25, prevăzut cu mărcile de miez 26 și 27 și armătura 28, în semicavitatea inferioară, pe suprafețele obținute cu mărcile de model 29 și 30;
- se assemblează cele două semicavități de turnare de-a lungul planului de separație X-X și rezultă cavitatea de turnare 31, ce are configurația identică cu cea a piesei brut turnate 32, prevăzută cu golul interior 33.

Observație. Etapele prezentate mai sus, privind execuția cavității de turnare sunt aceleași la toate metodele de formare, diferențele fiind date doar de natura materialului din care se execută cavitatea de turnare.

3.7.4.2. Metode de realizare mecanizată a formelor

În scopul creșterii productivității muncii și a ușurării condițiilor grele de muncă se pot aplica mai multe metode de formare, cu grad diferit de mecanizare și de automatizare. Acestea se pot referi la următoarele operații de bază:

- formarea propriu-zisă (umplerea ramelor și a cutiilor de miez cu amestec de formare, îndesarea amestecului și demularea);
- asamblarea formelor;
- dezbaterea formelor.

Pot fi mecanizate și operațiile pregătitoare, precum:

- gestionarea materiilor prime;
- dozarea, realizarea și transportul amestecurilor;
- transportul formelor;

- recuperarea și tratarea amestecurilor folosite.

Pentru a înlesni formarea mecanizată, trebuie să se realizeze următoarele simplificări cu caracter constructiv și tehnologic (fig.3.23):

- folosirea unui singur tip de amestec de formare (pentru forme și miezuri);
- semimodelele să fie asamblate pe *plăci model*;
- modelul rețelei de turnare și al maselotei să fie asamblat în *garnitura de model*.

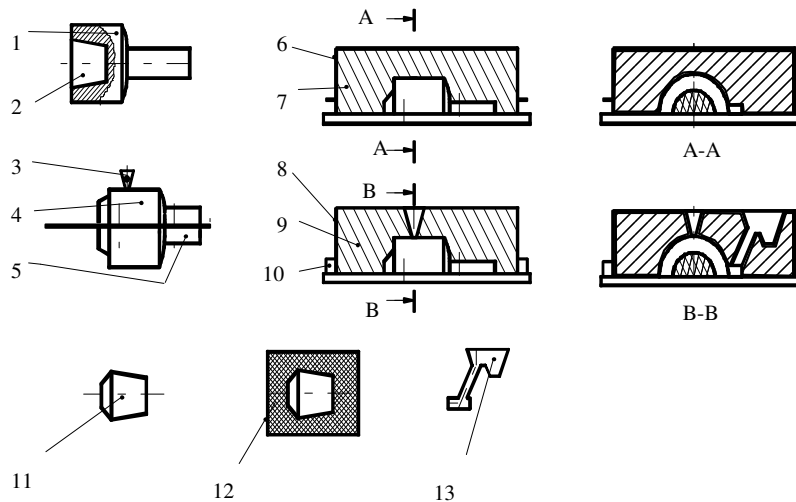


Fig. 3.23. Aspectul modelelor și al formelor la formarea mecanizată:

1 - piesă; 2 - gol interior; 3 - modelul maselotei; 4 - placa model superioară; 5 - placa model inferioară; 6 - rama superioară; 7 - semiforma superioară; 8 - rama inferioară; 9 - semiforma inferioară; 10 - bolțuri de centrare; 11 - miez; 12 - cutie de miez; 13 - modelul rețelei de turnare.

Piesa 1, prevăzută cu golul interior 2, este transpusă în modelul de turnare. În acest caz modelul este executat din două jumătăți montate pe plăcile model 4 și 5 împreună cu modelul maselotei 3, respectiv cu garnitura rețelei de turnare 13. Peste plăcile model se așează ramele: superioară 6, respectiv inferioară 8, prevăzută cu bolțurile de centrare 10. Umplerea ramelor și îndesarea amestecului de formare unic se face mecanizat, formarea putând fi efectuată simultan pentru ambele semiforme.

În funcție de modul cum se realizează cavitatea de turnare și de modul cum se realizează îndesarea amestecului de formare se deosebesc mai multe metode:

a. Formarea cu șablonul (fig.3.24). Șablonul este o placă profilată, confecționată din metal, care prin mișcare relativă (rotație, translație sau combinată) generează profilul cavității formei. Formarea cu șablonul este semimecanizată, ea se utilizează la realizarea formelor și a miezurilor în producția de serie mică și mijlocie, în cazul pieselor cu configurație simetrică.

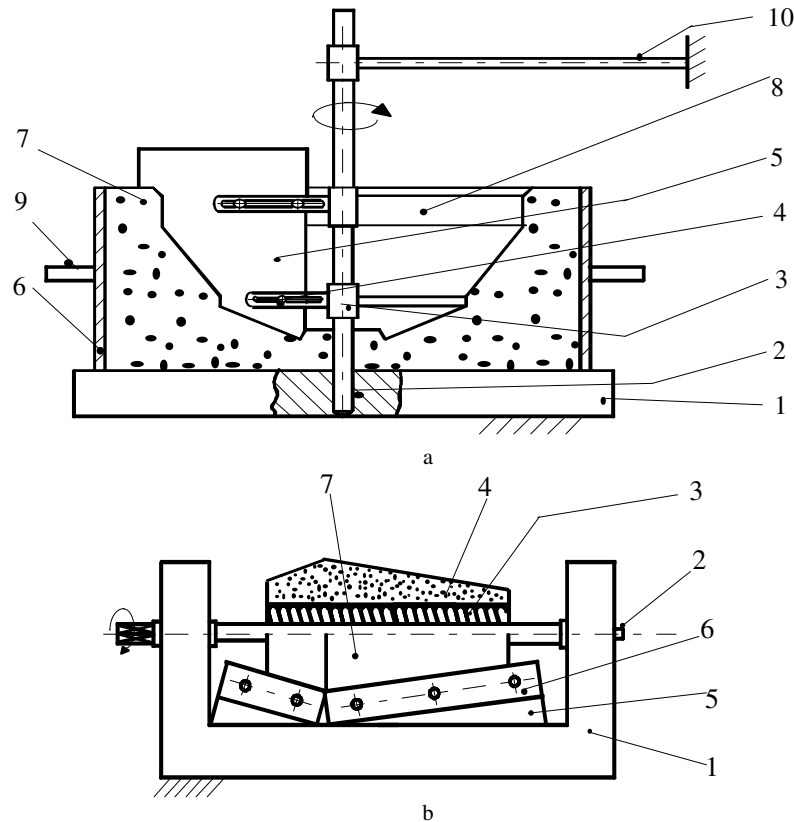


Fig. 3.24. Principiul formării semimecanizate cu șablonul:

- a - formarea într-o ramă: 1 - placă suport; 2 - ax; 3 - bride de fixare a șablonului; 4 - șuruburi;
 5 - șablon rotitor; 6 - rama de formare; 7 - amestec de formare; 8 - cavitatea formei, profilată cu
 șablonul; 9 - urechi de asamblare a ramei; 10 - traversă de rigidizare a axului;
 b - formarea miezurilor: 1 - șasiu; 2 - ax; 3 - armătura miezului; 4 - amestec de miez; 5 - șablon fix;
 6 - muchii active; 7 - miez.

La realizarea profilului cavității formei, rama de formare 6 se așează pe placa suport 1, care este prevăzută cu o gaură centrală, în care se assemblează axul 2, rigidizat la celălalt capăt cu traversa 10, și apoi se umple cu amestecul de formare 7. Pe axul 2 se montează șablonul 5 cu ajutorul șuruburilor 4 și a bridelor 3. Formarea se face prin rotirea manuală a șablonului în jurul axului 2, profilul cavității formei rezultând prin răzuirea și îndesarea amestecului de formare.

Pentru realizarea miezurilor se folosește șasiul 1, pe care se assemblează șablonul 5, care este, în acest caz fix, prevăzut cu muchiile active 6, care au rolul de a răzui surplusul de amestec de miez 4, depus pe armătura 3, la rotirea axului 2. Armătura se fixează inițial pe axul 2.

b. Formarea prin presare (fig.3.25). Semimodelul 2, asamblat cu placa model 1, se așează pe masa mașinii 6. Peste placa model se pun rama de formare 3 și rama suplimentară 4, de înălțime egală cu sabotul mașinii 8, în care este prelucrată o suprafață interioară corespunzătoare configurației plăcii model (metoda devine rentabilă pentru producția de serie mare și de masă). Profilarea sabotului duce la creșterea și uniformizarea gradului de îndesare (în cazul producției de serie mică, se poate renunța la profilarea sabotului). Masa mașinii este mobilă, deplasându-se sub acțiunea pistonului hidraulic 7, în timp ce sabotul este fixat pe traversa fixă 9. Presarea are loc gradat, pe măsură ce se ridică masa mașinii, rezultând gradul de îndesare 10, neuniform pe înălțimea formei. Când se folosește sabotul profilat se obține gradul de îndesare 11, mai uniform.

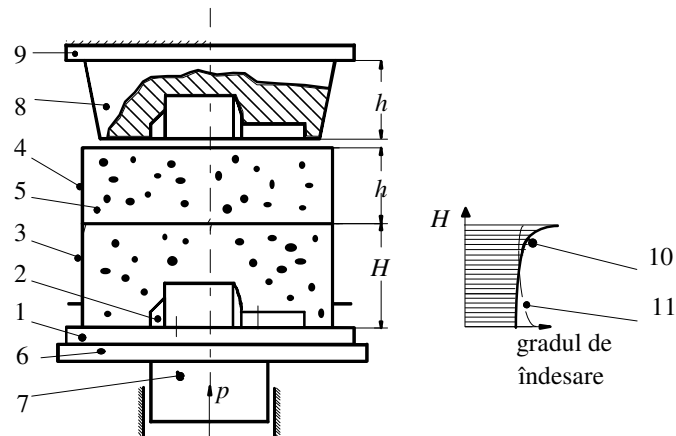


Fig. 3.25. Principiul formării cu îndesare prin presare cu piston:

1 - placă; 2 - model; 3 - rama de formare; 4 - ramă suplimentară; 5 - amestec de formare unic;
6 - masa mașinii; 7 - piston hidraulic; 8 - sabot profilat; 9 - traversă fixă; 10,11 - grade de îndesare.

c. Formarea prin presare cu membrană (fig.3.26). Modelul piesei se assemblează cu placa, alcătuind placa model 2, care se așează pe masa mașinii 1. Peste placa model se poziționează rama de formare 3, prevăzută la capete cu flanșă, care permite fixarea și etanșarea membranei de cauciuc 8. Rama se umple cu amestec unic de formare 4, după care coboară capul de presare 9, pe care este fixată rama de închidere 5, prevăzută cu elementele de fixare-etanșare 6 și cu duza de admisie 7 a aerului comprimat. Capul de presare deformează membrana 8, care presează amestecul în jurul modelului rezultând gradul de îndesare neuniform 10.

Procedeul se aplică în producția de serie mică, mijlocie sau mare, nemaifiind necesară realizarea unui sabot care să reproducă configurația piesei; se poate aplica pieselor de dimensiuni medii și mari, deoarece pentru piesele mici deformarea membranei nu este suficientă obținerii unei îndesări satisfăcătoare pe conturul piesei.

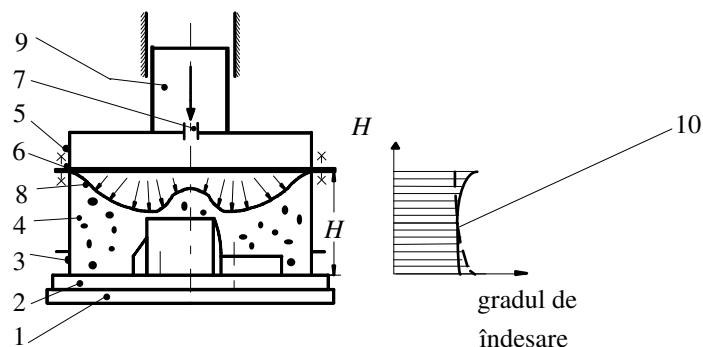


Fig. 3.26. Principiul formării cu îndesare prin presare cu membrană:

1 - masa mașinii; 2 - placa model; 3 - rama de formare; 4 - amestec de formare; 5 - rama de închidere; 6 - elemente de fixare; 7 - duza de admisie a aerului comprimat; 8 - membrană de cauciuc; 9 - cap de presare; 10 - grad de îndesare.

d. Formarea prin scuturare sau vibropresare (fig.3.27). Placa model 1 se fixează pe masa mașinii 2. Pe placa model se poziționează rama de formare 3, care se umple cu amestec unic de formare 4. Îndesarea amestecului se face, într-o primă etapă, prin scuturare (vibrare), astfel: aerul comprimat intră prin canalele 5 în camera 6 a cilindrului 9, ridicând pistonul 7 și forma de turnare. Ridicarea se face până la întreruperea circuitului de alimentare cu aer, iar la realizarea comunicării dintre camera 6 și canalul de evacuare a aerului 8 presiunea scade brusc, pistonul 7 cade brusc odată cu forma de turnare, producându-se tasarea amestecului de formare prin inerția granulelor componente. Procesul de scuturare se desfășoară cu o frecvență de: 100...180 [ori/min], obținându-se gradul de îndesare 15. Îndesarea este completată prin presarea amestecului, prin ridicarea întregului ansamblu cu ajutorul pistonului 9 acționat de aerul comprimat care intră prin canalul 10 în camera 12 a cilindrului 11, presarea făcându-se ca în cazul figurii 3.25, de către sabotul profilat 13, care este montat pe traversa fixă a mașinii 14, rezultând gradul de îndesare 16.

Gradul de îndesare obținut este uniform, el fiind dat de cumularea efectelor celor două etape.

Procedeul se aplică pieselor de dimensiuni mici și medii, în producția de serie mare și de masă.

e. Formarea prin aruncare centrifugală (fig.3.28). Din buncărul 1, amestecul de formare 2 este transportat pe banda rulantă 3 spre capul aruncător 4. Amestecul de formare pătrunde prin fereastra 5 în interiorul carcasei capului aruncător, de unde este preluat de rotorul cu palete 6, care se rotește cu $n = 1\,500$ rot/min. Bulgării din amestec de formare 7 sunt aruncați în rama de formare 8, montată pe placa model 10, realizându-se umplerea formei 9. Pentru confecționarea în totalitate a formei de turnare, capul aruncător se deplasează în lungul ramei, baleind întreaga suprafață (direcțiile I și II).

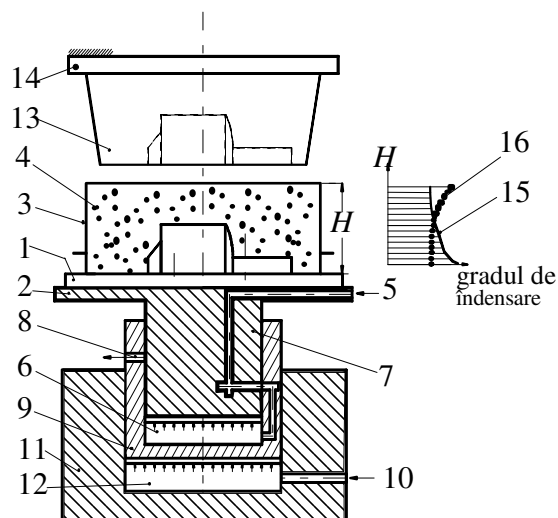


Fig. 3.27. Principiul formării prin vibropresare:

- 1 - placa model; 2 - masa mașinii; 3 - rama de formare; 4 - amestec de formare; 5 - canale de admisie a aerului; 6 - cameră; 7 - piston interior (de scuturare); 8 - canal de evacuare a aerului; 9 - piston exterior (de presare); 10 - canale de admisie a aerului; 11 - cilindru pneumatic; 12 - cameră; 13 - sabot profilat; 14 - traversă fixă; 15, 16 - grade de îndesare.

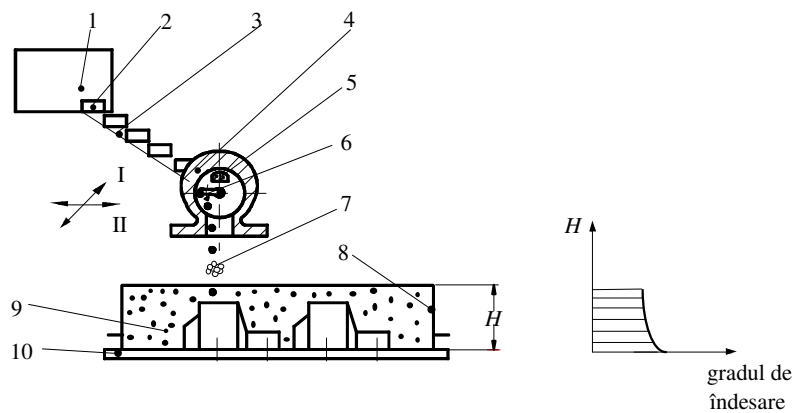


Fig. 3.28. Principiul formării prin aruncare centrifugală:

- 1 - buncăr; 2 - amestec de formare; 3 - bandă rulantă; 4 - cap aruncător; 5 - fereastră; 6 - rotor cu palete; 7 - bulgări din amestec de formare; 8 - rama de formare; 9 - amestec îndesat; 10 - placa model.

Comparativ cu formarea prin presare sau scuturare, la formarea prin aruncare umplerea și îndesarea formei au loc simultan, fapt ce duce la creșterea productivității. Metoda prezintă și avantajul flexibilității mai ridicate față de alte

metode de formare mecanizată, putându-se aplica și în cazul producției de unicate și de serie mică și pentru piese de dimensiuni mari.

3.7.4.3. Metode de realizare mecanizată a miezurilor

Formarea mecanizată a miezurilor se execută în cutii de miez pe mașini de format miezuri care, în general, funcționează pe aceleași principii cu mașinile de executare mecanizată a formelor. Mașinile de formare mecanizată a miezurilor realizează umplerea mecanizată a cutiilor de miez cu amestec de miez și îndesarea mecanizată a amestecului de miez. Sunt câteva metode de realizare mecanizată a miezurilor, cele mai des întâlnite fiind prezentate mai jos (fig.3.29 și fig.3.30):

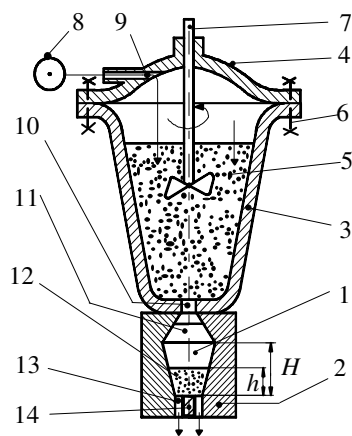


Fig. 3.29. Principiul formării prin suflare:
1 - cavitatea de formare a miezului; 2 - cutie de miez; 3 - buncăr; 4 - capac; 5 - amestec de miez; 6 - dispozitiv de închidere;
7 - amestecător; 8 - sursă de aer comprimat;
9 - supapă de admisie; 10 - orificiu de evacuare a aerului; 11 - con de admisie;
12 - miez; 13 - orificii de evacuare a aerului;
14 - filtru de reținere a particulelor de amestec.

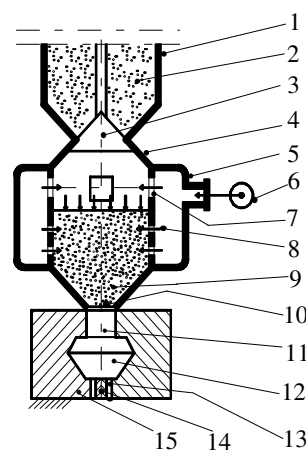


Fig. 3.30. Principiul formării prin împușcare:
1 - buncăr; 2 - amestec de formare;
3 - șubăr; 4 - țevă; 5 - cutie de aer; 6 - sursă de aer comprimat; 7 - orificii de admisie a aerului;
8 - orificii înguste; 9 - proiectil din amestec îndesat; 10 - duza de evacuare; 11 - duza de admisie; 12 - cavitatea generatoare a miezului;
13 - orificii de evacuare a aerului; 14 - filtru de reținere; 15 - cutie de miez.

a. Formarea mecanizată prin suflare (fig.3.29). Pentru realizarea miezului se folosește o cutie de miez metalică 2, prevăzută cu cavitatea de formare a miezului 1, precum și cu conul de admisie a amestecului de formare suflat 11 și cu canalele de evacuare a aerului 13. Cutia de miez se poate desface, permițând extragerea miezului. Amestecul de formare 5, bine uscat și fin cernut, este introdus în interiorul buncărului 3, peste care se închide etanș capacul 4 cu dispozitivul de fixare 6. Capacul este prevăzut cu supapa de admisie a aerului comprimat 9, precum și cu amestecătorul 7, destinat fluidizării amestecului de formare.

Aerul comprimat din rețeaua uzinală (6 barr) 8 pătrunde prin supapa de admisie 9 din capacul 4 antrenând particulele de amestec de formare prin orificiul de evacuare 10 spre conul de admisie 11 al cutiei de miez, pe unde amestecul este suflat în cutia de miez umplând treptat volumul acesteia. Aerul comprimat este apoi evacuat în atmosferă prin orificiile 13. Pentru a se evita evacuarea particulelor de amestec odată cu aerul din cutia de miez, orificiile 13 sunt prevăzute cu filtrul 14.

Această metodă se aplică la realizarea miezurilor de dimensiuni mici și mijlocii, în producția de serie mare și de masă. Necesită cutii de miez speciale.

b. Formarea mecanizată prin împușcare (fig.3.30). Spre deosebire de metoda anterioară, când particulele de amestec de formare erau doar transportate pneumatic, în acest caz se obține mai întâi un bulgăre îndesat din amestec de formare, care ulterior este propulsat în cutia de miez pe cale pneumatică.

Din buncărul 1, amestecul 2 este dozat prin șubărul 3 în țeava 4, unde este îndesat cu ajutorul aerului comprimat, din sursa 6, care pătrunde mai întâi prin orificiile înguste 8. Ulterior, se deschid și orificiile mari de admisie a aerului 7, realizându-se „împușcarea” proiectilului 9, din amestec de formare îndesat, în cutia de miez 15, prin duza de evacuare 10 și cea de admisie a cutiei 11. Ca și anterior, aerul este evacuat din cutia de miez prin orificiile 13 și filtrul 14.

Metoda are o productivitate ridicată și se aplică la realizarea miezurilor de dimensiuni medii și mari, în producția de serie mare și de masă.

3.7.5. Metode de extragere a modelelor

În cazul formării cu modele permanente este necesar ca forma de turnare să permită demularea. Acest lucru se reflectă în folosirea formelor asamblate cu plane de separație, ca și în adăugarea, la volumul piesei, a unor adaosuri de înclinare, care să îngăduie demularea ușoară, fără a se deteriora muchiile sau pereții semiformelor. La rândul său, demularea poate fi mecanizată, în cazul pieselor de dimensiuni medii și mari, pentru a scuti efortul fizic al lucrătorilor, și poate fi automatizată, pentru a scurta durata de execuție în cazul producției acelorasi gabarite de piese în producția de serie mare și masă. Cele mai utilizate metode de demulare mecanizată sunt:

- demularea prin ridicarea semiformei;
- demularea prin coborârea modelului;
- demularea prin bascularea plăcii model.

3.7.5.1. Demularea prin ridicarea semiformei

Placa model 1 este fixată pe masa mașinii de formare, iar rama de formare împreună cu semiforma de turnare 2 este ridicată cu ajutorul dispozitivului 3, acționat hidraulic sau mecanic (fig.3.31).

3.7.5.2. Demularea prin coborârea modelului

Placa model este alcătuită din două elemente demontabile (fig.3.32): elementul 1 conține modelul, putând să coboare după formare, acționat de pistonul hidraulic 5, în timp ce elementul 2, rămâne fix susținând forma 3, pe masa mașinii de formare 4. După demulare mecanismul de transfer 6 împinge semiforma pe transportorul cu role 7. După care placa model este din nou asamblată și gata de a se relua ciclul de formare.

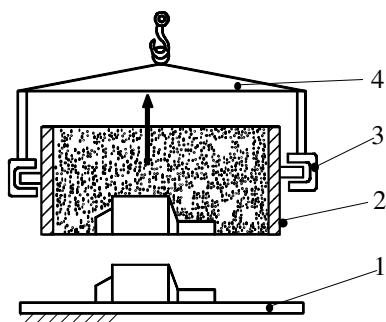


Fig. 3.31. Principiul demulării prin ridicarea semiformei:

1 - placa model; 2 - semiformă;
3 - dispozitiv de reținere; 4 - dispozitiv de ridicare.

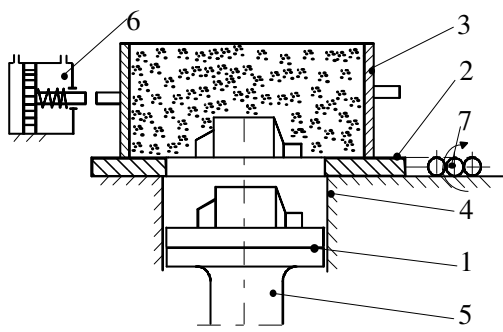


Fig. 3.32. Demularea prin coborârea modelului:
1,2 - părți ale plăcii model; 3 - semiformă; 4 - masa mașinii de formare; 5 - piston hidraulic;
6 - mecanism de transfer; 7 - transportor.

3.7.5.3. Demularea prin bascularea plăcii model

Semiforma 3 (fig.3.33) este așezată peste placa model 2, care este fixată pe masa rabatabilă a mașinii de formare 1. Bascularea mesei se face cu angrenajul 4, antrenat prin cuplajul/frână electromagnetică 5 de motorul electric 6.

După formare, masa basculează așezând semiforma pe platoul hidraulic 8, în poziția 7. La coborârea pistonului are loc demularea, placa model este fixată în permanență pe masa mașinii, iar semiforma finită este transferată cu pistonul 10 pe transportorul cu role 9.

Pentru o nouă formare placa model este readusă în poziția inițială.

3.7.6. Rețele de turnare

Rețelele de turnare sunt alcătuite din totalitatea canalelor și a cavităților destinate conducerii metalului sau aliajului lichid spre cavitatea formei. O rețea de turnare trebuie să asigure:

- o viteză și o direcție de curgere corespunzătoare pentru ca topitura să umple în întregime cavitatea formei de turnare;

- umplerea să decurgă liniștit, fără antrenarea gazelor în cavitatea formei;
- o distribuție uniformă a topiturii în formă, astfel încât să existe gradient de temperatură între diversele zone ale piesei;
- reținerea incluziunilor nemetalice și a zgurei înainte de a pătrunde în cavitatea generatoare a piesei.

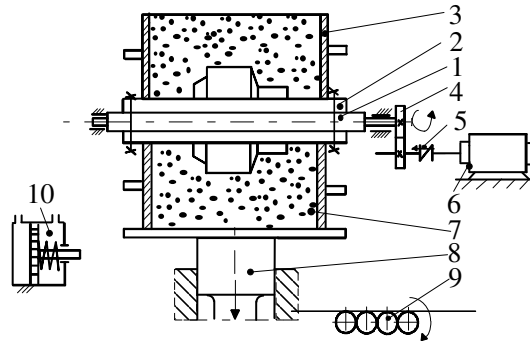


Fig. 3.33. Demularea prin bascularea plăcii model:

- 1 - masă rabatabilă; 2 - placa model; 3 - semiformă; 4 - angrenaj; 5 - cuplaj/frână; 6 - motor electric; 7 - semiforma basculată; 8 - piston hydraulic; 9 - transportor cu role; 10 - mecanism de transfer.

Rețeaua de turnare este partea tehnologică a cavității formei de turnare alcătuită în mod obișnuit (figura 3.34) din: *pâlnia (cupa) de turnare* 1, care este o cavitate deschisă în care se toarnă topitura; aceasta se continuă cu *picioarul pâlniei* 2, un canal vertical, apoi cu un canal orizontal, situat deasupra planului de separație, de secțiune trapezoidală, denumit *canalul colector de zgură* (denumit uneori și *canal de distribuție*) 3. Din acesta pornesc *canalele de alimentare* 4 care conduc metalul sau aliajul topit în cavitatea generatoare a piesei. La partea dinspre piesă canalele de alimentare au o secțiune îngustată numită *atac*, care permite detașarea ușoară a rețelei de turnare de piesa solidificată.

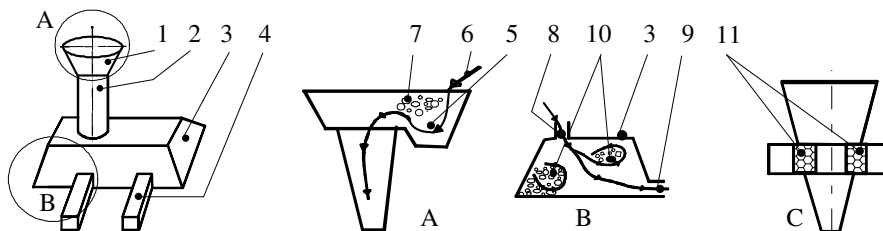


Fig. 3.34. Structura unei rețele de turnare:

- 1 - pâlnia de turnare; 2 - picioarul pâlniei; 3 - canalul colector de zgură; 4 - canale de alimentare; 5 - prag; 6 - traiectoria aliajului topit; 7 - zgură; 8 - admisia aliajului în canalul colector; 9 - evacuarea spre canalele de alimentare; 10 - separarea impurităților; 11 - filtre ceramice; A - detaliul pâlniei de turnare; B - detaliul canalului colector; C - rețea de turnare cu filtre ceramice.

Dacă se folosesc oale de turnare cu dop (turnare pe la partea inferioară), nu mai este necesară reținerea zgurei în rețeaua de turnare.

În raport cu gradul de oxidabilitate al aliajelor turnate, rețelele de turnare pot fi concepute:

- convergent când secțiunea se îngustează de la piciorul pâlniei de turnare spre canalele de alimentare. Se utilizează la aliajele cu oxidabilitate redusă, fără tendință de spumare, precum: fonte, oțeluri, bronzuri cu staniu;

- divergent când secțiunea cea mai îngustă o are piciorul pâlniei de turnare. Se utilizează la aliajele ușor oxidabile cum sunt cele de aluminiu și de magneziu.

Dimensionarea rețelelor de turnare se face prin calcularea secțiunii celei mai înguste a rețelei S_i , cu relația

$$S_i = \frac{M}{v \cdot \rho \cdot t \cdot L} \quad [\text{m}^2] \quad (3.12)$$

unde: $S_i = S_a$ - pentru rețelele convergente; respectiv: $S_i = S_p$ - pentru rețelele divergente; S_a - aria secțiunii canalului de alimentare, în $[\text{m}^2]$; S_p - aria secțiunii piciorului pâlniei de turnare, în $[\text{m}^2]$; M - masa totală a aliajului lichid, necesară pentru umplerea formei de turnare, în $[\text{kg}]$; v - viteza de curgere a aliajului topit, în $[\text{m/s}]$; ρ - densitatea aliajului lichid, în $[\text{kg/m}^3]$; t - durata de turnare, în $[\text{s}]$; L - coeficient adimensional, care ține seama de fluiditatea aliajelor; $L = 1$, pentru oțeluri obișnuite; respectiv $L = 0,8$, pentru oțeluri înalt aliate.

Restul elementelor rețelei de turnare se dimensionează în funcție de rapoartele caracteristice tipurilor de rețele, astfel:

- pentru rețelele convergente: $S_p > S_c \geq \sum_{j=1}^n S_{aj}$

- pentru rețelele divergente: $S_p < S_c \geq \sum_{j=1}^n S_{aj}$

unde S_c este aria secțiunii canalului de colectare a zgurei (de distribuție).

Rapoartele caracteristice sunt recomandate în cărțile de specialitate, după mărimea piesei turnate și în funcție de fluiditatea materialului de turnat, ca de exemplu:

- pentru piese mari din fontă: $S_p/S_c/S_a = 2/1,5/1$;
- pentru piese mari din oțel: $S_p/S_c/S_a = 1,6/1,3/1$;
- pentru piese mici din aliaje neferoase ușoare: $S_p/S_c/S_a = 1/3/3$.

În cazul turnării pieselor de mari dimensiuni, din aliaje ușor oxidabile, pâlnia de turnare (detaliul A) poate fi construită cu un prag 5, care are rolul de a asigura o curgere în sifon 6, astfel încât să se separe zgura 7 la suprafața topiturii din pâlnie.

Detaliul B prezintă o secțiune prin colectorul de zgură 3. Se observă modul de curgere a topiturii, între admisia prin piciorul pâlniei 8 și evacuarea prin

canalele de alimentare 9, cum se creează o curgere turbulentă, care are drept rezultat separarea și depunerea zgurei 10 la colțurile secțiunii.

Detaliul C prezintă o variantă de pâlnie de turnare cu filtre ceramice 11, pentru reținerea zgurei utilizabilă la turnarea aliajelor ușor oxidabile.

3.7.7. Metode de turnare

Metodele de turnare se referă la modul de introducere a metalului sau aliajului lichid în cavitatea generatoare a piesei. Metoda de turnare se alege în raport cu configurația și cu dimensiunile piesei, cu natura materialului turnat și cu nivelul de productivitate urmărit, cu grosimea pereților și modul de solidificare.

Cele mai des întâlnite metode de turnare sunt: *turnarea directă* sau în cădere; *turnarea cu rețea în ploaie*; *turnarea indirectă* sau în sifon; *turnarea în planul de separație*; *turnarea prin rețea etajată* și *turnarea prin rețea în fantă*.

Turnarea directă sau în cădere (fig.3.35. a) asigură: umplerea liniștită a cavității forme; economie de material prin dimensionarea la minimum a rețelei de turnare; solidificarea dirijată de jos în sus. Un caz particular este alimentarea cu rețea în ploaie pentru piese înalte de tipul bușelor (fig.3.35. b). Metoda prezintă ca dezavantaje erodarea formei de turnare prin curgerea topiturii, oxidarea materialului lichid, formarea picăturilor reci și antrenarea unor particule din amestecul de formare. Se recomandă la turnarea pieselor din aliaje greu oxidabile (fontă, oțel, anumite bronzuri și alame), cu configurație simplă.

Turnarea indirectă sau în sifon (fig.3.35. c) asigură umplerea liniștită, fără turbioane sau stropi reci. Are însă și o serie de dezavantaje: nu se poate dirija solidificarea, datorită faptului că se produce încălzirea excesivă a unei zone a piesei; rețea de turnare de dimensiuni mari. Se recomandă la turnarea pieselor din aliaje ușor oxidabile, de importanță redusă.

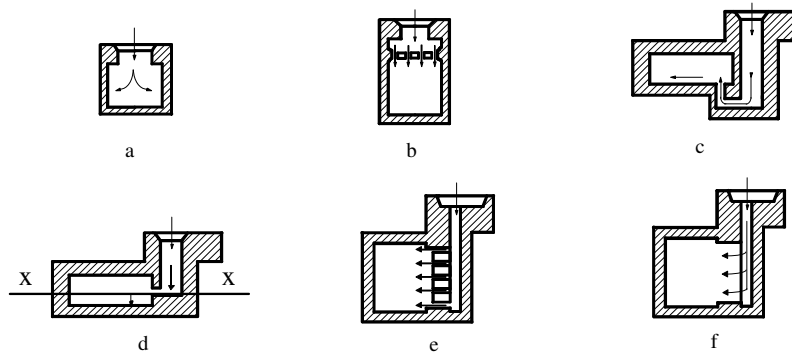


Fig. 3.35. Metode de turnare:

a - turnare directă; b - turnare cu rețea în ploaie; c - turnare indirectă (în sifon); d - turnare în planul de separație (x-x); e - turnare prin rețea etajată; f - turnare prin rețea în fantă.

Turnarea în planul de separație (fig.3.35. d) asigură execuția ușoară a formei, reduce riscul oxidării materialului, permite solidificarea dirijată și îmbină avantajele metodelor prezentate mai sus. Ca principale dezavantaje: nu se asigură întotdeauna o umplere rapidă a formei; solidificare neuniformă. Se recomandă la turnarea pieselor din materiale oxidabile, cu configurație simplă și medie, de mărime mijlocie.

Turnarea prin rețea etajată (fig.3.35. e) asigură: umplerea rapidă a formei; solidificarea dirijată de jos în sus; limitarea oxidării și a formării de stropi reci. Are o serie de dezavantaje ca: volum mare al rețelei de turnare și formare laborioasă. Se recomandă la turnarea pieselor din orice fel de aliaje, de dimensiuni mari, cu grosimi mici de pereți.

Turnarea prin rețea în fantă (fig.3.35. f) asigură: umplerea rapidă a formei; solidificarea dirijată; limitarea formării de stropi reci. Dezavantajele acestei metode decurg dintr-o formare laborioasă. Se recomandă la piese cu configurație complexă, de dimensiuni medii și mari.

3.7.8. Turnarea în forme temporare din amestec de formare obișnuit

3.7.8.1. Turnarea în forme temporare în două rame

Schema de principiu a procedurii de turnare se prezintă în figura 3.36. Pentru realizarea piesei 1, prevăzută cu golul interior 2, se formează mai întâi semiforma inferioară 8, astfel: pe placa model 3 se poziționează semimodelul inferior 5, prevăzut cu găuri de centrare, în interiorul ramei inferioare de formare 4. Împreună cu modelul piesei, în ramă se mai poate asambla și o parte din modelul rețelei de turnare, cum ar fi semimodelul canalului de alimentare 16. Peste model se presară mai întâi un strat de pudră de izolație (nisip cuarțos foarte fin măcinat, care înlesnește demularea, reducând pericolul deteriorării muchiilor cavității formei), urmat de amestecul de model 6, care se presează peste model, apoi volumul rămas liber din rama de formare se completează cu amestec de umplere 7, care se îndeasă manual sau mecanizat.

După formarea semiformei inferioare, aceasta se întoarce cu planul de separație în sus și se assemblează semimodelul superior și semirama superioară peste cea inferioară. Se pun modelele rețelei de turnare (15 pentru canalul de distribuție, 17 pentru piciorul pâlniei de turnare, 18 pentru bazinul de turnare și maselota 14). Semimodelele se assemblează cu ajutorul știfturilor de centrare 13. După asamblarea modelului se face și asamblarea ramelor de formare (inferioară 4 cu cea superioară 10) cu ajutorul bolțurilor de centrare 9. Asemănător se procedează apoi la executarea semiformei superioare 11.

După încheierea formării, se demontează semiformele în vederea extragerii modelului (demulării). Pentru aceasta modelul trebuie astfel conceput încât să permită demularea ușoară, fără a se deteriora forma de turnare (planul de separație

judicios ales, înclinări tehnologice ale suprafețelor perpendiculare pe planul de separație, elemente de agățare în planul de separație, de exemplu, găuri filetate). Golul interior al piesei 2 se execută cu ajutorul miezului 20, realizat prin presarea amestecului de miez (amestec de formare cu o permeabilitate crescută la gaze și cu o rezistență ridicată la compresiune față de amestecul de formare obișnuit) în cutia de miez 19.

În vederea turnării propriu-zise, semiformele se pot usca (forme uscate) sau nu (forme crude), se acoperă cu vopsea refractară suprafețele care vor veni în contact cu aliajul lichid, se assemblează împreună cu miezurile și se transferă în zona de turnare a secției.

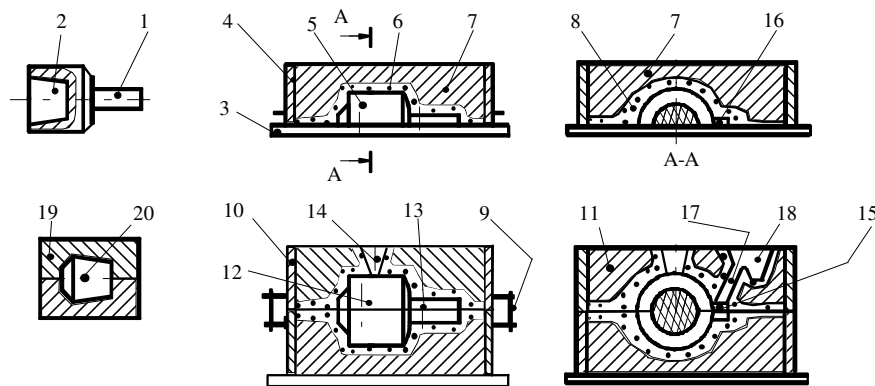


Fig. 3.36. Formarea în două rame:

- 1 - piesa; 2 - gol interior; 3 - placă model; 4 - rama inferioară; 5 - semimodel inferior; 6 - amestec de model; 7 - amestec de umplere; 8 - semiformă inferioară; 9 - bolțuri de centrare; 10 - ramă superioară; 11 - semiformă superioară; 12 - semimodel superior; 13 - știfturi de centrare a semimodelelor; 14 - modelul maselei; 15, 16 - semimodelele canalului de alimentare; 17 - modelul piciorului pâlniei; 18 - modelul bazinului de turnare; 19 - cutie de miez; 20 - miez.

La acest procedeu, cavitatea de turnare este executată din amestec de formare obișnuit, proprietățile mecanice și de rezistență ale acestuia fiind date de proprietățile amestecului de formare. Proprietățile amestecului de formare depind de natura acestuia și de modul de preparare al acestuia în vederea formării.

În general, amestecurile de formare și de miez sunt alcătuite din trei componente principale (tabelul 3.13) și anume:

- *granulele de nisip*, care au rolul masei de umplere, permițând: umplerea ușoară a ramei de formare, copierea detaliilor modelului, precum și evacuarea ușoară și reutilizarea amestecului folosit (după dezbaterea formei și extragerea piesei solidificate);

- *liantul*, care are rolul masei de legătură, permițând: păstrarea configurației cavității formei în stare crudă, rezistența formei la contactul cu topitura, precum și posibilitatea de a se dezbate ușor forma, în vederea extragerii piesei solidificate;

- *substanțele auxiliare*, care au rolul de a îmbunătăți selectiv anumite proprietăți ale amestecului de formare, în funcție de schema tehnologică. Acestea se adaugă în cantități mici în amestecurile de formare. Prepararea amestecurilor de formare cuprinde o succesiune de operații bine determinate și se face în acord cu rețetele prevăzute în documentația tehnologică (fig.3.37).

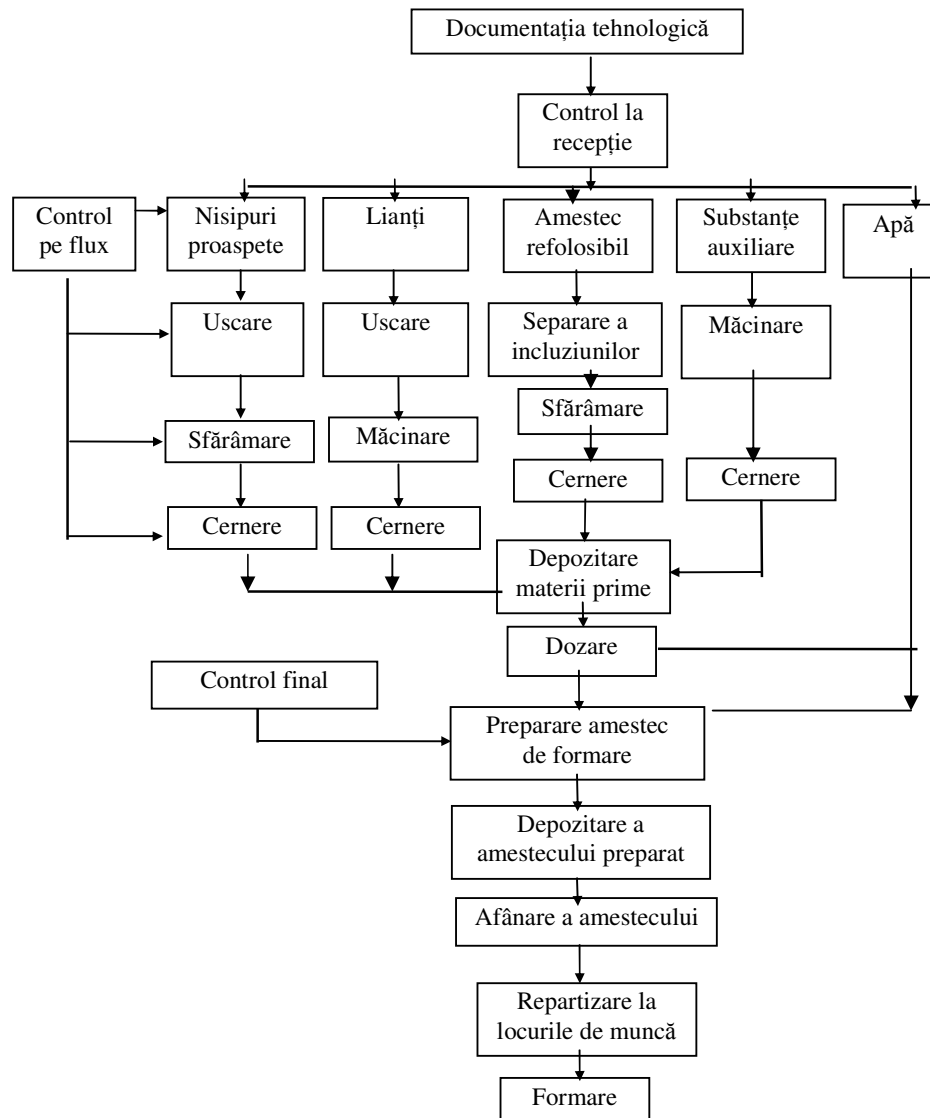


Fig. 3.37. Prepararea amestecurilor de formare.

Tabelul 3.13. Materiale utilizate la fabricarea formelor temporare

Mase de umplere		Lianți		Substanțe auxiliare	
Denumirea	Utilizări Observații	Denumirea	Utilizări Observații	Denumirea	Utilizări Observații
1	2	3	4	5	6
Nisipul cuarțos (baza SiO ₂)	Piese mijlocii și mari, din oțel, fontă, neferoase	Lianți anorganici naturali		Adaosuri carbonice solide	-Contra aderențelor; -La tumarea în forme crude; -Formarea la presiuni înalte; -Ușurează dezbaterea;
		Argila refractară, baza caolinit	-La forme uscate; -Liant tradițional;		
Nisipul de zirconiu (baza ZrSiO ₂)	-Permeabilitate ridicată; -Granulație foarte fină; -Refractaritate mare; -Dilatate redusă; -Forme cu solidificare dirijată;	Bentonita de tumătorie	-La forme crude; -Activare cu sodă;	Adaosuri carbonice lichide (uleiuri și emulsii)	-Reduc umiditatea; -Măresc fluiditatea amestecurilor; -Reduc degajarea prafului; -Ușurează dezbaterea;
Nisipul de cromit (baza FeCr ₂ O ₄)	-Refractaritate ridicată; -La tumarea pieselor din oțel cu pereți groși >250mm; -Piese din oțeluri înalt aliat;	Lianți anorganici sintetici		Amidonul modificat (metgel)	-Întârzie uscarea amestecului crud; -La tumarea fontei, oțelurilor și neferoaselor grele; -Previne defectele; -Ușurează dezbaterea
		Cimentul Portland și cel aluminos	-În amestecurile cu autîntărire hidraulică		
Nisipul de cromo- magnezină (MgO+Cr ₂ O ₃)	-Material recuperat din capușeala cuptoarelor; -Refractaritate foarte bună;	Silicatul de etil SiO ₄ (C ₂ H ₅) ₄	-Liant; -La prepararea vopselelor refractare;	Stearatul de calciu	-Ca lubrifiant în amestecurile termoreactive; -Îmbunătățește fluiditatea rășinilor;
Nisipul de șamotă (Al ₂ O ₃ SiO ₂)	-Forme stabile uscate; -Acumulare redusă a căldurii; -Refractaritate bună	Silicea coloidală	-Turnări de precizie; -Forme coji cu modele ușor fuzibile	Covalitul	-Îmbunătățește compresibilitatea amestecurilor; -Dezbaterea miezurilor; -Adaos la silicatul de sodiu;

Tabelul 3.13. (continuare)

1	2	3	4	5	6
		Lianți organici sintetici			
Alicele de fontă	-La formele cu modele volatile; -Forme stabilizate în câmp electromagnetic;	-Cu întărire la rece, prin: policondensare, polimerizare în trepte, polimerizare;	-Piese din fontă și oțel; -Întărire cu reactivi;	-Adaosuri celulozice (făina de lemn)	-Îmbunătățesc compresibilitatea anestecurilor;
		Cu întărire la cald: Novolacul	La formele coji cu liant termoreactiv;	Făina de cuarț (marșalita)	-Ca pudră de izolație; -La vopselele refractare
		Urelitul P	La piesele din fontă;	Taleul	-Aditiv în anestecuri; -Bază în vopsele;
		Plastinolul	Întărire cu perborat de sodiu	$Mg_3[Si_4O_{10}](OH)_2$ Clorura (soluție apoasă de CaCl)	Accelerator de priză pentru ciment;
		Leșia sulfurică	-	Clorura de amoniu (NH_4Cl)	Reactiv la întărirea formelor coji cu modele ușor fuzibile;
		Dextrina	-Liant hidrofil; -La aliaje neferoase;	Oxidul de Fe	-Adaos la anestecurile de rășini; -Previne defectele;
		Melasa	-Îmbunătățește compresibilitatea miezurilor; -Accelerator de priza pentru ciment;	Cleirile de turnătorie	Asamblarea prin lipire a miezurilor în forme;
		Colofoniul	Îmbunătățește compresibilitatea miezurilor	Chiturile Pastele de etanșare	Repararea formelor cu liant de rășină; La asamblarea formelor

În cazul amestecurilor obișnuite de formare liantul folosit este argila, care, pentru mărirea plasticității, se folosește în stare umedă, cu până la 4% apă. După formare, pentru îmbunătățirea rezistenței mecanice și a permeabilității formelor și a miezurilor la gaze, ca și pentru reducerea volumului gazelor degajate la contactul formelor cu topitura, se face eliminarea apei din liant prin uscarea formelor și a miezurilor. Din punct de vedere economic, uscarea implică costuri suplimentare prin: prelungirea duratei de fabricație, investiții în utilaje și instalații suplimentare, consumuri de combustibili și energie, alocarea de resurse umane. Din această cauză, se utilizează, ori de câte ori este posibil, turnarea în forme crude (umede). Miezurile însă, datorită solicitărilor mai importante la care sunt supuse - compresiune - și necesitatea de a prelua și evacua rapid gazele din cavitatea formei, raportate la un volum restrâns de material, se prevăd a se folosi întotdeauna numai în stare uscată.

La contactul topiturii cu forma de turnare se formează pelicule de oxizi, care antrenate de topitură pot pătrunde în porii și fisurile miezurilor și pereților formei favorizând formarea aderențelor. Pentru a limita efectele peliculelor de oxizi se poate recurge la două soluții tehnologice, și anume:

- utilizarea unor amestecuri de formare și miezuire rezistente la pătrunderea oxizilor metalici, prin micșorarea porozității amestecului de formare (prin folosirea nisipurilor cu granulație fină sau prin introducerea în amestec a unei cantități de până la 25% de pudră de cuarț, care astupă interstițiile dintre granulele de nisip);

- utilizarea unui strat izolator între oxizii metalici și materialul de formare care conduce la realizarea unei protecții gazoase la interfața topitură-peretele formei, ca urmare a combustiei vopselelor cu care se acoperă cavitatea formei sau prin protecție solidă, cu carbon lucios, depus în urma arderii prafului de huilă, adăugat în acest scop în masa amestecului de formare.

Proprietățile amestecurilor de formare și de miez trebuie să le confere acestora o bună comportare pe parcursul întregului proces tehnologic, înlesnind: formarea, demularea, turnarea, solidificarea, răcirea, evacuarea gazelor, dezbaterea, re folosirea amestecului. De materialul sculei de turnare depinde nemijlocit nivelul calitativ al piesei obținute. Cele mai importante proprietăți sunt:

- *plasticitatea* – capacitatea materialului de a-și modifica forma sub acțiunea forțelor externe, precum și de a-și menține această formă, la încetarea acțiunii forțelor (această proprietate înlesnește formarea);

- *compresibilitatea* – capacitatea materialului de a se deforma sub acțiunea forțelor produse de contracția piesei la solidificare. Această proprietate duce la descărcarea tensiunilor interne din piesă și la limitarea apariției defectelor la solidificare;

- *permeabilitatea* – capacitatea materialului de a permite trecerea gazelor dinspre piesă spre exteriorul formei;

- *refractaritatea* – capacitatea materialului de a-și păstra stabilitatea la temperaturile înalte generate de topitură, fără să se vitrifice sau să reacționeze cu

oxizii aliajului;

- *rezistența mecanică* – capacitatea amestecului de a-și menține forma pe durata manevrării, transportului și turnării aliajului și de a rezista la toate solicitările care apar.

3.7.8.2. Turnarea în forme temporare în solul turnătoriei

Se aplică în cazul turnării pieselor mari și grele (zeci de metri, sute de tone), când nu se pot folosi rame de turnare. Precizia și calitatea suprafețelor sunt slabe.

Formarea se poate face cu modele masive, cu modele demontabile sau cu șabloane. Formarea cu șabloane reduce timpul afectat realizării unor modele complicate, prin înlocuirea modelelor tridimensionale cu plăci șablon bidimensionale, care se deplasează în mișcare de rotație sau de translație în raport cu forma. Formarea cu șabloane se poate utiliza în cazul turnării pieselor mari și medii, atât la formarea în rame, cât mai ales, la formarea în sol (fig. 3.38).

În solul turnătoriei 1, se sapă groapa 2, de adâncime corespunzătoare (cu 250...300 mm mai adâncă decât înălțimea maximă a modelului). Pe fundul gropii se așează mai întâi un strat de cocs metalurgic 3, de grosime 80...100 mm, în care se instalează 2...6 țevi 5, care au drept scop evacuarea gazelor. Gazele sunt colectate în stratul de cocs. Între stratul de cocs și amestecul de umplere 6 a formei, se așează rogojina 4, ca suprafață de separație, permeabilă la gaze.

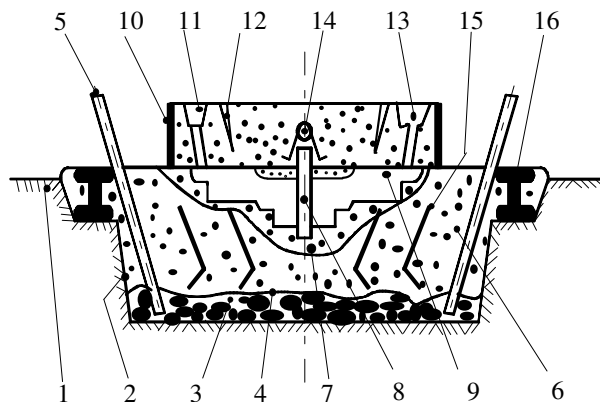


Fig. 3.38. Schema de principiu a formării în solul turnătoriei:

1 - solul turnătoriei; 2 - groapă; 3 - strat de cocs metalurgic; 4 - rogojină; 5 - țevi pentru evacuarea gazelor; 6 - amestec de formare; 7 - amestec de model; 8 - miezuri; 9 - cavitatea formei; 10 - ramă capac; 11 - maselotă; 12 - canale de aerisire; 13 - pâlă de turnare; 14 - armături pentru întărirea capacului; 15 - armături pentru susținerea piesei; 16 - armături pentru susținerea căilor de acces.

Amestecul de umplere din rama capac 10 este armat cu profilele metalice 14, care au drept scop susținerea greutatei ramei capac 10 și a piesei. Un scop

similar au profilele 16 și grinzile de susținere a căii de acces spre zona de turnare. Realizarea cavității formei 9 se face din amestecul de model 7, cu modele sau cu șabloane. Pentru piesele grele, se utilizează modele demontabile, iar pereții cavității formei trebuie consolidați prin armare. Pentru piesele cu goluri interioare, se prevăd miezurile 8, rezemate pe mărcile modelului. Rețeaua de turnare se realizează în rama capac. Rețeaua de turnare este compusă din: pâlnia de turnare 13, maselota 11 și canalele de aerisire 12 pentru evacuarea gazelor.

Acest procedeu de turnare implică un mare volum de muncă, se execută manual sau numai parțial mecanizat, pentru pregătirea formei de turnare. Folosirea procedurii este justificată numai în cazul pieselor unicat, grele, cu adaosuri de prelucrare relativ mari, precum: batiuri, montanți, traverse, grinzi, mese, carcase, roți, statui etc.

3.7.8.3. Turnarea în miezuri

Se utilizează atunci când nu se poate alege un plan de separație convenabil pentru model sau la piesele mari, când nu se poate executa formarea mecanizată.

Procedeu implică înlocuirea modelului cu cutii de miez (dezavantaj dat de dificultatea mai mare de execuție a acestora) și a amestecului de formare obișnuit cu amestec de miezuri (dezavantaj datorită costului mai ridicat al acestui tip de amestec).

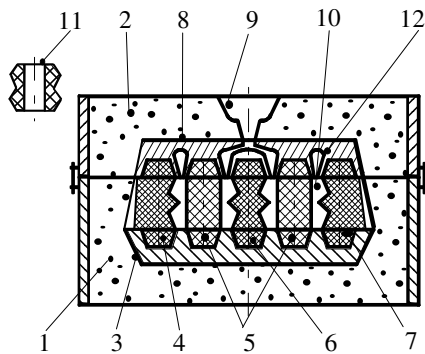


Fig. 3.39. Turnarea în miezuri:

- 1 - semiforma inferioară; 2 - semiforma superioară;
3 - miez de bază; 4 - miez lateral dreapta; 5 - miez interior;
6 - miez perete interior; 7 - miez lateral stânga; 8 - miez capac;
9 - pâlnia de turnare; 10 - cavitățile generatoare a piesei;
11 - piesa;
12 - maselote.

Precizia și calitatea suprafețelor formei astfel realizate sunt mai bune față de cea a formelor din amestec obișnuit și implicit calitatea piesei turnate va crește (precizia dimensională: $\pm 0,9..1,0\text{mm}$, rugozitatea: $R_a < 25\mu\text{m}$).

Metoda se utilizează curent la piesele pretențioase, precum: blocurile motor, corpurile de pompe, roțile dințate etc.

Configurația externă, precum și cea internă a piesei se obțin prin asamblarea, într-o succesiune logică, a unor miezuri, de formă și dimensiuni corespunzătoare. De exemplu, pentru realizarea piesei din figura 3.39, se assemblează în rama inferioară 1, în ordine, miezurile: 3, 4, 5, 6, 7 și 8; ulterior, rama se umple cu amestec de formare

obișnuit pentru a se asigura rigiditatea formei asamblate în vederea turnării.

Rețeaua de turnare 9 este dispusă în rama superioară 2, astfel încât să se

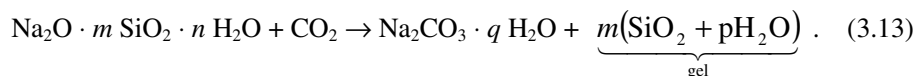
asigure corespondența cu canalele de distribuție și de alimentare din miezul capac superior 8. Miezurile de tip 5 sunt destinate realizării configurației interne a pieselor, în timp ce miezurile de tip 4, 6 și 7 realizează configurația exterioară; miezurile de tip 4 și 7 au și rolul de a închide lateral cavitatea de turnare. Se obțin două piese identice la o singură turnare.

3.7.9. Turnarea în forme temporare din amestec de formare special

Se consideră amestec de formare special acel amestec pregătit cu un liant special, care conferă amestecului proprietăți superioare și cavității de turnare rezistență mecanică foarte bună. Cea mai largă utilizare în turnătorii o au următoarele procedee de turnare cu amestec de formare special: turnarea în forme întărite cu CO₂, turnarea în forme coji cu liant termoreactiv, turnarea în forme coji cu modele ușor fuzibile.

3.7.9.1. Turnarea în forme întărite cu CO₂

Acest procedeu utilizează la realizarea formelor de turnare un amestec de formare special, alcătuit din nisip cuarțos și liant reactiv, care se întărește în mediu de dioxid de carbon, conform reacției chimice



Produsul de reacție, $m(\text{SiO}_2 + p\text{H}_2\text{O})$, este un gel de silice, care leagă granulele de nisip cuarțos, realizând întărirea amestecului de formare.

Întărirea amestecului se face înaintea demulării, prin insuflarea gazului de reacție direct în forma de turnare (fig.3.40).

Placa model 1 este prevăzută cu găurile 2, pentru insuflarea CO₂. Această placă model se assemblează etanș cu șuruburile 7 pe rezervorul de gaz 12, care este alimentat de la sursa 13 de CO₂. Peste placa model se montează rama de formare 3, prevăzută cu suprafețele de etanșare 4 și 5. Rama se umple cu amestec de formare special 6, umplerea putându-se face manual sau mecanizat. După umplere și îndesare rama se închide cu capacul 8, fixat cu șuruburile 9. Capacul este prevăzut cu coșul de evacuare 10, destinat eliminării excesului de CO₂. Pentru solidificarea formei se crează un flux de CO₂ în interiorul ramei de formare. Demularea se face după întărirea amestecului.

Procedeul se utilizează la obținerea pieselor de precizie ridicată, în producția de serie mare și masă, permițând economisirea amestecului de formare (forma se consolidează la o grosime mai mică a peretelui decât cea din amestec obișnuit, pentru o aceeași piesă turnată).

Ca dezavantaje ale procedurii se pot menționa: dificultatea reutilizării

amestecului de formare (necesită concasare și cernere); necesită folosirea de plăci model, modele, rame de formare și capace speciale.

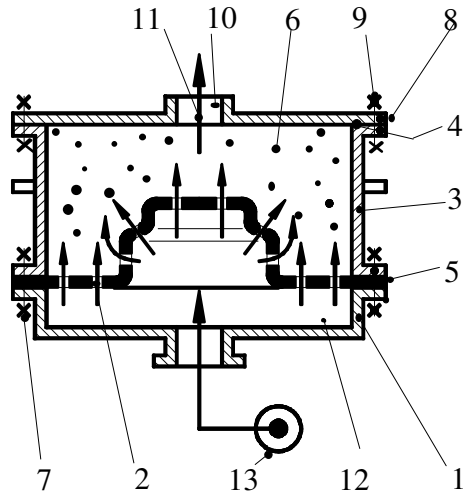


Fig. 3.40. Principiul formării cu amestec întărit cu CO_2 :

1 - placa model; 2 - găuri pentru insuflarea CO_2 ; 3 - rama de formare; 4, 5 - suprafețe de etanșare; 6 - amestec de formare special; 7 - șuruburi; 8 - capac; 9 - șuruburi; 10 - coș de evacuare; 11 - surplus de gaz; 12 - rezervor de gaz; 13 - sursa de gaz.

3.7.9.2. Turnarea în forme coji

Aceste procedee de turnare utilizează forme cu pereți subțiri, denumite uzual *coji*, de grosime 3...5 mm, realizate din amestecuri de formare speciale, care se întăresc rapid înainte de demulare.

Formele coji preiau avantajele oferite de turnarea în forme întărite cu CO_2 și, în plus, folosesc cantități mult mai reduse de amestec de formare special.

În vederea turnării, formele coji sunt asamblate în rame de formare obișnuite, împachetându-se în amestec de umplere pentru mărirea rigidității și a rezistenței mecanice a peretelui cavității de turnare.

Cele mai utilizate procedee de turnare în forme coji sunt:

- turnarea în forme coji cu liant termoreactiv;
- turnarea în forme coji cu modele ușor fuzibile.

Turnarea în forme coji cu liant termoreactiv. Amestecul de formare special este alcătuit din nisip cuarțos cu granulație fină și din liant special termoreactiv (rășini sintetice: bachelită, novolac). Liantul are proprietatea că se topește la 80...90°C și se solidifică ireversibil la 100...180°C.

Procedul include următoarele etape de lucru (fig.3.41), care se desfășoară în ciclu de lucru automatizat:

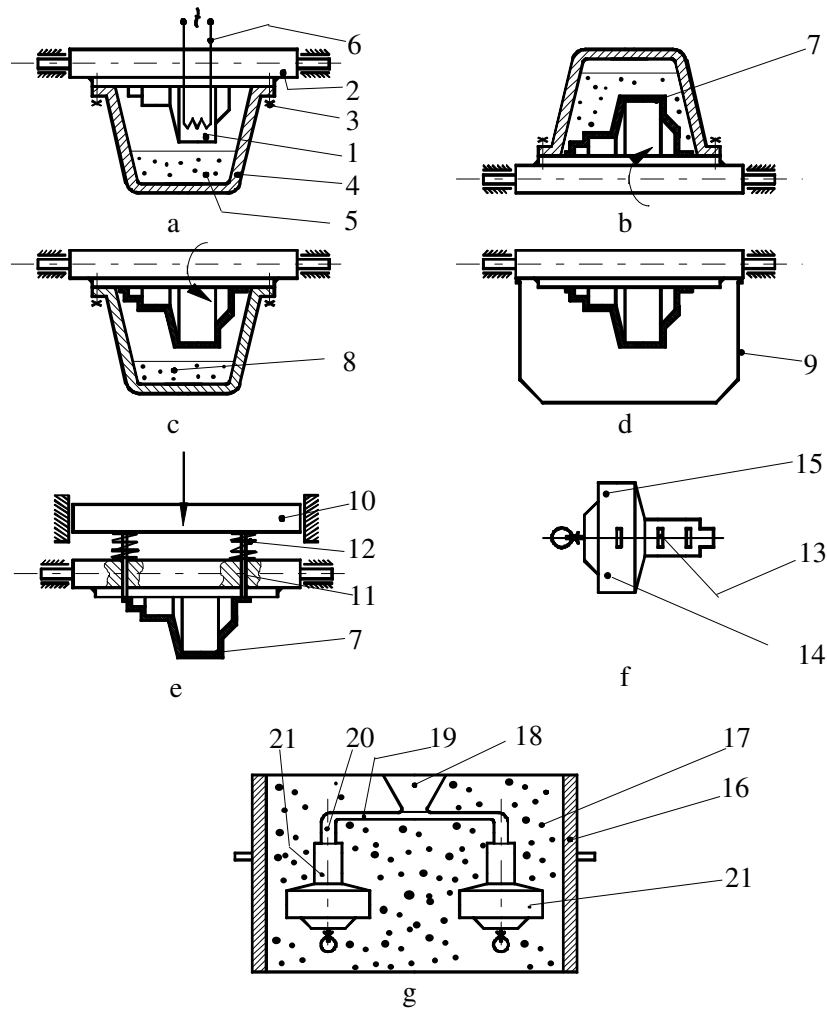


Fig. 3.41. Realizarea formelor coji cu liant termoreactiv:

- a - încălzirea modelului; b - contactul cu amestecul de formare special; c - formarea cojii;
d - coacerea forme coajă; e - extragerea forme coajă; f - asamblarea semiformelor coajă;
g - împachetarea și pregătirea în vederea turnării; 1 - placă model; 2 - masă rabatabilă; 3 - șuruburi;
4 - buncăr cu amestec de formare; 5 - amestec cu liant termoreactiv; 6 - circuit de încălzire a plăcii
model; 7 - forma coajă solidificată; 8 - surplus de amestec de formare; 9 - cuptor pentru coacerea
forme; 10 - cap extractor; 11 - tijă pentru demulare; 12 - arcuri; 13 - cleme elastice;
14, 15 - semiforme; 16 - ramă de formare; 17 - material de împachetare a formelor; 18, 19, 20 - rețea
de turnare; 21 - forme asamblate.

1- încălzirea plăcii model - se fixează placa model 1 pe masa rabatabilă a mașinii de format 2. Peste placa model se assemblează cu șuruburile 3 buncărul 4,

care conține amestecul de formare cu liant termoreactiv 5, iar cu ajutorul circuitului de încălzire cu rezistențe 6 se încălzește placa model până la 250...300°C;

2 - realizarea forme coji - masa rabatabilă este basculată aducându-se amestecul de formare 5 în contact cu suprafața încălzită a plăcii model. În acest moment, liantul mai întâi se topește și apoi se solidifică, formându-se pe suprafața plăcii-model forma coajă 7;

3 - îndepărtarea surplusului de amestec - masa rabatabilă este readusă în poziția inițială, astfel încât surplusul de amestec de formare 8, care nu a fost liat, să poată cădea înapoi în buncăr;

4 - întărirea forme coajă - se face prin coacerea forme (care nu a fost demulată) în cuptorul 9, la 300...350°C;

5 - demularea - se demontează mai întâi buncărul 4, de pe placa model 1, apoi de masa mașinii de format se apropie capul extractor 10, care prin intermediul tijelor 11 și a arcurilor 12 execută demularea forme coajă de pe placa model;

6 - asamblarea forme de turnare - semiformele 14 și 15 se assemblează fixându-se cu clemele elastice 13. Se pot asambla mai multe forme 21, la o rețea comună de turnare 18, 19, 20; se pot utiliza și miezuri coajă pentru realizarea golurilor interioare, confecționate din același tip de amestec de formare, prin procedeul de suflare în cutii de miez metalice încălzite la 250°C;

7 - împachetarea forme asamblate - mai multe forme asamblate 21 se împachetează pentru mărirea rezistenței mecanice a pereților forme, în amestec de formare obișnuit, nisip sau alie din fontă 17, în rama de formare sau în cutia de împachetare 16.

Procedeul se utilizează la obținerea pieselor de precizie și calitate ridicată a suprafeței, în producția de serie mare și masă. Piese pot fi de mărime mică și medie, cu o configurație simplă, cu un singur plan de separație. Suprafețele pieselor turnate sunt foarte curate și productivitatea este ridicată.

Dezavantajele procedeului sunt: dificultatea reutilizării amestecului de formare (necesită concasare și cernere); necesită folosirea de dispozitive și mașini de formare speciale; greutatea limitată a pieselor și costul ridicat al liantului.

Turnarea în forme coji cu modele ușor fuzibile. Specific pieselor realizate prin acest procedeu de turnare este absența planului de separație, datorită faptului că nu este necesară demularea (modelul este extras din cavitatea forme prin lichefiere, de aceea procedeul este denumit turnarea cu „modele pierdute”). Procedeul are o mare accesibilitate, deoarece el nu necesită mașini sau utilaje specifice.

Execuția formelor cu modele ușor fuzibile cuprinde următoarele faze (fig.3.42):

1 - executarea modelului fuzibil - pentru turnarea piesei 1 se realizează mai întâi o matriță metalică 2, în care se toarnă ceară pentru fabricarea modelului ușor fuzibil. Matrița cuprinde: cavitatea dată de forma piesei 3, cavitatea tehnologică a inelului de înciorchinare 5, miezul 4 și canalul de alimentare 6;

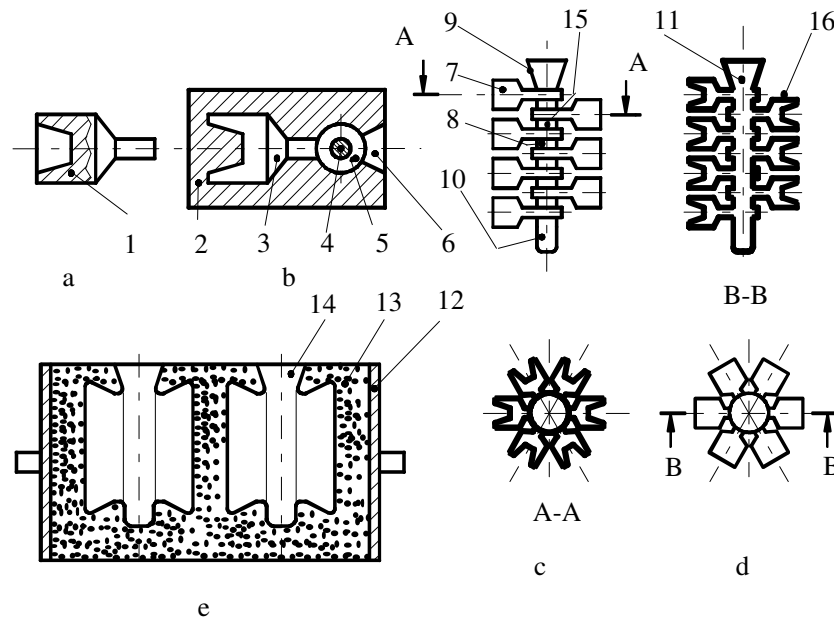


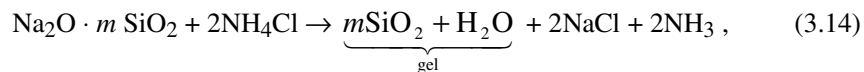
Fig. 3.42. Execuția formelor cu modele ușor fuzibile:

a - piesa de turnat; b - matrița; c - modelul asamblat; d - forma coajă; e - împachetarea și pregătirea în vederea turnării; 1 - piesa; 2 - matrița modelului; 3 - cavitatea forme piesei;

4 - miez; 5 - cavitatea inelului de înciorchinare; 6 - canal de alimentare; 7 - modelul piesei individuale; 8 - modelul rețelei de turnare; 9 - modelul pâlniei de turnare; 10 - piciorul rețelei de turnare; 11 - pâlnia de turnare; 12 - cutia de împachetare; 13 - nisip cuarțos sau alicie de fontă; 14 - cavitate de turnare; 15 - tijă de înciorchinare; 16 - peretele forme coajă.

2 - asamblarea modelului - pe o tijă metalică de înciorchinare 15 se assemblează modelele pieselor individuale 7, realizate prin turnarea materialului ușor fuzibil în matrița 2. Împreună cu acestea se assemblează modelul rețelei de turnare 8; modelul complet asamblat 9 are aspectul unui ciorchine, datorită faptului că modelele pieselor sunt poziționate în jurul piciorului rețelei de turnare 10;

3 - realizarea forme coji - modelul asamblat se pregătește în prealabil prin degresare într-o baie cu 5% soluție de săpun, după care este cufundat într-o baie cu vopsea refractară (50% nisip cuarțos fin măcinat și 50% silicat de sodiu $\text{Na}_2\text{O} \cdot m \text{SiO}_2$ ca liant). Pentru formarea cojii, modelul se presară apoi cu nisip cuarțos. Solidificarea liantului din vopseaua refractară se face prin cufundarea cojii într-o baie cu 24% soluție de NH_4Cl , în urma reacției chimice



unde $m \text{SiO}_2 + \text{H}_2\text{O}$ este sub formă de gel.

Pentru a se obține o rezistență mecanică satisfăcătoare este necesară repetarea de 3...6 ori a operațiilor de depunere a stratului refractar. După depunerea straturilor succesive se face astuparea șanțurilor, găurilor și fisurilor și completarea straturilor discontinue a formei coajă;

4 - demularea - se extrage mai întâi tija de înciorchinare, apoi se încălzește forma în abur sau aer cald la 60...120°C pentru topirea modelului. Amestecul ușor fuzibil se recuperează, urmând a fi refolosit;

5 - uscarea formelor - se face după un ciclu de lucru bine determinat, prin încălzirea progresivă și menținerea formei între 50...250°C, conform diagramei din figura 3.43;

6 - calcinarea formelor - se face prin arderea formelor coji în cuptor în scopul consolidării crustei. Ciclu de calcinare poate fi de forma din figura 3.44;

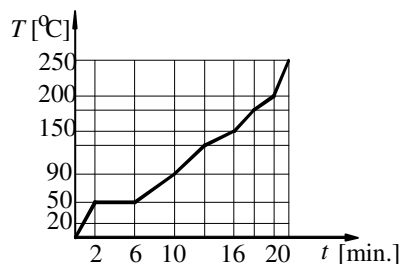


Fig. 3.43. Ciclu de uscarea a formelor coji.

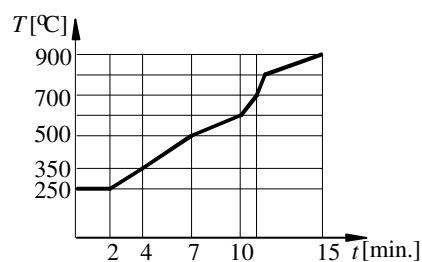


Fig. 3.44. Ciclu de calcinare a formelor coji.

7 - împachetarea formelor - în vederea turnării, formele coji se împachetează în amestec de formare obișnuit, în nisip sau în alicie din fontă, în interiorul unei rame de formare sau unei cutii de împachetare, similar cu etapa corespunzătoare de la formele cu liant termoreactiv;

8 - preîncălzirea formelor în vederea turnării - turnarea se face în forme preîncălzite la 700°C.

Exemple de piese tipice a fi obținute prin acest procedeu sunt: piese de mecanică fină pentru mașini de scris și de cusut, mecanisme de arme, instrumente medicale, piese de tehnică dentară, palete de turbină, ghiduri de undă, came, clicheti, roți dințate, pârghii etc.

3.7.10. Procesul tehnologic de obținere a unei piese prin turnare în forme temporare (în rame, în solul turnătoriei, în miezuri, în forme coji)

După cum s-a arătat anterior, în figura 3.17, documentația tehnologică de execuție a unei piese prin turnare în forme temporare trebuie să conțină în mod obligatoriu descrierea proceselor importante, care contribuie nemijlocit la obținerea unor piese de calitate. Acestea sunt:

- elaborarea aliajului de turnare;
- realizarea formei de turnare;
- turnarea propriu-zisă;
- controlul parametrilor de calitate pe flux și final;
- tratamentele aplicate pieselor după solidificare;
- remanierea pieselor cu defecte de turnare.

La rândul său, descrierea fiecărui proces trebuie să precizeze:

- mijloacele de lucru utilizate (mașini, instalații, utilaje, SDV-uri, AMC-uri);
- modul de lucru (succesiunea și structura operațiilor, norma de timp);
- metoda de lucru (parametrii de regim);
- nivelul de competență necesar (categoria profesională de încadrare);
- materialele folosite (materii prime, auxiliare, consumabile, energie).

3.7.10.1. Rentabilitatea proceselor de turnare în forme temporare

În funcție de metoda de formare utilizată, turnarea în forme temporare poate constitui un mijloc eficient de producție pentru orice cantitate de piese (unice, serie, masă).

După cum s-a arătat anterior, formarea se poate face manual, semimecanizat, mecanizat, parțial sau total automatizat. În cazul producției de unice, un atelier de turnătorie cu o dotare minimă poate oferi soluția cea mai economică. Pentru piese realizate în producția de masă, cum ar fi piesele de automobil, sunt necesare sisteme de producție complet automatizate.

În costul pieselor turnate sunt incluse costurile de amortizare ale modelelor, manoperei, materialelor, energiei și regiei secției.

Un model confecționat din lemn este mai ieftin decât unul din metal, dar cheltuielile lui de amortizare, raportate la numărul de piese realizate, poate reveni mai mare pe unitatea de produs decât cheltuielile de amortizare ale modelului metalic similar, utilizat în cazul unei producții de serie mare.

Realizarea prin turnare a pieselor în producția de unice și serie mică poate fi mai costisitoare cu până la de 10 ori decât în cazul realizării aceleiași piese în producția de serie mare și masă.

Turnarea în două rame, cu plan de separație, va fi întotdeauna mai scumpă decât turnarea în forme monobloc, raportul costurilor putând ajunge până la 4:1.

Pentru întocmirea devizului unei piese turnate proiectantul trebuie întotdeauna să evalueze masa piesei. Toate costurile turnătoriei trebuie raportate la masa pieselor turnate.

În cazul turnării în forme coji cu modele ușor fuzibile costul ridicat al modelelor poate fi redus prin realizarea matriței pentru modelul de ceară prin turnare sau prin depunere prin metalizare la temperaturi joase, procedee mai ieftine ca prelucrările mecanice. În aceste condiții, turnarea în forme coji devine mai

rentabilă în producția de serie mică și de unicate decât turnarea în forme temporare cu pereți groși.

În producția de serie mare și masă, cheltuielile implicate de utilizarea procedeului de turnare în forme coji cu modele ușor fuzibile tind să le depășească pe cele ale altor procedee alternative de realizare a pieselor, cum ar fi turnarea sub presiune sau metalurgia pulberilor, deoarece pretinde un volum mai mare de manoperă și un consum mai mare de materiale la realizarea formelor. Excepție fac cazurile în care piesele sunt deosebit de complexe și nu se pot prelucra prin alte procedee.

3.7.10.2. Realizarea formei de turnare

Documentația tehnologică referitoare la forma de turnare trebuie să conțină:

- desenul piesei brut turnate;
- desenul modelului asamblat (piesa brut turnată + rețeaua de turnare + maselotele);
- fișa tehnică a amestecului de formare;
- fișa tehnică a amestecului de miez;
- fișa tehnică privind realizarea formelor.

Desenul piesei brut turnate se întocmește ținând cont de adaosurile și recomandările specificate în subcapitolul 3.7.2. Pe de altă parte, forma piesei turnate trebuie să țină seama și de unele cerințe constructive care decurg din specificitatea procedeului de turnare ales.

Pentru piesele turnate în forme temporare uzuale se recomandă a se ține cont de următoarele:

- planul de separație este economic să fie un plan drept, cu un contur simplu;
- adaosurile de înclinare cu cât sunt mai pronunțate, cu atât scade costul modelului și al formării;
- amplasarea maselotelor să se facă în zonele cele mai groase ale piesei. Toate celelalte zone ale piesei trebuie să fie mai subțiri pentru a se putea solidifica mai repede (fig.3.45);
- nervurile și pereții interiori permit creșterea rigidității piesei la o creștere minimă a masei acesteia. În zona de racordare a nervurilor sau a pereților interiori nu trebuie să rezulte o acumulare de material care să constituie noduri termice (fig.3.46);
- numărul de nervuri sau pereți interiori care se intersectează într-un singur punct trebuie să fie cât mai mic, pentru a se evita întârzierea solidificării și apariția retasurilor interne (fig.3.47);
- colțurile și muchiile - părțile exterioare ale pieselor turnate se răcesc primele, solidificarea propagându-se de la exterior spre interior. În aceste condiții,

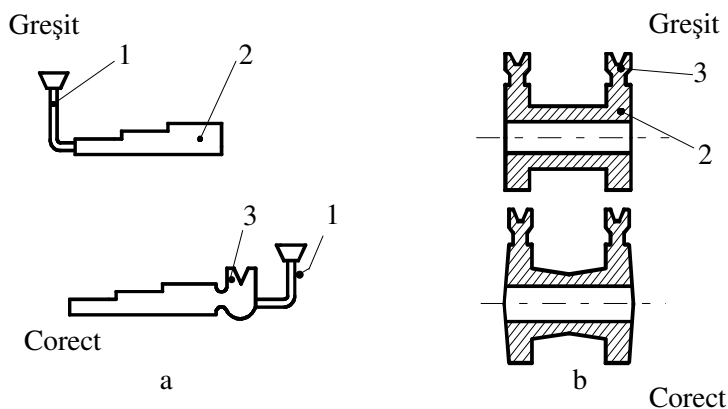


Fig. 3.45. Amplasarea maselotelor:
a - piesă în trepte; b - bucă cilindrică; 1 - piesa de turnare; 2 - partea groasă a piesei;
3 - maselota.

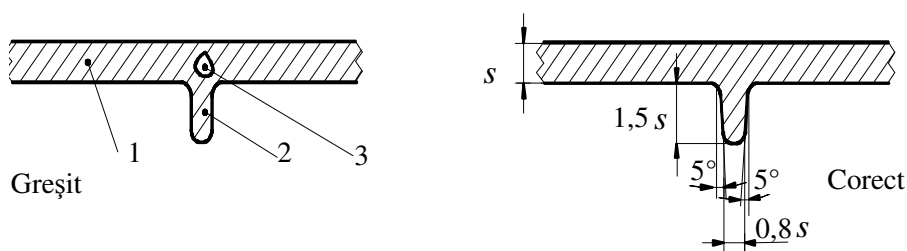


Fig. 3.46. Construcția nervurilor:
1 - peretele piesei; 2 - nervura; 3 - nod termic.

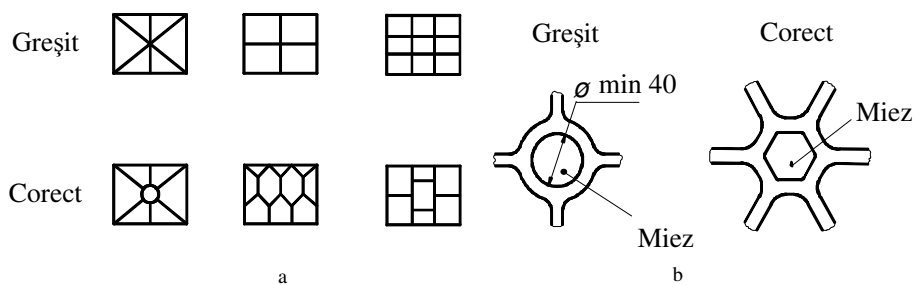


Fig. 3.47. Construcția zonelor de intersecție:
a - limitarea numărului de pereți; b - eliminarea intersecției în cruce printr-un miez central.

partea externă a colțurilor și muchiilor radiază căldura bidirecțional răcindu-se Mai rapid decât zona interioară corespondentă, care este izolată termic pe două laturi prin amestecul de formare, de aceea se recomandă rotunjirea pe ambele fețe ale

muchiilor și colțurilor, preferabil având același centru de curbură și menținând grosimea uniformă a peretelui (fig.3.48);

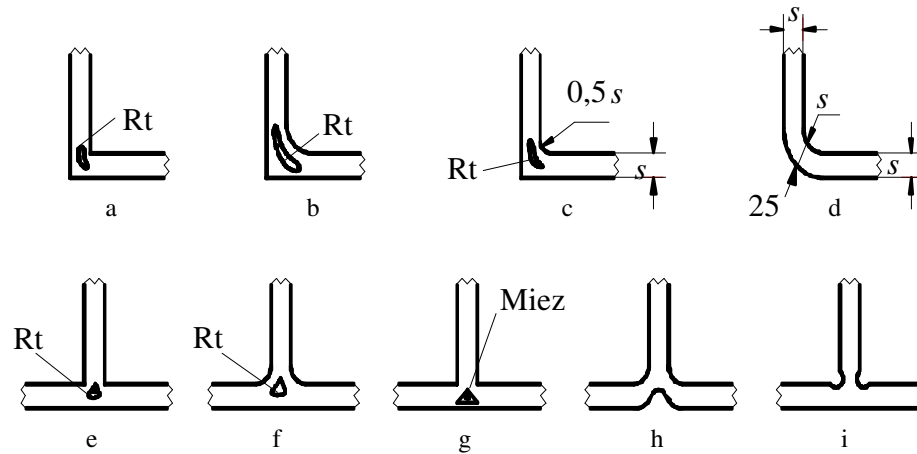


Fig. 3.48. Construcția colțurilor (intersecției pereților în „L”):

a - muchii ascuțiți; b - raza mare de rotunjire duce la modificarea grosimii peretelui și la mărirea volumului retasurii; c - raza de rotunjire numai pe fața interioară reduce efectul nodului termic dar nu îl elimină; d - soluția cea mai favorabilă; e - în cazul unei intersecții în „T” retasura apare tot în nodul termic; f - rotunjirea racordărilor interioare duce la sporirea efectului prin creșterea volumului nodului termic; g - reducerea volumului nodului termic prin folosirea miezurilor (soluție costisitoare); h,i - soluție favorabilă și economică: păstrarea constantă a grosimii peretelui prin racordări interioare și exterioare; Rt - retasură.

- unghiurile - efectul nodului termic crește cu cât unghiurile muchiilor sunt mai ascuțite (fig.3.49);

- intersecțiile de pereți trebuie să se facă după unghiuri drepte, spre a se evita îngroșarea peretelui și formarea nodurilor termice (fig.3.50);

- grosimea peretelui piesei trebuie să fie cât mai uniformă, raportul secțiunilor nu trebuie să depășească valoarea 1:2, trecerile trebuie să se facă progresiv, fără treceri bruște (fig.3.51);

- grosimea pereților interiori trebuie aleasă cu circa 20% mai mică decât a celor exteriori, deoarece ei se răcesc mai lent;

- înclinările pereților - se prevăd în scopul facilitării demulării modelului și a dezbaterii piesei. Cu cât adâncimea cavității este mai mare, cu atât crește înclinarea (fig.3.52);

- dimensiunile locașurilor prismatice trebuie să fie în raportul 1:1,5 dacă sunt situate în semiforma inferioară, respectiv de 1:1 dacă sunt situate în semiforma superioară, pentru a înlesni demularea, în special la formele crude;

- găurile mai mici de $\varnothing 20$ mm nu se vor realiza prin turnare cu miezuri. Este mai economică prelucrarea ulterioară, prin găurire (fig.3.53. a);

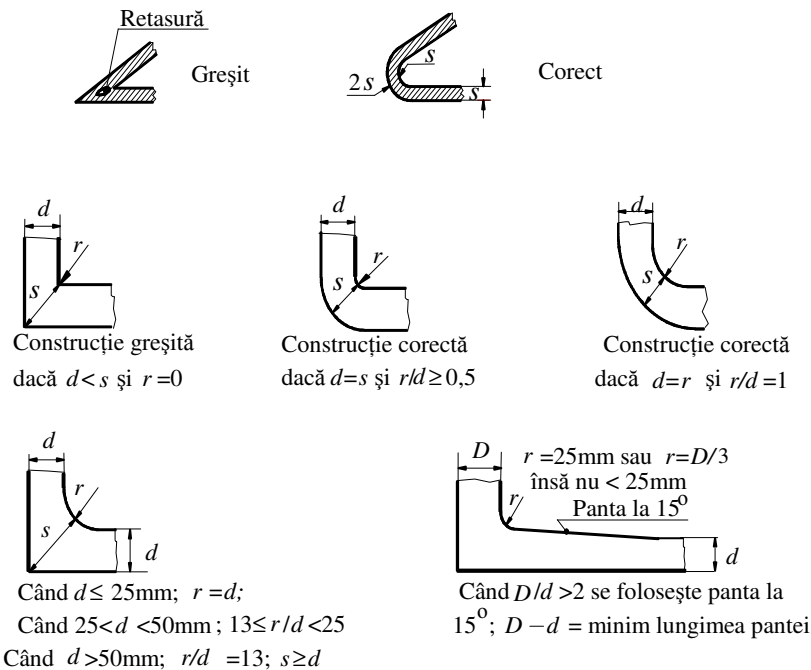


Fig. 3.49. Rotunjirea colțurilor.

- zonele cu găuri străpunse trebuie întărite folosind bosajele, deoarece ele constituie concentratori de tensiuni (fig.3.53. b);

- zonele cu bosaje sau proeminențe nu trebuie să constituie factori favorizanți pentru apariția nodurilor termice (fig.3.54);

- utilizarea miezurilor trebuie limitată la strictul necesar, deoarece complică forma de turnare, măresc numărul operațiilor și cresc costurile. Evitarea miezurilor se poate face, de exemplu, prin eliminarea „zonelor de subțiere” (fig.3.55).

Trebuie evitată folosirea miezurilor în zone ale pieselor de unde nu pot fi ușor dezbătute, cum ar fi găurile de diametre mici și lungimi mari (secțiuni groase), unde se dezvoltă tensiuni mari la solidificare (fig.3.56). Diametrele minime ale miezurilor sunt date în figura 3.57.

La amplasarea miezurilor trebuie să se aibă în vedere și construirea unor găuri speciale de ventilație în pereții piesei, pentru a permite evacuarea gazelor (fig.3.58):

- inscripționările - trebuie să fie prevăzute în poziție paralelă cu planul de separație, astfel încât să se permită formarea cu model. Date precum: data execuției, marca turnătoriei, numărul formei, numere de serie, trebuie să apară pe piesele turnate, dispuse în zone care să nu fie ulterior prelucrate (inscripționările pot fi în relief sau gravate);

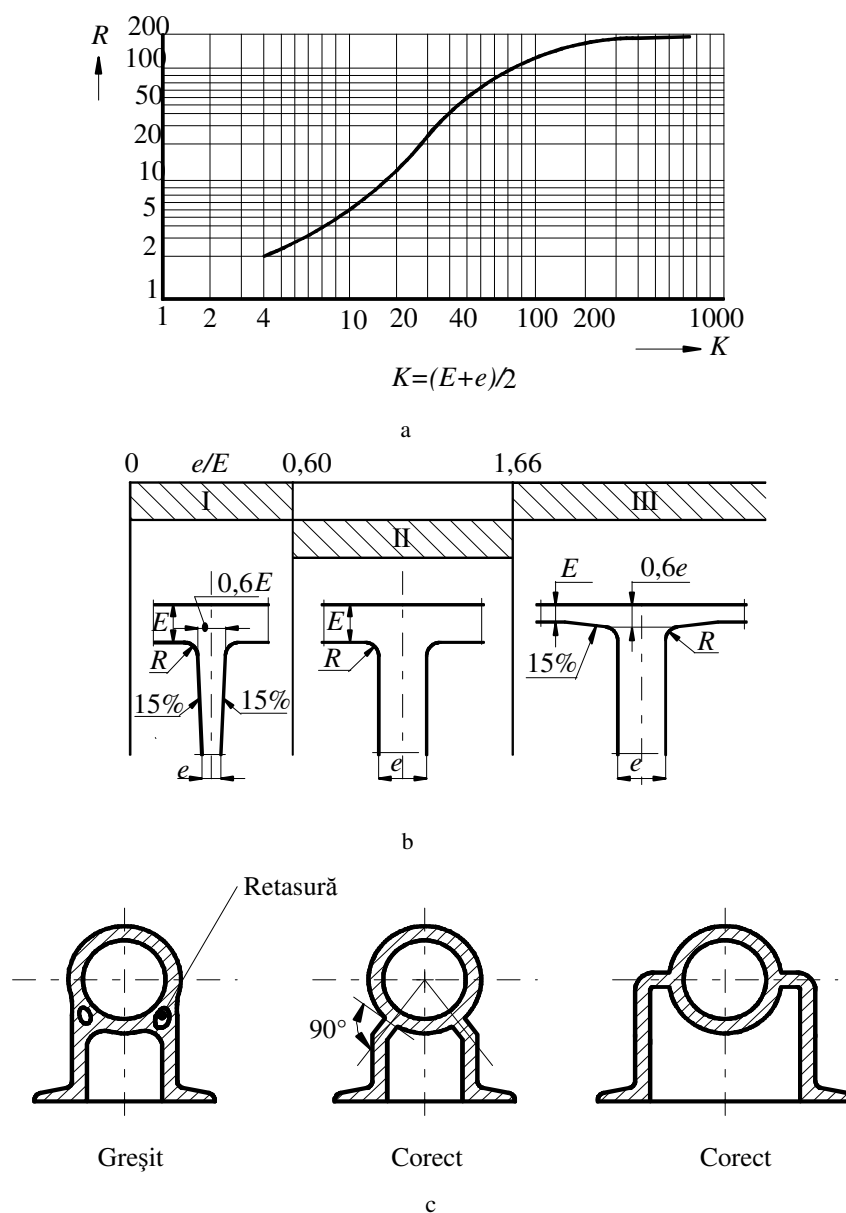


Fig. 3.50. Construcția intersecțiilor de pereți:

a - curba valorilor razelor de racordare;

b - racordări progresive în formă de „T”: I - corect; II - de evitat; III - corect;

c - intersecții sub unghiuri drepte.

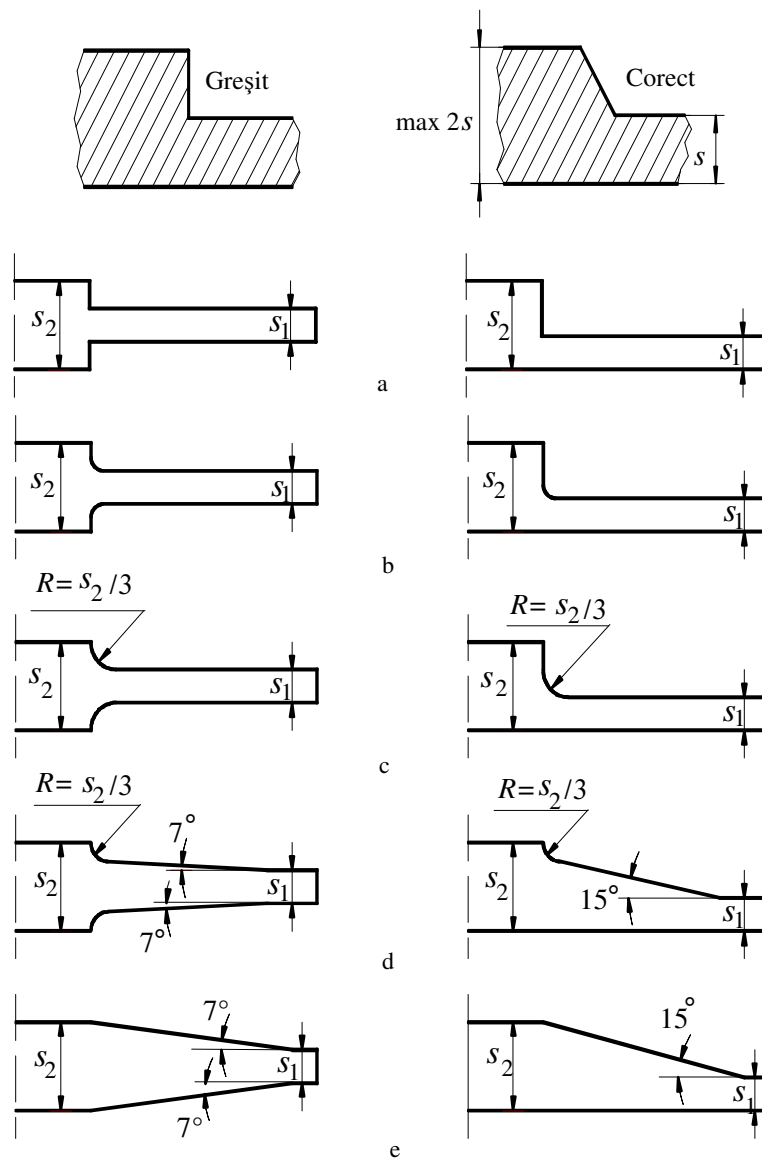


Fig. 3.51. Trecerea între pereți de grosimi diferite:
a - greșit; b - mediocru; c - acceptabil; d - bine; e - foarte bine.

- proiectarea proporțiilor pieselor turnate în forme temporare: trebuie să se țină seama în primul rând de configurația geometrică. Astfel, piesele cu configurație simplă, precum roțile dințate, de curea, scripetii, roțile de mână, de

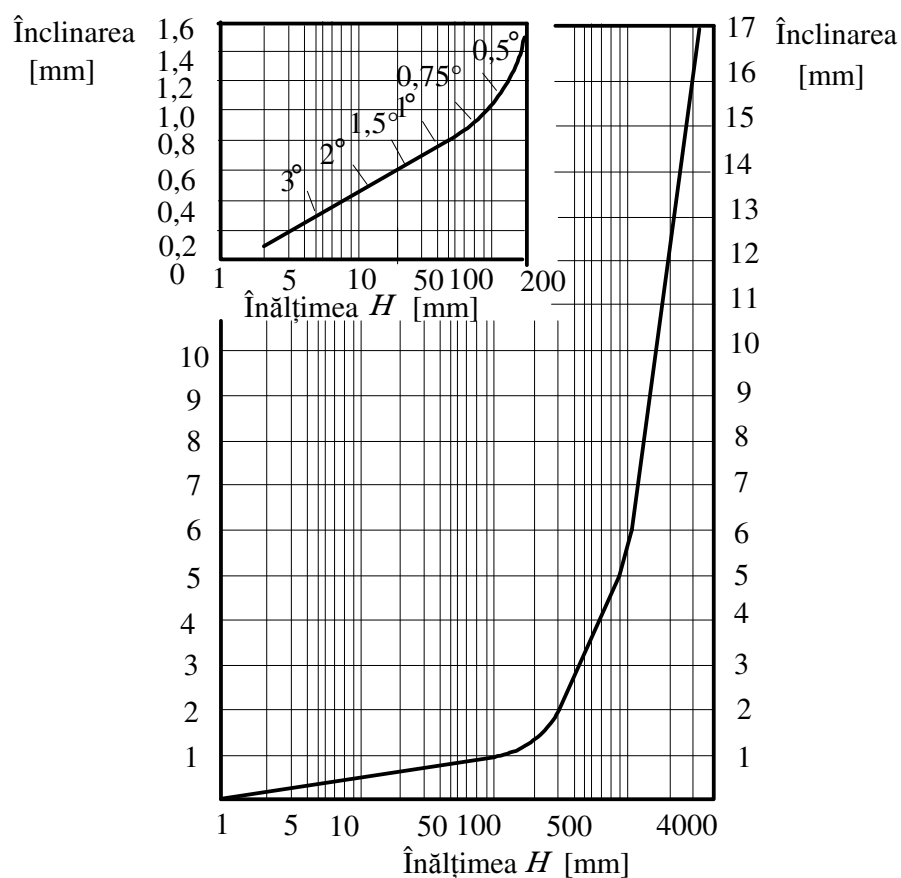


Fig. 3.52. Înclinarea pereților în funcție de înălțimea H a acestora.

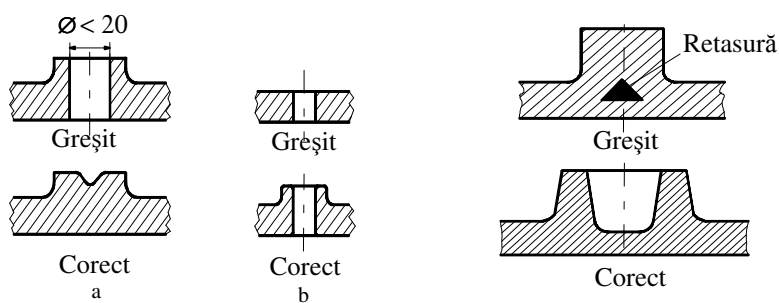


Fig. 3.53. Construcția găurilor:
a - cu diametrul $\varnothing < 20$ mm; b - găuri străpunse, cu apariția bosajului.

Fig. 3.54. Construcția bosajelor.

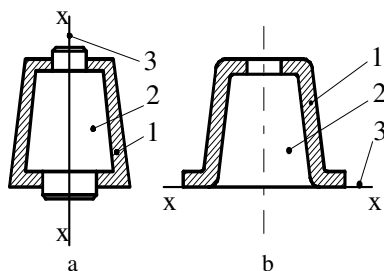


Fig. 3.55. Eliminarea miezurilor:
a - defavorabil, forma necesită utilizarea miezului;
b - favorabil, alegerea convenabilă a formei constructive a piesei și a poziției planului de separație conduce la eliminarea miezului; 1 - piesa; 2 - miez; 3 - plan de separație.

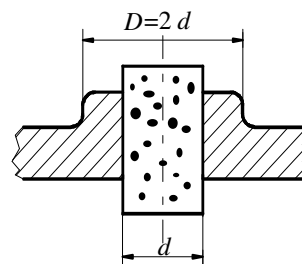


Fig. 3.56. Utilizarea miezurilor pentru obținerea găurilor străpuse.

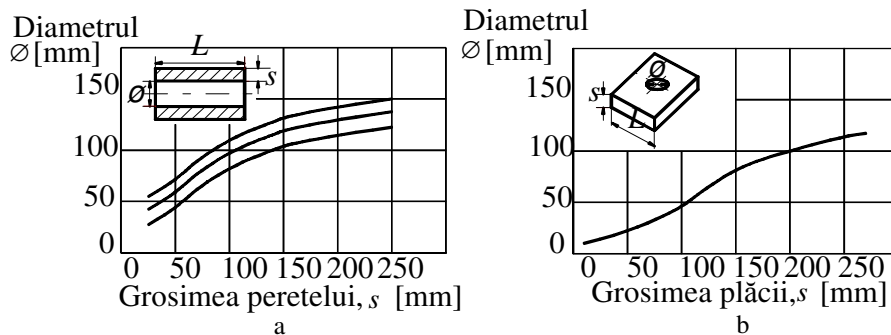


Fig. 3.57. Diametrele minime ale miezurilor:
a - miezuri cilindrice în piese lungi; b - miezuri cilindrice în plăci.

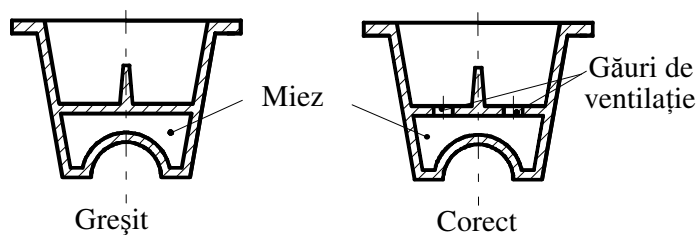


Fig. 3.58. Modul de amplasare a găurilor de ventilație speciale pentru miezuri.

cărucioare, volanții etc. sunt adeseori greșit proiectate, ducând la acumularea de tensiuni interne și la creșteri nejustificate de costuri în exploatare prin ieșirea lor prematură din funcțiune (fig.3.59).

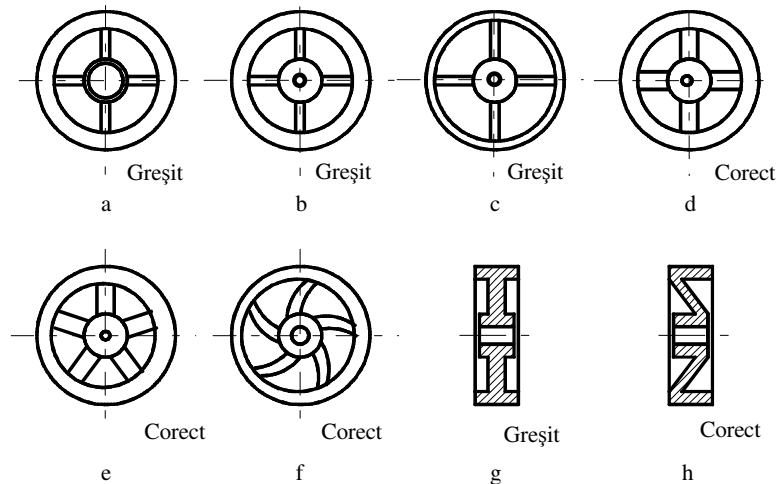


Fig. 3.59. Proportiiile piesei turnate:

a, b, c - proporții greșite între diversele elemente ale roții: obada, butucul, spițele; d - proporții corecte, dar prezența unui număr par de spițe este defavorabil echilibrării tensiunilor interne; e - soluție aproximativ corectă; f - soluție mai bună, prin curbarea spițelor se echilibrează mai bine tensiunile la solidificare; g, h - o altă soluție de preluare convenabilă a tensiunilor remanente de turnare este folosirea spițelor înclinate (h), în locul celor drepte (g).

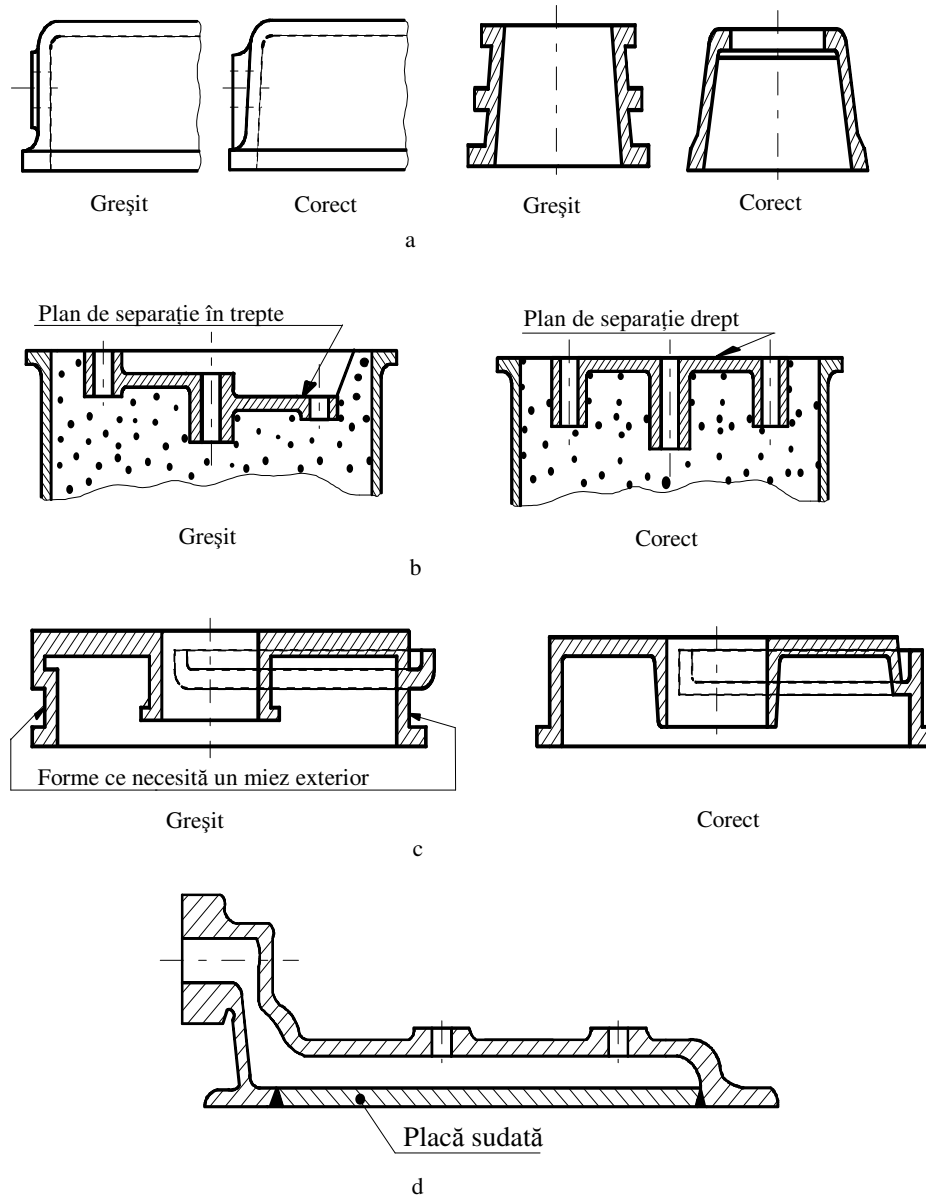
Optimizarea formei piesei turnate se poate face pe baza următoarelor criterii:

- ușurarea modului de formare și dezbateră (fig.3.60);
- dirijarea solidificării piesei în forma de turnare (fig.3.61);
- reducerea efectului contracției de solidificare (fig.3.62);
- ușurarea prelucrărilor ulterioare ale piesei brut turnate (fig.3.63).

Turnarea în forme coji cu modele ușor fuzibile conferă cea mai mare libertate proiectantului în ceea ce privește forma pieselor, procedeul fiind adesea utilizat pentru că se pot astfel elimina prelucrările mecanice. Câteva reguli minimale trebuie totuși avute în vedere, astfel:

- înclinările pentru demulare sunt mult mai reduse, ele se referă în acest caz la extragerea modelului de ceară din matriță (se recomandă $0,25 \dots 0,5^\circ$);
- grosimea pereților piesei turnate - datorită dimensiunilor mici ale pieselor retasura apare sub forma unor concavități pe suprafața piesei, situate în zonele cu grosimi mari ale pereților. Pentru a preîntâmpina acest fenomen trebuie reduse nodurile termice. Grosimea minimă recomandată pentru peretele piesei depinde de fluiditatea aliajului topit, variind de la 0,75 mm (la aliajele de Co și bronzurile cu Be) la 1,8 mm (la oțeluri cu conținut scăzut de C). Retasura poate fi redusă prin asigurarea unei grosimi uniforme a pereților (fig.3.64).

Desenul modelului asamblat se întocmește plecând de la desenul piesei brut turnate, la care se adaugă rețeaua de turnare și maselotele.



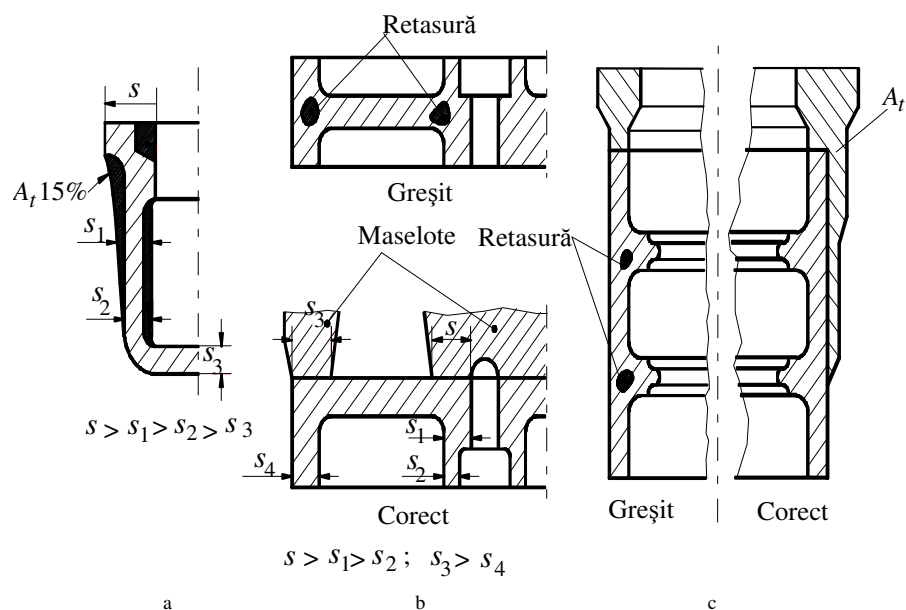


Fig. 3.61. Modificarea formei piesei turnate în vederea dirijării solidificării:
a - adaosuri tehnologice care realizează o creștere progresivă a grosimii peretelui;
b - amplasarea judicioasă a maselotelor; c - combinarea primelor două variante.

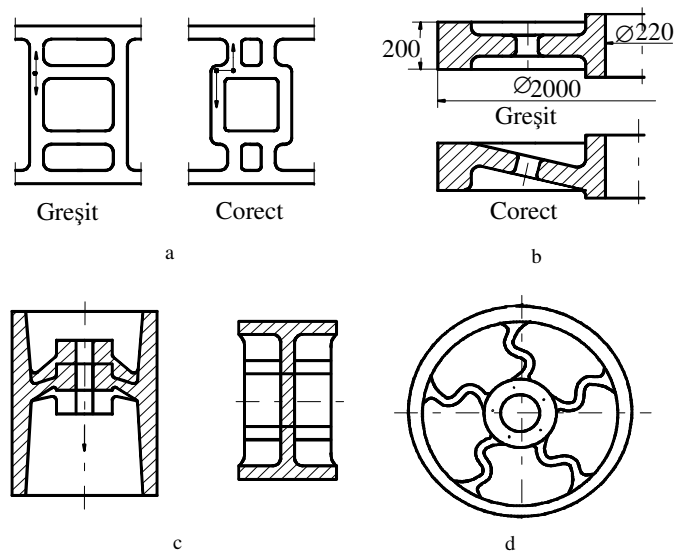


Fig. 3.62. Modificarea formei pieselor turnate în vederea reducerii tensiunilor de contracție:
a - grindă cu zăbrele; b, c - roți cu spiță de tip pânză; d - roată cu spițe curbate.

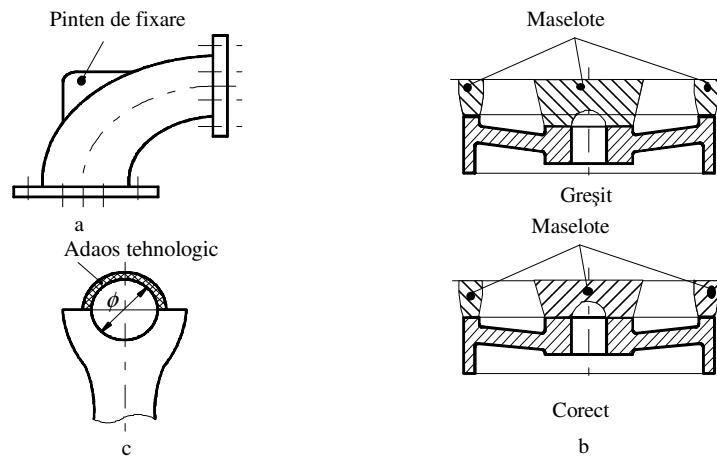


Fig. 3.63. Modificarea formei pieselor turnate în vederea ușurării prelucrărilor ulterioare: a - pinten care permite o fixare rigidă pe mașina-unelte; b - aducerea maselotelor în același plan pentru ușurarea îndepărtării acestora; c - adaos tehnologic care ușurează prelucrarea alezajului.

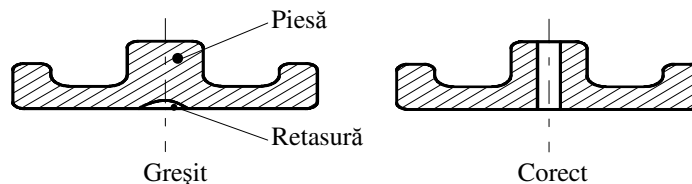


Fig. 3.64. Reducerea retasurii prin uniformizarea grosimii pereților.

La proiectarea modelului trebuie să se aibă în vedere de asemenea:

- poziția piesei în forma de turnare (a se vedea și subcapitolul 3.7.2);
- simplificarea la maximum a modelului și reducerea la minimum a numărului de repere componente (îndeosebi la producerea în regim de unicat și serie mică).

Pentru scurtarea duratelor de proiectare tehnologică și de execuție, elementele principale ale rețelilor de turnare (pâlnii, cupe, picioare, canale colectoare de zgură, alimentatoare) au fost normalizate, existând în seturi tipizate, ele putând fi asamblate asemenea fittingurilor (din instalațiile de apă și de gaze). Ele pot fi alese pe baza unor nomograme, în funcție de debitul de aliaj topit necesar umplerii cavității forme și de valoarea minimă a secțiunii canalelor de alimentare (a se vedea subcapitolul 3.7.6, fig.3.65 și tabelul 3.14).

Maselotele sunt rezervoare de aliaj lichid, care au rolul de a alimenta golul de contracție care se formează în piesa aflată în curs de solidificare, în scopul transferării retasurii din piesă în afara ei.

Maselotele pot fi:

- directe, când sunt amplasate în zonele unde se formează retasurile principale;
- laterale, când sunt dispuse în zonele unde se formează retasurile secundare;
- deschise, când comunică cu atmosfera;
- închise, când se află în interiorul forme de turnare.

Maselotele pot lucra la presiune atmosferică (construcție mai simplă, dar acționează mai lent și necesită un volum mai mare) sau la suprapresiune, generată cu cartușe speciale de gaze, amplasate în interiorul maselotei (calcul mai laborios, acțiune mai rapidă, volum redus).

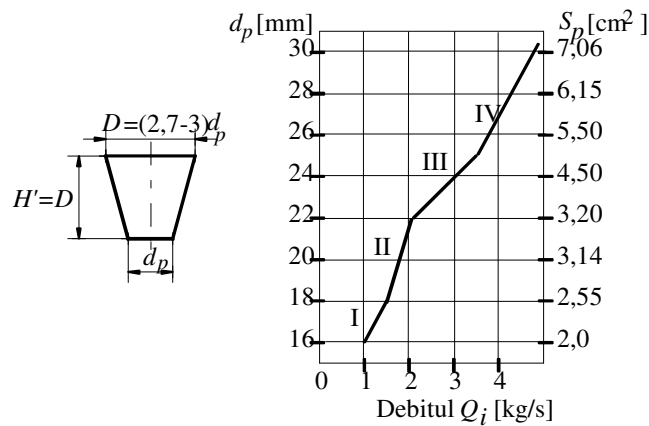


Fig. 3.65. Alegerea mărimii pâlniei de turnare:

D - diametrul pâlniei de turnare; d_p - diametrul piciorului pâlniei de turnare; H' - înălțimea pâlniei de turnare; Q_i - debitul de aliaj topit; S_p - secțiunea piciorului pâlniei.

Tabelul 3.14. Tipodimensiunile pâlniilor de turnare

Tipodimensiunea	d_p [mm]	D, H' [mm]	Masa aliajului în pâlnie [kg]
I	18	50	0,3
II	23	60	0,6
III	27	75	1,1
IV	30	90	1,9

Maselotele trebuie amplasate în toate zonele piesei unde se formează retasuri. La amplasare trebuie să se țină cont de zona de influență în care se exercită efectul maselotelor (fig.3.66).

Eficiența maselotelor scade odată cu creșterea suprafeței de schimb de căldură cu exteriorul. Cele mai eficiente forme de maselote sunt cele sferice și cilindrice.

Înainte de a se dimensiona și amplasa maselotele pe desenul piesei brut turnate, se vor satisface următoarele condiții prealabile:

- se va asigura o solidificare dirijată a piesei, astfel încât, la partea superioară să se formeze o retasă concentrată. Acest lucru se obține practic prin amplasarea piesei în forma de turnare cu secțiunea mare în partea superioară, astfel ca secțiunile mari să joace rolul de maselote pentru secțiunile mici de la partea inferioară a formei, partea superioară a piesei va fi alimentată direct din maselota propriu-zisă;

- în cazul pieselor cu aceeași grosime a secțiunii se prevăd adaosuri tehnologice cu secțiuni descrescătoare de sus în jos (fig.3.67).

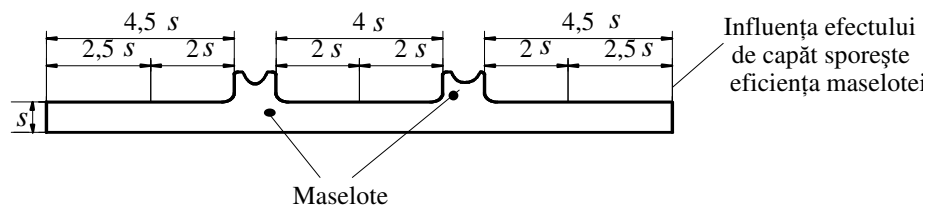


Fig. 3.66. Efectul maselotelor asupra piesei turnate.

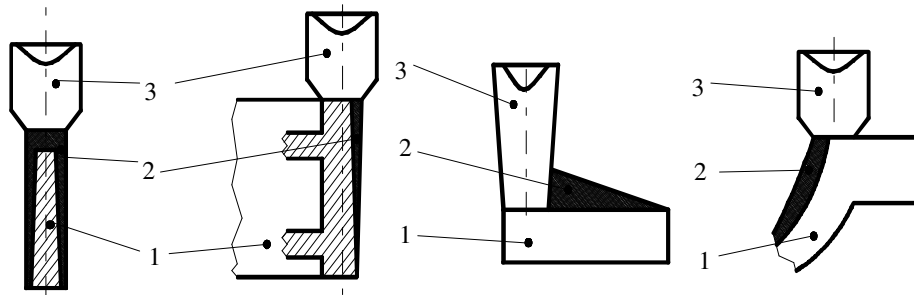


Fig. 3.67. Adaosuri tehnologice la amplasarea maselotelor:
1 - piesa turnată; 2 - adaos tehnologic; 3 - maselotă.

- se identifică nodurile termice cu ajutorul izotermelor de solidificare și se amplasează pe aceste zone răcitori exteriori, astfel încât, solidificarea nodurilor termice să se producă înaintea pereților superiori ai piesei (fig.3.68);

- pentru nodurile termice aflate în apropierea maselotei se poate face alimentarea din maselotă, prin mărirea secțiunii peretelui care vine în contact cu maselota, utilizându-se metoda sferelor înscrise: sfera înscrisă în nodul termic să poată fi rostogolită liber prin pereții piesei spre maselotă (fig.3.69).

Metoda sferei înscrise poate fi aplicată și pentru reducerea nodurilor termice, prin aprecierea volumului de material acumulat în zonele cu grosimi neuniforme de pereți (fig.3.70);

- se stabilesc zonele de amplasare a maselotelor pe nodurile termice, precum și forma geometrică a acestora (cilindrică, sferică, prismatică, tronconică etc.).

Calculul de dimensionare a maselotelor - la dimensionarea maselotelor trebuie avut în vedere asigurarea:

- unui volum suficient de aliaj lichid în maselotă, atât pentru alimentarea retasurii din piesă, cât și pentru formarea unei cruste de solidificare în maselotă pe durata solidificării piesei;
- o secțiune suficient de mare a maselotei, în acord cu zona din piesă alimentată de maselotă;
- o înălțime suficientă a maselotei, care să permită localizarea retasurii numai în interiorul maselotei.

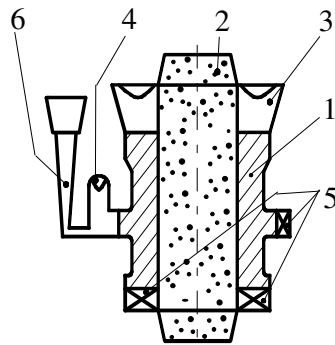


Fig. 3.68. Amplasarea răcitoarelor:
1 - piesa; 2 - miez; 3 - maselotă laterală deschisă; 4 - maselotă deschisă; 5 - răcitori exteriori; 6 - rețeaua de turnare.

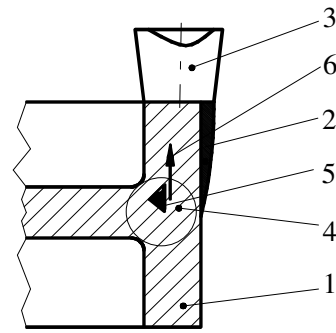


Fig. 3.69. Aplicarea metodei sferei înscrise:
1 - piesa; 2 - adaosul tehnologic;
3 - maselota; 4 - nodul termic situat la intersecția a doi pereți; 5 - sfera înscrisă nodului termic; 6 - sensul de rostogolire a sferei înscrise.

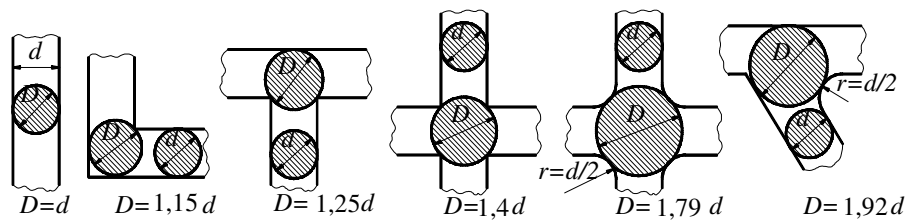


Fig. 3.70. Aprecierea acumulărilor de metal prin metoda sferei înscrise.

Diametrul maselotei D_m , se calculează cu relația

$$D_m = 2,98 \cdot \sqrt[3]{F \cdot m} \quad [\text{mm}], \quad (3.15)$$

unde F este raportul dintre volumul alimentatorului V_a și volumul piesei V_p și se calculează cu relația

$$F = \frac{V_a}{V_p}, \quad (3.16)$$

în care m este modulul de solidificare al piesei turnate, dat de relația

$$m = \frac{V_p}{S_p}, \quad (3.17)$$

iar S_p este mărimea suprafeței piesei turnate.

Reducerea volumului de material necesar pentru maselote (de regulă 5% din greutatea piesei turnate) se poate face prin creșterea eficienței de utilizare a materialului din maselotă, prin mărirea fluidității acestuia (întârzierea solidificării). Acest lucru se poate realiza prin:

- utilizarea suprapresiunii în maselote (generate cu cartușe de gaze);
- întârzierea solidificării prin izolarea termică a maselotei (cu bușe izolante);
- întârzierea solidificării prin creșterea temperaturii în maselotă (cu bușe sau pulberi exoterme).

Răcitorii au rolul de a accelera solidificarea materialului din nodul termic prin mărirea schimbului de căldură dintre aliajul topit aflat în cavitatea formei și pereții acesteia. Astfel se asigură solidificarea prioritară a zonei cu pereții cei mai groși, iar pereții învecinați joacă rolul maselotei (fig.3.71).

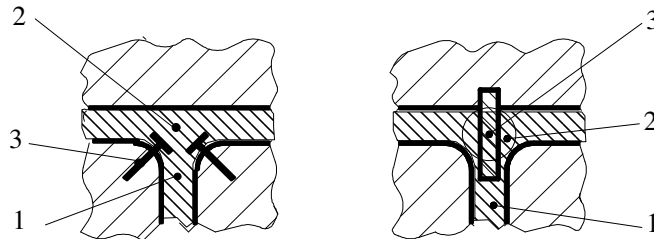


Fig. 3.71. Construcția răcitoarelor interioare:
1 - peretele piesei; 2 - nodul termic; 3 - răcitor.

După amplasament răcitorii pot fi:

- exteriori piesei (amplasați în pereții formei de turnare);
- interiori (amplasați în interiorul cavității formei de turnare, rămânând după solidificare înglobați în masa piesei).

Dimensionarea răcitorilor interiori se face luând în considerare căldura aliajului topit preluată de către răcitor pentru topirea acestuia din urmă:

$$m_r = \Delta m \cdot \frac{c + C_{pl}(\theta_t - \theta_s)}{C_r \cdot \theta_r} \quad [\text{kg}] \quad (3.18)$$

unde: m_r este masa răcitorului interior; Δm - masa suplimentară a materialului topit în nodul termic; c - căldura de solidificare a aliajului topit [J/kg]; C_{pl} - căldura masică a aliajului topit [J/kg·K]; θ_t - temperatura de turnare; θ_s - temperatura de solidificare; C_r - căldura masică a materialului răcitorului [J/kg·K]; θ_r - temperatura la care se încălzește răcitorul.

Dimensionarea răcitorilor exteriori se face luând în considerare căldura aliajului topit preluată de către răcitor prin conducție, până la înmuiera materialului acestuia

$$s_r = \Delta s \cdot \frac{q_l [q + C_{pl}(\theta_t - \theta_s)]}{q_r \cdot C_r \cdot \theta_r} \quad [\text{mm}] \quad (3.19)$$

unde: s_r este grosimea răcitorului exterior; Δs - grosimea suplimentară a peretelui piesei; q_l - densitatea aliajului topit; q_r - densitatea materialului răcitorului.

3.7.11. Tehnologii tip pentru piese turnate în forme temporare

La turnarea pieselor în forme temporare, tehnologul are posibilitatea de a optimiza forma de turnare prin modificări relativ ieftine și rapide. O serie de modificări pot fi aduse formei de turnare și printr-o execuție greșită. Din această cauză și pentru a preveni rebutarea piesei, tehnologia de execuție trebuie să conțină în mod obligatoriu desenul modelului asamblat.

Piese din fontă

În cele ce urmează sunt prezentate modelele asamblate pentru turnarea unor piese din fontă. În tabelele corespunzătoare sunt prezentate succint: caracteristicile piesei, datele geometrice ale modelului asamblat, precum și parametrii tehnologiei de turnare.

În figura 3.72 se prezintă modelul asamblat pentru obținerea dintr-o singură turnare a două galerii de eșapament pentru motor, iar în tabelul 3.15 caracteristicile corespunzătoare.

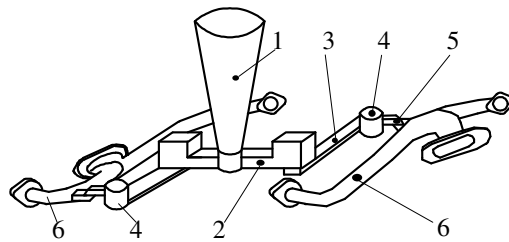


Fig. 3.72. Construcția modelului asamblat:
1 - piciorul pâlniei de turnare; 2,3 - colectori de zgură;
4 - separator de zgură; 5 - alimentator; 6 - piesă.

Tabelul 3.15. Caracteristicile modelului pentru turnarea a două galerii

Construcția piesei		Construcția modelului asamblat (Fig.3.72)		Tehnologia de turnare	
Denumirea piesei	Galerie motor	Diametrul piciorului pâlniei	Ø25 mm	Temperatura de turnare	1350°C
Materialul	Fc 200	Secțiunea colectorului de zgură	5 cm ²	Înălțimea de turnare	160 mm
Masa piesei	3,8 kg	Secțiunea separatorului de zgură	50 × 30 mm ²	Durata turnării	4 min
Masa totală	13,4 kg	Secțiunea alimentatorului	4 cm ²	Amestecul de formare	Liant sintetic
Grosimea minimă	4 mm	Două piese turnate simultan		Amestecul de miez	Cu ulei

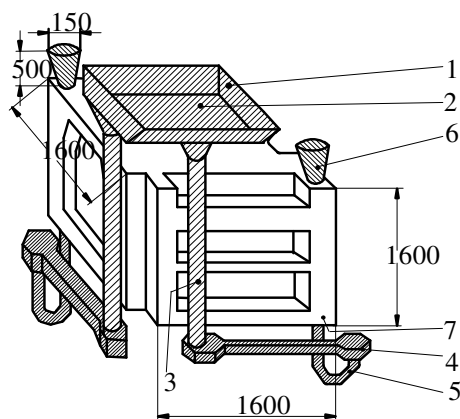


Fig. 3.73. Construcția modelului asamblat:
 1 - bazinul pâlniei de turnare; 2 - pâlnia de turnare;
 3 - piciorul pâlniei de turnare; 4 - colector de zgură; 5 - separator de zgură; 6 - maselote; 7 - piesa.

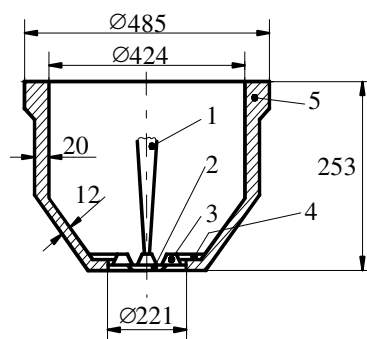


Fig. 3.74. Construcția modelului asamblat:
 1 - piciorul pâlniei de turnare; 2 - colector de
 zgură; 3 - separator de zgură; 4 - alimentator;
 5 - piesa.

Tabelul 3.16. Caracteristicile modelului pentru turnarea unui capac de rezervor

Construcția piesei		Construcția modelului asamblat (Fig.3.73)		Tehnologia de turnare	
Denumirea piesei	Capac	Diametrul piciorului pâlniei	Ø 30 mm	Temperatura de turnare	1350 °C
Materialul	Fc 250	Secțiunea colectorului de zgură	13 cm ²	Înălțimea de turnare	360 mm
Masa piesei	42,5 kg	Secțiunea separatorului de zgură	12 cm ²	Durata turnării	15 min
Masa totală	52,5 kg	Secțiunea alimentatorului	11 cm ²	Amestecul de formare	Liant sintetic
Grosimea minimă	12 mm	—	—	Amestecul de miez	—

În figura 3.73 se prezintă modelul asamblat pentru obținerea unui capac de rezervor, iar în tabelul 3.16 sunt date caracteristicile necesare.

În figura 3.74 se prezintă modelul asamblat pentru obținerea unei manta de cilindru de motor, iar în tabelul 3.17 parametrii tehnologici corespunzători.

În figura 3.75 se prezintă modelul asamblat pentru obținerea unei carcase de turbină, iar în tabelul 3.18 parametrii tehnologici și constructivi ce trebuie respectați.

Tabelul 3.17. Parametrii tehnologici pentru turnarea unei manta de cilindru

Construcția piesei		Construcția modelului asamblat (Fig.3.74)		Tehnologia de turnare	
Denumirea piesei	Manta de cilindru	Diametrul piciorului pâlniei	Ø 70 mm	Temperatura de turnare	1 320°C
Materialul	Fc 250	Diametrul pâlniei de turnare	Ø 100 mm	Înălțimea de turnare	160 mm
Masa piesei	14 500 kg	Secțiunea separatorului de zgură	9 cm ²	Durata turnării	80 min
Masa totală	17 500 kg	Diametrul alimentatorului	Ø 40 cm	Amestecul de formare	Întărire cu CO ₂
Grosimea minimă	8 mm	Maselote exoterme	9 buc Ø 150×150	Amestecul de miez	Idem

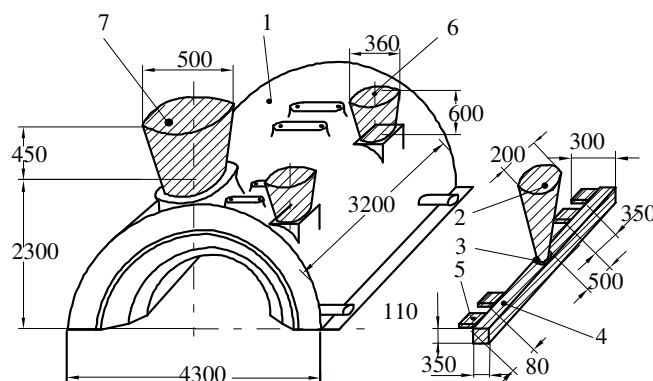


Fig. 3.75. Construcția modelului asamblat:

1 - piesa; 2 - piciorul pâlniei de turnare; 3 - colector de zgură; 4 - separator de zgură;
5 - alimentator; 6 - maselota I; 7 - maselota II.

Piese din oțel

În cele ce urmează sunt prezentate modelele asamblate pentru turnarea în forme temporare a unor piese din oțel. În tabelele corespunzătoare sunt prezentate succint caracteristicile piesei, datele geometrice ale modelului asamblat, parametrii

tehnologiei de turnare.

În figura 3.76 se prezintă construcția modelului asamblat pentru obținerea unei bușe cu guler confecționată din oțel de turnare (OT 55), iar în tabelul 3.19 sunt date caracteristicile constructive și parametrii tehnologici ce trebuie respectați.

Tabelul 3.18. Parametrii pentru turnarea unei carcase de turbină

Construcția piesei		Construcția modelului asamblat (Fig.3.75)		Tehnologia de turnare	
Denumirea piesei	Carcasă de turbină	Diametrul piciorului pâlniei	Ø 200 mm	Temperatura de turnare	1 350°C
Materialul	Fgn 420-12	Secțiunea colectorului de	10 cm ²	Înălțimea de turnare	3 000 mm
Masa piesei	25 800 kg	Secțiunea separatorului de zgură	8,8 cm ²	Durata turnării	50 min
Masa totală	30 000 kg	Secțiunea alimentatorului	8,6 cm ²	Amestecul de formare	Liant de ciment
Grosimea minimă	80 mm	Maselota I Maselota II	Ø 360×60 Ø 500×450	Amestecul de miez	Cu ulei

Tabelul 3.19. Caracteristicile modelului pentru turnarea unei bușe cu guler

Construcția piesei		Construcția modelului asamblat (Fig.3.76)		Tehnologia de turnare	
Denumirea piesei	Bușă cu guler	Diametrul piciorului pâlniei	Ø 45 mm	Temperatura de turnare	1 500°C
Materialul	OT 55	Secțiunea colectorului de zgură	3,5 cm ²	Înălțimea de turnare	150 mm
Masa piesei	125 kg	Secțiunea alimentatorului	2 cm ²	Durata turnării	15min
Masa totală	140 kg	Maselote	3 buc. Ø 100×140	Amestecul de formare	Forma uscată
Grosimea minimă	24 mm	Răcitori	3 buc. Ø 100×50	Amestecul de miez	Întărire cu CO ₂

Tabelul 3.20. Caracteristicile modelului pentru turnarea unei flanșe oarbe

Construcția piesei		Construcția modelului asamblat (Fig.3.77)		Tehnologia de turnare	
Denumirea piesei	Flanșă oarbă	Diametrul piciorului pâlniei	Ø 20 mm	Temperatura de turnare	1 550 °C
Materialul	OT 45	Secțiunea colectorului de zgură	4,5 cm ²	Înălțimea de turnare	150 mm
Masa piesei	115 kg	Secțiunea alimentatorului	2,5 cm ²	Durata turnării	8 min
Masa totală	155 kg	Maselotă	Ø 200×200mm	Amestecul de formare	Întărire cu CO ₂
Grosimea minimă	50 mm	Alimentator amplasat în planul de separație		Amestecul de miez	-

În figura 3.77 se prezintă construcția modelului asamblat pentru o flanșă oarbă confecționată din oțel de turnare (OT 45), iar în tabelul 3.20 sunt dați parametrii tehnologici și constructivi ce trebuie respectați.

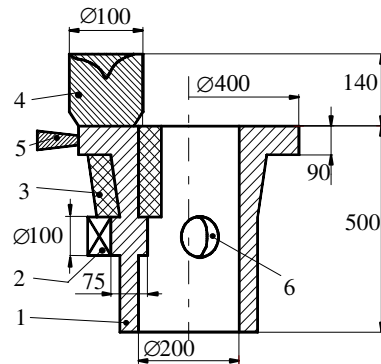


Fig. 3.76. Construcția modelului asamblat:
1 – piesă; 2 – răcitoare (3 bucăți); 3 – miezuri (corespunzătoare bosajelor); 4 – maselote (3 bucăți); 5 – alimentator; 6 – bosaje (3 bosaje echidistante).

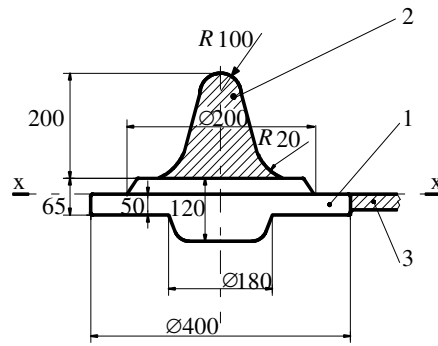


Fig. 3.77. Construcția modelului asamblat:
1 - piesă; 2 - maselotă; 3 - alimentator.

În figura 3.78 se prezintă construcția modelului asamblat pentru obținerea unei roți cu spițe confecționate din oțel de turnare (OT 55), iar în tabelul 3.21 sunt date caracteristicile constructive și parametrii tehnologici ce trebuie respectați.

Tabelul 3.21. Caracteristicile modelului pentru turnarea unei roți cu spițe

Construcția piesei		Construcția modelului asamblat (Fig.3.78)		Tehnologia de turnare	
Denumirea piesei	Roată	Diametrul piciorului pâlniei	Ø55 mm	Temperatura de turnare	1 550°C
Materialul	OT 55	Secțiunea colectorului de zgură	8,7 cm ²	Înălțimea de turnare	200 mm
Masa piesei	180 kg	Secțiunea alimentatorului	6 cm ²	Durata turnării	10 min
Masa totală	240 kg	Maselote	250×250 120×250	Amestecul de formare	Întărire cu CO ₂
Grosimea minimă	30 mm	Alimentare bilaterală prin maselote		Amestecul de miez	-

Piese din aliaje neferoase

În cele ce urmează sunt prezentate modelele asamblate pentru turnarea unor piese din aliaje neferoase (bronz cu Al, bronz cu Sn). În tabelele corespunzătoare sunt prezentate succint: caracteristicile piesei, datele geometrice ale modelului asamblat, parametrii tehnologici de turnare.

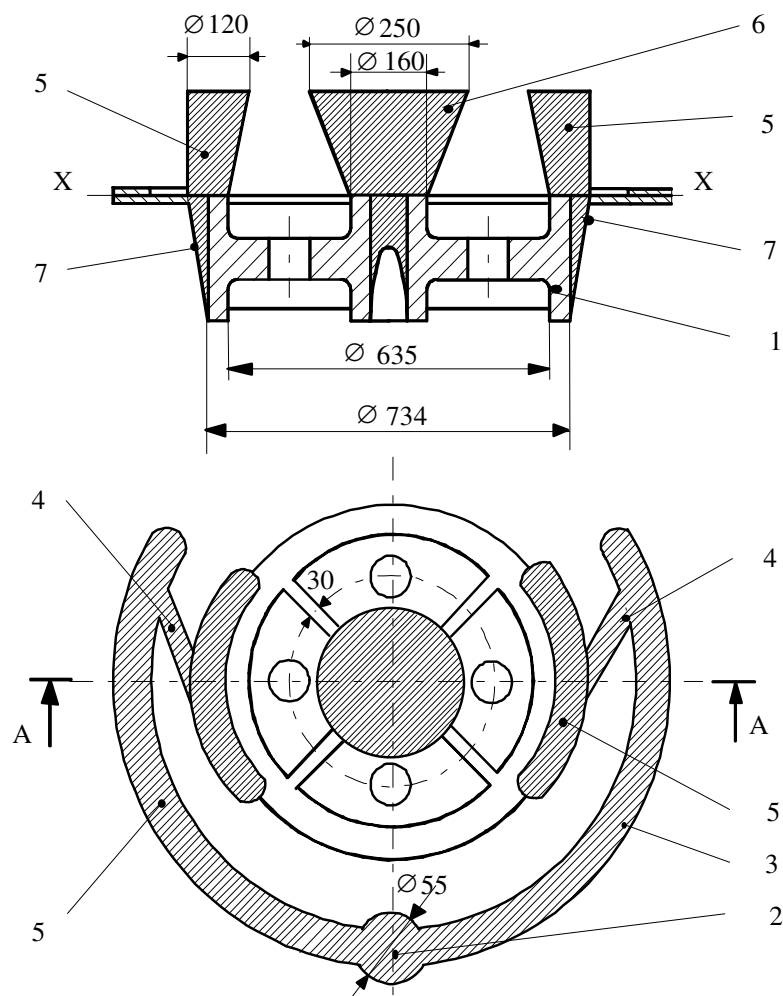


Fig. 3.78. Construcția modelului asamblat:

- 1 - piesa; 2 - piciorul pâlniei de turnare; 3 - colector de zgură; 4 - alimentatoare;
5 - maselotele I; 6 - maselota II; 7 - adaos tehnologic.

În figura 3.79 se prezintă construcția modelului asamblat pentru obținerea unei coroane melcate confecționată dintr-un aliaj de cupru (CuAl9Fe3), iar în tabelul 3.22 sunt dați parametrii tehnologici și constructivi ce trebuie respectați.

În figura 3.80 se prezintă construcția modelului asamblat pentru obținerea a două bușe-cuzinet dintr-o singură turnare confecționate dintr-un bronz (CuSn5Zn5PbT), iar în tabelul 3.23 sunt date date caracteristicile tehnologice și constructive ce trebuie respectate.

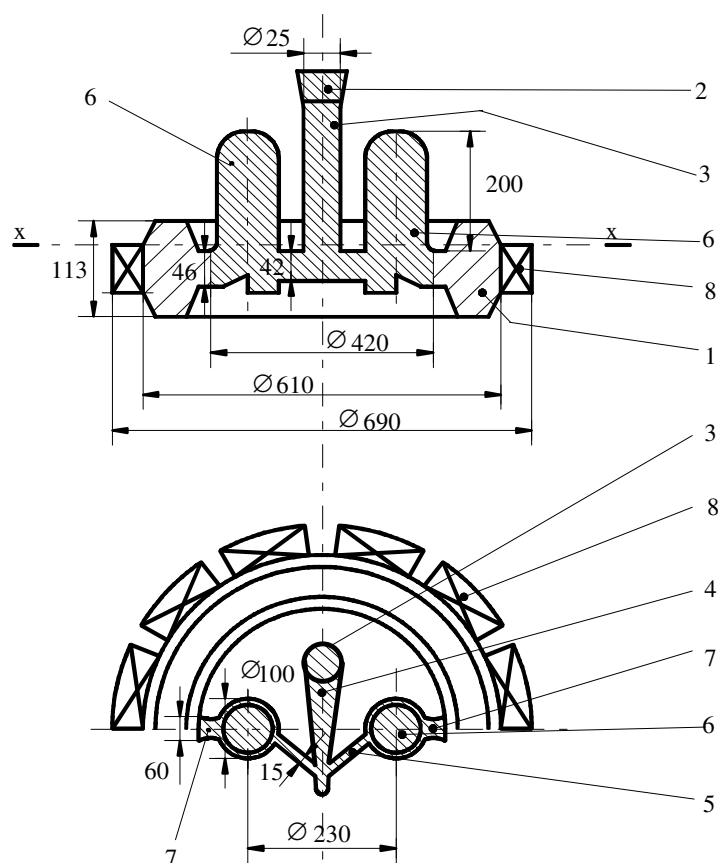


Fig. 3.79. Construcția modelului asamblat:

1 - piesă; 2 - pâlnia de turnare; 3 - piciorul pâlniei de turnare; 4 - colector de zgură; 5 -alimentatorul maselotei; 6 – maselote (2 bucăți); 7 - alimentatoarele piesei; 8 - răcitoare (12 bucăți).

Tabelul 3.22. Parametrii tehnologici și constructivi la turnarea unei coroane melcate

Construcția piesei		Construcția modelului asamblat (Fig.3.79)		Tehnologia de turnare	
Denumirea piesei	Coroană melcată	Diametrul piciorului pâlniei	Ø 25 mm	Temperatura de turnare	1 210°C
Materialul	CuAl9Fe3	Secțiunea colectorului de zgură	5 cm ²	Înălțimea de turnare	450 mm
Masa piesei	120 kg	Secțiunea alimentatorului	9,2 cm ²	Durata turnării	8 min
Masa totală	150 kg	Secțiunea de alimentare a maselotei	5,8 cm ²	Amestecul de formare	Obișnuit
Grosimea minimă	46 mm			Amestecul de miez	-

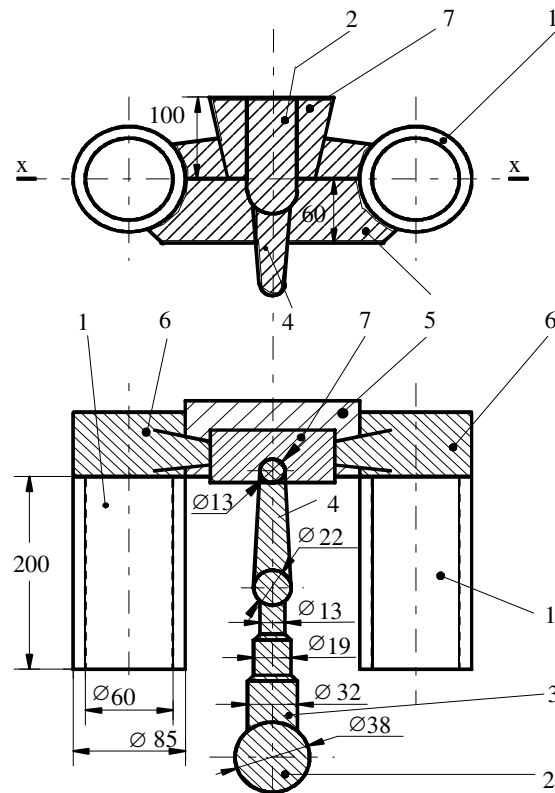


Fig. 3.80. Construcția modelului asamblat:
 1 - piesele; 2 - pâlnia de turnare; 3 - piciorul pâlniei de turnare; 4 - colector de zgură;
 5 - alimentator; 6 - maselotele; 7 - preaplin.

Tabelul 3.23. Parametrii tehnologici și constructivi la turnarea unei bușe-cuzinet

Construcția piesei		Construcția modelului asamblat (Fig.3.80)		Tehnologia de turnare	
Denumirea piesei	Bușă cuzinet	Diametrul piciorului pâlniei	Ø 32 mm	Temperatura de turnare	1 150°C
Materialul	CuSn5Zn5PbT	Secțiunea colectorului de zgură	2,83 cm ²	Înălțimea de turnare	150 mm
Masa piesei	6 kg	Secțiunea separatorului de zgură	3,8 cm ²	Durata turnării	5 min
Masa totală	10 kg	Secțiunea alimentatorului	1,32 cm ²	Amestecul de formare	Obișnuit
Grosimea minimă	12,5 mm	Două piese turnate simultan		Amestecul de miez	-

3.8. TURNAREA ÎN FORME PERMANENTE

3.8.1. Generalități

Formele permanente sunt confecționate din *materiale durabile*, care permit utilizarea formei la mai multe turnări consecutive, fără recondiționarea ei după fiecare turnare. Ele pot fi confecționate din materiale refractare ceramice sau metalice. Cel mai des utilizate sunt materialele metalice: fonta cenușie, oțelurile carbon și cele aliate, aliajele de cupru și de aluminiu.

Fonta cenușie este materialul cel mai curent utilizat pentru confecționarea formelor permanente. În forme din fontă perlitică se toarnă piesele mici, iar cele mari, de până la o tonă, în forme din fontă feritică (tab.3.24). Formele din fontă cenușie se realizează prin turnare în forme temporare, urmată de finisarea suprafețelor active.

Tabelul 3.24. Durabilitatea formelor de turnare din fontă cenușie

Aliajul de turnat	Gabaritul piesei turnate	Numărul de utilizări
Aluminiu	Mici și mijlocii	10 000-15 000
Cupru		5 000-10 000
Zinc		20 000-25 000
Fontă cenușie	Mici	minimum 5 000
	Mijlocii	1 000-5 000
	Mari	100-500
Oțel carbon	Mici	400-600
	Mijlocii	100-300
	Mari	25-100

Formele confecționate din *oțel* se utilizează pentru turnarea pieselor mari, de peste o tonă. Se pot realiza atât forme compacte, masive, cât și forme permeabile din sârmă sau din lamele (formele permeabile au o durabilitate mai redusă decât cele masive, dar sunt mai ieftine și mai ușor de realizat).

Aliajele de aluminiu cu siliciu se folosesc la realizarea formelor pentru turnarea aliajelor ușor fuzibile și a fontelor.

Molibdenul 98% se utilizează la realizarea miezurilor permanente, având o durabilitate de 10 ori mai mare ca a oțelurilor aliate.

Grafitul se utilizează la confecționarea formelor pentru turnarea centrifugală. Aceste forme sunt mai ieftine decât cele metalice, au o conductivitate termică apropiată de cea a fontei cenușii și rezistă la circa 5 000 de utilizări.

Posibilitatea reutilizării formei permanente reduce considerabil durata consumată cu pregătirea formei de turnare (până la 60% din timpul alocat realizării unei piese prin turnare în forme temporare îl poate constitui formarea manuală), de aceea crește corespunzător productivitatea muncii.

Alte avantaje oferite de turnarea în forme permanente sunt:

- permit reducerea adaosurilor de prelucrare și a greutateii piesei turnate, prin obținerea unor precizii dimensionale ridicate și a unor suprafețe de bună calitate;

- permit reducerea adaosurilor tehnologice, precum și a maselotelor și răcitorilor exteriori sau interiori, prin creșterea vitezei de răcire a piesei și prin posibilitatea de a se reduce grosimea minimă a pereților piesei.

În scopul utilizării raționale a procedeelor de turnare în forme metalice, trebuie avute în vedere următoarele:

- concepția constructivă a formei să fie cât mai simplă și robustă, astfel încât aceasta să aibă o fiabilitate ridicată la un preț de execuție redus;

- volumul pieselor prevăzute a se turna să fie suficient de mare pentru a se amortiza rapid costul formei;

- adaptarea justă a procesului tehnologic de turnare, ținând cont de vitezele mari de răcire a pieselor;

- folosirea oportunităților de a se mecaniza și automatiza complet procesul de fabricație a pieselor turnate, incluzând operațiile de asamblare a formei, de transfer a formelor, de turnare, de extragere a piesei și altele.

La turnarea în forme metalice trebuie rezolvate problemele legate de:

- lipsa de compresibilitate a formei de turnare și a miezurilor;

- evacuarea ușoară a gazelor din cavitatea formei;

- menținerea temperaturii la interfața topitură-peretele formei sub limita temperaturii de topire a materialului formei;

- evitarea reacțiilor chimice dintre topitură și materialul formei;

- evitarea aderenței topiturii pe pereții formei;

- extragerea ușoară și rapidă a piesei din formă și a miezurilor din piesă.

După dinamica procesului de turnare și de solidificare a pieselor turnate în forme permanente, se poate face următoarea clasificare a procedeelor de turnare în forme permanente:

- *turnarea liberă* (sub acțiunea forței gravitaționale, la presiune atmosferică):

- turnarea în cochilă;

- turnarea în cristalizor (semicontinuă sau continuă);

- turnarea prin retopire sub strat de zgură;

- *turnarea sub acțiunea unor forțe suplimentare:*

- cu suprapresiune:

- la presiune joasă;

- la presiune înaltă;

- cu depresiune (prin aspirație);

- cu o forță mecanică

- centrifugală;

- prin expulzare progresivă;

- prin vibrare;
- prin matrițare în stare lichidă;
- în câmp ultrasonor;
- cu o forță electromagnetică (în câmp electromagnetic).

După modul de inițiere a solidificării, turnarea în forme permanente se poate structura în:

- solidificare nedirijată;
- solidificare dirijată:
 - unilaterală;
 - multilaterală;
- turnarea pieselor bimetalice;
- turnarea pieselor armate.

Datorită faptului că aceste procedee sunt mai puțin răspândite, ele sunt cunoscute și sub denumirea de procedee „moderne”, „neconvenționale” sau „speciale”.

Pentru a putea fi utilizate eficient ele trebuie să fie la fel de familiare și cunoscute tehnologului ca și procedeele de turnare în forme temporare.

3.8.2. Turnarea în forme permanente fără suprapresiune

Formele permanente utilizate pentru turnarea aliajelor prin cădere liberă poartă uzual denumirea de *cochile*. Cochilele pot fi în construcție monobloc, când sunt destinate realizării de piese cu configurație simplă, care pot fi extrase din formă pe la unul din capete (lingouri mici, semifabricate) sau asamblate, după un plan de separație, cu miezuri demontabile.

O construcție complicată duce implicit la creșterea costului de realizare și a cheltuielilor de exploatare și de întreținere.

Cochilele pot avea miezuri permanente sau temporare.

Rețeaua de turnare poate fi conținută integral sau numai parțial în interiorul cochilei.

Pentru lingourile de mici dimensiuni se poate utiliza cochila monobloc din figura 3.81, fără rețea de turnare. Retasura se formează la partea superioară a piesei, iar lingoul se extrage prin răsturnarea cochilei.

Pentru lingouri de dimensiuni mari se utilizează cochila asamblată din figura 3.82, confecționată din fontă cenușie prin turnare în forme temporare. Aceasta poate servi la turnarea simultană a 2-6 lingouri, putându-se monta mai multe forme în jurul unei aceleiași rețele de turnare (în cazul din figură, turnarea se face prin sifon). Lingotiera este prevăzută cu o cavitate aparte pentru maselotă, astfel că lingoul rezultă fără retasură. Cavitatea maselotei 2 este căptușită cu material refractar 9, ca izolator termic, astfel încât răcirea maselotei să se facă lent în raport cu restul piesei. Extragerea piesei se face prin demontarea formelor 3 de

pe podul de turnare 4. Pentru a se extrage rețeaua de turnare trebuie demontate celelalte elemente ale cochilei.

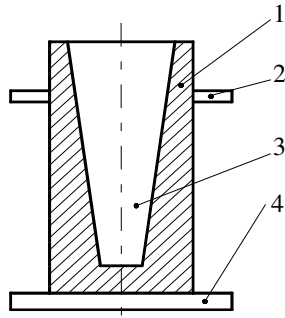


Fig. 3.81. Cochilă monobloc:
1 - corpul lingotierei; 2 - urechi de prindere; 3 - cavitatea formei; 4 - placă de bază.

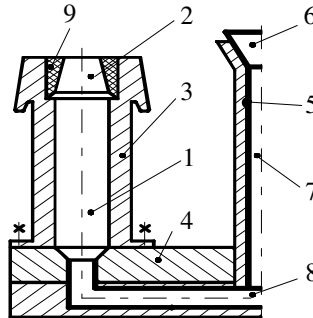


Fig. 3.82. Lingotieră asamblată:
1 - cavitatea care generează forma lingoului;
2 - cavitatea maselotei; 3 - corpul formei; 4 - podul de turnare; 5 - căptușeală refractară; 6 - pâlnia de turnare; 7 - piciorul pâlniei; 8 - canalul de distribuție; 9 - căptușeală refractară.

În figura 3.83 este prezentată o vedere laterală în planul de separație a unei cochile asamblate din două semiforme cu miezuri permanente, demontabile. Ea este utilizată pentru obținerea unui corp de robinet, turnat din aliaje neferoase ușoare. Înainte de fiecare nouă turnare cochilele se pregătesc prin:

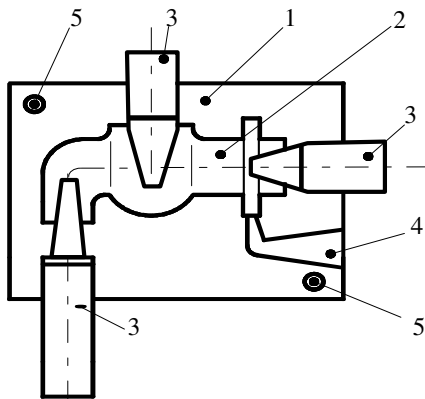


Fig. 3.83. Cochilă asamblată:
1 - semicochilă; 2 - cavitatea generatoare a piesei; 3 - miezuri; 4 - rețeaua de turnare; 5 - știfturi de centrare a semicochilelor.

- verificarea sumară a calității suprafețelor generatoare ale piesei (atât de pe semiforme, cât și de pe miezuri);

- verificarea centrării și închiderii cochilei;

- depunerea pe suprafețele active ale cochilei a unui strat refractar de protecție, alcătuit din pudră de cuarț și silicat de sodiu sau din argilă refractară, grafit și ulei mineral;

- acoperirea stratului protector depus anterior cu vopsea refractară, în funcție de tipul aliajului turnat. Cochilele se confecționează din materiale care pot prelua șocuri termice alternative și care au o stabilitate bună la coroziunea exercitată de topiturile metalice. Pe lângă materialele clasice (fonte perlitice, feritice, oțeluri

înalt aliate cu Cr, Ni, V), la confecționarea cochilelor se pot folosi și materiale nemetalice, precum grafitul și materialele metaloceramice. O soluție distinctă este utilizarea aliajelor pe bază de aluminiu, la care suprafețele active se pot acoperi cu straturi dure refractare metaloceramice de Al_2O_3 prin oxidare anodică.

Utilizarea materialelor cu conductibilitate termică ridicată (aliaje de Al și Cu) la confecționarea cochilelor permite răcirea rapidă a formei, putându-se turna piese din materiale cu temperatura de topire superioară celei a materialului formei, în condițiile evacuării suficient de rapide a căldurii din interfața piesă-sculă.

Pentru creșterea fluidității topiturii în cavitatea formei, la realizarea pieselor cu pereți subțiri și configurație complexă, se poate recurge la vibrarea formei în timpul turnării și a solidificării.

3.8.3. Turnarea în forme permanente cu suprapresiune

La turnarea obișnuită (sub acțiunea forței gravitaționale) presiunea de umplere a cavității formei este variabilă. Această presiune este maximă în partea de jos a cavității (fig.3.84) și minimă în partea de sus a cavității

$$p_{\max} = \gamma \cdot h_1 ; \quad p_{\min} = \gamma \cdot h_2 \quad [\text{N/m}^2] \quad (3.20)$$

în care h_1 și h_2 sunt înălțimile coloanelor de metal sau aliaj turnat, iar γ este greutatea specifică a materialului turnat.

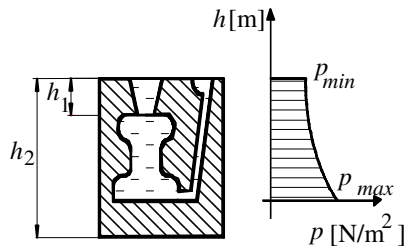


Fig.3.84. Variația presiunii de umplere a cavității de turnare pe înălțimea cavității la turnarea prin cădere liberă.

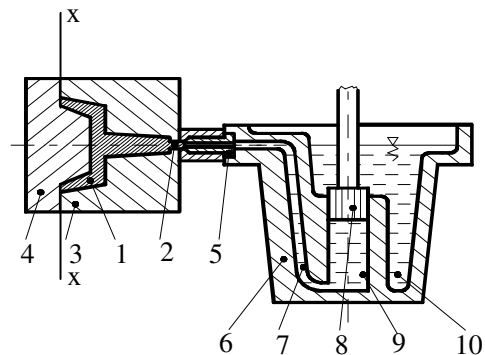


Fig.3.85. Mașina de turnat cu cameră caldă cu piston vertical:

- 1 - piesa; 2 - rețeaua de turnare; 3 - semimatriță fixă;
- 4 - semimatriță mobilă; 5 - duza de alimen-tare; 6 -
- cuptorul de menținere la temperatura de turnare; 7 -
- canal de alimentare; 8 - pistonul;
- 9 - camera de compresie; 10 - aliajul topit;
- x-x-plan de separație.

La turnarea în forme metalice viteza de răcire a aliajului turnat este foarte mare, de aceea apare pericolul umplerii incomplete a cavității forme și imposibilitatea obținerii de piese cu pereți subțiri și configurație complexă. Pentru eliminarea acestor dezavantaje este necesară exercitarea unei presiuni asupra metalului sau aliajului care se toarnă (creșterea dimensiunilor h_1 și h_2 în scopul creșterii presiunii ar conduce la sporirea exagerată a rețelei de turnare și deci la un consum mare de material).

De aceea, în scopul măririi fluidității aliajelor topite turnate, la realizarea pieselor de dimensiuni mici, cu pereți subțiri și configurație complexă, se face umplerea formelor prin suprapresiune. Astfel se realizează umplerea suficient de rapidă a cavității forme, compensându-se scăderea temperaturii datorată conducției pereților forme.

În sensul mai larg, prin procedee de turnare sub presiune se înțeleg acele procedee de turnare la care se aplică o presiune exterioară (peste cea atmosferică) în timpul curgerii, solidificării și răcirii aliajelor în cavitatea forme.

Criteriile de clasificare ale acestor procedee pot fi:

- natura agentului care realizează presiunea (gaz, câmp electromagnetic, efect mecanic);
- modul și direcția de exercitare a presiunii în timpul curgerii și a solidificării;
- valorile suprapresiunilor utilizate.

O variantă, care folosește presiunea de gaz dirijată unilateral, se întâlnește la turnarea în forme temporare din amestec de formare obișnuit, când sunt utilizate maselotele închise cu presiune atmosferică sau cu suprapresiune creată cu cartuș de gaze.

3.8.3.1. Turnarea la presiuni înalte

Procedeul se caracterizează printr-o viteză ridicată de umplere a cavității forme permanente, care se face sub acțiunea unei suprapresiuni realizate pe cale hidraulică sau mecanică, montate pe mașini speciale de turnare. Presiunea utilizată se încadrează în domeniul 10...200 MPa.

Procedeul se utilizează pentru obținerea pieselor de dimensiuni mici și medii cu pereți subțiri, în condiții de precizie dimensională și de calitate ridicată a suprafeței.

Formele de turnare sunt scule complexe, scumpe, a căror utilizare devine rentabilă în condițiile unei producții de serie mare și de masă.

Mașinile de turnat sub presiune sunt, la rândul lor, investiții inițiale costisitoare.

Limitele de utilizare a procedeului sunt:

- masa maximă a pieselor realizate: 150 kg;
- suprafața maximă a matriței: 0,6 m²;

- calitatea suprafeței piesei: $R_a = 0,8 \dots 1,6 \mu\text{m}$;
- materialul turnat: oțel, aliaje neferoase pe bază de Al, Cu, Mg, Zn, Sn, Pb.

Clasificarea tipurilor constructive de mașini de turnat la presiuni înalte se poate face după tipul camerei de compresie, deosebindu-se:

- *cu cameră caldă* (cuptorul de menținere în stare topită a aliajului de turnat face parte integrantă din construcția mașinii) - pentru turnarea aliajelor ușor fuzibile ($\theta_{top} < 450^\circ\text{C}$);
 - *cu piston vertical*;
 - *cu piston orizontal* (fig.3.86);
 - *cu compresor* (pernă de gaz)
 - cu baie închisă;
 - cu baie deschisă (fig.3.87);
- *cu cameră rece* - orizontală;
 - verticală:
 - cu cameră de compresie în matriță;
 - cu cameră de compresie separată.

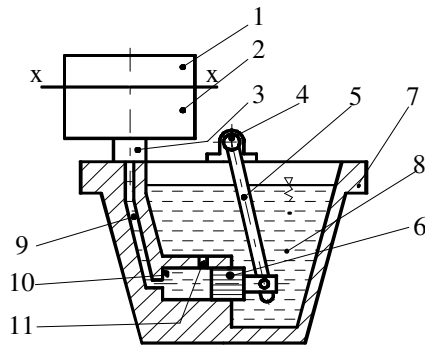


Fig. 3.86. Mașina de turnat cu cameră caldă cu piston orizontal:

- 1 - semimatrița mobilă; 2 - semimatrița fixă; 3 - duza de alimentare; 4 - motorul de acționare; 5 - mecanismul de acționare;
- 6 - pistonul; 7 - cuptorul de menținere;
- 8 - aliajul topit; 9 - canalul de alimentare;
- 10 - camera de compresie; 11 - duza de admisie a aliajului topit; x-x-plan de separație.

O variantă constructivă de mașină cu cameră caldă este cea a mașinii *cu piston orizontal* (fig.3.86). Această mașină este utilizată în cazul pieselor de dimensiuni mai mari, permițând injectarea unor volume mai mari de material prin cursa mai mare a pistonului orizontal față de cel vertical.

Mașinile cu cameră caldă au drept principal dezavantaj prezența cuptorului de menținere, care generează probleme dificile legate de coroziunea elementelor mașinii prin contactul prelungit cu aliajul topit.

Mașina din figura 3.87 folosește pentru realizarea suprapresiunii necesare injectării aliajului lichid în cavitatea matriței un gaz purtător (aer sau azot) furnizat de un compresor instalat pe mașină. *Mașinile cu gât de lebădă* funcționează cu baia deschisă și cu presiune de aer. *Mașinile cu baie închisă* (fig.3.88)

se folosesc în cazul aliajelor ușor oxidabile pentru a le proteja de acțiunea oxigenului din atmosferă (de regulă ca gaz de compresie se folosește azotul).

Mașinile cu compresor dezvoltă presiuni de lucru inferioare celor cu piston, dar sunt preferate datorită construcției simple și întreținerii ușoare, precum

și gabaritul redus. Ele sunt folosite cu precădere la turnarea aliajelor neferoase ușoare (Al, Mg).

Mașinile de turnat sub presiune cu cameră rece utilizează un cuptor de topire (elaborare)/menținere montat separat de mașina propriu-zisă, care poate deservi mai multe mașini succesiv. Acest fapt conduce la eliminarea coroziunii accelerate termic a elementelor mașinii aflate în contact prelungit cu aliajul topit (pistoane, plunjere, duze, elemente de etanșare) - principalul dezavantaj al mașinilor cu cameră caldă.

Alimentarea cu aliaj topit a camerei de compresie a mașinii se poate face manual sau mecanizat. Dozarea trebuie să se facă precis, corespunzător volumului cavității matriței închise.

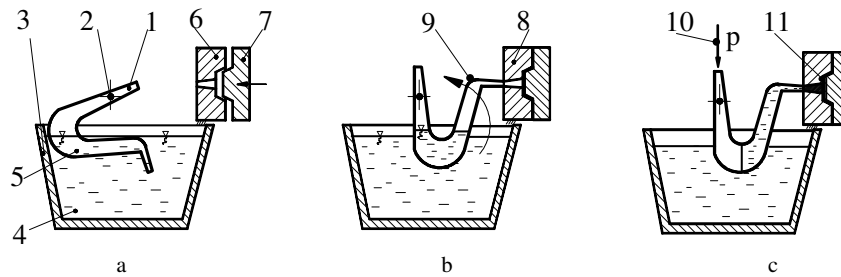


Fig. 3.87. Mașina de turnat cu cameră caldă cu compresor și dispozitiv de alimentare tip gât de lebădă:

- a - umplerea alimentatorului, închiderea matriței; b - realizarea contactului etanș cu matrița; c - injectarea aliajului lichid în cavitatea matriței; 1 - dispozitivul gât de lebădă; 2 - articulație; 3 - cuptorul de menținere; 4 - aliajul topit; 5 - umplerea alimentatorului; 6 - semimatrița fixă; 7 - semimatrița mobilă; 8 - matrița închisă; 9 - poziția de injectare; 10 - gaz pentru compresie; 11 - piesa.

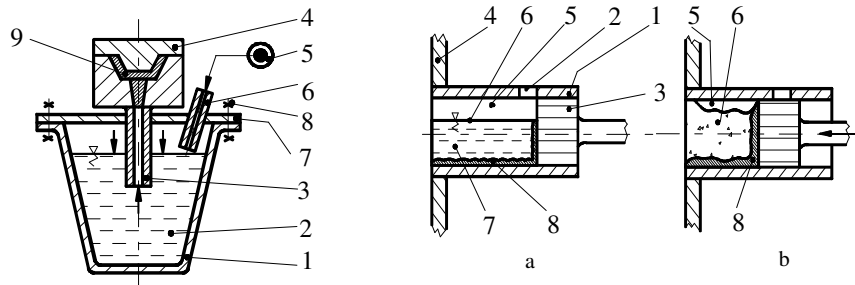


Fig. 3.88. Mașina de turnat cu cameră caldă cu compresor cu baie închisă:

- 1 - cuptorul de menținere; 2 - aliajul topit; 3 - lance de alimentare; 4 - matrița închisă; 5 - compresor; 6 - lance de compresie; 7 - capac; 8 - dispozitiv de etanșare; 9 - piesa turnată.

Fig. 3.89. Mașina de turnat cu cameră rece cu piston orizontal:

- a - încărcarea; b - comprimarea; 1 - camera de compresie orizontală; 2 - orificiul de încărcare; 3 - piston; 4 - matrița; 5 - aer; 6 - impurități; 7 - aliaj lichid; 8 - cruste de solidificare.

Pentru exploatarea eficientă a mașinilor cu cameră rece trebuie să se aibă în vedere particularitățile de curgere și de solidificare a aliajului lichid înainte de injectarea lui în matriță. Utilizarea camerei reci de compresie conduce la demararea solidificării aliajului lichid înainte de injectarea lui în cavitatea matriței, prin contactul cu pereții camerei de compresie; din acest motiv, este important modul în care aliajul topit este comprimat și injectat în matriță (fig.3.89).

La comprimarea pe direcție orizontală a topiturii apare o amestecare eterogenă în masa aliajului a impurităților, a gazelor din atmosferă și a crustelor de aliaj deja solidificat, care sunt împinse în cavitatea matriței. Pentru a se preîntâmpina acest fenomen nedorit au fost concepute mașini cu cameră de compresie verticală, cu contrapresiune (fig.3.90), sau camera de compresie a fost plasată mai aproape de cavitatea generatoare a piesei, chiar în interiorul matriței.

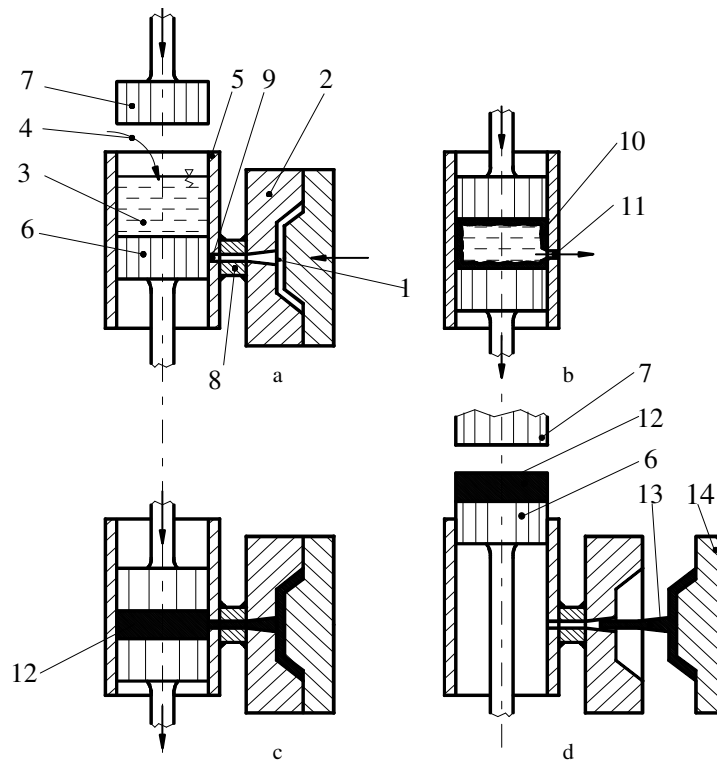


Fig. 3.90. Funcționarea mașinii de turnat cu cameră rece cu piston vertical:
a - umplerea camerei și închiderea matriței; b, c - umplerea matriței; d - extragerea piesei;
1 - cavitatea matriței; 2 - semimatrița fixă; 3 - aliaj lichid; 4 - umplerea camerei de compresie;
5 - camera de compresie; 6 - piston de contrapresiune; 7 - piston de compresie; 8 - duză;
9 - orificiul de alimentare; 10 - cruste de solidificare; 11 - aliaj lichid; 12 - maselotă;
13 - piesa brut turnată; 14 - semimatrița mobilă.

Mașinile de turnat cu cameră de compresie verticală, cu umplerea matriței cu contrapresiune prezintă, avantajul că impuritățile și crustele de solidificare rămân în camera de compresie, în timp ce aliajul lichid umple cavitatea matriței.

Funcționarea mașinii în cele patru etape distincte se prezintă în figura 3.90. Umplerea 4, a camerei de compresie 5, cu aliajul lichid 3, are loc după închiderea prealabilă a matriței 2 (fig.3.90. a). La această etapă pistonul de contrapresiune 6, obturează orificiul de alimentare 9, al camerei de compresie, astfel încât aliajul lichid nu poate pătrunde prin duza 8, în cavitatea matriței 1. În etapa a doua, pistonul de compresie 7 este acționat, creându-se presiune în camera de compresie până la atingerea valorii prestabilite prin reglarea pistonului de contrapresiune 6, care se retrage având loc injectarea aliajului lichid 11 în cavitatea matriței 1, prin orificiile de alimentare 9 și duza 8 (fig.3.90. b). În camera de compresie rămâne un volum de material constituit în special din crustele de solidificare 10 și din impuritățile de la suprafața aliajului lichid. După solidificarea piesei (fig.3.90. c) are loc deschiderea matriței. Simultan cu retragerea pistonului 7, pistonul de contrapresiune 6 se ridică și extrage maselota 12, rămasă în camera de compresie (fig.3.90. d). Această variantă prezintă și avantajul că defectele de turnare (incluziuni gazoase și nemetalice) sunt concentrate în acest volum de material 12, care se îndepărtează.

3.8.3.2. Turnarea la presiuni joase

Procedul este foarte asemănător (ca aspect al instalației folosite) cu turnarea la presiuni înalte, varianta cu cameră de compresie caldă, cu compresor și baie închisă, deosebirea constând doar în regimul de presiune folosit (fig.3.91).

Din figura 3.91 se remarcă regimul mai redus de presiune utilizat la turnarea la joasă presiune - de 50...140 ori mai mic decât al turnării la presiune înaltă, precum și durata ciclului de lucru (de 50 ori mai mare la turnarea la joasă presiune).

Turnarea la joasă presiune constituie o alternativă mai rentabilă față de turnarea la presiuni înalte, deoarece instalațiile sunt mai ieftine și mai ușor de întreținut în condițiile în care nivelul calitativ al pieselor realizate este foarte apropiat.

Vitezele de curgere a aliajului în cavitatea matriței sunt de circa 1,5m/s...2,5m/s, comparabile cu cele de la turnarea prin cădere liberă.

Viteza de umplere a cavității formei variază în trepte, după cum se poate observa din figura 3.91: aliajul se ridică lent până la nivelul alimentatorului rețelei de turnare I, după care se mărește presiunea din sistem și aliajul umple mai rapid forma de turnare II; pe măsura creșterii rezistenței hidraulice la umplerea cavității formei are loc creșterea în continuare a presiunii din camera de compresie caldă III, astfel încât să se învingă rezistența creată de începerea procesului de solidificare a piesei. După umplerea completă a cavității formei, presiunea în sistem este menținută constantă IV, până la solidificarea piesei. După solidificare, presiunea

scade V, pentru a permite deschiderea matriței și extragerea piesei.

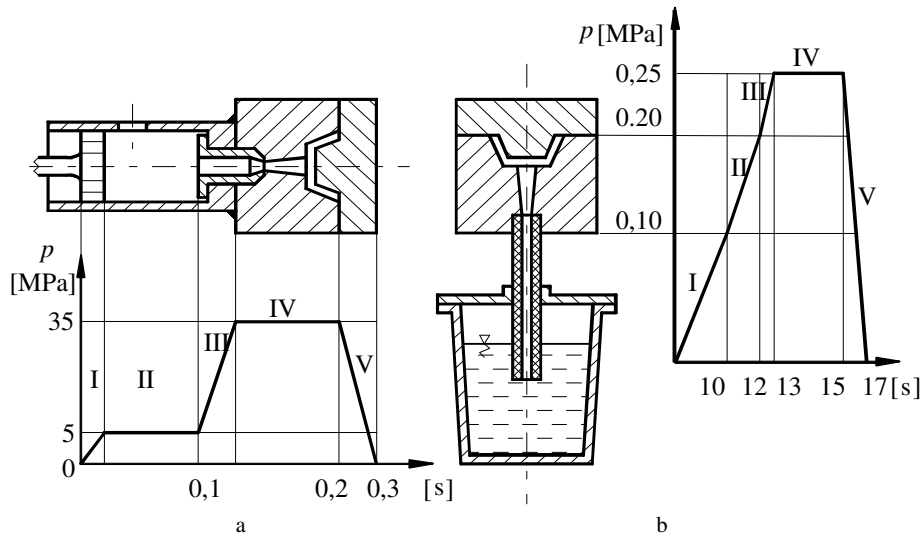


Fig. 3.91. Variația presiunii în camera de compresie și în cavitatea matriței la turnarea sub presiune:

a - la presiune înaltă: I - avansul pistonului; II - umplerea matriței; III - creșterea presiunii;

IV - menținerea presiunii (solidificarea sub presiune); V - depresurizarea; b - la presiune joasă:

I - atingerea presiunii de regim și urcarea aliajului lichid în rețeaua de turnare; II - umplerea cavității matriței; III - maselotarea; IV - menținerea (solidificarea sub presiune); V - depresurizarea.

O variantă a turnării la joasă presiune utilizează pentru crearea suprapresiunii forța electromagnetică exercitată asupra aliajului lichid (fig.3.92). În acest scop este folosită compresia realizată cu o *pompă magnetohidrodinamică*. Pompa, compusă din: bobinele 10, miezul 11, circuitul de admisie 12, realizează mișcarea electronilor liberi din aliajul topit 5 spre lancea de alimentare 8 și apoi spre cavitatea matriței 1, cu ajutorul câmpului electromagnetic creat de bobinele 10 în miezul 11.

Componenta electrică a câmpului electromagnetic produce deplasarea electronilor spre pompă, cu antrenarea metalului lichid din creuzet, iar cea magnetică creează presiunea necesară urcării aliajului lichid spre cavitatea matriței.

Procedeul de turnare la joasă presiune se utilizează în producția de serie mare și de masă a pieselor cu pereți subțiri, nervurați de tipul: carcaselor, capacelor, batiurilor, cutiilor, cu suprafețe și volume mari, superioare celor admise de turnarea la presiuni înalte.

Construcția formelor este relativ mai simplă decât la turnarea la presiuni înalte, situându-se ca grad de complexitate între cochile și matrițele de injecție. Specific acestora este alimentarea în sifon. Se pot utiliza, ca și la cochile, miezuri din amestec de formare (temporare).

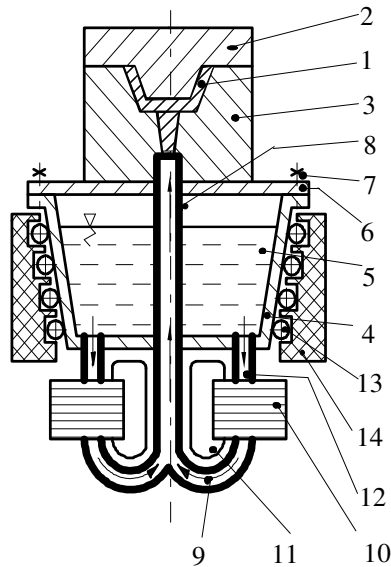


Fig. 3.92. Principiul turnării la joasă presiune cu compresie magneto-hidrodinamică:

- 1 - cavitatea matriței; 2 - semimatrița fixă; 3 - semimatrița inferioară; 4 - creuzet de menținere; 5 - aliajul lichid; 6 - capac; 7 - dispozitiv de etanșare; 8 - lance de alimentare; 9 - sensul de parcurgere; 10 - bobine; 11 - miez; 12 - circuit de admisie al pompei; 13 - rezistori (sau inductor); 14 - izolație.

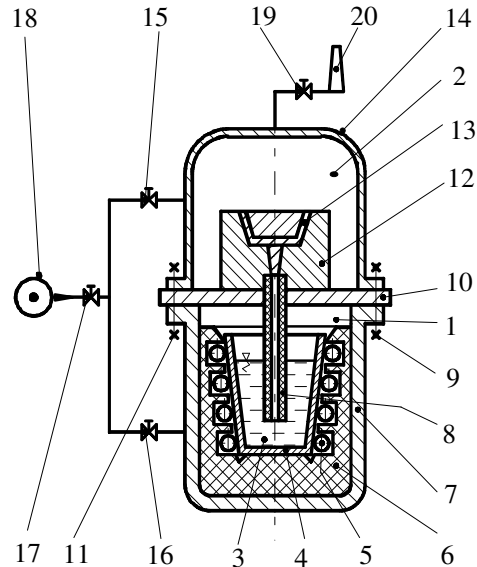


Fig. 3.93. Principiul turnării la joasă presiune cu contrapresiune pe durata solidificării:

- 1 - incinta cuptorului de menținere (camera de compresie caldă); 2 - incinta matriței de turnare (camera de compensație); 3 - aliajul lichid; 4 - creuzet; 5 - rezistență (sau inductor); 6 - suport izolator; 7 - manta; 8 - lance de alimentare; 9, 11 - dispozitive de etanșare a incintelor de lucru; 10 - placă suport; 12 - forma de turnare; 13 - cavitatea formei; 14 - peretele incintei; 15, 16 - supape de admisie comandate; 17 - robinet de admisie; 18 - compresor; 19 - supapă de evacuare; 20 - legătura cu atmosfera.

3.8.3.3. Turnarea cu contrapresiune

O variantă perfecționată a procedurii anterioare este turnarea la joasă presiune *cu contrapresiune* pe durata solidificării (fig.3.93). În prima fază, supapa de evacuare 19 este închisă și în sistem se creează suprapresiune în ambele incinte de lucru 1 și 2. Aliajul lichid 3 rămâne imobil în creuzetul 4. Când se atinge o suprapresiune de circa 2 MPa, se închide supapa 15 și se deschide treptat supapa de evacuare 19, creându-se o diferență de presiune între cele două incinte, care face ca aliajul lichid 3 să urce prin lancea de alimentare 8 și să umple cavitatea formei de turnare 13.

Acest procedeu asigură o umplere mai bună a cavității formei, aliajul lichid fiind - pe de o parte - împins din incinta de compresie 1, iar - pe de altă parte - este aspirat de depresiunea creată în camera de compensație 2.

Pe durata solidificării presiunea crește din nou în camera de compensație, asigurând o suprapresiune asupra formei umplute, astfel încât se produce infiltrarea aliajului lichid printre cristalele deja formate în masa piesei, eliminându-se porozitățile axiale formate prin contracție. Datorită prezenței aliajului lichid printre cristalele solidificate, structura piesei devine mobilă, permițând deformarea microplastică sub acțiunea suprapresiunii din incintă, fapt ce duce la obținerea unor structuri compacte, chiar și în cazul pieselor cu pereți groși.

Ca avantaje ale procedurii de turnare în contrapresiune se pot evidenția:

- controlul precis al turnării (cantitatea turnată, timpul de umplere a formei, controlul solidificării);
- modul de turnare nu depinde de presiunea care acționează asupra aliajului topit;
- distribuirea uniformă a energiei mecanice a curgerii topiturii, fără întreruperi pe suprafața piesei;
- posibilitatea turnării în forme permanente sau temporare cu miezuri temporare, fără a exista pericolul distrugerii acestora, indiferent de presiunea de lucru;
- reducerea aderențelor la turnarea în forme temporare;
- dirijarea procesului de solidificare prin controlul vitezei de umplere a formei;
- reducerea volumului maselotelor prin acțiunea presiunii gazului din incintă;
- extinderea zonei de acțiune a maselotelor, chiar atunci când sunt amplasate sub secțiunile alimentate;
- reducerea limitelor referitoare la piesele turnate: grosimile de pereți, trecerile dintre secțiuni, masa și dimensiunile pieselor;
- degazarea controlată a aliajului topit;
- calitatea deosebită a pieselor turnate: creșterea durității cu 20...40% și a rezistenței la rupere cu 10...40% față de turnarea în cochilă.

Procedeul se aplică la realizarea pieselor importante, utilizate în tehnica vidului, instalațiile hidraulice, industria electrotehnică, aeronautică, energetică nucleară și clasică, electronică și altele.

3.8.4. Turnarea prin aspirație

Acest procedeu utilizează *depresiunea relativă* (vidul), dintre cavitatea formei și baia metalică a creuzetului de menținere, pe durata alimentării și umplerii formei și a solidificării piesei.

Procedeeul este utilizat pentru realizarea pieselor de precizie ridicată, cu dimensiuni mici și medii, din aliaje ușoare, în producția de serie mare și de masă. Proprietățile fizico-mecanice ale pieselor turnate prin acest procedeu sunt foarte bune: compactitate mare, lipsa defectelor de structură, finisare uniformă a structurii în masa piesei și cu grad de dispersie a eutecticului și eutectoidului foarte ridicat.

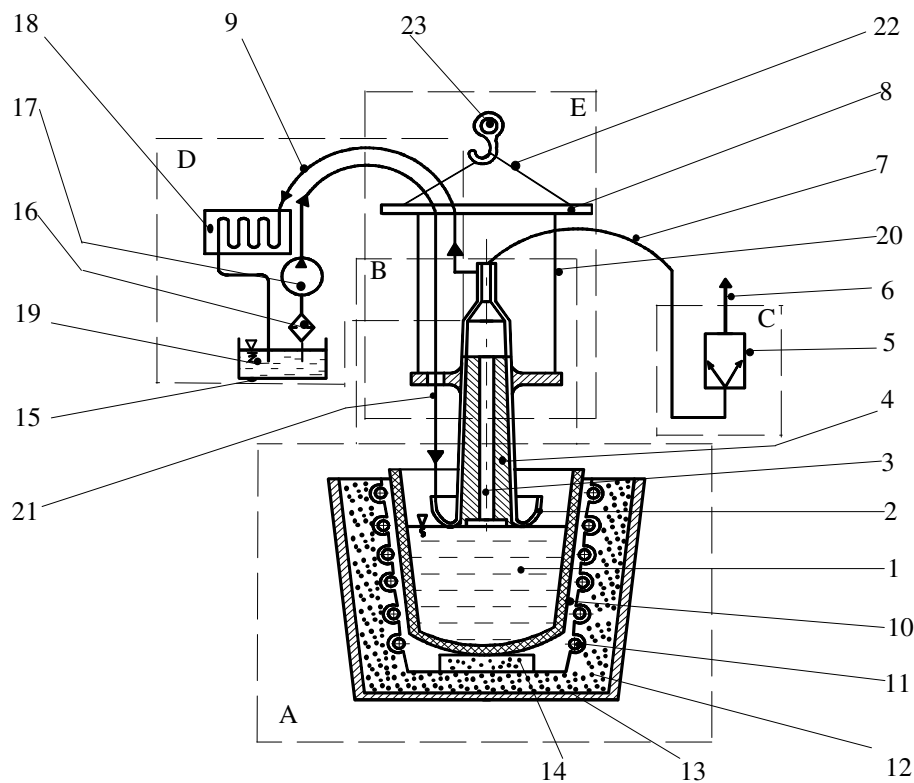


Fig. 3.94. Schema de principiu a unei instalații de turnat prin aspirație:
 A - cuptorul de menținere; B - forma de turnare; C - instalația de vidare;
 D - instalația de răcire a cristalizorului; E - instalația de manevrare a cristalizorului;
 1 - aliajul lichid; 2 - cristalizor; 3 - miez; 4 - piesă; 5 - pompă de vid; 6 - coș de evacuare a gazelor;
 7 - racord flexibil; 8 - traversă mobilă; 9 - racorduri flexibile; 10 - creuzet; 11 - rezistențe electrice;
 12 - izolație; 13 - manta; 14 - suportul creuzetului; 15 - rezervor; 16 - filtru; 17 - pompă de
 recirculare; 18 - rezistență electrică; 19 - termostaț; 20 - radiator; 21 - agent de răcire; 22 - cadru de
 susținere; 23 - cârlig de ridicare.

Etapele procesului tehnologic de turnare prin aspirație sunt (fig. 3.94):

- pregătirea cristalizorului în vederea turnării: curățirea suprafețelor interioare, curățirea ciocului, montarea miezului și asamblarea formei de turnare, verificarea circuitelor de vid și de răcire, verificarea instalației de manevrare;
- imersarea ($h = 10...30$ mm) vârfului („ciocului”) cristalizorului 2, în aliajul lichid 1, din creuzetul 10 al cuptorului de menținere A (fig.3.94);
- crearea depresiunii cu ajutorul instalației de vidare C și aspirarea aliajului din creuzet în cristalizor;
- solidificarea piesei 4, sub depresiune (fapt ce conduce la o degazare foarte bună a aliajului topit și, implicit, la o diminuare a mărimii și densității suflurilor, sitei și cariilor în masa piesei turnate);
- decuplarea instalației de vidare în momentul atingerii unei grosimi satisfăcătoare de perete (fapt deosebit de important mai ales la turnarea pieselor cave cu miez tip diafragmă, pentru a se permite scurgerea în creuzetul de menținere a surplusului de topitură);
- ridicarea cristalizorului și extragerea piesei turnate.

Pompa de vid creează depresiuni în domeniul 0,65...13 MPa, la debite de $0,6 \text{ m}^3/\text{h}$, la o putere instalată de 0,5 kW. Pentru a se atenua șocurile din instalația de vidare, precum și pentru a beneficia de viteze mari de aspirație, cu puteri instalate reduse, în instalație se montează alături de pompă un acumulator de vid. Apa de răcire a cristalizorului trebuie menținută la o temperatură minimă de 40°C , pentru a se preveni apariția apei de condensare în interiorul formei de turnare, iar din acest motiv, în instalația de răcire D este prevăzută rezistența electrică 18.

Realizarea pieselor cave turnate prin aspirație prezintă următoarele particularități (fig. 3.95):

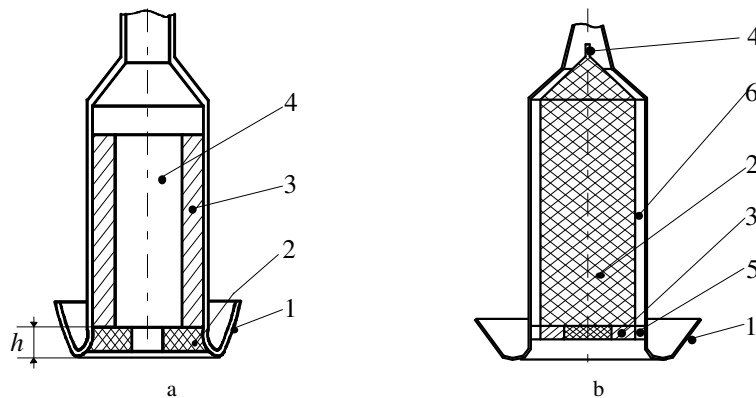


Fig. 3.95. Construcția miezurilor pentru turnarea prin aspirație:

- a - miez tip diafragmă: 1 - ciocul cristalizorului; 2 - diafragma; 3 - piesa cavă; 4 - golul din piesă;
 h - adâncimea de imersare; b - miez temporar: 1 - cristalizor; 2 - miez din amestec; 3 - marcă pentru
 fixarea miezului; 4 - armătură pentru fixarea miezului la partea superioară; 5 - orificii pentru
 alimentarea cu aliaj; 6 - cavitatea generatoare a piesei.

- se pot utiliza miezuri permanente de tip diafragmă, de construcție simplă, dar care nu asigură realizarea unor pereți cu grosime uniformă;
- se pot utiliza miezuri din amestec de formare (rezemate pe mărci), care realizează grosimi uniforme, dar crează probleme legate de rezemarea miezului în interiorul cristalizorului;
- solidificarea pieselor cave se produce dirijat, bidirecțional, de la exterior spre interior și de sus în jos, astfel încât se realizează o alimentare continuă cu aliaj topit a microretasurilor de contracție, obținându-se o piesă cu caracteristici mecanice ridicate și uniforme.

Depresiunea de regim este valoarea diferenței de presiune dintre atmosferă și cristalizor, necesară pentru a obține o anumită lungime de piesă. Pentru o valoare dată a unei depresiuni de regim, se pot realiza lungimi diferite de piese, în funcție de greutatea specifică a aliajului din care este executată piesa.

Pentru o lungime a piesei H_p , valoarea depresiunii de regim necesară H_r se calculează cu relația

$$H_r = \frac{H_p \cdot \gamma_p}{13,6} \quad [\text{cm}] \quad , \quad (3.21)$$

unde γ_p este greutatea specifică a materialului piesei în $[\text{daN/cm}^3]$.

În tabelul 3.25 sunt date valorile uzuale ale lungimii pieselor turnabile prin aspirație, pentru o depresiune de regim obișnuită.

Tabelul 3.25. Lungimi realizabile la o depresiune de regim $H_r=1 \text{ daN/cm}^2$

Materialul piesei	Greutatea specifică [daN/cm ³]	Lungimea maximă H_p [cm]
Al	2.700	382,80
Cu	8.920	115,80
Fe	7.860	131,50
Mg	1.740	594
Mo	10.200	101,33
Ni	8.900	116,13
Pb	11.340	91,14
Sn	7.280	141,97
Ti	4.500	229,68
Zn	7.140	144,76

Presiunea remanentă a vidului din cristalizor p_v , se determină ca diferența dintre presiunea atmosferică, exprimată în mm coloană Hg, și depresiunea de regim H_r

$$p_v = 760 - H_r \quad [\text{mm Hg}]. \quad (3.22)$$

Determinarea adâncimii minime de imersare a ciocului cristalizorului în baia metalică se face din condiția ca volumul băii dintre două aspirații succesive să fie cel puțin egal cu cel al piesei turnate

$$\pi \cdot R^2 \cdot H_i = \pi \cdot r^2 \cdot H_p + \pi \cdot R^2 \cdot H_f, \quad (3.23)$$

unde: H_i este adâncimea de imersare inițială, față de nivelul băii metalice, a ciocului cristalizorului; H_p - lungimea piesei; H_f - adâncimea finală față de suprafața băii metalice din creuzetul cuptorului de menținere, la care rămâne ciocul cristalizorului după terminarea aspirației.

Ținând seama de experiența practică, s-a constatat că o valoare $H_f = 10$ mm, este suficientă pentru a se menține depresiunea din cristalizor pe durata solidificării piesei turnate. În aceste condiții, relația (3.21) devine

$$H_i = H_p \cdot \frac{r^2}{R^2} + 10 \text{ [mm]}, \quad (3.24)$$

unde: r este raza în secțiune transversală a piesei turnate; R - raza în secțiune transversală a creuzetului de menținere.

Pentru turnarea pieselor cave relația (3.24) devine

$$H_i = H_p \cdot \frac{(r_1^2 - r_2^2)}{R^2} + 10 \text{ [mm]}, \quad (3.25)$$

unde: r_1 este raza exterioară a secțiunii transversale a piesei turnate; r_2 - raza interioară a secțiunii transversale a piesei turnate; R - raza în secțiune transversală a creuzetului de menținere.

3.8.5. Turnarea centrifugală

Procedeul constă în turnarea aliajului lichid în forme temporare sau permanente aflate în mișcare de rotație. Forța centrifugă creează o presiune în interiorul formei care poate să conducă fie la realizarea de piese cave - fără a utiliza miezuri (când axa de rotație coincide cu axa de simetrie a piesei) sau la realizarea de piese cu compactitate ridicată (când axa piesei este plasată excentric față de axa de rotație a formei).

Modificarea condițiilor de curgere a aliajului la turnarea centrifugală în raport cu cea gravitațională (obișnuită) este definită prin coeficientul gravitațional k (sau de supraîncărcare), dat de relația

$$k = \frac{F_c}{G} = \frac{\omega^2 \cdot r}{g}, \quad (3.26)$$

unde: ω este viteza unghiulară a formei; r - distanța particulei de material față de axa de rotație.

Acest coeficient arată de câte ori forța centrifugă F_c este mai mare decât forța gravitațională G .

Lungimea și diametrul exterior al piesei turnate depind de dimensiunile formei, iar grosimea peretelui piesei turnate de cantitatea de metal sau aliaj topit introdus în formă. Precizia dimensională a piesei depinde de mărimea forței centrifuge și în special de viteza unghiulară ω .

Se deosebesc două metode:

- turnarea în forme cu axă de rotație verticală;
- turnarea în forme cu axă de rotație orizontală.

În cazul *turnării în forme cu axă de rotație verticală* (fig.3.96), la stabilirea vitezei de rotație, fiecare particulă din aliajul lichid m_i acționează asupra celorlalte, astfel încât presiunea în interiorul formei de turnare va crește de la axa de rotație spre peretele formei.

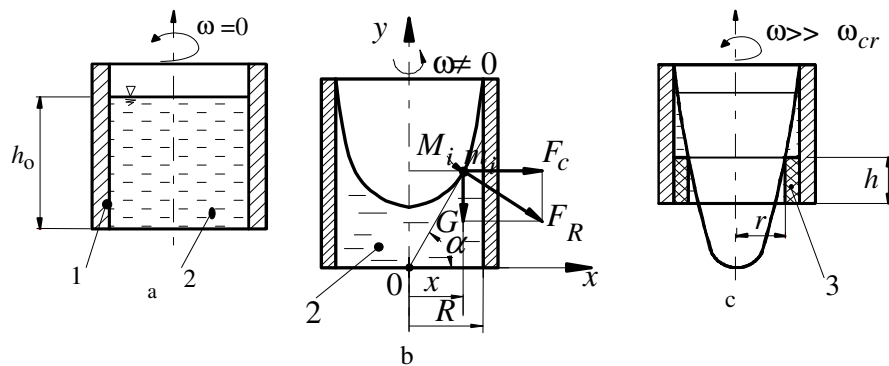


Fig. 3.96. Forma suprafeței libere a aliajului centrifugat cu axă de rotație verticală:
a - poziția inițială, când $\omega=0$; b - când forma se rotește cu viteza unghiulară ω ; c - la o viteză unghiulară ω mai mare decât viteza unghiulară critică ω_{cr} ; 1 - forma de turnare; 2 - aliajul lichid; 3 - piesa.

Deoarece în masa unui lichid presiunea se transmite uniform în toate direcțiile (principiul lui Pascal), aliajul lichid se va ridica pe pereții formei, cu atât mai mult cu cât punctul considerat este mai departe de axa de rotație. Punând condiția de echilibru pe tangenta în punctul M_i se obține

$$G \cdot \sin \alpha = F_c \cdot \cos \alpha; \quad \operatorname{tg} \alpha = \frac{x \cdot \omega^2}{g}. \quad (3.27)$$

Ținând cont de definiția tangentei

$$\frac{dy}{dx} = \operatorname{tg} \alpha \quad (3.28)$$

se obține curba

$$Y = \frac{\omega^2}{2g} \cdot x^2 + C, \quad (3.29)$$

care este ecuația unei parabole.

Se observă că grosimea peretelui piesei este neuniformă pe verticală, neuniformitate care va fi cu atât mai mică cu cât viteza unghiulară ω este mai mare, cu cât înălțimea h a piesei este mai mică și cu cât raza r este mai mare (fig.3.96. c). Din această cauză, turnarea centrifugală în forme cu axă de rotație verticală se poate aplica în bune condiții numai la realizarea pieselor subțiri de înălțime mică și diametru mare, cum sunt bușele, coroanele, inelele, flanșele, bandajele etc.

În cazul *turnării în forme cu axa de rotație orizontală* pentru a obține ecuația curbei după care se distribuie metalul din interiorul formei, se scrie echilibrul forțelor care acționează asupra particulei de masă m_i în punctul M_i situat pe cercul de rază r (fig.3.97. a). Componentele forței centrifuge verticale F_v și orizontale F_0 sunt exprimate de relațiile

$$F_v = m r \omega^2 \cos \varphi; \quad F_0 = m r \omega^2 \sin \varphi. \quad (3.30)$$

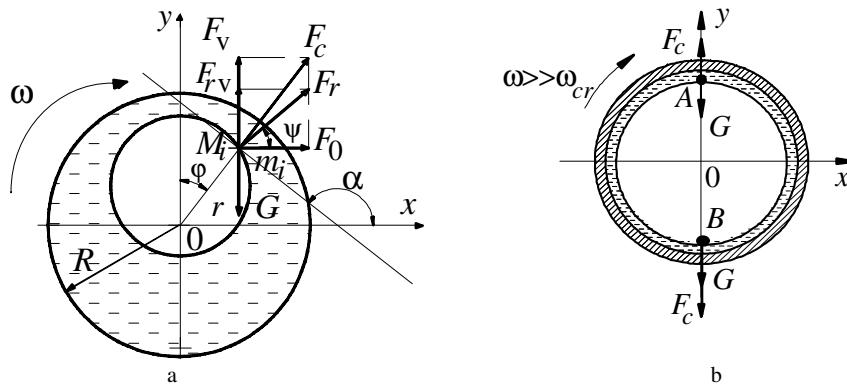


Fig.3.97. Forma suprafeței libere a aliajului centrifugat în forma cu axă de rotație orizontală:

a - forțele care acționează asupra unei particule de material lichid când $\omega \neq 0$, dar $\omega < \omega_{cr}$;

b - cazul când $\omega \gg \omega_{cr}$.

Mărimea forței verticale F_v este modificată cu valoarea greutatei G , deci forța rezultantă pe verticală F_{rv} are expresia

$$F_{rv} = F_v - G = m r \omega^2 \cos \varphi - m g . \quad (3.31)$$

Din compunerea forței orizontale F_0 cu forța rezultantă pe verticală F_{rv} rezultă o forță rezultantă F_r situată sub unghiul ψ , față de orizontală, dat de relația

$$\operatorname{tg} \psi = \frac{F_{rv}}{F_0} = \frac{r \omega^2 \cos \varphi - g}{r \omega^2 \sin \varphi} . \quad (3.32)$$

Având în vedere că

$$\frac{dy}{dx} = \operatorname{tg} \alpha = \operatorname{tg}(90^\circ + \psi) = -\operatorname{ctg} \psi , \quad (3.33)$$

rezultă

$$\frac{dy}{dx} = -\frac{r \omega^2 \sin \varphi}{r \omega^2 \cos \varphi - g} . \quad (3.34)$$

Ținând cont de coordonatele punctului M_i , exprimate de relațiile

$$x = r \sin \varphi ; \quad y = r \cos \varphi \quad (3.35)$$

se obține

$$\frac{dy}{dx} = \frac{\omega^2 x}{\omega^2 y - g} , \quad (3.36)$$

care prin integrare conduce la ecuația

$$x^2 + \left(y - \frac{g}{\omega^2} \right)^2 = \text{constant} . \quad (3.37)$$

Ecuația (3.37) arată că, în forma metalică cu ax orizontal, când aceasta se rotește cu o viteză unghiulară ω , metalul sau aliajul lichid se distribuie după un cerc cu excentricitatea g/ω^2 .

Deoarece solicitarea particulei de metal este variabilă cu poziția particulei (fig.3.97. b, în punctul A cele două forțe se scad, iar în punctul B se însumează; pentru a obține piese de grosime constantă se pleacă de la condiția de echilibru în punctul A , pentru a determina viteza unghiulară critică ω_{cr}

$$G = F_c , \quad (3.38)$$

din care se deduce

$$\omega_{cr} = \sqrt{\frac{g}{r}}; \text{ respectiv } n_{cr} = \frac{30}{\sqrt{r}} \text{ [rot/min] ,} \quad (3.39)$$

unde n_{cr} este turația critică de rotire a formei, pentru $g = 9,81 \text{ m/s}^2$.

În practica industrială s-a constatat necesitatea unei turații mai mari a formei de turnare n_f , față de turația critică

$$n_f = k \cdot n_{cr} \text{ [rot/min] ,} \quad (3.40)$$

unde k este un coeficient care ține seama de natura aliajului turnat și de tipul procesului de turnare utilizat.

În cazul turnării pieselor cave, de tipul țevelor, având raportul dintre raza exterioară R_{\max} și cea interioară r_i a piesei

$$\frac{R_{\max}}{r_i} = 1,15, \quad (3.41)$$

turația formei n_f , se calculează cu relația empirică

$$n_f = \frac{k_0}{\sqrt{R_{\max}}} \text{ [rot/min] ,} \quad (3.42)$$

unde k_0 este un coeficient determinat experimental, care ține seama de natura și de densitatea aliajului, de poziția axei de rotație și de tipul piesei turnate.

Un alt parametru foarte important ce trebuie determinat este presiunea aliajului care se determină în funcție de poziția axei de rotație a formei.

Presiunea aliajului la turnarea centrifugală cu axa de rotație verticală se determină cu relația

$$p = \gamma \cdot \frac{\omega^2}{2g} \cdot (r_a^2 - r_b^2) \text{ [N/m}^2\text{] ,} \quad (3.43)$$

unde: γ este greutatea specifică a aliajului [N/m^3]; r_a, r_b - distanțele dintre pozițiile succesive ale punctului curent M și axa de rotație.

Presiunea aliajului la turnarea centrifugală cu axa de rotație orizontală se determină cu relația

$$p = \gamma \cdot \frac{\omega^2}{2g} \cdot (r^2 - r_i^2) \text{ [N/m}^2\text{] ,} \quad (3.44)$$

unde: r_i este raza interioară a piesei; r - distanța dintre poziția punctului curent M și axa de rotație.

O variantă a celor două metode prezentate mai sus este *turnarea centrifugală cu axă de rotație excentrică* (fig.3.98). Procedeul se aplică la turnarea pieselor de mare precizie în forme coji cu modele ușor fuzibile. Procedeul mai este cunoscut și sub denumirea de „turnarea pieselor fasonate”.

Turnarea centrifugală are o serie de avantaje:

- grosimea uniformă a peretelui piesei turnate;
- compactitatea peretelui piesei (gazele și incluziunile se separă spre suprafața interioară a piesei);
- structura granulară fină a piesei turnate rezultată din răcirea cu viteză mare în forma metalică;
- gradul înalt de folosire a metalului turnat datorită lipsei rețelei de turnare, a răsuflătorilor și a mselotelor;
- eliminarea aproape integrală a amestecului de formare, inclusiv a instalațiilor de preparare;
- productivitatea muncii mult mai mare decât la alte procedee de turnare.

Are însă și o serie de dezavantaje:

- apariția unor crăpături longitudinale la o valoare prea ridicată a forței centrifuge (deoarece piesa se contractă prin răcire, în timp ce forma se dilată prin încălzire și între ele apare un joc);
- formarea crustei dure de fontă albă la turnarea pieselor din fontă cenușie, ca urmare a unei viteze mari de răcire.

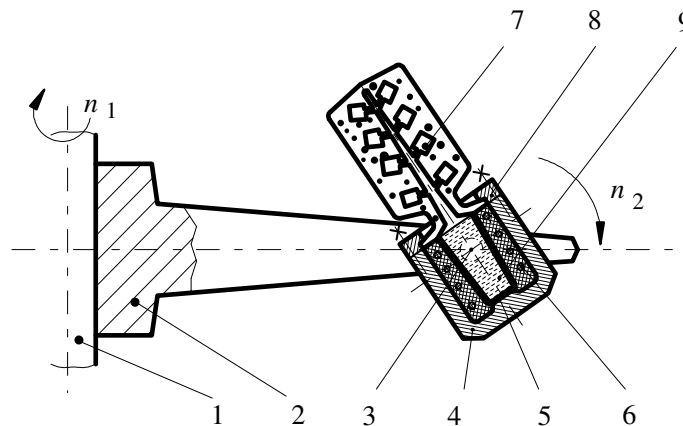


Fig. 3.98. Turnarea centrifugală cu axă de rotație excentrică:

- 1 - axa de rotație; 2 - braț; 3 - pivot; 4 - cuptor de topire/menținere; 5 - creuzet; 6 - rezistențe;
7 - forma coajă; 8 - dispozitiv de fixare/etanșare a formei pe cuptor; 9 - aliajul de turnat;
 n_1 - turația axului; n_2 - mișcarea relativă a formei.

Procedeul se aplică la obținerea bușelor din fontă și din aliaje neferoase, a tuburilor din fontă și din oțel, precum și a unor piese cu gol interior

cilindric și cu suprafața exterioară profilată (tuburi, coturi de canalizare). Permite, de asemenea, executarea unor piese bimetalice (în interiorul unei piese-suport executată dintr-un aliaj mai greu fuzibil și mai ieftin, se toarnă un strat de aliaj mai ușor fuzibil, dar mai scump și cu mare rezistență la coroziune, la uzură etc.).

3.8.6. Turnarea continuă

Turnarea continuă desemnează procedeele de turnare la care generarea piesei se face în mod continuu, prin răcirea dirijată a aliajului lichid într-un cristalizor. Turnarea și evacuarea porțiunilor de piesă solidificată se face în mod continuu, până la obținerea lungimii de piesă dorită, de regulă de ordinul zecilor de metri.

Prin turnare continuă se obțin piese având una din dimensiuni mult mai mare decât celelalte două, piese de lungimi sau înălțimi mari, de tipul tuburilor, țevilor, barelor, tablelor; un caz aparte îl constituie turnarea continuă a pieselor individuale, precum lingourile mici de fontă pentru turnătorie (fig.3.99).

Turnarea continuă este cel mai productiv procedeu de realizare a pieselor lungi, practic fără rețea de turnare. În domeniul materialelor metalice turnarea continuă se aplică la realizarea semifabricatelor. În domeniul materialelor nemetalice prin turnare continuă se pot realiza atât semifabricate, cât și piese finite, precum tuburi, furtune, cabluri izolate, foi de geam, silozuri, coșuri de fum etc.

Forma de turnare utilizată este cristalizorul, care asigură solidificarea dirijată și formarea piesei.

Turnarea continuă este competitivă, în domeniul siderurgiei, cu laminoarele degrositoare de mare capacitate, înlocuindu-le în ultimele două decenii la realizarea bramelor și a țagelilor. Procedeu este preferat laminării datorită următoarelor avantaje pe care le are:

- simplifică fluxul tehnologic, prin reducerea operațiilor intermediare dintre instalația de elaborare (convertizor, cuptor cu arc) și magazia de profile: transport, pregătirea formelor, turnarea lingoului, curățirea pieselor, forjarea, laminarea etc.;
- reduce considerabil volumul deșeurilor de la turnarea lingourilor și de la laminare;
- permite mecanizarea și automatizarea complexă a proceselor;
- asigură o fiabilitate deosebită a instalațiilor prin simplificări constructive importante;
- elimină fenomenul de segregare a elementelor care apare la turnarea lingourilor din oțeluri aliate;
- este un procedeu de înaltă productivitate și cu o eficiență economică deosebită, deoarece reduce cheltuielile legate de investiția inițială (spații și instalații), personalul de exploatare și întreținere, defectele de fabricație, deșeurile tehnologice.

În turnătorii, procedeul este utilizat la realizarea semifabricatelor de tipul barelor, țevilor, benzilor, profilelor, sârmelor de mici dimensiuni, din aliaje neferoase și fonte.

3.8.6.1. Turnarea continuă a pieselor individuale

Turnarea continuă poate fi utilizată și pentru producerea pieselor de dimensiuni mici și configurație foarte simplă, în producția de serie mare și masă,

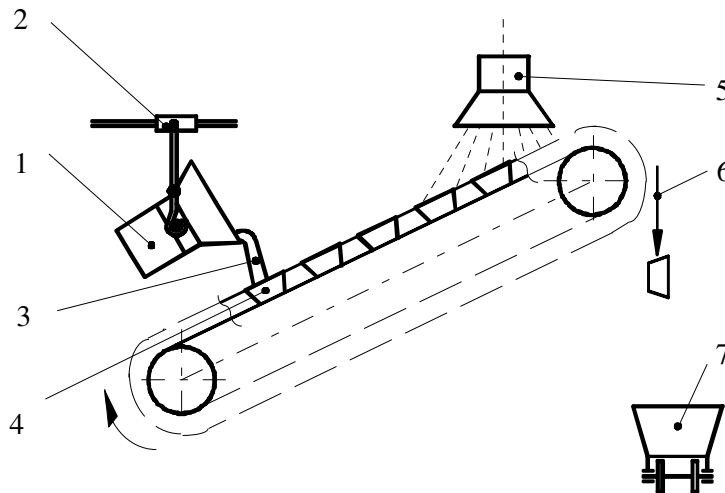


Fig. 3.99. Turnarea continuă a pieselor individuale:

1 - oală de turnare; 2 - instalație de transport (pod rulant); 3 - aliaj lichid; 4 - lanț din forme de turnare; 5 - duș de răcire; 6 - piese solidificate; 7 - vagonet de transport.

cum ar fi cazul lingourilor de fontă pentru turnătorii. În acest caz, procedeul este folosit datorită productivității și eficienței foarte mari; ținând cont de faptul că procesul se desfășoară continuu (alimentarea formelor, solidificarea, extragerea pieselor) și de lipsa rețelei de turnare.

3.8.6.2. Turnarea continuă a tuburilor

Acest procedeu de turnare se prezintă în figura 3.100. În cazul instalației din figură, turnarea se face pe la partea superioară 4, a cristalizorului 2. Pe măsură ce se solidifică pereții piesei, platforma mobilă 7 coboară o dată cu partea solidificată a piesei, eliberând un nou volum în cavitatea dintre cristalizoare, care este cavitatea formei.

Lungimea maximă a tubului L_{max} este condiționată de mărimea cursei platformei mobile. Viteza de coborâre a platformei este reglată în funcție de viteza de solidificare a piesei 5.

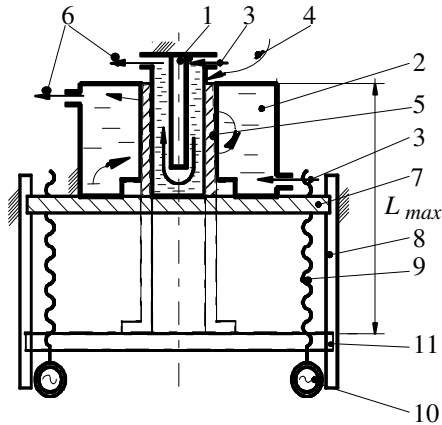


Fig. 3.100. Turnarea continuă a tuburilor de lungime medie:

- 1 - cristalizor interior; 2 - cristalizor exterior;
- 3 - admisie apă de răcire; 4 - alimentarea cu aliaj lichid; 5 - aliaj lichid; 6 - evacuare apă de răcire;
- 7 - platformă mobilă; 8 - ghidaje; 9 - șuruburi de mișcare; 10 - motoare electrice de acționare;
- 11 - poziția inferioară a platformei; L_{max} - lungimea maximă a piesei turnate.

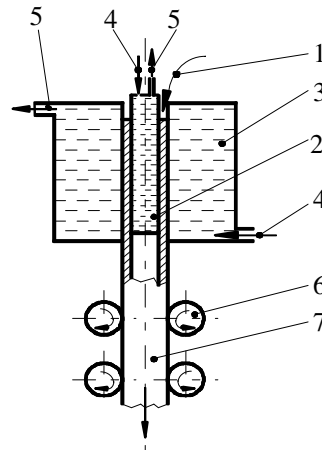


Fig. 3.101. Turnarea continuă a țevelor:

- 1 - turnarea aliajului; 2 - cristalizor interior; 3 - cristalizor exterior;
- 4 - admisie apă de răcire; 5 - evacuare apă de răcire; 6 - role de antrenare a piesei solidificate; 7 - piesa (țeava continuă).

3.8.6.3. Turnarea continuă a țevelor

Această metodă de turnare este foarte des utilizată. În figura 3.101 se prezintă schema de principiu a unei instalații pentru turnarea continuă a țevelor. Metalul sau aliajul lichid 1 se introduce între cristalizorul interior 2 și cristalizorul exterior 3 prin care circulă apa de răcire 4 și 5. Se formează țeava continuă 7 care este antrenată de rolele 6, până în dreptul unei instalații de debitare la dimensiunile dorite.

3.8.6.4. Turnarea continuă a produselor plate

În cazul turnării continue a produselor plate de tipul benzilor și tablelor lățimea cristalizorului trebuie să fie cel puțin egală cu cea a piesei generate prin turnare (fig.3.102 și fig.3.103).

3.8.6.5. Turnarea continuă a barelor și sârmelor

În cazul turnării continue a barelor și sârmelor rotunde și profilate, cristalizorul are forma unor role 4 (fig.3.104), răcite la interior cu apă, care au pe partea laterală un canal profilat după profilul secțiunii piesei turnate: semirotund,

rotund, polygonal, oval, prismatic etc. Rolele cristalizorului realizează jumătate din profilul barei, cealaltă jumătate este obținută cu ajutorul unei benzi metalice elastice, profilate 5, care rulează peste rolele cristalizorului. Aliajul lichid este turnat între pereții rolei și ai benzii (fig.3.104).

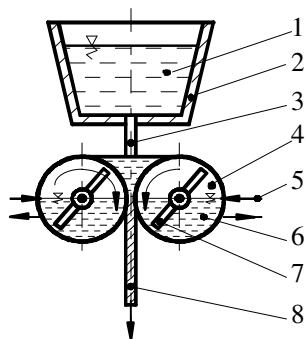


Fig. 3.102. Turnarea continuă a benzilor și tablelor cu cristalizor cu cilindri:
1 - aliaj lichid; 2 - dozator; 3 - jet de aliaj lichid; 4 - cristalizor cu cilindri de antrenare; 5 - circuitul de răcire; 6 - apă de răcire; 7 - palete de răcire; 8 - piesa solidificată.

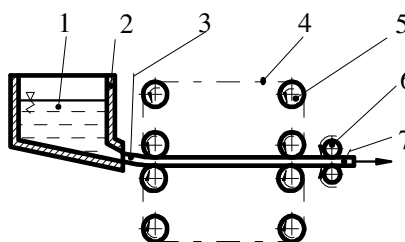


Fig. 3.103. Turnarea continuă a benzilor și tablelor cu cristalizor cu bandă:
1 - aliaj lichid; 2 - dozator; 3 - jet de aliaj lichid; 4 - cristalizor cu bandă; 5 - role de antrenare a benzii răcite; 6 - role de antrenare a semifabricatului solidificat; 7 - piesa solidificată; 8 - lichid de răcire.

Modul cum are loc solidificarea pieselor obținute prin turnare continuă și zonele solidificării se prezintă în figura 3.105.

Mărimea secțiunii zonei lichide tranzitorii III' a conului de solidificare variază de la valori foarte mari ale unghiului conului (pentru piesele cu secțiunea transversală mare), la valori foarte mici ale unghiului (la piesele cu secțiune mică). Prin dirijarea procesului de solidificare se controlează mărimea unghiului conului de solidificare.

3.8.6.6. Turnarea continuă a sticlei

Prin turnare continuă se pot obține diferite produse din sticlă, cele mai des solicitate fiind:

- foile de geam sau produsele plate (fig.3.106);
- fibrele (fig.3.107);
- vata de sticlă (fig.3.108).

După turnare foile de geam sunt tăiate la dimensiunile normalizate și se prelucurează prin șlefuire și teșirea muchiilor.

Impregnarea fibrelor de sticlă are drept scop reducerea uzării prin frecare/abraziune la prelucrările ulterioare și bobinare. Impregnarea se face cu amidon, rășini fenolice, epoxidice sau poliesterice.

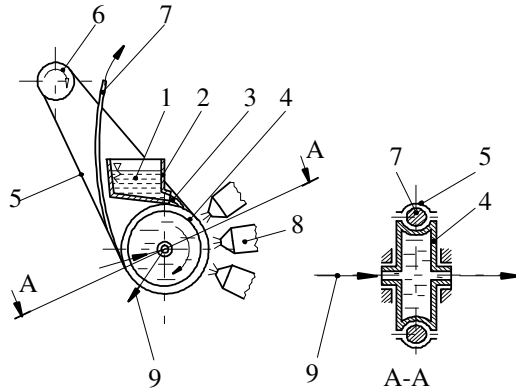


Fig. 3.104. Turnarea continuă a barelor și sârmelor:
1 - aliaj lichid; 2 - dozator/alimentator;
3 - jet de aliaj lichid; 4 - cristalizor tip rolă;
5 - bandă profilată; 6 - role de întindere a benzii;
7 - piesa solidificată; 8 - dușuri de răcire a benzii;
9 - circuitul de răcire a rolei.

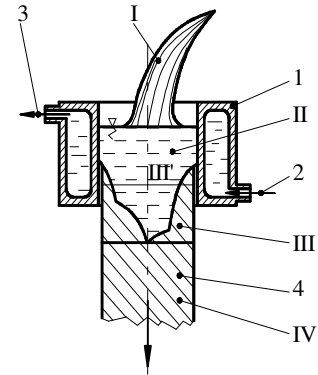


Fig. 3.105. Zonele de solidificare a pieselor obținute prin turnare continuă:
I - curgere; II - evacuarea căldurii de supraîncălzire; III - zona de solidificare; IV - răcirea completă a piesei; III' - zona lichidă tranzitorie;
1 - cristalizor; 2 - admisie apă de răcire; 3 - evacuare apă de răcire; 4 - piesa solidificată.

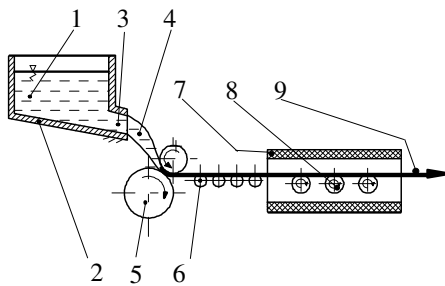


Fig. 3.106. Turnarea continuă a foilor de geam:
1 - sticlă topită; 2 - cuptor de elaborare;
3 - dozator; 4 - jet de sticlă topită; 5 - cristalizor cu cilindri; 6 - transportor cu role; 7 - cuptor tunel de recoacere; 8 - role de transport; 9 - foaia de geam.

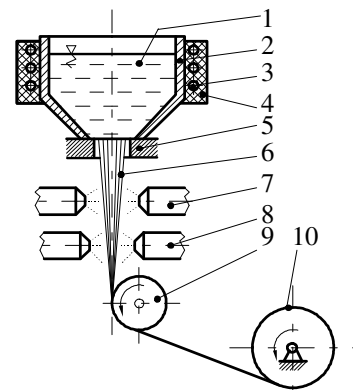


Fig. 3.107. Turnarea continuă a fibrelor de sticlă:
1 - sticlă topită; 2 - creuzet; 3 - rezistențe electrice; 4 - izolație; 5 - filieră pentru calibrare; 6 - fibre de sticlă topite; 7 - dușuri de răcire; 8 - dușuri de impregnare; 9 - rolă de înmănunchere; 10 - tambur de înfășurare.

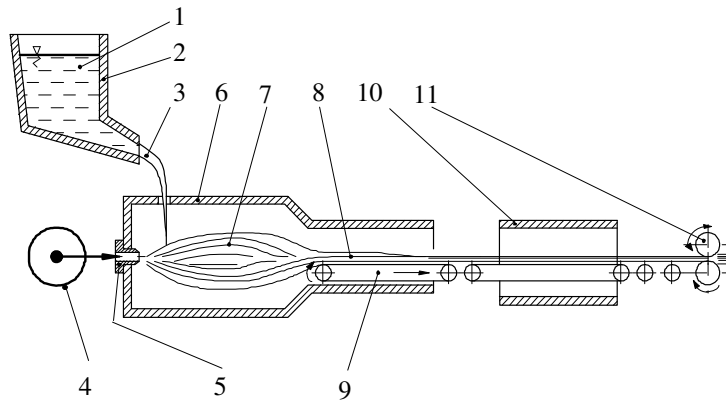


Fig. 3.108. Turnarea continuă a vatei de sticlă:

1 - sticlă topită; 2 - creuzet /dozator; 3 - jet de sticlă topită; 4 - sursă de aer comprimat; 5 - duză de pulverizare; 6 - cameră de depunere; 7 - jet pulverizat; 8 - fibre solidificate; 9 - transportor; 10 - cuptor de uscare; 11 - role de debitare.

3.8.6.7. Turnarea continuă a maselor plastice și cauciucului

Prin turnare continuă se pot realiza produse tubulare lungi din cauciuc și mase plastice, cum ar fi: tuburi, furtunuri, conductori izolanți etc. Schema de principiu a unei instalații de turnare continuă a maselor plastice se prezintă în figura 3.109. Masa plastică încălzită la temperaturi cuprinse între 370K și 670K este transportată continuu de melcul 3 până în scula 7 (extruder sau filieră), rezultând în final produsul 9, antrenat de o bandă rulantă 10, spre zona de depozitare preliminară, unde se răcește în aer sau este cufundat într-o baie de răcire.

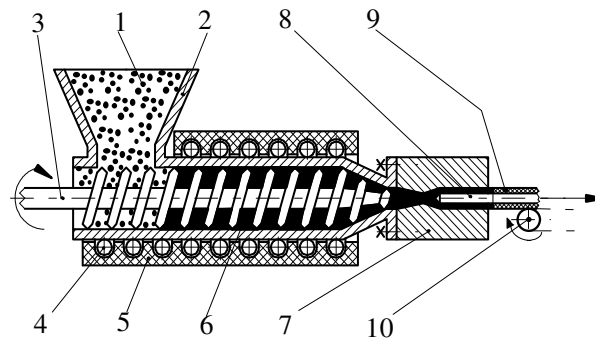


Fig. 3.109. Turnarea continuă a produselor tubulare din mase plastice și/ sau cauciuc:

1 - granule; 2 - pâlnie dozator; 3 - melc transportor; 4 - rezistențe de încălzire; 5 - suport izolator; 6 - material topit (stare lichido-vâscoasă); 7 - extruder (filieră); 8 - miez; 9 - piesa solidificată; 10 - bandă rulantă.

3.8.6.8. Turnarea continuă a betoanelor

Prin turnare continuă se obțin construcții înalte din beton armat de mari dimensiuni, de secțiune circulară, poligonală sau prismatică cum ar fi: coșuri, turnuri, imobile, anvelope de reactoare nucleare, silozuri, baraje etc. Ca și în cazul aliajelor, turnarea continuă a betoanelor este un procedeu de mare productivitate. Ca forme de turnare sunt utilizate cofrajele glisante sau pășitoare, care se deplasează (se ridică) pe măsură ce se produce solidificarea părții inferioare, sprijinindu-se pe aceasta. Astfel se realizează mai întâi pereții exteriori verticali ai construcției, compartimentarea și planșeele fiind realizate ulterior prin alte procedee. Pentru alimentarea cu beton sunt utilizate bene transportate individual sau pompe de beton, care fac alimentarea continuă. Glisarea duce la scurtarea considerabilă a duratei de execuție, de la domeniul lunilor la cel al câtorva zile.

3.8.6.9. Turnarea continuă a materialelor compozite

La *materialele compozite metalice*, turnarea continuă se utilizează ca și la materialele metalice propriu-zise. Procedeu se recomandă a fi utilizat în special pentru că permite solidificarea dirijată, prevenind apariția fenomenului de segregare.

La *materialele compozite nemetalice* pe bază de fibre de armare și matrice, procedeu se referă, ca și în cazul turnării continue a betoanelor, la depunerea matricei peste armătură.

3.8.7. Procesul tehnologic de obținere a unei piese prin turnare în forme permanente

Spre deosebire de turnarea în forme temporare, unde atenția tehnologului se focalizează pe conceperea modelului asamblat, în cazul utilizării formelor permanente efortul primordial constă în proiectarea formei de turnare - cochila, matrița sau cristalizorul. Formele de turnare permanente sunt mult mai scumpe decât cele temporare, deoarece ele sunt confecționate din materiale durabile, greu de prelucrat și sunt apte să permită reutilizarea formei. Gradul de complexitate al formelor și deci costul crește la turnarea cu forțe suplimentare și la utilizarea mașinilor de turnare.

3.8.7.1. Rentabilitatea procedeeleor de turnare în forme permanente

Turnarea în cochile și cea la joasă presiune sunt procedee rentabile pentru cantități de peste 40 000 de bucăți piese. Formele durabile sunt mai scumpe decât modelele pentru formele temporare, dar ceva mai ieftine decât matrițele de turnare sub presiune. Pe de altă parte, manopera pentru obținerea unei piese turnate în forme durabile este mai redusă în comparație cu cea de realizare a aceleiași piese

turnate în forme temporare, dar mai mare față de cea de realizare a aceleiași piese turnate în matriță. Figura 3.110 prezintă costurile relative de realizare a pieselor prin diferite procedee de turnare, corespunzătoare diferitelor volume de producție. Se observă că turnarea gravitațională este mai rentabilă decât turnarea la presiuni înalte pentru producții de peste 20 000 de bucăți. La cantități de peste 2 500 de bucăți, turnarea în cochile devine competitivă cu turnarea în forme temporare. Creșteri importante de productivitate se pot obține prin utilizarea matrițelor cu cavități generatoare multiple.

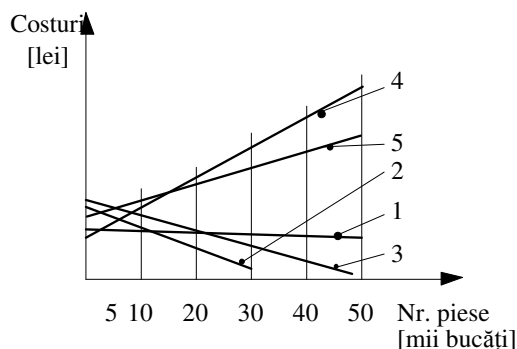


Fig. 3.110. Costurile relative ale procedeelelor de turnare în:

- 1 - cochile; 2 - forme permanente la joasă presiune; 3 - forme permanente sub presiune; 4 - forme temporare din amestec obișnuit; 5 - forme temporare din ipsos.

Durabilitatea matrițelor este mare, de la circa 50 000 de bucăți/cavitate generatoare (la turnarea pieselor mici din fontă cenușie în cavități protejate prin acoperire cu straturi ceramice), la circa 100 000 de bucăți la turnarea aliajelor de magneziu.

Turnarea centrifugală se poate aplica atât în producția de unicat - când sunt utilizate forme temporare, cât și în producția de serie mică și medie, când se utilizează forme din grafit. Utilizarea formelor din grafit sunt rentabile de la 50 de turnări în sus. Turnarea centrifugală în forme metalice este rentabilă de la 400 de utilizări în sus.

Turnarea în matrițe (sub presiune înaltă) este rentabilă în producția de serie mare și de masă (5 000...10 000 de turnări). Matrițele de turnat sub presiune sunt scule relativ scumpe; cu cât toleranțele dimensionale și de formă impuse piesei turnate sunt mai strânse (precizie ridicată), cu atât mai scumpă va fi matrița. Un aspect important pentru determinarea rentabilității sculei este natura materialului de turnat, astfel:

- o matriță pentru piese din aliaje de zinc permite circa 10^6 utilizări;
- o matriță pentru piese din aliaje de aluminiu sau magneziu permite circa 125 000 de turnări;
- o matriță pentru piese din alamă rezistă între 5 000...50 000 de turnări, în funcție de mărimea piesei realizate și de materialul sculei.

Cadența de turnare sub presiune este ridicată. Astfel, pentru o piesă de 0,5 kg din aliaj de aluminiu, având o suprafață totală de 320 cm², poate fi realizată cu o

productivitate de 100 bucăți/oră; în timp ce o piesă mare, complexă, de 9 kg, poate fi realizată cu o productivitate de numai 10...15 bucăți/oră.

Debavurarea în matriță crește costul sculei. De aceea ea este rentabilă numai pentru producții de peste 10 000...20 000 turnări, sub aceste limite recomandându-se utilizarea debavurării ulterioare.

O analiză comparativă a principalilor indicatori tehnico-economici la turnarea în forme, prin diferite procedee tehnologice de turnare se prezintă în tabelul 3.26.

3.8.7.2. Proiectarea formei pieselor turnate în forme permanente

Recomandările pentru proiectarea formei pieselor turnate în forme permanente sunt funcție de procedeul tehnologic de turnare ales. Astfel, la turnarea în cochile, datorită vitezei mari de răcire a piesei turnate în forma metalică, pentru a permite umplerea completă a cavității formei, la turnarea gravitațională, trebuie ca, pe de o parte, grosimea pereților piesei turnate să fie suficient de mare, iar, pe de altă parte, configurația piesei să fie cât mai simplă.

Pentru piesele turnate în cochile se recomandă următoarele rezolvări constructive:

- *găurile* trebuie să aibă axele dispuse perpendicular pe planul de separație, astfel încât să nu necesite miezuri suplimentare. Diametrul minim al miezurilor este de 6...9 mm, variind în funcție de lungimea găurii, care nu trebuie să depășească 6 diametre, pentru a se putea menține rigiditatea miezului;
- *îclinările* sunt necesare pentru că permit extragerea rapidă a piesei din cochilă. La interior înclinările trebuie să fie mai mari decât la exterior, pentru a preîntâmpina efectul contracției piesei pe miezuri (1° ... 3° , la exterior; 2° ... 5° , la interior);
- *razele și racordările* trebuie să fie ample pentru a se ușura curgerea aliajului topit. Racordările trebuie să aibă o rază minimă cel puțin egală cu grosimea peretelui piesei, în timp ce razele exterioare trebuie să fie de minimum 3 ori grosimea peretelui;
- *nervurile* sunt asemănătoare celor ale pieselor turnate în forme temporare;
- *armarea (inserțiile)* se poate face cu ușurință, dar trebuie prevăzută o asigurare prin formă contra demontării. În jurul inserțiilor trebuie asigurată o grosime uniformă și completă de perete;
- *inscripționările* se prevăd în mod asemănător celor ale pieselor turnate în forme temporare;
- *planul de separație* se preferă suprafețele plane, drepte, în plan orizontal sau vertical;
- *variația grosimii peretelui* trebuie menținută cât mai uniformă. Grosimea peretelui și zonele de trecere trebuie să fie cât se poate de line;
- *adaosurile de prelucrare* sunt cu circa 60...70% mai mici decât la piesele turnate în forme temporare, fiind de circa 0,8...2 mm.

Tabelul 3.26. Compararea indicatorilor tehnico-economici la turnarea în formă

Indicatorii tehnico-economici relativi	Valori preferate ↑ - mari ↓ - mici	Turnarea în formă					
		Temporare		permanente			
		din amestec (referința - 100%)	din ipsos	în cochile		centrifugală	sub presiune
				manual	mecanizat		
Caracteristicile piesei realizate prin turnare	↓	100	20-50	60	60	10-30	60-75
	↓	100	60-75	60	60	75-100	10-20
	↓	100	40-80	70-90	50-80	90-150	5-15
	↓	100	50-75	30-60	30-40	90-130	5-30
	↑	100	100	90-130	90-135	80-120	80-120
	↑	100	100-130	100-140	110-150	80-125	140-180
Caracteristicile procedului	↑	100	75-90	130-180	150-200	125	350
	↑	100	60-80	130-150	140-180	90-110	360-400
	↓	100	90-120	50-75	35-55	35-65	40-50
	↓	100	100-120	110-130	120-150	90-130	180-300
	↓	100	100-110	70-140	80-160	110-140	230-260
	↓	100					

Câteva caracteristici de bază ale pieselor turnate în cochilă prin cădere liberă se prezintă în tabelul 3.27.

Tabelul 3.27. Caracteristici ale pieselor turnate în cochile prin cădere liberă

Dimensiunea minimă [mm]	Gabaritul piesei		
	mic	mijlociu	mare
Grosimea peretelui -piese fără miezuri; -piese cu miezuri temporare	3	8	15-20
	2,5	5	10-15
Razele de racordare interioare (a, b -grosimea pereților alăturați)	$R = \frac{a+b}{5}$	$R = \frac{a+b}{5}$	$R = \frac{a+b}{3}$
Înclinarea pereților interiori (în grade)	5°	3°	2°

La turnarea centrifugală trebuie ținut cont în primul rând de caracteristicile acestui procedeu. O primă caracteristică a turnării centrifugale în forme permanente este absența rețelei de turnare și a maselotelor. De aceea, recomandările constructive sunt mai reduse decât la celelalte procedee de turnare și ele constau din următoarele:

- *razele de racordare* deși nu atât de pronunțate ca la procedeele anterioare, la intersecțiile de pereți se prevăd întotdeauna raze de racordare pentru a se evita concentrarea tensiunilor;
- *grosimea pereților* procedeul permite realizarea de grosimi de pereți cuprinse între 6 mm și 125 mm. În mod obișnuit se preferă grosimi de circa 9 mm;
- *găurile obținute prin turnare centrifugală* cu miezuri nu pot fi mai mici de Ø25 mm. Pentru diametre mai mici se recurge la găurirea ulterioară;
- *înclinările* sunt necesare pentru a permite extragerea piesei din forma de turnare.

La turnarea sub presiune se recomandă următoarele rezolvări constructive:

- *grosimea pereților* trebuie menținută cât mai uniformă. Totdeauna trebuie evitate grosimile de peste 6 mm. Un deosebit punct de interes îl prezintă efectul dat de răcirea rapidă a aliajului asupra rezistenței stratului superficial (0,38...0,63 mm) prin formarea unei structuri fine, lipsite de porozități. La reducerea grosimii peretelui, datorită turnării sub presiune, efectul este amplificat, rezultatele cele mai favorabile obținându-se pentru grosimi de perete cuprinse între 0,75 mm și 1,3 mm. Grosimea minimă a pereților recomandată la turnarea în forme metalice se prezintă în tabelul 3.28;

- *bosajele* se fac astfel încât să nu se formeze noduri termice, care pot avea ca efect deteriorarea aspectului suprafeței exterioare a piesei prin apariția unor concavități zonale (fig.3.111);

- *nervurile și racordările* pot fi utilizate pentru întărirea secțiunilor periculoase și reducerea grosimii pereților (fig.3.112). Sunt preferate nervurile cu axa perpendiculară pe planul de separație, care nu necesită miezuri mobile (retractabile).

Tabelul 3.28. Caracteristici ale pieselor turnate la presiune înaltă

Aliajul	Masa [kg]	Gabaritul [mm]	Grosimea minimă a peretelui, raportată la suprafață [mm/cm ²]			
			<25	25-100	100-500	>500
Aluminiu	15-25	800×600×300	0,6-1,2	1,2-1,8	1,8-2,5	2,5-3
Cupru	5	400×250×15	1,5-2	2-2,5	2-3,3	3-4
Magneziu	5-7	800×600×300	0,6-1,2	1,2-1,8	1,8-2,5	2,5-3
Plumb	1	300×200×200	0,5-1	1-1,5	1,5-2	2-2,5
Staniu	0,5-1					
Zinc	16-20	800×600×300				

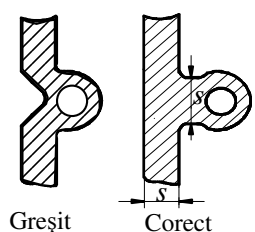


Fig. 3.111. Construcția bosajelor la turnarea sub presiune.

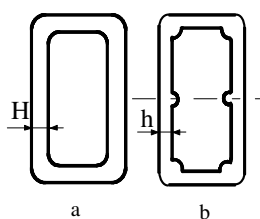
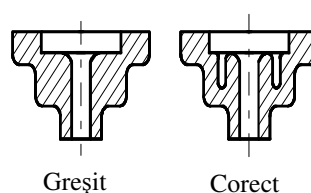
Fig. 3.112. Micșorarea grosimii pereților prin nervurare:
a - fără nervuri; b - nervuri cu axa perpendiculară pe planul de separație.

Fig. 3.113. Nervurarea cu miezuri.

Grosimea nervurilor nu trebuie să depășească grosimea peretelui, lungimea poate fi de maximum 4 ori grosimea, iar înclinarea de 2°. În zonele piesei unde există goluri interioare în apropierea unei secțiuni mari se preferă utilizarea unor miezuri suplimentare, care să uniformizeze grosimea pereților. Nervurile nu trebuie să genereze noduri termice suplimentare. Ori de câte ori este posibil, se va face nervurarea pe ambele părți ale peretelui, astfel încât să se mențină grosimea constantă (fig.3.113). În cazul intersecției a două nervuri, aceasta e de preferat să se facă după direcții perpendiculare, iar intersecțiile multiple trebuie evitate. Nervuri suplimentare pot fi adăugate matriței, dacă se constată că este necesar după testarea seriei zero, prin prelucrare ulterioară cu microașchii a acesteia;

- *razele de racordare* - trebuie evitată schimbarea bruscă a direcției de curgere a aliajului lichid din matriță, pentru a preveni apariția porozităților. Muchiile ascuțite și colțurile sunt concentratori de eforturi, de unde se vor propaga fisurile în piesă. Pe de altă parte, ele sunt defavorabile pentru prelucrarea și construcția matriței, pentru că sunt puncte de concentrare a căldurii, de unde începe coroziunea sculei. De aceea, razele și racordările trebuie să fie cât mai ample, de minimum 1,5 ori grosimea peretelui alăturat;

- *găurile* - axele trebuie să fie perpendiculare pe planul de separație;

dimensiuni minime: $\varnothing 3$ mm - pentru aliaje de Al și Mg; $\varnothing 1,5$ mm - pentru aliajele de Zn. Se va evita folosirea miezurilor mobile, care necesită spațiu, complică construcția sculei și amplifică uzarea. Se recomandă utilizarea șuruburilor autofiletante introduse direct în găurile rezultate prin turnare, fără a se folosi prelucrări ulterioare prin așchiere;

- *filetele* – se pot realiza numai filete de precizie medie. Cel mai practic mod de obținere a filetelor exterioare prin turnare în matriță este de a plasa axa filetului în planul de separație, astfel încât să se simplifice operația de extragere a piesei (fig.3.114). Realizarea filetelor interioare, prin turnare în matriță, presupune prevederea unei modalități de deșurubare a miezului: prin rotirea piesei sau a miezului. Acest procedeu se poate aplica numai materialelor care au o contracție redusă la solidificare, cum ar fi aliajele de zinc. Câteva valori minime pentru găuri și filete ce pot fi obținute prin turnarea în forme metalice sunt prezentate în tabelul 3.29;

Tabelul 3.29. Dimensiuni minime ale găurilor și filetelor la turnarea în forme metalice

Aliajul	Diametrul minim [mm]	Adâncimea maximă [mm] \times d_{min}		Dimensiunile minime ale filetelor		
		Găuri înfundate	Găuri străpunse	Pasul [mm]	Diametrul	
					exterior	interior
Aluminiu	2,5	3	5	1	12	15
Cupru	3	3	4	1,5	12	-
Magneziu	2,5	6	10	1	12	15
Plumb	1	4	10	1	5	10
Staniu	1					
Zinc	1	6	12	0,75	8	10
Oțel	8	3	4	-	-	-
Fontă	6	3	4	-	-	-

- *inserțiile* se utilizează curent pentru realizarea filetelor exterioare (prezoane), sau interioare (bucșe filetate). Prezoanele și bucșele trebuie să fie asigurate constructiv împotriva demontării (fig.3.115). Utilizarea turnării cu inserții scade productivitatea turnării, prin mărirea duratei de pregătire a matriței;

- *adaosurile de prelucrare* nu trebuie să depășească 0,5 mm. Această valoare a adaosurilor de prelucrare depinde de grosimea stratului superficial cu structură fină și densă a piesei turnate. Peste această valoare există riscul străpungerii stratului superficial și deschiderii unor structuri poroase, care pot afecta funcționarea piesei. Din aceeași cauză, găurile care urmează a fi filetate ulterior trebuie realizate din turnare și nu prin găurire;

- *curățarea piesei turnate* se poate face în matriță sau manual. Poate scumpi considerabil piesa turnată și din această cauză, tăierea bavurilor și a rețelei de turnare cu ajutorul dispozitivelor matriței se consideră suficientă la o distanță de 0,35 mm de peretele piesei. Pentru a se facilita debavurarea se vor evita

intersecțiile oblice ale pereților exteriori cu planul de separație, prin adăugarea unor umeri de racordare, perpendiculari pe planul de separație (fig.3.116);

- *inscripționările* se pot face inscripționări pe piesă în relief sau gravate. Ele se amplasează întotdeauna în planele paralele cu planul de separație (pe fundul semimatriței). Peretele matriței trebuie prelucrat în aceste cazuri după negativul profilului, deoarece prelucrarea caracterelor în relief este foarte dificilă. Mult mai economică este realizarea gravării. În multe cazuri se preferă inscripționarea cu ajutorul unor pastile care se montează în matriță (acest tip de inscripționare prezintă și avantajul că permite modificarea rapidă a datelor înscrise, de la o turnare la alta).

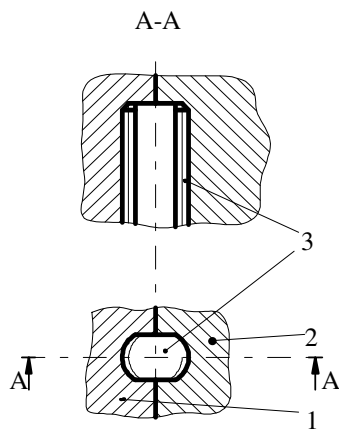


Fig. 3.114. Proiectarea filetelor
exterioare:
1, 2 - semimatrițe; 3 - piesa.

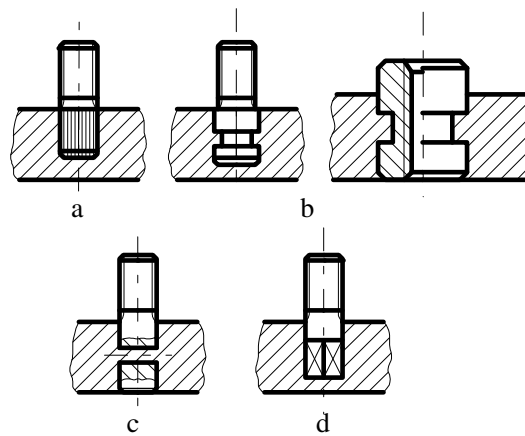


Fig. 3.115. Proiectarea inserțiilor și asigurarea
contra desfacerii:
a - prin striere; b - prin canelare; c - prin găurire;
d - prin fațetare.

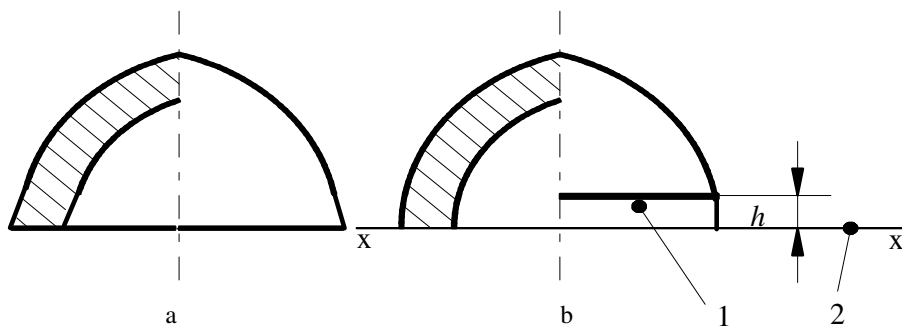


Fig. 3.116. Proiectarea zonelor debavurate:
a - de evitat; b - de dorit; 1 - umeri de racordare; 2 - planul de separație.

Pe piesă o astfel de inscripționare va apare într-o depresiune, sub nivelul peretelui exterior. Dimensiunile recomandate pentru caractere sunt: grosimea minimă: 0,25 mm; înălțimea minimă: 0,25...0,50 mm; înclinarea minimă pentru demulare: 10°;

- *aspectul suprafețelor* - suprafețele plane de dimensiuni mari sunt inestetice deoarece pun în evidență cu ușurință defectele superficiale și ele necesită curățare suplimentară prin sablare, polizare sau periere. Defectele superficiale pot fi mascate prin proiectarea suprafețelor vizibile cu diverse detalii constructive cum ar fi nervurile, bosajele, racordările, texturarea suprafeței etc.

3.8.7.3. Tehnologii tip la turnarea în forme permanente

Procesul tehnologic la turnarea în forme permanente este prezentat în figura 3.117. Temperaturile și vitezele de turnare a aliajelor în formele permanente sunt asemănătoare celor utilizate la turnarea în forme temporare. Deosebiri constau în necesitatea preîncălzirii formelor permanente (pentru a limita apariția tensiunilor termice), precum și în duratele mult mai mici de menținere a piesei în formă.

Restricții importante se impun în cazul materialelor turnate sub presiune în matrițe, un exemplu fiind prezentat în tabelul 3.30.

Tabelul 3.30. Turnarea sub presiune a aliajelor neferoase

Aliajul	Temperatura de turnare [°C]	Temperatura formei [°C]	Mașini de turnare utilizate	Presiunea [MPa]
Aluminiu-Siliciu	600-700	150-250	Cu cameră rece, compresie cu piston	10-20
Aluminiu-Cupru	620-700	150-250		30-100
Cupru	850-950	300-350		
Magneziu	600-700	200-250	Cu cameră caldă, compresie cu piston sau compresor	10-20
Plumb	200-360	120-140		2-7
Staniu	280-330	130-150		
Zinc	420-440	150-200		

3.8.7.4. Construcția formelor permanente

Pe lângă configurația interioară a cavității generatoare a piesei din forma de turnare, proiectantul formelor permanente (cochile, cristalizoare, matrițe) trebuie să aibă în vedere rezolvarea următoarelor probleme:

- dimensionarea optimă a grosimii pereților, astfel încât să se asigure, atât solidificarea în bune condiții a piesei, cât și durabilitatea maximă a formei;
- evacuarea eficientă a gazelor din cavitatea formei;
- închiderea și etanșarea semiformelor;
- deschiderea semiformelor și extragerea ușoară a piesei;
- asamblarea și extragerea miezurilor permanente;
- montarea semiformelor pe mașina de turnare.

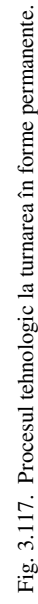


Fig. 3.117. Procesul tehnologic la turnarea în forme permanente.

La construcția cochilelor trebuie avută în vedere în primul rând grosimea pereților cochilelor, care se determină din calculul termic, pornind de la ipoteza că întreaga cantitate de căldură cedată de aliajul lichid este preluată de forma metalică. O determinare rapidă a grosimii peretelui formei se poate face cu ajutorul unor relații empirice, plecând de la grosimea minimă a peretelui piesei turnate,

$$s_f = k \cdot s_p \text{ [mm]} , \quad (3.45)$$

unde: s_f este grosimea minimă a peretelui formei de turnare; s_p - grosimea medie a peretelui piesei turnate; k - coeficient de corecție ($k=1$ pentru piese cu pereți groși, respectiv $k<1$ pentru pereți subțiri).

Tabelul 3.31. Grosimea minimă a pereților cochilelor

Condițiile de turnare	Grosimea peretelui piesei turnate p_p [mm]					
	Turnarea fontei			Turnarea oțelului		
	<15	15-30	>30	<20	20-50	>50
Turnarea cu întreruperi	15	20-30	$0,8 \times p_p$	20	25-40	$0,7-0,9 \times p_p$
Turnarea frecventă	20	30-40	p_p	25	40-50	p_p
Turnarea frecventă, cu răcirea forme	15	20-30	$0,8 \times p_p$	20	20-35	$0,8 \times p_p$

Poziția piesei în formă trebuie să permită umplerea liniștită a cavității forme și să prevină formarea de noduri termice. De regulă, piesele se așează vertical, iar alimentarea cavității generatoare a piesei se face în sifon. Dimensiunile minime recomandate pentru configurația interioară a forme de turnare sunt:

- distanța dintre cavitățile generatoare ale pieselor: 10...20 mm;
- distanța dintre piciorul pâlniei și cavitatea generatoare a piesei: 25...30 mm;
- distanța dintre cavitatea generatoare a piesei și marginea exterioară a forme 25...30 mm;
- distanța dintre canalele rețelei de turnare și marginea exterioară a forme 75...100 mm;
- distanța dintre cavitatea generatoare a piesei și poziția pâlniei de turnare 40...65 mm;

Evacuarea gazelor din cavitatea forme metalice se face prin răsuflători, a căror amplasare este similară celor folosite la formele temporare. Răsuflătorile se execută de formă tronconică cu baza în planul de separație, având secțiune ovală, pentru a ușura extragerea din formă. Dimensionarea răsuflătorilor se face punând condiția ca viteza de evacuare a gazelor să fie superioară vitezei de umplere a cavității forme de turnare. Pe lângă răsuflători, în planul de separație se prevăd canale de aerisire, de adâncime 0,25...1,0 mm și lățime de 3 mm, care comunică cu exteriorul prin jocul dintre semicochilele asamblate de 0,15...0,25 mm. Dacă nu se pot amplasa toate proeminențele piesei în planul de separație, se prevăd canale de

de aerisire separate, cu diametre de $\varnothing 4...6$ mm, la formele mici, respectiv de $\varnothing 9...10$ mm, la formele mari, unde, pentru a preveni pătrunderea aliajului topit în canalele de aerisire, acestea se astupă cu dopuri găurite (diametrul găurilor este de $\varnothing 0,4$ mm).

Construcția matrițelor trebuie să asigure închiderea sigură și etanșă. De aceea, în acest scop se calculează secțiunea maximă admisibilă a piesei turnate, cu relația

$$S_{ap} = \frac{0,85 \cdot F_{\max}}{p} [\text{cm}^2] , \quad (3.46)$$

unde: S_{ap} este secțiunea maximă admisibilă a piesei turnate în matriță în [mm]; F_{\max} - forța maximă de închidere a matriței în [N]; p - presiunea de turnare în [N/cm^2].

Masa maximă a piesei (pieselor) care pot fi turnate în matriță pe o anumită mașină depinde de performanțele mașinii și de natura aliajului de turnat, determinându-se cu relația

$$m_p = 0,75 \cdot V_u \cdot \rho [\text{kg}] , \quad (3.47)$$

unde: m_p este masa maximă a piesei turnate în [kg]; V_u - volumul util al camerei de compresie a mașinii în [cm^3]; ρ - densitatea aliajului de turnat în [kg/cm^3].

3.9. PROCEDEE SPECIALE DE TURNARE

În această categorie au fost incluse procedeele de turnare cu aplicabilitate restrânsă, ale căror utilizări pe scara industrială au apărut în ultimele decenii. Este de remarcat faptul că, în urmă cu 15 ani și procedeele de turnare în forme permanente mai erau încă incluse în această categorie, dar, pe măsura generalizării utilizării lor, acestea au încetat de a mai fi considerate „speciale”.

Procedeele speciale de turnare prezentate în continuare pot fi clasificate astfel:

- procedee cu formare specială;
- procedee cu turnare-umplere specială a formei;
- procedee cu solidificare specială a piesei;
- procedee cu dezbatere specială a formelor.

Pot exista și procedee de turnare, care să conțină numai unul sau mai multe elemente speciale prezentate mai sus.

3.9.1. Turnarea prin expulzarea progresivă a jetului de aliaj topit

Este un procedeu la care solidificarea piesei se face în condiții dinamice prin curgerea continuă a fazei lichide în raport cu crusta solidificată, datorită compresiei exercitate de una din semiforme, care este mobilă. Acest procedeu de turnare este singurul la care secțiunea jetului de aliaj lichid este cu mult mai mare decât secțiunea medie a peretelui piesei.

Pregătirea formei de turnare constă în: curățirea suprafețelor active ale matriței, acoperirea acestora cu vopsea refractară, montarea miezului din amestec de formare 2, preîncălzirea matriței cu ajutorul rezistențelor electrice 8 și 9 (fig.3.118). Turnarea aliajului lichid 5 se face în alimentatorul central, matrița fiind în stare deschisă, iar umplerea cavității formei are loc prin comprimarea aliajului lichid la închiderea matriței. Închiderea completă a matriței se face la sfârșitul solidificării piesei 7. La deschiderea matriței se face extragerea piesei împreună cu miezul temporar, care ulterior este dezbătut din piesă.

Ca particularități ale procedurii se pot menționa:

- inexistența pierderilor hidraulice la curgerea aliajului topit, datorită secțiunii mai mari a jetului de aliaj decât a secțiunii medii a peretelui piesei;
- solidificarea în condiții dinamice se face în două etape: în prima etapă are loc formarea crustelor de solidificare la interfața cu semimatrițele, iar în etapa a doua are loc îmbinarea crustelor prin comprimarea aliajului lichid și evacuarea surplusului din cavitatea formei.

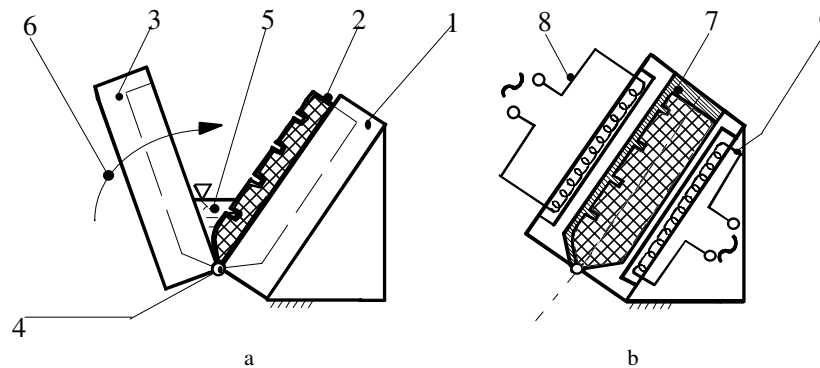


Fig. 3.118. Forma de turnare prin expulzare progresivă:

- a - matrița deschisă; b - matrița închisă; 1 - semimatrița fixă; 2 - miez din amestec de formare;
3 - semimatrița mobilă; 4 - articulația semimatrițelor; 5 - aliajul lichid; 6 - sensul de închidere a matriței; 7 - piesa; 8, 9 - rezistențe de încălzire a semimatrițelor.

La turnarea clasică, cu umplerea cavității formei prin curgere gravitațională, viteza de umplere v_u a formei este dependentă de înălțimea coloanei de aliaj lichid H , fiind dată de relația

$$v_u = \mu \cdot \sqrt{2g \cdot H} \quad [\text{m/s}] \quad (3.48)$$

unde μ este coeficientul pierderilor hidraulice ($\mu < 1$).

Coeficientul pierderilor hidraulice μ ia în considerare efectul forțelor de frecare, care apar la curgerea aliajului topit, atât între straturile fluide și pereții cavității forme și ai rețelei de turnare, cât și ca urmare a modificării secțiunii și a direcției canalelor rețelei de turnare.

După cum rezultă din relația (3.48) se poate majora înălțimea piciorului pâlniei de turnare (creșterea înălțimii metalostatice H) în scopul creșterii vitezei de curgere a aliajului.

Din observațiile experimentale (fig. 3.119), a rezultat că nu se poate crește oricât de mult viteza de curgere a aliajului, prin mărirea coloanei metalostatice, și că de la o anumită valoare a înălțimii $H_{cr} = 0,45 \text{ m}$ se constată o stabilizare a valorii vitezei $v_{ucr} = 1,25 \text{ m/s}$. În cazul rețelelor uzuale de turnare (la turnarea gravitațională) pierderile hidraulice pot atinge valori importante, de 25...30%, fapt ce impune (în special la realizarea pieselor mari cu pereți subțiri) utilizarea unor forțe suplimentare pentru comprimarea aliajului în cavitatea forme. Aceste dezavantaje sunt înlăturate de procedeul de turnare prin expulzare progresivă.

În cazul procedeului de turnare prin expulzarea progresivă, comprimarea aliajului se face gradual, în lipsa unei rețele de turnare. Umplerea cavității forme se face la joasă presiune, $p_c = 0,05 \dots 0,06 \text{ MPa}$, caz în care se pot folosi miezuri din amestec de formare. Regimul de lucru este asemănător celui de la turnarea la joasă presiune, cu deosebirea că în cazul expulzării progresive nu se utilizează rețea de turnare, iar secțiunea jetului de aliaj este mai mare decât cea a peretelui piesei.

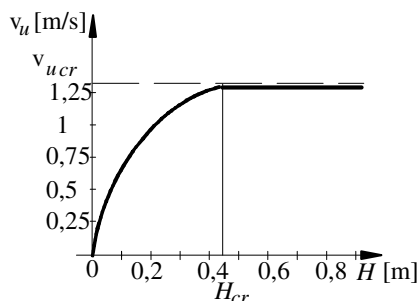


Fig. 3.119. Dependența dintre viteza de curgere v_u a aliajului în formă și înălțimea metalostatică H , la turnarea gravitațională.

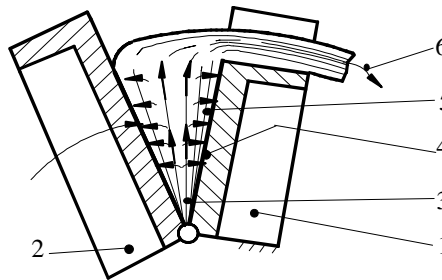


Fig. 3.120. Procesul de alimentare cu aliaj lichid a crustelor de solidificare:
1 - semimatriță fixă; 2 - semimatriță mobilă;
3 - aliajul lichid; 4 - crusta solidificată; 5 - zona bifazică; 6 - evacuarea surplusului de aliaj după umplerea forme.

Solidificarea în condiții dinamice a aliajelor se face cu modificarea câmpu-

lui termic din aliajul lichid și cu modificarea structurii de solidificare (prin ruperea mecanică a vârfurilor dendritelor de către jetul de aliaj comprimat), rezultând o superfinisare a structurii, cu obținerea de cristale fine echiaxiale.

Din figura 3.120 se observă schema procesului de curgere continuă a aliajului lichid în fața frontului de solidificare, modul de eliminare parțială a zonei bifazice, prin spălarea acesteia de jetul de aliaj, având drept consecință formarea unei structuri fine în crusta de solidificare.

Procedeul se utilizează la realizarea pieselor de mari dimensiuni, cu grosimi mici de pereți, precum: carcase, panouri, panouri rigidizate cu nervuri, profile deschise cu lățimi mari etc.

3.9.2. Turnarea prin matrițare lichidă

Turnarea prin matrițare lichidă cuprinde procedeele de turnare la care umplerea formei se face în mod obișnuit, prin curgerea gravitațională liberă, dar pe durata solidificării se aplică o suprapresiune mecanică. Forma piesei este dată de acțiunea combinată a părții fixe cu a celei mobile a matriței (poanson, piston sau semimatriță).

Domeniul de presiuni la care se desfășoară procesul este superior celui utilizat la turnarea la joasă presiune și la turnarea prin expulzare progresivă, fiind situat între 8...150 MPa.

După modul de acțiune a semimatriței mobile se disting următoarele variante ale procedurii (fig.3.121).

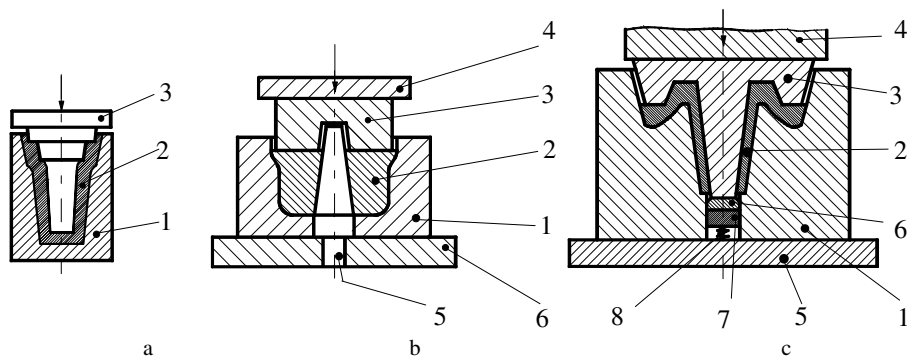


Fig. 3.121. Variante ale turnării prin matrițare lichidă:

a - presiune realizată cu piston profilat care asigură atât compresia, cât și forma suprafeței interioare a piesei; 1 - semimatriță fixă; 2 - aliaj lichid; 3 - piston; b - presiune realizată cu poanson mobil care asigură compresia și forma suprafeței frontale a piesei, în timp ce forma interioară este realizată cu miezul matriței 5, fixat în placa de bază 6; c - presiune realizată cu semimatrița mobilă 3, fixată în sabotul 4 care asigură compresia și forma interioară a piesei; surplusul de material lichid este evacuat prin orificiul 6 al semimatriței fixe 1, după ce s-a atins valoarea forței de comprimare a contrapistonului 7, acționat de resortul 8.

Matrițele utilizate lucrează în condiții grele, la temperaturi și presiuni mari. Pentru a se asigura o durabilitate cât mai ridicată, matrițele se construiesc robust, fără plane de separație, și cu cât mai puține elemente mobile.

3.9.3. Turnarea cu modele ușor volatile

În scopul simplificării operațiilor de formare și a creșterii productivității procesului de turnare, în cazul turnării în forme temporare, s-a recurs la utilizarea unor modele temporare, care să nu necesite demulare, fapt ce simplifică construcția formei, permițând realizarea de piese fără plane de separație. Deosebirea esențială a procedurii de turnare cu modele ușor volatile, față de procedeul cu modele ușor fuzibile, constă în faptul că, în cazul modelelor volatile, acestea sunt gazeificate chiar prin contactul cu aliajul topit, la umplerea formei de turnare. Formele de turnare pot fi din amestec de formare obișnuit, cu liant special sau criogenic, având pereții groși. Se mai pot utiliza alice metalice liate în câmp electromagnetic. În toate cazurile trebuie luate măsuri suplimentare, deosebite în ceea ce privește evacuarea volumului suplimentar de gaze rezultate din distrugerea modelului. Principiul formării cu modele ușor volatile se prezintă în figura 3.122.

Modelele volatile se confecționează din polistiren expandat prin debitare termică și lipire, în producția de serie mică și de unicate, și prin injectare în matrițe, în producția de serie mare și masă.

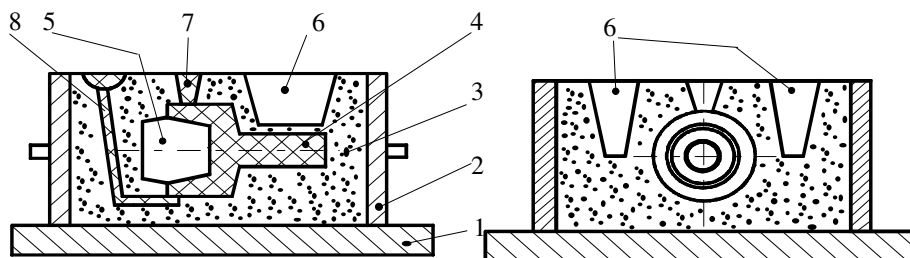


Fig. 3.122. Principiul formării cu modele ușor volatile:

1 - placă model; 2 - ramă de formare; 3 - amestec de formare; 4 - modelul asamblat; 5 - miez din amestec de formare asamblat în model; 6 - canale de aerisire; 7 - maselotă; 8 - rețea de turnare.

Datorită fragilității deosebite a materialului de model, precum și din cerința de a se asigura permeabilitatea mai ridicată a formei, amestecul de formare trebuie puțin îndesat.

În cazul formării cu alice din fontă, acestea sunt de formă sferică sau ovoidală, cu diametre între $\varnothing 0,3 \dots 0,6$ mm, pentru a se crește permeabilitatea. Tot pentru a se permite evacuarea mai bună a gazelor, alimentarea cavității generatoare a piesei se face prin turnare în sifon.

Pot fi prevăzute miezuri din amestec de formare special, care se assemblează în modelul de turnare.

3.9.4. Turnarea în forme vidate

Procedeul este recomandat pentru obținerea pieselor de dimensiuni mijlocii, în producția de serie mare și masă, permițând automatizarea complexă a procesului tehnologic, incluzând operațiile de formare, turnare, dezbatere și reutilizare a amestecului.

Acest procedeu, alături de cel de turnare în forme criogenice, sunt singurele procedee de formare la care amestecul de formare, pe bază de nisip cuarțos, poate fi reutilizat în totalitate.

Lierea se face cu mediu gazos, datorită forțelor exterioare de presiune care apar prin crearea unei depresiuni în interiorul amestecului de formare, între granulele de nisip din pereții forme de turnare.

Formarea se face în rame, cu modele permanente speciale, asamblate pe plăci model. Umplerea ramelor și îndesarea amestecului se poate face manual sau mecanizat prin: suflare, împușcare, vibrație, aruncare etc.

Semimodelul 1 (fig.3.123), realizat în construcție de tip carcasă, prevăzut cu orificii pentru circulația aerului, se assemblează pe cutia de vidare 2, astfel încât orificiile 4 ale cutiei să se afle în corespondență cu cele ale semimodelului. Racordul 3 se pune în legătură cu instalația de vidare. Folia de polietilenă 5, fixată pe rama mobilă 6, este încălzită cu rezistența electrică 7 în vederea mulării plastice pe model (fig.3.123. a).

Când folia a devenit suficient de plastică, este mulată pe semimodel cu ajutorul ramei mobile, luând forma acestuia 8 (fig.3.123. b).

Peste semimodelul asamblat cu cutia de vidare se așează rama superioară 9, prevăzută cu conducta de evacuare a gazelor 10, care comunică cu instalația de vidare prin racordul 11. Folia mulată 8 (pe semimodel) se etanșează pe marginile ramei de formare 12. Rama se umple cu amestecul de formare 13, constituit în acest caz din nisip cuarțos uscat, de granulație uniformă, fără impurități. Umplerea se face mecanizat prin aruncare și vibrație. La partea superioară rama se acoperă cu folia 14, care se mulează prin încălzire pe pereții exteriori ai ramei. Semiforma astfel închisă este racordată la instalația de vidare evacuându-se aerul, fapt ce conduce la lierea nisipului în spațiul delimitat de pereții ramei și cele două folii mulate etanș (fig.3.123. c).

După realizarea semiformei superioare se face demularea modelului prin desprinderea foliei cu aer comprimat insuflat prin cutia de vidare (fig.3.123. d).

Analog se realizează și cealaltă semiformă. În cazul pieselor cu goluri interioare se pot utiliza miezuri din amestec de formare, caz în care modelul se prevede cu mărci pentru așezarea miezurilor.

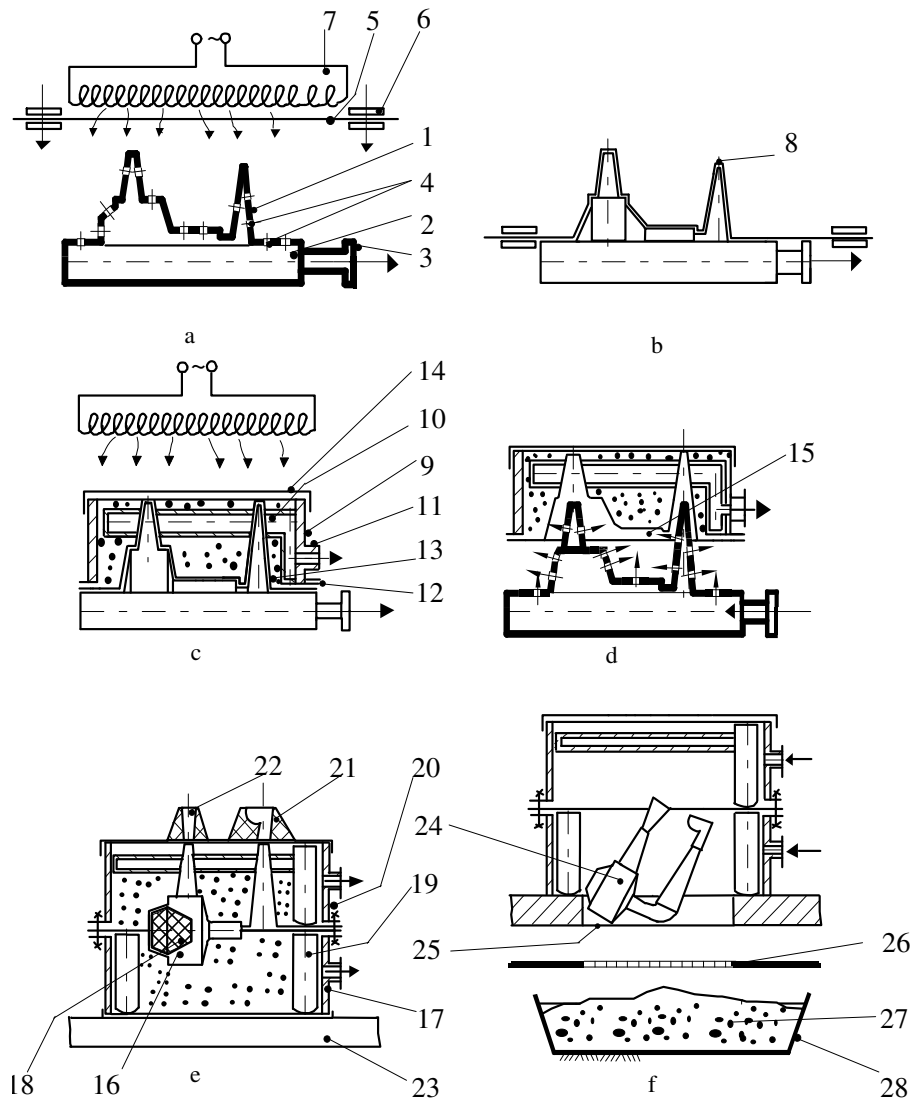


Fig. 3.123. Etapele de lucru la turnarea în forme vidate:

a - încălzirea foliei de polietilenă în vederea mulării; b - mularea foliei pe semimodel; c - formarea în rama superioară; d - demularea; e - asamblarea semiformelor în vederea turnării; f - dezbaterea formelor; 1 - semimodel; 2 - cutia de vidare; 3 - racord; 4 - orificii; 5 - folie de polietilenă; 6 - ramă mobilă; 7 - rezistență electrică; 8 - folie mulată; 9 - ramă superioară; 10 - conducta de evacuare a gazelor; 11 - racord; 12 - ramă de formare; 13 - amestec de formare; 14 - folie de închidere; 15, 16 - cavitatea formei; 17 - ramă inferioară; 18 - miez; 19 - pereți interiori; 20 - semiforme asamblate etanș; 21 - suportul pâlniei de turnare; 22 - suportul maselotei; 23 - placă model; 24 - piesa brut turnată; 25 - trapă; 26 - grătar; 27 - amestec folosit și refolosibil; 28 - buncăr.

Se assemblează cele două semiforme pe placa 23. Rama inferioară 17 este prevăzută, pe perimetrul pereților interiori 19, cu canale pentru evacuarea aerului (în desen lipsește conducta pentru evacuarea gazelor generate la turnare, deoarece acestea se ridică spre semiforma superioară). Cele două semiforme 20 se fixează etanș pe marginile ramelor, prevăzute cu flanșe. Cavitata formei 16, rezultă prin asamblarea semiformelor și prin montarea miezului 18. La partea superioară se montează suportii din șamotă, 22 și 21, pentru fixarea pâlniei de turnare și a maselotelor, în corespondență cu canalele din forma de turnare (fig.3.123. e).

Turnarea se face prin suportul pâlniei 21. Metalul sau aliajul lichid pătrunde în cavitatea formei prin arderea locală a foliei de polietilenă. Pe durata turnării și a solidificării piesei forma de turnare rămâne legată la instalația de vidare. După arderea foliei de polietilenă la contactul cu aliajul topit etanșarea se face în continuare satisfăcător prin masa aliajului. Gazele degajate în cavitatea de turnare sunt preluate prin conducta de evacuare 10 și canalul perimetral 19 în instalația de vidare, limitându-se astfel pericolul apariției defectelor de turnare.

După solidificarea piesei, dezbaterea formei se face foarte comod prin comprimarea amestecului din formă. Acesta se desprinde și curge prin trapa 25 a plăcii 23, după ce în prealabil a fost înlăturată folia de închidere inferioară, sub acțiunea greutatei proprii și a greutatei piesei 24 brut turnate. Piesa rămâne pe grătarul 26, în timp ce amestecul 27 este colectat în buncărul 28 pentru a fi refolosit (fig.3.123. f).

Procedeul este deosebit de eficient în cazul producției de serie mare și de masă deoarece asigură:

- reducerea consumurilor de materii prime și materiale de formare;
- simplificarea instalațiilor de preparare și distribuire a materialelor de formare;
- reducerea timpilor necesari formării și dezbaterei formei;
- reducerea defectelor de tipul suflurilor;
- reducerea apariției incluziunilor prin micșorarea numărului de componente ale amestecului de formare.
- condiții de lucru mult mai bune (absența prafului la locul de muncă).

Limitele procedurii se referă la gabaritul mic și mediu al pieselor realizabile, precum și la complexitatea ceva mai redusă (miezuri puține).

3.9.5. Turnarea în forme ceramice cu pereți subțiri

Procedeul se aplică la realizarea pieselor de precizie ridicată, dar de dimensiuni mai mari decât cele admise de procedeele de turnare în forme coji obișnuite.

Cel mai utilizat procedeu de realizare a formelor ceramice de tip coajă este *procedeul Shaw* (fig.3.124). Acesta utilizează amestec de formare special 1, aflat în

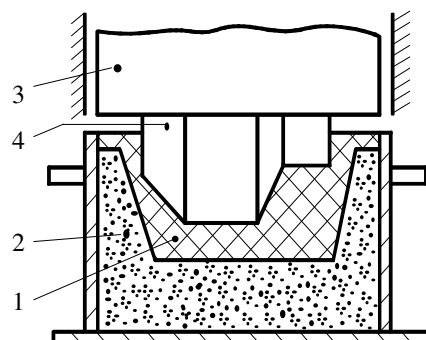
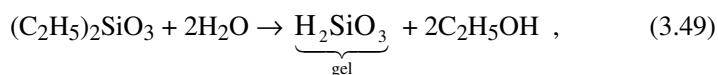


Fig. 3.124. Realizarea formelor ceramice cu pereți subțiri Shaw:
1 - amestec de formare lichid; 2 - formă preliminară;
3 - sabot; 4 - semimodel.

stare lichidă, care se toarnă într-o formă preliminară 2, de configurație mai simplă decât a piesei, confecționată din metal (formă permanentă) sau din amestec de formare special (formă temporară). Amestecul lichid este comprimat cu ajutorul unui sabot 3, pe care este montat semimodelul 4. Presarea se menține până la întărirea amestecului, suficient ca să permită demularea (câteva minute). Forma ceramică este apoi lăsată să se solidifice complet, după care este calcinată în cuptor, operație prin care se realizează atât întărirea completă a formei, cât și permeabilizarea pereților. Ulterior, semiformele sunt asamblate în vederea turnării. Formele ceramice de tip coji se dezbat pentru extragerea piesei (forme temporare).

Formele ceramice de tip coji se dezbat pentru extragerea piesei (forme temporare).

Ca liant este utilizat silicatul de etil $(C_2H_5)_2SiO_3$, care liază în stare hidrolizată după reacția



unde H_2SiO_3 este silicagel (liant sub formă de gel); C_2H_5OH este alcool (se evaporă prin încălzirea formei).

3.9.6. Turnarea în forme hibride

Prin forme hibride se înțeleg formele de turnare care au în componență părți executate din materiale de formare diverse, precum:

- forme metalice (cochile) cu elemente ale formei din ipsos;
- forme metalice cu elemente din ceramică;
- forme coji cu elemente din ipsos;
- forme din amestec obișnuit cu părți din ipsos;
- forme din amestec întărit cu CO_2 cu elemente ceramice;
- forme criogenice cu elemente metalice etc.

Aceste soluții constructive sunt preferate datorită următoarelor avantaje:

- reduc costul și durata de formare;
- permit realizarea de piese cu rezistență și calitate a suprafeței diferențiată

zonal;

- duc la creșterea durabilității cochilelor și matrițelor;
- permit realizarea unei solidificări dirijate a piesei;
- permit combinarea avantajelor oferite de diversele procedee de turnare.

În figura 3.125 este prezentată ca exemplu o formă hibridă asamblată pentru turnarea unui rotor din aliaj de Al.

În cochila 2, montată pe suportul 1, au fost asamblate miezuri din ipsos 3. Semiforma superioară a fost realizată din amestec cu autoîntărire 5, în rama de formare 6. În forma din amestec au fost prevăzute maselotele 9, căptușite cu amestec refractar 10 și rețeaua de turnare 8. Procedul prezintă avantajele rezultate din combinația făcută prin alegerea diverselor moduri de formare pentru realizarea formei hibride.

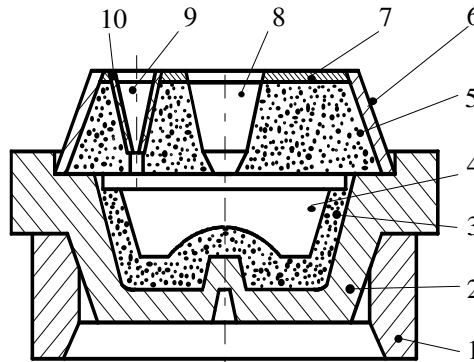


Fig. 3.125. Structura unei forme hibride:

- 1 - suport; 2 - cochilă; 3 - miezuri din ipsos;
 4 - cavitatea formei; 5 - semiformă din amestec obișnuit;
 6 - ramă de formare; 7 - capac; 8 - rețea de turnare;
 9 - maselotă; 10 - căptușeală refractară.

3.9.7. Turnarea în forme criogenice

Procedul de turnare în *forme înghețate* (care utilizează ca liant apa solidificată prin răcire) are câteva avantaje deosebite și anume:

- elimină noxele în toate fazele procesului tehnologic, prin înlocuirea lianților, vopselelor refractare și a substanțelor auxiliare;
- calitatea ridicată a suprafeței pieselor turnate, prin realizarea unei interfețe de vapori între aliajul lichid și peretele formei;
- vitezele ridicate de răcire a pieselor, care conduc la obținerea unor microstructuri fine, putându-se elimina tratamentele ulterioare;
- recuperarea integrală a amestecului de formare;
- posibilități mari de mecanizare și automatizare a întregului proces tehnologic;
- dezbaterea foarte ușoară a formelor.

Procesul tehnologic de turnare în forme criogenice este structurat în următoarele etape (fig.3.126):

- *umplerea formei* semimodelul 1 se assemblează cu placa model 2, iar peste placă se așează rama de formare 3 și se umple cu amestec de formare 3', alcătuit din nisip cuarțos și apă. Umplerea se poate face mecanizat prin presare, vibrație, scuturare sau suflare (fig.3.126. a);

- înainte de înghețarea formei, când este necesară utilizarea unui preliant adăugat în amestecul de formare, cum ar fi argila, care să confere o rezistență mecanică satisfăcătoare formei de turnare, astfel încât să permită demularea. Pentru atingerea rezistenței mecanice necesare turnării, se face în continuare lierea amestecului prin înghețare;

- *asamblarea semiformelor* se face într-o incintă izotermă, astfel încât să se limiteze încălzirea formelor, lucru deosebit de important în cazul formelor criogenice cu pereți subțiri. Se pot utiliza și forme cu pereții groși și cu grad de înghețare diferențiat pe grosimea peretelui formei. După ce se realizează cele două semiforme prin prin înghețare, cu consum redus de agent frigorific, obținându-se o rezistență mecanică a formei suficientă pentru demulare, transport și asamblare, se assemblează apoi forma de turnare, după care se face răcirea suplimentară a cavității formei, prin pulverizarea agentului frigorific în interiorul cavității formei asamblate. Se obține astfel o formă mai rezistentă, în special în zona secțiunilor subțiri, cu un consum redus de agent frigorific (fig.3.126. c);

- *turnarea* se face în formele înghețate la temperatura de (-60°C)... (-30°C). Temperatura formei, precum și viteza de turnare se aleg în funcție de volumul piesei și de temperatura de turnare a aliajului, astfel încât să se mențină o rezistență mecanică suficientă a pereților formei, până la solidificarea piesei;

- *solidificarea* are loc rapid, la o viteză de răcire comparabilă celei de la turnarea în cochile. Datorită acestui fapt se obțin structuri metalografice fine, care conduc la proprietăți mecanice superioare pentru piesele turnate. Creșterea vitezei de răcire influențează solidificarea aliajelor prin: micșorarea domeniului soluțiilor solide monofazice; creșterea cantității de eutectic și apariția lui la conținuturi mici de element de aliere; scăderea temperaturilor eutectice; finisarea structurii, modificarea eutecticului și creșterea compactității peretelui piesei turnate, ca urmare a reducerii zonei bifazice și a micșorării ponderii retasurii disperse din volumul total al retasurii;

- *dezbaterea formelor* se face după încălzirea acestora peste 0°C . Prin dezghețarea liantului se produce autodistrugerea formelor sub acțiunea greutateii piesei solidificate și a amestecului de formare.

3.9.8. Turnarea în câmp ultrasonor

Turnarea asistată de energia ultrasonoră este utilizată în scopul îmbunătățirii turnabilității materialelor. Este un caz particular al turnării și solidificării în condiții dinamice, iar uneori energia ultrasonoră asistă și procesul de elaborare a aliajului. Efectele exercitate de ultrasunete asupra aliajelor în stare lichidă și a celor turnate în forme pot fi rezumate în următoarele:

- accelerarea proceselor de difuzie;
- creșterea solubilității reciproce a componentelor aliajelor, putându-se obține noi aliaje;

- intensificarea proceselor de modificare a structurii metalelor și aliajelor;
- reducerea viscozității și creșterea fluidității;
- reducerea segregăției gravimetrice;
- eliminarea impurităților;
- degazarea puternică a topiturii;
- omogenizarea structurii prin fărâmițarea structurii dendritice, eliminarea anizotropiei și licuației;
- micșorarea dilatației inițiale și creșterea contracției de solidificare;
- obținerea unor suprafețe de foarte bună calitate.

Metoda poate fi aplicată tuturor procedeelor de turnare descrise anterior, atât la turnarea în forme temporare, cu pereți groși sau subțiri, cât și la cea în forme permanente. La ora actuală metoda se aplică pentru piesele mici și mijlocii în producția de serie, rezultate foarte bune obținându-se pentru piesele de precizie ridicată (mecanică fină și producția de scule așchietoare), cu grosimi uniforme de pereți.

Schema de principiu a procedurii se prezintă în figura 3.127.

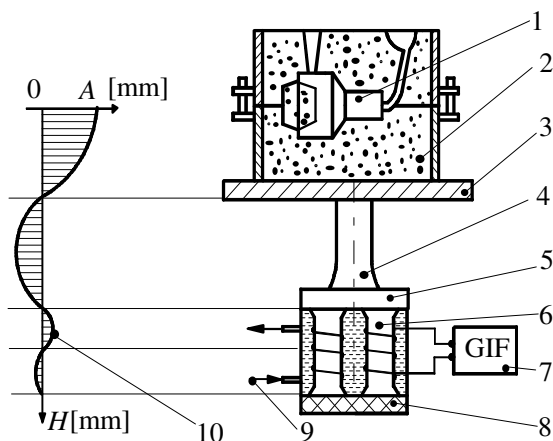


Fig. 3.127. Turnarea în câmp ultrasonor:

- 1 - cavitatea formei; 2 - forma de turnare; 3 - masă vibratoare; 4 - concentrator ultrasonor;
 5 - flanșă nodală; 6 - traductor ultrasonor; 7 - generator de curenți de înaltă frecvență; 8 - izolație acustică; 9 - circuit de răcire; 10 - diagrama de variație a amplitudinii vitezei particulei în lungul sistemului ultraacustic, A - amplitudinea vitezei particulei; H - lungimea sistemului ultraacustic.

Forma de turnare 2 se așează pe masa vibratoare 3, iar aliajul lichid se toarnă în cavitatea formei 1, în timp ce masa vibratoare este pusă în funcțiune prin cuplajul acustic cu concentratorul de energie ultrasonoră 4, al sistemului ultraacustic. Sursa de ultrasunete este transductorul magnetostrictiv 6, care este alimentat în curenți de înaltă frecvență de către generatorul 7. Sistemul ultraacustic este răcit prin circuitul 9 și este izolat acustic 8 față de mediul extern. Din diagrama

10, de variație a amplitudinii vitezei particulei în raport cu parametrii geometrici ai sistemului, se observă că aceștia pot fi aleși astfel încât să se obțină efectul maxim al oscilației particulelor de aliaj lichid într-o anumită zonă a piesei din forma de turnare. În zonele de amplitudine nulă se amplasează flanșele de asamblare a elementelor sistemului și elementele de sprijin.

Se obțin piese cu o foarte bună calitate a suprafeței, structură omogenă, precizie dimensională ridicată și lipsite de tensiuni interne.

Limitele de aplicare a procedurii sunt date de dificultatea construirii sistemului ultraacustic, dependent de gabaritul și grosimea piesei și a formei de turnare.

3.9.9. Turnarea prin retopire în baie de zgură

Acest procedeu scurtează traseul tehnologic, în sensul că aliajul este topit (elaborat) în imediată apropiere a cavității formei de turnare, fapt ce are drept consecințe:

- eliminarea oxidărilor cauzate de transvazarea aliajului lichid din creuzetul cuptorului în oala de turnare și de aici în forma de turnare;
- eliminarea surselor de impurități și incluziuni de pe traseul tehnologic;
- posibilitatea modificării proprietăților materialului prin modificarea compoziției chimice de la o zonă la alta a piesei.

Retopirea se poate face prin următoarele metode: cu arc electric în vid, cu fascicul de electroni, cu plasmă, în baie de zgură.

În practică, cea mai utilizată metodă este retopirea electrică în baie sub strat de zgură, a cărei schemă de principiu este prezentată în figura 3.128.

Dispozitivul de retopire este alcătuit dintr-un cristalizor 5 (forma permanentă de turnare), răcit cu apă 6. Cristalizorul este izolat electric față de piesa turnată printr-un strat subțire de zgură, care se depune în interfață. Umplerea formei se face prin consumarea electrodului 1. Procesul se amorsează prin umplerea inițială a cristalizorului cu un volum de aliaj și de flux, care prin topire cu arc electric creează baia de aliaj topit 4 și cea de zgură 3. Electrocul 1, pe măsura topirii fluxului ajunge imersat în baia de zgură, moment în care arcul electric se stinge, iar sursa de căldură este asigurată în continuare prin efectul Joule. Zgura utilizată în proces trebuie să asigure, pe de o parte, mediul de rafinare pentru picăturile de aliaj topit, iar pe de altă parte, o rezistență electrică suficient de mare pentru încălzire. Pentru oțeluri se utilizează zgură de tip CaF_2 (25...90%) + CaO (20...60%) + Al_2O_3 (max 30%).

O rezistivitate mare a zgurei conduce la un consum mic de energie electrică, în condițiile unei capacități mari de topire, dar, pe de altă parte, o viteză prea mare de topire poate influența negativ structura piesei solidificate, printr-o solidificare dendritică radială.

Piese din oțeluri realizate prin acest procedeu au o sudabilitate superioară celor turnate convențional; din această cauză, în construcțiile sudate importante, precum piese din industria chimică, navală, nucleară, aerospațială, extractivă, de utilaje tehnologice și energetice, se preferă utilizarea reperelor astfel obținute.

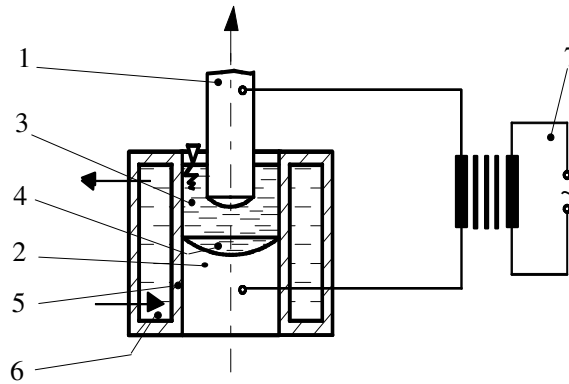


Fig. 3.128. Schema retopirii sub strat de zgură:

1 - electrod consumabil; 2 - piesa turnată; 3 - baia de zgură; 4 - aliajul topit; 5 - cristalizor;
6 - apă de răcire; 7 - sursa de curent.

Procedeul se aplică cu succes în producția de serie mică și de unicat, în cazul pieselor de mari dimensiuni, cu grosimi mari de perete. Se poate face fie turnarea integrală a reperului, turnarea parțială sau remedieri prin turnare locală cu modificarea sau nu a formei inițiale.

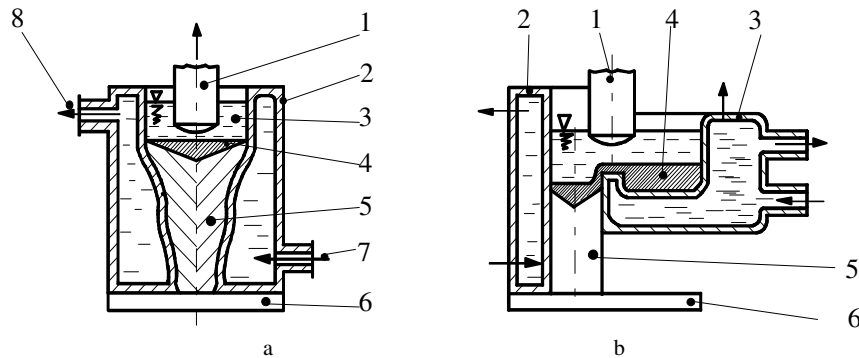


Fig. 3.129. Variante ale retopirii sub strat de zgură:

a - cu umplere directă a cavității formei; 1 - electrod consumabil; 2 - cristalizor;
3 - baie de zgură; 4 - aliajul topit; 5 - piesa solidificată; 6 - placă de închidere;
7 - admisia apei de răcire; 8 - evacuarea apei de răcire;
b - cu umplere indirectă; 1 - electrod consumabil; 2 - cristalizor fix; 3 - cristalizor mobil;
4 - spațiul de generare a piesei; 5 - spațiul de topire; 6 - placă de închidere.

În raport cu complexitatea și cu gabaritul piesei turnate, se pot distinge mai multe variante ale procedeului:

- retopire pentru turnarea lingourilor de înaltă puritate în instalații cu unul sau mai mulți electrozi;
- retopire pentru turnarea pieselor profilate, cu electrod coaxial cu piesa, cu umplere directă a cavității formei (fig.3.129. a);
- retopire pentru turnarea integrală sau parțială a piesei, prin curgerea aliajului din spațiul de topire în cavitatea formei și umplerea indirectă a formei (fig.3.129. b).

Câteva aplicații ale turnării pieselor prin retopire sub strat de zgură sunt prezentate pe scurt în continuare.

Piese de formă cilindrică de mare gabarit ($\varnothing 1\ 300 \times 2\ 000$ mm, grosimea peretelui de până la 200 mm) utilizate în industria nucleară, chimică și energetică se pot realiza cu instalația din figura 3.130. Piesa 1 are avans circular s_c , iar cristalizorul 3 are mișcare de avans longitudinal s_l . Frontul de cristalizare evoluează după o traiectorie elicoidală.

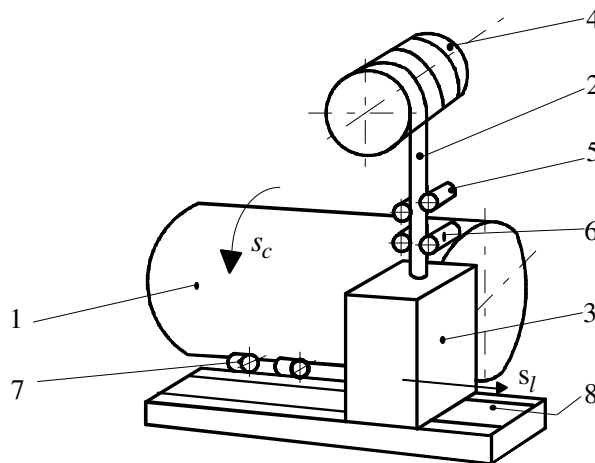


Fig. 3.130. Realizarea pieselor cilindrice prin retopire sub zgură:

- 1 - piesa; 2 - electrod consumabil; 3 - cristalizor; 4 - rolă port-electrod; 5 - role de îndreptare;
6 - role de antrenare; 7 - role pentru antrenarea piesei; 8 - ghidaje pentru deplasarea cristalizorului.

Arborii cotiți pentru motoarele Diesel de mare putere, care echipază nave, locomotive și grupuri de foraj, au mase de 100...300 t, lungimi de 5...15 m și diametre de 800...1500 mm. La prelucrarea prin forjare liberă a acestora, din lingouri, se obțin randamente scăzute de utilizare a materialului, de circa 40...70%. Prin turnarea arborilor cotiți prin retopire sub strat de zgură se obțin randamente de utilizare a materialului ridicate, de 98...99 %, în condiții de precizie dimensională și de calitate a structurii deosebite.

În ambele variante prezentate în figura 3.131 este necesară turnarea parțială prealabilă, prin același procedeu, fie a fusurilor (fig.3.131. a), fie a manetoanelor (fig.3.131. b), care ulterior sunt asamblate prin retopire sub strat de zgură. Procesul este condus astfel încât să se obțină în final piese monobloc.

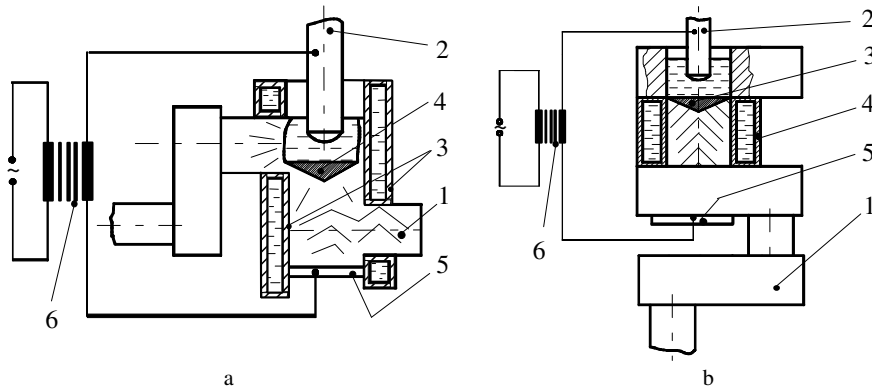


Fig. 3.131. Realizarea arborilor cotiți prin retopire sub zgură:

a - cu cristalizor de forma manetoanelor; 1 - piesa solidificată; 2 - electrod consumabil; 3 - cristalizor; 4 - aliaj topit; 5 - placă de închidere; 6 - sursa de curent; b - cu cristalizor de forma fusurilor; 1 - piesa; 2 - electrod consumabil; 3 - aliaj topit; 4 - cristalizor; 5 - placă de închidere; 6 - sursa de curent.

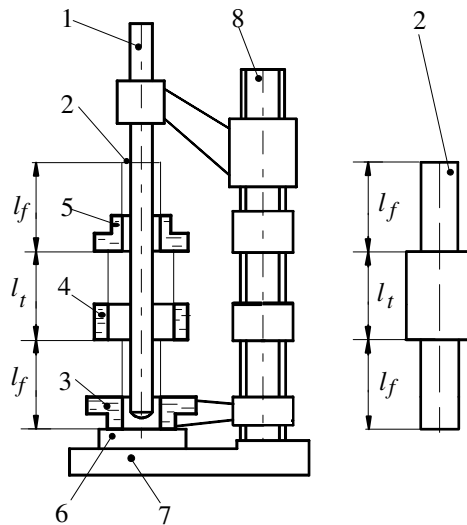


Fig. 3.132. Fabricarea cilindrilor de laminor prin retopire sub zgură:

1 - electrod consumabil; 2 - piesa; 3, 5 - cristalizoare pentru fusuri; 4 - cristalizor pentru tăblie; 6 - placă; 7 - placă de bază; l_t - lungimea tăbliei; l_f - lungimea fusurilor.

Cilindrii de laminor se pot realiza dintr-o singură bucată, utilizând metoda prezentată în figura 3.132 cu cristalizoare mobile. Piesa 2 este alcătuită din trei volume distincte: două fusuri și o tăblie. Turnarea piesei se face de jos în sus, astfel că la fusul inferior se amorsează procesul în cristalizorul 3, închis la partea de jos de placa 6, care are și rolul de electrod masă. Pe măsură ce electrodul consumabil 1 se topește, cristalizorul 3 urcă, oprindu-se în momentul parcurgerii lungimii fusului l_f . În acel moment el devine placă de bază pentru cristalizorul 4, care realizează turnarea tăbliei pe lungimea l_t . Procesul se încheie odată cu turnarea fusului superior. La sfârșitul operației de turnare se demontează suportul port-electrod și se extrage mai întâi cristalizorul fusului 3, după care se extrage piesa.

Similar se pot realiza și *cilindri de laminor bimetalici*, acoperiți cu o crustă dură (fig.3.133). În acest caz, electrodul consumabil are o formă inelară 1, fiind amplasat în jurul piesei 2. Prin topire în cristalizorul 4, pe piesă se depune stratul dur 3. Grosimea crustei depuse poate fi între 50...75 mm, iar lungimea electrodului inelar poate fi de 4 500...5 000 mm.

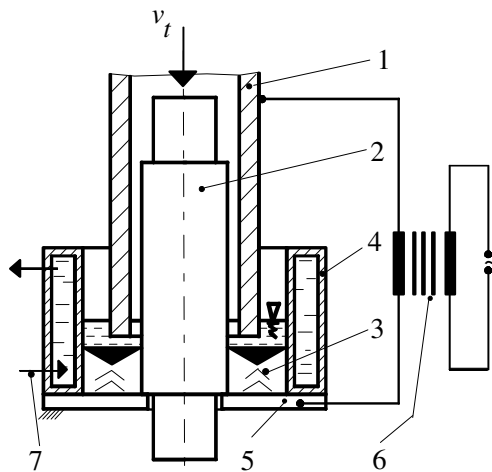


Fig. 3.133. Fabricarea cilindrilor de laminor bimetalici prin retopire sub zgură:

- 1 - electrod inelar; 2 - piesa; 3 - strat dur;
4 - cristalizor; 5 - placă de capăt; 6 - sursa de curent;
7 - lichid de răcire; v_t - viteza de topire.

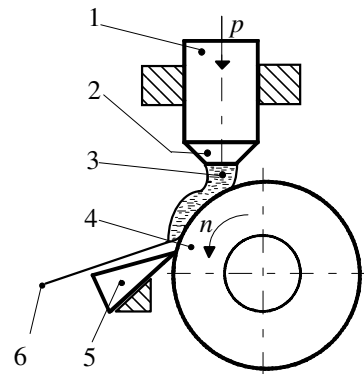


Fig. 3.134. Obținerea metalelor amorse prin răcirea topiturii pe un singur cilindru:

- 1 - creuzet; 2 - ajutoraj; 3 - jetul de aliaj topit; 4 - cilindru; 5 - prag; 6 - piesă.

3.9.10. Obținerea prin turnare a materialelor cu proprietăți speciale

Ca urmare a topirii și turnării în condiții speciale se pot realiza structuri dirijate, prin controlarea condițiilor de solidificare (cristalizare). O aplicație specta-

culoasă o constituie obținerea metalelor cu structură amorfă.

Metalul sau aliajul este topit în creuzetul 1 (fig.3.134), de unde curge prin ajutorul 2, prin cădere liberă sau la o suprapresiune de 1,4...2 bar, pe cilindru 4 (de diametru $\varnothing 100...300$ mm), aflat în mișcare de rotație (uzual, turațiile sunt cuprinse între 3 000...6 000 rot/min). Jetul de metal topit 3 prin curgerea pe suprafața cilindrului 4 se solidifică, semifabricatul obținut 6 fiind desprins de pe cilindru cu ajutorul pragului 5.

Prin acest procedeu se pot realiza, în funcție de lățimea jetului și a unghiului de contact cu suprafața cilindrului, fire, fibre sau benzi, de lățimi cuprinse între 0...20 mm, grosimi de până la 0,04 mm și lungimi foarte mari (procedeul se poate încadra, din acest punct de vedere, între cele de *turnare continuă*).

Pentru a se obține compoziții bine determinate ale aliajelor astfel realizate, este necesar ca, topirea și turnarea să se facă în condiții de atmosferă și de temperatură controlate.

Pentru obținerea unei structuri determinate este nevoie ca, atât viteza de curgere a topiturii, cât și cea de rotație a cilindrului să poată fi controlate.

3.10. PARTICULARITĂȚILE TURNĂRII PIESELOR DIN METALE ȘI ALIAJE INDUSTRIALE

Plecând de la turnabilitatea materialelor metalice, condiționată după cum s-a arătat în subcapitolul 3.4 de o serie de proprietăți fizico-chimice ale aliajului, prezentul subcapitol trece în revista principalele categorii de materiale metalice care pot fi prelucrate prin turnare.

3.10.1. Turnarea în piese a metalelor și aliajelor

3.10.1.1. Turnarea fontelor cenușii

Fonta cenușie are o turnabilitate bună. Fluiditatea aliajului crește cu conținutul de carbon și fosfor din compoziție. Con tracția lin iară este redusă, aproximativ 1 % la fonta cu grafit lamelar, 0,9...1,3 % la cea cu grafit nodular, 0,3...0,6 % la cea cu grafit vermicular, 0,6...0,9 % la cea maleabilă.

Temperatura de turnare este de 1 300...1 480°C (valorile minime corespund pieselor cu pereți groși, cu gabarit mare, iar cele maxime corespund pieselor cu pereți subțiri). Se pot utiliza toate procedeele de turnare. Alimentarea cavității forme i se recomandă a fi făcută prin mai multe alimentatoare plasate în zonele cu pereți subțiri, astfel încât să se asigure umplerea completă a cavității și răcirea uniformă a piesei. În general se folosesc rețele de turnare convergente, datorită fluidității bune a fontelor eutectice, care permite umplerea rapidă a cavității forme i

de turnare, în condițiile separării incluziunilor nemetalice și a gazelor precum și tendinței reduse de oxidare a fontei. Fontele cenușii cu un conținut în carbon echivalent de 4,2...4,25 %, cu grafit lamelar, se pot turna fără maselote datorită apariției fenomenului de autoalimentare, ca urmare a grafitizării, la temperaturi de turnare sub 1 350°C și la grosimi de perete de minim 25 mm, în forme cu rigiditate mare.

La fontele cu grafit nodular nu se constată acest fenomen. În acest caz se impune maselotarea și se pot folosi și rețele divergente. Datorită tendinței mai mari de formare a incluziunilor nemetalice decât la fontele cenușii cu grafit lamelar, rețeaua de turnare trebuie să asigure o viteză cât mai mică de curgere a topiturii. Fluiditatea deosebită a fontelor cu grafit nodular permite realizarea unor piese cu pereți subțiri (3...4 mm) și cu o calitate ridicată a suprafeței.

Pentru a putea fi dezbătute din forme, piesele trebuie să se răcească sub 500°C. Piesele cu configurație complexă, susceptibile a se deforma, trebuie să se răcească sub 300°C. După dezbateri, piesele mari trebuie lăsate să se răcească în aer, înainte de a fi curățate.

3.10.1.2. Turnarea fontei cenușii modificate

Procedeele și tehnologia de turnare sunt asemănătoare, cu următoarele corecții:

- turnarea trebuie să se facă imediat după modificarea aliajului (10...30 minute);
- contracția liniară este mai mare, de circa 1,4...1,6 %, iar volumul retasurii crește și este necesară aplicarea maselotelor la formele de turnare;
- temperatura de turnare este de circa 1 380...1 450°C.

3.10.1.3. Turnarea fontei albe

Turnabilitatea aliajului este slabă, având o fluiditate scăzută. Pentru creșterea fluidității temperatura de turnare este de 1 450...1 550°C. Contracția liniară este mare, de circa 1,8...2,2 %. Pentru prevenirea retasurii se recomandă alimentarea cavității formeii prin maselote laterale închise, plasate în zonele voluminoase ale piesei. Aliajul are tendință de fisurare la cald și la rece. Pentru dirijarea locală a solidificării piesei se pot folosi răcitoare.

3.10.1.4. Turnarea fontei aliate

Temperatura de turnare depinde de compoziție; în general, ea este cu 30...50°C peste curba lichidus. Turnabilitatea fontelor aliate este de regulă inferioară fontei cenușii, având valori mai scăzute ale fluidității datorită conținutului mai mare în incluziuni oxidice. Din această cauză, secțiunile rețelei de turnare trebuie majorate corespunzător. La fontele cu tendință ridicată de oxidare (aliate cu Al, Cr, Si) se folosesc rețele de turnare divergente.

3.10.1.5. Turnarea oțelului carbon

Turnabilitatea oțelurilor este mai slabă decât cea a fontelor. Fluiditatea crește cu conținutul în carbon, precum și prin adăugarea de 0,1...0,2 % vanadiu, cupru sau mangan, care reduc tensiunea superficială și scade în prezența incluziunilor nemetalice (oxizi, carburi, nitruri). Con tracția liniară este de circa 2%. Temperatura de turnare a oțelurilor depășește temperatura de topire cu 100°C, pentru piesele cu pereți groși, respectiv cu 150°C pentru cele cu pereți subțiri.

Oțelurile cu conținut ridicat de carbon au o tendință crescută de a forma microretasuri, datorită creșterii intervalului de solidificare și a înrăutățirii condițiilor de autoalimentare a golurilor din faza lichidă.

Prevenirea formării retasurilor se poate face prin solidificarea dirijată a piesei, folosind maselote și răcitoare.

Materialul formei de turnare trebuie să aibă o bună refractaritate, o compresibilitate și o rezistență mecanică ridicate.

Se pot utiliza majoritatea procedeele de turnare.

Construcția formelor de turnare a oțelului trebuie să asigure: umplerea rapidă, dar lină, a formei și alimentarea maselotelor (fiind preferată alimentarea cavității generatoare a piesei prin maselote); contracția liberă a piesei în forma de turnare; curățirea ușoară a piesei după turnare; solidificarea dirijată de la părțile subțiri spre cele groase și spre maselote; la solidificarea simultană, alimentarea cavității generatoare a piesei trebuie să se facă în ploaie; limitarea eroziunii pereților formei și miezurilor prin alimentarea cavității formei în lungul pereților.

3.10.1.6. Turnarea oțelurilor aliate

Oțelurile aliate au o turnabilitate mai slabă decât a oțelurilor carbon obișnuite. Elementele de aliere măresc diferența de volum specific a aliajului între starea lichidă și cea solidă, ducând la creșterea valorii contracției liniare și, în același timp, micșorează conductibilitatea termică. Când elementele de aliere reduc și intervalul de solidificare apar retasuri concentrate, ușor de localizat și de remediat. La conținuturi mari de Cr și Ni crește contracția în stare lichidă (2,2...3,0%) și apare tendința formării de microretasuri.

Elementele de aliere măresc contracția în intervalul de formare a crăpăturilor la cald și micșorează rezistența crustei solidificate, ducând la obținerea unei structuri grosolane de cristalizare primară. Îmbunătățirea structurii necesită aplicarea, după turnare, a tratamentelor termice. La oțelurile mediu și înalt aliate apare și tendința de segregare, care mărește riscul apariției fisurării la cald.

3.10.1.7. Turnarea aliajelor de aluminiu

Con tracția aliajelor de aluminiu este superioară fontei, de circa 1,2...1,7 %, fluiditatea este ridicată, oxidabilitate este crescută și există o tendință ridicată de absorbție a gazelor. Pentru evitarea microsuflurilor este necesară degazarea

suplimentară a aliajului și utilizarea unor forme de turnare care să permită evacuarea foarte bună a gazelor din cavitatea generatoare a piesei. La turnarea gravitațională se prevăd filtre pentru reținerea zgurei și răsuflători mari, cu rol de maselote. Aliajele de aluminiu se pot turna (există mărci special destinate acestei prelucrări) prin toate procedeele descrise. Se preferă însă turnarea sub presiune, procedeu care permite obținerea unor piese de calitate ridicată.

Principalele tipuri de aliaje de aluminiu turnate sunt:

- siluminuri Al-Si: (ATSi12, ATSi4Mg, ATSi4MgMn) care au o turnabilitate bună și foarte bună (ATSi5Ca1), cu tendință redusă de fisurare și compactitate bună. Proprietățile siluminurilor pot fi îmbunătățite prin modificarea aliajului;
- aliajele Al-Mg (ATMg10, ATMg9Si, ATMg10Fe) care au o turnabilitate slabă, cu tendință redusă de fisurare și compactitate slabă;
- aliajele Al-Cu (ATCu4Ti, ATCu8, ATCu10Mg) care au o turnabilitate medie, cu tendință de fisurare la răcire, compactitate medie;
- aliajele Al-Zn (ATZn10Si7, ATZn5Mg) care au turnabilitate bună, cu tendință redusă de fisurare, și compactitate medie. Proprietățile aliajelor de aluminiu cu elemente cu solubilitate ridicată, precum: Cu, Mg, Zn pot fi îmbunătățite prin tratamente termice.

3.10.1.8. Turnarea aliajelor de cupru

Contracția aliajelor de cupru este superioară fontei (1,6...1,8 %), fluiditatea este ridicată, oxidabilitatea este mare, poate apare tendința de segregare, turnabilitatea este bună existând mărci special destinate acestei prelucrări. La turnarea în forme temporare se utilizează rețele cu umplere în sifon, cu înălțime mică, cu piciorul pâlniei executat în trepte sau în zigzag. Alimentarea formei se face prin zonele groase ale piesei.

Aliajele cuprului turnate în piese sunt:

- alamele sau Cu-Zn: CuZn40Pb; CuZn32Pb2; CuZn40Mn2Al; CuZn30Al5Te3Mn2;
- bronzurile fără Sn (Cu-Al, Cu-Si, Cu-Be): CuAl9t; CuAl10Fe3T; CuAl10Mn2T; CuSi3; CuSi3Mn1; CuSi3Pb4;
- bronzurile cu Sn (Cu-Sn): CuSn10, CuSn14; CuSn9Zn5, CuSn4Zn4Pb17.

3.10.1.9. Turnarea aliajelor de magneziu

Aliajele de magneziu destinate turnării în piese sunt aliaje complexe, care au la bază sisteme binare de tip Mg-Al, Mg-Mn sau Mg-Zn. Ele au o turnabilitate satisfăcătoare, existând mărci special destinate acestei prelucrări. Aliajele de magneziu au o oxidabilitate foarte ridicată și prezintă pericol de explozie în atmosferă umedă. Turnarea se face cu precauții deosebite. La utilizarea formelor temporare se adaugă în amestecul de formare 1% acid boric și pulbere de sulf 3%. Jetul de aliaj turnat gravitațional sau centrifugal se protejează prin pudrare cu

pulbere de sulf. Se preferă turnarea sub presiune. Proprietățile aliajului turnat se pot îmbunătăți prin tratament termic.

3.10.1.10. Turnarea aliajelor de nichel

Principalele aliaje de nichel turnate în piese sunt:

- nichel turnat: Ni 97 % ;
- monel (Ni-Cu);
- aliaje Ni-Fe: permalloy, invar, kovar, platinit, elinvar etc;
- aliaje Ni-Cr: cromel, nicrom, inconel;
- superaliaje de Ni: hastelloy (Ni-Mo-Fe), nimonic (Ni-Co-Cr-Mo-Al-Fe-Ti-C), udimet (Ni-Co-Cr-Mo-Al-Ti-Fe-B).

Aliajele Ni-Cu au o turnabilitate bună, în timp ce aliajele cu refractaritate mare, Ni-Cr, Ni-Cr-Mo, au o turnabilitate redusă.

3.10.1.11. Turnarea aliajelor de plumb

Aliajele de plumb au o turnabilitate foarte bună. Cele mai utilizate aliaje turnate sunt cele antifricțiune pentru cuzineți: YPbSn10, YPbSn6Sb6, YPbSn6Cd, YPbSn5, YPb98.

3.10.1.12. Turnarea aliajelor de staniu

Ca și aliajele de plumb, cele cu staniu au o turnabilitate foarte bună. Cele mai utilizate aliaje turnate sunt cele antifricțiune pentru cuzineți: YSn89, YSn83, YSn80.

3.10.1.13. Turnarea aliajelor de zinc

Aliajele de zinc au o turnabilitate foarte bună. Cele mai utilizate aliaje turnate sunt cele pentru: zamakuri: (Zn-Al), cu 4...20% Al se toarnă sub presiune; aliaje antifricțiune (Zn-Al-Cu-Mg): ZnAl4T, ZnAl4Cu1T.

3.10.2. Turnarea materialelor compozite metalice

În cazul acestei grupe de materiale, turnarea se referă la modul de realizare a îmbinării dintre cele două componente distincte ale materialului: matricea și armătura. În general, armătura în stare solidă (fibre sau pulbere) este înglobată în matricea lichidă prin turnare.

3.10.2.1. Turnarea gravitațională

Turnarea gravitațională se pretează a fi aplicată materialelor cu fluiditate bună. Fluiditatea poate fi influențată de forma și dimensiunile particulelor armăturii, de gradul de aglomerare și de procesul de segregare. Pentru obținerea

unei structuri optime a compozitului trebuie luate măsuri deosebite împotriva segregării.

3.10.2.2. Turnarea centrifugală

Turnarea centrifugală se pretează pentru obținerea pieselor cu compactitate bună și a materialelor cu neomogenitate controlată a structurii. Distribuția care se poate realiza depinde de forța centrifugă și de masa diferită a particulelor armăturii, precum și de frânarea mișcării particulelor în urma creșterii viscozității topiturii cu răcirea și cu creșterea concentrației în particule.

3.10.2.3. Turnarea în stare semisolidă

Turnarea în stare semisolidă, *compocasting*, constă în realizarea unui amestec de aliaj parțial solidificat - material complementar prin agitare intensă, urmată de turnarea acestuia la temperaturi cuprinse în intervalul de solidificare. Frația solidă trebuie menținută la 40% în momentul umplerii cavității generatoare a piesei. Avantajul procedurii este dat de fenomenul de antrenare a particulelor solide ale armăturii de către particulele solidificate ale matricei, având ca efect, completat prin agitarea amestecului, prevenirea segregării.

3.10.2.4. Turnarea prin infiltrare

Turnarea prin infiltrare constă în introducerea aliajului topit în porii unei preforme din fibre continue, sub acțiunea forțelor gravitaționale, centrifuge, capilare, prin aspirație sau cu suprapresiune.

3.10.2.5. Turnarea cu presare în matriță

Turnarea cu presare în matriță *squeeze casting* se poate aplica fie la turnarea unui amestec (topitură + particule/fibre discontinue) sau la infiltrarea unei topituri în preformă. Se pot obține piese cu compactitate ridicată.

3.11. PARTICULARITĂȚILE TURNĂRII PIESELOR DIN MATERIALE NEMETALICE

Ca volum de materiale turnate și diversitate, materialele nemetalice ocupă primul loc în producția mondială de piese realizate prin turnare. Materialele nemetalice se utilizează mai ales în stare turnată, ele fiind folosite în industria construcțiilor de mașini, utilaje și aparate și în domeniul construcțiilor civile și industriale.

3.11.1. Turnarea betonului

Deși betonul armat este un material compozit, datorită numărului mare de aplicații și a volumului mare de material prelucrat el este tratat separat, sub aspectul turnării matricei.

La punerea în operă a betoanelor, trebuie avute în vedere următoarele etape principale de lucru:

- *verificarea locului de turnare*: terenul de fundare; dimensiunile și cotele de nivel ale săpăturilor, corespondența cotelor cofrajelor cu cele din proiect, orizontalitatea și planeitatea cofrajelor, plăcilor și grinzilor, respectiv verticalitatea celor pentru stâlpi și diafragme, precum și corespondența acestora cu cele de la nivelele inferioare; rezistența, stabilitatea și etanșeitatea cofrajelor; rezistența și stabilitatea elementelor de susținere; corectitudinea realizării armării (dimensiuni, poziționare, solidarizare, asigurarea acoperirii cu beton), existența, conform proiectului, a pieselor care rămân înglobate în beton sau a celor care servesc la realizarea golurilor;

- *pregătirea turnării*: curățirea cofrajului și a armăturilor de eventuale corpuri străine, resturi de beton de la turnările anterioare sau rugină neaderentă; tratarea suprafețelor de contact ale rostului de turnare; udarea cu apă a suprafețelor care urmează să intre în contact cu betonul proaspăt; asigurarea căilor de acces și de transport a betonului;

- *reguli generale de turnare*:

- betonul se va turna în maximum 15 minute, avându-se în vedere terminarea punerii sale în operă înainte de începerea prizei cimentului;

- descărcarea betonului se va face numai în mijloacele special destinate (jgheaburi, bene, pompe de beton) și nu direct pe pământ;

- dacă betonul prezintă segregări, se va face amestecarea lui pe platforme special destinate, înainte de turnare;

- se va asigura o înălțime de cădere liberă mai mică de 1,5 m; trebuie să se evite căderea directă a betonului în cofraj, datorită pericolului segregării exterioare;

- descărcarea betonului pe suprafața elementului care urmează a fi realizat se face în sensul invers celui în care se înaintează cu betonarea, pentru a se evita pericolul segregării și pentru a nu fi călcat de muncitori;

- betonul se va răspândi uniform, în straturi cu grosimea stabilită în funcție de condițiile de compactare;

- turnarea se va face fără întreruperi, între rosturile de turnare;

- se va evita deplasarea sau deformarea armăturilor în timpul turnării;

- se va asigura acoperirea corespunzătoare cu beton a armăturilor;

- nu se vor transmite șocuri sau vibrații armăturilor, deoarece acestea duc la scăderea aderenței între beton și armătură;

- în porțiunile înguste, se va urmări umplerea completă a secțiunii;

- circulația muncitorilor și a utilajelor de transport se va face numai pe punți special destinate, și nicidecum direct peste cofraje sau armături; circulația, rezemarea sau depozitarea materialelor, pe planșeele turnate anterior, este admisă numai după întărirea betonului (24...36 de ore, funcție de tipul cimentului utilizat);

- în cazul unor deformări sau deplasări ale cofrajului, apărute în timpul betonării, aceasta trebuie întreruptă, procedându-se la înlăturarea defecțiunii înainte de începerea prizei cimentului.

- *tratamente aplicate după turnarea betoanelor:*

- compactarea se face în scopul reducerii porilor (în urma evaporării apei, sau a înglobării aerului) sau a eliminării golurilor de turnare; compactarea se poate face manual, prin batere și îndesare, sau mecanic, prin: vibrare, presare, laminare, vacuumare, centrifugare;

- protejarea betonului după turnare se face în scopul asigurării unor condiții optime de întărire (menținerea unui grad ridicat de umiditate, asigurarea unui microclimat favorabil);

- accelerarea întăririi betonului se face în producția de elemente prefabricate, din beton armat și precomprimat, pentru a facilita decofrarea și a scurta ciclul de fabricație.

3.11.2. Turnarea maselor plastice

3.11.2.1. Materialele termoreactive

Materialele din această categorie sunt: rășinile fenoplaste, rășinile carbamidice, rășinile poliesterice, rășinile epoxidice. Aceste mase plastice se prelucrează prin turnare în matrițe în stare lichido-vâscoasă, urmată de presare, procedeu similar turnării prin matrițare lichidă (subcapitolul 3.9.2).

Turnarea se poate face în două moduri:

- cu presare directă, când materialul este topit chiar în cavitatea generatoare a piesei;

- cu presare prin transfer, când materialul este topit într-o cameră separată a matriței și este ulterior transferat prin presare în cavitatea generatoare a piesei.

3.11.2.2. Materialele termoplastice

Materialele din această categorie sunt: policlorura de vinil și copolimerii acesteia, polietilena (de joasă, medie și înaltă presiune), polipropilena, polistirenul, polimetacrilatul de metil, poliamidele, policarbonații, acetatul de celuloză etc.

Aceste mase plastice se prelucrează în stare lichido-vâscoasă prin:

- turnare sub presiune în matrițe de injecție;
- turnare sub presiune în matrițe cu umflarea piesei;
- turnarea prin aspirație în matrițe (formarea în vid);

- turnare continuă prin extrudarea materialului;
- turnare continuă prin laminarea materialului.

3.11.3. Turnarea sticlei

Principala tehnică de prelucrare a sticlei este turnarea, procedeele diferă însă în funcție de destinația pieselor, astfel:

- realizarea foilor de geam se face prin turnare continuă urmată de laminare;
- realizarea buteliilor și a recipientelor se face prin turnare și suflare în matrițe;
- realizarea obiectelor decorative se face prin turnare și fasonare;
- realizarea tuburilor cinescop se face prin turnarea în matriță, urmată de asamblare prin sudare;
- realizarea vatei de sticlă se face prin turnare continuă cu centrifugare sau suflare;
- realizarea fibrelor de sticlă se face prin turnare continuă, urmată de trefilare.

3.11.4. Turnarea cauciucului

Prelucrarea cauciucului se face prin turnare din stare vâsco-plastică în matrițe sub presiune, operație însoțită de vulcanizare. Un caz deosebit este constituit de realizarea produselor lungi, de tipul furtunelor, cablurilor electrice izolate, benzilor și covoarelor, firelor, prin turnare continuă însoțită de: extrudare, suflare, laminare sau tragere. Pentru îmbunătățirea proprietăților mecanice, se realizează produse armate, cu fibre textile, de sticlă, de carbon, fire metalice sau cu inserții metalice. Produsele armate pot fi incluse în categoria materialelor compozite, cauciucul fiind matricea, iar fibrele constituind armătura.

3.11.5. Turnarea materialelor compozite nemetalice

3.11.5.1. Materiale compozite cu matrice organică

Fabricarea pieselor din materiale compozite cu matrice organică se poate face utilizând procedeele din grupa turnării, astfel:

- turnarea gravitațională a amestecului compus din rășini termorigide și fibre scurte de sticlă în forme deschise. Metoda este deosebit de simplă și se aplică la realizarea pieselor mari. Nu se poate asigura o compactitate bună a materialului și o calitate bună a suprafeței;
- turnarea la presiune joasă sau prin aspirație a amestecului într-o formă metalică închisă. Astfel se pot realiza piese cu configurație complexă, precizie

dimensională și calitate a suprafeței corespunzătoare;

- turnarea la presiune înaltă, în matrițe de injecție, pe mașini specializate, lucrând în cicluri automatizate, în producția de serie și masă (cu piston - pentru rășini termorigide sau cu melc transportor - pentru rășini termoplaste). Se obțin piese cu compactitate și calitate a suprafeței foarte bune.

3.11.5.2. Materiale compozite ceramice

Fabricarea pieselor din compozite ceramice se face prin:

- amestecarea componentelor, urmată de turnarea lor într-o formă și de sinterizarea amestecului;
- realizarea unui amestec sub formă de pastă (din materialul matricei, sub formă de pulbere, și un liant lichid), în care se înglobează armătura, amestecul fiind turnat apoi sub presiune în matriță.

3.12. TRATAMENTE APLICATE PIESELOR TURNATE DUPĂ SOLIDIFICARE

Într-un sens mai larg, tratamentele aplicate pieselor brut turnate cuprind toate operațiile ulterioare solidificării piesei în forma de turnare, prin care se îmbunătățesc caracteristicile piesei (fig.3.135).

Ca tratamente pot fi considerate:

- dezbaterea formelor și extragerea piesei;
- curățirea pieselor;
- tratamentele termice și termochimice;
- tratamentele fizice și termo-mecanice;
- acoperirile și tratamentele de suprafață.

3.12.1. Dezbaterea formelor

În cazul turnării în forme temporare, dezbaterea este operația de distrugere a formei în scopul scoaterii piesei solidificate. Când se folosesc miezuri, această operație include și evacuarea miezurilor din piesă. Dezbaterea formelor se poate face manual, cu scule de mână - în cazul pieselor mici și mijlocii, în producția de serie mică și unicate, și mecanizat - în toate celelalte cazuri.

Dezbătătoarele mecanice trebuie să asigure: separarea piesei de amestecul de formare, fără a se deteriora piesa; recuperarea amestecului de formare; reținerea prafului. Construcția dezbătătoarelor este diversă, separarea piesei putându-se face prin vibrarea formei (mese și grătare vibratoare, vibratoare suspendate, dezbătătoare tip transportor), golirea ramei de formare prin împingerea formei

(dezbătătoare cu piston hidraulic), golirea ramei prin scuturare, rotirea formelor într-un tambur (la turnarea fără rame).

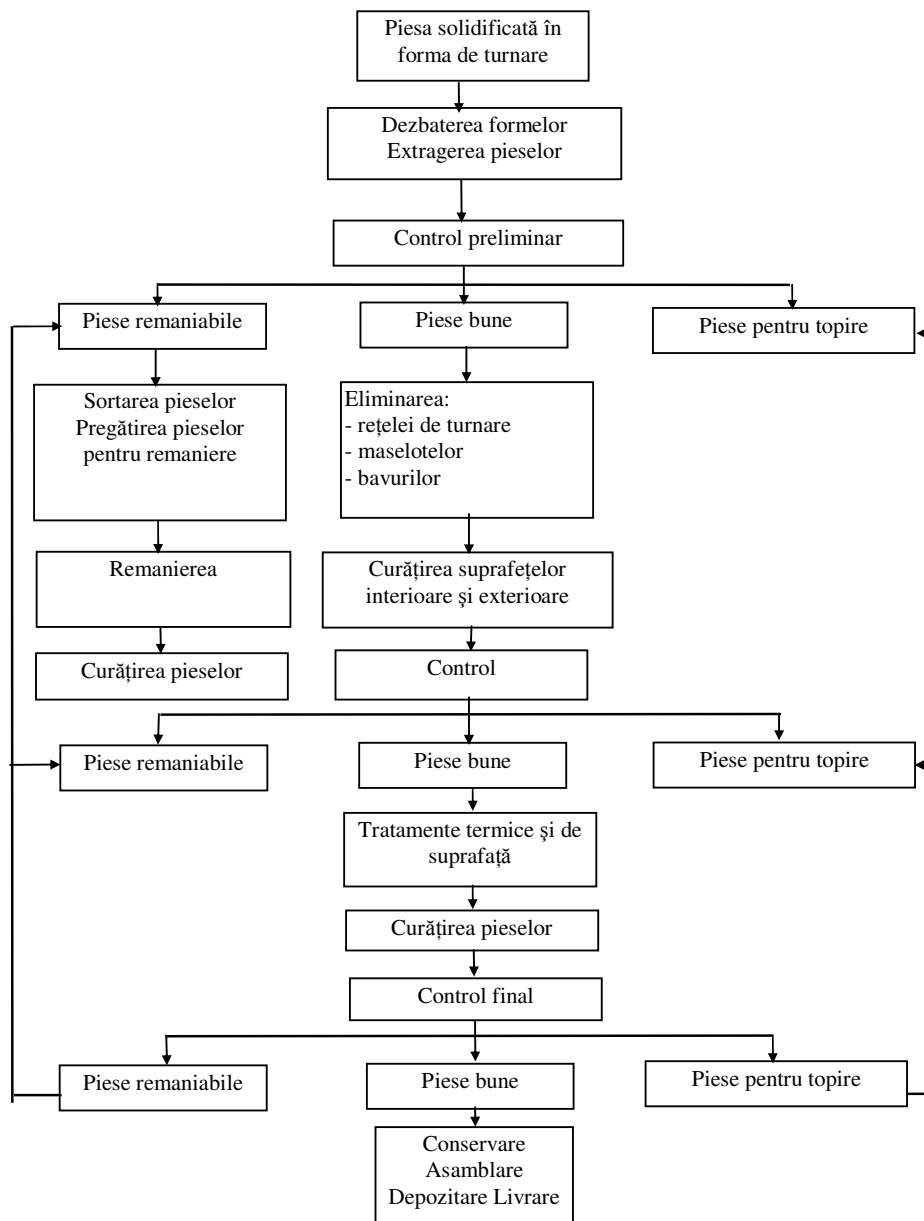


Fig. 3.135. Fluxul tehnologic de finisare a pieselor brut turnate.

În cazul turnării în forme permanente, se folosește termenul de „extragerea piesei”. Extragerea piesei se poate face manual cu scule de mână (clești, cârlige) sau mecanic cu aruncătoare sau extractoare. La mașinile de turnat și la liniile automate de turnare extragerea piesei se face în cadrul ciclului automatizat de lucru.

Evacuarea miezurilor temporare din piesă se poate face mecanizat pe mașini speciale, care lucrează prin ciocănire-vibrare sau cu jet hidraulic. Aceste metode se pot utiliza în cazul pieselor cu configurație interioară complexă, în producția de serie mare și masă (chiulase, blocuri motor), precum și la piese mari și grele, în producția de serie mică (batiuri, montanți, traverse etc.).

3.12.2. Curățirea pieselor după turnare

Operația de curățire după turnare constă în:

- eliminarea resturilor de amestec de formare și de miez de pe suprafețele pieselor;

- tăierea și îndepărtarea rețelelor de turnare și a maselotelor;
- tăierea și îndepărtarea bavurilor și excrescențelor;
- cojirea și îndepărtarea stratului de oxizi (țunder).

Curățirea se poate face: manual, cu scule portabile (dălți pneumatice și electrice, perii rotative, polizoare) - în producția de unicat și serie mică; mecanizat, pe utilaje specializate (mașini de tăiat rețele de turnare și maselote, mașini de debavurat și polizat, utilaje de curățat piese turnate); în ciclu automat, la liniile automate de turnare, în producția de serie mare și masă.

Tăierea rețelelor de turnare și a maselotelor se poate face:

- la piesele din fontă prin: rupere cu ciocanul, tăiere cu disc abraziv, tăiere cu freza disc, tăiere pe presă;
- la piesele din oțel prin: tăiere pe presă, tăiere cu flacăra, tăiere cu disc abraziv, tăiere cu freza disc;
- la piesele din aliaje de aluminiu prin: tăiere pe presă, ferăstrău cu bandă, tăiere cu disc abraziv, tăiere cu freza disc;
- la piesele din aliaje de cupru prin: rupere cu ciocanul, tăiere cu disc abraziv, tăiere cu freza disc.

Piese de dimensiuni mici și medii de construcție compactă, fără pereți subțiri sau muchii ascuțite, se pot curăți (debavurare, îndepărtarea defectelor de suprafață, micșorarea rugozității) prin tobare. *Tobarea* constă în amestecarea prin rostogolire a pieselor împreună cu anumite corpuri, de mărime, formă și duritate bine determinată, în funcție de nivelul de calitate a suprafețelor care se dorește a fi realizat, într-un tambur rotitor. Procedul se poate desfășura umed sau uscat. Curățirea pieselor survine datorită frecării dintre piese și corpurile abrazive.

O altă modalitate de curățire a suprafețelor pieselor, prin care se poate realiza și îmbunătățirea proprietăților stratului superficial, prin compactarea

mecanică a acestuia, este sablarea cu alicare („alicarea”). *Alicarea* constă în bombardarea suprafeței piesei cu jeturi de alicare, transportate prin intermediul aerului comprimat. Pentru piesele mari și grele, se utilizează instalații de alicare cu mai multe capete de sablare mobile, cu deplasare centrifugală, piesa fiind așezată pe o masă rotitoare.

Curățirea electrochimică se aplică pieselor din fontă și oțel, de dimensiuni mici și mijlocii, cu o configurație complexă. Curățirea se face prin imersarea pieselor în băi de săruri topite (90% NaOH), urmată de spălarea pieselor în băi de neutralizare.

3.12.3. Tratamentele termice și termochimice

În funcție de destinația ulterioară a piesei turnate, aproape în majoritatea cazurilor, piesele turnate sunt supuse unor tratamente termice. Tratamentele termice și termochimice sunt destinate îmbunătățirii proprietăților mecanice ale pieselor brut turnate, fie în vederea prelucrării prin așchiere (înmuierea straturilor superficiale, pe adâncimea adaosului de prelucrare), fie în vederea funcționării (durificarea superficială, obținerea unor structuri fine și stabile). Ciclurile de tratament termic aplicate pieselor turnate diferă în raport cu materialul piesei și rolul funcțional al acesteia.

3.12.3.1. Tratamente termice pentru piese din fontă cu grafit lamelar

Cele mai utilizate tratamente sunt cele pentru detensionare. Tratamentele pentru detensionare se aplică pieselor turnate și celor remaniate prin sudare. Ele au drept scop eliminarea tensiunilor remanente produse prin răcirea neuniformă, prin frânarea contracției și în urma transformărilor structurale. Cele mai curențe tratamente de detensionare sunt îmbătrânirea naturală și cea artificială.

Îmbătrânirea naturală constă în menținerea piesei la temperatura mediului ambiant timp de 3...24 luni sau chiar mai mult.

Îmbătrânirea artificială sau recoacerea de detensionare constă în încălzirea pieselor cu viteză mică (sub 50°C/h), urmată de menținerea (între 2...24 ore, în funcție de grosimea peretelui și a importanței piesei) și de răcirea lentă în cuptor cu viteză mică (sub 50°C/h) până la 150°C, urmată de răcirea liberă în aer.

Recoacerea pentru înmuiere se aplică în scopul îmbunătățirii prelucrabilității prin așchiere, prin descompunerea cementitei libere, și constă în încălzirea pieselor cu viteză medie de 80...120°C/h, până la 870...950°C, în funcție de grosimea pereților piesei, urmată de menținerea 1..2 h - pentru fiecare 25 mm grosime de perete. Apoi urmează o răcire lentă în cuptor până la 350°C și de răcirea liberă în aer. Se poate face numai o *recoacere pentru globulizarea perlitei lamelare*, caz în care încălzirea pieselor are loc la temperatura de 675...825°C.

Normalizarea se aplică în scopul îmbunătățirii proprietăților mecanice, prin

modificarea conținutului de perlită, și constă în încălzirea pieselor la 850...950°C timp de 1...3 h - pentru fiecare 25 mm grosime de perete, urmată de răcirea liberă în aer.

Călirea se aplică în scopul îmbunătățirii proprietăților mecanice prin formarea unei structuri în afară de echilibru, martensită sau soluție solidă suprasaturată, și constă în încălzirea pieselor la 850...900°C, cu menținere timp de 1 h pentru fiecare 25 mm grosime de perete, urmată de răcirea rapidă în ulei. În cazul *călirii martensitice izoterme* răcirea se face mai întâi lent într-o baie de săruri la 225...450°C, cu menținere 1 minut pentru fiecare 5 mm grosime de perete, urmată de răcirea rapidă în aer. *Călirea martensitică superficială* se aplică în scopul îmbunătățirii proprietăților mecanice ale stratului superficial prin formarea unei structuri martensitice, în restul volumului materialului piesei structura rămânând nemodificată, și constă în încălzirea locală a pieselor la temperatura de călire, cu menținere pentru aducerea grafitului greu solubil în soluție, urmată de răcirea rapidă în aer. Încălzirea se face prin inducție sau cu flacăra.

Îmbunătățirea se aplică în scopul creșterii proprietăților mecanice. Este un tratament complex, care constă într-o călire urmată de revenire înaltă la 700°C.

3.12.3.2. Tratamente termice pentru piese din fontă cu grafit nodular

Feritizarea se aplică pieselor turnate din fontă cenușie pentru obținerea unor structuri feritice sau ferito-perlitice, în cazul mărcilor Fgn 370-17, Fgn 400-12, Fgn 400-5, Fgn 500-7 ale căror proprietăți nu pot fi obținute direct prin turnare. Feritizarea constă în încălzirea la 910...930°C timp de 2h pentru fiecare 25mm grosime de perete, urmată de răcire cu 50°C/h până la 700°C, cu menținere 2...3h, urmată de răcire lentă în cuptor până la 600°C și apoi răcire rapidă în aer.

Călirea se face la 850...950°C cu răcire în ulei, urmată de revenire joasă la 425°C. Se poate aplica și călire izotermă la 900°C și răcire în baie de săruri la 400...450°C. Călirea superficială se face prin încălzire la 840...900°C, timp de 5...9s, urmată de răcire rapidă cu emulsii apă-ulei. Se recomandă ca înainte de călire să se facă o recoacere pentru perlitizare.

Îmbunătățirea se face prin călire la 850°C, răcire în ulei și revenire la 400...700°C.

Recoacerea pentru detensionare se execută la 530°C, respectiv la 870°C pentru fontele austenitice.

3.12.3.3. Tratamente termice pentru piese din fontă maleabilă

Fontele maleabile se solidifică sub formă de fontă albă (perlită + ledeburită). Pentru a le crește tenacitatea și a îmbunătăți prelucrabilitatea prin așchiere li se aplică *tratamentul de maleabilizare*. Acesta constă dintr-o recoacere de maleabilizare prin care se realizează descompunerea carburilor secundare și a celor eutectice și formarea grafitului în cuiburi. În funcție de structura masei de bază a fontei maleabile, acestea pot fi cu inimă albă, perlitice, sau cu inimă neagră -

feritice. Tratatamentul este costisitor deoarece necesită durate mari de menținere (40...100h, la temperaturi ridicate: 950...1000°C), fiind rentabil numai când tenacitatea este o caracteristică foarte importantă a piesei. După maleabilizare, piesele pot fi supuse unei *recoaceri de globulizare* a perlitei la 750°C, cu răcire lentă până la 680°C, și apoi rapidă în aer, urmată de o *călire superficială*.

3.12.3.4. Tratamente termice pentru piese din fontă aliată

Fontelor aliate li se pot aplica tratamente de detensionare, normalizare, călire și îmbunătățire, parametrii tehnologici ai acestor tratamente variind în funcție de tipul piesei și de compoziția fontei.

3.12.3.5. Tratamente termice pentru piese din oțel carbon

Structura pieselor brut turnate din oțel carbon este improprie utilizării ca atare, având tensiuni interne datorate: solidificării în formă, șocurilor termice cauzate de tăierea rețelei de turnare și a maselotelor, zonelor influențate termic de remanierea defectelor prin sudare. Toate aceste cauze duc la proprietăți mecanice necorespunzătoare. De aceea, este obligatorie îmbunătățirea proprietăților după turnare, de regulă, prin tratamente termice. Cele mai des utilizate tratamente termice sunt: recoacerea, normalizarea și călirea.

Recoacerea pentru detensionare constă în încălzirea pieselor cu viteză mare, 100°C/h până la 590...610°C, cu menținerea de 1h pentru fiecare 25 mm grosime de perete, plus 2h, urmată de răcirea cu viteză moderată 50°C/h până la 200°C și apoi răcirea rapidă în aer.

Recoacerea peste A_{C3} se aplică pentru îmbunătățirea proprietăților mecanice și constă în încălzirea lentă cu viteze sub 50°C/h până la 860...920°C, cu menținere 1h pentru fiecare 25 mm grosime de perete, după care se face răcirea lentă în cuptor până la 400°C, urmată de răcirea în aer.

Normalizarea și detensionarea se aplică în completarea recoacerii peste A_{C3} , pentru îmbunătățirea proprietăților mecanice, și constă în încălzirea lentă cu viteze sub 50°C/h până la 860...920°C, cu menținere 1h pentru fiecare 25 mm grosime de perete, după care se face răcirea rapidă în curent de aer până la 350°C, urmată de o recoacere pentru detensionare.

Recoacerea de difuziune-normalizare-detensionare se aplică pieselor mari, cu segregatii, pentru îmbunătățirea proprietăților mecanice. Este un tratament costisitor, care produce în secundar oxidarea și decarburarea materialului.

Recoacerea de difuziune se aplică pentru reducerea segregatiilor cristaline și constă în încălzirea în trepte de preîncălzire sau continuă, cu viteze lente, sub 50°C/h până la 100...150°C, cu menținere 1h pentru fiecare 25 mm grosime de perete plus 4...6h necesare difuzării carbonului. Răcirea se face în aer până la 550°C, după care se face preîncălzirea pentru normalizare și detensionare.

Călirea superficială cu flacăra se face pentru creșterea superficială (adâncime 2...4 mm) a durității și rezistenței la uzare în cazul pieselor turnate din OT 500, OT 550, OT 600.

3.12.3.6. Tratamente termice pentru piesele din oțeluri aliate

Oțelurile slab și mediu aliate se supun de regulă tratamentului de îmbunătățire pentru obținerea structurii sorbitice sau martensitice de revenire.

Tratamentele recomandate pentru oțelurile înalt aliate turnate în piese pentru construcția de mașini sunt specificate în STAS 1773-76 și, de regulă, ele constau în îmbunătățire, călire, normalizare.

Tratamentele termice recomandate pentru oțelurile refractare și inoxidabile turnate în piese și sudate în industria construcțiilor de mașini sunt specificate în STAS 6855-78.

3.12.3.7. Tratamente termice pentru piesele din aliaje neferoase

Cele mai des utilizate sunt: recoacerea, călire, îmbunătățirea și tratamentele termomecanice.

Recoacerea fără cristalizare fazică include: recoacerea de omogenizare, de recristalizare și de detensionare. Se face în scopul uniformizării și stabilizării în timp a proprietăților și a dimensiunilor pieselor turnate.

Recoacerea cu transformări de fază în stare solidă se aplică pieselor după deformarea plastică.

Călirea pentru durificare se aplică aliajelor de Cu-Al și a celor de Ti.

Călirea pentru punere în soluție se aplică aliajelor de: Cu-Cr; Cu-Be; Cu-Si; Cu-Ni; Ni-Cr; Al-Cu; Al-Mg; Al-Zn; Al-Si; Al-Cu-Mg; Al-Mg-Si; Al-Mg-Si-Cr; Al-Zn-Mg-Cu; Mg-Al; Mg-Zn; Mg-Al-Zn; Ti-Al; Ti-Cr; Ti-V.

Îmbătrânirea se aplică după călire, în vederea obținerii unei structuri mai stabile decât cea de călire, dar situate tot în afara echilibrului structural. Se aplică în special aliajelor de aluminiu.

Tratamentele termo - mecanice constau în prelucrarea combinată - termică și mecanică - în același domeniu de temperaturi, în scopul îmbunătățirii proprietăților mecanice și detensionării piesei turnate.

3.13. DEFECTELE PIESELOR TURNATE

3.13.1. Generalități

Defectele pot fi cauzate de nerespectarea accidentală a tehnologiei de turnare, de utilizarea unor materii prime și materiale neconforme și de alegerea nejudicioasă a procedurii de turnare.

Defectele se datorează în primul rând fenomenelor care însoțesc elaborarea și solidificarea materialelor turnate, cum ar fi (tab.3.32):

- contracția : retasuri DT 43; microretasuri DT 44; porozități DT 45; tensiuni interne; deformări DT 15; crăpături la cald DT 31 și la rece DT 32;
- segregarea: licuația DT 61; segregarea DT 64; segregarea cristalină; segregarea zonală; segregarea gazoasă; segregarea gravitațională;
- dizolvarea gazelor: caria DT 291; sufluri DT 41; sita DT 42;
- forme de turnare:
- erodarea pereților cavității la curgerea aliajului: bavura DT 13;
- interacțiunea termică dintre topitură și materialul formei: arsuri DT 27; cruste DT 22; cruste DT 25;
- interacțiunea chimică cu aliajul topit: DT 6; DT 7;
- unor cauze accidentale: DT 1 - DT 7.

Din punctul de vedere al conceptului de asigurarea calității, procesele de turnare se încadrează în categoria proceselor speciale. Acestea sunt procesele ale căror rezultate nu pot fi verificate în întregime printr-o inspecție și o testare ulterioară a produsului obținut și, în consecință, este necesară supravegherea continuă a proceselor și a conformității acestora cu proceduri de lucru documentate, în scopul prevenirii apariției defectelor sau a condițiilor care favorizează producerea defectelor.

Apariția defectelor la piesele turnate se pot datora:

- 50% deficiențelor de concepție și de proiectare a piesei;
- 50% deficiențelor de execuție: tehnologia, disciplina tehnologică, cauzele accidentale.

Defectele de turnare sunt standardizate conform STAS 782-79. În tabelul 3.32 clasificarea din standard a fost completată cu precizarea cauzelor posibile care au generat defectul.

Întotdeauna este importantă cunoașterea cauzelor care pot conduce la apariția defectelor, deoarece numai cunoscând cauzele se pot adopta măsurile necesare preîntâmpinării acestora (măsuri tehnologice, constructive etc.).


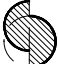



Câteva din cauzele apariției unor defecte foarte răspândite, precum și măsurile de preîntâmpinare corespunzătoare se vor trata în continuare.

3.13.2. Defectele cauzate de fenomenul de contracție




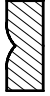


În timpul procesului de solidificare metalele și aliajele suferă fenomenul de contracție, care se manifestă atât în stare lichidă, cât și în stare solidă. În general, contracția totală C_T , a unui metal sau aliaj aflat în stare lichidă și supus procesului de solidificare, se compune din

$$C_T = C_L + C_{LS} + C_S \pm C_F . \quad (3.50)$$








Tabelul 3.32. Defectele pieselor turnate

Simbolul STAS	Cauzele posibile de apariție a defectelor pe traseul tehnologic					Reprezentarea schematică a defectului
	Denumirea	Proiectarea piesei	Proiectarea formei	Proiectarea tehnologiei	Execuția	
1	2	3	4	5	6	7
DT 1	Forme, dimensiuni, mase necorespunzătoare					
DT 11	Umplerea incompletă a formei	Pereți prea subțiri	-Rețea de turnare subdimensionată -Jocuri mari ale știfturilor de închidere a ramelor -Miezuri cu mărci prea mici	- Temperatura de turnare prea mică - Cantitate insuficientă de material	-Infiltrarea materialului lichid prin planul de separație	
DT 12	Dezaxarea	-		-	-Montare greșită a modelelor -Asamblare necorespunzătoare a semiformelor și a miezurilor	
DT 13	Bavura	-	-Rame necorespunzătoare -Jocuri transversale mari la mărcile miezurilor	-	- Consolidare și ajustare necorespunzătoare a formei	
DT 14	Umflătura	-	-Rezistență insuficientă a formei	-	-Deformarea formei datorită rezistenței mecanice slabe -Grad de îndesare neuniform	
DT 15	Deformarea	-Diferență de grosime între pereți	-Rezistență insuficientă a formei	-Modul de răcire a piesei -Tratamentul termic	-Rezistență insuficientă a formei	


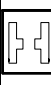




Tabelul 3.32 (continuare)

1	2	3	4	5	6	7
DT 16	Știrbirea	–	–	–	-La cald datorită tăierii cu flacăra a maselelor -La rece datorită dezbatării formelor	
DT 17	Dimensiune necorespunzătoare	–	-Model necorespunzător -Rezistență redusă a formei	–	-Model necorespunzător -Demulare greșită -Rezistență redusă a formei	
DT 18	Masă necorespunzătoare	–	-Model necorespunzător	-Amestec de formare necorespunzător	-Amestec de formare necorespunzător -Deplasarea miezului în formă -Model necorespunzător	Idem
DT 2	Defecte de suprafață					
DT 21	Aderența (termică, chimică, mecanică)	–	–	-Amestec de formare necorespunzător	–	
DT 22	Repriza (sudura la rece)	-Pereți prea subțiri	-Amplasare greșită a rețelei de turnare	-Temperatura și viteza de turnare prea mici -Fluiditatea redusă a aliajului	-Întreruperea turnării	
DT 24	Excreșcența	–	-Amplasare greșită a rețelei de turnare -Rezistență insuficientă a formei	-Amestec de formare necorespunzător	-Grad de îndesare redus	
DT 25	Creasta	–	-Modele cu înclinări necorespunzătoare	-Uscarea prea rapidă a formelor	-Uscarea prea rapidă a formelor -Demularea greșită	


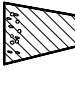

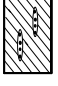


Tabelul 3.32 (*continuare*)

1	2	3	4	5	6	
DT 26	Picătura	–	–	–	-Licuația la solidificare	
DT 27	Arsura	–	–	-Recoacerea necorespunzătoare a pieselor	–	
DT 28	Urme de deteriorare	–	–	–	-Dezbatere defectuoasă	
DT 291	Caria	–	–	-Degajarea locală de gaze	–	
DT 292	Rugozitate mare	–	–	-Alegerea necorespunzătoare a amestecului de formare	-Pătrunderea aliajului prin porii forme	
DT 293	Crusta	–	-Dilatarea locală a pereților forme	-Alegerea necorespunzătoare a amestecului de formare	–	
DT 294	Fagure	–	–	-Aliaj supraîncălzit, oxidat	-Aliaj supraîncălzit, oxidat	



Tabelul 3.32 (continuare)

1	2	3	4	5	6	7
DT 3	Crăpături					
DT 31	Crăpături la cald	Treceri bruște	-Frânarea contracției de către forma de turnare -Amplasarea greșită a rețelei de turnare	- Conținut ridicat de liant în anesteclul de formare -Temperatura și viteza de turnare prea mari	- Grad de îndesare prea mare	
DT 32	Crăpături la rece	-	-	-	-	
DT 33	Crăpături la tratament termic	-	-	-Încălzire prea rapidă a piesei -Răcire prea rapidă la călire	-	
DT 4	Goluri în corpul piesei					
DT 41	Sufluri	-	-Rețea de turnare necorespunzătoare	-Degazare necorespunzătoare -Umiditate prea mare a formelor -Amestec de formare necorespunzător -Temperatura de turnare prea mică	-Îndesare prea mare a formelor -Înteruperea turnării	
DT 42	Șita	-	-	-Elaborare necorespunzătoare a aliajului -Amestec de formare necorespunzător	-	
DT 43	Retasura	-	-Amplasare necorespunzătoare a maselotelor	-Dirijare necorespunzătoare a solidificării	-	

Tabelul 3.32 (continuare)

1	2	3	4	5	6	
DT 44	Microreta- sura	Noduri termice, pereți inegali	-Dimensionare și amplasare greșită a maselotelor	-Temperatura prea ridică de turnare	-Montare excentrică a miezurilor în formă	
DT 45	Porozități	–	–	-Solidificare necorespunzătoare	–	
DT 5	Incluziuni					
DT 51	I. De zgură	–	-Rețea de turnare necorespunzătoare	-Viteza de turnare prea mică -Amestec de formare necorespunzător -Aliaj elaborat necorespunzător	-Întreruperea turnării -Curățire incompletă a zgurei	
DT 52	I. De amestec de formare	–	-Rezistență mică a formei	-Menținerea formelor crude prea mult timp înainte de turnare	-Curățire necorespunzătoare a formei -Repararea și asamblarea necorespunzătoare a formelor	
DT 53	I. Nemetalice	–	-Amplasare greșită a rețelei de turnare	-Dezoxidare necorespunzătoare	-Turnare de la înălțime prea mare	
DT 54	Picătura rece	–	-Rețea de turnare necorespunzătoare	-Temperatura prea scăzută de turnare -Umiditate prea mare a formelor	-Turnare de la înălțime prea mare	

Tabelul 3.32 (continuare)

1	2	3	4	5	6	
DT 55	I. Metalice	–	–	–	-Asamblare neglijentă a formelor	
DT 6	Defecte de structură					
DT 61	Licuția (separarea componente-lor aliajului la solidificare)	–	–	-Temperatura prea mare de turnare -Viteza prea mică de răcire	- Compoziția chimică necorespunzătoare a aliajului	–
DT 62	Neconcordanță a mărimii grăuntelui	–	–	-Viteza prea mică de solidificare	-Dezoxidare insuficientă pentru oțel -Modificare necorespunzătoare pentru fonte și neferoase	–
DT 63	Zona dură (pt piesele din fontă)	–	–	-Tratament termic necorespunzător -Remediere greșită prin sudare	–	
DT 64	Segregația	Piesa cu noduri termice	–	-Temperatura prea ridicată de turnare (pt piesele cu pereți groși) -Răcirea piesei cu viteză prea mică	-Elaborarea necorespunzătoare a aliajului (oxizi, gaze, incluziuni)	–
DT 65	Neconcordanță a structurii	–	–	-Neconcordanța dintre viteza de răcire, compoziția chimică și grosimea pereților piesei -Tratament termic necorespunzător	-Elaborare necorespunzătoare a aliajului	–
DT 66	Strat decarburat	–	–	-Tratament termic necorespunzător	–	–

Tabelul 3.32 (continuare)

1	2	3	4	5	6
DT 7	Compoziția chimică, caracteristici mecanice și fizice necorespunzătoare				
DT 71	Neconcordanță a compoziției chimice	–	–	–	– -Elaborare necorespunzătoare -Dozare greșită -Conducere greșită a procesului
DT 72	Neconcordanță a proprietăților mecanice	–	–	-Răcire necorespunzătoare -Tratament termic necorespunzător	– -Elaborare necorespunzătoare a aliajului
DT 73	Neconcordanță a caracteristicilor fizice	–	–	-Compoziție chimică necorespunzătoare -Tratament termic necorespunzător	–

unde: C_L este contracția în stare lichidă (în decursul scăderii temperaturii de la temperatura de turnare la temperatura de topire); C_{LS} - contracția la trecerea din starea lichidă în starea solidă; C_S - contracția în stare solidă (în decursul scăderii temperaturii de la temperatura de solidificare la temperatura mediului ambiant); C_F - contracția rezultată în decursul transformărilor de fază produse în stare solidă.

Valoarea cea mai importantă o are termenul C_{LS} . Principalele efecte ce însoțesc contracția la solidificare și care pot provoca defecte sunt: formarea retasurilor și microretasurilor, apariția tensiunilor interne, apariția deformațiilor și apariția crăpăturilor.

3.13.2.1. Formarea retasurilor și microretasurilor

Retasura sau golul de contracție este rezultatul contracției metalului sau aliajului la trecerea din starea lichidă în starea solidă. În cazul unei *solidificări dirijate* (când grosimea pereților piesei crește de jos în sus) golul de contracție numit *retasură* se formează în partea de sus (fig.3.136. a). În cazul unei *solidificări*

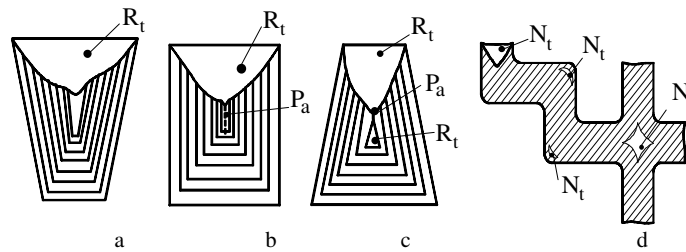


Fig. 3.136. Formarea golurilor de contracție (retasurilor):

a - la solidificarea dirijată; b - la solidificarea simultană; c - în cazul descreșterii grosimii peretelui de jos în sus; R_t - retasură; P_a - porozitate axială; N_t - noduri termice.

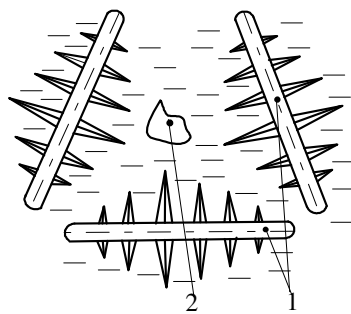


Fig. 3.137. Formarea microretasurilor:

1 - dendrite orientate arbitrar;
2 - microretasură (microporozitate).

simultane (când grosimea pereților piesei este constantă) ca urmare a faptului că volumul solidului rezultat este mai mic decât al lichidului din care a provenit se va forma o retasură în partea centrală și o *porozitate axială* (fig.3.136. b) rezultată din solidificarea ultimelor cantități de lichid.

În cazul când grosimea peretelui descrește de jos în sus, din aceleași motive pot apărea două retasuri: o retasură principală la partea superioară și o retasură secundară în partea centrală a

piesei (fig.3.136. c).

Deci, defectele de tipul goluri de contracție apar în acele piese care prezintă fie grosime uniformă a pereților, fie grosimi variabile care împiedică solidificarea dirijată (fig.3.136. d). Aglomerările de metal înscrise în sfere ce nu pot fi rostogolite în sus prin pereții piesei până la partea superioară se numesc *noduri termice*; acestea, solidificându-se mai târziu decât restul piesei vor forma *goluri de contracție*. Pe lângă retasurile de contracție concentrate în partea superioară sau în nodurile termice, mai apar goluri de solidificare sub formă de *microretasuri* sau microporozități ca urmare a împiedicării pătrunderii metalului lichid între dendritele orientate conform cu gradientul de temperatură (fig.3.137).

Microretasurile apar în special la aliajele cu interval mare de solidificare și produc o micșorare însemnată a proprietăților mecanice și o pierdere a etanșeității.

3.13.2.2. Măsuri de prevenire a defectelor datorate retasurilor și microretasurilor

Tehnologul sau proiectantul de procese tehnologice de realizare a pieselor turnate au la îndemână o serie de măsuri tehnologice și constructive pentru a preveni această categorie de defecte.

Măsurile tehnologice constau în:

- utilizarea *maselotelor* în scopul transferării golului de contracție din piesă în afara ei (fig.3.138. a). Fără maselotă, piesa ar fi prezentat după solidificare retasura R_{10} . Prin solidificarea asistată de maselotă, retasura este transferată în poziția R_t' . Rolul maselotei este îndeplinit atunci când se asigură o solidificare dirijată a peretelui piesei spre maselotă, de aceea pereții piesei se îngroașă corespunzător cu niște *adaosuri tehnologice* A_t (fig.3.138. b). Câmpul de acțiune al unei maselote se întinde numai pe o anumită zonă (egală cu de două ori grosimea peretelui pe care se pune), de aceea în funcție de configurația geometrică a piesei se prevăd mai multe maselote (fig.3.138. c);

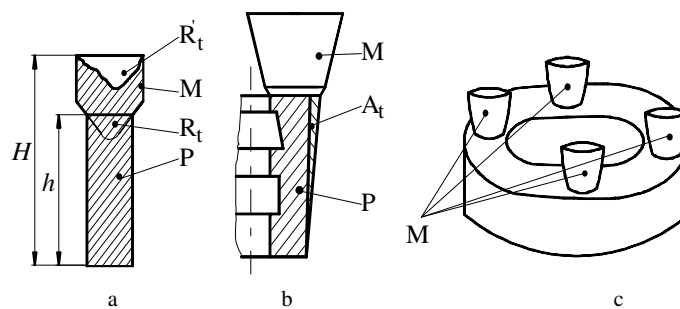


Fig. 3.138. Modul de amplasare a maselotelor:

a, b - în partea superioară a piesei; c - funcție de geometria piesei: R_t - retasura; R_t' - retasura transferată; M - maselota; P - piesa; A_t - adaos tehnologic; h - înălțimea piesei turnate; H - înălțimea piesei brut turnate.

- utilizarea *acceleratorilor de răcire*, denumiți și *răcitori*, cu scopul prevenirii formării retasurilor în nodurile termice de la joncțiunea a doi pereți sau de la colțurile interioare ale pieselor. Răcitorii pot fi *interiori* (au aceeași compoziție ca și metalul sau aliajul care se toarnă) sau *exteriori* (plăci metalice de fontă sau oțel încorporate în peretele formei în dreptul nodurilor termice). Răcitorii interiori au formă de cuie, bare, spirale de sârmă (fig.3.139. a) și rămân încorporați în piesa turnată, spre deosebire de răcitorii exteriori care rămân în peretele formei de turnare (fig.3.139. b).

Măsurile constructive constau în:

- proiectarea judicioasă a piesei turnate;
- modificarea constructivă a piesei cu respectarea aceluiași rol funcțional

(fig.3.140).

Prevenirea formării microretasurilor se face mai ales prin exercitarea unei presiuni asupra metalului sau aliajului lichid în momentul solidificării (turnarea sub presiune, centrifugală etc.).

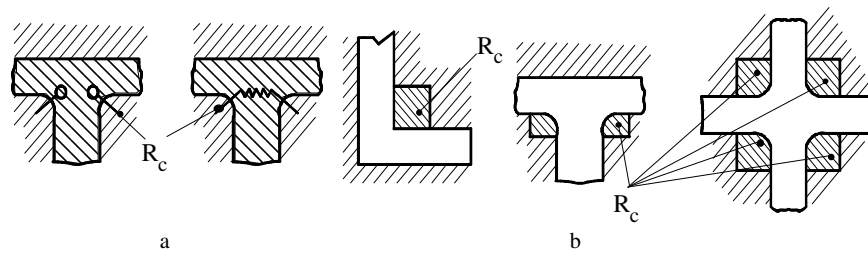


Fig. 3.139. Modul de amplasare a acceleratorilor de răcire:

a - răcitori interiori; b - răcitori exteriori; R_c - răcitori.

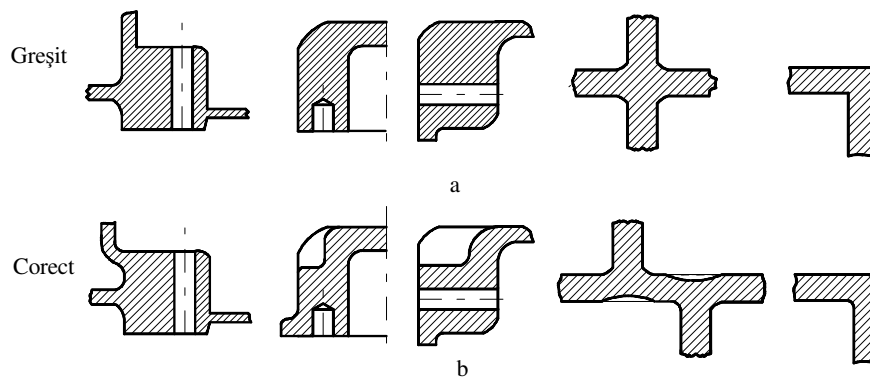


Fig. 3.140. Modificarea constructivă a pereților pieselor turnate în vederea evitării nodurilor termice:

a - soluții greșite; b - soluții corecte.

3.13.2.3. Apariția tensiunilor interne

Apariția tensiunilor interne este rezultatul solidificării cu viteze diferite pe secțiune a straturilor de metal sau aliaj. Pot apărea trei categorii de tensiuni:

- *termice* - datorate răcirii neuniforme a pereților piesei, în sensul că pereții subțiri și porțiunile mai îndepărtate de punctul de intrare a metalului în formă se răcesc mai repede decât pereții groși și zonele apropiate de punctul de alimentare; există deci un moment în care o parte a piesei este în stare plastică, iar cealaltă în stare elastică (partea aflată în stare plastică își va adapta lungimea după partea aflată în stare elastică); când și a doua parte va atinge starea elastică ambele părți se vor contracta diferit: în părțile groase vor apărea *tensiuni de întindere*, iar în părțile subțiri - *tensiuni de compresiune* (vezi capitolul 2);

- *fazice* - datorate traversării în timpi diferiți a liniilor de transformare de fază; în multe situații transformările de fază sunt însoțite de modificări ale volumului specific al constituenților structurali și deci de apariția unor tensiuni interne;

- *de contracție* - datorate împiedicării contracției prin rezistența opusă de miezuri sau forme (aceste tensiuni au caracter temporar, ele dispărând odată cu cauza care le-a provocat).

Prevenirea și combaterea tensiunilor interne se face printr-o serie de măsuri cu caracter constructiv sau tehnologic, cum ar fi:

- răcirea cu viteză de răcire foarte mică a pieselor cu grosime uniformă, evitându-se diferențele mari ale vitezei între centrul peretelui piesei și suprafața acestuia;

- accelerarea răcirii părților groase cu ajutorul răcitorilor;
- eliberarea părților groase de amestecul de formare imediat după solidificare;

- traversarea punctelor de transformare de fază cu viteză de răcire mică;
- scoaterea piesei din formă imediat după solidificare etc.
- aplicarea unor tratamente termice corespunzătoare (se aplică frecvent tratamentul termic de recoacere de detensionare).

3.13.2.4. Apariția deformațiilor

Apariția deformațiilor este o consecință a existenței tensiunilor interne în piesa turnată. Deformațiile care pot apărea depind de configurația geometrică a piesei și pot fi cauzate și de model și de formă, nu numai de fenomenul de contracție. Deoarece tensiunile termice sunt de întindere, în părțile groase, și de compresiune, în părțile subțiri, rezultă că părțile groase ale piesei au tendința de a-și reduce lungimea, în timp ce părțile subțiri au tendința de a-și mări lungimea. Astfel, o grindă turnată cu secțiunea în T se va deforma corespunzător cu dimensiunile secțiunii (fig.3.141. a și b).

Cunoașterea modului de deformare permite proiectarea unor piese care să nu sufere deformații (fig.3.141. c) sau construcția unor modele cu deformația contrară celei pe care ar putea-o avea piesa turnată.

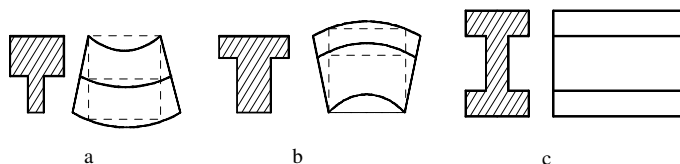


Fig. 3.141. Apariția deformațiilor în piesele turnate:

a - secțiunea groasă în partea superioară; b - secțiunea groasă în partea inferioară; c - secțiunea uniformă.

3.13.2.5. Apariția crăpăturilor

Apariția crăpăturilor este rezultatul existenței tensiunilor interne care însumate depășesc rezistența la rupere a materialului. După temperatura la care se produc se deosebesc:

- *crăpăturile la rece*, ce apar la temperatura ambiantă sau la temperaturi sub 500°C (deci în domeniul elastic); ele sunt drepte, puțin deschise, au întindere mare, cu tendința de a se propaga în continuare, iar ruptura este intracristalină de culoare metalică;

- *crăpăturile la cald*, ce apar la temperaturi înalte (deci în domeniul plastic); ele sunt mai largi decât crăpăturile la rece, de întindere mică, șerpuite și fără tendința de a se propaga în continuare, iar ruptura este intercristalină puternic colorată în negru (ca urmare a unei oxidări puternice). Modul de apariție a unei crăpături datorită împiedicării contracției piesei de către formă se prezintă în figura 3.142. a.

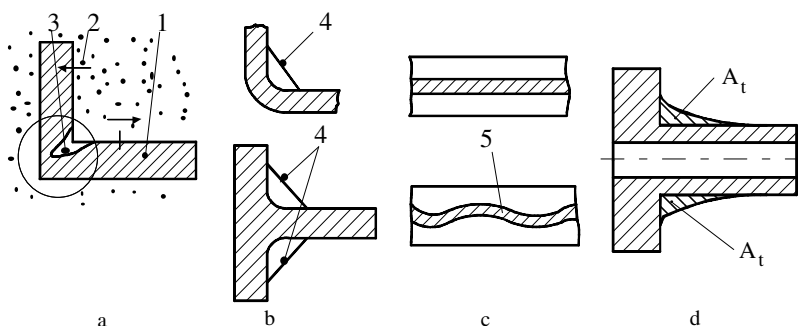


Fig. 3.142. Apariția crăpăturilor și prevenirea apariției lor:

a - apariția unei crăpături la cald; b, c, d - măsuri constructive de prevenire a apariției crăpăturilor;

- 1 - contracția pieselor; 2 - limitarea contracției de peretele forme; 3 - crăpătura;
4 - nervuri; 5 - pereți curbi; A_t - adaosuri tehnologice.

Deoarece contracția piesei 1 este împiedicată de către peretele forme 2, apare crăpătura 3, în zona de maximă solicitare.

Prevenirea apariției crăpăturilor se face folosind diferite măsuri constructive și tehnologice, dintre care cele mai frecvente sunt:

- întărirea zonei periclitată cu nervuri de contracție (fig.3.142. b);
- înlocuirea pereților plani cu pereți curbi (fig.3.142. c);
- asigurarea unei compresibilități sporite forme și miezurilor;
- rigidizarea piesei prin îngroșarea treptată a peretelui (fig.3.142. d);
- evitarea părților „ieșinde” amplasate la distanță mare etc.

3.13.3. Defecte cauzate de fenomenul de segregare

Segregarea se manifestă atât la scara peretelui piesei, când se numește *segregație majoră*, cât și la scara cristalelor, numită *segregație minoră*. Segregația minoră constă în diferențele de concentrație dintr-un anumit element și apare în cursul unei faze în curs de solidificare. Așa cum se vede în figura 3.143, la temperatura T_1 , faza separată are concentrația c_1 , la temperatura T_2 , concentrația c_2 și așa mai departe. Astfel că, un cristal separat liber în masa lichidului va avea zona axială mai bogată în componentul A, iar zona marginală mai bogată în componentul B. Această repartizare neuniformă a componentilor aliajelor în piesele turnate, ca urmare a procesului de segregare, exercită o influență defavorabilă asupra proprietăților funcționale și tehnologice ale acestora.

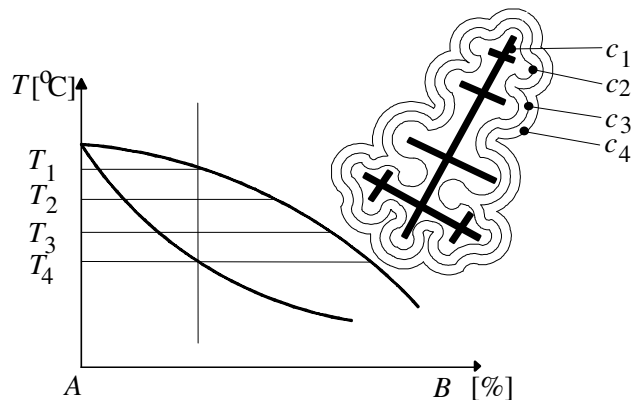


Fig. 3.143. Apariția segregăției minore.

Fenomenul de segregare poate fi prevenit printr-o serie de măsuri

tehnologice cum ar fi: mărirea vitezei de răcire a piesei în forme metalice, modificarea compoziției aliajului, tratament termic de recoacere de omogenizare etc.

3.13.4. Defecte cauzate de pătrunderea gazelor în metalul sau aliajul lichid

Gazele din mediul înconjurător sau rezultate în urma contactului dintre metalul sau aliajul lichid și pereții reci ai formei pătrund în metalul sau aliajul lichid în curs de solidificare, formând sufluri, soluții solide, straturi de gaze adsorbite, porozități și diferite combinații chimice. Cele mai răspândite defecte ale pieselor turnate sunt *incluziunile de gaze*. Gazele dizolvate pot provoca crăpături ce se prezintă sub forma a numeroase fisuri cu aspect de pete de culoare deschisă numite *fulgi*. Gazele care pot difuza în metalele și aliajele lichide sunt: azotul, hidrogenul și oxigenul. Aceste gaze prin dizolvare în metalul sau aliajul lichid formează *suflurile* - discontinuități în piese care scad rezistența materialului prin micșorarea secțiunii și prin efectul lor de concentrare a eforturilor. Suflurile se datorează atât metalului turnat, cât și formei. Principalele surse de pătrundere a gazelor datorate formei sunt:

- antrenarea aerului la curgerea metalului prin rețeaua de turnare;
- dislocarea de către metal a aerului din cavitatea formei;
- existența unor componenți, ai amestecului de formare, care produc gaze;
- umiditatea și aerul din porii amestecului de formare.

Prevenirea apariției suflurilor se poate face prin adoptarea unor măsuri tehnologice corespunzătoare, care să elimine sursele de apariție a gazelor în metalul sau aliajul lichid care se toarnă.

3.14. CONTROLUL PIESELOR TURNATE

Tendința actuală în domeniul controlului calității produselor este accentuarea laturii preventive, previzionale și active, în detrimentul celei constatative, pasive. Din această cauză, este important să se țină sub control procesul tehnologic.

Pentru controlul procesului tehnologic trebuie avut în vedere:

- controlul materiilor prime, prin: realizarea unei aprovizionări corespunzătoare, selectarea furnizorilor potențiali, stabilirea cu aceștia a unor contracte cu clauze ferme și clare privind calitatea, metodele și mijloacele de control, precum și responsabilitățile;
- depozitarea și manipularea, precum și modalitatea de evidență a materiilor prime și materialelor, care să fie organizate astfel încât să se excludă posibilitatea deprecierii acestora;
- să se prevadă încercări de laborator pentru loturile de materii prime,

materiale, precum și pentru materialele elaborate în vederea turnării;

- să se țină evidența șarjelor de materiale elaborate și turnate, care să permită o identificare rapidă a condițiilor în care a fost realizată piesa individuală;
- depozitarea, evidența manipularea și verificarea SDV-urilor și AMC-

urilor, necesare în toate fazele procesului tehnologic, să se facă în acord cu prescripțiile existente;

- să se stabilească cu claritate competențele, autoritățile și responsabilitățile profesionale în ceea ce privește realizarea calității pe locuri de muncă și echipe de lucru;
- să se stabilească puncte critice de control pe fluxul de fabricație, precum și parametrii, metodele și mijloacele adecvate de control;
- să se asigure o depozitare distinctă, identificarea clară și evidența strictă a rebuturilor, pe categorii: remediabile, recuperabile și nerecuperabile;
- periodic și ori de câte ori este necesar să se analizeze problemele procesului tehnologic, luându-se măsuri operative de remediere a disfuncționalităților ivite;
- să se instituie folosirea unor înregistrări corepunzătoare ale calității.

Controlul final al pieselor turnate trebuie să utilizeze metode adecvate, în raport cu: materialul, mărimea, configurația și importanța piesei (de aici decurg, în parte și tipul defectelor care trebuie depistate).

Pentru determinarea defectelor interne de turnare, se pot utiliza metode de control distructiv și nedistructiv.

Metodele de control distructiv au astăzi o importanță mai mult istorică. Ele sunt costisitoare, deoarece presupun distrugerea piesei analizate. Din această cauză, ele se folosesc mai ales în stadiul de omologare a tehnologiilor de turnare, precum și atunci când se cercetează cauzele apariției defectelor de turnare.

Metodele de control nedistructiv permit aplicarea controlului integral (100% din lotul de piese realizate). Cele mai utilizate metode de control nedistructiv sunt:

- *controlul vizual (CV)* ce însoțește toate operațiile de control. El trebuie efectuat după dezbateră formei și curățirea piesei, în condiții bune de iluminare. Uneori el poate fi facilitat de utilizarea unor endoscoape pentru zonele interioare greu accesibile, ca și a lupelor și microscopelor cu care se pot pune în evidență anumite detalii. În ultimii ani, o dată cu dezvoltarea informaticii, au apărut dispozitive optoelectronice, care permit CV automat („vedere mașină”) cu o deosebită precizie. Se pot pune astfel în evidență defecte de tipul: abateri dimensionale și de formă, (DT 1), defecte de suprafață (DT 2) și altele;

- *controlul dimensional (CD)* poate pune în evidență defecte de tipul dimensiunilor și formelor necorespunzătoare (DT 1) și uneori și defecte de suprafață (DT 2);

- *controlul prin cântărire* (CPC) poate pune în evidență defecte de tipul maselor necorespunzătoare (DT 1), golurilor (DT 4) sau incluziunilor nemetalice (DT 5);

- *controlul acustic* (CA) se face prin lovirea piesei suspendate liber, astfel încât se pot evidenția acustic discontinuitățile de material, cum ar fi golurile (DT 4) și fisurile (DT 3);

- *controlul la presiune hidraulică* (CPH) se aplică pieselor a căror etanșeitate este importantă (carcase și corpuri de pompe, armături și alte elemente hidraulice, recipienti sub presiune, elemente de calorifer etc.). Se pot pune în evidență și defecte de tipul neconcordanței proprietăților mecanice (DT 72);

- *controlul cu lichide penetrante* (CLP) poate pune în evidență numai defectele deschise de tipul crăpăturilor și fisurilor (DT 3), precum și unele defecte de suprafață;

- *controlul cu pulberi magnetice* (CPM) poate pune în evidență discontinuitățile din materialul piesei, situate în apropierea suprafeței prin care se face examinarea. Calitatea controlului depinde de rugozitatea suprafeței controlate ($R_a < 12,5 \mu\text{m}$). Se pot detecta defecte de tipul: crăpăturilor (DT 3), golurilor (DT 4), incluziunilor (DT 5);

- *controlul cu ultrasunete* (CUS) poate pune, în mod obișnuit, în evidență defecte de tipul: fisurilor (DT 3), golurilor (DT 4), incluziunilor (DT 5), situate oriunde în masa piesei. Prin metode speciale se pot evidenția și defectele de structură (DT 6). În cazul metodelor de examinare prin contact este necesară prelucrarea prealabilă a suprafețelor de contact pentru a se realiza un cuplaj acustic cât mai bun și pentru a avea rezultate cât mai bune;

- *controlul prin emisie acustică* (CEA) necesită de asemenea prelucrarea prealabilă a suprafețelor de contact, prin care se face examinarea, și se pot pune în evidență defecte de tipul fisurilor (DT 3), golurilor (DT 4), incluziunilor (DT 5), situate oriunde în masa piesei;

Tabelul 3.33. Aplicabilitatea controlului nedistructiv la piesele turnate

Metoda de control nedistructiv	Tipul defectului						
	DT 1	DT 2	DT 3	DT 4	DT 5	DT 6	DT 7
CV	X	X	X	X	X		
CD	X	X					
CPC	X			X			
CA			X	X			
CPH		X	X	X			X
CLP		X	X				
CPM			X	X	X		

CUS			X	X	X	X	
CEA			X	X	X		
CT			X	X	X		
CRP	X	X	X	X	X	X	

- *controlul termografic* (CT) poate pune în evidență diverse discontinuități superficiale, precum: fisurile (DT 3), golurile (DT 4), incluziunile (DT 5). Față de metodele anterioare (CLP, CPM, CUS, CEA), nu este necesară prelucrarea suprafeței piesei brut turnate;

- *controlul cu radiații penetrante* (CRP) poate pune în evidență, prin metode uzuale, defecte de tipul: (DT 3), (DT 4), (DT 5), situate oriunde în masa piesei. Prin metode speciale se pot determina și defecte de tipul: (DT 1), (DT 2), (DT 6).

Din tabelul 3.33 se observă că metodele de control nedistructiv sunt limitate în ceea ce privește determinarea defectelor de structură (DT 6) și defectelor de compoziție (DT 7). În aceste cazuri se utilizează metode de control distructiv, aplicate pe piese de probă (epruvete).

3.15. REMANIEREA PIESELOR CU DEFECTE DE TURNARE

Procesele tehnologice de realizare a pieselor prin turnare sunt deosebit de complexe. Ele depind de o multitudine de factori care acționează simultan, ai căror parametri sunt greu de controlat în timp real și, din această cauză, în mod obișnuit în secțiile de turnare rezultă încă piese neconforme cu specificațiile tehnice. În aceste condiții concrete, se impune îndeosebi perfecționarea procedeeleor și a tehnologiilor de turnare, supravegherea și stăpânirea proceselor de fabricație, dar și tratarea pieselor neconforme în vederea repunerii lor în circuitul productiv.

Remanierarea pieselor cu defecte de turnare este o operație distinctă, inclusă în fluxul de fabricație după dezbaterea formelor și extragerea pieselor. Ea poate precede sau nu tratamentele aplicate pieselor brut turnate. Înaintea remanierii trebuie făcut un control al nivelului de calitate al piesei, pentru a se putea stabili modalitatea de remediere a defectelor care va fi adoptată.

Din punct de vedere economic, remanierarea defectelor este o operație costisitoare, care se realizează manual, în regim de piese unicat. De aceea se justifică atunci când costul rebutării piesei depășește notabil costul remedierii.

În raport cu tipul defectului de turnare constat, se alege tehnologia de remanieră corespunzătoare.

Ca *procedee de remanieră* se pot folosi:

- procedeele mecanice: prelucrările prin așchiere; dăltuirea; îndreptarea; ștemuirea; știftuirea; bușarea; placarea; împănarea etc.;

- procedeele metalurgice: metalizarea; lipirea; sudarea; turnarea prin topire alumino-termică; retopirea sub strat de zgură; supraturnarea; tratamentele termice;
- procedeele chimice: impregnarea; chituirea.

Procedeele de remaniere prezentate se pot aplica atât pieselor noi, după realizarea lor prin turnare, cât și pieselor uzate sau avariate în urma funcționării.

Prelucrările prin așchiere se utilizează pentru eliminarea defectelor de suprafață, a celor superficiale și a deformatiilor, atunci când acestea sunt situate în limitele adaosului de prelucrare. Cele mai utilizate procedee de prelucrare prin așchiere sunt:

- *polizarea* - pentru separarea maselotelor și a rețelei de turnare, precum și pentru curățirea suprafețelor. Se pot folosi polizoare fixe - pentru piesele mici, și polizoare portabile manuale sau pendulare - pentru piesele medii, mari și grele;

- *frezarea* - în regim de degroșare;

- *rabotarea* - în regim de degroșare.

În funcție de tipul suprafeței, natura defectului și rolul funcțional al suprafeței pot fi alese și alte procedee de prelucrare prin așchiere care să confere precizia geometrică și calitatea suprafeței corespunzătoare.

Dăltuirea se utilizează pentru curățirea pieselor, la îndepărtarea bavurilor, aderențelor, arsurilor și crustelor. Sunt folosite scule portabile, cu acționare electrică sau pneumatică.

Îndreptarea se folosește în cazul pieselor cu deformări de încovoiere remanente. Deformații importante apar la piesele mari cu configurație complexă (batiuri, montanți, traverse, carcase, plăci de fundație etc.).

Piese din fontă cenușie se îndreaptă întotdeauna la cald ($750...800^{\circ}\text{C}$) prin încărcare statică. În cazul pieselor drepte, de tipul grinzilor, se poate face o încălzire locală cu arzătoare. În cazul pieselor din fontă se recomandă aplicarea sarcinii direct pe piesa aflată pe vatra mobilă a cuptorului de încălzire când piesa se va menține minimum o oră sub încărcare, la $700...750^{\circ}\text{C}$ (fig.3.144).

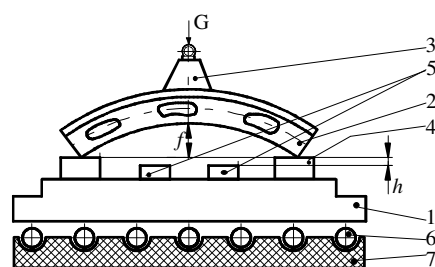


Fig. 3.144. Schema de îndreptare a unei traverse din fontă:

- 1 - vatra cuptorului de preîncălzire; 2 - piesa;
3 - sarcină statică; 4 - suporturi de capăt; 5 - suporturi

Piese din oțel slab aliat cu conținut ridicat de carbon se îndreaptă după o preîncălzire prealabilă ($500...700^{\circ}\text{C}$). Îndreptarea se face cu ajutorul preselor hidraulice sau cu șurub care pot aplica sarcina treptat, cvasistatic.

În general, se va evita regimul dinamic de aplicare a sarcinii (ciocane de forjare, prese mecanice), care poate duce la apariția crăpăturilor în piesă.

de mijloc; 6 - rezistențe electrice; 7 - suportul rezistențelor; f - săgeata maximă; h - contra - săgeata la îndreptare.

Piese de dimensiuni mici, din oțel sau aliaje neferoase, cu plasticitate suficient de bună, se pot îndrepta pe prese manuale cu șurub.

În toate cazurile, se vor folosi dispozitive adecvate de așezare a piesei și trebuie obligatoriu să se țină seama de apariția deformațiilor elastice.

Ștemuirea constă în deformarea plastică locală a materialului piesei în zona defectului, în scopul creșterii etanșeității. Deformarea materialului se face prin presare sau lovire, perpendicular pe direcția defectului, astfel încât efectul deformării materialului să fie pe o adâncime de minimum 0,25...0,4 din grosimea peretelui piesei. Aplicarea procedurii este limitată la piesele care nu sunt solicitate la eforturi variabile.

Știftuirea constă în eliminarea defectelor punctuale (fig.3.145. a), de dimensiuni mici, prin găurire, urmată de montarea unor dopuri (știfturi) sau bolțuri presate sau filetate, uneori asigurate prin lipire cu adezivi sau prin sudare (fig.3.145. b). Metoda se aplică îndeosebi la producția în regim de serie mică și unicate. Nu se recomandă utilizarea metodei la piesele solicitate la presiuni importante, precum: cilindri hidraulici, corpuri de pompe, cilindri de motoare și compresoare.

Bucșarea constă în reducerea efectelor unor defecte superficiale situate în jurul unor suprafețe cilindrice interioare sau exterioare, prin prelucrarea mecanică a suprafeței piesei și montarea prin presare a unei bucșe (fig.3.146). Prin bucșare se poate crește etanșeitatea, rezistența mecanică și rezistența la coroziune.

Placarea constă în înlocuirea locală a porțiunilor cu defecte superficiale, prin montarea unor plăci de formă semirotundă, rotundă sau dreptunghiulară și fixarea acestora cu șuruburi, știfturi sau prin sudare (fig.3.147). Metoda se aplică pieselor mari și grele, în producția de serie mică și unicate. În prealabil este necesară prelucrarea mecanică a porțiunii în care se va monta placa.

Împănarea (metoda metallock) constă în remanierea fisurilor prin montarea, perpendicular pe axa defectului, a unor pene de construcție specială (fig.3.148), care au rolul de a ancora cele două margini ale crăpăturii, împiedicând ruperea în continuare a piesei. Prin aceasta metodă se asigură mărirea rezistenței mecanice a piesei în zona defectului. Se aplică pieselor mari și grele.

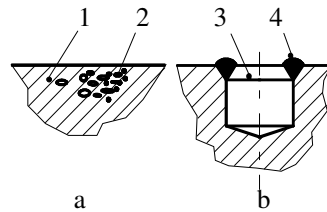


Fig. 3.145. Remanierea prin știftuire:
a - tipul defectului; b - găurirea și introducerea știftului; 1 - piesa; 2 - defectul superficial; 3 - știftul montat; 4 - puncte de sudură pentru asigurarea știftului.

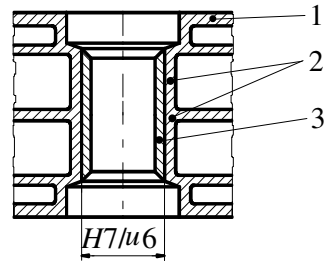


Fig. 3.146. Remanierea prin bușare:
1 - piesa; 2 - zona cu defecte superficiale; 3 - bușă montată prin strângere.

Metalizarea prin pulverizare constă în acoperirea suprafețelor de remediat cu un strat metalic (poate fi de aceeași natură cu cel de bază sau diferit) la rece. Procedul se aplică în cazul remedierii defectelor de formă (DT 1) și de suprafață (DT 2). Pentru asigurarea aderenței stratului de acoperire, trebuie realizate condiții de ancorare mecanică a stratului în zona de remediat.

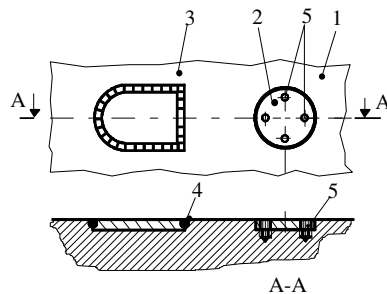


Fig. 3.147. Remanierea prin placare:
1 - zona piesei cu defecte superficiale; 2 - placă rotundă; 3 - placă semirotundă; 4 - cordon de sudură; 5 - șuruburi.

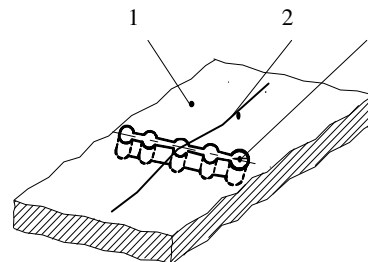


Fig. 3.148. Remanierea prin împănare:
1 - zona piesei cu defecte superficiale; 2 - fisură; 3 - pană metallock montată.

Lipirea constă în îmbinarea nedemontabilă a mai multor piese cu structură identică sau diferită, aflate în stare solidă, cu ajutorul unui material (aliaj sau adeziv) aflat în stare lichidă în momentul realizării îmbinării. Procedul de lipire tare (brazarea), folosind aliaje cu temperatura de topire mai mare de 450°C, se recomandă a fi utilizat la remedierea defectelor pieselor din fontă greu sudabilă.

Sudarea este cea mai răspândită modalitate de remanieră a defectelor pieselor turnate. Prin sudare se pot repara o mare parte dintre defectele de turnare, cum ar fi: formele și dimensiunile necorespunzătoare (DT 1), crăpăturile (DT 3), golurile din masa piesei (DT 4), incluziunile (DT 5). Sunt utilizate cu precădere următoarele procedee de sudare: sudarea manuală cu arc electric cu electrozi

înveliți; sudarea automată sub strat de flux; sudarea semiautomată cu electrod tubular; sudarea în mediu protector de gaze (MIG, WIG, MAG); sudarea cu plasmă; sudarea cu flacără de gaze.

Pregătirea zonei în care urmează să se facă remedierea defectului constă în îndepărtarea impurităților și a straturilor care conțin defecte, până la atingerea unui strat de material de bază curat. Zona trebuie să fie ușor accesibilă, iar la grosimi mari de pereți se face o prelucrare mecanică a rosturilor. Curățirea se poate face prin așchiere pe mașini unelte - la piesele a căror configurație o permite și când se dispune de mașini-unelte suficient de mari, prin polizare și dăltuire cu scule portabile - în locurile greu accesibile și la piesele mari și grele. La piesele din oțel se poate face și curățirea la cald, prin tăiere cu flacără.

Poziția de sudare se recomandă a fi cea orizontală.

La sudarea pieselor din fontă trebuie luate măsuri de precauție speciale, ținând seama de sudabilitatea limitată a fontelor, precum și de: structura neuniformă a materialului (datorată incluziunilor de grafit); duritatea neuniformă (în funcție de vitezele diferite de răcire la solidificare); susceptibilitatea mare la fisurare favorizată de prezența băii de sudare.

Sudarea pieselor din fontă se poate face:

- la cald, cu preîncălzirea piesei, cu material de adaos similar celui de bază;
- la rece, cu material de adaos

diferit de cel de bază.

Preîncălzirea pieselor se face la $550...650^{\circ}\text{C}$ în cuptoare speciale, prevăzute cu un capac din segmente, astfel încât să se poată deschide ferestre deasupra zonelor în care se face remedierea defectului. Încălzirea se face prin convecție de la arzătoare cu gaz natural. Piesa se așează în cuptorul de preîncălzire rezemată pe perne din argilă și nisip, astfel încât să se asigure planeitatea și să se evite deformarea piesei sub propria greutate. Ciclul termic trebuie să respecte diagrama din figura 3.149.

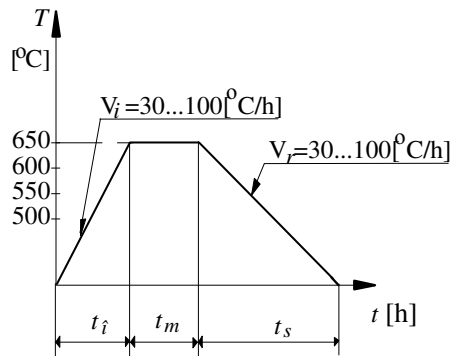


Fig. 3.149. Diagrama de preîncălzire:
 t_i - timp de încălzire; t_m - durata menținerii;
 t_s - timp de solidificare.

În cazul pieselor din fontă, cu grafit lamelar și nodular, încălzirea zonei cu defecte se face de la 650 la 850°C . Pe durata sudării se va supraveghea temperatura, astfel încât aceasta să nu scadă sub 700°C . La grosimi de pereți mai mici de 20 mm se poate face sudarea cu flacără oxiacetilenică neutră sau ușor carburantă.

La grosimi mai mari de 20 mm sudarea se face numai cu arc electric, în

curent continuu, cu polaritate inversă. În cazul defectelor de dimensiuni mari, se poate face sudarea cu electrod de grafit și vergea de fontă ca material de adaos. Pentru a preveni încălzirea exagerată a băii metalice, se poate adăuga șpan de fontă.

Remanierea la rece se face cu electrozi de Ni, Ni-Cu sau ferito-perlitici. Se preferă sudarea cu arc electric datorită concentrării mai mari a căldurii față de sudarea cu flacără. Piesa se va încălzi cât mai puțin posibil, pentru a nu rezulta zone călite, ușor fisurabile, și în acest scop se realizează porțiuni scurte de cordon de 20...30 mm. În zona defectului se face prelucrarea mecanică a marginilor fisurii, realizându-se un rost în „V”. Flancurile rostului pot fi ancorate uneori cu știfturi filetate din materialul de adaos, montate în materialul de bază. Sudarea se va face în acest caz pe capetele acestor știfturi, care ies cu 1,5...2 mm în afara suprafeței flancului. Găurile filetate se execută intercalat, de lungimi diferite, pentru

a nu rezulta secțiuni slabe. Știfturile se montează cât mai departe de rădăcina cusăturii sudate (fig.3.150).

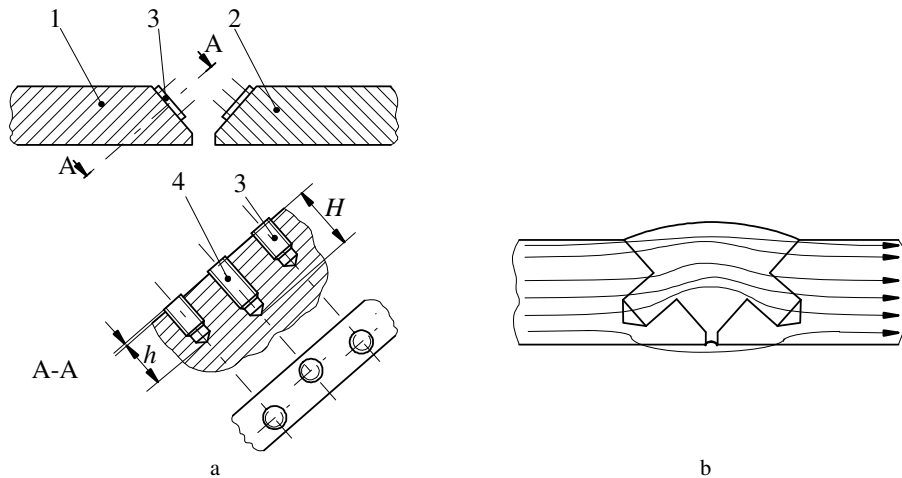


Fig. 3.150. Sudarea la rece a fontei cenușii:

a - pregătirea rostului și poziția știfturilor; b - sudura obținută și transmiterea eforturilor;
1, 2 - marginile prelucrate ale fisurii; 3 - știft scurt de lungime h ; 4 - știft lung de lungime H .

Remanierea defectelor de turnare prin sudare este facilitată în cazul pieselor din oțel de sudabilitatea mult mai bună a materialului. Se poate remarca aici efectul compensatoriu al proprietăților tehnologice de turnabilitate/sudabilitate în cazul fontelor și a oțelurilor: o turnabilitate mai bună a fontelor (număr redus de piese cu defecte de turnare) este asociată unei sudabilități mai slabe (dificultate mai mare de remediere a defectelor prin sudare) și invers pentru oțeluri (o turnabilitate mai slabă, dar o sudabilitate mai bună).

Piese din oțeluri carbon cu conținut redus de carbon ($< 0,25\%$) se pot suda la rece. Cele din oțel cu conținut mediu ($0,25...0,45\%$) se preîncălzesc la $150...200^{\circ}\text{C}$, iar cele cu conținut ridicat de carbon ($> 4,5\%$) se preîncălzesc la $350...400^{\circ}\text{C}$, pentru a se evita apariția zonelor dure și fragile, susceptibile la fisurare, în zona influențată termic.

Temperatura de preîncălzire T_p se poate calcula cu următoarea relație determinată experimental:

$$T_p = 350 \cdot \sqrt{C_{et} - 0,25} \quad [^{\circ}\text{C}] \quad , \quad (3.51)$$

unde C_{et} este carbonul echivalent total, care se determină cu relația

$$C_{et} = C_{ce} + C_{eg}, \quad (3.52)$$

în care C_{ce} este carbonul chimic echivalent calculat cu relația

$$C_{ce} = \frac{360 \cdot C + 40 \cdot (Mn + Cr) + 20 \cdot Ni + 28 \cdot Mo}{360}, \quad (3.53)$$

iar C_{eg} este carbonul echivalent de grosime, de forma

$$C_{eg} = 0,005 \times e \times C_{ce}, \quad (3.54)$$

unde e este grosimea peretelui piesei în zona de sudare.

La remedierea prin sudare a pieselor din oțel este important să se aibă în vedere următoarele:

- la piesele din oțeluri cu conținut mare de carbon se vor depune straturi tampon, pentru a se evita autocălirea;
- arcul electric se va amorsa în prealabil pe o piesă de probă, pentru a se regla lungimea;
- după depunerea primului cordon de sudură, electrodul se va înclina spre stratul deja depus, astfel încât acesta să fie acoperit cel puțin 1/3 din lungime;
- contracțiile de răcire ale cordoanelor vor fi detensionate prin ciocănire, pe măsura depunerii.

Remedierea prin sudare a pieselor din *bronz* se poate face în bune condiții când nu conțin Zn și Pb. De asemenea, greu sudabile sunt și bronzurile pe bază de Al. Bronzurile se pot suda în stare preîncălzită, la 500...600°C, pentru a se reduce tendința de fisurare.

Sudarea pieselor din bronz se poate face cu flacără oxiacetilenică sau cu arc electric prin procedeul WIG.

Remedierea prin sudare a pieselor din *aliaje de Al* se face prin procedeul WIG, cu electrozi din material similar celui de bază. La piesele medii și mari se recomandă preîncălzirea lor la 350...450°C pentru a reduce tendința de deformare.

Turnarea cu topire alumino-termică se folosește la piesele mari și grele din oțel. Înainte de turnare piesele trebuie preîncălzite local la 700...1 000°C. Tehnica de turnare constă în închiderea zonei de lucru cu o formă din amestec refractar, lăsând deschisă o maselotă la partea superioară, prin care se face alimentarea cu aliaj topit dintr-un creuzet special, montat deasupra formei. Umplerea formei este completă când prin orificiul de preaplin iese topitura și zgura, care se scurge în afara formei (fig.3.151).

Datorită temperaturii ridicate a topiturii se realizează topirea instantanee a marginilor defectului, rezultând o sudare compactă.

Retopirea sub strat de zgură se aplică la piesele din oțel de secțiuni mari, la repararea defectelor de tip crăpături și rupturi. Procedeul este similar turnării prin topire sub strat de zgură, descrisă în subcapitolul 3.10.9.

Supraturarea este una dintre cele mai vechi metode de remediere a defectelor de tip DT 1 (umplere necorespunzătoare a formelor de turnare). Ea constă în turnarea aliajului (identic cu materialul de bază) supraîncălzit peste zona defectului, piesa fiind introdusă într-o formă specială de turnare. La contactul cu topitura are loc o topire locală a materialului de bază, suficientă pentru a se realiza o îmbinare compactă între masa piesei și partea completată prin supraturare, aflată în curs de solidificare.

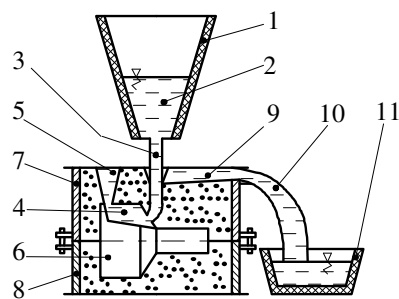


Fig. 3.151. Turnarea cu topire aluminotermică:
1 - creuzet; 2 - aliajul topit; 3 - jetul de topitură; 4 - defect (gol în piesă); 5 - maselotă; 6 - piesa; 7 - semiforma superioară; 8 - semiforma inferioară; 9 - jgheab de evacuare a zgurei; 10 - jetul de aliaj și zgură; 11 - colector de zgură.

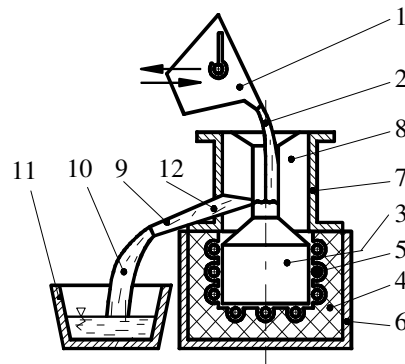


Fig. 3.152. Remanierea prin supraturare:
1 - oala de turnare; 2 - jetul de aliaj topit; 3 - piesa; 4 - cuptor de preîncălzire; 5 - rezistențe; 6 - manta; 7 - rama de formare; 8 - forma de turnare; 9 - jgheab; 10 - jet de aliaj topit evacuat din formă; 11 - lingotieră; 12 - orificiu de evacuare.

În figura 3.152 este prezentat un exemplu de reparare a unei piese prin supraturare. Piesa defectă 3 este introdusă în cuptorul de preîncălzire 4; peste cuptor se montează rama capac 7, în interiorul căreia se realizează forma de turnare 8, în care se prevede jgheabul de evacuare 9, montat în dreptul orificiului 12. Turnarea se face din oala de turnare 1. La inițierea turnării, orificiul 12 este deschis, iar oala de turnare este deplasată în jurul orificiului pâlniei de alimentare a formei, astfel încât să se producă curgerea jetului de aliaj topit 2, peste întreaga secțiune a defectului, în scopul topirii stratului superficial al piesei. Surplusul de material lichid este evacuat prin orificiul 12 și jgheabul 9, în lingotiera 11, sub forma jetului 10. După ce s-a realizat topirea stratului superficial, se închide orificiul de evacuare 12 și se face umplerea formei 8.

Această metodă se aplică în cazul pieselor grele, de configurație relativ simplă.

Tratamentele termice sunt utilizate pentru remedierea defectelor de suprafață (DT 2), defectelor de structură (DT 6) și pentru îmbunătățirea

proprietăților fizico-chimice (DT 7).

Impregnarea constă în umplerea golurilor (DT 4) și a defectelor deschise (DT 2) de mici dimensiuni cu soluții speciale, care prin reacții chimice se întăresc compactând peretele piesei. Metoda se folosește în scopul creșterii etanșeității, dar ea nu dă rezultate în cazul suflurilor, retasurilor și crăpăturilor vizibile cu ochiul liber.

În cazul pieselor din oțel și fontă se folosesc soluții oxidante, care acționează prin corodarea locală a peretelui piesei, cum sunt: apa, silicatul de sodiu

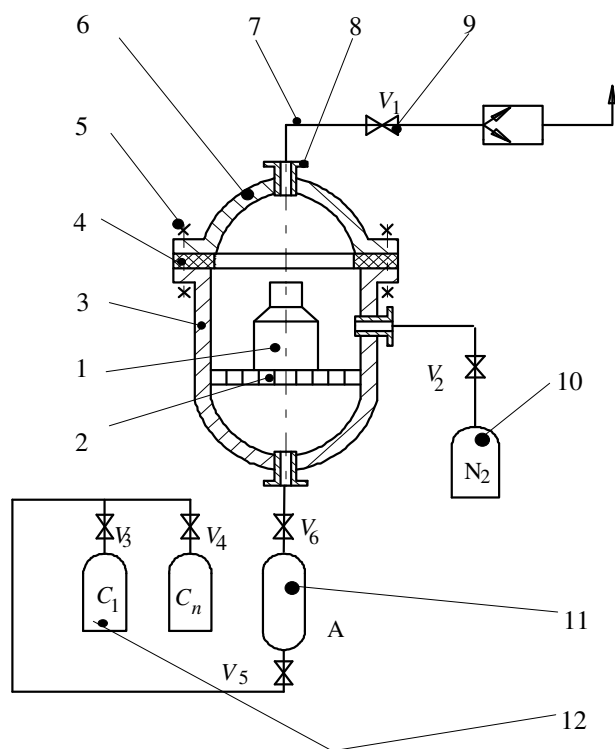


Fig. 3.153. Instalație de impregnare:

- 1 - piesa; 2 - grătar suport; 3 - autoclavă; 4 - etanșare; 5 - dispozitiv de închidere; 6 - capac;
7 - instalație de vidare; 8 - flanșă racord; 9 - ventile V_{1-6} ; 10 - butelie de azot (atmosfera de lucru); 11 - amestecător; 12 - rezervoare cu componente C_{1-n} .

10%, clorura de amoniu 5%, clorura feroasă, azotatul de sodiu, miniumul de fier în soluție apoasă.

În cazul pieselor din aliaje neferoase se utilizează impregnarea cu lac de

bachelită sau cu rășini epoxidice.

Impregnarea se poate face la presiune atmosferică sau la suprapresiune (2...10 bar), în mediu gazos controlat. În vederea impregnării piesele trebuie curățate și degresate. O importanță deosebită o are eliminarea vaporilor de apă din interiorul defectelor, de aceea se face vidarea incintei de lucru. Impregnarea se poate face cu rășini sintetice (novolac), sticlă solubilă, soluții pe bază de bentonită de turnătorie etc.

În figura 3.153 este prezentată schema de principiu a unei instalații de impregnare pentru corpuri de elemente hidraulice (pompe, supape, distribuitoare, racorduri, robinete).

Chituirea constă în astuparea defectelor deschise cu o pastă specială, care în urma unor reacții chimice se întărește, făcând aderență cu materialul de bază. Există o gamă dezvoltată de chituri, cu destinații precise, astfel:

- chituri CWM (Coldweld), pentru remanierea fisurilor (DT 3);
- chituri epoxidice, pentru repararea defectelor de suprafață (DT 2), a golurilor deschise de mici dimensiuni (2cm^2 , adâncime maximum 2/3 din grosimea peretelui DT 4);

Tabelul 3.34. Aplicabilitatea metodelor de remaniere

Metoda de remaniere	Tipul defectului						
	DT 1	DT 2	DT 3	DT 4	DT 5	DT 6	DT 7
Achiere		X		X			
Dăltuire	X	X					
Îndreptare	X						
Ștemuire		X		X			
Știftuire		X		X	X		
Bucșare		X		X	X		
Placare	X	X		X	X		
Împănare			X				
Metalizare	X	X					
Lipire			X	X			
Sudare	X		X	X	X		
Turnare alumino-termică	X		X				
Retopire în baie de zgură	X		X	X	X	X	X
Supraturnare	X		X	X			
Tratamente termice						X	X
Impregnare		X		X			
Chituire		X	X	X			

- chituri cu liant mineral, pentru repararea defectelor de suprafață neimportante (DT 2);

- chituri cu asfalt, pentru repararea defectelor de suprafață (DT 2) la piesele care lucrează în medii corozive.

Aplicabilitatea metodelor de remaniere se prezintă în tabelul 3.34.

Chituiră necesită pregătirea zonei de lucru prin curățirea de oxizi, incluziuni, grăsimi, apă. Umplerea cavităților se face de la margini spre interior astfel încât să se elimine aerul din interiorul defectului.

3.16. TENDINȚE ȘI PERSPECTIVE ÎN OBTINEREA SEMIFABRICATELOR PRIN TURNARE

Ca factori globali de progres tehnologic, în etapa actuală de dezvoltare a societății și în perspectiva mileniului următor, se pot enunța:

- inovarea, privită tot mai mult ca factor determinant al cuceririi și menținerii competitivității pe piața mondială;
- nivelul de educare și de calificare a forței de muncă, inclusiv dezvoltarea de programe comune pentru integrarea învățământului cu cercetarea științifică fundamentală și aplicativă, precum și parteneriatul dintre învățământ și industrie în formarea și perfecționarea personalului;
- atingerea excelenței în fabricație, atât prin creșterea atenției date nivelului calitativ al propriilor produse pe piață, cât și prin eficientizarea și dinamizarea tuturor activităților firmei;
- tehnologiile informaționale, aplicate în:
 - optimizarea complexă a proceselor de producție, din punctul de vedere al termenelor de execuție, calității și costurilor;
 - creșterea modului de valorificare a potențialelor disponibile (managementului de proiect, a proceselor, produselor, organizării, resurselor, culturii organizației etc);
- promovarea ingineriei concurențiale, simultane, ca metodă uzuală de lucru;
- stimularea întreprinderilor mici și mijlocii, prin crearea și punerea la dispoziția acestora de instrumente informatice adecvate, care să le permită creșterea flexibilității și a capacității totale de răspuns pe piață;
- armonizarea fabricației cu normele de protecție a mediului prin stabilirea unor forme durabile de colaborare între producătorii concurenți privind fabricația curată.

Aceste imperative ale orientării globale determină următoarele tendințe de dezvoltare în domeniul procedeelor de turnare:

- inovarea în turnare presupune dezvoltarea de noi procedee tehnologice de turnare, depășindu-se granițele care există tradițional între diversele ramuri ale

industriei, care posedă tehnici diferite de obținere a pieselor și a semifabricatelor; utilizarea pe scară largă a unor noi materiale, cu proprietăți deosebite, rezultate în urma cooperării interdisciplinare internaționale; aplicarea procedeelor de turnare și pentru piese care în mod obișnuit se produc prin alte tehnici, mult mai costisitoare;

- importanța calificării rezultă din aplicarea unor noi procedee de turnare, care conduc la obținerea de precizii dimensionale ridicate, de calitate superioare ale suprafețelor, de structuri anizotropice dirijate care implică noi competențe pentru operatori, conducători, proiectanți și cercetători;

- asigurarea nivelului de excelență, presupune, pe de o parte, realizarea unor produse care să fie cerute de piață, competitive, cu un raport avantajos calitate/preț, iar, pe de altă parte, punerea la punct a sistemului managerial al firmei, în ceea ce privește: selectarea furnizorilor, supravegherea proceselor, elaborarea, implemen-tarea și revizuirea procedurilor de lucru, urmărirea costurilor, stabilirea acțiunilor corective. Toate acestea au drept scop: prevenirea apariției neconformităților, eficientizarea și rentabilizarea firmei pe termen lung, mobilizarea și dezvoltarea tuturor resurselor și potențialelor;

- informatica în turnare presupune luarea în discuție a cel puțin două aspecte:

- concepția globală (produsul, procedeul, tehnologia);
- execuția (controlul procesului, gestiunea calității);
- întreprinderile mici și mijlocii implică crearea de firme specializate în domeniul realizării pieselor turnate, grupate după: destinație, materiale turnate, gabarit etc., care pot colabora cu birouri de proiectare externe;
- fabricația curată presupune renunțarea la procedeele poluante, introduce-rea ca factor de optimizare a fabricației curate, reducerea pierderilor tehnologice, utilizarea de materiale regenerabile etc.

3.17. NORME SPECIFICE DE PROTECTIA MUNCII

În spațiile destinate operațiilor de modelare, formare, turnare, răcire, dezbatere și curățare a pieselor, există potențiale surse de pericol, care trebuie eliminate prin măsuri adecvate. Câteva observații generale:

- iluminatul trebuie să permită evitarea accidentelor, prin marcarea zonelor cu risc deosebit (să nu se reducă drastic iluminatul pe motiv că nu se execută operații de precizie);

- ventilația și încălzirea halelor trebuie să fie corespunzătoare (astfel încât să nu se întrerupă ventilarea halelor pe motivul menținerii căldurii);

- zonele de lucru pentru utilajele de formare și mijloacele de transport uzinal trebuie să fie asigurate;

- ori de câte ori nu se poate limita suficient de mult pericolul, trebuie să se

asigure echipament de protecție individuală.

În atelierele de *modelărie*, unde se lucrează cu lemn ca material de bază, trebuie să se aibă în vedere:

- eliminarea pericolului de incendii, datorate aprinderii deșeurilor de lemn, prafului de rumeguș, vaporilor de adezivi, vopsele sau solvenți;
- eliminarea pericolului accidentării prin tăiere la fierăstraiele cu bandă sau disc;
- ventilarea corespunzătoare a spațiilor de lucru, în scopul reducerii prafului și a vaporilor toxici.

În atelierele de *formare*, unde se lucrează cu amestecuri de nisip, ciment, argilă, vopsele, chituri, cu utilaje de format mecanizat, cu mijloace de transport uzinal trebuie respectate:

- ventilarea corespunzătoare, în scopul evacuării prafului și a vaporilor toxici, a reducerii riscului îmbolnăvirii de silicoză;
- organizarea judicioasă a depozitării, dozării și manipulării amestecurilor, ramelor și formelor, urmărindu-se: reducerea prafului, a zgomotului și vibrațiilor, a riscului de accidentare la manipularea ramelor și a formelor, precum și la utilajele de formare;
- prevenirea incendiilor la uscarea formelor;
- iluminarea corespunzătoare a spațiilor de lucru.

În atelierele de *turnare*, unde se lucrează cu topituri metalice, cu forme de turnare, cu mijloace de transport uzinal, trebuie să se aibă în vedere:

- evitarea accidentelor la transportul și manipularea topiturii și la umplerea formelor;
- reducerea riscului de accidente cauzate de piesele calde sau aflate în curs de solidificare;
- marcarea ariilor de lucru;
- iluminarea corespunzătoare a spațiilor de lucru.

În zonele de *dezbatere a formelor* se urmăresc următoarele:

- reducerea zgomotului și a vibrațiilor;
- reducerea prafului;
- evitarea accidentelor la manipularea formelor, ramelor și a pieselor.

În zonele de *curățare a pieselor* se au în vedere:

- reducerea zgomotului și a vibrațiilor;
- reducerea prafului;
- evitarea accidentelor la manipularea pieselor și a deșeurilor.



OBȚINEREA PIESELOR PRIN DEFORMARE PLASTICĂ

5.1. INTRODUCERE

Prelucrarea materialelor metalice prin deformare plastică se bazează pe proprietatea de *plasticitate* a metalelor, adică pe capacitatea acestora de a căpăta deformații permanente sub acțiunea unor forțe exterioare.

Prelucrarea metalelor prin deformare plastică (prin lovire) este cunoscută și folosită de către omenire cu peste 3 000...3 500 ani î.Hr., adică înainte de a se fi cunoscut metodele de obținere a metalelor și aliajelor prin topire. Acest lucru este explicabil deoarece la început omul a găsit fierul în stare naturală, provenit din meteoriți, pe care l-a prelucrat prin lovire, modelând cele mai vechi obiecte de cult și arme din fier.

Prelucrarea prin deformare plastică a metalelor și aliajelor a constituit din cele mai vechi timpuri, nu numai un meșteșug, ci și o adevărată artă (de exemplu, coloana metalică de lângă Delhi, India, de pe vremea dinastiei Gunt, secolul VI..IV î.Hr., are forma unui trunchi de con, gol la mijloc, cu înălțimea de 18m și greutatea de 6,5t și nu de 18t cât ar fi avut dacă ar fi fost obținută prin turnare fără gol interior).

Deformarea plastică a metalelor și aliajelor începe să se dezvolte și să se perfecționeze continuu în pas cu progresul tehnic, fiind dependentă în primul rând de sculele și utilajele folosite la deformare. Evoluția acestora de la primele ciocane mecanice acționate de apă (secolul XIV) la cele cu comandă numerică și a preselor, de la presele cu fricțiune la presele hidraulice cu puteri de peste 100 000 MN,

conduce la o utilizare cât mai accentuată a tehnologiilor de prelucrare prin deformare plastică. Utilizarea din ce în ce mai largă a deformării plastice ca metodă etnologică de obținere a pieselor este și rezultatul avantajelor pe care acesta le prezintă în comparație cu celelalte metode de prelucrare, astfel:

- realizează însemnate economii de material, deoarece prin această metodă se obține configurația geometrică a piesei, corespunzătoare cu rolul funcțional, prin redistribuirea volumelor de material și nu prin îndepărtarea acestuia sub formă de așchii sau microașchii;

- permite realizarea unor piese cu configurație de la cea mai simplă până la cea mai complexă, cu greutate variind de la câteva grame până la câteva sute de tone și cu dimensiuni de gabarit de la câțiva milimetri până la zeci de metri, unele greu sau aproape imposibil de realizat prin alte procedee;

- permite obținerea de piese cu proprietăți funcționale diferite și îmbunătățite pe secțiune, în funcție de cum s-a realizat deplasarea volumelor de material ca urmare a deformării plastice, proprietăți ce conferă o comportare în exploatare mult mai bună decât a pieselor obținute prin celelalte metode de prelucrare (turnare, așchiere, sudare etc.);

- productivitatea ridicată datorită executării prelucrării cu posibilități largi de mecanizare și automatizare, cât și datorită obținerii unor produse de configurație simplă sau complexă, cu aceeași secțiune, pe lungimi foarte mari;

- realizează la un preț foarte scăzut toată gama de semifabricate inițiale pentru celelalte metode de prelucrare (turnare, sudare, așchiere etc.), cum ar fi: barele, tablele, profilele simple sau complexe, benzile, bilele, țeștile, sârmele etc.;

- precizia dimensională a pieselor prelucrate poate fi, după necesitate, foarte ridicată, piesele obținute fiind interschimbabile și adesea rezultând cu dimensiunile finale chiar și pentru cazul utilizării lor în industrii care necesită o precizie foarte ridicată (mecanică fină, electrotehnică, electronică etc.);

- realizează însemnate economii de manoperă, deoarece în majoritatea cazurilor folosește utilaje complet mecanizate și automatizate cu tendințe sporite de informatizare și chiar robotizare.

Toate aceste avantaje precum și tendințele actuale de obținere a unor piese finite cât mai rapid, din materiale cu proprietăți dintre cele mai diferite și fără prelucrări prin îndepărtarea de material sub formă de deșeuri, fac din prelucrarea prin deformare plastică una din cele mai des și mai larg utilizate metode de prelucrare (la unele echipamente tehnologice ponderea pieselor componente obținute prin deformare plastică poate depăși 60...70%). Există chiar indicatori sintetici ce definesc dezvoltarea economiei unei țări direct din această metodă de prelucrare: raportul dintre producția de piese realizate prin turnare și deformare plastică; producția de piese realizate prin deformare plastică raportată la o mie de locuitori; raportul între producția de piese obținute prin deformare plastică și producția de oțel etc.

Totuși și această metodă prezintă o serie de dezavantaje cauzate de necesi-

tatea unor forțe de prelucrare mari, și anume:

- investiții inițiale mari, deoarece necesită utilaje complexe și scumpe care trebuie să dezvolte forțe foarte mari;
- sculele utilizate sunt în general scumpe, de cele mai multe ori pentru fiecare categorie de piese obținute prin deformare plastică fiind necesară o sculă specială, care nu mai poate fi utilizată la realizarea altor piese.

Având în vedere avantajele și dezavantajele enumerate mai sus, prelucrarea prin deformare plastică trebuie aplicată atunci când în urma studiilor tehnico-economice se dovedește superioară în comparație cu alte variante tehnologice și organizatorice de realizare a unei prelucrări.

5.2. MECANISMUL PRELUCRĂRII PRIN DEFORMARE PLASTICĂ

5.2.1. Comportarea la deformare a materialelor

Materialele existente în natură și utilizate în tehnică se deosebesc între ele prin compoziția chimică și structură diferite și respectiv prin proprietățile tehnologice și funcționale diferite (vezi capitolul 2). Din punct de vedere al comportării la deformare a materialelor prezintă importanță proprietățile lor elastice, plastice, vâscoase și de rezistență. Aceste proprietăți pot fi apreciate cunoscând curba tensiune-deformație specifică fiecărui material, curbă ce poate fi ridicată în

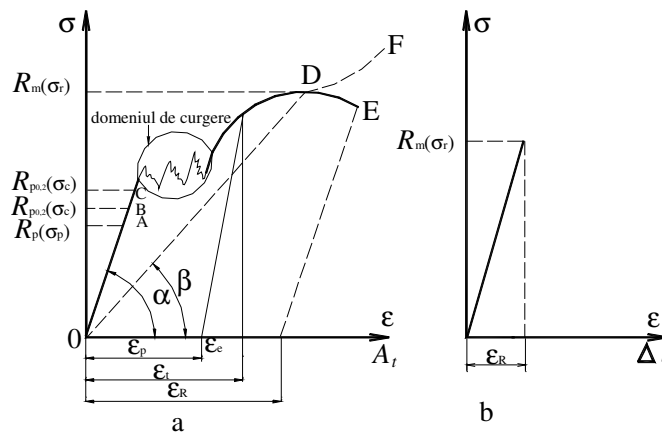


Fig. 5.1. Variația tensiunii σ cu deformația ϵ (alungirea Δl) la:

- a - materiale vâsco-plastice; b - la materialele rigide; $R_p(\sigma_r)$ – tensiunea de proporționalitate;
 $R_{p0.02}(\sigma_c)$ – tensiunea de elasticitate; $R_{p0.2}(\sigma_c)$ – tensiunea de curgere; $R_m(\sigma_r)$ – rezistența la rupere;
 ϵ_c – deformația elastică; ϵ_p – deformația plastică; ϵ_t – deformația totală; ϵ_R – deformația la rupere;
 A_t – alungirea totală.

urma încercării la tracțiune a unei epruvete (fig.2.46) având forma prezentată în figura 5.1.

Proprietățile elastice sunt caracterizate prin modulul de elasticitate E și gradul de deformare elastic ϵ_e date de relațiile:

$$E = \operatorname{tg} \alpha;$$

$$\epsilon_e = \frac{L_c - L_0}{L_0} \cdot 100 [\%] \quad (5.1)$$

în care: L_0 este lungimea inițială a epruvetei; L_c – lungimea epruvetei la atingerea limitei de curgere $R_{p0.2}$.

Proprietățile plastice sunt caracterizate prin modulul de plasticitate D , gradul de deformare plastică ϵ_p , alungirea la rupere A_5 , gătuirea la rupere Z , gătuirea specifică Ψ și altele date de relațiile:

$$D = \operatorname{tg} \beta; \quad \epsilon_p = \frac{L_u - L_0}{L_0} \cdot 100 [\%]; \quad A_5 = \frac{L_u}{L_0} \cdot 100 [\%];$$

$$Z = \frac{S_o - S_u}{S_0} \cdot 100 [\%]; \quad \Psi = \frac{S_0 - S}{S_0} \cdot 100 [\%] \quad (5.2)$$

în care: L_u este lungimea epruvetei după ruperea la tracțiune; S_0 , S , S_u – secțiunea inițială, în momentul curgerii și respectiv după ruperea epruvetei.

Proprietățile vâscoase ale materialelor sunt definite prin viscozitatea materialelor metalice η (foarte greu), modulul de ecruisare D , coeficientul Poisson ν și altele.

Proprietățile de rezistență sunt caracterizate prin rezistența la curgere $R_{p0.2}$ (care caracterizează începutul deformării permanente) și rezistența la rupere R_m .

Sub acțiunea forțelor exterioare orice metal sau aliaj suferă atât deformări elastice ϵ_e , cât și deformări plastice ϵ_p , astfel încât deforarea totală ϵ_t este dată de relația:

$$\epsilon_t = \epsilon_e + \epsilon_p. \quad (5.3)$$

După încetarea acțiunii forțelor ce au efectuat deformarea, rămâne o deformare permanentă ϵ_p , formată la rândul ei din două componente: una rezultată din deformarea elastică $\epsilon_{pe} \ll \epsilon_e$ și una corespunzătoare deformăției permanente propriu-zise ϵ_{pp} , deci:

$$\epsilon_p = \epsilon_{pe} + \epsilon_{pp}. \quad (5.4)$$

În funcție de mărimea acestor deformări și comportarea lor la deformare materialele se pot clasifica în următoarele categorii:

- *materiale elastice* – suportă deformații elastice mari ($\epsilon_e \geq 0,6$) care dispar în totalitate după înlăturarea forțelor exterioare care le-au provocat, nu au structură cristalină și deformațiile permanente sunt inexistente. În acest caz deformarea are loc prin deplasarea atomilor din pozițiile lor de echilibru stabil, la o valoare minimă a energiei lor potențiale, mărimea deplasării nedepășind ordinul de mărime al distanței dintre atomi;

- *materiale plastice* – admit deformații permanente mari ($\epsilon_p > 0,2 \dots 0,3 \epsilon_p$), au o structură cristalină, în timpul deformării suferă modificări în structura lor, din care cauză rezistența la deformare R_d crește cu creșterea gradului de deformare și nu este influențată de viteza de deformare și de presiunea la deformare. Deformarea plastică se realizează prin deplasarea relativă a atomilor în poziții noi de echilibru la distanțe mult mai mari decât distanțele dintre atomii din rețeaua cristalină;

- *materiale vâskoase* – admit deformații permanente mari ($\epsilon_p > 0,2 \dots 0,3 \epsilon_p$), au o structură amorfă, în timpul deformării nu au loc deformări structurale, din care cauză rezistența la deformare nu depinde de gradul de deformare, dar crește cu viteza de deformare și cu presiunea de deformare;

- *materiale rigide (fragile)* – se rup la valori mici ale deformațiilor permanente ($\epsilon_r \leq 0,01$), au structură cristalină și deformațiile elastice sunt inexistente (fig.5.1. b).

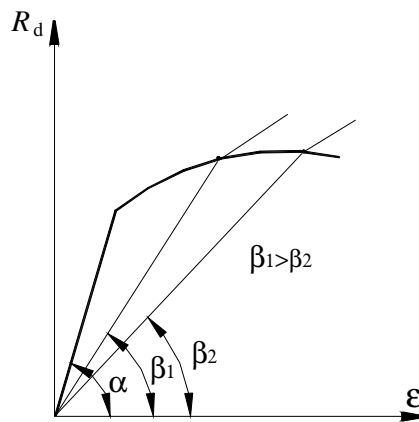


Fig. 5.2. Variația rezistenței la deformare R_d cu gradul de deformare ϵ pentru materialele elasto-plastico-vâskoase.

Metalele și aliajele utilizate în tehnică nu sunt ideal elastice, ideal plastice sau ideal vâskoase, ele au și proprietăți elastice și proprietăți plastice și proprietăți vâskoase, rezistența la deformare în acest caz având o variație cu gradul de deformare ca în figura 5.2. Ținând cont de aceasta materialele metalice pot fi: *elastico – fragile* (fonta, bronzul); *elastico – plastice* (oțelurile cu conținut scăzut

de carbon și oțelurile slab aliate la temperatura ambiantă etc.); *plastico – vâscoase* (majoritatea oțelurilor și aliajelor neferoase la temperaturi ridicate etc.) și alte combinații.

5.2.2. Deformarea materialelor

Din punct de vedere macroscopic deformarea plastică se poate justifica prin existența în curba tensiune-deformație a unui domeniu numit *domeniul de curgere* (fig.5.1. a), iar din punct de vedere microscopic deformarea plastică se explică prin modificarea echilibrului dintre grăunții cristalini (deformarea intercrystalină) sau din interiorul grăunților cristalini (deformarea intracrystalină), modificare ce se poate produce prin: *alunecare*, *maclare* sau *combinat* (alunecare și maclare).

5.2.2.1. Deformarea monocristalelor

Experimental se constată că deformarea monocristalelor poate să aibă loc pe două căi: prin alunecare și prin maclare.

La solicitarea unui monocristal cu o forță oarecare P (fig.5.3. b) se constată o deplasare prin alunecare a unor părți ale monocristalului în raport cu celelalte părți, alunecare ce are loc de-a lungul planelor cristalografice. Planele de alunecare apar în general la 45° față de direcția de acțiune a forței, iar alunecarea se produce de-a lungul unor plane de densitate atomică maximă. S-a constatat că deformarea prin alunecare a unei părți a cristatului în raport cu altele se face pe o distanță egală cu un număr întreg de distanțe atomice, care poate ajunge până la aproximativ 1 000 distanțe atomice respectiv, la $2 \cdot 10^{-4}$ mm (fig.5.3. b). Deplasarea se produce pe mai multe plane de alunecare simultan, formându-se benzi de alunecare, distanța dintre aceste plane fiind și ea de ordinul 100...300 distanțe atomice, adică $2 \cdot 10^{-5}$ mm. Prin urmare capacitatea unui material de a putea fi deformat plastic este dată de numărul planelor sau direcțiilor de densitatea atomică maximă. De aici reiese că materialele metalice la care celula elementară este cub cu fețe centrate (Fe γ , Al, Cu, Pb, Au, Ag, Ni etc.) au o deformabilitate mai mare decât cele cu celula elementară cub cu volum centrat (Fe α , Cr, Mo, V etc.) și mult mai mare decât la cele cu celula elementară hexagonală compactă (Mg, Zn, Co, Os, Ir, Ti etc.).

Deplasarea atomilor pe planele de alunecare se produce atunci când tensiunea tangențială τ atinge o valoare teoretică dată de relația:

$$\tau = \frac{4P}{\pi D^2} \cdot \cos \varphi \cdot \cos \lambda \quad (5.5)$$

în care: P este forța de deformare; D – diametrul epruvetei; φ - unghiul dintre

direcția forței și normala N , la planul cristalografic; λ - unghiul dintre direcția forței și direcția planului cristalografic cu densitate atomică maximă.

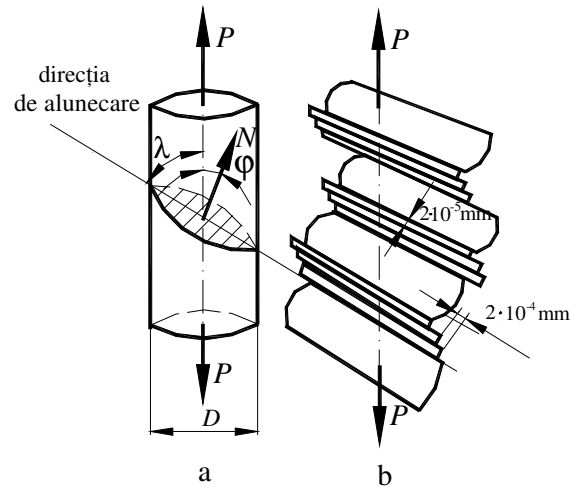


Fig. 5.3. Schema deformării unui monocristal prin alunecare:
a – starea inițială nedeformată; b – starea deformată; λ - unghiul direcției de alunecare; ϕ - unghiul normalei N ; P – forța de deformare.

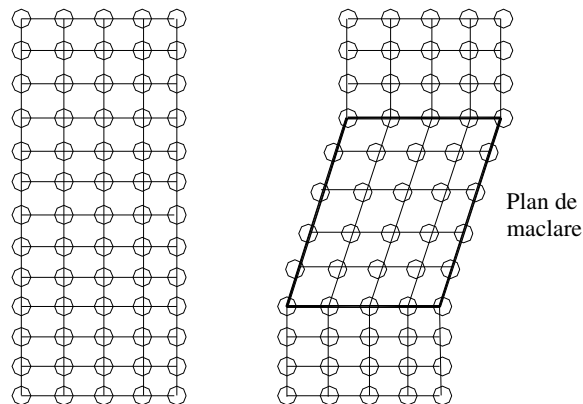


Fig. 5.4. Schema de principiu la deformarea prin maclare:
a – starea inițială; b – starea deformată.

Experimental s-a constatat că valoarea tensiunii critice de alunecare este de 100...1 000 ori mai mică decât valoarea teoretic calculată dată de (5.5), lucru ușor explicabil prin prisma existenței defectelor structurale de tipul dislocațiilor, care favorizează începutul alunecării la tensiuni mult mai mici (vezi fig.2.16).

Deformarea prin maclare constă dintr-o rotire a unei porțiuni a monocristalului în raport cu altă porțiune în jurul unui plan de simetrie numit *plan de maclare* (fig.5.4). Deformarea prin maclare apare mai frecvent la materialele care cristalizează în rețeaua hexagonală compactă, are loc simultan și nu treptat ca la alunecare. Experimental se constată că pentru a realiza deformarea prin maclare sunt necesare tensiuni mult mai mici decât la deformarea prin alunecare. Rolul maclării în procesul deformării nu constă atât în contribuția sa la rotirea unei părți a cristalului în raport cu alta, ci și la realizarea unei orientări cristalografice favorabile deformării mai ușoare în continuare prin alunecare.

5.2.2.2 Deformarea policristalelor

Materialele metalice utilizate în tehnică sunt agregate policristaline formate dintr-un conglomerat de grăunți legați între ei (fig.5.5), fiecare grăunte putând fi considerat un monocristal, cu o anumită orientare a planelor cristalografice.

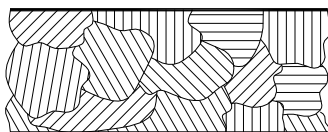


Fig. 5.5. Policristal.

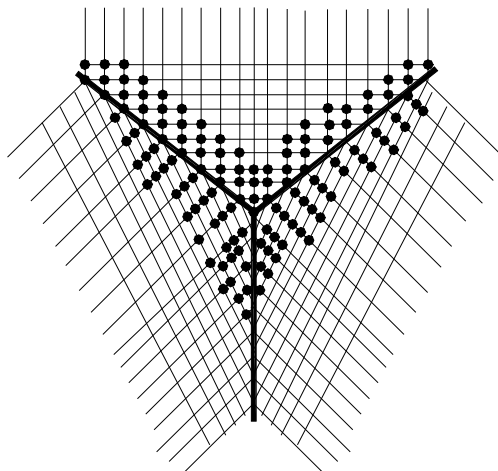


Fig. 5.6. Schema amplasării dezordonate a atomilor la marginea grăunților.

Dacă grăunții sunt formați din atomi așezați ordonat, formând o structură cristalină, marginile lor sunt formate din atomi așezați dezordonat, formând în

aceste zone o structură amorfă (fig.5.6). Proprietățile de deformare ale policristalelor depind atât de proprietățile grăunților, cât și cele ale marginilor grăunților (limitele dintre grăunți). De aceea, deformarea policristalelor se realizează pe două căi: *intracristalină* și *intercristalină*.

Deformarea intracristalină are loc pe baza celor arătate la deformarea, monocristalelor, fiecare grăunte fiind influențat în deformarea sa de grăunții vecini cu orientare diferită a rețelei. La început se vor deforma acei grăunți care vor avea rețeaua cristalografică orientată cel mai favorabil față de direcția forței care acționează asupra policristalului (la 45° față de direcția forței). Deformarea grăunților în policristal se face în condiții diferite, față de cazul unor grăunți luați separat, ca monocristal, de aceea rezistența la deformare a policristalului este mai mare decât a monocristalului. Între rezistența la deformare R_d , a unui policristal și mărimea grăunților există relația:

$$R_d = R_{d0} + \frac{c}{\sqrt{D}}, \quad (5.6)$$

în care: R_{d0} este rezistența la deformare a monocristalului; c - constantă de material; D - diametrul mediu al grăunților.

Deformarea intercristalină se explică prin rezistența mai mică la deformare a limitelor dintre grăunți și datorită unei structuri de trecere de la cea cristalină la cea amorfă. Amplasarea dezordonată a atomilor la marginea grăunților (fig.5.6) conduce la o deplasare a grăunților între ei și la o rearanjare tot dezordonată a atomilor în funcție de noul unghi făcut de planele cristalografice între ele. Experimental se constată că rezistența la deformare intercristalină este foarte mare la temperaturi joase și foarte mică la temperaturi ridicate, tinzând către zero la temperatura de topire (fig.5.7).

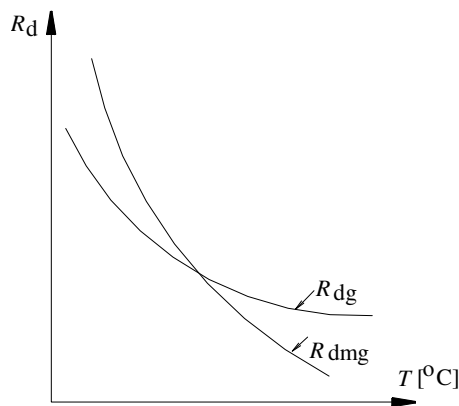


Fig. 5.7. Variația rezistenței la deformare a grăunților R_{dg} și a marginilor grăunților R_{dmg} cu temperatura.

5.3. NOȚIUNI DE TEORIA PLASTICITĂȚII

5.3.1. Starea de tensiune

Forțele exterioare care acționează asupra unui corp supus deformării creează în volumul acestuia eforturi interioare. *Intensitatea eforturilor interioare, pe unitatea de suprafață a unui element considerat din volumul corpului, poartă denumirea de tensiune* (efort unitar). Tensiunea totală care acționează pe o suprafață oarecare are trei componente: o tensiune normală și două tensiuni tangențiale corespunzătoare celor trei direcții ale axelor de coordonate. Tensiunile normale sunt considerate pozitive, atunci când provoacă întindere, și negative, când provoacă compresiune. Tensiunile tangențiale sunt considerate pozitive atunci când sensul lor coincide cu sensul axelor de coordonate, și negative, când au sens contrar.

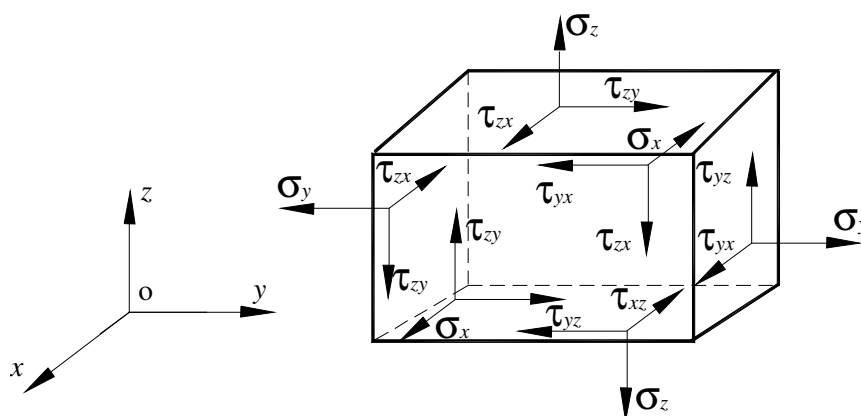


Fig. 5.8. Starea de eforturi unitare în jurul unui punct:

$\sigma_x, \sigma_y, \sigma_z$ – eforturi unitare normale; $\tau_{xy}, \tau_{yx}, \tau_{xz}, \tau_{zx}, \tau_{yz}, \tau_{zy}$ – eforturi unitare tangențiale.

Dacă în toate punctele volumului corpului supus deformării starea de tensiune este identică, se consideră *stare de tensiune omogenă*, iar dacă nu este identică – *stare de tensiune neomogenă*. În practică, din cauza distribuției neuniforme a forțelor la interfața sculă-semifabricat, a temperaturii diferite la care are loc deformarea diferitelor puncte, precum și din cauza neomogenității structurale a materialului deformat, *starea de tensiune este neomogenă*.

Starea de eforturi unitare, în jurul unui punct, al unui corp se studiază utilizând un sistem de axe de coordonate xyz , definindu-se cu ajutorul a nouă componente (fig.5.8): $\sigma_x, \sigma_y, \sigma_z$, numite *eforturi unitare normale* și $\tau_{xy} = \tau_{yx}$; $\tau_{xz} = \tau_{zx}$; $\tau_{yz} = \tau_{zy}$, numite *eforturi unitare tangențiale*.

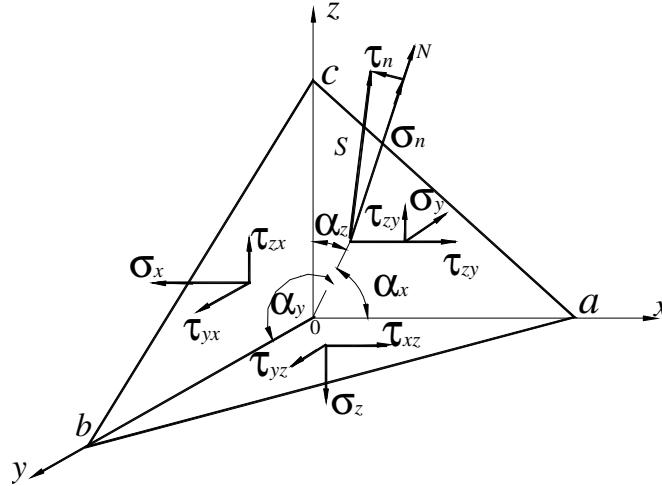


Fig. 5.9. Starea de tensiuni pe o suprafață înclinată abc:

S – tensiunea totală; $\alpha_x, \alpha_y, \alpha_z$ – unghiurile pe care le face normala N cu axele de coordonate; $\sigma_x, \sigma_y, \sigma_z, \tau_{xy}, \tau_{yx}, \tau_{xz}, \tau_{zx}, \tau_{yz}, \tau_{zy}$ – tensiunile corespunzătoare suprafețelor aob, aoc și respectiv boc ; σ_n – tensiunea normală pe o suprafață înclinată; τ_n – tensiunea tangențială totală ce acționează pe suprafața înclinată.

Pentru a cunoaște tensiunile pe o suprafață înclinată față de axele de coordonate se secționează un paralelipiped cu un plan înclinat față de cele trei axe (fig.5.9), normala la acest plan fiind înclinată cu unghiurile α_x, α_y și α_z față de axele de coordonate OX, OY și respectiv OZ . Scriind ecuațiile de echilibru pe fiecare direcție a axelor de coordonate se obțin componentele S_x, S_y și S_z , ale tensiunii totale S ce acționează pe suprafața înclinată abc :

$$S_x = \sigma_x \cdot \cos \alpha_x + \tau_{xy} \cdot \cos \alpha_y + \tau_{xz} \cdot \cos \alpha_z, \quad (5.7)$$

$$S_y = \tau_{yx} \cdot \cos \alpha_x + \sigma_y \cdot \cos \alpha_y + \tau_{yz} \cdot \cos \alpha_z, \quad (5.8)$$

$$S_z = \tau_{zx} \cdot \cos \alpha_x + \tau_{zy} \cdot \cos \alpha_y + \sigma_z \cdot \cos \alpha_z. \quad (5.9)$$

Tensiunea totală S va avea expresia:

$$S = \sqrt{S_x^2 + S_y^2 + S_z^2}, \quad (5.10)$$

iar tensiunea normală pe suprafața înclinată σ_n se determină cu relația:

$$\sigma_n = S_x \cdot \cos \alpha_x + S_y \cdot \cos \alpha_y + S_z \cdot \cos \alpha_z. \quad (5.11)$$

Cunoscând tensiunea totală S și tensiunea normală σ_n se poate determina și tensiunea tangențială totală τ_n ce acționează pe suprafața înclinată, cu expresia:

$$\tau_n = \sqrt{S^2 - \sigma_n^2} . \quad (5.12)$$

În fiecare punct al corpului se pot duce trei suprafețe perpendiculare între ele, unde tensiunile tangențiale sunt nule, din care cauză asupra lor acționează numai tensiuni normale. Aceste suprafețe se numesc *suprafețe principale*, tensiunile care acționează pe aceste suprafețe sunt *tensiunile normale principale* (se notează cu σ_1, σ_2 și σ_3) și direcțiile lor – *direcțiile principale*.

În aceste condiții tensiunile care acționează pe o suprafață înclinată față de axele principale cu unghiurile α_1, α_2 și α_3 , se calculează cu relațiile:

$$S = \sqrt{\sigma_1^2 \cdot \cos^2 \alpha_1 + \sigma_2^2 \cdot \cos^2 \alpha_2 + \sigma_3^2 \cdot \cos^2 \alpha_3} \quad (5.12)$$

$$\sigma_n = \sigma_1 \cdot \cos^2 \alpha_1 + \sigma_2 \cdot \cos^2 \alpha_2 + \sigma_3 \cdot \cos^2 \alpha_3 \quad (5.13)$$

$$\tau_n = \sqrt{S^2 - \sigma_n^2} . \quad (5.14)$$

Între componentele stării de tensiune se definesc și expresiile invariantului liniar I_1 , invariantului pătratic I_2 și invariantului cubic I_3 , astfel:

$$I_1 = \sigma_x + \sigma_y + \sigma_z = \text{constant} \quad (5.15)$$

$$I_2 = \sigma_x \sigma_y + \sigma_x \sigma_z + \sigma_y \sigma_z - \tau_{xy}^2 - \tau_{xz}^2 - \tau_{yz}^2 = \text{constant} \quad (5.16)$$

$$I_3 = \sigma_x \sigma_y \sigma_z + 2\tau_{xy} \cdot \tau_{xz} \cdot \tau_{yz} - \sigma_x \cdot \tau_{yz}^2 - \sigma_y \cdot \tau_{xz}^2 - \sigma_z \cdot \tau_{xy}^2 = \text{constant} . \quad (5.17)$$

Invariantul cubic se mai numește și *tensorul eforturilor unitare* T_σ și poate fi scris sub forma:

$$T_\sigma = \begin{vmatrix} \sigma_x & \tau_{xy} & \tau_{xz} \\ \tau_{yx} & \sigma_y & \tau_{yz} \\ \tau_{zx} & \tau_{zy} & \sigma_z \end{vmatrix} , \quad (5.18)$$

care în sistemul de axe unitare principale devine:

$$T_\sigma = \begin{vmatrix} \sigma_1 & 0 & 0 \\ 0 & \sigma_2 & 0 \\ 0 & 0 & \sigma_3 \end{vmatrix} . \quad (5.19)$$

Invariantul cubic caracterizează starea de eforturi unitare indiferent de sistemul de referință ales. Dacă eforturile unitare de-a lungul celor trei direcții sunt egale cu o valoare medie σ_m dată de:

$$\sigma_m = \frac{\sigma_x + \sigma_y + \sigma_z}{3} = \frac{\sigma_1 + \sigma_2 + \sigma_3}{3}, \quad (5.20)$$

atunci tensorul eforturilor unitare dată de (5.20) devine:

$$T_\sigma^0 = \begin{vmatrix} \sigma_m & 0 & 0 \\ 0 & \sigma_m & 0 \\ 0 & 0 & \sigma_m \end{vmatrix} \quad (5.21)$$

și se numește *tensorul sferic al eforturilor*.

Diferența dintre tensorul eforturilor unitare și tensorul sferic se numește *deviatorul eforturilor unitare* D_σ și are expresia:

$$D_\sigma = \begin{vmatrix} \sigma_x - \sigma_m & \tau_{xy} & \tau_{xz} \\ \tau_{yx} & \sigma_y - \sigma_m & \tau_{yz} \\ \tau_{zx} & \tau_{zy} & \sigma_z - \sigma_m \end{vmatrix} \quad (5.22)$$

care exprimat în raport cu sistemul de axe principale devine:

$$D_\sigma = \begin{vmatrix} \sigma_1 - \sigma_m & 0 & 0 \\ 0 & \sigma_2 - \sigma_m & 0 \\ 0 & 0 & \sigma_3 - \sigma_m \end{vmatrix}. \quad (5.23)$$

Observația 1: Tensorul sferic al eforturilor unitare caracterizează o stare uniformă de eforturi de întindere sau compresiune, iar deviatorul eforturilor unitare exprimă acea stare din starea de eforturi unitare pe seama căreia se poate realiza modificarea formei corpului.

Dacă se consideră o suprafață a cărei normală este egal înclinată față de cele trei axe principale, aceasta este o *suprafața octaedrică*, iar tensiunile pe această suprafață – *tensiuni octaedrice*, și se calculează cu relațiile:

$$S_m = \sqrt{\frac{1}{3} \cdot (\sigma_1^2 + \sigma_2^2 + \sigma_3^2)}, \quad (5.24)$$

$$\sigma_m = \frac{1}{3} \cdot (\sigma_1 + \sigma_2 + \sigma_3), \quad (5.25)$$

$$\tau_m = \sqrt{\frac{1}{3} (\sigma_1^2 + \sigma_2^2 + \sigma_3^2) - \frac{1}{9} (\sigma_1 + \sigma_2 + \sigma_3)^2}. \quad (5.26)$$

Expresiile (5.25) și (5.26) demonstrează că atât efortul unitar octaedric normal σ_m , cât și efortul unitar octaedric tangențial sunt mărimi constante indiferent de sistemul de coordonate ales.

Observația 2: Starea de tensiune poate fi reprezentată grafic prin tensiunile principale. În funcție de sensul tensiunilor, pot exista patru scheme pentru *starea de tensiune spațială* (fig.5.10. a), trei scheme pentru *starea de tensiune plană* (fig.5.10. b) și două scheme pentru *starea de tensiune liniară* (fig.5.10. c).

Cunoașterea schemei stării de tensiune este necesară deoarece, pe baza acesteia, se poate face o apreciere calitativă a comportării la deformare a unui material în condiții de producție, în comparație cu comportarea lor la deformare în condiții de laborator.

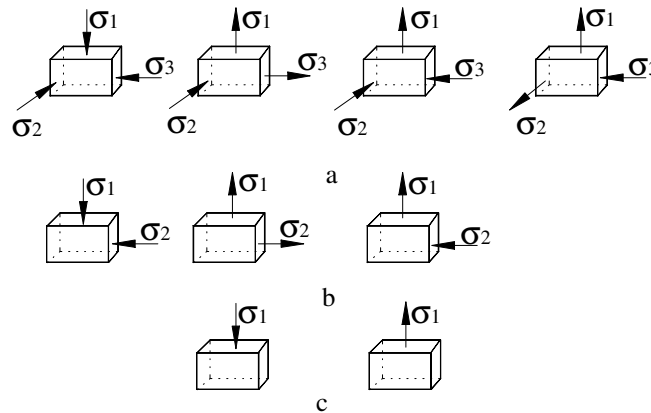


Fig. 5.10. Schemele stării de tensiune:
a – în spațiu; b – în plan; c – în linie.

5.3.2. Starea de deformare

Un corp supus acțiunii unor forțe exterioare suferă modificări ale formei, respectiv ale pozițiilor reciproce ale diferitelor puncte din interiorul acestuia, față

de pozițiile avute înainte de aplicarea forțelor. Totalitatea deformațiilor suferite de elementele infinit mici din vecinătatea unui punct definesc starea de deformare din jurul punctului considerat. Pentru a analiza starea de deformare în jurul unui punct, se consideră în interiorul corpului un punct A , de coordonate x, y, z , în vecinătatea căruia se află punctul B de coordonate $x+dx, y+dy, z+dz$ (fig.5.11).

Ca urmare a acțiunii forțelor de deformare, poziția punctelor se modifică suferind deplasările u, v, w și respectiv u', v', w' . Deplasările u', v', w' se pot determina pe baza dezvoltării funcțiilor în serie Taylor având forma:

$$\begin{aligned} u' &= u + \frac{\partial u}{\partial x} dx + \frac{\partial u}{\partial y} dy + \frac{\partial u}{\partial z} dz \\ v' &= v + \frac{\partial v}{\partial x} dx + \frac{\partial v}{\partial y} dy + \frac{\partial v}{\partial z} dz \\ w' &= w + \frac{\partial w}{\partial x} dx + \frac{\partial w}{\partial y} dy + \frac{\partial w}{\partial z} dz. \end{aligned} \quad (5.27)$$

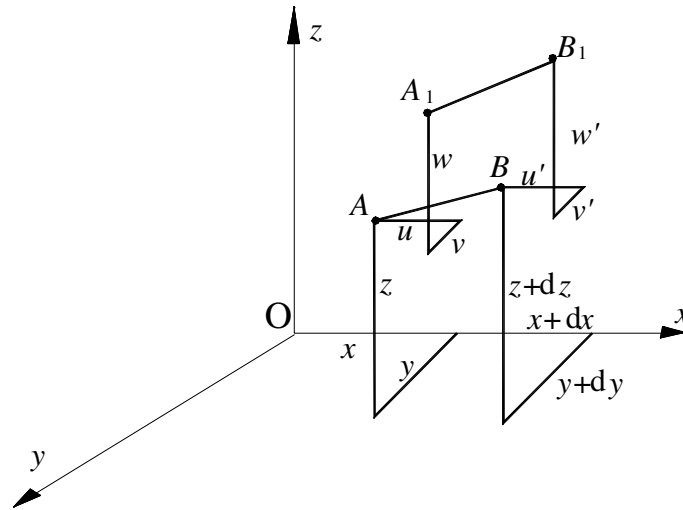


Fig. 5.11. Componentele deplasării la starea de deformare în jurul unui punct.

În situațiile când dreapta AB ocupă poziții particulare, expresia (5.27) devine:

$$u' = u + \frac{\partial u}{\partial x} dx; \quad v' = v + \frac{\partial v}{\partial x} dx; \quad w' = w + \frac{\partial w}{\partial x} dx \quad (5.28)$$

când dreapta AB este paralelă cu axa OX ($dy = dz = 0$);

$$u' = u + \frac{\partial u}{\partial y} dy; \quad v' = v + \frac{\partial v}{\partial y} dy; \quad w' = w + \frac{\partial w}{\partial y} dy \quad (5.29)$$

când AB este paralel cu axa OY ($dx = dz = 0$);

$$u' = u + \frac{\partial u}{\partial z} dz; \quad v' = v + \frac{\partial v}{\partial z} dz; \quad w' = w + \frac{\partial w}{\partial z} dz \quad (5.30)$$

când AB este paralelă cu axa OZ ($dx = dy = 0$).

Pentru a determina deformațiile liniare și unghiulare dintr-un corp se delimitează în interiorul lui un paralelipiped elementar raportat la sistemul de referință $Oxyz$. Presupunând că înainte de deformare volumul elementar ocupă poziția $abcd$, iar după deformarea se deplasează în poziția $a'b'c'd'$, deformațiile liniare se scriu astfel:

$$\begin{aligned} \epsilon_x &= \frac{a'b' - ab}{ab} = \frac{u + \frac{\partial u}{\partial x} dx + dx + u - x}{8} = \frac{\partial u}{\partial x} \\ \epsilon_y &= \frac{a'd' - ad}{ad} = \frac{v + \frac{\partial v}{\partial y} dy + dy + v - y}{8} = \frac{\partial v}{\partial y} \\ \epsilon_z &= \frac{\partial w}{\partial z}. \end{aligned} \quad (5.31)$$

În mod similar se deduce deformația unghiulară α_{yx} pentru deplasarea laturii AB :

$$\alpha_{yx} = \frac{\partial u}{\partial y}. \quad (5.32)$$

Variația unghiului drept γ_{xy} devine:

$$\gamma_{xy} = \alpha_{xy} + \alpha_{yx} = \frac{\partial u}{\partial y} + \frac{\partial v}{\partial x} \quad (5.33)$$

și în mod analog deformațiile unghiulare pentru celelalte două plane devin:

$$\gamma_{xy} = \frac{\partial u}{\partial y} + \frac{\partial v}{\partial x}; \quad \gamma_{yz} = \frac{\partial v}{\partial z} + \frac{\partial w}{\partial y}; \quad \gamma_{zx} = \frac{\partial w}{\partial x} + \frac{\partial u}{\partial z}. \quad (5.34)$$

Ca și în cazul stării de eforturi unitare, starea de deformații în jurul unui punct se caracterizează cu cele nouă componente scrise sub forma unei matrici numită *tensorul deformațiilor*, T_ϵ , de forma:

$$T_{\epsilon} = \begin{vmatrix} \epsilon_x & \frac{1}{2}\gamma_{xy} & \frac{1}{2}\gamma_{xz} \\ \frac{1}{2}\gamma_{yx} & \epsilon_y & \frac{1}{2}\gamma_{yz} \\ \frac{1}{2}\gamma_{zx} & \frac{1}{2}\gamma_{zy} & \epsilon_z \end{vmatrix}. \quad (5.35)$$

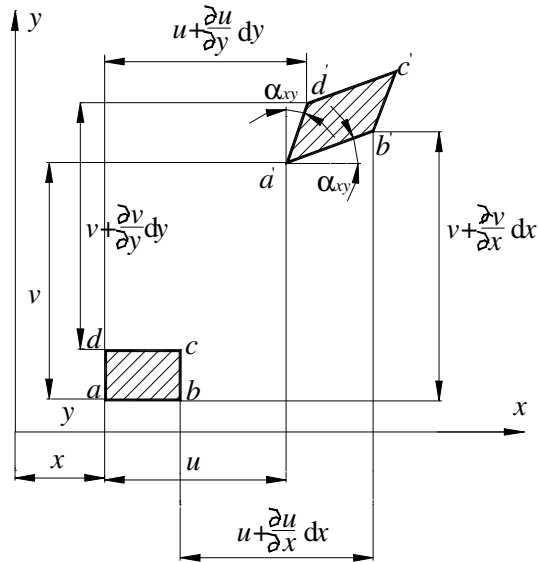


Fig. 5.12. Studiul deformării unui element plan în coordonate carteziene.

Starea de deformății, scrisă în raport cu un sistem de axe principale în care deformățiile unghiulare sunt nule, poate fi scrisă astfel:

$$T_{\epsilon} = \begin{vmatrix} \epsilon_1 & 0 & 0 \\ 0 & \epsilon_2 & 0 \\ 0 & 0 & \epsilon_3 \end{vmatrix}. \quad (5.36)$$

Dacă toate deformățiile în jurul unui punct sunt egale între ele având valoarea egală cu o deformăție medie $\epsilon_m = \frac{\epsilon_1 + \epsilon_2 + \epsilon_3}{3}$, starea de deformăție este dată de:

$$T_{\varepsilon} = \begin{vmatrix} \varepsilon_m & 0 & 0 \\ 0 & \varepsilon_m & 0 \\ 0 & 0 & \varepsilon_m \end{vmatrix}. \quad (5.37)$$

Față de sistemul de axe principale pot fi determinate valorile maxime ale deformațiilor de alunecare specifică:

$$\begin{aligned} \gamma_{12} &= \pm(\varepsilon_1 - \varepsilon_2), \\ \gamma_{13} &= \pm(\varepsilon_1 - \varepsilon_3), \\ \gamma_{31} &= \pm(\varepsilon_3 - \varepsilon_1), \end{aligned} \quad (5.38)$$

care se găsesc în trei plane perpendiculare, fiecare din acesta fiind perpendicular pe un plan principal al deformațiilor și dispuse la 45° față de celelalte două plane principale.

În cazul unui corp raportat la un sistem de axe trirectangular, asupra căruia acționează într-un punct eforturile $\sigma_x, \sigma_y, \sigma_z, \tau_{xy}, \tau_{xz}, \tau_{yz}$ se produc deformațiile $\varepsilon_x, \varepsilon_y, \varepsilon_z, \gamma_{xy}, \gamma_{xz}, \gamma_{yz}$, între ele existând relațiile de legătură ce poartă numele de *ecuațiile generalizate ale lui Hooke*:

$$\begin{aligned} \varepsilon_x &= \frac{1}{E} [\sigma_x - \nu(\sigma_y + \sigma_z)]; \quad \gamma_{xy} = \frac{\tau_{xy}}{G}, \\ \varepsilon_y &= \frac{1}{E} [\sigma_y - \nu(\sigma_x + \sigma_z)]; \quad \gamma_{yz} = \frac{\tau_{yz}}{G}, \\ \varepsilon_z &= \frac{1}{E} [\sigma_z - \nu(\sigma_x + \sigma_y)]; \quad \gamma_{zx} = \frac{\tau_{zx}}{G}, \end{aligned} \quad (5.39)$$

în care: ν este coeficientul lui Poisson, iar între E și G există relația:

$$G = \frac{E}{2(1 + \nu)}. \quad (5.40)$$

În scopul determinării stării de eforturi când se cunosc componentele deformațiilor, ecuațiile (5.39) se pot scrie sub forma:

$$\sigma_x = 2G \left[\varepsilon_x + \frac{\nu}{1 - 2\nu} (\varepsilon_x + \varepsilon_y + \varepsilon_z) \right]; \quad \tau_{xy} = G \cdot \gamma_{xy}$$

$$\sigma_y = 2G \left[\epsilon_y + \frac{\nu}{1-2\mu} (\epsilon_x + \epsilon_y + \epsilon_z) \right]; \tau_{yz} = G \cdot \gamma_{yz} \quad (5.41)$$

$$\sigma_z = 2G \left[\epsilon_z + \frac{\nu}{1-2\mu} (\epsilon_x + \epsilon_y + \epsilon_z) \right]; \tau_{zx} = G \cdot \gamma_{zx}.$$

Din ecuațiile (5.41) se pot scrie mai multe relații între eforturile unitare și deformațiile specifice, de forma:

$$\frac{\sigma_x - \sigma_y}{\epsilon_x - \epsilon_y} = \frac{\sigma_y - \sigma_z}{\epsilon_y - \epsilon_z} = \frac{\sigma_z - \sigma_x}{\epsilon_z - \epsilon_x} = 2G = \text{constant} \quad (5.42)$$

$$\epsilon_x + \epsilon_y + \epsilon_z = \frac{1-\nu}{E} (\sigma_x + \sigma_y + \sigma_z) \quad (5.43)$$

$$\epsilon_x - \epsilon_y = \frac{1+\nu}{E} (\sigma_x - \sigma_y) \quad \epsilon_y - \epsilon_z = \frac{1+\nu}{E} (\sigma_y - \sigma_z) \quad (5.43')$$

$$\epsilon_z - \epsilon_x = \frac{1+\nu}{E} (\sigma_z - \sigma_x) . \quad (5.44)$$

Relațiile (5.42), (5.43), (5.43') și (5.44) permit realizarea unor probleme practice de plasticitate întâlnite la prelucrarea metalelor și aliajelor prin deformare plastică.

5.3.3. Starea plastică. Ipoteze de plasticitate

Starea plastică apare într-un corp atunci când sub acțiunea unei stări de eforturi unitare, în acesta se produc deformații permanente mari, fără ruperea legăturilor de coeziune intermoleculară.

Starea plastică este influențată de starea de eforturi unitare, caracterizată de cele nouă componente normale și tangențiale. În cazul când studiul stării de eforturi se face în raport cu un sistem de axe principale, starea plastică este definită de trei componente normale principale.

Starea de eforturi pentru care apare curgerea plastică a unui material este definită de combinațiile celor trei eforturi normale principale, fiind exprimate printr-o relație de forma

$$f(\sigma_1, \sigma_2, \sigma_3) = 0 , \quad (5.45)$$

care reprezintă o suprafață numită *suprafața deformațiilor*.

Stabilirea relațiilor de legătură între tensiuni și limita de curgere a materialului de forma (5.45) se poate face numai pe baza unor ipoteze a căror

expresie reprezintă suprafața presupusă a deformațiilor plastice. Dintre ipotezele existente, cele mai mult acceptate sunt: *ipoteza constanței eforturilor unitare tangențiale maxime* și *ipoteza energetică a plasticității*.

5.3.3.1. Ipoteza constanței eforturilor unitare tangențiale maxime

În urma a numeroase cercetări, ipoteza lui Saint Venant a fost definită astfel: *deformarea plastică într-un anumit punct al semifabricatului apare independent de schema stării de tensiune, dacă tensiunea tangențială maximă, în punctul respectiv, ajunge la o valoare limită, caracteristică pentru materialul dat.*

Mărima maximă a tensiunii tangențiale este dată de relațiile:

$$\tau_{12} = \frac{\sigma_1 - \sigma_2}{2}; \tau_{23} = \frac{\sigma_2 - \sigma_3}{2}; \tau_{31} = \frac{\sigma_3 - \sigma_1}{2}. \quad (5.46)$$

În cazul unei solicitări monoaxiale ($\sigma_2 = \sigma_3 = 0$ și $\sigma_1 = \sigma_c$) rezultă că tensiunea tangențială maximă este $2\tau_{\max} = R_c = \tau_c$, iar relațiile (5.46) la trecerea în starea plastică devin:

$$\sigma_1 - \sigma_2 = \sigma_c = 2k; \sigma_2 - \sigma_3 = \sigma_c = 2k; \sigma_3 - \sigma_1 = \sigma_c = 2k, \quad (5.47)$$

k fiind efortul tangențial constant ($k = \tau_c$)

Relațiile (5.47) nu pot fi valabile simultan, dar la trecerea materialului în stare plastică, este suficient să fie valabilă una dintre ele. Suprafețele delimitate de ecuațiile (5.47) sunt suprafețele deformațiilor plastice și reprezintă fețele unei prisme egal înclinată față de axele principale de coordonate.

În cazul când studiul comportării plastice a unui material se face în raport cu un sistem de axe oarecare, pentru care se cunosc componentele eforturilor unitare în raport cu axele x, y, z , condiția de plasticitate devine:

$$(\sigma_x - \sigma_y)^2 + 4\tau_{xy}^2 = \sigma_c^2 \quad (5.48)$$

sau

$$(\sigma_x - \sigma_y)^2 + 4\tau_{xy}^2 = 4k^2. \quad (5.49)$$

Din cele arătate mai sus rezultă că eforturile unitare tangențiale ating valoarea maximă în plane care trec prin una dintre axele principale și împart în două părți egale unghiul cuprins între cele două axe.

Conform acestei ipoteze strea plastică apare și se menține într-un material atunci când diferența eforturilor unitare normale principale este egală cu limita de curgere a materialului, adică atunci când efortul unitar tangențial maxim ajunge egal cu limita de curgere.

5.3.3.2. Ipoteza energetică a plasticității

Conform acestei ipoteze *starea plastică apare atunci când energia potențială acumulată într-un material sub influența solicitărilor exterioare atinge o valoare limită*. Energia potențială de deformare W , se compune din energia potențială de schimbare a volumului W_v și din energia potențială de schimbare a formei W_f , deci:

$$W = W_v + W_f. \quad (5.50)$$

Energia potențială acumulată de un corp asupra căruia acționează eforturile $\sigma_1, \sigma_2, \sigma_3$ și care a suferit deformațiile corespunzătoare $\epsilon_1, \epsilon_2, \epsilon_3$, se determină cu relația cunoscută din teoria elasticității:

$$W = \frac{1}{2}(\sigma_1 \epsilon_1 + \sigma_2 \epsilon_2 + \sigma_3 \epsilon_3). \quad (5.51)$$

Energia potențială de schimbare a volumului W_v se calculează cu relația:

$$W_v = 3 \cdot \frac{1}{2} \cdot \sigma_{med} \cdot \epsilon_{med}, \quad (5.52)$$

în care: σ_{med} este tensiunea normală medie, dată de relația:

$$\sigma_{med} = \frac{1}{3}(\sigma_1 + \sigma_2 + \sigma_3), \quad (5.53)$$

iar ϵ_{med} este deformația medie de forma:

$$\epsilon_{med} = \frac{1}{3}(\epsilon_1 + \epsilon_2 + \epsilon_3). \quad (5.54)$$

Dacă în relația (5.50) se înlocuiesc valorile lui W și W_v date de (5.51) și (5.52), după reducerile și ordonările necesare se obține:

$$W_f = \frac{1+\nu}{6E} [(\sigma_1 - \sigma_2)^2 + (\sigma_2 - \sigma_3)^2 + (\sigma_3 - \sigma_1)^2], \quad (5.55)$$

în care ν este coeficientul Poisson.

Deoarece pentru un material dat, la o anumită temperatură, atât ν , cât și E au valori constante indiferent de valorile absolute ale tensiunilor $\sigma_1, \sigma_2, \sigma_3$, relația (5.55) devine:

$$(\sigma_1 - \sigma_2)^2 + (\sigma_2 - \sigma_3)^2 + (\sigma_3 - \sigma_1)^2 = \text{const} \quad (5.56)$$

și se numește *ecuația energetică a plasticității*.

Pentru cazul unei solicitări monoaxiale ($\sigma_2 = \sigma_3 = 0$; $\sigma_1 = \sigma_c$) relația (5.56)

devine:

$$w_f = \frac{1+\nu}{6E} \sigma_c^2. \quad (5.57)$$

Din egalarea relațiilor (5.55) și (5.57) se obține condiția de plasticitate:

$$(\sigma_1 - \sigma_2)^2 + (\sigma_2 - \sigma_3)^2 + (\sigma_3 - \sigma_1)^2 = 2\sigma_c^2. \quad (5.58)$$

Ecuția energetică a plasticității (5.58) raportat la un sistem de axe principale, poate fi scrisă față de un sistem oarecare sub forma:

$$(\sigma_x - \sigma_y)^2 + (\sigma_y - \sigma_z)^2 + (\sigma_z - \sigma_x)^2 + 6(\tau_{xy}^2 + \tau_{yz}^2 + \tau_{zx}^2) = 2\sigma_c^2, \quad (5.59)$$

pe baza legăturilor scrise între eforturile unitare definite față de cele două sisteme de referință.

Verificarea ipotezelor plasticității prezintă un mare interes atât pentru dezvoltarea teoriei plasticității, cât și pentru rezolvarea problemelor practice ale prelucrării prin deformare plastică.

Experimental se constată că ecuațiile de plasticitate nu dau același rezultat pentru toate materialele, abaterile putând fi cu atât mai mari, cu cât structura materialului este mai puțin stabilă. De asemenea nu se ține cont de eterogenitatea materialului (factorii structurali), temperatura la care are loc deformarea (factorii termici) și condițiile în care se desfășoară deformarea (factorii tehnologici).

5.3.4. Legile de bază ale deformării plastice

Rezultatele experimentale obținute și numeroasele studii făcute au condus la precizarea unor legi general valabile cu privire la deformarea plastică a metalelor și aliajelor, legi aplicabile în proiectarea oricărui proces tehnologic de realizare prin deformare plastică a pieselor. Aceste legi sunt: *legea coexistenței deformațiilor elastice cu cele plastice*, în timpul deformării plastice; *legea volumului constant*; *legea rezistenței minime*; *legea apariției și echilibrării tensiunilor intere* și *legea similitudinii*.

5.3.4.1. Legea coexistenței deformațiilor elastice cu cele plastice în timpul deformării plastice

Experimental s-a constatat că deformarea plastică a materialelor metalice este însoțită în permanență de o deformație elastică, iar deformarea plastică începe numai după depășirea unei mărimi limită a deformației elastice. Acest termen este pus în evidență foarte bine pe diagrama tensiune-deformație din figura 5.12 unde se vede că deformația totală ϵ_t se compune dintr-o deformație elastică ϵ_e și o deformație ϵ_p , fiind dată de relația (5.3).

Pe porțiunea OC a diagramei are loc doar o deformare elastică, în acest domeniu fiind valabilă relația lui Hooke:

$$\varepsilon = \frac{\sigma}{E} , \quad (5.60)$$

în care: ε este gradul de deformare corespunzător tensiunii σ , iar E este modulul de elasticitate.

Când deformarea elastică a atins limita corespunzătoare punctului C , începe deformarea plastică și în acest domeniu studiul comportării materialelor este mult mai dificil deoarece nu mai există proporționalitate între tensiuni și deformații (modulul de plasticitate este o mărime variabilă în timpul deforării). În anumite condiții bine precizate, relațiile din domeniul elastic pot da rezultate mulțumitoare pentru domeniul plastic. De exemplu, pentru deformări în spațiu relația (5.60) devine:

$$\begin{aligned} \varepsilon_1 &= \frac{1}{E} [\sigma_1 - \nu(\sigma_2 + \sigma_3)] , & \varepsilon_2 &= \frac{1}{E} [\sigma_2 - \nu(\sigma_3 + \sigma_1)] , \\ \varepsilon_3 &= \frac{1}{E} [\sigma_3 - \nu(\sigma_1 + \sigma_2)] , \end{aligned} \quad (5.61)$$

în care: $\varepsilon_1, \varepsilon_2, \varepsilon_3$ sunt gradele de deformare corespunzătoare tensiunilor $\sigma_1, \sigma_2, \sigma_3$ pe cele trei direcții; ν - coeficientul lui Poisson.

Dacă se consideră $\varepsilon_2 \approx \varepsilon_3 \approx 0$ din relația (5.61) rezultă:

$$\sigma_2 - \nu(\sigma_1 + \sigma_3) = 0 , \quad (5.62)$$

$$\sigma_3 - \nu(\sigma_1 + \sigma_2) = 0 . \quad (5.63)$$

Înlocuind valoarea lui σ_2 scoasă din (5.62) în relația (5.63), se obține pentru σ_3 o relație de forma:

$$\sigma_3 = \frac{\nu}{1 - \nu} \sigma_1 , \quad (5.64)$$

iar dacă se scoate σ_3 din (5.63) și se înlocuiește în (5.62), se obține pentru σ_2 o relație de forma:

$$\sigma_2 = \frac{\nu}{1 - \nu} \sigma_1 . \quad (5.65)$$

Comparând relațiile (5.64) și (5.65) rezultă:

$$\sigma_2 = \sigma_3 = \frac{\nu}{1 - \nu} \sigma_1 , \quad (5.66)$$

relație destul de des folosită în rezolvarea unor probleme practice ale deformării plastice.

Observație. Legea prezintă o importanță practică deosebită, deoarece după înlăturarea forțelor exterioare ce au provocat deformarea plastică, deformările elastice dispar treptat rămânând o deformare permanentă dată de relația (5.4). De acest lucru trebuie ținut cont în proiectarea oricărui proces tehnologic de realizare a unei piese prin deformare plastică, cu referire la configurația geometrică a sculelor cu ajutorul cărora se aplică forțele de deformare asupra materialului.

5.3.4.2. Legea volumului constant

În ipoteza unor pierderi minime de material prin ardere (cazul deformării plastice la cald) sau prin îndesarea materialului cu goluri interioare, se poate considera că volumul materialului rămâne constant în oricare etapă a procesului de deformare:

$$V_0 = V_1 = V_2 = \dots = V_i = \dots = V_n, \quad (5.67)$$

în care $i = 1, 2, 3, \dots, n$ sunt etapele procesului de deformare plastică.

În cazul deformării plastice a semifabricatului inițial 1 (fig.5.13), de volum inițial $V_0 = l_0 \cdot b_0 \cdot h_0$, cu forța P , a rezultă după prima etapă a deformării corpul 2, de volum $V_1 = l_1 \cdot b_1 \cdot h_1$. Aplicând legea volumului constant (5.67) în acest caz se obține:

$$l_0 \cdot b_0 \cdot h_0 = l_1 \cdot b_1 \cdot h_1. \quad (5.68)$$

Relația (5.68) se mai poate scrie sub forma:

$$\frac{l_1}{l_0} \cdot \frac{b_1}{b_0} \cdot \frac{h_1}{h_0} = 1 \quad \text{sau} \quad \lambda \cdot \beta \cdot v = 1, \quad (5.69)$$

în care s-au făcut notațiile: $\lambda = l_1/l_0$ este coeficientul de alungire, $\beta = b_1/b_0$ – coeficientul de lățire; $\gamma = h_1/h_0$ coeficientul de reducere.

Prin logaritizarea relației (5.69) rezultă:

$$\ln \frac{l_1}{l_0} + \ln \frac{b_1}{b_0} + \ln \frac{h_1}{h_0} = 0 \quad \text{sau} \quad \ln \lambda + \ln \beta + \ln v = 0. \quad (5.70)$$

Relația (5.70) este prima exprimare a legii volumului constant și demonstrează că suma gradelor logaritmice de deformare după cele trei direcții este nulă.

Deoarece deformarea totală ϵ , în funcție de deformările în lungul celor trei laturi, este dată de relația:

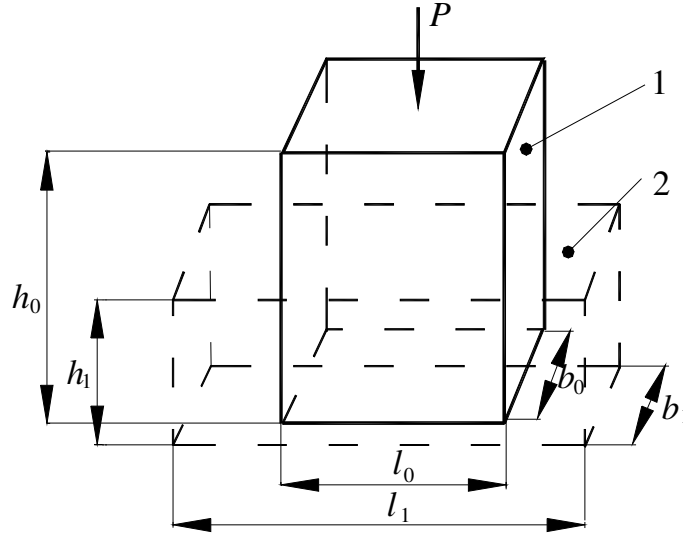


Fig. 5.13. Deformarea unui semifabricat sub formă de prismă dreaptă cu o forță P :
1 – starea inițială de dimensiuni l_0, b_0, h_0 ; 2 – starea deformată de dimensiuni l_1, b_1, h_1 ,

$$\epsilon_t = \epsilon_l + \epsilon_b + \epsilon_h = \int_{l_0}^{l_1} \frac{dl}{l} + \int_{b_0}^{b_1} \frac{db}{b} + \int_{h_0}^{h_1} \frac{dh}{h} \quad (5.71)$$

și ținând cont de expresia (5.70), se obține o a doua exprimare a legii volumului constant:

$$\epsilon_l + \epsilon_b + \epsilon_h = 0 \quad (5.72)$$

prin urmare, o deformare într-o direcție este egală în valoare absolută cu suma celorlalte două deformații în lungul celorlalte două direcții.

Dacă relația (5.72) se înmulțește cu secțiunea S , a materialului deformat, se obține o a treia exprimare a legii volumului constant:

$$S \cdot \epsilon_l + S \cdot \epsilon_b + S \cdot \epsilon_h = 0 \text{ sau } V_l + V_b + V_h = 0, \quad (5.73)$$

în care: V_l, V_b, V_h reprezintă volumul de material deplasat în direcțiile corespunzătoare l, b, h .

Relația (5.73) demonstrează că și suma volumelor de material deplasate în cele trei direcții perpendiculare între ele este nulă.

Observație. Această lege prezintă importanță practică deosebită, deoarece permite calculul dimensiunilor semifabricatului inițial pe baza dimensiunilor piesei finite, la aplicarea ei trebuie ținut cont însă de starea materialului, precum și de condițiile de deformare.

5.3.4.3. Legea rezistenței minime

Deplasarea oricărui punct material al corpului deformat, situat pe suprafața perpendiculară pe direcția forțelor de deformare, se face după distanța cea mai mică la perimetrul secțiunii.

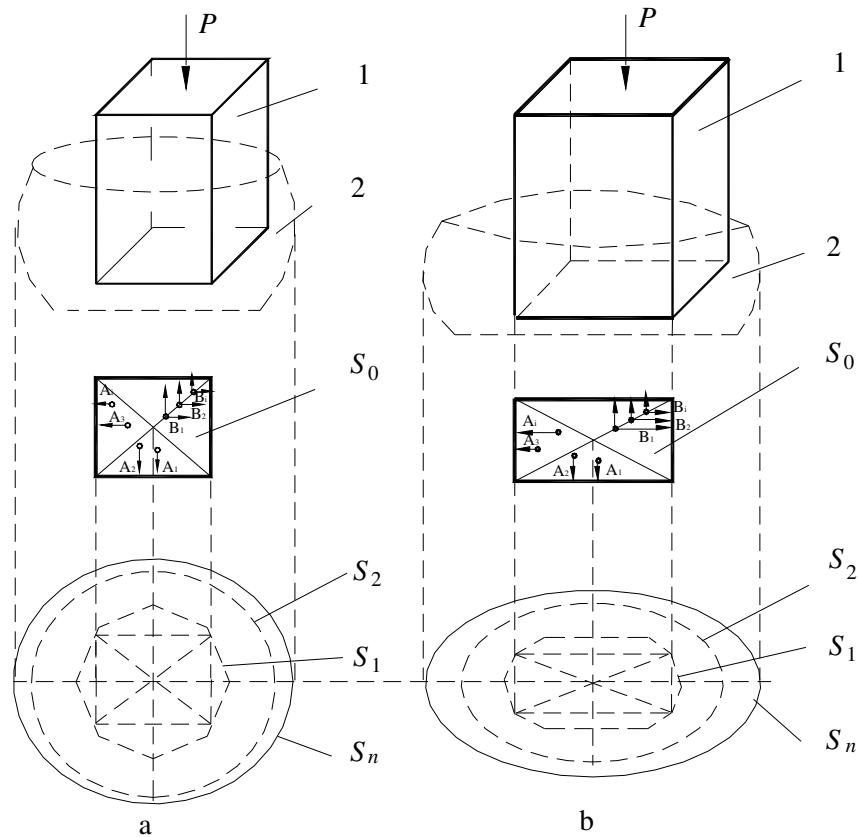


Fig. 5.14. Deformarea unui semifabricat sub acțiunea forței P :
a – de secțiune pătrată; b – de secțiune dreptunghiulară; 1 – semifabricatul inițial; 2 – semifabricatul deformat; S_1 – secțiunea inițială; S_2, S_3 – secțiuni intermediare; S_n – secțiunea finală.

Deoarece distanța cea mai mică este perpendiculară la perimetrul secțiunii, înseamnă că dintre diferitele posibilități de deplasare, punctele respective vor alege pe acelea pe care rezistența întâmpinată este minimă. Dacă se consideră un corp de forma unei prisme pătrate drepte (fig.5.13) supus deformării cu forța P , punctele A_i aflate pe o direcție perpendiculară pe direcția de acțiune a forței P , se vor deplasa pe direcția perpendiculară pe laturile secțiunii (cele aflate pe diagonala B_i , se vor deplasa în același mod, spre una din laturile vecine, dar în nici un caz în lungul

diagonalei). Intensitatea curgerii materialului într-un sens este proporțională cu lungimea normalei la contur astfel încât, după o anumită deformare sau un anumit număr de deformări, o secțiune pătrată poate deveni circulară (fig.5.14. a), iar o secțiune dreptunghiulară poate deveni eliptică (fig.5.14. b).

În majoritatea cazurilor, din considerente legate de rezistența materialului, deformarea plastică trebuie făcută în mai multe etape (tregeri). Determinarea numărului de treceri n se face pornind de la definirea gradului de reducere γ_i , dat de relația:

$$\gamma_i = \frac{S_i}{S_{i-1}}, \quad (5.74)$$

în care: S_i este secțiunea semifabricatului în etapa i de deformare.

Gradul de reducere în fiecare etapă este:

$$\gamma_1 = \frac{S_1}{S_0}; \gamma_2 = \frac{S_2}{S_1}; \gamma_3 = \frac{S_3}{S_2} = \dots = \gamma_n = \frac{S_n}{S_{n-1}}. \quad (5.75)$$

De asemenea, gradul de reducere total γ_t este dat de relația:

$$\lambda_t = \frac{S_n}{S_0} = \frac{S_1}{S_0} \cdot \frac{S_2}{S_1} \cdot \frac{S_3}{S_2} \cdot \dots \cdot \frac{S_n}{S_{n-1}} \quad (5.76)$$

sau

$$\gamma_t = \gamma_1 \cdot \gamma_2 \cdot \gamma_3 \cdot \dots \cdot \gamma_n = \frac{S_n}{S_0}. \quad (5.77)$$

Presupunând că gradul de reducere este același la fiecare trecere:

$$\gamma_1 = \gamma_2 = \gamma_3 = \dots = \gamma_n = \gamma_{med}, \quad (5.78)$$

relația (5.77) devine:

$$\gamma_{med}^n = \frac{S_n}{S_0}. \quad (5.79)$$

Logaritmând relația (5.79) se obține pentru numărul de treceri n , dat de relația:

$$n = \frac{\ln S_n - \ln S_0}{\ln \gamma_{med}}. \quad (5.80)$$

Observație. Legea prezintă o importanță practică deosebită, deoarece permite determinarea formei semifabricatului inițial și numărul de deformări necesar a fi aplicat în vederea obținerii configurației dorite, corespunzătoare cu

rolul funcțional.

5.3.4.4. Legea apariției și echilibrării tensiunilor interne suplimentare

În timpul deformării plastice, în interiorul materialului apar tensiuni care se opun deformării (conform principiului acțiunii și reacțiunii) și care tind să se echilibreze reciproc.

Dacă se analizează deformarea cu forța P , a unui semifabricat cilindric (fig.5.15) în diferite secțiuni, se constată că, din cauza forțelor de frecare la interfața sculă de deformare-material deformat, deformările vor fi diferite pe secțiuni (suprafața S_1 va suferi o deformare mai mică decât suprafața S_2). Dacă se consideră aceste suprafețe apropiate, în timpul deformării, între ele există o influență reciprocă (suprafața S_2 va căuta să antreneze suprafața S_1 , iar suprafața S_1 va căuta să frâneze deplasarea suprafeței S_2). În acest fel, pe suprafața S_2 vor apare tensiuni interioare, iar pe suprafața S_1 , tensiuni interioare de întindere. Aceste tensiuni rămân în semifabricat și după deformarea lui, însă ele se echilibrează ca mărime și sens. Pe de altă parte, chiar și în același plan (pe suprafețele S_1 sau S_2) tensiunile variază cu raza, ele fiind mai mari pe cercul de rază r_1 față de cercul de rază r_2 .

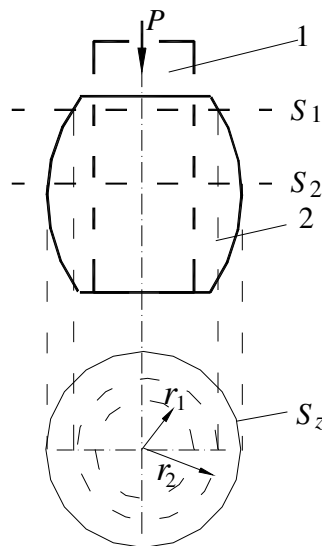


Fig. 5.15. Deformarea cu forța P a unui semifabricat cilindric:

1 – semifabricatul inițial; 2 – semifabricatul deformat; S_1 , S_2 – secțiuni diferite; r_1 , r_2 – razele unor cercuri diferite în același plan al secțiunii S_2 .

De asemenea, grăunții cristalini deformați plastic caută să antreneze și grăunții nedeformați, aceștia caută să frâneze deformarea pieselor, între ei apărând

tensiuni interioare de sens contrar, care se echilibrează după înlăturarea forței care a produs deformarea.

Prin urmare, cauzele apariției acestor tensiuni interioare se datorează acțiunii sculei, frecării la interfața sculă-material, încălzirii neuniforme a materialului, neomogenității compoziției chimice și a proprietăților mecanice ale materialului, frânării dislocațiilor etc. Tensiunile interne, produse și rămase în piesă, se pot adăuga tensiunilor produse la prelucrările ulterioare sau în timpul exploatarei ei, astfel încât se poate depăși rezistența la rupere a materialului și pot apărea de fisuri sau crăpături.

Observație. Legea are o mare importanță practică, deoarece permite stabilirea metodelor tehnologice de evitare, reducere sau înlăturare a tensiunilor interne suplimentare.

5.3.4.5. Legea similitudinii

În aceleași condiții de deformare, pentru două corpuri geometrice asemenea, cu aceeași compoziție chimică, aceeași structură și aceleași caracteristici mecanice, presiunile specifice de deformare p_m și respectiv p_f sunt egale între ele, raportul forțelor de deformare P_m și respectiv P_f este egal cu pătratul raportului mărimilor liniare caracteristice l_m și respectiv l_f , iar raportului lucrului mecanic necesar schimbării formei W_{fm} și respectiv W_{ft} este egal cu cubul raportului mărimilor liniare caracteristice.

Legea se exprimă prin relațiile:

$$p_m = p_f; \frac{P_m}{P_f} = \left(\frac{l_m}{l_f}\right)^2; \frac{W_{fm}}{W_{ft}} = \left(\frac{l_m}{l_f}\right)^3, \quad (5.81)$$

în care: indicele m se referă la model, iar indicele f se referă la piesa finită. Deoarece sunt greu de satisfăcut simultan toate condițiile de mai sus, legea se poate aplica folosindu-se anumiți coeficienți de corecție care să țină seama de factorul geometric și factorul structural.

Observație. Legea prezintă importanță practică deosebită, deoarece permite proiectarea proceselor tehnologice de obținere prin deformare plastică a unor piese mari și de configurații complexe folosind modele luate la o scară geometrică corespunzătoare.

5.4. FENOMENE CE ÎNSOȚESC PRELUCRAREA PRIN DEFORMARE PLASTICĂ A MATERIALELOR

Prelucrarea prin deformare plastică a unui material este însoțită de o serie de fenomene care afectează materialul supus prelucrării, modificându-i în mod

substanțial comportarea în timpul prelucrării ulterioare sau în timpul solicitărilor din exploatare. Principalele fenomene ce pot însoți deformarea plastică a unui material sunt: *creșterea compactității și a greutății specifice; ecruisarea; recristalizarea, apariția structurii fibroase; anizotropia proprietăților funcționale și tehnologice* etc.

5.4.1. Creșterea compactității și a greutății specifice

Acest fenomen constă în închiderea și eventual în sudarea unor defecte de material ca: microretasuri, fisuri, sufluri intercristaline, porozități etc. Această creștere a greutății specifice este cu atât mai mare cu cât defectele de material sunt mai numeroase, respectiv cu cât greutatea specifică a materialului sau aliajului turnat este mai mică în comparație cu cea reală. De exemplu, în cazul deformării plastice prin laminare a oțelului necalmat, greutatea specifică a acestuia crește de la $6,90\text{g/cm}^3$ la $7,85\text{g/cm}^3$. Dacă semifabricatul a mai fost deformat plastic înainte și este lipsit de porozități, atunci printr-o nouă deformare plastică la rece el va acumula noi dislocații și noi vacanțe, care vor conduce din nou la o creștere a volumului său, dar într-o cantitate neglijabilă.

În același timp cu creșterea compactității materialelor, în timpul deformării plastice la cald are loc și un proces de modificare a structurii de turnare, în sensul alungirii grăunților cristalini și a incluziunilor care în timpul solidificării s-au concentrat la limitele dintre grăunții primari.

5.4.2. Ecruisarea

Fenomenul de ecruisare apare numai în cazul prelucrării prin deformare plastică la rece și constă în modificarea unor proprietăți mecanice ale materialului deformat, în sensul creșterii rezistenței la rupere σ_r (fig.5.16) și a durtății HB și scăderii proprietăților ce definesc plasticitatea materialului (alungirea relativă A_5 , reziliența KCU și gătuirea relativă ψ_r). De asemenea, se modifică unele proprietăți fizice (conductibilitatea termică, greutatea specifică), unele proprietăți electrice (conductivitatea electrică) și unele proprietăți chimice (rezistența la coroziune, oxidabilitatea). Pe lângă modificarea proprietăților funcționale ale materialului apar și modificări de structură, în sensul alungirii și a turtirii puternice a grăunților cristalini.

Fenomenul de ecruisare se poate explica ușor pornind de la existența dislocațiilor în materialul deformat plastic. Deoarece deformarea plastică are la bază fenomenul de mișcare a dislocațiilor, rezultă că ecruisarea este rezultatul frânării deplasării dislocațiilor de către piedici sau bariere, care se formează în materiale chiar în procesul deformării plastice. Aceste bariere sunt în principal formații stabile de dislocații situate unele peste altele în plane de alunecare paralele.

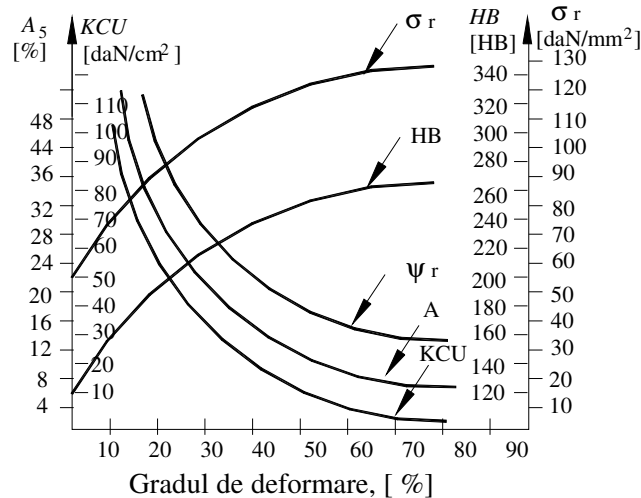


Fig. 5.16. Modificarea proprietăților mecanice în funcție de gradul de deformare.

Ecruierea are o influență deosebită asupra plasticității materialului, experimental constatându-se că, la o anumită ecruisare (un anumit grad de deformare), plasticitatea scade în asemenea măsură, încât prelucrarea prin deformare plastică în continuare nu mai este posibilă din cauza rezistenței crescânde opuse de material și a pericolului apariției crăpăturilor. Totuși, prelucrarea prin deformare plastică este posibilă în continuare numai după o restabilire a plasticității materialului, obținută în urma unui tratament termic de recoacere de recrystalizare.

Din punct de vedere practic, cunoașterea fenomenului de ecruisare ajută la dirijarea procesului de deformare plastică și determină o lărgire a gamei de utilizări a materialelor supuse deformării plastice. Astfel, fără apariția ecruisării nu ar fi posibile unele operații de prelucrare prin deformare, precum ambutisarea sau tragerea. Dacă zonele subțiate la ambutisare sau tragere nu s-ar durifica, materialul s-ar fisura și s-ar rupe în aceste zone. Prin această ecruisare, respectiv durificare este împiedicată depășirea locală a limitei de curgere, iar deformarea plastică poate continua din aproape în aproape.

În același timp, fenomenul de ecruisare poate fi folosit și pentru creșterea proprietăților de rezistență ale unor metale și aliaje moi cum sunt: alumiul, cuprul, unele alame și bronzuri, unele oțeluri inoxidabile etc. (tab.5.1).

5.4.3. Recrystalizarea

Recrystalizarea este fenomenul de bază care se produce la încălzirea materialelor ecruisate și constă în reorganizarea rețelei deformate și apariția unor noi centre de cristalizare. Prin recrystalizare se elimină complet tensiunile interne,

constatându-se o micșorare a durtății și a rezistenței de deformare și o mărire a plasticității. În timpul acestui proces se intensifică procesul de difuzie al atomilor în volumul grăunților cristalini, ceea ce contribuie la egalizarea chimică a grăunților neomogeni și la înlăturarea microfisurilor ce apar în timpul deformării. În cazul metalelor pure recristalizarea are loc la o temperatură T_{rc} , dată de relația:

$$T_{rc} = 0,4T_{top}, \quad (5.82)$$

în care: T_{top} este temperatura de torpire a metalului, exprimată în grade Kelvin.

Tabelul 5.1. Influența ecruisării asupra unor proprietăți mecanice ale unor metale și aliaje

Nr. crt.	Materialul	Starea	Proprietăți		
			Rezistența la rupere σ_r [daN/mm ²]	Alungirea A_5 [%]	Duritatea HB [HB]
1	Cupru	recopt	20	45	38
		ecruisat	44	6	105
2	Aluminiu	recopt	8	42	20
		semiecrusat	11	15	29
		ecruisat	18	5	47
3	Alamă	recoaptă	27	50	80
		ecruisabilă	38	15	140
4	Oțel moale	recopt	42	31	130
		ecruisat	84	6	250
5	Oțel inoxidabil, cu 18% Cr și 8%Ni	recopt	61	80	200
		ecruisat	182	5	650

Temperatura de recristalizare nu este o constantă a materialului, ea depinzând de numeroși factori, cei mai importanți fiind conținutul în elemente de aliere și gradul de deformare. Temperatura de recristalizare crește o dată cu creșterea gradului de aliere (la oțelurile-carbon obișnuite $T_{rc} = 450...600^\circ\text{C}$, iar la oțelurile aliate $T_{rc} = 600...800^\circ\text{C}$) și scade o dată cu creșterea gradului de deformare (fig.5.17). Gradul de deformare influențează recristalizarea și în sensul existenței unui *grad critic de deformare*, sub care recristalizarea nu se mai poate produce (pentru oțeluri, gradul critic de deformare este de 8...12%).

Recristalizarea are o influență deosebită asupra rețelei cristaline, asupra forme și dimensiunilor grăunților cristalini și implicit asupra proprietăților funcționale și tehnologice ale materialului. Proprietățile funcționale depind în primul rând de dimensiunile și forma grăunților cristalini în sensul că o dată cu creșterea dimensiunilor grăunților (structură grosolană) proprietățile funcționale scad foarte mult. Dimensiunile grăunților cristalini obținuți în urma recristalizării depind de temperatura la care are loc recristalizarea (fig.5.18. a), de mărimea gradului de deformare (fig.5.18. b), de durata de menținere la temperatura la care are loc recristalizarea (fig.5.18. c), de mărimea inițială a grăunților și viteza de deformare.

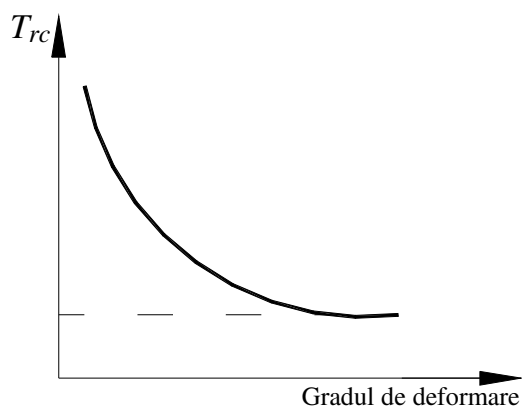


Fig. 5.17. Influența gradului de deformare asupra temperaturii de recristalizare T_{rc} .

5.4.4. Apariția structurii fibroase

Ca urmare a prelucrării prin deformare plastică la cald se constată că materialul capătă o macrostructură fibroasă, fibrele formate fiind orientate pe direcțiile de curgere ale materialului.

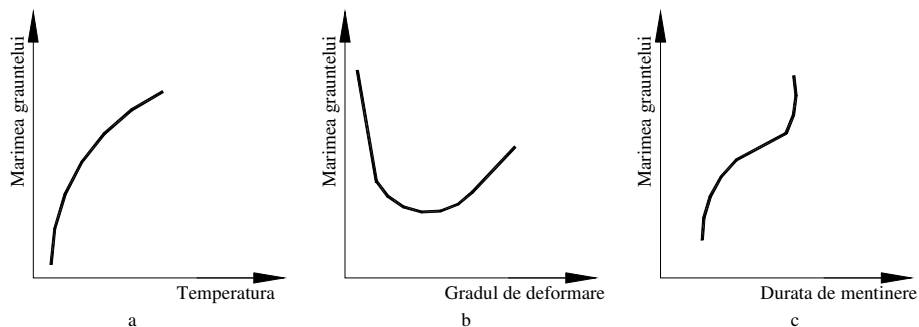


Fig. 5.18. Variația mărimii grăunțului în funcție de:
a – temperatură; b – gradul de deformare; c – durata de menținere la temperatura de recristalizare.

Formarea structurii fibroase are următoarea explicație: în timpul deformării plastice, grăunții cristalini inițiali 1 (fig.5.19. a) se deformează alungindu-se puternic pe direcția de curgere a materialului, rezultând grăunții 2, puternic ecruisați (fig.5.19. b). Incluziunile nemetalice 3, aflate în structură vor suferi deplasări și deformări asemănătoare rămânând la limitele dintre grăunții 4. Dacă deformarea plastică are loc la cald și se produce recristalizarea, se vor forma noi grăunți cristalini 5 (fig.5.19. c). Incluziunile nemetalice nu mai sunt redistribuite,

ele rămân deformate și orientate în direcția curgerii, împărțind materialul în fibre de curgere 6.

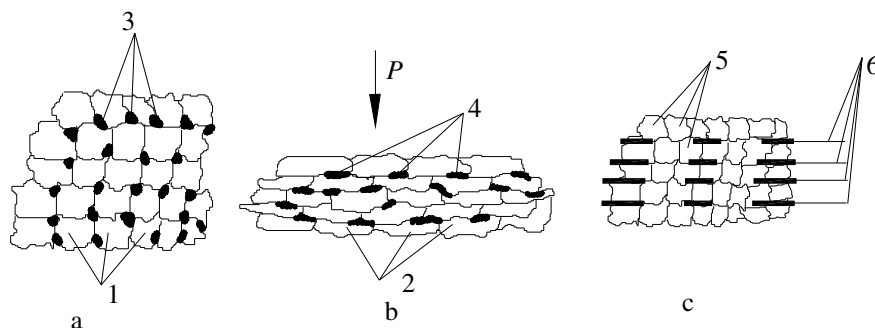


Fig. 5.19. Formarea structurii fibroase:

a – structură inițială; b – structură puternic ecruisată; c – structură recrystalizată; 1 – grăunți inițiali;
2 – grăunți puternic alungați (ecruisați); 3 – incluziuni nedeformate; 4 – incluziuni deformate;
5 – grăunți echiaxiali; 6 – fibre de curgere.

Structura fibroasă a metalului sau aliajului, rezultată în urma prelucrării prin deformare plastică la cald, nu poate fi modificată prin nici un tratament termic și nici printr-o deformare plastică ulterioară (o deformare ulterioară poate modifica numai direcția fibrelor).

5.4.5. Modificarea proprietăților funcționale și tehnologice

Ca urmare a fenomenelor care au loc în timpul deformării plastice, prezentate mai sus, metalele și aliajele deformate, în comparație cu cele turnate își schimbă nu numai compactitatea, ci și valorile proprietăților funcționale și unele proprietăți tehnologice. Astfel, valorile rezistenței la rupere, alungirii, găturii, rezilienței, plasticității și durtății se modifică pe măsura creșterii gradului de deformare. Proprietățile fizice (conductivitatea termică, greutatea specifică) cresc cu creșterea gradului de deformare, în timp ce proprietățile chimice (rezistența la coroziune, oxidabilitatea) scad. De asemenea, unele proprietăți electrice (conductivitatea electrică, inducția remanentă, inducția de saturație) scad, în timp ce altele (rezistența electrică, câmpul coercitiv) cresc cu creșterea gradului de deformare.

Unele proprietăți tehnologice (turnabilitatea, calibilitatea) cresc, în timp ce altele (deformabilitatea, uzinabilitatea, sudabilitatea) scad o dată cu creșterea gradului de deformare.

Creșterea proprietăților mecanice se datorește, pe de o parte, sudării defectelor de turnare și compactizării materialului, iar, pe de altă parte, procesului de recrystalizare, datorită căruia o parte din incluziunile nemetalice cu punctul de

topire mai scăzut și rezistența de deformare mai slabă trec de la limitele grăunților primari în interiorul celor recristalizați, favorizând în acest fel alunecarea intracristalină și împiedicând-o pe cea intercristalină.

După prelucrarea prin deformare plastică, materialul prezintă însă proprietăți mecanice diferite, din cauza existenței structurii fibroase: în direcția longitudinală a fibrei acestea sunt mai bune decât în direcție transversală. Diferența dintre valoarea proprietăților mecanice în direcție longitudinală și transversală se numește anizotropie A_z și se exprimă prin raportul:

$$A_z = \frac{\Psi_{tr}}{\Psi_{en}} \quad \text{sau} \quad A_z = \frac{KCU_{tr}}{KCU_{en}} \quad (5.83)$$

sau prin indicele de anizotropie n_z , dat de relația:

$$n_z = \frac{1}{2} \left(\frac{\Psi_{tr}}{\Psi_{en}} + \frac{KCU_{tr}}{KCU_{en}} \right) \quad (5.84)$$

în care: Ψ_{tr} ; Ψ_{en} reprezintă gătuirea pe probe luate în direcția transversală și respectiv longitudinală față de direcția fibrajului; KCU_{tr} ; KCU_{en} – reziliența în direcția transversală și respectiv longitudinală.

Anizotropia prezintă importanță practică deosebită în proiectarea pieselor și în stabilirea tehnologiei de fabricație a acestora. Trebuie ținut cont că eforturile de compresiune și întindere, care apar în timpul solicitării piesei, trebuie să coincidă cu direcția fibrelor, iar cele tangențiale (de forfecare) trebuie să fie perpendiculare pe direcția fibrelor (știut fiind că rezistența la rupere este maximă în direcția fibrelor, iar rezistența la forfecare este maximă perpendicular pe fibre). Trebuie ținut cont, de asemenea, de faptul că fibrele nu trebuie să se întretaie, ci să înfășoare conturul piesei. De exemplu, pentru fabricarea unei supape s-ar putea utiliza fie prelucrarea prin așchiere, plecând de la un semifabricat laminat (fig.5.20. a), fie finisarea prin așchiere plecând de la un semifabricat apropiat ca formă de piesa finită, obținut prin deformarea puternică a unei bare cilindrice (fig.5.20. b).

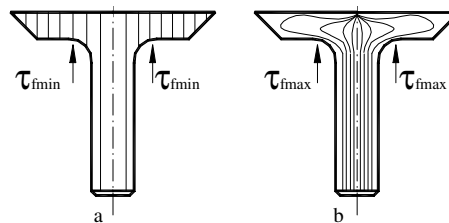


Fig. 5.20. Orientarea fibrelor într-o supapă:

a – obținută prin așchiere; b – obținută prin deformarea plastică a capului barei laminate;

τ_f – rezistența la forfecare.

O supapă fabricată prin prima metodă nu poate funcționa într-un motor cu explozie, distrugându-se imediat ca urmare a unei defectuoase distribuiri a tensiunilor față de fibrele orientate într-o singură direcție și întrerupte datorită prelucrării prin așchiere (în zonele cele mai puternic solícitate rezistența la forfecare este minimă τ_{fmin}). O supapă obținută prin cea de a doua metodă va funcționa cu succes într-un motor cu explozie, deoarece în zonele puternic solícitate rezistența la forfecare este maximă τ_{fmax} . Același lucru se poate spune despre un bulon de fixare (fig.5.21), despre o roată dințată (fig.5.22), despre arborii cotiți, axele cu came, axele cardanice, planetare, tije de pompaj etc.

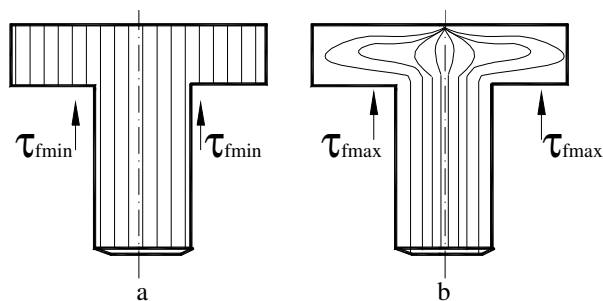


Fig. 5.21. Orientarea fibrelor într-un bulon:

a – obținut prin așchiere; b – obținut prin deformarea plastică a capului unei bare laminate;
 τ_f – rezistența la forfecare.

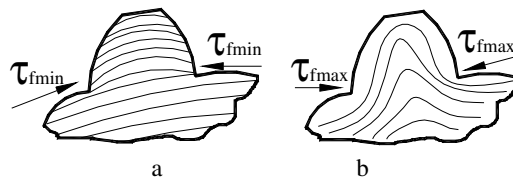


Fig. 5.22. Orientarea fibrelor într-un dinte de roată dințată:

a – obținută prin așchiere; b – obținut prin deformarea plastică; τ_f – rezistența la forfecare.

5.5. ÎNCĂLZIREA MATERIALELOR METALICE ÎN SCOPUL PRELUCRĂRII PRIN DEFORMARE PLASTICĂ

5.5.1. Parametrii regimului termic al deformării

Materialele pot fi prelucrate ușor prin deformare plastică, dacă au o plasticitate bună și o rezistență la deformare mică. La majoritatea materialelor utilizate în tehnică îmbunătățirea acestor condiții se poate realiza prin încălzire.

Experimental s-a constatat că la temperaturile la care are loc deformarea plastică la cald, rezistența la deformare scade de 8...12 ori, iar deformabilitatea crește de 3...6 ori (fig.5.23).

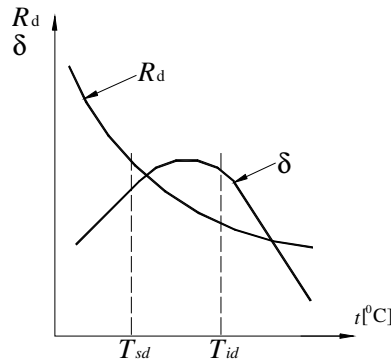


Fig. 5.23. Variația rezistenței la deformare R_d și a plasticității δ cu temperatura:
 T_{id} – temperatura de început de deformare; T_{sd} – temperatura de sfârșit de deformare.

În ultimul timp se extinde tot mai mult și deformarea plastică la rece, deoarece prin acest procedeu se obțin piese cu o precizie dimensională mai ridicată, calitate a suprafeței mai bună și proprietăți funcționale mai bune, dar nu poate fi aplicată decât la piese mici din materiale care au o rezistență relativ redusă și o deformabilitate ridicată.

Încălzirea materialelor în scopul prelucrării prin deformare plastică are mare importanță, deoarece calitatea produselor realizate depinde în primul rând de alegerea unui regim corect de încălzire. Încălzirea are drept scop:

- reducerea forțelor de deformare prin creșterea plasticității și scăderea rezistenței de deformare;
- reducerea greutateii și a gabaritului utilajului folosit pentru deformare;
- obținerea unei structuri care să asigure o deformare ușoară și caracteristicile funcționale și tehnologice dorite;
- pierderi minime de material cu adaosurile de prelucrare și tehnologice.

Alegerea temperaturii optime de deformare și o încălzire uniformă a semifabricatului asigură:

- pierderi minime de material prin oxidare, ardere și decarburare;
- preîntâmpinarea apariției tensiunilor interne mari, a fisurilor și crăpăturilor posibile la grade mari de deformare;
- obținerea calității proiectate.

Încălzirea materialelor în scopul prelucrării prin deformare plastică se poate realiza în două moduri distincte:

- prin introducerea semifabricatului într-un mediu cald;
- prin introducerea căldurii în masa semifabricatului.

Cea mai răspândită metodă și cea mai ușor de realizat este prima metodă și constă în introducerea semifabricatului în spațiul de lucru al instalației de încălzire și menținerea în acest spațiu un anumit timp necesar schimbului de căldură între mediul de încălzire și semifabricat. În cazul acestei metode, principalii parametri ai regimului de încălzire sunt:

- intervalul de temperatură la care se poate face deformarea;
- viteza de încălzire;
- durata încălzirii;
- mediul de încălzire.

5.5.1.1. Intervalul de temperatură în care se poate face deformarea

Este specific fiecărui material și este condiționat de mărimea gradului de deformare ce poate fi realizat fără să apară fisuri în timpul deformării și de obținerea prin deformare a unei structuri proiectate. La încălzirea materialelor în scopul prelucrării prin deformare plastică există un interval de temperatură *admis* și unul *tehnologic*. *Intervalul de temperatură admis* se stabilește astfel încât rezistența de deformare să fie cât mai mică, iar deformabilitatea cât mai ridicată (fig.5.24).

Din punct de vedere al rezistenței la deformare R_d , tendința ar fi ca temperatura de început de deformare T_{id} să fie cât mai ridicată. Din punct de vedere al deformabilității, temperatura de început de deformare trebuie aleasă la valoarea la care deformabilitatea este maximă. Scăderea deformabilității la temperaturi mari este marcată de începutul creșterii excesive a mărimii grăunților și a topirii la limitele intercrystaline. Temperatura critică la care aceste fenomene încep să se producă intens este în funcție de material și este la 150...300°C sub linia solidus. Prin urmare, ridicarea temperaturii de început de deformare admisă este limitată de fenomenul de supraîncălzire, care dă o structură grosolană sau chiar arderea materialului. Temperatura minimă admisă pentru deformare T_{sd} (temperatura de la sfârșitul deformării) este limitată de gradul de deformare ce se poate realiza la acea temperatură și mai ales de structura care se dorește să se obțină în urma deformării (ecruisată, recristalizată etc.). Alegerea temperaturii de la începutul deformării T_{id} și de la sfârșitul deformării T_{sd} se face pentru fiecare material folosind o diagramă de forma celei prezente în figura 5.24. Se observă că, atunci când în urma deformării se urmărește obținerea unei structuri complet recristalizate, temperatura minimă de sfârșit a deformării trebuie să fie mai mare decât temperatura de recristalizare T_{rc} .

Mărimea intervalului de temperatură în care se poate face deformarea este în funcție de natura și compoziția chimică a materialului încălzit în scopul prelucrării prin deformare plastică (tab.5.2).

Intervalul de temperatură tehnologic este acela la care are loc deformarea plastică propriu-zisă și se determină în strânsă legătură cu timpul necesar pentru realizarea deformării și cu durata răcirii semifabricatului de la temperatura începutului deformării la temperatura sfârșitului acesteia. Intervalul de temperatură

tură tehnologic trebuie să fie cuprins în intervalul de temperatură admis.

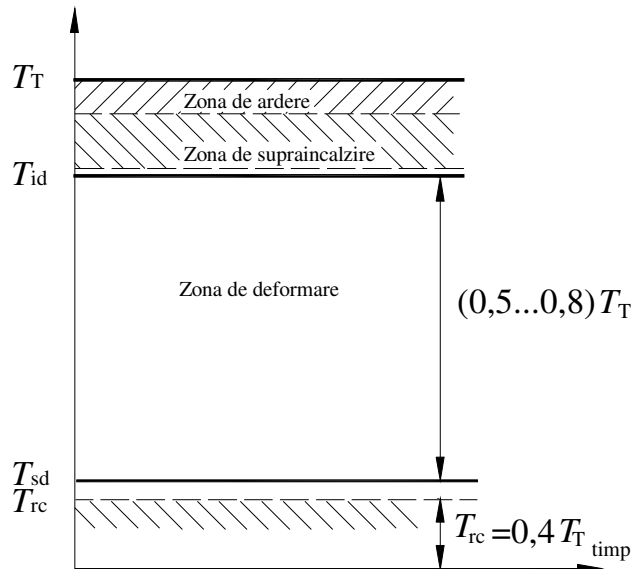


Fig. 5.24. Alegerea intervalului de temperatură în care se poate face deformarea plastică:
 T_T – temperatura de topire; T_{rc} – temperatura de recristalizare; T_{id} – temperatura de început de deformare; T_{sd} – temperatura de sfârșit de deformare.

5.5.1.2. Viteza de încălzire v_{inc}

Reprezintă creșterea temperaturii semifabricatului în unitatea de timp, exprimată în $^{\circ}\text{C}$ sau K/h sau K/s . Inevitabil, cu cât viteza de încălzire este mai mare cu atât productivitatea este mai mare. Pe de altă parte, viteza de încălzire nu poate fi mărită oricât, ea fiind limitată atât de caracteristicile materialului care se încălzește, cât și de utilajele folosite pentru încălzire. Mărimea vitezei de încălzire este limitată de tensiunile termice interioare care apar în semifabricat în timpul încălzirii, din cauza neuniformității temperaturii pe secțiune (fig.5.25).

La încălzirea prin introducerea semifabricatului într-un mediu cald, părțile exterioare ale semifabricatului se încălzesc mai repede și se dilată mai mult decât cele de la interior. Datorită acestui fenomen, pe secțiunea semifabricatului apar tensiuni interne de sens contrar. Evident că la diferențe mari de temperatură, pe secțiunea semifabricatului vor apărea tensiuni termice de valori mari, care pot la un moment dat să depășească rezistența la rupere a materialului încălzit și să apară fisuri. De aceea, pentru ca în semifabricat să nu apară fisuri în timpul încălzirii, trebuie ca diferența de temperatură pe secțiunea acestuia să nu depășească o anumită valoare limită ce determină și viteza maximă de încălzire admisă pentru un semifabricat oarecare.

Tabelul 5.2. Intervalul temperaturilor de deformare pentru câteva metale și aliaje des întrebuințate

Nr. crt.	Materialul	Intervalul de temperaturi de deformare	
		T_{id} [°C]	T_{sd} [°C]
1	OL 37; OL 42	1280	900
2	OL 50; OL 60; OL 70	1250	850
3	OLC 10; OLC 15; OLC 20; OLC 25; OLC 35; OLC 45	1200	850
4	OSC 7; OSC 8	1180	850
5	OSC 9; OSC 10; OSC 12	1150	850
6	45 Cr 10	1200	870
7	15 CrNi15; 13 CrNi35; 10 MoCr 10	1180	800
8	40 MoCrNi15	1150	850
9	ARC 1	1050	800
10	RUL 1	1150	850
11	Oțel rapid	1200	890
12	Oțel ausenitic	1150	900
13	Oțel feritic	1100	900
14	Oțel manganos	950	750
15	Al 99,5	480	850
16	Aliaj de Al cu 4%Cu; 0,5%Mg; 0,5%Mn	460	350
17	Aliaj de Al cu 2,2%Cu; 1%Mg; 1%Mn	470	350
18	Aliaj de Al cu 2,2%Cu; 1,3%Ni	480	380
19	Aliaj de Al cu 1,6%Cu; 2,4%Mg; 6%Zn	430	360
20	Cu 99,9	1000	400
21	Aliaj de Cu cu 6%Sn	900	780
22	Aliaj de Cu cu 9%Al	900	700
23	Aliaj de Cu cu 20%Zn	850	650
24	Aliaj de Cu cu 40%Zn	750	550
25	Aliaj de Ti cu 6,2%Al; 0,8%Fe; 3%Cr; 0,1%C; 0,2%O ₂	1050	850
26	Aliaj de Ti cu 5,8%Al; 3,8%Mo; 0,1%C; 0,2%O ₂	1100	850

În practică se întâlnesc trei viteze de încălzire:

- viteza de încălzire admisibilă este viteza ce poate fi atinsă la un semifabricat fără ca el să fie deteriorat în timpul încălzirii;

- viteza de încălzire tehnic posibilă este viteza pe care o poate realiza instalația de încălzire folosită;

- viteza de încălzire reală este viteza care se realizează în timpul încălzirii propriu-zise.

Din punct de vedere tehnologic interesează viteza de încălzire admisibilă v_a care se determină din condiția ca mărimea tensiunilor interne pe secțiune să nu depășească rezistența la rupere a materialului și are o expresie de forma:

$$v_a = \frac{8\lambda(1-\nu)}{\rho \cdot c \cdot E \cdot \alpha_0 \cdot R^2} \text{ [}^\circ\text{C]} , \quad (5.85)$$

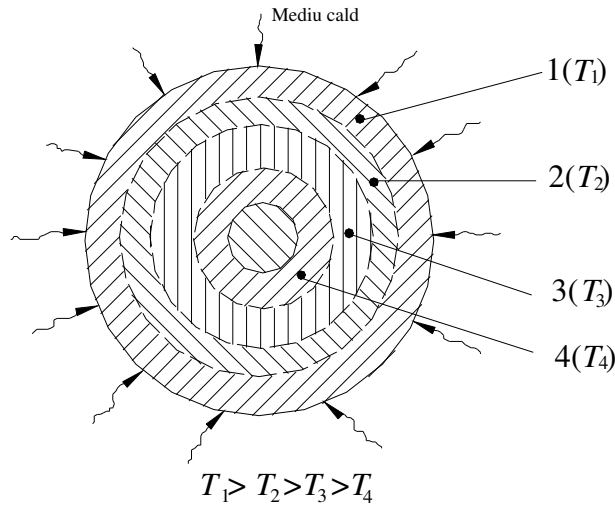


Fig. 5.25. Variația temperaturii pe secțiune:

1, 2, 3, 4 – straturile de material la temperaturile corespunzătoare T_1 , T_2 , T_3 și respectiv T_4 .

în care: λ este conductibilitatea termică, în $\text{J/mh}^\circ\text{C}$; ν - coeficientul lui Poisson; ρ - densitatea materialului, kg/m^3 ; α_0 - coeficientul de dilatare liniară, în $^\circ\text{C}^{-1}$; c - căldura specifică, în $\text{J/kg}^\circ\text{C}$; E - modulul Young, în daN/mm^2 ; R - raza (semigrosimea) semifabricatului, în m.

Viteza de încălzire tehnic posibilă v_p este dată de schimbul de căldură ce se poate realiza între mediul de încălzire și semifabricat. Ea se poate determina considerând că toată căldura transmisă de mediul de încălzire suprafeței semifabricatului este absorbită de acesta, adică:

$$\alpha(T_m - T_s) \cdot A_s = M_s \cdot c \cdot v_p \quad (5.86)$$

Din relația (5.86) se deduce viteza tehnic posibilă v_p :

$$v_p = \frac{\alpha(T_m - T_s) \cdot A_s}{M_s \cdot c} \quad [^\circ\text{C/h}], \quad (5.87)$$

în care: α este coeficientul de transmitere al căldurii, în $\text{J/m}^2\text{h}^\circ\text{C}$; T_m - temperatura mediului de încălzire, în $^\circ\text{C}$; T_s - temperatura semifabricatului, în $^\circ\text{C}$; A_s - suprafața semifabricatului care vine în contact cu mediul de încălzire, în m^2 ; M_s - masa semifabricatului, în kg; c - căldura specifică, în $\text{J/kg}^\circ\text{C}$.

Se constată că viteza de încălzire până la atingerea temperaturii de început de deformare depinde de natura materialului, capacitatea termică și tipul instalației de încălzire, forma, dimensiunile și modul de așezare al semifabricatelor în mediul de încălzire.

Viteza reală de încălzire trebuie să fie mai mică decât viteza admisibilă și, evident, decât viteza de încălzire tehnic posibilă.

5.5.1.3. Durata încălzirii

Durata încălzirii este dată de timpul necesar ajungerii semifabricatului la temperatura de început de deformare și se exprimă în ore, minute sau secunde. Stabilirea duratei de încălzire este destul de dificilă, deoarece în timpul încălzirii variază foarte mulți factori (căldura specifică, temperatura semifabricatului, coeficientul de transmitere al căldurii etc.). Teoretic, durata încălzirii τ se poate determina pornind de la ecuația schimbului de căldură dintre semifabricat și mediul de încălzire, scrisă sub forma:

$$\alpha(T_m - T_s) \cdot A_s \cdot d\tau = M_s \cdot c \cdot dt, \quad (5.88)$$

din care rezultă:

$$d\tau = \frac{M_s \cdot c}{\alpha \cdot A_s} \cdot \frac{dt}{T_m - T_s}. \quad (5.89)$$

Considerându-se α constant și că temperatura semifabricatului T_s variază de la temperatura inițială T_{is} la temperatura de început de deformare T_{id} , prin integrarea relației (5.89) rezultă:

$$\tau = \frac{M_s \cdot c}{\alpha \cdot A_s} \cdot \ln \frac{T_m - T_{is}}{T_m - T_{id}} \quad [\text{h}], \quad (5.90)$$

în care: M_s este masa semifabricatului, în kg; c – căldura specifică a materialului încălzit, în J/kg°C; α - coeficient de transmitere a căldurii, în J/m²h°C; A_s – suprafața semifabricatului care vine în contact cu mediul de încălzire, în m²; T_m – temperatura mediului de încălzire.

Pentru determinarea rapidă a duratei încălzirii, în practică se utilizează relații empirice de forma:

$$\tau = k_1 \cdot k_2 \cdot d\sqrt{d} \quad [\text{h}], \quad (5.91)$$

în care: $k_1 = 10...20$ este un coeficient ce ține cont de masa semifabricatelor care se încălzesc (valori minime pentru semifabricate cu masa sub 2 500 kg și valori maxime pentru semifabricate cu masa peste 2 500 kg); $k_2 = 1...4$, coeficient ce ține cont de modul de așezare a semifabricatelor pe vatra cuptorului (fig.5.26); d – dimensiunea principală a semifabricatului, în m.

Considerațiile de mai sus sunt valabile pentru cazul în care temperatura mediului de încălzire este constantă. În cazul în care temperatura mediului de încălzire este variabilă sau încălzirea se face în mai multe trepte, durata încălzirii este mai greu de determinat și trebuie să se țină cont de condițiile concrete în care

are loc încălzirea.

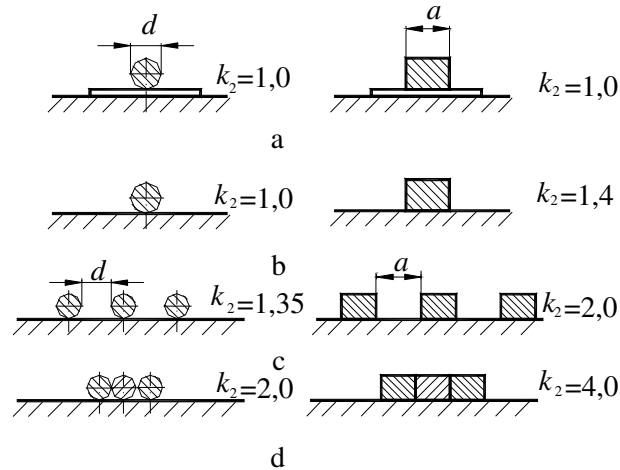


Fig. 5. 26. Valorile coeficientului de corecție k_2 în funcție de modul de așezare a semifabricatelor pe vatra cuptorului:

a – singulare pe suport; b – singulare pe vatră; c – grup de un rând așezate la distanța d , respectiv a ;
d – grup compact de un rând așezat pe vatră.

5.5.1.4. Mediul de încălzire

Mediul de încălzire este dat de amestecul de gaze existent în spațiul de lucru al instalației de încălzire. El trebuie astfel ales încât să nu favorizeze apariția defectelor de suprafață prin oxidare sau decarburare și să permită chiar îmbunătățirea unor proprietăți ale materialului. Mediul de încălzire se alege în funcție de natura materialului semifabricatului (tendința acestuia de oxidare), de precizia impusă operației de deformare, de costul materialului, tipul instalației de încălzire etc. Mediul de încălzire folosit poate fi:

- *obișnuit*, cu caracter oxidant, rezultat în urma arderii complete a combustibilului în exces de aer;
- *neutru*, cu atmosferă controlată, rezultat al menținerii în echilibru a componentelor gazoase O_2 , CO_2 , SO_2 , H_2O , H_2 , CH_4 , N_2 , CO , SO_2 , H_2S etc., cu materialul încălzit, în așa fel încât să nu se producă oxidarea sau decarburarea;
- *inert* (de regulă în curent de argon);
- *special*, care are introduse controlat anumite elemente ce permit nu numai creșterea performanțelor instalației de încălzire, ci și o serie de avantaje pentru materialul încălzit (de exemplu, prin introducerea litiului în atmosferă controlată se realizează eliminarea completă a pierderilor de material prin oxidare, micșorarea coeficientului de frecare, datorită formării unui strat subțire de oxid de litiu pe suprafața semifabricatelor și creșterea durabilității sculelor folosite la deformare).

5.5.2. Instalații folosite la încălzire în scopul prelucrării prin deformare plastică

Instalațiile folosite la încălzire în scopul prelucrării prin deformare plastică trebuie să realizeze un consum minim de combustibil convențional sau de energie pentru încălzirea unei tone de material, reduceri însemnate ale pierderilor de material prin oxidare și prin încălziri succesive, precum și reducerea la minimum a decarburării straturilor superioare ale materialului supus încălzirii.

Toate aceste condiții trebuie îndeplinite în oricare etapă a procesului de încălzire-răcire, cu posibilitatea unui control adecvat al procesului, a unui reglaj comandat sau autocomandat și a unor comenzi foarte ușoare.

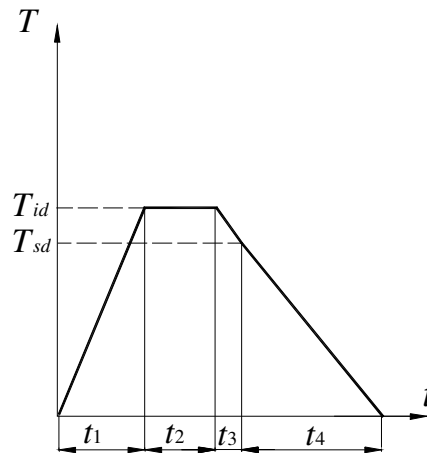


Fig. 5.27. Diagrama de încălzire-răcire în procesul de deformare plastică.

Diagrama de încălzire-răcire în procesul de deformare plastică (fig.5.27) diferă de la material la material, iar instalația de încălzire trebuie să permită o realizare foarte ușoară și rapidă a oricărui tip de diagramă. Se observă că se face o încălzire până la temperatura de început de deformare T_{id} într-un interval de timp t_1 cu o anumită viteză de încălzire. Are loc o menținere a temperaturii la temperatura de început de deformare un anumit timp t_2 în scopul uniformizării încălzirii materialului. În timpul deformării propriu-zise (t_3) temperatura scade de la valoarea T_{id} la valoarea T_{sd} (temperatura de sfârșit de deformare), care trebuie să fie mai mare sau cel puțin egală cu temperatura de recristalizare. Urmează apoi timpul de răcire (t_4), ce constă în răcirea materialului de la temperatura de sfârșit de deformare până la temperatura mediului ambiant și depinde de mediul de răcire ales.

În funcție de căldura folosită, instalațiile se clasifică după schema din figura 5.28.

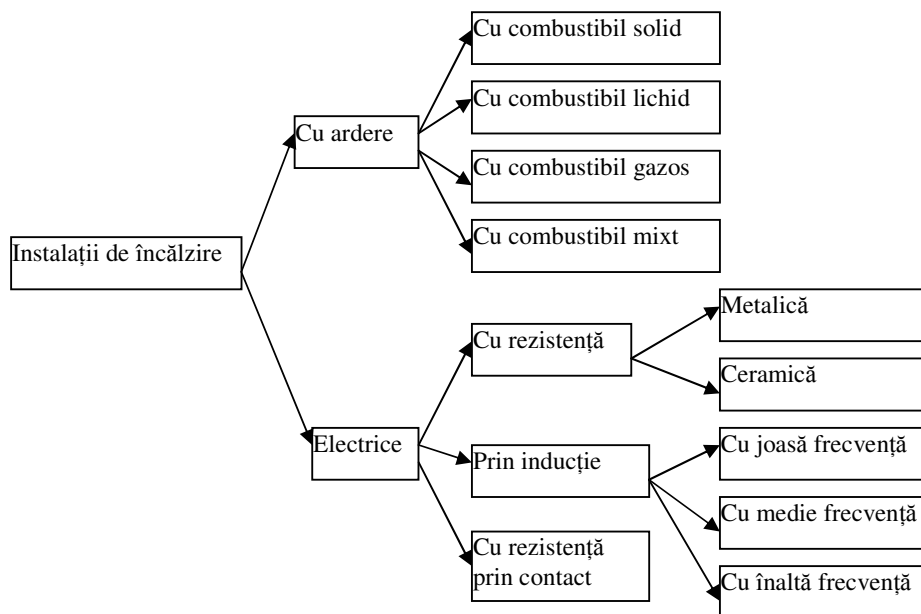


Fig. 5.28. Clasificarea instalațiilor de încălzire utilizate la prelucrarea prin deformare plastică.

5.5.2.1. Instalații de încălzire (cupatoare) cu ardere

Folosesc ca sursă de încălzire a mediului de încălzire o flacără rezultată din arderea unui combustibil solid, lichid sau gazos. Cupatoarele cu flacără se clasifică, în funcție de modul de distribuire a temperaturilor în spațiul de lucru, în două grupe mari, și anume:

- *cupatoare cu temperatură constantă* în tot spațiul de lucru, denumite și *cupatoare cu cameră*. Cupatoarele cu cameră (fig.5.29) se pot construi cu vatră fixă sau mobilă. La aceste cupatoare temperatura se poate varia în limite strânse prin modificarea cantității de combustibil ars în focar. Pentru a se micșora pierderile prin oxidare, produse datorită contactului dintre semifabricat și gazele arse, se pot utiliza *cupatoare cu muflă* (fig.5.29. b), cupatoare cu camere suplimentare pentru arderea completă a gazelor sau cupatoare cu atmosferă controlată.

Mufla este confecționată dintr-un material refractar și protejează semifabricatele de acțiunea directă a mediului de încălzire;

- *cupatoare cu temperatură crescătoare* de la locul de încălzire a semifabricatului spre locul de descărcare, denumite *cupatoare cu propulsie*. Cupatoarele cu propulsie (fig.5.30) sunt utilizate în cazul producției de serie mare sau de masă, deoarece pot realiza o productivitate deosebit de ridicată.

Încălzirea semifabricatelor 1, se face treptat prin deplasarea lor pe vatra 2 a cuptorului, sub acțiunea împingătorului 3, în zone ale cuptorului încălzite diferit.

Ele parcurg treptat zona de preîncălzire 4, zona de încălzire 5 și zona de egalizare a temperaturii 6 în toată masa semifabricatului. Parcurgerea acestor zone se poate face prin împingerea sau prin căderea liberă pe un plan înclinat (*la cuptoarele cu vatră fixă*) sau deplasându-se odată cu vatra cuptorului (*la cuptoarele cu vatră mobilă*). Dacă vatra mobilă a cuptorului este circulară, cuptorul poartă denumirea *de cuptor cu propulsie de tip carusel*.

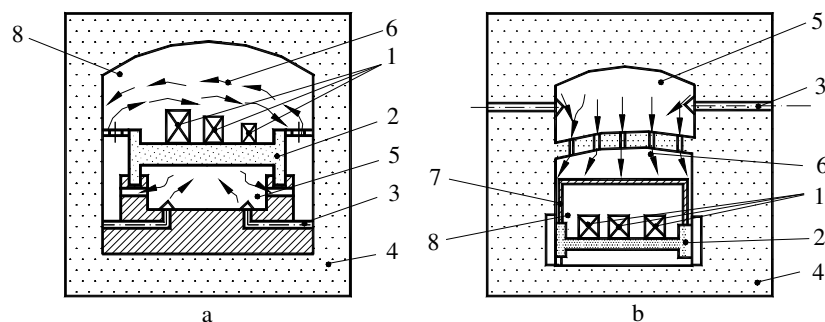


Fig. 5.29. Cuptoare cu flacără întrebuințată la încălzirea în scopul prelucrării prin deformare plastică:
a – cu focar interior; b – cu focar superior și muflă; 1 – semifabricate; 2 – vatră; 3 – injectoare;
4 – cuptorul propriu-zis; 5 – focar; 6 – mediul de încălzire; 7 – muflă; 8 – camera de încălzire.

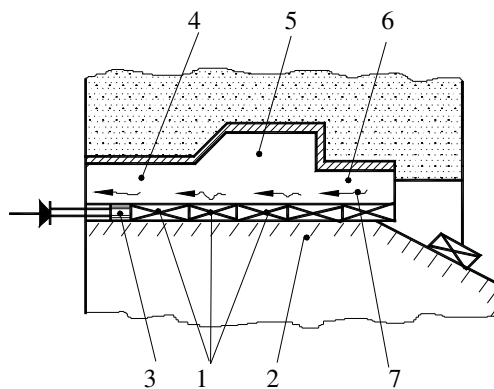


Fig. 5.30. Cuptor cu flacără cu propulsie:
1- semifabricate; 2 – vatra cuptorului; 3 – împingător; 4 – zona de preîncălzire 5 – zona de încălzire;
6 – zona de egalizare a temperaturii; 7 – mediul de încălzire.

5.5.2.2. Instalații de încălzire (cuptoare) electrice

Folosesc ca sursă de încălzire a mediului de încălzire efectul caloric al curentului electric. *Cuptoarele cu rezistențe electrice* pot fi prevăzute cu o

rezistență metalică în formă de spirală, înfășurată în jurul camerei cuptorului (fig.5.31. a), sau cu rezistențe ceramice (bare de silică), amplasate în partea de sus sau pe pereții laterali ai camerei de încălzire (fig.5.31. b). Temperaturile realizate în cuptoarele electrice cu rezistențe ceramice sunt mai ridicate decât în cele cu rezistențe metalice, putându-se încălzi și semifabricatele din oțel.

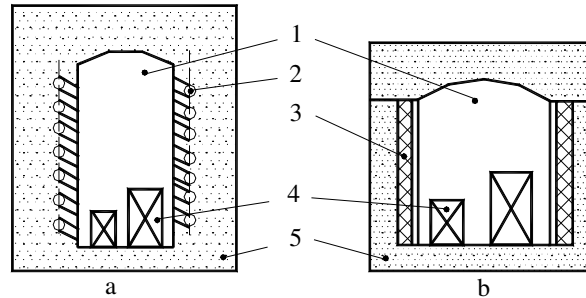


Fig. 5.31. Instalațiile electrice de încălzire:

a – cu rezistențe metalice; b – cu rezistențe ceramice; 1 – spațiul de încălzire; 2 – rezistență metalică; 3 – rezistență ceramică (bare de silică); 4 – semifabricate; 5 – camera de încălzire.

Instalațiile de încălzire prin inducție se construiesc în funcție de configurația geometrică a semifabricatelor de încălzit (fig.5.32). La aceste instalații, în scopul încălzirii, semifabricatele sunt amplasate în câmpul de acțiune al unui *inductor* confecționat din țevă de cupru, răcită forțat cu apă. Încălzirea prin inducție a semifabricatelor cu diametru mai mare de 150mm se face cu curenți de frecvență industrială, iar a celor de diametre mai mici se face cu curenți de înaltă frecvență ($10^4 \dots 10^6$)Hz.

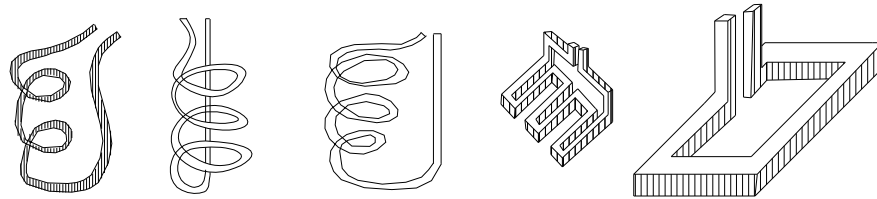


Fig. 5.32. Diferite tipuri de inductori.

Instalațiile de încălzire cu rezistență electrică prin contact se utilizează pentru încălzirea semifabricatelor de forma barelor ($\varnothing \leq 70,0\text{mm}$), prin prinderea lor între două contacte electrice și trecerea prin ele a unui curent de mare intensitate. Căldura se produce pe baza rezistenței ohmice a materialului supus încălzirii.

În general, încălzirea electrică a semifabricatelor prezintă o serie de avantaje față de încălzirea cu flacără, astfel:

- asigură reglarea precisă a temperaturilor prin modificarea curentului electric de alimentare;
- asigură pierderi prin oxidare mult mai mici;
- nu poluează mediul înconjurător;
- permit o ușoară automatizare;
- asigură durate minime de încălzire (de ordinul secundelor sau minutelor) și consum mai mic de energie echivalentă;
- permit o ușoară optimizare a parametrilor regimului de încălzire în scopul deformării plastice.

Observație. Din punct de vedere economic efectul încălzirii se răsfrânge asupra prețului de cost al produselor obținute prin deformare plastică prin: consumul de combustibil și energie, durata ciclului de încălzire și pierderile de material prin oxidare. De aceea, alegerea metodei de încălzire și a tipului instalației de încălzire se face în funcție de: natura materialului semifabricatului; forma și mărimea semifabricatului; valorile parametrilor regimului termic necesar (temperatura de început și de sfârșit de deformare, viteza de încălzire, durata încălzirii, mediul de încălzire) și productivitatea ce se vrea realizată.

5.5.3. Defecte posibile la încălzire

Defectele ce pot apărea în piesele obținute prin deformare plastică la cald sunt rezultatul nerespectării regimului termic al deformării. Factorii care pot produce defecte în piesele deformate plastic la cald sunt: depășirea vitezei admisibile de încălzire, depășirea temperaturii de început de deformare, nerespectarea duratei încălzirii și alegerea neadecvată a mediului de încălzire. Ca urmare a acestor factori pot apărea:

- defecte cauzate de *depășirea vitezei admisibile de încălzire*, ce constau în tensiuni termice interne importante și fisuri pe secțiuni. Acestea apar din cauza neuniformității temperaturii pe secțiune (fig.5.25) și o dată apărute compromit piesa obținută prin deformare plastică, deoarece nu pot fi înlăturate în urma procesului de deformare. Sunt specifice semifabricatelor de dimensiuni mijlocii și mari, unde variația pe secțiune a temperaturii este mare. Pentru a evita acest tip de defecte trebuie avută în vedere o corelație între viteza admisibilă de încălzire și productivitatea ce se vrea realizată la încălzire;

- defecte cauzate de *depășirea temperaturii de început de deformare*, ce constau în apariția unor structuri de supraîncălzire cu proprietăți funcționale scăzute. Prin depășirea temperaturii de început de deformare, grăunții devin foarte mari, impuritățile difuzează la marginea grăunților și materialul devine foarte fragil, apărând pericolul fisurării chiar la deformarea la cald. Un material supraîncălzit are fragilitate ridicată și la temperatura obișnuită, deci calitatea

pieselor realizate în aceste condiții este foarte slabă. Trebuie ținut cont și de faptul că nu toate materialele sunt la fel de sensibile la supraîncălzire;

- defecte legate de *depășirea duratei de încălzire*, ce constau în obținerea unor proprietăți funcționale inacceptabile în piesa deformată plastic. Acesta este rezultatul creșterii exagerate a mărimii grăunților și obținerea unei structuri grosolane, tot ca urmare a fenomenului de supraîncălzire. Depășirea duratei de menținere în instalația de încălzire trebuie deci evitată, deoarece are influență defavorabilă nu numai asupra calității semifabricatului, respectiv a piesei obținute prin deformare, ci și asupra consumului specific de combustibil și energie și asupra productivității;

- defecte cauzate de *alegerea neadecvată a mediului de încălzire*, ce constau în pierderi mari de material prin ardere și implicit nerespectarea preciziei dimensionale. De asemenea, în cazul oțelurilor poate apare *decarburarea* la suprafața semifabricatului, ce conduce la înrăutățirea proprietăților funcționale nu numai ale semifabricatului ci și a piesei obținută prin deformare plastică la cald.

Observație. Pentru evitarea apariției defectelor de încălzire este necesar a respecta cu strictețe viteza admisibilă de încălzire, intervalul de temperaturi în care se desfășoară deformarea plastică, durata minimă necesară menținerii semifabricatelor în instalațiile de încălzire și alegerea mediului de încălzire în concordanță cu natura materialului semifabricatelor.

5.6. MATERIALE PRELUCRABILE PRIN DEFORMARE PLASTICĂ. CLASIFICAREA PROCEDEELOR DE PRELUCRARE PRIN DEFORMARE PLASTICĂ

5.6.1. Materiale prelucrabile prin deformare plastică

Dacă în urmă cu 30...40 ani, pentru prelucrarea prin deformare plastică erau consacrate numai anumite metale și aliaje – cele cu caracteristici de plasticitate și deformabilitate ridicată – în prezent se cere și deformarea plastică a unor metale și aliaje greu deformabile – cu proprietăți de plasticitate și deformabilitate foarte scăzute. Prin urmare, datorită proprietăților funcționale bune ce rezultă în urma deformării, acum se pune mai ales problema de a găsi o tehnologie adecvată de prelucrare prin deformare plastică a oricărui material, pentru a se obține piese cu caracteristicile funcționale proiectate.

Deși numărul de metale și aliaje ce pot fi deformate plastic este foarte mare, totuși principala materie primă utilizată în secțiile de prelucrare prin deformare plastică este formată din oțelurile carbon și cele aliate (în proporție de peste 80%). În funcție de destinația și dimensiunile pieselor ce se obțin prin deformare plastică, oțelurile folosite în secțiile de deformare se prezintă sub formă de lingouri cu secțiuni diferite, de laminate diferite (blumuri, brame, tagle, profile)

sau semifabricate obținute prin turnare.

În secțiile de prelucrare prin deformare plastică, al doilea loc îl ocupă metalele și aliajele neferoase (în proporție de peste 15%). Dintre metalele și aliajele neferoase utilizate în secțiile de deformare cele mai frecvent întâlnite sunt:

- *cuprul și aliajele sale* (bronzuri, alame), ce pot fi deformate atât la rece, cât și la cald și din care se execută atât semifabricate sub formă de bare, țevi, profile, sârme, table etc., cât și piese finite cu bună rezistență la coroziune (cuzineți, arcuri, piese de uz casnic, piese utilizate în electrotehnică și electronică etc.);

- *alumiuniul și aliajele sale*, ce pot fi deformate atât la rece, cât și la cald și din care se execută semifabricate sub formă de bare, țevi, profile, table etc., dar și piese finite utilizate în industria bunurilor de larg consum, aeronautică, electrotehnică și electronică etc.;

- *magneziul și aliajele sale*, ce pot fi deformate atât la rece, cât și la cald, comportarea lor la deformare depinzând în primul rând de compoziția chimică, de conținutul de impurități și gaze și de aspectul macroscopic al structurii lingoului.

Evident că în secțiile de deformare plastică se mai prelucrează și alte materiale, dar, spre deosebire de cele enumerate, au o utilizare mult mai restrânsă (sub 5%). În această categorie intră acele materiale cu proprietăți cu totul diferite, cerute de lucrul în condiții de temperaturi foarte joase sau foarte înalte, la viteze mari și cu productivități sporite (materiale superplaste, superdure, compozite inteligente etc.).

5.6.2. Clasificarea procedeeleor de prelucrare prin deformare plastică

Procedeele de prelucrare prin deformare plastică se pot clasifica luând în considerare mai multe criterii:

- după viteza de deformare se deosebesc:
 - *cu viteze mici de deformare* (pentru viteze de deformare $v_d < 10\text{m/s}$);
 - *cu viteze mari de deformare* (pentru viteze de deformare $v_d \geq 10\text{m/s}$);
- după temperatura la care se desfășoară procesul de deformare se deosebesc:
 - *deformarea plastică la rece*, când deformarea este însoțită de fenomenul de ecrisare fără recristalizare;
 - *deformare plastică la cald*, atunci când recristalizarea se produce complet, fără urme de ecrisare;
- după natura operației de deformare se deosebesc:
 - *de degroșare*;
 - *de prefinisare*;

- de finisare etc.
- după calitatea suprafeței produselor deformate se deosebesc:
 - de eboșare;
 - de calibrare;
 - de finişie;
- după schema de deformare se clasifică în conformitate cu schema din figura 5.33.

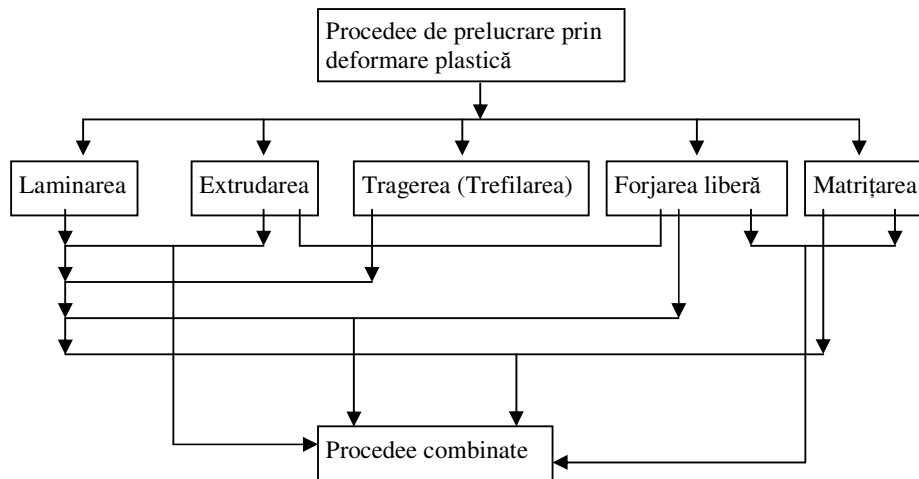


Fig. 5.33. Clasificarea procedeelor de prelucrare prin deformare plastică după schema de deformare.

5.7. LAMINAREA

5.7.1. Definire. Scheme de principiu

Laminarea este procedeul de prelucrare prin deformare plastică, la cald sau la rece, ce se realizează prin trecerea forțată a materialului prin intervalul dintre doi sau mai mulți cilindri care se rotesc în sens contrar sau în același sens, antrenând prin frecare materialul în zona în care are loc deformarea (fig. 5.34).

Utilajul pe care se efectuează deformarea se numește *laminor*, procesul de deformare - *laminare*, iar produsele rezultate - *lamine*.

În funcție de sensul de rotație al cilindrilor și modul de deformare se deosebesc următoarele scheme de laminare: *laminarea longitudinală* (fig.5.32.a); *laminarea transversală* (fig.5.34.b) și *laminarea elicoidală* (fig.5.34.c). Semifabricatul inițial 1 (de obicei, de lungime l_0 sau diametru D_0), lățime b_0 și grosime h_0 , este antrenat între cilindri 2 și 3 ai laminorului, rezultând în final pro-

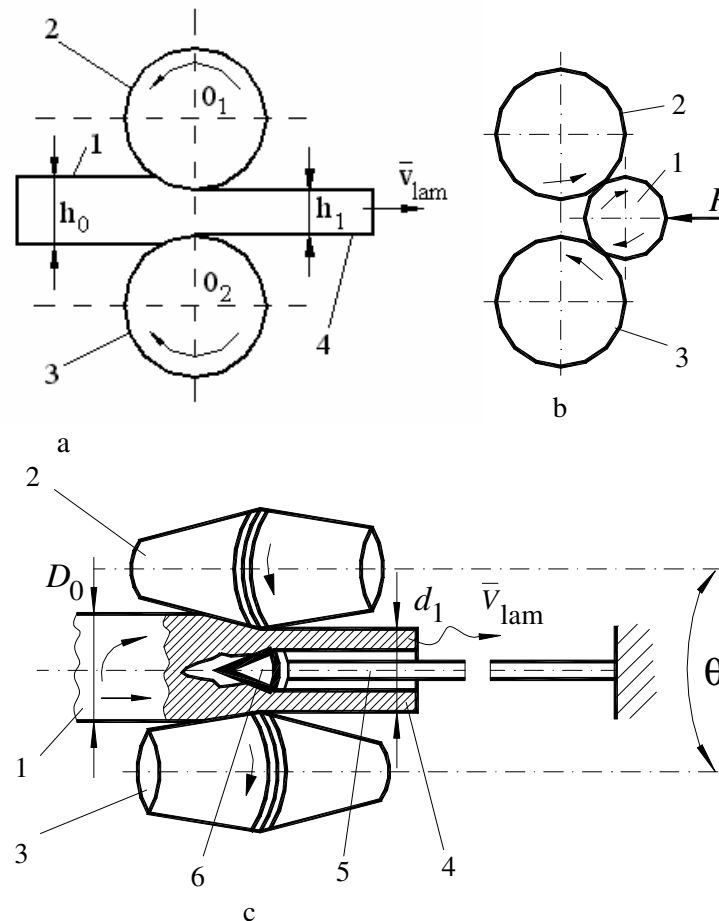


Fig. 5.34. Scheme de principiu la laminare.

a – laminarea longitudinală; b – laminarea transversală; c – laminarea elicoidală: 1 – semifabricatul inițial; 2,3 – cilindrii laminorului; 4 – produsul laminat; 5 – tijă portdop; 6 – dopul perforator; θ – unghiul de înclinare al cilindrilor; v_{lam} – viteza de laminare.

dusul laminat 4, de dimensiuni l_1 , b_1 , h_1 sau diametru d_1 . La laminarea elicoidală se folosește o tijă portdop 5 și un dop perforator 6, care are rolul de a uniformiza grosimea pereților țevii în timp ce semifabricatul are o mișcare elicoidală.

În timpul procesului de laminare, în semifabricatul inițial, se produc:

- *modificări dimensionale* ce constau în:

- o micșorare (reducere) a grosimii: $\Delta h = h_0 - h_1$;
- o oarecare lățire: $\Delta b = b_0 - b_1$;
- o mărire a lungimii: $\Delta l = l_1 - l_0$;

- *modificări structurale* ce constau în variația structurii materialului (fig.5.35) astfel: structura inițială, rezultată în urma turnării, formată din grăunți grosolani 1 este deformată pe măsura antrenării între cilindri rezultând o structură ecruisată 2, dacă laminarea se face la rece.

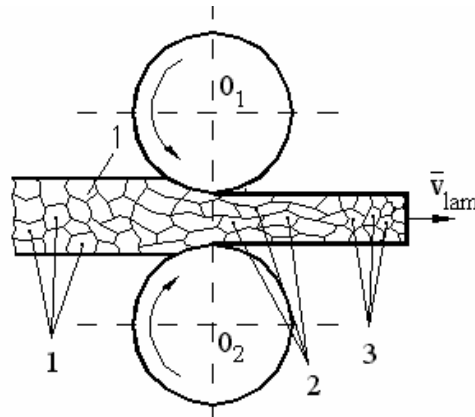


Fig. 5.35. Modificarea structurii materialului laminat:
1 – grăunți inițiali; 2 - grăunți deformați; 3 - grăunți recristalizați.

Dacă laminarea se face la cald, se produce fenomenul de recristalizare și grăunții puternic deformați se refac, rezultând o structură de echilibru cu grăunți mici 3 și caracteristici funcționale și tehnologice îmbunătățite.

Laminarea, ca procedeu tehnologic, are următoarele scopuri:

- să transforme materialul (lingoul turnat sau semifabricatul inițial) în profile de secțiune dorită, din care pot fi prelucrate ulterior piese finite sau pot fi folosite direct în construcții industriale și civile, instalații sau alte ramuri ale economiei;
- să schimbe structura grosolană rezultată în urma turnării într-o structură fină cu caracteristici funcționale și tehnologice bune.

5.7.2. Materiale prelucrabile prin laminare. Semifabricate inițiale și produse obținute

Datorită proprietăților bune ce le poate imprima materialului și datorită costului scăzut, laminarea prezintă o importanță deosebită pentru economie (peste 90% din cantitatea de oțel elaborată, precum și o parte din metalele și aliajele neferoase se prelucrază prin laminare). Prin laminare se pot prelucra materialele metalice și nemetalice cu proprietăți de plasticitate (oțeluri, neferoase, nemetalice, combinații), atunci când se dorește obținerea de piese lungi, cu secțiunea constantă pe toată lungimea sau variabilă după anumite cerințe, care nu pot fi obținute prin

alte procedee.

Ca semifabricate inițiale se folosesc lingourile turnate sau blocurile (barele) turnate continuu, din care se obțin fie semifabricate laminate folosite la prelucrări ulterioare, fie produse laminate finite. Câteva din produsele laminate cu aplicabilitate mai largă în economie se prezintă în figura 5.36, deosebindu-se:

- *semifabricatele laminate* obținute direct din lingourile turnate sau blocurile (barele) turnate continuu:

- *blumurile* (fig.5.36. a), care au secțiunea pătrată cu latura de 150 ...400 mm și lungimea de 1 200...6 000 mm;

- *țagălele*, care au secțiunea pătrată cu latura de 40...140 mm sau dreptunghiulară cu grosimea de 35...70 mm, lățimea de 140...280 mm și lungimi de 1500...12000 mm;

- *sleburile* (fig.5.36. b), care au secțiunea dreptunghiulară cu grosimea de cel puțin 70 mm, lățimea de 120...1 800 mm și de lungime de maximum 6 500 mm;

- *platinele*, care au secțiunea dreptunghiulară cu grosimea de 6...70 mm, lățimea 200...280 mm și lungimea de maximum 6000 mm;

- *produsele laminate* obținute din semifabricatele laminate în urma unor laminări ulterioare:

- *barele* de diferite secțiuni (fig.5.36. c) și diferite lungimi;

- *tablele, benzile și platbenzile* (fig.5.3. d) care pot fi groase (cu grosimea $s = 4...60$ mm și lungimea 600...3 000 mm) sau subțiri (cu grosimea $s = 0,2...4,0$ mm și lungimea 600...3 000 mm). O variantă a tablelor subțiri o constituie *foliile*, care au grosimea $s < 0,25$ mm folosite în industria electronică, electrotehnică, ușoară și, mai ales, alimentară (se pot obține folii de Zn cu grosimea $s \geq 0,05$ mm; de Sn, cu $s \geq 0,007$ mm; de Al, cu $s \geq 0,005$ mm sau de alamă, cu $s \geq 0,0005$ mm);

- *sârmele* (fig.5.36. e), care au diametrul de 6 ... 20 mm sau chiar mai mult pentru unele calități de oțel beton, cu suprafața netedă sau striată;

- *țevile* (fig.5.36. f), cu diametrul exterior de 5...426 mm și grosimea peretelui de 0,5...40 mm (există și variante de țevi sudate cu grosimea pereților de maximum 14 mm și cu diametrul exterior de până la 3 000 mm);

- *profilele cu configurație simplă* (fig.5.36. g): cornier cu aripi egale, cornier cu aripi inegale, profil „U”, profil „I”, profil „T”, profil șină de cale ferată, profil șină de tramvai etc.;

- *profilele cu configurație complexă* (fig.5.36. h) cu destinație precizată (stâlpi de susținere pentru construcții civile, pentru hale industriale, palete de turbină, pentru automobile și tractoare etc.);

- *bilele pentru rulmenți* (fig.5.36. i) cu diametre de 3...60 mm;

- *profile speciale* (fig. 5.36. j) de tipul bandajelor, inelelor, roților dințate, flanșelor etc.;

- *profilele speciale* (fig.5.3. k) din care se obțin piese a căror secțiune variază repetându-se periodic după o anumită distanță, numită pas și notată cu p .

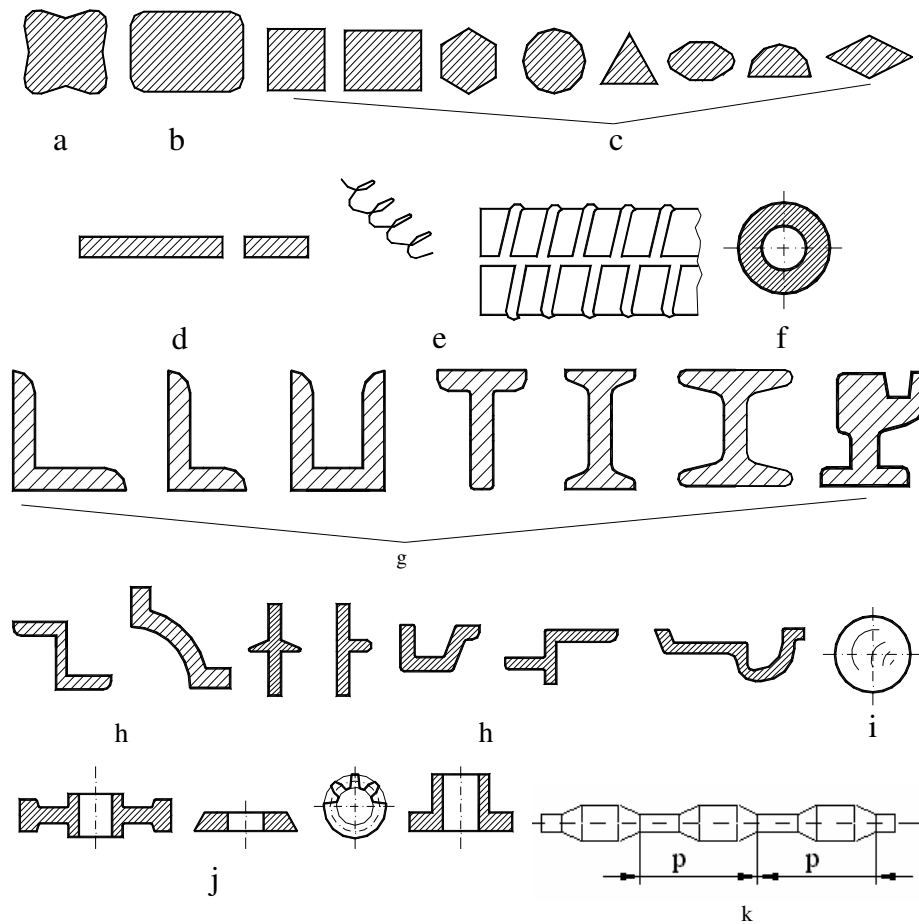


Fig. 5.36. Diferite tipuri de laminate:

a; b – semifabricate laminate (blumuri, țagle, sleburi, platine); c – bare de diferite secțiuni; d – table, benzi, platbenzi; e – sârme netede sau striate; f – țevi; g – profile simple (cornier cu aripi egale, cornier cu aripi inegale, profil U, profil I, profil T, șină de cale ferată, șină de tramvai etc.); h – profile complexe (stâlpi de susținere pentru construcții civile, pentru hale industriale, pentru automobile și tractoare etc); i – bile pentru rulmenți; j – profile speciale (bandaje, inele, toți dințate, flanșe etc.); k – profile periodice (axe, nituri buloane etc.)

Produsele laminate se utilizează direct sau pot fi semifabricate pentru celelalte procedee de prelucrare (extrudare, tragere, forjare, matrișare, sudare,

așchiere etc.), astfel că laminarea este procedeul tehnologic ce face legătura dintre metalurgia extractivă și cea prelucrătoare.

5.7.3. Bazele teoretice ale laminării

Antrenarea continuă a materialului între cilindri și modificarea dimensiunilor acestuia se realizează prin prezența unei forțe de deformare F_d (fig.5.37) și a frecării de contact F_f , dintre materialul care se prelucurează și suprafa-

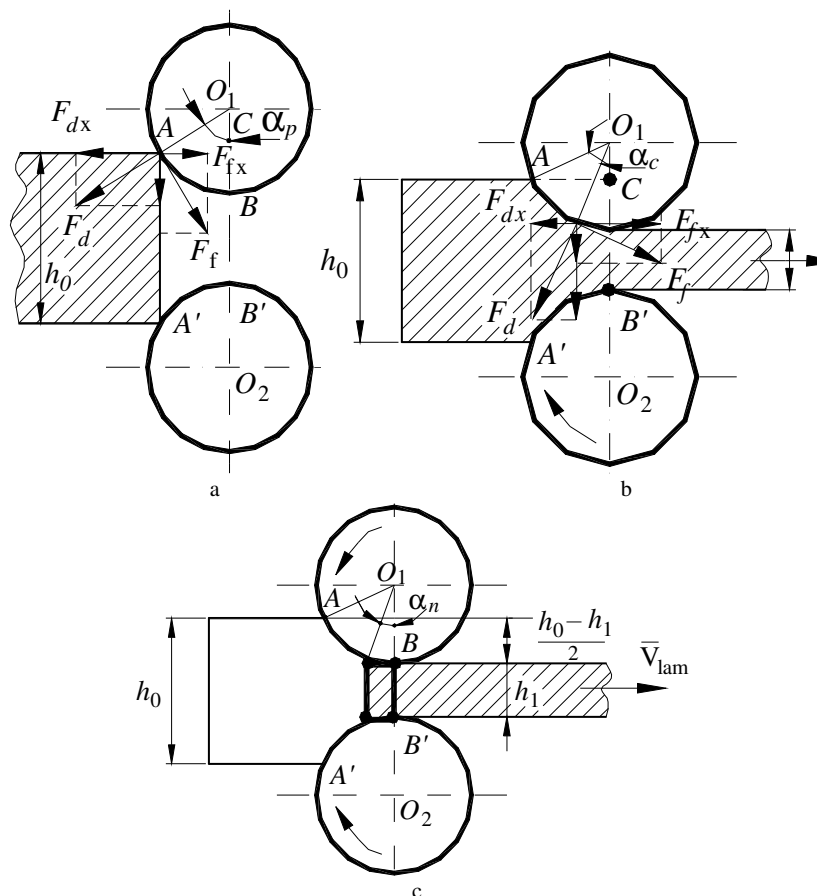


Fig. 5.37. Fazele procesului de laminare și condițiile de laminare:
a - prinderea materialului între cilindri (condiția de prindere); b - reducerea propriu-zisă (condiția de stabilitate); c - desprinderea laminatului dintre cilindri: α_p – unghiul de prindere, α_c – unghiul de contact, α_n – unghiul de desprindere; AB – arcul de contact, AC – lungimea de contact, $h_0 - h_1/2$ – reducerea medie, F_d – forța de deformare; F_f – forța de frecare.

ța de lucru a cilindrilor (arcul de prindere sau de contact AB). În timpul procesului de laminare materialul trece prin mai multe faze:

- *prinderea materialului între cilindri* (fig.5.37. a) începe când materialul a atins cilindrii (punctul A și unghiul de prindere α_p) și se termină în momentul umplerii spațiului dintre cilindri (zonei de deformare);
- *reducerea propriu-zisă* (fig.5.37. b) caracterizată prin constanța mărimilor α_c și Δh ($\Delta h = h_0 - h_1$ este reducerea absolută);
- *micșorarea reducerii și desprinderea* laminatului dintre cilindri (fig.5.37. c) când α_c și Δh devin zero.

Pentru ca procesul de laminare să se desfășoare trebuie respectate două condiții.

5.7.3.1. Condiția de prindere

Se determină destul de greu deoarece, în această fază, pe măsura umplerii spațiului dintre cilindri, condițiile de deformare se schimbă continuu (este faza nestabilă a procesului). De aceea se determină condiția de prindere în următoarele ipoteze: ambii cilindri au diametre și turație egală, au aceeași stare a suprafeței, asigură același coeficient de frecare la interfața cilindru – material de deformat, cilindri nu suferă deformații în timpul prelucrării și materialul de deformat este omogen. Prin contactul materialului de deformat cu cilindri laminorului care se rotesc între aceștia apare o interacțiune (materialul exercită o presiune p asupra cilindrilor iar cilindri acționează asupra acestuia cu o forță egală și de sens opus) F_d (fig.5.37. a). Simultan, datorită diferenței dintre viteza materialului de deformat și a cilindrilor, apar forțe de frecare F_f care acționează tangențial la suprafața cilindrilor și perpendicular pe F_d . Prinderea semifabricatului de către cilindri se realizează dacă:

$$F_{fx} > F_{dx} \text{ sau } F_f \cos \alpha_p > F_d \sin \alpha_p. \quad (5.102)$$

Ținând cont de legea Amonton – Coulomb ($F_f = \mu F_d$) se obține:

$$\mu F_d > F_d \operatorname{tg} \alpha_p \text{ sau } \mu > \operatorname{tg} \alpha_p, \quad (5.103)$$

în care: μ este coeficientul de frecare la interfața material de deformat – cilindru de laminor.

Dacă se ia în considerare tangenta unghiului de frecare β ($\mu \approx \operatorname{tg} \beta$), atunci condiția de prindere devine:

$$\alpha_p < \beta, \quad (5.104)$$

deci antrenarea materialului între cilindri se realizează la un unghi de prindere α_p mai mic decât unghiul de frecare.

5.7.3.2. Condiția de stabilitate

După îndeplinirea condiției de prindere, pe măsura umplerii zonei de deformare cu materialul de deformat și trecerea la faza procesului stabilizat, poziția forței de deformare F_d (fig. 5.37. b) se va deplasa spre planul de ieșire. Presupunând repartizarea uniformă a presiunii de contact pe lungimea zonei de deformare, atunci forța de deformare F_d poate fi considerată ca acționând concentrat în punctul M , situat la jumătatea arcului de contact AB , deci α_c devine egal cu $\alpha_p/2$.

În mod analog, laminarea se poate realiza dacă:

$$F_{fx} > F_{dx}, \quad (5.105)$$

care devine

$$F_f \cdot \cos \frac{\alpha_p}{2} > F_d \cdot \sin \frac{\alpha_p}{2}. \quad (5.106)$$

Ținând cont că $F_f = \mu F_d$ și că procesul este stabilizat, rezultă condiția

$$\mu F_d \cos \frac{\alpha_p}{2} > F_d \sin \frac{\alpha_p}{2} \text{ sau } \mu > \tan \frac{\alpha_p}{2}. \quad (5.107)$$

Trecând la unghiul de frecare, se obține

$$\tan \beta > \tan \frac{\alpha_p}{2} \text{ sau } \alpha_p < 2\beta, \quad (5.108)$$

ceea ce demonstrează că procesul stabilizat se realizează în condiții mult mai sigure decât faza de prindere.

Unghiul de prindere α_p se poate determina din $\triangle ABC$ pornind de la relația:

$$O_1C = O_1B - BC, \text{ adică } R \cos \alpha_p = R - \frac{h_0 - h_1}{2}, \quad (5.109)$$

de unde rezultă

$$\cos \alpha_p = 1 - \frac{h_0 - h_1}{2D}, \quad (5.110)$$

în care: D este diametrul cilindrului de laminare.

Dacă în relația (5.110) se înlocuiește $1 - \cos \alpha = 2 \sin^2 \frac{\alpha}{2}$ și se admite că

$\sin \frac{\alpha}{2} \approx \frac{\alpha}{2}$, rezultă pentru reducerea absolută Δh o expresie de forma:

$$\Delta h = h_0 - h_1 = 2D \left(\frac{\alpha_p}{2} \right)^2 = R \cdot \alpha_p^2 . \quad (5.111)$$

Din analiza relației (5.111) rezultă că, odată cu creșterea unghiului de prindere α_p crește și reducerea Δh , deci productivitatea laminorului, dar experimental se constată că unghiul α_p nu poate depăși anumite valori ($\alpha_p = 22^\circ \dots 24^\circ$, pentru cilindri netezi și $\alpha_p = 30 \dots 32^\circ$, pentru cilindri calibrați).

În majoritatea cazurilor, pentru obținerea unui profil de secțiune dată S_n , este necesar ca semifabricatul inițial, de secțiune S_0 , să treacă prin laminor de n ori, după o micșorare prealabilă a distanței dintre cilindri. Cunoscând gradul de reducere r_i , după fiecare trecere, dat de relația

$$r_i = \frac{S_i}{S_{i-1}} , \quad (5.112)$$

se pot determina secțiunile intermediare

$$S_1 = r_1 \cdot S_0; S_2 = r_2 \cdot S_1; S_3 = r_3 \cdot S_2; \dots S_n = r_n \cdot S_{n-1} . \quad (5.113)$$

Din considerente de rezistență a materialului se admite că gradul de reducere este același în fiecare trecere, adică:

$$r_1 = r_2 = r_3 = \dots = r_n = r . \quad (5.114)$$

Gradul de reducere total r_t , dat de relația:

$$r_t = r_1 \cdot r_2 \cdot r_3 \cdot \dots \cdot r_n = \frac{S_n}{S_0} , \quad (5.115)$$

devine în aceste condiții:

$$r^n = \frac{S_n}{S_0} , \quad (5.116)$$

de unde, prin logaritmare, se obține numărul de treceri n cu relația:

$$n = \frac{\ln S_n - \ln S_0}{\ln r} . \quad (5.117)$$

Modul de deformare al materialului în procesul de laminare depinde foarte mult de raportul dintre lungimea de contact AC și reducerea absolută Δh (fig. 5.38), deosebindu-se:

- cazul când $AC < \Delta h/2$ (fig. 5.38. a) și materialul se deformează numai la suprafață, zona din mijloc rămânând nedeformată și mult în urma stratului de suprafață deformat. În acest caz este îndeplinită condiția:

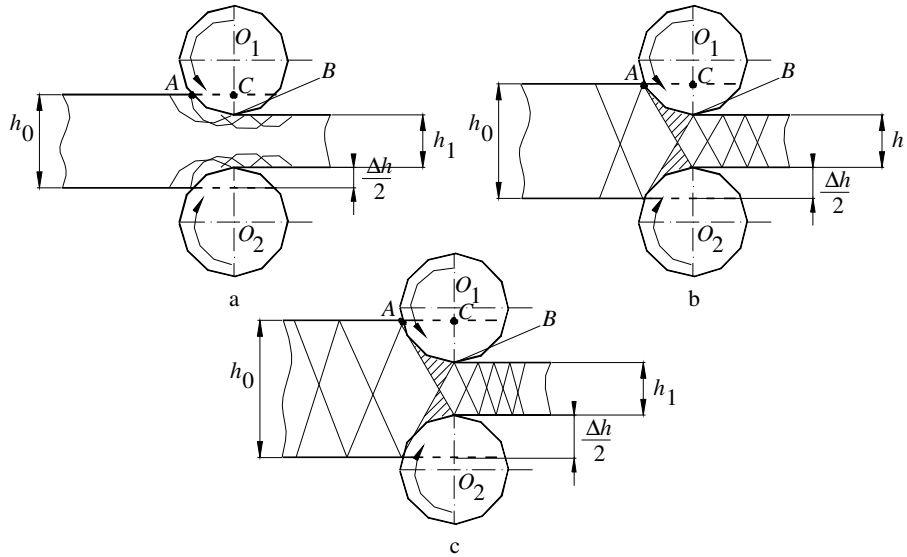


Fig. 5.38. Diferite moduri de deformare a materialului la laminare:
a – cazul când $AC < \Delta h/2$; b – cazul când $AC = \Delta h/2$; c – cazul când $AC > \Delta h/2$; AC – lungimea de contact, AB – arcul de contact; $\Delta h = h_0 - h_1$.

$$P_c < P_{td} < P_L, \quad (5.118)$$

în care: P_c este puterea real consumată; P_{td} – puterea teoretică necesară deformării plastice în întreaga masă a semifabricatelor; P_L – puterea instalată a laminorului.

Acest caz este indicat a se folosi la laminarea țevelor sau la uniformizarea dimensiunilor lingourilor;

- cazul când $AC = \Delta h/2$ (fig. 5.38. b) și deformarea se produce în toată masa semifabricatului, direcțiile de alunecare fiind orientate la 45° . Din punct de vedere energetic în acest caz este îndeplinită condiția:

$$P_c = P_{td} < P_L. \quad (5.119)$$

Este cazul ideal de lucru.

- cazul când $AC > \Delta h/2$ și deformarea se produce în toată masa semifabricatului existând zone de deformare suprapuse deoarece direcțiile de alunecare sunt orientate la unghiuri diferite, mai mari de 45° .

Din punct de vedere energetic se poate scrie relația:

$$P_c > P_{td} < P_L. \quad (5.119)$$

În acest caz laminarea este neeconomică deoarece se consumă o putere mai mare decât cea teoretică necesară deformării.

5.7.4. Utilajul folosit la laminare

Laminorul este, în cazul cel mai simplu, mașina care execută deformarea plastică propriu-zisă a materialului între cilindri. În cazul general, laminorul este sistemul de mașini care realizează atât procesul de deformare plastică, deseori în mai multe stadii, cât și operațiile ajutătoare, necesare la fabricarea produselor laminate, începând și terminând cu controlul și ambalarea în vederea livrării către beneficiar.

Utilajul laminorului care servește la deformarea plastică a materialului între cilindri se numește utilaj de bază sau *cajă de laminare*, iar utilajele destinate pentru efectuarea celorlalte operații se numesc *mașini și mecanisme auxiliare ale laminorului*. Schema de principiu a unei caje de laminare se prezintă în figura 5.39.

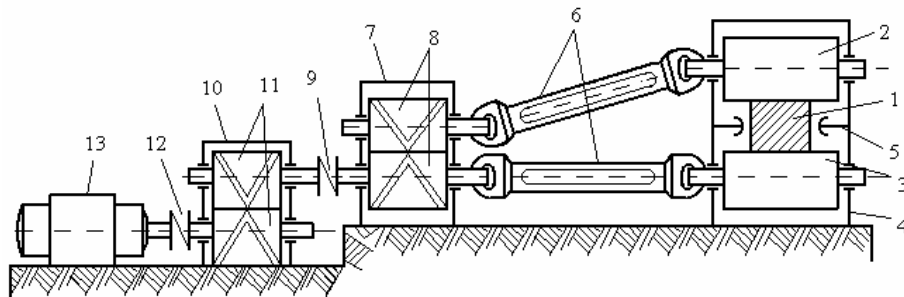


Fig. 5.39. Schema de principiu a unei caje de laminare:

1 – semifabricat; 2, 3 – cilindri de laminare; 4 – cadrul de susținere; 5 – dispozitive de reglare; 6 – bare de cuplare; 7 – cutia roților de angrenare; 8, 11 – roți dințate danturate în V; 9, 12 – cuplaje elastice; 10 – reductor, 13 – motor electric asincron.

Semifabricatul 1 este prins de cilindrii de laminare 2 și 3 așezați pe cadrul de susținere 4. Ghidarea semifabricatelor se face cu ajutorul unui sistem de ghidare 5, iar poziționarea cilindrilor se face cu ajutorul unor mecanisme de reglaj și poziționare. Cilindrii de laminor primesc mișcarea de rotație prin intermediul barelor de cuplare 6, roților dințate 8, danturate în V, din cutia 7, a reductorului 10, cu roțile dințate 11, danturate în V și cuplajelor elastice 9 și 12, de la motorul de curent alternativ, asincron 13. Motorul poate avea o putere de 30 ... 1 500 (5 000) kW, în funcție de destinația și productivitatea laminorului. Cilindrii de laminare sunt principala sculă care execută deformarea plastică a materialului. Un cilindru se compune din (fig. 5.40) partea activă sau *tăblia* 1, două reazeme sau *fusuri* 2 și părțile de cuplare sau *rozetele* 3.

Cilindrii se execută din fontă sau oțeluri aliate având la suprafață o crustă dură cu rezistență la uzură ridicată și miezul de tenacitate înaltă. Tăblia cilindrului poate fi *netedă* sau *calibrată* (profilată) în funcție de destinația laminorului. *Calibrul* este conturul secțiunii ferestrei de trecere a laminatului, formată prin suprapunerea

canalelor celor doi cilindri. Calibrele pot fi *deschise* (fig. 5.41. a), *parțial închise* sau *închise* (fig. 5.41. b).

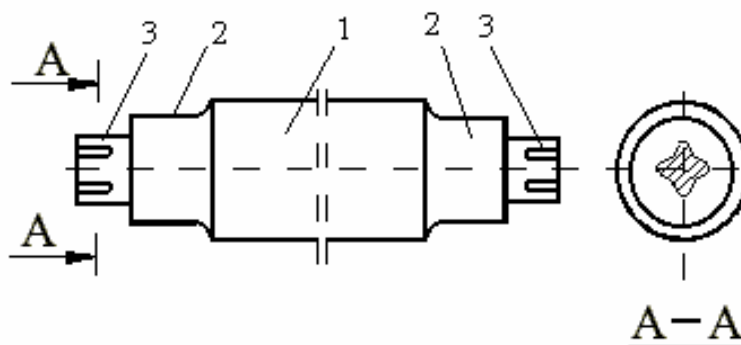


Fig. 5.40. Schema cilindrii de laminor:
1 – plăcie; 2 – fusuri; 3 - trefle de cuplare.

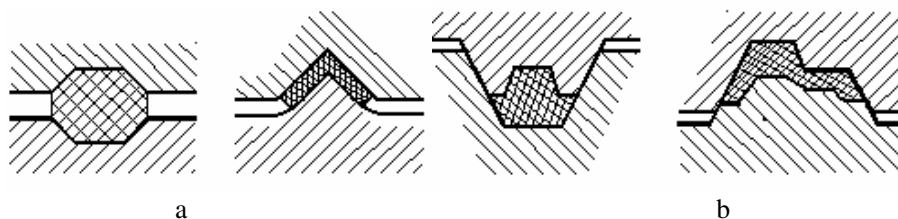


Fig. 5.41. Tipuri de calibre:
a – deschise; b – închise.

Prin *calibrare* se înțelege calculul și construcția formelor secțiunilor succesive ale calibrelor, astfel că plecând de la secțiunea inițială a semifabricatului să se ajungă la secțiunea produsului finit. Prin calibrare se urmărește: laminarea cu un număr minim de treceri, obținerea cu cât mai puține defecte a produsului laminat finit, uzura minimă a cilindrilor, productivitatea ridicată etc. În funcție de destinația lor calibrele pot fi: *degrositoare*, *pregătitoare*, *prefinisoare*, *finisoare*, *de spintecare*, *de profilare* etc.

O anumită profilare a acestor calibre formează *sistemele de calibrare*, ca de exemplu: pătrat – romb, pătrat – oval, romb – romb și altele. Calibrele pregătitoare servesc atât pentru micșorarea suprafeței secțiunii, cât și pentru prelucrarea profilului în vederea apropierii sale treptate de dimensiunile și forma finală. Calibrele finisoare prelucurează profilul la dimensiunile și forma finală a secțiunii, dimensiunile acestora fiind identice cu dimensiunile secțiunii finale la temperatura de sfârșit de laminare. Schema de principiu a unor sisteme de calibrare pentru obținerea unor produse simple se prezintă în figura 5.42.

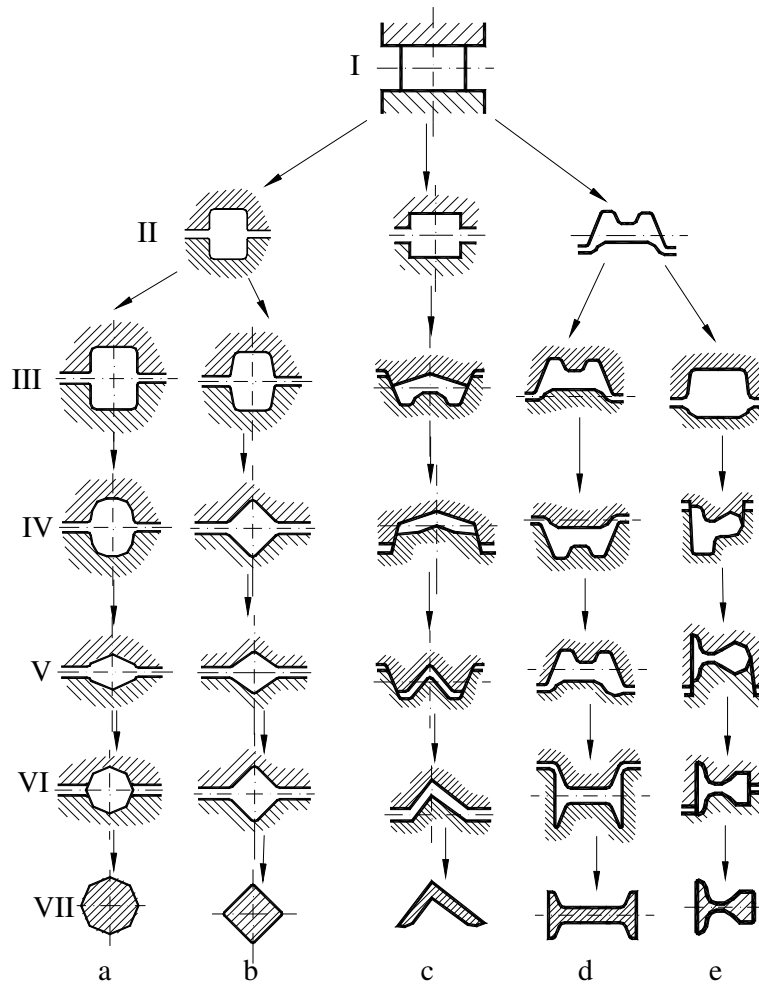


Fig. 5.42. Schema de principiu a unor sisteme de calibrare pentru obținerea:
a – unei bare cu secțiune rotundă; b – unei bare cu secțiune pătrată; c – unui profil cornier cu aripi egale; d – unui profil I; e – unui profil șină de cale ferată; I, II – calibre degrositoare, III - calibre pregătitoare, IV - calibre pregătitoare - prefinisoare, finisoare, de spintecare, de profilare; V – calibre prefinisoare; VI - calibre finisoare; VII - secțiunea produsului laminat finit.

5.7.5. Clasificarea laminoarelor

Laminoarele se clasifică după mai multe criterii, astfel:

- după tipul metalului sau aliajului prelucrat:
 - laminoare pentru oțel;

- laminoare pentru Cu;
- laminoare pentru Al;
- laminoare pentru aliaje de zinc etc.
- după temperatura de lucru:
 - laminoare pentru prelucrarea la cald;
 - laminoare pentru prelucrarea la rece;
- după sensul de rotație al cilindrilor de lucru:
 - laminoare ireversibile;
 - laminoare reversibile;
- după poziția cilindrilor în cajă;
 - cu cilindrii orizontali;
 - cu cilindrii verticali;
 - cu cilindrii dispuși oblic;
 - orizontali și verticali (universale) etc.;
- după sistemul de organizare al cajelor de lucru;
 - cu o singură cajă;
 - cu caje multiple;
 - cu trenuri de laminare etc;
- după destinație;
 - laminoare degrositoare (blumiguri etc.);
 - laminoare pentru profile;
 - laminoare pentru tablă;
 - laminoare pentru țevi;
 - laminoare pentru bile;
 - laminoare cu destinație specială etc.
- după natura operației;
 - laminoare pentru degroșare;
 - laminoare pentru finisare;
 - laminoare pentru calibrare.

O clasificare a laminoarelor după schema cajei de lucru se prezintă în tabelul 5.4.

5.7.6. Defectele produselor laminate

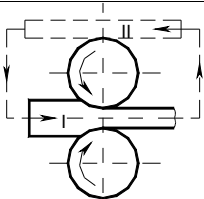
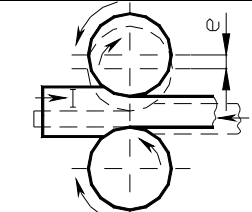
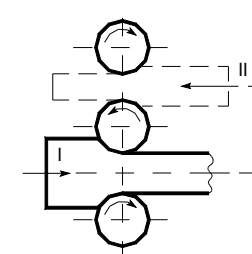
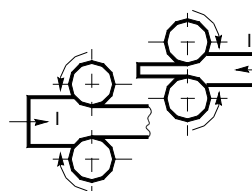
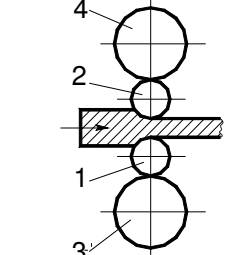
Prin defect de laminare se înțelege orice abatere de la dimensiunile, forma, masa, aspectul exterior, microstructura sau proprietățile funcționale prevăzute de standarde, norme tehnice sau condiții contractuale.

Defectele produselor laminate pot proveni:

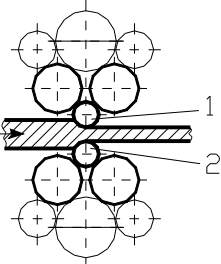
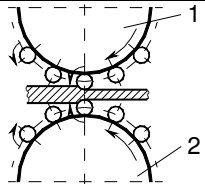
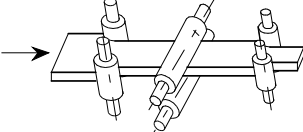
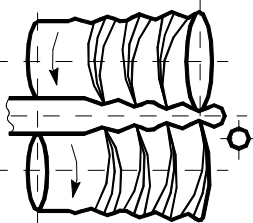
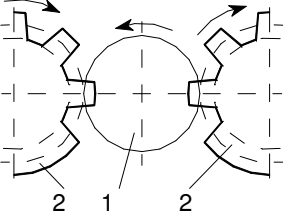
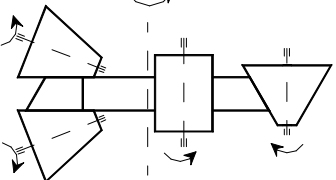
- de la turnarea lingourilor, folosite apoi la laminare;
- de la nerespectarea tehnologiei de laminare.

Defectele care provin de la laminare pot avea următoarele cauze:

Tabelul 5.4. Clasificarea laminoarelor

Nr. Cr.	Schema montării cilindrilor	Denumirea caiei de lucru și principiul funcțional	Utilizare
0	1	2	3
1		Caja duo-ireversibilă are doi cilindri orizontali situați în același plan vertical. Materialul este trecut printre cilindri pe direcția I. Se înapoiază peste cilindrul superior pe direcția II și e introdus din nou între cilindri.	- profile grele (blumuri, grinzi, șine, tablă groasă) - tablă subțire
2		Caja duo-reversibilă are posibilitatea de a inversa sensul de rotație al cilindrilor și de a deplasa cilindrul superior după fiecare trecere cu distanța e .	- laminarea la rece tablelor și benzilor
3		Caja trio are trei cilindri orizontali situați în plan vertical care laminează materialul în ambele sensuri fără inversarea sensului mișcării de rotație a cilindrilor.	- grinzi; - șine; - sârme; - blumuri; - profile grele; - table groase, mijlocii și uneori subțiri
4		Caja dublu duo are 4 cilindri orizontali situați în două plane verticale diferite. Înlătură dezavantajele caiei trio.	- profile mijlocii; - profile ușoare
5		Caja quarto are 4 cilindri orizontali situați în același plan, doi cilindri de lucru 1 și 2, și doi cilindri de sprijin 3 și 4. Cilindri de sprijin măresc rigiditatea și robustetea caiei.	Pentru laminarea la cald și la rece a: - tablelor - platbandelor - benzilor

Tabelul 5.4. (continuare)

0	1	2	3
6		Caja sexto sau cu mai mulți cilindri are doi cilindri de lucru 1 și 2, restul (2...20) sunt cilindri de sprijin. De obicei cilindrii de sprijin sunt liberi.	Laminarea la rece a tablelor și benzilor foarte subțiri
7		Caja planetară are doi cilindri antrenați și două sisteme de cilindri care se rotesc în jurul cilindrilor de sprijin 1 și 2.	Laminarea benzilor și platbandelor
8		Caja universală are perechi de cilindri orizontali și verticali în vederea limitării lățirii materialului.	- platbande; - țagile; - profile; - brame.
9		Caja periodică are cilindrii cu calibre variabile pe curbe elicoidale și se rotesc în același sens.	- laminarea bilelor cu diametrul de 18...60 mm; - bile pentru rulmenți; - profile periodice
10		Laminor pentru roți dințate. O taglă rotundă și încălzită 1 se supune unei laminări transversale între cilindrii 2 și 3, calibrați corespunzător formei dintelui de angrenare.	- roți dințate
11		Laminor pentru bandaje și inele. Cilindrii laterali sunt tronconici pentru egalizarea vitezelor periferice.	- bandaje; - inele de rulmenți; - coroane dințate mari

- încălzirea incorectă a lingourilor;
- reglarea necorespunzătoare a cilindrilor laminorului;
- calitatea inferioară a ghidajelor și instalarea necorespunzătoare a lor;
- uzura pronunțată a calibrelor;
- regim termic de încălzire și de răcire necorespunzător după laminare.

Principalele defecte care provin din nerespectarea tehnologiei de laminare:

- *bavurile* (fig. 5.43) sunt proeminențe relativ înguste și prelungite în lungul produsului laminat, pe ambele părți sau numai pe o parte.

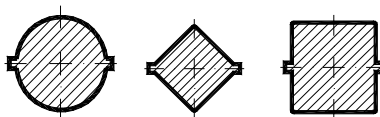


Fig. 5.43. Secțiuni prin produse laminate cu bavuri.

Cauzele apariției bavurilor sunt:

- supraumplerea calibrului datorită unei lățiri prea mari din calibrul anterior;
- reducerea prea mare în calibrul în care se formează bavura;
- fălcile de ghidare sau axul cutiei de ghidare cu role sunt deplasate față de axa calibrului.

Posibilitățile de evitare a apariției bavurilor constau în:

- reducerea saltului în calibrul sau calibrele anterioare celei în care s-a format bavura;
- micșorarea reducerii în calibrul în care s-a format bavura;
- deplasarea fălcilor de ghidare sau cutiei de ghidare cu role în așa fel încât axa lor să coincidă cu axa calibrului;

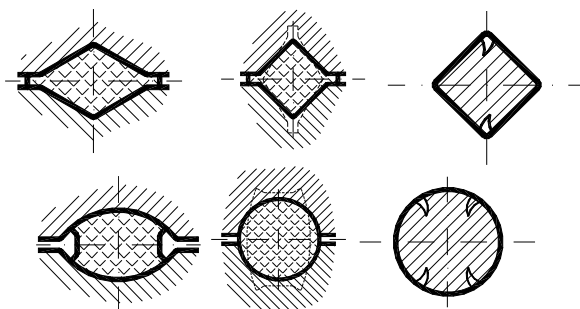


Fig. 5.44. Formarea suprapunerilor la laminarea:
a – unui profil pătrat; b - unui profil rotund.

- *suprapunerile de laminare* (fig. 5.44) sunt consecințele presării bavurilor apărute în calibrul anterior celui în care se formează acest defect.

Pe produsul finit acest defect se manifestă sub forma unor fisuri lungi și paralele între ele și la o distanță ce depinde de valoarea saltului în momentul formării bavurii. Posibilitățile de evitare a acestui defect constau în:

- prevenirea sau atenuarea bavurilor;
- respectarea schemei de laminare la caja degrositoare și introducerea corectă a semifabricatelor în calibre;
- evitarea răcirii muchiilor prin transportul rapid al semifabricatului de la caja degrositoare la caja pregătitoare.
- *torsionarea* (fig. 5.45) ce constă în rotirea diferitelor secțiuni transversale ale laminatului, luate de-a lungul axei longitudinale.

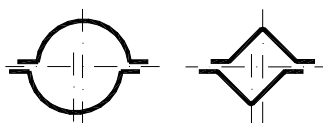


Fig. 5.45. Apariția torsionării prin deplasarea axială a cilindrilor (calibru asimetric).

Cauzele apariției acestui tip de defect sunt:

- deplasarea axială a cilindrilor;
- reducerea insuficientă în calibrul în care se produce torsionarea;
- introducerea nesimetrică a laminatului în calibrul;
- încălzirea neuniformă a lingoului, care conduce la lungiri și lățiri diferite în timpul laminării.

Posibilitățile de prevenire a acestor categorii de defecte sunt:

- verificarea și reglarea axială a cilindrilor;
- asigurarea unor reduceri normale în calibre pentru umplerea completă a calibrului anterior;
- asigurarea centrării ghidajelor de intrare cu axa calibrului;
- introducerea corectă a barei în calibrul cu axa de simetrie pe verticală;
- încălzirea uniformă a lingourilor în toată masa lor.
- *deplasarea axială* (fig. 5.46) constă în apariția unui aspect de bavură sau diferență între laturile secțiunii pe ambele părți ale profilului.

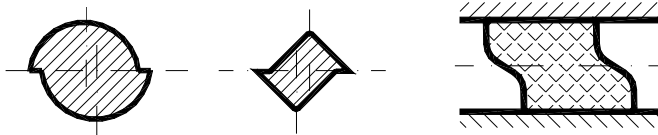


Fig. 5.46. Secțiune printr-un laminat cu deplasare axială.

Fig. 5.47. Aspectul laminatului rombic.

Cauza o constituie dezaxarea pronunțată a acelor două semicalibre, iar prevenirea acestui tip de defect presupune reglarea axială corectă a cilindrilor;

- *ovalitatea* este un defect specific laminatelor cu secțiune rotundă și este dată de diferența dintre două diametre perpendiculare, măsurată în aceeași secțiune a profilului. Cauzele apariției ovalității sunt:

- umplerea incompletă a calibrului finisor;
- salt prea mare sau prea mic la calibrul finisor;
- deplasarea axială ușoară a cilindrilor.

Posibilitățile de prevenire constau în:

- mărirea secțiunii în calibrul oval, prin creșterea saltului;
- stabilirea unui salt corespunzător în calibrul finisor;
- reglarea axială a cilindrilor.

- *rombicitatea* (fig. 5.47) constă în deformarea secțiunii laminatului prin înclinarea laturilor.

Este un defect specific blumurilor și țagelilor și are următoarele cauze:

- diferența accentuată între diagonalele lingoului (>20mm.);
- raportul între înălțimea și lățimea semifabricatului la laminarea pe tăblie depășește 1,3, iar la laminarea în calibru depășește 1,8;
- încălzirea neuniformă a lingourilor (în special cele cu masa de peste 8 tone);

- deplasarea axială a cilindrilor etc.

Principalele căi de prevenire pot fi:

- o diferență între diagonalele lingourilor mai mică de 10mm;
- asigurarea unui raport mai mic de 1,3 și 1,8;
- asigurarea unei încălziri uniforme a lingourilor;
- reglarea axială a cilindrilor etc.

- *rizurile (zgârieturile)* sunt defecte de suprafață produse de armătura de ghidare sau platforma de laminare în timpul deplasării longitudinale a laminatelor. Aceste defecte apar, în general, pe toată lungimea laminatului, iar adâncimea lor depinde de temperatura de sfârșit de laminare și de mărimea asperităților care le-au produs.

- *defectele periodice* constau în goluri sau proeminente periodice pe suprafața laminatului. Cauza o constituie încărcarea sau zgărierea suprafețelor calibrului. Prevenirea apariției unor astfel de defecte se face prin verificarea și ajustarea permanentă a suprafețelor calibrului.

Mai pot fi considerate defecte la un produs laminat următoarele: *rugozitate necorespunzătoare, încovoierea laminatului pe lungime, ondularea marginilor sau a mijlocului tablelor, grosimi diferite ale aripilor la profilele cu aripi, zone cu arsuri sau puternic decarburate etc.*

5.7.7. Tehnologia laminării

Procesul tehnologic de obtinere a unui laminat depinde, în primul rând, de temperatura la care se face laminarea, deosebindu-se: tehnologia laminării la cald și

tehnologia laminării la rece.

Principalele etape ale unui proces tehnologic de laminare la cald sunt:

1. *Alegerea lingoului (forma, mărimea, materialul etc.) sau a semifabricatului inițial* (ce poate fi obținut prin forjare liberă sau o laminare anterioară) în funcție de natura operației de laminare, produsului laminat ce se vrea obținut și configurația geometrică a acestuia;
2. *Pregătirea semifabricatului* – în vederea laminării se îndepărtează zonele cu retasuri și defecte de turnare, se curăță și degresează suprafațe;
3. *Debitarea la dimensiunile necesare* – ținând cont de legea volumului constant;
4. *Controlul inițial* – un control nedistructiv cu ultrasunete, radiații penetrante, lichide penetrante sau termografie;
5. *Tratamentul termic inițial* (când este cazul) – în vederea creșterii proprietăților de deformare plastică;
6. *Alegerea utilajului de încălzire* – în funcție de forma și configurația semifabricatului, natura materialului, productivitatea prelucrării și dimensiunile de gabarit;
7. *Încălzirea semifabricatului* – în vederea laminării se face încălzirea la temperatura de început de deformare, respectându-se toți ceilalți parametri ai regimului de încălzire în vederea deformării.
8. *Stabilirea succesiunii logice a etapelor de laminare* – calibrele se aleg în funcție de configurația geometrică a produsului laminat;
9. *Alegerea utilajului pentru laminare* – în funcție de natura materialului, forma și dimensiunile produsului laminat, productivitatea prelucrării;
10. *Laminarea propriu-zisă* – în funcție de configurația geometrică și dimensiunile produsului laminat. Calibrele sunt alese în așa fel încât semifabricatul să se lamineze la forma finală la o singură încălzire, respectându-se domeniul optim al temperaturii de deformare (de exemplu, pentru oțel 1 100 – 1 600K). Faza de calibrare se execută la temperaturi mai mici decât temperatura de sfârșit de deformare;
11. *Tratamentul termic intermediar* (dacă este cazul) după fiecare trecere sau după un anumit număr de treceri, în vederea restabilirii proprietăților de deformare;
12. *Debitarea la dimensiunile prescrise* – în funcție de mărimea secțiunii și lungimea produsului;
13. *Tratamentul termic final* – în funcție de destinația ulterioară a produsului laminat;
14. *Curățirea finală* – îndepărtarea diferitelor impurități sau aderențe de pe suprafața produsului laminat;
15. *Controlul tehnic final* – se controlează dimensiunile, secțiunea și configurația geometrică;

16. *Sortarea și depozitarea sau ambalarea* – în vederea transportului la beneficiar.

Observație. Un proces tehnologic de laminare la rece cuprinde aceleași operații, exceptând cele legate de încălzirea semifabricatului în vederea laminării.

5.7.8. Procedee speciale de laminare

Producerea pieselor în serie mare sau în masă (țevi, inele de rulmenți, șuruburi, burghie, nituri, axe, roți de vagoane pentru căi ferate etc.), reducerea forțelor necesare deformării la laminare, obținerea unor laminate din materiale cu proprietăți de plasticitate scăzute și creșterea calității produselor laminate, în condițiile unei productivități ridicate, impun utilizarea unor procedee de laminare specializate, speciale sau neconvenționale. În acest sens au fost proiectate și realizate în ultimii ani linii tehnologice de laminare *complet automatizate* sau chiar *cibernetizate cu randamente maxime*. Câteva dintre procedeele speciale de laminare se prezintă succint în continuare.

5.7.8.1. Laminarea țevelor

Țevile și conductele au o deosebit de largă întrebuințare în economie, dimensiunile, forma și natura materialului alegându-se în funcție de rolul funcțional și de mediul în care lucrează.

Obținerea țevelor prin laminare este una din cele mai productive metode și presupune două etape importante:

- obținerea unor țevi brute denumite *eboșe* prin perforarea semifabricatelor pline pe laminoare speciale după schema din figura 5.34. c;

- prelucrarea prin laminarea de finisare a eboșei în vederea obținerii țevii la dimensiunile și caracteristicile dorite.

Prin laminare la cald se obțin țevi cu diametrul de 20...700 mm și grosimea peretelui de 1,5...60 mm, fiind foarte greu să se obțină țevi laminate la cald cu diametrul sub 20 mm și grosimea peretelui de 1,5...3,0 mm datorită condițiilor grele de deformare. De asemenea, laminarea țevelor cu diametre peste 700 mm este neeconomică, deoarece necesită utilaje complicate (este mult mai economică obținerea țevelor în construcție sudată).

În practică se folosesc mai multe procedee de laminare la cald a țevelor, dintre care cele mai răspândite sunt:

- procedeul Stiefel sau cu laminor automat;
- procedeul Mannesmann sau cu laminor Pilgher;
- procedeul Foren sau cu laminor continuu;
- procedeul Stosbank sau cu banc împingător;
- procedeul Assel sau cu laminor cu trei cilindri etc.

Schema tehnologică de fabricare a țevelor după procedeul Stiefel (cel mai răspândit și în România, la Întreprinderea de țevi Roman și Întreprinderea Republica București) se prezintă în figura 5.48.

În general se pleacă de la o țagă debitată la dimensiunile necesare, care apoi este perforată după schema din figura 5.34. c. Urmează apoi laminarea țevii pe *laminorul duo – automat*, după schema din figura 5.49, unde se petrece o reducere a diametrului exterior, o subțiere a grosimii peretelui și o creștere corespunzătoare a lungimii țevii.

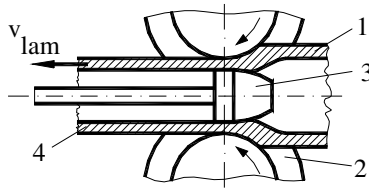


Fig. 5.49. Laminarea țevii la laminorul duo-automat :
1 – țeava eboș; 2 – cilindrii calbrați; 3 – dop; 4 – țeava laminată; v_{lam} – viteza de laminare.

După terminarea laminării țevii la laminorul duo-automat, în scopul îmbunătățirii suprafeței exterioare și interioare, înlăturării denivelărilor și rizurilor, scăderii ovalității și neuniformității grosimii peretelui, țeava este transmisă la *laminorul netezitor* care funcționează după principiul din figura 5.50. Netezirea se efectuează pentru un dop de fontă, având diametrul cu 1...6 mm mai mare decât diametrul interior al țevii.

Obținerea dimensiunilor finale ale țevii se realizează pe *laminorul de calibrare*, care constă din 5 – 7 caje duo-ireversibile cu regim de lucru continuu (după schema din figura 5.51).

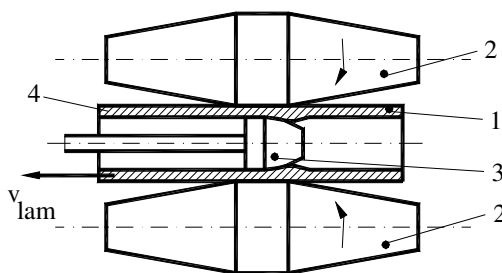


Fig. 5.50. Laminarea țevii la laminorul netezitor:
1 – țeava de la laminorul duo-automat;
2 – cilindri bitronconici; 3 – dop; 4 – țeava netezită.

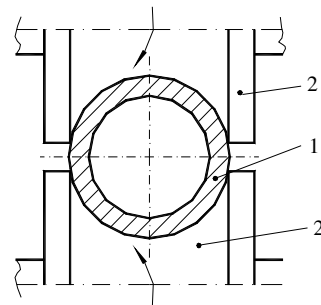


Fig. 5.51. Laminarea țevii la laminorul calibrator:
1 – țeava de la laminorul netezitor;
2 – cilindrii calbrați.

În cazul în care este necesară obținerea de țevi cu diametrul de 17...60 mm, se efectuează o laminare suplimentară la cald (la temperatura de 950...1 000°C) pe *laminorul reductor* (după schema din figura 5.52). Laminorul reductor este format din 9...26 caje amplasate în tandem, cu regim de lucru continuu.

La laminoarele reducătoare se pot obține și țevi de alte forme ale secțiunii transversale (pătrate, dreptunghiulare, ovale, hexagonale etc.), în funcție de numărul de cilindri și modul de dispunere al acestora în caja.

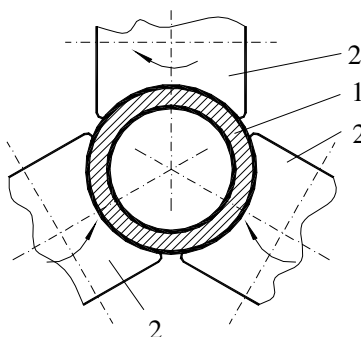


Fig. 5.52. Laminarea țevii la laminorul reductor:
1 – țeava de la laminorul netezitor; 2 – cilindrii calibrați.

Procedeul Mannesmann utilizează, în locul cajelor duo-automate, caje periodice de tip Pilgher, obținându-se țevi cu diametrul 40...665mm, grosimea peretelui 2...10mm și lungimea până la 40m, după o schemă tehnologică asemănătoare.

5.7.8.2. Laminarea inelelor

În categoria inelelor, care pot fi realizate prin laminare, intră atât inelele pentru rulmenți (care se fabrică în producție de masă), cât și inelele de sprijin pentru recipienții mari utilizați în industria chimică sau în construcția centralelor electrice. Schema de principiu a realizării inelelor de dimensiuni mari cu pereții drepecți se prezintă în figura 5.53, iar pentru realizarea unui inel profilat, în figura 5.54.

5.7.8.3. Laminarea roților de vagoane

O dată cu realizarea locomotivelor Diesel și electrice care dezvoltă viteze mari și o dată cu construcția vagoanelor de mare capacitate, roțile cu obadă au fost constructiv depășite și înlocuite cu roți monobloc. Dimensiunile acestor roți variază între 600 și 1 250 mm, fabricându-se, în general, din oțeluri carbon cu 0,45... 0,85%C, iar pentru viteze foarte ridicate se execută din oțeluri aliate pe bază de Cr – Ni, Cr – Ti și Cr – Si – Ti.

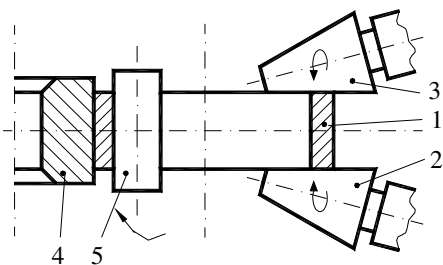


Fig. 5.53. Schema de principiu a realizării inelelor mari cu pereții drepți:
1 – inel; 2, 3 – cilindri bitronconici; 4 - cilindru de presiune; 5 - cilindru mobil.

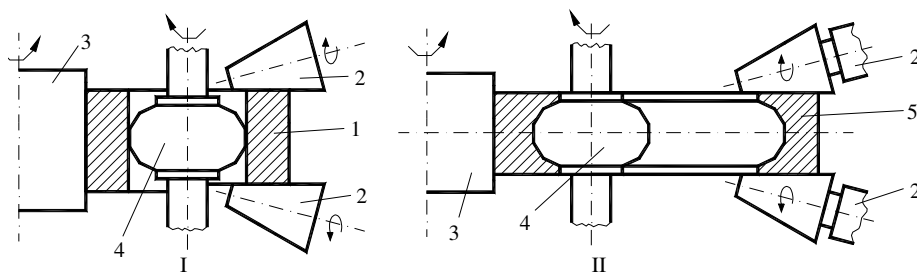


Fig. 5.54. Schema de principiu a realizării prin laminare a inelelor profilate:
I, II – fazele laminării- inel semifabricat; 2 – cilindri bitronconici;
3 - cilindru de presiune; 4 - cilindru mobil; 5 - inelul finit.

Schema de principiu a laminării unei roți monobloc se prezintă în figura 5.55.

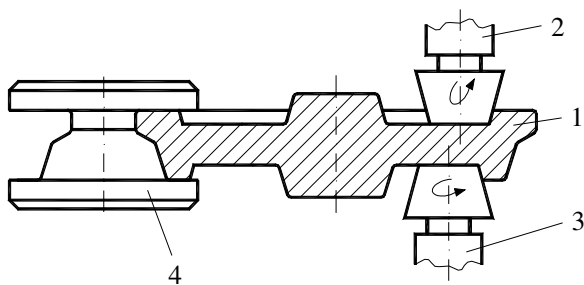


Fig. 5.55. Schema de principiu a laminării unei roți monobloc :
1 – roată monobloc; 2, 3 – cilindri de presiune pentru întindere;
4 – cilindru de presiune pentru formarea profilului exterior.

Laminarea se poate realiza pe caje special construite, fie cu mișcarea roții în plan vertical, fie în plan orizontal. Găurirea, ondularea membranei roții,

calibrarea și poansonarea numărului șarjei se realizează la o singură cursă a unei prese hidraulice, pe o matriță specială.

5.7.8.4. Laminarea burghiilor

Procedeul clasic de realizare a burghiilor de găurit constă în așchiera pe mașini de frezat. Această metodă prezintă mai multe dezavantaje, ca: volum mare de lucru, consum ridicat de scule așchietoare; la producția de serie mare și masă este necesar un număr mare de mașini de frezat; consum mare de material pierdut prin deșeuri, obținându-se burghie cu proprietăți de rezistență relativ scăzute din cauza întreruperii prin așchiere a fibrajului continuu. Toate aceste dezavantaje sunt înlăturate folosind metoda deformării plastice a burghiilor.

Schema de principiu a obținerii burghiilor prin laminare se prezintă în figura 5.56. Semifabricatele 1, din buncărele de alimentare 2, sunt aduse de împingătorul 3 în inductorul 4 și apoi între cilindrii de deformare 5 și 6. Cilindrii de deformare au puntea activă sub formă de segmenti înclinați în spațiu astfel încât să imprime semifabricatului o mișcare de avans și elicoidală conform profilului șanțurilor de evacuare a șpanului. Burghiul obținut trece apoi printr-un jgheab 7, pe unde este evacuat și colectat în buncărul de depozitare.

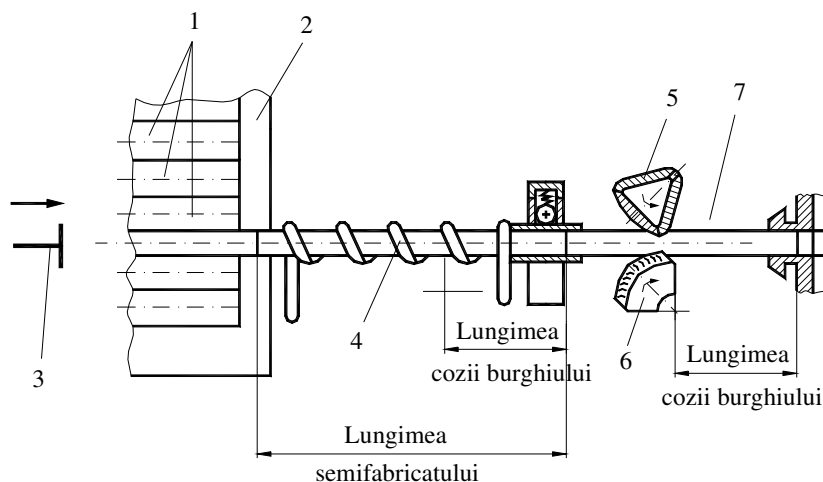


Fig. 5.56. Schema de principiu a obținerii burghiilor prin laminare:
1 – semifabricate; 2 – buncăr; 3 – împingător; 4 – indicator de încălzire;
5, 6 – cilindri segmenti; 7 – jgheab de ghidare.

5.7.8.5. Laminarea prin forjare

Laminarea prin forjare folosește cilindrii segment cu diferite profile care sunt utilizate la prelucrarea unor semifabricate cu lungime de până la maximum

1...500 mm. Semifabricatele sunt bare pătrate cu diametrul de până la maximum 80...100 mm, iar produsele obținute sunt bile, role sau piese cu un anumit profil cerut prin proiectare. Schema de principiu a laminării prin forjare se prezintă în figura 5.57.

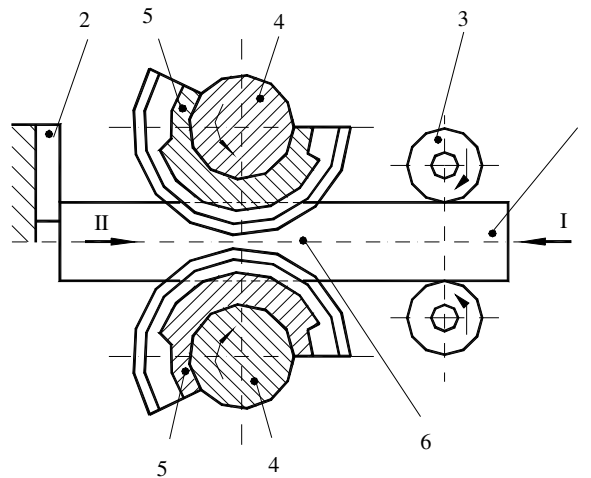


Fig. 5.57. Schema de principiu la laminarea prin forjare:
1 – semifabricat; 2 – opritor; 3 – sistem de antrenare; 4 – cilindri de lucru;
5 – segmenti profilați; 6 – produsul laminat.

Semifabricatul 1 este deplasat până la opritorul 2 în direcția I, de către sistemul de antrenare 3. În momentul atingerii opritorului 2, cilindrii de lucru 4, pe care sunt montați segmentii profilați 5, încep să se rotească efectuând deformarea și scoaterea produsului laminat în direcția II. Sunt și cazuri în care cilindrii de lucru sunt profilați corespunzător (cazul obținerii roților și bilelor pentru rulmenți). Principalele avantaje ale procedeului sunt: un înalt grad de automatizare, productivități foarte ridicate (de 5...10 ori mai mari); viteze mari de execuție; instalații relativ simple și care funcționează fără șocuri și vibrații; cheltuieli de întreținere mici; piese cu caracteristici funcționale mult îmbunătățite și faptul că se pot folosi muncitori cu calificare redusă. Principalul dezavantaj este acela că se folosește doar la un anumit tip de produse, de dimensiuni limitate.

5.7.8.6. Laminarea roților dințate

Laminarea roților dințate este un procedeu destul de des întâlnit pentru realizarea roților dințate cu mare rezistență la uzură, deoarece fibrajul este continuu și nu mai necesită prelucrări ulterioare pretențioase.

Schema de principiu a obținerii roților dințate prin laminare se prezintă în figura 5.58.

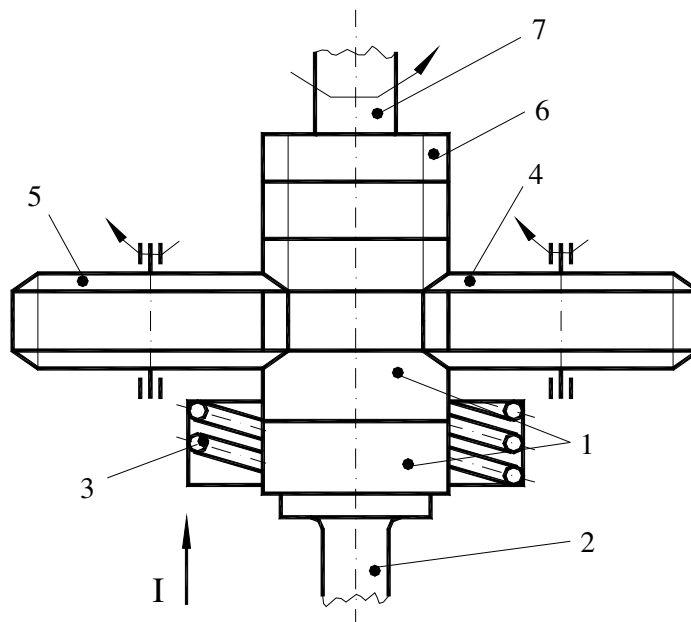


Fig. 5.58. Schema de principiu la laminarea roților dințate:
 1 – semifabricate; 2 – suport; 3 – inductor de încălzire; 4, 5 – cilindrii dințati; 6 – roată divizoare;
 7 – ax suport.

Semifabricatele 1, susținute de suportul 2, au o mișcare de avans în direcția I și una de rotație. După ce semifabricatele sunt încălzite de inductorul 3 la temperatura de 1 400K, ele sunt deformate prin laminare de cilindrii dințati 4 și 5 care au o mișcare de rotație. Când roata dințată este gata (la o rotație completă), ea avansează și ia locul de roată divizoare 6, care este în angrenaj cu cilindrii dințati și sincronizează viteza celor două axe ale cilindrilor.

După modul cum are loc deformarea semifabricatului se deosebesc două procedee de laminare a roților dințate: *prin procedeul de trecere* și *prin procedeul de pătrundere*.

Productivitatea procedurii este deosebit de mare, iar proprietățile funcționale ale roților dințate obținute sunt mult îmbunătățite.

5.7.8.7. Laminarea în câmp ultrasonic

Folosirea energiei ultrasonice în procesele de deformare plastică prin laminare a depășit de mult fazele de cercetare și experimentare din laboratoare, existând în prezent instalații de laminare în câmp ultrasonic care se încadrează în ciclurile de producție industrială de mare productivitate și randament. Procedeul folosește cele două efecte ale propagării undelor ultrasonore în solide și anume:

- *efectul de volum*, ce constă în acest caz în reducerea substanțială a forțelor necesare deformării, datorită acționării puternice a dislocațiilor și înmuierei materialului;

- *efectul de suprafață*, ce constă în reducerea substanțială a frecării de contact la interfața scule de deformare–material, datorită fenomenului cunoscut de *lubrifiere acustică* al ultrasunetelor.

Tipurile de undă folosite în realizarea câmpului ultrasonic sunt cele longitudinale, radiale și de torsiune, în funcție și de schema de laminare și produsul ce se vrea obținut. Având în vedere că în practică mari dificultăți se întâlnesc la laminarea benzilor, profilelor și țevelor din materiale greu deformabile sau de mici dimensiuni (produse fine și extrafine, în condiții de precizie deosebită), primele realizări remarcabile sunt în aceste domenii.

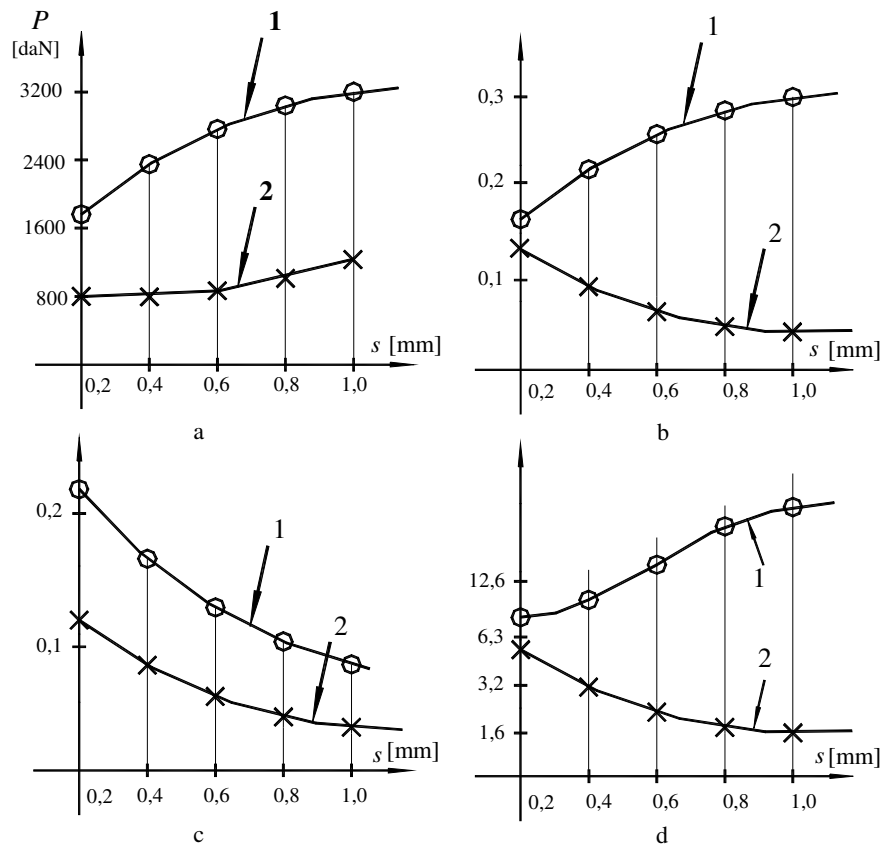


Fig. 5 59. Influența ultrasunetelor asupra:

a – forțele de deformare la laminare; b – coeficientului de frecare la interfața cilindri – semifabricat;
c – lățirii semifabricatului; d - rugozității suprafețelor produsului laminat.

La laminarea benzilor subțiri și ultrasubțiri se constată o substanțială reducere a forțelor necesare deformării (fig. 5.59. a), o reducere însemnată a frecării de contact (fig. 5.59. b), o reducere importantă a lățirii Δl a semifabricatului (fig. 5.59. c), concomitent cu o spectaculoasă îmbunătățire a preciziei dimensionale și a rugozității suprafețelor prelucrate (fig. 5.59. d).

La laminarea țevelor cu pereți subțiri sau din materiale greu deformabile s-au constatat aceleași efecte ca și la laminarea benzilor (fig. 5.59) și, în plus, introducerea undelor ultrasonore în focarul de deformare conduce și la o uniformizare a grosimii peretelui și o netă îmbunătățire a calității suprafeței țevelor laminate.

La laminarea profilelor în câmp ultrasonic s-a constatat o creștere considerabilă a gradului de umplere, o creștere considerabilă a gradului de deformare, cât și o reducere a forței de deformare cu până la 70%.

Schema de principiu a unei instalații de laminare cu unde longitudinale se prezintă în figura 5.60.

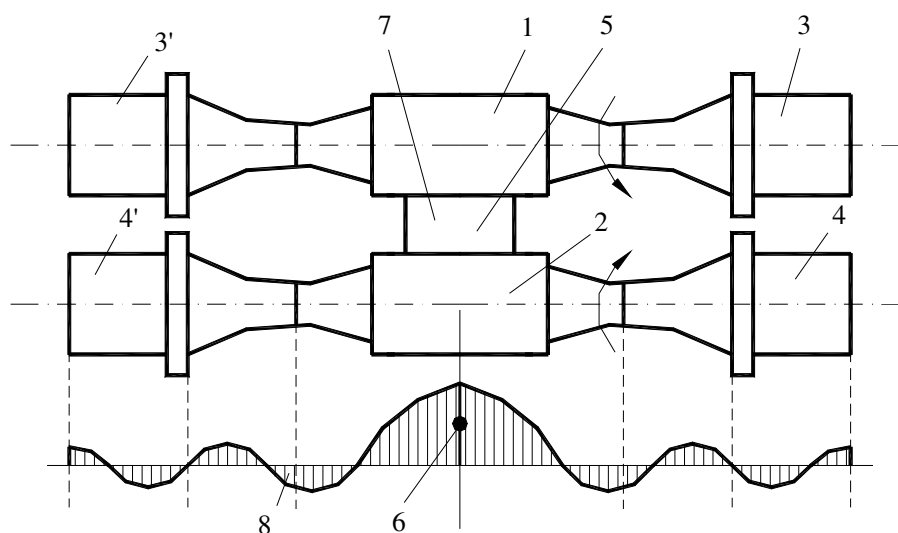


Fig. 5.60. Schema de principiu la laminarea în câmp ultrasonic:
1; 2 – cilindri de lucru; 3, 3', 4, 4' – traductori ultrasonici; 5 – focar de deformare; 6 – valoarea maximă a amplitudinii; 7 – semifabricat; 8 – diagrama de variație a amplitudinii vitezei.

În acest caz, cilindrii de lucru 1 și 2 sunt activați ultrasonic de traductorii ultrasonici 3; 3' și 4; 4' și sunt astfel dimensionați încât focarul de deformare 5 să fie plasat în maximum de amplitudine 6 al vibrației ultrasonore, pentru a se obține un maximum de efect al introducerii undelor ultrasonore (reducerea forței de laminare, deci economie de energie; mărirea gradului de deformare; posibilitatea

laminării unor materiale greu deformabile; realizarea eficientă a unor produse fine și extrafine și îmbunătățirea calității produselor).

Toate dezavantajele sunt legate de construcția și realizarea sistemelor ultraacustice de acționare, care trebuie să fie astfel calculate încât să lucreze în regim de rezonanță.

5.8. EXTRUDAREA

5.8.1. Definire și scheme de principiu

Extrudarea este procedeul de prelucrare prin deformare plastică a materialelor ce constă în trecerea forțată, prin împingerea materialului, printr-un orificiu al unei scule de deformare de formă și dimensiuni stabilite. Dimensiunile secțiunii sculei de deformare sunt mult mai mici decât dimensiunile secțiunii materialului inițial.

Extrudarea se caracterizează prin aceea că deformarea plastică a materialului nu se produce deodată în tot volumul său, ci pe măsura intrării materialului în zona de deformare. În funcție de modul sau sensul de curgere a materialului și direcția de aplicare a forței de extrudare se deosebesc mai multe procedee de extrudare:

- *extrudarea directă* (fig.5.61. a) ce se caracterizează prin aceea că sensul de curgere al materialului este același cu direcția de aplicare a forței de extrudare P ;

- *extrudarea inversă* (fig.5.61. b) ce se caracterizează prin aceea că sensul de curgere al materialului este opus direcției de aplicare a forței de extrudare P ;

- *extrudarea combinată* (fig.5.61. c) ce se caracterizează prin aceea că sensul de curgere al materialului este oricum (și același și opus și chiar înclinat) în raport cu direcția de aplicare a forței de extrudare P . Semifabricatul inițial 1, de secțiune rotundă cu suprafața S_0 se introduce în camera de presare 2, unde este presat de poansonul 3 și forțat să treacă prin matrița 4, cu secțiunea și dimensiunile proiectate și fixată în suportul port-matriță 5. Rezultă produsul extrudat 6 de secțiune S și configurația proiectată.

În cazul extrudării directe (fig.5.61. a) direcția și sensul de curgere al materialului ce se extrudează sunt aceleași cu direcția și sensul de acționare al forței de extrudare P introdusă de piston. Extrudarea directă se folosește, de regulă, la obținerea unor semifabricate sau profile de *secțiune plină* și în cazul deformării prealabile a lingourilor din oțeluri și aliaje cu plasticitate redusă.

În cazul extrudării inverse (fig.5.61. b), forțele necesare deformării sunt mai mici, deoarece semifabricatul nu mai are o mișcare în raport cu pereții camerei de presare și nu mai există forțe de frecare pe suprafețele laterale ale

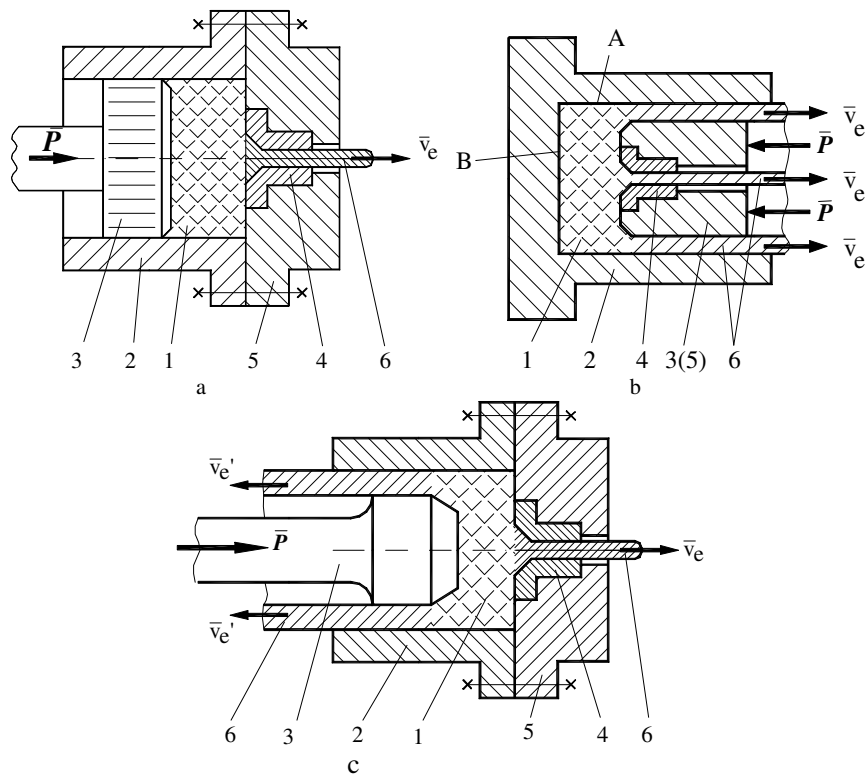


Fig. 5.61. Schema de principiu la extrudarea:

a – directă; b – inversă; c – combinată; 1 – semifabricatul inițial; 2 – camera de presare; 3 – poanson; 4 – scula de deformare (matrița); 5 – suport matriță; 6 – produsul extrudat; P – forța de extrudare; v_e – viteza curgerii materialului extrudat.

semifabricatului în zona A și B. De aceea, extrudarea inversă se utilizează mai frecvent pentru realizarea semifabricatelor și pieselor tubulare și de configurație complexă.

Extrudarea combinată se utilizează la obținerea unor produse de configurație complexă impusă.

La extrudare, în urma deformării plastice, materialele suferă:

- *modificări geometrice*, ce constau într-o mărire substanțială a lungimii și o reducere importantă a secțiunii;
- *modificări structurale*, ce constau în ecruisarea puternică a stratului superficial (în cazul extrudării la rece), ce conduce la o variație importantă a proprietăților funcționale.

În funcție de posibilitățile de deformare ale materialului și de precizia dimensională și calitatea suprafeței ce se vor dori la produsul extrudat, extrudarea se poate face la cald sau la rece.

5.8.2. Bazele teoretice ale extrudării

Starea de tensiuni și deformații și curgerea materialului are loc diferit, în funcție de modul cum se face extrudarea și de zona în care se află pe secțiunea matriței de extrudat. Datorită unor factori ca: valoarea și natura forțelor ce se dezvoltă în timpul extrudării; diferența de temperatură dintre scule și materialul care se extrudează; valoarea forțelor de frecare la interfața semifabricat – sculă; forma sculelor; viteza și gradul de deformare și modul cum are loc extrudarea, deformarea este neuniformă în volumul semifabricatului, unele părți găsindu-se aproape într-o stare de deformare elastică.

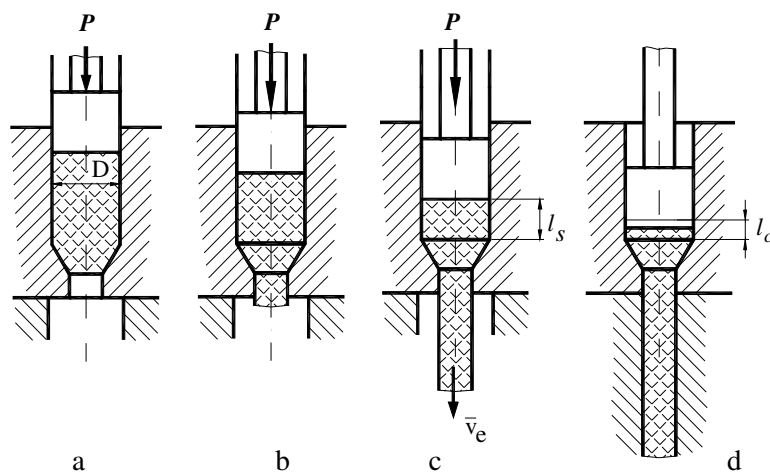


Fig. 5.62. Stadiile de deformare la extrudarea directă:

a – presarea semifabricatului în camera de presare; b – începutul curgerii prin zona de calibrare;
c – extrudarea propriu – zisă ($l_s \geq l_{cr}$); d – sfârșitul extrudării ($l_s < l_{cr}$); l_s – lungimea semifabricatului; l_{cr} – lungimea critică.

La extrudarea directă deformarea plastică a materialului are loc în patru stadii distincte:

- presarea semifabricatului în camera de presare, până la intrarea acestuia în zona de calibrare a matriței (fig. 5.62. a) și începutul unei frecări intense între semifabricat și pereții laterali ai camerei de presare;
- începutul și curgerea materialului prin zona de calibrare a matriței (fig. 5.62. b);
- curgerea materialului din camera de presare prin orificiul de calibrare, până când lungimea semifabricatului l_s , îndeplinește condiția $l_s \geq l_{cr}$ (fig. 5.62. c);
- curgerea materialului din camera de presare prin orificiul de calibrare, până când lungimea semifabricatului $l_s < l_{cr}$ (fig. 5.62. d) și sfârșitul procesului de deformare.

Cele patru stadii de deformare sunt foarte bine diferențiate în funcție de variația forței de deformare P , o dată cu deplasarea poansonului (fig. 5.63), astfel: primului stadiu îi corespunde o creștere însemnată a forței de deformare, deoarece semifabricatul de diametru inițial D_0 ajunge la diametrul D al camerei de presare; celui de-al doilea stadiu îi corespunde atingerea valorii maxime a forței de extrudare, deoarece trebuie învinse și forțele de frecare la interfața semifabricat – cameră de presare; în cel de-al treilea stadiu forța de deformare scade până la o valoare minimă, deoarece materialul începe să curgă laminar prin orificiul de calibrare; celui de-al patrulea stadiu îi corespunde o ușoară creștere din nou a forței de extrudare P , deoarece materialul are o curgere turbulentă și este și puternic deformat ($l_s < l_{cr}$).

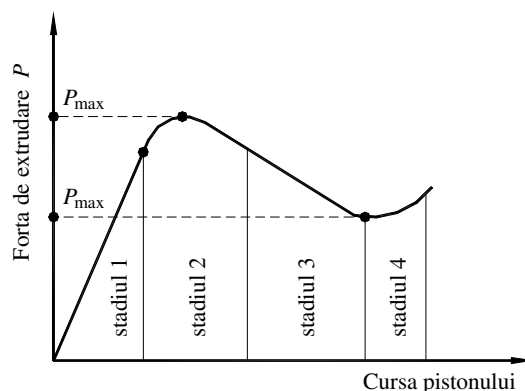


Fig. 5.63. Variația forței de extrudare P în funcție de cursa pistonului corespunzătoare celor 4 stadii distincte ale deformării:
 stadiul 1 – presarea semifabricatului în camera de presare; stadiul 2 – începutul curgerii materialului prin zona de calibrare; stadiul 3 – extrudarea propriu-zisă; stadiul 4 – sfârșitul extrudării.

Datorită prezenței forțelor de frecare dintre semifabricat și matriță, materialul de la interior tinde să se deplaseze mai repede decât cel de la exterior (fig. 5.64), având drept rezultat apariția unor tensiuni de întindere în zona apropiată de pereții laterali ai matriței și tensiuni de compresiune în zona centrală.

Prezența acestor tensiuni poate conduce la *apariția de fisuri transversale*, care pornesc de la suprafață spre interior, mai ales în cazul materialelor cu deformabilitate redusă.

Pericolul apariției acestor tipuri de fisuri se poate elimina prin:

- micșorarea neuniformității deformării pe secțiunea semifabricatului, prin folosirea unei ungeri bune și alegerea unui unghi α optim;
- mărirea rezistenței de deplasare a semifabricatului prin zona de calibrare;
- încălzirea neuniformă pe secțiune a semifabricatului în așa fel încât, datorită rezistenței la deformare diferită la interior față de exterior, să rezulte o

deformare mai uniformă pe secțiune.

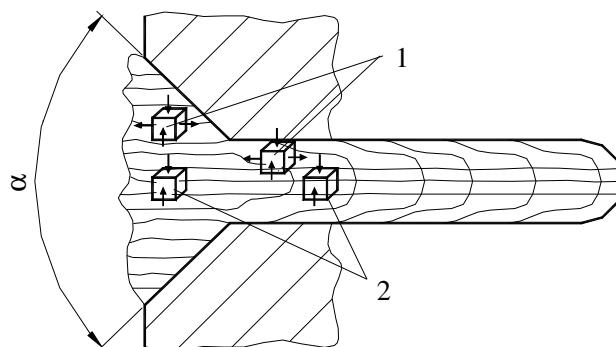


Fig. 5.64. Forma liniilor de curgere și starea de solicitare a materialului în diferitele zone ale matriței:
1 – zone solicitate la compresiune – întindere; 2 – zone solicitate la compresiune puternică;
 α - unghiul conului de deformare.

La extrudarea inversă lipsește stadiul 1 de deformare și, deci, forța de extrudare rămâne aproximativ constantă pe toată perioada cât $l_s \geq l_{cr}$, având valori mai mici decât la extrudarea directă (fig.5.65).

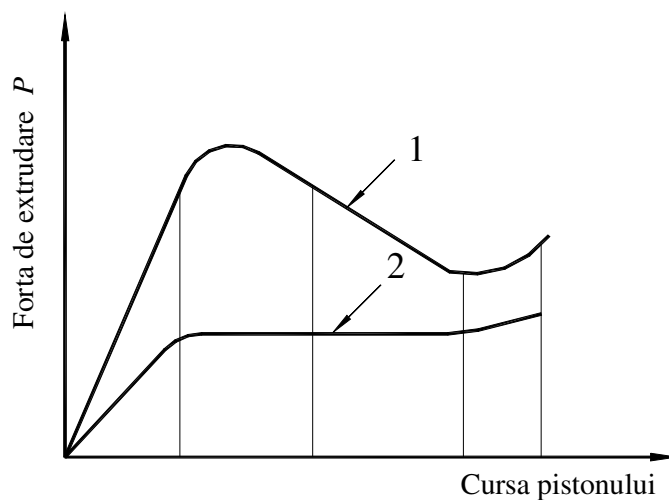


Fig. 5.65. Variația forței de extrudare funcție de cursa pistonului:
1 – la extrudarea directă; 2 – la extrudarea inversă.

La extrudarea combinată, deoarece forța necesară deformării este mai mică în zone de extrudare inversă, curgerea materialului este mai accentuată în această zonă, fenomen ce trebuie avut în vedere la proiectarea produsului extrudat prin

această metodă (porțiunea respectivă să necesite o curgere mai accelerată, adică să aibă o secțiune mai mare, să fie o configurație mai simplă etc.).

5.8.3. Calculul forței necesare la extrudare

Pentru stabilirea unei tehnologii raționale de extrudare, pentru o dimensionare corectă a matrițelor și utilizarea rațională a utilajelor folosite la extrudare este necesar să se cunoască foarte bine forța necesară deformării materialului și modul cum influențează anumiți factori asupra acesteia.

Experimental s-a constatat că valoarea forței totale de extrudare este influențată, în principal, de următorii factori:

- rezistența la deformare a materialului în condiții de extrudare date;
- natura materialului extrudat;
- gradul de deformare și modul de deformare;
- forma și dimensiunile semifabricatului inițial;
- complexitatea piesei obținute prin extrudare;
- valoarea forțelor de frecare ce apar la interfața materialului cu camera de presare și cu sculele de deformare.

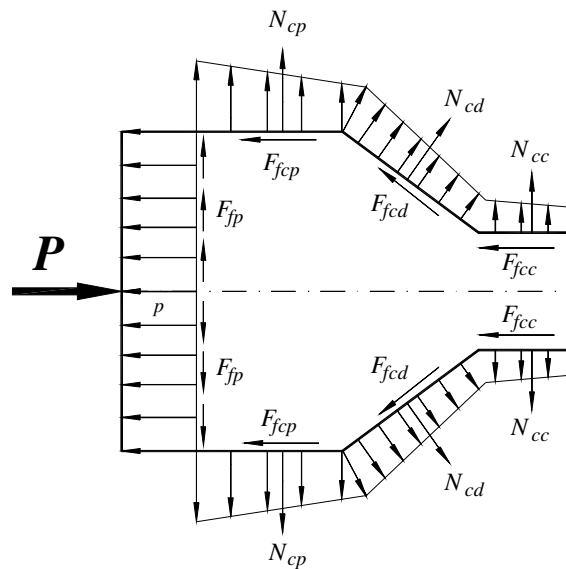


Fig. 5.66. Distribuția forțelor pe pereții laterali ai matriței și pe partea frontală a pistonului: N_{cc} , N_{cd} , N_{cp} - reacțiunile normale ale materialului în zona de calibrare și respectiv în zona de deformare și în camera de presare; F_{fcc} , F_{fcd} , F_{fcp} , F_{fjp} - forțele de frecare ce apar la interfața semifabricat - cilindru de calibrare și respectiv semifabricat - conul de deformare; semifabricat - cameră de presare și semifabricat - partea frontală a poansonului; p - presiunea aproximativ uniformă exercitată de material asupra poansonului; P - forța de extrudare necesară a fi introdusă în poanson.

Pentru determinarea forței de extrudare trebuie ținut cont de forțele ce apar în timpul procesului de extrudare (fig. 5.66), deoarece forța de extrudare P , aplicată semifabricatului, prin intermediul pistonului, trebuie să depășească suma tuturor acestor forțe.

Ca urmare a introducerii semifabricatului în camera de presare și trecerii acestuia prin stadiul de deformare, apar următoarele categorii de forțe:

- reacțiunea materialului pe partea frontală a poansonului p ;
- reacțiunea materialului în camera de presare, N_{cp} ;
- reacțiunea materialului în canalul de deformare, N_{cd} ;
- reacțiunea materialului în cilindru de calibrare, N_{cc} ;
- forța de frecare la interfața semifabricat – partea frontală a pistonului, F_{fp} ;
- forța de frecare la interfața semifabricat – camera de presare, F_{cp} ;
- forța de frecare la interfața semifabricat – canalul de deformare, F_{fd} ;
- forța de frecare la interfața semifabricat – cilindru de calibrare, F_{fc} .

Determinarea forței necesare extrudării se face funcție de modul de extrudare și luând în considerare metoda de calcul a presiunii de extrudare pe baza însumării presiunilor.

5.8.3.1. Calculul forței la extrudarea directă

Pentru determinarea relației de calcul a forței de extrudare se consideră extrudarea directă a unei bare cu secțiune plină de diametru d , dintr-un semifabricat cilindric de diametru D (fig. 5.67. a). Interiorul camerei de presare și al matriței în care se produce deformarea la extrudarea directă se împarte în trei zone distincte:

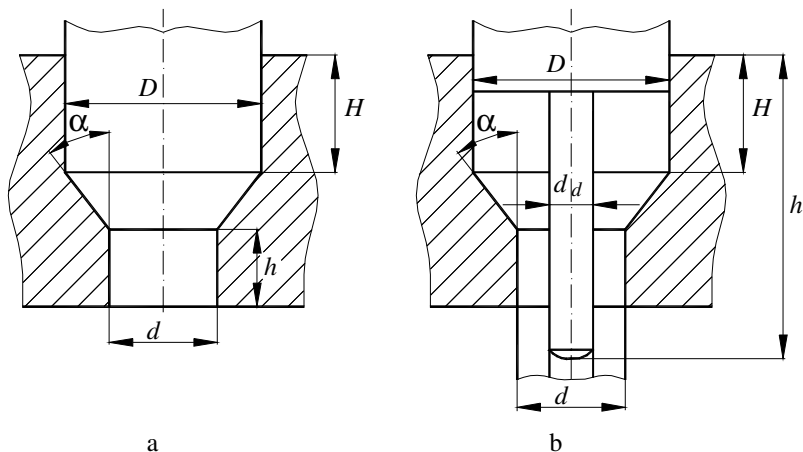


Fig. 5.67. Calculul forței necesare la extrudare:

a – pentru produse cu secțiune plină ; b – pentru produse cu secțiune tubulară ; D – diametrul camerei de presare ; H – înălțimea camerei de presare ; h – înălțimea zonei de calibrare ; α - unghiul conului de deformare; d_d ; h_d – diametrul și respectiv înălțimea dornului.

- zona cilindrică superioară, prin care se deplasează semifabricatul, în camera de presare, sub acțiunea poansonului;
- zona tronconică de trecere de la diametrul D la diametru d , cu unghiul de înclinație α și în care se produce deformarea propriu-zisă;
- zona cilindrică inferioară, în care se produce calibrarea.

Presiunea de deformare p , considerată la suprafața de contact dintre semifabricat și piston trebuie să aibă valoarea:

$$p = p_D + p_\alpha + p_d, \quad (5.120)$$

în care: p_D – presiunea necesară trecerii semifabricatului prin cameră de presare;
 p_α – presiunea necesară trecerii semifabricatului prin zona de deformare;
 p_d – presiunea necesară trecerii semifabricatului prin zona de calibrare.

Dacă se consideră că în camera superioară nu are loc o deformare a materialului, forța necesară deplasării acestuia prin această zonă trebuie să depășească forța de frecare F_{fcp} , dată de relația:

$$F_{fcp} = 4\mu\pi DHR_d, \quad (5.121)$$

în care: μ este coeficientul de frecare; D – diametrul camerei de presare;
 H – înălțimea camerei de presare; R_d – rezistența la deformare a materialului.

Deci, presiunea necesară p_D , va fi de forma:

$$p_D = \frac{F_{fcp}}{\pi D^2} = 16\mu \frac{H}{D} R_d. \quad (5.122)$$

În zona tronconică procesul de deformare este foarte complex și pentru calculul presiunii se fac o serie de simplificări. Pornind de la ecuația diferențială de echilibru în sistemul de coordonate sferice se obține în final pentru presiunea p_α o expresie de forma:

$$p_\alpha = 4R_d \left(\frac{1}{2\alpha} + \frac{1}{\sqrt{3}} \right) \ln \frac{D^2}{d^2}, \quad (5.123)$$

în care: α este unghiul conului de deformare.

În zona de calibrare semifabricatul nu suferă nici o modificare a formei, prin urmare forța necesară deplasării prin această zonă F_d , trebuie să învingă forța de frecare de la interfața semifabricat – cilindru de calibrare F_{fcc} , de forma:

$$F_{fcc} = \mu \cdot \pi \cdot d \cdot h \cdot R_d \quad (5.124)$$

în care: d și h sunt dimensiunile zonei de calibrare.

Prin urmare, presiunea necesară trecerii prin această zonă p_d , va fi de forma:

$$p_d = \frac{F_{fcc}}{\frac{\pi d^2}{4}} = 4\mu \frac{h}{d} R_d . \quad (5.125)$$

Ținând cont de expresiile (5.122), (5.123) și (5.125) rezultă pentru p , expresia:

$$p = 4R_d \left[4\mu \left(\frac{H}{D} + \frac{h}{d} \right) + \left(\frac{1}{2\alpha} + \frac{1}{\sqrt{3}} \ln \frac{D^2}{d^2} \right) \right] , \quad (5.126)$$

iar forța necesară extrudării directe P_d va fi de forma:

$$P_d = 4R_d \left[4\mu \left(\frac{H}{D} + \frac{h}{d} \right) + \left(\frac{1}{2\alpha} + \frac{1}{\sqrt{3}} \ln \frac{D^2}{d^2} \right) \right] \cdot \frac{\pi D^2}{4} . \quad (5.127)$$

În cazul *extrudării profilelor necirculare*, se va introduce în loc de raportul $\left(\frac{D}{d}\right)^2$, raportul secțiunilor $\left(\frac{S_0}{S_1}\right)$ și un coeficient de corecție k cu care se va majora presiunea în zona de deformare, obținându-se pentru forța de extrudare P_{dn} expresia:

$$P_{dn} = 4R_d \left[4\mu \left(\frac{H}{D} + \frac{h}{d} \right) + k \left(\frac{1}{2\alpha} + \frac{1}{\sqrt{3}} \ln \frac{S_0}{S_1} \right) \right] S_0 . \quad (5.128)$$

În cazul *extrudării profilelor tubulare* (fig. 5.7. b), apare în plus forța de frecare dintre semifabricat și dorn F_{fsd} de forma:

$$F_{fsd} = \pi \cdot d_d \cdot h_d \cdot \tau , \quad (5.129)$$

și se obține pentru forța necesară extrudării P_{dt} , expresia

$$P_{dt} = 2R_d \left[4\mu \left(\frac{H}{D} + \frac{h}{d} + \frac{d_d \cdot h_d}{D^2} \right) + \left(\frac{1}{2\alpha} + \frac{1}{\sqrt{3}} \ln \frac{D^2 - d_d^2}{d^2 - d_d^2} \right) \right] \frac{\pi}{4} (D^2 - d_d^2) \quad (5.130)$$

5.8.3.2. Calculul forței la extrudarea inversă

În cazul *extrudării inverse*, deoarece semifabricatul nu se deplasează față de camera de presare, nu va exista forța de frecare F_{fcp} și expresia forței de extrudare a profilelor de secțiune circulară plină va fi:

$$P_i = 4R_d \left[4\mu \frac{h}{d} + \left(\frac{1}{2\alpha} + \frac{1}{\sqrt{3}} \right) \ln \frac{D^2}{d^2} \right] \cdot \frac{\pi D^2}{4} . \quad (5.131)$$

Forța de deformare la extrudarea inversă a profilelor necirculare P_{is} se deduce din relația (5.128) având forma:

$$P_{is} = 4R_d \left[4\mu \frac{h_{med}}{d_{ech}} + c \left(\frac{1}{2\alpha} + \frac{1}{\sqrt{3}} \right) \ln \frac{S_0}{S_1} \right] S_0, \quad (5.132)$$

în care: h_{med} este înălțimea medie a matriței pe porțiunea de calibrare; d_{ech} – diametrul echivalent al profilului exterior.

Observație. Forțele necesare extrudării sunt foarte mari, de aceea, tendința generală este de a se găsi orice cale pentru reducerea acestora. Una din aceste căi este micșorarea substanțială a forțelor de frecare, folosind diferiți lubrifianți ca: sticla specială (sub formă de praf, vată sau țesătură, care depusă pe semifabricatul încălzit formează prin topire o glazură), uleiul mineral, grafitul sau diferite unsori speciale.

5.8.4. Produse obținute prin extrudare

Datorită avantajelor pe care le prezintă, extrudarea metalelor și a aliajelor se aplică în următoarele cazuri:

- obținerea de produse finite sau profile complicate, care se pot fabrica și prin alte procedee, dar care se execută mai economic prin procedeul extrudării;
- deformarea plastică prealabilă în vederea măririi posibilităților de obținere a unor piese complicate prin alte procedee de deformare;
- obținerea de piese finite sau profile complexe (fig. 5.68) care nu pot fi realizate prin alte procedee de prelucrare prin deformare plastică (laminare, forjare, tragere, matrițare etc.)

Câteva din cele mai des întâlnite produse obținute prin extrudare se prezintă în figura 5.68, deosebindu-se:

- barele, rotunde sau profilate, cu lungimea până la 20 m (fig. 5.68. a) și diametrul de la câțiva mm până la 300 ... 400 mm;
- țevile, simple sau cu aripioare, cu grosimea peretelui de 0,025 mm la un diametru de 0,3 mm și de 1,5...8,0 mm la un diametru de 350...400 mm (fig. 5.68.b);
- sârmele, cu diametrul mai mare de 5 mm (fig. 5.68. c);
- profilele simple (fig. 5.68. d), cu lungimi până la 15...20 m;
- profilele complexe (fig. 5.68. e), cu lungimi până la 10 m;
- elementele din schimbătoare de căldură (fig. 5.68. f);
- elementele de radiatoare (fig. 5.68. g);
- tuburile și recipientii (fig. 5.68. h) folosite pentru îmbutelierea unor produse alimentare sau cosmetice;

- recipientii bimetali (fig. 5.68. i) folosiți în industria chimică și alimentară.

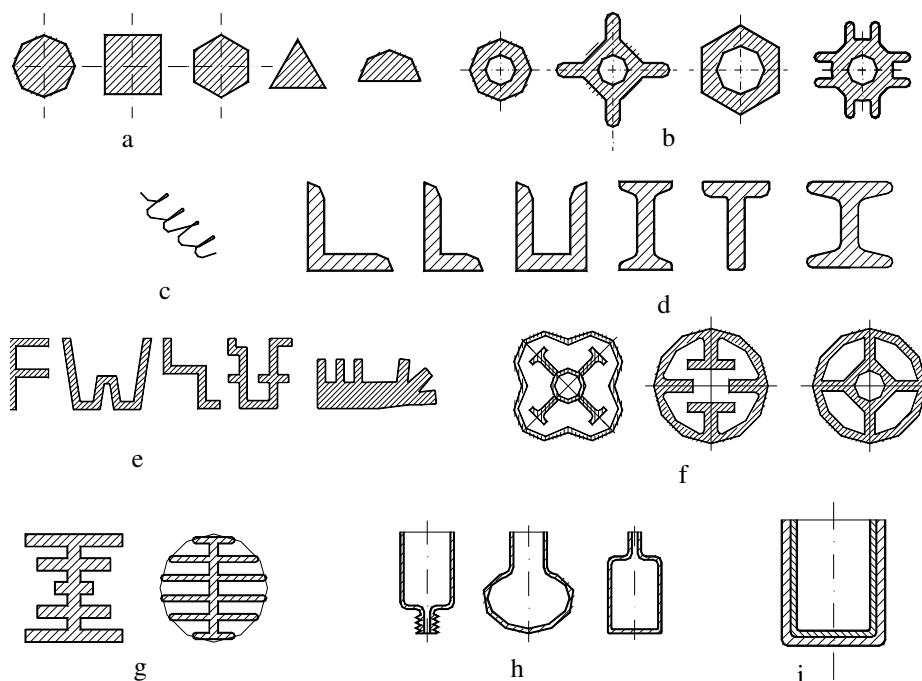


Fig. 5.68. Produse obținute prin extrudare:

a – bare; b – țevi; c – sârme; d – profile simple; e – profile complexe; f - elemente pentru schimbătoarele de căldură; g – radiatoare; h – butelii și recipiente; i – recipiente bimetali.

Produsele obținute prin extrudare au o precizie dimensională ridicată și o rugozitate mică a suprafețelor ne mai necesitând prelucrări ulterioare prin așchiere (în majoritatea cazurilor). De asemenea, proprietățile funcționale sunt îmbunătățite ca urmare a fenomenului de ecruisare ce apare în stratul superficial și se pot obține produse și din materiale cu plasticitatea scăzută.

5.8.5. Scule folosite la extrudare

În general, setul de scule pentru extrudare cuprinde o *matriță*, în care se produce deformarea semifabricatului și un *poanson*, care sub acțiunea pistonului introduce forța de deformare și realizează deformarea materialului. În funcție de tipul extrudării, matrițele pot fi:

- matrițe pentru extrudarea directă (fig. 5.69. a);

- matrițe pentru extrudarea inversă (fig. 5.69. b);
- matrițe pentru extrudarea combinată.

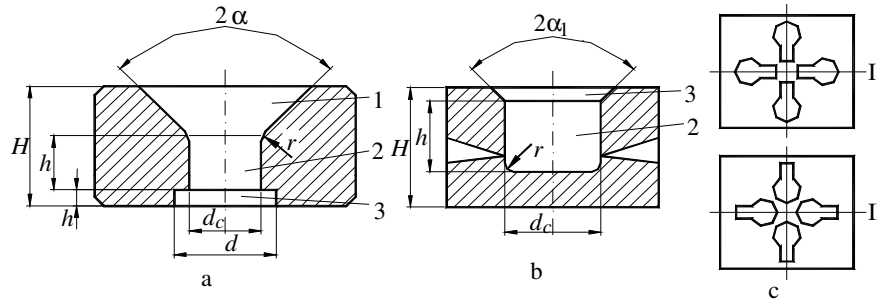


Fig. 5.69. Tipuri de matrițe folosite la extrudare:

- a – pentru extrudarea directă b – pentru extrudarea inversă; c – matriță cu orificii multiple (I – amplasare corectă a orificiilor; II – amplasare necorespunzătoare); 1 – conul de deformare; 2 – cilindru de calibrare; 3 – cilindru de ieșire; 2α – unghiul de deformare; $2\alpha_1$ – unghiul de ieșire; H – înălțimea matriței; h – înălțimea zonei de calibrare; d_c – diametrul de calibrare; r – raza de racordare a cilindrului de calibrare.

Matrița pentru extrudare este formată din următoarele zone distincte (fig. 5.69):

- conul de deformare 1, caracterizat prin unghiul de deformare 2α ;
- cilindru de calibrare 2, caracterizat prin diametrul de calibrare d_c – înălțimea cilindrului h și raza de racordare r ;
- cilindru de scăpare 3, caracterizat prin înălțimea h_1 și diametrul d_s .

O atenție deosebită trebuie acordată unghiului de deformare 2α , care se alege în funcție de natura materialului de extrudat, astfel:

- $2\alpha < 90^\circ$, pentru materialele cu plasticitate scăzută;
- $2\alpha = 90^\circ \dots 130^\circ$, pentru materialele cu plasticitate ridicată.

În ceea ce privește înălțimea de calibrare h , aceasta se ia constructiv ($h \approx 5 \dots 15$ mm) în funcție de natura materialului de extrudat și de configurația geometrică a produsului extrudat. Înălțimea de calibrare mică contribuie la micșorarea forței de deformare și invers, dar înălțimea mare contribuie la prelungirea durabilității matriței.

Raza de racordare r are influență asupra procesului de curgere a materialului în timpul extrudării și asupra calității produsului extrudat. Se alege în funcție de natura materialului de extrudat ($r \approx 1,0 \dots 2,0$ mm, pentru extrudarea aliajelor de aluminiu; $r = 2,0 \dots 5,0$ mm, pentru extrudarea aliajelor de cupru etc.).

Numărul orificiilor n , necesare a fi prelucrate pe matriță și modul de amplasare al acestora (fig. 5.69. c) depind de secțiunea camerei de presare sau a semifabricatului S_s și de raportul de extrudare λ ce trebuie realizat pentru asigurarea proprietăților cerute produsului finit:

$$n = \frac{S_s}{\lambda \cdot S_p} . \quad (5.133)$$

Alegerea numărului de orificii ale matriței depinde și de volumul producției, posibilitățile de proiectare și execuție ale matrițelor și distanțele minime ce pot fi admise între două orificii vecine, din punctul de vedere al rezistenței materialului matriței.

Poansonul pentru extrudare are o formă constructivă care diferă de tipul extrudării doar prin forma zonei active (fig 5.70). Se compune din zona de prindere 1, corpul poansonului 2 și zona activă 3. Forma zonei active a poansonului la extrudare directă (fig. 5.70. b) diferă de forma zonei active de la extrudarea inversă (fig. 5.70. c).

Materialele din care se confecționează sculele pentru extrudare sunt:

- oțelurile carbon de scule, pentru extrudarea materialelor cu plasticitate foarte ridicată;
- oțelurile rapide și carburile metalice, pentru extrudarea materialelor cu plasticitate redusă.

Pentru creșterea durabilității lor și mărirea rezistenței zonelor active, sculele se prelucreează fin și se tratează termic până la o duritate de 55 ... 65 HRC.

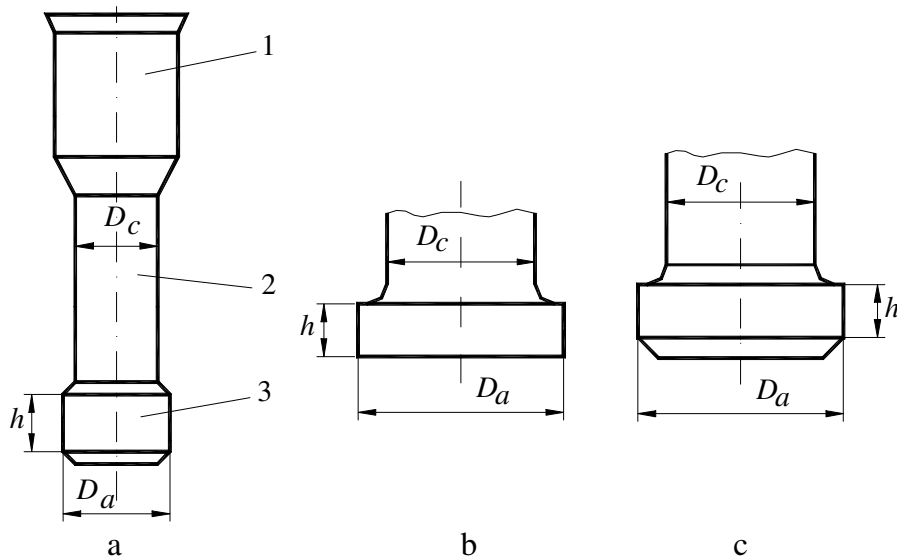


Fig. 5.69. Construcția poansonului folosit la extrudare:

a – construcția generală: 1 – zona de prindere; 2 – corpul poansonului; 3 – zona activă; b – zona părții active a unui poanson folosit la extrudarea directă; c – zona părții active a unui poanson folosit la extrudarea inversă; D_a – diametrul părții active; D_c – diametrul corpului poansonului; h – înălțimea zonei active.

5.8.6. Criterii de alegere a condițiilor de extrudare

Principalii factori de care depinde procesul de extrudare sunt *gradul de deformare* (raportul de extrudare) și *viteza de extrudare*.

Gradul de deformare λ se exprimă prin raportul dintre secțiunile transversale S_s și S_p (ale semifabricatului și respectiv ale produsului extrudat), masele unitare m_s și m_p sau raportul lungimilor corespunzătoare L_s și L_p , adică:

$$\lambda = \frac{S_s}{n \cdot S_p} = \frac{m_s}{m_p} = \frac{n \cdot L_p}{L_s}, \quad (5.134)$$

în care: n este numărul profilelor extrudate simultan.

Valoarea raportului de extrudare se alege în funcție de:

- *compoziția chimică și proprietățile materialului supus extrudării*, astfel: cu cât procentul de elemente însoțitoare sau elemente de aliere este mai ridicat cu atât raportul de extrudare va fi mai mic (de exemplu, la aluminiu, raportul de extrudare este 1 000, la aliajele Al – Mn acesta scade la 500, iar la aliajele de tip duraluminiu nu depășește 80);

- *temperatura de extrudare* – cu creșterea temperaturii, raportul de extrudare se poate mări, deoarece materialul are proprietăți de plasticitate mai bune;

- *forța asigurată de utilajul de extrudare* – raportul de extrudare crește direct proporțional cu valoarea forței maxime ce poate fi dezvoltată de utilajul folosit la extrudare;

- *viteza de extrudare*, v_e , este definită de lungimea de produs extrudat ce părăsește orificiul matriței în unitatea de timp. Între viteza de extrudare și viteza de deplasare a poansonului v_p există o relație de forma

$$v_e = \lambda \cdot v_p. \quad (5.135)$$

Valoarea gradului de deformare este legată direct de mărimea vitezei de extrudare și deci de mărimea vitezei poansonului v_p . Viteza de extrudare depinde de compoziția chimică a materialului de extrudat, de configurația geometrică a produsului extrudat și de grosimea pereților produsului extrudat. Dependența dintre viteza poansonului v_p și gradul de extrudare logaritmice se prezintă în figura 5.71;

- *proprietățile mecanice impuse produselor extrudate*. Experimental s-a constatat că pe măsură ce raportul de extrudare este mai mare, cresc și proprietățile de rezistență ale produselor extrudate (R_m , R_c), dar scad proprietățile de plasticitate (A , Ψ). De aceea trebuie ales un astfel de raport de extrudare care să permită obținerea caracteristicilor cerute produselor extrudate în condițiile unor tensiuni interne cât mai mici.

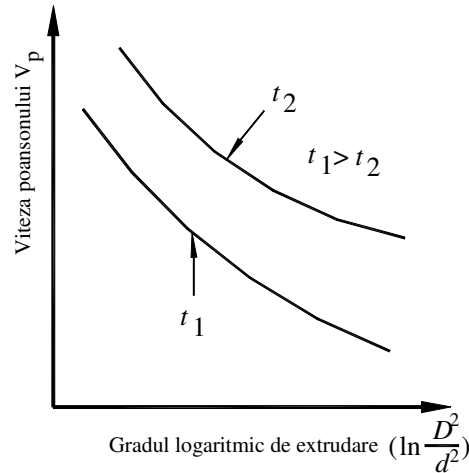


Fig. 5.71. Dependența vitezei poansonului v_p de gradul logaritmic de extrudare.

5.8.7. Defectele produselor extrudate

În cazul deformării plastice prin extrudare, cele mai frecvente defecte ce pot apărea sunt:

- *fisurile la muchiile produselor extrudate*, ca rezultat al adoptării unor raze de racordare necorespunzătoare la poanson și la matrița folosită la extrudare;
- *crăpăturile sub formă de solzi*, ca rezultat al curgerii mai rapide a zonei centrale față de cea periferică (apar la extrudarea la cald ca urmare a temperaturii mult mai scăzute a matriței în comparație cu cea a semifabricatului);
- *abaterile dimensionale*, datorită uzurii accentuate a matriței, în special în zona de calibrare;
- *rizurile și zgârieturile longitudinale*, datorită unor puncte reci de sudură a materialului extrudat de pereții matriței sau datorită frecării produsului extrudat pe transportoarele sau patul de răcire al preseii folosite la extrudare;
- *răsucirile*, datorită neuniformității deformației în zona de deformare a matriței, cauzată de neuniformitatea coeficientului de frecare la interfața matriță - semifabricat de extrudat.

Cunoașterea tipurilor de defecte ce pot apărea permite înlăturarea cauzelor care le produc și evitarea apariției acestora.

5.8.8. Tehnologia extrudării

Realizarea unui produs extrudat presupune parcurgerea într-o succesiune logică a următoarelor etape importante:

1. Alegerea semifabricatului inițial – în funcție de produsul extrudat; dimensiunile de gabarit; volumul de producție și configurația geometrică;
2. Debitarea la dimensiuni se face aplicând legea volumului constant;
3. Controlul inițial – un control nedistructiv cu ultrasunete, radiații penetrante, lichide penetrante, prin emisie acustică, cu pulberi magnetice sau curenți turbionari;
4. Tratamentul termic inițial – de regulă recoacerea de înmuiere, în vederea creșterii proprietăților de plasticitate;
5. Stabilirea parametrilor regimului de încălzire (dacă extrudarea se face la cald) – în funcție de natura materialului de extrudat, productivitate, volumul de producție și tipul produsului extrudat;
6. Alegerea utilajului de încălzire în vederea extrudării – în funcție de natura materialului de extrudat, volumul producției, productivitatea și dimensiunile de gabarit ale semifabricatului;
7. Încălzirea în vederea extrudării – la temperatura de început de deformare plus 10...20° C;
8. Pregătirea suprafeței în vederea extrudării – prin curățire, decapare, fosfatare, lubrifiere;
9. Alegerea utilajului pentru extrudare – în funcție de natura materialului de extrudat, tipul produsului extrudat, configurația geometrică; dimensiunile de gabarit și volumul de producție;
10. Extrudarea propriu-zisă;
11. Operații de completare – în funcție de configurația geometrică și dimensiunile de gabarit se face debitarea la dimensiuni, găurirea, calibrarea etc.;
12. Tratamentul termic final – în funcție de destinația produsului extrudat;
13. Controlul tehnic final – se controlează dimensiunile, calitatea suprafeței și uneori, proprietățile stratului superficial.

5.8.9. Procedee speciale de extrudare

Studiile și cercetările în domeniul extrudării sunt intense în ultimii ani și au drept scop îmbunătățirea procesului tehnologic de extrudare prin: reducerea forțelor necesare extrudării; creșterea calității produselor extrudate; extrudarea unor produse din materiale cu plasticitate scăzută și obținerea de produse cu configurație geometrică complexă care să nu mai necesite prelucrări prin așchiere.

În acest sens, au aplicabilitate largă următoarele procedee: extrudarea hidrostatică, extrudarea prin explozie, extrudarea în câmp ultrasonor, prelucrarea prin extrudare – forjare, prelucrarea prin extrudare – matrițare etc.

5.8.9.1. Extrudarea hidrostatică

La acest procedeu materialul este forțat să treacă prin matriță sub acțiunea

unui lichid sub presiune (fig. 5.72). Semifabricatul 1 se introduce în camera de presare 2, în care se introduce fluidul 3 care este comprimat cu pistonul 4. Semifabricatul este supus la compresiune din toate părțile de către fluidul sub presiune și obligat să treacă prin matrița 5, fixată în suportul port-matriță 6, rezultând produsul extrudat 7. Faptul că materialul nu vine în contact direct cu pereții matriței conduce la dispariția forțelor de frecare la interfața material – cameră de presare. De asemenea, o dată cu trecerea materialului prin matriță se deplasează și o cantitate mică de fluid ce formează o peliculă fină 8, între semifabricat și matriță. Sunt necesare deci forțe de extrudare mult mai mici sau este posibilă extrudarea unor materiale cu plasticitate redusă.

Prin acest procedeu se pot realiza reduceri de secțiune foarte mari (10 000 : 1, pentru Al 99,5 ; 200 : 1, pentru aliaje de Al ; 50 : 1, pentru Cu ; 10 : 1, pentru oțel moale ; 4 : 1, pentru oțel rapid etc.) Prin acest procedeu se realizează sârmele foarte subțiri (0,01...0,5 mm) din colaci. De asemenea, se pot realiza microfibre din Au sau aliajele sale cu diametre de 25...50 μm .

Marele dezavantaj al acestui procedeu constă în dificultatea realizării unor presiuni mari de lucru (15 000...35 000 daN/cm²) și în etanșarea camerei de presare.

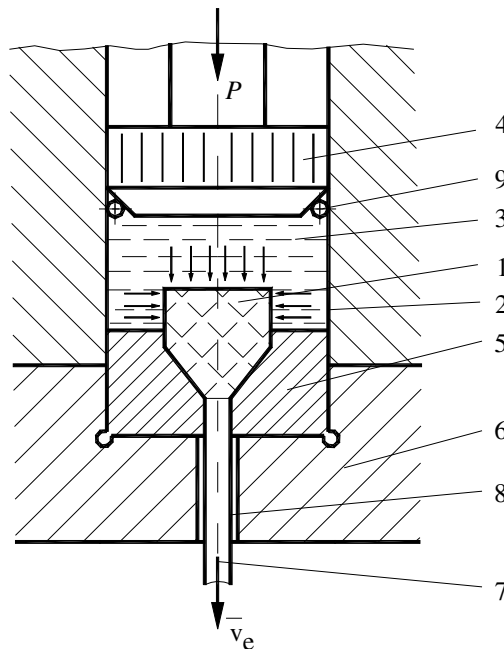


Fig. 5.72. Schema de principiu la extrudarea hidrostatică :

1 – semifabricat ; 2 – cameră de presare ; 3 – fluid sub presiune ; 4 – piston ; 5 – matriță ; 6 – suport port-matriță ; 7 – produsul extrudat ; 8 – peliculă de fluid ; 9 – garnituri de etanșare.

5.8.9.2. Extrudarea prin explozie

Procedeul folosește unda de șoc creată prin detonarea unui exploziv în vederea realizării forțelor necesare extrudării. Prelucrarea se face în încăperi închise utilizându-se *explozivi lenți* pentru piese de dimensiuni mici și *explozivi brizanți* pentru produse extrudate de dimensiuni mari. Schema de principiu a procedurii se prezintă în figura 5.73.

Semifabricatul 1 se introduce în camera de presare 2, fiind forțat de pistonul 3 să treacă prin matrița 4 fixată în suportul port – matriță 5, rezultând produsul extrudat 6. Pistonul este acționat de unda de șoc 7, creată prin detonarea explozivului 8 așezat în camera specială 9, cu ajutorul dispozitivului 10.

Procedeul se aplică la extrudarea materialelor cu plasticitate foarte scăzută, fiind un procedeu de prelucrare cu viteză mare de deformare. Principalul dezavantaj este dat de dificultățile lucrului cu explozivi.

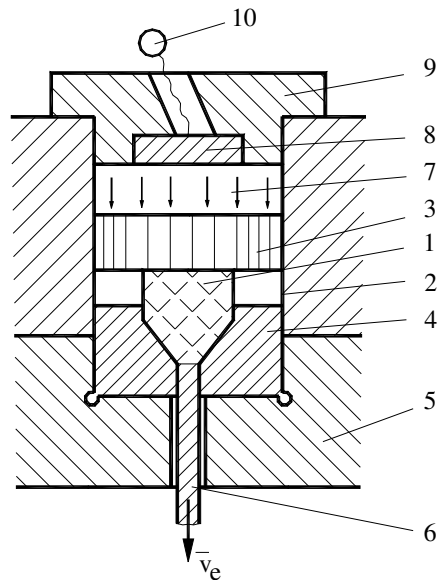


Fig. 5.72. Schema de principiu la extrudarea prin explozie:

1 – semifabricat ; 2 – camera de presare ; 3 – piston ; 4 – matrița ; 5 – suport port – matriță ;
6 – produs extrudat ; 7 – unda de șoc ; 8 – exploziv ; 9 – camera specială ; 10 – detonator.

5.8.9.3. Extrudarea în câmp ultrasonor

Procedeul folosește *efectul de suprafață* al undelor ultrasonore ce constă în reducerea substanțială a forțelor de frecare, cu 20...70%, și *efectul de volum* al undelor ultrasonore, ce constă în creșterea plasticității cu 30...70% și reducerea cu 40...80% a forțelor necesare extrudării. Eficiența procedurii depinde în primul

rând de modul de introducere a energiei ultrasonore în focarul de deformare. În funcție de configurația geometrică a produsului extrudat și de natura materialului se deosebesc următoarele posibilități de introducere a energiei ultrasonore în focarul de deformare: activarea ultrasonică a matriței; activarea ultrasonică a poansonului; activarea ultrasonică și a poansonului și a matriței. Schema de principiu a extrudării în câmp ultrasonor cu activarea ultrasonică a matriței se prezintă în figura 5.74.

Semifabricatul 1, introdus în camera de presare 2, este forțat să treacă prin matrița 3 sub acțiunea pistonului 4. Matrița 3 este fixată în vârful concentratorului de energie ultrasonoră 5, ce vibrează cu frecvența de 18 – 42 kHz și amplitudinea oscilațiilor longitudinale $A = 12,5 \dots 125 \mu\text{m}$. Concentratorul de energie ultrasonoră este fixat prin intermediul flanșei nodale 6, de transductorul ultrasonor 7 ce convertește oscilațiile electrice ale generatorului de înaltă frecvență 8, în oscilații mecanice cu frecvență ultrasonoră. Sistemul ultraacustic este răcit în permanență cu un lichid de răcire 9 și izolat acustic 10. Diagrama 11 arată variația amplitudinii vitezei particulei în lungul sistemului ultraacustic.

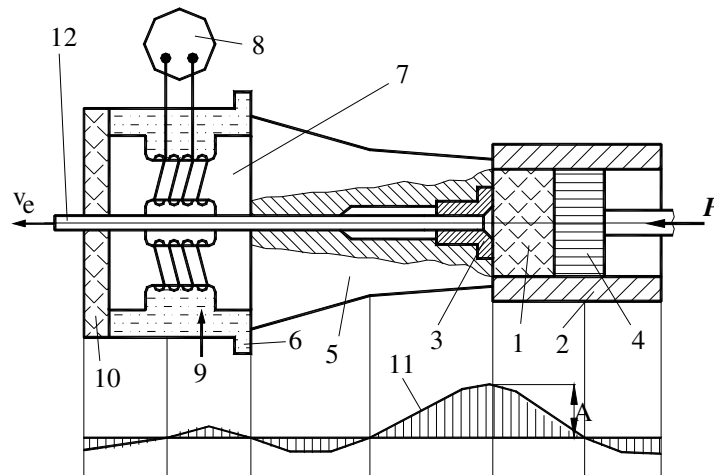


Fig. 5.74. Schema de principiu la extrudarea în câmp ultrasonor :

1 – semifabricat ; 2 – camera de presare ; 3 – matriță ; 4 – poanson ; 5 – concentrator de energie ultrasonoră ; 6 – flanșă nodală ; 7 – transductor ultrasonor ; 8 – generator de ultrasunete ; 9 – lichid de răcire ; 10 – izolat acustic ; 11 – diagrama de variație a amplitudinii vitezei particulei în lungul sistemului ultraacustic ; 12 – produsul extrudat.

Procedeul se aplică la extrudarea materialelor greu deformabile, conducând la o însemnată creștere a productivității și la îmbunătățirea netă a calității suprafeței și a preciziei dimensionale pentru produsul extrudat. Dezavantajele sunt legate de calculul și construcția sistemului ultraacustic care trebuie să funcționeze în regim de rezonanță.

5.8.9.4. Prelucrarea prin forjare – extrudare

Procedeul se aplică acolo unde semifabricatul inițial are secțiunea transversală mai mare decât cea corespunzătoare celei mai mici cavități a matriței și mai mică decât cavitatea cu dimensiunile maxime. De aceea, în prima etapă, deformarea începe cu o ușoară refulare a semifabricatului în cavitatea cu dimensiuni maxime, pentru ca, în a doua etapă, să se producă curgerea prin extrudare a materialului în deschiderea cu dimensiuni mai mici. După ce cavitatea cu dimensiuni maxime este umplută, semifabricatul a luat forma cavității se continuă extrudarea propriu-zisă, care presupune dizlocarea materialului în direcția unde rezistența la deformare a rămas maximă, respectiv în direcția cavității cu dimensiuni mai reduse.

În acest fel se pot realiza piese care la unul din capete au forme mai complexe care necesită matrițări, iar corpul poate fi de forma tijelor cu dimensiuni transversale mici și dimensiuni longitudinale mari. Câteva tipuri de piese ce pot fi obținute prin acest procedeu de prelucrare se prezintă în figura 5.75.

La proiectarea tehnologiilor de matrițare – extrudare trebuie ținut cont de influența forțelor de frecare asupra desfășurării procesului. Dacă extrudarea are loc direct, mai întâi se realizează refularea în vederea matrițării. Pentru piese mai complexe se stabilește o succesiune de faze de deformare (fig. 5.76) prin care materialul să treacă treptat de la semifabricatul inițial la piesa finită.

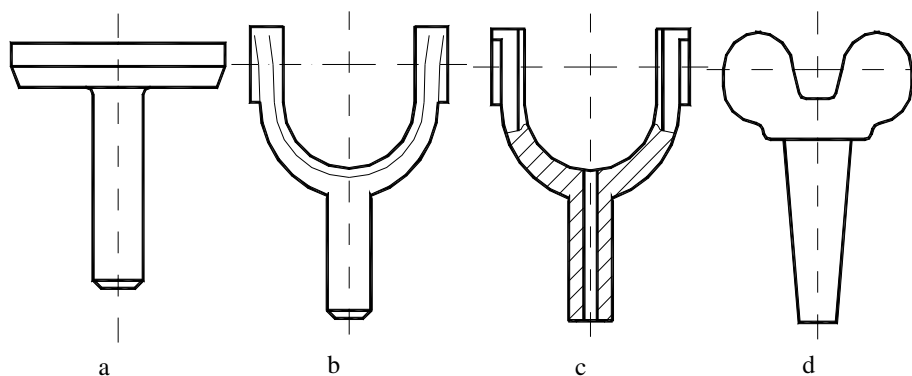


Fig. 5.75. Câteva tipuri de piese obținute prin combinarea extrudării și matrițării:
a – supape; b – furci simple; c – furci cu alezaje perpendiculare; d – piulițe fluture.

Când piesele au lungimea porțiunii care se extrudează mare, matrițele se execută cu prag de extrudare în scopul reducerii frecărilor.

Este de așteptat ca, pe măsură ce apar noi materiale, cu proprietăți cu totul și cu totul deosebite, să apară și noi tehnologii de extrudare care să permită obținerea eficientă a produselor extrudate din aceste materiale.

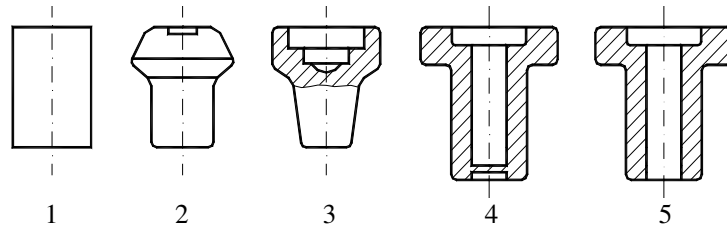


Fig. 5.76. Succesiunea fazelor tehnologice la prelucrarea prin matrițare – extrudare a unei piese tubulare:

1 – semifabricat inițial; 2 – refulare; 3 – pregătire prin forjare; 4 – găurire prin matrițare; 5 – extrudare și obținere piesă finită.

5.9. TRAGEREA – TREFILAREA

5.9.1. Definire și scheme de principiu

Tragerea este procedeul de prelucrare prin deformare plastică a materialelor ce constă în trecerea forțată a materialului prin deschiderea unei scule, a cărei secțiune este mult mai mică decât secțiunea inițială a materialului, sub acțiunea unei forțe de tracțiune.

Dacă semifabricatul inițial are diametrul mai mic de 10 mm și produsul obținut prin tragere este de tipul sârmelor, cu diametre mai mici de 5 mm, atunci procedeul se numește *trefilare*, iar scula folosită la deformare se numește *filieră*.

Dacă semifabricatul inițial are diametrul mai mare de 10 mm și produsul obținut este de tipul barelor, țevilor sau profilelor, atunci procedeul se numește *tragere*, iar scula folosită la deformare se numește *matriță*.

Schema de principiu a procedurii se prezintă în figura 5.77.

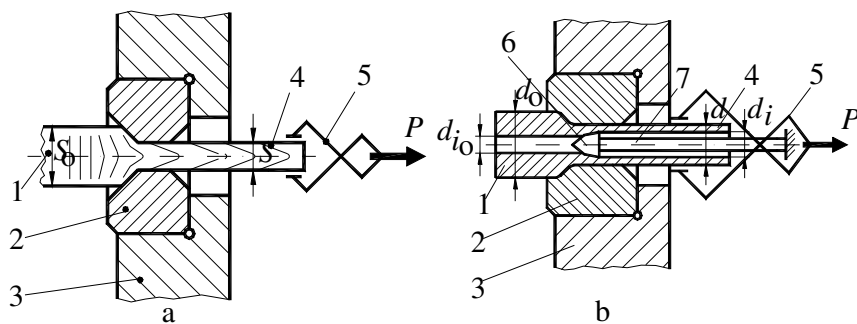


Fig. 5.77. Schema de principiu la tragere:

1 – semifabricatul inițial; 2 – matriță; 3 – suport port – sculă; 4 – produsul tras; 5 – dispozitiv de tragere; 6 – dorn; 7 – tijă – suport.

Semifabricatul inițial 1, de secțiune inițială S_0 este forțat să treacă prin scula de deformare 2, fixată în suportul portsculă 3, sub acțiunea forței de tracțiune P , introdusă cu ajutorul dispozitivului de tragere 5. La tragerea țevelor (fig. 5.76. b) se folosește un dorn (dop) 6, fixat pe o tijă - suport 7, care uniformizează grosimea peretelui țevii și dă diametrul interior d , al acesteia.

Procedul de tragere prezintă o serie de avantaje față de alte procedee de prelucrare prin deformare plastică:

- permite obținerea de produse cu o precizie dimensională ridicată și cu o înaltă calitate a suprafeței;
- permite obținerea de produse cu secțiune plină sau secțiune tubulară, greu sau imposibil de obținut prin alte procedee;
- combinat cu o serie de tratamente termice permite obținerea de produse cu proprietăți mecanice ridicate (de exemplu, rezistența la rupere poate crește de 2,5...3,5 ori);
- dacă se efectuează la temperatura mediului ambiant, când deformarea plastică este însoțită de ecruisare, permite îmbunătățirea substanțială a unor proprietăți funcționale ale produsului obținut.

5.9.2. Bazele teoretice ale tragerii – trefilării

Tragerea se deosebește de laminare prin aceea că materialul din exteriorul semifabricatului tras rămâne în urmă față de cel din mijloc (fig. 5.77. a), spre deosebire de laminare, unde situația este inversă. La tragere, modificarea secțiunii semifabricatului se produce, în principal, sub acțiunea forțelor transversale de compresie, exercitate de pereții sculei de deformare. La început se deformează numai acei grăunți care au planele de alunecare în direcția forțelor exercitate de pereții matriței, iar pe măsură ce materialul înaintează prin conul de deformare al sculei se deformează și ceilalți grăunți, indiferent de orientarea planurilor de alunecare.

La tragere – trefilare, interacțiunea dintre materialul de deformat și scula de deformare se caracterizează prin existența frecării pe întreaga suprafață de contact. Aceasta influențează asupra stării de tensiune și determină o distribuție neuniformă a deformației pe secțiune. De asemenea, în timpul deformării, forțele de frecare exercită o acțiune de reținere a materialului de la suprafața semifabricatului, ceea ce creează condițiile pentru apariția unor diferențe între vitezele longitudinale pe secțiune.

În urma deformării materialului prin tragere – trefilare au loc, pe lângă modificările structurale, și o serie de modificări geometrice, caracterizate prin următoarele mărimi:

- reducerea absolută de secțiune ΔS , dată de relația:

$$\Delta S = S_0 - S_1 ; \quad (5.136)$$

- reducerea relativă de secțiune Δ , dată de relația:

$$\Delta = \frac{S_0 - S}{S_0} = \frac{d_0^2 - d^2}{d_0^2} ; \quad (5.137)$$

- reducerea procentuală de secțiune Δ_p , dată de relația:

$$\Delta_p = \frac{S_0 - S}{S_0} \cdot 100 = \frac{d_0^2 - d^2}{d_0^2} \cdot 100 \quad [\%] ; \quad (5.138)$$

- lungirea absolută λ_a , dată de relația:

$$\lambda_a = l - l_0 ; \quad (5.139)$$

- lungirea relativă λ , dată de relația:

$$\lambda = \frac{l - l_0}{l_0} ; \quad (5.140)$$

- lungirea procentuală λ_p , dată de relația:

$$\lambda_p = \frac{l - l_0}{l_0} \cdot 100 \quad [\%] ; \quad (5.141)$$

- coeficientul de lungire μ , dat de relația:

$$\mu = \frac{l}{l_0} ; \quad (5.142)$$

- coeficientul reducerii de secțiune K , dat de relația:

$$K = \frac{S}{S_0} . \quad (5.143)$$

Mărimile caracteristice definite mai sus sunt absolut necesare a fi luate în considerare la proiectarea oricărui proces tehnologic de tragere – trefilare.

5.9.3. Calculul forței de tragere și a numărului de treceri

Pentru proiectarea sculelor necesare tragerii și alegerea instalațiilor de tragere este necesară cunoașterea forței necesare deformării prin tragere și a numărului de treceri corespunzătoare.

5.9.3.1. Calculul forței de tragere

Pentru calculul forței de tragere se întâlnesc în literatura de specialitate mai multe relații de calcul, stabilite luând în considerare diferite ipoteze, care diferă mai

mult sau mai puțin între ele. Indiferent de ipotezele admise, forța de tragere P se determină luând în considerare forțele ce acționează asupra materialului în timpul procesului de tragere (fig. 5.78) și anume:

- forța de frecare la interfață semifabricat – con de deformare, F_{fcd} ;
- forțele de frecare la interfață semifabricat – cilindru de calibrare, F_{fcc} ;
- reacțiunile normale în conul de deformare, N_α ;
- reacțiunile normale în cilindrul de calibrare, N_0 ;

Prin urmare, forța de tragere P , are două componente:

$$P = P_1 + P_2, \quad (5.144)$$

în care: P_1 este forța necesară trecerii materialului prin cilindrul de calibrare și are o expresie de forma:

$$P_1 = \mu \cdot \pi \cdot l_1 \cdot R_c, \quad (5.145)$$

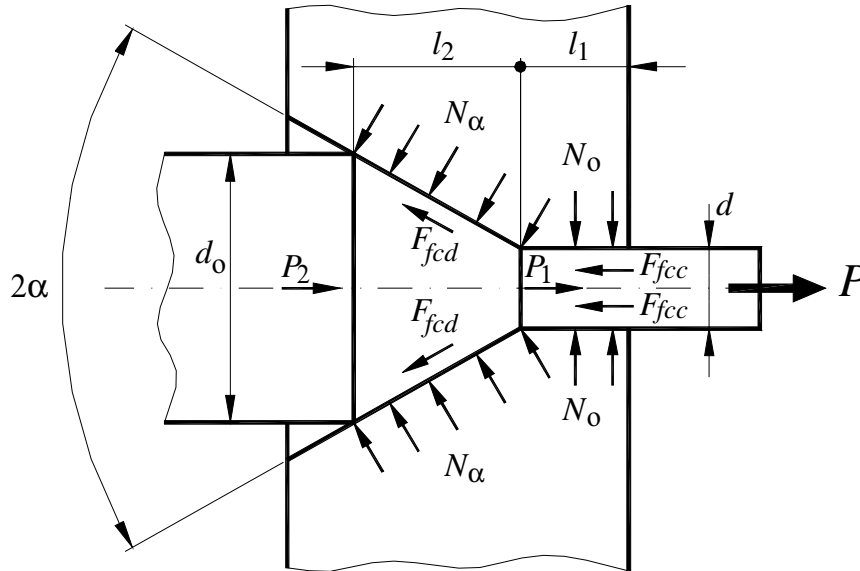


Fig. 5.78. Distribuția forțelor la tragerea secțiunilor pline:

P – forța necesară tragerii; F_{fcc} – forța de frecare în cilindrul de calibrare; F_{fcd} – forța de frecare în conul de deformare; N_α – reacțiunea normală a sculei de deformare asupra materialului în conul de deformare; N_0 – reacțiunea normală în cilindrul de calibrare

iar P_2 este forța necesară trecerii materialului prin conul de deformare și se determină luând în considerare forțele ce acționează în această zonă, având o expresie de forma:

$$P_2 = (1 + \mu \cdot \operatorname{ctg} \alpha) \frac{\pi}{4} (d_0^2 - d^2) R_c. \quad (5.146)$$

Prin însumare și o prelucrare convenabilă rezultă pentru forța de tragere P o expresie de forma:

$$P = 2R_c \left[4\mu \frac{l_1}{d} + (1 + \mu \cdot \operatorname{ctg} \alpha) \frac{d_0^2 - d^2}{d_0^2} \right] \cdot \frac{\pi d^2}{4}, \quad (5.147)$$

în cazul secțiunilor rotunde, și:

$$P = 2R_c \left[4\mu \frac{l_1}{d} + (1 + \mu \cdot \operatorname{ctg} \alpha) \frac{S_0 - S^2}{d_0} \right] \cdot S, \quad (5.148)$$

în cazul secțiunilor oarecare, unde: μ este coeficientul de frecare dintre material și scula de deformare; R_c – rezistența la curgere a materialului de tras; d_0 – diametrul inițial al semifabricatului; d – diametrul final al produsului tras; α – unghiul de deformare; l_1 – lungimea porțiunii de calibrare; l_2 – lungimea conului de deformare.

Din analiza relațiilor de calcul a forței de tragere se constată că asupra acesteia influențează:

- coeficientul de frecare μ (o forță de tragere mică presupune o ungere bună care se realizează numai pentru un unghi α optim, specific pentru fiecare material în parte);
- raportul l_1/d (un raport mic asigură o forță de tragere redusă, dar acesta este limitat de uzura pronunțată a sculei ce poate apare pe porțiunea de calibrare);
- înclinația de tragere (unghiul de deformare) α (se alege în funcție de natura materialului astfel: $\alpha < 45^\circ$ pentru materiale cu plasticitate scăzută; $\alpha < 65^\circ$, pentru materiale cu plasticitate ridicată).

5.9.3.2. Calculul numărului de treceri

Numărul de treceri n , necesare pentru a ajunge de la diametrul inițial d_0 la un diametru final d_n , se poate determina pornind de la coeficientul de reducere k , scris sub forma:

$$k = \frac{d_1^2}{d_0^2}, \quad (5.149)$$

din care se deduce

$$d_1^2 = k \cdot d_0^2, \text{ adică } d_1 = \sqrt{k} \cdot d_0, \quad (5.150)$$

Deoarece k este destul de mic, se poate aproxima

$$d_1 = k \cdot d_0, \quad (5.151)$$

și prin analogie, din considerente de rezistență a materialului

$$d_2 = k \cdot d_1 = k^2 \cdot d_0; d_3 = k \cdot d_2 = k^3 \cdot d_0; \dots d_n = k \cdot d_{n-1} = k^n \cdot d_0. \quad (5.152)$$

Prin logaritmare relației (5.152) rezultă pentru numărul de treceri n , relația

$$n = \frac{\ln d_n - \ln d_0}{\ln k}. \quad (5.153)$$

Din calcule și pe baza rezultatelor experimentale a rezultat că la o tragere nu se poate realiza o reducere prea mare și pentru a nu se produce deteriorarea porțiunii trase, trebuie îndeplinită condiția:

$$d_1 \geq (0,75 \dots 0,80) d_0. \quad (5.153)$$

5.9.4. Scule și dispozitive folosite la tragere – trefilare

Sculele de bază folosite pentru trefilare se numesc filiere și au o construcție diferențiată în funcție de condițiile de lucru și proprietățile materialului din care se execută. O secțiune printr-o filieră simplă se prezintă în figura 5.79. a, iar printr-o filieră compusă în figura 5.79. b. Zonele principale ale unei filiere, stabilite în urma cercetărilor experimentale, sunt:

- conul de intrare 1, care are rolul de a face o trecere lentă a semifabricatului spre filieră;
- conul de ungere 2, care asigură lubrifierea semifabricatului, caracterizat prin unghiul de ungere $\beta = 40 \dots 60^\circ$;
- conul de deformare 3, caracterizat prin unghiul de deformare (tragere) 2α , care trebuie să aibă valorile $2\alpha = 8 - 24^\circ$, în funcție de plasticitatea materialului de deformat;
- cilindrul de calibrare 4, care asigură uniformitatea dimensională a produsului tras și durata de lucru a filierei;
- conul de degajare 5, care are drept scop evitarea ruperii muchiei filierei și împiedicarea ruperii materialului la ieșirea din cilindrul de calibrare, datorită revenirii elastice a acestuia;
- conul de ieșire 6, care determină repartizarea solicitărilor în interiorul materialului filierei, evitând suprasolicitarea unor părți din muchiile filierei. Se caracterizează prin unghiul de ieșire $\gamma = 60 \dots 90^\circ$.

Filierele se execută din fonte speciale de înaltă rezistență (3%C ; 0,25%Mn ; 1%Si și 2%Cr), din oțeluri speciale (2%C și 10...15%Cr), din carburi metalice dure de molibden și wolfram (8%Co, 87%W, 3%C și 2%Mo) și din diamant tehnic pentru filierele folosite la trefilarea firelor ultrasubțiri (cu $\varnothing < 0,15$ mm).

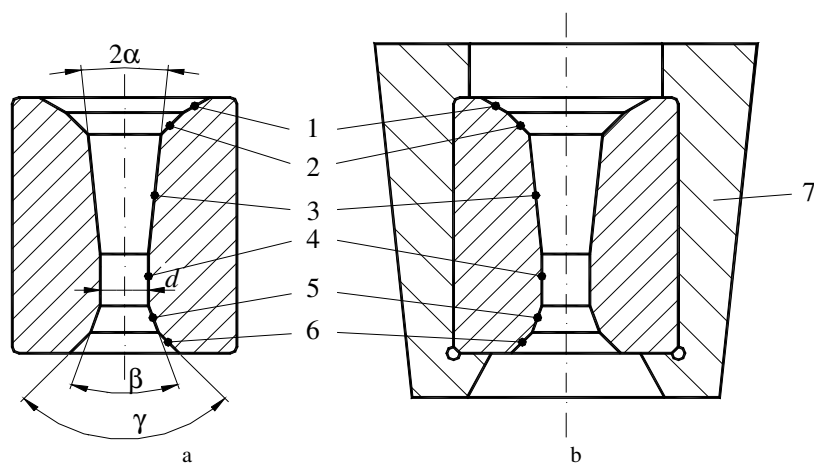


Fig. 5.79. Secțiune printr-o filieră:

a – simplă; b – compusă: 1 – conul de intrare; 2 – conul de ungere; 3 – conul de deformare; 4 – cilindru de calibrare; 5 – conul de degajare; 6 – conul de ieșire; 7 – mașon – suport; 2α – unghiul de deformare; β – unghiul de degajare; γ – unghiul de ieșire.

Pentru a evita deteriorarea filierei în procesul de exploatare, acestea se montează cu o strângere prealabilă în manșonul de protecție 7 (fig. 5.79. b).

Sculele folosite la tragere sunt matrițele de diferite construcții, funcție de tipul produselor trase. O secțiune printr-o matriță folosită la tragere scoate în evidență următoarele zone (fig. 5.80): conul de deformare 1; cilindru de calibrare 2 și conul de ieșire 3. Construcția matrițelor diferă de cea a filierelor, ele având următoarele caracteristici constructive: unghiul conului de deformare $2\alpha = 12...36^\circ$, lungimea părții calibrate $b = 1...8$ mm; unghiul conului de ieșire $\gamma = 60^\circ$.

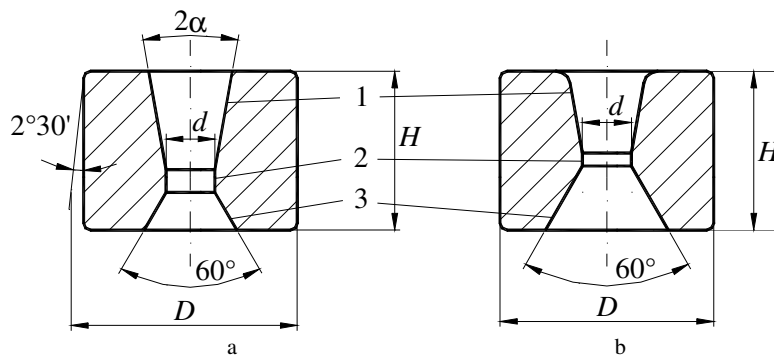


Fig. 5.80. Matrițe pentru tragere:

a – pentru bare rotunde; b – pentru țevi rotunde;
1 – conul de deformare; 2 – cilindru de calibrare; 3 – conul de ieșire.

Duritatea suprafeței orificiului de tragere trebuie să fie de circa 60...70 HRC și se obține în urma unor tratamente termice specifice. Pentru tragerea țevelor, pe lângă matrițe, din sculele de tragere mai fac parte și *dornurile*, care pot fi lungi sau scurte. Dornurile se execută din oțeluri de scule și aliaje dure, iar pentru creșterea rezistenței la uzură a acestora se procedează la cromare și tratarea termică a acestora până la 60...65 HRC.

Utilajele folosite la tragere – trefilare se clasifică după figura 5.81.

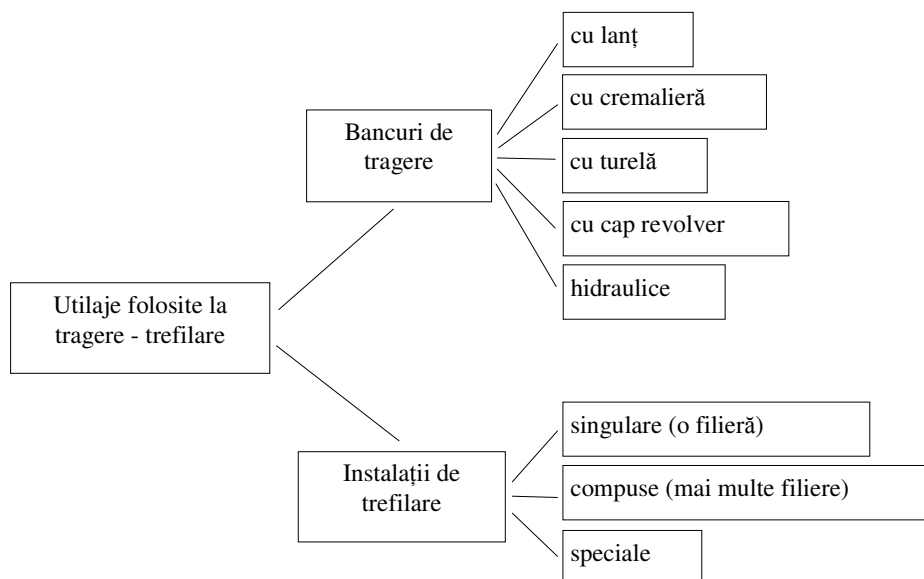


Fig. 5.81. Utilajele folosite la tragere – trefilare.

Bancul de tragere cu lanț este reprezentat schematic în figura 5.82.

Semifabricatul inițial 1 trece prin vasul de ungere 2 și prin matrița 3, fiind tras de dispozitivul 4, montat pe căruciorul 5, ce se deplasează pe patul de tragere 6. Căruciorul este antrenat de lanțul 7, de tip Gall, prin intermediul dispozitivului 8. Lanțul Gall este antrenat la rândul său de roata de antrenare în stea 9, rezultând în final produsul tras 10. Lungimea produsului tras este limitată de lungimea lanțului Gall. Bancurile de tragere cu lanț cu o lungime de până la 15 m dezvoltă o forță de tragere de 1,5...2,0 MN. Aceste bancuri de tragere permit tragerea barelor cu diametrul inițial $\leq 150\text{mm}$ și a țevelor cu $\varnothing \leq 200\text{ mm}$. Se pot trage și simultan mai multe bare (până la 10). Viteza de tragere la prelucrarea produselor relativ scurte (5...8m) este de ordinul 0,03...0,65m/s, iar la tragerea produselor lungi viteza de tragere poate atinge 1,2...2,0 m/s.

Dezavantajele bancurilor de tragere cu acționare mecanică sunt înlăturate de *bancurile de tragere acționate hidraulic* (fig. 5.83). Semifabricatul 1, după ce

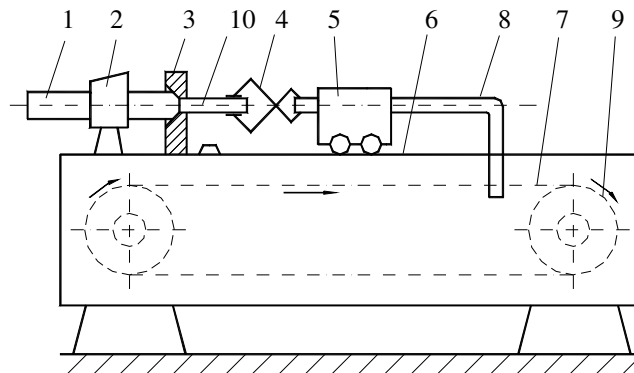


Fig. 5.82. Schema de principiu a unui banc de tragere cu lanț cu acționare mecanică:
1 – semifabricatul inițial; 2 – vasul de ungere; 3 – matrița; 4 – dispozitivul de tragere; 5 – căruciorul;
6 – patul de tragere; 7 – lanțul Gall; 8 – dispozitivul de tragere; 9 – roata de antrenare; 10 – produsul tras.

trece prin vasul de ungere 2, este forțat să treacă prin matrița 3, fiind tras de mandrinele 4 și 5 ce acționează succesiv asupra produsului tras 6. Mandrinele execută o mișcare alternativă de translație, astfel: în timp ce mandrinele 4 execută cursa activă I, mandrinele 5, execută cursa pasivă I', pentru ca, după terminarea cursei, mandrinele 4 să se desfacă și să execute cursa pasivă II', iar mandrinele 5 să prindă produsul tras și să execute cursa activă II. În acest mod ciclul se repetă până se obține produsul tras finit.

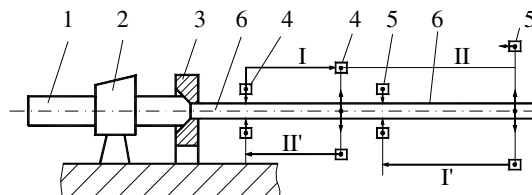


Fig. 5.83. Schema de principiu a unui banc de tragere acționat hidraulic :
1 – semifabricatul inițial; 2 – vasul de ungere; 3 – matrița; 4, 5 – mandrine acționate hidraulic;
6 – produsul tras.

Pe aceste bancuri de tragere se pot obține produse de lungime mare și cu o înaltă productivitate (produsele pot ajunge până la lungimea de 50m).

Instalația de trefilare simplă este formată dintr-o celulă de trefilare a cărei schemă de principiu se prezintă în figura 5.84.

Semifabricatul 1, sub formă de colac, se desfășoară de pe tamburul 2, trece prin vasul de ungere 3 și filiera 4, fiind tras de tamburul de trefilare 5 pe care se înfășoară produsul tras 6. Tamburul de trefilare este acționat de motorul electric 7, prin intermediul reductorului 8, cuplajului 9 și angrenajului conic 10.

Viteza de trefilare pe instalațiile de trefilare simple este de 1...2m/s și de regulă nu depășește 5m/s. În funcție de calitatea și secțiunea produsului tras, aceste instalații de trefilare se construiesc pentru a dezvolta forțe de tragere de 5...10 000 daN.

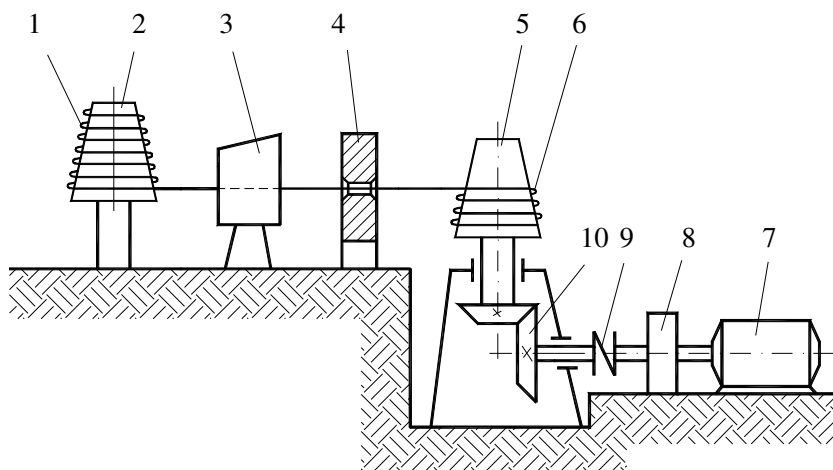


Fig. 5.84. Schema de principiu a unei instalații de trefilare simple:

1 – semifabricat; 2 – tambur; 3 – vas de ungere; 4 – filieră; 5 – tambur de trefilare; 6 – produsul tras;
7 – motor electric; 8 – reductor; 9 – cuplaj; 10 – angrenaj conic.

În cazul când gradul de deformare este mare și sunt necesare mai multe trefilări succesive se folosește o *instalație de trefilare multiplă*, care se compune din mai multe celule de trefilare (până la 30), asemănătoare cu cea prezentată în figura 5.84. Celulele de trefilare pot fi așezate pe orizontală (prezintă dezavantajul ocupării unui spațiu de lungime mare) sau pe verticală (are o construcție mai complicată). În funcție de modul cum se realizează procesul de trefilare se deosebesc următoarele tipuri constructive:

- funcționare cu acumulare și fără alunecare;
- funcționare cu alunecare;
- funcționare cu contragere.

Viteza de trefilare în instalațiile de trefilare fără alunecare poate ajunge până la 20m/s, iar la celelalte este cu 5 ... 10% mai mică.

5.9.5. Produse obținute prin tragere – trefilare

Prin acest procedeu se prelucrează acele materiale care au un grad ridicat de deformare plastică la rece, acele materiale care au proprietatea de *ductilitate*. În general se prelucrează metalele neferoase și aliajele lor, precum și oțelurile cu

conținut scăzut de carbon (cele care au peste 0,25%C se supun mai întâi unui tratament termic de recoacere și înmuiere în vederea creșterii proprietăților de plasticitate).

Câteva din produsele obținute prin tragere, cu cea mai largă aplicabilitate, se prezintă în figura 5.85, deosebindu-se:

- barele, de diferite secțiuni (fig. 5.85. a), trase dintr-un produs laminat la cald;
- profilele simple (fig. 5.85. b) și profilele clasice (fig. 5.85. c);
- sârmele, cu diametrul de până la 5,0mm (când laminarea și extrudarea nu sunt avantajoase), trefilate din semifabricate cu diametre cuprinse între 5 și 16mm.
- țevile (fig. 5.85. e), cu diametre până la 400mm, trase din semifabricate tubulare;
- penele de antrenare (fig. 5.85. f);
- ghidajele de diferite forme și secțiuni (fig. 5.85. g);
- arborii canelați de diferite secțiuni (fig. 5.85. h);
- corzile pentru diferite instrumente muzicale (fig. 5.85. i);
- suportii, spițele (fig. 5.85. j) de diferite forme și lungimi;
- barele și țevile calibrate la rece cu dimensiuni precise și calitate foarte bună a suprafeței.

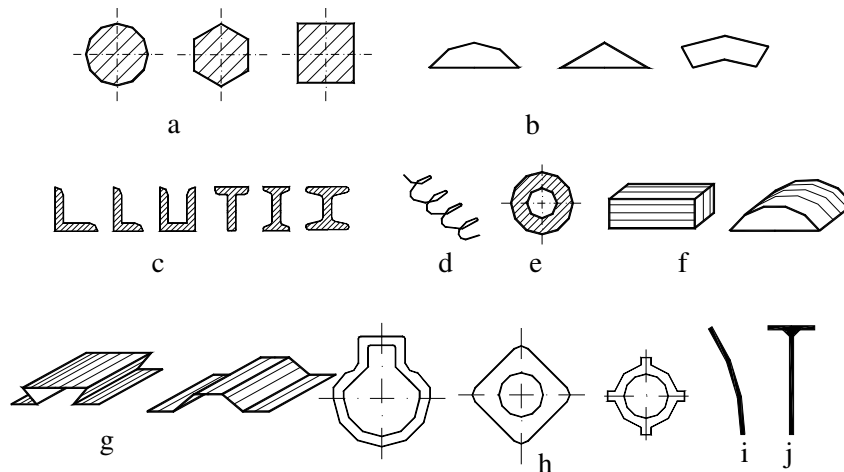


Fig. 5.85. Produse semnificative obținute prin tragere:

- a – bare de diferite secțiuni; b – profile simple; c – profile; d – sârme; e – țevi; f – pene; g – ghidaje;
h – arbori canelați; i – corzi pentru instrumente muzicale; j – spițe.

Produsele obținute prin tragere – trefilare prezintă o serie de avantaje față de celelalte similare obținute prin laminare sau extrudare, astfel:

- precizia dimensională este mai ridicată;

- calitatea suprafețelor este mai bună;
- productivitatea este mai ridicată și necesită utilaje mai simple.

5.9.6. Tehnologia tragerii – trefilării

Pentru a obține un produs prin tragere – trefilare trebuie parcurse într-o succesiune logică următoarele etape distincte:

1. Alegerea semifabricatului inițial se face funcție de configurația geometrică și dimensiunile de gabarit ale produsului tras;
2. Debitarea la dimensiuni se face ținând cont de legea volumului constant;
3. Tratamentul termic inițial – se aplică de regulă recoacerea de înmuiere, pentru creșterea proprietăților de plasticitate;
4. Controlul inițial – se face un control nedistructiv cu ultrasunete, radiații penetrante, lichide penetrante, pulberi magnetice sau emisie acustică, în scopul depistării eventualelor defecte interioare;
5. Stabilirea parametrilor regimului de încălzire (dacă tragerea – trefilarea se face la cald) se face în funcție de natura materialului și volumul producției;
6. Alegerea utilajului de încălzire se face funcție de valorile parametrilor regimului de încălzire și de volumul producției;
7. Pregătirea materialului în vederea tragerii – trefilării cuprinde operațiile de curățire, decapare și tratare superficială. Curățirea presupune îndepărtarea stratului de oxizi (deșunderizarea) și a celorlalte impurități de pe suprafața materialului. Deșunderizarea se efectuează cu ajutorul metodelor mecanice, chimice și electrochimice, precum și prin combinarea lor. Decaparea se efectuează în soluții de acid clorhidric sau sulfuric, soluții de baze sau chiar cu gaze. Imediat după decapare trebuie să se efectueze spălarea, deoarece întârzierile duc la uscarea soluției de decapare și precipitarea sărurilor greu solubile. Spălarea se face mai întâi cu apă caldă și apoi cu un jet de apă rece cu presiunea de $7 \cdot 10^5 \text{ N/m}^2$. După spălare și uscare se aplică stratul de menținere a unsorii, care trebuie să aibă o bună aderență pentru a reține lubrifiantul în timpul prelucrării și pentru a preîntâmpina lipirea materialului de matriță sau filieră. Acest strat se formează prin operațiile de cuprare, fosfatare și de tratare cu var și, în plus, mai are și rolul de a neutraliza eventualele urme de acizi rămase de la decapare;
8. Ascuțirea capului semifabricatului – pentru a permite intrarea în matriță sau filieră și a fi prins de dispozitivul de tragere;
9. Stabilirea numărului de treceri se face în funcție de gradul de deformare ce trebuie realizat și de natura materialului;
10. Alegerea utilajului pentru tragere – trefilarea se face în funcție de natura produsului tras, numărul de treceri și volumul de producție;
11. Încălzirea propriu-zisă (dacă tragerea – trefilarea se face la cald) se face la temperatura de început de deformare;

12. Tragerea – trefilarea propriu-zisă;

13. Tratamentul termic intermediar se aplică după fiecare trecere sau după mai multe treceri, când se produce ecruisarea. Pentru oțelurile cu un conținut de C de 0,4...0,9% se aplică tratamentul termic numit *patentare*, ce face ca materialul ecruisat să capete o structură sorbitică cu mari avantaje privind deformarea plastică. De asemenea, produsul final are o rezistență la rupere superioară. Tratamentul constă în încălzirea deasupra punctului AC_3 (1 120...1 370K) și răcirea în baie de plumb sau săruri topite la o temperatură de 720...820K timp de 10 secunde. În continuare urmează o răcire în apă la temperatura obișnuită.

Pentru oțelurile manganoase (cu 1%C și 12%Mn) și oțelurile inoxidabile (cu 0,1%C, 18%Cr și 9%Ni), care se ecruisează foarte repede, se aplică tratamentul termic de călire (încălzire la 1 370 – 1 420K și răcire în apă sau aer). Se mai poate aplica tratamentul termic de *îmbunătățire* la anumite oțeluri (pentru arcurile de mobilă);

14. Debitarea la dimensiuni se face la cererea beneficiarului;

15. Curățirea – îndepărtarea stratului de oxizi și a impurităților;

16. Tratamentul termic final se face în funcție de destinația ulterioară a produsului tras. Se aplică: recoacerea de înmuiere - pentru sârmă moale, călirea pentru sârme cu proprietăți elastice sau tenace; îmbunătățirea pentru produse cu o structură stabilă și acoperirile galvanice (zincarea, cositorirea, nichelarea etc.) - cu scopul de a proteja suprafața produselor trase de acțiunea agenților corozivi.

17. Îndreptarea, curățirea și rectificarea se fac cu scopul de a îndepărta un eventual strat decarburat și de a asigura același diametru pe întreaga lungime;

18. Controlul final și sortarea;

19. Ambalarea și trimiterea către beneficiar.

În funcție de tipul produsului tras și natura materialului pot apare operații în plus sau pot dispărea anumite operații. De exemplu, schema de principiu a fluxului tehnologic de obținere a unei bare sau țevi prin tragere se prezintă în figura 5.86.

5.9.7. Defectele produselor obținute prin tragere – trefilare

Principalele defecte care apar la produsele trase sau trefilate, în special în timpul procesului propriu – zis de tragere sau trefilare, sunt:

- *abaterile dimensionale*, care se datorează unei uzuri pronunțate a orificiului matriței sau filierei;

- *rizurile longitudinale*, care se datorează prezenței în zona de deformare a unor corpuri străine cu duritate mare (de exemplu granule de nisip antrenate de lubrifiant sau puncte reci de microsuduri);

- *fisurile*, dispuse de la suprafață spre interior și se datorează deformării peste limita de ecruisare;

- *scobiturile*, care au forma unor dinți de fierăstrău și se datorează densității mari provocate de ecruisare;

- *așchiile*, care apar pe unele porțiuni ale produsului și provin din defectele semifabricatului inițial de tipul stropilor reci, suflurilor, incluziunilor nemetalice sau arsurilor sudate superficial ;

- *petele de rugină*, se datorează stropirii produsului cu diferite soluții cu acțiune corozivă.

În cazul tragerii unor produse de tipul țevelor, mai pot apărea câteva defecte specifice, cum ar fi :

- *grosimea de perete neuniformă*, datorită reglării necorespunzătoare a dornului în zona de deformare ;

- *urmele inelare pe suprafața exterioară*, datorită vibrațiilor care apar în zona de deformare ca urmare a lipsei lubrifianului pe țeavă sau profilului necorespunzător al orificiului matriței ;

- *ruperea capului țevii*, datorită unei reduceri prea mari, lipsei lubrifianului sau vitezei de tragere prea mari.

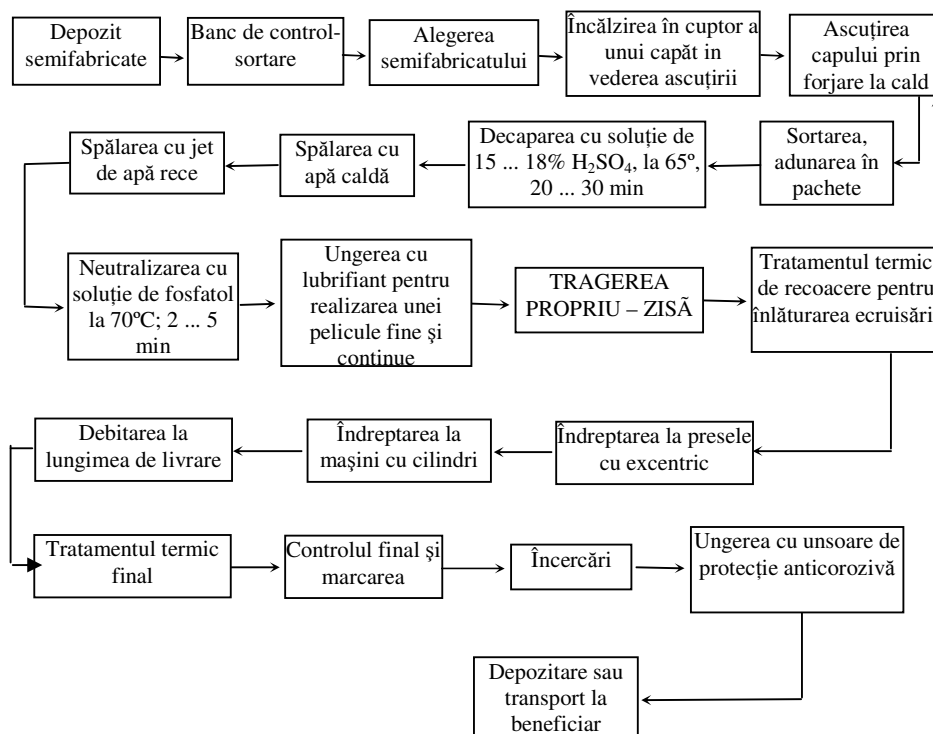


Fig. 5.86. Schema fluxului tehnologic de tragere a unei bare sau țevi.

Toate defectele enumerate mai sus se pot evita prin respectarea instrucțiunilor tehnologice și prin reglarea corectă a sculelor de deformare.

5.9.8. Procedee speciale de tragere

Desigur că pe măsură ce apar noi materiale, cu proprietăți cu totul deosebite, apar și noi procedee de tragere sau trefilare care să permită obținerea eficientă de produse trase sau trefilate cu viteze din ce în ce mai mari și cu o calitate din ce în ce mai bună.

Cercetările întreprinse în ultimii ani în domeniul tragerii-trefilării sunt deosebit de intense și cu drept scop îmbunătățirea procesului tehnologic de tragere-trefilare prin : tragerea și trefilarea unor produse din materiale cu plasticitate scăzută; obținerea de produse trase cu configurație complexă care să nu mai necesite prelucrări ulterioare; reducerea forțelor necesare tragerii-trefilării și creșterea calității produselor trase sau trefilate.

Rezultate deosebite au fost obținute în cazul tragerii și trefilării în câmp ultrasonic. În acest caz se folosește efectul de volum al undelor ultrasonore ce constă în reducerea substanțială a frecării de contact la interfața sculă de deformare materialul de tras. Eficiența suprapunerii energiei ultrasonore peste energia de deformare depinde de modul de introducere al ultrasunetelor în focarul de deformare, deosebindu-se următoarele procedee: cu activarea ultrasonică a filierei sau matriței; cu acționarea ultrasonică a dopului sau a dornului (în cazul țevelor), cu acționarea ultrasonică a materialului sau combinat. De asemenea, în funcție de natura materialului și configurația produsului tras, pot fi folosite unde ultrasonore longitudinale, radiale, torsionale sau combinate.

Schema de principiu a unui sistem ultraacustic de tragere folosind unde longitudinale și unde radiale se prezintă în figura 5.87.

Semifabricatul inițial 1 este forțat să treacă prin scula de deformare 2 sub acțiunea dispozitivului de tragere 3. Scula de deformare 2 (poate fi matriță - în cazul tragerii sau filieră - în cazul trefilării) este fixată în suportul port-sculă 4, dimensionat corespunzător propagării unor unde ultrasonore radiale. Acest suport mai face corp comun cu concentratorul de energie ultrasonoră 5, în care se excită unde ultrasonore longitudinale. Concentratorul de energie ultrasonoră se leagă de transductorul ultrasonor 6, prin intermediul flanșei nodale 7. Transductorul ultrasonor convertește oscilațiile electrice de înaltă frecvență ale generatorului 8 în oscilații mecanice cu frecvență ultrasonoră ($\nu < 16$ kHz).

Sistemul ultraacustic este în permanență răcit 9 și izolat acustic 10. Cu ajutorul acestui sistem se obține o reducere a forței de tragere de 47%, o creștere a gradului de reducere de 15% și o însemnată îmbunătățire a calității suprafețelor. De asemenea, se pot obține produse trase din materiale cu deformabilitate scăzută (titan și aliajele sale, niobiu și aliajele sale, cupru-beriliu etc.).

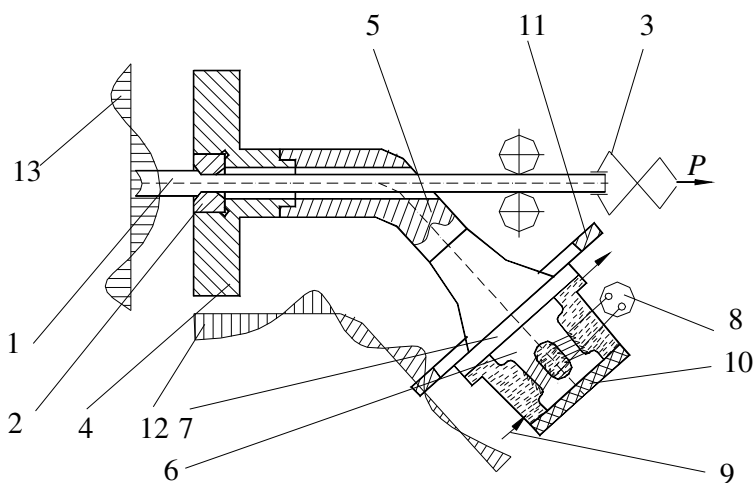


Fig. 5.87. Schema de principiu a unui sistem de tragere combinat în câmp ultrasonor :
 1 – semifabricatul inițial; 2 – scula de deformare; 3 – dispozitivul de tragere; 4 – suportul port-sculă;
 5 – concentratorul de energie ultrasonoră; 6 – transductorul ultrasonor; 7 – flanșa nodală;
 8 – generatorul de oscilații electrice; 9 – sistemul de răcire; 10 – izolantul acustic; 11 – sistemul de
 fixare; 12 ;13 – diagrama de variație a amplitudinii vitezei particulei în cazul oscilațiilor longitudinale
 și respectiv radiale.

5.10. FORJAREA

5.10.1. Definire

Forjarea este procedul de prelucrare prin deformare plastică ce constă în modificarea formei unui semifabricat prin crearea unei stări tensionale în volumul materialului, însoțită de curgerea lui pe diferite direcții sub acțiunea unor forțe de presare și/sau lovire succesivă.

În funcție de modul cum are loc curgerea materialului sub acțiunea acestor forțe sunt definite două procedee:

- *forjarea liberă* (forjarea propriu-zisă), unde curgerea materialului este liberă;
- *forjarea în matriță* (matrițarea), unde curgerea materialului este direcționată de cavitățile unei scule numită matriță.

5.10.2. Materiale și semifabricate destinate forjării

Pentru obținerea pieselor forjate liber se folosesc semifabricate confecționate din metale și aliaje feroase și neferoase. Prin materiale forjabile se

înțeleg toate metalele și aliajele care pot fi deformate plastic prin forjare, în scopul obținerii unor piese sau semifabricate de configurații și dimensiuni diferite. Caracteristicile funcționale și tehnologice ale acestora sunt influențate în primul rând de compoziția lor chimică (de exemplu, la oțelurile carbon, elementul chimic de cea mai mare influență asupra fragilității este carbonul, iar la oțelurile aliate, cantitatea de elemente de aliere).

Cele mai folosite materiale în atelierele de forjare sunt oțelurile calmate (peste 80% din materialele care se forjează) cu un conținut de carbon de până la 1,4% (peste această limită oțelurile devin greu forjabile). Oțelurile aliate care conțin diferite elemente de aliere (Si, Mn, Cr, Ni, Mo, V, W, Co, B, Ti etc) au o forjabilitate diferită în funcție de constituenții structurali pe care îi formează elementele chimice aflate în compoziție.

Dintre metalele și aliajele neferoase cele mai des folosite la obținerea pieselor prin forjare sunt: aluminiul și aliajele acestuia cu Si, Cu, Zn, Mg, Mn etc.; cuprul și aliajele acestuia cu Zn (alamele), cu Sn și Al (bronzurile), aliajele de magneziu cu Mn, Al, Zn etc. și altele.

Un rol deosebit de important la întocmirea procesului tehnologic de realizare a unei piese prin forjare îl are cunoașterea exactă a proprietăților de plasticitate și deformabilitate. Pentru aceasta se folosesc diferite metode de încercare, fiecare având avantajele și dezavantajele ei. În cazul cel mai general, se utilizează metodele:

- *încercarea la tracțiune*, pe epruvete standardizate, încălzite la temperatura corespunzătoare. Se determină doi indici de bază ai plasticității: alungirea relativă și gătuirea (stricțiunea). Cu cât alungirea și gătuirea sunt mai mari, cu atât plasticitatea este mai ridicată și invers;

- *încercarea la încovoiere prin șoc*, pe epruvete standardizate, încălzite la temperatura necesară. Plasticitatea se apreciază pe baza energiei cheltuite pentru ruperea epruvetei încălzite la temperatura de deformare;

- *încercarea la refulare*, pe epruvete cilindrice (fig.5.88) cu înălțimea $h_0 = 1,5...2,5 d_1$, încălzite până la temperatura corespunzătoare naturii materialului. Epruveta inițială 1 se supune operației de deformare prin lovire sau presare, în funcție de viteza de deformare ce trebuie realizată până capătă forma 2 (dimensiunile h_1 și d_1). Deformarea se face prin refulare la grade de deformare diferite, astfel alese încât să se poată determina gradul de deformare la care, pe suprafața epruvetelor, apar primele crăpături. În acest caz plasticitatea materialului se determină prin gradul de deformare admisibil ϵ_a , care se calculează cu relația:

$$\epsilon_a = \frac{h_1 - h_0}{h_0} \cdot 100 \quad [\%] \quad (5.155)$$

în care: h_0 este înălțimea inițială a epruvetei în mm; h_1 – înălțimea epruvetei după deformarea prin refulare până la apariția primei crăpături pe suprafață, în mm;

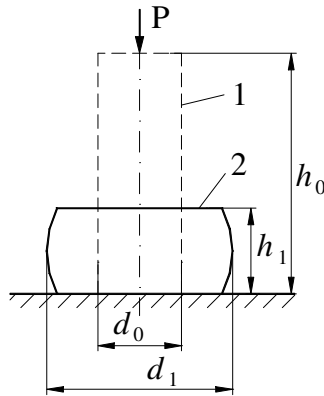


Fig. 5.88. Schema încercării la refulare:
1 – epruveta inițială; 2 – epruveta deformată prin refulare.

- *încercarea la torsiune*, pe epruvete standardizate, încălzite la temperatura corespunzătoare naturii materialului. Se determină numărul de rotații până la ruperea epruvetei ce constituie un indice de apreciere a deformabilității în cazul anumitor scheme de deformare;

- *încercarea la întindere prin forjare*, pe epruvete cilindrice sau prismatice cu lungimea de 3...5 ori mai mare ca diametrul sau grosimea secțiunii transversale, la temperatura corespunzătoare naturii materialului. Epruvetele se supun operației de întindere prin forjare până la distrugerea integrității materialului. Se determină gradul admisibil de deformare ϵ_a cu relația:

$$\epsilon_a = \frac{h'_0 - h'_1}{h'_0} \cdot 100 \quad [\%], \quad (5.156)$$

în care: h'_0 și h'_1 reprezintă înălțimea inițială și finală a epruvetei, în mm;

- *metoda laminării penei*, ce constă în laminarea unei bare de secțiune constantă între doi cilindri având calibrele executate după o rază variabilă. În urma laminării se obține un produs de forma unei pene, printr-o singură trecere obținându-se o gamă întreagă de grade de deformare. Zona unde apar primele crăpături pe bara laminată constituie locul unde s-a atins gradul admisibil de deformare plastică ϵ_a , ce se calculează cu relația:

$$\epsilon_a = \frac{h''_0 - h''_1}{h''_0} \cdot 100 \quad [\%], \quad (5.157)$$

în care: h''_0 este înălțimea barei în secțiunea transversală înainte de laminare, în mm; h''_1 înălțimea barei după laminare, în porțiunea unde materialul a început să

fisuraze, în mm.

În funcție de natura materialului, schema stării de tensiuni la deformare și configurația geometrică a piesei forjate se pot aplica și alte metode de determinare a plasticității.

Calitatea pieselor forjate depinde în primul rând de modul în care semifabricatele destinate forjării corespund din punctul de vedere al formei, compoziției chimice, structurii, stării suprafeței, metodei de încălzire etc. Formele cele mai uzuale de semifabricate care pot fi destinate forjării sunt cele turnate în lingouri și laminatele, astfel:

- pentru piesele de dimensiuni și mase mari, chiar peste 300 t (arbori drepți, arbori cotiți, axe, discuri pentru turbine, rotoare pentru generatoare, cazane de înaltă presiune, prăjini de foraj etc.) se folosesc *lingourile* cu secțiune transversală rotundă, poligonală sau de forme speciale (alungite, tubulare, cu conicitate mare etc.);
- pentru piesele de dimensiuni și mase medii (osii de vagoane, arbori cotiți, cârlige de macara, axe cu came, biele, pârgii etc.) se folosesc *prelaminele* (blumurile, bramele, țagile, platinele etc.);
- pentru piesele de dimensiuni și mase mici (axe, arbori, furci, pârgii, biele, manivele, capace, flanșe, inele etc.) se folosesc diferite *profile laminate* (profile ușoare rotunde, pătrate, profile de formă specială, profile periodice etc.).

5.10.3. Forjarea liberă

Forjarea liberă este procedeul de prelucrare prin deformare plastică ce constă în modificarea formei unui semifabricat prin crearea unei stări tensionale în volumul materialului sub acțiunea unor forțe de lovire și/sau presare, însoțită de curgerea plastică liberă a acestuia, după legea minimei rezistențe.

Procedeul se aplică:

- în scopul îmbunătățirii proprietăților mecanice ale metalelor și aliajelor turnate;
- în scopul obținerii din lingouri și semifabricate a unor piese de dimensiuni și configurații date.

Procedeele de forjare liberă sunt foarte variate dar ele nu reprezintă decât combinarea câtorva operații simple, numite *operații de bază la forjarea liberă*.

5.10.3.1. Operațiile de bază la forjarea liberă

În funcție de modul cum se creează starea tensională în volumul materialului și de modul cum are loc curgerea plastică a acestuia se deosebesc următoarele operații:

- *Refularea* – operația de forjare liberă ce constă în mărirea secțiunii transversale a unui semifabricat inițial prin micșorarea lungimii sau înălțimii

inițiale a acestuia (fig.5.89). Epruveta inițială 1, de dimensiuni h_0 și d_0 , este deformată cu scula 2 până devine de forma 3, de dimensiuni finale h_1 și d_1 . În funcție de scopul urmărit, în practică se întâlnesc următoarele variante de bază: *refularea plană* (fig.5.89. a); *refularea cu o proeminență* (fig. 5.89. b) și *refularea cu două proeminențe* (fig.5.89. c).

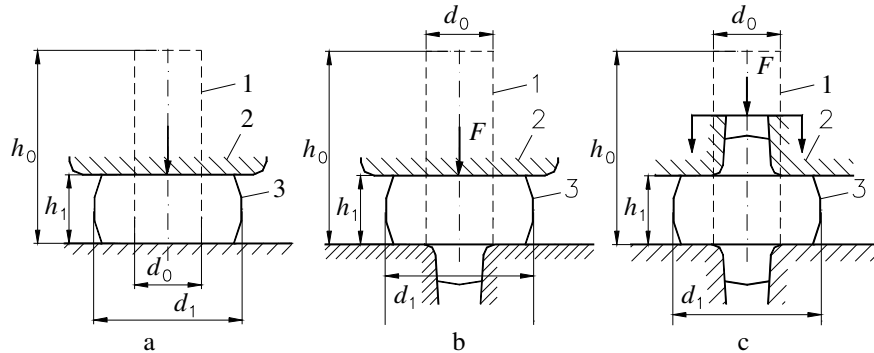


Fig. 5.89. Schema de principiu a refulării:

a – plană; b – cu o proeminență; c – cu două proeminențe; h_0 ; d_0 – dimensiunile epruvetelor inițiale; h_1 , d_1 – dimensiunile epruvetei refulate; 1 – epruveta inițială; 2 – scula de deformare; 3 – epruveta refulată.

Operația de refulare se execută în următoarele cazuri:

- pentru obținerea pieselor forjate cu secțiunea transversală mare din semifabricate cu secțiunea transversală mică;
- pentru obținerea pieselor de genul flanșelor, cu unul sau cu două cepuri axiale;
- pentru obținerea pieselor de genul roților dințate, discurilor, capacelor etc.;
- ca operație prealabilă în vederea găuririi prin forjare.

Volumul de material supus deformării prin refulare poate să curgă plastic uniform în toată masa lui sau neuniform.

O problemă importantă ce trebuie rezolvată la refulare este determinarea forțelor de refulare și a lucrului mecanic necesar refulării, deoarece în funcție de valorile acestuia se aleg utilajele de deformare și sculele de deformare. Deoarece la refulare, secțiunea transversală a semifabricatului crește și raportul d/h crește, o dată cu aceasta se mărește și presiunea de deformare (fig.5.90). Forța de deformare poate fi stabilită ținând cont de legea volumului constant:

$$S_0 \cdot h_0 = S_x \cdot h_x. \quad (5.158)$$

Considerând rezistența la deformare R_d , a materialului constantă pe tot parcursul deformării, forța necesară refulării F_x până la înălțimea h_x se determină

cu relația:

$$F_x = S_x \cdot R_d = S_0 \cdot \frac{h_0}{h_x} \cdot R_d. \quad (5.159)$$

Deoarece refularea se face de la înălțimea h_0 la h , forța necesară refulării F devine:

$$F = S_0 \cdot \frac{h_0}{h_x} \cdot R_d. \quad (5.160)$$

Pentru un calcul mai exact al forței de refulare reale, trebuie luată în considerare influența vitezei de deformare asupra lui R_d și forțele de frecare F_f la interfața material – sculă de deformare.

Ținând cont de acestea se obține pentru forța reală necesară refulării F_r , expresia:

$$F_r = S_0 \cdot \frac{h_0}{h} \left(1 + \frac{\mu}{3} \cdot \frac{d}{h} \right) R_d, \quad (5.161)$$

în care: μ este coeficientul de frecare.

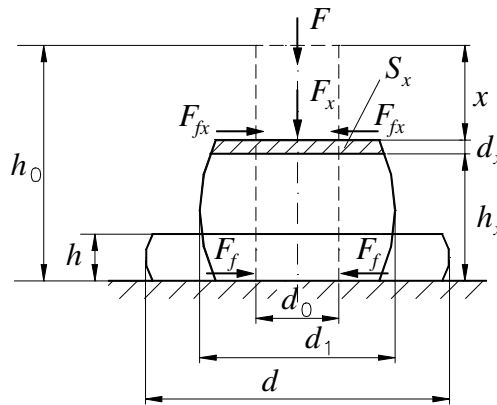


Fig. 5.3. Elementele necesare determinării forței de refulare F și a lucrului mecanic necesar refulării:

h_0 ; d_0 – dimensiunile inițiale; h_x – înălțimea epruvetei la distanța x ; d ; h – dimensiunile finale;
 S_x – secțiunea epruvetei la distanța x ; F_{fx} – forța de frecare la interfața material - scule de deformare.

Pentru determinarea lucrului mecanic necesar la refulare se poate considera un lucru mecanic elementar dL , dat de relația:

$$dL = F_x \cdot d_x = p \cdot S_x \cdot D_x, \quad (5.162)$$

în care: p este presiunea de deformare.

Dar secțiunea S_x , la distanța x se poate determina din legea volumului constant:

$$S_x = \frac{V}{h_0 - x} \quad (5.163)$$

și expresia (5.162) devine:

$$dL = p \cdot V \cdot \frac{dx}{h_0 - x}. \quad (5.164)$$

Ținând cont că deformarea semifabricatului se produce de la înălțimea inițială h_0 la înălțimea finală h , se obține lucrul mecanic necesar refulării prin integrarea expresiei (5.164), deci:

$$L = \int_0^{h_0-h} p \cdot V \cdot \frac{dx}{h_0 - x} = p \cdot V \cdot \ln \frac{h_0}{h}. \quad (5.165)$$

Relația (5.165) permite determinarea masei părții căzătoare G , a ciocanelor pentru forjare, rezultând:

$$G = \frac{2g}{v^2 \cdot \eta} p \cdot V \cdot k \frac{h_0}{h}, \quad (5.166)$$

în care: η este randamentul ciocanului forjor ($\eta = 0,75 \dots 0,95$); v – viteza de cădere sau de impact, în m/s; g - accelerația gravitației ($g = 9,81 \text{ m/s}^2$).

În scopul micșorării forței de deformare, precum și al sudării defectelor de turnare, refularea trebuie executată la temperaturi cât mai ridicate, adică la temperatura de început de deformare. De asemenea, în scopul ușurării operației de refulare și al micșorării neuniformității deformației, încălzirea trebuie să fie uniformă, iar suprafețele de la capete să fie plane și perpendiculare față de axa longitudinală;

- **Întinderea** – operația de forjare liberă prin care se modifică substanțial lungimea unui semifabricat prin micșorarea secțiunii transversale. În funcție de configurația geometrică a semifabricatului și a piesei și de scopul urmărit se deosebesc mai multe variante:

- întinderea *simplă* (fig. 5.91) ce constă într-o succesiune de refulări parțiale, cu deosebirea că la refulare deformarea pe orizontală se produce liber în ambele direcții, iar la întindere, deformarea este frânată pe una din direcțiile orizontale, datorită prezenței capetelor exterioare (lățirea este mult îngreunată). Semifabricatul inițial 1, de dimensiuni l_0, b_0, h_0 este deformat prin întindere cu nicovalele 2 și 3, rezultând produsul 4, de dimensiuni finale l_1, b_1, h_1 .

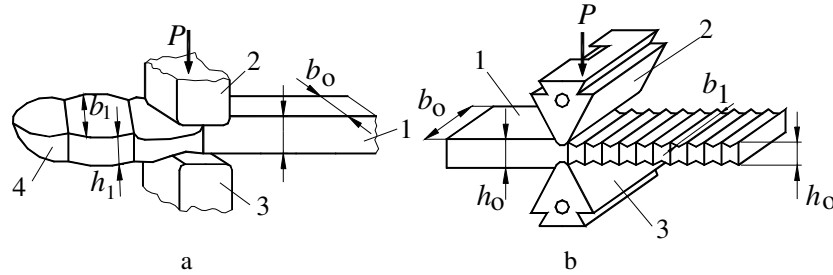


Fig. 5.91. Schema de principiu la operația de întindere prin forjare:
a – pe nicovale cu suprafețe plan-paralele; b – pe nicovale cu suprafețe rotunjite: 1 – semifabricatul inițial de dimensiuni h_o, l_o, b_o ; 2; 3 – scule pentru deformare (nicovale); 4 – piesa obținută prin întindere de dimensiuni l_1, b_1, h_1 .

În timpul procesului de întindere are loc :

- o întindere Δh a înălțimii semifabricatului:

$$\Delta h = h_o - h_1, \quad (5.167)$$

- o lățire Δb în direcția transversală:

$$\Delta b = b - b_o, \quad (5.168)$$

- o substanțială lungire Δl , a semifabricatului:

$$\Delta l = l - l_o. \quad (5.169)$$

Sculele principale cu ajutorul cărora se realizează întinderea prin forjare liberă se numesc *nicovale*, acestea putând fi: cu suprafețele plan-paralele (fig.5.91. a); cu suprafețele rotunjite (fig. 5.91. b); cu suprafețele combinate și nicovale profilate cu unghiul cavității între 95° și 135° .

Determinarea valorii forței de întindere P , a lucrului mecanic necesar întinderii L și a masei părții căzătoare G se face în mod analog ca la refulare obținându-se expresiile:

$$P = p \cdot l_o \cdot b_o, \quad (5.170)$$

$$L = p \cdot V \cdot h \frac{l_1}{l_o}, \quad (5.171)$$

$$G = \frac{2 \cdot g \cdot L}{v^2 \cdot \eta}, \quad (5.172)$$

în care : p este presiunea medie de deformare; l_o – lungimea inițială a porțiunii din semifabricat prins între nicovale; l_1 - lungimea după deformare; V – volumul de

material prins la o deformare între nicovale; g – accelerația gravitațională; v – viteza de cădere accelerată ($v = 6...8\text{m/s}$); η – randamentul utilajului ($\eta = 0,85...0,95$);

- întinderea pe *dorn* (fig.5.92) ce constă în modificarea diametrului exterior și a lungimii unui semifabricat tubular, sub acțiunea unor lovituri succesive.

Semifabricatul inițial 1, de dimensiune l_0 , d_{e0} și grosimea peretelui s_0 se introduce pe dornul 2 și se așează împreună pe nicovale profilată 3. Cu nicovalea 4, ce poate fi profilată, se aplică lovituri succesive cu forța P , până se obține produsul forjat de dimensiuni $l_1 > l_0$, $d_{e1} < d_{e0}$ și $s_1 < s_0$.

Sunt și situații în care, gaura inițial pătrunsă se astupă complet sau își micșorează numai diametrul la unul din capete (întinderea pe dorn cu ștrangulare). Se aplică pentru obținerea tuburilor lungi și cu pereți subțiri. Se folosesc scule profilate, iar pentru o extragere ușoară a dornului, acesta se execută cu o conicitate de $1/100...1/150$. De asemenea, se recomandă ca înainte de a fi introdus dornul pe tub, acesta să fie uns cu un lubrifiant rezistent la temperaturi ridicate;

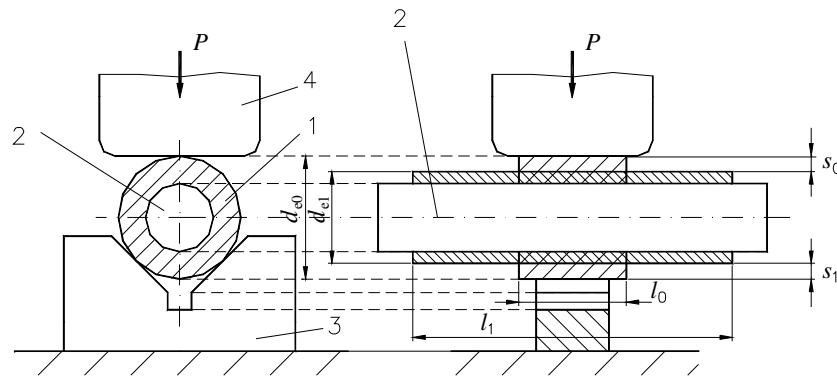


Fig. 5. 92. Schema de principiu la întinderea pe dorn:

1 – semifabricatul inițial de dimensiuni inițiale l_0 , d_{e0} și s_0 ; 2 – dornul de întindere; 3; 4 – nicovale;
5 – produsul forjat de dimensiuni finale l_1 , d_{e1} și s_1 .

- lărgirea pe *dorn* (fig. 5.93) ce constă în modificarea diametrului interior și exterior al unui semifabricat tubular pe seama micșorării grosimii peretelui. Semifabricatul tubular 1, de dimensiuni inițiale d_{i0} , d_{e0} , b_0 și s_0 , se așează pe dornul 2, sprijinit la rândul său de nicovale profilată 3. Cu ajutorul nicovalei 4, i se aplică semifabricatului lovituri succesive cu forța P , rezultând în final produsul forjat de dimensiuni $d_{i1} > d_{i0}$; $d_{e1} > d_{e0}$; $b_1 > b_0$ și $s_1 < s_0$.

Alegerea dimensiunilor dornului se face prin calcule de rezistență sau folosind anumite nomograme ridicate experimental.

La proiectarea procesului tehnologic de realizare a unei piese prin întindere trebuie avute în vedere următoarele elemente importante: dimensiunile inițiale și

finale; coeficientul de formă; domeniul deformărilor admisibile; numărul de treceri; numărul de lovituri și neuniformitatea deformației.

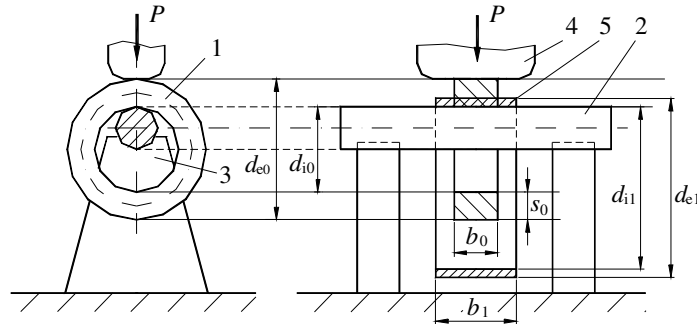


Fig. 5.93. Schema de principiu la operația de lărgire pe dorn:

1 – semifabricatul inițial de dimensiuni d_{i0} , d_{e0} , b_0 și s_0 ; 2 – dornul de lărgire; 3; 4 – nicovale;
5 – produsul forjat de dimensiuni finale d_{i1} , d_{e1} , b_1 și s_1 .

• **Găurirea** – operația de forjare liberă prin care se obține o gaură pătrunsă sau nepătrunsă într-un semifabricat sau o piesă forjată. În funcție de diametrul găurii necesar a fi realizată se întâlnesc două variante:

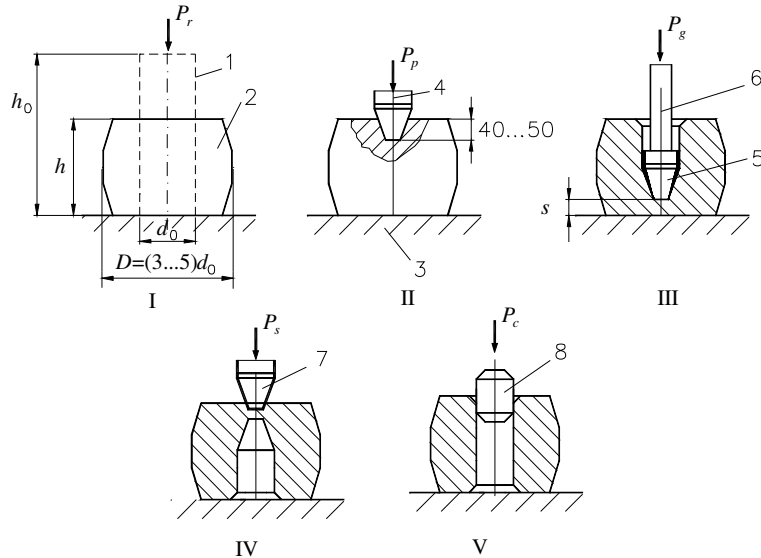


Fig. 5.94. Schema de principiu la găurirea cu perforator plin:

1 – semifabricatul inițial; 2 – semifabricatul refulat; 3 – nicovala; 4 – dornul de pregăurire; 5 – dornul de găurire; 6 – prelungitorul; 7 – dornul de străpungeră; 8 – dornul de calibrare; P_r ; P_p ; P_g ; P_s ; P_c – forța necesară refulării, pregăuririi, găuririi, străpungerii și respectiv calibrării; IV – faze ale găuririi cu perforator plin.

- găurirea *cu perforatoare pline* (fig. 5.94) folosită pentru obținerea de găuri cu diametre mai mici de 400 mm;
- găurirea *cu perforatoare tubulare* (fig. 5.95) folosită pentru obținerea de găuri cu diametre mai mari de 400 mm.

La găurirea cu perforatoare pline semifabricatul inițial 1 de dimensiuni inițiale d_0 și h_0 este mai întâi supus operației de refulare, până se obține un semifabricat de diametru $D = (3...5) d_0$ (I). Semifabricatul refulat se așează pe nicovala 3 și cu ajutorul dornului 4 se execută o mică gaură cu adâncimea de 40...50 mm (II). În gaura executată se introduce praf de cocs, de grafit sau altă substanță de ungere (cu scopul de a micșora frecarea în timpul găuririi și de a ușura scoaterea dornului) și apoi dornul de găurire 5, acționat de prelungitorul 6. Se găurește materialul până este respectată condiția $s = (0,25...0,30) h$ (III). După ce dornul a pătruns până la înălțimea s , semifabricatul se întoarce cu 180° , se îndreaptă suprafața devenită convexă și cu dornul de străpungere 7 se execută gaura (IV). Pentru a înlătura conicitatea găurii și a corecta înclinarea axială se execută în final o operație de calibrare a găurii cu ajutorul dornului de calibrare 8 (V).

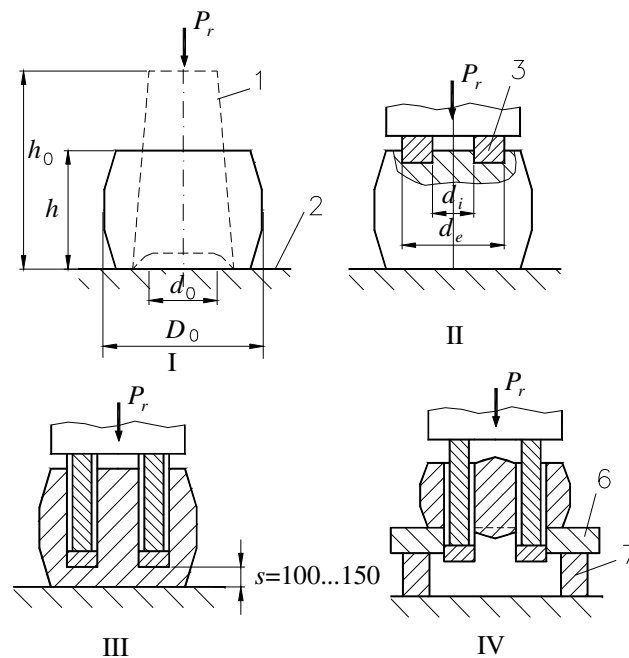


Fig. 5. 95. Schema de principiu la găurirea cu perforator tubular:

1 – semifabricatul inițial; 2 – masa preseii; 3- perforatorul de pregăurire; 4 – perforatorul de găurire; 5 – prelungitorul; 6 - inel de perforare, 7- suport; I; II; III; IV – faze ale găuririi cu perforator tubular.

Găurirea cu perforator tubular se utilizează mai ales în cazul lingourilor și pentru a înlătura o serie de defecte ale lor. În acest scop, lingoul 1 se așează pe masa 2, a piesei, cu retasura în jos și se supune operației de refulare (I). În partea superioară se găurește pe o adâncime de 30...40 mm cu un perforator plin sau tubular 3 și apoi se presară un strat de substanță de ungere în grosime de 2...3 mm (II). În continuare se execută găurirea propriu-zisă cu perforatorul tubular 4 acționat de prelungitorul 5, până când din înălțimea totală a piesei mai rămâne o grosime $s = 100...150$ mm nepătrunsă (III). Se face apoi străpungerea găurii folosind același perforator și așezând semifabricatul pe inelul de perforare 6 fixat pe suportul 7.

Această metodă prezintă dezavantajul unor pierderi mari de material în deșeuri.

• **Îndoirea** – operația de prelucrare prin forjare liberă prin care semifabricatul sau piesa forjată se curbează pe axa longitudinală după conturul și direcția ce se cer în desenul piesei finite sau forjate (fig. 5.96).

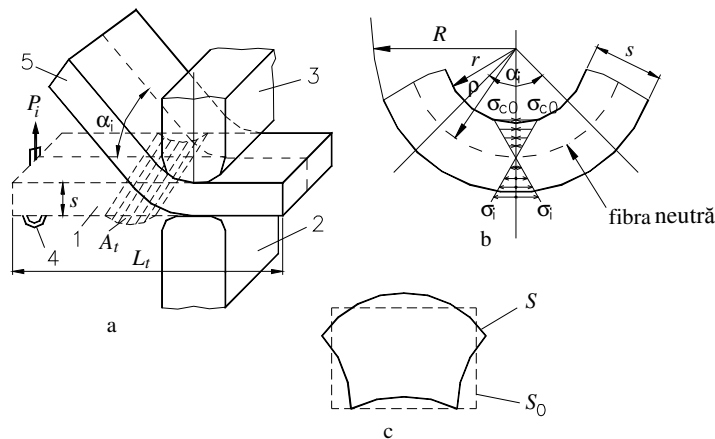


Fig. 5. 96. Schema de principiu la îndoire:

a – îndoirea propriu -zisă; b - starea de tensiuni; c – modificarea secțiunii;

1 – semifabricatul inițial; 2, 3- scule de deformare; 4 - dispozitiv de aplicare a forței de îndoire P_i ; 5 - produsul îndoit; α_i – unghiul de îndoire; A_t – adaosul tehnologic; ρ - raza fibrei medii (neutre); σ_i - tensiuni de întindere; σ_{c0} – tensiuni de compresie; S_0 – secțiune inițială; S – secțiune finală.

Semifabricatul inițial 1 se prinde între sculele de deformare 2 și 3 (calapoade, poansoane sau matrițe) și cu ajutorul dispozitivului 4 se aplică forța de îndoire P_i rezultând produsul deformat 5 (fig. 5.96. a). Indiferent de modul în care se execută îndoirea, cu sau fără dispozitive ajutătoare, la presă sau la ciocan, în timpul îndoirii materialului se creează în zona de curbură (fig. 5.96. b) atât tensiuni de întindere σ_i (în partea exterioară), cât și tensiuni de compresie σ_{c0} (în partea interioară). Ca o consecință a tensiunilor ce se creează în zona de curbură,

secțiunea transversală inițială S_o a semifabricatului se subțiază la exterior și se îngroașă la interior devenind de forma S (fig. 5.96. c).

Aceste fenomene se petrec cu atât mai intens cu cât raportul dintre raza de curbură r și diametrul d sau grosimea s a semifabricatului este mai mare. În cazul materialelor cu plasticitate redusă pot să apară crăpături în partea superioară. De aceea, pentru a evita modificarea secțiunii și apariția crăpăturilor, semifabricatul trebuie pregătit tehnologic în vederea îndoirii.

Pregătirea tehnologică prealabilă constă în încălzirea corespunzătoare a materialului și realizarea anticipată a unor surplusuri de material în zona care se îndoaie, numite *adaosuri tehnologice* A_t .

De importanță deosebită pentru procesul tehnologic de îndoire este alegerea semifabricatului inițial și determinarea lungimii L_t , a acestuia. Determinarea lungimii semifabricatului inițial L_t se face cu relația:

$$L_t = l_c + l_d + l_a, \quad (5.73)$$

în care: l_c este lungimea porțiunii curbate și se determină cu relația :

$$l_c = (r + 0,45 \cdot s) \frac{\pi \cdot \alpha_i}{180}, \quad (5.174)$$

l_a – lungimea adaosului tehnologic ($l_a = 1,5 \dots 3,0 s$), iar l_d este lungimea porțiunilor drepte; α_i – unghiul la centru al sectorului de cerc, care încadrează raza de curbură (fig. 5.96. b).

Pentru calculul forței de îndoire trebuie luat în considerare momentul de îndoire necesar învingerii tensiunilor care apar în secțiunea semifabricatului. Dacă se ține seama și de frecarea ce apare între semifabricat și sculele de deformare rezultă pentru forța de îndoire P_i , expresia:

$$P_i = c \cdot \frac{4 \cdot R_d \cdot I}{(r + s) \sin \frac{\alpha_i}{2}}, \quad (5.175)$$

în care: R_d este rezistența medie la deformare; c – coeficient de corecție ce ține seama de frecare ($c = 1,3 \dots 1,5$); I – momentul static al jumătății de suprafață față de axă și are diferite valori, în funcție de forma secțiunii transversale a semifabricatului, astfel:

$$I = \frac{a^3}{8}, \text{ pentru o secțiune pătrată de latură } a; \quad (5.176)$$

$$I = \frac{\pi \cdot d^3}{12}, \text{ pentru o secțiune circulară cu diametrul } d; \quad (5.177)$$

$$I = \frac{b \cdot h^3}{8}, \text{ pentru o secțiune dreptunghiulară de dimensiuni } b \times h. (5.178)$$

• **Răsucirea** – operația de prelucrare prin forjare liberă ce constă în rotirea unor părți ale semifabricatului în jurul axei longitudinale cu un unghi a cărui mărime este determinată de forma și configurația piesei (fig. 5.97). Operația de răsucire poate fi executată simultan pe întreaga porțiune de răsucire a piesei (cazul burghiilor elicoidale) sau în trepte (cazul arborilor cotiți).

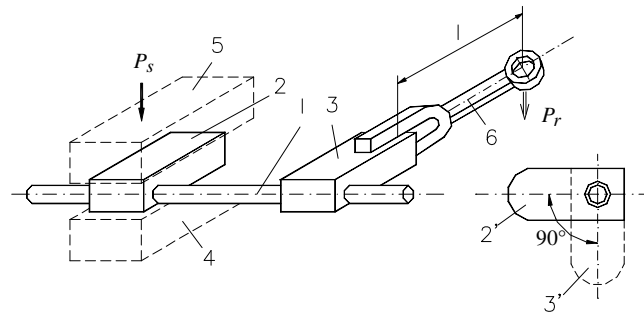


Fig. 5. 97. Schema de principiu la răsucire:

1 – semifabricatul inițial; 2; 3 – coturi ; 4 – nicovala inferioară; 5 – nicovala superioară; 6 – furcă;
2'; 3' – noile poziții ale coturilor 2 și 3.

În timpul răsucirii semifabricatului iau naștere tensiuni de întindere σ_i , care favorizează apariția fisurilor și crăpăturilor în direcția longitudinală, și tensiuni de comprimare σ_{co} (fig. 5. 98). Pentru a evita fenomenul de crăpare în direcție longitudinală este necesar ca semifabricatul să fie răsucit, atunci când plasticitatea lui este maximă (se execută la temperatura de început de deformare). De asemenea, este necesar ca semifabricatul să nu aibă defecte de suprafață sau de material în porțiunile de răsucire, deoarece acestea pot constitui amorse de distrugere a integrității materialului.

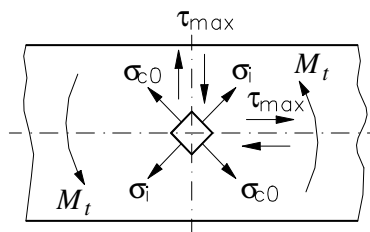


Fig. 5. 98. Starea de tensiuni la suprafața unui semifabricat răsucit:

σ_{co} – tensiuni de compresiune; σ_i – tensiuni de întindere; τ_{max} – tensiunea de forfecare maximă;
 M_t – momentul de torsiune.

Parametrii tehnologici importanți la operația de răsucire sunt: temperatura de încălzire a semifabricatului în vederea deformării; unghiul de răsucire; starea suprafeței materialului în zona de răsucire; forța necesară răsucirii și forma secțiunii semifabricatului.

Forța necesară răsucirii se determină scriind momentul de răsucire M_t în două moduri:

$$M_t = \delta \cdot W = F_r \cdot l, \quad (5.179)$$

în care δ este tensiunea tangențială maximă F_r – forța necesară răsucirii; l – lungimea brațului furcii (vezi fig. 5.10); W – modulul de rezistență ce are valorile:

$$W = \frac{\pi d^3}{12} \text{ pentru secțiuni circulare,} \quad (5.180)$$

$$W = \frac{a^3}{3} \text{ pentru secțiuni pătrate.} \quad (5.181)$$

Din relația (5.179) rezultă forța necesară răsucirii F_r , de forma:

$$F_r = \frac{R_d \cdot W}{l\sqrt{3}}, \quad (5.182)$$

în care: R_d este rezistența la deformare a materialului;

- *Tăierea prin forjare* – operația de prelucrare prin forjare liberă ce constă în separarea totală sau parțială a unor bucăți din semifabricat în piese sau în semifabricate pentru alte procedee de prelucrare (fig. 5.99). Ca principale operații de tăiere sunt: *crestarea* (fig. 5.99. a) prin care se realizează pregătirea semifabricatelor în vederea schimbării de secțiune; *despicarea* (fig. 5.99. b), când semifabricatul se taie doar pe o anumită lungime cu o sculă aferentă, și *debitarea* (fig. 5.99. c), când se îndepărtează bucăți de material din semifabricat.

Crestarea se utilizează în general la forjarea prin întindere a axelor în trepte și la dezaxarea manetoanelor arborilor cotiți; despicarea se practică în general la piese de tipul furcilor, fuzetelor sau pârgărilor, iar debitarea se utilizează pentru detașarea unor capete de material din semifabricate sau piese forjate sau pentru fragmentarea unor bare de lungime mare ;

- *Sudarea prin forjare* – operația de forjare liberă ce constă în realizarea unei îmbinări nedemontabile între două sau mai multe bucăți de material ce vor forma piesa, sub acțiunea unor forțe de lovire succesive. Sudarea prin forjare are mai mult importanță istorică, deoarece este primul procedeu de îmbinare nedemontabilă cunoscut de om, dar acum se folosește foarte puțin. Se aplică doar oțelurilor nealiat și cu conținut scăzut de carbon (< 0,25% C). În vederea sudării prin forjare, capetele ce urmează a fi îmbinate între ele se pregătesc corespunzător:

se îngroașă prin refulare, la *sudarea prin suprapunere* (fig. 5.100. a), sau se îngroașă prin refulare și despicare, la *sudarea prin împletire* (fig. 5.100. b).

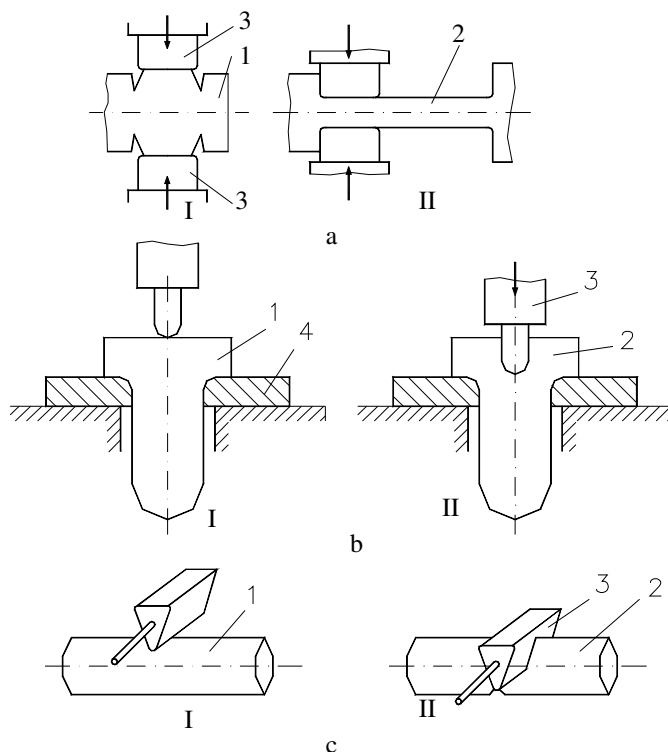


Fig. 5.99. Schema de principiu la tăierea prin forjare:

a – crestarea; b – despicarea; c – debitarea; I – faza inițială; II – după crestare, despicare sau debitare:
1 - semifabricat inițial; 2 - produsul obținut; 3 - scule folosite; 4 – suport.

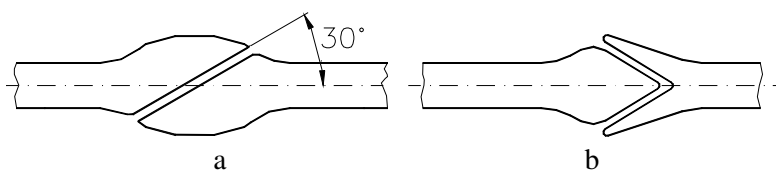


Fig. 5.100. Variante de sudare prin forjare:

a – sudarea prin suprapunere; b – sudarea prin împletire.

După ce au fost pregătite corespunzător, capetele semifabricatelor pentru sudare se încălzesc împreună până la temperatura de 1 350°-1 380°C (în funcție de conținutul de carbon) și apoi se începe sudarea cu lovituri ușoare și rare, iar după

ce piesele s-au prins se intensifică numărul de lovituri și puterea de lovire până se realizează îmbinarea corespunzătoare.

5.10.3.2. Tehnologia forjării libere

În vederea realizării unei piese prin forjare liberă trebuie parcurse, într-o succesiune logică, următoarele etape distincte:

1 - Stabilirea rolului funcțional al piesei –pornind de la desenul piesei finite folosind metoda de analiză morfofuncțională a suprafețelor;

2 - Alegerea materialului optim pentru confecționarea piesei – folosind metoda de analiză a valorilor optime. Se pune un mare accent pe proprietățile de plasticitate ale materialului, efectuându-se cel puțin încercările prevăzute în paragraful 5.10.2.;

3 – Întocmirea desenului piesei brut forjate – plecând de la desenul piesei finite (fig. 5.101) pe care se adaugă următoarele categorii de adaosuri:

- *adaosurile de prelucrare* A_p , pe toate suprafețele a căror rugozitate și precizie dimensională nu pot rezulta prin forjare liberă. De asemenea, adaosurile de prelucrare trebuie să asigure și eliminarea straturilor decarburate și oxidate de la suprafața pieselor. Mărimea adaosurilor de prelucrare este în funcție de mărimea și configurația piesei și se aleg conform STAS – 2171-71. Se recomandă ca atunci când se lucrează cu material decojit sau când se lucrează piese de serie, valorile adaosurilor de prelucrare să se micșoreze;

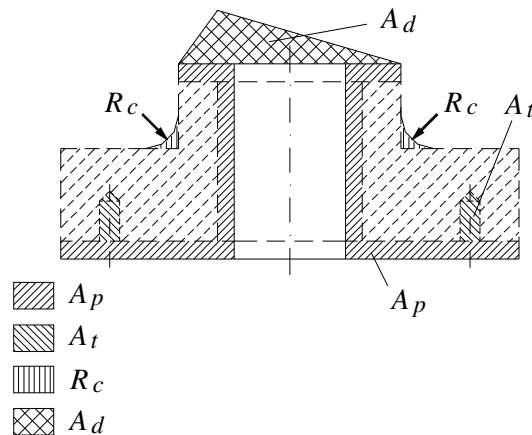


Fig. 5.101. Exemplu de întocmire a desenului piesei brut forjate:

A_p - adaosul de prelucrare; A_t - adaosul tehnologic; A_d - adaosul de debitare; R_c - raze de racordare constructive.

- *adaosurile tehnologice* A_t , pe toate suprafețele care nu pot rezulta prin forjare liberă (găuri de dimensiuni mici; suprafețe conice, zona de trecere dintre

tronsoane învecinate sub diferite unghiuri etc.). Adaosurile tehnologice au și rolul de a simplifica conturul piesei finite în așa fel încât să fie posibilă obținerea ei mai economică prin forjare liberă;

- *razele de racordare constructive* R_c , la toate intersecțiile de tronsoane înclinate. Prin forjare liberă, datorită construcției sculelor, nu pot fi obținute unghiuri drepte sau ascuțite, de aceea se prevăd aceste raze de racordare. Ele mai au și rolul de a evita apariția defectelor de tipul fisurilor sau crăpăturilor la intersecția de tronsoane;

- *adaosurile de debitare* A_d , pe toate suprafețele capetelor de prindere și manevrare cu ajutorul sculelor de forjare pe utilajul de forjare. Mărimea acestor adaosuri este în funcție de dimensiunile transversale ale tronsonului din care se execută debitarea capetelor (lungimea acestor capete de prindere este $l = 0,5...0,8 d$ sau $l = 0,5...0,8 b$, în care d este diametrul semifabricatului inițial sau b este lățimea semifabricatului inițial);

4 - Stabilirea masei piesei forjate – pornind de la desenul piesei finite care se descompune în corpuri geometrice cât mai simple, cărora li se poate determina ușor volumul și respectiv masa. La masa piesei finite se adaugă apoi o serie de mase corespunzătoare diferitelor pierderi din timpul procesului tehnologic. Astfel, se poate determina masa semifabricatului inițial m_{sf} folosind relația:

$$m_{sf} = m_{pf} + m_a + m_{ap} + m_{at} + m_{ad} + m_{rc} + m_e + m_{cp}, \quad (5.183)$$

în care : m_{pf} este masa piesei finite; m_a - masa pierderilor prin ardere, care se alege în funcție de instalația utilizată la încălzire ($m_a = 1,0 \dots 1,5 \% m_{pf}$, valori minime pentru instalațiile electrice de încălzire, valori maxime pentru instalațiile de încălzire cu flacăra); m_{ap} – masa pierderilor cu adaosurile de prelucrare, m_{at} – masa pierderilor cu adaosurile tehnologice; m_{ad} – masa pierderilor cu adaosurile de debitare; m_{rc} – masa pierderilor cu racordările constructive; m_{cp} – masa pierderilor cu capetele de manipulare; m_e – masa pierderilor cu epruvetele de încercare (dacă este cazul).

5 – Alegerea semifabricatului inițial – în funcție de configurația geometrică și dimensiunile de gabarit ale piesei forjate, astfel:

- lingouri, pentru piesele cu mase și dimensiuni mari;
- prelaminatelor, pentru piesele de dimensiuni și mase mijlocii;
- barele și profilele simple sau de formă specială, pentru piesele de dimensiuni și mase mici;

6 - Debitarea semifabricatului inițial la dimensiunile necesare –ținând cont de legea volumului constant. Operația se execută prin forfecare la 20°C , 100°C (până la $\varnothing 210 \text{ mm}$); cu flacăra oxiacetilenică (până la $\varnothing 800 \text{ mm}$) și prin rupere (până la $\varnothing 230 \text{ mm}$);

7 – Controlul inițial – un control nedistructiv pentru a depista eventualele defecte interioare (fisuri, crăpături, incluziuni nemetalice periculoase etc.). Se

folosesc pentru control diferite metode alese în funcție de dimensiunile de gabarit, starea suprafeței și posibilele defecte ce se vor a fi detectate. Se utilizează metodele de control: cu radiații penetrante; cu ultrasunete; cu lichide penetrante; cu pulberi magnetice; cu curenți turbionari; prin emisie acustică; prin termografiere în infraroșu etc.;

8 – Tratamentul termic inițial – în scopul creșterii proprietăților de plasticitate ale materialului de forjat. Se alege de regulă recoacerea de înmuiere sau normalizarea în funcție de natura materialului de forjat;

9 – Pregătirea semifabricatului în vederea forjării – în funcție de natura materialului de forjat și starea suprafeței semifabricatului inițial. Această pregătire constă în curățirea, decaparea și degresarea suprafeței semifabricatului inițial;

10 – Stabilirea parametrilor regimului de încălzire – în funcție de natura materialului de forjat, configurația geometrică și dimensiunile de gabarit ale semifabricatului inițial și programa de producție. Se stabilesc următorii parametri: temperatura de început de deformare; temperatura de sfârșit de deformare; viteza de încălzire; durata încălzirii și mediul de încălzire. În general procesul de încălzire trebuie să asigure obținerea temperaturii de început de deformare, uniform răspândite pe întreaga secțiune a semifabricatului, în minimum de timp și fără să provoace fisuri sau crăpături în material;

11 – Alegerea utilajului de încălzire – în funcție de natura materialului de forjat, mărimea valorilor parametrilor regimului de încălzire, productivitatea ce se vrea realizată. În țara noastră se folosesc cel mai mult instalațiile de încălzire cu curenți de inducție și cuptoarele de încălzire cu combustibili lichizi și gazoși;

12 – Stabilirea succesiunii logice a operațiilor de bază la forjare – în funcție de configurația geometrică a piesei forjate și de programa de producție. În cazul unei producții de serie mică sau de unicate se execută succesiv fiecare operație pe același utilaj, iar în cazul unei producții de serie mijlocie sau mare se execută fiecare operație pe utilaje separate, amplasate într-o succesiune logică a fluxului tehnologic.

13 – Alegerea utilajului de forjare – în funcție de tipul operației ce trebuie executată, configurația geometrică și dimensiunile de gabarit ale semifabricatului inițial și programa de producție. Utilajele folosite frecvent la forjare sunt: *ciocanele mecanice; presele și mașinile speciale*. Ciocanele mecanice se aleg atunci când presiunea de deformare nu trebuie să se transmită în toată masa semifabricatului, când precizia de prelucrare este mai mică și materialul de forjat permite o acțiune bruscă prin lovire, fără posibilitatea apariției de fisuri sau crăpături. Presele se aleg atunci când semifabricatele sunt de dimensiuni mici și medii, când presiunea de deformare trebuie să se transmită în toată masa materialului și precizia de prelucrare este mai bună. Mașinile speciale sunt destinate unei game reduse de piese, cu o anumită configurație și de o anumită mărime, ele putând lucra fie prin lovire, fie prin presare;

14 - Alegerea sculelor necesare forjării – în funcție de tipul operației de

forjare, forma geometrică și dimensiunile de gabarit ale piesei forjate și programa de producție. Din categoria sculelor pentru forjare liberă manuală fac parte: ciocanele, nicovalele, cleștii de manipulare, creștătoarele, netezitoarele, întinzătoarele, dălțile și dornurile. Printre sculele principale utilizate la forjarea liberă mecanică se enumeră: nicovalele, ciocanele, cleștii de manipulare, creștătoarele, dălțile de debitare, planatoarele, împingătoarele, manșoanele, răsturnătoarele, manipolatoarele autopropulsate, plăcile de refulare, topoarele de debitare și altele;

15 – Încălzirea semifabricatului în vederea forjării libere – în utilajul ales până ce s-a atins temperatura de început de deformare în toată masa materialului ce urmează a fi forjat liber;

16 – Forjarea propriu-zisă – respectând succesiunea logică a operațiilor de bază stabilite anterior;

17 – Tratamentul termic intermediar (dacă este cazul) – în vederea recăpătării proprietăților de plasticitate și pentru a putea fi deformat în operația următoare de forjare;

18 – Curățirea – în vederea îndepărtării straturilor arse de material, straturilor decarburate și a celorlalte impurități. În general se face o curățire mecanică cu perii de sârmă, prin sablare cu jet de nisip sau de alicie sau în tobe rotitoare – în funcție de configurația geometrică a piesei forjate, dimensiunile de gabarit și programa de producție;

19 – Tratamentul termic final – în funcție de destinația ulterioară a piesei forjate și de comportarea în exploatare;

20 – Controlul final – un control nedistructiv pentru a depista eventualele defecte interioare și un control dimensional;

21 – Ambalarea și trimiterea către beneficiar – în funcție de destinația ulterioară a piesei forjate (de regulă piesele forjate sunt duse în atelierele de prelucrare prin așchiere).

5.10.4. Forjarea în matriță

5.10.4.1. Definire. Scheme de principiu

Matrițarea este procedeul de prelucrare prin deformare plastică a unui material ce constă în crearea unor stări tensionale în tot volumul materialului, sub acțiunea unor forțe de lovire și/sau presare și curgerea condiționată a materialului în cavitatea unei scule numită matriță.

Deformarea plastică a materialului are loc în cavitatea matriței formată, în majoritatea cazurilor, din două părți distincte numite semimatrițe. Schema de principiu a procedului de matrițare se prezintă în figura 5.102. Semifabricatul 1, debitat la dimensiunile și forma corespunzătoare, este încălzit la temperatura de început de deformare (în cazul matrițării la cald), este așezat în locul inferior de

deformare 2, al semimatriței inferioare 3. Semimatrița inferioară este fixată de șabota sau nicovala 4, a presei matrițoare sau respectiv a ciocanului matrițor, prin intermediul ghidajului coadă de rândunică 5, și a penei plan-paralele 6. Semifabricatul inițial este deformat cu ajutorul semimatriței superioare 7, care

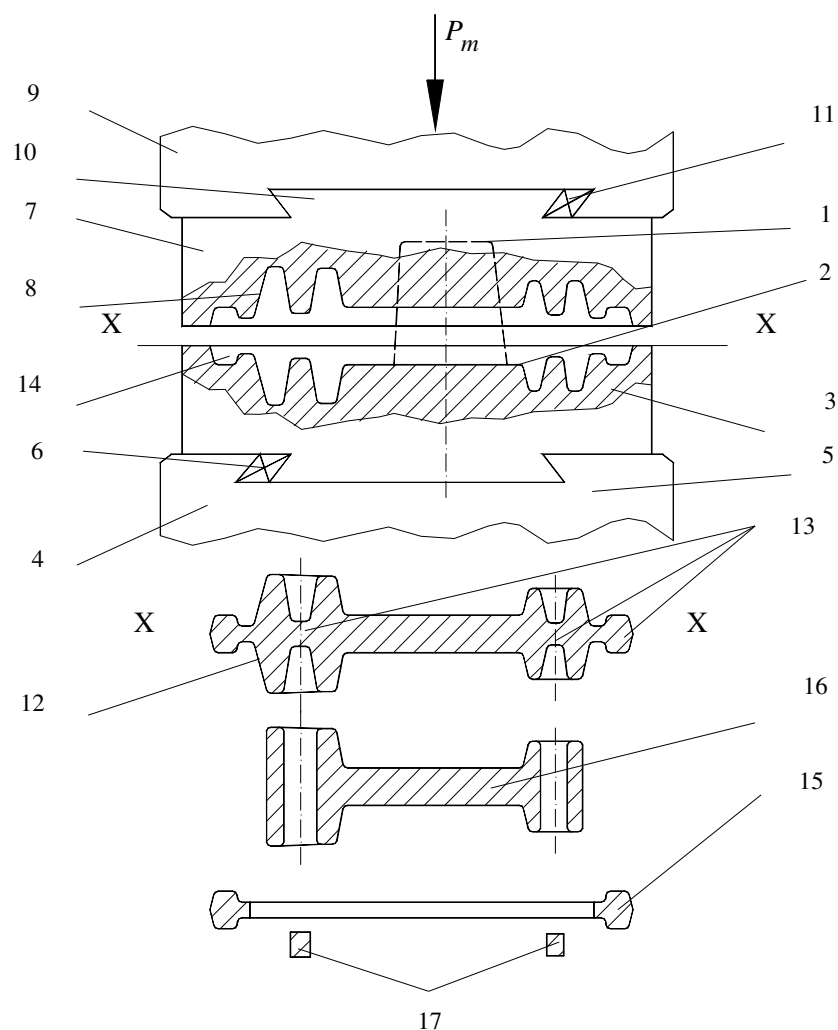


Fig. 5.101. Schema de principiu a matrițării:

1 – semifabricat inițial ; 2- locașul inferior de matrițare ; 3 – semimatrița inferioară ; 4 – șabotă sau nicovală ; 5 ; 10 – ghidaje coadă de rândunică ; 6 ; 11 – pene de reglare ; 7 – semimatrița superioară ; 8 – locașul superior de matrițare ; 9 – berbecul ciocanului sau culisoul presei ; 12 – piesa brută matrițată ; 13 – plus de material ; 14- canal bavură ; 15 – bavură ; 16 – piesa matrițată ; 17 – punițele găurilor.

introduce forța de deformare necesară P_m . În semimatrița superioară este prelucrat locașul superior de deformare 8, care prin închidere cu locașul inferior de deformare de-a lungul planului de separație X-X formează locașul de deformare, a cărui configurație este aproximativ identică cu cea a piesei ce se dorește a fi realizată.

În timpul deplasării semimatriței superioare către semimatrița inferioară, materialul este deformat și obligat să ia forma locașului de deformare. După deformare și deschiderea celor două semimatrițe rezultă piesa brut matrițată 12, prevăzută cu un plus de material 13, colectat în canalul de bavură 14, prelucrat în cele două semimatrițe. După îndepărtarea acestui plus de material sub forma bavurii 15 și a altor adaosuri de material, în urma unor operații ulterioare matrițării, rezultă piesa matrițată 16.

Deoarece deformarea plastică a materialului se face prin curgerea condiționată a acestuia de pereții semimatrițelor, procedeul prezintă, în comparație cu forjarea liberă, următoarele avantaje:

- permite obținerea unor piese de configurație complexă;
- consum redus de material și manoperă, deoarece pierderile prin deșeuri sunt mult mai mici;
- precizia dimensională, de formă și de poziție mult mai bună ;
- calitatea suprafețelor matrițate este mult superioară ;
- productivitatea ridicată;

Procedeul prezintă și unele dezavantaje care decurg în general din costul ridicat al matrițelor și al utilajelor necesare menționându-se:

- greutatea limitată a pieselor matrițate (0,01...1 000 kg);
- dimensiunile de gabarit limitate (dimensiunea maximă mai mică de 1 000 mm);
- necesită realizarea unui număr mare de produse de același fel.

Alegerea procedurii de obținere a unei piese prin forjare liberă sau prin forjare în matriță se face luând în considerare, în primul rând, următoarele: numărul de piese identice necesare a fi realizate; precizia dimensională, de formă și de poziție cerută; calitatea suprafețelor; configurația geometrică și dimensiunile de gabarit. De aceea, trebuie ținut cont și de următoarele recomandări:

- piesele de greutate și de dimensiuni foarte mari se pot obține numai prin forjare liberă;
- în producția de unicate sau de serie mică se folosește doar forjarea liberă ca fiind cea mai economică;
- în producția de serie mare sau de masă este rentabilă doar matrițarea;
- piesele de dimensiuni medii și mici se pot obține fie prin forjare liberă, fie prin matrițare, de aceea alegerea procedurii tehnologice optime se face prin analiza comparativă a prețurilor de cost date de expresiile:

$$C_{lf} = F_f + n \cdot V_f \quad [\text{lei/lot}] \quad (5.184)$$

pentru forjarea liberă, și

$$C_{lm} = F_m + n \cdot V_m \quad [\text{lei/lot}] \quad (5.185)$$

pentru matrițare, în care: F_f ; F_m reprezintă cheltuielile fixe făcute la forjarea liberă și respectiv la matrițare; V_f ; V_m - cheltuielile variabile făcute la forjarea liberă și respectiv la matrițare; n - numărul de piese identice; C_{lf} ; C_{lm} - costul unui lot de piese identice obținute prin forjare liberă și respectiv prin matrițare. Rezultând din grafic relațiile (5.184) și (5.185) se obține diagrama din figura 5.103 și numărul critic de bucăți n_{cr} , ce permite alegerea procedurii optim din punct de vedere al prețului de cost :

$$n_{cr} = \frac{F_f - F_m}{V_m - V_f} \quad (5.186)$$

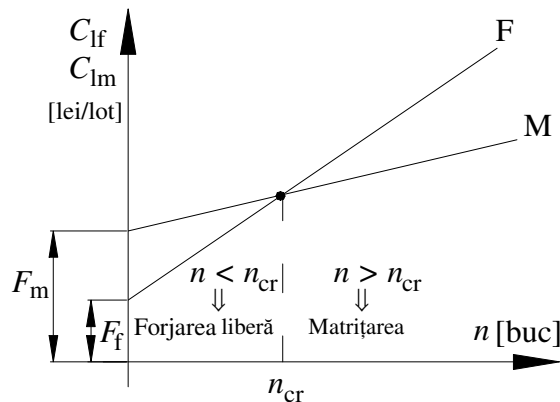


Fig. 5.103. Alegerea procedurii tehnologice optim de forjare folosind analiza comparativă dintre forjarea liberă (F) și forjarea în matriță (M).

Din punct de vedere tehnologic se remarcă tendința de creștere a producției de piese matrițate cu consum redus de material și manoperă și cu caracteristici funcționale și tehnologice superioare. În țările dezvoltate industrial producția de piese forjate obținute prin matrițare reprezintă peste 75%, restul fiind obținute prin forjare liberă.

5.10.4.2. Clasificarea procedurilor de matrițare

Există mai multe criterii de clasificare, cele mai importante fiind următoarele:

- după temperatura la care se desfășoară deformarea plastică:
 - matrițarea la rece, când este însoțită de fenomenul de ecrisare;

- matrițarea la cald, când este însoțită de fenomenul de recristalizare;
- după modul de deformare a materialului în matriță:
 - matrițarea cu bavură sau matrițarea deschisă;
 - matrițarea fără bavură sau matrițarea închisă;
 - matrițarea prin extrudare;
- după echipamentul tehnologic folosit:
 - matrițarea pe ciocane;
 - matrițarea pe prese ;
 - matrițarea pe mașina de forjat orizontală;
 - matrițarea pe mașini specializate și speciale.
- după viteza de deformare a materialului;
 - matrițarea cu viteze mici de deformare, când viteza de deformare $v_d < 10\text{m/s}$;
 - matrițarea cu viteze mari de deformare când viteza de deformare $v_d \geq 10\text{m/s}$;

5.10.4.3. Scule folosite la matrițare

Sculele folosite în orice etapă a procesului de deformare prin matrițare se numesc *matrițe*.

Pentru realizarea întregului proces tehnologic de matrițare a unei piese sunt necesare următoarele tipuri de scule :

- *scule pentru preforjarea în matriță*, cu locașuri de deformare apropiate ca formă de cele ale pieselor matrițate. În aceste locașuri de deformare se realizează operații de deformare care aduc semifabricatul inițial la o formă cât mai apropiată de forma finită a piesei brut matrițate (locașurile de întindere, de îndoire, de formare, de lățire, de gătuire, de turtire, de refulare, de fasonare etc.) ;
- *scule pentru matrițarea propriu-zisă*, cu locașuri de deformare ce realizează forma finală a piesei brut matrițate. Aceste scule sunt matrițele propriu-zise în care sunt prelucrate locașurile de matrițare (de pregătire-prefinisare, de prefinisare și de finisare) ;
- *scule pentru debavurare*, ce îndepărtează plusul de material fie sub formă de bavură, fie sub formă de punțițe ale găurilor și dau conturul final al piesei matrițate.

În general, orice matriță se compune din două părți distincte numite *semimatrițe*, separate între ele printr-un plan de separație. Forma locașului de deformare al matriței depinde atât de modul cum are loc matrițarea, cât și de echipamentul tehnologic pe care se face matrițarea. Astfel, pentru matrițarea cu bavură se folosesc matrițe deschise (fig. 5.104. a) prevăzute cu canale de bavură, iar pentru matrițarea fără bavură se folosesc matrițele închise (fig. 5.104. b).

În cazul cel mai des acceptat al folosirii matrițelor deschise, pentru a se obține o umplere completă a locașului de matrițare și o piesă matrițată cât mai

bună, volumul semifabricatului inițial trebuie să fie mai mare decât volumul piesei matrițate finite, plusul de material fiind colectat de canalul de bavură. Rolul canalului de bavură este :

- de a forța materialul care se deformează să umple mai întâi cavitățile matriței și a obține o piesă de configurație complexă fără defecte de umplere ;
- de a colecta plusul de material care curge și a evita spargerea semimatrițelor ;
- de a atenua loviturile semimatriței superioare asupra celei inferioare.

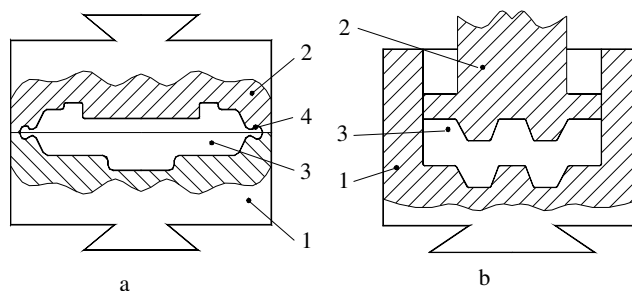


Fig. 5.104. Tipuri de matrițe:

a – deschise; b – închise; 1 – semimatrița inferioară; 2 – semimatrița superioară; 3 – locul de matrițare; 4 – canalul de bavură.

Forma și dimensiunile canalului de bavură se aleg în funcție de complexitatea piesei, de natura materialului din care este confecționată piesa matrițată și de utilajul pe care se execută matrițarea. Cele mai frecvent utilizate canale de bavură se prezintă în figura 5.105. Cea mai corectă formă a canalului de bavură, din punct de vedere al curgerii materialului, este cea din figura 5.105.a, pentru piesele de configurație simplă, și din figura 5.105.c, pentru piesele de configurație complexă. Materialul semifabricatului inițial este strangulat la ieșirea din locul de matrițare, pentru a permite mai întâi umplerea acestuia și numai după aceea este lăsat să curgă liber în canalul de bavură.

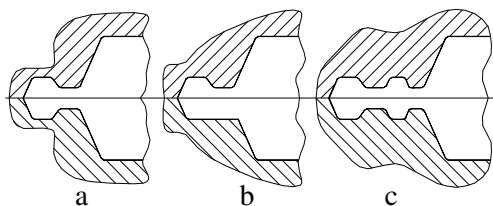


Fig. 5.105. Diferite forme constructive pentru canalul de bavură:

a – pentru piese cu configurație simplă din materiale cu plasticitate bună; b – pentru piese cu configurație simplă din materiale cu plasticitate scăzută; c – pentru piese cu configurație complexă din materiale cu plasticitate ridicată.

Pentru a evita spargerea matriței, trebuie ca plusul de material să nu umple decât 0,6...0,8 din volumul canalului de bavură.

În cazul matrițelor închise cantitatea de material necesară obținerii piesei matrițate trebuie calculată foarte exact, în caz contrar există riscul spargerii matriței, de aceea se folosesc mai rar.

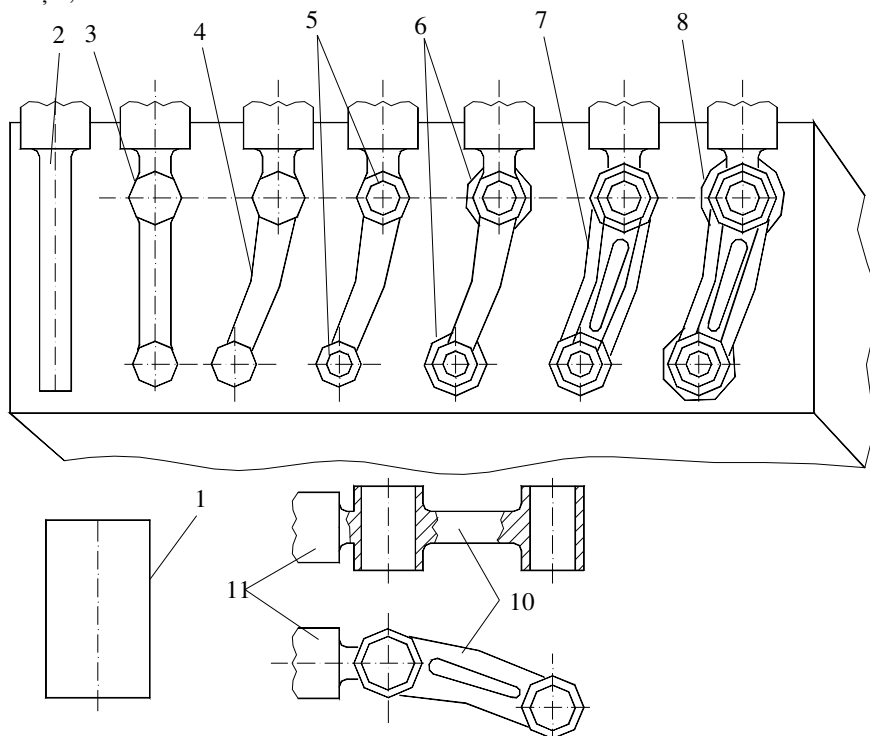


Fig. 5.106. Matrița multiplă:

1 – semifabricatul inițial; 2 – locașul de întindere; 3 – locașul de turtire și lățire; 4 – locașul de îndoire; 5 – locașul de perforare cu punți; 6 – locașul pregătitor-prefinisor; 7 – locașul prefinisor; 8 – locașul finisor; 9 – partea superioară a matriței; 10 – piesa finită; 11 – capăt de prindere.

După numărul de locașuri de deformare existente în semimatrițe, matrițele pot fi : *simple* sau *cu un singur locaș de deformare* (fig. 5.104), pentru piesele simple și *multiple* sau *cu mai multe locașuri de deformare* (fig. 5.106), pentru piesele cu configurație complexă. În acest caz, matrițarea are trasate locașurile necesare fiecărei faze ale matrițării semifabricatului inițial 1, care trece succesiv prin locașul de întindere 2, locașul de turtire și lățire 3, locașul de îndoire 4, locașul de perforare cu punțile 5, locașul pregătitor-prefinisor 6, locașul prefinisor 7 și locașul finisor 8, rezultând în final piesa finită 10, după detașarea capătului de prindere 11.

Capătul de prindere este necesar transferării semifabricatului dintr-un locaș în altul, cu ajutorul cleștelui de prindere. Detașarea capătului de prins în clește se face în locașul de retezare al matriței prevăzută în unul din colțurile matriței. Detașarea piesei matrițate 1 (fig. 5.107), de bara semifabricat sau capătul de prindere 2 se face cu ajutorul cuțitului matriței, format din cele două tăișuri asociate 3 și 4.

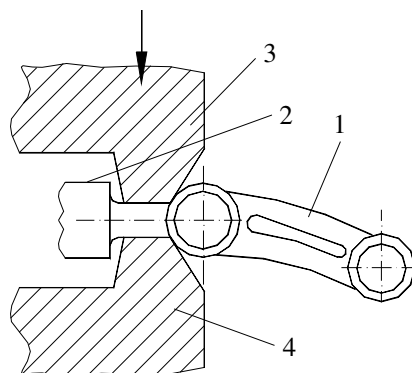


Fig. 5.107. Locașul de retezare (detașare) al matriței :

1 – piesa brut-matrițată; 2 – bara-semifabricat sau capătul de prindere; 3,4 – tăișurile asociate ale matriței.

În cazul producției de serie mare sau de masă, fiecare locaș de deformare este executat pe o matriță separată și montată fiecare pe un alt utilaj, amplasate în fluxul tehnologic corespunzător, ceea ce permite o productivitate foarte ridicată.

Deoarece matrița este foarte puternic solicitată în timpul deformării plastice a materialului, se recomandă realizarea ei din materiale cu proprietăți de rezistență și refractaritate foarte bune.

Câteva recomandări de alegere a materialelor pentru confecționarea de matrițe se dau în continuare;

- pentru matrițele mijlocii cu locașuri simple și cu adâncime mai mică de 15mm se utilizează cu bune rezultate oțelurile de tipul MoCrNi15;
- pentru matrițele mijlocii dau rezultate bune oțelurile de tipul VMoCrNi17 și VMo23;
- pentru matrițele mari, cu locașuri complicate puternic solicitate, se recomandă oțelurile de tipul: VMoCrNi17; W66 și oțelurile înalt aliate turnate de tipul W77;
- pentru matrițele mari de ambutisare la cald a tablelor se recomandă fontele speciale din categoria celor aliate cu cupru și crom ;
- pentru matrițele foarte puternic solicitate se recomandă carburile metalice de wolfram (CW), de titan (TiC) de tantal (TaC) și de crom (Cr_3C_2);

- pentru matrițele utilizate în aeronautică, în producția de serie mică se folosesc rășinile epoxidice cu diferite adaosuri pentru creșterea rezistenței la uzură.

5.10.4.4. Bazele teoretice ale matrițării

În cazul cel mai general se poate considera că materialul semifabricatului inițial introdus în locașul de matrițare trece prin trei perioade distincte (fig. 5.108):

- perioada în care are loc deformarea materialului semifabricatului în interiorul locașului de matrițare fără curgerea materialului în bavură (fig. 5.108. b) ;
- perioada în care are loc umplerea locașului de matrițare cu curgerea simultană a materialului pe punțița bavurii (fig. 5.108. c) ;
- perioada în care are loc numai curgerea surplusului de material în magazia bavurii (fig. 5.108. d).

În stabilirea tehnologiei optime de matrițare, precum și în dimensionarea matrițelor și alegerea utilajelor necesare matrițării, o problemă importantă o constituie calculul forței de matrițare, presiunii și lucrului mecanic de matrițare. Deoarece forma pieselor matrițate este complexă și deformarea materialului este neuniformă, este foarte dificilă stabilirea unor relații precise de calcul.

Forța de matrițare se stabilește în primul rând în funcție de modul de deformare la matrițare : matrițarea cu bavură, matrițarea fără bavură și matrițarea prin extrudare.

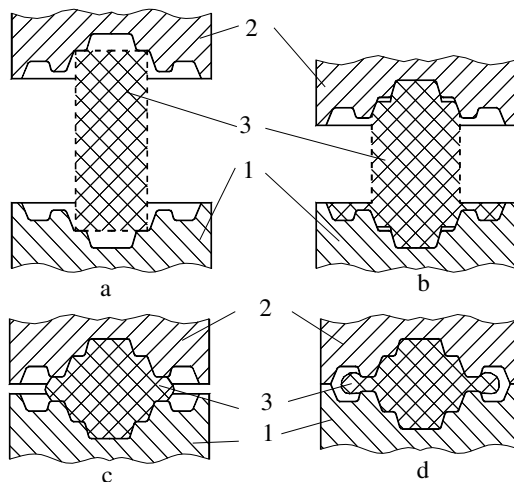


Fig. 5.108. Perioadele procesului de deformare a materialului la matrițare:
a – faza inițială; b – perioada în care are loc deformarea materialului în interiorul locașului de matrițare; c – perioada în care are loc umplerea locașului de matrițare simultan cu curgerea materialului pe punțița bavurii; 1 – semimatrița inferioară; 2 – semimatrița superioară; 3 – semifabricat; 4 – surplusul de material din magazia bavurii.

La matrițarea cu bavură, forța P_m de matrițare se compune din forța necesară deformării materialului, pe porțiunea punții bavurii P_b , și forța necesară deformării materialului în locașul de matrițare P_p , deci

$$P_m = P_b + P_p. \quad (5.187)$$

Deformarea materialului pe porțiunea punții (fig. 5.109) are loc prin refulare, și calculul forței de deformare se face ca la operația de refulare. Deci presiunea necesară deformării P_b pentru piesele lungi este:

$$p_b = 2 \cdot \tau \cdot \left(1 + \frac{l_b}{h_b} \right), \quad (5.188)$$

iar forța P_b necesară deformării în această zonă este

$$P_b = 2 \cdot \tau \cdot \left(1 + \frac{l_b}{h_b} \right) \cdot l_b \cdot L_b, \quad (5.189)$$

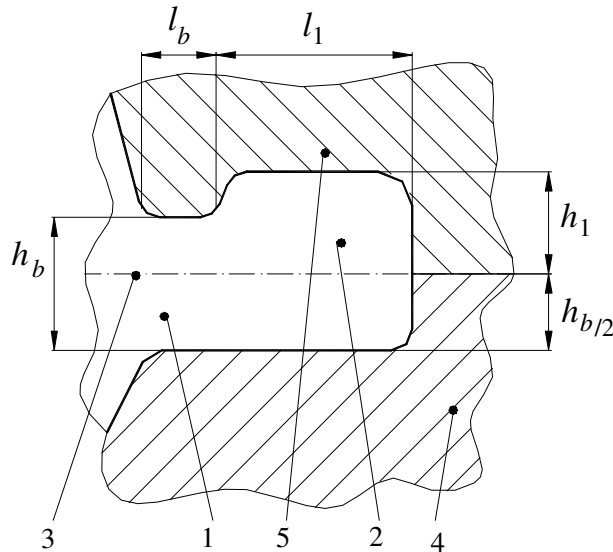


Fig. 5.109. Canal de bavură obișnuit:

1 – puntea bavurii; 2 – magazia bavurii; 3 – plan de separație; 4 – semimatrița inferioară;
5 – semimatrița superioară; l_b – lățimea punții; h_b – înălțimea punții.

în care: τ este efortul tangențial maxim; l_b – lățimea punții bavurii; h_b – înălțimea punții bavurii; L_b – lungimea medie a bavurii pe porțiunea punții care se poate lua aproximativ egală cu perimetrul piesei matrițate pe suprafața de separație.

La piesele circulare este supus deformării și materialul care a curs în magazia bavurii, și presiunea necesară deformării pe porțiunea punțiilor, p_b , în acest caz devine:

$$p_b = 2 \cdot \tau \cdot \left(1,5 + \frac{l_b}{h_b} \right), \quad (5.190)$$

iar forța P_b necesară deformării este:

$$P_b = 2 \cdot \tau \cdot \left(1,5 + \frac{l_b}{h_b} \right) \cdot l_b \cdot \pi \cdot (D_b + l_b), \quad (5.191)$$

în care: D_p este diametrul piesei în planul de separație. Pentru a analiza deformarea materialului în locașul de matrițare se consideră că volumul semifabricatului din locaș se împarte în două zone (fig. 5.110):

- zona I care se găsește în partea centrală a semifabricatului, de ambele părți ale planului de separație, în formă de lentilă convexă, din care se scurge surplusul de material din locaș în bavură ;
- zona II, de ambele părți ale zonei I, ce poate fi considerată ca o zonă staționară, mărimea deformării aici fiind neglijabilă.

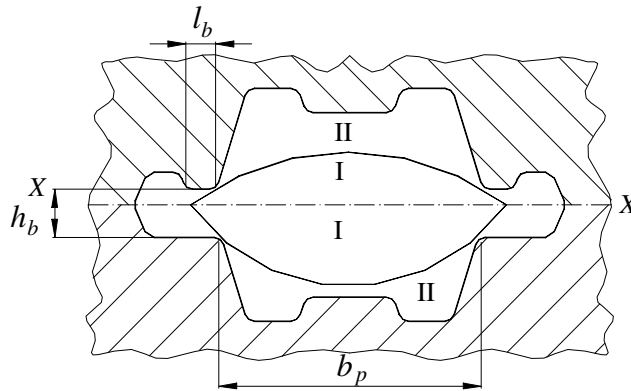


Fig. 5.110. Zonele specifice de deformare ale materialului la matrițarea cu bavură.

În acest caz presiunea necesară deformării p_b , pentru piesele lungi se, calculează la fel ca la refulare, având expresia:

$$p_b = 2 \cdot \tau \cdot \left(1,5 + \frac{l_b}{h_b} + 0,15 \frac{b_p}{h_b} \right), \quad (5.192)$$

iar forța de deformare P_b devine

$$P_b = 2 \cdot \tau \cdot \left(1,5 + \frac{l_b}{h_b} + 0,15 \frac{b_p}{h_b} \right) \cdot S_p, \quad (5.193)$$

în care: b_p este lățimea piesei matrițate ; S_p – secțiunea piesei matrițate în planul de separație.

Pentru piesele circulare presiunea de deformare p_b este dată de relația

$$p_b = 2 \cdot \tau \cdot \left(1,5 + \frac{l_b}{h_b} + 0,1 \frac{D_p}{h_b} \right), \quad (5.194)$$

iar forța de deformare P_b , de relația :

$$P_b = 2 \cdot \tau \cdot \left(1,5 + \frac{l_b}{h_b} + 0,1 \frac{D_p}{h_b} \right) \cdot \frac{\pi \cdot D_p^2}{4}, \quad (5.195)$$

în care: D_p – este diametrul piesei matrițate în planul de separație.

La matrițarea fără bavură zonele specifice deformării diferă de matrițarea cu bavură existând o zonă centrală de o înălțime aproximativ constantă (fig. 5.111), orientată la margine spre muchiile piesei, în intervalul căreia deformarea se produce mai pronunțat.

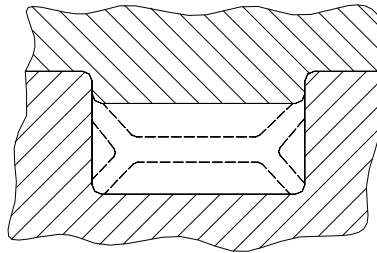


Fig. 5.111. Zonele specifice deformării la matrițarea fără bavură.

Deoarece prin matrițarea fără bavură se obțin piese de formă circulară (fig. 5.112) pe suprafața de separație presiunea p de deformare se calculează cu relația:

$$p = 2 \cdot \tau \cdot \left[2 + \frac{D}{6 \cdot r} + 2 \cdot \frac{H - 2r}{D} - 0,05 \frac{(D - H)^2}{r \cdot D^2} \right], \quad (5.196)$$

iar forța de matrițare P devine:

$$P = 2 \cdot \tau \cdot \left[2 + \frac{D}{6 \cdot r} + 2 \cdot \frac{H - 2r}{D} - 0,05 \frac{(D - H)^2}{r \cdot D^2} \right] \cdot \frac{\pi \cdot D^2}{4}, \quad (5.197)$$

în care: τ este efortul tangențial maxim; D – diametrul piesei; H – înălțimea piesei; r – raza de racordare a muchiei piesei.

Lucrul mecanic necesar matrițării permite în primul rând alegerea corectă a utilajului folosit la matrițare și în al doilea rând calculul numărului de lovituri necesar matrițării. Calculul lucrului mecanic necesar matrițării este deosebit de dificil, deoarece pe baza factorilor variabili (temperatură, viteză de deformare, neomogenitatea materialului etc.) apare și dificultatea stabilirii precise a gradului de deformare (datorită complexității formei piesei și neuniformității volumului semifabricatului).

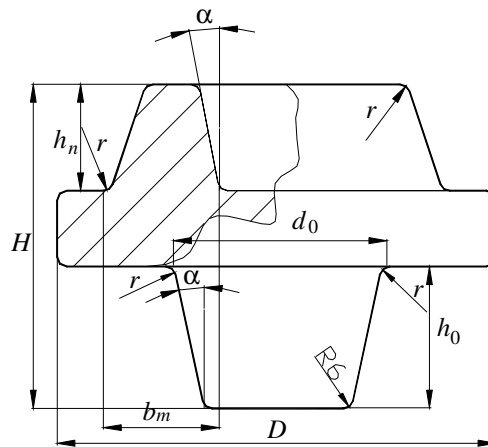


Fig. 5.112. Mărimile specifice ale unei piese cilindrice matrițate fără bavură.

Ținând cont de graficul de variație al forței de matrițare P_m , cu mărimea deformării Δh se poate aproxima lucrul mecanic necesar matrițării L_m cu o relație de forma:

$$L_m = \frac{1}{3} \cdot P_m \cdot \Delta h, \quad (5.198)$$

în care P_m se calculează cu una din relațiile date anterior.

La matrițarea prin extrudare, presiunea și forța necesară matrițării se calculează cu aceleași relații de calcul de la extrudare.

5.10.4.5. Diferite procedee tehnologice de matrițare. Produse obținute prin matrițare

Matrițarea se poate realiza prin următoarele variante de procedee tehnologice: matrițarea pe ciocane, matrițarea pe prese, matrițarea pe mașina de forjat orizontală și matrițarea pe mașini și instalații speciale.

Matrițarea pe ciocane se efectuează pe utilaje de deformare numite ciocane matrițoare, și deformarea materialului semifabricatului inițial se face succesiv, sub acțiunea unor forțe de lovire, până la umplerea completă a locașului matriței. Pentru a obține umplerea cât mai bună a locașului de matrițare și o piesă cât mai bine executată, volumul semifabricatului de pornire (inițial) trebuie să fie mai mare decât volumul piesei matrițate, surplusul de material fiind colectat de magazia canalului de bavură.

Schema de principiu cea mai des folosită este cea prezentată în figura 5.102.

Proiectarea procesului tehnologic de matrițare pe ciocane este în strânsă legătură cu modul de funcționare al ciocanului și cu caracteristicile principale ale piesei ce se vrea obținută, și anume : forma și dimensiunile de gabarit ale piesei; calitatea materialului din care se execută piesa (structura și proprietățile funcționale); condițiile tehnice de generare (precizia geometrică și rugozitatea) ; mărimea lotului de fabricație. Pentru proiectarea matrițelor și alegerea fazelor de matrițare pe ciocane trebuie ținut cont de următoarele:

- forma planului de separație;
- forma axei principale a piesei (axa ce trece prin centrele de greutate ale secțiunilor transversale, ce poate fi dreaptă, curbă sau frântă);
- configurația geometrică a piesei și relația dintre dimensiunile de gabarit în plan.

În funcție de aceste elemente, piesele obținute prin matrițarea pe ciocane se împart în următoarele categorii (fig. 5.113):

- piese cu axa dreaptă și alungită (fig. 113. a);
- piese cu axa curbă (fig. 5.113. b);
- piese cu ieșituri (fig. 5.113. c);
- piese cu ramificații (fig. 5.113. d);
- piese rotunde, pătrate sau rectangulare în plan (fig. 5.113. e);
- piese de formă mixtă (fig. 5.113. f);

Matrițarea pe prese diferă esențial de matrițarea pe ciocane, prin aceea că la prese viteza de deformare a organelor ce deformează materialul este mult mai mică în raport cu cea de la ciocane, deformarea semifabricatului făcându-se în toată masa sa. De aceea, la matrițarea pe prese se pot executa unele operații ce nu pot fi realizate la matrițarea pe ciocane, ca de exemplu : perforarea, extrudarea, precum și unele operații combinate. Matrițarea la prese în matrițe deschise (cea mai des întâlnită) se face după schema din figura 5.102 și prezintă o serie de avantaje în raport cu matrițarea pe ciocane și anume:

- precizie mai mare pentru piesele matrițate datorită cursei rigide a culisoului presei;
- înclinații mai mici la pereții cavității datorită prezenței extractoarelor;
- consumul mai mic de energie și de material (adaosurile de înclinare și cele tehnologice sunt mai mici);

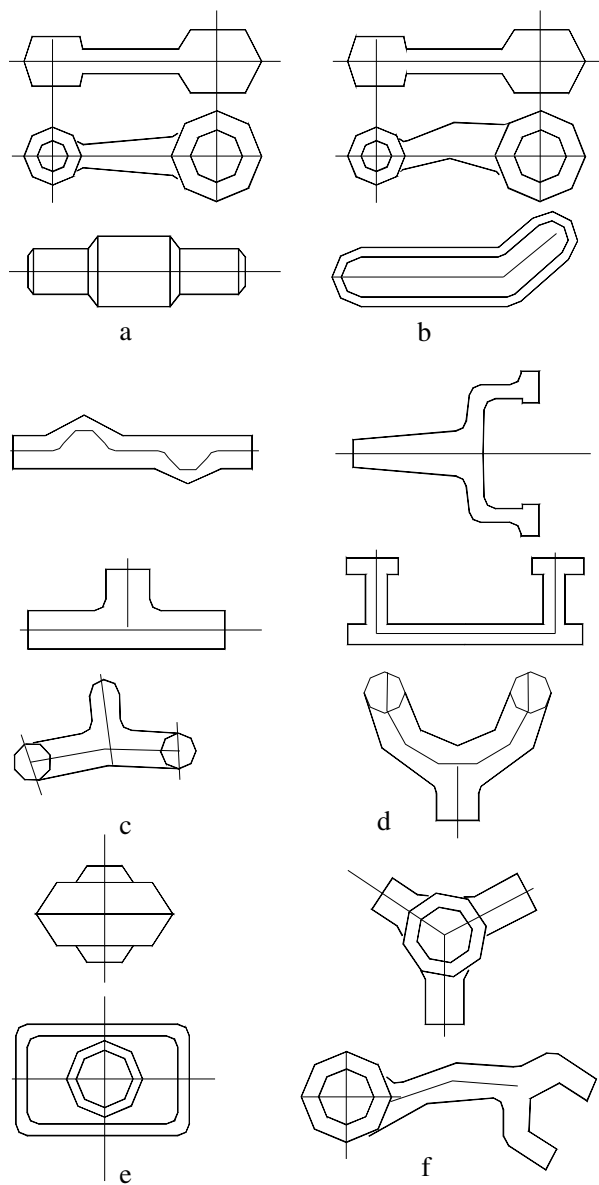


Fig. 5.113. Câteva forme de piese matrițate la ciocane:

a - piese cu axa dreaptă și alungită ; b - piese cu axa curbă ; c - piese cu ieșituri ; d - piese cu ramificații ; e - piese rotunde, pătrate sau rectangulare în plan ; f - piese de formă mixtă.

- zgomote și trepidații mai mici;

- posibilitatea realizării unor operații ce nu pot fi realizate prin matrițarea pe ciocane;

- deservirea ușoară și sigură;
- posibilitatea mecanizării și automatizării procesului;
- productivitatea ridicată;
- permite matrițarea unor piese de dimensiuni mai mari;

Matrițarea pe prese diferă în funcție de tipul preselor folosite deosebindu-se: matrițarea pe *prese cu excentric și manivelă*; matrițarea pe *prese hidraulice* și matrițarea pe *prese cu fricțiune*.

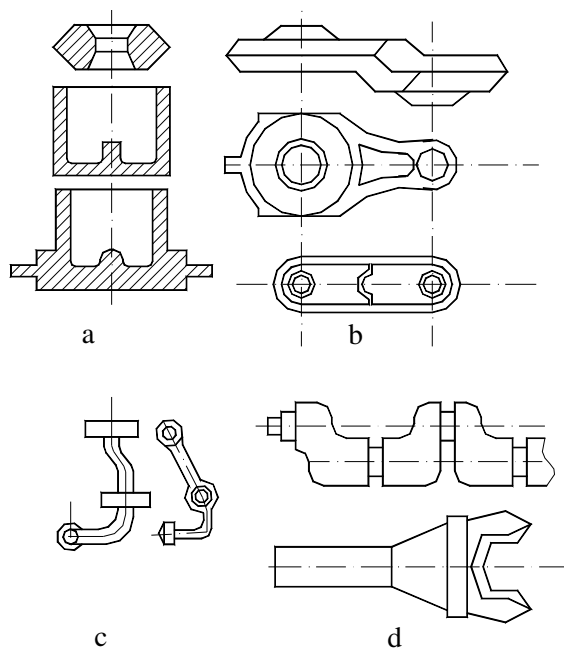


Fig. 5.114. Câteva forme de piese matrițate la prelele cu excentric și manivelă:
a - rotunde sau pătrate în plan; b - cu axă alungită; c - cu axă curbă; d - formă complexă.

Piese ce pot fi obținute prin matrițarea pe prese cu excentric și manivelă se împart în următoarele categorii:

- rotunde sau pătrate în plan (fig. 5.114. a);
- cu axă alungită (fig. 5.114. b);
- cu axă curbă (fig. 5.114. c);
- formă complexă (fig. 5.114. d);

Matrițarea pe *presele hidraulice* se caracterizează printr-o viteză de deformare mai mică decât pe celelalte prese (0,15...0,20 m/s), de aceea se aplică la realizarea unor piese din materiale cu plasticitate scăzută și de mare precizie.

Forma pieselor ce se pot matrița pe presele hidraulice se prezintă în figura 5.115, deosebindu-se :

- piese cu cavități adânci sau cu găuri pătrunse (fig. 5.115. a) ;
- piese de tipul bușelor compacte sau cu cavități mici (fig. 5.115. b) ;
- piese de tipul racordurilor cu cavități și adâncituri (fig. 5.115. c).

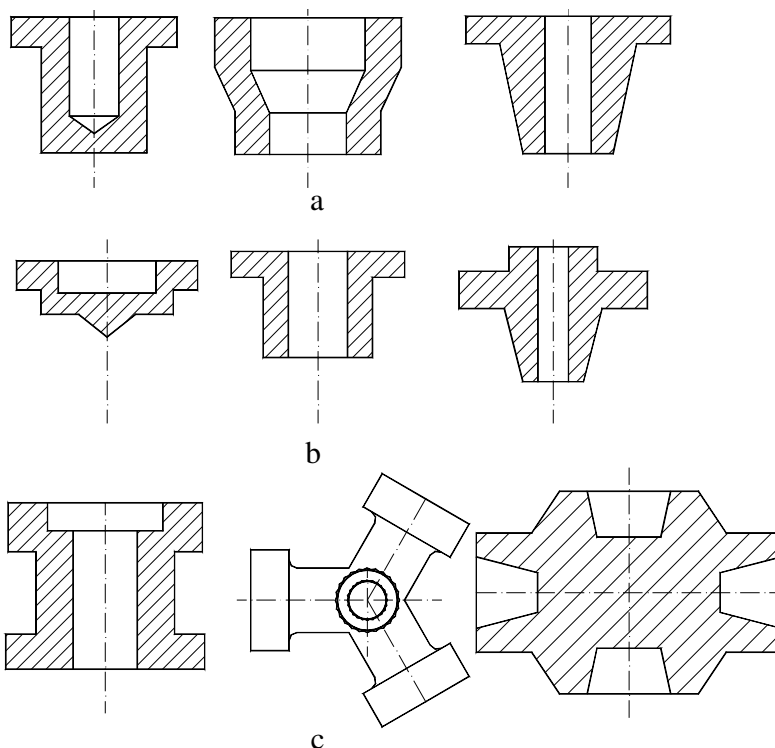


Fig. 5.115. Câteva forme de piese matrițate la presele hidraulice:

a - piese cu cavități adânci sau cu găuri pătrunse; b - piese de tipul bușelor compacte sau cu cavități mici; c - piese de tipul racordurilor cu cavități și adâncituri.

Matrițarea pe *mașina de forjat orizontal* se aplică mai ales pentru obținerea de piese mici și mijlocii în producția de serie mare sau de masă. Mașinile de forjat orizontal se bazează pe mecanisme tip bielă-manivelă la care berbecul (patina) ce poartă scula de lucru execută o mișcare de du-te-vino în direcție orizontală (fig. 5.115). Semifabricatul 1 încălzit la temperatura de început de deformare, de obicei de tipul barelor sau țevelor, se introduce și avansează în direcția I prin fereastra laterală 2, a suportului port-matriță 3, până în dreptul opritorului 4. O dată poziționat semifabricatul la lungimea l_0 , opritorul se retrage în direcția II, iar semimatrița mobilă 5, se deplasează pe verticală în direcția III pe ghidajele 6, până

se închide cu semimatrița fixă 7, rezultând locașul de matrițare 8. Abia după aceea, berbecul orizontal 9 se deplasează în cursa activă (direcția IV) și partea semifabricatului de lungime l_i se deformează și umple locașul de matrițare. În vederea eliberării piesei obținute, prin deschiderea matriței, mișcările se succed în ordine inversă.

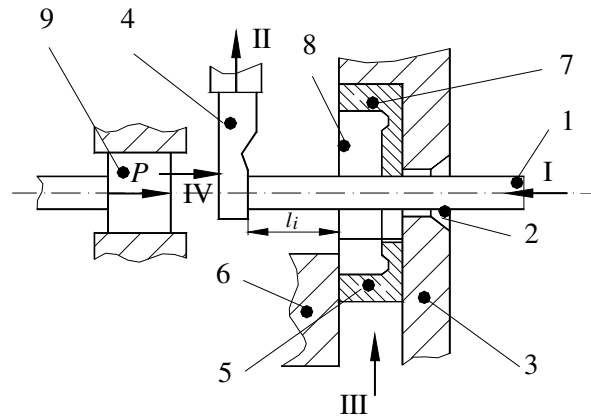


Fig. 5.116. Matrițarea la mașinile de forjat orizontal :

1 – semifabricatul inițial; 2 – fereastra laterală; 3 – suport port-matriță; 4 – opritorul; 5 – semimatriță mobilă; 6 – ghidajele; 7 – semimatriță fixă; 8 – locașul de matrițare; 9 – berbecul (patina).

Pe mașinile de forjat orizontal se execută operații ca: refularea, perforarea nepătrunsă, străpungerea, găurirea, extrudarea, îndoirea și altele, obținându-se de obicei piese simetrice cu secțiuni variabile de-a lungul axei lor, piese găurite complet sau incomplet etc. Forma pieselor ce se pot obține pe mașina de forjat orizontală se prezintă în figura 5.116, deosebindu-se :

- piese de tipul tijelor cu îngoșări de-a lungul axei (fig. 5.116. a);
- piese găurite complet (fig. 5.116. b) ;
- piese incomplet găurite (fig. 5.116. c) ;
- piese de configurație complexă (fig. 5.116. d).

5.10.4.6. Tehnologia matrițării

Pentru a realiza o piesă prin matrițare trebuie parcurse următoarele etape:

1 – Analiza sau stabilirea rolului funcțional al piesei – plecând de la desenul piesei finite și apoi se face analiza morfofuncțională a suprafețelor;

2 – Alegerea materialului optim pentru confecționarea piesei – folosind metoda de analiză a valorilor optime. În vederea stabilirii ponderilor factorilor se au în vedere proprietățile de plasticitate;

3 – Întocmirea desenului piesei brut matrițate. Obținerea unei piese prin matrițare cu precizia geometrică prescrisă pe desenul piesei finite depinde în

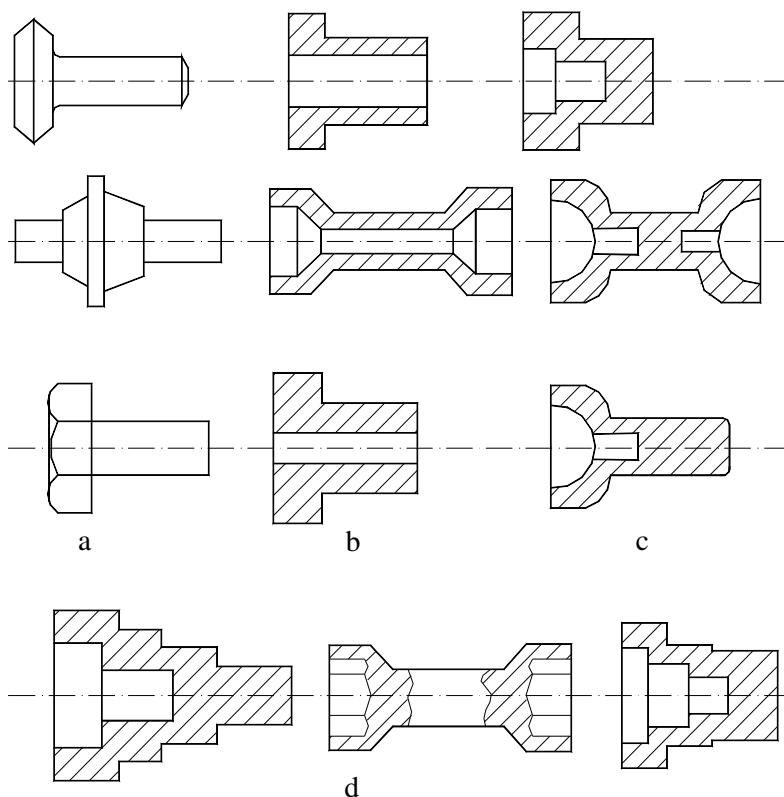


Fig. 5.116. Câteva forme de piese matrițate pe mașina de forjat orizontal:
a - piese de tipul tijelor cu îngoșări de-a lungul axei; b - piese găurite complet; c - piese incomplet găurite; d - piese de configurație complexă.

primul rând de proiectarea corectă a piesei matrițate. În vederea întocmirii desenului piesei brut matrițate trebuie făcută o analiză a următoarelor aspecte:

- tehnologicitatea construcției piesei;
- dacă la piesele mai complicate se poate schimba forma, fără a se modifica rolul funcțional, pentru a se putea obține prin matrițare și mai economic;
- dacă nu este posibil ca o piesă complicată să se obțină din mai multe piese simple și apoi să se assembleze prin sudare sau alte procedee;
- dacă nu se pot matrița simultan două sau mai multe piese identice care să se separe ulterior;
- dacă unele suprafețe de dimensiuni mai mari nu pot fi matrițate să poată să fie obținute prin forjare liberă ;
- solicitările la care este supusă piesa pentru a scoate în evidență zonele cu solicitare maximă;

- care este suprafața tehnologică de bază la prelucrarea prin așchiere;
- dacă nu sunt necesare anumite porțiuni de prindere a piesei la prelucrarea prin așchiere, porțiuni situate în afara piesei și care urmează să fie înlăturate în fazele finale ale prelucrării piesei;
- dacă sunt necesare porțiuni suplimentare din care se vor prelucra ulterior epruvete pentru diferite încercări mecanice și fizice;
- numărul de piese identice și/sau complementare ce urmează a fi realizate prin matrițare;

În urma analizei acestor aspecte se poate întocmi desenul piesei brut matrițate pornind de la desenul piesei finite (fig. 5.117, desenul cu linie întreruptă) pe care se adaugă următoarele categorii de adaosuri:

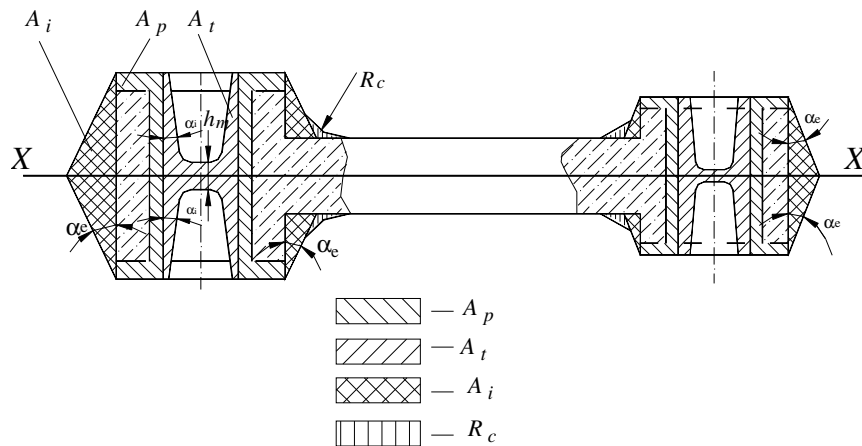


Fig. 5.117. Exemplu de întocmire a desenului unei piese brut matrițate:

A_p – adaosul de prelucrare; A_t – adaosurile tehnologice; A_i – adaosurile de înclinare; R_c – raze de racordare constructivă; α_e , α_i – unghiurile de înclinare exterioare și respectiv interioare; h_m – grosimea membranei.

- *adaosurile de prelucrare* A_p , pe toate suprafețele a căror rugozitate și precizie dimensională nu pot rezulta în urma procesului de matrițare. De asemenea, mărimea adaosurilor de prelucrare trebuie să asigure și eliminarea straturilor decarburate și oxidate de la suprafața pieselor matrițate. Adaosul de prelucrare A_p se calculează cu relația:

$$A_p = A_1 + A_2 + A_3, \quad (5.199)$$

în care: A_1 este adaosul corespunzător unei prelucrări de degroșare prin așchiere și se calculează cu relația

$$A_1 = a_{ds} + a_{ox} + a_d + a_s + a_t + \delta_0 + \delta_1, \quad (5.200)$$

unde: a_{ds} – este adâncimea defectelor de suprafață ale semifabricatului inițial; a_{ox} – adâncimea stratului degradat de imprimarea oxizilor; a_d – adâncimea stratului decarburat; a_s – adaosul pentru siguranță; a_t – adaosul care se prevede la piesele care sunt supuse ulterior tratamentelor termice; δ_n – toleranța negativă (la găuri, pozitivă) a dimensiuni considerate a piesei matrițate; δ_p – toleranța pozitivă (la găuri negativă) la prelucrarea prin așchiere; A_2 – adaosul suplimentar necesar prelucrării de semifinisare prin așchiere; A_3 – adaosul suplimentar necesar prelucrării de finisare prin degroșare.

Cu rezultate bune se poate aplica, la calculul adaosului de prelucrare la degroșare, o relație determinată experimental, de forma

$$A_p = 0,4 + 0,015H_p + 0,0015L_p, \quad (5.201)$$

în care: H_p – este înălțimea maximă a piesei matrițate, în mm; L_p – lungimea piesei matrițate, în mm.

Mărima adaosului necesar unei prelucrări de semifinisare A_2 – se poate determina cu relația

$$A_2 = \delta_d + a_{sf}, \quad (5.202)$$

în care: δ_d – este abaterea negativă (la găuri pozitivă) la prelucrarea de semifinisare ($\delta_d \cong 1,1 \dots 0,2$ mm); a_{sf} – adaosul minim necesar pentru prelucrarea de semifinisare ($a_{sf} \cong 0,2 \dots 0,3$ mm).

Mărima adaosului de prelucrare necesar finisării A_3 se poate calcula cu relația:

$$A_3 = \delta_f + a_f, \quad (5.203)$$

în care: δ_f este abaterea negativă (la găuri, pozitivă) la prelucrarea de finisare ($\delta_f \cong 0,05 \dots 0,1$ mm); a_f – adaosul minim necesar pentru prelucrarea de finisare ($a_f \cong 0,2 \dots 0,3$ mm);

- *adaosurile tehnologice* A_b pe toate suprafețele care nu pot rezulta prin matrițare. Ele sunt prezente pe anumite porțiuni ale piesei pentru a face posibilă obținerea piesei prin matrițare. Mărima adaosului tehnologic depinde de configurația geometrică a piesei, de metoda de matrițare aleasă și de utilajul folosit. Când piesa are găuri ce urmează a fi obținute prin matrițare, acestea nu se pot obține complet, între cele două proeminențe ale semimatrițelor rămânând o membrană (fig. 5.118) de dimensiuni variabile, alese în funcție de mărimea găurii. În urma rezultatelor experimentale, pentru calculul grosimii h_m a membranei s-a obținut o relație ce dă foarte bune rezultate, de forma

$$h_m = 0,45\sqrt{d - 0,25h - 5} + 0,6\sqrt{h}, \quad (5.204)$$

în care: d este diametrul găurii, în mm; h – înălțimea găurii până la planul de

separație, în mm.

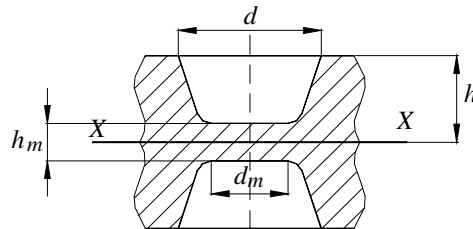


Fig. 5.118. Forma de membrană pentru găurile adânci:
 h_m – grosimea membranei ; d_m – diametrul membranei.

Adaosurile tehnologice implică o anumită metodă de matrițare sau un anumit utilaj. De exemplu, piesa din figura 5.119. a, poate fi obținută prin matrițare pe ciocan sau presă (fig. 5.119. b) sau prin matrițare pe mașina de forjat orizontal (fig. 5.119. c) mărimea adaosului tehnologic A_t fiind total diferită.

- *adaosurile de înclinare* A_i , pe toate suprafețele pe care apar forțe de frecare la scoaterea piesei din matriță. La stabilirea înclinărilor de matrițare α , trebuie să se aibă în vedere că, cu cât unghiurile de înclinare sunt mai mari, cu atât mai ușor se pot extrage piesele din locașul de matrițare. Pe de altă parte, cu cât unghiurile de înclinare sunt mai mari, materialul urcă mai ușor în cavitățile adânci, dar adaosurile de înclinare sunt mai mari. Unghiul de înclinare α se determina din condiția ca forța de scoatere a piesei din matriță să fie practic nulă și rezultă

$$\mu = \frac{1}{\text{ctg}\alpha}, \quad (5.205)$$

în care: μ este coeficientul de frecare la interfața material – cavitatea matriței.

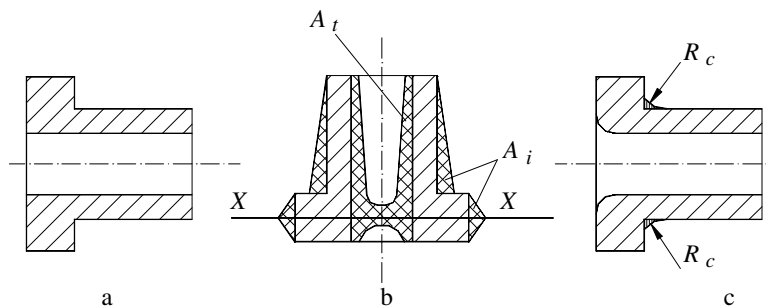


Fig. 5.119. Variațiile adaosului tehnologic A_t și adaosului de înclinare A_i în funcție de modul de matrițare:

a – piesa finită ; b – piesa matrițată pe ciocan sau presă ; c – piesa matrițată pe mașina de forjat orizontal ; A_t – adaos tehnologic ; A_i – adaos de înclinare ; R_c – rază de racordare constructivă.

Experimental se constată că rezultate bune se obțin când înclinările suprafețelor interioare $\alpha_i = 3...10^\circ$, iar ale suprafețelor exterioare $\alpha_e = 1...7^\circ$. Pentru micșorarea acestor înclinări și respectiv a adaosurilor de înclinare se recomandă folosirea unor substanțe de ungere care să micșoreze coeficientul de frecare μ și folosirea unor matrițe prevăzute cu extractoare.

- *razele de racordare constructivă R_c , respectiv r_c* pe toate suprafețele care vin în contact cu muchiile exterioare și muchiile interioare ale matriței pentru a evita concentrarea tensiunilor interne și apariția fisurilor în aceste zone. Cu cât razele de racordare sunt mai mari, cu atât pericolul apariției fisurilor este mai mic, dar consumul de material este mai mare. De aceea, mărimea razelor de racordare se alege în funcție de configurația geometrică a piesei existând valori economice determinate experimental ;

- *adaosurile datorate variației de temperatură A_q* , pe toate suprafețele pieselor matrițate la cald, deoarece piesa este scoasă din matriță la temperatura de sfârșit de matrițare. Dacă Δt este diferența de temperatură dintre temperatura de sfârșit de matrițare și temperatura mediului ambiant, atunci abaterea dimensională A_q se calculează cu o relație de forma

$$A_q = \beta \cdot L_m \cdot \Delta t , \quad (5.206)$$

în care: β este coeficientul de dilatare liniară ; L_m – dimensiunea piesei matrițate luate în considerare;

4 – Alegerea poziției planului de separație $X-X$. Planul de separație este necesar pentru desfacerea matriței înainte și după matrițare și pentru execuția canalului de bavură. Poziția planului de separație este determinată de configurația geometrică a piesei, posibilitățile de execuție (și de umplere) a matriței, extragerea piesei matrițate și de consumul de material în adaosul de înclinare și în bavură. La alegerea poziției planului de separație trebuie avute în vedere următoarele recomandări (fig. 5.120):

- să fie pe cât posibil plan de simetrie (fig. 5.120. a) sau să împartă piesa în părți aproximativ egale;
- să fie pe cât posibil drept (fig. 5.120. b) și nu frânt, pentru a permite construcția unor semimatrițe simple și pentru o debavurare mai ușoară;
- să faciliteze o curgere cât mai ușoară a materialului în locașul de matrițare (fig. 5.120. c) și obținerea piesei matrițate fără defecte de umplere;
- să fie așa fel ales încât suprafețele care necesită prelucrări prin așchiere să fie așezate perpendicular pe direcția forței de matrițare (fig. 5. 120.d), pentru ca adaosurile de prelucrare să fie minime;
- să conțină pe cât posibil suprafata de dimensiune maximă (fig. 5.120. c și e) în plan orizontal, pentru a permite o curgere bună a materialului, matrițarea fără șocuri și uzură minimă a matrițelor;
- să permită realizarea unui anumit fibraj în concordanță cu proprietățile

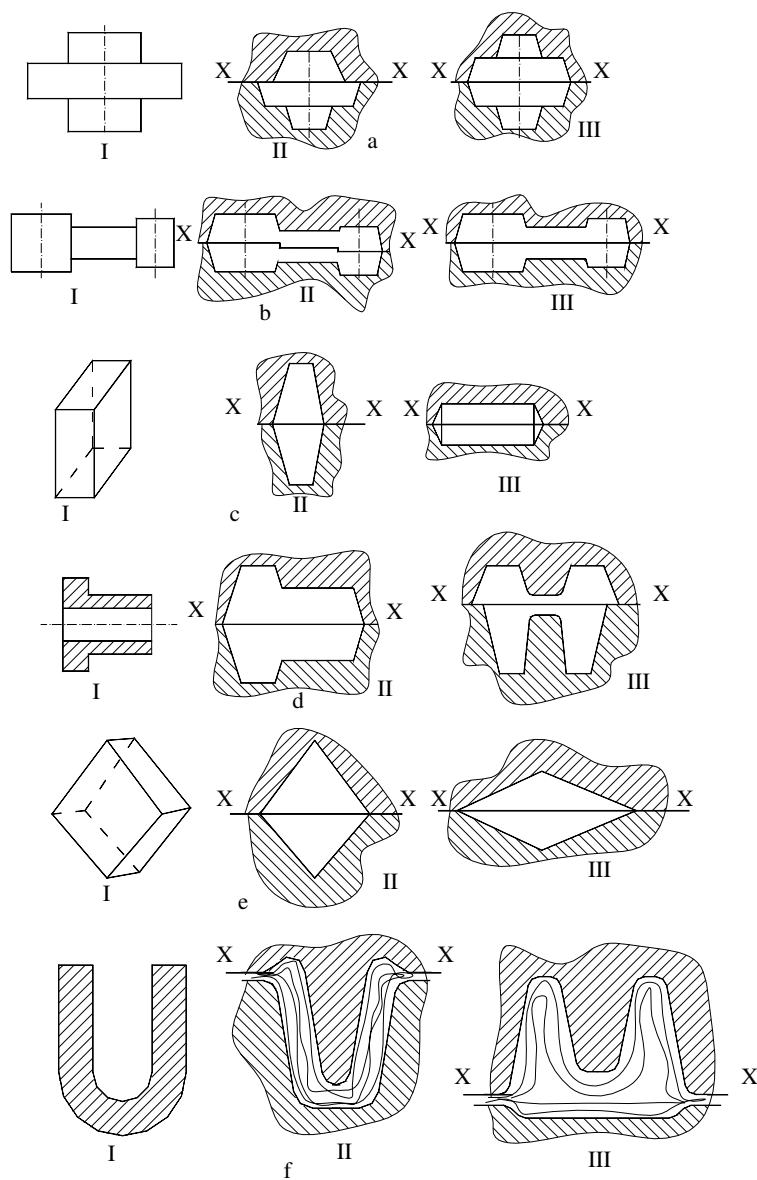


Fig. 5.120. Câteva recomandări pentru alegerea planului de separație X-X la matrițare:
 I – piesa matrițată ; II – alegerea greșită a planului de separație ; III – alegerea corectă a planului de separație ; a – pentru piese cu axe de simetrie ; b – pentru piese de tipul bielelor ; c – pentru piese cu secțiuni pătratice sau rectangulare ; d – pentru piese cu multe suprafețe ce necesită prelucrări ulterioare prin așchiere ; e – pentru piese cu diferențe mari între dimensiuni în spațiu ; f- pentru profile la care se cer anumite proprietăți pe secțiune în funcție de direcția liniilor de curgere.

mecanice prescrise în anumite direcții (fig. 5.120. f);

- să permită cele mai mici adaosuri de înclinare A_i (fig. 5.119. 5.120. c).

5 – Calculul masei piesei brut matrițate. Este necesară pentru determinarea masei semifabricatului inițial. Masa piesei brut matrițată m_{bm} se calculează pornind de la masa piesei finite m_{pf} la care se adaugă toate masele apărute cu adaosurile alese la punctul 3, deci :

$$m_{mb} = m_{pf} + m_a + m_{ap} + m_{at} + m_{ai} + m_{rc} + m_{cb} + m_{rt} + m_{ei}, \quad (5.207)$$

în care: m_a este masa pierderilor prin ardere ; m_{ap} – masa adaosurilor de prelucrare ; m_{at} – masa adaosurilor tehnologice ; m_{ai} – masa adaosurilor de înclinare ; m_{rc} – masa adăugată cu racordările constructive ; m_{cb} – masa materialului colectat în canalul de bavură ; m_{rt} – masa apărută ținând cont de variația de temperatură (cazul matrițării la cald) ; m_{ei} – masa apărută cu epruvetele de încercare (dacă este cazul).

6 – Alegerea semifabricatului inițial se face în funcție de configurația geometrică a piesei finite și dimensiunile de gabarit ale acesteia. Alegerea semifabricatului inițial se face în așa fel încât să permită obținerea unei piese matrițate cât mai apropiată ca formă și dimensiuni de piesa finită, cu pierderi tehnologice minime de material și energie și printr-un număr cât mai redus de etape. În funcție de caracteristicile de deformare a materialului, de forma și mărimea piesei matrițate, de seria cerută și ținând cont de legea volumului constant și relația (5.206), ca semifabricate pentru matrițare se utilizează:

- *semifabricatele laminate și trase* cu secțiune constantă sau cu profil periodic (numai la producția de masă a pieselor matrițate de dimensiuni mici și medii, mai ales la producția de automobile și tractoare ;

- *semifabricatele forjate*, pentru piesele matrițate de formă complicată, de dimensiuni mari și medii, în producția de serie mijlocie și mică;

- *semifabricatele turnate*, pentru piesele matrițate complicate de dimensiuni mici și medii, în producția de serie mare și de masă sau pentru piese din materiale greu deformabile;

- *semifabricatele sinterizate*, pentru piese de dimensiuni mici, cu o mare diversitate în conținutul elementele de aliere din material, puternic solicitate în timpul exploatării sau cu proprietăți speciale.

7 – Debitarea semifabricatului inițial la dimensiunile necesare – ținând cont de legea volumul constant și de modul de matrițare;

8 – Controlul inițial – un control nedistructiv pentru a depista eventualele defecte interioare ale materialului (incluziunile nemetalice sau de altă natură, fisurile intercristaline, crăpăturile și defectele de suprafață). Se pot folosi pentru control diferite metode alese în funcție de dimensiunile de gabarit, starea suprafeței, posibilele defecte ce pot apărea în timpul obținerii semifabricatului și proprietățile materialului (controlul cu radiații penetrante, cu ultrasunete, cu lichide penetrante, cu pulberi magnetice, cu curenți turbionari, prin emisie acustică, prin analiză termografică etc.);

9 – Tratamentul termic inițial – în scopul creșterii proprietăților de plasticitate ale materialului de matrițat. Se alege de regulă recoacerea de înmuiere sau normalizarea în funcție de natura materialului de matrițat;

10 – Pregătirea semifabricatului inițial în vederea matrițării – în funcție de natura materialului de forjat, starea suprafețelor și configurația geometrică a semifabricatului, metoda de matrițare, modul de matrițare și utilajul pe care se desfășoară procesul. Această pregătire constă în curățirea, decaparea, deformarea și ungerea suprafețelor semifabricatului inițial;

11 - Stabilirea parametrilor regimului de încălzire (dacă matrițarea se face la cald) – ținând cont de natura materialului de matrițat (mărimea grăuntelui, rezistența la deformare, plasticitatea la cald, conductibilitatea termică etc.); configurația geometrică și dimensiunile de gabarit ale semifabricatului inițial și programa de producție. Se stabilesc următorii parametri ai regimului de încălzire: temperatura de început de matrițare; temperatura de sfârșit de matrițare; viteza de încălzire; durata încălzirii numărul de încălziri și numărul de deformări (respectiv gradul unitar de deformare) și mediul de încălzire. A stabili un regim de încălzire adecvat înseamnă stabilirea temperaturilor de început și de sfârșit a matrițării, uniforme pe secțiunea materialului, în minim de timp, cu o viteză de încălzire care să nu provoace fisuri și crăpături și cu un număr minim de deformări.

12 – Alegerea utilajului de încălzire – în funcție de natura materialului de matrițat, configurația geometrică și dimensiunile semifabricatului inițial, mărimea valorilor parametrilor regimului de încălzire, volumul producției și productivitatea ce se vrea realizată. La matrițare se folosesc următoarele sisteme de încălzire : încălzirea cu flacăra, cu combustibil lichid, cu combustibil gazos și mediu protector, încălzirea electrică cu rezistență și prin inducție.

13 – Stabilirea succesiunii logice a operațiilor de deformare la matrițare – ținând cont de caracteristicile materialului de matrițat, forma și dimensiunile de gabarit ale piesei de matrițate, condițiile tehnice de generare impuse fiecărei suprafețe pe desenul de execuție al piesei finite, de mărimea lotului de fabricație, de metoda de matrițare și de utilajul folosit la matrițare. Astfel, se stabilesc într-o succesiune logică toate locașurile de matrițare (atât locașurile pentru matrițarea propriu-zisă, cât și locașurile pregătitoare și cele pentru operațiile ulterioare matrițării propriu-zise). Locașurile pregătitoare se aleg în așa fel încât să aducă semifabricatul inițial la o formă cât mai apropiată de forma piesei matrițate, să permită: o uzură cât mai mică a locașului de matrițare final și o stabilitate dimensională pentru piesa matrițată. Se ține cont de rolul fiecărui locaș pregătitor (de gătuire, de întindere, de rulare, de lățire, de formare, de turtire, de refulare, de perforare nepătrunsă etc.), și, pentru piesa analizată în figura 5.117, se aleg locașurile prezentate în figura 5.106. Locașurile de matrițare finală servesc la obținerea piesei finite cu toate dimensiunile și calitatea suprafețelor date în desenul de execuție. Locașurile de detașare servesc la separarea piesei matrițate de semifabricat. Se aleg în funcție de configurația geometrică a piesei brut matrițate,

semifabricatul inițial și volumul de producție (în cazul producției de serie mică se execută succesiv fiecare operație, folosind o matriță cu locașuri multiple, pe același utilaj, iar în cazul unei producții de serie mare și de masă se execută fiecare operație în locașul corespunzător, pe matrițe separate, amplasate pe utilaje separate într-o succesiune logică a fluxului tehnologic).

14 – Alegerea utilajului de matrițare – în funcție de configurația geometrică a piesei finite și a semifabricatului inițial, de tipul operației ce trebuie executată (pregătitoare, matrițare propriu-zisă, ulterioară matrițării, retezare etc.), condițiile tehnice de generare și programa de producție. Utilajele folosite la matrițare sunt: ciocanele, presele, mașinile de forjat orizontal, mașinile și instalațiile speciale.

Ciocanele mecanice se aleg atunci când presiunea de deformare nu trebuie să se transmită în toată masa semifabricatului, când precizia de prelucrare este mai mică, materialul de matrițat permite o acțiune bruscă prin lovire fără posibilitatea apariției de fisuri sau crăpături și pentru anumite categorii de piese.

Presele se aleg atunci când semifabricatele inițiale sunt de dimensiuni mici și medii, când presiunea de deformare trebuie să se transmită în toată masa semifabricatului inițial (cu excepția matrițării la mașina de forjat orizontal), precizia de prelucrare este mai bună și pentru anumite configurații geometrice de piese.

Mașinile speciale sunt destinate unei game reduse de piese, de regulă în producția de serie mare sau de masă, cu o anumită configurație și de o anumită mărime, confecționate și din materiale cu proprietăți de plasticitate scăzute, ele putând lucra prin lovire, prin presare sau combinat.

15 – Încălzirea semifabricatului inițial în vederea matrițării – în utilajul de încălzire ales, până ce s-a atins temperatura de început de matrițare în toată masa semifabricatului ce urmează a fi matrițat.

16 – Pregătirea matrițelor în vederea deformării – pentru a reduce tensiunea termică a matriței și pentru reducerea frecărilor la interfața material-locașurile de matrițare. Pregătirea constă în preîncălzirea matriței și lubrifierea locașurilor de matrițare. Matrițele se preîncălzesc la 150....200°C, uniform, pe cât posibil în toată masa lor pentru a evita spargerea lor datorită șocurilor termice la care sunt supuse. Lubrifierea se face ținând cont de: forma și dimensiunile pieselor matrițate; temperatura de început de matrițare și modul de aplicare al lubrifiantului în matrițe. Ca lubrifiant se utilizează uleiurile, apa sărată, grafitul, bisulfura de molibden, sicla solubilă, topituri pe bază de fosfați și alții.

17 – Matrițarea propriu-zisă – respectând succesiunea logică a fazelor de deformare stabilită anterior.

18 – Tratatul termic intermediar (dacă este cazul) – în vederea recăpătării proprietăților de plasticitate și pentru a putea fi continuată deformarea cerută de locașurile matrițoare.

19 – Debavurarea – în scopul îndepărtării bavurii rezultate ca urmare a

colectării plusului de material în canalul de bavură. Operația se execută pe matrițe de debavurat și se poate face la cald sau la rece. Debavurarea se face pe contur exterior (fig. 5.121, a) și pe contur interior (fig. 5.121, b), în funcție de configurația geometrică a piesei matrițate și metoda de matrițare.

Operația constă în așezarea piesei brut matrițate 1, pe matrița 2, prevăzută cu o muchie tăietoare 3, identică cu conturul piesei matrițate în planul de separație X-X (fig. 5.121. a) sau cu un locaș de sprijin 3 (fig. 5.121. b), și retezarea bavurii 5, prin acționarea poansonului 4, cu forța de debavurare P_d (fig. 5.121. a) sau perforarea și îndepărtarea membranei 5 prin acțiunea poansoanelor de perforare 4, cu forțe de perforare P_p (fig. 5.121. b).

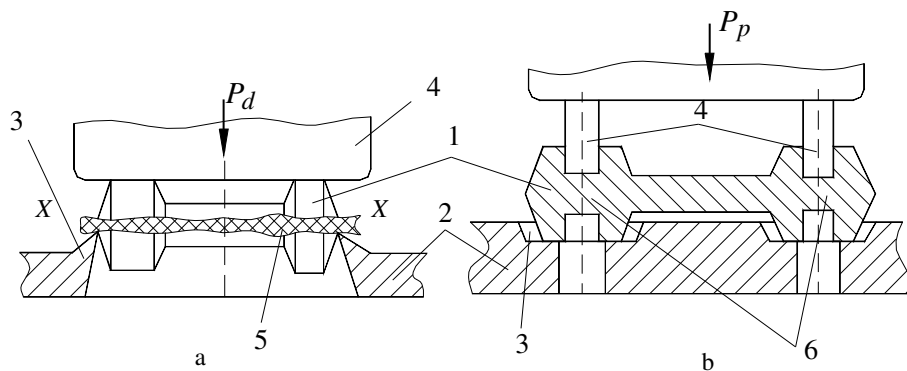


Fig. 5.121. Schema de principiu a debavurării după matrițare:

a – debavurare pe exterior; b – debavurare pe interior; 1 – piesa brut matrițată; 2 – matrița pentru debavurat; 3 – tăiș sau locaș de sprijin; 4 – poanson; 5 – bavură; 6 – membrană.

Forța de debavurare P_d se calculează cu relația :

$$P_d = \beta \cdot k \cdot h \cdot L_m \cdot \tau, \quad (5.208)$$

în care: β este un coeficient influențat de uzura muchiilor tăietoare; k – coeficient de siguranță ($k=1,1 \dots 1,3$); h – grosimea bavurii; L_m – perimetrul de debavurat; τ – rezistența la forfecare a materialului la temperatura la care se face debavurarea.

Dacă pentru o piesă matrițată este necesară atât debavurarea exterioară, cât și cea interioară (cazul piesei din figura 5.117), atunci este rațional să se folosească matrițe de debavurat succesive sau combinate. Neregularitățile rămase pe locul unde a fost bavura se pot înlătura prin polizare;

20 – Curățirea pieselor matrițate – în scopul îndepărtării arsurilor și eventualelor defecte superficiale ce apar în urma procesului de încălzire și matrițare-debavurare. Se folosesc următoarele procedee de curățire:

- curățirea prin sablare, ce constă în lovirea pieselor cu un jet de nisip uscat. Se aplică la piese de orice formă și mărime, în camere speciale de sablare;

- curățirea cu jet de alicie, ce constă în lovirea pieselor cu jet de alicie de oțel, de formă neregulată, cu mărimea de 1...3 mm. Se aplică la piese de dimensiuni mici și mijlocii în camere metalice închise ermetic;

- decaparea, ce constă în îndepărtarea arsurilor, ruginii, grăsimilor etc., folosind diferite soluții chimice. Se execută la piese de orice formă și mărime având greutatea maximă de până la 10kN.

- curățirea cu perii rotitoare din oțel, ce se aplică pieselor cu pereți subțiri, cu nervuri, cu flanșe, cu palete etc.;

21 – Îndreptarea – în scopul îndepărtării anumitor deformări generale sau locale ce au apărut în timpul procesului tehnologic de matrițare, la debavurare sau în timpul tratamentului termic primar sau intermediar. În funcție de configurația geometrică și dimensiunile de gabarit ale pieselor matrițate, precum și în funcție de utilajul folosit la matrițare, îndreptarea se poate face la cald (pentru piesele de dimensiuni mari) și la rece (de regulă după tratamentul termic final și curățire. Îndreptarea la cald se face de regulă chiar în locașul de finisare al aceleiași matrițe, în care s-a matrițat piesa, sau în matrițe de îndreptat. Îndreptarea la rece se face numai în matrițe de îndreptat la ciocane sau la prese;

22 – Tratamentul termic final – în funcție de destinația ulterioară a piesei matrițate și pentru a îmbunătăți caracteristicile de exploatare ale piesei matrițate. Tratamentele termice care se aplică pieselor matrițate sunt:

- recoacerea completă, izotermă sau de detensionare ce se face cu scopul aducerii materialului într-o stare de echilibru fizic, fizico-chimic și structural. Se aplică pentru înlăturarea tensiunilor interne și îmbunătățirea prelucrabilității prin așchiere;

- călirea și revenirea ce se aplică pieselor matrițate când acestea nu necesită prelucrării prin așchiere.

23 – Calibrarea – în scopul obținerii dimensiunilor finale ale piesei matrițate și a unei calități mai bune a suprafețelor. În funcție de condițiile de lucru și dimensiunea la care se referă, calibrarea poate fi: plană, curbilinie sau volumică (mai puțin precisă, acționează asupra întregii piese). În funcție de temperatura la care se desfășoară, calibrarea poate fi : la cald (pentru piese de dimensiuni mari și pentru cele confecționate din oțeluri aliate cu rezistență ridicată) și la rece (pentru piesele mici și de precizie foarte ridicată).

Calibrarea se execută pe matrițe de calibrat și funcție de precizia cerută. De exemplu, simpla debavurare pe contur interior (perforare) a bielei (fig. 5.121. b) nu este suficientă, fiind necesară și o calibrare a găurilor perforate cu ajutorul poansoanelor de calibrare (fig. 5.122). După debavurare și perforare piesa matrițată 3 se încălzește din nou la 800°C și se așează pe presă într-o matrită formată din semimatrițele 1 și 2 foarte precis executate. Se presează puternic cu forța de matrițare P_m , după care se introduc poansoanele de calibrare 4 și 5 sub acțiunea forței de calibrare P_c ;

24 – Controlul final – un control nedistructiv pentru a depista eventualele

defecte interioare și un control dimensional.

25 – Ambalarea și trimiterea către beneficiar – în funcție de destinația ulterioară a piesei matrițate (fie se trimite secțiilor de montaj, fie secțiilor de prelucrare prin așchiere).

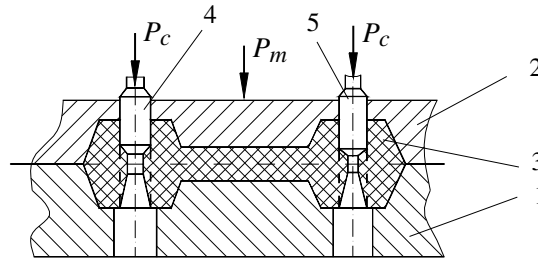


Fig. 5.122. Calibrarea bielei:

1 – semimatriță inferioară ; 2 – semimatriță superioară ; 3 – piesa matrițată ; 4 și 5 – poansoane de calibrare.

5.10.4.7. Defectele pieselor matrițate

Defectele ce pot apărea la piesele matrițate se împart în două categorii:

a) defectele de material datorate elaborării necorespunzătoare a materialului sau laminării necorespunzătoare. Dintre defectele de material cele mai des întâlnite pot fi menționate:

- *incluziunile nemetalice* care sunt particule de impurități (oxizi, silicați, fosfați etc.) care nu aparțin masei metalice de bază. Nu pot fi înlăturate prin matrițare ;

- *fragilitatea la cald* care este dată de tendința oțelurilor de a se fisura sau crăpa în timpul deformării plastice la cald. În timpul matrițării poate apărea fragilitatea la cald (la temperaturi apropiate de temperatura de început de deformare) sau/și fragilitatea la roșu (la temperaturi apropiate de temperatura de sfârșit de deformare). Fragilitatea la roșu conduce la apariția fisurilor și crăpăturilor în timpul matrițării;

- *fisurile intercristaline* sunt defecte ce se întâlnesc mai des la oțelurile aliate și care pot fi înlăturate dacă deformarea plastică se face la temperaturi cât mai ridicate și cu carioaje mari;

- *defectele de suprafață* care constau din crăpături la cald, suprapuneri de material, suduri la rece și alte defecte ce se văd cu ochiul liber. Se înlătură prin curățire, iar dacă depășesc limitele admisibile, materialul inițial nu poate fi folosit;

b) defectele de deformare plastică sunt acele defecte care apar în timpul operațiilor pregătitoare, în timpul matrițării și în timpul operațiilor ulterioare matrițării. În timpul operațiilor pregătitoare pot apărea următoarele defecte:

- *decarburarea*, ce constă în micșorarea conținutului de carbon în stratul exterior al piesei matrițate și apare în timpul procesului de încălzire. Deoarece în

stratul decarburat proprietățile mecanice ale oțelurilor sunt diferite de cele ale masei metalice de bază, prezența decarburării este admisă numai pentru piesele matrițate care se prelucreează apoi prin așchiere, iar adâncimea totală a stratului decarburat trebuie să fie mai mică decât valoarea adaosului de prelucrare;

- *supraîncălzirea*, ce constă într-o creștere exagerată a mărimii grăunților în timpul încălzirii și menținerii la temperatură ridicată. Apare atunci când se depășește temperatura de început de deformare și conduce la o reducere considerabilă a proprietăților mecanice. Acest defect poate fi înlăturat folosind un tratament termic de recoacere sau normalizare;

- *arderea*, ce constă în creșterea exagerată a mărimii grăunților însoțită și de topirea limitelor dintre grăunți. Apare atunci când s-a depășit cu mult temperatura de început de deformare, ajungându-se imediat sub curba solidus.

În timpul matrițării propriu-zise pot apărea următoarele categorii de defect:

- *fisurile și crăpăturile*, ce constau în discontinuități interne și respectiv externe de material (în funcție de locul unde apar, în interior sau cele care comunică cu exteriorul). Principala cauză a apariției fisurilor longitudinale o constituie neuniformitatea deformației și valoarea indicilor de plasticitate. Cauza apariției fisurilor transversale o constituie tensiunile de întindere longitudinală care se creează în timpul deformării plastice în zona axială a semifabricatului;

- *suprapunerile de material* (stratificările), ce constau în distrugerea integrității materialului în straturile interioare și împărțirea acestuia în două sau mai multe părți. Apar de regulă la trecerea de la o secțiune la alta și se datorează întocmirii greșite a tehnologiei de matrițare, alegerii necorespunzătoare a semifabricatului și lipsei unor operații pregătitoare. Stratificările sunt niște goluri alungite cu grosimea foarte mică (aproximativ 0,001 mm) și lățime (2....30 mm) și lungimi de până la 50 mm. Pentru evitarea acestora este necesar ca atât tehnologia de matrițare, cât și dimensiunea matriței să fie cât mai corecte;

- *amprente*, ce constau în urme de arsuri matrițate împreună cu piesa. Sunt de dimensiuni variabile în funcție de cantitatea de arsură și se mai numesc și imprimări.

- *abaterile dimensionale*, ce constau în neconcordanțe dintre dimensiunile reale ale piesei obținute prin matrițare și cele indicate pe desenul de execuție. Aceste defecte sunt datorate greșelilor de proiectare sau debitării semifabricatului la dimensiuni mai mici decât cele necesare. Abaterile dimensionale pot fi pozitive, constituind defecte remediabile prin așchiere, și negative, constituind defecte neremediabile;

- *matrițarea incompletă*, ce constă în mărirea tuturor dimensiunilor piesei matrițate în direcție perpendiculară pe suprafața de separație. Cauzele matrițării incomplete sunt: încălzirea insuficientă a semifabricatului, matrițarea cu lovituri de intensitate prea mică, locașul de bavură dimensionat greșit etc. Defectul se remediază prin matrițare în continuare;

- *dezaxarea*, ce constă în deplasarea, în suprafața de separație, a unei

jumătăți a piesei matrițate față de cealaltă jumătate. Cauza acestor defecte o constituie montarea greșită a matrițelor sau dezaxarea acestora în timpul matrițării;

În timpul operațiilor ulterioare operației de matrițare propriu-zisă mai pot apărea următoarele defecte:

- *crăpăturile și fisurile la rece*, ce constau în discontinuități de material în interior sau care comunică cu exteriorul piesei matrițate. Apar după răcirea totală a materialului și uneori chiar după 3...10 zile. Cauza apariției crăpăturilor la rece o constituie prezența tensiunilor interne care se formează în piesă datorită răcirii cu viteză necorespunzătoare. Prevenirea apariției crăpăturilor la rece se face supunând piesa matrițată, imediat după scoaterea din matriță, unei recoaceri izoterme;

- *fulgii*, ce constau în niște fisuri filiforme cu lungime și orientări diferite în secțiune transversală sau în niște pete argintii, de formă aproximativ rotundă, în secțiune longitudinală. Apar în aceeași direcție cu fibrajul piesei și micșorează substanțial caracteristicile mecanice ale secțiunii piesei;

- *loviturile*, ce constau în deteriorări ale suprafeței piesei matrițate la scoaterea greoaie din locașul de matrițare ca urmare a neungerii sau a închiderii incorecte a matriței.

- *tensiunile interne*, care apar în timpul răcirii pieselor matrițate cu o anumită viteză de răcire. Ele sunt cu atât mai mari cu cât grosimea pieselor și viteza de răcire sunt mai mari.

Toate aceste defecte pot fi puse ușor în evidență folosind metodele de control nedistructiv: cu radiații penetrante; cu ultrasunete; cu substanțe penetrante; cu pulberi magnetice; prin emisie acustică; în curenți turbionari; prin termografiere etc.

5.10.4.8. Procedee speciale de matrițare

Tendința actuală de economie cât mai mare de materiale și de utilizare a unor materiale cu proprietăți deosebite implică o creștere însemnată a ponderii pieselor obținute prin matrițare cu adaosuri de prelucrare din ce în ce mai mici, (chiar pise finite importante care să nu mai necesite prelucrări prin așchiere). De asemenea, apare necesitate obținerii unor piese matrițate de mare precizie, din materiale cu proprietăți de plasticitate scăzute și de configurație din ce în ce mai complexă. Aceste tendințe au dezvoltat și dezvoltă în continuare a serie de procedee de matrițare dintre care trebuie menționate:

- *matrițarea prin extrudare*, care reprezintă o combinație între matrițare și extrudare care, prin modul cum are loc curgerea materialului în matriță, prezintă avantajele:

- se pot realiza deformații mari, deci piese cu configurație complexă în puține faze;

- se pot obține piese finite sau piese cu forme și dimensiuni foarte apropiate de piesa finită, ceea ce reduce consumul specific de materiale și manopară la prelucrările ulterioare prin așchiere;

- se pot prelucra materiale cu plasticitate scăzută;
 - se pot obține piese lungi, care pot fi pline sau găurite, cu o anumită configurație pe toată lungimea (din care se debitează apoi pinioane sau roți dințate).

În funcție de forma pe care o are și de particularitățile tehnologice care apar la stabilirea fazelor de deformare, piesele matrițate prin extrudare pot fi împărțite în trei grupe (fig. 5.123):

- piese de tipul tijelor cu una sau mai multe porțiuni îngroșate (fig. 5.123.a);
- piese cu mai multe tije orientate perpendicular (fig. 5.123. b);
- piese găurite prevăzute cu o porțiune îngroșată (fig. 5.123. c).

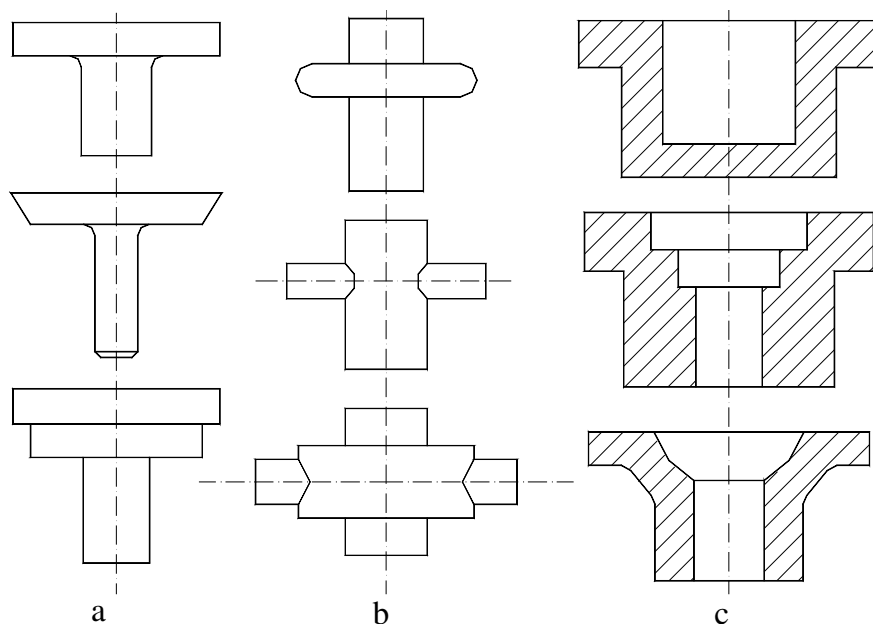


Fig. 5.123. Exemple de piese matrițate prin extrudare:

a – de tipul tijelor cu una sau mai multe porțiuni îngroșate; b – cu mai multe tije orientate perpendicular; c – găurite și prevăzute cu o porțiune îngroșată.

Alegerea și succesiunea fazelor de deformare sunt în funcție de complexitatea piesei, natura materialului și fibrajul ce se vrea obținut.

De exemplu, obținerea unui ax planetar prin procedeul tehnologic de matrițare prin extrudare se prezintă în figura 5.124, unde semifabricatul inițial 1, trece succesiv prin fazele: extrudarea cozii 2, a porțiunii de legătură 3 și a capului 4, pentru ca apoi să treacă prin locașul pregătitor 5, locașul prefinisor 6 și locașul finisor 7, rezultând piesa finită.

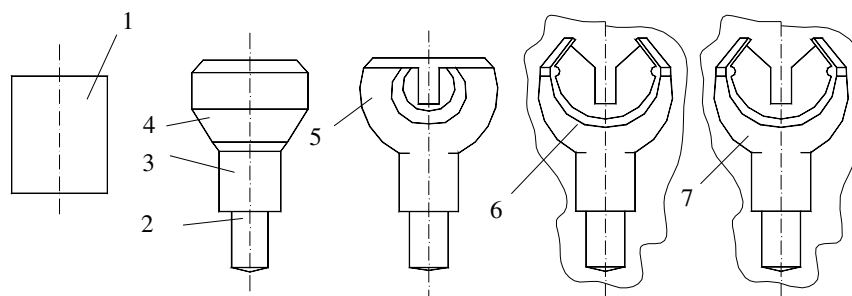


Fig. 5.124. Fazele obținerii unui ax planetar prin procedeul tehnologic de matrițare prin extrudare:
1 – semifabricatul inițial ; 2 ; 3 ; 4 – porțiuni extrudate ; 5, 6 și 7 – porțiuni matrițate.

- *matrițarea materialului lichid*, care reprezintă o combinație între turnare și matrițare. De regulă, la acest procedeu se înbină turnarea metalului sau aliajului lichid sub presiune cu matrițarea la cald. Piese obținute prin acest procedeu prezintă câteva avantaje importante:

- au structură mai fină, deoarece cristalizarea se face sub presiune;
- rezistența la rupere, duritatea și plasticitatea sunt mai bune cu 20...30%, datorită structurii granulare mai fine;
- au o precizie mai ridicată, compactitate mai bună și precizie dimensională mai bună, deoarece după cristalizare suferă și o deformare plastică;
- coeficientul de utilizare a metalului lichid este de peste 95% în comparație cu 50...70% la turnarea în cochilă sub presiune.

Schema de principiu a procedurii se prezintă în figura 5.125.

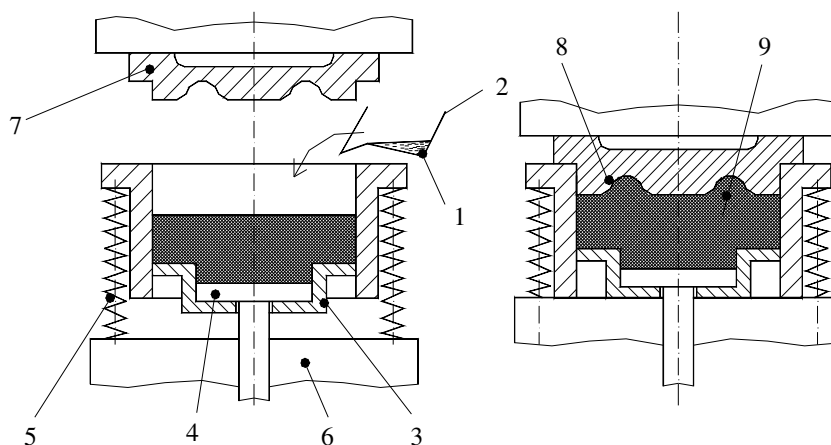


Fig. 5.125. Schema de principiu a matrițării pieselor din metal lichid:
1 – metalul lichid; 2 – creuzet; 3 – semimatrița inferioară; 4 – extractor; 5 – arcuri de compresie;
6 – suport; 7 – semimatrița superioară; 8 – locașul de matrițare; 9 – piesa matrițată.

Metalul lichid 1, din creuzetul 2, se introduce în semimatrița inferioară 3, prevăzută cu extractorul 4, arcurile de compresie 5 și suportul 6. După turnarea metalului lichid, semimatrița 7, se deplasează și se închide cu semimatrița inferioară formând locașul de matrițare 8. După solidificarea metalului lichid, care se face sub presiune, începe deformarea plastică a semifabricatului, rezultând piesa matrițată 9, care va fi expulzată din semimatrița inferioară cu ajutorul extractorului 4. Deci, matrițarea metalului lichid se compune dintr-o turnare sub presiune urmată imediat de o matrițare la cald, cumulând avantajele celor două procedee;

- *matrițarea electrohidraulică*, care folosește unda de șoc rezultată în urma unei descărcări electrice bruște, într-un mediu fluid care trece în stare de plasmă. Unda de șoc are o viteză de peste 6 000m/s și dezvoltă o presiune de peste 100daN/mm², suficientă pentru a deforma și materiale cu plasticitate scăzută.

Schema de principiu a matrițării electrohidraulice se prezintă în figura 5.126.

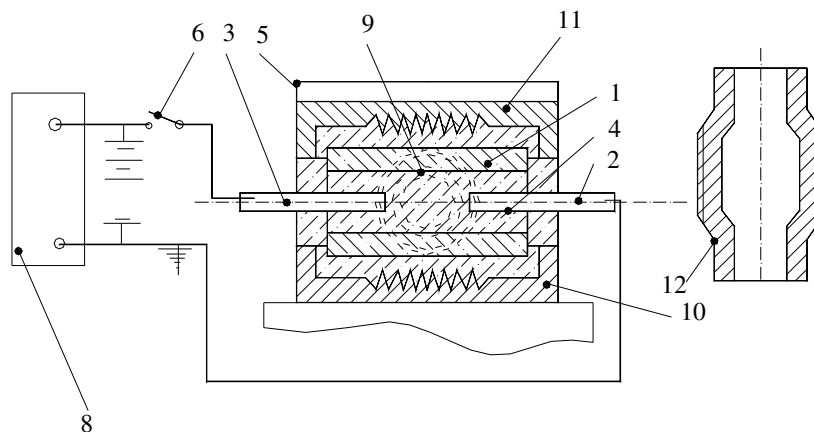


Fig. 5.126. Schema de principiu a matrițării electrohidraulice:

- 1 – semifabricatul inițial; 2; 3 – electrozii de descărcare; 4 – mediul hidrostatic; 5 – rezervor;
6 – întrerupător; 7 – bateria de condensatoare; 8 – generator de înaltă tensiune; 9 – unda de șoc;
10, 11 – semimatrița inferioară și respectiv superioară; 12 – piesa matrițată.

Semifabricatul tubular 1, împreună cu electrozii de descărcare 2 și 3, se introduc în mediul hidrostatic 4, așezat în rezervorul 5. Prin acționarea întrerupătorului 6 se pune în funcțiune circuitul de descărcare format din bateria de condensatoare 7, generatorul de înaltă tensiune 8 și electrozii de descărcare. Se formează o undă de șoc 9, care deformează cu viteză mare materialul ce ocupă locașul de matrițare format prin închiderea semimatrițelor 10 și 11, rezultând piesa matrițată 12. Tensiunea de lucru este de 5 000...30 000 V, capacitatea de 1 000...6 000 μF, instalația putând debita o energie de 15...100 kJ. Principalii parametri tehnologici ai procedeului sunt: distanța dintre electrozi, mediul hidrostatic de

propagare a undei de șoc, forma electrozilor, tensiunea de descărcare, natura materialului de deformat și viteza de deformare;

- *matrițarea prin explozie*, care folosește unda de șoc creată în urma detonării unui explozibil și transmiterea acesteia printr-un mediu lichid, solid sau gazos.

Schema de principiu a procedurii se prezintă în figura 5.127.

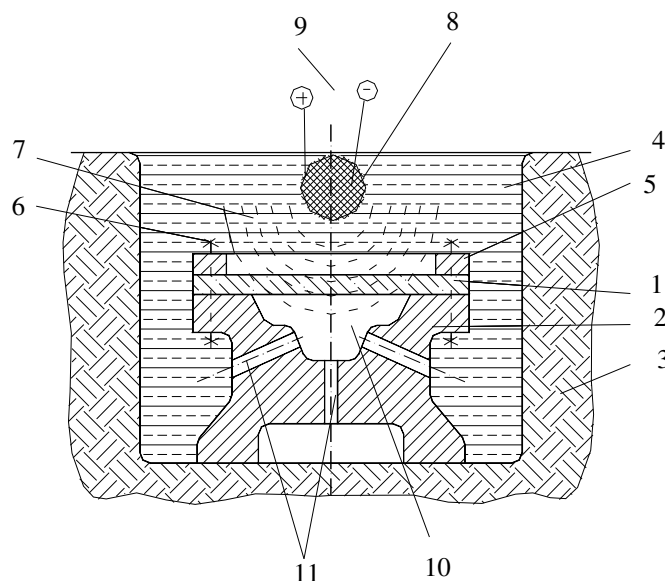


Fig. 5.127. Schema de principiu la matrițarea prin explozie:

1 – semifabricatul inițial ; 2 – matriță ; 3 – groapă ; 4 – mediul lichid; 5 – inel de fixare;
6 – dispozitiv de fixare ; 7 – unda de șoc ; 8 – explozibil ; 9 – detonator ; 10 – locașul de matrițare;
11 – orificii de evacuare a aerului.

Semifabricatul inițial 1, sub formă de tablă laminată, se așează pe matrița 2, fixată pe fundul unei gropi 3, plină cu mediul lichid 4. Semifabricatul este fixat pe matriță cu ajutorul inelului 5 și a elementelor de fixare 6. Unda de șoc 7, creată prin detonarea explozibilului 8, de către detonatorul 9, deformează materialul obligându-l să umple locașul de matrițare 10. Matrița este prevăzută cu orificiile 11 de evacuare a aerului, pentru a evita spargerea matriței. Explozivii întrebuințați pot fi *lenți*, dezvoltând presiuni de ordinul 3×10^3 bar și viteze de deformare de 300... 2 500 m/s (folosiți la piese de dimensiuni mici) și *brizanți*, care dezvoltă presiuni de ordinul 3×10^6 bar și viteze de deformare de 1 200...7 500 m/s (folosiți la obținerea pieselor foarte mari). Ca medii de lucru se folosesc aerul, apa (cel mai des) și nisipul și se aplică la operații ca bombarea, extrudarea, calibrarea, presarea pulberilor metalice și ecrusarea;

- *matrișarea prin electrorefulare*, care folosește efectul caloric al curentului electric indus în semifabricatul ce urmează a fi deformat. Schema de principiu a procedurii se prezintă în figura 5.128. Semifabricatul inițial 1, al cărui capăt 2, urmează a fi refulat, se prinde în fălcile 3, ale electrodului de ghidaj 4. Semifabricatul este apăsat cu forța P către placa de refulare 5, care formează un al doilea electrod. Prin închiderea circuitului electric, porțiunea 2 a semifabricatului se încălzește până la temperatura de început de deformare, și sub acțiunea forței P se deformează până la forma dorită 6. Piesa semifabricat astfel obținută este trecută imediat la matrișarea finală pe o presă, fără să mai necesite o încălzire suplimentară. Principalii parametri tehnologici ai procedurii sunt: temperatura de încălzire ; forța de refulare ; distanța inițială dintre electrozi ; viteza de deplasare a electrodului de ghidaj ; natura materialului de deformat ; configurația geometrică a piesei și programa de producție.

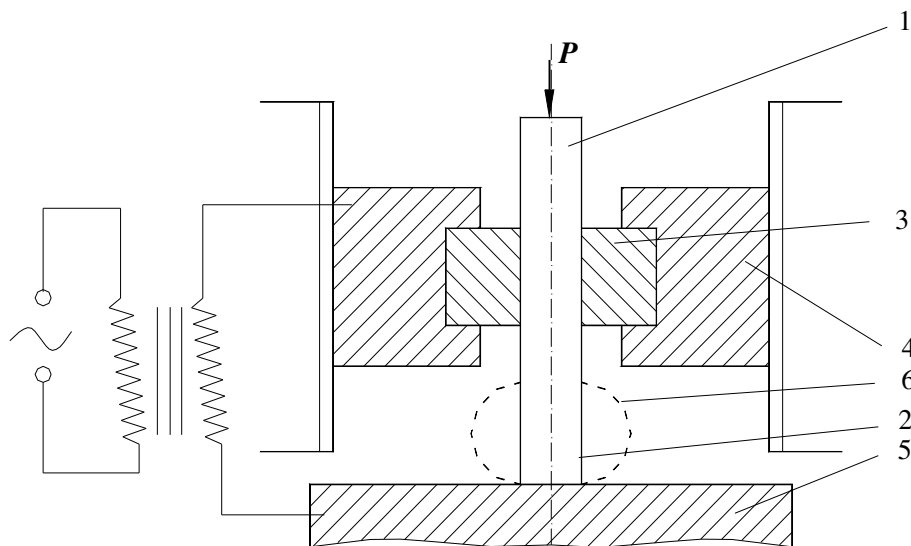


Fig. 5.128. Schema de principiu a matrișării prin electrorefulare.

Procedeul prezintă câteva avantaje deosebit de importante:

- eliminarea cuptoarelor de încălzire și deci evitarea pierderilor prin ardere;
- calitatea suprafețelor pieselor deosebit de ridicată și posibilitatea obținerii de piese fără defecte interioare;
- productivitatea ridicată și eficiență sporită.

De exemplu, obținerea unei supape ce funcționează într-un motor cu ardere internă se face în două faze distincte (fig. 5.129). Semifabricatul inițial 1 este electrorefulat, rezultând piesa-semifabricat 2, care este apoi matrișată pe o presă cu șurub rezultând supapa 3.

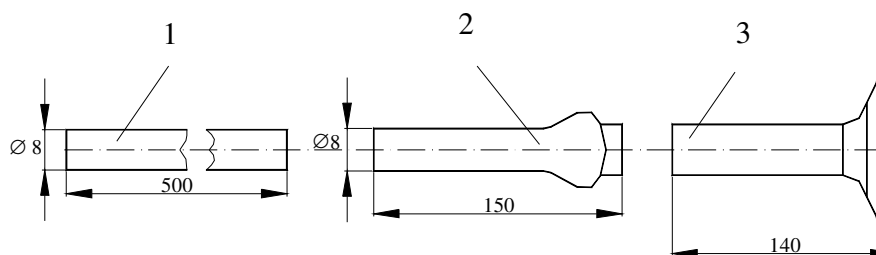


Fig. 5.129. Etapele tehnologice ale obținerii unei supape prin procedeul tehnologic de matrițare prin electrorefulare:
1 – semifabricatul inițial; 2 – piesa-semifabricat; 3 – supapa obținută prin matrițare pe presa cu șurub.

- *matrițarea orbitală*, care folosește mișcarea semimatriței superioare după anumite traiectorii conforme cu piesa ce se vrea realizată. Schema de principiu a procedeului se prezintă în figura 5.130. Semifabricatul inițial 1 se așează în semimatrița inferioară 2 și cu ajutorul semimatriței superioare 3 (matrița activă),

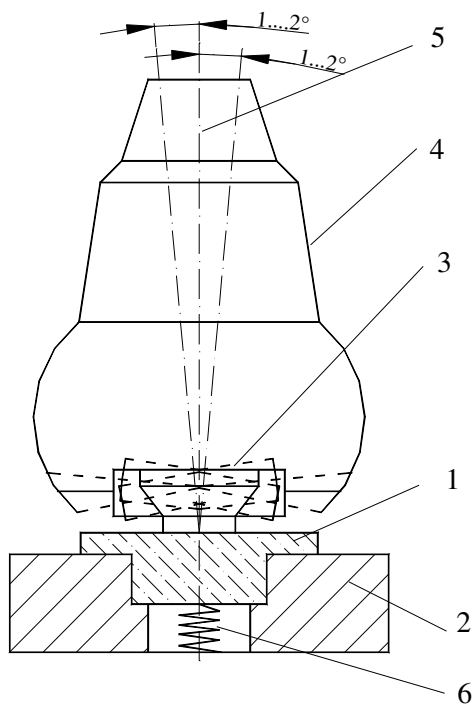


Fig. 5.130. Schema de principiu la matrițarea orbitală:
1 – semifabricatul inițial; 2 – semimatrița inferioară; 3 – semimatrița superioară; 4 – berbecul rotitor;
5 – axa de rotație; 6 – extractor.

fixată pe berbecul 4, se deformează la partea superioară. Berbecul se rotește după o axă de rotație 5, care se înclină $1...2^\circ$. Traiectoria posibilă a semimatriței superioare poate fi orbitală, planetară sau în linie dreaptă. Piesa rezultată este expulzată din semimatrița inferioară cu ajutorul unui extractor 6.

Avantajele procedurii sunt următoarele :

- precizia ridicată a piesei ;
- calitatea superioară a suprafețelor ;
- creșterea rezistenței la oboseală ;
- posibilitatea deformării unor secțiuni subțiri ;
- lipsă de zgomot ;
- economie de energie.

Procedul se aplică la realizarea unor piese complicate cu danturi frontale sau a pieselor cu porțiuni subțiri în raport cu diametrul ;

- *matrițarea în câmpuri magnetice impulsive*, care folosește principiul descărcării instantanee a unei baterii de condensatoare într-un inductor în care se creează un câmp magnetic (impuls) de înaltă tensiune. Schema de principiu a procedurii se prezintă în figura 5.131. Semifabricatul inițial 1 se introduce în

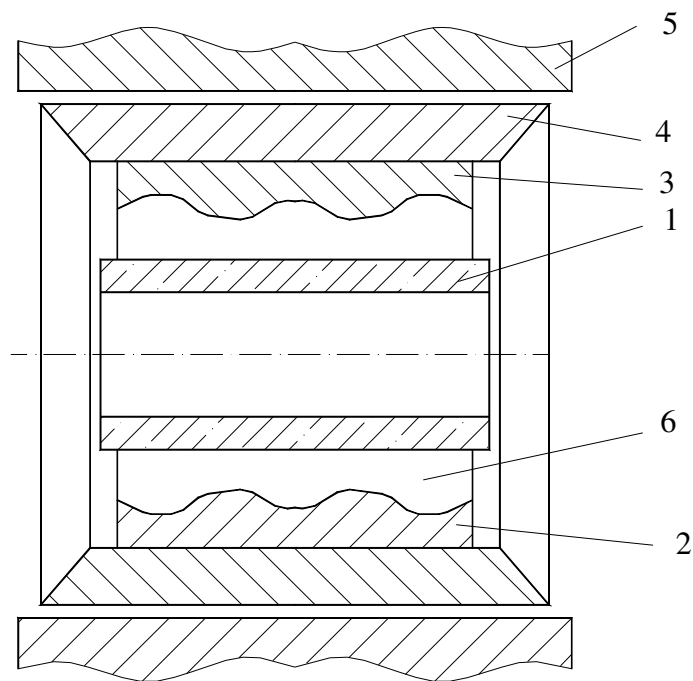


Fig. 5.131. Schema de principiu la matrițarea în câmpuri magnetice impulsive:
1 – semifabricat; 2 și 3 – semimatrița inferioară și respectiv superioară; 4 – concentrator de câmp;
5 – inductor; 6 – locașul de matrițare.

interiorul semimatrițelor 2 și 3 aflate în concentratorul de câmp 4. Descărcarea bateriei de condensatoare se face în inductorul 5, creându-se un câmp magnetic de înaltă tensiune. Acest câmp induce un curent de sens opus în semifabricatul 1, obligându-l să se deformeze instantaneu 6. Impulsul durează $10...20\mu s$ și creează o presiune de până la $3,5 \times 10^3$ bar.

Parametrii procesului tehnologic sunt: natura materialului de deformat; configurația geometrică a piesei; tensiunea de lucru; capacitatea bateriei de condensatoare; durata impulsului și viteza de deformare.

Procedeul se aplică la matrițarea pieselor cu pereți subțiri sau la asamblarea nedemontabilă a unor piese diferite prin deformarea instantanee a zonelor de îmbinare corespunzător ;

- *matrițarea în câmp ultrasonic*, care folosește efectele rezultate ca urmare a propagării undelor ultrasonore prin solide și anume: *efectul de suprafață*, ce constă în micșorarea substanțială a forțelor de frecare cu până la 70% și *efectul de volum*, ce conduce la creșterea plasticității cu 20...60% și reducerea cu 40...80% a forțelor necesare deformării. Eficacitatea suprapunerii energiei ultrasonore peste

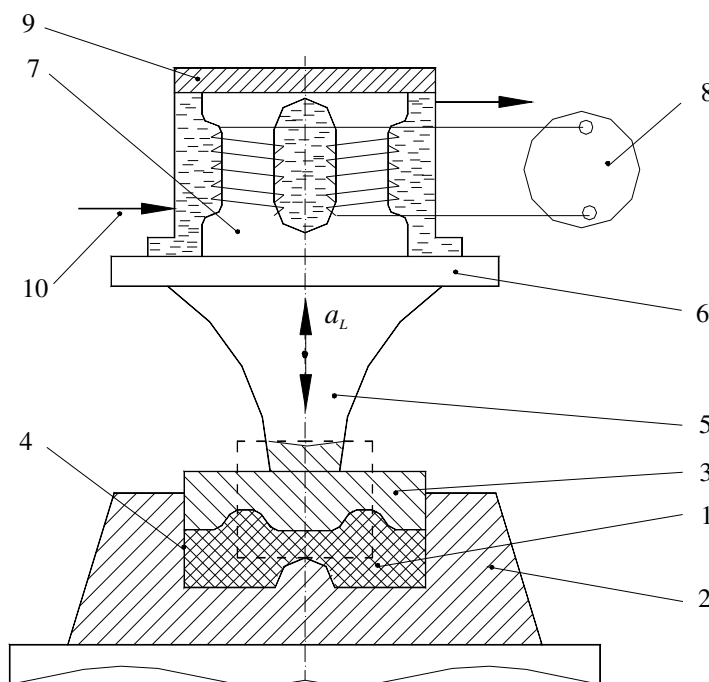


Fig. 5. 132. Schema de principiu a matrițării în câmp ultrasonic:

1 – semifabricatul inițial; 2; 3 – semimatrița inferioară și respectiv semimatrița superioară; 4 – locul de matrițare; 5 – concentratorul de energie ultrasonică; 6 – flanșa nodală; 7 – transductorul ultrasonic; 8 – generatorul de înaltă frecvență; 9 – izolație acustică; 10 – sistemul de răcire.

energia de deformare depinde în primul rând de modul de introducere a ultrasunetelor, în focarul de deformare existând următoarele variante: *activarea ultrasonică a semifabricatului inițial; activarea ultrasonică a semimatriței inferioare, a semimatriței superioare sau a ambelor*. Schema de principiu a matrițării în câmp ultrasonor cu activarea ultrasonică a semimatriței superioare se prezintă în figura 5.132.

Semifabricatul inițial 1 se așează pe semimatrița inferioară 2, fiind deformat cu ajutorul semimatriței superioare 3 și obligat să umple locașul de matritare 4. Semimatrița superioară este activată ultrasonic prin intermediul concentratorului de energie ultrasonoră 5, care este legat de traductorul ultrasonor 7, prin intermediul flanșei nodale 6.

Traductorul ultrasonor convertește oscilațiile electrice ale generatorului de înaltă frecvență 8, în oscilații mecanice cu frecvență ultrasonoră. Traductorul ultrasonor este izolat acustic 9 și răcit în permanență 10. Semimatrița superioară vibrează cu o frecvență de 18...32kHz și amplitudini $a_L = 5...120 \mu\text{m}$, putându-se obține piese de înaltă precizie dimensională, cu o calitate a suprafețelor deosebită, din materiale cu plasticitate foarte scăzută.

Este de așteptat, ca pe măsura diversificării materialelor cu proprietăți cu totul deosebite, să apară și alte procedee de matrițare care să răspundă tendințelor mereu crescânde privind obținerea directă de piese finite prin matrițare, fără prelucrări ulterioare prin așchiere.

5.11. OBȚINEREA PIESELOR DIN TABLE

5.11.1. Generalități

Tablele sunt corpuri geometrice la care una din dimensiuni (respectiv grosimea s) este mult mai mică în comparație cu celelalte.

Prin înlocuirea pieselor turnate sau forjate cu piese obținute din table se realizează următoarele avantaje:

- reducerea greutateii pieselor cu 25...50%;
- reducerea consumurilor de materiale cu 20...80%;
- reducerea volumului de muncă și a cheltuielilor cu manopera cu 50...80%;
- obținerea de piese simple sau complexe imposibil de obținut prin celelalte procedee (turnare, forjare, așchiere etc.);
- posibilitatea unei ușoare mecanizări și automatizări;
- productivitatea ridicată.

Piese confectionate din tablă au o largă utilizare în industria constructoare de automobile și tractoare, industria electrotehnică și electronică,

industria aviatică și constructoare de nave maritime și fluviale, industria bunurilor de larg consum și constructoare de mașini agricole precum și în alte domenii ale economiei.

Ca semifabricate inițiale se folosesc *tablele*, *benzile* și *platbenzile* de grosimi diferite, distingându-se următoarele categorii de prelucrări:

- prelucrarea tablelor groase, când grosimea $s \geq 4,0$ mm;
- prelucrarea tablelor subțiri, când grosimea $0,15 \leq s < 4,0$ mm;
- prelucrarea foliilor, când grosimea $s < 0,15$ mm.

În general prelucrarea tablelor subțiri și a foliilor se face *la rece*, iar prelucrarea tablelor groase se face *la cald*. Principalele procedee de prelucrare a tablelor în funcție de caracterul general al operațiilor se prezintă în figura 5.133.

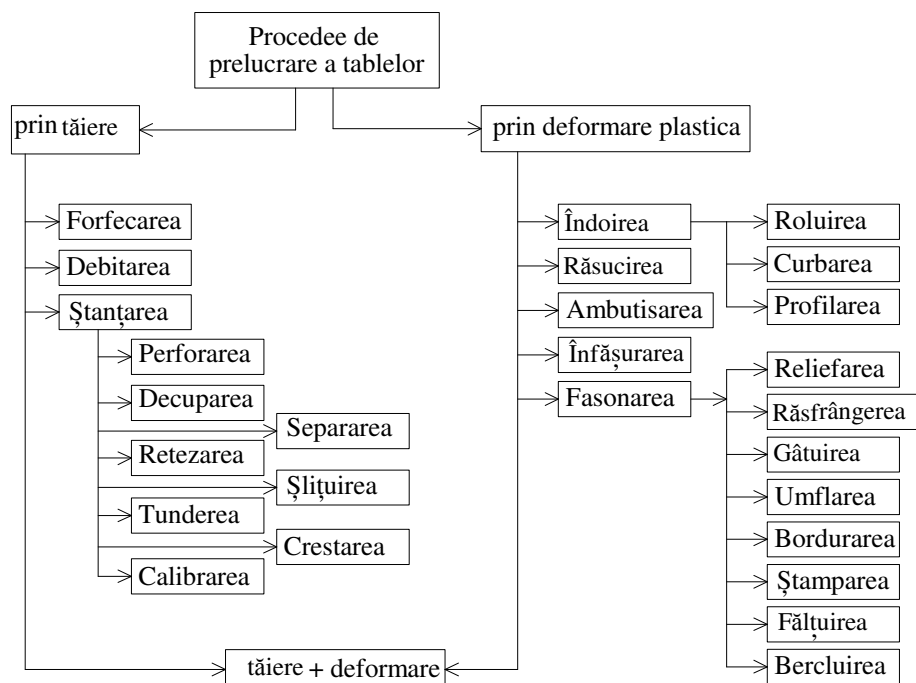


Fig. 5. 133. Principalele procedee de prelucrare a tablelor.

5.11.2. Procedee tehnologice de prelucrare a tablelor prin tăiere

Aceste procedee constau în separarea totală sau parțială a unei părți din semifabricatul inițial supus prelucrării. Porțiunea separată poate fi o piesă finită sau un deșeu, de forme și dimensiuni corespunzătoare cu scopul propus.

Principalele procedee de prelucrare prin tăiere sunt *forfecarea* și *ștanțarea*.

5.11.2.1. Forfecarea

Forfecarea este procedeul tehnologic de tăiere a unui semifabricat după un contur deschis, drept sau curb, cu ajutorul a două tăişuri asociate aflate într-o mişcare relativă.

Schema de principiu a procedeului se prezintă în figura 5.134. Semifabricatul 1 se introduce între tăişurile cuţitelor 2 şi 3, în urma acţiunii forţei de forfecare P_f , rezultând porţiunea separată 4. Procesul de tăiere decurge în trei faze caracteristice:

- faza elastică, în care tensiunile din material nu depăşesc limita de curgere;
- faza plastică, în care tensiunile din material depăşesc limita de curgere;
- faza de rupere, când tensiunile din material depăşesc limita de curgere a materialului şi se formează microfisuri şi apoi macrofisuri, rezultând separarea în părţi distincte.

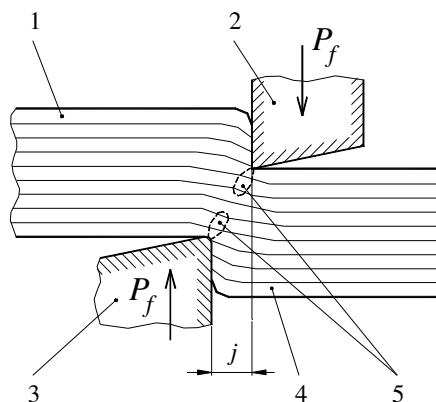


Fig. 5.134. Schema de principiu a tăierii prin forfecare:

1 – semifabricat inițial; 2; 3 – tăişuri asociate; 4 – porțiune separată; 5 - macrofisuri; j – jocul dintre muchiile cuțitelor.

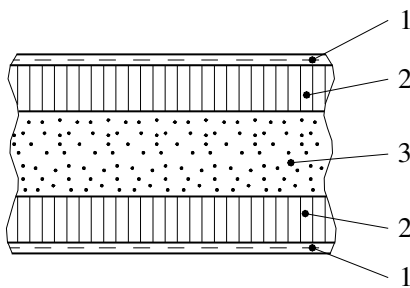


Fig. 5.135. Zonele care apar la forfecare:

1 – zone de deformății locale; 2 – zone de alunecare; 3 – zonă grăunțoasă.

La o tăietură obținută prin forfecare se disting următoarele zone caracteristice (fig. 5.135): două zone înguste 1, cu deformații locale cu aspect lucios și neted; două zone lucioase 2, datorită frecării dintre tășuri și material și o zonă grăunțoasă 3, datorită forfecării bruște a materialului.

În general, tăierea prin forfecare este o operație pregătitoare și se poate executa manual, cu foarfeca de mână sau de banc, cu foarfece cu lame paralele, cu foarfece cu lame înclinate, cu foarfece cu două discuri, cu foarfece cu cuțit vibrator, cu foarfece cu mai multe discuri etc.

Tăierea prin forfecare cu *foarfecele cu lame paralele* (fig. 5.136) se folosește pentru table cu grosimea mai mică de 20 mm și lățimea variabilă. Semifabricatul 1, de grosime s și lățime L , se așează pe cuțitul fix 2 prins pe masa 3 a foarfecii. Forța de forfecare P_f se aplică cu ajutorul cuțitului mobil 4, prins de culisoul presei 5, ce funcționează între ghidajele 6. Din cauza zonei mari de contact dintre lama cuțitului și material, forța de tăiere crește brusc de la zero la o valoare maximă, scăzând din nou la zero, ceea ce produce un șoc puternic, zgomote și trepidații.

Forța de forfecare P_f se calculează cu relația:

$$P_f = k \cdot L \cdot s \cdot \tau, \quad (5.209)$$

în care: $k = 1,1, \dots, 1,30$, în funcție de uzura muchiei tăietoare și grosimea materialului; τ – rezistența la forfecare a materialului.

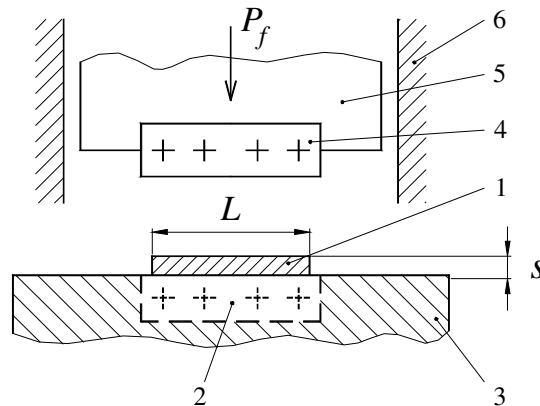


Fig. 5.136. Schema de principiu a forfecării pe foarfece cu lame paralele:
1 – semifabricat; 2 – cuțitul fix; 3 – masa foarfecii; 4 – cuțitul mobil; 5 – culisoul presei; 6 – ghidaje.

Tăierea prin forfecare cu *foarfecele cu lame înclinate* numite și *ghilotine* (fig. 5.137) se folosește pentru table cu grosimea $s \leq 40$ mm. Cuțitul mobil 4 are tăișul înclinat cu unghiul $\alpha = 2 \dots 6^\circ$, micșorându-se foarte mult forța de tăiere și crescând grosimea tablelor ce se poate tăia. Se înlătură șocurile și vibrațiile,

deoarece tăișul vine treptat în contact cu materialul de tăiat. Forța de forfecare P_f se calculează cu relația:

$$P_f = \frac{1}{2} \cdot \frac{s^2}{\operatorname{tg} \alpha} \cdot \tau, \quad (5.210)$$

în care: s este grosimea tablei; τ - rezistența la forfecare.

Tăierea prin forfecare cu *foarfecele cu discuri cu axele paralele* (fig.138) se folosește pentru obținerea din foi de tablă a semifabricatelor rotunde sau cu contururi curbe și a benzilor, când grosimea pieselor nu depășește 30 mm.

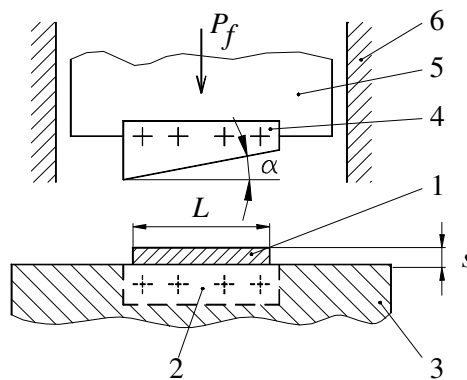


Fig. 5.137. Schema de principiu a forfecării pe foarfece cu lame înclinate:
1 - semifabricat; 2 - cuțit fix; 3 - masa foarfecii; 4 - cuțitul mobil cu tăișul înclinat; 5 - culisoul presei; 6 - ghidaje.

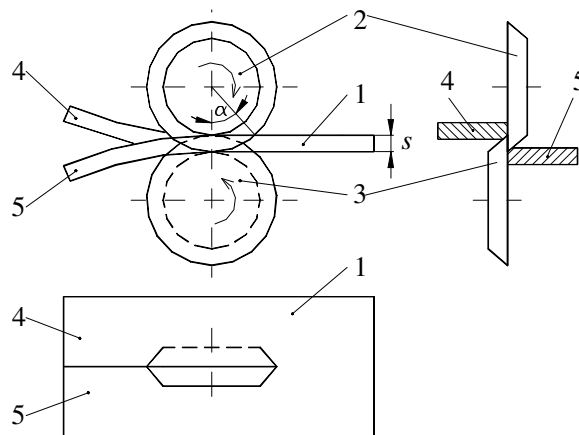


Fig. 5. 138. Schema de principiu a forfecării pe foarfece cu discuri cu axele paralele:
1 - semifabricat; 2; 3 - discuri cu axele paralele; 4; 5 - porțiuni separate din semifabricat.

Grosimea tablelor tăiate poate fi mai mare dacă se înclină unul din discuri sau ambele.

Forța de forfecare P_f se calculează cu relația:

$$P_f = \frac{1}{2} \cdot \frac{h_p \cdot s \cdot \tau}{\operatorname{tg} \alpha}, \quad (5.211)$$

în care: h_p este adâncimea de pătrundere a cuțitelor în momentul forfecării.

Tăierea prin forfecare cu *foarfecele cu mai multe discuri* (fig.139) se folosește pentru obținerea simultană a mai multor benzi din table și pentru tăierea în lățime a platbandelor și benzilor, în cazul când grosimea tablelor nu depășește 10 mm. Semifabricatul 1, de grosime s , se introduce între discurile 2, 3 și 4, 5, ce se rotesc în sensuri contrarii, fiind forfecat în porțiunile separate 6 și 7.

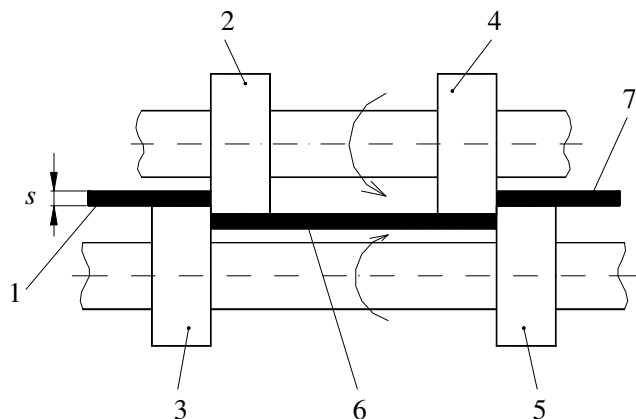


Fig. 5. 139. Schema de principiu a forfecării pe foarfece cu mai multe discuri :
1 – semifabricatul inițial; 2; 3; 4; 5 cuțite disc; 6, 7 – porțiuni separate (benzi; platbenzi).

Tăierea prin forfecare cu *foarfecele cu cuțit vibrator* (fig.140) se folosește la tăierea tablelor după un contur oarecare, trasat în prealabil sau urmărit după un șablon. Semifabricatul se așează pe cuțitul fix 1 fiind tăiat de cuțitul mobil 2, fixat pe capul 3 și acționat de un mecanism cu excentric. Cuțitul mobil execută o mișcare vibratorie cu o cursă de 2...4 mm și frecvența de 2 000...25 000 curse duble/minut. Pentru tăiere se pot folosi două scheme posibile: foarfeca montată pe un suport fix, iar tabla deplasându-se în fața cuțitelor după conturul dorit, sau tabla fixă, deplasându-se foarfecele după conturul de tăiat. Se pot tăia table cu grosimea de până la 10 mm, forța de forfecare P_f calculându-se cu relația:

$$P_f = \frac{1}{2} \cdot \frac{s^2 \cdot \tau}{\operatorname{tg} \beta}, \quad (5.212)$$

în care: $\beta = 6...7^\circ$ este unghiul de degajare; s – grosimea tablei; τ – rezistența la forfecare.

Precizia tăierii cu foarfece este influențată de: metoda de tăiere și tipul foarfecei, grosimea materialului; configurația geometrică a piesei; starea muchiilor tăietoare a cuțitelor; prezența fixării tablei; forța de fixare și modul de reglare a limitatoarelor.

Forța P_f , necesară tăierii, depinde de mărimea secțiunii de tăiere, de rezistența la forfecare a materialului și de condițiile de tăiere (tipul cuțitelor, uzura tăișurilor, neuniformitatea materialului etc.). Atunci când forța necesară forfecării este mică, iar utilajul existent dispune de o putere mult mai mare, se poate practica *forfecarea în pachet* (tablele așezate unele peste altele).

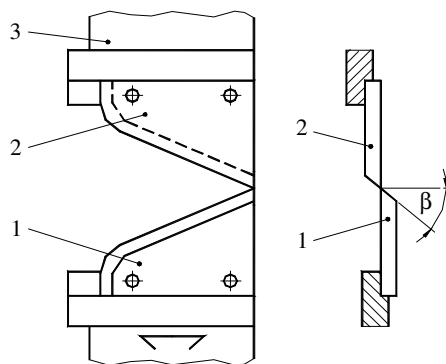


Fig. 5. 140. Schema de principiu a forfecării pe foarfece cu cuțit vibrator:
1 – cuțit fix; 2 – cuțit mobil; 3 – cap de lucru.

Procesul tehnologic de tăiere prin forfecare cuprinde următoarele etape principale:

1. Pregătirea semifabricatului în vederea forfecării – care constă în curățirea, degresarea și decaparea suprafețelor ce urmează a veni în contact cu tăișurile cuțitelor;
2. Trasarea semifabricatului – care constă în marcarea traseului ce trebuie urmărit de cuțitele foarfecelor;
3. Controlul inițial – în vederea depistării eventualelor defecte interioare. Se face un control nedistructiv folosind controlul cu radiații penetrante, cu ultrasunete, cu substanțe penetrante, cu pulberi magnetice, prin emisie acustică, prin termografie etc;
4. Tratamentele termice inițiale (dacă este cazul) – în vederea îmbunătățirii proprietăților de plasticitate. De regulă, se face o recoacere de înmuiere;
5. Determinarea forței de tăiere – care se face funcție de grosimea tablei de tăiat, configurația geometrică a piesei, natura materialului de tăiat și schema de tăiere;

6. Alegerea utilajului de forfecare – în funcție de forța necesară la tăiere, de metoda de tăiere, productivitate, configurația geometrică a piesei și precizia geometrică dorită;
7. Încălzirea semifabricatului (dacă este cazul) – care se aplică în general la forfecarea tablelor groase;
8. Forfecarea propriu-zisă – care se face manual, mecanizat sau automatizat, în funcție de utilajul ales și productivitatea cerută;
9. Îndepărtarea gradului de pe suprafața de separare – prin polizare sau o altă metodă ce folosește scule abrazive;
10. Tratamentul termic final (dacă este cazul) – în funcție de destinația ulterioară a porțiunilor separate;
11. Controlul final – reprezentat de un control dimensional;
12. Ambalarea și trimiterea către beneficiar – în funcție de prelucrările ulterioare la care sunt supuse porțiunile separate prin forfecare.

5.11.2.2. Ștanțarea

Ștanțarea este procedeul tehnologic de prelucrare prin tăiere a tablelor ce constă în tăierea după un contur închis și separarea completă a unor porțiuni din semifabricat.

Schema de principiu a procedurii se prezintă în figura 5.141. Semifabricatul inițial 1, de grosime s (bandă sau platbandă), se așează pe placa de tăiere 2, prevăzută cu muchii tăietoare pe conturul interior și cu ajutorul poansonului 3, prevăzut tot cu muchii tăietoare pe conturul exterior, acționat de

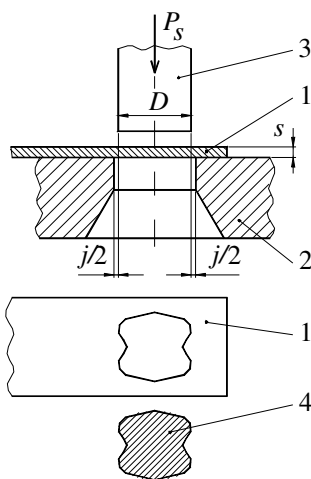


Fig. 5. 141. Schema de principiu a operației de ștanțare:

1 – semifabricatul inițial; 2 – placa de tăiere; 3 – poansonul; 4 – porțiunea separată; j – jocul dintre poanson și placa activă.

forța P_s se separă porțiunea 4, care poate fi deșeu sau piesă finită. Procedeul se execută cu ajutorul unei scule numită ștanță, sculă ce are cel puțin două elemente active (poansonul și placa activă) cu conturul corespunzător piesei ce se vrea obținută. Ștanța este acționată de o presă, unul din elementele active fiind mobil (poansonul), iar celălalt fiind fix (placa de tăiere).

Prin ștanțare se execută diverse operații de tăiere, cele mai des utilizate fiind următoarele:

- *decuparea* (fig. 5. 142. a) – operația de tăiere, după un contur închis, cu separarea completă a piesei din semifabricatul bandă;
- *perforarea* (fig. 5. 142. b) – operația de tăiere, după un contur închis, cu separarea completă a deșeului de piesa finită.

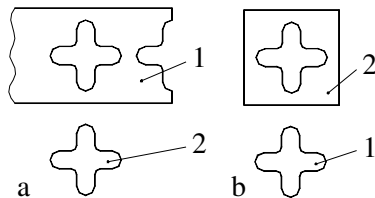


Fig. 5. 142. Schema de principiu la:
a – decupare; b – perforare : 1 – deșeul; 2 – piesa ștanțată.

Decuparea sau perforarea se execută cu o sculă numită *ștanță de decupat* sau *perforat*. La aceste ștanțe, între elementele active există un joc $j = (0,05...0,1)s$, care are o foarte mare importanță tehnologică, atât în ceea ce privește calitatea suprafețelor, consumul de energie, cât și în ceea ce privește durabilitatea ștanțelor;

- *retezarea* (fig. 5. 143) este operația de tăiere după un contur deschis, cu separarea completă a semifabricatului în părți distincte. Semifabricatul inițial 1, tip

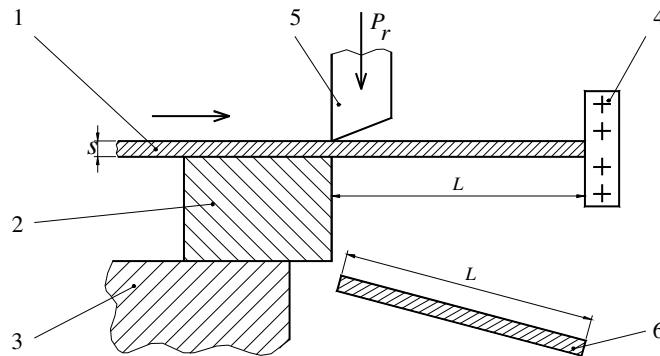


Fig. 5.143. Schema de principiu a retezării:
1 - semifabricatul inițial; 2 – placa de tăiere; 3 – masa preseii; 4 – opritor; 5 – cuțitul mobil;
6 - porțiunea separată;

bandă sau platbandă, avansează pe placa de tăiere 2, fixă pe masa 3 a presei, până în dreptul opritorului 4, și cu ajutorul cuțitului mobil 5 se realizează separarea completă a porțiunii 6 de lungime L . Operația de retezare se execută cu *ștanțe de retezat*.

- *șlițuirea* (fig. 5. 144) este operația de tăiere după un contur deschis, cu separarea completă a unor părți din semifabricat sub formă de deșeuri;

- *tunderea* (fig. 5. 145) este operația de tăiere după un contur închis, a marginilor neuniforme ale unor piese obținute în prealabil, printr-un procedeu de prelucrare prin deformare plastică numit ambutisare. Operația se execută cu o sculă numită *ștanță de tundere*;

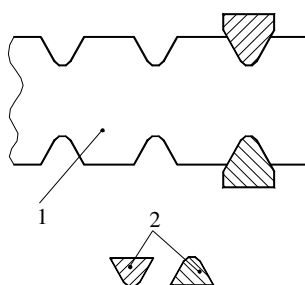


Fig. 5. 144. Schema de principiu a operației de șlițuire:
1 – piesă; 2 – deșeuri.

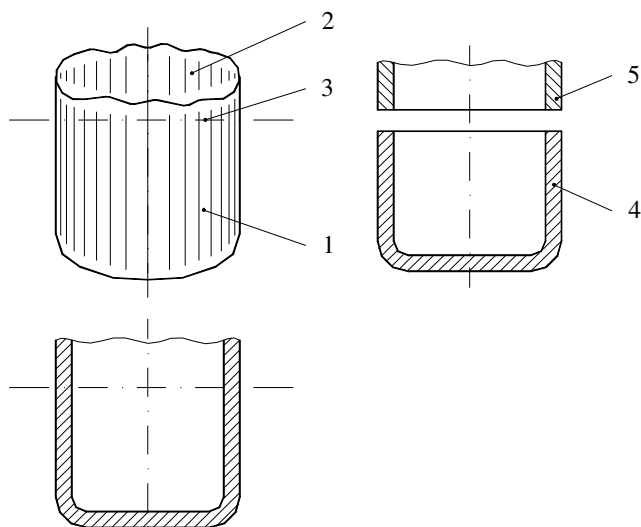


Fig. 5. 145. Schema de principiu a operației de tundere:
1 – semifabricatul inițial; 2 – porțiuni încrețite; 3 – plan de separare; 4 – piesa finită; 5 – deșeul.

- *calibrarea prin tăiere* (fig. 5. 146) este operația de separare prin tăiere, după conturul corespunzător, a plusului de material de pe suprafețele laterale, rămas după operația de decupare sau perforare. Operația se execută în vederea îmbunătățirii gradului de netezime al suprafețelor sau pentru a obține o perpendicularitate precisă. Calibrarea se poate face pe contur exterior (fig. 5.146.a) sau pe contur interior (fig. 5.146. b).

La piesele de grosime mică se execută, de regulă, o singură operație de calibrare, în timp ce, la piesele de grosime mare se execută două operații de calibrare. Operația permite obținerea unei rugozități foarte bune ($R_a = 0,63...1,25\mu m$) și a unei precizii dimensionale ridicate (calitățile 4....7 conform ISO).

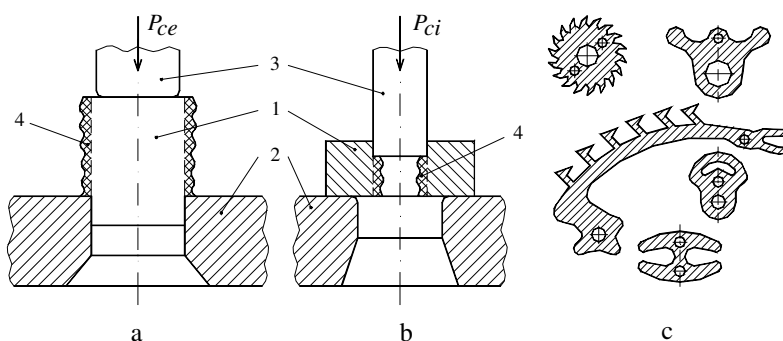


Fig. 5. 146. Schema de principiu a operației de calibrare:

a – pe contur exterior; b – pe contur interior; c – piese de mecanică fină calibrate prin tăiere: 1 – piesa obținută prin decupare sau perforare ; 2- placa de tăiere (a) sau de așezare (b); 3 – poanson de apăsare (a) sau de tăiere (b); 4 – plusul de material (adaosul de prelucrare).

Procesul tehnologic de ștanțare cuprinde următoarele etape principale:

1. Pregătirea semifabricatului în vederea ștanțării – ce constă în curățirea, degresarea și decaparea tuturor suprafețelor ce vin în contact cu elementele active ale sculei;

2. Controlul inițial – în vederea depistării eventualelor defecte interioare. Se face un control nedistructiv folosind controlul cu ultrasunete, cu radiații penetrante, cu lichide penetrante, cu pulberi magnetice, prin emisie acustică, prin analiză termografică etc.;

3. Tratamentul termic inițial (dacă este cazul) – cu scopul îmbunătățirii proprietăților de plasticitate. Se aplică de regulă recoacerea de înmuiere;

4. Croirea economică – care constă în amplasarea judicioasă pe semifabricat a pieselor cu forme tehnologice determinate de rolul funcțional, astfel încât să rezulte o cantitate minimă de deșeuri. Varianta de croire este determinată de forma piesei, care trebuie aleasă în așa fel încât pierderea de material prin deșeuri să fie cât mai mică, și de calitatea, starea și grosimea materialului. Depinde,

de asemenea, și de modul de obținere al semifabricatului (direcția de laminare – croire longitudinală, transversală și combinată). Se va alege întotdeauna varianta de croire care conduce la un coeficient η_u , de utilizare a materialului, maxim. Acest coeficient se calculează cu relația :

$$\eta_u = \frac{S_u}{S_o} \cdot 100 \quad [\%] , \quad (5.213)$$

în care: S_o este suprafața inițială a semifabricatului; S_u – suprafața utilă a pieselor obținute dintr-un semifabricat (foaie de tablă sau bandă).

Datorită formei foarte variate a pieselor care se ștanțează prin operații succesive, pentru fiecare piesă va fi economică o anumită variantă de croire.

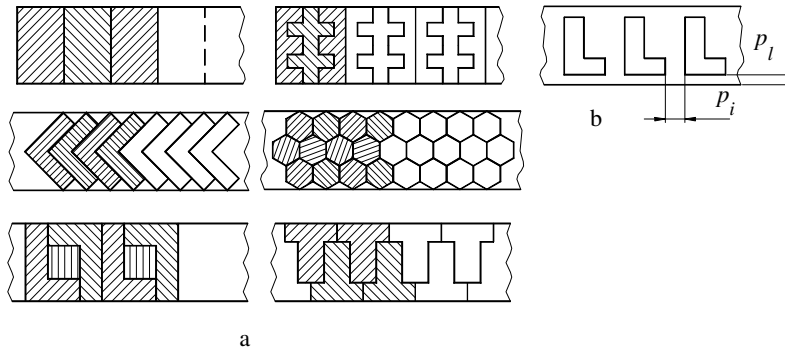


Fig. 5. 147. Variante de croire:
a - fără punți; b - cu punți laterale (p_l) sau intermediare (p_i).

Câteva variante de croire din bandă se prezintă în figura 5.147. Pentru a micșora bavurile în urma tăierii, precum și deformarea semifabricatului, când se impun condiții de precizie și calitate a suprafeței conturului, este recomandată *croirea cu punți*. Punțile constituie prin mărimea lor o sursă importantă de pierderi de material, de aceea trebuie strict dimensionate, să aibă o rezistență minimă și o rigiditate corespunzătoare. Mărimea punților depinde de grosimea și duritatea materialului, de dimensiunile și forma pieselor, de varianta de croire, de metoda de avans a benzii, de construcția sculei folosite la ștanțare etc.

Punțile se prevăd între piesele decupate și se numesc *punți intermediare* (p_i) și între conturul pieselor decupate și marginea benzii, numite *punți laterale* (p_l);

5. Calculul forței de ștanțare P_s – în funcție de natura materialului, grosimea semifabricatului inițial, conturul geometric al pieselor și schema de ștanțare. Se utilizează relația:

$$P_s = k \cdot L_c \cdot \tau , \quad (5.214)$$

în care: $k = 1,15 \dots 1,30$ în funcție de uzura muchiilor tăietoare ale părților active ale ștanței; L_c – lungimea conturului piesei; τ - rezistența la forfecare a materialului;

6. Alegerea semifabricatului inițial – cunoscând dimensiunile piesei, dispunerea pieselor pe bandă, mărimea punțiilor, precum și precizia la lățime a benzilor în funcție de procesul de tăiere al lor din table;

7. Stabilirea felului, numărului și succesiunii operațiilor – în funcție de configurația geometrică a piesei, precizia geometrică cerută și programa de producție;

8. Stabilirea operațiilor și numărului de piese care se execută simultan – în funcție configurația geometrică a piesei, varianta de croire aleasă și programa de producție;

9. Stabilirea schemei tehnologice de lucru – ținând cont de rezultatele obținute la punctele 6...9;

10. Alegerea sculelor și utilajului pe care se execută ștanțarea – în funcție de schema tehnologică aleasă, forma semifabricatului inițial, forța necesară ștanțării și productivitatea dorită. Stabilirea corectă a dimensiunilor părților active ale poansonului și plăcilor de tăiere ale ștanțelor, respectiv a valorilor și dispunerii câmpurilor de toleranță ale acestor dimensiuni (în consecință și jocul dintre poanson și orificiul plăcii de tăiere) are o deosebită importanță, deoarece influențează precizia dimensională obținută, rugozitatea suprafețelor, defectele suprafeței tăieturii, efortul necesar tăierii și durabilitatea ștanței. Ca utilaj de lucru se aleg presele (mai ales presele cu excentric) și mașinile speciale ;

11. Încălzirea semifabricatului (dacă este cazul) – în special la ștanțarea tablelor groase;

12. Ștanțarea propriu-zisă – respectând schema tehnologică aleasă, manual, mecanizat sau automatizat, în funcție de utilajul folosit și programa de producție;

13. Curățirea prin ștanțare – în scopul creșterii preciziei dimensionale, obținerii unei rugozități foarte bune și a unor suprafețe perpendiculare. Se face utilizând calibrarea prin tăiere pe ștanțe de calibrare pe contur exterior și pe contur interior;

14. Tratamentul termic final (dacă este cazul) – în funcție de destinația ulterioară a piesei;

15. Controlul final – un control dimensional pentru a vedea încadrarea în câmpurile de toleranță prescrise pe desenul piesei;

16. Ambalarea și trimiterea către beneficiar – în funcție de prelucrările ulterioare la care se supune sau nu piesa.

5.11.3. Procedee tehnologice de prelucrare a tablelor prin deformare plastică

Procedeele tehnologice de prelucrare prin deformare plastică a tablelor au ca rezultat deplasarea unor părți ale semifabricatului în raport cu celelalte părți,

fără distrugerea acestuia și fără eliminare de material.

5.11.3.1. Îndoirea

Îndoirea este procedeul tehnologic de prelucrare prin deformare ce constă în modificarea formei unui semifabricat prin încovoiere plană în jurul unei muchii rectilinii.

Schema de principiu a procedurii se prezintă în figura 5.148. Semifabricatul inițial 1, de grosime s , se așează pe matrița de îndoit 2, prevăzută cu raza de racordare r_m , și cu ajutorul poansonului 3, prevăzut tot cu rază de racordare r_p , este deformat rezultând produsul 4.

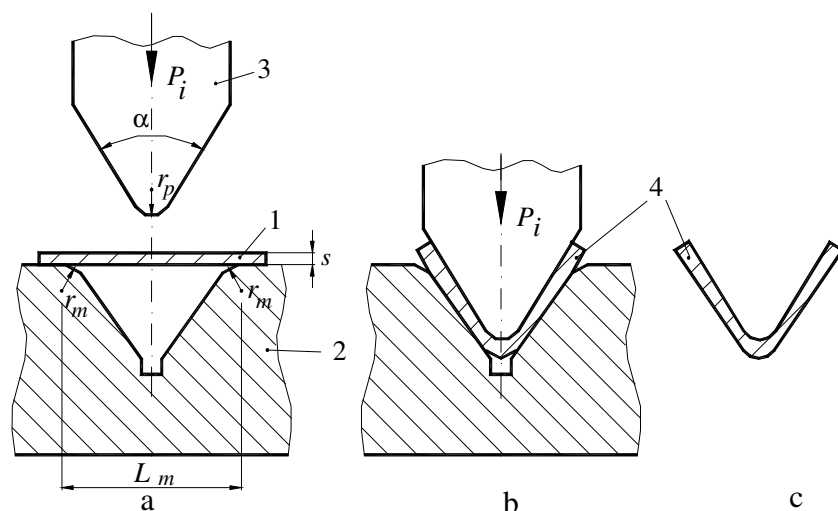


Fig. 5.148. Schema de principiu la îndoirea tablelor:

a - faza inițială; b - faza finală; c - produsul obținut: 1 - semifabricatul inițial; 2 - matrița de îndoit; 3 - poansonul; 4 - produsul obținut prin îndoire.

Deformarea se realizează cu ajutorul unor scule profilate, ce au părțile active construite în funcție de profilul îndoit ce trebuie realizat. În funcție de configurația sculelor se pot obține profile îndoite din cele mai diferite (fig. 5.149), întrebuințate în construcția de mașini (stative, corpuri metalice, rezervoare, dulapuri, șasiuri de automobile etc.), în industria construcțiilor (mobilier metalic, tâmplărie metalică, cofraje metalice etc.), electrotehnică, electronică, în industria constructoare de avioane, a bunurilor de larg consum etc.

În timpul deformării semifabricatului (fig. 5.150) sub acțiunea forței exterioare, în materialul supus deformării apar eforturi de întindere σ_i la exterior și eforturi de compresiune σ_{co} la interior. Din această cauză secțiunea inițială a semifabricatului S_0 se modifică în sensul subțierii spre exterior și îngroșării spre

interior, devenind S_f . Între cele două zone supuse la solicitări opuse apare un strat neutru, în care eforturile sunt nule. Poziția stratului neutru se poate stabili din condiția de echilibru, dar practic se consideră că:

- pentru *îndoiri slabe* ($r > 10 s$), deformările sunt mici, iar stratul neutru se menține la mijlocul secțiunii, raza de curbura ρ , determinându-se cu relația:

$$\rho = r + \frac{s}{2} \quad [\text{mm}] ; \quad (5.215)$$

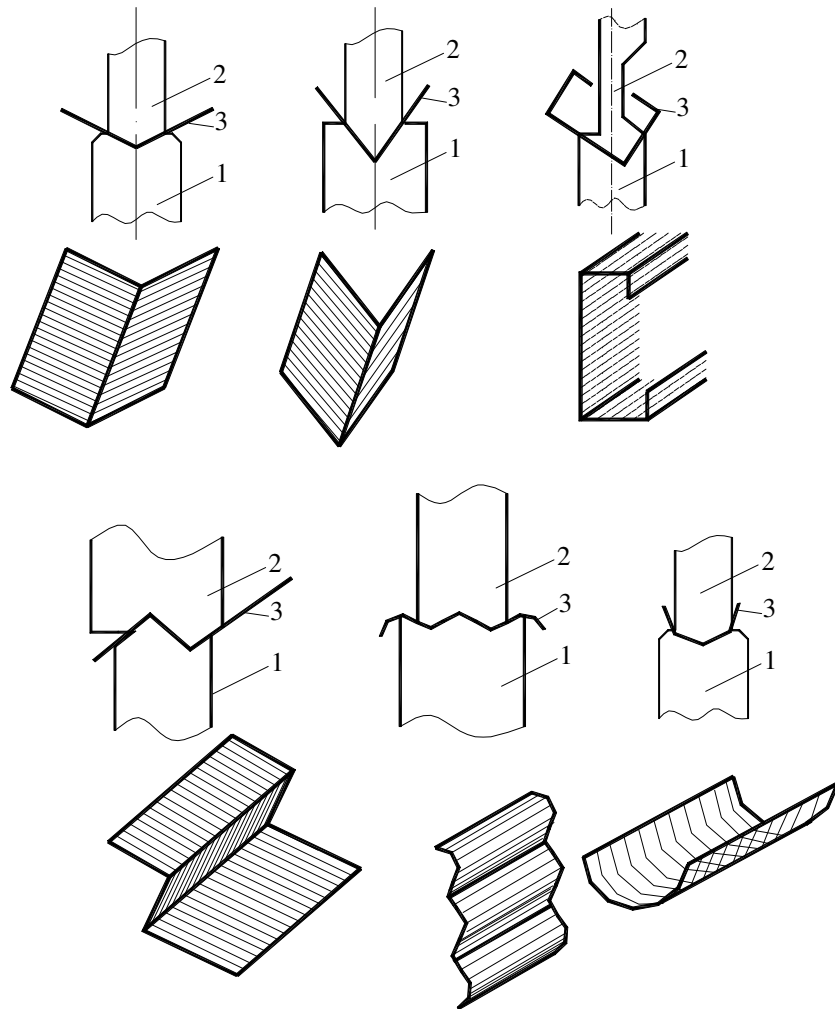


Fig. 5.149. Diferite tipuri de profile îndoite:

1; 2 - elementele active ale matriței de îndoit; 3 - profile îndoite.

- pentru *îndoiri puternice* ($r < 10 s$), au loc deformații plastice mari însoțite de micșorarea grosimii materialului și deplasarea stratului neutru, raza de curbura ρ , determinându-se cu relația:

$$\rho = r + k \cdot s \quad [\text{mm}] , \quad (5.216)$$

în care: k este un coeficient subunitar în funcție de grosimea și natura materialului, precum și în funcție de raportul r/s ($k = 0,383$ pentru $r/s = 0,1$ până la $k = 0,5$ pentru $r/s = 10$).

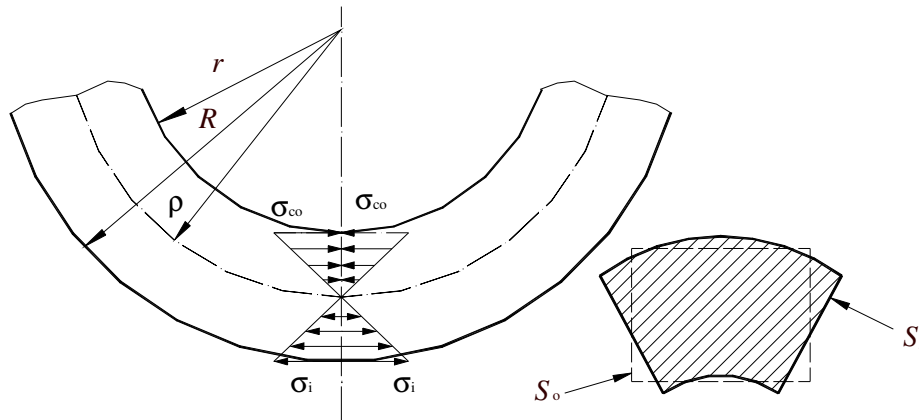


Fig. 5.150. Schema de eforturi la îndoire:

r - raza interioară a porțiunii îndoite; R - raza exterioră; ρ - raza stratului neutru;
 σ_{co} - efortul de compresie; σ_i - efortul de întindere; S_o - secțiunea inițială; S_f - secțiunea finală.

Pentru ca piesele obținute prin îndoire să nu aibă defecte de tipul fisurilor sau crăpăturilor, trebuie ca îndoirea să nu se facă sub o *rază minimă admisibilă*.

În timpul îndoirii, sub acțiunea forței de deformare, în material apar atât deformații plastice, cât și deformații elastice. După înlăturarea forței care a produs îndoirea, deformațiile elastice dispar, ceea ce conduce la o destindere a piesei îndoite, fenomen care se numește *arcuire elastică*. Pentru a se obține o piesă îndoită la unghiul α_o va trebui să se facă îndoirea la unghiul $\alpha < \alpha_o$, astfel încât să se compenseze efectul arcuirii elastice A_e (fig. 5.151), care se determină cu relația

$$A_e = \alpha_o - \alpha. \quad (5.217)$$

Arcuirea elastică este extrem de importantă în proiectarea produsului tehnologic de îndoire, de aceea se fac multe încercări experimentale pe materialul supus îndoirii, ridicându-se diagrame de forma celei prezentate în figura 5.151. De exemplu, pentru a efectua o îndoire la unghiul $\alpha_o = 30^\circ$ la un semifabricat din OL 37, OLC 15 sau OLC 20, cunoscând raportul $r/s = 6$, rezultă din diagramă valoarea arcuirii elastice $A_e = 5,2^\circ$.

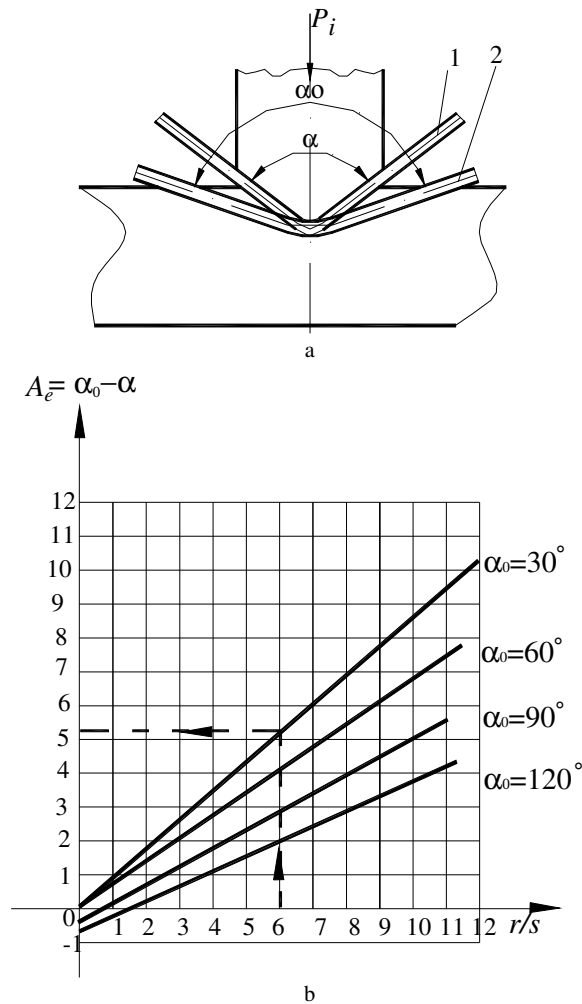


Fig. 5.151. Arcuirea elastică:

a – schema de principiu; b – nomogramă pentru determinarea rapidă a arcuirii elastice A_e ; 1- piesa îndoită sub acțiunea forței de îndoire; 2 – piesa îndoită după înlăturarea forței de îndoire;
 α – unghiul de îndoire; α_0 – unghiul funcțional.

Procesul tehnologic de realizare a unei piese prin îndoire cuprinde următoarele etape importante:

1. Stabilirea rolului funcțional al piesei – care se face folosind analiza morfofuncțională a suprafețelor;
2. Alegerea materialului optim pentru confecționarea piesei – folosind metoda de analiză a valorilor optime. Este foarte importantă în acest caz determinarea capacității de îndoire a materialului, de aceea epruvetele din materialul respectiv se supun unor încercări tehnologice, ca de exemplu: încercarea la îndoire simplă; încercarea la îndoire alternată etc.;
3. Determinarea arcuirii elastice A_e – folosind relația (5.217);

4. Alegerea semifabricatului inițial – în funcție de configurația geometrică a piesei pentru dimensiunile de gabarit, simetria formei piesei îndoită, poziția găurilor în semifabricate și programa de producție. În general, ca semifabricate inițiale se folosesc benzile debitate la dimensiuni din foi de tablă corespunzătoare;

5. Determinarea dimensiunilor semifabricatului inițial – dimensiunile semifabricatelor plane pentru piesele executate prin îndoire se determină în mod diferit pentru următoarele două cazuri:

- când îndoirea se face după o anumită rază;
- când îndoirea se face fără rază de curbă, cu calibrarea unghiului.

În primul caz, pentru calculul lungimii semifabricatului se poate considera că lungimea acestuia este egală cu lungimea stratului neutru al piesei îndoită, deci:

$$L = \sum_{i=1}^n l_i + \sum_{j=1}^m \frac{\pi \cdot \varphi_j}{180^\circ} (r_j + k \cdot s), \quad (5.218)$$

în care: l_i reprezintă lungimile porțiunilor drepte; φ_j – unghiurile de îndoire; r_j – razele interioare de îndoire; k – coeficientul de corectare.

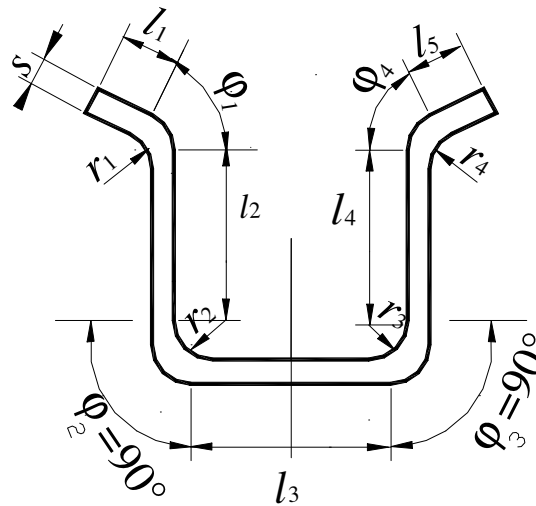


Fig. 5. 152. Exemplu de cotare a unei piese îndoită în vederea determinării lungimii semifabricatului inițial.

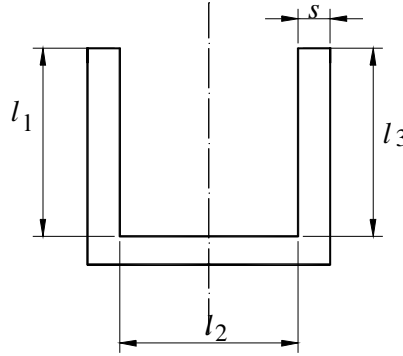


Fig. 5. 153. Exemplu de piesă îndoită fără rază de curbură.

De exemplu pentru piesa din figura 5.153, lungimea semifabricatului inițial L se calculează cu formula:

$$L = l_1 + l_2 + l_3 + l_4 + l_5 + \frac{\pi\varphi_1}{180} \left(r_1 + \frac{s}{2} \right) + \frac{\pi}{2} \left(r_2 + \frac{s}{2} \right) + \frac{\pi}{2} \left(r_3 + \frac{s}{2} \right) + \frac{\pi\varphi_2}{180} \left(r_4 + \frac{s}{2} \right) \quad (5.219)$$

Pentru piesele îndoite fără rază de curbură figura 5.20, cu calibrarea unghiului printr-o operație suplimentară, dimensiunile semifabricatului plan se determină prin egalarea volumului piesei îndoite cu volumul semifabricatului, luându-se în considerare și subțierea în porțiunea îndoită. În acest caz rezultă pentru lungimea L relația:

$$L = \sum_{i=1}^n l_i + k(n-1) \cdot s, \quad (5.220)$$

în care: l_i reprezintă lungimile porțiunilor drepte; n – numărul de porțiuni drepte; k – coeficient de corecție ($k = 0,38...0,40$, când raza poansonului $r_p = 0,05s$; $k = 0,45...0,48$, când raza poansonului $r_p = 0,1s$; valorile minime se iau când $s < 1,0$ mm, iar valorile maxime când $s > 3...4,0$ mm).

6. Pregătirea semifabricatului în vederea îndoirii – ce constă în: curățire, decapare și degresare, pentru a evita apariția eventualelor defecte ce pot apare în timpul îndoirii în matriță;

7. Calculul forței necesare îndoirii – punând condiția ca momentul forței exterioare care acționează asupra semifabricatului să fie egal cu momentul forțelor de rezistență a materialului în procesul deformării plastice. Rezultă pentru forța de îndoire P_i o expresie de forma:

$$P_i = Q \cdot b \cdot s \cdot \sigma_r, \quad (5.221)$$

în care: b este lățimea semifabricatului bandă; s - grosimea semifabricatului bandă; σ_r – rezistența la rupere a materialului; Q – coeficientul ce depinde de natura materialului și de un parametru q ce se calculează cu relația:

$$q = \frac{s}{0,5L_m - r_m - s} + \frac{s}{r_m} \cdot \sqrt{\frac{s}{0,5L_m - r_m - r_p}}, \quad (5.222)$$

unde: r_m ; r_p ; L_m sunt elementele constructive ale matriței de îndoit (vezi figura 5.148.a);

Cunoscând forța de îndoire se poate determina puterea necesară realizării unei îndoiri P , folosind relația:

$$P = \frac{1,2 \cdot P_i \cdot h \cdot n}{6120\eta}, \quad (5.223)$$

în care: P_i este forța de îndoire, în daN; h – cursa poansonului pe placa de îndoire, în mm; n – numărul de curse duble pe minut al preseii; η – randamentul preseii ($\eta = 0,6 \dots 0,7$).

8. Alegerea utilajului necesar îndoirii – în funcție de configurația geometrică a piesei, natura materialului, forța necesară îndoirii și programa de producție. Se alege matrița de îndoit și presa pe care se va executa îndoirea propriu-zisă;

9. Controlul inițial al semifabricatului – un control vizual pentru a depista eventualele defecte de suprafață și dacă este necesar un control nedistructiv pentru a depista eventualele defecte interioare;

10. Tratamentul termic inițial (dacă este cazul) – o recoacere de înmuiere pentru a crește proprietățile de plasticitate;

11. Încălzirea semifabricatului în vederea îndoirii (dacă este cazul și numai la table de grosimi mari) – încălzirea la temperatura de început de deformare ;

12. Stabilirea schemei tehnologice de lucru – în funcție de configurația geometrică a piesei și raza minimă admisibilă la îndoire;

În producția de serie mare sau de masă, pentru profile complicate, cu lungimi mari este economic și necesar să se facă multe deformări succesive ale semifabricatului (de exemplu, obținerea unui profil rotund, din care se obține o țeavă sudată pe generatoare, pornind de la un semifabricat plan, sunt necesare mai multe îndoiri succesive (fig. 5. 154), îndoiri ce se realizează cu role profilate corespunzător.

13. Îndoirea propriu-zisă – executată manual, mecanizat sau automatizat, în funcție de numărul de operații de îndoire a piesei și de volumul de producție ce trebuie realizat;

14. Tratamentul termic final (dacă este cazul) – în funcție de condițiile cerute în exploatare;

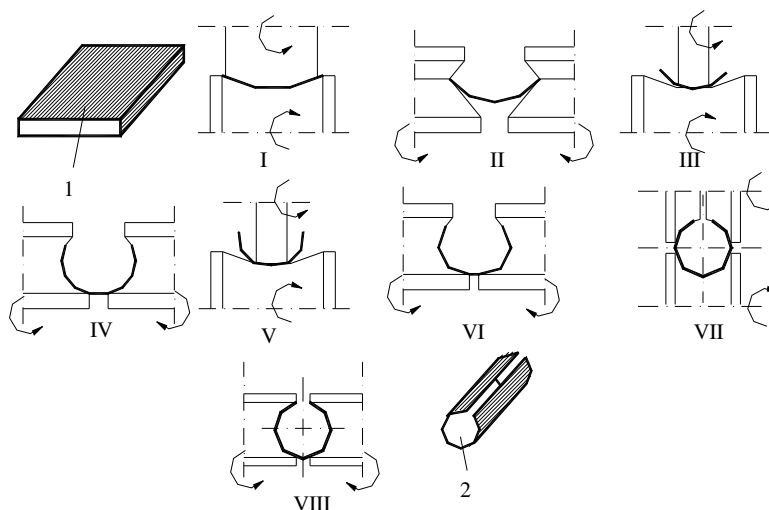


Fig. 5.154. Obținerea unui profil rotund dintr-un semifabricat plan printr-o succesiune de îndoiri:
1 – semifabricatul inițial; 2 – produsul finit; I; II;....VIII – operații de îndoire.

15. Controlul final – un control dimensional pentru a verifica precizia dimensională cerută și un control nedistructiv pentru a depista eventualele defecte interioare.

5.11.3.2. Curbarea

Curbarea este procedeul tehnologic de îndoire a tablelor sau benzilor pentru a le da o formă cilindrică sau conică. Deformarea se realizează cu ajutorul unor cilindri sau conuri în mișcare de rotație (fig. 5.155).

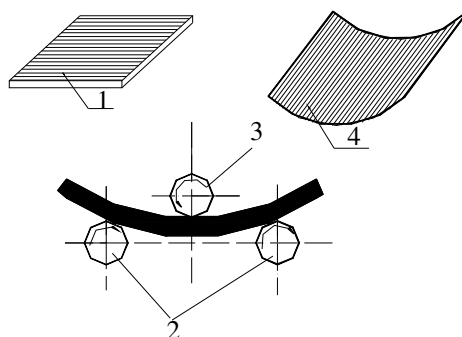


Fig. 5.155. Schema de principiu a curbării:
1 – semifabricatul plan inițial; 2 – cilindrii de sprijin; 3 – cilindru de deformare; 4 – produsul obținut prin curbare.

Semifabricatul inițial 1 (foaie plană de tablă sau bandă) este trecut printre cilindrii 2 și 3, reglați corespunzător cu raza de curbura ce se vrea obținută, rezultând produsul finit 4.

5.11.3.3. Roluirea

Roluirea este procedeul tehnologic de prelucrare a tablelor ce constă în îndoirea marginii unui semifabricat plan pentru a se forma parțial sau total o suprafață cilindrică de diametru mic figura 5.156, pentru diferite articulații (de exemplu, ochiul unei foi de arc).

Semifabricatul inițial plan 1 se introduce pe placa fixă 2 a matriței, și cu ajutorul elementelor mobile 3 și 4 ale matriței de roluit se formează porțiunea cilindrică 5, de rază interioară r și exterioară R . Roluirea se poate executa:

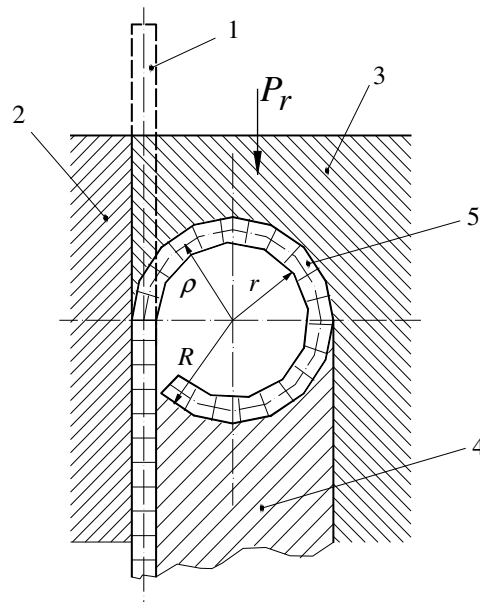


Fig. 5.156. Schema de principiu a roluirii:

1 – semifabricatul inițial; 2 – placă fixă; 3;4 – elementele mobile ale matriței; 5 – produsul roluit.

- liber, când $R < 3,3 s$, fără pericolul ca semifabricatul să flambeze;
- în jurul unui dorn, cu diametrul egal cu $2r$, când $R \geq 3,3 s$.

5.11.3.4. Înfășurarea

Înfășurarea este procedeul tehnologic de prelucrare a tablelor ce constă în îndoirea unui semifabricat în jurul unei axe exterioare lui (fig. 5.157), astfel ca stratul neutru să capete o formă elicoidală sau spirală.

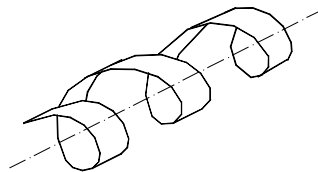


Fig. 5.157. Schema de principiu a înfășurării.

5.11.3.5. Îndreptarea (planarea)

Îndreptarea (planarea) este procedeul tehnologic de prelucrare a tablelor ce constă în îndoirea în sens corespunzător a semifabricatelor pentru a le îmbunătăți planitatea. Semifabricatul 1 cu porțiuni îndoite este trecut prin sistemul de role 2 și 3, așezat corespunzător, rezultând produsul finit 4 cu planitatea cerută (fig. 5.158).

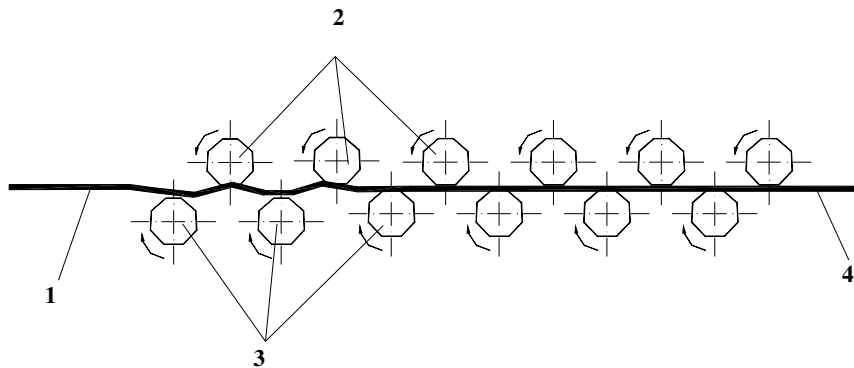


Fig. 5.158. Schema de principiu a îndreptării:
1 – semifabricatul inițial; 2; 3 – role de îndreptat; 4 – produsul finit.

5.11.3.6. Ambutisarea

Ambutisarea este procedeul tehnologic de prelucrare prin deformare plastică a tablelor, ce constă în transformarea unui semifabricat plan într-o piesă cavă, sau în mărirea adâncimii unui semifabricat cav, cu micșorarea corespunzătoare a dimensiunilor transversale.

Schema de principiu a procedurii se prezintă în figura 5.159. Semifabricatul plan 1, sub forma unui disc de diametru D sau o altă formă corespunzătoare se așează pe matrița 2 și este forțat să treacă prin orificiul 3 al matriței, sub acțiunea poansonului 4, rezultând în final produsul 5. Pentru ca semifabricatul să nu fie tăiat și să aibă loc o ungere mai ușoară, poansonul și matrița sunt prevăzute cu raze de racordare r_p și corespunzător r_m .

Procesul de transformare a semifabricatului plan în piesă ambutisată presupune micșorarea continuă a lungimii circumferinței acestuia pe măsură ce adâncimea piesei ambutisate crește. Deoarece pentru obținerea unui cilindru înfundat la unul din capete, plecând de la un disc, este necesar mai puțin material decât cel existent în discul inițial, surplusul de material (elementele hașurate din figura 5.159), conducând la încrețirea marginilor piesei ambutisate 5. La ambutisa-

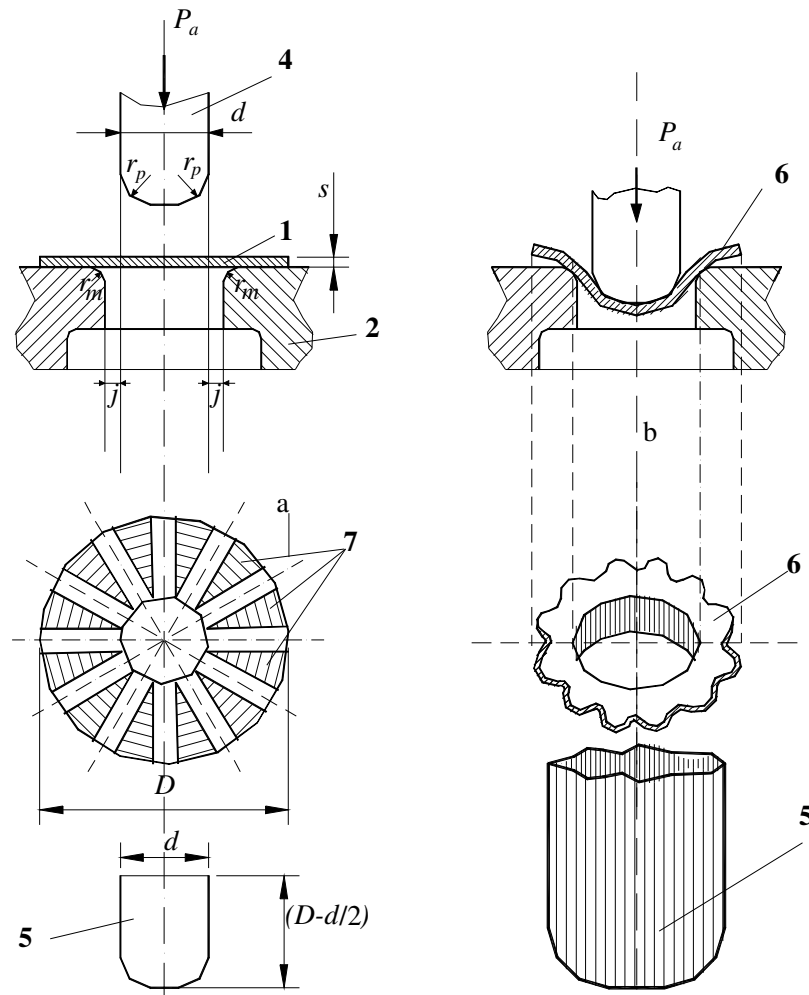


Fig. 5.159. Schema de principiu a ambutisării:

a – faza inițială; b – faza intermediară; c – produsul ambutisat 1- semifabricatul inițial; 2 – matriță; 3 – orificiul matriței; 4 – poanson; 5 – produsul final ambutisat; 6 – produsul intermediar; 7 – surplus de material.

rea tablelor groase aceste cute sunt netezite în jocul j , dintre poanson și matriță, în timp ce la semifabricatele subțiri și ambutisarea adâncă, împiedicarea formării lor se face cu ajutorul unui inel de reținere (fig. 5.160). Inelul de reținere apasă asupra materialului în tot timpul deformării, împiedicând formarea de încrețituri la partea superioară. Deoarece piesa ambutisată are partea superioară neregulată (cu încrețituri) se supune operației de tundere (vezi fig. 5.145).

Ambutisarea se poate realiza:

- fără subțierea pereților sau cu o variație foarte mică a grosimii pereților, în cazul în care jocul dintre poanson și matriță respectă condiția $j \geq s$;
- cu subțierea pereților, în cazul în care jocul dintre poanson și matriță respectă condiția $j < s$.

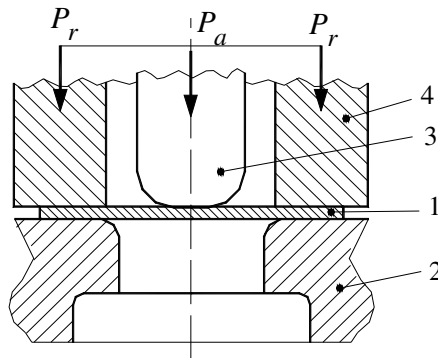


Fig. 5.160. Ambutisarea cu inel de reținere:

1 - semifabricatul inițial; 2 - matriță; 3 - poansonul; 4 - inelul de reținere; P_a – forța de ambutisare;
 P_r – forța de apăsare cu ajutorul inelului de reținere.

În cazul ambutisării deformarea plastică este deosebit de complexă. Astfel, un element material, al semifabricatului supus ambutisării, se deplasează din poziția I în poziția II, lungindu-se radial sub acțiunea eforturilor de întindere σ_i și scurtându-se în sens transversal sub acțiunea eforturilor de compresiune σ_{co} . Deci, în element are loc o deformare de compresie tangențială urmată de o deformare de lungire în sens radial și de o îngroșare în sens axial. Mărimea și felul acestor eforturi și deformări se schimbă în funcție de poziția elementului material, cele mai puternic solicitate fiind zonele cu curburi (de la fundul cilindrului și cele în contact cu gulerul matriței).

Procesul tehnologic de realizare a unei piese prin ambutisare cuprinde următoarele etape mai importante:

1. Stabilirea rolului funcțional al piesei sau proiectarea piesei pentru un anumit rol funcțional – folosind analiza morfofuncțională a suprafețelor;
2. Alegerea materialului optim pentru confecționarea piesei – folosind metoda de analiză a valorilor optime. În această etapă este foarte importantă determinarea capacității de ambutisare a materialului, de aceea epruvete din materialul respectiv se supun unor încercări tehnologice (încercarea la forfecare, încercarea la ambutisare Ericson etc.);

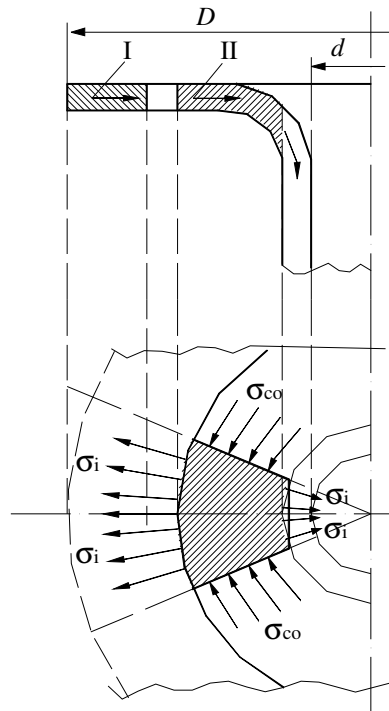


Fig. 5.161. Deformarea plastică a unui element material din semifabricat în timpul ambutisării.

3. Determinarea numărului de ambutisări – pentru ca materialul să nu se fisureze în timpul ambutisării, mai ales la ambutisarea adâncă ($h/d > 0,6$) este necesar să se execute deformarea prin mai multe treceri succesive, după fiecare trecere micșorându-se diametrul și crescând înălțimea h a piesei ambutisate (fig. 5.162).

Pentru fiecare trecere, reducerea în diametru se stabilește în așa fel încât să nu se ajungă la limita de fisurare, folosind un coeficient de ambutisare m , ce se calculează cu relația:

$$m = \frac{d_i}{d_{i-1}} < 1, \quad (5.224)$$

în care: d_i este diametrul piesei la ambutisarea i ; d_{i-1} - diametrul piesei la ambutisarea precedentă.

Valoarea coeficientului de ambutisare depinde de natura și grosimea materialului supus deformării, de tipul sculelor și utilajul folosit, de configurația geometrică a piesei etc.

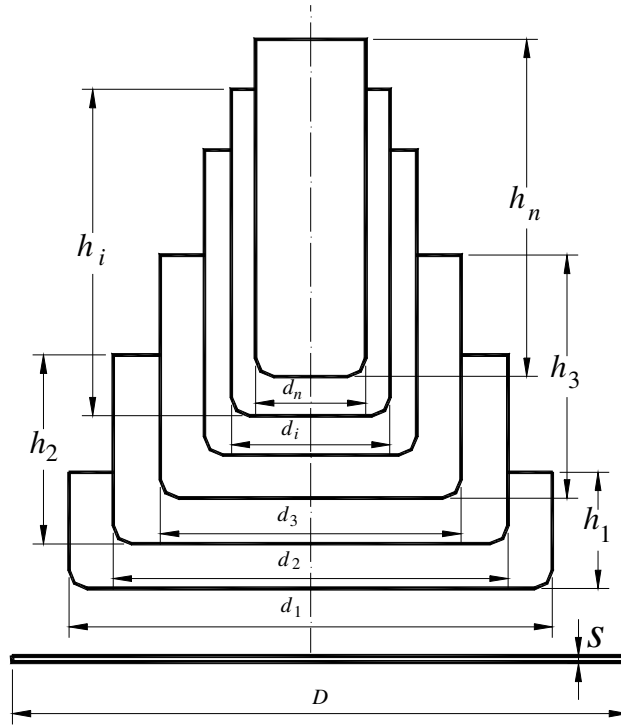


Fig. 5.162. Schema ambutisării adânci și determinarea numărului de ambutisări.

Dacă se notează cu D diametrul semifabricatului inițial (disc) și cu d_1, \dots, d_{n-1} diametrele intermediare ale piesei, d_n fiind diametrul piesei finite, atunci se poate determina un coeficient total de ambutisare m_t , dat de relația:

$$m_t = \frac{d_n}{D}. \quad (5.225)$$

Valoarea coeficientului m_t nu poate să scadă sub o anumită limită, deoarece aceasta este legată de forța maximă care poate fi preluată de pereții piesei în timpul ambutisării (fără să apară fisuri).

Experimental s-a determinat, pentru materialele cu plasticitate foarte bună, valoarea admisibilă a lui $m_t = 0,5 \dots 0,55$. Dacă această valoare este mai mare, sunt necesare mai multe treceri, relația de legătură între coeficientul de ambutisare total m_t și coeficienții de ambutisare intermediari m_i , fiind de forma:

$$m_t = m_1 \cdot m_2 \cdot m_3 \dots m_i \dots m_n, \quad (5.226)$$

în care:

$$m_1 = \frac{d_1}{D}; \quad m_2 = \frac{d_2}{d_1}; \quad m_i = \frac{d_i}{d_{i-1}} \dots m_n = \frac{d_n}{d_{n-1}}. \quad (5.227)$$

Tot din condiții de rezistență a materialului s-a determinat experimental că:

$$m_1 = 0,45 \cdots 0,55; \quad m_2 = m_3 = m_4 = \cdots = m_i = \cdots = m_n = m. \quad (5.228)$$

Introducând (5.228') în (5.229) și ținând cont de (5.225), rezultă prin logaritmare numărul de ambutisări n , din expresia:

$$n = 1 + \frac{\lg d_n - \lg(m_1 \cdot D)}{\lg m}. \quad (5.228')$$

Dacă se cunosc coeficienții de ambutisare, aleși din tabele în funcție de natura materialului și schema de deformare, se pot determina diametrele intermediare folosind relațiile:

$$d_1 = m_1 \cdot D; \quad d_2 = m \cdot d_1; \quad d_i = m \cdot d_{i-1} \cdots d_n = m \cdot d_{n-1}. \quad (5.229)$$

În cazul ambutisării pieselor conice înalte ($h/d > 0,8$ și $\alpha < 20^\circ$) se folosește tot o deformare în trepte, trecând succesiv de la forma plană inițială la forme cilindrice și în trepte (fig. 5.163), obținându-se în final forma conică. În acest caz se folosește noțiunea de coeficient convențional mediu de ambutisare, a cărei exprimare este:

$$m = \frac{d_{med\ i}}{d_{med\ i-1}} \quad (5.230)$$

în care $d_{med\ i}$ este diametrul mediu la operația i .

În cazul ambutisării cutiilor pătrate și dreptunghiulare se folosește tot o deformare în trepte, deoarece starea de eforturi unitare și de deformare nu este uniformă pe perimetrul piesei. Procesul de ambutisare a cutiilor dreptunghiulare și pătrate (fig. 5.164) este puternic influențat de parametrii geometrici principali ai cutiei: H/B ; r_c/B și s/B . Semifabricatul inițial 1 (disc circular de diametrul D) trece succesiv în forme ovale (I, II, III) și în final luând forma cutiei dreptunghiulare cerute (IV).

4. Determinarea formei și dimensiunilor semifabricatului inițial. Forma și dimensiunile semifabricatului inițial este în funcție de configurația geometrică a piesei finite, de schema tehnologică de lucru impusă și de tipul ambutisării (cu sau fără subțierea pereților). Pentru obținerea de piese cilindrice sau conice prin ambutisare, se folosesc semifabricate de forma discurilor de diametru D .

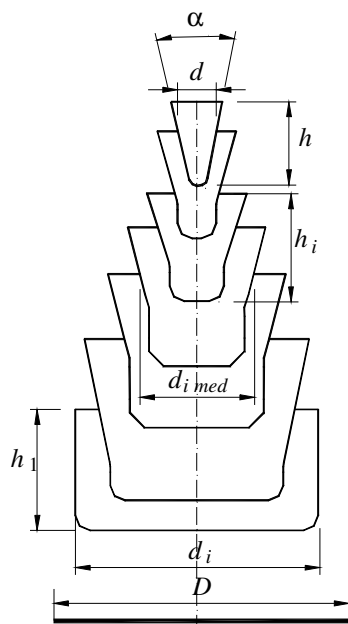


Fig. 5.163. Ambutisarea pieselor conice înalte ($h/d > 0,8$ și $\alpha < 20^\circ$).

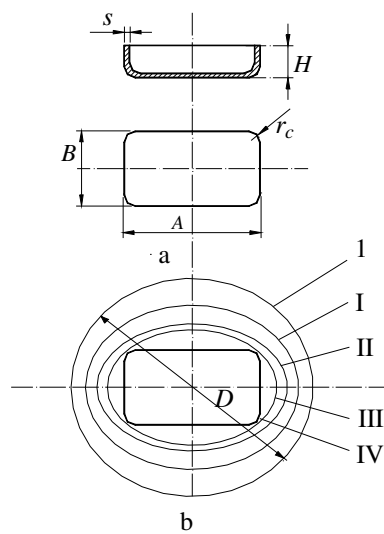


Fig. 5.164. Ambutisarea cutiilor dreptunghiulare:
a - elementele geometrice ale cutiei; b - deformările succesive: 1 - semifabricatul inițial;
I; II...IV - ambutisări succesive.

Determinarea dimensiunilor semifabricatului inițial pentru ambutisare este deosebit de dificilă, folosindu-se metode analitice, grafice și grafo-analitice. Dintre metodele analitice se utilizează:

- *metoda egalării ariilor*, ce constă în determinarea diametrului D al semifabricatului din egalarea ariei semifabricatului S_o cu aria piesei ambutisate S_p (considerând că nu are loc subțierea pereților), deci:

$$S_o = S_p; \quad \frac{\pi \cdot D^2}{4} = S_p, \text{ din care rezultă } D = 1,13\sqrt{S_p}. \quad (5.231)$$

În cazul ambutisării pieselor de revoluție mai complicate, acestea se descompun în mai multe suprafețe geometrice simple S_1, S_2, \dots, S_n și se determină diametrul semifabricatului inițial D , cu expresia:

$$D = 1,13\sqrt{\sum_{i=1}^n S_i}. \quad (5.232)$$

- *metoda egalării volumelor*, ce constă în egalarea volumului semifabricatului V_s cu volumul piesei finite V_p (cazul ambutisării cu subțierea pereților), deci:

$$V_s = V_p; \quad \frac{\pi \cdot D^2}{4} \cdot s = V_p, \text{ din care rezultă } D = 1,13\sqrt{\frac{V_p}{s}}. \quad (5.233)$$

Pentru piesele de revoluție complicate, acestea se descompun în mai multe piese simple de revoluție cu volumele V_1, V_2, \dots, V_n și diametrul D se determină cu expresia

$$D = 1,13\sqrt{\sum_{i=1}^n \frac{V_i}{s}}. \quad (5.234)$$

- *metodele grafice și grafo-analitice* se folosesc pentru piesele de configurație geometrică complicată (piese din industria automobilelor, autocamioanelor, avioanelor, bunurilor de larg consum etc.). Aceste metode permit determinarea formei și dimensiunilor semifabricatului pornind de la desfășurata piesei finite și aplicarea legii volumului constant.

Observație. Acum, sunt softuri specializate care permit rezolvarea rapidă și corectă a tuturor problemelor legate de stabilirea formei și dimensiunilor semifabricatului inițial.

5. Alegerea semifabricatului inițial – în funcție de configurația geometrică a piesei ambutisate finite, natura și grosimea materialului și programa de produce.

6. Tratamentul termic inițial – recoacerea de înmuiere în vederea creșterii proprietăților de plasticitate.

7. Controlul inițial – un control vizual, pentru a depista eventualele fisuri sau crăpături de la suprafață, și un control nedistructiv (pentru piesele importante), pentru a depista eventualele defecte interioare.

8. Pregătirea semifabricatului în vederea ambutisării – ce constă în: curățire, decapare și degresare pentru a evita apariția eventualelor defecte din timpul ambutisării. Pentru a micșora frecările la interfața semifabricat-matriță; semifabricat-inel de reținere, se procedează la o ungere a semifabricatului (cu săpun, talc, ulei mineral, ulei de grafit etc.). Trebuie evitată ungerea părții care vine în contact cu poansonul.

9. Calculul forței necesare ambutisării, P_a . – Forța de ambutisare se calculează în funcție de efortul unitar radial total și de secțiunea peretelui piesei ambutisate rezultând o relație complicată. În cazurile practice se recomandă o relație de forma:

$$P_a = k \cdot \pi \cdot d \cdot s \cdot \sigma_r, \quad (5.235)$$

în care: k este un coeficient ce depinde de coeficientul de ambutisare (tab. 5.5); s – grosimea semifabricatului, în mm; d – diametrul piesei finite, în mm; σ_r – rezistența convențională la rupere, în daN/mm².

Tabelul 5.5. Valorile coeficientului de corecție k din relația forței de ambutisare

$m = \frac{d}{D}$	0,550	0,575	0,600	0,625	0,650	0,675	0,700	0,750	0,775	0,800
k	1,0	0,93	0,86	0,79	0,66	0,6	0,55	0,5	0,45	0,4

10. Stabilirea schemei tehnologice de lucru - ținând cont de complexitatea piesei, coeficientul de ambutisare, numărul de ambutisări, generatoarea piesei și programa de producție. Probleme complicate apar la ambutisarea pieselor complexe asimetrice, unde sunt necesare acele *adaosuri tehnologice speciale* pentru fixarea semifabricatelor în timpul ambutisării și pentru uniformizarea eforturilor unitare. De aceea în aceste cazuri este necesară o analiză a piesei în faza de proiectare;

11. Alegerea utilajului necesar ambutisării – în funcție de schema tehnologică de lucru, configurația geometrică a piesei, precizia geometrică a piesei finite, mărimea forței de ambutisare și a forței din inelul de reținere și programa de producție. Se aleg matrițele de ambutisare și presa pe care se execută ambutisarea propriu-zisă;

12. Încălzirea semifabricatului în vederea ambutisării (dacă este cazul) – o încălzire până la atingerea temperaturii de început de deformare, în toată masa materialului;

13. Ambutisarea propriu-zisă – manual, mecanizat sau automatizat, în funcție de configurația geometrică a piesei, precizia geometrică și de programa de

producție;

14. Tratamentul termic intermediar. În procesul deformării plastice, la ambutisare, sub influența eforturilor mari care se creează, are loc, în anumite condiții, o puternică ecruisare ce face imposibilă deformarea în etapa următoare. De aceea, după un anumit număr de operații se aplică o *recoacere înaltă*, atunci când ecruisarea nu poate fi înlăturată printr-o *recoacere joasă (recristalizare)*;

15. Curățirea – înlăturarea stratului de lubrifianț de pe suprafața piesei ambutisate. Se poate face prin: degresare în băi alcaline; degresare în băi electrolitice; spălare cu benzină sau tricloretilenă; curățirea cu ultrasunete; dizolvare cu anumiți solvenți organici etc;

16. Calibrarea – operație specială ce se face în scopul creșterii preciziei dimensionale a piesei ambutisate. În mod curent la ambutisare se pot obține piese în treptele 8...10 de precizie, iar după calibrare se poate ajunge la treptele 6...7 de precizie;

17. Tunderea – operația de îndepărtare a porțiunilor superioare ale piesei ambutisate rezultate cu încrețituri și ondulații, datorită apăsării insuficiente a inelului de reținere;

18. Controlul final – reprezentând atât un control dimensional, cât și un control nedistructiv, pentru a pune în evidență defectele ce pot apărea la ambutisare, care sunt:

- *variațiile grosimii pereților piesei*, datorită jocului neuniform între poanson și placa de ambutisare sau a așezării incorecte a semifabricatului;

- *urmele și zgârieturile pe suprafața piesei*, datorită asperităților suprafețelor active ale poansonului și plăcii active sau uzurii pronunțate a acestora;

- *fisurile și ruperile în diferite zone*, datorită efectului de tragere radială prea mare sau a plasticității insuficiente a materialului, a durificării în urma procesului de ecruisare, a unei structuri grosolane, a razelor de racordare prea mici sau a unei ungeri necorespunzătoare;

- *ondulațiile și cutele de pe suprafața piesei ambutisate*, datorită apăsării insuficiente a inelului de reținere sau a razei prea mari de racordare a plăcii de ambutisare;

- *înălțimea neuniformă a piesei, ovalități*, datorită jocului prea mare sau a diferențelor prea mari între razele de racordare ale poansonelor la două operații consecutive;

19. Ambalarea și trimiterea către beneficiar – în funcție de destinația ulterioară a pieselor ambutisate.

5.11.3.7. Procedee tehnologice de fasonare a pieselor din tablă

Aceste procedee au ca scop schimbarea formei unui semifabricat din tablă printr-o deformare locală cu stări de tensionare diferite, fără modificarea grosimii semifabricatului. Cele mai frecvente operații întâlnite în cadrul acestor procedee tehnologice sunt următoarele:

- *reliefarea* constă în executarea unei deformații locale de mică adâncime (o ambutisare locală de mică adâncime) în vederea obținerii nervurilor de rigidizare, ornamentațiilor, efigiilor, inscripțiilor, bosajelor etc. Schema de principiu se prezintă în figura 5.165.

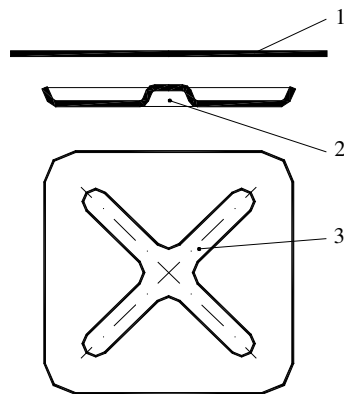


Fig. 5.165. Schema de principiu a reliefării:
1 - semifabricatul inițial; 2 - deformația locală; 3 - nervura rezultată.

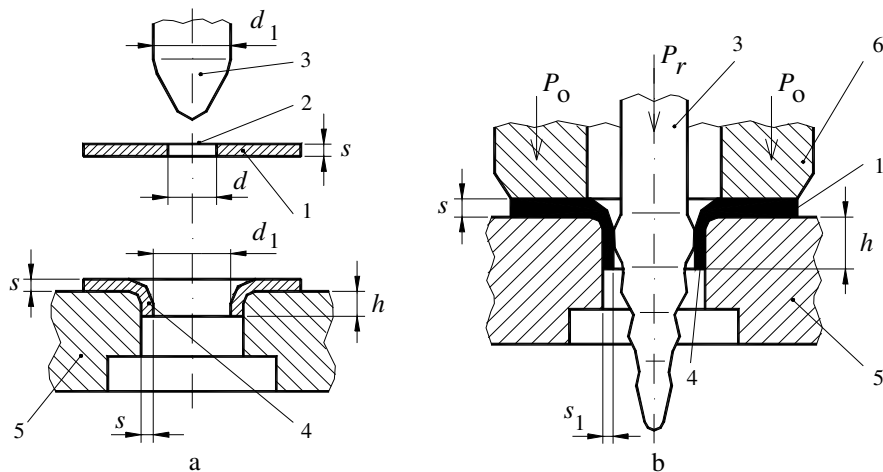


Fig. 5.166. Schema de principiu a răsfrângerii:
a - fără subțierea grosimii; b - cu subțierea grosimii: 1 - semifabricatul inițial; 2 - orificiul piesei;
3 - poansonul; 4 - bordura; 5 - matrița; 6 - inelul de reținere.

Semifabricatul plan inițial 1 este deformat local printr-o ambutisare locală de mică adâncime 2, rezultând nervura 3. Un mare beneficiar al acestei operații este industria constructoare de automobile și cea a bunurilor de larg consum.

Forța necesară realizării reliefării P_r , pentru piese mici, se poate calcula cu relația:

$$P_r = S \cdot p_r \cdot k, \quad (5.236)$$

în care: S este suprafața reliefului imprimat, în mm^2 ; p_r – presiunea de reliefare ($p_r = 10 \dots 20 \text{ daN/mm}^2$ pentru piese din aluminiu; $p_r = 20 \dots 25 \text{ daN/mm}^2$, pentru piese din alamă și $p_r = 30 \dots 40 \text{ daN/mm}^2$, pentru oțel); k – coeficient de corecție, în funcție de grosimea semifabricatului ($k = 0,7 \dots 0,8$ pentru semifabricate cu $s < 1,0 \text{ mm}$ și $k = 1,0 \dots 1,16$, pentru $s \geq 1,0 \text{ mm}$).

Pentru imprimarea nervurilor de rigidizare, forța necesară P_r se poate calcula cu relația:

$$P_r = k \cdot L \cdot s \cdot \sigma_r, \quad (5.237)$$

în care: L este lungimea nervurii imprimate, în mm ; s – grosimea materialului, în mm ; σ_r – rezistența la rupere a materialului, în daN/mm^2 ; k – coeficient de corecție ce ține cont de lățimea nervurii ($k = 0,7 \dots 1,0$);

Reliefarea se face de obicei într-o singură operație, dar în cazul unor deformății locale mai adânci sunt necesare mai multe reliefări succesive, cu tratament termic intermediar de recoacere, în vederea restabilirii proprietăților de plasticitate;

- *răsfrângerea* este operația de fasonare a marginii orificiilor din piesă sau a marginii conturului exterior al piesei. Operația se execută cu următoarele scopuri:

- formarea unui guler de asamblare prin filetare la găuri;
- mărirea rigidității sau formarea unei suprafețe de asamblare, la marginile conturului exterior al piesei;
- formarea unei flanșe, la țevi etc.

Schema de principiu a operației se prezintă în figura 5.166. Semifabricatul inițial 1 prevăzut cu orificiul 2, de diametru d , este deformat cu poansonul 3, de diametru $d_1 > d$, până se formează bordura 4, de înălțime h , în matrița 5.

Răsfrângerea marginilor găurilor se execută cu rază mică de rotunjire și înălțime mare a bordurii (fig. 5.166. a) la găurile ce urmează a fi filetate sau în care se vor presa capetele unor axe. În diverse ramuri industriale (mecanică fină, electronică, electrotehnică etc.) sunt necesare piese din tablă care au găuri cu pereți cilindrici de înălțime mare, de aceea se face răsfrângerea marginilor cu subțierea pereților (fig. 5.166. b). Această operație se execută cu poansoane în trepte, la presa cu dublă acțiune, și în condițiile unei ungeri abundente cu un lubrifianț vâcos.

Forța necesară pentru realizarea răsfrângerii P_r pentru un orificiu de diametrul d , se determină cu relația

$$P_r = 1,1 \cdot \pi \cdot s(d_1 - d) \cdot \sigma_r, \quad (5.238)$$

în care: d_1 este diametrul poansonului, în mm; s – grosimea semifabricatului, în mm; σ_r – rezistența la rupere a materialului, în daN/mm².

- *umflarea* este operația de ambutisare transversală ce constă în lărgirea pieselor cave sau a semifabricatelor din țeavă, în vederea măririi dimensiunilor transversale (fig. 5.167). În timpul umflării materialul suferă o întindere accentuată în direcție radială, din interior spre exterior, de aceea suferă o subțiere în zona respectivă. Umflarea are loc într-o matriță demontabilă pentru a putea scoate piesa după deformare. Presiunea necesară deformării se poate realiza:

- cu poanson de cauciuc (fig. 5.167);
- cu lichid în loc de poanson;
- cu sectoare extensibile care se deplasează sub acțiunea unei pene;
- prin deformare electrohidraulică;
- prin explozie.

Coefficientul de umflare k_u este dat de raportul diametrului maxim rezultat după umflare d_{fmax} și diametrul semifabricatului inițial D , deci

$$k_u = \frac{d_{fmax}}{D}. \quad (5.239)$$

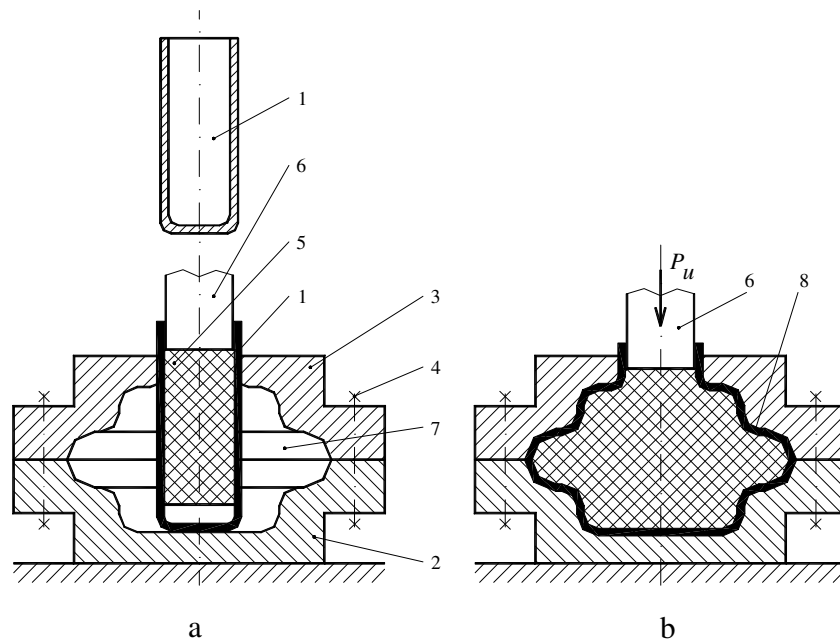


Fig. 5. 167. Schema de principiu a umflării folosind poanson de cauciuc:
a – poziția inițială; b – în timpul umflării: 1- semifabricatul inițial; 2 – semimatrița inferioară;
3 –semimatrița superioară; 4 –dispozitiv de fixare; 5 – poanson de cauciuc; 6 – poanson
metalic; 7- cavitatea de deformare prin umflare; 8- produsul realizat.

Schema de principiu a umflării folosind poansoane de cauciu se prezintă în figura 5.167. Semifabricatul inițial 1, se așează pe semimatrița 2, care se închide cu semimatrița 3 prin intermediul unor sisteme de prindere 4. În interiorul semifabricatului se introduce poansonul de cauciuc 5, care va fi deformat cu ajutorul poansonului metalic 6 prin apăsarea cu forța P_u (fig. 5.167. b). După umflare, cele două semimatrițe se deschid și se scoate piesa finită 8.

Forța necesară umflării P_u folosind poansoane de cauciuc se poate determina cu relația:

$$P_u = 50 \cdot \pi \cdot s \cdot D \cdot \sigma_c, \quad (5.240)$$

în care: D este diametrul semifabricatului, în mm; s – grosimea materialului, în mm; σ_c – rezistența la curgere a materialului, în daN/mm².

- *gâtuirea* este operația prin care se micșorează secțiunea transversală a capetelor unor piese cave sau a țevelor, prin presarea materialului din exterior spre interior. În urma gâtuirii piesa poate deveni conică, conică prelungită cu o parte cilindrică sau sferică.

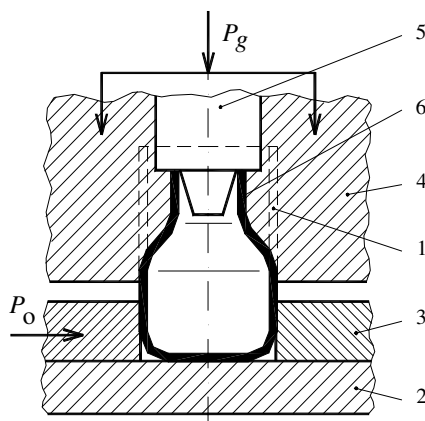


Fig. 5.168. Schema de principiu a gâtuirii:

1- semifabricatul inițial; 2- placa de sprijin; 3- placă de fixare; 4- matricea de deformare;
5- poanson; 6- piesa finită.

La gâtuire, deformarea are loc în condițiile unei compresiuni tangențiale puternice, materialul îngroșându-se la margini. Schema de principiu a gâtuirii se prezintă în figura 5.168. Semifabricatul cav 1 se așează pe placa de sprijin 2 și se fixează în placa de fixare 3. Prin apăsare pe partea frontală a semifabricatului cu matricea 4 și poansonul 5, materialul este obligat să intre în porțiunea conică a matricei realizând produsul finit 6.

Asupra procesului de deformare la gâtuire influențează parametrii geometrici ai piesei, proprietățile fizico-mecanice ale materialului semifabricatului,

construcția și tipul matriței, geometria părții de lucru, frecarea dintre semifabricat și suprafețele active ale sculei.

Forța necesară efectuării operației de gătuire P_g se poate determina cu o relație de forma:

$$P_g = \pi \cdot D \cdot s \cdot \sigma_c, \quad (5.241)$$

în care: D este diametrul semifabricatului, în mm; s - grosimea semifabricatului, în mm; σ_c - rezistența la curgere a materialului, în daN/mm²;

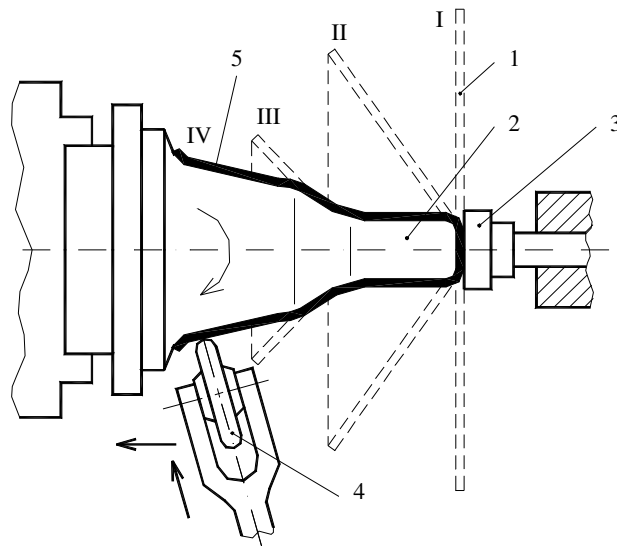


Fig. 5.169. Schema de principiu a fasonării pe strung:

1- semifabricatul inițial; 2-modelul; 3 - tamponul de fixare; 4 - rolă profilată;
5 - piesa ambutisată.

- *fasonarea pe strung* sau *ambutisarea pe strung* este operația de modificare a unui semifabricat plan într-o piesă cavă folosind un model în mișcare de rotație. Se aplică în producția de unicate sau serii foarte mici când este mult mai ușor de construit un model cu configurația piesei dorite decât o matriță de ambutisat. Schema de principiu a fasonării pe strung se prezintă în figura 5.169. Semifabricatul inițial plan 1 se introduce între modelul 2, fixat în universalul strungului, și tamponul de fixare 3, prins în păpușa mobilă. Cu ajutorul rolei profilate 4, semifabricatul va fi deformat trecând prin pozițiile I...IV, până la obținerea piesei finite 5. Modelul se poate roti cu o turație de 400...600 rot./min (pentru semifabricatele din oțel) și 600...1 200 rot./min (pentru materiale cu plasticitate ridicată: aluminiu, alamă, cupru etc.). Operația se poate face fără subțierea sau cu subțierea grosimii peretelui piesei.

5.11.4. Procedee speciale de prelucrare a tablelor

Procedeele tehnologice de prelucrare a tablelor analizate în paragrafele precedente se aplică foarte mult în toate ramurile producției, fiind eficiente și raționale în producția de serie și de masă și pentru materiale cu plasticitate bună, datorită costului relativ ridicat al matrițelor. De aceea, pentru producția de serie mică și mijlocie, precum și pentru materialele cu plasticitate scăzută, au fost proiectate și realizate procedee speciale de prelucrare cu aplicabilitate mai mare sau mai mică. În continuare vor fi tratate sintetic câteva din cele mai utilizate procedee speciale de prelucrare a tablelor:

5.11.4.1. Prelucrarea tablelor cu ajutorul cauciucului

Se aplică în special la tablele subțiri, confecționate din materiale cu plasticitate ridicată. Dă rezultate foarte bune în producția de serie mică, pentru piese cave de adâncime mică și configurație simplă. Fie că este vorba de o prelucrare prin ștanțare (fig. 5.170. a), fie că este o prelucrare prin ambutisare (fig. 5.170. b) sau o fasonare prin umflare (fig. 5.167), în toate cazurile se folosește un poanson de cauciuc pentru deformarea materialelor. Deformarea se face în condiții foarte bune la presiuni de până la 100 bar. Procedul prezintă avantajul unei scule foarte ieftine, dar și dezavantajul pierderii elasticității poansonului sau plăcii de tăiere după un anumit număr de piese.

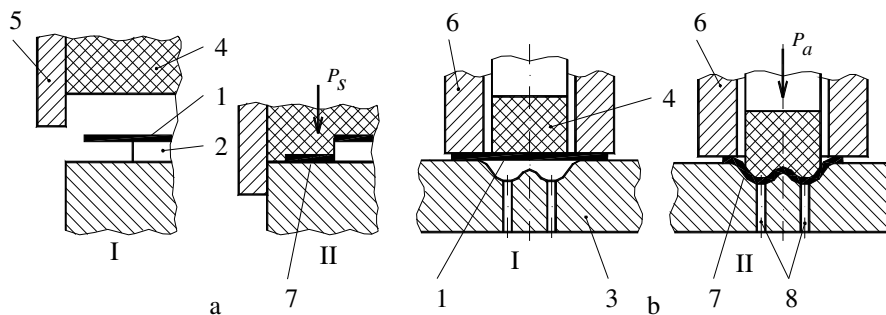


Fig. 5.170. Prelucrarea tablelor folosind poansonul de cauciuc:

- a – prin ștanțare; b – prin ambutisare; 1 - semifabricatul inițial; 2 - placa de tăiere;
3 - placa de ambutisare; 4 – poanson de cauciuc; 5 element de ghidare; 6 – inel de reținere;
7 – produsul finit; 8 – canale de evacuare a aerului; I - faza inițială; II - faza finală.

5.11.4.2. Ambutisarea cu încălzirea locală a flanșei

Procedul permite obținerea unor piese cu grad mare de deformare, pe seama creșterii locale a plasticității materialului. Semifabricatul inițial 1 (fig. 5.171), așezat între placa de ambutisare 2 și inelul de reținere 3, este încălzit de inductoarele 4 și 5. Deformarea semifabricatului se realizează cu ajutorul poanso-

nului 6, răcit în permanență de sistemul de răcire 7.

Datorită încălzirii la o anumită temperatură optimă, rezistența la deformare scade făcând posibilă realizarea unor grade mari de deformare sau ambutisarea unor materiale greu deformabile. Încălzirea flanșei trebuie făcută imediat deasupra temperaturii de recrystalizare, în funcție de natura materialului semifabricatului. Pe măsură ce semifabricatul se ambutisează și se transformă în perete lateral, acesta ia contact cu poansonul care este răcit pentru a crește din nou rezistența piesei ambutisate.

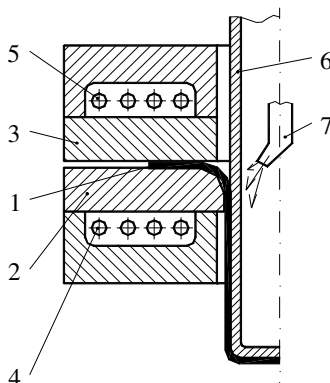


Fig. 5.171. Schema de principiu la ambutisarea cu încălzirea locală a flanșei:
1 - semifabricatul inițial; 2 - placa de ambutisare; 3 - inelul de reținere; 4, 5 - inductoarele;
6 - poansonul; 7 - sistemul de răcire.

Grosimea semifabricatelor ce pot fi ambutisate economic prin încălzirea locală a flanșei este de 0,5...2,0 mm, peste această grosime încălzirea devenind ineficientă. Este singura metodă ce permite obținerea de piese ambutisate din aliaje de magneziu și titan. Pot fi ambutisate atât piese cilindrice, cât și cutii dreptunghiulare sau pătrate, precum și piese complexe. Se pot obține piese având înălțimea $h = (1,3...2,3)d$, față de procedeele clasice unde $h = (0,6...0,7)d$.

5.11.4.3. Prelucrarea hidraulică a tablelor

Procedeul se aplică la obținerea din tablă a unor piese complicate de formă conică, parabolică, sferică sau combinații, dintr-o singură operație de ambutisare. Schema de principiu a procedeei se prezintă în figura 5.172. Semifabricatul inițial 1 se prinde între matrița de ambutisare 2 și capacul 3, fixat prin intermediul sistemului de asamblare 4. În husa de cauciuc 5 se introduce lichid sub presiune 6, cu ajutorul unor pompe. Sub acțiunea lichidului sub presiune husa de cauciuc deformează semifabricatul, obținându-se piesa ambutisată 8. Presiunea de lucru poate atinge 50...200 daN/cm², realizându-se piese ambutisate dintr-o singură ambutisare (dacă s-ar face prin procedeele clasice de ambutisare ar fi necesare

3...6 ambutisări succesive).

Procedeul prezintă următoarele avantaje:

- deformarea se face fără poanson metalic;
- deformarea se face fără utilaje de presare folosind instalații de pompare de înaltă presiune;
- în timpul deformării presiunea hidraulică este uniform repartizată pe semifabricat, permițând obținerea de piese complexe, într-o singură operație.

Procedeul se poate aplica și la fasonarea prin umflare sau reliefare.

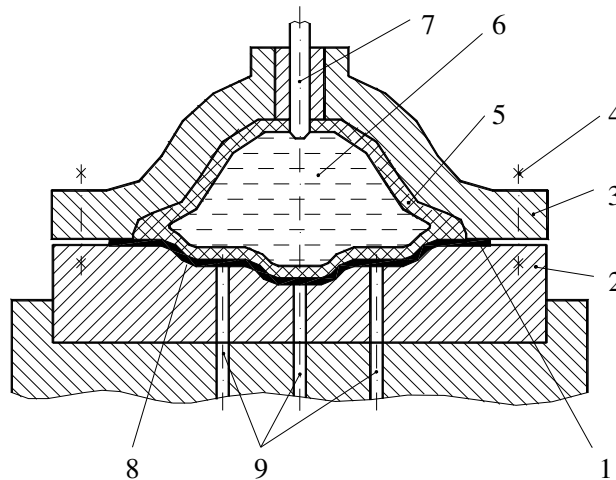


Fig. 5.172. Schema de principiu la ambutisarea hidraulică:

1 - semifabricatul inițial; 2 - matricea de ambutisare; 3 - capac; 4 - sistem de fixare; 5 - husă de cauciuc; 6 - lichid; 7 - ajutoraj; 8 - piesa finită; 9 - canale de evacuare a aerului.

5.11.4.4. Prelucrarea electrohidraulică a tablelor

Procedeul are la bază energia rezultată în urma descărcării dintre doi electrozi plasați într-un mediu lichid. Ca urmare a descărcării electrice, în mediul lichid se creează o puternică undă de șoc care se transmite spre semifabricat deformându-l cu viteză foarte mare. Viteza de deformare a undei de presiune poate atinge 6 000 m/s, iar presiunea maximă realizată, 6×10^3 daN/cm². Schema de principiu a deformării electrohidraulice se prezintă în figura 5.173. Semifabricatul inițial 1 se așează pe matricea 2, fiind apăsător de inelul 3, care la rândul lui este fixat de matricea prin sistemul de fixare 4. Deasupra semifabricatului se pune rezervorul 5, plin cu lichidul 6 (apă), în care se găsesc introduși electrozii de descărcare 7. Ca urmare a descărcării bateriei de condensatoare C, are loc o descărcare între electrozi și formarea unei unde de șoc 8, care proiectează semifabricatul pe pereții 9 ai cavității matricei, rezultând piesa 10. Pentru a evita spargerea matricei sunt necesare canalele de evacuare a aerului 11.

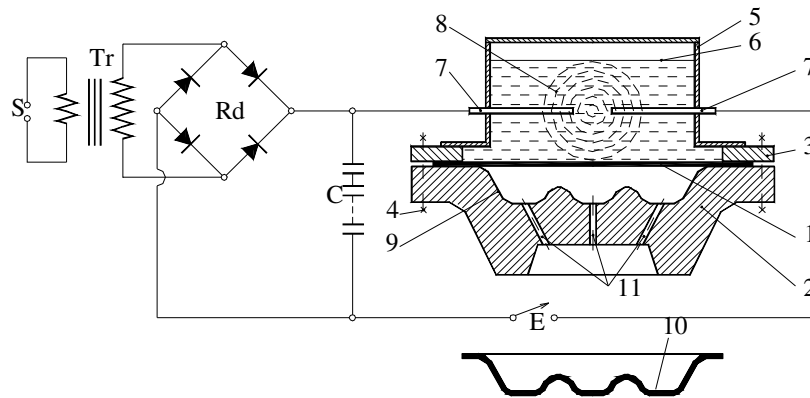


Fig. 5.173. Schema de principiu a deformării electrohidraulice:

1- semifabricatul inițial; 2 – matrița; 3 – inelul de reținere; 4 – sistemele de fixare; 5 – rezervorul cu lichid; 6 – lichidul; 7 – electrozii de descărcare; 8 - unda de șoc; 9 – cavitatea matriței; 10 – piesa finită; 11- canalele de evacuare a aerului; Tr- transformatorul de înaltă tensiune; Rd - puntea de redresare; S- sursa de alimentare; C – bateria de condensatoare; E - eclatorul.

Procedeul are un randament ridicat în comparație cu alte procedee și permite obținerea de piese complexe din materiale greu sau imposibil de deformat prin alte procedee clasice. Se aplică în special la aliajele de aluminiu și oțelurile inoxidabile.

5.11.4.5. Prelucrarea magnetodinamică a tablelor

Procedeul are la bază interacțiunea dintre un câmp magnetic sub formă de impuls de mare intensitate (cu durata de ordinul microsecundelor) și câmpul magnetic al curentului indus în semifabricatul supus deformării.

Câmpul magnetic impulsiv se obține prin descărcarea unei baterii de condensatoare într-o bobină inductoare. Datorită duratei mici de descărcare și valorii mari a energiei acumulate, în spațiul înconjurător al bobinei se generează un câmp magnetic sub formă de impuls. Deoarece acest câmp magnetic este variabil în timp, el va induce în semifabricatul inițial curenți turbionari.

Curentul indus creează la rândul său un câmp magnetic propriu, care se opune câmpului inductor. Din acțiunea de respingere reciprocă a celor două câmpuri magnetice, semifabricatul este supus unei presiuni care, depășind limita de curgere, produce deformarea plastică a acestuia.

Schema de principiu a prelucrării magnetodinamice se prezintă în figura 5.174. Semifabricatul inițial 1 se introduce în interiorul unui inductor 2 împreună cu un concentrator de câmp 3. În interiorul semifabricatului (dacă acesta este cilindric) sau la o anumită distanță de el (dacă acesta are altă formă) se introduce matrița 4 sau altă piesă (dacă este vorba de o asamblare sau închidere) având forma ce se vrea obținută în urma deformării.

De la sursa de alimentare S, prin transformatorul de înaltă tensiune Tr, curentul este redresat cu ajutorul punții redresoare Rd, de la care se încarcă bateria de condensatoare C. În momentul când energia înmagazinată în bateria C este suficientă pentru a deforma semifabricatul 1, aceasta este brusc descărcată în bobina 2, cu care formează un circuit oscilant de tip RLC. Elementul de cea mai mare importanță este bobina de inducție (inductorul). Aceasta este înfășurată pe o piesă numită concentrator de câmp, prin intermediul căruia se manifestă în raport cu semifabricatul de deformat. Concentratorul de câmp este constituit în conformitate cu forma piesei și a locului unde trebuie concentrate forțele de deformare.

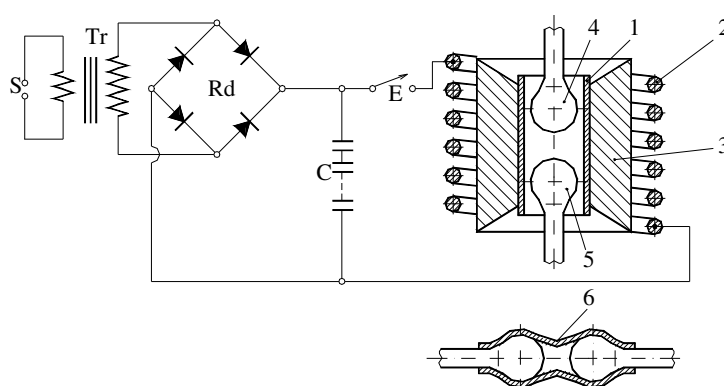


Fig. 5.174. Schema de principiu a prelucrării magnetodinamice:

- 1- semifabricatul inițial; 2- inductor; 3- concentrator de câmp; 4; 5 – piese ce trebuie asamblate;
6- piesa obținută prin deformare ce realizează asamblarea; S – sursa de alimentare;
Tr – transformator de înaltă tensiune; Rd – punte redresoare; C – baterie de acumulare;
E - eclator.

Impulsul durează $10 \dots 20 \mu\text{s}$ și creează o presiune magnetică de până la $3,5 \cdot 10^3 \text{ daN/cm}^2$. Este deci o deformare cu viteze foarte mari de deformare și nu se produce practic variația grosimii materialului, nu apar modificări structurale și fenomenul de ecruisare.

Procedeul se aplică cu rezultate deosebite la operațiile de asamblare, etanșare, deformare a pieselor tubulare (gâtuire, evazare, bordurare, umflare etc.), precum și a pieselor plane pentru operații complexe de deformare (de exemplu, membranele elastice de la aparatura pneumatică și hidraulică).

5.11.4.6. Prelucrarea prin explozie a tablelor

Procedeul are la bază efectul undei de șoc ce ia naștere prin detonarea unui exploziv, efect ce se transmite prin mediul de contact până la semifabricatul de deformat, obligându-l să ia forma matriței. Explozivii întrebuiți pot fi:

- lenți (propulsori), care dezvoltă presiuni de ordinul 30 daN/mm^2 și viteze de propagare de ordinul $300...240 \text{ m/s}$;
- brizanți (violenți), care dezvoltă presiuni de ordinul $3\,000 \text{ daN/mm}^2$ și viteze de propagare de ordinul $1\,200...7\,500 \text{ m/s}$;

Prelucrarea prin explozie se poate realiza în două variante:

- fără contact între sursa de energie și semifabricat;
- cu contact între sursa de energie și semifabricat.

După natura mediului în care are loc transmiterea unei șoc, deformarea se poate face:

- în mediu gazos (aer), la care presiunea transmisă în diferitele zone ale semifabricatului este diferită ca distanță;
- în mediu lichid (în apă), la care presiunea transmisă este uniformă în oricare zonă a semifabricatului;
- în mediu solid (în nisip), la care se face o transmitere mai slabă a energiei spre semifabricat.

Cea mai rațională prelucrare prin explozie este cea care folosește apa ca mediu de transmitere a energiei unei de șoc spre semifabricat (fig. 5.175).

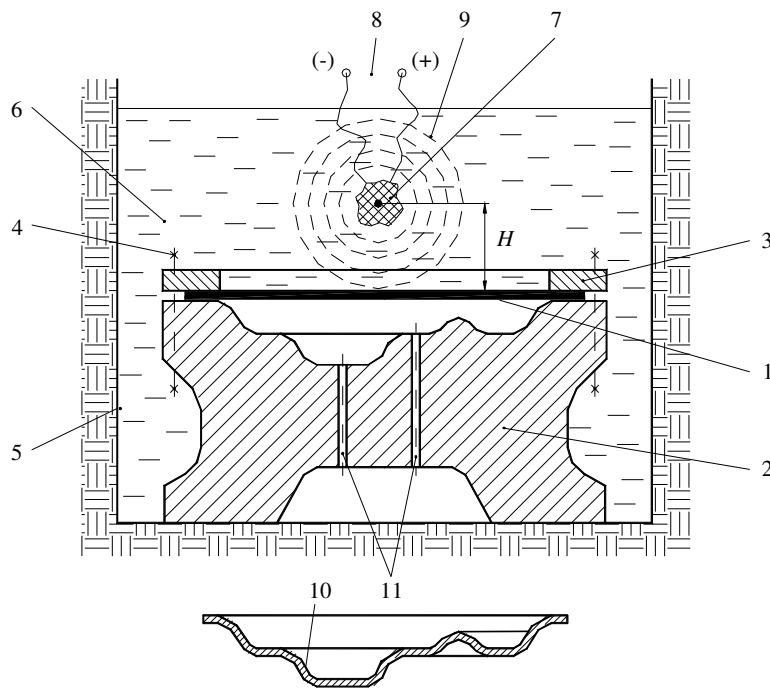


Fig. 5.175. Schema de principiu la prelucrarea prin explozie:

- 1- semifabricatul inițial; 2- matrită; 3 - inel de reținere; 4 – sistem de fixare; 5 - groapă în sol; 6 - apă; 7 – exploziv; 8 - detonator; 9 - unda de șoc; 10 - piesa finită; 11 - canalele de evacuare a aerului.

Semifabricatul inițial 1 se așează pe matrița 2, fiind apăsător de inelul de reținere 3 fixat de matriță prin sistemul de fixare 4. Ansamblul se plasează într-o groapă 5 care se umple cu apa 6. La distanța H de semifabricat se plasează explozivul 7 legat la detonatorul 8. La detonarea explozivului apare o undă de șoc 9 care creează o presiune p , dată de relația:

$$p = k \left(\frac{G^{\frac{1}{3}}}{H} \right)^2 [\text{daN/cm}^2], \quad (5.242)$$

în care: G este greutatea încărcăturii explozive, în kg; H – distanța de la încărcătură la locul unde se transmite unda de presiune, în m; k – coeficientul de corecție al încărcăturii funcție de natura explozivului ($k = 0,59$, pentru explozivi lenți și $k = 1,12$, pentru explozivi brizanți).

Presiunea creată va obliga semifabricatul să ia forma matriței, rezultând piesa finită 10. Pentru a evita spargerea matriței sunt prevăzute canalele de evacuare a aerului 11.

Parametrii de care depinde procesul de deformare sunt: mărimea și forma încărcăturii explozive; distanța de la încărcătură la semifabricat; modul de transmitere a presiunii și construcția matrițelor.

Forma încărcăturii (sferică, inelară, cilindrică, paralelipipedică etc.) se alege în funcție de forma piesei ce trebuie realizată.

Construcția matrițelor se face în conformitate cu forma piesei și cu durabilitatea necesară, în funcție de numărul de piese ce trebuie realizat. Matrițele folosite sunt simple și se pot confecționa din lemn, beton armat, rășini epoxidice sau fontă, oțel (pentru piese care necesită presiuni foarte mari de deformare).

Procedeul este rentabil pentru prelucrarea prin deformare a unor piese din tablă de diametre foarte mari (peste 10...15 m) și grosimi de până la 80 mm, dar și pentru piese mici de configurație complexă, confecționate din materiale cu plasticitate foarte scăzută.

5.11.4.7. Prelucrarea tablelor în câmp ultrasonor

Procedeul folosește efectele ce apar ca urmare a suprapunerii energiei ultrasonore peste energia de deformare și anume:

- *efectul de înmuiere acustică*, ce constă în micșorarea substanțială a rezistenței la deformare cu 40...60% și creșterea proprietăților de plasticitate cu 20...50%;

- *efectul de suprafață*, ce constă în reducerea substanțială a frecării de contact la interfața semifabricat-sculă de deformare cu 30...80%.

În funcție de configurația geometrică a piesei și tipul prelucrării există mai multe variante de prelucrare, în funcție de modul de introducere a energiei ultraso-

nore în focarul de deformare, astfel:

- cu activarea ultrasonică a sculei de deformare sau tăiere;
- cu activarea ultrasonică a semifabricatului așezat pe placa activă;
- cu activarea ultrasonică simultană și a sculei și a semifabricatului.

Schema de principiu a unei prelucrări prin ambutisare în câmp ultrasonor se prezintă în figura 5.176. Semifabricatul 1 se așează pe matrița 2 și este deformat cu ajutorul poansonului 3. Poansonul face corp comun cu concentratorul de energie ultrasonoră 4, care este legat de transductorul ultrasonor 6 prin intermediul flanșei nodale 5. Transductorul ultrasonor convertește oscilațiile electrice ale generatorului electric de înaltă frecvență 7, în oscilații mecanice cu frecvență ultrasonoră (cu frecvența peste 16 kHz). Transductorul este în permanență izolat acustic 8 și răcit printr-un sistem de răcire 9.

Procedeul se aplică în cazul prelucrării unor materiale greu sau imposibil de prelucrat prin procedeele clasice. Se obțin produse cu o calitate foarte bună a suprafeței, în condițiile unei uzuri reduse a sculelor și a unei productivități sporite.

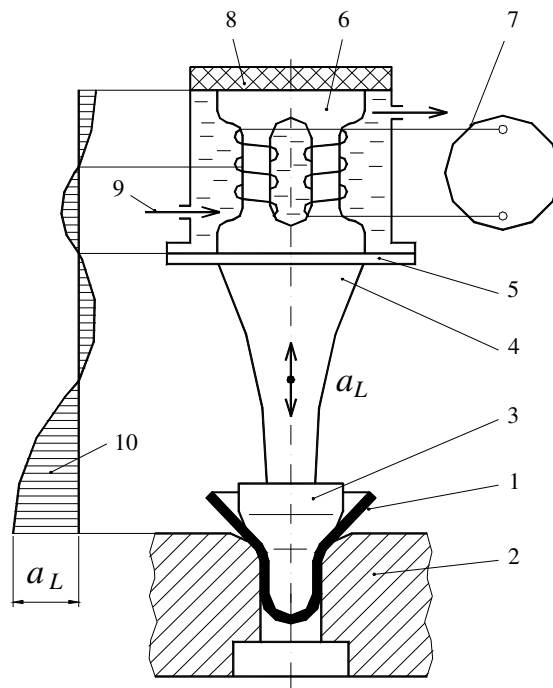
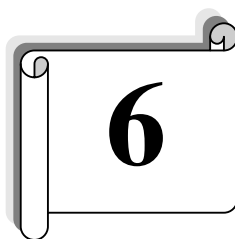


Fig. 5.176. Schema de principiu a ambutisării în câmp ultrasonor:

- 1- semifabricatul inițial; 2- matrița; 3- poansonul; 4- concentratorul de energie ultrasonoră;
5- flanșa nodală; 6- transductorul ultrasonor; 7- generatorul de înaltă frecvență; 8- izolantul
acustic; 9- sistemul de răcire; 10- diagrama de variație a amplitudinii vitezei particulei
materiale a_L .

Observație. Este de așteptat ca pe măsura apariției de noi materiale cu proprietăți deosebite să apară și alte procedee speciale de prelucrare a acestor materiale, în vederea obținerii de piese din table. Oricum, aceste procedee de prelucrare se dezvoltă din ce în ce mai mult în industria constructoare de automobile (caroserii, șasiuri, uși, capote etc.), industria chimică (funduri pentru recipienți, calote emisferice pentru recipienții sferici etc.), industria bunurilor de larg consum (ambalaje, obiecte de uz casnic, carcase de protecție etc.), industria constructoare de mașini (carcase, rezervoare, capace, asamblări etc.), industria constructoare de nave spațiale (piese de forme complexe din materiale greu prelucrabile realizate printr-o singură operație), industria medicamentelor (închiderea ermetică a medicamentelor), în tehnica militară și energetica nucleară.



OBȚINEREA PIESELOR PRIN SUDARE

6.1. GENERALITĂȚI

Sudarea este o metodă tehnologică de obținere a unei îmbinări nedemontabile dintre două corpuri solide, prin realizarea unor forțe de legătură între atomii marginali ai suprafețelor de îmbinat, în anumite condiții de temperatură și/sau presiune.

Sudarea, ca metodă de asamblare nedemontabilă, este folosită din cele mai vechi timpuri, dar numai la sfârșitul secolului al XIX-lea încep să apară din ce în ce mai multe procedee de sudare, cerute de dezvoltarea rapidă a industriei și în general a tuturor ramurilor tehnicii. În anul 1882, inventatorul N. Bernados a realizat, pentru prima oară, o îmbinare sudată prin topire cu arc electric, în condiții de laborator, iar în anul 1907 Kjellberg propune protejarea băii de sudare folosind electrozi metalici înveliți. Între anii 1930 – 1935, se dezvoltă procedeul de sudare sub strat de flux, iar în anul 1935 se aplică folosirea gazelor la protecția băii de sudură. Între anii 1950 – 1952 se perfecționează procedeul de sudare în baie de zgură topită, pentru ca după anul 1960 să se dezvolte procedeul de sudare cu plasmă. Între anii 1970 – 1972, se dezvoltă și se perfecționează sudarea cu fascicul de electroni și în 1974, procedeul de sudare cu fascicul de fotoni.

Dezvoltarea în timp a sudării și a utilajului folosit la sudare a fost determinată, în primul rând, de cerințele industriei și în special de cea a industriei constructoare de mașini. Se poate afirma însă că aproape nu există ramuri ale industriei în care să nu-și găsească utilizare diferite procedee de sudare sau care să nu necesite noi procedee de sudare (peste 42% din producția mondială de oțel este

folosită la realizarea de structuri sudate).

Realizarea unor nave maritime, avioane, bunuri de larg consum, rezervoare, recipiente, utilaje pentru centrale nucleare și energetice, poduri, complexe metalurgice, mari căi navigabile, metrouri, construcții metalice etc., nu ar fi posibile fără existența unor procedee de sudare.

Sudarea poate fi aplicată astăzi unui număr foarte mare de materiale (oțeluri carbon și oțeluri aliate, metale și aliaje neferoase, mase plastice, sticlă, ceramice, materiale compozite etc) având grosimi ce variază de la câțiva microni până la câțiva metri. Această largă aplicabilitate este datorată principalelor avantaje tehnico-economice pe care sudarea le are în comparație cu alte procedee tehnologice (turnarea, forjarea, nituirea etc.) și anume:

- realizează însemnate economii de material (20...60%), precum și o rezistență mai mare față de nituire;
- calitatea superioară a îmbinărilor sudate și condițiile de muncă mai bune în care se realizează acestea au determinat înlocuirea în ultimii ani a nituirii în proporție de peste 95%;
- permite realizarea unor construcții mai ușoare și de formă constructivă mai simplă, adaosurile de prelucrare și cele tehnologice fiind mai mici cu 70...90% față de cele de la turnare și forjare;
- permite mecanizarea și automatizarea completă a operațiilor tehnologice și reducerea substanțială a timpilor tehnologici;
- permite realizarea de construcții mixte sau combinate, formate din mai multe părți executate separat, din materiale total diferite, prin procedee de prelucrare diferite și apoi asamblate prin sudare;
- realizează economie de manoperă (30...75% față de turnare) și îmbunătățirea condițiilor de lucru;
- folosește utilaje mai simple, mai ieftine și mai ușor de întreținut, permițând realizarea de construcții care să satisfacă și condiții de etanșeitate (rezervoare, schimbătoare de căldură, construcții navale, reactoare etc.).

Principalele dezavantaje sunt legate de forma, dimensiunile semifabricatelor și alegerea materialelor, precum și de mărimea lotului de fabricație, astfel:

- nu este eficientă în cazul unei producții de serie mare sau serie diversificată la piese de gabarite și greutate mici;
- calitatea îmbinărilor sudate depinde în mare măsură de calitatea materialelor utilizate și de modul de alegere a acestora;
- de multe ori produsele obținute prin sudare necesită tratamente termice, deci un consum mai mare de energie;
- majoritatea îmbinărilor sudate necesită un control nedistructiv riguros;
- necesită o calificare și o specializare continuă a personalului de execuție;
- procedeele de sudare de mare productivitate necesită utilaje complicate, greu de întreținut, cu regimuri de lucru pretențioase.

6.2. PRINCIPIUL FIZIC AL SUDĂRII

Atomii dispuși pe suprafața unui corp au legături libere care pot interacționa cu atomii de pe suprafața altui corp, cu care vin în contact, dacă sunt îndeplinite anumite condiții. Principala condiție ce trebuie îndeplinită este distanța de apropiere dintre cele două corpuri, care trebuie să fie de ordinul razelor atomice (10^{-10} m).

Această condiție se poate realiza în mai multe moduri:

- *prin încălzirea părților de îmbinat alăturate*, care conduce la o creștere a mobilității atomilor, o slăbire a forțelor de legătură dintre atomi și o creștere a plasticității materialelor;

- *prin exercitarea unei presiuni între părțile de îmbinat*, care să conducă la deformării plastice însoțite de curgerea materialelor de-a lungul suprafețelor în contact și prinderea lor reciprocă;

- *prin încălzirea și presarea simultană sau succesivă a părților de îmbinat*, care să utilizeze toate fenomenele prezentate la primele două moduri de acțiune.

Dacă încălzirea este suficient de mare, topind material din marginile ambelor piese, ea poate realiza singură sudarea, după cum și dacă presiunea este suficient de mare, se poate realiza sudarea prin deformarea plastică la rece. Mecanismul apariției forțelor de legătură, între părțile de sudat, depinde în cea mai mare măsură de starea de agregare în care se găsesc acestea, deosebindu-se următoarele situații distincte:

- *ambele părți sunt în stare lichidă*, când formarea legăturii depinde de solubilitatea reciprocă, mărirea tensiunii superficiale, diferența de densitate și de alte proprietăți fizice;

- *ambele părți sunt în stare solidă*, când formarea legăturii depinde de starea suprafețelor în contact (forma microneregularităților), de dizolvarea de gaze, de defectele de structură, de formarea instantanee de pelicule monomoleculare și de unele proprietăți fizice;

- *o parte în stare solidă și cealaltă în stare lichidă*, când formarea legăturii este posibilă doar în anumite condiții.

6.3. CLASIFICAREA PROCEDEELOR DE SUDARE

Totalitatea operațiilor tehnologice folosite la un anumit fel de sudare constituie *procedeul de sudare*.

Data fiind multitudinea mare de fenomene ce apar la sudare și diversitatea foarte mare de materiale, nu există o clasificare sistematică și unanim acceptată a

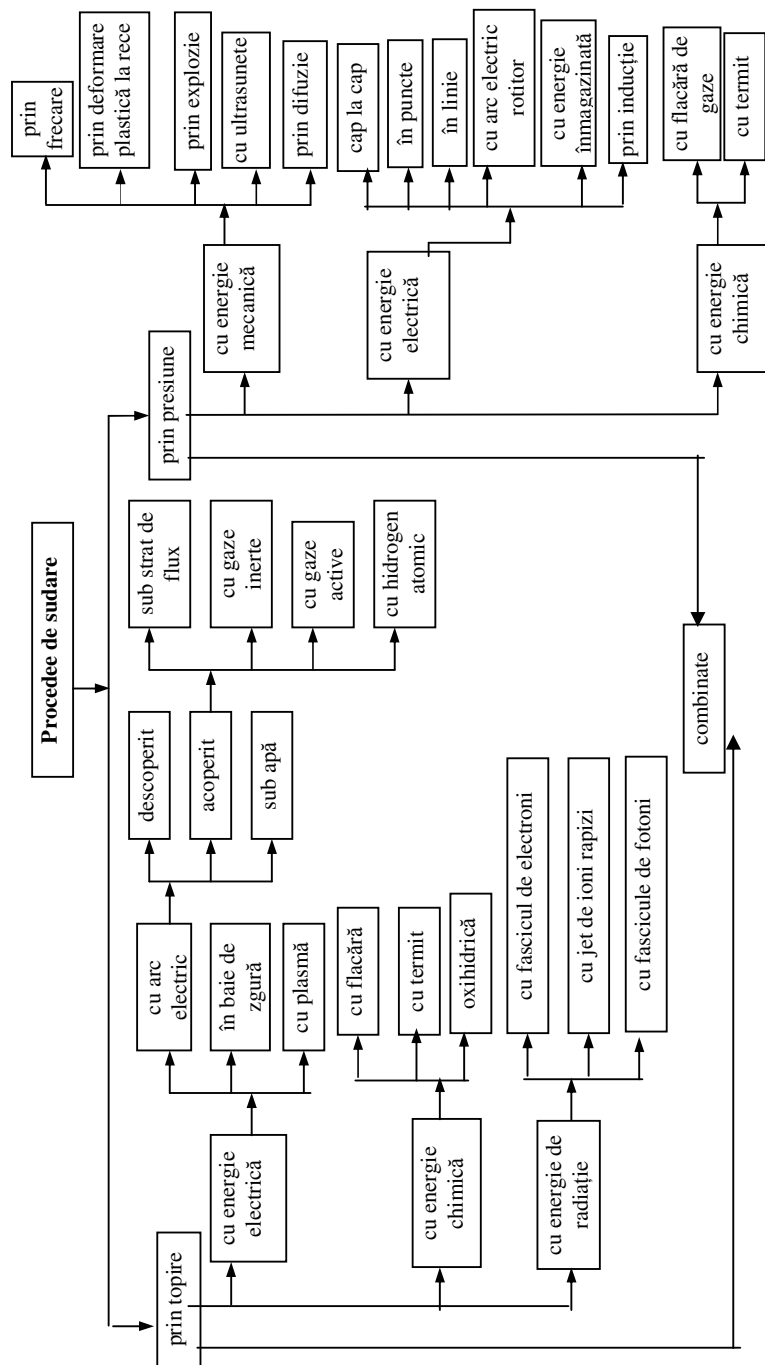


Fig. 6.1 Clasificarea principalelor procedee de sudare.

procedeelor de sudare. Pentru o prezentare mai ușoară și o abordare comparativă, se poate face o clasificare a procedeelor de sudare după fenomenele fizice care au loc în cadrul procesului de sudare (după modul cum se stabilesc legăturile de coeziune interatomică la marginile pieselor de îmbinat), după natura energiei utilizate pentru încălzire sau presare, după temperatura la care se realizează îmbinarea, după modul de formare a cusăturii, după materialul de adaos folosit etc. O astfel de clasificare a procedeelor de sudare se prezintă în figura 6.1.

6.4. MACROSTRUCTURA ȘI MICROSTRUCTURA UNEI ÎMBINĂRI SUDATE

Sudarea este metoda tehnologică de realizare a unei îmbinări nedemontabile, iar rezultatul sudării este *cusătura sudată* sau *cordonul de sudură*.

Cusătura sudată împreună cu materialele de bază neafectate în procesul de sudare formează *îmbinarea sudată*, numită uzual *sudură*.

Pentru execuția unei îmbinări sudate, marginile piesei de sudat sunt pregătite corespunzător, prin realizarea unui „rost al îmbinării”, conform STAS 5555 –71. Elementele componente ale rostului și denumirile lor sunt prezentate în figura 6.2.

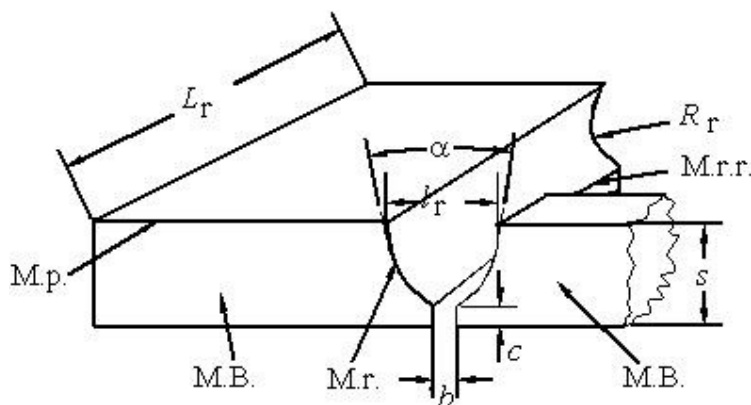


Fig. 6.2. Elementele componente ale rostului:

b - deschiderea rostului; c - rădăcina rostului; l_r - lățimea rostului; α - unghiul rostului; L_r - lungimea rostului; $M.r.$ - muchia rostului; $M.r.r.$ - muchia rădăcinii rostului; R_r - raza rostului; $M.p.$ - muchia piesei; $M.B.$ - material de bază.

După depunerea *materialului de adaos* (M.A.) și solidificarea împreună cu o parte din *materialul de bază* (M.B.), rezultă *îmbinarea sudată* ale cărei elemente componente și denumirile standardizate sunt prezentate în figura 6.3.

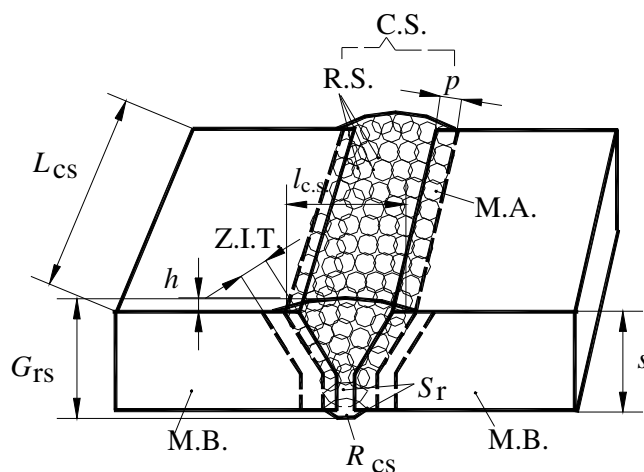


Fig. 6.3. Elementele componente ale unei îmbinări sudate:

M.B. – materialul de bază; M.A. – materialul de adaos; s – grosimea teoretică; $G_{r,s}$ – grosimea reală a cusăturii sudate; C.S. – cusătura sudată (cordonul de sudură); $L_{c,s}$ – lungimea cusăturii sudate; $l_{c,s}$ – lățimea cusăturii sudate; R.S. – rânduri de sudură; p – pătrunderea; h – supraînălțarea (îngroșarea); S_r – strat de rădăcină; R.c.s. – rădăcina cusăturii sudate; Z.I.T. – zona influențată termic.

Din punct de vedere tehnologic, interesează modul în care se realizează cusătura, precum și extinderea zonei influențate termic (Z.I.T.). Mărimile care caracterizează geometria cusăturii și a zonei influențate termic se prezintă în figura 6.4.

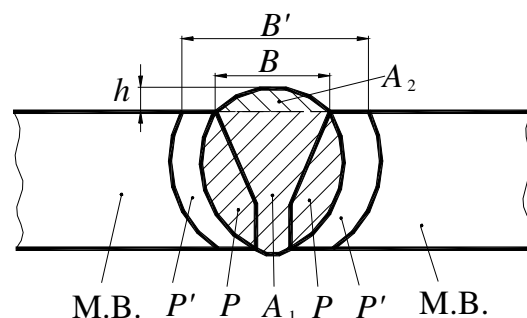


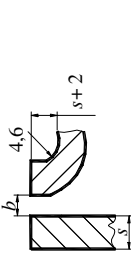
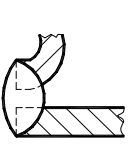
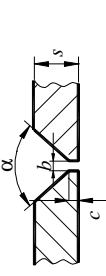
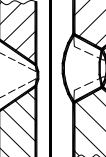
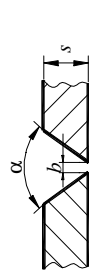
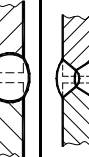
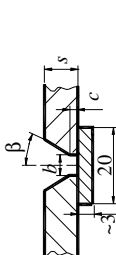
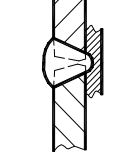


Fig. 6.4. Mărimile ce caracterizează geometria cusăturii sudate:

B – lățimea cusăturii; B' – lățimea Z.I.T.; $A_1 + A_2 = A$ – secțiunea cusăturii; P – pătrunderea cusăturii; P' – pătrunderea în Z.I.T.; h – supraînălțarea.

Forma rostului și mărimea lui depinde de grosimea pieselor de sudat și de configurația geometrică a îmbinării. Câteva forme de rosturi de îmbinare și configurația cusăturilor sudate corespunzătoare se prezintă în tabelul 6.1.

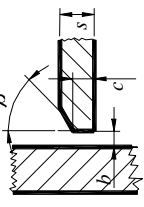
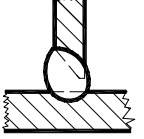
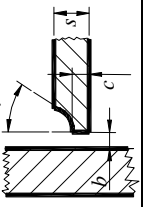
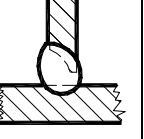
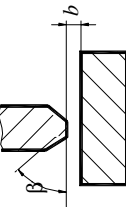
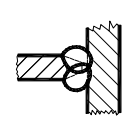
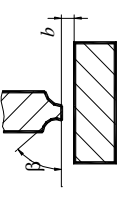
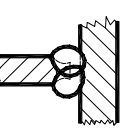
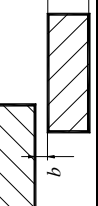
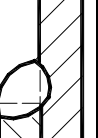
Tabelul 6.1. Diferite tipuri de rosturi reprezentative

Nr. Crt.	Denumirea cusăturii sudate	Forma rostului	Forma îmbinării	Grosimea materialului de bază, s [mm]	Dimensiunile rostului			Obs.
					a [mm]	b [mm]	c [mm]	
0	1	2	3	4	5	6	7	8
1	Sudură în I			Până la 1	-	0...1	-	Se recomandă suport.
				1...3	-	0...3	-	
2	Sudură în I cu marginile răsfrânte			Până la 2	-	0...1	-	-
				2...5	-	1...3	-	
3	Sudură în Y			Până la 4	-	0...2	-	-
				3...20	$\alpha \neq 50^\circ \dots 60^\circ$	0...3	-	
4	Sudură în V			3...20	$\alpha \neq 50^\circ \dots 60^\circ$	0...3	1...3	Se recomandă pentru prelucrarea mecanică a marginilor.
				>6	$\beta = 8^\circ \dots 12^\circ$	4..8	-	
5	Sudură în Y pe suport							Suport de oțel.

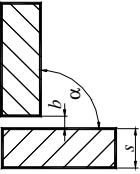
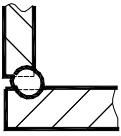
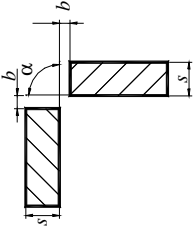
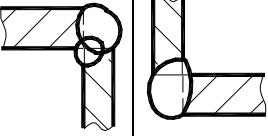
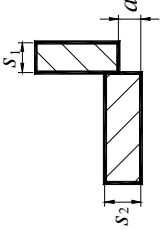
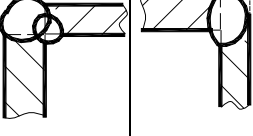
Tabelul 6.1. (continuare)

1	2	3	4	5	6	7	8	9
6	Sudură în X			12...40	$\alpha_1=50^\circ \dots 60^\circ$ $\alpha_2=50^\circ \dots 60^\circ$	1...3	0...2	$\alpha_2 > 60^\circ$ se aplică la sudarea nesimetrică $h \approx (1/2 - 1/3)s$
7	Sudură în U			≥ 15	$\beta = 8^\circ \dots 12^\circ$	0...3	1,5...3,5	-
8	Sudură în U (specială)			> 40	$\beta = 8^\circ \dots 12^\circ$	0...3	1,5...3,5	$h_1 \approx s/2$
9	Sudură în dublu U			≥ 30	$\beta = 8^\circ \dots 12^\circ$	0...3	2...4	$h \approx (1/2 - 1/3)s$
10	Sudură în dublu U (specială)			> 80	$\beta = 8^\circ \dots 12^\circ$	0...3	2...4	$h_1 \approx s/8$

Tabelul 6.1. (continuare)

1	2	3	4	5	6	7	8	9
11	Sudură în $\frac{1}{2}$ V			4...20	$\beta=45^\circ \dots 60^\circ$	0...3	0...3	Se recomandă completare a la rădăcină.
12	Sudură în $\frac{1}{2}$ U			>15	$\beta=16^\circ \dots 20^\circ$	0...3	1,5...3,5	Se recomandă completare a la rădăcină.
13	Sudură în K			12...40	$\beta=45^\circ \dots 60^\circ$	0...3	0...2	-
14	Sudură dublă în $\frac{1}{2}$ U			>30	$\beta=16^\circ \dots 20^\circ$	0...3	1,5...3,5	-
15	Sudură pe colț cu marginile suprapuse			>2	-	0...2	-	-

Tabelul 6.1. (continuare)

1	2	3	4	5	6	7	8	9
16	Sudură pe colț			>2	-	0...2	-	-
17	Sudură pe muchie			>2	60...120	0...2	-	-
18	Sudură pe muchie, grosimi diferite			$s_2 > 2$	-	-	-	Se admite până la 2 mm $s_2 > s_1$ $\alpha \geq 5^\circ$.

Microstructural, zona îmbinării sudate este diferită ca structură de materialul de bază, în funcție de modul cum a fost realizată cusătura (prin topire, prin presiune sau combinat). În cazul obținerii unei cusături sudate prin topire, cu material de adaos, cusătura înglobează pe lângă acesta și materialul topit din materialul de bază, rezultând *baia de sudură*, care intră în reacții chimice cu elementele din mediul înconjurător (gaze, fluxuri, zgură etc.). Baia de sudură poate îngloba prin absorbție oxigen, care dă naștere la oxizi (incluziuni), hidrogen, care ușurează apariția fisurilor, și azot, care formează nitruri ce conduc la fragilizarea cusăturii. De asemenea, baia de zgură poate pierde elemente ca Si, Mn, C, Cr etc., prin reacții de oxidare, după cum poate să și primească elemente de aliere.

Ca urmare a procesului de încălzire și răcire, în materialul de bază, în dreapta și în stânga cusăturii sudate se produc transformări structurale care diferă de modul în care a fost realizată cusătura sudată și de natura materialelor de sudat. De exemplu, transformările suferite de un oțel carbon obișnuit cu 0,2%C într-o îmbinare sudată obținută prin topire, se prezintă în figura 6.5. Se constată mai multe zone distincte:

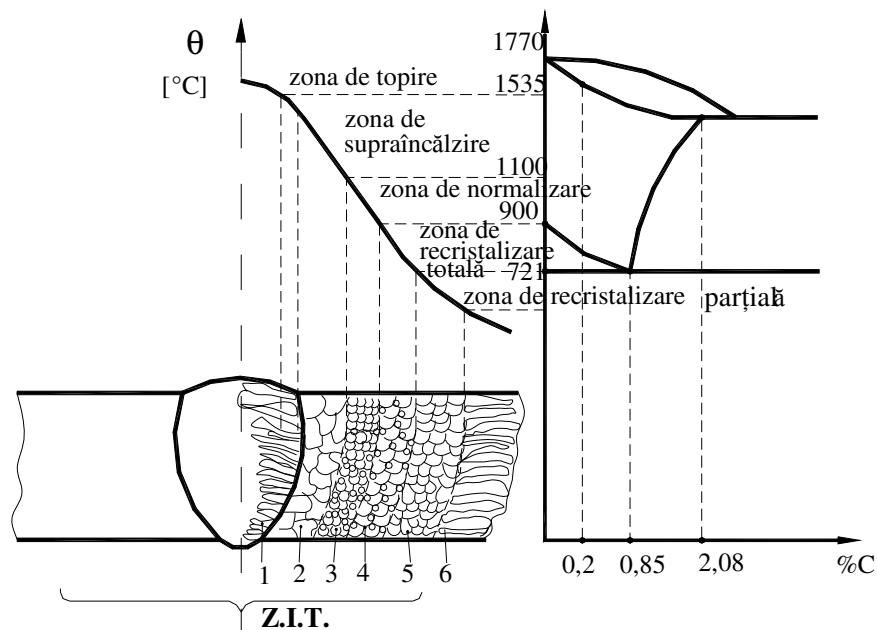


Fig. 6.5. Transformările structurale ale unui oțel carbon cu 0,20%C, ca urmare a procesului de încălzire și răcire din timpul realizării cusăturii sudate:
1 – cusătura sudată; 2 – zonă de supraîncălzire; 3 – zonă de normalizare; 4 – zonă de recristalizare parțială; 5 – zonă de recristalizare totală; 6 – metalul de bază.

- zona cusăturii sudate 1, cu structură dendritică, tipică de turnare;

- *zona de supraîncălzire 2*, ce apare la temperaturi de peste 1 100°C, cu structură grosolană (grăunți mari) deformabilă, cu lățimea de 0,5...1,5mm și proprietăți fizico - mecanice deosebit de scăzute;
- *zona de normalizare 3*, ce apare la temperaturi de 900...1 100°C, cu structură granulară fină și uniformă, cu lățimea de 0,5...1,0 mm și proprietăți fizico- mecanice deosebit de bune;
- *zona de recristalizare parțială 4*, ce apare la temperaturi de 721...900°C cu o structură neomogenă (grăunți mari de ferită și găuri mici de perlită), cu lățimea 1,0...1,5 mm și proprietăți fizico-mecanice reduse;
- *zona de recristalizare 5*, ce apare la temperaturi de 500...721°C (dacă materialul de bază se găsea înainte de sudare în stare ecruisată) cu o structură omogenă, găuri echiaxiali, cu lățimea de 1,5...2,5 mm și proprietăți fizico-mecanice bune.

Structurile rezultate în îmbinarea sudată au calitate înrăutățită cu excepția zonei 3, de aceea distrugerea sudurilor are loc cel mai adesea în zona influențată termic (Z.I.T.) și mai ales în zona 2. Zonele menționate mai sus și transformările structurale arătate se produc în cazul în care s-a depus un singur rând de sudură. Dacă peste primul rând de sudură se depun alte rânduri, atunci toate zonele și în special baia de sudură suferă transformări favorabile, deoarece se produce o mărunțire a cristalelor și, deci, o îmbunătățire substanțială a caracteristicilor fizico – mecanice, în special a celor de tenacitate. De aceea, la lucrările importante, pentru sudarea materialelor cu grosimi mari, se recomandă sudarea în *straturi multiple*.

La sudarea prin presiune, când încălzirea se face la temperaturi mai mici și lipsește materialul de adaos, rezultă o structură mai simplă. Deoarece procesul de sudare durează puțin, nu apar diferențe mari de compoziție chimică, dar apar modificări structurale în jurul cusăturii sudate, caracterizate prin găuri mari, structură în afară de echilibru și cu proprietăți fizico-mecanice inferioare.

6.5. SUDABILITATEA (COMPORTAREA LA SUDARE) MATERIALELOR

6.5.1. Generalități

*Sudabilitatea unui material este proprietatea tehnologică definită prin aptitudinea acestuia de a forma o îmbinare nedemontabilă prin sudare, în anumite condiții date, care să corespundă condițiilor impuse în exploatare din trei puncte de vedere: **metalurgic, constructiv și tehnologic**. Sudabilitatea este condiționată atât de proprietățile materialului (compoziția chimică, structura, tehnologia de prelucrare anterioară), cât și de modul în care se realizează sudarea (schema*

constructivă, configurația geometrică, concepția îmbinării sudate, execuția propriu – zisă). Ținând cont de aceste aspecte un material se poate caracteriza prin:

- *sudabilitate metalurgică* (comportare metalurgică la sudare), ce se referă la transformările structurale și schimbările proprietăților fizice, chimice și mecanice care au loc sub influența sudării în îmbinarea sudată;
- *sudabilitate constructivă* (comportare constructivă la sudare), ce se referă la influența configurației geometrice a ansamblului sudat și a sudurilor asupra rezistenței la solicitări termice și corozive;
- *sudabilitate tehnologică* (comportare tehnologică la sudare), ce se referă la complexitatea condițiilor tehnologice ce trebuie îndeplinite în fazele de pregătire și de execuție a sudării, precum și în fazele de tratament termic și prelucrare după sudare.

6.5.2. Încercări pentru determinarea sudabilității

Pentru determinarea sudabilității unui material nu există o metodă cantitativă științifică unanim acceptată, pentru aprecierea ei existând însă prescripții și criterii de apreciere care diferă de la o țară la alta.

Determinarea sudabilității se face în urma unor încercări laborioase asupra materialului de bază, asupra cusăturii sudate și asupra îmbinării sudate. Câteva din încercările pentru determinarea sudabilității la metale și aliaje sunt:

- *încercarea durtății sub cordon* – ce constă în depunerea unui cordon de sudură cu electrodul (metalul de adaos) de cercetat pe o epruvetă din materialul de bază de cercetat și în măsurarea durtății folosind metoda Vickers cu 10kgf (HV10) conform figurii 6.6:

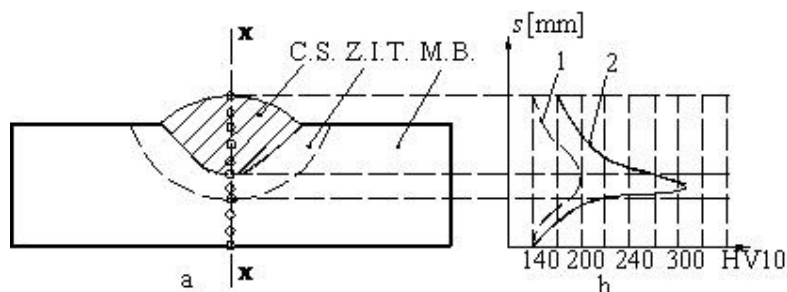


Fig. 6.6. Măsurarea durtății sub cordon la un oțel cu 0,15%C, 2,3%Ni și 0,22%Mo:
a – o secțiune prin îmbinarea sudată; b – curbele de variație a durtății în cusătura sudată (C.S.), zona influențată termic (Z.I.T.) și metalul de bază (M.B.); 1 – în condiții obișnuite; 2 – cu preîncălzire.

Dacă duritatea măsurată după axa X - X nu depășește valoarea de 350 HV10 de duritate, se consideră că materialul are o sudabilitate bună, iar în cazul când se depășește această valoare sunt necesare anumite măsuri tehnologice care să

evite creșterea durității: preîncălzirea materialului, mărirea sau micșorarea diametrului electrodului cu care se sudează etc. Duritatea crește odată cu creșterea conținutului de carbon, existând mari diferențe între metalul de bază și zona influențată termic (fig. 6.7). Se constată că sudabilitatea este bună necondiționată sub 0,25%C;

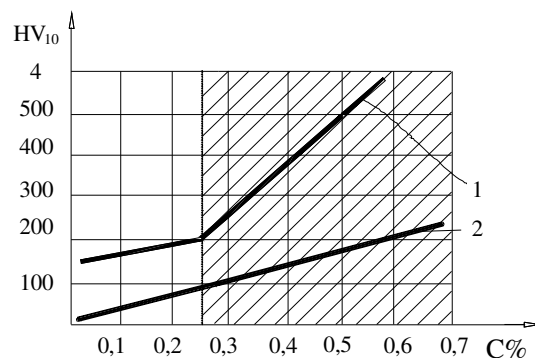


Fig. 6.7. Variația durității oțelurilor carbon obișnuite în funcție de %C:
1 – în zona influențată termic; 2 – în materialul de bază aflat în stare recoaptă.

- *încercarea Kommerell* – ce constă în depunerea unui cordon de sudură într-un șanț frezat (fig 6.8. a) printr-o singură trecere cu ajutorul unui electrod rutilic de 4,0 sau 5,0 mm în lungul probei (fig.6.8. b). Epruveta se supune la încovoierea statică (fig.6.8. c) la temperatura de +20°C și se determină unghiul de rupere și aspectul suprafeței de rupere. Se consideră că dacă pentru o epruvetă de $50 \times 50 \times 5$ mm se obține un unghi de îndoire $\alpha = 50^\circ$, fără apariția fisurilor, oțelul respectiv este sudabil.

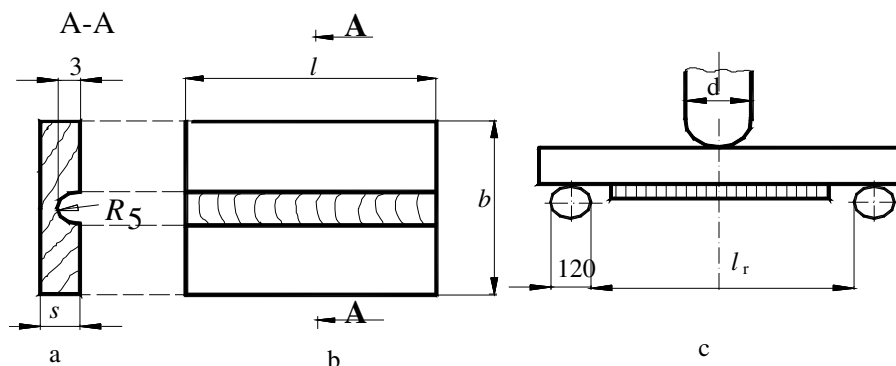


Fig. 6.8. Încercarea Kommerell:
a – epruvetă; b – depunerea cordonului de sudură; c- încercarea de încovoiere.

Oțelurile cu o sudabilitate necorespunzătoare prezintă o ruptură casantă la unghiuri mici de îndoire ($\alpha = 5...10^\circ$). Încercarea dă rezultate foarte bune la grosimi mari ($s > 20,0\text{ mm}$);

- *încercarea cu sudură circulară* – ce are drept scop determinarea sensibilității la fisurare a metalului de bază. Încercarea se execută pe o epruvetă sub forma unui disc cu diametrul de 100 mm și grosimea de 25 mm teșit circular în V sau X, așezat în mijlocul unei plăci pătrate cu latura de 212 mm (fig. 6.9. a). După executarea sudurii pe contur circular, aceasta se curăță și se atacă chimic pentru a pune în evidență eventualele fisuri. Încercarea se poate face și pe o placă de 50×50 mm și groasă de 12,5 mm în care se execută un canal circular, în timp ce proba se răcește cu jet de aer. După pregătirea corespunzătoare a suprafețelor se face un atac chimic sau se folosesc lichide penetrante pentru a pune în evidență eventualele fisuri. Încercarea dă indicație asupra sudabilității atât a materialului de bază, cât și a materialelor de adaos;

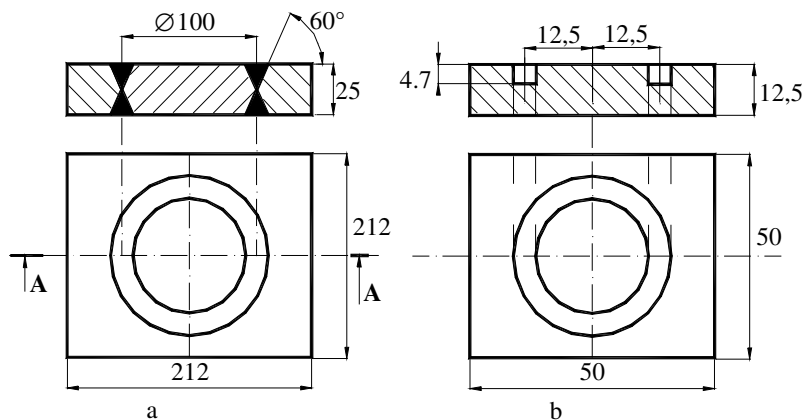


Fig. 6.9. Încercarea cu sudură circulară:

a – pe epruvetă $212 \times 212 \times 25$ mm; b – pe epruvetă de $50 \times 50 \times 12,5$ mm.

- *încercarea M.V.T.U. (Bauman)* – ce permite determinare sudabilității oricărui oțel, precum și regimul optim de sudare al acestuia. Încercarea constă în depunerea unui cordon de sudură cu un regim termic cunoscut pe o epruvetă având grosimea de 12...18 mm și dimensiunile din figura 6.10.

Operația se repetă pe o altă epruvetă cu un alt regim de sudare (modificând de exemplu energia liniară de sudare) și din probele astfel sudate se prelevează epruvete pentru încercarea la tracțiune, la înconvoirea prin șoc, îndoire precum și studii metalografice. Epruvetele necesare încercărilor au forma și mărimea standardelor în vigoare. Încercarea este complexă, dar dă indicații asupra comportării metalului de bază la supraîncălzire, asupra gradului de durificare a sudurii și a zonei influențate termic, asupra modificării structurale în metalul de

bază și în sudură și asupra schimbărilor proprietăților elasto-plastice ale îmbinării sudate.

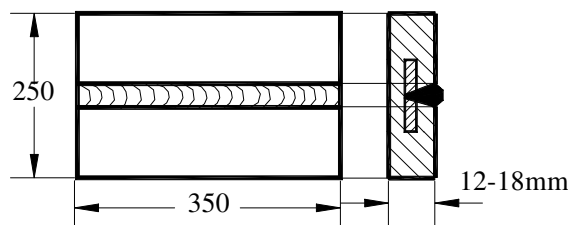


Fig. 6.10. Încercarea M.V.T.U. (Baumann).

6.5.3. Sudabilitatea oțelurilor

Oțelurile au aptitudini diferite de a forma îmbinări sudate.

Determinarea sudabilității oțelurilor se poate face ținând cont de modul cum influențează fiecare element de aliere proprietățile funcționale și tehnologice ale acestora, astfel:

- *carbonul* are influență deosebită asupra proprietăților mecanice, dar și asupra sudabilității. Cu creșterea conținutului de C apar componenții structurali de călire cu o duritate și fragilitate ridicată, ceea ce favorizează producerea fisurilor în îmbinarea sudată. Deci, cu cât conținutul de carbon este mai mare, scade sudabilitatea, de aceea pentru construcții sudate de importanță mare se recomandă oțeluri cu conținut de carbon mai mic de 0,25%;

- *siliciul* mărește limita de elasticitate, este un bun dezoxidant și mărește rezistența oțelului (în cantități mai mici de 0,3%). Cu creșterea conținutului de Si, crește însă și fragilitatea oțelului, și oțelurile cu mult Si (peste 0,7%) sunt greu sau imposibil de sudat;

- *manganul* conduce la mărirea rezistenței și plasticității oțelului și reduce tendința de producere a stropilor la sudare, până la un conținut de 1,8%. Creșterea conținutului de Mn peste această limită mărește sensibilitatea de călire a oțelului și favorizează producerea și propagarea fisurilor;

- *sulfur* influențează negativ sudabilitatea favorizând fisurarea la cald;

- *fosforul* influențează negativ sudabilitatea favorizând fisurarea la rece;

- *molibdenul* determină o mărire a rezistenței la rupere a oțelului la cald și reduce tendința de fisurare la cald;

- *cromul* mărește sensibilitatea la călire a oțelului și micșorează plasticitatea îmbinării sudate, deci influențează negativ sudabilitatea.

Pentru a ține cont de influența fiecărui element asupra sudabilității s-a introdus o metodă analitică de *determinare a conținutului de carbon echivalent (Ce%)*, folosind relația:

$$\%Ce = \%C + \frac{\%P}{2} + \frac{\%Mn}{4} + \frac{\%Cr}{5} + \frac{\%Cn}{13} + \frac{\%Ni}{15} + 0,0024 \cdot s, \quad (6.1)$$

în care s este grosimea tablei de sudat, în mm.

Dacă se consideră un indice de sudabilitate într-o scară convențională cu note de la 1...10, sudabilitatea unui oțel nealiat sau slab aliat, în funcție de carbonul echivalent, calculat cu relația (6.1), se prezintă în figura 6.11.

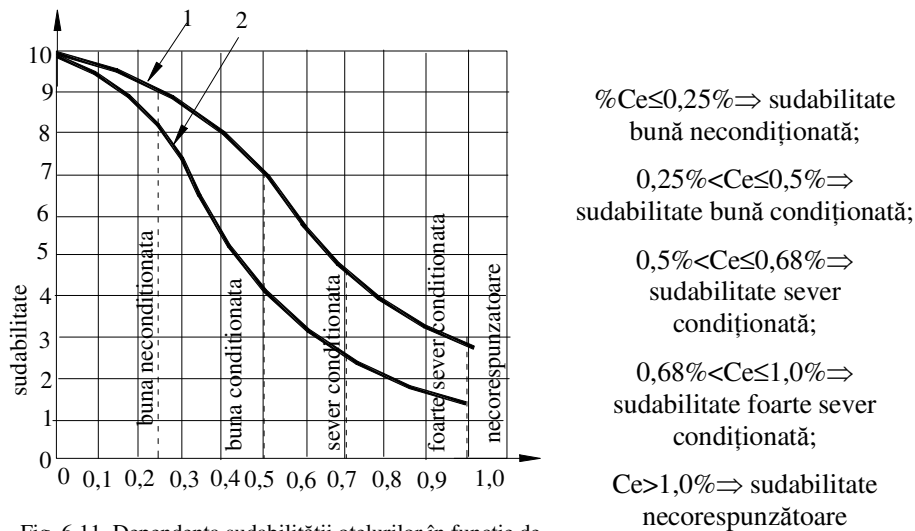


Fig. 6.11. Dependenta sudabilității oțelurilor în funcție de conținutul de carbon echivalent:

1 – la procedeele de sudare cu flacără oxigaz; 2 – la procedeele de sudare cu arc electric.

Se obține o sudabilitate bună pentru un conținut de carbon echivalent $Ce < 0,5\%$. Dacă conținutul de carbon echivalent $Ce \geq 0,5\%$ sunt necesare condiții speciale pentru sudare (preîncălzirea, folosirea unor materiale de adaos și a unor procedee de sudare adecvate, pretensionarea etc.). Clasificarea oțelurilor după sudabilitate se face conform tabelului 6.2.

Tabelul 6.2. Clasele de sudabilitate

Clasa de sudabilitate	Comportarea metalurgică-tehnologică-construcțivă la sudare	Exemple
1	2	3
I. Bună, necondiționată	<ul style="list-style-type: none"> - nu suferă transformări structurale nefavorabile; - nu sunt sensibile la configurația geometrică a ansamblului sudat și a sudurilor; - pot fi sudate prin toate procedeele de sudare prin topire și prin presiune, fără restricții speciale. 	Oțelurile nealiat, cu UN conținut sub 0,25% C (OL 37, OLC 10, OLC 15, OLT 32 etc.).

Tabelul 6.2. (continuare)

II.a Bună, condiționată II.b Sever condiționată	- pot suferi transformări structurale nefavorabile și durificări, fac sudura sensibilă la fisurare și rupere fragilă; - sunt sensibile la configurația geometrică a ansamblului sudat; - pot fi sudate prin toate procedeele de sudare prin topire și prin presiune, cu condiția respectării unor măsuri tehnologice simple (ex. preîncălzirea la 100...200 ⁰ C).	Oțelurile nealiat, cu un conținut de 0,25...0,30% C; Oțelurile slab aliate; Oțelurile inoxidabile austenitice; (OL 44, OL 50, OCS-1, OCS-2, OCS-3).
III Foarte sever condiționată (posibilă)	- suferă întotdeauna transformări structurale nefavorabile și schimbări ale proprietăților fizico-mecanice; - sunt sensibile la configurația geometrică a ansamblului sudat, conducând la fragilitate, sensibilitate la coroziune, rezistență la oboseală scăzută; - pot fi sudate printr-un număr redus de procedee de sudare, cu condiția respectării unor măsuri tehnologice severe.	Oțelurile aliate; Oțelurile inoxidabile feritice și martensitice; Fontele; Aliajele, neferoase (Al, Cu, Ti, Zr).
IV Necorespun- zătoare	- suferă transformări fizice, chimice și mecanice total nefavorabile; - sunt sudabile în condiții tehnologice foarte severe și atunci când este posibil se evită sudarea prin topire	Fontă albă; Wolfram; Oțeluri hipereutectoide.

6.5.4. Sudabilitatea fontelor

Fontele albe și cele pestrițe se fisurează la sudare. Fontele cenușii sunt sudabile dacă se creează condițiile unei viteze de răcire reduse prin preîncălzirea pieselor de sudat. Prin preîncălzire se reduc și tensiunile remanente. Deoarece fontele sunt foarte fluide și la topire trec relativ brusc în stare lichidă în comparație cu oțelul se pot forma ușor fisuri datorită plasticității foarte scăzute, apar tensiuni interne mari și datorită gazelor au tendința de a forma porozități. De aceea, fontele se sudează numai în poziție orizontală, cu marginile pregătite în V. De asemenea, în baia de sudură se introduc elemente de grafitizare (sub formă de flux sau utilizând sârme de sudură cu un anumit conținut în carbon și siliciu).

6.5.5. Sudabilitatea metalelor și aliajelor neferoase

Câteva aprecieri asupra sudabilității metalelor și a aliajelor neferoase, cu cea mai largă utilizare, vor fi făcute în continuare.

Sudabilitatea cuprului și aliajelor de cupru depinde în principal de următorii factori:

- conductibilitatea termică și electrică net superioară față de oțel, ceea ce face ca să se concentreze căldura cu mare greutate;
- coeficientul de dilatație ridicat;
- cantitatea de oxigen și hidrogen care se absoarbe în timpul procesării.

Pentru a se compensa pierderile mari de căldură, datorită conductibilității

mari, se face o preîncălzire la 470...520° K.

Sudabilitatea aluminiului și a aliajelor de aluminiu este influențată în principal de următorii factori:

- formarea instantanee a peliculei de Al_2O_3 pe suprafață, care împiedică topirea și se îndepărtează greu;
- conductibilitatea termică mare necesită surse termice concentrate;
- poziția aliajului față de eutectic și de aici sensibilitatea la fisurare;
- factorii tehnologici (modul de protecție a băii, procedeul de sudare, parametrii de lucru, tratamentul termic înainte și după sudare etc.).

Nichelul și aliajele de nichel sudate sunt folosite mult în industria chimică și trebuie să aibă o rezistență mare la coroziune. Au o sudabilitate bună dacă se utilizează materiale de adaos cu compoziție chimică apropiată. Aliajele de nichel cu sulf sub 0,02% se pot suda prin orice procedeu.

Magneziul și aliajele de magneziu au o sudabilitate care diferă în funcție de elementele de aliere, astfel:

- aliajele magneziu–mangan au un interval restrâns de solidificare și o sudabilitate bună;
- aliajele magneziu–zinc sunt predispuse la formarea fisurilor intercristaline și au o sudabilitate necorespunzătoare;
- aliajele magneziu–aluminiu au un interval de solidificare mare și deci o tendință accentuată spre fisurare, de aceea pot fi sudate numai dacă se folosește un material de adaos cu interval de solidificare mai restrâns, care să evite pericolul de fisurare;
- aliajele magneziu–zinc–mangan au o sudabilitate necorespunzătoare.

6.6. MATERIALE DE ADAOS FOLOSITE LA SUDARE

Sudarea poate fi efectuată:

- cu material de adaos, atunci când cusătura sudată se formează și cu material din afara părților de îmbinat;
- fără material de adaos, atunci când cusătura sudată este formată numai din materialele provenite din părțile de îmbinat;

În cazul folosirii materialelor de adaos, pentru a se obține o cusătură sudată care să-și îndeplinească rolul funcțional pentru care a fost proiectată, aceasta trebuie să îndeplinească o serie de condiții:

- să aibă o compoziție chimică apropiată de cea a materialului de bază sau compatibilă cu aceasta;
- să formeze cusături sudate cu proprietăți mecanice asemănătoare cu cele ale materialului de bază, cea mai importantă dintre ele fiind rezistența la șocuri;
- să conducă prin solidificare la obținerea de structuri cât mai omogene, cu granulație corespunzătoare și fără constituenți fragili;

- să fie ușor fuzibil și ușor prelucrabil;
- să corespundă condițiilor de mediu în care lucrează îmbinarea sudată (temperatură, mediu coroziv, presiuni etc.);
- limita de curgere a materialului de adaos trebuie să fie cu 5...8 N/mm² mai mare decât a materialului de bază, la o alungire mai mare de cel puțin 20%;
- rezistența la tracțiune a materialului de adaos trebuie să fie aproximativ egală cu cea a materialului de bază.

Nu trebuie făcute exagerări privind alegerea materialului de adaos, astfel ca proprietățile cusăturii sudate să fie mult mai bune decât cele ale materialului de bază.

În afară de materialul care intră direct în masa metalică a cusăturii sudate (electrozi înveliți, sârme) se consideră drept material de adaos și acele materiale care contribuie la alierea sudurii (învelișuri, fluxuri). Principalele materiale de adaos folosite se prezintă în figura 6.12.

Gazele protectoare ale băii de sudură și ale arcului electric nu pot fi considerate materiale de adaos.

6.7. SUDAREA PRIN TOPIRE CU ENERGIE ELECTRICĂ

Pentru încălzirea pieselor în vederea sudării este necesară o energie calorică. Cele mai importante surse electrice de căldură utilizate la sudare sunt descărcările electrice în medii gazoase (arcul electric, arcul și jetul de plasmă) și efectul Joule - Lentz.

6.7.1. Formarea și elementele arcului electric

Arcul electric pentru sudare este o descărcare electrică stabilă, în mediu gazos, la o tensiune relativ mică (de la zeci până la sute de V), cu densități mari de curent (zeci de A/mm²) și o lungime mică (de ordinul mm), puterea electrică variind de la câteva zeci de W până la 300kW.

Trecerea curentului electric printr-un spațiu gazos nu este posibilă decât dacă mediul respectiv este ionizat. La sudare este importantă *autoionizarea*.

În metal există electroni liberi, care în mișcarea lor de agitație termică pot să părăsească corpul, formând la suprafața de separație un strat încărcat pozitiv (fig.6.13). Ca urmare a acestui fapt se formează un câmp electric E , numit *barieră de potențial*. Ieșirea unui electron din metal este posibilă dacă electronul are o energie W suficient de mare pentru a străbate bariera de potențial, adică:

$$W > q_0 \cdot E \cdot \delta, \quad (6.2)$$

unde: $q_0 = 1,59 \cdot 10^{-19} \text{C}$ este sarcina electronului; $E \cdot \delta = U_{ie}$ este tensiunea de ieșire caracteristică fiecărui metal sau aliaj, în V.

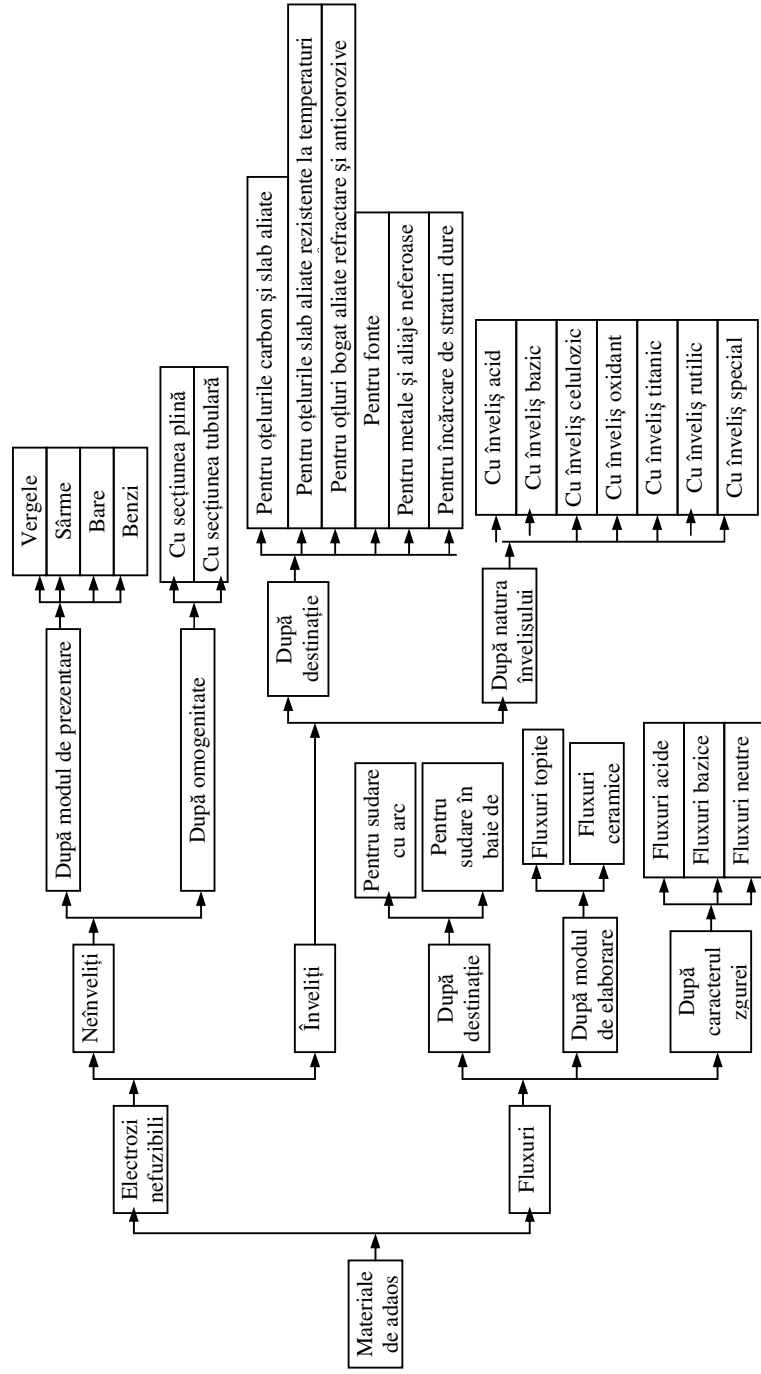
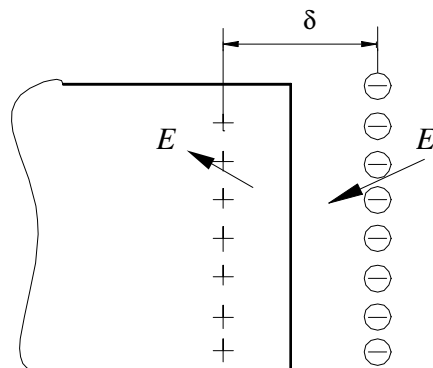


Fig. 6.12. Clasificarea principalelor materiale de adaos.

Fig. 6.13. Formarea barierei de potențial E .

Electronii pot obține energia cinetică necesară străbaterii barierei de potențial, în cazul sudării, prin:

- încălzirea metalului la temperaturi înalte (termoemisie);
- bombardarea metalului cu particule având energii mari;
- aplicarea unor câmpuri foarte intense la suprafața limită.

În cazul sudării este importantă bombardarea catodului cu ioni pozitivi proveniți din coloana arcului, care au atât energie potențială E_p^+ , cât și energie cinetică E_c^+ .

Cunoscând aceste fenomene, se poate descrie aprinderea arcului electric. Electroductul de sudură 1 se aduce în contact cu piesa 2 (fig.6.14.) și astfel, prin suprafața de contact, trece un curent mare care produce o încălzire locală foarte puternică. Ridicând electroductul, suprafața acestuia sau suprafața piesei (dacă este conectată la polul negativ) emite electroni, care sunt accelerați în câmpul ce se stabilește între anod și catod. Temperatura înaltă din spațiul arcului și ciocnirile electronilor emiși de catod provoacă ionizarea gazului dintre anod și catod și astfel se stabilește arc electric.

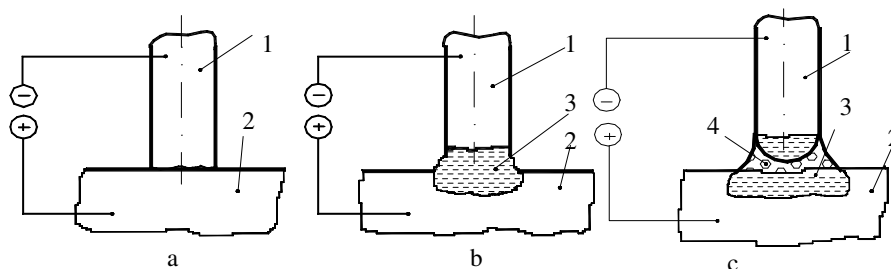


Fig. 6.14. Amorsarea arcului electric pentru sudare:

a – contactul dintre electrod și materialul de bază; b – încălzirea și topirea locală; c – amorsarea propriu – zisă a arcului electric; 1 – electrod fuzibil; 2 – metal de bază; 3 – metal lichid; 4 – picături de material de adaos.

Aprinderea arcului electric înseamnă crearea condițiilor pentru o puternică emisie de electroni la catod. Electronii emiși la catod pot suferi diferite fenomene (fig.6.15. a) astfel: electronul e' , accelerat în câmpul catodic, întâlnește un atom neutru A^0 al gazului, și prin ciocnire îl ionizează, rezultând ionul pozitiv A^+ și doi electroni e' .

Procesul se poate desfășura și invers (recombinare) astfel: ionul A^+ se îndreaptă spre catod și se recombina cu un electron e'' , formând un atom neutru A^0 . Se poate întâmpla însă ca sub impulsul ciocnirii lui A^+ cu catodul, să apară doi electroni (unul să neutralizeze ionul și celălalt, e''' , să iasă în spațiul arcului electric). Aceste procese ating o stare cvasistaționară, astfel că după aprinderea arcului se ajunge (fig.6.15. b) la o tensiune constantă U_a , între electrozi (tensiunea arcului), și la un curent constant I_s (curentul de sudare).

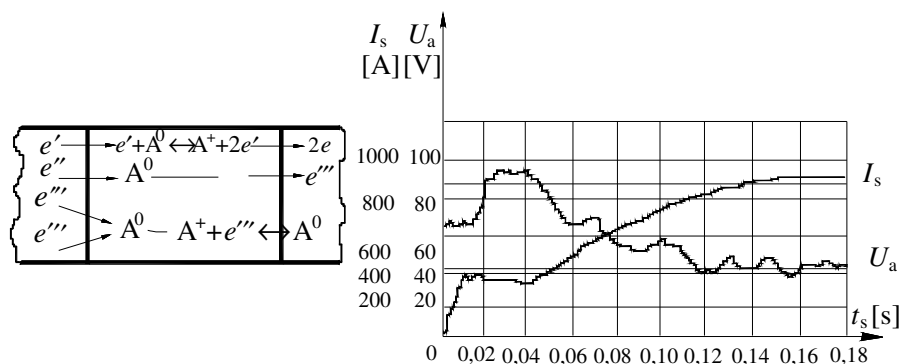


Fig. 6.15. Aprinderea arcului electric:

a – fenomene ce au loc la catod; b – variația tensiunii arcului U_a și a curentului de sudare I_s .

Repartizarea tensiunii arcului nu se face uniform pe lungimea sa, ci pe trei zone distincte (fig.6.16): *zona catodului* 1, *zona coloanei arcului* 2 și *zona anodului* 3. Căderile de tensiune mari din zonele electrozilor, unde se consideră că nu mai au loc ciocniri între particole, accelerează spre anod electronii și spre catod ionii furnizați de coloana arcului.

La impactul electronilor cu rețeaua cristalină a metalului de adaos sau a metalului de bază, energia cinetică a acestor particule accelerate este cedată, formând porțiuni calde cu luminozitate și densitate de curent mare, numite *pete electrodice*. Temperatura *petei catodice* atinge valori de cca. 2 500K la Fe și 3 700K la W, funcție de natura electrodului, în timp ce temperatura *petei anodice* este mai ridicată (2 600K la Fe, 4 200K la W). Încălzirea mai puternică a anodului se explică prin faptul că pentru emisia electronică, în zona catodică se consumă un lucru mecanic de ieșire, în timp ce prin intrarea electronilor în anod această energie este cedată în favoarea anodului (piesei de sudat).

Arcul electric poate funcționa stabil la valori diferite ale intensității I_s , ale tensiunii U_a și ale lungimii L_a . Relația de legătură între aceste mărimi poartă numele de *caracteristică statică a arcului*. Teoretic, caracteristica statică este o funcție de forma $U_a = f_1(I_s)$, ca o familie de curbe (fig. 6.17. a), parametrul fiind L_a , și de forma $U_a = f_2(L_a)$, parametrul fiind I_s (fig. 6.17. b). Cele prezentate se referă la arcul electric în curent continuu și în curent alternativ. La curentul alternativ însă,

condițiile de întreținere în arc sunt mai grele, deoarece perioadele de aprindere, ardere și stingere se succed de câte ori curentul își schimbă sensul.

Arcurile electrice alimentate cu curent alternativ sunt asemănătoare ca efect termic cu cele în curent continuu, deosebindu-se prin fenomenele datorate polarității.

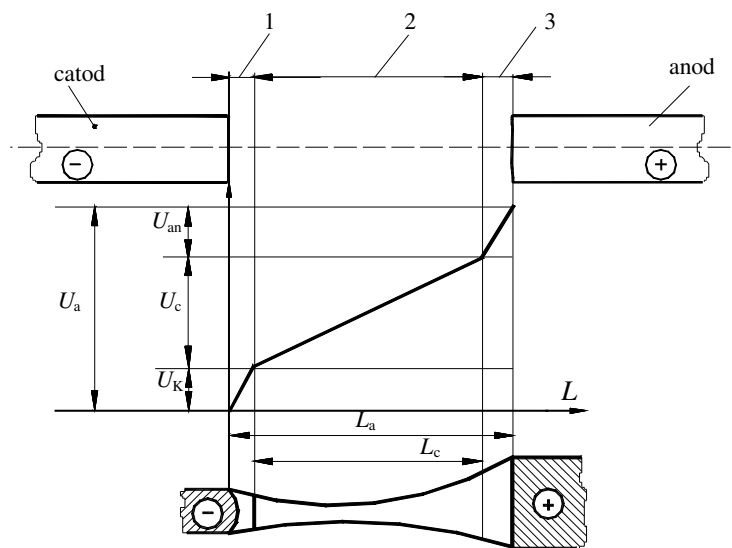


Fig. 6.16. Repartizarea tensiunii pe lungimea arcului:

1 – zona catodului (pata catodică); 2 – zona coloanei arcului; 3 – zona anodului (pata anodică); U_k ; U_c ; U_{an} – tensiunea catodică, în coloana arcului și respectiv anodică; U_a – tensiunea arcului; L_c , L_a – lungimea coloanei arcului și respectiv lungimea arcului electric.

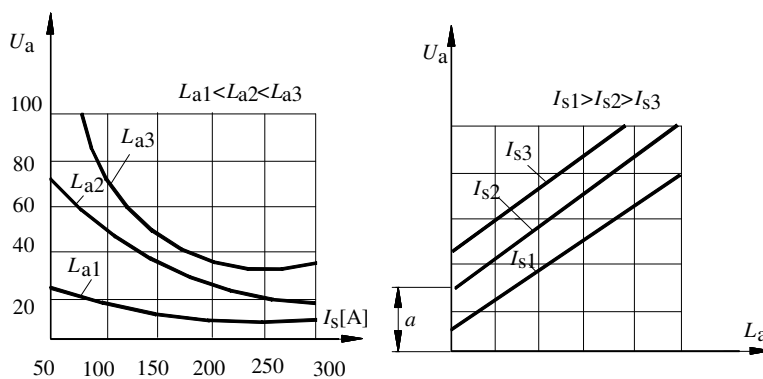


Fig. 6.17 Variația tensiunii arcului U_a :

a – cu intensitatea de sudare I_s , parametrul constant fiind L_a ; b – cu lungimea arcului L_a , parametrul constant fiind I_s .

Căldura totală Q dezvoltată de arcul electric este dată de relația:

$$Q = U_a \cdot I_s \cdot t, \quad (6.3)$$

în care t este timpul de funcționare.

Numai o parte Q_u , din această căldură, este utilizată pentru încălzirea și topirea metalului de bază și de adaos. Se definește astfel randamentul arcului electric η_a , cu relația:

$$\eta_a = \frac{Q_u}{Q} \cdot 100 \text{ [%]} \quad (6.4)$$

Randamentul arcului electric folosit la sudare depinde de procedeul de sudare aplicat, astfel:

- $\eta_a = 70 \dots 85\%$, la sudarea cu electrod metalic învelit;
- $\eta_a = 80 \dots 95\%$, la sudarea cu arc electric acoperit sub strat de flux.

6.7.2. Trecerea materialului de adaos prin arcul electric

La procedeele de sudare cu electrod nefuzibil, cusătura se formează numai prin topirea părților de sudat. Cele mai răspândite procedee de sudare sunt cele la care cusătura se obține prin topirea simultană a părților de sudat și a electrodului fuzibil (materialul de adaos). Picăturile metalice rezultate din topirea electrodului trec prin spațiul arcului electric, întotdeauna de la electrod spre metalul de bază, chiar când fac acest lucru contrar forțelor de gravitație. Trecerea picăturilor de metal prin spațiul arcului este un fenomen complex și incomplet studiat. După majoritatea cercetătorilor, trecerea picăturilor de metal prin spațiul arcului se face într-un mod mai mult sau mai puțin apropiat de unul din cele două cazuri extreme: *sudarea cu arc scurt* (fig. 6.18. a) și *sudarea cu arc lung* (fig. 6.18. b). La sudarea cu arc scurt fenomenele se produc în felul următor: în faza I începe topirea electrodului, iar în faza II se formează picătura. Arcul fiind scurt, picătura atinge piesele de sudat înainte de a se desprinde de capătul electrodului, formând un scurtcircuit (fig. 6.18. a, III). Curentul crește brusc și, datorită câmpului magnetic, apar forțele:

$$P_e = P_p = \frac{1}{2} \cdot I_s^2 \cdot \frac{\partial L}{\partial r}, \quad (6.5)$$

unde P_p este forță de propulsie; P_e - forță electromagnetică; L - inductivitatea circuitului; r - raza conturului; I_s - intensitatea curentului la sudare.

Deoarece secțiunea băii metalice este mai mare decât secțiunea electrodului, $P_p > P_e$, puntea se gătuie (faza III) și metalul este transportat către piesă, restabilindu-se faza inițială (faza IV).

La sudarea cu arc lung (fig. 6.18.b) nu apar scurtcircuite, pentru că spațiul

ocupat de arc are dimensiuni mai mari decât picătura și, deci, desprinderea ei de pe electrod are loc înainte de a lua contact cu baia metalică (faza III).

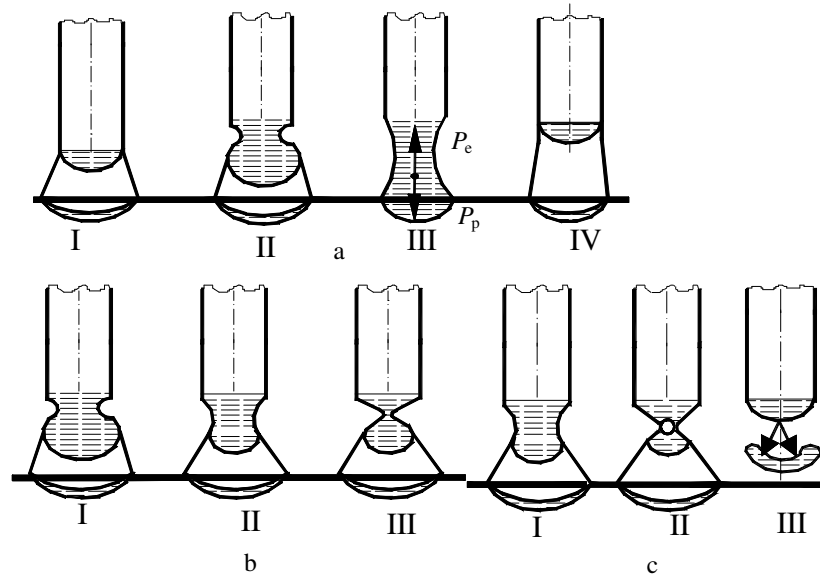


Fig. 6.18. Trecerea picăturilor de metal de adaos prin spațiul arcului electric:

a – la sudarea cu arc scurt. b – la sudarea cu arc lung; c – datorită presiunii gazelor;
I, II, III, IV - faze la trecerea picăturii.

După alți cercetători, elementul esențial în împingerea picăturilor către piese îl constituie *presiunea*. O dată cu formarea picăturii (fig. 6.18. c), datorită temperaturii înalte, carbonul se oxidează, la baza picăturii formându-se o bulă de gaz (faza II), care împinge picătura de metal spre piesă (faza III).

6.7.3. Surse de curent pentru sudarea prin topire cu arc electric

Sursele de curent pentru sudare creează diferența de potențial dintre electrod și metalul de bază, necesară amorsării și funcționării arcului. Ele pot fi de curent continuu sau de curent alternativ. Ambelor categorii li se impun următoarele condiții: tensiunea la bornele sursei să fie suficient de mare pentru a putea produce amorsarea arcului, curentul de scurtcircuit I_k să nu depășească prea mult curentul de sudare; să asigure stabilitatea sistemului energetic sursă – arc; să asigure trecerea rapidă din regimul de scurtcircuit în regim de sarcină și invers, adică să aibă o caracteristică dinamică bună; să permită reglarea curentului în limite largi și în trepte fine; să aibă randament ridicat și consum minim la mersul în gol; să fie durabilă, ușor de întreținut și de exploatat.

Pentru a fi utilizabile la sudare, sursele trebuie să aibă o *caracteristică statică* (caracteristica externă) descendentă (fig. 6.19, curba b), spre deosebire de cele folosite la iluminat și ca surse de forță care au caracteristica aproximativ constantă (fig. 6.19, curba a).

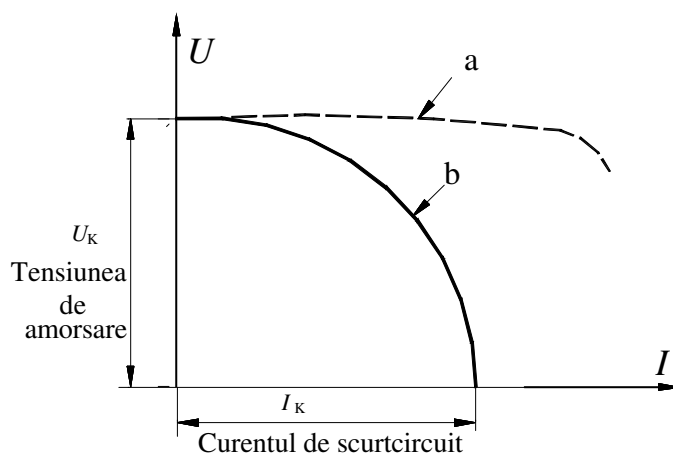


Fig. 6.19. Caracteristica statică a surselor:
a – la cele folosite la iluminat și forță; b – la cele folosite la sudare.

Condițiile enumerate mai sus sunt îndeplinite cel mai bine de acele surse care au caracteristica externă coborâtătoare (curba b), curba $U = f(I)$ având în permanență panta negativă, spre deosebire de cele uzuale folosite la iluminat și ca surse de forță, care au caracteristica externă ușor coborâtătoare (curba a). Între caracteristica externă 1, a sursei de curent, și caracteristica statică 2, a arcului electric, trebuie să existe puncte de intersecție (fig. 6.20), care sunt *puncte posibile de funcționare stabilă a arcului electric*.

Se demonstrează că punctele A sunt punctele de funcționare *stabilă* ale arcului. Pentru funcționarea stabilă a arcului electric trebuie ca sistemul sursă - arc să asigure:

- *stabilitatea statică*, dată de capacitatea sistemului de a reveni la parametrii electrici normali de funcționare, în cazul unei variații întâmplătoare a unuia din parametrii arcului. Stabilitatea statică (fig.6.21) este asigurată când este îndeplinită inegalitatea:

$$K_s = \operatorname{tg} \alpha_a - \operatorname{tg} \alpha_s > 0 \quad , \quad (6.6)$$

unde K_s este coeficientul de stabilitate al sistemului energetic; α_a - panta caracteristicii statice 2, a arcului; α_s - panta caracteristicii externe 1, a sursei;

- *stabilitatea dinamică* este dată de capacitatea sursei din sistemul sursă-arc, de a urmări într-un timp foarte scurt, variația periodică a parametrilor electrici

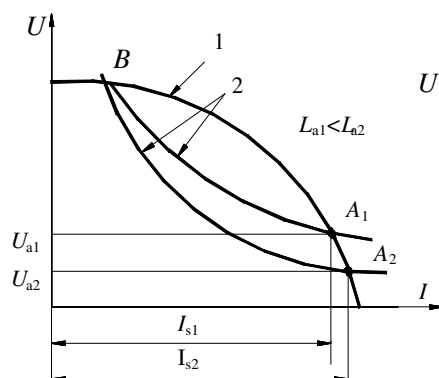


Fig. 6.20. Determinarea punctelor de funcționare stabilă a arcului electric:

- 1 – caracteristica externă a sursei;
2 – caracteristica statică a arcului; A_1, A_2 – puncte de funcționare stabilă a arcului electric.

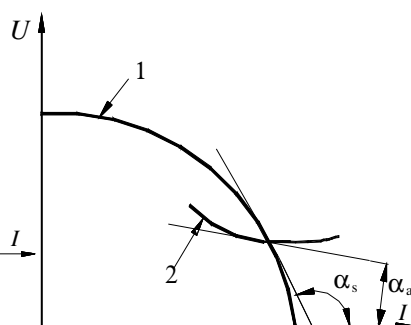


Fig. 6.21. Stabilitatea statică a sistemului sursă – arc:

- 1 – caracteristica externă a sursei;
2 – caracteristica statică a arcului; α_a – panta caracteristicii arcului; α_s – panta caracteristicii sursei de curent.

ai arcului. Arcul electric format cu un electrod fuzibil se caracterizează printr-o încărcare dinamică, în al cărui circuit se produc în intervale de timp foarte scurte (sutimi de secundă) variații bruște ale regimului electric. Topirea electrodului și trecerea metalului sub formă de picături pe piesă provoacă variații bruște ale lungimii arcului și, la intervale de timp foarte mici, produce scurtcircuitarea sursei de curent (peste 30 ori/sec). Curentul și tensiunea la aceste perturbări nu-și păstrează valorile constante, ele variază după curbele din figura 6.22.

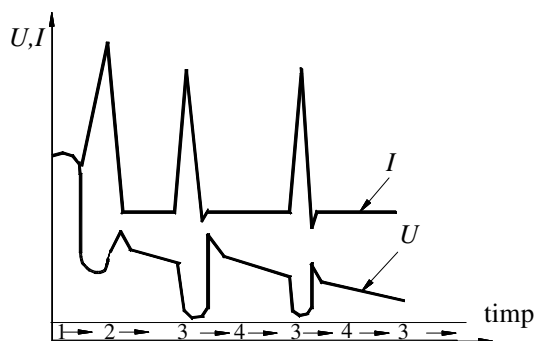


Fig. 6.22. Variația periodică a parametrilor electrici ai sistemului sursă – arc:

- 1 – mersul în gol; 2 – amorsarea arcului; 3 – arderea arcului; 4 – trecerea picăturii de metal topit în baie.

Cele mai răspândite tipuri de surse folosite la sudare sunt cele prezentate în figura 6.23 și tabelul 6.3.

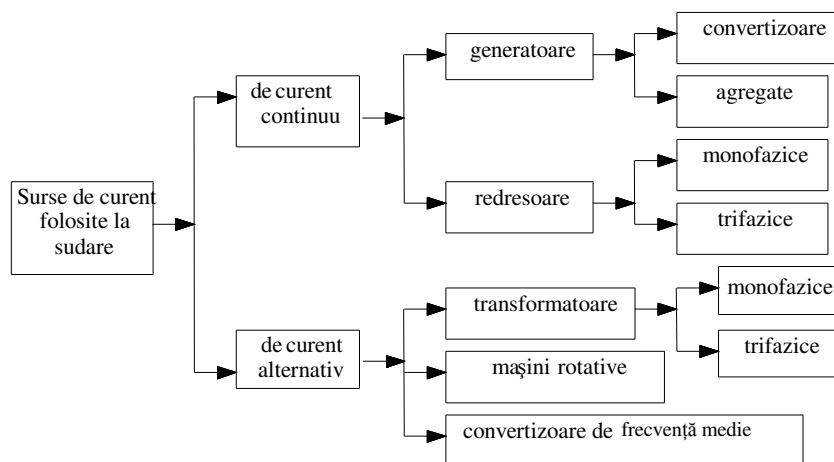


Fig. 6.23. Clasificarea surselor de curent folosite la sudare.

Datorită stabilității mai mici a arcului electric, la sudarea în curent alternativ este necesar ca transformatoarele să îndeplinească următoarele condiții suplimentare:

- în circuitul de sudare să existe o inductanță suficient de mare, care să creeze un defazaj între tensiune și curent, adică în momentul când $I_s = 0$, U_a să aibă o valoare suficient de mare pentru menținerea arcului;
- tensiunea de amorsare a arcului să fie mai mare decât tensiunea folosită la sursele de curent continuu;
- caracteristica externă să fie mai coborâtă.

În scopul satisfacerii condițiilor impuse surselor de curent folosite la sudare au apărut și sunt perfecționate multe variante constructive.

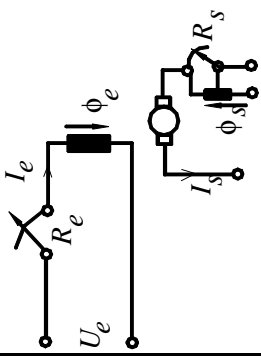
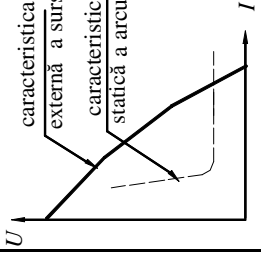
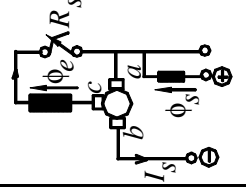
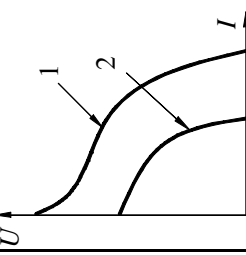
6.7.4. Sudarea manuală cu arc electric descoperit

Sudarea manuală cu arc electric este procedeul cel mai des utilizat la executarea îmbinărilor sudate.

6.7.4.1. Schema de principiu

Sudarea manuală prin topire cu arc electric este un procedeu de îmbinare nedemontabilă a două piese prin formarea unei legături omogene între atomii marginali ai pieselor de îmbinat, prin topirea locală a marginilor acestora, împreună cu materialul de adaos. Topirea are loc ca urmare a efectului termic a unui arc electric format între piesele de sudat și un electrod fuzibil, care constituie în același timp și materialul de adaos necesar umplerii rostului dintre piesele de îmbinat. Schema de principiu a procedurii se prezintă în figura 6.24.

Tabelul 6.3. Principalele tipuri de surse de curent folosite la sudarea prin topire cu arc electric

Nr. Crt.	Tipul sursei	Schema de principiu	Caracteristica externă a sursei	Modul de funcționare	Modul de reglare a curentului
1	2	3	4	5	6
1	Generatorul de sudare cu excitație separată și serie antagonistă			Înfășurările polilor mașinii sunt alimentate separat. Introducând pe poli un bobinaj invers, parcurs de curentul de sudare I_s , se produce un flux ϕ_s de sens contrar fluxului excitat separat ϕ_e . Se obține o caracteristică oborâtă. Excitația separată se obține de la o excitație montată pe același arbore.	Prin introducerea în circuitul de excitație a unei rezistențe variabile R_e cu care se modifică tensiunea de mers în gol ; Legând separat pe o porțiune din bobinajul serie a unui reostat R_s cu care se variază curentul de scurt circuit.
2	Generatorul de sudare cu excitație în derivație și serie antagonistă			Generatorul are o excitație în derivație alimentată de la periferia auxiliară c de pe mijlocul indusului și o înfășurare de excitație serie al cărui flux ϕ_e este dat de excitația în derivație. Se obține o caracteristică externă coborâtă.	Regimul de funcționare se poate modifica modificând curentul de excitație I_e , acționând asupra reosta-tului R_s , fie modificând numărul de spire al înfășurării de excitație serie, obținându-se curba 1 la un număr mai mic de spire pe excitația serie, sau curba 2, la un număr mai mare de spire pe excitația serie.

Tabelul 6.3. (continuare)

1	2	3	4	5	6
3	Generatorul cu poli divizați			<p>La funcționarea în sarcină reacția indusului se manifestă sub forma unor fluxuri de reacție Φ_{et} și Φ_{ep}. Fluxul Φ_{ep} nu poate modifica starea de magnetizare a polilor principali, aceștia lucrând saturați, spre deosebire de fluxul de reacție Φ_{et}, care are tendința de a micșora fluxul Φ_0, dat de curentul de excitație I_e. Tensiunea de la bornele sursei E_{ab} rezultă prin sumarea tensiunilor E_{ac} și E_{cb} ($E_{ab} = E_{ac} + E_{cb}$). Modificând unul sau ambele fluxuri Φ_0, Φ_{et}, se poate varia E_{ab} și E_{cb}.</p>	<p>Prin reglarea curenților de excitație se obține o reglare fină; Prin rotirea perilor colectoare din linia neutră se obține o reglare în trepte. Se obține caracteristica 1 pentru un număr mai mic de spire pe excitația serie și caracteristica 2 pentru un număr mai mare de spire pe excitația serie.</p>
4	Generatorul cu câmp transversal			<p>Poliul produce în rotor un câmp magnetic slab Φ_0 suficient ca, la pârchea de perii scurtcircuitate ab, să existe un curent apreciazabil care produce un flux transversal Φ_t puternic. Curentul de scurtcircuit este limitat de reacțiunea rotorului din cauza curentului principal, care prin dispoziția perilor de lucru, produce un câmp magnetic Φ_1 invers celui excitat inițial.</p>	<p>Prin variația secțiunii polilor (introducerea sau scoaterea unui miez feromagnetic în polii tubulari ai mașinii).</p>

Tabelul 6.3. (continuare)

1	2	3	4	5	6
5	Transformatorul de sudare cu reactanță separată			<p>Transformatorul are montat în circuitul secundar o bobină de reacțanță B_r, separată. Pe bobină se produce o cădere de tensiune, care este cu atât mai mare cu cât curentul este mai mare și impedanța bobinei se mărește micșorând înțre-fierul acesteia, putându-se obține curenți diferiți de scurtcircuit.</p>	<p>Reglarea curentului se poate face fie modificând înțrefierul bobinei de reacțanță, fie schimbând tensiunea secundară prin conectarea bobinei de reacțanță pe prizele din secundarul transformatorului. Se obțin caracteristicile externe ale sursei 1, 2, 3 în funcție de diversele mărimi ale înțrefierului.</p>
6	Transformator cu șunt magnetic mobil			<p>Bobinajele primare P și cele secundare S sunt separate printr-o coloană de fier (șuntul magnetic S_m) și sunt dispuse pe ambele coloane ale miezului. Dat fiind șuntul magnetic, la creșterea curentului de sudare crește dispersia magnetică și scade tensiunea secundară U_w.</p>	<p>Reglarea curentului se face prin modificarea grosimii δ a înțrefierului, a secțiunii sale sau învârtind o piesă intermediară de fier obținându-se caracteristicile externe 1 și 2, la introducerea completă a șuntului, și caracteristica 3, la scoaterea completă a șuntului magnetic.</p>

Tabelul 6.3. (continuare)

1	2	3	4	5	6
7	Transformatorul trifazat pentru sudarea cu doi electrozi			Bobina de reacție B_r este constituită din două miezuri, pe unul din ele găsimu-se bobina z_3 în serie cu piesa de sudare PS, iar pe celălalt miez, bobinele z_1 și z_2 legate la cei doi electrozi de sudură El_1 și El_2 . Cu ajutorul contactorului K se pot realiza diverse scheme de sudare (cu un electrod, cu doi electrozi, mers în gol).	Curentul în electrozi și piesă se reglează prin deplasarea unor miezuri din bobina de reacță, iar curentul în piesă este reglat prin variația întrefierului și cel de al doilea miez al bobinei de reacție, rezultând caracteristicile externe 1 și 2.
8	Redresorul în punte trifazată			Prin intercalarea unei bobine de reacție B_r între secundarul unui transformator Tr cu caracteristică rigidă, iar redresorul R se schimbă saturația miezurilor suplimentare, inductanța transformatorului și deci regimul de sudare.	Prin reglarea excitației în curent continuu a unei bobine de comandă B_c , așezată pe miezul fiecărei bobine de reacție B_r , reglarea curentului de comandă prin intermediul reostatului R_c variază reluctanța coloanelor suplimentare și se modifică intensitatea fluxurilor magnetice, obținându-se diferite curbe caracteristice 1,2,3,4.

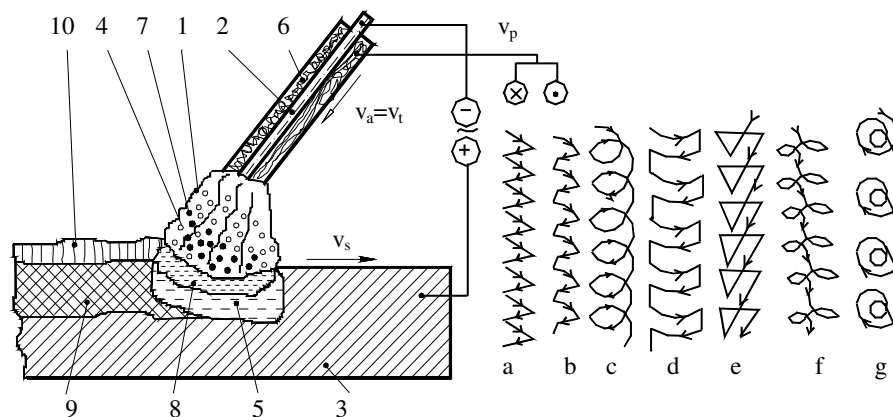


Fig. 6.24. Schema de principiu la sudarea manuală cu arc electric descoperit cu electrod fuzibil învelit:

1 – arc electric; 2 – electrod (metal de adaos); 3 – metal de bază; 4 – picături de metal de adaos; 5 – baia de sudură; 6 – învelișul electrodului; 7 – picături de înveliș topit; 8 – pelicula de înveliș topit; 9 – cusătura sudată; 10 – zgura; $v_a = v_t$ – viteza de avans a electrodului; v_t – viteza de topire a electrodului; v_p – viteza mișcării de pendulare a electrodului; v_s – viteza de sudare; a...g – tipuri de mișcări de pendulare.

Arcul electric 1, format între electrodul 2 și metalul de bază 3, topește prin acțiune directă metalul de bază și metalul de adaos. Picăturile de metal de adaos 4, împreună cu metalul de bază topit formează baia de sudură 5. Electrodul este prevăzut cu un înveliș 6, care prin topire este transportat, sub formă de picături 7, de arc electric, formând deasupra băii de sudură o peliculă de zgură lichidă 8, care protejează baia de sudură de acțiunea mediului înconjurător. După solidificarea băii de sudură rezultă cusătura sudată 9, acoperită cu o crustă de zgură 10, formată prin solidificarea peliculei de înveliș topit, care se îndepărtează după terminarea procesului de sudare. Învelișul electrodului se vaporizează parțial și formează în jurul descărcării o atmosferă ionizată și protectoare pentru arc electric.

6.7.4.2. Utilajul folosit la sudarea manuală prin topire cu arc electric

Pentru amorsarea și funcționarea arcului electric este necesar ca între electrod și piesă să fie creată o diferență de potențial. Această diferență de potențial este creată de sursele de curent de sudare. La sudarea manuală prin topire cu arc electric pot fi utilizate atât surse de curent continuu cât și surse de curent alternativ.

Pentru funcționarea stabilă a arcului electric aceste surse trebuie să îndeplinească condițiile prezentate în paragraful 6.7.3.

Cele mai răspândite tipuri de surse de sudare folosite la acest procedeu se prezintă în tabelul 6.3. Pe lângă sursa de curent prezintă importanță și elementele

auxiliare ce completează echipamentul de sudare (port-electrodul, clema de contact, cablurile de legătură și echipamentul de protecție).

Port-electrodul este un clește de construcție specială care servește atât la prinderea electrodului, cât și la conectarea lui în circuitul de sudare. El trebuie să asigure un contact electric bun cu electrodul și să fie ușor manevrabil. Port-electrodul trebuie să aibă un mâner bine izolat și se construiește într-o gamă variată de modele (fig. 6.25).

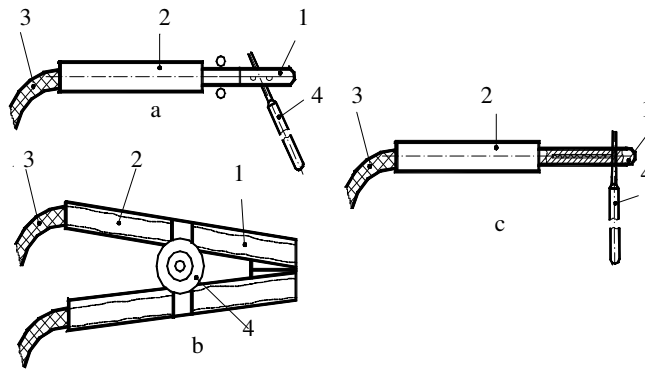


Fig. 6.25. Modele de port electrozi:
a – fix; b – articulat; c – cu arc de presare; 1 – clești; 2 – mâner; 3 – cablu de legătura la sursa de curent; 4 – electrod.

Clema de contact realizează un contact bun între piesa de sudat și conductorul legat la sursa de curent de sudare (fig. 6.26).

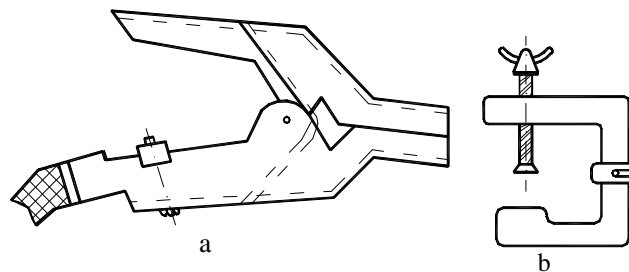


Fig. 6.26. Tipuri de cleme de contact:
a – cu articulație și arc; b – cu șurub de fixare.

Echipamentul de protecție folosește la protejarea sănătății sudorului de acțiunea arcului electric descoperit și a stropilor de metal lichid. Este format din:

- măști de protecție prevăzute cu filtru împotriva radiațiilor ultraviolete și infraroșii ce pot afecta ochii;

- șorț, mănuși și jambiere din piele pentru protecție la acțiunea stropilor de metal lichid;
- ochelari cu sticlă securit pentru protejarea ochilor în timpul curățirii zgurii de pe cusăturile sudate.

6.7.4.3. Tehnologia sudării manuale cu arc electric și electrozi înveliți

Pentru a realiza o cusătură sudată de bună calitate trebuie parcurse următoarele etape, într-o succesiune logică:

1. Analiza materialului de bază se face în funcție de:

- condițiile de exploatare;
- tehnologia de execuție a subansamblului din care face parte îmbinarea sudată;
- asigurarea eficienței tehnico-economice.

În această analiză intră următoarele informații: tipul materialului (oțeluri, fonte, aluminiul și aliajele sale, cuprul și aliajele sale, titanul și aliajele sale, nichelul și aliajele sale etc.); grosimea materialului; lungimea cusăturii sudate; starea suprafeței (curată, oxidată, cu grăsimi etc.); tipul îmbinării (cap la cap, de colț, prin suprapunere, în cruce, în T etc.); poziția de sudare (orizontală, orizontală în plan vertical, vertical ascendent sau descendent, peste cap etc.).

2. Pregătirea piesei în vederea sudării se face de la început, iar de modul cum se realizează aceasta depinde calitatea îmbinării sudate. Pregătirea presupune parcurgerea mai multor faze în următoarea succesiune logică:

a) *controlul inițial al părților de îmbinat* – un control nedistructiv cu ultrasunete, lichide penetrante, pulberi magnetice, radiații penetrante, emisie acustică etc., funcție de forma, dimensiunile și natura părților de îmbinat;

b) *curățirea suprafețelor de îmbinat* este absolut obligatorie, deoarece prezența impurităților generează în cusătura sudată apariția defectelor de tipul porilor, fisurilor, incluziunilor. Curățirea se face în funcție de starea și tehnologia anterioară de obținere (turnare, deformare plastică etc.), astfel:

- pentru semifabricatele laminate - curățirea de arsuri: oxizi, rugină aderențe, grăsimi, pete de ulei, vopsea etc.;
- pentru semifabricatele turnate - curățirea de oxizi: rugină, resturi de amestec de formare, grăsimi, aderențe, zgură etc.;
- pentru construcțiile navale mai apare în plus *pasivizarea* tablelor după sablare.

Curățirea se poate face prin procedee mecanice (cu perii de sârmă, prin sablare, prin așchiere) sau prin procedee chimice (folosind decapanți și degresanți, în special pentru oțelurile aliate și neferoase);

c) *debitarea și pregătirea rostului* se face în funcție de grosimea materialului, lungime, formă, poziția sudurii și caracteristicile fizico-mecanice. Procedeele de debitare cele mai frecvente sunt:

- *debitarea cu flacără de gaze și jet de O_2* , pentru grosimi și lungimi mari, pentru contururi curbilinii și complexe;
- *debitarea mecanică* prin strunjire (pentru semifabricate tubulare), prin rabotare și frezare (pentru table), prin rectificare (când se cere o precizie dimensională mai bună).

După prelucrarea corespunzătoare a marginilor pieselor de îmbinat, acestea se poziționează reciproc în așa fel încât să formeze rostul îmbinării, ales în funcție de grosimea materialului de bază și de forma construcției sudate (tab. 6.1). Pentru așezarea și menținerea corectă a pieselor de sudat în timpul proceselor de sudare, acestea se prind în suduri provizorii, plasate din loc în loc (fig. 6.27) și se execută cu același tip de electrozi folosiți pentru întreaga cusătură sudată.

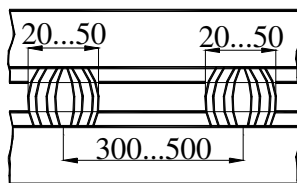


Fig. 6.27. Recomandări privind plasarea sudurilor provizorii.

O metodă mai bună din punct de vedere al calității este prinderea în dispozitive speciale, care asigură poziționarea corectă și realizarea optimă a tipului de rost al îmbinării, dar metoda este inefficientă în cazul producției de unicate și serie mică.

La poziționarea reciprocă a pieselor de îmbinat trebuie ținut cont și de poziția sudării după direcția axei (fig. 6.28) și după modul de plasare al feței cusăturii sudate (fig. 6.29).

3. Alegerea materialului de adaos se face în funcție de caracteristicile mecanice ale materialului de bază, cât și de compatibilitatea sa cu materialul de bază. Se recomandă următoarele: limita de curgere a materialului depus trebuie să fie cu 50...80N/mm² mai mare decât cea a materialului de bază, alungirea să fie cu 35...38%, mai mare, iar pentru tablele groase, reziliența KCU trebuie să fie cu 30...40J/cm² mai mare față de cea a materialului de bază. Se admite o diferență de până la 5% între caracteristicile materialului depus și cele ale materialului de bază. Compatibilitatea dintre materialul de adaos și materialul de bază se realizează atunci când compoziția chimică a materialului de bază și a materialului de adaos sunt apropiate. Se recomandă ca materialul depus să aibă un conținut mai scăzut de carbon, pentru a conferi plasticitate mai ridicată construcției sudate.

În majoritatea cazurilor, materialul de adaos folosit la sudarea manuală cu arc electric se livrează sub formă de *electrozi pentru sudare*, care sunt vergele metalice de diferite diametre și lungimi, standardizate, acoperite cu un înveliș fuzibil, mineral sau organic.

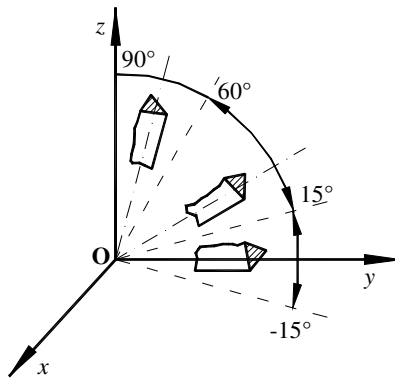


Fig. 6.28. Poziția cusăturii sudate după direcția axei orizontale între -15° și 15° ; înclinată, între 15° și 60° ; verticală, între 60° și 90° .

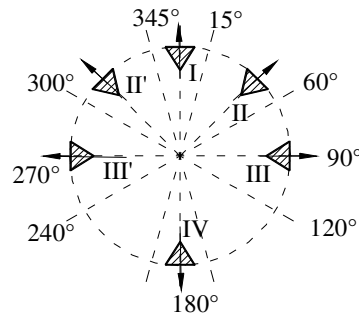


Fig. 6.29. Poziția cusăturii sudate după direcția normalei la fața cusăturii:
I – orizontală; II, II' – înclinată;
III, III' – orizontală în plan vertical (în cornișă);
IV – pe plafon.

După componenții dominanți ai învelișului, electrozii pot fi cu înveliș titanic (T), rutilic (R), acid (A); bazic (B); celulozic (C); oxidant (O) sau cu învelișuri speciale (V).

Clasificarea electrozilor pentru sudarea manuală cu arc electric se prezintă în figura 6.30.

Învelișul electrodului îndeplinește următoarele funcțiuni:

- *funcția ionizatoare*, care se realizează prin introducerea unor substanțe ce măresc stabilitatea funcționării arcului electric, prin intensificarea procesului de ionizare a mediului dintre electrod și piesă;
- *funcția moderatoare*, care se realizează prin formarea unei cruste de zgură deasupra cordonului de sudură, care reduce viteza de răcire a cusăturii sudate și crește plasticitatea cusăturii;
- *funcția protectoare*, care se realizează prin formarea unui mediu gazos atât pentru arc electric, cât și pentru baie de zgură;
- *funcția de aliere*, care se realizează prin introducerea unor elemente metalice (feroaliaje) care absorb oxigenul (dezoxidante) și/sau produc îmbunătățirea cordonului cu anumite elemente ca Si, Mn, Fe etc.;
- *funcția de curățire*, care se realizează prin reducerea conținutului de sulf și fosfor la anumite tipuri de învelișuri, prin introducerea de elemente mai avide față de acestea decât față de Fe;
- *funcția de sprijinire*, care se realizează prin întărirea rapidă a zgurii formate prin solidificarea peliculei de înveliș topit, la executarea cusăturilor pe plafon.

Electrozii se fabrică la diametre standardizate $\varnothing 1,2$; $\varnothing 1,6$; $\varnothing 2,0$; $\varnothing 2,5$; $\varnothing 3,25$; $\varnothing 4,0$; $\varnothing 5,0$; $\varnothing 6,0$; $\varnothing 10,0$ mm și lungimi $l = 300 \dots 500$ mm.

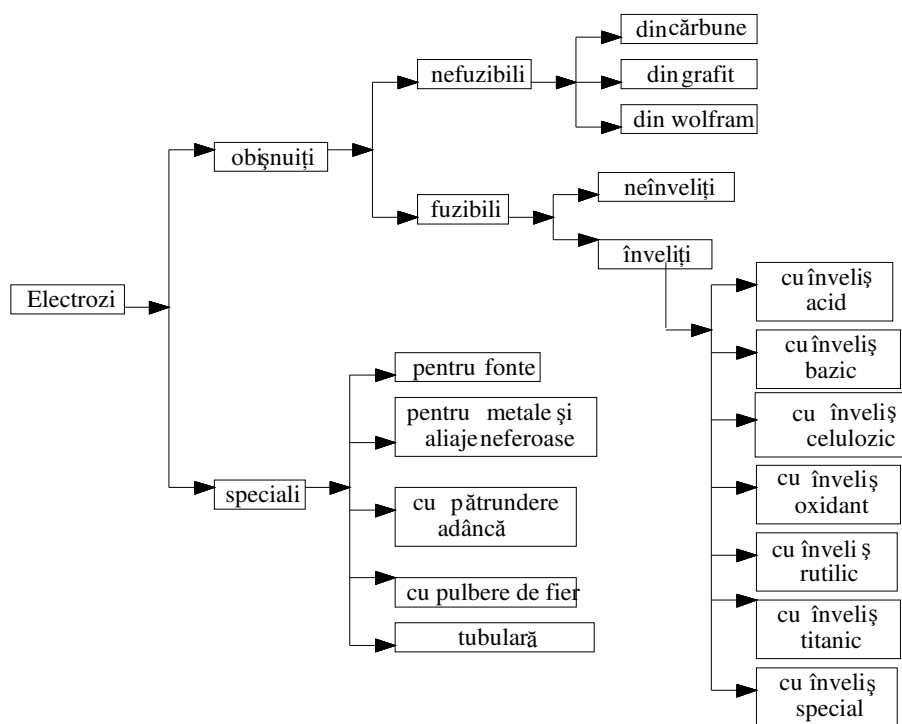


Fig. 6.30. Clasificarea electrozilor pentru sudarea manuală cu arc electric.

Simbolizarea electrozilor se face folosind litere și cifre care definesc proprietățile de rezistență; tipul învelișului, poziția de sudare și felul curentului. (Pentru simbolizarea pozițiilor de sudare există convenția: 1- toate pozițiile; 2- toate pozițiile exceptând poziția verticală descendentă; 3 - poziția orizontală, orizontală în jgheab, puțin înclinată; 4 - poziția orizontală și orizontală în jgheab). Un exemplu de simbolizare a unui electrod se prezintă în figura 6.31.

La alegerea electrozilor trebuie avute în vedere particularitățile legate de materialul de bază și de grosimea componentelor ce urmează a fi sudate.

La oțelurile carbon cu $C \leq 0,25\%$ se utilizează în mică măsură electrozii acizi, iar la cusăturile de poziție electrozii titanici. Pentru construcții greu solicitate se aleg electrozii bazici. La oțelurile carbon cu $C > 0,25\%$, electrozii bazici și titanici se utilizează cu preîncălzirea materialului de bază.

Pentru suduri de legătură, table subțiri, strat de rădăcină, rosturi mari și neuniforme se utilizează electrozii celulozici. Electrozii cu înveliș oxidant se utilizează numai la suduri slab solicitate.

4. Alegerea utilajului pentru sudare se face în funcție de natura materialului de bază și a materialului de adaos, de productivitate și de configurația geometrică a

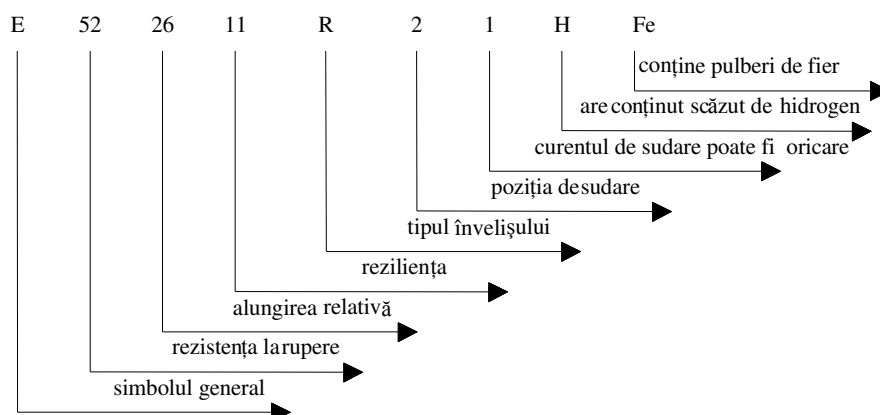


Fig. 6.31. Exemplu de simbolizare a unui electrod.

structurii sudate. Se alege fie o sursă de curent continuu (convertizoare, redresoare), fie de curent alternativ (transformatoare).

5. Stabilirea parametrilor regimului de sudare în funcție de calitatea prescrisă pentru îmbinarea sudată, de forma și dimensiunile pieselor de sudat se stabilesc dimensiunile și felul cusăturilor sudate, poziția în care trebuie executate, numărul de straturi și ordinea de depunere a straturilor.

Principalii parametri ai regimului de sudare sunt: *diametrul electrodului* d_e , *tensiunea de sudare* U_s , *curentul de sudare* I_s , *viteza de sudare* v_s , *tipul curentului și polaritatea*.

a) *Diametrul electrodului* d_e se stabilește în funcție de grosimea materialului de sudat (la sudarea cap la cap) sau în funcție de dimensiunea catetei (la sudarea în colț), de natura materialului de sudat și importanța construcției. Diametrul electrodului ce trebuie ales d_e se poate calcula cu relația:

$$d_e = 1,5\sqrt{s} \quad [\text{mm}] , \quad (6.7)$$

în care s reprezintă grosimea tablelor de sudat.

Câteva valori ale diametrelor electrozilor pentru sudarea cap la cap se prezintă în tabelul 6.4, iar pentru îmbinări de colț sau în T, în tabelul 6.5.

Tabelul 6.4. Alegerea diametrului electrozilor în funcție de grosimea pieselor de sudat

Grosimea tablei s [mm]	1,5...2,0	3,0	4,0...8,0	9,0.....12,0	13,0...15,0	16,0...20,0	20,0
Diametrul electrodului d_e [mm]	1,6...2,0	3,0	4,0	4,0.....5,0	5,0	5,0...6,0	6,0..10,0

Tabelul 6.5. Alegerea diametrului electrozilor în funcție de mărimea catetei îmbinării de colț

Cateta îmbinării k [mm]	3,0	4,0...5,0	6,0...9,0	10,0...13,0
Diametrul electrozilor d_e [mm]	3,0	4,0	5,0	6,0

La tablele cu grosime mică (1,0...3,0 mm) sudura se poate obține dintr-o singură trecere, iar folosind electrozi cu pătrundere adâncă se pot suda dintr-o singură trecere și table cu grosimea de 6,0...8,0 mm.

Pentru tablele cu grosimea $s \geq 10,0$ mm, sudarea se face în mai multe treceri, primul strat se depune cu un electrod de diametru mai mic, iar următoarele cu electrozi de diametru ceva mai mare.

La suduri de colț sau în T, secțiunea maximă a cordonului la o trecere este de 30...40 mm², iar numărul de treceri n se poate determina cu relația:

$$n = \frac{S_n}{30} , \quad (6.8)$$

în care S_n este secțiunea necesară cusăturii și se calculează cu relația:

$$S_n = k_y \cdot \frac{k^2}{2} , \quad (6.9)$$

în care k_y este un coeficient de corecție ale cărui valori sunt date în tabelul 6.6; k –dimensiunea catetei.

Tabelul 6.6. Valorile coeficienților de corecție k_y în funcție de dimensiunea catetei

Cateta k [mm]	3,0 – 4,0	5,0 – 6,0	7,0 – 10,0	12,0 – 20,0	20,0 – 30,0	30,0
k_y	1,5	1,35	1,25	1,15	1,10	1,05

Pentru suduri cap la cap numărul de treceri n se stabilește cu relația:

$$n = \frac{S_n - S_1}{S_i} + 1 , \quad (6.10)$$

în care S_1 este secțiunea primului strat ($S_1 = 6...8 d_e$); S_i - secțiunea pentru următoarele straturi ($S_i = 8...12 d_e$), iar S_n - secțiunea necesară cusăturii care la o îmbinare în V (fig.6.32) se calculează cu relația:

$$S_n = (s - c)^2 \cdot \operatorname{tg} \frac{\alpha}{2} + b \cdot s + \frac{2}{3} \cdot h \cdot \left[2 \cdot (s - c) \cdot \operatorname{tg} \frac{\alpha}{2} + b + 6 \right] . \quad (6.11)$$

Modul de depunere a straturilor de sudură în cazul unei cusături sudate obținută prin depunerea a $n = 8$ straturi se prezintă în figura 6.33.

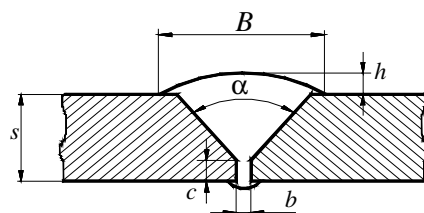


Fig. 6.32. Elementele geometrice ale calculului secțiunii S_n a cusăturii sudate în cazul unei cusături sudate în V.

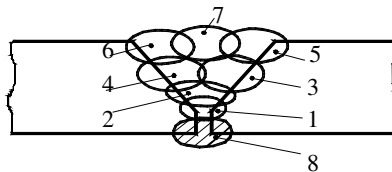


Fig. 6.33. Modul de depunere a straturilor de sudură:
1; 2; ... 7 – straturi de sudură; 8 – strat de rădăcină.

Se observă că rădăcina cusăturii se sudează la urmă pe partea opusă cusăturii (stratul 8).

b) *Curentul de sudare* I_s se stabilește în funcție de secțiunea electrodului și densitatea maximă de curent ce îl poate străbate. Sudarea cu valori mici ale curentului de sudare conduce la instabilitatea arderii arcului electric și la întreruperi repetate ale acestuia în timp ce sudarea cu valori peste cele prescrise conduce la supraîncălzirea baghetelor metalice datorită efectului Joule sau la deteriorarea învelișului și la apariția defectelor în cusătură. Intensitatea curentului de sudare I_s se poate calcula cu relația:

$$I_s = \frac{\pi}{4} \cdot d_e^2 \cdot j \quad [\text{A}] , \quad (6.12)$$

în care j este densitatea de curent, exprimată în A/mm^2 și ale cărei valori sunt date în tabelul 6.7:

Tabelul 6.7. Valorile densității de curent în funcție de diametrul și tipul învelișului

Tipul învelișului	Densitatea de curent j [A/mm^2] pentru electrozi cu diametrul de:			
	3,0[mm]	4,0[mm]	5,0[mm]	6,0[mm]
acid, rutilic	14,0...20,0	11,5...16,0	10,0...13,5	9,5...12,5
bazic	13,0...18,5	10,0...14,5	9,0...12,5	8,5...12,0

Pentru calcule rapide se pot folosi relațiile:

$$I_s = k \cdot d_e \quad \text{și} \quad I_s = 50 \cdot (d_e - 1) , \quad (6.13)$$

în care k este un coeficient ale cărui valori sunt trecute în tabelul 6.7, iar d_e este diametrul electrodului.

Curentul de sudare se mărește când sudarea se execută în condiții dificile (pierderi termice mari) și se micșorează la sudarea în poziții dificile, când metalul lichid trebuie să fie mai păstos. Oricare valoare a curentului de sudare implică o anumită tensiune a arcului electric, stabilită în fiecare moment prin intermediul caracteristicii externe a sursei de curent și a lungimii momentane a arcului.

c) *Tensiunea arcului* U_a variază în limite restrânse, în general fiind cuprinse între 20 și 30V. Este recomandată, de regulă, în pașaportul electrozilor, de către producător și influențează direct proporțional lățimea cordonului de sudură. Relația de verificare pentru U_a este:

$$U_a = 0,05 \cdot I_s + 20 \text{ [V] ,} \quad (6.14)$$

dacă $80\text{A} < I_s < 500\text{A}$.

Există de asemenea o legătură între lungimea arcului electric și tensiune (se recomandă $L_a \sim d_e$).

d) *Viteza de sudare* v_s se poate calcula cu relația:

$$v_s = \frac{\alpha_t \cdot I_s}{3600 \cdot \gamma \cdot S_i} \text{ [cm/s] ,} \quad (6.15)$$

în care α_t este coeficientul de topire al electrozilor ($\alpha_t = 8 \dots 12\text{g/Ah}$), γ - densitatea, în g/cm^3 ($\gamma_{\text{otel}} = 7,8\text{g/cm}^3$; $\gamma_{\text{Al}} = 2,6\text{g/cm}^3$; $\gamma_{\text{Cu}} = 8,95\text{g/cm}^3$), S_i - secțiunea cordonului la o trecere, în cm^2 .

Experimental se poate determina viteza de sudare cu relația:

$$v_s = \frac{L_{cs}}{t_s} \text{ [cm/s] ,} \quad (6.16)$$

în care L_{cs} este lungimea cordonului de sudură; t_s - timpul de sudare.

e) *Tipul curentului și polaritatea* se aleg în funcție de natura materialului de bază, de tipul electrodului folosit și de natura operației de sudare. Polaritatea se alege ținând seama că polul pozitiv se încălzește mai tare decât cel negativ. De aceea, *polaritatea directă* se va utiliza la sudarea pieselor cu masă mare sau când este necesară o pătrundere mare, iar *polaritatea inversă*, la sudarea pieselor subțiri sau când nu este necesară o pătrundere mare.

Curentul de sudare se alege în funcție de grosimea materialului de sudat (respectiv grosimea cusăturii). Se poate calcula cu relația:

$$I_s = (\alpha + \beta \cdot d_e) s \text{ [A] ,} \quad (6.17)$$

în care $\alpha = 20$ și $\beta = 6$ sunt coeficienți determinați pe cale experimentală; s - grosimea materialelor de sudat; d_e - diametrul electrodului.

Curentul de sudare I_s , în funcție de diametrul electrodului d_e și grosimea cusăturii, se prezintă în tabelul 6.8.

f) *Stabilirea regimului termic*. Energia introdusă în unitatea de timp într-o anumită zonă a pieselor de sudat variază direct proporțional cu puterea consumată la sudare și cu randamentul transferului de căldură de la sursa de căldură spre metalul de bază și invers proporțional cu viteza de sudare. Se definesc în acest sens mărimile:

Tabelul 6.8. Valorile curentului de sudare I_s în funcție de diametrul electrodului d_e

Grosimea cusăturii [mm]	Diametrul electrodului		Curentul de sudare I_s [A]	
	neînvelit	învelit	neînvelit	învelit
2	2	2	50...70	40...60
3	3	2	80...120	45...60
4	4	3,25	150...200	100...150
5	4	5	160...220	120...180
6	5	4	170...250	150...220
8	5	6	170...250	200...300
10	5	6	180...260	280...400

- energia liniară E_l , care se poate calcula cu relația:

$$E_l = 36 \cdot \frac{U_a \cdot I_s}{v_s} \cdot \eta \quad [\text{J/cm}] , \quad (6.18)$$

în care $\eta \cdot U_a \cdot I_s = Q$ este puterea termică a sursei; η - randamentul termic ($\eta = 0,7...0,9$); v_s - viteza de sudare.

Câteva valori orientative pentru energia liniară E_l în funcție de diametrul electrodului folosit la sudarea manuală cu arc electric se prezintă în tabelul 6.9.

Tabelul 6.9. Valorile energiei liniare E_l în funcție de diametrul electrodului

Sudarea manuală	
Diametrul electrodului d_e [mm]	Energia liniară E_l [kJ/cm]
2,5	3 - 15
3,25	7 - 11
4,0	9 - 13
5,0	11-18
6,0	13-20

- coeficientul de depunere C_d se determină experimental, în laborator, dar se poate calcula și cu relația:

$$C_d = \frac{m_d}{I_s \cdot t_s} \quad [\text{g/Ah}] , \quad (6.19)$$

în care m_d este masa de metal depus la o trecere, în grame; t_s - timpul de sudare, în ore; I_s - curentul de sudare, în amperi.

Masa de metal depus poate fi determinată prin cântărirea piesei înainte și după sudare și rezultă:

$$m_d = m_{ps} - m_{pi} , \quad (6.20)$$

în care m_{ps} este masa piesei după sudare; m_{pi} - masa piesei înainte de sudare.

Masa de metal depus m_d se poate calcula și teoretic cu relația:

$$m_d = \rho \cdot V_{el} = \rho \cdot \frac{\pi \cdot d_e^2}{4} \cdot l_e, \quad (6.21)$$

în care V_{el} este volumul de material consumat (volumul electrodului consumat de lungime l_e); ρ - densitatea metalului din care este confecționat electrodul.

- *adâncimea de pătrundere p* se poate estima folosind relația:

$$p = (0,3 \dots 0,5) \sqrt{E_l}, \quad (6.22)$$

în care E_l este energia liniară.

Pentru estimarea caracteristicilor cordonului de sudură se mai calculează:

- *coeficientul de pătrundere ψ_p* , cu relația:

$$\psi_p = \frac{B}{p}, \quad (6.23)$$

- *coeficientul de supraînălțare ψ_b* , cu relația:

$$\psi_b = \frac{B}{h}, \quad (6.24)$$

- *coeficientul de formă ψ* , cu relația:

$$\psi = \frac{B}{H}, \quad (6.25)$$

în care B este lățimea cusăturii sudate; H - înălțimea cusăturii sudate; h - supraînălțarea; p - pătrunderea.

6. *Execuția propriu-zisă a cusăturii sudate* se face după ce piesele de sudat au fost poziționate și fixate corespunzător cu rostul îmbinării. Sudorul echipat corespunzător procedează la aprinderea arcului electric și conducerea lui. Aprinderea se face prin atingerea ușoară a electrodului de piesă și retragerea rapidă a lui la o distanță egală cu cel mult diametrul electrodului. Electrocul se ține înclinat la $15^\circ \dots 45^\circ$ spre sensul de sudare și i se imprimă simultan trei mișcări:

- o mișcare de avans către piesă, cu o viteză egală cu viteza de topire a electrodului;
- o mișcare de deplasare în lungul rostului îmbinării, cu o viteză egală cu viteza de sudare;
- o mișcare de pendulare după diferite traiectorii, pentru realizarea lățimii cordonului de sudură.

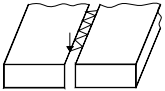
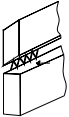
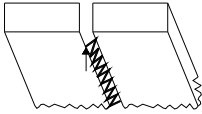
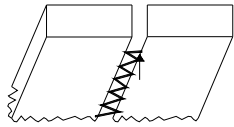
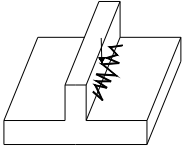
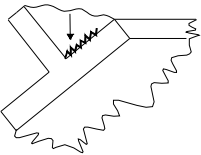
Pentru a realiza o cusătură sudată de bună calitate arcul trebuie să ardă stabil. Acest lucru se realizează dacă cele trei mișcări simultane combinate vor menține în permanență aceeași lungime a arcului electric (de regulă egală cu diametrul electrodului).

Deoarece la amorsarea arcului se formează cratere, este recomandabil ca aceasta să se facă pe plăcuțele de fixare reciprocă a pieselor de sudat, plăcuțe care se îndepărtează în final.

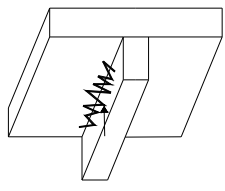
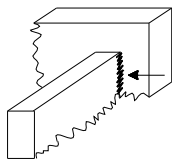
Întreruperea corectă a arcului, la terminarea cusăturii sau a electrodului, se face deplasând electrodul în lungul cusăturii, în nici un caz nu se va ridica electrodul brusc de pe piesă pentru a se evita formarea craterelor.

Pentru obținerea unor cusături corecte, de mare importanță este poziția electrodului și poziția cordonului de sudură (tab. 6.10), existând câteva recomandări:

Tabelul 6.10. Clasificarea îmbinărilor în funcție de poziția în spațiu a cordonului de sudură

Nr.crt.	Poziția în spațiu a cordonului de sudură	Denumire	Simbolizare
1		Orizontală	A ₁
2		Orizontală în plan vertical (în cornișă)	A ₂
3		Pe plafon (peste cap)	A ₃
4		Verticală ascendentă sau descendentă	A ₄
5		Orizontală cu un perete vertical	B ₁
6		Orizontală în jgheab	B ₂

Tabelul 6.10. (continuare)

7		Pe plafon (peste cap)	B ₃
8		Verticală ascendentă sau descendentă	B ₄

- la sudarea pe orizontală trebuie respectate înclinarea electrodului și mișcarea de pendulare reprezentată în figura 6.34.

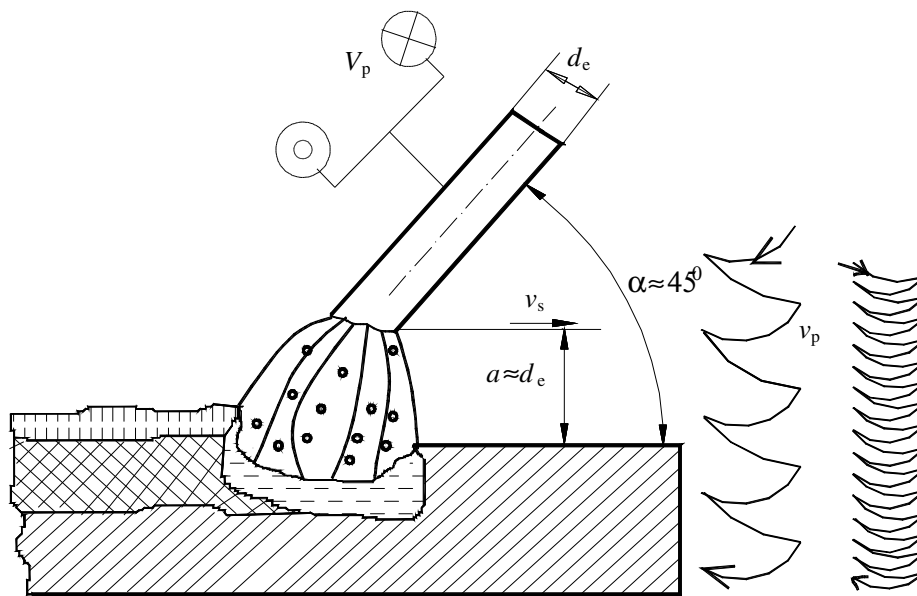


Fig. 6.34. Înclinarea electrodului și mișcarea de pendulare la sudarea orizontală cu electrod învelit:
 v_s – viteza de sudare; v_p – viteza de pendulare.

- la sudarea pe verticală electrodul trebuie să facă un unghi $\alpha = 40...45^\circ$ cu verticala (figura 6.35), iar mișcarea de pendulare se face cu bucle de o parte și de alta. Sudarea se poate executa vertical ascendent sau vertical descendent;

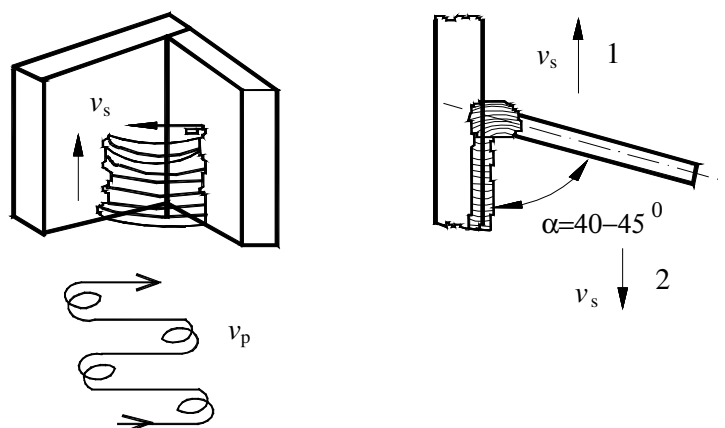


Fig. 6.35. Poziția electrodului și mișcarea de pendulare la sudarea pe verticală:

1 – sudarea ascendentă; 2 – sudarea descendentă; v_s – viteza de sudare; v_p – viteza de pendulare.

- la sudarea cusăturilor orizontale în plan vertical (fig.6.36) trebuie evitată încălzirea excesivă a marginii piesei inferioare, de aceea arcul se amorsează pe piesa inferioară și apoi este condus pe piesa superioară și se menține până la scurgerea topiturii de metal topit;

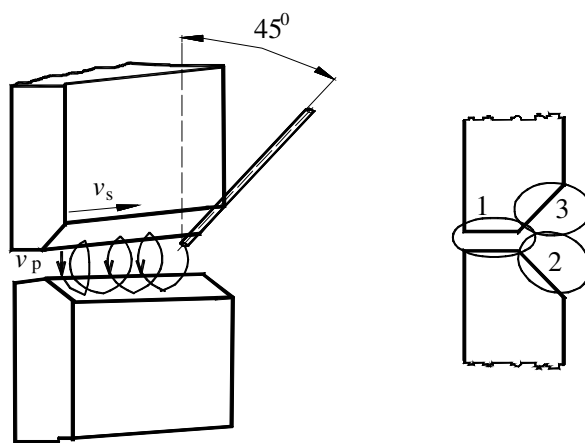


Fig. 6.36. Poziția electrodului și mișcarea de pendulare la sudarea orizontală în plan vertical (sudarea în cornișă):

a – schema de principiu; b – ordinea depunerii rândurilor de sudură.

- la sudarea pe plafon trebuie ca baia de metal topit să fie mică, de aceea arcul electric se menține foarte scurt și se mânuiește rapid, ordinea de depunere a straturilor fiind cea prezentată în figura 6.37.

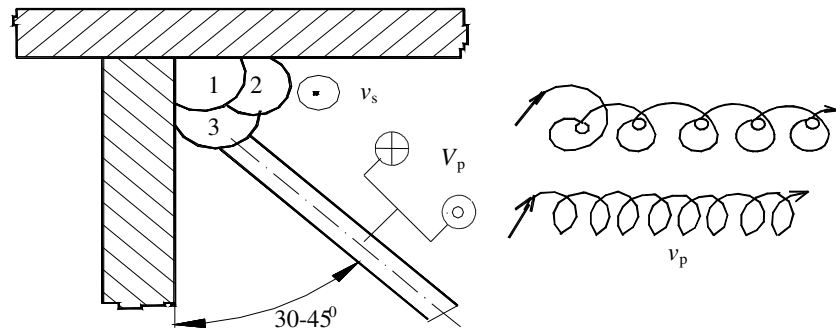


Fig. 6.37. Poziția electrodului, mișcarea de pendulare și ordinea de depunere a straturilor la sudarea pe plafon:

1, 2, 3 – straturi de sudură; v_s – viteza de sudare; v_p – viteza de pendulare.

- la sudarea pieselor pe orizontală în colț trebuie respectată poziționarea prezentată în figura 6.38.

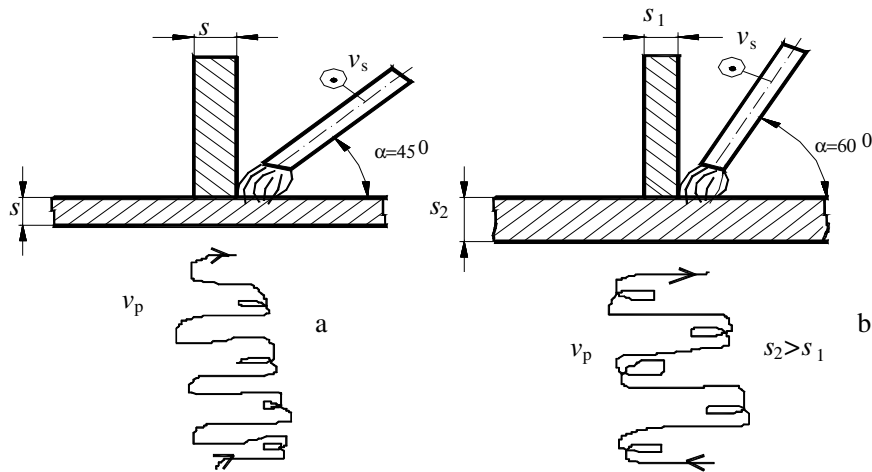


Fig. 6.38. Poziționarea electrodului și mișcarea de pendulare la sudarea orizontală în colț:
a – piese de aceeași grosime s ; b – piese de grosimi diferite cu $s_2 > s_1$.

7. *Curățirea cusăturii sudate* constă în îndepărtarea stratului de zgură format prin solidificarea învelișului electrodului topit sub acțiunea arcului. Îndepărtarea stratului de zgură se face în prima fază mecanic, prin ciocănirea cu ciocanul de sudură, și, dacă este cazul, se face și o curățire cu perii de sârmă, cu jet de aer comprimat sau jet de alicie.

8. *Controlul cusăturilor sudate* constă în determinarea eventualelor defecte care au apărut în îmbinarea sudată în urma desfășurării procesului de sudare. Defectele cusăturilor sudate sunt abateri de la continuitatea, forma, dimensiunile,

aspectul exterior, structura și compoziția chimică prescrise, pentru o anumită cusătură sudată, în documentația tehnologică. Aprecierea și caracterizarea defectelor trebuie să ia în considerare tipul defectului, poziția în îmbinare, mărimea și forma, secțiunea materialului în care se află defectul, numărul de defecte pe o anumită suprafață, solicitările prescrise construcției sudate etc.

Producerea defectelor este rezultatul unor greșeli de proiectare, de tehnologie și unele de execuție.

Principalele defecte ce pot apărea la sudarea manuală cu arc electric sunt:

- *crăpăturile și fisurile longitudinale, transversale, radiale și în crater*, datorate transformărilor structurale ce au loc în ciclul încălzire-răcire și factorilor de natură tehnologică sau constructivă;

- *porii și suflurile* datorate umidității spațiului băii de zgură, compoziției chimice a materialului de adaos și regimului de lucru necorespunzător;

- *incluziunile metalice și nemetalice* (oxizi, silicați, sulfuri, nitrați etc.) datorate reacției băii de sudură cu elementele din mediul înconjurător sau includerii de resturi de zgură sau flux;

- *lipsa de pătrundere* datorată unei pregătiri necorespunzătoare a rostului și unui regim de sudare necorespunzător;

- *lipsa de topire* datorită curățirii neîngrijite a marginilor de îmbinat și alegerii unor parametri tehnologici necorespunzători;

- *supraîncălzirea și arderea* datorate solicitărilor la care este supus metalul în ciclul termic de încălzire-răcire (de exemplu, folosirea unor intensități mari de curent la viteze mici de sudare).

Defectele pot fi superficiale, deschise, uneori vizibile, sau închise, fără vizibilitate.

În majoritatea cazurilor, pentru punerea în evidență a defectelor cusăturilor sudate se folosesc metode de control nedistructiv, cele mai des întâlnite fiind: controlul cu radiații penetrante, cu ultrasunete, cu pulberi magnetice, cu lichide penetrante, cu curenți turbionari, prin emisie acustică și prin analiză termografică.

O dată cunoscute defectele se pot lua măsurile necesare remedierii acestor defecte prin lucrări suplimentare (dacă sunt defecte remediable).

9. *Stabilirea tratamentului termic* are drept scop obținerea structurilor corespunzătoare unor anumite asociații de proprietăți, precum și reducerea tensiunilor remanente.

Principalele tipuri de tratamente termice aplicate îmbinării sudate sunt:

- *recoacerea de detensionare*, ce constă în încălzirea oțelului la 550-650°C (pentru neferoase la 220-400°C), menținerea la această temperatură în funcție de grosime (se recomandă 2-3min pentru fiecare un milimetru de grosime și nu mai puțin de 20-30min), răcirea lentă (o dată cu cuptorul) până la 300°C și răcirea în aer liniștit până la temperatura mediului ambiant. Oțelurile cu granulație fină necesită tratamentul termic atunci când grosimea lor este mai mare de 30 mm și se

face o detensionare la temperaturi cuprinse între 560...620°C, cu o menținere de 2 min/1mm grosime și răcire în aer. În cazul pieselor din alamă se recomandă o recoacere joasă (încălzire la 270...300°C și răcire lentă) în vederea eliminării tensiunilor remanente. Pentru piesele din aluminiu se face o recoacere la 300...350°C cu o răcire lentă, în vederea obținerii unei granulații fine și eliminării tensiunilor remanente;

- *revenirea*, ce constă în încălzirea la $AC_1 - (20...50^\circ\text{C})$, o menținere la această temperatură timp de 30...40min și răcirea cu o anumită viteză. Se aplică acolo unde apar structuri de călire și are drept scop eliminarea tensiunilor remanente și reducerea fragilității;

- *normalizarea*, ce constă într-o încălzire în domeniul temperaturilor de austenizare ($AC_3 + 30...50^\circ\text{C}$), menținerea timp de 20...30 minute și răcirea în aer liber. Are drept scop obținerea unei structuri fine și uniforme în toată masa îmbinării sudate.

În funcție de natura transformărilor structurale ce pot apărea în urma procesului de sudare, natura materialului de bază și de adaos, tipul construcției sudate și rolul funcțional al acestora în exploatare se pot aplica și alte tratamente termice (călire, îmbătrânire etc.).

6.7.4.4. Câteva particularități la sudarea manuală cu arc electric pentru materialele cele mai des întrebuințate

Având în vedere sudabilitatea foarte diferită a gamei foarte largi de materiale este aproape imposibil de întocmit un procedeu tehnologic de sudare cu caracter de generalitate după etapele din paragraful 6.7.4.3. De aceea, anumite etape prezintă o serie de particularități, corespunzător cu grupa de materiale la care se aplică, astfel:

- a. *Pentru oțelurile-carbon și slab aliate:*

- se recomandă preîncălzirea și un tratament termic dacă conținutul de C_e este cuprins între 0,45...0,80%;

- se folosesc electrozii slab aliați cu 0,4...0,5%Cu și 0,6...0,7%Ni;

- se preferă sudarea în curent continuu, dar se poate folosi și sudarea în curent alternativ;

- pentru grosimi mici se recomandă electrozi cu înveliș rutilic sau celulozic și sârme cu diametrul mai mic de 1,6mm; pentru grosimi mari se recomandă electrozi bazici;

- pentru cusături de colț se folosesc electrozi cu înveliș acid, titanic sau bazic, fără pulbere de Fe;

- la oțelurile aliate cu crom, de tip feritic, ridicarea temperaturii peste 950°C duce la mărirea grăunților cristalini, de aceea, pentru obținerea de grăunți mici, materialul trebuie deformat plastic, menținut la temperatura potrivită și ales un regim de sudare astfel încât la zona influențată termic să aibă o lățime cât mai mică;

- la oțelurile cu crom, de tip austenitic, apare în zona influențată termic fenomenul de precipitare a carburilor cu crom (structuri casante ce apar la 500...700°C), de aceea trebuie făcută o răcire rapidă în intervalul 500...700°C și introduse elemente de aliere ce leagă C mai repede decât Cr (ca de exemplu: Ti, Ta, Nb), numite stabilizatoare;

- la oțelurile austenitice manganoase, austenita fiind nestabilă, o răcire lentă poate duce la formarea martensitei, de aceea evitarea acestor fenomene se face sudând cu cusături scurte și răcind artificial materialul în timpul sudării;

- pentru oțelurile cu granulație fină se aleg electrozi cu înveliș bazic, calcinați la 250...300°C timp de 2ore și cu diametrul de 1,5...5,0mm, deoarece ele sunt susceptibile la fisurare și la acțiunea fragilizantă a hidrogenului;

- pentru oțelurile inoxidabile cu granulație fină se folosesc electrozi cu înveliș metalic sau bazic cu conținut scăzut de H_2 și se sudează în curent continuu și cu polaritate inversă;

- la pregătirea pieselor se recomandă a se evita lovirea, zgărirea suprafețelor și sudarea să se facă pe cât posibil fără împrôscări de stropi și cu arc scurt, pentru a nu permite pătrunderea azotului în cusătură.

b. Pentru fonte, toate recomandările sunt legate de efectele negative ale conținutului mare de carbon și ale fluidității ridicate, de aceea:

- se recomandă ca pregătirea rostului să se facă astfel încât accesibilitatea la locul de sudare să fie cât mai bună;

- se îndepărtează defectele numai prin prelucrare mecanică (rupturi, fisuri, incluziuni, crăpături), pe o lungime de minim 10mm și se rotunjesc capetele cu o rază minimă de 6mm;

- sudarea se face cu electrozi de diametre minime și folosind curenți de sudare minimi;

- poziția de sudare cea mai recomandată este cea orizontală;

- cusătura se va curăți după fiecare trecere și se va supune unui riguros control;

- sudarea se face la cald (cu preîncălzire înaltă la 600...800°C) sau la rece și la semicald (cu preîncălzire la 200...500°C);

- sudarea se face cu electrozi din fontă cu un conținut de 3...3,6%C, 0,5...0,8%Mn, 0,3...0,5P% și 3,0...3,5%Si, cu înveliș care să conțină grafit, cretă, silicat de calciu, ferotitan și sticlă solubilă;

- sudarea se face în curent continuu, cu polaritate directă, cu o intensitate de 70...80A pentru un milimetru de diametru al electrodului;

- pentru a crește rezistența îmbinărilor se recomandă utilizarea de șuruburi de consolidare, care se amplasează și se dimensionează în funcție de grosimea pieselor de sudat (fig. 6.39).

- sudarea la rece se face asigurând o participare minimă a metalului de bază, cu parametri reduși ai regimului de sudare ($d_e = 1,0...2,0\text{mm}$; $I_s = 50...70\text{A}$; $U_a = 10...21\text{V}$; $v_s = 10...12\text{m/h}$);

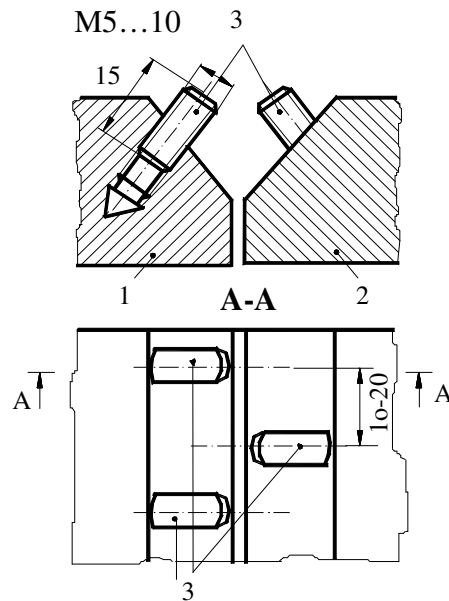


Fig. 6.39. Formarea și modul de amplasare a șuruburilor de consolidare:
1; 2 – materialul de bază; 3 – șuruburi de consolidare.

- se recomandă și folosirea unor electrozi din metale și aliaje neferoase pe bază de Cu și Fe (pentru remedierea defectelor pieselor turnate), de Cu și Ni (pentru remedierea defectelor descoperite în urma prelucrărilor mecanice) sau de Ni și Fe (la remedierea defectelor mici din piesele de mare rezistență).

c. *Pentru aluminiu și aliajele sale*, toate recomandările sunt legate de îndepărtarea peliculei de Al_2O_3 , care se topește la $2\ 030^{\circ}C$, împiedicând pătrunderea picăturilor în baia de sudură, și introducerea unei cantități mari de căldură pentru compensarea pierderilor datorită conductibilității termice mari, de aceea:

- se recomandă folosirea unor electrozi din cărbune, în curent continuu, cu polaritate directă și flux compus din $50\%KCl + 14\%LiCl + 8\%NaF + 28\%CINa$ sau electrozi înveliți (învelișul având aceeași supoziție);

- introducerea unui procent de până la $0,7\%Fe$ diminuează efectul de fisurare foarte accentuat;

- pregătirea marginilor pentru sudare se face exclusiv prin mijloace mecanice, forma rostului fiind prezentată în figura 6.40;

- pentru grosimi mai mari de 10 mm se recomandă o preîncălzire la $100...400^{\circ}C$, pentru a se obține o răcire cât mai lentă și a reduce tendința de fisurare;

- la sudare arc electric trebuie să aibă o lungime cât mai mică, regimul de sudare indicat fiind prezentat în tabelul 6.11;

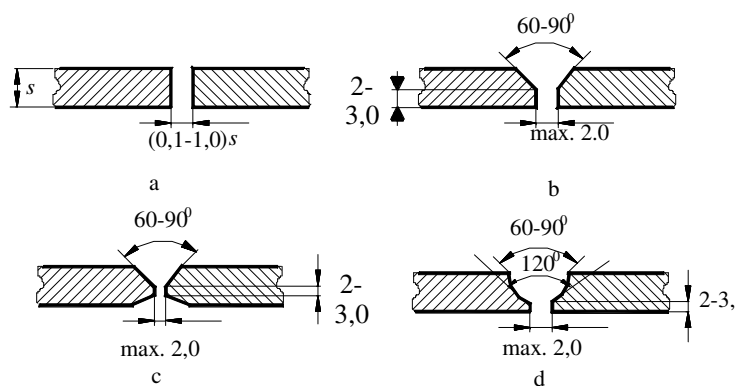


Fig. 6.40. Pregătirea rostului la sudarea aluminiului:

a - pentru $s = 1 \dots 5,0$ mm; b - pentru $s = 6 \dots 12,0$ mm; c - pentru $s = 5 \dots 8,0$ mm; d - pentru $s > 12,0$ mm.

Tabelul 6.11. Regimuri de sudare recomandabile la sudarea manuală cu arc electric a aluminiului și aliajelor sale

Grosimea piesei [mm]	Diametrul electrodului d_e [mm]	Curentul de sudare I_s [A]	Tensiunea arcului U_a [V]
6	5	280...300	30...34
8	6	300...320	30...34
10	-	320...380	30...34
12	-	350...450	32...36
16	8	400...450	32...36
20	-	450...550	32...36

- pentru creșterea rezistenței la coroziune se recomandă introducerea unor elemente ca florura de Na, clorura de K, clorura de Ti și criolitul;

- se impune uscarea electrozilor pentru îndepărtarea hidrogenului, deoarece acesta provoacă apariția fisurilor și a porilor în cusătura sudată.

d. Pentru cupru și aliaje pe bază de Cu recomandările sunt legate de marea sa afinitate față de O_2 cu care formează CuO sau Cu_2O , element ce apoi formează împreună cu Cu eutecticul $Cu + CuO_2$, care se precipită la marginea grăunților cristalini și conduce la fisurare și la conductibilitate termică ridicată, de aceea:

- se recomandă folosirea unor surse puternice de căldură pentru compensarea pierderilor datorită conductibilității termice ridicate;

- se cere o preîncălzire la $250 \dots 300^\circ C$ pentru $s = 5 \dots 10,0$ mm și respectiv la $700 \dots 750^\circ C$ pentru $s \geq 20,0$ mm pentru a evita pierderea unor anumite componente de aliere;

- electrozii trebuie uscați înainte de sudare, deoarece hidrogenul reacționează cu oxidul de cupru formând vapori de apă și determină fisurarea materialului (boala de hidrogen a cuprului);

- se recomandă electrozi din cărbune alimentați cu curent continuu cu polaritate directă, sau electrozi înveliți, învelișul fiind format din minereu de mangan, fluorină, grafit, ferosiliciu, aluminiu praf, feldspat și feromangan;
- curentul de sudare se alege în funcție de diametrul electrodului ($I_s = 50d_e$);
- bronzurile cu Sn și Zn se sudează foarte greu, la răcire formând produși fragili (plasticitatea scade brusc în jur de 500°C), de aceea este necesară limitarea conținutului de S, C și O₂;
- la bronzurile cu Si se recomandă după sudare tratamentul termic de recoacere la aproximativ 600...650°C;
- se recomandă țesirea marginilor numai pentru grosimi mai mari de 4,0 mm și preîncălzirea aleasă funcție de grosimea pieselor.

6.7.4.5. Variante ale sudării manuale cu arc electric

Au apărut pentru a îndepărta sau a reduce dezavantajele procedurii legate de:

- productivitatea scăzută mai ales în cazul sudării tablelor groase;
- calitatea scăzută a cusăturii sudate datorită neuniformităților cordonului de sudură pe lungimea sa și dependenței în exclusivitate de îndemânarea și pregătirea sudorului;
- pierderile mari de metal prin stropi și prin neutilizarea integrală a electrozilor de sudare;
- necesită materiale de protecție ale operatorului contra acțiunii arcului electric și stropilor de metal topit;
- probabilitatea mare de apariție a defectelor (fisuri, crăpături, goluri, incluziuni etc.), deoarece arcul electric și baia de sudură nu au o protecție bună împotriva pătrunderii aerului.

Principalele procedee de sudare utilizate, care elimină o parte din aceste dezavantaje sunt:

- *sudarea cu electrozi bimetalici*, care se folosește la sudarea fontelor sau oțelurilor înalt aliate de compoziții complexe. Procedul folosește electrozi speciali (fig. 6.41) al căror miez metalic se face din 2 – 3 metale sau aliaje care prin topire dau un aliaj complex. Peste miez se trage un înveliș stabilizator, iar la exterior învelișul poate fi bazic, acid, rutilic etc.;
- *sudarea cu fascicul de electrozi*, care se folosește pentru creșterea productivității la sudare. La acest procedeu se utilizează un fascicul format din 2, 3 sau mai mulți electrozi (fig. 6.42) fixați într-un clește port-electrod special. La început amorsarea arcului are loc la electrodul care atinge primul piesa și, pe măsura topirii acestuia, arcul electric se va transfera succesiv la electrozii alăturați. Alcătuirea fascicului se poate face din electrozi înveliți sau combinat (fig. 6.42.b);
- *sudarea cu electrod culcat*, care se folosește pentru obținerea unor cordoane de sudură uniforme și de bună calitate pe lungime mare. Procedul folosește un electrod special 1 (fig. 6.43) prevăzut cu un înveliș subțire 2, elaborat

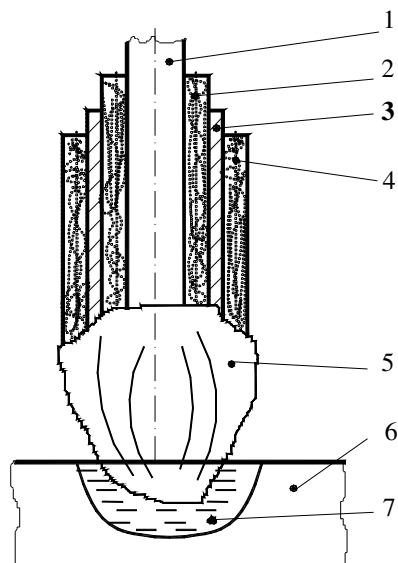


Fig. 6.41. Sudarea cu electrod bimetalic:
1 – inima electrodului; 2 – înveliș stabilizator;
3 – cămașă de cupru; 4 – înveliș bazic;
5 – arcul electric; 6 – metalul de bază; 7 – baia de sudură.

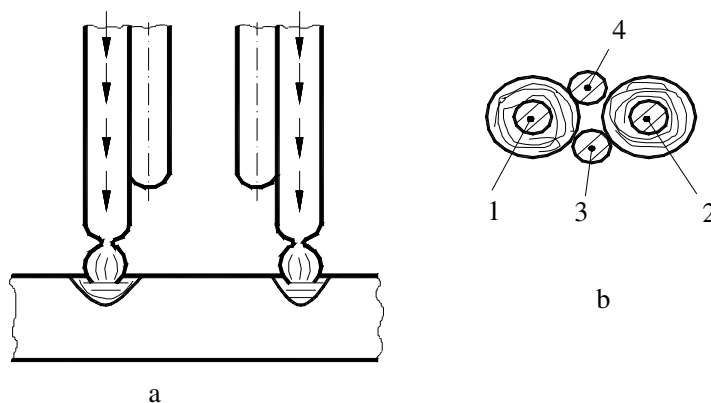


Fig. 6.42. Sudarea cu fascicol de electrozi:
a – schema de principiu; b – alcătuirea fascicolului de electrozi: 1, 2 – electrozi înveliți;
3, 4 – electrozi neînveliți.

la lungimea corespunzătoare (300...2 000 mm), care se așează culcat în rostul îmbinării deja pregătit. Peste electrod se așează o riglă de cupru 3, izolată de acesta printr-o hârtie de izolație 4. La o extremitate se conectează capul electrodului și piesa la o sursă de sudare, iar în extremitatea opusă se amorsează arcul electric prin scurtcircuitare cu un electrod de wolfram. Arcul electric începe să ardă cu o

lungime constantă și pe măsură ce electrodul se consumă, arcul se deplasează în lungul cusăturii, rezultând o sudură de secțiune constantă, de bună calitate, foarte aspectuoasă și de mare productivitate.

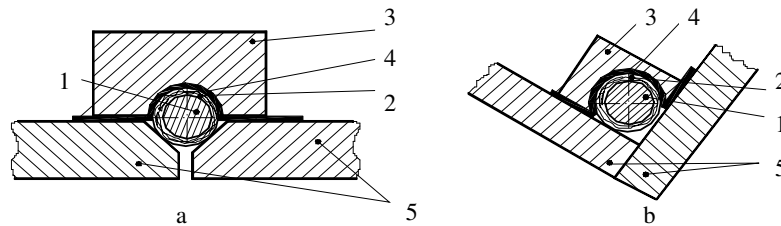


Fig. 6.43. Sudarea cu electrod culcat:

a – la o îmbinare cap la cap; b – la o îmbinare de colț; 1 – electrod; 2 – învelișul electrodului;
3 – riglă de cupru; 4 – hârtie de izolație; 5 – metal de bază.

- *sudarea cu arc trifazat*, care se folosește la sudarea unor table de grosimi mai mari și pentru obținerea unor cusături de lățime mare. Arcul trifazat este format din trei arce electrice 1, 2 și 3 alimentate de la o sursă de curent alternativ trifazat 4, arzând într-un spațiu comun, între electrozii de wolfram 5 și 6 și metalul de bază 7 (fig. 6.44).

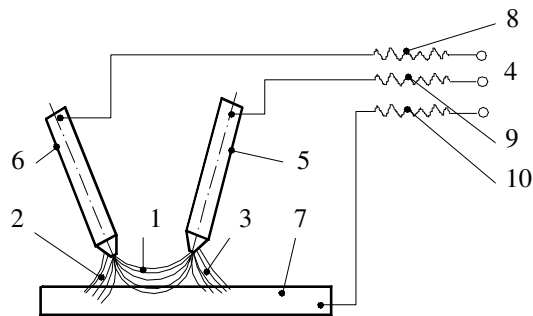


Fig. 6.44. Sudarea cu arc trifazat:

1, 2, 3 – arce electrice; 4 – sursa de curent alternativ trifazat; 5, 6 – electrozi de wolfram;
7 – metalul de bază; 8, 9, 10 – bobine de reactanță.

Pentru a regla valoarea curenților, în serie cu metalul de bază și electrozii sunt bobinele de reactanță 8, 9 și 10. Arcul trifazat are o stabilitate mai bună, astfel că tensiunea de mers în gol este mai mică și randamentul este mai bun;

- *sudarea cu flux magnetic*, care se folosește în cazul în care se dorește o mare productivitate. La acest procedeu materialul de adaos este sub formă de sârmă continuă neînvelită 1, ce este adusă automat în rezervorul 2 (fig. 6.45), în care se găsește un flux metalo - ceramic 3, care are proprietatea de a se magnetiza și de a fi

atras de sârma electrod în momentul închiderii circuitului electric între metalul de bază 4 și duza de contact 5. Granulele de flux se lipesc de sârma formând un înveliș 6, al cărui diametru depinde de diametrul orificiului de ieșire 7 din rezervorul de flux.

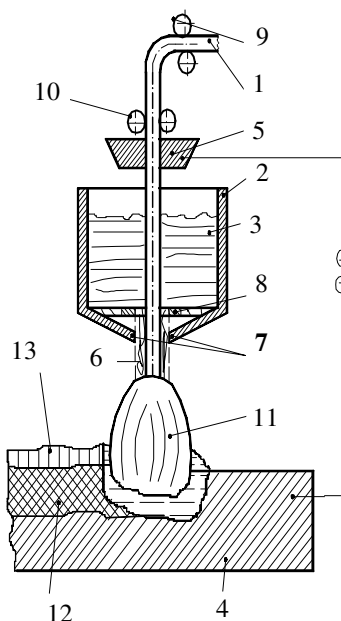


Fig. 6.45. Schema de principiu la sudarea cu flux magnetic:

1 – sârma electrod neînveliț; 2 – rezervor de flux; 3 – flux metalo-ceramic; 4 – metal de bază; 5 – duza de contact; 6 – înveliș de flux; 7 – orificiu de ieșire din rezervor; 8 – magnet permanent; 9 – role de antrenare; 10 – role de îndreptare; 11 – arc electric; 12 – cusătura sudată; 13 – zgură.

Pentru a împiedica fluxul să cadă din rezervor, când sârma nu este parcursă de curent, se prevede un magnet inelar 8. Datorită pulberii de Fe, ce se introduce pentru magnetizarea fluxului, cantitatea de metal depus crește, și productivitatea este cu 50...60% mai mare ca la sudarea manuală cu electrozi înveliți;

- *sudarea cu electrod de cărbune*, care se folosește în general la sudarea tablelor subțiri din metale ușor fuzibile. Electrodul 1, din cărbune amorf sau grafit, este legat la catod, în timp ce metalul de bază 2 (fig.6.46) este legat la anod, formându-se un arc 3, cu baza mare spre anod. Arcul arde stabil din cauza temperaturii mari a petelor electrodice de grafit. Sudarea se poate face cu sau fără material de adaos, cu unul sau doi electrozi de cărbune. Procedul se utilizează în cazul sudării bidoanelor, butoaielor din tablă și la sudarea materialelor neferoase, obținându-se productivități mari.

- *sudarea manuală cu arc electric sub apă*, care se folosește la repararea unor construcții metalice subacvatice. Se deosebesc două metode: *sudarea umedă cu arc electric* (amorsarea arcului și lucrul se realizează direct în apă) și *sudarea uscată cu arc electric* (lucrarea se execută în camere de presiune imersionate). Cel

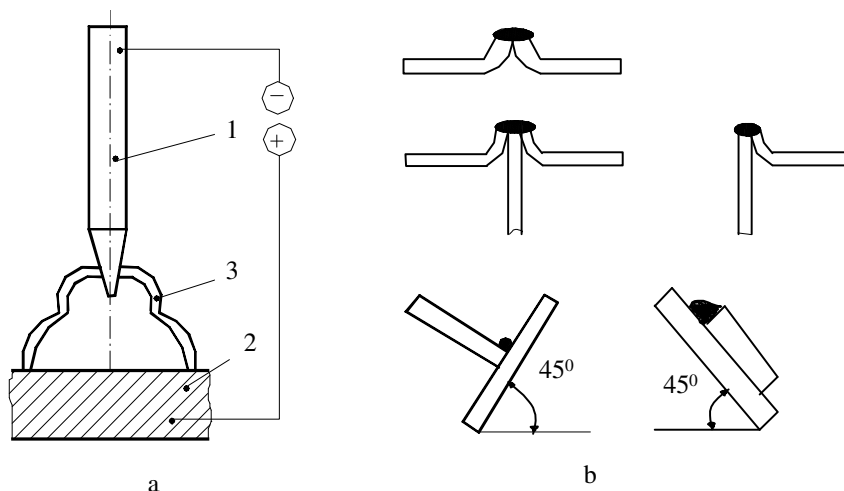


Fig. 6.46. Sudarea cu electrod de cărbune:

a – schema de principiu; 1 – electrod de cărbune; 2 – metal de bază; 3 – arc electric; b – diferite tipuri de îmbinări obținute.

mai mult se folosește prima metodă, deoarece este mai simplă și mai ieftină. Căldura din arc electric, ca și presiunea gazelor, fac să nu ajungă apa în spațiul arcului. Se folosesc electrozi de construcție specială (fig. 6.47), tija metalică 1 fiind dintr-un oțel cu conținut scăzut de carbon (0,1%C), iar învelișul 2 poate fi acid, celulozic, titanic sau bazic. Învelișul conține elemente ca minereu de fier, bioxid de titan, feldspat, fluorină, feroalije, marmură, concentrat de titan, minereu de zirconiu, amidon sau dextrină, făină de lemn, cuarț, cretă și sticlă solubilă ca liant.

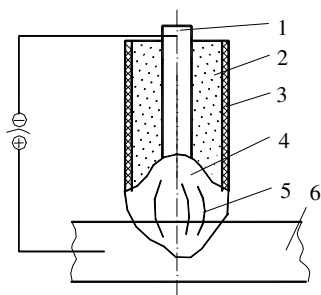


Fig. 6.47. Schema de principiu la sudarea sub apă:

1 – tija metalică a electrodului; 2 – învelișul electrodului; 3 – strat hidroizolator; 4 - crater; 5 – arc electric; 6 – metal de bază.

Pentru a proteja învelișul împotriva acțiunii apei, pe suprafața acestuia se aplică prin imersie un strat impermeabil 3, din parafină, nitrolacuri sau bachelită. Se fac 2...4 imersii cu uscare intermediară eficientă. Efectiv, învelișul electrozilor este destul de gros și sârma se topește mult mai repede la capătul electrodului, formându-se un crater 4, care facilitează arderea stabilă a

arcului electric 5, în mediul subacvatic. Port-electrozii au o construcție specială, care urmărește realizarea unei izolații electrice eficiente, iar sursele de curent au tensiunea de mers în gol ridicată.

6.7.5. Sudarea cu arc electric acoperit sub strat de flux

6.7.5.1. Schema de principiu. Avantaje

La acest procedeu de sudare, arc electric 1 (fig. 6.48), care arde între electrodul 2 și metalul de bază 3, este în permanență acoperit de un strat de flux topit 4. Sârma electrod elaborată în colaci este antrenată de rolele de antrenare 5 și îndreptată de sistemul de role 6 și 7, ajungând în rezervorul 8 în care se găsește în permanență fluxul 9. Datorită acțiunii arcului electric o parte din metalul de bază 3 și particulele de material de adaos topit 10 formează baia de sudură 11, care după solidificare va forma cusătura sudată 12. Vaporii de metal și gazele rezultate formează în jurul arcului o cavitate 13 închisă la partea superioară de pelicula de flux topit 4. Pelicula de flux topit, prin solidificare, va forma stratul de zgură 14, ce se va îndepărta după terminarea procesului de sudare. Deasupra stratului de zgură rămâne fluxul netopit 16, care nu a reacționat cu baia de sudură și care se recuperează.

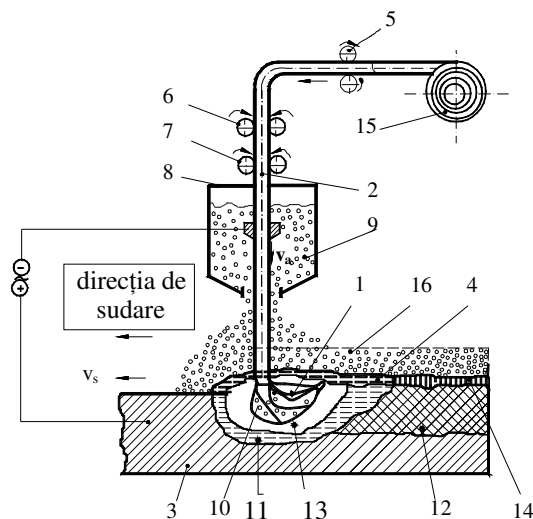


Fig. 6.48. Schema de principiu la sudarea sub strat de flux:

1 – arc electric; 2 – sârma-electrod; 3 – metalul de bază; 4 – pelicula de flux topit; 5 – rolele de antrenare; 6, 7 – rolele de îndreptare; 8 – rezervorul de flux; 9 – fluxul; 10 – picăturile de metal de adaos; 11 – baia de sudură; 12 – cusătura sudată; 13 – cavitatea arcului; 14 – stratul de zgură; 15 – colacul de sârma – electrod; 16 – fluxul rămas netopit; v_s – viteza de sudare; v_a – viteza de avans a sârmei – electrod.

În comparație cu sudarea manuală cu arc electric cu electrozi înveliți, sudarea sub strat de flux prezintă următoarele avantaje:

- arcul electric este acoperit în permanență de un strat de material fuzibil, granular, denumit flux, care realizează o protecție bună contra pătrunderii aerului în zona arcului electric;
- electrodul este continuu (o sârmă înfășurată în colac);
- deplasarea arcului electric în lungul cusăturii sudate se face automat, productivitatea fiind de 5...20 ori mai mare;
- baia de metal topit este acoperită în permanență de o peliculă de flux topit care o protejează de acțiunea mediului înconjurător;
- pătrundere adâncă, datorită dezvoltării prin efect Joule a căldurii în spațiu restrâns și a densității mari de curent;
- probabilitate mică de formare a defectelor (incluziuni de zgură, goluri etc.);
- reducerea prețului de cost cu 30...40%, ca urmare a micșorării consumului de material și a costului țeserii tablelor, precum și a energiei electrice consumate;
- eliminarea factorilor legați de îndemânarea sudorului și ușurarea muncii acestora;
- eliminarea cheltuielilor cu materialele de protecție contra acțiunii arcului și a stropilor de metal lichid.

Procedeul prezintă și o serie de dezavantaje:

- imposibilitatea supravegherii arcului electric în procesul de sudare;
- necesitatea unei prelucrări mai precise a rostului îmbinării;
- costul ridicat al instalațiilor de sudare.

6.7.5.2. Utilaje folosite la sudarea sub strat de flux

Sudarea prin topire cu arc electric sub strat de flux se poate executa automat sau semiautomat utilajul, fiind construit *corespunzător*.

Un utilaj folosit la *sudarea automată* sub strat de flux trebuie să realizeze:

- avansul sârmei electrod spre materialul de bază;
- alimentarea cu curent a sârmei electrod;
- alimentarea cu flux a zonei sudurii;
- deplasarea capului de sudare în lungul cusăturii.

Dacă nu realizează una din funcțiile de mai sus utilajul este destinat *sudării semiautomate*. În general, o instalație folosită la sudarea automată cu arc electric sub strat de flux se compune din tractorul de sudare 1, care se deplasează pe suportul port-piesă și port-cărucior 2 (fig.6.49). Pentru realizarea vitezei de avans a sârmei electrod se folosește cofretul instalației de distribuție 4 și sursa de curent 3. Sursa de curent folosită este un transformator monofazat, coborâtor de tensiune, la care reglarea curentului se face prin modificarea întrefierului unei bobine de reactanță, montată în serie cu înfășurarea transformatorului (fig.6.50). Pe miezul fix

1 este prevăzută înfășurarea primară 2, iar înfășurarea secundară 3 este legată în serie cu bobina de reactanță 4. Piese de sudat și sârma electrod se racordează la bornele B1 și B2. Miezul mobil 5 se manevrează cu ajutorul unui mecanism de tip șurub-piuliță 6-7 cu ajutorul unui motor electric prin intermediul unui reductor de turație.

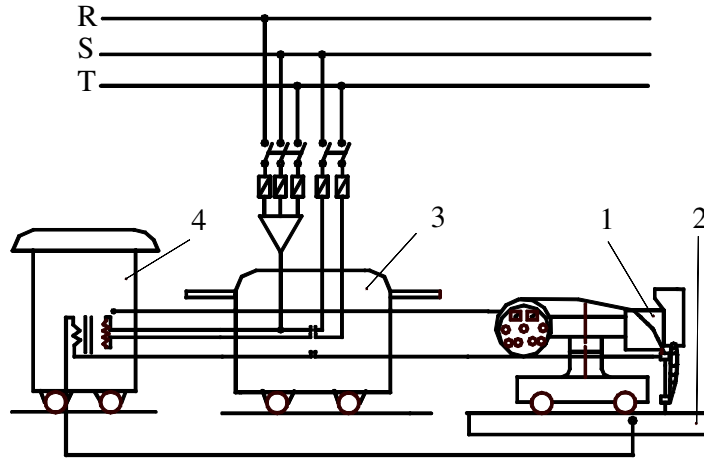


Fig. 6.49. Schema de principiu a unei instalații de sudare automată sub strat de flux:
1 – tractorul de sudare; 2 – suportul port – electrod; 3 – sursa de sudare; 4 – cofretul instalației.

În funcție de sistemul de reglare și menținere constantă a lungimii arcului electric, se disting următoarele categorii de instalații:

- *cu viteză de avans constantă*, reglată inițial la valoarea corespunzătoare.

În acest caz mișcarea de avans a sârmei electrod se execută cu o schemă cinematică formată din motorul electric asincron 1 (fig. 6.51), având turația constantă, un reductor de turație 2, roțile de schimb 3 și rolele de antrenare 4. La o modificare a lungimii arcului electric l_a , între curentul de sudare I_s , tensiunea arcului U_a , viteza de topire a sârmei electrod v_t și căldura degajată de arc electric Q , pot avea loc următoarele interdependențe:

$$l_a \downarrow \Rightarrow U_a \downarrow \Rightarrow I_s \uparrow \Rightarrow Q \uparrow \Rightarrow v_t \uparrow \Rightarrow l_a \uparrow, \quad (6.26)$$

când $v_a > v_t$ (fig. 6.51.c); sau

$$l_a \uparrow \Rightarrow U_a \uparrow \Rightarrow I_s \downarrow \Rightarrow Q \downarrow \Rightarrow v_t \downarrow \Rightarrow l_a \downarrow \quad (6.27)$$

când $v_a < v_t$ (fig. 6.51. c)

Analizând relațiile (6.26) și (6.27) se constată că se obține efectul invers al fenomenului inițial (dacă lungimea arcului scade la un moment dat, prin *autoreglare*, l_a revine rapid la valoarea inițială și invers).

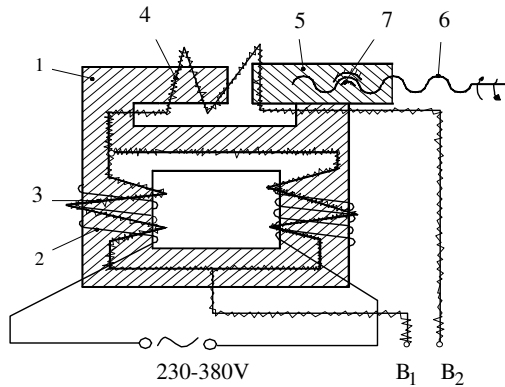


Fig. 6.50. Schema de principiu a unei surse de curent folosită la sudarea automată sub strat de flux:
1 - miezul fix; 2 - înfășurarea primară; 3 - înfășurarea secundară; 4 - înfășurarea de reactanță; 5 - miezul magnetic mobil; 6 - șurub; 7 - piuliță.

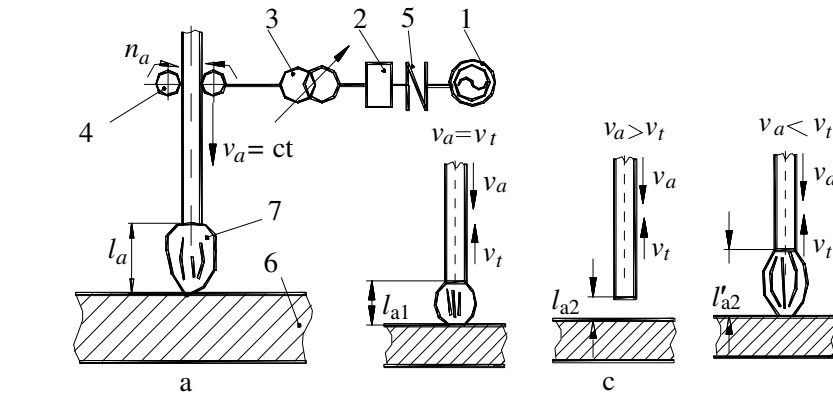


Fig. 6.51. Schema de principiu a autoreglării lungimii arcului l_a , la instalațiile cu viteză de avans constantă:

a - schema de principiu a instalației de sudare sub strat de flux cu viteză de avans constantă: 1 - motor electric asincron; 2 - reductor; 3 - roți de schimb; 4 - role de antrenare; 5 - cuplaj elastic; 6 - metal de bază; 7 - arc electric;
b - variația tensiunii cu intensitatea: CES - caracteristica externă a sursei; CSA - caracteristica statică a arcului electric; v_a - viteza de avans a sârmei; v_t - viteza de topire;
c - modul de autoreglare.

Pentru a se obține un efect de autoreglare cât mai rapid, sursa de curent trebuie să aibă *caracteristica externă coborâtore* (fig.6.51. b), pentru a sesiza rapid variația de intensitate ΔI ;

- *cu viteza de avans variabilă automat*, care realizează mișcarea de avans a sârmei-electrod după schema cinematică din figura 6.52. Turația motorului 1 de curent continuu este variabilă în funcție de valorile tensiunii la bornele înfășurării de excitație 2, legată în paralel cu arc electric 3, la sursa de curent 4. Mișcarea rolor de antrenare 5 și, deci, viteza de avans v_a se obține de la generatorul de curent continuu 6, prin intermediul motorului de curent continuu 1 și reductorului 7. Variațiile lungimii arcului electric sunt percepute de înfășurarea de excitație independentă ca variații de tensiune și deci ca variații de turații, respectiv variații ale vitezei de avans v_a , după relațiile:

$$l_a \downarrow \Rightarrow U_a \downarrow \Rightarrow n \downarrow \Rightarrow v_a \downarrow \Rightarrow l_a \uparrow \quad (6.28)$$

sau

$$l_a \uparrow \Rightarrow U_a \uparrow \Rightarrow n \uparrow \Rightarrow v_a \uparrow \Rightarrow l_a \downarrow . \quad (6.29)$$

Pentru a avea o sensibilitate mare a autoreglării, sursele de curent folosite în acest caz trebuie să aibă *caracteristica externă puternic coborâtore* (fig. 6.52.b) pentru a sesiza rapid variația de tensiune Δu .

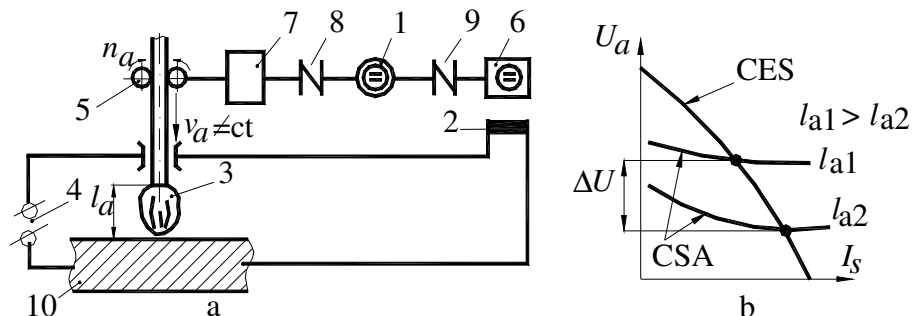


Fig. 6.52. Schema de principiu a autoreglării lungimii arcului electric l_a , la sudarea cu viteză variabilă automat:

a – schema de principiu a instalației de sudare sub strat de flux cu viteză de avans variabilă automat: 1 – motor de curent continuu; 2 – înfășurare de excitație; 3 – arc electric; 4 – sursa de curent; 5 – role de antrenare; 6 – generator de curent continuu; 7 – reductor; 8, 9 – cuplaje elastice; 10 – metal de bază; b – variația tensiunii cu intensitatea : CES – caracteristica externă a sursei; CSA – caracteristica statică a arcului.

Semiautomatele de sudare sub strat de flux au ca parte automatizată numai operația de avans a sârmei-electrod, cea mai importantă parte a instalației fiind capul de sudare.

6.7.5.3. Tehnologia de execuție a unui cordon de sudură automat sub strat de flux

Realizarea unui cordon de sudură de bună calitate, care să corespundă din toate punctele de vedere în timpul exploatării, presupune parcurgerea următoarelor etape:

1 - *Analiza materialului de bază* se face în mod analog ca la sudarea manuală cu arc electric cu electrozi înveliți, ținându-se cont că sudarea automată sub strat de flux este recomandată pentru piese a căror grosime este cuprinsă între 2 și 80 mm. Pentru executarea probelor de sudabilitate și aprecierea compatibilității dintre materialul de bază și cel de adaos se folosesc *plăcuțe tehnologice de capăt*, pe care are loc amorsarea și încheierea procesului de sudare (fig.6.53), care apoi se îndepărtează și servesc pentru prelevarea de probe pentru încercările mecanice (tracțiune, reziliență), tehnologice și metalografice;

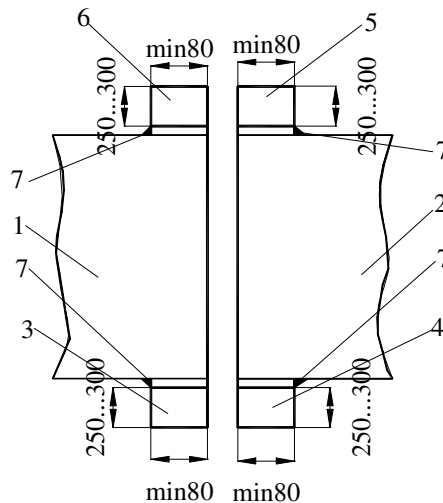


Fig. 6.53. Modul de amplasare a plăcuțelor tehnologice de capăt:
1;2 - piesele de sudat; 3;4;5;6 - plăcuțe tehnologice; 7- suduri de prindere.

2 - *Analiza materialului de adaos* se face pentru a vedea compatibilitatea cu materialul de bază. Materialul de adaos este sub formă de sârmă-electrod, elaborat în colaci. Sârmele folosite la sudare trebuie să aibă o elaborare îngrijită atât în ceea ce privește dimensiunile, cât și compoziția chimică. Suprafața trebuie să fie curată, netedă, fără rugină sau ulei. Sârma-electrod se livrează la diametre cuprinse între 1,0 și 12,5mm. Conținutul de sulf și fosfor trebuie redus la maximum. Suprafața exterioară a sârmelor se acoperă cu un strat subțire de cupru, prin galvanizare, asigurându-se un bun contact electric și rezistență la coroziune. La alegerea sârmei-electrod intervin numeroși factori de care trebuie să se țină seama. În general se alege un cuplu sârmă-flux ținând cont de compoziția chimică a

materialului ce trebuie sudat, condițiile în care se realizează sudura, caracteristicile mecanice la care trebuie să se ajungă în cusătură și modul de comportare a elementelor din flux în procesele metalurgice. În tabelul 6.12 sunt indicate câteva mărci de sârme cu secțiune plină pentru sudarea sub strat de flux împreună cu fluxul recomandat.

3 - *Analiza materialelor de protecție a arcului și a băii de sudură* se face în funcție de compoziția chimică a materialului de bază și a materialului de adaos. Ca materiale de protecție se folosesc *fluxurile*, care sunt materiale sub formă de pulbere sau granule ce se depun în lungul sudurii și sub care arde și se menține arc electric.

Fluxurile îndeplinesc următoarele roluri:

- asigură arderea stabilă a arcului electric printr-o ionizare corespunzătoare;
- protejează baia de sudură și arc electric contra acțiunii mediului înconjurător;
- protejează cusătura de o răcire bruscă;
- permite alierea cusăturii sudate cu elementele dorite, precum și eliminarea unor elemente dăunătoare ca: sulful, fosforul, azotul și hidrogenul;
- asigură o formă corespunzătoare cusăturii sudate.

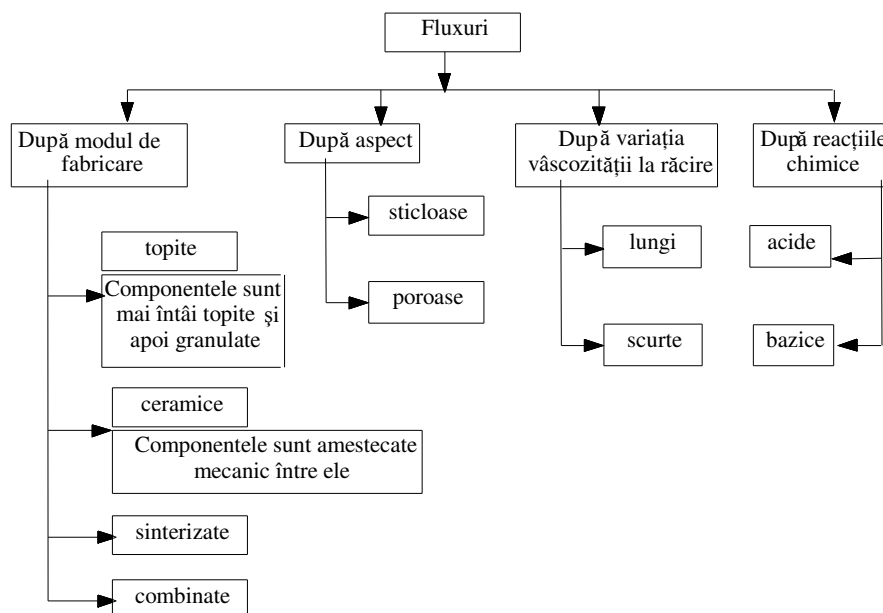


Fig. 6.54. Clasificarea fluxurilor folosite la sudarea sub strat de flux.

Fluxurile utilizate la sudarea sub strat de flux se clasifică după diverse criterii (fig.6.54). Bazicitatea fluxului B, se determină cu relația:

Tabel 6.12. Câteva mărcii de sârme și de fluxuri

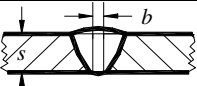

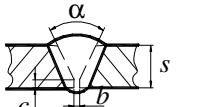
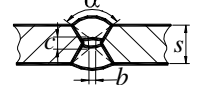
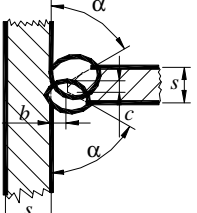
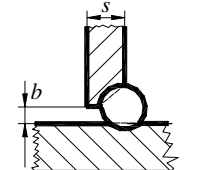
Nr. crt.	Marca fluxului	Sârma recomandată în cuplu cu fluxul	Compoziția chimică a fluxului topit										Caracteristicile mecanice ale metalului depus				Domenii de utilizare
			SiO ₂	MnO	CaO	MgO	Al ₂ O ₃	TiO ₂	CaF ₂	FeO	S	P	R _m [N/mm]	R _{0,2} [N/mm]	A ₅ [%]	KCV [J/cm ²]	
1	FB-10	S10Mn1Ni1	35-39	8-11	17-21	7-13	16-21	1-2	4-6	1,5	0,07	0,07	470	350	22	31/-20 ⁰ C	Sudarea oțelurilor carbon și slab aliate cu granulație fină, c _s ⁺ ; I _p =450-600A; U _p =28-32V; v _s =0,5-0,7mm/min; Ø _{sârma} =4mm
2	FB-20	S10Mn1Ni1	23-26	18-22	11-14	3-5	20-22	3-6	10-14	2,0	0,10	0,10	470	350	22	34/-20 ⁰ C	
3	FSM-37	S10	41-44	35-39	4-8	2-4	max4	1-2	2-4	2,0	0,15	0,10	430	330	22	31/-0 ⁰ C	Sudarea oțelurilor carbon și slab aliate cu conținut redus de carbon. c _s ⁺ , ca; I _p =600-1000A; U _p =35-40V; v _s =0,4-1,6mm/min; Ø _{sârma} =4mm
4	FSM-20	S10	43-46,5	18-22	17-21	6-9	max3	-	5-6,5	1,2	0,10	0,01	430	330	22	31/-0 ⁰ C	
5	FSM-37B	S10	41-44	35-39	4-8	2-4	max4	1-2	3,5-5,5	2,0	0,15	0,01	430	330	22	31/-0 ⁰ C	Fluxul FSM37B se poate utiliza și la sudarea tablelor oxidate.

$$B = \frac{\text{CaO} + \text{MgO} + \text{MnO}}{\text{SiO}_2 + \text{FeO} + \text{TiO}_2} \quad (6.30)$$

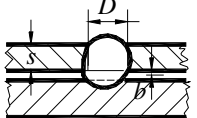
și se consideră *flux bazic*, dacă $B > 1$ și *flux acid*, dacă $B < 1$.

4 - *Stabilirea parametrilor regimului de sudare* se face în funcție de caracteristicile cusăturii sudate ce urmează a se realiza. Câteva suduri cu dimensiunile caracteristice, ce se recomandă la sudarea sub strat de flux, se prezintă în tabelul 6.13. Parametrii regimului de sudare la sudarea sub strat de flux sunt:

Tabelul 6.13. Câteva forme și dimensiuni recomandate la sudarea sub strat de flux

Nr. crt	Denumirea sudurii	Schița îmbinării sudate	Dimensiunile rostului				
			s [mm]	α [grade]	b [mm]	c [mm]	D [mm]
1	2	3	4	5	6	7	8
1	Sudură în I		2-10	-	0-3	-	-
2	Sudură în 2I		3-50	-	0-11	-	-
3	Sudură în Y		8-30	30-50	2-6	2-8	-
4	Sudură în X		14-60	50-60	0-4	5-7	-
5	Sudură în K		10-60	50-60	0-2	3-6	-
6	Sudură în L		>3	-	0-2	-	-

Tabelul 6.13. (continuare)

7	Sudură în U		3-40	-	0-1	-	12-30
---	-------------	---	------	---	-----	---	-------

- diametrul sârmei-electrod d_e ;
- intensitatea curentului de sudare I_s ;
- viteza de topire a sârmei-electrod v_i ;
- viteza de sudare v_s ;
- tensiunea arcului U_a ;
- natura curentului de sudare.

Pe lângă parametrii regimului de sudare trebuie luați în considerare și factorii tehnologici, cu influența lor asupra formării cusăturii sudate, care sunt:

- lungimea liberă a capătului sârmei-electrod;
- granulația, felul și înălțimea stratului de flux;
- înclinarea electrodului și a pieselor de sudat;
- forma rostului;
- alți factori (variația tensiunii rețelei, variația vitezei de deplasare a tractorului de sudare etc.).

Regimul de sudare are influență directă asupra formei și dimensiunilor cusăturii sudate. Forma secțiunii cusăturii se caracterizează prin elementele prezentate în figura 6.55, deosebindu-se adâncimea de pătrundere h_p , lățimea b , îngroșarea h_s , înălțimea cusăturii $h_c = h_p + h_s$, întrepătrunderea straturilor c , coeficientul de formă Ψ_c ; coeficientul de îngroșare Ψ_b ; secțiunea cusăturii provenite din materialul de adaos A_a , secțiunea cusăturii provenite din materialul de bază A_b , secțiunea cusăturii $A_c = A_a + A_b$ și coeficientul de participare a materialului de bază la formarea cusăturii Ψ_b .

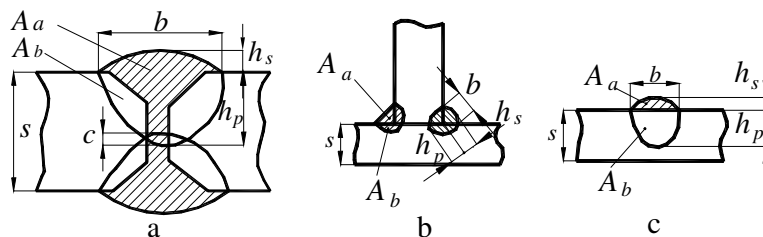


Fig. 6.55. Dimensiunile cusăturilor sudate sub flux:

- a – la îmbinarea cap la cap; b – la îmbinarea de colț; c – la încărcare: b – lățimea;
 h_p – adâncimea de pătrundere; h_s – îngroșarea; c – întrepătrunderea; A_a – secțiunea cusăturii
 provenite din materialul de adaos; A_b – secțiunea cusăturii provenite din materialul de bază;
 s – grosimea tablei de sudat.

Elementele ce determină calitățile sudurii pot fi considerate Ψ_i , Ψ_c , Ψ_b care depind de puterea arcului de sudare, modul de repartizare a căldurii între metalul depus și cel de bază, sârmă și flux, condițiile de formare a cusăturii.

Pentru a trece la determinarea regimului de sudare se procedează astfel:

- se desenează la scara 1:1 îmbinarea sudată, stabilindu-se mărimile ce caracterizează îmbinarea sudată;

- se ține cont că prin sudarea sub strat de flux se pot suda grosimi de 5...80 mm;

- se ține cont că secțiunea maximă, ce se poate obține dintr-o singură trecere și un singur arc, nu depășește 100 mm²;

- se are în vedere că adâncimea de pătrundere dintr-o parte trebuie luată (0,7...0,8)s, iar la sudarea din ambele părți adâncimea de pătrundere se ia 0,6s.

Se calculează apoi și se stabilesc parametrii regimului de sudare:

a. *Intensitatea curentului de sudare I_s* se calculează cu relația:

$$I_s = \frac{h_p}{k} \text{ [A]} , \quad (6.31)$$

în care h_p se determină din desenul la scară, iar k este un coeficient care depinde de marca fluxului și diametrul electrodului (tab. 6.14);

Tabelul 6.14. Valorile recomandate pentru coeficientul k

Marca fluxului	Diametrul sârmei electrod d_e [mm]	k		
		Curentul		
		Alternativ	Continuu	
			Polaritate directă	Polaritate indirectă
FSM 37	3,25	1,15	0,95	1,30
	4	1,05	0,85	1,15
	5	0,95	0,75	1,10
FSM-37B	3,25	1,10	0,95	1,25
	4	1,00	0,90	1,10
	5	0,95	0,85	1,05

b. *Diametrul sârmei-electrod d_e* se stabilește în funcție de curentul de sudare I_s și densitatea de curent admisibilă j_a , folosind relația:

$$d_e = 1,13 \sqrt{\frac{I_s}{j_a}} \text{ [m]} . \quad (6.32)$$

Diametrele sârmelor sunt obișnuit de 2, 3, 4, 5 și 6 mm. Diametrul d_e mai poate fi verificat cu formula:

$$I_s = 110 \cdot d_e + 10 \cdot d_e^2 \text{ [A]} . \quad (6.33)$$

c. *Tensiunea arcului* U_a depinde de mărimea curentului de sudare I_s , diametrul electrodului d_e , masa fluxului și se poate calcula cu relația:

$$U_a = 20 + \frac{50 \cdot 10^{-3}}{\sqrt{d_e}} \cdot (I_s \pm 1) \text{ [V]} . \quad (6.34)$$

Valoarea tensiunii arcului influențează lățimea cordonului de sudură direct proporțional.

d. *Viteza de topire* v_t este dependentă de mărimea curentului de sudare I_s la diametru dat și se calculează cu relația:

$$v_t = \frac{\alpha_t \cdot I_s}{\gamma \cdot A_e} \text{ [g/Ah]} , \quad (6.35)$$

în care α_t este un coeficient de topire, în g/Ah; A_e – secțiunea sârmei electrod, în mm².

e. *Viteza de sudare* v_s se determină cu relația :

$$v_s = \frac{A_e \cdot v_t}{A_a} \text{ [m/h]} , \quad (6.36)$$

în care A_e este secțiunea sârmei-electrod, în mm²; A_a – secțiunea metalului cusăturii provenite din materialul de adaos; v_t – viteza de topire.

Viteza de sudare se realizează automat prin stabilirea și reglarea pe aparat a valorii calculate. În mod obișnuit viteza de sudare $v_s=20\ldots60$ m/h, pentru că depășirea peste anumite limite conduce la apariția de zone cu nepătrunderi.

După ce au fost stabiliți parametrii regimului de sudare se trece la verificarea condițiilor de formă și pătrundere a cordoanelor depuse, determinându-se:

f. *Coeficientul de formă* Ψ_c , folosind relația:

$$\Psi_c = \frac{b}{h_p} , \quad (6.37)$$

în care b este lățimea cusăturii sudate; h_p – pătrunderea.

Valoarea optimă a acestui coeficient este $\Psi_c=0,8\ldots4,0$;

g. *Coeficientul de îngroșare* Ψ_i , folosind relația:

$$\Psi_i = \frac{b}{h_s} \quad (6.38)$$

în care h_s este îngroșarea. Valoarea optimă a lui $\Psi_i=7,0\ldots10,0$;

h. *Energia liniară* E_l , folosind expresia:

$$E_l = \frac{U_a \cdot I_s}{v_s} \cdot \eta_a \quad [\text{J/cm}] , \quad (6.39)$$

în care η_a este randamentul de ardere a arcului electric ($\eta_a=0,85$ la sudarea sub strat de flux).

Această energie necesară trebuie să fie de 30 000...40 000 J/cm – la oțelurile carbon, 20 000...30 000 J/cm – la oțelurile slab aliate și 15 000...20 000 J/cm – pentru oțelurile sensibile la fisurare;

i. *Adâncimea de pătrundere* h_p , folosind relația:

$$h_p = 0,0076 \sqrt{\frac{E_l}{\psi_c}} . \quad (6.40)$$

j. *Coeficientul de depunere* C_d , folosind relația:

$$C_d = \frac{m_d}{I_s \cdot t_s} \quad [\text{g/Ah}] , \quad (6.41)$$

în care m_d este masa de metal depusă prin topirea sârmei electrod, în g; t_s – timpul de sudare, în h.

k. *Suprafața secțiunii transversale a cusăturii sudate* A_c , utilizând relația:

$$A_c = \eta_c \cdot \frac{0,24 I_s - U_a}{\psi_b \cdot v_s \cdot 500} \quad [\text{mm}^2] , \quad (6.42)$$

în care η_c este un coeficient de topire ($\eta_c=0,1...0,3$); ψ_b – coeficientul de participare a materialului de bază la formarea cusăturii sudate.

Dacă suprafața calculată diferă de cea de pe desen, cu mai mult de 10%, este necesar a se schimba tensiunea arcului U_a și viteza de sudare v_s .

Factorii tehnologici au o importanță deosebită la realizarea unui cordon de sudură cu proprietăți mecanice și caracteristici geometrice corespunzătoare, de aceea se vor face referiri în continuare la influența acestora;

1. *Lungimea liberă a capătului sârmei-electrod* L reprezintă distanța de la bușca de contact la capătul care se topește și trebuie să fie corelată cu diametrul sârmei electrod (tab.6.15).

Tabelul 6.15. Corelația dintre diametrul sârmei–electrod și lungimea la capătul liber

Diametrul sârmei-electrod [mm]	1,6	2,0	2,5	3,25	4	5	6	7	8
Lungimea capătului liber L [mm]	20	20	25	35	45	50	65	85	100

Influența capătului liber al electrodului se manifestă asupra mărimii coeficientului de topire α_t (fig. 6.56);

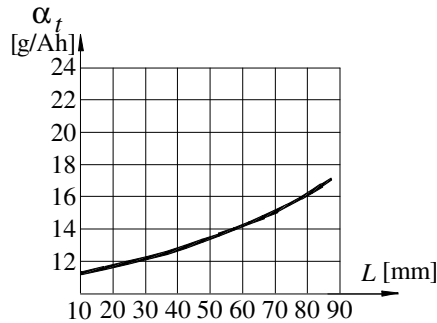


Fig. 6.56. Influența lungimii capătului liber L al electrodului asupra coeficientului de topire α_t .

m. *Granulația și felul fluxului* influențează forma cusăturii, acționând asupra adâncimii de pătrundere. Un flux cu granulație fină dă o adâncime de pătrundere h_p mai mare, un consum de energie mai mic și un consum de flux mai mic, dar îngreunează procesul de degazare. Felul fluxului acționează asupra stabilității arcului;

n. *Înclinarea electrodului și a pieselor de sudat* influențează asupra forme și secțiunii cusăturii (fig. 6.57). La sudarea cu electrod înclinat înainte, metalul topit este suflat înainte de sudare și descrește adâncimea de pătrundere (fig. 6.57. a). La sudarea cu electrod înclinat înapoi (fig. 6.57. c), arc electric topește mai adânc și adâncimea de pătrundere crește;

o. *Înclinarea piesei* influențează asupra cusăturii în două moduri, astfel:

- la sudarea de jos în sus (fig. 6.58. a), când sub influența forțelor gravitaționale metalul topit se scurge de sub arc electric, favorizând o bună pătrundere și o supraînălțare mare, dar și posibilitatea apariției de fisuri la cald;

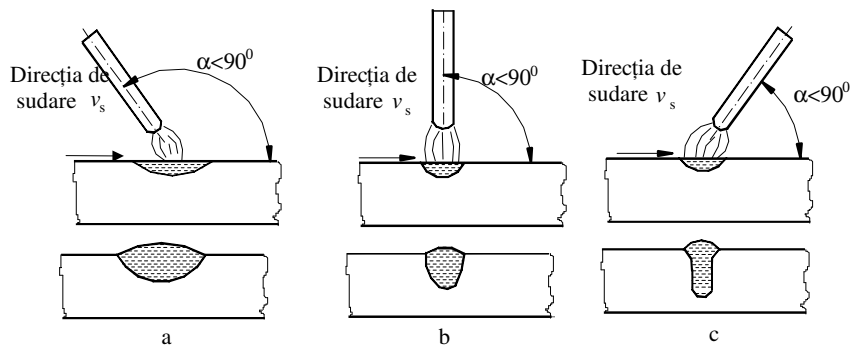


Fig. 6.57. Influența înclinării α a electrodului asupra secțiunii cusăturii:
a - $\alpha > 90^\circ$; b - $\alpha = 90^\circ$; c - $\alpha < 90^\circ$.

- la sudarea de sus în jos (fig. 6.58. b), când metalul lichid se scurge sub arc electric, reducând pătrunderea și scăzând supraînălțarea.

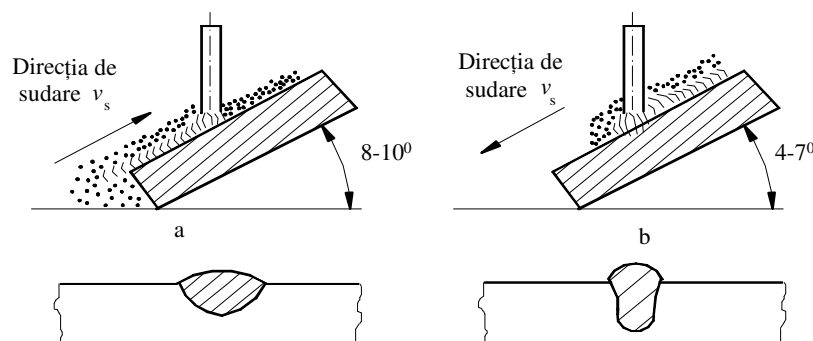


Fig. 6.58. Influența înclinării piesei asupra formei cusăturii:
a – la sudarea de jos în sus; b – la sudarea de sus în jos.

p. *Forma rostului* influențează asupra procesului de participare al metalului de bază și de adaos la formarea cusăturii sudate. Dacă rosturile nu sunt prelucrate (de exemplu, la sudarea cap la cap) cantitatea de metal depus din electrod este mai mică decât în cazul existenței unui rost;

r. *Alți factori* (variația tensiunii rețelei, variația vitezei de deplasare a tractorului de sudare etc.) influențează forma cusăturii sudate.

5 - *Pregătirea piesei în vederea sudării* constă în realizarea rostului îmbinării, operație care se face în funcție de forma îmbinării, grosimea pieselor de sudat și modul de susținere a băii de sudură (tab. 6.16.).

Tabelul 6.16. Câteva tipuri de îmbinări pentru sudarea sub strat de flux

Forma îmbinării	Simbol	Suport	Grosime metal, s [mm]	Coeficient de calitate sudurii	Dimensiuni, [mm]	Observații
1	2	3	4	5	6	7
		Garnitură din cupru	1,5-5	$<0,8$	-	-
		Idem	4-10	$<0,8$	$c = 1-5$	-
		Garnitură din tablă din oțel cu $g=(0,3-0,5)s$ $L=(4-5)s$	2-16	0,8-0,9	$c = 0-6$	Îmbinări transversale la recipient. Garnitura rămâne sudată.
		Sudură manuală	8-15	0,8-0,95	$c = 3-5$	Când nu se pot folosi garnituri la îmbinări transversale.

Tabelul 6.16. (continuare)

0	1	2	3	4	5	6
		Pernă de flux	4-16	0,8	$c = 1-3$	Sudură pe una din părți. Ajustare neprecisă.
		Idem	8-20	0,8-0,95	$c = 3-6$	Sudură bilaterală. Ajustare neprecisă.
		Idem	10-20	0,8-0,95	$c = 0-1$ $d = 5-7$ $e = 5-12$ $\alpha = 80^\circ-60^\circ$	Sudură de calitate.
		Idem	10-30	0,7-0,95	$c = 0-2$ $d = 3-4$ $e = 4-8$ $f = 3-18$ $\alpha = 80^\circ-30^\circ$	Idem
		-	>5	În funcție de grosimea sudurii	$c \leq 1$	Poziție în jgeab. Pătrundere adâncă. Pătrunderea poate fi considerată s în
		-	>3	Idem	$c \leq 2$	
		-	>3	Idem	$c \leq 1,5$	

Susținerea băii de metal topit are drept scop oprirea scurgerii metalului topit și realizarea unei rădăcini corecte. Pentru acestea există câteva metode de susținere a băii de metal topit:

- *sprijinirea pe suport nefuzibil* (fig. 6.59. a), când se utilizează o riglă suport din cupru, pentru cusături rectilinii de lungimi până la 3 metri și grosimi de 8...10mm. Rigla suport poate fi simplă sau cu creștături (fig. 6.59. c);
- *sprijinirea pe suport fuzibil* (fig.6.60) constă în folosirea unei platbande din oțel cu aceeași compoziție ca și metalul de bază, suportul neîndepărtându-se după aceea. Metoda se utilizează mai ales pentru suduri circulare, unde nu este posibil accesul din interior (țevi, conducte, recipiente cu diametre mici, magistrale

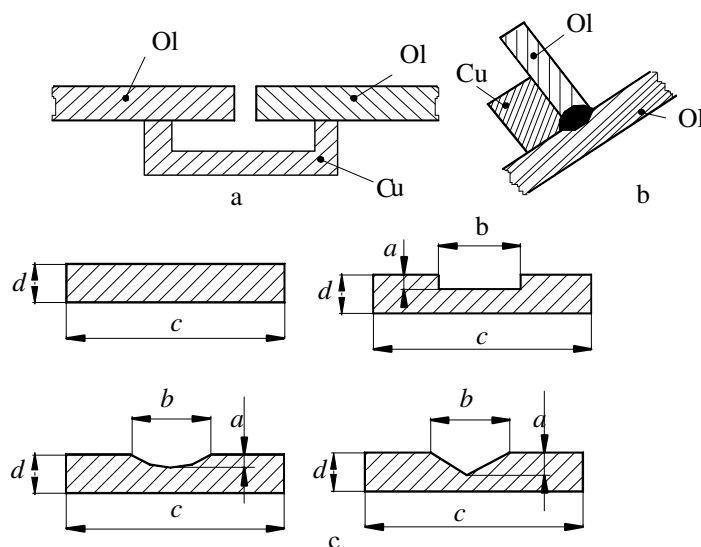


Fig. 6.59. Sprijinirea sudurii pe suport nefuzibil:
a – la sudarea cap la cap; b – la sudarea de colț; c – diferite tipuri de riglete suport.

etc). Dimensiunile riglei suport a , b , c și d se aleg în funcție de grosimea pieselor de sudat;

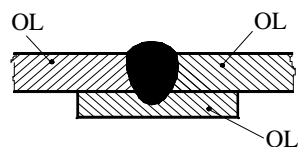


Fig. 6.60. Sprijinirea sudurii pe suport fuzibil.

- *sprijinirea pe pernă de flux* (fig. 6.61) constă în presarea unui strat de flux cu grosimea de 20...30 mm pentru tablele subțiri și de 40...100 mm pentru tablele groase. Fluxul este apăsât în deschiderea rostului, fie mecanic (fig.6.61. a), fie folosind un furtun cu aer comprimat (fig. 6.61. b). Fluxul 1 este depus într-un jgheab din pânză rezistentă 2, iar între acesta și furtunul de presare 3 se pune o platbandă 4, toate aflate între suporturile laterale 5.

6. *Alegerea utilajului pentru sudare* se face în funcție de natura și grosimea materialelor de bază și de adaos, de configurația geometrică a cusăturii sudate, de productivitate și mai ales de modul cum se face avansul sârmei-electrod. Constructiv, aparatele de sudat sub flux sunt fie *fixe*, la care pentru realizarea sudurii este necesar ca piesa să execute o mișcare de deplasare față de capul de sudare (folosind dispozitive specifice), fie *mobile*, la care aparatul se deplasează utilizând șine de rulare sau *tractoare de sudare*, care se pot deplasa direct pe piesă.

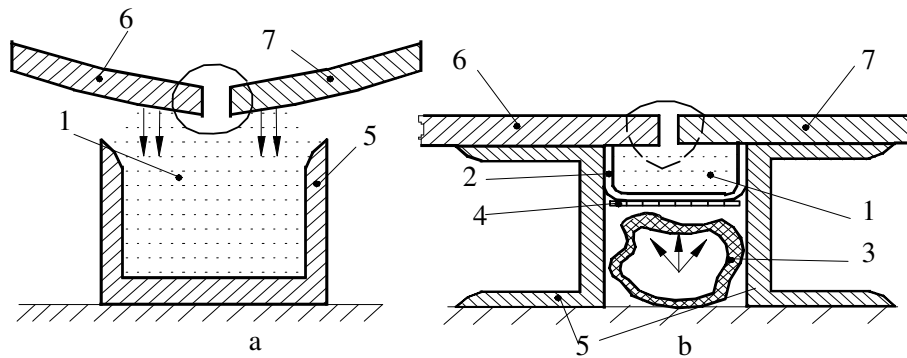


Fig. 6.61. Sprijinirea sudurii pe pernă de flux:

a – folosind un sistem mecanic; b – folosind un sistem cu furtun cu aer comprimat; 1 – flux; 2 – jgheab de pânză; 3 – furtun cu aer comprimat; 4 – platbandă; 5 – suport lateral; 6, 7 – metalul de bază.

7. *Execuția propriu-zisă a cusăturii sudate* se face după ce piesele de sudat au fost poziționate și fixate corespunzător cu rostul îmbinării. Se ține cont de asemenea de dimensiunile de gabarit ale îmbinării sudate, de tipul aparatelor de sudare folosite și de tipul îmbinării. Piesele de grosimi până la 8 mm se sudează numai dintr-o parte și fără rost între piese. Pentru grosimi mai mari, în cazul sudării pe ambele părți, se recomandă folosirea cusăturilor în „I” până la 16...18 mm, cusăturile „Y” până la 22 mm, iar peste 22 mm, cusăturile în „X”. La sudarea pe ambele părți trebuie acordată atenție întrepătrunderii cusăturii de pe o parte, cu cusătura de pe cealaltă parte (fig.6.62), întrepătrunderea optimă fiind de 3...5 mm în funcție de grosime. Sudarea cap la cap se recomandă când îmbinarea trebuie să asigure condiții de rezistență competitive cu cele ale metalului de bază. În funcție de grosime, sudarea se poate executa și în straturi multiple, dar trebuie avut în vedere să nu se modifice regimul de sudare între straturi. Este necesară folosirea dispozitivelor de susținere a băii de metal topit, deoarece asigură o rădăcină uniformă și evitarea străpungerilor.

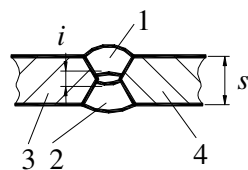


Fig. 6.62. Întrepătrunderea cusăturilor:

1; 2 – cusături sudate; 3; 4 – metale de bază;
i – întrepătrunderea; s – grosimea tablelor de sudare.

La executarea *cusăturilor de colț*, electrodul poate fi *înclinat* (fig. 6.63. a), cu dezavantajul apariției defectului de creștătură (fig. 6.63. b), sau *vertical*, sudarea executându-se în *jgheab* (fig. 6.63. c), iar susținerea băii de sudură făcându-se cu riglă suport de cupru (fig. 6.63. c) sau de oțel (fig. 6.63. d).

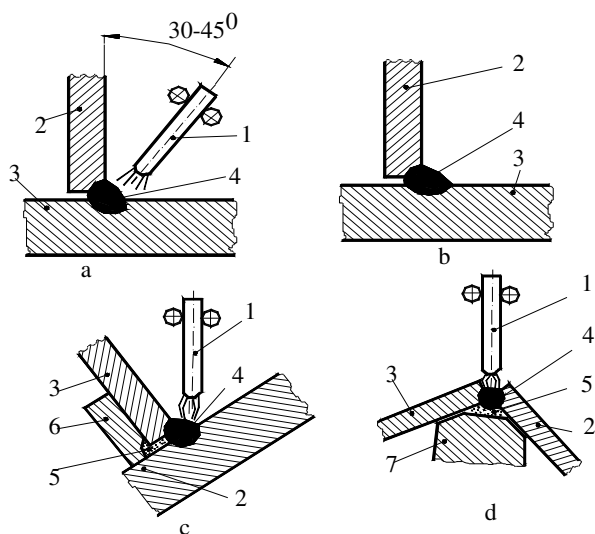


Fig. 6.63. Poziționarea capului de sudare pentru îmbinările de colț:
a – înclinat; b – defect de cusătură; c, d – vertical; 1 – sârma-electrod; 2, 3 – metale de bază;
4 – cordon de sudură; 5 – flux; 6 – garnitură de cupru; 7 – garnitură de oțel.

La execuția sudurii în straturi multiple (fig.6.64) se preferă execuția simultană a cordonului de sudură pe ambele părți, pentru a compensa deformațiile.

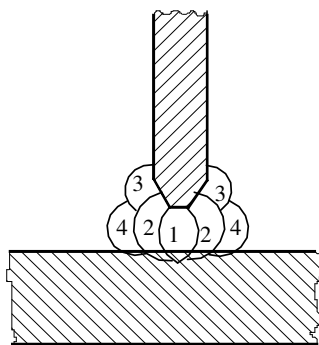


Fig. 6.64. Execuția simultană a straturilor de sudură
la o sudură de colț în straturi multiple:
1, 2, 3, 4 – straturi de sudură.

La sudarea cusăturilor circulare în plan vertical (foarte des întâlnită la realizarea de recipiente, țevi, schimbătoare de căldură, rezervoare etc.) se recomandă sudarea pe ambele părți (fig. 6.65) cu pregătirea rostului în „X” deoarece tablele au grosimi relativ mari.

8 - *Curățirea cusăturii sudate* constă în îndepărtarea fluxului care nu a reacționat cu baia de sudură și recuperarea lui în vederea folosirii în continuare și în îndepărtarea stratului de zgură format prin solidificarea fluxului topit.

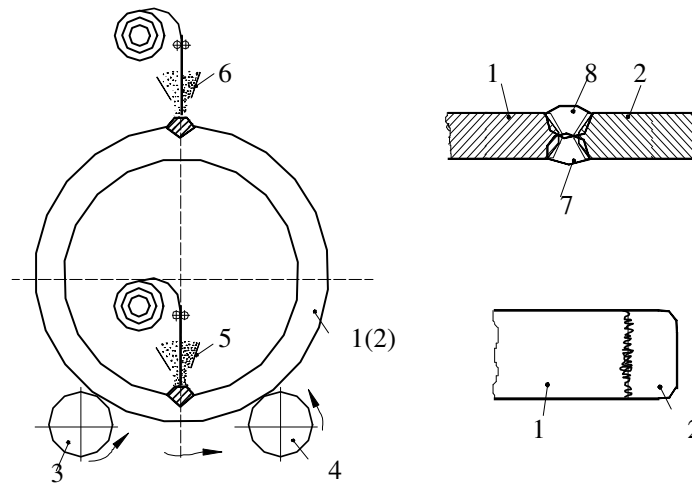


Fig. 6.65. Schema executării unei cusături circulare:

1; 2 – metale de bază (virolă și respectiv capac); 3; 4 – role de antrenare; 5 – cap de sudat interior;
6 – cap de sudat exterior; 7; 8 – cusătură sudată interioară și respectiv exterioară.

Curățirea se face inițial mecanic, prin ciocănirea cu ciocanul de sudură, pentru ca apoi să se facă cu perii de sârmă, jet de alicie sau jet de aer comprimat.

9 - *Controlul cusăturilor sudate* are drept scop determinarea eventualelor defecte care au apărut în îmbinarea sudată în urma procesului de sudare. Principalele defecte ce pot apărea sunt: abaterile de la continuitate, formă, dimensiuni, structură și compoziție chimică prescrisă; crăpăturile și fisurile longitudinale, transversale și radiale; porii și suflurile; incluziunile metalice și nemetalice; lipsa de pătrundere; lipsa de topire; supraîncălzirea, arderea, dezaxarea cusăturilor executate pe ambele părți; defecte de creștătură și altele.

Pentru punerea în evidență a defectelor cusăturilor sudate se folosesc metode de control nedistructiv stabilite în funcție de tipul îmbinării, importanța îmbinării sudate și productivității. Se utilizează controlul: cu radiații penetrante, cu ultrasunete, cu lichide penetrante, cu pulberi magnetice, cu curenți turbionari, prin analiza termografică, cu emisie acustică și altele.

10 - *Stabilirea tratamentelor termice* urmărește obținerea de structuri corespunzătoare unor anumite asociații de proprietăți cerute în exploatare, precum și reducerea tensiunilor remanente. Principalele tratamente termice aplicate îmbinării sudate sunt: *recoacerea de detensionare*, *revenirea*, *normalizarea* și *îmbătrânirea*.

6.7.5.4. Variante ale sudării cu arc electric sub strat de flux

În vederea realizării anumitor construcții sudate, pentru creșterea productivității, pentru creșterea grosimii pieselor de sudat sau pentru cusături

sudate cu anumite forme și caracteristici, s-au dezvoltat procedee speciale de sudare cu arc electric sub strat de flux. Mai largă utilizare o au următoarele procedee speciale de sudare sub strat de flux:

- *Sudarea automată cu mai multe arce* (fig.6.66) este folosită pentru creșterea productivității, la tablele de grosimi mari și pentru obținerea de cusături

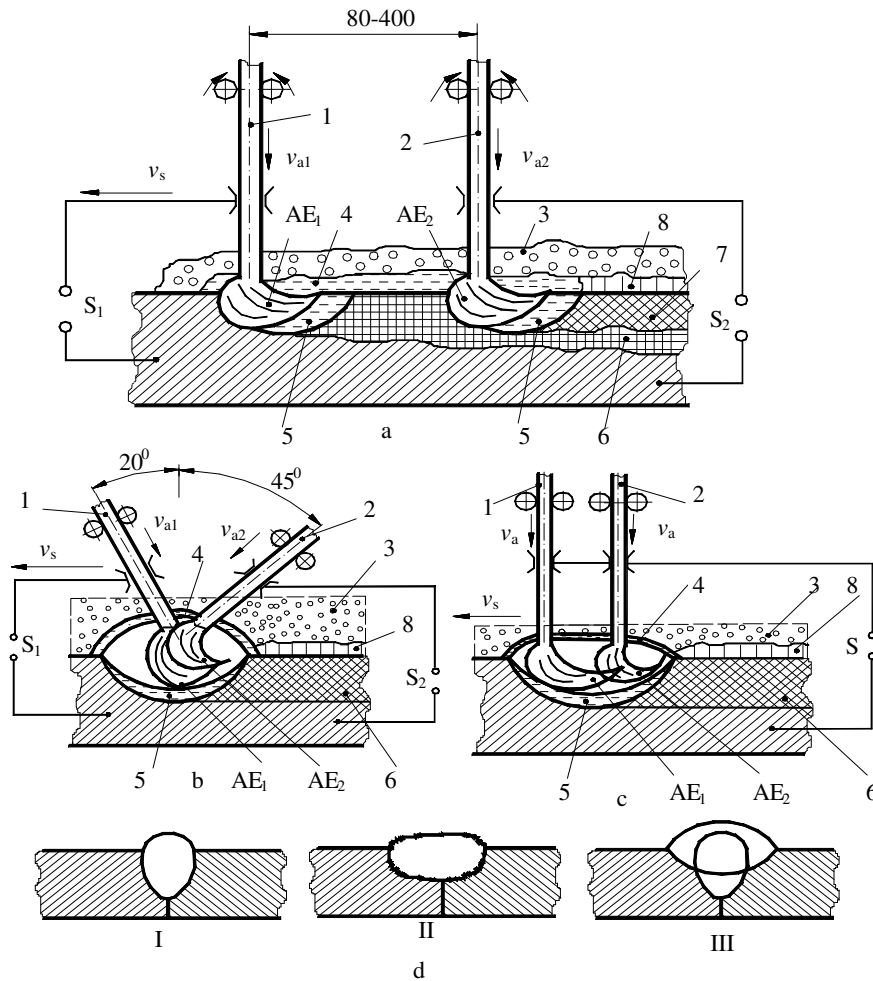


Fig. 6.66. Schema de principiu la sudarea sub flux cu mai multe arce:
a – cu arce independente și în cavități separate; b - cu arce independente și în aceeași cavitate; c – cu arce gemene; d – efectul arcelor electrice: 1; 2 – sârme electrod; 4 – peliculă de flux topit; 5 - baia de sudură; 6; 7 – cusături sudate; 8 – strat de zgură; $S_1; S_2$ – surse de curent; AE_1, AE_2 – arce electrice; v_a, v_s – viteza de avans respectiv viteza de sudare; I – efectul primului arc (AE_1); II – efectul celui de-al doilea arc (AE_2); III – efectul ambelor arce.

sudate de lățimi mari. În funcție de poziția arcelor electrice se deosebesc procedeele: *cu arce independente în cavități separate* (fig. 6.66. a), *cu arce independente în aceeași cavitate* (fig. 6.66. b), *cu arce gemene* (fig. 6.66. c). De regulă primul arc încălzește metalul de bază și realizează pătrunderea (trebuie să aibă o intensitate mai mare), iar cel de-al doilea completează și dă forma definitivă a cusăturii (trebuie să aibă o tensiune mai mare). Sursele de alimentare pot fi instalațiile obișnuite de sudare sub flux sau speciale. Rezultate bune se obțin alimentând primul arc electric în curent continuu, iar al doilea, în curent alternativ. Viteza de sudare poate ajunge până la 200m/h, deci productivitate foarte mare;

- *Sudarea automată cu electrod lamelar* (fig.6.67) are avantajul unor electrozi mai ușor de confecționat și mai ieftini, în condițiile unei productivități mari. Electroductul-bandă 1, elaborat la grosimea de 0,5...1,6 mm și 20...100 mm lățime se desfășoară de pe tamburul 2, fiind antrenat de rolele de antrenare 3 și 4, ce primesc mișcarea de la motorul electric 5, prin intermediul cuplajelor 6 și 7 și a reductorului 8. Se obține cusătura sudată 9 cu o suprafață netedă și cu deformări minime. Calitatea sudurii depinde de materialul și dimensiunile benzii, calitatea fluxului, înălțimea stratului de flux, polaritatea și valoarea curentului de sudare, tensiunea arcului și viteza de sudare. Procedul se aplică mai ales ca procedeu de încărcare prin sudare, în scopul obținerii unor piese placate cu straturi superficiale cu proprietăți speciale (pe oțel carbon obișnuit ca suport se depune un strat de oțel inoxidabil) sau în scopul recondiționării suprafețelor uzate;

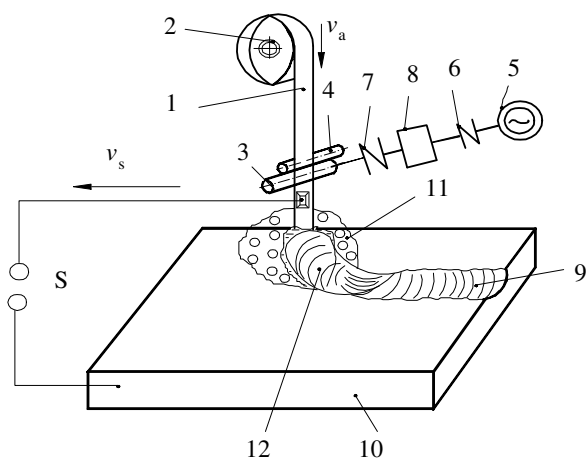


Fig. 6.67. Schema de principiu la sudarea automată cu electrod bandă:
1 – electrod-bandă;
2 – tambur; 3,4 – role de antrenare; 5 – motor electric;
6,7 – cuplaje;
8 – reductor; 9 – cusătura sudată; 10 – metal de bază;
11 – flux; v_a – viteza de avans;
 v_s – viteza de sudare;
S – sursa de curent.

- *Sudarea semiautomată în puncte topite (electro-nituierea)* se aplică la îmbinarea tablelor subțiri și se bazează pe amorsarea unui arc acoperit sub strat de flux, electrodul fiind fix (fig. 6.68. b). Când electrodul se consumă, crește distanța față de piesa și arcul se stinge (fig. 6.68. c) de la sine.

Procedul se aplică în mai multe variante cu table suprapuse (fig. 6.69.a), în găuri (fig. 6.69. b) și cu rondele la partea superioară (fig. 6.69. c).

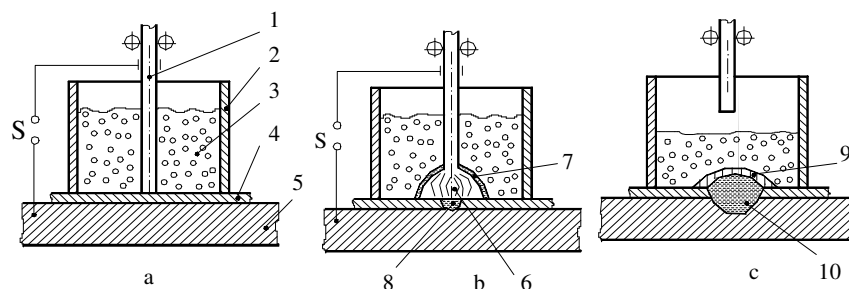


Fig. 6.68. Schema de principiu la electro-nituire:

a – sârma electrod în contact cu piesa; b – arderea arcului și topirea materialului; c – întreruperea arcului și formarea nitului de sudură: 1 – sârma – electrod; 2 – buncăr; 3 – flux; 4,5 – metalele de bază; 6 – arcul electric; 7 – pelicula de flux topit; 8 – baia de sudură; 9 – stratul de zgură; 10 – nit de sudură.

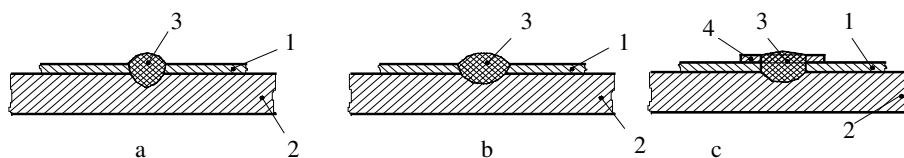


Fig. 6.69. Variante ale electronituirii:

a – cu table suprapuse; b – cu tabla superioară găurită; c – cu rondelă la partea superioară:
1,2 – metale de bază; 3 – nit de sudură; 4 – rondelă.

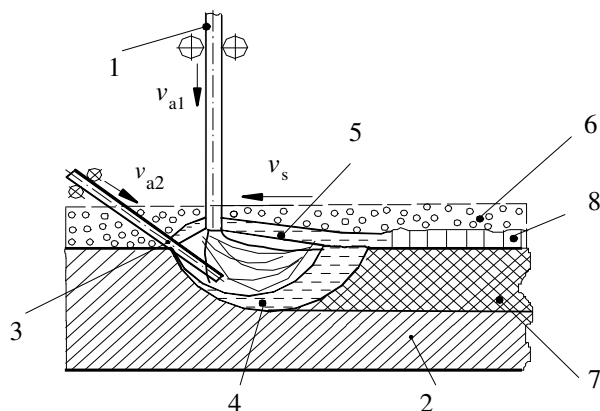


Fig. 6.70. Sudarea sub strat de flux cu sârmă caldă:

1 – electrod-bază; 2 – metal de bază; 3 – sârmă caldă; 4 – baia de sudură; 5 – peliculă de flux topit; 6 – flux; 7 – cusătură sudată; 8 – flux.

• *Sudarea automată sub flux cu sârmă caldă* folosește o sârmă caldă introdusă în fața arcului electric (fig. 6.70), deoarece în spatele acestuia zgura, în

curs de solidificare, împiedică acest lucru. Cele două sârme-electrod au viteze de avans care se pot regla independent, în raport cu cerințele procedurii de sudare. Vitezele de depunere sunt cu 50...100% mai mari prin sporirea cantității de căldură introdusă în unitatea de timp. Procedul se aplică la sudarea tablelor groase, peste 25 mm, și la suduri de colț fără teșirea muchiilor, având o mare productivitate.

Pe lângă procedeele de sudare sub strat de flux prezentate mai sus au fost realizate și alte procedee, având destinații speciale în funcție de configurația pieselor și de caracterul producției, astfel: pentru sudarea grinzilor și a altor ansamble care au una sau mai multe cusături paralele și pe lungime mare; pentru sudarea rezervoarelor cilindrice și sferice, recipientilor și a altor ansamble care au cusături circulare și liniare, pentru sudarea elicoidală a țevelor cu diametre mai mari de 400mm; pentru încărcarea și durificarea unor piese uzate etc.

6.7.6. Sudarea în mediu de gaze protectoare

6.7.6.1. Generalități. Scheme de principiu

La sudarea cu electrozi neînveliți sau cu înveliș subțire, baia de sudură nu este protejată de acțiunea mediului înconjurător, și elemente ca hidrogenul și azotul pătrund în metalul topit determinând proprietăți necorespunzătoare pentru cusătura sudată. Protecția băii de sudură se poate realiza pe următoarele căi: mărirea grosimii învelișului, folosirea unui strat de flux, folosirea la sudare a unor gaze protectoare.

Procedeele de sudare folosind gaze protectoare se clasifică după schema din figura 6.71. Gazele inerte protejează baia de metal topit, nu intră în combinații chimice cu alte elemente și nu rămân în cusătura sudată. Gazele active se dizolvă și formează cu metalul lichid compuși chimici, ele influențând procesele metalurgice din spațiul arcului.

Gazele protectoare se recomandă a fi utilizate în felul următor:

- hidrogenul – pentru sudarea aproape a tuturor metalelor și aliajelor;
- argonul și heliul – pentru sudarea aluminiului, magneziului, titanului și a aliajelor acestora;
- azotul – pentru sudarea cuprului și nichelului;
- dioxidul de carbon – pentru sudarea oțelurilor carbon și slab aliate, a metalelor și aliajelor cu afinitate slabă pentru oxigen.

Schema de principiu a procedurii de sudare în mediu de gaze protectoare se diferențiază conform clasificării din figura 6.71, deosebindu-se:

- *Sudarea arc-atom (cu hidrogen atomic)*, unde arcul electric 1 se formează între doi electrozi de wolfram 2 și 3 (fig. 6.72), legați în secundarul unui transformator de sudare. Peste electrozi se suflă un curent de hidrogen 4 și 5 prin ajutajele 6 și 7. Sub acțiunea termică a arcului electric o parte din hidrogenul molecular (peste 70%) se disociază, în zona A, în hidrogen atomic, cu absorbție de căldură, după reacția:

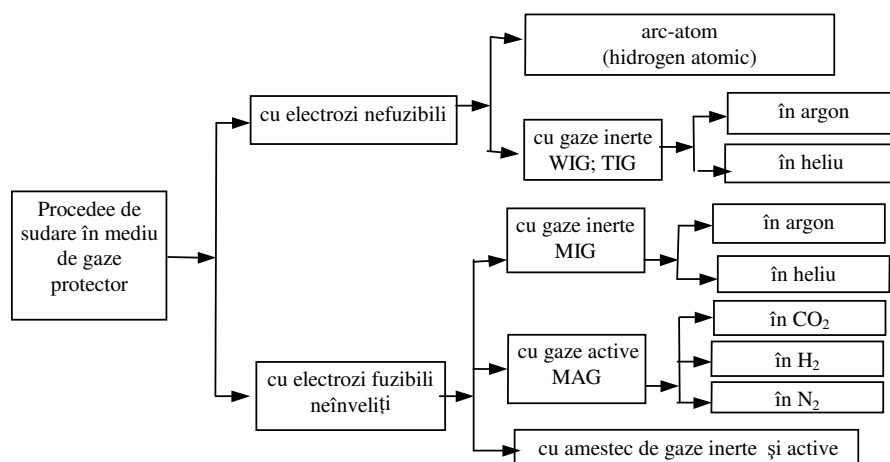


Fig. 6.71. Clasificarea procedeele de sudare în mediu de gaze protectoare.

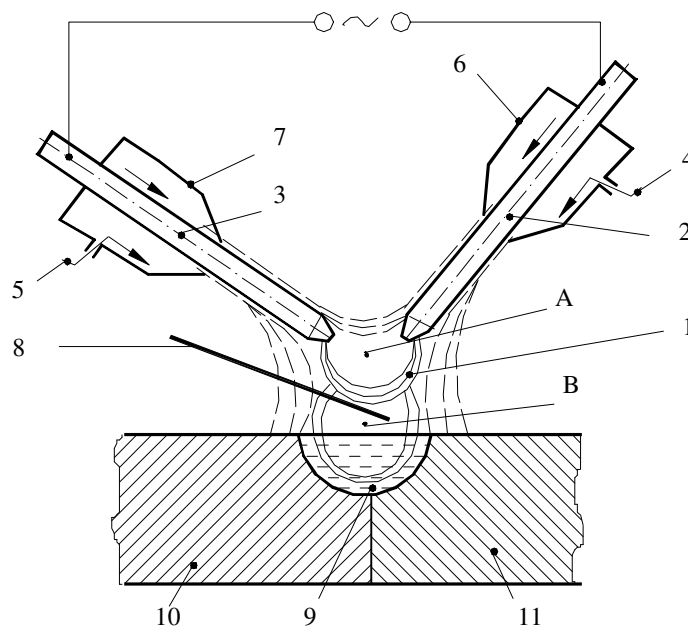
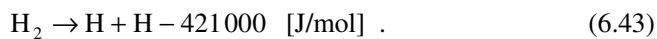
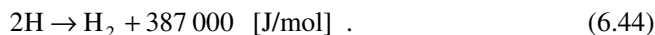


Fig. 6.72. Schema de principiu la sudarea arc – atom (în hidrogen atomic):
 1 – arc electric; 2 ; 3 – electrozi nefuzibili; 4 ; 5 – curenți de hidrogen; 6 ; 7 – ajutaje; 8 – material de
 adaos; 9 – baia de sudură; 10 ; 11 – materiale de bază; A – zona de disociere; B – zona de
 recombinare.



Deoarece în stare atomică hidrogenul este foarte instabil, în zona B se recombina cu cedare de căldură, după reacția:



Temperatura ajunge în această zonă până la 4 000°C, suficientă pentru a topi metalul de adaos și cel de bază. În această zonă se introduce materialul de adaos sub formă de vergea 8. Prin solidificarea băii de sudură se formează cusătura sudată între materialele de sudat 10 și 11.

Electrozii sunt din wolfram sau wolfram thoriat și au diametrul $d = 1 \dots 6 \text{ mm}$ în funcție de grosimea pieselor de sudat. Curentul de sudare $I_s = 2d_e$, în A, în care d_e este diametrul electrodului de wolfram, iar consumul de gaz $Q_g = 800 + 15I_s$, exprimat în l/h, în funcție de natura materialului de sudat. Materialul de adaos are compoziția chimică a materialului de sudat sau apropiată de acesta, diametrul său d , calculându-se cu relația:

$$d = \frac{s}{3} + 1 \text{ [mm]} . \quad (6.45)$$

Procedeul se aplică aproape tuturor metalelor și aliajelor utilizate în tehnică. Se sudează oțeluri carbon cu până la 1,5%C și 0,5...10mm grosime sau bare cu diametrul până la 80mm, oțeluri aliate cu crom și nichel, inoxidabile, refractare, rapide, metalele neferoase și aliajele lor, cu excepția cuprului și aliajelor lui, datorită solubilității mari a hidrogenului în acestea.

Procedeul se mai aplică la confecționarea și repararea sculelor așchietoare din oțel rapid (cuțite de strung, freze, cuțite de rabotat și mortezat) și la separarea prin sudare a pieselor rupte sau uzate (roți dințate, arbori cotiți, instrumente medicale, lanțuri calibrate, arcuri de automobile, ștanțe și matrițe etc.)

- *Sudarea prin procedeul WIG (Wolfram Inert Gaz)*, la care arcul electric 1 (fig.6.73) arde între electrodul de wolfram thoriat 2 și metalul de bază 3, legați la sursa de curent. În jurul electrodului se insuflă un curent de gaz inert 4 prin ajutorul 5, ce va forma o perdea de protecție 6, asupra arcului electric, contra acțiunii mediului înconjurător. Arcul electric încălzește o parte din metalul de bază, care împreună cu materialul de adaos topit formează baia de sudură 8, după solidificare rezultând cusătura sudată 9. Pentru stabilitatea arcului electric este necesară o tensiune mai mare, având în vedere potențialul de ionizare mai ridicat al gazului protector decât al aerului (la argon -15V, la heliu - 24V);

Procedeul se caracterizează printr-o protecție bună a arcului electric și a băii de sudură contra acțiunii aerului atmosferic, evitarea folosirii unor electrozi speciali, fluxuri speciale, curățirea de zgură a cusăturii și lipsa incluziunilor de zgură. De asemenea, se obțin cusături sudate cu proprietăți mecanice și rezistență la coroziune foarte bune.

Se poate folosi polaritatea directă (electrodul la polul negativ) obținându-se o lățime mică a băii de sudură și o pătrundere mare sau, polaritate inversă, când

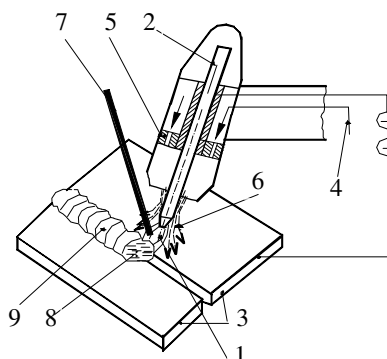


Fig. 6.73. Schema de principiu la sudarea prin procedeul WIG:

1 – arc electric; 2 – electrodul nefuzibil de wolfram; 3 – metalele de bază; 4 – curentul de gaz inert;
5 – ajutaj; 6 – perdea de gaz protector; 7 – metalul de adaos; 8 – baia de sudură;
9 – cusătura sudată.

baia de sudură se lățește, iar pătrunderea este mai mică. În curent alternativ atât lățimea, cât și adâncimea băii de sudură sunt moderate ca dimensiuni.

Procedeul se aplică la sudarea oțelurilor inoxidabile cu crom, nichel și molibden, a cuprului, nichelului, a aluminiului și aliajelor acestora;

- *Sudarea prin procedeul MIG (Metal Inert Gaz)* la care arc electric 1 (fig.6.74) arde între materialul de adaos, care este sub formă de sârmă-electrod 2, neînvelit, cu diametrul de 0,6...2,0 mm antrenat mecanizat cu viteza v_a , de către rolele 3 și materialul de bază 4, legați la sursa de curent continuu sau curent alternativ. Prin ajutajele 5 se insuflă un curent de gaz inert 6, care formează o perdea de protecție 7 pentru arc electric, contra acțiunii mediului înconjurător.

Picăturile de material de adaos 8, împreună cu o parte din materialul de bază formează baia de sudură 9, protejată și ea de perdeaua de gaz inert, care după solidificare formează cusătura sudată 10.

După modul cum se realizează transferul de metal prin coloana arcului se disting următoarele variante:

- *cu transfer globular*, la care topirea se face în picături sensibil mai mari ca diametrul sârmei-electrod, dar mai mici ca lungimea arcului electric, ce se desprind cu frecvență mică sub influența greutatei proprii. Se întâlnește la sudarea cu densități mici de curent a tablelor de dimensiuni mijlocii;

- *cu transfer prin pulverizare*, caracterizat prin picături mai mici ca diametrul sârmei și ca lungimea arcului electric, ce se desprind la frecvență ridicată. Este caracteristic lucrului cu densități mari de curent (peste 200A/mm²) și productivitatea este ridicată (se aplică la sudarea tablelor de grosimi mari);

- *cu transfer turbionar*, când sârma-electrod are o lungime mare în afara duzei de contact și se încălzește mult datorită arcului electric și a efectului Joule. În acest caz picăturile se desprind tangențial la sârmă și cu viteză mare.

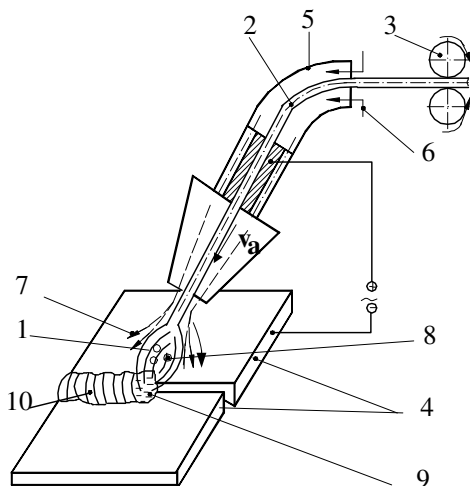


Fig. 6.74. Schema de principiu la sudarea prin procedeu MIG:

- 1 – arcul electric; 2 – sârma-electrod; 3 – rolele de antrenare;
- 4 – metalele de bază; 5 – ajutor; 6 – curentul de gaz inert;
- 7 – perdea de protecție;
- 8 – picăturile de metal de adaos;
- 9 – baia de sudură; 10 – cusătura sudată.

- *cu transfer prin proiecție*, când picăturile sunt mai mici decât diametrul sârmei-electrod și decât lungimea arcului și sunt proiectate cu viteză mare spre baia de sudură, datorită forțelor electromagnetice. La acest procedeu este recomandată polaritatea inversă. Se pot suda piese cu grosimi până la 6mm (dintr-o parte) sau până la 15mm (din ambele părți), confecționate din oțeluri carbon și slab aliat, oțeluri inoxidabile, cupru și aliajele sale, aluminiu și aliajele sale etc.

• *Sudarea prin procedeul MAG (Metal Activ Gaz)*, la care arcul electric 1 (fig.6.75) se formează între sârma electrod 2, antrenată de rolele 3, și metalul de bază 4 legați la sursa de curent. Arcul electric este protejat de o perdea de protecție 5, formată prin insuflarea unui curent de gaz activ 6 prin ajutorul 7. Schema de principiu este asemănătoare ca la procedeul MIG, cu deosebirea că în locul gazului inert se insuflă CO_2 . Dioxidul de carbon disociază după reacția (6.46), gradul de disociere depinzând de temperatură (începe la 1 600K și ajunge 100% la 5 000K). Oxidul de carbon și oxigenul pot intra în reacții cu elementele componente ale metalului lichid, compușii rezultați putând ieși în atmosferă (CO , vapori de apă), trece în zgură (SiO_2 , MnO , FeO) sau condensa (H_2O). Pentru compensarea efectelor produse de reacțiile de oxidare se folosesc ca materiale de adaos sârme bogate în elemente averse de oxigen (cu 0,8...1,0%Si; 1,2...1,5Mn), iar uneori se introduc și cantități mici de dezoxidanți mai puternici (Al, Ti, Zr)



După modul cum se realizează transferul de metal prin coloana arcului la sudarea în gaze active se disting următoarele variante:

- *cu arc scurt*, la care diametrul picăturii este mai mare decât lungimea arcului, tensiunea este mai mică și transferul metalului lichid se face prin

scurtcircuitare, când curentul crește brusc, și realizează fenomenul de ștrangulare și separare a picăturii, care cade în baia de sudură. Se aplică la sudarea tablelor subțiri și permite controlul energiei termice introdusă în procesul de sudare;

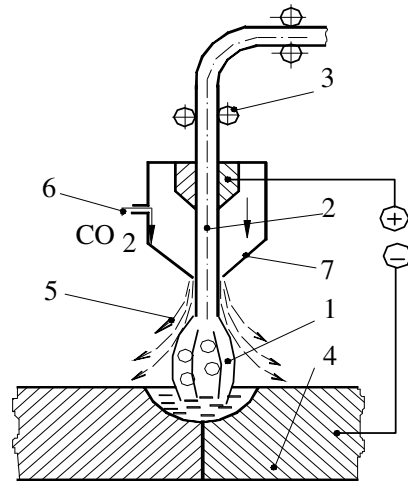


Fig. 6.75. Schema de principiu la sudarea prin procedeu MAG:

1 – arcul electric; 2 – sârma-electrod; 3 – rolele antrenare; 4 – metalul de bază; 5 – perdea de gaz protector; 6 – curentul de gaz activ; 7 – ajutaje.

- *cu transfer fin*, la care diametrul picăturilor este mai mic decât lungimea arcului și nu mai realizează scurtcircuitarea (densitatea de curent este bună, stabilitatea arcului este bună și desprinderea picăturilor se face rapid datorită curentului mare de sudare). Se aplică la sudarea tablelor groase;

- *cu transfer modulată*, la care picăturile de material de adaos ajung în baia de sudură prin alternarea celor două moduri de transfer (cu arc scurt – cu transfer fin) în timpul pendulării arcului electric. Procedeu prezintă următoarele avantaje: putere ridicată de topire ca urmare a densității mari de curent folosite ($200 \dots 230 \text{ A/mm}^2$) și cantitate mare de metal depus ($3 \dots 4 \text{ kg/h}$); productivitate mare prin reducerea timpilor auxiliari pentru curățirea zgurei; deformații reduse după sudare datorită vitezelor de sudare mari; eficiență ridicată. Procedeu se aplică la sudarea pieselor confecționate din oțeluri carbon și slab aliate, metale și aliaje cu afinitate scăzută față de oxigen, cupru și aliajele sale, nichel și aliajele sale.

6.7.6.2. Utilajele folosite la sudarea în mediu de gaze protectoare

Instalațiile folosite se clasifică după mai multe criterii:

- după natura curentului folosit la sudare, se deosebesc:
 - instalații pentru sudare folosind curentul continuu;
 - instalații pentru sudare folosind curentul alternativ;
- după tipul procedurii de sudare, se deosebesc:
 - instalații pentru sudare în mediu de gaz inert cu electrod de wolfram (WIG; TIG);

- instalații pentru sudare în mediu de gaz inert cu electrod fuzibil (MIG);
- instalații pentru sudarea în mediul de gaz activ cu electrod fuzibil (MAG);

Schema de principiu a unei instalații pentru sudarea arc-atom (în hidrogen atomic) se prezintă în figura 6.76. Instalația se compune dintr-un transformator pentru sudare 1, alimentat de la rețeaua 2, care alimentează port-electrodul 3, racordat prin furtunul 4, la butelia de hidrogen 5, prevăzută cu reductorul de presiune 6. Transformatorul are două înfășurări, una de 300 V care alimentează circuitul de sudare și una de 40 V care alimentează circuitul de comandă.

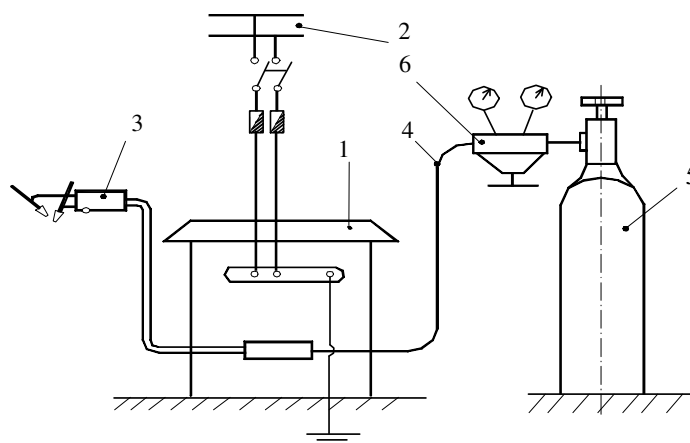


Fig. 6.76. Schema de principiu la instalația de sudare arc – atom:

1 – transformator pentru sudare; 2 – rețea de alimentare; 3 – port-electrod; 4 – furtun de legătură; 5 – butelie de hidrogen; 6 – reductor de presiune.

Schema de principiu a unei instalații pentru sudarea în mediu de gaz inert cu electrod nefuzibil (WIG; TIG) se prezintă în figura 6.77. Aceasta se compune din următoarele elemente principale: sursa de curent 1, ce poate fi de curent continuu, de curent alternativ sau combinată; bateria de condensatoare, înseriată în circuitul secundar al sursei, cu rolul de a opri componentele de curent continuu ce iau naștere la sudarea în curent alternativ (în special la sudarea aluminiului și a aliajelor ușoare); instalația de răcire cu apă a cablului de alimentare cu curent și a pistolului de sudare; blocul de comandă 2, ce permite conectarea sau deconectarea temporizată a curentului, deschiderea gazului de protecție și cuplarea unui dispozitiv anticrater; pistolul pentru sudare 3, ce poate fi răcit cu aer sau cu apă, prevăzut cu un cablu de legătură 4, de 4...10 m lungime; regulatorul de presiune 5, prevăzut cu debitmetru 6, având rolul de a asigura presiunea și debitul de gaz necesare instalației pentru sudare și o serie de elemente de supraveghere, comandă și control.

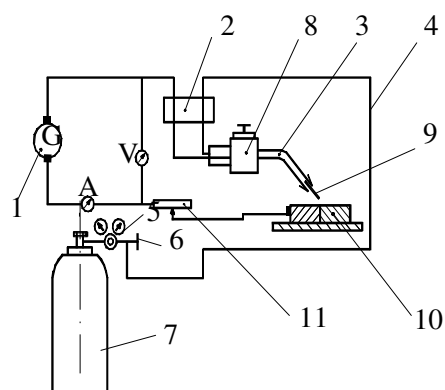


Fig. 6.77. Schema de principiu a instalației de sudare în mediu de gaz inert cu electrod nefuzibil(WIG, TIG):

1 – sursa de curent; 2- blocul de comandă; 3 – pistolul de sudare;
4 – policablul coaxial; 5 – regulatorul de presiune; 6 – debitmetru; 7 – butelia de gaz inert; 8 – capul de sudare;
9 – electrodul nefuzibil; 10 – metalul de bază; 11 – reostat de balast;
A – ampermetru; G – generator;
V – voltmetru.

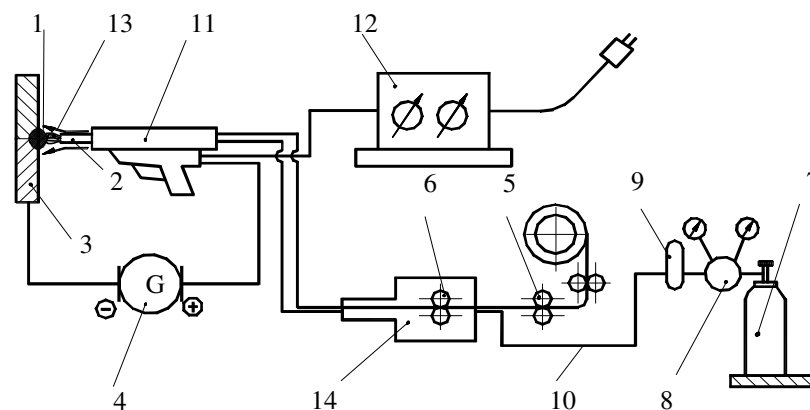


Fig. 6.78. Schema de principiu a unei instalații pentru sudarea în mediu de gaz inert sau gaz activ cu electrod fuzibil (procedeul MIG, MAG):

1 – arcul electric; 2 – sârma-electrod; 3 – metalul de bază; 4 – sursa de curent; 5 – rolele de împingere; 6 – rolele de tragere; 7 – butelia de gaz; 8 – reductorul de presiune; 9 – debitmetru;
10 – cablu poliaxial; 11 – pistolul pentru sudare; 12 – blocul de comandă și control; 13 – perdea de gaz protector; 14 – mecanismul de acționare și conducere sârma electrod.

Schema de principiu a unei instalații pentru sudarea în mediu de gaz inert sau gaz activ cu electrod fuzibil (procedeul MIG, MAG) se prezintă în figura 6.78. Arcul electric 1 se formează între sârma – electrod, care este materialul de adaos, și piesa de sudat 3, legată la sursa de curent 4, care poate fi de curent continuu sau alternativ. Deoarece lungimea arcului trebuie păstrată în permanență aceeași, sârma electrod trebuie să avanseze cu o viteză egală cu viteza de topire. Antrenarea și avansul sârmei – electrod se face pe principiul împinge-trage (*push-pull*) cu perechile de role 5 și 6. Gazul inert sau activ vine din butelia 7, reductorul de presiune 8 și debitmetrul 9 printr-un policablu coaxial 10 care face legătura între capul de sudare 11 și butelia de gaz. Instalația mai cuprinde blocul de comandă 12

și elementele de reglare, control și urmărire a parametrilor procesului de sudare. Pistoletul de sudare are rolul de a conduce sârma de sudare în baia de metal topit și de a asigura curgerea gazului care formează o perdea de protecție 13, contra acțiunii aerului atmosferic. Sudarea se poate face semiautomat sau automat, în practică fiind folosită mai mult sudarea semiautomată.

6.7.6.3. Tehnologia sudării prin topire cu arc electric în mediu de gaze protectoare

Cuprinde o succesiune logică de operații și faze necesare a se desfășura în vederea executării unei cusături sudate de bună calitate. Aceste operații sunt:

1 - *Analiza materialului de bază* este prima operație care se face, iar în funcție de modul în care s-a realizat depind în continuare toate operațiile procesului tehnologic. În urma acestei analize trebuie cunoscute pe lângă compoziția chimică și starea suprafețelor de îmbinat, grosimea pieselor de sudat, tipul îmbinării, poziția de sudare, starea materialului (recopt, tratat termic, ecruisat, recristalizat etc).

2 - *Alegerea și analiza materialului de adaos* se face atunci când sudarea se face cu material de adaos. În cazul procedeelor de sudare în mediu de gaze protectoare, materialul de adaos este sub formă de sârmă elaborată în colaci (procedeele MIG și MAG) de diametre diferite sau sub formă de electrod – baghetă (procedeele WIG, TIG), care se introduce continuu în arcul electric, fie automat (procedeele MIG și MAG), fie manual (procedeele WIG, TIG). Materialul de adaos trebuie să aibă o compoziție chimică cât mai apropiată de cea a metalului care se sudează (de exemplu, pentru sudarea oțelurilor carbon, materialele de adaos au un conținut redus de carbon, având în schimb un conținut mai ridicat de mangan și siliciu pentru asigurarea plasticității necesare cusăturii sudate). Caracteristica principală care trebuie luată în considerare la alegerea materialului de adaos este rezistența la tracțiune. La alegerea materialului de adaos trebuie avut în vedere faptul că la sudare, datorită amestecului cu metalul de bază și a unei răcirii rapide se înregistrează o creștere a rezistenței mecanice și o scădere a proprietăților de plasticitate în cusătura sudată. Există și cazuri când metalul de adaos diferă mult de metalul de bază din punct de vedere al compoziției chimice.

Tabelul 6.17. Câteva mărci de sârme folosite la sudarea oțelurilor în mediul de gaze protectoare

Nr. crt.	Marca sârmei	Indicații de utilizare
1	S12Mn2Si	Sudarea în mediu de gaz protector a oțelurilor carbon și slab aliate cu Mn. Gazul de protecție recomandat: CO ₂
2	S12Mn1.4Si	Idem ca la punctul 1, dar pentru structuri la care se cere ductilitate mai ridicată; asigură reziliență bună până la -10 ⁰ C, inclusiv pentru OL 52.
3	S12Mn1SiNi1Ti	Idem ca la punctul 1. Asigură reziliență bună până la -30 ⁰ C cu condiția respectării purității și umidității CO ₂ și a unei tehnologii adecvate.
4	S10Mn1SiMoCr1	Sudarea în mediu de gaz protector a oțelurilor slab aliate termorezistente cu rezistență ridicată. Gazul de protecție recomandat CO ₂ +Ar sau Ar.

Tabelul 6.17. (continuare)

5	S12SiMoCr1	Sudarea în mediu de gaz protector a oțelurilor slab aliate cu Cr, Mo termorezistente. Gazul de protecție recomandat CO ₂ +Ar.
6	S40CrMn1Si1	Sudarea în mediu de gaz protector a oțelurilor aliate pentru tratament, solicitate la torsiune. Gazul de protecție recomandat CO ₂ +Ar.
7	S22MoCr	Sudarea în mediu de gaz protector a oțelurilor cu rezistență ridicată. Gazul de protecție recomandat CO ₂ +Ar sau Ar.

Tabelul 6.18. Câteva mărci de sârme folosite la sudarea aluminiului și aliajelor sale

Nr. crt.	Marca sârmei	Metalul de bază indicat pentru sudare	Compatibilitatea la procedeele de sudare	
			WIG	MIG
1	SAI 99.8	Al 99.8; Al 99.7; Al 99.5; Al 99.5 E	F.B.	F.B.
2	SAIMg1	AlMg1; AlMg2; AlMg3; AlMgMn; AlMn1.	F.B.	B.
3	SAIMg3	AlMg3; AlMgMn; AlMg1; AlMg2 si aliajele turnate (STAS 201/2-71) cu element principal de aliere Mg.	F.B.	B.
4	SAISi5	AlSi5; AlMgSi0.5; AlSi0.8; AlMgSi1	F.B.	B.
		Aluminiu si aliajele de Al cu elemente de aliere până la 2%, aliajele turnate cu max.7% Si.	posibilă	posibilă
5	SAICu6Mn	Pentru aliaje speciale	B.	B.

Câteva mărci de sârme folosite la sudarea oțelurilor se prezintă în tabelul 6.17, pentru sudarea aliajelor de aluminiu în tabelul 6.18, pentru sudarea aliajelor de Cu-Ni în tabelul 6.19, pentru sudarea aliajelor Cu-Al în tabelul 6.20, iar pentru sudare aliajelor de Ni în tabelul 6.21. Sârmele pentru sudarea aliajelor Cu-Ni trebuie să conțină 2,5...3,0% Si și 1...2,5 % Mn. La sudarea alamelor se produce volatilizarea zincului, de aceea se utilizează material de adaos cu compoziție diferită de metalul de bază (de exemplu, Cu+Al, Cu+Mn+Si), care formează la suprafața băii de sudură o peliculă de oxid subțire ce împiedică ieșirea zincului sub formă de vapori. Spre deosebire de sudarea cu electrozi înveliți sau sub strat de flux, unde prin compoziția materialului purverulent utilizat se poate interveni asupra compoziției băii de metal topit, la sudare în mediu de gaz protector cu sârmă plină nu se poate acționa asupra băii (există și posibilitatea utilizării unor sârme tubulare umplute cu flux care să conducă la alierea cusăturii). De aceea, materialul de adaos trebuie să conțină elemente care să asigure dezoxidarea și alierea băii metalice, precum și uniformizarea și calmarea acestuia.

Tabelul 6.19. Câteva mărci de sârme folosite la sudarea aliajelor Cu-Ni

Aliajul Cu-Ni	Sârma (norme germane)	Compoziția chimică[%]				
		Cu (min)	Ni	Ti	Mn	Fe
95-5	Kunifer 5 T	91,3	5-6	0,2-0,5	0,3-0,8	1,05-1,35
90-10	Kunifer 10T	86,4	9-11	0,2-0,5	0,5-1,0	1,5-1,8
70-10	Kunifer 30T	66,5	29-31	0,2-0,5	0,2-1,0	max.1,00

Tabelul 6.20. Câteva mărci de sârme folosite la sudarea aliajelor Cu-Al

Sârma	Compoziția chimică [%]						
	Al	Mn	Fe	Ni	Si	Pb	Cu
Alumbronz 1	9	1,5	-	-	-	-	Restul
Alumbronz 2	9	1,5	2,0	2,0	-	-	Restul
Alumbronz 93/7	6-7,5	x	x	x	0,1	0,05	Restul

Tabelul 6.21. Câteva mărci de sârme folosite la sudarea aliajelor de nichel

Sârma	Compoziția chimică [%]									
	Cu	Cr	Fe	Al	Ti	Mn	Si	C	S	Ni
Nichel 61	0,25	-	1,0	1,5	2,0-3,5	1,0	0,75	0,15	0,01	Min.93 62-69 min.67 rest
Monel 60	rest	-	2,5	1,25	1,5-3	1,0	1,5	0,15	0,02	
NC 82	0,20	18-21	0,5	-	-	1,2	0,5	0,26	-	
Inconel92	0,5	14-17	10,0	-	2,5-3,5	2,0-1,75	0,35	0,1	0,01	
NC 90	-	18-21	5,0	0,8-0,2	1,8-3,0	1,0	1,5	0,13	-	

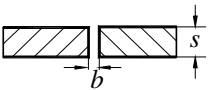
3 - *Controlul inițial al materialelor destinate îmbinării sudate* este necesar la îmbinările sudate de mare importanță, puternic solicitate în timpul funcționării. Se face controlul nedistructiv folosind lichide penetrante, controlul cu ultrasunete, prin emisie acustică sau curenți turbionari, conform standardelor și normelor în vigoare;

4 - *Pregătirea pieselor în vederea sudării*, este o operație foarte importantă, de modul cum se execută depinzând calitatea îmbinării sudate. Aceasta presupune următoarele faze:

- *curățirea suprafețelor*, ce se face funcție de procedeul de obținere a pieselor de sudat și poate fi mecanică (cu perii de sârmă, prin sablare, cu jet de aer sub presiune, prin aşchiere etc.) sau chimică;

- *debitarea la dimensiuni*, ce se face funcție de grosimea tablelor de sudat și de tipul îmbinării. Forma și dimensiunile rosturilor pentru îmbinarea MIG/MAG pentru oțelurile carbon și slab aliate sunt standardizate, o parte din ele fiind prezentate în tabelul 6.22, pentru aluminiu și aliajele sale fiind prezentate în tabelul 6.23, pentru cupru și aliajele sale, în tabelul 6.24, iar pentru titan și aliajele sale, în tabelul 6.25;

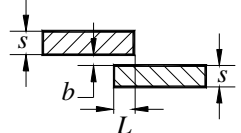
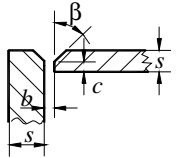
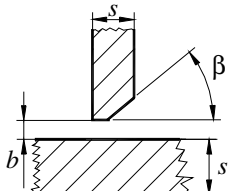
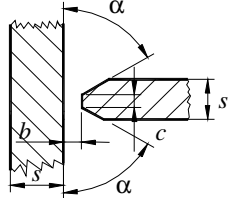
Tabelul 6.22. Principalele tipuri de rosturi folosite la sudarea în mediu de gaz protector a oțelului carbon și slab aliat

Nr.crt.	Forma rostului	Dimensiuni	Denumire
1	2	3	4
1		s=1,0-2,0mm; b=0-1,1mm s=3,0-4,0mm; b=0-1,5mm s=5,0-6,0mm; b=0-2,0mm s=6,0-12,0mm; b=2-3,0mm	Rost cap la cap cu marginile neteșite (neprelucrate)

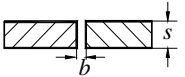
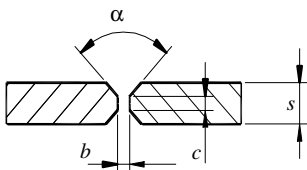
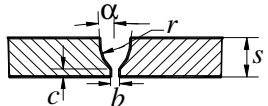
Tabelul 6.22. (continuare)

2		$s=5,0-20,0\text{mm}; b=0-2,0\text{mm}$ $s=10,0-30,0\text{mm}; b=0-1,0\text{mm};$ $a=40-60\text{mm}; c=1,0-3,0\text{mm}$	Rost cap la cap cu teșirea în Y
3		$s=8,0-30,0\text{mm}; \alpha=30-50^\circ;$ $b=1-3,0\text{mm}; c=0-3,0\text{mm}$	Rost cap la cap cu teșirea în Y și susținerea la rădăcină cu plăcuțe de oțel sau cupru
4		$s>30,0\text{mm}; \alpha=30^\circ; \beta=12^\circ$ $b=0-3,0\text{mm}; c=1-3,0\text{mm}$	Rost cap la cap cu teșire în U
5		$s=12,0-40,0\text{mm}; \alpha=40-50^\circ;$ $b=0-3,0\text{mm}; c=0-3,0\text{mm}$	Rost cap la cap cu teșiri în K
6		$s=15,0-40,0\text{mm}; \alpha=30-50^\circ;$ $b=1-3,0\text{mm}; c=4-6,0\text{mm}$	Rost cap la cap cu teșiri în X
7		$s>20,0\text{mm}; \alpha=20-30^\circ;$ $b=0-2,5\text{mm}; c=4-6,0\text{mm}$	Rost cap la cap cu teșire în U
8		$s>20,0\text{mm}; \alpha=20-30^\circ;$ $b=0-2,5\text{mm}; c=4-6,0\text{mm};$ $R=4-5,0\text{mm}$	Rost cap la cap cu teșire în dublu U
9		$s>30,0\text{mm}; \alpha=20^\circ;$ $b=0-3\text{mm}; c=1-2,0\text{mm};$ $R=8-10,0\text{mm}$	Rost cap la cap cu teșiri în K
10		$s=2-10,0\text{mm}; b=0-2\text{mm};$	Rost pentru îmbinări de colț

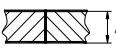
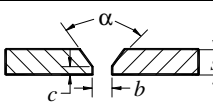
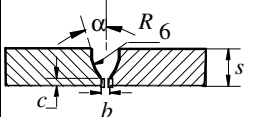
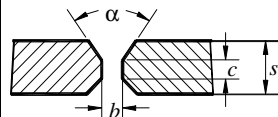
Tabelul 6.22. (continuare)

11		$s > 20,0\text{mm}; b = 0-2,0\text{mm};$ $L = s + 25\text{mm}$ $s = 5-20,0\text{mm}; b = 0-1,5\text{mm};$ $L = s + 25\text{mm}$ $s = 2,0-5,0\text{mm}; b = 0-1,5\text{mm};$ $L = s + 25\text{mm}$	Rost pentru îmbinări prin suprapunere.
12		$s = 12-25,0\text{mm}; \beta = 20-30^\circ;$ $b = 0-2,0\text{mm}; c = 0-3,0\text{mm}$	Rost pentru îmbinări de colț în V
13		$s = 8-25,0\text{mm}; \beta = 45-55^\circ;$ $b = 0-2,0\text{mm}; c = 0-3,0\text{mm}$	Rost pentru îmbinări de colț în 1/2K
14		$s = 12-20,0\text{mm}; b = 0-2,0\text{mm};$ $c = 1-3,0\text{mm}$ $s = 20,0-40,0\text{mm}; b = 0-3,0\text{mm};$ $c = 3-5,0\text{mm}; \beta = 40-50^\circ$	Rost pentru îmbinări de colț în K


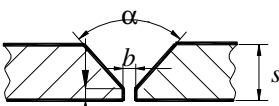
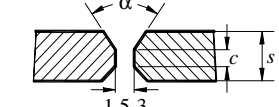
Tabelul 6.23. Principalele tipuri de rosturi folosite la sudarea în mediu de gaz protectoare a aluminiului și aliajelor sale

Nr.crt.	Forma rostului	Dimensiuni	Denumire
1	2	3	4
1		$s = 1-1,5\text{mm}; b = 0,25-1,0\text{mm}$	Îmbinare pentru sudare cap la cap în I
2		$s = 6-12,5\text{mm}; b = 0-2,0\text{mm};$ $\alpha = 60-70^\circ$	Rost cap la cap cu țesire în Y
3		$s > 12\text{mm}; b = 0-2,0\text{mm};$ $\alpha = 60-70^\circ; c = 2-3\text{mm}$	Rost cap la cap cu țesire în U

Tabelul 6.24. Principalele tipuri de rosturi folosite la sudarea în mediu de gaz protector a cuprului și aliajelor sale

Nr.crt.	Forma rostului	Dimensiuni	Denumire
1		$s=1-3,0\text{mm}$ (WIG); $s=1-5,0\text{mm}$ (MIG);	Rost cap la cap fără teșirea marginilor
2		$s=3-13,0\text{mm}$ (WIG); $b=2-3,0\text{mm}$; $\alpha=70-80^\circ$ $s=6-19\text{mm}$ (MIG); $b=2-3,0\text{mm}$; $\alpha=60-70^\circ$	Rost cap la cap cu teșire în V
3		$s=13-19\text{mm}$; (WIG) $s=10-25\text{mm}$ (MIG); $b=0-0,2\text{mm}$; $\alpha=70-80^\circ$	Rost cap la cap cu teșire în Y
4		$s>15\text{mm}$ (WIG); $b=0-0,2\text{mm}$; $\alpha=70-80^\circ$; $c=2,0\text{mm}$ $s>19,0\text{mm}$ (MIG); $b=0-0,2\text{mm}$; $\alpha=60-80^\circ$; $c=2,0\text{mm}$	Rost cap la cap cu teșire în X

Tabelul 6.25. Principalele tipuri de rosturi folosite la sudarea în mediu de gaz protector a titanului și aliajelor sale

Forma rostului imbinării	Dimensiuni	Denumirea
	$s = 0,5 \dots 3,0 \text{ mm}$	Rost cap la cap fără teșirea marginilor
	$s \geq 3 \text{ mm}$; $b = 0,5 \dots 1,0 \text{ mm}$; $c = 0,5 \text{ mm}$; $\alpha = 60^\circ$	Rost cap la cap cu teșire în Y
	$s = 3,0 \dots 10,0 \text{ mm}$; $b = 0 \dots 2,0 \text{ mm}$; $c = 0,5 \dots 2,0 \text{ mm}$; $\alpha = 60^\circ \dots 70^\circ$	Rost cap la cap cu teșiri în X

5 - Protecția rădăcinii cusăturii se face pentru a preveni oxidarea și apariția unor defecte tipice în cusătura sudată. Protecția se poate realiza în două moduri:

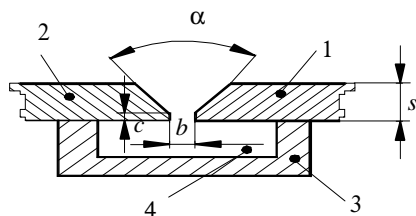


Fig. 6.79. Protecția în grup a rădăcinii
cusăturii:
1, 2 – metalele de bază; 3 – rigla suport de
cupru; 4 – incinta pentru gazul protector.

- folosirea unor rigle suport (fig. 6.79), pentru îmbinări sudate obișnuite;
- sudarea în incinte ermetic umplute cu gaz protector, după ce s-a scos aerul cu ajutorul unor pompe de vid, pentru îmbinări ce reclamă condiții deosebite.

6 - *Alegerea gazului de protecție.* Se utilizează trei tipuri de gaze de protecție: gaze inerte, gaze active și combinații între acestea. Dintre gazele inerte cele mai utilizate sunt:

- *argonul*, gaz mai greu decât aerul (se obține prin distilarea fracționată a aerului lichid) și asigură o ardere stabilă a arcului electric. Nu asigură un transfer corect în arc al picăturilor la sudarea oțelurilor, de aceea se adaugă în anumite proporții O_2 sau CO_2 . Este cel mai eficace gaz la sudarea MIG. Datorită conductibilității termice reduse, partea centrală a coloanei arcului este menținută la o temperatură ridicată, picăturile de metal de adaos rămânând fluide. În curent alternativ are efect favorabil la deblocarea peliculei de oxid de pe suprafața metalului, ușurând totodată reamorsarea la fiecare semiperioadă. Puritatea argonului este de mare importanță, ea condiționând calitatea cusăturilor sudate și se alege în funcție de natura materialului de bază. Sudarea prin procedeul MIG cu arc lung și intensități mari de curent nu este posibilă decât cu folosirea unei atmosfere de argon de min 85%. Aspectul în secțiune al unei cusături realizate în mediu de argon se prezintă în fig. 6.80. a;

- *heliul*, gaz mai ușor decât aerul și se extrage din gazele naturale. Este un bun conducător de căldură și asigură un arc cald. Are un potențial de ionizare mai mare ca argonul și se utilizează în general la sudarea prin procedeul MIG numai în curent continuu indiferent de metalul de bază sudat (aliaje ușoare, cupru etc.). Are o serie de avantaje față de argon (viteze de sudare mai mari, creșterea grosimilor sudabile dintr-o singură trecere, încălzirea locală mai intensă etc.) dar este mult mai scump. Aspectul unei cusături sudate în mediu de heliu se prezintă în fig. 6.80. b;

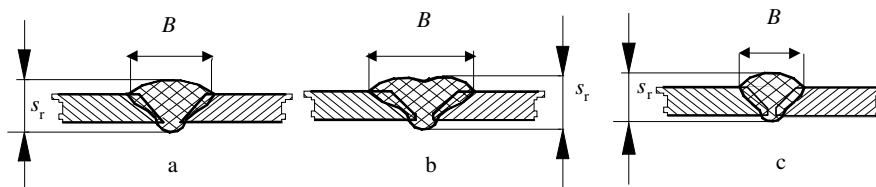


Fig. 6.80. Aspectul unei cusături sudate:

a – în mediu de argon; b – în mediu de heliu; c – în mediu de CO_2 .

- *dioxidul de carbon* se obține din emanații naturale, fermentații alcoolice și din gazele de ardere reziduale. Sunt trei tipuri A, S și T, dar numai tipul S este utilizabil la sudare și trebuie să aibă puritate min 99,5% și un conținut de max. 0,3g apă/ m^3 . Impuritățile care deranjează sunt azotul, umiditatea și oxigenul. Începând de la 4 000K, temperatură atinsă ușor în coloana arcului, CO_2 se disociază aproape complet ($2CO_2 \rightarrow 2CO + O_2$), crescând volumul de gaz protector și transferul de

metal efectuându-se prin picături mari, cu sau fără scurtcircuit. Folosind densități mari de curent se pot obține pătrunderi mari. Aspectul cusăturii sudate obținute în mediu de CO_2 se prezintă în fig. 6.80. c.

7 - *Stabilirea regimului de sudare* se face în funcție de natura și de grosimea materialului de sudat și tipul procedeului de sudare, astfel:

- la sudarea prin procedeul WIG se aleg următorii parametri ai regimului de sudare:

a) *diametrul electrodului de wolfram d_e* se alege în funcție de grosimea tablelor de sudat (tab. 6.26).

Tabelul 6.26. Diametrul electrodului de wolfram la sudarea prin procedeul WIG

Grosimea piesei [mm]	0...2	2...5	5...8	8...12	>12
Diametrul electrodului de wolfram d_e [mm]	2	3	4	4...5	5...6

b) *intensitatea curentului de sudare I_s* se alege în funcție de densitatea de curent admisă de electrozii de wolfram. Electrocul se încarcă la valori de curent suficient de mari pentru a realiza un arc stabil și o concentrație maximă de căldură. La alegerea intensității curentului se ține seama de asemenea de natura materialului de sudat, felul curentului și grosimea pieselor de sudat;

c) *tensiunea arcului U_a* se stabilește cu relația:

$$U_a = 10 + 0,04I_s \text{ [V]} \quad (6.47)$$

Tensiunea arcului crește la creșterea curentului de sudare, dar nu depășește valoarea de 44V.

Tabelul 6.27. Alegerea diametrului diuzei pentru gazul de protecție, a debitului de argon și a diametrului vergelei materialului de adaos

Aliajul (m.b.)	Grosimea δ (mm)	I_s (A)	d_e (mm)	d_d (mm)	d_v (mm)	D_{Ar} (m ³ /h)
Aluminiu DC ⁺ sau AC	1,6	60-90	1,6	6,3	1,6	0,42
	3,2	110-160	2,4	9,5	3,2	0,51
	6,3	200-350	5,0	12,7	4,0	0,71
	12,7	200-450	6,3	20,0	6,3	0,81
Cupru DC [—]	1,6	90-160	1,6	8,0	1,6	0,38
	3,2	120-200	2,4	9,5	2,4	0,42
	6,3	150-375	3,2	12,7	3,2	0,42
	12,7	250-600	5,0	20,0	6,3	0,51
Magneziu DC [—] sau AC	1,6	35-60	1,6	6,3	2,4	0,42
	3,2	80-110	1,6	9,5	3,2	0,51
	6,3	100-150	2,4	9,5	4,0	0,57
	12,7	200-265	4,0	12,7	5,0	0,71
Oțeluri DC [—]	1,6	80-120	1,6	6,3	1,6	0,34
	3,2	100-200	2,4	9,5	2,4	0,34
	6,3	200-350	3,2	12,7	3,2	0,42
	12,7	300-450	5,0	12,7	6,3	0,42

d) *diametrul duzei pentru gazul de protecție* d_a , *diametrul vergelei de material de adaos* d_v și *debitul de argon* D_{Ar} se aleg în funcție de natura materialului de bază, grosimea pieselor de sudat și intensitatea curentului de sudare (tab. 6.27).

• la sudarea prin procedeul MIG, MAG se determină următorii parametri ai regimului de sudare:

a) *modul de transfer al metalului topit*, ce se face în funcție de natura materialului de sudat, grosimea pieselor de sudat și aspectul cusăturii sudate;

b) *diametrul sârmei-electrod* d_e , ce se alege în funcție de grosimea pieselor de sudat, calitatea cusăturii sudate și productivitate;

c) *intensitatea curentului de sudare* I_s , ce se alege în funcție de diametrul sârmei-electrod și de modul de transfer al metalului topit, folosind relațiile:

$$I_s = 125,5 \cdot d_e - 32,25 \quad [\text{A}] \quad (6.48)$$

în cazul transferului arc-scurt, și

$$I_s = -67 \cdot d_e^2 + 370d_e - 78 \quad [\text{A}] \quad (6.49)$$

în cazul transferului fin.

d) *tensiunea arcului* U_a , ce se calculează folosind relațiile:

$$U_a = 14 + 0,05 \cdot I_s \quad [\text{V}] \quad (6.50)$$

pentru valori ale curentului sub 500A, și

$$U_a = 13,34 + 0,0505 \cdot I_s \quad [\text{V}] \quad (6.51)$$

pentru curenți de 500...950A.

e) *debitul de gaz protector* D_g , ce se determină ținându-se cont că pe măsura creșterii debitului de gaz coeficienții de topire și de depunere cresc. Peste valori mai mari de 2 000l/h scăderea este insensibilă, iar la debite prea mari apar porii datorită protecției insuficiente. În practică debitele variază în gama de valori 900...1 500l/h;

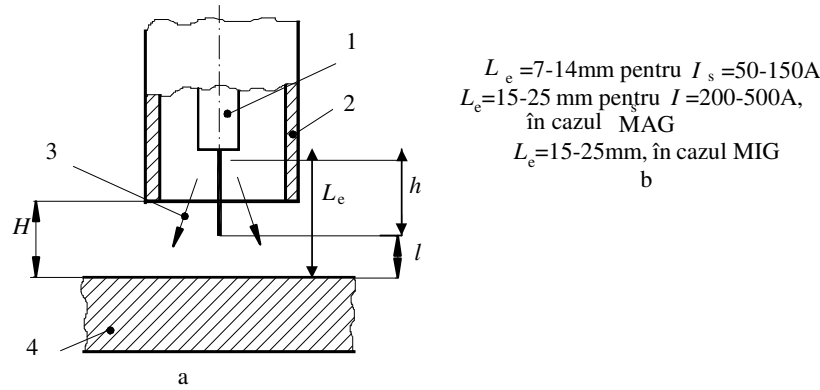
f) *lungimea liberă a sârmei-electrod* L_e (fig.6.81),ce se calculează cu relația:

$$L_e = l + h \quad [\text{mm}] \quad (6.52)$$

și se recomandă valorile din figura 6.8. b.

- *viteza de avans a sârmei-elctrod* v_a , ce se alege în funcție de diametrul sârmei-electrod d_e , intensitatea curentului de sudare I_s și de modul de transfer a metalului de adaos topit (fig. 6.82);

- *viteza de sudare* v_s , ce se calculează luând în considerare modul de transfer al metalului lichid, diametrul electrodului d_e și natura materialului de bază. Se folosesc relațiile:

Fig. 6.81. Lungimea liberă a sârmei electrod L_e :

a – schema de principiu: 1 – tub de ghidare a sârmei electrod; 2 – ajutaj pentru protecție; 3 – gaz pentru protecție; 4 – metalul de bază; b – valori recomandate.

$$\rho(kv_s) = 1003,2005 - 241,1348/d_e + 1059,3455/d_e^2 \quad (6.53)$$

în cazul modului de transfer cu arc-scurt, pentru orice metal sau aliaj metalic cu excepția oțelurilor, și

$$kv_s = 127,8 - 31,7/d_e + 135/d_e^2 \quad (6.54)$$

pentru oțeluri;

$$\rho(kv_s) = 289,923d_e^2 - 315,7196d_e + 9243,226 - \frac{2890,8702}{d_e} + \frac{1283,481}{d_e^2} \quad (6.55)$$

în cazul modului de transfer fin, pentru orice metal sau aliaj metalic cu excepția oțelurilor, și

$$kv_s = 37d_e^2 - 402d_e + 1177,5 - 368/d_e + 163,5/d_e^2 \quad (6.56)$$

pentru oțeluri.

În relațiile (6.53) – (6.56) pentru oțeluri dacă se înlocuiește d_e , în mm, și densitatea materialului de bază ρ , în kg/dm^3 , se obține pentru viteza de sudare, produsul kv_s în cm/min .

i) *distanța dintre duza de gaz și metalul de sudat*, ce se alege astfel încât să se asigure o bună protecție a metalului de bază și totodată să nu se astupe duza datorită stropilor de metal topit (fig 6.83);

j) *polaritatea*, ce se alege în funcție de natura curentului, modul de transfer a metalului topit și de natura materialului de bază. Sudarea în curent alternativ nu se aplică, arcul având o stabilitate nesatisfăcătoare. La sudarea cu polaritate directă coeficientul de depunere este mai ridicat decât la polaritatea inversă. La polaritatea

inversă metalul topit trece prin arc sub formă de picături fine, arcul este stabil și împrăștiările cu stropi sunt maxime;

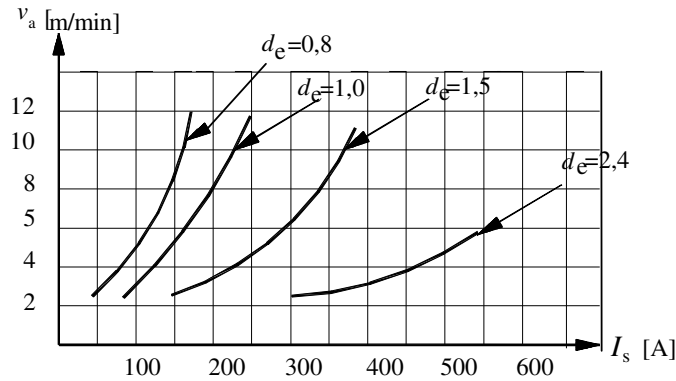


Fig. 6.82. Alegerea vitezei de avans a sârmei-electrod v_a în funcție de intensitatea de sudare I_s și diametrul sârmei-electrod d_e .

k) *energia liniară* E_b , ce se alege având în vedere obținerea unui cordon cu geometrie stabilită, folosind relația:

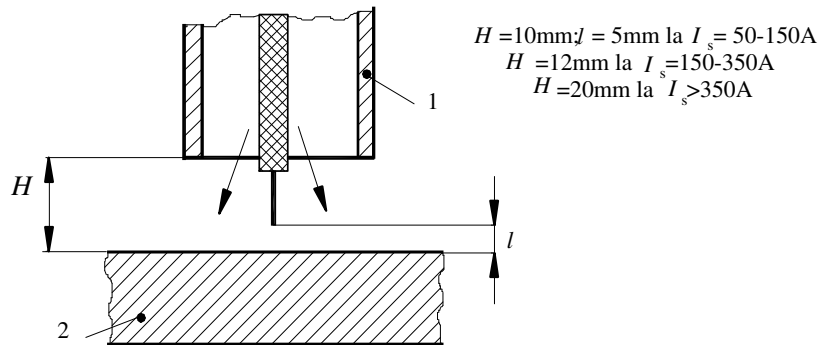


Fig. 6.83. Stabilirea distanței H între duza de gaz și metalul de sudat:
1 – duza de gaz; 2 – metalul de sudat

$$E_l = \frac{U_a \cdot I_s}{v} \cdot \eta_a \quad [\text{J/m}] \quad (6.57)$$

în care η_a este randamentul arcului electric ($\eta_a = 0,8$);

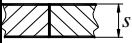

l) *determinarea ratei depunerii* A_D ce se calculează în funcție de intensitatea curentului de sudare folosind relația:

$$A_D = 0,3 \cdot 10^{-4} \cdot I_s^2 + 0,1 \cdot 10^{-2} \cdot I_s + 0,5 \quad [\text{kg/h}] \quad (6.58)$$

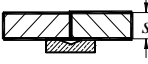

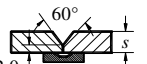
dacă $100A < I_s < 600A$.

Câteva regimuri de sudare recomandate la sudarea MIG și MAG a materialelor cele mai des întrebuințate se prezintă în tabelele 6.28... 6.35.

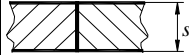
Tabelul 6.28. Parametrii regimului la sudarea oțelurilor carbon slab aliate

Parametrii regimului de sudare	Oțeluri carbon și slab aliate	Tipul de rost							
									
s [mm]		3,2	5	6	8	12	20		
n_t [nr.de treceri]	sudarea spray-arc	1	2	1	2	1	2	1	2
d_e [mm]	Ar+5%CO ₂	1,6	1,6	2,4	2,4	2,4	2,4	2,4	2,4
I_s [cc ⁺] [A]	$D_G=20...25$ [l/min]	280	375	375	430	400	420	400	460
U_a [U]		24	26	27	27	28	28	28	30
V_s [cm/min]		50	60	60	60	50	50	35	35
V_e [cm/min]		420	660	210	244	220	234	220	254

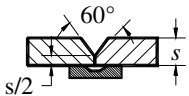
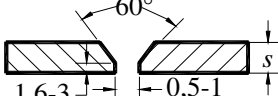
Tabelul 6.29. Parametrii regimului la sudarea oțelurilor inoxidabile

Parametrii regimului de sudare	Oțeluri carbon și slab aliate	Tipul de rost			
					
s [mm]		3,2	6	10	72
n_t [nr.de treceri]	sudare spray-arc	1	2	2	3
d_e [mm]	Ar+2%O ₂	1,6	1,6	1,6	2,4
I_s [A]	$D_G=18$ [l/min]	220	275	300	325
U_a [U]		25	27	28	30
V_s [cm/min]		48-53	48-53	38-43	18-43
V_e [cm/min]		355	444	508	572

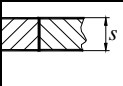
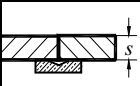
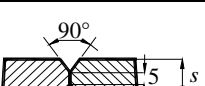
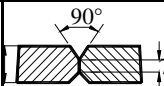
Tabelul 6.30. Parametrii regimului la sudarea aluminiului și aliajelor sale

s [mm]			3,2	5	6	10
Parametrii regimului de sudare	n_t		1	1	1	1
	d_e [mm]	Aluminiu și aliajele sale	1,2	1,2 - 1,6	1,6	1,6
	I_s [cc ⁺] [A]		90-120	120-150	180-250	220-260
	U_a [V]		19-21	22-24	27-30	28-30
	V_s [cm/min]		81	68	56	45
	D_{Ar} [l/min]		15-20	15-20	15-20	20-30

Tabelul 6.31. Parametrii regimului la sudarea aluminiului și aliajelor sale

Aluminium și aliajele sale								
s [mm]		12	16	20	12	20	25	12
Parametrii regimului de sudare	n_t	1	1	1	4	5	7	1
	d_e [mm]	1,6	1,6	1,6	1,6	2,4	2,4	1,6
	I_s [cc ⁺], [A]	240-280	260-320	300-400	200-230	260-300	260-300	220-250
	U_a [V]	28-30	29-31	33-37	27-29	27-29	27-29	28-30
	v_s [cm/min]	40	30	30	45	35	30	45
	D_{Ar} [l/min]	20-30	30-40	30-40	20-30	20-30	20-30	20-30

Tabelul 6.32. Parametrii regimului la sudarea cuprului și aliajelor sale

Cupru și aliajele sale		Tipul de rost			
(M.I.G.)					
s [mm]		3,2	6	10	12
Parametrii regimului de sudare	n_t	1	1;2	1;2	1;2
	d_e [mm]	1,6	2,4	2,4	2,4
	I_s [cc ⁺], [A]	310	450; 500	500; 550	540; 600
	U_a [V]	27	26	27	27
	V_s [cm/min]	76	50	35	28
	V_e [cm/min]	508	343; 380	380; 432	420; 457

Tabelul 6.33. Parametrii regimului la sudarea cuprului și aliajelor sale

Materialul și metoda de sudare	Grosimea s [mm]	d_e [mm]	D_{Ar} [l/min]	I_s [A]	n_t	V_s [m/min]	Temperatura de preîncălzire [°C]
Cupru dezoxidat (M.I.G. semiautomat)	3	1,6	14	270-350	1-2	-	-
	6	2,4	19	380-420	2	-	300
	10	2,4	21	430-480	2	-	500
Cupru dezoxidat (M.I.G. automat)	3	1,6	19	330-380	1	0,75	-
	6	2,4	19	440-500	2	0,50	300
	10	2,4	19	500	2	0,38	400
Bronz cu siliciu (M.I.G. automat)	3	2,4	17	170-200	1	0,75	-
	6	2,4	19	340	2	0,75-1,0	-
Bronz cu aluminiu (M.I.G. semiautomat)	5	1,6	19	180	2	-	-
Bronz cu aluminiu (M.I.G. automat)	3	1,6	19	250	1	0,6	-
	6	1,6-2,4	24	340	2	0,6	-
	10	2,4	24	400	2	0,6	-

Tabelul 6.34. Parametrii regimului la sudarea nichelului și aliajelor sale

Sârma tip	U_0 [V]	U_a [V]	I_s [A]	f_{sc} [s ⁻¹]	v_a [m/min]
Nichel 61	22-23	20	140	60	8,13
	23-24	21	190	140	10,40
Monel 60	22-23	20	170	150	12
N C 82	23-24	22,5	180	30	13,10
	23-24	22	110	15	0,30

Tabelul 6.35. Parametrii regimului la sudarea MIG a titanului și aliajelor sale

Grosimea tablei s [mm]	Mod de prelucrare a rostului	I_s [A]	U_a [V]	d_e [mm]	v_s [m/h]	Debit de gaz [l / min]	
						La arzător	Suplimentar
3	V; $\alpha = 60^\circ$	200-220	20-25	1,5	22	35-40	35-40
6	V; $\alpha = 60^\circ$	300-330	22-27	2	20	35-40	35-40
16	X; $\alpha = 90^\circ$	400-420	25-30	1,6	25	40-45	40-45

8 - Alegerea utilajului pentru sudarea în mediu de gaze protectoare se face luând în considerare: natura materialelor de sudat, tipul îmbinării, productivitatea, calitatea cordonului de sudură și importanța sudurii în exploatare, natura gazului protector și tipul procedului de sudare (WIG, TIG, MIG, MAG);

9 - Execuția propriu-zisă a cusăturii sudate se face după ce piesele au fost poziționate și fixate corespunzător rostului îmbinării. Se ține cont apoi de particularitățile fiecărui procedeu de sudare, particularități legate de tipul instalației folosite, tipul îmbinării sudate și poziția cusăturii sudate.

La procedeul de sudare WIG amorsarea arcului se face pentru o poziție perpendiculară a pistolului în raport cu piesa de sudat. Se efectuează apoi mișcări circulare pe loc, până se formează baia de sudură, urmate de înclinarea pistolului la $80^\circ \dots 90^\circ$.

Materialul de adaos se introduce intermitent în arc sub un unghi de $15 \dots 25^\circ$ (fig.6.84. a). Pentru a realiza o bună depunere, sârma de sudare poate executa ușoare mișcări în arc de cerc, în raport cu formarea picăturilor.

La procedeele MIG și MAG, în general, pistolul de sudare este condus manual în lungul îmbinării. Pistolul se va înclina cu $75^\circ \dots 80^\circ$ față de piesa de sudat (fig.6.84. b) și se vor respecta distanțele recomandate între duză și piesă. Deplasarea pistolului se poate face în direcția de sudare (pătrundere mai bună, cordon de sudură îngust și înalt) sau în sens invers acesteia (pătrundere mică, cusătură de lățime mare). Mișcările electrodului sunt în raport cu poziția stratului de sudură în cusătura sudată (fig.6.85). La realizarea cusăturii sudate orizontale stratul de rădăcină se execută prin mișcări ale pistolului ca în fig. 6.85. a, stratul următor cu mișcări ca în figura 6.85. b, iar stratul de acoperire cu mișcări ca în fig. 6.85. c.

Pentru cusăturile verticale sudarea se face numai ascendent (fig. 6.84. d), rădăcina nu are supraînălțare și se execută ușoare oscilații. Sudarea îmbinărilor orizontale în plan vertical (în cornișă) se face sub formă de straturi care apar ca șiruri paralele (fig 6.85. e). La sudurile de colț primul strat se depune imprimând capului de sudare mișcări în formă de buclă (fig.6.85. f), iar următoarele mișcări fiind în zig-zag.

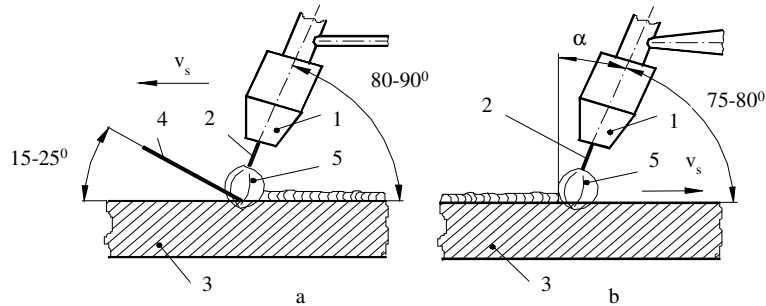


Fig. 6.84. Poziția capului de sudare:
a – la procedeul WIG, TIG; b - la procedeul MIG, MAG; 1 - capul de sudare; 2 – electrodul nefuzibil (a), sau fuzibil (b); 3 – metalul de bază; 4 – materialul de adaos; 5 – arc electric.

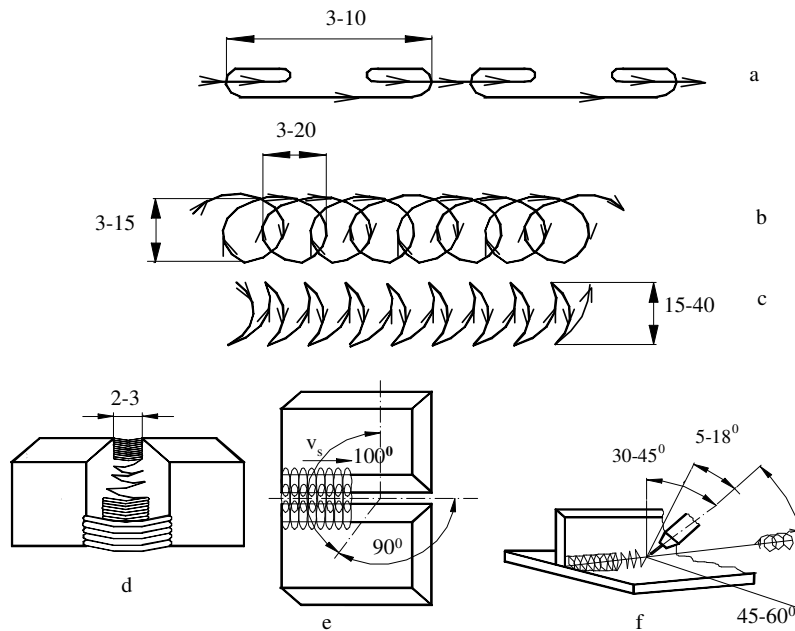


Fig. 6.85. Tehnica de lucru la realizarea cusăturilor:
a, b, c – orizontale; d – verticale; e – orizontale în plan vertical; f – de colț.

11 - *Controlul cusăturilor sudate* are drept scop punerea în evidență a eventualelor defecte care au apărut în procesul de sudare sau după procesul de sudare, datorate naturii materialelor de îmbinat, nerespectrii tehnologiei de execuție sau unor cauze accidentale. Principalele defecte ce pot apărea sunt: crăpăturile; fisurile longitudinale, radiale, în crater; porii; suflurile; lipsa de pătrundere; lipsa de topire la rădăcină; formarea unor compuși cu fragilitate ridicată sau rezistență mică la coroziune; defectele de formă; creștăturile; tensiunile interne și altele. Punerea în evidență a acestor defecte se poate face prin metodele de control nedistructiv ca: optico-vizuale; cu radiații penetrante; cu lichide penetrante; cu ultrasunete; cu pulberi magnetice; cu curenți turbionari; prin emisie acustică; prin termografier etc.

12 - *Stabilirea tratamentelor termice* urmărește obținerea de structuri corespunzătoare unor anumite asociații de proprietăți cerute în exploatare pentru îmbinarea sudată, precum și reducerea tensiunilor remanente. În funcție de scopul urmărit se pot aplica următoarele categorii de tratamente termice: recoaceri; reveniri; normalizări; îmbunătățiri; căliri și altele.

6.7.7. Sudarea electrică prin topire sub baie de zgură

6.7.7.1. Schema de principiu

La acest procedeu, căldura necesară topirii se obține prin rezistența, la trecerea curentului electric, a băii de zgură topită care acoperă baia de sudură formată din materialul de adaos topit și o parte din marginile topite ale materialului de bază. Căldura degajată Q , prin trecerea curentului electric de intensitate I_s , prin zgura topită de rezistență R_z , se calculează cu relația:

$$Q = 0,24 \cdot R_z \cdot I_s^2 \cdot t \quad [\text{J}] \quad (6.59)$$

în care t este timpul de trecere a curentului electric, în secunde.

În prima fază a procesului se dezvoltă un arc electric (fig.6.86) între sârma electrod 1 și plăcuța de susținere 5. Sârma se desfășoară de pe colacul 2, fiind antrenată de sistemul de role 3 și ghidată de teaca de ghidare 4, până la plăcuța de susținere 5. Sârma și materialul de sudat sunt legate în secundarul transformatorului 15. Plăcuța este sudată în prealabil de materialele de bază 6 și 7 ce urmează a fi îmbinate, și împreună cu patinele de răcire formează un jgheab 16. Arcul electric arde sub stratul de flux 8, existent în rostul îmbinării, până topește o cantitate suficientă de flux ce va forma baia de zgură fluidă 9. Baia de zgură îneacă arcul electric și acesta se stinge, dar curentul electric trece în continuare prin baia de zgură topită și baia de metal. Datorită efectului Joule-Lentz la trecerea curentului prin baia de zgură se dezvoltă o cantitate de căldură dată de relația (6.59), care topește sârma electrod și marginile materialului de bază formând baia de sudură 10. Pentru formarea cusăturii sudate, baia de zgură și baia de sudură sunt

susținute lateral de două patine glisante de cupru 11 și 12, răcite cu apă 13, care se deplasează pe verticală cu viteza de sudare v_s . Patinele de cupru sprijină baia de sudură, baia de zgură topită și fluxul și ajută la formarea cusăturii sudate 14. Periodic se completează cantitatea de flux. Numărul sârmelor electrod este variabil în funcție de grosimea pieselor de sudat, uneori putând executa și o mișcare de pendulare. În locul sârmelor electrozilor se pot folosi și electrozi lamelari.

Procesul de sudare se desfășoară pe verticală putându-se realiza îmbinări cap la cap pe componente plane sau inelare, cu grosimi de 30...1 500 mm.

Procedeul are următoarele avantaje:

- se utilizează pentru sudarea unor piese de grosimi mari și foarte mari (caje de laminor, batiuri de mașini - unelte, prăjini de foraj, virole, recipiente etc.);
- are o productivitate foarte mare (se pot depune până la 300 kg metal/oră, față de 2 kg la sudarea manuală);
- lipsa necesității pregătirii îngrijite a marginilor pieselor de îmbinat;
- obținerea unor structuri de normalizare, cu proprietăți mecanice foarte bune, datorită masei relativ mari de metal topit și răcirii dirijate, mult mai bună în comparație cu celelalte procedee de sudare.

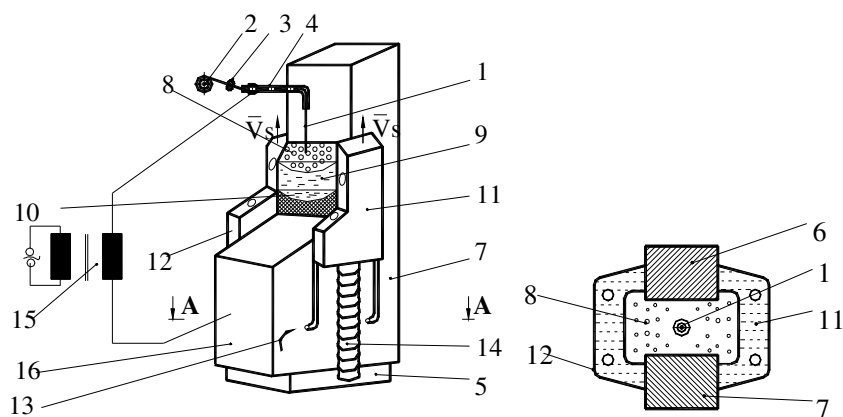


Fig. 6.86. Schema de principiu la sudarea electrică sub baie de zgură:

- 1 – sârma-electrod; 2 – colacul de sârmă; 3 – rolele de antrenare; 4 – teaca de ghidare; 5 – placa de susținere; 6, 7 – metalele de bază; 8 – fluxul; 9 – baia de zgură; 10 – baia de metal topit; 11, 12 – patinele de răcire; 13 – apa de răcire; 14 – cusătura sudată; 15 – sursa de curent folosită la sudare; 16 – jgheabul de susținere.

6.7.7.2. Particularități ale sudării prin topire sub baie de zgură

Spre deosebire de celelalte procedee de sudare electrică prin topire, acest procedeu prezintă o serie de particularități legate de:

1 - *Fluxul folosit*, care influențează direct calitatea îmbinării sudate. El trebuie să asigure:

- o reglare rapidă și ușoară a procesului de sudare și menținerea stabilă a acestuia la variațiile largi ale parametrilor electrici;
- o rezistență electrică suficientă pentru dezvoltarea căldurii necesare;
- prin topire să rezulte o zgură de vâscozitate limitată, care să permită formarea corectă a cusăturii sudate și desfășurarea normală a procesului.

În general se folosesc fluxuri ordinare ca la sudarea sub flux sau fluxuri speciale.

2 - *Sârma electrod*, care trebuie să aibă un conținut de carbon mai redus pentru a evita apariția fisurilor. Pentru a îmbunătăți proprietățile mecanice ale îmbinării sudate se folosesc sârme cu un conținut mai ridicat de siliciu și mangan. Alegerea sârmelor electrod trebuie făcută în raport cu particularitățile metalurgice ale procesului, compoziția chimică a metalului de bază și tipul de flux folosit.

3 - *Parametrii regimului de sudare*, care trebuie aleși în concordanță cu grosimea pieselor de sudat, natura materialelor de bază și de adaos, natura fluxului folosit, structura ce trebuie realizată, tipul cusăturii și productivitatea procesului. Principalii parametri sunt:

- *diametrul sârmei electrod d_e* , ce se alege în funcție de grosimea pieselor de sudat. Uzual se folosesc sârme în diametru de 3,25mm, dar poate fi și gama 2,5...5,0 mm;

- *numărul sârmelor electrod n* , ce crește odată cu grosimea pieselor de sudat și dimensiunile rostului îmbinării. Se pot folosi două sârme electrod, pentru grosimi de 50...500 mm; trei sârme electrod, pentru grosimi de 500...800 mm și 4...12 sârme electrod, pentru grosimi de 800...1 500 mm;

- *intensitatea curentului de sudare pe un electrod I_{se}* , ce conduce direct la dezvoltarea căldurii necesare topirii fluxului și a materialelor de bază și de adaos. Se alege ținând cont de natura materialelor de bază de sudat și a fluxului și se corelează cu viteza de avans a sârmei electrod;

- *tensiunea de sudare U_a* , ce influențează direct stabilitatea procesului. Dacă tensiunea aleasă este prea mică, poate conduce la scurtcircuitarea sursei de sudare, iar dacă este prea mare, apare un arc electric între sârma electrod și baia de zgură perturbând stabilitatea procesului. Valorile optime ale tensiunii sunt între 40 și 50 V;

- *distanța d , între electrozi*, ce se calculează în funcție de grosimea s , a pieselor de sudat, distanța d_m între electrozii marginali patinele de răcire și mărimea razei de pendulare d_p , folosind relația:

$$d = \frac{1}{h}(s + d_p - 2d_m) \quad ; \quad (6.60)$$

- *viteza de avans a sârmei electrod v_a* , ce se corelează cu diametrul electrozilor și puterea sursei de sudare, valorile optime determinate experimental fiind de 1,5...8,0 m/min;

- *forma și deschiderea b , a rostului*, care variază în funcție de natura materialelor de sudat și tipul îmbinării. Indiferent de grosimea pieselor de sudat, rostul este în "I" cu o deschidere $b = 25...35\text{mm}$. Rosturile cu deschidere mai mică sunt mai economice, dar apar dificultăți legate de dispunerea capetelor de lucru. Fețele rostului fiind plane, prelucrarea se face prin debitare cu flacără oxigaz și se curăță de oxizi pe o lățime de 150 mm de o parte și de alta a rostului;

- *lungimea liberă a sârmei electrod L_e* (de la bușca de contact la baia de zgură) se ia în mod uzual de 60...80 mm, iar în condiții speciale poate ajunge până la 200 mm. Dacă lungimea liberă a sârmei este prea mare, ea se supraîncălzește și se poate topi chiar înainte de contactul cu zgura, iar dacă este prea mică, va conduce la supraîncălzirea bușcii de contact.

- *viteza de sudare v_s* este dată de viteza de deplasare a băii de metal topit (viteza de formare a cusăturii sudate) și se calculează cu relația:

$$v_s = v_a \cdot \frac{\pi \cdot d_e^2}{4} \cdot \frac{n}{s \cdot b} \quad [\text{m/h}] , \quad (6.61)$$

în care: v_a este viteza de avans a sârmei electrod; n - numărul de sârme electrozi care lucrează simultan; d_e - diametrul sârmei electrod; s - grosimea pieselor ce se sudează; b - deschiderea rostului;

- *adâncimea băii de zgură h* este grosimea stratului de zgură provenit din topirea fluxului. Adâncimea mică a băii de zgură conduce la instabilitatea procesului provocând scurtcircuit. Valorile optime ale adâncimii băii de zgură sunt cuprinse între 30...70 mm;

- *caracterul curentului*, ce depinde de sursa de curent folosită. Deoarece procesul de lucru exclude arcul electric, se folosesc surse de curent alternativ cu tensiunea de mers în gol mai redusă.

4 - *Tehnica execuției cusăturii sudate* trebuie să asigure o uniformitate a cusăturii sudate pe toată lungimea sa, o începere și o terminare a cusăturii sudate în așa fel încât să se evite apariția defectelor de tipul incluziunilor de zgură, nepătrunderilor, fisurilor și craterelor. Tehnica de lucru presupune realizarea următoarelor faze:

- centrarea corectă a capului de sudare în raport cu rostul;
- așezarea patinelor de cupru și verificarea modului de deplasare;
- centrarea sârmei electrod în raport cu fețele rostului;
- așezarea corectă a pieselor de susținere pentru începerea cusăturii și a plăcilor de capăt pentru terminarea cusăturii;
- realizarea corectă a mișcărilor de pendulare;
- conectarea curentului de sudare și a avansului sârmei electrod;
- începerea cusăturii pe placa de susținere;
- realizarea cusăturii propriu-zise;
- închiderea cordonului de sudură pe placa de capăt;
- deconectarea curentului de sudare și a avansului sârmei electrod.

Ciclul termic care determină structura și proprietățile zonei influențate termic este caracterizat prin viteze de încălzire și răcire relativ mici și menținere îndelungată la temperatură ridicată. În aceste condiții se poate constata o structură Widmanstatten, care reduce valorile rezilienței de 2...3 ori față de metalul de bază. Pentru a înlătura această structură se folosesc tratamentele termice sau vibrațiile ultrasonice, pentru a obține o structură fină cu proprietăți deosebite.

Un procedeu conex procedurii de sudare în baie de zgură este *rafinarea în baie de zgură*, ce constă în obținerea de oțeluri cu grad ridicat de puritate.

6.7.8. Sudarea cu plasmă

6.7.8.1. Generalități. Scheme de principiu

Temperatura arcului electric deschis, acoperit sau protejat, ajunge la 6 000 ... 8 000°C și densități de energie de până la 10^7 W/cm², suficientă pentru topirea oricărui corp solid. Plasma este un gaz puternic disociat și ionizat, compus dintr-un amestec de electroni, ioni pozitivi și atomi conținând 10^9 particule electrizate într-un cm³. Pentru a obține plasma se folosesc arzătoare numite *plasmatroane* sau *generatoare de plasmă*, care asigură comprimarea radială și lungirea axială a arcului electric. După modul de amorsare a arcului electric se disting două variante:

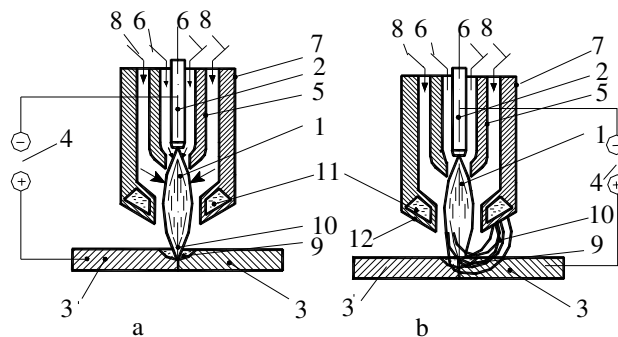


Fig. 6.87. Schema de principiu a sudării cu plasmă:

a – cu jet de plasmă; b – cu arc de plasmă; 1 – arc electric; 2 – electrod de wolfram; 3; 3' – metale de bază; 4 – sursa de curent; 5; 7 – ajutoare; 6; 8 – gaze plasmagene; 9 – baia de sudură; 10 – arcul de plasmă și respectiv jetul de plasmă; 11 – sistem de răcire; 12 – duză specială.

- *generatoare cu arc de plasmă* (fig. 6.87. a) la care arcul electric 1 se formează între un electrod de wolfram 2 și piesa de sudat 3, conectate la o sursă de curent continuu cu polaritate directă. Prin ajutorul 5 se introduce gazul plasmagen 6, iar prin ajutorul 7 se introduce gazul plasmagen 8, care realizează o constrângere axială și respectiv radială a arcului electric, rezultând *arcul de plasmă* 10 (generatoare cu arc transferat sau cu arc direct). Arcul de plasmă dezvoltă

temperaturi mari (peste 15 000 K), cantități mari de căldură, viteze mari de expulzare a gazelor, condiții suficiente pentru a topi o parte din materialele de bază 3 și 3', formând baia de sudură 9. Ajutajul este în permanență răcit folosind sistemul de răcire 11.

- *generatoare cu jet de plasmă* (fig. 6.87. b) la care arcul electric 1 se formează și arde între electrodul de wolfram 2 și ajutajul special 12, conectate la o sursă de curent continuu, cu polaritate directă, independent de piesele de sudat. Introducerea gazelor plasmagene 6 și 8 prin ajutajele 5 și 7 conduce la realizarea *jetului de plasmă* 10. În acest caz generatorul este cu arc netransferat sau cu *arc indirect*. Duza este în permanență răcită folosind sistemul de răcire 11.

Plasma prezintă următoarele proprietăți specifice:

- este bună conducătoare de electricitate, conductibilitatea ei fiind apropiată de cea a metalelor;
- se supune acțiunii câmpurilor electrice și magnetice;
- având un grad înalt de disociere și ionizare, dezvoltă temperaturi foarte mari;
- jetul de plasmă este puternic strangulat mecanic și electromagnetic datorită introducerii gazelor plasmagene.

Gazele plasmagene utilizate influențează atât generatorul de plasmă, cât și procesul de sudare. Favorabile pentru protecția generatorului cât și a băii de sudură sunt gazele inerte, argonul și heliul. Ele sunt gaze monoatomice cu tensiune de ionizare ridicată (Ar–15,8V; He–24,6V).

La aceste gaze, în jurul arcului sau jetului de plasmă, datorită temperaturii ridicate are loc ionizarea gazului după reacția:



În vecinătatea băii de sudură, datorită temperaturii mai scăzute are loc deionizarea gazului după reacția:



cu cedarea căldurii Q , absorbită la ionizare.

Deci, la gazele inerte, monoatomice, transferul de căldură are loc numai în baza reacției de *ionizare – deionizare*.

Gazele biatomice, azotul și hidrogenul, au tensiuni de ionizare foarte mici, deci, vor transfera o cantitate de căldură mai mică în baza reacției de ionizare – deionizare. Aceste gaze sunt mai ieftine, dar nu asigură o protecție completă.

6.7.8.2. Particularități ale sudării cu plasmă

Pentru sudarea materialelor se utilizează jetul de plasmă și cusătura se obține prin topirea unui material de adaos sau fără material de adaos. Experimental s-a constatat că mărirea debitului de gaz plasmagen peste o anumită limită conduce

la îndepărtarea băii de metal topit, fenomen caracteristic tăierii cu plasmă. Scăderea debitului de gaz conduce la apariția unui arc electric secundar, concomitent cu deplasarea petei catodice și o uzură intensă atât a electrodului, cât și a ajutorului.

Echipamentele pentru sudarea cu plasmă au în alcătuirea lor următoarele componente:

- generatorul de plasmă (partea cea mai importantă a instalației);
- sursa de curent;
- instalația de comandă și răcire;
- căruciorul sau dispozitivul de transport, pentru sudarea automată.

Tehnologia de sudare cu plasmă a metalelor și aliajelor este asemănătoare cu cea de la procedeul WIG, cu avantajele create de o viteză de sudare mai mare, grosimi mai mari ale pieselor sudate și o pregătire a marginilor pieselor mult mai puțin pretențioasă.

De asemenea, tehnica execuției unui cordon de sudură se aseamănă cu cea de la procedeul WIG, stabilindu-se următorii parametri ai regimului de sudare:

- *intensitatea curentului electric al plamei I_p* , ce se alege ținând cont de construcția și puterea generatorului, secțiunea cusăturii sudate, grosimea pieselor de sudat și natura materialului de sudat;
- *tensiunea jetului de plasmă U_a* , ce depinde de natura gazelor plasmagene, fiind mai mare la gazele biatomice, și crește proporțional cu tensiunea de ionizare a gazului și debitul de gaze plasmagene;
- *gazul sau amestecul de gaze plasmagene*, ce se alege ținând cont de influența lui atât asupra generatorului, cât și asupra băii de sudat. De obicei, se folosesc la sudare gaze monoatomice (Ar, He) sau amestec de gaze monoatomice cu biatomice;
- *debitul de gaz sau de gaze D* , ce se alege în funcție de natura materialului de sudat, tipul plasmatronului și grosimea pieselor de sudat;
- *viteza de sudare v_s* , ce se calculează pe baza bilanțului energetic al procesului de sudare folosind o relație de forma:

$$v_s = \frac{U_a \cdot I_p}{b \cdot s \cdot c \cdot \gamma \cdot v_t} \cdot \eta, \quad (6.64)$$

în care b este lățimea cusăturii; s - grosimea materialului de bază; c - căldura specifică; γ - masa specifică; v_t - viteza de topire a materialului de bază; η - randamentul jetului de plasmă.

- *poziționarea generatorului față de materialul de sudat*, ce se face în funcție de tipul îmbinării, tipul plasmatronului și poziția îmbinării sudate.

Se pot suda cu plasmă toate materialele sudabile în medii de gaze protectoare cu electrod nefuzibil (WIG) și grosimi mai mari, însă într-un timp de execuție mai scurt și cu pretenții mai mici legate de pregătirea marginilor pieselor de sudat.

Pentru sudarea piselor de grosimi foarte mici se utilizează plasmă obținută în domeniul curenților foarte mici ($I_p = 0,2 \dots 10,0 \text{ A}$), numită *microplasmă*. Arcul este constrâns, în acest caz, să treacă prin duze cu diametrul foarte mic ($\varnothing < 0,8 \text{ mm}$), folosindu-se ca gaz plasmagen, argonul sau heliul. Arcul de microplasmă are sensibilitate redusă la variațiile spațiului dintre duza și piesă. Se aplică la sudarea oțelurilor inoxidabile, nichelului, titanului și a aliajelor acestora cu grosimi de $0,01 \dots 0,2 \text{ mm}$.

6.8. SUDAREA PRIN TOPIRE CU ENERGIE CHIMICĂ

Procedeele de sudare prin topire cu energie chimică au la bază procese chimice în urma cărora se dezvoltă cantități mari de căldură în volume mici. Dintre aceste procedee o foarte largă răspândire o au: *sudarea cu flacără de gaze* și *sudarea cu termit*.

6.8.1 Sudarea cu flacără de gaze

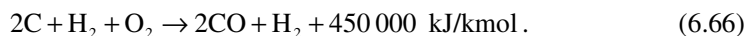
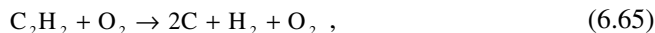
Sudarea cu flacără de gaze este un procedeu de sudare care utilizează energia termo-chimică a unei flăcări oxigaz pentru încălzirea locală, până la topire, a marginilor pieselor de îmbinat și a materialului de adaos și umplerea rostului îmbinării cu materialul de adaos care se aliază cu materialul de bază.

6.8.1.1. Flacăra de sudare oxiacetilenică

Se formează prin aprinderea și arderea unui amestec gazos, format dintr-un gaz combustibil și oxigenul, la ieșirea dintr-un arzător. Se pot folosi ca gaze combustibile: acetilena, hidrogenul, gazele naturale, gazele petroliere lichefiate, benzenul, gazul de cocserie etc. Dar cel mai indicat pentru sudare este *acetilena*, deoarece are o putere calorică mare și temperatura de ardere în oxigen este de aproximativ $3\,150^\circ\text{C}$.

În condițiile unei arderi normale flacăra oxiacetilenică prezintă următoarele zone distincte (fig.6.88. a):

- *nucleul luminos* 1, în care se desfășoară disocierea acetilenei și arderea carbonului după reacțiile:



Nucleul luminos are o formă cilindrică și este înconjurat la exterior de un strat de carbon liber, incandescent care-i conferă o luminiozitate puternică;

- *flacăra primară* 2, de formă conică, îmbrăcând nucleul luminos, este

transparentă și constituie sediul reacției de ardere primară, cu formarea oxidului de carbon și degajarea unei mari cantități de caldura după reacția (6.66).

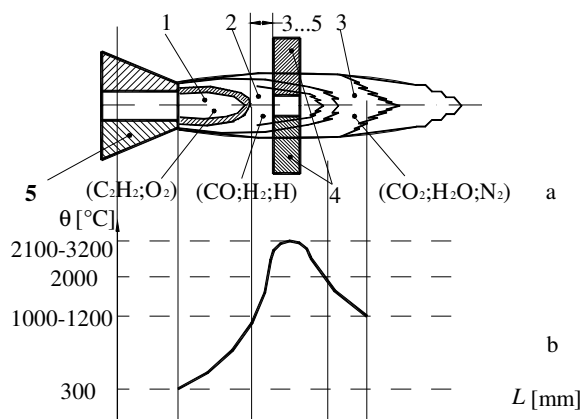
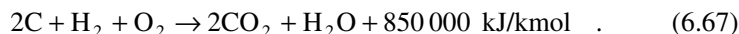


Fig. 6.88. Flacăra oxiacetilenică:

a - zonele flăcării ; b - variația temperaturii θ pe lungimea flăcării L ; 1 - nucleul luminos; 2 - flacăra primară (zona reducătoare); 3 - flacăra secundară; 4 - metalele de sudat; 5 - arzătorul.

- *flacăra secundară* 3 (de împrăștiere) corespunde arderii complete a compușilor formați în zona anterioară (reducătoare), folosind oxigenul din mediul înconjurător. Aici se petrece reacția:



Vaporii de apă și gazele rezultate în urma arderii complete (CO_2) îi conferă o anumită luminozitate și o temperatură mai scăzută decât flacăra primară.

Din punct de vedere practic, flacăra oxiacetilenică este caracterizată prin *formă, structură, temperatură, compoziție chimică și proprietăți*.

Structura și forma flăcării depinde de raportul volumetric k , al componentelor amestecului gazos dat de relația:

$$k = \frac{V_{O_2}}{V_{C_2H_2}} \quad (6.68)$$

în care V_{O_2} este volumul de oxigen; $V_{C_2H_2}$ este volumul de acetilenă. În funcție de valorile lui k se disting următoarele tipuri de flacăra oxiacetilenică (fig. 6.89).

- *flacăra oxidantă* (fig. 6.89. a), unde $k = 1,2 \dots 1,5$, în nucleu și în flacăra primară predomină oxigenul, flacăra este redusă ca dimensiuni, arde zgomotos și este violetă pe un fond albastru. Se utilizează doar pentru sudarea alamelor;

- *flacăra normală* (fig. 6.89. b) sau *neutră*, când $k = 1,1 \dots 1,2$, are zonele perfect delimitate, arde liniștit, forma structura și nuanțele sunt constante. Se obține

la o presiune a acetilenei de maximum $1,5 \times 10^5$ Pa, iar a oxigenului de maximum 5×10^5 Pa. Se utilizează la sudarea metalelor feroase și neferoase (Al, Cu, Zn, Ni etc.) și a aliajelor lor datorită caracterului reducător și temperaturii înalte;

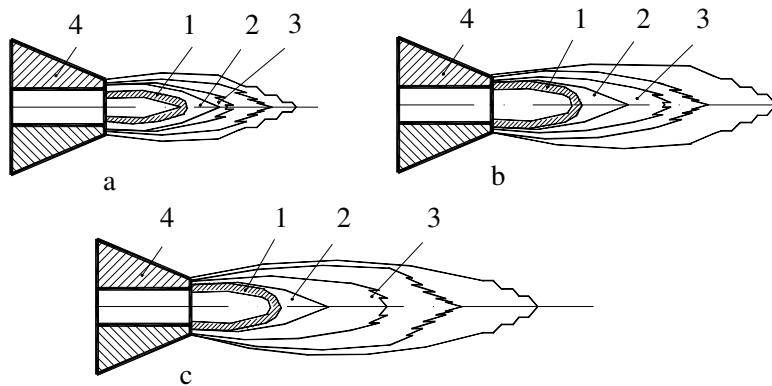


Fig. 6.89. Tipuri de flacără oxiacetilenică:
a – oxidantă ($k = 1,2 \dots 1,5$); b – neutră ($k = 1,1 \dots 1,2$); c – carburantă ($k = 0,7 \dots 1,0$).

- *flacăra carburantă*, când $k = 0,7 \dots 1,0$, zonele flăcării se întrepătrund, flacăra este deformată, lungă, de culoare roșietică, o parte din carbon nu se mai oxidează, astfel că el apare liber sub formă de funingine. Se utilizează pentru sudarea aluminiului, fontelor și la încărcarea prin sudare.

O flacără de gaze poate fi apreciată după următoarele mărimi caracteristice:

- *puterea calorică* Q_p , dată de cantitatea de căldură rezultată în urma arderii complete a unei unități volumice de combustibil;

- *puterea termică* P_t , dată de cantitatea totală de căldură dezvoltată în unitatea de timp și se calculează cu relația:

$$P_t = D \cdot Q_p, \quad (6.69)$$

în care D este debitul de gaze, în l/h;

- *puterea efectivă* P_e , dată de cantitatea de căldură transmisă obiectului de încălzit în unitate de timp și se calculează cu relația:

$$P_e = D \cdot Q_p \cdot \eta, \quad (6.70)$$

în care η este randamentul termic al flăcării.

O caracteristică importantă este și temperatura, care depinde de compoziția amestecului gazos, fiind maximă pentru $k = 1,1 \dots 1,3$. Ea variază în lungul flăcării (fig.6.88), fiind maximă ($3110 \dots 3200^\circ\text{C}$) la distanța de $3,0 \dots 5,0$ mm față de nucleul luminos (de aceea piesele de sudat se plasează întotdeauna în această

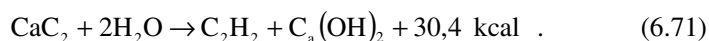
zonă). Randamentul termic al flăcării este foarte redus, $\eta = 0,08 \dots 0,11$, datorită dispersiei pronunțate a căldurii flăcări.

6.8.1.2. Utilajul folosit la sudarea cu flacără de gaze

În dotarea unui post de sudare cu flacără oxiacetilenică intră toate utilajele și materialele necesare execuției unui cordon de sudură prin acest procedeu și anume:

- un generator de acetilenă cu supapă de siguranță sau o butelie de acetilenă cu reductor de presiune;
- epuratorul sau filtrul chimic;
- butelia de oxigen cu reductorul de presiune ;
- trusă pentru sudare;
- furtune pentru conducerea celor două gaze (roșu, pentru CH_2 și albastru, pentru O_2);
- accesorii diverse (ciocan, perii de sârmă, echiere etc.);

1 - *Generatoarele de acetilenă* sunt aparate în care se prepară acetilena prin descompunerea carbidului în apă după reacția:



Generatoarele de acetilenă se construiesc într-o gamă foarte largă de modele și caracteristici (fig. 6.90).

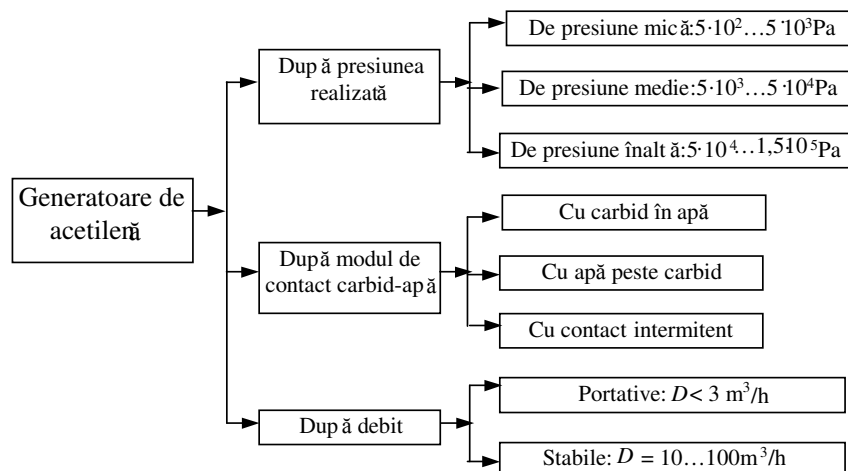


Fig. 6.90. Clasificarea generatoarelor de acetilenă după diferite criterii.

Schema de principiu a unui generator de acetilenă, cu contactul carbidului în apă cu largă utilizare, se prezintă în fig. 6.91. După contactul dintre carbidul 1,

existent în coșul 2, cu apa 3, din rezervorul 4, se produce acetilena 5 care se acumulează în clopotul 6. Crescând presiunea acetilenei în clopot, apa va fi împinsă în partea superioară 7, a rezervorului 4, întrerupând contactul carbid-apă. Când se manevrează robinetul 8 se deschide conducta 9 și acetilena va trece prin epuratorul chimic 10, supapa de siguranță 11, spre arzătorul 12. Dacă consumul de acetilenă este mic sau dacă robinetul 13 este închis, acetilena formată se acumulează sub clopot și menține apa în partea superioară a rezervorului. Dacă se deschide robinetul 13, pe măsură ce acetilena este consumată, apa, datorită presiunii hidrostatice, pătrunde din nou sub clopot și reia contactul cu carbidul reîncepând procesul de degajare a acetilenei. Este necesar ca după fiecare 2-3 zile de funcționare, coșul de carbid și vasul de reziduuri 14, să fie spălate, iar epuratorul și supapa de siguranță să fie curățate și controlate periodic. Generatorul debitează $1,25 \text{ m}^3/\text{h}$ acetilenă la presiunea de $0,1 \dots 0,3 \cdot 10^5 \text{ Pa}$.

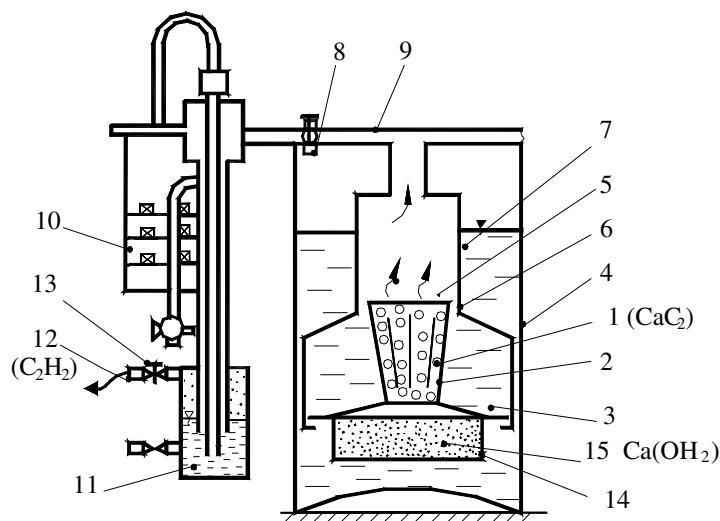


Fig. 6.91. Schema de principiu a unui generator de acetilenă:

- 1 – carbid; 2 – coș; 3 – apă; 4 – rezervor; 5 – acetilenă; 6 – clopot; 7 – apă acumulată; 8 – robinet;
9 – conductă; 10 – epurator chimic; 11 – supapă hidrostatică de siguranță; 12 – arzător; 13 – robinet;
14 – vas de reziduuri; 15 – reziduuri.

2 - *Supapele de siguranță* au rolul de a opri întoarcerea flăcării de la arzător la generator și evacuarea undei de șoc în atmosferă. Întoarcerea are loc în următoarele cazuri:

- când viteza amestecului de gaze din arzător este mai mică decât viteza de ardere;
- când distanța dintre becul arzătorului și metalul de sudat este prea mică;
- când orificiul becului este astupat de stropi metalici.

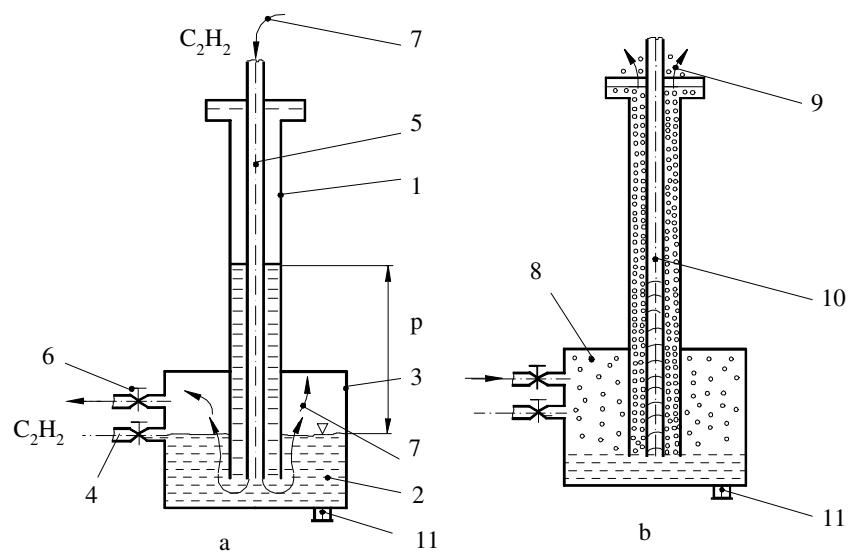


Fig. 6.92. Construcția și funcționarea supapei hidraulice de siguranță:
 1 – țevă de siguranță; 2 – pernă de apă; 3 – supapă; 4 – robinet de control; 5 – țevă de admisie;
 6 – robinet de deschidere; 7 – acetilenă; 8 – gaze arse; 9 – gaze și vapori de apă; 10 – apă în țeava de admisie; 11 – dop de golire a apei.

Supapele de siguranță pot fi uscate sau hidraulice, de presiune mică, medie și înaltă, la fel ca și generatoarele de acetilenă. Cel mai des întrebuințate sunt *supapele hidraulice de siguranță* (fig.6.92). Prin țeava de siguranță 1 este introdusă apa 2, în supapa de siguranță 3 (fig.6.92. a), până la nivelul robinetului de control 4. În funcționare normală, acetilena intră în supapă prin țeava de admisie 5, trece prin perna de apă 2 spre robinetul de dirijare 6, către arzător. Presiunea acetilenei este indicată de diferența p , dintre nivelul apei din țeava de siguranță și nivelul apei din supapă. În cazul întoarcerii flăcării (fig.6.92. b), acetilena 7 din supapă arde, rezultând gazele 8 cu presiune și temperatură mare. Aceste gaze evacuează apa din supapă în țeava de admisie și în țeava de siguranță, până la stabilirea comunicației cu atmosfera 9. Apa 10, din țeava de admisie împiedică pătrunderea flăcării în generator și reduce șocul undei de explozie.

3 - *Buteliile de acetilenă și oxigen* se compun dintr-un corp 1 (fig.6.93), confecționat din oțel aliat, suportul 2, robinetul cu ventil 3, inelul de oprire 4, capacul 5 și garniturile de cauciuc 6 și 7. Buteliile de acetilenă au în interior o masă poroasă 8 și acetonă 9, în care acetilena se dizolvă sub presiune. Masa poroasă evită producerea exploziei acetilenei și favorizează dizolvarea acesteia în acetonă (o butelie cu capacitatea de 40 litri conține, la presiune de $14,7 \times 10^5$ Pa, aproximativ 5 500 l acetilenă dizolvată în acetonă). Preluarea acetilenei din butelie se face cu un robinet cu ventil de o construcție specială cu jug.

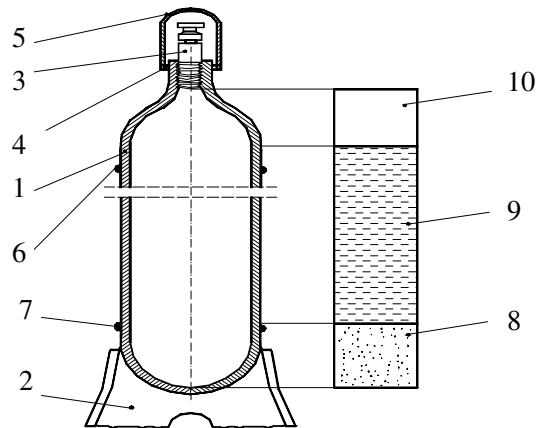


Fig. 6.93. Butelia de acetilenă:

1 – corp; 2 – suport; 3 – robinet cu ventil; 4 – inel de oprire; 5 – capac; 6 ; 7 – garnituri; 8 – masă poroasă; 9 – acetonă; 10 – spațiu de siguranță pentru degazare.

Buteliile de oxigen au capacitate de 40 l și sunt încărcate cu oxigen la presiunea de 147×10^5 Pa, conținând aproximativ 6 000 l oxigen.

4 - *Reductoarele de presiune pentru oxigen și acetilenă* au rolul de a reduce presiunea gazului din butelii la valoarea necesară sudării (pentru oxigen – $2,5 \times 10^5$ Pa, iar pentru acetilenă $0,01 \dots 0,5 \times 10^5$ Pa) și de a menține constantă această presiune în tot timpul sudării, independent de valoarea presiunii din butelii. Reductoarele de presiune funcționează pe principiul acțiunii a două forțe opuse; pe de o parte, presiunea unui arc de închidere a admisiei gazului, iar, pe de altă parte, presiunea unei membrane care tinde să deschidă admisia gazului.

Reductorul pentru oxigen (fig. 6.94) se înșurubează la robinetul cu ventil al buteliei prin intermediul piuliței de racordare 1, cu filet pe dreapta, având următoarele funcții:

- *de reducere a presiunii*, funcție realizată în felul următor: se rotește șurubul de reglare 2, până când manometrul de joasă presiune 3 indică presiunea cerută la locul de sudare. Șurubul de reglare tensionează arcul 4, și prin intermediul membranei elastice 5 și a cuiului împingător 6 ridică supapa 7, de pe scaunul ei 8. Oxigenul trece din camera de înaltă presiune 9, prevăzută cu manometrul de înaltă presiune 10, în camera de joasă presiune 11, prevăzută cu manometrul de joasă presiune 3, când gazul se destinde și presiunea scade. Când robinetul 12 este deschis, oxigenul din camera de joasă presiune trece prin ajutorul 13, la arzătorul pentru sudare. Atunci când reductorul nu funcționează, arcul 14 menține supapa pe scaunul ei;

- *de menținere constantă a presiunii*, funcție realizată fără intervenția sudorului, astfel: dacă debitul de oxigen, necesar sudării, este mai mic atunci presiunea din camera de joasă presiune, tinde să crească și forța exercitată de

presiunea oxigenului asupra membranei crește. Membrana se curbează în jos și o dată cu ea coboară cuiul împingător și respectiv supapa, micșorându-se secțiunea de trecere a oxigenului din camera de înaltă presiune în camera de joasă presiune. Când debitul de oxigen, necesar sudării, este mai mare, fenomenul este invers celui descris mai sus și în acest mod reductorul asigură o presiune constantă, reglată de la început în tot timpul sudării.

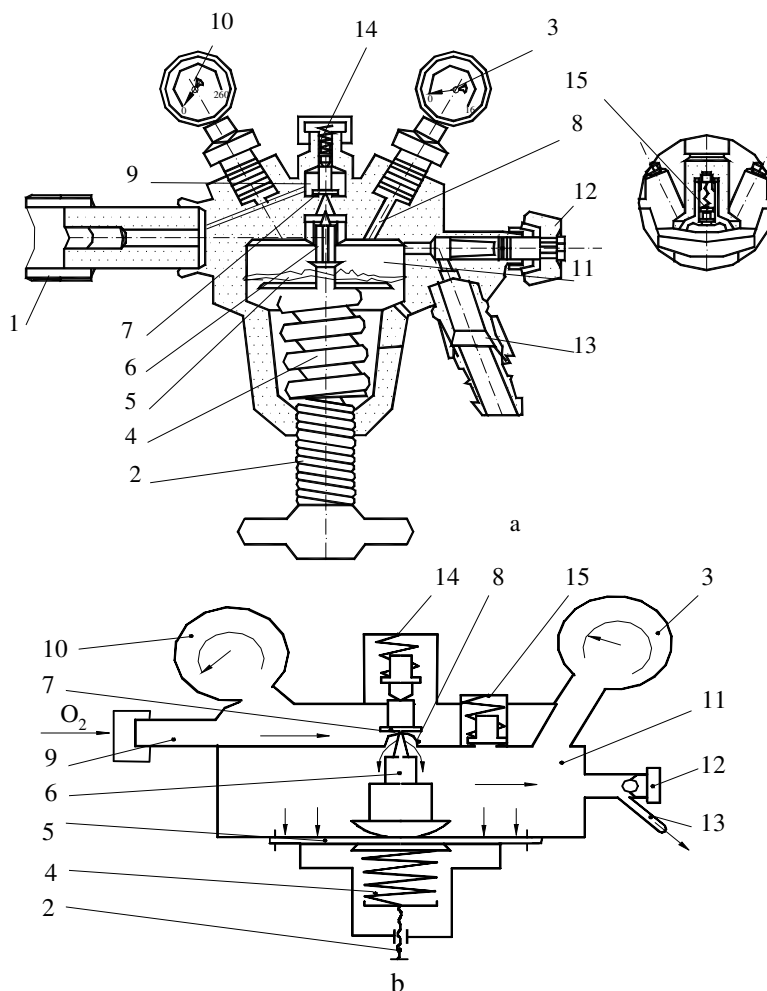


Fig. 6.94. Construcția și funcționarea reductorului de presiune:
a – în secțiune; b- schema de principiu; 1 – piuliță de racordare; 2 – șurub de reglare; 3 – manometru de joasă presiune; 4 – arc; 5 – membrană elastică; 6 – cui împingător; 7 – supapă; 8 – scaunul supapei;
9 – camera de înaltă presiune; 10 – manometru de înaltă presiune; 11 – camera de joasă presiune;
12 – robinet de deschidere-închidere; 13 – ajutoraj; 14 – arc; 15 – supapă de siguranță.

Pentru a preveni spargerea membranei elastice sau a corpului reductorului, la creșterea presiunii peste limitele admisibile, acesta este prevăzut cu o supapă de siguranță 15.

Reductorul pentru acetilenă se deosebește de reductorul pentru oxigen prin modul de racordare la butelie (racordarea făcându-se cu ajutorul unei bride) și prin culoarea vopselei de protecție (albastru – pentru oxigen, galbenă – pentru acetilenă).

5 - *Trusa pentru sudarea și tăierea cu flacără oxiacetilenică* este standardizată și conține (fig. 6.95) arzătoare pentru sudare 1, mânerul 2, aparatul de tăiere 3, căruciorul pentru aparatul de tăiere 4, suportul pentru tăierea circulară 5, becurile pentru aparatul de tăiere 6 și 7, injectoarele 8, becurile pentru arzătoare 9, piulițele olandeze 10, niplurile racord 11, calibrele 12 și cheia fixă multiplă 13. Arzătorul pentru sudare este aparatul în care se face amestecul acetilenei cu oxigenul și la extremitatea căruia are loc ieșirea și arderea amestecului de gaz. El trebuie să asigure un amestec omogen de gaze, reglare ușoară și precisă și menținerea unei flăcări stabile.

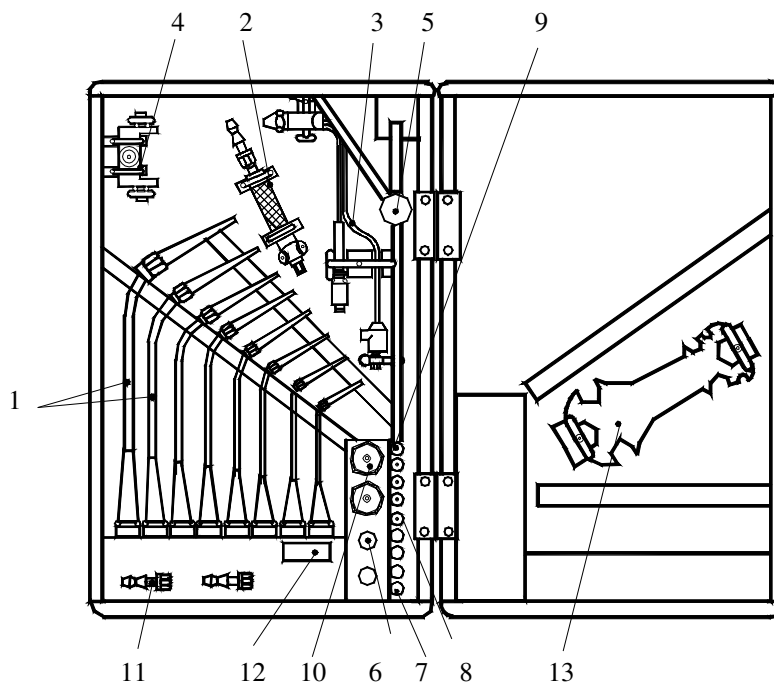


Fig. 6.95. Componentele trusei de sudare și tăiere cu flacără oxiacetilenică:

- 1 – arzătoare; 2 – mâner; 3 – aparat de tăiere; 4 – cărucior; 5 – compas; 6 ; 7 – becuri pentru tăiere;
8 – injectoare; 9 – becuri pentru sudare; 10 – piulițe olandeze; 11 – nipluri de legătură; 12 – calibre;
13 – cheie fixă multiplă.

Un arzător (fig. 6.96) se compune din becul pentru sudare 1, racordul becului 2, țeava pentru amestec 3, camera de amestec 4 și arzătorul 5. Arzătorul se assemblează cu ajutorul unei piulițe olandeze 6 la mânerul 7, prevăzut cu niplul pentru oxigen 8, niplul pentru acetilenă 9, robinetul pentru oxigen 10 și robinetul pentru acetilenă 11. Injectoarele, camerele de amestec și becurile se execută în 8 mărimi (0, 1, 2 ...7) în funcție de grosimea materialelor ce se sudează.

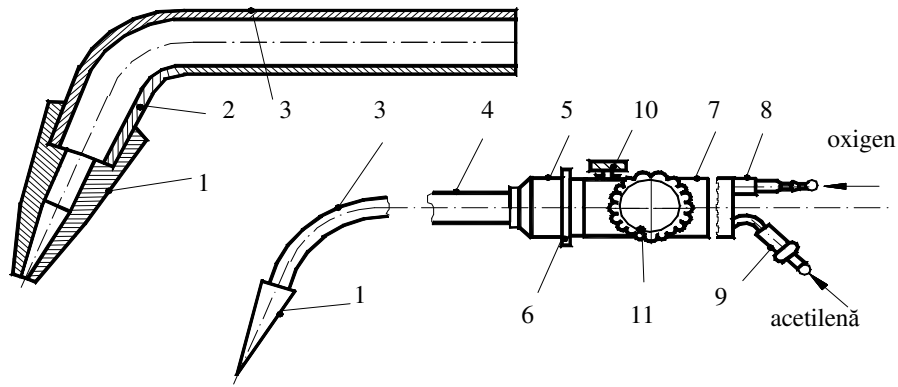


Fig. 6.96. Arzătorul cu injector pentru sudare:

1 – bec de sudare; 2 – racordul becului; 3 – țeava pentru amestec; 4 – camera de amestec; 5 – arzător; 6 – piuliță olandeză; 7 – mâner; 8 – niplul pentru oxigen; 9 – niplu pentru acetilenă; 10 ;11 – robinete pentru oxigen respectiv pentru acetilenă.

6 - *Tuburile de cauciuc pentru conducerea gazelor și accesorii.* Tuburile pentru gaze sunt cu inserții de pânză pentru a rezista presiunilor înalte la care sunt supuse în timpul exploatarei. Accesoriiile necesare sudurii sunt: ochelarii de protecție, perii din sârmă de oțel și ciocane din oțel pentru curățirea pieselor sudate, ace și perii din sârmă de alamă pentru curățirea becurilor, șorțuri, mănuși și jambiere sau ghete de protecție.

6.8.1.3. Tehnologia sudării manuale prin topire cu flăcără de gaze

Pentru realizarea unei cusături sudate prin acest procedeu trebuie parcurse următoarele etape:

1 - *Analiza materialului de bază* se face ținând cont de natura, structura, compoziția chimică și starea de livrare a acestuia. Se ține cont de faptul că la oțelurile carbon și oțelurile slab aliate este posibil să apară arderea carbonului, formarea porilor și structura Widmannstatten. La oțelurile înalt aliate dificultățile care apar sunt legate de arderea elementelor de aliere, conductibilitatea termică redusă, posibilitățile de călire în zona influențată termic și tendința de fragilizare și fisurare. La sudarea fontelor trebuie create toate condițiile în vederea grafitizării,

respectiv scăderea durității și înlăturarea cauzelor ce conduc la apariția fisurilor și crăpăturilor. Sudarea metalelor și aliajelor neferoase (cuprul și aliajele sale, aluminiul și aliajele sale etc) este posibilă dacă se ține cont de problemele legate de conductibilitatea termică ridicată, formarea oxizilor de cupru sau de aluminiu care înrăutățesc calitatea îmbinării sudate, absorbția mare de gaze și apariția de structuri grosolane cu proprietăți fizico – mecanice slabe;

2 - *Analiza materialului de adaos* se face în mod analog ca la sudarea prin topire cu arc electric, pentru a vedea compatibilitatea cu materialul de bază. Materialul de adaos este de obicei sub formă de sârmă electrod neînvelită, elaborată în baghete sau vergele. Sârmele folosite la sudare trebuie să aibă o elaborare îngrijită mai ales în privința compoziției chimice, să aibă suprafața curată, fără rugină sau ulei. Conținutul de sulf și fosfor trebuie să fie minim;

3 - *Pregătirea rostului îmbinării* constă în prelucrarea și curățirea marginilor pieselor de îmbinat, asamblarea piesei într-o poziție reciprocă corectă și păsuirea asamblării respective, în concordanță cu tipul de rost, preîncălzirea pieselor (dacă este cazul), precum și deformarea prealabilă a acestora în vederea compensării eventualelor deformații ce au rezultat în urma procesului de sudare. Marginile pieselor de sudat trebuie curățite, până la luciu metalic, de oxizi, ulei, grăsimi etc. (prin metode mecanice sau chimice). Prelucrarea marginilor pieselor de sudat se execută în scopul asigurării pătrunderii complete a sudurii pe întreaga grosime a piesei (prelucrarea se face prin rabotare, polizare, frezare sau prin tăiere oxi-gaz sau crăituri arc – aer). Forma și dimensiunile rostului sunt standardizate și se aleg în funcție de grosimea pieselor de sudat și tipul îmbinării (fig. 6.97).

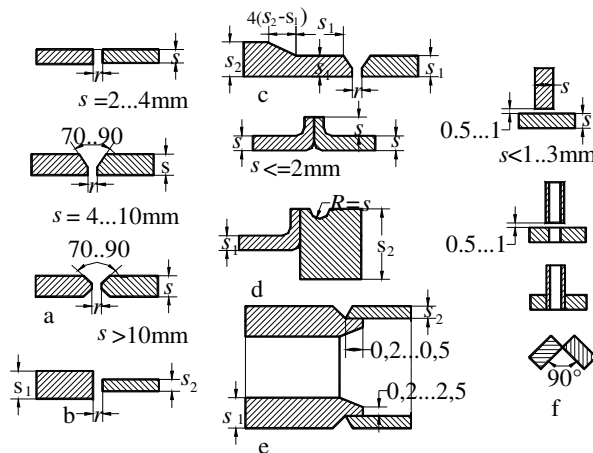


Fig. 6.97. Pregătirea rostului îmbinării:
a – pentru suduri cap la cap; b; c – pentru suduri cap la cap de grosimi diferite; d – pentru suduri cu marginile răsfrațe; e – pentru suduri cap la cap produse tubulare; f – pentru suduri de colț.

4 - *Controlul inițial al pieselor de sudat* are drept scop depistarea eventualelor defecte existente ca urmare a proceselor de semifabricare. Se face un control optico-vizual și un control nedistructiv (cu radiații penetrante, lichide

penetrante, ultrasunete, emisie acustică, curenți turbionari, pulberi magnetice etc.)

5 - *Alegerea metodei de sudare* se face în scopul utilizării la maximum a căldurii flăcării oxiacetilenice, reducerii la minimum a pierderilor de căldură și a consumului de gaze, realizării unei productivități maxime și a unei economii de material. Se utilizează în acest scop două metode de sudare:

- *sudarea spre stânga (înainte)*, care se aplică tablelor subțiri cu grosimea până la 5 ... 7 mm (fig. 6.98. a), la care arzătorul 1, ținut în mâna dreaptă, este condus cu oscilații transversale, spre stânga, totdeauna înaintea sudurii efectuate, cu viteză uniformă. Cu sârma 2 (materialul de adaos), ținută în mâna stângă, se execută o mișcare oscilatorie înaintea becului arzătorului 3. Flacăra oxiacetilenică este îndreptată spre rostul de sudat 4, ale cărei margini le topește, în final rezultând cusătura sudată 5;

- *sudarea spre dreapta (înapoi)*, care se aplică tablelor mai groase (fig. 6.98. b), la care cu arzătorul 1, ținut în mâna dreaptă, se execută o mișcare rectilinie spre dreapta, iar cu sârma de adaos 2 se execută o mișcare oscilatorie în urma becului de sudare 3. Flacăra oxiacetilenică este îndreptată permanent spre sudura realizată 5. Din această cauză marginile rostului 4 se topesc mai repede și productivitatea este cu 25% mai mare decât la sudarea spre stânga.

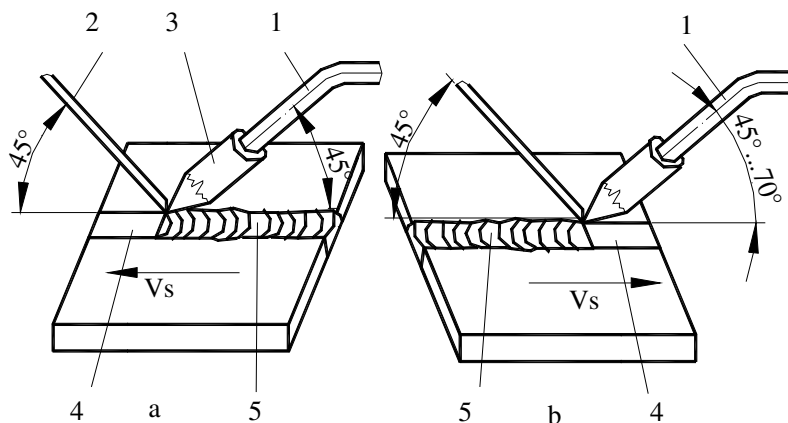


Fig. 6.98. Metode de sudare:

a – sudarea spre stânga (înainte); b – sudarea spre dreapta (înapoi); 1 – arzător; 2 – metal de adaos; 3 – bec de sudare; 4 – rost; 5 – îmbinarea sudată.

6 - *Sudarea propriu-zisă* se realizează după ce piesele au fost pregătite corespunzător și s-a realizat rostul îmbinării conform cu grosimea pieselor de îmbinat și cu tipul îmbinării. După ce s-a ales becul de sudare se aprinde flacăra și se reglează. Modul operator la acest procedeu se referă la deplasarea arzătorului și metalului de adaos în timpul procesului de sudare. Acestea se deplasează în lungul axei rostului și execută mișcări transversale pe axa rostului, în vederea repartizării

căldurii și a metalului de adaos pe cele trei componente ale rostului. Mișcările metalului de adaos și ale arzătorului sunt în opoziție, traiectoriile lor fiind funcție de grosimea pieselor de sudat (fig. 6.99.) Arzătorul se ține înclinat față de suprafața de sudat la un unghi ce depinde de grosimea pieselor de sudat (fig. 6.100).

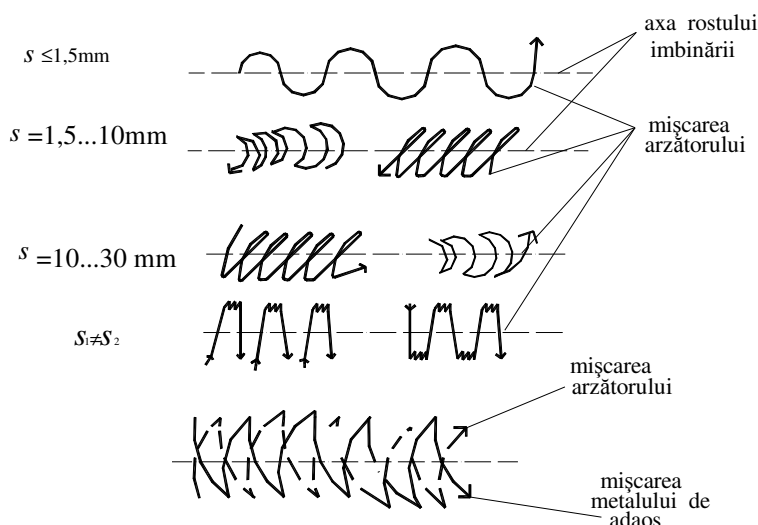


Fig. 6.99. Mișcările transversale ale arzătorului față de suprafața pieselor de sudat în funcție de grosime.

La realizarea unor sudurii cap la cap pe verticală, deplasarea arzătorului și a metalului de adaos se face de jos în sus, fiind similare metodei de sudare spre stânga.

Pentru o utilizare eficientă a căldurii, sudura se poate realiza de către doi sudori dispuși de o parte și de altă a rostului (în acest caz se pot suda și table cu grosimi mai mari de 12mm). Pentru sudarea cu flacără de gaze se vor respecta următoarele reguli:

- pentru aprinderea flăcării se deschide mai întâi robinetul de oxigen și apoi cel de acetilenă;
- la terminarea operației de sudare se oprește mai întâi acetilena și apoi oxigenul;
- dacă becul arzător s-a încălzit sau dacă s-a produs o întoarcere a flăcării se închide robinetul de acetilenă și se răcește becul într-un vas cu apă.

7 - Stabilirea parametrilor regimului de sudare presupune cunoașterea și alegerea următoarelor elemente:

- *sârma de adaos* care determină compoziția chimică a cusăturii și se alege în funcție de compoziția chimică a metalului de bază. Trebuie să îndeplinească următoarele condiții: compoziția chimică și caracteristicile mecanice să fie identice

sau foarte apropiate de cele ale metalului de bază; să se topească uniform și liniștit, fără pierderi prin stropi; temperatura de topire să fie aproximativ egală cu cea a metalului de bază; să fie netedă și curată. Diametrul d_s al sârmei se alege în funcție de grosimea s a metalului de bază folosind relațiile:

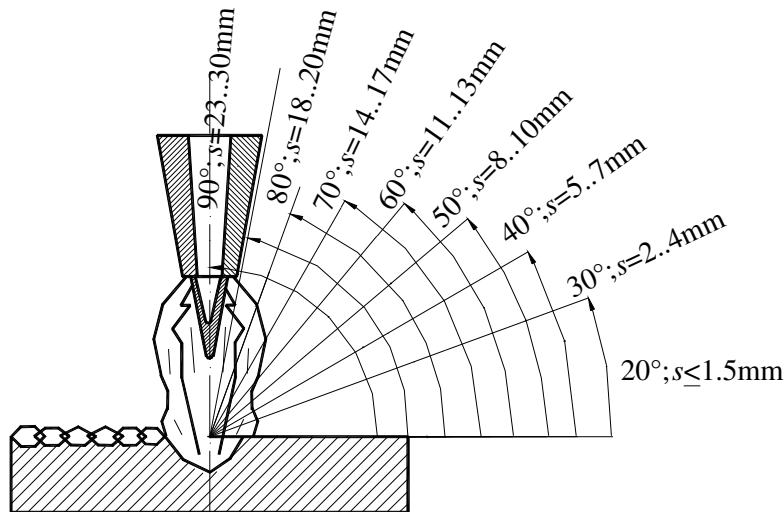


Fig. 6.100. Înclinarea arzătorului față de suprafața pieselor de sudat în funcție de grosime.

$$d_s = (0,5 \dots 0,25)s \quad [\text{mm}] \quad , \quad (6.72)$$

sau

$$d_s = (1,2 \dots 1,5) \sqrt{s} \quad [\text{mm}] \quad . \quad (6.73)$$

La sudarea oțelurilor de construcții se folosesc sârme din oțel moale cu mai puțin de 0,1%C, la sudarea oțelurilor cu conținut mare de carbon se folosesc sârme cu 0,25 – 0,3% C.

La sudarea fontelor se folosesc bare turnate din fontă cu 3% C. La sudarea cuprului se folosesc vergele din aliaj de cupru, conținând fosfor ca dezoxidant și argint (1,5...5%). La sudarea aluminiului se folosesc vergele de aluminiu conținând siliciu până la 5%.

- *fluxurile* care sunt substanțe ce se introduc în baia de sudură pentru dezoxidarea acesteia. Ele formează un strat de zgură la suprafața băii, care protejează metalul topit contra oxidării. Fluxurile se folosesc la sudarea oțelurilor aliate, a fontei și metalelor neferoase, deoarece ele se oxidează puternic. Se recomandă ca fluxuri: boraxul, acidul boric, carbonatul de potasiu și clorura de sodiu – pentru sudarea cuprului; boraxul, carbonatul de sodiu și de potasiu – pentru

- *presiunea oxigenului și acetilenei* care se alege în funcție de grosimea pieselor de sudat și de mărimea becului (tab 6.35);
 - *viteza de sudare* v_s , care se alege în funcție de grosimea pieselor de sudat, natura metalului de bază și metoda de sudare. În cazul oțelurilor se folosește relația:

$$v_s = \frac{K}{s} \quad [\text{m/h}] , \quad (6.77)$$

în care K este un coeficient determinat experimental, având valorile: $K = 12$ pentru sudarea spre stânga și $K = 15$ pentru sudarea spre dreapta.

8 - *Stabilirea tratamentului termic* se face în funcție de natura metalului de bază, calitatea cerută a îmbinării sudate și mai ales solicitările și comportarea din timpul exploatarei. Ca tratamente se folosesc preîncălzirea preoperatorie sau tratamentele postoperatorii (recoacerea de omogenizare, revenirea, îmbătrânirea, călirea etc.) stabilite de la caz la caz în funcție de gabaritul pieselor de sudat. Tratamentele se pot executa cu flacăra de sudare sau pe vetre special amenajate.

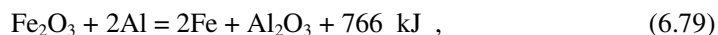
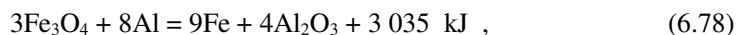
9 - *Controlul final* constă în depistarea eventualelor defecte care au apărut în îmbinarea sudată în urma procesului de sudare. Principalele defecte ce pot apărea la sudarea manuală prin topire cu flacăra de gaze sunt: *nepătrunderea*, datorită fixării greșite a componentelor, puterii mici a arzătorului și vitezei mari de sudare; *crestăturile continue* sau *întrerupte*, datorită arzătorului de putere prea mare și vitezelor mici de sudare; *lipsa de topire*, datorită formei necorespunzătoare a rostului sau slabei calificări a operatorului; *incluziunile de gaze* sau *incluziunile solide* cauzate de o viteză de sudare mare și de alegerea greșită a flăcării; *fisurile de diverse forme și localizări*, datorită metalului de adaos necorespunzător calității metalului de bază, precum și vitezei de răcire mari; *excesul de pătrundere*, datorită alegerii unui arzător de putere mare și a unei viteze mici de sudare.

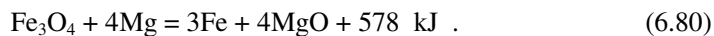
Aceste defecte pot fi puse în evidență în urma unui control optico-vizual sau efectuând un control nedistructiv cu radiații penetrante, lichide penetrante, pulberi magnetice, ultrasunete, curenți turbionari, emisie acustică etc. Se fac apoi recomandările corespunzătoare remedierii defectelor constatate.

6.8.2. Sudarea prin topire cu termit

Procedeul se mai numește și *sudare prin turnare* și are la bază energia termo-chimică rezultată în urma unor reacții exoterme de înlocuire a unui metal din oxizii săi cu un alt metal mai electronegativ.

Cele mai des utilizate reacții exoterme sunt cele de înlocuire a fierului din oxizii săi de către aluminiu sau magneziu:





Aceste reacții au loc într-un timp foarte scurt (10...15 secunde), cu temperaturi foarte înalte, care ating 3 300K. Dintr-un kg de amestec rezultă 420 g oxid de aluminiu care se elimină în zgură și 550g oțel moale cu $\sigma_r < 100 \text{ daN/mm}^2$ și duritatea $\text{HB} < 400 \text{ daN/cm}^2$, care prin solidificare formează cusătura sudată.

Sudarea cu termit se poate executa în trei moduri: *prin topire*, *prin presiune* și *combinat (topire + presiune)*.

Schema de principiu a sudării cu termit prin topire se prezintă în figura 6.101. În creuzetul 1 se introduce amestecul 2 de oxizi de fier și pulbere de aluminiu și o pudră de aprindere 3, de magneziu. Creuzetul este prevăzut cu un capac de etanșare 4 și un dop de turnare 5. Se aprinde pulberea de magneziu și se declanșează reacțiile de substituție care durează foarte puțin, rezultând topitura 6. Prin acționarea dopului de turnare 5, topitura este introdusă în rostul îmbinării 7, format de piesele de sudat 8 și 9, plasate într-o formă de turnare obținută din amestecul de formare 10. Introducerea topiturii se face prin pâlnia de alimentare 11, piciorul pâlniei 12 și canalul de alimentare 13. Pentru evacuarea gazelor ce apar la contactul cu pereții reci ai cavității de turnare se prevăd răsuflătorii 14, iar pentru transferul retasurii de contracție în afara cusăturii sudate 15, se prevede maselota 16, care se îndepărtează după dezbaterea îmbinării sudate din formă. În cazul sudării metalelor și aliajelor neferoase se folosesc forme din grafit ce fac corp comun cu creuzetul.

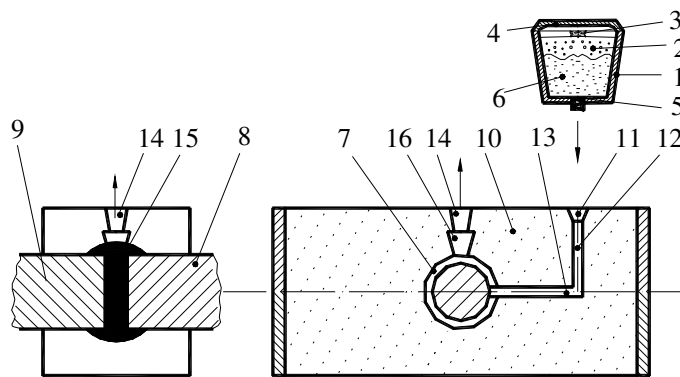


Fig . 6.101. Schema de principiu la sudarea cu termit:

- 1 – creuzet; 2 – încărcătură din oxizi de fier și pulbere de aluminiu; 3 – pudră de aprindere; 4 – capac;
5 – dop; 6 – topitură; 7 – rostul îmbinării; 8; 9 – piesele de sudat; 10 – amestec de formare obișnuit;
11 – pâlnia de turnare; 12 – piciorul pâlniei de turnare; 13 – canalul de alimentare; 14 – răsuflători;
15 – cusătura sudată; 16 – maselotă.

Cea mai importantă aplicație a sudării cu termit este asamblarea cap la cap a șinelor de cale ferată și de tramvai. Procedul se mai aplică în cazul reparării

pieselor de gabarit mare din oțel sau din fontă, cum ar fi: batiurile de mașini unelte, cilindrii de laminor, tamponanele de vagoane, în construcțiile navale etc., încărcătura ajungând uneori până la 5 tone.

6.9. SUDAREA PRIN TOPIRE CU ENERGIE DE RADIAȚIE

Radiațiile corpusculare (electronii, ionii) și cele electromagnetice, concentrate și focalizate pot dezvolta puteri specifice mult mai mari decât sursele obișnuite folosite la procedeele de sudare clasice. O comparație asupra densităților de energie obținute la diferitele procedee de îmbinare se prezintă în tabelul 6.36.

Se obțin temperaturi cuprinse între temperatura de topire și temperatura de vaporizare, suficientă pentru a suda oricare tip de materiale cunoscute. Temperatura se poate regla prin schimbarea concentrației radiației, a timpului de acționare a sursei și prin programarea vitezei de deplasare a sursei într-o anumită zonă și cu o anumită valoare.

Tabelul 6.36. Comparație între densitățile de energie obținute cu diferite surse termice

Nr. crt	Sursa termică	Densitatea de putere [W/cm ²]	Suprafața minimă de acțiune [cm ²]
1	Arcul electric	10 ⁵	10 ⁻³
2	Flacăra oxioacetilenică	5·10 ⁴	10 ⁻²
3	Arcul de plasmă	10 ⁶	10 ⁻⁴
4	Fasciculul de electroni	5×10 ⁸	10 ⁻⁷
5	Fasciculul de fotoni	10 ⁹	10 ⁻⁸

Cele două mari avantaje ale metodei, posibilitatea concentrării unei mari energii într-un spațiu foarte mic și temperatura foarte mare obținută ca urmare a focalizării în zona dorită, au permis dezvoltarea a două procedee de sudare cu energie de radiație: *sudarea cu fascicul de electroni și sudarea cu fascicul de fotoni*.

6.9.1. Sudarea cu fascicul de electroni

Procedeul are la bază transformarea energiei cinetice a electronilor, accelerați și focalizați, în energie termică, prin frânarea acestora pe marginile pieselor de îmbinat.

Electronii produși în urma unei emisii termo-electronice, străbat o diferență de potențial U_a și preiau de la câmpul electric o energie cinetică de forma:

$$n \cdot e \cdot U_a = n \frac{m_e v_e^2}{2} \quad , \quad (6.81)$$

în care n este numărul electronilor; e - sarcina electrică a unui electron în C; m_e - masa electronului; v_e - viteza electronilor, în m/s.

Energia cinetică a electronilor este transformată în energie termică și zona de impact (pete focale foarte mici, $10^{-2} \dots 10^{-3}$ mm) poate ajunge rapid la temperatura de topire și chiar de vaporizare.

Căldura rezultată se propagă prin conducție până la o anumită adâncime care depinde de tensiunea de accelerare și de natura materialului. La adâncimi mari îmbinarea se realizează pe baza efectului *key-hole* (gaură de cheie) prin care cusătura devine foarte îngustă în raport cu adâncimea de pătrundere.

Schema de principiu a unei instalații de sudat cu fascicul de electroni se prezintă în figura 6.102. Electronii emiși de termo-catodul de emisie 1, confecționat din wolfram, tantal, borură de lantan (LaB_6) etc., sunt dirijați de un sistem de electrozi de comandă 2, spre grila anodică 3, formându-se fasciculul 4. Fasciculul de electroni format este accelerat de grila de accelerare 5, datorită diferenței de potențial de 30...1 500 kV creată de o sursă de înaltă tensiune, trece prin diafragmele 6 și lentilele stigmatore 7, pentru a fi apoi focalizat de lentilele electromagnetice 8. Fasciculul de electroni 9, accelerat și focalizat se trimite pe piesele de sudat 10 și 11 aflate în camera vidată 12, unde sunt presiuni de ordinul $10^{-1} \dots 10^{-4}$ torr, pe un dispozitiv de lucru 13, cu posibilitatea de deplasare după cele trei axe, în funcție de tipul îmbinării și configurația pieselor de sudat. Urmărirea și dirijarea procesului de sudare se face cu un sistem electrono-optic 14. Este necesar ca piesele de sudat să fie plasate într-o cameră vidată, deoarece în aer se produce o diminuare a puterii fasciculului și o dispersie a lui.

Parametrii regimului de sudare sunt:

- tensiunea de accelerare a fasciculului de electroni;
- curentul fasciculului de electroni;
- viteza de sudare;
- focalizarea fasciculului;
- pulsarea și pendularea fasciculului;
- natura materialului de sudat
- presiunea în camera vidată;
- grosimea pieselor de sudat.

Avantajele procedurii. Având în vedere principiul de formare a cusăturii sudate, procedeul prezintă următoarele avantaje:

- densitatea foarte mare de energie pe suprafața de impact, ce determină o încălzire locală rapidă până la topire;
- sudarea nu necesită material de adaos;
- sudarea are loc în general în vid și suprafețele sunt protejate de procesele de oxidare și impurificare cu gaze;
- sudarea se face într-o singură trecere la piese cu grosime de 0,02...130mm, în funcție de natura materialului și performanțele echipamentului;
- zona influențată termic este foarte mică;

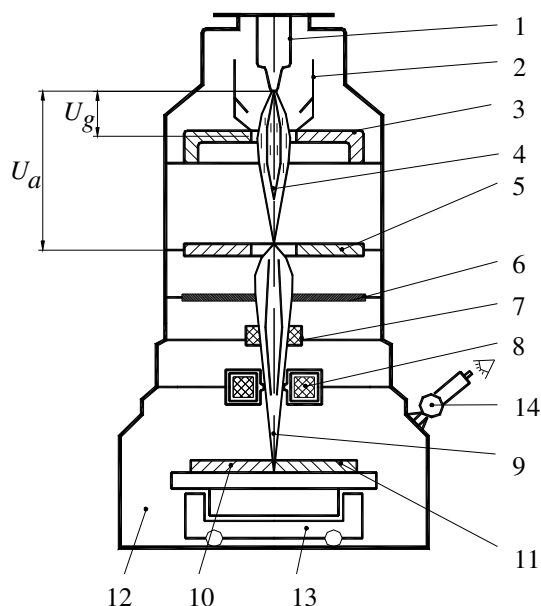


Fig. 6.102. Schema de principiu a unei instalații de sudat cu fascicul de electroni:
 1 – termocatod de emisie; 2 – electrozi de dirijare; 3 – grila anodică; 4 – fascicol de electroni;
 5 – grila de accelerare; 6 – diafragmă; 7 – lentile stigmatice; 8 – lentile electromagnetice de focalizare;
 9 – fascicul de electroni accelerat și focalizat; 10 ; 11 – piesele de sudat; 12 – camera vidată;
 13 – dispozitiv de lucru; 14 – sistem electrono – optic de urmărire.

- procesul de sudare este reproductibil, deoarece puterea fasciculului poate fi precis dozată și controlată;
- cusătura sudată este foarte îngustă datorită diametrului mic al fasciculului și vitezelor mari de sudare (raportul adâncime/lățime este până la 50:1)
- structura sudurii este fină datorită topirii și răcirii cu viteză mare, ne mai fiind necesare tratamente termice;
- permite realizarea simultană a două sau mai multe suduri la o singură trecere;

Dezavantajele procedeului sunt legate de instalația folosită la sudare:

- instalațiile au o construcție complexă și deci scumpă;
- necesitatea creării vidului în camera vidată limitează dimensiunile pieselor ce pot fi sudate;
- deservirea instalațiilor trebuie făcută de personal cu calificare înaltă;
- pregătirea deosebită a rostului îmbinării;
- în procesul de sudare se produc raze X, de aceea sunt necesare măsuri de protecție pentru operatori.

Aplicabilitatea sudării cu fascicul de electroni. Datorită avantajelor pe care le are și fenomenelor care au loc la formarea cusăturii sudate procedeul se aplică la:

- sudarea unei game foarte largi de metale și aliaje active (Ti, Zr, Be, Na, și aliajele lor); metale și aliaje refractare (Mo, Ta, W, V, Nb și aliajele lor); oțeluri de construcție; aluminiu și aliaje de aluminiu etc.
- sudarea unei game largi de materiale nemetalice sau combinații ale acestora;
- sudarea a două materiale diferite de exemplu, sudarea unei părți active a unei scule confecționate dintr-un material foarte scump, pe un suport confecționat din material ieftin și realizarea unor piese deosebit de pretențioase în funcționare (roți dințate, pinioane, planetare, supape, freze, ferăstraie, cuțite etc.)
- realizarea de piese de dimensiuni mici, utilizate în microelectronică, microelectrotehnică, bionică etc.;

6.9.2. Sudarea cu fascicul de fotoni

Procedeul are la bază fenomenul de emisie stimulată a radiației luminoase, descoperit de Einstein în 1917. Trecerea de la o stare energetică staționară la alta se face prin tranziții între nivelurile energetice ale sistemului, urmate de absorbție sau emisie de radiație. Aceste tranziții au loc în urma interacțiunii undelor electromagnetice cu sistemul atomic. Trecerea de la niveluri energetice inferioare la niveluri energetice superioare se face cu absorbție de energie de către sistem, iar trecerea de la niveluri energetice superioare la niveluri energetice inferioare se face cu emisie de energie sub formă de radiație. Prezintă interes fenomenul de absorbție sau de *emisie stimulată*.

Stimularea emisie de radiație se realizează prin aplicarea asupra atomilor, ionilor sau moleculelor a unei energii de excitație care, în anumite condiții determinate, produce emisie de lumină. Aceste fenomene se pot desfășura într-un generator cuantic numit *laser* (lumina amplificată prin stimularea emisie de radiație). Laserul este un generator de radiații electromagnetice, cu lungimi de undă începând din domeniul ultraviolet și extinzându-se până în infraroșul îndepărtat, care se bazează pe absorbția de energie de către un mediu activ și emiterea acesteia sub formă de *radiație stimulată*. Pentru a obține amplificarea radiației este necesar ca energia emisă să fie mai mare decât energia absorbită, situație ce are loc dacă există o *inversiune de populație*.

Realizarea inversiunii de populație are loc în urma introducerii unei energii numită *radiație de pompaj* și dacă au loc interacțiuni între radiațiile electromagnetice și sistemele atomice ale unei *substanțe active*. În funcție de modul de realizare a inversiunii de populație se deosebesc următoarele tipuri de lasere:

- *cu mediu activ solid*, la care inversiunea se realizează prin *iradiere optică*;
- *cu mediu activ gazos*, la care inversiunea se realizează prin *ciocniri neelastice* și prin *iradiere optică*;

- cu *semiconductoare*, la care inversiunea se realizează prin *injecție de electroni*, prin *iradiere electronică* și *iradiere optică*;

- *chimici*, la care inversiunea se realizează prin *disocieri chimice*.

Interacțiunea dintre radiațiile electromagnetice și substanța activă se produce în mod eficient dacă are loc într-un spațiu denumit *rezonator optic*.

La sudare se utilizează cel mai mult *laserii cu mediu activ gazos*, format din amestecul de gaze $\text{CO}_2 + \text{He} + \text{Ne}$, sau *laserii cu mediu activ solid*: $\text{Al}_2\text{O}_3 - \text{Cr}^{+3}$; YAG – Nd; sticlă – Nd. Laserul gazos produce o *radiație laser (fascicul de fotoni)* cu lungimea de undă de $10,6 \mu\text{m}$ și poate funcționa în *regim continuu* sau *regim de impulsuri*. Schema de principiu a unui generator laser utilizat la sudarea materialelor se prezintă în figura 6.103.

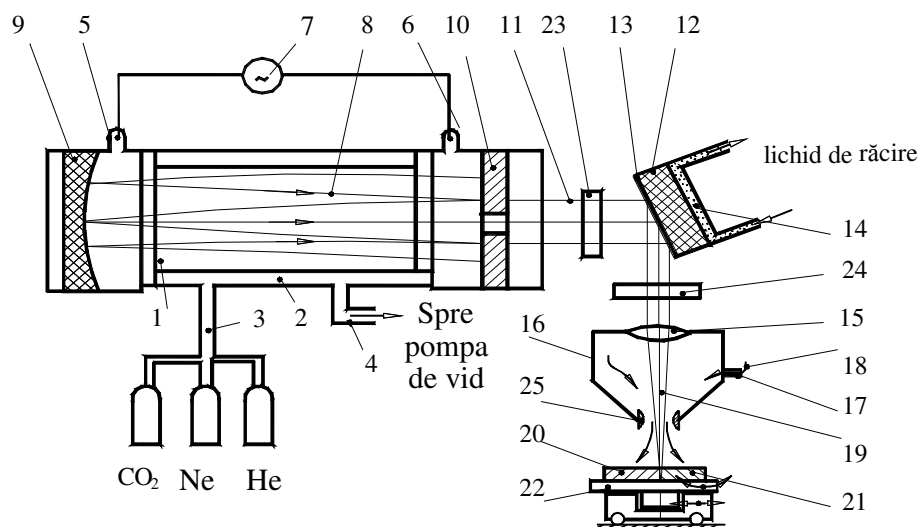


Fig. 6.103. Schema de principiu a instalației de sudat cu fascicul de fotoni:

1 – rezonatorul optic; 2 – tubul de descărcare; 3 – mediul activ; 4 – orificiul de evacuare a aerului; 5; 6 – electrozi de descărcare; 7 – sursa de înaltă tensiune; 8 – radiația luminoasă; 9 – oglinda opacă; 10 – oglinda semitransparentă; 11 – fasciculul de fotoni; 12 – oglindă de deflexie; 13 – stratul de Au; 14 – dispozitivul de răcire; 15 – lentilă de focalizare; 16 – ajutorul de lucru; 17 – orificiu de introducere a gazelor de protecție; 18 – gaze de protecție; 19 – fasciculul de fotoni concentrat și focalizat; 20; 21 – piesele de sudat; 22 – masa de uzină fonică; 23; 24 – obturatoare de siguranță; 25 – duza de conducere.

În rezonatorul optic 1, creat în spațiul tubului de descărcare 2, se introduce mediul activ 3, format din amestecul de gaze $\text{CO}_2 + \text{He} + \text{Ne}$, după ce s-a realizat un vid înăuntru scoțând aerul prin orificiul 4. Inversiunea de populație se creează printr-o descărcare electrică între electrozii 5 și 6 conectați la sursa de înaltă tensiune 7. Se formează radiația termică luminoasă 8, care este amplificată între oglinzile 9 și 10 ale rezonatorului. Forma oglinzilor de capăt ale rezonatorului

poate fi plană (rezonator tip Fabry-Perot), sferică (rezonator concentric) sau con-focală. Radiația luminoasă amplificată iese parțial prin suprafața lentilei semitransparente 10, paralelă cu lentila opacă 9 și formează *fasciculul de fotoni* (fasciculul laser) 11. Fasciculul laser este *coerent, monocrom, direcțional și foarte intens*. Datorită timpului foarte scurt în care se produce emisia stimulată (10^{-6} s) și datorită posibilităților de a fi ușor condus, concentrat și focalizat, fasciculul laser poate ajunge la densități de energie de 10^{10} W/cm². Fasciculul poate fi focalizat pe suprafețe foarte mici (de 10^{-8} cm²), dezvoltând temperaturi de până la 30 000K, suficiente să topească și să vaporizeze orice material. Pentru a fi utilizat la sudare, fasciculul de fotoni este deflectat cu 90^0 de către oglinda de deflexie 12, acoperită cu un strat de aur 13 și răcită în permanență 14. Fasciculul deflectat este focalizat de lentila de focalizare 15, așezată la intrarea în ajutorul de lucru 16. Prin orificiul 17 al ajutorului se introduce amestecul de gaze de protecție 18, care protejează nu numai fasciculul de fotoni focalizat 19, ci și zona îmbinării formată între piesele de sudat 20 și 21, așezate pe masa de uzină fonică 22.

Laserii cu rubin au mediul activ solid format dintr-un cristal de Al_2O_3 dopat cu ioni trivalenți de crom (Cr^{+3}) și produc o radiație laser cu lungimea de undă de 0,69μm, funcționând eficient în regim de impulsuri. La acest tip de lasere, inversiunea de populație se face prin pompaj optic cu ajutorul unei lămpi fulger aflată într-o dispunere eliptică cu cristalul de rubin.

Laserii YAG-Nd au mediul activ solid format din granat de nitru și aluminiu dopat cu neodim, produc o radiație laser cu lungimea de undă de 1,06μm și pot funcționa și în regim de impulsuri sau continuu. Frecvența impulsurilor la acest tip de laser este mai mare decât la laserul cu rubin.

Parametrii regimului de sudare sunt:

- natura materialelor de sudat (în principal reflexivitatea și conductibilitatea termică);
- natura mediului activ și felul regimului de funcționare;
- densitatea de energie a fasciculului;
- puterea fasciculului de fotoni;
- lungimea de undă a radiației electromagnetice;
- grosimea pieselor de sudat și starea suprafețelor;
- viteza de sudare;
- focalizarea fasciculului și natura gazelor de protecție;
- distanța de lucru;
- mișcarea de oscilație a fasciculului în raport cu axa sa.

Avantajele procedeului apar având în vedere modul de formare a cusăturii sudate:

- densitatea foarte mare de energie pe suprafață ce determină o încălzire locală foarte rapidă, până la topire;
- nu necesită spațiu vidat pentru piesele de sudat;
- zona influențată termic este de cele mai mici dimensiuni;

- cusătura sudată este foarte îngustă;
- posibilitatea reflectării și conducerii fascicului la locul de prelucrare, ce poate fi în cu totul altă parte decât instalația de prelucrare și la mare distanță;
- permite realizarea unor lucrări de mare finețe și precizie (microsuduri în microelectronică, microelectrotehnică, aparatura de cercetare);
- permite sudarea materialelor complet diferite.

Dezavantajele procedurii rezultă, în general, din instalația folosită la sudare și constau în:

- pătrunderi mici, mai ales la sudarea metalelor;
- grosimea limitată a pieselor de sudat;
- echipamentul de lucru scump și randamentul energetic scăzut;
- deoarece fasciculul laser este puternic reflectat, este necesară acoperirea suprafețelor cu un strat absorbant.

Aplicabilitatea sudării cu fascicul de fotoni rezultă din avantajele pe care le prezintă procedeul și din fenomenele ce apar în timpul procesului de sudare:

- are un grad mare de universalitate, putându-se suda în aer, atmosferă protectoare sau vid, în special metalele și aliajele lor care au o tendință accentuată spre oxidare;

- se aplică la realizarea microcircuitelor electronice, microcipurilor și a celor mai complicate dispozitive electronice;

- se aplică la sudarea unor materiale ca Au, Ag, Cu, Al, Ni, Mo, Ta, W și aliajele lor, precum și la sudarea unor combinații precum: aur-siliciu; aur-germaniu, aur-aluminiu, cupru-siliciu, aur-siliciu placat cu aluminiu etc. Câteva exemple de îmbinări realizate prin sudare cu fascicul laser sunt prezentate în figura 6.104;

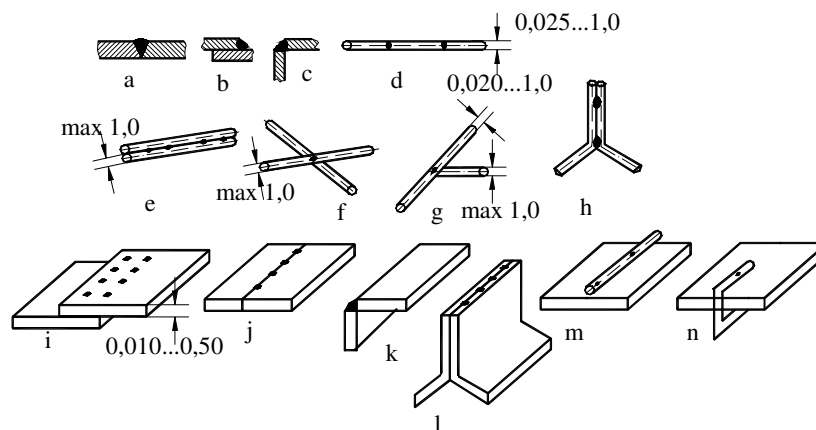


Fig. 6.104. Câteva tipuri de îmbinări sudate cu fascicul laser:

a; d; j – cap la cap; b; f; g; i – prin suprapunere; c; k – de colț; h; l – cu marginile răsfrânte; m; n – fire pe plăci.

- se aplică la sudarea firelor și microfirelor, foliilor și foițelor din materiale diferite.

Deoarece performanțele tehnice depind de fasciculul laser, majoritatea cercetărilor sunt direcționate spre găsirea de noi medii active cu randamente cât mai ridicate și scăderea prețului de cost al echipamentului.

6.10. SUDAREA PRIN PRESIUNE

6.10.1. Generalități. Clarificarea procedeele de sudare prin presiune

Aceste procedee de sudare au la bază fenomenele ce apar în timpul deformării plastice a zonelor de îmbinat și curgerea plastică a materialului, *sub acțiunea unor forțe de compresiune*. Datorită acestor forțe de compresiune și curgerii plastice a materialelor, atomii marginali ai suprafețelor de îmbinat sunt apropiați la distanțe mai mici decât distanța interatomică cu formarea unor legături atomice reciproce, rezultând îmbinarea sudată. Deoarece curgerea plastică a materialelor crește cu temperatura, în majoritatea cazurilor este necesară o *încălzire locală* a zonei de îmbinat, micșorându-se foarte mult și forțele necesare.

La aceste procedee, în zona de îmbinare, materialul se află în stare plastică sau chiar în stare topită, sudarea făcându-se fără material de adaos.

După temperatura maximă dezvoltată în zona sudurii, procedeele de sudare prin presiune se împart în următoarele grupe:

- *sudarea prin presiune la rece*, când temperatura în locul de formare a sudurii este mai mică decât temperatura de recristalizare a materialelor de sudat;
- *sudarea prin presiune la cald în stare solidă*, când temperatura în locul de formare a sudurii este mai mare decât temperatura de recristalizare, dar mai mică decât temperatura de supraîncălzire;
- *sudarea prin presiune la cald cu topire*, când temperatura în locul de formare a sudurii este egală sau mai mare decât temperatura de topire a materialelor de sudat.

O clasificare a procedeele de sudare prin presiune, folosind drept criterii, natura energiei utilizate pentru încălzirea locală și caracteristicile tehnologice, se prezintă în figura 6.105.

6.10.2. Sudarea prin presiune cu energie electrică

La aceste procedee, piesele de sudat se apropie una de alta până la atingere în zona de îmbinat unde se creează o rezistență electrică de contact. Încălzirea locală a zonei de îmbinat se face datorită efectului Joule–Lentz. După atingerea unei temperaturi corespunzătoare unei plasticități ridicate, piesele sunt supuse unor forțe de compresiune care asigură realizarea îmbinării sudate. Pentru obținerea unei

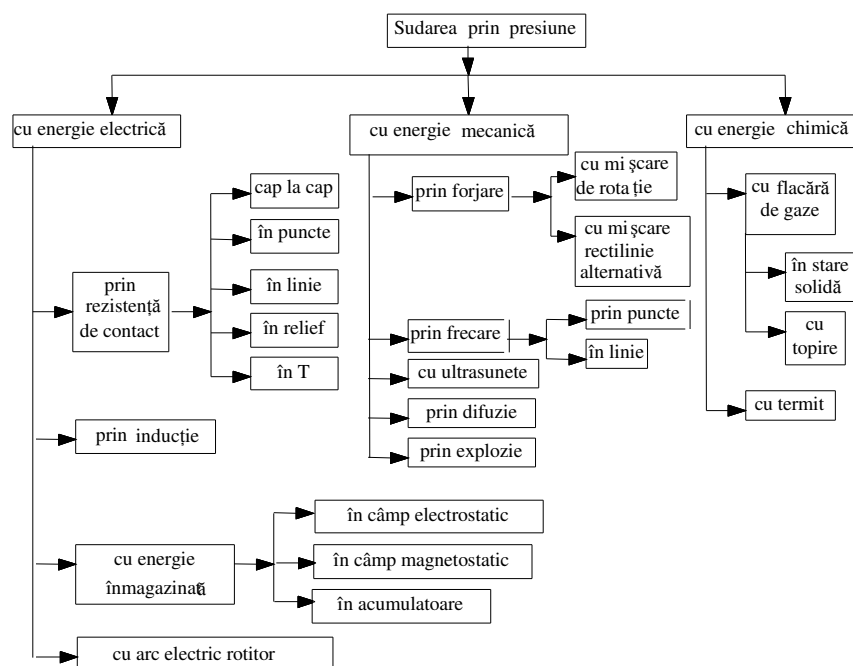


Fig. 6.105. Clasificarea principalelor procedee de sudare prin presiune.

cantități mari de căldură într-un timp foarte scurt se folosesc curenți de intensități foarte mari. Cele mai des întrebuințate procedee sunt prezentate în continuare.

6.10.2.1. Sudarea prin presiune prin rezistență de contact cap la cap

Are la bază schema de principiu prezentată în figura 6.106. Piese de sudat 1 și 2 sunt prinse în bacurile de cupru 3 și 4 ale mașinii de sudat 5 și legate în secundarul transformatorului electric 6. Bacul mobil 3 împreună cu piesa 1 se deplasează pe ghidajele 7 ale mașinii 8, până vine în contact cu piesa 2, moment în care se închide circuitul secundar al transformatorului de sudare 6, puternic coborât de tensiune (0,5...6,0V). În funcție de modul în care se formează îmbinarea sudată în zona de contact și de procesele ce au loc în piesele de sudat se deosebesc două variante de sudare cap la cap:

- *sudarea cap la cap în stare solidă prin refulare*, când piesele de sudat cu părțile frontale prelucrate îngrijit și curățate chimic, sunt aduse în contact și supuse unei presiuni inițiale p_i (fig.6.106. b). La contactul dintre ele se închide circuitul secundar al transformatorului și capetele pieselor se încălzesc, datorită rezistenței electrice de contact, până la temperatura de deformare plastică (de exemplu, la oțel până la 1 200...1 500K). Cantitatea de căldură Q , dezvoltată în zona de contact este dată de relația:

$$Q = 0,24 \int_0^{t_s} \{ [R_{p1} + R_{p2}](t) + R_c(t) \} I_s^2(t) dt \quad , \quad (6.82)$$

în care R_{p1} , R_{p2} și R_c sunt rezistențele pieselor de sudat și respectiv de contact; t_s - timpul de sudare; I_s - intensitatea curentului de sudare.

După atingerea temperaturii corespunzătoare deformării plastice, se comandă *refularea*, cu o presiune de refulare p_r și cu respectarea condiției $p_r > p_i$. După începerea refulării, la atingerea unei anumite deformări plastice, se întrerupe curentul, și în urma răcirii se obține sudura 11, îmbinarea sudată prezentând scurtarea Δl ;

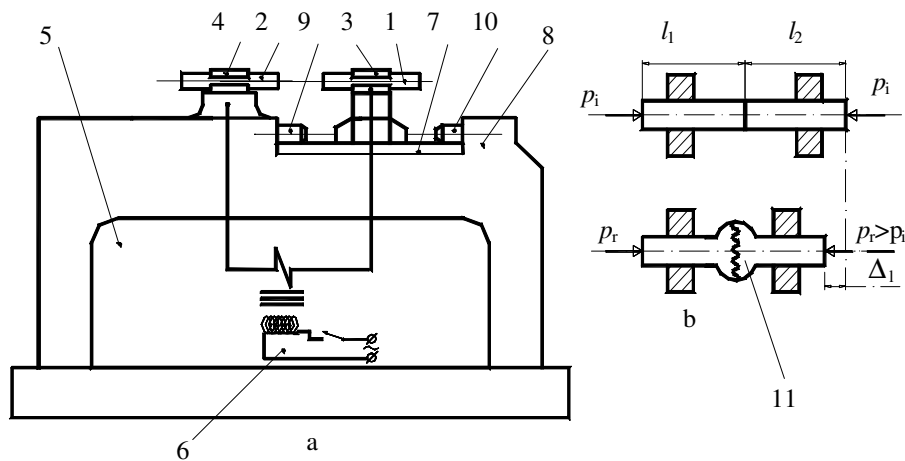


Fig. 6.106. Schema de principiu la sudarea prin presiune cap la cap:

a - schema instalației folosite; b - fazele de realizare a îmbinării: 1; 2 - piesele de sudat; 3; 4 - bacurile de prindere; 5 - mașina de sudat; 6 - transformatorul de sudare; 7 - ghidaje; 8 - batiu; 9; 10 - opritori; 11 - îmbinarea sudată; p_i - presiunea inițială; p_r - presiunea de refulare.

- *sudarea cap la cap prin topire intermediară*, care se deosebește de procedeul de mai sus prin faptul că piesele sunt supuse unei tensiuni înainte de a fi aduse în contact, și în momentul aducerii lor în contact, punctele inițiale de contact se topesc datorită densității mari de curent. Între asperități se produc și mici arce electrice de scurtă durată, și prin avansarea piesei, până în bacul mobil, se creează noi puncte de contact, ceea ce permite continuarea procesului. În timpul acestei operații numită *scânteiere*, cea mai mare parte a metalului topit este expulzat violent sub formă de scântei. Dacă deplasarea saniei mobile se face fără întrerupere, procedeul se numește *sudare prin scântei cu topire continuă*, iar dacă deplasarea se face cu intermitență, mișcările de apropiere alternând cu cele de retragere, în vederea accentuării scânteierii, procedeul se numește *sudare prin scântei cu topire discontinuă*. După obținerea unor pelicule continue de metal topit

pe capetele pieselor de sudat, acestea se apropie una de alta, prin refulare, cu viteză mare și se realizează sudarea pieselor pe întreaga suprafață de contact. Condiția realizării unei suduri bune este ca viteza de apropiere a pieselor una de alta să fie egală cu viteza de topire. După refulare, transformatorul de alimentare cu curent se întrerupe, iar prin reconectarea lui la momentul potrivit și pe o durată determinată se poate realiza și un tratament termic.

Tehnologia sudării electrice prin presiune cap la cap în stare solidă presupune parcurgerea următoarelor operații:

1 - *Pregătirea pieselor* trebuie să asigure un contact electric bun între suprafețele frontale ale pieselor care se îmbină. Constă în prelucrarea mecanică până la luciu metalic, curățirea suprafețelor de grăsimi, uleiuri, murdărie, cu solvenți ca: alcool, benzină, tetraclorură de carbon sau sodă caustică soluție 10% încălzită la 100°C;

2 - *Stabilirea parametrilor regimului de sudare*. Trebuie luați în considerare următorii parametri:

- densitatea de curent sau puterea electrică consumată;
- timpul de menținere sub tensiune;
- presiunea inițială și de refulare;
- temperatura maximă în zona de contact la sfârșitul sudării;
- lungimea liberă a pieselor în bacurile de prindere;
- scurtarea la refulare;
- natura materialelor de îmbinat și mărimea secțiunii în zona de contact.

Regimurile de sudare se numesc *regimuri dure* (când densitățile de curent sunt mari și timpul de sudare scurt) și *regimuri moi* (când densitățile de curent sunt mici și timpul de sudare mare). Densitățile de curent uzuale sunt alese între 50..70A/mm² pentru sudarea oțelurilor, 150...200A/mm² pentru aluminiu și aliajele sale și 250..300A/mm² pentru cupru și aliajele sale.

Temperatura pieselor depinde de puterea consumată și durata de încălzire a pieselor, iar scurtarea la refulare depinde de forțele de refulare și temperatura pieselor de sudat.

Durata de încălzire a pieselor variază invers proporțional cu densitatea de curent și are valori cuprinse între 0,5..15s (timpuri scurte la mașinile automate și lungi la mașinile cu acționarea manuală).

Presiunea de refulare se stabilește între 1,5..3,0daN/mm² la regimul moale și 3,5..5,0 daN/mm² la regimul dur – în cazul sudării oțelurilor, iar în cazul sudării neferoaselor se stabilește între 1,0..1,5 daN/mm².

Lungimea liberă l crește cu diametrul pieselor și cu conductibilitatea electrică și termică a pieselor, recomandându-se valorile: $l = (0,5..1,0)d$ – pentru oțel moale; $l = (2..2,5)d$ – pentru cupru; $l = (1,5..2,0)d$ – pentru aluminiu și alamă (d este diametrul barelor de sudat).

3 - *Alegerea puterii specifice* se face în funcție de secțiunea de sudat, utilajul folosit și proprietățile materialului de îmbinat (conductibilitatea termică și

electrică). Se alege uzual în gama 0,12..0,15 kVA/mm².

4 - *Calculul rezistenței îmbinării.* Rezistența îmbinării este mai mică decât cea a materialelor ce se sudează datorită zonei influențate termic, unde grăunții cristalini cresc mult, și datorită imperfecțiunilor în pregătirea pieselor de sudat;

5 - *Sudarea propriu-zisă* se face ținând cont de natura pieselor de îmbinat, mărimea secțiunilor de contact, tipul utilajului și natura materialelor de sudat.

6 - *Controlul îmbinărilor sudate* constă în depistarea eventualelor defecte ce pot apărea în urma procesului de sudare ca: *deplasarea capetelor; cratere închise; exfoliere; pori în apropierea suprafeței de îmbinare; peliculă de incluziuni metalice și nemetalice* și altele. Pentru punerea în evidență a acestora se face un control optico-vizual și un control nedistructiv cu radiații penetrante, cu lichide penetrante, cu ultrasunete, cu pulberi magnetice, cu emisie acustică sau curenți turbionari etc.

Aplicabilitatea procedului. *Sudarea prin presiune cap la cap* prin refulare se aplică la îmbinarea barelor din oțel de formă circulară sau prismatică, cu secțiunea până la 50 000mm², și din cupru, cu secțiunea de până la 2 000mm². Se utilizează în industria producătoare de țevi, sârme, profile laminate, căi ferate, vagoane, bandaje de roți dințate, jenți pentru autovehicule, zale de lanț, chesoane, scule așchietoare etc. Se poate executa o sudare cap la cap sau pe generatoare.

Sudarea prin presiune cap la cap prin topire intermediară se aplică pieselor cu secțiuni mari ca: bare, țevi, piese forjate, piese laminate (tije, pârgăhii, buloane, tiranți, tampoane de șoc pentru vagoane, șine de tramvai sau cale ferată, țevi pentru schimbătoare de căldură etc.), piese inelare sau în formă de cadru (jenți pentru automobile, rame pentru tâmplărie mecanică etc.).

6.10.2.2. Sudarea prin presiune prin rezistență în puncte

Procedul are la bază efectul Joule-Lentz produs de curentul electric ce străbate două sau mai multe piese suprapuse, îmbinarea producându-se în puncte distincte. Punctele de sudură se pot realiza succesiv sau simultan, poziția lor fiind în funcție de poziția electrozilor de sudare ce închid circuitul curentului electric de sudare, deosebindu-se mai multe variante:

- *sudare în puncte din două părți* (fig. 6.107) unde punctul de sudură 1 se formează între piesele de sudat 2 și 3, suprapuse și presate cu o forță de presare P , de către electrozii de sudare 4 și 5 legați în secundarul transformatorului de sudare 6, puternic coborâtor de tensiune. Circuitul de sudare se închide numai după ce s-a realizat o bună presare și contactul intim dintre cele două piese de sudat. Densitatea de curent va fi maximă între cele două piese, deoarece aici rezistența de contact $R_{ps}R_{pi}$, va fi maximă și, deci, și temperatura va fi maximă în această zonă. Rezistența totală a circuitului de sudare R_t este dată de relația:

$$R_t = R_{es} + R_{esps} + R_{ps} + R_{pspi} + R_{pi} + R_{piei} + R_{ei}, \quad (6.83)$$

în care: R_{es} , R_{ei} sunt rezistențele electrice ale electrodului superior, respectiv inferior; R_{ps} , R_{pi} – rezistențele electrice ale pieselor de sudat superioară și respectiv inferioară; $R_{ps}R_{pi}$ – rezistența electrică dintre cele două piese; R_{piei} – rezistența electrică la contactul piesă inferioară–electrod inferior; R_{pspi} – rezistența electrică la contactul electrod superior-piesă superioară.

Deoarece rezistențele R_{esps} , R_{eipi} sunt de nedorit, efectul lor se diminuează prin utilizarea unor electrozi buni conducători de electricitate (confecționați din Cu sau aliaje: Cu – Cr, Cu – Cd, Cu – Be – Co etc.) și răciți în permanență, precum și prin curățirea zonelor de contact (prin sablare, periere, decapare chimică) până la luciu metalic.

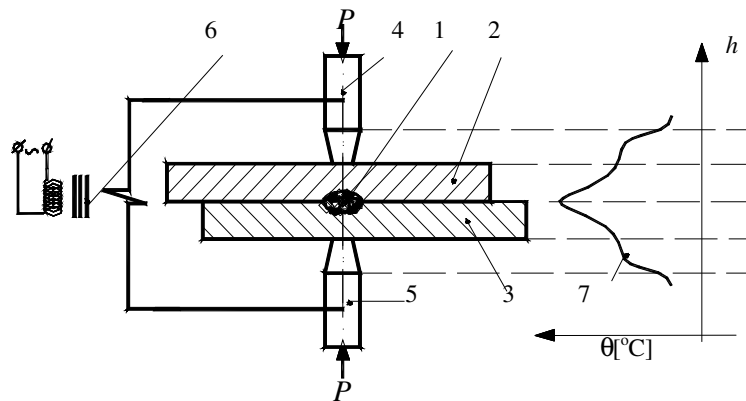


Fig. 6.107. Schema de principiu la sudarea prin presiune prin rezistență în puncte din două părți:
a – schema de principiu; b – variația temperaturii pe secțiune; 1 – punctul de sudură;
2; 3 – piesele de sudat; 4; 5 – electrozii de sudare; 6 – transformatorul de sudare; 7 – diagrama de variație a temperaturii în zonele de contact electrozi – piese și piesă – piesă.

- *sudarea în puncte dintr-o singură parte* (fig.6.108) unde punctele de sudură 1 și 2 se realizează simultan între piesele de sudat 3 și 4, prinse între electrozii 5 și 6 și contra-electrodul 7, confecționat din Cu. Cei doi electrozi sunt legați în secundarul transformatorului de sudare 8, puternic coborât de tensiune, circuitul electric închizându-se după liniile I, II, III. Acest procedeu se aplică atunci când configurația pieselor nu permite prinderea lor din ambele părți.

Pentru a realiza un punct de sudură este necesar să fie îndeplinite următoarele condiții prinse într-o *diagramă de funcționare* a oricărei mașini de sudat prin rezistență în puncte (fig. 6.109):

- închiderea circuitului de sudare să se facă numai după ce piesele au fost bine strânse între electrozi;
- întreruperea circuitului electric să se realizeze atunci când forța de apăsare are valori mari, pentru a se asigura răcirea și solidificarea punctului de sudură.

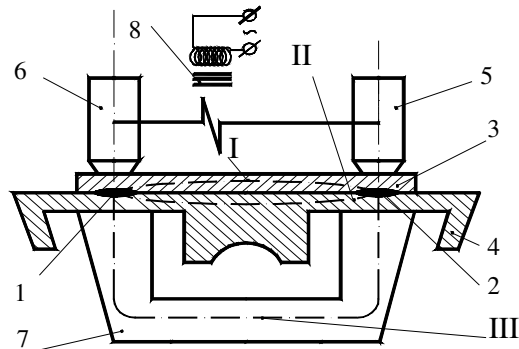


Fig. 6.108. Schema de principiu la sudarea prin presiune prin rezistență în puncte dintr-o singură parte:

1, 2 – punctele de sudură; 3, 4 – piesele de sudat; 5, 6 – electrozii pentru sudare;
7 – contra-electrodul de cupru; 8 – transformatorul de sudare; I, II, III – linii de închidere a circuitului electric.

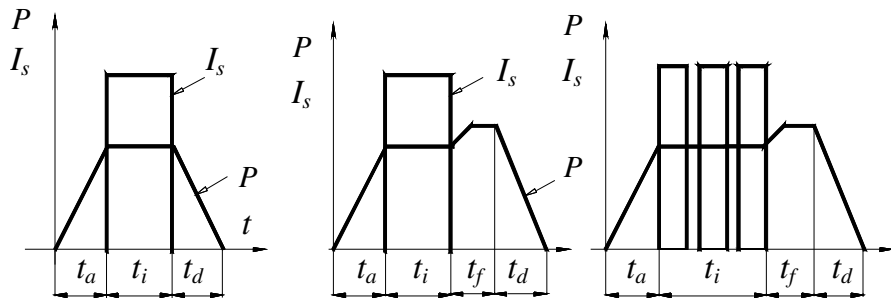


Fig. 6.109. Câteva diagrame de funcționare ale mașinilor de sudat prin rezistență în puncte:
a – normală; b – cu forjarea punctului de sudură; c – cu deconectarea periodică a curentului și forjarea punctului de sudare; t_a – timpul de apropiere; t_i – timpul de închidere a circuitului; t_f – timpul de forjare; t_d – timpul de desfășurare.

Diagrama de funcționare se ridică în coordonatele: t – timpul; p – forța de apăsare a pieselor; I_s – intensitatea curentului circuitului de sudare.

Durata T_c , a unui ciclu de sudare este dată de relația:

$$T_c = t_a + t_i + t_d \quad [\text{min}] \quad (6.84)$$

în care t_a este timpul necesar realizării contactului intim între cele două piese; t_i – timpul necesar încălzirii până la starea plastică sau topire; t_d – timpul de solidificare și desfășurare a pieselor dintre electrozi.

Pentru îmbunătățirea proprietăților mecanice ale punctelor de sudură, se mărește forța de apăsare P spre sfârșitul procesului de sudare (fig. 6.110. b și c), realizându-se în acest timp (t_f) o forjare a punctelor de sudură.

Procesul se aplică la îmbinarea de table, benzi, sârme și profile subțiri de până la maxim 25 mm, confecționate din oțel, crom, nichel, alamă, cupru, bronz, zinc, aluminiu și aliajele lor. Se realizează construcții ușoare din table și profile subțiri din oțel sau aliaje neferoase, construcții de autovehicule, de vagoane de cale ferată, tramvaie și troleibuze, construcții aeronautice, tâmplărie metalică, construcții civile și industriale, unicate și de serie pentru mobilier și industria bunurilor de consum și uz gospodăresc.

- *sudarea în puncte în relief* (fig.6.110) prin care se realizează simultan mai multe puncte de sudură, cu pierderi minime de curent. Pe piesa superioară 1 sunt prelucrate inițial prin prelucrare plastică proeminențele 2, ce constituie puncte de contact cu piesa 3. Cele două piese de sudat se presează între plăcile electrozi 4 și 5 legate în secundarul transformatorului de sudare 6, formându-se în final punctele de sudură 7. Numărul proeminențelor ce se sudează simultan este de 2...12, în funcție de grosimea materialului și puterea mașinii de sudat. Procedul prezintă următoarele avantaje: productivitate ridicată; concentrare importantă a căldurii în punctele de contact și uzură mică a plăcilor – electrozi. Procedul se aplică în special la realizarea miezurilor din tole de transformator și la sudarea pieselor gofrate (tuburi, țevi, plăci etc.).

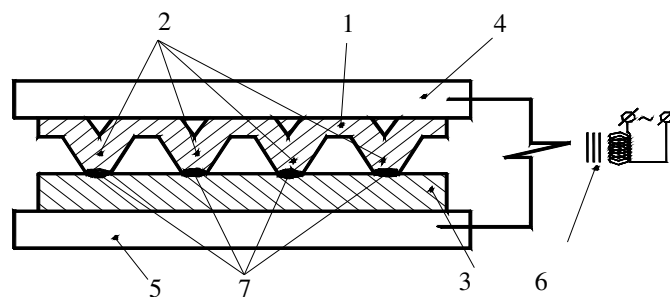


Fig. 6.110. Schema de principiu la sudarea în puncte în relief:

1 – piesa superioară; 2 – proeminențe; 3 – piesa inferioară; 4; 5 – plăcile – electrozi;
6 – transformatorul de sudare; 7 – punctele de sudură.

- *sudarea prin rezistență în puncte multiple*, prin care se realizează simultan sau succesiv mai multe puncte de sudură, în funcție de utilajul folosit la această variantă. Mașina de sudat este prevăzută cu un număr mare de electrozi care sunt apăsate pe rând sau simultan pe piesele de sudat. Procedul se utilizează la sudarea carcaselor, grătarelor, caroseriilor diferite (așa se sudează spre exemplu corpurile mașinilor de gătit tip „aragaz”, armăturile pentru planșeele de beton etc.).

Tehnologia sudării prin rezistență în puncte presupune înlănțuirea logică a unor operații tehnologice specifice, care vor determina în final calitatea îmbinării sudate, calitate dată de rezistența punctului sau punctelor de sudură realizate. Principalele operații tehnologice sunt:

1 - *Pregătirea pieselor în vederea sudării.* Starea suprafețelor în zona de contact a pieselor de sudat schimbă configurația câmpului termic și forma nucleului topit, deci și formarea punctului de sudură. Stratul de oxizi, murdărie, vopsea, ulei etc., are o mare influență asupra procesului de sudare, deoarece se comportă ca un strat izolator care împiedică stabilirea unui curent având valoarea necesară realizării procesului de sudare. De aceea, suprafețele de îmbinat trebuie curățite foarte bine cu perii rotitoare, sablaj sau prin atac chimic până la luciu metalic;

2 - *Controlul inițial al pieselor de sudat* are drept scop depistarea eventualelor defecte existente în piesele de sudat. Se face un control optico-vizual sau un control nedistructiv cu ultrasunete, lichide penetrante, pulberi magnetice sau alte metode corespunzătoare configurației geometrice și naturii îmbinării.

3 - *Stabilirea parametrilor regimului de sudare.* Parametrii regimului de sudare care trebuie luați în considerare sunt: densitatea de curent, forța de apăsare a electrozilor; timpul de sudare și diametrul vârfului electrozilor. În funcție de valorile parametrilor regimului de sudare se utilizează două categorii de regimuri de sudare:

- *regimuri moi*, caracterizate prin densitate de curent mică ($70..160 \text{ A/mm}^2$), timp de sudare lung ($1,5..3,0 \text{ s}$) și forță de apăsare mică;

- *regimuri dure* (tari), caracterizate prin densitate de curent mare ($160..400 \text{ A/mm}^2$), timp de sudare scurt ($0,01..1,5 \text{ s}$) și forță de apăsare mare (peste 5 daN/mm^2).

Parametrii regimului de sudare se aleg în funcție de natura materialului de sudat, grosimea pieselor de sudat, starea suprafețelor și clasa de calitate dorită pentru punctul de sudură. Trebuie ținut cont de următoarele recomandări:

- *intensitatea curentului de sudare I_s* , respectiv densitatea de curent se poate determina cu relațiile:

$$I_s = 6500 \cdot s \text{ [A] ,} \quad (6.85)$$

pentru oțel moale, în care s este grosimea tablelor de sudat, în mm;

$$I_s = j \cdot \frac{\pi \cdot d_e^2}{4} \text{ [A] ,} \quad (6.86)$$

pentru oțeluri carbon obișnuite, în care $j = 120..400 \text{ A/mm}^2$ la regimuri dure și $j = 80..160 \text{ A/mm}^2$, la regimuri moi; d_e – diametrul vârfului electrozilor,

$$I_s = k \cdot \frac{\pi \cdot d_e^2}{4} \cdot \frac{1}{\sqrt{t_s}} \text{ [A] ,} \quad (6.87)$$

în care $k = (800..1000) \text{ A/mm}^2$ pentru oțelurile inoxidabile; $k = (3000..4000) \text{ A/mm}^2$ pentru aliajele din aluminiu; $k = (4000..5000) \text{ A/mm}^2$ pentru aluminiu; t_s – timpul de sudare;

$$I_s = 10 \cdot \sqrt{\frac{\sqrt{P}}{t_s}} (1,5s + 1) \quad [\text{A}] \quad (6.88)$$

pentru cupru și aliajele de cupru, în care P este forța de apăsare, în daN.

- *timpul de sudare* t_s crește cu grosimea pieselor de sudat astfel:

$$t_s = (0,1 \dots 0,2)s \quad [\text{s}] \quad (6.89)$$

pentru regimuri dure, în care s este grosimea tablelor de sudat, în mm;

$$t_s = (0,8 \dots 1,0)s \quad [\text{s}] \quad (6.90)$$

pentru regimuri moi;

- *forța de apăsare* P depinde de grosimea pieselor de sudat, starea locală a suprafețelor, caracterul dur sau moale al sudării și de proprietățile de rezistență ale punctului realizat. Se calculează cu relațiile:

$$P = (50 \dots 250) \cdot s \quad [\text{daN}] \quad (6.91)$$

în care s este grosimea tablelor de sudat;

$$P = p \cdot \frac{\pi \cdot d_e^2}{4} \quad [\text{daN}] \quad (6.92)$$

în care $p = (7 \dots 12) \text{ daN/mm}^2$ pentru oțeluri obișnuite; $p = (13 \dots 25) \text{ daN/mm}^2$ pentru oțeluri inoxidabile; $p = (7 \dots 12) \text{ daN/mm}^2$ pentru aluminiu și aliajele sale;

- *diametrul vârfului electrodului* d_e , influențează rezistența punctului realizat și se calculează cu relațiile:

$$d_e = 2s + 3 \quad [\text{mm}] \quad (6.93)$$

pentru grosimi $s < 3,0\text{mm}$;

$$d_e = 5s \quad [\text{mm}] \quad (6.94)$$

pentru grosimi $s \geq 3,0\text{mm}$;

Diametrul electrodului D , se determină folosind relația:

$$D = 1,5d_e \quad [\text{mm}] \quad (6.95)$$

în care d_e este diametrul vârfului electrodului, în mm.

Diametrul punctului sudat variază în funcție de regim și de grosimea tablelor și ia valori între 3 și 12mm, fiind aproximativ egal cu diametrul vârfului electrozilor. Dacă piesele diferă între ele prin material sau dimensiuni (grosimi diferite), rezultă un proces termic nesimetric la sudare, care conduce la obținerea unui punct asimetric (pătrunderea este mai mare în tabla mai groasă sau mai puțin conductoare).

4 - *Alegerea utilajului pentru sudare.* Construcția mașinilor de sudat prin puncte este foarte diferită, aceasta depinzând de destinația mașinilor, numărul de puncte realizate simultan, modul de acționare, gradul de automatizare, după mobilitate, după alimentare, după gabarit, după sursa de curent și chiar după productivitate.

La alegerea mașinii de sudat prin rezistență în puncte trebuie ținut cont de următoarele:

- să asigure energia necesară realizării îmbinării sudate;
- să permită fixarea pieselor în poziție convenabilă în vederea sudării;
- să mențină piesele în poziția corespunzătoare și să dezvolte forța mecanică necesară realizării punctului sau punctelor de sudură;
- să execute unele operații mecanizat, automatizat, să comande, să regleze și să măsoare parametrii regimului de sudare.

5 - *Execuția sudării propriu-zise* presupune succesiunea logică a următoarelor faze (fig. 6.111):

- așezarea pieselor pe electrodul inferior (fig. 6.111. a);
- prinderea și presarea pieselor între cei doi electrozi (fig. 6.111. b);
- conectarea curentului și ajungerea la starea plastică sau chiar la topire în zona de contact dintre cele două piese (fig. 6.111. c);
- deconectarea curentului și răcirea punctului sub presiune, pentru ca acesta să capete consistență (fig. 6.111. e);
- desfacerea electrozilor și scoaterea pieselor sudate.

6 - *Controlul final al îmbinării* constă în depistarea eventualelor defecte ce au apărut în urma procesului de sudare: *lipsa nucleului topit sau nucleu prea mic; expulzări de material topit; punct ars; amprentă adâncă; retasuri și pori etc.* Controlul se face optico-vizual sau control nedistructiv cu radiații permanente, lichide penetrante, pulberi magnetice sau analiză termografică. Uneori, se fac și încercări de forfecare a punctului, pentru îmbinări sudate pretențioase.

6.10.2.3. Sudarea prin presiune prin rezistență în linie

Se deosebește de sudarea prin presiune prin rezistență în puncte prin aceea că electrozii sunt înlocuiți de niște role de contact, iar punctele de sudură sunt parțial suprapuse, formând o cusătură etanșă (fig. 6.112). Pe piesele de sudat 1 și 2 sunt apăsate cu o forță P , rolele – electrozi 3 și 4, legate în secundarul unui transformator de sudare 5, puternic coborâtor de tensiune (de la 220 – 380V la 110V), ce asigură un curent de 1 000...100 000A. Sudura se realizează datorită efectului termic al curentului electric și rezistenței mari de contact între cele două piese unde se formează puncte parțial suprapuse, ce formează cusătura sudată 6 (fig. 6.112. a) sau cusăturile sudate paralele 6 și 6' (fig. 6.112. b).

În funcție de schema cinematică, configurația geometrică a pieselor și productivitate se deosebesc două variante:

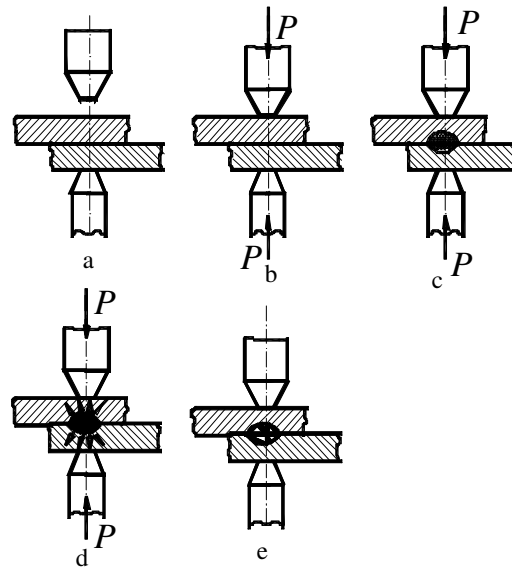


Fig. 6.111. Fazele sudării prin rezistență în puncte:

a – așezarea pieselor; b – presarea și realizarea contactului intim; c – conectarea curentului; d – deconectarea curentului și răcirea sub presiune, e – desfacerea electrozilor și formarea punctului de sudură.

- *sudarea în linie din două părți* (fig.6.112. a) cu formarea unei singure cusături sudate, unde piesele de sudat se introduc între cele două role – electrozi;

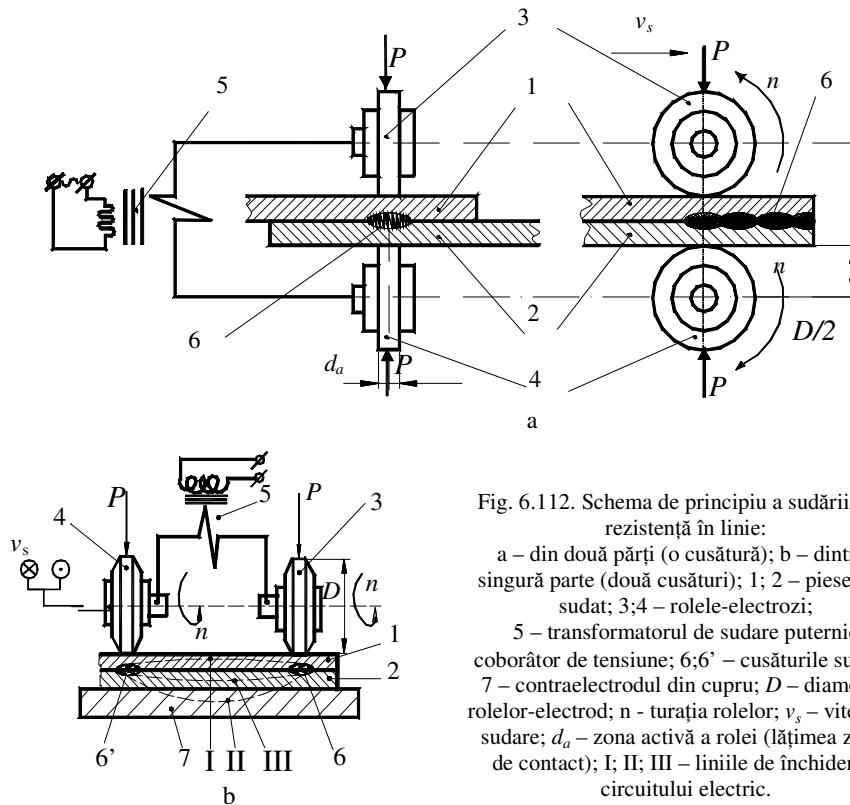
- *sudarea în linie dintr-o parte* (fig. 6.112. b) cu formarea a două cusături sudate paralele, unde cele două role electrod se așează la distanțe corespunzătoare pe piesele de sudat. În acest caz se folosește un contra-electrod confecționat de obicei din cupru, închiderea circuitului făcându-se atât prin piesa superioară și inferioară, cât și prin contra-electrod (circuitele I, II și III).

Cel puțin una din rolele-electrod este antrenată mecanic, ambele sunt răcite forțat și presate cu forța P asupra pieselor de sudat. Datorită frecării de contact role-piesă are loc deplasarea pieselor (fig. 6.112. a) sau a rolelor-electrod (fig. 6.112. b) cu viteza de sudare v_s .

Cusătura sudată ce se poate obține este influențată de modul cum se corelează curentul de sudare I_s , forța de apăsare P și viteza de sudare determinată de distanța L , parcursă în timpul sudării, existând următoarele posibilități:

- *rotirea continuă a rolelor sub presiune constantă și menținerea constantă a curentului de sudare* (fig. 6.113. a) cu formarea unei cusături sudate în linie continuă;

- *rotirea continuă a rolelor sub presiune constantă și deconectarea periodică a curentului electric* (fig. 6.113. b) cu formarea unei cusături sudate în linie din puncte alăturate;



- rotirea rolelor în contratimp cu conectarea curentului electric sub presiune constantă (fig. 6.113. c) cu formarea unei cusături în pași;
- rotirea continuă a rolelor și modularea curentului prin variația presiunii (fig. 6.113. d) cu formarea unei cusături sudate în linie, din puncte parțial suprapuse.

Procedul se aplică pentru realizarea de îmbinări sudate mai compacte și de rezistență mai mare decât cele realizate prin rezistență în puncte și mai ales la realizarea îmbinărilor de etanșitate (rezervoare de automobile, avioane, autocamioane, țevi îndoit, ambalaje etanșe, radiatoare, jenți, câni, recipiente etc.).

Se sudează table din oțel carbon obișnuit, oțel austenitic NiCr, cupru și aliajele sale, aluminiu și aliaje și altele, a căror grosime suprapusă nu depășește 10mm.

Tehnologia sudării prin rezistență în linie este asemănătoare cu cea de la sudarea prin rezistență în puncte, deosebirile existente fiind legate doar de schema de lucru, utilajul folosit și tipul îmbinării. Principalele operații ce trebuie parcurse sunt:

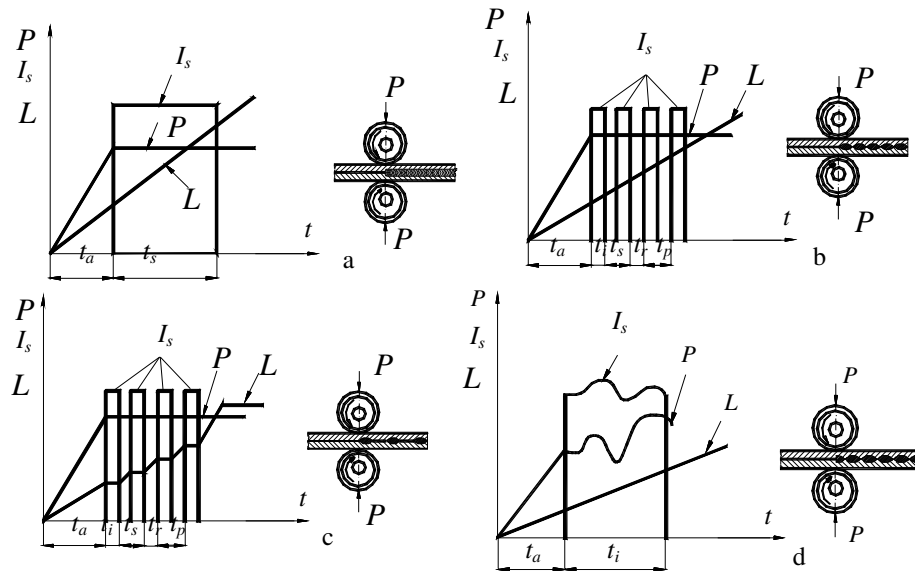


Fig. 6.113. Diferite scheme de lucru la sudarea în linie din ambele părți:
 a – în linie continuă; b – în linie, cu întreruperea periodică a curentului; c – în pași cu oprire; d – cu modularea curentului; P – forța de apăsare; I_s – curentul de sudare; L – distanța parcursă în timpul sudării; t_a – timpul de realizare a contactului intim; t_s – timpul de sudare; t_r – timpul de deconectare a curentului; t_p – pasul; t_i – timpul de închidere a circuitului electric.

1 - *Pregătirea pieselor în vederea sudării* constă în curățirea suprafețelor ce se suprapun de orice fel de murdărie, grăsimi, oxizi, vopsele etc. Curățirea suprafețelor se face pe cale mecanică folosind perii de sârmă, perii circulare sau pe cale chimică;

2 - *Controlul inițial al pieselor de sudat* are drept scop depistarea eventualelor defecte existente în tablele de sudat. Se face un control optico-vizual și un control nedistructiv (cu ultrasunete, cu pulberi magnetice, cu lichide penetrante etc.);

3 - *Stabilirea parametrilor regimului de sudare*. Pentru obținerea unei cusături sudate de bună calitate trebuie aleși și corelați corespunzător următorii parametri:

- *curentul de sudare I_s* se alege de 1,5...2,0 ori mai mare decât la sudarea prin rezistență în puncte, pentru aceeași grosime de sudat și același material. Curentul de sudare optim se alege puțin mai mic decât curentul la care apar împrôșcările de metal topit;

- *forța de apăsare a rolelor-electrod P* se alege cu 10...30% mai mare decât la sudarea prin rezistență în puncte;

- *intermitența curentului de sudare* se alege în funcție de schema de lucru aleasă, de varianta de corelație a parametrilor, de natura materialelor de sudat și

grosimea pieselor de sudat. Se recomandă raportul t/t_p (fig.6.113) la următoarele valori:

$$t/t_p = 0,4 \dots 0,6, \text{ pentru oțelurile moi; } \quad (6.96)$$

$$t/t_p = 0,3 \dots 0,5, \text{ pentru oțelurile austenitice; } \quad (6.97)$$

$$t/t_p = 0,3 \dots 0,45, \text{ pentru metalele și aliajele neferoase; } \quad (6.98)$$

- viteza de sudare v_s se alege în funcție de grosimea pieselor de sudat, schema de lucru aleasă, natura îmbinării sudate, natura materialelor de sudat și productivitate. În general viteza de sudare variază între 0,5...3,0 m/min;

- pasul dintre două puncte se alege în funcție de natura cusăturii sudate (etanșă, neetanșă, puncte alăturate etc.), grosimea pieselor de sudat și partea activă a rolelor. Se recomandă ca acest pas să fie mai mic de $(0,5 \dots 0,7)d_a$ (d_a – partea activă a rolelor–electrod). Pasul nu este limitat superior dacă nu se cere o cusătură etanșă;

- diametrul rolelor – electrod D se alege în funcție de schema de lucru adoptată, tipul și caracteristicile mașinii de sudat și tipul îmbinării. Se recomandă ca diametrul rolelor–electrod să fie 150...350mm;

- lățimea zonei active a rolelor–electrod d_a se alege în funcție de secțiunea tablelor ce se sudează, natura materialelor de sudat și tipul îmbinării. Pentru obținerea unei cusături de calitate, zona activă a rolelor–electrod se ia:

$$d_a = 2s + 2,0 \quad [\text{mm}] \quad (6.99)$$

în care s este grosimea tablelor ce se sudează, în mm.

Rolele se confecționează din același material cu electrozii de sudare folosiți la sudarea prin rezistență în puncte.

4 - Alegerea utilajului pentru sudare se face în funcție de tipul îmbinării sudate, schema de lucru, tipul pieselor de sudat și caracteristicile acestora. Se deosebesc: *mașini cu destinație generală* (pentru sudarea cusăturilor longitudinale sau transversale cu două role, sudarea tablelor foarte subțiri cu energie înmagazinată, sudarea continuă a tablelor din oțel, pentru sudarea întreruptă, pentru sudarea în pași a pieselor din aliaje ușoare, pentru sudarea cu impulsuri de curent continuu etc.) și *mașini cu destinație specială* (pentru sudat țevi, pentru confecționat ambalaje metalice, pentru sudarea în capete a tablelor, pentru sudarea obezilor de roți de bicicletă, pentru sudarea jenților auto etc.).

5 - *Execuția sudării propriu-zise* presupune succesiunea logică a aceluiași faze ca la sudarea prin rezistență în puncte cu deosebirea că în locul electrozilor de sudare apar rolele–electrod și mișcarea de rotație a acestora;

6 - *Controlul final al îmbinării sudate* presupune depistarea eventualelor defecte ce au apărut în urma procesului de sudare, care sunt aceleași ca la sudarea prin rezistență în puncte, apărând în plus lipsa de etanșeitate în cazul anumitor îmbinări. Pentru depistarea defectelor se fac aceleași categorii de încercări și în plus încercarea de etanșeitate.

Variante ale sudării prin rezistență în linie. În funcție de configurația geometrică a pieselor de sudat, de destinația produsului și de productivitatea dorită există mai multe variante ale procedurii, deosebindu-se:

- *sudarea pe generatoare a țevelor* (fig. 6.114) unde cusătura sudată se formează treptat pe întreaga secțiune a marginilor piesei 1 aduse în contact. Piesa de sudat 1 (țeava îndoită) se obține dintr-o platbandă debitată la dimensiunile corespunzătoare, care este trecută prin rolele de formare 2 și 3 antrenate fiind de rola antrenoare 4.

Pe țeava astfel îndoită și cu marginile prelucrate, corespunzător rostului îmbinării, se deplasează rolele-electrod 5 și 6, izolate între ele 7 și legate în secundarul transformatorului de sudare 8. Se formează în acest mod o cusătură sudată 9, continuă pe generatoarea unei țevi din oțel carbon, cu grosimea de 0,5...15mm și diametrul de 10...400mm;

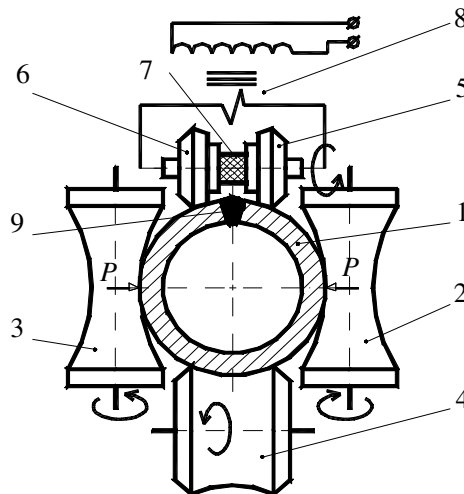


Fig. 6.114. Schema de principiu la sudarea pe generatoare a țevelor:

1 – țeavă; 2, 3 – role de formare a țevei; 4 – rolă antrenoare; 5, 6 – role-electrod; 7 – izolație;
8 – transformator de sudare; 9 – cusătura sudată.

- *sudarea în linie cu material de adaos* (fig.6.115) este o sudare cap la cap fără o suprapunere a celor două piese de sudat 1 și 2. Cele două piese de sudat pregătite corespunzător se așează cap la cap și în dreptul rostului se plasează materialul de adaos sub formă de platbandă 3 și 4. Materialul de adaos este apăsător cu forța P de rolele-electrod 5 și 6 legate în secundarul transformatorului de sudare 7. Piesele de sudat sunt presate la capete cu o forță $P_a > P$, de către rolele auxiliare 8, 8' și 9, 9'. Datorită efectului termic al curentului electric și dilatării marginilor în zona de contact mai apare o forță de deformare P_d care împreună cu forța P realizează chiar o forjare a cusăturii sudate.

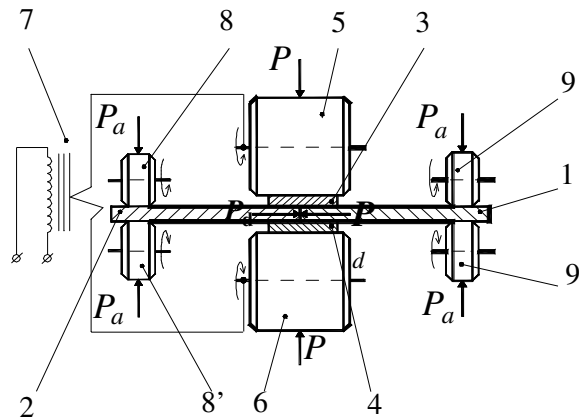


Fig. 6.115. Schema de principiu la sudarea în linie cu material de adaos:

1; 2 – piesele de sudat; 3; 4 – materialul de adaos sub formă de platbandă; 5; 6 – rolele-electrod;
7 – transformatorul de sudare; 8; 8'; 9; 9' – role auxiliare.

6.10.2.4. Sudarea prin presiune cu energie electrică prin inducție

La acest procedeu, cantitatea de căldură necesară aducerii materialului în stare plastică este asigurată de inductoare electrice, de forme constructive diferite, corespunzătoare scopului propus. Aceste inductoare sunt parcurse de curenți de înaltă frecvență ($2\,000 \dots 10^6$ Hz) care induc în material curenți de aceeași frecvență, dezvoltând căldura necesară realizării sudării prin efectul Joule și prin curenții Foucault. În momentul în care materialul a ajuns în stare plastică se aplică o forță de refulare corespunzătoare cu natura și grosimea materialelor de sudat. Încălzirea materialului prin inducție se face neuniform datorită *efectului pelicular*. Din cauza acestui efect rezultă o neuniformitate corespunzătoare a repartiției încălzirii inductive, grosimea stratului de suprafață δ , în care se degajă aproximativ 90% din întreaga căldură fiind, dată de relația:

$$\delta = k \cdot \sqrt{\frac{\rho}{\mu \cdot f}}, \quad (6.100)$$

în care k este factorul de proporționalitate; ρ - rezistivitatea; μ - permeabilitatea magnetică a metalului; f - frecvența.

Schema de principiu a sudării cap la cap a țevelor din oțel cu mai puțin de 0,25%C, folosind acest procedeu, se prezintă în fig. 6.116.

Procedeu se aplică și la fabricarea conductorilor bimetalici constituiți din combinații de materiale, fabricarea plăcilor bimetalice, sudarea aripioarelor pe conducte la răcitoare, sudarea schimbătoarelor de căldură, sudarea radiatoarelor cu aripioare și sudarea de inele din oțel sau metale neferoase pe piese cilindrice din oțel.

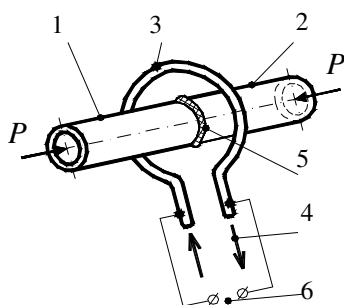


Fig. 6.116. Schema de principiu la sudarea prin presiune cu energie electrică prin inducție:
1; 2 – piesele de sudat; 3 – inductor de înaltă frecvență;
4 – răcire cu apă; 5 – cusătura sudată; 6 – sursa de curent; P – forța de refulare.

6.10.2.5. Sudarea prin presiune cu energie înmagazinată

Procedeul folosește pentru sudare energia electrostatică acumulată în condensatoare electrice sau în acumulatori, precum și energia electromagnetică înmagazinată în câmpul magnetic al unei bobine la tensiuni de 3...12kV.

Schema de principiu a sudării cu energie electrostatică acumulată în condensatoare electrice se prezintă în figura 6.117. Când comutatorul k se găsește pe poziția „I” (încărcare), se încarcă de la sursa de curent continuu 1, cu capacitatea C , iar la trecerea pe poziția „D” (descărcare), cantitatea de energie acumulată în condensatorul C se descarcă pe transformatorul de sudare 2, sub forma unui curent de descărcare. Sudarea pieselor 3 și 4 se produce sub acțiunea curentului indus în secundarul transformatorului și a forței de presare P .

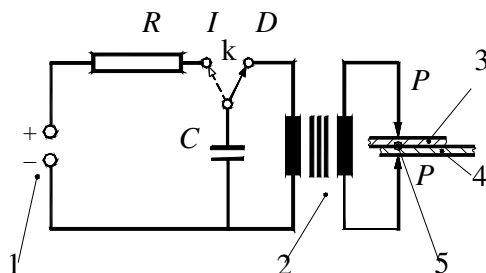


Fig. 6.117. Schema de principiu la sudarea cu energie electrostatică acumulată în condensatoare electrice: 1 – sursa de curent continuu; 2 – transformator de sudare; 3, 4 – piese de sudat; 5 – sudura realizată; P – forța de apăsare; R – rezistență electrică.

Schema de principiu a sudării cu energie înmagazinată în câmp magnetic este prezentată în fig. 6.118.

La întreruperea curentului primar al transformatorului de sudare 1, apare o descărcare de tensiune în secundarul transformatorului care produce energia necesară sudării pieselor 3 și 4 apăsate cu forța P .

Deoarece în timpi foarte scurți se dezvoltă energii foarte mari, procedeul se utilizează la realizarea de cusături sudate foarte fine pentru piese din industria

optică, mecanică fină, electronică, electrotehnică etc. Se sudează aproximativ toate materialele sub formă de table suprapuse cu grosimi de până la 10mm și sârme cu diametrul mai mic de 1mm.

Procedeul prezintă următoarele avantaje: nu se produc pierderi de căldură prin disipare; timpul de sudare este foarte scurt ($1/50 \dots 1/500s$); randamentul destul de ridicat ($\geq 50\%$); nu necesită răcirea electrozilor; nu se poate suda fără a utiliza gaze protectoare și sudura are dimensiuni uniforme.

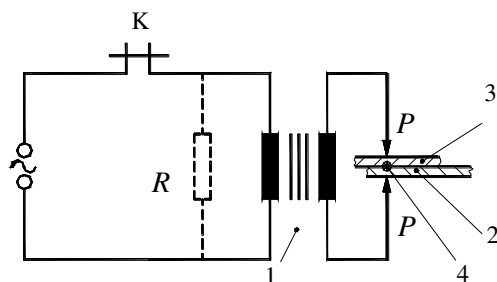


Fig. 6.118. Schema de principiu la sudarea cu energie înmagazinată în câmp magnetic:
1 – transformatorul de sudare; 2; 3 – piesele de sudat; 4 – sudura realizată; K – contactor;
R – rezistență electrică.

6.10.2.6. Sudarea prin presiune cu arc electric rotitor

Procedeul folosește pentru realizarea sudurii un arc electric ce se amorsează între capetele pieselor de sudat, aflate la o distanță corespunzătoare și legate la un generator de sudare de curent continuu. Capetele pieselor de sudat sunt îmbrăcate în două bobine legate în serie cu circuitul de sudare. Cele două bobine determină o mișcare de rotație a arcului electric. Schema de principiu a procedeului se prezintă în fig. 6.119. În prima fază, arcul electric 1 se aprinde și se stinge în mod repetat între capetele pieselor de sudat 2 și 3, legate la generatorul de sudare

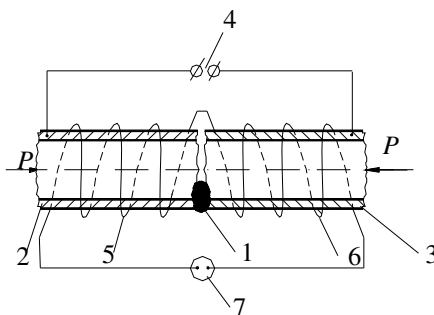


Fig. 6.119. Schema de principiu la sudarea prin presiune cu arc electric rotitor:
1 – arcul electric; 2, 3 – piesele de sudat; 4 – sursa de sudare; 5; 6 – bobine; 7 – sursa de curent.

de curent continuu 4. Bobinele 5 și 6, legate la sursa de curent 7, determină mișcarea de rotație a arcului, acesta fiind rotit între capetele pieselor de sudat, până când capetele pieselor se topesc sau ajung în stare plastică. În acest caz se aplică o forță de refulare P , care realizează deformarea plastică necesară sudării.

Procedeul se aplică la sudarea țevelor de diametru mare și a barelor rotunde rezultând îmbinări de bună calitate cu o rezistență și o reziliență bune.

6.10.3. Sudarea prin presiune cu energie mecanică

La acest procedeu îmbinarea sudată se realizează sub acțiunea unor forțe mecanice aplicate continuu sau în impulsuri care conduc la deformarea plastică a zonelor de îmbinat și apropierea atomilor marginali de pe suprafețele pieselor de îmbinat la distanțe mai mici decât distanțele interatomice. Deformarea plastică a zonelor de îmbinat este ușurată de încălzirea locală a locului îmbinării, încălzire ce poate fi făcută prin diverse metode. Cele mai dese întâlnite procedee sunt:

6.10.3.1. Sudarea prin presiune prin deformare plastică la rece

Depinde în cea mai mare măsură de plasticitatea pieselor de îmbinat și de starea suprafețelor în contact. După tipul cusăturii se disting două variante:

- *sudarea în capete* (fig. 6.120) unde piesele de sudat 1 și 2 se prind în dispozitivele speciale 3 și 4. Cu ajutorul acestor dispozitive, piesele se presează în zona de îmbinare cu presiuni mari (de exemplu $800 \dots 1\,000 \text{ N/mm}^2$ la aluminiu, $1\,000 \dots 1\,200 \text{ N/mm}^2$ la cupru etc.) până când straturile din vecinătatea suprafețelor în contact sunt refulate radial și umplu cavitatea de îngroșare 5, formând îmbinarea sudată. Bavura ce apare ca urmare a refulării este îndepărtată cu ajutorul cuțitului circular 6.

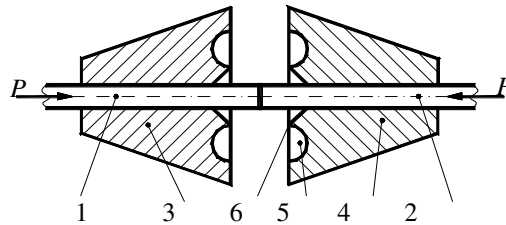


Fig. 6.120. Schema de principiu la sudarea prin presiune prin deformare plastică la rece în capete:
1; 2 – piesele de sudat; 3; 4 – mandrine speciale; 5 – cavitate de îngroșare; 6 – muchie ascuțită (cuțit circular).

Deformarea plastică necesară este cu atât mai mică cu cât suprafețele ce se aduc în contact sunt mai fin prelucrate și cu cât ele sunt mai curate. Procedeul se aplică la sudarea sârmelor, barelor, benzilor, țevelor și profilelor din materiale cu plasticitate ridicată putându-se îmbina și piese din materiale diferite;

- *sudarea prin suprapunere* (fig. 6.121) unde piesele de sudat 1 și 2 pot fi îmbinate în puncte sau în linie. La *sudarea în puncte* (fig. 6.121. a) deformarea plastică în zona de îmbinat se realizează cu poansoanele 3 și 4 care realizează și presiunea p_1 , necesară apropierii atomilor de suprafață până la formarea legăturilor reciproce. Realizarea punctelor în zona dorită se face folosind inelele de reținere 5 și 6, care exercită o presiune de împiedicare a deformării plastice de jur împrejurul poansoanelor de presare. La *sudarea în linie* (fig. 6.121. b), în locul poansoanelor de presare se folosesc rolele de presare 7 și 8 de construcție specială. Aceste role au o suprafață activă cu o nervură centrală 9, ce exercită presiunea de sudare p_1 , și treptele auxiliare 10 și 11, ce exercită presiunea de împiedicare a deformării plastice p_2 , în altă zonă decât cea prevăzută.

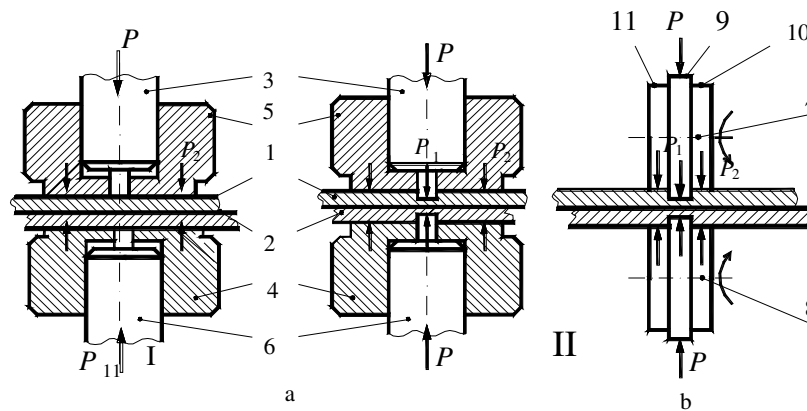


Fig. 6.121. Schema de principiu la sudarea prin presiune prin deformare plastică la rece:
a – la sudarea în puncte; b – la sudarea în linie: I – înainte de presare; II – după presare și sudare;
1; 2 – piesele de sudat; 3; 4 – poansoanele de presare; 5; 6 – inele de reținere; 7; 8 – role de presare;
9 – suprafață activă; 10; 11 – suprafețe auxiliare.

Procedeul se aplică la sudarea tablelor din metale cu plasticitate ridicată confecționate din același material sau din materiale diferite (aluminu + plumb, aluminu + staniu, aluminu + fier, aluminu + alamă, cupru + nichel, cupru + alamă, cupru + staniu, cupru + zinc, cupru + oțel austenitic etc.) cu grosimi de 0,2...1,5mm.

6.10.3.2. Sudarea prin presiune cu energie mecanică prin frecare

Procedeul folosește pentru realizarea îmbinării sudate căldura produsă prin frecarea suprafețelor în contact ale pieselor ce se sudează. Încălzirea suprafețelor în contact se poate realiza:

- prin rotirea unei piese față de alta (fig. 6.122. a);
- prin rotirea în sens contrar a ambelor piese (fig. 6.122. b);

- prin rotirea unei piese intermediare introdusă între piesele de sudat care sunt fixe (fig. 6.122. c);
- prin deplasarea rectilinie alternativă a unei piese față de cealaltă (fig. 6.122. d).

În comparație cu procedeul de sudare prin presiune cap la cap, la sudarea prin frecare căldura este concentrată numai pe suprafețele în contact, adică în zona în care se produce îmbinarea, de aceea zona influențată termic este mult mai mică. De asemenea, cantitatea de căldură necesară încălzirii suprafețelor este de două ori mai mică decât la sudarea prin presiune cap la cap.

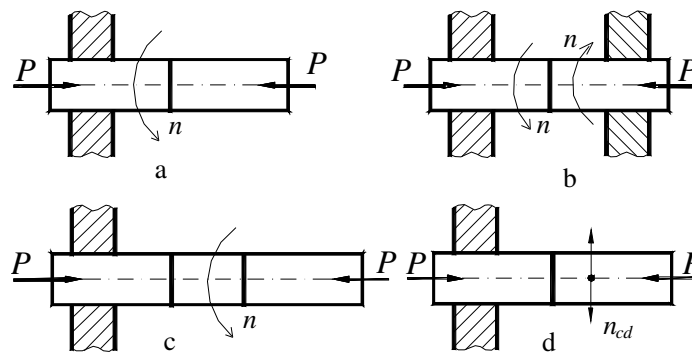


Fig. 6.122. Schema de principiu la sudarea prin frecare:

- a – prin rotirea unei piese în raport cu cealaltă; b – prin rotirea în sensuri contrare a ambelor piese;
c – prin rotirea unei piese intermediare; d – prin deplasarea rectilinie alternativă a unei piese în raport cu cealaltă; n – turația; n_{cd} – numărul de curse duble pe minut.

Deoarece vitezele pieselor la periferie și la centru sunt diferite, există pericolul ca sudura să nu se realizeze în centru, dar conductibilitatea termică și procesul de redistribuire a căldurii pot conduce la o aceeași temperatură și secțiune transversală a pieselor.

Schema de principiu a sudării prin frecare prin rotirea unei piese față de cealaltă piesă se prezintă în figura 6.123.

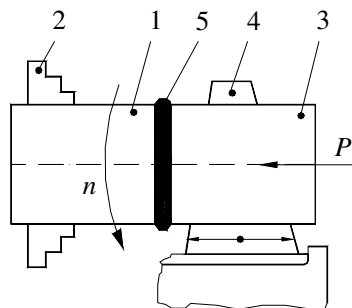


Fig. 6.123. Schema de principiu la sudarea prin frecare cu rotirea unei piese în raport cu cealaltă piesă:

- 1;3 – piesele de sudat; 2 – dispozitiv de prindere și rotire; 4 – dispozitiv de fixare și deplasare axială;
5 – zona de contact.

Piesa 1 se prinde în universalul 2 ce se rotește cu turația n , iar piesa 3 se prinde în dispozitivul 4, care se poate deplasa axial. Piesa 1 se rotește până când în zona de contact 5, datorită frecării, se ajunge la o temperatură corespunzătoare curgerii plastice a materialului. În acest moment se aplică o forță de refulare P , concomitent cu desfacerea piesei 1 și oprirea bruscă a mișcării de rotație.

Parametrii procesului de sudare prin frecare sunt: viteza relativă de frecare dintre cele două piese (turația n); durata încălzirii; natura materialului de sudat; starea suprafețelor în contact și forța de refulare P .

Procedul se recomandă foarte bine la sudarea pieselor cilindrice pline sau goale la interior, cu același diametru sau cu diametre diferite, din același material sau din materiale diferite (de exemplu, sudarea supapei de talerul ei, tijelor de corpul pistonului, sudarea cozilor sculelor așchietoare de partea activă a acestora, sudarea capului hexagonal de corpul șuruburilor, sudarea conductoarelor electrice cu secțiuni de până la 120 mm^2 , fabricarea de arbori, bare de direcție și transmisie etc.). Procedul se aplică de asemenea la sudarea unor metale cu puncte de topire total diferite, de exemplu sudarea tantalului (cu punct de topire la $3\,000^\circ\text{C}$) cu oțelul (punct de topire la $1\,500^\circ\text{C}$).

6.10.3.3. Sudarea prin presiune cu ultrasunete

Dezvoltarea actuală a microelectrotehnicii și microelectronicii are la bază în primul rând fizica semiconductorilor. Confecționarea aparatelor cu semiconductori, cu circuite integrate, execuția microschemelor și a microcircuitelor este unul din domeniile de aplicabilitate largă a energiei ultrasonore, pentru realizarea unor îmbinări sudate de calitate, din materiale ca: aluminiul și aliajele sale; oțelul și combinațiile sale; aurul; argintul; platina și aliajele sale sub formă de folii (grosimea minimă de $4 \mu\text{m}$) și sub formă de fire (cu diametrul de $10 \dots 120 \mu\text{m}$); sticlă metalizată; ceramică; metalele refractare și aliajele lor; nichelul și plumbul cu thoriu fin dispersat etc. (tabelul 6.37).

Procesul de sudare cu ultrasunete are loc la o temperatură mult mai joasă decât temperatura de topire a materialului de îmbinat, de aceea nu poate fi vorba de o zonă influențată termic ca la celelalte procedee de sudare și, deci, nu există o modificare substanțială a proprietăților materialului în zona îmbinării. Sudarea cu ultrasunete se efectuează fără material de adaos, la fel ca și sudarea prin rezistență electrică, îmbinarea realizându-se datorită unor fenomene legate sau accelerate de existența energiei ultrasonore ca: *difuzia, cavitația acustică și absorbția*. Deoarece sudarea se poate efectua la o distanță oricât de mare de sursa de curent, procedul își găsește aplicabilitate la sudarea foliilor și firelor subțiri între ele sau a acestora pe plăci sau piese cu grosime mai mare, la execuția unor suduri în locuri greu accesibile, în construcția aparatelor din industria electronică, electrotehnică, mecanică fină, tehnică medicală și nucleară.

Pentru realizarea unor îmbinări sudate folosind energia ultrasonoră se folosesc mai multe scheme de principiu, în funcție de tipul și natura oscilațiilor

Tabelul 6.37. Schema posibilităților de sudare cu ultrasunete a diferitelor materiale și combinațiile posibile

Ag	Al	Au	Be	Co	Cu	Fe	Ge	Mg	Mo	Nb	Ni	Pd	Pt	Si	Sn	Ta	Ti	W	Zr	
X	X				X	X		X				X				X			X	Ag
	X	X	X	X	X	X	X	X	X	X	X	X	X	X	X	X	X		X	Al
		X		X	X	X	X				X		X	X						Au
			X														X			Be
					X						X		X							Co
					X	X		X	X		X		X				X	X	X	Cu
						X			X	X	X		X				X	X	X	Fe
													X							Ge
								X												Mg
									X							X	X	X	X	Mo
																X				Nd
											X		X			X	X			Ni
												X	X							Pd
													X	X		X				Pt
														X		X			X	Si
															X					Sn
																X				Ta
																	X			Ti
																		X		W
																			X	Zr

ultrasonore, tipul și natura îmbinării sudate sau natura materialelor de îmbinat, deosebindu-se:

- sudarea cu oscilații longitudinale (fig. 6.124. a), pentru materialele metalice și combinațiile acestora;
- sudarea cu oscilații longitudinale și transversale (fig.6.124. b), pentru materialele metalice și nemetalice sau combinațiile lor;
- sudarea cu oscilații de înconvoiere sau forfecare (fig.6.124. c);
- sudarea cu oscilații torsionale și radiale (fig.6.124. d), pentru cusături sudate în linie din materiale diferite;
- sudarea cu oscilații longitudinale și forță de apăsare în același sens cu direcția de oscilație (fig. 6.124. e), pentru sudarea maselor plastice și a combinațiilor unor mase plastice – metale.

Piese de sudat 1 și 2 se așează pe nicovala acustică 3, fiind apăsate cu o forță P fie de către nicovală, fie de sonotrodul 4, fixat de concentratorul de energie ultrasonoră 5, excitat la rândul său de traductorul ultrasonor 6. Traductorul ultrasonor convertește oscilațiile electrice ale generatorului de înaltă frecvență 7, în oscilații mecanice cu frecvență ultrasonoră (frecvență mai mare de 16 kHz, limita maximă audibilă a unui om otologic normal). Traductorul este în permanență răcit cu un sistem de răcire 8 și izolat acustic 9. Întreaga instalație baskulează cu ajutorul unui sistem 10 ce permite și aplicarea forței de presare corespunzătoare.

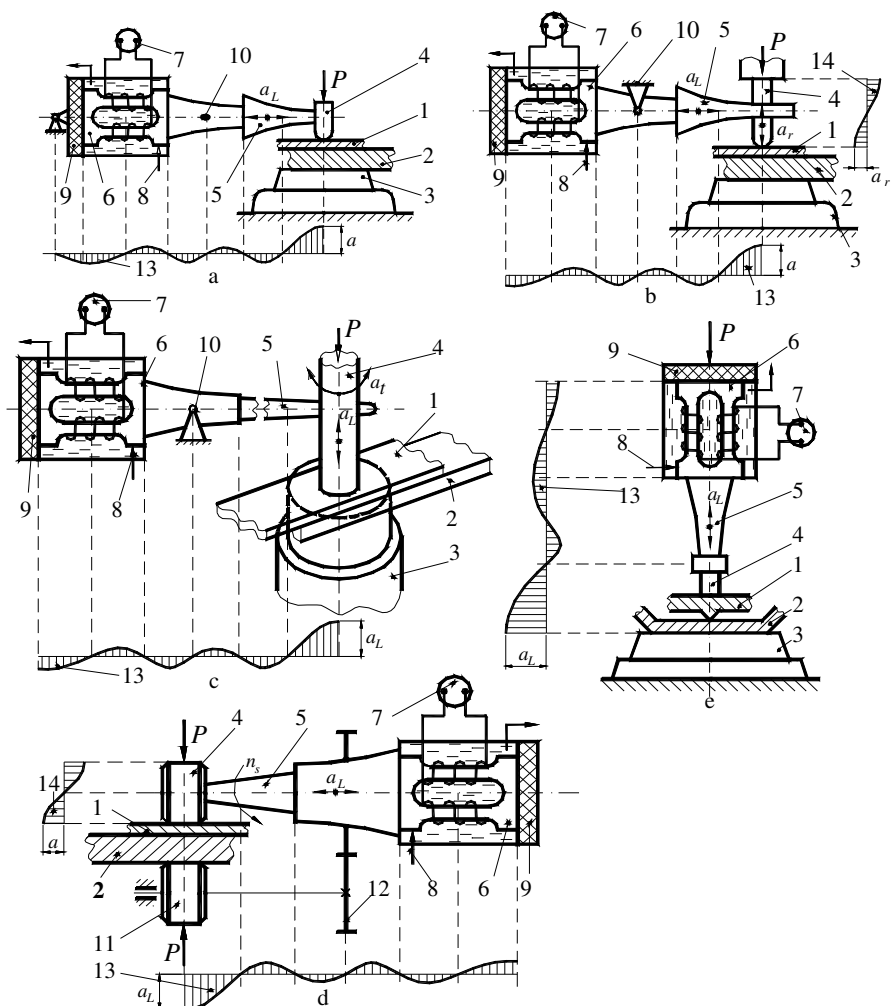


Fig. 6.124. Schema de principiu la sudarea cu ultrasunete:

a – cu oscilații longitudinale; b – cu oscilații longitudinale și transversale; c – cu oscilații de înconvoiere sau forfecare; d – cu oscilații torsionale și radiale pentru sudarea în linie; e – cu oscilații longitudinale și forța de apăsare în același sens cu direcția de aplicare a forței; 1; 2 – piesele de sudat; 3 – nicovală acustică; 4 – sonotrod; 5 – concentrator de energie ultrasonoră; 6 – traductor ultrasonor; 7 – generator de ultrasunete; 8 – sistem de răcire; 9 – izolant acustic; 10 – sistem de basculare; 11 – role de presare; 12 – sistem de angrenare; 13; 14 – diagrama de variație a amplitudinii vitezei particulei la oscilațiile longitudinale și respectiv la cele transversale.

La sudarea în linie (fig.6.124. d) mai apare contrarola presoare 11 și sistemul de angrenare 12, ce permite și rotirea sistemului ultraacustic. Întregul

sistem ultraacustic vibrează cu o amplitudine a oscilațiilor longitudinale a_L , dată de diagrama de variație 13 și/sau a oscilațiilor radiale a_r , dată de diagrama 14.

Procesul formării îmbinării sudate este deosebit de complex, acțiunea ultrasunetelor fiind tradusă în următoarele efecte deosebit de importante:

- datorită fenomenului de cavitație acustică sunt distruse și îndepărtate straturile de oxizi și eliminate gazele din planul de separație;

- creșterea gradului de deformabilitate și ușurarea procesului de deformare plastică a zonelor de îmbinat;

- absorbția energiei ultrasonore de către microrelieful în contact și încălzirea locală a acestuia la temperaturi mai mari decât temperatura de recristalizare;

- datorită modului de propagare a undelor ultrasonore se creează condiții favorabile pentru transferarea materialului în micropori, prin accelerarea procesului de difuzie și autodifuzie;

- o redistribuire a materiei solide în zona de contact ca rezultat al curgerii vâscoase și al autodifuziei volumice și a tensiunilor superficiale.

Calitatea unei îmbinări sudate cu ultrasunete depinde în mare măsură de o serie de parametri tehnologici, mecanici și acustici dintre care se enumeră: condițiile acustice de formare a îmbinării; amplitudinea și frecvența oscilațiilor ultrasonore; starea fizică a suprafețelor în contact; proprietățile fizico-chimice și fizico-mecanice ale materialelor de îmbinat; intensitatea energiei ultrasonore; viteza de deformare plastică a materialelor ce se îmbină; presiunea de contact; tipul și caracterul undei ultrasonore; durata procesului de activare cu ultrasunete și alții. La sudarea cu ultrasunete a maselor plastice este deosebit de important modul repartizării energiei ultrasonore introdusă față de suprafețele de îmbinat, deosebindu-se două metode:

- *sudarea în câmp „apropiat”*, când sonotrodul este cât mai apropiat de zona de îmbinare (se folosește la sudarea maselor plastice moi, cum ar fi: polietilena, PVC plastifiat și altele cu grosime de 0,05...1,5mm);

- *sudarea în câmp „îndepărtat”*, când sonotrodul se aplică într-un punct sau pe o mică porțiune a suprafeței piesei superioare, iar îmbinarea sudată este realizată departe de sonotrod, plasată în maximul de undă al transmiției energiei ultrasonore (se recomandă la sudarea materialelor plastice dure ca, polistirenul, polimetacrilatul și altele).

În industria constructoare de mașini sudarea cu ultrasunete se aplică cu succes la următoarele materiale: aluminiul și aliajele sale cu grosimi de până la 4,0 mm, cuprul și aliajele sale cu grosimi până la 1,5 mm, fierul și aliajele sale cu grosimi de până la 1,0 mm, aurul, argintul, platina și aliajele lor fie sub formă de folii cu grosimea minimă de 4,0 μ m, fie sub formă de fire cu diametrul minim de 12,0 μ m; materialele refractare (Mo, Co, Ta, W și aliajele lor); Be; Re cu grosimi până la 0,75mm; nichelul, plumbul și aliajele lor, sticla metalizată și materialele ceramice. În industria microelectronică se realizează îmbinări de calitate de tipul

Au – Au, Au – Al, Al – Al din fire sau folii; joncțiuni p – n cu proprietăți omogene; condensatori vidați, termocuple (fier–constantan pe aluminiu, titan, oțel etc.), microrelee electromagnetice și altele. În industria alimentară, medicală, farmaceutică se realizează ambalaje din foite de aluminiu sau cupru cu diferite destinații. Ca aplicație de perspectivă pentru sudarea cu ultrasunete o reprezintă tehnologiile cosmice și nucleare, îndeosebi de folosire a unor materiale speciale, greu sau chiar imposibil de sudat prin alte procedee.

6.10.3.4. Sudarea prin difuzie

Are la bază, în principal față de celelalte procedee de sudare, *fenomenul de migrare și difuzie* a atomilor suprafețelor în contact, în acest mod realizându-se integritatea materiei în zona de contact. Pentru a se realiza o îmbinare sudată de bună calitate trebuie ca suprafețele în contact să fie bine curățate, să fie presate până la curgerea plastică în locul unde are loc îmbinarea și menținute la o anumită temperatură (0,6...0,8 din temperatura de topire a pieselor de îmbinat). Schema de principiu a procedurii se prezintă în figura 6.126. Piesele de sudat 1 și 2 curățite perfect în zona de contact se așează pe dispozitivul de lucru 3, în camera vidată 4, răcită în permanență de sistemul de răcire 5. Piesele se încălzesc la temperatura corespunzătoare cu sistemul de încălzire 6 și sunt presate de platoul 7, acționat de tija 8, a pistonului 9, ce funcționează în cilindru 10, sub acțiunea aerului comprimat 11.

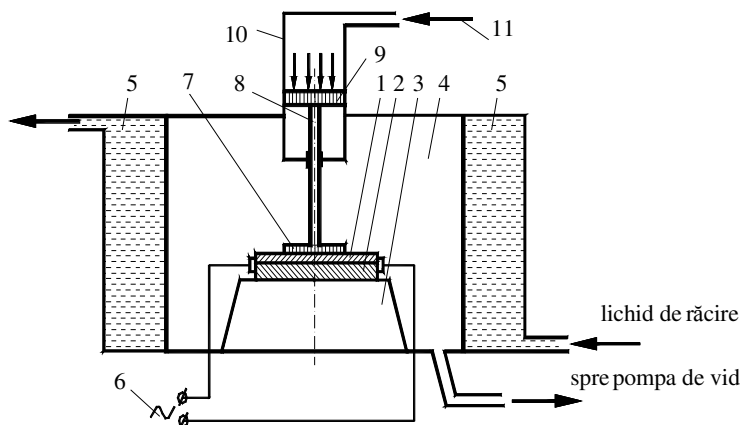


Fig. 6.126. Schema de principiu la sudarea prin difuzie în vid:

1,2 – piesele de sudat; 3 – dispozitivul de susținere; 4 – camera vidată; 5 – sistemul de răcire; 6 – sistemul de încălzire; 7 – platou; 8 – tijă; 9 – piston; 10 – cilindru; 11 – aer comprimat.

Principalii parametri ai regimului de sudare sunt: natura materialului de îmbinat; temperatura la care se găsesc piesele la locul de îmbinare; presiunea

exercitată asupra pieselor; timpul de menținere în contact; condițiile de vid ($10^{-2} \dots 10^{-3}$ torr) și grosimea pieselor de sudat. Uneori, se poate utiliza un material de adaos pentru a schimba fie natura, fie concentrarea elementelor difuzate la suprafața de contact.

Avantaje:

- deformății termice reduse;
- lipsa tensiunilor interne;
- posibilități de asamblare a pieselor pe suprafețe mari;
- absența fisurilor;
- posibilități de sudare a numeroase combinații de materiale;
- continuitate metalurgică în zona de îmbinare.

Dezavantaje:

- optimizarea foarte greoaie a parametrilor regimului de sudare;
- controlul foarte dificil al îmbinării sudate;
- obținerea unor legături defectoase la periferia sudurii.

Utilizare. Procedul se aplică la sudarea unei game foarte largi de materiale: oțeluri slab aliate, oțeluri inoxidabile cu 0,5%Ti și Al, combinații ale aluminiului cu alte metale și aliaje (Al + Cu, Al + oțel inoxidabil etc.), precum și la alte materiale total diferite. Se realizează prin acest procedeu panouri, racorduri de tubulatură, componente electronice și electrotehnice, pale de elicopter, condensatoare pentru aparate frigorifice, elemente de radiatoare pentru tractoare și mașini agricole, schimbătoare de căldură, ansambluri piston – fustă din materiale diferite etc.

6.10.3.5. Sudarea prin explozie

Folosește energia rezultată în urma detonării unei încărcături explozive și deformarea cu viteze foarte mari, ca urmare a undei de șoc create prin detonare. Schema de principiu a procedurii se prezintă în figura 6.127.

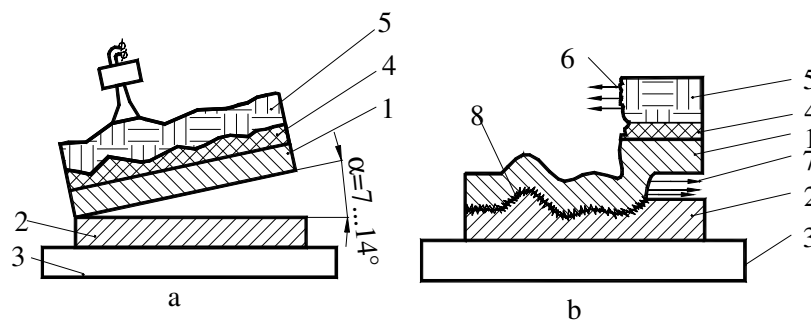


Fig. 6.127. Schema de principiu la sudarea prin explozie:

a – etapa inițială; b – formarea cusăturii sudate; 1;2 – piese de sudat; 3 – placă suport; 4 – amortizor; 5 - exploziv; 6 – undă de șoc; 7 – suflul exploziei; 8 – îmbinarea sudată rezultată.

Piesa de sudat 1 se așează față de piesa suport 2 (așezată pe placa 3) sub un unghi ascuțit $\alpha = 7 \dots 14^\circ$. Pe piesa de sudat se așează un material absorbant 4 și peste acesta stratul de exploziv 5 (fig.6.127. a). Amorsarea exploziei se face cu ajutorul unei capse și unda de șoc 6, provocată de explozie va proiecta cu viteză foarte mare piesa de sudat 1, peste piesa suport. Ca urmare a suflului exploziei 7, are mai întâi loc o curățire perfectă a suprafețelor în contact, iar datorită vitezelor de impact foarte mari se creează presiuni de contact foarte mari, presiuni ce fac ca materialele să curgă plastic unul față de celălalt și să formeze o îmbinare omogenă 8. Viteza de detonare avantajoasă este de peste 6 000 m/s.

Parametrii regimului de sudare sunt: natura materialului de îmbinat; grosimea pieselor de îmbinat; natura explozivului utilizat (pot fi folosiți explozivi lenți ce realizează viteze de deformare de până la 1 500 m/s sau explozivi violenți sau brizanți ce realizează viteze de deformare de până la 7 500m/s) și unghiul de înclinare α dintre piesele de îmbinat.

Avantaje:

- permite sudarea materialelor total diferite fără ca acestea să formeze faze intermediare sau dure;

- lipsă zona influențată termic;

- se aplică în zone unde celelalte procedee sunt imposibil de aplicat.

Procedeul prezintă toate dezavantajele legate de lucrul cu explozivi.

Utilizare. Procedeul se aplică cu succes la obținerea tablelor placate (pe o placă suport din oțel obișnuit se plachează un strat de Cu, Ni, Ti, Ag etc.) cu suprafețe de la câțiva cm^2 la câțiva m^2 , la efectuarea conexiunilor liniilor de transport a energiei electrice (din Al sau Cu), la sudarea diverselor conducte (Al sau Mg), a diverselor tuburi, la schimbătoare de căldură și în domenii speciale ale industriei chimice, aeronautice, spațiale și atomice.

6.10.4. Sudarea prin presiune cu energie chimică

Procedeul se aseamănă cu sudarea prin presiune cu energie electrică, deosebirea constând în sursa de energie folosită. La acest procedeu drept sursă de energie se folosește o flacără rezultată din arderea unui gaz combustibil (de obicei amestecul dintre oxigen și acetilenă). Sudarea se poate realiza în două variante:

- *în stare solidă* (fig. 6.128), când cele două piese de sudat 1 și 2 sunt aduse în contact și apăsate cu forța inițială P , iar arzătorul 3 (de regulă inelar) cu flăcările 4 se deplasează de-a lungul pieselor. La atingerea unei temperaturi de curgere plastică (de exemplu la oțeluri, de 1 200...1 250°C) sub acțiunea forței P , piesele se îngroașă, în dreptul suprafeței de contact realizându-se îmbinarea sudată 5 (fig. 6.128. b);

- *în stare lichidă*, când piesele de sudat sunt aduse în contact și se încălzesc cu ajutorul arzătorului până la topire, moment în care se aplică o forță de refulare P , sub acțiunea căreia metalul topit este expulzat dintre piese și se realizează

deformarea plastică necesară sudării.

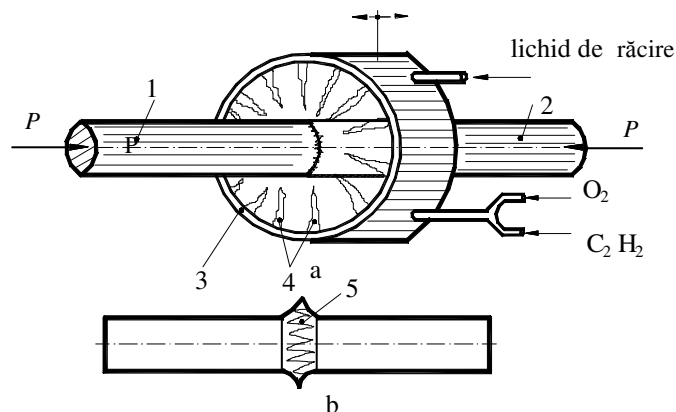


Fig. 6.128. Schema de principiu la sudarea prin presiune cu flacără de gaze:
1;2 – piesele de sudat; 3 – arzător inelar; 4 – flăcări combustibile; 5 – îmbinarea sudată rezultată.

La sudarea prin topire pregătirea capetelor pieselor în vederea sudării este mai sumară, deoarece impuritățile și neregularitățile de la prelucrare se elimină prin topire și refulare.

Procedul are aceeași utilizare ca și sudarea prin presiune cu energie electrică.

6.11. TENSIUNI ȘI DEFORMAȚII ÎN CUSĂTURILE SUDATE

6.11.1. Tensiuni remanente datorate sudării

Se numesc tensiuni proprii sau interne, acele tensiuni care există într-un corp, chiar dacă nu acționează forțe exterioare asupra acelui corp. Tensiunile proprii se formează în piesele turnate datorită răcirii neuniforme, în piesele obținute prin deformare plastică datorită coexistenței deformațiilor plastice cu cele elastice, la prelucrarea prin așchiere datorită deformațiilor plastice și în majoritatea cazurilor de transformare a substanței în produse cu o anumită utilitate socială.

De exemplu, după turnarea cadrului din figura 6.129. a, în zona centrală, vor apărea tensiuni de întindere (notate cu semnul +), iar în brațele exterioare vor apărea tensiuni de compresiune (notate cu semnul -), datorită solidificării neuniforme în timp. După asamblarea prin nituire (fig.6.129. b), în tija nitului vor apărea tensiuni de întindere notate cu semnul +, iar în tablele care se îmbină vor apărea tensiuni de compresiune notate cu semnul -, datorită răcirii neuniforme în timp. La obținerea unui profil "I" prin laminare, în inima profilului vor apărea

tensiuni de compresiune (fig. 6.129. c), iar în tălpile profilului vor apărea tensiuni de întindere, datorită răcirii mai întâi a inimii și apoi a tălpilor. La sudarea a două plăci (cusătura sudată simetrică) vor apărea tensiuni de întindere în zonele vecine cusăturii sudate (fig. 6.129. d), iar în restul zonelor iau naștere tensiuni de compresiune – și aceasta datorită încălzirii și răcirii neuniforme. La sudare, tensiunile proprii remanente apar datorită:

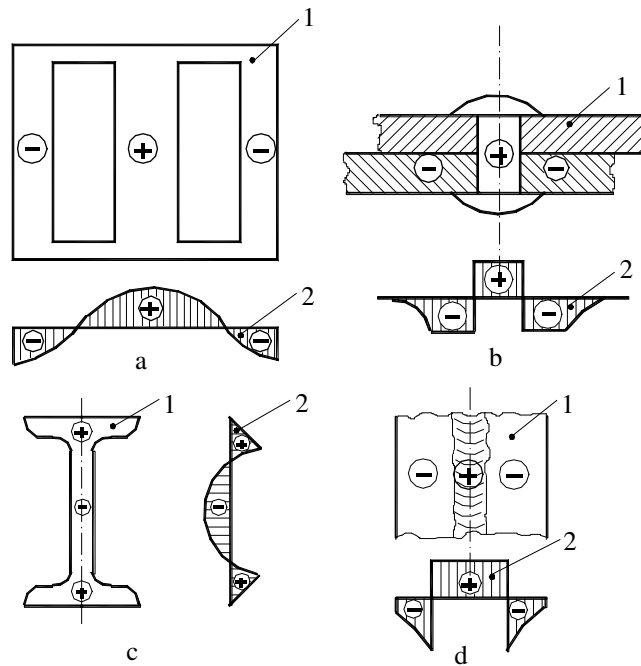


Fig. 6.129 . Formarea tensiunilor proprii remanente la:
a – turnare; b – nituire; c – laminare; d – sudare: 1 – piesa (ansamblu); 2 – diagrama de variație a tensiunilor de întindere notate cu semnul „+” sau compresiune notate cu semnul „-” .

- încălzirii neuniforme a pieselor care se sudează;
- deformațiilor termo-plastice (datorită distribuției neuniforme a temperaturilor în piesele ce se sudează);
- transformărilor structurale și de fază care se petrec mai ales în metale, însoțite de modificări locale de densitate și volum.

În multe cazuri, formarea tensiunilor proprii remanente este provocată simultan de mai multe cauze.

Clasificarea tensiunilor proprii remanente în funcție de cauzele apariției lor, de volumul în care se echilibrează și în funcție de orientarea în spațiu se prezintă în tabelul 6.38.

Tabelul 6.38. Clasificarea tensiunilor proprii remanente

	Clasificare	Tipul tensiunii	Cauze și definire	Metode de determinare
Tensiuni proprii remanente	În funcție de cauzele care le provoacă	- inițiale	- schema de montaj	- din rezistența materialelor
		- termice	- încălzire diferită în timp	- pe cale experimentală
		- remanente (rămân și după eliminarea cauzelor)	- deformății plastice neomogene; - deformății termoplastice; - transformări structurale și de fază.	- din rezistența materialelor; - din teoria elasticității și plasticității; - pe cale experimentală
	În funcție de volumul în care se echilibrează	- de ordinul 1	- se echilibrează în volume mari	- pe cale teoretică - pe cale experimentală
		- de ordinul 2	- se echilibrează în volume microscopice	- analiză röntgeno-structurală
		- de ordinul 3	- se echilibrează în volume ultramicroscopice	- analiză röntgeno-structurală
	În funcție de orientarea în spațiu	- monoaxiale	- apar pe o singură direcție	- pe cale teoretică
		- biaxiale	- acționează pe diferite direcții în plan	- pe cale experimentală
		- triaxiale	- acționează pe diferite direcții în spațiu	

Tensiunile proprii de ordinul 1 se echilibrează în volume relativ mari, de același ordin de mărime ca și piesa și au o anumită orientare în funcție de forma piesei. Aceste tensiuni se pot determina pe cale teoretică cu metode din rezistența materialelor, din teoria elasticității și plasticității, precum și pe cale experimentală.

Tensiunile proprii de ordinul 2 se echilibrează în volume microscopice din corp, între limitele unuia sau mai multor grăunți cristalini, și au o orientare determinată, nedepinzând de configurația geometrică a piesei. Se determină pe cale experimentală, după analiza difuziei liniilor spectrale de pe röntgenograme.

Tensiunile proprii de ordinul 3 se echilibrează în volume ultramicroscopice în interiorul grăuntelui cristalin (între limitele rețelei atomice) și sunt neorientate în spațiu, nedepinzând de configurația geometrică a piesei. Se pot determina pe cale experimentală, după gradul de variație al intensității liniilor de pe röntgenograme.

Cele mai periculoase pentru oricare piesă sunt tensiunile de ordinul 1, de aceea, în cele mai multe cazuri, interesează metodele de determinare a acestora și mai ales metodele de prevenire și reducere a acestor tensiuni.

În majoritatea cazurilor, apariția tensiunilor proprii remanente la sudare este provocată de deformările termo-plastice care se produc în zona vecină cusăturii sudate, în procesul de încălzire și răcire neuniformă. Tensiunile proprii remanente la sudare sunt repartizate astfel încât în zona vecină cusăturii acționează tensiuni de întindere, în general egale cu limita de curgere a materialului de bază, iar în celelalte zone acționează tensiuni de compresiune (în cazul poziției centrale a cusăturii sudate).

Valoarea tensiunilor proprii remanente în construcțiile sudate se poate determina *pe cale analitică* cu noțiuni din rezistența materialelor și luând în considerare natura materialelor de îmbinat, secțiunea cusăturii sudate, poziția cordonului de sudură (simetrică sau nesimetrică) și procedeul tehnologic folosit. Pe scară largă și mai ușor de aplicat este determinarea *analitico-experimentală* a tensiunilor proprii remanente la sudare, care îmbină metodele analitice cu cele experimentale (fizice și mecanice). La baza metodelor mecanice stă determinarea deformațiilor elastice care apar în diferitele părți ale piesei după secționarea acestora prin strunjire, rabotare, găurire etc. De exemplu, două grinzi sudate cap la cap cu secțiunea **I** sau **T** se secționează în benzi de 15...18 mm lățime și în fiecare din ele tensiunea σ , va fi (deoarece după secționare, forțele interioare din benzi dispar) dată de relația:

$$\sigma = \varepsilon \cdot E = \frac{l - l_1}{l} \cdot E, \quad (6.101)$$

în care: l este lungimea benzii înainte de secționare; l_1 - lungimea benzii după secționare; E - modul de elasticitate Young.

Precizia determinării tensiunilor remanente în acest caz depinde de doi factori:

- procesul de secționare introduce el însuși în margini deformații plastice și tensiuni remanente;
- lățimea benzii de 15...18 mm permite obținerea unei valori medii a tensiunilor ce acționează în piesă în acest interval de timp.

Observații. La evaluarea influenței tensiunilor proprii remanente de sudare asupra rezistenței construcțiilor sudate, acestea nu pot fi considerate separat de alte tensiuni (de exemplu cele provocate de forțele exterioare din timpul exploatarei) și fără să se țină seama de modificările proprietăților materialelor în locul de acțiune a diferitelor tensiuni de sudare. Este obligatorie și necesară luarea în considerare a complexității tuturor factorilor introduși de procesul de sudare.

6.11.2. Deformații remanente datorate sudării

Deformațiile remanente datorită sudării sunt rezultatul încălzirii locale sau generale a pieselor în timpul procesului de sudare. Se pot clasifica după cauzele care le provoacă și după modul de modificare a formei construcției sudate.

După cauzele care provoacă deformațiile la sudare se poate admite următoarea clasificare:

- *deformațiile termice lineare* ε_T , care sunt provocate de încălzirea neuniformă a elementelor de sudat. Formarea acestor deformații nu conduce la apariția unor forțe interioare și nici la deformarea rețelei atomice a materialului;
- *deformațiile provocate de forțele interioare* ε , care determină condițiile de rezistență și de rupere a elementelor sudate și sunt provocate de deformațiile

elastico-plastice care apar în elementele sudate;

- *deformațiile datorate modificării formei elementelor* ϵ_f , care sunt provocate de acțiunea combinată a temperaturii și a forțelor interioare.

La construcțiile sudate deformațiile cu modificarea formei se calculează cu relația:

$$\epsilon_f = \epsilon_T + \epsilon \quad (6.102)$$

Luând în considerare modul de modificare a formei elementelor sudate, deformațiile la sudare se clasifică în:

- *deformații locale*, care produc modificarea dimensiunilor sau formei secțiunii transversale sau numai a unor părți din elementul sudat, neinfluențând forma și mărimea elementului sudat în întregime;

- *deformații generale*, care produc modificarea dimensiunilor și formei elementului sau ansamblului sudat pe toată întinderea lor.

Interes practic deosebit prezintă deformațiile provocate de forțele interioare numite și deformații elastico-plastice. Deoarece procesul de sudare are loc la temperaturi destul de mari, deformațiile elastico-plastice sunt de două feluri:

- *deformații de alunecare*, care au loc ca urmare a deplasărilor ireversibile în planele cristalelor (deplasări de alunecare internă și de clivaj) și pot conduce la distrugerii transcristaline;

- *deformații de difuzie*, care se dezvoltă în special pe suprafața grăunților și pot conduce la distrugerii intercristaline.

Formarea deformațiilor de alunecare și de difuzie este influențată de natura materialului de îmbinat, gradul de mărime al grăunțului, temperatura de încălzire și de viteza de desfășurare a deformațiilor. Experimental s-a constatat că (fig. 6.130) pe măsură ce crește temperatura se dezvoltă cu precădere deformațiile de difuzie și se reduc cele de alunecare, iar la temperaturi relativ mai mici încep să predomine deformațiile de alunecare față de cele de difuzie. Zona I este zona deformațiilor prin difuzie care se formează la temperaturi relativ mai ridicate și la viteze mai mici de deformare, zona II este zona deformațiilor de alunecare care apar la temperaturi relativ joase și la viteze mai mari de deformare, iar zona III este zona deformațiilor plastice combinate.

Diferitele forme de deformații plastice conduc la diferite forme de rupere a materialului, astfel: *ruperea intracristalină*, când predomină deformațiile de alunecare, și *ruperea intercristalină*, când predomină deformațiile de difuzie.

Determinarea mărimii deformațiilor datorate sudării se poate face:

- *pe cale experimentală*, folosind un *tensiometru mecanic*, cu care se măsoară mărimea deformațiilor datorate modificării formei și un *dilatometru*, cu ajutorul căruia se măsoară deformațiile termice libere;

- *pe cale analitică*, folosind relații de calcul din rezistența materialelor luând în considerare forma și dimensiunile elementelor de sudat, temperatura de preîncălzire, procedeul de sudare, secțiunea elementelor sudate și natura materialelor de îmbinat.

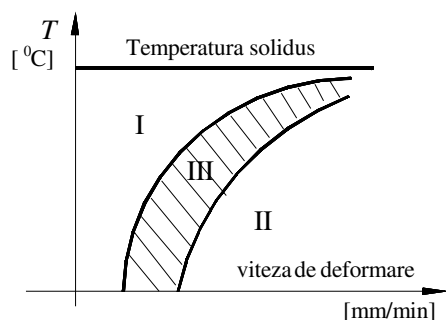


Fig. 6.130. Zona de predominare a deformațiilor de difuzie I, de alunecare II și a deformațiilor plastice combinate III.

Observație. La proiectarea și execuția construcțiilor sudate este necesar să se determine analitic, în special, deformațiile definitive, care rămân după sudare și răcire, și să se verifice pe cale experimentală mărimea lor.

6.11.3. Măsurile constructive și tehnologice pentru reducerea tensiunilor și deformațiilor datorate sudării

Apariția tensiunilor și deformațiilor remanente în construcțiile sudate constituie un mare dezavantaj al procedeului de sudare, deoarece micșorează capacitatea de rezistență, conduce la ruperi fragile și la micșorarea rezistenței la oboseală. De aceea, pentru reducerea tensiunilor și deformațiilor remanente la sudare pot fi luate următoarele categorii de măsuri:

- *măsurile tehnologice*, care se referă la procedeul de sudare, regimul de sudare, ordinea de execuție a cordoanelor de sudură, detensionarea totală sau parțială a construcției sudate, realizarea unor deformații inverse, prelucrarea în etape etc.;
- *măsurile constructive*, care se referă la forma, mărimea și locul de plasare a cusăturilor sudate în ansamblul sudat, forma și mărimea îmbinărilor sudate etc.

6.11.3.1. Măsurile tehnologice pentru reducerea tensiunilor și deformațiilor la sudare

Procedeul de sudare și regimul de sudare influențează în mare măsură formarea tensiunilor și deformațiilor prin valoarea energiei liniare, determinată în principal de curentul de sudare și de viteza de sudare. Tensiunile și deformațiile cresc odată cu creșterea valorii energiei liniare, deci sudurile cu secțiune mare (grosime mare), care necesită la execuție energii liniare mari, vor suferi deformații mari. Din acest punct de vedere în locul sudărilor scurte și groase sunt preferate sudurile mai lungi și subțiri, cu secțiune echivalentă, sau sudarea lor în mai multe straturi.

Un alt factor care influențează formarea tensiunilor și deformațiilor remanente este *ordinea de asamblare și de sudare*. De exemplu, grinda cheson în construcție sudată din figura 6.131 poate fi obținută sudând inima de tălpi în două variante. Calculând curbura cu relații din rezistența materialelor și măsurând practic săgeata se constată că varianta a doua (fig. 6.131. c) este mult mai avantajoasă decât prima variantă (fig. 6.131. b). De asemenea, pentru a rezulta o deformare cât mai mică mai pot fi folosite și alte măsuri tehnologice: sudarea să se facă începând de la mijlocul grinzii spre capete; sudarea simultană a cusăturilor 1 și 2 etc.

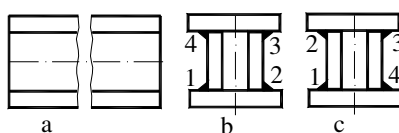


Fig. 6.131. Grindă cheson în construcție sudată:
a – vedere laterală; b, c – variante de execuție a cusăturilor sudate; 1; 2; 3; 4 – ordinea de execuție a cusăturilor sudate.

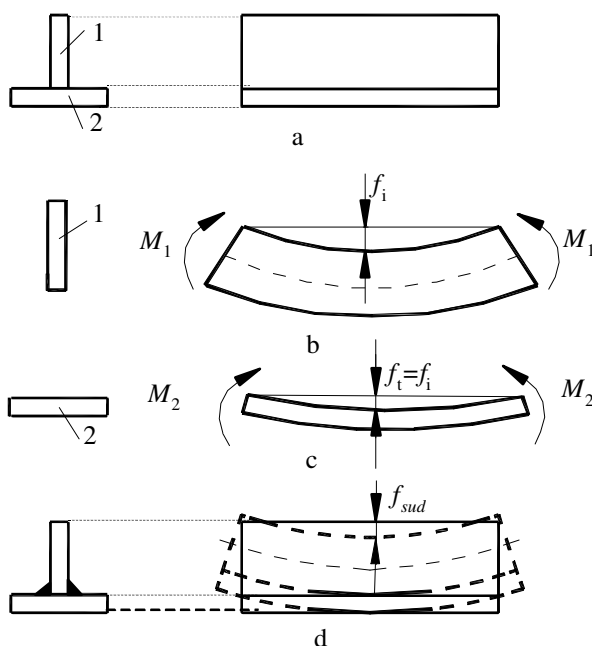


Fig. 6.132. Grindă cu secțiune T formată din inima 2 și talpa 1:
a – starea inițială înainte de asamblare; b – deformarea inversă cu săgeata f_i a inimii; c – deformarea inversă cu săgeata f_i a tălpii; d – deformarea în timpul sudării cu săgeata $f_{sud} = -f_i$.

Pentru ca ansamblele sudate (în special grinzile sudate) să rămână drepte, după sudare se poate aplica *metoda creării unor deformări mecanice inverse* celor produse la sudare. De exemplu, la sudarea unei grinzi cu secțiunea T, formată din talpa 1 și inima 2 (fig. 6.132. a), se încovoie invers separat inima (fig. 6.132. b) și talpa (fig. 6.132. c), prin aplicarea momentelor M_1 și M_2 la capete. Deoarece deformarea la sudare va fi inversă (f_{sud}), în final va rezulta o grindă cu o deformare aproape nulă (fig. 6.132. d).

Reducerea tensiunilor remanente și respectiv a deformărilor remanente se poate face și cu ajutorul *detensionării mecanice*, prin ciocănirea la cald sau la rece a sudurii și a zonelor vecine.

O metodă radicală pentru reducerea sau chiar eliminarea tensiunilor remanente o constituie *tratamentul termic de detensionare* (recoacerea de detensionare), care în cazul oțelurilor constă în încălzirea parțială sau totală la temperatura de 650...680°C a ansamblelor sudate, menținerea lor la această temperatură timp de 2...3 ore (în funcție de grosimea pieselor) și răcirea lentă. Metoda are marele dezavantaj legat de mărimea ansamblelor sudate, de aceea, în ultima vreme, se folosește *detensionarea termo-plastică*, aceasta presupunând o încălzire locală în zonele critice, încălzire ce se poate face cu ultrasunete, curenți de înaltă frecvență sau alte metode.

6.11.3.2. Măsurile constructive pentru reducerea tensiunilor și deformărilor

Proiectarea și alcătuirea rațională a elementelor componente ansamblelor sudate conduce la reducerea tensiunilor și deformărilor remanente. Astfel, de mare importanță este *poziția cusăturilor sudate* într-un ansamblu față de axa geometrică (fig. 6.133). În general, elementele lungi cu suduri nesimetrice se deformează mult (fig. 6.133. a), iar elementele cu suduri simetrice vor avea cele mai mici deformări (fig. 6.133. b).

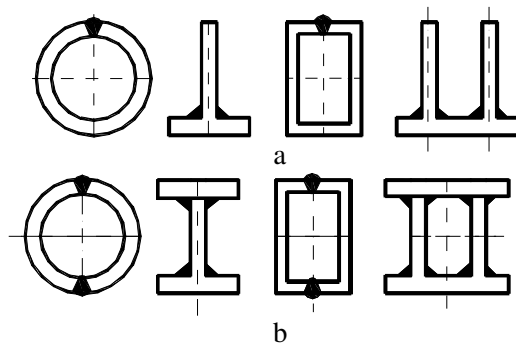


Fig. 6.133. Diferite secțiuni de elemente sudate:

a – proiectarea necorespunzătoare din punctul de vedere al apariției tensiunilor și deformărilor remanente; b – proiectarea rațională a poziției cusăturilor sudate în raport cu axa geometrică.

În concluzie, pentru reducerea tensiunilor și a deformațiilor remanente datorită sudurii trebuie aplicate următoarele măsuri:

- proiectarea rațională a construcțiilor sudate, în așa fel încât să nu fie suduri suprapuse și pe cât posibil sudurile să fie simetrice față de axa geometrică a secțiunii transversale;
- folosirea metodei creării deformațiilor mecanice inverse;
- folosirea unor dispozitive de sudare care să împiedice deformarea elementelor sudate;
- folosirea unui regim de sudare optim și aplicarea unei ordini de sudare bine determinate;
- aplicarea unor tratamente termice corespunzătoare înainte și după sudare (mai ales la elementele sudate cu secțiune mare).

6.12. DEFECTELE ÎMBINĂRILOR SUDATE

Multitudinea de factori ce influențează procesul de sudare conduc la o probabilitate mai mare de apariție a defectelor la sudare decât la alte procedee de prelucrare.

Defectele îmbinărilor sudate sunt date de: abaterile de la continuitatea, forma, dimensiunile, aspectul exterior, structura și compoziția chimică prevăzute pentru o anumită cusătură sudată în documentația tehnologică.

În aprecierea defectelor și în caracterizarea lor trebuie ținut cont de următoarele caracteristici:

- secțiunea materialului în care se află defectul;
- tipul defectului;
- poziția de îmbinare;
- numărul de defecte pe o anumită suprafață;
- solicitările din exploatare prescrise construcției;
- mărimea și forma defectului.

În general, este necesar să se cunoască foarte bine cauzele care provoacă apariția defectelor îmbinărilor sudate și influența lor asupra comportării în exploatare, pentru a evita apariția acestor defecte și mai ales pentru a evita apariția de pierderi materiale și umane.

Defectele îmbinărilor sudate pot fi *superficiale*, *deschise*, uneori vizibile sau *închise*, *în interior*, fără vizibilitate, unele dintre ele putând fi remediate prin lucrări suplimentare, în timp ce altele nu mai pot fi remediate.

Producerea defectelor este rezultatul unor greșeli în proiectarea construcțiilor sudate, în proiectarea tehnologiei de realizare și uneori în execuția cusăturii sudate.

Defectele cele mai des întâlnite în cusăturile sudate sunt prezentate succint în continuare.

6.12.1. Fisurile și crăpăturile

Fisurile sunt defecte ce se manifestă sub forma unor discontinuități cu dimensiuni microscopice, iar când sunt vizibile cu ochiul liber devin *crăpături*.

Fisurile pot fi: *longitudinale* (fig. 6.134. a), *transversale* (fig. 6.134. b), *radiale* (fig. 6.134. c), *în crater* (fig. 6.133. d), *în zona influențată termic* (fig. 6.133. e) etc. Fisurile sunt considerate un defect periculos și nu sunt admise de aceea, pentru remediere, se folosește o tehnologie ce urmărește îndepărtarea completă a defectului.

Fisurile pot fi:

- *la cald*, care se produc când materialul este încălzit sau traversează intervalul de solidificare, au contur neregulat, se dezvoltă intercrystalin și sunt oxidate. Fisurile la cald sunt localizate mai ales în zona influențată termic, principalele cauze fiind: creșterea intervalului de solidificare (în sistemul Fe-C aceasta presupune creșterea conținutului de carbon); conținutul în elemente de aliere ca manganul și sulful; gazele rămase în baia de sudură (de exemplu, hidrogenul conduce la așa numitele fisuri în „ochi de pește”). Hidrogenul poate atinge concentrații de $28 \text{ cm}^3/100\text{g}$ metal, fiind preluat din învelișul ceramic al electrozilor, din atmosfera înconjurătoare sau din alte substanțe care acoperă metalul de bază (ulei, vopsea, rugină etc.).

Pericolul de fisurare la cald se poate aprecia cu ajutorul criteriului HCS (*Hot Cracking Sensitivity*) în funcție de compoziția chimică, cu relația:

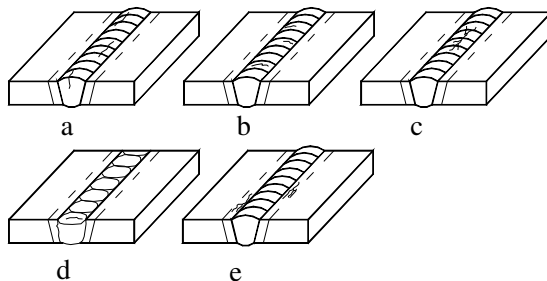


Fig. 6.134. Tipuri de fisuri în cordoanele de sudură:

a – longitudinale; b – transversale; c – radiale; d – în crater; e – în zona influențată termic.

$$\text{HCS} = \frac{\text{C}\% \left(\frac{\% \text{S}}{100} + \frac{\% \text{P}}{100} + \frac{\% \text{Si}}{25} + \frac{\% \text{Ni}}{100} \right)}{3\% \text{Mn} + \% \text{Cr} + \% \text{Mo} + \% \text{V}} \cdot 10^3 \quad (6.103)$$

Dacă $\text{HCS} \geq 4,0$ apar fisuri la cald.

Factorii tehnologici pot conduce la fisurare dacă regimurile de lucru sunt necorespunzătoare (de exemplu, creșterea excesivă a temperaturilor de lucru care

duc la supraîncălzirea metalului de bază, participarea în exces a metalului de bază la formarea cusăturii sau viteza de răcire mare a unor structuri modificate).

De asemenea, factorii constructivi pot da naștere la fisuri atunci când nu se asigură o contracție liberă a cordonului de sudură în perioada de solidificare;

- *la rece*, care se produc datorită transformărilor structurale ale metalului de bază (ce au loc din cauza ciclului rapid de încălzire-răcire), sunt neoxidate, arată ca o linie dreaptă, fără ramificații și sunt intercrystaline. Tensiunile remanente contribuie și ele la defectul de fisurare la rece, mai ales cele rezultate din împiedicarea deplasării pieselor în cursul operației de sudare, datorită prinderii rigide cu alte piese.

Printre măsurile tehnologice care se pot lua în vederea evitării fisurării la rece sunt: preîncălzirea și tratamentele termice după sudare.

6.12.2. Pori și suflurile

Pori și suflurile sunt cavități umplute cu gaze, având suprafața lucie, de cele mai multe ori, de formă sferică. Mecanismul formării porilor și suflurilor este determinat de condițiile de lucru (dacă viteza de evacuare a bulelor de gaz este mai mică decât viteza de înaintare a frontului de cristalizare, bulele de gaz rămân prinse în metalul solidificat). Gazele aflate în pori și sufluri sunt: oxidul de carbon, dioxidul de carbon, metanul, hidrogenul sulfurat etc. După modul de distribuție, porii pot fi de mai multe feluri (fig. 6.135): *uniform distribuiți în metalul depus* (fig. 6.135. a), *localizați în metalul depus* (fig. 6.135. b), *în formă de șir* (fig. 6.135. c).

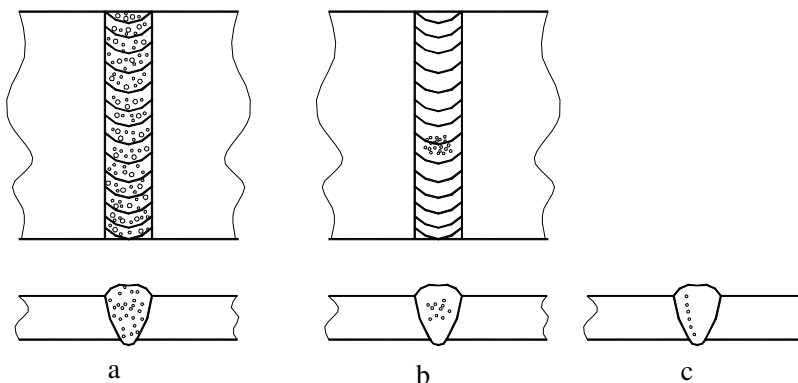


Fig. 6.135. Tipuri de pori:

a – uniform distribuiți; b – localizați în zona metalului de adaos; c – în formă de șir.

Suflurile au forme alungite, dimensiunea maximă fiind paralelă cu axa cordonului (fig. 6.136).

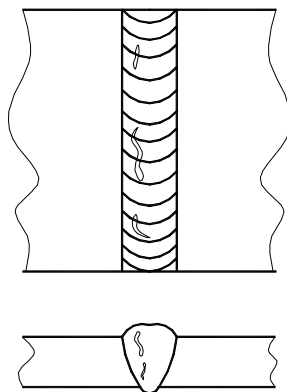


Fig. 6.136. Sufluri în metalul de adaos.

Principalele cauze ale apariției porilor și suflurilor sunt:

- *regimul de lucru necorespunzător în timpul sudării*. Curentul de sudare prea mare față de cel necesar intensifică reacțiile chimice și mărește solubilitatea gazelor. Arcul electric prea lung și viteza de înaintare prea mare produc scăderea înălțimii băii și deci răcirea ei rapidă fără timp de eliminare a gazelor. Pătrunderea insuficientă și temperatura prea scăzută a băii conduc la o solidificare prea rapidă, fără a lăsa timp de evacuare a gazelor;

- *compoziția chimică a materialului de adaos*. Conținutul ridicat de carbon, prin ardere, duce la formarea unei cantități mari de gaze sub formă de oxid sau dioxid de carbon. Feroaliajele reacționează cu hidrogenul și devin surse de formare a porilor. Oțelurile care au sub 0,3% Si și oțelurile aliate cu crom sunt sensibile la formarea porilor în prezența umidității.

- *umiditatea*. Provine din învelișul electrozilor, de pe suprafața semifabricatului sau din impurități, provocând o cantitate mare a vaporilor de apă care se descompun în arc în hidrogen și oxigen.

6.12.3. Incluziunile

Incluziunile sunt defecte de compoziție chimică diferită de cea a metalului din cusătura sudată. Ele pot fi metalice sau nemetalice, iar din punct de vedere chimic pot fi oxizi, sufluri, silicați, nitruri, fosfați etc. Cele mai frecvente sunt incluziunile nemetalice de tipul *oxizilor*, *nitrurilor*, *sulfurilor* și mai ales *zgura*. Incluziunile de zgură sau flux sunt resturi de zgură sau flux rămase după solidificare ca urmare a faptului că nu s-a făcut curățirea corectă după depunerea fiecărui strat. Incluziunile de oxizi nemetalici, nitruri și sufluri se formează prin reacțiile oxigenului, azotului și sulfurii cu metalul băii.

Principalele cauze ale apariției defectelor de tipul incluziunilor sunt:

- suprafața metalului de bază acoperită cu rugină, vopsea, ulei etc., care în urma reacțiilor de oxidare conduce la formarea de oxizi, ce se localizează în metalul depus;
- îndepărtarea insuficientă a zgurii, de pe fiecare strat și de la rădăcină, conduce la formarea incluziunilor de zgură și diminuarea proprietăților mecanice;
- prelucrarea necorespunzătoare a marginilor pieselor de îmbinat și curățirea necorespunzătoare a acestora;
- parametri tehnologici necorespunzători (viteza mare de solidificare conduce la o posibilitate redusă de eliminare a incluziunilor de zgură).

6.12.4. Lipsa de pătrundere

Lipsa de pătrundere este defectul ce caracterizează secțiunea metalului topit în comparație cu secțiunea sudurii. Dacă rămâne un interstițiu între metalul depus și metalul de bază, atunci apare defectul numit *lipsă de pătrundere* (fig. 6.137).

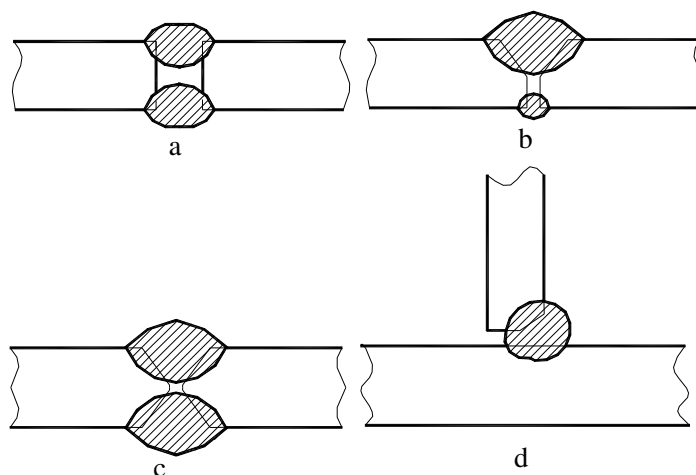


Fig. 6.137. Lipsa de pătrundere la o îmbinare sudată:

a – cap la cap fără pregătirea rostului; b – cu rost în Y; c – cu rost în X; d – cu rost în triunghi.

Lipsa de pătrundere micșorează rezistența mecanică statică, datorită modificării secțiunii active a îmbinării, reduce mult rezistența la oboseală și mai ales rezistența la solicitări dinamice.

Principalele cauze care conduc la apariția lipsei de pătrundere sunt:

- încălzire incorectă a electrodului sau metalului de bază;
- înclinarea incorectă a electrodului;
- parametri tehnologici aleși necorespunzător;

- diametrul prea mare sau prea mic al electrodului sau sârmei la sudarea stratului de rădăcină;
- rostul prea mic și unghiul de țesire prea mic, ceea ce nu permite pătrunderea suficientă a electrodului.

6.12.5. Lipsa de topire

Lipsa de topire este un defect definit de o legătură incompletă între materialul de bază și cel de adaos sau între straturile materialului depus. Lipsa de topire poate fi : *laterală* (fig. 6.138. a), la *rădăcină* (fig. 6.138. b) și *între straturi* (fig. 6.138. c).

Cauzele principale ce conduc la apariția defectelor de tipul lipsei de pătrundere sunt:

- curățirea neîngrijită a materialelor de îmbinat;
- alegerea parametrilor tehnologici necorespunzători (intensitatea curentului prea mică, viteza de sudare prea mare, arc neliniștit etc);
- alegerea greșită a electrozilor (din punct de vedere dimensional sau calitativ).

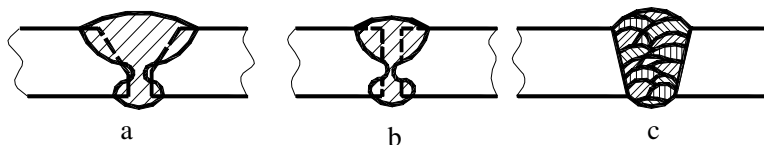


Fig. 6.138. Lipsa de topire:
a – laterală; b – la rădăcină; c – între straturi.

6.12.6. Supraîncălzirea și arderea

Supraîncălzirea în îmbinările sudate constă în creșterea granulației și apariția formelor aciculare de ferită. Apare ca urmare a solicitărilor la care este supus metalul în ciclurile termice de încălzire-răcire. Efectul de supraîncălzire caracterizează mai ales oțelurile susceptibile, cum sunt cele aliate cu proprietăți anticorozive sau cele aliate cu structura feritică.

Remediarea defectelor de tipul supraîncălzirii este posibilă prin tratamente termice (recoacere de normalizare cu încălzire peste AC_3 sau recoacere de globulizare pentru granulație fină).

Arderea se produce atunci când este depășită temperatura de fuziune și se manifestă sub formă de zgură sau peliculă de oxizi.

Arderea este asociată de cele mai multe ori cu străpungeri ale materialului prelucrat, de aceea supraîncălzirea și arderea sunt defecte ce duc la rebutarea pieselor fără posibilități de remediere.

6.12.7. Formarea unor compuși cu fragilitate ridicată sau rezistență mică la coroziune

Formarea unor astfel de compuși poate apare la oțelurile bogate în crom, care pot avea *structură austenitică, structură feritică sau structură martensitică*.

La încălzirea oțelurilor austenitice la temperaturi de 600...800°C, cromul fiind mai avid față de carbon în comparație cu fierul, formează carburi de crom dure și fragile, ce precipită la marginea grăunților de austenită. Se formează îmbinări sudate fragile și cu rezistență redusă la coroziune intercristalină.

La oțelurile feritice, care conțin 14...20% crom și carbon puțin, se pot forma aceleași tipuri de carburi ca la oțelurile austenitice, dar la temperaturi de 450...500°C.

La oțelurile martensitice, care conțin 14...20% crom și mai mult de 0,15%C, apar structuri de călire chiar la răcirea în aer, ceea ce face ca sudarea lor să se facă cu foarte mare greutate.

În general, pentru evitarea acestui tip de defect se iau următoarele măsuri: alierea cu titan sau niobiu, sudarea cu energii liniare mai mici, folosirea unor materiale de adaos cu structură austenitică etc.

6.12.8. Defectele de formă

Defectele de formă sunt date de abaterile de la forma și dimensiunile prescrise în proiectul îmbinării sudate. Cele mai frecvente defecte de formă sunt (fig. 6.139):

- *lățimea neuniformă a cusăturii* (fig. 6.139. a) datorită vitezei de sudare neuniformă, variației tensiunii în rețea, schimbării poziției electrodului etc.;
- *supraîncălțarea și convexitatea excesivă* (fig. 6.139. b și c), datorită vitezei de sudare mici, curentului de sudare mic și calității fluxurilor utilizate;
- *abaterile poziției relative a semifabricatelor față de prescripțiile tehnice*, constau în nerespectarea unghiului prescris (fig.6.139. d) sau lipsa de coaxialitate (fig. 6.139. e) datorită apariției deformațiilor peste limita tolerată și datorită supraîncălzirii;
- *craterul final* apare la întreruperea arcului la capătul cordonului de sudură datorită conducerii greșite a arcului electric;
- *rădăcina nesudată* are forma unei retasuri (fig.6.139. f) și este datorată prinderii necorespunzătoare și deformațiilor ce pot apărea;
- *scobiturile* (fig.6.139. g și h) apar datorită unei topiri excesive;
- *scurgerile* (fig.6.139. i și j) datorită folosirii unui curent de sudare prea mare, necorelării vitezei de sudare cu viteza de topire sau poziției incorecte a electrodului;
- *crestăturile* (fig.6.139. k și l) sunt date de lipsa de material de forma unui șanț pe lungimea parțială sau totală a cordonului de sudură. Aceste defecte apar

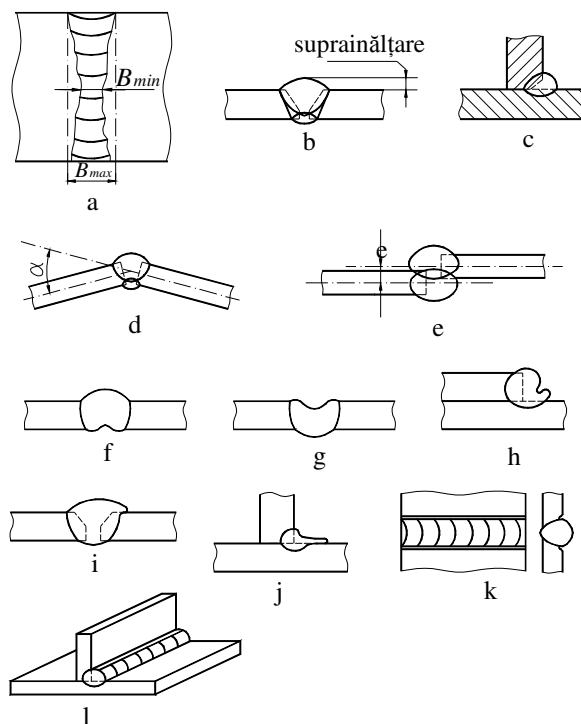


Fig. 6.139. Defecte de formă:

a – lățime neuniformă a cusăturii sudate; b – supraînălțare mare; c – convexitate excesivă;
 d – abaterea de la unghi; e – lipsa de coaxialitate; f – rădăcină nesudată; g – scobitură la o sudură cap la cap; h – scobitură la o sudură prin suprapunere; i – scurgere într-o sudură cap la cap; j – scurgere la o sudură de colț; k – creștătură pe toată lungimea la o sudură cap la cap; l – creștătură pe toată lungimea la o sudură de colț.

datorită mișcării rapide a electrodului, curentului de sudare prea mare, vitezei de sudare prea mari etc.

- *stropii* sunt părți din metalul lichid, solidificate pe materialul de bază în afara cordonului de sudură.

6.13. TRATAMENTELE TERMICE ALE ÎMBINĂRILOR SUDATE

Pentru a elimina pericolul apariției unor defecte de tipul fisurilor și crăpăturilor, precum și pentru a obține anumite proprietăți funcționale, corespunzător cu rolul funcțional și solicitările din timpul exploatării, după realizarea îmbinării sudate se pot executa diferite tratamente termice, dintre care cele mai utilizate sunt:

- *recoacerea de omogenizare*, aplicată pentru a înlătura neomogenitățile care apar în urma proceselor de solidificare și răcire, atât în interiorul cristalelor, cât și la scara rețelei cristaline (pentru a înlătura segregările ce apar la răcire, aspectul grosolan al structurii cristaline în zonele de supraîncălzire, neomogenitățile provenite din transformările incomplete de fază etc.). Acest lucru se realizează prin difuzia în stare solidă, fenomen ce depinde de temperatură și durata de menținere la temperatura de tratament. Temperatura de tratament se alege la valori cât mai mari (imediat sub curba lichidus) pentru a micșora timpul de difuzie, iar viteza de încălzire se ia sub 50°C/oră pentru a preveni apariția a noi tensiuni interne. Pentru oțeluri temperatura de omogenizare este de 1 000...1 200°C ($AC_3 + 150...200^\circ C$), timpul de menținere de ordinul orelor (în funcție de grosime), iar răcirea se face cu o viteză mai mică de 50°C/oră odată cu cuptorul. În general, după omogenizare rezultă o structură grosolană cu proprietăți mecanice scăzute din cauza temperaturilor ridicate și a timpilor mari de menținere la această temperatură;

- *recoacerea de normalizare*, aplicată în scopul finisării structurilor metalografice și a înlăturării unor constituenți cu duritate mare (se aplică în special la sudarea pieselor cu grosimi mari la care s-au produs supraîncălziri grosolane și o fragilitate ridicată). Tratamentul constă în încălzirea în domeniul austenitic ($AC_3 + 30...50^\circ C$), cu o viteză mică, menținerea 20...30 min pentru omogenizarea temperaturii și apoi răcirea în aer. Finețea grăunților cristalini este cu atât mai bună cu cât viteza de încălzire este mai ridicată, timpul de menținere în domeniul austenitic este mai scăzut, iar viteza de răcire este mai ridicată;

- *recoacerea de detensionare*, aplicată pentru eliminarea tensiunilor interne care apar în timpul operațiilor de sudare. Tratamentul constă în încălzirea lentă (temperatura de încălzire mai mică de 150°C/oră), menținerea la temperatura de tratament cel puțin 20...30 min sau 2...3 min pentru un milimetru grosime al pereților piesei (temperaturile de detensionare sunt cuprinse între 220...400°C pentru metale și aliaje neferoase și de 550...650°C pentru oțeluri), răcirea cu viteză mică sub 50°C/oră (odată cu cuptorul) până la 150...300°C și apoi răcirea în aer liniștit.

Tratamentul termic de detensionare asigură, pe seama încălzirii, condiții de relaxare a tensiunilor interne prin anihilarea reciprocă a celor de sens contrar, produce o micșorare a densității defectelor de rețea și deci și a tensiunilor interne și conduce la consumarea energiei care provoacă deformațiile elastice. Intensitatea procesului de eliminare a tensiunilor depinde de temperatură (cu cât aceasta este mai ridicată cu atât dispariția tensiunilor este mai accelerată);

- *revenirea*, aplicată oțelurilor care au tendință de călire în timpul solidificării după sudare și asigură apropierea constituenților din oțel de starea de echilibru producând în același timp și reducerea tensiunilor interne. Tratamentul constă în încălzirea sub punctul de transformare AC_1 cu 20...50°C și răcirea în aer

liber sau liniștit cu cuptorul (în funcție de natura oțelurilor sudate). Se obțin structuri cu o duritate substanțial diminuată și cu proprietăți mecanice îmbunătățite.

Observații:

1 - Aplicarea tratamentelor termice după sudare este dificilă (mai ales în condiții de șantier), necesitând măsuri tehnologice laborioase și cheltuieli mari, de aceea este indicată evitarea tratamentelor termice pe seama unor măsuri constructive și tehnologice care să asigure, în primul rând, prevenirea structurilor fragile etc.

Tratamentele termice enumerate mai sus și altele sunt obligatorii în anumite situații:

- la piesele confecționate din oțeluri cu granulație fină și grosime mai mare de 30mm;
- la piesele confecționate din oțeluri cu conținut mai mare de 0,25%C și grosimi mai mari de 35mm;
- la structurile sudate care au suferit după sudare deformații plastice la întindere cu $\delta > 5\%$;
- la piesele sudate în dispozitive rigide;
- la toate structurile sudate la care se cer precizii dimensionale ridicate și care ar putea fi influențate de deformațiile din timpul exploatării datorate tensiunilor interne.

2 - Tratamentul termic poate fi aplicat întregii structuri sudate sau parțial, în zona în care s-a făcut sudura și în care există o concentrare mare de tensiuni interne sau modificări de proprietăți mecanice sau de structură;

3 - Aplicarea tratamentelor termice trebuie făcută în strânsă legătură cu cerințele de exploatare, construcția îmbinării sudate și tehnologia de sudare adoptată, astfel încât să se asigure în final calitatea cerută structurii sudate în ansamblu.

6.14. CONSTRUCȚII (STRUCTURI) SUDATE

6.14.1. Generalități

Sudarea, ca procedeu tehnologic asigură posibilitatea realizării unor construcții sudate cu forme complexe, raționale și mult mai variate în comparație cu turnarea sau forjarea, construcții care, pe lângă condiții de rezistență, satisfac și alte condiții (de exemplu condiții de etanșeitate). Avantajele tehnice și economice mari ale construcțiilor sudate asigură acestora o foarte largă folosire în diferite ramuri ale industriei; transportului și construcțiilor. Toate construcțiile metalice: poduri, turnuri și structuri metalice, hale și depozite, vagoane, locomotive și alte vehicule, batiuri de mașini unelte, carcase pentru utilaje energetice, rezervoare,

gazometre și alte utilaje chimice, construcții navale și multe organe de mașini se execută prin sudare.

Proiectarea și execuția construcțiilor sudate necesită luarea în considerare a particularităților caracteristice ale îmbinărilor sudate și acordarea unei atenții deosebite problemelor tehnologice de realizare a preciziei cerute de rolul funcțional. La proiectarea construcției sudate și a procesului tehnologic de execuție trebuie ținut cont de *tehnologicitatea construcției sudate*. Prin tehnologicitatea construcției sudate se înțelege aceea formă prin care se asigură confecționarea sa rațională, cu aplicarea procedeele tehnologice cunoscute, de înaltă productivitate, și care ușurează mecanizarea și automatizarea proceselor de execuție a structurilor sudate. Varietatea foarte mare a construcțiilor sudate, după destinația și forma lor, necesită o grupare în funcție de caracteristicile comune, pentru a permite o examinare constructiv-tehnologică corespunzătoare. Pot fi considerate următoarele grupe: *piese specifice organelor de mașini, carcase și batiuri sudate, conducte, recipienti, construcții din profile laminate sau din tablă și construcții combinate*.

6.14.2. Construcții sudate specifice organelor de mașini

Organele de mașini ca piese intens solicitate în exploatare pot fi realizate din componente mai mici obținute prin turnare, forjare, matrițare, laminare, extrudare, tragere etc., și îmbinate prin sudarea în mod direct sau prin intermediul unor profile deformate plastic.

Realizarea organelor de mașini prin tehnologia construcțiilor sudate prezintă numeroase avantaje legate de:

- însemnate economii de material și energie datorită adaosurilor de prelucrare minime și micșorării cantității de material ce trebuie turnat sau deformat plastic (forjat, matrițat, laminat etc.);

- rezistență mai mare în exploatare deoarece sunt mai simple, mai precise și au o greutate proprie mai redusă. Organele de mașini cele mai frecvent realizate prin tehnologia construcțiilor sudate sunt: tije, pârghiile, arborii, rotorii, roțile, tamburii, pinioanele etc.

Tije sunt formate în cele mai multe cazuri din tija propriu-zisă, la capetele căreia se formează prin deformare plastică câte un ochi necesar asamblării. Acestea au dezavantajele unei greutăți proprii ridicate și a unei manevrabilități reduse, de aceea realizarea tijelor sudate permite utilizarea unor semifabricate rezistente și cu greutate proprie redusă pentru tija propriu-zisă (țevi, profile laminate, tablă rulată cu secțiune deschisă etc.), la care se sudează în capete ochiurile de prindere (fig.6.140). Sudurile se pot realiza prin frecare, prin presiune, în baie de zgură, prin topire cu arc electric sau cu fascicol de electroni.

Pârghiile, care în mod obișnuit se obțin prin matrițare sau turnare de precizie, se pot realiza și prin sudare, obținându-se economii importante de material. Cel mai ușor se realizează pârghiile din tablă decupată pe care se aplică,

prin sudare de colț, articulațiile confecționate din țevi, profile laminate sau componente matrițate (fig. 6.141).

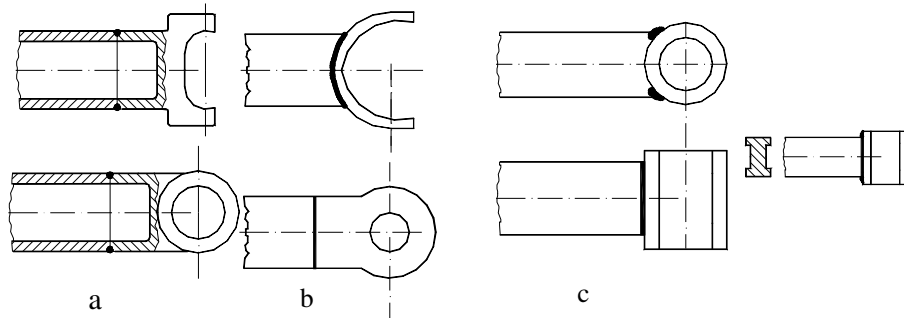


Fig. 6.140. Realizarea Țijelor prin sudare:
a – utilizând țevi; b – utilizând tablă îndoită și bare; c – utilizând tablă și profile.

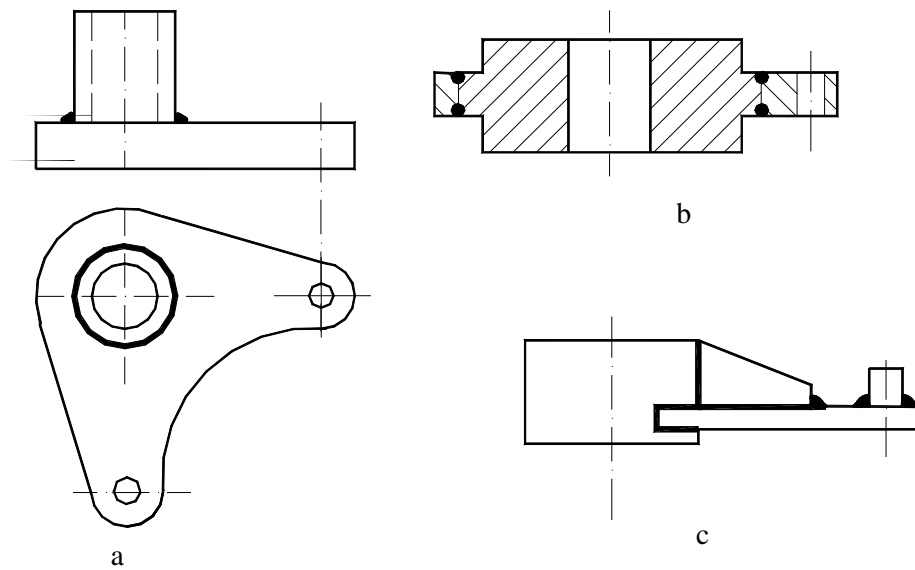


Fig. 6.141. Realizarea pârgărilor prin sudare:
a – din tablă decupată și țevi; b – din tablă decupată și componente simple matrițate; c – din tablă și profile laminate.

Realizarea *arborilor* și *rotorilor* prin tehnologia construcțiilor sudate este avantajoasă numai în cazul pieselor de dimensiuni mari, cu configurație complexă și cu diferențe mari de secțiune. Elementele componente obținute prin turnare, presare, forjare, matrițare sau din profile laminate sunt îmbinate prin sudare

circulară în baie de zgură, cap la cap prin presiune, prin frecare sau prin topire cu arc electric (fig. 6.142).

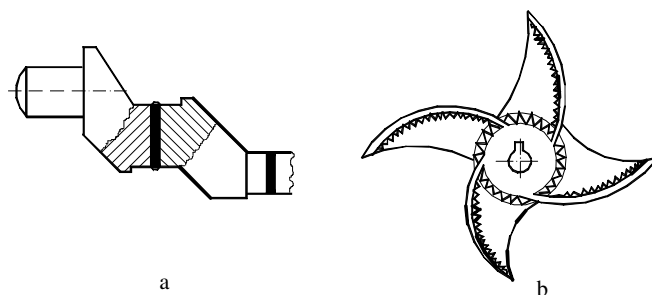


Fig. 6.142. Realizarea prin sudare:
a – a arborilor cotiți; b – a rotoarelor.

Roțile, rolele, tamburii turnați din fontă sau oțel se pot înlocui cu piese executate prin tehnologia construcțiilor sudate, atât în cazul unicitelor sau a seriilor mici, cât și în cazul producției de serie mare (fig. 6.143). Principalele avantaje în acest caz rezultă din greutatea redusă, rezistența sporită a produselor din tablă, a țevilor și profilelor sudate, precum și din fiabilitatea crescută și prețul de cost mai scăzut.

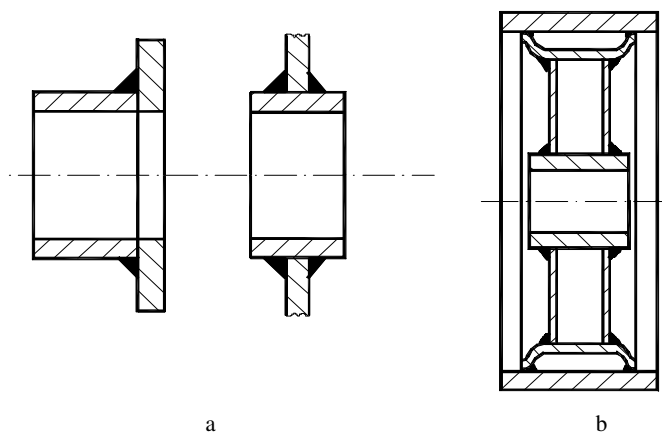


Fig. 6.143. Realizarea prin sudare:
a – a butucului unei roți; b – a unor roți de antrenare.

Grupurile de *pinioane* cu diferențe mari de diametru și *roțile dințate mari* se pot executa din mai multe bucăți îmbinate prin sudare: cap la cap, prin topire cu arc electric, prin frecare, prin presiune, cu arc rotitor (fig. 6.144). Principalele

avantaje rezultă din realizarea mult mai ușor a danturării și economii importante de materiale scumpe.

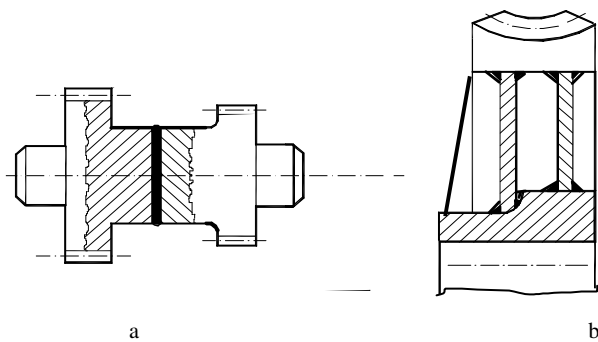


Fig. 6.144. Realizarea în construcție sudată:
a – a grupurilor de pinioane; b – a roților dințate.

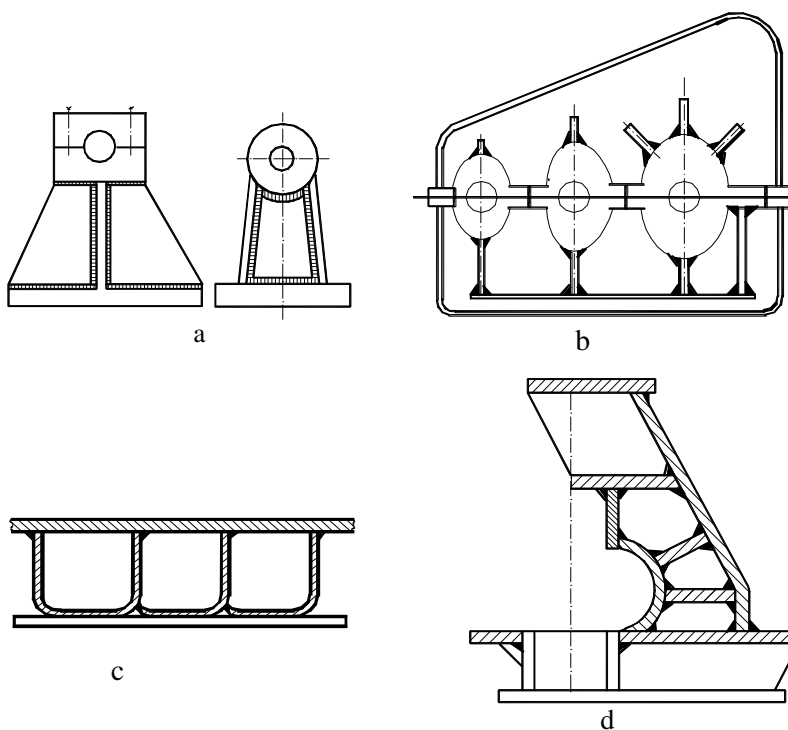


Fig. 6.145. Realizarea prin sudare:
a – a unor lagăre; b – a carcasei unui reductor cu trei trepte; c – a unui batiu de mașină-unealtă;
d – a unui batiu de ciocan pneumatic.

Înlocuirea lagărelor, carcaselor și batiurilor turnate cu cele executate prin tehnologia construcțiilor sudate din oțel, prezintă avantaje deosebite în ceea ce privește fiabilitatea și prețul de cost, mai ales la unicate și la serii mici de piese și atunci când condițiile de exploatare sunt severe (rame, suporturi, stative, cadre, lagăre, carcase de reductoare și cutii de viteză, carcase de motoare electrice, de turbine, compresoare, batiuri de mașini, prese și ciocane, blocuri motoare etc.). Oricât de complicat ar fi ansamblul respectiv, el se realizează din tablă plată sau ambutisată cu sau fără nervuri de rigidizare, țevi și profile laminate asamblate prin sudare (fig. 6.145).

6.14.3. Construcții sudate de tipul conductelor

Conductele, ca ansambluri de elemente simple montate pe un traseu stabilit și destinate transportului și distribuției fluidelor și gazelor, pot avea în componență țevi, coturi, ramificații, armături, flanșe, compensatori de dilatație, aparatură de măsură și control, garnituri, suporturi etc. Ele se realizează din tablă sudată într-o gamă foarte largă de diametre. Conductele cu lungime mare se execută din tronsoane sudate sau din tronsoane îmbinate prin intermediul flanșelor sudate (fig. 6.146). Tronsoanele se vor îmbina astfel încât sudurile longitudinale să nu fie în prelungire și să alterneze, astfel încât să se evite intersecțiile în cruce ale sudurilor.

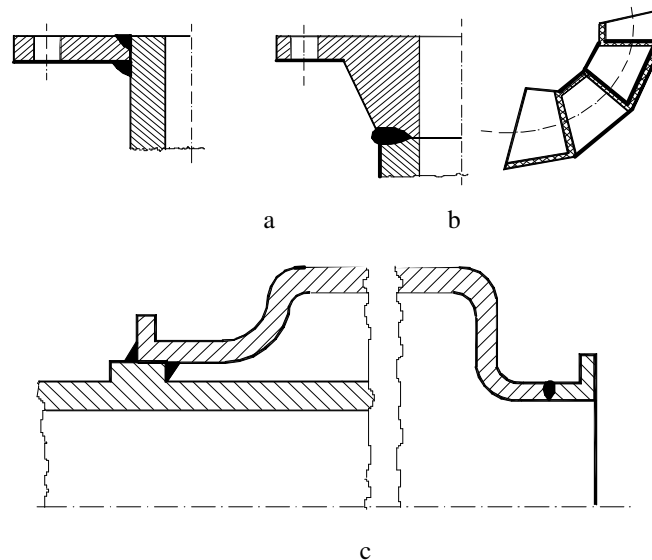


Fig. 6.146. Realizarea prin sudare a unor elemente ale conductelor:
a – flanșe; b – coturi; c – compensatori elastici.

6.14.4. Construcții sudate de tipul recipientelor

Recipientii metalici de diferite tipuri și utilizări sunt executați în mod curent în construcție sudată, datorită avantajelor pe care le prezintă: greutate proprie redusă, rezistență mecanică sporită, costul redus al execuției, posibilitatea realizării unei bune etanșări etc. Elementele utilizate la realizarea recipientelor sunt: tablele plane sau rulate, virolele formate din mai multe table rulate, țevile, flanșele prelucrate din tablă sau din laminate, precum și flanșele obținute prin deformare plastică sau prin turnare, nervurile și ramele din tablă pentru rigidizare etc. În general tehnologia de sudare a diferitelor elemente componente ale recipientelor se stabilește în funcție de calitatea și grosimea metalului de bază și de destinație ulterioară, fiind des utilizată sudarea sub flux, sudarea MIG-MAG, cu electrod învelit, în baie de zgură etc. Elementele componente ale recipientelor se vor proiecta astfel încât solicitările să fie repartizate cât mai favorabil în îmbinările sudate (fig. 6.147).

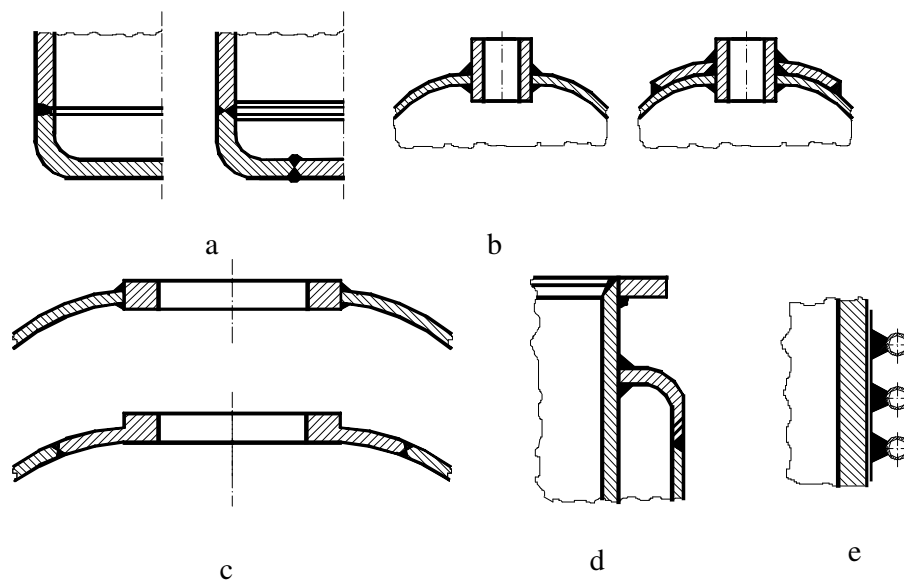
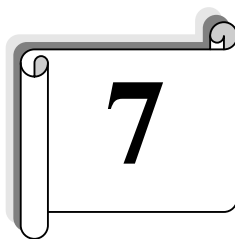


Fig. 6.147. Îmbinarea prin sudare a unor componente ale recipientelor:
a – mantaua și fundul; b – țevile colectoare sau ramificațiile; c – flanșele gurilor de umplere;
d – pereții subțiri; e – elementele de rigidizare.

Toate sudurile recipientelor care funcționează la presiuni ridicate sunt verificate prin control nedistructiv cu ultrasunete, cu radiații penetrante și pot fi supuse încercării la suprapresiune.



OBȚINEREA PIESELOR PRIN LIPIRE

7.1. GENERALITĂȚI

Lipirea este metoda tehnologică de îmbinare nedemontabilă a două piese aflate în stare solidă cu ajutorul unui material de adaos aflat în stare lichidă sau vâscoasă, care se solidifică după difuzia sa între atomii marginali ai celor două piese. Materialul de adaos poate fi, după caz, aliaj de lipit sau adeziv. Spre deosebire de sudare, cu care este înrudită ca tehnică operatorie, lipirea cu material de adaos prezintă următoarele avantaje:

- necesită energii mult mai mici, deoarece la lipire nu este necesară topirea materialului de bază (este suficientă o încălzire a acestuia la temperatura de topire a aliajului de lipit, care este cu mult mai mică decât temperatura de topire a materialului de bază);
- materialul de adaos (aliajul de lipit) nu trebuie să aibă compoziția identică sau asemănătoare cu cea a materialului de bază;
- fenomenul de bază la realizarea îmbinării nedemontabile prin lipire este difuzia reciprocă a atomilor materialului de adaos cu cei ai materialului de bază;
- necesită un echipament tehnologic mult mai simplu și un proces tehnologic mai simplu.

Piese pot fi confecționate din materiale metalice sau nemetalice; se pot asambla prin lipire piese metal-metal, metal-nemetal, nemetal-nemetal.

Asamblarea prin lipire se utilizează frecvent pentru asigurarea etanșeității. Ea nu se recomandă în cazul necesității demontării și reasamblării pieselor.

Asamblarea pieselor metalice cu aliaje de lipit este unul dintre cele mai vechi procedee tehnologice utilizate de om de peste 3 000 de ani.

Îmbinarea prin lipire se bazează pe fenomenul de difuzie al atomilor și moleculelor din substrat în materialul de adaos. La lipirea cu material de bază metalic (aliaj de lipit) are loc difuzia reciprocă a atomilor din metalul de bază și din aliajul de lipit, deosebindu-se zonele (fig. 7.1.a):

- A metalul de bază I;
- AL metalul de bază A în care au difuzat atomi din aliajul de lipit L;
- LA aliajul de lipit L în care au difuzat atomi din metalul de bază A;
- L aliajul de lipit;
- LB aliajul de lipit L în care au difuzat atomi din metalul de bază B;
- BL metalul de bază B în care au difuzat atomi din aliajul de lipit L;
- B metalul de bază II.

Zonele A, AL, LA aparțin piesei I; zonele LB, BL, B aparțin piesei II; zona L este interstițiul asamblării lipite, unde se depune materialul de adaos (aliajul de lipit).

La lipirea cu adezivi, îmbinarea materialelor se face prin intermediul legăturilor chimice realizate la scară atomică sau moleculară între materialele de bază și adezivi (fig.7.1.b).

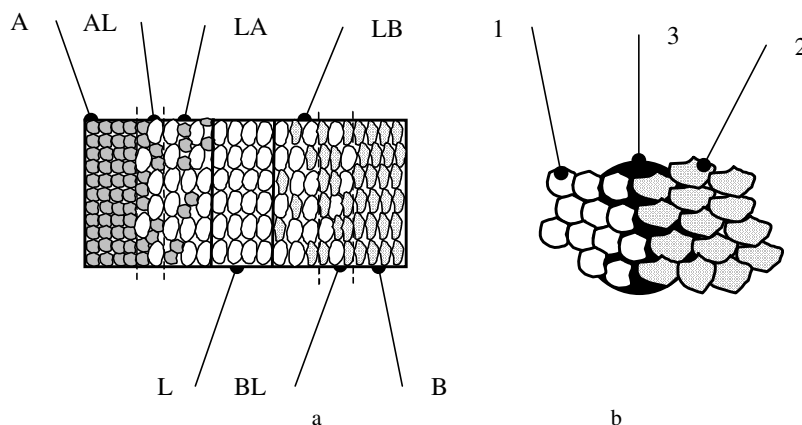


Fig. 7.1. Schema de principiu la îmbinarea prin lipire:

a – cu material de adaos metalic (aliaj de lipit): A - metal de bază piesa I; AL - metal de bază în care au difuzat atomi din aliajul de lipit; LA – aliaj de lipit în care au difuzat atomi din metalul de bază A; L – aliaj de lipit depus în interstițiul îmbinării lipite; LB - aliaj de lipit în care au difuzat atomi din metalul de bază B; BL - metal de bază în care au difuzat atomi din aliajul de lipit; B - metal de bază piesa II; b – cu material de adaos nemetalic (adeziv): 1 - material de bază piesa I; 2 - material de bază piesa II; 3 - adeziv.

Din aceasta cauză, o primă condiție absolut necesară obținerii unei lipiri rezistente este curățirea și decaparea substraturilor. A doua condiție constă în alegerea corectă a materialului de adaos și a tehnologiei de lipire. În funcție de alegerea tehnologiei de lipire se proiectează forma constructivă a îmbinării.

7.2. CLASIFICAREA PROCEDEELOR DE ASAMBLARE PRIN LIPIRE

Clasificarea procedeelor de asamblare prin lipire se face după mai multe criterii, cele mai des utilizate fiind:

- după *natura pieselor asamblate* se deosebesc:
 - lipire metal-metal;
 - lipire metal-nemetal;
 - lipire nemetal-nemetal.
- după *natura elementului de adaos* se deosebesc:
 - lipire cu material de adaos metalic (aliaj de lipit);
 - lipire cu material de adaos nemetalic (adeziv).
- după *temperatura de topire a materialului de adaos* se deosebesc:
 - lipire la temperatura ambiantă;
 - lipire moale ($< 425^{\circ}\text{C}$ – sub curba solidus);
 - lipire tare (brazare) ($> 425^{\circ}\text{C}$ – peste curba solidus).
- după *forma îmbinării* se deosebesc:
 - prin depunere, când materialul de adaos se introduce în rostul îmbinării ca la sudarea cu flacără;
 - prin capilaritate, când materialul de adaos pătrunde singur în rost (interstițiu) datorită forțelor de capilaritate (fig. 7.2).

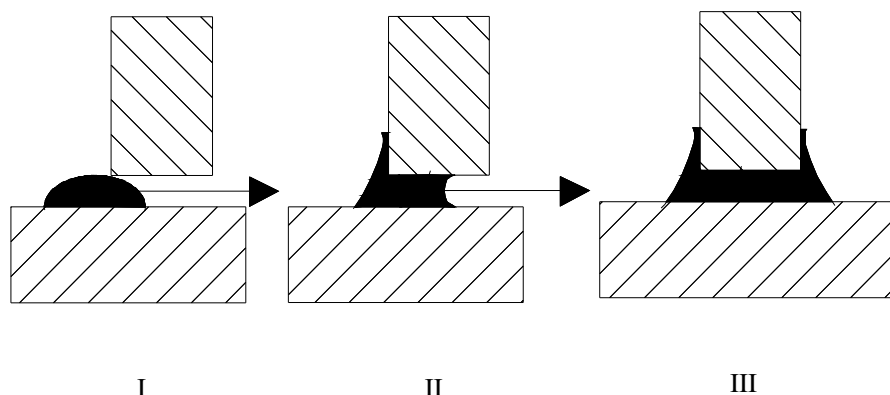


Fig. 7.2. Fazele lipirii prin capilaritate:

- I - inițierea; II - curgerea materialului de adaos în rost, formarea meniscului concav;
III - definitivarea lipirii.

Posibilitatea realizării unei îmbinări prin lipire și calitatea acesteia depinde în primul rând de natura materialului de adaos și mai ales de *capacitatea de umectare (udare)* a acestuia.

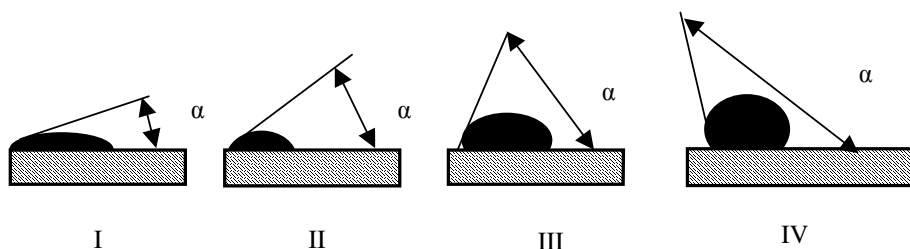


Fig. 7.3. Capacitatea de umectare a materialului de adaos:
 a - umectare foarte bună, $\alpha = 0^{\circ}-14^{\circ}$; b - umectare bună, $\alpha = 15^{\circ}-75^{\circ}$;
 c - umectare satisfăcătoare, $\alpha = 75^{\circ}-90^{\circ}$; d - umectare nesatisfăcătoare, $\alpha = 91^{\circ}-180^{\circ}$.

După capacitatea de umectare a materialului de adaos există următoarea clasificare: umectare foarte bună, bună, satisfăcătoare, nesatisfăcătoare (figura 7.3).

7.3. LIPIREA CU ADEZIVI

Lipirea cu adezivi este un domeniu aflat într-o continuă evoluție, cuprinzând atât procedeele clasice, cunoscute de mii de ani (precum lipirea cu clei a lemnului), lianții utilizați în construcții, lianții folosiți la realizarea formelor pentru turnare sau lianții care intră în componența vopselelor și cernelurilor, cât și materiale mai recente, cum ar fi adezivii de contact care se folosesc în industria aerospațială.

Asamblările lipite cu adezivi sunt adesea mai ieftine, mai simplu de realizat și chiar mai rezistente la oboseală și la coroziune decât sudarea sau asamblările mecanice. În anumite situații, aceste tipuri de lipiri sunt unicele posibile.

Lipirea cu adezivi poate fi folosită atât la piese mari, cât și la piese foarte mici. Forma geometrică sau dificultatea accesului în zona de contact nu constituie probleme.

Exemple tipice de piese lipite cu adeziv sunt: ferodouri pentru benzi și discuri de frână, pale de elicopter, structuri fagure pentru aviație, asigurarea asamblărilor șurub-piuliță contra desfacerii, în industria prelucrării lemnului și a hârtiei, în industria construcțiilor (tabelul 7.1.).

Lipirea cu adezivi constă în depunerea unui strat subțire lichid sau semilichid pe suprafețele îmbinării, urmată de imobilizarea pieselor până la solidificarea adezivului. Solidificarea adezivului poate necesita încălzirea, răcirea, evaporarea; ea poate dura secunde, ore sau zile, și este de regulă accelerată prin încălzire.

Depunerea stratului de adeziv se poate face prin procedee similare vopsirii: pensulare, cu rola, prin periere, prin pulverizare, prin pompare, prin imersare etc.

Procedeul se alege în funcție de natura adezivului, mărimea pieselor, caracterul producției.

Adezivii se folosesc atunci când sunt urmărite următoarele caracteristici:

- greutate minimă a asamblării;
- materiale de bază poroase, fragile sau sensibile la încălzire;
- estetica asamblării este importantă;
- amortizarea zgomotelor și a vibrațiilor la nivelul asamblării;
- izolarea electrică a materialelor de bază împotriva coroziunii galvanice;
- îmbinarea unor materiale diferite ca grosime, compoziție, modul de elasticitate;
- eficiența ridicată indiferent de numărul de produse din seria de fabricație.

Deși asamblările cu adezivi pot rezista la solicitări mari, ele nu sunt recomandate în condiții de variații termice extreme.

Adezivii/lianții pot fi de natură diversă, în funcție de materialele de îmbinat.

Tabelul 7.1. Câteva tipuri de lianți utilizați în industria construcțiilor

Natura liantului	Utilizări
Argilă	Liant, industria ceramică, fabricarea cimentului
Bitum	Liant în mortare, betoane asfaltice, la brichetarea cărbunilor
Ciment	Betoane și mortare diverse
Ghips (ipsos)	Mortare de zidarie și de tencuială, panouri ghips-carton, prefabricate, mulaje, forme de turnare
Poliacetatul de vinil (aracet)	Adaos în betoane și mortare, lipirea lemnului, hârtiei
Rășini epoxidice	Adezivi pentru betoane, beton-metal, metal-sticlă, metal-metal
Rășini fenolformaldehidice (novolac, bachelită)	Fabricarea de plăci PAL și PFL, a textolitului și a sticlotextolitului, a furnirului
Poliacetatul de vinil (aracet)	Adaos în betoane și mortare, lipirea lemnului, hârtiei

Tabelul 7.2. Câteva tipuri de adezivi

Tip	Caracteristici	Utilizări
De aderență	Soluții ale cauciucului natural sau sintetic în amestec cu rășini; rezistență mecanică și termică redusă; aderă pe toate tipurile de materiale	Benzi adezive, adezivi de tip prenadez
De contact	Soluții ale cauciucului sintetic în amestec cu stabilizatori; aderă pe toate tipurile de materiale	Adezivi cu rezistență mai mare decât cei de aderență
De rezistență	Polivinilacetat și poliamidă – adezivi topiți; se solidifică prin evaporarea solventului Rășini epoxidice și poliesteri nesaturați – adezivi de reacție (A+B)	Lipiri de rezistență
Lacuri	Polimeri în soluții cu solvenți	Nitroceluloză, polivinil, polistiren

Tabelul 7.3. Materiale care intră în structura adezivilor

Componenta	Proprietăți	Rol	Exemple
Baza adezivului	În raport cu tipul și utilizarea	Conferă proprietățile de liere	Rășini epoxidice, derivați ai cauciucului, derivați celulozici
Întăritor/accelerator	În raport cu tipul și utilizarea	Umetarea rășinii/activarea polimerizării	Poliamide, poliamine, sulf, fenol
Solvent	Agent de dispersie pentru bază adezivului	Reglarea vitezei de evaporare, îmbunătățirea umectării	Apă, esteri, cetone, aromate, alifatic
Pigmenți/masă de umplere	Nu liază	Facilitează asamblarea	Oxizi metalici, carbonati
Plastifianți	Reduce fragilitatea bazei	Mărește aderența și rezistența	Esteri, ftalați, glicoli, polimeri
Agenți de umectare	Reducerea tensiunii superficiale	Îmbunătățirea aderenței	Sulfați ai acizilor grași
Alte componente	Specifice	Îmbunătățirea prelucrabilității și a durabilității	Stabilitate în timp, la lumină, îmbunătățește umectarea

7.3.1. Tipuri de adezivi și lianți

Nu există adezivi universali, adecvați pentru orice combinație de materiale. O caracteristică importantă, care limitează utilizarea adezivilor este tensiunea superficială. Un adeziv nu trebuie să fie numai lichid, ci el trebuie să aibă o *tensiune superficială critică mai mică* decât cea a materialului pieselor de îmbinat. De exemplu, rășina epoxidică este un foarte bun adeziv pentru metale, zona lipiturii putând fi inclusiv acoperită cu polietilenă, dar rășina epoxidică nu poate lipi piese din polietilenă (tabelul 7.4.).

Aderența unui adeziv nu este dependentă de umectare; ea este efectul *forțelor de adeziune* – care apar la suprafața de contact dintre atomii și moleculele substraturilor și a adezivului, și a *forțelor de coeziune* – care apar între moleculele proprii ale adezivului.

Dacă baza adezivului în combinație cu substratul pieselor îmbinării creează legături de valență principale, se pot obține forțe de aderență foarte mari (5 000 MPa). Pentru legături covalente, forțele de aderență sunt mici (200 MPa); ca și cele ale legăturii de hidrogen (500MPa).

Forțele de coeziune, rezistența stratului de adeziv cresc cu lungimea moleculei; deoarece o lungime prea mare reduce mobilitatea moleculei și, deci, contactul dintre aceasta și substraturi, se vor reduce și forțele de adeziune; din această cauză, se recomandă un grad optim de polimerizare situat între 50 și 300.

Din punct de vedere al execuției, rezistența lipiturii crește când stratul de adeziv este mic (50-150 μm). Adezivul trebuie să aibă aceeași rezistență ca și materialul substraturilor la un modul de elasticitate redus, astfel încât

suprasarcinile, în special cele situate la marginea îmbinării, să nu distrugă stratul de adeziv.

Tabelul 7.4. *Tensiunile superficiale critice*

Material	Simbol	Tensiunea superficială critică [$10^{-11} \text{ N m}^{-1}$]
Politetrafluoretilenă-propilen	FEP	16,2
Politetrafluoretilenă (teflon)	PTFE	18,5
Cauciuc siliconic	SI	21
Policlortrifluoretilenă	PCTFE	22
Polivinildenfluorid	PVOF	25
Polivinilfluorid	PVF	28
Polietilenă	PE	31
Polistiren	PS	33
Alcool polivinilic	PVAL	37
Polimetilmetacrilat	PMMA	39
Policlorură de vinil	PVC	39
Poliamidă 6.6	PA6.6	40
Polivinildenclorid	PDVC	40
Polietilenatereftalat	PETP	43
Rășină epoxidică	EP	44
Celuloza	-	200
Aluminiu	Al	500
Cupru	Cu	1 100
Fier	Fe	2 030
Wolfram	W	6 800

Tabelele 7.5 și 7.6 trec în revistă adezivii cei mai des utilizați în tehnică.

Tabelul 7.5. *Câteva tipuri de adezivi cu umectare*

Baza adezivului	Întărirea	Temperatura [$^{\circ}\text{C}$]	Utilizări
Rășini epoxidice EP	La rece La cald	20 100-200	Metale, duromeri, sticlă, ceramică
Rășini poliesterice UP	La rece La cald	20 80-120	Oțel-oțel, oțel-Al, metal-duromer, oțel-sticlă, Al-sticlă, oțel, Al, Mg, Cu-ceramică
Rășini fenolice PF	La rece La cald	20 80-160	Fe, oțel, Al și aliaje, Ni, Cu, duromeri
Rășini siliconice și cauciuc	La rece La cald	20 >20	Cauciuc siliconic, benzi adezive, oțel-cauciuc siliconic îmbinări solicitate până la 200 $^{\circ}\text{C}$
Poliuretan	La rece La cald	20 160	Polimeri superiori, duromeri, PVC moale, polisobutilen, poliamida, polifluorcarbon, nitrat și triacetat celulozic
Polibutadienă	La cald	130-180	Cauciuc, duromeri, metale (exceptat Cu și metalele prețioase)
Policloropren	La rece La cald	<20 100	PVC dur și moale, polistiren – cu cauciuc, metal, lemn, textile

Tabelul 7.5. (continuare)

Baza adezivului	Forma	Temperatura [°C]	Utilizări
Poliетенă PE	Topită	135-175	Țesături, folii, burete, polimeri superiori – cu metal
Poliisobutilen PIB	Adeziv de aderență	20	Benzi adezive; metal, sticlă, lemn, polietilenă, polistiren, metal – cu polietilenă, polistiren, poliisobutilen
Policlorură de vinil PVC	Lac Adeziv de rezistență Adeziv de reacție	20; >20	Adeziv universal; PVC-PVC, metal, lemn, beton, PVC-duromeri, textile, hârtie
Acizi acrilici, derivați metacrilici	Topitură Lac Adeziv de rezistență Adeziv de reacție Adeziv de aderență	135-175 20	Polimeri superiori (PMMA), polietilena, polipropilenă, poli-butadienă, polistiren, duromeri Metal, sticlă, benzi adezive
Cauciuc poliizoprenic IR	Adeziv de rezistență Adeziv de reacție Adeziv de aderență		Cauciuc vulcanizat, metal-cauciuc, policloropren-metal, polibutadienă, cloroplaste PMMA – cu sticlă, cauciuc, polistiren, ABS, poliamidă
Polivinilacetat PVAC	Lac Adeziv de rezistență Adeziv de reacție Topitură	20 85-110	Polimeri superiori, PVC, dispersii pentru polietilenă și polipropilenă spume polistirenice, rășini epoxidice, poliester

Utilizarea adezivilor pe bază de polimeri superiori este multilaterală, ca de exemplu în următoarele aplicații:

- îmbinarea unor materiale greu sudabile : duromeri, polimeri armați cu fibre de sticlă, elastomeri, sticlă, ceramică, piese turnate din zinc, aliaje ușoare ;
- îmbinarea unor piese din materiale sudabile, dar care nu pot fi asamblate prin sudare datorită unor restricții de alt ordin (constructiv sau tehnologic : piese de mici dimensiuni, cu pereți subțiri – apărători, carcase etc.) : plastomeri, aliaje ;
- îmbinarea unor materiale similare sau diferite în vederea unor noi utilizări, sau al unei eficiențe superioare: metal-sticlă, metal-polimeri superiori, plăci ușoare de construcții, metal-metal în structuri ușoare etc.

7.3.2. Proiectarea formei asamblărilor lipite cu adezivi

Pentru realizarea unor îmbinări nedemontabile prin lipire cu adezivi trebuie respectate următoarele recomandări generale:

- proiectarea formei asamblării trebuie să evite eforturile de clivaj și exfoliere (fig. 7.4), asamblările cu adezivi rezistând bine la forfecare, întindere, compresiune, dar nu și la clivaj sau exfoliere;
- lățimea îmbinării este mult mai importantă decât lungimea acesteia (rezistența îmbinării nu este proporțională cu suprafața acesteia decât pentru

solicitări simple de întindere-compresiune; în cazul forfecării, efortul este concentrat la nivelul marginilor);

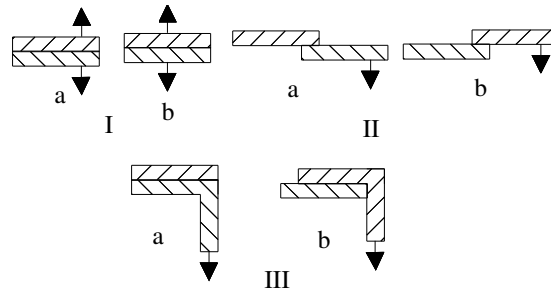


Fig. 7.4. Forma îmbinărilor cu adezivi dictată de solicitare:

I - sarcina acționând centrat evită apariția eforturilor de clivaj (b); II - eforturi reduse, clivaj mare (a); eforturi mari, clivaj redus (b); III - zona flexibilă la interior – eforturi de exfoliere (a); zona flexibilă la exterior – eforturi de forfecare, nu de exfoliere (b) ; cazul b este de preferat lui a.

- coeficientul de dilatare al îmbinării trebuie să fie apropiat de cel al materialelor de bază, deoarece solicitările de forfecare sunt generate de existența unor dilatări diferite (îmbinările plastic-metal pot genera astfel de probleme; de aceea se adaugă în adezivi aditivi speciali în scopul controlării coeficientului de dilatație și adaptării acestuia la materialele de bază);

- sunt preferate straturile subțiri (filme) de adeziv în jur de 25 μm , deoarece straturile groase pot conține mai multe defecte, de tip fisuri și goluri, și nu răspund adecvat la încălzire (straturile groase se folosesc numai în cazul necesității unei rezistențe ridicate la impact);

- forma pieselor trebuie să permită menținerea curată și curățirea ușoară a asamblării (suprafețele murdare sunt cauza principală a unei slabe rezistențe a îmbinării);

- calitatea suprafețelor asamblării trebuie să fie ridicată, pentru a permite o umectare corespunzătoare;

- îmbinările cap la cap sunt utilizate numai în cazul unor suprafețe mari de contact și când nu sunt eforturi de clivaj importante (figura 7.6);

- îmbinările cu margini suprapuse tind să se deformeze sub sarcină, generând la marginile îmbinării apariția eforturilor de clivaj – în cazul adezivilor rigizi, respectiv de exfoliere – pentru cei flexibili (figura 7.6); proiectarea corectă a formei pentru astfel de cazuri este arătată în figura 7.7;

- îmbinări de colț cu două materiale cu grosimi diferite sunt prezentate în fig. 7.8; numeroase soluții sunt posibile; forma preferată este aceea care necesită prelucrarea minimă; uneori, o pregătire suplimentară a îmbinării este recompensată de o curățire ușoară sau de posibilitatea utilizării unor metode mai bune de asamblare;

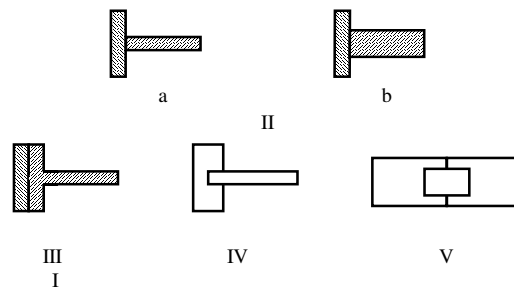


Fig. 7.5. Forma îmbinărilor cap la cap cu adezivi:

I.a. - rezistență redusă; I.b. - repartizare bună a eforturilor, rezistență redusă la încovoiere;
 II.a. - rezistență redusă; II.b. - rezistență mai bună; III - soluție mai bună; IV - repartizare bună a eforturilor, rezistență bună la încovoiere; V - soluție excelentă dar costisitoare.

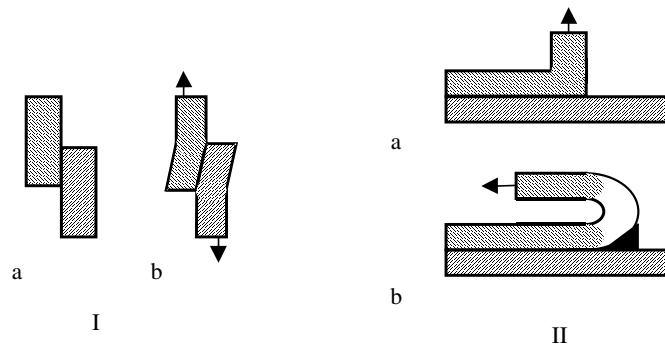


Fig. 7.6. Apariția eforturilor de clivaj și exfoliere în îmbinări suprapuse:

I - eforturi de clivaj; I.a. - îmbinarea în repaus; I.b. - îmbinarea solicitată la întindere;
 clivajul apare la marginile îmbinării; II - eforturi de exfoliere apar la marginea îmbinării între materialul flexibil și cel rigid; II.a. - exfoliere la 90°; II.b. - exfoliere la 180°.

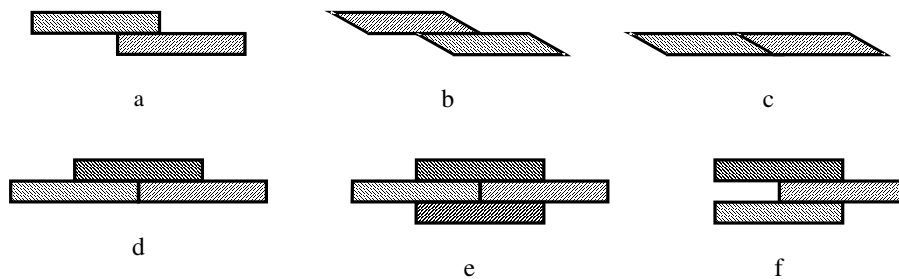


Fig. 7.7. Îmbinări suprapuse cu rezistență mărită la forfecare:

a - îmbinare suprapusă simplă; b - îmbinare suprapusă cu margini teșite, mai bună ca (a);
 c - îmbinare cap la cap cu margini teșite, bună pentru pereți groși; d - îmbinare cu eclisă simplă;
 e - îmbinare cu eclisă dublă; f - îmbinare cu suprapunere dublă, bună în cazul sarcinilor echilibrate.

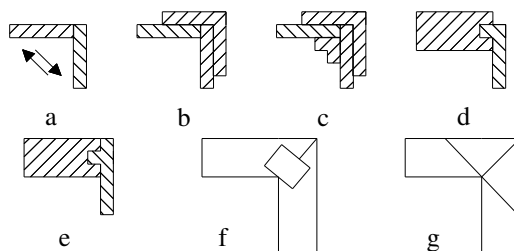


Fig. 7.8. Îmbinări de colț:

a – îmbinare cu slabă rezistență pe direcția diagonală; b, c – soluții îmbunătățite;
d – rezistență bună la întindere și încovoiere; e – soluție bună dar costisitoare; f – soluție bună pentru profile plate; g – îmbinare cu colțare pe o parte sau pe ambele fețe, soluție excelentă dar costisitoare.

În figura 7.9 și 7.10 se prezintă o serie de tipuri de îmbinări pentru bare și țevi unde asamblările de colț sunt făcute cu coturi.

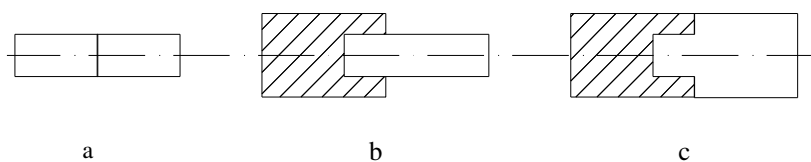


Fig. 7.9. Îmbinări de bare:

a – soluție bună pentru întindere, compresiune, rezistență slabă la încovoiere;
b, c – soluții îmbunătățite.

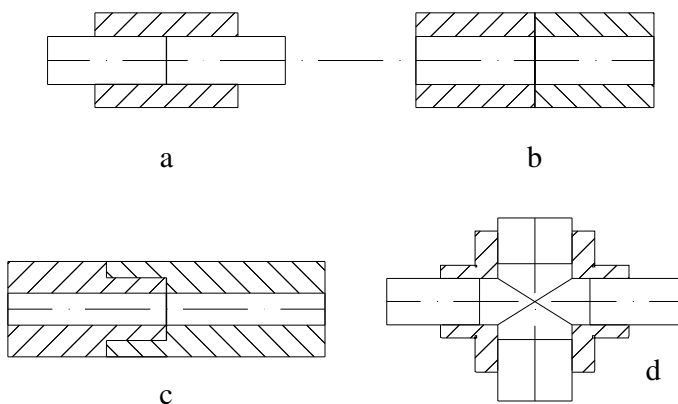


Fig. 7.10. Îmbinări de țevi:

a – soluție recomandată pentru bare și țevi; b – soluție nerecomandată; c – soluție bună, depinde de grosimea peretelui; d – îmbinările care presupun schimbări de direcție se fac cu elemente tipizate (fitinguri).

7.4. LIPIREA CU ALIAJE DE LIPIT

Lipirea cu aliaje se aplică la îmbinarea pieselor metalice. Aliajul de lipit – aflat în stare topită – umectează substraturile și umple prin capilaritate rostul (interstițiul) dintre piesele de asamblat. Materialul pieselor de asamblat se topește la o temperatură superioară aliajului de lipit, piesele rămânând permanent în stare solidă. La lipirea moale, aliajul de lipit are punctul de topire (lichidus) sub 425 °C; de regulă aceste aliaje sunt pe bază de staniu și plumb. Aliajele pentru lipire tare (brazare) se tolesc peste 425 °C; ele sunt pe bază de cupru și argint.

Lipirea moale se utilizează la îmbinări cu solicitări reduse, când este necesară o demontare ulterioară, și când principalele cerințe sunt de conductivitate electrică sau de etanșare.

Lipirea tare se utilizează la îmbinări solicitate puternic, de exemplu valori ale rezistenței la rupere de 830 MPa pot fi realizate cu aliaje pe bază de argint. Brazarea se folosește când este nevoie de un tratament termic după asamblare; ea poate conferi și o bună rezistență la coroziune.

7.4.1. Materiale pentru lipirea cu aliaje

Sunt realizate foarte multe tipuri de aliaje de lipit.

Aliajele pentru lipirea moale (tabelul 7.6) se caracterizează prin temperaturi de topire sub 425 °C, rezistență mecanică redusă, impurități minime.

Tabelul 7.6. Câteva aliaje pentru lipirea moale

Simbolizare DIN	Proprietăți	Utilizări la lipirea pentru
L-Sn30Sb	Aliajele cu conținut ridicat de Sn au fluiditate bună și timp de solidificare redus	Radiatoare
L-Sn40Sb		Tinichigerie
L-Sn30Sb		Ambalaje de tablă subțire
L-Sn30(Sb)	Prin reducerea conținutului în Sb crește umectarea	Table zincate
L-Sn40(Sb)		
L-Sn30(Sb)		Lipiri fine în industrie
L-Sn 8	Aliajele cu conținut redus de Sb se folosesc când se dorește evitarea formării de compuși intermetalici, cum ar fi la lipirea alamei	Ambalaje de tablă subțire
L-Sn60		Electrotehnică
L-Sn63		Contacte cositorite
L-SnAg3	Aliaj cu rezistență ridicată pentru reparații	Instalații de încălzire, tehnica frigului, mecanică fină, tehnică medicală
L-PbAg3	Aliaje recomandate pentru temperaturi joase	Electromotoare, tehnica frigului
L-SnSb5		Tehnica frigului, piese din cositor
L-SnPb32Cd18	Punct solidus scăzut, nu atacă straturile subțiri de Ag depuse pe piese, rezistență mecanică mai bună decât aliajele simple SnPb	Electrotehnică, electronică, componente sensibile la încălzire
L-CdZn10Ag10	Cea mai mare rezistență mecanică dintre aliajele pentru lipirea moale	Electromotoare, piese din oțel

Principalele sisteme de aliaje pentru lipirea moale sunt:

- *aliaje de staniu și plumb*, cu 62% Sn, au o capacitate bună de umectare, interval de topire variabil, plasticitate bună, rezistență la coroziune; sunt folosite pentru asamblări și etanșări în industria electronică și electrotehnică, construcții de mașini, industria alimentară. Pot lipi materiale diverse: oțel, cupru, alamă, oțel zincat. Adaosuri de bismut de până la 2,5% îmbunătățesc rezistența mecanică, cele de cadmiu măresc fluiditatea, iar cele de indiu cresc rezistența la coroziune;

- *aliajele de staniu și zinc* au plasticitate ridicată, rezistență mecanică bună la temperaturi sub 100 °C, rezistență la coroziune în medii acide. Adaosurile de argint și stibiu le îmbunătățesc proprietățile de lipire. Se folosesc pentru lipirea pieselor din aliaje de aluminiu și magneziu;

- *aliajele de plumb* se folosesc pentru lipirea pieselor din cupru, nichel, aluminiu;

- *aliajele de zinc* se folosesc pentru lipirea pieselor din aliaje de aluminiu și de zinc;

- *aliajele de cadmiu* se folosesc pentru lipirea pieselor din oțel, cupru, aluminiu și a aliajelor de aluminiu;

- *aliajele de cadmiu și staniu* se folosesc pentru lipirea cu ultrasunete a pieselor din aluminiu;

- *aliajele de bismut* au temperatură joasă de topire (150–500°C) și se folosesc pentru lipituri în regim automat.

Aliajele pentru lipirea tare (tabelul 7.7 și 7.8) se caracterizează prin temperaturi de topire peste 425°C, rezistență mecanică și la coroziune ridicată și umectare bună.

Tabelul 7.7. Câteva aliaje pentru brazare

Simbolizare DIN	Temperatură de lucru [°C]	Utilizări
L-CuZn40	900	Oțel, fontă, Cu, aliaje deformabile de Cu, Ni și aliaje deformabile de Ni
L-Cu	1100	Oțel nealiat
L-CuP8	710	Cu, alamă
L-Ag12Cd7	800	Cu, aliaje de Cu – rost mare al îmbinării
L-Ag20Cd15	750	Oțel, Fe, Cu, aliaje Cu – rost mare al îmbinării
L-Ag30Cd12	700	Cu, aliaje Cu – rost mic al îmbinării
L-Ag40Cd20	610	Cu, aliaje Cu, Aliaje Au-Pt, oțeluri rezistente la coroziune – rost mic al îmbinării, piese sensibile la încălzire, producția de masă
L-Ag49Mn7	690	Carburi dure, oțeluri aliate cu Cr, inox
L-Ag44	730	Cu, aliaje Cu, Fe, oțel – benzi de fierăstrău
L-Ag25	780	Cu, aliaje Cu, Fe, oțel – lipituri mari
L-Ag12	830	Cu, aliaje cu min 56% Cu, Fe, oțel – lipituri mari
L-Ag27	840	Carburi dure, oțeluri rezistente la coroziune – lipituri mici și mari
L-Ag15P	710	Cu și aliaje Cu, lamă, bronz – lipituri mici, lipirea țevelor
L-Ag50Cd10	670	Cu, aliaje Cu, Ag, aliaje Ag – lipirea pieselor mici

Principalele sisteme de aliaje pentru lipirea tare sunt:

- *aliajele cupru-zinc de tip alame*, cu adaosuri de staniu, siliciu, nichel, mangan;
- *aliajele cupru-argint*;
- *aliajele argint-cupru-zinc*;
- *aliajele argint-cadmium-zinc*;
- *aliajele de aluminiu și aliajele de magneziu* pentru lipirea aliajelor ușoare omonime;
- *aliajele fier-bor* pentru lipirea pieselor care lucrează la temperaturi înalte;
- *aliajele fier-mangan* pentru lipirea oțelurilor inoxidabile, aliajelor de nichel;
- *aliajele fier-nichel-crom-mangan* pentru lipiri rezistente la coroziune;
- *aliajele fier-titan* pentru lipirea oxidurilor de beriliu și grafit, a ceramicii, a molibdenului, a niobiului, a titanului.

Tabelul 7.8. Câteva caracteristici pentru aliajele folosite la brazare

Simbolizare ASTM	Compoziție	Temp de topire [°C]	Rostul optim [mm]	Utilizări
B Ag-1	45Ag-15Cu-15,5Zn-24Cd	600	0,04-0,05	Uz general, fonte
B Ag-1a	50Ag-15,5Cu-16,5Zn-18Cd	635	0,04-0,05	Uz general, rezistență ridicată
B Ag-2	35Ag-26Cu-21Zn-18Cd	700	0,075-0,15	
B Ag-3	50Ag-15,5Cu-15,5Zn-16Cd-3Ni	630	0,075-0,15	Scule armate cu carburi
B Ag-4	40Ag-30Cu-28Zn-2Ni	650	0,075-0,15	W, stelit, aliaje refractare
B Cu	99+Cu	1080	0	Brazarea aliajelor feroase, încălzire în cuptor
B Cu Zn-1	60Cu-40Zn	900	0,05-0,13	Uz general, încălzire cu flacără și inducție
B Cu P-2	93Cu-7P	700	0,025-0,075	Aliaje neferoase
B Cu P-5	15Ag-85Cu-5P	640	0,05-0,13	
B Al Si-1	95Al-5Si	575	0,15-0,60	Aluminiu, uz general
B Al Si-3	86Al-10Si-4Cu	520	0,15-0,60	Aluminiu, încălzire prin imersie și în cuptor
B Mg	89Mg-9Al-2Zn	415	0,10-0,25	Aliaje de magneziu
B Ni Cr	70Ni-16,5Cr-10C-Fe+-Si+	1010	0,05-0,13	Oțeluri inox și înalt aliate cu nichel

Fluxurile pentru lipire se folosesc pentru curățirea suprafețelor de contact, prin dizolvarea oxidurilor, pentru îmbunătățirea tensiunii superficiale a aliajului de lipit, prin mărirea fluidității aliajului și mărirea difuziei. Temperatura de topire a fluxului trebuie să fie cu 100°C inferioară temperaturii de topire a aliajului.

Densitatea fluxului trebuie să fie mai mică decât a aliajului, astfel încât să protejeze aliajul topit de contactul cu atmosfera. Vâscozitatea și tensiunea superficială trebuie să fie reduse.

Fluxurile pentru lipire pot avea acțiune corozivă redusă, medie sau puternică. Fluxurile cu acțiune corozivă redusă sunt pe bază de colofoniu, alcool, stearină, parafină. Substanțele organice din componența fluxului se vaporizează la lipire și nu au o acțiune corozivă ulterioară. Ele sunt folosite la lipirea moale a aliajelor de cupru, a staniului, cadmiului, la acoperirile cu argint sau aur, la lipirea cablurilor și conexiunilor electrice în telecomunicații, electronică, electrotehnică.

Tabelul 7.9. Câteva aliaje pentru lipirea materialelor diferite

Simbolizare	Proprietăți	Utilizări
L-Ag49	Temperatură de lipire joasă, rezistență ridicată, recomandat pentru toate tipurile de carburi	Brazarea carburilor metalice pe suporti din oțel; Scule așchietoare: cuțite de strung, freze, burghie, pânze de ferăstrău
Ag87Mn10Co3	Pentru scule puternic solicitate mecanic și termic	
Cu99	Pentru carburi fragile	
L-Ag27		
Ag99	Lipituri pe suprafețe ceramice acoperite cu molibden	Îmbinări metal-ceramică; Componente electronice
PbSn	Lipituri pe suprafețe ceramice acoperite cu fier	
L-SnPbCd18	Lipituri pe suprafețe metalice acoperite cu argint	
In50Sn5	Lipituri cu ductilitate ridicată pe suprafețe de sticlă metalizată	Îmbinări metal-sticlă; Electronică, Construcția de aparate
Bi54Sn26Cd20		
Bi50Pb31,3Sn18,7		
SnPb		
Ti48Zr48b4	Rezistență ridicată la coroziunea metalelor în stare lichidă	Îmbinări metal-grafit
PbNiCr	Rezistență la temperaturi ridicate, tendință de formare a carburilor	
NiCrB		
AuNiCr		
Mo99	Coefficient de dilatare similar cu al grafitului	

Fluxurile cu acțiune corozivă medie sunt pe bază de substanțe organice (trietanolamină) în combinații de cloruri, fluoruri și boruri.

Fluxurile cu acțiune corozivă puternică sunt pe bază de bor și combinații fluoruri, cloruri. Ele se folosesc la lipirea tare.

Tabelul 7.10. Câteva fluxuri puternic corozive pentru lipirea moale

Compoziție	Utilizări
90-95%ZnCl ₂ , 5-10%NH ₄ Cl	Piese din oțel, Cu și aliaje Cu
HCl, ZnCl ₂ , NH ₄ Cl	Piese din oțel inox
ZnCl ₂ , SnCl ₂	Cu aliaje de lipit cu conținut redus de Sn, conținând Ag, Cd, Bi, Cu
90%ZnCl ₂ , 8%NH ₄ Cl, fluoruri alcaline	Piese din Al și aliaje Al
ZnCl ₂	Cu aliaje de lipit cu max. 30%Sn

Fluxurile se pot utiliza sub formă solidă de pulbere sau pastă, sub formă de soluții lichide sau de băi topite. Băile topite au avantajul că asigură simultan și încălzirea pieselor de lipit.

Pentru aliajele de cupru se recomandă o baie topită conținând 40%CaCl₂ și 60% KCl.

Pentru oțeluri se recomandă o o baie topită conținând 70%BaCl₂ și 30% NaCl.

Tabelul 7.11. Câteva fluxuri pentru lipirea tare

Compoziție	Utilizări la lipirea
42%KCl, 46%NaCl, LiF	Piese din Al și aliaje Al cu AlSi
26%H ₃ BO ₃ , 17%Na ₃ PO ₄	Piese din Cu și aliaje Cu cu alame
77%H ₃ BO ₃ , 5%Na ₂ B ₄ O ₇	Piese din aliaje neferoase
42%H ₃ BO ₃ , 32%Na ₂ B ₄ O ₇ , 2%NaF	
75%H ₃ BO ₃ , 5%Na ₂ B ₄ O ₇ , 15%Na ₂ SiF ₆	Piese din oțel și fontă, aliaje Cu
70%H ₃ BO ₃ , 30%Na ₂ SiF ₆	Piese din oțel și aliaje Cu
23%H ₃ BO ₃ , 46%Na ₂ B ₄ O ₇ , 15%NH ₄ NF ₂	

7.4.2. Proiectarea asamblărilor lipite cu aliaje

Asamblările lipite cu aliaje sunt compuse, de cele mai multe ori, din una sau mai multe piese din tablă de oțel, îmbinate cu piese prelucrate prin așchiere, forjate, mai rar turnate.

Asamblările lipite cu aliaje se utilizează atunci când există următoarele cerințe:

- piesele de îmbinat sunt confecționate din materiale metalice diferite (de exemplu, o plăcuță așchietoare din carbură metalică sinterizată brazată pe o portsculă din oțel);
- forme complexe ale pieselor de îmbinat și greutate redusă impusă asamblării;
- forma piesei este prea complicată pentru a fi economică prelucrarea dintr-o singură bucată de material, piesa prezintă pereți subțiri, cerințele de precizie și rezistență sunt importante;
- este necesară realizarea etanșeității (piese de tipul tancurilor, rezervoarelor și recipientelor);
- pentru asamblări din industria electronică și electrotehnică.

Proiectarea formei asamblării depinde de mai mulți factori, între care cerințele de rezistență și de utilizare a pieselor sunt pe primul plan, uneori trebuie luate în considerare: etanșeitățile și conductibilitatea îmbinării; compoziția aliajului de lipit și a materialului de bază.

Câteva recomandări de ordin general de care trebuie să se țină seama la proiectarea îmbinărilor lipite cu aliaje de lipit sunt:

- se vor utiliza, ori de câte ori este posibil, asamblări cu margini suprapuse,

care permit controlul ușor al zonei îmbinării (lățime și interstițiu); asamblările cap la cap nu sunt recomandate, deoarece ele au o rezistență mecanică scăzută;

- asigurarea capilarității, care să permită materialului de adaos să pătrundă în zona îmbinării;
- lățimea îmbinării să fie suficient de mare, astfel încât, rezistența lipiturii să fie cel puțin egală cu a materialului de bază (de cel puțin 3 ori grosimea peretelui cel mai subțire, figura 7.11; figura 7.12);

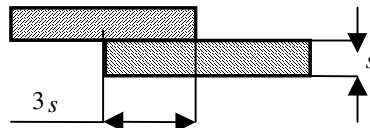


Fig. 7.11. Lățimea minimă a îmbinării.

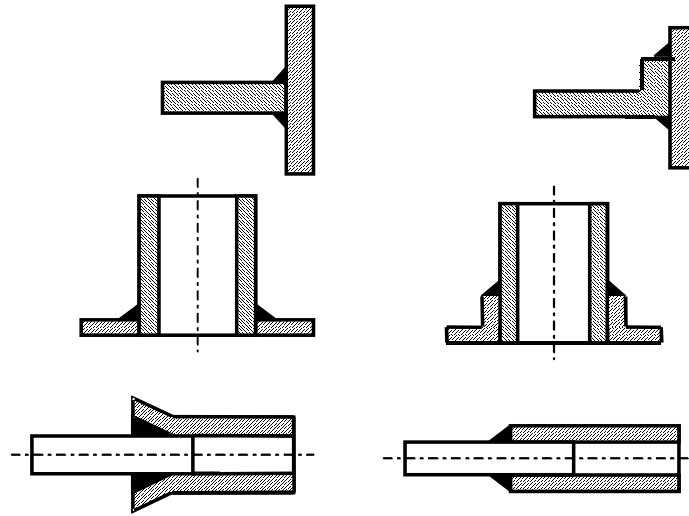


Fig. 7.12. Forma îmbinărilor lipite cerută de condiția de rezistență a lipiturii: stânga greșit; dreapta corect.

- interstițiul dintre piese în zona îmbinării este critic pentru rezistența lipiturii; el depinde de fluiditatea materialului de adaos (de regulă, interstițiul se ia între 0,025-0,20 mm; în medie, 0,10 mm);
- forma rostului îmbinării lipite depinde și de modul de introducere a aliajului de lipit; ori de câte ori este posibil, se va utiliza capilaritatea verticală descendentă, care permite o pătrundere maximă a aliajului în interstițiu;
- asigurarea poziției corecte a pieselor în timpul îmbinării se preferă a fi făcută prin însăși forma asamblării; fapt ce permite o fixare sigură, rapidă, economică (figura 7.13);

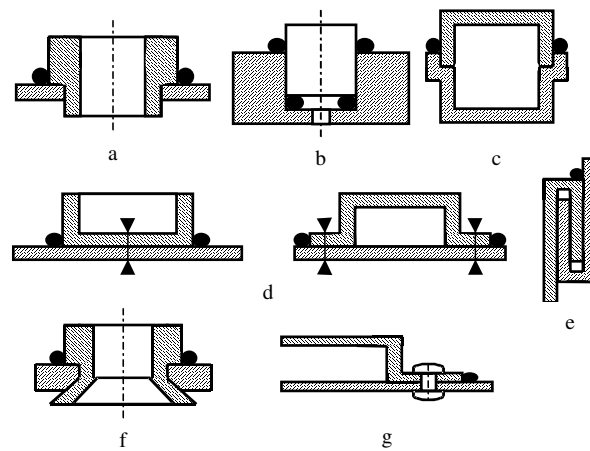


Fig. 7.13. Forma îmbinărilor lipite cerută de condiția de poziționare-fixare:
 a-c – capilaritate verticală descendentă – materialul de adaos curge gravitațional; d – capilaritate orizontală, fixare cu punct de sudură; e-f – capilaritate verticală descendentă, fixare prin deformare plastică; g – capilaritate orizontală, fixare cu nituri.

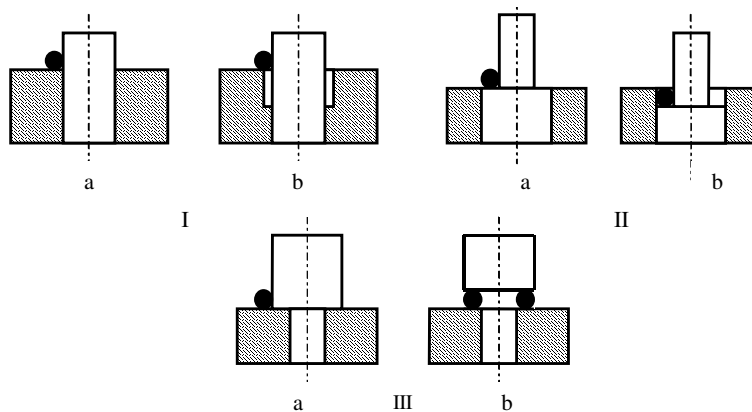


Fig. 7.14. Forma îmbinărilor lipite dictată de condiția de introducere a aliajului de lipit:
 I-III capilaritate verticală descendentă – materialul de adaos curge gravitațional;
 a-nerecomandat; b-corect.

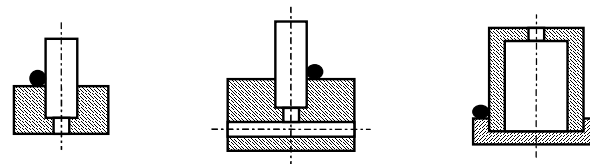


Fig. 7.15. Forma îmbinărilor lipite cerută de condiția de evacuare a gazelor.

7.4.3. Tehnologii de lipire cu aliaje

Tehnologiile de lipire cu aliaje se deosebesc între ele prin metoda de încălzire. Încălzirea asamblării se poate face diferit; cele mai răspândite metode fiind:

- încălzirea cu ciocanul de lipit – numai a aliajului de lipit; se folosește la lipirea moale

- încălzirea cu flacără de gaze;
- încălzirea în cuptor;
- încălzirea CIF;
- încălzirea prin imersie în:
 - baie de aliaj de lipit
 - baie de săruri topite (flux);
- încălzirea prin rezistență electrică;
- încălzirea cu lămpi de infraroșu.

Pe întreaga durată a încălzirii trebuie să se asigure menținerea curată a substraturilor cu ajutorul fluxurilor sau a atmosferei protectoare. Încălzirea poate fi locală (parțială), la piesele mari, sau completă (a întregii piese), la piesele mici.

Toate tehnologiile de lipire au în comun o serie de operații, cum sunt:

- curățirea zonei îmbinării (decapare și degresare, curățire mecanică și chimică);
- asamblarea pieselor și fixarea acestora cu dispozitive după caz;
- acoperirea suprafețelor îmbinării cu flux;
- depunerea aliajului de lipit pe suprafețele îmbinării;
- alegerea sursei termice;
- încălzirea și topirea aliajului de lipit;
- răcirea pieselor și solidificarea aliajului;
- controlul asamblării;
- tratamente ulterioare (tratamente termice, tratamente anticorozive, sablare, șlefuire, vopsire etc.);
- controlul final.

O problemă deosebită este alegerea sursei termice. Aceasta depinde în primul rând de temperatura de lucru; de forma pieselor și de productivitatea care se cere. Dintre procedeele cu largă aplicabilitate menționăm.

7.4.3.1. Încălzirea cu ciocane de lipit

Încălzirea cu ciocane de lipit se aplică pentru lipirea moale, prin depunere sau capilaritate. Încălzirea se face prin conducție, căldura fiind cedată de capul ciocanului, încălzit în prealabil cu: rezistență electrică (letcon), cu flacără de gaze, lampă cu benzină. Partea activă a ciocanelor de lipit este confecționată din aliaje de cupru, capabile să acumuleze și să cedeze rapid căldura. Volumul părții active este direct proporțional cu cantitatea de căldură acumulată/cedată. Dimensiunile de

contact ale ciocanului trebuie să corespundă dimensiunilor asamblării. Lipirea cu ciocanul se face manual.

7.4.3.2. Încălzirea cu flacără

Încălzirea cu flacără se aplică la îmbinarea pieselor de dimensiuni mari, cu grosimi diferite, de forme diverse, atât pentru lipirea moale, cât și pentru brazare. Arzătoarele pentru lipire trebuie să cedeze căldura pe toată suprafața îmbinării, ele putând fi mobile sau fixe, acționate manual sau mecanizat.

La lipirea moale se folosesc arzătoare cu gaze combustibile (acetilenă, hidrogen, metan, propan, butan) și aer comprimat.

Lipirea cu flacără se poate face prin depunere sau prin capilaritate.

7.4.3.3. Încălzirea în cuptor

Încălzirea și lipirea pieselor se face în cuptor, fără aportul operatorului. Lipirea se face prin capilaritate. Se pot lipi mai multe piese simultan, încălzirea și răcirea făcându-se controlat, atmosfera de lucru putând fi controlată (normală, protectoare, reducătoare, vid), calitatea îmbinării fiind constantă. Procedul se pretează ușor la mecanizare și automatizare. În aceeași incintă se poate face și tratamentul pieselor după lipire. Se aplică pieselor de mărime mică și medie (sub 3kg).

7.4.3.4. Încălzirea cu curenți de înaltă frecvență (CIF)

Încălzirea și lipirea pieselor se face prin inducție, piesele de lipit constituind circuitul secundar al unui transformator, în timp ce circuitul primar este inductorul, legat la sursa de curent de înaltă frecvență (10 – 1 000 kHz). Lipirea se face prin capilaritate. Încălzirea este rapidă, poate fi controlată și dirijată, procedul poate fi mecanizat și automatizat. Sursele de frecvență joasă (10-12 kHz) se folosesc pentru piese masive. Inductoarele sunt confecționate din țeavă de cupru electrolitic, de forme care urmăresc conformația geometrică a pieselor de îmbinat și poziția îmbinării. Inductoarele sunt răcite cu apă. Încălzirea se poate face din exterior, din interior sau pe suprafață. Lipirea cu încălzire prin CIF se poate face și în atmosferă controlată.

7.4.3.5. Încălzirea prin imersie

Încălzirea și lipirea pieselor se face prin imersarea lor într-o topitură de aliaj de lipit, flux sau săruri. Încălzirea se face cu viteză constantă, aliajul de lipit este protejat împotriva oxidării. Procedul poate fi mecanizat și automatizat, se pot realiza lipituri de lungime mare sau mai multe lipituri simultan. La încălzirea prin imersare în baie de săruri sau flux topit, piesele încălzite se scot din baie, se pune materialul de adaos în zona îmbinării și se produce lipirea prin capilaritate. La

lipituri de formă complexă se face cufundarea pieselor într-o a doua baie, cu aliaj de lipit. La imersarea numai în baia de metal topit lipirea se face direct. Suprafața băii de metal topit poate fi controlată electromagnetic sau hidraulic, astfel încât să formeze valuri periodice care să intre controlat în contact cu piesele de îmbinat (lipirea cu val a componentelor electronice pe circuitele imprimate) – astfel se poate menține la minimum volumul băii de metal topit, precum și controlul asupra încălzirii pieselor de lipit.

7.4.3.6. Încălzirea prin rezistență electrică

Încălzirea pieselor se poate face direct, prin punerea piesei în contact cu doi electrozi, sau indirect, prin încălzirea dintr-o singură parte (figura 7.16).

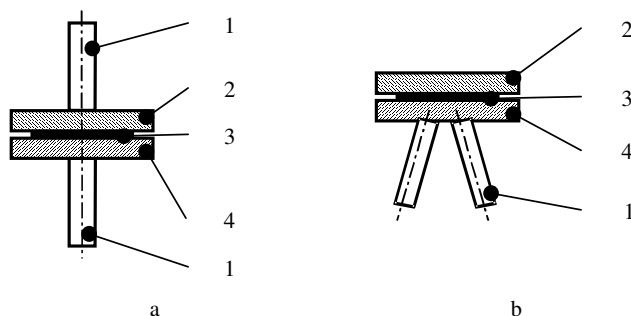


Fig. 7.16. Încălzirea prin rezistență electrică:
1 – electrozi; 2, 4 – piese de îmbinat; 3 – material de adaos;
a – încălzire directă; b – încălzire indirectă.

Lipirea se face prin capilaritate. Instalațiile pentru lipire prin rezistență electrică sunt asemănătoare celor folosite la sudarea prin rezistență. Se lucrează cu tensiuni mai mari, densități de curent mai mici și durate de încălzire mai mari. Nu se folosesc fluxuri, pentru că măresc rezistența electrică în circuitul de încălzire.

Se aplică pieselor de mărime mică și medie. Asamblarea este de lungime mică.

7.4.3.7. Încălzirea cu lămpi de infraroșu

Se aplică pieselor de dimensiuni reduse în producția de serie mare și masă. Procesul poate fi complet automatizat și pot fi utilizate incinte cu vid sau atmosferă controlată. Lipirea se face prin depunere sau capilaritate. Cantitatea de căldură cedată este redusă.



OBȚINEREA PIESELOR PRIN AȘCHIERE

8.1. IMPORTANȚA PRELUCRĂRII PRIN AȘCHIERE ÎN ANSAMBLUL PROCEDEELOR DE PRELUCRARE

8.1.1. Noțiuni generale

Realitatea actuală confirmă faptul că prelucrarea prin așchiere este și va rămâne timp îndelungat principala metodă tehnologică de execuție a pieselor de precizie, a mașinilor, instalațiilor, mecanismelor și aparatelor cu cele mai variate roluri funcționale.

Acest gen de prelucrare se caracterizează printr-un înalt grad de productivitate, având avantaje nete față de alte forme de generare a suprafețelor, mai ales în industriile de serie mică și unicat. Metoda prezintă și unele dezavantaje legate de: manopera ridicată, consumul mare de scule și presupune uneori utilajele cele mai complexe, dezavantaje care sunt însă neglijabile în raport cu avantajele sale.

Prelucrarea prin așchiere are la bază o proprietate tehnologică foarte importantă pentru oricare material numită așchiabilitate sau uzinabilitate.

Uzinabilitatea (prelucrabilitatea prin așchiere) reprezintă capacitatea unui material de a-și modifica forma, corespunzător scopului propus, prin desprindere de particule sau microparticule materiale sub acțiunea unor forțe exterioare.

Prelucrarea prin așchiere apelează la o serie de cunoștințe dobândite la disciplinele de: matematică, desen, geometrie descriptivă, mecanică, rezistența

materialelor, mecanisme, termotehnică, toleranțe și măsurători tehnice, fiind procedeul de prelucrare care assemblează o mare diversitate de cunoștințe, punând studentul sau specialistul în situația de a-și forma un sistem gândire și asociere a unor cunoștințe aparent disparate.

8.1.2. Probleme actuale și de perspectivă ale prelucrării prin aşchiere

În etapa actuală de dezvoltare a construcției de mașini se manifestă următoarele tendințe predominante:

- creșterea presiunilor și a puterilor, la care sunt solicitate elementele componente ale diferitelor utilaje și instalații, și extinderea temperaturilor de lucru negative și pozitive în condiții de fiabilitate sporită, necesită materiale cu proprietăți fizice, chimice și mecanice deosebite (duritate foarte mare, tenacitate ridicată, rezistență înaltă la coroziune, refractaritate deosebită etc.);
- evoluția dimensiunilor de gabarit ale aparatelor, utilajelor și instalațiilor către cele două extreme: ultraminiaturizarea și miniaturizarea (în construcția aparatelor de măsură, electronică, electrotehnică), pe de o parte, și gigantizarea (în construcția agregatelor din industria chimică, metalurgică, constructoare de mașini, construcția autostrăzilor, marilor căi navigabile, hidrocentrale, metrouri etc.), pe de altă parte;
- reducerea substanțială a consumurilor de energie, combustibil convențional și folosirea cu maximum de eficiență a materiilor prime și resurselor energetice;
- asimilarea de către industrie a metodelor de prelucrare cu profit maxim, cu productivitatea cea mai ridicată și cu obținerea unei fiabilități corespunzătoare.

Aceste tendințe presupun utilizarea din ce în ce mai largă a unor materiale de construcție greu și foarte greu prelucrabile (materiale de înaltă rezistență, materiale refractare dure și extradure etc.), care impun ca o necesitate obiectivă elaborarea unor noi metode și tehnologii de prelucrare prin aşchiere, noi materiale, noi tipuri de scule aşchietoare, precum și perfecționarea continuă a mașinilor-unelte aşchietoare. De aceea, la proiectarea oricărui proces tehnologic de execuție a unei piese este necesar a se stabili mai întâi eficiența acestuia, exprimată în principal prin următorii indicatori: calitatea piesei prelucrate; siguranța în funcționare a produsului; productivitatea prelucrării; costul procesului; consumul de energie; consumul de materii prime; protecția mediului și a operatorului.

Fiecare din acești indicatori sunt influențați în mod diferit de o serie de factori ce apar în procesul de aşchiere, de aceea este imperios necesară o optimizare a procesului tehnologic respectiv.

Utilizarea în construcția de mașini și aparate a unor astfel de materiale greu prelucrabile, creșterea nivelului de automatizare a prelucrării prin aşchiere și

aparitia sistemelor adaptive și autoadaptive, precum creșterea cerințelor de precizie și calitate a prelucrării ridică noi probleme în fața științei despre așchierea materialelor.

Așchierea unor materiale piroforice, radioactive, refractare, dure sau extradure, moi sau supermoi, impun noi cerințe în privința:

- alegerii schemei tehnologice de prelucrare;
- alegerii regimului optim de așchiere;
- construcției sculei așchietoare;
- construcției mașinii-unelte;
- protecției operatorului etc.

De exemplu, la prelucrarea oțelurilor de construcție în cosmos, sunt necesare noi metode de prelucrare, deoarece vidul ridicat distruge pelicula de oxizi, determinând sudarea sculei cu piesa de prelucrat.

În cazul prelucrării pe mașini cu sisteme adaptive, pe mașini-unelte cu comenzi numerice, în liniile automate sau pe sistemele de mașini este necesară o descriere matematică a influenței condițiilor de așchiere asupra caracteristicilor de bază ale procesului de așchiere. Deci, o problemă importantă pe plan teoretic o reprezintă înlocuirea, pe cât posibil, a relațiilor de calcul empirice, pentru determinarea forțelor, vitezelor de așchiere și a altor parametri, cu relații analitice bazate pe legile fizicii solidului, ale mecanicii, termodinamicii etc.

8.1.3. Aspecte ale dezvoltării în timp a teoriei așchierii și a teoriei mașinilor-unelte

Necesitățile de ordin practic (confecționarea uneltelor de muncă, a armelor de vânătoare, apoi a armelor de luptă, realizarea unor obiecte de uz casnic sau ornamentale) au determinat apariția primelor mașini-unelte cu ajutorul cărora se confecționează aceste obiecte din lemn, piatră, os sau metal.

Lăsând la o parte mașinile-unelte rudimentare pentru realizarea unor găuri cu dornul sau prin rotirea sculei ca o coardă înfășurată a unui arc, precum și cele pentru confecționarea unor roți ale carelor de luptă (utilizate cu peste 3 500 ani înainte de Cristos), se poate vorbi pentru prima oară despre o mașină-unealtă, mai apropiată de concepția actuală, având distincte cele două lanțuri cinematice (principal și de avans), de-abia în secolul al XVI-lea (prima mașină de găurit țevi de tun din lemn datează din 1540).

Dezvoltarea industriei mineritului în Anglia a determinat realizarea unor pompe mai perfecționate pentru scoaterea apei din abataje (T.Newcomen – 1727, Sweeton – 1765, Wilkenson – 1775), pompe care necesitau existența unor mașini-unelte de alezat cilindric pentru pistoane. Realizarea acestor mașini de alezat a permis apariția invenției secolului (mașina cu abur cu dublu efect, cu regulator

centrifugal, a scoțianului James Watt – 1769). O a doua etapă în dezvoltarea mașinilor-unelte o constituie construirea primului strung cu avans mecanic al saniei portcuțit cu ajutorul unui șurub conducător (H.Mandsley – 1797), declanșându-se construirea în serie a altor mașini-unelte. Are loc o dezvoltare accentuată a mașinilor-unelte materializată în construirea mașinilor de rabotat (1815), de frezat (1820), de rectificat (1880), de broșat (1910), dezvoltare facilitată atât de progresul înregistrat de știință și tehnică (electrotehnică, mecanică teoretică, mecanica fluidelor, electronică), cât și a științei proprii despre aşchiera materialelor. Introducerea motorului electric asincron (1890) și a acționărilor hidraulice (1880), într-o primă formă, și după 1923, în formă mai evoluată au determinat o adevărată revoluție în dezvoltarea construcției de mașini-unelte. Apariția primelor sisteme de reglare automată (sisteme de urmărire-copiere automată) și a comenzilor numerice (primele studii apar în 1942), iar în ultimele decenii datorită unor progrese fără precedent în domeniul calculatoarelor, ciberneticii, microelectronicii, fluidicii, microprocesoarelor etc. (în contextul celei de a doua revoluții industriale) conduc la mutații profunde în automatizarea mașinilor-unelte (utilizarea pe scară largă a mașinilor cu comenzi numerice - NC, conducerea cu calculatorul a acestor mașini - CNC și DNC, introducerea sistemelor adaptive și optimale de comandă).

În strânsă corelație cu dezvoltarea mașinilor-unelte are loc și evoluția sculelor aşchietoare. Trecerea de la scule fabricate din oțel-carbon de scule la cele din oțel rapid (1890-1910) a însemnat o creștere a vitezei de aşchiere de la 5m/min la 50m/min, iar trecerea la scule de sinteză din carburi metalice sau mineralo-ceramice a condus la creșterea vitezelor de la 50m/min la 200...300m/min (1925-1930). Ultimele două decenii se caracterizează prin noi progrese în domeniul materialelor de sinteză, realizându-se scule din nitrură cubică de bor (borazon) și pe bază de diamant artificial, care se caracterizează printr-o înaltă rezistență la uzură și prelucrarea cu viteze de aşchiere mari și foarte mari.

Abia după 70 de ani de la realizarea primului strung modern apar și primele teorii ale aşchierii aparținând lui F.W.Taylor și J.A.Time (1870). În continuare, practica este cea care furnizează teoriei un bogat material faptic de studiu în perfecționarea aparaturii de cercetare, măsură și control, ridicând teoria aşchierii la cel mai înalt grad de dezvoltare, prin lucrările elaborate de nume prestigioase ca Treska, Mallok, Zvorikin, Aleris, Usaciov, Rosenberg, Krownberg, Duca, Lăzărescu, Botez, Popovici și alții.

8.1.4. Noțiuni de bază privind generarea suprafețelor prin aşchiere

În construcția de mașini, elementele de construcție mecanică, organele de mașini, sculele, elementele de dispozitive și de verificatoare etc., cunoscute sub

denumirea de piese, sunt în realitate corpuri solide delimitate în spațiu de un număr de suprafețe ce se află într-o anumită combinație. Fiecare din suprafețele componente ale unei piese se caracterizează:

- printr-o formă geometrică (teoretică);
- prin dimensiuni în diferite direcții ;
- prin poziția relativă în raport cu alte suprafețe;
- printr-un anumit grad de netezire (rugozitate).

Aceste patru grupe de caracteristici constituie *condițiile tehnice de generare (execuție) a suprafețelor*, prin care se determină deci: forma, mărimea, dispunerea în spațiu și calitatea suprafețelor componente ale unei piese. În funcție de aceste caracteristici, suprafețele componente ale unei piese se împart în patru categorii (vezi § 1.2.3.3).

Studiul fiecărei suprafețe în parte, prin prisma condițiilor tehnice de generare ce i se impun, conduce la determinarea rolului funcțional al piesei de la care se pornește în proiectarea procesului tehnologic de realizare a acesteia.

Așa cum se cunoaște din capitolele anterioare, majoritatea suprafețelor ce delimitează o piesă în spațiu se obțin prin procedeele primare (turnare, deformare plastică, metalurgia pulberilor, sudare etc.), dar în anumite limite pentru cele patru caracteristici. Pentru suprafețele care au caracteristici ce nu pot fi generate prin procedeele primare (de regulă suprafețele funcționale și suprafețele de asamblare) se prevăd *adaosuri de prelucrare*, care se îndepărtează printr-un procedeu de prelucrare prin așchiere. De exemplu, pentru piesa prezentată în figura 8.1 (un bloc motor), condițiile impuse de alezajele $\varnothing 100H7$, unde se prevede o abatere maxim admisă de la circularitate sub formă de ovalitate de 0,02mm și o abatere de la cilindricitate sub formă de conicitate de 0,03mm, nu pot fi realizate prin nici un procedeu tehnologic primar (turnare, deformare plastică etc.). De asemenea, condițiile de poziție relativă dintre axele alezajelor $\varnothing 100H7$ și suprafețele plane frontale interioare ale celor două paliere nu pot fi realizate prin procedee tehnice primare. Pe toate aceste suprafețe vor fi prevăzute *adaosuri de prelucrare*, care nu pot fi îndepărtate decât printr-un anumit procedeu de prelucrare prin așchiere.

Procedeul tehnologic de generare (prelucrare) prin așchiere a unei suprafețe de formă, dimensiuni, poziție relativă și rugozitate cunoscute și date, în desenul de execuție, presupune că pentru a începe generarea trebuie să existe o suprafață de început - care se numește *suprafață inițială*.

Suprafața obținută în urma generării prin așchiere se numește *suprafață prelucrată*. Dimensiunile suprafeței inițiale vor fi mai mari decât ale suprafeței prelucrate, diferența dintre ele fiind *adaosul de prelucrare*.

Pentru procedeele de prelucrare prin așchiere, piesa-semifabricat inițială, delimitată în spațiu de suprafețele inițiale care se află într-o anumită combinație, poartă numele de *semifabricat* (obținut prin procedeele tehnologice de: turnare,

detașarea acestora și generarea suprafeței prelucrate se numește *proces de așchiere*. Adaosul de prelucrare este variabil, de la o generare la alta putând fi mai mare sau

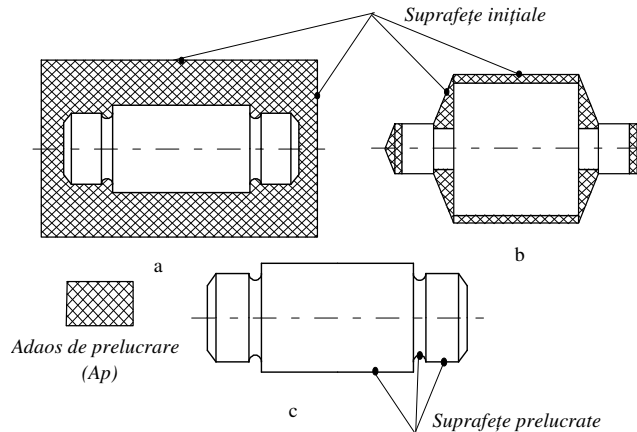


Fig. 8.2. Adaosuri de prelucrare:

a – la obținerea piesei prin așchiere din bară; b – la obținerea piesei prin turnare sau matrițare;
c – arbore cu suprafețe prelucrate (piesa finită).

mai mic Prin urmare, în mișcarea relativă dintre tăișul sculei și adaosul de prelucrare, acesta se poate îndepărta în întregime, dintr-o dată, sau în mai multe etape, numite *trecheri*. Stratul din adaosul de prelucrare ce se găsește la un moment dat în fața tăișului sculei așchietoare și urmează să fie detașat sub formă de așchie, într-un ciclu cinematic al mișcării relative dintre sculă și semifabricat, se numește *strat de așchiere*, iar suprafața generată - *suprafață de așchiere*.

Pentru exemplificare se consideră cazul obținerii unei suprafețe plane prin așchiere (fig. 8.3. a) și a unei suprafețe cilindrice exterioare (fig. 8.3. b).

Pentru a se putea îndepărta stratul de așchiere parțial, scula trebuie să fie adusă periodic (după fiecare ciclu cinematic), în fața unui nou strat de așchiere similar. În acest scop, scula efectuează o mișcare de avans, cu o viteză de avans \bar{v}_f , pe distanța $aa' = f$, numită *avans*, și notată cu f (conform ISO3002/3).

Divizarea adaosului de prelucrare în straturi parțiale și în straturi de așchiere se poate face în următoarele moduri (fig. 8.4):

- *divizare în sensul adâncimii adaosului de prelucrare* (fig. 8.4. a și b), reprezentând așchiera cu scule profilate, scula deplasându-se numai în sensul adâncimii adaosului de prelucrare A_p , printr-o mișcare de avans transversal. În aceste cazuri straturile de așchiere au lățimi mari și forme identice cu ale tăișului sculei (pentru suprafețe de lungime mică);

- *divizare în sensul lățimii adaosului de prelucrare* (fig. 8.4. c), la care

straturile de așchiere sunt îndepărtate printr-o mișcare de avans longitudinal \bar{v}_f efectuată în sensul lății adaosului. Se aplică atunci când tăișul sculei nu poate cuprinde întreaga lățime a adaosului (pentru suprafețe de lungime mare);

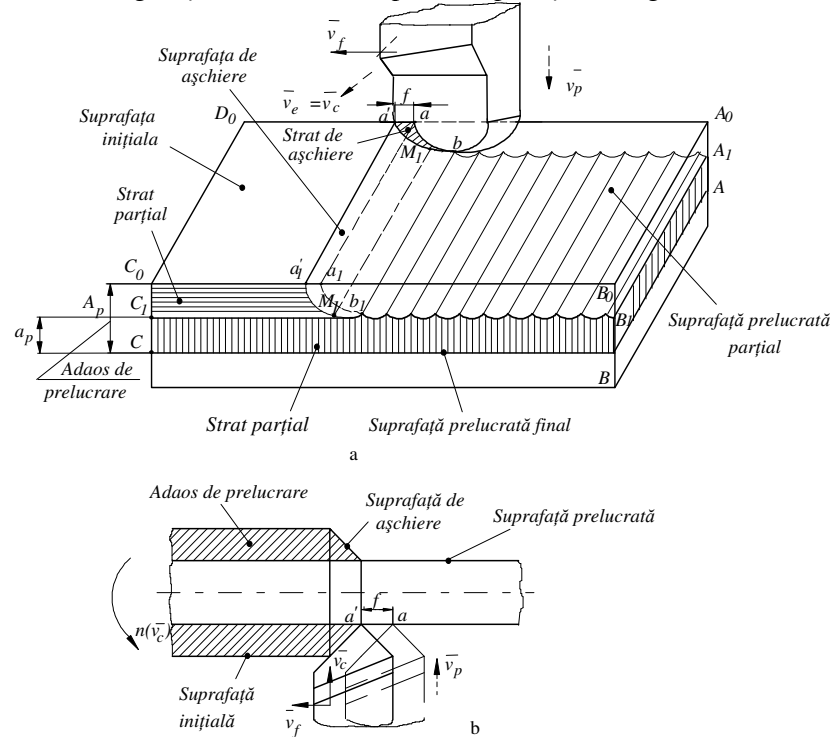


Fig. 8.3. Elementele generării prin așchiere:

a – a unei suprafețe plane; b – a unei suprafețe cilindrice: \bar{v}_c - viteza mișcării principale de așchiere; \bar{v}_f - viteza mișcării de avans; \bar{v}_e - viteza de așchiere rezultantă; \bar{v}_p - viteza avansului de pătrundere; f - avansul de așchiere; n - turația mișcării de rotație; A_p - adaosul de prelucrare; a_p - adâncimea de așchiere.

- *divizare în sensul lungimii adaosului de prelucrare* (fig. 8.4. d), la care straturile de așchiere sunt îndepărtate printr-o mișcare a sculei sau a piesei în sensul lungimii adaosului de prelucrare, cu o viteză de avans director \bar{v}_{fd} ;

- *divizare mixtă* (fig. 8.4. e), o combinație a modurilor de divizare de mai sus și se aplică atunci când adaosul de prelucrare trebuie îndepărtat în mai multe treceri.

Schema modului de divizare a adaosului de prelucrare în straturi parțiale sau straturi de așchiere și a modului în care se succede îndepărtarea acestora se numește *schemă de așchiere*.

Pentru ca scula să poată desprinde un strat de aşchiere din adaosul de prelucrare, trebuie ca, între ea şi piesă, să existe următoarele tipuri de mişcări:

- *mişcarea principală de aşchiere* realizează procesul de desprindere al aşchii de pe suprafaţa semifabricatului. Se execută cu o viteză principală de aşchiere \bar{v}_c efectuată de către sculă sau piesă;

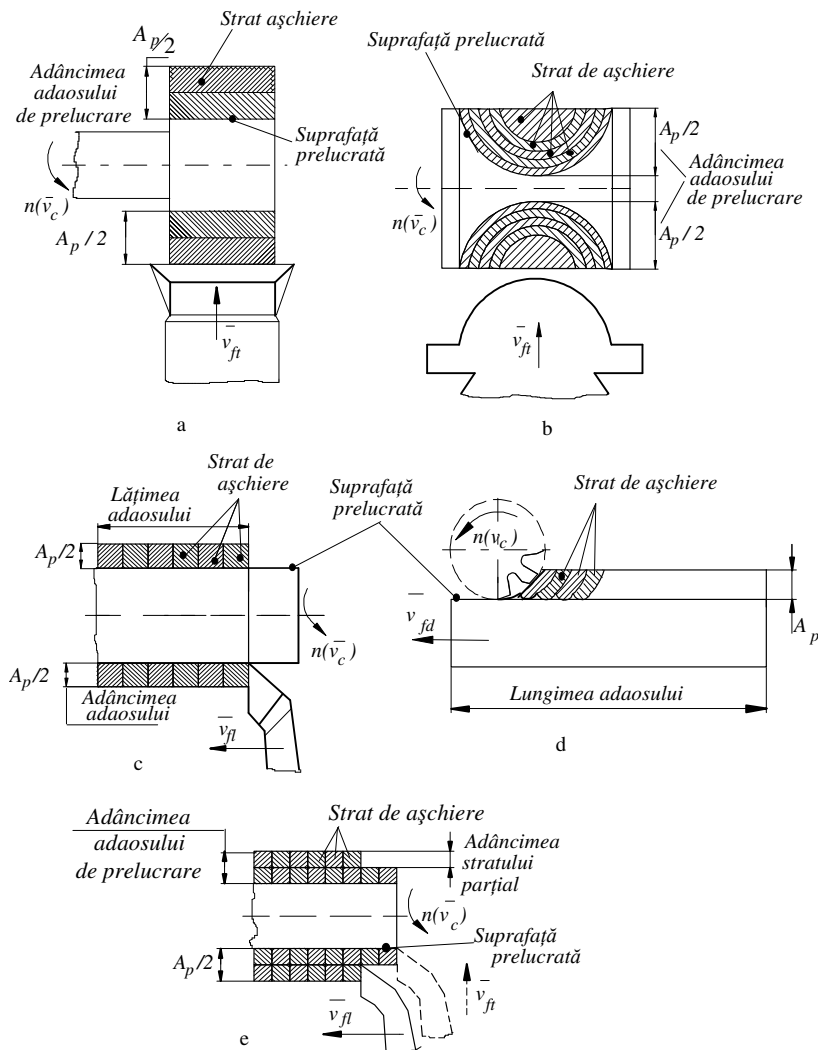


Fig. 8.4. Diferite moduri de divizare a adaosului de prelucrare:
a,b - în sensul adâncimii adaosului; c - în sensul lăţimii adaosului; d - în sensul lungimii adaosului; e -

mixt: \bar{v}_{ft} - viteză avansului transversal; \bar{v}_{fl} - viteză avansului longitudinal; \bar{v}_{fd} - viteză avansului pe dinte; \bar{v}_c - viteză mişcării principale de aşchiere; n - turaţia mişcării principale de aşchiere; A_p - adaos de prelucrare; a_p - adâncimea de aşchiere.

- *mişcarea de avans* realizează aducerea de noi straturi de material în faţa tăişului sculei, deoarece acesta nu poate cuprinde dintr-o dată întreaga suprafaţă de prelucrat. Se efectuează cu o viteză de avans \bar{v}_f , fie de către sculă, fie de piesa de prelucrat;

- *mişcarea de aşchiere* realizează îndepărtarea adaosului de prelucrare, rezultând din compunerea în spaţiu a mişcării principale şi a mişcării de avans. Se execută cu o viteză \bar{v}_c ;

- *mişcări complementare* realizează potrivirea sau poziţionarea sculelor în raport cu piesa, în vederea îndepărtării întregului adaos de prelucrare conform cu schema de aşchiere adoptată.

Tipul şi numărul mişcărilor simple, necesare a fi combinate pentru a se obţine mişcarea relativă dintre scula aşchietoare şi piesa-semifabricat, depinde de modul cum se concepe a fi realizată cinematic generarea unei suprafeţe prelucrate de o anumită formă dată, prin îndepărtarea adaosului de prelucrare, deci *de schema de aşchiere* alcătuită. Fiecare procedeu de generare prin aşchiere a unei suprafeţe, de o anumită formă dată, conduce la stabilirea *cinematicii maşinii-unelte* pe care să se execute generarea respectivă.

8.1.5. Noţiuni generale despre principalele procedee de generare prin aşchiere

Principalele procedee de prelucrare (generare) prin aşchiere sunt: rabotarea, mortezarea, strunjirea, găurirea, lărgirea, adâncirea, alezarea, frezarea, broşarea şi rectificarea.

8.1.5.1. Rabotarea

Este procedeul de generare prin aşchiere a suprafeţelor, ce constă în combinarea unei mişcări principale de aşchiere, totdeauna rectilinie alternativă, executată de sculă sau piesă, cu o mişcare de avans-rectiliniu intermitent, executată de sculă sau piesă (fig.8.5). Se execută cu ajutorul unor scule aşchietoare de tipul *cuşitelor*, pe *maşini-unelte de rabotat*.

Atunci când mişcarea rectilinie alternativă este efectuată de sculă, procedeul se numeşte *rabotare transversală* (fig. 8. 5. a şi b) şi se execută pe maşini-unelte numite *şepinguri*, iar când este efectuată de piesa-semifabricat, procedeul se numeşte *rabotare longitudinală* (fig. 8.5. c şi d) şi se execută pe maşini-unelte numite *raboteze*. Sculele folosite se numesc *cuşite de rabotat*.

Indiferent de tipul rabotării, mişcarea de aşchiere \bar{v}_c se confundă cu

mișcarea principală de așchiere \bar{v}_c și este o mișcare rectilinie alternativă. Prin rabotarea transversală se pot obține suprafețe: plane orizontale (fig. 8.5. a), verticale (fig. 8.5. b), înclinate, precum și diferite forme de canale pe piese de dimensiuni mici și mijlocii. Rabotarea longitudinală permite generarea suprafețelor plane de lungime mare, orizontale (fig. 8.5. c), verticale (fig. 8.5. d), precum și a suprafețelor profilate (ghidajele batiurilor, săniilor și meselor de la mașinile-unelte).

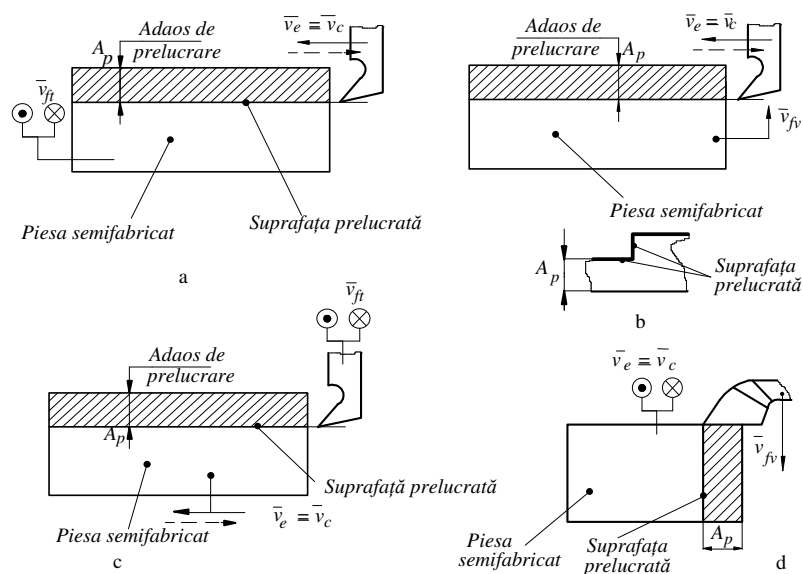


Fig. 8.5. Generarea suprafețelor prin rabotare:

a, b - transversală; c, d - longitudinală: \bar{v}_c - viteza mișcării principale de așchiere; \bar{v}_{ft} - viteza mișcării de avans transversal; \bar{v}_{fv} - viteza mișcării de avans vertical; A_p - adaosul de prelucrare.

8.1.5.2. Mortezearea

Este procedeul de generare prin așchiere a suprafețelor ce constă în combinarea unei mișcări principale de așchiere – totdeauna rectilinie alternativă, executată de sculă, cu o mișcare de avans – rectilinie sau circulară, intermitentă, executată de piesa-semifabricat.

Procedeul se execută cu *cuțite de mortezat* pe mașini-unelte numite *morteze*. Cinematica de generare prin acest procedeu este asemănătoare cu cea a rabotării transversale pe șepinguri, cu deosebirea că mișcarea rectilinie alternativă a cuțitului se efectuează într-un plan vertical (fig.8.6). Piesa semifabricat este imobilă în timpul executării mișcării principale cu \bar{v}_c , pentru ca la sfârșitul cursei

pasive ea să execute mișcări intermitente de poziționare, ce pot fi de avans longitudinal \bar{v}_{fl} , de avans transversal \bar{v}_{ft} sau de avans circular \bar{v}_{fc} , în funcție de forma suprafeței generate. Se pot genera prin acest procedeu suprafețe plane, circulare sau profilate, interioare sau exterioare, precum și canale sau caneluri de diferite forme.

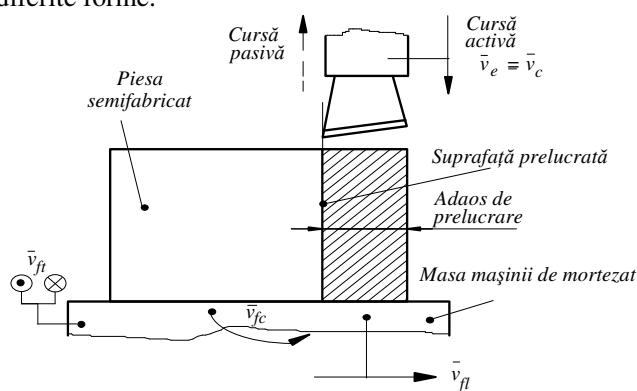


Fig. 8.6. Generarea suprafețelor prin mortezare:
 \bar{v}_c - viteza mișcării principale de aşchiere;
 \bar{v}_{ft} , \bar{v}_{fc} , \bar{v}_{fl} - viteza mișcării de avans transversal și respectiv circular, longitudinal;
 \bar{v}_e - viteza mișcării de aşchiere.

8.1.5.3. Strunjirea

Este procedeul de generare prin aşchiere a suprafețelor, ce constă în combinarea unei mișcări principale de aşchiere – totdeauna de rotație, executată de piesă, cu o mișcare de avans – rectilinie, circulară sau combinată totdeauna executată de sculă.

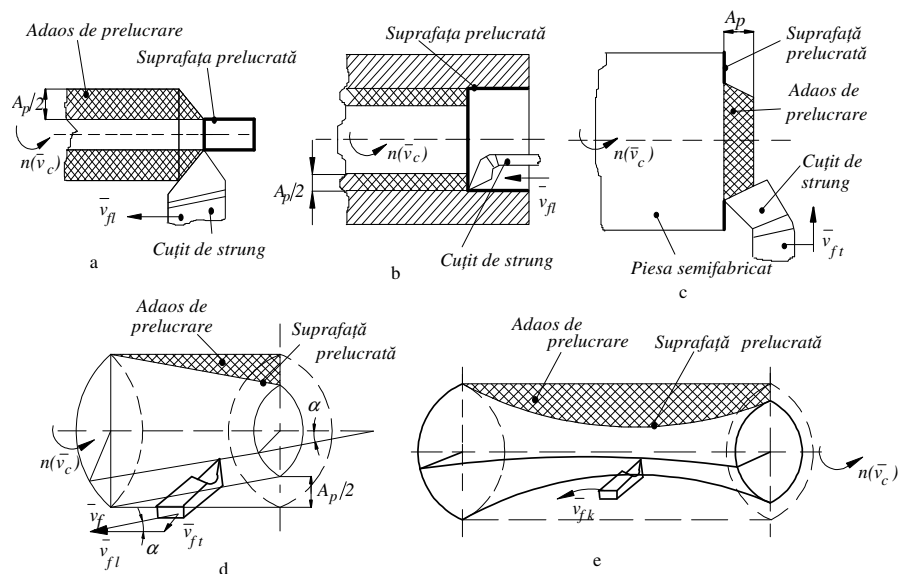


Fig. 8.7. Generarea suprafețelor prin strunjire:

a - cilindrică exterioră; b - cilindrică interioară; c - frontală; d - conică; e - profilată; $n(\bar{v}_c)$ - viteza mișcării principale de așchiere; \bar{v}_{fl} ; \bar{v}_{ft} ; \bar{v}_{fk} - viteza mișcării de avans longitudinal, respectiv transversal sau combinat; \bar{v}_f - viteza mișcării de avans.

Procedul se execută cu scule așchietoare de tipul *cuțitelor de strung*, pe mașini-unelte numite *strunguri*.

Mișcarea rectilinie a cuțitului este mișcarea de avans de generare și se poate executa în diferite planuri (orizontal, vertical, înclinat), în funcție de tipul strungului pe care se realizează generarea. Astfel, la strungul normal, mișcarea de avans a cuțitului se efectuează în plan orizontal, de obicei pe direcție longitudinală (fig. 8.7. a și b), transversală (fig. 8.7. c), înclinată (fig. 8.7. d) sau complexă (fig. 8.7. e).

Prin strunjire pe strungul normal se pot obține și alte forme de suprafețe, păstrându-se ca bază cinematica de generare caracteristică acestui procedeu, dar folosindu-se dispozitive adecvate.

8.1.5.4. Burghierea, lărgirea, adâncirea, alezarea

Sunt procedee de generare prin așchiere a suprafețelor laterale (cilindrice, conice etc) și frontale (plane, teșite, profilate etc.) ale găurilor, ce constau în combinarea unei mișcări principale de așchiere – totdeauna de rotație și executată de sculă cu o mișcare de avans rectilinie, executată de sculă și/sau piesă.

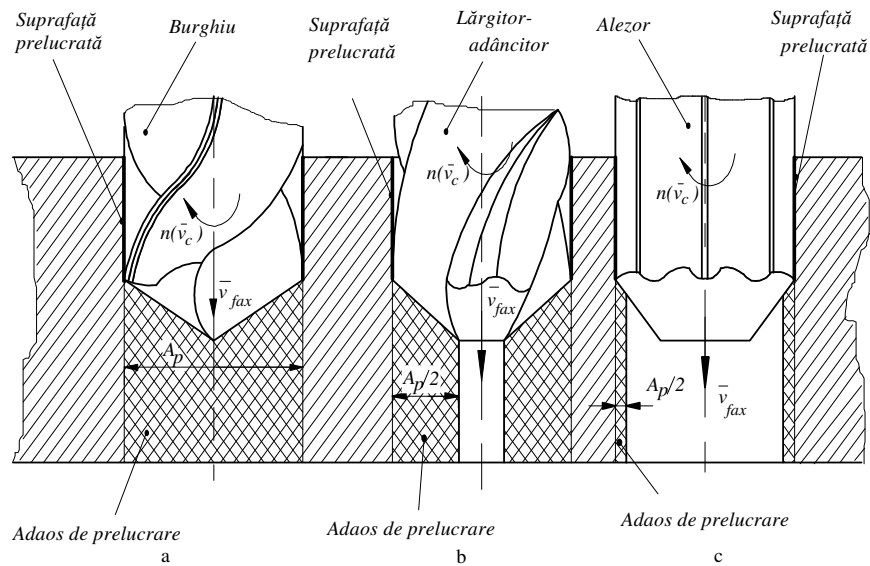


Fig. 8.8. Generarea suprafețelor prin:
 a - burghiere; b - lărgire- adâncire; c - alezare; \bar{v}_c - viteza mișcării principale de aşchiere;
 \bar{v}_{fax} - viteza mișcării de avans; A_p - adaos de prelucrare.

Aceste procedee se execută cu scule aşchietoare de găurire specifice, *burghie*, *lărgitor*, *adâncitor*, *alezor*, pe *mașini-unelte de găurit*. Cinematica de generare a suprafețelor prin aceste procedee rezultă din combinarea unei mișcări principale de aşchiere totdeauna de rotație, efectuată de regulă de scula aşchietoare cu viteza \bar{v}_c , cu o mișcare rectilinie de avans, cu caracter continuu, efectuată de regulă tot de scula aşchietoare cu viteza \bar{v}_{fax} . Astfel, burghierea este procedeul la care se generează găuri în materialul plin (fig.8.8. a), lărgirea și adâncirea sunt procedee prin care se măresc dimensiunile și precizia găurilor obținute prin burghiere sau prin turnare și matrițare (fig.8.8. b), iar alezarea este procedeul de generare cu ajutorul unor scule numite alezoare, în scopul realizării unei precizii dimensionale ridicate și micșorării rugozității suprafețelor prelucrate (fig. 8.8. c).

8.1.5.5. Frezarea

Este procedeul de generare prin aşchiere a suprafețelor, ce constă în combinarea unei mișcări principale de aşchiere – totdeauna de rotație și executată de sculă, cu mișcări de avans – rectilinii, circulare, combinate – executate de piesă și/sau sculă. Procedeul se execută cu scule speciale de forma unor corpuri de rotație prevăzute cu mai multe tăișuri, numite *freze*, pe *mașini-unelte de frezat*

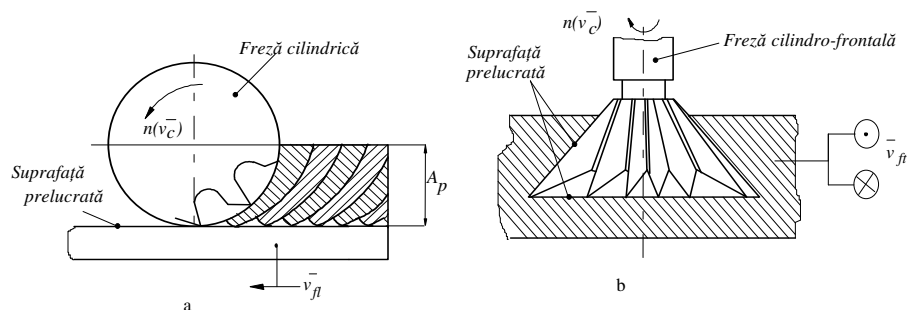


Fig. 8.9. Generarea suprafețelor prin frezare:

a - cu freză cilindrică; b - cu freză cilindro –frontală; \bar{v}_c - viteza mișcării principale de așchiere; \bar{v}_f ; \bar{v}_{ft} - viteza mișcării de avans longitudinal, respectiv transversal.

Mișcarea de rotație se execută totdeauna de către sculă, ea fiind mișcarea principală de așchiere, iar mișcarea de avans este executată, de regulă, de piesa-semifabricat, fiind o mișcare de avans direct în sens longitudinal (fig. 8.9. a), transversal (fig. 8.9. b) sau vertical.

8.1.5.6. Broșarea

Este procedeul de generare prin așchiere a suprafețelor, ce constă în combinarea unei mișcări principale de așchiere – totdeauna rectilinie, circulară sau elicoidală și executată de sculă sau piesa-semifabricat, cu o mișcare de avans constructiv (rezultată din construcția sculei așchietoare). Procedeul se execută cu ajutorul unor scule așchietoare speciale numite *broșe*, pe *mașini-unelte de broșat*.

În cazul broșării cu acțiune discontinuă (fig. 8.10. a), broșa execută mișcarea principală \bar{v}_c , cu caracter continuu și într-un singur sens, în urma căreia suprafața se generează dintr-o singură trecere a broșei. Broșarea cu acțiune continuă (fig. 8.10. b) se caracterizează prin generarea fără întrerupere, datorită mișcării principale rectilinii continue \bar{v}_c executate de piesele-semifabricat, broșa fiind fixă pe batiul mașinii de broșat.

Prin broșare se pot genera găuri cu cele mai diferite profile, canale drepte și elicoidale, suprafețe exterioare plane și profilate, dinții roților dințate interioare sau exterioare etc.

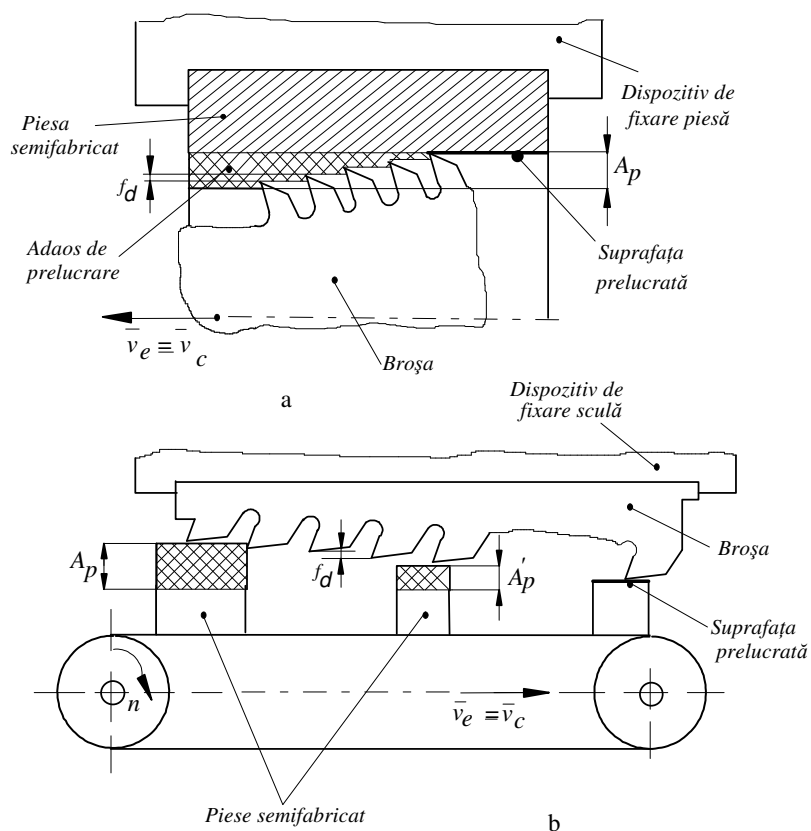


Fig. 8.10. Generarea suprafețelor prin:
 a – broșare discontinuă; b – broșare continuă; \bar{v}_c - viteza mișcării principale de aşchiere; \bar{v}_e - viteza mișcării de aşchiere; f_d - avansul pe dinte; A_p ; A'_p – adaos de prelucrare.

8.1.5.7. Rectificarea

Este procedeul de generare prin aşchiere a suprafețelor, ce constă în combinarea unei mișcări principale de aşchiere – totdeauna de rotație și executată de sculă, cu o mișcare de avans – rectilinie, circulară sau combinată – executată de piesa – semifabricat și/sau sculă.

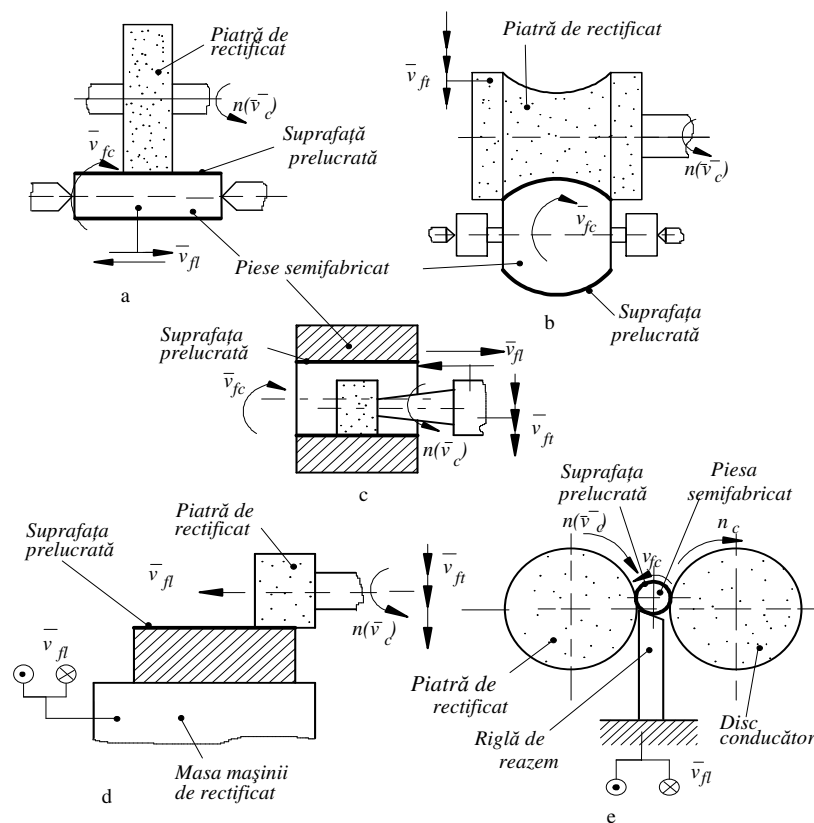


Fig. 8.11. Generarea suprafețelor prin:

- a – rectificare longitudinală; b – rectificare transversală; c – rectificare rotund interioară;
 d – rectificare plană; e - rectificare fără centre: \bar{v}_c - viteza mișcării principale de așchiere;
 \bar{v}_{fl} ; \bar{v}_{ft} ; \bar{v}_{fc} - viteza mișcării de avans longitudinal și respectiv transversal sau circular; n - turația mișcării principale; n_c - turația discului conducător.

Procedeul se execută cu ajutorul unor scule așchietoare denumite *pietre de rectificat*, pe *mașini-unelte de rectificat*, în scopul obținerii unei mai mari precizii dimensionale și a unei calități superioare a suprafeței. Cinematica de generare a suprafețelor prin rectificare constă în existența unei mișcări de rotație, efectuată întotdeauna de scula așchietoare, ea constituind mișcarea principală de așchiere \bar{v}_c , și a unui anumit număr de mișcări rectilinii circulare sau combinate, executate de piesa-semifabricat sau de sculă, ca mișcări de avans. Numărul și tipul mișcărilor de avans sunt în funcție de forma suprafeței de rectificat, în acest sens distingându-se: rectificarea longitudinală (fig. 8.11. a); rectificarea transversală (fig. 8.11. b); rectificarea rotund interioară (fig. 8.11. c); rectificarea plană (fig. 8.11. d); rectifi-

carea fără centre (fig. 8.11. e) etc.

8.2. ELEMENTE DE TEORIA GENERĂRII SUPRAFEȚELOR PE MAȘINI-UNELTE

8.2.1. Generarea teoretică și generarea reală a suprafețelor

Generarea teoretică a suprafețelor se poate face în mai multe moduri (vezi § 2.9.2, vol.I), dar modul care corespunde cel mai bine condițiilor de generare a suprafețelor reale și cinematicii mașinilor-unelte *este deplasarea unei curbe în spațiu*. Curba care se deplasează și care generează suprafața este denumită *curba generatoare* G , iar traiectoria descrisă de un punct oarecare, al ei, în timpul deplasării, este denumită *curba directoare* D .

În cazul generării suprafețelor reale pe mașini-unelte, deplasarea generatoarei în lungul directoarei este dată tocmai de mișcarea tăișului sculei în lungul traiectoriei directoarei. Prin urmare, muchia aşchietoare a tăișului sculei materializează pe o anumită porțiune a sa un element generator al suprafeței reale, ce se va numi *generatoare elementară* G_E (porțiunea abc din întreaga muchie aşchietoare $A'B'$ din figura 8.12. a).

Mărimea porțiunii abc depinde de avansul f și de adâncimea adaosului de prelucrare. Realizarea întregii curbe generatoare G se obține prin deplasarea generatoarei elementare G_E în lungul generatoarei geometrice cu viteza v_g .

În cazul generării suprafețelor reale, la procedee ca frezarea și rectificarea, directoarea D se realizează ca traiectorie a unui element generator denumit *directoare elementară* D_E (porțiunea abc din figura 8.12. b) în lungul directoarei teoretice D , efectuată cu viteza \bar{v}_d .

Deoarece la baza construcției și geometriei părții active a sculelor aşchietoare stă construcția și geometria cuțitului simplu, schema de generare a unei suprafețe reale oarecare, corespunzătoare cazului general, poate fi considerată ca în figura 8.13, cuprinzând:

- elementul generator G_E , care trebuie să efectueze o mișcare în lungul generatoarei teoretice G , după anumite legi, cu viteza \bar{v}_g , în scopul realizării traiectoriei generatoare G ;

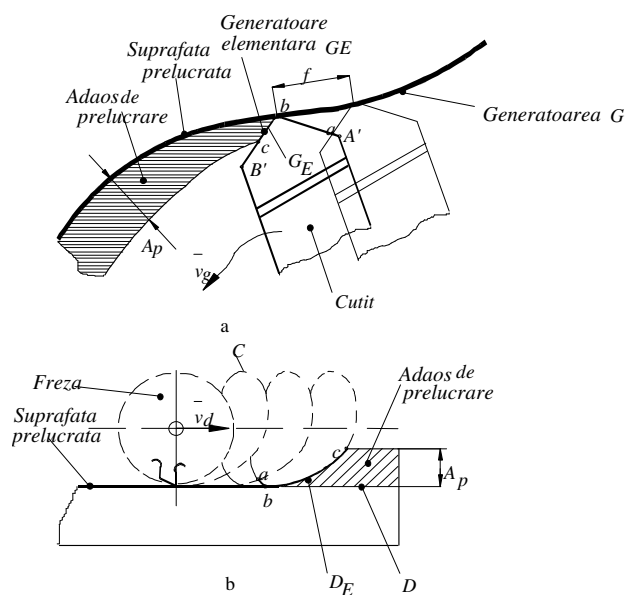


Fig. 8.12. Generarea suprafețelor reale pe mașini-unelte:
 a – realizarea generatoarei G ; b – realizarea directoarei D .
 \bar{v}_g - viteza de deplasare a generatoarei elementare;
 \bar{v}_d - viteza de deplasare a directoarei elementare.

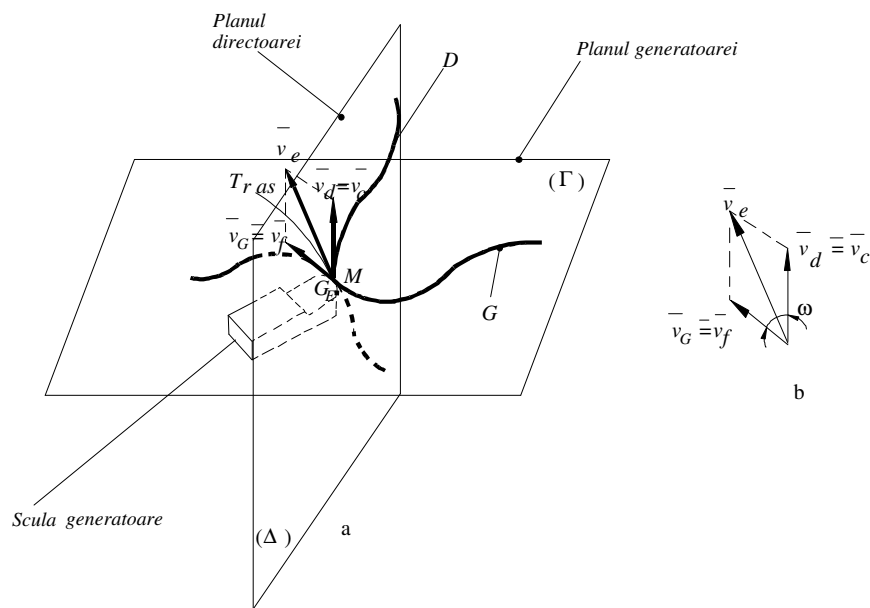


Fig. 8.13. Cazul general de generare a unei suprafețe reale (prelucrate):
 a - deplasarea punctului M în lungul generatoarei G și directoarei D ; (Γ) - planul generatoarei;
 (Δ) - planul directoarei; b - compunerea vitezelor; ω - unghiul de compunere.

- elementul generator G_E , care trebuie să se deplaseze simultan și în lungul directoarei D , după alte legi, cu viteza \bar{v}_d , în scopul realizării traiectoriei directoarei D .

8.2.2. Realizarea traiectoriei generatoarei

Pentru realizarea traiectoriei generatoarei G a suprafețelor este necesară o mișcare a elementului generator G_E după anumite legi, ce constituie modurile practice de generare a suprafețelor reale pe mașini-unelte. Conform acestor moduri practice, traiectoria generatoare se poate realiza ca: *generatoare materializată*, *generatoare cinematică* și *generatoare programată*.

8.2.2.1. Generatoarea materializată

Se întâlnesc trei cazuri de realizare a generatoarei prin materializarea ei de către muchia așchietoare a sculei:

- când întreaga muchie așchietoare constituie generatoarea elementară G_E (fig. 8.14. a – strunjire profilată, și figura 8.14. b – frezarea danturii roților dințate cu freza disc-modul);

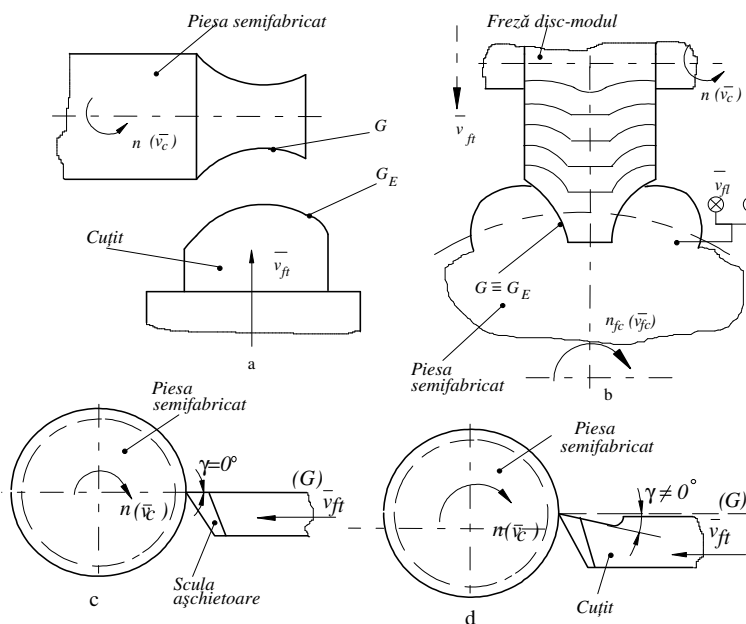


Fig. 8.14. Realizarea generatoarei materializate:

a - strunjirea profilată; b - frezarea danturilor cu freze disc - modul; c - când $\gamma = 0^\circ$; d - când generatoarea G reprezintă proiecția circulară sau ortogonală a muchiei așchietoare pe planul (Γ).

- când unghiul dintre planul generatoarei (Γ) și planul muchiei este nul ($\gamma = 0^\circ$ ca în figura 8.14. c);
- când $\gamma \neq 0^\circ$ dacă generatoarea G rezultă din proiecția circulară sau ortogonală a muchiei așchietoare pe planul (Γ) ca în cazul din figura 8.14. d.

Materializarea generatoarei prin muchia așchietoare a sculei este posibilă numai în cazurile în care lungimea acesteia nu este prea mare, deoarece cu creșterea lungimii muchiei așchietoare apar dificultăți în construcția sculei și a mașinii-unelte.

8.2.2.2. Generatoarea cinematică

Generatoarea cinematică se poate realiza în două moduri:

- ca *trajectorie a deplasării unui punct* (fig. 8.15. a). Acest caz se întâlnește atunci când generatoarea AB a suprafeței prelucrate este mai lungă decât elementul generator G_E , materializat de muchia sculei așchietoare. Pentru a realiza întreaga generatoare G trebuie deplasat periodic elementul generator G_E , (abc), într-o mișcare paralelă cu G , cu viteza \bar{v}_g . Ca urmare, suprafața prelucrată generată cu astfel de traiectorie generatoare, prezintă ondulații cu pasul f și înălțimea h ;

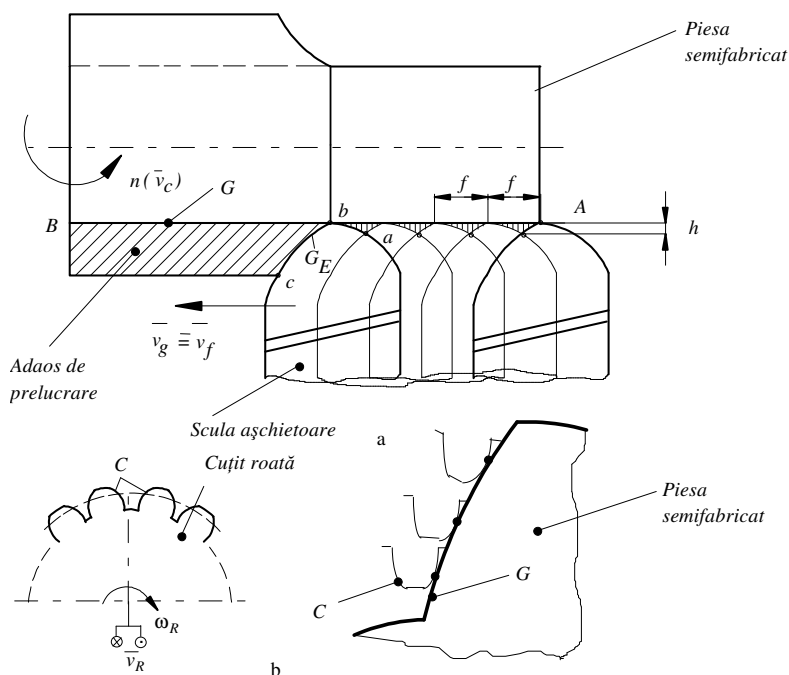


Fig. 8.15. Realizarea generatoarei cinematice:

a - ca traiectorie a deplasării unui punct; b - ca înfăşurătoare a poziţiilor succesive ale unei curbe ce se deplasează după anumite legi.

- ca înfăşurătoare a poziţiilor succesive ale unei curbe materializate prin muchia aşchietoare a sculei, ce se deplasează în plan (fig. 8.15. b). În acest caz este necesar ca muchia aşchietoare să aibă forma curbei C , conjugată curbei generatoare G , şi să se deplaseze printr-o mişcare de translaţie cu viteza \bar{v}_R şi una de rotaţie cu viteza ω_R , care să îndeplinească condiţia $v_R/\omega_R = R_R$ (R_R fiind raza de rulare). Din punct de vedere al efortului de aşchiere, sculele cu profil conjugat sunt mai avantajoase decât cele cu generatoare materializată, deoarece muchia aşchietoare a acestora ia contact punctiform cu materialul piesei din aproape în aproape şi nu dintr-o dată pe toată lungimea muchiei.

8.2.2.3. Generatoarea programată

Generatoarele complicate ca formă şi mari ca lungime, nu pot fi realizate nici prin materializare pe muchia aşchietoare şi nici pe cale cinematică. În aceste cazuri se recurge la materializarea ei sub diferite forme, operaţie numită *programare*, pe un element al maşinii-unelte denumit *portprogram*.

Prin intermediul unor senzori, care urmăresc programul, se transmit comenzi unor lanţuri cinematice ale maşinii-unelte, denumite *lanţuri cinematice de copiere*, care asigură deplasarea sculei pe traiectoria curbei generatoare stabilită prin program. Ca portprograme se utilizează: şabloane, modele, cartele perforate, benzi magnetice, benzi perforate etc. De exemplu, realizarea suprafeţei de rotaţie complexă din figura 8.16 este posibilă prin programarea generatoarei pe un şablon S , în coordonate carteziene, transformarea efectuându-se pe lanţuri cinematice de copiere hidraulice.

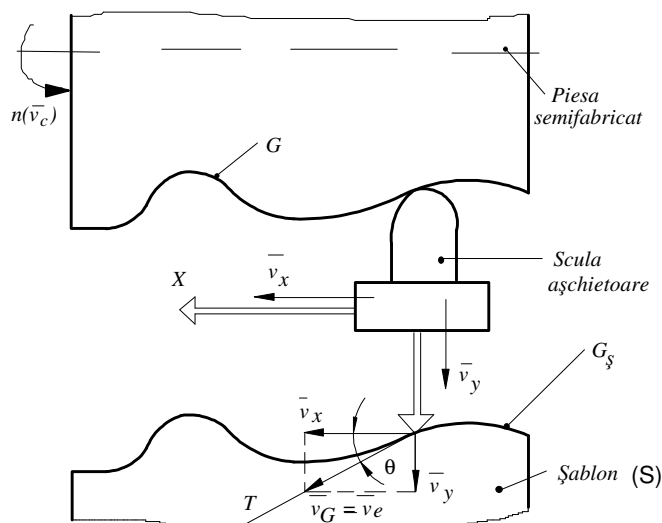


Fig. 8.16. Realizarea generatoarei programate.

În aceste coordonate, generatoarea ce urmează a fi obținută este materializată prin curba G_s a şablonului şi rezultă din combinarea a două mişcări: una pe direcţia X , cu viteza \bar{v}_x , şi alta pe direcţia Y , cu viteza \bar{v}_y , între ele existând în permanenţă relaţia:

$$v_y/v_x = \operatorname{tg} \theta, \quad (8.2)$$

în care θ este unghiul dintre tangenta T la conturul şablonului în punctul M şi direcţia X .

8.2.3. Realizarea traiectoriei directoarei

În cazul general al generării suprafeţelor prelucrate pe maşini-unelte, directoarea se obţine prin mişcarea de generare a suprafeţei ca traiectorie a acesteia. Această mişcare se face după anumite legi, ce sunt impuse de forma curbelor directoare ale suprafeţelor geometrice. Astfel, traiectoria directoare se poate realiza ca: *directoare materializată*, *directoare cinematică* şi *directoare programată*.

8.2.3.1. Directoarea materializată

Construcţia unei scule pentru maşini-unelte, permite pe lângă materializarea generatoarei prin, muchia aşchietoare a sa, şi materializarea directoarei. O astfel de sculă este *tarodul*, la care directoarea, elicea cilindrică este materializată prin filetul său.

Pentru materializarea suprafeţei elicoidale a filetului piuliţei, cu ajutorul

tarodului, este necesară doar o mișcare de rotație a acestuia sau a piuliței. Datorită formei muchiilor așchietoare ale părții active a tarodului, muchii care reprezintă materializarea generatoarei, canalul elicoidal al piuliței capătă forma corespunzătoare.

Alte scule cu directoarea materializată sunt: *filierea* (directoarea este elicea cilindrică), *broșa* (directoarea este rectilinie), *burghiul* și *alezorul* (directoarea este circulară).

8.2.3.2. Directoarea cinematică

În procesul de generare a suprafețelor reale pe mașini-unelte se întâlnesc trei cazuri de realizare a directoarei cinematice:

- *ca traiectorie a unui punct*. Traectoria directoare circulară D (fig. 8.17. a) rezultă prin deplasarea punctului M în jurul axei de rotație, la distanța R_M , cu turația n , având viteza tangențială \bar{v}_c . Traectoria directoare rectilinie D (fig. 8.17. b) rezultă din deplasarea punctului M în lungul directoarei teoretice rectilinii D , cu viteza \bar{v}_c . Traectoria directoare elicoidală D (fig. 8.17. c) este descrisă tot de un punct M , în urma compunerii mișcării de rotație $n(\bar{V}_c)$ cu o mișcare de deplasare axială \bar{v}_f , normală pe planul de rotație. În acest caz, cele două viteze sunt condiționate cinematic prin relația:

$$v_f / v_c = \tan \beta, \quad (8.3)$$

în care β este unghiul de înclinare al directoarei D .

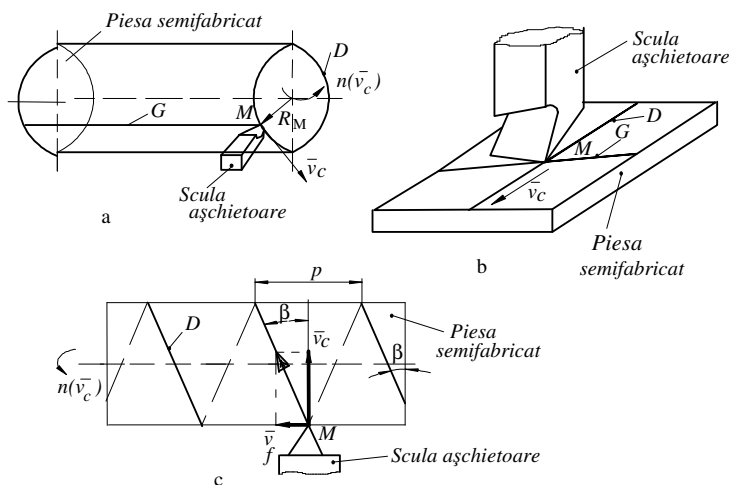


Fig. 8.17. Realizarea directoarei cinematice ca traiectorie a unui punct la:
a - strunjire;
b - rabotare, mortezare;
c - filetare.

- *ca înfășurătoare a pozițiilor succesive ale unei curbe cinematice*. Se

întâlnește la anumite procedee de prelucrare prin aşchiere datorită construcției anumitor scule (freze, pietre abrazive). Astfel, la frezarea unei suprafețe plane (fig. 8.18. a), pentru a realiza directoarea rectilinie teoretică D este necesară compunerea dintre mișcarea de rotație n a frezei și mișcarea de translație \bar{v}_f , rezultând ca rezultată curba C , care este o cicloidă alungită. Cum însă aceste scule au mai multe muchii aşchietoare (z_s dinti), fiecare punct M va deveni o cicloidă alungită, decalate între ele cu a z_s -a parte. Prin urmare, directoarea D apare datorită deplasării directoarei elementare $D_E(abc)$ într-o mișcare paralelă cu directoarea teoretică D și poziționată periodic cu o cantitate de poziționare constantă, denumită *avans director* (avans pe dinte f_d).

Realizarea directoarei ca înfășurătoare a unei curbe cinematice apare și la rectificarea (fig. 8.18. b), unde directoarea elementară D_E este o porțiune dintr-o epicycloidă alungită, iar cantitatea de poziționare a sa în lungul directoarei este avansul circular f_c . Realizarea directoarei ca înfășurătoare, a unei curbe cinematice, conduce la generarea suprafeței reale cu ondulații de înălțime h ;

- *prin transpunere (imprimare) prin rulare*. Este cazul unor directoare cinematice spațiale, dificil de realizat prin metodele de mai sus. Curba directoare cinematică D' , de forma $a'b'c'$, realizată ca traiectorie a unui punct sau ca înfășurătoare a unei curbe cinematice, se transpune prin rulare a piesei-semifabricat, de rază R_p , pe planul Δ' al directoarei, sub forma curbei spațiale abc a directoarei reale D (fig. 8.19). Condiția rulării fără alunecare a cilindrului pe planul Δ' este dată de relația:

$$v/\omega = R_p, \quad (8.4)$$

în care \bar{v} este viteza mișcării de translație a cilindrului; ω - viteza mișcării de rotație a acestuia. Realizarea directoarei cinematice prin transpunere prin rulare fără alunecare se utilizează la generarea danturilor roților dantațe conice cu dinți curbi (dantură poloidă, spiroidă, eloidă etc.).

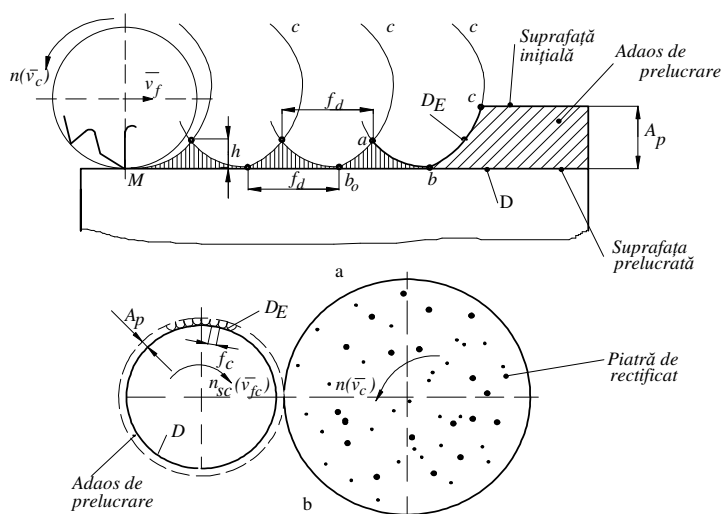


Fig. 8.18. Realizarea directoarei cinematice ca înfășurătoare a unei curbe cinematice la:
a - frezare; b - rectificare.

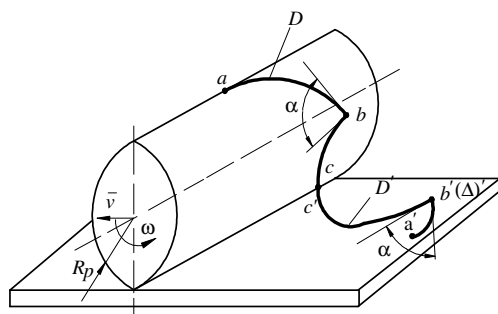


Fig. 8.19. Realizarea directoarei cinematice prin transpunere prin rulare.

8.2.3.3. Directoarea programată

Se realizează ca și generatoarea programată utilizând șabloane, modele sau prin tipurile de programe arătate. De exemplu, programarea curbei directoare \$D\$ pe șablon sub forma \$D_s\$, conduce la diferențierea între formele celor două curbe, datorită razei \$R_s\$ a sculei și \$r\$ a rolei (fig. 8.20).

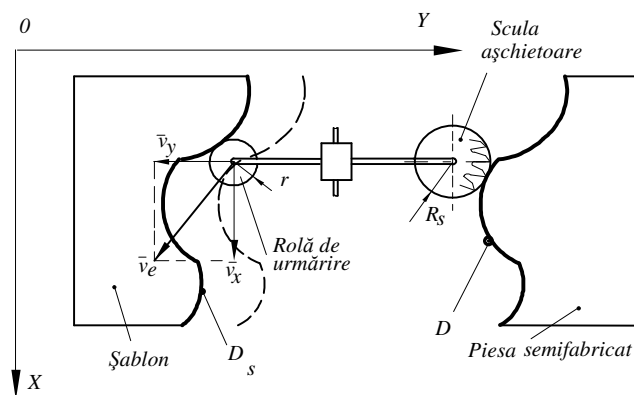


Fig. 8.20. Realizarea directoarei programate.

Pentru a se elimina dificultățile de trasare a directoarei D , se alege $r = R_s$. În cazul generării suprafețelor foarte complicate (matrițe de forjare, de turnare sub presiune, elice de avion, elice navale etc.), când generatoarea și directoarea își modifică forma în timpul generării se procedează la programarea ambelor curbe.

8.2.4. Mișcările necesare la generarea suprafețelor reale pe mașini-unelte

În cazul general al generării suprafețelor reale, generatoarea G și directoarea D se realizează pe cale cinematică, ca traiectorii ale unor mișcări efectuate simultan de elementul generator G_E (sau D_E la frezare și rectificare), după legi specifice formei suprafeței ce se vrea generată.

8.2.4.1. Mișcarea de așchiere. Mișcarea principală. Viteza de așchiere

În vederea generării unei suprafețe reale, elementul generator G_E (figura 8.13. a) trebuie să se deplaseze simultan în lungul directoarei teoretice D cu viteza \bar{v}_d și în lungul generatoarei teoretice G cu viteza \bar{v}_G (aceasta este mișcarea de avans de viteză \bar{v}_f). Cele două mișcări se compun în spațiu, rezultând o mișcare relativă între elementul generator, ce aparține sculei, și suprafața reală ce se generează pe piesa prelucrată. Această mișcare relativă în urma căreia se îndepărtează adaosul de prelucrare sub formă de așchii se numește *mișcare de așchiere*, având ca traiectorie o rezultantă a traiectoriilor generate de cele două mișcări, numită *traiectoria mișcării de așchiere* $Tr_{aș}$.

Viteza cu care se efectuează mișcarea de așchiere \bar{v}_e se numește viteza de așchiere și se calculează cu relația:

$$\bar{v}_e = \bar{v}_d + \bar{v}_G \quad (8.5)$$

Deoarece în cazurile practice de generare pe mașinile-unelte, viteza \bar{v}_G

este foarte mică față de \bar{v}_e , rezultă că \bar{v}_d este componenta cea mai apropiată ca mărime și sens de \bar{v}_e și ea se numește *viteza principală de aşchiere*, notată cu \bar{v}_c .

Întrucât mișcarea cu viteza \bar{v}_G este mișcarea de avans, în generarea dată se pot scrie identitățile:

$$\bar{v}_G \equiv \bar{v}_f; \bar{v}_d \equiv \bar{v}_c, \quad (8.6)$$

iar expresia vectorială a vitezei reale de aşchiere devine:

$$\bar{v}_e \equiv \bar{v}_c + \bar{v}_f. \quad (8.7)$$

Mărimea acestei viteze se calculează ușor dacă se cunoaște unghiul ω (fig. 8.13. b) dintre cele două viteze componente:

$$v_e = \sqrt{v_c^2 + v_f^2 + 2 \cdot v_c \cdot v_f \cdot \cos \omega}. \quad (8.8)$$

Mișcarea elementului generator în lungul traiectoriei directoare, iar în cazuri particulare (frezare, rectificare, strunjirea filetelor etc.) în lungul uneia din componentele traiectoriei directoare, se numește *mișcare principală de aşchiere*. Viteza cu care se efectuează mișcarea principală de aşchiere este *viteza principală de aşchiere*, notată cu \bar{v}_c .

Lanțul cinematic al unei mașini-unelte care asigură viteza principală de aşchiere pe traiectoria directoare sau pe una din componentele traiectoriei directoare se numește *lanț cinematic principal*.

Mișcarea principală de aşchiere este o *mișcare simplă de rotație*, în cazul generării suprafețelor prin procedee ca: strunjirea, găurirea, alezarea, frezarea, broșarea circulară, și rectilinie sau o *mișcare simplă de translație rectilinie*, la generarea prin procedee ca: rabotarea, mortezarea și broșarea rectilinie.

Mărimea vitezei principale de aşchiere, se calculează în funcție de felul mișcării principale, cu relațiile:

$$v_c = \frac{\pi \cdot d \cdot n}{1000} \quad [\text{m/min}], \quad (8.9)$$

pentru mișcarea principală de rotație, și :

$$v_c = \frac{1+k}{k} \cdot \frac{l \cdot n_{cd}}{1000} \quad [\text{m/min}], \quad (8.10)$$

pentru mișcarea principală de translație, în care: n este frecvența de repetare a traiectoriei mișcării principale, în rot/min (fig. 8.21. a și b) sau curse duble/min (fig. 8.21.c); d - diametrul piesei sau sculei, în mm.; $k = v_i/v_a$ (v_i - viteza în cursa de înapoiere și v_a - viteza în cursa activă); l - lungimea traiectoriei, în [mm].

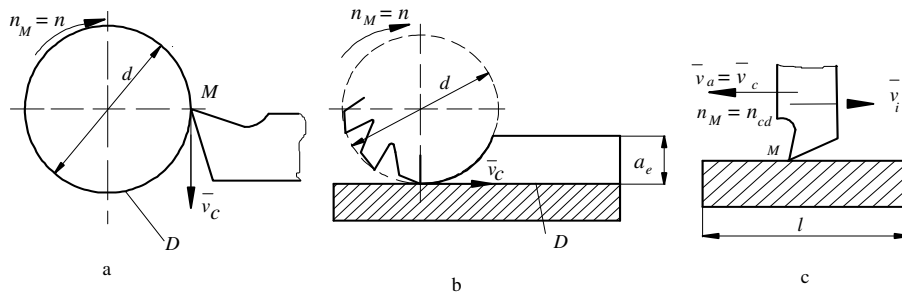


Fig. 8.21. Elementele mișcării principale de așchiere la:
a – strunjire; b – frezare; c – rabotare, mortezare.

Generarea suprafețelor reale pe mașini-unelte este condiționată nu numai de legile cinematice după care se realizează traiectoriile G și D , ci și de criterii privind geometria optimă a sculei, precum și de criterii tehnologico - economice.

Potrivit acestor criterii, viteza elementului generator în mișcarea de rotație trebuie să aibă o astfel de mărime, încât să permită realizarea unei productivități maxime și un cost minim al generării. Această viteză se numește *viteză tehnologică de așchiere* sau *viteză economică de așchiere*, mărimea ei fiind diferită la fiecare procedeu de generare. Astfel, în cazul strunjirii, expresia vitezei tehnologice de așchiere v_{ec} este:

$$v_{ec} = \frac{C_v}{T_{ec}^m \cdot a_p^{x_v} \cdot f^{y_v}} \cdot k_\sigma \cdot k_\gamma \cdot k_\alpha \cdot k_\kappa \cdot k_n \cdots, \quad (8.11)$$

în care T_{ec} este durabilitatea economică, în minute; a_p - adâncimea de așchiere, în mm; f - avansul, în mm/rot; C_v , m , x_v , y_v - constante experimentale; k_σ , k_α , k_κ , etc. - coeficienți de corecție, care țin seama de natura materialului așchiat, geometria sculei, condițiile de desfășurare a procesului de așchiere etc.

8.2.4.2. Mișcarea de avans. Viteza de avans

Mișcarea de poziționare repetată, ciclică, a generatoarei elementare G_E în lungul generatoarei teoretice G sau a directoarei elementare D_E în lungul directoarei teoretice D se numește *mișcare de avans*. Având în vedere continuitatea efectuării sale, mișcarea de avans poate fi:

- *continuu* - la strunjire (fig. 8.22. a, b și g), frezare (fig. 8.22. e);
- *continuu alternativă* - la rectificare (fig. 8.22. c);
- *intermitentă* - la mortezare și rabotare (fig. 8.22. f).

În funcție de direcția sa, mișcarea de avans poate fi :

- *longitudinală* sau *axială* (fig. 8.22, a, c și e);
- *transversală* sau *radială* (fig. 8.22. b și f);

- tangențială (fig. 8.22. g);
- circulară (fig. 8.22. d).

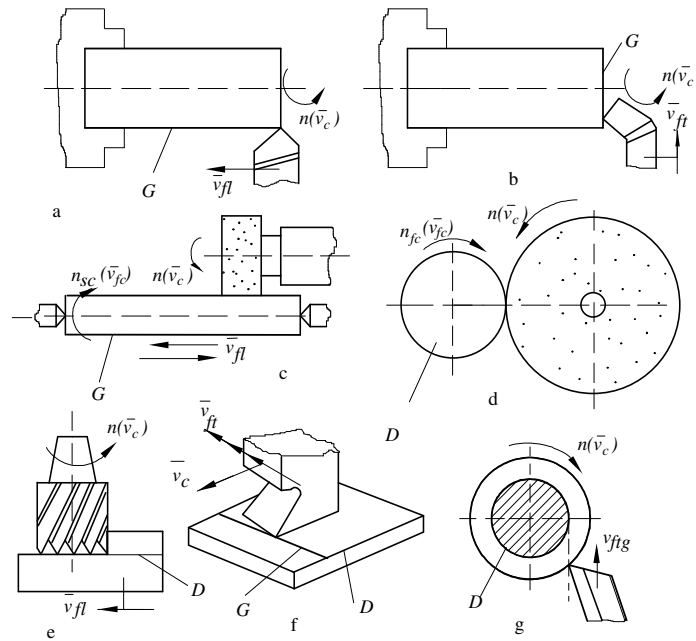


Fig. 8.22. Diferite tipuri de mișcări de avans:

a – la strunjirea cilindrică exterioră; b – la strunjirea frontală; c, d – la rectificare; e – la frezarea cilindro - frontală; f - la rabotare; g - la strunjirea profilată; \bar{v}_c - viteza mișcării principale de așchiere; \bar{v}_{fl} ; \bar{v}_{ft} ; \bar{v}_{fc} ; \bar{v}_{fg} - viteza mișcării de avans longitudinal și respectiv transversal, circular sau tangențial.

Lanțul cinematic care asigură poziționarea ciclică, pe una din traiectoriile de generare (G sau D) a elementului generator (G_E sau D_E), se numește *lanț cinematic de avans*. Viteza cu care se efectuează mișcarea de avans se numește *viteză de avans*, notată cu \bar{V}_f . Mărimea acestei viteze se determină cu raportul:

$$v_f = f / T_f \quad [\text{mm/min}], \quad (8.12)$$

în care: f este distanța ciclică de poziționare; T_f - timpul în care are loc poziționarea pe distanța avansului.

8.3. BAZELE AȘCHIERII MATERIALELOR

8.3.1. Geometria sculelor aschietoare

Scula așchietoare în mișcarea sa relativă față de piesa semifabricat, generează suprafața prelucrată, îndepărtând adaosul de prelucrare sub formă de așchii. De aceea, se acordă o mare importanță proiectării, calculului și execuției oricărui tip de sculă așchietoare.

În general o sculă așchietoare se compune din trei părți distincte (fig.8.23): partea activă, de așchiere, 1; corpul sculei, 2; partea de fixare sau de prindere, 3.

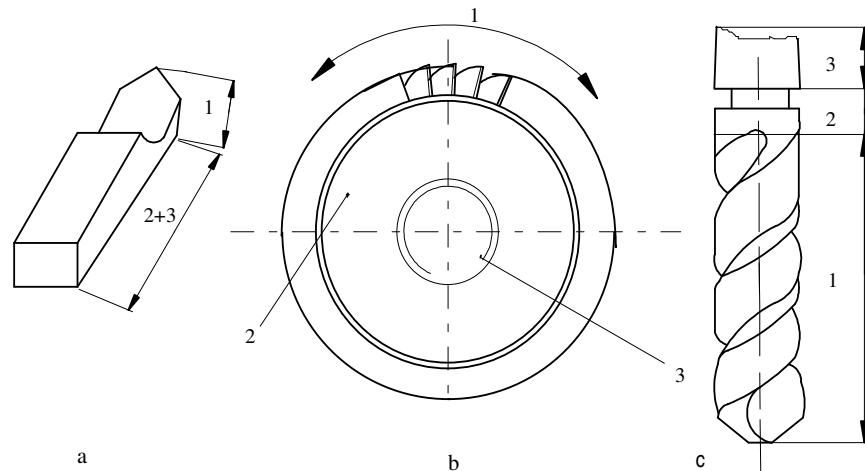


Fig. 8.23. Părțile componente ale sculelor:
a – cuțit ; b – freză ; c – burghiu ; 1 - partea activă; 2 - corpul; 3 - partea de fixare.

Partea activă a sculei așchietoare are o astfel de geometrie constructivă, încât să permită îndeplinirea următoarelor funcții :

- deformarea și detașarea așchiei din adaosul de prelucrare în scopul generării suprafețelor prelucrate, funcții realizate de unul sau mai multe tăișuri adiacente;
- degajarea, răsucirea, fărâmițarea sau fragmentarea așchiei, precum și dirijarea acestora într-o direcție dorită, funcții realizate cu ajutorul unor praguri sau canale;
- cuprinderea și evacuarea așchiilor prin canalele dintre dinții sculelor (cazul sculelor cu tăișuri multiple);
- autoconducerea și ghidarea sculei în timpul generării suprafețelor prelucrate, prin elemente de ghidare sub formă de fațete;

- refacerea calităților aşchietoare prin reascuțirea sau schimbarea tășurilor uzate.

Oricât de diferită este scula aşchietoare, partea activă poate fi considerată ca având elementele geometrice ale cuțitelor de strung, de aceea, definițiile care vor fi date cu privire la cuțitul de strung sunt valabile în general la partea activă a oricărei scule. Geometria părții active a sculei este definită, în general, prin standardele de stat, de aceea, spre exemplificare se fac referiri la cuțitul de strung.

Partea activă a cuțitului de strung conform ISO 3002/1 este formată din următoarele elemente (fig. 8.24):

- *fața de degajare* $A_{\gamma 2}$, care exercită forța de aşchiere asupra stratului de aşchiere și pe ea alunecă aşchia detașată;
- *fața de aşezare principală* $A_{\alpha 2}$ (în contact cu suprafața de aşchiere de-a lungul muchiei aşchietoare principale) și *fața de aşezare secundară* $A'_{\alpha 2}$ (în contact cu suprafața prelucrată de-a lungul muchiei aşchietoare secundare);
- *muchia principală de aşchiere* s este linia de intersecție a feței de degajare cu fața de aşezare principală;
- *muchia secundară de aşchiere* s' este linia de intersecție a feței de degajare cu fața de aşezare secundară;
- *tășul sculei aşchietoare* S_0 este unghiul diedru solid format în jurul unei muchii, de către de suprafața de degajare și respectiv suprafețele de aşezare;
- *vârful tășului* V este unghiul triedru format de fața de degajare cu cele două fețe de aşezare;
- *fașeta de degajare* $A_{\gamma 1}$, *fașeta de aşezare principală* $A_{\alpha 1}$ și *fașeta de aşezare secundară* $A'_{\alpha 1}$, sunt teșiturile executate în apropierea muchiilor corespunzătoare, având alte unghiuri decât fețele respective;
- *raza de rotunjire* r_a sau *raza vârfului* este raza cercului de racordare a două muchii aşchietoare vecine;
- *raza de ascutire* r_e sau *raza de bontire* este raza cercului de racordare dintre urmele fețelor de degajare și de aşezare, într-un plan de secționare perpendicular pe muchie (fig. 8.24. b);
- *tășul principal* S și respectiv *secundar* S' sunt tășurile corespunzătoare muchiilor respective.

Pentru definirea parametrilor geometrici ai unei scule, care să corespundă unor necesități funcționale, trebuie stabilit mai întâi un sistem de referință. Se folosesc două sisteme de referință:

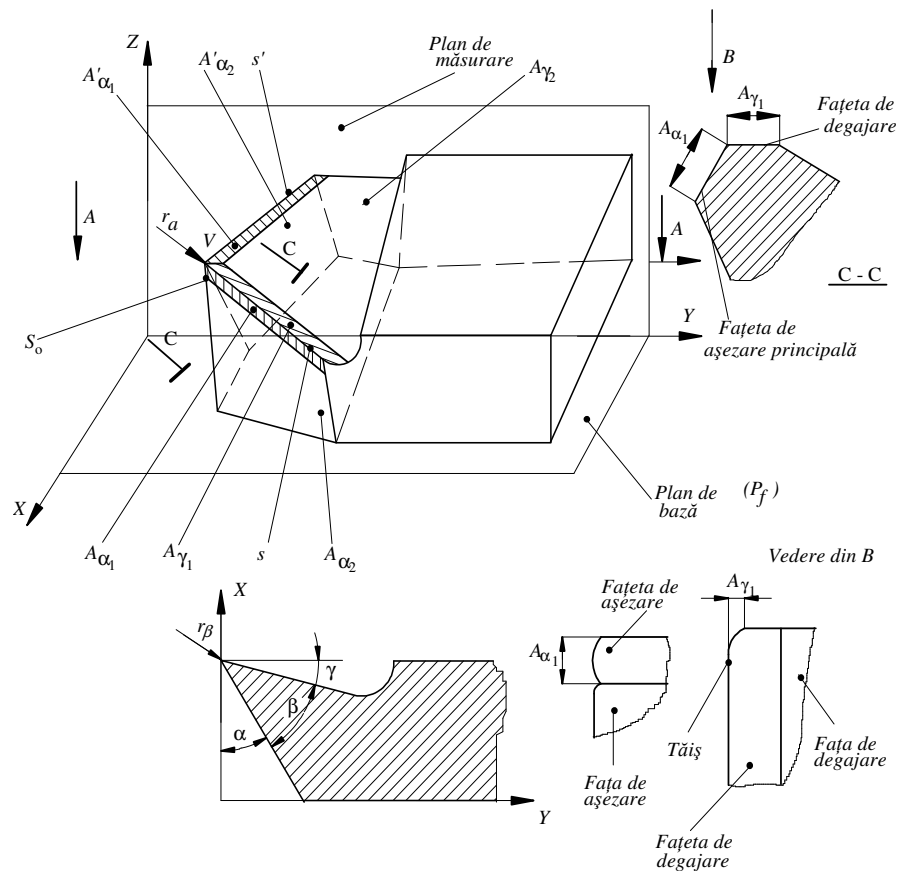


Fig. 8.24. Părțile componente ale zonei active a cuțitului:

$A_{\gamma 2}$ - fața de degajare; $A_{\gamma 1}$ - fațeta de degajare; $A_{\alpha 2}$ - fața de așezare principală; $A_{\alpha 1}$ - fațeta de așezare principală; $A'_{\alpha 2}$ - fața de așezare secundară; s ; s' - muchia principală și respectiv secundară de așchiere; S ; S' - tăișul principal și respectiv secundar; V - vârful tăișului; r_e - raza vârfului; r_β - raza de bontire.

• *Sistemul de referință constructiv*, care definește așezarea sculei în vederea prelucrării și reascuțirii, valorile parametrilor unghiulari, determinând forma părții active a sculei, realizată prin ascuțire. Sistemul de referință constructiv (fig. 8.25) este format din:

- planul de bază constructiv P_f - planul care trece prin punctul de așchiere considerat pe muchia așchietoare, perpendicular pe direcția mișcării principale și paralel cu o suprafață de bazare ce cuprinde cele două mișcări de avans, la sculele fără axă de rotație, iar la sculele cu axă de rotație, este planul care trece prin punctul considerat pe muchia așchietoare și axa de rotație a sculei;

- planul muchiei aşchietoare constructiv P_s - planul care trece prin muchia aşchietoare tangent la suprafaţa de aşchiere şi perpendicular pe planul de bază constructiv;
- planul de măsurare constructiv P_p - planul perpendicular pe cele două plane de mai sus.

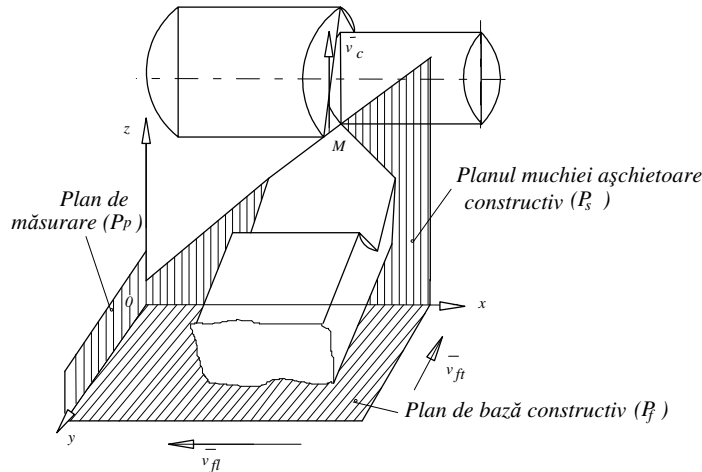


Fig. 8. 25. Sistemul de referinţă constructiv.

- *Sistemul de referinţă funcţional* (efectiv), care defineşte valorile parametrilor geometrici, ai părţii aşchietoare a sculei, consideraţi în timpul desfăşurării procesului de aşchiere.

8.3.1.1. Unghiurile părţii active în sistemul de referinţă constructiv

Aceste unghiuri determină forma părţii active a cuţitului, realizată prin ascuţire. În acest caz, cuţitul este privit static, ca un corp geometric. Ca unghiuri de formă se deosebesc (fig.8.26):

- *unghiul de aşezare constructiv* (principal α şi secundar α') este unghiul format de planul muchiei aşchietoare şi feţele de aşezare corespunzătoare ;
- *unghiul de degajare constructiv* (principal γ şi secundar γ') este unghiul format de planul feţei de degajare şi planul de bază constructiv;
- *unghiul de ascuţire constructiv* (principal β şi secundar β') este unghiul format de planul tangent la faţa de degajare şi planul tangent la faţa de aşezare respectivă, într-un punct dat;
- *unghiul de înclinare al tăişului λ_s* este unghiul format de muchia aşchietoare şi planul de bază (fig. 8.26. b) măsurat în planul muchiei aşchietoare;
- *unghiul de vârf sau unghiul de profil ϵ_r* este unghiul format de tangentele la muchiile principale şi respectiv secundare de aşchiere;

- unghiul de înclinare al tăișului λ_s este unghiul format de muchia așchietoare și planul de bază (fig. 8.26. b) măsurat în planul muchiei așchietoare;
- unghiul de vârf sau unghiul de profil ϵ_r este unghiul format de tangentele la muchiile principale și respectiv secundare de așchiere;

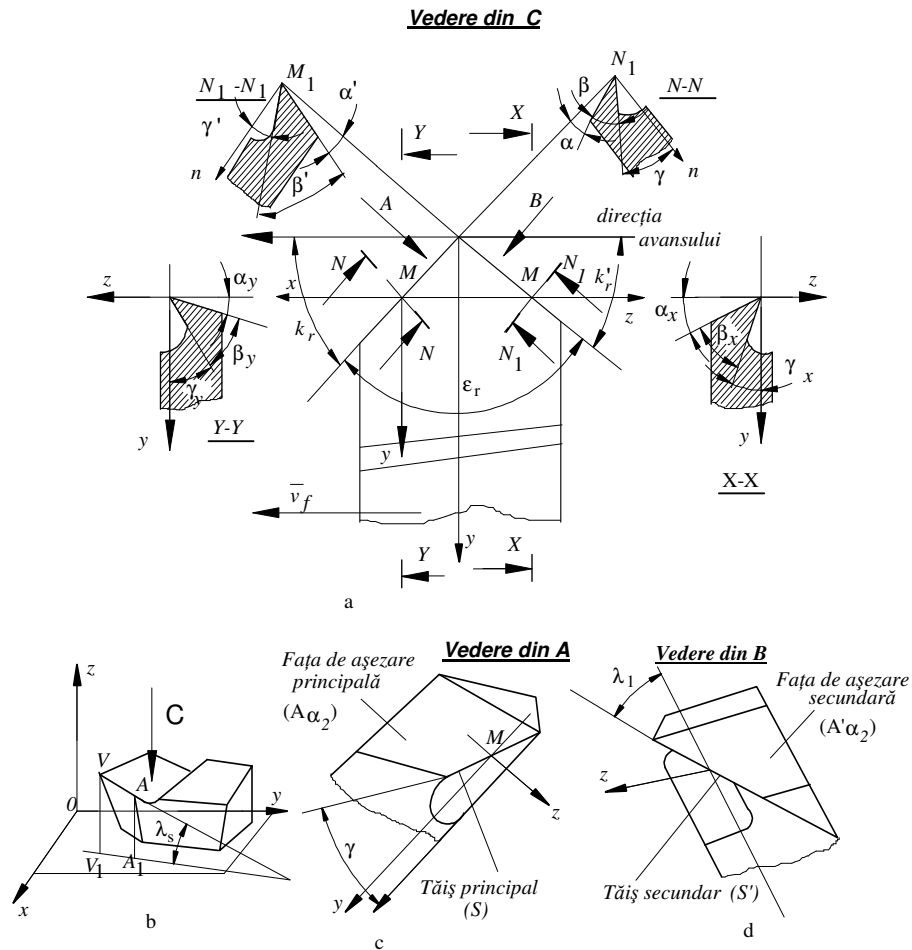


Fig. 8.26. Geometria cuțitului de strung:

A - vedere din C; b-vedere de ansamblu a unui cutit de strung; c, d - vedere laterală; α, α' - unghiul de așezare principal, respectiv secundar; γ, γ' - unghiul de degajare principal, respectiv secundar; β, β' - unghiul de ascuțire principal, respectiv secundar; k_r, k'_r - unghiul de atac principal, respectiv secundar; λ_s - unghiul de înclinare al tăișului; ϵ_r - unghiul de la vârf al cuțitului.

- unghiul de atac constructiv (principal k_r și secundar k'_r) este unghiul

format de direcția proiecției tășului principal (și respectiv secundar), pe planul de bază, cu direcția avansului (fig. 8.26. a). Relațiile matematice între unghiurile care se măsoară în planul de bază constructiv și respectiv în planul de măsurare constructiv sunt:

$$k_r + \varepsilon_r + k'_r = 180^\circ, \quad (8.13)$$

$$\alpha + \beta + \gamma = 90^\circ. \quad (8.14)$$

8.3.1.2. Unghiurile în sistemul de referință funcțional

În timpul procesului de așchiere, scula fiind în mișcare relativă față de piesă, datorită condițiilor tehnologice în care are loc așchieria, sistemul de referință constructiv al sculei $Oxyz$ își modifică poziția față de sistemul de referință cinematic $OXYZ$ al mașinii-unelte (fig.8.27). Datorită acestui fapt, unghiurile constructive atribuite sculei prin așchiere suferă modificări.

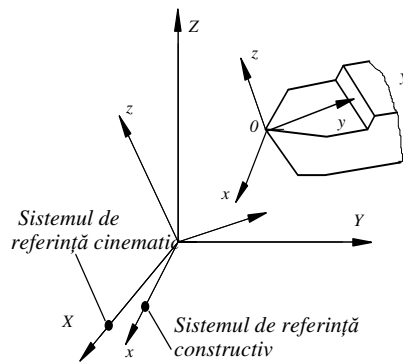


Fig. 8.27. Poziția celor două sisteme de referință în timpul procesului de așchiere.

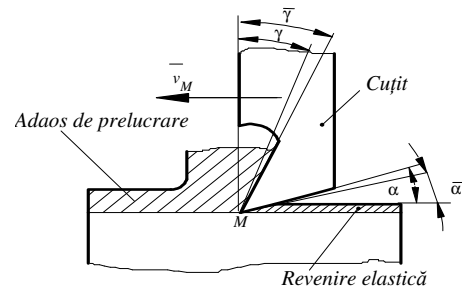


Fig. 8.28. Modificarea unghiului de așezare constructiv α datorită revenirilor elastice și a unghiului de degajare constructiv datorită presiunii așchiei :

$\bar{\alpha}$ - unghiul de așezare real (în lucru);

$\bar{\gamma}$ - unghiul de degajare real.

Deoarece procesul de așchiere este în prima fază un proces de deformare plastică, imediat după ce tășul sculei efectuează așchieria, materialul își revine într-o oarecare măsură (dispar deformațiile elastice), ridicându-se pe fața de așezare (fig. 8.28) și modificând unghiul de așezare. În mod obișnuit unghiul de așezare $\alpha = 6...12^\circ$, mărimea sa depinzând de materialul de prelucrat, materialul și tipul sculei, operația executată etc.

În mod analog, unghiul de degajare funcțional, fiind în legătură directă cu deformarea materialului și frecarea dintre așchie și sculă, va fi luat în direcția

în care a avut loc formarea elementelor de aşchiere şi se va măsura între perpendiculara dusă la tangenta traiectoriei tăişului sculei şi tangenta la faţa de degajare (fig. 8.28).

Aşchiile vor suferi deformaţii plastice cu atât mai mici cu cât unghiul de degajare este mai mare, însă cu cât unghiul de degajare creşte, se micşorează unghiul de ascuţire β (fig.8.29. a), şi deci se micşorează rezistenţa mecanică şi termică a sculei. În mod obişnuit, valorile unghiului de degajare γ sunt valori cuprinse între limitele $0^\circ \dots 30^\circ$, iar în mod excepţional se pot adopta şi valori negative, cuprinse între -5° şi -10° (fig. 8.29. b).

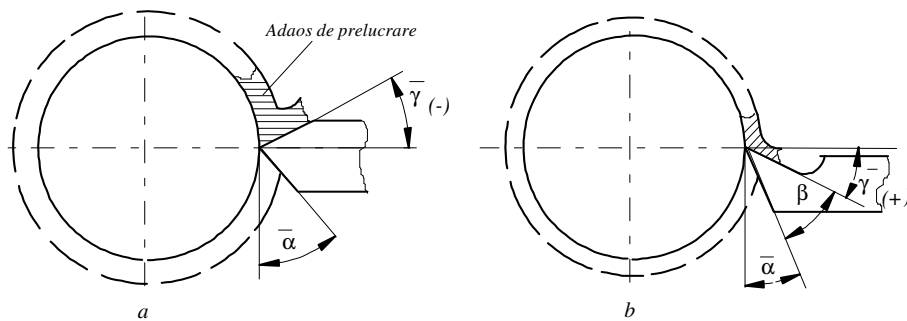


Fig. 8.29. Unghiul de degajare funcțional $\bar{\gamma}$ în procesul de strunjire:

a – cazul deformațiilor mici; b – cazul deformațiilor mari;

O altă cauză ce conduce inevitabil la alte unghiuri funcționale decât cele constructive este poziția tăişului cuțitului în raport cu centrul piesei (fig. 8.30. a și b). În cazul în care cuțitul este așezat deasupra axei piesei, la distanța h (fig. 8.30.a), unghiurile reale sunt:

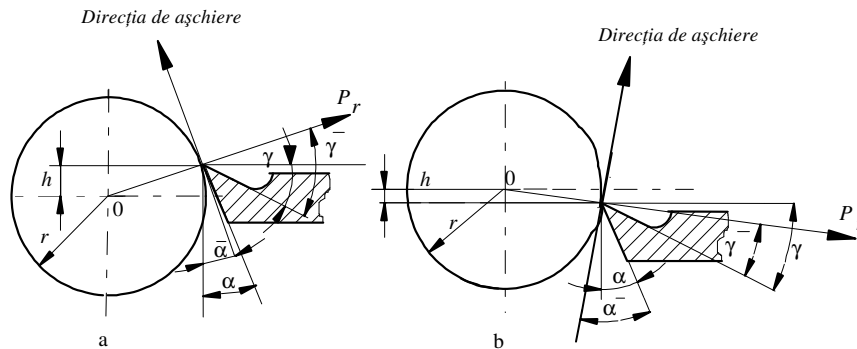


Fig. 8.30. Influența poziției cuțitului asupra parametrilor geometrici când:

a - vârful cuțitului se găsește deasupra axei piesei cu distanța h ; b- vârful cuțitului se găsește sub axa piesei cu distanța h .

$$\bar{\gamma} = \gamma + \arcsin \frac{h}{r}; \quad \bar{\alpha} = \alpha - \arcsin \frac{h}{r}, \quad (8.15)$$

iar când este aşezat cu vârful sub planul orizontal, cu înălţimea h , vor fi:

$$\bar{\gamma} = \gamma - \arcsin \frac{h}{r}; \quad \bar{\alpha} = \alpha + \arcsin \frac{h}{r}. \quad (8.16)$$

Avansul longitudinal şi avansul transversal, modificând poziţia traiectoriei cuţitului în mişcarea de aşchiere, va modifica corespunzător şi parametrii geometrici ai sculei.

În concluzie, la proiectarea oricărei scule aşchietoare este necesar să se prevadă mărimile parametrilor geometrici, de aşa valoare, încât prin modificarea acestora în procesul de aşchiere să rezulte valorile optime.

8.3.2. Parametrii geometrici ai stratului de aşchiere

În timpul unui ciclu al mişcării principale de aşchiere, de rotaţie, de translaţie, complexă, scula detaşează de pe suprafaţa de prelucrat un strat de material numit *aşchie*, forma şi mărimea ei fiind un parametru tehnologic important al procesului de aşchiere. Elementele secţiunii aşchiei se determină într-un plan perpendicular pe direcţia vitezei de aşchiere.

În figura 8.31 se prezintă parametrii geometrici ai aşchiei în cazul strunjirii longitudinale (fig.8.31.a), al rabotării (fig.8.31.b) şi al mortezării (fig.8.3.c) deosebindu-se:

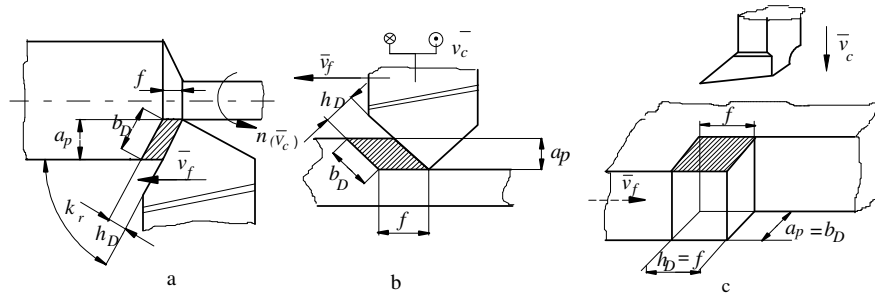


Fig. 8.31. Parametrii secţiunii transversale a aşchiei la:

a - strunjire; b - rabotare; c - mortezare ; a_p - adâncimea de aşchiere; b_D - lăţimea aşchiei; h_D - grosimea aşchiei; f - avansul de aşchiere; \bar{v}_c - viteza mişcării principale de aşchiere; \bar{v}_f - viteza mişcării de avans.

- *grosimea nominală a aşchiei* h_D , distanţa dintre două poziţii succesive ale suprafeţei de aşchiere, măsurată perpendicular pe suprafeţe de aşchiere, la o rotaţie;
 - *lăţimea nominală a aşchiei* b_D , dimensiunea aşchiei în contact cu tăişul

principal, măsurată pe acesta;

- *lungimea nominală a aşchiei* l , lungimea drumului parcurs de tăişul principal, măsurată pe acesta.

Parametrii tehnologici ai aşchiei sunt:

- *adâncimea de aşchiere* a_p , distanţa dintre suprafaţa prelucrată şi suprafaţa de prelucrat. Adâncimea de aşchiere este egală cu avansul de pătrundere sau de potrivire al sculei;

- *avansul* f , distanţa dintre două poziţii succesive ale unui punct de pe tăişul sculei sau dintre două poziţii succesive ale suprafeţei de aşchiere, după efectuarea unui ciclu în mişcarea principală (o rotaţie completă la strunjire, o rotaţie de un pas al dinţiilor la frezare, o cursă la rabotare şi mortezare etc.).

Secţiunea aşchiei este diferită în funcţie de particularităţile conturului tăişului sculei, deosebindu-se mai multe tipuri de aşchii (fig.8.32). Între parametrii geometrici ai stratului aşchiat există următoarele relaţii:

$$h_D = f \cdot \sin k_r ; \quad b_D = f / \sin k_r . \quad (8.17)$$

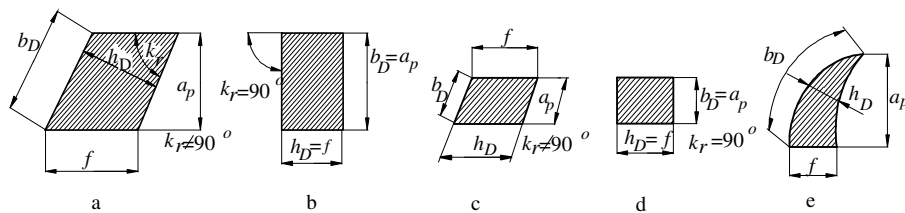


Fig. 8.32. Forma teoretică a secţiunii transversale:

a, b - aşchii înalte sau directe; c, d - aşchii joase sau inverse; e - aşchie de grosime variabilă.

Relaţiile (8.17) arată că pentru aceeaşi adâncime de aşchiere a_p şi acelaşi avans f , lăţimea b_D se micşorează, iar grosimea h_D creşte odată cu creşterea unghiului de atac k_r (fig. 8.33).

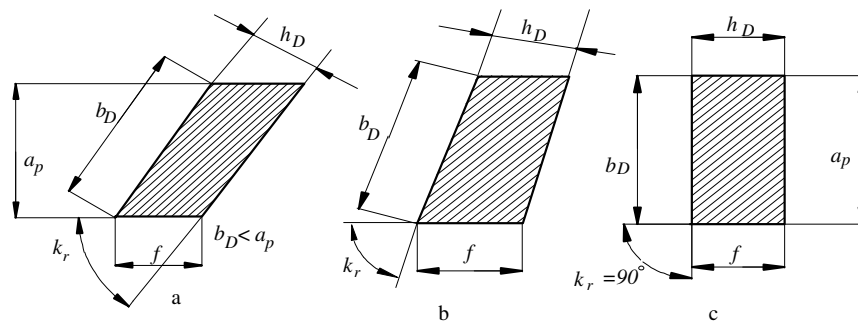


Fig. 8.33. Variaţia parametrilor geometrici în funcţie de unghiul de atac:

a - $k_r < 45^\circ$; b - $k_r \in (45^\circ - 90^\circ)$; c - $k_r = 90^\circ$.

Forma reală a secțiunii transversale a așchii diferă de cea teoretică. Acest lucru se datorește faptului că tăișul secundar nu detașează așchia exact după linia suprafeței prelucrate, ci sub un unghi oarecare și datorită deformațiilor pe care le suferă așchia în procesul de aşchiere. În timpul procesului de aşchiere, adaosul de prelucrare se transformă în așchie, suferind de regulă o deformare permanentă (fig. 8.34) denumită *tasare*.

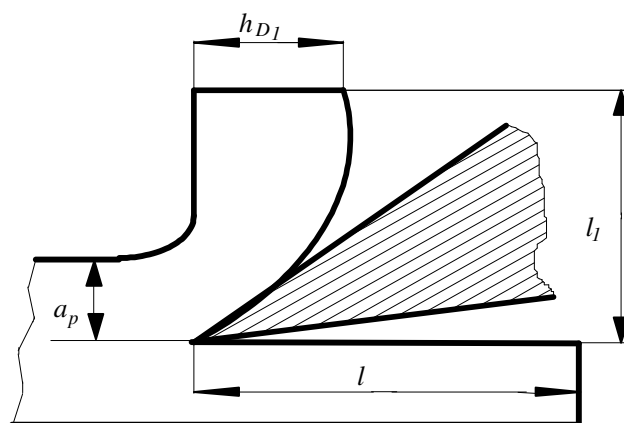


Fig. 8.34. Tasarea așchii.

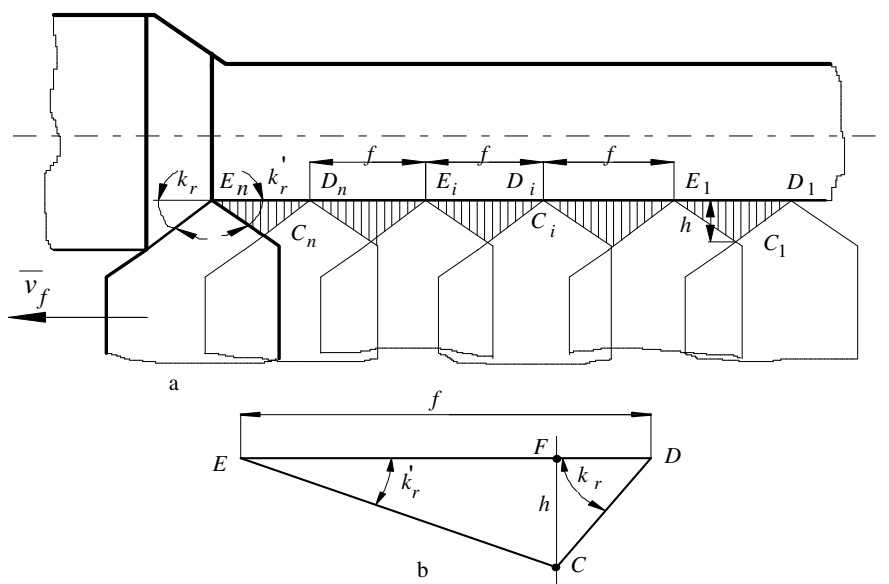


Fig. 8.35. Secțiunea așchii rămase pe suprafața prelucrată:
a - la strunjirea pe o porțiune de lungime mare; b - detaliu privind poziția la un moment dat a
cuțitului.

Dacă se măsoară dimensiunile stratului de aşchiere (l , h_D , b_D) şi dimensiunile aşchiei detaşate (l_I , h_{DI} , b_{DI}) se constată că după aşchiere lungimea s-a micşorat, iar grosimea şi lăţimea s-au mărit, adică aşchia s-a contractat (tasat) în proporţiile:

$$l/l_I = k_l = 1,5 \dots 4,0; \quad b_D/b_{DI} = k_{bD} = 1,0 \dots 1,2; \quad h_{DI}/h_D = kh_D = 1,5 \dots 4,0 \quad (8.18)$$

Aceşti coeficienţi variază în limite destul de largi, în funcţie de materialul aşchiat şi de condiţiile fizice ale procesului de aşchiere.

În urma trecerii cuţitului, pe suprafaţa prelucrată a piesei rămâne o suprafaţă zimţată (secţiunea rămasă a aşchiei), a cărei valoare este egală cu de n ori suprafaţa triunghiului DCE (fig. 8.35. a). Din aria secţiunii rămase (ΔDCE) se poate deduce înălţimea h cu expresia:

$$h = \frac{f}{\text{ctg} k'_r + \text{ctg} k_r}, \quad (8.19)$$

relaţie extrem de importantă, deoarece ea dă gradul de netezime (rugozitatea) suprafeţei prelucrate (fig. 8.35. b). Tot această relaţie clarifică rolul esenţial al tăişului secundar ca tăiş netezitor (când $k'_r \rightarrow 0 \Rightarrow h \rightarrow 0$). De aceea, unghiul de atac secundar k'_r , la sculele de finisare (cuţite late, alezoare), precum şi la frezele frontale se ia cât mai mic posibil ($k'_r = 2 \dots 5^\circ$ şi chiar mai mic).

8.3.3. Procesul fizic de aşchiere

Procesul fizic prin care stratul de aşchiere se transformă şi se desprinde sub formă de aşchie este un fenomen fizic deosebit de complex. Astfel, sub acţiunea forţelor exterioare imprimate sculei şi aplicate stratului de material din faţa ei, în aceasta apar deformaţii care iniţial sunt elastice, apoi plastice, ulterior are loc distrugerea coeziunii intermoleculare, urmată de separarea aşchiei de restul materialului. În acelaşi timp, elementul de aşchie în mişcarea sa în raport cu elementul următor, are de învins frecările interioare, iar în raport cu scula aşchietoare este supus acţiunii forţelor de frecare dintre el şi sculă. Căldura degajată în acest timp afectează atât elementul de aşchie în cauză, cât şi straturile învecinate şi suprafeţele active ale sculei, modificând condiţiile iniţiale de desfăşurare a procesului. De exemplu, modificarea caracteristicilor mecanice (a deformabilităţii materialului în special), modificarea condiţiilor de frecare (ca urmare a depunerilor) aşchie-sculă şi sculă-suprafaţă prelucrată, precum şi modificarea permanentă a geometriei sculei (datorită uzurii şi existenţei depunerilor) sunt principalii factori care complică studiul procesului de aşchiere.

8.3.3.1. Procesul de aşchiere ca proces de deformare plastică

În cazul cel mai simplu, procesul de aşchiere poate fi reprezentat ca în

figura 8.36, unde sculei i se imprimă de către maşina-unealtă o forţă F . Dacă stratul de aşchiere, de grosime a_p , se consideră separat de restul materialului printr-o tăietură OO' , atunci acţiunea sculei poate fi asimilată cu acţiunea unui poanson care ar acţiona cu aceeaşi forţă asupra unei epruvete prismatice (fig.8.36.b), solicitând-o la compresiune. În fiecare element de volum din masa epruvetei, sub acţiunea forţei F iau naştere tensiuni normale principale şi tensiuni tangenţiale maxime, având direcţii înclinate la 45° faţă de direcţia tensiunilor normale (fig. 8.36. b). În prima etapă epruveta se deformează elastic, iar după ce se depăşeşte limita elastică încep deformaţiile plastice (alunecarea relativă a elementelor de suprafaţă de-a lungul liniilor de alunecare). Când materialul epruvetei şi-a epuizat capacitatea de deformare, se produce ruperea în zonele unde tensiunile principale au devenit maxime (la 45° faţă de direcţia de acţiune a forţei).

În cazul aşchierii, deoarece stratul supus prelucrării are latura inferioară legată de materialul de bază, prin forţele de coeziune cristalină (lipseşte tăietura OO'), şi datorită forţelor de frecare pe faţa de degajare a cuţitului, liniile de alunecare nu mai au înclinări constante de 45° faţă de direcţia forţei, ci vor fi curbate şi deviate înspre partea liberă a stratului comprimat. Astfel forfecarea aşchiei va avea loc după direcţia MN , denumită *linie de forfecare*, sub un unghi $\omega = 25\ldots 30^\circ$, denumit *unghi de forfecare* (fig. 8.36. c). Procesul descris mai sus nu se reproduce identic în toate cazurile, ci diferă în funcţie de natura materialului de prelucrat, geometria sculei aşchietoare, viteza de aşchiere, condiţiile de răcire etc.

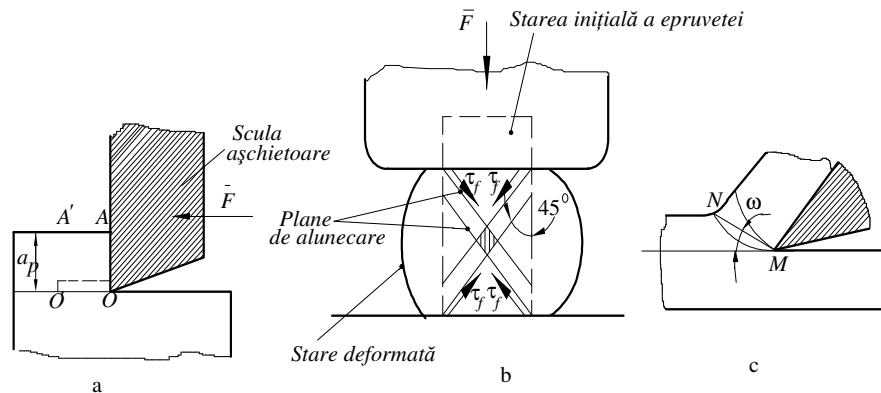


Fig. 8.36. Procesul de aşchiere ca un proces de deformare plastică:
a- stare a iniţială ipotetică; b - deformarea plastică prin refulare; c - desprinderea aşchiei prin forfecare.

Natura formării aşchiei conţine informaţii importante asupra modului în care decurge procesul de aşchiere, fiind cunoscute în general patru tipuri de bază ale formării aşchiei. Considerând dependenţa dintre tensiunea tangenţială τ_j din planul de forfecare şi mărimea deformaţiei ϵ (fig.8.37. a), în funcţie de deformaţia

ε_0 corespunzătoare unui anumit unghi γ , se pot explica cele patru tipuri de bază ale formării aşchiei:

- *formarea aşchiei continue sau de curgere* (fig. 8.37. c) are loc când $\varepsilon_0 < \varepsilon''$, adică deformarea are loc în domeniul de ecruisare, capacitatea de deformare nefiind complet consumată. În felul acesta apare aşchia de curgere, care, pentru a fi ruptă, are nevoie de o deformare suplimentară mare. Apare la materialele ductile;

- *formarea aşchiei lamelare sau semicontinue* (fig.8.37. d) are loc când $\varepsilon'' < \varepsilon_0 < \varepsilon_R$. Forţa de aşchiere se reduce imediat când gradul de deformare atinge valoarea ε'' ; are loc o întărire a planului de forfecare până când presiunea creată de faţa de degajare produce o deplasare a planului de forfecare. Apar aşchii lamelare care se nasc o dată cu creşterea deformării şi scăderea rezistenţei materialului, în planul de forfecare;

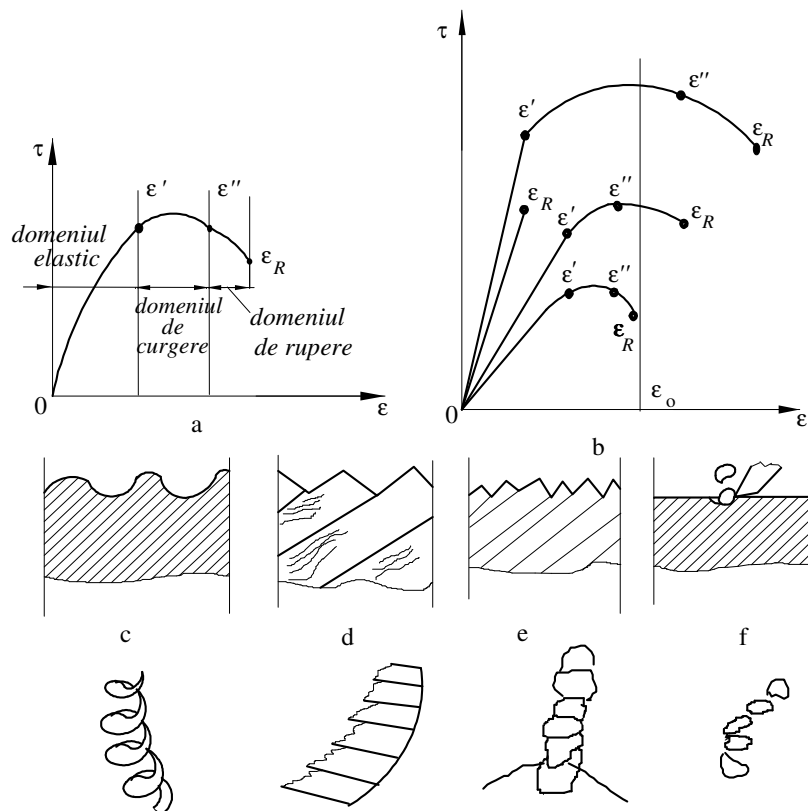


Fig. 8.37. Procesul de formare al aşchiilor şi tipuri de aşchii:

a - curba tensiune tangenţială de forfecare τ_f - deformare ε ; b - domeniile prin care poate trece un material sub acţiunea unei forţe de aşchiere; c - aşchii continue; d - aşchii lamelare; e - aşchii discontinue; f - aşchii de rupere.

- *formarea aşchiilor discontinue* (fig. 8.37. e) are loc când $\varepsilon_o > \varepsilon_R$. În acest caz, deformarea în planul de forfecare depăşeşte capacitatea de deformare a materialului, aşchia se foarfecă complet, rămânând legată pe o anumită porţiune. Apare la materialele fragile şi acolo unde deformarea produce sfărâmarea structurii la limita grăunţilor;

- *formarea aşchiilor de rupere* (fig. 8.37. f) are loc când $\varepsilon_o \gg \varepsilon_R$. La materialele cu capacitate de deformare redusă (ca, de exemplu, fontele) nu au loc deformaţii sub formă de alunecări, aşa încât ruperea intervine de la început sub formă de forfecare, în direcţie aproape paralelă cu mişcarea sculei aşchietoare.

În practică pe lângă aceste feluri tipice de aşchii se întâlnesc şi varietăţi intermediare, cu caracteristici care le apropie mai mult sau mai puţin de unul din tipurile descrise mai sus.

În orice caz, după forma aşchiei se pot trage concluzii asupra caracterului şi a intensităţii deformaţiilor plastice cu care s-a produs procesul de aşchiere în condiţiile date.

8.3.3.2. Procesul de aşchiere ca un proces de curgere hidrodinamică

La prelucrarea materialelor cu proprietăţi de plasticitate bune, la viteze mari de aşchiere, aşchia înmagazinează o mare cantitate de căldură degajată în procesul de aşchiere, devine incandescentă şi începe să curgă pe faţa de degajare ca un jet continuu de lichid. Acest mod de abordare a procesului de aşchiere este mai apropiat de realitate la aşchiera complexă şi la viteze mari şi foarte mari de aşchiere.

8.3.4. Forţele şi rezistenţele de aşchiere

Determinarea forţelor care iau naştere în procesul tehnologic de aşchiere are o importanţă, deosebită deoarece aceste forţe sunt cele care solicită maşina-uneltă, scula, dispozitivul şi piesa care se prelucrează. Ansamblul acestor forţe constituie elementele de plecare în proiectarea maşinii-unelte, verificarea la rezistenţă a sculei aşchietoare şi a dispozitivului, precum şi în calculul deformaţiilor sistemului tehnologic.

8.3.4.1. Componentele forţei de aşchiere

Ca urmare a mişcării relative, cu viteza v_e dintre piesă şi sculă, scula exercită o forţă sub acţiunea căreia stratul de aşchiere este îndepărtat sub formă de aşchie după linia MN , simultan cu învingerea tuturor forţelor de frecare (interne şi externe). În fiecare element de suprafaţă dS_f , de pe suprafaţa de forfecare MN (fig. 8.38), apar eforturi unitare de compresiune σ_r şi eforturi unitare tangenţiale τ , care dau naştere la reacţiunile forţelor de deformare plastică R_c şi R_f date de relaţiile:

$$R_c = \oint_{S_f} \sigma_r \cdot dS_f = \sigma_r \cdot S_f, \quad (8.20)$$

$$R_c = \oint_{S_f} \tau \cdot dS_f = \tau \cdot S_f , \quad (8.21)$$

în care R_c reprezintă rezistența totală la compresiune, datorată tensiunilor normale σ_r ; R_f - rezistența totală la alunecare datorată tensiunilor tangențiale de forfecare τ_f .

Deplasările pe suprafața de forfecare dau naștere și unei forțe de frecare interioare F_i , proporțională cu tensiunile normale și coeficientul de frecare interioară μ_i :

$$\overline{F_i} = \mu_i \cdot \overline{R_c} \text{ sau } F_i = \mu_i \cdot \sigma_r \cdot S_f . \quad (8.22)$$

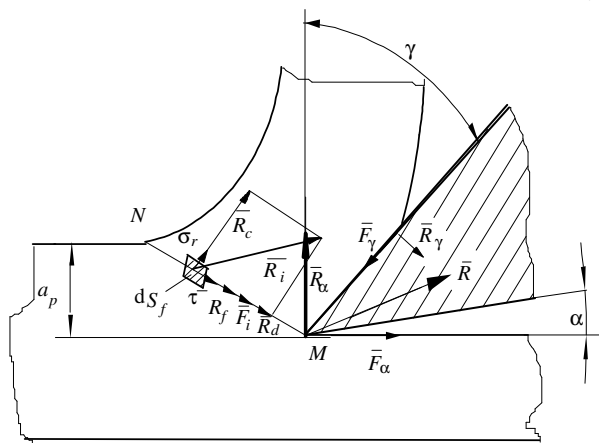


Fig. 8.38. Forțele și rezistențele de așchiere:
 R_c - rezistența la compresiune;
 R_f - rezistența la alunecare datorită tensiunilor de forfecare;
 F_i - forțe de frecare interioară;
 R_i - rezistența interioară la deformare;
 R_d - reacțiunea dintre material și fața de degajare;
 F_α - forța de frecare dintre suprafața prelucrată și fața de așezare;
 F_γ - forța de frecare dintre așchie și fața de degajare.

Prin urmare, din cauza deformării plastice a materialului apare o rezistență interioară de deformare R_i dată de relația :

$$\overline{R_i} = \overline{R_c} + \overline{R_f} + \overline{F_i} = \overline{R_c} + \overline{R_d} , \quad (8.23)$$

în care $\overline{R_d}$ este rezistența la deformare plastică.

Între sculă și suprafața prelucrată apare o forță de respingere R_α , care provine din lucrul mecanic de deformare a suprafeței prelucrate și o forță de frecare F_α între suprafața prelucrată și fața de așezare:

$$\overline{F_\alpha} = \mu_\alpha \cdot \overline{R_\alpha} , \quad (8.24)$$

în care μ_α este coeficientul de frecare la interfața suprafață prelucrată-suprafață de așezare.

În mod analog, între suprafața de degajare și așchie apare forța de respingere R_γ și forța de frecare F_γ :

$$\overline{F_\gamma} = \mu_\gamma \cdot \overline{R_\gamma} , \quad (8.25)$$

în care μ_γ este coeficientul de frecare la interfața așchie-suprafață de degajare.

Rezultă că, în orice moment, asupra sculei acționează o rezistență totală R de forma:

$$\bar{R} = \bar{R}_i + \bar{R}_\alpha + \bar{R}_\gamma + \bar{F}_\alpha + \bar{F}_\gamma. \quad (8.26)$$

Rezistența totală R are o direcție oarecare în spațiu, de aceea, pentru dimensionarea sculei și a lanțurilor cinematice ale mașinii-unelte (lanțul cinematic principal și de avans) prezintă interes componentele după direcțiile sistemului de referință cinematic $Oxyz$. Determinarea modelului matematic al forțelor de așchiere, al dependenței acestora de condițiile reale de așchiere, prezintă o mare importanță pentru:

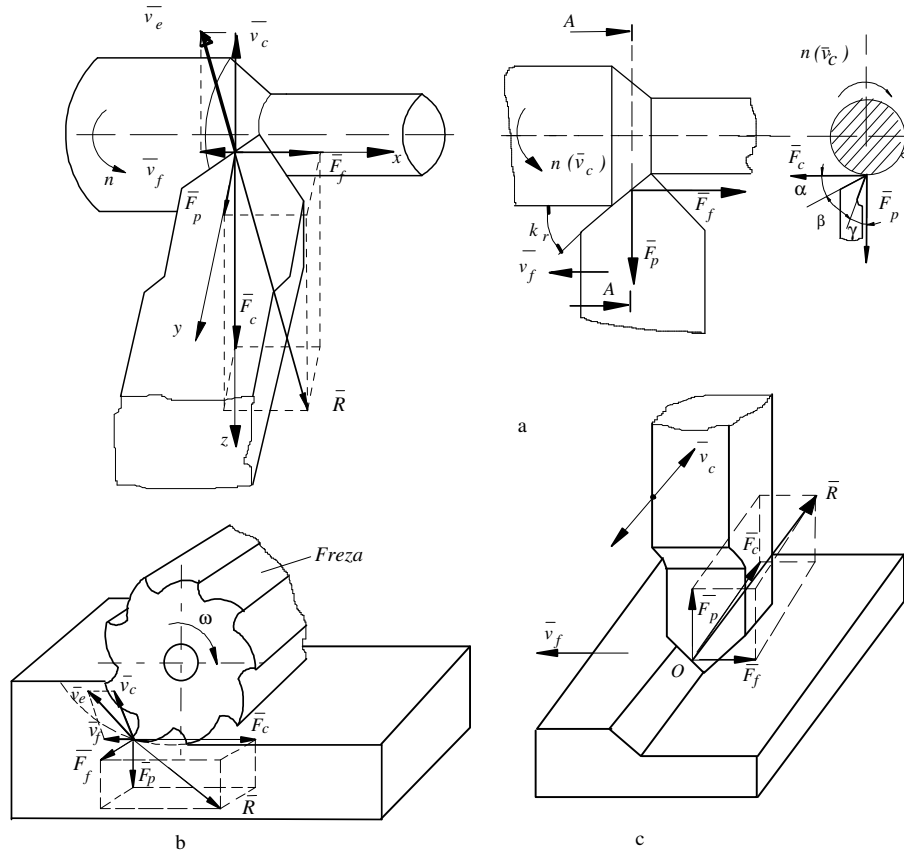


Fig. 8.39. Componentele forței de așchiere:

a - la strunjire; b - la frezare; c - la rabotare; R - rezistența totală la așchiere; F_c - componenta principală; F_f - componenta în direcția avansului; F_p - componenta radială.

- optimizarea procesului din punct de vedere al consumului de energie;
- obținerea datelor necesare dimensionării mașinilor-unelte, sculelor și dispozitivelor de prindere a piesei;
- controlarea proceselor, prin intermediul forței, cu ajutorul reglajului automat.

De exemplu, componenta F_c - în direcția vitezei de așchiere, F_f - în direcția avansului longitudinal și F_p - în direcția avansului transversal, sunt componentele ce trebuie determinate în cazul strunjirii (fig. 8.39. a), al frezării (fig. 8.39. b) sau al rabotării (fig. 8.39. c). Între aceste componente ale forței de așchiere există anumite rapoarte, determinate experimental, în funcție de geometria sculei. De exemplu, în cazul strunjirii, pentru $\lambda = 0^\circ$; $k_r = 45^\circ$; $\gamma = 15^\circ$, valorile acestor rapoarte sunt:

$$F_f = (0,25 \dots 0,35) F_c; \quad F_p = (0,35 \dots 0,50) F_c. \quad (8.27)$$

În toate cazurile, componenta cea mai importantă a forței de așchiere, denumită *componenta principală* (F_c în cazul strunjirii) este orientată după direcția vitezei principale de așchiere.

Expresiile componentelor forței de așchiere, determinate experimental, sunt de tip politropic:

$$\begin{cases} F_c = C_{Fc} \cdot a_p^{x_{Fc}} \cdot f^{y_{Fc}} \cdot v_c^{z_{Fc}} \\ F_p = C_{Fp} \cdot a_p^{x_{Fp}} \cdot f^{y_{Fp}} \cdot v_c^{z_{Fp}} \\ F_f = C_{Ff} \cdot a_p^{x_{Ff}} \cdot f^{y_{Ff}} \cdot v_c^{z_{Ff}} \end{cases}, \quad (8.28)$$

în care C_{Ff} , C_{Fp} , C_{Fc} , x_{Ff} , y_{Ff} , z_{Ff} , x_{Fp} , y_{Fp} , z_{Fp} , x_{Fc} , y_{Fc} , z_{Fc} sunt coeficienții determinați pe cale experimentală în funcție de materialul de prelucrat, materialul sculei, geometria sculei și condițiile de așchiere; f - avansul de așchiere; a_p - adâncimea de așchiere; v_c - viteza de așchiere efectivă.

8.3.4.2. Lucrul mecanic și puterea în procesul de așchiere

Pentru a învinge rezistența de așchiere a materialului și a produce așchiera este necesar ca mașina-uneltă să realizeze mișcarea principală și mișcările de avans, dezvoltând o putere corespunzătoare. Lucrul mecanic E_c produs de mașina-uneltă trebuie să fie:

$$\overline{E_c} = \overline{R \cdot l}; \quad E_c = R \cdot l \cdot \cos v, \quad (8.29)$$

în care R este rezistența totală; l - deplasarea; v - unghiul dintre R și l .

Deoarece prezintă importanță componentele F_f , F_p și F_c și deplasările unitare corespunzătoare Δl_x , Δl_y , Δl_z , lucrul mecanic L raportat la unitatea de timp capătă expresia:

$$L = F_c \cdot \Delta l_z + F_p \cdot \Delta l_y + F_f \cdot \Delta l_x. \quad (8.30)$$

Deplasările unitare sunt tocmai vitezele mişcarilor de aşchiere:

$$\begin{aligned}\Delta l_z &= v_z = v_c - \text{viteza principală de aşchiere} \\ \Delta l_y &= v_p - \text{viteza de deplasare în lungul sculei} \\ \Delta l_x &= v_x = v_f - \text{viteza de avans}\end{aligned}\quad (8.31)$$

şi în acest caz expresia puterii P (lucrul mecanic total în unitatea de timp) va fi:

$$P = F_c \cdot v_c + F_p \cdot v_p + F_f \cdot v_f . \quad (8.32)$$

În general deplasarea după direcţia Oy este aproape nulă, în timpul prelucrării, deplasarea după direcţia Ox se execută de regulă cu viteza de avans v_f , prin urmare, cu o eroare nu mai mare de 1...2% puterea de aşchiere se poate calcula cu relaţia:

$$P_c = \frac{F_c \cdot v_c}{6120} , \quad (8.32)$$

iar puterea motorului de acţionare P_m a lantului cinematic principal

$$P_m = \frac{F_c \cdot v_c}{6120 \cdot \eta_p} \text{ [kW]} , \quad (8.33)$$

în care η_p este randamentul lanţului cinematic principal.

Pentru calculul puterii motorului ce acţionează lantul cinematic de avans P_f se foloseşte relaţia:

$$P_f = \frac{F_f \cdot v_f}{6120 \cdot \eta_f} \text{ [kW]} , \quad (8.34)$$

în care η_f este randamentul lantului cinematic de avans.

8.3.5. Fenomene ce însoţesc procesul de aşchiere

8.3.5.1. Deformarea materialului sub suprafaţa prelucrată

Sub acţiunea sculei aşchietoare, stratul de material de sub suprafaţa prelucrată suferă şi el deformaţii plastice. Deformaţiile generate de muchia sculei aşchietoare se manifestă prin modificarea structurală şi ecruisarea (întărirea) materialului din straturile superficiale ale piesei. Intensitatea ecruisării şi răspândirea ei în adâncimea suprafeţei prelucrate a_1 şi în faţa cuţitului a_2 (fig.8.40) sunt variabile, depinzând mai ales de geometria sculei aşchietoare, grosimea stratului aşchiat şi de viteza de aşchiere.

Experimental se constată că deformaţiile stratului superficial se datoresc faptului că orice tăiş, oricât de bine ar fi ascuţit, rămâne cu o mică rază r_β , numită

rază de bontire. Mărimile a_1 și a_2 cresc o dată cu mărimea unghiului $(\alpha + \beta)$, a razei r_β , a grosimii stratului aşchiat a_p și scad o dată cu creșterea vitezei de aşchiere. În general deformările superficiale nu sunt de dorit deoarece:

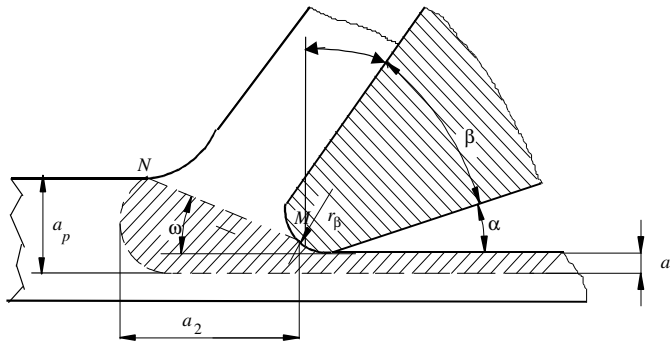


Fig. 8.40. Răspândirea deformăției sub linia de forfecare MN.

- înrăutățesc precizia dimensională și calitatea suprafeței prelucrate;
- determină apariția tensiunilor remanente de întindere în stratul superficial micșorând rezistența la oboseală. În anumite cazuri însă, în locul unor tratamente termice, pentru mărirea durității superficiale și a rezistenței la uzură a pieselor de tipul arborilor sau axelor, se folosește strunjirea cu cuțite având rază de bontire mare, unghiul de degajare mic sau negativ și la temperaturi ridicate.

8.3.5.2. Depunerile pe tăiș

În timpul aşchierii, în funcție de proprietățile fizico-mecanice ale materialului prelucrat și de condițiile în care se desfășoară procesul de aşchiere, pe fața de degajare a sculei, lângă muchia tăișului se depun, ca și cum ar fi sudate, particule din materialul aşchiat (fig. 8.41). Această depunere acoperă tăișul și se întinde pe o porțiune de circa 1...3 mm.

Din analiza fenomenului se constată că:

- depunerea pe tăiș este formată din straturi paralele cu planurile de alunecare din aşchie;
- straturile rămase pe tăiș sunt foarte dure;
- forma depunerii și poziția ei față de tăiș variază în raport cu geometria sculei și grosimea aşchiei; depunerea în general nu este permanentă, ea apare, crește treptat și dispare periodic (cu frecvența de 1/50...1/5 secunde); depunerile modifică geometria sculei (unghiul de aşchiere efectiv δ_2 va fi mai mic decât unghiul de aşchiere constructiv δ_1).

Depunerile pe tăiș cresc continuu în timpul aşchierii, până în momentul când aderența la sculă este învinsă de presiunea aşchiei, deplasându-se complet sau parțial, antrenând și mici particule de pe tăișul sculei. În acest fel, condițiile procesului de aşchiere variază.

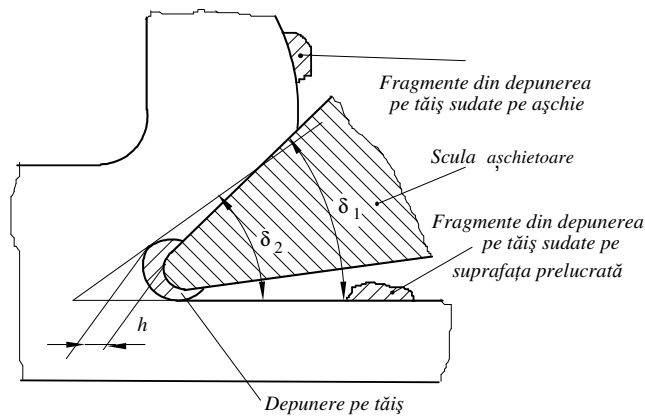


Fig. 8.41.
Depunerea pe tăiş.

Regimul de formare a depunerilor variază cu condițiile în care se produce aşchiera, astfel:

- nu se produc decât la aşchiera materialelor ce se deformează plastic (la fonte nu apar depuneri);
- apar numai la aşchiera continuă, depinzând de viteza de aşchiere (fig. 8.42). Există o anumită *viteză critică pentru depuneri*, de la care depunerile nu se mai formează;

- zona de temperaturi cea mai favorabilă depunerilor pe tăiş este cuprinsă în intervalul 200°C...600°C, deoarece la aceste temperaturi are loc cea mai mare ecruisare a materialului.

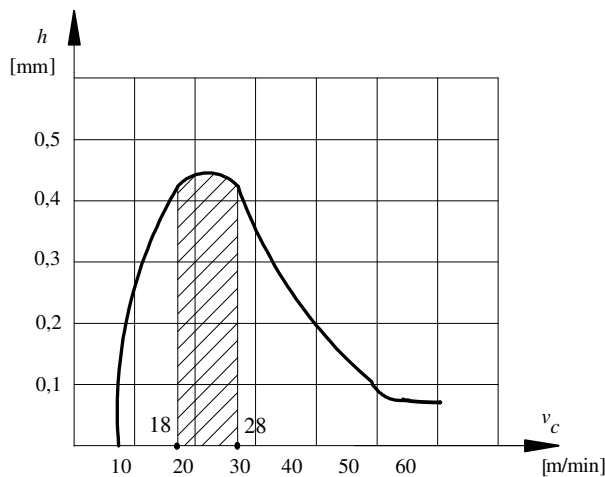


Fig. 8.42. Mărimea depunerii pe tăiş h , în funcție de viteza de aşchiere v_c .

Depunerile pe tăiş prezintă unele avantaje, precum și o serie de dezavantaje pentru modul de desfășurare al procesului de aşchiere.

Ca avantaje se consideră:

- protejarea tăişului sculei, ferindu-l de uzură;
- creşterea unghiului de degajare, uşurând condiţiile de aşchiere;
- reducerea forţelor de aşchiere şi a temperaturii tăişului;

iar ca dezavantaje:

- modificarea cotei de reglare a sculei;
- înrăutăţirea calităţii suprafeţelor preucrate;
- variaţia forţei de aşchiere, ce constituie o sursă de vibraţii.

Prin urmare, formarea depunerilor pe tăiş la degroşare este avantajoasă (protejează cuţitul şi măreşte rezistenţa lui la uzură), în timp ce la lucrările de finisare se recomandă evitarea lor (lucrul cu viteze mai mari decât viteza critică de depunere, la temperaturi mai mari de 600° C sau mai mici de 200° C).

8.3.5.3. Fenomene termice în procesul de aşchiere

Apariţia căldurii este un fenomen care însoţeşte în mod obligatoriu oricare proces de aşchiere. Sursa de apariţie a căldurii o constituie lucrul mecanic total L consumat în procesul de aşchiere, dat de relaţia:

$$L = L_{dp} + L_{fy} + L_{f\alpha} + L_{de} + L_{oa} + L_{sa}, \quad (8.35)$$

în care L_{dp} este lucrul mecanic consumat pentru deformarea plastică; L_{fy} - lucrul mecanic consumat prin frecări pe faţa de degajare; $L_{f\alpha}$ - lucrul mecanic consumat prin frecări pe faţa de aşezare; L_{de} - lucrul mecanic consumat pentru deformările elastice; L_{oa} - lucrul mecanic consumat pentru spiralarea aşchiei; L_{sa} - lucrul mecanic consumat pentru sfărâmarea aşchiei. Ultimii trei termeni, deci suma ($L_{de} + L_{oa} + L_{sa}$), reprezintă doar 2...3% din lucrul mecanic total şi se poate neglija.

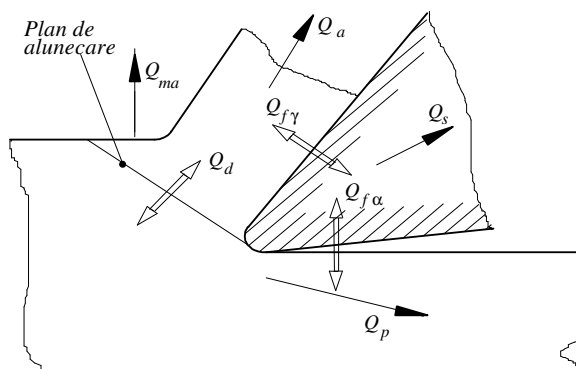


Fig. 8.43. Principalele surse de căldură în procesul de aşchiere: Q_d - căldura rezultată în planul de forfecare; $Q_{f\alpha}$ - căldura datorată frecării la interfaţa suprafaţă prelucrată - faţă de aşezare; Q_{fy} - căldura datorată frecării la interfaţa aşchie - faţă de degajare; Q_s - căldura disipată în sculă; Q_p - căldura disipată în piesă; Q_a - căldura disipată în aşchie; Q_{ma} - căldura disipată în mediul ambiant.

Aproape întregul lucru mecanic consumat în procesul de aşchiere (peste 99,5%) se transformă în căldură şi numai o mică parte (sub 0,5%) se înmagazinează sub formă de energie potenţială în piesă.

Principalele surse de căldură în procesul de aşchiere sunt (figura 8.43):

- deformațiile plastice în planele de alunecare ale stratului aşchiat (Q_d);
- frecarea dintre aşchie şi faţa de degajare (Q_{fy});
- frecarea dintre aşchie şi faţa de aşezare (Q_{fa}).

Căldura Q , rezultată din aceste trei zone, se transmite spre zonele cu temperatură mai scăzută, adică: în aşchie (Q_a); în sculă (Q_s); în sistemul piesă - dispozitiv de prindere - maşină-unealtă (Q_p); în mediul ambiant (Q_{ma}).

Deci, se poate scrie:

$$Q = Q_d + Q_{fy} + Q_{fa} = Q_a + Q_s + Q_p + Q_{ma} \quad (8.36)$$

Repartiţia căldurii totale în aşchie, sculă, piesă şi mediul ambiant variază de la un procedeu de aşchiere la altul, precum şi în cadrul aceluiaşi procedeu, în funcţie de condiţiile de aşchiere. De exemplu, la strunjire valorile orientative sunt:

$$Q_a = (0,5 \dots 0,86) \cdot Q; Q_s = (0,09 \dots 0,03) \cdot Q; Q_p = (0,4 \dots 0,1) \cdot Q; Q_{ma} = 0,01 \cdot Q, \quad (8.37)$$

iar la găurire:

$$Q_a = 0,28 Q; Q_s = 0,52 Q; Q_p = 0,15 Q; Q_{ma} = 0,05 Q. \quad (8.38)$$

Cantităţile de căldură care trec în aşchie, sculă şi piesă se pot stabili, fie teoretic (formule de calcul empirice), fie pe cale experimentală, ridicându-se câmpul termic al sculei (fig. 8.44. a), al zonei aşchie - sculă şi al zonei piesă - sculă (fig. 8.44. b).

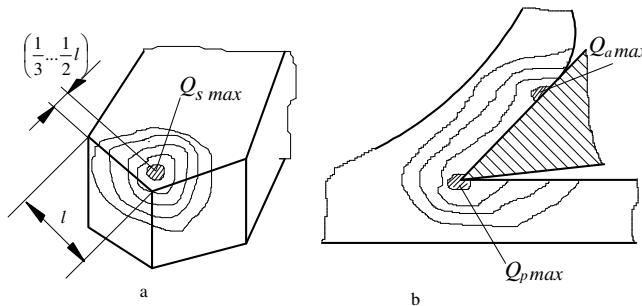


Fig.8.44.Câmpul termic:
a - în partea activă a sculei; b - în zona aşchie - sculă şi sculă - piesă;
 Q_{amax} - căldura maximă în aşchie; Q_{pmax} - căldura maximă în piesă;
 Q_{smax} - căldura maximă în sculă.

Din analiza câmpului termic se desprind următoarele concluzii:

- temperatura cea mai mare se produce în centrul de presiune al sculei (zona în care aşchia apasă cel mai puternic pe faţa de degajare), care este şi centrul de temperatură situat la $1/3 \dots 1/2$ din lungimea activă a tăişului, faţă de vârful sculei;
- temperatura sculei scade cu creşterea distanţei faţă de tăiş;
- forma câmpului termic este influenţată de geometria sculei;
- temperatura maximă a aşchiei se înregistrează în vecinătatea punctului de desprindere de pe faţa de degajare;

- temperatura aşchiei scade în direcția suprafeței ei exterioare, precum și în cea a alunecărilor maxime;
- temperatura maximă în piesă se produce în planul de forfecare, spre vârful sculei.

Practic interesează în cea mai mare măsură temperatura părții active a sculei, deoarece influențează duritatea sculei, respectiv capacitatea sa de aşchiere, ducând la o uzură rapidă a muchiei aşchietoare. De asemenea, interesează temperatura semifabricatului, care influențează dimensiunile sale și introduce tensiuni interne.

Câmpul termic al părții active a sculei este influențat de următorii factori:

- *materialul piesei-semifabricat* ce modifică temperatura prin proprietățile de rezistență mecanică. Pentru determinarea temperaturii degajate θ se folosește o relație politropică de forma:

$$\theta = \theta_0 \cdot \left(\frac{\sigma}{\sigma_0} \right)^{m_\theta}, \quad (8.39)$$

în care θ_0 este temperatura de referință corespunzătoare unei rezistențe σ_0 a unui material de referință (se determină experimental); σ - rezistența materialului de prelucrat; m_θ - exponentul politropic care depinde de natura materialului de prelucrat ($m_\theta = 0,28 \dots 0,35$);

- *materialul și secțiunea sculei*. Cu cât conductibilitatea termică a sculei este mai mare, cu atât temperatura tăișului este mai mică, deoarece căldura primită se va transmite mai ușor spre corpul sculei. De asemenea, cu cât secțiunea părții active este mai mare, cu atât temperatura tăișului va fi mai mică, existând o relație de forma:

$$\theta = \theta_0 \cdot \left(\frac{A_0}{A} \right)^{(0,06 \dots 0,1)}, \quad (8.40)$$

în care A_0 este secțiunea de referință; A - secțiunea efectivă.

- *geometria sculei aşchietoare*. Cu cât *unghiul de degajare* este mai mare, cu atât deformațiile și frecările scad, deci temperatura scade, dar cu creșterea lui γ are loc o scădere a unghiului de ascuțire β și deci micșorarea capacității sale termice. Se folosește o relație de forma:

$$\theta = \theta_0 \cdot \left(\frac{\gamma_0}{\gamma} \right)^{n_\theta}, \quad (8.41)$$

în care n_θ este exponentul politropic care depinde de valorile unghiului de degajare optim $\gamma_0 = 20 \dots 30^\circ$ ($n_\theta = 0,105 \dots 0,13$).

Unghiul de aşezare α are o influență similară cu γ , existând un α optim pentru care temperatura este minimă. La mărirea *unghiului de atac* k_r , se micșorează

lăţimea aşchiei şi lungimea activă a tăişului, ducând la o concentrare mai mare de căldură pe unitatea de suprafaţă, crescând considerabil temperatura tăişului (fig.8.45). Temperatura θ se poate determina cu expresia:

$$\theta = \theta_0 \cdot \left(\frac{k_r}{k_{r0}} \right)^{u_\theta}, \quad (8.42)$$

în care u_θ este exponentul politropic, care depinde de plasticitatea materialului de prelucrat şi de conductivitatea materialului sculei ($u_\theta = 0,18...0,26$). *Raza de bontire* a vârfului r_β măreşte capacitatea termică, deci temperatura tăişului scade cu creşterea ei (fig. 8.46) după legea:

$$\theta = \theta_0 \cdot \left(\frac{r_{\beta 0}}{r_\beta} \right)^{0,11}, \quad (8.43)$$

în care $r_{\beta 0}$ este raza vârfului de referinţă.

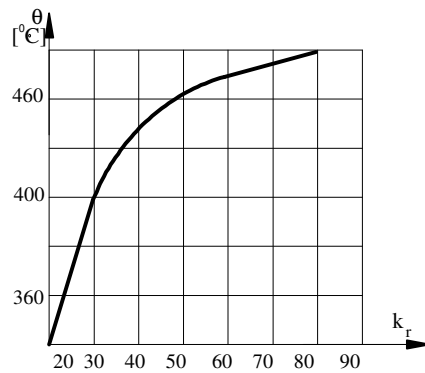


Fig. 8.45. Variația temperaturii sculei în funcție de unghiul de atac.

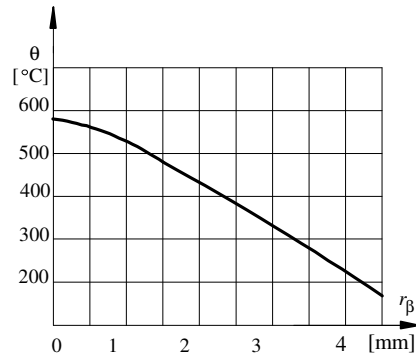


Fig. 8.46. Variația temperaturii sculei în funcție de raza de bontire .

- *elementele regimului de aşchiere*. Cantitatea de căldură degajată în unitatea de timp este proporțională cu *viteza de aşchiere şi adâncimea de aşchiere* (fig. 8.47). În acelaşi timp însă, creşterea vitezei peste anumite valori are şi un efect contrar, reducând apăsarea de aşchiere, coeficienţii de frecare şi durata contactului cu faţa de degajare - aşchie. Pentru temperatură este valabilă legea:

$$\theta = \theta_0 \cdot \left(\frac{v_c}{v_{c0}} \right)^{q_\theta}, \quad (8.44)$$

în care $v_c > v_{c0}$ este viteza principală de aşchiere; q_θ - exponentul politropic ($q_\theta = 0,26...0,72$, la prelucrarea oţelurilor şi între 0,26...0,40, la prelucrarea fontelor).

De asemenea, temperatura tășului crește odată cu creșterea *avansului* f (fig. 8.48) și deci a grosimii așchiei. Creșterea temperaturii la mărirea grosimii

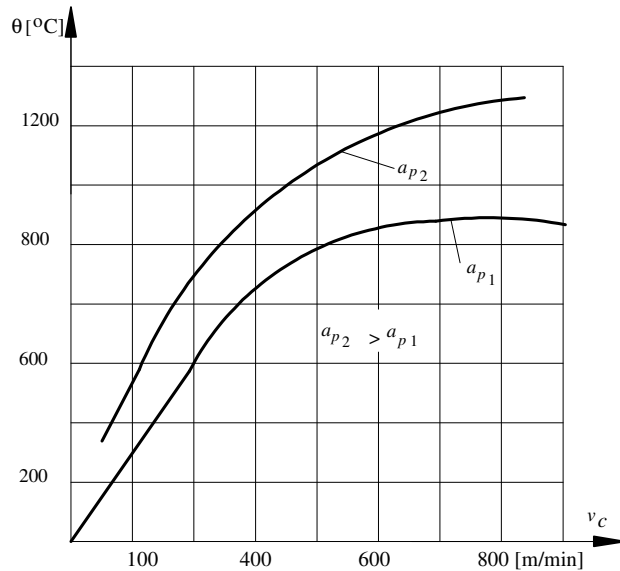


Fig. 8.47. Variația temperaturii sculei în funcție de viteza de așchiere v_c și adâncimea de așchiere a_p .

așchiei (avansului) are loc politropic după relația:

$$\theta = \theta_o \cdot \left(\frac{h_D}{h_{Do}} \right)^{\mu_\theta}, \quad (8.45)$$

în care $h_D > h_{Do}$ este grosimea efectivă a așchiei; μ_θ - exponent politropic funcție de natura materialului ($\mu_\theta = 0,20..0,45$ pentru prelucrarea oțelului și $\mu_\theta = 0,133$ pentru prelucrarea fontelor).

Căldura produsă în procesul de așchiere acționează asupra sculei conducând la micșorarea durității și a rezistenței la uzură a acesteia, precum și asupra piesei, modificându-i dimensiunile și introducând tensiuni interne. În scopul eliminării acestor inconveniente se folosesc *lichidele de răcire*.

Lichidele de răcire utilizate în procesul de așchiere trebuie să aibă următoarele roluri:

- de *răcire* ce constă în absorbirea și eliminarea căldurii, micșorând astfel temperatura așchiei, sculei și a suprafețelor prelucrate;
- de *ungere* ce micșorează forțele de frecare așchie-față de degajare și suprafața prelucrată-față de așezare;
- de *așchiere* (pentru lichidele active) ce ușurează curgerea plastică și microfisurarea în planele de alunecare;
- de *împiedicare a depunerilor pe tăiș*;

- de *protejare* a suprafeței prelucrate, a sculei, a mașinii-unelte și a dispozitivelor contra coroziunii;
- de *spălare*.

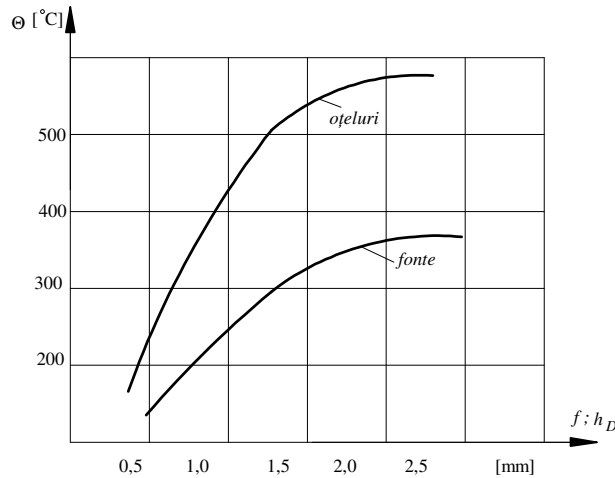


Fig. 8.48. Variația temperaturii în funcție de avansul f și grosimea așchiei h_D .

Cele mai des utilizate lichide de răcire sunt:

- soluții de electroliți;
- soluții apoase de substanțe active capilare;
- emulsii ale uleiurilor solubile în apă;
- emulsii active;
- uleiuri minerale supraactivate și cu grafit.

Mărirea eficienței lichidelor de răcire poate fi obținută prin modificarea compoziției acestora și prin perfecționarea metodelor de dirijare a lichidului în zona de aşchiere, deosebindu-se metodele: prin cădere liberă (fig. 8.49. I); prin presiune joasă (fig. 8.49. II); prin presiune înaltă; cu jet de aer, conținând particule

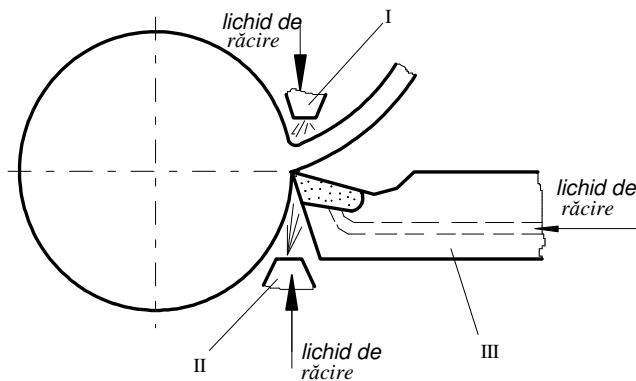


Fig. 8.49. Dirijarea lichidului în zona de aşchiere:
I - prin cădere liberă;
II - prin presiune joasă;
III - prin canale speciale.

fine de lichid pulverizat; scule speciale (fig. 8.49. III) cu răcire interioară (în cazul prelucrării suprafețelor interioare). Lichidul de răcire trebuie înlocuit periodic sau regenerat, operație efectuată cu ajutorul unei instalații de recirculare - răcire - filtrare a mașinii-unelte.

8.3.5.4. Uzura și durabilitatea sculelor așchietoare

Datorită solicitărilor mecanice și termice care apar în procesul de așchiere, după un anumit timp de funcționare, are loc o îndepărtare de material de pe fețele active ale sculei, ceea ce conduce la modificarea geometriei și capacității de așchiere a acesteia (apare uzura sculei așchietoare). În funcție de condițiile în care are loc așchieria, uzura se poate produce pe fața de așezare (fig. 8.50. a), pe fața de degajare (fig. 8.50. b) sau pe ambele fețe (fig. 8.50. c).

Uzura mai poate să apară și sub alte forme cum ar fi: bavuri produse prin refularea plastică a materialului sculei, arderea materialului sculei, fisuri ale părții active etc. Parametrii geometrici cu ajutorul cărora se apreciază uzura sunt (fig. 8.51):

- lățimea fațetei de uzură pe fața de așezare (B);
- adâncimea craterului de uzură pe fața de degajare (KT);
- distanța mijlocului craterului de uzură față de vârful sculei (KM);
- lățimea craterului pe fața de degajare (KB);
- deplasarea muchiei așchietoare pe fața de degajare ($SKv\gamma$);
- deplasarea muchiei așchietoare pe fața de așezare ($SKv\alpha$);

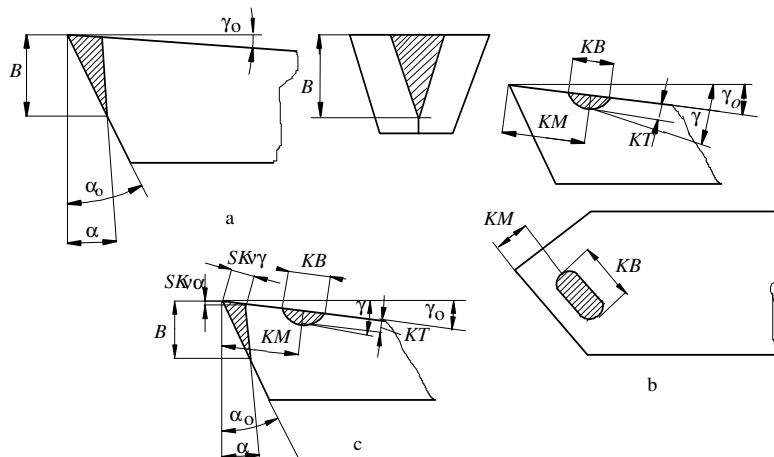


Fig. 8.50. Aspecte ale uzurii:

a - pe fața de așezare; b - pe fața de degajare; c - pe ambele fețe; B - lățimea fațetei de uzură pe fața de așezare; KT - adâncimea craterului de uzură pe fața de degajare; KM - distanța de la vârful sculei la mijlocul craterului de uzură; KB - lățimea craterului de uzură; $SKv\alpha$ - deplasarea muchiei așchietoare pe fața de așezare; $SKv\gamma$ - deplasarea muchiei așchietoare pe fața de degajare.

Ca urmare a uzurii, parametrii geometrici inițiali ai părții active suferă următoarele modificări:

- datorită uzurii, pe fața de aşezare are loc o micşorare a unghiului de aşezare efectiv α ($\alpha < \alpha_0$), o mărire a razei de bontire a tăişului şi o creştere a suprafeței de contact a părții aşchietoare cu suprafața de aşchiere şi cu suprafața prelucrată. De asemenea, are loc o mărire treptată a diametrului D , pentru care a fost reglat inițial cuțitul (fig. 8.51), până la $(D + 2h_r)$ când cuțitul a atins uzura h_r dată de relația:

$$h_r = B \cdot \operatorname{tg} \alpha_0, \quad (8.46)$$

- datorită uzurii, pe fața de degajare, se măreşte unghiul de degajare efectiv γ ($\gamma > \gamma_0$), se micşorează rezistența mecanică a tăişului şi are loc încălzirea excesivă a părții active.

Uzarea părților active, ce constă în desprinderea şi antrenarea particulelor de material de pe partea activă a sculei aşchietoare, are loc prin unul din următoarele moduri:

- *uzarea datorită solicitărilor mecanice*, care apare datorită faptului că pana tăişului de aşchiere este supusă la încovoiere şi compresiune;
- *uzarea prin abraziune*, care apare datorită constituenților metalografici duri ce există sau apar în structura materialului de aşchiat;
- *uzarea datorită apariției depunerilor pe tăiş*, care apare datorită forțelor de acțiune interatomică pe suprafețele în contact;
- *uzarea prin adeziune*, care apare ca urmare a adeziunii moleculare dintre materialul sculei şi materialul de prelucrat;
- *uzarea prin difuziune*, care apare ca urmare a creării condițiilor difuzării unor elemente din soluția solidă, a aliajului sculei, în soluția solidă, a materialului de prelucrat aflate în contact;
- *uzarea datorită oxidării materialului de aşchiat*, care apare datorită fenomenelor termice din procesul de aşchiere;
- *uzarea prin transport electric de atomi*, care apare datorită faptului că între cele două materiale diferite în contact (sculă - piesă) se formează un termocuplu, care dă naștere la forțe electromotrice şi unui curent ionic ce transportă atomi între cele două corpuri (materialul cu potențialul negativ cel mai mare se uzează mai intens);
- *uzarea prin sfărâmişare*, care apare datorită solicitărilor dinamice (vibrații, şocuri) ce pot apărea în procesul de aşchiere.

Evoluția în timp a uzurii totale fie pe fața de aşezare, fie pe fața de degajare, are trei etape distincte (fig. 8.52):

- porțiunea OA , cu o evoluție rapidă, numită *uzură de rodaj sau amorsare*;
- porțiunea AB , unde uzura creşte lent cu condițiile de exploatare ale sculei, numită *uzură normală*;

- porțiunea BC , unde uzura capătă brusc o valoare mare, corespunde de regulă situației când uzura de pe fața de așezare se întâlnește cu uzura de pe fața de degajare și se numește *uzura catastrofală*.

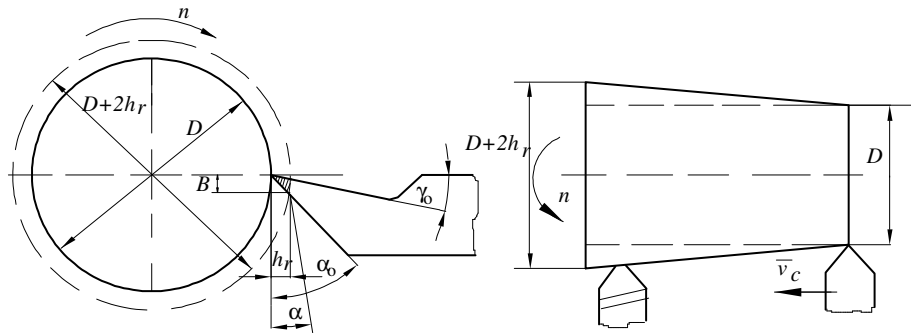


Fig. 8.51. Modificarea dimensiunilor suprafeței prelucrate datorită uzurii feței de așezare.

Curba evoluției uzurii în funcție de timp se numește *caracteristica uzurii*, iar panta tangentei la curbă într-un punct se numește *intensitatea uzurii* sau *viteza de uzură* I , dată de relația:

$$I = \lim_{\Delta\tau \rightarrow 0} \frac{\Delta B}{\Delta\tau} = \frac{dB}{d\tau} = \operatorname{tg}\theta, \quad (8.47)$$

în care θ este unghiul pantei de uzură.

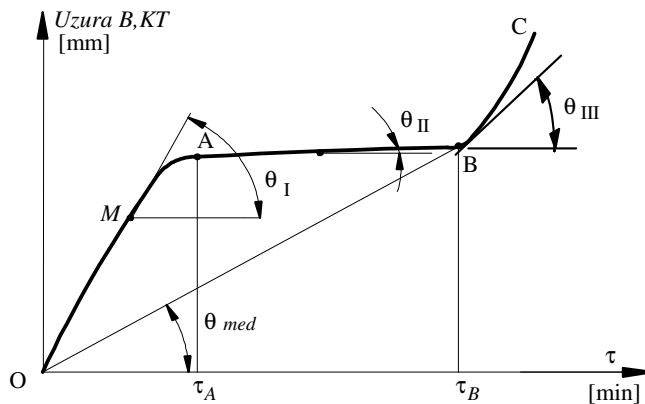


Fig. 8.52. Curba caracteristică a uzurii:
 OA - uzura de rodaj;
 AB - uzura normală;
 BC - uzura catastrofală;
 θ - unghiul pantei de uzură.

Există o anumită limitare a uzurii, numită *uzura limită admisibilă* a tăișului. Criteriul pentru stabilirea uzurii limite admisibile, în cazul prelucrărilor de finisare, $h_{r\text{adm}}$ este dat de toleranța diametrului Δ (fig. 8.51):

$$h_{radm} \leq \frac{\Delta}{2} , \quad (8.48)$$

sau, ținând cont de (8.46), se obține înălțimea admisibilă a uzurii pe fața de aşzare B_{adm} :

$$B_{adm} \leq \frac{\Delta}{2 \operatorname{tg} \alpha} . \quad (8.49)$$

În orice proces de uzură a tăişului sculei, gradul de uzură evoluează în timp, iar în momentul atingerii uzurii admisibile este necesară reascuțirea tăişului, adică recuperarea capacității reale de aşchiere. Durata continuă de lucru a unei scule între două ascuțiri succesive se numește *durabilitatea sculei*, notată cu T . Durabilitatea sculei este unul din cele mai importante elemente ale procesului de aşchiere și prin ea se apreciază întotdeauna uzura. În funcție de condițiile concrete ale prelucrării, durabilitatea sculei este diferită.

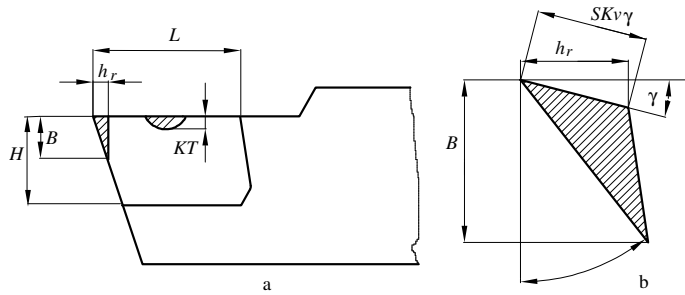


Fig. 8.53. Determinarea numărului de ascuțiri posibile i :
a - când $\gamma = 0$;
b - când $\gamma \neq 0$.

Durabilitatea totală de serviciu a sculei (τ) este determinată de durabilitatea sculei între două ascuțiri T și numărul i de ascuțiri posibile:

$$\tau = i \cdot T \quad [\text{min}] . \quad (8.50)$$

Numărul de ascuțiri posibile i se determină în funcție de dimensiunile L și H ale părții utile (fig.8.53) astfel:

$$i_{\alpha} = \frac{L}{SKv\gamma + \delta} ; \quad i_{\gamma} = \frac{H}{KT + \delta} , \quad (8.51)$$

unde:

$$SKv\gamma = B \cdot \frac{\operatorname{tg} \alpha}{\cos \gamma} , \quad (8.52)$$

iar δ este grosimea unui strat suplimentar ce se pierde la reascuțire, după eliminarea uzurilor B și KT .

În practică interesează uzura pe fața de așezare, determinându-se uzura corespunzătoare celei mai mari durate τ de lucru a sculei, denumită *uzură optimă* (B_{opt}).

Asupra uzurii și implicit asupra durabilității sculelor așchietoare influențează următorii factori:

- *natura materialului de prelucrat*, ce influențează intensitatea uzurii în măsura în care caracteristicile lui determină variația apăsării de așchiere, temperaturii și adeziunii la materialul sculei. Intensitatea uzurii crește cu rezistența și duritatea materialului de prelucrat, iar durabilitatea are o variație inversă (fig. 8.54). Variația durabilității efective T_σ sau T_{HB} în funcție de rezistența σ sau duritatea HB a materialului de prelucrat se exprimă prin funcțiile politropice:

$$T_\sigma = T_{\sigma_0} \left(\frac{\sigma_0}{\sigma} \right)^{m_T}; \quad T_{HB} = T_{HB_0} \left(\frac{HB_0}{HB} \right)^{m_T}, \quad (8.53)$$

în care T_{σ_0} , T_{HB_0} sunt durabilitățile de referință, corespunzătoare materialului de referință, având rezistența σ_0 și respectiv duritatea HB_0 ; m_T - coeficient politropic în funcție de material;

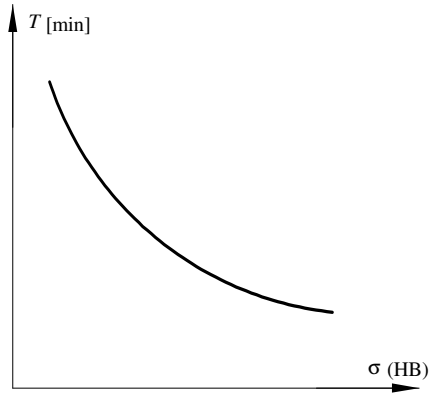


Fig. 8.54. Variația durabilității în funcție de rezistența materialului de prelucrat.

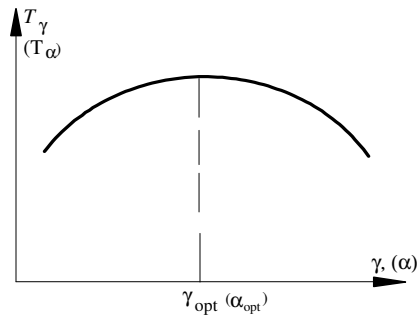


Fig. 8.55. Variația durabilității în funcție de unghiul de degajare γ și de așezare α .

- *geometria sculei*. La creșterea unghiului de degajare γ și de așezare α , apăsarea de așchiere scade, în schimb se micșorează unghiul de ascuțire β și deci capacitatea termică a sculei. În consecință durabilitatea va avea un maxim, pentru un optim al celor două unghiuri (fig. 8.55), conform funcțiilor:

$$T_\gamma = C_\gamma \cdot \gamma^{n_T}; \quad T_\alpha = C_\alpha \cdot \alpha^{n_q}, \quad (8.54)$$

în care C_γ , C_α , n_T , n_q sunt constante în funcție de condițiile de așchiere.

La creșterea unghiului de atac k_r are loc o creștere a apăsării de așchiere și deci a temperaturii tăișului. Variația durabilității T_{kr} (fig. 8.56) are forma:

$$T_{kr} = \frac{C_{kr}}{k_r^{W_T}} \quad , \quad (8.55)$$

în care C_K și W_T sunt coeficienți determinați experimental în funcție de condițiile de prelucrare.

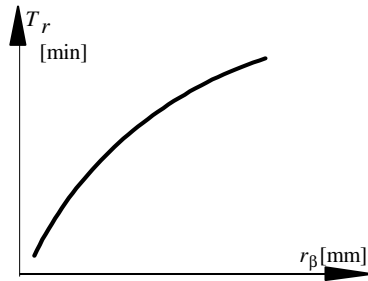


Fig. 8.56. Variația durabilității în funcție de raza vârfului r_β .

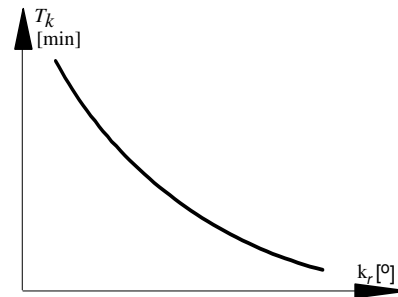


Fig. 8.57. Variația durabilității în funcție de unghiul de atac k_r .

La creșterea razei la vârf r_β , temperatura scade, deci, durabilitatea efectivă $T_{r\beta}$, crește (fig. 8.57) după funcția:

$$T_{r\beta} = C_r \cdot r_\beta^{v_T} \quad , \quad (8.56)$$

în care C_r, q_r sunt coeficienți determinați experimental.

- *regimul de așchiere*. Creșterea vitezei de așchiere v_c duce la creșterea apăsării de așchiere, deci a temperaturii tăișului și prin urmare la scăderea durabilității (fig.8.58. a). În mod analog mărirea avansului f conduce la creșterea apăsării de așchiere și, deci, a temperaturii tăișului, dar creșterea este mai lentă (fig.8.58. b). La mărirea adâncimii de așchiere a_p , efectul creșterii apăsării la așchiere este redus la creșterea lentă a temperaturii și scăderea mai lentă a durabilității (fig. 8.58. c).

Funcțiile de variație, de tip politropic, au forma:

$$T_{v_c} = \frac{C_v}{v_c^{z_T}}; \quad T_f = \frac{C_f}{f^{y_T}}; \quad T_{a_p} = \frac{C_{a_p}}{a_p^{x_T}}; \quad (8.57)$$

în care $C_v, C_s, C_t, x_T, y_T, z_T$ sunt constante care depind de condițiile concrete de așchiere $x_T = (0,25...0,16) z_T$; $y_T = (0,5...0,25) z_T$; $z_T = 2...20$ în funcție de natura materialului sculei de așchiere;

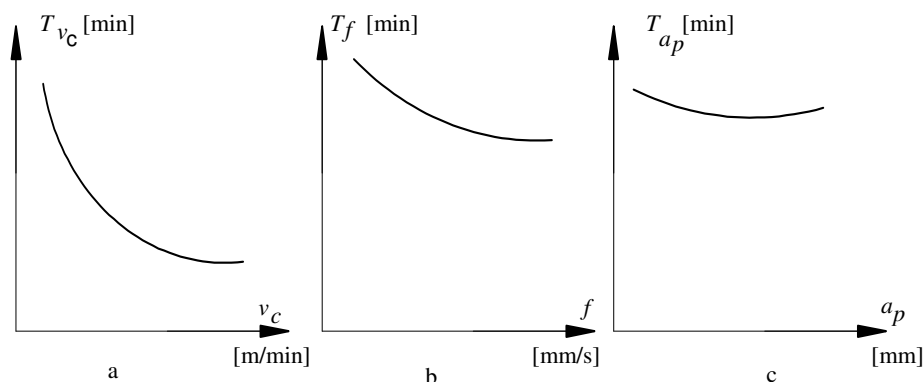


Fig. 8.58. Variația durabilității sculei în funcție de parametrii regimului de așchiere:
a - viteza de așchiere; b - avansul de așchiere; c - adâncimea de așchiere.

- *lichidele de răcire* – *ungere* micșorează apăsarea de așchiere, frecarea pe fața de așezare- suprafață prelucrată și fața de degajare - așchie și temperatura tăișului și vor conduce la creșterea substanțială a durabilității. Experimental se constată că trecând de la așchiera uscată la așchiera cu răcire, durabilitatea crește de 5...7 ori.

- *materialul sculei* influențează în mod foarte diferit durabilitatea în funcție de: compoziția chimică, structură, mod de elaborare, duritatea după călire (peste 60HRC), tenacitatea suficientă la solicitările dinamice, stabilitatea termică etc.

În ordinea crescândă a rezistenței la uzură, principalele materiale utilizate la fabricarea sculelor se grupează astfel: oțelurile carbon de scule; oțelurile aliate pentru scule; carburile metalice; materialele mineralo-ceramice; diamantul; materialele abrazive.

Ținând cont de cele expuse mai sus se poate scrie o relație completă a durabilității efective T_{ef} , în funcție de parametrii procesului de așchiere, de forma:

$$T_{ef} = \frac{C_T}{\tau^{u_T} \cdot a_p^{x_T} \cdot f^{y_T} \cdot v_c^{z_T} \cdot \gamma^{-n_T} \cdot \alpha^{-n_T} \cdot \kappa_r^{w_T} \cdot r_\beta^{-v_T} \cdot \sigma^{m_T}} \quad (8.58)$$

Durabilitatea efectivă determinată cu relația (8.58) poate avea o mulțime de valori, din care trebuie alese valorile considerate optime în funcție de anumite criterii. Se pot considera valori optime ale durabilității T_{opt} cele cărora le corespunde fie o productivitate maximă a operației, fie un cost minim al acesteia.

8.3.5.5. Apariția vibrațiilor în procesul de așchiere

Capacitatea de așchiere a unei mașini-unelte este adesea limitată de existența și intensificarea vibrațiilor. Acestea conduc la o calitate necorespunzătoare a suprafețelor, la uzuri premature ale sculei și mașinii sau chiar la ruperea

sculei. Când apar asemenea vibrații este necesară reducerea imediată a unui parametru al regimului de aşchiere (a_p , f , sau v_c), ceea ce conduce la reducerea productivității.

Vibrațiile care apar sunt cauzate de:

- excitații forțate, datorate unor dezechilibre interne de mișcare ale organelor de mașină componente, erorilor de execuție sau erorilor de montaj;
- autoexcitații, datorate procesului de aşchiere.

Vibrațiile forțate au amplitudini mari și consecințe nefavorabile, mai ales atunci când frecvența lor se apropie de frecvența proprie a mașinii-unelte. În general însă, ca urmare a unor măsuri tehnice (montarea izolată pe sol, reducerea maselor de dezechilibru, execuție și montaj corect), efectul acestor vibrații poate fi redus sub limita admisă.

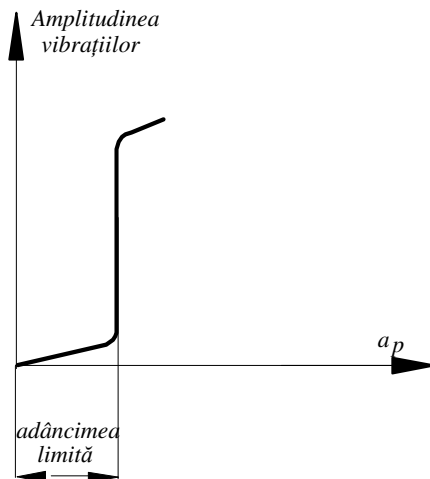


Fig. 8.59. Dependența amplitudinilor de adâncimea de aşchiere.

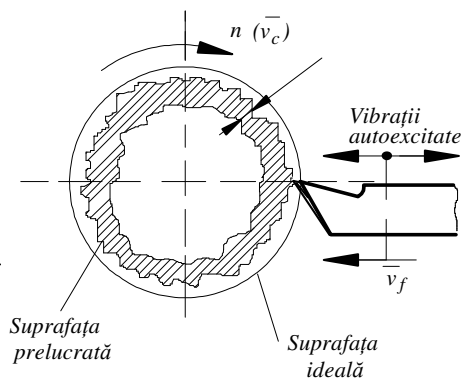


Fig. 8.60. Influența vibrațiilor autoexcitate asupra calității suprafețelor.

Vibrațiile autoexcitate sunt cele care limitează capacitatea de aşchiere și se datorează variației forței de aşchiere. Caracteristic pentru ele este faptul că în cazul depășirii unui parametru de aşchiere (de obicei avansul sau adâncimea de aşchiere) amplitudinile vibrațiilor cresc brusc și sistemul tehnologic va vibra cu o anumită frecvență. De aceea, pentru fiecare caz de prelucrare se trasează experimental o diagramă de stabilitate (fig. 8.59), care să reflecte dependența între adâncimea (avansul) de aşchiere și frecvența (amplitudinea) de rotație a sculei sau piesei.

Vibrațiile autoexcitate conduc și la modificarea grosimii aşchiei și deci a calității suprafeței prelucrate (fig. 8.60).

8.4. ELEMENTE DE TEORIA LANȚURILOR CINEMATICE ALE MAȘINILOR-UNELTE

8.4.1. Definirea și clasificarea lanțurilor cinematice

Realizarea procedurii de prelucrare prin așchiere și, prin urmare, funcționarea mașinii-unelte implică obligatoriu realizarea simultană a două procese interdependente, *procesul de generare a suprafețelor* și *procesul de așchiere*, în condițiile realizării unei productivități maxime, a unor costuri minime, a unor consumuri de materii prime și energetice reduse și a protecției utilajului și operatorului uman.

O mașină-unelte, indiferent de tipul ei, este o construcție robustă formată dintr-un batiu, pe care sunt montate într-o ordine corespunzătoare o serie de mecanisme de comandă, acționare și control. Oricare mașină-unelte se caracterizează prin cinematica ei, adică prin modul cum realizează mișcările necesare procesului de generare și de așchiere (mișcarea principală, mișcările de avans, mișcările auxiliare).

Structura cinematică a unei mașini-unelte constă dintr-un anumit număr de mecanisme, cu destinații și roluri bine determinate de însăși cinematica de realizare teoretică a curbelor G și D . Totalitatea mecanismelor, legate între ele în vederea realizării unui anumit scop, ce primesc mișcarea de la un organ motor (mecanismul generator de mișcare), transformă și transmite mișcarea unui organ de execuție (organul final ce se deplasează) este denumită *lanț cinematic*. Deci, structura cinematică a unei mașini-unelte constă dintr-un anumit număr de lanțuri cinematice, având roluri funcționale bine determinate.

Reprezentarea schematică a cinematicii mașinii-unelte, folosind pentru mecanismele reale simboluri grafice standardizate (tabelul 8.1), constituie *schema cinematică structurală a mașinii-unelte*.


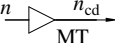
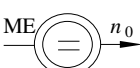
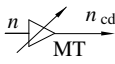
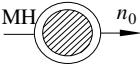
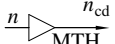

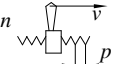
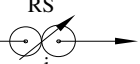
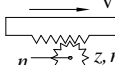

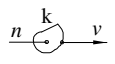
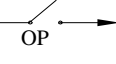

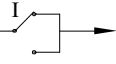

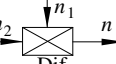
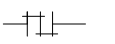

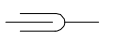
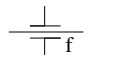

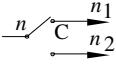
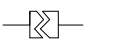
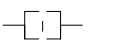

Clasificarea lanțurilor cinematice are la bază trei criterii (fig. 8.61): scopul, modul de acționare și legăturile dintre diferitele lanțuri cinematice. Lanțurile cinematice generatoare tehnologice asigură la capătul de ieșire mișcarea principală de așchiere caracterizată prin viteza principală v_c și mișcările de avans caracterizate prin f , f_z sau f_p .

Din această categorie fac parte:

- *lanțul cinematic principal* asigură viteza principală de așchiere v_c , pe traiectoria directoare sau pe o componentă a acesteia (fig. 8.62. a - mișcarea principală de rotație; fig. 8.62. b - mișcarea principală rectilinie).

- *lanțul cinematic de avans* asigură poziționarea generatoarei elementare G_E sau a directoarei elementare D_E pe traiectoriile generatoare respectiv directoare cu mărimile f , f_z sau f_p (fig. 8.63).

Tabelul 8.1. Simbolizarea mecanismelor folosite în construcția lanțurilor cinematice ale mașinilor-unelte

Nr. crt.	Grupa	Tipul	Simbol	Nr. crt.	Grupa	Tipul	Simbol
1	Motoare	Electrice asincrone		4	Mecanisme de transformare a mișcării circulare în mișcare rectilinie	Mecanice fără autoînversare	
		Electrice de curent continuu				Mecanice cu autoînversare și reglare cursă	
		Hidraulice rotative				Hidraulice	
2	Mecanisme de reglare a lanțului cinematic	Mecanice cu variatoare în trepte				Șurub piuliță	
		Mecanice cu roți de schimb				Pinion cremalieră	
		Droșele				Camă tachet	
3	Mecanisme diverse	De oprire - pornire		5	Cuplaje	Rigide	
		De inversare a mișcării				Mobile	
		De însumare a mișcării (diferențial)				Elastice	
		De mișcare intermitentă (cu clișet, cu cruce de Malta)		6	Ambreiaje	Compensatoare axiale	
		De frână				Mecanice cu fricțiune	
		De comutare a mișcării				Mecanice cu dinți	
						Mecanice cu disc	
						Comandate hidraulic	

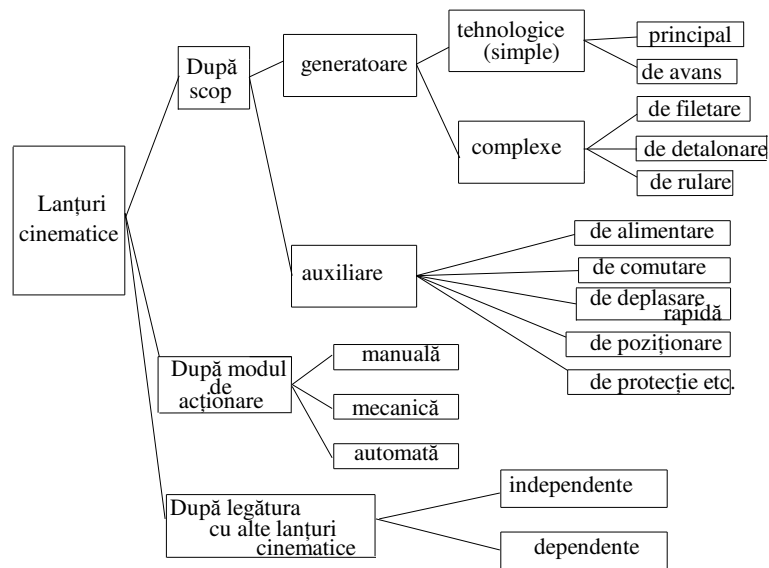


Fig. 8.61. Clasificarea lanțurilor cinematice.

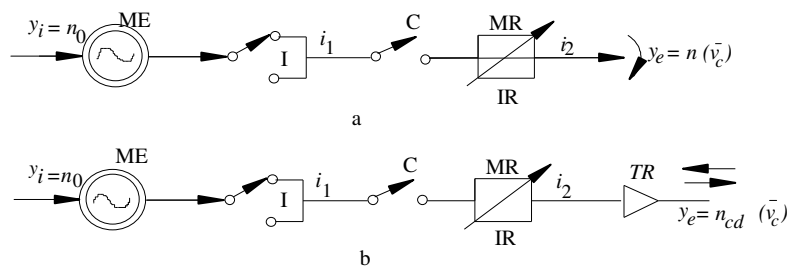
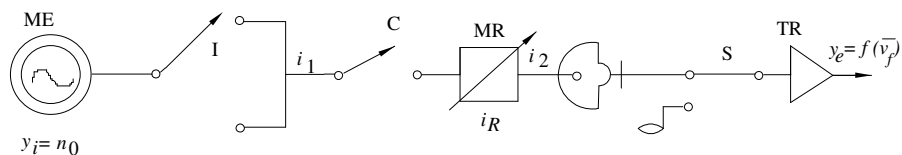
Fig. 8.62. Lanț cinematic principal pentru o:
a - mișcare principală de rotație; b - mișcare principală rectilinie.

Fig. 8.63. Lanț cinematic de avans.

Lanțurile cinematice generatoare complexe asigură realizarea unor mișcări necesare generării suprafețelor pe traiectorii complexe plane sau spațiale, ca rezultat al combinării unor mișcări simple (figura 8.64 – lanț cinematic de filetare care realizează o traiectorie elicoidală).

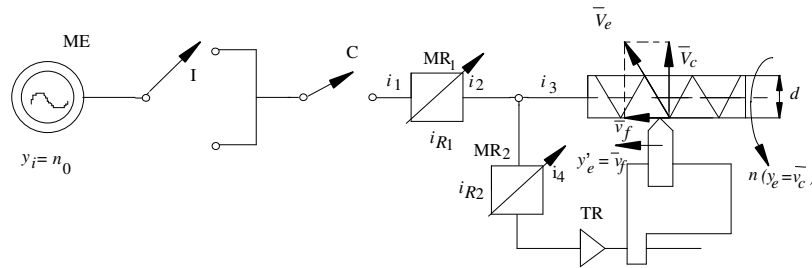


Fig. 8.64. Lanț cinematic complex (de filetare).

Lanțurile cinematice auxiliare asigură efectuarea unor operații cu funcții auxiliare, care însoțesc procesul de generare și de aşchiere, conducând la creșterea productivității și la protecția operatorului și a mașinii-unelte (de alimentare cu scule, piese, de deplasare rapidă a unor subansambluri, de poziționare etc.).

8.4.2. Funcțiile și caracteristicile lanțurilor cinematice

Prin definiție, lanțul cinematic are următoarele funcții: de a primi, a transforma și a transmite o mărime fizică către un organ de execuție.

Funcția de primire cere existența unor mecanisme care să primească mărimea fizică de la organul de antrenare aflat la capătul de intrare (cuplaje, ambreiaje, comutatori, contactori etc.).

Funcția de transformare cuprinde transformarea naturii, mărimii, caracteristicii de frecvență a mișcării sau transformarea sensului ei (mecanisme bielă-manivelă, cu culisă oscilantă, camă-tachet, șurub-piuliță, pinion-cremalieră, pompă-motor hidraulic rectiliniu, variatori continui sau discontinui, mecanisme de inversare etc.).

Din punct de vedere funcțional, caracteristica de bază a unui mecanism este *raportul de transfer* i (fig. 8.65), dat de relația:

$$i = \frac{x_e}{x_i} \quad , \quad (8.59)$$

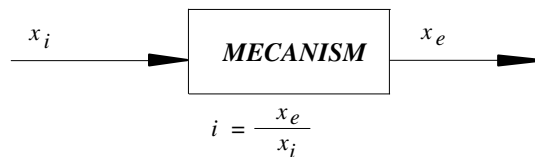


Fig. 8.65. Reprezentarea simbolică a unui mecanism.

în care x_i este mărimea de intrare; x_e - mărimea de ieșire.

O altă caracteristică a mecanismului este *ecuația de transfer*, care stabilește o relație de legătură între mărimile x_i , x_e și I , de forma:

$$x_e = i \cdot x_i. \quad (8.60)$$

Un mecanism poate primi de la cel din fața lui mai multe mărimi de intrare cuprinse în domeniul $x_{i \min} \dots x_{i \max}$, furnizând mai multe mărimi de ieșire, corespunzător domeniului $x_{e \min} \dots x_{e \max}$. Prin urmare mecanismul are un *raport de variație al mărimilor de intrare* R_{xi} și un *raport de variație al mărimilor de ieșire* R_{xe} , dat de relațiile:

$$R_{xi} = \frac{x_{i \max}}{x_{i \min}}; \quad R_{xe} = \frac{x_{e \max}}{x_{e \min}}. \quad (8.61)$$

Calitatea mecanismului de a-și putea regla raportul de transfer este stabilită de *capacitatea de reglare a raportului de transfer* C_i :

$$C_i = \frac{i_{\max}}{i_{\min}} = \frac{x_{e \max}}{x_{i \min}} \cdot \frac{x_{i \max}}{x_{e \min}} = R_{xi} \cdot R_{xe}. \quad (8.62)$$

Lanțul cinematic este format prin legarea în serie a mai multor mecanisme (fig.8.66.) și este caracterizat prin mărimea de intrare y_i , mărimea de ieșire y_e și raportul de transfer i_T , date de relația:

$$i_T = \frac{y_e}{y_i}. \quad (8.63)$$

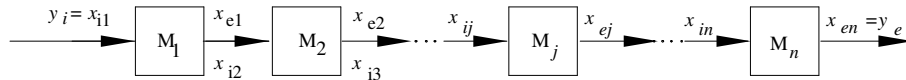


Fig. 8.66. Reprezentarea simbolică a unui lanț cinematic.

Rapoartele de transfer ale mecanismelor componente sunt:

$$i_1 = \frac{x_{e1}}{x_{i1}}; \quad i_2 = \frac{x_{e2}}{x_{i2}}; \quad i_i = \frac{x_{ei}}{x_{ii}}; \dots; i_n = \frac{x_{en}}{x_{in}}. \quad (8.64)$$

Deoarece $x_{i1} = y_i$, iar $x_{en} = y_e$, raportul de transfer al lanțului cinematic devine:

$$i_T = \frac{y_e}{y_i} = i_1 \cdot i_2 \cdot \dots \cdot i_k \cdot \dots \cdot i_n = \prod_{k=1}^n i_k, \quad (8.65)$$

iar ecuația de transfer a lanțului cinematic este:

$$y_e = y_i \cdot \prod_{k=1}^n i_k \quad . \quad (8.66)$$

Capacitatea de reglare a lanţului cinematic C_{RL} este definită prin raportul:

$$C_{RL} = \frac{i_{T \max}}{i_{T \min}} = \frac{y_{e \max}}{y_{i \min}} \cdot \frac{y_{i \max}}{y_{e \min}} = R_{yi} \cdot R_{ye} \quad . \quad (8.67)$$

De exemplu, în cazul prelucrării pe maşini-unelte, la care mişcarea principală este de rotaţie, pentru prelucrarea economică a semifabricatelor din diverse materiale şi de diferite dimensiuni ($d_{\min} \dots d_{\max}$) trebuie realizate viteze de aşchiere în domeniul $v_{c \min} \dots v_{c \max}$, respectiv turaţii într-un domeniu $n_{\min} \dots n_{\max}$. Ținând cont că:

$$n_{\min} = \frac{1000 v_{c \min}}{\pi d_{\max}}; \quad n_{\max} = \frac{1000 v_{c \max}}{\pi d_{\min}} \quad , \quad (8.68)$$

se obţine raportul de reglare al turaţiilor:

$$R_n = \frac{n_{\max}}{n_{\min}} = \frac{v_{c \max} \cdot d_{\max}}{v_{c \min} \cdot d_{\min}} = R_{v_c} \cdot R_d \quad , \quad (8.69)$$

în care R_{v_c} este raportul de variaţie al vitezelor de aşchiere; R_d – raportul de variaţie al diametrelor semifabricatelor.

În mulţimea rapoartelor de transfer i_1, i_2, \dots, i_n , acestea pot fi dimensionale sau adimensionale, constante sau variabile (reglabile), în funcţie de tipul mecanismelor cărora aparţin.

8.4.3. Câteva mecanisme cu largă utilizare în lanţurile cinematice ale maşinilor - unelte

8.4.3.1. Mecanisme cu angrenaje cu roţi dinţate

Sunt folosite la transmiterea mişcării de rotaţie între diferite axe. Dacă mişcarea se transmite de la axul I (ax conducător) la axul II (ax condus), mărimea de intrare este $x_i = n_1$, iar mărimea de ieşire este $x_e = n_2$ şi raportul de transmitere i este de forma: $i = x_e/x_i$.

Considerând roţile cilindrice cu dinţi dreپţi (fig.8.67) vitezele tangenţiale la cercurile de rulare ale celor două roţi în punctul P au mărimea:

$$v_{1p} = \pi m z_1 n_1; \quad v_{2p} = \pi m z_2 n_2 \quad , \quad (8.70)$$

în care m este modulul danturii; z_1, z_2 - numărul de dinţi corespunzători; n_1, n_2 - turaţiile corespunzătoare.

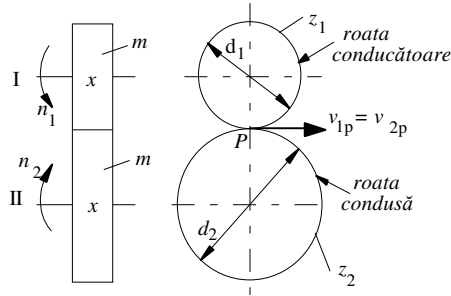


Fig. 8.67. Angrenaj cu roți dințate:
 m – modulul danturii; z_1, z_2 – numărul de
 dinți; d_1, d_2 – diametrele
 corespunzătoare; n_1, n_2 – turațiile
 corespunzătoare.

Pentru funcționarea mecanismului trebuie ca $v_{1p} = v_{2p}$, de unde rezultă:

$$\frac{n_2}{n_1} = \frac{z_1}{z_2} \quad (8.71)$$

Deci, mărimea raportului de transmitere i , la acest mecanism este:

$$i = \frac{x_e}{x_i} = \frac{n_2}{n_1} = \frac{z_1}{z_2} = \frac{d_1}{d_2} \quad (8.72)$$

în care z_1 și z_2 reprezintă numărul de dinți ai roților conducătoare și respectiv condusă.

Expresia lui i este aceeași oricare ar fi tipul roților dințate (cilindrice, conice etc.).

8.4.3.2. Mecanisme cu transmisii prin curele

Sunt folosite la transmiterea mișcării de rotație între axele aflate la distanță mare în spațiu. Dacă mișcarea de rotație se transmite de la axul I la axul II (fig. 8.68), atunci $x_i = n_1$ și $x_e = n_2$ și raportul de transmitere i se calculează cu relația:

$$i = \frac{x_e}{x_i} = \frac{n_2}{n_1} \quad (8.73)$$

Vitezele, în lungul curelei, tangențiale la periferia fiecărei roți de curea v_1 și v_2 , au mărimile:

$$v_1 = \pi \cdot d_1 \cdot n_1; \quad v_2 = \pi \cdot d_2 \cdot n_2 \quad (8.74)$$

în care: d_1 și d_2 sunt diametrele corespunzătoare roților conducătoare și respectiv condusă, în mm.

Pentru ca mecanismul să funcționeze trebuie ca $v_1 = v_2$, de unde rezultă:

$$\frac{n_2}{n_1} = \frac{d_1}{d_2} \quad (8.75)$$

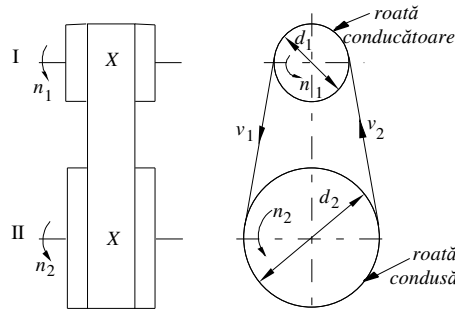


Fig. 8.68. Transmisie cu curele.

și în consecință raportul de transmitere i este :

$$i = \frac{d_1}{d_2} . \quad (8.76)$$

8.4.3.3. Mecanisme cu angrenaje melc-roată melcată

Sunt folosite la transmiterea mișcării de rotație între axe perpendiculare în spațiu.

În acest caz, considerând că mișcarea se transmite de la axul I al melcului cu k începuturi, la axul II al roții dințate cu z dinți (fig.8.69), raportul de transmitere i este dat de relația:

$$i = \frac{x_e}{x_i} = \frac{n_2}{n_1} . \quad (8.77)$$

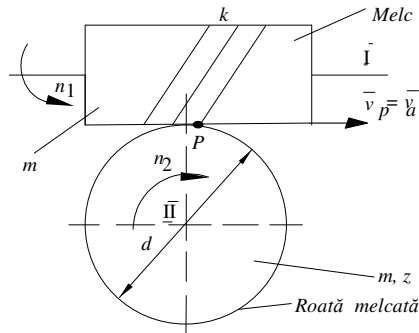


Fig. 8.69. Mecanismul melc-roată melcată.
 m – modulul danturii ; z – numărul de dinți ai roții dințate ; k – numărul de începuturi ; n_1 , n_2 – turațiile corespunzătoare ; v_A - viteza unui punct de pe profilul melcului ; v_p - viteza unui punct de pe periferia rotii dințate.

Viteza de deplasare axială a profilului melcului v_A și viteza tangențială la cercul de rulare al roții melcate v_p au expresiile:

$$v_A = \pi \cdot m \cdot k \cdot n_1 ; \quad v_p = \pi \cdot m \cdot z \cdot n_2 , \quad (8.78)$$

în care m este modulul danturii și al melcului.

Punând condiția de funcționare a mecanismului: $v_A = v_p$, se deduce raportul de transmitere:

$$i = \frac{n_2}{n_1} = \frac{k}{z} . \quad (8.79)$$

8.4.3.4. Mecanismul roată dințată-cremalieră cu dinți drepți sau înclinați

Este folosit la transformarea mișcării de rotație în mișcare de translație în plane perpendiculare în spațiu.

Acest mecanism transformă mișcarea de rotație a roții dințate având turația n și z dinți (fig. 8.70), în mișcare de translație rectilinie a cremalierii cu viteza v . Deci, $x_i = n$ și $x_e = v$, astfel încât raportul de transmitere i al mecanismului este:

$$i = \frac{x_e}{x_i} = \frac{v}{n} . \quad (8.80)$$

În punctul de angrenare P viteza tangențială la cercul de rulare al roții v_p are mărimea:

$$v_p = \pi \cdot m \cdot z \cdot n . \quad (8.81)$$

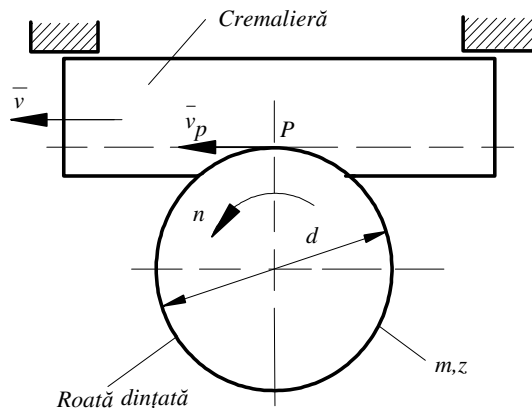


Fig. 8.70. Mecanismul cremalieră cu dinți drepți sau înclinați-roată dințată:

m – modulul danturii ;
 z – numărul de dinți ai roții dințate; n – turația roții dințate;
 v - viteza unui punct de pe cremalieră; v_p - viteza unui punct de pe periferia rotii dințate.

Mecanismul funcționează dacă $v_p = v$ și raportul de transmitere devine:

$$i = \pi \cdot m \cdot z , \quad (8.82)$$

în care m este modulul roții dințate și al cremalierii, în mm.

8.4.3.5. Mecanismul melc-cremalieră cu dinți înclinați

Este folosit la transformarea mișcării de rotație în mișcare de translație și transmiterea ei în plane orientate diferit în spațiu.

La acest mecanism (fig. 8.71) viteza de deplasare a profilului melcului v_A are mărimea :

$$v_A = \pi \cdot m \cdot k \frac{\cos \beta}{\cos \alpha} n \quad [\text{mm/min}] , \quad (8.83)$$

în care α este unghiul elicei flancurilor melcului; β - unghiul de înclinare al danturii cremalierii; m - modulul frontal al danturii cremalierii, în mm; k - numărul de începuturi ale melcului.

Pentru funcționarea mecanismului trebuie ca:

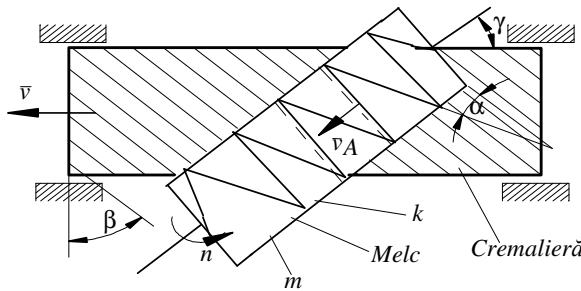


Fig. 8.71. Mecanismul melc - cremalieră cu dinți înclinați:
 m - modulul danturii;
 k - numărul de începuturi
 β - unghiul de înclinare al danturii cremalierii; α - unghiul elicei flancurilor melcului; γ - unghiul de înclinare al melcului față de cremalieră; v_A - viteza unui punct de pe profilul melcului; v_p - viteza unui punct de pe cremalieră.

$$v_A = v \frac{\cos \beta}{\cos \alpha} , \quad (8.84)$$

și atunci raportul de transmitere i devine:

$$i = \frac{x_e}{x_i} = \frac{v}{n} = \pi \cdot m \cdot k \quad [\text{mm}] . \quad (8.85)$$

8.5.3.6. Mecanismul melc-cremalieră melcată

Se folosește la transformarea mișcării de rotație în mișcare de translație și transmiterea ei în plane paralele în spațiu.

În acest caz (fig. 8.72) mărimea vitezei v_A este :

$$v_A = \pi \cdot m \cdot k \cdot n \quad [\text{mm/min}] , \quad (8.86)$$

iar viteza de deplasare a cremalierii este v .

Din condiția de funcționare $v_A = v$ se obține raportul de transmitere i :

$$i = \frac{x_e}{x_i} = \frac{v}{n} = \pi \cdot m \cdot k \quad [\text{mm}] , \quad (8.87)$$

în care m este modulul axial al cremalierii și melcului, în mm; k - numărul de începuturi al melcului.

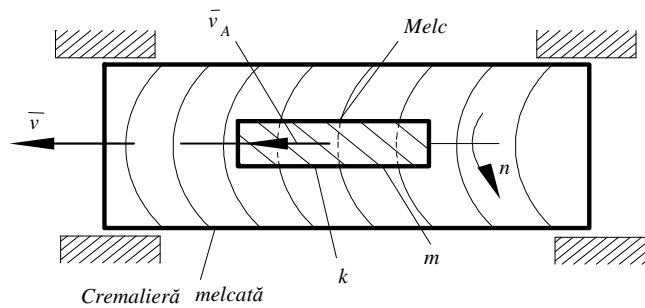


Fig. 8.72. Mecanismul melc - cremalieră melcată:
 m – modulul danturii;
 z – numărul de dinți ai roții dințate; k – numărul de începături; n – turația melcului; v_A - viteza unui punct de pe profilul melcului; v_p - viteza de deplasare a cremalierii.

8.4.3.7. Mecanismul șurub-piuliță

Se folosește la transformarea mișcării de rotație în mișcare de translație și transmiterea ei în mărime controlată.

La rotația șurubului cu turația n (fig.8.73) viteza de deplasare axială a piuliței v_A are mărimea:

$$v_A = p \cdot n \text{ [mm/min]} . \quad (8.88)$$

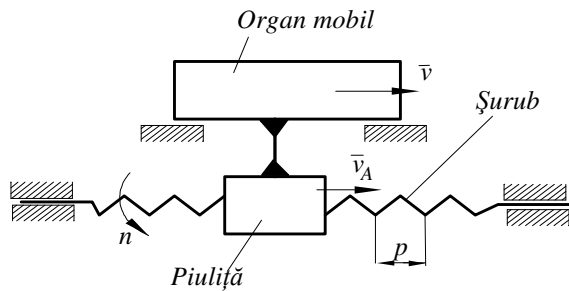


Fig. 8.73. Mecanismul șurub-piuliță.

Corp comun cu piulița face organul mobil ce se va deplasa cu viteza v . Pentru funcționarea mecanismului trebuie îndeplinită condiția $v_A = v$, de unde rezultă raportul de transmitere i de forma:

$$i = \frac{x_e}{x_i} = \frac{v}{n} = p \text{ [mm]} , \quad (8.89)$$

în care p reprezintă pasul axial al filetului șurubului și piuliței, în mm.

8.4.3.8. Mecanism cu roți baladoare

Mecanismul este format din două, trei sau patru angrenaje (construcții cu mai multe angrenaje sunt greu de realizat) și doi arbori (fig. 8.74), pe un arbore sunt roțile dințate deplasabile, iar pe celălalt roțile dințate fixe. Mecanismul cu două roți baladoare (fig.8.74. a) realizează rapoartele de transmitere:

$$i_1 = \frac{z_1}{z_2}; \quad i_2 = \frac{z_3}{z_4} \quad , \quad (8.90)$$

iar mecanismul cu trei roţi baladoare (fig. 8.74. b) realizează rapoartele:

$$i_1 = \frac{z_1}{z_2}; \quad i_2 = \frac{z_3}{z_4}; \quad i_3 = \frac{z_5}{z_6} \quad . \quad (8.91)$$

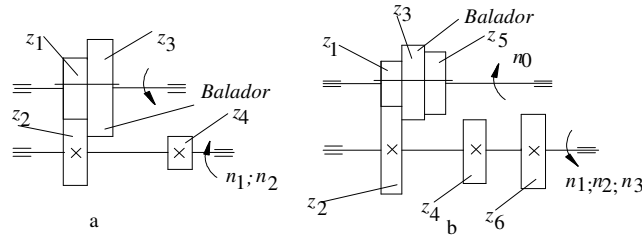


Fig. 8.74. Mecanisme cu roţi baladoare:

a - cu două roţi baladoare; b - cu trei roţi baladoare; $z_1 \dots z_6$ – numărul de dinţi ai roţiilor dinţate; $n_1; n_2; n_3$ – turaţiile corespunzătoare.

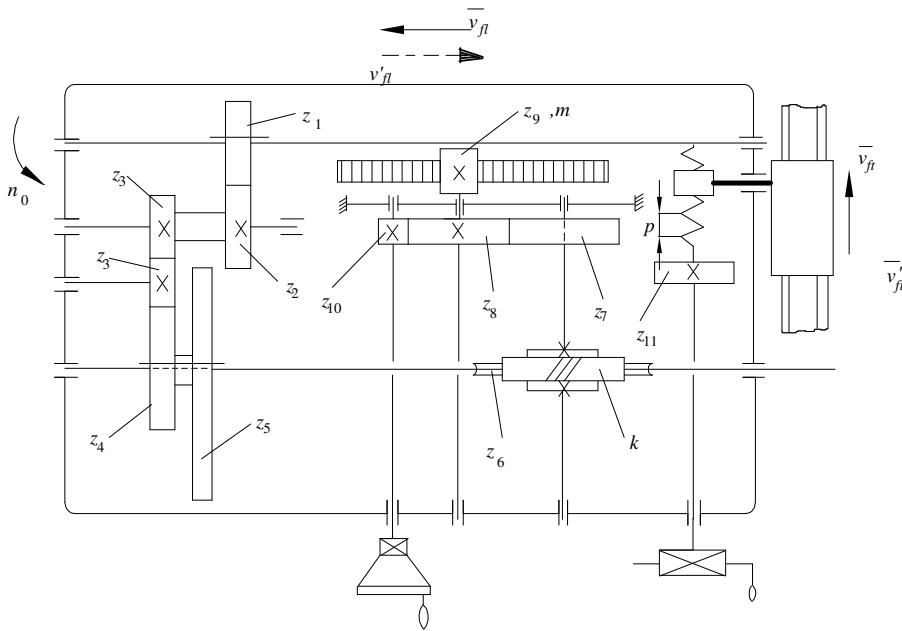


Fig. 8.75. Structura unui lanţ cinematic de avans longitudinal şi transversal; $z_1 \dots z_{11}$ – numărul de dinţi corespunzător roţilor dinţate; p – pasul filetului; k – numărul de încheputuri; n_0 – mărimea de intrare; $v_{fl}; v'_{fl}$ – viteza de avans longitudinal; $v_{fl}; v'_{fl}$ – viteza de avans transversal.

Pentru a exemplifica modul de aplicare a aspectelor teoretice privind caracteristicile mecanismelor și lanțurilor cinematice prezentate anterior, se consideră ansamblul din figura 8.75. Lanțul cinematic de avans longitudinal are ca mărime de intrare $y_i = n_0$, iar ca mărime de ieșire $y_e = v_{fl}$ (viteza de avans longitudinal).

Ecuatiile acestui lanț cinematic, pentru cele două sensuri sunt:

$$v_{fl} = n_0 \cdot \frac{z_1}{z_2} \cdot \frac{z_3}{z_4} \cdot \frac{k}{z_6} \cdot \frac{z_7}{z_8} p \cdot m \cdot z_9 \quad [\text{mm/min}] , \quad (8.92)$$

$$v'_{fl} = n_0 \cdot \frac{z_1}{z_5} \cdot \frac{k}{z_6} \cdot \frac{z_7}{z_8} \pi \cdot m \cdot z_9 \quad [\text{mm/min}] . \quad (8.93)$$

Pentru lanțul cinematic de avans transversal ecuațiile pentru ambele sensuri sunt:

$$v_{ft} = n_0 \cdot \frac{z_1}{z_2} \cdot \frac{z_3}{z_4} \cdot \frac{k}{z_6} \cdot \frac{z_7}{z_{11}} p \quad [\text{mm/min}] , \quad (8.94)$$

$$v'_{ft} = n_0 \cdot \frac{z_1}{z_5} \cdot \frac{k}{z_6} \cdot \frac{z_7}{z_{11}} p \quad [\text{mm/min}] . \quad (8.95)$$

8.5. DISPOZITIVE FOLOSITE LA PRELUCRAREA PRIN AȘCHIERE

8.5.1. Definiția, rolul și structura dispozitivelor

Realizarea preciziei geometrice corespunzătoare la suprafețele prelucrate prin așchiere este posibilă numai dacă se asigură pieselor-semifabricat în timpul prelucrării, o poziție corectă față de scula așchietoare și o fixare corespunzătoare fie a piesei, fie a sculei așchietoare, fie a ambelor pe mașina-unealtă. Pentru acest deziderat se folosesc sisteme tehnice numite dispozitive.

Dispozitivul este un sistem tehnic format dintr-un ansamblu de elemente (organe de mașini), constituind o unitate din punct de vedere tehnologic, constructiv și funcțional, care stabilește și menține orientarea și fixarea semifabricatelor sau a sculelor, putând prelua și funcții ale mașinii-unelte sau ale operatorului.

În sistemul tehnologic de prelucrare prin așchiere, dispozitivele sunt incluse în două locuri (fig. 8.77):

- leagă semifabricatul de mașina-unealtă, având rolul de orientare și fixare a semifabricatului față de traiectoria descrisă de tăișul principal al sculei;
- leagă scula așchietoare de mașina-unealtă, având rolul de orientare și fixare a acesteia pe mașina-unealtă.

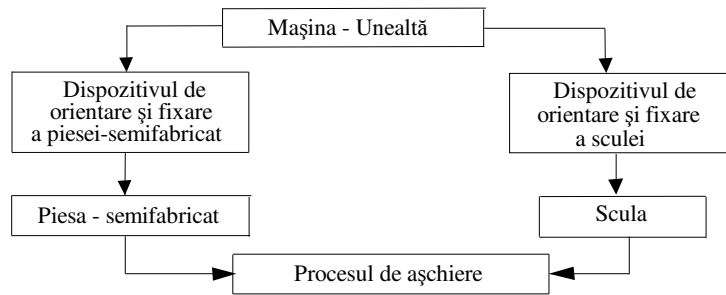


Fig. 8.77. Sistemul tehnologic la prelucrarea prin aşchiere.

După destinaţie, dispozitivele pot fi clasificate în trei mari categorii (fig.8.78):

- *dispozitive de lucru*, ce se utilizează direct în procesul de prelucrare pe maşina-unealtă;
- *dispozitive de asamblare*, ce servesc la asamblarea pieselor rezultate în urma prelucrării în subansamble sau ansamble;
- *dispozitive de control*, ce se utilizează la controlul calităţii pieselor rezultate în urma prelucrării sau subansamblelor rezultate în urma asamblării.

Avantajele utilizării dispozitivelor de prelucrare, asamblare sau control sunt:

- *creşterea productivităţii muncii*, prin: reducerea timpilor auxiliari, orientarea şi fixarea rapidă a piesei, posibilitatea prinderii şi prelucrării simultane a mai multor piese, eliminarea trasajului şi reglării la cotă a sculei pentru fiecare semifabricat;
- *mărirea preciziei de prelucrare*, prin: fixarea şi centrarea corectă a semifabricatului, eliminarea erorilor de trasare şi reglare la cotă, eliminarea dependenţei de calificarea operatorului;

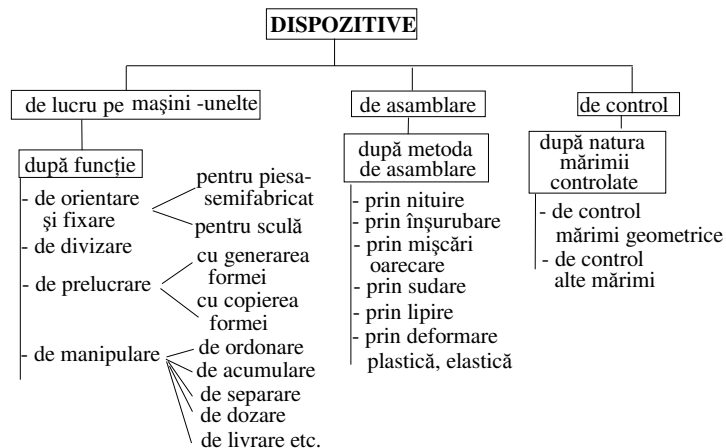


Fig. 8.78. Clasificarea dispozitivelor după destinaţie.

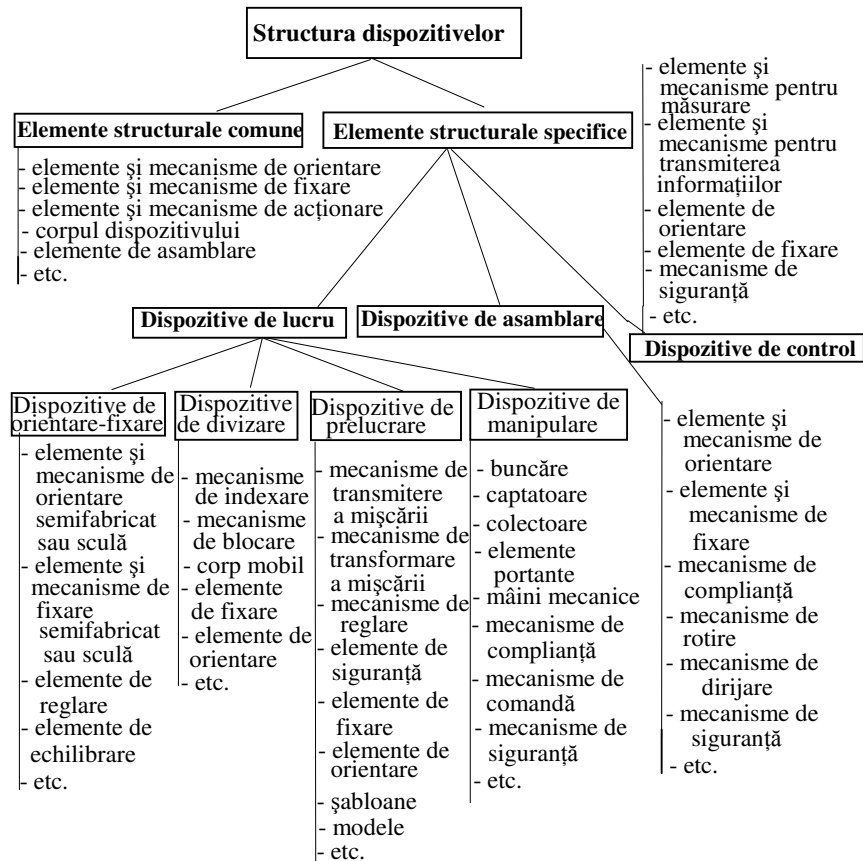


Fig. 8.79. Schema structurală a dispozitivelor.

- *reducerea costului pieselor prelucrate*, prin: creșterea capacității de producție a mașinii-unelte (prelucrarea simultană a mai multor piese), lărgirea posibilităților tehnologice de lucru ale mașinii-unelte, eliminarea rebuturilor, reducerea volumului de verificări ale poziției piesei sau sculei etc.

- *reducerea eforturilor fizice și îmbunătățirea condițiilor de muncă pentru operator*, prin construcția și destinația dispozitivului.

Având în vedere multiplele funcții pe care le îndeplinesc dispozitivele în procesul de prelucrare, există o mare diversitate constructivă a acestora, neputându-se vorbi de o structură comună, general valabilă pentru toate. Indiferent de tipul dispozitivului există însă în structură câteva elemente comune, celelalte fiind deosebite, în funcție de destinația dispozitivului (fig.8.79).

Utilizarea unui dispozitiv la prelucrare, asamblare sau control, precum și gradul de complexitate al acestuia sunt determinate de seria de fabricație a pieselor

de prelucrat și respectiv de asamblat sau controlat. Cu cât această serie de fabricație este mai mare, se pot utiliza dispozitive mai complexe, cu grad mai ridicat de mecanizare și automatizare, deoarece costul lor se amortizează mai ușor.

8.5.2 Orientarea pieselor–semifabricat în dispozitive

8.5.2.1. Orientarea și bazele de orientare

Operația prin care i se stabilește semifabricatului o poziție bine determinată în dispozitiv față de direcțiile unor mișcări date, impuse de cerințele procesului de generare a suprafețelor de prelucrat, poartă denumirea de *orientare*. Reglarea dispozitivului pe mașina-unealtă, într-o poziție univocă în raport cu tăișul sculei aşchietoare, în conformitate cu cerințele cerute procesului de generare, poartă denumirea de *poziționare*.

Considerând semifabricatul ce urmează a se prelucra ca un corp în spațiu, atunci pentru fixarea lui este necesară împiedicarea deplasărilor pe anumite direcții. Dacă se raportează poziția unui corp în spațiu față de un sistem de trei axe perpendiculare între ele $OXYZ$, atunci acest corp poate avea șase grade de libertate, echivalente cu posibilitățile sale de deplasare în spațiu (fig.8.80): trei translații t_x , t_y și t_z în lungul axelor OX , OY , OZ și trei rotații r_x , r_y și r_z în jurul axelor OX , OY și OZ .

Orientarea, ca operație în sine, se compune din mai multe faze distincte care, în funcție de geometria semifabricatului și cerințele procesului de prelucrare, pot fi: aşezări, ghidări, sprijiniri, centrări, poziționări unghiulare etc.

Elementele geometrice ale semifabricatului (suprafețe, linii sau puncte) față de care se determină poziția altor suprafețe, linii sau puncte ce urmează a fi generate, poartă denumirea de *baze*. Ținând cont de funcționalitatea și contribuția lor la realizarea orientării, se disting următoarele categorii de baze:

- *baze de cotare sau de măsurare (BC)*, reprezentate prin plane, drepte sau puncte, față de care, pornind direct de la condițiile funcționale, se determină poziția suprafețelor ce urmează a fi generate (de exemplu, la prelucrarea găurii de pe semifabricatul din figura 8.81, suprafețele A și B constituie baze de cotare);

- *baze de orientare*, formate din suprafețele, muchiile sau punctele după care se face orientarea semifabricatului în dispozitiv, pornind direct sau indirect de la condițiile funcționale. Aceste baze se pot suprapune total sau parțial peste cele de cotare, numite *baze principale*, sau pot fi complet distincte, numite *baze secundare*. Pe bazele de orientare se anulează semifabricatului, în mod condiționat, un număr de grade de libertate (evidențiat pe schemele de orientare printr-un număr corespunzător de cercuri pline $\bullet\text{---}\bullet\text{---}\bullet$). Elementele de dispozitiv, care vin în contact cu bazele de orientare anulând gradele de libertate, poartă denumirea de *reazeme principale*;

- *baze auxiliare*, care leagă grade de libertate care nu sunt reclamate de

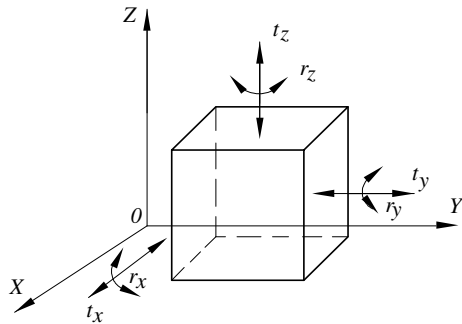


Fig. 8.80. Posibilitățile de deplasare ale unui corp în spațiu:

t_x, t_y, t_z – translații în jurul axelor Ox și respectiv Oy, Oz ; r_x, r_y, r_z – rotații în jurul axelor Ox și respectiv Oy, Oz .

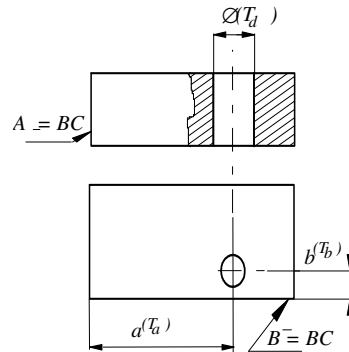


Fig. 8.81. Definirea bazelor unui semifabricat:

BC - baze de cotate; T_a, T_b, T_d – toleranțe de execuție la cotele respective.

procesul de orientare, ci de necesități determinate de închiderea circuitului forțelor de inerție etc. și nu participă la orientarea suprafețelor de generat. Elementele de dispozitiv care vin în contact cu aceste baze se numesc *reazeme auxiliare* (gradele de libertate anulate se marchează pe schema de orientare cu cerușe goale –O–O–O–).

8.5.2.2. Principii și scheme de orientare

Pentru a i se lua semifabricatului un anumit număr de grade de libertate este necesar ca el să fie așezat pe un număr bine determinat de puncte. Se deosebesc:

- *așezarea pe trei puncte* (fig.8.82. a) ce are ca rezultat pierderea a trei grade de libertate (două rotații și o translație). Suprafața semifabricatului care vine în contact cu aceste puncte se numește *bază de așezare* (în planul XOY);

- *așezarea pe cinci puncte*, situate în două plane (fig. 8.82.b), dintre care trei puncte într-un plan, iar celelalte două în alt plan, are ca rezultat pierderea a cinci grade de libertate (trei rotații și două translații). Linia pe care se găsesc cele două puncte de contact din planul YOZ se numește *bază de ghidare*;

- *așezarea pe șase puncte*, situate în trei plane (fig.8.82.c), dintre care trei într-un plan, două în alt plan și unul în al treilea plan, având drept rezultat pierderea tuturor gradelor de libertate. Deoarece punctul din planul XOZ realizează doar o sprijinire a corpului pe plan, această suprafață de orientare se numește *bază de sprijin*.

Indiferent de complexitatea formei geometrice a semifabricatului, orientarea se face pe un număr redus de tipuri de suprafețe (fig. 8.83). Din punct de vedere al procesului de orientare nu interesează intervalul de variație a dimensiuni-

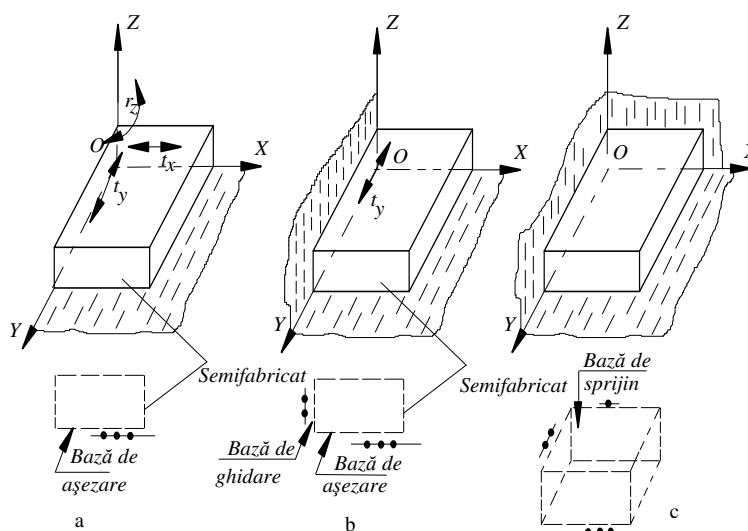


Fig. 8.82. Orientarea unui corp în spațiu folosind:
a - bază de așezare; b - bază de așezare și bază de ghidare; c - bază de așezare, bază de ghidare și bază de sprijin.

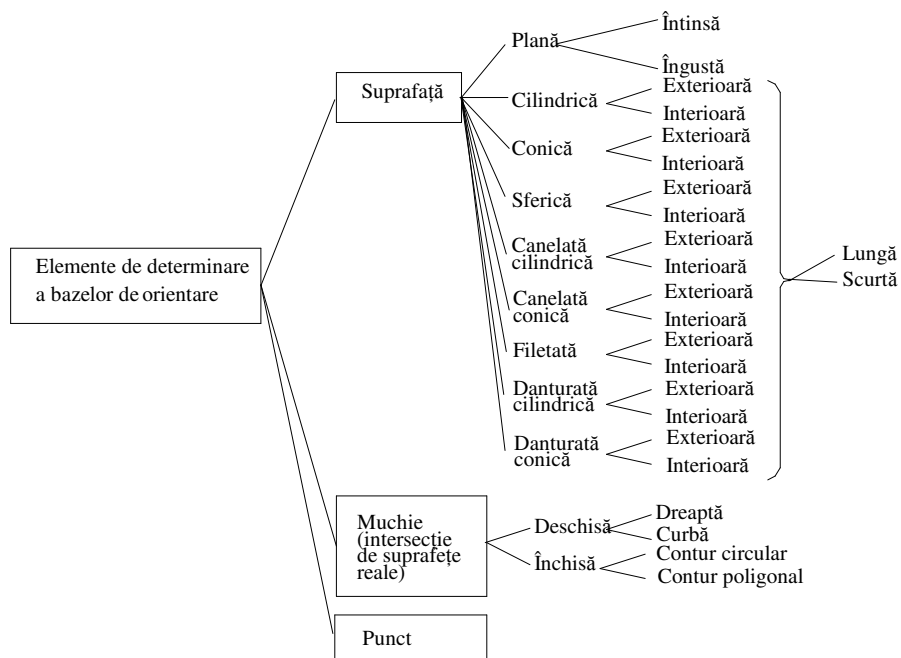


Fig. 8.83. Clasificarea elementelor ce pot determina bazele de orientare.

lor, ci raportul dintre aceste dimensiuni, raport ce definește două categorii de suprafețe: *lungi* și *scurte*.

La stabilirea bazelor de orientare și a sistemului de orientare format din acestea, trebuie să se aibă în vedere următoarele principii:

- atunci când sistemul bazelor de orientare coincide cu sistemul bazelor de cotare se obțin erori minime de bazare;
- la alegerea sistemelor de orientare trebuie să se evite supraorientarea (suprarezarea) semifabricatului;
- orientarea cea mai stabilă și precisă se realizează atunci când baza corespunzătoare suprafeței de orientare cu aria maximă este materializată în întregime în dispozitiv prin elementele de orientare;
- orientarea cea mai precisă se obține atunci când contactul dintre reazeme și suprafețele de orientare ale semifabricatului este punctiform etc.

1. Baze de orientare determinate de suprafețe plane. Așa cum s-a văzut în figura 8.82, pe o suprafață plană a unui semifabricat pot fi legate trei, două sau un grad de libertate.

Spre exemplu, atunci când bazele de orientare coincid cu bazele de cotare, preluarea gradelor de libertate, la prelucrarea canalului d , se face ca în figura 8.84.

Atunci când bazele de cotare sunt plane de simetrie a două suprafețe plane (fig.8.85), rezemarea semifabricatului nu se poate face pe astfel de baze, întrucât sunt fictive. De exemplu, când canalul d este simetric față de suprafețele A_1 și A_2 sistemul bazelor de cotare este format din planele BC_1 , BC_3 și un punct P .

Dacă se alege P ca bază de orientare, atunci materializarea în dispozitiv se face cu un *mecanism autocentrant* (fig. 8.85).

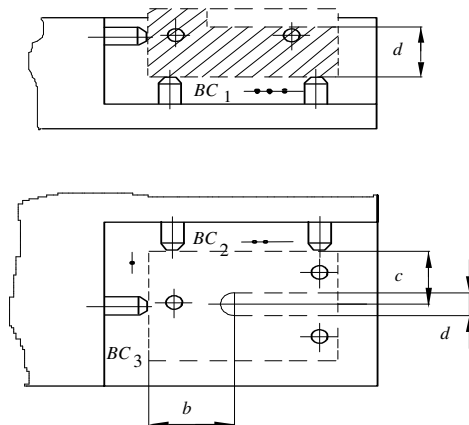


Fig. 8.84. Cazul când bazele de orientare coincid cu bazele de cotare BC_1 , BC_2 , BC_3 :

—•••— bază de așezare; —••— bază de ghidare;
—•— bază de sprijin.

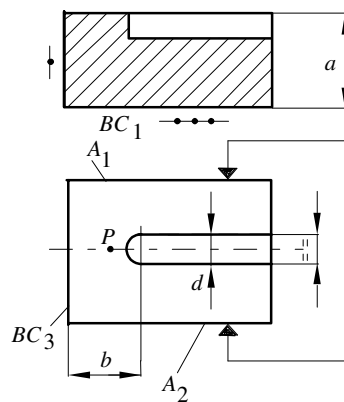


Fig. 8.85. Cazul când bazele de cotare sunt imaginare și nu coincid cu bazele de orientare:

—•••— bază de așezare; —••— bază de sprijin;

—•— mecanism autocentrant.

Bazele de așezare, de ghidare sau de sprijin, determinate de suprafețele plane, sunt materializate în dispozitivele de prelucrare prin *reazeme*.

Reazemele pentru suprafețe plane se împart în trei mari categorii:

- *reazeme fixe*: cepuri (fig. 8.86. a), plăci și mese de reazem;
- *reazeme reglabile* (fig. 8.86. b);
- *reazeme autoreglabile* (fig. 8.86. c).

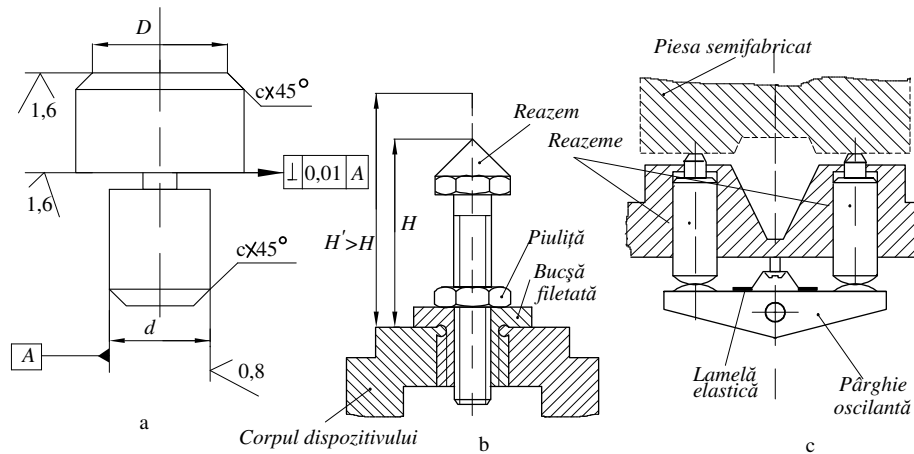


Fig. 8.86. Tipuri de reazeme:
a - fixe; b - reglabile; c - autoreglabile.

2. Baze de orientare determinate de suprafețe cilindrice interioare. La orientarea unui semifabricat pe o suprafață cilindrică interioară lungă ($l > d$), prin rezemarea pe un dorn cilindric pe care semifabricatul intră cu joc (fig. 8.87), sau pe un dorn autocentrant care anulează jocul inițial (fig. 8.88), semifabricatului i se leagă patru grade de libertate (două translații și două rotații).

În cazul în care rezemarea semifabricatului se face pe un dorn autocentrant, axa alezajului se materializează în dispozitiv mai precis, întrucât se elimină jocul inițial (la tragerea axială a tijei conice 1, cu forța F , bușca elastică 2 este împinsă de cilindrul 4 pe conul corpului 3 și deformată radial, realizând suprapunerea axei sale peste axa semifabricatului).

În cazul în care elementul de orientare are lungimea de orientare mult mai mică decât diametrul (fig. 8.89), deci este un dorn scurt, nu se mai pot prelua rotațiile r_y și r_z , ci doar două deplasări t_y și t_z .

Practic, orientarea semifabricatelor numai pe baze cilindrice interioare se face relativ rar, de obicei, acestea se asociază cu orientarea pe baze plane, într-unul din următoarele două moduri:

- orientarea pe o suprafață cilindrică interioară și o suprafață plană perpendiculară pe aceasta (fig. 8.90. a și b);

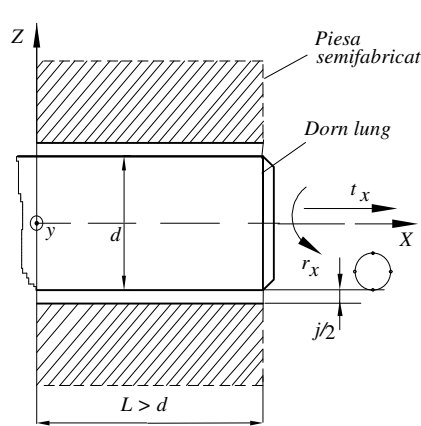


Fig. 8.87. Orientarea semifabricatului pe dornuri lungi:
 r_x – rotația în jurul axei Ox ; t_x – translația în lungul axei Ox ; \odot – simbolul dornului cilindric lung.

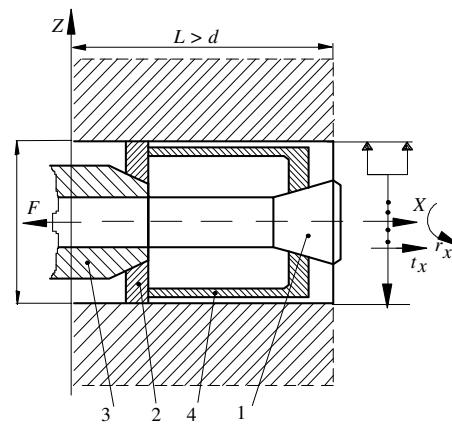


Fig. 8.88. Orientarea semifabricatului pe suprafețe cilindrice interioare autocentrante:
 r_x – rotația în jurul axei Ox ; t_x – translația în lungul axei Ox ; \odot – simbolul dornului autocentrant lung.

- orientarea pe două suprafețe cilindrice interioare, cu axe paralele, și o suprafață plană, perpendiculară pe acestea. În acest caz, elementele de reazem care permit realizarea orientării sunt două dornuri: unul cilindric introdus în gaura D_1 (fig. 8.91), care asigură centrarea după axa acestei găuri, și unul frezat, introdus în gaura D_2 . Motivul pentru care unul din bolțuri este frezat se datorează faptului că

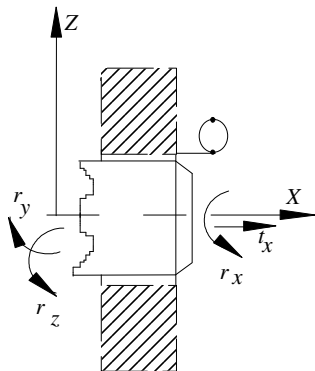


Fig. 8.89. Orientarea semifabricatelor pe dorn scurt:
 r_x, r_y, r_z – rotațiile în jurul axelor Ox, Oy, Oz ;
 t_x – translația în lungul axei Ox ;
 \odot – simbolul dornului scurt;

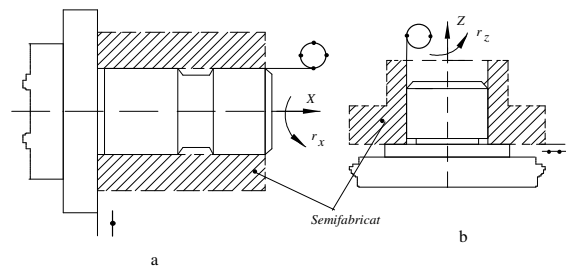


Fig. 8.90. Orientarea pe suprafață cilindrică interioară și suprafață plană:
a - folosind dorn lung și bază de sprijin; b - folosind dorn scurt bază de așezare.

atât distanța dintre axele găurilor, cât și cea dintre axele dornurilor se execută în câmpuri de toleranță diferite. Din cele prezentate rezultă că rezemarea pe o suprafață cilindrică interioară a unui semifabricat leagă patru (dorn lung), două (dorn cilindric scurt, dorn lung frezat) sau un grad de libertate (dorn scurt frezat).

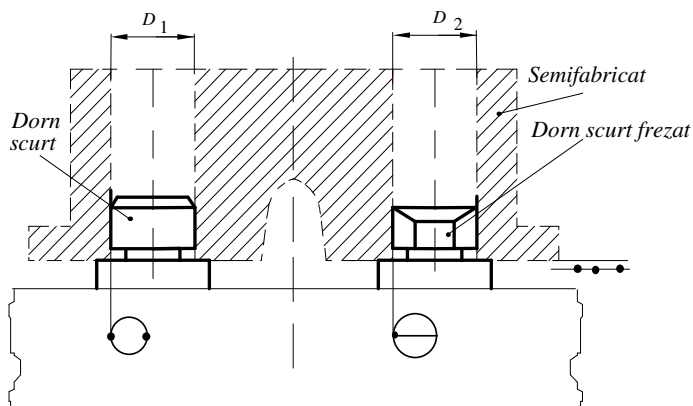


Fig. 8.91. Orientarea semifabricatului pe suprafețe cilindrice interioare și suprafețe plane:

⊙ - simbolul pentru dornul cilindric scurt ;
 ⊕ - simbolul pentru dornul cilindric scurt și frezat; -●●- - simbolul pentru baza de așezare.

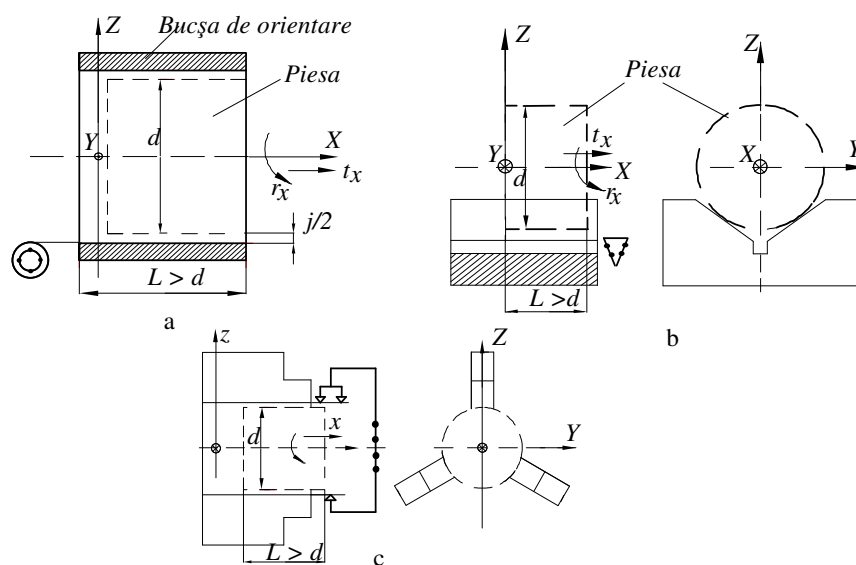


Fig. 8.92. Orientarea pe suprafețe cilindrice exterioare lungi:

a – pe bucle rigide; b – pe prisme; c – cu mecanisme autocentrante: r_x – rotația în jurul axei Ox ;

t_x – translația în lungul axei Ox ; ⊙ - simbolul pentru orientarea pe bușă cilindrică lungă;

⊕ - simbolul pentru orientarea pe prismă lungă; -●●- - simbolul pentru mecanism autocentrant.

3. Baze de orientare determinate de suprafețe cilindrice exterioare.

Orientarea semifabricatelor pe suprafețe cilindrice exterioare se face pe *bucșe* rigide (fig. 8.92. a), pe care semifabricatele se introduc cu joc limitat j , pe *prisme* (fig. 8.92. b) sau cu *mecanisme autocentrante* (fig. 8.92.c), denumite mandrine, care anulează jocul necesar introducerii semifabricatului.

La orientarea pe o suprafață cilindrică exterioară lungă l se leagă semifabricatului patru grade de libertate: t_y , t_z , r_y și r_z (fig.8.92).

În cazul în care bucșa rigidă, prisma sau mecanismul autocentrant realizează orientarea pe o suprafață cilindrică exterioară scurtă ($l < d$), se leagă doar două grade de libertate t_y și t_z (fig. 8.93).

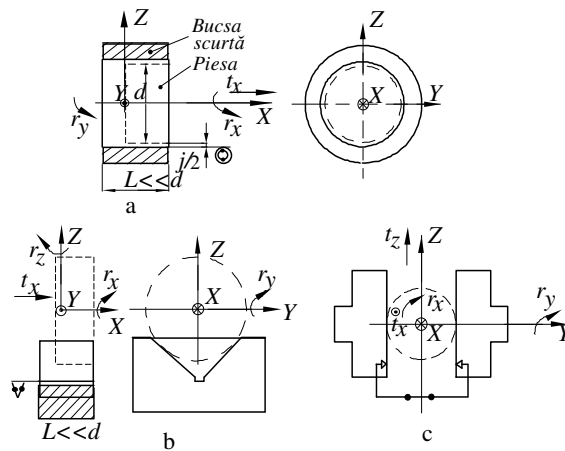





Fig. 8.93. Orientarea pe suprafețe cilindrice exterioare scurte:

a - pe bucșă rigidă; b - pe prismă scurtă; c - cu mecanism autocentrant cu două fălci I;  - simbolul pentru orientarea pe bucșă scurtă;  - simbolul pentru orientarea pe prismă scurtă;  - simbolul pentru orientarea cu mecanism autocentrant cu două fălci.

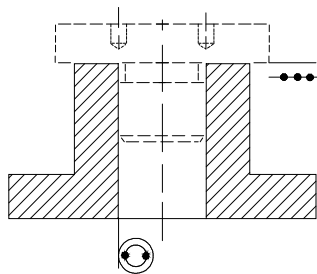

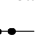


Fig. 8.94. Orientarea pe suprafețe cilindrice exterioare scurte și pe suprafețe plane:

 - simbolul pentru orientarea pe bucșă scurtă;  - simbolul pentru baza de așezare.

De obicei orientarea semifabricatelor cilindrice nu se face numai pe suprafața cilindrică, ci și pe combinații ale acestora cu alte tipuri de suprafețe (mai frecvent plane, ca în figura 8.94).

4. Baze de orientare determinate de suprafețe conice exterioare și interioare. Orientarea semifabricatelor pe suprafețe conice interioare se face pe dornuri conice, iar pe suprafețe conice exterioare, pe bușe conice. La orientarea semifabricatului pe o suprafață conică interioară lungă, pe un dorn conic lung (fig. 8.95. a), pe o suprafață conică exterioară sau pe o bușă conică (fig. 8.95. b) se leagă semifabricatului cinci grade de libertate: t_x , t_y , t_z , r_y și r_z

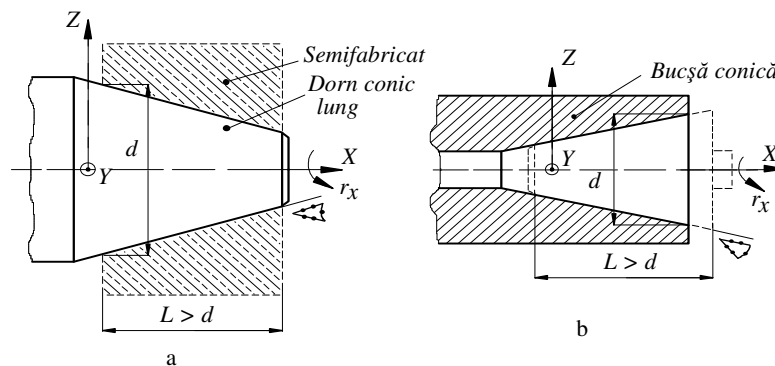

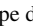


Fig. 8.95. Orientarea semifabricatului pe suprafețe conice:

a - interioare folosind dorn lung; b - exterioare folosind bușă conică:  - simbolul pentru orientarea pe bușă conică lungă;  - simbolul pentru orientarea pe dorn conic lung.

Dacă elementul de orientare sau suprafața conică a semifabricatului are o lungime mult mai mică decât diametrul alezajului conic, se pot lega numai trei grade de libertate: t_x , t_y , t_z (fig. 8.96).

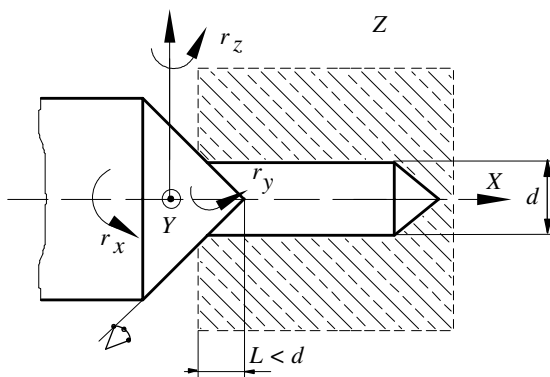



Fig. 8.96. Orientarea pe suprafețe conice scurte :

 - simbolul pentru orientarea pe dornuri conice scurte;
 r_x , r_y , r_z - rotații în jurul axelor Ox , Oy , Oz .

Cele mai utilizate sisteme de orientare determinate de suprafețe conice sunt reprezentate în figura 8.97. a, în care semifabricatul tip arbore se orientează pe un dorn conic fix 1 și pe un con mobil 2, sau ca în figura 8.97. b, în care semifabricatul se orientează cu două conuri mobile, care permit realizarea cotei a , la precizii ridicate.

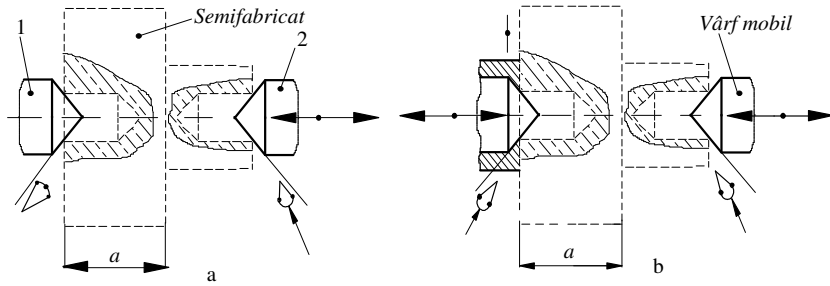


Fig. 8.97. Orientarea pe găuri de centrare, folosind vârfuri de centrare:
a - cu dorn conic fix și con mobil; b - cu două conuri mobile: - simbolul pentru orientarea pe dorn conic scurt fix; - simbolul pentru orientarea pe dorn conic scurt mobil; - simbolul pentru bază de sprijin.

5. Baze de orientare determinate de suprafețe sferice. Orientarea semifabricatelor pe suprafețe sferice este mai puțin întâlnită. Suprafețele sferice exterioare ale semifabricatelor se orientează pe elemente de orientare cu conuri interioare (fig. 9.98. a) și leagă semifabricatului cele trei translații t_x , t_y , și t_z . Suprafețele sferice interioare se reazemă pe elemente de orientare cu suprafețe sferice limitate (fig. 8.98. b) și leagă semifabricatului tot cele trei translații t_x , t_y , t_z .

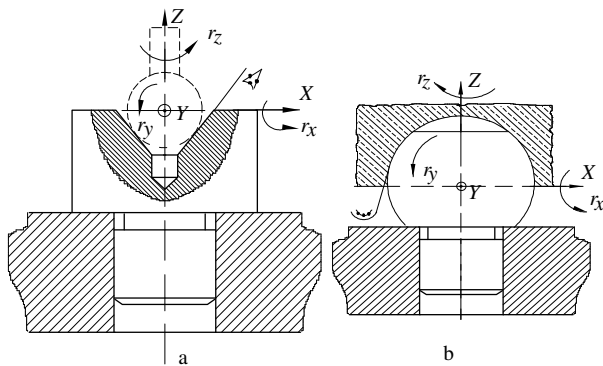


Fig. 8.98. Orientarea semifabricatelor pe suprafețe sferice :
a - exterioare; b - interioare;
 - simbolul pentru orientarea pe bușe conice;
 - simbolul pentru orientarea pe cepuri cu cap sferic

În concluzie se poate spune că, existând o mare diversitate de piese - semifabricat, există o mare diversitate de suprafețe de orientare și, prin urmare, o gamă largă de elemente de orientare.

8.5.2.3. Stabilirea schemei optime de orientare a semifabricatelor în dispozitive

Pentru orientarea unui semifabricat în vederea prelucrării se pot folosi mai multe scheme de orientare (deoarece aceeași bază poate fi orientată în diferite moduri), din care trebuie aleasă cea mai convenabilă.

Varianta economică de orientare a unui semifabricat la prelucrarea unei suprafețe este acea variantă care corespunde unor baze de orientare și elemente de orientare din care se obține dispozitivul cel mai simplu, care îndeplinește și cerințele legate de precizia de prelucrare.

Câteva din cele mai des utilizate elemente de reazem pentru orientarea semifabricatelor în dispozitive se prezintă în tabelul 8.2.

Etapele necesare întocmirii schemei optime de orientare (S.O.) și schemei de fixare (S.O.F.) se prezintă în figura 8.99, luându-se în considerare două criterii de optimizare: *precizia orientării* și *costul dispozitivului*. După cum rezultă din figură, în primul rând trebuie stabilite toate variantele de orientare și găsirea celor care sunt posibile și raționale, din punct de vedere tehnic.

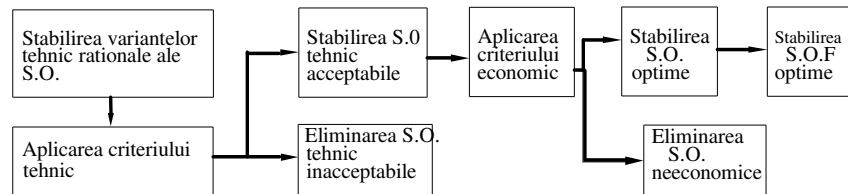


Fig. 8.99. Etapele stabilirii schemei de orientare și fixare optime a semifabricatului în vederea prelucrării.

De exemplu, la prelucrarea canalului pe piesa din figura 8.100, cotele $b^{(Tb)}$, $c^{(Tc)}$ și perpendicularitatea canalului pe axa de simetrie a piesei sunt determinante în stabilirea schemei de orientare, cota $a^{(Ta)}$ neluându-se în considerare (deoarece este determinată de lățimea frezei). Planele de referință necesare orientării sunt S_1 , S_2 și S_3 . Respectarea condiției $b^{(Tb)}$ se obține așezând semifabricatul pe suprafața S_1 , folosind reazeme fixe sau plăcuțe de reazem fixe, cu preluarea a trei grade de libertate (t_x , r_x , r_y). Pentru asigurarea condiției $c^{(Tc)}$ se impune ca axa Oz să nu-și modifice poziția la orientarea semifabricatului în dispozitiv. Axa Oz fiind imaginară, se materializează folosind dornuri scurte rigide [1], conuri scurte mobile [2] sau mecanisme autocentrante [3]. În toate cazurile se preiau două grade de libertate (t_x și t_y). Perpendicularitatea canalului pe planul de simetrie S_2 se obține asigurând poziția corectă, întotdeauna aceeași, a acestui plan. Pentru realizarea acestei condiții este necesar să se definească planul S_2 , ca fiind determinat de dreapta Oz și un punct P exterior ei, simetric plasat față de conturul exterior al piesei. Poziția punctului P se obține folosind ghidaj cu joc funcțional [5], prismă

Tabelul 8.2. Câteva din cele mai des utilizate elemente de orientare a semifabricatelor

Nr. crt.	Denumirea poziționării	Simbolizarea convențională	Elemente de dispozitive definite de simbol	Nr. grad libertate anulat	Natura gradului anulat	Tipul bazei
0	1	2	3	4	5	6
1	Orientarea pe o suprafață plană, folosind reazeme fixe.		Cepuri de reazem, Plăcuțe de reazem	3	$2r+1t$	Bază de așezare
				2	$1r+1t$	Bază de ghidare
				1	$1t$	Bază de sprijin
2	Orientarea pe o suprafață plană, folosind reazem mobil.		Cepuri de reazem, Plăcuțe de reazem mobile	1	$1r$	Bază de sprijin
3	Orientarea pe două suprafețe plane lungi cu joc funcțional.		Ghidaj lateral lung, Pană lungă	2	$1r+1t$	Bază de ghidare
4	Orientarea pe o suprafață cilindrică lungă, exterioară sau interioară, cu joc funcțional.		Bucșă lungă fixă, Bolț lung fix	4	$2r+2t$	Bază dublă de centrare
5	Orientarea pe o suprafață cilindrică exterioară lungă, folosind reazem fix cu contur deschis.		Prismă lungă, fixă	4	$2r+2t$	Bază dublă de ghidare
6	Orientarea pe o suprafață cilindrică exterioară sau interioară lungă, folosind reazem mobil.		Mecanism autocentrant cu bucsă elastică, cu fălci, cu bucsă cu pereți subțiri	4	$2r+2t$	Bază dublă de centrare
7	Orientarea pe suprafețe cilindrice scurte, folosind reazeme fixe cu contur.		Bucșă scurtă, fixă Bolț cilindric scurt fix	2	$2t$	Bază de centrare
8	Orientarea pe o suprafață cilindrică interioară scurtă, cu joc funcțional și de compensare.		Bolț scurt fix frezat	1	$1r$ sau $1t$	Bază de sprijin

Tabelul 8.2. (continuare)

Nr. crt.	Denumirea poziționării	Simbolizarea convențională	Elemente de dispozitive definite de simbol	Nr.grad libertate anulat	Natura grad. anulat	Tipul bazei
0	1	2	3	4	5	6
9	Orientarea pe suprafețe conice lungi, fără joc funcțional.		Bucșă conică fixă lungă, Con exterior fix lung	5	$2r+3t$	Bază dublă de centrare și bază de sprijin
10	Orientarea pe suprafețe conice, folosind reazem mobil.		Bucșă conică lungă mobilă, Con lung mobil	4	$2r+2t$	Bază dublă de centrare
11	Orientarea pe suprafețe conice scurte, folosind reazeme fixe.		Bucșă conică scurtă, Con exterior scurt fix	3	$3t$	Bază de centrare și sprijin
12	Orientarea pe o suprafață sferică exterioară, fără joc.		Reazem conic fix, Reazem conic mobil	3 sau 2	$3t$ $2t$	Bază de centrare și sprijin Bază de centrare
13	Orientarea pe suprafețe cilindrice canelate lungi.		Ax canelat lung, Bucșă canelată lungă	5	$3r+2t$	Bază dublă de centrare și bază de sprijin
14	Orientarea pe suprafețe cilindrice canelate scurte.		Bucșă canelată scurtă, Ax canelat scurt	3	$1r+2t$	Bază de centrare și bază de sprijin
15	Orientarea pe suprafețe conice canelate lungi.		Ax conic canelat lung, Bucșă canelată conică scurtă	5	$2t+3r$	Bază dublă de centrare și bază dublă de sprijin
16	Orientarea pe suprafețe conice canelate scurte.		Ax conic canelat scurt, Bucșă conică canelată scurtă	4	$1r+3t$	Bază de centrare și bază dublă de sprijin

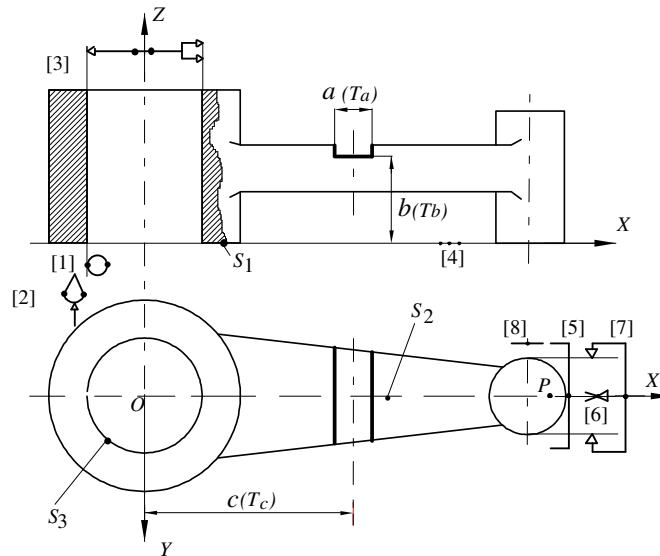


Fig. 8.100. Scheme de orientare posibile pentru prelucrarea canalului piesei din figură.

Tabelul 8.3. Scheme de orientare posibile la prelucrarea canalului piesei din figura 8.100

Nr. schemă	Extremul I axa OZ			Extremul II suprafața S ₁	Extremul III punct P			
	[1]	[2]	[3]		[5]	[6]	[7]	[8]
1	×			×	×			
2	×			×		×		
3	×			×			×	
4	×			×				×
5		×		×	×			
6		×		×		×		
7		×		×			×	
8		×		×				×
9			×	×	×			
10			×	×		×		
11			×	×			×	
12			×	×				×

mobilă [6], mecanism autocentrant cu fălci [7] sau reazem lateral fix [8].

După ce se alcătuiește tabloul cu toate schemele de orientare posibile (tab. 8.2), se aplică criteriul tehnic de selectare a schemelor, calculându-se pentru fiecare

condiție determinantă valoarea erorilor de orientare. O variantă de orientare corespunde din punct de vedere tehnic (al preciziei de prelucrare) la o cotă c , dacă diferența dintre toleranța la cota c , notată T_c și precizia medie economică de prelucrare care poate fi realizată la cota respectivă ω_c (specifică fiecărui procedeu de prelucrare), este mai mare decât eroarea de orientare $\varepsilon(c)$, care apare la cota c în varianta respectivă, adică:

$$T_c - \omega_c > \varepsilon(c) . \quad (8.93)$$

În urma acestor calcule, rămân în atenție numai schemele care asigură precizia de orientare necesară prelucrării, numite *scheme de orientare tehnic acceptate*. În următoarea fază de optimizare, schemele de orientare tehnic acceptabile sunt selectate pe baza unui criteriu economic, care ia în considerare: condițiile în care are loc fabricarea, costul dispozitivului, complexitatea constructivă, dificultatea reglării, costuri de întreținere; productivitatea pe care o asigură, condiții de funcționare, gradul de adaptabilitate la schimbările de produs, fiabilitatea, și siguranța în funcționare.

După stabilirea schemei optime de orientare a semifabricatului în dispozitiv se stabilește schema de fixare, obținându-se astfel prin suprapunere, schema optimă de orientare și fixare a semifabricatului.

8.5.3. Fixarea semifabricatelor în dispozitive

Prin fixare se înțelege aplicarea asupra semifabricatului, introdus în dispozitiv, a unui sistem de forțe astfel construit încât să realizeze:

- schema de orientare corespunzătoare prelucrării;
- menținerea poziției respective în tot timpul prelucrării.

Forțele care solicită semifabricatul în timpul prinderii în dispozitiv și a prelucrării propriu-zise sunt prezentate schematic în figura 8.101.

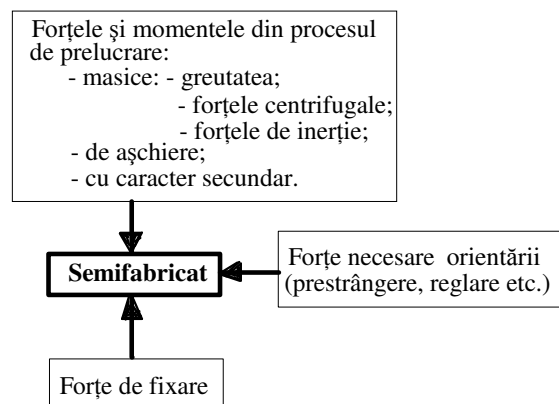


Fig. 8.101. Solicitățile semifabricatului în timpul prinderii în dispozitiv în vederea prelucrării.

8.5.3.1. Forțele și momentele din procesul de prelucrare

Semifabricatul în dispozitiv este solicitat de mai multe forțe care diferă de la o fază la alta a procesului de așchiere și anume:

1. *Forțele și momentele de așchiere*, cu caracter variabil atât în regimuri tranzitorii, corespunzătoare timpilor t_p și t_0 (la angajarea și degajarea sculei din așchie), cât și în timpul t_l când sistemul tehnologic lucrează la parametrii tehnologici (fig. 8.102);

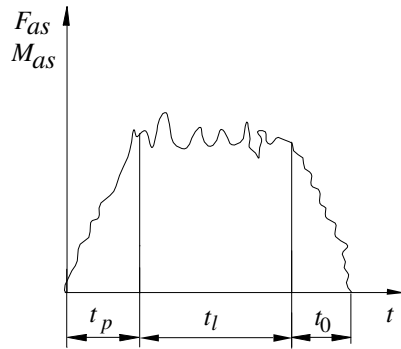


Fig.8.102. Evoluția forțelor de așchiere și a momentelor de așchiere în procesul de prelucrare.

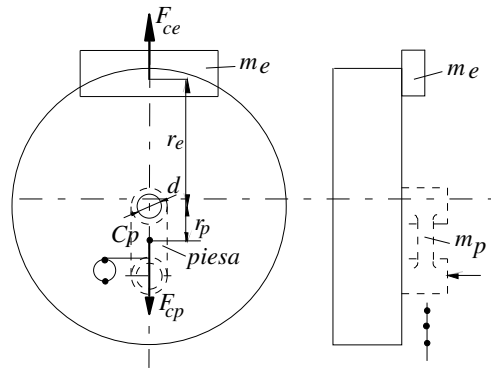


Fig.8.103. Schemă pentru determinarea masei de echilibrare m_e ; C_p – centrul de greutate al piesei; m_p – masa piesei;

2. *Forțele și momentele masice:*

- *greutatea G a semifabricatului* acționează în toate fazele de lucru, în centrul său de greutate având direcția și sensul accelerației gravitaționale g :

$$G = m_p \cdot g \quad , \quad (8.94)$$

în care m_p este masa semifabricatului, în kg.

- *forțele centrifugale* apar atunci când centrul de greutate nu coincide cu axa de rotație.

Masa elementului de echilibrare m_e se determină egalând forțele centrifugale dezvoltate de semifabricat F_{cp} și de elementul de echilibrare F_{ce} , când acestea se rotesc cu viteza unghiulară ω (fig.8.103), adică:

$$F_{cp} = m_p \cdot r_p \cdot \omega^2 = F_{ce} = m_e \cdot r_e \cdot \omega^2 \quad , \quad (8.95)$$

de unde rezultă:

$$m_e = m_p \cdot \frac{r_p}{r_e} \quad , \quad (8.96)$$

în care r_p este distanța de la axa de rotație a piesei la centrul de greutate al piesei; r_e - distanța de la axa de rotație a piesei la centrul de greutate al masei elementelor de echilibrare m_e .

3. *Forțele și momentele de inerție* trebuie luate în considerare la proiectarea sistemelor de fixare. Pentru semifabricatele aflate în mișcare de rotație apar momentele de inerție M_i de forma:

$$M_i = I \cdot \frac{d^2\varphi}{dt^2} = I \cdot \varepsilon = I \cdot \frac{\omega}{t} = I \cdot \frac{\pi n}{30} \cdot \frac{1}{t}, \quad (8.97)$$

iar pentru semifabricatele în mișcare rectilinie-alternativă apar forțele de inerție de forma:

$$F_i = m \cdot a = \frac{G}{g} \cdot a = \frac{G}{g} \cdot \frac{dV}{dt} = \frac{G}{g} \cdot \frac{V}{t}, \quad (8.98)$$

în care G este greutatea semifabricatului; $\omega = d^2\varphi/dt^2$ este accelerația unghiulară; I - momentul de inerție față de axa de rotație; n - turația; t - timpul; $a = dV/dt$ este accelerația mișcării alternative; V - viteza maximă a semifabricatului.

4. *Forțele și momentele cu caracter secundar* nu solicită prea mult semifabricatul. În această categorie intră:

- forțele care apar la retragerea sculelor (a burgielor);
- forțele datorate tensiunilor termice;
- forțele de frecare și rezistențele diferite (frecarea semifabricat-aer, semifabricat-vârf fix etc.).

8.5.3.2. Forțele necesare orientării semifabricatului

Se aplică asupra semifabricatului cu scopul de a asigura poziția corectă pe reazeme astfel încât la aplicarea strângerii principale acesta să fie imobilizat pe reazeme în poziția necesară. Aceste forțe se numesc *forțe de prestrângere* sau de reglare și au valori mici. Forțele de prestrângere sunt necesare atunci când forțele G sau componentele N , T nu pot asigura contactul dintre toate bazele de orientare și reazeme (fig. 8.104). Ele se simbolizează cu săgeți goale și se aplică de cele mai multe ori manual. Pentru a preveni eventualele erori, prestrângerea se face cu mecanisme speciale (reazeme mobile, șuruburi, plunjere, pene), care aplică forțele de prestrângere într-o anumită ordine.

8.5.3.3. Forțele de fixare (de strângere)

Se aplică semifabricatului prin mecanismul de fixare, după ce acesta a fost orientat în dispozitiv prin aplicarea eventuală a forțelor de prestrângere (reglare). Forțele de fixare au întotdeauna sensul către reazeme și sunt aplicate, de obicei, perpendicular pe suprafețele reazemelor pentru a nu da componente care să deplaseze semifabricatul de pe reazeme.

Alegerea punctelor de aplicație a acestor forțe se face pe baza mai multor considerente:

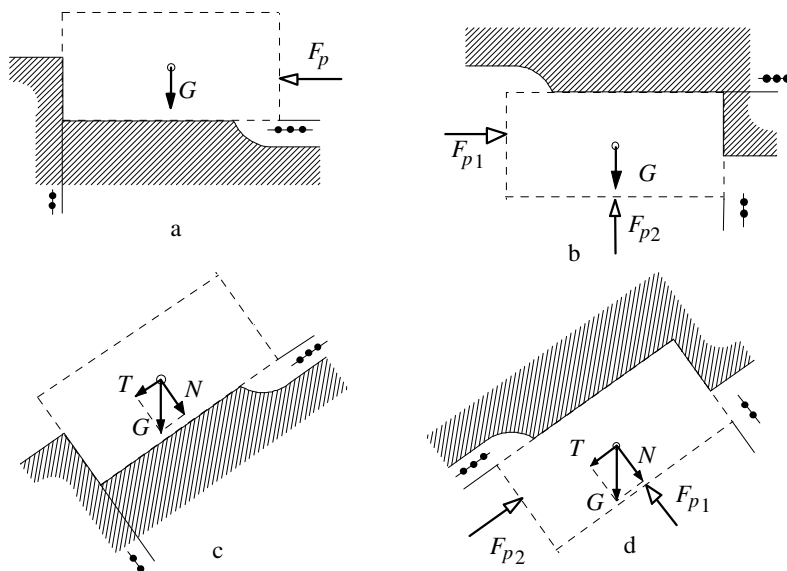


Fig. 8.104. Modul de aplicare a forțelor de prestrângere (reglare):
a – cazul când greutatea G a piesei este perpendiculară și în direcția bazei de așezare; b – cazul când greutatea G a piesei este perpendiculară și în sens contrar bazei de așezare; c; d - cazul când greutatea G a piesei este orientată înclinat față de bazele de așezare; F_p ; F_{p1} ; F_{p2} – forțele de prestrângere.

- deformățiile semifabricatului și reazemelor să fie cât mai mici. Aceasta impune ca forța sau rezultantele forțelor să fie aplicate în centrul de greutate al ariei de contact al semifabricatului cu reazemele (fig. 8.105. a). Efectul este similar dacă se aplică forțele de strângere S_1 și S_2 ;

- punctele de aplicație a forțelor de strângere să nu fie în zonele cu rigiditate scăzută. Aplicând forța de strângere S în zona de rigiditate scăzută (fig. 8.105. b₁), alezajele vor rezulta cu o abatere $\Delta\alpha$ de la perpendicularitate. Eliminarea acestui neajuns se face aplicând forțele de strângere S_1 și S_2 având aceeași resultantă (fig. 8.105. b₂);

- direcția forțelor de strângere să fie totdeauna către reazemul care preia cele mai multe grade de libertate. Astfel, dacă forța de strângere S se aplică spre reazemul frontal (fig. 8.105. c₁), semifabricatul se va ridica de pe prismă afectând precizia cotei b . Eliminarea acestui neajuns se face aplicând forța S perpendicular pe prismă (fig. 8.105. c₂).

- punctele de aplicație ale forțelor de strângere trebuie astfel alese încât să nu împiedice prelucrarea suprafețelor în operația respectivă.

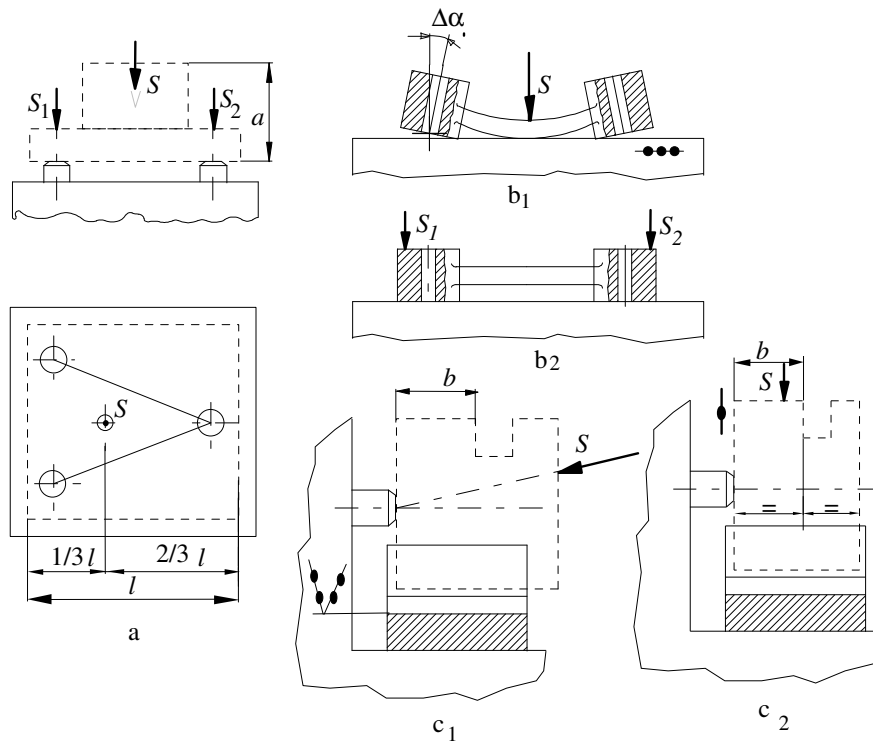


Fig. 8.105. Criterii de alegere a schemelor de fixarea :

a – aplicarea forței de strângere în centrul de greutate; b - aplicarea forței de strângere în zonele de rigiditate ridicată ; c - aplicarea forței de strângere către reazemul care preia cele mai multe grade de libertate .

Mărima forței de strângere rezultă întotdeauna dintr-o ecuație de echilibru a forțelor de strângere și a celor care solicită semifabricatul în timpul procesului de prelucrare, ecuație obținută în ipoteza că semifabricatul trebuie să rămână în echilibru pe reazeme. Determinarea forței de strângere se face pornind de la ipoteza că semifabricatul rezemat pe elementele de orientare, poate pierde echilibrul în trei moduri posibile:

- prin răsturnare în jurul unor reazeme, caz în care forța de strângere S rezultă din ecuația de moment în jurul dreptei față de care apare răsturnarea. Astfel, forța F_{as} tinde să răstoarne semifabricatul în jurul punctului O, de aceea forța de strângere S se determină din ecuația de echilibru a momentelor în jurul lui O (fig. 8.106):

$$F_{as} \cdot a - SR_1 = 0 \quad , \quad (8.99)$$

din care rezultă:

$$S = F_{as} \cdot \frac{a}{R_1} ; \quad (8.100)$$

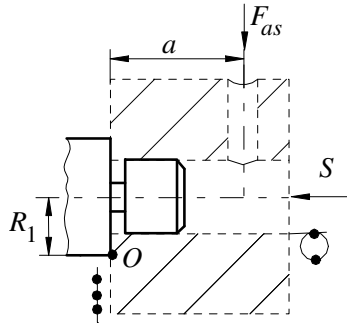


Fig. 8.106. Schemă de calcul a forței de strângere la găurire.

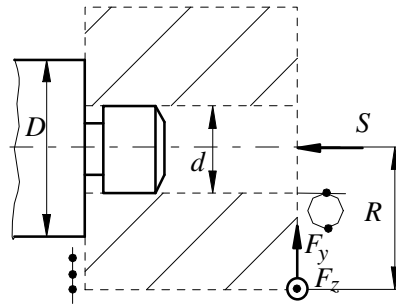


Fig. 8.107. Schema de calcul a forței de strângere la strunjire.

- *prin alunecare liniară pe reazeme*, caz în care forța de strângere rezultă dintr-o ecuație de proiecție a forțelor care lucrează asupra semifabricatului și a celor de frecare. Astfel, forța F_z (fig. 8.107) tinde să rotească piesa pe dorn. Momentul de frecare care apare pe suprafața inelară plană ca urmare a aplicării forței de strângere S se opune scoaterii piesei din echilibru. Din ecuația de moment față de axa de rotație a semifabricatului rezultă:

$$\frac{1}{3} S \mu \frac{D^3 - d^3}{D^2 - d^2} - F_z R = 0 , \quad (8.101)$$

de unde rezultă:

$$S = F_z \frac{R}{\frac{1}{3} \mu \frac{D^3 - d^3}{D^2 - d^2}} , \quad (8.102)$$

în care μ este coeficientul de frecare dintre semifabricat și reazem.

- *prin alunecare unghiulară*, caz în care forțele de strângere rezultă dintr-o ecuație de momente date de forțele care lucrează asupra semifabricatului și forțele de strângere.

Cazurile tipice de strângere ale semifabricatelor sunt legate de variantele de orientare. Deoarece forțele de strângere se aplică spre reazemele care leagă cele mai multe grade de libertate, rezultă că sunt frecvente strângerile pe o suprafață cilindrică și cele pe o suprafață plană întinsă.

În cazul strângerii pe suprafețe cilindrice (fig. 8.108) fără rezemare axială, pierderea echilibrului poate avea loc în două moduri:

- *prin alunecare în jurul axei*, provocată de forța F_x , caz în care se obține:

$$S = \frac{F_x}{\mu} ; \quad (8.103)$$

- prin rotire în jurul axei, cauzată de forța F_z , caz în care forța de strângere rezultă din ecuația:

$$F_z \frac{d}{2} - \mu S \frac{D}{2} = 0 \Rightarrow S = F_z \frac{d}{\mu D} . \quad (8.104)$$

În cazul în care semifabricatul este rezemat axial rămâne posibilă doar rotirea în jurul axei.

În cazul strângerii pe suprafețe plane este posibilă pierderea echilibrului semifabricatului prin toate modurile menționate mai sus. De exemplu, pentru a freza un canal la un semifabricat rezemat frontal pe o suprafață plană și pe un dorn (fig. 8.109), forța de strângere S_1 va rezulta din analiza forțelor ce acționează în procesul de aşchiere și efectele lor:

- componenta F_a este preluată direct de reazem;
- componenta F_r este preluată de bolț;
- componenta F_t tinde să rotească piesa pe bolț cu un moment maxim.

Efectul acestei forțe se preia prin frecarea dintre semifabricat și reazem, prin strângerea cu două forțe S_1 . Scriind ecuația de echilibru față de axă:

$$F_t \frac{D}{2} - 2S_1 \mu \frac{1}{3} \frac{D^3 - d^3}{D^2 - d^2} = 0 , \quad (8.105)$$

rezultă forța de strângere S_1 (μ este coeficientul de frecare semifabricat-reazem interior):

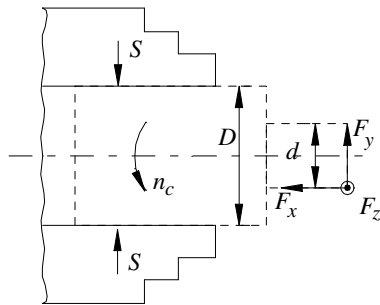


Fig. 8.108. Strângerea pe o suprafață cilindrică.

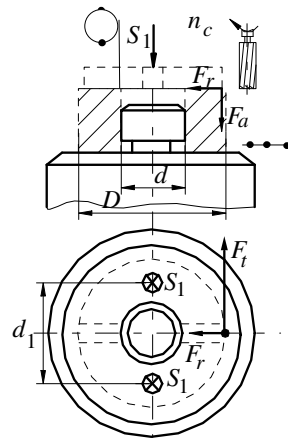


Fig. 8.109. Strângerea pe o suprafață plană.

$$S_1 = F_t \frac{3D}{4\mu} \frac{D^3 - d^3}{D^2 - d^2} \quad (8.106)$$

La aplicarea forțelor de strângere va trebui să se țină seama și de faptul că semifabricatele se deformează elastic, apar deformații de contact cu reazemele și chiar deformații ale reazemelor. După desfacerea semifabricatului din dispozitiv, aceste deformații dispar, și suprafețele prelucrate prezintă abateri dimensionale, de formă sau de poziție numite *erori de strângere*. Aceste erori se diminuează esențial prin aplicarea forțelor de strângere pe direcții cu rigiditatea ridicată sau prin aplicarea unor forțe cât mai uniform distribuite pe suprafețele de strângere.

8.5.4. Sistemele de acționare a mecanismelor de fixare a dispozitivelor

În funcție de modul cum este aplicată forța de fixare sau de centrare și fixare, dispozitivele pot fi: cu *acționare manuală* și cu *acționare mecanizată*.

Acționarea manuală se utilizează în cazul fixărilor individuale, când forțele de fixare sunt mici, frecvența fixărilor este mică, când nu se impun condiții deosebite de precizie și când productivitatea nu este o cerință imperioasă.

Acționarea mecanizată se utilizează în cazul dispozitivelor cu mai multe locuri de fixare, când forțele de fixare sunt mari, când frecvența fixărilor este ridicată, când se impun precizii ridicate și când se cere creșterea productivității prelucrării.

Acționarea mecanizată este specifică producției de serie mare și de masă. În funcție de natura energiei utilizate, acționarea mecanizată poate fi: *pneumatică*, *hidraulică*, *pneumo-hidraulică*, *mecano-hidraulică*, *mecanică*, *electromagnetică*, *cu vacuum*, *magnetică* etc.

8.5.4.1. Acționarea pneumatică

Forța de acționare în acest caz este realizată de aerul comprimat, ce apasă asupra pistoanelor sau membranelor unor *motoare pneumatice*. Aerul comprimat este furnizat de stații centrale de compresoare și este distribuit în rețele de presiune de 4...5 daN/cm².

Schema generală de principiu a unei instalații pneumatice de acționare a mecanismelor de fixare se prezintă în figura 8.110.

Aerul comprimat de la compresorul central trece în rezervorul de aer 1, care are rolul de a crea o rezervă de aer pentru situația când intră simultan în funcțiune mai mulți consumatori. Fiecare post de lucru este conectat la conducta centrală 12, cu ajutorul robinetului de trecere 2, care are și rolul de a deconecta dispozitivul pe perioadele afectate reparațiilor, reglajelor etc. Prin robinetul 2 aerul comprimat este dirijat către filtrul 3, în care aerul este purificat și uscat, ajungând astfel la regulatorul de presiune 4, care permite reglarea și menținerea unei presiuni constante în cilindrii pneumatici, presiune care este indicată de manometrul 5. De

la regulatorul de presiune, aerul comprimat trece prin ungătorul 6, care introduce în aer picături fine de ulei, pentru a evita oxidarea elementelor instalației și pentru a lubrefia elementele în mișcare. Releul de presiune 7 are rolul de a deconecta automat motorul electric al mașinii-unelte, în cazul când presiunea din rețea scade brusc sub valoarea presiunii normale de lucru, pentru a evita desprinderea piesei din dispozitiv. În camerele A și B ale cilindrului pneumatic 11, aerul este dirijat succesiv cu ajutorul distribuitorului 9, reglarea debitului de aer comprimat și, deci, a vitezei pistonului făcându-se cu ajutorul unor regulatoare de viteză (drosele) 10. Între motorul pneumatic 11 și semifabricatul orientat pe reazemele 13, în unele cazuri, se introduc elemente și mecanisme care amplifică forțele de strângere sau le schimbă direcția, sensul, uneori asigurând condiții de autoblocare. Forța F_a dezvoltată de tija motorului pneumatic se calculează cu relația:

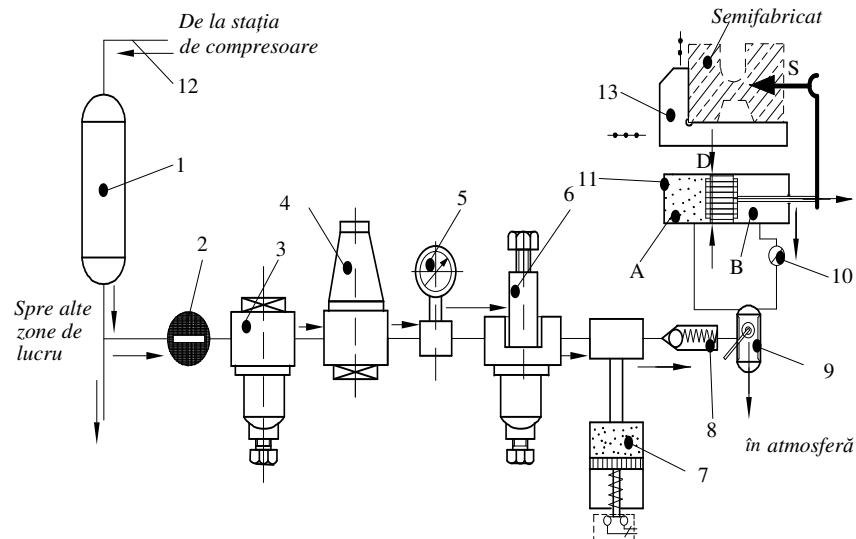


Fig. 8.110. Schema generală a unei instalații pneumatice de acționare a mecanismelor de fixare a dispozitivelor:

1 - rezervor de aer; 2 - robinet de trecere; 3 - filtru de aer; 4 - regulator de presiune; 5 - manometru; 6 - ungător; 7 - releu de presiune; 8 - supapă de sens unic; 9 - distribuitor; 10 - drosel; 11 - motor pneumatic; 12 - conducta centrală de aer comprimat; 13 - dispozitiv de orientare; A; B - camerele cilindrului pneumatic.

$$F_a = p_a \frac{\pi D^2}{4} - F_f \text{ [daN] } , \quad (8.107)$$

în care p_a este presiunea aerului comprimat; F_f - forța consumată pentru învingerea frecărilor.

Acționarea pneumatică prezintă o serie de avantaje:

- permite reducerea de 5...10 ori a timpilor auxiliari necesari pentru strângerea și desfacerea semifabricatelor, deci conduce la creșterea productivității;
- reduce de 10...15 ori efortul depus de operator;
- permite realizarea unor forțe de strângere constante în tot timpul prelucrării;
- poate fi ușor automatizată;
- aerul comprimat folosit în cilindrii pneumatici poate fi reutilizat la alte operații (curățire de așchii, scoaterea semifabricatului din dispozitiv etc.).

8.5.4.2. Acționarea hidraulică

Acționarea hidraulică este caracterizată prin aceea că forța de strângere-desfacere este realizată de către uleiul sub presiune care apasă asupra pistoanelor unor motoare hidraulice (hidrostatice). Instalațiile hidraulice folosite pentru acționarea dispozitivelor pot fi: *individuale* - realizează alimentarea unui singur motor hidraulic și *de grup* – realizează alimentarea simultană a unui număr mare de motoare hidraulice, astfel încât să asigure acționarea tuturor dispozitivelor dintr-un atelier sau secție.

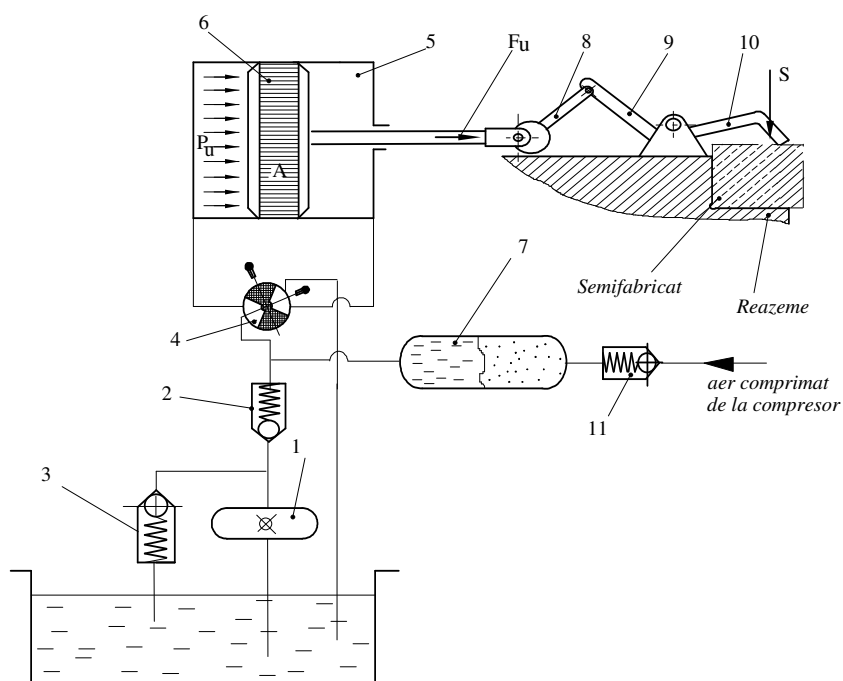


Fig. 8.111. Schema de principiu a unei instalații de acționare hidraulică a dispozitivelor:
1 - pompă; 2, 3 - supape de sens unic; 4 - distribuitor; 5 - cilindru hidraulic; 6 - piston; 7 - acumulator pneumohidraulic; 8; 9; 10 - pârghii de acționare; 11 - supapă de sens unic.

Schema de principiu a unei instalații individuale pentru acționarea hidrolică a dispozitivelor este prezentată în figura 8.111. Pompa 1, cu debit constant, aspiră uleiul din rezervor și-l refulează prin supapa de sens unic 2 și distribuitorul 4, la cilindrul 5, în care funcționează pistonul 6, care deplasându-se acționează sistemul de pârghii 8, 9 și 10, realizând strângerea semifabricatului pe reazeme. Când presiunea în instalație depășește valoarea presiunii de lucru, intră în funcțiune supapa de siguranță 3, care readuce uleiul în rezervor. Pentru a compensa pierderile de ulei din instalație în timpul opririi pompei, instalația poate fi prevăzută cu acumulatorul hidrolic 7, cu amplificatoare sau relee de presiune.

Forța realizată de motorul hidrolic F_u se calculează cu relația:

$$F_u = p_u \cdot \frac{Q_t}{n} \cdot \frac{t}{h_u} \eta_v \cdot 10^4 \quad [\text{daN}] , \quad (8.108)$$

în care: p_u este presiunea de lucru în instalație, în daN / cm^2 ; h_u - cursa utilă, în mm; t - timpul necesar strângerii semifabricatului, în min; η_v - randamentul volumetric, care ține seama de pierderile de ulei prin neetanșeități ($\eta_v = 0,8 \dots 0,85$); n - numărul motoarelor hidraulice alimentate simultan; Q_t - debitul total refulat de pompă, în l .

Acționarea hidrolică prezintă o serie de avantaje față de acționarea pneumatică, astfel:

- uleiul se folosește la presiuni de lucru ridicate (20...100 bar), fapt ce permite obținerea de forțe mari, cu motoare de gabarite reduse;
- reducerea gabaritului motoarelor conduce la reducerea gabaritului dispozitivelor și deci la creșterea rigidității sistemului tehnologic;
- fluidul utilizat fiind uleiul mineral se reduce foarte mult uzura și deci crește durata de exploatare a întregii aparaturi;
- motoarele fiind puternice și compacte se pretează mai bine la acționarea dispozitivelor rotitoare folosite la strunguri, mașini de rectificat rotund etc.;
- consum redus de energie electrică, deoarece motorul de antrenare a pompei instalației poate lucra numai în timpul strângerii.

Prezintă și dezavantaje legate de costul ridicat al instalațiilor de acționare hidrolică și de dificultățile întreținerii acestora.

8.5.4.3. Acționarea pneumo-hidrostatică

Acționarea pneumo-hidrostatică se poate utiliza rațional în producția de serie, la strângerea unor semifabricate de dimensiuni mari, grele, care se prelucrează cu regimuri de aşchiere intensive și a căror strângere, cu forțe relativ mari, trebuie făcută în mai multe puncte. La acționarea pneumo-hidrostatică presiunile ridicate din circuitele hidrostatice se obțin cu ajutorul energiei aerului. Schema de principiu a unei acționări pneumo-hidrostatice se prezintă în figura 8.112.

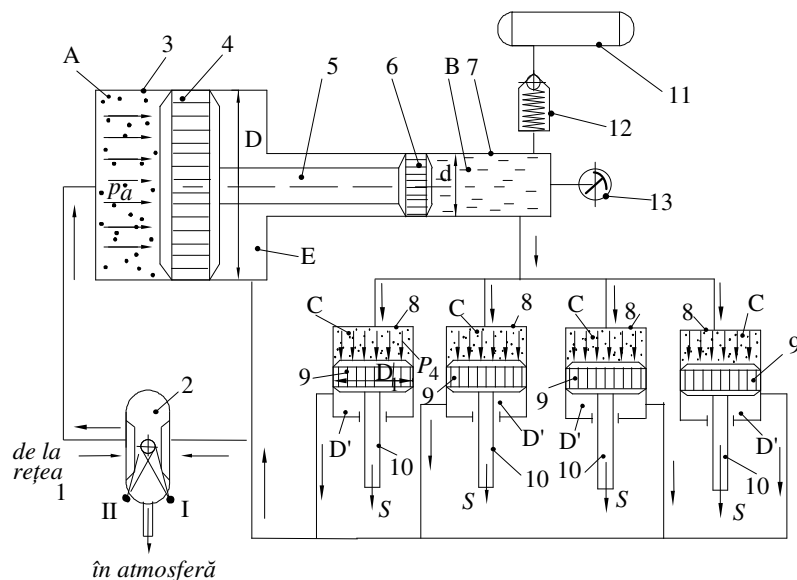


Fig. 8.112. Schema de principiu a unei instalații de acționare pneumo-hidrostatică a dispozitivelor:
 1- conducta centrală de aer comprimat; 2 - distribuitor; 3 - cilindru pneumatic; 4 - piston mare; 5 -
 tijă; 6 - piston mic; 7 - cilindru hidraulic; 8 - motoare hidraulice; 9 - pistoane; 10 - tije de strângere;
 11 - rezervor de ulei; 12 - supapă de sens unic; 13 - manometru de ulei.

Aerul de la instalația pneumatică este dirijat de distribuitorul 2 în cavitatea A a cilindrului pneumatic 3. Sub acțiunea aerului comprimat, pistonul 4 solidar cu tija 5 deplasează pistonul 6 în camera B a cilindrului hidraulic 7. Uleiul din camera B este deplasat sub presiune în camerele C ale motoarelor hidraulice 8, acționând pistoanele 9 și tijele 10, creând forțele de strângere S asupra semifabricatului sau semifabricatelor. Prin manevrarea distribuitorului 2 în poziția II, aerul este dirijat simultan în camerele D' ale motoarelor 8 și camera E a cilindrului 3, realizând desfacerea semifabricatului și readucerea sistemului în poziție inițială. În același timp, uleiul din cavitățile C este readus în cavitatea B a cilindrului 7. Scăpările de ulei prin neetanșeități se compensează automat, prin trecerea unei cantități echivalente de ulei din rezervorul 11 prin supapa de sens unic 12. Pentru controlul presiunii în circuitul hidrostatic se utilizează manometrul 13.

Relația dintre presiunea uleiului p_u și presiunea aerului p_a este dată de expresia:

$$p_u = p_a \left(\frac{D}{d} \right)^2 \eta \text{ [daN/cm}^2\text{] ,} \quad (8.109)$$

în care η este randamentul mecanic ($\eta = 0,85 \dots 0,9$); D - diametrul cilindrului pneumatic; d - diametrul cilindrului hidraulic. Cum amplificatoarele se construiesc

obişnuit cu raportul $D/d = 4...5$, iar presiunea aerului utilizat în mod curent este $p_a = 4 \text{ daN / cm}^2$, rezultă că în circuitul hidrostatic se poate obţine o presiune a uleiului $p_u = 55...90 \text{ daN / cm}^2$. Forţa de strângere se calculează cu relaţia:

$$S = F_a \left(\frac{D_1}{d} \right)^2 \eta \quad , \quad (8.110)$$

în care F_a este forţa creată de presiunea aerului în cilindrul pneumatic 3.

Acţionarea pneumo-hidrostatică îmbină avantajele acţionării pneumatice cu cele ale acţionării hidraulice.

8.5.4.4. Acţionarea prin vacuum

Are la bază crearea vidului între suprafeţele de reazem ale semifabricatului şi cavităţile închise prevăzute în dispozitiv.

Instalaţia acţionării prin vacuum are la bază o pompă de producere a vidului şi este în majoritatea cazurilor individuală, în sensul că acţionează un singur loc de muncă (dispozitivele de pe o singură maşină-unealtă).

Schema de principiu a unei instalaţii de acţionare prin vacuum a dispozitivelor se prezintă în figura 8.113.

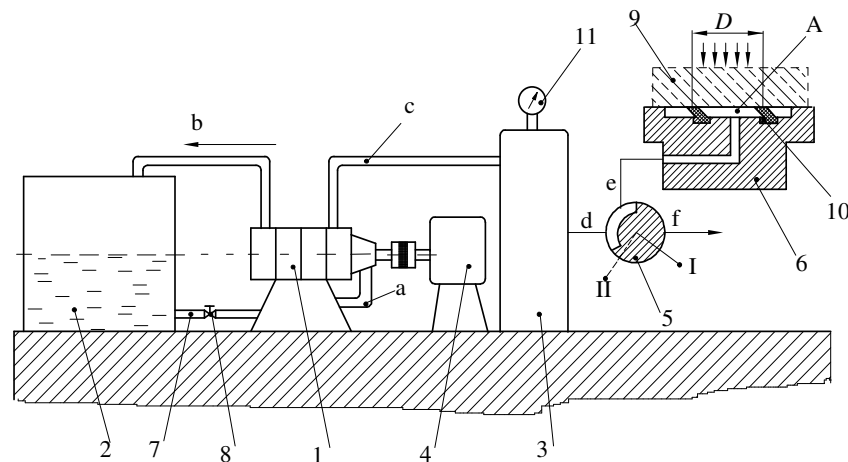


Fig. 8.113. Schema de principiu a unei instalații de acționare prin vacuum a dispozitivelor:
1 - pompa de vid; 2 - rezervor apă; 3 - recipient etanș; 4 - electromotor; 5 - distribuitor; 6 - dispozitiv de orientare - fixare; 7 - conducte; 8 - robinet; 9 - piesa - semifabricat; 10 - sistem de etanșare; 11 - vacuumetru; a, b, c, d, e, f - conducte; A - cameră vacuumică.

Instalația se compune din pompa de vid 1, cu etanșare prin inel, apoi un rezervor de apă 2, în care nivelul apei trebuie să fie la nivelul axei rotorului pompei, un recipient etanș 3, electromotorul 4, distribuitorul 5 și dispozitivul de

lucru 6. La antrenarea rotorului pompei de către electromotorul 4, apa din pompă, venită prin conductele 7 la deschiderea robinetului 8, este centrifugată spre exterior și împinsă prin conducta *b* în rezervor. Prin centrifugarea apei către exterior, la interior se creează vacuum. În același timp se creează vacuum în conducta *c* și în recipientul etanș 3, iar prin distribuitorul 5 (pe poziția I) se face același vacuum și în camera A a dispozitivului 6, realizând strângerea piesei 9. Vacuumul realizat se citește la vacumetrul 11. Prin comutarea distribuitorului pe poziția II se obturează conducta *d* spre pompă, și camera A se pune în legătură cu atmosfera prin conducta *f*, realizându-se desfacerea ușoară a piesei. O importanță deosebită prezintă sistemul de etanșare 10, prin care se realizează vacuumul. Forța de strângere *S* care apasă piesa pe reazem se calculează cu relația:

$$S = k \cdot p_d \cdot A \text{ [daN]} , \quad (8.111)$$

în care p_d este diferența între presiunea atmosferică și vacuumul realizat, exprimat în bar; *A* - aria delimitată de garnitura de etanșare pe care se realizează vacuumul; *k* - coeficient ce ține seama de pierderile prin neetanșare ($k = 0,75 \dots 0,8$).

Acționarea prin vacuum prezintă o serie de avantaje:

- se poate utiliza și la piesele construite din materiale nemagnetice (neferoase, mase plastice etc);
- strângerea se realizează cu forțe uniform distribuite, neexistând pericolul strivirii locale (table de aluminiu, de cupru etc.);
- dispozitivele sunt foarte simple, deoarece nu au mecanisme de strângere;
- timpul consumat cu strângerea și desfacerea pieselor este la fel ca la acționarea pneumatică și hidraulică.

Prezintă dezavantajul realizării sistemului de etanșare.

8.5.4.5. Acționarea magnetică și electromagnetică

Strângerea magnetică și electromagnetică se realizează de către fluxul magnetic produs de magneții permanenți și respectiv de electromagneți.

Magneții sau electromagneții sunt asamblați în dispozitive, în care fluxul magnetic este dirijat în așa fel încât să treacă prin piesa de strâns. Dispozitivele acționate magnetic se construiesc, de regulă, sub formă de platouri (mese) sau mandrine și se utilizează, în general, pentru prinderea semifabricatelor din materiale feromagnetice, la prelucrări de finisare cu regimuri ușoare de lucru, pe mașini de rectificat plan, mașini de rectificat rotund, mașini de frezat, strunguri, mașini pentru sculărie și pentru macanică fină. Schema constructiv-funcțională a unui platou magnetic se prezintă în figura 8.114. Piesa-semifabricat 1 se așează pe placa superioară 2, din oțel moale, în care sunt montate și miezurile 3, din oțel, izolate cu ajutorul unor garnituri din materiale nemagnetice 4 (aliaje de cupru sau unele mase plastice). Între placa superioară 2 și placa inferioară 5 sunt cuprinși mai mulți electromagneți sau magneți permanenți 6, dispuși la pasul polar *p*. Ținând

seama de polaritatea electromagneţilor şi de prezenţa pieselor diamagnetice, circuitul magnetic se închide obligatoriu prin piesa-semifabricat, creând o forţă de tragere a acesteia către placa de reazem.

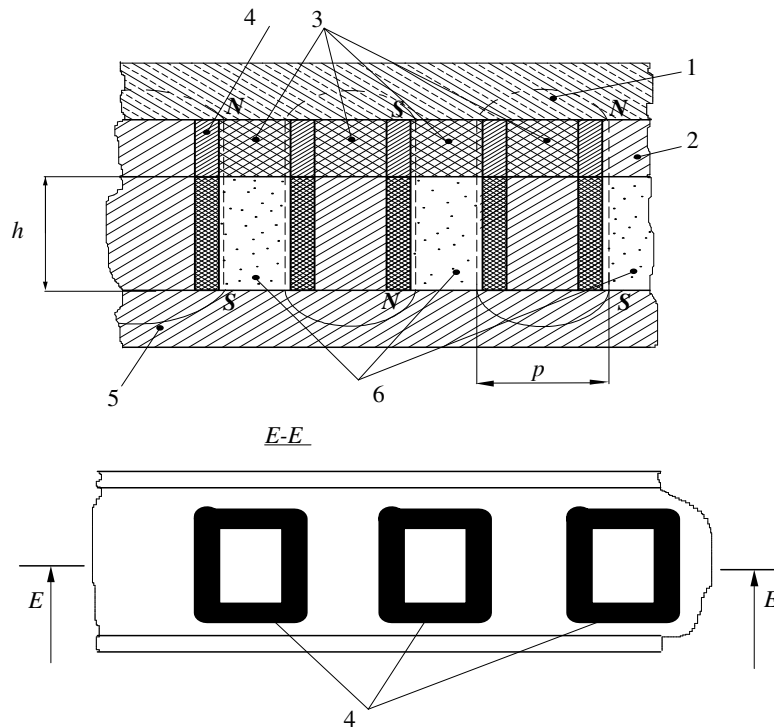


Fig. 8.114. Schema de principiu a platourilor (urechilor) magnetice:
1 - piesa - semifabricat; 2 - placa superioară; 3 - miezuri; 4 - garnituri de izolare din materiale nemagnetice; 5 - placa inferioară; 6 - magneţi permanenţi; p - pas polar.

Mărimea forţei de strângere S depinde de suprafaţa prin care se închide circuitul magnetic A şi de mărimea inducţiei câmpului magnetic, creat de magneţii, respectiv de electromagneţii B şi se calculează cu relaţia:

$$S = 4 \cdot B^2 \cdot A \cdot 10^{-8} \quad [\text{daN}] \quad . \quad (8.112)$$

Acţionarea magnetică şi electromagnetică prezintă o serie de avantaje ca:

- asigură fixarea pieselor de prelucrat fără alte elemente mecanice;
- permite realizarea de strângeri rapide şi fără eforturi;
- realizează precizii mari de aşezare a pieselor de prelucrat;
- realizează strângerea cu forţe uniform distribuite, care elimină pericolul deformării pieselor şi deteriorării suprafeţelor.

Ca dezavantaje, metoda este limitată la piese cu forme simple și construite din materiale cu permeabilitate magnetică ridicată.

8.6. PRELUCRAREA PRIN STRUNJIRE

8.6.1. Definire. Scheme de principiu

Strunjirea este procedeul de prelucrare prin așchiere, care se realizează prin combinarea unei mișcări principale de așchiere, totdeauna de rotație, totdeauna executată de piesa-semifabricat, cu o mișcare de avans în direcție longitudinală, transversală, înclinată sau combinații, totdeauna executată de sculă. Strunjirea se execută cu scule cu o singură muchie așchietoare principală, procesul de așchiere desfășurându-se continuu (fig. 8.115).

Ca urmare a combinării mișcării principale de rotație a piesei-semifabricat cu mișcările de avans longitudinal, transversal, înclinat sau chiar curbiliniu (cu dispozitive adecvate) ale sculei, se pot genera cele mai diferite suprafețe: de rotație cilindrice și conice (exterioare și interioare), plane, elicoidale, spirale, sferice, poligonale etc. (fig.8.116).

8.6.2. Generarea suprafețelor prin strunjire

La prelucrarea prin strunjire generatoarea G poate fi realizată prin toate procedeele cunoscute:

- ca generatoare materializată - în cazul prelucrării cu cuțite profilate (fig. 8.117. a) a suprafețelor de revoluție, cu cuțite laterale (fig. 8.117. b) a suprafețelor plane, a suprafețelor conice scurte (fig. 8.117. c), cu scule ce au materializată generatoarea G_E prin muchia așchietoare. Această metodă se aplică în cazul suprafețelor de lungime mică, în cazul producției de serie mare sau masă. Metoda

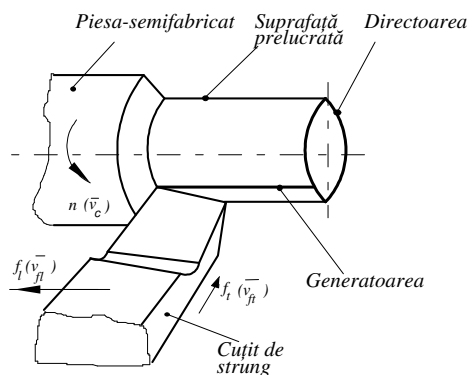


Fig. 8.115. Schema de principiu a procedurii de strunjire.

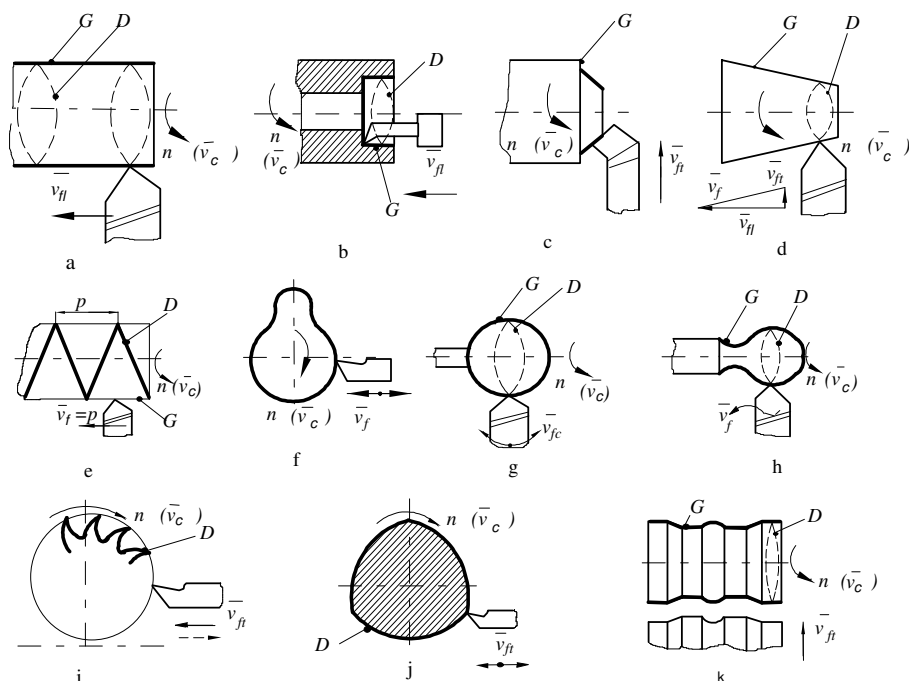


Fig. 8.116. Câteva tipuri de suprafețe obținute prin strunjire:

a - cilindrice exterioare; b - cilindrice interioare; c - plane; d - conice; e - elicoidale; f - excentrice;
g - sferice; h - complexe; i - detalonate; j - poligonale; k - profilate.

prezintă ca dezavantaj principal apariția vibrațiilor în sistemul tehnologic, datorită lungimii mari a tăișului în contact cu suprafața de aşchiere;

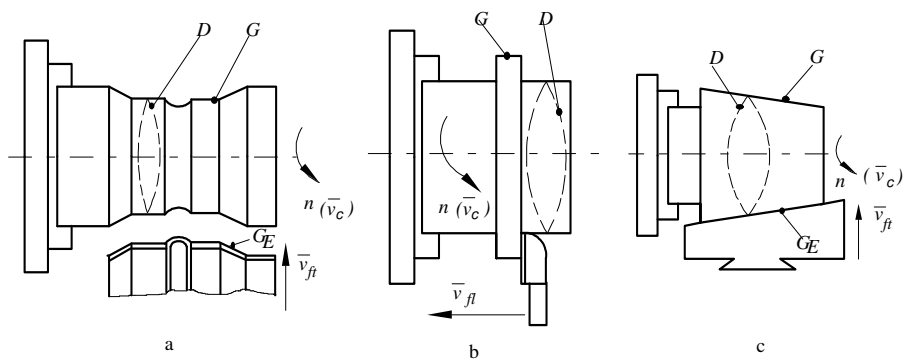


Fig. 8.117. Generarea suprafețelor prin strunjire cu generatoare materializată:

a - în cazul suprafețelor profilate scurte; b - în cazul suprafețelor laterale; c - în cazul suprafețelor conice scurte;

- ca generatoare cinematică - în cazul prelucrării suprafețelor cilindrice interioare sau exterioare de lungime mare (fig. 8.118. a), a suprafețelor conice de lungime mare (fig. 8.118. b), a suprafețelor sferice de diferite diametre (fig. 8.118. c).

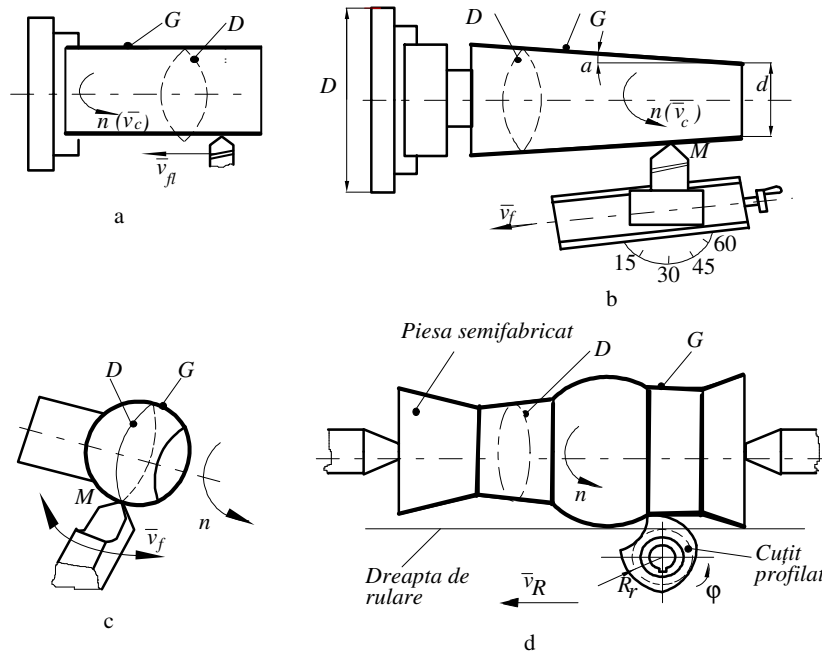


Fig. 8.118. Generarea suprafețelor prin strunjire cu generatoare cinematică:
a - în cazul suprafețelor cilindrice exterioare sau interioare de lungime mare; b - în cazul suprafețelor conice de lungime mare; c - în cazul suprafețelor sferice; d - în cazul suprafețelor profilate de lungime mare.

În aceste cazuri generatoarea se realizează ca traiectorie a vârfului M al sculei așchietoare. Pentru piese de revoluție complicate, de lungime mare, generatoarea poate fi realizată ca înfășurătoare a pozițiilor succesive ale unei scule profilate corespunzător. Este cazul strunjirii cu cuțite rotative (fig. 8.118. d), când generatoarea se obține ca înfășurătoare a pozițiilor succesive ale muchiei așchietoare a sculei în mișcarea relativă dintre sculă și semifabricat. În acest scop scula execută o mișcare de rulare v_R , fără alunecare pe dreapta de rulare, respectându-se în permanență condiția:

$$v_R = R_r \cdot \varphi \quad , \quad (8.113)$$

în care R_r este raza de rulare a sculei; φ - unghiul de rotație al sculei în jurul axei proprii.

- *ca generatoare programată* - în cazul prelucrării suprafețelor de revoluție complexe de lungime mare. În acest caz se folosește un program ce materializează generatoarea suprafeței de prelucrat (fig.8.119). Generatoarea G_s materializată pe șablonul 1 este citită de senzorul 2 care transmite informația la căruciorul 3 al strungului, care va efectua simultan cu mișcarea de avans longitudinal v_{fl} și o mișcare de avans transversal v_{ft} de mărime variabilă.

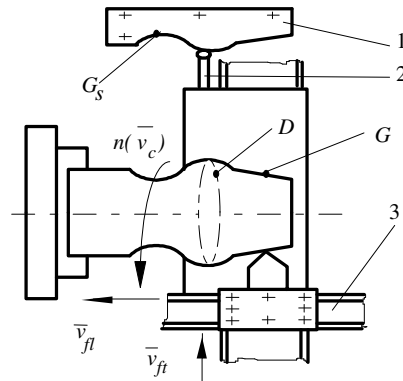


Fig. 8.119. Generarea suprafețelor prin strunjire generatoare programată:

1 - port-program; 2 - dispozitiv cu senzori de urmărire; 3 - cărucior cu suportul port-cuțit.

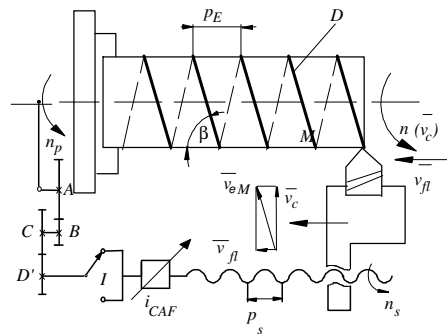


Fig. 8.120. Generarea suprafețelor prin strunjire cu directoarea cinematică elicoidală:

A, B, C, D' - roți dințate; p_s - pasul șurubului condus; p_E - pasul elicei filetului; D - directoarea elicoidală;

În majoritatea cazurilor de generare a suprafețelor prin strunjire, directoarea este circulară (fig. 8.117 și fig. 8.119) sau elicoidală (fig. 8.120), obținută pe cale cinematică, ca traiectorie a unui punct. Realizarea directoarei elicoidale cilindrice se obține atunci când mișcarea de rotație a semifabricatului este corelată cu mișcarea de deplasare axială, cu viteza v_{fl} a vârfului sculei, punctul M descriind o elice cilindrică de pas constant p_E . În acest fel, viteza de aşchiere va fi tangentă la elicea cilindrului de rază corespunzătoare punctului M. Prin schimbarea vitezei axiale v_{fl} , cu inversorul I, se poate realiza directoarea elicoidală D atât pe stânga, cât și pe dreapta.

Realizarea directoarei spirale (de regulă spirală arhimedică) se obține prin corelarea mișcării de rotație a semifabricatului cu cea de translație a sculei, folosind un lanț cinematic de forma prezentată în figura 8.121. Corelarea celor două mișcări se face prin intermediul camei K, al cărei profil este urmărit în permanență de sania SPU pe care este fixată scula S. Un punct oarecare M al muchiei aşchiitoare, descrie o spirală arhimedică. Revenirea saniei port-cuțit se face sub acțiunea unui resort R, după terminarea cursei camei. Acest procedeu de generare se întâlnește la prelucrarea filetelor plane și a suprafețelor de aşezare ale frezelor profilate detalonate.

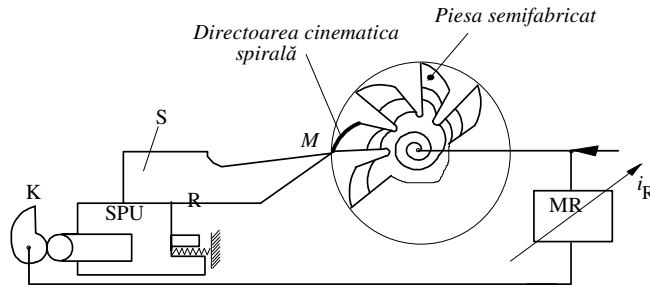


Fig. 8.121. Generarea suprafețelor prin strunjire cu directoarea cinematică spirală: K - camă; SPU - sanie pentru urmărire; S - scula așchietoare; R - resort.

Camele, arborii cu came, arborii poligonali etc. necesită utilizarea unor directoare diferite de cele circulare, directoare care nu se pot realiza decât prin programare. Realizarea directoarei programate se face utilizând o camă K (fig. 8.122), ce se rotește asincron cu arborele principal al strungului pe care este fixat

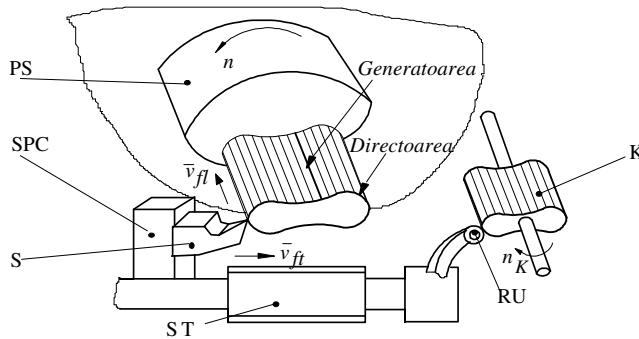


Fig. 8.122. Generarea suprafețelor prin strunjire cu directoarea programată: K - camă; PS - piesa semifabricat; RU - rolă de urmărire; ST - sania transversală; S - scula așchietoare; SPC - suport port-cuțit.

semifabricatul PS. Profilul camei K este urmărit de rola de urmărire RU, fixată pe sania transversală ST a strungului, eliberată de șurubul conducător. Scula S , fixată pe suportul port-cuțit SPC și respectiv căruciorul strungului, va executa mișcarea de avans, descriind generatoarea suprafeței.

8.6.3. Geometria sculelor așchietoare. Tipuri de scule folosite la strunjire

Parametrii geometrici ai unui cuțit de strung au fost prezentați în paragraful 8.3, definirea lor făcându-se în figurile 8.24, 8.25 și 8.26.

Principalele tipuri de cuțite folosite la prelucrările prin strunjire, clasificate după operația la care sunt utilizate, sunt (fig. 8.123): cuțite *drepte pentru degroșare* (fig. 8.123. a); cuțite *încovoiate pentru degroșare* (fig. 8.123. b); cuțite *de colț* pentru prelucrarea zonelor greu accesibile (fig. 8.123. c); cuțite *lamă* pentru retezat (fig. 8.123. d); cuțite *late pentru finisat* (fig. 8.123. e); cuțit *drept pentru finisare*

(fig. 8.123. f); cuțit pentru degroșat interior (fig. 8.123. g); cuțit pentru colț interior (fig. 8.123. h); cuțit pentru degajare interioară (fig. 8.123. i); cuțit pentru finisat interior (fig. 8.123. j); cuțite pentru filetat (fig. 8.123. k); cuțite disc profilate (fig. 8.123. l) sau prismatic profilate.

Din punct de vedere constructiv, cuțitele de strung se pot clasifica în *cuțite monobloc* și *cuțite armate cu plăcuțe din carburi metalice*. Plăcuțele din carburi metalice pot fi lipite (brazate) sau prinse mecanic.

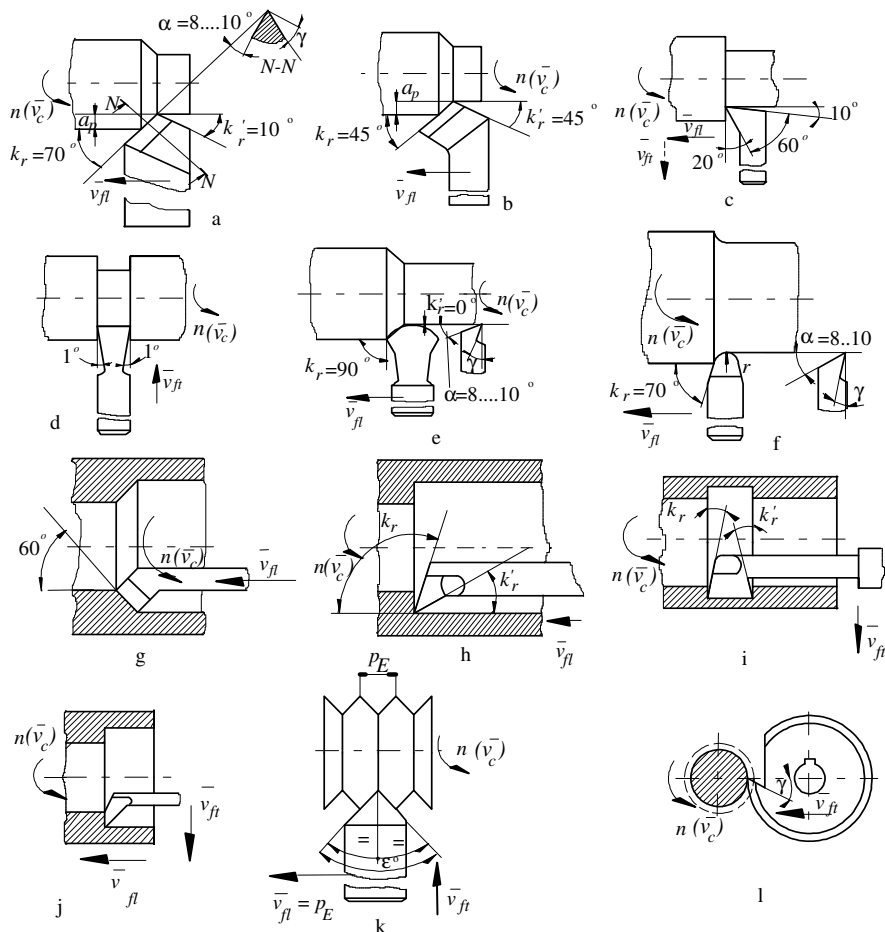


Fig. 8.123. Principalele tipuri de cuțite folosite la prelucrarea prin strunjire:

a - cuțit drept pentru degroșare; b - cuțit încovoiat pentru degroșare; c - cuțit de colț; d - cuțit lamă pentru retezat; e - cuțit lat pentru finisat; f - cuțit drept pentru finisat; g - cuțit pentru degroșat interior; h - cuțit de colț interior; i - cuțit pentru degajare interioară; j - cuțit pentru finisat interior; k - cuțit de filetat; l - cuțit disc profilat.

8.6.4. Mașini-unelte și dispozitive specifice la prelucrarea prin strunjire

8.6.4.1. Mașini-unelte folosite la strunjire

Mașina-unealtă pe care se execută operația de strunjire se numește strung. În funcție de forma și dimensiunile suprafețelor prelucrate și de caracterul producției, strungurile se construiesc într-o gamă foarte variată de forme și tipodimensiuni.

După poziția axei de rotație a arborelui principal se deosebesc: *strunguri orizontale* și *strunguri verticale* (carusel).

După poziția ghidajelor căruciorului față de direcția axului principal se deosebesc: *strunguri longitudinale*: mișcarea de avans are loc, de obicei, paralel cu axa de rotație; *strunguri transversale*: mișcarea de avans are loc perpendicular pe axa de rotație și *strunguri universale* (normale).

Pentru fabricația de serie se folosesc *strungurile revolver* (cu disc sau cu turelă), *strungurile semiautomate* și *strungurile automate*.

În funcție de tipul piesei de prelucrat și natura operației executate se deosebesc: *strunguri pentru arbori cotiți*; *strunguri pentru axe cu came*; *strunguri de detalonat*; *strunguri pentru bandaje de roți de cale ferată*; *strunguri multicuțit* etc.

Strungul normal. Este cel mai frecvent utilizat, datorită caracterului universal al destinației sale. El are posibilitatea prelucrării pieselor scurte sau lungi, din bară sau din semifabricate individuale, dintr-o singură prindere din mai multe prinderi, într-o singură operație sau în mai multe operații.

Schema cinematică de principiu a strungului normal se prezintă în figura 8.124. Batiul B servește la fixarea mașinii pe fundație și la asamblarea elementelor mașinii într-un tot unitar, preluând toate forțele ce apar în sistemul tehnologic mașină-dispozitiv-piesă-sculă. În interiorul batiului se montează instalația electrică de comandă și acționare, unele elemente ale instalației de răcire-ungere a sculei și unele părți ale cutiei de viteze. Batiul este prevăzut la partea superioară a patului cu niște ghidaje orizontale GB. Păpușa fixă PF este așezată pe batiu, adăpostește cutia de viteze CV și este străbătută de axul principal al strungului AP, pe care se prinde piesa de prelucrat PS. Axul principal se construiește de regulă tubular, pentru a permite trecerea prin interiorul său a semifabricatelor bară. Păpușa mobilă PM, așezată pe batiu, în partea opusă păpușii fixe, servește la centrarea pieselor lungi între vârfuri și la executarea găurilor axiale în piese. Căruciorul CR se deplasează pe ghidajele batiului și servește la realizarea mișcărilor de avans II, III, IV ale sculelor, cu ajutorul celor trei sănii, din care este format: sania longitudinală SL, sania transversală ST și respectiv sania port-cuțit SPC.

Mișcările necesare generării suprafețelor se transmit conform fluxului cinematic prezentat în figura 8.125. Mișcarea principală se primește de la motorul electric MEA la cutia de viteze CV, unde se multiplică sau se demultiplică, până la o anumită valoare a turației axului principal AP, care va executa mișcarea principa-

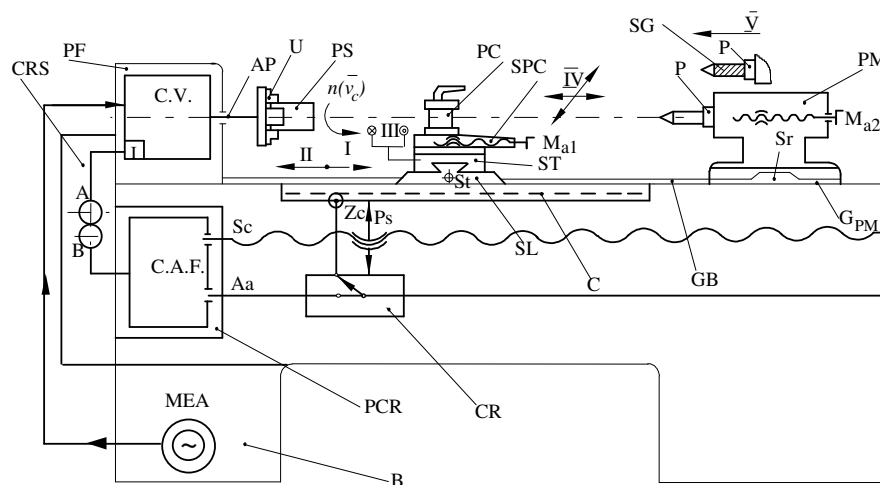


Fig. 8.124. Schema de principiu a strungului normal:

B - batiu; GB - ghidajele batiului; CR - cărucior; PCR - panou comandă și reglare; CAF - cutie de avansuri și filete; CV - cutie de viteze; CRS - cutia roților de schimb; PF - păpușa fixă; PM - păpușa mobilă; P - pinolă; G_{PM} - ghidajul păpușii mobile; AP - ax principal; PS - piesa-semifabricat; PC - port-cuțit; SPC - suportul port-cuțit; ST - sania transversală; SL - sania longitudinală; A_a - bară de avansuri; SC - șurub conducător; P_s - piuliță secționată; C - cremalieră; Z_c - pinion; M_{a1} , M_{a2} - manete de reglare manuală; S_r - șurub reglare; U - universal de prindere; SG - sculă pentru găurire.

lă I. Mișcarea de avans se primește de la cutia de viteze CV prin intermediul inversorului de sens I, la roțile de schimb A/B din cutia roților de schimb și este transmisă la cutia de avansuri și filete CAF. Prin aceste elemente mișcarea se demultiplăcă până la o anumită turăție a barei de avansuri A_a sau a șurubului conducător SC. De la bara avansurilor, mișcarea se preia de căruciorul CR și se transmite fie la mecanismul de avans longitudinal, realizat cu ajutorul cremalierii fixe C, cu care angrenează roata dințată Z_c , fie la șurubul pentru avans transversal ST.

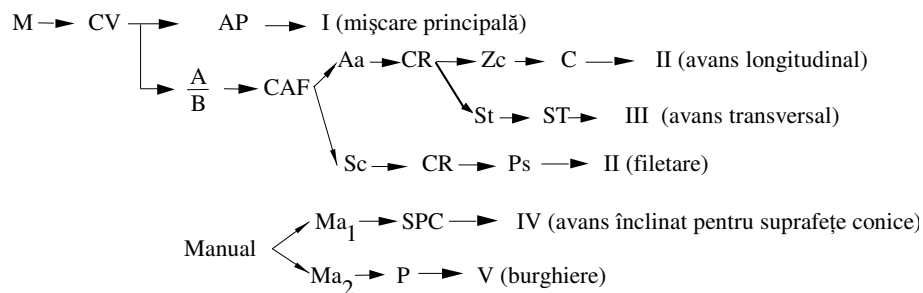


Fig. 8.125. Schema fluxului cinematic pentru strungul normal.

Pentru generarea de filete, mărimea avansului II trebuie să fie egală cu pasul filetelui, pentru aceasta, mișcarea de la CAF primindu-se prin șurubul conducător SC, la piulița secționată Ps. Aceasta permite cuplarea căruciorului la șurubul conducător direct, ceea ce dă posibilitatea deplasării rapide și precise a căruciorului, cu mișcarea de avans pentru filetare.

Construcția căruciorului permite rotația saniei port-cuțit cu un unghi dorit și avansarea cuțitului în direcția IV, înclinată față de axa de rotație a piesei, putându-se executa suprafețe conice.

În vederea burghierii, pinola P este prevăzută cu o gaură conică (de obicei con Morse) în care se poate introduce un burghiu SG. Pinolei i se poate imprima o mișcare V, în vederea executării unei găuri axiale în piesă (mișcarea principală este executată de piesă). Diversele tipuri de strunguri normale se deosebesc între ele prin dimensiunile lor caracteristice, care le diferențiază în privința posibilităților de prelucrare: distanța între vârfuri; diametrul maxim de prelucrare deasupra patului; diametrul maxim de prelucrare deasupra căruciorului; diametrul găurii axului principal; diametrul maxim de prelucrare cu luneta fixă și cu cea mobilă; cursa maximă a pinolei; cursa maximă a saniei transversale; numărul treptelor de turație ale arborelui principal; gama avansurilor și a filetelor realizabile etc.

Strungul frontal. Este destinat prelucrării pieselor de diametre mari și lungime redusă (volanți, roți dințate, flanșe, inele etc.). Piesa de prelucrat PS se prinde în platoul PU, care primește mișcarea de la o cutie de viteze CV simplă, amplasată în păpușa fixă PF (fig 8.126). Piesa realizează mișcarea principală I, iar cuțitul mișcarea de avans longitudinal II, cu ajutorul saniei longitudinale SL, care se deplasează pe niște ghidaje GS, fixate direct pe fundație. Cuțitul mai poate executa mișcarea de avans transversal III, cu ajutorul saniei transversale ST și avansul înclinat IV, cu ajutorul saniei port-cuțit SPC.

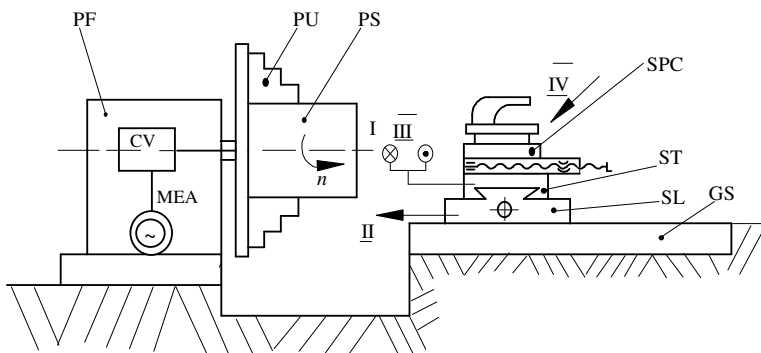


Fig. 8.126 Schema de principiu a strungului frontal:

PF - păpușa fixă; PU - platou de prindere; PS - piesa semifabricat; SPC - suport port-cuțit; ST - sania transversală; SL - sania longitudinală; GS - ghidajele strungului; CV - cutie de viteze; MEA - motor electric asincron.

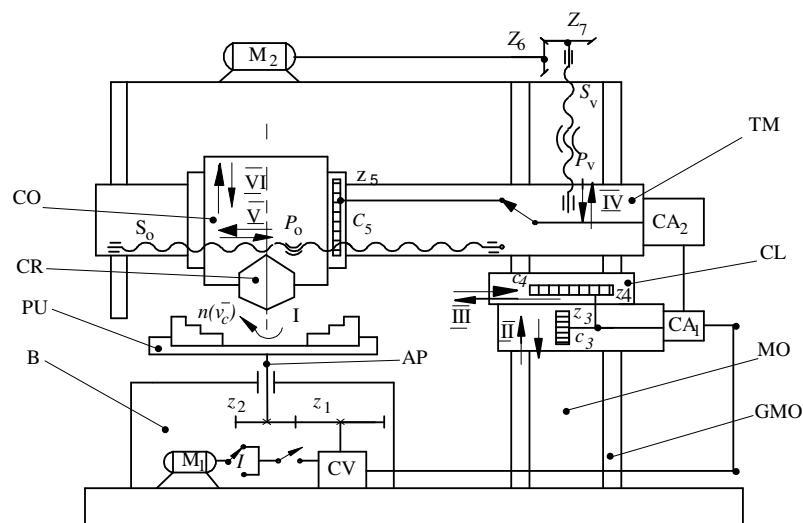


Fig. 8.127. Schema de principiu a strungului carusel:

B - batiu; PU - platou de prindere; AP - ax principal; Cr - cap revolver; CO - cârucior orizontal; CL - cârucior lateral; MO - montanț; GMO - ghidajele montanțului; TM - traversa mobilă; CV - cutie de viteze; CA - cutie de avansuri; M₁; M₂ - motoare; S/P - mecanism șurub-piuliță; z/c - mecanism pinion-cremalieră.

Strungul carusel. Are axul principal vertical, prinderea pieselor făcându-se pe un platou orizontal (fig.8.127). Strungul se compune din batiul B, platoul PU, montanțul MO, traversa mobilă TM, unul sau mai multe cârucioare laterale CL și cârucioarele verticale CO (numărul cârucioarelor este în funcție de mărimea și tipul strungului). Strungurile carusel pot fi cu unul sau cu doi montanți, cu traversa fixă sau mobilă. În batiul B este montată cutia de viteze CV, ce primește mișcarea de la motorul M₁, ajungând la axul principal AP prin sistemul de angrenaje z₁/z₂ (I - mișcarea principală). Câruciorul CL se poate deplasa pe verticală (II), iar sania orizontală a acestuia poate executa avansul orizontal III. Aceste mișcări se realizează de obicei cu ajutorul unor angrenaje pinion - cremalieră, z₃ - C₃ și z₄ - C₄, cu vitezele reglate de cutia de avansuri CA₁. Traversa TM se poate deplasa pe verticală (IV), cu ajutorul motorului M₂, care acționează un mecanism șurub - piuliță S_v - p_v. Pe consolă este montată cutia de avansuri CA₂, care primește mișcarea de la cutia CV și o transmite fie la deplasarea orizontală (V) a câruciorului CO, prin mecanismul cu șurub orizontal S_o - p_o, fie la avansul pe verticală (VI), realizat cu angrenajul pinion - cremalieră z₅ - C₅, care deplasează sania câruciorului vertical CO. Acest cârucior se poate înclina față de verticală. Prinderea sculelor pe cârucioare se face de obicei cu ajutorul unui cap revolver CR pe care se pot monta cinci până la opt scule, care se pot regla la cotă pentru producția de serie. Schema fluxului cinematic este prezentată în figura 8.128.

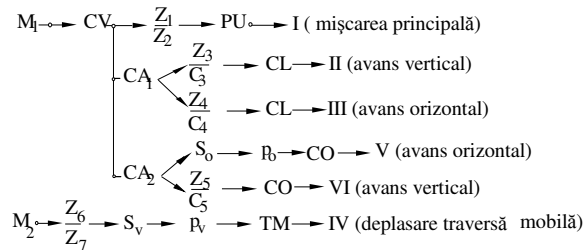


Fig. 8.128. Schema fluxului cinematic al strungului carusel.

Aceste categorii de strunguri se folosesc la prelucrarea suprafețelor plane, cilindrice, exterioare sau interioare, conice și a altor categorii de suprafețe de dimensiuni mari, la piese de dimensiuni și greutate mari.

Strungul revolver. Se aseamănă cu cele normale, dar îi lipsește păpușa mobilă. Sculele sunt montate, în ordinea lucrului lor, pe un cap revolver. După poziția și forma capului revolver se deosebesc: *strunguri revolver cu disc* (axa orizontală); *strunguri revolver cu ureauă* (axa verticală).

Schema de principiu a unui strung revolver cu disc se prezintă în figura 8.129.

Pe batiul B, prevăzut cu ghidajele orizontale GB, există păpușa fixă PF, în care se găsesc cutia deviteze CV și axul principal AP, care execută mișcarea principală I. Pe ghidajele GB se poate deplasa căruciorul CR, în mișcarea de avans longitudinal II. Sculele SA se prind în capul revolver CRV, care se rotește în vederea poziționării sculelor (mișcarea III) sau în vederea executării diferitelor operații (IV), ce necesită avans transversal (canale de degajare, retezare, strunjire frontală etc). Mișcările de avans au viteze reglabile cu ajutorul unei cutii de avansuri CA, barei de avansuri Aa și a cutiei căruciorului CCR. Lungimea cursei de lucru a fiecărei scule se stabilește cu un sistem de opritoare O_i .

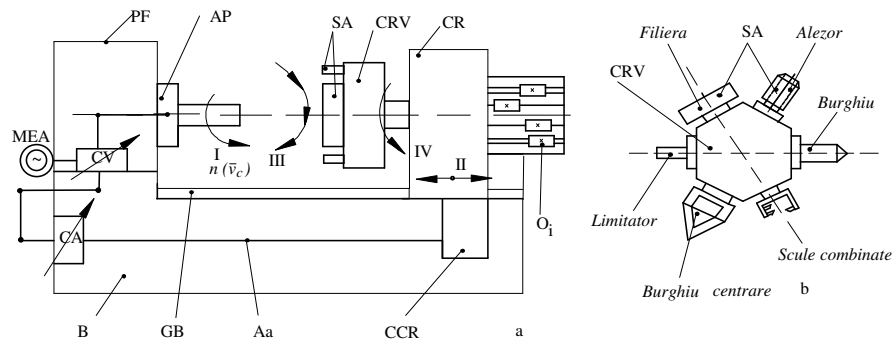


Fig.8.129. Schema de principiu a strungului revolver cu disc:

a - schema de principiu: B - batiu; GB - ghidajele batiului; Aa - bara de avansuri; PF - păpușa fixă; AP - ax principal; CA - cutie de avansuri; CV - cutie de viteze; SA - scule așchietoare; CRV - cap revolver; CR - cărucior; CCR - cutia căruciorului; O - opritoare; b - montarea sculelor în capul revolver.

Pe strungurile revolver se execută de obicei următoarele tipuri de operații: strunjiri cilindrice și frontale, canelări, găuriri cu burgiul, strunjiri conice de lungimi mici, filetări cu tarozi și filiere etc.

Strungurile semiautomate. Sunt acele strunguri la care sunt atomizate toate lucrările, exceptând fixarea semifabricatului și desprinderea piesei finite, care sunt comandate manual. Strungurile semiautomate se clasifică după numărul axelor în: *strunguri monoaxe* (*strungurile de tip revolver* și *strungurile multiaxiale*, figura 8.130) și *strunguri multiaxiale* (*strungurile cu prelucrare succesivă*, figura 8.131 și *cu prelucrare continuă*).

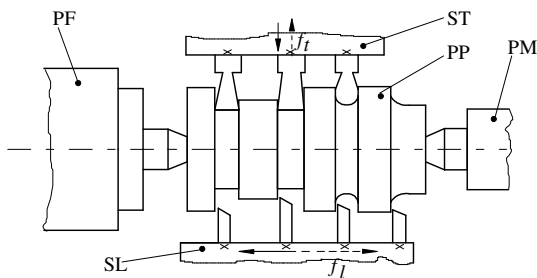


Fig. 8.130. Schema de principiu a strungului semiautomat monoax multiaxial:

PP - piesa – semifabricat de prelucrat ; PF - pâpușă fixă;
PM - pâpușă mobilă; SL - sania longitudinală; ST - sania transversală.

La strungul semiautomat multiaxial (fig. 8.130), piesa de prelucrat PP se prinde între pâpușă fixă PF și pâpușă mobilă PM, iar sculele, cu ajutorul cărora se fac operațiile de prelucrare sunt prinse pe două săni laterale, sania longitudinală SL și sania transversală ST. Prelucrarea piesei pe acest strung se execută astfel:

- apropierea rapidă a săniilor de semifabricat;
- execuția curselor de lucru cu avansul longitudinal f_l și transversal f_t ;
- retragerea rapidă a săniilor în poziția inițială;
- oprirea strungului și desprinderea piesei finite;
- fixarea unui nou semifabricat.

La aceste strunguri, fiecare sculă reglată în prealabil la cotă, execută o singură trecere și prelucrează un singur element al piesei. La strungurile multiaxiale cu prelucrare succesivă (fig. 8.131), prelucrarea piesei are loc succesiv, într-o ordine logică a operațiilor, fiecare operație executându-se la câte un post separat. Posturile de lucru PL sunt prevăzute pe o masă rotundă MS, care execută mișcarea de poziționare III, montată la baza unei coloane centrale prismatice CCP. Pe fiecare față prismatică a coloanei se găsește o sanie port-sculă SPS, ce poate executa mișcarea de avans II, în timp ce mișcarea principală I este executată de semifabricatele prinse în dispozitivele de prindere DP, pe arborii principali. La fiecare post de lucru PL, sculele reglate la cotă execută fiecare câte o operație corespunzătoare, exceptând postul PLA, care rămâne pentru alimentarea cu semifabricate și desprinderea pieselor prelucrate. Spre deosebire de strungul monoax, la acest strung se prelucrează mai multe piese simultan, care trec pe rând pe la fiecare din posturile de lucru.

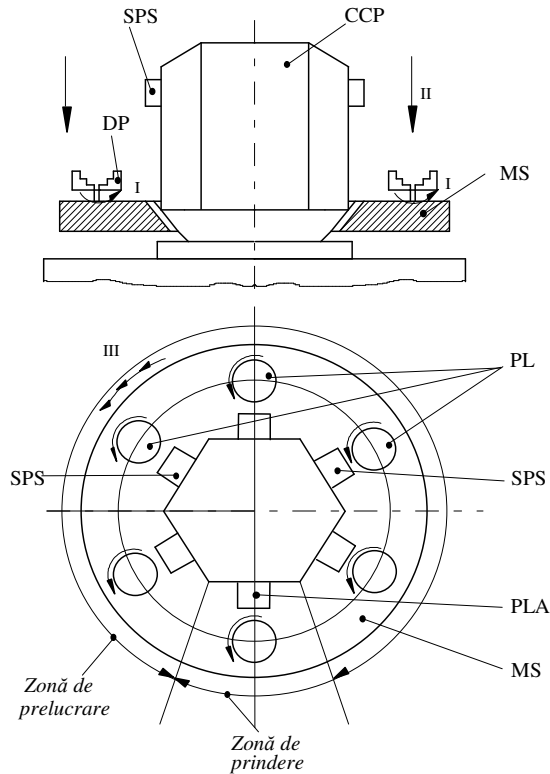


Fig. 8.131. Schema de principiu a strungului semiautomat multi-ax, cu prelucrare succesivă:

PL - posturi de lucru; MS - masă;
CCP - coloană centrală; SPS - săniile
port - scule; DP - universal de
prindere; PLA - post de prindere -
desprindere.

Strungurile multi-ax verticale cu prelucrare continuă se aseamănă cu cele multi-ax cu prelucrare succesivă, deosebirea constând în faptul că săniile laterale conțin toate sculele necesare tuturor prelucrărilor semifabricatului de la început până la piesa finită.

Strungurile automate. Sunt acele strunguri la care, după efectuarea reglării, prinderea semifabricatelor, prelucrarea lor și desprinderea pieselor de pe mașină se realizează într-un ciclu automat, fără participarea operatorului.

Strungurile automate pot fi:

- *monoaxe* - strunguri revolver, strunguri de profilat și retezat, strunguri de profilat și strunjit longitudinal etc.;
- *multiaxe* - cu prelucrare succesivă și cu prelucrare în paralel.

Strungurile revolver automate. Sunt acele strunguri la care toate mișcărilor, începând cu avansarea materialului de prelucrat până la limitator și terminând cu îndepărtarea piesei finite, sunt automatizate. Alimentarea cu piese, avansarea materialului din bară până la limitator și evacuarea pieselor finite se fac cu ajutorul unor mecanisme și dispozitive prevăzute special pe strungul revolver.

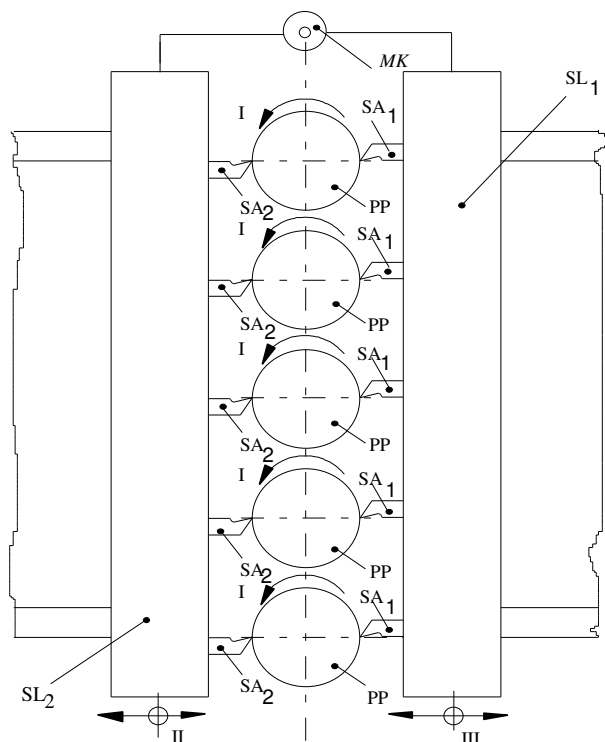


Fig. 8.132. Schema de principiu a strungului automat multi-ax, cu prelucrare în paralel:

PP - piesele - semifabricat;
SA₁; SA₂ - scule aşchietoare;
SL₁; SL₂ - săniile de lucru;
MK - mecanisme cu came.

Strungurile automate multi-ax cu prelucrare în paralel (fig. 8.132) permit prelucrarea simultană și completă a unui număr de piese egal cu numărul de axe principale ale mașinii. Piesele-semifabricat PP execută mișcarea principală de aşchiere I, în timp ce sculele SA₁ și SA₂ prinse perechi în două săni execută mișcările de avans transversal II și III. Săniile de lucru SL₁ și SL₂ sunt acționate prin intermediul unor mecanisme cu came MK. Aceste tipuri de strunguri se utilizează în cazul prelucrării unor piese specifice în producția de serie mare sau de masă.

8.6.4.2. Principalele dispozitive și accesorii folosite la strunjire

Pentru ca semifabricatul să execute mișcarea principală de rotație este necesar ca acesta să fie prins coaxial cu axa de rotație a axului principal. Se folosesc astfel o serie de dispozitive specifice ca: universalul, platoul simplu, platoul cu patru fălci, echerile de prindere, vârfurile de prindere, flanșele și inimile de antrenare, lunetele fixe și mobile.

Universalul. Se folosește pentru prinderea semifabricatelor scurte (la care raportul $L/D < 4$). Se compune dintr-o carcasă cilindrică în care este introdusă o

coroană dințată conică 1, acționată de pinioanele 2 cu ajutorul unei chei de universal 3 (fig. 8.133). Prinderea piesei se face cu ajutorul unor fălci de prindere 4, care se deplasează în canalul 5 (în spirală arhimedică). La rotirea coroanei dințate 1, fălcile sunt obligate să se deplaseze simultan, radial spre exterior sau interior, permițând strângerea centrată pe interiorul S_1 sau pe exteriorul S_2 , sau desprinderea piesei.

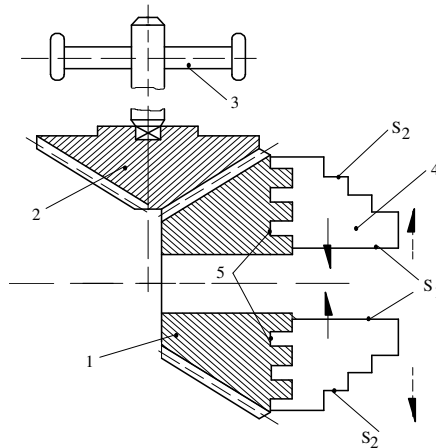


Fig. 8.133. Schema de principiu a universalului autocentrant:
1 - coroană dințată conică ; 2 - pinioane conice;
3 - cheie de universal; 4 - fălci de prindere;
5 - canale spirale; S_1 , S_2 - suprafață de prindere și fixare.

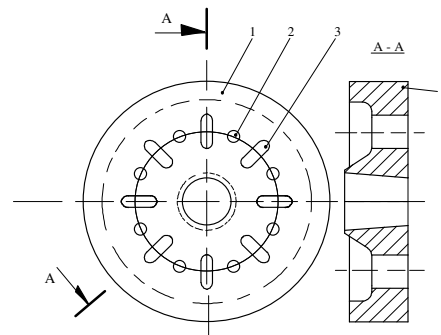


Fig. 8.134. Schema de principiu a platoului simplu:
1 - placă circulară ; 2;3 - găuri străpunse frezate.

Platoul simplu. Este o placă circulară rigidă 1, care are pe suprafața frontală executate diferite găuri străpunse frezate 2 și 3 (fig. 8.134), care servesc la prinderea pieselor de formă complicată, cu ajutorul unor șuruburi și bride de fixare.

Platoul cu patru fălci. Este format dintr-o placă circulară prevăzută cu patru ghidaje radiale, pe care se deplasează fălcile de prindere, acționate fiecare independent de către un mecanism șurub-piuliță. Acest tip de platou este destinat prinderii semifabricatelor pătrate, excentrice și a pieselor brute de forme relativ simple.

Echerele de prindere. Sunt folosite la prinderea pieselor de forma cea mai complicată. Sunt alcătuite dintr-un platou prevăzut cu găuri frezate sau canale în formă de T pe care sunt prinse două sănii ce se pot deplasa pe două ghidaje perpendiculare.

Vârfurile de centrare. Se folosesc la prelucrarea pieselor de lungime mare (când $L/D \geq 4$). Vârfurile de centrare sunt prevăzute la partea de fixare cu o zonă activă 1, de formă conică, un corp cilindric 2 și coada conică 3, în sistemul

METRIC sau MORSE (fig. 8.135. a). Forma şi dimensiunile vârfurilor de centrare sunt diferite în funcţie de dimensiunile, configuraţia geometrică a piesei şi genul de prelucrare la care este utilizat. Se deosebesc: vârfuri de centrare cu degajare (fig. 8.135. b), vârfuri sferice (fig. 8.135. c), vârfuri inverse (fig. 8.135. d), vârfuri rotative (fig. 8.135. e) şi altele.

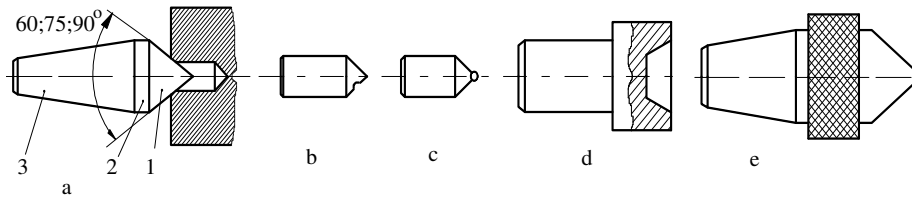


Fig. 8.135. Tipuri de vârfuri de centrare:
a - simple; b - cu degajare; c - sferice; d - inverse; e - rotative.

Flanşele şi inimile de antrenare. Se folosesc la rotirea pieselor prinse între vârfuri. Sunt mai multe tipuri constructive, dar cea mai des întrebuinţată este forma din figura 8.136. Flanşa 1, prevăzută cu un manşon de protecţie 2, se fixează pe exteriorul axului principal, în timp ce în conul morse al axului principal se fixează vârful de centrare 3. Semifabricatul 5 se fixează între vârful 3 şi vârful 4, fixat în păpuşa mobilă 6. La rotirea flanşei, bolţul 7 obligă să se rotească inima de antrenare 8, care este strânsă pe piesa de prelucrat cu un şurub 9.

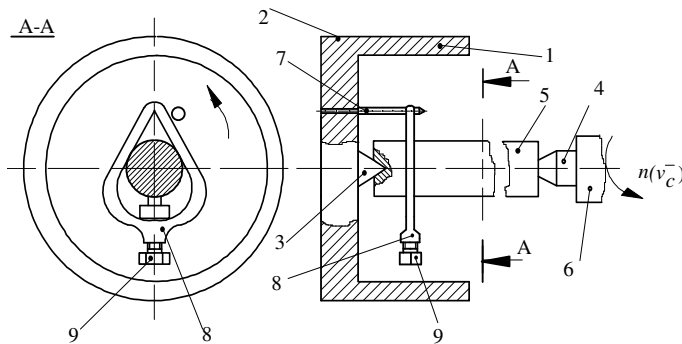


Fig. 8.136. Schema de principiu a antrenării cu flanşă şi inimă de antrenare:

1 - flanşă; 2 - manşon de protecţie; 3; 4 - vârfuri de centrare; 5 - piesa - semifabricat; 6 - păpuşa mobilă; 7 - bolţ; 8 - inimă de antrenare; 9 - şurub de fixare.

Lunetele fixe şi lunetele mobile. Servesc pentru prelucrarea semifabricatelor de lungime mare (când raportul $L/D > 10$), în vederea creşterii rigidităţii acestora în timpul prelucrării şi evitării apariţiei abaterilor de formă ale suprafeţelor prelucrate. O lunetă fixă (fig. 8.137) este formată din două părţi semicirculare 1 şi 2, articulate în 3, şi prinse între ele cu şurubul 9. Partea inferioară 2 se fixează de ghidajele 4 ale strungului, cu ajutorul unei bride 5, în poziţia corespunzătoare. Piesa de prelucrat 6 este sprijinită în trei puncte, cu reazemele 7,

acționate de șuruburile 8. Lunetele mobile au doar două reazeme 7, rolul celui de-al treilea reazem fiind îndeplinit chiar de sculă.

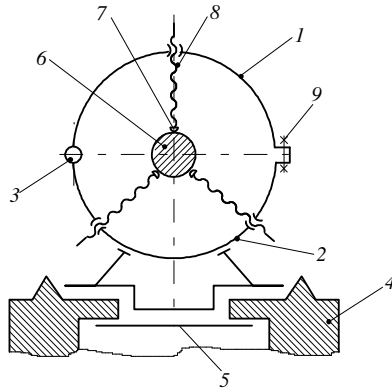


Fig. 8.137. Schema de principiu a unei lunete fixe:
1; 2 - carcase semicirculare; 3 - articulație;
4 - ghidajele strungului; 5 - brida de fixare;
6 - piesa - semifabricat; 7 - reazeme; 8 - șuruburi de acționare; 9 - șurub de fixare.

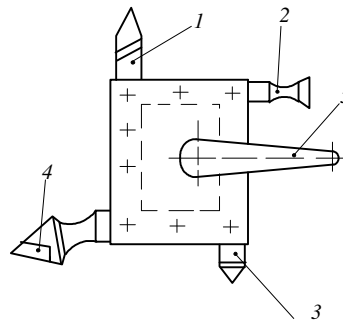


Fig. 8.138. Schema de principiu a port -
cuțitului cu patru cuțite:
1; 2; 3; 4 - scule așchietoare; 5 -mâner de
acționare.

Port-cuțitele. Sunt utilizate pentru orientarea și prinderea corespunzătoare a cuțitelor în vederea executării corecte a suprafețelor pieselor prelucrate. Construcția lor trebuie în așa fel concepută încât să asigure respectarea geometriei corecte a cuțitului în sistemul de referință funcțional. Cele mai des utilizate port-cuțite sunt: *port-cuțitul cu furcă*, *port-cuțitul cu brida*, *port-cuțitul cu sânni verticale*, *port-cuțitul cu patru cuțite*, *port-cuțitele speciale*.

Construcția port-cuțitului cu patru cuțite se prezintă în figura 8.138.

Acest port-cuțit permite aducerea pe rând a patru cuțite diferite 1, 2, 3, 4 în poziția de lucru dorită, într-un plan orizontal, după ce acestea au fost prinse în poziția corectă pe verticală. Rotirea port-cuțitului în plan orizontal și blocarea lui în poziția dorită, se face rapid, cu ajutorul mânerului 5.

Alte dispozitive. Pentru prelucrarea unor suprafețe complexe, strungurile normale sunt prevăzute uneori cu dispozitive de copiat, de strunjit sferic, dispozitive de detalonat, dispozitive de rectificat, dispozitive de găurit etc.

La strungurile revolver prinderea semifabricatelor în vederea prelucrării se face cu ajutorul unor **bucse elastice** (pensete), iar prinderea sculelor se face cu port-scule speciale, prinse pe discul port-sculă.

8.6.5. Stabilirea condițiilor de lucru la strunjire

La stabilirea condițiilor de lucru la strunjire, trebuie avute în vedere următoarele aspecte: forma și dimensiunile semifabricatului, precizia dimensională

şi rugozitatea suprafeţei prelucrate, caracteristicile mecanice şi starea suprafeţei materialului de prelucrat, natura materialului, construcţia şi parametrii geometrici ai sculei aşchietoare, condiţiile în care se desfăşoară procesul de aşchiere şi productivitatea prelucrării.

Principalele etape ce trebuie parcurse în vederea stabilirii condiţiilor de lucru la strunjire sunt: alegerea sculei aşchietoare; stabilirea durabilităţii economice şi a uzurii maxim admisibile a sculei aşchietoare; stabilirea adâncimii de aşchiere şi a numărului de treceri; stabilirea avansului de aşchiere; stabilirea forţelor de aşchiere; stabilirea momentelor de aşchiere; verificarea avansului de aşchiere; stabilirea vitezei de aşchiere; stabilirea turaţiei reale şi a vitezei reale de aşchiere; verificarea puterii de aşchiere.

8.6.5.1. Alegerea sculei aşchietoare

Se face în funcţie de tipul prelucrării şi de condiţiile de lucru. Pentru strunjirea exterioară, frontală, retezare, canelare, profilare etc. se aleg cuţite de strung conform STAS-urilor 6376 ...6385-80, 353 -80, 6311-80. Pentru strunjirea interioară se aleg cuţite şi bare de alezat din STAS-urile 12274 – 85, 12322-85, 12323-85 şi 12382-85.

În funcţie de natura şi proprietăţile fizico-mecanice ale materialelor de prelucrat se alege materialul părţii active a cuţitului, care poate fi: oţel carbon pentru scule, oţel rapid, oţel aliat pentru scule, carburi metalice şi mineralo-ceramice, diamante industriale.

Parametrii geometrici ai părţii active a cuţitelor sunt recomandaţi în STAS-urile R 675-80 şi R 6781-83 sau conform ISO 3002/4.

Alegerea sculelor aşchietoare se poate face şi folosind soft-uri specializate (MAZAK, CATIA etc.).

8.6.5.2. Stabilirea durabilităţii economice şi a uzurii maxim admisibile a sculei aşchietoare

Durabilitatea economică se alege în funcţie de dimensiunile secţiunii cuţitului, materialul părţii active a cuţitului şi materialul semifabricatului, din tabele şi nomograme. Durabilitatea economică T_{ec} variază între 30 până la 120 minute. Sunt şi cuţite care au durabilitatea peste 3 000 minute.

Dacă se urmăreşte o productivitate maximă, durabilitatea T_{op} se calculează cu relaţia:

$$T_{op} = \frac{1-m}{m} \tau_s \quad [\text{min}] \quad , \quad (8.114)$$

iar dacă se urmăreşte un cost minim al prelucrării, durabilitatea se calculează cu relaţia:

$$T_{ec} = \frac{1-m}{m} \left(\tau_s + \frac{C_2}{C_1} \right) \quad [\text{min}] , \quad (8.115)$$

în care: m este exponentul durabilității; τ_s - timpul consumat cu schimbarea sculei și reglarea mașinii-unelte, în minute; C_1 - salariul muncitorului care execută prelucrarea, în lei/min; C_2 - cheltuielile legate de exploatarea sculei, în lei și se calculează cu relația:

$$C_2 = \tau_r \cdot C_3 + \frac{C_s}{n_s} \quad [\text{lei}] , \quad (8.116)$$

în care: τ_r este timpul consumat cu reascuțirea sculei așchietoare, în min; C_3 - salariul muncitorului de la ascuțitorie, în lei/min; C_s - costul inițial al sculei, în lei; n_s - numărul de ascuțiri permis până la scoaterea din uz a sculei.

Uzura admisibilă a cuțitelor de strung pentru degroșare și finisare se alege din tabele, în funcție de materialul părții active a cuțitului, materialul semifabricatului și rugozitatea prescrisă piesei.

8.6.5.3. Stabilirea adâncimii de așchiere și a numărului de treceri

Adâncimea de așchiere se alege în funcție de natura operației de strunjire (de degroșare, de semifinisare sau de finisare). Adâncimea de așchiere a_p pentru fiecare trecere se calculează cu relația:

$$a_p = \frac{A_c}{i} a_p \quad [\text{mm}] , \quad (8.117)$$

în care A_c este adaosul de prelucrare calculat pe o parte (fig. 8.139); i - numărul de treceri.

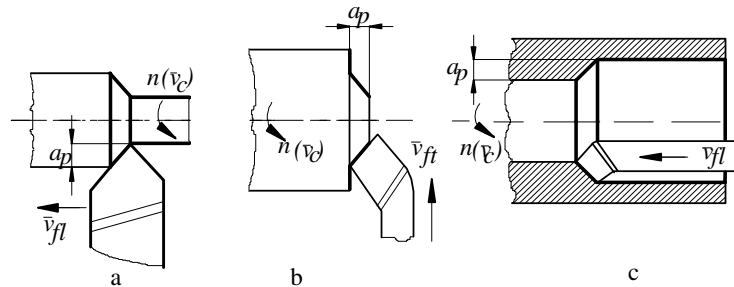


Fig. 8.139. Definierea adâncimii de așchiere la strunjirea:
a – cilindrică exterioră ; b – frontală ; c – cilindrică interioră.

La prelucrarea de degroșare se tinde către realizarea unei productivități maxime, alegându-se un număr cât mai mic de treceri și adâncime de așchiere cât

mai mare (limitată de puterea maşinii-unelte, rezistenţa mecanismului de avans şi momentul de torsiune admis la arborele principal). Adâncimea de aşchiere la prelucrările de finisare se alege în aşa fel încât să se poată asigura condiţiile de precizie şi rugozitate impuse.

8.6.5.4. Stabilirea avansului de aşchiere

La strunjirea materialelor, valoarea avansurilor depinde de: rezistenţa corpului cuţitului sau plăcuţei din carburi metalice, eforturile admise de mecanismele de avans ale maşinii-unelte, momentul de torsiune admis de arborele principal (pentru strunjirea de degroşare), precizia prescrisă a suprafeţei prelucrate, calitatea suprafeţei prelucrate (pentru strunjirea de finisare).

Rigiditatea piesei, a maşinii-unelte şi a dispozitivelor influenţează alegerea avansului, atât în cazul strunjirii de degroşare, cât şi al strunjirii de finisare.

Pentru creşterea productivităţii muncii se urmăreşte ca avansul să fie cât mai mare, în concordanţă cu adâncimea de aşchiere, stabilită anterior şi cu restricţiile impuse.

Valorile avansurilor la strunjire se aleg din tabele sau normative, determinate pe cale experimentală.

8.6.5.5. Stabilirea forţelor de aşchiere

În timpul operaţiei de strunjire apar o serie de forţe ce acţionează asupra cuţitului şi implicit asupra materialului ce trebuie îndepărtat (vezi capitolul 8.3, figura 8.39. a).

Forţa totală de aşchiere F se calculează cu relaţia:

$$F = \sqrt{F_f^2 + F_p^2 + F_c^2} \quad [\text{daN}] , \quad (8.140)$$

în care F_c este forţa principală de aşchiere (tangentială); F_p - forţa de respingere (radială); F_f - forţa de avans (axială). Aceste componente se calculează cu relaţiile:

$$F_c = C_{F_c} a_p^{x_{F_c}} f^{y_{F_c}} k_c , \quad (8.141)$$

$$F_p = C_{F_p} a_p^{x_{F_p}} f^{y_{F_p}} k_p , \quad (8.142)$$

$$F_f = C_{F_f} a_p^{x_{F_f}} f^{y_{F_f}} k_f , \quad (8.143)$$

în care: C_{F_c} , C_{F_p} , C_{F_f} sunt constante de material; x_{F_c} , y_{F_c} - exponenţi ce se aleg din tabele; a_p - adâncimea de aşchiere; f - avansul; k_c , k_p , k_f - coeficienţi de corecţie ce ţin seama de starea şi natura materialului, de geometria sculei aşchietoare, uzura sculei aşchietoare, lichidul de aşchiere, de raza de la vârful a cuţitului, de viteza de aşchiere etc.

8.6.5.6. Stabilirea momentelor de aşchiere

Momentul de aşchiere M_c , se determina cu relația:

$$M_c = \frac{F_c \cdot D}{2000} \text{ [daN}\cdot\text{m]} , \quad (8.144)$$

în care: D este diametrul piesei de prelucrat, în mm; F_c - forța principală de aşchiere, în daN.

8.6.5.7. Verificarea avansului

Verificarea avansului ales din tabele, se face luând în considerare mai multe criterii:

- *din punct de vedere al rezistenței corpului cuțitului*, se face pornind de la relația:

$$F_c = \frac{bh^2 R_i}{6L} \text{ [daN]} \quad (8.145)$$

pentru cuțite cu corp de secțiune dreptunghiulară, și:

$$F_c = \frac{\pi d^3 R_i}{32L} \text{ [daN]} \quad (8.146)$$

pentru cuțite de secțiune circulară, în care: R_i este efortul unitar admisibil la încovoierea materialului cuțitului, în daN/mm²; b - lățimea secțiunii cuțitului, în mm; L - lungimea în consolă a cuțitului, în mm; h - înălțimea secțiunii cuțitului, în mm; d - diametrul secțiunii circulare a corpului, în mm. Din egalarea expresiei (8.142) cu (8.145) și respectiv (8.146) se obține avansul f , de forma:

$$f_{adm} = \sqrt[3]{\frac{bh \frac{h}{L} R_i}{6C_{F_c} L a_p^{x_{F_c}} k_c}} \text{ [mm/rot]} \quad (8.147)$$

pentru secțiune dreptunghiulară, și:

$$f_{adm} = \sqrt[3]{\frac{0,1d^3 R_i}{6C_{F_c} L a_p^{x_{F_c}} k_c}} \text{ [mm/rot]} \quad (8.148)$$

pentru secțiune circulară.

- *din punct de vedere al forței admise de rezistența mecanismului de avans* se face cu relația:

$$f_{adm} = \sqrt[3]{\frac{F_t}{0,34C_{F_c} a_p^{x_{F_c}} k_c}} \text{ [mm/rot]} , \quad (8.149)$$

în care F_t este forţa tangenţială pe care o poate suporta dintele cremalierii.

- din punct de vedere al rigidităţii piesei se face cu relaţia:

$$f_{adm} = {}^{yF_c} \sqrt{\frac{3,18 \cdot E \cdot \Delta l \cdot D}{C_{F_c} a_p {}^{xF_c} k_c} \left[\frac{D}{L} \right]^3} \quad [\text{mm/rot}] , \quad (8.150)$$

în care Δl este săgeata admisibilă la încovoiere, în mm; L - lungimea piesei care se prelucreează, în mm; E - modulul de elasticitate, în daN/mm²; D - diametrul piesei care se prelucreează, în mm.

- din punct de vedere al rugozităţii suprafeţei admise se face cu relaţia:

$$f_{adm} = \frac{C_f \cdot R_z^y \cdot r_\beta^u}{a_p^x \cdot k_r^z \cdot k_r^z} \quad [\text{mm/rot}] , \quad (8.151)$$

în care k_r şi k_r' sunt unghiurile de atac principal şi respectiv secundar, în grade; R_z - rugozitatea suprafeţei, în µm; r_β - raza de la vârful cuţitului, în mm; C_f , x , y ; z ; u - coeficienţi determinaţi pe cale experimentală.

Valoarea avansului f_{adm} calculată cu relaţiile (8.147), (8.148), (8.149), (8.150) şi (8.151) se compară cu valoarea f_s stabilită în paragraful 8.6.5.4, trebuind respectată condiţia:

$$f_{adm} \geq f_s . \quad (8.152)$$

8.6.5.8. Stabilirea vitezei de aşchiere

Asimilată de obicei cu viteza mişcării principale de aşchiere, viteza de aşchiere se alege de obicei pornind de la valorile vitezei economice de aşchiere v_{ec} , rezultată din relaţia lui Taylor generalizată:

$$v_{ec} = \frac{C_v}{T_{ec}^m \cdot a_p^{x_v} \cdot f^{y_v} \cdot \left(\frac{HB}{200} \right)^{n_v}} k_v \quad [\text{m/min}] , \quad (8.153)$$

în care T_{ec} este durabilitatea economică, în min; a_p - adâncimea de aşchiere, în mm; f - avansul, în mm/rot; HB - duritatea materialului de prelucrat; C_v ; m ; x_v ; y_v ; n_v - coeficienţi de corecţie aleşi din tabele. Coeficientul k_v se calculează cu relaţia:

$$k_v = k_T \cdot k_m \cdot k_{st} \cdot k_c \cdot k_s \cdot k_{\gamma} \cdot k_{k_r} \cdot k_{k_r'} \cdot k_{\beta} \cdot k_{\beta B} \cdot k_q \cdot k_{int} \cdot k_{fr} \cdot k_{rac} , \quad (8.154)$$

în care: k_T este coeficient de corecţie în funcţie de durabilitatea sculei; k_m - coeficient de corecţie în funcţie de prelucrabilitatea materialelor; k_{st} - coeficient de corecţie în funcţie de starea materialului; k_c - coeficient de corecţie în funcţie de tipul semifabricatului; k_s - coeficient de corecţie în funcţie de calitatea părţii active a sculei; k_{γ} ; k_{k_r} ; $k_{k_r'}$ - coeficienţi de corecţie în funcţie de geometria părţii active; k_{β}

- coeficient de corecție în funcție de raza la vârf a sculei; k_{VB} - coeficient de corecție în funcție de mărimea uzurii sculei; k_q - coeficient de corecție în funcție de secțiunea cuțitului; k_{int} - coeficient de corecție pentru strunjirea interioară; k_{fr} - coeficient de corecție pentru strunjirea frontală; k_{rac} - coeficient de corecție în funcție de lichidul de răcire folosit.

8.6.5.9. Stabilirea turației și a vitezei reale de așchiere

Cunoscându-se viteza mișcării principale de așchiere, se calculează turația n_{ec} cu relația:

$$n_{ec} = \frac{1000v_{ec}}{\pi \cdot D} \quad [\text{rot/min}] \quad . \quad (8.155)$$

Deoarece mașinile-unelte nu pot realiza orice valoare a turației calculate, se alege o turație de lucru n_r , cea mai apropiată, imediat inferioară lui n_{ec} sau imediat superioară, dacă $\Delta v < 5\%$.

După stabilirea turației reale n_r , se calculează viteza reală v_{cr} cu relația:

$$v_{cr} = \frac{\pi D n_r}{1000} \quad [\text{m/min}] \quad . \quad (8.156)$$

În final se calculează pierderea de viteză Δv :

$$\Delta v = \frac{\pi \cdot D}{1000} \left(\frac{n_{ec} - n_r}{n_{ec}} \right) 100 \quad [\%] \quad , \quad (8.157)$$

și se verifică dacă $\Delta v < 5\%$. În cazul în care $\Delta v > 5\%$ se acționează asupra celorlalți factori care definesc condițiile de lucru (de exemplu, asupra sculei folosite).

8.6.5.10. Verificarea puterii de așchiere

După stabilirea parametrilor v_{cr} , f_s și a_p se determină puterea reală de așchiere $P_{r,c}$ cu relația:

$$P_{r,c} = \frac{F_c \cdot v_{cr}}{6000 \cdot \eta_p} \quad [\text{kW}] \quad , \quad (8.158)$$

în care F_c este componenta principală a forței de așchiere, în daN; v_{cr} - viteza reală de așchiere, în m/min; η_p - randamentul mașinii-unelte. Puterea reală calculată se compară cu puterea motorului electric P_{ME} , și dacă se respectă condiția $P_{r,c} < P_{ME}$, atunci regimul stabilit este acceptat, dacă nu, se acționează asupra principalilor factori ce influențează viteza de așchiere sau forța de așchiere.

Observație. Determinarea tuturor coeficienților de corecție și a parametrilor necesari stabilirii condițiilor de lucru la strunjire se face folosind Manualul

Inginerului Mecanic volumele I,II și III și normativele corespunzătoare.

8.6.6. Tipuri de prelucrări executate pe strunguri

Strungul este mașina-unealtă cu cele mai largi posibilități de prelucrare, permițând executarea aproape a tuturor categoriilor de suprafețe. Principalele tipuri de suprafețe executate pe strung sunt prezentate în figura 8.116.

8.6.6.1. Prelucrarea suprafețelor cilindrice

Suprafețele cilindrice exterioare sau interioare (fig. 8.140. a și b), în trepte sau cu treceri conice scurte de la un diametru la altul, se execută cu avans longitudinal v_{fl} sau transversal v_{ft} , folosind cuțite de strung adecvate tipului de suprafață.

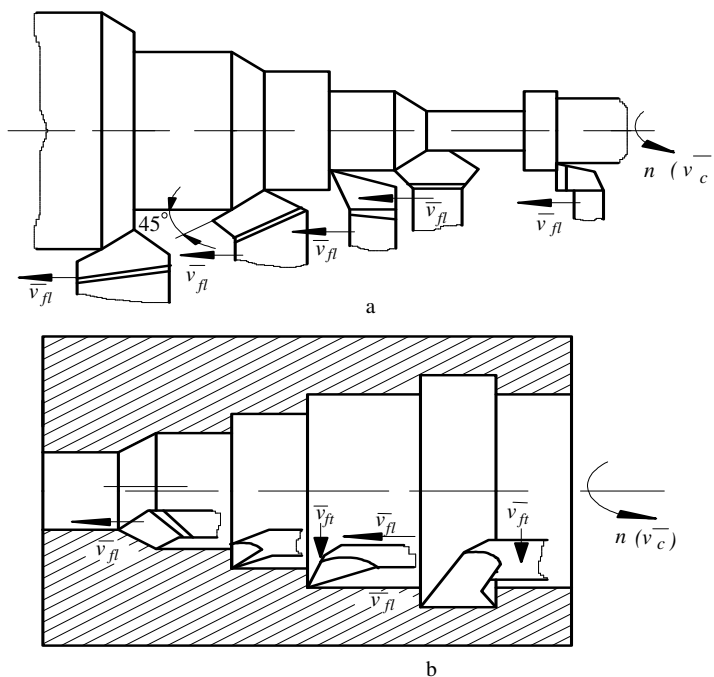


Fig. 8.140. Prelucrarea suprafețelor cilindrice:
a - exterioare; b - interioare.

8.6.6.2. Prelucrarea suprafețelor frontale

Suprafețele frontale exterioare sau interioare (fig. 8.141) în trepte sau cu treceri conice scurte de la un diametru la altul se execută cu avans transversal f_t ,

folosind cuțite adecvate genului de suprafață.

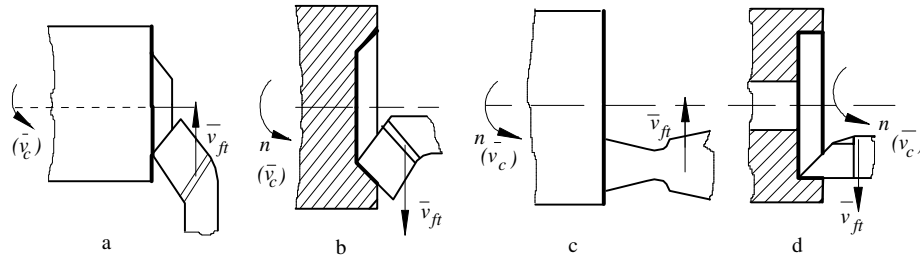


Fig. 8.141. Prelucrarea suprafețelor frontale:
a - plane - degroșare; b - conice; c - plane - finisare; d - în trepte.

8.6.6.3. Prelucrarea suprafețelor conice

Se poate face prin mai multe metode:

- *strunjirea conică prin înclinarea saniei port-cuțit* (fig. 8.142. a). Sania port-cuțit 1 se rotește cu unghiul $\alpha/2$ pentru a se realiza un avans înclinat f_α față de axa de rotație a piesei. Unghiul α se calculează cu relația:

$$\operatorname{tg} \frac{\alpha}{2} = \frac{D-d}{2L} ; \quad (8.159)$$

- *strunjirea conică folosind rigla de copiat* (fig. 8.142. b). Se folosește un dispozitiv de copiat format dintr-o riglă rigidă 1, ce se poate înclina cu unghiul $\alpha/2$ format între generatoarea conului și axa de rotație a piesei. De riglă se fixează, prin articulația 2, tija 3 și sania transversală 4, pe care se găsește suportul port-cuțit 5. Prin decuplarea piuliței șurubului de avans transversal, cuțitul se va deplasa paralel cu rigla rigidă 1, rezultând generatoarea conică a suprafeței;

- *strunjirea conică prin deplasarea transversală a păpușii mobile* (fig. 8.142. c). Se utilizează la prelucrarea suprafețelor conice lungi, cu conicități mici ($\alpha < 8^\circ$). Deplasarea păpușii mobile h se calculează cu relația:

$$h = L \sin \frac{\alpha}{2} ; \quad (8.160)$$

- *strunjirea conică a suprafețelor scurte* se face prin înclinarea tăișului principal al cuțitului, care trebuie să fie mai mare decât generatoarea conului (fig. 8.142. d), folosind fie avansul transversal, fie avansul longitudinal;

- *strunjirea conică prin combinarea celor două avansuri* se face combinând avansul longitudinal cu cel transversal (fig. 8.142. e), în așa fel încât tăișul principal să se deplaseze paralel cu generatoarea conului ce trebuie realizat. Se aplică pentru suprafețe conice, care nu necesită o precizie dimensională mare și precizie referitoare la abaterile de formă.

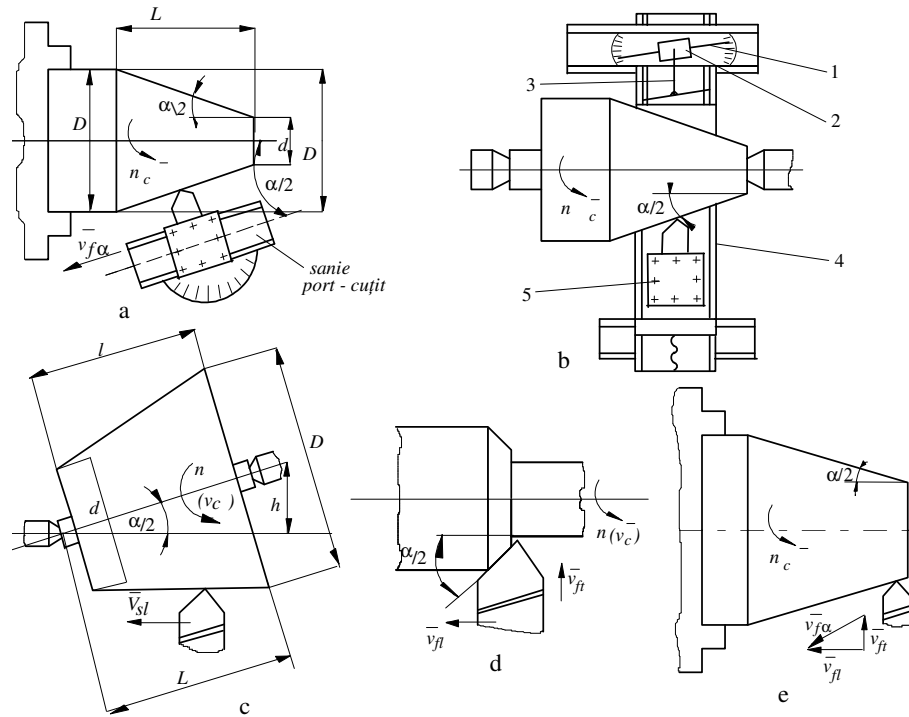


Fig. 8.142. Preluarea suprafețelor conice:

a - prin rotirea saniei port-cuțit; b - prin copiere; 1 - riglă rigidă; 2 - articulație; 3 - tijă; 4 - sanie transversală; 5 - suport port - cuțit; c - prin deplasarea transversală a păpușii mobile; d - prin înclinarea tăișului cuțitului; e - prin combinarea avansurilor.

8.6.6.4. Preluarea suprafețelor profilate

Se realizează cu cuțite profilate, cu avans transversal (fig. 8.117. a) sau cu ajutorul dispozitivelor de copiat, cu avans cu traiectorie curbilinie. Cuțitele profilate pot fi prismatice sau de tip disc. Dispozitivele de copiat sunt la fel ca la strunjirea conică, cu deosebirea că rigla rigidă va fi curbă, având profilul identic cu cel ce se vrea generat (fig. 8.122).

8.6.6.5. Preluarea suprafețelor excentrice

Piesa se prelucrează prinsă între vârfuri, folosind câte o pereche de găuri de centrare axiale, pentru fiecare suprafață cilindrică în parte (fig. 8.143). Pentru strunjirea suprafeței 1 piesa se centrează între găurile de centrare de pe axa I, iar pentru suprafața 2 prinderea se face între găurile de centrare de pe axa II.

La prelucrarea în serie a pieselor excentrice, se folosesc dispozitive de prindere a pieselor, reglate inițial la excentricitatea dorită.

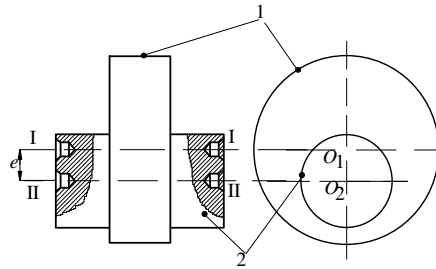


Fig. 8.143. Prelucrarea suprafețelor excentrice:
1; 2 - suprafețe excentrice de prelucrat; I; II – axele
găurilor de centrare.

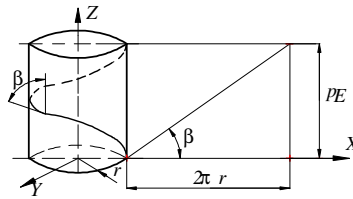


Fig. 8.144. Elementele filetului.

8.6.6.6. Filetarea

Filetarea este operația de executare a unui filet. Filetul este o suprafață elicoidală, obținută prin deplasarea unei generatoare de formă oarecare în lungul unei directoare în formă de elice cilindrică sau conică. Generatoarea filetului se materializează cu ajutorul tășurilor sculelor de filetare, care la filetarea pe strung sunt: filierele, tarozii și cuțitele de strung (cel mai des folosite).

Elementele caracteristice ale unui filet sunt: profilul (pătrat, tringhiular, dreptunghiular, rotund etc), unghiul de vârf al profilului, pasul elicei directoare, sensul elicei directoare (pe dreapta, pe strânga), numărul de începuturi, diametrul exterior, mediu și interior și unghiul la vârf al conului pe care este înfășurată directoarea elicoidală (în cazul filetelor conice). La filetarea pe strung se folosește un lanț cinematic de filetare (fig. 8.120), care trebuie să asigure o legătură biunivocă între elementele ecuației:

$$p_E = \frac{2\pi r}{\text{ctg}\beta} , \quad (8.161)$$

în care p_E este pasul elicei filetului; r - raza cilindrului pe care este înfășurată elicea; β - unghiul de înclinare al elicei față de direcția axei piesei (fig. 8.144).

Realizarea legăturii biunivoce între elementele ecuației (8.161) se traduce în a asigura egalitatea între avansul longitudinal f_l și pasul filetului de executat p .

Pornind de la egalitatea:

$$n_s \cdot p_s = n_p \cdot p_E , \quad (8.162)$$

și ținând cont că :

$$\frac{n_s}{n_p} = \frac{z_A}{z_B} \cdot \frac{z_C}{z_D} , \quad (8.163)$$

se determină raportul:

$$\frac{p_E}{p_s} = \frac{z_A}{z_B} \cdot \frac{z_C}{z_D} \cdot i_{CAF} , \quad (8.164)$$

în care p_s este pasul şurubului conducător; z_A ; z_B ; z_C ; z_D - numărul de dinţi ai roţilor de schimb; i_{CAF} - raportul de transmitere al CAF; n_s , n_p - turaţia şurubului conducător şi respectiv a piesei.

Obţinerea diversilor paşi p_E se realizează prin variaţia raportului de transmitere i_{CAF} a mişcării în CAF, cu ajutorul manetelor acesteia. În cazul în care este necesară obţinerea unui filet cu pas mai rar utilizat, se păstrează constant raportul i_{CAF} şi se variază i_{RS} (raportul roţilor de schimb A , B , C , D), adică se montează roţi de schimb calculate cu relaţia:

$$i_{RS} = \frac{z_A}{z_B} \cdot \frac{z_C}{z_D} = \frac{p_E}{p_s} \cdot i_{CAF} , \quad (8.165)$$

Executarea filetelor cu mai multe începuturi, de exemplu, cu două începuturi (fig. 8.145), se face prelucrându-se fiecare elice independent, din mai multe treceri succesive, până se ajunge la adâncimea corespunzătoare unui filet cu pasul aparent p_a :

$$p_a = \frac{p_E}{i} , \quad (8.166)$$

în care p_E este pasul elicei (al fiecărui început); i - numărul de începuturi. După terminarea unui început, cuţitul trebuie poziţionat pe elicea următoare, operaţie ce se poate face prin rotirea semifabricatului cu un unghi egal cu $360^\circ/i$ şi deplasarea cuţitului, în lungul generatoarei, cu valoarea p_a sau filetarea cu mai multe cuţite simultan poziţionate la distanţa p_a .

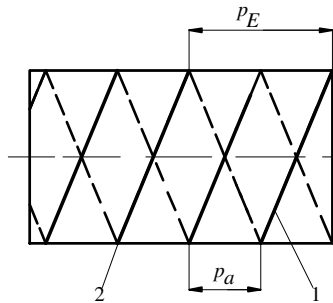


Fig. 8.145. Executarea filetelor cu mai multe începuturi:
1; 2 - elice de filet; p_a - pasul aparent.

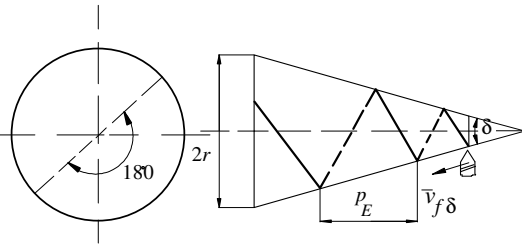


Fig. 8.146. Executarea filetelor conice.

Prelucrarea filetelor conice presupune deplasarea cuţitului în timpul filetării pe o generatoare înclinată față de axa de rotație a piesei, cu un unghi egal

cu jumătatea unghiului la vârf δ al conului (fig. 8.146).

8.6.6.7. Alte prelucrări pe strung

Pe lângă prelucrările enumerate mai sus, pe strung se mai pot realiza o serie de alte prelucrări ca: retezarea, canelarea, execuția de degajări, executarea de găuri cu burghiul, ambutisarea unor piese complexe (în producția de unicat sau serie mică), sudarea prin frecare și altele.

8.7. PRELUCRAREA PRIN RABOTARE

8.7.1. Definire. Scheme de principiu

Rabotarea este procedeul de prelucrare prin așchiere, care se realizează prin combinarea mișcării principale de așchiere, totdeauna de translație - executată de sculă sau de piesa semifabricat cu mișcarea de avans intermitent - executată de piesa-semifabricat sau de sculă.

Schema de principiu a procedurii se prezintă în figura 8.147.

Principalele caracteristici ale procedurii sunt:

- mișcarea principală de așchiere, executată de sculă sau semifabricat, este mișcare de translație (rectilie-alternativă), așchierea având loc doar în perioada cursei active (I);

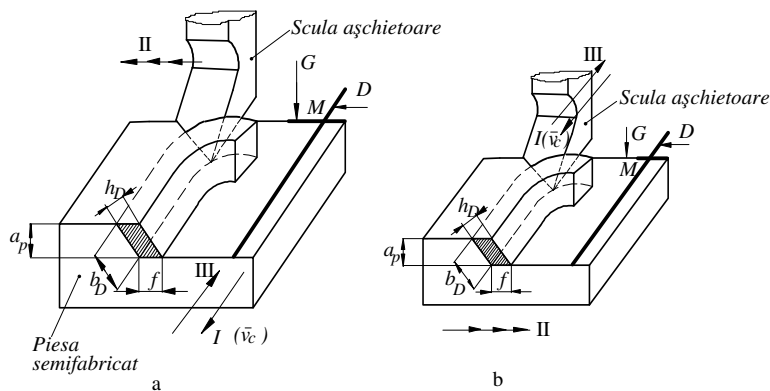


Fig. 8.147. Schema de principiu la rabotare:

a - rabotarea longitudinală; b - rabotarea transversală; I - cursa activă a mișcării principale de așchiere; II - mișcarea de avans intermitent; III - cursa pasivă; a_p - adâncimea de așchiere; h_D - grosimea așchiei; b_D - lățimea așchiei; f - avansul; G - generatoarea; D - directoarea.

- mișcarea de avans II, se realizează intermitent, la capătul cursei de mers în gol III (cursa inactivă);

- aşchierea se produce cu şoc, într-un singur sens al mişcării principale;
- pentru protejarea vârfului sculei, la cursa de mers în gol, scula este ridicată de pe semifabricat;
- utilizează scule simple, cu o singură muchie aşchietoare principală şi mai multe muchii aşchietoare secundare.

Când mişcarea principală de aşchiere este executată de piesa-semifabricat şi avansul intermitent de sculă, procedeul se numeşte *rabotare longitudinală* (fig. 8.147. a), iar când mişcarea principală de aşchiere este executată de sculă şi avansul intermitent de piesa-semifabricat, procedeul se numeşte *rabotare transversală* (fig. 8.147. b).

8.7.2. Generarea suprafeţelor prin rabotare

Prin rabotare se pot genera suprafeţe plane şi profilate, orizontale, verticale şi înclinate, suprafeţe cilindrice şi conice (folosind dispozitive speciale) şi suprafeţe de altă formă.

La rabotare, generatoarea poate fi realizată prin:

- *metoda generatoarei cinematice*. Generatoarea liniară G se realizează ca traiectorie a punctului M (fig. 8.147) de pe tăişul sculei aşchietoare, în mişcarea sa după o dreaptă paralelă cu mişcarea de avans intermitent.

Realizarea unei generatoare circulare este posibilă dacă se foloseşte un dispozitiv care să rotească semifabricatul (fig. 8.148) în jurul unei axe ce trece prin centrul cercului ce constituie generatoarea.

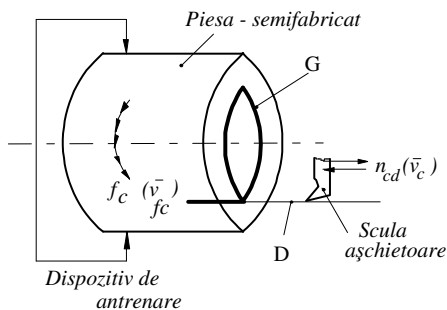


Fig. 8.148. Generarea suprafeţelor prin metoda generatoarei cinematice circulare:
 \bar{v}_c - viteza mişcării principale de aşchiere;
 n_{cd} - număr de curse duble pe minut;
 f_c - avans circular; \bar{v}_{fc} - viteza de avans circular intermitent.

- *metoda generatoarei materializate*. Pentru realizarea de suprafeţe complicate, generatoarea este materializată de muchia aşchietoare a unor scule corespunzătoare. Generarea canalelor T (fig. 8.149. a), a dinţilor unei cremaliere (fig. 8.149. b) sau a unor suprafeţe profilate (fig. 8.149. c), presupune cuţite de rabotat cu muchii aşchietoare corespunzătoare, ce materializează generatoarea G;

- *metoda generatoarei programate*, folosită în cazul suprafeţelor complexe (de tip cilindric sau conic). Generatoarea G se obţine prin utilizarea generatoarei G_s , materializată pe şablonul S (fig. 8.150), urmărirea şablonului făcându-se cu un

sistem de copiere hydraulic.

În majoritatea cazurilor, directoarea D este rectilinie, ca urmare a modului de construcție a mașinilor-unelte pe care se efectuează acest mod de prelucrare, dar se pot utiliza și directoare spațiale, ca de exemplu elicea cilindrică.

8.7.3. Geometria sculelor așchietoare. Tipuri de scule

Sculele utilizate cel mai des la rabotare sunt *cuțitele de rabotare*, executate de obicei din oțel rapid și uneori din oțeluri de scule sau armate în zona activă cu

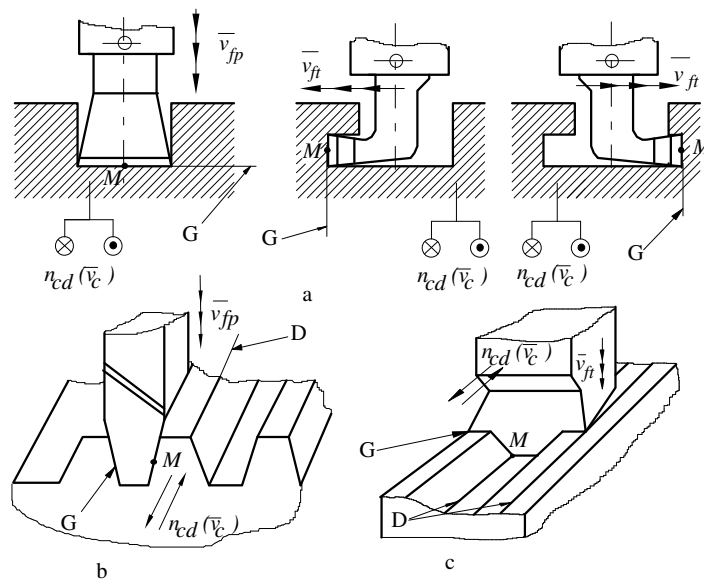


Fig. 8.149. Generarea suprafețelor prin metoda generatoarei materializate:
a - la prelucrarea canalelor în T; b - la prelucrarea cremalierelor dințate; c - la prelucrarea suprafețelor profilate.

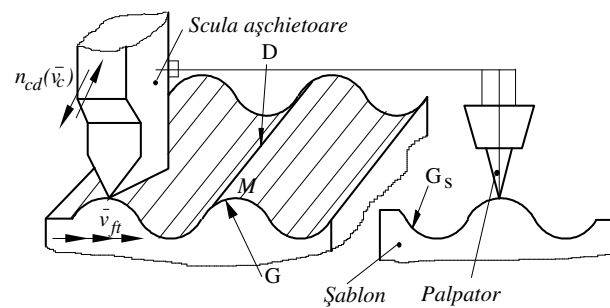


Fig. 8.150. Realizarea suprafețelor prin metoda generatoarei programate.

plăcuțe din oțel rapid sau carburi metalice.

Forma zonei active este adecvată formei suprafețelor prelucrate (fig. 8.147 și 8.148). Cele mai des întâlnite forme constructive de cuțite se prezintă în figura 8.151, deosebindu-se:

- cuțite drepte pe stânga (fig. 8.151. a) și pe dreapta (fig. 8.151. b);
- cuțite încovoiate pe stânga (fig. 8.151. c) și pe dreapta (fig. 8.151. d);
- cuțite cotite înainte (fig. 8.151. e) și înapoi (fig. 8.151. f);
- cuțite cu cap îngustat (fig. 8.151. g, h și i).

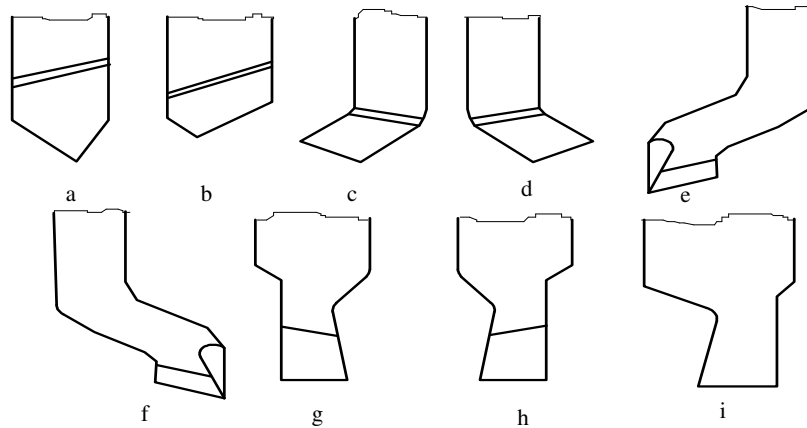


Fig. 8.151. Principalele forme constructive ale cuțitelor de rabotat:

a - drept pe stânga; b - drept pe dreapta; c - încovoiat pe stânga; d - încovoiat pe dreapta; e - cotit înainte; f - cotit înapoi; g; h; i - cu cap îngustat.

Cuțitele încovoiate și cotite prezintă avantajul unor deformări ΔL , pe direcția normală la suprafața prelucrată, mai mici decât cuțitele drepte (fig. 8.152).

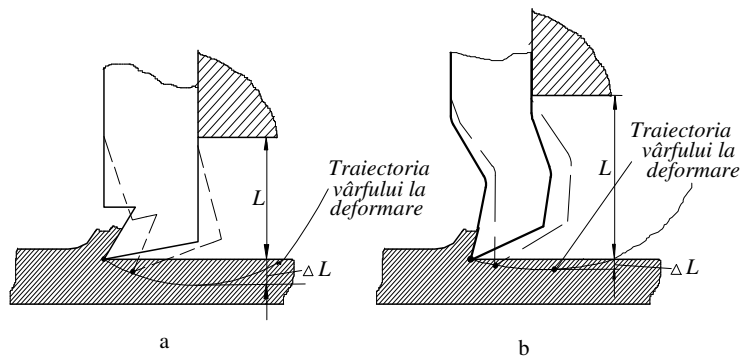


Fig. 8.152. Deformația cuțitului de rabotat în timpul lucrului:

a - la cuțitele drepte; b - la cuțitele încovoiate.

Parametrii geometrici ai zonei active sunt similari cu cei ai cuțitelor de strung (fig. 8.153), în care α este unghiul de așezare; β - unghiul de ascuțire; γ - unghiul de degajare; ε_r - unghiul de la vârf; k_r - unghiul de atac principal; k'_r - unghiul de atac secundar; λ_s - unghiul de înclinare al muchiei așchietoare.

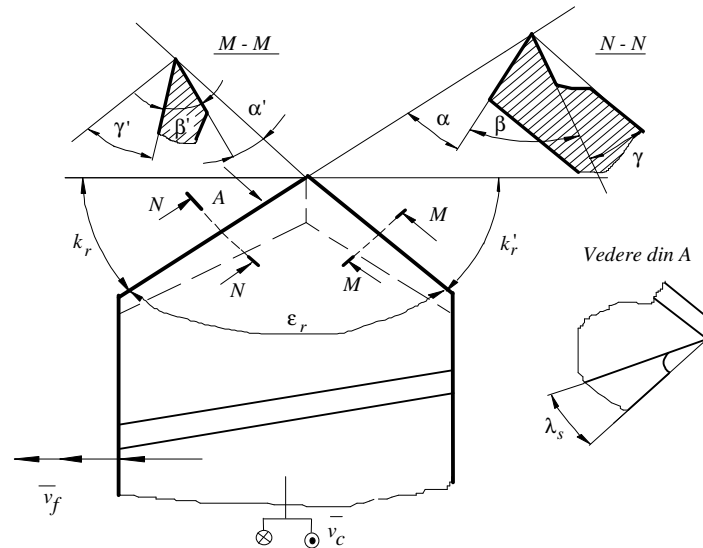


Fig. 8.153. Parametrii geometrici ai zonei active a cuțitelor de rabotat:
 α ; α' - unghiul de așezare principal, respectiv secundar; γ ; γ' - unghiul de degajare principal, respectiv secundar; β ; β' - unghiul de ascuțire principal, respectiv secundar; k_r ; k'_r - unghiul de atac principal, respectiv secundar; ε_r - unghiul la vârf; λ_s - unghiul de înclinare a tăișului.

La rabotare, deoarece avansul de generare este intermitent, parametrii geometrici funcționali nu se deosebesc de cei constructivi.

8.7.4. Mașini-unelte și dispozitive specifice la prelucrarea prin rabotare

Mașinile-unelte de rabotat se clasifică după modul de construcție și după schema de lucru în:

- *mașini de rabotat cu cap mobil (șepinguri)*, pe care se execută rabotarea transversală;
- *mașini de rabotat cu masă mobilă (raboteze)*, pe care se execută rabotarea longitudinală.

8.7.4.1. Mașini de rabotat cu cap mobil

Această categorie de mașini este destinată prelucrării prin rabotare a suprafețelor plane orizontale, verticale sau înclinate, precum și a suprafețelor de

diferite forme (canale în T, canale în coadă de rândunică etc.), la piese-semifabricat ce nu depășesc lungimea de 1 000 mm. Cu dispozitive speciale se pot prelucra și danturi la cremaliere și roți dințate de precizie mică.

Schema de principiu a unei mașini de rabotat cu cap mobil (șeping) se prezintă în figura 8.154.

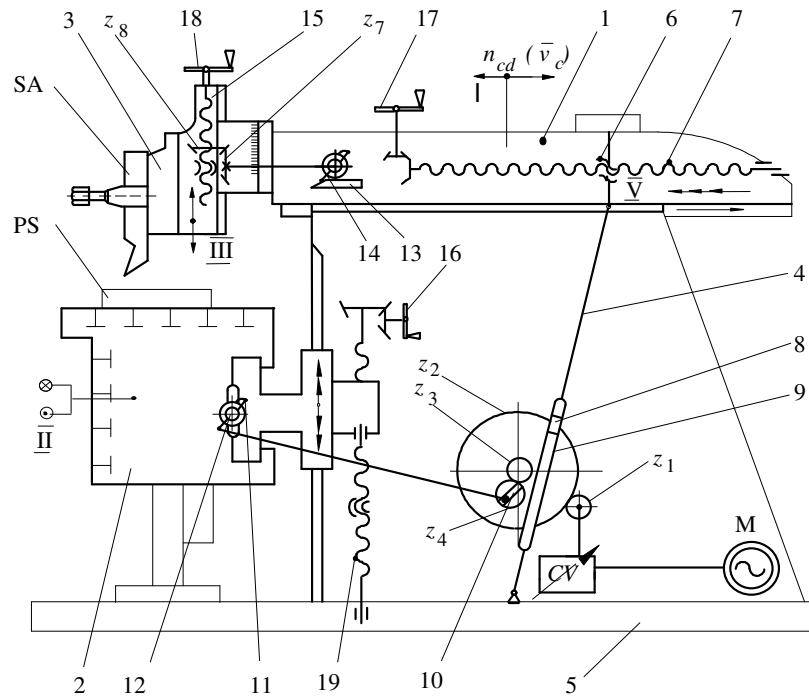


Fig. 8.154. Schema de principiu a mașinii de rabotat cu cap mobil (șeping):

- 1 - cap mobil; 2 - masa; 3 - dispozitiv port-sculă; 4 - braț articulată; 5 - batiu; 6 - piuliță;
7; 19 - șurub de reglare; 8 - culisă oscilantă; 9 - ghidajele culisei; 10 - excentric reglabil;
11; 14 - mecanism cu clichet; 12 - șurub de reglare; 13 - camă; 15 - șurub de reglare vertical;
6; 17; 18 - manete de acționare manuală; PP - piesa de prelucrat; SA - scula așchietoare.

Mișcarea principală de așchiere este o mișcare rectilinie alternativă I, executată de capul mobil 1 al mașinii. Mișcarea de avans poate fi realizată de masa 2, pe care este fixată piesa-semifabricat PP (avansul transversal II), sau de capul port-sculă 3 (avansul vertical III sau eventual înclinat). Masa poate să mai execute o mișcare de poziționare IV. Lanțul cinematic principal cuprinde: motorul electric asincron M, cutia de viteze CV, transmisia z_1/z_2 și mecanismul cu culisă oscilantă (format din brațul 4, articulată de batiul 5, la partea inferioară, și de capul mobil 1, la partea superioară prin intermediul piuliței 6, prin care trece șurubul de reglare 7, a poziției cursei). Culisa oscilantă 8 se deplasează pe ghidajele 9 (prevăzute pe brațul

oscilant) care transformă mișcarea de rotație în mișcare rectilinie alternativă a berbecului (capului mobil). Mișcarea de avans transversal II, transmisă mesei în mod periodic, se realizează prin angrenajele z_3/z_4 , excentricul reglabil 10, mecanismul cu clichet 11 și șurubul 12. Mișcarea de avans vertical III este realizată prin intermediul camei 13, care, la cursa de retragere a capului mobil, rotește roata cu clichet a mecanismului 14, roțile dințate z_7/z_8 și șurubul 15. Mișcările de poziționare ale traversei IV și berbecului V se realizează manual, cu manetele 16, 17, 18 și șuruburile 19, 7.

Parametrii principali ai unui șeping sunt: lungimea cursei capului mobil și dimensiunile mesei.

8.7.4.2. Mașini de rabotat cu masă mobilă

Această categorie de mașini este destinată prelucrării suprafețelor plane sau profilate de lungime mare (ghidaje de mașini-unelte, blocuri și chiulase de

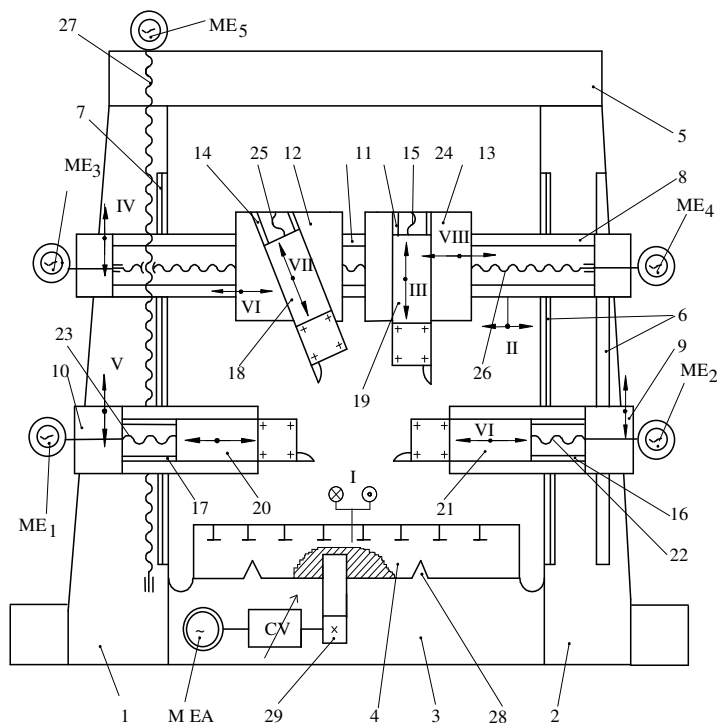


Fig. 8.155. Raboteză universală cu doi montanți:

1; 2 - montanți; 3 - batiu; 4 - masă; 5 - traversă fixă; 6; 7 - ghidajele montanților; 8 - traversă mobilă; 9; 10 - cărucioare orizontale; 11 - ghidajele traversei mobile; 12; 13 - cărucioare verticale; 14; 15; 16; 17 - ghidajele cărucioarelor; 18; 19; 20; 21 - sănii port - cuțit; 22; 23; 24; 25; 26; 27 - mecanisme șurub - piuliță; 28 - ghidajele mesei; MEA₁; MEA₂; MEA₃; MEA₄; MEA₅ - motoare de acționare.

motoare, lonjeroane etc.) Aceste maşini se caracterizează prin dimensiuni mari, cursa mesei mobile putând atinge valori de 20 m, având în acelaşi timp posibilitatea prelucrării simultane a mai multor suprafeţe, deoarece pot fi înzestrate cu mai multe capete port-cuţit. Maşinile de rabotat cu masă mobilă se construiesc în mai multe variante: cu o coloană (*montant*), cu două coloane (cu doi montanţi) şi speciale (pentru rabotarea muchiilor tablelor etc.).

Schema de principiu a unei maşini de rabotat (raboteze) cu doi montanţi se prezintă în figura 8.155. Maşina este formată din doi montanţi 1 şi 2 situaţi de o parte şi de alta a suportului 3 al mesei 4, pe care se fixează piesa de prelucrat. Montanţii sunt rigidizaţi la partea superioară de traversa fixă 5. Pe montanţi sunt prelucrate ghidajele 6 şi 7 pe care se deplasează traversa mobilă 8 şi cărucioarele orizontale 9 şi 10. Pe traversa mobilă sunt prelucrate ghidajele 11 ce permit deplasarea cărucioarelor verticale 12 şi 13. Fiecare cărucior este prevăzut cu ghidajele 14, 15, 16, 17 ce permit depalarea săniilor port-cuţit 18, 19, 20, 21, acţionate prin mecanismele de tip şurub - piuliţă 22, 23, 24, 25, 26 şi 27. Mişcarea principală de aşchiere I se realizează de către masa mobilă 4, pe ghidajele 28. Mişcarea este primită prin intermediul mecanismului pinion-cremalieră 29 de la cutia de viteze CV şi motorul electric asincron MEA. Mişcările de avans ale săniilor port-cuţit sunt dependente de mişcarea principală a mesei.

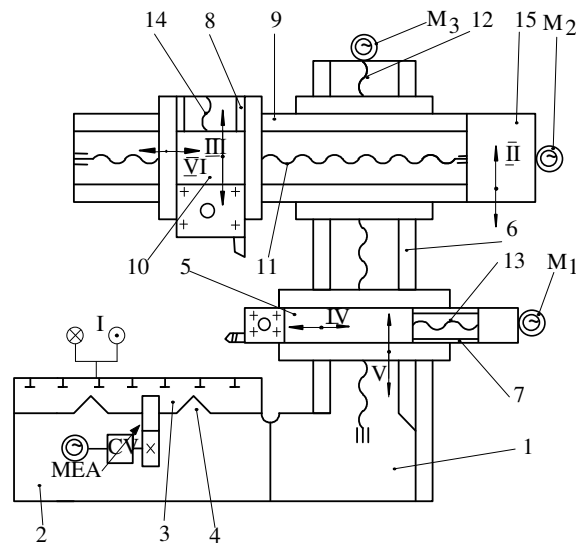


Fig. 8.156. Raboteză cu o coloană (cu un montant):

1 - montant; 2 - suport; 3 - masă; 4 - ghidajele mesei; 5 - cap de prelucrare orizontal; 6 - ghidajele montantului; 7 - ghidajele săniilor port - cuţit; 8 - ghidajele traversei mobile; 9 - cap de prelucrare vertical; 10 - cap de prelucrare orizontal; 11; 12; 13; 14 - mecanisme tip şurub - piuliţă; 15 - traversa mobilă; MEA, M₁, M₂, M₃ - motoare de acţionare; I - mişcarea principală de aşchiere; III, IV, V, VI - mişcări de avans intermitent; II - mişcare de poziţionare.

Fiecare mișcare de avans se realizează periodic, la sfârșitul cursei de mers în gol, de către cărucioarele verticale de pe traversa mobilă sau de cele orizontale, printr-un sistem de pârghii, clichet, roată dințată sau de la motoare separate ME_1 , ME_2 și ME_3 .

Mișcările de poziționare se pot face manual sau rapid. Pentru prelucrarea semifabricatelor de lățimi relativ mari, care nu pot intra între coloanele mașinii de rabotat cu doi montanți, se folosesc mașinile de rabotat cu o coloană (fig. 8.156), care au aceeași funcționare ca și cele cu doi montanți.

8.7.4.3. Dispozitive și accesorii specifice mașinilor de rabotat

Specifice la mașinile de rabotat sunt sistemele de basculare a sculei așchietoare, în vederea evitării uzurii acesteia la cursa de mers în gol a berbecului (fig. 8.157). Scula 1 se montează în suportul port-sculă 2, așezat pe placa rotitoare 3. Clapeta rabatabilă 4 se rotește în jurul unui bolț fix 5, îndepărtând scula de suprafața prelucrată la cursa de mers în gol (fig. 8.157. b).

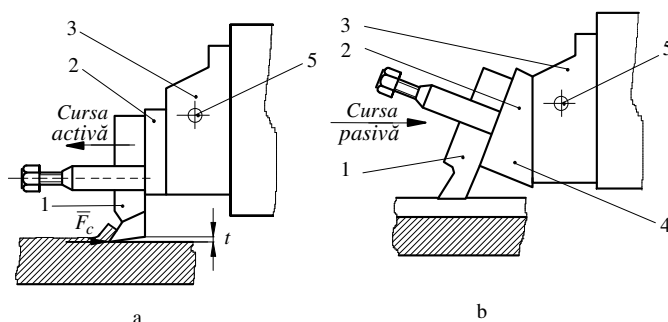


Fig. 8.157. Sistemul de prindere și basculare a sculei așchietoare:
a - în cursa activă; b - în cursa de mers în gol (pasivă): 1 - scula așchietoare; 2 - suport port - sculă; 3 - placă rotitoare; 4 - clapetă rabatabilă; 5 - bolț fix.

Pentru prinderea semifabricatelor pe masa mașinii se folosesc mai multe metode: prinderea și fixarea cu bride, fixarea cu opritori și prinderea cu șuruburi, utilizarea menghinelor cu fălci paralele, fixare cu colțare și strângere cu cleme etc.

Cu dispozitive adecvate, ce permit divizarea, se pot prelucra cremaliere și arbori canelați.

8.7.5. Stabilirea condițiilor de lucru la rabotare

Când se stabilesc condițiile de lucru la rabotare trebuie avute în vedere următoarele aspecte: forma și dimensiunile semifabricatului, precizia dimensională și rugozitatea suprafeței prelucrate, caracteristicile mecanice și starea materialului de prelucrat, natura materialului, construcția și parametrii geometrici ai sculei așchietoare, forma geometrică a suprafețelor de prelucrat, condițiile în care se desfășoară procesul de așchiere și productivitatea prelucrării.

Principalele etape ce trebuie parcurse în vederea stabilirii condițiilor de lucru la rabotare sunt: alegerea sculei aşchietoare; stabilirea durabilității economice și a uzurii maxim admisibile a sculei aşchietoare; stabilirea adâncimii de aşchiere și a numărului de treceri; stabilirea avansului de aşchiere; stabilirea forțelor de aşchiere; verificarea avansului de aşchiere; stabilirea vitezei de aşchiere; stabilirea numărului de curse duble pe minut efectuate de sculă sau de piesa-semifabricat; verificarea puterii de aşchiere.

8.7.5.1. Alegerea sculei aşchietoare

Scula aşchietoare se alege în funcție de forma și dimensiunile suprafeței de prelucrat (vezi figurile 8.149 și 8.151), de condițiile de lucru, de precizia prelucrării și rugozitatea ce se vrea obținută. În funcție de natura și proprietățile fizico-mecanice ale materialului de prelucrat se alege materialul părții active a cuțitului, care poate fi: oțel rapid, oțel carbon de scule, oțel aliat pentru scule sau oțeluri de scule armate cu plăcuțe din carburi metalice. Alegerea sculei se face conform STAS R 6781 - 63 și STAS R 6375 - 61 sau folosind soft-uri specializate.

8.7.5.2. Stabilirea durabilității economice și a uzurii maxim admisibile a sculei aşchietoare

Durabilitatea economică se alege în funcție de dimensiunile secțiunii cuțitului, materialul părții active a cuțitului, materialul semifabricatului și condițiile în care se desfășoară rabotarea din tabele și nomograme.

Durabilitatea economică T_{ec} variază între 30 până la 120 minute.

Uzura admisibilă a cuțitelor folosite la rabotat pentru degroșare și finisare se alege din tabele, în funcție de materialul părții active a cuțitului, materialul semifabricatului și rugozitatea prescrisă suprafeței.

8.7.5.3. Stabilirea adâncimii de aşchiere și a numărului de treceri

Adâncimea de aşchiere se alege în funcție de natura operației de rabotare (de degroșare sau de finisare), ținând cont de următoarele recomandări:

- la degroșare, adâncimea de aşchiere trebuie astfel adoptată încât să fie pe cât posibil egală cu adaosul de prelucrare;
- la finisare, pentru asigurarea unei bune calități a suprafeței prelucrate, adâncimea de aşchiere să nu depășească 3 mm;
- la prelucrarea cu cuțite late ($k_r = 0^\circ$), adâncimea de aşchiere se recomandă 0,2 ... 0,5 mm.

8.7.5.4. Stabilirea avansului de aşchiere

Mărimea avansului depinde de rezistența și durabilitatea cuțitului, de rigiditatea piesei și a mașinii-unelte, de forța maximă posibilă, admisă de mecanismele de avans, de secțiunea aşchiei și de presiunea specifică de rupere a

materialului prelucrat.

La prelucrarea de degroșare, mărimea avansului se alege din tabele în funcție de natura materialului de prelucrat, natura materialului sculei, adâncimea de așchiere și unghiul de atac k_r . Avansul de generare la degroșare are valori cuprinse între 0,45 și 2,5 mm/ cursă dublă.

La prelucrarea de finisare mărimea avansului se alege din tabele în funcție de natura materialului de prelucrat, rugozitatea suprafeței prelucrate și raza de bontire a vârfului cuțitului. Avansul de generare la finisare are valori cuprinse între 0,10 și 0,66 mm/ cursă dublă.

8.7.5.5. Stabilirea forțelor de așchiere

În timpul procesului de rabotare apar o serie de forțe ce acționează atât asupra cuțitului, cât și asupra materialului ce trebuie îndepărtat (fig. 8.12).

Forța totală de așchiere F se calculează cu relația:

$$F = \sqrt{F_f^2 + F_p^2 + F_c^2} \quad [\text{daN}] , \quad (8.167)$$

în care F_c este forța principală de așchiere; F_p - forța de respingere (în direcția cuțitului); F_f - forța de avans (axială).

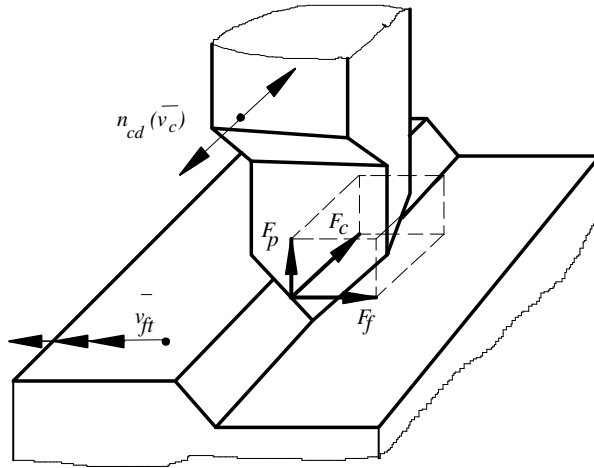


Fig. 8.158. Componentele forței de așchiere la rabotare:

\bar{F}_c - componenta principală de așchiere; \bar{F}_f - componenta în direcția avansului; \bar{F}_p - componenta în direcția cuțitului de rabotat.

Aceste componente se calculează cu relații de forma:

$$F_c = C_{F_c} \cdot a_p^{x_{F_c}} \cdot f^{y_{F_c}} \cdot k_{F_c} , \quad (8.168)$$

$$F_p = C_{F_p} \cdot a_p^{x_{F_p}} \cdot f^{y_{F_p}} \cdot k_{F_p} , \quad (8.169)$$

$$F_f = C_{F_f} \cdot a_p^{x_{F_f}} \cdot f^{y_{F_f}} \cdot k_{F_f} , \quad (8.170)$$

în care $C_{F_c}; C_{F_p}; C_{F_f}; k_{F_c}; k_{F_p}; k_{F_f}$ sunt coeficienți de corecție determinați pe cale experimentală în funcție de natura materialului de prelucrat, materialul sculei, forma geometrică a suprafeței și geometria părții active a cuțitului; $x_{F_c}; x_{F_p}; x_{F_f}; y_{F_c}; y_{F_p}; y_{F_f}$ - exponenți determinați pe cale experimentală.

8.7.5.6. Stabilirea vitezei de aşchiere

Viteza de aşchiere la rabotare este în general mai mică decât la strunjire și de multe ori variază între o valoare maximă și una minimă pe lungimea de aşchiere. Această variație este datorată faptului că mișcarea principală este de translație alternativă (de „du-te vino”).

Viteza de aşchiere medie $v_{m,c}$ se calculează cu relația:

$$v_{m,c} = \frac{L n_{cd}}{1000} \left(1 + \frac{1}{k} \right) \text{ [m/min] ,} \quad (8.171)$$

în care L este lungimea cursei, în mm; n_{cd} - numărul de curse duble pe minut; $k = v_g/v_a$ (v_g - viteza de mers în gol; v_a - viteza de lucru).

Viteza economică medie de aşchiere $v_{ec,c}$, se calculează cu relația:

$$v_{ec,c} = \frac{C_v}{T^m \cdot a_p^{x_v} \cdot f^{y_v}} k_v \text{ [m/min] ,} \quad (8.172)$$

în care $C_v; k_v; m; x_v; y_v$ sunt coeficienți și exponenți stabiliți experimental, cu valori date în tabele, în funcție de condițiile concrete de lucru; a_p - adâncimea de aşchiere; f - avansul de generare.

8.7.5.7. Stabilirea numărului de curse duble pe minut și a vitezei reale de aşchiere

Numărul de curse duble pe minut n_{cd} , executate de sculă sau piesa-semifabricat, se calculează cu relația:

$$n_{cd,ec} = \frac{1000 v_{ec,c}}{L \left(1 + \frac{v_g}{v_a} \right)} \text{ [cd/min] ,} \quad (8.173)$$

în care L este lungimea cursei, în mm; v_g - viteza în cursa de mers în gol, în m/min; v_a - viteza în cursa activă, în m/min; $v_{ec,c}$ - viteza economică de aşchiere.

Deoarece nu orice număr de curse duble calculat $n_{cd,ec}$ se poate realiza practic pe mașinile de rabotat, se va alege o valoare $n_{cd,real}$ cât mai aproape posibil de $n_{cd,ec}$, astfel încât să rezulte o viteză reală de aşchiere cât mai apropiată de viteza economică de aşchiere. Se calculează apoi viteza de aşchiere reală și pierderea de viteză Δv . Dacă este îndeplinită condiția $\Delta v < 5\%$, se acceptă regimul de aşchiere

ales, dacă nu, se acționează asupra avansului f sau adâncimii a_p .

8.7.5.8. Verificarea puterii de aşchiere

După stabilirea parametrilor a_p , f , şi $v_{c,real}$, se determină puterea reală de aşchiere $P_{r,c}$ cu relația:

$$P_{r,c} = \frac{F_c \cdot v_{c,real}}{6000 \cdot \eta} \quad [\text{kW}] \quad , \quad (8.174)$$

în care F_c este componenta principală de aşchiere, în daN; $v_{c,real}$ - viteza reală de aşchiere, în m/min; η - randamentul maşinii-unelte.

Puterea reală calculată se compară cu puterea motorului electric P_{MEA} şi dacă se respectă condiția:

$$P_{r,c} < P_{MEA} \quad , \quad (8.175)$$

atunci regimul stabilit este acceptat, dacă nu, se acționează asupra principalilor factori ce influențează viteza de aşchiere sau forța de aşchiere.

Observație. Determinarea tuturor coeficienților de corecție şi a parametrilor necesari stabilirii condițiilor de lucru la rabotare se face folosind Manualul Inginerului Mecanic volumele I,II şi III şi normative corespunzătoare.

8.7.6. Tipuri de prelucrări executate pe maşinile de rabotat

Prelucrarea prin rabotare se foloseşte în producția individuală sau de serie mică, la prelucrarea suprafețelor plane (orizontale, verticale sau înclinate), la prelucrarea suprafețelor profilate şi chiar la prelucrarea suprafețelor cilindrice.

Cele mai des întâlnite prelucrări prin rabotare sunt:

- *prelucrarea suprafețelor plane orizontale* (fig. 8.147), care se face cu ajutorul cuțitelor drepte sau cotite. Prelucrarea de finisare se face cu cuțite late de finisat. Direcția tăişului principal al cuțitului trebuie să fie paralelă cu direcția de avans, în caz contrar suprafața prelucrată va avea rugozitatea mai mare;

- *prelucrarea suprafețelor plane verticale*, care se face cu ajutorul cuțitelor drepte sau încovoiate, suportul cuțitului înclinându-se cu $\alpha_i = 10...20^\circ$ față de axa saniei port - cuțit (fig. 8.159. a), pentru a permite ridicarea cuțitului de pe suprafața prelucrată;

- *prelucrarea suprafețelor plane înclinate*, carese realizează cu ajutorul cuțitelor drepte sau înclinate, prin rotirea saniei port-cuțit, astfel ca direcția de avans să fie paralelă cu suprafața prelucrată (fig. 8.159. b), sau prin combinarea avansului orizontal f_o cu cel vertical f_v (fig. 8.19. c), astfel încât avansul rezultat f_r să fie înclinat cu unghiul α_i , egal cu unghiul de înclinare al suprafeței prelucrate;

- *prelucrarea canalelor în T*, care se realizează în mai multe faze, folosind mai multe tipuri de cuțite (fig. 8.150. a);

- *prelucrarea canalelor de pană*, care se face cu cuţite cu cap îngustat, la care lungimea tăişului principal trebuie să fie egală cu lăţimea canalului. În cazul când lăţimea canalului este mai mare, prelucrarea se face din mai multe treceri (fig. 8.159. d);

- *prelucrarea danturii la cremaliere*, care se realizează cu ajutorul cuţitelor profilate (fig. 8.150. b). Divizarea se poate face direct, folosind tamburul gradat al şurubului conducător al saniei transversale sau folosind dispozitive speciale de divizare, montate pe traversă;

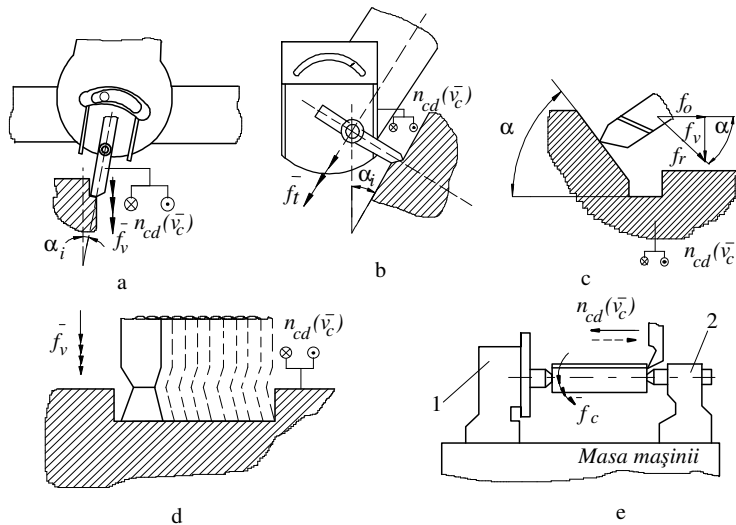


Fig. 8.159. Prelucrări efectuate prin rabotare:

a - suprafețe plane verticale; b; c - suprafețe plane înclinate; d - canale de pană; e - arbori canelați:
1 - cap divizor; 2 - păpușă mobilă; \bar{v}_c - viteza mișcării principale de aşchiere; n_{cd} - număr de curse
duble pe minut; α_i - unghiul de înclinare a suportului cutitului; $f_v; f_t; f_r; f_c$ - avans vertical și
respectiv transversal, radial și circular.

- *prelucrarea arborilor canelați*, care se realizează folosind un cap divizor 1 și o păpușă mobilă 2, în vârful căroră se prinde semifabricatul (fig. 8.159. e);

- *prelucrarea canalelor de pană interioare* care se realizează fixând scula într-un suport care îi permite trecerea prin alezajul butucului.

8.8. PRELUCRAREA PRIN MORTEZARE

8.8.1. Definire. Scheme de principiu

Mortezarea este procedeul de prelucrare prin aşchiere, care se realizează

prin combinarea mișcării principale de aşchiere totdeauna de translație, verticală, rectilinie-alternativă și totdeauna executată de sculă, cu mișcarea de avans intermitent, executată de piesa - semifabricat.

Schema de principiu a procedurii se prezintă în figura 8.160.

Mortezarea este asemănătoare cu rabotarea, atât prin modul de generare a suprafețelor, cât și prin modul de comportare a sculelor față de fenomenele ce însoțesc procedeul de aşchiere.

Principalele caracteristici ale procedurii sunt:

- mișcarea principală de aşchiere executată numai de scula aşchietoare și care este o mișcare de translație în plan vertical (rectilinie - alternativă);
- aşchiera desfășurată doar în perioada cursei active (C_a);
- mișcarea de avans realizată intermitent la capătul cursei de mers în gol;
- aşchiera produsă cu șoc, într-un singur sens al mișcării principale;

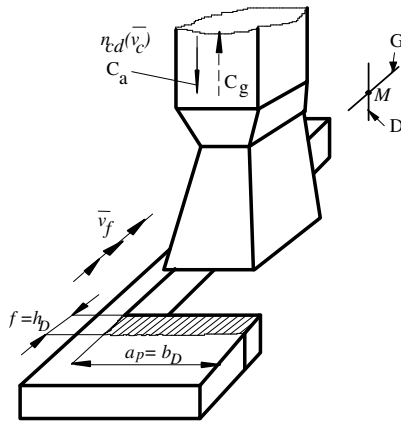


Fig. 8.160. Schema de principiu a procedurii de mortezare:
 n_{cd} - numărul de curse duble; v_c - viteza mișcării principale de aşchiere; C_a - cursa activă; C_g - cursa de mers în gol;
 G - generatoarea; D - directoarea; h_D - grosimea aşchierii; b_D - lățimea aşchierii;
 f - avansul de aşchiere; a_p - adâncimea de aşchiere.

- utilizează scule simple, cu o singură muchie aşchietoare principală și mai multe muchii de achiere secundare.

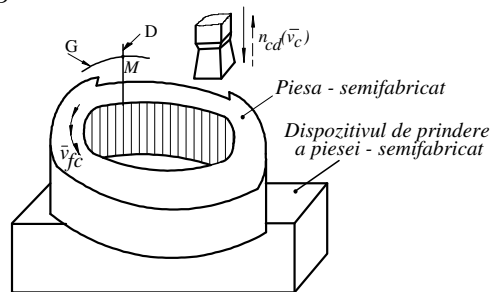


Fig. 8.161. Generarea suprafețelor prin metoda generatoarei cinematice circulare.

8.8.2. Generarea suprafețelor prin mortezare

Prin mortezare se pot genera suprafețe plane verticale și înclinate, suprafețe profilate, și folosind dispozitive adecvate (mese rotitoare) chiar suprafețe

de rotație. În majoritatea cazurilor directoarea D este rectilinie și se realizează pe cale cinematică.

Generatoarea G poate fi realizată prin mai multe metode:

- *metoda generatoarei cinematice*, caz în care generatoarea se realizează ca traiectorie a punctului M de pe tăișul sculei (fig. 8.160), în mișcarea sa după o dreaptă paralelă cu mișcarea de avans intermitent. Realizarea unei generatoare circulare este posibilă prin folosirea unei mese rotitoare (fig. 8.161), care să rotească semifabricatul în jurul unei axe ce trece prin centrul cercului ce constituie generatoarea;

- *metoda generatoarei materializate*, care este folosită la realizarea unor suprafețe complicate. În acest caz generatoarea este materializată de muchiile aşchietoare ale cuțitului de mortezat. Prelucrarea canelurilor butucului canelat (fig. 8.162. a) și a unor suprafețe profilate (fig. 8.162. b) presupune cuțite de mortezat cu muchii aşchietoare corespunzătoare, ce materializează generatoarea G.

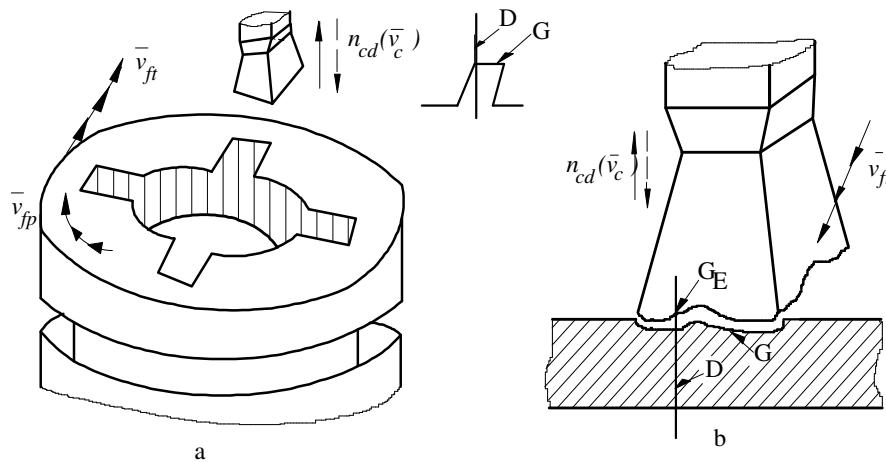


Fig. 8.162. Generarea suprafețelor prin metoda generatoarei materializate:
a - în cazul prelucrării unor caneluri interioare; b - în cazul prelucrării unor suprafețe complicate:
 \bar{v}_{ft} - viteza avansului transversal; \bar{v}_{fp} - viteza mișcării de poziționare.

8.8.3. Geometria sculelor aşchietoare. Tipuri de scule

Cuțitele de mortezat se deosebesc de cuțitele de strunjit și rabotat prin existența a două tăișuri secundare 1 (fig. 8.163. a), două suprafețe de așezare secundare 2, două vârfuri 3, precum și prin forma constructivă. Unghiurile de formă și funcționale se definesc la fel ca la cuțitele de rabotat, cu deosebirile prezentate în figura 8.163. b. Deoarece în timpul prelucrării sunt supuse la solicitări prin șoc, aceste cuțite trebuie să fie construite mai robuste.

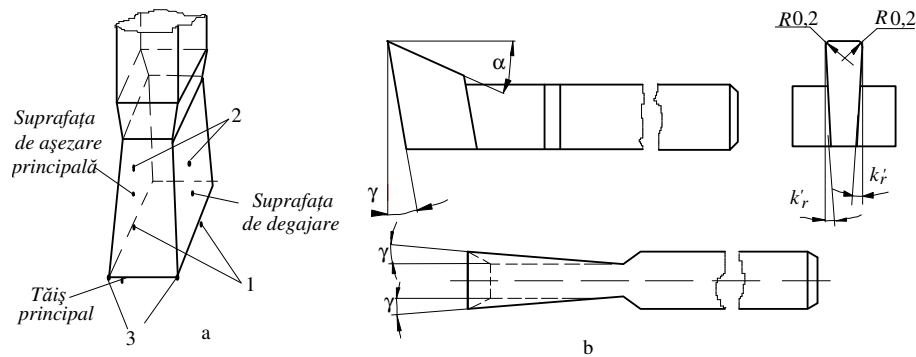


Fig. 8.163. Geometria sculei așchietoare folosită la mortezare:

a - construcția părții active; b - unghiurile părții active: α - unghiul de așezare principal; γ - unghiul de degajare; γ' - unghiul de atac secundar; 1 - tăișurile secundare; 2 - suprafețe de așezare secundare; 3 - vârful tăișului.

8.8.4. Mașini unelte și dispozitive specifice la prelucrarea prin mortezare

Operația de mortezare se execută pe mașini-unelte numite *morteze*. Morteza este o mașină-unelte universală, folosită în producția de unicat sau serie mică, în ateliere de sculărie, de reparații și întreținere, de confecționare ștanțe și matrițe etc.

Din punct de vedere constructiv mașinile de mortezat pot fi:

- cu capul înclinabil lateral, care permit înclinarea berbecului cu un unghi $\alpha_i \leq \pm 30^\circ$, prin intermediul capului rotitor;
- cu capul deplasabil vertical;
- speciale, destinate lucrărilor de mortezat cu regim greu de aplicat pieselor mari.

Schema de principiu a unei mașini de mortezat cu cap înclinabil lateral se prezintă în figura 8.164. Scula așchietoare se montează pe berbecul 1, fixat pe capul 2, al mașinii. Capul se poate înclina în față cu 12° și lateral cu $\pm 30^\circ$, așa încât se pot executa suprafețe înclinate și chiar roți dințate. Mișcarea de rotație a motorului MEA₁ este transformată în mișcare rectilinie alternativă a berbecului, printr-un mecanism cu bielă 3, diferitele valori ale vitezei de deplasare a sculei obținându-se datorită cutiei de viteze CV. Realizarea mișcărilor de avans ale piesei de prelucrat, fixată pe masa mașinii 4, se face cu motorul electric MEA₂, cutia de avansuri CA și o serie de mecanisme de tip șurub-piuliță 5 și 6. Mișcările de avans (longitudinal, transversal sau circular) sunt intermitente și dependente de mișcarea principală, executându-se la capătul fiecărei curse de mers în gol. Mișcarea este preluată de axul 7, al discului de antrenare 8 al berbecului, prin intermediul camei 9, și transmisă mai departe prin sistemul de pârghii 10 - 11- 12, la mecanismul cu clichet 13 - 14 și elementele de antrenare 15 - 16. De aici mișcarea ajunge la

şurubul longitudinal 6 (avansul longitudinal f_l), la şurubul transversal 5, (avansul transversal f_t) sau la mecanismul melc-roată melcată 17- 18 (avansul circular).

Caracteristica principală a mortezelor este lungimea L a cursei maxime a berbecului, care poate fi între 100...2 500 mm. Dispozitivele şi accesoriile specifice maşinilor de mortezat sunt asemănătoare cu cele de la maşinile de rabotat.

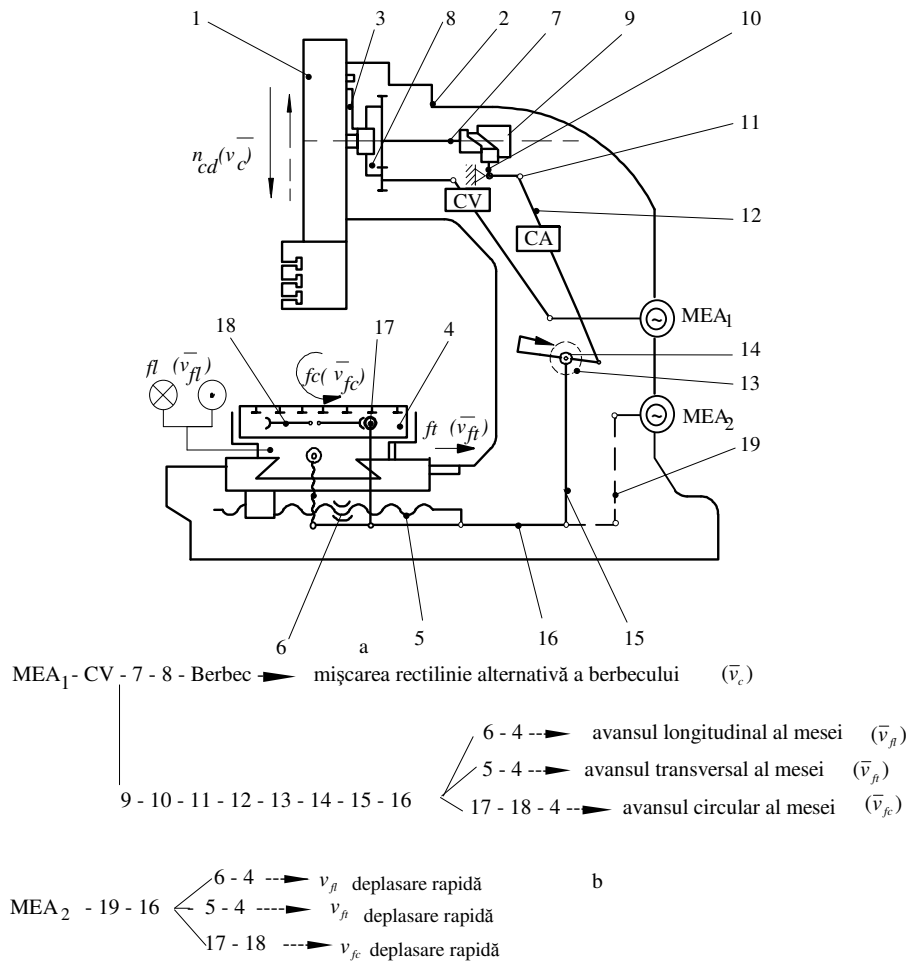


Fig. 8.164. Schema de principiu a unei maşini de mortezat:

a - cinematica structurală de principiu; b - schema fluxului cinematic: 1 - berbecul maşinii; 2 - capul maşinii de mortezat; 3 - mecanism bielă - manivelă; 4 - masa maşinii de mortezat; 5, 6 - mecanisme şurub - piuliţă; 7 - ax; 8 - disc de antrenare; 9 - camă; 10, 11, 12 - sistem de pârghii articulate; 13, 14 - mecanism cu clichet; 15, 16 - elemente de transmitere a mişcării; 17, 18 - mecanisme melc - roată melcată; 19 - element de transmitere rapidă a mişcării de la motorul electric asincron MEA₂ la masă fără cuplarea cutiei de avansuri CA; CV - cutie de viteze.

8.8.5. Stabilirea condițiilor de lucru la mortezare

În principiu, condițiile de lucru la mortezare se stabilesc în mod similar ca la rabotare, având totuși în vedere faptul că scula este puternic solicitată și are secțiunea periculoasă mai mică. De aceea se aleg regimuri de aşchiere mai puțin dure decât cele de la rabotare.

Parametrii principali ai regimului de aşchiere sunt:

- *adâncimea de aşchiere* a_p , care este în general egală cu lăţimea cuţitului sau mai mică (în cazul generării suprafeţelor circulare);
- *avansul de generare* f , care se corelează cu adâncimea de aşchiere şi se alege din tabele sau nomograme, întocmite în funcţie de secţiunea sculei, tipul materialului de prelucrat şi al suprafeţei mortezate, de rigiditatea sistemului tehnologic şi de rugozitatea suprafeţei prelucrate;
- *viteza de aşchiere* v_c , care se calculează cu relaţia:

$$v_c = \frac{C_v}{T^m \cdot a_p^{x_v} \cdot f^{y_v}} k_v, \quad (8.174)$$

în care C_v ; k_T ; m ; x_v ; y_v sunt coeficienţi de corecţie aleşi în funcţie de condiţiile concrete de aşchiere, materialul de prelucrat şi materialul sculei, tipul suprafeţei prelucrate (plană, canale, profilată) şi starea suprafeţei de prelucrat; T - durabilitatea sculei aşchietoare care se alege din tabele ($T = 60 \dots 240$ minute); a_p - adâncimea de aşchiere; f - avansul de generare.

Ca şi la rabotare, la mortezare, viteza variază de la o valoare maximă la valoarea $v_c = 0$, după o lege care depinde de tipul mecanismului de realizare a mişcării principale. Viteza medie v_m se calculează şi la mortezare cu relaţia:

$$v_m = \frac{Ln_{cd}}{1000} \left(1 + \frac{1}{k} \right) \text{ [m/min] }, \quad (8.175)$$

în care L este lungimea cursei de lucru, în mm; n_{cd} - numărul de curse duble pe minut; $k = v_g / v_a$ (v_g - viteza de mers în gol; v_a - viteza de lucru).

Din relaţia (8.175) se poate determina numărul de curse duble pe minut, n_{cd} , cu relaţia:

$$n_{cd} = \frac{1000v_m}{L \left(1 + \frac{1}{k} \right)}. \quad (8.176)$$

Se alege apoi $n_{cd,real}$ realizabil pe maşină şi se calculează viteza medie reală şi pierderile de viteză.

- *forţele şi puterea consumată la mortezare*, care se calculează în mod similar ca la rabotare.

8.8.6. Tipuri de prelucrări executate pe maşinile de mortezat

Posibilităţile de lucru pe maşinile de mortezat sunt mai mari decât la şepinguri, datorită înzestrării acestora cu masă *rotitoare divizoare*. Câteva exemple de suprafeţe prelucrate prin mortezare se prezintă în figura 8.165.

Întrucât capul cuţitului are o poziţie paralelă cu direcţia mişcării principale, mortezarea se aplică mai ales în cazul necesităţii prelucrării unor suprafeţe profilate interioare (canale de pană, caneluri, roţi dinţate interioare, locaşuri prismatice etc.).

Operaţia de mortezare este puţin productivă şi de precizie mică, de aceea în producţia de serie şi masă este înlocuită de operaţia de broşare.

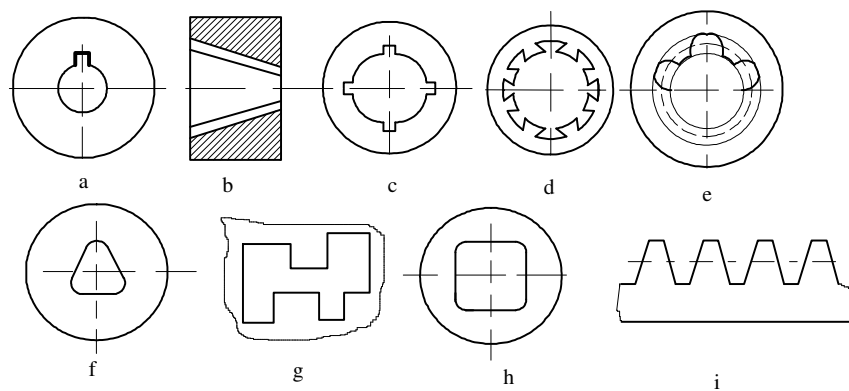


Fig. 8.165. Exemple de suprafeţe prelucrate prin mortezare:

a - canal de pană interior; b - canal înclinat pentru pană; c - caneluri interioare; d - arbore canelat interior; e - dantură interioară; f; h - locaşe prismatice; g - suprafaţă profilată; i - cremalieră.

8.9. PRELUCRAREA PRIN FREZARE

8.9.1. Definire. Scheme de principiu

Frezarea este procedeul de prelucrare prin aşchiere rezultat din combinarea unei mişcări principale de aşchiere totdeauna de rotaţie, totdeauna executată de sculă cu mişcări de avans rectiliniu, circular sau combinat, executate de piesă şi/sau sculă.

Frezarea este procedeul de prelucrare prin aşchiere a suprafeţelor exterioare sau interioare, profilate sau neprofilate, efectuat cu ajutorul unor scule aşchietoare, prevăzute cu mai multe tăişuri, numite freze. Freza face parte din categoria sculelor aşchietoare cu mai mulţi dinţi, montaţi pe un corp de revoluţie cilindric sau conic. Pentru generarea suprafeţelor prin frezare, sunt necesare o mişcare de rotaţie n , care reprezintă mişcarea principală şi care aparţine frezei

(fig. 8.166), și mișcări de avans rectiliniu sau circular. Mișcarea de avans director sau longitudinal \bar{v}_{fu} (\bar{v}_f) corespunde avansului director u și se produce într-un plan normal pe axa de rotație a sculei (spre deosebire de sculele folosite la găurire la care direcția avansului este coaxială cu axa sculei).

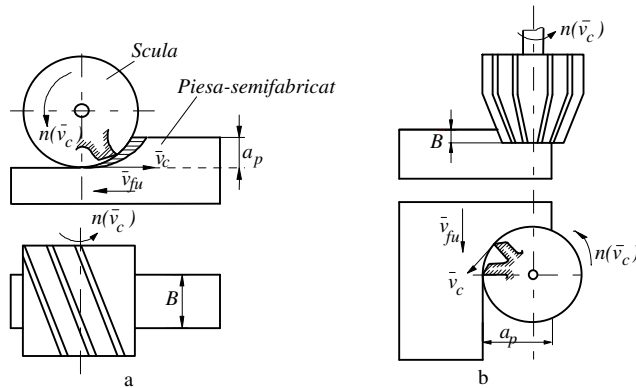


Fig. 8.166. Schema de principiu a frezării:

a - cu freze cilindrice; b - cu freze cilindro-frontale; a_p - adâncimea de așchiere; B - lățimea de frezare; \bar{v}_{fu} - viteza avansului director; n - turația sculei așchietoare; \bar{v}_c - viteza mișcării principale de așchiere.

8.9.2. Generarea suprafețelor prin frezare

După modul cum se realizează generarea suprafețelor se disting:

- *frezarea cu periferia (partea cilindrică) a frezei* (fig. 8.166. a). În acest caz iau parte la așchiere numai tășurile de pe periferia cilindrică a sculei, iar scula nu are tășuri secundare. Directoarea suprafeței prelucrate se realizează ca înfășurătoare a pozițiilor succesive al unei curbe și este paralelă cu axa de rotație a sculei (vezi paragraful 8.2);

- *frezarea cu partea cilindrică și frontală a sculei* (fig. 8.166. b). În acest caz iau parte la așchiere și tășurile secundare de pe partea frontală. Directoarea suprafeței se realizează ca înfășurătoare a pozițiilor succesive ale unei curbe și este perpendiculară pe axa sculei.

Din punct de vedere al direcțiilor celor două mișcări de așchiere se deosebesc două metode de frezare:

- *frezarea în contra avansului* (fig. 8.167. a), la care vectorul mișcării principale \bar{v}_c este de sens opus vitezei de avans \bar{v}_f . În acest caz, grosimea așchiei h_ϕ este variabilă, crescând de la zero ($\phi = 0$) la valoarea maximă.

Componenta orizontală \bar{F}_h a forțelor de așchiere se opune mișcării de avans, preluând jocurile din mecanismele lanțului cinematic de avans ($j=0$), deci

reduce vibrațiile și crește calitatea prelucrării. Componenta verticală \bar{F}_v tinde să scoată piesa din dispozitiv și să ridice masa mașinii de pe ghidajele sale;

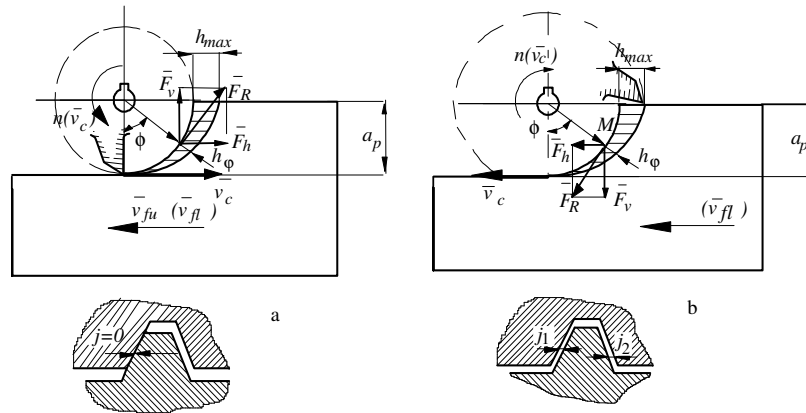


Fig. 8.167. Diferite metode de frezare:

a - în contra avansului; b - în sensul avansului; n - turatia sculei aşchietoare; $\bar{v}_{fu}(\bar{v}_{fl})$ - viteze mişcării de avans pe dinte (longitudinal); h_ϕ - grosimea aşchiei; h_{max} - grosimea maximă aşchiei;

\bar{F}_v - componenta verticală a forţei de aşchiere.

- *frezarea în sensul avansului* (fig. 8.167. b), la care vectorul mişcării principale \bar{v}_c este în acelaşi sens cu vectorul vitezei de avans \bar{v}_{fl} . În acest caz dintele aşchietor pătrunde în aşchie la grosimea maximă, deci cu şocuri și uzură mai rapidă. Componenta orizontală \bar{F}_h a forţelor de aşchiere este în sensul avansului și nu poate prelua jocurile din lanţul cinematic ($j \neq 0$), dar componenta verticală \bar{F}_v apasă piesa pe masa mașinii, fiind favorabilă unei bune funcționări a mașinii -unelte.

Alegerea metodei de frezare se face ținând cont, de la caz la caz, de avantajele și dezavantajele pe care le au cele două metode: frezarea în contra avansului se aplică, de obicei, la degroșarea semifabricatelor care au crustă dură (turnate, deformate), iar frezarea în sensul avansului se aplică, de obicei, la finisarea semifabricatelor de grosime mică, ce se prind mai dificil pe mașinile de frezat.

8.9.3. Geometria sculelor aşchietoare. Tipuri de scule

Scula folosită la frezare poartă numele de *freză*. Oricare sculă este formată din partea aşchietoare 1 (fig. 8.168), care poartă dinții aşchietori, corpul frezei 2 și alezajul 3 sau coada, pentru fixarea frezei pe mașina-unelte.

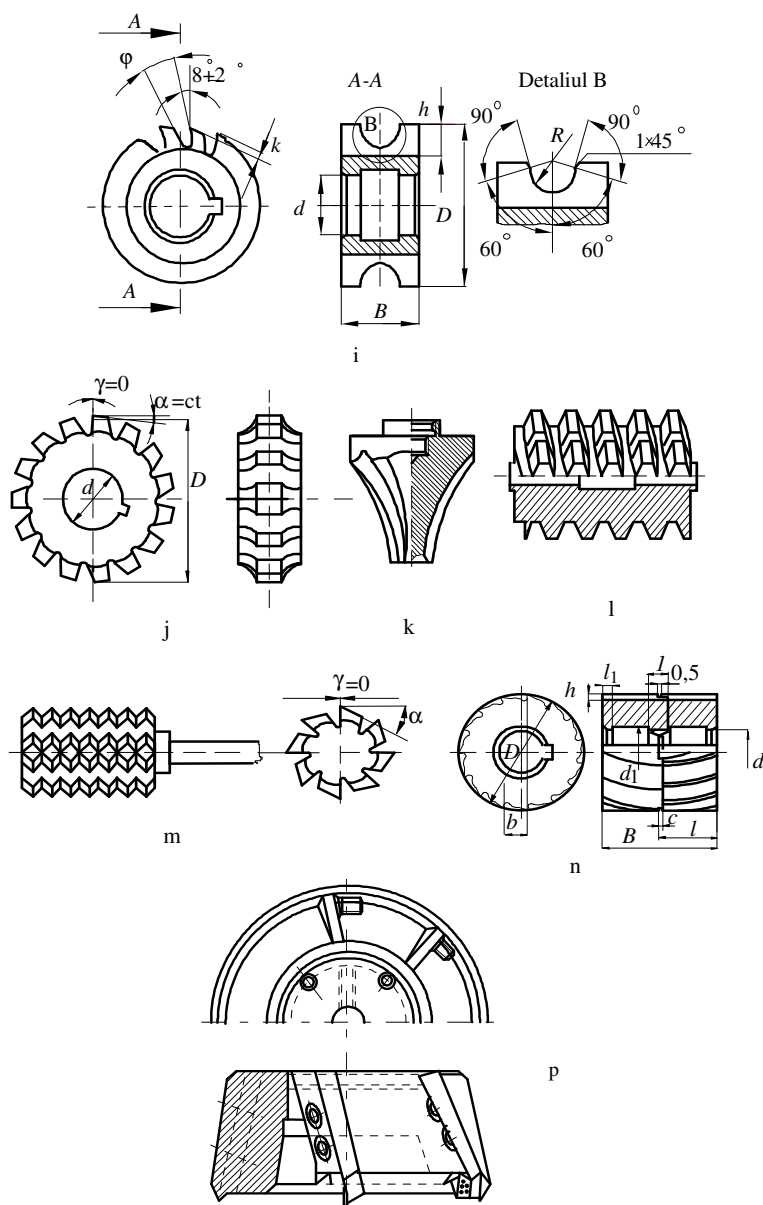


Fig. 8.169. Principalele tipuri de freze:

a - cilindrică; b - cilindro-frontală; c; d - deget cilindrice; e - pentru canale; f - disc; g - fereastră; h - frontală; i - disc pentru canale; j - disc - modul pentru roți dințate; k - deget - modul pentru roți dințate; l - melc - modul pentru roți dințate; m - pentru filetare; n - joc de freze; p - frontală armată cu dinți amovibili.

Principalele tipuri de freze folosite la prelucrarea prin frezare se clasifică după mai multe criterii:

- după natura construcției: freze monobloc (fig. 8.169. a,...,m) și freze cu dinți demontabili (fig. 8.169. p);
- după construcția dinților: freze cu dinți frezați (fig. 8.169. c) și freze cu dinți detalonati (fig. 8.169. d);
- după modul de fixare: freze cu alezaj (fig. 8.169. a. b), freze cu coadă cilindrică (fig. 8.169. c, d) sau conică (fig. 8.169. e);
- după forma geometrică: freze cilindrice (fig. 8.169. a), cilindro-frontale (fig. 8.169. b), freze disc (fig. 8.169. f, g), freze unghiulare (fig. 8.169. h), freze profilate (fig. 8.169. i,...,m), freze profilate pentru filete (fig. 8.169. m), freze disc-modul (fig. 8.169. j) freze deget-modul (fig. 8.169. k), freze melc-modul (fig. 8.169. b);
- după direcția dinților: freze cu dinți drepecți (fig. 8.169. f) și freze cu dinți elicoidali (fig. 8.169. a, b).

Dinții frezelor pot fi considerați, din punct de vedere al parametrilor geometrici, ca și cuțitele de strung. Stabilirea geometriei frezelor se face pentru cele două cazuri distincte: freza cilindrică (fig. 8.170. a) și freza cilindro-frontală (fig. 8.170. b).

La freza cilindrică, dinții frezei sunt elicoidali, unghiul de înclinare a elicei dinților ω este chiar unghiul de înclinare al tășului. Într-o secțiune oarecare $y - y$ sau $N - N$ apar unghiurile de așezare α_y, α_n și respectiv unghiurile de degajare γ_y, γ_n . La freza cilindro-frontală cu dinți înclinați (fig. 8.170. b) unghiul de înclinare a elicei dinților ω corespunde unghiului de înclinare a muchiei λ_s . Parametrii geometrici ai frezei sunt raportați la sistemul de referință constructiv al cuțitului xVy , care reprezintă dintele frezei și sistemul de referință constructiv al frezei XVY . Datorită poziției celor două sisteme de referință există identitățile: $Vx \equiv VY$ și $Vy \equiv VX$. Tășul principal al frezei cuprinde o porțiune frontală VA cu un unghi k_r și o porțiune cilindrică AC cu un unghi $k_r = 90^\circ$.

Porțiunea frontală este împărțită în două porțiuni VA_1 cu unghiul k_{ro} și porțiunea A_1A cu unghiul k_r (vezi detaliul V). În secțiunea N_F pe muchia aparentă a tășului frontal VA , ce trece prin punctul curent M , apar unghiurile de așezare α_{nf} și unghiurile de degajare γ_{nf} . În secțiunile cu planele principale $X - X$ și $Y - Y$, apar unghiurile de degajare γ_x și γ_y , respectiv unghiurile de așezare α_x și α_y . Într-o secțiune prin punctul curent M_1 , de pe porțiunea cilindrică a tășului principal, apar unghiurile de degajare γ_{n1} și γ_{y1} , respectiv unghiurile de așezare α_{n1} și α_{y1} . Tășul secundar KB sub unghiul de atac secundar k'_r influențează direct rugozitatea suprafețelor frezate. În procesul de așchiere valoarea unghiurilor constructive se modifică datorită mișcărilor de așchiere. Oricare freză este caracterizată de următoarele elemente geometrice și constructive: diametrul exterior, d ; numărul de dinți ai frezei, z ; pasul unghiular al frezei, $\delta = 2\pi/z$; pasul circular, $p_c = \pi d/z$; pasul

axial, $p_{ax} = p_c / \tan \omega$; pasul normal, $p_n = p_c \cos \omega$; unghiul de înclinare a elicei dinților, ω ($\tan \omega = \pi d/z p_{ax}$).

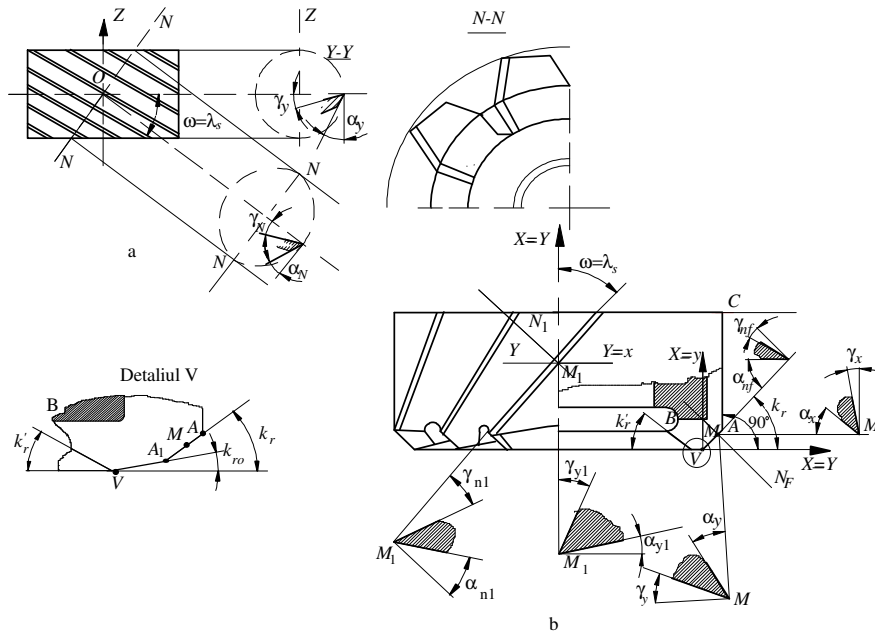


Fig. 8.170. Geometria frezelor:

a - cilindric; b - cilindro-frontală; α - unghiul de așchiere; γ - unghiul de degajare; k_r - unghiul de atac principal; k'_r - unghiul de atac secundar; λ_s - unghiul de înclinare al tăișului; ω - unghiul de înclinare al elicei dinților.

Majoritatea tipurilor constructive de freze și a elementelor sistemelor de fixare a acestora pe mașinile de frezat sunt standardizate.

8.9.4. Mașini – unelte și dispozitive specifice folosite la prelucrarea prin frezare

8.9.4.1. Mașini de frezat

Mașinile de frezat fac parte din categoria celor mai productive mașini-unelte și cu cea mai largă răspândire, după strunguri.

Clasificarea mașinilor de frezat se poate face după mai multe criterii, dar cel mai reprezentativ îl constituie varianta constructivă. Din acest punct de vedere se deosebesc: mașini de frezat cu consolă orizontală, verticale sau universale; mașini de frezat longitudinal; mașini de frezat plan; mașini de frezat circular; mașini de frezat speciale (pentru frezat filete, copiere, canale de pană, roți dințate

cilindrice și conice, cremaliere etc.).

Mașinile de frezat cu consolă sunt destinate prelucrării pieselor mici și mijlocii, în timp ce mașinile de frezat longitudinal sau plan prelucrează de obicei piese mai mari, cu configurație complexă.

Mașinile de frezat circular sunt destinate fie prelucrării pieselor mari, având suprafețe plane și profilate, fie prelucrării simultane a suprafețelor plane ale mai multor piese mici, cu o mișcare de avans circular continuu.

Mașinile de frezat longitudinal, plan sau circular, lucrează cu freze cilindro-frontale de dimensiuni mari, cu dinți aplicați și în anumite cazuri cu freze cilindrice și jocuri de freze, în vederea realizării unor productivități și precizii mari ale prelucrărilor.

În industrie, cele mai des utilizate sunt *mașinile de frezat cu consolă universale*. Schema de principiu a unei mașini de frezat universală cu consolă este prezentată în figura 8.171. Mișcările necesare generării suprafețelor prin frezare pe această mașină se realizează cu următoarele lanțuri cinematice:

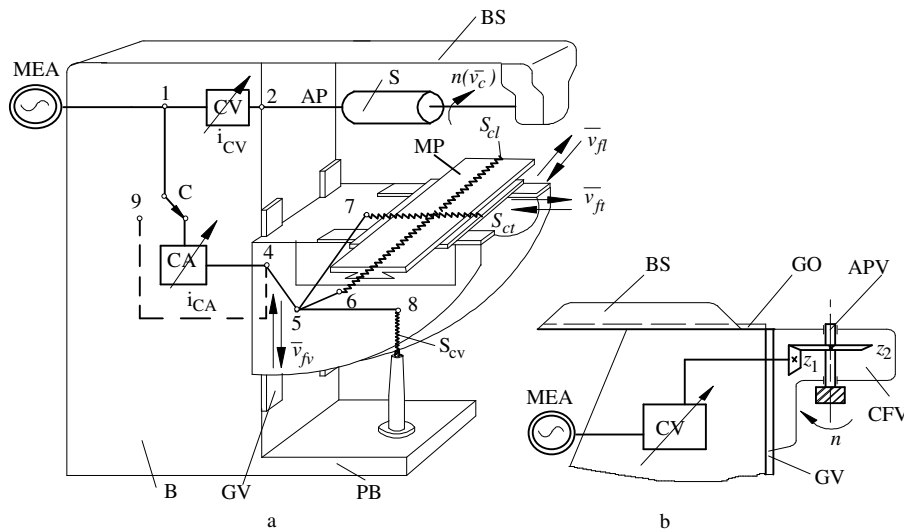


Fig. 8.171. Schema de principiu a unei mașini de frezat universale cu consolă:
a - schema structurală cinematică de principiu; b - montarea capului de frezat vertical: B - batiu; PB - placă de bază; GV - ghidaje verticale; AP - ax principal; S - sculă; BS - brațul suport; CV - cutia de viteze; CA - cutia de avansuri; GO - ghidaje orizontale; CFV - cap de frezat vertical; APV - ax principal vertical; S_{cl} , S_{ct} , S_{cv} - șurubul conducător al mesei longitudinale, respectiv transversale și verticale; 1, 2, 3, ..., 9 - mecanisme de transmitere a mișcării; n - turația sculei așchietoare S; \bar{v}_c - viteza mișcării principale de așchiere; \bar{v}_f ; \bar{v}_f ; \bar{v}_f - viteza mișcării de avans longitudinal, respectiv transversal și vertical.

- MEA - 1 - CV - 2 - AP - S - n (v_c) - lanțul cinematic principal;

- MEA - 1 - C - CA - 4 - 5 - 6 - S_{cl} (v_{fl}) - lanțul cinematic de avans longitudinal;
- MEA - 1 - C - CA - 4 - 5 - 7 - S_{ct} (v_{ft}) - lanțul cinematic de avans transversal;
- MEA - 1 - C - CA - 4 - 5 - 8 - S_{cv} (v_{fv}) - lanțul cinematic de avans vertical;

Pentru deplasările rapide pe cele trei direcții, se scurtcircuitează cutia de avansuri CA prin comutatorul C, fluxul mișcării fiind MEA - 1 - 9 - 4 - 5, după care urmează aceleași ramificații.

Părțile componente de bază ale mașinii universale de frezat sunt: placa de bază PB, pe care este montat batiul B al mașinii, în interiorul acestuia fiind cutia de viteze CV și de avansuri CA, acționate de motorul electric MEA. De la cutia de viteze, axul principal AP primește mișcarea principală n și o transmite sculei S, ce se fixează pe un dorn port-sculă susținut de brațul suport BS. Semifabricatul se prinde pe masa MP a mașinii care poate executa mișcarea de avans longitudinal, transversal și vertical. Pentru funcționarea ca mașină de frezat verticală, brațul suport BS se deplasează la stânga, pe ghidajele orizontale GO, iar pe ghidajele verticale GV (fig. 8.171, b) se montează capul de frezare vertical CFV, care preia mișcarea de la axul principal al mașinii și o transmite prin intermediul unui angrenaj conic z_1/z_2 , la axul port-sculă vertical APV.

Pentru prelucrarea prin frezare a pieselor de dimensiuni mari și pentru o productivitate mare se folosesc mașinile de frezat longitudinal, care pot fi cu masa fixă sau cu masa mobilă.

Schema de principiu a unei *mașini de frezat longitudinal cu masa mobilă* se prezintă în figura 8.172. Părțile componente principale sunt: batiul fix BF, masa mobilă ML, coloanele de ghidare CG, traversa fixă TF, traversa mobilă TM, patru capete de frezat $CF_1...CF_4$ independente, fiecare având cutie de viteze separată $CV_1...CV_4$. Mișcările organelor de execuție care se obțin la această mașină sunt: mișcarea principală $n(\bar{v}_c)$; mișcarea de avans longitudinal al mesei \bar{v}_fl , mișcarea de avans vertical al capetelor de frezat orizontale \bar{v}_{fv} , mișcarea de avans orizontal al capetelor de frezare verticale \bar{v}_{fo} , mișcarea de reglare în sens axial a pinolelor de reglare \bar{v}_{rax} și mișcarea de înclinare a capetelor verticale \bar{v}_i (fig. 8.172).

Lanțul cinematic de avans longitudinal al mesei este acționat de motorul MEA_1 și reglat prin cutia de avansuri CA_1 , în timp ce lanțurile cinematice de avans ale capetelor de frezare sunt acționate de la motorul MEA'_1 și reglate prin cutia de avansuri CA_2 .

Mașinile de frezat cu destinație specială sunt folosite în producția de serie mare și masă, datorită faptului că sunt limitate la prelucrarea anumitor produse și deci sunt mașini de mare productivitate.

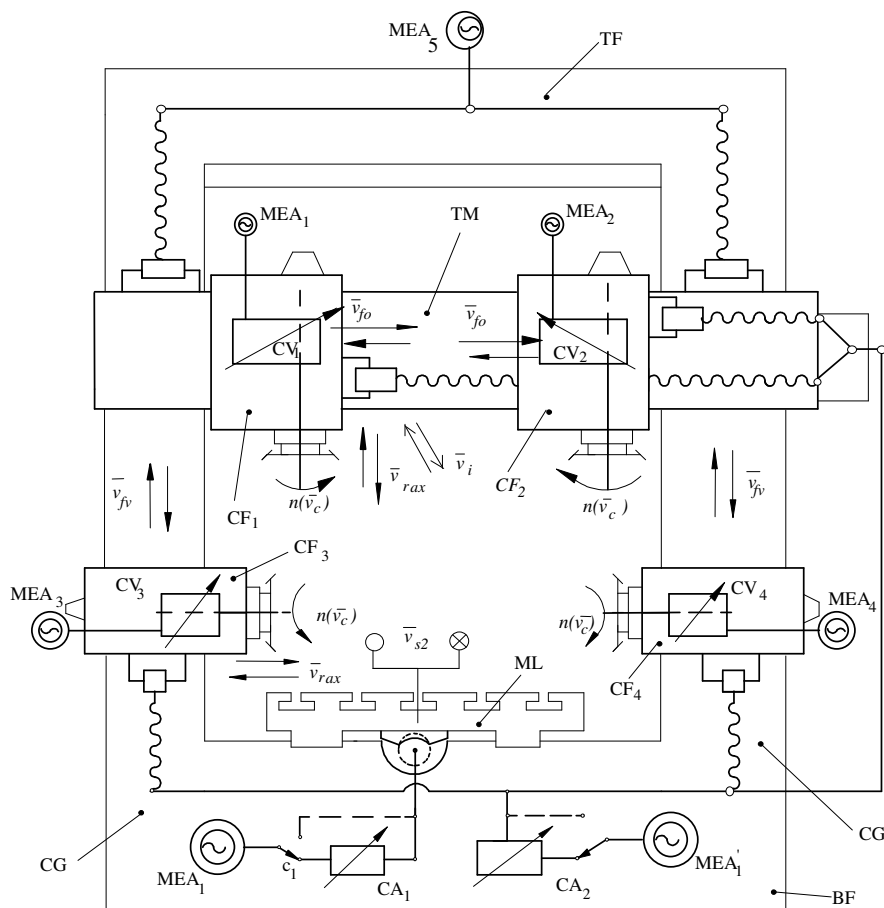


Fig. 8.172. Schema cinematică de principiu a unei mașini de frezat longitudinală cu masă mobilă:
 BF - batiu fix; CG - coloane de ghidare; TF - traversa fixă; TM - traversa mobilă; CF₁, ..., CF₄ -
 capete de frezat; ML - masa mașinii de frezat; CV₁, ..., CV₄ - cutii de viteze; CA₁, ..., CA - cutii de
 avansuri; MEA; MEA', MEA₁ MEA₅ - motoare electrice de actionare; 1...13 - mecanisme de
 transmisie a mișcării; S₁/p₁, ..., S₆/p₆ - mecanisme șurub piuliță de transformare a mișcării.

8.9.4.2. Dispozitive specifice prelucrării prin frezare

Acestea se împart în două mari grupe:

- *dispozitive normale (universale)*, ce fac parte din trusa oricărei mașini de frezat și cuprind dispozitivele folosite la prinderea sculei și a semifabricatului (bride de fixare, menghine cu șurub sau hidraulice, masă turnantă și înclinabilă, universal de prindere, mese rotitoare etc.);

- *dispozitive specifice*: capul divizor, capul de frezat universal, capul de frezat vertical, capul de mortezat, masa circulară etc.

Capul divizor este un dispozitiv special, care permite realizarea divizării (împărţirea într-un anumit număr de părţi, de obicei egale, în sens circular sau în sens rectiliniu). În funcţie de modul de reglare şi construcţie, capetele divizoare pot fi: *cu discuri*, *cu roţi dinţate* şi *optice*, iar după posibilităţile de utilizare sunt: *simple*, *semiuniversale* şi *universale*.

Cel mai răspândit este *capul divizor universal cu discuri* (fig. 8.173. a) format din angrenajele melc-roată melcată k_1/z_1 , (melcul este fix pe axul I), mecanismul de reglare (discul cu găuri D), maneta de antrenare m, cuiul de fixare C, opritorul aşezat în poziţia dorită O şi angrenajul conic z_3/z_4 . Roata melcata z_1 este solidară cu axul II, la capătul căruia este fixată piesa ce trebuie divizată circular în z_D părţi egale.

Divizarea indirectă se realizează prin rotirea manetei m peste k_D găuri ale unui anumit cerc cu găuri al discului D (fig.8.173. b) având n_D găuri, în timp ce discul este fix. Funcţia de reglare în acest caz rezultă din :

$$\frac{k_D}{n_D} = \frac{C_D}{z_D} , \quad (8.177)$$

în care $C_D = 1/i_D$ ($i_D = k_1/z_1$ este raportul de transmitere al angrenajului melc-roată melcată).

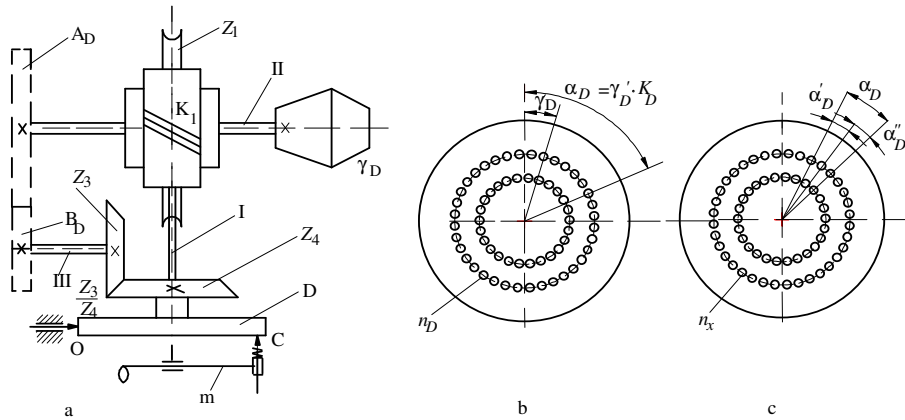


Fig. 8.173. Schema de principiu a capului divizor:

a - construcția capului divizor; I; II; III - axele capului divizor; D - discul divizor; C - cui de fixare;
O - opritor; k_1/z_1 - mecanism melc - roată melcată; z_3/z_4 - angrenaj conic; A_D/B_D - roți de schimb;
m - manetă de acționare; b - divizarea indirectă simplă; c - divizarea indirectă diferențială.

Divizarea diferențială se aplică atunci când pentru o valoare z_D dată, nu se poate găsi nici o valoare n_D între valorile existente pe discurile capului divizor. Divizarea diferențială constă în realizarea mărimii de intrare α_D ca o însumare algebrică a unghiului α'_D (obținută prin rotirea manetei m prin fața discului cu

găuri pe un cerc cu n'_D găuri, parcurgând k'_D găuri, ceea ce corespunde unei divizări indirecte simple într-un număr oarecare de părți z_x), cu unghiul α''_D (fig. 8.173. c) realizat prin rotirea simultană a discului D, cu ajutorul roților de schimb A_D/B_D , care-i transmit mișcarea de la axul II prin angrenajul conic z_3/z_4 . Funcțiile de reglare în acest caz sunt:

$$\frac{k'_D}{n'_D} = \frac{C_D}{z_x}; \quad \frac{A_D}{B_D} = \frac{C_D}{z_x} (z_x - z_D) , \quad (8.178)$$

în care z_x este un număr arbitrar ($z_x > z_D$ sau $z_x < z_D$), astfel ales încât să permită realizarea unei divizări indirecte și în același timp obținerea roților A_D și B_D cu valori ale numerelor de dinți existente în trusa capului divizor.

Dacă $z_x > z_D$, între roțile A_D și B_D trebuie să existe un număr impar de roți intermediare, iar când $z_x < z_D$, numărul acestora trebuie să fie par.

Capul divizor universal cu roți dințate se deosebește de cel cu discuri prin lipsa discului cu găuri și înlocuirea acestuia cu o liră de roți dințate de schimb și un disc cu o singură gaură.

Cu ajutorul capului divizor, pe mașina de frezat se pot executa o serie de generări de suprafețe specifice:

- *prelucrarea cremalierelor, gradarea riglelor, prelucrarea canalelor echidistante* se face utilizând capul divizor universal cu discuri (fig. 8.174) la care, pe axul principal al acestuia I, se montează una din roțile de schimb A_D , iar cealaltă B_D , angrenând cu prima, se montează pe axul șurubului conducător S_{CL} al mesei;

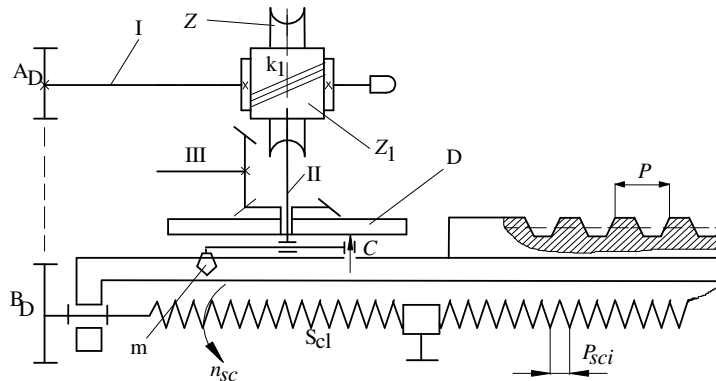


Fig. 8.174. Prelucrarea cremalierelor folosind capul divizor:

A_D, B_D - roți de schimb; m - maneta de acționare; S_{cl} - șurubul conducător al mesei; D - discul divizor;
C - cui de fixare; p - pasul cremalierii; p_{sci} - pasul șurubului conducător al mesei; I; II; III - axe
capului divizor; k_1/z_1 - mecanismul melc - roată melcată.

- *frezarea canalelor elicoidale*, operație întâlnită frecvent la prelucrarea canalelor burghiilor, frezelor cu dinți elocoidali, alezoarelor, melcilor, șuruburilor

cu 3 - 4 începuturi etc. Pentru realizarea mişcării pe traiectoria elicoidală, se compune mişcarea de rotaţie a piesei n_p ce se obţine de la şurubul conducător S_{cl} prin intermediul roţilor de schimb A_1/B_1 , transmisiile succesive z_3/z_4 , discul D şi cuiul C , care joacă rolul de cuplaj cu mişcarea rectilinie de translaţie a mesei de lucru (fig. 8.175).

Masa maşinii se înclină în plan orizontal cu unghiul canalului ω . Roţile de schimb se calculează cu relaţia:

$$\frac{A_1}{B_1} = C_D \frac{p_{Scl}}{p_E}, \quad (8.179)$$

în care p_E este mărimea pasului traiectoriei elicoidale; $C_D = 1/i_D = 40$; p_{Scl} - pasul şurubului conducător al mesei longitudinale;

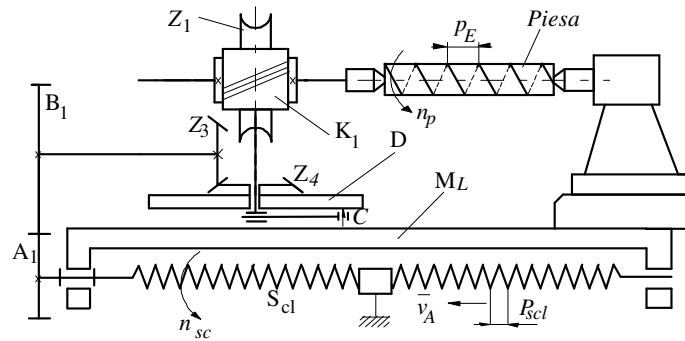


Fig. 8.175. Frezarea canalelor elicoidale:

ML - masa longitudinală a frezei; S_{cl} - şurubul conducător al mesei longitudinale; D - discul divizor;
 C - cuiul de fixare; A_1/B_1 - roţi de schimb; k_1/z_1 - angrenaj melc - roată melcată; z_3/z_4 - angrenaj conic; n_{sc} - rotaţia şurubului conducător; p_E - pasul traiectoriei elicoidale.

- *frezarea camelor spirale* se face similar cu frezarea canalelor elicoidale. Pe masa maşinii de frezat se aşează capul divizor universal cu axul principal aşezat vertical (fig. 8.176). Piesa de prelucrat primeşte mişcarea de rotaţie n_p , de la şurubul conducător S_{cl} al mesei, prin roţile de schimb A_1/B_1 şi angrenajele aflate în capul divizor. Simultan cu mişcarea de rotaţie piesa împreună cu masa execută şi o mişcare de translaţie, axială \bar{v}_A , coordonată cinematic cu prima, astfel încât să se genereze o traiectorie elicoidală plană, cu pasul H , ce reprezintă pasul spiralei arhimedice. Roţile de schimb se calculează cu relaţia:

$$\frac{A_1}{B_1} = C_D \frac{p_{Scl}}{H}. \quad (8.180)$$

- *frezarea danturii roţilor dinţate* se poate face cu ajutorul capului divizor prin metoda copierii, cu freze-disc modul sau cu freze deget modul.

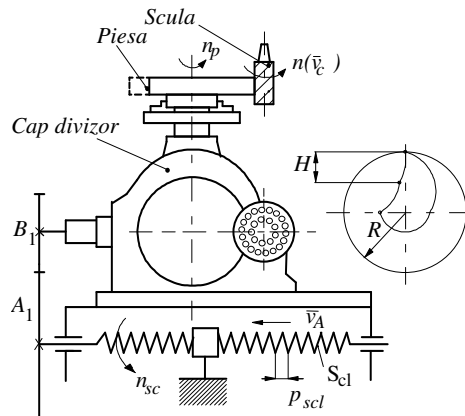


Fig. 8.176. Frezarea camelor plane spirale:
 A_1/B_1 - roți de schimb; S_{cl} - șurubul conducător al mesei longitudinale;
 p_{scl} - pasul șurubului conducător; n - turația sculei așchietoare; v_c - viteza mișcării principale de așchiere; n_p - turația piesei de prelucrat; v_A - viteza mesei; n_{sc} - rotația șurubului conducător; H - pasul spiralei arhimedice.

8.9.5. Stabilirea condițiilor de lucru la frezare

La stabilirea condițiilor de lucru la frezare trebuie avute în vedere următoarele aspecte: forma și dimensiunile semifabricatului, precizia dimensională și rugozitatea suprafeței prelucrate, caracteristicile mecanice și starea suprafeței materialului de prelucrat, natura materialului, construcția și parametrii geometrici ai sculei așchietoare, condițiile în care se desfășoară procesul de așchiere și productivitatea prelucrării, precum și particularitățile specifice procesului de frezare.

Pricipalele etape ce trebuie parcurse în vederea stabilirii condițiilor de lucru la frezare sunt prezentate mai jos.

8.9.5.1. Alegerea sculei așchietoare

Principalul criteriu după care se face alegerea sculei așchietoare este configurația geometrică a suprafeței de prelucrat, precizia dimensională și rugozitatea suprafeței, precum și productivitatea prelucrării. Configurația geometrică a suprafeței (plană, în trepte, cilindrică, profilată, canale de pană, canale elicoidale, filete, cremaliere, roți dințate etc.) implică un anumit tip de freză și mai ales un anumit diametru al sculei. Alegerea diametrului frezelor se face pe baza unor recomandări, norme sau standarde, care stabilesc unele caracteristici constructive ale frezelor pentru cazuri concrete de prelucrări (de exemplu, prelucrarea roților dințate, prelucrarea canalelor de pană etc.).

8.9.5.2. Stabilirea durabilității economice și a uzurii maxime admisibile a sculei așchietoare

În stabilirea durabilității economice a sculei trebuie avute în vedere următoarele particularități ale procesului de frezare:

- în aşchiere se află simultan numai o parte a dinţilor frezei (cel puțin doi și cel mult jumătate), ceea ce înseamnă un regim termic avantajat, în comparație cu alte scule;

- productivitatea prelucrării foarte mare, deoarece aşchiază simultan mai mulți dinți, dar și evacuarea de căldură mai mare și, deci, deformății termice locale mai mici;

- uneori, grosimea aşchiei ajunge până la zero, ceea ce înseamnă strivirea materialului, apăsări specifice mari și, deci, uzură pronunțată pe fața de aşezare.

Având în vedere particularitățile de mai sus, durabilitatea economică a sculei aşchietoare se alege între 60 minute și 480 minute, în funcție de tipul sculei, natura prelucrării (degroșare, finisare etc.) și natura materialului de prelucrat.

8.9.5.3. Stabilirea adâncimii de aşchiere și a numărului de treceri

Adâncimea de aşchiere a_p se măsoară pe o direcție perpendiculară pe planul de lucru PL și reprezintă proiecția porțiunii tăişului principal aflat în contact direct cu aşchia, pe această direcție (fig. 8.177. a). În unele cazuri aceste mărimi sunt strict determinate de particularitățile procesului de frezare, de exemplu, la prelucrarea canalelor cu ajutorul frezelor disc (fig. 8.177. b), adâncimea de aşchiere nu este egală cu lăţimea frezei, iar la utilizarea frezelor deget, adâncimea de aşchiere este determinată de diametrul acestora (fig. 8.177. c).

Față de schemele prezentate în figurile anterioare, simbolurile folosite în calculul parametrilor de aşchiere la frezare au următoarele semnificații:

- a_e reprezintă pătrunderea pe direcție radială a frezei în piesa de prelucrat;
- a_p reprezintă pătrunderea pe direcție axială a frezei în piesa de prelucrat.

În majoritatea cazurilor adâncimea de aşchiere și lăţimea de contact se aleg așa fel încât prelucrarea să se facă dintr-un număr minim de treceri.

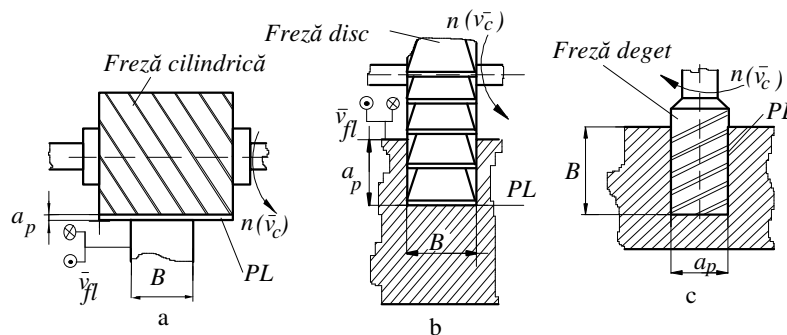


Fig. 8.177. Adâncimea de aşchiere a_p și lăţimea de frezare B la frezarea:
 a - cilindrică; b - cu freză disc; c - cu freză deget; a_p - adâncimea de aşchiere; B - lăţimea de frezare;
 PL - plan de lucru; n - turația sculei aşchietoare; \bar{v}_c - viteza mșcării principale de aşchiere; \bar{v}_f - viteza
 avansului transversal.

8.9.5.4. Stabilirea vitezei de avans

Mărima deplasării relative a piesei prelucrate (sau a sculei) față de un punct oarecare de pe axa frezei, poartă numele de viteză de avans \bar{v}_f , exprimată în [mm/min]. Deoarece în timpul frezării, într-un minut, scula efectuează n rotații, în calculul regimului de așchiere apare noțiunea de avans pe o rotație a frezei f , exprimat în [mm/rot]. Mărima deplasării relative a semifabricatului, într-un interval de timp egal cu acela dintre intrarea în material și ieșirea din material a doi dinți consecutivi, poartă denumirea de avans pe dinte f_z , exprimat în [mm /dinte]. Între aceste mărimi există relațiile:

$$v_f = f \cdot n \quad [\text{mm/min}] , \quad (8.180')$$

$$f = f_z \cdot z \quad [\text{mm/rot}] , \quad (8.181)$$

$$v_f = f_z \cdot z \cdot n \quad [\text{mm/min}] , \quad (8.182)$$

în care: z este numărul de dinți ai frezei-sculă; n - turația frezei, în rot/min.

Mărima admisibilă a vitezei de avans depinde de tipul sculei, natura materialului de prelucrat, calitatea suprafeței ce se vrea obținută, rigiditatea sistemului tehnologic mașină-unealtă-piesă-dispozitive-sculă, rezistența mecanismului de avans și puterea motorului de acționare. Având în vedere cele de mai sus, viteza de avans se alege din nomograme și tabele determinate experimental.

8.9.5.5. Stabilirea forțelor de așchiere

Un dinte al frezei cilindrice cu dinți elicoidali este supus forței rezultante R a reacțiunilor de așchiere (fig. 8.178) care se descompune pe trei direcții: componenta tangențială F_t , componenta axială F_x și componenta radială F_r . Cum în așchiere sunt mai mulți dinți simultan z_{sim} , rezultantele forțelor pe cele trei direcții vor fi sumele celor z_{sim} componente ce acționează simultan.

Componenta cea mai importantă este cea tangențială F_t , care are o expresie de tip politropic de forma:

$$F_t = C_F \cdot a_p^{x_F} \cdot f_z^{y_F} \cdot B^{u_F} \cdot z \cdot D^{-q_F} \quad [\text{daN}] , \quad (8.183)$$

în care: a_p este adâncimea de așchiere, [în mm]; f_z - avansul pe dinte, în [mm/dinte]; B - lățimea de contact, în [mm]; z - numărul de dinți ; D - diametrul frezei, în [mm]; C_F ; x_F ; y_F ; u_F ; q_F - coeficienți determinați experimental în funcție de natura materialului de prelucrat și tipul sculei.

Celelalte componente se determină cu relațiile:

$$F_x = (0,1 \dots 1,2) F_t; \quad F_r = (0,3 \dots 0,4) F_t , \quad (8.184)$$

în funcție de cazul concret de generare prin frezare.

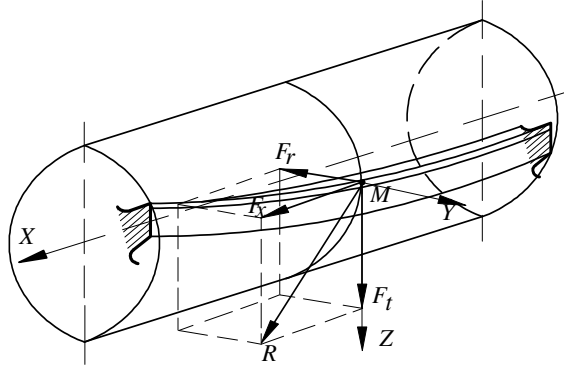


Fig. 8.178. Forțele de așchiere la frezare:

 \overline{F}_t - componenta tangențială; \overline{F}_r - componenta radială; \overline{F}_x - componenta axială; R - rezultanta forțelor de așchiere.

În cazul prelucrării cu freze cilindro-frontale se obțin expresii asemănătoare pentru cele trei componente.

8.9.5.6. Stabilirea momentelor de așchiere

Momentul de răsucire al arborelui principal (al dornului pe care este fixată freza) se calculează cu relația:

$$M = F_{t\text{ med}} \cdot \frac{D}{2} \quad [\text{N}\cdot\text{m}] , \quad (8.185)$$

în care $F_{t\text{ med}}$ este forța tangențială medie, care este cu 10...30% mai mică decât forța tangențială maximă; D - diametrul sculei.

8.9.5.7. Verificarea avansului de așchiere

Mărimea avansului pe dinte f_z , ales din tabele, se verifică prin calcul, punându-se condiția ca forța H (componenta orizontală a forței rezultante de așchiere R) să fie cel mult egală cu forța maximă admisibilă F_m în mecanismul de avans:

$$H \leq F_m = k \cdot F_t , \quad (8.186)$$

în care k este 0,8 ... 0,9 la frezarea contra avansului; F_t - forța tangențială dată de relația (8.183). Dacă nu este îndeplinită condiția (8.186) se calculează avansul pe dinte admisibil, $f_{z\text{ adm}}$, cu relația:

$$f_{z\text{ adm}} = \sqrt[3]{\frac{F_m \cdot D^{q_F}}{k \cdot C_F \cdot a_e^{x_F} \cdot a_p^{u_F} \cdot z}} \quad [\text{mm/dinte}] , \quad (8.187)$$

și trebuie ca $f_z \leq f_{z\text{ admisibil}}$.

În toate cazurile, valorile avansurilor pe dinte calculate sau alese tabelar, trebuie rotunjite în așa fel încât să conducă la valori ale vitezei de avans posibil de realizat practic pe mașina-unealtă.

8.9.5.8. Stabilirea vitezei economice de așchiere

Viteza economică de așchiere $v_{c,ec}$ se calculează cu relația:

$$v_{c,ec} = \frac{C_v \cdot D^{q_v}}{T^m \cdot a_p^{x_v} \cdot f_z^{y_v} \cdot B^{u_v} \cdot z^{p_v}} k_v \quad [\text{m/min}] \quad , \quad (8.188)$$

în care T este durabilitatea economică recomandată, în [minute]; D - diametrul frezei, în [mm]; C_v ; k_v - coeficienți de corecție aleși în funcție de condițiile de lucru concrete; x_v ; y_v ; u_v ; q_v ; p_v - exponenți ce arată influența diferiților parametri asupra durabilității economice.

8.9.5.9. Stabilirea turației frezei și a vitezei reale de așchiere

Turația frezei necesară realizării vitezei economice de așchiere se calculează cu relația:

$$n_{ec} = \frac{1000 v_{c,ec}}{\pi D} \quad [\text{rot/min}] \quad . \quad (8.189)$$

Deoarece la axul principal al mașinii-unelte se realizează numai anumite valori pentru turație, se alege o turație de lucru n_r cea mai apropiată, imediat inferioară lui n_{ec} , sau imediat superioară, dacă pierderea de viteză $\Delta v < 5\%$.

După stabilirea turației reale n_r se calculează viteza reală de așchiere $v_{c,real}$ cu relația:

$$v_{c,real} = \frac{\pi D n_r}{1000} \quad [\text{m/min}] \quad . \quad (8.190)$$

Se calculează apoi variația vitezei Δv cu relația:

$$\Delta v = \frac{\pi D}{1000} \left(\frac{n_{ec} - n_r}{n_{ec}} \right) 100 \quad [\%] \quad , \quad (8.191)$$

și se verifică dacă $\Delta v < 5\%$. În cazul când $\Delta v > 5\%$ se acționează asupra celorlalți factori care definesc condițiile de lucru.

8.9.5.10. Verificarea puterii de așchiere

Puterea necesară la frezare $P_{a\phi}$, se poate calcula cu relația:

$$P_{as} = \frac{R v_{c_{real}}}{6 \cdot 120 \cdot \eta} = \frac{F_t \cdot v_{c_{real}}}{6 \cdot 000 \cdot \eta} \text{ [kW]} , \quad (8.192)$$

în care η este randamentul total al lanțului cinematic principal; F_t - componenta tangențială a rezultantei R a forțelor de așchiere.

Puterea necesară P_{mf} , în lanțul cinematic de avans se calculează cu relația:

$$P_{mf} = \frac{F_x \cdot f}{6 \cdot 120 \cdot \eta} \text{ [kW]} . \quad (8.193)$$

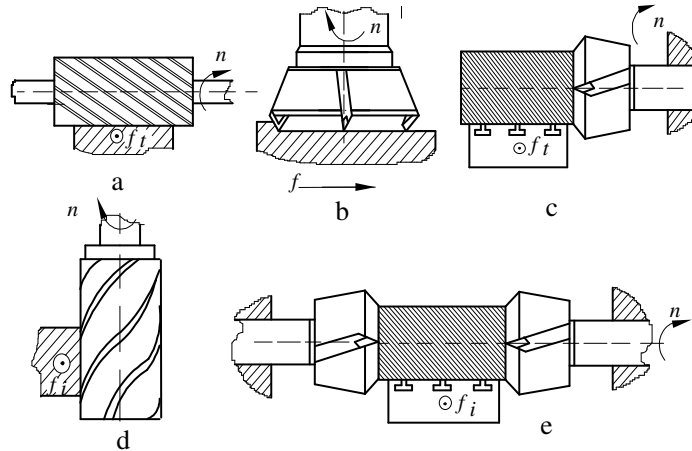
Puterea calculată se compară cu puterea motorului electric de acționare a lanțului cinematic P_{MEA} și dacă se respectă condiția $P_{as} \leq P_{MEA}$ atunci regimul de așchiere stabilit este acceptat, dacă nu, se acționează asupra principalilor factori ce influențează viteza de așchiere.

Observație. Determinarea tuturor coeficienților de corecție și a parametrilor necesari stabilirii condițiilor de lucru la frezare se face folosind Manualul Inginerului Mecanic volumele I, II și III și normative corespunzătoare.

8.9.6. Tipuri de prelucrări executate pe mașinile de frezat

Pe mașinile de frezat se realizează cea mai variată gamă de tipuri de suprafețe (fig. 8.179), deosebindu-se:

- frezarea suprafețelor plane orizontale cu ajutorul frezelor cilindrice (fig.8.179. a) sau cu freze frontale (fig.8.179. b);
- frezarea suprafețelor plane verticale cu freză frontală (fig.8.179. c), cu freză deget (fig.8.179. d) sau cu două freze frontale (fig.8.179. e) pe mașinile de frezat cu doi montanți;



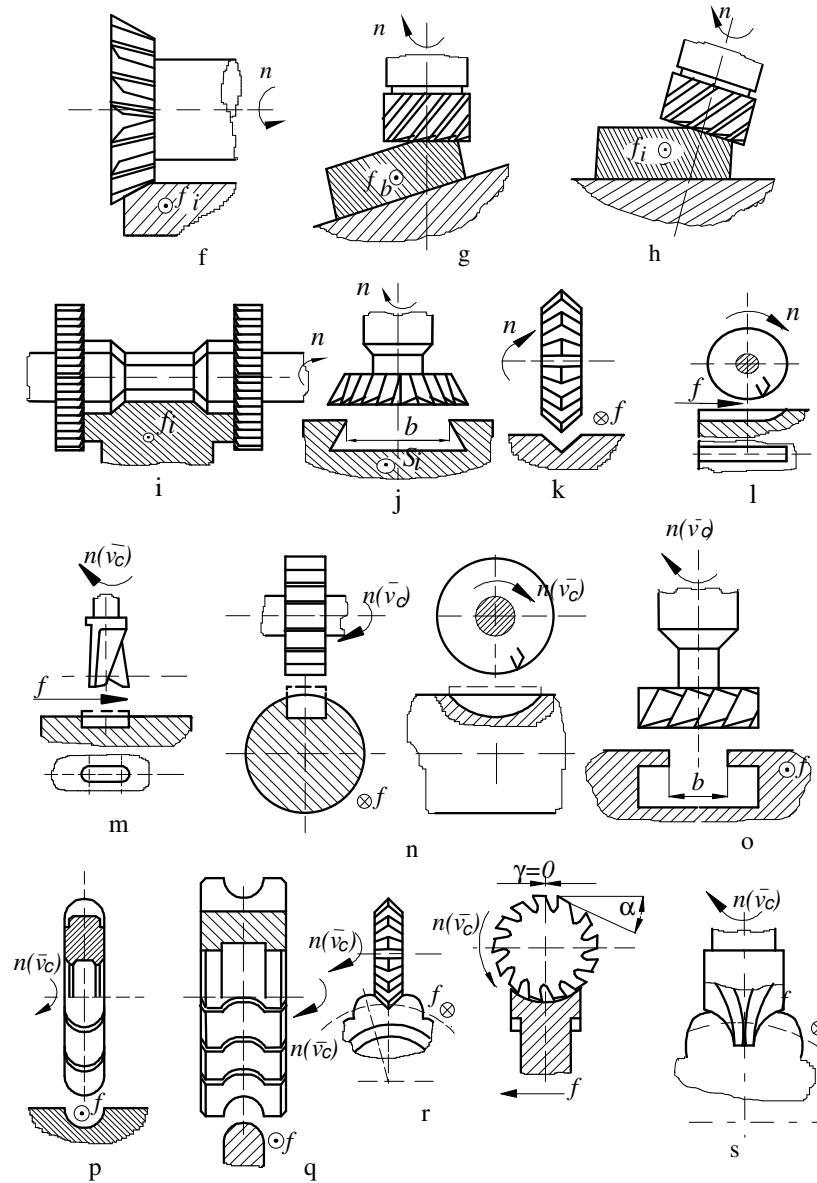


Fig. 8.179. Tipuri de suprafețe executate prin frezare:

a; b - plane orizontale; c; d; e - plane verticale; f; g; h - plane înclinate; i - complexe de dimensiuni mari; j - canale coadă de rândunică; k - canale triunghiulare; l; m; n - canale de pană; o - canale în T; p; q - profile de dimensiuni mici; r; s - roți dințate; n - turația sculei așchietoare; f_i ; f_l ; f_c - avansul transversal și respectiv longitudinal sau circular.

- frezarea suprafețelor plane înclinate (fig.8.179. f, g, h) cu ajutorul frezelor unghiulare sau frontale;
- frezarea suprafețelor complexe cu ajutorul frezelor profilate sau cu jocuri de freze (fig.8.179. i);
- frezarea canalelor cu secțiune triunghiulară, dreptunghiulară, în T, în coadă de rândunică etc.(fig.8.179. j...o);
- frezarea suprafețelor profilate de dimensiuni mici (fig.8.179. p și q) sau de dimensiuni mari prin copiere;
- frezarea danturii roților dințate cu ajutorul frezelor disc-modul (fig.8.179. r), frezelor deget-modul (fig.8.179. s) sau frezelor melc-modul;
- frezarea cremalierelor folosind capul divizor (fig.8.174);
- frezarea canalelor elicoidale folosind capul divizor (fig.8.175);
- frezarea camelor plane spirale (fig.8.176) folosind capul divizor etc.

8.10. PRELUCRAREA PRIN BURGHIERE, LĂRGIRE, ADÂNCIRE, LAMARE, TARODARE ȘI ALEZARE

8.10.1. Definiere. Scheme de principiu

Față de prelucrarea suprafețelor exterioare, la prelucrarea suprafețelor interioare se întâmpină unele greutăți, ținând cont că: sculele au o rigiditate mai mică, poziția de lucru este mai dificilă, aşchiile se evacuează mai greu, procesul de aşchiere este greu de observat, pătrunderea lichidului de răcire este mai dificilă etc. Pentru stabilirea unui proces tehnologic corespunzător, alezajele se clasifică după mărimea diametrului, adâncimea, precizia dimensională și rugozitatea alezajului. Ținând seama de raportul adâncime l pe diametru d , se disting: *alezaje scurte*, când $l/d \leq 0,5$; *alezaje normale*, când $0,5 < l/d \leq 3$; *alezaje lungi*, când $3 < l/d \leq 10$; *alezaje adânci*, când $l/d > 10$.

Principalele procedee de prelucrare a alezajelor prin aşchiere, ținând seama de precizia care se poate realiza sunt : burghierea, lărgirea, adâncirea, lamarea, alezarea, filetarea, strunjirea interioară, broșarea, rectificarea, honuirea, lepuirea etc.

Burghierea (fig.8.180) este operația de prelucrare prin aşchiere a unor găuri de diferite dimensiuni, executate în material plin cu ajutorul unor scule numite burghie, ce efectuează atât mișcarea principală de aşchiere n , cât și mișcarea de avans în direcție axială f_{ax} .

Lărgirea (fig.8.181) este operația de prelucrare prin aşchiere a găurilor (obținute în prealabil prin turnare, deformare plastică, găurire etc.) având drept scop mărirea secțiunii transversale, efectuată cu ajutorul unor scule numite lăgitoare. Operația este rațională pentru prelucrarea găurilor cu diametre mai mari de 40 mm.

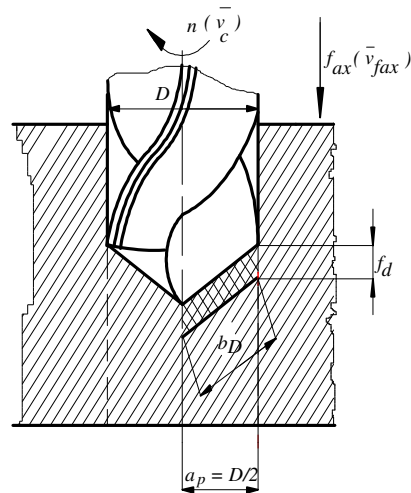


Fig. 8.180. Schema de principiu la burghiere:
 n – turația burghiului; \bar{v}_c – viteza mișcării
 principale de așchiere; $\bar{f}_{ax}(\bar{v}_{fax})$ – avansul de
 așchiere (viteza de avans pe verticală);
 a_p – adâncimea de așchiere; b_D – grosimea
 așchiei; D – diametrul burghiului; f_d – avansul
 pe dinte.

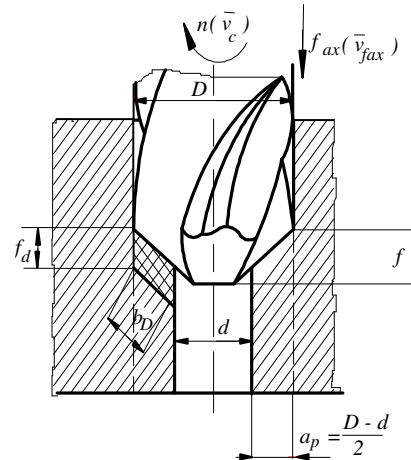


Fig. 8.181. Schema de principiu la lărgire:
 D – diametrul lărgitorului; d – diametrul
 inițial al găurii; $n(\bar{v}_c)$ – viteza mișcării
 principale de așchiere; f_d – avansul pe
 dinte.

Adâncirea (fig. 8.182) este operația de prelucrare prin așchiere a unor găuri cilindrice sau conice, la extremitatea altei găuri de diametru mai mic, față de care sunt coaxiale. Operația se execută cu ajutorul unor scule numite adâncitoare.

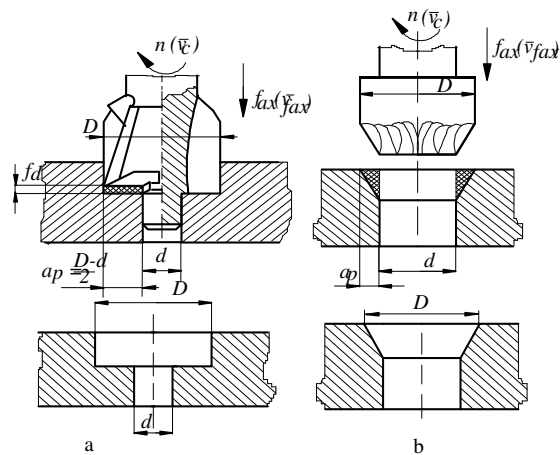


Fig. 8.182. Schema de principiu la
 adâncire:
 a – cilindrică; b – conică;
 D – diametrul găurii prelucrate;
 d – diametrul găurii inițiale;
 f_d – avansul pe dinte;
 a_p – adâncimea de așchiere.

Lamarea (fig. 8.183) este operația de prelucrare prin așchiere a unei suprafețe plane perpendiculară pe axa unei găuri. Operație executată cu ajutorul unor scule de lamat.

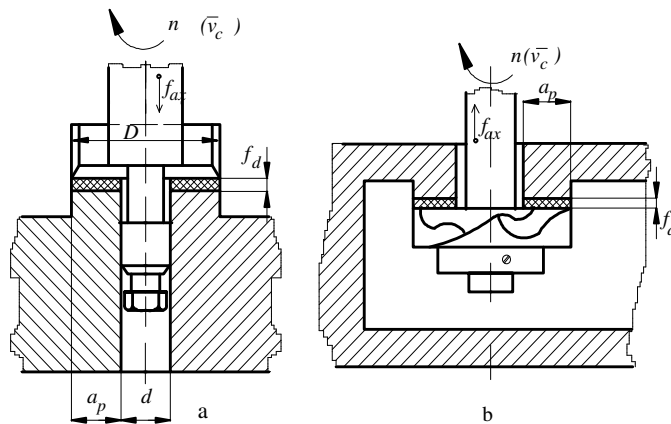


Fig. 8.183. Schema de principiu la lamare:
a - suprafață exterioară;
b - suprafață interioară;
 D - diametrul lamatorului;
 d - diametrul găurii;
 f_v - avansul;
 a_p - adâncimea de așchiere;
 f_d - avansul pe dinte.

Alezarea (fig. 8.184) este operația de prelucrare prin așchiere a alezajelor având drept scop mărirea preciziei dimensionale și îmbunătățirea netezimii suprafețelor. Operația se execută cu ajutorul unor scule numite alezoare.

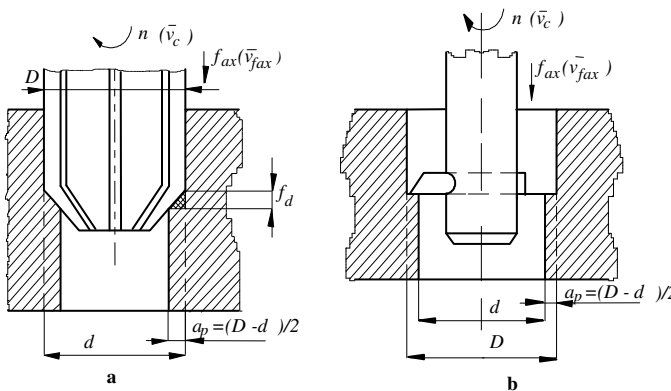


Fig. 8.184. Schema de principiu la alezare:
a - cu alezorul; b - cu bară de alezat;
 d - diametrul inițial al găurii; D - diametrul găurii alezate;
 f_{ax} - avansul axial;
 f_d - avansul pe dinte;
 a_p - adâncimea de așchiere.

Tarodarea (fig. 8.185) este operația de realizare a filetelor interioare, cu ajutorul unor scule speciale numite tarozi.

8.10.2. Generarea suprafețelor prin burghiere

Prin cinematica de generare, operațiile de burghiere, lărgire, adâncire, lamare, alezare, tarodare permit obținerea tuturor categoriilor de suprafețe

cilindrice interioare de diverse diemnsiuni și grad de netezime, străpunse sau nestrăpunse. Mișcarea principală este întotdeauna de rotație, executată de sculă (foarte rar de piesă), iar mișcarea de avans este executată tot de sculă (mai rar de piesă).

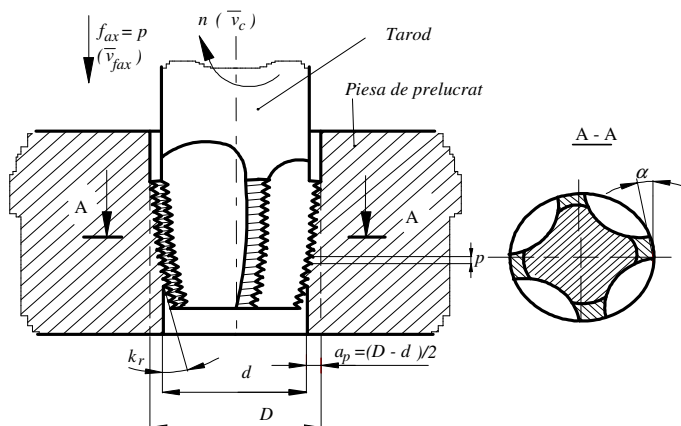


Fig. 8.185. Schema de principiu la tarodare: d – diametrul inițial al găurii; D – diametrul exterior al filetului; f_{ax} – avansul axial; a_p – adâncimea de așchiere; p – pasul filetului; k_r – unghiul de atac al părții active a tarodului; α – unghiul de așezare.

În majoritatea cazurilor generatoarea și directoarea sunt materializate prin muchia așchietoare a sculelor utilizate.

La burghiere, lărgire, adâncire, lamare și alezare, generatoarea este rectilinie, iar directoarea este circulară, materializată prin construcția muchiei așchietoare.

La tarodare, directoarea este elicoidală, materializată prin filetul sculei (tarodului), iar generatoarea este materializată de muchiile așchietoare ale părții active ale tarodului.

8.10.3. Geometria sculelor așchietoare. Tipuri de scule utilizate

Pentru operația de burghiere se folosesc scule specifice numite *burghie*. În funcție de construcția lor, burghiile folosite sunt: *elicoidale* (fig. 8.186. a), *late* (fig. 1.186. b), *de centruire* (fig. 1.186. c), *pentru găuri adânci* (fig. 1.186. d). Cel mai des folosit este burghiul elicoidal, deoarece își păstrează diametrul după reascuțire, asigură o bună ghidare pe fațetele laterale, permite realizarea unor unghiuri de așezare și de degajare corecte și asigură eliminarea ușoară a așchiilor formate.

Parametrii geometrici constructivi ai burghiului elicoidal se prezintă în figura 8.187. a, iar cei funcționali în figura 8.187. b. În procesul de așchiere unghiul de degajare și de așezare se modifică, deoarece traiectoria descrisă de un punct M al tăișului este o elice (fig. 8.187):

$$\alpha'_M = \alpha_M - \theta_M; \quad \gamma'_M = \gamma_M + \theta_M, \quad (8.194)$$

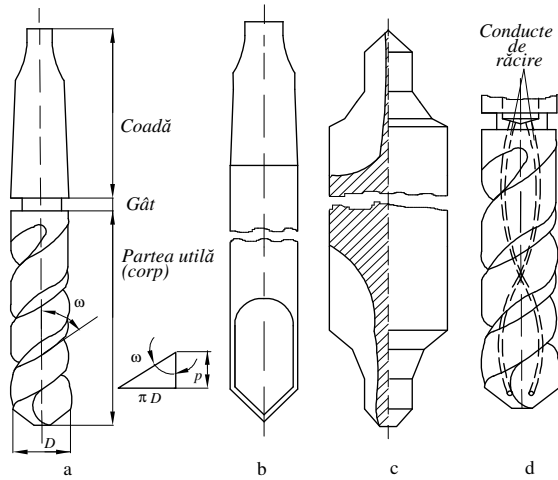


Fig. 8.186. Diferite tipuri de burghie:
a - elicoidal; b - lat; c - de centrare; d - pentru găuri adânci; D - diametrul burghiului; ω - unghiul de înclinare al elicei; p - pasul elicei.

în care θ_M se deduce din triunghiul MOO' :

$$\operatorname{tg} \theta_M = \frac{f}{\pi d_M} \quad , \quad (8.195)$$

în care f este avansul.

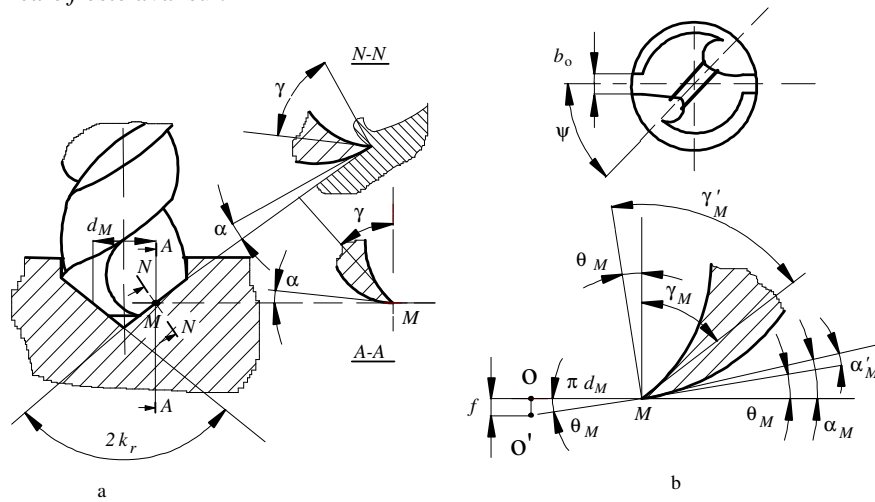


Fig. 8.187. Parametrii geometrici ai burghiului elicoidal:

a - parametrii constructivi; b - parametrii funcționali: α - unghiul de așezare; γ - unghiul de degajare; k_r - unghiul de atac; ψ - unghiul de înclinare transversal; b_o - fațetă; ω - unghiul de înclinare al elicei; α'_M ; γ'_M - unghiurile de așezare funcțional și respectiv de degajare funcțional; f - mărima avansului.

Unghiul de vârf $2k$, este analog cu unghiul de atac principal al cuțitelor de strung și se alege în funcție de materialul de prelucrat.

Unghiul de înclinare ψ al tășului transversal este unghiul format între proiecția tășului transversal și proiecția tășului principal pe un plan perpendicular pe axa burghiului.

Unghiul de înclinare al elicei muchiei fațetei ω , dintre axa burghiului și desfășurata liniei elicoidale a muchiei fațetei, se calculează cu relația :

$$\operatorname{tg} \omega = \frac{\pi \cdot D}{p}, \quad (8.196)$$

în care D este diametrul burghiului, iar p este pasul elicei.

Pentru operația de lărgire se folosesc scule numite *lărgitoare* (fig. 8.188) asemănătoare cu burghiile elicoidale, dar prevăzute cu trei, patru sau chiar mai mulți dinți, pentru a realiza o mai bună ghidare. Lărgitoarele pot fi cu coadă (fig. 8.188. a), cu alezaj și dinți monobloc (fig. 8.188. b) sau cu alezaj și dinți demontabili.

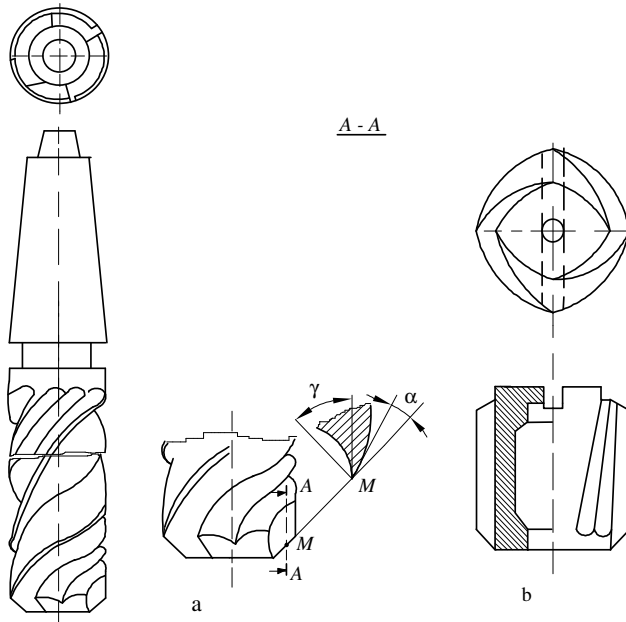


Fig. 8.188. Tipuri de lărgitoare:
a - cu coadă; b - cu alezaj și dinți monobloc.

Lărgitoarele elicoidale cu coadă au o geometrie asemănătoare cu cea a burghiilor elicoidale, cu deosebirea că tășurile principale nu merg până la centru, dispărând tășul transversal, au o rigiditate mai mare și pot lucra cu avansuri mai mari.

Operația de adâncire se execută cu scule specifice numite *adâncitoare*. În funcție de tipul suprafeței de prelucrat adâncitoarele sunt cilindrice (fig. 8.182. a), conice (fig. 8.182. b) sau în trepte. Adâncitoarele conice se mai numesc și *teșitoare*, iar operația respectivă - *teșire*. Pentru o mai bună ghidare a adâncitoarelor față de alezajul inițial acestea sunt prevăzute cu cepuri de ghidare.

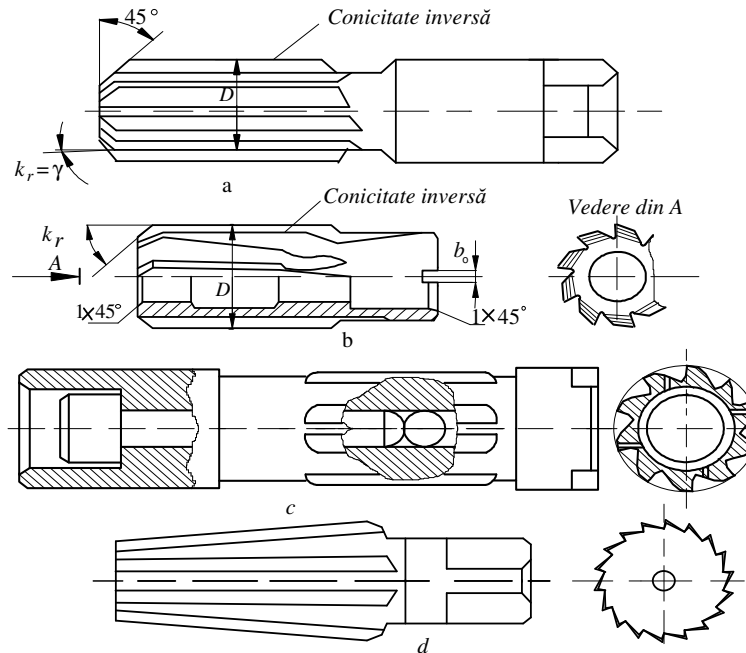


Fig. 8.189. Tipuri de alezoare:

a - cu dinți drepecți; b - cu alezaj; c - reglabil; d - conic: k_r - unghiul de atac; γ - unghiul de degajare.

Operația de alezare a găurilor se execută cu scule numite *alezoare*. Alezoarele se deosebesc de lărgitoare prin faptul că au un număr mai mare de dinți (de regulă 6...18). Câteva tipuri de alezoare se prezintă în figura 8.189.

Filetarea găurilor interioare de diametre mici și mijlocii, în producția de serie mare și masă, se face cu ajutorul unor scule numite *tarodzi*. Tarodul este în esență un șurub, prevăzut cu trei sau patru canale pentru realizarea fețelor de degajare.

Pentru a realiza unghiuri de așezare pozitive, dinții tarodului se detalonează. Pentru a împiedica ruperea tarodului, în cazul creșterii neprevăzute a momentului de torsiune sau datorită ajungerii acestuia în fundul găurii, prinderea tarodului în arborele principal al mașinii se face prin intermediul unei mandrine speciale de cuplaj la suprasarcină.

8.10.4. Mașini-unelte și dispozitive specifice la prelucrarea prin burghiere, lărgire, adâncire, alezare și tarodare

8.10.4.1. Mașini-unelte

Toate operațiile definite mai sus se pot efectua pe mașini-unelte numite *mașini de găurit*. Domeniul de utilizare al mașinilor de găurit este în funcție de diametrul maxim al găurii ce se poate executa și în funcție de numărul de rotații ale axului principal al mașinii.

Mașinile de găurit se clasifică după mai multe criterii (fig.8.190).

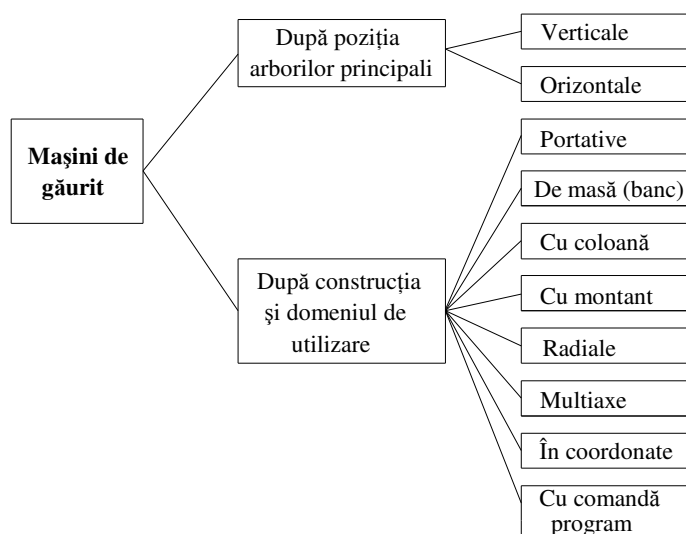


Fig. 8.190. Clasificarea mașinilor de găurit.

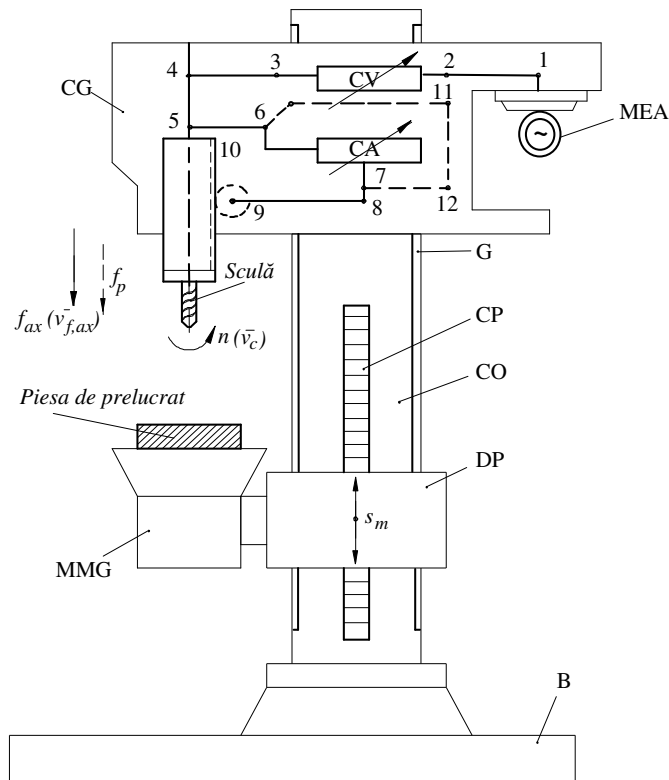
Mașinile de găurit de masă sunt construite pentru piese de dimensiuni și greutate mici, putând efectua operații de burghiere, adâncire, alezare și lărgire a găurilor cu diametre mai mici de 12 mm.

Mașinile de găurit cu coloană sunt destinate prelucrării pieselor mici și mijlocii, cu diametrul găurii până la 40 mm. Variația turațiilor la aceste mașini se realizează de obicei cu ajutorul cutiilor de viteze CV, având 6...12 trepte, iar variația avansurilor cu ajutorul cutiilor de avansuri CA, având 3...4 trepte (fig. 8.191.a). Schema fluxului cinematic a unei astfel de mașini se prezintă în figura 8.191. b.

Mașinile de găurit cu montanț se folosesc la prelucrarea găurilor cu diametru maxim de 25...80 mm. Constructiv sunt asemănătoare cu mașinile de găurit cu coloană, cu deosebirea că elementul de susținere este un montanț, care asigură o rigiditate mai mare decât coloana.

Maşinile de găurit radiale sunt destinate prelucrării pieselor de dimensiuni mari, greu de manevrat, cum sunt batiurile de maşini-unelte, cazane, rezervoare, construcţii metalice lungi etc. Caracteristic la aceste maşini este faptul că semifabricatul este fix pe masa maşinii, iar scula execută, pe lângă mişcarea principală de rotaţie şi mişcarea de avans vertical, şi mişcările de potrivire a axului sculei cu axa găurii care se prelucurează.

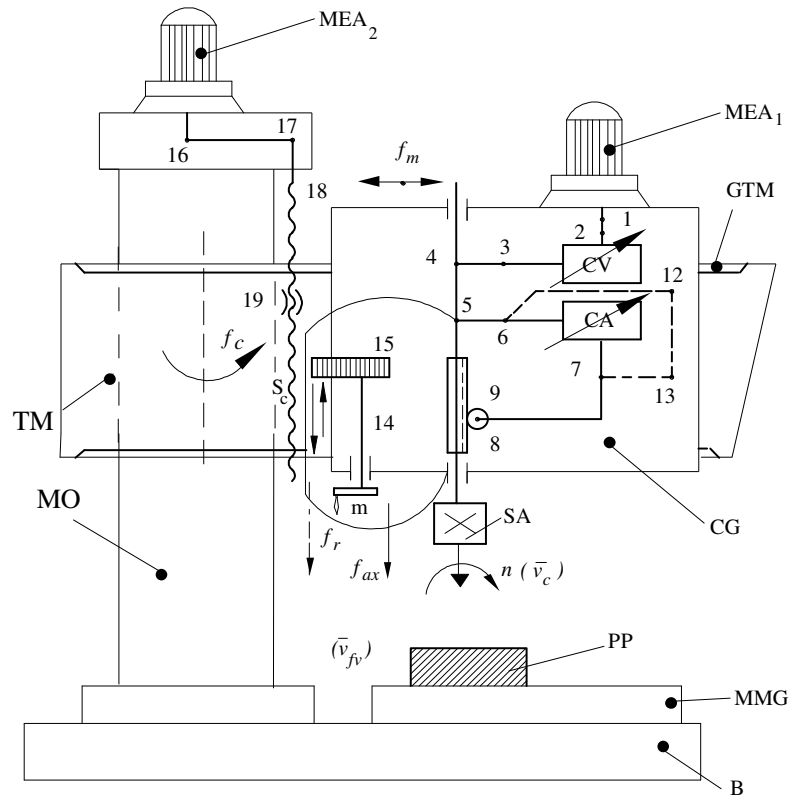
Schema cinematică de principiu a unei maşini de găurit radială se prezintă în figura 8.192. a, iar fluxul cinematic, în figura 8.192. b.



- a
MEA -1-2- CV - 3 - 4 - 5 - 10 - Sculă $\rightarrow n(\bar{v}_c)$ - mişcarea principală de rotaţie;
MEA -1-2-CV-3-4-5-6-CA-7-8-9- 10 - Sculă $\rightarrow f_{ax}$ - mişcarea de avans vertical al sculei;
MEA-1-2-CV-3-4-5-6-11-12-7-8-9-10- Sculă $\rightarrow f_{r,ax}$ - mişcarea de deplasare rapidă pe verticală.
b

Fig. 8.191. Schema de principiu a unei maşini de găurit cu coloană:
a - schema cinematică: B - batiu; MMG - masa maşinii de găurit; CO - coloană; CP – cremalieră de reglare; G - ghidaje; DP - dispozitiv de poziţionare; 1, 2, 3,..., 12 - mecanisme de transmitere a mişcării; b - fluxul cinematic.

Mașinile de găurit în coordonate se folosesc pentru executarea unor lucrări de precizie foarte ridicată (de ordinul micronilor). Sunt destinate prelucrării prototipurilor, dispozitivelor, sculelor sau pieselor în serii mici, cărora li se impun precizii deosebite.



MEA₁-1-2-CV-3-4-5-SA → $n(\bar{v}_c)$ - mișcarea principală de rotație;

MEA₁-1-2-CV-3-4-5-6-CA-7-8-9-10-SA → f_{ax} - avansul axial vertical al sculei;

MEA₁-1-2-CV-3-4-5-6-12-13-7-8-9-10-SA → f_r - deplasarea rapidă a axului principal;

MEA₂-16-17-18-19-Sc → f_c - deplasarea verticală a brațului;

m - 14 - 15 - f_m - deplasarea manuală a saniei de găurire.

b

Fig. 8.192. Schema de principiu a unei mașini de găurit radială:

a - schema de principiu: B - batiu; MMG - masa mașinii de găurit; MO - montant; TM - traversă mobilă; CG - cap de găurit; m - manetă de acționare manuală; GTM - ghidajele traversei mobile; SA - scula așchietoare; PP - piesa de prelucrat; AP - axul principal; S/p - mecanism șurub - piuliță; 1, 2, 3, ..., 19 - mecanisme de transmitere a mișcării; b - fluxul cinematic.

Principiile prelucrării în coordonate se determină plecând de la sistemul de coordonate „fixe” X, Y, Z , asigurate de maşină (fig. 8.193. a), unde sania cu axul principal se află în poziţia limită stânga (indicatorul său la 0 pe rigla r_1), masa S_2 în poziţia extremă din faţă (indicatorul 0 pe rigla r_2), iar S_3 la o poziţie oarecare z (rigla r_3). Piesa P al cărui desen este făcut într-un sistem de axe rectangulare x, y, z (fig. 8.193. b) se aşează pe masa de lucru S_L , orientându-se coordonatele sale, numite coordonate „mobile”, paralel cu cele fixe.

Reglarea maşinii şi, în speţă, prelucrarea constă în suprapunerea axei viitoare găuri (de exemplu G_1) cu axa burghiului, adică determinarea coordonatelor x_1 şi y_1 şi deplasarea saniei S_1 şi S_2 cu:

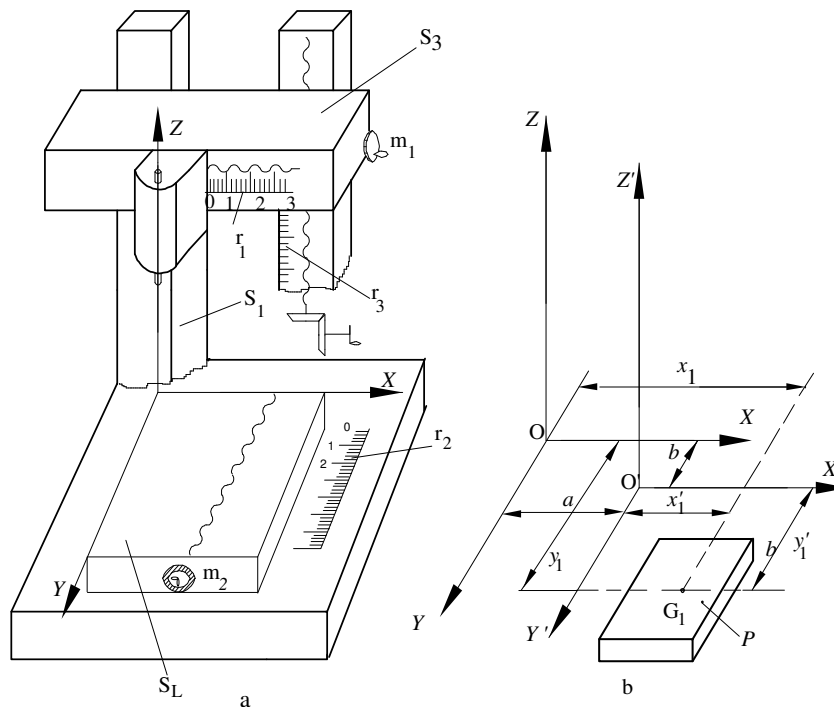


Fig. 8.193. Principiul prelucrării în coordonate:

a - posibilităţile maşinii; r_1 ; r_2 ; r_3 - rigle gradate; S_1 ; S_2 ; S_3 - sănii de lucru; a ; b ; c - coordonatele originii mobile O' ; x' ; y' ; z' - coordonatele unei găuri ce urmează a fi prelucrată; b - modul de alegere al coordonatelor.

$$x_1 = a + x'_1; \quad y_1 = b + y'_1, \quad (8.197)$$

sau în general:

$$x = \pm a \pm x'; \quad y = \pm b \pm y'; \quad z = \pm c \pm z', \quad (8.198)$$

unde a, b, c sunt coordonatele originii mobile O' față de originea fixă O ; x', y', z' - coordonatele centrului unei găuri de pe piesă, față de coordonatele mobile, care se iau din desenul special al piesei.

În cazul când reglarea se face în coordonate polare, adică la masa rotativă divizoare, axa axului principal se suprapune cu axa găurii și a mesei, centrul mesei, fiind originea O' a coordonatelor mobile.

Pentru prelucrarea pieselor de dimensiuni mari și pentru posibilități mai largi de prelucrare se folosește *mașina de alezat și frezat*, care pe lângă operațiile specifice mașinilor de găurit (burghiere, lărgire, alezare, filetare etc.) permite și efectuarea unor operații ca strunjirea și frezarea.

Mașinile de alezat și frezat se construiesc în foarte multe variante, însă principiul cinematic al mișcărilor este același ca la mașina de alezat și frezat orizontală (fig.8.194).

Arborele principal la aceste mașini este dispus orizontal și poate executa pe lângă mișcarea principală de rotație cu turația n și mișcarea de avans axial f_{ap} . Principalele părți componente ale mașinii sunt: patul mașinii PM, ghidajele GMS, masa mașinii M, sania transversală ST, sania longitudinală SL, montantul (stâlpul) principal MP, ghidajele montantului principal GMP, capul de găurit CG, platoul P, sania platoului SP, arborele principal AP, montant secundar MS, suportul S, lagărul L și o serie de mecanisme șurub-piuliță.

Procesul de așchiere la mașinile de alezat și frezat orizontale se obține prin mișcarea principală de așchiere n , executată de sculă (mișcarea de rotație a axului principal AP), sau de avans axial f_{ap} . În arborele principal se montează sculele ce lucrează cu avans axial (burghie, alezoare, lărgitoare etc.), precum și diverse tipuri de freze. Când se prelucurează suprafețe de lungime mare sau este necesară o prelucrare simultană a mai multor suprafețe cilindrice coaxiale ale unor pereți verticali paraleli (lagărele din carcasa cutiei de viteze a strungului, carcasele reductoarelor, blocuri de cilindrii etc.), tije port-sculă, având lungimea mare, se prind cu un capăt în arborele principal AP și cu celălalt în lagărul L al montantului secundar MS. În acest fel se micșorează deformația axului principal și crește precizia de prelucrare. Sania platoului SP poate efectua mișcarea principală de rotație n și mișcarea de avans radial f_r (cazul când se prelucurează cu cuțite pentru strunjirea frontală). Semifabricatele se prind pe masa M, care poate efectua mișcarea de avans longitudinal f_{lm} , de avans transversal f_{tm} și de avans circular f_{cm} . Deci, mișcările mașinii de alezat și frezat pot fi grupate în: mișcări principale de așchiere, mișcări secundare de avans și mișcări de potrivire.

8.10.4.2. Dispozitive și accesorii folosite la prelucrările pe mașini de găurit

La prelucrările pe mașinile de găurit și mașinile de alezat și frezat orizontale se folosesc o serie de accesorii specifice ca: menghine paralele cu șurub sau cu excentric, bride de fixare, plăci de ghidare, conuri de reducție, mandrine, capete multiax, dispozitive speciale de filetat cu tarodul și altele.

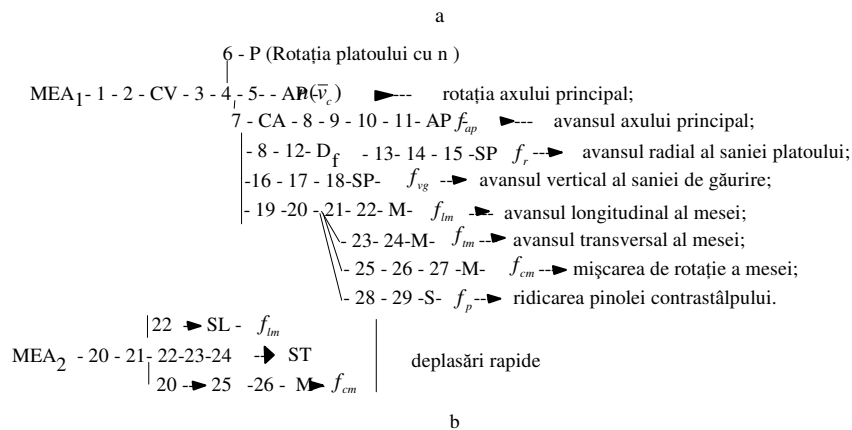
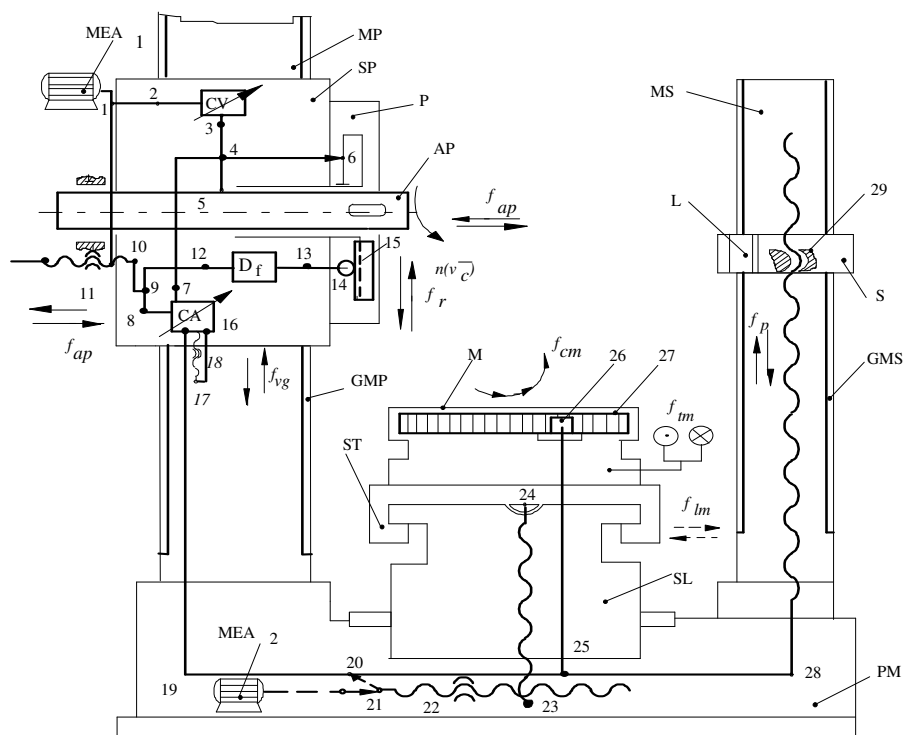


Fig. 8.194. Maşina de alezat şi frezat orizontală:

a - schema cinematică de principiu: MP – montan principal; GMS - ghidajele montantului secundar;
 GMP - ghidajele montantului principal; MS - montan secundar; M - masa maşinii;
 AP - ax principal; CG - cap de găurit; P - platou; SP - sania platoului; S - suport; L - lagăr;
 B - batiu; D_f - diferențial; ST - sanie transversală; SL - sanie longitudinală; 1, 2, 3,..., 29 - mecanisme
 de transmitere a mișcării; b - schema fluxului cinematic.

Menghinele paralele cu șurub sau cu excentric și bridele de fixare se folosesc pentru prinderea semifabricatelor în vederea prelucrării. Plăcile de ghidare asigură o conducere corectă și rapidă a sculei în vederea prelucrării.

Reducțiile sunt bușe conice de diferite dimensiuni folosite la prinderea sculelor (burghie, adâncitoare, alezoare etc.) a căror coadă conică este mai mică decât aceea a alezajului principal (fig. 8.195). Reducțiile se construiesc în două variante: conuri Morse cu un set de șapte bucăți și conuri metrice cu un set de cinci bucăți. Sculele cu coadă cilindrică se prind într-o mandrină care la rândul ei se fixează în alezajul arborelui principal (fig. 8.195. c). La prelucrarea succesivă a găurilor cu diferite scule, sunt foarte utile mandrinele rapide (fig. 8.195 d), care permit schimbarea sculelor fără a fi necesară oprirea axului principal. Sculele sunt prinse în alezajul conic al bucșei 1, care primește mișcarea de la corpul mandrinei 2, prin intermediul bridelor 3, care intră parțial în găurile din bucșa 1. Manșonul 4 este deplasat în jos, pentru a presa bilele în alezajele corespunzătoare din bucșa. La scoaterea sculei se ridică manșonul 4, și datorită forțelor centrifuge, bilele se îndepărtează și bucșa 1 cade împreună cu scula fixată în ea, după care din mers se introduce o altă bucșă cu scula următoare.

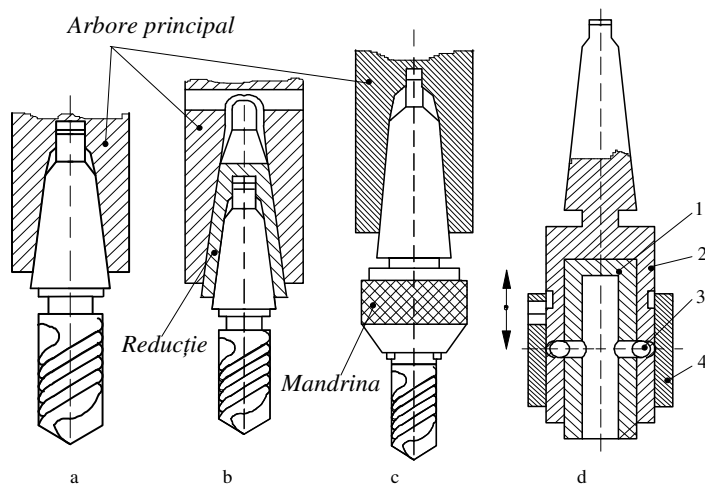


Fig. 8.195.
Sisteme de fixare a
sculelor:
a - direct pe
arbore; b - cu
reducție; c - cu
mandrină; d - cu
mandrină rapidă:
1- bucșă rapidă;
2 - mandrină;
3 - bridă;
4 - manșon.

La prelucrarea în serie a unor semifabricate prevăzute cu mai multe găuri dispuse într-un anumit mod (capace, flanșe etc.), se folosesc pentru burghiere capete multiaxe, care asigură prelucrarea simultană a tuturor găurilor. Aceste dispozitive se fixează pe mașini de găurit verticale cu un singur arbore principal și se construiesc în două variante: cu *axe nereglabile* (fig. 8.196. a) și cu *axe reglabile* (fig. 8.196. b).

La capetele multiax reglabile, poziția arborilor de găurire I - IV se poate regla în limitele $D_0 - D$, datorită arborilor telescopici 1 și a articulațiilor cardanice 2. La toate capetele multiaxe arborele central A se prinde în alezajul conic al

arborelui principal al mașinii de găurit, care imprimă întregului dispozitiv atât mișcarea principală $n(\bar{v}_c)$, cât și mișcarea de avans f_{ax} .

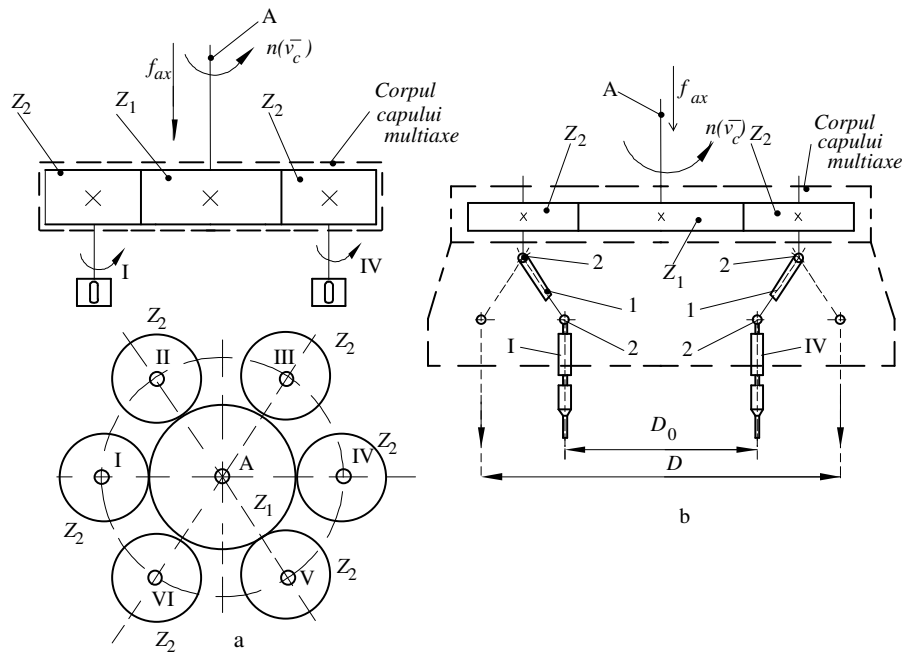


Fig. 8.196. Schema de principiu a capetelor multiaxe:

a - cu axe nereglabile; b - cu axe reglabile; I, II, ..., VI - arbori de găurire; Z_1/Z_2 - angrenaje cu roți dințate; 1 - arbori telescopici; 2 - articulații cardanice.

În cazul filetării cu tarozi pe mașina de găurit, se folosesc mandrine compensatoare care trebuie să asigure:

- avansul liber, egal cu pasul filetului de executat;
- inversarea mișcării la terminarea filetării;
- împiedicarea ruperii tarodului când ajunge la fundul unei găuri înfundate;

8.10.5. Stabilirea condițiilor de lucru la burghiere, lărgire, adâncire, alezare și tarodare

La stabilirea condițiilor de lucru trebuie avute în vedere următoarele: forma și dimensiunile alezajului, precizia dimensională și rugozitatea suprafeței prelucrate, caracteristicile mecanice și starea suprafeței materialului prelucrat, natura materialului, tipul alezajului, construcția și parametrii geometrici ai sculei așchietoare, condițiile în care se desfășoară procesul de așchiere și productivitatea prelucrării.

Principalele etape ce trebuie parcurse în vederea stabilirii condițiilor de lucru sunt prezentate în continuare.

8.10.5.1. Alegerea sculei așchietoare

Se face în funcție de duritatea materialului de prelucrat, de dimensiunile găurii respective, de tipul alezajului, de precizia dimensională și rugozitatea suprafeței prelucrate. Pentru prelucrarea găurilor cu $l \leq d$ se folosesc scule din oțel rapid (pentru oțeluri) și scule armate cu plăcuțe dure (pentru fonte și oțeluri călite). Pentru găuri de diametre mici (0,05...0,2 mm) se folosesc burghiele late. Pentru execuția găurilor adânci ($l/d > 10$) se folosesc burghie elicoidale cu canale pentru trimiterea lichidului de răcire, ungere și evacuarea așchiilor.

Pentru executarea găurilor adânci și de diametre mari se folosesc burghiele inelare cu care se îndepărtează sub formă de așchii numai o parte din materialul găurii.

Lărgitoarele se aleg în funcție de diametrul găurii și adâncimea de așchiere.

Adâncitoarele se aleg în funcție de forma geometrică a suprafeței de prelucrat (cilindrică sau conică) și de productivitatea prelucrării. Alezoarele se aleg în funcție de natura materialului de prelucrat, tipul alezajului, precizia dimensională și rugozitatea suprafeței de prelucrat.

La tarodare, deoarece scula este puternic solicitată, se folosește un set de doi sau trei tarozi, astfel: primul tarod, de diametru mai mic decât diametrul final, face degroșarea, efectuând circa 60% din lucrul mecanic de așchiere, al doilea tarod, tot de degroșare, efectuează circa 30% din lucrul mecanic total de așchiere, iar al treilea tarod, de finisare, efectuează circa 10%.

8.10.5.2. Stabilirea durabilității economice și a uzurii maxim admisibile a sculelor așchietoare

Se face în funcție de dimensiunile alezajului de prelucrat, de materialul de prelucrat și materialul sculei, de natura operației și productivitatea prelucrării. Durabilitatea economică variază între 7 minute (pentru diametre ≤ 5 mm, în oțeluri) și 55 minute (pentru diametre de 25...30 mm, în fonte). Uzura admisibilă se alege în funcție de câmpul de toleranță prescris alezajului.

8.10.5.3. Stabilirea adâncimii de așchiere și a numărului de treceri

Adâncimea de așchiere, a_p , se calculează ținând cont de schema prelucrării, cu relațiile:

$$a_p = \frac{D}{2} \quad [\text{mm}] \quad (8.199)$$

pentru burghiere, și:

$$a_p = \frac{D-d}{2} \text{ [mm]} \quad (8.200)$$

pentru lărgire, adâncire, alezare şi tarodare, în care D este diametrul sculei, în [mm]; d - diametrul găurii iniţiale, în [mm].

Numărul de treceri se alege în funcţie de mărimea adâncimii de aşchiere şi de natura operaţiei.

8.10.5.4. Stabilirea avansului de aşchiere

Avansul f este dat de mărimea deplasării sculei sau a piesei de-a lungul axei, la o rotaţie a axului principal al maşinii. La alegerea avansului trebuie ţinut cont de următorii factori: rigiditatea sistemului tehnologic (piesă-dispozitiv de prindere-sculă-maşină-unealtă), rezistenţa mecanismului de avans, rezistenţa sculei, precizia şi calitatea suprafeţei găurii prelucrate etc.

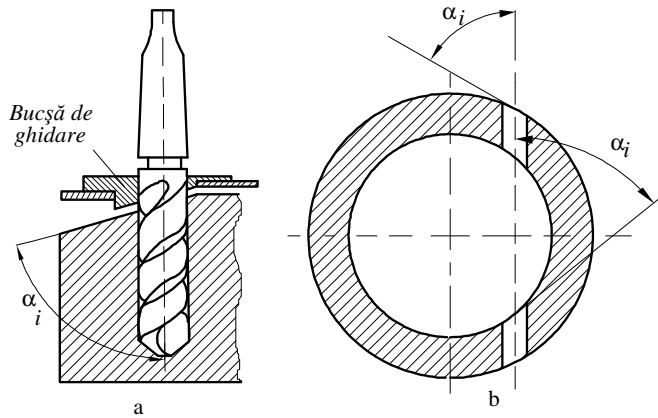


Fig. 8.197. Cazul când intrarea burghiului se face sub un unghi $\alpha_i \neq 90^\circ$:
a - cazul unei găuri înfundate; b - cazul unei găuri străpunse.

Pentru calculul avansului se utilizează relațiile:

$$f_{ax} = C_f \cdot D^{0,6} k_f \quad (8.201)$$

pentru burghiere, adâncire, lărgire, alezare, şi :

$$f_{ax} = p \text{ [mm/rot]} \quad (8.202)$$

pentru tarodare, în care C_f este coeficientul de avans, dat în tabele; k_f - coeficient de corecţie, determinat experimental în funcţie de raportul l/d ; p - pasul filetelui, în [mm]; D - diametrul sculei, în [mm].

În cazul când intrarea burghiului se face sub un unghi $\alpha_i \neq 90^\circ$ (fig.8.197), valorile găsite cu relaţia (8.201) se înmulţesc cu un coeficient k_d , determinat experimental în funcţie de valorile lui α_i .

8.10.5.5. Stabilirea forțelor de așchiere

Forțele de așchiere se pot determina la fel ca la strunjirea interioară, dacă se face analogie între cuțitul de strung și burghiu (fig. 8.198. a). Componentele forței de așchiere, care acționează asupra burghiului, după cele trei direcții x , y , z sunt reprezentate în figura 8.198. b.

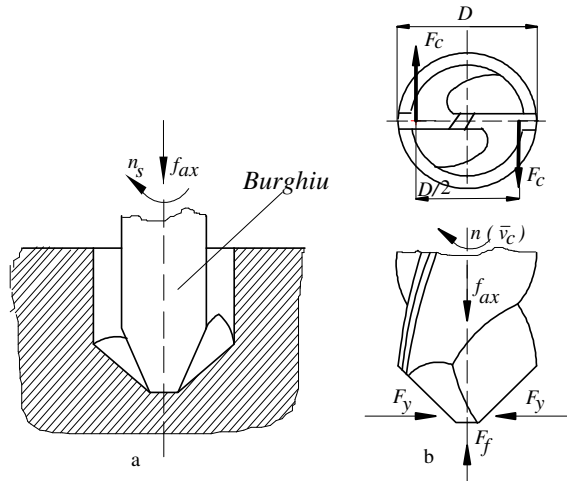


Fig. 8.198. Forțele de așchiere la burghiere:
a - analogia părții active a burghiului cu cuțitul de strung;
b - componentele forței de așchiere: F_f - componenta axială;
 F_c - componenta tangențială;
 F_y - componenta radială;
 f_{ax} - avansul axial; n - turația sculei;
 \bar{v}_c - viteza mișcării principale de așchiere.

Forța axială F_f se datorește atât rezistenței la înaintare, cât și tăișului principal, ea solicitând burghiul la flambaj. Forța axială se determină cu relația:

$$F_f = C_F \cdot D^{x_F} \cdot f_{ax}^{y_F} \cdot k_F \quad [\text{daN}] , \quad (8.203)$$

în care: C_F ; k_F ; x_F ; y_F sunt coeficienți de corecție determinați experimental; D - diametrul sculei, în [mm]; f_{ax} - avansul axial, în [mm/rot].

8.10.5.6. Stabilirea momentelor de așchiere

Forțele principale de așchiere F_c sunt normale pe tăișurile principale ale burghiului și formează un cuplu M_c , care supune burghiul la răsucire:

$$M_c = F_c \cdot \frac{D}{2} = C_M \cdot D^{x_M} \cdot f_v^{y_M} \cdot k_M \quad [\text{daN} \cdot \text{mm}] , \quad (8.204)$$

în care: C_M ; k_M ; x_M ; y_M sunt coeficienți determinați experimental pentru materialele mai des întâlnite.

8.10.5.7. Stabilirea vitezei de așchiere

Viteza economică de așchiere se calculează cu relația:

$$v_{cec} = \frac{C_v \cdot D^{z_v}}{T^m \cdot f_{ax}^{y_v}} \cdot k_v \quad [\text{m/min}] \quad (8.205)$$

pentru burghiere, iar pentru lărgire, adâncire, alezare şi tarodare, cu relaţia :

$$v_{ec} = \frac{C_v \cdot D^{z_v}}{T^m \cdot a_p^{x_v} \cdot f_{ax}^{y_v}} \cdot k_v \quad [\text{m/min}] , \quad (8.206)$$

în care: C_v ; k_v ; x_v ; y_v ; z_v sunt coeficienţi de corecţie determinaţi experimental, în funcţie de natura materialului de prelucrat, natura materialului sculei şi tipul operaţiei; D - diametrul sculei în mm; a_p - adâncimea de aşchiere, în [mm]; f - avansul, în [mm/rot].

8.10.5.8. Stabilirea turaţiei şi a vitezei reale de aşchiere

Cunoscând viteza economică de aşchiere se poate determina turaţia economică n_{ec} a sculei:

$$n_{ec} = \frac{1000 v_{cec}}{\pi D} \quad [\text{rot/min}] . \quad (8.207)$$

Deoarece maşinile de găurit nu pot realiza orice valoare a turaţiei calculate, se alege o turaţie de lucru n_r cea mai apropiată, imediat inferioară lui n_{ec} , sau imediat superioară, dacă $\Delta v < 5\%$. După alegerea turaţiei reale, se calculează viteza reală de aşchiere v_{creal} cu relaţia:

$$v_{creal} = \frac{\pi D n_r}{1000} \quad [\text{m/min}] . \quad (8.208)$$

Se calculează pierderea de viteză $\Delta v = \frac{\pi \cdot D}{1000} \left(\frac{n_{ec} - n_r}{n_{ec}} \right) \cdot 100$ şi se verifică

dacă $\Delta v < 5\%$, caz în care se acceptă parametrii regimului de aşchiere. Dacă nu se respectă condiţia, atunci se modifică acei parametri care influenţează viteza economică de aşchiere.

8.10.5.9. Verificarea puterii de aşchiere

Puterea efectivă la burghiere P_c se calculează cu relaţia:

$$P_c = \frac{M_c \cdot n_r}{71620 \cdot 1,36} \quad [\text{kW}] , \quad (8.209)$$

în care M_c este momentul de aşchiere, în [daN/mm]; n_r - turaţia de aşchiere a burghiului sau a piesei, în [rot/ min].

Puterea calculată P_c se compară cu puterea motorului electric P_{ME} , şi dacă se respectă condiţia $P_c \leq P_{ME}$, atunci regimul stabilit este acceptat, dacă nu, se acţionează asupra principalilor parametri ai regimului de aşchiere.

8.10.6. Tipuri de prelucrări executate pe maşinile de găurit şi pe maşinile de alezat şi frezat orizontale

Pe maşinile de găurit se execută toată gama de suprafeţe corespunzătoare operaţiei de burghiere (fig. 8.180), lărgire (fig.8.181), adâncire (fig. 8.182. a şi b), lamare (fig. 8.183. a şi b), alezare (fig. 8.184) şi tarodare (fig. 8.185).

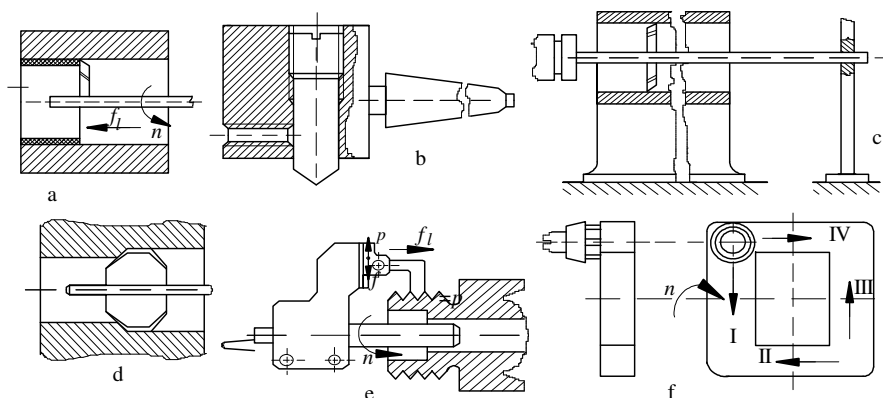


Fig. 8.199. Lucrări executate pe maşina de alezat şi frezat:

a - alezare interioară; b - port-sculă cu coadă conică; c - port-sculă de tip bară cilindrică;
d - calibrarea găurilor de diametru mare; e - filetarea pe maşini de alezat; f - frezarea suprafeţelor frontale.

Maşinile de alezat şi frezat asigură o gamă foarte largă de prelucrări, ele putând prelucra complet piesele mari şi de formă complicată la o singură prindere sau un număr redus de prinderi. Operaţiile de burghiere, lărgire, adâncire, lamare, alezare şi tarodare se execută analog ca la maşinile de găurit verticale, scula executând mişcarea principală de rotaţie şi mişcarea de avans (rareori, mişcarea de avans o execută piesa fixată pe masa maşinii). Alezarea găurilor cu diametru mai mic de 50 mm se face cu alezoare clasice, pentru diametre mai mari însă, alezarea constă dintr-o strunjire interioară cu diferite tipuri de scule (fig. 8.199. a), cel mai frecvent utilizându-se unul sau două cuţite de strung prinse într-o port-sculă cu coadă conică (fig. 8.199. b) sau pe o bară cilindrică (fig. 8.199. c). La prelucrarea găurilor de diametru mare, în loc de cuţite se folosesc lame libere, care se autocentrează şi servesc şi la calibrarea găurilor (fig. 8.199. d). Filetarea pe

maşinile de alezat şi frezat se poate face cu tarodul sau cu cuţitul (fig. 8.199. e). Frezarea suprafeţelor frontale se execută cu ajutorul frezelor cilindro-frontale sau frontale, fixate pe platou sau în arborele principal. În acest caz frezarea (fig. 8.199. f) se execută prin deplasarea succesivă a sculei în direcţie verticală (I şi III) şi a semifabricatului în direcţie transversală (II şi IV) aşezat pe masa maşinii.

Pentru asigurarea preciziei de prelucrare, pe aceste maşini este necesară respectarea anumitor principii de proiectare a pieselor.

Observaţie. Determinarea tuturor coeficienţilor de corecţie şi a parametrilor necesari stabilirii condiţiilor de lucru la burghiere, lărgire, alezare, adâncire şi tarodare se face folosind Manualul Inginerului Mecanic volumele I, II şi III şi normative corespunzătoare.

8.11. PRELUCRAREA PRIN BROŞARE

8.11.1. Definiere. Scheme de principiu

Broşarea este procedeul de prelucrare prin aşchiere ce rezultă din combinarea unei mişcări principale de aşchiere de translaţie sau rotaţie executată de sculă cu o mişcare de avans constructiv.

Broşarea este procedeul de prelucrare prin aşchiere a suprafeţelor plane sau profilate, interioare sau exterioare, executată cu ajutorul unor scule complexe cu mai multe muchii tăietoare, care execută mişcarea principală de aşchiere, nefiind necesară mişcarea de avans (rezultă din construcţia broşei). Schema de principiu a procedurii se prezintă în figura 8.200. Scula aşchietoare (broşa) 1 este prevăzută cu mai mulţi dinţi 2. Fiecare dinte se caracterizează printr-o supraînălţare f_z , ceea ce îi permite să îndepărteze din adaosul de prelucrare un nou strat de material de înălţime f_z . După trecerea ultimului dinte al broşei, se obţine forma, dimensiunea şi calitatea finală a suprafeţei prelucrate prin broşare.

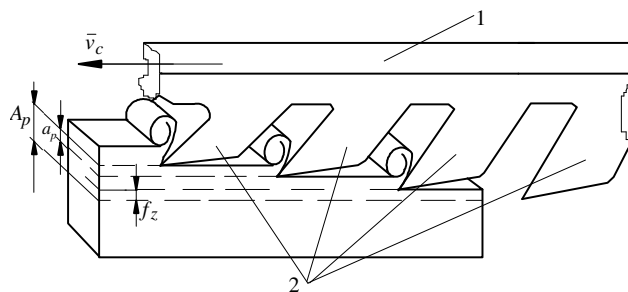


Fig. 8.200. Schema de principiu a prelucrării prin broşare:
1 - corpul broşei; 2 - dinţii aşchietori; f_z - avans constructiv pe dinte;
 a_p - adâncimea de aşchiere;
 A_p - adaos de prelucrare.

Procedeul de broşare se caracterizează prin următoarele:

- foloseşte o sculă de construcţie specială;

- generarea suprafeței se face cu generatoare materializată de muchia așchietoare a sculei;
- procedeul se realizează fără mișcări de avans, pentru generarea oricărei suprafețe fiind suficientă doar mișcarea principală de așchiere cu viteza \bar{v}_c ;
- prelucrarea suprafeței se face printr-o singură trecere a broșei;
- scula fiind deosebit de scumpă și greu de realizat, procedeul se aplică numai în cazul unor producții de serie mare și masă;
- productivitatea procedeului de prelucrare prin broșare este de 3...10 ori mai mare decât la alte procedee de prelucrare, deoarece nu mai sunt necesare alte mișcări (de măsurare, de poziționare, de reglare, de pregătire etc.);
- precizia de prelucrare se încadrează în calitățile 5...7 ISO, iar rugozitatea suprafeței $R_a = 0,2...3,2 \mu\text{m}$.

8.11.2. Generarea suprafețelor prin broșare

Prin broșare se pot prelucra o varietate foarte mare de suprafețe interioare sau exterioare, plane sau profilate (fig 8.201). Generatoarea este materializată de muchia așchietoare a broșei, iar directoarea rezultă din modul de generare, putând fi rectilinie, circulară, elicoidală.

Din punct de vedere al schemei de prelucrare (modul de împărțire al adaosului de prelucrare și succesiunea îndepărtării lui), se deosebesc:

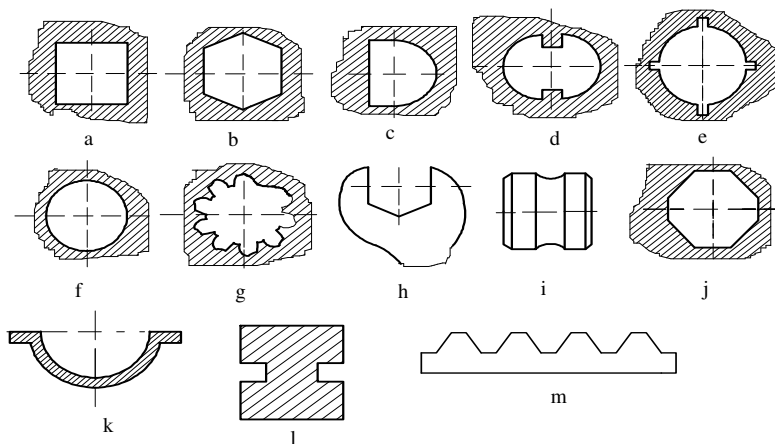


Fig. 8.201. Exemple de suprafețe obținute prin broșare:

- a; b; c; d; f; j - găuri interioare de diferite forme; e; g - caneluri, danturi interioare;
h; i; k; l - suprafețe exterioare profilate; m - dantura unor cremaliere.

- *broșarea după profil* (fig 8.202. a), care se realizează cu broșe la care profilul dinților este asemenea cu profilul secțiunii transversale a suprafeței de

prelucrat, ultimul dinte fiind identic cu profilul suprafeței de obținut. Supraînălțarea pe dinte f_z are direcția normală pe profilul suprafeței de prelucrat, iar lățimea așchiei este mare, corespunzând conturului dintelui broșei. Pentru ca forțele de aşchiere să nu depășească anumite limite, impuse de rezistența broșei, este necesar ca grosimea așchiei să fie mică (0,02...0,05 mm). Grosimea mică a așchiei presupune un număr mare de dinți (deci broșă lungă) și dificultăți constructive de realizare a supraînălțării între dinți. Dificultățile legate de construcția broșei sunt compensate de o precizie mare și de o rugozitate fină a suprafeței prelucrate;

- *broșarea prin generare* (fig 8.202. b), care se realizează cu broșe la care profilul dinților este diferit de cel al suprafeței de obținut, având formă rectilinie sau curbilinie, formând treptat, pe măsura îndepărtării adaosului de prelucrare, profilul suprafeței de prelucrat. Și în acest caz se aşchiează cu grosimi mici, iar lățimea așchiei se micșorează pe măsură ce se apropie de forma finală a suprafeței. Se obține o precizie dimensională și o netezime inferioară primei scheme, dar sculele sunt mai simple;

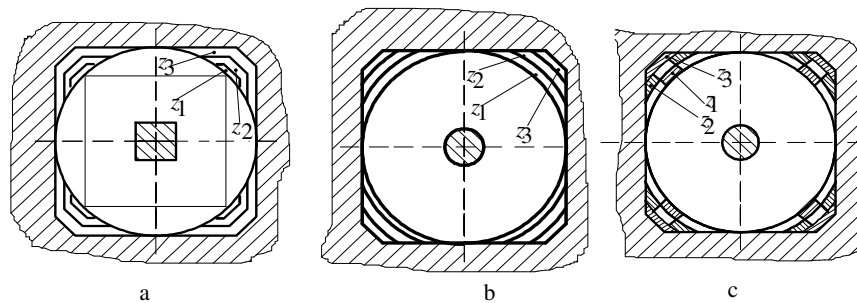


Fig. 8.202. Scheme de aşchiere la broșare:

a - aşchiere după profil; b - aşchiere prin generare; c - aşchiere progresivă.

- *broșarea progresivă* (fig 8.202. c), care se realizează cu broșe la care dinții sunt împărțiți pe porțiuni mai mici și amplasați pe corpul broșei în așa fel încât intrarea lor în procesul de aşchiere să se facă progresiv. Primul strat este îndepărtat pe toată lungimea găurii sub formă de canale de către dinții z_1 , apoi intră în aşchiere dinții z_2 , urmați de dinții z_3 și, în final, dinții părții de calibrare, care au profilul identic cu cel al piesei ce trebuie să fie obținută. În acest caz broșele sunt mult mai lungi, în schimb forțele de aşchiere sunt mult mai mici, iar supraînălțările pot fi mai mari.

În funcție de poziția suprafeței de prelucrat în raport cu altă suprafață, precum și în funcție de felul mișcărilor executate de broșe sau semifabricate, se disting următoarele metode de broșare:

- *broșarea liberă* (fig 8.203. a) se aplică atunci când suprafața de prelucrat nu este legată prin cote de alte suprafețe. Prin broșare se schimbă doar forma și dimensiunile unei găuri prelucrate în prealabil. Semifabricatul 1 este aşezat pe

reazemul suport 2, montat pe corpul 3 al mașinii de broșat. Acționând broșa 4, în direcția mișcării principale cu viteza \bar{v}_c , rezultă suprafața prelucrată la dimensiunile cerute;

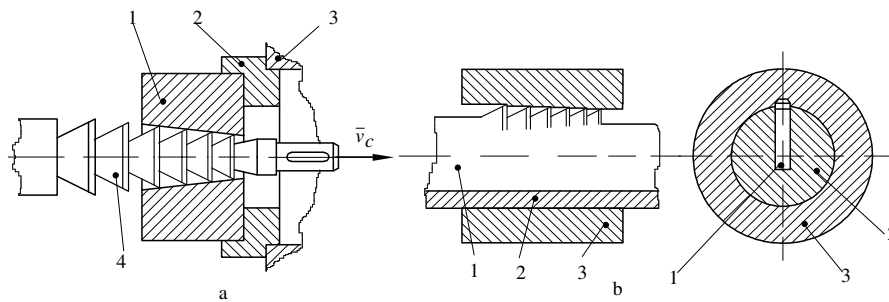


Fig. 8.203. Metode de broșare:

a - broșarea liberă; 1 - semifabricat; 2 - reazeme suport; 3 - masa mașinii de broșat; 4 - broșa - sculă;
b - broșarea coordonată; 1 - broșa; 2 - ghidaj; 3 - semifabricat.

- *broșarea coordonată* (fig 8.203. b) se aplică atunci când suprafața de prelucrat este legată prin cote de alte suprafețe ale piesei. În acest caz se folosesc dispozitive care poziționează broșa față de suprafețele de bază ale semifabricatului. Broșa 1 este ghidată de piesa 2, montată în alezajul semifabricatului 3 și al platoului mașinii de broșat;

- *broșarea circulară* (fig 8.204) se folosește la prelucrarea suprafețelor cilindrice sau conice, netede sau profilate, exterioare sau interioare. Broșa 1 are dinți înfășurați după o spirală și execută mișcarea principală de așchiere I, în timp ce piesa 2 execută o mișcare de avans II, în lungul dintelui broșei;

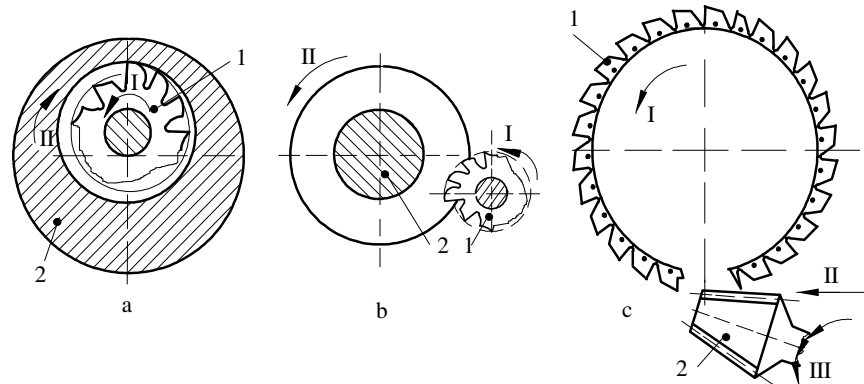


Fig. 8.204. Broșarea circulară:

a - interioară; b - exterioară; c - broșarea circulară a roților dințate; 1 - broșa-sculă; 2 - piesa-semifabricat; I - mișcarea principală de așchiere; II - mișcarea de avans; III - mișcarea de poziționare.

- *broşarea elicoidală* se utilizează în cazul executării canalelor elicoidale cu unghiuri de înclinare ω mici. Se foloseşte o broşă circulară pe care dinţii sunt amplasaţi după înfăşurătoarea unei elice. În timpul lucrului, aceste broşe execută o mişcare elicoidală datorată unghiului de înclinare $\lambda \neq 0$.

8.11.3. Geometria sculelor aşchietoare. Tipuri de scule utilizate la broşare

Scula folosită la prelucrarea prin broşare poartă denumirea de *broşă*. Forma, dimensiunile şi profilul părţii active sunt în funcţie de forma suprafeţei de prelucrat, de schema de aşchiere şi de metoda de broşare adoptată. O anumită broşă poate fi utilizată numai la prelucrarea unui profil bine determinat, într-un anumit material şi pe o lungime dată. Părţile principale ale unei broşe clasice de interior se prezintă în figura 8.205. a. Se disting următoarele părţi: l_1 - *coada broşei* - face legătura între sculă şi maşina - unealtă; l_2 - *partea de ghidare din faţă* - ghidează broşa pe suprafaţa de prelucrat; l_3 - *partea activă a broşei* - formată din dinţii aşchietori, de finisare, de calibrare şi de netezire (uneori); l_4 - *partea de ghidare din spate* - cu rol de protecţie şi ghidare a broşei; l_5 - *coada din spate* - cu rol de prindere, în vederea tragerii.

Prin construcţie broşa este o sculă foarte lungă, sveltă, motive pentru care execuţia, tratamentul termic şi întreţinerea ei ridică probleme deosebite (deci un

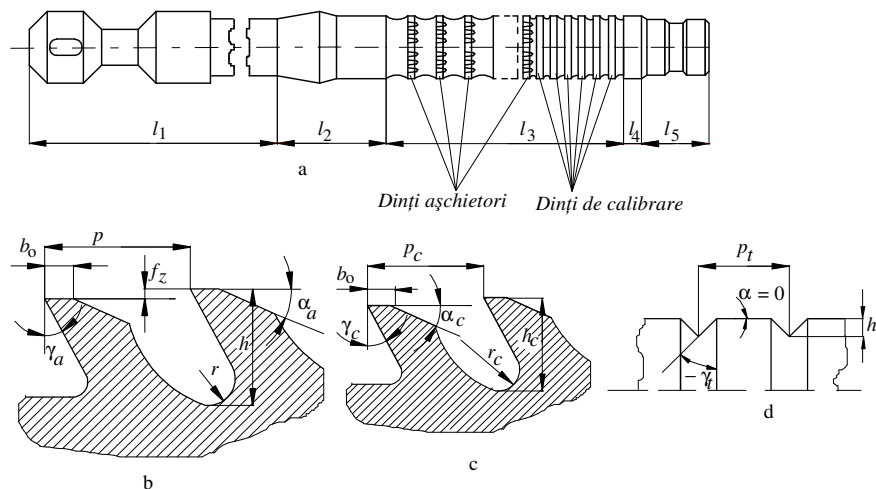


Fig. 8.205. Construcţia broşei:

a - elementele constructive; b - geometria dinţilor aşchietori; c - geometria dinţilor de calibrare; d - geometria dinţilor de netezire şi tasare; l_1 - coada broşei; l_2 - partea de ghidare din faţă; l_3 - partea activă; l_4 - partea de ghidare din spate; l_5 - coada din spate a broşei; b_0 - faţetă; f_z - avansul pe dinte (supraînălţarea); α ; γ - unghiul de aşezare respectiv de degajare; r - raza de racordare a canelurilor; p - pasul dinţilor; h - înălţimea dinţilor.

cost ridicat al sculei).

Geometria dinților așchietori ai broșei se prezintă în figura 8.205. b, ai dinților de calibrare în figura 8.205. c, iar a dinților de netezire în figura 8.205. d. Se constată că la dinții așchietori există supraînălțarea pe dinte f_z , în timp ce la dinții de calibrare lipsește. Unghiul de degajare γ_a se alege corespunzător materialului de prelucrat, în timp ce valoarea unghiului de așezare α_a are valori mici ($1...3^\circ$), impuse de pericolul de decalibrare, datorat reascuțirii. Datorită unghiurilor de degajare negative ale dinților de netezire, aceștia execută o tasare a materialului, îmbunătățind rugozitatea suprafeței și duritatea superficială.

Broșele se clasifică după mai multe criterii:

- după *sensul forței de acționare*: broșe ce lucrează prin tragere (fig. 8.206. a) sau prin împingere (fig. 8.206. b);
- după *natura suprafețelor prelucrate*: broșe pentru interior (fig. 8.206. a...g) și broșe pentru exterior (fig. 8.206. h);
- după *profilul secțiunii prelucrate*: broșe pentru găuri rotunde (fig. 8.206. a și b) broșe pentru canale de pană (fig. 8.206. d), broșe pentru profile poligonale (fig. 8.206. c), pentru caneluri (fig. 8.206. e), pentru danturi interioare sau exterioare, pentru suprafețe combinate etc;
- după *construcția dinților*: broșe de așchiere (fig. 8.206. a...e) și broșe de netezire (fig. 8.206. f);
- după *natura construcției*: broșe monobloc, broșe cu dinți demontabili (pentru diametre mai mari de 80 mm), broșele elicoidale (fig. 8.206. g) folosite la prelucrarea găurilor de diametru mic ($d < 15$ mm) și lungime mare ($L > 100$ mm).

8.11.4. Mașini-unelte și dispozitive specifice la prelucrarea prin broșare

Mașinile de broșat au o construcție simplă și o rigiditate mare, asigurând forțe mari în direcția mișcării principale. Clasificarea mașinilor de broșat se face după mai multe criterii:

- după *natura suprafețelor prelucrate*: mașini de broșat interior și mașini de broșat exterior;
- după *direcția mișcării principale*: mașini cu destinație generală (universale) și mașini speciale de broșat;
- după *modul de lucru*: cu acționare discontinuă sau cu acționare continuă;
- după *sensul de acționare asupra broșei*: mașini de broșat prin tragere și mașini de broșat prin împingere;
- după *gradul de automatizare*: mașini de broșat neautomatizate (universale), semiautomate și automate.

Construcția unei mașini de broșat ține cont de următoarele caracteristici:

- particularitățile procedului de broșare, care presupun existența numai a lanțului cinematic principal;
- lungimea mare a cursei rectilinii de lucru (datorate lungimii mari a

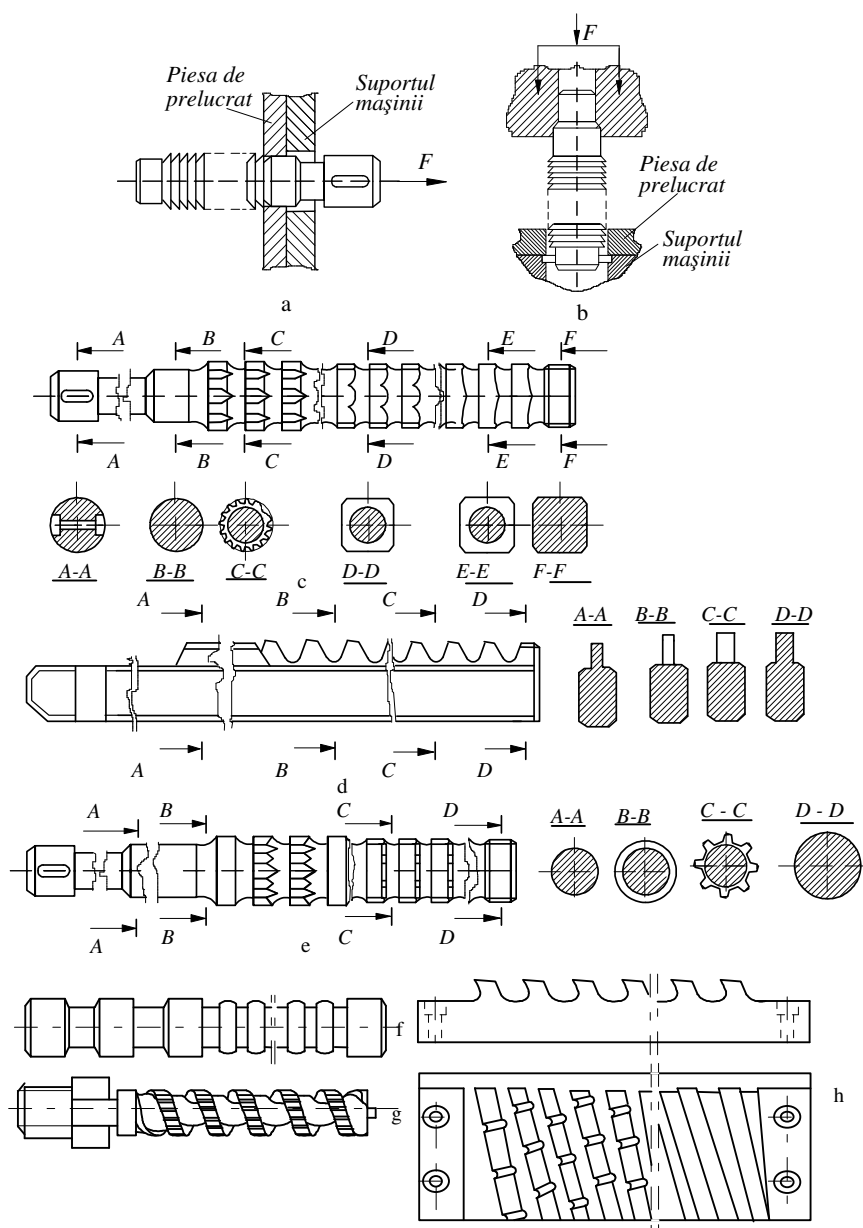


Fig. 8.206. Diferite tipuri de broșe:

- a - broșă care lucrează prin tragere; b - broșă care lucrează prin împingere; c - broșă poligonală;
 d - broșă pentru canal de pană; e - broșă pentru caneluri; f - broșă pentru netezire;
 g - broșă elicoidală; h - broșă pentru suprafețe plane exterioare.

broșei);

- forțele de așchiere foarte mari (forța principală de așchiere F_c poate ajunge până la valori de $20 \cdot 10^3 \text{ N}$);
- discontinuitatea (în majoritatea cazurilor) operației de broșare, care influențează posibilitățile de automatizare ale mașinii.

Schema de principiu a unei mașini de broșat orizontală se prezintă în figura 8.207.

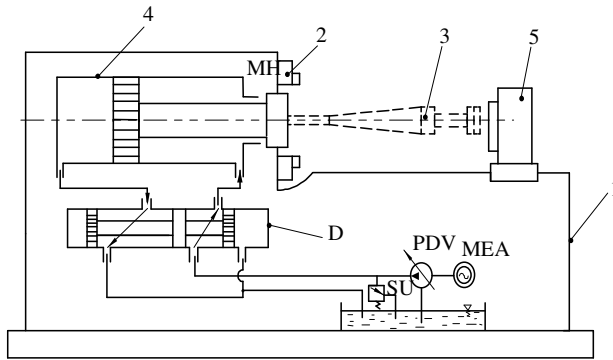


Fig. 8.207. Schema de principiu a unei mașini de broșat interior - orizontală:
1 - batiu; 2 - dispozitivul de prindere a piesei;
3 - dispozitivul de prindere a bușei; 4 - motorul hidraulic principal; 5 - dispozitiv de prindere auxiliar;
PDV - pompă cu debit variabil; MEA - motor electric asincron;
D - distribuitor hidraulic;
MH - motor hidraulic;
SU - supapă de siguranță cu sens unic.

Pe batiul 1 sunt fixate dispozitivul de prindere 2 al piesei, dispozitivul de prindere 3 al broșei, motorul de acționare principal 4, dispozitivul de prindere auxiliar 5 și distribuitorul D. Uleiul debitat de pompa cu debit variabil PDV, acționată de motorul electric MEA, alimentează motorul hidraulic principal MH, prin intermediul distribuitorului D. Variația vitezei principale de așchiere se face

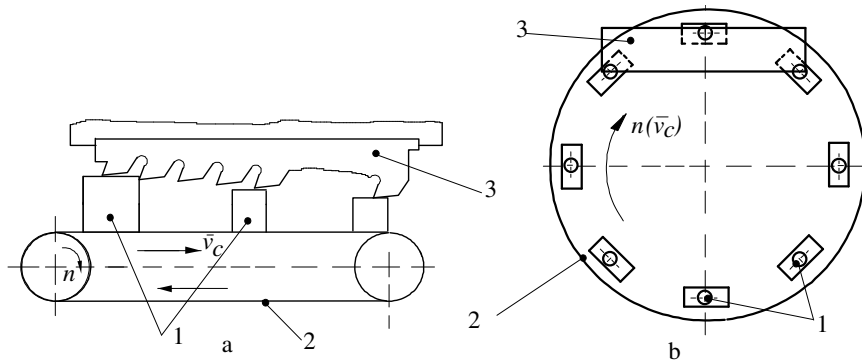


Fig. 8.208. Mașini de broșat cu acționare discontinuă:
a - cu lanț; b - cu platou rotitor: 1 - piesa de prelucrat; 2 - transmisie cu lanț (a) sau platou rotitor (b);
3 - broșa - sculă.

prin variația debitului pompei PDV, iar protecția la suprasarcină se face prin supapa de siguranță SU.

Pentru o productivitate sporită și piese mici, se folosesc mașinile de broșat continuu, care pot fi: cu lanț (fig. 8.208. a) sau cu platou rotitor (fig. 8.208. b). La mașinile de broșat cu lanț, piesele de prelucrat 1 sunt montate pe o transmisie cu lanț 2 și trec prin fața unei broșe fixe 3, mișcarea principală de aşchiere fiind o mișcare rectilinie efectuată de piesă cu viteza \bar{v}_c . La mașinile de broșat cu platou circular, piesele 1 sunt montate pe platoul 2, care se rotește cu turația $n(\bar{v}_c)$ în fața broșei fixe 3. În ambele cazuri prinderea semifabricatului și desprinderea piesei se fac din mers, productivitatea prelucrării fiind de câteva ori mai mare decât la mașinile de broșat cu acțiune discontinuă.

8.11.5. Stabilirea condițiilor de lucru la broșare

Stabilirea condițiilor de lucru la broșare se face ținând cont de următoarele aspecte: forma și dimensiunile semifabricatului, precizia dimensională și rugozitatea suprafeței prelucrate, caracteristicile mecanice și starea materialului de prelucrat, natura materialului de prelucrat, construcția și parametrii geometrici ai sculei aşchietoare, tipul suprafeței de prelucrat, caracterul producției și condițiile în care se desfășoară procesul de aşchiere.

Principalele etape ce trebuie parcurse în vederea stabilirii condițiilor de lucru la broșare sunt: alegerea sculei aşchietoare; stabilirea durabilității economice și a uzurii admisibile a sculei aşchietoare; stabilirea adâncimii de aşchiere și a numărului de treceri; stabilirea avansului de aşchiere; stabilirea forțelor de aşchiere; stabilirea vitezei de aşchiere; verificarea puterii de aşchiere.

8.11.5.1. Alegerea sculei aşchietoare

Se face în funcție de tipul prelucrării, forma suprafeței de prelucrat, schema de aşchiere adoptată, caracterul procesului de broșare, dimensiunile suprafeței de prelucrat, caracterul producției și calitatea suprafeței prelucrate.

8.11.5.2. Stabilirea durabilității economice și a uzurii maxim admisibile a sculei aşchietoare

Durabilitatea economică trebuie să fie mai mare, datorită costului ridicat și a complexității tehnologice a sculei. Fiind o sculă de finisare, se consideră că o uzură $h = 0,3...0,4$ mm este limita superioară, căreia îi corespunde o durabilitate efectivă $T_{ef} = 90...480$ minute.

8.11.5.3. Stabilirea adâncimii de aşchiere și a numărului de treceri

Se face în funcție de schema de generare, profilul suprafeței de prelucrat, natura materialului de prelucrat și forma dinților broșei.

8.11.5.4. Stabilirea avansului de aşchiere

Avansul pe dinte f_z se alege în funcţie de tipul prelucrării, natura materialului de prelucrat şi schema de generare. Avansul pe dinte s-a stabilit experimental între 0,02 şi 0,3mm. Acesta nu se ia mai mic de 0,02 mm, deoarece în loc de aşchiere s-ar produce numai o tasare a materialului, şi nici mai mare de 0,3 mm, deoarece ar periclita rezistenţa sculei.

8.11.5.5. Stabilirea forţelor de aşchiere

Asupra dinţilor broşei, în timpul aşchierii, rezistenţele de aşchiere determină forţe de aşchiere pe toate cele trei direcţii principale F_x , F_y , F_z . Forţa F_y se anulează reciproc (cazul broşării libere), iar în cazul broşării ghidate este preluată de ghidajele maşinii de broşat. Forţa principală de aşchiere $F_z = F_c$ este preluată de dispozitivele de acţionare principală şi are expresia:

$$F_c = C_p \cdot f_z^{y_F} \cdot d \cdot z_{sim} \quad (8.210)$$

pentru alezaje cilindrice de diametru d ;

$$F_c = C_p \cdot f_z^{y_F} \cdot b \cdot z_{sim} \quad (8.211)$$

pentru suprafeţe plane de lăţimea b , şi :

$$F_c = C_p \cdot f_z^{y_F} \cdot b \cdot N \cdot z_{sim} \quad (8.212)$$

pentru butuci canelaţi cu N caneluri de lăţime b , în care: f_z este avansul pe dinte; z_{sim} - numărul de dinţi aflaţi simultan în aşchiere; C_p ; y_F - coeficienţi de corecţie aleşi în funcţie de natura materialului de prelucrat şi condiţiile de achiere;

8.11.5.6. Stabilirea vitezei de aşchiere

Se determină din condiţia realizării durabilităţii optime cu relaţia:

$$v_{cec} = \frac{C_v}{T^m \cdot f_z^{y_v}} \quad (8.213)$$

în care T este durabilitatea optimă (90...480 minute); f_z - avansul pe dinte, în [mm]; C_v ; y_v ; m - coeficienţi de corecţie determinaţi pe cale experimentală.

De reţinut că fiind o operaţie de finisare, trebuie evitate depunerile pe tăiş, din acest motiv vitezele de aşchiere la broşare sunt mici, nedepăşind valori de 15...20 m/min.

8.11.5.7. Verificarea puterii de aşchiere

Se face calculând puterea reală de aşchiere P_c cu relaţia:

$$P_c = \frac{F_c \cdot v_c}{6\,000 \cdot \eta} \quad [\text{kW}] \quad (8.214)$$

și comparând-o cu puterea motorului electric de acționare (η este randamentul mașinii de broșat) trebuie îndeplinită condiția:

$$P_c < P_{MEA} \quad (8.215)$$

Observație. Determinarea tuturor coeficienților de corecție și a parametrilor necesari stabilirii condițiilor de lucru la broșare se face folosind Manualul Inginerului Mecanic volumele I, II și III și normative corespunzătoare.

8.11.6. Tipuri de prelucrări executate pe mașinile de broșat

Prin broșare se poate prelucra o varietate foarte mare de suprafețe interioare sau exterioare, plane sau profilate, de configurație simplă sau complexă. Procedeul este deosebit de eficient în cazul finisării următoarelor categorii de suprafețe:

- suprafețe poligonale interioare (fig. 8.201. a, b, c, j) sau exterioare (fig. 8.201. h);
- suprafețe cilindrice interioare (fig. 8.201. f) sau exterioare (fig. 8.201. k);
- suprafețe profilate interioare (fig. 8.201. c și d) sau exterioare (fig. 8.201. I și l);
- suprafețe canelate (fig. 8.201. e și g);
- cremaliere (fig. 8.201. m) și roți dințate cilindrice sau conice (fig. 8.201. c).

Rugozitatea suprafețelor prelucrate este cuprinsă între $(0,2 \dots 0,8) \mu\text{m}$, iar precizia dimensională corespunde claselor de precizie 1...4 conform ISO.

8.12. PRELUCRAREA PRIN RECTIFICARE

8.12.1. Definire. Scheme de principiu

Rectificarea este procedeul de prelucrare prin aşchiere ce rezultă din combinarea unei mișcări principale de aşchiere, totdeauna de rotație și totdeauna executată de sculă cu mișcări de avans rectiliniu, circular sau combinat executate de piesă și/sau sculă.

Rectificarea este procedeul de generare prin aşchiere a suprafețelor cu ajutorul unor scule abrazive (o mulțime de granule abrazive), a căror vârfuri ascuțite și muchii au orientări și forme stocastice, în scopul obținerii unei mai mari precizii dimensionale și a unei calități superioare a suprafețelor.

Schema de principiu la prelucrarea prin rectificare (fig. 8.209) este asemănătoare cu cea de la frezare, cu deosebire că granulele abrazive, față de dinții frezei, sunt repartizate arbitrar, lucrează cu unghiuri de degajare γ foarte diferite și cu viteze de așchiere foarte mari.

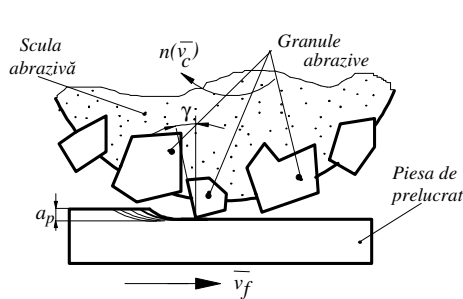


Fig. 8.209. Schema de principiu la rectificare:
 $n(\bar{v}_c)$ - turația discului abraziv (viteza
 mișcării principale de așchiere); \bar{v}_f - viteza
 mișcării de avans; a_p - adâncimea de așchiere;
 γ - unghiul de degajare.

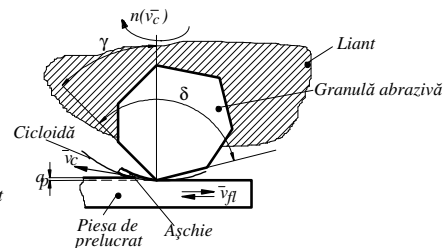


Fig. 8.210. Modelul așchierii la rectificare:
 \bar{v}_c - viteza mișcării principale de așchiere;
 \bar{v}_{fl} - viteza mișcării de avans longitudinal;
 γ și δ - unghiul de degajare și respectiv de
 așchiere.

În general, rectificarea ca procedeu de prelucrare prin așchiere se aplică:

- pentru realizarea unor precizii dimensionale ridicate și a unor calități superioare ale suprafețelor prelucrate;
- pentru prelucrarea unor piese confecționate din materiale ce nu permit alt procedeu de prelucrare eficient (piese din oțel călit, din fontă dură, oțeluri dure, materiale metalice și nemetalice dure și extradure etc.);
- pentru prelucrarea unor piese la care ecruisarea suprafețelor prelucrate să fie minimă.

8.12.2. Generarea suprafețelor prin rectificare

Rectificarea este un procedeu de așchiere complex având particularități specifice, care îl deosebesc de celelalte procedee de prelucrare prin așchiere:

- spre deosebire de dinții frezei, granulele abrazive ale pietrei de rectificat au poziții diferite, astfel că unghiul de degajare γ este uneori negativ (fig. 8.209), fapt ce face ca așchieria să se producă cu deformații plastice și la temperaturi foarte înalte (peste 1 000°C), atât în zona de așchiere, cât și pe porțiunile de contact granulă - suprafață de prelucrat;
- piatra abrazivă nu are un tăiș continuu asemănător dinților frezei, ceea ce face ca pe suprafața prelucrată, perpendicular pe direcția axului pietrei abrazive să apară urme ale granulelor abrazive;

- în timp ce piesa realizează o traiectorie rectilinie, cu viteza \bar{v}_f (fig. 8.210), fiecare granulă are o traiectorie circulară cu viteza \bar{v}_c , din componere rezultând o traiectorie cicloidă pentru muchia granulei;
- în majoritatea cazurilor directoarea se obține cinematic, ca înfășurătoare a pozițiilor succesive ale unei curbe cinematice;
- mișcările necesare generării suprafețelor prin rectificare sunt diferite în funcție de configurația geometrică a suprafețelor, astfel pentru generarea unei suprafețe plane (fig. 8.211. a) sunt necesare: mișcarea de rotație a sculei n , care este mișcarea principală de aşchiere, cu viteza \bar{v}_c , mișcarea de avans executată de piesă sau de sculă, cu viteza \bar{v}_f și mișcarea de poziționare, executate de sculă sau piesă (f_p); pentru generarea suprafețelor cilindrice exterioare (fig. 8.211. b) sunt necesare: mișcarea de rotație a sculei (mișcarea principală de aşchiere) cu viteza \bar{v}_c , mișcarea de avans circular a pietrei cu viteza \bar{v}_{fc} și de poziționare executată de sculă sau piesă (f_p); pentru generarea suprafețelor cilindrice interioare (fig. 8.211. c) sunt necesare: mișcarea de rotație ale sculei (mișcarea principală de aşchiere) executată cu viteza \bar{v}_c , mișcarea de avans a piesei executată cu viteza \bar{v}_{fc} și de poziționare executată de sculă sau piesă (f_p);
- grosimea aşchii rezultate la rectificare este variabilă, unghiul θ al penei aşchii având un rol deosebit în fizica formării aşchii (fig.8.212). Reprezentând două traiectorii succesive T_1 și T_2 ale unei granule, în cazul celor trei metode, se constată modul de variație al grosimii aşchii și modul de desprindere al acesteia;

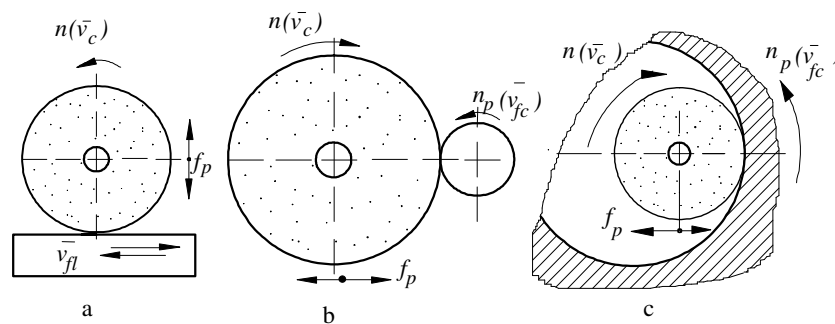


Fig. 8.211. Metode de generare prin rectificare:

a - suprafețe plane; b - suprafețe cilindrice exterioare; c - suprafețe cilindrice interioare; n – turația discului; \bar{v}_c - viteza mișcării principale de aşchiere; n_p – turația piesei de prelucrat; \bar{v}_{fc} - viteza de avans circular; f_p – avansul de pătrundere; \bar{v}_f - viteza de avans longitudinal.

- aşchiile desprinse sunt de dimensiuni microscopice, de aceea se poate face un control mult mai riguros al calității suprafețelor prelucrate.

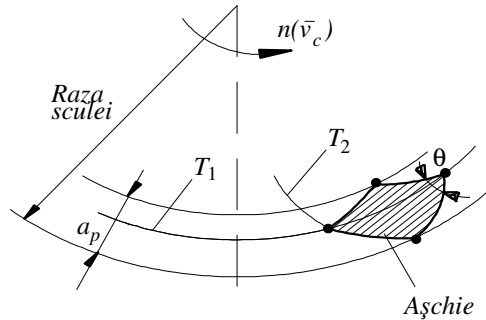


Fig. 8.212. Formarea aşchii la rectificare:
 a_p - adâncimea de aşchiere;
 T_1, T_2 - traiectoriile succesive ale unei granule abrazive.

Schemele de aşchiere la rectificare sunt foarte diferite în funcție de configurația geometrică a suprafețelor, de gradul de netezime și precizia dimensională a suprafețelor prelucrate. Cele mai des întâlnite scheme de aşchiere la rectificare sunt:

- *rectificarea rotund exterioară* care se poate realiza între vârfuri sau fără centre. Rectificarea rotund exterioară între vârfuri poate fi *cu avans longitudinal*

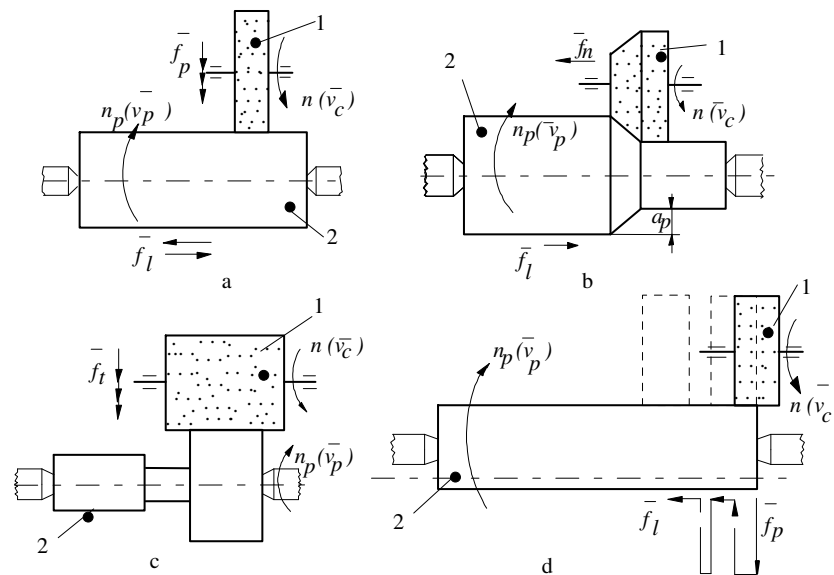


Fig. 8.213. Scheme de principiu la rectificarea rotund exterioară:

a - cu avans longitudinal; b - cu avans în adâncime; c - cu avans transversal; d - cu avans în trepte:
 1 - scula aşchietoare; 2 - piesa de prelucrat; $n(\bar{v}_c)$ - turația discului abraziv (viteza mișcării principale de aşchiere); $n_p(\bar{v}_p)$ - turația piesei de prelucrat (viteza de avans circular); f_l - avansul longitudinal; f_t - avansul transversal; f_p - avansul de pătrundere; f_n - avansul în adâncime.

(fig. 8.213. a), în adâncime (fig. 8.213. b), cu avans transversal (fig. 8.213. c), cu avans în trepte (fig. 8.213. d).

Rectificarea rotund exterioră între vârfuri se aplică în special la prelucrarea pieselor de tipul axelor, arborilor, tijelor de lungime și gabarit relativ mare.

Se pot prelucra și suprafețe conice exterioare cu ajutorul discurilor abrazive conice unghiulare (fig. 8.214. a), prin înclinarea mesei mașinii cu unghiul α (fig. 8.214. b), prin înclinarea păpușii port-piatră (fig. 8.214. c) sau prin înclinarea păpușii port-piesă (fig. 8.214. d). După aceeași schemă de aşchiere se rectifică și suprafețele profilate, fie prin copiere (fig. 8.215. a) cu scule abrazive obișnuite, fie cu scule abrazive profilate (fig. 8.215. b).

Rectificarea rotund exterioră fără centre (fig. 8.216) se poate face cu avans longitudinal (fig. 8.216. a) sau cu avans transversal (fig. 8.216. b).

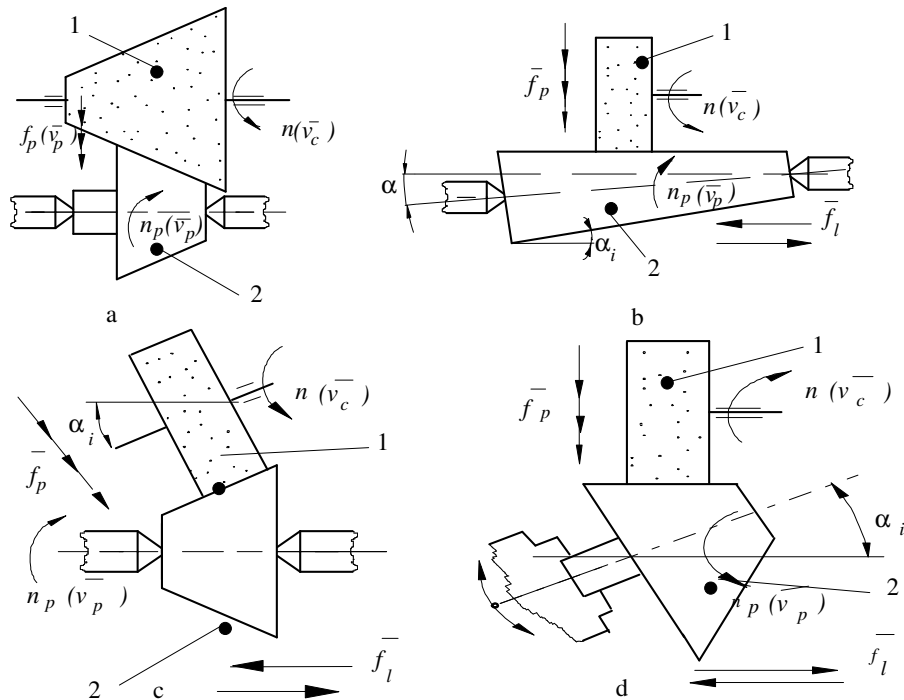


Fig. 8.214. Scheme de principiu la rectificarea rotund exterioră a suprafețelor conice:
a - cu discuri abrazive unghiulare; b - prin înclinarea mesei cu unghiul α_i ; c - prin înclinarea păpușii port-piatră; d - prin înclinarea păpușii port-piesă: 1 - scula aşchietoare; 2 - piesa de prelucrat;
 $n(\bar{v}_c)$ - turația discului abraziv (viteza mișcării principale de aşchiere); $n_p(\bar{v}_p)$ - turația piesei de prelucrat (viteza de avans circular); f_l - avansul longitudinal; f_p - avansul de pătrundere;
 α_i - unghiul de înclinare.

La rectificarea cu avans longitudinal semifabricatul 1 se introduce axial între discul abraziv 2, de diametru mai mare, ce efectuează mișcarea principală de așchiere cu viteza $v_c = (30...40)$ m/s, și discul conducător 3, ce poate fi din material abraziv sau fontă și se rotește cu viteza $v_p = (10...50)$ m/min. Deoarece discul conducător este înclinat cu unghiul $\alpha_i = 1...5^\circ$, va imprima semifabricatului mișcarea de avans longitudinal cu viteza \bar{v}_f , semifabricatul sprijinându-se pe rigla de ghidare 4.

La rectificarea cu avans transversal (fig. 8.216. b) discul conducător 3 execută și mișcarea de apropiere sau îndepărtare f_t față de discul de lucru 2. Cele două discuri au axele paralele sau înclinate cu un unghi $\alpha = 0,5...1^\circ$ pentru a asigura menținerea piesei;

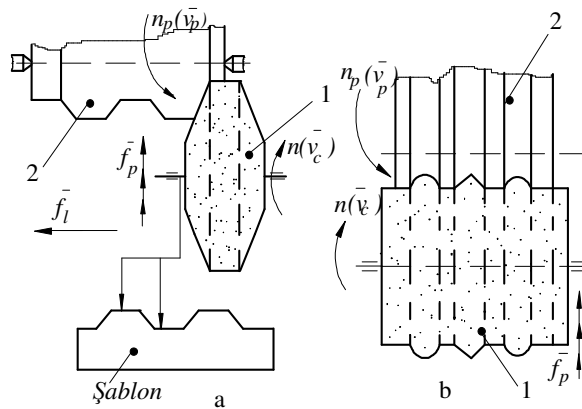


Fig. 8.215. Scheme de principiu la rectificarea suprafețelor profilate:
a - prin copiere; b - cu scule profilate; 1 - scula așchietoare;
2 - piesa de prelucrat;
 $n(\bar{v}_c)$ - turația discului abraziv
(viteza mișcării principale de așchiere); $n_p(\bar{v}_{fc})$ - turația piesei de prelucrat (viteza de avans circular); f_l - avansul longitudinal; f_p - avansul de pătrundere.

- *rectificarea rotund interioară*, asemănătoare cu rectificarea rotund exterioară. Permite prelucrarea suprafețelor de revoluție interioare cu diametru de (6...50) mm și lungimi de (50...500) mm. Mișcările necesare generării sunt: mișcarea principală de așchiere $n(\bar{v}_c)$, executată de sculă, mișcarea de avans circular $n_p(\bar{v}_{fc})$, executată de piesă sau de sculă, avansul radial f_p , executat de sculă, și avansul longitudinal f_l , executat de sculă sau piesă. Se disting două scheme de lucru: cu piesa în mișcare de rotație (fig. 8.217. a), pentru piese de dimensiuni mici (discuri, flanșe, bușe, roți dințate), și cu piesa fixă (fig. 8.217. b), pentru piese de dimensiuni mari și forme complexe (blocuri de cilindrii, cămăși de pistoane, carcase etc.).

Rectificarea rotund interioară fără centre se folosește la prelucrarea unor piese care au suprafețele cilindrice interioare și exterioare concentrice, în cazul producției de serie mare sau de masă. Piesa 1 (fig. 8.218) se sprijină pe o rolă de reazem 2, fiind apăsată de rola 3 și discul conducător 4. Axele celor două role și cea a discului abraziv 5 trebuie să fie paralele cu axa piesei de prelucrat.

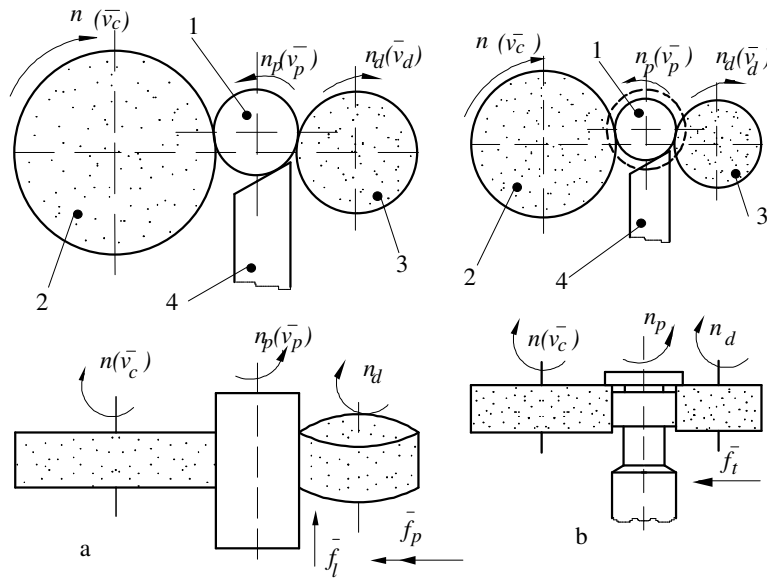


Fig. 8.216. Scheme de principiu la rectificarea rotund exterioră fără centre:
 a - cu avans longitudinal; b - cu avans transversal; 1 - piesa de prelucrat; 2 - scula aşchietoare;
 3 - discul conducător; 4 - rigla de sprijin; $n(\bar{v}_c)$ - turația discului abraziv (viteza mișcării principale
 de aşchiere); $n_p(\bar{v}_p)$ - turația piesei - semifabricat (viteza de avans circular); $n_d(\bar{v}_d)$ - turația discului
 conducător (viteza discului conducător); f_l - avansul longitudinal; f_t - avansul transversal;
 f_p - avansul de poziționare.

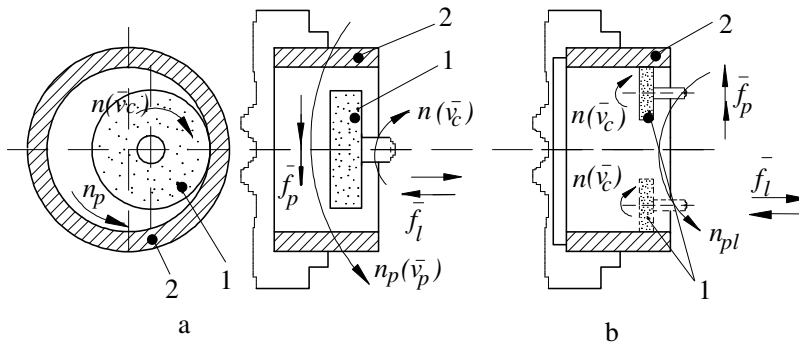


Fig. 8.217. Scheme de principiu la rectificarea rotund interioară:
 a - cu piesa în mișcare de rotație; b - cu piesa fixă și discul abraziv în mișcare planetară; 1 - scula
 aşchietoare; 2 - piesa de prelucrat; $n(\bar{v}_c)$ - turația discului abraziv (viteza mișcării principale de
 aşchiere); $n_p(\bar{v}_p)$ - turația piesei - semifabricat (viteza de avans circular); f_l - avansul
 longitudinal; f_p - avansul de poziționare; n_{pl} - mișcarea planetară.

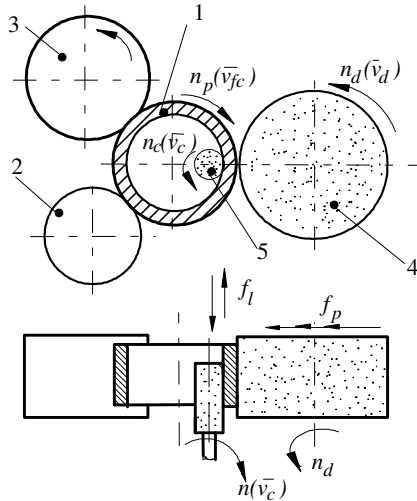


Fig. 8.218. Schema de principiu la rectificarea rotund interioară fără centre:

1 - piesa de prelucrat; 2 - rolă de sprijin; 3 - rolă de apăsare; 4 - discul conducător; 5 - scula aşchietoare; $n(\bar{v}_c)$ - turaţia discului abraziv (viteza mişcării principale de aşchiere); $n_p(\bar{v}_{fc})$ - turaţia piesei - semifabricat (viteza de avans circular); $n_d(\bar{v}_d)$ - turaţia discului conducător (viteza discului conducător); f_l - avansul longitudinal; f_p - avansul de poziţionare.

- *rectificarea plană*, la care mişcările necesare generării suprafeţelor sunt: mişcarea principală de aşchiere $n_c(\bar{v}_c)$, executată de sculă, mişcarea de avans longitudinal alternativ f_l , executată de piesă şi uneori de sculă, mişcarea de avans transversal f_t , executată de piesă, şi mişcarea de avans de pătrundere f_p , executată de sculă. După modul cum se aşchiază cu discul abraziv se deosebesc două metode de rectificare plană: *cu suprafaţa periferică a discului* (fig. 8.219. a) şi *cu suprafaţa frontală a discului* (fig. 8.219. b).

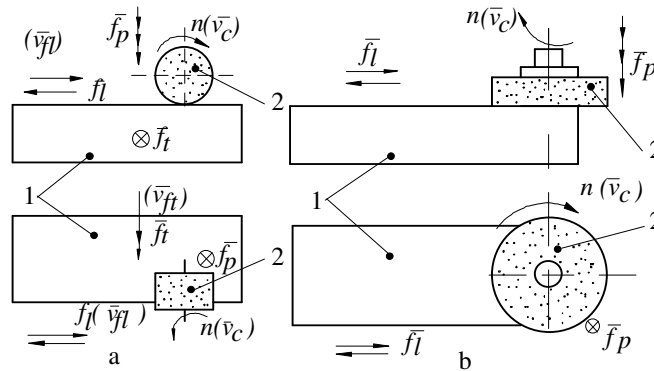


Fig. 8.219. Schema de principiu la rectificarea plană:

a - cu suprafaţa periferică a discului; b - cu suprafaţa frontală a discului abraziv; $n(\bar{v}_c)$ - turaţia discului abraziv (viteza mişcării principale de aşchiere); f_l - avansul longitudinal; f_t - avansul transversal; f_p - avansul de poziţionare.

8.12.2. Geometria sculelor aşchietoare. Tipuri de scule

Sculele folosite la rectificare poartă denumirea de *scule abrazive* (pietre de rectificat) şi se deosebesc total de sculele folosite la procedeele de generare prin aşchiere anterioare. O piatră abrazivă, indiferent de forma ei, este formată din o mulţime de granule abrazive 1, (fig. 8.220) ce servesc la desprinderea aşchiilor, legate între ele cu un liant 2 şi porii 3, ce servesc la cuprinderea aşchiilor care se detaşează în procesul de generare.

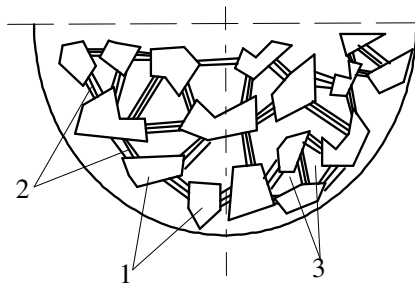


Fig. 8.220. Structura unei pietre abrazive:
1 - granule abrazive; 2 - liant; 3 - pori.

Pe lângă forma şi dimensiunile caracteristice, sculele abrazive au o serie de caracteristici definitorii: natura materialului abraziv, natura liantului, duritatea pietrei de rectificat, mărimea granulelor abrazive şi structura pietrei de rectificat.

Ca *materiale abrazive* se folosesc: corindonul, electrocorindonul, carbura de siliciu (carborund), carbura de bor, nitrura de bor (Borazon, Elbor, Cubonit), azotura de titan şi diamantul.

Ca *lianţi* se folosesc: lianţii magnezieni (simbol M), ceramici (C), răşini sintetice (B) şi lianţi pe bază de cauciuc (V).

Granulaţia reprezintă o măsură pentru mărimea granulelor abrazive, deosebindu-se: micropulberi (3...40µm), pulberi (40...160µm) şi granule normale (160...2500µm).

Duritatea sculei abrazive este dată de rezistenţa opusă la smulgerea granulelor din reţeaua de liant. Din acest punct de vedere se deosebesc: scule extrem de moi (simbolizare A...D); scule foarte moi (E...G); scule moi (H...K); scule de duritate mijlocie (L...O); scule dure (P...S); scule foarte dure (T...W); scule extrem de dure (X...Z).

Structura sculei abrazive este definită prin raportul dintre cantitatea de granule abrazive, lianţi şi pori, în unitatea de volum. În România sunt standardizate 13 clase de structură (0...12), începând de la foarte deasă, până la poroasă.

Datorită unei mari varietăţi de suprafeţe ce pot fi prelucrate prin rectificare, forma şi mărimea pietrelor abrazive este foarte diversă, deosebindu-se (fig. 8.221): pietre abrazive cilindrice plane (fig. 8.221. a); pietre abrazive conice plane (fig. 8.221. b); pietre abrazive taler (fig. 8.221. c); pietre abrazive oală (fig. 8.221. d); pietre abrazive bitronconice (fig. 8.221. e); pietre abrazive segmenti (fig. 8.221. f);

pietre abrazive pilă (fig. 8.221, g); pietre abrazive cu tijă (fig. 8.221. h).

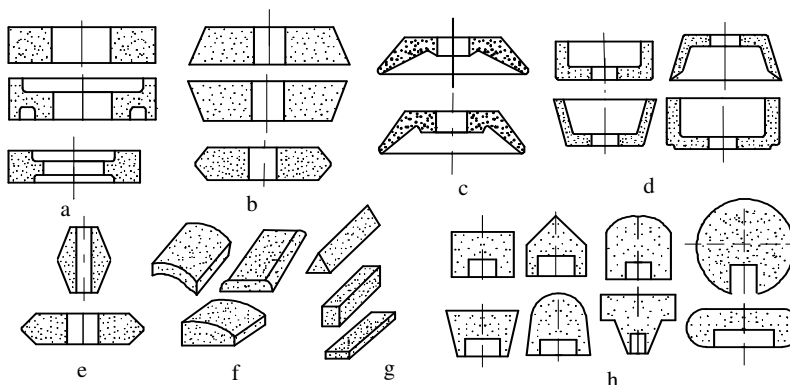


Fig. 8.221. Diferite tipuri de scule abrazive:

a - cilindrice plane; b - conice plane; c - taler; d - oală; e - bitronconice;
f - segmenti; g - pilă; h - cu tijă.

8.12.4. Mașini – unelte și dispozitive specifice folosite la prelucrarea prin rectificare

Rectificarea trebuie să realizeze precizii dimensionale foarte bune, rugozitatea suprafeței foarte mică, de aceea, mașinile de rectificat trebuie să îndeplinească o serie de cerințe (mers liniștit, compact, realizarea mișcărilor în mod continuu, protejarea suprafețelor de ghidare de micropulberile desprinse, cinematică uneori foarte complicată, echilibrarea perfectă a părților în mișcare etc.).

Mașinile de rectificat sunt foarte diverse, ele clasificându-se după mai multe criterii. După construcția lor și domeniul de utilizare se deosebesc:

- mașini de rectificat *rotund exterior între vârfuri și fără centre*;
- mașini de rectificat *rotund interior cu cap de prindere, fără prinderea piesei, și planetare*;
- mașini de rectificat *plan-periferic* (orizontale) și *frontal* (verticale), *cu masă dreptunghiulară sau circulară*;
- mașini de rectificat *rotund universale*;
- mașini de rectificat *speciale pentru filete, roți dințate, arbori cu came, arbori cotiți, ghidaje, bile de rulmenți, ascuțit scule etc.*

Schema de principiu a unei mașini de rectificat rotund exterior între vârfuri, acționată mecanic este prezentată în figura 8.222.

Lanțurile cinematice care concură la generarea suprafeței prin rectificare sunt:

- $MEA_1 - 1 - 2 - SA - n_c (\bar{v}_c)$ - pentru mișcarea principală de așchiere;

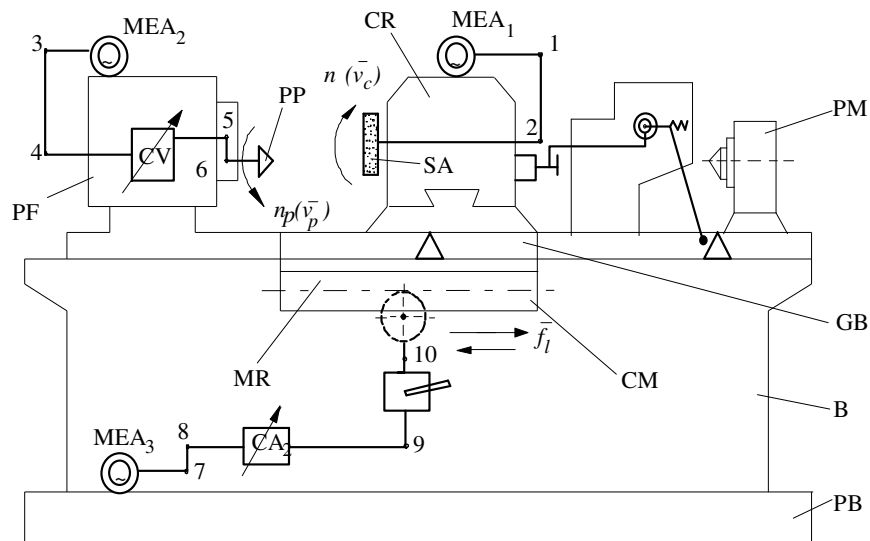


Fig.8.222. Schema de principiu a unei mașini de rectificat rotund exterior între vârfuri, acționată mecanic:

PB - placa de bază; B - batiu; GB - ghidajele batiului; CR - cap de rectificat; PM - păpușa mobilă; PF - păpușa fixă; MR - masa mașinii de rectificat; CM - cremalieră; 1, 2, 3, ..., 10 - mecanisme de transmitere a mișcării; O - opritori; PP - piesa de prelucrat; SA - sculă abrazivă.

- MEA₂ - 3 - 4 - CV - 5 - 6 - PP - $n_p(v_p)$ - pentru mișcarea de avans circular;
- MEA₃ - 7 - 8 - 9 - 10 - M - f_l - pentru mișcarea de avans longitudinal.

Schema cinematică de principiu a unei mașini de rectificat rotund interior cu cap de prindere este prezentată în figura 8.223. Lanțurile cinematice necesare generării suprafețelor prin rectificare în acest caz, sunt:

- MEA₁ - 1 - 2 - SA - $n_c(\bar{v}_c)$ - pentru mișcarea principală de aşchiere;
- MEA₂ - 3 - 4 - CV - 5 - 6 - P - $n_p(\bar{v}_{fc})$ - pentru mișcarea de rotație a piesei;

- MEA₃ - PDC - 7 - D - 8 - CH - MR - f_l - pentru realizarea avansului longitudinal.

Schema cinematică de principiu a unei mașini de rectificat plan periferică, orizontală este prezentată în figura 8.224. Lanțurile cinematice necesare generării suprafețelor prin rectificare, în acest caz, sunt:

- MEA₁ - 1 - 2 - SA - $n_c(\bar{v}_c)$ - pentru mișcarea principală de aşchiere;
- MEA₂ - PDC - S₃ - S₁ - CH₁ - MR - $f_l(\bar{v}_{fl})$ - pentru mișcarea de avans longitudinal;

- MEA₂ - PDC - S₃ - S₂ - 3 - 4 - CH₂ - S_c/P_c - MR - $f_t(\bar{v}_{ft})$ - pentru mișcarea de avans transversal.

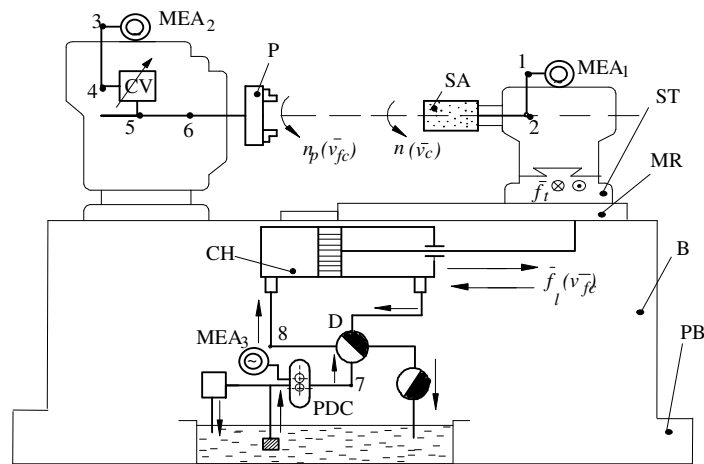


Fig. 8.223. Schema de principiu a unei mașini de rectificat rotund interior cu cap de prindere:
 PB - placa de bază; B - batiu; MR - masa mașinii de rectificat; SA - scula așchietoare;
 P - cap de prindere; ST - sanie transversală; CH - cilindru hydraulic; D - drosel;
 PDC - pompă cu debit constant; $n(\bar{v}_c)$ - turația discului abraziv (viteza mișcării principale de așchiere); $n_p(\bar{v}_{fc})$ - turația piesei - semifabricat (viteza de avans circular); f_l - avansul longitudinal;
 f_t - avansul transversal; 1; 2; 3; ..., 8 - mecanisme de transmitere a mișcării.

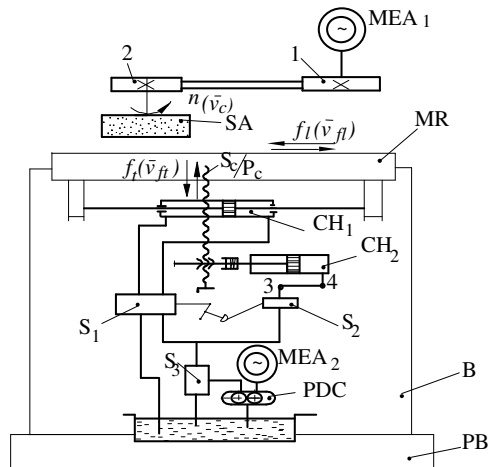


Fig. 8.224. Schema cinematică de principiu a unei mașini de rectificat plan periferică, cu ax horizontal:

PB - placa de bază; B - batiu; MR - masa mașinii de rectificat; SA - scula așchietoare; PDC - pompă cu debit constant; CH₁; CH₂ - cilindri hidraulici; S₁; S₂; S₃ - supape hidraulice de siguranță; 1; 2; 3; 4 - mecanisme de transmitere a mișcării; S_c/P_c - mecanism șurub - piuliță; $n(\bar{v}_c)$ - turația discului abraziv (viteza mișcării principale de așchiere); m - manetă de acționare; f_l - avansul longitudinal; f_t - avansul transversal.

Pentru piese de dimensiuni mici și mijlocii, în producția de serie mare sau de masă, se folosesc mașini cu mai mulți arbori, fiecare arbore executând faze diferite (de exemplu: unul execută degroșarea, următorul semifinisarea, altul finisarea și ultimul execută netezirea suprafeței).

8.12.5. Stabilirea condițiilor de lucru la rectificare

La stabilirea condițiilor de lucru la rectificare trebuie avute în vedere următoarele aspecte: precizia dimensională și rugozitatea suprafeței prelucrate, forma și dimensiunile semifabricatului, caracteristicile mecanice și starea suprafeței de prelucrat, natura materialului, natura prelucrării, condițiile în care se desfășoară procesul de aşchiere și productivitatea prelucrării, precum și particularitățile specifice procesului de prelucrare prin rectificare.

Principalele etape ce trebuie parcurse în vederea stabilirii condițiilor de lucru la rectificare se prezintă în continuare.

8.12.5.1. Alegerea sculei aşchietoare

Se face în funcție de materialul de prelucrat, metoda de rectificare și regimul de aşchiere dorit. De regulă, pentru rectificarea materialelor moi se aleg pietre abrazive cu duritate mare, iar pentru materialele dure se aleg pietre abrazive moi. Pentru materialele foarte moi și tenace (neferoasele) se aleg pietre abrazive foarte moi și poroase, deoarece cele dure se îmbâcsesc foarte repede.

De asemenea, trebuie ținut cont că la rectificarea de degroșare trebuie să se lucreze cu pietre dure (liant ceramic) cu granulație mare, iar la rectificarea de finisare să se lucreze cu pietre moi (liant organic) cu granulație mică. Pentru cazurile când nu se pot utiliza lichide de răcire, se utilizează discuri abrazive superporoase.

8.12.5.2. Stabilirea durabilității economice și a uzurii maxim admisibile a sculei aşchietoare

Alegerea discului abraziv depinde de parametrii acestuia, iar condițiile de aşchiere trebuie să fie astfel interconținute încât să lucreze în domeniul *autoascuțirii* (granulele abrazive uzate să fie rupte sau desprinse din liant de forțele de aşchiere în timpul aşchierii). Cu cât este mai mare și mai uniformă capacitatea de autoascuțire a discului abraziv, cu atât durabilitatea este mai mare, productivitatea mai ridicată și consumul de corp abraziv mai mic.

În funcție de natura materialului de prelucrat, starea suprafeței de prelucrat și condițiile de aşchiere, durabilitatea variază între 400 și 750 de minute (se alege din tabele și nomograme).

Uzura apare atunci când granulele abrazive își pierd proprietățile aşchietoare ca urmare a tocirii lor și a îmbâcsirii porilor cu aşchii, pulbere metalică, murdărie etc., iar pe suprafața piesei apar zgârieturi și arsuri. Pentru a-și recăpăta proprietățile aşchietoare, pietrele abrazive îmbâcsite se ascut, ascuțire ce constă în îndepărtarea unui strat de granule și liant de pe suprafața pietrei. Această ascuțire se face cu ajutorul unui vârf de diamant, cu discuri din carborund, cu freze speciale, cu role speciale din oțel călit, cu ajutorul unor creioane din carburi metalice etc.

$$i = \frac{A_p}{a_p} \text{ [mm]} , \quad (8.217)$$

în care A_p este adaosul de prelucrare, în mm; a_p - adâncimea de aşchiere, în mm.

Adaosul de prelucrare se alege în funcție de natura materialului de prelucrat și rigiditatea sistemului mașină-unealtă-sculă-dispozitiv, având valori cuprinse între 0,08 mm și 1,0 mm.

8.12.5.4. Stabilirea vitezei de avans

Mișcările de avans longitudinal f_l transversal f_t , și de pătrundere f_p se execută de piesă și uneori de sculă.

Avansul longitudinal f_l se exprimă cu relația:

$$f_l = \beta B \text{ [mm/rot]} , \quad (8.218)$$

în care $\beta = 0,3 \dots 0,6$, în funcție de materialul piesei și adâncimea de rectificat; B - lățimea discului de rectificat, în mm.

Avansul transversal f_t apare la rectificarea plană, este perpendicular pe f_l și se exprimă în mm/cursă.

Avansul de pătrundere f_p este de fapt egal cu adâncimea de aşchiere și definește grosimea stratului de material ridicat la o trecere a sculei, exprimat în mm.

Viteza de avans a semifabricatului \bar{v}_p depinde de caracteristicile prelucrării și se calculează cu relațiile:

$$v_p = \frac{C_v D^{q_v}}{T^m a_p^{x_v} f^{y_v}} \text{ [m/min]} , \quad (8.219)$$

pentru rectificarea periferică, și:

$$v_p = \frac{C_v}{T^m a_p^{x_v} B^{z_v}} \text{ [m/min]} , \quad (8.220)$$

pentru rectificarea frontală, în care T este durabilitatea, în minute; a_p - adâncimea de aşchiere, în mm; f - avansul, în mm/cursă; D - diametrul discului abraziv, în mm; B - lățimea pietrei de rectificat, în mm; C_v ; x_v ; y_v ; z_v - coeficienți de corecție determinați experimental.

Viteza de avans are valori cuprinse între 30 și 50 m/min.

8.12.5.5. Stabilirea forțelor de aşchiere

Forța R , care acționează asupra granulei abrazive în procesul de rectificare, se descompune în trei componente F_c , F_f și F_p (fig. 8.226), asemănător

ca la strunjire. Componenta F_c este forța principală de așchiere ce dă naștere cuplului rezistent și se calculează cu relația :

$$F_c = C_F v_p^{0,7} f_l^{0,7} a_p^{0,6} \quad [\text{daN}] , \quad (8.221)$$

în care C_F este un coeficient de corecție, în funcție de natura materialului de prelucrat; v_p - viteza tangențială a piesei, în m/min; f_l - avansul longitudinal, în mm/rot; a_p - adâncimea de așchiere, în mm.

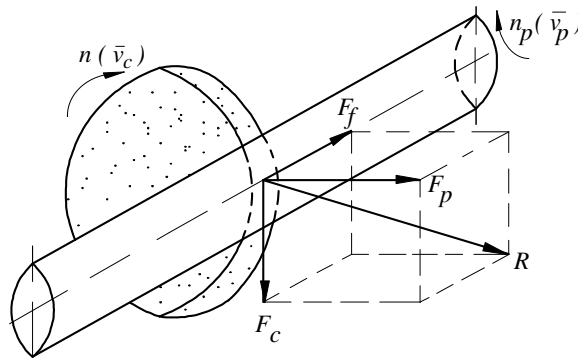


Fig. 8.226. Forțele de așchiere la rectificarea rotund exterioră:
 F_c - componenta principală de așchiere; F_f - componenta radială; F_p - componenta axială în sensul avansului; $n(\bar{v}_c)$ - turația discului abraziv (viteza mișcării principale de așchiere);
 $n_p(\bar{v}_{jc})$ - turația piesei - semifabricat (viteza de avans circular).

Componenta F_f este forța axială și este preluată de mecanismul de avans, în timp ce componenta radială F_p tinde să încovoie piesa. Spre deosebire de strunjire, la rectificare $F_p = (1,3 \dots 3,0) F_c$, deoarece granula abrazivă așchiază cu unghiuri γ negative.

8.12.5.6. Stabilirea momentelor de așchiere

Momentul de răsucire al arborelui port-piatră de rectificat M_t se calculează cu relația:

$$M_t = F_c \frac{D}{2} \quad [\text{N}\cdot\text{m}] , \quad (8.222)$$

în care D este diametrul pietrei de rectificat, în mm.

8.12.5.7. Stabilirea vitezei de așchiere

Viteza de așchiere v_c are o foarte mare importanță, ea trebuie să aibă valori cât mai mari pentru a asigura o calitate foarte bună a suprafeței prelucrate, uzură mică a sculei și productivitate ridicată. Se calculează cu relația:

$$v_c = \frac{\pi \cdot D \cdot n}{1000 \cdot 60} \quad [\text{m/s}] , \quad (8.223)$$

în care D este diametrul discului abraziv, în mm; n - turația sculei, în rot/min.

Valorile vitezei de aşchiere sunt cuprinse între 25 m/s şi 125 m/s, alese conform STAS 6177-80, în funcţie de felul operaţiei şi tipul pietrei abrazive.

Viteza tangenţială a piesei \bar{v}_p , numită şi avans circular, depinde de rugozitatea suprafeţei prelucrate, de dimensiunile şi materialul semifabricatului, precum şi de adâncimea de aşchiere. Se determină o viteză economică a piesei v_{pec} :

$$v_{pec} = \frac{C_v d^{q_v}}{T^m a_p^{x_v} f_l^{y_v}} \quad [\text{m/min}] , \quad (8.224)$$

în cazul prelucrării cu partea periferică a discului, şi:

$$v_{pec} = \frac{C_v d^{q_v}}{T^m a_p^{x_v} B^{z_v}} \quad [\text{m/min}] , \quad (8.225)$$

în cazul prelucrării cu partea frontală a discului, în care d este diametrul piesei de prelucrat, în mm; T - durabilitatea discului abraziv, în min; a_p - adâncimea de aşchiere, în mm; f_l - avansul longitudinal, în mm/cursă dublă; B - lăţimea pietrei, în mm; C_v , m , x_v , y_v , z_v - coeficienţi şi respectiv exponenţi determinaţi pe cale experimentală.

8.12.5.8. Stabilirea vitezei şi turaţiei reale a piesei de prelucrat

Turaţia piesei n_{pec} necesară realizării vitezei economice se calculează cu relaţia:

$$n_{pec} = \frac{1000 \cdot v_{pec}}{\pi d} \quad [\text{rot/min}] . \quad (8.226)$$

Deoarece la axul principal al maşinii-unelte pe care se fixează piesa de prelucrat se realizează numai anumite valori pentru turaţie, se alege o turaţie de lucru n_{pr} , cea mai apropiată şi imediat inferioară lui n_{pec} . După stabilirea turaţiei reale n_{pr} se calculează viteza reală de aşchiere v_{pr} cu relaţia:

$$v_{pr} = \frac{\pi \cdot d \cdot n_{pr}}{1000} \quad [\text{m/min}] . \quad (8.227)$$

Se calculează apoi variaţia vitezei $\Delta v = \frac{\pi \cdot D}{1000} \left(\frac{n_{ec} - n_r}{n_{ec}} \right) \cdot 100 [\%]$ şi se

verifică dacă îndeplineşte condiţia: $\Delta v < 5\%$. Dacă $\Delta v > 5\%$, atunci se acţionează asupra parametrilor ce influenţează viteza de aşchiere.

Viteza tangenţială v_p a piesei este foarte mică în comparaţie cu viteza periferică a sculei v_c , în general respectându-se raportul $v_c/v_p \approx 100$.

8.12.5.9. Verificarea puterii de aşchiere

Puterea necesară acţionării sculei abrazive $P_{a,s}$ se determină cu relaţia:

$$P_{a,s} = \frac{F_c \cdot v_c \cdot 0,736}{75 \cdot \eta} \quad [\text{kW}] \quad (8.228)$$

şi analog, pentru acţionarea piesei, cu relaţia:

$$P_{a,p} = \frac{F_c \cdot v_p \cdot 0,736}{75 \cdot \eta} \quad [\text{kW}] \quad , \quad (8.229)$$

în care F_z este componenta tangenţială a forţei de aşchiere, în daN; v_c - viteza de aşchiere, în m/s; v_p - viteza piesei, în m/min; η - randamentul lanţului cinematic.

Puterea calculată se compară cu puterea de acţionare a motoarelor electrice corespunzătoare lanţurilor cinematice aferente şi dacă se respectă condiţia $P_{a,s} \leq P_{MEA1}$ şi $P_{a,p} \leq P_{MEA2}$, atunci regimul de aşchiere este adoptat, în caz contrar, se acţionează asupra principalilor factori ce influenţează aşchierea.

Observaţie. Determinarea coeficienţilor de corecţie şi a parametrilor necesari stabilirii condiţiilor de lucru la rectificare se face folosind Manualul Inginerului Mecanic, volumele I, II şi III, şi normativele corespunzătoare.

8.12.6. Tipuri de prelucrări executate pe maşinile de rectificat

Pe maşinile de rectificat se execută finisarea unei game foarte largi de suprafeţe, de configuraţie geometrică de la cele mai simple, până la cele mai complexe. Cele mai des întâlnite tipuri de suprafeţe care se prelucurează prin rectificare sunt: suprafeţe cilindrice exterioare (fig. 8.213); suprafeţe conice (fig.

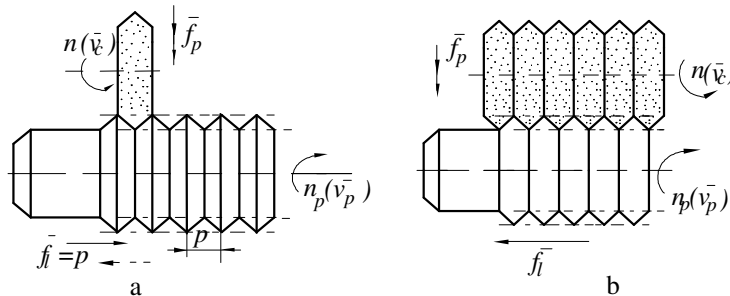


Fig. 8.227. Schema de lucru la rectificarea filetelor:

a - cu piatră abrazivă cu un singur profil; b - cu piatră abrazivă cu mai multe profile; $n(\bar{v}_c)$ - turația discului abraziv (viteza mișcării principale); $n_p(\bar{v}_{fc})$ - turația piesei- semifabricat (viteza de avans circular); f_l - avansul longitudinal; f_{pt} - avansul de poziționare; p - pasul filetelui.

8.214); suprafețe cilindrice interioare (fig. 8.217); suprafețe profilate (fig. 8.215); suprafețe plane (fig. 8.219); filete de lungimi mari ($l > 70$ mm) cu piatră abrazivă cu un singur profil (fig. 8.227. a) și de lungime mică ($l < 70$ mm) cu piatră abrazivă profilată (fig. 8.227. b); fețele de aşezare și de degajare a sculelor aşchietoare (fig. 8.228); roțile dințate, folosind pietre abrazive profilate (fig. 8.229) sau pietre plane prin metoda rulării; arbori cotiți, supape, bile, rulmenți etc.

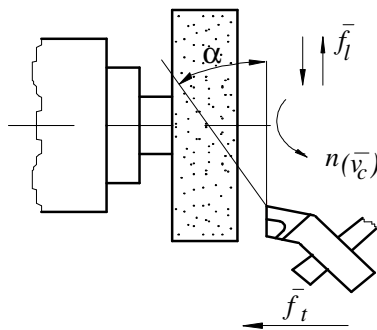


Fig. 8.228. Așchuirea feței de aşezare a cuțitului de strung:

$n(\bar{v}_c)$ - turația discului abraziv (viteza mișcării principale de aşchiere); f_l - avansul longitudinal; f_t - avansul transversal.

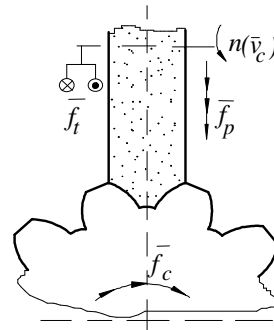


Fig. 8.229. Rectificarea danturii roților dințate cu pietre abrazive profilate:

$n(\bar{v}_c)$ - turația discului abraziv (viteza mișcării principale de aşchiere); f_t - circular; f_p - avansul de pătrundere.

8.13. PROCEDEE DE SUPRAFINISARE

8.13.1. Generalități

Obținerea unui înalt grad de precizie dimensională ($\pm 0,005 \dots \pm 0,001$ mm) și realizarea unei foarte bune calități a suprafețelor ($R_a = 0,2 \dots 0,0125 \mu\text{m}$) implică generarea acestor suprafețe prin procedee speciale de suprafinisare și superfinisare. Cele mai des folosite procedee de suprafinisare sunt: *strunjirea fină*, *lepuirea*, *hONUirea*, *rodarea*, *lustruirea*, *rularea în câmp ultrasonor*, *lustruirea electrochimică*, *superfinisarea ultrasonică* și altele.

8.13.2. Strunjirea fină

Cinematica generării suprafețelor este identică strunjirii obișnuite, deosebirea constând în tipurile de scule folosite și valorile parametrilor regimului de aşchiere. Procedul folosește scule cu vârf de diamant sau plăcuțe din carburi de

diamant, prelucrarea se execută cu viteze de aşchiere foarte mari ($v_c = 250...300$ m/min), avansuri foarte mici ($f = 0,01...0,15$ mm/rot) şi adâncimi de aşchiere foarte mici ($a_p = 0,05...0,03$ mm). Strunjirea fină cu cuţite cu vârf de diamant se foloseşte mai ales în producţia de serie mare sau de masă, la alezajele de precizie (bucşe, cuzineţi, cămăşi de cilindri etc) confecţionate din bronz, alamă, aluminiu, aliaje antifricţiune, oţeluri şi fonte. Sistemul tehnologic maşină-dispozitiv-piesă-sculă trebuie să aibă o rigiditate foarte mare, mers liniştit şi să realizeze turaţii foarte mari.

8.13.3. Lepuirea

Lepuirea este procedeul de îndepărtare pe cale mecanică sau mecano-chimică a unor particule de metal de pe o suprafaţă, cu ajutorul unor pulberi abrazive fixate pe scule de lepuir. Prin mişcările relative dintre suprafaţa de prelucrat şi scula de lepuir, în prezenţa particulelor abrazive, se îndepărtează materialul sub forma unor microparticule. La lepuire, sculele se execută din materiale mai moi decât materialul de prelucrat ca de exemplu: plumb, cupru, alamă, oţel moale - pentru lepuirea manuală şi din fontă cenuşie cu durezza 140...200 HB - pentru lepuirea mecanică.

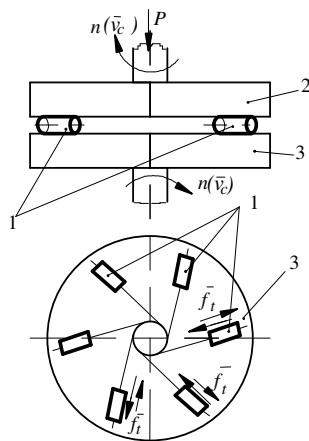


Fig. 8.230. Schema de principiu la lepuire:
1 - piese de prelucrat; 2, 3 - discuri de lepuir.

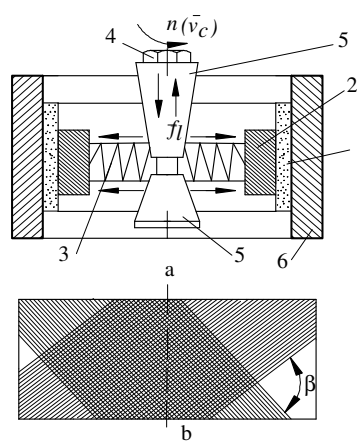


Fig. 8.231. Schema de principiu la honuire:
a - cap de honuit; 1 - bare abrazive; 2 - suport metalic; 3 - elemente extensibile; 4 - şurub central de acţiune; 5 - conuri de reglare; 6 - piesa de prelucrat; b - traiectoriile granulelor abrazive pe suprafaţa honuită.

Pulberile abrazive folosite la lepuire sunt sub formă de paste sau praf din electrocorund, oxid de crom, carbură de siliciu, miniu de fier, carbură de bor, praf

de diamant şi altele. Mărimea grăunţilor este de 100...200 μm în prima fază şi de 1...20 μm la finisare.

Piese de prelucrat 1 (fig. 8.230) se introduc de regulă între scule de lepuit (discurile 2 şi 3), între care se introduc paste abrazive de lepuit (pentru lepuirea plană şi rotund exterioară). Cele două discuri execută mişcarea de rotaţie cu viteze de aşchiere cuprinse între 10...200 m/min, discul superior fiind apăsător pe suprafeţele de prelucrat cu o presiune de 0,5...3,5 daN/cm².

Adaosul de prelucrare la lepuire este de 0,005...0,012 mm la degroşare şi sub 0,005 mm la finisare (pentru piesele rotunde), iar pentru suprafeţele plane de 0,004...0,008 mm. Prin lepuire se prelucraza suprafeţele de măsurare ale calibrelor, cailor plan-paralele, instrumentelor de măsurare şi control, bilelor de rulmenţi, canelurilor şi roţilor dinţate etc.

Maşinile de lepuit se clasifică după forma suprafeţelor de prelucrat în maşini de lepuit *plan*, maşini de lepuit *rotund*, maşini de lepuit *universale* şi maşini de lepuit *speciale*.

8.13.4. Honuirea

Honuirea este un procedeu de netezire a suprafeţelor cilindrice interioare sau exterioare, cu ajutorul unor scule speciale numite honuri.

Schema de principiu a generării suprafeţelor prin honuire se prezintă în figura 8.231. Scula de honuit (honul) este formată din barele abrazive 1 (cu o granulaţie foarte fină), fixate pe suportii metalici 2 care sunt împinşi spre exterior de elementele extensibile 3. Reglarea honului la anumite diametre se face cu ajutorul unui şurub central 4, ce acţionează două conuri de reglare 5. Honul primeşte o mişcare de rotaţie $n_c (\bar{v}_c)$ de la axul principal al maşinii, concomitent cu o mişcare rectilinie alternativă f_i . Între barele abrazive şi suprafaţa de prelucrat a piesei 6 se introduce un lubrefiant corespunzător de ungere şi răcire.

Honuirea se deosebeşte de rectificare prin faptul că la honuire, presiunea de apăsare a sculei abrazive pe suprafaţa care se generează este de 6...10 ori mai mică, viteza de aşchiere este de 50...120 ori mai mică şi la prelucrare iau parte de 100 ...1 000 ori mai multe granule abrazive decât la rectificare.

Traectoria unei granule abrazive pe suprafaţa prelucrată reprezintă o elice spre stânga, la mişcarea honului într-un sens, şi o elice spre dreapta, la deplasarea honului în sens invers, formându-se o reţea de traectorii elicoidale (fig. 8.231. b) înclinate cu unghiul β dat de relaţia :

$$\operatorname{tg} \beta = \frac{v_{fl}}{v_c} \quad , \quad (8.230)$$

în care v_{fl} este viteza mişcării longitudinale; \bar{v}_c - viteza mişcării principale de aşchiere executată de hon.

Pentru prelucrarea pieselor confecționate din oțel se folosesc bare din electrocorund, iar pentru prelucrarea pieselor din fontă, bare de carbură de siliciu, cu granulația 100....270 la degroșare și 325....600 la finisare.

Adaosul de prelucrare se alege în funcție de materialul piesei, diametrul acesteia și de caracterul prelucrării anterioare, având valorile 0,02...0,20 mm (la fontă) și 0,01...0,06mm (la oțeluri).

Mașinile de honuit se clasifică după poziția axului principal în: mașini de honuit *verticale*, *orizontale* și *înclinate*, iar după utilizare în mașini de honuit *de uz general* și *mașini de honuit speciale*.

Prin honuire se obține o precizie ridicată ($\pm 0,003... \pm 0,015\text{mm}$) și o rugozitate a suprafeței foarte bună ($R_a = 0,025...0,20 \mu\text{m}$).

Honuirea se folosește la prelucrarea unor piese ca: alezajele bielor, cilindrii motoarelor, cilindrii compresoarelor, inelele rulmenților, alezajele cuzineților etc.

8.13.5. Superfinisarea

Superfinisarea este procedeul de micronetezire efectuat cu ajutorul unor bare abrazive de granulație foarte fină, cu mișcări de lucru complexe, cu viteze de așchiere și presiuni reduse, în prezența unui lubrefiant abundent, de o anumită viscozitate.

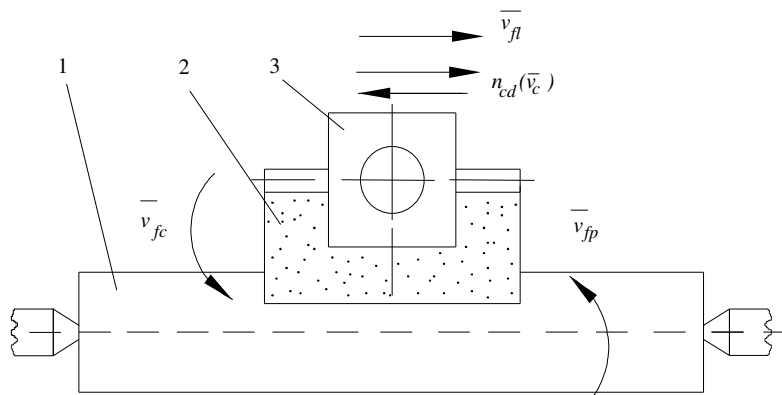


Fig. 8.232. Schema de principiu a superfinisării rotund exterioare:

1 - piesa de prelucrat; 2 - scula abrazivă; 3 - dispozitiv special de prindere a sculei abrazive;
 $n_{cd}(\bar{v}_c)$ - numărul de curse duble executate de scula abrazivă (viteza mișcării principale de așchiere);
 \bar{v}_{fl} - viteza de avans longitudinal; $\bar{v}_{fp}, \bar{v}_{fc}$ - viteza de avans a piesei și respectiv a sculei.

Schema de principiu la generarea prin superfinisare depinde de forma geometrică a suprafeței de prelucrat. Mișcările executate de piesă și sculă depind

de forma şi dimensiunile suprafeţei de prelucrat. De exemplu, pentru superfinisarea unei suprafeţe rotund exterioare (fig. 8.232), scula 1 execută o mişcare rectilinie alternativă $n_{cd}(\bar{v}_c)$, cu o frecvenţă de 500...1 500 cd/min şi amplitudine de 1,5...6,5 mm, o mişcare de avans circular \bar{v}_{fc}' şi una de avans longitudinal \bar{v}_{fl} , în timp ce piesa execută o mişcare de rotaţie cu o viteză $v_{fp} = 5...40$ m/min.

Prin superfinisare se obţin rugozităţi mai mici de 0,05 μm , fără a se îmbunătăţi precizia de formă sau de poziţie.

8.13.6. Lustruirea

Lustruirea este operaţia de prelucrare prin aşchiere efectuată cu ajutorul unor granule abrazive în suspensie, în vederea obţinerii unor suprafeţe oglindă.

Lustruirea se face manual cu pânze abrazive cu granulaţii diferite, din ce în ce mai fine, sau mecanic, cu ajutorul unor discuri din lemn, pâslă, material plastic etc., pe suprafaţa cărora se depune o pastă abrazivă. Discul efectuează o mişcare de rotaţie cu o viteză periferică, $v_c = 15...50$ m/s, în timp ce piesa execută o mişcare de translaţie sau de rotaţie.

Procedeul se foloseşte în scopuri decorative sau ca operaţie pregătitoare în vederea unor operaţii de acoperiri galvanice (nichelare, cromare, argintare etc.).

8.13.7. Rodarea

Rodarea este operaţia de prelucrare prin aşchiere executată cu particule abrazive aflate în suspensie, introduse între două piese conjugate în mişcare relativă, pentru a îmbunătăţi contactul efectiv dintre acestea.

Operaţia se execută pe standuri speciale, a căror cinematică de lucru copiază fidel cinematica din timpul funcţionării pieselor respective şi durează până în momentul terminării uzurii de rodaj.

Procedeul se aplică mai ales la îmbunătăţirea funcţionării pieselor conjugate, puternic solicitate în timpul funcţionării (supapa şi scaunul ei, angrenaje cu roţi dinţate, pistonăşele în cilindrii pompelor de injecţie, pistoanele şi cămăşile cilindrilor şi altele).

8.13.8. Superfinisarea în câmp ultrasonor

Este un procedeu special de îmbunătăţire a calităţii suprafeţelor interioare şi exterioare, folosind energia ultrasonoră. Schema de principiu a procedurii se prezintă în figura 8.233. Piesa de prelucrat 1 efectuează mişcarea de avans longitudinal \bar{v}_{fl} şi mişcarea de rotaţie \bar{v}_{fc} , în timp ce un concentrator de energie ultrasonoră 2, tip bilă, apăsă pe suprafaţa de prelucrat cu o forţă P , execută o mişcare vibratorie cu frecvenţa 18...42 kHz şi amplitudinea $A = 12...50$ μm .

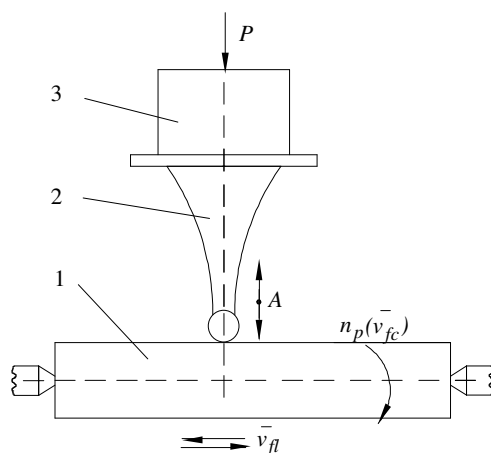


Fig. 8.233. Schema de principiu a superfinisării în câmp ultrasonic:
1 - piesa de prelucrat; 2 - concentrator de energie ultrasonică; 3 - cap ultrasonic;
 $n_p(\bar{v}_{fc})$ - turația piesei (viteza mișcării de avans circular); \bar{v}_{fl} - viteza de avans longitudinal; A - amplitudinea oscilațiilor ultrasonice.

Prin acest procedeu se obțin suprafețe cu o precizie dimensională foarte bună ($\pm 0,001...0,003$ mm), o calitate a suprafeței foarte bună ($R_a \leq 0,125$ μm), o durificare a suprafeței prelucrate (duritatea poate crește cu 60...80%) și o detensionare a suprafeței.

8.14. PRELUCRAREA PE MAȘINI-UNELTE CU COMANDĂ NUMERICĂ SAU ADAPTIVĂ ȘI PE MAȘINI-UNELTE AGREGAT

8.14.1. Prelucrarea pe mașini-unelte cu comandă numerică

Creșterea productivității proceselor de prelucrare prin așchiere se poate realiza și prin reducerea substanțială a timpului auxiliar care, în cazul prelucrării unor piese complicate, ajunge până la 80% din timpul total de prelucrare. Efectuând automat și rapid toate componentele timpului auxiliar (prinderea-desprinderea piesei și sculei, oprirea – pornirea mașinii-unelte, măsurări de cote, comenzi de deplasare, comenzi de deplasare și poziționare, curățirea de așchii etc.) productivitatea poate crește de 3...6 ori.

Acest lucru se realizează folosind mașini-unelte cu comandă program, la care comanda desfășurării proceselor de prelucrare se face automat și rapid.

În general, comenzile necesare pentru executarea unei operații de prelucrare se referă la *cinematica procesului de prelucrare* și se împart în trei grupe:

- *comenzi de selectare a fazelor operației*, prin care se selectează organele mașinii ce efectuează mișcarea, direcția mișcării și sensul acesteia;
- *comenzi de selectare a regimului de lucru*, prin care se stabilesc parametrii regimului de prelucrare;

- *comenzi dimensionale*, prin care se stabilesc cursele de lucru (amplitudinile mişcărilor de prelucrare).

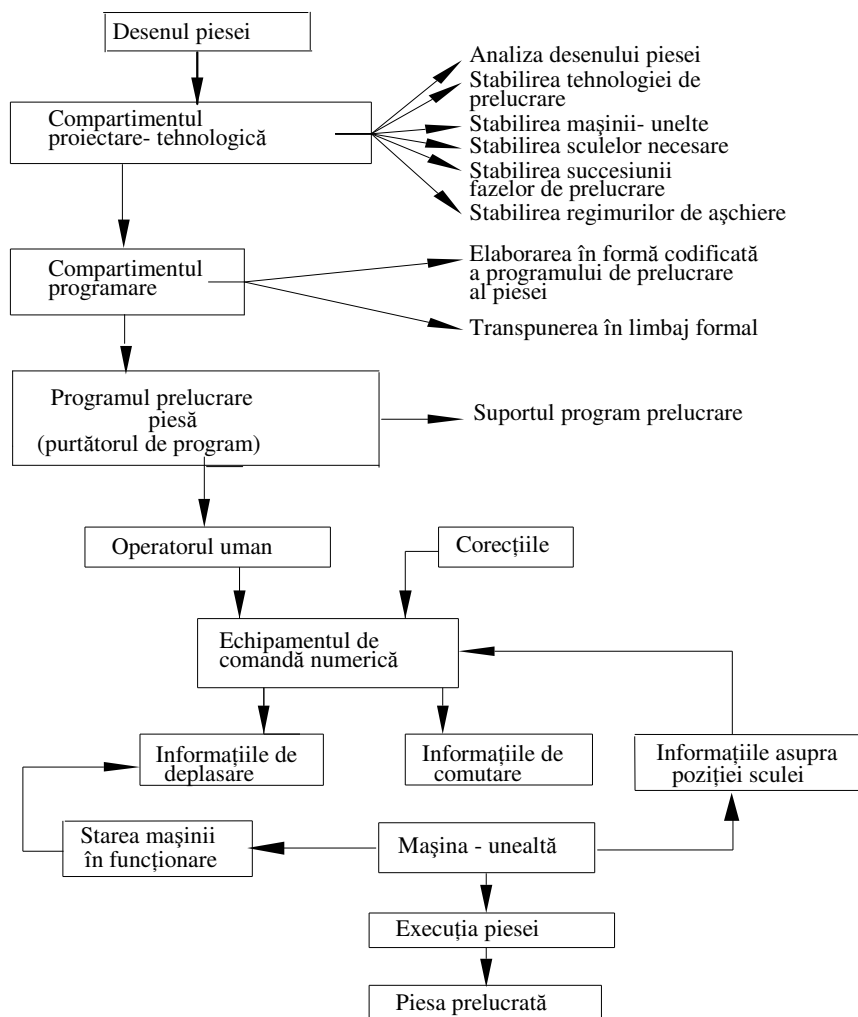


Fig. 8.234. Compartimentele şi informaţiile necesare proiectării unui proces tehnologic de prelucrare pe MUCN.

Elaborarea tehnologiilor de prelucrare a pieselor pe maşini-unelte cu comandă numerică (MUNC) comportă o serie de particularităţi legate, în primul rând, de modul de transmitere a informaţiilor cu privire la generarea suprafeţelor de către maşina-unelte comandată numeric. Pentru ca informaţiile să fie

recepționate și înțelese de echipamentul de comandă numerică (ECN), acestea sunt supuse unui proces complex de prelucrare pentru a putea fi aduse într-o formă codificată adecvată. Principalele compartimente și informații necesare desfășurării procesului tehnologic de prelucrare sunt prezentate în figura 8.234. Toate informațiile primite de ECN prin suportul program de la mașina-unelte și de la operatorul uman sunt prelucrate și transmise sub formă de comenzi organelor de execuție ale mașinii-unelte.

Pentru a putea programa diferite deplasări ale organelor de execuție ale mașinii-unelte este necesar ca aceste deplasări să fie raportate la un sistem de coordonate. Conform STAS 8902-1971 se adoptă un sistem triortogonal de sens direct, în care axele de coordonate au o dublă semnificație (geometrică și fizică) și respectă următoarele reguli principale:

- axa Z este identică sau paralelă cu axa arborelui principal, având sensul pozitiv spre creșterea distanței dintre sculă și piesă. Pentru mașinile fără ax principal, (mașini de rabotat) axa Z se consideră perpendiculară pe suprafața de așezare a piesei;

- axele X și Y determină un plan normal pe axa Z , având ca purtători fizici de deplasare, ghidajele rectilinii ale meselor și săniilor (cu diferite precizări în funcție de tipul mașinii-unelte);

- axele X , Y , Z sunt atribuite mașinii-unelte și față de ele se precizează deplasările sculei. Pentru a preciza deplasările piesei, se consideră un sistem de coordonate ale acesteia, notate X' , Y' , Z' , care au sensul pozitiv opus celor ale mașinii-unelte;

- mișcările de rotație în jurul axelor menționate se notează cu A , B , C și respectiv cu A' , B' , C' (de exemplu, în cazul strungului există o singură mișcare de rotație, executată de piesă, notată C' , celelalte mișcări fiind executate de sculă pe cele două direcții perpendiculare Z și X);

- originea sistemului de referință al MUCN se numește originea mașinii, punct de referință sau punct de nul. Punctul de referință poate fi fix sau deplasabil.

Mașinile-unelte dotate cu ECN au la bază aceleași procedee de prelucrare ca și cele clasice (strunjire, burghiere, frezare etc.), dar modul de desfășurare a procesului de prelucrare prezintă câteva particularități care influențează modul de proiectare a tehnologiei de prelucrare, construcția echipamentului tehnologic și calculul parametrilor procesului tehnologic. După modul de realizare a tehnologiei de programare a MUCN se deosebesc două moduri de programare: *manuală* și *asistată de calculator*.

8.14.1.1. Programarea manuală a MUCN

În cazul programării manuale fluxul informațional este cel prezentat în figura 8.235.

Tehnologul elaborează planul de operații, și pentru operația ce se va executa pe o MUCN elaborează în plus următoarele documente:

- desenul de prindere al semifabricatelor pe MUCN;
- fişa de reglare a sculelor la cotele necesare;
- tabelul program-piesă, folosind limbajul acceptat de ECN cu care este dotată maşina -unealtă.

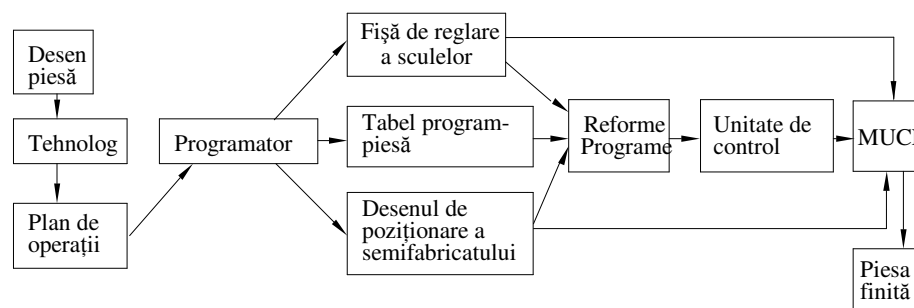


Fig. 8.235. Fluxul informațional la programarea manuală a MUCN.

8.14.1.2. Programarea asistată de calculator a MUCN

Programarea manuală a MUCN necesită cheltuieli mari de muncă și timp, acestea crescând foarte rapid cu complexitatea piesei. De aceea, pentru simplificarea proiectării tehnologiilor de prelucrare pe MUCN se folosește sistemul de *programare asistată de calculator*. În acest caz, proiectarea unei tehnologii de prelucrare presupune întocmirea documentației tehnologice convenționale (plan de operații, fișe tehnologice etc.) și, pentru fiecare operație ce se execută pe MUCN, elaborarea fișei program-piesă, introducerea în calculator a datelor pe care acesta le conține și obținerea benzii perforate. Fluxul informațional la programarea asistată de calculator a MUCN se prezintă în figura 8.236.

Spre deosebire de tabelul program-piesă, *structura fișei program-piesă* are instrucțiuni grupate după caracterul comenzilor, astfel: *instrucțiuni speciale* (identificatorii piesei, remarcă dacă este cazul, identificatorii mașinii-unelte, identificarea sculelor, toleranțe de interpolare, calcule matematice), *instrucțiuni geometrice* (setul de puncte, geometrie), *instrucțiuni tehnologice* (turație și sens ax principal, avans sau viteză de avans, modul de răcire a sculei, comenzi de acționare a mașinii-unelte), *instrucțiuni auxiliare* (oprirea lichidului de răcire, pornirea mișcărilor, sfârșitul programului).

Opțiunea pentru o MUCN se face în urma unui calcul de eficiență economică. În stabilirea eficienței economice trebuie avute în vedere avantajele MUCN față de mașinile-unelte clasice:

- creșterea productivității datorită reducerii timpilor auxiliari și ai celor legați de pregătirea-încheierea fabricației;
- posibilitatea reluării fabricației unui reper prin re folosirea programului, păstrat în biblioteca de programe;

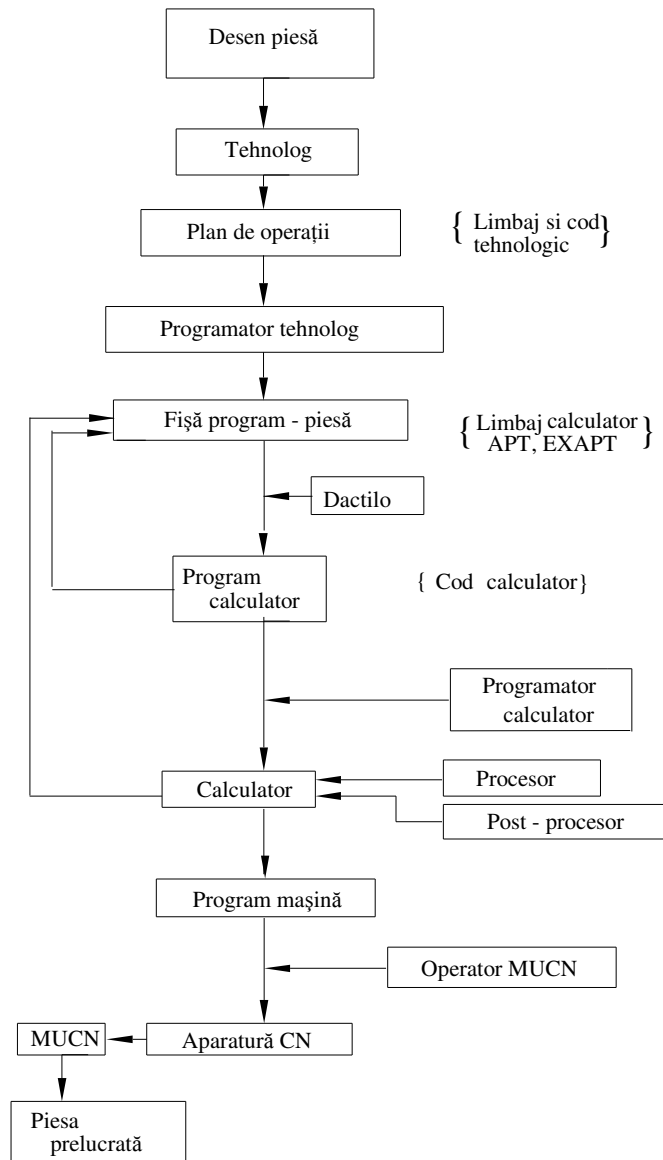


Fig. 8.236. Fluxul informațional la programarea asistată de calculator a mașinilor dotate cu ECN.

- posibilitatea de a utiliza mai multe mașini de același fel, prin simpla multiplicare a programului;
- reducerea cheltuielilor afectate dispozitivelor și verificatoarelor;
- optimizarea procesului de așchiere prin folosirea comenzii numerice adaptive etc.

8.14.2. Prelucrarea pe maşini-unelte cu comandă adaptivă

În cazul prelucrării pe maşinile-unelte clasice şi pe MUCN, parametrii ce definesc intensitatea proceselor de prelucrare sunt de natură cinematică (avansul, viteza de aşchiere, adâncimea de aşchiere etc.), iar procesul de aşchiere este însoţit de fenomene (statice, dinamice, termice, chimice) complexe. Aceste fenomene influenţează hotărâtor indicatorii tehnico-economici, deoarece apar o serie de neajunsuri ca:

- regimul de lucru stabilit nu asigură încărcarea uniformă şi la întreaga capacitate a sistemului tehnologic pe tot parcursul timpului de bază;
- pentru atingerea unui anumit grad de precizie a prelucrării se prevede efectuarea unui număr mai mare de treceri, deoarece nu se cunoaşte exact comportarea sistemului tehnologic.

Aceste dezavantaje sunt înlăturate prin introducerea *comenzii adaptive*. Caracteristic acestui sistem de comandă este faptul că, în cursul desfăşurării procesului de aşchiere, nu se menţin constanţi parametrii convenţionali ai regimului de aşchiere, ci, dimpotrivă, aceştia variază, astfel încât între ei să se păstreze anumite relaţii. Reglarea regimului de lucru constă deci în stabilirea setului de relaţii care asigură ca procesul de prelucrare să se realizeze la indici tehnico-economici optimizaţi. Comanda adaptivă (AC) este implementată frecvent la MUCN, deoarece acestea au multiple posibilităţi de control. Maşinile dotate cu AC (fig. 8.237) dispun de un circuit de reacţie suplimentar, care, culegând valorile parametrilor procesului indicate de un sistem de senzori, le prelucrează şi elaborează decizii în legătură cu strategia de optimizare adaptivă.

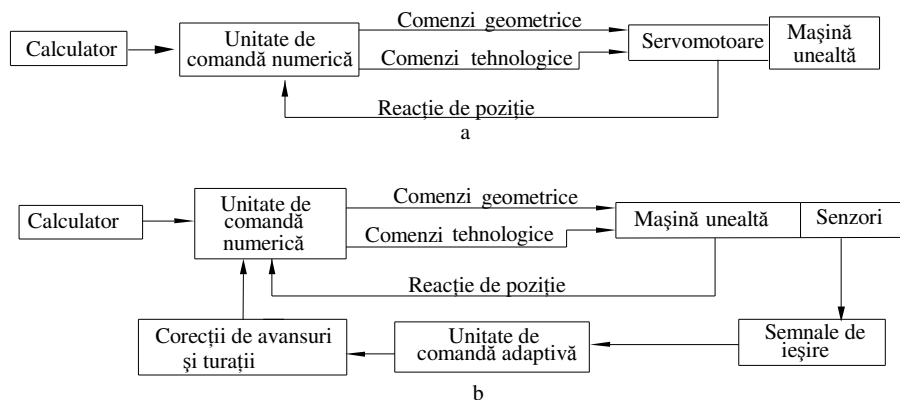


Fig. 8.237. Schemele de principiu ale maşinilor-unelte cu comandă adaptivă:
a - cu sisteme ACC; b - cu sistemul ACO.

Prin intermediul senzorilor se măsoară alţi parametri decât cei convenţionali, cum ar fi: componentele forţei de aşchiere, puterea absorbită, uzura

sculei, dimensiunile suprafeței prelucrate, amplitudinea vibrațiilor sistemului tehnologic, temperatura zonei de lucru etc.

Sistemele de comandă adaptivă se împart în două categorii:

- sisteme ACC (*Adaptive Control Constant*), care permit ca anumiți parametri ai procesului (cei mai importanți) să fie menținuți între anumite limite, în acest scop reglând permanent parametrii cinematici ai procesului;

- sisteme ACO (*Adaptive Control Optimisation*), care permit, pe baza unei funcții de eficiență (costul, productivitatea, profitul etc.), să se calculeze permanent valorile optime ale parametrilor, folosind ca date de intrare semnalele culese de senzori.

Sistemele de comandă adaptivă (îndeosebi ACO) sunt încă puțin răspândite din cauza dificultăților tehnice de realizare a senzorilor.

8.14.3. Centre de prelucrare

Centrele de prelucrare sunt mașini-unelte ce derivă din: mașini de alezat și frezat, mașini de frezat, strunguri și mașini de găurit, comdate numeric, cărora li se adaugă magazinul de scule și mecanismele necesare schimbării și transferului sculei.

Prelucrarea pieselor pe centrele de prelucrare se realizează fără desprinderea pieselor de pe masa mașinii, prin utilizarea mai multor scule de dimensiuni și tipuri diferite, dispuse în magazin, în acest fel mărindu-se foarte mult timpul efectiv de așchiere (ajunge până la 75% din timpul total, față de maximum 45% la mașinile-unelte convenționale).

Centrele de prelucrare permit creșterea productivității la prelucrarea pieselor complicate în serie mică sau unicate.

Clasificarea centrelor de prelucrare se face după mai multe criterii:

- după tipul mașinii-unelte din care provin (centre de prelucrare prin strunjire, găurire, alezare și rectificare, combinate etc.);
- după poziția arborelui principal (orizontală sau verticală);
- după forma și tipul magazinului de scule (magazin disc, cu lanț etc.);
- după tipul unității de transfer a sculei (cu mână mecanică simplă sau dublă, cu mâini mecanice și mecanisme de transfer etc.).

Schema de principiu a unui *centru de prelucrare cu magazin de scule tip lanț* se prezintă în figura 8.238. Lanțul L al magazinului de scule execută mișcarea I, pentru aducerea sculei programate în poziția corespunzătoare transferului ei în arborele principal AP. Pentru aducerea sculei S din magazin în AP se utilizează două mâini mecanice M_1 și M_2 și manipulatorul MA. Când scula selectată S ajunge în poziția de pe desen, mâna mecanică execută mișcările II și III, o extrage din locașul său și o transportă în manipulatorul MA, care se rotește cu 90° în direcția IV, aducând axa sculei paralelă cu cea a AP. Sania portmanipulator PM se deplasează pe verticală (V) și aduce mâna mecanică dublă M_2 în poziția

corespunzătoare sculei din MA. Mâna M_2 execută mişcările VI şi VII , scoate scula şi o introduce în AP, iar pe cea din AP o aduce în manipulator şi prin M_1 din nou în magazinul de scule. Sania PM se deplasează în poziţia de lucru şi prelucreză piesa P ce se găseşte fixată pe masa MR , care are mişcările VIII, IX şi X.

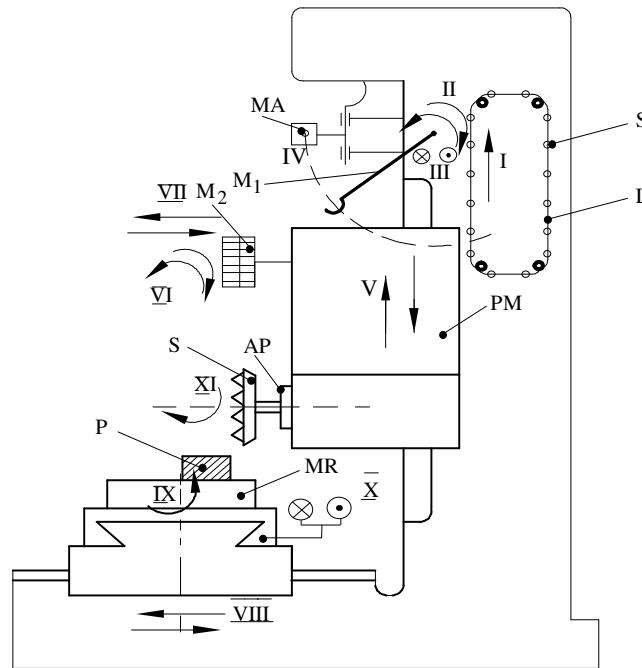


Fig. 8.238. Schema de principiu a unui centru de prelucrare cu magazin cu lanţ:
S - sculă; L - lanţ; MA - manipulator; M_1 ; M_2 - mâini mecanice; PM - sanie portmanipulator;
MR - masa centrului de prelucrare; AP - ax principal; P - piesa de prelucrat;
I; II; ... ;XI - mişcările necesare prelucrării.

8.14.4. Maşini-unelte agregate, linii automate şi sisteme flexibile

Mărirea productivităţii prelucrării pe maşinile-unelte se poate realiza prin suprapunerea operaţiilor procesului tehnologic, adică realizarea lor simultană.

8.14.4.1. Maşina-unealtă agregat

Reprezintă un sistem de maşini montate pe acelaşi batiu şi care serveşte la executarea unui proces tehnologic de prelucrare prin aşchiere, ce cuprinde operaţii de: strunjire, găurire, adâncire, alezare, lamare, filetare, strunjire etc. În timpul prelucrării, piesa poate rămâne într-o singură poziţie, maşina având un singur post de lucru (monopozitională) sau îşi poate schimba succesiv poziţia, maşina având

mai multe posturi de lucru (multipoziționale). Prelucrarea se poate efectua după o direcție de prelucrare sau după mai multe direcții de prelucrare, mașinile-unelte agregat putând fi *cu transfer circular* sau *cu transfer liniar*. Câteva tipuri caracteristice de mașini-unelte agregat se prezintă în figura 8.239.

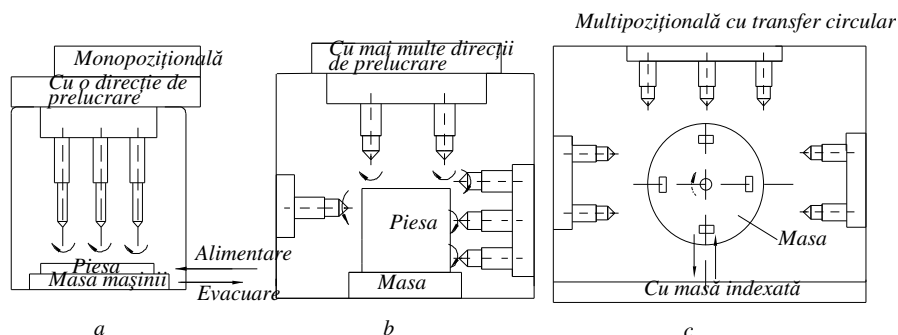


Fig. 8.239. Tipuri caracteristice de mașini-unelte agregat:

a - cu o direcție de prelucrare; b - cu mai multe direcții de prelucrare; c - multipozițională cu transfer circular.

Caracteristica fundamentală a unei mașini-unelte agregat este aceea că în compunerea ei intră elemente normalizate, tipizate, în construcție modulară, structura ei fiind determinată de criteriile următoare: forma, dimensiunile și precizia de prelucrare a pieselor, productivitatea, criteriul tehnologic și criteriul cinematic.

8.14.4.2. Linia automată de mașini-unelte

Reprezintă un sistem de mașini, dispuse într-o succesiune tehnologică, logică ce înglobează și mijloacele de transfer, de înmagazinare, de comandă etc. Posturile de lucru din componența liniei asigură mișcările de lucru necesare îndeplinirii unui proces tehnologic de prelucrare, control, montaj etc. Funcționarea ritmică a unei linii automate se caracterizează prin tactul sau ritmul τ al liniei, care reprezintă perioada ciclului ei de lucru (timpul de lucru scurs între ieșirile de pe linie a două piese succesive). Cele mai răspândite sunt liniile automate realizate din mașini-unelte agregat plasate în flux direct, cu legătură rigidă între posturile de lucru, sau în flux cu legătură elastică între posturile de lucru.

8.14.4.3. Sisteme flexibile de prelucrare

Schimbarea frecvență a produselor și cerințele mai mari de diversificare a acestora implică necesitatea ca un număr tot mai mare de piese să poată fi prelucrate în serii mici sau unicat, în condiții de productivitate și eficiență ridicată. A apărut astfel necesitatea realizării unor sisteme tehnologice cu o mare

flexibilitate, sisteme cu mare capacitate de adaptare rapidă şi economică la un program de fabricaţie variabil, în condiţiile unei automatizări a procesului de producţie. Scurtarea timpilor de producţie, micşorarea suprafeţelor de producţie, sistematizarea proceselor de producţie, posibilitatea lucrului în regim continuu cu o productivitate maximă sunt principalele avantaje ale unui sistem flexibil de prelucrare.

Structura unui sistem flexibil de prelucrare se prezintă în figura 8.240. Calculatorul comandă echipamentele numerice ale celulelor din structura sistemului, fluxul de semifabricate şi piese, alegerea seriei de piese în lucru, numărul de piese din serie, fluxul de scule, supraveghează funcţionarea sistemului şi efectuează calcule de optimizare a procesului de prelucrare.

Sistemele flexibile se clasifică după trei criterii de bază: după caracteristica producţiei, după tipurile caracteristice de forme ale pieselor prelucrate şi după tipul maşinilor-unelte ce fac parte din sistem. Opţiunea pentru o maşină-unelte cu comandă numerică, un centru de prelucrare, o maşină-unelte agregat, o linie automată sau un sistem flexibil de prelucrare se face numai în urma unor calcule de eficienţă economică, deoarece investiţiile necesare realizării lor sunt mari.

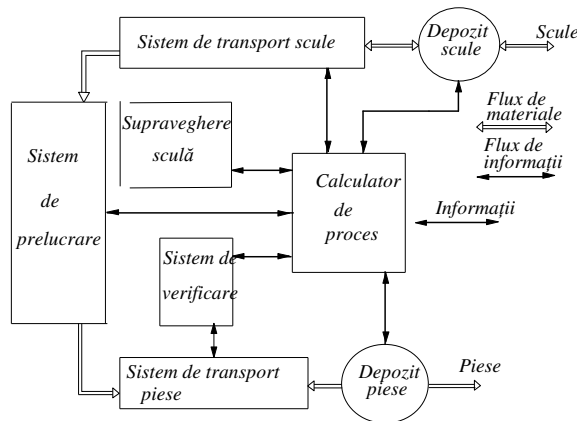


Fig. 8.240. Structura unui sistem flexibil de prelucrare.

8.15. OPTIMIZAREA PROCESULUI DE AȘCHIERE

8.15.1 Considerații generale

Așchieria materialelor, ca procedeu final de obținere a unei piese, cu calitățile cerute de utilizarea ei și prevăzute de proiectant, presupune participarea a cinci grupe de factori:

- materialul de prelucrat, cu proprietățile sale;
- scula așchietoare, confecționată dintr-un material adecvat și cu geometria

necesară utilizării ei;

- regimul de aşchiere cu parametrii săi;
- maşina-unealtă, ca suport al procesului de aşchiere;
- mediul de aşchiere.

Studiul condiţiilor în care trebuie să aibă loc un proces de aşchiere trebuie să țină seama de realizarea tuturor aspectelor unei economicităţi maxime şi anume:

- obţinerea unei productivităţi corespunzătoare, înţelegând prin aceasta un anumit volum de aşchii în unitatea de timp;
- cost minim, incluzând în calcul toate costurile elementelor care participă la procesul de aşchiere (scula, amortizarea maşinii-unelte, energie etc.);
- calitatea optimă a suprafeţei prelucrate, adică rugozitatea, ecruisarea suprafeţei, transformări structurale care modifică funcţionalitatea suprafeţei respective şi altele;
- condiţii bune de muncă, referitoare la respectarea normelor de tehnica securităţii muncii şi a igienei industriale.

Determinarea valorilor optime ale parametrilor procesul de aşchiere este o operaţie extrem de dificilă, deoarece în cadrul acestui procedeu au loc o serie de fenomene (deformaţii plastice, frecare exterioară şi interioară, fenomene termice, uzura sculelor aşchietoare, modificarea mediului de aşchiere etc.) într-o interdependenţă reciprocă uneori greu de descris de funcţiile matematice.

8.15.2. Stabilirea condiţiilor optime ale procesului de aşchiere

8.15.2.1. Consideraţii generale

Prin realizarea condiţiilor optime de aşchiere se înţelege ansamblul elementelor, în care are loc procesul de aşchiere, datorită cărora acesta va avea productivitate maximă, preţul de cost minim şi asigurarea prescripţiilor de precizie şi calitate cerute prelucrării.

Realizarea condiţiilor optime ale procesului de aşchiere presupune:

- stabilirea geometriei optime a sculei aşchietoare;
- stabilirea elementelor regimului optim de aşchiere;
- durabilitatea economică;
- determinarea prelucrabilităţii prin aşchiere a materialului de prelucrat;
- stabilirea capacităţii de aşchiere a sculei aşchietoare.

Pentru optimizarea procesului de aşchiere trebuie cunoscute mai întâi câteva noţiuni legate de calculul timpului minim de execuţie a unei suprafeţe:

Calculul minim de execuţie a unei suprafeţe. Timpul de execuţie τ_e se calculează cu relaţia:

$$\tau_e = \frac{\tau_{pi}}{n} + \tau_b + \tau_a + \frac{\tau_b}{T} \cdot \tau_s \quad [\text{min}] \quad , \quad (8.230)$$

în care τ_{pi} este timpul în care operatorul, înainte de începerea lucrării unui lot de piese, creează condițiile de executare a lucrării, în minute; τ_b - timpul de bază (timpul efectiv de aşchiere), în minute; τ_a - timpul ajutător sau auxiliar (fixarea şi scoaterea piesei, porniri şi opriri ale maşinii, măsurarea piesei etc.), în minute; τ_s - timpul de schimbare a sculei uzate cu una reascuţiţă, în minute; T - durabilitatea, în minute; n - numărul de bucăţi.

Timpul de bază τ_b este calculat în funcţie de genul prelucrării şi tipul de maşina-unealtă folosită. De exemplu, considerând o strunjire cilindrică la diametrul d , pe o lungime l , făcută cu avansul f şi viteza de aşchiere v_c , timpul de bază este:

$$\tau_b = \frac{\pi \cdot d \cdot l}{f \cdot v_c} \quad [\text{min}] \quad . \quad (8.231)$$

Dacă se ia o durabilitate a sculei $T = C_v \cdot v_c^k$, atunci timpul de execuţie al suprafeţei τ_e devine:

$$\tau_e = \left(\frac{\tau_{pi}}{n} + \tau_a \right) + \left(\frac{\pi \cdot d \cdot l}{f \cdot v_c} \right) + \frac{\pi \cdot d \cdot l}{f \cdot v_c^{k+1} \cdot C_v} \cdot \tau_s \quad . \quad (8.232)$$

Din analiza relaţiei (8.232) se constată că timpul de execuţie al unei suprafeţe se compune din suma a trei termeni:

$$\text{- un termen constant:} \quad \frac{\tau_{pi}}{n} + \tau_a \quad (8.233)$$

$$\text{- un termen care scade cu creşterea lui } v_c : \tau_b = \frac{\pi \cdot d \cdot l}{f \cdot v_c} \quad (8.234)$$

- un termen care creşte odată cu creşterea lui v_c :

$$\frac{\tau_b}{T} \cdot \tau_s = \frac{\pi \cdot d \cdot l}{f \cdot C_v \cdot v_c^{k+1}} \cdot \tau_s \quad (8.235)$$

Din reprezentarea grafică a celor trei termeni (fig. 8.241), rezultă că există un timp al prelucrării la o viteză de aşchiere optimă. Pentru a afla minimul, se derivează expresia (8.232) în raport cu v_c şi se anulează, rezultând:

$$\frac{\partial \tau_e}{\partial v_c} = \frac{\pi \cdot d \cdot l}{f} \left(-\frac{1}{v_c^2} \right) + (k+1) \frac{\pi \cdot d \cdot l}{f \cdot C_v} \tau_s \cdot \left(-\frac{1}{v_c^{k+2}} \right) \quad (8.236)$$

$$\frac{\partial \tau_e}{\partial v_c} = 0 \Rightarrow v_{c,opt} = \sqrt[k]{-(k+1) \frac{\tau_s}{C_v}} \quad . \quad (8.237)$$

Înlocuind valoarea $v_{c,opt}$ în relația (8.232) se obține:

$$\tau_{e,min} = \left(\frac{\tau_{pi}}{n} + \tau_a \right) - (k+1)\tau_s, \quad (8.238)$$

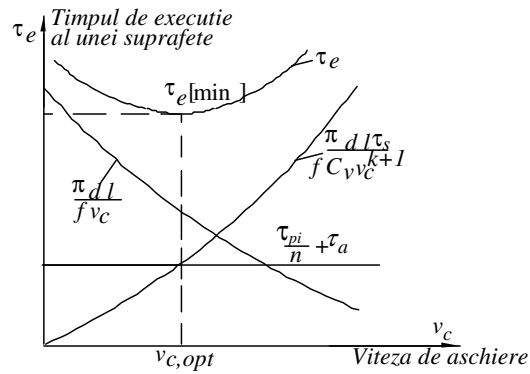


Fig. 8.241. Determinarea timpului minim de execuție a unei suprafețe.

ceea ce arată că acest timp depinde de timpul de schimbare a sculei și de panta k (panta curbei ce exprimă dependența dintre viteza de așchiere și durabilitate);

Calculul costului minim al prelucrării. Costul implică toate cheltuielile efectuate cu executarea piesei (salarii, amortizare mașini-unelte, scule, materiale, energie etc.), deci atât munca vie (a operatorului de mașină, a celor de deservire, a celor de la ascuțitorie etc.), cât și cea trecută, materializată (de elaborare a materialelor, de amortizare a utilajelor și sculelor, energie electrică etc.). Costul pentru o piesă C_Σ , se calculează cu relația:

$$C_\Sigma = C_{S-M} \left(\frac{\tau_{pi}}{n} + \tau_a \right) + C_{S-M} \cdot \tau_b + \frac{\tau_b}{T} (C_{S-M} \cdot \tau_s + C_{ST}), \quad (8.239)$$

unde C_{S-M} este costul salariilor și amortizării mașinii-unelte, în lei/piesă; C_{ST} - costul sculei/durabilitate, în lei.

Din analiza relației (8.239) se constată că pentru o piesă, costul C_Σ se compune din suma a trei termeni (fig. 8.242):

$$\text{- un termen constant: } C_{S-M} = \left(\frac{\tau_{pi}}{n} + \tau_a \right) \quad (8.240)$$

$$\text{- un termen care scade cu creșterea lui } v_c: C_{S-M} \cdot \tau_b = C_{S-M} \frac{\pi \cdot d \cdot l}{f \cdot v_c} \quad (8.241)$$

- un termen care crește odată cu creșterea lui v_c :

$$\frac{\tau_b}{T}(C_{S-M} \cdot \tau_s + C_{ST}) = \frac{\pi \cdot d \cdot l}{f \cdot v_c}(C_{S-M} \cdot \tau_s + C_{ST}) \quad . \quad (8.242)$$

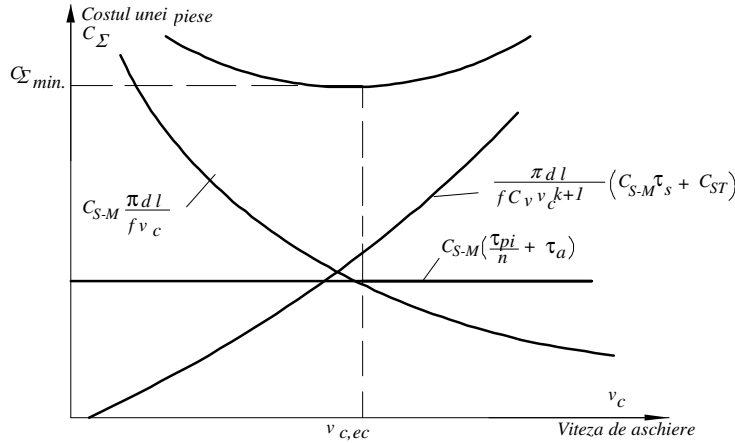


Fig. 8.242.
Determinarea
costului minim al
unei prelucrări
prin aşchiere.

Pentru a afla viteza pentru care costul este minim, deci viteza economică, se diferențiază relația (8.239) în raport cu v_c , iar rezultatul se anulează:

$$\frac{\partial C_{\Sigma}}{\partial v_c} = C_{S-M} \frac{\pi \cdot d \cdot l}{f} \left(-\frac{1}{v_c^2} \right) - \left(\frac{k+1}{v_c^{k+2}} \right) \frac{\pi \cdot d \cdot l}{f \cdot C_v} (C_{S-M} \cdot \tau_s + C_{ST}) \quad (8.243)$$

$$\frac{\partial C_{\Sigma}}{\partial v_c} = 0 \Rightarrow v_{c,ec} = \sqrt[k]{-(k+1) \frac{\tau_s + \frac{C_{ST}}{C_{S-M}}}{C_v}} \quad . \quad (8.244)$$

Înlocuind expresia (8.244) în relația :

$$T = C_v \cdot v_v^k \quad (8.245)$$

se obține durabilitatea economică T_{ec} (corespunzătoare costului minim, deci productivității muncii sociale):

$$T_{ec} = -(k+1) \left(\tau_s + \frac{C_{ST}}{C_{S-M}} \right) \quad . \quad (8.246)$$

Deci, durabilitatea economică depinde de panta k , de timpul de schimbare a sculei și de raportul dintre costul sculei și costurile salariilor și amortizării mașinii-unelte.

După stabilirea durabilității economice T_{ec} , cu relația (8.246), se poate calcula $v_{c,ec}$, dar este necesar să se țină seama și de celelalte elemente ale regimului

de aşchiere (adâncimea de aşchiere a_p şi avansul f). Pentru aceasta se stabileşte o relaţie de forma $v_c = F(a_p, f)$, astfel încât să se obţină o durabilitate economică. Se obţin în acest mod expresii de forma:

$$\text{- pentru strunjire: } v_{c,ec} = \frac{C_v}{T_{ec}^m \cdot a_p^{x_v} \cdot f^{y_v}} \cdot k_v \quad (8.247)$$

şi:

$$\text{- pentru frezare: } v_{c,ec} = \frac{C_v \cdot D_s^{q_v}}{T_{ec}^m \cdot a_p^{x_v} \cdot f_z^{y_v} \cdot z^{u_v}} \cdot k_v \quad (8.248)$$

în care C_v ; x_v ; y_v ; q_v ; g_v ; u_v sunt constante determinate experimental; f_z - avansul pe dinte; z - numărul de dinţi; D_s - diametrul sculei; k_v - coeficient de corecţie ce ţine cont de toate condiţiile în care are loc prelucrarea având forma:

$$k_v = k_T \cdot k_{prel} \cdot k_{st} \cdot k_c \cdot k_s \cdot k_\alpha \cdot k_\gamma \cdot k_\kappa \cdot k_{\kappa_j} \cdot k_r \cdot k_A \cdot k_h \cdot k_d \cdot k_W, \quad (8.249)$$

în care k_T este un factor ce ţine cont de durabilitate; k_{prel} - coeficient ce ţine cont de prelucrabilitate; k_{st} - coeficient ce ţine cont de starea materialului de prelucrat; k_c - coeficient ce ţine cont de starea suprafeţii; k_s - coeficient ce ţine cont de influenţa materialului sculei; k_α , γ , χ , χ_l , r - influenţa parametrilor geometrici ai sculei; k_A - coeficient ce ţine cont de influenţa formei şi secţiunii aşchiei; k_h - coeficient ce ţine cont de influenţa uzurii sculei; k_d - coeficient ce ţine cont de influenţa formei suprafeţii de degajare; k_W - coeficient ce ţine cont de influenţa mediului de aşchiere.

8.15.2.2. Etapele optimizării procesului de aşchiere

Cunoscând precizia de prelucrare, calitatea cerută suprafeţii, prelucrabilitatea materialului şi fenomenele ce apar în procesul de aşchiere, se poate alege o *funcţie obiectiv* (*scop*), care să permită obţinerea unui cost minim, unei productivităţi maxime, a unui consum minim de energie etc. Funcţia obiectiv F_{ob} este de forma:

$$F_{ob} = f(G_{SA}, v_c, f, a_p, CT, RT), \quad (8.250)$$

în care G_{SA} se referă la geometria sculei aşchietoare; v_c ; f ; a_p - elementele regimului de aşchiere; CT - condiţiile tehnologice; RT - restricţiile tehnologice.

Optimizarea funcţiei obiectiv se poate face prin mai multe metode:

- optimizarea după *costul prelucrării*;
- optimizarea după *productivitatea tehnologică*;
- optimizarea după *profitul specific* etc.

Întocmirea modelului matematic de optimizare a funcţiei obiectiv presupune parcurgerea în succesiune logică a mai multor etape.

a. Stabilirea elementelor geometrice optime ale sculei aşchietoare. Se face ținând cont de influența fiecărui element geometric asupra gradului de deformare a stratului aşchiat, forței principale de aşchiere, forțelor de frecare față de aşezare - suprafață prelucrată și față de degajare-aşchie, lucrului mecanic total, temperaturii în zona de aşchiere, intensității uzurii, modului de formare și dirijare a aşchiei, rezistenței la solicitări mecanice etc.

1 – *Stabilirea unghiului de degajare optim* se face ținând cont de influența acestuia asupra: apăsării specifice k (fig.8.243), frecării pe fața de degajare f_d , temperaturii θ , forței principale de aşchiere F_c , durabilității T și uzurii B . Din figură se constată că valorile optime $\gamma_{opt} = (20^\circ \dots 40^\circ)$ și respectiv $\delta_{opt} = (70^\circ \dots 50^\circ)$.

2 – *Stabilirea unghiului de aşezare optim* se alege așa fel încât să permită o reducere a forței principale de aşchiere F_c , reducerea uzurii B , pe fața de aşezare, micșorarea temperaturii în zona de lucru și creșterea rezistenței mecanice a vârfului. Se găsește $\alpha \in (16^\circ \dots 25^\circ)$.

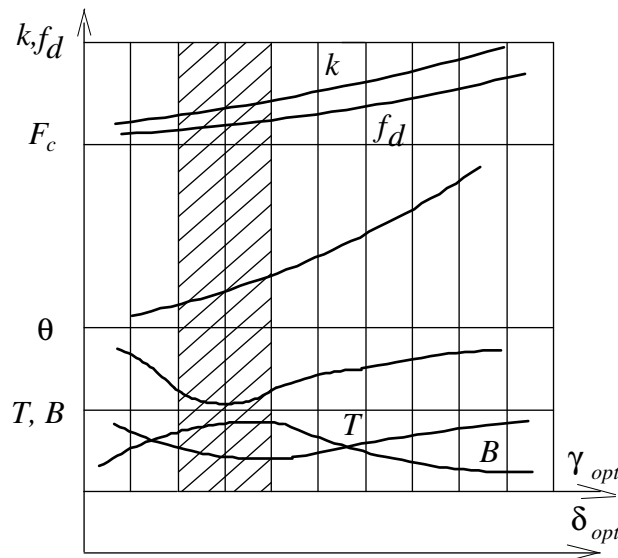


Fig. 8.243. Stabilirea unghiului de degajare optim γ_{opt} și a unghiului de aşchiere optim δ_{opt} .

3 – *Stabilirea unghiurilor de atac k_r și k'_r optime* se face ținând cont de influența lor asupra rugozității suprafeței prelucrate, apăsării specifice și durabilității. Se găsește $k_{r\ opt} \in (45^\circ \dots 60^\circ)$ și $k'_{r\ opt} \in (0^\circ \dots 10^\circ)$.

4 – *Forma optimă a vârfului sculei* se alege ținând cont de influența acestuia asupra temperaturii în zona de lucru, uzurii tăişului și înălțimii microneregularităților. Se constată că forma optimă este atunci când vârful sculei are o rază de racordare $r_{\beta\ opt} \in (1,5 \dots 2\text{ mm})$.

5 – Stabilirea unghiului de înclinare optim $\lambda_{S\ opt}$ se face ținând cont de natura materialului, forma așchiei și frecarea pe fața de degajare. Se găsește un $\lambda_{S\ opt} \in (2^\circ \dots 10^\circ)$.

În funcție de natura și proprietățile fizico-mecanice ale materialului de prelucrat se alege *materialul părții active a sculei așchietoare*.

În funcție de solicitările mecanice la care este supusă scula așchietoare se alege *secțiunea părții active a sculei și forma părții de prindere a sculei*.

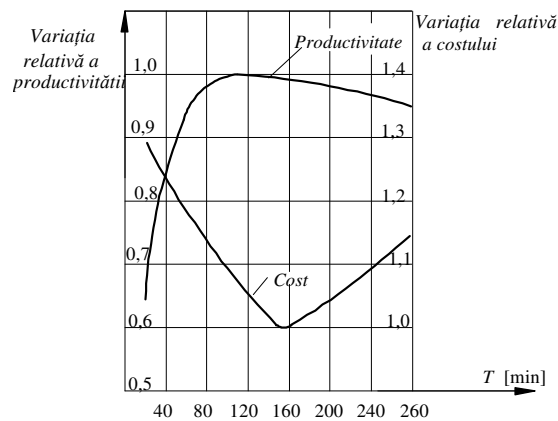


Fig. 8.244. Diagrama stabilirii durabilității economice.

Se alege apoi *durabilitatea economică* T_{ec} , în funcție de natura materialului de prelucrat, forma sculei, secțiunea părții active și scopul propus (productivitate maximă, cost minim, profit maxim etc.). Durabilitatea economică se alege ținând cont și de diagrama de variație a productivității și respectiv a costului cu durabilitatea sculei (fig. 8.244).

b. Stabilirea elementelor regimului optim de așchiere. Prin optimizarea regimului de așchiere se înțelege determinarea acelor valori ale parametrilor săi, pentru care prescripțiile tehnice restrictive sunt respectate, în condițiile unor parametri economici cât mai favorabili. Alegerea valorilor optime pentru parametrii regimului de așchiere se face ținând cont de interdependența dintre regimul de așchiere și condițiile tehnologico-economice (tabelul 8.4). Dacă se consideră că optimizarea funcției obiectiv se face în condițiile realizării unui preț de cost minim, se parcurg etapele:

1 – Stabilirea *adâncimii de așchiere* a_p și a *numărului de treceri* i . Se face în funcție de felul operației și mărimea adaosului de prelucrare A_p .

Adâncimea de așchiere se calculează cu relația:

$$a_p = A_c / i \quad (8.251)$$

în care A_c este adaosul de prelucrare calculat pe o parte; i – numărul de treceri.

Tabelul 8.4. *Dependența indicatorilor tehnico-economici de parametrii regimului de aşchiere*

Indicatorul tehnic sau economic		Parametrii regimului de aşchiere		
		v_c	f	a_p
Forța de aşchiere		↘	↗	↗
Nivelul de generare a erorilor pe suprafața prelucrată		→	↗	→
Modificarea deformației elastice ca urmare a variației indicilor de rigiditate		→	↗	↗
Deformația termică raportată la unitatea de suprafață		→	→	→
Uzura radială specifică a sculei		↗	↘	↗
Amplitudinea vibrației forțate		↗	→	→
Înălțimea microneregularităților de generare		→	↗	→
Înălțimea microneregularităților	procese de viteză mică (alezare, broșare etc)	↗	↗	→
de aşchiere	procese de viteză mare (strunjire, rectificare etc.)	↘	→	→
Stabilitatea statică a procesului		→	↘	↘
Stabilitatea dinamică a procesului		↗	↘	↘
Consumul specific de energie		↘	↘	↘
Costul de producție		↗	↘	↘
Productivitatea tehnologică		↘	↗	↗

La prelucrările de degroșare se urmărește ca numărul de treceri să fie cât mai mic și adâncimea a_p cât mai mare (pentru creșterea productivității). În aceste condiții adâncimea de aşchiere este limitată de puterea mașinii-unelte și rezistența materialului de adaos.

La prelucrările de finisare adâncimea de aşchiere se alege în așa fel încât să permită realizarea prescripțiilor tehnice legate de precizia prelucrării și rugozitatea suprafeței.

2 – Stabilirea *avansului de aşchiere*. Valoarea lui depinde de rezistența corpului sculei, eforturile admise în mecanismele lanțului cinematic de avans, precizia dimensională prescrisă și rugozitatea suprafeței prelucrate. La prelucrările de degroșare se caută ca avansul să fie cât mai mare, cu condiția respectării factorilor restrictivi, iar la prelucrările de finisare să fie cât mai mic.

3 – Determinarea *funcției de eficiență*. Se pleacă de la costul operației de prelucrare C , care se determină cu relația:

$$C = C_1 \cdot \tau_m + C_2 \cdot n_s, \quad (8.252)$$

în care C_1 este salariul, în lei/min, al muncitorului la operația respectivă; C_2 - cheltuieli legate de schimbarea sculei, în lei/min; τ_m - timpul de bază de mașină;

n_s - numărul de reascuțiri ale sculei în timpul realizării operației respective.

În cazurile cele mai frecvente de prelucrare (strunjire, frezare, burghiere etc.), timpul de mașină τ_m este:

$$\tau_m = \frac{l \cdot A_p}{n \cdot a_p \cdot f} \quad , \quad (8.253)$$

în care l este lungimea de lucru; n - turația; f - avansul; A_p - adaosul de prelucrare.

Numărul de reascuțiri ale sculei n_s se calculează cu relația:

$$n_s = \frac{\tau_m}{T_{ec}} \quad , \quad (8.254)$$

în care T_{ec} este durabilitatea economică.

Ținând cont de (8.253) și (8.254) relația (8.252) devine:

$$C = C_1 \frac{l \cdot A_p}{n \cdot a_p \cdot f} + C_2 \frac{\tau_m}{T_{ec}} = C_1 \frac{l \cdot A_p}{n \cdot a_p \cdot f} \left(1 + \frac{C_2}{C_1 \cdot T_{ec}} \right) \quad , \quad (8.255)$$

Punând condiția ca prețul de cost să fie minim, se determină viteza economică de aşchiere folosind relațiile (8.247) și (8.248).

4 – Stabilirea turației și a vitezei reale de aşchiere. Turația economică n_{ec} se calculează cu relația:

$$n_{ec} = \frac{1000 \cdot v_{c,ec}}{\pi \cdot d} \quad [\text{rot/min}] \quad , \quad (8.256)$$

în care d este diametrul suprafeței ce se prelucurează, în mm.

Cum din construcție lanțul cinematic principal nu poate realiza decât o anumită gamă de turații, se alege turația cea mai apropiată, imediat inferioară n_r și se calculează apoi viteza reală de aşchiere v_p :

$$v_p = \frac{\pi \cdot d \cdot n}{1000} \quad [\text{m/min}] \quad . \quad (8.257)$$

5 – Stabilirea relațiilor de restricție. Deoarece realizarea procesului de aşchiere are loc în anumite condiții tehnico-organizatorice, trebuie ținut cont de o serie de restricții care apar:

• *restricții de natură cinematică:*

$$f_{\min} < f < f_{\max}; \quad n_{\min} < n < n_{\max} \quad , \quad (8.258)$$

• *restricții de natură statică și dinamică:*

$$F_f \leq (F_f)_{cap}; \quad F_p \leq (F_p)_{cap}; \quad F_c \leq (F_c)_{cap} \quad , \quad (8.259)$$

$$P = F_c \cdot v < \eta \cdot P_0; \quad F_i \leq (F_i)_{cap} \quad , \quad (8.260)$$

unde F_f ; F_p ; F_c sunt componentele forței de aşchiere; $(F_f)_{cap}$, $(F_p)_{cap}$, $(F_c)_{cap}$ sunt valorile capabile ale acestora; P - puterea necesară pentru aşchiere; P_0 - puterea nominală a acționării sistemului tehnologic; F_i , $(F_i)_{cap}$ - forța de inerție efectivă și respectiv capabilă.

• *restricții datorate vitezei de aşchiere.* Ținând cont de faptul că durabilitatea variază sensibil cu viteza de aşchiere, relația de restricție rezultă din faptul că, de regulă, se alege o viteză reală de aşchiere mai mică decât viteză economică de aşchiere, deci:

$$\frac{C_v}{T^m \cdot a_p^{x_v} \cdot f^{y_v}} \cdot k_t \geq \frac{\pi \cdot d \cdot n_r}{1000} , \quad (8.261)$$

în care n este turația reală aleasă; k_t - coeficient de corecție total, ce ține cont de condițiile de aşchiere; C_v ; m ; x_v ; y_v - coeficienți de corecție determinați experimental.

- *restricții impuse de stabilitatea termică a sculei:*

$$\theta = C_\theta \cdot v_{creal}^{x_\theta} \cdot f^{y_\theta} \cdot a_p^{z_\theta} \leq \theta_{adm} , \quad (8.262)$$

în care θ și θ_{adm} reprezintă valoarea efectivă și respectiv admisibilă în zona de aşchiere; C_θ ; x_θ ; y_θ ; z_θ - constante dependente de caracteristicile sculei și semifabricatului.

• *restricții impuse de precizia prelucrării.* Se ia în considerare ponderea fiecărei erori în parte, eroarea totală ϵ_T trebuind să satisfacă condiția:

$$\epsilon_T \leq \Delta , \quad (8.263)$$

în care Δ reprezintă mărimea câmpului de toleranță.

• *restricții datorate uzării sculei.* Asigurarea preciziei de prelucrare impune ca uzura radială a sculei h_r să îndeplinească condiția:

$$h_r = \frac{h_0}{T_{ec}} \cdot \tau_b = \frac{h_0 \cdot V}{v_c \cdot f \cdot a_p \cdot T_{ec}} \leq (h_r)_{adm} , \quad (8.264)$$

în care: h_0 este uzura admisibilă a sculei; V - volumul de aşchii detașat în cursul prelucrării; $(h_r)_{adm}$ - uzura admisibilă la o singură prelucrare; v_c , a_p , f - parametrii regimului de aşchiere.

• *restricții impuse de deformația elastică a sistemului tehnologic.* În acest caz, restricția ce trebuie impusă este:

$$y = \frac{F_f}{J_{xy}} + \frac{F_p}{J_{yy}} + \frac{F_c}{J_{zy}} \leq y_{adm} , \quad (8.265)$$

unde y este deformația elastică efectivă a sistemului tehnologic; F_f ; F_p ; F_c - componentele forței de aşchiere; J_{xy} ; J_{yy} ; J_{zy} - indici de rigiditate; y_{adm} - deformația

admisibilă a sistemului tehnologic.

• *restricții impuse de calitatea suprafeței.* Rezultă din expresia analitică a înălțimii microasperităților și din modul de deplasare a generatoarei sau directoarei materializate în lungul directoarei. De exemplu, la strunjire restricția este:

$$\frac{f^2}{8 \cdot r_\varepsilon} \leq (R_z)_{adm} \quad , \quad (8.266)$$

în care r_ε este raza la vârful sculei; f - avansul; $(R_z)_{adm}$ - înălțimea medie admisibilă a microasperităților.

• *restricții datorate adâncimii de așchiere*, care au forma:

$$a_{po} \leq a_p \leq A_p \quad , \quad (8.267)$$

în care : A_p este adaosul de prelucrare; a_{po} - adâncimea minimă de așchiere, sub care practic așchiera se elimină, obținându-se mai mult o tasare a stratului superficial.

• *restricții datorate rigidității dinamice a mașinilor-unelte.* Din studii rigidității mașinii-unelte și a influenței acestora asupra preciziei de prelucrare se găsește relația restrictivă:

$$a_p^{x_{Fc}} \cdot f^{y_{Fc}} \leq R_{din} \frac{k_1 \cdot \Delta}{\lambda \cdot C_{Fc}} \quad , \quad (8.268)$$

în care R_{din} este rigiditatea dinamică a mașinii-unelte; Δ - toleranța la prelucrarea respectivă; k_1 - coeficient de corecție subunitar, ce reprezintă o fracțiune din toleranță; x_{Fc} , y_{Fc} - coeficienți determinați experimental funcție de natura materialului de prelucrat.

• *restricții impuse de ritmul liniei tehnologice*, apar atunci când procesul de așchiere se efectuează pe o linie tehnologică în flux continuu, iar timpul de lucru pe bucată la fiecare operație trebuie să fie egal sau cel puțin mai mic decât ritmul liniei tehnologice R_l . Astfel se poate demonstra relația restrictivă:

$$n \cdot a_p \cdot f \geq \frac{l \cdot A_p}{R_l \cdot m_i \cdot k_i - \tau_l} \quad , \quad (8.269)$$

în care m_i este numărul de mașini-unelte la operația i ; k_i - coeficientul de încărcare a mașinilor - unelte; τ_l - timpul auxiliar cumulat cu cel de pregătire-încheiere; l - lungimea de lucru; A_p - adaosul de prelucrare.

Observații:

- aceleași etape se parcurg și în cazul în care optimizarea se face după productivitatea tehnologică, Q . În acest caz funcția obiectiv are forma:

$$Q = \frac{1}{\tau_b + \tau_a + \frac{\tau_{sr}}{n_b}}, \quad (8.270)$$

în care τ_b este timpul de bază la executarea operației; τ_a - timpul auxiliar; τ_{sr} - timpul necesar pentru reglarea și schimbarea sculei; n_b - numărul de bucăți prelucrate între două reascuțiri.

- după ce s-au găsit funcția obiectiv și restricțiile, se poate formula matematic problema optimizării procesului de aşchiere astfel: să se determine valorile optime pentru parametrii geometrici ai sculei și T, n, f, a_p care fac prețul de cost minim, productivitatea maximă sau profitul maxim:

$$C = C_1 \frac{l \cdot A_p}{n \cdot a_p \cdot f} \left(1 + \frac{C_2}{C_1 \cdot T_{ec}} \right) = \min \quad \text{sau} \quad Q = \frac{1}{\tau_b + \tau_a + \frac{\tau_{sr}}{n_b}} = \max \quad (8.271)$$

în condițiile:

$$\left\{ \begin{array}{l} f_{\min} < f < f_{\max}; \quad n_{\min} < n < n_{\max} \\ F_f \leq (F_f)_{cap}; \quad F_p \leq (F_p)_{cap}; \quad F_i \leq (F_i)_{cap}; \\ F_c \cdot v_c < \eta \cdot P_0; \quad F_i \leq (F_i)_{cap} \\ C_\theta \cdot v_c^{x_\theta} \cdot f^{y_\theta} \cdot a_p^{z_\theta} \leq \theta_{adm} \\ \varepsilon_T \leq \Delta \\ \frac{1000 \cdot C_v \cdot k_t}{\pi \cdot d} \geq T^m \cdot a_p^{x_v} \cdot f^{y_v} \cdot n \\ a_p^{x_{Fc}} \cdot f^{y_{Fc}} \leq R_{din} \cdot k_1 \cdot \Delta / \lambda \cdot C_{Fc} \\ n \cdot a_p \cdot f \geq l \cdot A_p / (R_l \cdot m_i \cdot k_i - \tau_1) \\ \frac{h_0 \cdot V}{v_c \cdot f \cdot a_p \cdot T_{ec}} \leq (h_r)_{adm} \\ \frac{F_f}{J_{xy}} + \frac{F_p}{J_{yy}} + \frac{F_c}{J_{zy}} \leq y_{adm} \\ \frac{f^2}{8r_\epsilon} \leq (R_z)_{adm} \\ a_{p0} \leq a_p \leq A_p \end{array} \right. \quad (8.272)$$

Rezolvarea modelului matematic nu prezintă dificultăți folosind programe de calcul întocmite deja și soft-uri specializate existente.

8.16. PRINCIPIILE GENERALE DE PROIECTARE A PROCESELOR TEHNOLOGICE DE PRELUCRARE

8.16.1. Datele inițiale necesare proiectării proceselor tehnologice de prelucrare

Proiectarea unui proces tehnologic necesită o serie de informații legate atât de piesa sau produsul ce trebuie realizate, cât și de cadrul organizatoric în care se va realiza procesul de producție (tipul producției, dotarea și organizarea întreprinderii etc.), așa cum se indică în paragraful 1. Primul element de care are nevoie inginerul tehnolog pentru proiectarea procesului tehnologic de prelucrare este desenul piesei. Desenul piesei trebuie să conțină:

- numărul necesar de proiecții și secțiuni;
- toate cotele cu toleranțele necesare;
- mărimea rugozității pe toate suprafețele piesei;
- indicații referitoare la prelucrările care se fac la asamblare;
- indicații referitoare la tratamentul termic;
- indicații speciale referitoare la prelucrările deosebite (filetare de precizie, danturare etc.);
- indicații referitoare la materialul din care trebuie confectionată piesa (când nu sunt aceste indicații se face alegerea materialului folosind metoda de analiză a valorilor optime).

În afară de desenul de execuție al piesei, inginerul tehnolog trebuie să studieze cu atenție desenul de ansamblu al produsului din componența căruia face parte piesa respectivă, pentru a se vedea care este *rolul funcțional*.

În funcție de tipul producției, procesul tehnologic de prelucrare se poate proiecta ca executându-se:

- pe linii tehnologice în flux continuu (în producția de masă);
- pe grupe de masini după metoda concentrării sau divizării operațiilor (în producția de serie);
- pe baza tehnologiei de grup sau bucată cu bucată (în producția de serie mică și individuală).

De asemenea, este deosebit de importantă cunoașterea condițiilor reale în care urmează să se realizeze procesul tehnologic, deoarece inginerul tehnolog trebuie să posede toate datele referitoare la posibilitățile tehnologice ale utilajelor și gradul lor de precizie, încărcarea utilajelor, gradul de calificare al personalului și posibilitățile de cooperare cu alte întreprinderi.

Proiectarea unui proces tehnologic se realizează în trei etape:

- *sinteza procesului tehnologic*, în cursul căreia se stabilesc procesele de prelucrare prin care semifabricatul poate fi transformat în piesă finită, se organizează aceste procese în cadrul mai multor operații și se precizează elementele de echipament tehnologic necesare (mașini-unelte, scule, dispozitive etc.).

Tabelul 8.5. Etapele necesare proiectării unui proces tehnologic în funcție de caracterul producției

Etape necesare	Caracterul producției		
	Unicate, serie mică	Serie mijlocie	Serie mare, masă
Sinteza procesului tehnologic			
Dimensionarea procesului tehnologic	—		
Analiza procesului tehnologic	—	—	
Documentația tehnologică necesară	Fișa tehnologică	Plan de operații	- Plan de operații; - Fișe de reglaj; - Scheme de lucru;

- *dimensionarea procesului tehnologic*, în cadrul căruia se calculează valorile parametrilor de desfășurare a proceselor de prelucrare (regimuri de aşchiere, adaosuri de prelucrare, norme de timp, consumuri de materiale etc.);

- *analiza procesului tehnologic*, în cadrul căreia se calculează parametrii tehnico-economici corespunzători diferitelor variante ale procesului tehnologic (cost de producție, coeficientul de utilizare al materialului, coeficientul timpilor de bază etc.).

Parcursul celor trei etape depinde de caracterul fabricației (de masă, serie sau individuală), iar documentația tehnologică cu care se încheie este diferită așa cum se vede în tabelul 8.5.

Această etapă constă în stabilirea proceselor de prelucrare prin care un semifabricat poate fi transformat în piesă finită, organizarea acestor procese în cadrul mai multor operații și indicarea echipamentului tehnologic necesar pentru realizarea lor. Parametrii regimului de aşchiere, stabilirea adaosurilor de prelucrare rămân a fi stabiliți pe loc, în cursul realizării efective a acestor procese.

8.16.2. Sinteza proceselor tehnologice

8.16.2.1. Tehnologicitatea construcției

Se înțelege prin tehnologicitatea construcției elaborarea soluțiilor constructiv-funcționale în așa fel încât produsul să fie realizat cu satisfacerea

integrală a cerințelor tehnico-funcționale impuse, cu cheltuieli minime de muncă vie și materializată, cu condiția protecției operatorului și a mediului ambiant.

Pentru obținerea unui efect tehnico-economic maxim, cerințele tehnologicității trebuie aplicate în toate etapele de realizare a produsului și trebuie îndeplinite următoarele cerințe:

- cerințe cu caracter *constructiv*: simplitatea schemei de principiu, împărțirea produsului în subansambluri independente, care să permită efectuarea în mod independent a asamblării, controlului și încercărilor, alegerea celor mai simple forme geometrice ale pieselor, alegerea rațională a materialelor, alegerea fundamentată a bazelor de așezare, a sistemelor de cotare, de indicare a toleranțelor și rugozității, asigurarea asamblării fără lucrări de ajustare, unificarea materialelor, ansamblelor și elementelor constructive etc.;

- cerințe cu caracter *tehnologic*: timpi de pregătire a fabricației și de asimilare în producție cât mai mici, folosirea procedeelor tehnologice moderne, de înaltă productivitate, reducerea consumului de materiale, folosirea metodelor raționale de control, asigurarea organizării raționale a fabricației și montajului, a controlului și încercărilor;

- cerințe cu caracter *de exploatare*: stabilitate în funcționare, asigurarea fiabilității și durabilității dorite, asigurarea simplității deservirii tehnice și a reparațiilor, reducerea consumului de piese de schimb.

Cerințele cu caracter constructiv sunt îndeplinite de proiectant, cele cu caracter de exploatare sunt stabilite de beneficiar, iar cele cu caracter tehnologic sunt îndeplinite de inginerul tehnolog.

Tehnologicitatea construcției pieselor prelucrate prin așchiere este determinată de următorii factori:

a. Prelucrabilitatea prin așchiere (așchiabilitatea). Este proprietatea tehnologică a unui material de a-și modifica forma prin îndepărtare de așchii sau microașchii sub acțiunea unor forțe exterioare, consumând lucru mecanic sau energie cât mai puțină și cu viteză cât mai mare.

Prelucrabilitatea prin așchiere a unui material este definită de un ansamblu de factori (fig. 8.245) între care este greu de stabilit o legătură unică. Determinarea prelucrabilității prin așchiere se face prin două criterii de bază: *criteriul Z_θ* - ce ia în considerare efectul uzurii sculei; *criteriul Z_s* - ce ia în considerare rugozitatea suprafeței, forma așchiei, formarea depunerilor pe tăiș etc.

Un material are o prelucrabilitate prin așchiere bună în măsura în care așchiera propriu-zisă satisface o serie de condiții: durabilitate ridicată a sculei; timp scurt pentru îndepărtarea unei cantități prestabilite de așchii; calitatea bună a suprafeței; precizie dimensională ridicată; așchii de formă favorabilă; energie minimă consumată pentru îndepărtarea așchiilor etc.

b. Stabilirea bazelor de așezare și cotarea rațională. Bazele de așezare sunt suprafețele care determină poziția piesei de prelucrat, pe mașina-unealtă sau în dispozitiv, față de scula așchietoare. Cotele înscrise pe desenul piesei sunt cotele

funcţionale. Ele pot fi realizate sigur numai atunci când bazele de aşezare coincid cu bazele de cotare. De exemplu, la realizarea canalului de lăţime e din figura 8.246, condiţionat de cotele c şi d , se poate folosi S_1 ca bază de aşezare şi S_2 ca bază de ghidare.

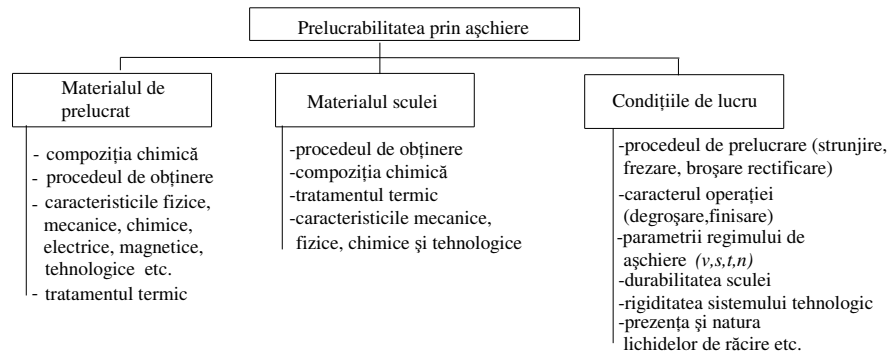


Fig. 8.245. Factorii de care depinde prelucrabilitatea prin aşchiere.

Deoarece baza de cotare este identică cu baza de ghidare, nu se introduc erori de orientare $\epsilon_0(d)$ pentru cota d , în timp ce pentru cota c se introduc erori de orientare $\epsilon_0(c)$, deoarece baza de măsurare nu coincide cu baza de cotare. Se obține astfel:

$$\epsilon_0(d) = 0 \quad \text{și} \quad \epsilon_0(c) = T_a \quad (8.273)$$

în care T_a este toleranța de execuție a cotei a .

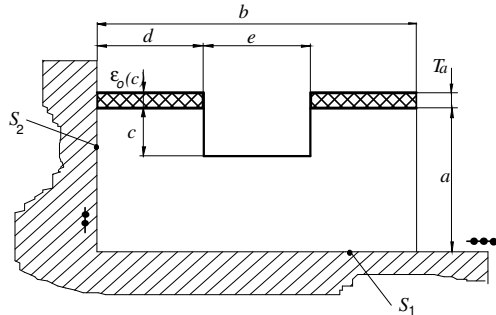


Fig. 8.246. Schemă pentru calculul erorilor de orientare.

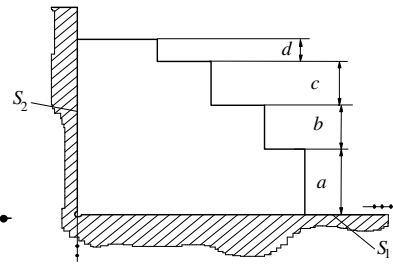


Fig. 8.247. Schemă pentru calculul de orientare.

În cazul executării cotei d din figura 8.247, deoarece baza de aşezare nu coincide cu baza de cotare, eroarea de orientare $\epsilon_0(d)$ se calculează cu relația:

$$\epsilon_0(d) = \sqrt{T_a^2 + T_b^2 + T_c^2} \quad , \quad (8.274)$$

în care T_a ; T_b ; T_c , sunt toleranțele cotelor a , b , c , în timp ce eroarea de orientare pentru cota a este $\varepsilon_0(a) = 0$.

În situația când nu este posibilă coincidența bazelor de așezare cu cele de măsurare, se calculează erorile de orientare și se compară cu toleranțele impuse de desenul de execuție.

Stabilirea bazelor de așezare este direct legată de modul de cotare și implicit construcția dispozitivelor de prelucrare și mijloacelor de măsurare, precum și succesiunea operațiilor de prelucrare. De exemplu, realizarea cotei a din figura 8.248, se poate face folosind mai multe moduri de orientare: folosind suprafețele S_1 și S_2 sau S_3 și S_4 sau combinații, deci mai multe tipuri de dispozitive de prelucrare. Cea mai corectă este însă combinația S_3 cu S_4 când eroarea de orientare a cotei a este $\varepsilon_0(a) = 0$.

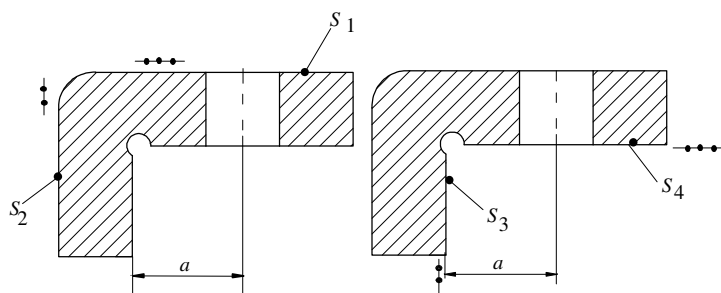


Fig. 8.248. Modul de alegere al bazelor de așezare.

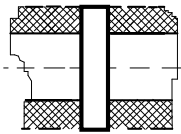
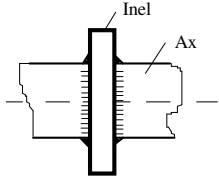
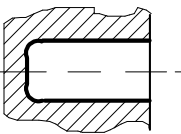
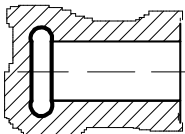
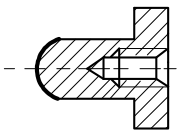
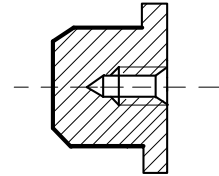
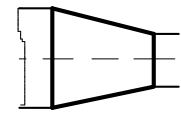
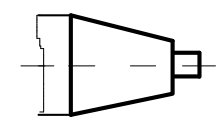
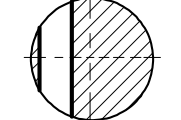
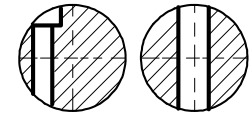
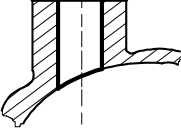
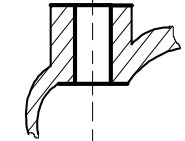
O tehnologicitate bună presupune un volum de muncă cât mai mic. Volumul de muncă este cu atât mai mare cu cât este mai mare numărul suprafețelor supuse prelucrării, cu cât sunt mai complexe aceste suprafețe, cu cât sunt mai mari dimensiunile și cu cât sunt mai severe condițiile de precizie și de rugozitate. De aceea, la proiectarea constructivă a pieselor trebuie să se prevadă un număr cât mai mic posibil de suprafețe prelucrate, iar acestea să aibă dimensiuni și adaosuri de prelucrare minim admisibile;

c. Forma constructivă a piesei. Câteva forme constructive tehnologice și netehnologice, cu justificarea necesară se prezintă în tabelul 8.6. Important de reținut este faptul că cerințele tehnologice care trebuie respectate la proiectarea formei, ilustrează necesitatea corelării construcției piesei cu tehnologia de prelucrare prin așchiere.

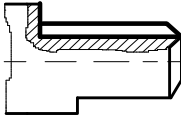
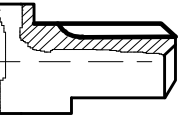
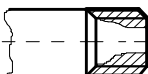
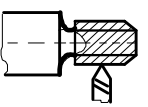
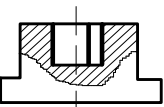
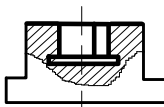
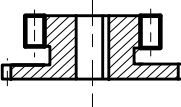
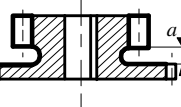
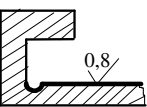
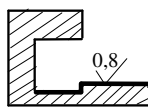
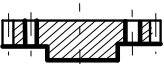
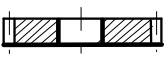
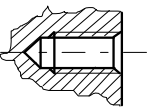
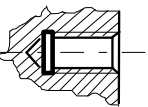
d. Prescrierea toleranțelor și rugozității de suprafață. Precizia și rugozitatea suprafețelor sunt legate direct de siguranța în funcționare, durabilitatea și economicitatea fabricației și exploatării. Se analizează precizia dimensională, precizia de formă a suprafețelor și precizia de poziție reciprocă dintre suprafețele prelucrate.

La prescrierea toleranțelor se va ține seama de posibilitățile reale de obținere a acestora prin diferite metode de prelucrare. Cu cât toleranțele sunt mai

Tabelul 8.6. Exemple de forme constructive tehnologice și netehnologice pentru prelucrările prin așchiere

Nr. crt.	Forma netehnologică	Forma tehnologică	Justificare
0	1	2	3
1	Strunjire 	 Inel Ax	Axele prevăzute cu guler necesită un volum mare de prelucrare prin strunjire. Se poate folosi și un inel de oprire sudat sau fretat pe ax.
2			Strunjirea precisă a găurilor înfundate lungi este costisitoare, de aceea se prevăd la fund cu o degajare scurtă.
3			Executarea și reascușirea cuțitelor profilate este mai ieftină dacă piesele care se prelucurează au forme simple, pe cât posibil numai suprafețe plane.
4			Strunjirea conică se execută mai ușor dacă cuțitul are o „scăpare”.
5			În cazul găurilor perpendiculare pe axa geometrică a piesei cilindrice, dar care n-o intersectează, trebuie să se execute întâi un lamaj sau gaura trebuie prevăzută în poziție centrală.
6			Dacă ieșirea burghiului dintr-o gaură străpunsă se face într-o secțiune înclinată, se produce deplasarea burghiului. Ieșirea în secțiune plană înlătură dezavantajul.

Tabelul 8.6. (continuare)

0	1	2	3
7			Un canal de pană trebuie să se termine întotdeauna înainte de un umăr.
8			La executarea filetelor cu cuțitul se recomandă executarea unei degajări pentru scăparea sculei.
9			Executarea canelurilor interioare prin mortezare presupune existența unor degajări la fundul alezajului.
10			La blocurile de roți dințate trebuie să se execute mai întâi o degajare de scăpare a sculei de cel puțin 5 mm ($a > 5 \text{ mm}$).
11			Să se proiecteze în așa fel forma constructivă, încât discul abraziv să poată avea acces liber la suprafețele ce trebuie rectificate.
12			Pentru a obține o dantură de mare precizie este necesară alegerea bazei de așezare în alezajul central, precis prelucrat, și nu o flanșă, cu găuri și umăr de centrare.
13			La executarea filetelor interioare trebuie prevăzută o degajare la fundul găurii pentru scăparea sculei.

mici, cu atât mai scumpă este prelucrarea și volumul de muncă este mai mare (fig. 8.249).

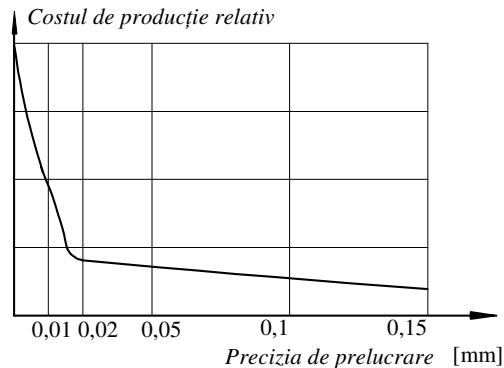


Fig.8.249. Variația costului prelucrării cu precizia de prelucrare.

Sunt întocmite tabele cu ajutorul cărora se poate determina fie precizia, care se poate obține printr-o metodă de lucru, fie operația tehnologică, prin care se realizează o anumită precizie la anumite dimensiuni (tab.8.7).

Relația dintre precizia de prelucrare, metoda de prelucrare și dimensiunea prelucrată se prezintă în figura 8.250. Câmpul de toleranță T se poate calcula cu relația:

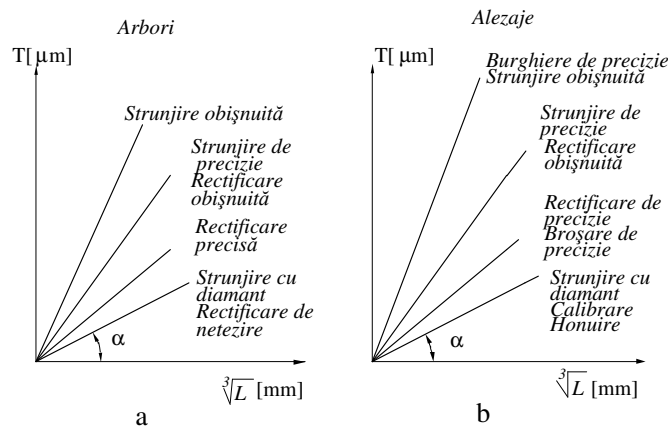


Fig. 8.250. Relația între metoda de prelucrare, dimensiunea prelucrată și precizia de prelucrare.

$$T = \operatorname{tg} \alpha \cdot \sqrt[3]{L} \quad , \quad (8.275)$$

în care α este unghiul de înclinare corespunzător lungimii de prelucrat L .

Tabelul 8.7. *Precizia economică pentru diferite metode de prelucrare*

Nr. crt.	Metode de prelucrare	Treapta de precizie STAS		Abateri pentru dimensiuni de 50...80 mm	
		Precizia economică medie	Limita de variație	Valori economice medii	Limite de variație
0	1	2	3	4	5
1	Strunjire-rabotare degroșare finisare netezire	12 11 9	11...12 10...11 8...10	0,4 0,2 0,06	0,20...0,80 0,12...0,20 0,03...0,12
2	Frezare degroșare finisare	10 9	10...12 8...11	0,2 0,06	0,12...0,14 0,03...0,20
3	Burghiere- lărgire	12	11...13	0,4	0,20...0,80
4	Alezare prealabilă finală	9 7	8...10 6... 8	0,06 0,03	0,05...0,12 0,01...0,05
5	Broșare finisare netezire	8 7	7...9 8...8	0,05 0,03	0,02...0,06 0,01...0,03
6	Rectificare degroșare finisare netezire	10 7 6	9...11 6...8 5...6	0,12 0,02 0,01	0,06...0,20 0,01 ...0,03 0,003...0,013
7	Honuire netedă foarte netedă	7 6	6...8 6...7	0,03 0,02	0,02...0,05 0,01...0,03
8	Rodare	5	5	0,01	0,002...0,013

Din punct de vedere al preciziei de prelucrare, suprafețele pieselor se pot împărți în patru grupe (vezi paragraful 1.2.33):

Rugozitatea suprafețelor funcționale, de asamblare și de așezare depinde, în mare măsură, și de faptul dacă sunt în contact fix sau mobil cu alte suprafețe. Pentru suprafețele în contact fix se ia $R_a = 1,6...6,3 \mu\text{m}$, iar pentru cele în contact mobil se ia $R_a = 0,8...0,05 \mu\text{m}$. Rugozitatea determină volumul de muncă necesar prelucrării prin așchiere, în sensul că, cu cât rugozitatea este mai mică, cu atât prelucrarea prin așchiere necesită un volum mai mare de muncă.

e. *Unificarea și normalizarea pieselor componente ale construcției.* O condiție importantă pentru creșterea tehnologicității construcției o constituie folosirea pieselor și elementelor standardizate și normalizate care asigură introducerea pe scară largă a mecanizării și automatizării.

Aprecierea cantitativă a tehnologicității construcției, după gradul de unificare a pieselor și subansamblelor y , se poate face pe baza raportului dintre numărul de piese sau elemente unificate n și numărul total de piese sau elemente N , care se numește grad total de unificare:

$$y = \frac{n}{N} . \quad (8.276)$$

În mod analog tehnologicitatea unei piese se poate aprecia după gradul de unificare a diferitelor elemente constructive ale piesei (găuri, filete, diametre etc.). Se definește un coeficient total de unificare U , dat de relația:

$$U = \frac{u}{F} , \quad (8.277)$$

în care u este numărul de elemente unificate; F - numărul total de elemente.

8.16.2.2. Stabilirea succesiunii operațiilor

Numărul operațiilor și fazelor tehnologice necesare realizării pieselor este în strânsă legătură cu condițiile tehnico-funcționale prescrise. Operațiile tehnologice după caracterul lor se grupează în: operații de *degroșare*, operații de *finisare* și operații de *netezire*. Numărul variantelor unui proces tehnologic de prelucrare prin aşchiere este cu atât mai mare, cu cât numărul de suprafețe ce trebuie prelucrate este mai mare, acest număr V , determinându-se cu relația:

$$V = k \cdot ! , \quad (8.278)$$

în care k este numărul de suprafețe ce trebuie prelucrate.

Stabilirea succesiunii acestor operații se face ținând cont de următoarele principii:

- când piesa se realizează din mai multe operații, se recomandă ca la prima operație să se prelucereze suprafețele care vor servi ca baze tehnologice pentru operațiile următoare;
- operațiile sau fazele la care se pot depista defecte din semifabricare, se recomandă să se facă la începutul prelucrării;
- dacă baza de cotare (măsurare) nu coincide cu baza de așezare, este necesar ca în operația următoare să se prelucereze baza de măsurare;
- mai întâi se realizează degroșarea, apoi semifinisarea și finisarea;
- dacă în timpul prelucrării piesei se modifică rigiditatea, se recomandă ca mai întâi să se execute operațiile care nu modifică prea mult rigiditatea sistemului;

- la piesele de revoluție se vor prelucra la început suprafețele cilindrice și conice și apoi cele frontale;
- în cazul pieselor cu mai multe dimensiuni tolerate se are în vedere ca ordinea operațiilor de prelucrare să fie inversă gradului de precizie;
- la executarea găurilor, canalelor de pană, canelurilor, filetelor, se recomandă a se efectua către sfârșitul procesului tehnologic, în scopul evitării deteriorării în timpul transportului;
- se recomandă ca între operațiile de degroșare și de finisare să se lase un timp pentru dispariția eventualelor tensiuni apărute în procesul de semifabricare;
- se va alege o succesiune a operațiilor, astfel încât să se obțină un timp de bază minim;
- este indicat să se utilizeze cât mai puține baze tehnologice, pentru a se reduce numărul de prinderi – desprinderi și a reduce erorile de poziționare.

Ținând cont de aceste recomandări, succesiunea optimă a operațiilor unui proces tehnologic bine întocmit este:

- prelucrarea suprafețelor care vor fi baze tehnologice;
- prelucrarea de degroșare a suprafețelor de asamblare;
- prelucrarea de degroșare a suprafețelor funcționale;
- prelucrarea de finisare a suprafețelor funcționale;
- prelucrarea de finisare a suprafețelor de asamblare;
- degroșarea și finisarea suprafețelor auxiliare;
- tratamentul termic (dacă este necesar);
- operațiile de netezire a suprafețelor funcționale;
- operațiile de netezire a suprafețelor de asamblare;
- executarea operațiilor conexe (cântăriri, echilibrări)
- acoperiri de protecție (unde este cazul);
- controlul tehnic al calității.

După stabilirea succesiunii operațiilor și fazelor, se stabilesc metodele de prelucrare și numărul de operații și faze necesare. Alegerea metodei de prelucrare se face având în vedere productivitatea mașinii-unelte, condițiile tehnice impuse piesei și mărimea *coeficientului de precizie total* Δ_{tot} care trebuie realizat în urma prelucrării fiecărei suprafețe în parte, dat de relația:

$$\Delta_{tot} = \frac{T_{sf}}{T_p} \quad , \quad (8.279)$$

în care T_{sf} este toleranța semifabricatului, în μm ; T_p - toleranța piesei, în μm .

Valoarea coeficientului de precizie total se poate obține prin combinarea diferitelor metode de prelucrare, pe diferite mașini-unelte:

$$\Delta_{tot} = \Delta_1 \cdot \Delta_2 \cdot \dots \cdot \Delta_m \quad , \quad (8.280)$$

în care m reprezintă numărul de operații necesare realizării suprafeței la precizia și

gradul de netezire cerut.

Deci, pentru determinarea metodelor de prelucrare se procedează astfel:

- se determină coeficientul de precizie total cu relația (8.280);
- se optează pentru unul din procedeele care asigură rugozitatea impusă;
- se calculează coeficientul de precizie al fazei respective Δ_i și se compară

cu Δ_{tot} . Dacă $\Delta_i < \Delta_{tot}$, se caută altă metodă de prelucrare, până când se obține o valoare mai mare sau egală cu cea calculată cu relația (8.279).

De exemplu, pentru obținerea piesei din figura 8.251, se alege un semifabricat bară laminată $\varnothing 45$ (din STAS 333-71 rezultă $\varnothing 45^{+0,5}_{-0,7}$ mm).

Suprafața S_1 rămâne neprelucrată, dar pentru obținerea suprafeței S_2 pot fi folosite diferite procedee de prelucrare.

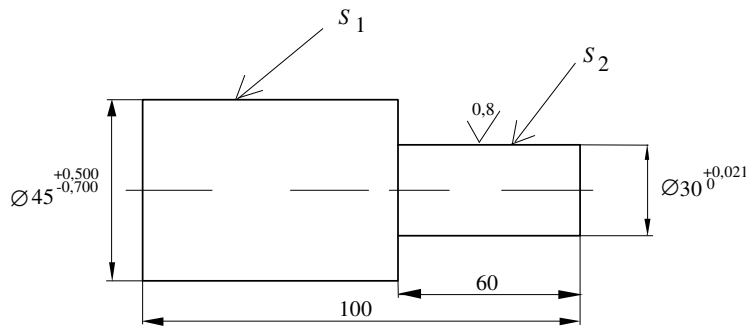


Fig. 8.251.
Exemplu de
stabilire a
procedeeleor de
prelucrare.

Pentru determinarea metodelor de prelucrare se calculează coeficientul de precizie total, Δ_{tot} :

$$\Delta_{tot} = \frac{T_{sf}}{T_p} = \frac{1200}{21} = 52,7 \quad (8.281)$$

Din tabelul 8.8, se constată că rugozitatea impusă suprafeței $R_a = 0,8 \mu\text{m}$ se poate obține prin mai multe procedee, dar ținând cont de forma piesei se pot lua în considerare doar strunjirea de netezire, rectificarea de finisare și honuirea exterioară.

Cum operația finală este rectificarea de finisare, și dacă se pune condiția ca din operația precedentă să nu rezulte o toleranță mai mare de $45 \mu\text{m}$, se obține un coeficient de precizie Δ_1 dat de relația:

$$\Delta_1 = \frac{T_{rd}}{T_{rf}} = \frac{45}{21} = 2,14 \quad (8.282)$$

în care T_{rd} este toleranța la rectificarea de degroșare, precedentă operației de rectificarea de finisare care realizează toleranțe T_{rf} . Deoarece $\Delta_1 < \Delta_{tot}$, trebuie să se

Dacă se execută o strunjire de finisare cu $T_{sn} = 84 \text{ } \mu\text{m}$, se obține coeficientul de precizie Δ_3 :

$$\Delta_3 = \frac{T_{sd}}{T_{sn}} = \frac{280}{84} = 3,33 \quad . \quad (8.284)$$

Cum s-a realizat un coeficient de precizie $\Delta_1 \cdot \Delta_2 \cdot \Delta_3 < \Delta_{tot}$, se mai alege o rectificare de degroșare cu $T_{rd} = 45 \text{ } \mu\text{m}$, care realizează un Δ_4 :

$$\Delta_4 = \frac{T_{sn}}{T_{rd}} = 1,9 \quad . \quad (8.285)$$

Coeficientul de precizie obținut este Δ_{tot} dat de relația:

$$\Delta_{tot} = \Delta_1 \cdot \Delta_2 \cdot \Delta_3 \cdot \Delta_4 = \frac{T_{sf}}{T_{sd}} \cdot \frac{T_{sd}}{T_{sn}} \cdot \frac{T_{sn}}{T_{rd}} \cdot \frac{T_{rd}}{T_{rf}} = 52,7 \quad , \quad (8.286)$$

obținut în urma a patru operații: strunjire de degroșare, strunjire de finisare, rectificare de degroșare, rectificare de finisare.

8.16.2.3. Principii de alegere a mașinilor-unelte

La alegerea mașinii-unelte trebuie avute în vedere în primul rând criteriile tehnologice.

După criteriile tehnologice, mașinile-unelte se clasifică în:

- *mașini-unelte de utilizare generală*, numite *mașini universale*;
- *mașini-unelte de înaltă productivitate*, caracterizate printr-o putere mare și rigiditate bună ;
- *mașini-unelte specializate*, la care prin adaptarea anumitor dispozitive se pot efectua lucrări speciale;
- *mașini-unelte speciale*, la care se pot efectua numai lucrări specifice anumitor piese;
- *mașini-unelte agregate*, pe care se pot efectua diferite operații.

Alegerea tipului și dimensiunii mașinii-unelte se face pe baza caracteristicilor producției și a semifabricatelor care urmează a fi prelucrate.

La o producție de serie mică sau unicat se aleg mașini-unelte universale, pe ele executându-se mai multe operații. La o producție de serie mare sau de masă, unde fiecare mașină execută o singură operație, se alege o mașină de înaltă productivitate.

Pentru alegerea tipului și dimensiunii mașinii-unelte trebuie luați în considerare următorii factori:

- felul prelucrării ce trebuie efectuată (strunjire, frezare, găurire, rectificare etc.);
- dimensiunile și forma semifabricatului;

- precizia cerută la prelucrare;
- schema cinematică a mașinii-unelte, având în vedere regimul de aşchiere și materialul de prelucrat;
- gradul de utilizare al mașini-unelte;
- costul mașinii-unelte;
- gradul necesar de concentrare a lucrărilor;
- productivitatea mașinii-unelte;
- gradul de mecanizare și automatizare.

8.16.2.4. Controlul de calitate

În fiecare etapă a procesului tehnologic de realizare a produsului finit sunt necesare și operații de control, de aceea pentru fiecare produs se întocmesc *proceduri tehnologice de control*. În aceste instrucțiuni se prezintă tehnologia operațiilor de control cuprinzând: denumirea lor, mijlocul de control, locul de efectuare, felul controlului, ce procent din lotul de piese trebuie să se controleze, ce caracteristică se controlează. Pentru orice grupă de piese se fac trei mari categorii de control:

- *controlul materialului și semifabricatului*: caracteristicile fizico-chimice ale materialului, dimensiunile semifabricatului etc.;
- *măsurători dimensionale și de formă*: verificări în comparație ale cotelor obținute după prelucrări, cu cele de pe desen, verificări ale preciziei formei și poziției reciproce;
- *controlul însușirilor piesei*: gradul de netezime și starea suprafeței, duritatea obținută după tratamentul termic, grosimea stratului în cazul tratamentelor termochimice.

Pe baza procedurilor de control se elaborează *foaia de control pentru prelucrări mecanice*.

8.16.3. Dimensionarea proceselor tehnologice

După ce în prima etapă a proiectării procesului tehnologic s-a stabilit structura pe faze și operații a acestuia și echipamentul tehnologic necesar, se trece la *dimensionarea proceselor tehnologice* ce constă în: calculul tuturor parametrilor ce intervin în desfășurarea proceselor de prelucrare; alegerea semifabricatului, adaosurile de prelucrare, regimurile de aşchiere, parametrii geometrici ai sculelor, normele tehnice de timp și alți parametri ce influențează desfășurarea proceselor.

În principiu, etapa dimensionării proceselor tehnologice de prelucrare se face la producția de serie sau de masă, întrucât volumul de muncă necesar parcurgerii acestei etape este relativ mare.

8.16.3.1. Alegerea semifabricatului

În construcția de mașini se folosesc toate tipurile de semifabricate

cunoscute: turnate, forjate liber, matrițate, laminate, extrudate, sudate, presate din pulberi, combinate etc. La alegerea semifabricatului pentru piesă se ține seama de următorii factori: forma, dimensiunile și greutatea piesei, destinația piesei, materialul și condițiile de funcționare, volumul producției și utilajul existent. Există două posibilități de alegere a semifabricatului:

- *semifabricat cât mai apropiat de piesa finită* ca formă, rugozitate, dimensiuni, calități fizico-mecanice etc. În acest caz, volumul de muncă cu prelucrările prin aşchiere este mult redus, consumul de metal și de timp este mic, dar costul semifabricatului este mare (de cele mai multe ori este vorba de o piesă-semifabricat);

- *semifabricat cu grad de apropiere mic de piesa finită*. În acest caz se consumă un volum mare de muncă cu prelucrările prin aşchiere, consum mai mare de material și de timp, dar costul semifabricatului este mult mai mic.

Criteriul hotărâtor pe baza căruia se alege semifabricatul este *criteriul economic*.

Costul unui semifabricat laminat P_l , inclusiv costul degroșării, se determină cu relația:

$$P_l = G_l P_{ml} + S \cdot N_l \left(1 + \frac{C}{100} \right) \text{ [lei] ,} \quad (8.287)$$

în care G_l este greutatea semifabricatului în kg; P_{ml} - costul unui kilogram de material laminat, în lei; S - salariul tarifar pe oră al muncitorului care execută degroșarea, în lei/oră; N_l - norma de timp pentru prelucrarea de degroșare, în ore; C - cheltuieli generale ale secției de prelucrări mecanice.

Costul unui semifabricat forjat liber P_{fl} , inclusiv costul degroșării, este:

$$P_{fl} = G_0 \cdot P_{mf} + P_f \left(1 + \frac{C_f}{100} \right) + S \cdot N_{ff} \left(1 + \frac{C}{100} \right) \text{ [lei] ,} \quad (8.288)$$

în care G_0 este greutatea materialului inițial necesar pentru obținerea materialului forjat liber, în kg; P_{mf} - costul unui kilogram de material forjat liber; P_f - costul operațiilor de forjare, în lei; C_f - cheltuieli generale ale secției forjă; N_{ff} - norma de timp necesară pentru degroșarea semifabricatului forjat, în ore; C - cheltuieli generale ale secției de prelucrări mecanice.

Se alege semifabricatul forjat liber, dacă:

$$P_{fl} < P_l . \quad (8.289)$$

Costul unui semifabricat matrițat P_m se calculează cu relația:

$$P_m = G_m \cdot P_{mo} + P_{mn} \left(1 + \frac{C_m}{100} \right) + \frac{P_{cm}}{n} + S \cdot N_{im} \left(1 + \frac{C}{100} \right) \text{ [lei] ,} \quad (8.290)$$

în care G_m este greutatea materialului inițial consumat pentru obținerea semifabri-

catului matrițat, în kg; P_{mn} - costul unui kilogram de material matrițat, în lei; P_{mo} costul operațiilor de matrițare, în lei; P_{cm} costul matriței, în lei; n - numărul de piese care se execută cu matrița; N_m - norma de timp pentru prelucrarea de degroșare a semifabricatului matrițat, în ore; C - cheltuieli generale ale secției de prelucrări mecanice.

Condiția de folosire a semifabricatului matrițat este:

$$P_m < P_l; \quad P_m < P_{fl} . \quad (8.291)$$

Costul unui semifabricat turnat P_t , se determină cu relația:

$$P_t = G_t \cdot P_{lic} + P_{tl} \left(1 + \frac{C_t}{100} \right) + \frac{P_{mod}}{n} + S \cdot N_{td} \left(1 + \frac{C}{100} \right) [\text{lei}] , \quad (8.292)$$

în care G_t este greutatea materialului lichid consumat, în kg; P_{lic} - costul unui kg de metal lichid, în lei; P_{tl} - costul operațiilor de turnare, în lei; C_t - cheltuieli generale ale secției de turnătorie; P_{mod} - costul modelului, în lei; n - numărul de piese care se execută cu un model; N_{td} - norma de timp necesară degroșării semifabricatului turnat, în ore; C - cheltuieli generale ale secției de prelucrări mecanice.

Condiția de folosire economică a semifabricatului turnat este:

$$P_t < P_l; \quad P_t < P_{fl}; \quad P_t < P_m . \quad (8.293)$$

Pentru alegerea semifabricatului se mai recomandă:

- piesele care nu sunt supuse la șocuri, nu sunt solicitate la întindere și încovoiere, cu formă complexă, se execută din fontă cenușie, prin turnare;
- piesele profilate, care lucrează în condiții grele și suportă tensiuni mari, se execută din semifabricate turnate din oțel;
- piesele supuse unor sarcini mari, cu configurație relativ simplă, se execută din semifabricate forjate (producția de unicate, serie mică) sau matrițate (producția de serie mare și mică);
- piesele de formă complexă din aliaje neferoase, se execută din semifabricate turnate;
- piesele cu dimensiuni relativ mici, care nu prezintă diferențe mari între dimensiunile transversale se execută din semifabricate laminate.

8.16.3.2. Stabilirea adaosurilor de prelucrare și a dimensiunilor intermediare

Adaosul de prelucrare prin așchiere este stratul de material care se îndepărtează de pe suprafața piesei sub formă de așchii sau microașchii.

Adaosul de prelucrare este:

- intermediar: diferența dintre dimensiunile obținute la două faze sau operații consecutive;
- total: stratul de material necesar pentru toate operațiile de prelucrare pe suprafața considerată, dat de diferența dintre dimensiunea semifabricatului și dimensiunea piesei finite.

Se calculează cu relația:

$$A_t = \sum_{i=1}^n A_i, \quad (8.294)$$

în care n este numărul operațiilor sau fazelor de pe suprafața considerată; A_i - adaosuri de prelucrare intermediare.

La suprafețele de revoluție interioare sau exterioare adaosul de prelucrare se calculează cu relația (fig.8.252):

$$A_p = \frac{D_p - D_c}{2} \quad \text{și} \quad A_p = \frac{d_c - d_p}{2}, \quad (8.295)$$

în care: D_p, d_p sunt diametrele la faza precedentă, în mm; D_c, d_c - diametrele la faza curentă, în mm.

În general, adaosul de prelucrare se poate determina fie prin metoda experimental-statistică, fie prin calcul analitic. Prin metoda experimental-statistică

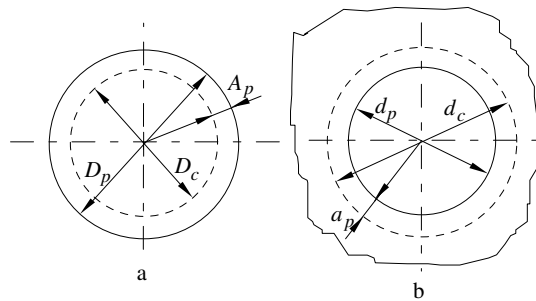


Fig. 8.252. Determinarea adaosului de prelucrare:

a - la arbori; b - la alezaje;
 D_p, d_p - diametrele la faza precedentă;
 D_c, d_c - diametrele la faza curentă.

adaosul de prelucrare se determină cu ajutorul unor tabele, normative, standarde etc. Calculul analitic al adaosului de prelucrare se bazează pe analiza factorilor care influențează și determină mărimea adaosului de prelucrare și anume:

- înălțimea medie a rugozității, R_z , de la faza precedentă;
- adâncimea stratului superficial defect, s_d , de la faza precedentă sau de la tipul semifabricatului (turnat, forjat, sudat etc.)
- abateri de la poziția reciprocă corectă a suprafeței prelucrate față de suprafețele de orientare, ε_p ;
- abateri provocate de așezarea semifabricatului, ε_0 , în dispozitiv;

Ținând cont de aceste influențe, adaosul de prelucrare intermediar minim A_{im} se calculează cu relația:

$$A_{im} = (R_z + s_d) + \sqrt{\epsilon_p^2 + \epsilon_0^2} . \quad (8.296)$$

Cu ajutorul adaosurilor intermediare se pot determina dimensiunile intermediare pentru fiecare suprafață a piesei.

La prelucrarea unor suprafețe plane (fig. 8.253. a) se pot scrie relațiile:

$$A_{i\max} = L_{p\max} - L_{c\max}; A_{i\min} = L_{p\min} - L_{c\min} , \quad (8.297)$$

$$A_{i\max} = L_{p\min} + T_p - L_{c\min} - T_c = A_{i\min} + (T_p - T_c) , \quad (8.298)$$

în care T_p și T_c reprezintă toleranțele la dimensiune pentru faza precedentă și respectiv curentă.

La prelucrarea suprafețelor cilindrice exterioare (fig. 8.253. b), între dimensiunile intermediare și adaosurile intermediare se pot scrie relațiile:

$$2A_{i\min} = D_{p\min} - D_{c\min}; 2A_{i\max} = D_{p\max} - D_{c\max} , \quad (8.299)$$

$$2A_{i\max} = D_{p\min} + T_p - D_{c\min} - T_c = 2A_{i\min} + T_p - T_c . \quad (8.300)$$

La prelucrarea suprafețelor cilindrice interioare (fig. 8.253. c) se poate scrie:

$$2A_{i\min} = d_{c\min} - d_{p\min}; 2A_{i\max} = d_{c\max} - d_{p\max} , \quad (8.301)$$

$$2A_{i\max} = 2A_{i\min} + T_p - T_c . \quad (8.302)$$

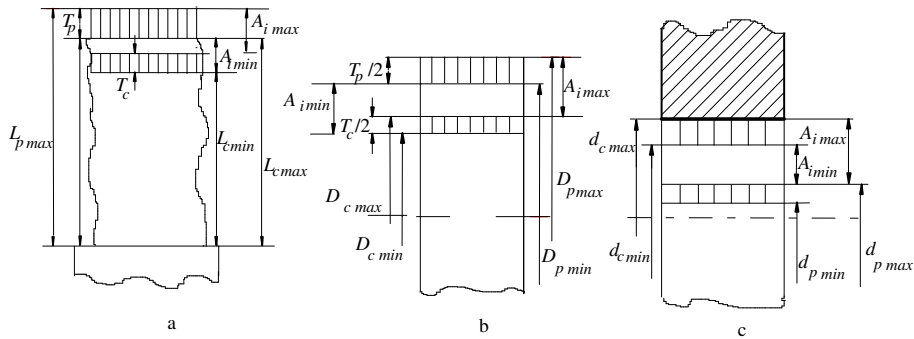


Fig. 8.253. Schema dispunerii adaosurilor și dimensiunilor intermediare:

a – la prelucrarea unor suprafețe plane; b – la prelucrarea unor piese de tipul arborilor; c – la prelucrarea unor alezaje; T_p ; T_c - toleranțele la dimensiune pentru faza precedentă, respectiv curentă; A_i - adaos de prelucrare intermediar; L_p ; L_c - dimensiunile pentru faza precedentă, respectiv curentă; D_p ; D_c - diametrul exterior pentru faza precedentă, respectiv curentă; d_p ; d_c - diametrul interior pentru faza precedentă, respectiv curentă.

Determinarea dimensiunilor intermediare se face plecând de la dimensiunile date în desenul de execuție, în ordine inversă celei în care se execută operațiile de prelucrare pentru fiecare suprafață a piesei.

8.16.3.3. Determinarea regimului de aşchiere

Regimul de aşchiere influențează direct precizia și calitatea suprafețelor prelucrate, costul și productivitatea prelucrării.

Deoarece între parametrii regimului de aşchiere și durabilitate există o legătură intrinsecă, se poate spune că durabilitatea tăişului sculei poate fi la rândul ei o *durabilitate economică* sau o *durabilitate optimă*, în funcție de scopul urmărit și anume - un cost minim sau o productivitate maximă, de unde au apărut și noțiunile de *regim economic de aşchiere* și *regim optim de aşchiere*.

Etapele de calcul ale regimului de aşchiere se urmăresc în funcție de criteriul sau criteriile luate în considerare la optimizarea regimului de aşchiere. În majoritatea cazurilor se parcurg următoarele etape:

1. *Alegerea sculei aşchietoare și definitivarea caracteristicilor mașinilor-unelte.* Scula se alege în funcție de natura prelucrării (strunjire exterioară, interioară, canelare, frezare, rectificare, broșare etc.). În funcție de natura și proprietățile fizico-chimice ale materialului semifabricatului se alege materialul părții active a sculei, care poate fi: oțel rapid, oțel carbon de scule, oțel aliat de scule, carburi metalice și mineralo-ceramice, materiale abrazive, diamante industriale etc. Parametrii geometrici ai sculelor aşchietoare se aleg din standarde sau din tabele.

2. *Stabilirea durabilității economice și a uzurii maxim admisibile a sculei aşchietoare.* În cazul cel mai general, durabilitatea sculei se consideră ca o constantă și se admite aprioric pentru a se calcula apoi viteza de aşchiere. În funcție de ceea ce se urmărește se calculează *durabilitatea economică* T_{ec} :

$$T_{ec} = \frac{1-m}{m} \left(\tau_s + \frac{S}{C_b} \right), \quad (8.303)$$

$$T_{opt} = \frac{1-m}{m} \cdot \tau_s, \quad (8.304)$$

în care m este exponentul durabilității și se determină cu relația $m_i = \text{tg} \cdot \alpha_c$ (fig. 8.254), în funcție de natura materialului sculei, natura materialului semifabricatului; τ_s - timpul necesar pentru schimbarea sculei uzate și reglarea sculei reascuțite, în minute; C_b - salariul muncitorului de la mașina-unealtă, în lei /min ; S - cheltuielile legate de exploatarea sculei, în lei.

Uzura maxim admisibilă a sculei aşchietoare se alege din tabele sau nomograme în funcție de materialul sculei, materialul semifabricatului, rugozitatea și precizia dimensională prescrisă piesei.

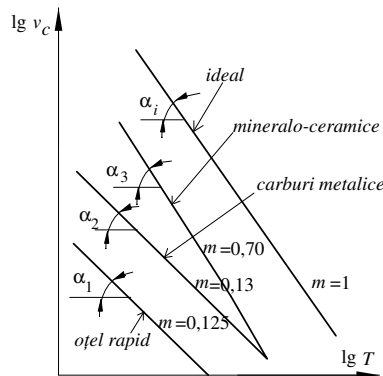


Fig. 8.254. Stabilirea valorilor exponentului m al durabilității:

T - durabilitatea sculei așchietoare; v_c - viteza de așchiere; α_1 ; α_2 ; ...; α_i - valoarea unghiului α_c în cazul utilizării unor scule confecționate din diferite materiale.

3. *Stabilirea adâncimii de așchiere și a numărului de treceri.* Adâncimea de așchiere se alege ținând cont de condițiile de precizie și rugozitate impuse suprafeței, fiind limitată de capacitatea sistemului tehnologic. Dacă adaosul de prelucrare A_p este prea mare, adâncimea de așchiere a_p se calculează cu relația:

$$a_p = \frac{A_p}{i}, \quad (8.305)$$

în care i este numărul de treceri.

Pentru creșterea productivității se recomandă la prelucrările de degroșare un număr de treceri minim, adâncime de așchiere maximă, în detrimentul avansului și vitezei de așchiere.

4. *Stabilirea avansului de așchiere.* Valoarea avansului de așchiere depinde de rezistența corpului sculei, eforturile admise de mecanismele de avans ale mașinii-unelte, momentul de torsiune admis de mecanismul mișcării principale, precizia prescrisă suprafeței prelucrate, calitatea suprafeței prelucrate, rigiditatea piesei, a dispozitivului și a mașinii-unelte. Pentru prelucrările de degroșare se recomandă ca avansul să fie cât mai mare, iar pentru prelucrările de finisare să fie cât mai mic, în concordanță cu adâncimea de așchiere.

5. *Stabilirea vitezei de așchiere.* Viteza de așchiere depinde de adâncimea de așchiere a_p , avansul de așchiere f , materialul și geometria părții active a sculei, proprietățile fizico-mecanice ale materialelor de prelucrat, durabilitatea sculei, condițiile de desfășurare ale procesului de așchiere. Având durabilitatea economică T_{ec} , viteza de așchiere economică $v_{c, ec}$ se calculează cu relația:

$$v_{c, ec} = \frac{C_v}{T_{ec}^m \cdot t^{x_v} \cdot f^{y_v}} \cdot k \quad [\text{m/min}] \quad (8.306)$$

unde:

$$k = k_T \cdot k_{vm} \cdot k_{st} \cdot k_c \cdot k_s \cdot k_y \cdot k_x \cdot k_{xl} \cdot k_r \cdot k_{VB} \cdot k_g \cdot k_{int} \cdot k_{fr} , \quad (8.307)$$

în care C_v este o constantă ce depinde de caracteristicile materialului sculei și al piesei care se prelucrează; x_v ; y_v - exponenți determinați experimental; k_T - coeficient de corecție în funcție de durabilitatea sculei; k_{vm} - coeficient de corecție în funcție de prelucrabilitatea materialului; k_{st} - coeficient de corecție în funcție de starea materialului de prelucrat; k_c - coeficient de corecție în funcție de tipul materialului; k_s - coeficient de corecție în funcție de partea activă a sculei; k_y ; k_x ; k_{xl} - coeficienți de corecție în funcție de geometria sculei; k_r - coeficienți de corecție în funcție de raza de la vârf a sculei; k_{VB} - coeficient de corecție în funcție de uzura sculei; k_g - coeficient de corecție în funcție de secțiunea sculei; k_{fr} - coeficient de corecție pentru cazul folosirii lichidelor de răcire; k_{int} - coeficient de corecție pentru prelucrări interioare.

Având $v_{c,ec}$, se poate determina turația economică de aşchiere n_{ec} cu relația:

$$n_{ec} = \frac{1000 \cdot v_{c,ec}}{\pi \cdot D} \text{ [rot/min]} , \quad (8.308)$$

în care D este diametrul piesei care se prelucrează, în mm.

Se alege apoi turația reală de aşchiere n_r , ce poate fi realizată de lanțul cinematic principal și se calculează viteza reală de aşchiere $v_{c,r}$, cu relația:

$$v_{c,r} = \frac{\pi \cdot D \cdot n_r}{1000} \text{ [m/min]} . \quad (8.309)$$

Se calculează pierderea de viteză Δ_v și se verifică variația vitezei:

$$\Delta_v = \frac{v_{c,r} - v_{c,ec}}{v_r} \cdot 100 \text{ [%]} . \quad (8.310)$$

Se acceptă varianta pentru care $\Delta_v < 5\%$.

6. *Calculul forței de aşchiere și a puterii necesare.* Forța de aşchiere este diferită pentru fiecare procedeu de prelucrare prin aşchiere și în general se calculează în funcție de: adâncimea de aşchiere, avansul de lucru, viteza de aşchiere reală și caracteristicile materialului care se prelucrează. Componenta principală a forței de aşchiere F_c se calculează cu o relație de forma:

$$F_c = C_{Fc} \cdot t^{x_{Fc}} \cdot v_c^{n_{Fc}} \cdot HB^{u_{Fc}} \text{ [daN]} , \quad (8.311)$$

în care C_{F_z} este un coeficient de corecție în funcție de materialul de prelucrat și materialul sculei; HB - duritatea Brinell a materialului de prelucrat; $x_{F_c}; y_{F_c}; n_{F_c}; u_{F_c}$ - exponenți determinați experimental.

Puterea reală de așchiere, P_r , se calculează cu relația:

$$P_r = \frac{F_c \cdot v_{c,r}}{6000 \cdot \eta} \quad [\text{kW}] , \quad (8.312)$$

în care η este randamentul mașinii - unelte, în medie 0,8...0,85.

8.16.3.4. Optimizarea regimului de așchiere

După metode moderne, utilizând teoria programării matematice, se elimină arbitrariul în alegerea parametrilor regimului de așchiere (v, a_p, f), considerând durabilitatea ca o mărime variabilă depinzând de un număr mare de factori și se calculează în așa fel încât să asigure fie un cost minim, fie o productivitate maximă.

Această metodă presupune un model matematic, care înglobează o funcție obiectiv (cost minim, productivitate maximă, beneficiu maxim, consum minim de energie etc.) și mai multe relații restrictive, din a căror rezolvare simultană rezultă regimul de așchiere optim (vezi paragraful 8.15).

8.16.3.5. Normarea tehnică

Pentru obținerea eficienței maxime, la proiectarea proceselor tehnologice trebuie să se urmărească realizarea de consumuri minime de timp, atât pentru fiecare operație în parte, cât mai ales pentru întregul proces tehnologic de fabricare a unei piese.

Norma tehnică de timp N_t este timpul necesar executării unei lucrări sau operații, de unul sau mai mulți muncitori, în anumite condiții tehnico-organiza-torice.

Se calculează cu relația:

$$N_t = t_b + t_a + t_{dt} + t_{do} + t_{on} + \frac{t_{pi}}{n} , \quad (8.313)$$

în care t_b este timpul de bază, în min; t_a - timpul auxiliar, în min; t_{dt} - timpul de deservire tehnică, în min; t_{do} - timpul de deservire organizatorică, în min; t_{on} - timpul de odihnă și necesități firești, în min; t_{pi} - timpul de pregătire încheiere, în min/lot; n - lotul de piese care se prelucurează la aceeași mașină în mod continuu.

Toți acești timpi se calculează sau se iau din normative, în funcție de natura prelucrării și de condițiile concrete de desfășurare a procesului de prelucrare.

Întotdeauna se urmăreşte reducerea normei tehnice de timp. Pentru reducerea ei se acţionează asupra elementelor componente luându-se următoarele măsuri: adoptarea unei geometrii corespunzătoare a sculei pentru reducerea lungimilor de intrare şi ieşire a sculei; intensificarea sau reducerea numărului de treceri; accelerarea curselor de mers în gol; prelucrarea simultană a mai multor suprafeţe; reducerea timpului de înlocuire a sculelor uzate; obţinerea automată a dimensiunilor; intensificarea regimului de aşchiere.

8.16.4. Analiza proceselor tehnologice

Procesele tehnologice de prelucrare prin aşchiere diferă după natura materialului şi semifabricatului ales, după numărul şi natura operaţiilor, după conţinutul şi modul de organizare, după parametrii regimului de aşchiere etc. Dintre toate variantele de proces tehnologic care se pot elabora pentru prelucrarea aceleiaşi piese, trebuie să se aleagă aceea care să asigure realizarea cu certitudine a piesei în condiţiile tehnice impuse, la costul cel mai mic şi într-un timp cât mai scurt. Deci, alegerea celor mai bune variante de proces tehnologic se face cu ajutorul unor indici tehnico-economici care să caracterizeze economicitatea şi rentabilitatea variantelor comparate. Principalii indicatori tehnico-economici necesar a fi calculaţi sunt:

- *coeficientul timpului de bază*, η_b - reprezintă raportul dintre timpul de bază t_b şi timpul unitar t_u , adică:

$$\eta_b = \frac{t_b}{t_u} . \quad (8.314)$$

Valori mari ale coeficientului demonstrează că operaţia a fost raţional proiectată, iar valorile mici indică cheltuieli mari de timp auxiliar;

- *coeficientul de continuitate în funcţionarea maşinii*, η_c - reprezintă raportul dintre timpul de bază t_b şi timpul operativ, t_e , al operaţiei sau procesului, adică:

$$\eta_c = \frac{t_b}{t_e} = \frac{t_b}{t_b + t_a} , \quad (8.315)$$

în care t_a este timpul auxiliar necesar operaţiei.

Acest coeficient caracterizează gradul de automatizare şi de perfecţionare în structura procesului tehnologic;

- *coeficientul de utilizare a maşinii-unelte*, η_u - se calculează cu relaţia:

$$\eta_u = \frac{t_u \cdot N + t_{pi} \cdot n}{F} , \quad (8.316)$$

în care t_u este timpul unitar pentru prelucrarea unei piese, în min; N - programul anual de producție, în bucăți; t_{pi} - timpul de pregătire-încheiere pentru un lot de piese, în min; n - numărul de loturi de piese care se execută într-un an pe mașina-unealtă; F - fondul anual de timp pentru funcționarea utilajului.

- *timpul pentru întreruperi tehnologice inevitabile*, t_u - caracterizează procesul tehnologic în flux și se determină cu relația:

$$t_u = t_r \cdot n_{mn} (1 - \eta_u) \quad [\text{min}] \quad (8.317)$$

în care t_r este ritmul liniei tehnologice în flux; n_{mn} - numărul de mașini-unelte din linia în flux; η_u - coeficientul de încărcare (utilizare) al mașinilor-unelte;

- *coeficientul timpului de pregătire-încheiere*, η_{pi} - se determină cu relația:

$$\eta_{pi} = \frac{t_{pi}}{n \cdot t_u} \quad , \quad (8.318)$$

în care T_{pi} este timpul de pregătire-încheiere al operației, în min; n - numărul de piese din lot, în buc.

Valoarea coeficientului depinde de mărimea lotului de piese. Cu cât seria de fabricație este mai mare, cu atât mai mică va fi valoarea acestui coeficient;

- *coeficientul de utilizare al materialului*, η_m , se determină ca raport între greutatea piesei finite, G_{pf} , și greutatea semifabricatului, G_s , cu relația:

$$\eta_m = \frac{G_{pf}}{G_s} \quad . \quad (8.319)$$

Acest coeficient caracterizează întregul proces de fabricație, inclusiv semifabricarea. Valoarea coeficientului arată dacă operația este rațională din punct de vedere al economiei de material.

- *productivitatea muncii* este un indice tehnico-economic care depinde de norma de producție pe schimb N_{sch} care se determină cu relația:

$$N_{sch} = \frac{t_{sch}}{N_t} \quad , \quad (8.320)$$

în care t_{sch} este durata schimbului de lucru, în min; N_t - norma de timp pe bucată, în min/buc.

- *costul fabricației* C este principalul indice de evaluare a gradului de economie fie pentru întregul proces tehnologic, fie pentru o operație separată. Costul de fabricație se calculează cu relația:

$$C = M + S + R \quad [\text{lei}] \quad , \quad (8.321)$$

în care M reprezintă cheltuielile cu materialul; S - cheltuielile cu salariile muncitorilor; R - cheltuieli generale ale secției legate de organizarea producției (cheltuieli de regie).

Pentru a stabili economicitatea diferitelor variante de proces tehnologic se întocmesc grafice de variație a costului în raport cu numărul de piese care se prelucurează. În acest scop, cheltuielile care compun costul de fabricație se împart în două mari categorii:

- *cheltuielile constante* F , care se fac la început, pentru întregul lot de piese (cheltuieli pentru investiții, dispozitive, scule, mașini - unelte etc.);

- *cheltuielile variabile* V , care se fac la executarea fiecărei piese (retribuția muncitorilor direct productivi, costul materialului, cheltuieli legate de consumul de energie electrică etc.).

Deci, pentru executarea unui lot de piese de n bucăți, costul C este:

$$C = n \cdot V + F \quad (8.322)$$

Compararea costului la două variante de proces tehnologic PT_1 și PT_2 sau la trei variante PT_1 , PT_2 și PT_3 se face grafic (vezi paragraful 1.2.2).

Din condiția $C_1 = C_2$, rezultă numărul de bucăți critic n_{cr} , pentru care costul ambelor variante este același:

$$C_1 = C_2 \Rightarrow n_{cr} = \frac{F_1 - F_2}{V_2 - V_1} \quad [\text{buc}] \quad (8.323)$$

Analiza proceselor tehnologice se face numai în cazul producției de serie mare sau de masă.

8.16.5. Întocmirea documentației tehnologice

După efectuarea tuturor calculelor și adoptarea variantei optime din punct de vedere tehnico-economic, pentru aceasta se elaborează documentația tehnologică. În funcție de tipul producției, documentația tehnologică se întocmește fie sub formă de fișe tehnologice, fie sub formă de plane de operații.

8.16.5.1. Fișa tehnologică

Fișa tehnologică este documentul care se întocmește în cazul producției de serie mică sau de unicate și la repararea utilajelor. Ea conține două categorii de informații generale și tehnico-organizatorice și informații la nivel de operație, fără a conține elemente descriptive la nivelul părților componente ale operației.

În fișa tehnologică se execută schița piesei cu dimensiunile finale, se face o enumerare a operațiilor, în conformitate cu traseul tehnologic stabilit, pentru fiecare operație precizându-se atelierul unde se execută, mașina sau locul de

muncă, dispozitivele, sculele și verificatoarele necesare, eventuale indicații tehnologice speciale, date referitoare la normarea lucrărilor, categoria de încadrare tarifară a lucrărilor etc.

8.16.5.2. Planul de operații

Se întocmește pentru producția de serie și de masă acolo unde detalierea pe operații este rentabilă ca urmare a volumului mare de producție.

Elementul principal al planului de operații îl constituie *operația*, fiecare operație fiind tratată separat, descompusă și analizată în cele mai mici amănunte. În foaia de plan de operație sunt trecute date referitoare la denumirea piesei, natura operației cu fazele și trecerile necesare, așezările și pozițiile piesei în decursul prelucrării. Sunt cuprinse de asemenea date referitoare la mașina-unealtă pe care se execută prelucrarea precizându-se sculele, dispozitivele și verificatoarele necesare fiecărei faze, lichidul de răcire-ungere, parametrii regimului de așchiere (v , f , a_p , n , i). Se execută schița cu privire la așezarea și fixarea piesei pe mașină sau în dispozitiv, cu indicarea suprafețelor care trebuie prelucrate prin îngroșarea liniilor care le delimitează. Se trece de asemenea toată structura normei tehnice de timp.

Totalitatea foilor de operații care se referă la prelucrarea aceleași piese, formează planul de operații.

8.17. TEHNOLOGIA DE PRELUCRARE A PIESELOR DIN CLASA „ARBORI”

8.17.1. Caracteristici constructive și condiții tehnice impuse

Piesele din clasa arbori pot fi împărțite după forma lor geometrică în patru grupe mari (fig. 8.255); arbori drepecți; arbori în trepte simetrice sau asimetrice; arbori cotiți; arbori cu came.

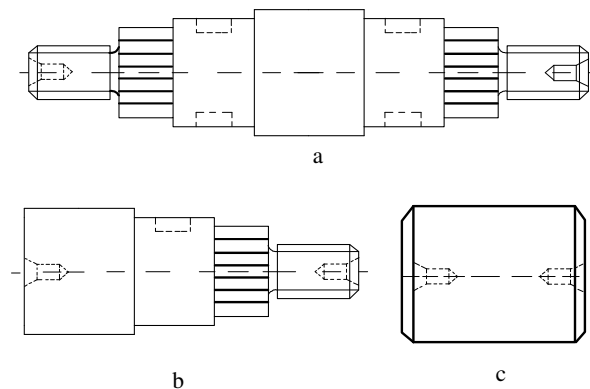


Fig. 8.255. Tipuri reprezentative de arbori:
a - în trepte simetrice; b - în trepte asimetrice; c - netezi.

Deşi domeniul de utilizare al arborilor este foarte mare, varietatea lor constructivă este diferită iar gama dimensională extrem de largă (diametre de 0,5...1 500 mm, lungime de 2...3 m până la peste 10 m, mase de zecimi de gram până la peste 100 tone) condiţiile tehnice de execuţie sunt foarte asemănătoare, de aceea se vor prezenta în continuare etapele generale ale unui proces tehnologic de prelucrare a arborilor.

8.17.2. Alegerea materialului şi semifabricatelor pentru arbori

Pentru confecţionarea arborilor se utilizează diferite categorii de materiale: oţeluri carbon sau aliate, fonte cu grafit nodular, aliaje neferoase, materiale nemetalice etc., alegerea materialului având la bază solicitările la care este supusă piesa în timpul funcţionării şi condiţiile tehnico-economice de fabricaţie. De obicei, alegerea materialului este indicat să se facă folosind metoda de analiză a valorilor optime (vezi paragraful 2.7).

Criteriile care stau la baza alegerii semifabricatelor pentru arbori sunt:

- *tipul de producţie*: în producţia de serie mare şi de masă şi pentru arborii care au o diferenţă până la 40...50 mm între diametrele treptelor se folosesc barele laminate. De asemenea, pentru arborii cu diametrul până la 150...200 mm în producţie de serie mică şi unicate se folosesc tot barele laminate. Se folosesc de asemenea semifabricate forjate, matriţate şi chiar turnate (pentru arbori dreپţi de dimensiuni mari).

- *forma şi dimensiunile arborilor*: pentru arborii cu diferenţa între diametrele treptelor mai mare de 40...50 mm se folosesc semifabricate forjate, matriţate, turnate sau sudate. Pentru producţia de serie mare şi de masă se folosesc semifabricate matriţate sau turnate. Pentru producţia de serie mică şi unicate, în cazul arborilor grei se folosesc semifabricate forjate.

- *calităţile fizico-mecanice pe care trebuie să le aibă arborii în timpul exploatării*: pentru condiţii deosebite de funcţionare, solicitări puternice se folosesc semifabricate forjate sau matriţate.

8.17.3. Structura proceselor tehnologice de prelucrare a arborilor dreپţi

Procesul tehnologic tip de prelucrare a arborilor cuprinde mai multe etape distincte: *etapa operaţiilor pregătitoare* (prelucrarea suprafeţelor frontale de capăt, centruirea etc.), *prelucrarea mecanică prealabilă a suprafeţelor principale şi a celor auxiliare* (canale de pană, caneluri, găuri transversale etc.), *tratamentul termic, finisarea suprafeţelor principale* (funcţionale şi de asamblare) şi *controlul final*.

De exemplu, structura unui proces tehnologic tip de prelucrare a unui arbore mijlociu, în trepte cuprinde următoarele operaţii:

8.17.3.1. Debitarea semifabricatului

Se face atunci când semifabricatul nu este forjat, matrițat sau turnat. Operația se execută pe presa - ghilotină (pentru bare cu diametrul ≤ 60 mm), cu ferăstrăul circular, cu disc abraziv, prin frezare, prin strunjire - în funcție de tipul producției și dimensiunile de gabarit (fig. 8.256).

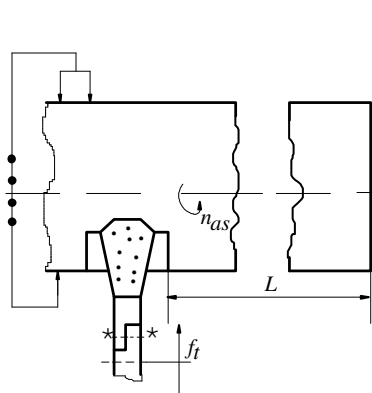


Fig. 8.256. Debitarea cu ferăstraie armate cu plăcuțe din carburi metalice:
 L - lungimea necesară; f_t - avansul transversal;
 n_{as} - turația.

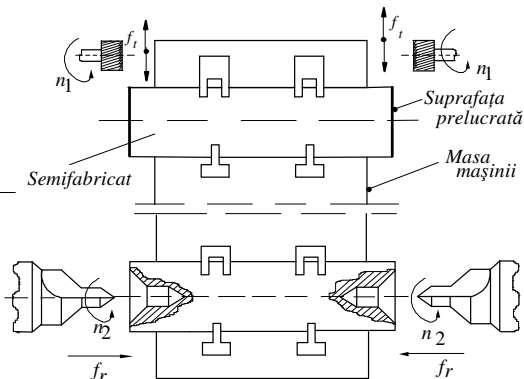


Fig. 8.257. Frezarea suprafețelor frontale și centrarea (execuția găurilor de centrare):
 n_1 ; n_2 - turații de așchiere; f_r ; f_t - avansuri de așchiere.

De multe ori, după debitare se face un control nedistructiv - cu ultrasunete, cu pulberi magnetice, lichide penetrante sau radiații penetrante - pentru a se pune în evidența eventualele defecte de semifabricare.

8.17.3.2. Prelucrarea suprafețelor de capăt

Se face în vederea obținerii suprafețelor de bazare în direcție axială și radială care să asigure precizia așezării în cadrul operațiilor ulterioare. Prelucrarea suprafețelor frontale se poate face pe strunguri (arborii mijlocii și mici în producția de serie mică și unicate). Pentru producția de serie mare și de masă se poate folosi frezarea simultană (fig.8.257) pe mașini speciale de frezat.

8.17.3.3. Execuția găurilor de centrare (centruirea)

Găurile de cercetare sunt, la majoritatea arborilor, bazele tehnologice pentru toate operațiile ulterioare de prelucrare, de aceea operația de centrare trebuie efectuată în anumite condiții: ambele găuri de centrare să aibă o axă comună de simetrie, să aibă o conicitate precisă, să poată prelua greutatea arborelui și forțele de așchiere. Operația se execută pe mașini speciale de centruit sau pe mașină specială de frezat și centruit (fig. 8.257).

8.17.3.4. Prelucrarea de degroşare la unul din capetele arborelui

Se prelucurează toate treptele cu diametru crescător. În funcție de tipul producției și dimensiunile de gabarit, operația se poate face prin strunjire pe strunguri normale, pe strunguri cu comandă program, pe strunguri revolver, pe strunguri automate, prin copiere, pe strunguri cu multicuțite (fig. 8.258), pe strunguri specializate, prin frezare cu joc de freze (fig. 8.259), prin broșare etc.

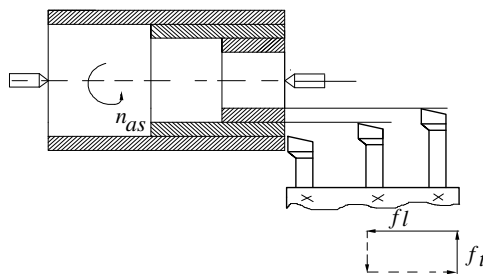


Fig. 8.258. Strunjirea cu multicuțite cu intrarea diferite succesivă în aşchie:
 n_{as} - turația de aşchiere; f_l - avansul longitudinal;
 f_t - avansul transversal.

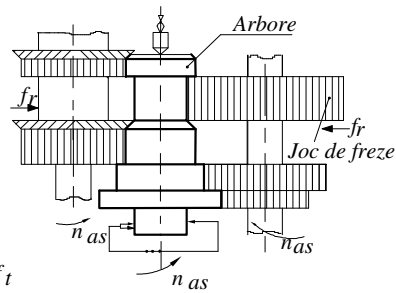


Fig. 8.259. Frezarea cu joc de freze pe o mașină specială:
 n_{as} - turația de aşchiere; f_r - avansul radial.

8.17.3.5. Prelucrarea de degroşare la al doilea capăt al arborelui

Se face în mod analog ca operația de degroșare a primului capăt, folosind aceleași metode și aceleași utilaje.

8.17.3.6. Prelucrarea de finisare a primului capăt al arborelui

Se face prin strunjirea de finisare pe strunguri normale, pe strunguri cu comandă program, strunguri automate sau prin broșare.

8.17.3.7. Prelucrarea de finisare a celui de-al doilea capăt al arborelui

Se face analog ca operația precedentă.

8.17.3.8. Prelucrarea canelurilor

Se face în majoritatea cazurilor prin frezare, pe mașina universală de frezat, folosind o freză-disc profilată, folosind și capul divizor (fig. 8.260).

8.17.3.9. Prelucrarea canalelor de pană

Se face prin frezare, pe mașina universală de frezat, folosind ca scule aşchietoare freze de formă corespunzătoare tipului de canal de pană (pentru pană disc, pană plan-paralelă etc.).

8.17.3.10. Executarea filetelor

Se face pe strunguri normale în cazul producției de serie mică sau unicate, pe mașini semiautomate speciale de filetat sau pe strunguri prevăzute cu capete speciale de filetat „în vârtej”. Executarea filetului „în vârtej” este o metodă rapidă folosind un dispozitiv relativ simplu montat pe sania transversală a strungului. Cuțitele fixate în capul de filetat (fig. 8.261) care primește mișcarea de rotație de la un motor electric se rotesc cu o viteză v_f , dată de relația:

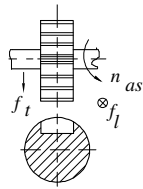


Fig. 8.260. Frezarea canelurilor:
 n_{as} - turația de așchiere; f_t, f_l - avansul transversal și respectiv longitudinal.

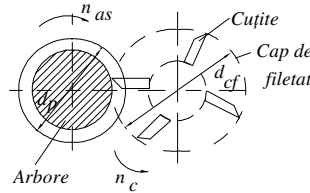


Fig. 8.261. Filetarea în vârtej:
 $n; n_c$ - turația piesei și respectiv a capului de filetat;
 $d_p; d_{cf}$ - diametrul exterior al filetului și respectiv al capului de filetat.

$$v_f = \frac{\pi \cdot d_{cf} \cdot n_c}{1000} \quad (8.324)$$

în timp ce piesa execută o mișcare de avans circular cu viteza v_p :

$$v_p = \frac{\pi \cdot d_p \cdot n_{as}}{1000} \quad (8.325)$$

8.17.3.11. Tratamentul termic

Urmărește fie îmbunătățirea prelucrabilității, fie creșterea caracteristicilor funcționale. Pentru îmbunătățirea prelucrabilității se aplică tratamente termice de recoacere (de înmuiere, de globulizare a perlitei, de normalizare, de detensionare etc.). Pentru îmbunătățirea caracteristicilor funcționale se aplică: călirea superficială, îmbunătățirea, cementarea, cianurarea, carbonitrurarea, iononitrurarea etc.

8.17.3.12. Sablarea

Se face cu jet de nisip prin aspirație, cu jet de nisip prin împușcare sau jet de alicie.

8.17.3.13. Îndreptarea

Se face pe prese de îndreptat și numai când este cazul.

8.17.3.14. Rectificarea de degroşare la unul din capete

Se face la toate treptele cu diametru crescător, pe maşini speciale de rectificat cu două sau mai multe discuri şi cu control activ al diametrelor. Operaţia se poate face cu avans longitudinal, cu avans transversal (fig. 8.262) sau cu piatră abrazivă profilată (fig. 8.263), în funcţie de forma şi dimensiunile de gabarit ale arborelui.

8.17.3.15. Rectificarea de degroşare la celălalt capăt al arborelui

Se face în mod analog ca operaţia anterioară.

8.17.3.16. Rectificarea canelurilor

Depinde de tipul de producţie dacă se execută pe maşina de rectificat plan sau pe maşini speciale de rectificat caneluri. În funcţie de modul de centrare se rectifică diametrul interior şi flancurile (de regulă, într-o operaţie).

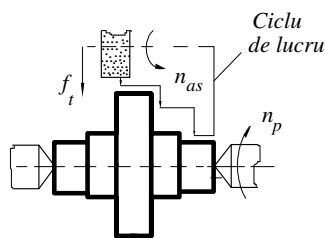


Fig. 8.262. Rectificarea cu avans transversal:
 n_{as} ; n_p - turația sculei și respectiv a piesei;
 f_t - avansul transversal.

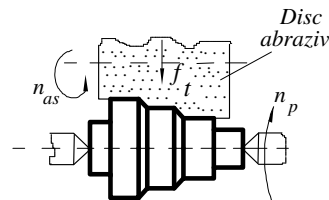


Fig. 8.263. Rectificarea cu disc abraziv:
 n_{as} ; n_p - turația sculei și respectiv a piesei;
 f_t - avansul transversal.

8.17.3.17. Rectificarea de finisare la unul din capetele arborelui

Se face în mod analog ca rectificarea de degroşare, alegându-se parametrii regimului de rectificare pentru finisarea suprefețelor. În acest sens mărimea avansului longitudinal nu va fi mai mare decât a treia parte din lăţimea discului de rectificat. Avansul transversal trebuie să fie cât mai mic pentru a se obține o rugozitate $R_a = 0,8 \dots 1,4 \mu\text{m}$ fără arsuri şi precizie dimensională ridicată.

8.17.3.18. Rectificarea de finisare la celălalt capăt al arborelui

Se face în mod analog ca la operaţia precedentă. Se poate face şi rectificarea electrochimică (în funcţie de natura materialului de prelucrat).

8.17.3.19. Rectificarea filetelor

Se face pe maşini de rectificat filete, fie folosind disc profilat îngust (fig. 8.264), fie folosind un disc profilat lat (fig. 8.265). Parametrii regimului de

așchiere sunt: viteza periferică a discului de rectificat (35...55 m/s); n_p - numărul de rotații al piesei, în rot/min; a_p - adâncimea de așchiere, în mm; i - numărul de treceri. Adâncimea de așchiere se ia de 0,02...0,05 mm la degroșare și 0,003...0,010 mm la finisare. Filetul exterior poate fi executat și prin rulare.

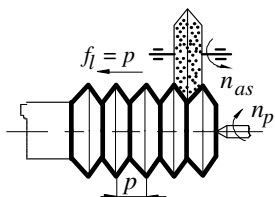


Fig. 8.264. Rectificarea filetului cu disc profilat îngust:
 n_{as} ; n_p - turația sculei și respectiv a piesei;
 f_l - avansul longitudinal; p - pasul filetului.

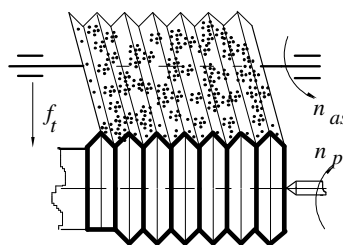


Fig. 8.265. Rectificarea filetului cu disc profilat lat:
 n_{as} ; n_p - turația sculei și respectiv a piesei;
 f_t - avansul transversal.

8.17.3.20. Superfinisarea arborilor

Se aplică pe acele suprafețe la care trebuie realizată o rugozitate $R_a < 0,4...0,8 \mu\text{m}$ și o precizie dimensională foarte ridicată. Operația se face cu ajutorul unui dispozitiv numit cap de superfinisat (de honuit), format din 2...6 barete abrazive (fig. 8.266) Baretele abrazive sunt apăsate pe suprafața de prelucrat în timp ce aceasta execută o mișcare de rotație, iar capul de superfinisat o mișcare rectilinie-alternativă și una de avans longitudinal.

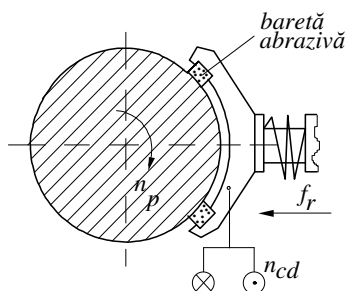


Fig. 8.266. Cap de superfinisat cu două barete abrazive cu legătură elastică:
 n_p - turația piesei; f_r - avansul radial;
 n_{cd} - frecvența mișcării rectilinii - alternative.

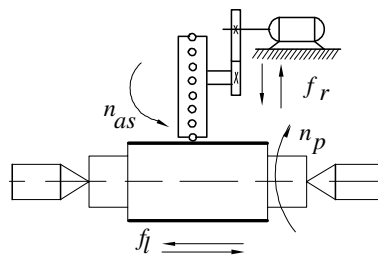


Fig. 8.267. Schema ecruisării unui arbore pe mașină de rectificat exterior:
 n_s ; n_p - turația sculei și respectiv a piesei;
 f_l ; f_r - avansul longitudinal și respectiv radial.

Pentru superfinisare se folosesc bare abrazive cu granulația 800...1 000, presiunea care se exercită asupra lor este de $(1,4...5) \cdot 10^5 \text{ N/m}^2$, frecvența

mişcării rectilinii alternative este de 500...3 000 curse duble pe minut, avansul longitudinal este mai mic de 0,1 mm / rot. Superfinisarea se face în prezența unui lubrefiant format din 80...90% petrol și 10... 20% ulei de turbină.

8.17.3.21. Finisarea prin ecrusare

Se folosește numai la anumite suprafețe care, pe lângă rugozitate mică și precizie dimensională ridicată, necesită și o mărire a durității suprafeței pe o anumită adâncime și o mărire a rezistenței la oboseală. Operația se poate face cu ajutorul unor dispozitive speciale de ecrusat, montate pe arborele principal al mașinii de rectificat (fig. 8.267). Parametrii regimului de lucru la ecrusare sunt: viteza de rotație a bilelor, în m/s; viteza periferică a piesei care se ecrusează în m/min; avansul longitudinal, în mm/rot; mărimea cu care este respinsă bila, în mm; numărul de treceri.

Operația se face folosind și capete de roluit cu ultrasunete.

8.17.3.22. Controlul final

Operațiile de control sunt plasate fie la începutul procesului tehnologic (se verifică calitatea materialului, se determină duritatea, reziliența, rezistența la tracțiune, compoziția chimică), fie pe parcursul desfășurării procesului tehnologic de prelucrare. Operația se execută cu aparate și instrumente de control universale sau aparate de control speciale.

8.17.4. Particularități ale prelucrării arborilor cotiți

Arborii cotiți se disting de ceilalți arbori prin faptul că o parte a tronsoanelor sunt excentrice, direcția excentricității fiind în general diferită de la un tronson la altul. Fusurile sunt prin urmare de două categorii: *fusuri paliere*, a căror axă este coliniară cu axa arborelui, și *fusuri manetoane*, a căror axă este excentrică față de cea a arborelui.

În fabricația de serie mare sau de masă a arborilor cotiți de dimensiuni mici și mijlocii, executați din oțel, semifabricatele se obțin prin matrițare pe prese sau ciocane matrițoare. La serii mici sau dimensiuni mari, semifabricatele se obțin prin forjare liberă.

Tehnologia tip de fabricație a arborilor cotiți cuprinde aceleași etape ca în cazul arborilor drepți: operații pregătitoare, prelucrarea prealabilă a suprafețelor principale și auxiliare, tratamentul termic, finisarea și controlul final - conținutul acestor etape are însă unele particularități, mai ales atunci când fabricația este de serie mare sau de masă.

Astfel, în afara găurilor de centrare a suprafețelor frontale de capăt, arborii cotiți mai au o suprafață de bazare, dispusă pe unul din brațele extreme și destinată orientării unghiulare la prelucrarea brațelor și fusurilor manetoane (fig. 8.268).

Suprafețele fusurilor paliere și manetoanele se prelucrează prin frezare sau prin strunjire pe mașini speciale.

Tratamentul termic aplicat este recoacerea de detensionare, în prima parte a procesului tehnologic sau după executarea principalelor degroșări, și tratamente termice cu scop funcțional (cementare, nitrurare, călire superficială), aplicate înainte de operațiile de finisare.

Fusurile, suprafețele de antrenare și alte suprafețe ale arborilor cotiți se supun unor operații de finisare prin rectificare, vibronetezire sau lepuire, pentru a se obține treapta a șasea de precizie și rugozitatea $R_a < 0,4 \dots 0,8 \mu\text{m}$. Rectificarea se face pe mașini speciale de rectificat, arborele cotit se așează în așa fel încât axa suprafeței care se prelucrează să coincidă cu axa mașinii. Tot în această etapă se face echilibrarea arborelui cotit, pe mașini speciale de echilibrat.

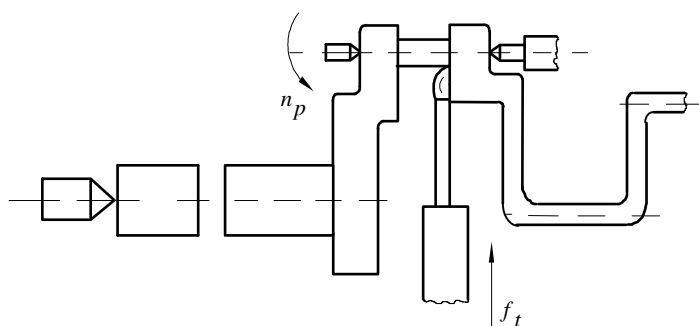


Fig. 8.268. Modul de prindere între vârfuri pentru prelucrarea fusurilor manetoane:
 n_p - turația piesei;
 f_t - avansul transversal.

8.17.5. Particularități ale prelucrării axelor cu came

Suprafețele caracteristice și în același timp principale sunt camele, dispuse în diverse zone de-a lungul axei, și fusurile de sprijin, plasate intercalat. Condiții tehnice impuse: precizia dimensională a fusurilor în treapta 6 de precizie, bătaia radială $\leq 0,015 \dots 0,04 \text{ mm}$, poziția unghiulară a camelor să aibă abateri $\leq 1^0 \dots 2^0$, rugozitatea fusurilor și camelor $R_a \leq 0,2 \dots 0,4 \mu\text{m}$ și duritatea suprafețelor de 54...62 HRC, conicitatea și ovalitatea $\leq 0,01 \dots 0,02 \text{ mm}$.

Ca materiale utilizate pentru axele cu came sunt: oțelurile carbon de calitate OLC 45 AT și fontele cu grafit nodular.

Ca semifabricate se folosesc în producția de serie mare sau masă semifabricatele matrițate (confecționate din oțel) și turnate precis (pentru cele confecționate din fontă).

Tehnologia de prelucrare a axelor cu came prezintă câteva particularități, dintre care cele mai importante privesc strunjirea camelor, tratamentul termic, rectificarea camelor și controlul profilului acestora.

Strunjirea profilată a camelor se execută pe mașini specializate care asigură cuțitelor translația radială de copiere, corelată (printr-un sistem de copiere) cu

rotația semifabricatului.

Rectificarea camelor se execută pe mașini specializate care permit rotația ansamblului piesei (mișcarea de copiere), corelată cu rotația piesei, în timp ce scula execută un avans radial la degroșare și un avans longitudinal de cursă, la finisare.

Fișa film a tehnologiei de obținere a unei piese din clasa arbori se prezintă în tabelul 8.9. Pentru exemplificare s-a presupus axul principal al unei prese mecanice (fig. 8.269) ce trebuie realizat într-o producție de 1 000 buc./an.

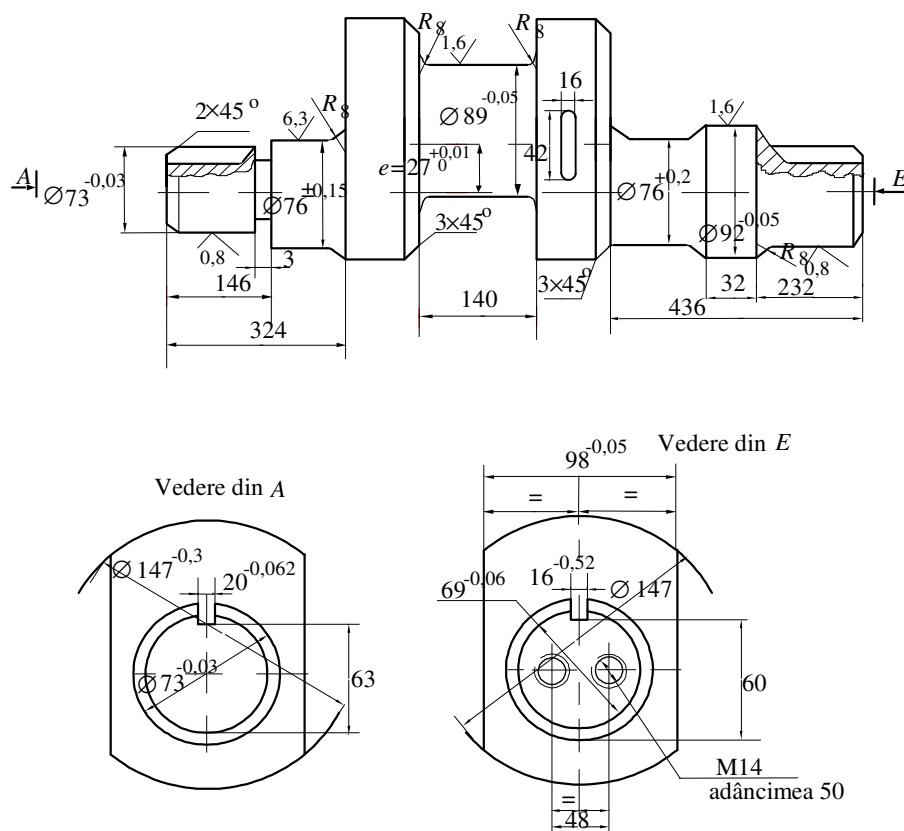
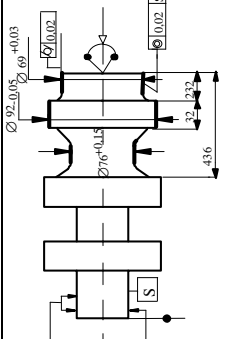
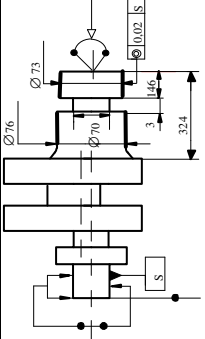
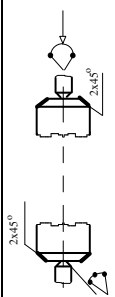


Fig. 8.269. Axul principal al prese mecanice.

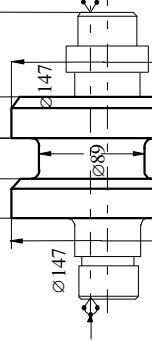
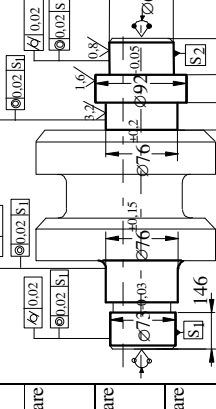
Tabelul 8.9. Procesul tehnologic de realizare a arborelui principal al unei prese mecanice

Nr. crt.	Denumirea operației	Succesiunea fazelor	Schita operației	Scule folosite	Mașina uncalta folosită	Regimul de așchiere				
						a_p	f	v_c	n	i
0	1	2	3	4	5	6	7	8	9	10
1	Controlul semifabricatului	1. Se controlează defectele interne cu ultrasunete sau Rx. 2. Se controlează toate dimensiunile	Fără schiță							
2	Frezarea suprafețelor frontale	a. Orientarea și fixarea semifabricatului 1. Frezarea frontală a capătului din dreapta b. Desprinderea, întoarcerea, prinderea piesei 2. Frezarea frontală a capătului din stânga c. Desprinderea piesei		Freză cilindro-frontală P20	Mașină de frezat vertical	2.0	150	70,37	280	1
3	Execuția găurilor de centrare	a. Orientarea și fixarea semifabricatului 1. Execuția găurilor de centrare pe axa A1 b. Desprinderea, întoarcerea, prinderea piesei 2. Execuția găurilor de centrare pe axa A2 c. Desprinderea piesei		Burghiu de centrare 3,15 STAS 1114/2 - 82 R _p 5	Mașină de frezat universală FU 350	4,9	0,04	16,96	675	1

Tabelul 8.9. (continuare)

0	1	2	3	4	5	6	7	8	9	10
4	Strunjirea de degroșare pe porțiunea din dreapta	a. Orientarea și fixarea semifabricatului 1. Strunjirea de degroșare la $\varnothing 69 \times 232$ 2. Strunjire de degroșare la $\varnothing 92 \times 32$ 3. Strunjire de degroșare la $\varnothing 76 \times 172$ b. Desprinderea piesei		Cuțit P 20 Cuțit P 20 Cuțit P 20	Strung normal SN 400×1500	3,2 3,2 3,2	0,68 0,68 0,68	82,3 88,1 90,7	380 305 380	1 1 1
5	Strunjirea de degroșare pe porțiunea din stânga	a. Orientarea și fixarea semifabricatului 1. Strunjirea de degroșare la $\varnothing 76 \times 324$ 2. Strunjire de degroșare la $\varnothing 73 \times 146$ 3. Strunjire de degroșare la $\varnothing 70 \times 3$ b. Desprinderea piesei		Cuțit P 20 Cuțit P 20 Cuțit P 20	Strung normal SN 400×1500	3,2 3,2 1,5	0,68 0,68 0,8	90,7 87,1 105,5	380 380 480	1 1 1
6	Teșire 2×45°	a. Orientarea și fixarea semifabricatului 1. Teșirea la 2×45° 2. Teșirea la 2×45° b. Desprinderea piesei		Cuțit P 30 Cuțit P 30	Strung normal SN 400×1500	2,0 2,0	0,8 0,8	82,4 82,4	380 380	1 1

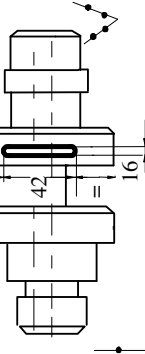
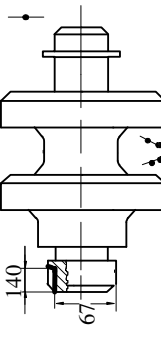
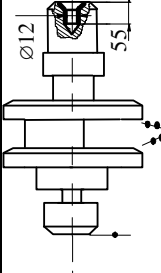
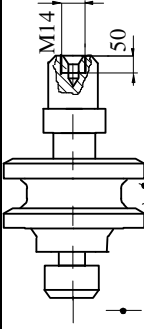
Tabelul 8.9. (continuare)

0	1	2	3	4	5	6	7	8	9	10
7	Strunjirea de degroșare	a. Orientarea și fixarea semifabricatului 1. Strunjirea de degroșare la Ø147×240 2. Strunjire de degroșare la Ø89×140 3. Teșirea la 3×45° b. Desprinderea piesei		Cuțit P 20 Cuțit P 20 Cuțit încovoiat P 30	Strung normal SN 400×1500	3,7 3,2 3	0,88 0,68 0,8	85,4 85,4 85,4	185 305 185	
8	Strunjirea de finisare	a. Orientarea și fixarea semifabricatului 1. Strunjirea de finisare la Ø69×232 2. Strunjirea de finisare la Ø92×32 3. Strunjirea de finisare la Ø76×172 4. Strunjirea de finisare la Ø76×178 5. Strunjirea de finisare la Ø73×146 b. Desprinderea piesei		Cuțit drept pentru finisat P20 Cuțit drept pentru finisat P20 Cuțit drept pentru finisat P20 Cuțit drept pentru finisat P20 Cuțit drept pentru finisat P20	Strung normal SN 400×1500	0,55 0,55 0,55 0,55 0,55	0,12 0,12 0,12 0,12 0,12	104 109,8 114,6 114,6 1110	480 380 480 480 480	

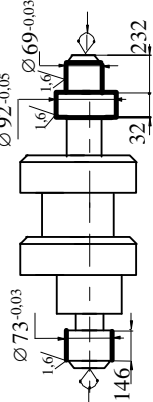
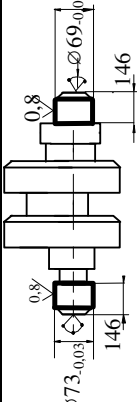
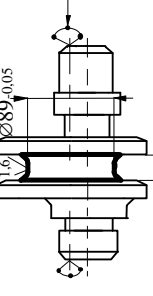
Tabelul 8.9. (continuare)

0	1	2	3	4	5	6	7	8	9	10
9	Strunjirea de finisare	a. Orientarea și fixarea semifabricatului 1. Strunjirea de finisare la Ø147×240 2. Strunjirea de finisare la Ø89×140 b. Desprinderea piesei		Cuțit drept pentru finisat P20 Cuțit drept pentru finisat P20	Strung normal SN 400×1500	0,6 0,6	0,12 0,12	85,4 85,3	185 305	1
10	Frezarea laterală	a. Orientarea și fixarea semifabricatului 1. Frezarea pe latura din dreapta 2. Frezarea pe latura din stânga b. Desprinderea piesei		Freză cilindro-frontală R _{p,3} Freză cilindro-frontală R _{p,3}	Mașină de frezat universală FU 350×1500	2,75 2,75	96 96	100,53 100,53	160 160	1 1
11	Frezarea canalului până	a. Orientarea și fixarea semifabricatului 1. Frezarea canalului de până la 16×220 b. Desprinderea piesei		Freză pentru canelat cu coadă cilindrică R _{p,3}	Mașină de frezat universală FU 350×1500	2	188	18,89	376	3

Tabelul 8.9. (continuare)

0	1	2	3	4	5	6	7	8	9	10
12	Frezarea canalului de până	a. Orientarea și fixarea semifabricatului 1. Frezarea canalului de până la 16x42 b. Desprinderea piesei		Frează pentru canelat cu coadă cilindrică R _{p3}	Mașină de frezat universală FU 350x1500	2	188	18,89	376	3
13	Frezarea canalului de până	a. Orientarea și fixarea semifabricatului 1. Frezarea canalului de până la 16x140 b. Desprinderea piesei		Frează pentru canelat cu coadă cilindrică R _{p3}	Mașină de frezat universală FU 350x1500	2	140	17,59	280	3
14	Găurirea	a. Orientarea și fixarea semifabricatului 1. Găurirea la Ø12x55 2. Găurirea la Ø12x55 b. Desprinderea piesei		Burghiu elicoidal scurt R _{p3} Burghiu elicoidal scurt R _{p3}	Mașină de găurit cu braț vertical	6,0	0,20	14,3	375	1
15	Filetarea	a. Orientarea și fixarea semifabricatului 1. Filetarea M14x50 2. Filetarea M14x50 b. Desprinderea piesei		Tarod lung de mașină Tarod lung de mașină	Mașina de găurit	1,0	2,0	2,63	67	1

Tabelul 8.9. (continuare)

0	1	2	3	4	5	6	7	8	9	10
16	Rectificarea de degroșare	a. Orientarea și fixarea semifabricatului 1. Rectificarea de degroșare la Ø69×232 2. Rectificarea de degroșare la Ø92×32 3. Rectificarea de degroșare la Ø73×146 b. Desprinderea piesei		Piatră cilindrică Piatră cilindrică Piatră cilindrică	Mașina de rectificat	0,02 0,02 0,02	20 20 20	29,94 14,74 15,59	1900 1900 1900	10 10 10
17	Rectificarea de finisare	a. Orientarea și fixarea semifabricatului 1. Rectificarea de finisare la Ø69×146 2. Rectificarea de finisare la Ø73×146 b. Desprinderea piesei		Piatră cilindrică Piatră cilindrică	Mașina de rectificat	0,01 0,01	12 12	29,94 14,74	1900 1900	5 5
18	Rectificarea de degroșare	a. Orientarea și fixarea semifabricatului 1. Rectificarea de degroșare la Ø89×140 b. Desprinderea piesei		Piatră cilindrică	Mașina de rectificat	0,02	20	29,94 14,74	1900 68	10
19	Controlul final	1. Se controlează toate dimensiunile 2. Se măsoară rugozitățile pe fusuri și pe maneton	Fără schiță	Șubler, micrometru, rugozimetru						

8.18. TEHNOLOGIA DE PRELUCRARE A PIESELOR DIN CLASA „BUCȘE”

8.18.1. Caracteristici constructive și condiții tehnice impuse

În funcție de rolul pe care-l au în subansamblul din care fac parte, piesele din clasa bușe trebuie să îndeplinească o serie de condiții tehnice:

- diametrul suprafețelor exterioare se prelucurează cu o precizie cuprinsă între clasa 3 și clasa 2 de precizie;
- diametrul suprafeței interioare se prelucurează cu o precizie cuprinsă între clasa 2 și clasa 1 de precizie;
- abaterea de la concentricitatea suprafeței interioare față de suprafața exterioară nu trebuie să fie mai mare de $0,03...0,15$ mm;
- abaterea de la perpendicularitatea suprafeței frontale față de axa de simetrie a suprafeței interioare nu trebuie să fie mai mare de $0,2$ mm la o rază de 100 mm;
- rugozitatea suprafeței exterioare trebuie să fie $R_a \leq 3,2$ μm , iar a suprafeței interioare trebuie să fie $R_a \leq 0,8...3,2$ μm .

O problemă tehnologică specifică prelucrării bușelor este aceea de asigurare a concentricității suprafeței interioare față de suprafața exterioară, precum și a perpendicularității suprafețelor frontale pe axa de simetrie a suprafeței interioare.

Câteva tipuri constructive de bușe se prezintă în figura 8.270.

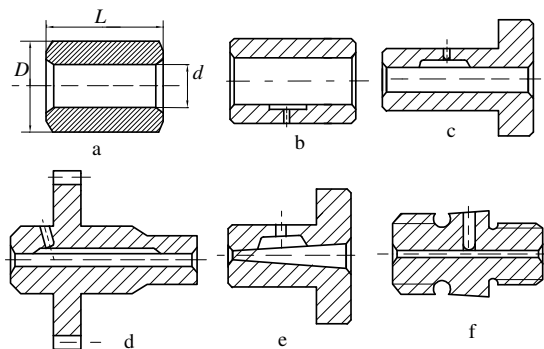


Fig. 8.270. Piese reprezentative din clasa „bucșe”:
a- simple; b – cu orificiu de ungere; c – cu cap și orificiu de ungere; d – cu flanșă și orificiu de ungere; e – cu suprafața interioară conică; f – filetată pe exterior.

8.18.2. Alegerea materialelor și semifabricatelor

Pentru bușe cu diametrul interior ≤ 20 mm se folosesc bare laminate, trase sau extrudate confecționate din oțel, cupru și aliajele sale, aluminiu și aliajele sale. Semifabricatele pot fi și turnate sau forjate liber.

Pentru buçe cu diametrul interior > 20 mm, semifabricatele folosite sunt țevi laminate sau semifabricate turnate sub presiune. Se mai folosesc și semifabricate din mase plastice obținute prin presare sau injecție.

8.18.3. Structura procesului tehnologic de prelucrarea pieselor din clasa „bucșe”

Procesul tehnologic de prelucrare a pieselor din clasa „bucșe” depinde într-o măsură foarte mare de forma semifabricatului folosit (dacă este bară laminată, țevă laminată sau bucșă turnată) și de programa de producție.

Procesul tehnologic tipizat pentru prelucrarea unei bucșe din țevă sau semifabricat turnat cu gaură cuprinde operațiile de mai jos.

8.18.3.1. Prelucrarea de degroșare și de finisare a unui capăt al bucșei

Această operație cuprinde mai multe faze distincte, în funcție de tipul mașinii-unelte folosite:

- avansarea țevii (barei laminate) până la opritor sau fixarea semifabricatului în universal sau bucșă elastică;
- strunjirea suprafeței frontale și executarea unei teșituri;
- executarea unei găuri de centrare pentru burghiere (atunci când semifabricatul este bară laminată);
- burghierea de degroșare a suprafeței interioare;
- strunjirea de degroșare a suprafeței exterioare;
- strunjirea de finisare a suprafeței interioare și exterioare și executarea teșiturilor;
- alezarea și degroșarea găurii;
- alezarea de finisare a găurii;
- retezarea bucșei.

Operația se execută pe strungul revolver sau pe strunguri automate cu patru sau șase arbori.

De exemplu, prelucrarea bucșei din figura 8.271, pe strungul revolver, presupune mai multe faze dintre care unele se execută simultan.

Astfel, în faza I se face avansarea barei până la opritorul 1 și strângerea ei. În faza a -II- a se execută o gaură de centrare cu un burghiu de centrare 2, iar în faza a-III-a se execută trei prelucrări: burghierea găurii centrale cu burghiul 3, strunjirea de degroșare a suprafeței exterioare D_1 cu cuțitul 4 și strunjirea de finisare a suprafeței exterioare D_2 cu cuțitul 5. În faza a-IV-a se execută strunjirea de finisare a suprafeței interioare d cu cuțitul 6 și strunjirea de finisare a suprafeței exterioare D_1 , cu cuțitul 7. În faza a-V-a se execută strunjirea suprafeței frontale a gulerului și a canalului de scăpare cu cuțitul 8.

În faza a-VI-a se execută alezarea găurii interioare cu alezorul 9 și teșirea muchiei interioare a gulerului cu cuțitul 10 fixat în suportul port-cuțit 11. În faza a

–VII - a se execută simultan următoarele operații: teșirea muchiilor suprafeței frontale la exterior și interior cu cuțitele 12 și 13 fixate în capul revolver 14, începe retezarea cu cuțitul 15, fixat pe suportul port-cuțit 16, și pe măsură ce se execută retezarea are loc și teșirea muchiei exterioare a suprafeței de capăt cu cuțitul 17.

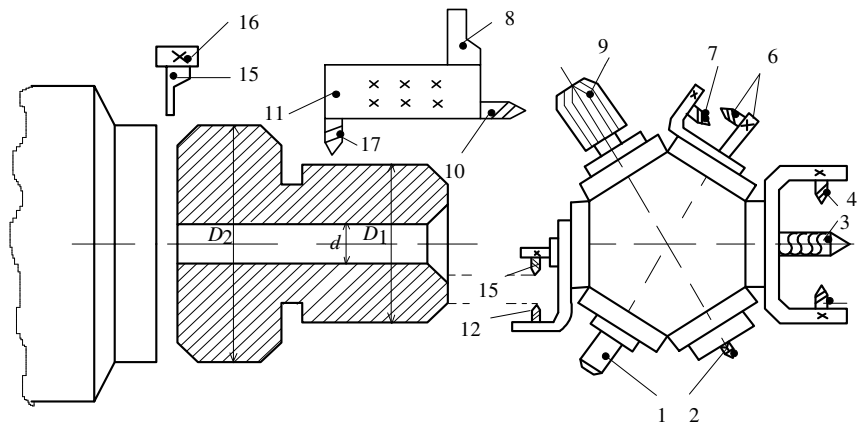


Fig. 8.271. Schemă de reglaj pentru prelucrarea unui lot de bucșe pe un strung revolver:
1 – opritor; 2 – burghiu de centrare; 3 – burghiu; 4 ;5 – cuțite de strunjire; 6 ;7 – cuțite de finisare;
8 – cuțit de degroșare; 9 – alezor; 10 – cuțit de teșire; 11 – suport port-cuțit; 12;13 – cuțite de teșire;
14 – cap revolver; 15 – cuțit de retezare; 16 – suport portcutit; 17 – cuțit de teșire pentru exterior.

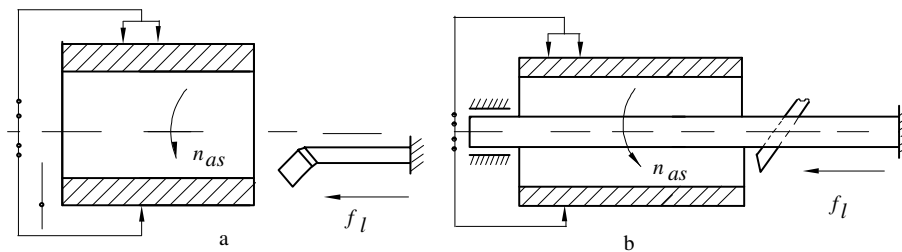


Fig. 8.272. Prelucrarea prin strunjire a suprafețelor interioare:
a - scurte; b - lungi; n_{as} – rotația piesei; f_l – avansul longitudinal.

Prelucrarea suprafețelor interioare ridică numeroase probleme legate de precizia de execuție și calitatea suprafeței. De regulă, după prelucrarea prin burghiere sau cea de lărgire urmează prelucrarea prin strunjire interioară, care se poate face cu cuțitul de interior (fig. 8.272. a), pentru bucșe scurte sau cu bare de alezat (fig. 8.272. b), pentru bucșe lungi.

8.18.3.2. Executarea teșiturilor la exterior și interior la cel de-al doilea capăt al bucșei

Operația se execută pe mașina de găurit verticală sau pe strunguri normale.

8.18.3.3. Executarea canalului de ungere longitudinal

Operația se execută pe mașini speciale cu scule speciale, în funcție de dimensiunile de gabarit ale bușei și de tipul producției.

8.18.3.4. Executarea găurii de ungere

Operația se execută pe mașina de găurit verticală cu burghie obișnuite.

8.18.3.5. Tratamentul termic

Se face în funcție de condițiile tehnice impuse suprafețelor interioare și exterioare. De obicei se aplică tratamentul de călire superficială, cementare, nitrurare etc.

8.18.3.6. Rectificarea suprafeței frontale și interioare

Operația se execută pe mașina de rectificat rotund interior folosind discuri abrazive adecvate și avans transversal (fig. 8.273). În producția de serie mare sau de masă se folosesc mașini de rectificat interior folosind ciclu de lucru automat, cu sistem de control activ al dimensiunilor.

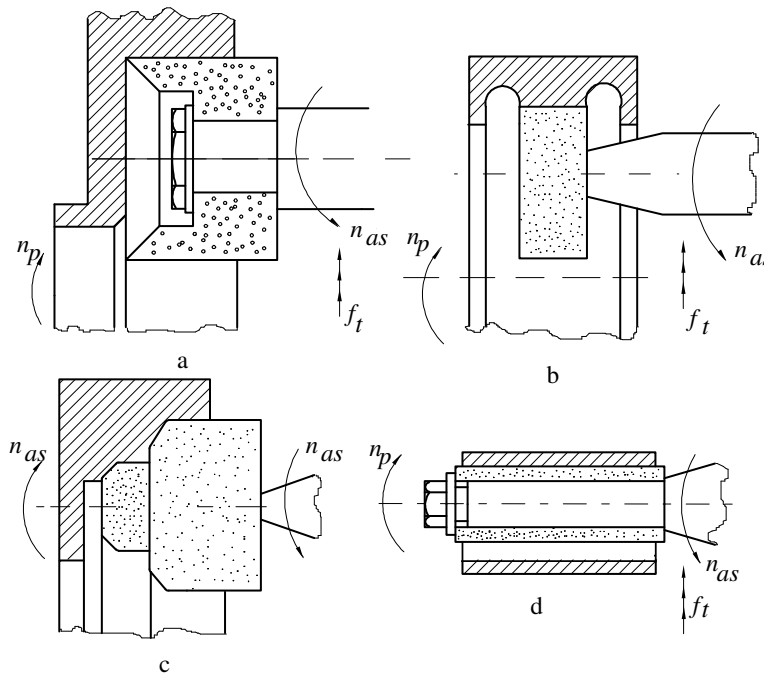


Fig. 8.273. Exemple de rectificare a suprafețelor interioare cu avans transversal:
a,b – suprafețe interioare simple; c – suprafețe profilate; d – suprafețe de diametre mici.

Parametrii regimului de aşchiere sunt: viteza de aşchiere (viteza periferică a pietrei) care se alege în funcţie de natura materialului piesei având valori cuprinse între 8...35m/s; viteza de avans ce nu trebuie să depăşească 0,015 din viteza periferică a pietrei; diametrul pietrei de rectificat care trebuie să fie 3/4 din diametrul găurii ce se rectifică; avansul transversal în trepte de 0,02...0,05 mm.

Operaţia se poate face şi pe maşini de rectificat rotund interior fără centre (depinde de forma şi dimensiunile buçsei).

8.18.3.7. Rectificarea suprafeţei exterioare

Operaţia se execută pe maşini de rectificat între vârfuri sau pe maşini de rectificat fără vârfuri, în funcţie de rigiditatea piesei şi configuraţia geometrică a suprafeţei exterioare.

8.18.3.8. Prelucrarea de superfinisare

Operaţia se execută pe maşini speciale de honuit cu capete de honuit. Capul de honuit este format din 4...6 bare abrazive fixate într-un dispozitiv special, care are posibilitatea deplasării radiale a barelor. Prin honuire se pot prelucra suprafeţe interioare cu diametrul 2,5...500 mm şi lungimi de până la 10 000 mm. Adaosul de prelucrare care se poate îndepărta prin honuire este de 0,02...0,04 mm pe diametru. Rugozitatea suprafeţei obţinute după honuire este $R_a \leq 0,025...0,4 \mu\text{m}$.

Operaţia de superfinisare se poate face şi prin lepuire. Lepuirea se face cu ajutorul unor dornuri de lepuit (dorn din fontă rectificat la exterior având un diametru cu 0,01...0,02 mm mai mic decât diametrul găurii ce urmează a se lepuir), fixate în universalul maşinii de lepuir. Pentru lepuire se foloseşte o pastă specială de lepuir, formată din seu şi o vâselină specială amestecată cu praf abraziv. Se obţine o rugozitate $R_a \leq 0,05...0,012 \mu\text{m}$.

Fişa film a tehnologiei de obţinere a unei piese din clasa „bucşe” se prezintă în tabelul 8.10. Este vorba de un corp de supapă (fig. 8.274), într-o producţie anuală de 2 000 bucăţi.

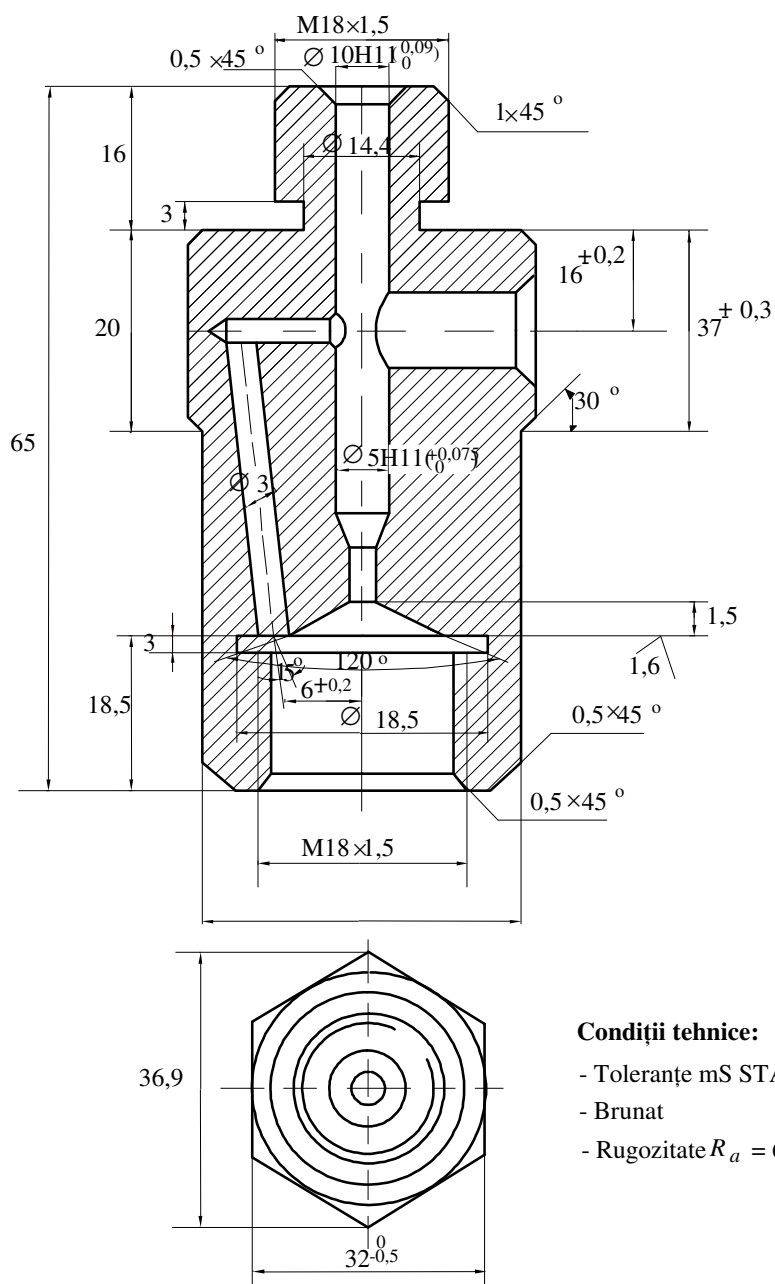
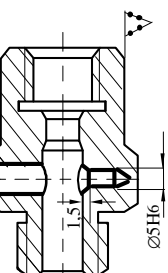
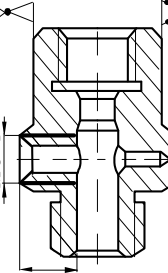
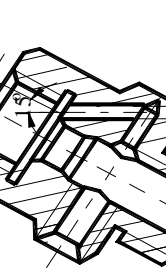


Fig. 8.274. Corp supapă.

Tabelul 8.10. (continuare)

0	1	2	3	4	5	6	7	8	9
4	Strunjirea-alezarea	<p>a. Orientarea și fixarea semifabricatului</p> <p>1. Strunjirea cilindrică de degroșare la Ø18</p> <p>2. Strunjirea de degroșare la Ø14,4</p> <p>3. Teșire 1×45°</p> <p>4. Teșire 1,5×30°</p> <p>5. Strunjirea de degroșare la Ø32</p> <p>6. Strunjirea de degroșare la Ø9,8</p> <p>7. Alezarea la Ø5H6(+0,075)</p> <p>8. Teșire 0,5×45°</p> <p>b. Desprinderea piesei</p>		<p>Cuțit R_p3</p> <p>Cuțit R_p3</p> <p>Cuțit R_p3</p> <p>Cuțit R_p3</p> <p>Cuțit R_p3</p> <p>Cuțit R_p3</p> <p>Alezor R_p3</p> <p>Cuțit R_p3</p>	S.R.O. 40	1,5	280	32,45	0,28
						1,7	1400	79,16	0,09
						0,7	560	31,6	0,09
						1,0	140	16,22	0,125
						1,45	355	33,41	0,28
						1,2	2800	43,98	0,14
						0,07	560	8,79	0,20
						0,35	900	50,89	0,05
5	Filetarea M18×1,5	<p>a. Orientarea și fixarea semifabricatului</p> <p>1. Filetarea M18×1,5</p> <p>b. Desprinderea piesei</p>		<p>Filetă R_p3</p>	S.R.O. 40	1,0	56	3,15	1,5

Tabelul 8.10. (continuare)

0	1	2	3	4	5	6	7	8	9
6	Găurirea-alezarea	a. Orientarea și fixarea semifabricatului 1. Găurirea la $\varnothing 7$ 2. Găurirea la $\varnothing 4,8$ 3. Teșirea la $1,5 \times 45^\circ$ 4. Alezarea la $\varnothing 5H6$ b. Desprinderea piesei		Burghiu R _p 3 Burghiu R _p 3 Burghiu R _p 3 Alezor R _p 3	G25	3 2,4 1,1 0,1	630 1800 630 630	13,85 27,14 13,85 9,81	0,13 0,1 0,13 0,13
7	Filetarea M8x1	a. Orientarea și fixarea semifabricatului 1. Filetarea M8x1 b. Desprinderea piesei		Tarod R _p 3	Mașina de găurit	0,5	112	2,8	1
8	Găurirea $\varnothing 3$	a. Orientarea și fixarea semifabricatului 1. Găurirea la $\varnothing 3$ b. Desprinderea piesei		Burghiu R _p 3	G25 Dispozitiv de găurit	1,5	2800	26,38	1,5

Tabelul 8.10. *(continuare)*

8.19. TEHNOLOGIA DE PRELUCRARE A PIESELOR DIN CLASA „CORPURI COMPLEXE”

8.19.1. Caracteristici constructive și condiții tehnice impuse

Din punct de vedere constructiv, forma geometrică și dimensiunile pieselor incluse în această clasă sunt foarte diverse. Din punct de vedere funcțional aceste piese servesc la montarea pe ele a unor mecanisme sau subansamble ale mașinilor sau instalațiilor îndeplinind rolul pieselor de bază din unitățile de asamblare. Din această clasă fac parte piese cu destinații foarte diferite: batiurile de mașini-unelte, carcasele cutiilor de viteze, carcasele de reductor, blocul cilindrilor de la motoarele cu ardere internă, corpurile de pompe, carterul cutiei de viteze și carterul punții din spate de la automobile, săniile și mesele mașinilor-unelte, coloanele și corpurile de dispozitive etc.

La toate aceste piese se întâlnesc trei mari grupe de suprafețe care necesită prelucrări prin așchiere:

- suprafețe plane exterioare, orizontale, verticale sau înclinate (folosite frecvent ca baze tehnologice principale), al căror rol funcțional este de a asigura asamblarea cu alte piese ale produsului din care fac parte;
- suprafețele alezajelor principale (alezaje pentru lagărele arborilor, cilindrii motoarelor cu ardere internă sau compresoarelor, alezajelor pompelor etc.);
- suprafețele auxiliare, cilindrice, filetate sau nu, care se folosesc la asamblarea cu alte piese sau a altor piese între ele.

Condițiile tehnice impuse pieselor din această clasă rezultă din necesitatea de a se asigura poziția reciprocă a elementelor de mașini cu care se assemblează, în limitele toleranțelor impuse de rolul funcțional. De asemenea, trebuie să se asigure rezistența la coroziune și uzură, rigiditatea, precizia dimensională și de formă, rugozitatea suprafețelor și etanșeitatea cerute de destinația și condițiile de lucru ale piesei respective.

Principalele condiții tehnice se referă la:

- precizia dimensională a alezajelor principale, care se recomandă a fi în treapta 6-7 de precizie;
- precizia distanțelor dintre suprafețele plane paralele, care se impune a fi $\leq 0,05 \dots 0,15$ mm;
- precizia distanțelor dintre axele alezajelor principale, care se recomandă a fi cuprinsă între $\pm 0,025$ și $\pm 0,3$ mm;
- precizia coaxialității alezajelor principale, care se impune a fi jumătate din toleranța diametrului mai mic;

- precizia de formă a alezajelor principale (se admite o ovalitate, conicitate, poligonalitate, de maximum 0,5...0,7 din toleranţa la diametru);
- precizia de formă a suprafeţelor plane (se admite o abatere de la rectilinitate de 0,05...0,2 mm pe întreaga lungime);
- rugozitatea pentru suprafeţele plane de asamblare, care se recomandă a fi $R_a \leq 1,6...6,3 \mu\text{m}$; cea a alezajelor principale de 0,8...1,6 μm , iar pentru suprafeţe mai pretenţioase (ca de exemplu, cilindrii motoarelor cu ardere internă sau hidraulice) $R_a \leq 0,2...0,4 \mu\text{m}$;
- carcasele ce lucrează sub presiune se supun unei probe hidraulice pentru măsurarea etanşeităţii în două momente ale procesului tehnologic: după operaţiile de degroşare şi după operaţiile de finisare.

Una din problemele tehnologice importante care apare la prelucrarea pieselor din această clasă este *alegerea corectă a bazelor tehnologice*, alegere de care depinde în continuare îndeplinirea condiţiilor tehnice enumerate mai sus. Bazele tehnologice trebuie alese, astfel încât baza de aşezare să se confunde cu baza de măsurare şi să se păstreze aceeaşi într-un număr cât mai mare posibil de operaţii. Pentru prelucrarea suprafeţelor care vor servi drept baze tehnologice trebuie să se ia ca primă *bază de aşezare* unul din alejazele centrale sau anumite suprafeţe special prevăzute pe semifabricate (bosaje).

Alegerea bazelor tehnologice trebuie însoţită de calculul erorii de bazare.

8.19.2. Alegerea materialelor şi semifabricatelor

Alegerea materialului se face ţinând cont de cerinţele constructiv-funcţionale (rezistenţă mecanică, rezistenţă la coroziune, rezistenţă la oboseală etc.), de cerinţele tehnologice (prelucrabilitate prin aşchiere, sudabilitate, turnabilitate etc.) şi de cerinţele economice (preţ de cost etc.).

În funcţie de formă, dimensiuni de gabarit, rol funcţional şi tipul producţiei se folosesc materialele:

- fontă cenuşie şi fontă maleabilă: Fc 250, Fc 300, Fm350n, Fm 420a, Fm 450p, Fm 500p pentru carcasele cutiilor de viteze de la maşinile-unelte, blocurile cilindrilor şi chiulasele motoarelor cu ardere internă, carcasele pompelor, batiurile maşinilor-unelte etc.;
- oţel carbon turnat şi oţeluri aliate: OT 45-2; OT 50-2, OT 55-2, T50SiNiMoCr280; 20Cr130, 7TiCr170 pentru carcasele pompelor centrifuge, blocurile cilindrilor de la motoarele pneumatice şi hidraulice, carcasele care lucrează în medii corosive.

Semifabricatele folosite sunt turnate, sudate şi mai rar deformate sau chiar combinaţii dintre acestea. Stabilirea procesului de turnare sau de sudare depinde de materialul piesei, de forma şi gabaritul piesei, de precizia impusă şi de volumul producţiei.

8.19.3. Structura procesului tehnologic de prelucrare a pieselor din clasa „corpuri complexe”

Procesul tehnologic de prelucrare a pieselor din clasa „corpuri complexe” depinde în mare măsură de forma și dimensiunile de gabarit ale semifabricatului, de cerințele tehnice impuse și de tipul producției.

Procesul tehnologic tipizat, în cazul cel mai general, pentru prelucrarea unei piese din clasa corpuri complexe cuprinde operațiile de mai jos:

8.19.3.1. Prelucrarea de degroșare și de finisare a suprafețelor care vor servi drept baze tehnologice în operațiile următoare

Se aleg viitoarele baze tehnologice și se prelucurează pe mașini de rabotat sau de frezat (degroșarea) sau pe mașini de broșat și rectificat (finisarea). Schema de așezare tipică pentru prelucrarea unor astfel de piese folosește o suprafață plană și două alezaje perpendiculare pe aceasta. Trebuie ca suprafața plană, viitoarea bază tehnologică, să se prelucereze dintr-o singură prindere (fig. 8.275) și în operația de degroșare și în operația de finisare.

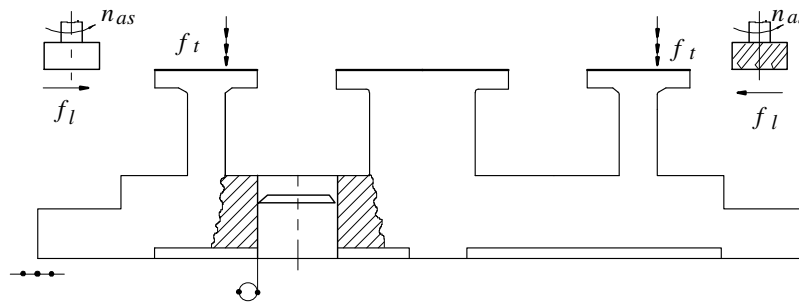


Fig. 8.275. Prelucrarea de degroșare și finisare a viitoarei baze tehnologice:
 n_{as} - turația sculei; f_l ; f_t - avansul longitudinal și respectiv transversal.

8.19.3.2. Prelucrarea găurilor tehnologice

Operația se execută pe mașina de găurit verticală sau cu braț, cu cap multiax sau cu dispozitiv cu bușe de conducere.

În producția de serie mare și de masă prelucrarea acestor alezaje se face pe mașini-unelte agregat, cu unul sau mai multe capete de găurit sau de alezat.

8.19.3.3. Prelucrarea celorlalte suprafețe plane exterioare

Operația se execută pe mașini de rabotat cu mai multe capete de lucru (fig. 8.276), pe mașini de frezat portal cu mai multe capete de lucru (fig. 8.277), pe mașini agregat de frezat tip Carusel, pe mașini de broșat etc., alese în funcție de configurația geometrică a suprafețelor, dimensiunile de gabarit și tipul producției.

8.19.3.4. Prelucrarea de degroșare și finisare a alezajelor de bază

Alegerea procedeului de prelucrare la această operație depinde de mai mulți factori și anume: forma, diametrul și lungimea alezajului, dispunerea alezajelor (în pereții exteriori sau în pereții interiori), precizia și rugozitatea suprafeței, forma, dimensiunile și materialul piesei. Operația se execută pe mașini de găurit verticale sau cu braț, mașini de găurit și alezat vertical, mașini de găurit și alezat orizontale, agregate de găurit cu unul sau mai multe capete etc.

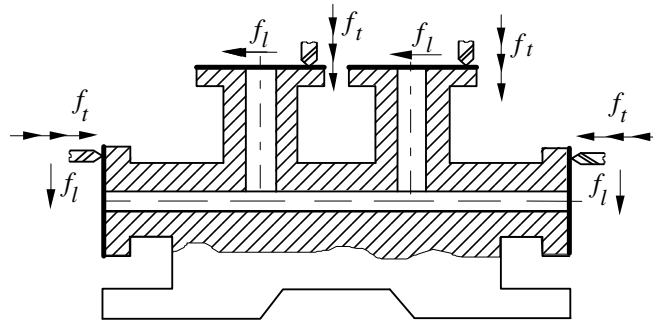


Fig. 8.276. Prelucrarea prin rabotare a suprafețelor plane exterioare:
 n_{cd} - mișcarea principală de așchiere;
 f_l ; f_t - avansul longitudinal și respectiv transversal.

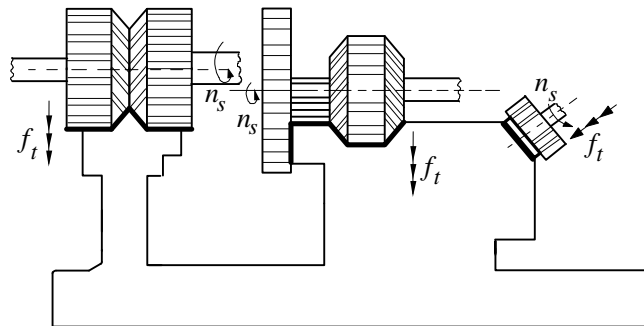


Fig. 8.277. Prelucrarea prin frezare cu jocuri de freze a suprafețelor plane exterioare:
 n_s - turația sculei;
 f_t - avansul transversal.

Pentru a răspunde cerințelor de coaxialitate, alezajele respective se prelucurează cu aceeași bară de alezat ghidată sau rezemată (fig.8.278). De lungimea în consolă a barei de alezat și de parametrii regimului de așchiere depinde precizia prelucrării.

Săgeata maximă y_{max} va fi la mijlocul dintre cele două reazeme și va avea expresia:

$$y_{max} = \frac{F_c \cdot l^3}{48EI} , \quad (8.326)$$

în care F_c este componenta principală a forței de așchiere; I -momentul de inerție față de axa barei de alezat; E -modulul de elasticitate; l - lungimea în consolă a

barei de alezat.

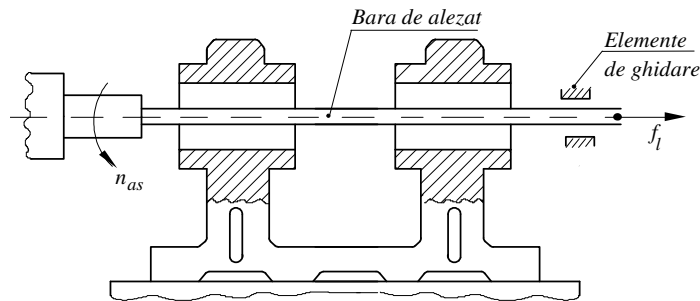


Fig. 8.278. Schema de alezare cu bară de alezat ghidată: n_{as} - turația barei de alezat; f_l - avansul longitudinal.

8.19.3.5. Tratamentul termic

Cel mai des folosit tratament termic, aplicat mai ales după operațiile de degroșare, este *detensionarea*, care poate fi *naturală* sau *artificială*. Este necesar acest tratament pentru a asigura redistribuirea tensiunilor interne apărute la turnare sau sudare și în timpul procesului de așchiere, precum și pentru stabilizarea formei și a dimensiunilor. Regimul termic de detensionare artificială depinde de dimensiunile, respectiv de greutatea pieselor, de forma geometrică și de precizia cerută de proiectant. Detensionarea artificială constă în încălzirea piesei pînă la temperatura de 460...600°C și menținerea ei la această temperatură 4...12 ore, după care urmează răcirea o dată cu cuptorul, cu o viteză de 20° C pe oră.

Detensionarea naturală se aplică numai pieselor pentru mașini și aparate deosebit de precize. Durata detensionării naturale este de 6...24 luni.

8.19.3.6. Prelucrarea celorlalte găuri

Cele mai importante sunt găurile de fixare, care, de regulă, au diametre mici și sunt dispuse pe grupe, cu condiții de poziționare reciprocă pentru fiecare grupă legată de pas, circumferința de dispunere, precum și condiții de poziționare față de axele de simetrie, față de suprafețele plane de așezare sau față de alte grupe de găuri.

Precizia necesară a găurilor se asigură, de obicei, prin prelucrarea în dispozitive cu bușe de ghidare și numai la producția individuală prelucrarea se face după trasaj.

Operația se poate face pe mașina de găurit verticală sau cu braț (producția de unicate, serie mică), mașina de găurit cu cap multi-ax universal sau dispozitiv cu plăci cu bușe de ghidare (producție de serie) sau agregate de găurit cu unul sau mai multe capete de găurit (producția de masă).

8.19.3.7. Executarea filetelor în găurile de fixare

Operația se execută pe mașini de găurit verticale cu cap multi-ax sau pe

agregate de filetat cu capete multiax (producția de masă). Filetele alezajelor se execută prin operația de tarodare. Tarodarea se execută cu un set de tarozi (de degroșare, de semifinisare și de finisare).

8.19.3.8. Prelucrarea de finisare a suprafețelor plane de bază și a celor de îmbinare

Prelucrarea de finisare se poate face prin rabotare de finisare, frezare de finisare sau rectificare de finisare, în funcție de dimensiunile de gabarit ale piesei de prelucrat, tipul producției și calitatea suprafeței ce se vrea obținută.

Operația se poate executa pe mașini de rectificat verticale, mașini de frezat sau rabotat portal. Foarte larg răspândită este rectificarea pe mașini de rectificat cu mai multe capete de rectificat (fig. 8.279).

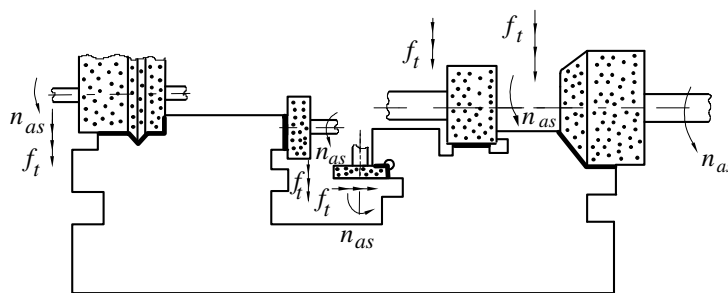


Fig. 8.279.
Rectificarea suprafețelor unei piese din clasa „corpuri complexe” :
 n_{as} - turația sculei;
 f_t - avansul transversal.

Regimul de așchiere folosit este $v = 20...30$ m/s; viteza de avans transversal $f_t = 3...10$ m/min; adâncimea de așchiere $a_p = 0,02...0,5$ mm/cd; adaosul de prelucrare $A_p = 0,4...0,05$ mm.

De obicei, pentru suprafețele cele mai importante din punct de vedere al rolului funcțional se face o finisare prin *tușare* sau *răzuire* prin care se poate asigura o planeitate sau rectilinitate pînă la 0,002 mm pe o lungime de 1 000 mm.

8.19.3.9. Controlul final

Operațiile tipice de control sunt cele în care se măsoară dimensiunile alezajelor și se verifică precizia poziției lor reciproce. Se mai verifică precizia de prelucrare a suprafețelor plane: rectilinitatea și planeitatea.

Operația se execută cu aparate speciale de controlat, cu dispozitive cu comparator, cu calibru, în funcție de forma geometrică a suprafeței de controlat.

Fișa film a unui proces tehnologic de obținere a unei piese din clasa corpuri complexe se prezintă în tabelul 8.11. S-a ales pentru exemplificare carcasa unei pompe de ulei (fig. 8.280) ce trebuie realizată într-o programă de producție de 11 000 buc./an. Pentru realizarea acestei piese sunt mai multe variante de proces tehnologic, în funcție de programa de producție: prelucrarea pe mașini-unelte clasice sau prelucrarea pe mașini-unelte cu comandă numerică.

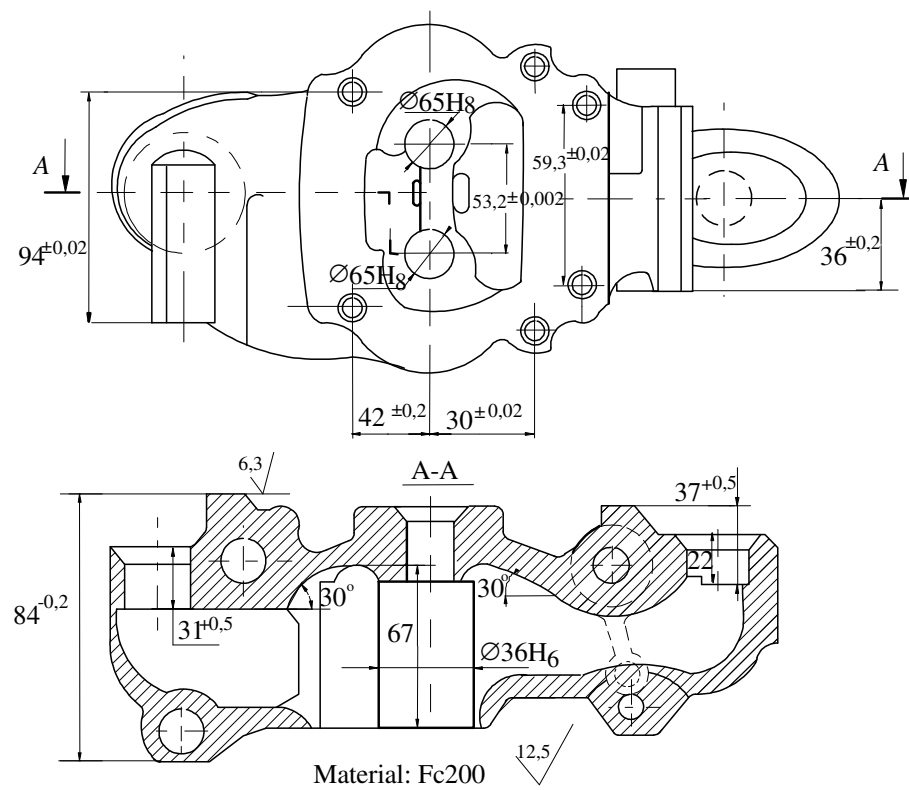
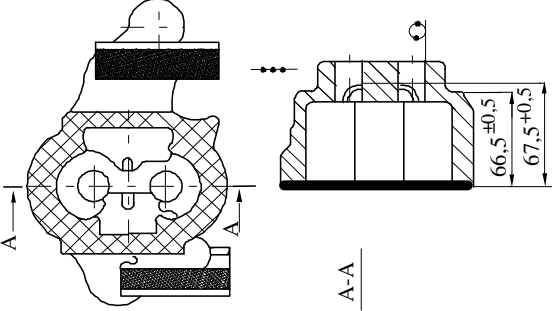
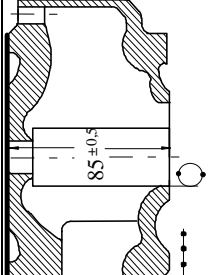
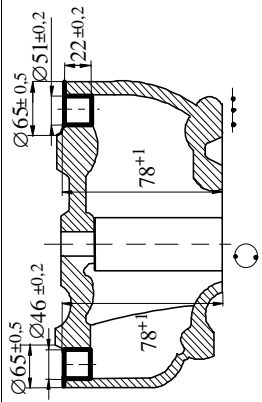


Fig. 8.280. Carcasa pompă ulei.

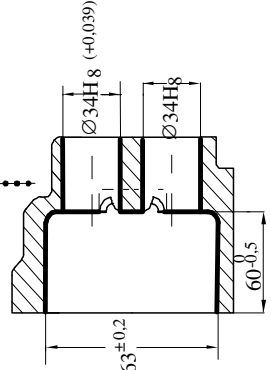
Tabelul 8.11. Fișa film a procesului tehnologic de realizare a piesei - carcasă pompă de ulei - clasa „corpuri complexe”

Nr. crt.	Denumirea operației	Succesiunea fazelor	Schita operației	Scule folosite	Mașina unealta folosită	Regimul de așchiere				
						a_p	f	v_c	n	i
0	1	2	3	4	5	6	7	8	9	10
1	Controlul și recepția piesei turnate	Controlul conform desenului de execuție al piesei turnate. Piesă fără defecte, turnată îngrijit.		Vizual						
2	Frezarea de degroșare și față locaș pinioane	a. Prinderea semifabricatului în dispozitiv 1. Frezarea de degroșare față și locaș pinioane b. Desprinderea piesei		Freza coromant 250	Mașină de frezat	5,5	145	113,82	0,025	3

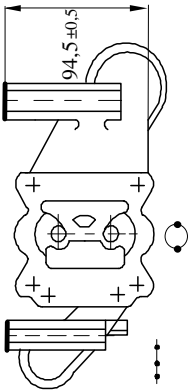
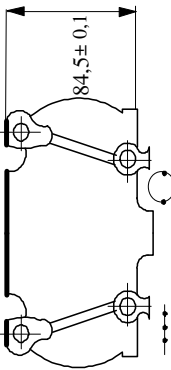
Tabelul 8.11. (continuare)

0	1	2	3	4	5	6	7	8	9	10
3	Frezarea bosajelor și față locaș lagăre	a. Prinderea semifabricatului în dispozitiv 1. Frezarea bosajelor și față locaș lagăre la cota $85^{+0,5}_0$ mm b. Desprinderea piesei		Freza coromant 250	Mașină de frezat verticală FV 2a	5,5	0,025	113,82	145	3
4	Strunjirea de degroșare și locaș aspirație și locaș refulare	a. Prinderea semifabricatului în dispozitiv 1. Strunjire frontală $\varnothing 65^{+0,5}_{-0,5}$ la cota 78^{+1} locaș aspirație. 2. Strunjire frontală $\varnothing 65^{+0,5}_{-0,5}$ la cota 78^{+1} locaș refulare. 3. Strunjire interioară locaș aspirație la $51^{+0,2}_{-0,2}$ pe adâncimea de $22^{+0,2}_{-0,2}$ mm. 4. Strunjire interioară locaș refulare la $46^{+0,2}_{-0,2}$ pe adâncimea de $22^{+0,2}_{-0,2}$ mm. b. Desprinderea piesei		Cuțit R _p 3 Cuțit R _p 3 Cuțit R _p 3 Cuțit R _p 3	Mașină de frezat verticală FV 2a	3,5 3,5 3,5 3,5	0,4 0,4 0,4 0,4	37,7 37,7 36,69 45,19	205 205 205 290	2 2 2 2

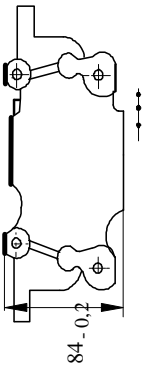
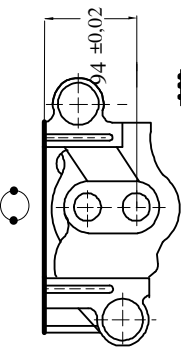
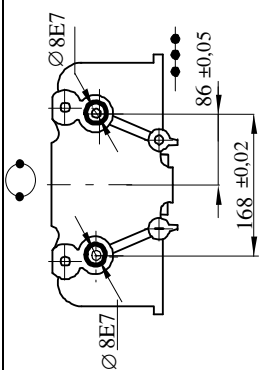
Tabelul 8.11. (continuare)

0	1	2	3	4	5	6	7	8	9	10
5	Ajustarea muchiilor tăietoare rămase la prelucrare.			Pilă lată						
6	Strunjirea de degroșare și lășare pinioane	a. Prinderea semifabricatului în dispozitiv 1. Căurirea a două găuri la Ø30 mm. 2. Strunjirea de degroșare a două găuri la Ø33,5 mm. 3. Alezarea găurilor la Ø34H8. 4. Strunjirea a două locașuri la Ø63 ^{+0,2} _{-0,2} pe adâncimea de 60 ⁰ _{-0,5} mm. b. Desprinderea piesei		Burghiu Ø30 Cuțit R _p 3 Alezor Ø34H8 Cuțit R _p 3	Centru de prelucrare	15 1,75 0,25 3	0,47 0,40 0,31 0,20	15,54 42,03 10,42 18,99	165 400 96 96	1 1 1 2
7	Controlul intermediar	1. Controlarea diametrelor Ø46 ^{+0,2} ; Ø51 ^{+0,2} ; Ø63 ^{+0,2} 2. Controlarea alezajelor Ø34H8. 3. Controlarea cotei 60 _{-0,5} ; 78 ^{+0,1} .								

Tabelul 8.11. (continuare)

0	1	2	3	4	5	6	7	8	9	10
8	Frezarea față bosaje inferioare	a. Prinderea semifabricatului în dispozitiv 1. Frezarea de degroșare față bosaje de prindere pe baie la cota $94,5^{+0,2}_{-0,2}$ mm. b. Desprinderea piesei		Freză coromant 250	FV2a	5,5	0,025	101	128	3
9	Ajustarea	1. Ajustarea bavurilor rămase la suprafața frezată 2. Ajustarea completă a suprafețelor neprelucrate		Pilă lată						
10	Controlul operației de frezare	1. Controlul cotei $67,5^{+0,5}_{-0,5}$. 2. Controlul cotei $85^{+0,5}_{-0,5}$. 3. Controlul cotei $94,5^{+0,5}_{-0,5}$		Șubler						
11	Tratament termic de detensionare	Încălzire două ore la 480-500°C, menținerea și răcirea în cuptor			Cuptor electric					
12	Sablare	Se va sabla pe toate suprafețele cu alicie								
13	Rectificare față locașuri pinioane	a. Prinderea semifabricatului în dispozitiv 1. Rectificare față locașuri pinioane la cota $84,5^{+0,1}_{-0,1}$ mm. b. Desprinderea piesei		Piatră cilindrică rectificată plană	Mașina de rectificat plan	0,5	15	22	1680	20

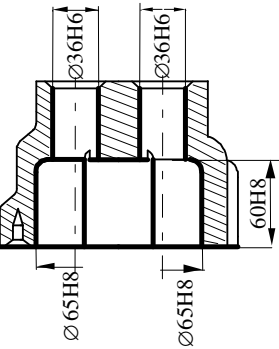
Tabelul 8.11. (continuare)

0	1	2	3	4	5	6	7	8	9	10
14	Rectificare fața locașuri lagăre	a. Prinderea semifabricatului în dispozitiv 1. Rectificare fața locaș lagăre la cota $84_{-0,2}^{+0,2}$ mm. b. Desprinderea piesei		Piatră cilindrică plană	Mașina de rectificat plan	0,5	15	22	1680	20
15	Rectificarea feței de prindere	a. Prinderea semifabricatului în dispozitiv 1. Rectificarea feței de prindere la cota $92_{-0,2}^{+0,2}$ mm. b. Desprinderea piesei		Piatră cilindrică plană	Mașina de rectificat plan	0,5	15	22	1680	20
16	Controlul intermediar	Se verifică cota $92_{-0,2}^{+0,2}$ mm.		Ceas comparator						
17	Găurire-alezare	a. Prinderea semifabricatului în dispozitiv 1. Centruirea celor două găuri pe adâncimea de 5 mm. 2. Găurirea a două găuri cu $\varnothing 7,6$ mm pe adâncimea de 12 mm. 3. Alezarea găurilor cu $\varnothing 8E7$ pe adâncimea de 9 mm. b. Desprinderea piesei		Burghiu combinat de centruit $\varnothing 6$ mm	Centru de prelucrare	3,0 3,8 1,0	0,20 0,18 0,15	14,99 20,52 8,66	955 860 345	2 2 2

Tabelul 8.11. (continuare)

0	1	2	3	4	5	6	7	8	9	10
18	Găurire, alezarea, filetarea	a. Prinderea semifabricatului în dispozitiv 1. Executarea a două găuri $\varnothing 7,6$ mm pe adâncimea de 12 mm. 2. Alezarea a două găuri $\varnothing 8E7$ pe adâncimea de 9 mm. 3. Executarea a patru găuri $\varnothing 8,5$ mm pe adâncimea de 48 mm. 4. Lărgirea a patru găuri $\varnothing 11$ mm pe adâncimea de 18 mm. 5. Filetarea a patru găuri M10 pe adâncimea de 38 mm. b. Desprinderea piesei		Burghiu special $\varnothing 7,6$ mm Alezor special $\varnothing 8E7$ mm Burghiu special $\varnothing 8,5$ mm Burghiu special $\varnothing 11$ mm Tarod M10	Centru de prelucrare	3,8 0,1 4,25 1,25	0,18 0,15 0,18 72,5	20,52 8,66 20,52 7,28	860 345 860 290	2 2 4 1
19	Ajustarea	Ajustarea muchiilor tăietoare rămase în urma prelucrării								
20	Strunjirea de finisare a locașurilor de aspirație și refulare	a. Prinderea semifabricatului în dispozitiv 1. Strunjirea interioară a locașului de aspirație la $\varnothing 48H10$, cu respectarea cotei $31_{-0,5}^{+0}$ și țesirea la 15° , respectarea cotei $18_{-0,5}^{+0}$. 2. Strunjirea interioară la $\varnothing 53H10$, respectarea cotei $31_{-0,5}^{+0}$ și țesirea la 15° , respectarea cotei $18_{-0,5}^{+0}$. 3. Găurirea la $\varnothing 1,6^{+0,2}_{-0}$ străpunsă. b. Desprinderea piesei		Sculă specială Sculă specială Burghiu $\varnothing 16$	Centru de prelucrare	1,0 1,0 0,8	0,15 0,15 0,08	18,09 19,96 20,1	120 120 4000	1 1 1

Tabelul 8.11. (continuare)

0	1	2	3	4	5	6	7	8	9	10
21	Asamblarea capacului	1. Fixarea carcasei în menghină. 1. Așezarea capacului pe carcasă și fixarea cu cele patru șuruburi M10 la 4KdaNm. 2. Marcarea pentru împerechere. b. Desprinderea piesei.		Cheie dinamometri că	Manual					
22	Strunjirea locașurilor de pinoane	a. Fixarea dispozitivului pe masa mașinii. b. Prinderea semifabricatului în dispozitiv. 1. Strunjirea interioară a locașului lagărelor Ø35,5 la capac și carcasă. 2. Teșirea la 2×20° la alezajele capacului. 3. Alizarea capacului și carcasei la Ø36H8. c. Deșurubarea celor patru șuruburi ale capacului. d. Scoaterea capacului din carcasă. 4. Strunjirea de degroșare, a celor două locașuri la Ø64,2 și frontal la cota 59,5. 5. Strunjirea de finisare a celor două locașuri la Ø65H8 și frontal la 60H8. e. Desprinderea piesei. 6. Montarea capacului pe carcasă și înșurubarea celor patru șuruburi M10×70.		Cuțit special	Centu de prelucrare	1,0	0,15	18,4	165	1
				Tiță cu cuțit la 20° Alezor Ø36H6		1,0	0,15	18,4	165	1
						1,0	0,15	11,08	341	1
				Cuțit special	0,6	0,4	42,1	400	400	1
				Cuțit special	0,4	0,14	21,4	400	400	1

Tabelul 8.11. *(continuare)*

8.20. TEHNOLOGIA DE PRELUCRARE A PIESELOR DIN CLASA „ROȚI DINȚATE”

8.20.1. Caracteristici constructive și condiții tehnice impuse

Roțile dințate sunt organe de mașini care intră în componența aproape a tuturor genurilor de mașini și instalații, ceea ce face ca procesul tehnologic de prelucrare a lor să fie diferit în funcție de forma și dimensiunile caracteristice, precizia de prelucrare și tipul de producție.

Cu toată varietatea mare a roților dințate întâlnite în construcția de mașini, din punct de vedere geometric și dimensional, după criterii tehnologice se pot împărți în (fig. 8.281): roți dințate cilindrice cu o coroană cu dinți drepți, înclinați sau curbi-roți melcate; roți dințate cu două sau mai multe coroane cilindrice cu dinți drepți (baladoare); axe cu o coroană dințată cilindrică sau conică cu dinți drepți înclinați sau curbi.

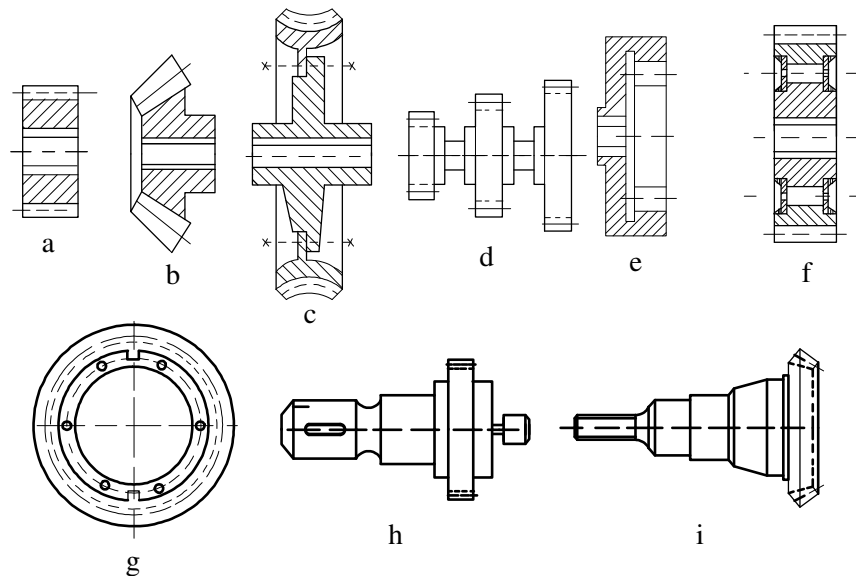


Fig. 8.281. Diferite tipuri constructive de roți dințate:

a - roată cilindrică simplă; b - roată conică simplă; c - roată melcată asamblată; d - bloc balador de trei roți; e - roată cilindrică cu dantură interioară; f - roată cilindrică în construcție sudată; g - coroană dințată de dimensiuni mari asamblată din două bucăți; h - arbore pinion cilindric; i - arbore pinion conic.

Analizând cele mai frecvente tipuri constructive de roți dințate se constată că au următoarele suprafețe importante:

- suprafețele de centrare (alezajele - la roțile cu alezaj și fusurile - la arborii pinion);
- danturile, care pot fi cilindrice, conice, melcate etc.;
- suprafețele de antrenare în mișcare de rotație (canale de pană, caneluri interioare sau exterioare etc.);
- suprafețele de angrenare în mișcarea de translație axială pentru cuplare (la roțile baladoare).

Condițiile tehnice impuse roților dințate se referă la:

- precizia dimensiunilor, formei și poziției danturii în raport cu suprafețele de centrare (treapta de precizie a danturii, jocul de angrenare, toleranța jocului și toleranța distanței dintre axe - înscrise în tabela de componență a danturii);
- precizia dimensională, de formă și de poziție a suprafețelor de antrenare, în raport cu cele de centrare (concentricitatea suprafeței exterioare a coroanei dințate față de axa de simetrie a alezajului central cuprinsă în treapta 3...7 de precizie, perpendicularitatea suprafețelor frontale a coroanei dințate și a butucilor față de axa de simetrie a alezajului central este $\leq 0,15 \mu\text{m}$ la un milimetru diametru etc.)
- condiții tehnice de material și de tratamente termice.

8.20.2. Alegerea materialelor și semifabricatelor

Pentru fabricarea roților dințate se utilizează o gamă foarte largă de materiale ale căror caracteristici tehnico-economice corespund diverselor condiții de exploatare și de fabricație. Cele mai des folosite materiale sunt:

- fontele cenușii (Fc 250, Fc 300 etc.) care se utilizează la confecționarea roților dințate ce lucrează cu viteze periferice scăzute ($v_p < 2\text{m/s}$), cum sunt roțile melcate, roțile de dimensiuni mari, roțile puțin solicitate și de dimensiuni mijlocii sau mici etc.;
- oțelurile turnabile care se utilizează la confecționarea roților și pinioanelor de dimensiuni mari și viteze scăzute sau a roților puțin solicitate în timpul funcționării. Oțelurile aliate deformabile (oțeluri cu crom, crom-molibden, crom-nichel cementabile sau de îmbunătățire) se utilizează la confecționarea roților puternic solicitate la șocuri, pinioanelor cu care acestea angrenează, roților dințate puternic solicitate la uzură etc.;
- aliajele neferoase care se utilizează în fabricația roților de dimensiuni foarte mici (aparate de măsură, orologerie etc.), la execuția roților melcate unde frecarea din angrenare este deosebit de mare (coroana dințată se execută din bronz, iar corpul este din fontă sau oțel nealiat);
- pulberile, pentru confecționarea roților dințate mici rezistente la uzură intensă;
- materialele nemetalice (textolit, ebonită, materiale plastice etc.) care se utilizează pentru confecționarea roților dințate puțin solicitate.

Materialul din care se confectionează roţile dinţate, dimensiunile şi forma acestora, precizia de execuţie şi tipul producţiei determină tipul şi natura semifabricatului. Astfel, se utilizează:

- semifabricatele turnate din fontă, oţeluri carbon sau oţeluri slab aliate pentru roţi supuse la solicitări reduse sau de dimensiuni mari. De asemenea, roţile melcate cu diametru $D \leq 200$ mm se toarnă din bronz (BzAl 10T, Bz 12T etc.), în întregime, sau numai coroana melcată pentru $D > 200$ mm. Forma semifabricatului turnat este apropiată de cea a piesei finite. Nu se obţin prin turnare canelurile, canalele de pană, găurile cu diametru sub 15 mm şi dantura (excepţie fac pinioanele de modul foarte mare);

- semifabricatele deformate, pentru roţile puternic solicitate. Obţinerea semifabricatelor se poate face prin: forjare liberă - la dimensiuni mari şi serii mici de fabricaţie, matriţare - la dimensiuni mici şi mijlocii şi producţii de serie mare sau masă; rulare la cald sau la rece - pentru dimensiuni mijlocii şi producţii de serie mare sau masă; extrudare, laminare, tragere - pentru roţi dinţate cu diametrul sub 60...80 mm şi arbori pinion de dimensiuni mijlocii şi mici (sub 200 mm); ştanţare - pentru roţi dinţate utilizate în mecanica fină, de dimensiuni mici (lăţimi sub 6...8 mm) şi danturi obişnuite sau speciale (cicloidale) etc;

- semifabricatele sudate se aplică în cazul roţilor de dimensiuni mijlocii sau mari, executate în serii mici, din materiale uşor sudabile;

- semifabricatele presate, din pulberi metalice (pe bază de fier sau carburi metalice) sau din mase plastice (injectate, extrudate sau presate în matriţă etc.), pentru roţi dinţate nesolicitate mecanic, dar puternic solicitate la uzură sau eroziune.

8.20.3. Structura procesului tehnologic de prelucrare a pieselor din clasa „roţi dinţate”

Structura procesului tehnologic de prelucrare a unei roţi dinţate depinde de construcţia, forma şi dimensiunile caracteristice, condiţiile tehnice impuse şi caracterul producţiei. Procesul tehnologic tipizat cuprinde următoarele etape importante: obţinerea semifabricatului, prelucrarea mecanică de degroşare, tratamentul termic, prelucrarea mecanică de finisare şi controlul tehnic al calităţii. Principalele operaţii sunt prezentate în continuare.

8.20.3.1. Prelucrarea suprafeţelor de capăt şi a găurilor de centrare (la arborii pinion)

Operaţia se execută pe strunguri universale (producţie de unicate), pe maşini de frezat şi centruit (producţie de serie) sau pe maşini de frezat şi centruit automatizate sau maşini agregate speciale (producţie de masă).

8.20.3.2. Prelucrarea de degroșare și finisare a ansamblului suprafețelor de bazare utilizate la danturare

Suprafețele ce intră în acest ansamblu sunt: suprafețele frontale ale butucului; suprafețele frontale ale coroanei; suprafața cilindrică a alezajului și suprafața exterioară a danturii. Suprafețele frontale și cele de revoluție concentrice cu dantura se execută prin strunjire pe strunguri universale, strunguri cu comandă numerică sau de copiat (producția de serie) și strunguri automate, de copiat, multicutit, speciale (producția de masă). Pentru exemplificare, se prezintă în figura 8.282 operațiile de strunjire a unei roți conice pe un strung frontal cu comandă program.

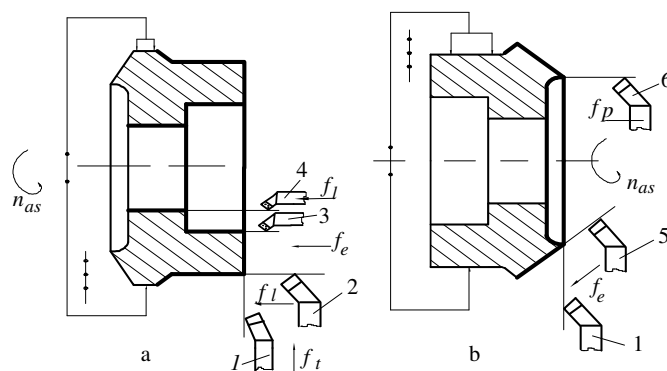


Fig. 8.282. Prelucrarea suprafețelor de bazare pe un strung frontal cu comandă program pentru o roată dințată:

a – prelucrarea suprafețelor frontale de la un capăt; b – prelucrarea suprafețelor frontale la capătul opus; 1 – cuțit pentru strunjire frontală; 2 – cuțit pentru strunjire cilindrică exterioară; 3 – cuțite pentru strunjire cilindrică interioară; 4 – cuțit pentru strunjire conică; 5 – cuțit pentru degajare; 6 – cuțit pentru degajare frontală;

$n_{as} (\bar{v}_c)$ - turația (viteza mișcării principale de așchiere) sculei.

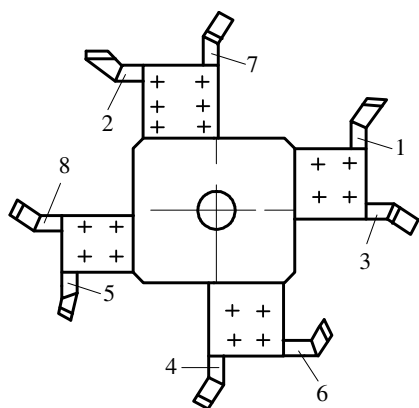


Fig. 8.283. Capul portcuțit al unui strung frontal cu comandă program:

1 – cuțit pentru strunjire frontală; 2 – cuțit pentru strunjire cilindrică exterioară; 3 ; 4 – cuțite pentru strunjire cilindrică interioară; 5 – cuțit pentru strunjire conică; 6 – cuțit pentru degajare frontală; 7; 8 – cuțite pentru finisare.

Pe capul portcuțit al strungului sunt prinse patru portcuțite cu 8 cuțite (fig. 8.283) ale căror vârfuri sunt precis reglate. În prima operație se execută strunjirea de degroșare a suprafeței frontale dreapta cu cuțitul 1, strunjirea cilindrică exterioară cu cuțitul 2 și strunjirea cilindrică interioară cu cuțitele 3 și 4 (fig. 8.282. a). După o nouă prindere, se execută suprafețele frontale stânga și conică cu cuțitele 1, 6 și 5 (fig. 8.282.b). După alte două prinderi în mod analog se execută operațiile de finisare cu ajutorul cuțitelor 1, 2, 7, 8, 9 și 6.

8.20.3.3. Prelucrarea de degroșare a suprafețelor de antrenare

Operația se execută pe mașini de frezat universale, mașini de frezat caneluri (serie mică, individuală), mașini de frezat canale de pană (serie mijlocie, mare), mașini multiax de frezat caneluri sau canale de pană (serie mare, de masă).

8.20.3.4. Prelucrarea de degroșare a danturilor

În funcție de tipul danturii, operația se execută pe mașini de frezat, rabotat sau mortezat dantura (producția de serie mică, mijlocie) sau pe mașini de broșat sau de frezat dantura (serie mare sau de masă).

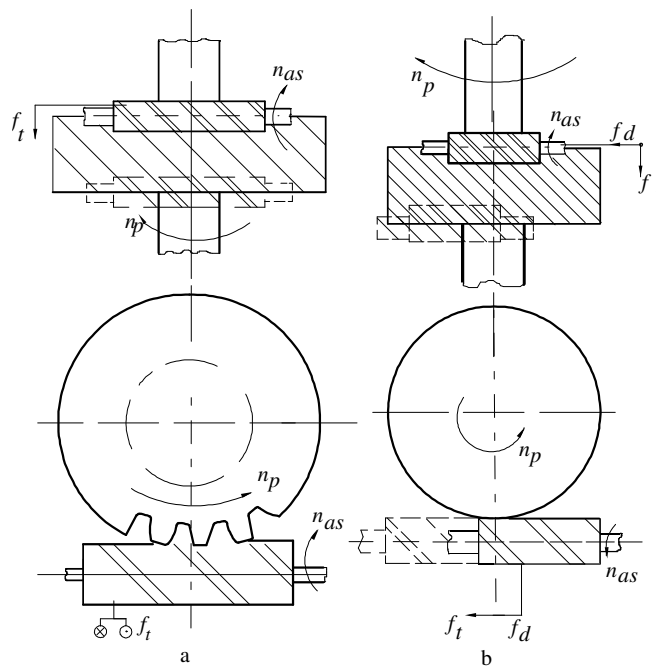


Fig. 8.284. Executarea danturii cu freză melc-modul:
a - numai cu avans pe verticală; b - cu avans în diagonală;
 $n_{as}(\bar{v}_c)$ -turația sculei (viteza mișcării principale de așchiere);
 $n_p(\bar{v}_{fc})$ - turația piesei (viteza de avans circular).

Prelucrarea danturii se face prin copiere pe mașina de frezat universală folosind capul divizor, prin rulare cu freza melc-modul, prin mortezare cu cuțit-

roată de mortezat sau cu cuțit-pieptene, prin rabotare cu două cuțite, prin broșare cu broșe circulare, prin deformare plastică la cald sau la rece. Alegerea metodei de executare a danturii depinde de foarte mulți factori: forma geometrică a danturii, dimensiunile de gabarit, solicitările din timpul funcționării, condițiile tehnice impuse, caracterul producției etc.

O metodă foarte des întâlnită este frezarea danturii prin rulare folosind freza melc-modul (fig. 8.284). Această metodă realizează o mare productivitate și o mare economie de freze melc, deoarece crește mult durabilitatea muchiilor așchietoare datorită schemei cinematice de generare folosită.

8.20.3.5. Prelucrarea suprafețelor auxiliare, ajustare, spălare, control intermediar

Se execută toate suprafețele auxiliare: degajări, teșituri, canale, găuri pentru reducerea greutatei piesei și altele. Prelucrările se fac pe strunguri universale, strunguri revolver sau automate, pe mașini de frezat universale sau speciale.

Spălarea pieselor se face în apă cu sodă, după care se usucă cu aer cald.

8.20.3.6. Tratamentul termic

Deoarece dinții roților dințate sunt puternic solicitați la încovoiere variabilă cu șoc, strivire și uzură este necesară aplicarea unor tratamente termice complexe.

În procesul tehnologic de fabricare a roților dințate, tratamentul termic comportă două etape importante:

- îmbunătățirea prelucrabilității prin așchiere, care se aplică la începutul procesului tehnologic în vederea intensificării procesului de așchiere (recoacere de înmuiere, de detensionare, de globulizare a perlitei etc.);

- îmbunătățirea caracteristicilor funcționale, care se aplică în scopul creșterii rezistenței danturii la solicitările cu șoc din timpul funcționării. Se execută înainte de operația de finisare și sunt tratamentele termo-fizice și termo-chimice (îmbunătățirea, normalizarea, călirea superficială, cianurarea, cementarea, cianonitrurarea etc.).

8.20.3.7. Finisarea suprafețelor de centrare

Operația se execută pe mașini universale de rectificat (serie mică sau individuală), mașini de rectificat semiautomate cu control activ al dimensiunilor (serie mijlocie) sau mașini de rectificat automatizate (serie mare și de masă). Se face rectificarea de finisare a fețelor frontale și a alezajului interior în scopul realizării formei, dimensiunilor, poziției reciproce și calității necesare rolului funcțional.

Procesele de rectificare au aceleași caracteristici ca la oricare categorie de piese, diferă doar modul de bazare. Astfel, în cazul arborilor pinion, la toate

operațiile de finisare, bazarea se realizează între vârfuri, ceea ce asigură concentricitatea perfectă a tuturor suprafețelor rectificate. Finisarea prin rectificare a roților cu alezaj se execută cel puțin în două etape: rectificarea alezajului urmată de centrarea roții pe alezaj și rectificarea danturii.

8.20.3.8. Finisarea suprafețelor de antrenare

Operația se execută pe mașini universale de rectificat (serie mică sau individuală), mașini de rectificat caneluri prin copiere sau rulare (serie mijlocie) sau mașini automatizate de rectificat caneluri prin rulare (serie mare sau masă).

8.20.3.9. Finisarea danturilor

Operația se face pe mașini de rectificat după procedeele Maag sau Niles (serie mică sau individuală), mașini de rectificat după procedeele Reishauer și Lees (serie mijlocie) sau mașini de rectificat prin copiere (serie mare sau masă).

Rectificarea de finisare permite obținerea unei precizii a profilului dinților până la $2,5 \dots 3,0 \mu\text{m}$, precum și corecția tuturor erorilor rezultate din prelucrare sau

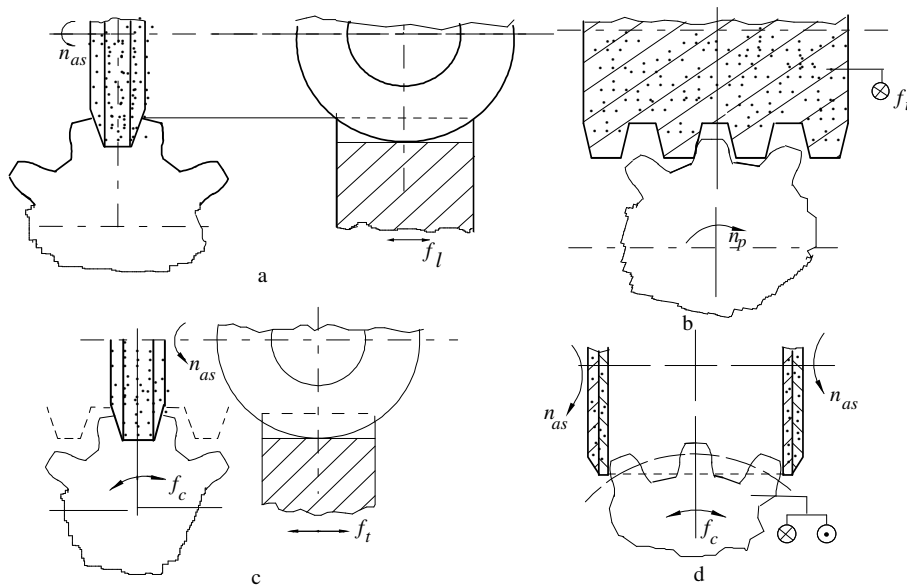


Fig. 8.285. Metode de rectificare a danturii roților dințate:

a - prin copiere cu disc abraziv profilat; b - prin rulare cu melc abraziv; c - prin rulare cu disc abraziv plat; d - prin rulare cu două discuri abrazive taler; $n_{as}(\bar{v}_c)$ - turația sculei (viteza mișcării principale de aşchiere); $n_p(\bar{v}_{fc})$ - turația piesei (viteza de avans circular); $f_l; f_t; f_c$ - avansul longitudinal și respectiv transversal sau circular.

tratament termic. Rectificarea se poate face după două metode: prin copiere și prin rulare. Cele mai des întâlnite metode de rectificare sunt:

- rectificarea cu disc abraziv profilat (fig. 8.285. a), cea mai productivă metodă, realizează precizii medii datorită uzurii neuniforme a discului abraziv. Parametrii regimului de aşchiere la rectificarea prin copiere sunt: adâncimea de aşchiere la o trecere; numărul de treceri; viteza de deplasare a mesei maşinii (avansul longitudinal), viteza periferică a discului de rectificat;

- rectificarea cu melc abraziv (fig. 8.285. b), foarte productivă, dar durabilitate scăzută a melcului abraziv şi deci şi o precizie mai scăzută;

- rectificarea cu discuri plate cu profil conic (fig. 8.285. c) respectă schema de generare a profilului dintelui. Adâncimea de aşchiere la degroşare poate fi 0,12...0,15 mm, iar la finisare mai mică de 0,05 mm. Sunt necesare mai multe treceri şi se obţine o precizie foarte bună;

- rectificarea cu discuri taler (fig. 8.285.d), foloseşte schema de generare prin rulare a danturii. Adâncimea de aşchiere la degroşare este 0,08...1,0 mm, iar la finisare 0,01..0,15 mm. Se obţine o precizie foarte bună şi o rugozitate $R_a \leq 1,6 \mu\text{m}$.

Pentru evitarea arderii stratului superficial şi apariţia fisurilor se recomandă utilizarea discurilor de rectificat moi, reducerea adâncimii de aşchiere la fiecare trecere şi răcire cu lichid prin interiorul discului de rectificat sau cu lichid pulverizat.

8.20.3.10. Superfinisarea danturilor

O calitate superioară a suprafeţelor de lucru a danturii şi o precizie ridicată a dimensiunilor danturii se poate obţine prin rulare, honuire, rodare şi lepuire.

Honuirea se execută cu un hon special, pe maşini de honuit dantura, obţinându-se o rugozitate $R_a = 0,4...0,8 \mu\text{m}$.

Rodarea se execută de obicei în funcţionare sau pe maşini speciale, folosind pastă abrazivă sau abraziv în suspensie. Se aplică roţilor dinţate ale căror flancuri sunt durificate prin tratamente termice. Rodarea în funcţionare a angrenajelor se face pe standuri speciale, care permit încărcarea progresivă a angrenajelor, de la zero (mersul în gol) până la sarcina nominală. Rodarea este o operaţie care durează foarte mult (10...15 ore), de aceea se aplică doar pentru obţinerea de precizii foarte bune şi rugozitate foarte mică.

8.20.3.11. Controlul final

Deoarece condiţiile tehnice sunt multiple şi se referă atât la material, cât şi la multe elemente de precizie locală sau globală, controlul roţilor dinţate este deosebit de important şi se realizează atât pe parcursul desfăşurării procesului tehnologic, cât şi la finalul său.

Pe parcursul desfăşurării procesului tehnologic este raţional controlul în

următoarele momente:

- la începutul procesului tehnologic (controlul semifabricatului ca omogenitate a materialului şi dimensiuni);
- înaintea operaţiilor de danturare (deoarece aceste operaţii sunt mult mai scumpe decât celelalte);
- după tratamentul termic (deoarece pot apărea deformaţii mari care nu mai pot fi înlăturate);
- la sfârşitul procesului tehnologic, pentru a stabili calitatea, cantitatea şi destinaţia produsului.

Fişa film a unui proces tehnologic de obţinere a unei piese din clasa roţi dinţate se prezintă în tabelul 8.12.

Pentru exemplificare s-a presupus o roată dinţată (fig. 8.286) din ansamblul acţionării hidraulice al unui ventilator, într-o programă de producţie de 2 000 buc/an.

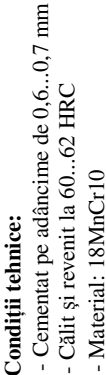
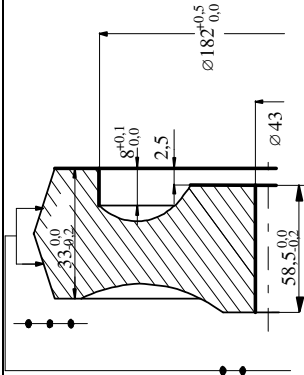
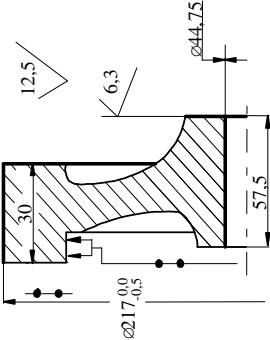
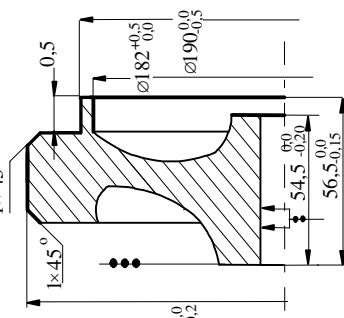
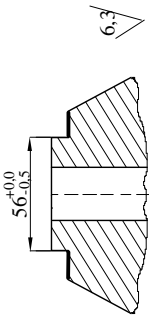
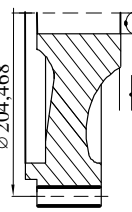


Fig. 8.286. Roată dîntată din ansamblul acţionării hidraulice al unui ventilator.

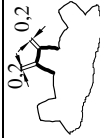
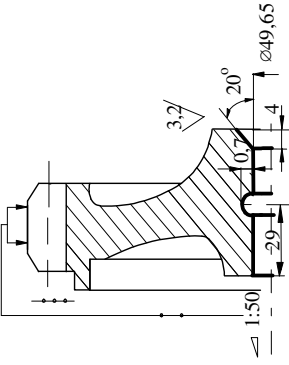
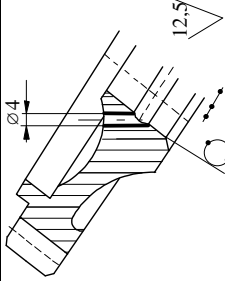
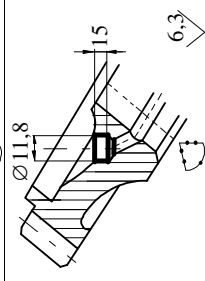
Tabelul 8.12. Fișa film a procesului tehnologic de realizare a unei roți dinate din clasa „roți dinate”

Nr. crt.	Denumirea operației	Succesiunea fazelor	Schita operației	Scule folosite	Mașina unalta folosită	Regimul de așchiere				
						a_p	f	v_c	n	i
0	1	2	3	4	5	6	7	8	9	10
1	Strunjirea frontală de degroșare	a. Orientarea și fixarea semifabricatului		Cuțit frontal P30	SN 400	3	0,68	32,22	46	1
		1. Strunjirea frontală de degroșare la cota 33,0 _{±0,2}		Cuțit frontal P30		2,50	0,68	31,28	120	1
		2. Strunjirea frontală la cota de 58,5 _{±0,2}		Cuțit lateral P30		8	0,2	105,7	185	1
		3. Strunjirea interioară de degroșare la cota 182 _{+0,5/-0,0}		Burghiu elicoidal Ø25		12,5	0,2	11,87	150	1
		4. Găurirea butucului la Ø25		Burghiu elicoidal Ø43		9	0,15	20,28	150	1
2	Strunjirea frontală de degroșare	5. Lărgirea butucului la Ø43		SN 400		3	0,72	31,35	46	1
		b. Desprinderea piesei		Cuțit exterior P30		3	0,68	47,16	46	1
		a. Orientarea și fixarea semifabricatului		Cuțit frontal P30		3,5	0,406	36,7	150	2
		1. Strunjirea exterioră de degroșare la cota Ø217 _{+0,5/-0,3}		Cuțit interior P30		0,87	0,20	53,4	380	1
		2. Strunjirea frontală de degroșare la cota 30								

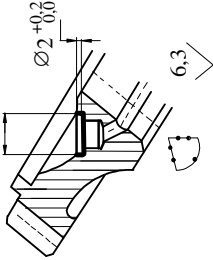
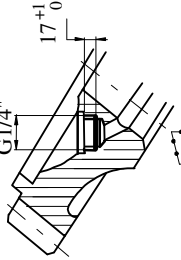
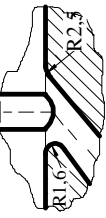
Tabelul 8.12. (continuare)

0	1	2	3	4	5	6	7	8	9	10
3	Strunjirea frontală de finisare	a. Orientarea și fixarea semifabricatului 1. Strunjirea frontală de finisare la cota $56,5_{-0,15}^{+0,15}$ 2. Strunjirea frontală de finisare la cota $54,5_{-0,2}^{+0,2}$ 3. Strunjirea interioară de degroșare la cota $\varnothing 182_{-0,5}^{+0,5}$ 4. Strunjire cilindrică exterioră de finisare la $\varnothing 190_{-0,5}^{+0,5}$ 5. Strunjire cilindrică exterioră de finisare la $\varnothing 215,8_{-0,2}^{+0,2}$ 6. Teșire $1 \times 45^\circ$ 7. Teșire $1 \times 45^\circ$ b. Desprinderea piesei		Cuțit frontal P10 Cuțit frontal P10 Cuțit interior P10 Cuțit exterior P10 Cuțit exterior P10 Cuțit exterior P10 Cuțit exterior P10	SN 400					
4	Frezarea feței butucului	b. Desprinderea piesei a. Orientarea și fixarea semifabricatului 1. Frezarea la cota $56_{-0,5}^{+0,0}$ b. Desprinderea piesei		Joc de freze	Mașină de frezat universală FU 350	3	8,5	87,9	280	1
5	Prelucrarea prin frezare a danturii	a. Orientarea și fixarea semifabricatului. 1. Frezarea prin rulare a danturii b. Desprinderea piesei		Freză melc modul $m = 4$	Mașina de frezat FD320A	5,98	1,66	22,80	58,15	1

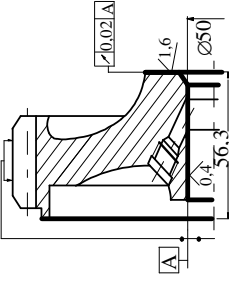
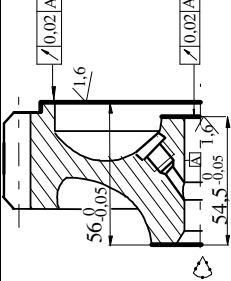
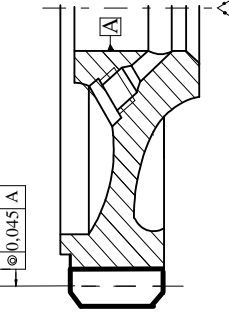
Tabelul 8.12. (continuare)

0	1	2	3	4	5	6	7	8	9	10
6	Ajustarea danturii	Ajustarea danturii		Pilă	Manual					
7	Strunjirea conică	a. Orientarea și fixarea semifabricatului		Cuțit interior P10	SN 400	1	0,25	58,96	380	2
		1. Strunjirea conică la 1:50		Cuțit interior P10		1,45	0,15	60,7	380	1
		2. Strunjirea conică la interior 4x20°				0,7	0,1	59,87	380	1
		3. Strunjirea canalului la cota 0,7		Cuțit pentru canal circular						
8	Găurirea	a. Orientarea și fixarea semifabricatului		Burghiu elicoidal	Mașină de găurit cu braț vertical	2	0,05	12,56	1000	1
		1. Găurirea la Ø4								
9	Lărgirea	a. Orientarea și fixarea semifabricatului		Lărgitor Ø11,8	Mașină de găurit cu braț vertical	3,9	0,15	13,16	385	1
		1. Lărgirea la Ø15								
		b. Desprinderea piesei								

Tabelul 8.12. (continuare)

0	1	2	3	4	5	6	7	8	9	10
10	Lamarea	a. Orientarea și fixarea semifabricatului 1. Lamarea la Ø15 b. Desprinderea piesei		Lamator cu cep Ø15	Mașină de găurit cu braț vertical	1.6	0.16	2,96	63	1
11	Filetarea	a. Orientarea și fixarea semifabricatului 1. Filetarea la G 1/4'' b. Desprinderea piesei		Set de trei tarozi G 1/4''	Mașină de găurit cu braț vertical	0.64	19 p/tol	3,72	90	3
12	Ajustarea	Ajustarea muchilor canalului		Pânză abrazivă	Manual					
13	Tratamentul termic	Cementarea Spălarea Controlul durității Polizarea pentru C.T.C.		Adâncimea stratului cimentat 0.5...0.7 mm						
14	Tratamentul termic	Călire Spălarea Revenire Controlul durității Polizarea pentru C.T.C.		Călire până la 62...65 HRC						

Tabelul 8.12. (continuare)

0	1	2	3	4	5	6	7	8	9	10
15	Rectificarea	a. Orientarea și fixarea semifabricatului		Piatră cilindrică Ø45	Mașină de rectificat interior	0,0018	15	25,9	11000	97
		1. Rectificarea de finisare a alezajului conic Ø50(∠1 :50)								
		2. Rectificarea frontală a butucului la cota 56,3				0,0167	0,16	25,9	11000	12
		b. Desprinderea piesei						21,9	100	
16	Rectificarea frontală	a. Orientarea și fixarea semifabricatului		Piatră oală tip III	Mașină de rectificat universală	0,0199	0,16	25,9	11000	16
		1. Rectificarea frontală la cota 56 _{0,2}								
		2. Rectificarea frontală a butucului la cota 54,5 _{0,05}				0,016	0,16	25,9	11000	17
		b. Desprinderea piesei						23,56	100	
17	Rectificarea danturii	a. Orientarea și fixarea semifabricatului		Disc abraziv biconic	Mașina de rectificat prin procedeu Nies	0,02	0,7	18	1785	8
		1. Rectificarea danturii								
		b. Desprinderea piesei						6,3	25	

Tabelul 8.12. (*continuare*)



PRELUCRAREA MATERIALELOR PRIN MICROAȘCHIERE

9.1. GENERALITĂȚI

Procedeele de prelucrare prin așchiere prezentate anterior devin ineficiente din punct de vedere economic sau chiar imposibil de aplicat în anumite situații, cum ar fi:

- prelucrarea suprafețelor complexe sau deosebit de complexe, în special de dimensiuni foarte mici (de ordinul zecimilor de milimetru sau al micronilor);
- prelucrarea pieselor confecționate din materiale cu proprietăți cu totul deosebite (rezistență foarte mare la rupere, refractaritate înaltă, rezistență la coroziune și la cavitație, fragilitate mare, tenacitate ridicată etc.);
- obținerea de precizii dimensionale ridicate, calitatea suprafeței foarte bună la suprafețe de dimensiuni foarte mici (microdimensionale);
- piesele-semifabricat sau sculele cu ajutorul cărora se face îndepărtarea adaosurilor de prelucrare au o rigiditate insuficientă (prelucrările microdimensionale);
- obținerea unor productivități sporite în condițiile unor însemnate economii de combustibili convenționali, materii prime și resurse energetice.

Toate aceste limitări au determinat și determină apariția și dezvoltarea unor procedee de prelucrare noi, care se numesc *procedee neconvenționale sau speciale*, deoarece nu au încă o arie foarte largă de răspândire precum cele clasice. La aceste procedee de prelucrare, îndepărtarea adaosului de prelucrare se face sub formă de particule foarte mici (cu dimensiuni sub 1,0 mm, microscopice, dizolvate etc.),

numite *microașchii*. Desprinderea și fărâmițarea în microparticule a adaosului de prelucrare are loc ca urmare a interacțiunii dintre piesa-semifabricat și un *agent eroziv*. Agentul eroziv este un sistem fizico-chimic sau fizico-mecanic complex, capabil să cedeze energie mediului în care se găsește împreună cu piesa-semifabricat. Energia conținută de agentul eroziv poate fi de natură electrică, termică, chimică, mecanică, electrochimică, electromagnetică sau de radiație.

În interacțiunea dintre agentul eroziv și piesa-semifabricat are loc transformarea energiei conținute de agentul eroziv în energie de distrugere a integrității straturilor de suprafață, când se depășește valoarea energiei de legătură a particulelor din aceste straturi.

Mecanismul elementar al desprinderii stratului adaosului de prelucrare, în funcție de natura predominantă a energiei distructive, are la bază următoarele fenomene:

- ruperi de material sub formă de microparticule în straturile de suprafață, ca urmare a unor acțiuni mecanice și termice repetate;
- topire, vaporizare, sublimare a unor volume elementare de material;
- coroziune.

În toate cazurile, pentru realizarea procesului de desprindere a straturilor de material din adaosul de prelucrare este necesară o anumită mărime și o astfel de repartiție spațio-temporală a energiei agentului de eroziune încât să se depășească energia de legătură a particulelor din straturile de suprafață ale piesei-semifabricat.

Principalele procedee de prelucrare dimensională prin microașchiere clasificate după natura agentului eroziv se prezintă în tabelul 9.1.

Tabelul 9.1. *Principalele procedee de prelucrare dimensională prin microașchiere*

Nr. crt.	Denumirea procedului de prelucrare dimensională prin microașchiere	Agentul eroziv
1	Prelucrarea dimensională prin eroziune electrică (electroeroziunea)	descărcare electrică în impuls
2	Prelucrarea dimensională prin eroziune electrochimică (electrochimia)	electrolitul în câmp electric
3	Prelucrarea dimensională prin eroziune chimică	o substanță chimică activă
4	Prelucrarea dimensională prin eroziune complexă electrochimică și electrică (anodo-mecanică)	arcul electric nestăionar și electrolitul în câmp electric
5	Prelucrarea dimensională prin eroziune cu plasmă	arcul sau jetul de plasmă
6	Prelucrarea dimensională prin eroziune cu radiații	radiația electromagnetică sau corpusculară
7	Prelucrarea dimensională prin eroziune cu ultrasunete	suspensie abrazivă și cavitația ultrasonoră

9.2. PRELUCRAREA DIMENSIONALĂ PRIN EROZIUNE ELECTRICĂ (ELECTROEROZIUNEA)

9.2.1. Schema de principiu

Prelucrarea se bazează pe efectele erozive complexe, discontinue și localizate, ale unor descărcări electrice prin impuls, amorsate repetat între piesa-semifabricat și un electrod-sculă.

Piesa-semifabricat 1 și electrodul sculă 2 conectate la o sursă de energie electrică 3 se cufundă într-un dielectric 4 (fig. 9.1), între ele existând un spațiu numit *insterștiu de prelucrare* s , în care se desfășoară descărcările electrice 5.

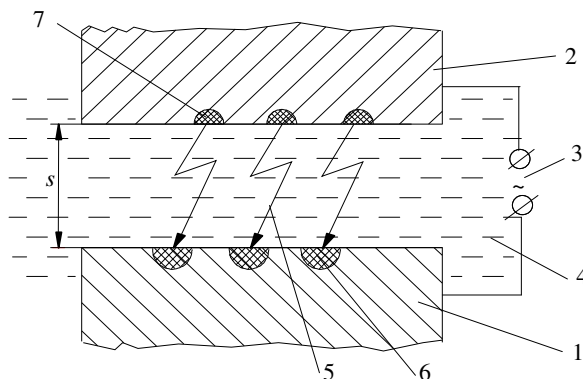


Fig. 9.1. Schema de principiu a prelucrării dimensionale prin electroeroziune:

1 - piesa de prelucrat; 2 - electrodul sculă; 3 - sursă de energie electrică; 4 - dielectric;
5 - descărcări electrice; 6 - desprinderi de material din piesă; 7 - desprinderi de material din electrod.

Cu o tensiune și o putere suficientă a sursei, între electrodul-sculă și piesa semifabricat apare o descărcare electrică. Această descărcare trece succesiv prin următoarele stadii; *descărcare luminiscentă*, *scânteie*, *scânteie-arc* și *arc*. Pentru ca în urma acestor descărcări să aibă loc desprinderile de material 6 din adaosul de prelucrare, este necesar să fie îndeplinite următoarele condiții:

- introducerea directă a energiei electrice la suprafața piesei-semifabricat ce urmează a fi prelucrată. Pentru aceasta trebuie ca și piesa-semifabricat și electrodul-sculă să fie confecționate din materiale electroconductoare, iar conectarea lor la tensiunea sursei de alimentare să îndeplinească condițiile necesare amorsărilor prin străpungere;

- dozarea temporară în impuls a energiei electrice în zona de interacțiune electrod-sculă-dielectric-piesă-semifabricat. Condiția este necesară pentru a se localiza efectul energiei de descărcare pe piesa-semifabricat și prelevarea de material;

- asigurarea unui caracter polarizat al descărcărilor electrice în impuls. Efectul termic al descărcării va conduce la prelevarea de material atât din piesa-semifabricat 6, cât și din electrodul-sculă 7, de aceea scopul urmărit este ca prelevarea de la piesa-semifabricat să fie cât mai mare. Fenomenul se poate dirija prin conectarea piesei-semifabricat și electrodului-sculă la polaritățile corespunzătoare și prin utilizarea, în confecționarea electrodului-sculă, a unor materiale cu rezistență erozivă mare sau formarea unor pelicule protectoare;

- restabilirea continuă a stării inițiale în intervalul eroziv, pentru ca descărcările să se poată repeta practic în condiții identice. Pentru aceasta este necesară evacuarea eficientă a produselor eroziunii și restabilirea distanței de amorsare a descărcărilor.

9.2.2. Mecanismul fizic al prelucrării dimensionale prin electroeroziune

Piesa-semifabricat 1 și electrodul-sculă 2, cufundate în dielectricul 3, se conectează la ieșirea unui generator de impulsuri de tensiune (fig.9.2).

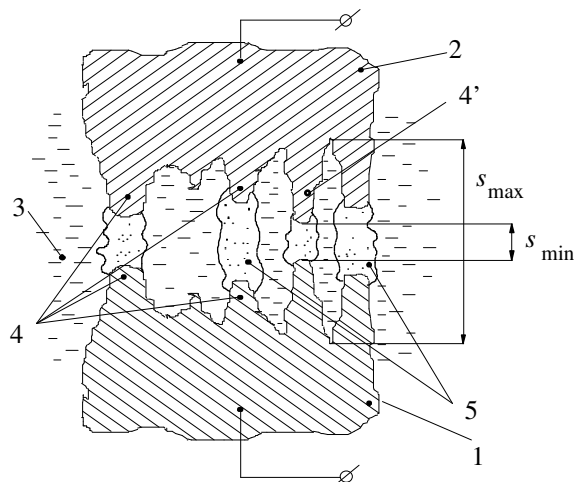


Fig. 9.2. Mecanismul fizic al prelucrării prin electroeroziune:

1 - piesa - semifabricat; 2 - electrodul sculă; 3 - dielectric;

4,4' - microneregularități; 5 - microcanale de descărcare.

Între suprafețele în interacțiune există un interstițiu s ($s = 0,01 \dots 0,5$ mm) ocupat de mediul dielectric. Pentru amorsarea descărcărilor electrice trebuie corelată mărimea interstițiului și rigiditatea dielectricului cu tensiunea de mers în gol a generatorului. Fiecare descărcare se amorsează în locul unde condițiile sunt cele mai favorabile, și anume, pe vârfurile cele mai apropiate ale microneregularităților 4' (unde interstițiul este minim - s_{min}). Microdescărcările

electrice amorsate străpung stratul de dielectric simultan într-o mulțime de puncte, și energia electrică se transformă în energie calorică și energie mecanică. Energia de descărcare are o mare densitate ($30\,000 \dots 35\,000 \text{ J/mm}^3$) atingându-se puteri de sute de kW/mm^3 , localizarea ei pe vârfurile microneregularităților având ca efect topirea și vaporizarea metalului.

Principalele procese fizico-chimice care au loc sub acțiunea descărcării electrice în impuls sunt prezentate în figura 9.3.

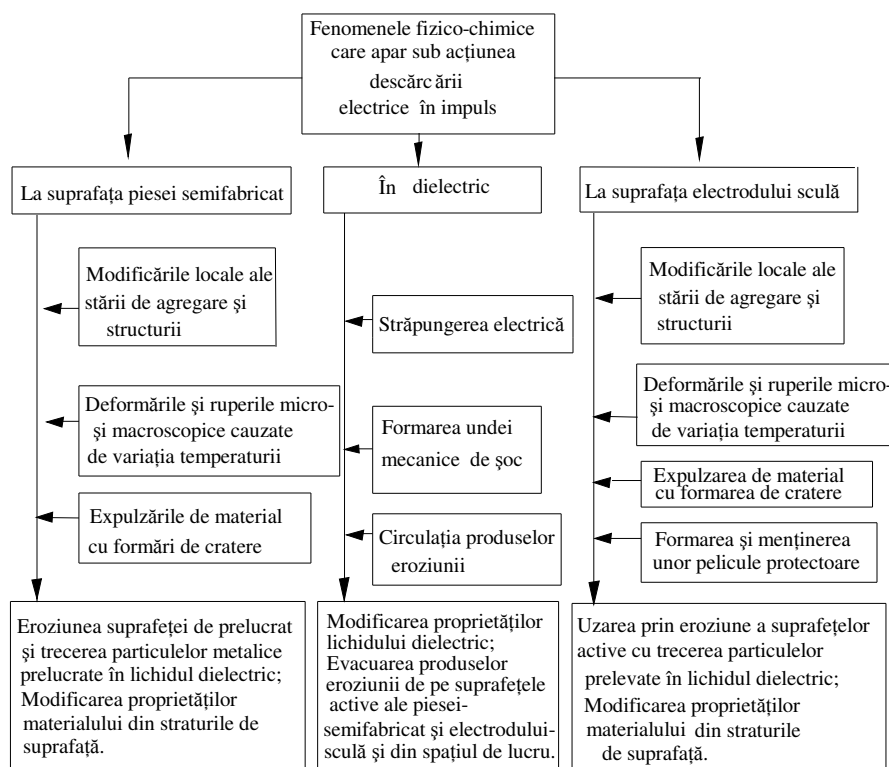


Fig. 9.3. Fenomene fizico-chimice specifice prelucrării dimensionale prin electroeroziune în medii dielectrice lichide.

Microdescărcările electrice în interstițiul de lucru dintre piesa-semifabricat și electrodul-sculă, sub formă de impulsuri (dreptunghiulare, triunghiulare, sinusoidale etc.) duc la formarea unor microcanale 5, cu diametrul de la câțiva μm , la $700 \dots 900 \mu\text{m}$ și cu lungimi de la $100 \dots 150 \mu\text{m}$ până la $400 \dots 600 \mu\text{m}$ (uneori chiar până la câțiva mm). În aceste canale, ca urmare a fenomenului de ionizare a mediului (concentrația de ioni este de $10^{12} \dots 10^{13} \text{ ioni/cm}^3$), are loc formarea plamei la temperaturi de circa $50\,000\text{K}$, care topește și vaporizează rapid vârfurile

microneregularităților. Formarea canalelor de microdescărcări depinde de interstițiul s , aceasta influențând direct întregul proces electroeroziv și, în special, durata și energia impulsului, mărimea coeficientului de umplere, forma și amplitudinea descărcării pe suprafața de lucru și eficiența ei, circulația dielectricului și a produselor electroerozive.

Producerea unei descărcări este urmată de o creștere locală a interstițiului, ceea ce determină ca următoarele descărcări să se amorseze în noi zone. În acest mod, descărcările parcurg în mod succesiv întreaga suprafață de interacțiune, rezultând o creștere treptată a distanței dintre suprafața piesei-semifabricat și cea a electrodului-sculă.

Mecanismul fizic de prelevare a materialului de pe suprafața piesei-semifabricat însumează trei fenomene distincte, care se completează reciproc:

- *fenomenul termic*, determinat de cedarea bruscă a energiei cinetice a sarcinilor electrice în mișcare. În funcție de valoarea acestor energii, îndepărtarea de material poate avea loc sub formă de topire, lentă sau rapidă, vaporizare, liniștită sau rapidă, sau prin topire plus vaporizare. Mărimea particulelor desprinse \varnothing_{med} este dependentă de energia descărcării în impuls W (fig. 9.4);

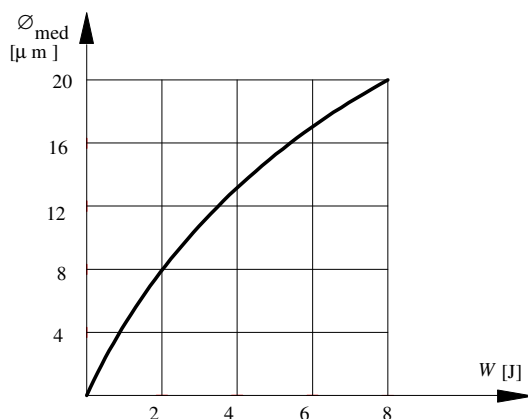


Fig. 9.4. Variația diametrului particulelor prelevate la o descărcare în funcție de energia descărcării.

- *fenomenul mecanic*, determinat de existența în masa piesei-semifabricat a unor bule de gaze, care datorită dilatației termice expulzează particulele;

- *fenomenul electrodinamic*, determinat de rezistența sarcinilor electrice în mișcare, din microcanalele microdescărcărilor electrice. Fiind vorba de curenți electrici variabili în timp, între piesa-semifabricat și electrodul-sculă apare un câmp electromagnetic și, deci, forțe electrodinamice care vor acționa asupra sarcinilor electrice în mișcare.

Dintre cele trei fenomene amintite, *fenomenele termice au un rol determinant în prelevarea de material*, deci prelucrabilitatea diferitelor materiale

poate fi caracterizată prin proprietățile lui termofizice. Pentru aprecierea prelucrabilității se poate utiliza criteriul de *proporționalitate a timpului de topire a unui volum de metal considerând celelalte condiții de prelucrare constante* (criteriul π - criteriul Palatnik), dat de relația:

$$\pi = \rho \cdot c \cdot \lambda \cdot \theta_t^2, \quad (9.1)$$

în care: c este căldura specifică; ρ - densitatea; λ - coeficientul de conductivitate termică; θ_t - temperatura absolută de topire.

Prelucrabilitatea prin electroeroziune este invers proporțională cu criteriul lui Palatnik (π).

Fenomene erozive similare cu cele de pe suprafața piesei-semifabricat apar și pe suprafața electrodului-sculă. Eroziunea minimă a electrodului-sculă se realizează prin conectarea la polaritatea optimă (în funcție de stadiile respective ale descărcării) și prin utilizarea unor materiale cu valori ridicate ale criteriului Palatnik. Uzual, se folosesc materiale cu o bună conductivitate termică sau cu o temperatură de topire ridicată (aluminu, argint, crom, cupru, grafit, nichel, wolfram, zirconiu etc.).

9.2.3. Utilaje folosite la prelucrarea prin electroeroziune

Mașinile de prelucrat prin electroeroziune se clasifică după foarte multe criterii. Din punct de vedere al destinației pot fi: *universale, speciale și specializate cu comandă program și comandă adaptivă sau autoadaptivă*, cunoscând o mare dezvoltare și perfecționare în ultimul timp. Indiferent de tipul constructiv, schema de principiu a unei instalații de prelucrare prin electroeroziune se prezintă în figura 9.5.

Piesa-semifabricat de prelucrat 1 și electrodul-sculă 2, cufundate în dielectricul 4 din cuva 5, se conectează la ieșirea generatorului de impulsuri de tensiune 3. Pentru amorsarea descărcărilor este necesară corelarea mărimii interstițiului de prelucrare s și a rigidității dielectricului 4, din cuva 5, cu tensiunea de mers în gol a generatorului, corelare ce se face cu ajutorul unui sistem de avans 6. Descărcările electrice în impuls sunt însoțite de efecte erozive complexe, în mare măsură la piesa-semifabricat și într-o mai mică măsură la electrodul-sculă. Producerea de descărcări electrice este însoțită de creșterea locală a interstițiului și oprirea la un moment dat a procesului de prelevare de material, dacă interstițiul nu este menținut la o valoare optimă, operație ce se face cu ajutorul mecanismului de avans. Particulele de metal prelevate se aglomerează în interstițiul de prelucrare, de aceea ele trebuie îndepărtate. Acest lucru se realizează cu ajutorul unui sistem de recirculare-răcire-filtrare a dielectricului, format din pompa 8, filtrul 9, rezervorul 10 și sistemul de răcire 11. Pentru ca procesul de erodare să se desfășoare neîntrerupt și pentru ca uzura electrodului-sculă să fie cât mai mică, este necesar ca electrodul-sculă să fie răcit în permanență (răcire efectuată cu dielectricul trimis

prin canalele de răcire 12) și dielectricul să transporte toate produsele eroziunii 7 în afara spațiului de lucru.

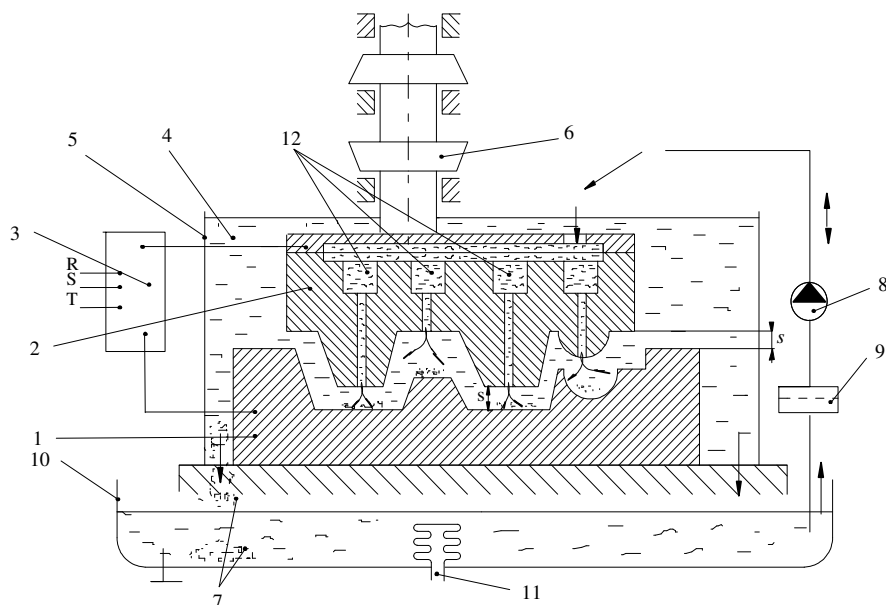


Fig. 9.5. Schema de principiu a unei instalații de prelucrare prin electroeroziune:
1 - piesa - semifabricat; 2 - electrodul sculă; 3 - generatorul de impulsuri de tensiune; 4 - dielectricul;
5 - cuva; 6 - sistemul de avans; 7 - microparticulele; 8 - pompă; 9 - filtrul; 10 - rezervorul;
11 - sistemul de răcire; 12 - canalele de răcire a electrolitului sculă.

Principalele părți componente ale unei mașini de prelucrat prin electroeroziune sunt:

- *generatorul de impulsuri*, care poate fi *cu acumulare (dependent)* sau *fără acumulare (independent)*. În cazul generatoarelor cu acumulare, formarea impulsurilor se bazează pe descărcarea energiei înmagazinate într-un câmp electric sau magnetic. Schema de principiu a generatorului de impulsuri cu energie înmagazinată tip *RC* este prezentată în figura 9.6. De la sursa de curent continuu *U* se alimentează, prin impedanța de încărcare *R*, un condensator *C*, la bornele căruia se conectează piesa-semifabricat și electrodul-sculă. Prin conectare la sursă, condensatorul se încarcă până la atingerea tensiunii necesare amorsării descărcărilor. Condensatorul se descarcă într-un timp scurt, descărcările ajungând în stadiul de scânteie sau scânteie-arc.

Generatoarele fără acumulare sau independente se bazează fie pe întreruperea curentului furnizat de o sursă de curent continuu, fie pe generarea directă a impulsurilor cu ajutorul mașinilor electrice rotative sau a circuitelor cu saturație magnetică;

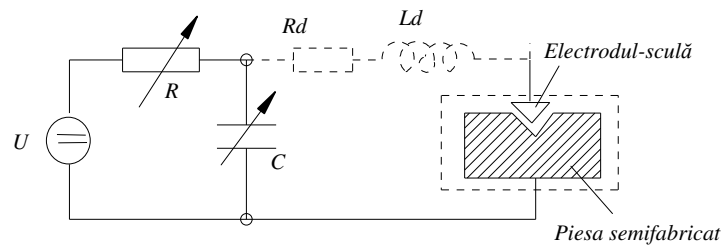


Fig. 9.6. Schema de principiu a generatorului de impulsuri RC:
 U - sursa de curent; R - impedanță de încărcare; C - condensator.

- *partea mecanică* formată din: batiu; masa pe care se fixează semifabricatul, prevăzută cu un sistem de poziționare după cele trei axe de coordonate; cuva cu lichidul dielectric; sistemul de avans care realizează mișcarea de pătrundere a electrodului-sculă; regulatorul automat al sistemului de avans, care permite realizarea și menținerea interstițiului corespunzător; sistemul de recirculare-răcire-filtrare a dielectricului etc. Principalul rol al părții mecanice este asigurarea poziționării relative dintre piesa-semifabricat și electrodul-sculă. Din punct de vedere al batiurilor, mașinile de prelucrat prin electroeroziune pot fi cu: montant, coloană, două coloane, construcție portal, patru coloane etc. Construcțiile cele mai des utilizate sunt cele cu portal și masă în coordonate.

Cuva de lucru este realizată în două variante: cuvă fixă pe masa mașinii sau cuvă retractabilă. Lichidele dielectrice frecvent utilizate sunt petrolul, uleiul, motorina și în cazuri speciale apa distilată sau gaze sub presiune.

Sistemele de reglare automată a interstițiului trebuie să mențină o astfel de distanță între piesa-semifabricat și electrodul-sculă, încât impulsurile de lucru să fie în număr maxim, iar impulsurile fictive și cele de scurtcircuit să tindă către zero.

Deplasarea fizică a electrodului în direcția optimizării interstițiului este realizată printr-un servomecanism cu rol de element de execuție ;

- *electrodul-sculă* este format dintr-o parte activă, care participă direct la generarea suprafeței și care este confecționată dintr-un material corespunzător cerințelor procesului de eroziune, și dintr-o parte auxiliară, cu care se fixează de capul mașinii de prelucrat. Principalele funcții ale electrodului-sculă sunt: introducerea energiei electrice în spațiul de lucru și localizarea macroscopică a impulsurilor de curent electric la suprafața piesei-semifabricat. În acest scop, electrodul trebuie să asigure introducerea energiei în condițiile desfășurării stabile a procesului de prelevare, să fie stabil la eroziune electrică, să posede suprafețe de bazare pentru fixarea pe mașină și să fie executat cu o precizie dimensională corespunzătoare preciziei impuse prelucrării. Electrozii se confecționează frecvent din cupru, alame, aluminiu, grafit și aliaje metaloceramice (W-Cu, W-Ag, Mo-Cu). Câteva variante constructive de electrozi-sculă folosiți la prelucrarea orificiilor străpunse sau la prelucrarea cavităților prin copiere se prezintă în figura 9.7.

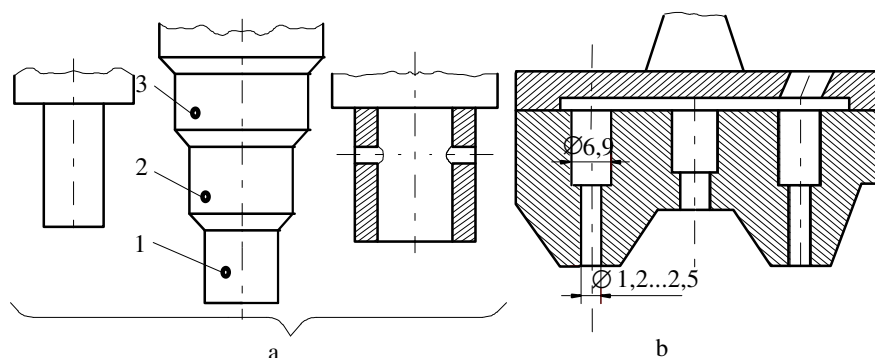


Fig. 9.7. Construcții caracteristice de electrozi sculă:

a - pentru orificii străpunse; b - pentru cavități executate prin copiere; 1- porțiune de degroșare; 2 - porțiune de semifinisare; 3 - porțiune de finisare.

- *aparatura de supraveghere și control* a procesului de prelucrare.

9.2.4. Parametrii regimului de prelucrare

Principalele caracteristici tehnologice la prelucrarea prin electroeroziune sunt: productivitatea prelucrării, calitatea suprafeței prelucrate, precizia dimensională, uzura relativă volumică a electrodului și consumul specific de energie.

Valoarea caracteristicilor tehnologice este determinată de o serie de parametri legați de piesa-semifabricat (natura materialului, mărimea și forma suprafeței, calitatea suprafeței) și de parametrii procesului de prelucrare.

Parametrii procesului de prelucrare sunt:

- *parametrii electrici ai impulsurilor* (curent, tensiune, frecvență, coeficient de umplere);
- *parametrii mecanici* (legați de tipul constructiv al mașinii și al electrodului-sculă);
- *parametrii electrochimici* (caracteristicile lichidului de lucru).

Ponderea cea mai mare o au parametrii electrici ai impulsurilor. Se constată că productivitatea prelucrării este direct dependentă de energia impulsului electric (fig. 9.8. a), de intensitatea curentului electric i (fig. 9.8. b) și de durata impulsului (fig. 9.8. c). Creșterea curentului este dependentă și limitată de mărimea suprafeței de prelucrat, de aceea există un maximum pentru productivitate la o valoare optimă a ariei suprafeței de prelucrat (fig. 9.8. d).

Rugozitatea suprafeței prelucrate crește la mărirea intensității curentului (fig.9.9) și la micșorarea frecvenței. Deoarece procesul tehnologic cuprinde fazele de degroșare și finisare, se recomandă ca la degroșare să se folosească intensități mari și frecvențe mici, iar la finisare, intensități mici și frecvențe ridicate.

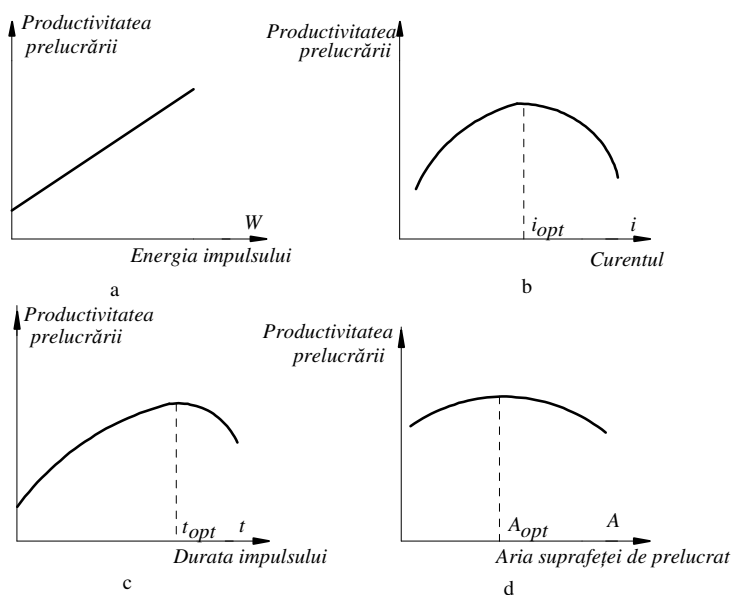


Fig. 9.8. Dependența cantității de material prelevat de:
 a - energia impulsului W ; b - curentul electric, i ; c - durata impulsului, t ;
 d - aria suprafeței de prelucrat, A .

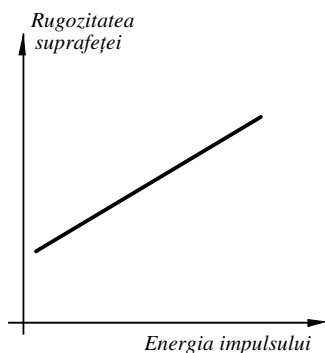


Fig. 9.9. Dependența rugozității suprafeței prelucrate de energia impulsului.

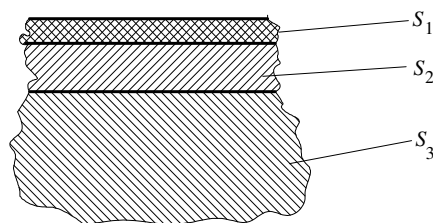


Fig. 9.10. Modificările structurale în suprafața prelucrată prin electroeroziune.

În timpul procesului eroziv datorită temperaturilor ridicate ale descărcărilor au loc modificări structurale la suprafața piesei-semifabricat. Se constată următoarele zone (fig. 9.10):

- *stratul alb* S_1 , cu structură intermediară între martensită și perlită (culoarea deschisă este datorită decarburării, iar structura intermediară datorită răcirii rapide);

- *substratul alb* S_2 , mai bogat în carbon, cu structură apropiată de cea martensitică, datorită răcirii rapide după impuls;
 - *stratul de bază* S_3 , cu structura nemodificată.
- Duritățile medii în cele trei straturi respectă relația:

$$H_1 < H_2 > H_3 . \quad (9.2)$$

Precizia dimensională a prelucrării prin electroeroziune este influențată de trei categorii de factori: factori determinați *de utilaj, de proces și de operator*.

Uzarea electrodului este determinată de procesul de eroziune electrică pe suprafața acestuia. În practică se folosește noțiunea de *uzură relativă volumică* u_v determinată de raportul dintre cantitatea de material prelevat la suprafața electrodului-sculă Q_{es} și cantitatea de material prelevat la suprafața piesei-semifabricat, Q_{ps} .

$$u_v = \frac{Q_{es}}{Q_{ps}} \cdot 100 [\%] . \quad (9.3)$$

Pentru reducerea uzurii se folosesc materiale rezistente la eroziune electrică și se alege o polaritate optimă.

Optimizarea tehnologiei de prelucrare prin electroeroziune se face luând în considerare fiecare caracteristică tehnologică (productivitate, uzură, precizie, rugozitate), urmărindu-se în principal îmbunătățirea condițiilor de amorsare și dezvoltare a sarcinilor electrice. Pentru a se putea acționa simultan asupra principalilor parametri ai procesului de prelucrare se folosesc calculatoare de proces și introducerea controlului adaptiv.

9.2.5. Posibilitățile de utilizare a prelucrării prin electroeroziune

Prelucrarea prin electroeroziune se poate aplica la prelucrarea tuturor materialelor electroconductoare. Din considerente economice, procedeul se aplică doar în cazul materialelor neprelucrabile prin alte procedee (metale și aliaje dure și extradure, oțeluri refractare, anticorozive, carburi metalice etc.), în cazul suprafețelor cu geometrii complexe și la toate categoriile de prelucrări microdimensionale.

Principalele domenii de utilizare sunt (fig. 9.11):

- perforarea orificiilor rotunde sau cu profil oarecare (fig. 9.11. a), care se aplică în construcția de mașini și aparate, scule, lucrări de reparații etc.;
- perforarea simultană a orificiilor complexe (fig. 9.11. b), care se aplică la prelucrarea elementelor active ale ștanțelor, diferitelor piese solicitate în aparatura de măsură și control;
- prelucrarea orificiilor complexe profilate (fig. 9.11. c), care se aplică la prelucrarea filierelor și matrițelor din aliaje dure și a matrițelor de injectat mase

plastice;

- prelucrarea cavităților complexe (fig.9.11. d), care se aplică la execuția matrițelor pentru forjare, a cochilelor, a sculelor pentru ambutisare, tragere, extrudare etc.

- tăierea și debitarea materialelor dure și extradure în forme simple sau complexe (fig.9.11. e);

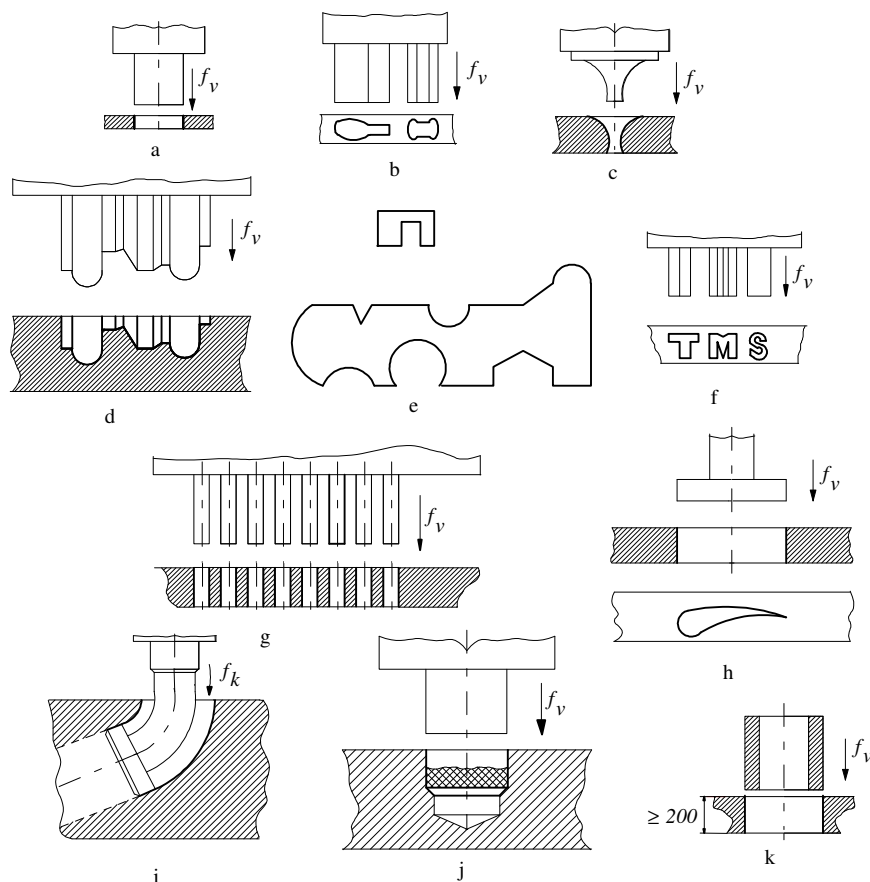


Fig. 9.11. Principalele operații de prelucrare prin electroeroziune:

a - orificii simple; b - orificii complexe; c - orificii complexe profilate; d - cavități matrițe;
e - debitări; f - gravări; g - orificii multiple; h - fante; i - orificii curbilinii; j - îndepărtarea sculelor
rupte; k - orificii adânci; f_v ; f_k - avansul vertical și respectiv combinat.

- gravarea inscripțiilor și mărcilor (fig.9.11. f);

- perforarea simultană a mai multor orificii (fig.9.11. g), care se aplică la prelucrarea filtrelor, sitelor, ecranelor, pieselor electronice;

- prelucrarea fantelor (fig.9.11. h), care se aplică la prelucrarea filtrelor de barbotare, tuburilor pentru drenaj, injectoarelor pentru motoare diesel, orificiilor pentru evacuarea aerului din matrițe etc.

- prelucrarea orificiilor curbilinii (fig.9.11. i), care se aplică la execuția orificiilor de ungere sau de evacuare a gazelor, practicate în locuri greu accesibile;

- îndepărtarea sculelor rupte din găuri (fig.9.11. j), care se aplică în cazul prelucrării unor piese complexe care înmagazinează multă manoperă și la care, accidental, are loc ruperea sculelor în interiorul orificiilor;

- prelucrarea orificiilor adânci (fig.9.11. k), care se face cu electrod-sculă tubular prin care trebuie să circule dielectricul.

În funcție de seria de fabricație (unicate, serie mică, serie mare sau producție de masă) se utilizează mașini universale de perforare-copiere cu electrozi-sculă corespunzători cu suprafețele ce trebuie prelucrate, mașini specializate și mașini speciale (de exemplu, pentru prelucrarea paletelor turbinelor hidraulice de tip Pelton).

9.2.6. Variante ale prelucrării prin electroeroziune.

Prelucrarea prin electroeroziune cu electrod fir sau bandă

La acest gen de prelucrare, electrodul-sculă are forma unui fir sau a unei benzi, între piesa-semifabricat și electrodul-sculă existând o mișcare relativă după coordonatele x și y (fig.9.12). Electrodul-fir sau electrodul-bandă 1 va executa o mișcare verticală cu o viteză v_e , corespunzătoare cu natura materialului de prelucrat

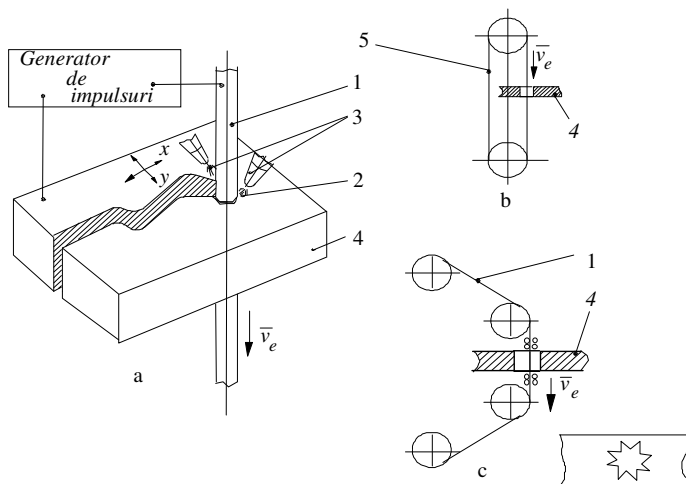


Fig. 9.12. Prelucrarea prin electroeroziune cu electrod filiform:

a - schema de principiu; b - debitare cu electrod bandă; c - debitare după contur cu electrod-fir:
1 - electrod-fir; 2 - lichid dielectric; 3 - ajustaje; 4 - piesa de prelucrat; 5 - electrod-bandă.

și natura operației (degroșare, finisare), în timp ce lichidul dielectric 2 se introduce în interstițiu prin ajutaje 3. Electrocul se confecționează din sârmă de cupru neizolată de diametre 0,02...0,3 mm.

Utilajul folosit la acest gen de prelucrare se compune din subansamble normale ale unei mașini de prelucrat prin electroeroziune, dar având și subansamble specifice: subansamblul de tensionare și deplasare a electrocului, sistemul de reglare automată a avansului după două coordonate, sistemul de urmărire a conturului și calculatorul de proces.

Tehnologia de lucru este identică cu cea de la electroeroziunea normală, numai că trebuie luată în considerare și viteza de deplasare a electrocului și forța de tensionare a sa.

Procedeul se aplică mai ales la debitarea semifabricatelor din materiale dure și extradure (fig.9.12. b), tăierea inelelor, a bușelor, tăierea materialelor magnetice, prelucrarea simultană a orificiilor părților active ale ștanțelor, decuparea pieselor electronice de precizie (fig.9.12. c), prelucrarea canalelor deschise etc. Lățimea minimă a tăierii poate ajunge la 0,02 mm.

9.3. PRELUCRAREA DIMENSIONALĂ PRIN ELECTROCHIMIE

9.3.1. Schema de principiu a procedeului

Procedeul de prelucrare dimensională prin eroziune electrochimică are la bază fenomenul de trecere a materialului ce trebuie prelevat, din piesa-semifabricat de prelucrat, într-o soluție de electrolit, fenomen cunoscut sub numele de *dizolvare anodică*.

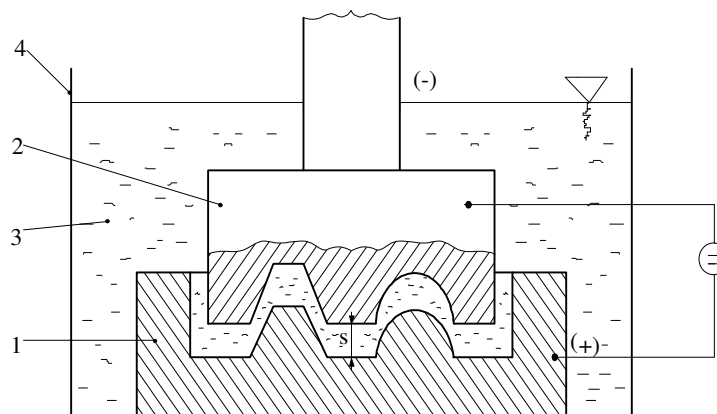


Fig. 9.13. Schema de principiu a prelucrării dimensionale prin electrochimie:
1 - piesa - semifabricat; 2 - electrocul-sculă; 3 - electrolitul; 4 - cuva; s - interstițiul de prelucrare.

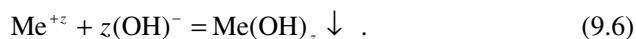
Piesa-semifabricat 1, legată la polul pozitiv, împreună cu electrodul-sculă 2, legat la polul negativ, se introduc într-un electrolit 3, în cuva 4. Schema de principiu a procedeului se prezintă în figura 9.13.

9.3.2. Mecanismul fiziv al prelucrării dimensionale prin electrochimie

Ca urmare a acțiunii curentului electric asupra soluției de electrolit au loc reacțiile:



Ionii metalici Me^{+z} , proveniți de la anod, reacționează cu ionii negativi din soluție, obținându-se în final hidrați metalici de forma - $\text{Me}(\text{OH})_z$ și alți compuși chimici mai mult sau mai puțin stabili, conform ecuației:



În general, la catod (electrodul-sculă) nu au loc depuneri de metal, cum se întâmplă la acoperirile galvanice, deci au loc foarte puține modificări dimensionale ale electrodului-sculă.

Productivitatea prelucrării prin electrochimie se definește ca fiind cantitatea de material dizolvată chimic sub acțiunea curentului electric în unitatea de timp. La baza determinării cantității de material dizolvat sub acțiunea curentului electric stau *legile electrolizei* sau *legile lui Faraday*. Conform acestor legi, *masa de metal dizolvat* m_d se determină cu relația:

$$m_d = k \cdot I \cdot t \text{ [g]} , \quad (9.7)$$

în care: $k = A/zF$ este echivalentul electrochimic al substanței, în g/A·s; A - greutatea atomică a elementului supus dizolvării, în grame; z - valența elementului; $F = 96\,500$ este numărul lui Faraday, în A·s; I - intensitatea curentului, în A; t - timpul, în s.

În procesul de electroliză au loc și o serie de fenomene secundare cum ar fi: *polarizarea electrozilor*, *pierderile datorate rezistenței electrolitului*, *reacțiile secundare* și *formarea peliculelor pasivante*. Ca urmare a acestor fenomene secundare cantitatea de material prelevată efectiv m_{def} este mai mică decât cea teoretică:

$$m_{def} = m_d \cdot \eta_i = \frac{I \cdot t}{F} \cdot \frac{A}{z} \cdot \eta_i \text{ [g]} , \quad (9.8)$$

în care: η_i este randamentul de curent.

Volumul efectiv de material prelevat V_{ef} se poate calcula cu relația:

$$V_{ef} = \frac{I \cdot t}{F} \cdot \frac{A}{z} \cdot \frac{1}{\gamma_m} \cdot \eta_i \quad [\text{cm}^3] \quad , \quad (9.9)$$

în care γ_m este masa specifică a materialului îndepărtat, în $[\text{g}/\text{cm}^3]$.

Ținând cont de relațiile:

$$U = R \cdot I \quad [\text{V}] ; \quad \text{și} \quad R = \rho \cdot \frac{l}{S} \quad [\Omega] \quad (9.10)$$

se obține pentru volumul efectiv relația:

$$V_{ef} = \frac{U \cdot S}{\rho \cdot l} \cdot \frac{t}{F} \cdot \frac{A}{z} \cdot \frac{1}{\gamma_m} \cdot \eta_i \quad [\text{cm}^3] \quad , \quad (9.11)$$

în care: U este căderea de tensiune pe coloana de electrolit, în V; ρ - rezistivitatea electrolitului, în Ωm ; S - secțiunea transversală a coloanei de electrolit, în cm^2 ; l - lungimea conductorului de electrolit, în cm; I - curentul, în A.

Volumul specific de material prelevat V_s este volumul de material prelevat în timp de o secundă la un curent de un amper și se calculează cu relația:

$$V_s = \frac{V_{ef}}{I \cdot t} = \frac{A}{z} \cdot \frac{l}{\gamma_m} \cdot \frac{1}{F} \cdot \eta_i \quad [\text{cm}^3/\text{A} \cdot \text{s}] \quad . \quad (9.12)$$

Viteza de eroziune electrochimică v_p (viteza de pătrundere a electrodului-sculă) se determină cu ajutorul volumului specific de material prelevat:

$$v_p = V_s \cdot j \quad [\text{cm}/\text{s}] \quad , \quad (9.13)$$

în care j este densitatea de curent, în A/cm^2 .

În urma procesului de electroliză, pe suprafața piesei-semifabricat de prelucrat, se formează o *peliculă pasivizatoare* care împiedică desfășurarea procesului în continuare, dacă nu este îndepărtată. După modul în care se desfășoară îndepărtarea acestei pelicule pasivizatoare, deci și a produselor eroziunii electrochimice (microparticule de material), se deosebesc următoarele metode de prelucrare prin eroziune electrochimică:

- *cu depasivare naturală*, la care produsele eroziunii se îndepărtează datorită forțelor rezultate în procesul de degajare al gazelor în timpul formării peliculei pasive. Pe suprafața cu microneregularități a piesei-semifabricat se formează o peliculă vâscoasă pasivizatoare dispusă paralel cu suprafața anodului și care are grosimea mai mare în adâncituri decât pe vârfurile microneregularităților (fig.9.14.). Dizolvarea metalului și deci prelevarea va începe în regiunea vârfurilor microneregularităților, datorită concentrației de câmp electric în această zonă.

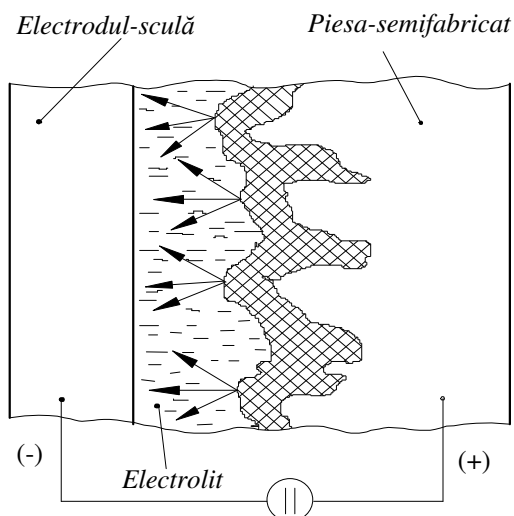


Fig. 9.14. Schema de principiu a prelucrării dimensionale prin electrochimie cu depasivare naturală.

În acest caz, electrozii-sculă se confecționează din materiale electroconductoare rezistente la agenții chimici și se plasează la o distanță de 40...100 mm de suprafața de prelucrat. Se folosesc electroliți acizi, bazici sau neutrii, calzi sau reci, în funcție de natura materialului de prelucrat.

Alimentarea cu curent electric se face cu generatoare de curent continuu de putere relativ mică și cu tensiuni de 6...12 V. Intensitatea curentului electric se alege în funcție de mărimea suprafeței de prelucrat și de densitatea de curent admisibilă ($5...25 \text{ A/dm}^2$ – în cazul electroliților reci și $40...200 \text{ A/dm}^2$ – în cazul electroliților calzi). Metoda se aplică în cazul lustruirii electrochimice, pentru obținerea de suprafețe cu rugozitate foarte bună;

- *cu depasivare hidrodinamică*, la care îndepărtarea peliculei pasivizatoare se face prin acțiunea mecanică a unui electrolit introdus cu presiune ridicată între electrozodul-sculă și piesa-semifabricat. Electrodele-sculă nu este în contact cu suprafața de prelucrat și este parțial supus acțiunii electrolitului. El are rolul de a transporta energia electrică în zona de prelucrare și de a materializa forma geometrică a suprafeței de prelucrat.

În timpul prelucrării, electrolitul este dirijat în spațiul dintre electrozi cu viteza de 27...55 cm/s, la presiuni de 7...14 daN/cm² (uneori chiar 24...28 daN/cm²). Un debit mare de electrolit cu presiune ridicată previne atât încălzirea excesivă a lui, cât și fenomenul de polarizare al electrozilor, ducând în final la creșterea cantității de material prelevat.

Cele mai utilizate soluții pentru electroliți sunt soluțiile apoase de clorură de sodiu cu adaosuri de acid boric sau soluțiile apoase de fluoruri și acid fluorhidric.

La acest gen de prelucrare, cantitatea de material dizolvat depinde de presiunea și viteza de curgere a electrolitului, densitatea de curent și timpul de acțiune al curentului electric.

Metoda se aplică la prelucrarea materialelor electroconductoare dure și foarte dure, cu proprietăți termofizice superioare, la piese cu o configurație complexă și unde este necesară o productivitate ridicată. Nu se pot obține piese cu muchii ascuțiți;

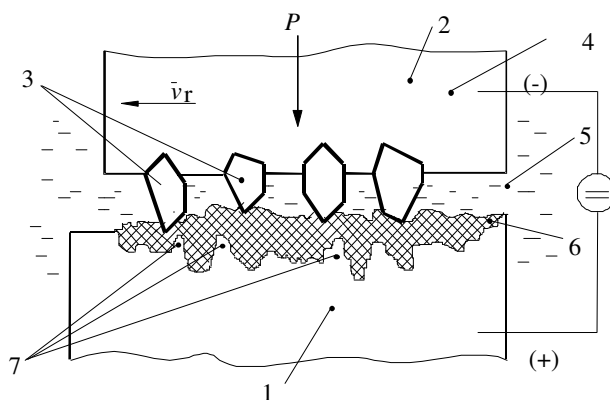


Fig. 9.15. Schema de principiu a prelucrării dimensionale prin electrochimie cu depasivare abrazivă:

1 - piesa -semifabricat; 2 - electrodul-sculă; 3 - granule abrazive; 4 - masă electroconductoare;
5 - electrolit; 6 - peliculă pasivizatoare; 7 - microasperități.

- *cu depasivare abrazivă*, la care îndepărtarea peliculei pasivizatoare se face prin acțiunea mecanică a unor granule abrazive. Între piesa-semifabricat 1 și electrodul-sculă 2 există o presiune de contact p și o mișcare v_r . Electrodul-sculă este format din granule abrazive 3 impregnate într-o masă electroconductoare 4 (de exemplu grafit) și un liant (bachelita). El se leagă la polul negativ al unei surse de curent continuu și are mișcare relativă în raport cu piesa-semifabricat (fig.9.15).

În spațiul dintre cei doi electrozi este adus electrolitul 5, care participă împreună cu granulele abrazive la îndepărtarea peliculei pasivizatoare 6, în primul rând de pe vârfurile microasperităților 7.

Metoda permite obținerea de productivități mari (până la 300...500 mm³/min, la secțiuni de 1 cm²), cu o rugozitate a suprafeței foarte bună ($R_a = 0,05...0,2 \mu\text{m}$) și o precizie dimensională mare.

9.3.3. Utilaje folosite la prin electrochimie

Mașinile de prelucrat dimensional prin electrochimie se pot clasifica după mai multe criterii. Ele pot fi: universale, speciale sau specializate, cu presiune joasă sau înaltă a electrolitului, de putere mică, mijlocie sau mare, prevăzute cu un singur

post sau cu mai multe posturi de lucru, cu capul de lucru vertical, orizontal sau combinat etc.

Indiferent de tipul constructiv, schema de principiu a unei instalații de prelucrat dimensional prin electrochimie se prezintă în figura 9.16. Piesa-semifabricat de prelucrat 1, conectată la polul pozitiv al generatorului de curent continuu 2, este cufundată în electrolitul 3, din cuva 5, împreună cu electrodul-sculă 4, legat la polul negativ al sursei de curent. Pentru reglarea distanței și pentru menținerea la valori corespunzătoare a distanței dintre electrodul-sculă și piesa-semifabricat, în timpul prelucrării, mașina dispune de un regulator de avans 6. Pentru răcirea forțată a sculei și pentru depasivare, se folosesc instalații de recirculare - răcire - filtrare a electrolitului construite în funcție de modul cum se realizează depasivarea. În general aceste instalații sunt formate din pompa 7, filtrul 8, rezervorul de electrolit 9, în care se găsește electrolitul proaspăt 10, și dispozitivul de răcire 11.

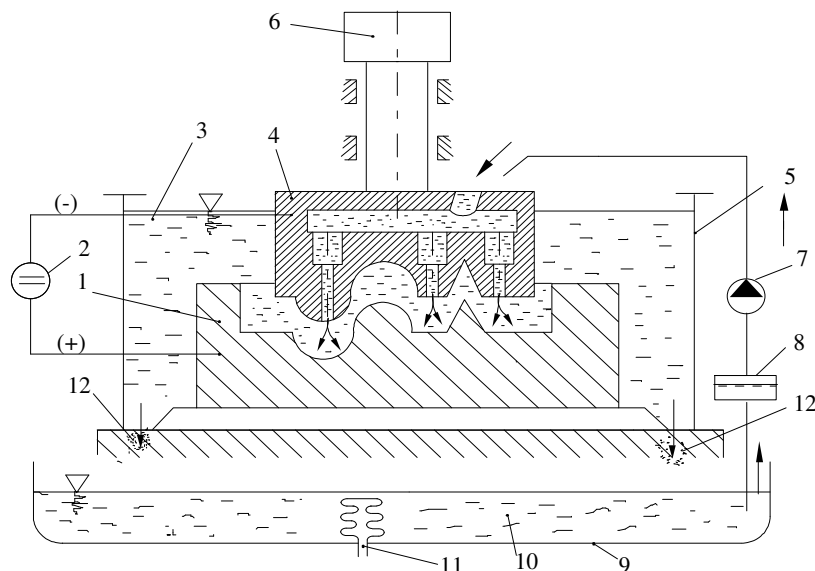


Fig. 9.16. Schema de principiu a unei instalații de prelucrare dimensională prin electrochimie cu cap vertical:

1 - piesa de prelucrat; 2 - sursa de curent; 3 - electrolitul; 4 - electrodul-sculă; 5 - cuva; 6 - regulatorul de avans; 7 - pompa; 8 - filtrul; 9 - rezervorul de electrolit; 10 - electrolitul proaspăt; 11 - dispozitivul de răcire; 12 - microașchiile îndepărtate.

Ca surse de curent se folosesc generatoarele sau redresoarele de curent continuu cu tensiuni de 5...24 V și curenți de până la 50 000 A. Electrozii-sculă se confecționează din materiale electroconductoare rezistente la agenții corozivi (aliaje speciale anticorozive, alamă, cupru, oțeluri inoxidabile, bronzuri, aluminiu

și aliajele sale etc.). Electrolitul se alege în funcție de natura materialului de prelucrat, de specificul prelucrării (degroșare, semifinisare, finisare) și în funcție de modul cum se realizează depasivarea. Cel mai des se utilizează soluția de NaCl în apă, hidrat de sodiu în apă (pentru prelucrarea aluminiului și a aliajelor sale), acizi sulfurici, ortofosforici, fluorhidrici în apă (pentru lustruire) etc.

Pentru a reduce la maximum posibil abaterea profilului suprafeței prelucrate de la forma electrodului-sculă se iau măsuri de izolare a zonei electrodului-sculă care nu trebuie să participe la eroziunea anodului.

9.3.4. Parametri regimului de prelucrare

La prelucrarea dimensională prin electrochimie, principalele caracteristici ale procesului tehnologic sunt: productivitatea prelucrării, calitatea suprafeței prelucrate, precizia dimensională, uzura relativă volumică a electrodului-sculă și consumul specific de energie.

Valoarea caracteristicilor tehnologice de mai sus este determinată de o serie de parametri ai procesului de prelucrare, ca: mărimea și forma suprafeței de prelucrat, rugozitatea suprafeței de prelucrat, intensitatea, tensiunea și frecvența curentului electric, modul cum se face depasivarea, natura electrolitului folosit, forma geometrică a electrodului-sculă.

Productivitatea prelucrării este dependentă de: densitatea de curent, natura electrolitului, echivalentul electrochimic al materialului de prelucrat și timpul de acțiune a curentului, nedepinzând de duritatea, tenacitatea sau densitatea materialului.

Rugozitatea suprafeței prelucrate depinde direct de rugozitatea suprafeței inițiale. Cu cât este mai mică rugozitatea inițială, cu atât este mai mică rugozitatea suprafeței prelucrate.

Precizia dimensională și geometrică a piesei-semifabricat supusă prelucrării depinde de precizia de prelucrare a electrodului-sculă și de precizia formei sale geometrice.

9.3.5. Posibilitățile de utilizare a prelucrării dimensionale prin electrochimie

Prelucrarea dimensională prin electrochimie se aplică pieselor confecționate din materiale dure și extradure electroconductoare și cu proprietăți termofizice deosebite, neeconomic a fi prelucrate prin alte procedee.

Operațiile cele mai frecvent executate prin acest procedeu sunt (fig.9.17):

- *lustruirea electrochimică* (fig.9.17. a), pentru curățirea de oxizi metalici (țunder), lustruirea suprafețelor metalice la piesele fasonate (supape, clapete, piese de racordare, armături diferite, sârme, benzi etc);

- *prelucrarea suprafețelor plane* (fig.9.17. b);

- strunjirea exterioară (fig.9.17. c) și interioară (fig.9.17. d);
- prelucrarea suprafețelor complexe de tipul paletelor de turbină (fig.9.17. e) cavităților matrițelor, cochilelor etc;
- găurirea (fig.9.17. f);

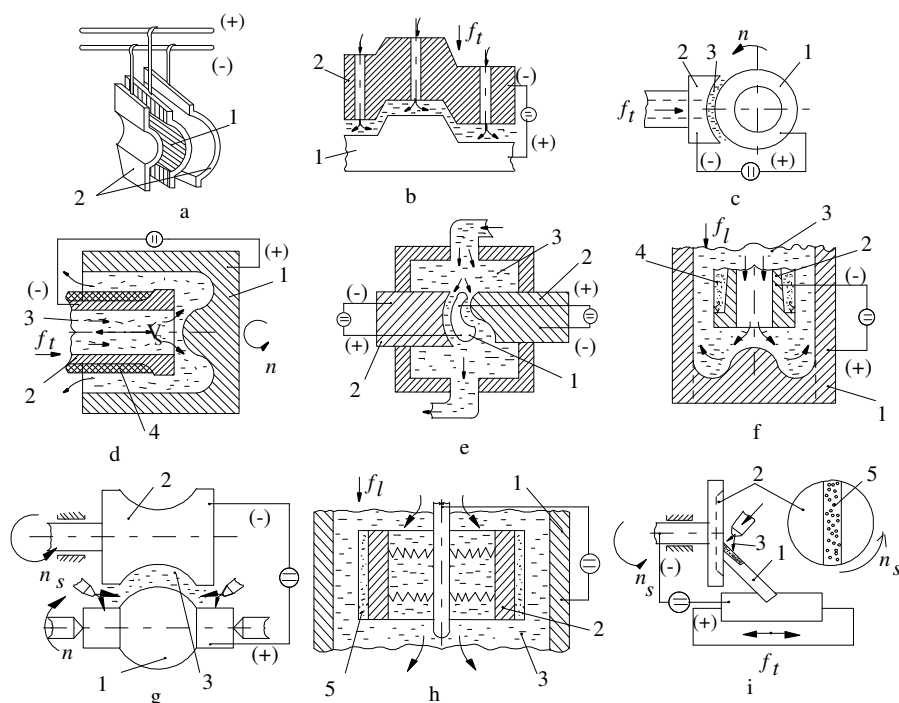


Fig. 9.17. Cele mai frecvente operații de prelucrare dimensională prin electrochimie:
a - lustruirea și fasonarea; b - prelucrarea suprafețelor plane; c - strunjirea exterioară electrochimică; d - strunjirea interioară electrochimică; e - prelucrarea pieselor complexe de tipul paletelor de turbină; f - găurirea electrochimică; g - rectificarea electrochimică; h - honuirea electrochimică; i - ascuțirea sculelor așchietoare armate cu plăcuțe din carburi metalice: 1 - piesa-semifabricat; 2 - electrodul-sculă; 3 - electrolitul; 4 - izolație; 5 - barete abrazive; n - turația piesei - semifabricat; n_s - turația sculei; f_t - avans transversal; f_l - avans vertical.

- rectificarea suprafețelor simple sau profilate (fig.9.17. g) exterioare sau interioare;
- honuirea electrochimică (fig.9.17. h);
- ascuțirea sculelor așchietoare armate cu plăcuțe din carburi metalice (fig.9.17.i).

Procedeul este limitat ca aplicații datorită imposibilității executării muchiilor ascuțite, precum și necesității numărului mare de experimentări pentru determinarea formei geometrice a electrodului-sculă, mai ales la prelucrarea supra-

fețelor complexe.

9.3.6. Variante ale prelucrării prin electrochimie. Prelucrarea prin eroziune chimică

Procedeul are la bază *atacul suprafeței de prelucrat cu o substanță chimică activă*. Operația se realizează prin introducerea suprafeței de prelucrat în soluții speciale (de obicei soluții sodice). Compoziția chimică a substanței de atac depinde de natura materialului de prelucrat, precum și de cantitatea de material ce trebuie îndepărtată.

Randamentul prelucrării prin eroziune chimică depinde de următorii factori: compoziția chimică a electrolitului, temperatura băii în care se face prelucrarea, compoziția chimică a materialului din care este confecționată piesa-semifabricat supusă prelucrării, structura cristalină a materialului (deoarece atacul se produce la limita de separare a cristalelor).

Precizia de prelucrare este condiționată de oprirea la timp a eroziunii chimice.

Procedeul se aplică mai ales la prelucrarea pieselor de tipul plăcilor, benzilor, platbenzilor, tablelor prin gravare, prelucrarea unor profile, găurirea străpunsă sau nestrăpunsă în materiale pe bază de Ni, Ti, W, Mo, de imprimare a unor canale în piese confecționate din diferite materiale cu aplicații directe în industria electronică la circuitele imprimate, la confecționarea grilelor fine, la confecționarea unor filtre fine. Se pot prelucra și piese turnate sau forjate.

Procedeul permite prelucrarea unor cavități complexe, în trepte, de dimensiuni foarte mici și cu precizie mare. De exemplu, pentru prelucrarea unei cavități în trepte se parcurg etapele prezentate în figura 9.18, zonele care nu se prelucurează în etapa respectivă acoperindu-se cu o mască de material plastic rezistent la agenții corozivi.

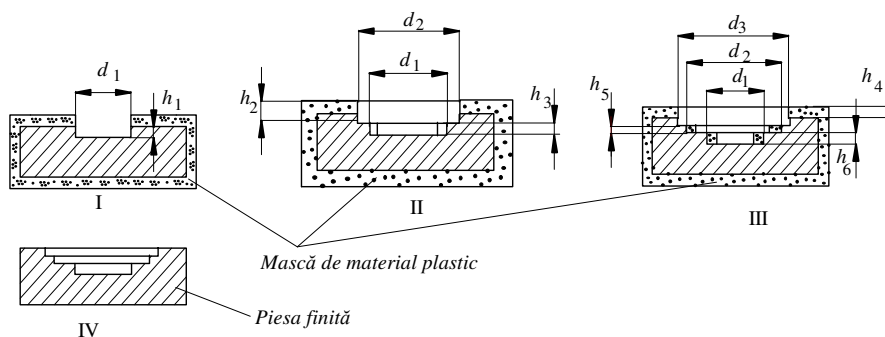


Fig. 9.18. Prelucrarea prin eroziune chimică:

I, II, III - etape ale prelucrării; IV - stadiul final; d_1 , d_2 , d_3 - diametrele finale ale prelucrărilor.

Se pot realiza îndepărtări de straturi de material cu grosimea minimă de 0,013...0,025 mm și precizii dimensionale de $\pm 0,025 \dots \pm 0,05$ mm, în aliaje de aluminiu, magneziu sau oțeluri inoxidabile și termorezistente.

9.4. PRELUCRAREA DIMENSIONALĂ PRIN EROZIUNE COMPLEXĂ (PRELUCRAREA ANODO-MECANICĂ)

9.4.1. Schema de principiu a procedurii

La acest procedeu de prelucrare îndepărtarea materialului de pe suprafața de prelucrat este o consecință a acțiunii simultane a dizolvării anodice și a descărcărilor electrice prin impulsuri nederijate, cvasistaționare, care au loc la nivelul microasperităților, între electrodul-sculă și piesa-semifabricat, aduse în contact.

Schema de principiu a procedurii se prezintă în figura 9.19. Piesa-semifabricat 1, împreună cu electrodul-sculă 2, sunt scufundate într-un electrolit 3, fiind legate la o sursă de curent. Deoarece sub acțiunea curentului electric în mediul de electrolit are loc procesul de dizolvare anodică, cu formarea pe piesa-semifabricat a peliculei pasivatoare, este necesară existența unei mișcări relative v_r între electrodul-sculă și piesa-semifabricat.

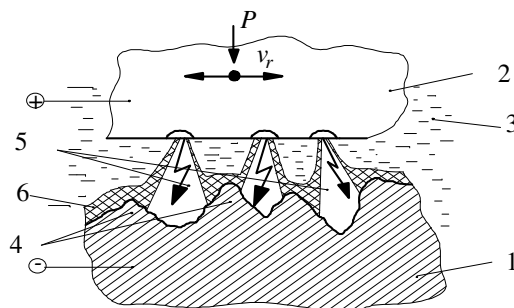


Fig. 9.19. Schema de principiu la prelucrarea dimensională prin eroziune complexă:
1 - piesa-semifabricat; 2 - electrodul - sculă; 3 - electrolit; 4 - microasperități; 5 - microdescărcări;
6 - pelicula pasivatoare; v_r – viteza relativă a electrodului-sculă față de piesa semifabricat.

9.4.2. Mecanismul fizic al prelucrării anodo-mecanice

Fenomenele care au loc în cadrul acestui procedeu sunt o combinație a fenomenelor întâlnite la prelucrarea prin electroeroziune și prin electrochimie. Prelevarea materialului din suprafața de prelucrat se bazează pe *acțiunea combinată a descărcărilor electrice în arc nestabilă, dizolvarea anodică și*

ruperea contactelor electrice stabilite temporar între piesa de prelucrat şi electrodul-sculă. Deoarece piesa de prelucrat şi electrodul-sculă sunt în contact şi parcurse de curent, conform legii Joule-Lentz, are loc o degajare de căldură Q , dată de relaţia:

$$Q = R \cdot I^2 \cdot t \quad [\text{J}] , \quad (9.14)$$

în care: R este rezistenţa electrică a celor două piese în contact; I - intensitatea curentului electric; t - timpul de acţionare al curentului.

Această cantitate de căldură conduce la o încălzire suficientă a microneregularităţilor 4 (fig. 9.20) în contact, care, dacă sunt într-o mişcare relativă, provoacă descărcări în arcul de rupere 5. Datorită efectelor termice are loc şi descompunerea electrolitului, care împreună cu produsele dizolvării anodice concură la formarea peliculei pasivizatoare 6, ce împiedică desfăşurarea procesului în continuare.

Mişcarea relativă dintre electrodul-sculă şi piesa-semifabricat rupe pelicula pasivantă de pe vârful microneregularităţilor, reactivând descărcările electrice în noi zone ale suprafeţei de prelucrat, asigurând continuarea procesului de prelevare a materialului.

Prin urmare, la îndepărtarea materialului de pe suprafaţa de prelucrat participă *acţiunea electrochimică* (dizolvarea anodică), *acţiunea electroerozivă* datorită contactului dintre electrodul-sculă şi piesa-semifabricat, *acţiunea termică* datorită descărcărilor electrice şi *acţiunea mecanică* de îndepărtare a particulelor de material.

După modul de alegere al parametrilor electrici poate predomina fie procesul electrochimic, fie procesul electroeroziv.

Dacă puterea specifică introdusă în spaţiul de lucru este mică, prelevarea de material are loc în special datorită fenomenului de dizolvare anodică, caz în care productivitatea este mică, dar precizia de prelucrare este mare şi rugozitatea suprafeţei este mică.

Dacă puterea specifică introdusă în spaţiul de lucru este mare, prelevarea de material are loc aproape exclusiv datorită procesului termic al descărcărilor electrice, caz în care productivitatea este mare, dar precizia dimensională şi calitatea suprafeţei sunt inferioare.

9.4.3. Utilajul folosit la prelucrarea dimensională prin eroziune complexă

Din punct de vedere constructiv, maşinile folosite la prelucrarea dimensională anodo-mecanică, nu diferă substanţial de maşinile de prelucrat prin electroeroziune sau electrochimie. Toate deosebirile decurg din faptul că trebuie realizată mişcarea relativă dintre electrodul-sculă şi piesa-semifabricat, mişcare ce rezultă din forma geometrică a suprafeţei ce trebuie generată.

Ca surse de alimentare cu curent se folosesc generatoare sau redresoare. Pentru realizarea presiunii de contact între piesa de prelucrat și electrodul-sculă mașinile au un mecanism de avans, cu acționare automată.

Electrozii-sculă au forme geometrice corespunzătoare cu forma geometrică a suprafeței ce trebuie generată, cu natura operației ce trebuie efectuată (de degroșare, de semifinisare sau de finisare) și cu tipul operației (debitare, ascuțirea sculelor așchietoare, strunjire, rectificare etc.). Se confecționează din fontă, oțel, cupru și aliaje de cupru etc.

Ca mediu de lucru se utilizează soluțiile coloidale de silicat de sodiu sau silicat de aluminiu, suspensiile de caolin în apă și altele, prin urmare sistemul de recirculare-răcire-filtrare diferă de cel de la mașinile de prelucrat prin electroeroziune sau electrochimie.

În funcție de natura prelucrării și tipul suprafeței ce trebuie generată, partea mecanică a mașinilor folosite la prelucrarea prin eroziune complexă realizează fie mișcarea piesei-semifabricat, fie mișcarea electrodului-sculă, fie a ambelor.

9.4.4. Parametrii regimului de prelucrare

Caracteristicile tehnologice specifice acestui gen de prelucrare sunt aceleași ca la prelucrarea prin electroeroziune sau electrochimie: productivitatea prelucrării, calitatea suprafeței, precizia dimensională, uzura relativă volumică a electrodului-sculă și consumul specific de energie.

Procesul de prelucrare dimensională prin eroziune complexă este influențat de: parametrii electrici (tensiunea și intensitatea curentului, forma și frecvența impulsurilor), parametrii mecanici (viteza relativă dintre electrodul-sculă și piesa-semifabricat, presiunea specifică de contact) și natura electrolitului folosit (compoziția chimică și densitatea).

Alegerea parametrilor procesului de prelucrare se face în mod analog ca la prelucrarea prin electroeroziune sau electrochimie, ținând cont de faptul că unul dintre ele trebuie să predomină în anumite stadii ale prelucrării (electroeroziune – în faza de degroșare și electrochimia – în faza de finisare).

9.4.5. Posibilități de utilizare a prelucrării dimensionale prin eroziune complexă

Deoarece procedeul asigură o calitate foarte bună a suprafețelor prelucrate se utilizează, mai ales, pentru prelucrările de finisare a unor materiale dure și extradure, electroconductoare imposibil sau foarte greu prelucrabile prin alte procedee.

Cele mai frecvente utilizări ale procedeului sunt (fig.9.20):

- strunjirea oțelurilor refractare și inoxidabile, dure și extradure (fig.9.20. a);

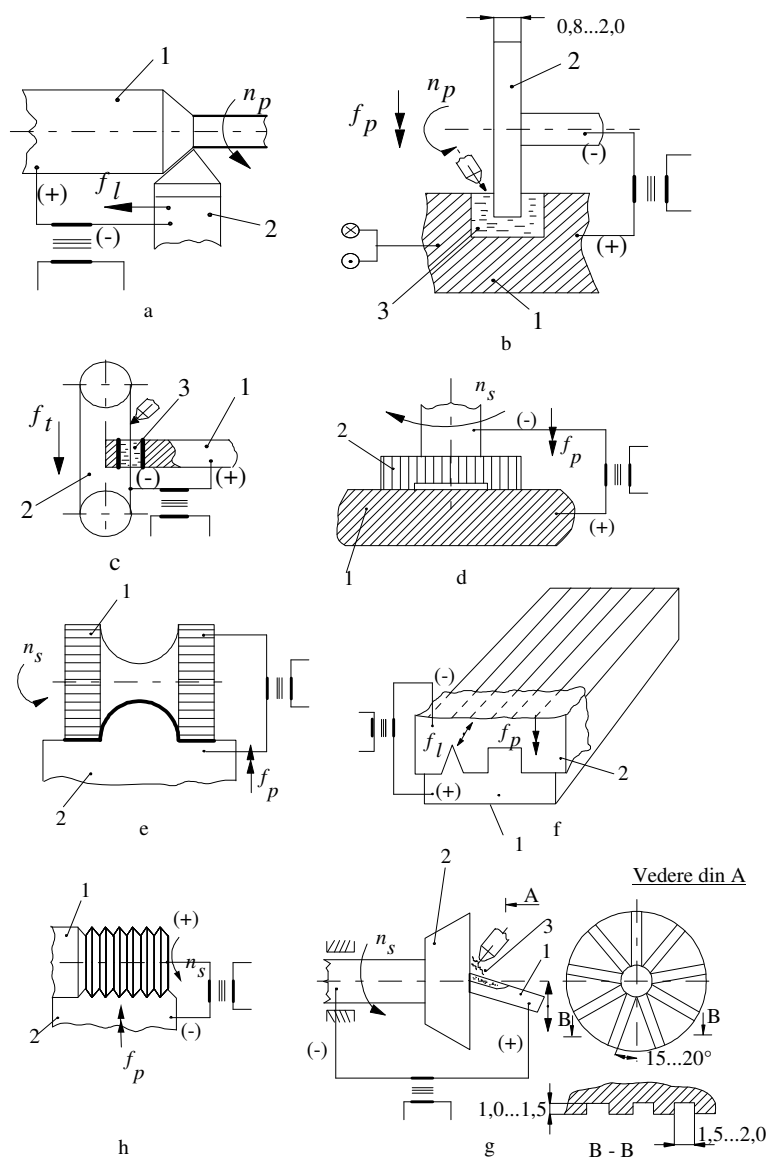


Fig.9.20. Operații de prelucrare dimensională anodo-mecanică:

1- piesa semifabricat; 2 – electrodul-sculă; 3 - electrolitul; a - strunjirea ; b - debitarea cu disc;
 c - debitarea cu electrod - bandă; d - rectificarea suprafețelor plane; e - rectificarea suprafețelor
 profilate; f - netezirea suprafețelor plane și profilate; g - ascuțirea sculelor așchietoare; h – filetarea;
 1 - piesa de prelucrat; 2 - electrodul-sculă; $n(v_c)$ – turația electrodului-sculă sau a piesei-semifabricat
 (viteza mișcării principale de așchiere); f_l ; f_i ; f_p – avansul longitudinal și respectiv transversal sau de
 pătrundere.

- tăierea și debitarea cu disc (fig.9.20. b.) sau cu electrod bandă (fig.9.20. c);
- rectificarea suprafețelor plane (fig.9.20. d) și profilate (fig.9.20. e);
- netezirea suprafețelor plane și profilate (fig. 9.20. f);
- ascuțirea sculelor așchietoare: cuțite, freze, plăcuțe din aliaje dure etc. (fig.9.20. g);
- prelucrarea cu scule profilate a aliajelor dure și extradure (fig. 9.20. h).

9.5. PRELUCRAREA DIMENSIONALĂ PRIN EROZIUNE CU ULTRASUNETE

9.5.1. Schema de principiu a procedurii

Ultrasunetele sunt vibrații mecanice cu frecvența începând de la 16 kHz (limita maximă audibilă a unui om otologic normal), până la 10^{13} Hz (hipersunete). Numeroasele aplicații ale ultrasunetelor în diferitele ramuri ale tehnicii sunt datorate efectelor produse de acestea, ca urmare a proprietăților pe care le posedă: lungime de undă relativ mică, accelerație a particulei foarte mare putând atinge de 10^5 ori accelerația gravitațională, posibilitatea de concentrare și focalizare a energiei acustice într-un spațiu limitat, posibilitatea de dirijare a unui fascicul ultrasonic îngust în direcția dorită, fenomene legate de propagarea lor în diferite medii, printre care de mare importanță este cavitația acustică.

După modul în care energia ultrasonoră intervine în diferitele procese tehnologice în care este folosită, aplicațiile ultrasunetelor se împart în două mari grupe:

- *aplicații pasive*, în care ultrasunetele de intensități relativ scăzute nu au puterea să producă modificări în structura mediului în care sunt introduse având doar rolul unui agent fizic care culege informații referitoare la proprietățile, calitatea și dimensiunile substanței examinate (controlul nedistructiv cu ultrasunete, măsurări de proprietăți fizico-mecanice și fizico-chimice, măsurări de parametri în medii cu care nu se poate veni în contact direct, cum ar fi măsurătorile în reactoarele nucleare, măsurări de debite și viteze de fluide sau gaze în conducte înglobate, diagnosticul cu ultrasunete etc.);

- *aplicații active*, în care energia ultrasonoră folosită este suficient de mare pentru a produce modificări uneori substanțiale în structura mediului în care este introdusă, ultrasunetele îndeplinind în acest caz rolul unei unelte care efectuează lucrul mecanic sau al unui agent catalizator sau intensificator al procesului respectiv (de exemplu: prelucrarea dimensională în câmp ultrasonor, deformarea plastică în câmp ultrasonor, sudarea în câmp ultrasonor, curățirea cu ultrasunete, intensificarea proceselor de așchiere cu ultrasunete, intensificarea proceselor chimice folosind energia ultrasonoră etc.);

Prelucrarea dimensională cu ultrasunete (găurirea, profilarea, gravarea, perforarea, debitarea etc.) se bazează în principal pe acțiunea unor procese de eroziune abrazivă și *limitat-cavitațională*, dezvoltate în urma transmiterii energiei cinetice a sculei ce vibrează cu frecvență ultrasonoră, unor particule de abraziv aflate în suspensie în focarul de prelucrare.

În funcție de cinematica de generare a suprafețelor s-au impus două scheme de prelucrare dimensională prin erodare cu ultrasunete: *prelucrarea cu suspensie abrazivă* (fig.9.21. a) și *prelucrarea fără suspensie abrazivă* (fig.9.21. b). La primul procedeu, între suprafețele de prelucrat ale piesei 1 și suprafața activă a sculei 2, fixată în vârful sistemului ultraacustic 3 și activată ultrasonic, se introduce o suspensie abrazivă 4. Scula este apăsată pe suprafața de prelucrat cu o presiune de $0,5...4,5 \text{ daN/cm}^2$, vibrează cu o frecvență de $18...30 \text{ kHz}$ și cu amplitudini de $5...120 \text{ }\mu\text{m}$.

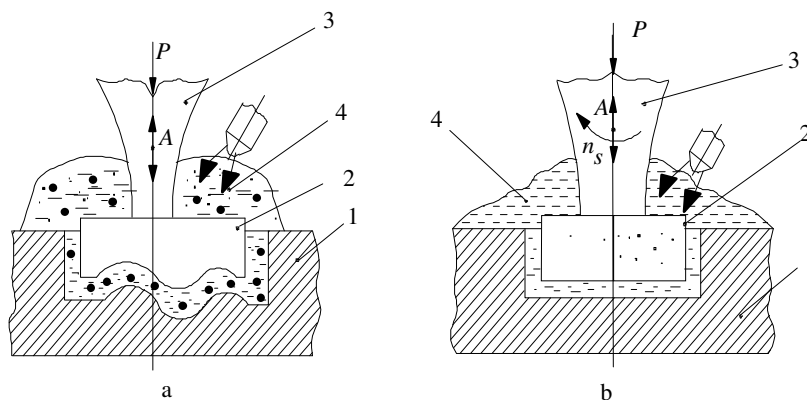


Fig. 9.21. Schema de principiu la prelucrarea dimensională cu ultrasunete:

a - cu suspensie abrazivă; b - fără suspensie abrazivă și cu bloc ultrasonic rotitor:

1 - piesa-semifabricat; 2 - scula; 3 - concentratorul de energie ultrasonică; 4 - suspensie abrazivă;

P - forța de apăsare; n_s - turația sculei; A - amplitudinea vitezei particulei.

În focarul de prelucrare este adusă în permanență o suspensie abrazivă în apă, ce joacă rolul agentului de eroziune. Cele mai des utilizate materiale abrazive sunt carbura de siliciu (SiC), carbura de bor (B_4C), iar la prelucrarea diamantului, particulele abrazive sunt tot din diamant, deoarece duritatea particulelor trebuie să fie mai mare sau egală cu cea a materialului de prelucrat. Concentrația în greutate a suspensiei abrazive este de circa 50%.

La prelucrarea fără suspensie abrazivă se folosește acțiunea de erodare pe care poate să o aibă o sculă ce vibrează cu frecvență ultrasonoră (fig.9.21. b). Pentru a avea acest rol, scula 2 este împregnată cu praf de diamant, iar între piesa-semifabricat de prelucrat 1 și scula 2 există o mișcare relativă. În spațiul de lucru se aduce în permanență un lichid acustic 4, care are rol de răcire-spălare-transport

substanță erodată. Condițiile prelucrării în acest caz sunt schimbate, în sensul că amplitudinea de vibrație nu poate depăși $15\text{ }\mu\text{m}$, pentru a nu periclita scula, presiunea dintre piesă și sculă este mai mare putând ajunge până la 30 daN/cm^2 . Pentru a crește productivitatea, scula vibrează cu o frecvență de $20\text{...}30\text{ kHz}$, iar blocul ultrasonic se rotește cu o turație medie de $2\text{ }000\text{ rot/min}$.

9.5.2. Mecanismul fizic al prelucrării dimensionale cu ultrasunete

Majoritatea cercetărilor efectuate au pus în evidență faptul că distrugerea materialului la prelucrarea dimensională cu ultrasunete este rezultatul, în cea mai mare parte, a acțiunii undei de șoc a sculei asupra particulelor abrazive însoțită de următoarele fenomene: izbirea piesei de către granulele abrazive cu energie cinetică ridicată, ciocănirea granulelor aflate între sculă și piesă, cavitația acustică și coroziunea chimică.

Distrugerea materialului și desprinderea lui de pe suprafața piesei de prelucrat 1 (fig. 9.22) se produce atunci când scula 2 lovește una sau mai multe granule abrazive 3, care în momentul lovirii sunt așezate încât au o înălțime maximă. Ca urmare a acțiunii de șoc, se amorsează fisuri atât pe suprafața piesei de prelucrat, cât și pe suprafața sculei. Ca urmare a fenomenului de cavitație acustică dezvoltată în lichidul acustic 6 are loc desprinderea de material 4, din suprafața de prelucrat și din scula 5 (într-o mai mică măsură).

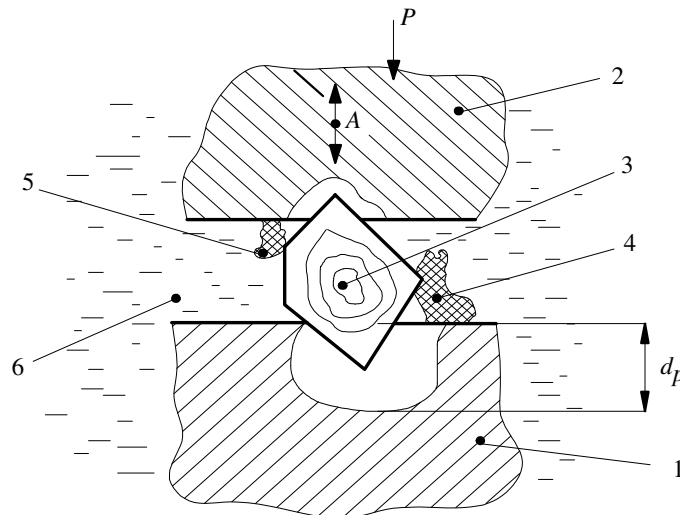


Fig. 9.22. Mecanismul prelucrării dimensionale în câmp ultrasonor:
1 - piesa - semifabricat; 2 - scula; 3 - granula abrazivă; 4 - microparticule desprinse de pe suprafața de prelucrare; 5 - microparticule desprinse de pe suprafața sculei; 6 - suspensie abrazivă;
A – amplitudinea de vibrație.

Explicarea mecanismului desprinderii de microparticule materiale, pornește de la două idei de bază:

- scula, care oscilează cu frecvență ultrasonoră, acționează asupra granulelor abrazive prin crearea unor accelerații foarte mari, producându-se acțiunea de șoc a granulelor asupra suprafeței de prelucrat;
- scula oscilantă acționează prin șocuri directe asupra granulelor care produc îndesarea sau înfigerea lor în suprafața de prelucrat.

Energia cinetică E_a , pe care o primește o granulă abrazivă de diametrul mediu este de forma:

$$E_a = \frac{\pi^3}{12} \cdot \rho_a \cdot d_a^3 \cdot A^2 \cdot f^2, \quad (9.15)$$

în care: ρ_a este densitatea granulei abrazive; A - amplitudinea de oscilație a particulelor sculei; f - frecvența ultrasunetelor; d_a - dimensiunea medie a granulei.

Dacă asupra sculei acționează o forță de apăsare P și granula abrazivă pătrunde în suprafața sculei la adâncimea δ_a și în suprafața de prelucrat la adâncimea δ_p , se crează în material o tensiune de fisurare T_r de forma:

$$T_r = \frac{P}{\pi \cdot d_a \cdot \delta_p} = \frac{\pi^2 \cdot \delta_a \cdot d_a^2 \cdot A^2 \cdot f^2}{6 \cdot \delta_p^2}. \quad (9.16)$$

Productivitatea prelucrării V se determină cu relația:

$$V = k_1 \cdot k_2 \cdot k_3 \cdot \left(\frac{d_a}{\sigma} \right)^{3/4} \cdot \left[\frac{4 \cdot A \cdot p}{\pi \cdot k_2 (1 + k_4)} \right]^{3/4} \cdot \frac{f}{\sqrt{d_a}}, \quad (9.17)$$

în care: k_1 este o constantă ce depinde de dimensiunile și forma granulei abrazive; k_2 - constantă ce depinde de numărul de granule abrazive pe unitatea de suprafață; k_3 - probabilitatea desprinderii unei particule sub acțiunea șocurilor; k_4 - coeficient de corecție ce ține cont de raportul dintre duritatea sculei și a piesei de prelucrat; σ - rezistența la rupere a materialului de prelucrat; p - presiunea creată între sculă și piesa-semifabricat.

Lichidul acustic introdus în spațiul de lucru are scopul de a favoriza apariția fenomenului de cavitație acustică, de a evacua produsele eroziunii și de a înlocui particulele abrazive cu muchii uzate cu alte particule cu muchii active.

9.5.3. Utilaje folosite la prelucrarea dimensională cu ultrasunete

Indiferent de tipul operațiilor care se efectuează și de grupa de aplicații, mașinile de prelucrat cu ajutorul energiei ultrasonore se compun în general din următoarele subansamble principale (fig.9.23):

- *generatorul de oscilații electrice* 1, diferențiat în funcție de natura traductoarelor de ultrasunete utilizate în practică (magnetostrictive, piezoceramice, feritostriptive, electrostrictive etc.). În practică se folosesc generatoare cu tranzistoare pentru puteri de 100...1 000 W sau generatoare cu amplificatoare de putere cu tuburi electronice de emisie pentru puteri mai mari de 1 000 W. Problema importantă ce trebuie avută în vedere este realizarea unei adaptări optime a impedanței traductorului ultrasonic cu impedanța de ieșire a amplificatorului final, pentru a realiza un transfer maxim de putere și deci un randament electroacustic ridicat;

- *sistemul ultraacustic*, care constituie baza unei instalații de prelucrare cu ultrasunete, este alcătuit din unul sau mai mulți *traductori ultraacustici*, care convertesc oscilațiile electrice ale generatorului în oscilații mecanice cu frecvență ultrasonoră, sistemul de conducere, concentrare și focalizare a energiei ultrasonore în focarul de prelucrare, format din flanșa nodală 3, concentratorul de energie ultrasonoră 4, elementul de cuplare și scula folosită la prelucrare 5. Pentru confecționarea traductorilor ultraacustici se folosesc piezoceramicele (zirconat titanat de bariu, zirconat titanat de plumb), feritele magneto-striptive și aliajele pe bază de nichel (Ni-Al; Ni-Fe-Al; Ni-Fe; Ni-Co; Ni-Fe-Co) cu compoziție optimă.

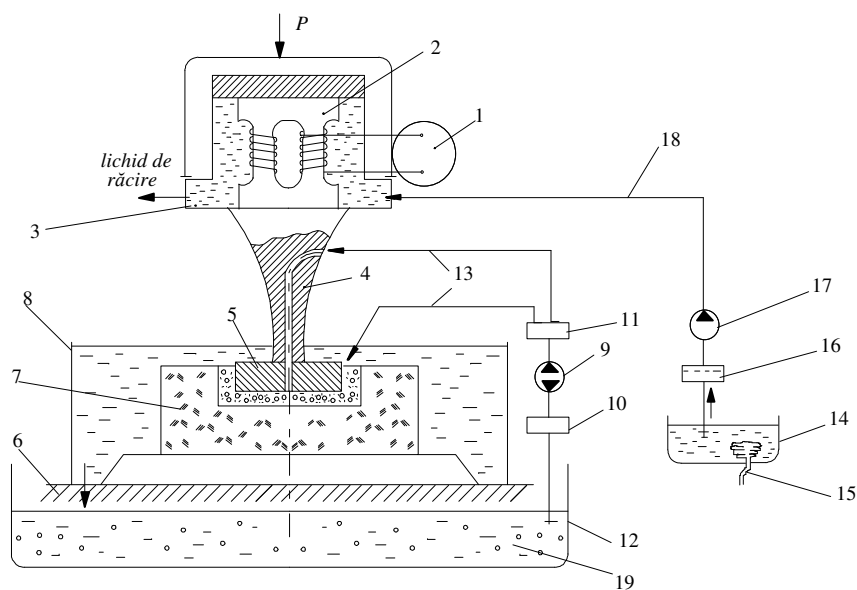


Fig.9.23. Schema de principiu a unei instalații de prelucrare dimensională cu ultrasunete:
 1 - generator de ultrasunete; 2 - traductor ultrasonor; 3 - lichid de răcire; 4 - concentrator de energie ultrasonoră; 5 - scula; 6 - masa mașinii; 7 - piesa - semifabricat; 8 - cuvă cu suspensie abrazivă; 9 - pompă; 10; 11 - drosele; 12 - rezervor suspensie abrazivă; 13 - conducte; 14 - rezervor apă de răcire; 15 - serpentină de răcire; 16 - filtru; 17 - pompă; 18 - conducte de alimentare; 19 - suspensie abrazivă proaspătă.

- *partea mecanică a maşinii*, formată din masa de prelucrare 6, pe care se aşează piesa de prelucrat 7 şi cuva 8, cu posibilitatea deplasării după cele trei axe de coordonate, batiul maşinii şi sistemul de avans, care permite apăsarea sculei asupra piesei cu o presiune de contact specifică genului de prelucrare şi naturii materialului de prelucrat;

- *sistemul de recirculare-filtrare şi împrespătare a suspensiei abrazive*, format din pompa 9, drosellele 10 şi 11, rezervorul de suspensie abrazivă 12, în care se găseşte suspensia abrazivă 9 şi conductele de transport 13;

- *sistemul de recirculare-răcire-filtrare a lichidului de răcire*, folosit pentru răcirea traductorului format din rezervorul 14, în care se găseşte lichidul de răcire, sistemul de răcire 15, sistemul de filtre 16, pompa 17 şi conductele 18.

De construcţia şi funcţionarea utilajului folosit la prelucrarea dimensională cu ultrasunete depinde capacitatea productivă a prelucrării Q , admisă ca principal indice de eficienţă a prelucrării:

$$Q = f(A^m, f^n, p^q, k^r) \quad , \quad (9.18)$$

în care: A este amplitudinea oscilaţiilor; f - frecvenţa ultrasunetelor; p - presiunea statică; k - parametru legat de suspensia abrazivă; m, n, q, r - coeficienţi de corecţie determinaţi pe cale experimentală, cu valori cuprinse între 0,25....2,5.

Parametrul frecvenţă de lucru f poate fi asociat generatorului de ultrasunete şi sistemului ultraacustic. Frecvenţa de lucru pentru majoritatea maşinilor de prelucrat cu ultrasunete este variabilă automat în gama 18...30 kHz.

Parametrul amplitudine a oscilaţiilor sculei A se poate asocia sistemului ultraacustic. Valorile amplitudinii sunt limitate de condiţiile de rezistenţă la oboseală a elementelor componente ale sistemului ultraacustic, dar tendinţa generală este de a se folosi valori cât mai mari pentru prelucrarea de degroşare şi mai mici pentru prelucrarea de finisare.

Parametrul tehnologic presiune de contact sculă-piesă p este asociat sistemului de avans al maşinilor de prelucrat cu ultrasunete.

Parametrul tehnologic k ţine cont atât de modul de alimentare cu suspensie abrazivă, de dimensiunile şi caracteristicile granulelor abrazive, cât şi de caracteristicile suspensiei propriu-zise. El este asociat în primul rând sistemului de alimentare cu suspensie abrazivă şi în al doilea rând sistemului de avans.

9.5.4. Parametrii regimului de prelucrare dimensională cu ultrasunete

Eficacitatea metodei de prelucrare dimensională cu ultrasunete a pieselor se măsoară prin viteza de prelucrare sau productivitatea prelucrării şi prin calitatea şi precizia cu care se face această prelucrare. Rezultatele teoretice şi experimentale ale numeroaselor cercetări demonstrează că viteza de prelucrare este influenţată de următorii parametri:

- amplitudinea oscilațiilor ultrasonore;
- frecvența oscilațiilor ultrasonore;
- presiunea exercitată de sculă asupra piesei;
- factorul de formă al sculei;
- dimensiunile și duritatea granulelor de abraziv;
- vâscozitatea lichidului transportor de granule abrazive;
- mărimea suprafeței de prelucrat;
- adâncimea de prelucrare ce trebuie realizată;
- natura materialului de prelucrat;
- precizia și calitatea suprafeței ce se vrea realizată.

Practic se constată o creștere aproximativ proporțională a vitezei de prelucrare cu amplitudinea oscilațiilor (fig.9.24). Valoarea maximă a amplitudinii este limitată de rezistența sistemului generator-traductor-concentrator de energie ultrasonoră. S-a constatat că depășirea valorii de 120 μm este periculoasă pentru concentratorul de energie ultrasonoră conducând la fisurarea sau chiar la ruperea lui. Se recomandă folosirea unor valori de 40...50 μm , pentru prelucrarea de degroșare, și 20...40 μm , pentru prelucrarea de finisare. Necesitatea încadrării în acest interval de valori pentru amplitudinea oscilațiilor a condus la utilizarea unei game de frecvențe relativ joase, fiind considerate frecvențe industriale gama de valori cuprinsă între 18...32 kHz, existând un optim al frecvenței cuprins între 20...25 kHz (fig.9.25).

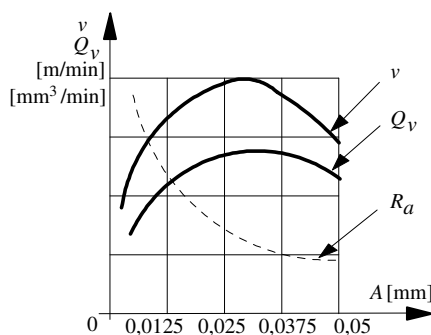


Fig. 9.24. Influența amplitudinii asupra vitezei de prelucrare și a productivității:
 v – viteza de prelucrare; Q_v – volumul de material detașat; R_a – rugozitatea suprafeței prelucrate.

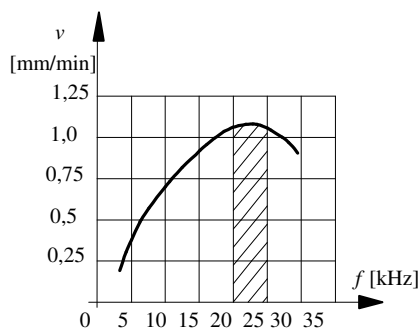


Fig. 9.25. Influența frecvenței asupra vitezei de prelucrare.

Influența exercitată de forma sculei se poate exprima în sensul că cu cât este mai mare raportul dintre perimetru și suprafață, cu atât este mai mare viteza de prelucrare (fig.9.26). Mărimea granulelor abrazive influențează direct adâncimea de pătrundere în materialul de prelucrat (fig.9.27) în sensul că la granule mici pătrunderea este lentă, iar la granule mari pătrunderea este mai mare, dar trebuie

avut în vedere și timpul de prelucrare.

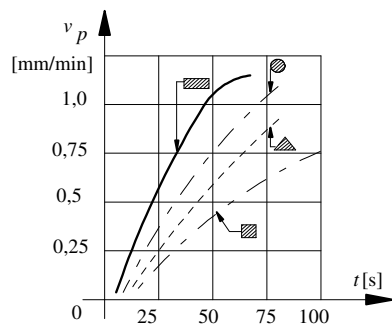


Fig. 9.26. Viteza de prelucrare în funcție de timpul, forma secțiunii sculei și timpul de acționare a undelor ultrasonore.

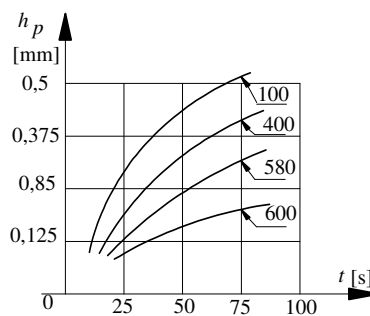


Fig. 9.27. Pătrunderea h_p pentru diferite valori ale granulației materialului abraziv.

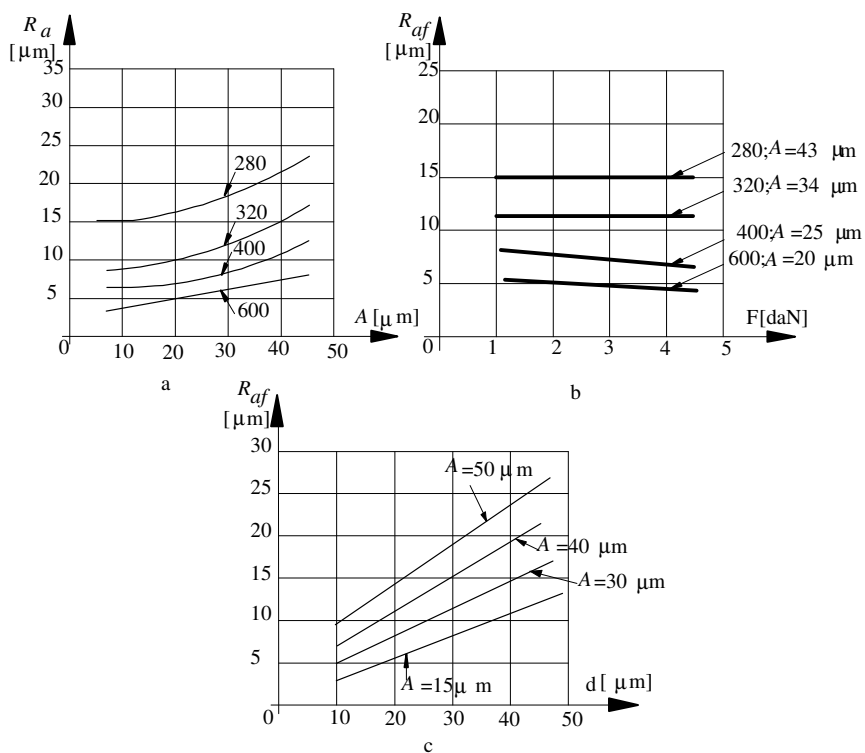


Fig. 9.28. Rugozitatea suprafețelor prelucrate:
a - rugozitatea laterală în funcție de amplitudine; b - rugozitatea fundului găurii în funcție de forța statică; c - rugozitatea fundului găurii în funcție de dimensiunea medie a granulelor abrazive.

Natura materialului abraziv care se întrebuințează depinde de natura materialului de prelucrat, în sensul că dacă se prelucrează piese din sticlă, ceramică, porțelan, siliciu sau germaniu se folosește carbura de siliciu și corindon, dacă se prelucrează oțeluri de scule, oțeluri magnetice, feritice se folosește carbura de bor, iar dacă se prelucrează materiale foarte dure (carbura de wolfram, carbura de tungsten, pietre prețioase și semiprețioase) se folosește praful de diamant.

Calitatea suprafeței prelucrată dimensional cu ultrasunete depinde în primul rând de granulația materialului abraziv, de amplitudinea și forța statică de apăsare (fig. 9.28).

Precizia dimensională a prelucrării cu ultrasunete depinde de amplitudinea vibrațiilor, de presiunea de contact dintre sculă și piesă, de uzura transversală și centrajul sculei și de granulația abrazivului.

9.5.5. Posibilitățile de utilizare ale prelucrării dimensionale cu ultrasunete

Prelucrarea dimensională cu ultrasunete își găsește în tehnica modernă un câmp de aplicabilitate din ce în ce mai larg, remarcându-se în mod deosebit în prelucrarea materialelor dure și fragile neelectroconductoare, acolo unde alte procedee de prelucrare nu dau rezultate satisfăcătoare sau sunt imposibil de aplicat.

De remarcat că prin procedeul de prelucrare dimensională cu ultrasunete este posibilă realizarea unei game foarte variate de configurații a orificiilor sau cavităților prelucrate în cele mai diverse materiale. Cele mai des folosite operații de prelucrare dimensională cu ultrasunete se prezintă în figura 9.29, deosebindu-se:

- găurirea pătrunsă sau nepătrunsă a unor materiale dure și extradure neelectroconductoare sau electroconductoare (fig.9.29. a);
- debitarea la dimensiune (fig.9.29. b);
- execuția orificiilor și cavităților complexe (fig.9.29. c);
- perforarea simultană a mai multor orificii sau debitarea simultană a mai multor piese din industria electronică, cum ar fi plăcuțele semiconductoare, lentilele etc.(fig.9.29. d);
- prelucrarea matrițelor pentru extrudare și tragere sau a filierelor pentru trefilare (fig.9.29. e);
- execuția orificiilor curbe pătrunse sau nepătrunse (fig.9.29. f);
- finisarea prin rectificare ultrasonică a suprafețelor plane sau profilate (fig.9.29. g);
- filetarea interioară sau exterioară a unor materiale dure și extradure neelectroconductoare cu sculă profilată (fig.9.29. h);
- canelarea după o curbă plană (fig.9.29. i);
- finisarea prin honuire ultrasonică a suprafețelor interioare cu scule profilate corespunzător (fig.9.29. j);
- durificarea stratului superficial în câmp ultrasonor (fig.9.29. k).

Cele mai spectaculoase realizări sunt în prelucrarea sticlei optice,

prelucrarea și fasonarea lentilelor și prismelor. Precizia de prelucrare este de $\pm 0,025$ mm, iar dimensiunea minimă a orificiului de prelucrare este de 0,5 mm.

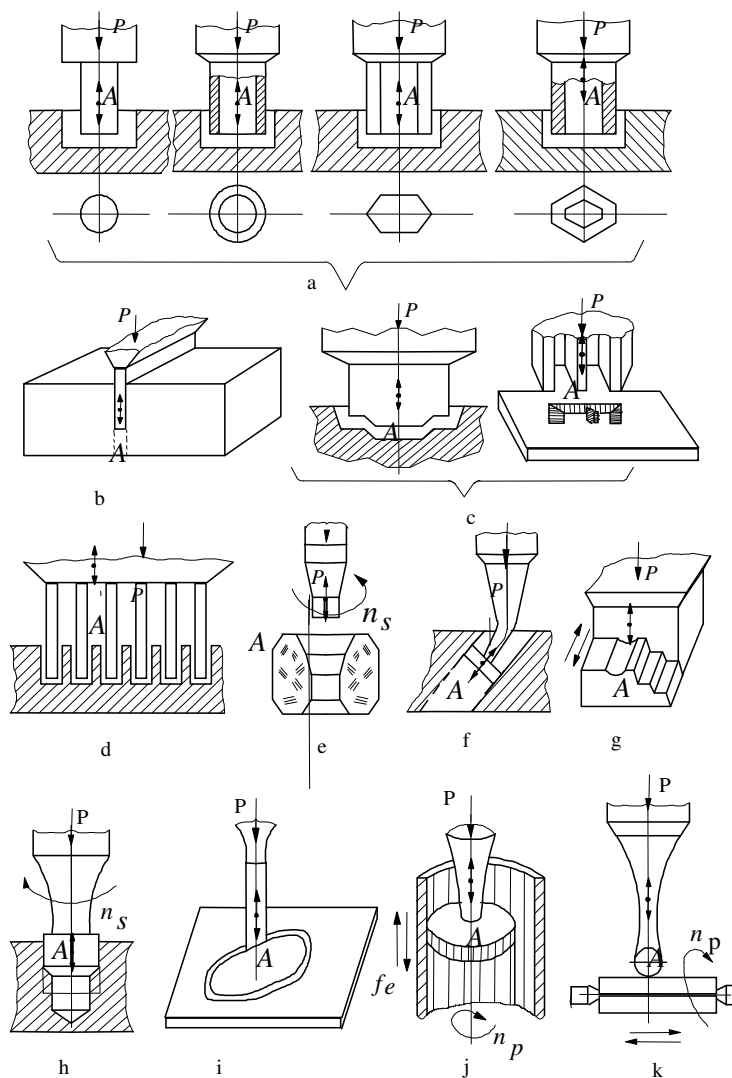


Fig. 9.29. Tipuri de operații de prelucrare dimensională cu ultrasunete:

a - găurirea; b - debitarea; c - execuția orificiilor și cavităților complexe; d - perforarea simultană; e - prelucrarea filierelor; f - execuția orificiilor curbe; g - rectificarea ultrasonică; h - filetarea; i - canelarea după o curbă plană; j - honuirea ultrasonică; k - durificarea stratului superficial; A - amplitudinea oscilațiilor ultrasonore; P - forța statică de apăsare; n_s, n_p - turația sculei și respectiv a piesei.

Un beneficiar de seamă al rezultatelor prelucrării cu ultrasunete a materialelor dure și fragile este industria electrotehnică, unde se pune în mod deosebit problema prelucrării și debitării materialelor semiconductoare, a ceramicilor izolatoare, a feritelor utilizate în radiotehnică și tehnica de calcul, a elementelor de memorie și a altor materiale fragile.

Cu rezultate deosebite se aplică prelucrarea dimensională cu ultrasunete în aeronautică, în ceasornicărie și elemente de mecanică fină în industria aparatelor medicale și de cercetare, unde se pune și problema prelucrării unor materiale ca stelitul, cuarțul, mica, rubinul, safirul și alte pietre prețioase și semiprețioase utilizate la confecționarea lagărelor de mare precizie și finețe.

În industria constructoare de mașini prelucrarea dimensională cu ultrasunete și-a găsit o arie largă de aplicare în prelucrarea complexă și de mare finețe a carburilor de wolfram și a unor aliaje dure și fragile utilizate la construcția sculelor și matrițelor.

Dezvoltări recente au pus în evidență și utilizarea cu succes a prelucrării cu ultrasunete la materialele sinterizate și la prelucrarea bioxidului de uraniu utilizat în centralele atomo-electrice.

9.5.6. Variante ale prelucrării dimensionale cu ultrasunete. Intensificarea procedeelor clasice de prelucrare prin așchiere folosind energia ultrasonoră

Creșterea eficienței procedeelor clasice de prelucrare prin așchiere se poate face prin introducerea în sistemul tehnologic a vibrațiilor ultrasonore. Astfel, s-au făcut numeroase cercetări pentru a stabili influența ultrasunetelor asupra unor procedee clasice cum ar fi: strunjirea, frezarea, găurirea, lărgirea, alezarea, filetarea, broșarea, rectificarea, polizarea, șlefuirea, honuirea, lepuirea, ascuțirea sculelor așchietoare, danturarea etc.

Cercetările experimentale întreprinse au scos în evidență o serie de avantaje ale suprapunerii oscilațiilor ultrasonore peste forțele din sistemul clasic de așchiere, dintre care:

- permite prelucrarea economică a unor materiale dure și extradure și greu prelucrabile prin procedeele clasice;
- mărește considerabil durabilitatea sculelor așchietoare(uneori cu peste 400...600 ‰);
- permite obținerea unei calități foarte bune a suprafeței, prin anihilarea vibrațiilor proprii ale sistemului tehnologic;
- conduce la reducerea câmpului termic și a tensiunilor remanente;
- creează posibilitatea creșterii vitezei de așchiere și a unor productivități mult sporite;
- conduce la micșorarea substanțială a momentelor și forțelor de așchiere;
- permite înlăturarea arsurilor și microfisurilor la operațiile de finisare;
- permite obținerea unor proprietăți fizico-mecanice net superioare ale

suprafeței prelucrate etc.

9.5.6.1. Strunjirea în câmp ultrasonor

Problema cea mai importantă ce trebuie rezolvată, în cazul strunjirii în câmp ultrasonor, este modalitatea de introducere și suprapunere a energiei ultrasonore în focarul de desprindere al așchiei. În funcție de natura materialelor așchiate și de complexitatea sistemului tehnologic de prelucrare se folosesc metodele: introducerea oscilațiilor ultrasonore în piesa de prelucrat prin construirea unei păpuși mobile oscilatorii deschise sau închise, introducerea oscilațiilor ultrasonore prin sculă (fig.9.30) sau prin ambele, folosindu-se sisteme oscilatorii deschise sau închise.

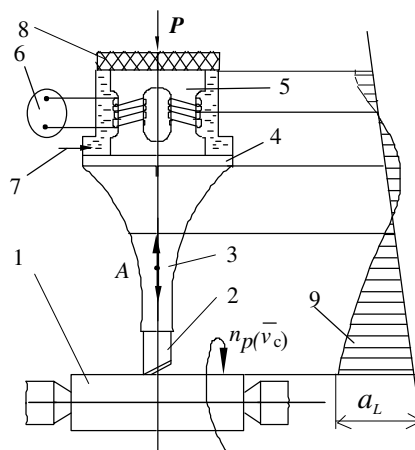


Fig. 9.30. Schema de principiu a strunjirii în câmp ultrasonor:

1 - piesa-semifabricat; 2 - scula de așchiere; 3 - concentrator de energie ultrasonoră; 4 - flanșă nodală; 5 - traductor de ultrasunete; 6 - generator de ultrasunete; 7 - lichid de răcire a traductorului; 8 - izolant acustic; 9 - amplitudinea vitezei particulei în lungul sistemului acustic; A – amplitudinea oscilațiilor; $n_p(v_c)$ – turația piesei (viteza mișcării principale de așchiere); P – forța statică de apăsare; a_L – amplitudinea oscilațiilor ultrasonore longitudinale.

Strunjirea cu ultrasunete a unor materiale ca aluminiul și aliajele sale, oțelurile carbon obișnuite și oțelurile aliate, bronzurile și alamele, titanul și aliajele de titan conduce la reducerea forțelor de așchiere de 1,5...2,5 ori, creșterea durabilității sculelor de 3...6 ori, micșorarea rugozității de 2,5...10 ori, creșterea vitezelor de așchiere de 1,2...2,5 ori, și creșterea productivității de 1,5...3 ori.

9.5.6.2. Găurirea în câmp ultrasonor

Execuția unor găuri cu diametre mari sau mici și pe lungime mare, în materiale greu prelucrabile, constituie o problemă dificilă, mai ales când se cere și

o calitate bună a suprafețelor prelucrate și o precizie mare la poziționare în raport cu alte suprafețe. Cercetările întreprinse au vizat introducerea energiei ultrasonore fie în scula de așchiere, fie în piesa de prelucrat sau în ambele (fig. 9.31), în funcție de configurația piesei și a sculei introducându-se oscilații longitudinale, torsionale sau complexe. Experimentările efectuate pe oțeluri carbon obișnuite, pe oțeluri aliate inoxidabile, oțeluri refractare și rezistente la coroziune, alamă, bronzuri, și duraluminu, folosindu-se scule din R_p3 , în condiții diferite de așchiere, au demonstrat o reducere cu 59...90 % a efortului axial și a momentului de torsiune o dată cu creșterea vitezei de așchiere.

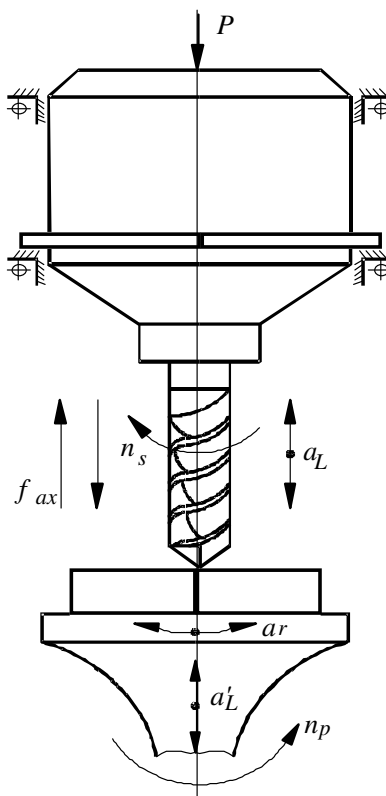


Fig. 9.31. Introducerea undelor ultrasonore prin sculă și prin piesă la găurirea în câmp ultrasonor:
 a_L ; a'_L - amplitudinea de vibrație longitudinală a sculei și respectiv a piesei; a_r - amplitudinea vibrațiilor radiale; f_{ax} - avansul; n_s ; n_p - rotația sculei, respectiv a piesei; P - forța statică de apăsare.

9.5.6.3. Lărgirea și alezarea în câmp ultrasonor

Eficiența sporită în cazul acestor procedee se obține prin introducerea energiei ultrasonore prin sculă, dimensionarea acestuia făcându-se în așa fel încât

în ea să se excite unde longitudinale-torsionale. La procesul de așchiere o importanță deosebită o au oscilațiile longitudinale, care permit pătrunderea ușoară a lichidului de răcire în zona de desprindere a așchiilor, iar oscilațiile torsionale permit reducerea substanțială a presiunilor specifice în zona de contact în momentul desprinderii sculei de piesă și accelerarea procesului de deformare plastică, urmat de fisurarea și desprinderea materialului în momentul contactului sculă-material.

Suprapunerea oscilațiilor ultrasonore conduce la o reducere a momentului de torsiune de 3,5...5 ori și a forței axiale cu 30...60% față de procedeul clasic, durabilitatea sculelor crește de 2,5...6 ori, în timp ce rugozitatea suprafețelor prelucrate se îmbunătățește substanțial.

9.5.6.4. Filetarea în câmp ultrasonor

Operația de filetare exterioară sau interioară necesită un mare consum de manoperă, de scule, iar calitatea suprafeței prelucrate nu este totdeauna corespunzătoare. Utilizarea oscilațiilor ultrasonore, mai ales în procesul de filetare interioară cu tarodul, conduce la îmbunătățirea procesului de răcire în zona de contact tăiș-piesă, reduce forțele de frecare pe flancurile tarodului, dar mai ales previne și înlătură posibilitatea apariției acelor microsuduri de pe flancurile tăișului tarodului. Rezultate bune au fost obținute fie introducând energia ultrasonoră în sculă (oscilații longitudinale, oscilații torsionale), fie în piesă sau combinat.

În majoritatea cercetărilor întreprinse s-a constatat că durabilitatea sculelor crește de 2...3 ori, momentul de torsiune se reduce cu 20...60%, în timp ce uzura dinților de calibrare se micșorează simțitor.

9.5.6.5. Frezarea și broșarea în câmp ultrasonor

La frezare, introducerea oscilațiilor ultrasonore în focarul de prelucrare se poate face fie prin sculă, fie prin piesa de prelucrat sau atât prin sculă, cât și prin piesă.

Cercetările întreprinse pe diferite materiale au scos în evidență creșterea durabilității sculelor de 2,5...4 ori, creșterea productivității prelucrării și o rugozitate foarte bună a suprafeței prelucrate (rugozitatea scade de 4,5...10 ori). Sub acțiunea oscilațiilor ultrasonore se produce și o reducere a câmpului termic și a vibrațiilor sistemului tehnologic, rezultând subrafețe cu tensiuni remanente reduse și existând posibilitatea prelucrării unor canale de dimensiuni mici și precizie ridicată.

La broșare, posibilitatea introducerii energiei ultrasonore prin sculă este imposibilă, deoarece scula are lungimea mare, de aceea oscilațiile ultrasonore se introduc numai prin piesa de prelucrat. Rezultatele obținute de majoritatea cercetătorilor au scos în evidență reducerea timpului de broșare cu 50...70 %, reducerea forței de broșare cu 40...60% și creșterea calității suprafeței (rugozitatea

se micșorează de 2...4 ori, iar duritatea crește cu 20...50%) la orificii de diferite configurații executate în materiale diferite.

9.5.6.6. Rectificarea, honuirea, lepuirea și ascuțirea sculelor în câmp ultrasonor

În cazul utilizării energiei ultrasonore în procesul de rectificare, o deosebită importanță o prezintă direcția și tipul oscilațiilor ultrasonore introduse, deoarece acestea conduc direct la modificarea cursei și a vitezei granulei de abraziv. Rezultate bune au fost obținute introducând energia ultrasonoră în piatra de rectificat (fig. 9.32. a) sau în piesa de prelucrat (fig. 9.32. b).

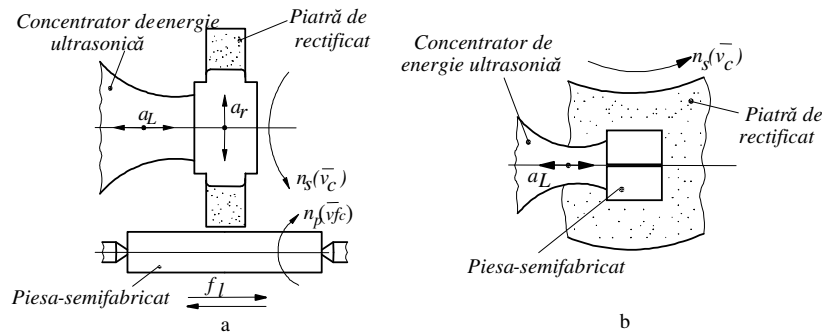


Fig. 9.32. Introducerea energiei ultrasonore în procesul de rectificare:
a - în piatra abrazivă; b - în piesa semifabricat; $n_s(v_c)$ - turația pietrei abrazive (viteza mișcării principale de așchiere); $n_p(v_{fc})$ - turația piesei (viteza de avans circular); a_L ; a_r - amplitudinea oscilațiilor longitudinale și respectiv radiale; f_l - avansul longitudinal.

S-a constatat că sub acțiunea vibrațiilor ultrasonore se obține o așchiere mai rapidă, calitatea suprafeței se îmbunătățește mai ales la rectificările interioare adânci, pericolul arderii se elimină și se mărește foarte mult durabilitatea sculei, datorită intensificării acțiunii de autocurățire a pietrei.

Rezultate asemănătoare au fost obținute și la alte prelucrări din domeniul finisării suprafețelor, cum ar fi ascuțirea sculelor, honuirea și lepuirea suprafețelor și altele, problemele importante de rezolvat fiind legate de modul de introducere a energiei ultrasonore în focarul de prelucrare.

9.6. PRELUCRAREA DIMENSIONALĂ CU PLASMĂ

9.6.1. Schema de principiu

Plasma este a patra stare de agregare a materiei. Este o substanță asemănătoare celei gazoase, fiind un amestec de electroni, ioni pozitivi și particule

neutre (atomi sau molecule) care se găsesc într-o continuă şi dezordonată mişcare. Concentraţiile electronilor şi ionilor sunt aproximativ egale, astfel că din punct de vedere macroscopic plasma este electric neutră.

Plasma este caracterizată printr-o conductivitate electrică mare, interacţionează cu câmpurile electrice şi magnetice şi este o sursă de radiaţii electromagnetice cu spectru larg (infraroşu, vizibil şi ultraviolet). Gradul de ionizare, natura mediului gazos şi gradul de recondiţionare determină temperatura plasmei care variază în limite foarte largi, începând de la temperatura mediului ambiant (plasma din tuburile cu descărcări în gaze rarefiate), până la milioane de grade Kelvin (plasma nucleară).

În construcţia de maşini se foloseşte plasma cu temperaturi cuprinse între 6 000...30 000 K. În acest domeniu de temperaturi, plasma se obţine prin comprimarea radială şi axială a arcului electric cu ajutorul unor gaze plasmagene (fig.9.33). Arcul electric 1, format între electrodul 2 şi piesa-semifabricat 3, este comprimat axial de gazul plasmagen 4 şi radial de gazul plasmagen 5, introduse prin ajutajele 6 şi respectiv 7.

9.6.2. Mecanismul fizic la prelucrarea dimensională cu plasmă

Temperatura dezvoltată de plasma obţinută prin comprimarea radială şi axială a arcului electric este cuprinsă în domeniul 14 000...30 000 K, suficientă pentru a topi oricare substanţă solidă cu care vine în contact un anumit timp bine determinat. Această topire rapidă şi evaporarea unei părţi din materialul de prelucrat este rezultatul concentrării puternice a energiei termice în zona axială a coloanei arcului, concentrare atribuită următoarelor fenomene termice şi electromagnetice:

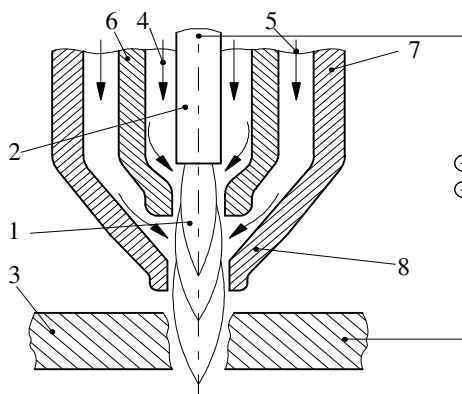


Fig. 9.33. Schema de principiu a obţinerii plasmei:

1 - arc electric; 2 - electrod nefuzibil; 3 - piesa-semifabricat; 4; 5 - gaze plasmagene; 6; 7 - ajutaje; 8 - duză de răcire şi focalizare.

- *mărirea curentului* în zona centrală a arcului, determină în secțiune transversală o creștere a forțelor electromagnetice exercitate asupra liniilor de curent înspre axa arcului, ceea ce conduce la o creștere și mai mare a contracției radiale;

- *răcirea periferiei arcului electric*, datorită circuitului de răcire din duza 8 (fig. 9.33), produce o micșorare a gradului de ionizare a gazelor din zona răcită, ceea ce reduce conductivitatea în această zonă și mărește densitatea de curent în zona centrală a coloanei.

Materialul (de pe suprafața de prelucrat) topit și chiar evaporat este îndepărtat de curentul de gaz plasmagen, care îndeplinește și rolul de transportor al microparticulelor de material îndepărtat.

9.6.3. Utilaje folosite la prelucrarea dimensională cu plasmă

Sunt numeroase tipuri de instalații de prelucrare dimensională cu plasmă, în funcție de natura prelucrării efectuate, de productivitatea procedurii sau de natura materialelor de prelucrat.

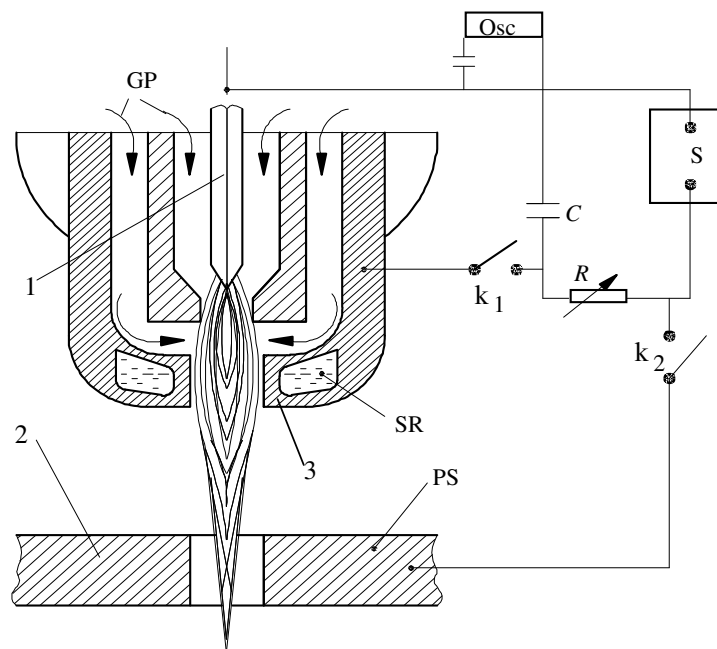


Fig. 9.34. Schema de principiu a unei instalații de prelucrare dimensională cu plasmă:
 S - sursa de alimentare cu energie electrică; Osc - oscilator de înaltă frecvență și tensiune pentru
 amorsare; C - condensator de cuplare; k_1 și k_2 - întrerupătoare; R - rezistență variabilă; PS - piesa-
 semifabricat; G - generator de plasmă; SR - sistem de răcire; GP - gaze plasmagene.

Schema de principiu a unei instalații de prelucrat dimensională cu plasmă se prezintă în figura 9.34. Oricât de complexă ar fi, instalația se compune din următoarele părți principale: generatorul de plasmă, sursa de alimentare cu energie electrică, sursa pentru amorsarea descărcării, sursa de alimentare cu gaze plasmagene și dispozitivele auxiliare pentru asigurarea deplasărilor relative dintre plasmatron și piesa de prelucrat.

Generatorul de plasmă (plasmatronul) realizează descărcarea electrică cu formarea arcului electric.

După modul cum realizează descărcarea, respectiv formarea arcului electric se deosebesc două variante distincte:

- *generator cu arc de plasmă AP* (sau cu arc transferat), când arcul electric arde între electrodul (catodul 1) și piesa-semifabricat de prelucrat 2, legată la anod, și trece prin duza de focalizare 3 (fig.9.35. a);

- *generator cu jet de plasmă JP* (sau cu arc netransferat-suflat), când arcul electric arde între electrodul 1, legat la catod (fig.9.35. b), și duza 3 (anodul), plasma fiind suflată în exterior de către presiunea gazului, sub formă de jet (arc suflat).

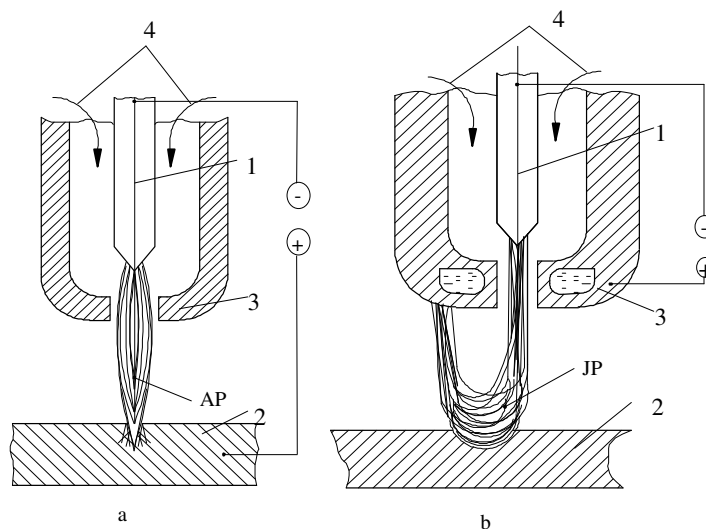


Fig. 9.35. Variantele de funcționare ale generatoarelor cu plasmă:
a - cu arc de plasmă AP ; b - cu jet de plasmă JP: 1 – electrod nefuzibil; 2 – piesa-semifabricat;
3 – duza de focalizare; 4 – gaze plasmagene.

Cele mai folosite plasmatroane sunt cele cu arc transferat, cu condiția ca materialul de prelucrat să aibă conductibilitate electrică.

Sursa de alimentare cu energie electrică se alege în funcție de tipul generatorului de plasmă folosit. Ca sursă de alimentare se folosesc grupuri

convertizoare cu puteri de 1...100 kW și redresoare speciale, care asigură caracteristici superioare și parametri ce pot fi reglați în trepte, acoperind o gamă largă de puteri, până la 90 kW la un randament ridicat al sursei.

Sistemul de alimentare cu gaze plasmagene se compune dintr-o serie de pompe speciale, butelii de înaltă presiune în care se găsesc gazele, conducte de înaltă presiune, reductoare de presiune și aparatură de măsură și control a presiunii gazelor. Gazele sau amestecul de gaze se alege în funcție de natura materialului de prelucrat, de tipul operației, de condițiile de funcționare stabilă a generatorului și de condițiile economice.

Stabilitatea descărcărilor electrice și durabilitatea duzei de focalizare cu gaze monoatomice (argon, heliu) este folosită la prelucrarea unor materiale cu refractaritate înaltă cu gaze biatomice (hidrogen, azot) care disociază în coloana arcului și se recombina la întâlnirea cu materialul (cu degajare mare de căldură). Natura materialului de prelucrat condiționează totodată și natura gazului, în funcție de reacțiile dorite sau nedorite ce pot avea loc între ele.

Dispozitivele auxiliare asigură deplasarea plasmatronului față de piesa-semifabricat după traiectoria necesară și cu viteza stabilită. În funcție de productivitatea prelucrării și complexitatea suprafeței ce trebuie generată, deplasarea se poate face manual sau mecanizat, folosind dispozitive asemănătoare cu cele de la tăierea cu oxigen.

9.6.4. Parametrii regimului de prelucrare dimensională cu plasmă

Prelucrarea dimensională a anumitor suprafețe cu plasmă presupune o corelare optimă a parametrilor plasmă (tensiune, curent, natura gazului plasmagen, debitul gazului plasmagen), a parametrilor mecanici (viteza de deplasare a plasmatronului, presiunea gazului purtător) cu caracteristicile cerute suprafeței prelucrate (formă și dimensiuni, secțiunea transversală, precizia dimensională, rugozitatea, adâncimea zonei influențate termic și constantele termofizice ale materialului de prelucrat).

Parametrul cel mai important este *viteza de prelucrare* v_p , care poate fi calculată în funcție de parametrii electrice și de constantele termofizice ale materialului de prelucrat (neglijând influența gazului plasmagen folosit), cu relația:

$$v_p = \frac{U_a \cdot I_c}{S \cdot c \cdot \rho \cdot \theta_t} \cdot \eta_p \quad [\text{m/s}] , \quad (9.19)$$

în care: U_a este tensiunea arcului electric, în V; I_c - intensitatea curentului electric, în A; S - secțiunea transversală a zonei supusă prelucrării, în m^2 ; c - căldura specifică, în $\text{J/kg}^\circ\text{C}$; ρ - masa specifică, în kg/m^3 ; θ_t - temperatura de topire, în $^\circ\text{C}$; η_p - randamentul total al prelucrării, definit ca raportul dintre energia folosită pentru îndepărtarea materialului de pe suprafața de prelucrat și energia introdusă în

arcul de plasmă.

În funcție de natura prelucrării și natura materialului de prelucrat se pot realiza viteze de tăiere de 250...1 500 mm/min, la o zonă influențată termic de 0,5...1,0 mm și o precizie de $\pm (0,9...1,5)$ mm.

9.6.5. Posibilitățile de utilizare a prelucrării dimensionale cu plasmă

Prelucrarea dimensională cu plasmă se folosește în special la oțelurile inoxidabile cu rezistență mecanică mare și refractaritate înaltă, la aluminiul și aliajele sale, cuprul și aliajele sale, magneziul și aliajele sale și altele.

Principalele operații de prelucrare dimensională cu plasmă sunt:

- debitarea (tăierea) la dimensiuni a barelor, profilelor, tablelor, benzilor sau platbenzilor (fig.9.36. a), după diferite contururi;
- găurirea străpunsă a materialelor cu grosimi până la 125 mm (uneori chiar mai mult), în funcție de natura materialului (fig.9.36. b);

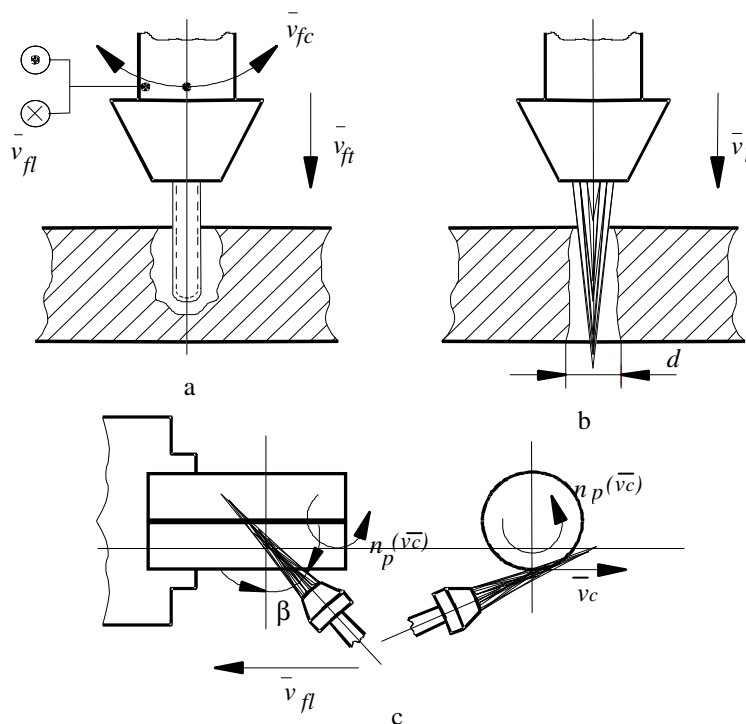


Fig. 9.36. Câteva din aplicațiile prelucrării dimensionale cu plasmă:

a - debitarea la dimensiune; b - găurirea; c - strunjirea; $n_p(\bar{v}_c)$ - turația piesei-semifabricat (viteza principală de așchiere); \bar{v}_p ; \bar{v}_p ; \bar{v}_{fc} - viteza de avans longitudinal, transversal și respectiv circular.

- strunjirea exterioară a pieselor (fig.9.36. c). În acest caz generatorul de plasmă se așează tangențial la suprafața de prelucrat și înclinat cu un unghi $\beta = 8...9^\circ$ în direcția avansului (unghiul de înclinare nu trebuie să fie prea mare, fiindcă se produce o scurgere inelară a materialului topit și nici prea mic, pentru a nu se împroșca metal topit pe suprafața deja finisată);

- filetarea exterioară a pieselor confecționate din oțeluri refractare utilizate în construcția de reactoare și aeronautică, cu viteze de 5...10 ori mai mari decât prin așchierea clasică;

- sudarea cu plasmă a oțelurilor aliate și a aliajelor refractare;

- metalizarea cu plasmă etc.

Procedeul se folosește și la intensificarea unor procedee clasice de prelucrare prin așchiere a unor materiale metalice sau chiar nemetalice (sticlă, ceramică, unele materiale dielectrice etc.).

9.6.6. Variante ale prelucrării dimensionale cu plasmă. Prelucrarea cu microplasmă

Atunci când intensitatea curentului electric din coloana arcului este mică, de ordinul 0,2...10 A, se obține așa numita *microplasmă*.

Constrângerea arcului electric în generatoarele de microplasmă (în duze cu orificiu $< 0,8$ mm diametru), după sistemul arc transferat, duce la realizarea unei descărcări stabile cu lungime de până la 10 mm, în domeniul curenților mici. În acest caz, se pot prelucra piese confecționate din oțeluri inoxidabile, nichel sau titan, cu grosimi ce variază între 0,01 și 0,8 mm.

9.7. PRELUCRAREA DIMENSIONALĂ PRIN EROZIUNE CU RADIAȚII

9.7.1. Generalități

Radiațiile corpusculare (electronii, ionii) și electromagnetice (fotonii) la densități mari pot fi concentrate și focalizate sub forma unor fascicule-unealtă care la interacțiunea cu materialul de prelucrat să genereze surse termice de temperaturi foarte mari, suficiente să topească sau să vaporizeze orice fel de material utilizat în tehnică.

Cele mai răspândite variante ale procedurii de prelucrare prin eroziune cu radiații sunt: prelucrarea cu fascicul de electroni, prelucrarea cu jet de ioni rapizi și prelucrarea cu fascicul de electroni.

9.7.2. Prelucrarea cu fascicul de electroni

Are la bază transformarea energiei cinetice a electronilor concentrați și focalizați la interacțiunea cu suprafața de prelucrat.

9.7.2.1. Schema de principiu a procedurii

Schema de principiu a procedurii se prezintă în figura 7.40. Fasciculul de electroni 1, cu densitate mare și energie cinetică ridicată, comandat printr-un sistem de electrozi de comandă 2, accelerat și focalizat printr-un sistem de lentile de focalizare 3, este adus pe suprafața piesei de prelucrat 4, care se găsește într-un spațiu cu vid înaintat 5. Electronii accelerați, pătrund în materialul de prelucrat și interacționează cu acesta, energia lor cinetică fiind absorbită de material și transformată aproape integral în căldură. Materialul se încălzește până la vaporizare și este îndepărtat din zona de interacțiune rezultând suprafața prelucrată.

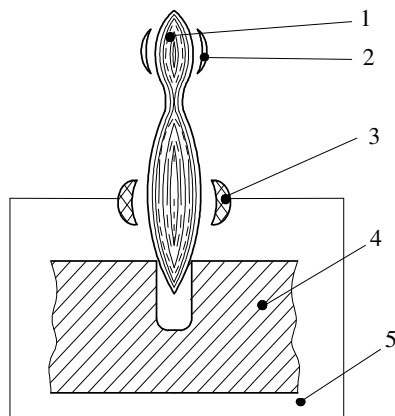


Fig. 9.40. Schema de principiu la prelucrarea dimensională cu fascicul de electroni:
1 - fascicul de electroni; 2 - electrozi de comandă;
3 - lentile de focalizare; 4 - piesa - semifabricat;
5 - incintă cu vid înaintat.

9.7.2.2. Mecanismul fizic al prelucrării dimensionale cu fascicul de electroni

Electronii produși prin emisie termoelectronică de către un catod străbat o diferență de potențial U și preiau de la câmpul electric o energie cinetică, conform relației:

$$n \cdot e \cdot U = n \cdot \frac{m_e \cdot v_e^2}{2}, \quad (9.20)$$

în care: n este numărul electronilor; e - sarcina electrică a unui electron, în C; m_e - masa electronului, în kg; v_e - viteza de accelerare a electronilor, în m/s.

Energia cinetică a electronilor este transformată în energie termică prin frânarea acestora pe suprafața piesei ce urmează a fi prelucrată. Materialul se încălzește până la vaporizare într-o zonă superficială de grosime h_s (fig. 9.41), care

poate fi considerată transparentă la electroni. Presiunea vaporilor formați expulzează materialul din zona de grosime h_s și o parte din materialul ajuns în stare lichidă, formându-se un crater de eroziune de înălțime h_1 . Formarea craterului este condiționată de localizarea încălzirii în zona sursei până la 6 000 K, în timp ce la o distanță de $1\mu\text{m}$ temperatura nu depășește 600...700 K. Conectarea periodică a fasciculului de electroni în impulsuri cu durată mică ($10^{-6}\dots 10^{-4}\text{s}$) și frecvență ridicată ($10^2\dots 10^4\text{ Hz}$) conduce la un gradient ridicat de temperatură și formarea de alte cratere de eroziune de înălțime $h_2\dots h_n$, până la străpungerea completă a zonei de prelucrat.

Puterea specifică a fasciculului de electroni este produsul dintre tensiunea de accelerare a electronilor și intensitatea fasciculului, putând ajunge la valori de $5\cdot 10^8\text{ W/cm}^2$, nivel net superior altor procedee de concentrare a căldurii. Deoarece fasciculul de electroni poate fi ușor focalizat, în pete focale cu diametre foarte mici ($10^{-2}\dots 10^{-3}\text{ mm}$), această mare densitate de energie concentrată în spații foarte mici conduce la topirea și vaporizarea aproape instantanee a materialului din zona de interacțiune.

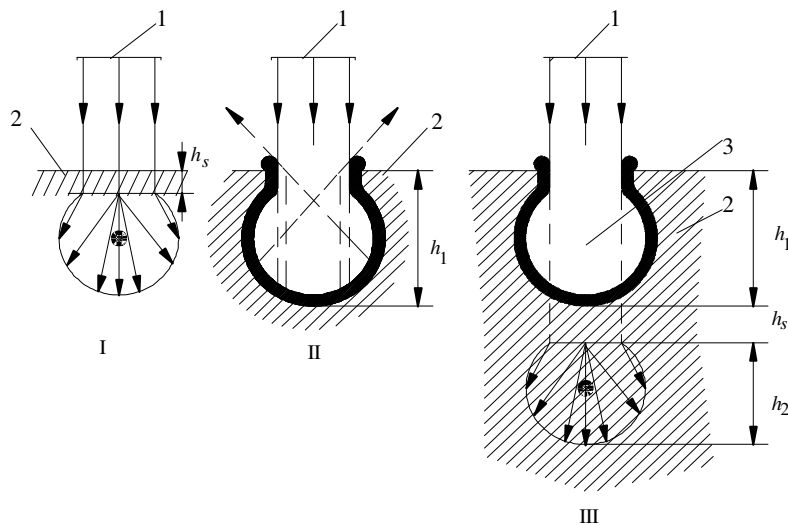


Fig. 9.41. Mecanismul prelucrării dimensionale cu fascicul de electroni:

I - formarea sursei termice; II - formarea craterului de eroziune; III - repetarea impulsului:
 h_s – grosime de material vaporizat; h_1, h_2 – înălțimea succesivă a craterelor; 1 – fascicul de electroni;
 2 – piesa-semifabricat; 3 – crater.

9.7.2.3. Utilaje folosite la prelucrarea dimensională cu fascicul de electroni

Indiferent de tipul constructiv și de puterea specifică a fasciculului de electroni, o instalație de prelucrare cu fascicul de electroni este formată din

următoarele părți principale (fig.9.42.): tunul electronic (sistemul electrono-optic), sursele de alimentare cu energie electrică, sistemul de vidare, dispozitivele auxiliare, aparatura de comandă, urmărire, măsură și control.

Tunul electronic este format din termocatodul de emisie electroni 1, confecționat din wolfram, tantal, borură de lantan (LaB_6) etc., sistemul de electrozi de comandă 2, care permite formarea fasciculului de electroni împreună cu grila anodică 3. Fasciculul de electroni format trebuie accelerat și focalizat, operație care se face cu ajutorul grilei de accelerare 4, diafragmelor 5, lentilelor stigmatice 6 și lentilelor electromagnetice 7.

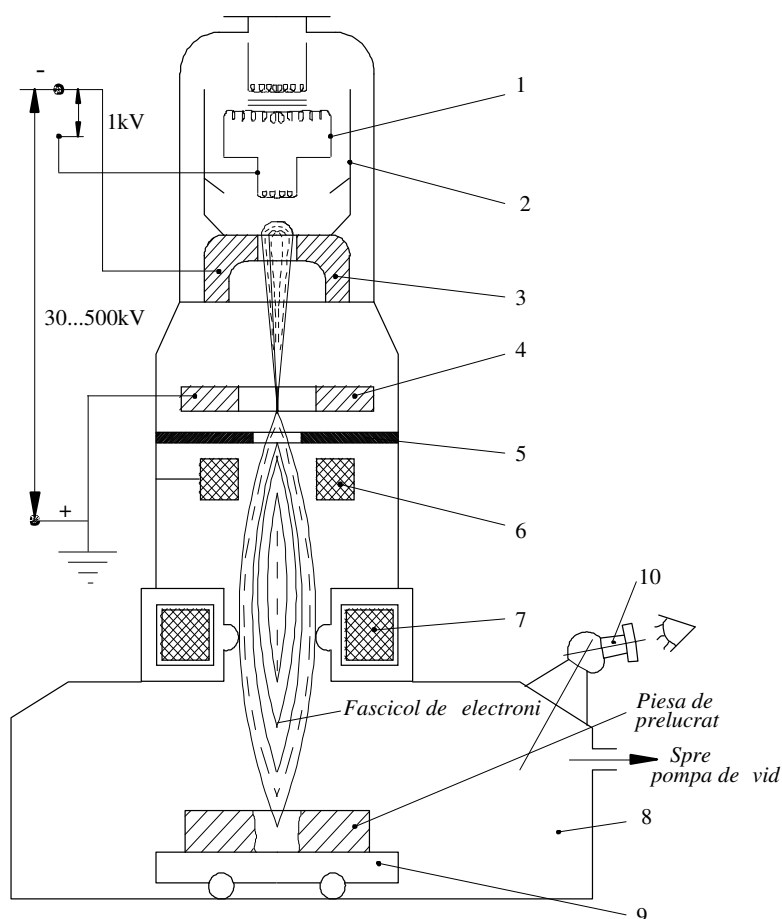


Fig. 9.42. Schema de principiu a unei instalații de prelucrare dimensională cu fascicul de electroni:
 1 - termocatodul de emisie; 2 - electrozii grilă de comandă; 3 - grilă anodică; 4 - grilă de accelerare;
 5 - diafragmă; 6 - lentile stigmatice; 7 - lentile electromagnetice de focalizare; 8 - incintă vidată;
 9 - dispozitiv de prelucrare (masă în coordonate); 10 - dispozitiv de urmărire și control a operației.

Sursele de alimentare cu energie electrică au rolul de a crea diferența de potențial necesară generării, comandării, accelerării și focalizării fasciculului de electroni. Se deosebesc: sursa de încălzire a termocatodului de emisie, sursa de înaltă tensiune (creează o diferență de potențial de 30...500 kV, în funcție de puterea tunului electronic), sursa de negativare a electrozilor de comandă, transformatoare, redresoare, modulatori cu condensatoare de cuplare, stabilizatoare de curent pentru alimentarea lentilelor de focalizare și stabilizatoare de curent pentru alimentarea stigmatului.

Pentru a limita aberațiile lentilelor electromagnetice și a stabili diametrul petei focale, în tot timpul prelucrării este necesară menținerea stabilă a tensiunii acestor surse cu o precizie de circa 0,01%.

Sistemul de vidare creează vidul necesar în camera de prelucrare 8, unde sunt necesare presiuni de ordinul $10^{-1} \dots 10^{-4}$ torr pentru a limita dispersia fasciculului și apariția produselor de ionizare. Sistemul de vidare se compune dintr-un sistem de pompe în trepte; pompe de vidare preliminar (de obicei pompe mecanice cu paletă) și pompe de vidare înaintat (pompe de difuzie cu ulei sau mercur).

Dispozitivele auxiliare realizează conducerea fasciculului de electroni după traiectoria dorită, precum și urmărirea desfășurării procesului de prelucrare. Cele mai importante dispozitive sunt: mesele în coordonate 9, acționate de motoare electrice; dispozitivele de urmărire 10; bobinele de deflecție ale fasciculului conform cu schemele de prelucrare și dispozitivele de reglare a principalilor parametri ai fasciculului de electroni.

9.7.2.4. Parametrii regimului de prelucrare dimensională cu fascicul de electroni

Prelucrarea dimensională cu fascicul de electroni a anumitor suprafețe presupune o corelare optimă a parametrilor fasciculului de electroni (tensiune de accelerare, intensitatea fasciculului, viteza de accelerare, durata impulsului, frecvența impulsului) a parametrilor mecanici (viteza de deplasare a fasciculului pe suprafața de prelucrat, presiunea în camera vidată), a parametrilor de material (duritate, constante termofizice, natură) cu caracteristicile tehnologice cerute suprafeței prelucrate (formă și dimensiuni, secțiune transversală, precizie dimensională, rugozitatea suprafeței prelucrate, adâncimea zonei influențate termic etc.).

Prelucrarea cu fascicul de electroni este rezultatul vaporizării materialului în vacuum, fenomen care se petrece numai când cantitatea de căldură rezultată în urma transformării energiei cinetice a electronilor este mai mare decât căldura necesară pentru încălzirea, topirea și vaporizarea materialului respectiv. Prin urmare, prelucrabilitatea cu fascicul de electroni a diferitelor materiale este determinată în primul rând de constantele lor termofizice (căldura specifică, temperatura de topire și vaporizare, căldura latentă de topire și vaporizare,

conductivitatea termică) și de interdependența cu parametrii fascicului.

Adâncimea de pătrundere x_p a fascicului se calculează cu relația:

$$x_p = 2,2 \cdot 10^{-12} \frac{U_a^2}{\rho} \text{ [cm] } , \quad (9.21)$$

în care: U_a este tensiunea de accelerare a fascicului de electroni, în V;
 ρ - densitatea materialului în kg/dm³.

9.7.2.5. Posibilitățile de utilizare ale prelucrării dimensionale cu fascicul de electroni

Procedeul de prelucrare dimensională cu fascicul de electroni este economic și foarte eficient la prelucrarea unor piese de dimensiuni mici, la execuția unor suprafețe mici simple sau complexe, în materiale greu prelucrabile electroconductoare sau neelectroconductoare, acolo unde celelalte procedee de prelucrare sunt neeconomice sau imposibil de aplicat.

Principalele operații de prelucrare dimensională cu fascicul de electroni sunt:

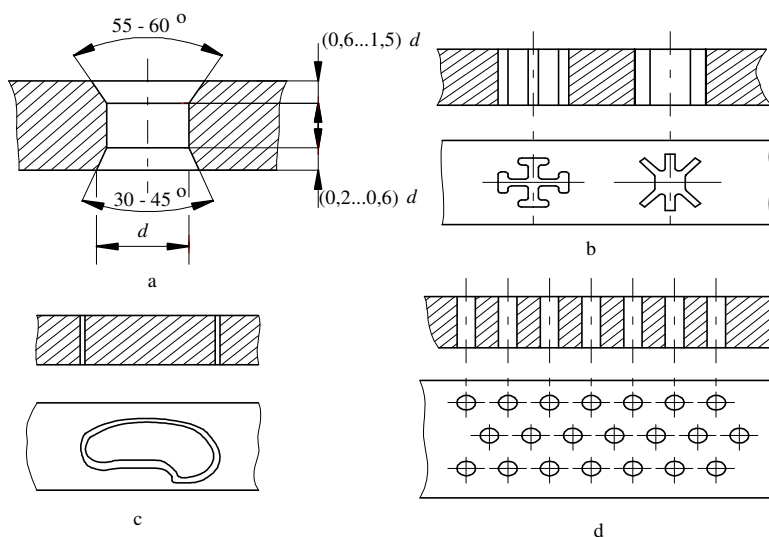


Fig. 9.43. Exemple de operații de prelucrare dimensională cu fascicul de electroni:
a - orificii de diametre foarte mici, de ordinul micronilor; b - fante înguste și foarte înguste; c - tăiere după contur închis sau deschis; d - filtre foarte fine.

- obținerea de orificii cu diametre foarte mici (fig. 9.43. a). S-a constatat că la intrare aceste orificii au un con de intrare de 55...60° pe o adâncime de 0,6...1,5 mm din diametrul găurii (datorită condițiilor grele de termo-

conductivitate) și la ieșirea fascicului au de asemenea un con de $30...45^\circ$ pe o adâncime de $0,2...0,6$ din diametrul găurii. Forma și precizia dimensională cea mai bună se obține la găuri cu diametre cuprinse între $25\ \mu\text{m}$ și $50\ \mu\text{m}$ în materiale ca: aliaje dure (filier), corund sintetic (lagăre, filiere), materiale refractare, sticlă, ceramică (filier pentru fibre sintetice, orificii la injectoare, jiglere, amortizoare), mase plastice;

- obținerea fantelor înguste și foarte înguste (fig. 9.43. b) în materiale dure și extradure;
- tăierea rectilinie sau curbilinie (fig. 9.43. c) a peliculelor și plăcuțelor de grosime foarte mică;
- prelucrarea filtrelor foarte fine și a orificiilor multiple (fig. 9.43. d);
- prelucrarea după contur a diferitelor canale în piese și dispozitive auxiliare folosite în electronica miniaturală (semiconductori, rezistențe de precizie, măști pentru metalizarea microschemelor etc.).

Productivitatea instalațiilor poate fi foarte mare (până la 3 600 găuri/oră), ea fiind limitată de deplasarea obiectului de prelucrat.

9.7.3. Prelucrarea dimensională prin eroziune cu fascicul de fotoni

Are la bază transformarea energiei cinetice a fotonilor concentrați și focalizați în energie termică la interacțiunea cu suprafața de prelucrat.

9.7.3.1. Schema de principiu a procedurii

Fasciculul de fotoni se obține într-un generator cuantic numit în literatura de specialitate laser (lumină amplificată prin stimularea emisiei de radiație). Laserul este un generator de radiații electromagnetice, cu lungimi de undă începând din domeniul ultraviolet și extinzându-se până la infraroșu îndepărtat.

Stimularea emisiei de radiație se realizează prin aplicarea asupra ionilor, atomilor sau moleculelor a unei energii de excitație care, în anumite condiții determinate, produce emisie de lumină.

Principiul general de funcționare al generatoarelor cuantice numite lasere se bazează pe absorbția de energie de către un mediu activ și emiterea acesteia sub formă de radiație stimulată.

Pentru sistemele atomice aflate în echilibru termodinamic, raportul dintre numărul sistemelor aflate în stare excitată N_m și cele neexcitate N_n este dat de legea de distribuție a lui Boltzman, de forma:

$$\frac{N_m}{N_n} = \frac{e^{E_m - E_n}}{kT} \quad , \quad (9.22)$$

în care: k este constanta lui Boltzmann; $E_m - E_n$ - diferența dintre energia nivelului m și cea a nivelului n (fundamental); T - temperatura.

Din analiza relației (9.22) se constată că $N_1 > N_2 > N_3 > \dots > N_i$ pentru $E_1 < E_2 < E_3 < \dots < E_i$, adică populația nivelului superior este mai mică decât cea a nivelului inferior.

Se pot însă crea situații când populația nivelului superior să fie mai mare decât cea a nivelului inferior. Această situație se numește *inversiune de populație*.

Realizarea inversiunii de populație are loc dacă în urma introducerii unei energii numită *radiație de pompaj* au loc interacțiuni dintre radiațiile electromagnetice și sistemele atomice ale substanței active. Ca urmare a acestor interacțiuni se produc două efecte diferite:

- *absorbția de radiație*, când se produce excitarea sistemului;
- *emisia simultană de radiație*, când are loc dezexcitarea sistemului excitat,

prin interacțiunea acestuia cu o cantă de energie incidentă de aceeași frecvență cu cea a cuantei de dezexcitare.

În funcție de modul de realizare a inversiunii de populație se deosebesc următoarele tipuri de lasere:

- *cu mediu activ solid*, la care inversiunea se realizează prin iradiere optică;
- *cu semiconductoare*, la care inversiunea se realizează prin injecție de electroni, prin iradiere electronică și iradiere optică;
- *cu mediu activ gazos*, la care inversiunea se realizează prin ciocniri neelastice și prin iradiere optică;
- *chimici*, la care inversiunea se realizează prin discocieri chimice.

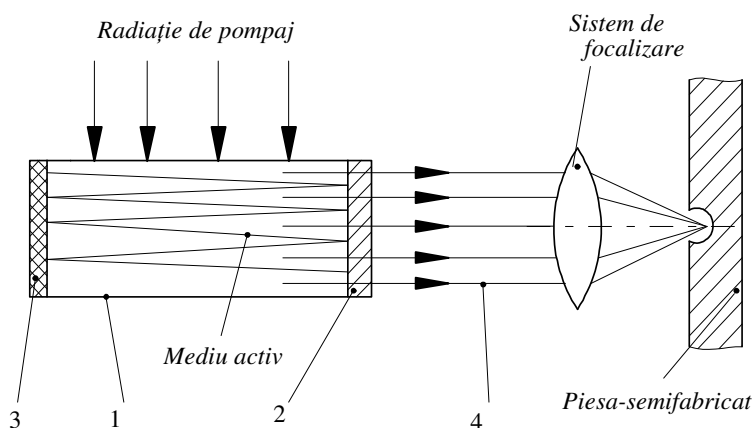


Fig. 9.44. Schema generării fasciculului laser în rezonatorul cu oglinzi paralele:
1 - rezonator optic; 2 - oglindă transparentă; 3 - oglindă opacă; 4 - fascicul de fotoni.

Interacțiunea dintre radiațiile electromagnetice și substanța activă se produce în mod eficient dacă are loc într-un spațiu denumit *rezonator optic*. Forma oglinzilor de capăt ale rezonatorului 1 poate fi o suprafață plană (rezonator tip Fabry-Perot ca în figura 9.44), suprafață sferică (rezonator concentric) sau

confocală. Radiația amplificată iese parțial prin suprafața lentilei semitransparente 2 paralelă cu lentila opacă 3, formând fasciculul laser 4, coerent, monocrom, direcțional și foarte intens. Datorită timpului scurt în care se produce emisiunea stimulată și amplificarea ($\approx 10^{-6}$ s) și posibilității de a fi condus, concentrat și focalizat, fasciculul laser poate ajunge la densități de putere de 10^{10} W/cm², fasciculul de fotoni putând fi focalizat pe suprafețe mici și atingând temperaturi de peste 18 000 K, suficiente să topească și să vaporizeze orice material existent.

9.7.3.2. Mecanismul fizic al prelucrării dimensionale cu fascicul de fotoni

Aplicarea practică a fasciculului laser la prelucrarea dimensională este facilitată de proprietățile caracteristice ale acestuia, cele mai importante fiind: coerența, monocromaticitatea, direcționalitatea, intensitatea emisiei laser, posibilitatea concentrării, conducerii și focalizării fasciculului laser.

Interacțiunea fasciculului laser cu materialul de prelucrat în procesul de prelucrare poate fi considerată ca o influență a sarcinii electromagnetice a unde luminoase asupra atomilor sau moleculelor substanței. Aspectele principale ale procesului de interacțiune se determină prin ecuația Maxwell, care corelează constantele de bază ale opticii metalelor cu natura electromagnetică a luminii:

$$\text{rot } \vec{H} = \frac{\epsilon}{c} \cdot \frac{\partial \vec{E}}{\partial t} + \frac{4\pi}{c} \cdot \vec{\sigma} \cdot \vec{E} \quad (9.23)$$

$$\text{rot } \vec{E} = -\frac{\mu}{c} \cdot \frac{\partial \vec{H}}{\partial t} \quad (9.24)$$

$$\text{div } \vec{H} = 0; \text{div } \vec{E} = 0 \quad , \quad (9.25)$$

în care: \vec{H} este vectorul tensiunii câmpului magnetic în vid; \vec{E} - vectorul tensiunii câmpului electromagnetic în vid; ϵ - permeabilitatea dielectrică; c - viteza luminii; $\vec{\sigma}$ - conductivitatea electrică specifică materialului; μ - permeabilitatea magnetică.

Din ecuația (9.23), prin transformări se determină legea variației amplitudinii unde de lumină care se propagă în material, de forma:

$$I = I_0 \cdot e^{-\frac{1}{\alpha} t} \quad , \quad (9.26)$$

în care: I_0 este densitatea sarcinii dielectrice; α - coeficient privind schimbarea densității la timpul t .

Adâncimea de pătrundere a unde de lumină depinde de coeficienții de refracție și absorbție. Coeficientul de refracție n se determină din relația:

$$\epsilon'' = (n - Jk)^2 = (n'')^2 \quad , \quad (9.27)$$

în care: n , k și n'' sunt coeficienții de refracție, absorbție și respectiv coeficientul comun de absorbție.

Coeficientul de absorție η se determină din relația:

$$\eta = -\frac{1}{W_{cp}} \cdot \frac{\partial W_{cp}}{\partial x} \quad , \quad (9.28)$$

în care: W_{cp} reprezintă diminuarea energiei medii de către straturile de material ca urmare a absorției; x -valoarea pătrunderii unde de lumină în material ($x=nc/4\pi\sigma$).

În condiții reale, metalele se prezintă opace pentru undele luminii albe, însă în cazul interacțiunii razelor de înaltă densitate (razelor laser) cu materialul, în stratul superficial al materialului are loc o intensă degajare de căldură.

Dacă pe suprafața unui semifabricat cu parametrii termofizici constanți, se focalizează o rază laser de densitate constantă, energia totală W_{Σ} la suprafața materialului se stabilește cu relația:

$$W_{\Sigma} = W_R + W_n + W_r \quad , \quad (9.29)$$

în care: W_r este energia ce trece prin material; W_R - energia reflectată de suprafață (când aceasta este mată sau acoperită cu un strat absorbant $W_R = 0$); W_n - energia absorbită de material.

În cazul petei focale de câțiva microni, pe o durată de o milisecundă, cu o densitate de energie de $10^7 - 10^{14}$ W/cm², materialul semifabricatului se topește instantaneu și se vaporizează. Caracterul și intensitatea procesului depinde în principal de poziția petei focale, de proprietățile termofizice ale semifabricatului și parametrii energetici ai razei laser.

În concluzie se poate spune că pentru folosirea în condiții de eficiență tehnică și economică a fasciculului laser este necesar a se analiza următoarele aspecte:

- care este coeficientul de absorție al suprafeței de prelucrat în funcție de lungimea de undă a radiației;
- care este gradul de reflectabilitate a suprafeței în funcție de lungimea de undă a radiației;
- care este coeficientul de difuzie termică a materialului supus prelucrării;
- care sunt efectele termice ale materialului;
- care este rezistența materialului la șocuri termice;
- care este calitatea suprafeței.

9.7.3.3. Utilajul folosit la prelucrarea dimensională cu fascicul de fotoni

În funcție de mediul activ folosit, de natura radiației de pompaj, de modul de conducere, concentrare și focalizare a fasciculului laser, precum și în funcție de natura aplicațiilor sunt numeroase tipuri constructive de lasere. În principiu, orice instalație laser se compune din următoarele părți principale:

- *sistemul de excitație*, care creează în sistemul atomic o schimbare a stării energetice în vederea creării unei inversiuni de populație între cele două nivele

energetice. Este format din sursa de alimentare cu energie electrică și sursa de excitație. Ca surse de energie electrică se folosesc: acumulatori de energie cu condensatori de capacitate mare (circa 1 000 μF) la tensiune înaltă (de ordinul 10 kV) pentru laserii cu mediul solid ce funcționează în impuls; redresori pentru intensități mari de curent (puteri de zeci de kW) pentru laseri cu mediu solid și funcționare continuă; generatoare de tensiune continuă sau alternativă de înaltă frecvență (20...30 MHz) pentru laseri cu gaz funcționând în regim continuu sau pulsant;

Cele mai folosite surse de excitație sunt cele optice. Se utilizează de obicei lămpi cu dascărcare în gaze (lămpi cu xenon);

- *cavitatea de rezonanță cu mediul activ*, care realizează emisia și amplificarea fasciculului laser. Sunt foarte multe tipuri de cavități de rezonanță: cu două oglinzi sferice confocale cu focar comun și raze de curbură comună egală cu distanța dintre ele, cu oglinzi plane paralele, cu suprafețe prismatice cu reflexie totală, cu oglinzi parabolice confocale etc.

Ca medii active se folosesc: materialele solide (de exemplu: rubinul sintetic ca material suport impurificat cu Cr^{3+} , sticla dopată cu neodim samarin S_m^{3+} , telurul Th^{3+} , holmiul H^{3+} , erbeul Er^{3+} , neodimul Nd^{3+} , granatul de ytriu și aluminiu notat YAG etc.); substanțele active gazoase (de exemplu: He-Ne; Ne- O_2 , Hg, Hg-Ne etc.) lichidele active (de exemplu: soluțiile de acid neodimic dizolvat în oxiclurură de seleniu Nd^{3+} -Se OCl_2 sau în oxiclurură de fosfor Nd^{3+} -POCl₃, euratul de bariu în alcool cu ionul activ Eu^{3+} , chelații de forma EuX_3 , EuX_4 etc., semiconductoarele (arseniatur de galiu-GaAs; sulfura de cadmiu-CdS; arseniura de indiu-InAs; seleniura de plumb-PbSe etc.);

- *sistemul optic de focalizare*, care realizează concentrarea și focalizarea fasciculului laser în așa fel încât pierderile de energie să fie minime. Este format din lentile și oglinzi sferice alese în funcție de lungimea de undă a fasciculului. În calculul lor trebuie ținut cont că intensitatea radiației nu este constantă în pata focalizată, ea este maximă în centrul petei și scade cu creșterea razei acesteia;

- *sistemul de răcire*, care realizează condițiile necesare, în cavitatea de rezonanță, pentru obținerea unei emisii laser de calitate (înterează mai ales monocromaticitatea). Circuitele și modalitățile de răcire sunt alese în funcție de construcția cavității de rezonanță, natura mediului activ și proprietățile fasciculului laser obținut. Se folosesc diferite circuite de răcire, începând de la circuitele de răcire cu apă la temperatura mediului ambiant, până la circuitele de răcire cu gaze lichefiate;

- *dispozitivele auxiliare*, care au rolul de a deflecta fasciculul laser din plan orizontal în plan vertical (pentru a face posibilă prelucrarea dimensională a materialelor), de a conduce și dirija fasciculul laser după traiectoria necesară generării suprafețelor.

Schema de principiu a unei instalații de prelucrare dimensională cu fascicul laser, cu mediul activ solid (cristal de rubin impurificat cu Cr^{3+}), se prezintă în

figura 9.45. Pentru prelucrarea dimensională a piesei-semifabricat 1, așezată pe masa de uzină fonic 2, se folosește fasciculul laser 3, concentrat și focalizat de lentila 7 și dirijat cu ajutorul duzei 4 a ajutorului 6. Pentru protecția fasciculului laser se folosește un amestec de gaze 5. Fasciculul laser monocromatic 10, coerent și direcțional, din planul orizontal este deflectat în planul vertical în zona de prelucrare cu ajutorul unei lentile de deflexie 8, răcită în permanență 9.

Emisia laser are loc în cavitatea de rezonanță 11, ca urmare a creării inversiunii de populație cu ajutorul sursei de alimentare 13 și radiației de pompaj 12.

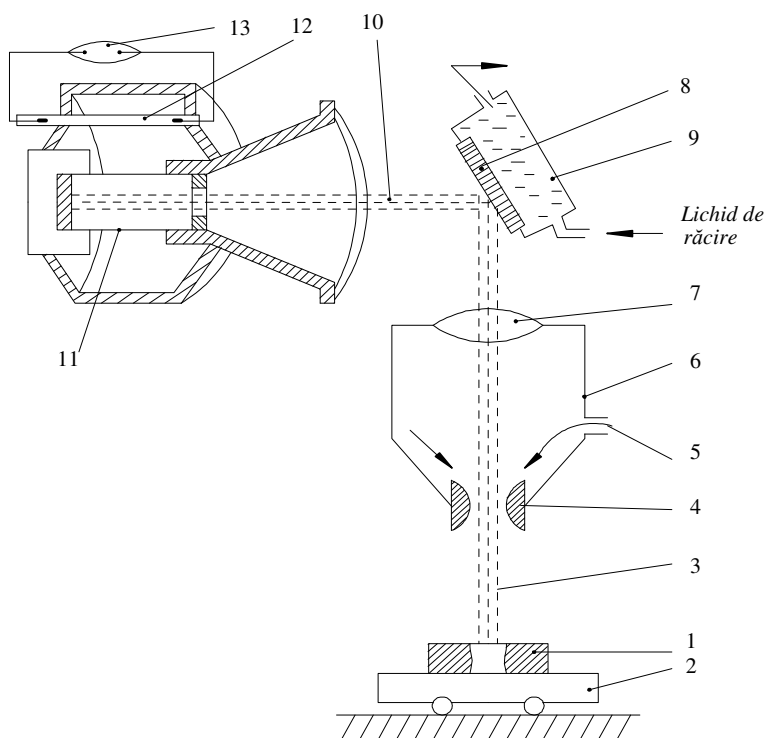


Fig. 9.45. Schema de principiu a unei instalații de prelucrare dimensională cu fascicul laser cu mediu activ solid:

1 - piesa-semifabricat; 2 - masa de uzină fonică; 3 - fascicul laser concentrat și focalizat; 4 - duză de conducere și protecție; 5 - gaze de protecție; 6 - ajutor; 7 - lentilă de focalizare; 8 - lentilă de deflexie; 9 - sistem de răcire; 10 - fascicul de fotoni orizontal; 11 - cavitatea de rezonanță; 12 - radiația de pompaj; 13 - sursă de alimentare.

Instalația laser cu mediul activ solid are eficiență deosebită pentru lucrul în impulsuri (durata $10^{-4} \dots 10^{-7}$ s), atingându-se densități de putere de $10^{10} \dots 10^{13}$ W/cm².

Schema de principiu a unei instalații de prelucrare dimensională cu fascicul laser cu mediul activ gazos se prezintă în figura 9.46.

Piesa de prelucrat 1, așezată pe masa de uzină fonic 2, cu posibilitatea deplasării și rotirii după cele trei axe de coordonate, interacționează cu fasciculul laser 3, în zona de prelucrat. Conducerea fasciculului laser se face cu ajutorul unor sisteme de comandă ce deplasează ajutorul 5 cu viteza corespunzătoare, iar protecția fasciculului se face cu ajutorul amestecului de gaze 6, ce îmbracă concentric fasciculul. Fasciculul laser este focalizat de sistemul de lentile 7 și adus în plan vertical de sistemul de deflexie 9 care este răcit în permanență 10. Pentru a preîntâmpina eventuale accidente se folosesc oburatoarele 8 și 12. Emisia laser are loc în cavitatea de rezonanță 14 în care are loc descărcarea electrozilor 15, cuplați la sursa de curent 16. Puterea de ieșire a laserului cu mediul activ gazos depinde de

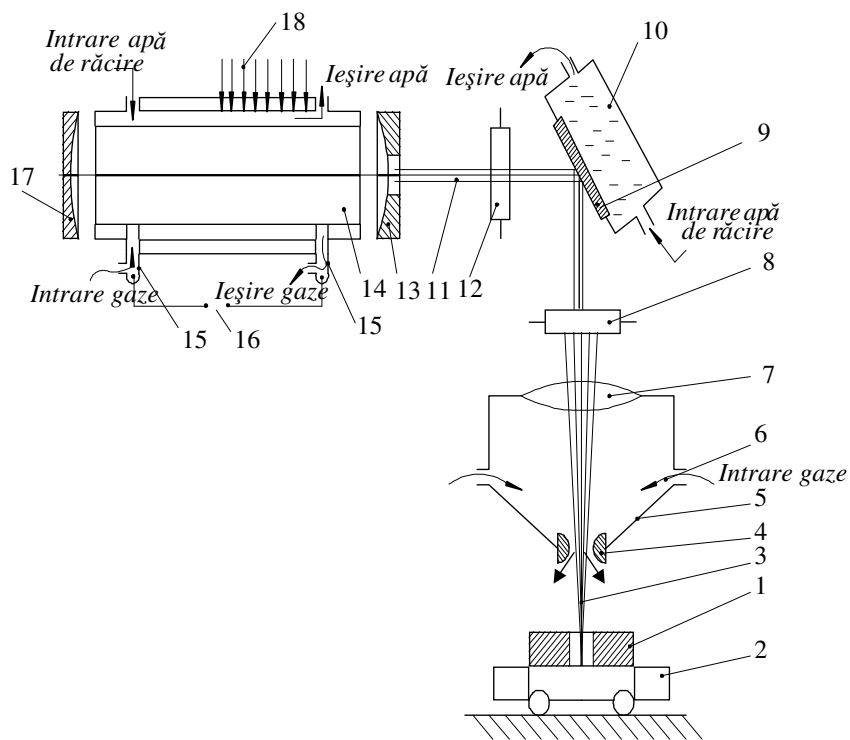


Fig. 9.46. Schema de principiu a unei instalații de prelucrare dimensională cu fascicul laser, cu mediu activ gazos:

- 1 - piesa-semifabricat; 2 - masa de uzină fonic; 3 - fascicul de fotoni concentrat și focalizat;
- 4 - duză; 5 - ajutor; 6 - gaze de protecție; 7 - lentile de focalizare; 8, 12 - obturator de siguranță;
- 9 - lentilă de reflexie; 10 - sistem de răcire; 11 - fascicul de fotoni orizontal; 13 - lentilă transparentă;
- 14 - cavitate de rezonanță; 15 - tuburi de descărcări; 16 - sursa de curent; 17 - lentilă de reflexie;
- 18 - radiația de pompaj.

lungimea și diametrul cavității de rezonanță (tubului de descărcare). Din considerente constructive și de randament s-au construit lasere cu tuburi în formă de „U” sau cu tuburi paralele. Folosind o radiație de pompaj laterală 18 se pot obține puteri de până la 60 kW.

Ca urmare a inversiunii de populație create, în cavitatea de rezonanță are loc emisia laser care este amplificată de sistemul de lentile opace 17 și semitransparentă 13. Laserul cu mediul activ gazos este eficient pentru lucrul cu fascicul continuu, realizându-se densități de putere de $10^4 \dots 10^8 \text{ W/cm}^2$.

Pentru diversificarea aplicării laserilor, în cât mai multe domenii se desfășoară o intensă activitate de cercetare pentru obținerea de emisii laser în condiții de eficiență și, mai ales, pentru obținerea de emisii de puteri mari. Au apărut în acest mod laserii cu semiconductori, laserii chimici, laserii ionici, la care durata impulsului poate ajunge până la 10^{-1} s și densități de energie de câteva milioane de ori mai mari decât laserii obișnuiți.

9.7.3.4. Parametrii procesului de prelucrare dimensională cu fascicul de fotoni

Prelucrarea dimensională cu fascicul de fotoni a anumitor materiale presupune o corelare optimă a parametrilor fasciculului laser (energia impulsului, durata impulsului, numărul de impulsuri, diametrul petei de focalizare, poziția focalizării față de suprafața de prelucrat, parametrii energiei de pompaj etc.), a parametrilor de material (capacitatea de reflexie, capacitatea de absorție, densitatea, temperatura de topire, temperatura de vaporizare, conductivitatea termică etc.) cu caracteristicile tehnologice cerute suprafeței prelucrate (formă și dimensiuni, secțiunea longitudinală și transversală, precizie dimensională, rugozitatea suprafeței, adâncimea zonei influențate termic etc.). De obicei, desprinderea și îndepărtarea particulelor de material se produce sub acțiunea factorilor termici ce provoacă topirea și vaporizarea materialului, care este expulzat din zona de prelucrare datorită presiunii vaporilor formați.

Adâncimea de topire δ , a materialului, sub acțiunea unui impuls laser se determină cu relația:

$$\delta = \frac{0,16}{\rho \cdot L_t} \cdot q(t_i - t_p) \quad , \quad (9.30)$$

în care: ρ este densitatea materialului; q - densitatea de putere; L_t - căldura latentă de topire; t_i - timpul de începere a încălzirii; t_p - timpul de terminare a încălzirii.

Adâncimea alezajului h și diametrul alezajului D se determină cu relațiile:

$$h = \left[\left(\frac{D_0}{\text{tg}\theta} \right)^3 + \frac{3E}{\pi \cdot \text{tg}^3\theta q_0} \right]^{-\frac{1}{3}} - \frac{D_0}{\text{tg}\theta} \quad (9.31)$$

$$D = 2 \left[D_0^3 + \frac{3 \cdot E \cdot \operatorname{tg} \theta}{\pi \cdot q_0} \right]^{-1/3}, \quad (9.32)$$

în care: D_0 este diametrul inițial al fascicului laser; E - energia impulsului; θ - unghiul conului de focalizare; q_0 - energia specifică de vaporizare a materialului.

Pentru execuția alezajelor adânci trebuie să se folosească un sistem optic cu ajutorul căruia să se obțină pentru θ valoarea zero. De asemenea, din analiza relațiilor (9.31) și (9.32) se constată că adâncimea de pătrundere depinde de energia radiației, dependență liniară până la anumite limite când eficiența prelucrării scade datorită fenomenului de ecranare (fenomen produs de degajarea vaporilor metalului de prelucrat).

Prelucrabilitatea cu fascicul de fotoni este în mare măsură condiționată și de constantele termofizice ale materialului de prelucrat. La prelucrarea dimensională cu îndepărtare de material, regimul de prelucrare trebuie astfel condus încât temperatura zonei de interacțiune fascicul-laser-obiect să fie mai mare decât temperatura de vaporizare.

Forma geometrică a suprafețelor alezajului prelucrate este influențată de modul de interacțiune dintre radiația laser și material. Geometria craterului de pătrundere în material depinde de felul focalizării și de cum s-a reglat poziția focarului în raport cu suprafața de prelucrat. Forma alezajului în funcție de zona în care se face focalizarea fascicului de fotoni se prezintă în figura 9.47.

Asigurarea preciziei de prelucrare depinde de reglarea sistemului optic al rezonatorului, reglarea lentilelor de focalizare, fixarea poziției suprafeței de prelucrat etc.

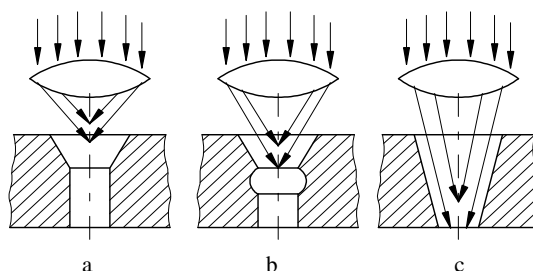


Fig. 9.47. Forma alezajului în funcție de zona de reglare a focarului fascicului de fotoni: a - la nivelul suprafeței de prelucrat; b - în interiorul alezajului; c - la ieșirea din alezaj.

9.7.3.5. Posibilitățile de utilizare ale prelucrării dimensionale cu fascicul de electroni

Domeniile de aplicare ale prelucrării cu fascicul de fotoni sunt rezultatul proprietăților și caracteristicilor fascicului laser. Principalele caracteristici care

condiţionează domeniile de utilizare sunt:

- permite prelucrarea de la distanţă fără ca instalaţia laser să vină în contact cu semifabricatul, folosind aparatură optică simplă (fibre optice);
- asupra materialului de prelucrat, fasciculul acţionează fără impuls mecanic, deci este posibilă prelucrarea peliculelor şi straturilor ultrasubţiri, fără pericolul deformării;
- în zona de interacţiune a fasciculului laser cu suprafaţa de prelucrat se pot atinge valori locale foarte mari ale temperaturii, suficiente să topească şi să vaporizeze oricare material;
- fasciculul laser poate fi concentrat şi focalizat în spaţii foarte mici, impulsul putând avea durate foarte mici şi densităţi de energie foarte mari, ceea ce permite prelucrarea peliculelor foarte subţiri şi a orificiilor foarte mici;
- zona influenţată termic este foarte mică (de 8...12 ori mai mică decât la prelucrarea cu fascicul de electroni), suprafaţa prelucrată rezultând cu o duritate foarte mare (de circa 6...8 ori mai mare decât materialul de bază);
- se pot prelucra materiale în stare de magnetizare sau plasate în câmpuri magnetice sau electrice, deoarece fasciculul nu este deviat şi nici afectat de aceste câmpuri;
- fasciculul de fotoni este reflectat de suprafaţa de prelucrat în proporţie de 10...95% în funcţie de constantele termofizice ale materialului şi starea suprafeţei, de aceea sunt necesare măsuri speciale în vederea prelucrării anumitor suprafeţe (acoperiri fine antireflectante, schimbarea intensităţii fasciculului în timpul prelucrării etc.).

Câteva din aplicaţiile de mare eficienţă ale prelucrării dimensionale cu fascicul de fotoni sunt:

- execuţia orificiilor pătrunse (fig. 9.48. a) sau nepătrunse (fig. 9.48. b) cu diametre variind de la câţiva microni până la 0,5 mm, în piese cu grosimi de 0,1...12,0 mm din materiale dure şi extradure, electroconductoare şi neelectroconductoare (sticlă, ceramică, textile, mase plastice, lemn etc.);
- execuţia orificiilor multiple de la diferite filiere, matriţe de injecţie mase plastice etc. (fig. 9.48. c);
- execuţia de perforări în filtre de diamant (fig. 9.48. d), de ceramică, din materiale extradure, în pietre preţioase şi semipreţioase pentru lagărele ceasornicelor şi ale aparaturii de mare precizie, în diafragmele aparatelor optice şi electronice, în inelele de ferită folosite la memoria calculatoarelor etc.;
- prelucrarea canalelor şi trasarea reticulelor pentru aparatura optică, cu lăţime de ordinul 5...10 μm (fig. 9.48. e);
- execuţia fantelor şi orificiilor lenticulare de dimensiuni foarte mici şi configuraţie complexă (fig. 9.48. f);
- echilibrarea dinamică a celor mai precise aparate (giroscoape de bord), permiţând îndepărtarea de material de circa 10^{-3} ... 10^{-4} g fără aplicarea de forţe mecanice;

- calibrarea foarte precisă a unor elemente folosite în schemele electrice (capacități, rezistențe, elemente semiconductoare etc.).
- debitarea la dimensiune a unor semifabricate de grosime foarte mică (folii ultrasubțiri) și a firelor ultrasubțiri, cu o zonă influențată termic foarte mică și o calitate foarte bună a suprafeței (fig. 9.45. g);
- inscripționări și gravări (fig. 9.45. h) în materiale dure și extradure electroconductoare sau neelectroconductoare etc.

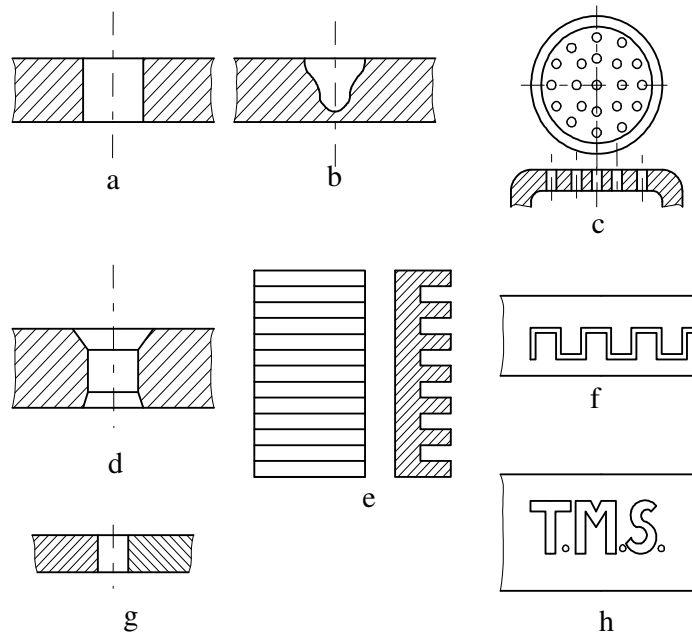


Fig. 9.48. Câteva din cele mai eficiente utilizări ale prelucrării dimensionale cu fascicul de fotoni:
a - găurirea pătrunsă; b - găurirea nepătrunsă; c - execuția orificiilor multiple; d - execuția orificiilor complexe; e - trasarea reticulelor; f - execuția fantelor complexe; g - debitări; h - inscripționări și gravări.

Pe măsura dezvoltării microelectrotehnicii și microelectronicii, apariției de noi materiale cu caracteristici fizico-mecanice și fizico-chimice cu totul și cu totul deosebite, gama aplicațiilor prelucrării dimensionale prin microașchiere se lărgeste din ce în ce mai mult, existând premiza că până în anul 2 010 aceasta să reprezinte 8...10 % din întreaga gamă de prelucrări dimensionale.



CIM – COMPUTER INTEGRATED MANUFACTURING

10.1. INTRODUCERE

Procesul de producție este o sursă de sănătate și prosperitate în orice națiune industrializată. Cu toate că producția a jucat un rol important în timpul evoluției omului, cea mai rapidă dezvoltare a cunoscut-o în ultimele două secole. Primele produse complexe, ca de exemplu, ceasurile de mână au fost realizate de meșteri cu îndemânare foarte mare, dar care aveau cunoștințe teoretice limitate despre comportamentul static sau dinamic al obiectului pe care îl realizau. În plus, acești meșteri erau nevoiți să folosească unelte rudimentare și materiale brute a căror compoziție, proprietăți fizice și chimice nu erau cunoscute pe deplin sau chiar deloc. Pentru realizarea unui produs era folosită în marea majoritate a cazurilor energia umană sau, în unele cazuri, puterea vântului și a apei. Energie adecvată pentru procesele de producție a putut fi folosită o dată cu inventarea motorului cu aburi. Înțelegerea comportamentului static și dinamic al unor corpuri rigide și a proprietăților materialelor a început o dată cu concepția și apariția primelor echipamente automate de producție. Aceste mașini erau controlate de legături și manete și erau propulsate, mai ales, prin curele. Ele au devenit coloana vertebrală a fabricilor automate din zilele noastre. Îmbunătățiri ale proceselor de producție au fost aduse și de inventarea motorului electric. În prezent a devenit tipic ca o mașină de producție să posede propriul motor. Conceptul de diviziune a muncii și de producție pe linie a pieselor/produselor a condus la inventarea proceselor de producție în masă. În acest fel, produse de înaltă calitate puteau fi

procurate de oameni care în general nu-și permiteau să cumpere produse scumpe, făcute pe comandă. Deoarece investițiile făcute în implementarea producției pe bandă erau mari, schimbări pentru diversificarea gamei de produse erau foarte dificil de făcut din punct de vedere economic. Din acest motiv, gama de produse oferită clienților era redusă. De aici și conceptul de flexibilitate a producției care trebuia să fie la curent cu cerințelor pieții. O dată cu invenția tuburilor electronice și a tranzistorilor a devenit posibilă construirea de controloare de proces care puteau într-o mică măsură să fie programate pentru anumite operații necesare producției. O realizare majoră în automatizarea proceselor de producție a fost făcută în 1947, când a fost construită prima mașină cu control numeric (CN), la Massachusetts Institute of Technology. Era pentru prima dată când combinații de echipamente fizice, electronice (hardware) și programe (software) erau folosite cu succes într-o singură unitate de control. Apoi, o dată cu apariția tehnologiilor de realizare pe scară largă a tranzistorilor și a altor circuite electronice (VLSI – *Very Large Scale Integration*), familii de minicalculatoare și microcalculatoare au început să fie folosite în controlul proceselor de producție. O importanță deosebită a acestor calculatoare a fost și este aceea că pot fi adaptate foarte ușor unui anumit proces de producție printr-un simplu program. Pe măsură ce automatizarea proceselor de producție a impulsionează procesul de dezvoltare, a devenit evident că tehnologiile convenționale nu mai făceau față cerințelor pieții. În acest fel calculatoarele aveau cel mai mare potențial pentru îmbunătățirea operațiilor implicate în producție. De aici și noțiunea de *Computer Integrated Manufacturing* (CIM). Pentru controlul unui proces de producție cu ajutorul calculatorului, mașinile-unelte implicate au nevoie de interfețe speciale pentru a fi compatibile cu acesta. În plus, operatorii umani trebuie să fie capabili să comunice cu calculatorul, de aceea numeroase tehnologii au fost și sunt dezvoltate pentru comunicarea om-mașină (procesare grafică, procesare de imagini, construire de baze de date inginerești, modelare, simulare, programare, senzori etc.). Aceste tehnologii au cicluri de viață foarte scurte, și pentru acest motiv este foarte greu să le evaluezi importanța. În multe cazuri, evoluția unor astfel de tehnologii este așa rapidă, încât sisteme concepute acum câțiva ani sunt acum pur și simplu piese de muzeu.

Calculatorul a avut și are un impact substanțial în aproape toate activitățile dintr-o fabrică. Adesea, introducerea calculatoarelor a schimbat structura organizațională a departamentului respectiv și a făcut necesară adoptarea unor structuri manageriale complet noi. Cum un calculator este capabil să efectueze munci repetitive într-un mod eficient, multe funcții manageriale s-au schimbat dramatic.

Viitorul dezvoltării tehnologiei calculatoarelor în procesul de producție nu poate fi prezis. Va depinde de diferite aspecte, inclusiv de dezvoltarea echipamentelor fizice și a programelor de calculator, de posibilitatea de a simplifica și a standardiza procesele de producție etc.

Este destul de greu de definit ce este practic CIM. Părerile specialiștilor nu

sunt unanime în definirea acestei noțiuni. CIM a fost descris ca fiind orice, de la o filosofie de producție și până la un program specific de calculator folosit într-o mașină cu control numeric. De exemplu, Johansen și colaboratorii propune un model CIM care include toate mijloacele de comunicare dintr-o companie, aplicațiile pe calculator, inclusiv planificarea materialelor, controlul calității, sistemele de inspecție și managementul informațiilor (colectare, stocare și folosire).

Termenul CIM poate fi utilizat pentru a defini integrarea ingineriei, economiei, producției și managementului funcțiilor unei companii, de la conceperea și până la distribuirea unui nou produs. Acest termen derivă din cartea lui Harrington (1973 – *Computer Integrated Manufacturing*) și în care acest termen a fost folosit pentru prima oară în relație cu CAD (*Computer Aided Design*) – proiectare asistată de calculator și CAM (*Computer Aided Manufacturing*) – producție asistată de calculator. Nucleul cărții era însă bazat pe CAM. Până la începutul anilor 80, în SUA și Japonia circula o definiție a CIM, restrânsă doar la producție și la dezvoltarea de noi produse, în care $CIM = CAD + CAM$.

O dată cu evoluția calculatoarelor și folosirea acestora pentru planificarea și controlul operațiilor implicate în procesul de producție, au fost creați diverși noi termeni:

- CAP (*computer-aided planning*) – această activitate vizează generarea asistată de calculator a unui plan pentru producerea unui nou produs. Planul procesului trebuie să descrie operațiile de producție implicate și secvența acestora;
- CAQ (*computer-aided quality control*) – această activitate combină toată munca de control-calitate a unui proces de producție. În alte cazuri, aceeași activitate este numită CAT (*computer-aided testing*) sau CAI (*computer-aided inspection*);
- PP&C (production planning and control) – această funcție se ocupă cu procesele organizaționale ale CIM, ca de exemplu, planificarea resurselor și materialelor necesare producției, estimarea de tipuri de producție, controlul producției, etc.

Acești termeni, împreună cu CAD/CAM formează activitățile generale într-un proces de producție integrat (CIM). De aici și o definiție mai cuprinzătoare a CIM-combinarea tuturor activităților menționate mai sus într-un singur sistem (figura 10.1):

$$CIM = CAD + CAP + CAQ + PP\&C .$$

În multe companii, inițial CIM se concentrează doar pe integrarea calculatoarelor în procesul de producție. Alte funcții sau operații sunt apoi legate de producție. De aceea, nucleul CIM poate fi considerat element de producție. Cartea lui Harrington se referea la CIM ca integrarea calculatoarelor în toate funcțiile de afaceri ale unei companii. Termenul integrare din CIM poate fi explicat în două feluri. În primul rând, când operații sau funcții sunt integrate, părțile

componente ale acestora nu trebuie să fie distincte față de întreg. Aceasta explicație nu este relevantă în cazul CIM. CIM folosește termenul integrare în sensul de legătură. Toate procesele sau funcțiile de afaceri ale unei companii de producție sunt astfel „legate” între ele, în cazul CIM, de calculator. Cu alte cuvinte, CIM implementat într-o companie tinde să o transforme într-o „companie fără hârtie”, în sensul că toate hotărârile și deciziile nu circulă în plicuri și pe hârtie, ci mai

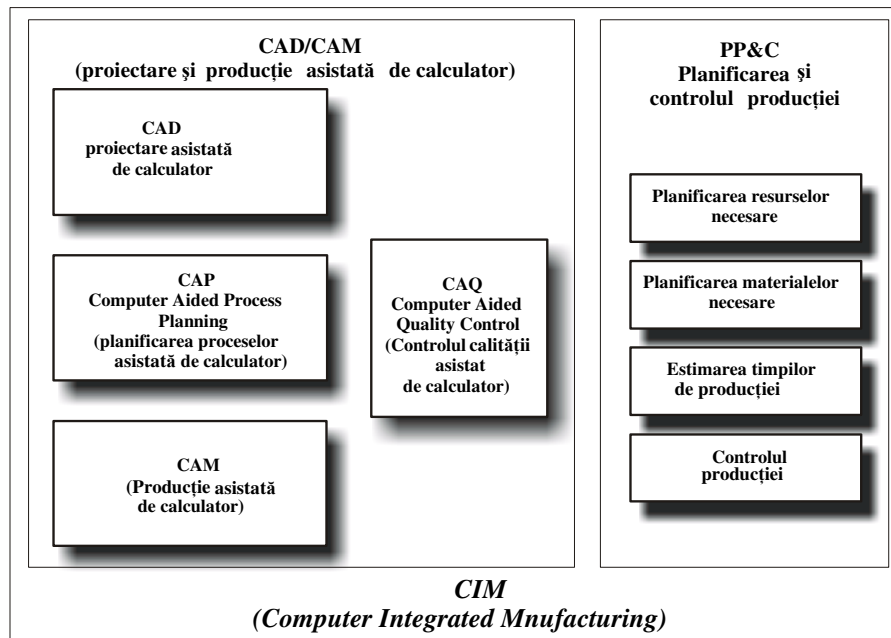


Fig. 10.1. Activitățile CIM.

degrabă prin poșta electronică către terminalele sau calculatoarele personale ale angajaților. În plus, cataloagele de standarde nu mai sunt cărți, ci baze de date electronice. Schițele de proiectare nu mai sunt ținute sub formă de desen pe hârtie, ci ca modele CAD pe calculatoare. Comunicarea cu exteriorul companiei (comunicarea cu clienții) se face nu prin comunicații convenționale (telefon, scrisori), ci mai degrabă printr-un așa numit *proces de interschimbare date electronice* – EDI (*Electronic Data Exchange*), prin care calculatorul fabricii comunică cu calculatorul clienților. De aceea, CIM poate fi definit și ca introducerea calculatoarelor în toate sau aproape toate activitățile implicate într-o firmă de producție.

De ce este nevoie de CIM? În primul rând pentru că vine în întâmpinarea competiției acerbe între companiile dintr-o economie de piață sănătoasă. Aceste presiuni de pe piață se pot materializa prin reduceri sau creșteri. Reduceri înseamnă

reducerea timpilor de producție, timpilor de livrare, a costurilor și reducerea pieselor din inventar. Creșterea se referă în principal la calitatea produselor și a răspunderii față de clienți. Se poate discuta faptul că la aceeași creștere a calității se referă și implementarea totală a calității (TQM – Total Quality Management) și în acest caz care este rolul CIM? Răspunsul este că se ocupă de manevrarea informațiilor. Acest lucru poate fi explicat printr-un exemplu. În prezent, din ce în ce mai multe companii oferă clienților posibilitatea de a-și desena singuri produsele pe unele din calculatoarele din sălile de prezentare (*customer-driven manufacturing*). De exemplu, clientul își poate desena autoturismul, iar producătorul promite livrarea acestuia într-un număr de zile. Pentru producător, CIM dă posibilitatea alegerii proceselor logistice, organizatorice și de producție necesare pentru a realiza comanda clientului.

Un alt doilea motiv este folosirea cât mai bună a datelor și informațiilor. Aceasta presupune în primul rând organizarea și coordonarea informațiilor, care poate fi realizată prin construirea de baze de date electronice. În al doilea rând, aceste date sau informații trebuie să fie disponibile în orice moment și într-un mod facil.

Un al treilea motiv este facilitarea comunicării în interiorul unei companii. O organizație de producție poate să fie controlată în mod efectiv, doar dacă cel care efectuează coordonarea și controlul este la curent cu ceea ce se întâmplă în interiorul acesteia. De multe ori, folosind metode convenționale, timpul necesar colectării și analizării datelor este relativ mare, astfel încât în momentul când rapoartele sunt gata, pot trece până la două săptămâni, timp în care procesele din compania respectivă se pot schimba radical.

Componentele sau activitățile CIM vor fi descrise mai în detaliu în paragrafele următoare. Ordinea de prezentare a acestora este aleatoare și nu are nici un fel de importanță.

10.2. PROIECTARE ȘI PRODUCȚIE ASISTATĂ DE CALCULATOR CAD/CAM

10.2.1. Generalități

CAD – *Computer Aided Design*, și CAM – *Computer Aided Manufacturing*, sunt tehnologii sau curente care privesc folosirea calculatoarelor în procesele de proiectare și producție. Aceste curente sunt din ce în ce mai puternice și tind spre integrarea tot mai strânsă dintre proiectare și producție, două activități care în mod tradițional erau tratate complet separat într-o companie de producție.

O posibilă definiție pentru CAD ar fi, după Groover, folosirea sistemelor de calculatoare parțial sau integral în crearea, modificarea, analiza sau optimizarea unui proces de proiectare. Sistemele digitale de calcul sunt în general partea fizică

(hardware) și programele (software), necesare realizării unui process specific pentru o anumită companie sau fabrică. CAD hardware conține de obicei un calculator, una sau mai multe stații de lucru, tastaturi și alte echipamente periferice (ca de exemplu imprimante, plottere, scannere etc.), memoria principală (fig. 10.2). Software-ul CAD conține programe de calculator capabile să implementeze aplicații grafice pe sistem, plus alte aplicații pentru alte facilități ingineresti necesare respectivei companii.

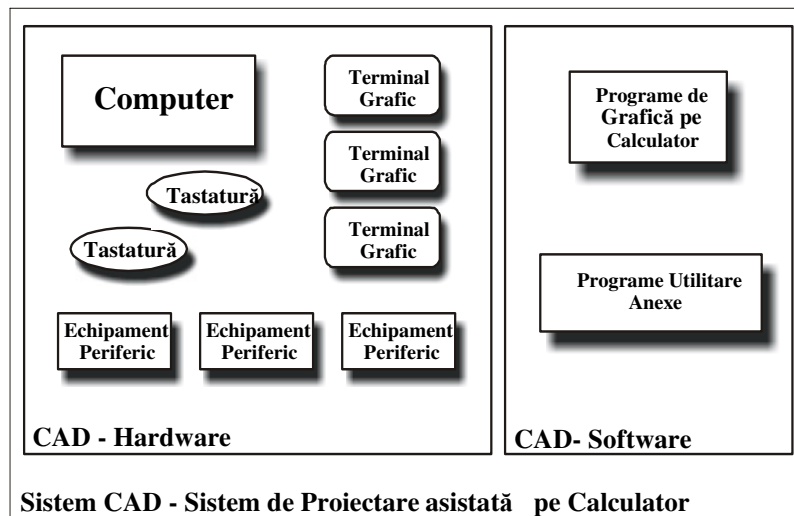


Fig. 10.2. Componentele unui sistem CAD.

Exemple de asemenea aplicații anexe pot fi de exemplu analiza de stres a componentelor, răspunsul dinamic ale mecanismelor, transferul de căldură, programarea de calcul numeric, etc. Toate aceste aplicații anexe sunt însă direct dependente de compania sau fabrica care le folosește în funcție de cerințele și necesitățile acesteia.

CAM – *Computer Aided Manufacturing*, poate fi definit ca folosirea sistemelor digitale de calculatoare pentru a planifica, conduce și controla operațiile unei fabrici de producție prin interfață calculator, cu acces direct sau indirect la resursele fabricii.

Aplicațiile CAM pot fi în general clasificate în două mari tendințe:

- monitorizare și control cu ajutorul calculatoarelor digitale – care sunt aplicații directe, în care calculatorul este conectat direct la procesul de producție în scopul monitorizării și controlului acestuia;
- aplicații utilitare de producție – care aplicații indirecte, în care calculatorul este folosit pentru suportul operațiilor de producție în fabrică și în care nu există o interfață directă între acesta și procesul de producție.

Prima categorie poate fi împărțită la rândul ei în două grupe: aplicații de monitorizare și aplicații de control. Monitorizarea procesului de producție cu ajutorul calculatoarelor digitale presupune o legătură directă între acestea, în scopul observării directe a proceselor implicate și a colectării de date despre acestea. Controlul cu ajutorul calculatoarelor este puțin diferit de monitorizare, în sensul că este vorba nu numai de observare directă, ci și de intervenție în procesul de producție în funcție de parametrii colectați. În cazul monitorizării, controlul procesului rămâne în mâinile unui operator uman, care poate folosi sau nu informațiile colectate de calculator prin observare directă. În cel de-al doilea caz, calculatorul intervine imediat, în funcție de necesități pentru modificarea ori corectarea procesului de producție. În figura 10.3 se poate vedea diferența între cele două tipuri de aplicații – monitorizare și control. Fluxul de date în cazul monitorizării este unidirecțional și anume de la procesul de producție către calculator, care stochează astfel datele obținute. În cazul controlului, fluxul de date este bidirecțional, permițând calculatorului să emită semnale sau comenzi către procesul de producție în funcție de parametrii observați și de algoritmi conținuți în programele sale.

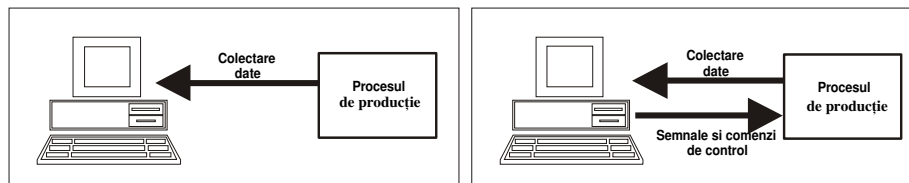


Fig. 10.3. Aplicațiile CAM:
a - aplicație CAM de monitorizare; b - aplicație CAM de control.

Pentru cea de a doua categorie de aplicații CAM, cea a aplicațiilor indirecte utilitare, computerul joacă un rol de suport al proceselor de producție, neavând o legătură directă cu acestea. Calculatorul este, în acest caz, folosit în afara liniei de producție (*off-line*) pentru realizarea de planuri, termene, previziuni, instrucțiuni, în așa fel încât resursele fabricii să fie folosite în mod eficient. În aceste aplicații, intervenția umană este deseori necesară, atât pentru introducerea de date în calculator, cât și pentru interpretarea rezultatelor obținute de acesta și pentru a implementa comenzile în consecință.

10.2.2. Ciclu de producție

Pentru înțelegerea mai bună a rolului CAD/CAM în procesul de producție, se vor prezenta în continuare câteva funcții și activități necesare în proiectarea și producția unui produs.

În figura 10.4 sunt prezentate etapele unui ciclu de producție.

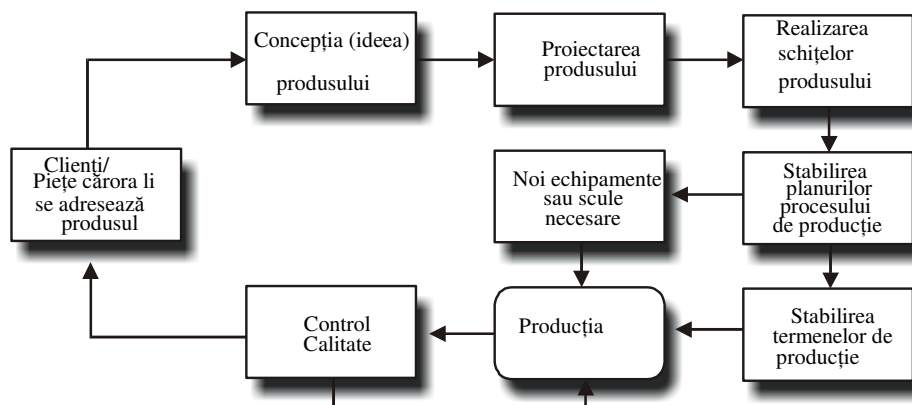


Fig. 10.4. Ciclul de producție (după Groover s.a. 1984).

Acest ciclu de producție este cerut în primul rând de clienții și piețele de desfacere care doresc respectivul produs. În funcție de tipul clienților sau a piețelor, pot exista diferențe între ciclurile de producție a diverselor produse. De exemplu, în anumite cazuri, procesul de proiectare a produsului este realizat de client, iar produsul este fabricat de altă companie. În alte cazuri, proiectarea și producția este realizată de aceeași companie/fabrică. Indiferent de caz, ciclul de producție începe cu o idee, un concept pentru respectivul produs. Acest concept sau idee este analizată, îmbunătățită, aprobată și transformată într-un plan de producție prin intermediul ingineriei de proiectare. Planul obținut conține schițe ingineresti care arată atât cum se poate produce acest produs, cât și specificațiile de producție. Un plan de producție este realizat pentru specificarea secvenței de producție necesară pentru realizarea produsului. În anumite cazuri este nevoie de cumpărarea de noi echipamente de producție. Stabilirea termenelor de producție este următoarea etapă din ciclul de producție. Aceasta este de fapt angajamentul producătorului de a realiza o anumită cantitate din acel nou produs până la o anumită dată. O dată ce toate aceste detalii sunt puse la punct, procesul de producție poate începe. Procesul de producție este evident urmat de controlul de calitate al produsului respectiv și, în caz că acesta corespunde parametrilor ceruți, este livrat clientului.

Impactul CAD/CAM în ciclul de producție se manifestă în toate etapele acestuia, așa cum se poate vedea din figura 10.5.

CAD este utilizat în procesul de proiectare, iar automatizarea procesului de schițare/desenare a noului produs și de stabilire a termenelor de producție aduce o mai mare eficientizare a acestuia. În timpul producției calculatoarele sunt folosite, așa cum s-a menționat anterior, pentru monitorizarea și controlul proceselor implicate în procesul de producție. În controlul de calitate, calculatoarele sunt folosite pentru a realiza inspecții tehnice automate și teste de performanță asupra produsului sau a componentelor acestuia.

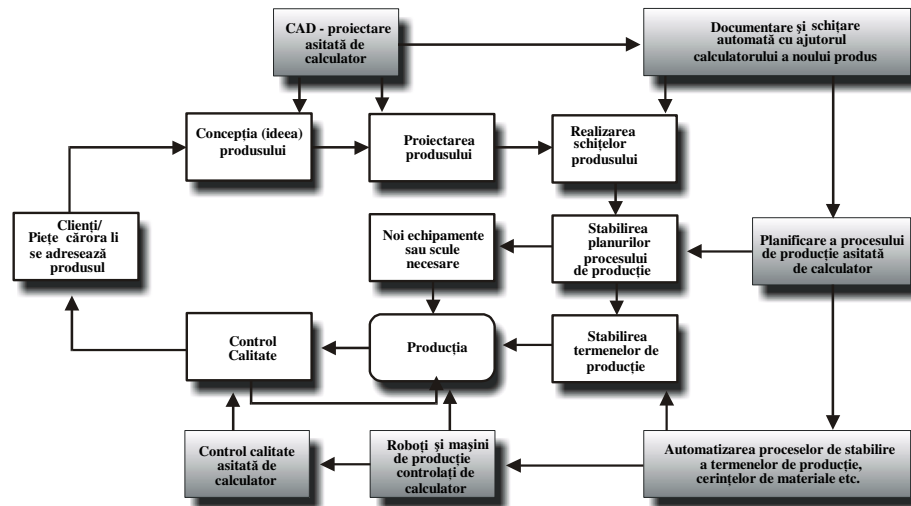


Fig. 10.5. Impactul CAD/CAM în ciclul de producție (după Groover ș.a. 1984).

10.2.3. Automatizarea și CAD/CAM

Relația dintre CAD/CAM și automatizare, în ceea ce privește ciclul de producție, este următoarea: rolul atât al automatizării, cât și al CAD/CAM este acela al reducerii diferitelor elemente temporale din cadrul acestui ciclu. Realizând acest scop, se poate mări productivitatea muncii și se pot ridica standardele de viață.

Există însă diferențe în felul în care ciclul de producție este implementat la nivelul diverselor companii în funcție de tipul de activitate de producție, astfel:

- producție în *flux continuu* – producție continuă dedicată unui produs, ca de exemplu, producția într-o rafinărie sau o uzină chimică;
- producție de *masă* – producție dedicată unor mari cantități din același produs (cu eventuale variații minore de proiectare), ca de exemplu, producția de automobile;
- producție de *serie (pe loturi)* – care implică producerea unor loturi de cantitate medie a aceluiași produs sau componentă; loturile pot fi produse doar o singură dată sau în mod repetat, ca de exemplu, producția de încălțăminte, confecții, cărți;
- producția *singulară (unicat)* - producerea unor cantități mici, de multe ori a unui singur produs special; aceste produse sunt de multe ori complexe din punct de vedere tehnologic, ca de exemplu, prototipuri, industria aviatică;

Pentru fiecare tip de producție, automatizarea și-a spus cuvântul, așa cum se poate vedea din tabelul 10.1.

Tabelul 10.1. Automatizarea proceselor de producție

Tipul de producție	Automatizări
Flux continuu	Senzori pentru măsurarea parametrilor de proces; strategii de control și optimizare; fabrici complet automatizate, controlate de calculator.
De masă	Linii de asamblare parțial sau total automatizate; roboți industriali pentru sudarea în puncte, manevrarea produsului, încărcarea acestuia în mașină de producție, vopsirea cu jet, etc.; sisteme automate de manipulare a materialelor brute; monitorizarea producției cu ajutorului calculatoarelor.
De serie (pe loturi)	Mașini cu control numeric (CN), cu control numeric direct, cu control numeric pe calculator; roboți pentru sudarea în arc electric, manipularea pieselor componente; sisteme integrate de producție (CIM);
Singulară (unicate)	Control numeric, control numeric cu ajutorul calculatorului.

În mod tradițional, automatizarea producției s-a ocupat mai mult de echipamentele folosite și de procesele de producție. În contrast, CAD/CAM, în afară de accentul pus pe folosirea calculatorului, se remarcă prin faptul că intervine și la nivelul proiectării și a planificării care preced producția.

Pentru a accentua diferența dintre automatizare și CAD/CAM, se poate considera următorul model matematic (Groover și Hughes, 1980):

- fie T_1 timpul necesar pentru a produce o unitate dintr-un produs; acesta va fi suma tuturor timpilor asociați proceselor individuale pentru fiecare componentă a produsului, plus timpul necesar asamblării, inspecției de calitate și a împachetării unui singur produs;

- fie T_2 timpul necesar planificării și pregătirii realizării unui singur lot de producție; T_2 va include astfel timpul necesar comandării materialelor brute, timpul necesar stabilirii timpilor de producție și timpul de pregătire pentru fiecare operație;

- fie T_3 timpul necesar proiectării produsului; acest timp include timpul necesar stabilirii prețului, al proiectării de scule sau mașini speciale și alți timpi pentru realizarea unor procese necesare pentru a avea produsul gata pentru producție.

Doi parametri adiționali sunt necesari pentru definirea acestui model matematic și anume:

- numărul de loturi produse pe tot parcursul ciclului de viață al produsului, notat cu B ;

- numărul de unități produse în fiecare lot, notat cu Q .

Ținând cont de acestea, timpul T pentru producerea produsului poate fi definit printr-o relație de forma:

$$T = BQT_1 + BT_2 + T_3 \quad (10.1)$$

Timpul mediu necesar pe unitate de produs poate fi definit astfel:

$$T_m = T_1 + \frac{T_2}{Q} + \frac{T_3}{BQ} \quad (10.2)$$

Folosind cele definite mai sus, diferența între automatizarea procesului de producție și CAD/CAM poate fi exprimată astfel: automatizarea este interesată în principal de micșorarea T_1 și T_2 , cu accent pe timpul de producție al unei unități (T_1), în timp ce tehnologia CAD/CAM are ca principal scop micșorarea tuturor celor trei termeni T_1 , T_2 , T_3 , cu accente pe T_2 și T_3 .

O listă cu cele mai importante realizări în CAD/CAM este prezentată în tabelul 10.2.

Tabelul 10.2. Realizări CAD/CAM

Sisteme interactive de grafică
Grafică animată pe calculator
Analiza proiectării asistate pe calculator (analiza de stres a materialelor, de temperatură, etc.)
Schițare automată a produsului
Baze de date pentru proiectare și producție
Planificarea proceselor de producție asistată pe calculator
Standarde de lucru generate de calculator
Controlul numeric al proceselor de producție
Stabilirea automată a termenelor de producție
Planificarea materialelor necesare procesului de producție
Controlul numeric direct
Roboti controlați de calculator
Aplicații controlate de microprocesoare
Inspecție asistată pe calculator (CAI – <i>Computer Aided Inspection</i>)
Control calitate asistat pe calculator (CAT)

10.2.4. Fundamentele CAD

Așa cum s-a menționat anterior, CAD presupune orice tip de activitate de proiectare care folosește calculatorul pentru dezvoltare, analiză sau modificare a unui proiect ingineresc. Deci, calculatorul este elementul esențial al CAD. Îmbunătățirea continuă a performanțelor acestuia a făcut și face posibilă dezvoltarea în timp real a procesării de imagini, a controlului proceselor și a multor altor funcții, care sunt prea complexe și consumatoare de resurse pentru a fi realizate manual. Un calculator digital modern este o mașină electronică care poate realiza operații matematice și logice după un program dinainte prestabilit. În general există trei componente de bază ale unei configurații fizice a unui calculator, și anume:

- unitatea centrală de prelucrare (UCP) – cea care reglează și controlează operarea tuturor componentelor sistemului și realizează operațiile aritmetice și logice. UCP este formată dintr-o *unitate de control* care controlează diferitele operații specificate de instrucțiunile unui program, și o *unitate aritmetică-logică* (UAL) care realizează operațiile aritmetice și logice ca adunarea, scăderea, multiplicarea și comparațiile în format binar;
- memoria (M) – care este formată din unități de stocare a datelor în

format binar; M stochează toate datele și instrucțiunile unui program. În mod convențional, există două tipuri de memorii: memoria primară sau principală, care este legată direct de UCP, și memoria auxiliară, care este responsabilă cu stocarea programelor și datelor;

- sistemul de intrare/ieșire – sistem care are rolul de a realiza comunicația cu diversele echipamente periferice folosite cu respectivul calculator.

Sistemele CAD moderne sunt bazate pe grafică interactivă pe calculator (ICG– *Interactive Computer Graphics*). ICG este un sistem în care calculatorul este folosit pentru a crea, transforma și afișa date sub formă de imagini și simboluri. Operatorul în ICG este proiectantul, care comunică date și comenzi cu sistemul prin intermediul unor diverse tipuri de echipamente de intrare. La rândul său, calculatorul comunică rezultatele cu ajutorul tuburilor catodice (CRT). Proiectantul creează astfel o imagine pe monitor prin introducerea de comenzi și date, pentru apelarea unor programe calculator stocate în memoria fizică a acestuia. În marea majoritate a cazurilor imaginile sunt formate din forme geometrice, ca de exemplu, linii, puncte, cercuri, etc. În general un sistem ICG e o combinație de hardware și software (fig. 10.2). Hardware-ul include o unitate centrală de prelucrare – CPU, unul sau mai multe terminale grafice, precum și diverse unități periferice ca: imprimante, scanere, plottere etc. Software-ul include programele de calculator necesare implementării procesării grafice.

Deci, unul din principalele componente ale unui sistem CAD este sistemul ICG. Cealaltă componentă principală o constituie proiectantul uman. ICG este o unealtă în mâinile proiectantului uman necesară rezolvării diverselor probleme de proiectare. Operatorul uman realizează porțiunea cea mai potrivită intelectului uman din cadrul procesului de proiectare, iar calculatorul prin ICG realizează sau aplică ceea ce i se potrivește cel mai bine, și anume viteza de calcul, memorizarea unor largi bănci de date etc.

Ca motive principale pentru necesitatea implementării unui sistem CAD, se pot aminti următoarele:

- pentru mărirea productivității – acest lucru este realizat ajutând proiectantul să vizualizeze produsul și părțile lui componente și prin reducerea timpilor necesari sintetizării, analizării și documentării procesului de proiectare;

- pentru îmbunătățirea calității unui proiect – un program CAD permite o analiză inginerescă mai amănunțită asupra unui proiect și mult mai multe alternative de proiectare pot fi investigate. Erorile de proiectare sunt de asemenea reduse datorită acurateții sistemului;

- pentru îmbunătățirea comunicării – acest lucru este posibil datorită unei mai bune vizualizări, standardizări și a unei mai bune documentări a procesului de proiectare.

- pentru crearea unei baze de date pentru producție – în timpul realizării proiectului, date ca dimensiunile produsului și a componentelor acestuia, a materialelor necesare realizării acestuia, costul materialelor și a termenelor de

livrare pot fi stocate într-o bază de date care poate fi utilizată ulterior în procesul de producție.

10.2.4.1. Procesul de proiectare

Într-o economie de piață, dezvoltarea și apariția unui produs este în directă concordanță cu cererea de pe piață și se materializează într-o idee sau concept. Această idee va fi punctul de plecare pentru apariția ulterioară a produsului. Ideea va fi preluată de proiectanți, care vor încerca să găsească metode pentru transpunerea ideii în viață și care vor stabili amănuntele necesare procesului de producție. În munca lor, aceștia vor fi ajutați de proiectanți analiști, care vor analiza impactul acestui produs asupra pieții, și de ingineri, care vor realiza munca experimentală a prototipurilor pe standurile de test. Cercetătorii pot juca și ei un rol important în acest proces pentru acoperirea unor goluri în înțelegerea comportării unor materiale, a unor procese implicate în producerea acestui produs. O dată procesul de proiectare terminat, munca va fi preluată de inginerii tehnologi, care vor identifica etapele și operațiile necesare realizării produsului. Această descriere a procesului de producție și proiectare este una foarte generală. La nivelul fiecărei etape pot interveni schimbări în funcție de complexitatea produsului, cât și a multor alți factori externi (ca de exemplu, numărul de oameni implicați).

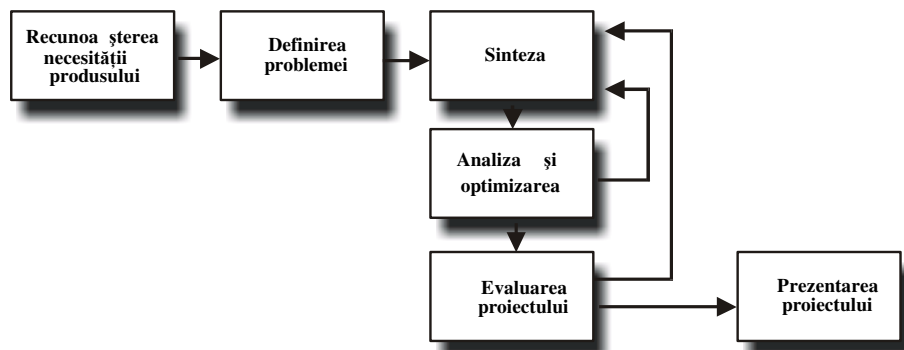


Fig. 10.6. Procesul de proiectare în viziunea lui Shigley.

În ultimul timp mai multe modele formale au fost realizate pentru descrierea procesului de proiectare. Având în vedere gama largă a situațiilor de proiectare, aceste modele descriptive prezintă variații mai mici sau mai mari, dar toate modelele sunt de acord că procesul de proiectare este un proces care se desfășoară pas cu pas.

Unul din cele mai simple modele ale procesului de proiectare este cel prezentat de Shigley (fig. 10.6). Acesta vede procesul de proiectare ca unul iterativ

și care cuprinde șase pași sau etape: recunoșterea necesității unui nou produs, etapă implicată de cererea de pe piață; definirea problemei presupune stabilirea specificațiilor de proiectare; sinteza, analiza și optimizarea sunt etape strâns legate între ele și care duc la îmbunătățirea ideii sau conceptului prin reproiectarea produsului de câte ori este necesar; evaluarea presupune adesea realizarea unui prototip pentru a se vedea dacă acesta coincide cu specificațiile inițiale; și în sfârșit prezentarea proiectului care presupune și documentarea proiectului cu schițe, desene și specificații tehnice de materiale, lista de componente etc. În mod tradițional, proiectarea inginerescă se realizează pe planșe de desen, cu schițele sub formă de desen tehnic cu toate specificațiile necesare.

Un model al procesului de proiectare mai detaliat este propus de Pahl și Beitz în 1984 (fig. 10.7). În acest model, procesul de proiectare este descris ca o diagramă ce cuprinde patru etape principale:

- înțelegerea procesului de proiectare, care presupune colectarea tuturor informațiilor referitoare la cerințele și constrângerile de proiectare și descrierea acestora;
- proiectarea conceptuală, care presupune identificarea funcțiilor ce trebuie incluse în proiect și dezvoltarea unor soluții corespunzătoare;
- proiectarea pe ansamblu, în care soluția conceptuală este dezvoltată în detaliu;
- proiectarea în detaliu, care presupune specificarea tuturor detaliilor de proiectare cu toleranțe, materialele ce trebuie folosite, proprietățile și caracteristicile acestora etc.

Deși teoretic, modelul Pahl și Beitz reprezintă o secvență directă a procesului de proiectare, în practică, lucrurile stau puțin diferit, în sensul că iterații între etape pot apărea, iar rezultatele unor etape pot genera alte cicluri noi.

Un model mai rafinat al procesului de proiectare este propus de Ohsuga, în 1989 (fig. 10.8). În acest caz, diversele stagii sau etape ale proiectării sunt generalizate într-o formă comună, în care proiectul este realizat printr-un proces continuu de optimizare și rafinare. În fazele incipiente ale proiectării, o soluție este propusă de proiectant. Aceasta este evaluată din diverse puncte de vedere pentru a se stabili dacă modelul propus coincide cu specificațiile tehnice. Dacă modelul este diferit de ceea ce se cere, atunci este modificat în concordanță cu ce se cere. Procesul continuă până când toate specificațiile sunt în concordanță cu cerințele.

Cele trei modele prezentate abordează o viziune tradițională în care există mai multe etape în procesul de proiectare. Presiunea de a reduce costurile proiectării și a timpilor mici de producție necesari companiilor dintr-o economie de piață au dus la necesitatea folosirii unor metode noi de proiectare, ca de exemplu CAD.

Aplicând CAD la modelul prezentat de Shigley se obține diagrama din figura 10.9. Diversele procese care sunt realizate de sistemele CAD pot fi grupate în patru mari grupe și anume:

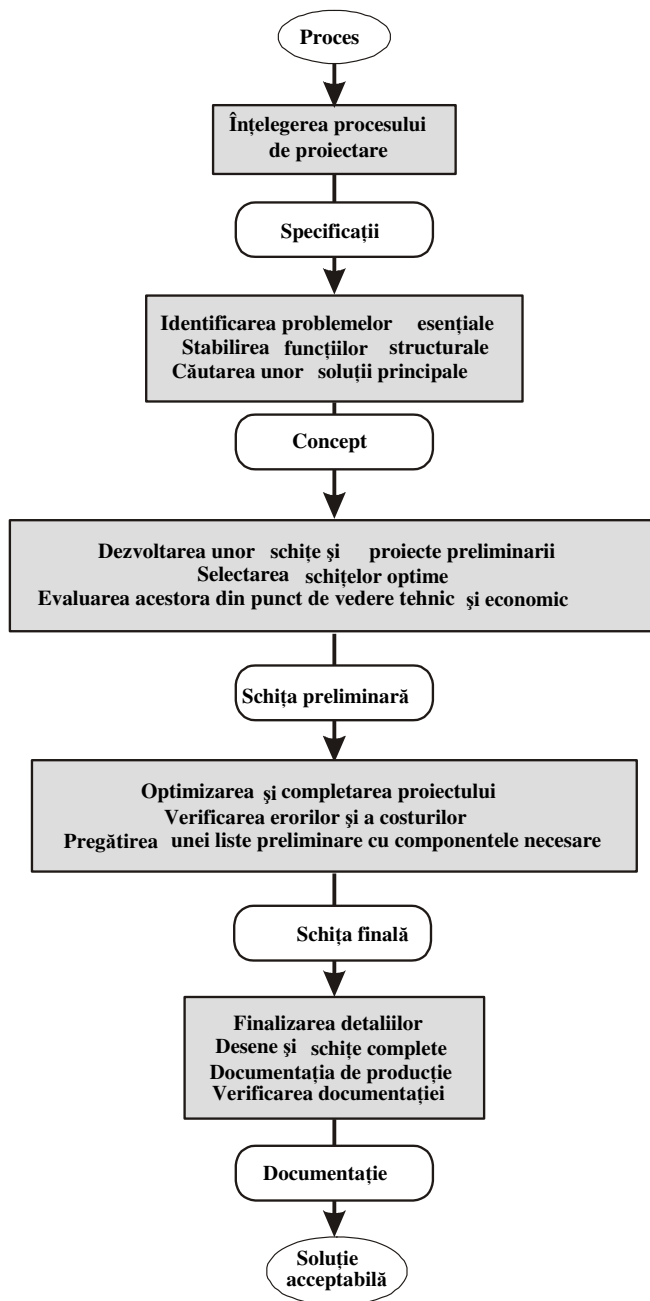


Fig. 10.7. Etapele procesului de proiectare, după Pahl și Beitz (1984).

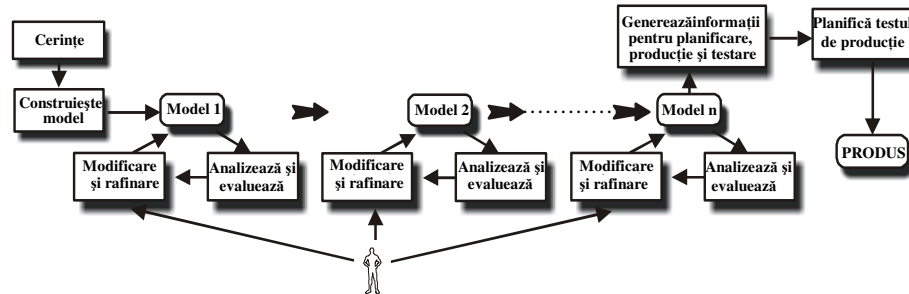


Fig. 10.8. Procesul de proiectare după Ohsuga (1989).

- modelarea geometrică
- analiza inginerescă
- evaluarea și modificarea proiectului
- schițarea automată.

Aceste patru grupe corespund fazelor finale ale modelului lui Shigley.

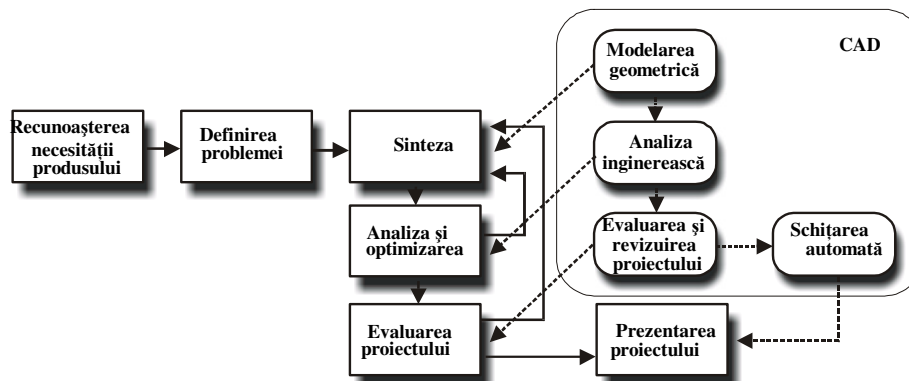


Fig. 10.9. Introducerea calculatorului în procesul de proiectare.

10.2.4.2. Arhitectura unui sistem CAD

Un sistem CAD conține următoarele elemente:

- *echipamentele fizice (hardware)*, în care intră calculatorul și echipamentele sale periferice;
- *pachetele de programe (software)*, în care intră programele de calculator care rulează pe hardware-ul sistemului;
- *informația*, care cuprinde structurile de date create și manipulate de pachetele de programe.
- *cunoștințele umane*.

Sistemul CAD este în general un sistem de programe complexe de

calculator rulate în anumite cazuri pe echipamente fizice specializate. Software-ul conține o serie de elemente sau funcții care procesează informațiile stocate într-o bază de date. O schemă generală a unui sistem CAD este reprezentată în figura 10.10. Aceasta include următoarele funcții:

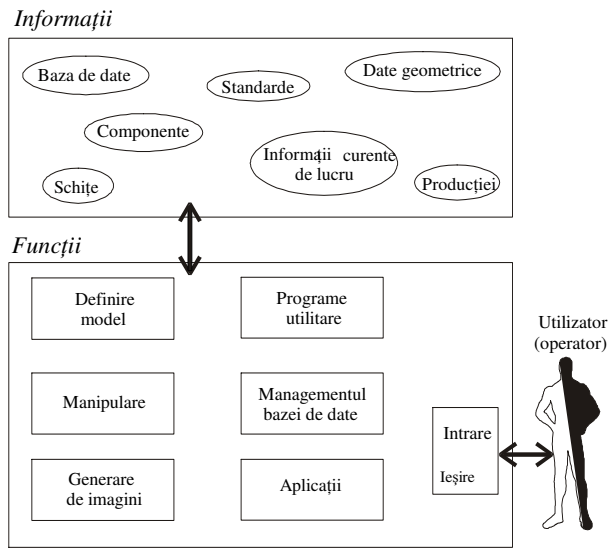


Fig. 10.10. Arhitectura unui sistem CAD.

- *definirea modelului* și, de exemplu, adăugarea de elemente geometrice al unui model predefinit;
- *manipularea modelului*, care permite modificarea, ștergerea sau copierea unor elemente din modelul de proiectare;
- *generarea de imagini* (pentru generarea imaginilor corespunzătoare modelului proiectat pe ecranul calculatorului sau prin intermediul unui echipament periferic);
- *interacțiunea cu utilizatorul*, pentru manipularea comenzilor de intrare ale utilizatorului și pentru prezentarea rezultatului acestora;
- *managementul bazei de date*, pentru întreținerea bazei de date de cunoștințe;
- *aplicații* (programe care nu modifică modelul proiectat, dar sunt folosite pentru generarea unor informații legate de evaluarea, analiza și producția acestuia);
- *programe utilitare* (toate celelalte programe care nu modifică în nici un fel modelul proiectat, dar modifică operarea sistemului ca, de exemplu, selectarea unităților de măsură sau a culorilor cu care se va afișa modelul pe ecranul calculatorului).

10.2.4.3. Modelarea geometrică

În CAD, modelarea geometrică este procesul de descriere matematică a geometriei unui obiect. Descrierea matematică asigură vizualizarea și manipularea acelui obiect pe un terminal grafic prin semnale și comenzi dintre unitatea centrală de prelucrare a sistemului CAD. Programele de calculator pentru modelare geometrică trebuie să fie proiectate în așa fel încât să fie eficiente, atât din punct de vedere al calculatorului, cât și din punct de vedere al proiectantului uman.

Pentru a putea folosi modelarea geometrică, proiectantul trebuie să construiască imaginea grafică a obiectului pe ecranul sistemului ICG prin introducerea a trei tipuri de comenzi de intrare și anume:

- comenzi de bază, care generează elemente geometrice simple ca puncte, linii, cercuri etc.;
- comenzi pentru scalare, rotire sau alte transformări geometrice ale elementelor geometrice simple;
- comenzi pentru alipirea acestor elemente geometrice, în scopul generării formei dorite pentru obiectul de proiectat.

În timpul acestor tranformări geometrice, calculatorul convertește comenzile utilizatorului într-un model matematic și stochează aceste informații în fișiere de date. Modelul este afișat pe ecran și poate fi reîncărcat din fișierele de date pentru eventuale corecții sau diferite analize inginerești.

Există mai multe metode de reprezentare a unui obiect în modelarea geometrică. Cea mai simplă dintre acestea este geometria *wire-frame*. Cu această metodă, obiectele sunt reprezentate printr-o serie de linii și curbe ce corespund marginilor sau secțiunilor prin obiect. Un exemplu de modelare geometrică *wire-frame* este prezentat în figura 10.11.

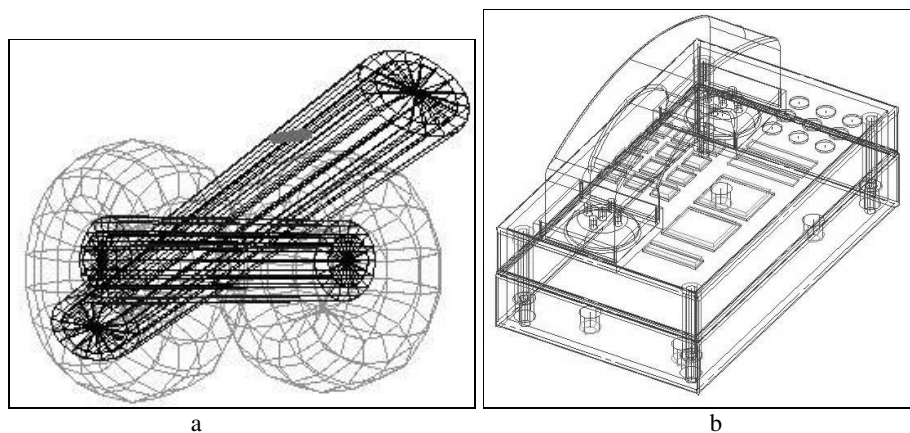


Fig. 10.11. Modelarea *wire-frame*:
a - a unui tun; b – a unui telefon.

Există trei tipuri de reprezentare în modelarea *wire-frame* și anume:

- modelarea 2D, care permite reprezentarea în două dimensiuni a obiectului ;
- modelarea $2^{1/2}$ D, care permite reprezentarea unor obiecte tridimensionale dacă acestea nu prezintă pereți interiori ;
- modelarea 3D, care permite modelarea unui obiect complex în trei dimensiuni.

Cea mai avansată tehnică de modelare geometrică este modelarea solidelor (*solid modelling* - SM). Metoda *wire-frame* reprezintă obiectele doar parțial, forma solidă a acestora trebuind generată din modelul respectiv. Pentru multe aplicații ingineresti aceste reprezentări sunt suficiente. Având în vedere implementarea crescândă a calculatoarelor în inginerie și în special în analiza inginerescă sau pentru generarea automată a specificațiilor de producție, un model trebuie să fie reprezentat cât mai complet posibil. Tehnica de modelare a solidelor a fost dezvoltată tocmai cu acest scop. Aceasta presupune trecerea de la reprezentările convenționale cu linii și curbe (2D) sau suprafețe ($2^{1/2}$ D, 3D) la reprezentarea prin forme folosind solide tri-dimensionale.

Există două abordări ale SM și anume:

- construcția prin blocuri (*Constructive solid geometry* CSG) – metodă ce permite utilizatorului folosirea unor primitive grafice ale unor modele solide (ca de exemplu paralelipipede, sfere, cuburi, cilindrii, piramide, etc.) care pot fi folosite la construirea modelului (fig. 10.12);

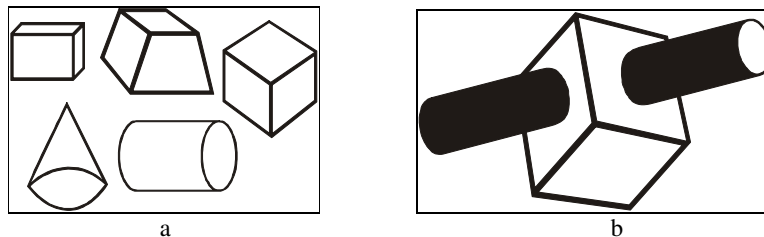


Fig. 10.12. Generarea unui model SM:

a - câteva primitive grafice ale unui sistem de modelare; b – un model SM utilizând doar cilindrul și cubul ca primitive grafice.

- reprezentarea prin fețe (*Boundary representation*) care presupune că utilizatorul trebuie să deseneze mai multe vederi ale modelului, împreună cu liniile de interconectare între acestea (fig. 10.13 și 10.14);

10.2.4.4. Analiza inginerescă

În formularea fiecărui tip de proiect din inginerie este necesară o foarte complexă analiză. Analiza poate presupune analiza proprietăților materialelor, calculele pentru transfer de căldură sau folosirea ecuațiilor diferențiale, pentru a

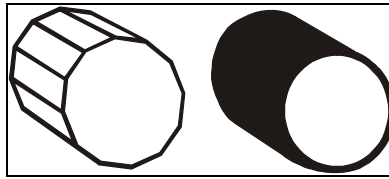
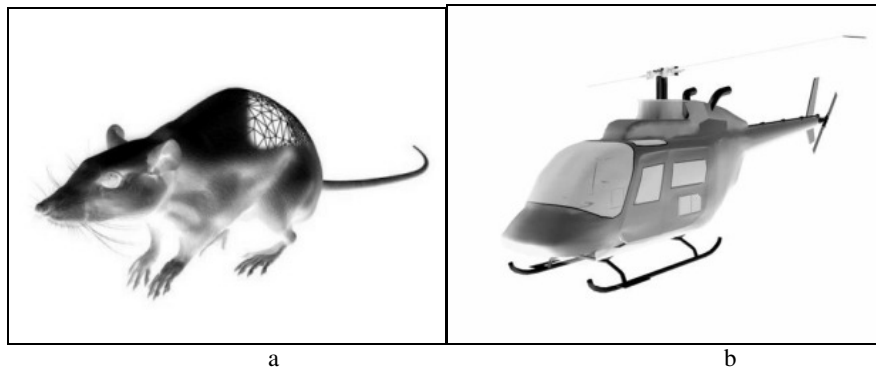


Fig. 10.13. Reprezentarea prin fețe a unui cilindru.

Fig. 10.14. Exemple de modelare solidă:
a - a unui șobolan de laborator; b - a unui elicopter.

exprima comportamentul dinamic al sistemului sau al obiectului de proiectat. Calculatorul poate ajuta în această muncă de analiză. Adeseori, programe specifice de calculator sunt dezvoltate chiar de grupul de analiză pentru a rezolva anumite probleme de proiectare. În alte situații, sisteme comerciale pot fi folosite în același scop. De exemplu, analiza de masă a unui obiect presupune, în cadrul unui sistem CAD, specificarea proprietăților unui obiect solid, ca de exemplu, suprafața, greutatea, volumul, centrul de greutate și momentul de inerție. Pentru o suprafață plană, calculele corespunzătoare includ perimetrul, aria și proprietățile inerțiale.

Această analiză se poate face folosind *modelarea în element-finit*. Aceasta reprezintă poate cea mai puternică și importantă proprietate a unui sistem CAD. Majoritatea problemelor în inginerie sunt nedeterminate din punct de vedere static, adică analiza statică a acestora nu permite colectarea de suficiente informații pentru comportamentul acestora. În metoda elementului finit, obiectul de analizat este împărțit într-un număr mare de elemente finite care formează o rețea de noduri interconectate unele cu celelalte. Folosind un calculator, întregului obiect îi poate fi analizată starea de tensiuni, transferul de căldură, vibrațiile sau alte caracteristici prin observarea comportamentului fiecărui nod din rețea. Prin determinarea relațiilor de comportament în diferitele noduri, se poate ajunge la comportamentul întregului obiect. Suficiente informații pot fi obținute prin combinarea următoarelor:

- echilibrul static pentru fiecare nod;
- mișcarea geometrică a fiecărui nod;
- analiza specifică a fiecărui nod;

Selecția tipului de element (nodurilor) și poziția acestora este importantă. Unele sisteme CAD au capacitatea de a defini automat nodurile și structura rețelei pentru un obiect dat. Operatorul uman trebuie doar să specifice parametrii pentru modelul de element-finit și sistemul CAD calculează comportamentul automat.

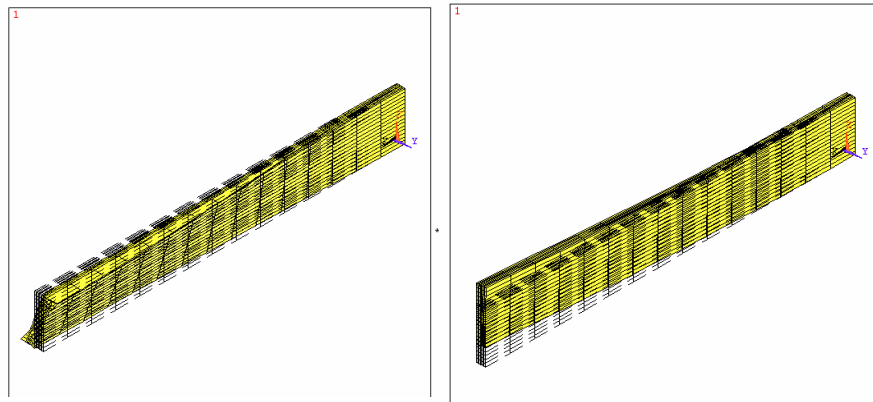


Fig. 10.15. Moduri de vibrație ale unei lamele piezoceramice (modele realizate cu ANSYS 5.0).

Ieșirea analizei în element-finit este de obicei cel mai bine reprezentată de sistemul CAD într-un format grafic pe un terminal. De exemplu, modul de vibrație al unei bare piezoceramice este suprapus peste imaginea originală a barei, ca în figura 10.15. Grafica color este folosită de asemenea pentru accentuarea comparației între obiectul original și cel în vibrație.

10.2.4.5. Evaluarea și modificarea proiectului

Verificarea acurateții unui proiect sau schițe se poate face în mod simplu pe un terminal grafic. Rutinele de autodimensionare și toleranțe care atribuie dimensiuni suprafețelor sau muchiilor de prelucrat indicate de operator ajută la minimizarea erorilor. Sistemele CAD permit chiar *mărirea* unor zone parțiale ale desenului (*zoomare*) pentru o observare mai atentă a detaliilor și pentru o eventuală corectare a greșelilor. O altă tehnică importantă introdusă de sistemele CAD este *stratificarea* (*layering*). Aceasta înseamnă, de exemplu, suprapunerea schiței geometrice a unei piese finite cu forma semifabricatului turnat, în acest fel putându-se observa dacă adaosurile de prelucrare sunt suficiente pentru a acoperi dimensiunile piesei finite care să îndeplinească toate condițiile tehnice cerute. Pentru verificarea interferenței unor componente în comportarea globală a unui obiect se folosește tehnica *analizei dinamice*. Sistemele CAD permit simularea

mișcării unor mecanisme simple, ca de exemplu mecanisme de tip bielă-manivelă, scripeți, lagăre, rulmenți sau simplele gâturi între componente, și ajută la verificarea interferenței dintre acestea.

10.2.4.6. Schițarea automată

Schițarea automată presupune crearea unor desene inginerești direct din baza de date a sistemului CAD. În trecut, singura justificare pentru CAD era aceasta, și anume că prin acest proces de schițare automată a proiectelor, productivitatea muncii crește de cinci ori față de schițarea manuală. Din proprietățile importante ale acestui proces, se pot aminti dimensionarea automată a obiectului, definirea suprafețelor de intersecție, abilitatea de a genera diverse vederi ale obiectului, cât și posibilitatea de a roti obiectul cu un număr de grade, specificat de operatorul uman.

Majoritatea sistemelor CAD pot genera automat șase vederi ale aceluiasi obiect. De asemenea, programând standardele unui anumit client/companie, sistemul CAD are grijă de respectarea automată a acestora la realizarea desenelor sau schițelor.

10.2.4.7. Clasificarea componentelor și codarea acestora

O altă proprietate importantă a unui sistem CAD este aceea că poate stoca diverse componente de același tip creând astfel clase de obiecte. Apoi sunt generate automat coduri pentru acestea, iar utilizatorul uman nu are altceva de făcut decât să selecteze din librăria existentă a sistemului CAD părțile componente de care are nevoie.

10.2.4.8. Crearea unei baze de date pentru producție

Un alt important avantaj al folosirii sistemelor CAD este acela al realizării unor baze de date necesare producției unui produs. În ciclul de producție tradițional există o separație a proiectării și producției, în sensul că proiectarea era realizată de o grupă de ingineri, iar rezultatul muncii acestora, schițele produsului, erau preluate de inginerii de producție.

Aceasta presupunea un proces în două etape, care era atât consumator de timp, cât și de resurse umane. Într-un sistem integrat CAD/CAM, se realizează o legătură directă între proiectare și producție. Unul din scopurile CAD/CAM este acela de a automatiza atât unele faze de proiectare și producție, dar și acela de a automatiza tranziția dintre cele două etape. Astfel a apărut conceptul de *bază de date de producție*. Aceasta include toate datele referitoare la produsul generat în timpul proiectării (modele geometrice, costuri de materiale, specificații de materiale etc.), ca și date adiționale necesare producției, așa cum se poate observa în figura 10.16.

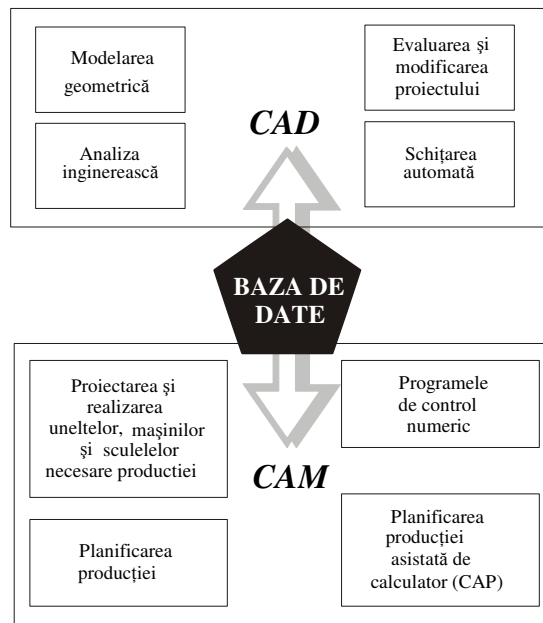


Fig. 10.16. Relația între baza de date și CAD/CAM.

10.2.4.9. Avantaje ale folosirii CAD/CAM

Există foarte multe avantaje ale folosirii CAD/CAM, dintre care doar câteva pot fi măsurate cu ușurință. Unele avantaje sunt indirect măsurabile, ele reflectându-se doar în îmbunătățirea muncii, altele sunt direct măsurabile, ca de exemplu, creșterea productivității muncii de un factor K, scăderea costurilor de proiectare cu o anumită sumă etc. Câteva dintre avantaje sunt prezentate în continuare:

- îmbunătățirea productivității;
- scurtarea timpilor de producție și de proiectare;
- reducerea personalului uman;
- modificările specifice pentru diverși clienți sunt ușor de făcut;
- cotarea și dimensionarea automată a produsului;
- acuratețea îmbunătățită a desenelor;
- ajutorul important în realizarea documentațiilor;
- standardizarea schițelor;
- proiectarea mai bună;
- estimarea costurilor mai rapidă și mai precisă;
- timpul mai redus pentru simulări;
- o mai bună comunicare între ingineri, proiectanți, manageri și alți membri ai echipelor de producție;

- mai puține erori de proiectare;
- o mai mare acuratețe în realizarea calculelor de proiectare.

O succintă prezentare a acestor avantaje se face mai jos.

Îmbunătățirea productivității în proiectare

Productivitatea crescută a unei companii va duce la creșterea prestigiului acesteia din cauza reducerii de personal necesar unui anumit proiect și, implicit, obținerii unor costuri și timpi mici. Groover semnalează faptul că într-un sondaj al unor producători de sisteme CAD, productivitatea poate fi mărită cu un factor de 3/1, până la cazuri în care este mărită cu 10/1 și chiar mai mult. Există chiar cazuri când productivitatea a fost mărită de 100 de ori, dar această cifră nu este un standard. Acest factor depinde de complexitatea schițelor ingineresti, de nivelul de detalii cerut, de gradul de repetiție și simetrie al componentelor implicate, cât și de capacitatea bazelor de date CAD/CAM folosite. Pe măsură ce toți acești factori cresc, productivitatea tinde să crească la rândul său.

Scurtarea timpilor de proiectare și producție

Sistemele interactive de CAD sunt în mod evident mult mai rapide decât procesul tradițional de proiectare. De asemenea, timpii de pregătire a unor rapoarte preliminare și liste (de componente, de exemplu), care în mod normal sunt întocmite manual, sunt scurtați foarte mult. Având în vedere toate acestea, folosind un sistem CAD, se poate ajunge la un timp relativ scurt de realizare a unui proiect.

Analiza automată a proiectării

Rutinele de analiză a proiectării dintr-un sistem CAD permit ca procesul de proiectare să devină unul logic. Decât să existe o legătură între o echipă de proiectare și una de analiză, aceeași persoană, folosind un terminal CAD, poate să realizeze și proiectarea, și analiza. Aceasta ajută nu numai la economia de resurse umane, cât și la realizarea unui timp real mai mic. În cazul tradițional, după fiecare modificare făcută asupra unui proiect, acesta era trimis din nou la analiști care apoi comunicau rezultatele înapoi proiectantului. Aceasta nu înseamnă că analiștii de proiect sunt o categorie pe cale de dispariție. Este vorba numai de modificările minore sau mai puțin minore în stadiile preliminare ale proiectului. În acest caz, mai multe alternative de proiectare pot fi explorate pentru a se vedea care se pretează mai bine cerințele clientului.

Mai puține erori de proiectare

Sistemele CAD interactive posedă o proprietate intrinsecă de a evita erorile de proiectare, de schițare și de documentare. De exemplu, pentru estimarea costurilor, erorile de tastatură (de intrare), care apar în mod natural în timpul estimării manuale, sunt practic eliminate. De asemenea alte erori pot fi corectate în cazul în care sistemul întreabă în mod interactiv utilizatorul de acuratețea anumitor date care par problematice sau eronate. Toleranța sistemului, care poate fi introdusă de operatorul uman, joacă de asemenea un rol important în evitarea erorilor.

O mai mare acuratețe în calculele de proiectare

În cazul calculelor manuale, o precizie mai mare de 14 zecimale semnifi-

cative este practic imposibil de realizat, din cauza timpilor mari de calcul pe care îi implică un asemenea proces. În cazul sistemelor CAD, nici nu se poate compara precizia calculatoarelor cu cea manuală.

Standardizarea proiectării

O singură bază de date și un singur sistem de operare este comun la toate terminalele și stațiile de lucru dintr-un sistem CAD. Ca urmare, sistemul conduce în mod natural la standarde pentru proiectare și desenare. Cu sistemele interactive CAD, desenele sau schițele sunt standardizate pe măsură ce sunt desenate, din cauză că întregul format este prezent în nucleul acestora.

Proceduri îmbunătățite pentru schimbări ingineresti

Controlul și implementarea schimbărilor într-un proiect existent este îmbunătățită în mod substanțial în sistemele CAD. Desenele și schițele originale sunt stocate în baza de date a proiectului, și aceasta le face foarte ușor accesibile pentru modificări. De asemenea, o listă a schimbărilor ce se efectuează asupra acestora se poate stoca în memoria calculatorului, și în caz de nevoie se poate reveni asupra modificărilor.

Avantaje ale procesului de producție

Avantajele CAD au implicații importante și în procesul de producție. Așa cum s-a mai menționat, aceeași bază de date CAD/CAM este folosită și pentru planificarea producției și pentru controlul acesteia.

Câteva avantaje ale folosirii CAD în procesul de producție sunt:

- controlul numeric al proceselor (CN);
- planificare asistată de calculator;
- liste de componente (de asamblare) generate de sistemul CAD;
- controlul asistat de calculator;
- controlul și planificarea roboților;

Câteva dintre aceste avantaje ale CAD în procesul de producție vor fi analizate mai în detaliu în subcapitolele următoare.

10.2.4.10. Echipamente fizice în sistemele CAD

Echipamentele fizice ale unui sistem CAD (hardware-ul) sunt disponibile într-o gamă foarte largă de tipuri, mărimi, configurații și capacități. De aceea este posibilă alegerea exactă a echipamentului de care are nevoie o anumită companie. De exemplu, firmele de inginerie care nu se implică în producție, se pot axa doar pe un sistem de proiectare, desenare sau schițare. Firmele de producție pot alege sisteme CAD/CAM complete, atât pentru schitare/desenare, cât și pentru planificarea producției, a termenelor de livrare, a controlului calității etc.

Așa cum s-a mai menționat anterior, resursele hardware de care dispune un sistem CAD sunt una sau mai multe stații de proiectare CAD. La rândul ei, o stație de proiectare CAD conține terminale grafice, dispozitive de intrare, plottere sau alte dispozitive de ieșire și unitatea centrală de prelucrare (UCP), așa cum se poate observa în figura 10.17.

O stație de lucru CAD este interfața sistemului cu lumea exterioară. Ea reprezintă un factor important pentru a determina cât de facil și eficient este pentru un proiectant să folosească respectivul sistem CAD. După Foley și al., 1982, stația de proiectare trebuie să îndeplinească cinci funcții:

- trebuie să comunice cu UCP;
- trebuie să genereze o imagine grafică stabilă pentru operatorul uman;
- trebuie să genereze descrierea digitală a imaginii grafice;

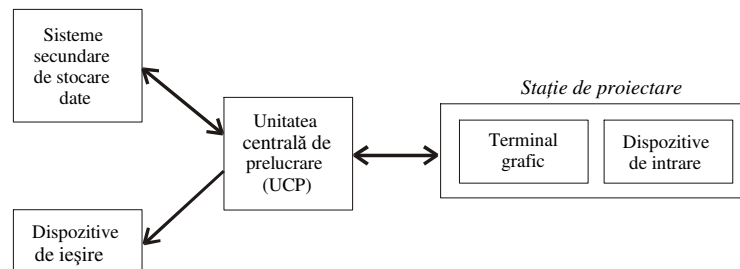


Fig. 10.17. Configurația tipică a unui sistem CAD.

- trebuie să traducă comenzile calculatorului în funcții de operare;
- trebuie să faciliteze procesul de comunicare dintre operatorul uman și sistemul CAD.

În general, o stație de proiectare CAD este formată dintr-un terminal grafic și unul sau mai multe dispozitive de intrare (tastatura, planșeta electronică de desen etc.).

Terminalul grafic. Există numeroase soluții tehnice care au fost implementate pentru dezvoltarea terminalelor grafice. Tehnologia continuă să se perfecționeze rapid, producătorii de sisteme CAD încercând să-și îmbunătățească produsele și să reducă costurile.

Actualmente, există trei tipuri importante de terminale grafice:

- *directed-beam-refresh*, care este cel mai vechi tip de terminal grafic al tehnologiilor moderne. Din cauză că ecranul este format din elemente fosforescente, care sunt capabile să rețină luminozitatea pentru scurte perioade de timp, imaginea trebuie să fie generată de mai multe ori pe secundă (*refresh*), pentru ca ochiul uman să nu observe oscilația acesteia pe ecran;

- *direct-view storage tube* (DVST) – spre deosebire de primul tip de terminal grafic, DVST are capacitatea de a reține imaginea, fără a mai fi nevoie de regenerarea acesteia. Acest lucru este posibil datorită folosirii unui tun electronic, care, direcționat către stratul de fosfor al ecranului, menține luminozitatea acestuia;

- *TV digital* (raster scan) – aceste tipuri de terminale funcționează prin emiterea unui fascicul de electroni care traversează ecranul în zig-zag.

Foarte important într-un sistem CAD este posibilitatea acestuia de a afișa imaginile folosind culori sau posibilitățile de animație ale acestora. Aceste

capabilități sunt dependente de echipamentele fizice folosite și în special de terminalul grafic folosit. Din anii 1980 s-au făcut progrese remarcabile în acest domeniu. În prezent, cea mai folosită tehnologie de afișare color a imaginilor folosește trei tunuri electronice pentru a genera culorile roșu, verde și albastru pe un ecran cu fosfor. Prin combinarea intensităților acestor culori principale, o multitudine de culori pot fi generate. În prezent, există terminale grafice cu rezoluții de peste 1 600×1 200 pixeli cu tonuri de culoare ce pot fi reprezentate pe 128 biți (ceea ce înseamnă că pot fi reprezentate 2^{128} tonuri de culoare).

Dispozitive de intrare. Acestea sunt prezente în stația de lucru CAD pentru a facilita comunicarea dintre operatorul uman și sistem. O stație de lucru dispune în general de mai multe astfel de dispozitive, permițând astfel operatorului uman alegerea celui mai potrivit dispozitiv pentru efectuarea proiectării. Aceste dispozitive de intrare pot fi clasificate în trei categorii:

- *dispozitive de control a cursorului pe ecran*, care permit utilizatorului să controleze cursorul pe ecran (cursor = de obicei un punct luminos pe ecran care indică unde se face desenarea). Există o foarte mare varietate de dispozitive de intrare pentru controlul cursorului, ca, joysticks, mouse, track ball, creion optic, creion electronic etc.;

- *digitizoare*, care permit transferarea desenelor de pe hârtie în memoria digitală a calculatorului (acest proces se numește digitizare). Este un simplu transfer de coordonate de pe hârtie (x,y) în coordonate ecran;

- *tastaturi* sau alte *dispozitive alfanumerice*, care sunt folosite pentru a introduce comenzi, funcții și date suplimentare către sistemul CAD.

Plottere sau alte dispozitive de ieșire. Există o mare varietate de dispozitive de ieșire folosite în conjuncție cu un sistem CAD. Dintre acestea trebuie menționate *plotterele* care pot produce schițe de o mare acuratețe și calitate, *imprimantele*, care cu tehnologia actuală asigură o calitate ridicată a imaginii tipărite etc.

Unitatea centrală de prelucrare (UCP). Aceasta reprezintă „creierul” întregului sistem CAD. În general este un minicalculator care execută calculele necesare procesării grafice și alte funcții de direcționare și control a activităților ce au loc în sistem.

Memoria secundară. În general, un sistem CAD, pe lângă memoria principală, posedă și o memorie secundară, de obicei sub forma unui disc sau bandă magnetică. Scopul acestei memorii secundare este de a reduce folosirea memoriei principale. De exemplu, memoria secundară poate fi folosită la stocarea fișierelor cu programele CAD, programe care pot fi transferate către memoria principală în caz de nevoie.

10.2.4.11. Programele de grafică pentru un sistem CAD (software-ul CAD)

Echipamentele fizice menționate anterior ar fi total inutile fără niște programe de calculator pentru folosirea lor și anume software-ul de grafică.

Software-ul de grafică este o colecție de programe concepute pentru a facilita folosirea sistemului grafic de către un operator uman. Tipul de programe de grafică implementate pe un anumit sistem CAD depinde în mare măsură de echipamentele fizice de care dispune acesta. Spre exemplu, programul necesar afișării unei imagini pe un terminal grafic DSTV este total diferit de cel conceput pentru un terminal digital TV, cu toate că aceste operații sunt transparente față de utilizator.

Newman și Sproull au definit șase reguli de bază care trebuie să fie luate în considerare la proiectarea unui software de grafică și anume:

- *simplu* – software-ul trebuie să fie simplu de folosit;
- *consistent* – software-ul trebuie să poată fi folosit într-o manieră consistentă și predictibilă pentru operatorul uman;
- *complet* – software-ul trebuie să nu prezinte omisiuni în ceea ce privește funcțiile grafice pe care le posedă;
- *robust* – sistemul grafic trebuie să fie tolerant la erori mici;
- *performant* – sistemele grafice trebuie să lucreze rapid și la un nivel calitativ înalt;
- *economic* – programele de grafică nu trebuie să fie de mărime mare sau să aibe cost ridicat;

În timpul operării unui sistem grafic, un operator uman efectuează o varietate de operații ce pot fi clasificate în trei categorii:

- interacțiuni cu terminalul grafic cu scopul de a crea și modifica imagini pe ecran;
- construirea pe ecran al unui model pentru obiectul fizic considerat;
- stocarea acestui model în memoria calculatorului.

Operatorul uman nu efectuează aceste trei tipuri de operații secvențial, ci mai degrabă realizează combinații între acestea. Motivul pentru care aceste operații au fost separate în acest mod este pentru că ele corespund unei configurații generale a unui sistem de grafică interactiv. Astfel, programele de grafică pot fi împărțite în trei module:

- pachetul de grafică;
- programele de aplicații;
- baza de date a aplicațiilor.

Așa cum se poate vedea din figura 10.18, un rol important îl poartă programele de aplicație. Acestea sunt responsabile pentru citirea de date în și din baza de date a sistemului. Aceste programe de aplicații sunt controlate de operatorul uman prin intermediul pachetului de grafică.

Programele de aplicații sunt folosite de operatorul uman pentru a construi modelul unei entități fizice a cărei imagine trebuie să fie văzută pe ecranul terminalului grafic. Aceste aplicații sunt scrise pentru diverse domenii, cum ar fi arhitectura, construcțiile, ingineria mecanică, ingineria chimică și ingineria aeronautică etc., și folosesc convenții care sunt specifice acestor ramuri industriale.

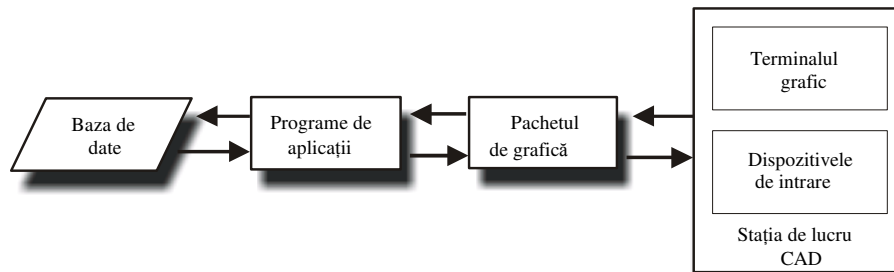


Fig. 10.18. Structura generală a unui software de grafică.

Pachetul de grafică este programul de calculator care asigură comunicarea dintre operatorul uman și terminalul grafic. Acesta reprezintă totodată și legătura dintre aplicațiile de program și operatorul uman și conține funcții de intrare și funcții de ieșire. Funcțiile de intrare acceptă comenzi și date de intrare de la operatorul uman. Funcțiile de ieșire comandă și controlează vizualizarea imaginilor pe terminalul grafic. Cel de-al treilea modul, baza de date, conține modele matematice, numerice și logice predifinite, ca de exemplu circuite electronice, componente mecanice, părți de automobil și așa mai departe. Baza de date a sistemului poate conține de asemenea și informație alfanumerică asociată cu modelele respective, ca de exemplu costurile și proprietățile materialelor, etc.

• *Funcțiile unui pachet de grafică.* Un pachet de grafică, pentru a-și îndeplini rolul într-un sistem grafic, trebuie să realizeze o varietate de funcții diferite. Aceste funcții pot fi grupate în mai multe seturi și fiecare set trebuie să îndeplinească un anumit tip de interacție între operatorul uman și sistem. Cele mai comune seturi de funcții sunt:

- *generarea de elemente grafice* – un element grafic este o entitate de bază a unei imagini (de exemplu punctul, segmentul de dreapta, cercul, etc. sau în cazul graficii tridimensionale sfera, cubul sau cilindrul). Acestea se mai numesc și primitive grafice.

- *transformări* – transformările sunt folosite pentru a schimba imaginea pe ecranul terminalului grafic. Acestea sunt aplicate primitivelor grafice pentru a asista și ajuta operatorul uman în construirea modelului grafic. Se poate menționa schimbarea dimensiunilor unei primitive (scalare), translația, rotirea imaginilor etc.

- *funcții de segmentare* – acestea permit operatorului uman să selecteze anumite părți de imagine și să aplice transformări numai asupra acestora.

- *funcții de control al vizualizării imaginii* – acestea permit operatorului să vizualizeze imaginea din unghiul și la scara dorită.

- *funcții de intrare* – acestea permit operatorului să introducă comenzi și date către sistem. Aceste funcții sunt în directă legătură cu dispozitivele de intrare

existente în sistem și trebuie să fie scrise în așa fel încât să faciliteze folosirea acestora de către operator.

• *Alte proprietăți ale sistemelor de grafică CAD.* Multe dintre sistemele CAD din prezent oferă abilități extinse pentru dezvoltarea de desene ingineresti. Aceste abilități includ:

- hașurarea automată a suprafețelor;
- posibilitatea de a scrie text în desen;
- cotarea automată sau semiautomată;
- generarea automată a costurilor materialelor brute necesare pentru producția obiectului sau modelului din schița/desen.

Toate aceste posibilități ajută la reducerea timpilor necesari terminării procesului de desenare și schițare.

10.2.4.12. Exemple de folosire CAD

Folosirea sistemelor de proiectare CAD/CAM reprezintă la ora actuală nu un obiectiv cum se întâmpla acum câțiva ani, ci o necesitate obiectivă venită în întâmpinarea noilor cerințe de realizare a unor produse cu calități deosebite, a implementării unor tehnologii deosebit de productive, atât de necesare în implementarea noilor concepții economice de piață și în integrarea economică mondială a cărei perspectivă este aproape certă. Pentru înțelegerea noțiunilor de CAD/CAM trebuie avute în vedere o serie de pachete de software ce asigură realizarea, urmărirea și optimizarea unui produs din faza de concepție a acestuia, trecând prin faza de producție, până în faza de control. Orice sistem de proiectare și producție asistată de calculator este un sistem flexibil ce înglobează o sumă de programe dintre care pot fi folosite unele sau altele în funcție de cerințele concrete ale fiecărui producător și de opțiunile proiectantului de sistem.

Ținând cont de aceste elemente trebuie remarcată folosirea încă în etapa de proiectare a unor programe de desenare, ce evoluează permanent, și care au început să-și depășească titulatura prin îmbunătățiri ce extind aria de folosire și către alte atribuții. Dintre aceste software-uri se remarcă folosirea celor intitulate ACAD sau ProEng. Aceste programe realizează desene în 2D, 3D sau corpuri solide înzestrate cu anumite proprietăți. Produsul finit al acestor programe poate fi folosit ca atare sau poate fi element de intrare pentru alte programe specializate, cum ar fi cele folosite pe mașinile-unelte pentru producerea fizică a pieselor sau pentru programe de simulare pe calculator a comportării în anumite condiții cerute. Din rândul acestor programe se pot remarca: ANSYS, NASTRAN sau COSMOS, programe ce folosesc teoria elementui finit și care sunt foarte folosite la ora actuală.

Ca primă etapă în folosirea sistemelor CAD/CAM este realizarea desenului piesei, a desenului de subansamblu sau a celui de ansamblu. Pentru realizarea acestui desen nu se poate impune o metodologie clară de lucru, aceasta rămânând la latitudinea fiecărui proiectant în parte. Totuși se pot remarca câteva etape ce sunt

necesare a fi parcurse și care pot ajuta la realizarea unui desen corect și în timp minim. În figura 10.19 se prezintă desenul unui corp de pompă ce se poate încadra în clasa corpurilor complexe. Etapele sugerate a se parcurge în eleborarea unui astfel de desen ar putea fi:

- definirea limitelor spațiului de lucru și anume a formatului sub care se face reprezentarea. Astfel, în general se folosesc formate A4 sau A3, însă ca avantaj a acestui program este adaptarea acestuia la orice cerință. Pentru aceasta se folosește comanda „Limits” în care se introduc cordonatele colțului din stânga jos și a celui din dreapta sus.

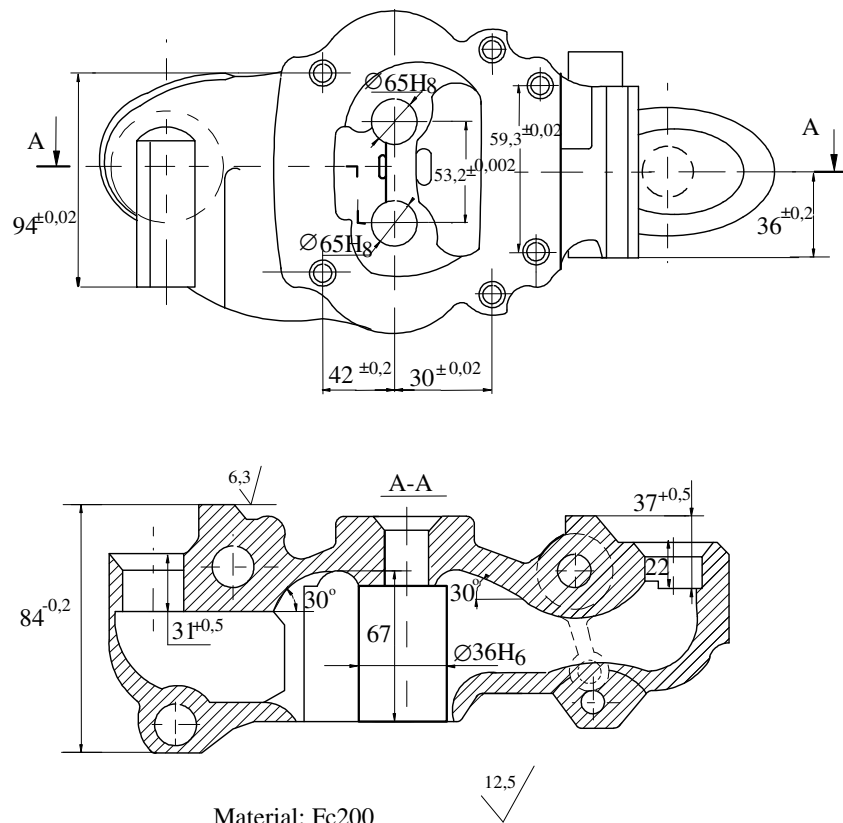


Fig. 10.19. Corp de pompă.

- a doua etapă este cea de vizualizare a acestui spațiu folosind pentru aceasta o rețea de puncte fine numită „Grid”. Pentru programul ACAD 2000 distanța implicată dintre acestea este de 10 mm dar se poate alege orice altă valoare.

- în a treia etapă, în funcție de caracteristicile desenului se pot activa sau, la fel de ușor, se pot dezactiva, în funcție de necesități, comenzile „Ortho” sau „Snap” prin care cursorul de pe ecran se va deplasa numai pe direcții ortogonale sau, respectiv, numai în puncte discrete situate la distanțe ce pot fi alese inițial de desenator. Aceste comenzi sunt foarte utile și ajută la reducerea timpului de lucru.

- după stabilirea acestor „unelte de lucru” în funcție de caracteristicile desenului și de modul de lucru al proiectantului se poate trece la desenarea efectivă. În mod normal, dacă desenul are axe de simetrie se începe prin reprezentarea acestora. Pentru aceasta se va folosi un gen de linie-punct ce se alege din lista de tipuri de linii oferite de program. Comanda pentru trasarea liniei se face cu opțiunea „Line”. În cadrul piesei prezentate se observă existența axelor de simetrie ce vor fi trasate în primul rând;

- în această etapă se va trece la realizarea efectivă a desenului folosind tipul de linie necesar, în general linia continuă. De remarcat este opțiunea pentru stabilirea grosimii de linie mai ales în cazul în care desenul prezintă hașuri a căror grosime de linie este mai mică decât a liniilor de contur. Această opțiune se stabilește cu ajutorul comenzii „Pline”. În cazul în care se dorește modificarea grosimii de linie folosită anterior se folosește comanda „Pedit”. Pentru piesa prezentată grosimea liniilor de contur se poate alege 0,3. Pentru realizarea liniilor drepte se folosește comanda „Line”, pentru cercuri „Circle”, pentru arcuri de cerc „Arc”, ș.a.m.d. Pentru realizarea zonelor hașurate este recomandabil, pe cât este posibil, executarea întâi a acestora și cu o altă linie. În orice caz aceste suprafețe trebuie să fie delimitate de linii închise, ce se intersectează, pentru a se ușura mai apoi realizarea hașurii.

- în situația în care piesa are una sau mai multe simetrii se va urmări realizarea numai a unei jumătăți, iar după aceea folosind comanda „Mirror”, automat, programul va trasa și cealaltă jumătate.

- deoarece desenul prezentat prezintă mai multe entități ce se repetă (cercuri) folosind comanda „Copy” se vor realiza mai multe copii ale acestora ce se vor poziționa foarte repede în punctele dorite.

- după realizarea tuturor liniilor de contur, folosind pentru aceasta un meniu foarte bogat oferit de program, se trece la realizarea hașurilor. Pentru aceasta se folosește comanda „Hatch”. Prin activarea acestei comenzi programul oferă o serie de opțiuni, precum:

- „Pattern” pentru stabilirea tipului hașurii;
- „Angle” pentru stabilirea unghiului sub care se realizează aceasta față de poziția inițială;
- „Scale” pentru stabilirea „densității” de linii față de o valoare prestabilită.

Pentru selectarea suprafeței ce va fi hașurată se definesc două metode:

- „Pick Points” în care se alege un punct în interiorul suprafeței și de aceea este bine că aceasta să fie delimitată de linii ce se intersectează, în caz contrar

comanda nerealizându-se.

- „Select Objects” prin care se selectează fiecare entitate ce definește suprafața ce trebuie hașurată. În cazul în care acestea nu se intersectează hașura nu se va executa corect;

- după executarea hașurii se va trece la realizarea cotării desenului. Pentru aceasta Programul ACAD 2000 ușurează foarte mult munca desenatorului realizând cotarea foarte ușor, doar prin indicarea, de exemplu, a capetelor unei linii. Pentru cotare se folosește comanda „Dimension” cu opțiuni pentru cote liniare, unghiulare, radiale ș.a.m.d. Față de versiunile anterioare ale programului această comandă a suferit multe îmbunătățiri fiind acum foarte ușor de folosit.

Urmărind astfel doar câteva din etapele sau noțiunile folosite în realizarea unui desen cu ajutorul programului AUTOCAD se pot ușor observa facilitățile oferite și posibilitatea realizării unui desen corect într-un timp foarte scurt.

10.2.5. Producția asistată de calculator - CAM

10.2.5.1. Controlul Numeric (CN) - începuturile CAM

Multe din realizările CAD/CAM-ului își au originea în controlul numeric (CN).

Acesta poate fi definit ca o formă de automatizare programabilă în care un anumit proces este controlat de numere, litere și simboluri. În CN numerele formează un program de instrucțiuni realizat pentru un anumit proces. Când procesul se schimbă, programul se schimbă la rândul său. Acesta este marele avantaj al controlului numeric – *flexibilitatea*. Este mult mai ușor să schimbi niște numere și simboluri într-un program, decât să schimbi echipamentul și linia de producție. Controlul numeric a fost folosit cu succes într-o gamă largă de aplicații, începând cu desenul tehnic, asamblarea, inspecția, și până la sudarea în puncte. Însă, majoritatea aplicațiilor controlului numeric sunt în domeniul prelucrării materialelor.

Controlul numeric convențional este în mare măsură bazat pe munca unui singur pionier în acest domeniu – John Parsons. În anul 1940 acesta a pus la punct o metodă pentru folosirea cartelelor perforate pentru controlul poziției unei mașini-unelte. Mașina a fost învățată să se mute pas cu pas, cu amplitudini mici, astfel puțându-se genera o suprafață dorită. În 1948 Parsons și-a demonstrat teoria în fața U.S. Air Force care, în consecință, a început să-i sponsorizeze munca la Massachusetts Institute of Technology (MIT). Începând cu anul 1953, avantajele CN au început să fie cunoscute în toată lumea, producătorii de mașini-unelte începând să aibă propriile programe de cercetare în acest domeniu. U.S. Air Force și-a continuat sponsorizarea și în alte programe de CN cu MIT, ca de exemplu Automatically Programmed Tools (APT) – Scule Automate Programate. Scopul APT a fost cercetarea unor căi de comunicare dintre inginerul de sistem și mașina-

unealtă în limba engleză. APT este încă folosit pe scara largă și în prezent și multe limbaje de programare de CN folosesc nucleul APT.

a) Structura generală a unui sistem de CN. Un sistem de control numeric este format din următoarele trei părți principale componente (fig. 10.20):

- programul de instrucțiuni;
- unitatea de control mașină (UCM);
- mașina-unealtă sau alt proces de control.

Programul de instrucțiuni constituie datele de intrare pentru UCM, iar aceasta la rândul ei comandă mașina-unealtă. În funcție de modul în care instrucțiunile sunt date către servomotoarele mașinii cu CN pot exista:

- controlul cu ciclu-închis – mod de lucru folosit în majoritatea mașinilor cu CN existente pe piață; acesta presupune transmiterea instrucțiunilor către mașină, iar răspunsul acesteia este monitorizat în așa fel încât eventualele erori să poată fi corectate în timp real;

- control cu ciclu-deschis – soluție de cost minim, în care mașina cu CN nu monitorizează răspunsul la comenzile de control

Într-o mașină cu CN, unealta sau capul de prelucrare se poate mișca în direcții multiple față de piesă, de aceea controlul se face pe mai mult de o axă. Exemple de aplicații și numărul de axe pe care se face mișcarea mașinii-unelte sunt prezentate în continuare:

- două axe – în general mișcarea se face de-a lungul a două direcții ortogonale într-un plan – aplicații: mașini pentru sudarea cu plasmă, mașini de găurit, strunguri etc.;

- trei axe – în general mișcarea se face de-a lungul celor trei direcții ale unui sistem cartezian de coordonate (x , y și z) – aplicații: mașini prelucrat prin așchiere și microașchiere;

- patru axe – presupune mișcare liniară pe trei axe și o mișcare de rotație; aplicații: strunguri cu capete multiple de prelucrat prin așchiere;

- cinci axe – presupune mișcare pe axele (x , y și z) cu rotație pe două dintre acestea, de obicei x și y – aplicații: mașinile de prelucrat prin așchiere.



Fig. 10.20. Structura generală a unui sistem de control numeric.

Programul de instrucțiuni. Acesta reprezintă o listă de instrucțiuni care comunică mașinii-unelte ce trebuie să facă. De obicei, acest program este codat în forma numerică sau alt tip de mediu de intrare care poate fi interpretat de unitatea

de control UCM. După cum menționam s-a plecat de la folosirea cartelelor perforate, ajungându-se în zilele noastre la unități flexibile sau fixe de disc, unități de CD, chiar comenzi vocale. Există două metode de comunicare a acestui program de instrucțiuni unității de control. Prima metodă este aceea de introducere manuală a fiecărei instrucțiuni. Aceasta se folosește pentru procese simple. A doua metodă o constituie legătura directă cu un calculator digital. Aceasta se numește control numeric direct și în acest caz, programul este transmis către UCM.

Unitatea de control mașină (UCM). Aceasta este formată dintr-o serie de circuite electronice și este capabilă de a citi, interpreta și converti instrucțiunile program în acțiuni mecanice ale mașinii-unelte. În general, structura unei UCM arată ca în figura 10.21.

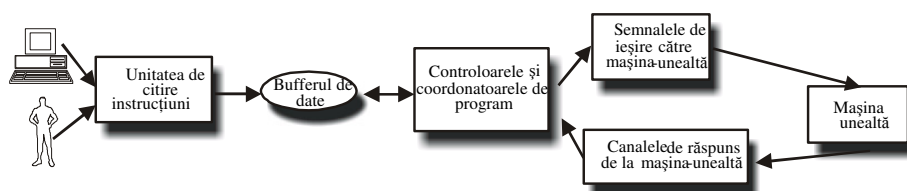


Fig. 10.21. Structura generală a unei UCM.

Unitatea de citire instrucțiuni este un dispozitiv electro-mecanic care realizează citirea manuală sau automată a instrucțiunilor program. Aceste instrucțiuni și date sunt stocate în bufferul de date sub formă de blocuri logice de informație. Un bloc de informație reprezintă de obicei un singur pas a unei secvențe de instrucțiuni. De exemplu, un bloc poate conține instrucțiunile necesare deplasării capului mașinii-unelte și realizarea unei găuri la destinație. Semnalele de ieșire către mașina-unelte sunt conectate direct cu servomotoare și alte elemente electromecanice de control. Prin aceste semnale se transmit instrucțiuni către mașina-unelte. Pentru a fi siguri că aceste instrucțiuni sunt executate corect, canalele de răspuns transmit informații pentru eventuala corectare a acestora. Toate aceste componente sunt comandate și controlate de coordonatoarele de control program care asigură buna funcționare a întregului proces.

O componentă importantă a unui sistem de CN este panoul de control. Acesta conține comutatoare, întrerupătoare și alte elemente mecano-electrice cu care operatorul uman poate controla și sistemul de control numeric.

Mașina-unelte sau alt proces de control. A treia componentă de bază a unui sistem de control numeric este mașina-unelte sau un alt proces ce trebuie controlat. În general, o mașină unealtă, proiectată pentru a realiza anumite operații conține o masă de lucru, capete de lucru și motoarele necesare pentru lucrul cu acestea. De asemenea, poate conține elemente de tăiat, de fixare a obiectelor de prelucrat, cât și alte elemente auxiliare necesare în operațiile respective. Figura 10.22 prezintă două exemple de mașini-unelte cu control numeric.

b) Procedura de control numeric. Pentru utilizarea controlului numeric în procesul de producție, trebuie avuți în vedere următorii pași :

- *planificarea procesului.* Această etapă se referă la pregătirea unei liste de operații necesare procesului de producție. Secvențele de operații se referă atât la procesul de producție în sine, cât și la operațiile necesare mașinii-unelte pentru obținerea rezultatelor dorite.

- *programare parțială.* Fiecare porțiune din procesul de producție trebuie programată într-un limbaj pe care și sistemul de CN îl poate interpreta, înțelege și executa. Operatorii însărcinați cu programarea parțială nu fac decât să traducă lista de secvențe de operații obținute la planificarea procesului într-un format special. Există două metode de programare pentru un sistem de CN și anume:



Fig. 10.22. Exemple de mașini-unelte de prelucrare prin așchiere cu CN.

- programarea manuală;
- programare asistată de calculator.

În programarea manuală, instrucțiunile sunt pregătite de operator într-un document care conține de fapt pozițiile relative și operațiile pe care mașina-unelte trebuie să le facă la un moment dat în timp, cât și ordinea acestora. În programarea asistată de calculator, majoritatea acestor instrucțiuni sunt generate automat, ușurând cu mult munca programatorului uman. În cazul unor piese cu geometrie complexă sau procese de producție cu multe operații, avantajul celei de-a doua metode este în principal economia de resurse umane și de timp.

- *pregătirea și verificarea suportului de introducere date (cartele perforate, unități de disc etc.).* În programarea manuală, programul rezultat este înregistrat manual pe suportul de intrare (bandă perforată, cartelă perforată, bandă sau discuri magnetice etc.). Programarea asistată de calculator aduce și în acest caz un avantaj, prin aceea că programul este înregistrat automat pe suportul respectiv, fără ca operatorul uman să intervină în vreun fel. Verificarea suportului pe care s-a stocat programul de proces se face în general prin simularea acesteia pe un calculator sau chiar pe mașina-unelte respectivă, folosind materiale plastice.

Erorile întâlnite se corectează și un nou suport este pregătit. Procesul este ciclic și se termină când nici o eroare nu mai apare în operația de producție. În general sunt necesare trei cicluri pentru ca versiunea finală, fără erori a programului să poată fi folosită în producție.

- *producția*. Ultima etapă a procedurii de CN este producția. Aceasta presupune folosirea programului în procesul de producție. Misiunea operatorului uman este aceea de a comanda materialele brute necesare, de a le încărca în mașina-unealtă și de a fixa poziția de start a capetelor de prelucrare față de piesa de prelucrat. În acest moment, CN poate prelua controlul procesului în funcție de instrucțiunile stocate. Când piesa este gata, operatorul poate încărca piesa următoare și procesul continuă în acest mod.

c) Controlul mișcării în sistemele cu CN. Pentru a se putea efectua procesele de prelucrare, un sistem de CN trebuie să aibă posibilitatea de a mișca uneltele sau capetele de lucru și piesa de prelucrat, una față de cealaltă. În sistemele cu CN există trei moduri de mișcare de bază:

- *punct-cu-punct*. În acest caz, scopul mașinii-unelte este să poziționeze capul de prelucrare la o locație predefinită (fig. 10.23). Viteza și felul cum se ajunge în acea locație nu contează.

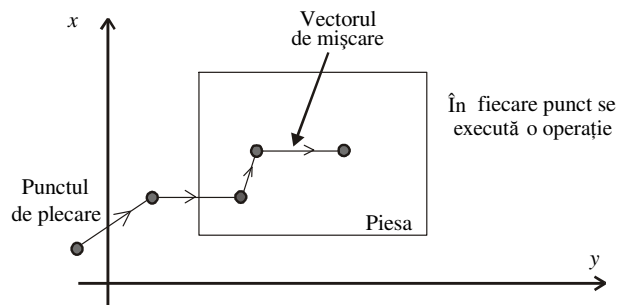


Fig. 10.23. Mișcare punct cu punct.

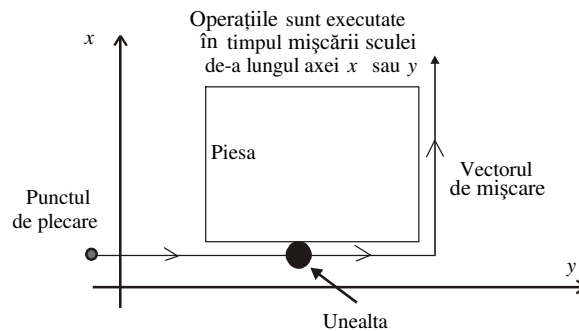


Fig. 10.24. Mișcare paralelă cu una din axele de coordonate.

- *paralel*. În acest caz, capul de prelucrat este mișcat cu o viteză controlată paralel cu una dintre axele principale ale întregului sistem (fig. 10.24).
- *pe contur*. Mișcarea pe contur este cea mai complexă, flexibilă și scumpă dintre cele trei și constă din urmărirea continuă a unui contur predefinit format din curbe geometrice (fig. 10.25). Un sistem de CN cu mișcare pe contur este capabil să efectueze toate cele trei mișcări.

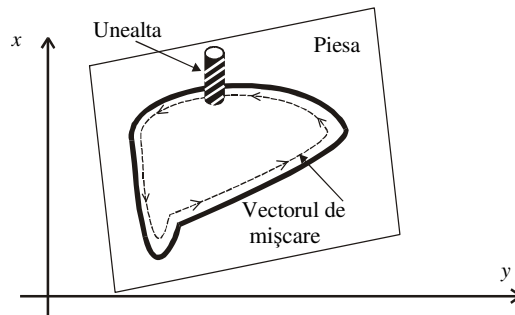


Fig. 10.25. Mișcare pe contur.

d) Computer numerical control (CNC). CNC este un sistem care folosește un program dedicat pentru controlul funcțiilor de bază de CN. În prezent, majoritatea sistemelor de CNC utilizează o unitate de control bazată pe un microcalculator. Configurația unui sistem CNC este foarte similară cu cea a unei mașini cu CN (fig. 10.26). Programele de lucru sunt transmise la unitatea de control într-un mod similar (ca de exemplu, cititoare de cartele sau de benzi magnetice). Diferența constă în faptul că față de CN, unde programul de lucru se introduce de fiecare dată când este nevoie, într-un sistem CNC acesta este introdus o singură dată și este stocat în memoria calculatorului de control aferent.

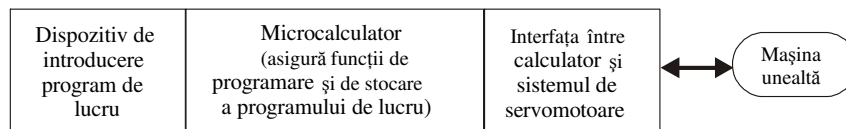


Fig. 10.26. Configurația unui sistem CNC.

Principalele funcții ale unui sistem CNC sunt:

- *controlul mașinii unelte*, care este principala funcție a unui sistem CNC; aceasta presupune conversia instrucțiunilor și a programelor de lucru în mișcări ale capetelor mașinii-unelte cu ajutorul calculatorului și a servomotoarelor aferente;
- *compensarea în timpul procesului*, aceasta presupune corectarea în timp real a mișcărilor capetelor de prelucrare în funcție de eventualele erori sau schimbări ce pot apărea în timpul prelucrării;

- *tehnici de programare și caracteristici de operare avansate*. CNC permite introducerea unor caracteristici de programare foarte folositoare, ca de exemplu: editarea programului de lucru, afișarea vectorilor de mișcare pentru capetele de prelucrare, refolosirea unor rutine de programare existente în librării, posibilitatea de stocare a mai multor programe de lucru etc.;

- *diagnosticare*. Mașinile cu CNC sunt dotate cu un sistem de diagnosticare automată a erorilor existente în sistem (pentru a asista operatorul uman în întreținerea și repararea mașinii). Principala funcție a acestui sistem este aceea de a identifica motivele pentru care mașină cu CNC nu mai funcționează sau funcționează eronat și de a „anunța” operatorul uman că eventuale reparații sunt necesare. De asemenea, când o componentă a sistemului este pe cale să nu mai funcționeze, sistemul de diagnosticare avertizează operatorul, pentru ca acesta să poată schimba respectiva componentă fără disfuncțiuni prea mari pentru procesul de producție. În general într-un sistem de CNC există mai multe componente redundante, având aceleași caracteristici și aceleași funcții în sistem (când o componentă a sistemului nu mai funcționează sau funcționează eronat, sistemul de diagnosticare deconectează automat componenta și activează o componentă de rezervă de același fel, care îndeplinește același rol).

Dintre avantajele folosirii CNC se pot menționa:

- programul de lucru este transferat o singură dată către memoria calculatorului de control;
- programul de lucru poate fi editat și modificat direct pe sistem (după transfer);
- CNC poate asigura conversia automată a unităților de măsură (a fișierelor de lucru realizate în inch în unități ale Sistemului Internațional);
- posibilitatea introducerii unor noi opțiuni de control (ca de exemplu scheme de interpolare) conferă CNC o flexibilitate sporită;
- posibilitatea realizării unor librării de programe (scrise de operator) care pot fi rechemate la nevoie.

e) Control Numeric Direct (CND). CND poate fi definit ca un sistem de producție în care un număr oarecare de mașini unelte sunt controlate de un calculator prin intermediul unei conexiuni directe cu acesta. Controlul se realizează în timp real. Unitatea de citire a fișierelor de lucru nu mai este prezentă într-un sistem de CND, programul de lucru fiind transmis mașinii unelte direct din memoria calculatorului.

Componentele unui sistem CND sunt prezentate în figura 10.27.

Calculatorul central preia fișierele de lucru din memorie și le transferă mașinilor-unelte când este nevoie. De asemenea, monitorizează răspunsul mașinilor unelte la comenzile primite (comunicație în două sensuri), ceea ce înseamnă că în momentul în care o mașină-unelte face o cerere de noi instrucțiuni, acesta este satisfăcut aproape instantaneu. Aceasta îi conferă sistemului CND proprietatea de operare în timp real.

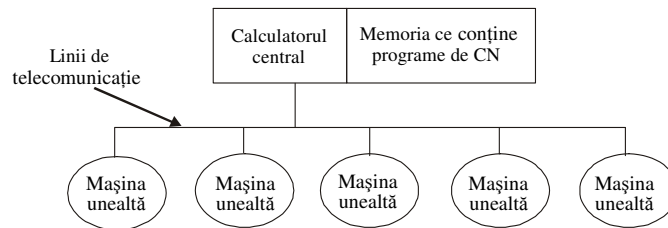


Fig. 10.27. Sistem de CND.

În cazul în care există un număr mare de mașini-unelte care trebuie controlate, sunt introduse niște mâni-calculatoare numite calculatoare satelit (fig. 10.28). Acestea au proprietatea de a elibera calculatorul principal de sarcini, în așa fel încât sistemul să poată opera în timp real. Un calculator satelit poate realiza controlul uneia sau mai multor mașini-unelte. Calculatoarele satelit comunică cu calculatorul central. Acesta trimite instrucțiuni fiecărui calculator satelit, iar acestea le stochează și le trimite către mașina unealtă la nevoie.

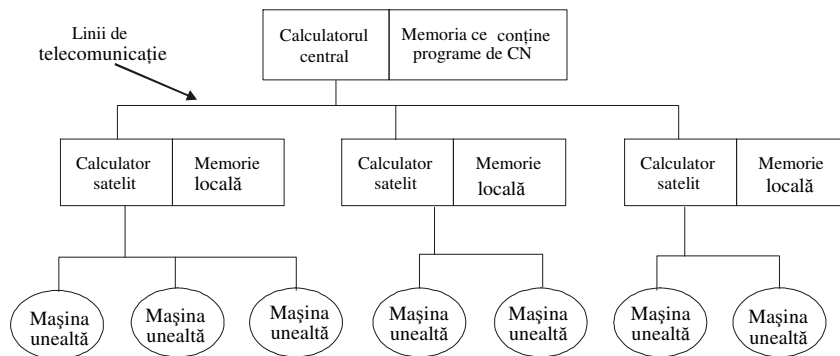


Fig. 10.28. CND cu calculatoare satelit.

Există două tipuri de sisteme CND:

- *CND cu control convențional*, în care calculatorul central este legat prin linii de comunicație cu unitatea de CN care transmite instrucțiunile către mașinile unelte (fig. 10.29);

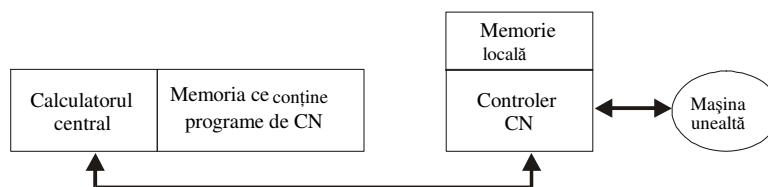


Fig. 10.29. CND cu control convențional CN.

- *CND cu unitate specială de control* (fig. 10.30), în care unitatea de CN este înlocuită cu o unitate specială de control mașină (UCM), care este proiectată în așa fel încât facilitează comunicarea dintre mașinile-unelte și calculatorul central.

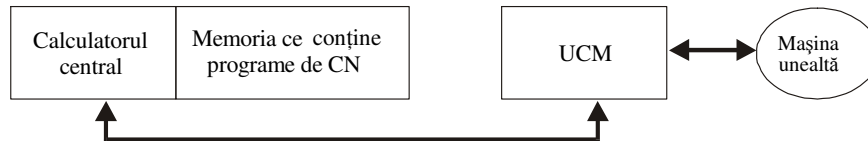


Fig. 10.30. CND cu UCM.

Spre deosebire de CND cu control convențional, CND cu UCM are avantajul că funcțiile UCM pot fi ușor modificate în programul de lucru, față de unitatea de CN care presupune schimbări de configurație fizică (legături, servomotoare etc.).

Funcțiile principale ale unui sistem de CND sunt:

- eliminarea dispozitivului de introducere a programului de CN de lucru (de exemplu cititoarele de bandă și cele de cartele);
- stocarea programului de lucru de CN în memoria calculatorului central sau/și a calculatoarelor satelit;
- colectarea de date, procesarea acestora și realizarea de rapoarte de lucru, ca scop principal în monitorizarea producției;
- o rețea de comunicații este necesară pentru realizarea comunicării dintre diversele unități ale sistemului.

Avantajele sistemelor CND față de sistemele cu control numeric convențional provin tocmai din funcțiile pe care trebuie să le realizeze:

- eliminarea dispozitivelor de introducere a programului de CN de lucru;
- oportunități de operare și flexibilitate sporită, datorită faptului că funcțiile și procesarea de date se face pe calculatorul central cu pachete de programe (față de CN convențional care implementează aceste operații la nivel fizic);
- posibilitatea stocării programelor de CN în memoria calculatorului central și a refolosirii acestora, față de CN convențional unde programul era introdus cu ajutorul cartelelor sau a benzilor/discurilor magnetice de fiecare dată când aceasta era necesar;
- realizarea de rapoarte de lucru (analiza producției, performanțele procesului etc.).

f) Aplicații de control numeric. Actualmente sistemele de CN sunt folosite pe scară largă în lume, mai ales în industria de prelucrare a materialelor. Cele mai multe aplicații ale CN sunt pentru mașinile-unelte de prelucrare prin așchiere. În această categorie de mașini-unelte, sisteme de CN au fost proiectate pentru a realiza practic aproape toată gama de procese de înlăturare a materialului în exces, ca de exemplu: strunjire, frezare, găurire, rabotare, mortezare, broșare, rectificare etc.

Mașinile-unelte cu CN sunt recomandate numai pentru anumite operații. Caracteristicile generale ale proceselor de producție pentru care se pretează folosirea unor mașini-unelte cu CN sunt:

- piesele sunt realizate frecvent și în loturi mici;
- geometria pieselor este complexă;
- în timpul prelucrării sunt necesare multe operații simple sau complexe;
- există mult material în exces (adaosuri de prelucrare mari);
- schimbări în schițele de proiectare sunt operate foarte des;
- piesa necesită o inspecție tehnică de 100%.

Pentru ca un proces de producție să fie realizat cu ajutorul unui sistem de CN nu este necesar ca toate aceste caracteristici să fie prezente. Totuși, cu cât procesul are cât mai multe dintre aceste caracteristici, cu atât procesul poate fi un candidat din ce în ce mai bun pentru CN.

În afară de prelucrările prin așchiere, CN a fost și este folosită cu succes și în alte operații, ca de exemplu: laminarea, tragerea, extrudarea, ambutisarea, sudarea, tăierea cu plasmă, prelucrarea cu fascicol de electroni, prelucrarea cu fascicol de fotoni etc.

g) Avantajele folosirii unui sistem de CN. În cazurile când este implementat, un sistem de CN aduce un număr de avantaje semnificative. Câteva din aceste avantaje sunt prezentate în continuare, cu mențiunea că acestea sunt prezente doar în cazul sistemelor de CN implementate în domeniile și procesele prezentate în paragrafele precedente.

- *reduceri ale timpului neproductiv.* Mașinile cu CN nu au nici un fel de influență asupra proceselor de bază de prelucrare. Totuși, efectul folosirii CN se manifestă prin timpul cât mașina-unelte este folosită în timpul procesului de prelucrare, prin scurtarea timpilor de pregătire a prelucrării, reducerea timpilor de manevrare a piesei, schimbarea automată a sculelor pentru anumite mașini și așa mai departe. Smith și Evans în 1977 au efectuat un studiu asupra efectului mașinilor cu CN față de mașinile convenționale. Rezultatele găsite au arătat o scurtare a timpilor între 20% și 80%. Timpii de prelucrare tind să se scurteze cu cât complexitatea procesului de prelucrare crește;

- *folosirea mai puțin frecventă a mijloacelor de fixare a pieselor.* Datorită faptului că poziționarea capetelor de prelucrare ale mașinii se face prin CN, fixarea piesei se poate face cu costuri foarte scăzute, nefiind necesare dispozitive complexe pentru aceasta;

- *reducerea timpului de producție.* Din cauza faptului că pregătirea pentru producție se poate face foarte rapid, folosind CN, și în general mai puține etape pregătitoare sunt necesare, timpul necesar producției scade;

- *o mai mare flexibilitate în producție.* Folosind CN este mai ușor să adaptezi schimbările inerente dintr-un proiect. Totodată, chiar schimbarea timpilor de producție și de livrare poate fi făcută, fapt ce poate constitui la rândul său o creștere a flexibilității procesului de producție;

- *control al calității îmbunătățit*. Sistemele de CN sunt binevenite acolo unde piesele au o complexitate sporită și unde șansele de eroare umană sunt mari. Aceste sisteme permit obținerea de piese cu erori de prelucrare reduse;

- *inventar redus*. Numărul de obiecte de inventar este redus din cauza reducerii timpului de producție, a elementelor de fixare, a minimizării etapelor de pregătire a producției;

- *spațiu de producție redus*. De obicei o mașină cu CN poate realiza producția mai multor mașini-unelte convenționale, spațiul necesar acestora fiind mult diminuat față de metodele convenționale.

h) Dezavantajele folosirii unui sistem de CN. Pe lângă avantaje, sistemele de CN prezintă și o serie de dezavantaje, cum ar fi:

- *investiții cu cost ridicat*. Mașinile unelte cu CN reprezintă sisteme cu o tehnologie sofisticată și complexă. De aceea, de multe ori, costul unei asemenea mașini poate fi foarte ridicat în comparație cu cele tradiționale. Amortizarea acestor costuri ridicate presupune o mai mare utilizare a acestor mașini față de cea a celor tradiționale;

- *costuri ridicate de întreținere*. Datorită faptului că mașinile cu CN sunt mai complexe și sunt folosite mai intens problema întreținerii este mai stringentă. Deși fiabilitatea sistemelor cu CN a fost dovedită de-a lungul anilor, costul cu întreținerea este de multe ori mult mai ridicat decât la cele convenționale;

- *problema găsirii și instruirii operatorilor*. Anumite aspecte ale operațiilor mașinilor cu CN necesită cunoștințe și îndemânare ridicată față de operațiile convenționale, de aceea găsirea, angajarea și instruirea unor operatori cu aceste calități trebuie să fie considerate ca dezavantaje.

Controlul numeric continuă să fie o tehnologie în plină dezvoltare. În fiecare an, mașini cu CN continuă să apară, cu caracteristici și capacități noi. În general, îmbunătățirile aduse unei mașini cu CN presupun folosirea tot mai accentuată a calculatorului, ca și dezvoltarea unor limbaje de programare de control cât mai avansate.

10.2.5.2. Roboți industriali

Un robot industrial este o mașină programabilă, având anumite caracteristici antropomorfe. De exemplu, una dintre caracteristicile antropomorfe tipice este brațul. Acest braț, împreună cu capacitatea robotului de a fi programat, face ideal folosirea acestuia la o serie de procese de produce, ca de exemplu sudarea în puncte, vopsirea și asamblarea. Un robot poate fi programat să realizeze o secvență de mișcări mecanice. Această secvență poate fi repetată la nesfârșit sau până când robotul este reprogramat să realizeze altă operație.

Robotul industrial are multe atribute în comun cu o mașină-unelte cu CN. Același tip de tehnologie care este folosită pentru operarea unei mașini cu CN este folosită pentru mișcarea brațului robotului. Programarea unui robot diferă însă de programarea CN. Spre deosebire de o mașină cu CN, unde programul este stocat

pe un suport extern, la un robot programarea se stochează direct în memoria electronică a acestuia.

Conceptul popular de robot a fost introdus de literatura științifico-fantastică sau filme de genul „Războiul Stelelor”. Asemănarea unor astfel de roboți atât cu anatomia umană, cât și cu comportamentul uman, este mult exagerată. De aceea, există multe încercări de a defini un robot care să nu mai țină seama de aspectul antropomorfic. De exemplu, Institutul American de Robotică a conceput următoarea definiție:

Un robot este un manipulator multifuncțional, programabil, proiectat pentru a manipula material, piese, scule sau alte tipuri de obiecte cu ajutorul unor mișcări programate în scopul realizării unei largi varietăți de procese sau prelucrări.

Structura generală a unui robot este prezentată în figura 10.31. În primul rând există un program pe care robotul, cu ajutorul unității centrale de execuție și control, trebuie să-l efectueze. În funcție de acest program, unitatea de execuție comandă servomotoarele și actuatorii robotului, care la rândul lor acționează dispozitivele mecano-electrice sau terminațiile brațului (mâna) cu care este dotat robotul. În tot acest timp, senzorii robotului sunt consultați, iar în funcție de datele furnizate de aceștia, unitatea de execuție și control acționează în consecință.

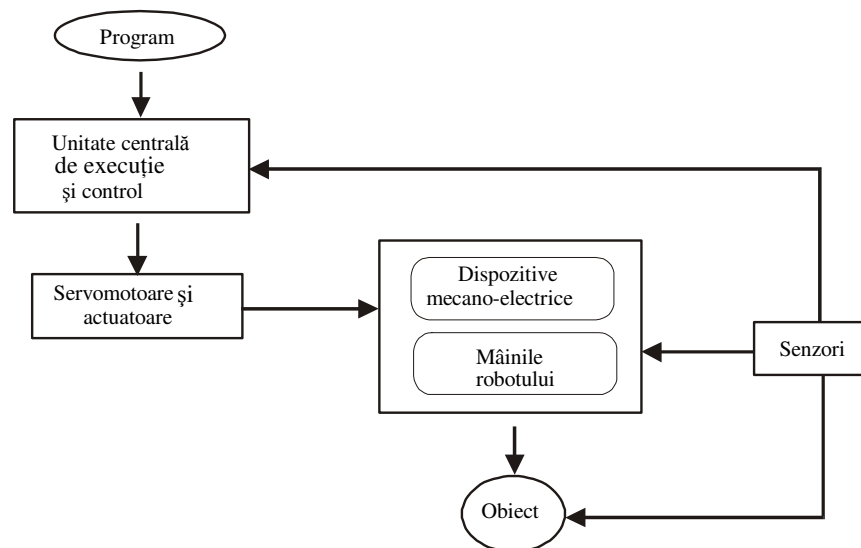


Fig. 10.31. Structura generală a unui robot industrial.

a) Configurația fizică a unui robot. Actualmente, industriali iau forme și mărimi diferite. De asemenea, pot folosi diverse brațe și sisteme de mișcare a acestora. În prezent, aproape toate tipurile de roboți industriali disponibili comercial prezintă una din următoarele configurații:

- configurație în coordonate polare;
- configurație în coordonate cilindrice;
- configurație braț cu încheieturi;
- configurație în coordonate carteziane.

Cele patru configurații sunt prezentate și în figura 10.32. Configurația în *coordonate polare* mai poartă și numele de *coordonate sferice* pentru că, în acest caz, robotul își poate mișca brațul într-un spațiu descris de o sferă parțială. Așa cum se poate vedea în figura 10.32. a, robotul posedă o bază de rotație și un pivot care poate fi folosit la ridicarea sau coborârea brațului telescopic. În *coordonate cilindrice*, corpul robotului este o coloană verticală care se învârtă în jurul axei verticale (fig. 10.32. b). Brațul mobil al robotului este format dintr-o serie de

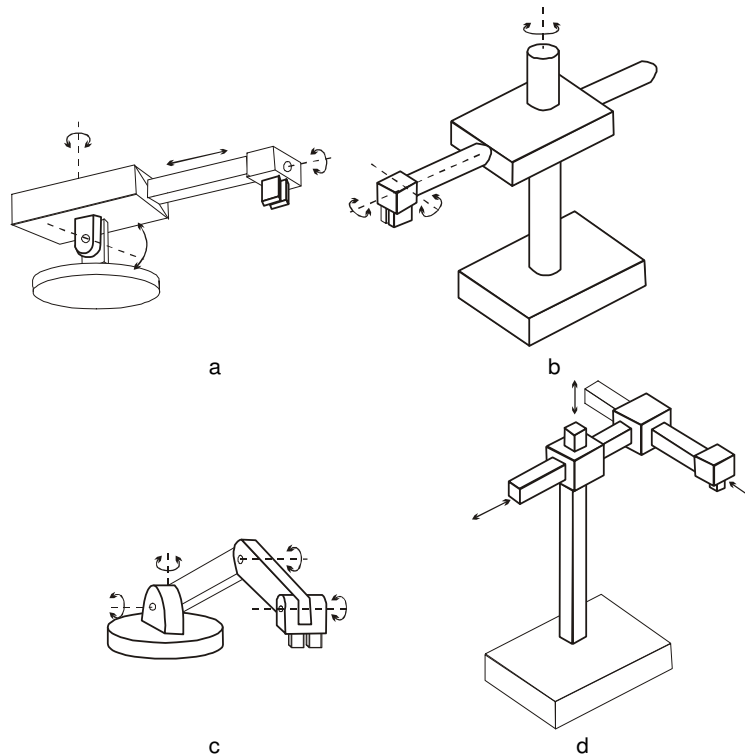
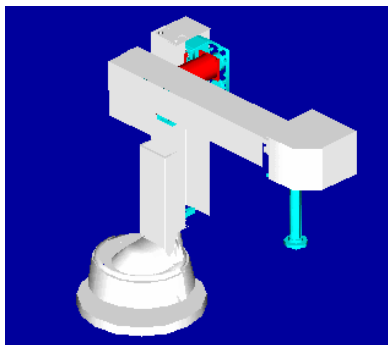


Fig. 10.32. Cele patru configurații de bază ale unui robot industrial:

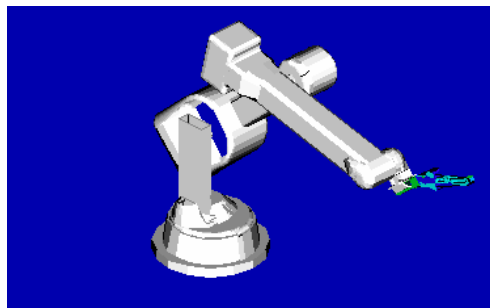
a - în coordonate polare; b - în coordonate cilindrice; c - în braț cu încheietură; d - în coordonate carteziane (după Toepperwein ș.a.).

lagăre care permit mișcări de „în sus” sau „în jos”, „de înainte” și „înăpoi” față de corpul acestuia. *Brațul cu încheieturi* este foarte similar cu un braț uman, așa cum se poate vedea în figura 10.32. c. Este format din mai multe segmente drepte

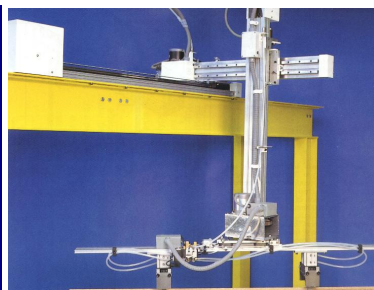
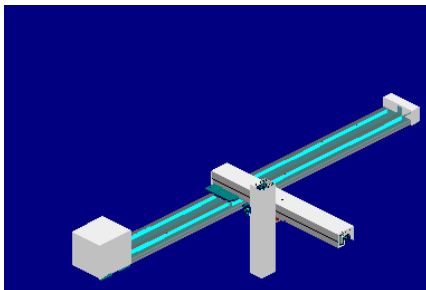
conectate între ele prin încheieturi, care sunt similare cu umărul, cotul sau genunchiul uman. Brațul robotului este montat pe o bază pentru a se asigura rotația acestuia într-un spațiu sferic. Un robot construit în configurație de *coordonate carteziane* prezintă trei dispozitive de alunecare pe direcția fiecărei axe de coordonate ale unui sistem cartezian (fig. 10.32. d). Prin mișcări ale acestor



a



b



c

Fig. 10.33. Exemple de roboți în diferite configurații:

a – în coordonate cilindrice, pentru umplerea cartușelor de imprimantă cu cerneală; b – în configurație braț cu încheieturi, pentru vopsirea subansamblelor; c – în coordonate carteziane, pentru poziționarea precisă a pieselor de prelucrat.

dispozitive robotul își poate deplasa brațul în fiecare punct al spațiului tridimensional.

În figura 10.33 sunt prezentate câteva aplicații ale unor astfel de roboți industriali.

b) Mișcările de bază ale unui robot. Indiferent de configurația în care a fost construit un robot, scopul acestuia este să realizeze anumite operații. Pentru realizarea acestora, brațului robotului i se atașează o așa numită mână. Aceasta mână este poate singura diferență dintre roboți din punctul de vedere al aplicabilității lor în diverse domenii. În funcție de tipul acesteia, robotul poate fi folosit pentru efectuarea unor operații sau nu.

Există șase mișcări de bază sau grade de libertate care-i conferă robotului capacitatea de a mișca mâna. Aceste șase grade de libertate au fost concepute pentru a simula versatilitatea mișcării unui braț uman. Nu toți roboții industriali sunt realizați cu abilitatea de a se mișca în toate cele șase direcții. În funcție de operația sau operațiile pentru care au fost construiți, ei pot prezenta mișcări numai în două, trei sau chiar patru direcții.

Cele șase mișcări de bază constau în trei mișcări ale brațului și corpului robotului și trei mișcări ale încheieturilor, așa cum se poate vedea din figura 10.34 și tabelul 10.3.

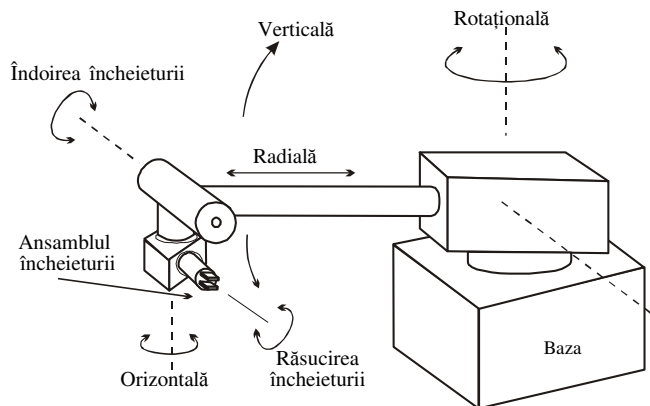


Fig. 10.34. Mișcarea unui robot cu șase grade de libertate (după Toepperwein).

Tabelul 10.3. Mișcări posibile ale unui robot industrial

Mișcări ale brațului și corpului			Mișcări ale încheieturilor		
Verticală	Radială	Rotațională	Răsucire	Îndoire	Orizontală
Mișcări de sus-jos ale brațului cauzate de pivotarea întregului braț față de o axă orizontală	Extensie și retractare a brațului	Rotație față de axa verticală	Rotație a încheieturii	Mișcare de sus-jos a încheieturii care presupune și o mișcare rotațională	Mișcare stânga-dreapta a încheieturii

Axe adiționale de mișcare sunt de asemenea posibil de definit și implementat la un robot industrial. Un exemplu ar fi punerea robotului pe șine, aceasta conferindu-i acestuia un al șaptelea grad de libertate.

Pentru realizarea mișcărilor, robotul poate folosi două sisteme de mișcare: *punct-cu-punct* și *pe contur*. Ca și în cazul mașinilor cu CN, în sistemul punct-cu-punct robotul efectuează mișcări de la un punct la celălalt, după ce în prealabil aceste puncte au fost stocate și programate în memoria electronică a acestuia. Mișcările prin care se ajunge de la un punct la celălalt nu au nici o importanță în acest caz. Astfel de roboți pot efectua operații de sudare în puncte, încărcare-descărcare piese sau obiecte, etc. Spre deosebire de sistemul punct-cu-punct, robotul cu mișcare *pe contur* are abilitatea de a urmări un cadru format din curbe geometrice. Specificațiile de memorie și control ale acestor tipuri de roboți sunt mai complexe față de cei punct-cu-punct, pentru că tot conturul trebuie cunoscut și nu doar anumite puncte din componența acestuia. Aplicațiile unor astfel de roboți sunt, de exemplu, vopsirea cu jet de vopsea, procese de sudare continuă pe contur etc.

În afară de tipul de mișcare și numărul de grade de libertate, roboții mai prezintă și alte caracteristici, ca de pildă, *precizia mișcării*, *viteza mișcării*, *timpul de realizare a mișcării*, *capacitatea de încărcare* etc. *Precizia mișcării* se referă la trei termeni: *rezoluția spațială*, care reprezintă cel mai mic increment al mișcării care poate fi realizată de robot; *acuratețea mișcării*, care este abilitatea unui robot de a-și poziționa mâna la o anumită poziție; și *repetabilitatea*, care se referă la abilitatea robotului de a-și poziționa brațul înapoi la un punct în spațiul de lucru care a fost deja vizitat. *Viteza mișcării* poate fi aleasă în funcție de operațiile care urmează a fi efectuate. Un maxim al acestei viteze este de 1,5 m/s. *Capacitatea de încărcare* a robotului reprezintă în general capacitatea acesteia de a ridica anumite greutăți. În prezent sunt construiți roboți capabili să ridice de la 0,5 kg până la 1t. *Tipul mișcării* se referă la actuatorii și motoarele folosite pentru realizarea mișcărilor. Acestea pot fi în general hidraulice, electrice, pneumatice, ultrasonice etc.

c) Mișcarea unui robot manipulator. Sarcina unui manipulator este aceea de a mișca brațul sau terminația acestuia printr-o serie de poziții prestabilite, care formează traiectoria acestuia. Pentru a se putea mișca pe traiectoria dorită, robotul trebuie să miște încheieturile în așa fel încât mișcările de răsucire necesare să fie realizate. Procesul este sintetizat în figura 10.35.

Primul pas este acela de specificare a mișcării, care se face de obicei prin instrucțiunile program. Planificarea traiectoriei este realizată printr-o serie de calcule și transformări geometrice (de obicei, traiectoria este împărțită într-un număr de segmente de linie dreaptă sau curbe). Rezultatele sunt trimise către un controlor de proces, care le transmite la rândul său către actuatorii robotului. Cu ajutorul senzorilor prezenți în sistem, rezultatele mișcărilor respective sunt transmise de către robot către controlor (sau cu alte cuvinte, stările senzorilor sunt

citite de către controlor). În cazul unor erori, controlorul transmite către actuatore corecțiile necesare, în așa fel încât robotul să se deplaseze pe traiectoria dorită.

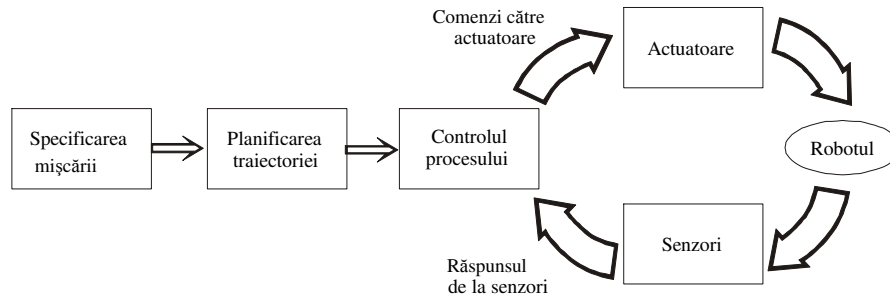


Fig. 10.35. Controlul mișcării unui manipulator.

d) Protecția muncii într-un mediu de lucru cu roboți industriali. Un sistem robotic este o integrare a unor roboți industriali, mașini de lucru, canale de comunicație informațională, calculatoare și operatori umani. Dintre aceste componente, nici una nu poate fi considerată perfectă sau imună la eventuale erori. Prezența umană în cadrul spațiului de lucru al roboților industriali permite riscul reciproc al unor daune și de aceea este necesară formularea unor principii generale de protecție a muncii.

Există patru grupuri umane în cadrul unui sistem robotic:

- *programatorii*. Un programator este în contact direct cu un robot sau cu spațiul de lucru al acestuia și de aceea este permanent în pericol de rănire personală;

- *inginerii de întreținere*. Reprezintă altă grupă de risc din aceleași motive ca și programatorii. În plus, pentru aceștia există și pericolul electrocutării (în cazul reparării unui robot);

- *observatorii*. Roboții sunt adesea văzuți ca stând „nemișcați” pentru lungi perioade de timp. Programatorul știe bineînțeles dacă aceste pauze sunt intenționate sau nu, dar nu același lucru se întâmplă cu un observator;

- *alte persoane* care se presupune a se afla în afara zonei de pericol. Cu toate că un robot are o zonă de lucru prestabilită, riscul de rănire nu este limitat în interiorul acesteia (dacă, de exemplu, componentele sistemului robotic nu sunt fixate corespunzător, acestea se pot desprinde, cauzând rănirea persoanelor din jur).

Procedurile de protecția muncii, ca și dispozitivele fizice de protecție asigură interacțiunea dintre oameni și roboți cu un risc minim de rănire. Există numeroase dispozitive de protecție fizice, ca de exemplu:

- comutatoare de contact;
- fascicule de raze infraroșii;
- rețea de senzori de presiune;
- sisteme cu camere de luat vederi;

- lumini intermitente, roșii sau galbene care indică faptul că un robot (chiar dacă apare că staționar) este activ.

e) Programarea și limbaje de programare pentru roboții industriali.

Există mai multe metode în care un robot industrial poate fi programat:

- metoda manuală, care nu e de fapt o tehnică de programare, ci presupune mai mult folosirea de întrerupătoare, comutatoare sau alte mijloace pentru controlul unui robot;

- metoda *walkthrough*, când programatorul efectuează manual mișcările dorite ale robotului care sunt stocate în memoria acestuia pentru folosirea viitoare;

- metoda *leadthrough*, când programatorul operează robotul cu ajutorul unor mijloace electronice/mecanice, ca de exemplu, întrerupătoare, iar mișcările efectuate de robot sunt memorate în memoria acestuia;

- programare *off-line*, când programarea este efectuată de obicei pe un calculator, iar apoi este transferată robotului.

Primele trei metode de programare nu necesită folosirea unui anumit limbaj de programare. Cea de-a patra metodă însă este dependentă de folosirea unui limbaj de programare specific proiectat pentru roboți industriali. Există numeroase versiuni de limbaje de programare ale roboților. Două dintre aceste limbaje sunt VAL și MCL.

VAL (Victor's Assembly Language) a fost conceput de Victor Scheinman pentru roboții PUMA produși de Unimation Inc. VAL și prezintă două tipuri de instrucțiuni: *instrucțiunile administrative*, care se referă la funcții de genul pregătirii robotului pentru stocarea sau execuția unui program, definirea punctelor în spațiu, comenzi de execuție a programului, și *instrucțiunile de programare*, care reprezintă o serie de mișcări de bază ale robotului.

Un exemplu de program VAL pentru sudarea în puncte este prezentat mai jos.

```
PROGRAM weld.style247
SIGNAL 5
MOVE home
MOVE pounce
WAIT SIG(1003)
APRO spot. Number[1]
CALL weld.spots
TIMER 1 = 0
SIG 6
WAIT TIMER(1) > 5
SIG -6
END
```

```
Program weld. Spots
FOR points 1 TO 18
TIMER -1 = 0
MOVES spot.number[points]
WAIT TIMER(-1) < .25
PULSE
WAIT WEL.DONE
END
RETURN
END
```

MCL (Machine Control Language) a fost dezvoltat de McDonnell-Douglas Corporation pentru un contract cu U.S. Air Force și este bazat pe APT, limbajul de programare a unei mașini-unelte cu CN.

Exemple de instrucțiuni pentru comandarea roboților sunt prezentate în tabelul 10.4.

Tabelul 10.4. Exemple de instrucțiuni pentru comanda robotului

VAL	MCL
MOVE – mișcă robotul la o locație specificată	SEND – trimite un semnal de ieșire către o destinație specificată
MOVES – mișcă robotul între două puncte specificate	RECEIV – primește un semnal de intrare de la o sursă specificată
APPRO – mișcă mâna robotului cu o anumită distanță față de un punct specificat	ABORT – oprește întreaga activitate
OPENI – comandă deschiderea „pumnului” sau clestelui mâinii robotului	TASK – permite definirea unor secvențe de mișcări pentru robot

f) Terminațiile brațelor unui robot sau „mâinile” acestora. Acestea pot fi definite ca niște dispozitive care sunt atașate încheieturii unui robot pentru a realiza o anumită operație. Este o unealtă specială ce ajută robotul să-și îndeplinească sarcina primită. Există o mare varietate de mâini robotice, posibilitățile de construcție a acestora fiind limitate doar de ingeniozitatea și imaginația constructorilor.

În prezent sunt două mari categorii de „mâini”: clești (*grippers*) și capete de prelucrare (scule). Cleștii sunt folosiți atât pentru prinderea unor piese, cât și a sculele specifice de prelucrare. Felul în care este proiectat un clește depinde de natura prelucrării sau procesului pe care robotul trebuie să îl efectueze. Câteva exemple clasice de clești sunt următoarele: clești mecanici, unde forța de frecare sau materialul din care este realizat ajută la prinderea obiectelor; cupe de aspirație, folosite în special pentru reținerea obiectelor plate; clești magnetizați, folosiți pentru reținerea obiectelor metalice; cârlige, folosite pentru ridicarea anumitor obiecte; furtune, folosite pentru fluide, pulberi sau substanțe granulare. Există aplicații când un clește este folosit pentru prinderea sau reținerea unei anumite scule de prelucrare, cu care apoi efectuează operațiile pentru care a fost programat. În majoritatea cazurilor însă, sculele de prelucrare sunt prinse direct pe brațul robotului. Câteva exemple de scule de prelucrare folosite sunt: pistolul de sudare în puncte, dispozitivul de sudare cu arc electric, dispozitivele de găurit, dispozitivele de prelucrare de așchiere, dispozitivul de tăiere etc.

g) Senzorii robotici. Pentru a-și putea îndeplini cu succes sarcinile, un robot trebuie să posede abilități senzoriale aproape umane. Aceste abilități senzoriale includ vederea și coordonarea mână-ochi, pipăitul și auzul. De aceea, senzorii folosiți în robotică pot fi împărțiți în trei categorii:

- senzori vizuali;
- senzori tactili și de proximitate;
- senzori de voce.

Cercetarea în domeniul roboticii și-a concentrat atenția asupra senzorilor vizuali. Vederea în cazul unui robot este posibilă cu ajutorul camerelor video, a unei surse de lumină și a unui calculator capabil să proceseze în timp real imaginile. Camera video este montată de obicei pe robot sau deasupra acestuia,

astfel încât câmpul de vedere să includă spațiul de lucru al acestuia. Programele de procesare de imagine permit ca sistemul să sesizeze prezența, poziția și orientarea unor obiecte, robotul putând astfel realiza operații de recuperare a pieselor sau obiectelor răspândite aleator pe o bandă de lucru, să recunoască anumite piese necesare altui proces, să facă inspecții vizuale asupra pieselor prelucrate și așa mai departe.

Senzorii tactili dau posibilitatea robotului de a răspunde la forțe de contact între sine și alte obiecte din spațiul său de lucru. Aceștia sunt folosiți de obicei pentru a se indica dacă vreun contact fizic s-a realizat cu un obiect.

Senzorii vocali permit robotului să recunoască vocea umană. Astfel, dacă anumite comenzi sunt recunoscute de robot, acesta va acționa în consecință. În acest mod, de exemplu, programarea robotului devine mult mai facilă sau robotul poate fi reprogramat chiar în timpul lucrului.

h) Avantaje ale folosirii roboților industriali. Câteva din avantajele folosirii unui robot într-un proces industrial sunt prezentate în continuare:

- *lucrul în medii de muncă periculoase pentru viața umană.* În situații de lucru când există pericole potențiale ca de exemplu, căldura excesivă, radiații sau toxicitate sau locul este prea inconfortabil și neplăcut, un robot poate fi considerat ca un înlocuitor al unui operator uman. Exemple de astfel de situații de lucru sunt turnarea, vopsirea, forjarea etc.

- *procedee ce au o repetabilitate crescută în timp.* Dacă procesul de producție necesită operații care se repetă fără deosebiri de la un ciclu de producție la altul, un robot poate fi programat special pentru acesta.

- *manevrare dificilă.* În cazul în care procesul de producție presupune manevrarea dificilă a pieselor sau capetelor de lucru necesare, atunci un robot poate fi programat pentru realizarea prelucrărilor. Un exemplu poate fi un proces de producție în care este necesară manevrarea unor piese de greutate ridicată, făcând astfel practic imposibilă folosirea operatorilor umani.

i) Exemple de implementare a roboților. Groover clasifică ariile de aplicații ale roboților industriali în șapte categorii și anume:

- transfer de materiale;
- încărcare descărcare la mașinile de prelucrat;
- sudare;
- vopsire;
- operații de producție;
- asamblare;
- inspecție.

Aplicațiile de transfer de materiale sunt operațiile în care robotul este folosit la mutarea componentelor sau materialelor de la un loc la altul. De exemplu, transferul de material poate fi de la o bandă de producție la cealaltă, operații de stivuire a materialelor brute sau a pieselor finite, încărcarea unor părți sau componente de pe banda de producție în cutii sau invers etc. Roboții folosiți în

aceste cazuri posedă calități tehnice scăzute.

Aplicațiile de încărcare-descărcare la mașinile de prelucrat presupun folosirea roboților pentru a furniza materialele brute sau pentru descărcarea pieselor finite din acestea. Diferența între aceste aplicații și cele de transfer constă în faptul că robotul lucrează direct cu mașina de prelucrare (și nu indirect ca în cazul aplicațiilor de transfer, unde, de exemplu, robotul lucrează cu banda de producție). Roboții sunt folosiți cu succes în aplicații de forjare, de presare, așchiere, turnarea sau injecția în forme etc.

Aplicațiile la sudare reprezintă o arie importantă de implementare a roboților industriali. După tipul de sudare, aceste aplicații se împart în două mari categorii:

- *Sudarea în puncte* unde cei doi electrozi reprezintă cleștii unui robot. Acești clești pot fi montați cu ușurință ca terminație a unui braț de robot. Folosind acești electrozi, un robot poate efectua sudarea în puncte prin următoarele faze:

- poziționarea electrozilor în punctul dorit;
- presarea celor doi electrozi asupra celor două părți de sudat;
- sudarea și menținerea (conducerea curentului prin cele două părți de metal creează căldura și fuziunea acestora) în vederea solidificării punctului;
- răcirea – înainte de trecerea la următorul punct de contact, un timp suficient este alocat pentru răcirea sudurii;
- desprinderea și trecerea la punctul următor.

Sudarea în puncte a devenit una dintre cele mai importante aplicații ale roboților industriali, mai ales în cazul industriei de automobile. Primul robot pentru sudare în puncte a fost construit în anii 1960 și a fost folosit pentru realizarea caroseriei automobilelor Vega. În prezent, aproape toți constructorii de automobile folosesc roboți pentru realizarea sudării în puncte a caroseriilor.

- *Sudarea cu arc electric*. Câteva procedee de sudare cu arc electric pot fi realizate cu succes de roboți. Printre acestea se menționează în primul rând sudarea cu gaze inerte (sudare MIG sau TIG). Aceste tipuri de procedee de sudare sunt de obicei efectuate de sudori umani, care adesea au de înfruntat condiții periculoase de lucru (căldura excesivă, discomfort, radiații etc.). De aceea, aceste operații pot fi programate pentru a fi efectuate de roboți industriali. Totuși, există și câteva probleme cu implementarea roboților pentru procedeele de sudare cu arc electric. În primul rând, sudarea cu arc electric este în general folosită pentru un lot mic de piese sau obiecte și de aceea folosirea roboților nu este întotdeauna justificată din punct de vedere economic. În al doilea rând, de multe ori, obiectele de sudat au mărimi foarte diferite. Sudorii umani se pot adapta foarte ușor, la aceste variații, însă adaptarea roboților este un proces de lungă durată și costisitor. În al treilea rând, sudorii umani pot fi folosiți în locuri greu accesibile (în conducte, puțuri, rezervoare), locuri în care prezența unui robot este practic imposibilă. În ultimul

rând, tehnologia actuală nu posedă senzori performanți pentru sesizarea variațiilor parametrilor într-un proces de sudare cu arc.

O stație tipică de roboți de sudare conține următoarele:

- un robot capabil de mișcări pe contur;
- o unitate de sudare, formată din capete de sudură și sursă electrică de putere;
- un manipulator al pieselor care trebuie să poziționeze și să preseze părțile metalice de sudat.

Un controlor al proceselor este adesea necesar pentru a coordona activitatea celor trei părți ale sistemului de sudare. În unele sisteme de sudare cu arc, operatorii umani pot încărcă și fixa părțile de sudat, robotul efectuând doar sudarea.

Dintre avantajele atribuite unui sistem robotic de sudare cu arc electric pot fi amintite: productivitatea crescută, protecția muncii mărită, sudurile mai bune și mai rezistente. Creșterea productivității rezultă din faptul că un robot nu are nevoie de pauză între procesele de sudare (știut fiind că procesul de sudare este unul obositor, necesitând o coordonare ochi-mână foarte ridicată), ca și din faptul că manipulatorul încarcă și descarcă părțile de sudare fără a „obosi”.

Aplicațiile de vopsire. Multe din produsele de larg consum și industriale necesită o formă sau alta de vopsire. De obicei, operatorii umani folosesc pistoale cu jet pentru operația de vopsire. Există multe riscuri pentru sănătatea operatorilor într-o vopsitorie, ca de exemplu toxicitatea vaporilor ce se degajă în timpul operației de vopsire, zgomotul produs de capul de vopsire, pericolul de foc datorită vaporilor inflamabili ce se degajă, și de aceea roboții industriali specializați sunt folosiți cu succes pentru această operație. Vopsirea cu jet necesită un robot capabil de mișcări line în așa fel încât stratul de vopsea aplicat să fie uniform. Pentru aceasta, robotul este echipat cu actuatoare capabile să execute mișcări continue. Capul de vopsire devine terminația brațului robotului, iar programarea robotului se face de obicei prin metoda *walkthrough*.

Alte aplicații de producție. Aceste aplicații conțin implementarea unui robot pentru alte procese de producție, altele decât sudarea sau vopsirea. Ca și în cazul vopsirii, scula de lucru devine terminația brațului robotului industrial (de exemplu, scula de găurire în cazul operației de găurire). Exemple de implementare pot fi: găurirea, așchieria, devaburarea, tăierea cu jet de apă, tăierea cu fascicul de electroni sau jet de fotoni, laminarea etc.

Asamblarea. Motivul principal al folosirii roboților în aplicații de asamblare în procese de producție pe loturi este unul economic. Pentru producția de masă, cea mai economică soluție este aceea a automatizării liniilor de producție (echipamente specializate pe realizarea respectivului produs). În asamblarea pe loturi, este mai puțin economic folosirea automatizării, deoarece variațiile caracteristicilor produsului sau chiar tipul de produs poate fi schimbat relativ repede, iar construirea unor alte echipamente specializate ar duce la creșteri

substanțiale de costuri. De aceea, proprietatea robotului industrial de a fi programat pentru un anumit tip de operație a unui produs, îl face pe acesta un candidat important pentru implementare. Cu alte cuvinte, flexibilitatea unui robot industrial este exact ceea ce este necesar într-o producție pe loturi.

Inspecția. Ca și asamblarea, inspectia este o arie relativ nouă pentru implementarea roboților industriali. Operația de inspecție este o activitate înceată și plictisitoare și necesită un efort de muncă ridicat. Din această cauză, operatorii umani folosesc eșantioane pentru inspecție (și nu inspectia fiecărui produs în parte). Cererea crescândă de produse de calitate face ca automatizarea procesului de inspecție să fie o necesitate. Un rol important în acest proces îl joacă roboții industriali. Aceștia, echipați cu probe mecanice, senzori optici sau cu alte dispozitive de măsurare pot fi programați pentru a realiza testarea dimensională sau a altor caracteristici a produsului testat.

10.3. APLICAȚIE CAD/CAM

Una dintre cele mai importante aplicații ale implementării CAD/CAM în procesele de producție este aceea a realizării de prototipuri ale produselor în regim rapid de lucru (RP - rapid prototyping).

10.3.1. Definire

În ultimul deceniu a fost dezvoltat un mare număr de sisteme de produce, care permit transformarea conceptului de realizare a unui produs complex într-o replică solidă obținută într-o perioadă scurtă de timp (de la câteva ore la câteva zile). Tehnologiile convenționale presupun realizarea unui prototip în săptămâni sau chiar luni. Această nouă tehnologie, RP, a fost dezvoltată în principal în SUA și este acum folosită pe scară medie în toată lumea.

RP este descris în principal ca metoda în care piesa este creată prin adăugarea repetată a unor straturi de material. Folosind programe de calculator specializate în grafică în trei dimensiuni, un model 3D CAD este „tăiat” în straturi sau secțiuni foarte subțiri. Apoi, în funcție de metoda specifică folosită, mașina sau sistemul RP construiește piesa strat cu strat până când o replică solidă a modelului CAD este generată. Selecția materialului este de asemenea specifică metodei folosite. Datorită caracteristicilor sale speciale, RP a făcut ca producerea de piese complexe să fie fezabilă. În plus, simplitatea planificării procesului a demonstrat potențialul acestei metode pentru realizarea unor procese de producție rapidă (RM – rapid manufacturing). Rezultatul RP – prototipul – reprezintă un model conceptual pentru vizualizarea și analiza proiectării (fig. 10.36). Poate fi folosiți de ingineri pentru verificarea formei și pentru a realiza teste funcționale limitate.

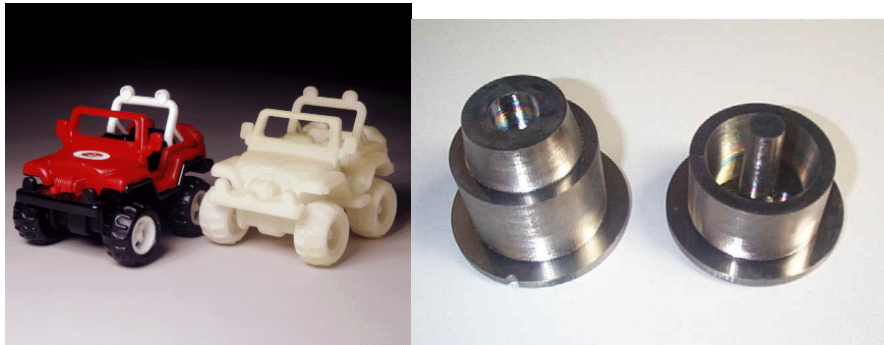


Fig. 10.36. Exemple de prototipuri realizate prin RP.

10.3.2. Principii de bază ale RP

Sistemele de RP permit utilizatorilor să producă prototipuri în mod rapid și eficient, dar și cu o precizie ridicată, încă din faza de proiectare. Aceste sisteme creează obiecte direct dintr-un model 3D CAD, permițând producătorilor atât să reducă substanțial timpul de proiectare și costurile, cât și să îmbunătățească substanțial calitatea produselor prin verificarea schițelor de proiectare. Toate sistemele de RP au în comun faptul că realizează prototipuri prin adăugare de noi straturi de material folosind informații din modelul CAD. Acest model CAD trebuie să fie realizat într-un standard industrial de RP, format STL (*Stereolithography*). În acest format, modelele solide în CAD sunt transformate în modele de suprafețe ce conțin un număr mare de triunghiuri. Apoi, modelul în format STL poate fi „tăiat” în straturi de dimensiuni specificate de operatorul uman (informație 2 1/2D).

Multe din mașinile comerciale de RP pot realiza o simulare pentru detectarea erorilor de transformare a modelelor CAD convenționale în format STL. Simultan se poate estima de asemenea timpul necesar construirii modelului solid.

Bazându-se pe această informație 2½ D, piesele pot fi astfel construite prin stratificare, scanare sau umplere cu material a acestor secțiuni în ordine corespunzătoare. Rezultatul acestui principiu de lucru este crearea unor modele solide cu suprafețe în formă de „scară”, caracteristică comună tuturor proceselor de RP. Aceasta are un efect negativ asupra acurateții de producție și necesită alte prelucrări ulterioare. Efectul de „scară” este combătut prin diferite metode, ca de exemplu modificarea strategiei de generare a straturilor sau reducerea grosimii acestora, folosind un mecanism avansat de aplicare a materialelor și materiale cu proprietăți complexe. Materialele brute implicate în general în procesele de RP includ rășini, pulberi, filamente termoplastice, ceară, celuloză, hârtie etc.

O dată început procesul de RP al unei piese, intervenția umană este minimă în comparație cu procesele tradiționale. În general mașinile de RP funcționează

nesupravegheate (fără intervenție umană) până la terminarea piesei, după ce în prealabil, operatorul uman a petrecut un interval de timp scurt pentru pregătirea programului de lucru al mașinii respective. De aceea, folosind o mașină RP se poate realiza o economie considerabilă de resurse (umane și de timp). Unele din mașinile de RP sunt ecologice din punct de vedere al materialului folosit și de dimensiuni mici și de aceea pot fi folosite chiar în biroul de proiectare în același mod în care este folosită o mașină de fotocopiere (xerox).

În ultimii ani, tehnologia RP s-a dezvoltat în mod continuu și exponențial devenind deja o ramură importantă în industrie.

10.3.3. Avantajele și dezavantajele RP

Avantajele acestei tehnologii sunt evidente:

- dezvoltarea de modele fizice poate fi realizată într-un timp semnificativ mai mic decât folosind tehnologii convenționale;
- transferul foarte ușor de la un model CAD la o piesă reală;
- nu necesită investiții adiționale pentru scule specifice;
- costul piesei este independent de complexitatea ei;
- asigură o flexibilitate crescută a proceselor de producție.

Unul dintre principalele dezavantaje ale acestor sisteme de RP este acela al investiției primare. Toate aceste mașini au costuri foarte ridicate, situate la un nivel mediu de 350 000 – 500 000 USD, pentru un volum de lucru de 0,5×0,5×0,5m. Celelalte dezavantaje provin din limitările tehnice ale sistemelor și tehnicilor existente pe piață, putându-se menționa:

- asigură crearea de prototipuri de volum mic;
- gama de materiale folosite pentru realizarea prototipurilor nu este foarte mare;
- este un proces lent în cazul procesării de piese de volume medii până la mari (injecția în forme este de 100 de ori mai rapidă decât RP);
- acuratețea scăzută – este dificilă menținerea unei acurateți de $\pm 0,1$ mm;
- costul ridicat al materialelor (rășinile pentru stereolitografie costă în jur de 300 USD/kg).

10.3.4. Ciclul de producție RP

Așa cum s-a mai menționat, RP poate fi folosit pentru mai multe etape ale procesului de proiectare. Acest paragraf descrie ciclul de la proiectarea CA și până la realizarea prototipului (fig. 10.37).

Ciclul RP începe cu proiectarea CAD. Aceasta poate fi repetată de câteva ori până când se obține un model cu caracteristicile dorite.

Urmează apoi etapa de generare a fișierelor CAD. Formatul final al fișierului sau fișierelor trebuie să fie un model solid al prototipului ce trebuie

realizat. Din fișierul sau fișierele CAD, un alt fișier trebuie creat, fișier cu extensia STL. Formatul STL (care derivă din *Stereo-Litography*) este în prezent un format standard pentru mașinile de RP din Statele Unite ale Americii. Aceste fișiere sunt de obicei stocate în formă binară, pentru economie de spațiu pe discul magnetic.

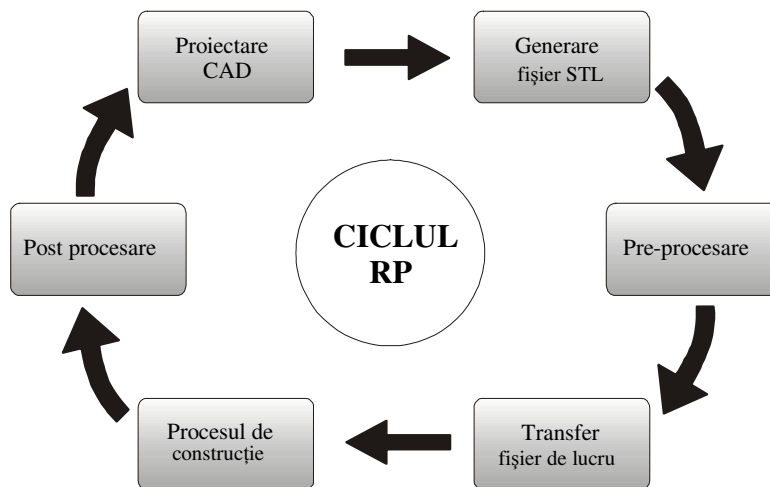


Fig. 10.37. Ciclul RP (după Cooper, 2001).

Dupa realizarea fișierului STL, acesta trebuie prelucrat și adaptat diferitelor tipuri de sisteme de RP. Unele sisteme pot accepta direct fișiere STL, în timp ce celelalte necesită o „pre-procesare” prealabilă. Aceasta pre-procesare se face în general pe un computer separat de sistemul de RP, pentru economie de timp și pentru a nu ține ocupată mașina RP. Această pre-procesare presupune o setare a parametrilor pentru controlul mașinii de RP respective. Un fișier de lucru este astfel salvat într-un format care poate fi interpretat și executat de sistemul de RP respectiv.

Fișierul de lucru trebuie acum transferat sistemului de RP. Această operație poate fi efectuată fie manual (prin transferul unui disc magnetic) sau transfer printr-o rețea locală de calculatoare. În general, pentru o piesă relativ complexă, fișierul de lucru are dimensiuni considerabile și de aceea o rețea care să includă sistemul de RP este indispensabilă pentru operația de transfer.

O dată realizat transferul fișierului de lucru, procesul de construcție al prototipului poate începe. După terminarea acestui proces, de obicei, este necesară o etapă de post-procesare. Aceasta presupune înlăturarea materialului în exces ca și curățirea produsului final.

Dacă produsul final corespunde din punct de vedere al caracteristicilor, atunci ciclul RP este încheiat. Altfel, modificări pot fi făcute la nivelul etapei de proiectare CAD și ciclul este repetat.

10.3.5. Implicațiile RP

Implicațiile RP au un număr mare de efecte în diferite stadii ale ciclului de producție, ca proiectarea, alegerea materialelor, producția propriu-zisă, vânzări etc.

Din punct de vedere al proiectării, RP aduce nou posibilitatea:

- reducerii numărului de părți componente ale produsului ceea ce conduce la un proces de asamblare mult mai ușor;

- forme geometrice suprapuse în schițe;

- linii geometrice neîntrerupte;

În prezent, materialele folosite în RP sunt limitate la un număr foarte mic. Unul dintre principalele potențiale de cercetare în acest domeniu este acel al lărgirii gamei de materiale prin folosirea unor materiale compozite, prin controlarea porozității acestora etc.

Implicațiile pe care RP le poate aduce în procesul de producție propriu-zisă, sunt foarte importante și anume:

- asigurarea unui proces de producție cu adevărat flexibil – se poate schimba geometria produselor fără a fi afectată eficiența proceselor;

- nu necesită nici un fel de scule specializate, implicând astfel timp de producție și investiție de capital scăzute;

- asigură o planificare mai simplă a producției – nu e nevoie de scule, de aprovizionare, iar timpii necesari prelucrărilor sunt calculați chiar de către sistem.

Vânzările unei companii care folosește RP vor fi influențate prin producerea unor piese mai ieftine într-un timp mai scurt, decât în cazul folosirii unor tehnologii tradiționale. De asemenea, clienții se pot implica foarte mult în procesul de proiectare după dorințele lor.

10.3.6. Aplicații practice ale RP

Există cinci mari tendințe de folosire ale metodelor de RP și anume:

- *vizualizarea prototipului*. Chiar dacă cineva este expert în citirea schițelor de proiectare sau a imaginilor 3D dintr-un sistem CAD ale unei piese complexe, tot este foarte greu de vizualizat cu precizie cum va arata piesa. Găuri, pasaje interioare sau suprafețe curbe fac uneori interpretarea acestora foarte dificilă. În acest caz, zicala „o fotografie valorează cât 1 000 de cuvinte” poate fi redefinită ca „un prototip real și palpabil valorează cât 1 000 de fotografii”. Cu alte cuvinte, pentru o piesă nouă, nu există modalitate mai bună de verificare a caracteristicilor acesteia decât piesa palpabilă în sine, pe care operatorul o poate privi din toate părțile;

- *verificarea proiectării*. O cauză posibilă a calității scăzute a unora dintre piese este aceea a compromiterii proiectului din cauze legate de timp sau cost. Cu metode tradiționale, verificarea proiectului unei piese implică realizarea unor serii de prototipuri, proces adesea mare consumator de timp și de bani. În contrast,

metodele de RP pot genera prototipuri foarte repede și de aceea verificarea proiectului poate fi făcută rapid și cu costuri scăzute. Procesul de îmbunătățire a calității unei piese poate fi sintetizat astfel:

- proiectarea prototipului cu ajutorul unui program CAD;
- construirea prototipului cu o metoda de RP;
- inspectarea prototipului RP și determinarea erorilor posibile;
- corectarea erorilor în programul CAD;
- verificarea noului prototip RP modificat;
- când nu mai există erori, construirea unui model funcțional;
- testarea funcțională a acestuia (în regim real de lucru);
- producerea piesei (dacă prototipul corespunde din punct de vedere funcțional, se trece la producerea piesei);

- *etapizarea proiectării (proiectare în mai multe etape)*. Cu metode tradiționale, dezvoltarea unui prototip era foarte mare consumatoare de resurse (umane și materiale) și de aceea timpul afectat etapelor de proiectare era relativ scăzut (sau erau realizate mai multe etape de proiectare în același timp). Cu metodele de RP este acum posibilă trecerea prin mai multe etape de proiectare în mod rapid și cu costuri scăzute. Procesul prezentat anterior, de îmbunătățire a calității unei piese, poate fi modificat (cu ajutorul tehnologiei de RP) astfel:

- proiectarea prototipului cu ajutorul unui program CAD;
- construirea prototipului cu o metodă de RP;
- inspectarea prototipului RP și determinarea erorilor posibile;
- corectarea erorilor în programul CAD;
- verificarea noului prototip RP modificat;
- realizarea unei noi etape de proiectare folosind tehnologia de RP;
- când nu mai există erori, construirea unui model funcțional;
- testarea funcțională a acestuia (în regim real de lucru);
- producerea piesei (dacă prototipul corespunde din punct de vedere funcțional, se trece la producerea piesei);

- *optimizarea produsului*. Procesul prezentat mai sus prezintă o metodă practică de îmbunătățire a calității unui produs cu ajutorul tehnologiei de RP. Cu toate acestea, optimizarea proiectării poate de asemenea îmbunătăți situația. Ca fiecare etapă de proiectare și optimizarea poate fi costisitoare din punct de vedere al timpului și al costurilor. Metodele de RP permit echipei de proiectare să se joace cu expresia „și dacă” pentru îmbunătățirea produsului. De exemplu, se pot modifica caracteristicile geometrice ale noului produs foarte simplu și cu costuri scăzute. De aceea procesul de îmbunătățire a calității poate fi modificat după cum urmează:

- proiectarea prototipului cu ajutorul unui program CAD;
- construirea prototipului cu o metodă de RP;
- inspectarea prototipului RP și determinarea erorilor posibile;

- corectarea erorilor în programul CAD;
- verificarea noului prototip RP modificat;
- realizarea unei noi etape de proiectare folosind tehnologia de RP;
- optimizarea și testarea multiplelor variante de proiectare folosind tehnologia de RP;
- când nu mai există erori, construirea unui model funcțional;
- testarea funcțională a acestuia (în regim real de lucru);
- producerea piesei (dacă prototipul corespunde din punct de vedere funcțional, se trece la producerea piesei);

- *fabricarea modelului funcțional*. Când un prototip a fost realizat prin pașii descriși mai sus, este foarte important de fabricat un model funcțional real de test. Acest model nu se știe încă dacă va trece toate testele funcționale. De aceea, construirea prematură a liniilor de fabricație sau realizarea sculelor necesare fabricării acestuia poate fi un proces cu costuri ridicate, dar fără nici un final. Din nou, tehnologia de RP poate veni în ajutor. În prezent există un număr mare de metode care permit realizarea unui model funcțional într-un timp relativ scăzut și cu costuri minime. Procesul de construire a noului produs (cu o calitate îmbunătățită) se poate transforma din nou, astfel:

- proiectarea prototipului cu ajutorul unui program CAD;
- construirea prototipului cu o metodă de RP;
- inspectarea prototipului RP și determinarea erorilor posibile;
- corectarea erorilor în programul CAD;
- verificarea noului prototip RP modificat;
- realizarea unei noi etape de proiectare folosind tehnologia de RP;
- optimizarea și testarea multiplelor variante de proiectare folosind tehnologie de RP;
- construirea unui model funcțional folosind tehnologia de RP;
- testarea funcțională a acestuia (în regim real de lucru);
- producerea piesei (dacă prototipul corespunde din punct de vedere funcțional, se trece la producerea piesei).

Se poate observa că în această versiune finală a procesului de îmbunătățire a calității unui produs, din 10 etape, șase presupun folosirea în mod direct a metodelor de RP. Economia de timp și costuri se poate dovedi astfel substanțială din punct de vedere global.

10.3.7. Tehnici de RP

Datorită numărului mare de tehnici și sisteme comerciale de RP existente pe piață, în următoarele paragrafe se vor prezenta foarte pe scurt câteva metode și mașini mai des folosite pentru aceasta.

10.3.7.1. SLS (Selective Laser Sintering)

Este realizată prin mai multe procedee, astfel:

- *procedeul DTM*. A fost realizat de Carl Deckard și Joe Beaman (University of Texas, Austin) în anul 1986 (fig. 10.38).

Așa cum s-a arătat într-un paragraf anterior, SLS începe cu generarea fișierului CAD. Acest fișier CAD trebuie convertit în formatul standard STL, care este acum suportat de majoritatea programelor de proiectare CAD. Sistemul SLS dispune de pachetul de programe DTMView care încarcă fișierul standard STL. Sistemul permite utilizatorului să seteze anumiți parametri ai procesului de realizare a prototipului.

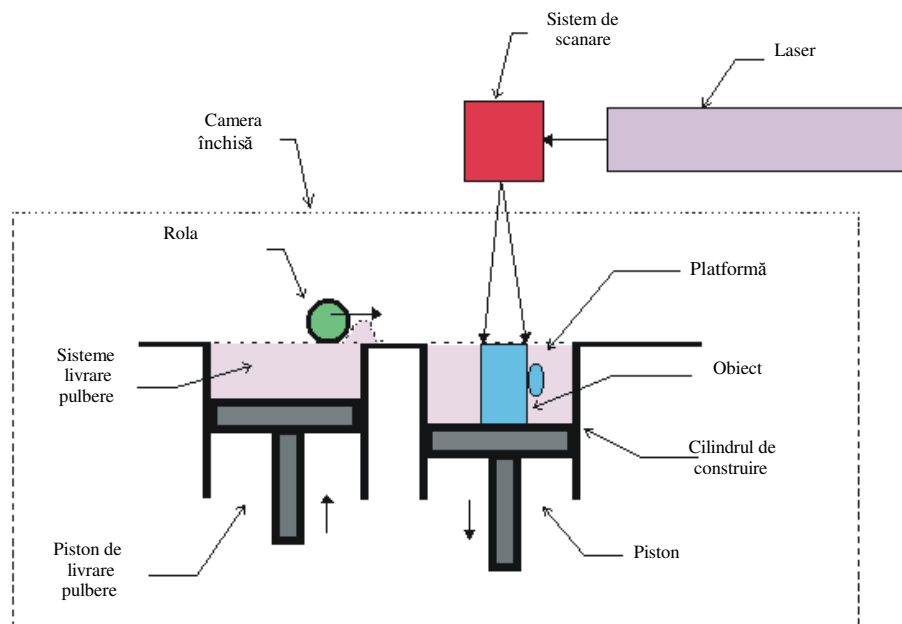


Fig. 10.38. Schema generală SLS.

Procesul de realizare începe prin depozitarea unui strat subțire de pulbere pe o platformă. Un laser cu CO_2 controlat de calculator scanează selectiv secțiunile prin obiect și este proiectat pe platforma astfel pregătită cu pulbere. Pulberea încălzită va fi astfel fuzionată cu alte particule formând o masă solidă. Intensitatea fasciculului laser este modulată pentru a topi pulberea numai în ariile definite de geometrică de proiectare a obiectului. Camera de fabricație este închisă emertic și menținută la o temperatură mai joasă decât punctul de topire al pulberii folosite. După terminarea scanării întregii secțiuni, platforma va fi apoi coborâtă în concordanță cu grosimea specificată a stratului. Apoi, un strat adițional de pulbere

este împrăștiat deasupra stratului precedent. Noul strat va fuziona cu stratul precedent. Straturi succesive de pulbere sunt depozitate unul peste celălalt și, astfel, procesul este repetat până când prototipul este gata. Există o gamă largă de materiale brute disponibile pentru acest proces, ca de exemplu, materialele termoplastice (poliamida, policarbonații), nisipul, elastomerii, ceramica și pulberile metalice.

SLS a fost comercializat în principal pentru verificarea proiectării conceptuale a unui nou produs și pentru realizarea unor prototipe funcționale (testarea acestora în regim real de funcționare).

- *procedeul EOS* este similar cu cel al firmei DTM și este realizat de compania germană EOS GmbH. Principala diferență dintre EOS și DTM este dispozitivul de răspândire a pulberii. DTM folosește un mecanism cu role pentru a împrăști stratul de pulbere în mod egal. Deoarece rezervorul cu pulbere este situat într-o parte a platformei și partea cealaltă este folosită pentru colectarea materialului redundant, rolele trebuie să traverseze platforma de două ori. În contrast, în sistemele EOS, materialul este pus într-un container cu fața în jos, astfel încât acesta traversează doar o singură dată platforma pe care se depozitează stratul de pulbere.

Acuratețea pieselor produse depinde în principal de dimensiunile particulelor de pulberi și de raza fasciculului laser. Cu toate că prototipurile realizate prin SLS au o consistență mecanică satisfăcătoare, în unele cazuri, suprafața rezultată a pieselor nu îndeplinește toate așteptările și necesită prelucrări ulterioare. O comparație între caracteristicile celor două sisteme de RP este prezentată în tabelul 10.5.

Tabelul 10.5. Comparație între caracteristicile sistemelor DTM 2500 și EOS M250

Caracteristici	DTM 2500	EOS M250
Aplicații	Diverse prototipuri	Prototipuri tehnice
Tipul de laser	CO ₂	CO ₂
Putere laser	250 W	Min. 200 W
Diametru fasciculului	0,4 mm	0,45 mm
Viteza de scanare		Până la 3 m/s
Sistemul de pulbere	50% oțel + 50% bronz	Amestec de oțel și pulberi metalice cu punct de topire scăzut
Livrarea pulberii	role	Rezervor cu lamă
Volumul maxim		250mm × 250 mm × 185 mm
Grosimea minimă a straturilor		0,05-1 mm

10.3.7.2. SLA (Stereolithography)

Este realizat prin mai multe procedee, astfel:

- *Procedeul 3D Systems.* Stereolitografia (SLA) se bazează pe folosirea unor polimeri fotoreactivi, de obicei unii care reacționează la lumina ultravioletă sau laser, cu lungime de undă scurtă. Prin absorbirea de suficientă energie a

radiațiilor, rășinile se solidifică (are loc procesul de polimerizare).

Produse de 3D Systems Corp., aparatele de SLA au fost primele sisteme de RP care au ajuns pe piață (1987). Ultimele modele de aparate SLA dispun de programe Microsoft Windows NT pentru operațiile principale: 3D Lightyear pentru afișare și poziționare piesă, generare suport și tăiere și Buildstation pentru operarea mașinii SLA.

Materialele folosite pentru realizarea pieselor au fost la început bazate pe acrilati. În prezent se folosesc materiale epoxy care prezintă avantajul că sunt mai puțin toxice și au proprietăți mai bune față de acrilati.

SLA începe cu un model solid CAD. Acesta este apoi transformat în formatul standard STL. Fișierul de lucru STL este tăiat în secțiuni orizontale, iar fiecare secțiune este salvată într-un fișier separat. Aceste fișiere sunt apoi „reunite” pentru crearea a 4 fișiere separate ce controlează mașina SLA (cu extensiile L, R, V și PRM). Cel mai important fișier dintre cele patru este cel cu extensia V (Vector). Acesta conține conturul pe care laserul îl va urma pentru tăierea formei piesei.

Prin luminarea selectivă a unei suprafețe cu polimeri, se poate forma un strat al modelului. Pentru a realiza stratul următor, obiectul este înmuiat într-o cuvă cu polimeri. Pașii de construcție se repetă până când piesa este gata. Apoi, excesul de rășină ce rămâne pe suprafețele acesteia este spălat și piesa este plasată într-o cameră cu lumină ultravioletă pentru procesarea finală a rășinii. Schema generală a unui astfel de sistem se prezintă în figura 10.39.

Sistemul de RP prin SLA al companiei 3D Systems este probabil cel mai performant de pe piață, oferind o rezoluție cu o grosime a stratului de 0,0254 mm. Unul din principalele dezavantaje ale SLA este impactul asupra mediului de lucru, deoarece rășina proaspăt polimerizată este poluantă și periculoasă pentru sănătate. Pentru curățirea acesteia se folosesc solvenți care cresc costurile și temerile ecologiste și de sănătate. Principalul avantaj al acestei metode este însă calitatea suprafețelor prototipului, care este probabil cea mai bună dintre toate sistemele de RP.

- *Procedeul SOUP (Solid Object Ultraviolet Laser Plotting)*. A fost dezvoltat de Mitsubishi Corporation în Japonia și este comercializat de CMET (Computer Modelling and Engineering Technology). Acest sistem folosește o tehnologie similară cu 3D Systems - un laser este folosit pentru construirea de modele într-o cuvă de rășini fotopolimerizabile.

- *Procedeul D-MEC*. Compania japoneză D-MEC a lansat propriile sisteme de RP cu SLA, numite SCS (Solid Creation Systems). Aceste sisteme folosesc lasere pe bază de HeCd sau ioni de argon cu raza fasciculului ajustabilă. Volumul modelelor care pot fi construite cu aceste sisteme poate ajunge până la 1 000 mm×800 mm×500 mm.

- *Procedeul Soliform*. A fost dezvoltat de DuPont Imaging și comercializat începând cu anul 1989. Patentul aparține companiei japoneze Teijin Seiki care se ocupă de comercializarea acestuia în Asia, în timp ce compania

DuPont se axează acum pe dezvoltarea de rășini fotopolimerice. Materialul folosit în acest caz este o rășina albă, cu proprietăți similare cu cauciucul și liconatul.

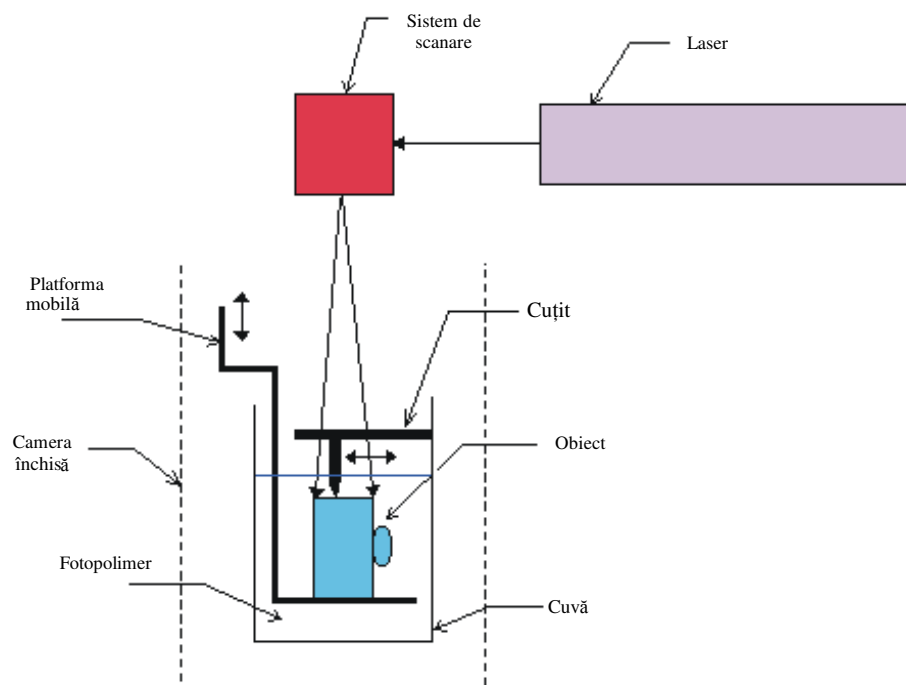


Fig. 10.39. Schema generală a SLA pentru 3D Systems.

- *Procedeul Light Sculpting Inc.* Are la bază și sistemul SLA, trăsătura distinctivă fiind aceea că întărește (polimerizează) toate straturile deodată, mărind astfel productivitatea. Sistemul este format dintr-o imprimantă industrială, o unitate de perforare, programe de calculator de creare secțiuni și o sursă de radiații. Măștile create de programele de stratificare sunt folosite de imprimantă care le listează pe folii transparente. Imprimanta folosește toner convențional. Foliile sunt stocate în ordinea corespunzătoare, iar pe marginea acestora, un pistol depozitează polimer lichid. Sursa de lumină inundă apoi fotopolimerul pentru 2-3 secunde. Imediat cum iradiația se oprește, stratul de polimer se întărește și se detașează de pe foliile de plastic.

10.3.7.3. SGC (Solid Ground Curing)

Compania Cubital a dezvoltat o variantă de stereolitografie numită SGC (fig. 10.40). Acest proces constă în următorii pași:

- un calculator analizează un fișier CAD și secționează obiectul respectiv

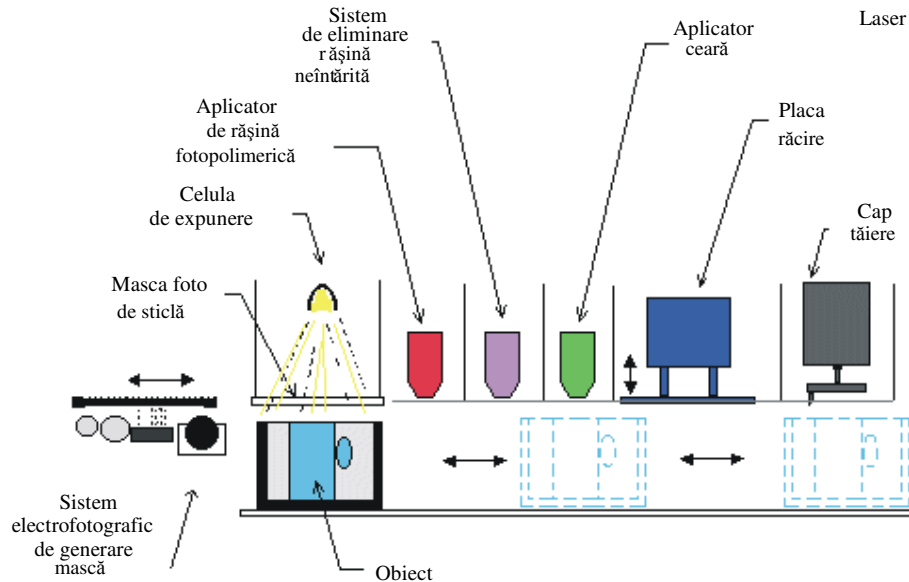


Fig. 10.40. Schema generală a procesului SGC.

în straturi subțiri de grosime specificată;

- imaginea stratului curent este „tipărită” pe o sticlă foto (mască) folosind un proces electrostatic similar cu tipărirea laser. Partea stratului care reprezintă material solid este lăsată transparentă;
- un strat subțire de fotopolimer este împrăștiat în mod egal peste suprafața de lucru;
- o lumină ultravioletă este proiectată prin mască peste noul strat de polimer lichid;
- rășina expusă, corespunzătoare părții transparente a măștii, polimerizează și se întărește;
- rășina neafectată, care este încă în stare lichidă, este aspirată înapoi în rezervor;
- ceara lichidă este împrăștiată peste suprafața de lucru, umplând cavitățile ocupate mai înainte de polimerul lichid neîntărit;
- o placă de răcire întărește ceara; în acest moment întregul strat, ceara și polimerul, este solid;
- stratul este turnat până la grosimea dorită;
- procesul se repetă pentru următorul strat, fiecare strat aderând la cel anterior, până când obiectul este terminat;
- ceara este îndepărtată prin topire sau spălare și prototipul este gata.

Materialele folosite în acest proces sunt rășina polimerică, ceara și tonerul. Prin aceasta metodă, se pot realiza modele solide de 10-15 ori mai rapid decât cu alte metode de RP. Avantajul acestei metode este crearea unor modele cu calități crescute și la preturi competitive.

10.3.7.4. LM (Laminated Manufacturing)

Principiul acestui procedeu constă în imbinarea secvențială a foliilor de material (ca de exemplu: hârtie, plastic sau materiale compozite) una peste cealaltă. Există trei tehnologii diferite în funcție de metoda aplicată pentru tăierea contururilor și de materialele folosite:

- Tehnologia *Laminated-Object Manufacturing (LOM)* – Helisys. Mașina LOM, comercializată de firma Helisys, generează o piesă prin laminare și tăiere cu laser a materialelor sub formă de folii (fig. 10.41). Materialele puse la dispoziția operatorului sunt hârtia, plasticul sau materialele compozite. Foliile sunt laminate într-un bloc solid cu ajutorul unei îmbrăcămینی termice adezive.

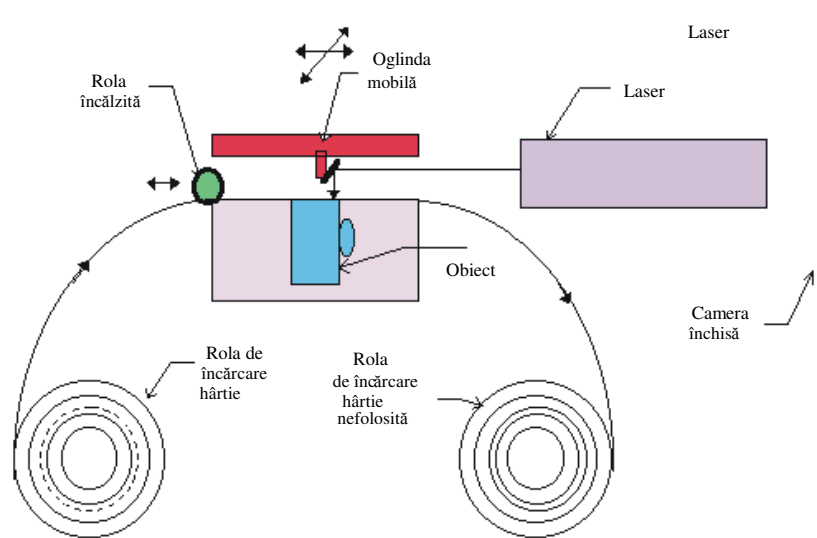


Fig. 10.41. Metoda LOM.

Sistemul LOM operează cu ajutorul unui calculator personal. Acesta pune la dispoziția operatorului programul LOM Slice care controlează procesul de RP.

Și acest procedeu de RP începe cu fișierul standard STL care este încărcat de LOM Slice și afișat pe ecranul calculatorului. Operatorul are acum posibilitatea să controleze parametrii procesului de RP: puterea laserului, viteza de încălzire a materialului, marginea de avansare a materialului etc. O dată aceste valori introduse, LOM este gata să înceapă procesul de realizare a prototipului.

Procesul începe cu un model 3D care va fi tăiat în secțiuni 2D. Grosimea acestor secțiuni trebuie să coincidă cu grosimea materialului folosit la laminarea prototipului. O rolă încălzită se mișcă de-a lungul suprafeței foliei, îmbinând-o cu restul straturilor. Un fascicul de laser cu CO₂ taie profilul secțiunii în folia curentă, dar excesul de material nu este îndepărtat, având rolul de susținere a celorlalte straturi. Procesul se repetă apoi pentru toate straturile până când piesa este gata. Excesul de material se îndepărtează și piesa este gata.

Avantajul principal al metodei LOM este acela că permite producerea unor modele pe scară largă folosind material foarte ieftin (de obicei hârtie). De asemenea este o metodă ecologică și s-a dovedit a nu avea consecințe negative de sănătate. Ca dezavantaj se menționează necesitatea evacuării gazelor rezultate din arderea materialului.

Produsul final LOM are o duritate relativ bună din punct de vedere al manipulării acestuia. De aceea, ele pot fi folosite pentru diverse aplicații, de la vizualizarea proiectului și până la testarea funcțională a prototipurilor (folosirea directă a produsului rezultat prin metoda LOM).

- Tehnologia *KIRA*. Corporația japoneză Kira folosește o tehnologie de laminare cu hârtie pentru a realiza modele 3D. Spre deosebire de sistemul Helysis, în locul unui fascicul laser care taie conturul unui strat, tonerul este presărat pe contur, așa cum este indicat de modelul CAD. Tonerul este topit la 175°C și folia respectivă (hârtia) este îmbinată cu stiva de hârtie de dedesubt. Apoi, un cuțit controlat de calculator care lucrează în același mod ca un cutter-plotter taie conturul stratului respectiv, lăsând însă materialul în exces pentru suportul straturilor rămase de lipit. Pieseile astfel obținute pot fi folosite pentru testarea proiectării sau a funcționării.

- Tehnologia *SDC JP 5 System* (JP-5). A fost realizată de Schroff Development Corporation. Este poate unul din cele mai simple dintre toate procesele de RP. Sistemul JP-5 este compus dintr-un plotter care folosește în loc de capat de imprimare un cuțit, și în loc de hârtie normală, o hârtie autoadezivă. Și sistemul JP-5 poate fi operat de pe un calculator personal cu un minim de cerințe (486 cu 8M RAM). Plotterul JP-5 este conectat la calculator prin intermediul unui port serial. Programul care controlează funcționarea acestui sistem este inclus într-un pachet de proiectare CAD – Silver Screen. Sistemul JP-5 acceptă formatul standard STL dar și formatul Silver Screen pentru fișierele CAD. Plotterul JP-5 folosește un cuțit din oțel inoxidabil. Sistemul permite cuțitului să realizeze mișcări de rotație. De asemenea adâncimea de tăiere a cuțitului poate fi specificată. Plotterul mișcă hârtia înainte și înapoi pe direcția y, în timp ce cuțitul este controlat pe direcția x.

Ca orice ciclu RP, JP-5 începe cu un fișier CAD care poate fi realizat fie cu pachetul de proiectare Silver Screen, fie cu orice alt sistem de proiectare CAD care exportă în formatul standard STL. Fișierul CAD trebuie convertit din formatul în trei dimensiuni (3D) în straturi orizontale în două dimensiuni. Cu alte cuvinte,

modelul 3D al produsului ce trebuie realizat este tăiat în straturi în 2D de grosimea hârtiei autoadezive folosite pentru realizare. Fișierul de lucru astfel obținut este transferat plotterului pentru prelucrare. Plotterul acceptă instrucțiuni de la calculator pentru fiecare strat în parte, permițând operatorului uman să încarce hârtia necesară pentru fiecare strat. Toate straturile sunt tăiate unul câte unul. Aceste straturi sunt apoi asamblate manual. Modelul astfel terminat poate fi învelit într-un material solid pentru a-i asigura o duritate ridicată. Această metodă este probabil cea mai ieftină și se folosește, de obicei, ca un mijloc educațional.

10.3.7.5. Printare 3D (3DP – 3D printing)

3DP este un proces de RP dezvoltat la MIT de prof. Emmanuel Sachs și Michael Cima. La acest procedeu, un cap de imprimantă cu jet este folosit pentru injectarea unei substanțe de îmbinare într-o pulbere metalică, corespunzător modelului CAD (fig. 10.42). Ciclul de construire începe prin împrăștierea unui strat de pulbere peste o platformă. Un cap de printare traversează platforma și depozitează lichidul de îmbinare corespunzător stratului curent. Platforma este apoi coborâtă și un nou strat de substanță de îmbinare este depozitată peste primul strat. Procesul se repetă până când întregul volum al obiectului este gata. În prezent, piese metalice și din ceramică pot fi construite prin 3DP.

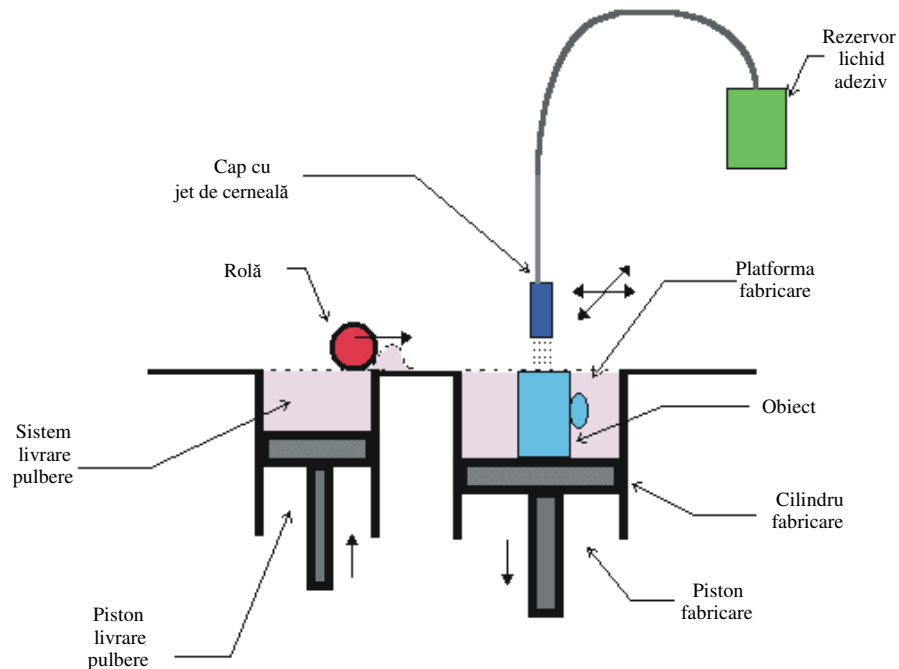


Fig. 10.42. Principiul metodei 3DP.

Prototipul astfel obținut necesită operațiuni de post-procesare. În primul rând, pulberea în exces trebuie să fie înlăturată, iar această operație se realizează cu ajutorul unui sistem de suflare cu aer și aspirator. O dată pulberea îndepărtată, piesa este așezată într-un cuptor și încălzită până la o temperatură mai ridicată decât cea de topire a cerii de infiltrare (folosită pentru finisarea piesei). Imediat după încălzire, piesa este imersată într-o cuvă cu ceară topită pentru câteva secunde. După uscare procesul de realizare a piesei este complet.

Principala aplicație a 3DP este aceea a verificării proiectării prototipurilor. Materialele non-toxice folosite permit manevrarea prototipurilor imediat după fabricare.

Avantajul 3DP este viteza cu care se pot realiza prototipurile, iar dezavantajul este acela că suprafețele acestora au o rugozitate mare, iar ca orice mașină care folosește ca material pulberea, necesită operații riguroase de curățire.

10.3.7.6. Imprimare cu jet

Spre deosebire de 3DP, în loc de injectare a unui material liant într-o bază de pulbere, un material cu punct de topire scăzut (bazat pe ceară) este topit și particule din acesta sunt imprimate printr-un cap controlat sau un cap de printare cu jet pentru a forma o masă uniformă și solidă; se folosesc mai multe tehnologii:

- Tehnologia *MM (Model Maker)*. Sistemele companiei Sanders – Model Maker (MM) se bazează pe tehnologia de imprimare cu jet de cerneală. Această metodă presupune contruirea strat cu strat a prototipului de realizat, în mod similar cu alte metode de RP.

Sistemele MM folosesc programele MW, realizate de Sanders Prototype Inc. pentru manipularea fișierelor de lucru în format STL. MW convertește standardul STL în limbaj care poate fi înțeles de mașină MM. Materialele folosite de această metodă sunt în general materiale cu un punct de topire scăzut, atât pentru materialul de suport, cât și pentru materialul pentru modelare. Există rezervoare separate pentru încălzirea materialului suport și pentru cel de modelare. Există de asemenea două capete de printare, unul pentru construirea modelului și celălalt pentru construirea suportului acestuia. Suportul depinde de geometria piesei și poate fi realizat doar pe anumite părți sau pe întregul acesteia. După ce ceara topită este depozitată, o rolă este folosită pentru uniformizarea suprafeței și pentru a se asigura un strat orizontal pentru construirea următorului strat. De aceea, MM poate contrui piese prin straturi de grosimi diferite, reducând în acest fel timpul de procesare și caracteristica de „scară” a modelului.

Sistemele MM și-au dovedit aplicabilitatea în cazul realizării unor piese de dimensiuni mici (de exemplu pentru industria de bijuterii sau industria medicală). Când este însă vorba de prototipuri de dimensiuni mari (de un volum mai mare ca al unui cub de lucru cu latura de 7,5 cm) viteza de construire este foarte mică;

- Tehnologia *3D Systems Thermo-Jet*. Sistemele *Thermo-Jet* lucrează pe principiul unei imprimante cu jet de cerneală și se pretează instalării și operării

într-un birou.

Fiecare strat este „imprimat” folosind o tehnologie puțin modificată de cea a printării cu jet de cerneală, tehnologie numită *Multi-Jet Modelling* (MJM), cu o rezoluție de 300 dpi. Există o oarecare similitudine cu mașinile 3DP. Diferența constă în faptul că materialul de modelat este injectat direct de capul de imprimare în loc de folosire a unei pulberi și a unui liant de îmbinare. Modelul astfel obținut are o finisare foarte bună a suprafețelor. MJM este ideal pentru realizarea unor modele de proiectare sau a mostrelor, într-un mod rapid și fără costuri de producție ridicate. De asemenea MJM permite proiectanților să detecteze eventuale erori de proiectare sau să evalueze mai multe alternative de proiectare.

10.3.7.7. Ballistic Particle Manufacturing (BPM)

Un system BPM reprezintă o variantă compactă de RP care conține unitățile hardware ca și programele necesare. Sistemul este controlat de un calculator cu caracteristici minime (486 PC) și dispune de un modem și un port serial pentru transferul de fișiere de lucru.

Sistemul BPM folosește tehnici bazate pe jeturi de cerneală sau de producție prin depunere de „picături” sau particule (DBM – *Droplet Based Manufacturing*). Prototipul este realizat prin depunere de micro-particule de ceară topită dintr-un cap deplasabil pe o bază staționară. Baza este coborâtă și un alt strat este depus, procesul continuând până un obiect 3D este realizat.

Figura 10.43 prezintă aceasta metodă, așa cum a fost implementată de Sanders Prototypes.

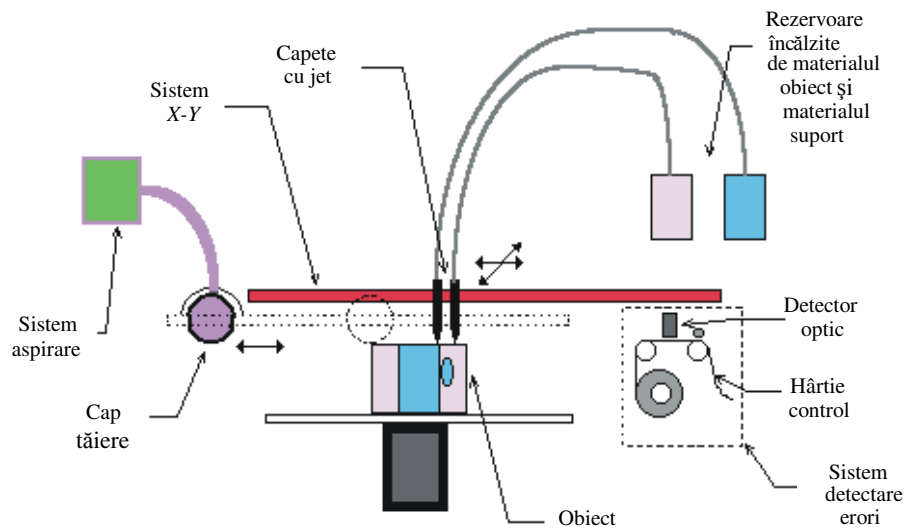


Fig. 10.43. Schema generală a BPM.

Materialele lichide de construcție și suport al obiectului sunt păstrate într-un rezervor, la temperaturi corespunzătoare. Lichidele sunt livrate capetelor cu jet prin tuburi izolate din punct de vedere termic. Capetele cu jet depun mici picături de material în timp ce sunt mutate dintr-o parte în cealaltă, în funcție de geometria stratului curent. Capetele sunt controlate în așa fel încât picăturile de material sunt depozitate numai unde este necesar. Aceste picături se solidifică în mod rapid. După ce un întreg strat este solidificat, un cap de tăiere asigură grosimea uniformă a acestuia. Particulele în exces sunt aspirate și păstrate într-un filtru. Operația capetelor cu jet este verificată strat cu strat printr-un sistem optic de detectare a erorilor. Dacă totul este în regulă, platforma pe care se construiește obiectul este coborâtă și construcția următorului strat poate începe. Piese realizate prin BPM nu pot fi finisate (post procesate) din cauza fragilității sporite a acestora. Ele pot doar fi vopsite cu o vopsea pe bază de apă. O dată obiectul construit, materialul suport (ceara) este fie topit, fie spălat. Această metodă este capabilă de a realiza prototipuri de calitate ridicată, dar cu o viteză redusă. De aceea, există un echilibru între timpul de fabricație și calitatea pieselor.

Din cauza materialului moale folosit, tehnologia BPM este folosită în general pentru vizualizarea unui nou produs și nu pentru realizarea unor componente funcționale. Avantajul principal al acestei metode este faptul că permite realizarea unor piese care necesită post-procesare minimă din punct de vedere toxic (materialul folosit este ceara, deci un material ecologic). De asemenea, BPM este o metodă ce necesită un consum redus de energie, care împreună cu tipul materialului folosit asigură realizarea de prototipuri cu un cost minim.

10.3.7.8. Fused Deposition Modelling (FDM)

FDM presupune așezarea de straturi prin extrudare în așa fel încât noile straturi să fuzioneze cu straturile anterioare înainte de solidificare (fig. 10.44).

FDM este reprezentată de Stratasys, Minneapolis, Minnesota. Mașina FDM se aseamănă cu un plotter, cu deosebirea că în loc de cerneală, acest sistem depune plastic sau ceară încălzită, construind astfel un model prin laminări succesive.

Mașinile FDM folosesc programele QuickSlice (QS) produse de Stratasys pentru manipularea și pregătirea fișierelor de lucru STL. Aceste programe pot fi folosite pe diferite platforme de la UNIX până la PC.

Materialele folosite de FDM sunt: ceară, acrylonitril butadiene styrene (ABS) și ABS termoplastic. Acestea sunt păstrate sub formă de filamente rulate pe bobine speciale.

Capul de extrudare (de depunere) este o componentă cheie pentru sistemul FDM. Acesta este o componentă compactă care poate fi detașată foarte ușor în vederea curățării sau pentru schimbarea materialului de lucru. Capul de extrudare este compus din următoarele elemente (fig. 10.45):

- *blocurile de alimentare* a capului cu materialul de depunere; acestea sunt

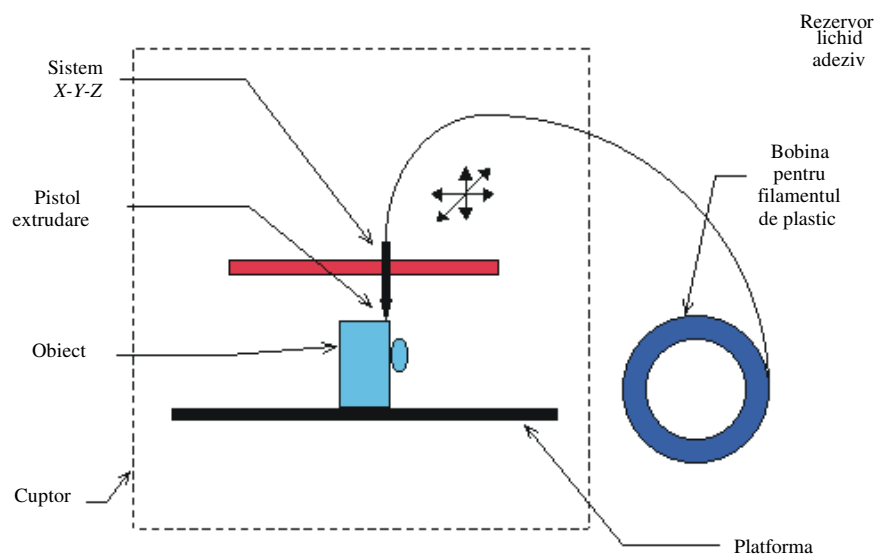


Fig. 10.44. Schema generală FDM.

controlate cu precizie de calculator;

- *camera de încălzire* sau cuptorul, care are rolul de a asigura topirea materialului. Forma cuptorului este aceea a unui cot de 90 de grade învelit într-un element de încălzire, care asigură de asemenea schimbarea direcției de curgere a materialului, în așa fel încât aceasta se face pe verticală. Elementul de încălzire este controlat electronic, senzorii de temperatură prezenți având rolul de a asigura o temperatură constantă.

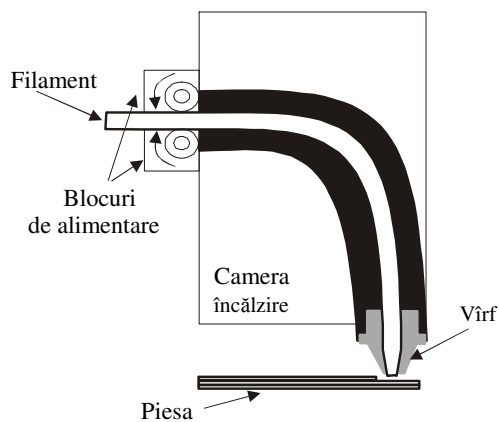


Fig. 10.45. Capul de extrudare.

- *vârful de extrudare*, care are rolul de a reduce fluxul de material pentru o mai bună modelare. El este de asemenea încălzit de camera de încălzire la o temperatură mai mare decât temperatura de topire a materialului de depunere.

Ca orice proces RP și FDM începe cu convertirea fișierului STL într-un format care poate fi înțeles de mașina de RP, proces realizat de programul QS.

Operatorul poate selecta grosimea straturilor și materialul folosit pentru procesare. După ce piesa a fost orientată în mod optim pentru realizare, QS trece la „tăierea” acesteia în straturi subțiri (de grosime între 0,0125 cm și 0,04 cm). Programul QS permite utilizatorului să vadă în timp real fiecare strat și să opereze modificări asupra acestuia dacă este necesar.

Un filament de 0,75 mm de material termoplastice este introdus într-un pistol încălzit la o temperatură mai mare decât temperatura de topire a acestuia. Materialul se solidifică imediat ce este depus, aderând la materialul adiacent și astfel formând piesa respectivă. Sistemul dispune de două tipuri de pistoale încălzite: unul pentru materialul necesar realizării obiectului și altul pentru materialul necesar suportului acestuia din urmă. O dată piesa terminată, cele două materiale sunt ușor de separat. Cu această metodă este posibilă, de asemenea, construirea unor modele din mai multe materiale.

Aplicații tipice ale FDM sunt:

- FDM asigură o metodă simplă de realizare a unor prototipuri pentru verificarea vizuală a proiectării;

- datorită rigidității materialului folosit (ABS), piesele obținute prin FDM pot fi folosite în mod direct. De exemplu, FDM poate realiza piese funcționale pentru ansamble de timonerie, modele pentru tunele de vânt etc., permițând astfel testarea prototipurilor în condiții reale de funcționare.

Dintre avantajele FDM se pot menționa:

- duritatea și caracteristicile termice ale materialului din care se realizează piesele asigură manipularea acestora în diverse medii;

- sistemul este fără lasere, deci mai ieftin;

- asigură o post-procesare simplă și minimală (cu noul suport solubil în apă pe care se poate construi prototipul).

Dezavantajul major al FDM este timpul relativ mare pentru realizarea unei piese în comparație cu metodele bazate pe laser. De asemenea, fiecare strat trebuie să aibă un punct fizic de depunere de start și de stop, ceea ce limitează caracteristicile geometrice ale pieselor ce pot fi realizate prin această metodă.

10.3.7.9. Shape Deposition Manufacturing (SDM)

SDM este un proces de construire stratificată ce implică o combinație iterativă de adăugare sau îndepărtare de material și este în curs de cercetare la Stanford University (USA). Piesele sunt construite dintr-un material de „sacrificiu”, care încorsetează fiecare strat, în scopul realizării unei platforme suport pentru straturile următoare sau pentru caracteristicile geometrice în consolă.

Spre deosebire de toate celelalte tehnici de RP care descompun modelul în straturi subțiri 2½ D, SDM reține reprezentarea 3D a piesei în așa fel încât aceasta este construită fără caracteristica de „scară”. Depunerea de material este realizată pe bază de tehnici de sudare cu laser sau plasmă. O altă metodă este aceea a folosirii rășinilor UV sau a presării pulberilor la cald. După depozitarea unui strat, acestuia îi este dată forma folosind mașini convenționale cu CN.

Metodele de RP prezentate anterior, împreună cu producătorul mașinilor respective și a materialelor puse la dispoziția utilizatorilor sunt prezentate sumar în tabelul 10.6.

Tabelul 10.6. Metode și caracteristici de RP

Technologia RP	Producătorul	Materialele
Selective laser sintering (SLS)	DTM Corporation EOS	Ceară, termoplastic, pulberi metalice
Stereolithography (SLA)	3D Systems CMET – SOUP Solid Creation Systems- D-MEC DuPont Imaging – Soliform Light Sculpting	Rășini epoxy, rășini fotopolimerizabile
Solid Ground Curing (SGC)	Cubital	Rășină polimerică, ceară
Laminated Object Manufacturing (LOM)	Helisys KIRA Schroff Development Corp - JP5	Hârtie, plastic, materiale compozite
3D printing (3DP)	MIT, Solingen	Metale, ceramică, pulberi
Imprimare cu jet Model Maker (MM)	Sanders Prototype Inc 3D Systems - Thermojet	Ceară
Ballistic Particle Manufacturing (BPM)	Sanders Prototype Înc.	Ceară
Fused Deposition Modelling (FDM)	Stratasys Sanders Prototype Inc.	Plastic, ceară, termoplastic
Shape Deposition Manufacturing (SDM)	Stanford University, CA, USA	Rășini UV, ceară, pulberi

10.3.8. Viitorul tehnologiei de RP

Atâta timp cât va exista competitivitate în industrie, va exista și nevoia de a reduce timpii și costurile de producție în același timp cu realizarea de produse de înaltă calitate. Dintre motivele care vor îndrepta din ce în ce mai mult dezvoltarea tehnologică către folosirea metodelor RP se pot aminti:

- reducerea timpului și a costului de dezvoltare a unui nou produs;
- reducerea timpului necesar ciclului de producție;
- reducerea costului de realizare a liniilor sau sculelor necesare producerii unui nou produs, în vederea realizării unor loturi mici de produse.

Există deja ramuri ale industriei, în special, cele legate de vânzări sezoniere care folosesc din ce în ce mai mult tehnologiile de RP. Se pot menționa industria de jucării, industria mecanicii fine și industria bunurilor de larg consum. Cu ajutorul RP aceasta poate testa prototipurile unor noi jucării înainte de fabricarea în masă a acestora. De asemenea, fabricarea unui ceas de mână „la modă” implică dezvoltarea unui prototip funcțional rapid și cu costuri scăzute. În general, cu cât timpul de dezvoltare al unui nou produs este mai mic, cu atât intrarea pe piață a acestuia este mai rapidă și de aceea se poate ține cont de preferințele consumatorilor în timp real. Reducerea timpului de realizare este importantă și pentru industria de automobile, care încearcă să țină pasul cu preferințele foarte schimbătoare ale consumatorilor.

10.4. PLANIFICAREA ASISTATĂ DE CALCULATOR

Planificarea muncii urmărește etapă cu etapă transformarea produselor sau pieselor din starea inițială brută în starea finisată. Punctul de plecare poate fi un singur material sau, în cazul unor operații de asamblare, părți componente. Orarul muncii conține secvența de operații pentru producerea unei părți, alocarea echipamentelor pentru operații, specificarea timpilor standard și a grupelor de salarii. Bazele planificării muncii sunt specificațiile tehnice și geometrice. Specificațiile geometrice sunt preluate din schițele produse de departamentul de proiectare. Aceste schițe pot, de asemenea, să conțină și informații tehnice, ca de exemplu: proprietățile materialelor, toleranțele, proprietățile suprafețelor părților componente etc. În unele cazuri, însă, pregătirea informațiilor tehnice este parte integrantă a procesului de planificare a muncii. Facturile materialelor sunt, de asemenea, importante pentru documentele de planificare a muncii. CAPP trebuie să facă distincția între planificarea muncii pentru procese convenționale de producție sau pentru procese de producție comandate de calculator (de exemplu mașini cu CN). În ultimul caz, planificarea muncii va fi înlocuită de programele de CN.

10.4.1. Planificarea muncii pentru procesele de producție convenționale

Pentru procese convenționale de producție, un orar al muncii este creat așa cum se poate vedea în figura 10.46. Împreună cu datele de proiectare, schițe și facturi de materiale, este necesar și accesul la alte surse de informații din aria producției, așa cum se poate vedea în figura 10.47.

Prin căutarea unor părți componente similare în bazele de date, orarele de muncă pot fi create prin accesarea altor orarii standard de muncă care conțin practic aceleași operații de bază, trebuind doar să fie ușor modificate. Orare de bază tipice pentru diverse părți componente pot de asemenea să fie folosite ca puncte de plecare pentru crearea unui nou program de lucru. Pentru alegerea


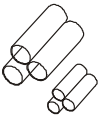
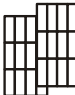
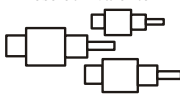
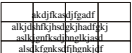












Specificația inițială a părților componente	  <p>Inventarul de materiale</p> <p>Tabele de specificații: de exemplu, măsurarea diametrului unei operații de găurire</p> 
Secvența și ordinea operațiilor	<p>Piese echivalente</p>  <p>Secvența de lucru echivalentă în program de lucru echivalent</p> <p>Program de lucru standard</p> 
Alegerea echipamentelor	     <p>Catalog de mașini-unelte</p>
Scule echivalente	<p>Catalog cu detalii despre</p> <ul style="list-style-type: none"> - scule; - dispozitive; - verificatoare.    
Alegerea unor dispozitive auxiliare de producție	 <p>Nomograme</p>  <p>Grafice</p>  <p>Timpi standard</p>

Fig. 10.47. Planificarea datelor pentru programul de lucru.

Tabelul 10.7. Exemplu de program de CN

PARTNO/D-AXLE MACHIN/PP1 MACHIN/ZEISI G MACHDT/30.120.1.3.5.3000.0.8.20	Declarații generale
CONTUR/BLANCO BEGIN 0.0 YLARGE.PLAN.0 RGT/DIA.100 RGT/PLAN.330 RGT/DIA.0 TERMCO	Descrierea materialelor brute
SURFIN/FIN CONTUR/PARTCO L1=LÎNE/50.25.90.30 MO.M1.BEGIN/20.0.YLARGE.PLAN.20.BEVEL.3.ROUGH RGT/DIA.40.ROUND.2 LFT/PLAN.50 RGT/L1 M3.RGT/PLAN.310.ROUGH M4.RGT/DIA.0 TERMCO	Descrierea părților componente

Tabelul 10.7. (continuare)

PART/MATERL.203 CSRAT/60 CLDIST/2 PLANE=TURN/SO.CROSS.TOOL.100.1.SETANG.180.ROUGH SCHL1=CONT/SO.TOOL.200.2.SETANG.110.FIN.OSETNO.7	Definiții tehnologice
CHUCK/11.50.200.300.104.50 CLAMP/50 COOLNT/ON WORK/PLANE CUTLOC/BEHIND CUT/M3.TO.M4..... CUT/M1.TO.M2 WORK/NOMORE FIN	Instrucțiuni de control

10.4.3. Planificarea automatizată a proceselor de producție

Datorită problemelor ce pot apărea în cazul planificării proceselor de producție, experiența umană, raționamentul și logica acestora au fost încorporate în programe de calculator. Aceste programe, bazându-se pe caracteristicile piesei ce trebuie produse, generează secvența de operații pentru producție. Un sistem CAPP are avantajul că reduce rutina funcționarilor umani și a inginerilor de producție, realizându-se astfel importante economii de resurse. În același timp, numărul de erori este menținut la un nivel minim. Există două alternative pentru CAPP:

1. *CAPP cu refolosire (CAPPR)*. În această metodă, piesele produse într-o fabrică sau uzină sunt grupate în clase în funcție de caracteristicile lor de producție. Un proces standard este stabilit pentru fiecare clasă. Aceste planuri standard sunt stocate în memoria calculatorului și sunt refolosite când un produs din respectiva clasă trebuie fabricat. Pentru organizarea fișierelor este necesară o formă de clasificare sau de codare a produselor sau pieselor din respectiva clasă. În figura 10.48 este prezentat modul de lucru al CAPPR. În prima fază, operatorul uman introduce codul produsului/piesei ce se vrea fabricată. Sistemul CAPPR caută clasa de care aparține respectiva piesă, iar programele standard de planificare sunt găsite, editate pentru a se conforma cu noile specificații, și planul de producție este generat. Dacă codul respectivului produs nu este găsit, atunci se trece la căutarea unor produse cu caracteristici similare, și procesul continuă ca mai sus.

2. *CAPP generativ (CAPPG)*. CAPPG presupune crearea automată cu ajutorul calculatorului a unui plan de producție pornind de la zero și fără intervenție umană. Intrările sistemului CAPPG sunt informații detaliate despre produsul ce trebuie realizat. Într-un caz ideal, planul de producție pentru orice piesă sau produs poate fi generat automat (CAPPG universal). În practică însă, sistemele CAPPG curente sunt dezvoltate (specializate) pe anumite procese de producție.

Folosirea sistemelor CAPP oferă o serie de avantaje față de planificare

manuală a producției și anume:

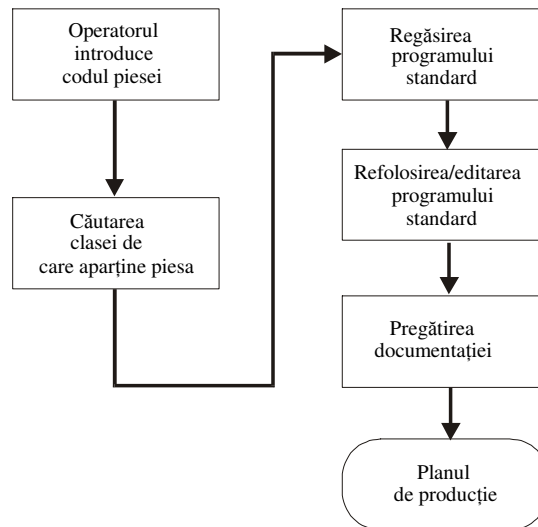


Fig. 10.48. Procesul CAPPR.

- productivitate crescută a planificării; folosind CAPP, funcționarii și inginerii de producție nu sunt la fel de intens solicitați ca în cazul planificării manuale, iar accesul la planurile de producție este imediat, de aceea este obținută o productivitate crescută a procesului de planificare;
- planuri de producție mai clare; datorită faptului că procesul este controlat de calculator, planurile de producție generate sunt de cele multe ori mai clare și mai ușor de citit decât cele realizate manual;
- integrarea CAPP cu alte programe sau aplicații de producție; sistemul CAPP poate fi proiectat în așa fel încât să opereze în conjuncție cu alte pachete de programe pentru automatizarea altor etape de producție consumatoare de timp;
- reducerea timpilor globali de producție; folosind un sistem CAPP, planurile de producție sunt în general realizate mult mai rapid decât în cazul realizării manuale a acestora. De aceea, timpul global de producție poate scădea considerabil.

10.5. CONTROLUL CALITĂȚII ASISTATE DE CALCULATOR

Controlul calității se realizează în mod tradițional folosind metode manuale de inspecție și proceduri statistice de prelevare probe. Inspecția manuală este în general o procedură mare consumatoare de timp care presupune o muncă precisă,

dar monotonă. Adesea presupune și mutarea pieselor din locul de producție în locuri speciale de inspecție, conducând la întârzieri care pot produce blocaje în procesul de producție.

Implicit, în procesul statistic de prelevare probe, se asumă riscul ca unele produse cu defecțiuni să scape inspecției. De aceea, controlul statistic al calității tinde să garanteze calitatea produselor cu o marjă de eroare sau procentaj de piese defecte.

Există și un alt aspect negativ al controlului tradițional al calității. Acest proces se face după ce piesele au fost deja produse, ceea ce presupune costuri de producție ridicate.

De aceea, există câteva motive de ordin economic, social și tehnologic pentru modernizarea procesului de control al calității. Factorul economic include costurile mari ale procesului de inspecție și întârzierile pe care acesta le poate produce în procesul de producție. Factorul social include cererea tot mai mare a clienților de produse „perfecte”, ca și regulamentele și standardele impuse de guvernul unei țări pentru a asigura protecția consumatorilor. Tot aici se poate include tendința inspectorilor umani de a fi subiectivi, și de aceea procesele de inspecție pot fi compromise. Factorul tehnologic cuprinde imensele progrese care se înregistrează în automatizarea controlului calității, principalele realizări fiind dezvoltarea aplicabilității microprocesoarelor și îmbunătățirile aduse tehnicilor de senzori fără contact.

Toți acești factori împing controlul calității spre ceea ce este numit *controlul calității asistată de calculator* (CAQ – Computer Aided Quality Control). Alte acronime care au fost folosite pentru descrierea acestui proces sunt inspecție asistată de calculator (CAI - Computer Aided Inspection) și testare asistată de calculator (CAT – Computer Aided Testing). Obiectivele CAQ sunt:

- îmbunătățirea calității produselor;
- creșterea productivității în procesele de inspecție;
- creșterea productivității și reducerea timpilor de producție.

Strategia abordată pentru îndeplinirea acestor obiective este automatizarea inspecției prin folosirea calculatoarelor în combinație cu o tehnologie avansată de senzori. Acolo unde este posibil și fezabil din punct de vedere economic, inspecția va fi făcută pe 100% din lot și nu prin prelevare de probe ca în inspecțiile manuale.

Implicațiile folosirii CAQ sunt importante. Schimbări radicale apar în felul în care controlul calității este implementat în interiorul unei companii/fabrici. Următoarea listă explică pe scurt câteva din efectele importante ale folosirii CAQ și anume:

- cu CAI și CAT inspecția și testarea sunt realizate pentru o rată de 100% din întregul lot;
- procesul de inspecție va fi integrat în procesul de producție și nu necesită mutarea pieselor pe bancuri speciale sau alte încăperi pentru inspecție;
- utilizarea senzorilor fără contact este facilitată de implementarea CAQ.

Cu dispozitive de inspecție cu contact, piesa trebuie să fie oprită și re poziționată în așa fel încât să permită dispozitivului să fie folosit. Toate aceste procese costă timp, ceea ce implică costuri sporite de producție. Cu dispozitive de inspecție fără contact, de multe ori piesele pot fi testate „din mers”. Aceste dispozitive, folosind viteza mare de calcul a calculatorului, pot termina procesul de inspecție într-o fracțiune de secundă. Aceasta este o rată cu care în mod sigur aproape toate operațiile de producție sunt satisfăcute;

- folosirea senzorilor fără contact în timpul producției poate fi realizată accesând calculatorul. Aceste sisteme sunt capabile să facă măsurători în procesul de producție și să facă modificări în acesta în mod corespunzător (folosind datele colectate de senzori);

- în controlul tradițional al calității se acceptă că un procent mai mic de 100% din lotul de produse să fie corespunzător din punct de vedere calitativ. Cu ajutorul CAQ, nu este necesar ca fabricile/companiile să se mulțumească cu o calitate mai mică decât perfecțiunea;

- în afară de CAT și CAI, calculatorul va fi folosit și în alte aplicații al controlului calității sau asigurării calității.

- există implicații de personal acolo unde se aplică de CAQ. Activitatea de inspecție manuală este redusă, de aceea mai puțin personal este necesar. Este adevărat însă că personalul implicat în CAQ trebuie să aibă o calificare înaltă pentru a putea opera echipamentele complexe de inspecție și testare.

În continuare se vor prezenta pe scurt câteva din metodele de inspecție moderne, atât cu contact, cât și fără. Metodele cu contact implică în general folosirea unor mașini de măsurare a coordonatelor (CMM). Multe din aceste mașini sunt în prezent controlate de calculator sau CN. Metodele fără contact sunt împărțite în două categorii: *optice* și *non-optice*. În tabelul 10.8 se prezintă o serie de tehnologii pentru inspecții bazate pe senzori.

Tabelul 10.8. Metode de inspecție

Inspecție cu contact	Inspecție fără contact
CMM (mașină de măsurare) în coordonate	Tehnici optice: - fascicul laser de testare; - fotometrie; - vedere computerizată.
Sonde mecanice	Tehnici non-optice: - tehnici bazate pe câmp electric; - capacitate; - inductanță; - tehnici bazate pe radiații; - ultrasunete.

10.5.1. Metode de inspecție cu contact

Mașina de măsurat în coordonate (CMM) este cel mai reprezentativ

exemplu pentru echipamentele de inspecție cu contact (fig.10.49). O CMM este formată dintr-o masă care reține piesa în poziție fixă și un capat mobil care conține sonda de măsură. Sonda poate fi mișcată în trei direcții, corespunzător celor trei axe de coordonate. În timpul operării, sonda este adusă în contact cu suprafața piesei de măsurat și cele trei coordonate ale punctului respectiv sunt indicate cu o acuratețe foarte mare.

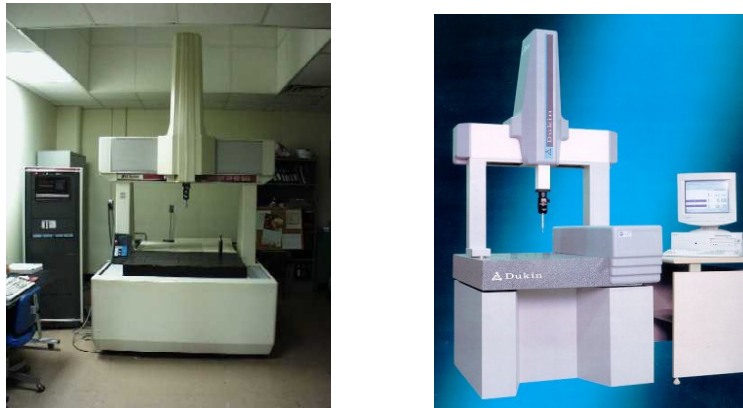


Fig. 10.49. Mașini de măsurare în coordonate.

În prezent, CMM-urile sunt controlate de calculator. Operarea mașinii este asemănătoare cu o mașina-uneltă cu CN. Programul și coordonatele piesei pot fi stocate direct într-UN calculator central, în aceeași manieră ca și în cazul unor mașini cu CN. O dată cu avansul tehnologic fără precedent din ultimele decenii, aceste tipuri de mașini (CMM controlate de calculator) pot realiza și aliniamentul automat al piesei pe masa de lucru, transformarea automată din coordonate polare în coordonate carteziane etc.

Economia de timp realizată prin folosirea CMM-urilor este semnificativă. În general, față de timpul necesar pentru o inspecție manuală, timpul de care are nevoie o CMM este la nivelul a 5-10% din primul. Un alt avantaj al folosirii CMM-urilor este acela al consistenței.

Cu toate aceste avantaje există și dezavantajul ca mașina de măsurare este situată într-o altă încăpere și de aceea piesele de măsurat trebuie mutate pe masa de lucru a mașinii.

10.5.2. Metode de inspecție fără contact

Cele mai des întâlnite sunt:

a) *METODELE OPTICE*. Înspecția fără contact este o alternativă serioasă la metodele prezentate anterior. Dintre avantajele acestei tehnici, se pot menționa:

- elimină necesitatea mutării pieselor;
- metodele sunt mai rapide decât cele cu contact;
- în lipsa contactului se elimină oboseala mecanică a sondei;
- elimină posibilitatea deteriorării suprafeței unei piese care ar rezulta în cazul unei inspecții cu contact.

Sistemele optice sunt tipul predominant de metode de inspecție fără contact. Aceste sisteme se bazează în general pe folosirea tehnologiilor microelectronice și procesarea pe calculator a semnalelor primite de la senzori. Există o gamă largă de tehnici optice de inspecție fără contact. Dintre acestea se va aminti pe scurt *vederea computerizată*, *scanarea cu fascicul laser* și *fotometria*. Toate aceste metode folosesc un tip de senzor de lumină sau alt material fotosensibil (de exemplu, celule fotoelectrice, fotodiode sau hârtie fotografică etc.).

- *Vederea computerizată*. Obiectivul metodei de vedere computerizată este acela de a atribui sistemului același simț vizual ca o persoană umană. Este un domeniu încă neexploatat pe deplin și care deține cheia unor îmbunătățiri cruciale pentru productivitatea procesului de inspecție și a calității produsului rezultat. În general, un astfel de sistem conține o cameră video și un calculator digital legate printr-o interfață specifică. Calculatorul digital preia semnalul analog de la camera video, îl digitalizează și apoi analizează imaginea rezultată cu informații stocate în propria memorie.

În prezent, există o serie de limitări ale acestei tehnologii. O primă limitare este împărțirea imaginilor în elemente de imagine de bază. Multe sisteme, în prezent, împart imaginile în 256×256 sau 512×512 puncte sau pixeli, număr insuficient pentru a reprezenta o rezoluție ridicată a imaginilor. O a doua limitare este aceea de recunoaștere a obiectelor din câmpul de vedere al camerei video. De exemplu, numărul de obiecte care poate fi recunoscut de un sistem este direct proporțional cu capacitatea de stocare a calculatorului (sistemul nu poate recunoaște obiecte pentru care nu are informații stocate în baza sa de date). Un alt exemplu este acela când două obiecte se obturează parțial unul pe celalalt. Tehnicile actuale nu permit recunoașterea ambelor obiecte cu o performanță sporită. Aceste limitări sunt în principal datorate vitezei de calcul și capacității de stocare a informațiilor a calculatoarelor. În ritmul actual de dezvoltare a echipamentelor electronice și a programelor de calculator multe din aceste limitări vor dispărea în curând.

Câteva exemple de aplicații ale acestor metode pentru inspecție sunt enumerate în continuare: inspecția etichetelor pe sticle și cutii, recunoașterea automată a caracterelor (OCR – Optical Character Recognition), inspecția grosieră a formei produselor, inspecție pentru absența sau prezența unor părți componente ale unui produs sau piesă, detectarea unor crăpături a altor imperfecțiuni în suprafața pieselor etc.

Sistemele automate cu vedere computerizată sunt de multe ori parte integrantă a liniei de producție. Pe măsură ce imaginea este analizată, sistemul

determină dacă piesa este bună sau necesită a fi prelucrată din nou. Dacă este bună, piesa continuă procesul de producție, dacă nu, este trimisă într-o locație separată și se va vedea dacă este rebut recuperabil sau rebut nerecuperabil.

- *Dispozitivele cu scanare cu fascicul laser.* Nu toate dispozitivele care folosesc fascicule folosesc ca sursă de lumină laserul. Există dispozitive care folosesc lumina albă sau lumina fluorescentă. Avantajul laserului este însă acela că poate fi proiectat la distanțe mari fără a prezenta o pierdere însemnată în energie sau intensitate.

Un exemplu de folosire al acestuia este măsurarea unei piese. În acest caz, sistemul se bazează pe măsurarea timpului și nu a intensității luminii. Schema unui astfel de sistem este prezentată în figura 10.50.

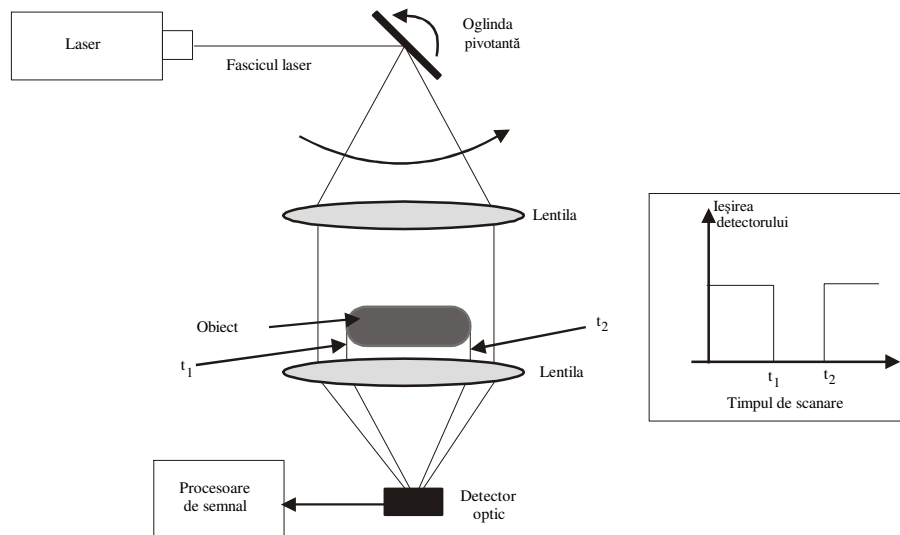


Fig. 10.50. Schema generală a unui sistem de inspecție cu fascicul laser.

Fasciculul laser emis de sursă este reflectat de o oglindă pivotantă astfel încât să scaneze obiectul de măsurat. Detectorul optic este situat în punctul focal al și sistemului de lentile care și detectează întreruperea fasciculului în momentul când acesta este blocat de obiect. Timpul care corespunde întreruperii luminii laser ($\Delta t = t_2 - t_1$) este măsurat și apoi transformat în dimensiuni specifice pentru acel obiect.

- *Fotometria.* Fotometria este o metodă a cărei denumire a fost împrumutată din domeniul recunoașterii aeriene și a alcătuirii de hărți geologice. Aceasta presupune extragerea unor informații tridimensionale dintr-o pereche de fotografii ale obiectului, luate la diverse unghiuri. Dezavantajul acestei metode este nevoia de fotografii, iar acestea sunt niște proceduri mari consumatoare de timp. Principiul unui astfel de sistem este prezentat în figura 10.51.

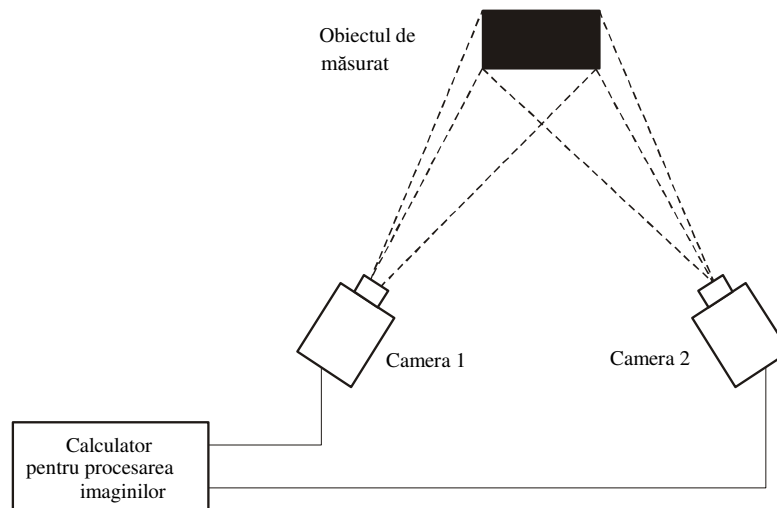


Fig. 10.51 Sistem de măsură bazat pe fotometrie.

b) **METODELE NON-OPTICE.** Se întrebuințează des trei tipuri generale reprezentative de tehnici non-optice de inspecție fără contact și anume:

- *Tehnicile bazate pe câmpuri electrice.* Diverse tipuri de câmp electric pot fi folosite în aceste metode (capacitate, inductanță). Un traductor tip capacitate poate fi folosit pentru măsurarea distanței dintre sonda și obiectul de măsurat. Această tehnică este bazată pe plasarea obiectului de măsurat în interiorul unui condensator, și prin măsurarea capacității variabile a acestuia se pot determina dimensiunile obiectului. Un traductor de tip inductanță presupune plasarea obiectului într-un câmp magnetic produs de o bobină traversată de curent alternativ. Apar curenți de intensitate mică generați prin obiect. Acești curenți creează propriile câmpuri magnetice care influențează câmpul magnetic primar. Aceste interacțiuni afectează inductanța bobinei, inductanță care poate fi măsurată și analizată pentru determinarea anumitor caracteristici ale obiectului;

- *Tehnicile bazate pe radiații.* Radiatiile X sunt folosite în procesele de inspecții ale materialelor și ale pieselor. Energia radiațiilor absorbită de un material poate fi folosită atât pentru a-i măsura grosimea, cât și pentru a-i determina alte caracteristici de calitate. Tehnici cu raze X sunt folosite pentru inspectarea calității sudurilor sau a țevilor de oțel și aluminiiu. În acest caz, radiația este folosită pentru a detecta defecte și goluri în sudura sau material;

- *Ultrasunetele.* În inspecții, ultrasunetele presupun folosirea undelor sonore de înaltă frecvență (peste 20 000 Hz) pentru a indica calitatea unor produse. Principala aplicație a ultrasunetelor în inspecție este testarea nedistructivă a materialelor. Ultrasunetele pot fi folosite și pentru determinarea caracteristicilor dimensionale ale obiectului de inspectat sau măsurat. În timpul procesului de

inspecție, sunetul reflectat de obiect este comparat de un calculator cu alte modele de unde stocate în memoria acestuia, modele care sunt considerate acceptabile din punct de vedere al calității. Dacă undele sonore provenite de la obiect diferă în mod semnificativ de cele standard din bazele de date ale sistemului, atunci obiectul este rejectat din punct de vedere calitativ.

10.5.3. Testare asistată de calculator

Testarea este în general procesul de evaluare a performanțelor funcționale ale produsului final. Poate fi aplicată și unor subansamble mari ca motoare și transmisii de automobile. De asemenea poate fi aplicată doar unor părți componente care implică un aspect funcțional care trebuie verificat. CAT este pur și simplu implementarea unui calculator în procesul de testare.

Există mai multe nivele de automatizare care pot fi găsite în CAT. La nivelul cel mai de jos, calculatorul poate fi folosit pentru monitorizarea testelor și analizarea rezultatelor, dar procedura de testare este efectuată manual de un operator uman. La un nivel mai înalt sunt celulele de testare. Acestea sunt formate dintr-o serie de stadii de testare interconectate între ele printr-un sistem de manevrare a materialelor. O asemenea celulă poartă amprenta unui sistem CIM. Adesea stadiile de testare sunt legate direct la linia de producție pentru asigurarea fluidității procesului de testare. În timpul operării, produsul este transferat de la o stație la cealaltă, însă fiecare stație operează independent de celelalte. Dacă produsul trece testul, atunci el este trecut imediat la următorul pas de asamblare sau direct la împachetarea finală. În caz că obiectul nu trece testul, acesta se transferă adesea la o stație de examinare manuală. Calculatorul este util și în acest caz, putând indica motivul pentru care produsul n-a trecut testul sau chiar diagnosticarea problemei și oferirea de soluții viabile pentru reparare. Aceste tipuri de celule CAT sunt implementate în cazul în care produsul de inspectat este complex și realizat în cantități importante. Ca exemple se pot considera motoarele de automobile, de avioane și circuitele integrate electronice.

10.5.4. Integrarea CAQ cu CAD/CAM

Cu toate că există destule avantaje pentru introducerea CAQ, beneficii adiționale pot fi obținute prin integrarea CAQ cu CAD/CAM. S-au menționat anterior meritele unei baze de date integrate CAD/CAM (pentru că și proiectarea și producția folosesc aceleași informații de bază pentru un produs). Departamentul de proiectare creează definiția produsului pe care departamentul de producție o folosește pentru a realiza planul de producție. Adăugarea controlului calității este importantă pentru sistemul CAD/CAM. Departamentul de control-calitate trebuie să folosească aceeași bază de date pentru a-și îndeplini cu succes funcția (standardele cu care trebuie comparate produsele sunt conținute în baza de date

CAD/CAM).

O metodă prin care baza de date poate fi folosită este dezvoltarea de programe CN pentru operarea mașinilor de măsurare coordonate (CMM). Altă metodă în care o bază de date comună este de folos procesului de control al calității este aceea a executării unor schimbări ingineresti asupra produsului. Aceste schimbări influențează în mod evident procesele de inspecție și testare. Este foarte util ca aceste schimbări să fie înregistrare într-o bază de date comună pentru toate departamentele, inclusiv pentru cel de control-calitate.

Un alt avantaj al folosirii CAQ într-un sistem CAD/CAM este în procesul de monitorizare a producției. Datele generate de procesul de monitorizare sunt foarte utile pentru departamentul de control al calității în găsirea cauzelor pentru o calitate scăzută într-un lot specific de produse.

10.6. PLANIFICAREA ȘI CONTROLUL PRODUCȚIEI

Acest paragraf prezintă pe scurt folosirea calculatoarelor pentru managementul procesului de producție. În mod tradițional, acest management se mai numește și *planificarea și controlul producției*. Încercări de folosire a calculatoarelor pentru PP&C datează încă din anii 1950 și 1960. Primele încercări au fost direcționate pentru automatizarea acelor procese manageriale care în mod tradițional se făceau manual. Aceste procese manageriale includeau pregătirea de orare, liste de necesități, liste de inventar și alte asemenea documente. În timpul anilor 1960 și 1970 câțiva cercetători au înțeles potențialul enorm al folosirii calculatoarelor pentru realizarea de schimbări fundamentale în PP&C. Printre aceștia merită menționați Joseph Orlicky și Oliver Wight. Planificarea necesităților de materiale (MRP – Material Requirements Planning) a fost una dintre primele proceduri în care introducerea calculatoarelor a adus îmbunătățiri substanțiale. În paragrafele următoare se va prezenta modul în care PP&C a fost realizat în mod tradițional, ca și dezavantajele care derivă de aici. Apoi se va prezenta pe scurt modul în care calculatoarele îmbunătățesc procedurile legate de managementul proceselor de producție.

10.6.1. PP&C tradițional

Planificarea și controlul tradițional al producției poate fi definit ca un ciclu în care pot fi identificate cel puțin douăsprezece funcții (fig.10.52). Câteva din aceste funcții sunt realizate de departamente diferite decât cele de produce, printre care:

- *previziune vânzări*. Această funcție se ocupă cu predicția vânzărilor viitoare ale unei companii. În funcție de durata de timp pe care încearcă să se facă estimarea există trei tipuri de previziuni: *pe termen scurt*, *mediu* și *pe termen lung*;

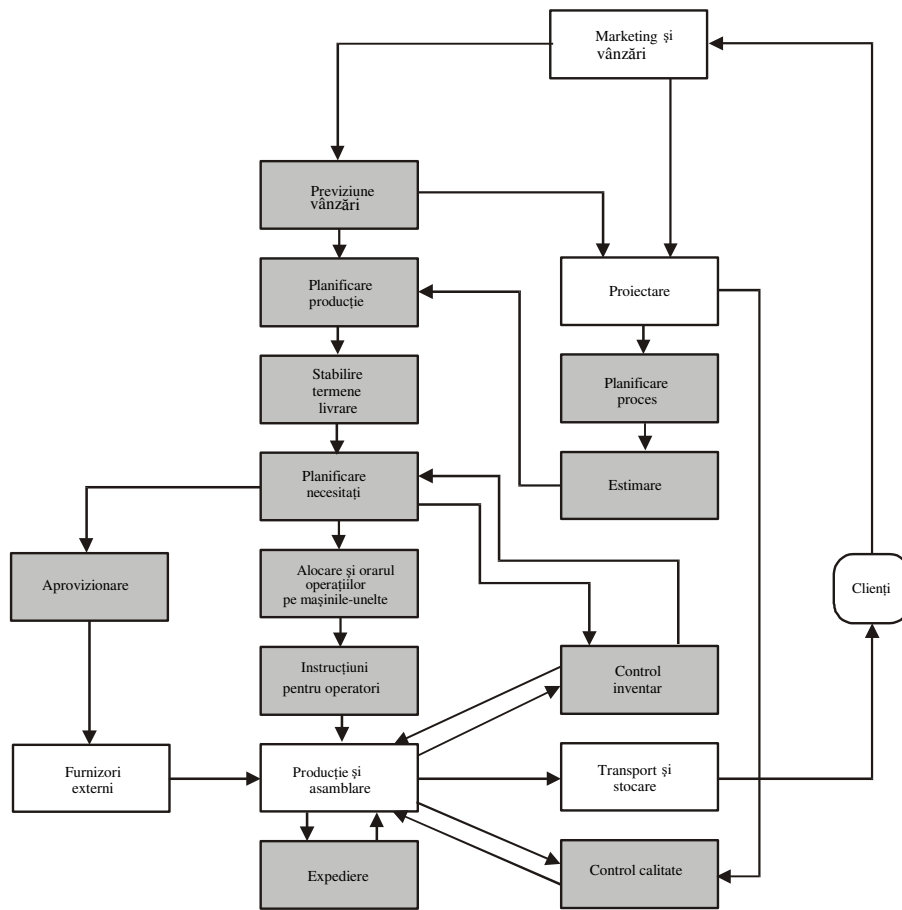


Fig. 10.52. Ciclu de activități într-UN PP&C tradițional.

- *planificare producție*. Această funcție are ca obiectiv stabilirea nivelelor de producție pentru grupurile operatorii din companie pe o perioadă determinată de timp. Este bazată pe previziunea vânzărilor și este folosită și pentru controlul inventarului;

- *planificare proces*. Aceasta presupune determinarea operațiilor necesare producerii unui produs, ca și ordinea în care acestea trebuie efectuate;

- *estimare*. În scopul determinării prețului și a pregătirii programelor de lucru, compania va face estimări ale timpilor și costurilor de producție bazate pe informațiile de la departamentul de aprovizionare și contabilitate;

- *stabilire termene de livrare*. Această funcție presupune stabilirea numărului de unități care trebuie livrate clienților și termenele limită de expdiere a acestora;

- *planificare necesități*. Bazându-se pe planul și termenele de producție, materialele brute sau părțile componente trebuie cumpărate de la furnizori externi. Toate acestea trebuie făcute după un plan care să asigure fluiditatea procesului de producție. Acesta este planul de necesități de materiale;

- *aprovizionarea*. Compania poate realiza toate subansamblele utilizând propria linie de producție. În unele cazuri însă, se pot cumpăra subansamble dacă acest lucru este viabil din punct de vedere economic și calitativ;

- *alocare mașini-unelte*. Aceasta implică stabilirea datelor de început a producției subansamblelor pe tot parcursul procesului de produce. Numărul de operații care trebuie efectuate de linia de producție este în general mai mare decât numărul de mașini disponibile. De aceea, va exista o listă de așteptare pentru fiecare mașină în parte, dar această listă trebuie realizată în așa fel încât să nu afecteze timpii de producție.

- *instrucțiuni pentru operatori*. Această funcție realizează transmiterea de comenzi și instrucțiuni individuale către operatorii mașinilor-unelte. Aceasta implică planuri de producție, desene, materiale și instrucțiuni de prelucrare;

- *corectare*. Chiar folosind cele mai bune planuri și termene de producție, lucrurile pot evolua nu tocmai cum se așteaptă producătorul. În acest caz, este treaba departamentului de corecție a producției să sugereze modalități de corectare a problemelor apărute în fluxul de producție, în așa fel încât capacitatea de producție să fie realizată la timp și calitatea stabilite împreună cu clienții;

- *control calitate*. Departamentul de control al calității este responsabil pentru asigurarea nivelului calitativ al produselor;

- *transport și stocare*. Ultimul stadiu al ciclului de producție este livrarea produselor către client/beneficiar sau stocarea acestora în depozitele fabricii pentru vânzări ulterioare.

Există multe probleme care apar în timpul acestui ciclu PP&C tradițional. Multe din aceste probleme apar din cauza incapacității metodelor tradiționale de a se adapta naturii schimbătoare a proceselor de producție. Câteva din problemele tipice întâlnite sunt enumerate în continuare:

- *problemele cu capacitatea de producție*. Producția este întârziată din cauza lipsei resurselor umane sau a echipamentelor;

- *planificarea eronată a producției*. Operațiile sunt planificate într-o ordine greșită sau cu timpi de terminare insuficienți, aceasta ducând la fragmentarea producției;

- *controlul inefficient al stocurilor*. În timp ce la unele materiale brute stocurile cresc fără ca acestea să fie absolut necesare producției, pentru altele stocurile scad, făcând imposibilă continuarea producției fără o nouă aprovizionare, ceea ce înseamnă întârzieri;

- *problemele de calitate*. Defecte de calitate apar în componentele sau subansamble produse, ceea ce presupune o reprelucrare a acestora, ducând astfel la întârzieri în producție.

10.6.2. Planificarea și controlul producției asistate de calculator

Există o mare varietate de factori care au influențat evoluția unei abordări moderne și eficiente ale PP&C. Cel mai evident dintre acești factori este evoluția rapidă a calculatoarelor. În plus au existat și alți factori la fel de importanți, ca de exemplu, creșterea nivelului de profesionalism în domeniul PP&C. Planificarea producției a devenit gradual, dintr-o operație pe care o realiza un funcționar, o profesie recunoscută care necesită un nivel înalt de pregătire academică. Sisteme, metodologii și diverse terminologii au fost dezvoltate pentru a face față problemelor din acest domeniu.

Figura 10.53 reprezintă o diagramă bloc a funcțiilor și relațiilor într-un sistem PP&C asistat de calculator. Multe din aceste funcții sunt identice cu cele dintr-un model tradițional. De exemplu, previziunea costurilor, planificarea producției, stabilirea termenelor de producție, aprovizionarea și alte funcții din figură rămân neschimbate. Aceste funcții sunt realizate însă cu ajutorul calculatorului, dar în sine rămân relativ neschimbate. Schimbări semnificative au apărut însă în organizarea și execuția PP&C prin implementarea unor scheme ca: planificarea necesităților de materiale, monitorizarea producției și planificarea capacității de producție. Aceste noi funcții introduse sunt hașurate în figura 10.53 și vor fi descrise foarte pe scurt în continuare:

- *baza de date*. Această bază de date cuprinde toate informațiile necesare fabricării componentelor și asamblării produsului. Ea include facturile de materiale, listele de asamblare, schițele de proiectare ale subasamblelor etc.;

- *planificarea necesității de materiale* (MRP – Material Requirements Planning). MRP presupune determinarea timpului când materialele brute sau componentele trebuie comandate de la furnizori. Poate de asemenea să schimbe prioritățile de aprovizionare pentru unele materiale, ca răspuns la schimbările din linia de producție sau a cererii de pe piață (flexibilitate);

- *planificarea capacității de producție*. Aceasta implică determinarea resurselor de muncă și echipamentele necesare pentru a realiza cerințele de producție ca și nevoile pe termen lung ale companiei/fabricii. Planificarea capacității este în general realizată în termeni de muncă și/sau ore libere pe fiecare mașină-unealtă și se realizează fie pe termen scurt, fie pe termen lung. Planificarea pe termen scurt include decizii ca:

- numărul de schimburi de muncă;
- numărul de ore necesare în afara programului de lucru (dacă este necesar);
- menținerea inventarului la zi;
- subcontractarea în timpul perioadelor aglomerate a comenzilor parțiale/totale către alte companii.

Planificarea pe termen lung include:

- investirea în mașini-unelte noi sau sisteme de producție avansate care

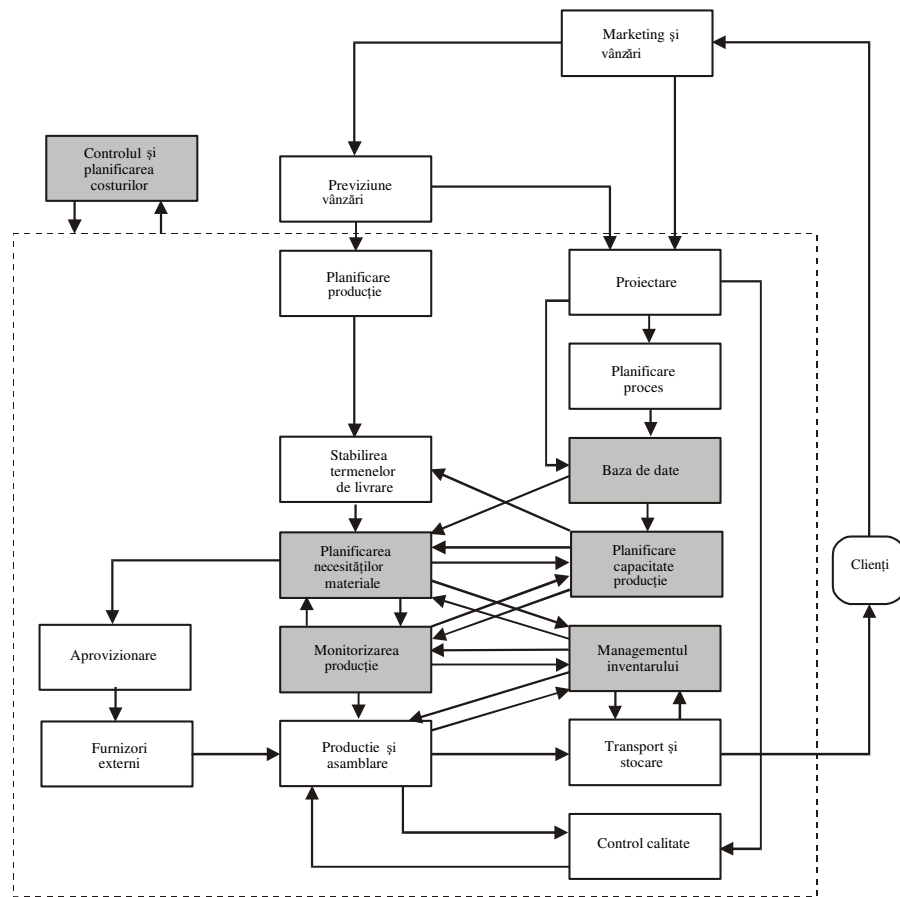


Fig. 10.53. Ciclul de operații într-un sistem PP&C asistat de calculator.

asigură creșterea productivității;

- construcția și amenajarea unor noi spații de producție;
- cumpărarea unor spații de producție de la alte companii;
- închiderea unor facilități de producție neproductive sau care nu vor mai fi necesare în viitor.

- *managementul inventarului*. Într-un mediu de producție, managementul inventarului este strâns legat de MRP. Obiectivele acestuia sunt simple – să păstreze o investiție scăzută în stocuri, dar în același timp să mențină un serviciu impecabil pentru clienți;

- *monitorizarea producției*. Acest termen se referă la un sistem de monitorizare a stării curente a unui proces de producție și realizarea unui raport către managementul companiei despre activitatea din fabrică;

- *planificarea și controlul costurilor*. Sistemul de planificare și control al costurilor conține baza de date pentru determinarea costurilor, estimative de producție și programe de calculator pentru analiza costurilor în scopul comparării acestora cu prețurile reale de producție. De asemenea, în funcție de această comparație dintre aceste costuri, programele de calculator pot da răspunsuri în legătură cu proveniența diferențelor. Planificarea costurilor răspunde practic la întrebarea: „Care sunt costurile estimative de producție pentru un anumit produs?”. Controlul costurilor implică răspunsurile la întrebările: „Care sunt costurile reale de producție?” și „Care sunt diferențele dintre prețul estimat și cel real al unui proces de producție?”.

10.7. VIITORUL CIM/CAD/CAM

În ultima decadă, CIM/CAD/CAM a dat dovada speranței în privința viitorului industriei producătoare, viitor în contrast cu rapoartele recente despre creșterea economică lentă din SUA, Japonia și Europa. Tehnologia CIM/CAD/CAM a răspuns în mod ferm cerințelor industriei de grafică interactivă, de roboți inteligenți, de tehnici îmbunătățite de inspecție etc. În următoarele paragrafe se vor explora câteva din posibilele dezvoltări ale CIM/CAD/CAM din perspectiva relativ subiectivă a autorilor. Majoritatea acestor comentarii sunt bazate pe curente recente din aceste tehnologii.

Viitorul CAD/CAM este intensificat de avansul tehnologic fără precedent al tehnologiilor de comunicații, microprocesoarelor și al programelor de calculator. Îmbunătățirea tehnicilor de comunicare va însemna un schimb facil de informație între om, mașină și calculator. Vor putea fi realizate sisteme în care inginerii și operatorii umani vor avea acces la tehnici computerizate foarte puternice, de la un terminal care poate fi la o mare depărtare de un calculator. Acest terminal poate fi de dimensiuni reduse (de exemplu, cât un calculator de buzunar), dar va avea posibilitatea comunicării cu calculatorul principal. Există deja producători care au pus deja această idee în practică.

Un alt curent clar care va avea un impact important în tehnologia CIM/CAD/CAM va fi folosirea pe scară largă a microprocesoarelor pentru construcția unor noi generații de mașini-unelte sau roboți inteligenți. Folosirea inteligenței unor sisteme bazate pe microprocesoare va influența, de asemenea, și procesul de producție. Folosirea roboților inteligenți, a mașinilor-unelte și a dispozitivelor de inspecție, conectate la un calculator principal, va genera atât un progres în automatizarea producției, cât și posibilitatea unei flexibilități mărite a dispozitivelor de producție care, în acest fel, vor putea face față cerințelor diverse ale pieții.

Costul capacității de stocare a calculatoarelor continuă să scadă și aceasta va avea implicații importante în CAD/CAM. Va deveni fezabilă stocarea a zeci sau

chiar sute de mii de desene standard, față de un număr limitat de caracteristici ale acestora, cum este cazul sistemelor din prezent. Într-un viitor cât mai apropiat, calculatorul va deveni el însuși un dispozitiv de stocare a informației, în comparație cu momentul actual când se apelează în mod constant la memorii secundare externe. Acestea nu vor dispărea, ci vor avea doar un rol de păstrare a unor copii de siguranță al datelor.

Tehnologia terminalelor grafice se îmbunătățește pe zi ce trece și aceasta va afecta operațiile unei companii care tinde spre CAD. Deja există terminale grafice de înaltă fidelitate, produse la costuri acceptabile. Avântul terminalelor „plate”, cu cristale lichide care nu emană radiații, dar care păstrează o fidelitate crescută a imaginilor vor avea de asemenea un potențial crescut de folosire în sistemele CIM.

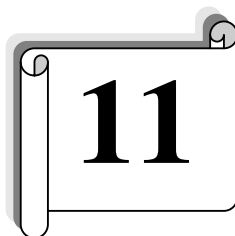
Grafica color și grafica de modelare a solidelor este deja un domeniu folosit în CAD/CAM. Noi imprimante și plottere color sau alte unități de listare a graficii de pe ecranul terminalului grafic pe suporturi externe vor ajuta la creșterea folosirii modelării solidelor și a graficii în trei dimensiuni.

Recunoașterea vocii și „vederea” computerizată (*computer vision*) vor exista în viitorul apropiat. Terminalele de calculator vor fi capabile să recunoască și să accepte comenzi vocale și aceasta înseamnă în primul rând economie de timp. De asemenea, vederea computerizată, o tehnologie deosebit de importantă pentru dezvoltarea de noi generații de roboți industriali inteligenți, va fi utilizată și în CAD.

Domeniul roboticii este un domeniu ce se mișcă cu o viteză extraordinară. Noi tipuri de senzori robotici vor face posibilă implementarea acestora în aproape toate domeniile industriale.

Pe lângă aceste inovații și îmbunătățiri tehnologice, trebuie să existe, de asemenea, și schimbări în modul în care se realizează afacerile în firmele de producție. Cu noile tehnologii de comunicare și cu dezvoltarea calculatoarelor este deja posibil că producătorul și clienții să-și comunice date despre comenzi, schițe ingineresti, specificații tehnice în mod electronic. De asemenea, persoane fără cunoștințe tehnice vor putea în viitor să folosească calculatoarele, care cu ajutorul unor senzori de recunoaștere voce vor fi mult mai interactive și flexibile.

O dată cu toate aceste schimbări viitoare, va exista o disoluție graduală a separării tradiționale dintre procesul de proiectare și producție. Adică, impactul CAD/CAM asupra progresului industrial s-ar putea să fie cel mai semnificativ doar la nivelul integrării dintre proiectare și producție.



OBȚINEREA PIESELOR PRIN TĂIERE

11.1. GENERALITĂȚI

Tăierea este metoda tehnologică de separare totală sau parțială a unor părți dintr-un material sau semifabricat. Tăierea se poate face după un contur deschis – în cazul debitării; respectiv închis – în cazul perforării, decupării, găuririi, străpunerii, laminării țevilor.

Tăierea are multiple aplicații, atât în cazul realizării de piese noi, cât și în cazul remedierii avariilor și a efectelor acestora, în acțiuni de salvare pe uscat, în aer, în apă, sub apă, în spațiu, în demontarea construcțiilor sudate, demolarea construcțiilor și structurilor din beton armat, recuperarea materialelor etc.

Tăierea termică și cea cu fascicule sau jeturi concentrate sunt procedee cu grad mare de *flexibilitate* și *universalitate*, putând fi utilizate atât în producția de serie, cât și în cea de unicate, pentru o diversitate de forme de piese. Aceste procedee nu necesită scule scumpe (ca în cazul prelucrărilor prin deformare plastică sau prin aşchiere).

11.2. CLASIFICAREA PROCEDEELOR DE TĂIERE

Clasificarea procedeeelor de tăiere se face după mai multe criterii astfel:

- după metoda de tăiere se deosebesc:
 - *prin deformare plastică și forfecare*: prin forjare, prin laminare,

cu tăişuri asociate, dăltuire etc.;

- *prin aşchiere cu scule aşchietoare şi abrazive*: retezare, debitare, tăiere abrazivă;

- *prin microaşchiere*: electrochimic, prin electroeroziune, cu jet de apă, cu ultrasunete, prin tobare;

- *termică*: cu flacără, cu arc electric, cu plasmă, cu laser, cu fascicul de electroni;

- *prin explozie*.

- după denumirea procedurii se deosebesc:

- *despicarea* – tăierea în lung, pe direcţia fibrajului, parţială sau totală, de la margine spre interior;

- *retezarea* – separarea extremităţii unei piese prin tăiere transversală, perpendicular pe axa piesei;

- *exciziunea* – separarea prin tăiere a unei bucăţi mari din interiorul piesei;

- *debitarea* – pentru obţinerea pieselor semifabricat; se aplică produselor laminate groase (ţagle, brame, bare, ţevi groase); profile grele; profile subţiri; sârme; table; benzi; ţevi; profile uşoare;

- *curăţirea, debavurarea* – pentru piesele turnate şi forjate;

- *laminarea ţevilor groase* (prin procedeul *Mannesmann*);

- *ştanţarea* – pentru perforarea sau decuparea tablelor;

- *calibrarea* – pentru îndepărtarea bavurilor pieselor forjate în matriţă sau turnate de precizie;

- *tunderea* – pentru îndepărtarea marginilor neregulate ale pieselor ambutisate.

Deoarece multe din procedee de tăiere au fost tratate în capitolele anterioare, prezentul capitol prezintă *tăierea termică, debavurarea prin explozie şi tăierea cu jet de apă*.

11.3. TĂIEREA TERMICĂ

Tăierea termică este considerată ca o familie de procedee tehnologice înrudite cu sudarea, deoarece are la bază aceleaşi fenomene fizico-chimice de topire a materialului.

Tăierea termică se poate face în două moduri:

- *prin arderea locală a materialului* (preîncălzirea, oxidarea, urmată de topirea şi îndepărtarea oxizilor rezultaţi – cazul tăierii cu flacără, cu arc electric, oxi-arc, oxi-laser);

- *prin topirea locală concentrată a particulelor de material*, urmată de vaporizarea acestora – cazul tăierii cu fascicule concentrate (laser, plasmă, electroni).

Spre deosebire de alte procedee de tăiere (prin forfecare sau prin așchiere), tăierea termică permite concentrarea de energii mari pe suprafețe restrânse, având ca efect o productivitate ridicată, calitate bună a suprafeței, pierderi mici de material.

Procedeele de tăiere termică folosesc adesea instalații de gabarit mic, portabile, fapt ce permite un grad mare de mobilitate; procedeul se poate aplica în zone izolate, unde nu există rețele de curent electric.

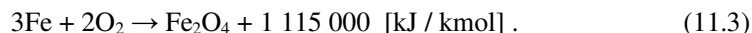
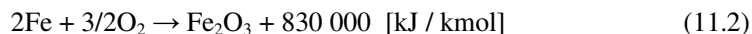
Tăierea termică necesită măsuri specifice de *protecția muncii*, procedeele având restricții de aplicare în medii cu pericol de explozie sau de incendiu (de exemplu, la salvarea persoanelor din interiorul vehiculelor avariate sau la repararea tancurilor de combustibil).

11.3.1. Tăierea cu flacără

Tăierea cu flacără include mai multe procedee care utilizează reacții de oxidare a materialului de bază la temperaturi înalte, deosebindu-se:

- *tăierea cu oxigen*, care se aplică în cazul oțelurilor cu conținut redus de carbon (oțeluri carbon de construcție);
- *tăierea cu oxigen și flux*, care se aplică în cazul oțelurilor aliate, fontelor, aliajelor neferoase.

Tăierea cu oxigen a oțelurilor se bazează pe următoarele reacții chimice exoterme:



Oțelurile carbon de construcții sunt materiale tăiate frecvent cu flacără. Pentru a fi tăiat, oțelul trebuie preîncălzit la temperatura de aprindere în oxigen de 1 100 – 1 300 °C. Încălzirea se face cu o flacără de preîncălzire oxigaz cu caracter reducător. Reacțiile exoterme (11.1) – (11.3) asigură 60% din căldura necesară procesului de tăiere, iar restul de 40% trebuie generată de flacăra de preîncălzire (se poate observa deci eficiența procedeului, care utilizează o mare parte din căldura recuperată din reacțiile exoterme). Se pot tăia oțeluri cu până la 2,2 %C.

Condițiile pentru a se putea aplica tăierea cu oxigen sunt următoarele:

- temperatura de ardere în oxigen a materialului să fie inferioară temperaturii de topire a acestuia;
- temperatura de topire a oxizilor rezultați prin ardere să fie inferioară temperaturii de topire a materialului;
- produșii de ardere să poată fi îndepărtați prin suflare din zona de tăiere, astfel ca jetul de oxigen pentru ardere să poată avea acces la suprafața materialului de tăiat (dacă apar oxizi greu fuzibili – cazul oțelurilor inoxidabile – materialul de

bază se topește la $1\,350 - 1\,400\text{ }^{\circ}\text{C}$, oxizii de Cr la $2\,000\text{ }^{\circ}\text{C}$ – oxizii greu fuzibili nu pot fi îndepărtați prin suflare din zona de lucru, procesul de tăiere fiind îngreunat);

- materialul să fie așezat în poziție orizontală, pe suportii unei mese pentru tăiere (sub material trebuie să existe spațiu pentru scurgerea liberă a oxizilor topiți antrenati de jetul de gaze), arzătorul se poziționează perpendicular pe suprafața materialului;

- arderea materialului în oxigen să fie o reacție exotermă, astfel încât procedeul să consume cât mai puțină energie din exterior;

- conductibilitatea termică a materialului să permită concentrarea căldurii în zona de tăiat (de exemplu, în cazul cuprului și aluminului, conductibilitatea termică fiind foarte mare, zona de tăiere se răcește rapid și procesul se întrerupe);

- oxigenul folosit să fie cât mai pur, pentru a reduce durata operațiilor și a se putea utiliza o presiune joasă de lucru;

- flacăra de preîncălzire să prevină carburarea suprafeței materialului;

- materialul de tăiat să nu aibă defecte de suprafață (exfolieri, pori, fisuri) sau de profunzime (sufluri, fisuri), care pot afecta procesul de tăiere.

Becul de gaz pentru tăiere (figura 11.1) asigură două funcții: amestecarea gazelor în proporțiile prestabilite (oxigen și acetilenă) pentru flacăra de preîncălzire și jetul uniform și focalizat de oxigen pur necesar arderii materialului și îndepărtării produșilor de ardere topiți din rostul tăieturii. Becul pentru tăiere se poate deplasa manual sau mecanizat în lungul traiectoriei tăieturii.

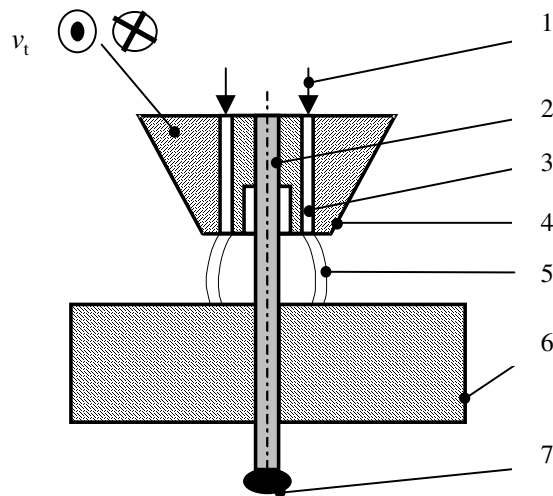


Fig. 11.1. Schema tăierii cu flacăra oxigaz:

1 - amestec de gaze pentru flacăra de preîncălzire; 2 - jet de oxigen pentru tăiere;

3 - ajutoraj central; 4 - ajutoraj inelar, bec de tăiere; 5 - flacăra de preîncălzire;

6 - piesă; 7 - material oxidat; v_t - viteza de tăiere.

La tăierea manuală, becul se montează pe un cărucior simplu care asigură atât distanța constantă față de suprafața materialului, cât și deplasarea ușoară a ansamblului bec-cărucior. Atât căruciorul, cât și becurile, duzele și mânerul arzătorului fac parte din trusa standard pentru sudarea cu flacără.

La tăierea mecanizată mai multe becuri (2-24) sunt montate pe o mașină care asigură deplasarea controlată a flăcărilor de tăiere pe suprafața materialului. Controlul deplasării se poate face în regim automat, semiautomat sau manual. Mașinile moderne de tăiat cu flacără sunt prevăzute cu comandă numerică – deplasarea putând fi comandată pe câte o axă succesiv sau simultan pe ambele axe – mașina lucrând în ciclu automat.

Tăierea cu oxigen și flux se aplică pentru materialele greu fuzibile sau cu conductibilitate termică ridicată, care nu pot fi tăiate doar cu flacără și oxigen.

Utilizarea fluxului se face în scopul măririi puterii calorice a flăcării și pentru controlul procesului de oxidare. Fluxul este compus din pulbere de fier – care are rolul de a genera căldură (circa 60%) prin reacțiile de oxidare (11.1) – (11.3) exoterme descrise la tăierea cu oxigen; respectiv fondanți (carbonați și silicați) care au rolul de a crea compuși ușor fuzibili prin reacție cu produșii de ardere de pe suprafața piesei de tăiat.

Becul pentru tăierea cu oxigen și flux (fig. 11.2) are o construcție diferită de cel pentru tăierea cu oxigen, având în plus față de acesta un al doilea ajutor inelar prin care este adus fluxul (antrenat de un jet de oxigen) în zona de lucru. Fluxul este distribuit astfel încât să îmbrăce flacăra pentru tăiere și pe cea de preîncălzire, protejând zona de lucru.

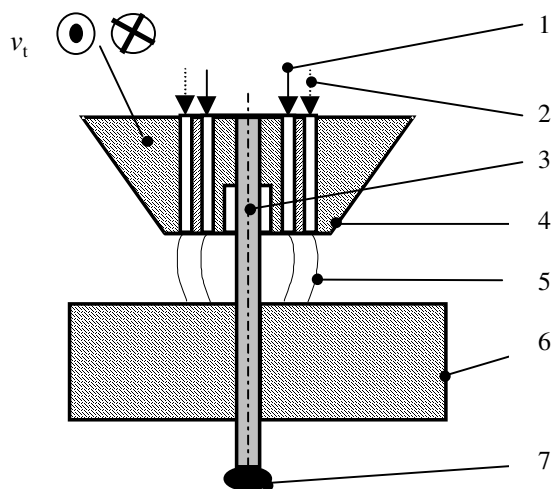


Fig. 11.2. Schema tăierii cu flacără oxigen și flux:

- 1 - amestec de gaze pentru flacăra de preîncălzire; 2 - oxigen și flux; 3 - jet de oxigen pentru tăiere;
4 - bec de tăiere; 5 - flacără de preîncălzire; 6 - piesă; 7 - material oxidat; v_t - viteza de tăiere.

11.3.2. Tăierea cu arc electric

Tăierea cu arc electric desemnează mai multe procedee de tăiere a materialelor care au la bază o descărcare electrică între un electrod sculă și unul piesă, astfel:

- tăierea arc-aer (electrod nefuzibil și jet de aer comprimat);
- tăierea oxi-arc (electrod fuzibil tubular și jet de oxigen);
- tăierea cu electrozi înveliți (electrod fuzibil învelit).

Tăierea arc-aer constă în topirea materialului sub efectul termic al arcului electric amorsat între scula electrod (legat la anod) și piesă (catod), urmată de îndepărtarea cu ajutorul unui jet de aer comprimat a produșilor de topire. Tăierea are loc ca urmare a procesului de topire și nu a celui de oxidare, care este un proces secundar.

Electrodul sculă este confecționat din cărbune, grafit sau cărbune cuprat, are diametre între 4-12 mm, lungime 200-300 mm.

Tăierea arc-aer se aplică oțelurilor carbon de construcție și celor aliate. Procedul este folosit în operații de curățare a pieselor turnate, forjate, la recondiționarea pieselor cu defecte, la pregătirea rosturilor pentru sudare. Procedul are avantajul că este economic și ușor de aplicat datorită simplității echipamentelor, similare celor de la sudarea cu arc electric: sursă de curent continuu, sursă de aer comprimat, clește pentru tăierea arc-aer, electrozi, conductori electrici, furtunul pentru aer.

Tehnologia de tăiere arc-aer presupune stabilirea următorilor parametri de proces:

- diametrul electrodului, care se ia în gama de dimensiuni 4, 6, 8, 10, 12 mm, în funcție de grosimea materialului de tăiat (5-30 mm);
- valoarea curentului, care se determină în raport cu grosimea și natura materialului de tăiat și cu diametrul electrodului, densitatea de curent trebuie să se situeze între 6-8 A/mm²;
- presiunea aerului comprimat, care se alege între 5-6 bar, astfel încât să se mențină stabilitatea arcului electric și să se îndepărteze corespunzător produșii de tăiere, menținându-se curate marginile tăieturii;
- viteza de tăiere, care se alege în funcție de grosimea materialului, valoarea curentului și de presiunea aerului comprimat;
- lățimea tăieturii, care depinde de diametrul electrodului;
- poziția electrodului, care depinde de tipul prelucrării: pentru tăiere sau prelucrarea rostului electrodul se înclină la 45 - 60° față de orizontală, pe direcția tăieturii, în sens contrar vitezei de tăiere (la scobire înclinarea este de 30 - 45°).

Tăierea oxi-arc constă în topirea materialului cu ajutorul arcului electric, oxidarea acestuia și îndepărtarea produșilor de tăiere cu ajutorul jetului de oxigen.

Procedul utilizează un electrod tubular din sârmă cu înveliș. Oxigenul este adus în zona de lucru prin canalul central al electrodului (figura 11.3).

Procedeul se aplică la tăierea oțelurilor nealiat și aliate, a metalelor și aliajelor neferoase. Se pot tăia grosimi de până la 60 mm.

Parametri tehnologici la tăierea oxi-arc sunt:

- diametrul electrodului, de regulă, se folosesc electrozi de 5 mm, având un canal de 1; 1,5; 2 mm grosime;

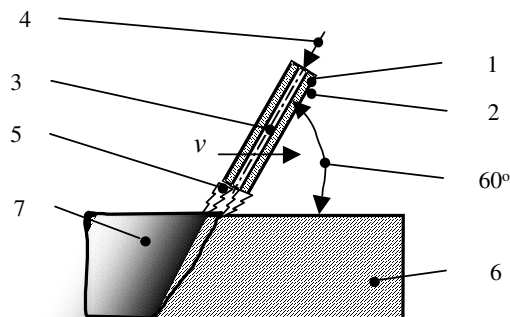


Fig. 11.3. Schema tăierii oxi - arc:

1 – sârmă electrod tubular; 2 – înveliș; 3 – canal; 4 – jet de oxigen; 5 – arc electric;
6 – piesa de tăiat; 7 – zona tăieturii; v – viteza de tăiere.

- curentul de tăiere, care crește cu grosimea și conductibilitatea termică a materialului de tăiat și scade cu debitul de oxigen;

- presiunea și debitul de oxigen, care crește cu grosimea materialului;

- viteza de tăiere, care scade cu grosimea materialului.

Tăierea cu electrozi înveliși constă în topirea materialului cu ajutorul arcului electric amorsat între electrod și materialul de tăiat; evacuarea produșilor de tăiere se face gravitațional, prin greutate proprie. Calitatea suprafeței este scăzută. Procedeul este foarte simplu și ușor de pus în practică. Este mai puțin eficient decât tăierea cu flacără sau cea oxi-arc.

Electrozii pentru tăiere au un înveliș pe bază de pulbere de fier, astfel încât, prin oxidarea fierului, să se obțină efectul reacției exoterme de la tăierea cu flacără.

Parametrii tehnologici sunt similari sudării cu electrozi înveliși, cu următoarele deosebiri:

- tensiunea și curentul arcului sunt mai mari cu 30 - 50%, (de exemplu, pentru diametrul electrodului de 4 mm, curentul de sudare este de 240 - 280 A);

- lungimea arcului este mai mare, pentru a produce încălzirea suprafeței materialului.

11.3.3. Tăierea cu plasmă

Tăierea cu plasmă se bazează pe *topirea și expulzarea* metalului topit din zona de tăiat cu ajutorul unui jet de plasmă. Plasma este un gaz ionizat, puternic

disociat, compus dintr-un amestec de electroni, ioni pozitivi și atomi, conținând aproximativ 10^9 particule încărcate pe centimetru cub. Plasma – definită ca a patra stare de agregare a materiei – poate fi generată prin aplicarea asupra moleculelor unui gaz a unor forțe electromagnetice și/sau termodinamice suficient de intense pentru a produce descompunerea moleculelor în ioni și electroni. Global, sistemul gazos este neutru, dar local, pot apare fluctuații ale densității de electroni, care generează oscilații ale plasmei. Un arc electric de înaltă tensiune poate fi folosit pentru producerea plasmei prin ionizarea unui gaz plasmagen. La contactul cu atmosfera, ionii din jetul de plasmă se recombina cu electronii cedând energia înmagazinată anterior prin ionizare. Energia astfel dezvoltată se adaugă celei a arcului electric, producând temperaturi de peste $15\ 000^{\circ}\text{C}$ concentrate într-un fascicul fin pe suprafața piesei de tăiat. Datorită temperaturilor mari dezvoltate, vitezei mari de expulzare a gazelor, posibilității concentrării și focalizării jetului de plasmă, procedeul poate fi utilizat eficient pentru tăierea aliajelor refractare. De asemenea, oțelurile inoxidabile și cele înalt aliate pot fi tăiate ușor cu plasmă.

Tăierea cu plasmă se poate aplica numai materialelor electroconductoare: oțeluri, oțeluri aliate, aliaje neferoase.

Performanțele procedeului:

- deformații termice reduse;
- cviteză ridicată de tăiere (5 - 7 ori mai mare decât tăierea oxigen-flux);
- nu necesită preîncălzirea materialului;
- grosimi de tăiere 0,5 - 160 mm;
- calitate ridicată a marginilor pieselor tăiate.

Generarea plasmei se face prin trecerea unui amestec de gaze prin spațiul unui arc electric de curent continuu (fig.11.4): amorsarea arcului de plasmă se face cu ajutorul arcului electric pilot 2, care se stabilește între electrodul 1 și duza electrod 3; tensiunea arcului se reglează cu ajutorul reostatului 8 din circuitul

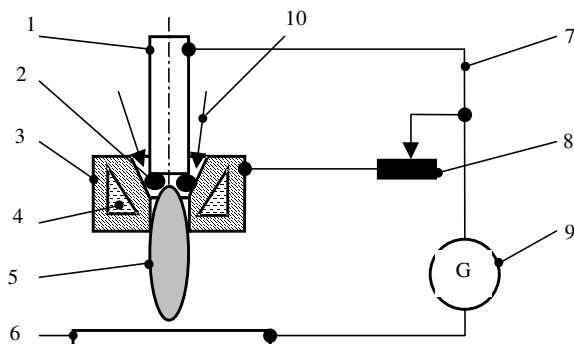


Fig. 11.4. Generarea plasmei cu arc electric:

- 1 – electrod; 2 – arc electric de amorsare; 3 – duza electrod; 4 – apă de răcire;
 5 – jet de plasmă; 6 – piesa de tăiat; 7 – circuit de alimentare; 8 – reostat;
 9 – sursă de curent continuu; 10 – gaz plasmagen.

electric 7, alimentat de generatorul 9; după amorsarea arcului se introduce gazul plasmagen 10 prin duza electrod 3, formându-se jetul de plasmă 5, care este orientat spre piesa de tăiat 6. Duza electrod 3 este răcită cu apă prin circuitul 4.

Gazele plasmagene utilizate la tăiere influențează atât generarea plamei, cât și procesul de tăiere. Pentru protecția generatorului de plasmă și a materialului piesei de tăiat se recomandă utilizarea gazelor inerte monoatomice, cum ar fi argonul (tensiunea de ionizare 15,8V) sau heliul (tensiunea de ionizare 24,6V).

Gazele monoatomice sunt mai scumpe decât cele biatomice (azotul - tensiunea de ionizare 13,6V sau hidrogenul - tensiunea de ionizare 14,6V), dar asigură o protecție mai bună generatorului de plasmă, transferă o cantitate de căldură mai mică de la generator la piesă, la o tensiune a plamei mai mică decât în cazul utilizării gazelor biatomice.

Gazele biatomice sunt mai ieftine, nu asigură o protecție completă pentru generator și piesă, dar prin cantitatea crescută de căldură ce o pot transmite permit mărirea vitezei de tăiere, reducând extinderea zonei influențate termic în piesa de tăiat. Uzual se lucrează cu amestecuri de gaze mono și biatomice sau numai cu gaze biatomice.

Parametrii de proces la tăierea cu plasmă sunt:

- viteza de tăiere v ;
- curentul plamei I_p ;
- tensiunea plamei U_a ;
- amestecul de gaze plasmagen;
- debitul de gaze D ;
- poziționarea generatorului față de piesa de tăiat.

Determinarea vitezei de tăiere v se face pornind de la ecuația de bilanț energetic al procesului de tăiere prin topire, rezultând expresia:

$$v = \frac{\eta \cdot U_a \cdot I_p}{b \cdot s \cdot c \cdot \gamma \cdot t_{top}} \quad (11.4)$$

unde: b – lățimea medie a tăieturii; s – grosimea piesei de tăiat; c – căldura specifică a materialului de tăiat; γ – masa specifică a materialului de tăiat; t_{top} – temperatura de topire a materialului de tăiat; η – randamentul procesului de tăiere.

Viteza de tăiere se optimizează în raport cu scopul urmărit, utilizându-se:

- v_E , pentru obținerea unor fețe paralele ale tăieturii;
- v_N , pentru obținerea unei calități foarte bune a suprafețelor tăieturii, fără picături solidificate la partea inferioară;
- v_L , viteza limită.

Între acestea există o condiție de forma:

$$v_E < v_N < v_L, \quad (11.5)$$

Valoarea curentului plamei I_p se determină în raport cu parametrii geometrici ai piesei de tăiat (b , s), cu viteza de tăiere v și cu debitul de gaze D .

Valoarea tensiunii arcului de plasmă U_a se determină în raport cu natura gazelor plasmagene (mai mare la gazele biatomice), tensiunea de ionizare a gazului (direct proporțional) și cu debitul de gaze D .

Valoarea curentului plasmă I_p și tensiunea arcului de plasmă U_a determină tipul generatorului utilizat.

Tăierea cu plasmă în apă (plasmă injectată în apă) este un procedeu modern, de înaltă performanță (viteză de tăiere de până la 6 ori mai mare față de procedeu clasic cu plasmă în aer), care reduce poluarea prin eliminarea emanațiilor în atmosferă, și conferă o calitate mai bună a marginilor decât procedeu clasic. Procedeu poate fi aplicat numai pentru grosimi de până la 50 mm la piesele din oțel.

Capetele de tăiat cu plasmă se montează pe mașini de tăiat cu comandă numerică, similare celor folosite la tăierea cu flacără.

11.3.4. Tăierea cu laser

Procesul este similar sudării cu fascicul laser; pentru tăiere se folosesc instalații de puteri mai mari, care generează energii mai ridicate decât la sudare. Fascicul de lumină coerentă puternic focalizat (*Light Amplified by Stimulated Emission of Radiation*) cedează o mare cantitate de energie la contactul cu suprafața piesei, producând topirea și vaporizarea materialului. Spotul luminos tipic pe suprafața piesei este de 25-50 μm . Densitatea de energie pe suprafața spotului este de ordinul milioanelor de wați pe centimetru pătrat. Procedeele de tăiere pot asocia arderea materialului, prin suflarea de oxigen pentru accelerarea tăierii (procedeu oxi-laser) sau o atmosferă inertă pentru îmbunătățirea calității suprafeței tăiate (procedeu gaz inert-laser). În ambele situații jetul de gaz are și rolul de a îndepărta produșii de topire.

Prelucrările cu laser se utilizează pentru obținerea unor precizii ridicate sau microprelucrări, în situații dificil de rezolvat prin prelucrări convenționale. De exemplu, găuri sub 3 mm de lungime mare, decupări de profile complexe, prelucrări în materiale dure și extradure, calibrarea componentelor electronice, gravarea microcircuitelor electronice sunt numai câteva dintre multiplele utilizări ale tăierii cu fascicul laser.

Prelucrarea cu laser are avantajul că se face fără contact, putându-se prelucra zone greu accesibile ale piesei, prin medii transparente, în atmosferă diversă, iar zona influențată termic este foarte îngustă și localizată. Capetele de tăiat cu laser se montează pe mașini cu comandă numerică, care asigură poziționarea rapidă și extrem de precisă a sculei în raport cu piesa.

Performanțele procedurii:

- precizie ridicată;
- rosturi foarte mici (0,1- 0,6 mm);
- zonă influențată termic extrem de îngustă;

- deformații termice extrem de mici;
 - calitate foarte bună a marginilor, nu mai necesită prelucrări ulterioare de finisare;

- se pot tăia table de oțel moale de până la 20 mm grosime.

Parametrii tehnologici pentru tăierea cu un laser cu CO₂ din clasa 1 000W sunt exemplificați în tabelul 11.1.

Tabelul 11.1. Parametri tehnologici pentru tăierea cu laser

Materialul	Grosimea [mm]	Puterea [W]	Viteza [m/min]	Rostul [mm]
Oțeluri carbon de construcție	1	500	5,5	0,15
	2		2,5	
	4		1	0,25
	6		0,4	0,35
	8	1 000	1	0,4
Oțeluri călibile	6	1 000	1,2	0,3
Oțeluri de îmbunătățire	6	1 000	0,8	0,35
Oțeluri aliate	4	1 000	1,4	0,3
Aluminiu	2	1 250	2	0,3
Cupru	0,5	600	1	0,2
Ceramică	2	150	0,04	0,25
ABS	4	500	1,5	0,4
Polimetilacrilat	15	500	0,6	0,8
Folii metalizate	0,05	700	600	0,15
Aramidă	1	1 000	100	0,2
	5	500	2,5	0,35
Lemn	5	500	4	0,35
Carton	7	50	1,5	0,4

11.3.5. Tăierea cu fascicul de electroni

Procesul este similar sudării cu fascicul de electroni. Un fascicul de electroni cu viteză mare este focalizat punctual ($0,32 \times 0,64 \text{ mm}^2$) pe suprafața piesei de tăiat, având ca efect încălzirea intensă a materialului piesei, topirea și vaporizarea acestuia. În cazul tăierii se utilizează puteri și viteze mai mari ale fasciculului (15 MW/mm^2), iar procesul necesită o încălțare vidată.

Tăierea cu fascicul de electroni se aplică materialelor metalice (oțeluri aliate, inox, molibden, nichel, cobalt, titan, wolfram și aliajelor acestora) și nemetalice (materiale compozite, ceramice, mase plastice, cuarț, safire și rubine sintetice). Prelucrarea cu fascicul de electroni este proprie mecanicii fine, permițând realizarea găurilor de diametre mici în piese de grosimi reduse. Ea se recomandă a fi utilizată ca alternativă la prelucrările prin electroeroziune și la cele electrochimice. De exemplu: găuri de 0,013 mm în piese de 0,025 mm grosime, găuri având raportul dintre lungime și diametru de la 10, 20 și până la maximum

200 mm se pot realiza prin acest procedeu. Grosimea maximă a pieselor nu trebuie să depășească 6,4 mm.

Procedeul prezintă avantajul unei zone influențate termic înguste (0,25 mm).

Se recomandă următoarele măsuri constructive pentru piesele prelucrate cu fascicul de electroni:

- piesele de prelucrat trebuie să fie de dimensiuni reduse (pentru a încăpea în incinta vidată); se preferă un ansamblu din mai multe componente – care să includă piesa prelucrată (de gabarit minim) în locul unei singure piese de mari dimensiuni;
- raza minimă pentru colțurile interioare este de 0,25 mm;

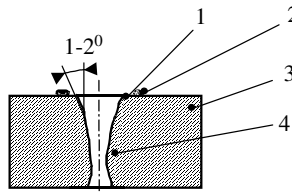


Fig. 11.5. Defecte caracteristice prelucrării cu fascicul de electroni:

1 - crater generat la intrarea fascicolului în piesă; 2 - stropi; 3 - piesă; 4 - zona influențată termic.

- în cazul găurilor străpunse, grosimea maximă a peretelui piesei nu trebuie să depășească 6,4 mm; neregularitățile și defectele de suprafață cresc de la grosimi mai mari de 0,13 mm (figura 11.5);

- dacă defectele induse de tăierea cu fascicul de electroni nu sunt admise, atunci trebuie să se prevadă adaos de prelucrare pentru finisare.

Câteva rezultate experimentale se prezintă în figurile 11.6 și 11.7.

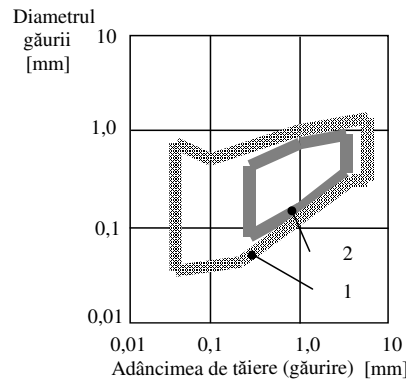


Fig. 11.6. Utilizările tăierii cu fascicul de electroni:

1 – domeniul lărgit; 2 – aplicații industriale.

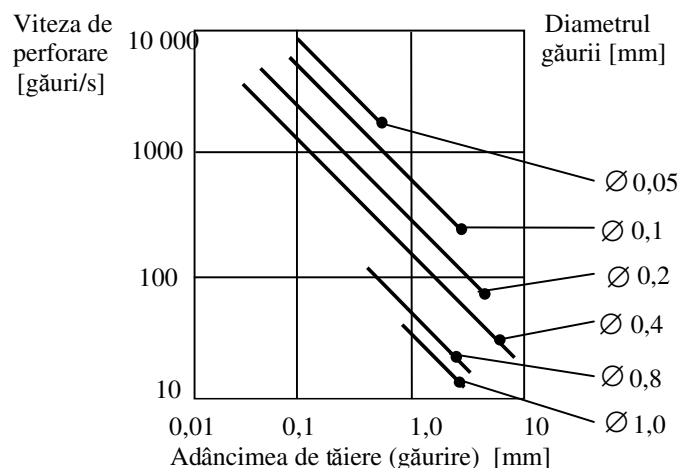


Fig. 11.7. Viteza de perforare cu fascicul de electroni.

11.4. DEBAVURAREA TERMICĂ

Debavurarea termică este un procedeu modern, de mare randament, care se poate aplica pieselor din metal de dimensiuni medii cu configurație complexă, în producția de serie mare și masă.

Procedeu este relativ simplu: piesele se introduc într-o incintă blindată, izolată de exterior, în care se realizează o atmosferă controlată compusă dintr-un amestec de gaze inflamabile, unde aprinderea și explozia este declanșată în urma unei descărcări electrice.

Unda de șoc creată de suprapresiunea gazelor și de propagarea flăcării duce la ruperea și arderea bavurilor. Datorită duratei extrem de scurte a arderii, cantitatea de căldură cedată pieselor este foarte mare, la nivelul bavurilor – 3 300 °C (interioare sau exterioare) și cu mult mai mică la nivelul peretelui piesei – maximum 95 °C.

Parametrii procesului tehnologic sunt: puterea exploziei, viteza și accelerația undei de șoc și poziția pieselor. Prin reglarea puterii exploziei se poate optimiza procesul, astfel încât să se obțină un efect preponderent termic, cu o solicitare redusă a pieselor.

Dacă solicitarea generată de unda de șoc a exploziei este importantă, procedeul poate constitui și o testare a rezistenței pieselor.

Performanțele procedurii: debavurarea a 800 piese pe oră; rotunjirea muchiilor la 0,05 - 0,5 mm, rugozitatea suprafețelor 1,5 - 1,3 μm, îndepărtarea materialului se face exclusiv din zona muchiilor, se pot elimina atât bavurile exterioare, cât și cele interioare.

11.5. TĂIEREA CU JET DE APĂ

Este un procedeu modern, de mare randament și precizie, ecologic, care poate fi utilizat pentru tăierea unei game practic nelimitate de materiale metalice și nemetalice. Procedul mai este cunoscut și sub denumirea de *prelucrare hidrodinamică*.

Procedul se bazează pe efectul eroziv al apei asupra materialelor, amplificat datorită presiunilor și vitezelor deosebit de mari concentrate pe zone extrem de înguste. Tăierea are loc ca urmare a dezvoltării și propagării cu viteză foarte mare a microfisurilor de la suprafața de contact cu unda de șoc hidraulic spre interiorul materialului, fără a se atinge însă limita de rezistență la rupere prin forfecare.

Procedul utilizează un jet de apă de mare viteză (600 m/s până la Mach 2), la presiune înaltă (70 - 420 MPa), extrem de îngust (0,05 - 1 mm). Materialul este tăiat ca urmare a impactului cu jetul de apă. Procedul are avantajul că nu modifică structura materialului (cum fac procedeele de tăiere termice – unde apare zona influențată termic, respectiv cele de tăiere prin deformare plastică – unde apare zona de ecruisare).

Tăierea cu jet de apă se aplică materialelor nemetalice moi (polistiren, poliuretan, cauciuc, gips-carton, carton, hârtie, materiale textile), materialelor anizotrope (materiale compozite polimerice, plăci de tip fagure, plăci sandwich) sau materialelor fragile, dure și sensibile la șocuri (plăci de azbest, plăci ceramice, sticlă, roci, betoane).

Forma semifabricatelor tăiate cu jet de apă este în general plană (plăci sau foi care se pot prinde pachet). Tehnica tăierii cu jet de apă mai poate fi aplicată la foraje și la găurirea rocilor și a betoanelor.

Schema de principiu a unei instalații de tăiat cu jet de apă este prezentată în figura 11.8. Se deosebesc următoarele părți principale:

- circuitul de joasă presiune cu ulei 10, care cuprinde: rezervorul de ulei 14, pompa 12 cu filtrul 13, distribuitorul 11, etajul de joasă presiune cu ulei hidraulic din amplificatorul hidraulic 3;
- circuitul de înaltă presiune cu apă 1, care cuprinde: circuitul de alimentare 15 a etajului de înaltă presiune cu apă din amplificatorul hidraulic 3; acumulatorul hidraulic 2, supapele de suprapresiune, duza capului de tăiere 4;
- zona de lucru, care cuprinde: capul de tăiere cu duza 4, jetul hidraulic 5, piesa de tăiat 6, masa de poziționare 7, atenuatorul de zgomot 8, cuva de colectare a produselor de tăiere 9.

Determinarea parametrilor tehnologici la tăierea cu jet de apă se face în felul următor:

- distanța dintre duză și suprafața piesei, h :

$$h = k_t \cdot d_o \quad , \quad (11.6)$$

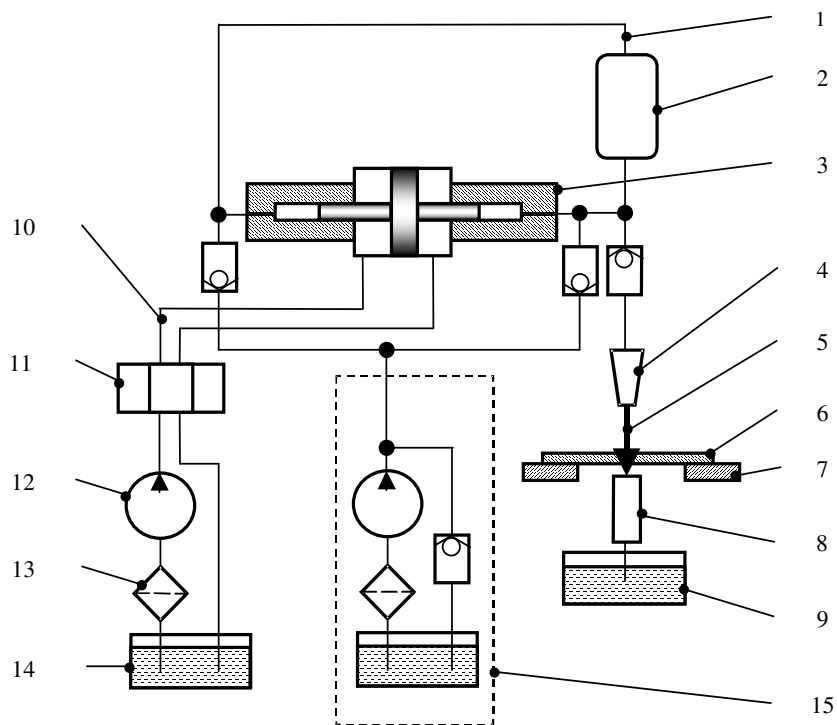


Fig. 11.6. Schema instalației de tăiat cu jet de apă:

- 1 – circuit de înaltă presiune; 2 – acumulator hidraulic; 3 – amplificator de presiune; 4 – duză;
 5 – jet de apă; 6 – piesă; 7 – masă de poziționare; 8 – atenuator de zgomot; 9 – cuvă;
 10 – circuit de joasă presiune; 11 – distribuitor; 12 – pompă; 13 – filtru; 14 – rezervor;
 15 – circuit de alimentare a etajului de înaltă presiune.

unde: k_t – este un coeficient de corelație între diametrul duzei d_o și lățimea tăieturii b , determinat experimental:

$$k_t = \frac{b}{d_o}; \quad k_t \cong 2 \quad , \quad (11.7)$$

unde d_o este diametrul duzei. În practică se ia $h = 5 - 10$ mm (distanța crește cu diametrul duzei);

- diametrul minim al duzei, d_o :

$$d_o \geq 2 \operatorname{tg} \alpha_1 \cdot (S + h) \quad , \quad (11.8)$$

unde: α_1 – semiunghiul de deschidere a nucleului jetului; S – grosimea materialului de tăiat. Diametrul duzei depinde de grosimea materialului de tăiat (cu creșterea diametrului duzei crește și lățimea tăieturii);

- presiunea minimă a jetului pentru tăiere, p_o :

$$p_o = 1,93 \cdot \sqrt{\frac{1}{1-\mu^2}} \cdot \sigma_r, \quad (11.9)$$

unde: μ – coeficientul lui Poisson; σ_r – rezistența la rupere a materialului de tăiat;
- viteza de tăiere, v_t :

$$v_t = \frac{\eta_t \cdot c_{fo} \cdot k_v \cdot d_o^2 \cdot p_o \cdot W_o \cdot E}{8 \cdot c \cdot k_p \cdot (1-\mu^2) \cdot \sigma^2 \cdot b \cdot s}, \quad (11.10)$$

unde: η_t – randamentul procesului de tăiere; c_{fo} – coeficientul de formă a profilului distribuției de viteze în secțiunea duzei; k_v – coeficientul de influență a formei și mărimii particulelor de apă; W_o – viteza medie a jetului la ieșirea din duză; E – energia de activare a procesului de fisurare; c – viteza sunetului în apă; k_p – coeficientul de influență a formei și mărimii particulelor de material desprinse prin tăiere.

Tehnologia jetului de apă poate fi utilizată și la debavurarea pieselor. Performanțele procedului: secțiunea jetului de apă 0,25 mm, viteza de debavurare 250 mm/s; rotunjirea muchiilor la 0 - 0,13 mm; rugozitatea suprafețelor 0,8 - 1,3 μ m; îndepărtarea materialului se face exclusiv din zona muchiilor.

11.6. NORME SPECIFICE DE PROTECȚIA MUNCII

Având în vedere diversitatea procedeelor tehnologice de tăiere, normele de protecție a muncii pot fi clasificate în raport cu natura fenomenelor fizico-chimice utilizate și anume:

- protecția termică
- protecția contra electrocutării
- protecția antiexplozivă
- protecția antiradiații
- protecția contra șocurilor mecanice
- protecția contra zgomotelor și vibrațiilor.

Pentru asigurarea securității muncii *la lucrările de tăiere cu flacără de gaze* se prevăd următoarele reguli obligatorii:

- respectarea cu strictețe a instrucțiunilor și tehnologiilor de lucru;
- nu se lucrează fără echipament individual de protecție complet și în bună stare (ochelari, salopetă, șorț, mănuși, bocanci, cască);
- nu se amplasează utilaje și nu se execută lucrări în locuri cu flăcări descoperite sau în spații cu radiații calorice intense;
- în cazul utilizării generatoarelor de acetilenă nu se vor utiliza simultan în același spațiu închis mai mult de două generatoare;

- zona de lucru nu se amplasează la o distanță mai mică de 10 metri de generatorul de acetilenă sau de buteliile de gaze;
 - zona de lucru sau utilajele nu se amplasează în apropierea materialelor sau obiectelor inflamabile, precum și în locuri aglomerate, nedegajate pe o rază de 5 metri;
 - generatoarele de acetilenă nu se amplasează în spații cu temperaturi sub 5°C;
 - nu se aduc în contact circuitele și buteliile de oxigen, reductoarele de presiune, arzătoarele cu ulei sau unsori; se interzice manevrarea acestora cu mâinile murdare;
 - nu se utilizează scule care pot produce scântei și nu se vor executa manevre care să producă scântei în zona de lucru și în apropierea buteliilor de gaze sau a generatorului de acetilenă;
 - furtunurile de gaze nu se întind în apropierea cablurilor electrice sau a conductelor încălzite;
 - verificarea etanșeității circuitelor de gaze se face numai cu soluție de săpun și în nici un caz nu se va verifica cu flacără;
 - nu se utilizează furtunuri de gaze rupte sau reparate cu materiale organice;
 - nu se lucrează cu robinete sau regulatoare de presiune defecte;
 - transportul buteliilor se face numai cu cărucioare speciale; se va evita cu desăvârșire trântirea buteliilor de gaze;
 - la locul de muncă nu se depozitează mai mult de maximum două butelii de oxigen;
 - carbidul se depozitează numai în spații uscate, la minimum 50 cm deasupra solului;
 - deșeurile de carbid scoase din generator se păstrează în containere speciale sau gropi protejate;
 - este interzis lucrul pe schele fără asigurare cu centuri de siguranță.
- Pentru asigurarea securității muncii la *lucrările de tăiere cu arc electric* se prevăd următoarele reguli obligatorii:
- respectarea cu strictețe a instrucțiunilor și tehnologiilor de lucru;
 - nu se lucrează fără echipament individual de protecție complet și în bună stare (ochelari-mască, salopetă, șorț, mănuși, bocanci, cască);
 - legarea la pământ a tuturor instalațiilor electrice;
 - sursele de curent pentru sudare-tăiere nu trebuie lăsate sub tensiune când nu se lucrează; tensiunile de mers în gol nu trebuie să depășescă 110V în curent continuu, respectiv 75V în curent alternativ;
 - reglarea capetelor de tăiere se face numai cu instalațiile scoase de sub tensiune;
 - nu se utilizează cabluri, borne, clești port-electrod cu izolația deteriorată sau degradată;

- nu se fac lucrări de tăiere în zone cu pericol de explozie (în interiorul rezervoarelor, tancurilor, silozurilor etc.);

- nu se fac lucrări în zone cu umiditate excesivă.

Pentru asigurarea securității muncii la *lucrările de tăiere cu laser și fascicul de electroni* se prevăd următoarele reguli obligatorii:

- respectarea cu strictețe a instrucțiunilor și tehnologiilor de lucru;

- nu se lucrează fără echipament individual de protecție, complet și în bună stare;

- nu se lucrează cu apărătorile sau ecranele de protecție ale instalațiilor demontate; se va evita contactul cu fasciculele de radiații;

- nu se intră în zona de lucru a instalației când aceasta este în ciclul de lucru automat.

Pentru asigurarea securității muncii la *lucrările de tăiere cu jet de apă* se prevăd următoarele reguli obligatorii:

- respectarea cu strictețe a instrucțiunilor și tehnologiilor de lucru;

- nu se lucrează fără echipament individual de protecție, complet și în bună stare;

- nu se pornește instalația fără a se verifica în prealabil starea etanșărilor, a elementelor de reglare și de siguranță, a atenuatoarelor de zgomot;

- instalațiile de tăiere cu jet de apă se amplasează în spații asigurate cu ecrane și pereți de protecție contra șocurilor mecanice și hidraulice.



RECONDIȚIONAREA ȘI RECICLAREA

13.1. GENERALITĂȚI

Într-o perioadă de criză de materii prime și energie, când omenirea devine tot mai conștientă de importanța conceptului de *dezvoltare durabilă*, adică de datorita generației actuale de a lăsa șanse de dezvoltare intacte generațiilor viitoare, prin creșterea eficienței utilizării resurselor planetei, prin reducerea poluării și a deșeurilor, *repararea* și *recondiționarea* utilajelor, aparatelor și a produselor, *reciclarea* și *reutilizarea* materialelor sunt noțiuni extrem de actuale și de importante pentru inginerul tehnolog.

Ciclul de viață al produsului reprezintă totalitatea activităților legate de durata de existență a produsului. În acesta sunt incluse: extragerea și obținerea materiilor prime, transportul și manipularea, momentul realizării fizice a produsului, perioada de funcționare, reparațiile planificate, reparațiile la defectări accidentale, scoaterea din uz, recondiționarea, casarea, recuperarea și tratarea deșeurilor (fig. 13.1).

Evaluarea ciclului de viață al produsului constituie un instrument de bază în aplicarea standardelor de *management de mediu*, din seria ISO 14000 (ISO 14011 - *Evaluarea ciclului de viață - inventarierea ciclului de viață*; ISO 14042 - *Evaluarea ciclului de viață - evaluarea impactului ciclului de viață*; ISO 14043 - *Evaluarea ciclului de viață - îmbunătățirea ciclului de viață*). Evaluarea ciclului de viață se utilizează pentru evaluarea *impactului global* al produsului asupra mediului, analiza fiind utilă atât proiectantului, cât și producătorului pentru optimizarea produsului și a tehnologiilor de fabricație. Multe firme urmăresc

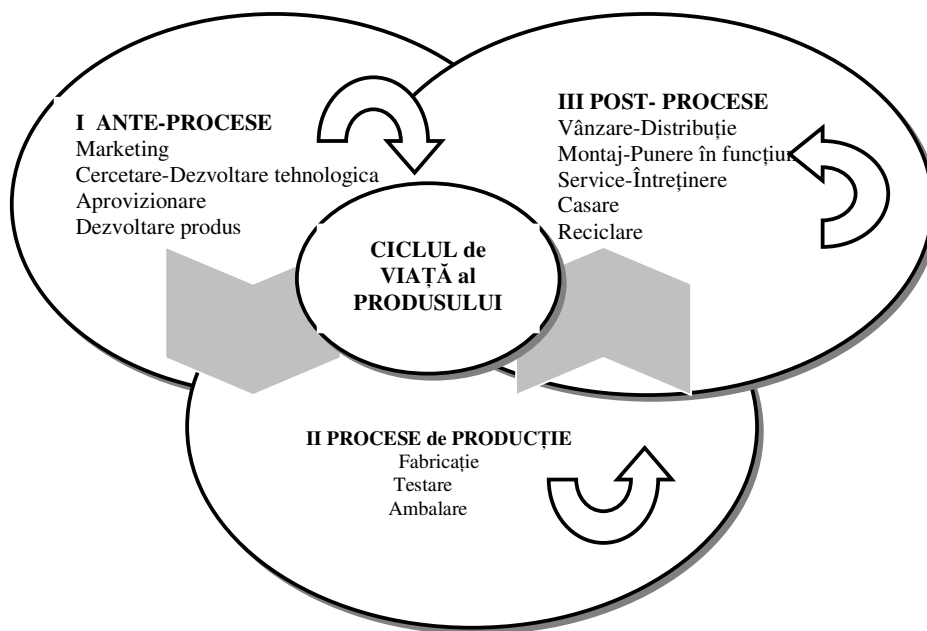


Fig. 13.1. Ciclul de viață al produsului.

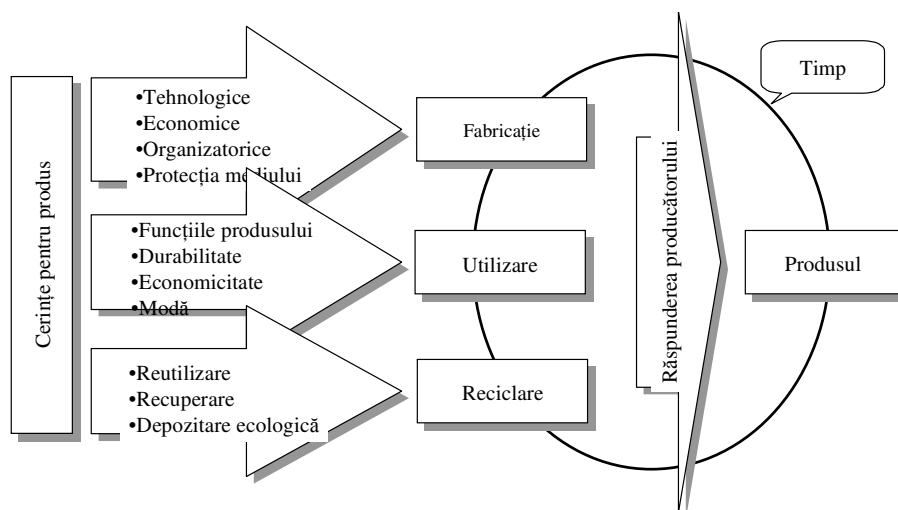


Fig.13.2. Diversitatea cerințelor privind produsul în funcție de ciclul de viață.

întregul ciclu de viață al produselor lor de la materia primă, la fabricație, distribuție, casare, reciclare, recuperare, reutilizare. Firmele utilizează tot mai mult

conceptul de ciclu de viață pentru optimizarea deciziilor de afaceri și a celor referitoare la mediu. Evaluarea ciclului de viață contribuie la identificarea stadiilor produsului cu cel mai mare impact asupra mediului. În multe situații este posibilă corelarea dintre utilizarea materiilor prime, caracteristicile deșeurilor din producție și produsele firmei, în vederea analizării modului de utilizare a resurselor și a eficienței proceselor și a tehnologiilor.

Proiectarea pentru mediu (Design for environment) are în vedere conceperea produselor și proceselor ținând seama de necesitatea reducerii impactului defavorabil asupra mediului. O proiectare corectă poate scăde costurile și eficientiza procesele.

13.2. MENTENANȚA

În cadrul unei firme, *departamentul de mentenanță* are menirea de a se ocupa cu menținerea în funcțiune și cu gestionarea întregii infrastructuri privind:

- echipamentele de producție;
- mijloacele de transport intra și interuzinal;
- halele, clădirile, construcțiile, căile de acces și terenurile aferente;
- furnizarea și distribuirea utilităților (energie, gaze, abur, aer comprimat, apă potabilă, apă industrială, apă caldă, încălzire, canalizare, salubritate etc.);
- colectarea, evacuarea, depozitarea, tratarea deșeurilor industriale;
- depozitele de materiale, materii prime și de produse finite;
- garajele și atelierile de reparații;
- proiectarea, fabricarea, gestionarea pieselor de schimb;
- gestionarea arhivei tehnice;
- securitatea firmei, inclusiv paza contra incendiilor;
- protecția ecologică;
- intervenția la evenimente și salvare;
- curățenia, salubritatea și igienizarea tuturor spațiilor administrate de firmă.

Întreținerea (mentenanța) este ansamblul acțiunilor care se fac în scopul menținerii sau restabilirii unui produs într-o stare specificată de utilizare (funcționare).

Întreținerea corectivă se face în scopul restabilirii funcționalității unui produs atunci când a intervenit o defectare sau pană. Restabilirea funcționării poate fi provizorie – *depanare*, sau definitivă – *reparare*. Întreținerea corectivă nu se desfășoară planificat, ea fiind un răspuns la o defectare apărută aleator, o intervenție de urgență pentru remedierea unui defect acut.

Întreținerea preventivă sistematică se face în mod planificat, la perioade fixe de timp de funcționare, la un anumit număr de kilometri rulați (în cazul autovehiculelor), după un anumit număr de ore de zbor (în cazul avioanelor) sau

după un anumit număr de produse fabricate (în cazul instalațiilor și utilajelor industriale), în scopul menținerii parametrilor de funcționare specificați și a prevenirii apariției avariilor. *Întreținerea preventivă* constă în înlocuirea *pieselor de uzură*, a consumabilelor, în lucrări de curățire, ungere, reglaj și de verificare a valorilor parametrilor de funcționare.

Reviziile tehnice periodice sunt activități de întreținere preventivă. O revizie tehnică include verificarea stării tehnice a produsului, în raport cu specificațiile (carte tehnică, manual de service, caiet de sarcini etc.), executarea

Tabelul 13.1. Modul de interpretare a posibilelor defecțiuni pentru un telefon mobil

Simptomul-efectul	Cauza
Aparatul nu poate fi pornit	Verificați acumulatorul: este încărcat, corect instalat, contactele sunt curate și uscate?
Nu puteți apela	Verificați pe display intensitatea semnalului. Pentru a îmbunătăți semnalul mergeți într-un spațiu deschis sau în apropierea unei ferestre. Verificați rețeaua de conectare. Verificați harta de acoperire a rețelei. Verificați restricțiile de apelare ale telefonului. Verificați contul de apeluri rămas. Dacă aveți o nouă cartelă SIM, verificați restricțiile acesteia.
Nu puteți recepționa apeluri	Verificați pe display intensitatea semnalului. Pentru a îmbunătăți semnalul mergeți într-un spațiu deschis sau în apropierea unei ferestre. Verificați setările de redirectionare a apelului.
Nu puteți debloca telefonul	Dacă aveți o nouă cartelă SIM verificați codul de acces. Dacă ați uitat codul, utilizați codul de siguranță și introduceți un nou cod de acces.
Cartela SIM nu funcționează	Verificați dacă cartela este corect instalată. Verificați dacă microcipul cartelei este integru. Verificați contactele de instalare ale cartelei.
Acumulatorul nu se încarcă	Verificați adaptorul: este corect conectat, sunt contactele curățate? Verificați contactele acumulatorului. Verificați temperatura acumulatorului: dacă este cald, lăsați-l să se răcească înainte de reîncărcare. Acumulatorul este vechi (capacitatea acumulatorului scade cu vârsta) - înlocuiți acumulatorul.
Acumulatorul se descarcă mai repede decât în mod normal	Vă aflați într-o zonă de acoperire parțială? Acest fapt duce la un consum mai mare. Aveți un acumulator nou? Este nevoie de un ciclu de trei încărcări-descărcări pentru atingerea caracteristicilor normale. Este un acumulator vechi? Capacitatea acumulatorului scade cu vârsta; înlocuiți acumulatorul. Nu ați descărcat complet acumulatorul înainte de a-l reîncărca? Descărcați complet acumulatorul – până la oprirea automată a telefonului, apoi reîncărcați-l. Verificați setările pentru frecvența de căutare a rețelei de conectare. Verificați dacă nu cumva a fost deconectat modul de economisire a acumulatorului. Utilizați telefonul la temperaturi scăzute? La temperaturi extreme, performanțele acumulatorului sunt reduse.

reglajelor necesare atingerii valorilor prescrise pentru parametrii de funcționare optimă. Scopul reviziei este de a menține produsele inspectate într-o stare bună de funcționare, de a preveni apariția unor defecțiuni întâmplătoare, de a verifica situația uzurilor diferențiate, de a pregăti succesul reparației următoare.

Proiectantul trebuie să aibă în vedere posibilitatea întreținerii, depanării și reparării produsului cu cheltuieli și efort minim. În acest scop, specificațiile tehnice trebuie să conțină date privind piesele de schimb, zonele critice ale produsului, *modul de interpretare a posibilelor defecțiuni*, modul de depanare și SDV-urile recomandate în acest scop; (de exemplu, modul de interpretare a posibilelor defecțiuni pentru un telefon mobil se prezintă în tabelul 13.1).

Întreținerea preventivă condiționată constă în restabilirea funcționalității normale a unui produs după apariția unei informații privind ieșirea din parametrii specificați, înainte însă de a se produce defectarea produsului. Întreținerea preventivă condiționată este avantajoasă întrucât previne apariția avariei, semnalând iminența acesteia, fapt ce duce la importante economii de timp și de cheltuieli. Ori de câte ori este posibil, proiectantul trebuie să aibă în vedere utilizarea de senzori și mijloace de avertizare care să permită întreținerea preventivă condiționată.

Exemple de senzori utilizați frecvent în supravegherea utilajelor din construcția de mașini:

- senzori de vibrații (accelerometre) pentru sesizarea defecțiunilor la acționările cu mișcare de rotație (pompe, motoare, transmisii, cutii de viteze, mecanisme de rulare) și în procesele de prelucrare (așchiere, deformare plastică etc.);
- senzori pentru analiza lubrifianților aflați în utilizare în sistemele de ungere centralizată a mașinilor și motoarelor (compoziție, densitate, corpuri străine);
- senzori termici pentru preluarea emisiilor în infraroșu și analiza imaginilor termice a mașinilor, motoarelor, utilajelor, instalațiilor, vehiculelor, clădirilor, construcțiilor etc.;
- senzori termici clasici (termostate, termometre cu contacte, termistori) pentru relee de protecție la suprasarcină, circuite de răcire;
- senzori de presiune (relee de presiune, presostate, manometre cu contacte) pentru supravegherea circuitelor hidraulice și a instalațiilor cu fluide, a nivelului din tancuri și rezervoare.

O tendință actuală este monitorizarea funcționării echipamentelor complexe (mașini cu comandă numerică) cu module speciale de diagnostic și depanare, care pot comunica on-line cu centre externe de service (aflate la mii de kilometri distanță) pentru acordarea asistenței tehnice de specialitate și comanda pieselor de schimb necesare a fi expediate către utilizatorul mașinii; *e-diagnostic* este denumirea consacrată a diagnosticării on-line, bazată pe utilizarea Internetului. Cu ajutorul unui astfel de sistem de întreținere, repunerea în funcțiune a unei

mașini cu comandă numerică procurată din celălalt capăt al globului se poate face în cel mult 48 de ore.

O dezvoltare foarte actuală a sistemelor de depanare bazate pe utilizarea Internetului este *e-manufacturing*, depanarea on-line, folosită deocamdată numai pentru circuitele semiconductoare.

Lucrările de întreținere pot fi externalizate din întreprindere și subcontractate cu firme specializate, aceasta fiind o soluție modernă, aplicabilă în cazul firmelor mici și mijlocii care nu își pot permite cheltuielile aferente unui compartiment propriu de service uzinal.

Mentenanța totală a producției (Total Productive Maintenance – TPM) este un concept derivat din *managementul calității totale (Total Quality Management – TQM)* care presupune proiectarea și implementarea unui sistem integrat de întreținere globală, aplicat la întreaga durată de viață a unui produs, echipament, linie tehnologică, flux de fabricație, organizație. TPM are drept scop creșterea eficienței economice și a capabilității proceselor și organizațiilor de a răspunde cerințelor pieței în condiții de competitivitate.

Efectele aplicării TPM:

- scurtarea termenelor prin eliminarea opririlor accidentale și a intervențiilor de urgență;
- reducerea cheltuielilor prin reducerea stocurilor de siguranță, a intervențiilor de urgență și a orelor suplimentare pentru recuperarea întârzierilor;
- îmbunătățirea productivității prin funcționarea dotărilor la regimul proiectat, în condiții de siguranță și eficiență;
- încrederea internă în menținerea condițiilor optime de muncă prin supravegherea și controlul asupra dotărilor organizației;
- încrederea externă în capabilitatea organizației producătoare de bunuri și furnizoare de servicii prin supravegherea și controlul proceselor și echipamentelor;
- încrederea în respectarea standardelor de mediu prin controlul asupra deșeurilor și prevenirea avariilor.

Manualul de mentenanță al produsului/familiei de produse (manualul de întreținere/depanare) se întocmește pentru produsele complexe cu scopul de a furniza personalului de specialitate toate procedurile de intervenție asupra produsului. Multe produse complexe au manuale separate de mentenanță/service și de utilizare.

Manualul de mentenanță al firmei descrie toate activitățile și procedurile specifice compartimentului de mentenanță. Manualul este documentul de referință al firmei pentru mentenanță.

Existența manualului de mentenanță conduce la ordonarea strictă a activităților, la creșterea calității și a eficienței acestora, precum și la instruirea eficientă a personalului de specialitate.

13.3. REPARAREA. TEHNOLOGII DE REPARARE

Repararea constă în intervenția asupra produsului aflat în utilizare cu scopul readucerii acestuia în parametrii de funcționare specificați. După un anumit număr de ore de funcționare, o serie de piese și subansambluri ale produsului ajung la limita de uzură admisibilă și nu mai asigură precizia sau parametrii de funcționare normală specificați; în această situație produsele trebuie oprite din funcționare și readuse prin reparare la parametrii specificați.

Posibilitatea de reparare a produsului se prevede încă din faza de concepție – proiectare. Produsul trebuie proiectat astfel încât să permită intervenții ulterioare de întreținere, pentru menținerea în funcționare, respectiv de înlocuire a pieselor de uzură sau defecte.

Reparabilitatea este caracteristica ce descrie capacitatea unui produs de a fi reparat (*tehnologicitatea reparării* produsului respectiv). Tehnologicitatea reparării poate fi evaluată cantitativ prin indicii următori:

- *indicele tehnologicității de demontare* $i_{th,d}$ este dat de raportul dintre volumul de muncă necesar pentru demontarea produsului V_{md} și volumul de muncă necesar pentru montarea aceluiasi produs V_{mm} , adică:

$$i_{th,d} = \frac{V_{md}}{V_{mm}} ; \quad (13.1)$$

- *indicele de deteriorare a pieselor la demontare* i_{dd} este dat de raportul dintre numărul pieselor deteriorate la demontarea produsului n_{pd} și numărul total de piese care compun produsul n_p , adică:

$$i_{dd} = \frac{n_{pd}}{n_p} ; \quad (13.2)$$

- *indicele de reutilizare a pieselor* i_{rp} este raportul dintre numărul pieselor refolosite la produsul reparat n_{pr} și numărul total de piese care compun produsul n_p , astfel:

$$i_{rp} = \frac{n_{pr}}{n_p} ; \quad (13.3)$$

- *indicele de rentabilitate* i_{rep} exprimă raportul dintre numărul total de piese refolosite la toate reparările efectuate asupra produsului și numărul de piese refolosite la produsul reparat, astfel:

$$i_{rep} = \frac{\sum n_{pr} \cdot n_r}{\sum n_{pr}} ; \quad (13.4)$$

- *indicele de multiplicitate al duratei de lucru a pieselor* i_{mq} exprimă raportul dintre numărul de piese a căror durată de lucru poate fi multiplicată (extinsă prin reparare-recondiționare) n_{mq} și numărul total de piese care compun produsul, n_p , adică:

$$i_{mq} = \frac{n_{mq}}{n_p} ; \quad (13.5)$$

- *indicatorul tehnologicității reparării pieselor* i_{thr}^p evaluează cantitativ eficiența procesului de reparare a unui produs în scopul argumentării unei soluții de recondiționare, adică:

$$i_{thr}^p = P_b + P_r \cdot \frac{\left(\sum_{i=1}^m V_{mi}^b \cdot k_{ci}^b \right) \cdot k_u \cdot k_{ec}}{\sum_{i=1}^m V_{mi}^b \cdot k_{ci}^b + \sum_{j=1}^n V_{mj}^{aj} \cdot k_{cj}^{aj}} , \quad (13.6)$$

unde: P_b este probabilitatea ca piesa componentă a produsului intrat în reparație să fie bună și este dată de relația:

$$P_b = \frac{n_b}{n_p} , \quad (13.7)$$

iar P_r este probabilitatea ca piesa componentă a produsului intrat în reparație să necesite recondiționarea sau înlocuirea, dată de relația:

$$P_r = \frac{n_{rc}}{n_p} , \quad (13.8)$$

în care: n_b este numărul de piese componente bune; n_{rc} - numărul de piese componente care necesită recondiționarea sau înlocuirea; n_p - numărul total de piese componente; m - numărul operațiilor de bază pentru restabilirea capacității de lucru a pieselor; n - numărul operațiilor ajutătoare pentru restabilirea capacității de lucru a pieselor; V_{mi}^b - volumul de muncă care trebuie efectuat în cadrul operațiilor de bază, i ; V_{mj}^{aj} - volumul de muncă care trebuie efectuat în cadrul operațiilor ajutătoare, j ; k_{ci}^b - un coeficient care ia în considerare calificarea necesară a lucrătorului pentru efectuarea operațiilor de bază, i ; k_{cj}^{aj} - un coeficient care ia în considerare calificarea necesară a lucrătorului pentru efectuarea operațiilor ajutătoare j ; k_u - un coeficient care ia în considerare complexitatea produsului reparat; k_{ec} - un coeficient care ia în considerare eficiența economică a procesului de reparare.

Eficiența reparării, dacă un produs trebuie să fie conceput pentru reparare sau nu, dacă trebuie să fie prevăzute sau nu *pieșe de schimb* (și care sunt *pieșele de schimb*), este o decizie care se ia în faza de concepție a produsului.

De regulă, produsele complexe și scumpe, sunt prevăzute pentru a fi reparate. Dimpotrivă, produsele simple, a căror producție e complet automatizată și, în consecință au un preț redus, sunt prevăzute a fi înlocuite. În acest ultim caz, se pune problema reciclării materialelor și a reducerii influenței defavorabile asupra mediului.

Un caz aparte este constituit de produsele de larg consum de tipul telefoanelor mobile, a căror dezvoltare este într-o dinamică deosebită, o dată cu dezvoltarea tehnologică. Astfel de produse au o rată ridicată de înlocuire, dată de uzura morală. Competiția acerbă de pe piață impune menținerea unor productivități ridicate și a unor cheltuieli de producție minime. Acest fapt se reflectă asupra concepției acestei categorii de produse. Ele nu sunt reparable sau recondiționabile, singurele tehnologii puse la punct pentru tratarea telefoanelor mobile scoase din uz sunt cele de reciclare a materialelor componente.

Repararea poate fi *planificată*, când este prevăzută în planul de întreținere și reparații, sau *neprevăzută*, când se execută ca răspuns la defectări accidentale.

Fiecare mașină și utilaj conține piese și subansambluri care după un anumit număr de ore de funcționare ating limita de uzură admisibilă, moment la care se impune execuția unei *reparații planificate* pentru repunerea mașinii în parametrii de funcționare specificați. Momentul atingerii limitei de *uzură admisibilă* este diferit pentru fiecare componentă în parte, unele uzându-se mai repede, altele mai lent. În funcție de momentul atingerii limitei de uzură admisibilă, se disting următoarele tipuri de reparații (fig. 13.3):

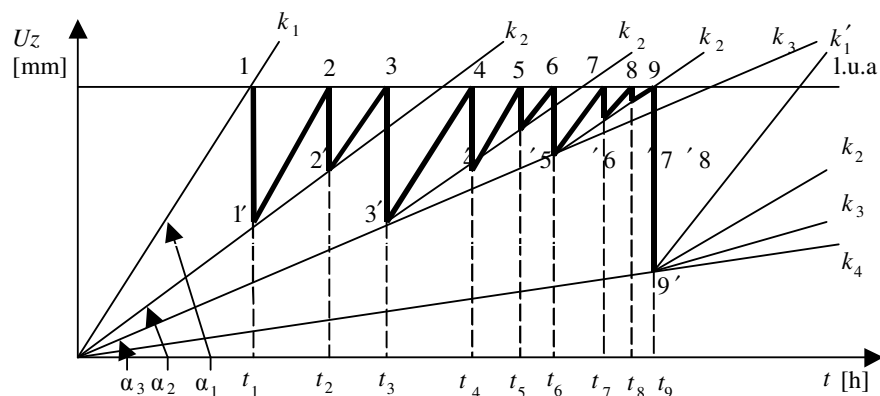


Fig. 13.3. Eșalonarea reparațiilor: l.u.a. – limita de uzură admisibilă;
 k_1 ; α_1 – uzura rapidă; k_2 ; α_2 – uzura medie; k_3 ; α_3 – uzura lentă; k_4 – uzura remanentă;
 1'-2; 2'-3; 3'-4; 4'-5; 5'-6; 6'-7; 7'-8; 8'-9 – uzare rapidă (paralele la k_1); momentul reparațiilor:
 t_1 ; t_2 ; t_4 t_5 – reparații R_{c1} ; t_3 ; t_6 ; t_7 ; t_8 – reparații R_{c2} ; t_9 – reparație capitală R_k .

- reparații curente R_{c1} pentru compensarea uzării rapide;
- reparații curente R_{c2} pentru compensarea uzării medii;
- reparații capitale R_k pentru compensarea uzării lente.

Uzura limită admisibilă poate fi atinsă de fiecare din tipurile de viteze de uzare $k_1 - k_3$ după un anumit număr de ore de funcționare a mașinii. Pornind din momentul t_0 al punerii în funcțiune al mașinii se atinge l.u.a. pe dreapta k_1 în momentul t_1 al primei reparații curente, R_{c1} , în punctul 1. În același timp au progresat și uzurile medii și lente (dreptele k_2 și k_3), fără însă a se atinge valoarea limită. Eliminând prin reparație uzurile rapide corespunzătoare punctului 1 se reduce gradul de uzură al mașinii la punctul 1' de pe dreapta k_2 , corespunzătoare uzurii medii, mașina continuând să funcționeze cu unele piese care prezintă viteze medii de uzare, care nu au atins valoarea l.u.a. După reparație, uzurile rapide se manifestă din nou (segmentul de dreaptă 1'-2 paralel cu k_1). La momentul t_2 se atinge valoarea limită în punctul 2, fiind necesară o nouă reparație R_{c1} , mașina fiind repusă în funcțiune cu un grad de uzură mediu al unor piese în punctul 2' de pe dreapta k_2 , sub limita admisibilă. Ciclul se repetă analog până la momentul t_3 , când și valoarea corespunzătoare uzurii medii atinge limita admisibilă și în acest moment se execută reparația R_{c2} pentru eliminarea efectelor uzurii medii. Analog se execută reparațiile R_{c1} la momentele t_4, t_5 , respectiv reparația R_{c2} la momentul t_6 , reparațiile R_{c1} la momentele t_7 și t_8 și reparația capitală, R_k la momentul t_9 , când a fost atinsă limita admisibilă și de către uzurile lente. O parte din piese nu este rentabil să fie înlocuite nici la reparația capitală, având încă suficientă rezervă de funcționare, deoarece evoluția uzurii acestora se face după dreapta k_4 , *uzura remanentă*.

Uzura remanentă se manifestă la nivelul pieselor de bază ale mașinii, conducând în final la scoaterea definitivă din uz a mașinii.

Din figura 13.3 rezultă structura unui *ciclu complet de reparații*: mai multe reparații curente de gradul I și II, urmate de o reparație capitală. În mod normal, *durata de serviciu* a unei mașini cuprinde mai multe astfel de cicluri complete de reparații, care trebuie prevăzute de proiectantul mașinii și înscrise atât în documentația de exploatare, cât și în cea de service a produsului. La rândul său, utilizatorul produsului trebuie să planifice reparațiile și să țină seama de planul de reparații la elaborarea planului de producție.

Necesitatea stabilirii și menținerii ordinii în ceea ce privește scoaterea din circuitul productiv al mașinilor (produselor) pentru întreținere și reparații a condus, în economia centralizată (înainte de 1989), la elaborarea unor sisteme de planificare a reparațiilor bazate pe norme tehnice unificate la nivel de firmă, ramură industrială, economie națională. Un astfel de *sistem de reparații planificate* trebuie să asigure:

- oprirea mașinilor în vederea reparației planificate după un anumit număr de ore de funcționare, înainte de atingerea limitei de uzură admisibilă;
- planificarea reparațiilor conform ciclului, în raport cu vitezele diferite de

uzare ale componentelor produsului;

- volumul lucrărilor care urmează a fi executate în cadrul unui anumit tip de reparații trebuie să elimine efectele tuturor proceselor de uzare ajunse la limita admisibilă, astfel încât să permită funcționarea mașinii în parametri optimi până la reparația următoare;

- în intervalele dintre reparațiile planificate trebuie prevăzute *revizii* – incluse de asemenea în planul de reparații – prin care se verifică starea tehnică a produsului, se remediază o serie de dereglări constatate (de exemplu, jocuri mărite în ajustaje) se completează o fișă de constatare utilă pentru pregătirea reparației planificate următoare.

Pentru menținerea un timp cât mai îndelungat în funcționare a produselor și conservarea capabilității acestora, pe lângă întreținerea planificată trebuie executate lucrări zilnice de către personalul de exploatare, astfel încât să se asigure:

- exploatarea rațională a mașinilor și utilajelor, la regimurile optime prescrise, fără suprasarcini, respectându-se strict procedurile de lucru și *disciplina tehnologică*;

- îngrijirea și curățirea zilnică a mașinilor, la sfârșitul fiecărui schimb;

- folosirea strictă a consumabilelor recomandate de constructorul produsului (lichide de răcire și ungere, combustibil, lubrifianți – pentru mașini; toner, hârtie – pentru copiatoare și imprimante etc.);

- supravegherea funcționării corecte și semnalarea imediată a oricăror simptome de defectare (zgomote, vibrații, miros, scăderea preciziei pieselor executate pe mașină).

Normativele tehnice de reparații conțin:

- grupa de mașini și utilaje pe ramuri de activitate;

- durata de serviciu normată;

- numărul de schimburi de lucru;

- periodicitatea reparațiilor și a reviziilor tehnice;

- timpul de imobilizare în reparații sau revizii tehnice;

- costul maxim al reparațiilor exprimat în procente din *valoarea de înlocuire* a fondului fix (de exemplu, pentru mașini-unelte o reparație capitală nu trebuie să depășească 60%, în caz contrar și dacă se are în vedere și recondiționarea mașinii, costul modernizării trebuie suportat din fondul de investiții).

Valoarea de înlocuire este valoarea unui produs nou similar celui existent, având aceeași funcționalitate, considerat la prețul pieței.

Prin implementarea normativelor se are în vedere, pe de o parte, executarea de *reparații de calitate* corespunzătoare, la termen; pe de altă parte, *eficiența economică a reparației*, care trebuie să se încadreze în limita maximă din valoarea de înlocuire prevăzută, pentru a se putea deconta reparația din *fondul de reparații*.

În condițiile unei *economii descentralizate*, cu o multitudine de forme de proprietate și cu concurență liberă pe piață, rolul statului este restrâns. În această situație, normele de reparații pot fi utilizate la nivelul firmelor, acestea având o

libertate deplină în alegerea modelului de gestionare a fondurilor fixe de care dispun. Planificarea reparațiilor face parte din managementul organizației respective.

În domenii de interes general, cu impact global, cum ar fi de exemplu, autovehiculele, legislația referitoare la siguranța circulației prevede între cerințele de înscriere în circulație *revizia tehnică obligatorie*, efectuată de către firme acreditate de către Registrul Auto Român, organismul național de certificare în domeniu.

Procesul tehnologic de reparare (fig. 13.4) cuprinde totalitatea lucrărilor și operațiilor care se execută pentru repararea unei mașini, incluzând:

- pregătirea de fabricație;
- producerea anticipată a pieselor de schimb;
- aducerea mașinii în secția de reparații;
- demontarea mașinii, a ansamblor și subansamblelor, cu marcarea ordinii demontării acestora ;
- curățirea pieselor demontate;
- inspectarea pieselor și constatarea defectelor;
- sortarea pieselor;
- stabilirea dimensiunilor pieselor care se recondiționează și a celor care se execută din nou, ținând seama de compensarea uzurii;
- executarea pieselor;
- ajustarea și montarea pieselor pe mașină;
- reglarea pieselor și subansamblurilor pe mașină;
- vopsirea mașinii;
- rodajul mașinii;
- testarea mașinii în vederea recepției;
- recepția mașinii la producător;
- transportul și instalarea mașinii;
- repunerea în funcțiune;
- recepția la beneficiar.

Pentru fiecare tip de mașină și tip de reparație în parte se stabilește câte un *proces tehnologic tip*. Diagrama procesului tehnologic trebuie să conțină ordinea de demontare și piesele care se demontează, pentru a se evita demontările care nu sunt necesare. Procesul tehnologic de reparare este asemănător procesului de fabricație a produsului (ordinea de demontare e inversă ordinii de montaj, execuția pieselor de schimb este identică cu a pieselor originale, rodajul și testarea produsului sunt identice). Principalele deosebiri între fabricația inițială și reparare (*refabricație*) sunt:

- modul de demontare depinde de tipul și de starea asamblărilor (gradul de coroziune, de uzură, de curățire);
- SDV-urile recomandate de constructor. Nu întotdeauna se utilizează aceleași tipuri de scule ca pentru montarea inițială. Deoarece caracterul producției

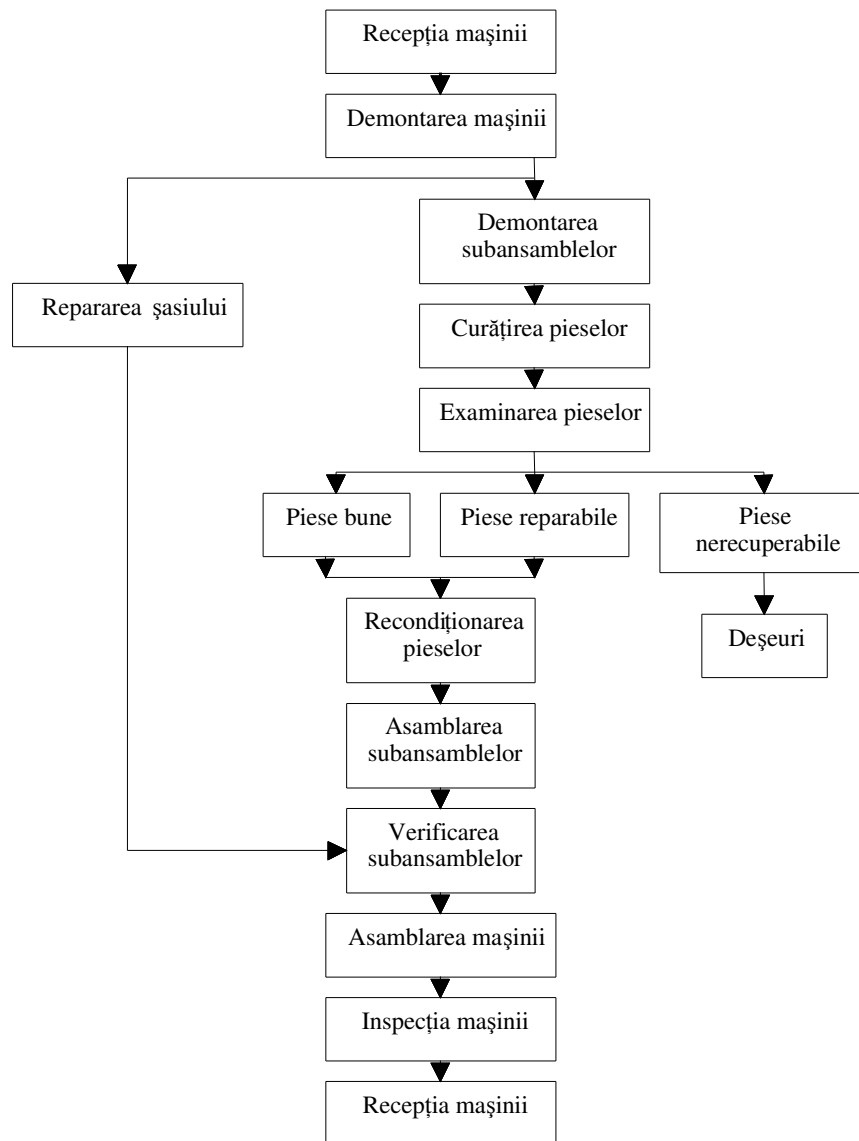


Fig. 13.4. Procesul tehnologic al unei reparații capitale.

de reparare nu este uniformă, la demontare se folosesc scule universale;

- uniformitatea producției. Fabricația inițială se face în serie mare și masă, iar repararea se face în serii mici, uneori unicate, cu o mare diversitate de tipuri constructive, fapt ce implică o calificare superioară a lucrătorilor.

Proiectul de reparație cuprinde documentația constructivă și tehnologică, inclusiv pregătirea de fabricație și planul de control, necesară pentru executarea lucrărilor de reparații pentru un produs. Pentru creșterea eficienței, ori de câte ori este posibil se va aborda produsul și componentele sale din perspectiva conceptului de tip (tipizarea constă în integrarea produselor în familii de piese, care permite stabilirea de tehnologii de grup, acest lucru permițând obținerea de economii de timp și costuri prin simplificarea proiectelor, identificând și re folosind cât mai multe din elementele comune).

Calculul dimensiunilor de reparație face parte din elaborarea proiectului de reparație. Determinarea dimensiunilor piesei uzate sau avariate care trebuie înlocuite prin reparație este necesară când nu există desenul de execuție al acesteia în cartea tehnică a mașinii sau în dosarul acesteia, întocmit cu ocazia reparațiilor anterioare.

În cazul pieselor individuale, care nu formează ajustaje, pe desenul de execuție se înscriu cotele dimensiunilor inițiale (ale piesei noi), determinate din cota măsurată plus cota corespunzătoare materialului îndepărtat prin degradare (uzare, coroziune).

În cazul pieselor care formează ajustaje se poate utiliza sistemul de *cote de reparație*, care ține seama de uzura ambelor piese ale asamblării (arbore-alezaj). Cotele de reparație *sunt diferite* de dimensiunile inițiale ale piesei noi. Dimensiunile de reparație pot fi standardizate, fapt ce permite fabricarea anticipată și *interschimbabilitatea* pieselor respective (sistemul se aplică curent la piese de motoare: pistoane, segmenti, bolțuri, cuzineți).

Dimensiunile de reparație se calculează luând în considerație uzura maximă și adaosul de prelucrare, astfel:

- pentru arbori cu uzură neuniformă, diametrul de reparație, d_r , este:

$$d_r = d_i - 2(U_{max} + A_p) \quad , \quad (13.9)$$

în care: d_i este diametrul inițial; U_{max} – uzura radială maximă; A_p - adaosul de prelucrare.

Uzura radială totală a arborelui, U_t , este dată de relația:

$$U_t = d_i - d_u = U_{min} + U_{max} \quad , \quad (13.10)$$

în care: d_i este diametrul inițial d_u - diametrul zonei uzate și U_{min} - uzura radială minimă a arborelui

Prima dimensiune de reparație a arborelui d_{r1} se calculează cu relația:

$$d_{r1} = d_i - 2(U_{max} + A_p) = d_i - 2(\delta_1 U_t + A_p) \quad , \quad (13.11)$$

în care δ_1 este neuniformitatea uzurii și se calculează cu relația:

$$\delta_1 = \frac{U_{max}}{U_t} \quad . \quad (13.12)$$

Intervalul de reparație, i_r , se calculează cu relația:

$$i_r = d_i - 2(\delta_1 U_t + A_p) . \quad (13.13)$$

În cazul unei uzuri constante se obține următorul șir de dimensiuni de reparații:

$$\begin{aligned} d_{r1} &= d_i - i_r \\ d_{r2} &= d_i - 2 i_r \\ d_{r3} &= d_i - 3 i_r \\ &\dots\dots\dots \\ d_m &= d_i - n i_r , \end{aligned} \quad (13.14)$$

în care: n_r este numărul maxim de reparații posibile și se determină cu relația:

$$n_r = \frac{d_i - d_{\min}}{i_r} , \quad (13.15)$$

în care: d_{\min} este diametrul minim admisibil al arborelui din considerente de rezistență mecanică, rigiditate și presiune de contact.

Pentru arbori cu uzură uniformă:

$$U_{\max} = U_{\min} \Rightarrow \delta_1 = l/2 \quad (13.16)$$

iar pentru alezaje cu uzură uniformă, dimensiunea de reparații a alezajului D_r se calculează cu relația:

$$D_r = D_i + 2(U_{\max} + A_p) \quad (13.17)$$

în care D_i este diametrul inițial; U_{\max} - uzura maximă a alezajului; A_p - adaosul de prelucrare.

Analog cazului arborilor, se poate determina șirul de dimensiuni de reparații pentru alezaje cu relațiile:

$$\begin{aligned} D_{r1} &= D_i - i_r \\ D_{r2} &= D_i - 2 i_r \\ D_{r3} &= D_i - 3 i_r \\ &\dots\dots\dots \\ D_m &= D_i - n i_r , \end{aligned} \quad (13.18)$$

respectiv numărul maxim de reparații posibile, n_r :

$$n_r = \frac{D_{\max} - D_i}{i_r} , \quad (13.19)$$

unde D_{\max} este diametrul maxim admisibil al alezajului.

Dimensiunile cotelor de reparații se calculează de către proiectant și se pun la dispoziția tehnologilor de reparații (ele se anexează la *dosarul tehnic al mașinii*

de la compartimentul *meccanic șef*) în vederea stabilirii dimensiunilor de recondiționare a pieselor sau la executarea de piese de schimb noi.

În cazul unor mașini executate cu componente tipizate se pot pregăti anticipat reparațiile, prin crearea unui stoc suficient de piese și subansambluri de schimb, care are menirea de a reduce durata imobilizării mașinii pentru reparații.

13.4. RECONDIȚIONAREA

Recondiționarea presupune redarea capacității de funcționare unor piese defecte. Ea se aplică pieselor care s-au aflat în funcțiune. Dacă este vorba de piese noi, procesul poate fi parte a proceselor de fabricație și se numește *remediarea defectelor*.

În general, tehnologiile de remediare a defectelor se pot aplica și pentru recondiționarea pieselor (fig. 13.5).

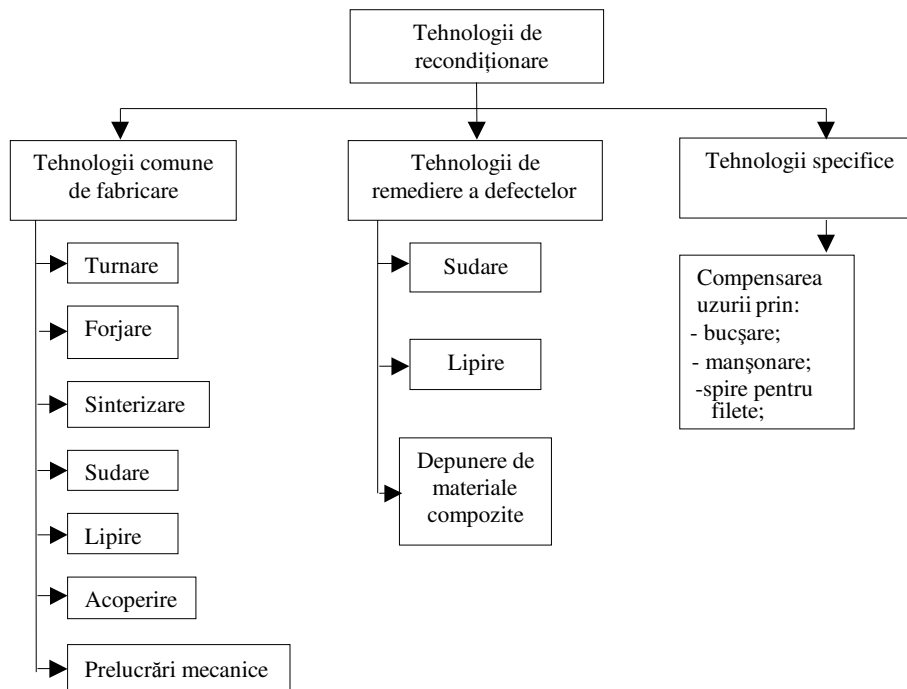


Fig. 13.5. Tehnologii de recondiționare.

Compensarea uzurii face parte dintre tehnologiile specifice recondiționării. Compensarea se face prin introducerea unor piese suplimentare (bucșe – pentru

alezaje, respectiv manșoane – pentru arbori, șaibe, spire de arc, plăcuțe etc.) asamblarea acestora făcându-se prin presare la cald sau la rece (fretare).

Spre deosebire de recondiționare, *condiționarea* înseamnă din punct de vedere tehnologic, conferirea unor proprietăți îmbunătățite de utilizare a pieselor sau produselor noi. Condiționarea poate fi, de exemplu, o acoperire sau un alt tratament de protecție a suprafețelor împotriva coroziunii.

În limbajul uzual, recondiționarea înseamnă și redarea capacității de funcționare a unor *produse* devenite necorespunzătoare sub aspectul performanțelor tehnice, al consumurilor și al eficienței, al dificultății de exploatare și întreținere. Din acest punct de vedere, recondiționarea este atât o reparație, dar și o actualizare, o aducere la zi, o modernizare (*up-grade*) a produsului. Repararea se adresează *uzării fizice*, în timp ce recondiționarea răspunde celei *morale*.

Sub aspectul costurilor, repararea este suportată din *fondul de reparații*, iar recondiționarea din *fondul de investiții*.

Dacă se face referire la piese, recondiționarea poate fi identică reparației. Dacă se face referire la produse, recondiționarea este ceva mai mult decât o simplă reparație, deoarece produsul reparat își *recapătă funcționalitatea inițială* – în timp ce produsul recondiționat își *depășește performanțele inițiale*.

Nu toate produsele sunt concepute ca să poată fi reparate sau recondiționate. Există destule cazuri în care tehnologiile de reparație sau recondiționare au fost dezvoltate ulterior, după casarea produselor, când s-au constatat efecte nocive asupra mediului, foarte costisitoare pentru societate. De regulă, orice tehnologie apărută ulterior generării efectelor nocive este incompletă, oferă soluții parțiale și adesea de moment, fiind orientată asupra combaterii imediate a efectelor și nu a cauzelor acestor, toate acestea generând costuri ridicate.

În epoca actuală, conceptul de ciclu de viață al produselor vine tocmai să arate importanța proiectării ecologice, faptul că, încă din faza de concepție, trebuie identificate și rezolvate toate problemele cunoscute cu impact asupra mediului, iar alegerea materialului pieselor și alegerea proceselor de fabricație trebuie astfel făcută încât să nu se genereze probleme de mediu, ci din contră, trebuie să fie rezolvate cele deja existente.

În domeniul construcțiilor, recondiționarea unei clădiri are în vedere *reabilitarea*, adică o modernizare care vizează nu numai îmbunătățirea rezistenței și esteticii, dar și a *funcționalității* și a *eficienței energetice* a clădirii respective.

Exemple de tehnologii de recondiționare curent folosite în industria constructoare de mașini și utilaje tehnologice sunt prezentate în tabelul 13.2.

Recondiționarea pieselor se utilizează curent la repararea:

- autovehiculelor și tractoarelor (motoare, cutii de viteze, transmisii, suspensii, mecanisme de direcție, sisteme de frânare, pompe de injecție, carburatoare, instalații de climatizare, anvelope etc.);
- mașinilor unelte și roboților industriali (mecanisme de reglare a turațiilor și avansurilor, mecanisme de transformare a mișcării, arbori principali, lagăre,

Tabelul 13.2. Tehnologii de recondiționare curente

Metoda	Procedeul/Operații	Aplicații la recondiționarea
0	1	2
Răsfrângerea	Îndreptarea	Arborilor
	Mandrinarea	Alezajelor
	Refularea	Canelurilor, tacheților, butucilor, bielelor, furcilor cardanice
	Retrângerea	Suprafețelor interioare ale: furcilor cardanice, alezajelor fuzetelor etc.
	Moletarea	Arborilor, manșoanelor.
	Fretarea	Asamblarea cu strângere a compensatoarelor de uzură (bucșare, manșonare)
Deformare plastică superficială	Sablarea cu alicie	Elementelor de structură
	Ecrusarea centrifugală cu bile	Ghidajelor
	Rularea cu bile sau role	Ghidajelor
	Tasarea cu broșe	Alezajelor
	Calibrarea	Bielelor
	Detensionarea prin percuție	Zonelor cu tensiuni: racordări, suduri, muchii, caneluri, canale de pană etc.
Sudare	Încălcarea cu arc electric	Pieselor din oțel, astuparea fisurilor
	Încălcarea oxi-gaz	Pieselor din oțel cu pereți subțiri
	Încălcarea prin vibrocontact	Majoritatea pieselor din oțel
Lipire	Lipirea moale	Pieselor din aliaje neferoase
	Brazarea	Pieselor din oțel, pieselor din materiale diferite
	Lipirea cu adezivi	Astuparea fisurilor, îmbunătățirea etanșeității
Metalizare prin pulverizare termică	Cu arc electric și pulbere	Compensarea uzurii dimensionale, permite modificarea compoziției materialului de aport
	Cu arc electric și sârmă	Cel mai accesibil procedeu, larg răspândit
	Cu plasmă și pulbere	Pieselor din oțel aliat
	Oxi-gaz și sârmă	Straturi de acoperire omogene
	Oxi-gaz și pulbere	Permite metalizarea carburilor metalice
	Cu laser și pulbere	Depunerea materialelor greu fuzibile
	Prin detonație	Depunerea materialelor greu fuzibile, a lubrifianților solizi, a straturilor anticorozive
Metalizare prin pulverizare la rece	Spray	Permite intervenția rapidă, asigură menținerea în funcțiune de avarie până la remedierea defecțiunii
Metalizare prin depunere electrochimică	Cromarea dură	Compensarea uzurii dimensionale, rezistență la uzare
	Cromarea poroasă	Cămășile de cilindri, segmentii; asigură reținerea lubrifianților
	Oțelizarea	Compensarea uzurii dimensionale a: arborilor, camelor, bucșelor, inelelor, carcaselor, transmisiilor etc.

Tabelul 13.2. (continuare)

	Cuprarea	Straturi antifricțiune
	Nichelarea dură	Înlocuiește cromarea dură; straturi cu tenacitate mai mare
	Stanarea	Pistoanelor și segmentilor din fontă, straturi antifricțiune
Prelucrări prin așchiere	Rabotarea	Pregătirea suprafețelor pentru încărcare sau metalizare
	Mortezarea	Butucilor și bușelor profilate
	Strunjirea	Arborilor, bușelor, manșoanelor, pregătirea suprafețelor pentru metalizare
	Frezarea	Corectarea abaterilor de formă
	Găurirea	Pregătirea suprafețelor
	Alezarea	Corectarea abaterilor de formă
	Broșarea	Butucilor, bușelor și lagărelor
	Rectificarea	Corectarea abaterilor de formă
	Honuirea	Finisarea suprafețelor interioare a cilindrilor și cămășilor de cilindru
	Lepuirea	Finisarea suprafețelor
	Polizarea	Finisarea suprafețelor
	Răzuirea	Asigurarea contactului alunecător
Prelucrări prin microașchiere	Cu laser	Durificarea și finisarea suprafețelor
	Cu fascicul de electroni	Microprelucrări ale alezajelor
	Cu ultrasunete	Microprelucrări ale alezajelor
	Electrochimic	Finisarea materialelor extradure
	Electroeroziune	Prelucrarea materialelor dure
	Electromecanic	Arborilor, fuzetelor, pieselor tratate termic
Depunere de materiale nemetalice	Materiale compozite	Compensarea uzurii dimensionale, astuparea fisurilor, îmbunătățirea etanșeității
	Pulverizarea termică a maselor plastice	Carcase, suporturi, bare expuse coroziunii
	Sticlă solubilă	Umplerea porilor, îmbunătățirea etanșeității
	Bazalt	Bucse pentru lagăre, ghidaje, îmbunătățirea rezistenței la coroziune

sisteme hidraulice, cuplaje și frâne, ghidaje, elemente de structură, scule etc.);

- instalațiilor din sectorul energetic (cazane, turbo și hidroagregate, mori de cărbune, injectoare, instalații de alimentare și evacuare etc.);

- utilajelor din industria materialelor de construcții (cupatoare fixe și rotative, mori de măcinare, amestecătoare, benzi transportoare, sortatoare, dozatoare etc.);

- utilajelor din industria extractivă (instalații de foraj, excavatoare, încărcătoare, instalații de tratare a minereurilor etc.);

- utilajelor din industria metalurgică (instalații de elaborare, linii de turnare, laminoare, cocserii;

- instalațiilor din industria chimică (reactoare, coloane de distilare și separare etc.);
 - utilajelor din industria alimentară (instalații de dozare și ambalare, linii de îmbuteliere etc.).

În continuare sunt prezentate succint câteva exemple de tehnologii de recondiționare utilizate pentru piese tip (tabelele 13.3-13.7).

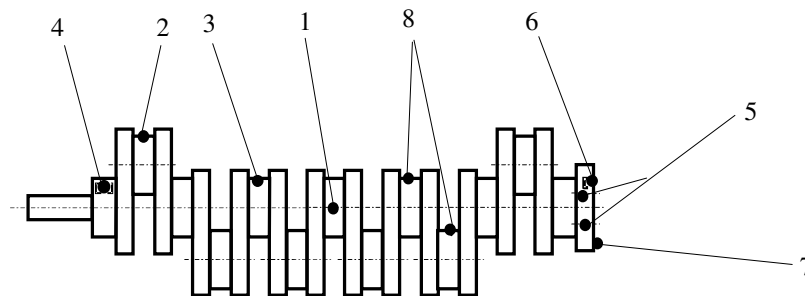


Fig. 13.6. Localizarea deteriorărilor arborelui cotit:

1 - încovoierea; 2 - uzura în lungime a manetoanelor; 3 - uzura în lungime a fusului palier central;
 4 - uzura canalului de pană al pinionului de distribuție; 5 - deteriorarea filetului de prindere a volantului; 6 - uzura locașului de ghidare; 7 - bătaia frontală; 8 - abaterile dimensionale și de formă ale fusurilor manetoane și paliere.

Tabelul 13.3. Tehnologia de recondiționare a arborilor cotiți

Defectul	Tehnologia de recondiționare
1 - Încovoierea arborelui	Îndreptare la rece pe presă cu sprijinirea arborelui cu palierele marginale pe prisme.
2 - Uzura în lungime a fusurilor manetoane	- Cromarea dură, urmată de rectificare la cota nominală și netezire prin rulare; - Încărcarea prin metalizare cu pulverizare termică, urmată de rectificare frontală la cota nominală.
3 - Uzura în lungime a fusului palier central	- Rectificarea suprafețelor frontale ale fusului la una din cotele de reparație, urmată de montarea inelelor de compensare corespunzătoare treptei de reparație; - Încărcarea prin metalizare cu pulverizare termică, urmată de rectificare frontală la cota nominală.
4 - Uzura canalului de pană al pinionului de distribuție	- Frezarea canalului la o cotă de reparație; - Frezarea unui alt canal, plasat la 90° față de cel uzat, atât în arbore, cât și în butucul pinionului de distribuție, avându-se grijă să nu se modifice reglajul distribuției.
5 - Deteriorarea filetului găurilor de prindere ale volantului	Lărgirea găurilor urmată de filetarea lor.
6 - Uzura locașului pentru ghidarea arborelui primar al cutiei de viteze	- Dacă este montat un rulment de ghidare locașul se cromează dur și se rectifică la cota nominală; - Dacă este o bucă de ghidare se alezează locașul la cota nominală și se înlocuiește buca de ghidare.

Tabelul 13.3. (continuare)

7 - Bătaia suprafeței frontale a flanșei	Se rectifică suprafața frontală ținând seama de grosimea minimă admisibilă a flanșei.
8 - Uzura, ovalitatea și conicitatea fusurilor manetoane și a celor paliere	- Rectificarea fusurilor manetoane la cota de reparație, urmată de lustruirea și refacerea razelor de racordare; - Încărcarea fusurilor prin cromare dură sau metalizare prin pulverizare termică, urmată de rectificarea la cota nominală sau la cota de reparație și lustruire.

Tabelul 13.4. Tehnologia de recondiționare a arborilor mașinilor-unelte

Defectul	Tehnologia de recondiționare
Deteriorarea găurilor de centrare	Recondiționare pe strung.
Uzura fusurilor	- Încărcarea prin metalizare prin pulverizare termică; prin cromare sau oțelizare, sau prin sudare, urmată de rectificare la cota nominală și ecrusare; - Bucșare sau manșonare, urmată de rectificare, ecrusare și lustruire.
Fisuri ale fusurilor și umerilor acestora	- Determinarea fisurilor prin control defectoscopic cu lichide penetrante și ultrasunete; - Rectificarea zonelor deteriorate fără încărcare, pentru defecte care nu depășesc 0,25 mm pe rază, sau strunjirea pentru eliminarea zonelor cu defecte, urmată de încărcare și de rectificare.
Încovoierea arborelui	- Îndreptare la rece pe presă hidraulică sau cu șurub, cu sprijinirea arborelui pe prisme. Arborii cu diametru mai mare de 50 mm se îndreaptă numai la cald.
Abateri de formă	- Rectificarea zonelor deteriorate fără încărcare, pentru abateri care nu depășesc 0,25 mm pe rază, sau încărcarea urmată de rectificare.

Tabelul 13.5. Tehnologia de recondiționare a șuruburilor de mișcare

Defectul	Tehnologia de recondiționare
Deteriorarea găurilor de centrare	- Recondiționare pe strung.
Abateri de formă (excentricitate, ovalitate, conicitate)	- Recondiționare pe strung, folosind un dispozitiv special de îndreptare.
Uzura fusurilor	- Încărcarea prin metalizare prin pulverizare termică; prin cromare sau oțelizare, sau prin sudare, urmată de rectificare la cota nominală și ecrusare.
Abateri de la profilul filetului	- Adâncirea filetului fără a se atinge flancurile, urmată de rectificarea diametrului exterior și de finisarea flacurilor filetului.

Tabelul 13.6. Tehnologia de recondiționare a chiulaselor

Defectul	Tehnologia de recondiționare
1- Fisuri, crăpături pe suprafețele exterioare	- Sudare cu arc; - Sudare cu flacăra; - Lipire cu rășini epoxidice, urmată de verificarea la etanșeitate a chiulasei la 0,4 MPa.
2 - Scurgeri de apă prin găurile de trecere ale prezoanelor de prindere	- Alezarea găurilor, urmată de introducerea presată a unei bucșe de trecere. Se verifică etanșeitatea prin proba hidraulică la 0,4 MPa.

Tabelul 13.6. (continuare)

3 - Deformarea suprafeței de așezare pe blocul motor	Frezarea și rectificarea suprafeței de așezare.
4 - Uzura suprafețelor interioare a ghidurilor, supapelor de admisie și de evacuare	- Înlocuirea ghidurilor uzate, urmată de alezarea lor la cota de reparație; - Alezarea ghidurilor uzate și utilizarea unor supape cu diametrul tijei mărit prin cromare.
5 - Uzura locașelor ghidurilor supapelor de admisie și de evacuare	- Alezarea locașurilor, urmată de asamblarea prin presare a unor ghiduri cu diametrul exterior majorat.
6 - Uzura suprafețelor de așezare a supapelor de admisie sau de evacuare	- Frezarea și rectificarea suprafeței de așezare; - Asamblarea prin fretare a unui nou scaun de supapă, urmată de rectificarea conică a suprafeței de așezare, urmată de rodarea suprafeței cu supapa corespunzătoare.
7 - Uzura locașului scaunului supapelor de admisie sau de evacuare	- Alezarea locașului la cotă majorată, urmată de asamblarea prin fretare a unui nou scaun de supapă, având diametrul exterior majorat corespunzător.
8 - Uzura suprafeței de așezare a injectorului	- Teșirea suprafeței de așezare.
9 - Deformarea suprafeței de asamblare cu colectorul de admisie sau de evacuare	- Frezarea și rectificarea suprafeței de așezare.
10 - Deteriorarea filetelor găurilor de fixare	- Lărgirea găurii, urmată de refiletare la cota majorată; - Depunerea de material prin sudare cu flacără, urmată de găurire și filetare la cota nominală.

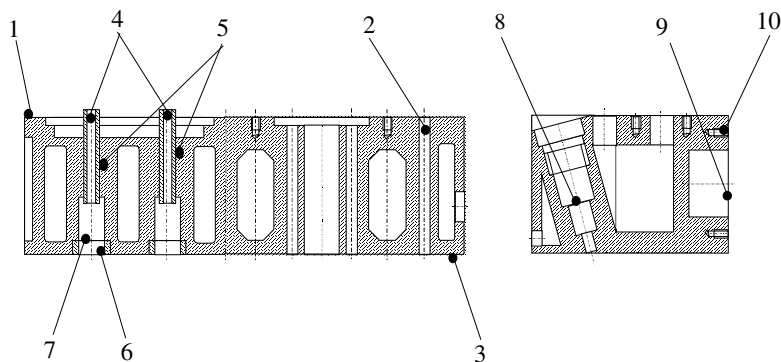


Fig. 13.7. Localizarea deteriorărilor chiulasei:

1 - deteriorarea suprafeței exterioare; 2 - scurgeri de apă prin găurile prezoanelor; 3 - deformarea suprafeței de așezare; 4 - uzura suprafeței interioare a ghidurilor supapelor; 5 - uzura locașelor ghidurilor supapelor; 6 - uzura suprafețelor de așezare a supapelor; 7 - uzura locașelor scaunelor supapelor; 8 - uzura suprafețelor de așezare a injectoarelor; 9 - uzura suprafeței de așezare a colectorului; 10 - deteriorarea filetelor de fixare.

Limitele utilizării tehnologiilor de recondiționare sunt date de factori: tehnici, tehnologici, economici și organizatorici. Decizia managerială trebuie să fie

Tabelul 13.7. Tehnologia de recondiționare a lagărelor de alunecare

Defectul	Tehnologia de recondiționare
Mărirea jocului ajustajului fus-lagăr	- Ajustarea cuzinetului în corpul lagărului și pe fus; - Încărcarea prin sudare sau metalizare, urmată de strunjire și rectificare la cota nominală – pentru bușele din oțel.
Abateri de formă	- Alezarea corpului lagărului și a cuzinetului asamblat la cotele de reparație.
Deteriorarea suprafeței de contact (gripare, pitting)	- Curățarea suprafeței prin alezare sau strunjire fină, depunerea unui strat compensator, finisarea suprafeței de contact; - Înlocuirea cuzinetului și finisarea suprafeței de contact.
Deteriorarea materialului antifricțiune (exfoliere, topire)	- Curățarea suprafeței prin alezare sau strunjire fină, depunerea stratului antifricțiune, finisarea suprafeței de contact; - Înlocuirea cuzinetului și finisarea suprafeței de contact.
Fisurarea corpului lagărului	- Curățarea zonei deteriorate, urmată de sudare sau lipire cu adezivi epoxidici.

fundamentată ținând seama de complexul acestor factori.

Factorii tehnici care influențează utilizarea tehnologiilor de recondiționare sunt: rezistența la uzare, funcționalitatea, durabilitatea, rezistența mecanică și interschimbabilitatea.

Factorii tehnologici care influențează utilizarea tehnologiilor de recondiționare sunt: productivitatea, costurile (operațiilor de bază, ale celor auxiliare și celor totale), accesibilitatea procedeului și caracterul producției (tabelul 13.8).

Tabelul 13.8. Limitele tehnologice ale unor procedee de recondiționare

Procedeul de depunere	Productivitatea [kg/h]	Duritatea stratului depus [daN/mm ²]	Uniformitatea stratului depus [mm]	Aplicabilitate la o uzură de... [mm]
Sudare cu flacără	0,8-1	300-400	0,5-2	<3
Sudare cu arc cu electrozi înveliți	1-3	300-400	1-2	<6
Sudare cu arc cu electrod de grafit	0,8-1	600-800	0,5-1,5	<2,5
Sudare MIG	8	400-600	0,5-1,5	<6
Sudare WIG	2,5-3,5	420-530	0,5-1,5	<3
Sudare MAG	1,7-8	170-500	0,5-1,5	<6
Sudare sub flux	10-40	350-500	0,5-2	>0,5
Sudare cu plasmă	3,15	360-650	0,1-1	0,5
Sudare cu electrod bandă	3	400-600	0,05	<0,5
Pulverizare termică	2-14	280-600	0,5-1	>0,6
Cromare dură	0,04	400-1200	0,5	<0,3

Factorii economici care influențează utilizarea tehnologiilor de recondiționare sunt: cheltuielile pentru realizarea unei piese noi, durabilitatea piesei noi și a celei recondiționate, cheltuielile pentru recondiționarea unei piese, mărimea

seriei de fabricație etc.

Factorii organizatorici care influențează utilizarea tehnologiilor de recondiționare sunt: specificul de activitate a firmei care beneficiază de piesele recondiționate, strategia managerială, existența unor compartimente specializate, accesibilitatea procedeeelor de recondiționare și a cooperării între firme, frecvența intervențiilor etc.

13.5. PROIECTAREA PENTRU RECICLARE

Proiectarea pentru reciclare (design for reuse, design for disassembly, design for remanufacture, green product design) este un concept constructiv care stă la baza tehnologiilor ecologice contemporane. Produsele trebuie să fie concepute astfel încât să poată fi incluse cu ușurință într-un circuit de reciclare după scoaterea lor din funcțiune. Circuitul de reciclare poate include: colectarea, depozitarea, sortarea, demontarea, recondiționarea (refabricarea), actualizarea (*up-grade*), reintroducerea produsului în circuitul de utilizare, tratarea și depozitarea deșeurilor (fig. 13.8).

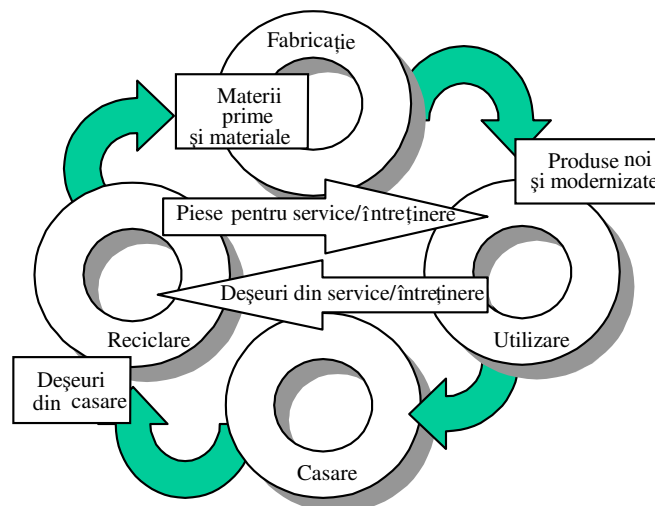


Fig. 13.8. Locul reciclării în ciclul de viață al produsului.

Pentru a se permite reciclarea ușoară a produselor și a componentelor acestora, la conceperea produselor, proiectantul trebuie să aibă în vedere satisfacerea următoarelor cerințe:

- reciclarea materialelor, separarea componentelor în raport cu materialul acestora, reutilizarea ușoară a materialelor;

- folosirea unor materiale ecologice, pentru care este pusă la punct o tehnologie de recuperare, tratare, reciclare;
- procedee de reprelucrare a componentelor;
- separarea componentelor de formă exterioară cu rol estetic (elemente de estetică care se pot modifica în funcție de modă) de cele de structură și cele funcționale;
- utilizarea unor asamblări demontabile pentru componentele schimbabile;
- modularizarea produselor și a componentelor;
- normalizarea și tipizarea componentelor și produselor;
- controlabilitatea componentelor și ansamblelor;
- diminuarea uzurii (prevederea de piese de uzură, utilizarea de materiale rezistente la uzare etc.);
- mentenabilitatea (tehnologii de reparare și de întreținere, instrucțiuni de exploatare și de întreținere);
- întreținere cât mai simplă și ușoară;
- posibilitatea de a se verifica și sorta componentele după coduri;
- accesibilitatea componentelor în vederea demontării ușoare;
- rezistență la coroziune și la degradare pe întreaga durată de viață a produsului;
- posibilitatea de montare și respectiv de demontare ușoară și rapidă;
- posibilitatea de curățire ușoară;
- posibilitatea de manevrare (cârlige de ridicare, mânere etc.);
- posibilitatea de a reprelucra componentele (rezerve de material – adaosuri de reprelucrare etc.)

Proiectarea compatibilă este o soluție constructivă inclusă conceptului de proiectare pentru reutilizare, care permite recondiționarea ușoară a produselor. O serie de produse este *compatibilă* atunci când este posibilă *interschimbabilitatea componentelor* și când dezvoltări ulterioare ale produsului se pot face utilizând o *platformă de bază comună*. De exemplu, calculatoarele personale sunt concepute pe o platformă comună, care permite actualizări ulterioare și în același timp produsele realizate de diverse firme sunt compatibile între ele (compatibile cu *modelul IBM*). Marile firme de autoturisme lucrează de asemenea pe platforme tehnice comune pentru modelele de aceeași categorie (WV, Skoda, Seat, Audi; Renault, Nissan, Dacia). În acest ultim exemplu, proiectarea compatibilă vizează reducerea cheltuielilor de cercetare științifică și de dezvoltare tehnologică în cadrul concernului, creșterea eficienței prin mărirea *stabilității producției* și scurtarea timpului de răspuns pe piață.

Compatibilitatea dintre produse se realizează prin modularizare și tipizare.

Modularizarea constă în conceperea produselor sub forma unor ansamble de module, comune unei clase. Modulele corespund grupelor constructive și funcționale ale produsului respectiv.

De exemplu, o mașină unealtă poate fi realizată fie ca un proiect unicat, din componente special proiectate și executate sau, dimpotrivă, din elemente modulare, care pot fi folosite și la realizarea altor tipuri de mașini: motoare de acționare, batiuri, montanți, mese, ghidaje, dispozitive de prindere, cutii de viteze, cutii de avansuri, capete de prelucrare, instalații electrice, hidraulice, de ungere, de evacuare a așchiilor, de alimentare cu piese etc.

Modularizarea permite:

- o proiectare, o fabricație și o mentenanță ușoară, apelându-se la componente existente, accesibile și foarte bine cunoscute de personalul de exploatare și service;
- o eficiență crescută a producției
- o viteză mare de răspuns la cerințele pieței, reducerea la minimum a termenelor de onorare a contractelor.

Fabricația modulelor se poate face în producție de serie mare și de masă, în timp ce, prin asamblarea diferită a modulelor, combinată cu un minimum de elemente individualizate, se pot realiza produse unicate, la temă. Modularizarea se aplică la nivelul firmei.

Tipizarea constă în restrângerea gamei de dimensiuni de execuție a produselor și a componentelor acestora, în scopul simplificării fabricației și a volumului documentației aferente. Tipizarea poate fi realizată la nivelul firmei, la nivelul ramurii industriale sau la nivel național.

Tipizarea poate fi implementată prin norme și standarde (de exemplu, șirul de numere normale utilizate în proiectarea rapoartelor de transmitere, gama de ajustaje, diametrele nominale ale conductelor și elementelor hidraulice, formatele de desen și cele tipografice, gabaritul elementelor de construcții, gabaritul ambalajelor, paletelor și containerelor etc.).

Figura 13.9 prezintă aplicarea reciclării la produsele de larg consum, respectiv bunurilor industriale. Ambele tipuri de produse parcurg tehnologii similare de recondiționare, efectul economic generat de reutilizare este diferit, în funcție de complexitatea și utilitatea produsului respectiv. În cazul bunurilor de larg consum este importantă înlocuirea produsului defect, în timp ce, pentru bunurile industriale este importantă modernizarea produsului și uneori posibilitatea de a achiziționa produse de tehnologie ridicată la prețuri reduse (piața *second-hand*).

O practică frecventă de reutilizare a materialelor este de a se folosi piesele uzate de dimensiuni mari drept semifabricate pentru execuția altor piese de dimensiuni mai mici. Astfel, din cilindrii de laminor uzați se pot prelucra: roți dințate, pinioane, arbori, tije, coloane, cilindri, role, nicovale, cuplaje etc. Avantajele acestei practici, față de utilizarea materialelor noi, sunt: reducerea consumului energetic cu 15 - 45%, reducerea consumului de material cu 6 - 8%, diminuarea costurilor cu 10 - 35%, reducerea volumului deșeurilor cu 75 - 80%.

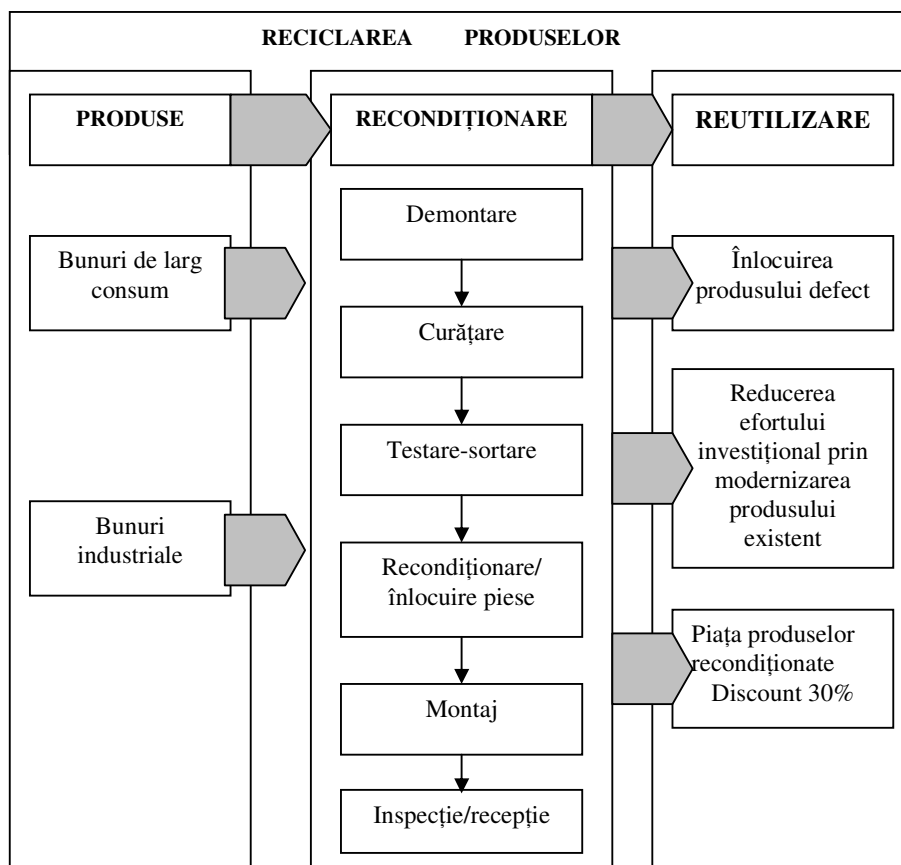


Fig. 13.9. Etapele și utilitatea reciclării.

13.6. RECUPERAREA MATERIALELOR DEGRADATE. PROTECȚIA MEDIULUI

În urma fabricării și a reciclării produselor sunt generate *deșeuri*. Acestea trebuie să fie introduse într-un circuit de recuperare, astfel încât să nu se provoace efecte negative asupra mediului și, în același timp, să fie recuperate energia și cheltuielile generate de existența acestor deșeuri.

În figura 13.10 este exemplificat un circuit de recuperare a deșeurilor provenite ca urmare a scoaterii din uz a produselor casnice și a anumitor categorii de produse industriale și agricole.

Circuitul de recuperare trebuie să înceapă chiar de la utilizator, care prin

casarea produsului devine generator de deșeuri. La generatorul de deșeuri trebuie să se facă sortarea deșeurilor pe categorii de recuperare, stabilite împreună cu firma care se ocupă cu colectarea, transportul și prelucrarea acestor deșeuri. Modalitatea de depozitare, colectare și transport trebuie să ajute și să încurajeze atitudinea civică și ecologică a generatorului de deșeuri.

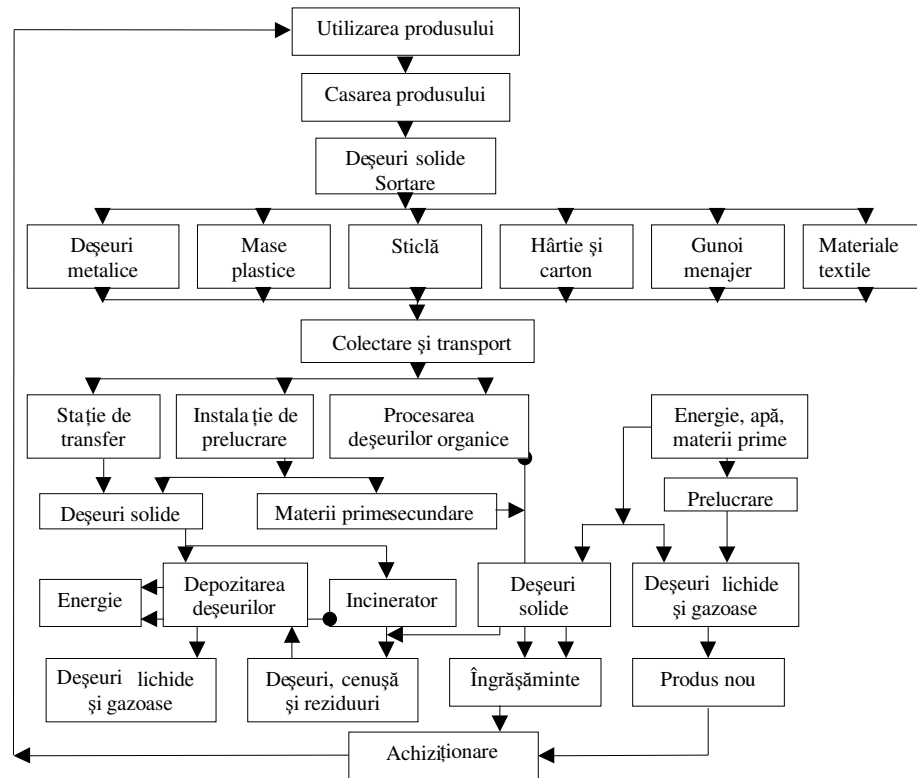


Fig. 13.10. Circuitul de recuperare.

Categoriile de recuperare sunt:

- deșeuri voluminoase nemetalice (mobilă, saltele etc.);
- deșeuri textile;
- deșeuri de hârtie și carton;
- deșeuri de sticlă;
- deșeuri de mase plastice (ambalaje);
- deșeuri de cauciuc (anvelope);
- deșeuri speciale (baterii, acumulatori, medicamente, substanțe toxice,

lubrifianți);

- deșeuri metalice;
- deșeuri complexe care necesită la rândul lor separarea și sortarea (autoturisme, aparate electrocasnice etc.);
- deșeuri menajere vegetale și animale;
- deșeuri din construcții (moloz, beton, asfalt).

Circuitele de recuperare sunt diferite pentru fiecare categorie în parte. Din punct de vedere economic este eficient să se prelucreze numai deșeurile sortate. Cele nesortate pot fi cel mult depozitate, degradarea lor naturală făcându-se cu viteze diferite și fără a se putea recupera materialele sau energia înglobată în produs. Depozitarea deșeurilor necesită cheltuieli de depozitare și de administrare, extinse pe mai multe zeci de ani de funcționare a depozitului.



CONTROLUL PRODUSELOR ÎN CONSTRUCȚIA DE MAȘINI ȘI DE APARATE

14.1. GENERALITĂȚI

Controlul nu constituie în sine un proces care să adauge plus-valoare produsului controlat; *el este menit să ateste fie buna desfășurare a proceselor de fabricate, fie conformitatea unui produs cu specificațiile sale.*

Rezultatele controlului pot influența deciziile manageriale, tehnologice, constructive de concepție, de execuție, de exploatare și de mentenanță, controlul constituind o buclă de feed-back.

Din punct de vedere economic, controlul constituie un *timp* de lucru *neproductiv*, care crește cheltuielile de fabricație. Sub acest aspect, controlul trebuie limitat la un strict absolut necesar.

Controlul produselor presupune determinarea prin inspectare/testare a anumitor caracteristici și performanțe ale unui produs (analiză, măsurare), compararea lor cu niște specificații tehnice și tehnologice, care au fost prescrise pentru acel produs (comparare), clasificarea sau sortarea produselor pe clase de calitate (decizie) și stabilirea unor acțiuni corective sau preventive (concluzii).

Specificațiile pot fi impuse prin: clauze contractuale de către beneficiar, norme interne ale firmei, norme de ramură industrială, norme ale organismelor de certificare produse, standarde, legislația națională sau internațională.

Controlul produselor era cunoscut în trecut în întreprinderi sub titulatura de „Control Tehnic de Calitate - CTC”. Astăzi această denumire este deja depășită, o dată cu apariția și generalizarea standardelor de calitate din seria ISO 9 000.

Conform vocabularului calității, standardul ISO 8 402 din 1995, definește *calitatea* unui produs sau serviciu ca fiind „ansamblul de proprietăți și caracteristici ale unui produs sau serviciu care îi conferă acestuia aptitudinea de a satisface necesitățile exprimate sau implicite”.

Calitatea este așadar privită ca o *valoare de întrebuințare*, ca măsură a utilității unui produs sau serviciu, percepută numai în măsura în care ansamblul de proprietăți și caracteristici ale produsului reușesc să rezolve problemele clientului, răspunzând așteptărilor acestuia.

Un produs/serviciu poate avea din punct de vedere ingineresc orice performanțe, chiar și extraordinare, dar el nu va fi perceput de către client drept un produs de calitate decât în momentul în care produsul/serviciul este util pentru rezolvarea unei probleme a clientului, răspunzând strict cerințelor exprimate în contract sau celor subînțelese. Revine specialistilor în marketing dificila misiune de a prospecta piața și de a exprima în date tehnico-economice așteptările potențialilor clienți în raport cu un produs sau serviciu.

După standardul ISO 8 402, *produsul* sau *serviciul* este definit ca „rezultat al activităților sau proceselor (produse hardware sau software) sau o activitate sau proces în sine - prestarea unui serviciu sau aplicarea unui procedeu de fabricație”.

Conform standardul ISO 8 402, termenul „calitate” nu trebuie utilizat pentru exprimarea unui grad superlativ - nivel de excelență, și nici cu sens cantitativ în evaluările tehnice. În aceste cazuri trebuie să se folosească un calificativ, ca de exemplu: „calitate relativă”, atunci când produsele sunt clasificate după superlativul lor sau prin comparație; respectiv: „nivelul calității” și „măsura calității”, atunci când evaluări tehnice precise sunt efectuate și exprimate cantitativ.

După standardul ISO 8 402, *controlul calității* este definit ca: „totalitatea tehnicilor și activităților cu caracter operațional, care au drept scop atât urmărirea (monitorizarea) unui proces, cât și eliminarea cauzelor performanțelor necorespunzătoare, în vederea îndeplinirii cerințelor de calitate”.

În standardul ISO 8 402 se regăsește și ceea ce era îndeobște cunoscut, în mod tradițional, drept CTC, denumit însă de acum înainte *inspecție* - „activități precum măsurarea, examinarea, testarea uneia sau mai multor caracteristici ale unui produs sau serviciu și compararea acestora cu cerințele specificate, în vederea stabilirii conformității produsului sau serviciului cu specificațiile respective”.

Problema realizării unor produse de calitate, a lucrului bine făcut de prima dată, este impusă din considerente de eficiență economică. Astfel se constată o creștere (datorată crizei de materii prime și energie, a globalizării piețelor de desfacere) a ponderii costului intrărilor (materii prime, energie, piese și subansamble, servicii - care sunt achiziționate de întreprinderi) în procesul de fabricație, care poate ajunge la peste 50% din costul ieșirilor (produse finite, piese de schimb, servicii). În acest caz, pentru supraviețuirea întreprinderii, este imperios necesară reducerea drastică a cheltuielilor de fabricație (prin reducerea duratei de fabricație, a volumului stocurilor, a întârzierilor, a remedierilor și a înlocuirilor, a

birocrației inutile; adică prin perfecționarea și optimizarea organizării). În același timp, este necesară o creștere a exigenței față de calitatea intrărilor printr-o colaborare riguroasă cu furnizorii.

În epoca actuală, scopul controlului este de a economisi munca prin prevenirea apariției *neconformităților* și nu de a o risipi prin remedierea produselor neconforme. Controlul trebuie să ofere nu numai informații despre conformitatea produsului cu specificațiile; el trebuie să identifice cauzele apariției neconformităților și să propună acțiuni corective și preventive. Din perspectiva actuală, calitatea înglobează patru componente principale (figura 14.1), legate de traseul de fabricație și utilizare a produsului: *concepție, execuție, utilizare, service*.

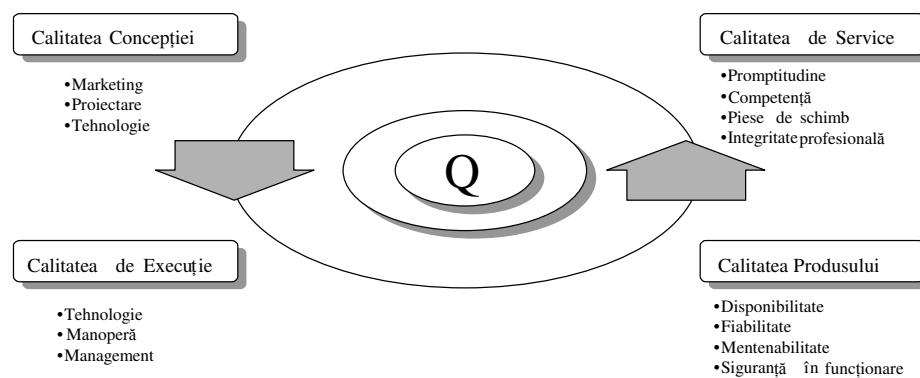


Fig. 14.1. Componentele calității.

Din perspectiva produsului, calitatea se definește prin următorii indicatori:

- *capacitatea* este capacitatea produsului de a îndeplini cerințele;
- *fiabilitatea* este capacitatea produsului de a îndeplini funcțiile cerute, în condiții de utilizare specificate și într-o perioadă de timp determinată;
- *disponibilitatea* este capacitatea produsului de a satisface misiunea sa într-o perioadă de timp determinată;
- *mentenabilitatea* este capacitatea produsului de a fi repus în funcțiune într-o perioadă de timp determinată;
- *siguranța în funcționare* este capacitatea produsului de a nu afecta mediul și viața;
- *operabilitatea* este capacitatea produsului de a fi operabil de către beneficiar într-o perioadă de timp determinată;
- *durabilitatea* exprimă durata de viață a produsului.

După cum s-a arătat mai înainte, astăzi termenul *calitate* apare în diverse definiții și concepte. În figura 14.2. este sintetizată o structură de legătură și de ierarhizare recapitulativă a diversilor termeni din familia calității:

- *inspecția calității* este nivelul de bază, operațional (CTC-ul clasic);

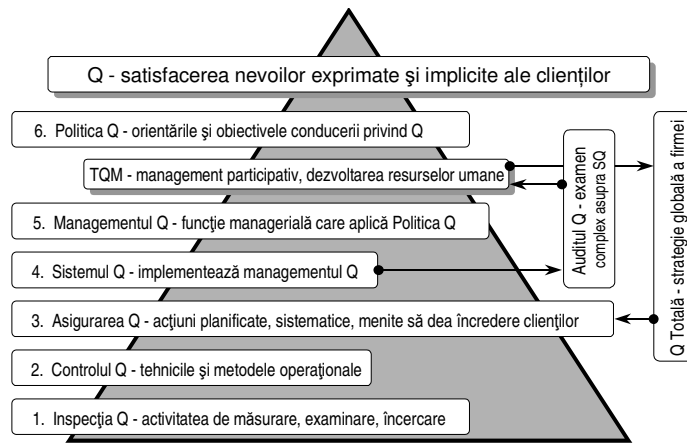


Fig. 14.2. Definirea noțiunilor referitoare la calitate.

- *controlul calității* este nivelul următor de integrare a tehnicilor și metodelor operaționale;
- *asigurarea calității* generează încrederea internă și externă în capacitatea firmei de a crea calitatea;
- *sistemul calității* este infrastructura necesară implementării managementului calității;
- *managementul calității* este funcția managerială care implementează politica firmei în domeniul calității;
- *politica în domeniul calității* este strategia firmei referitoare la calitate;
- *managementul calității totale* (TQM) este un concept de restructurare a managementului contemporan, care pune accentul pe rentabilizarea firmei pe termen lung, utilizând ca principale pârghii managementul participativ, calitatea, dezvoltarea și eficientizarea resurselor umane;
- *calitatea totală* este strategia globală a firmei de eficientizare a întregii activități prin calitate;
- *auditul calității* este examenul complex prin care se certifică sistemul calității;
- *calitatea* exprimă valoarea de întrebuințare a produselor și serviciilor.

14.2. TIPURI DE PROCESE DE CONTROL ÎN CONSTRUCȚIA DE MAȘINI ȘI APARATE

14.2.1. Criterii de clasificare

Clasificarea proceselor de control se poate face după mai multe criterii și

anume:

- după poziția față de procesul de transformare se deosebesc (fig. 14.3):
 - în amonte, controlul inițial, care se face:
 - la furnizor;
 - la recepția produselor;
 - la reglarea mașinilor și SDV-urilor.
 - în timpul desfășurării procesului:
 - controlul pe fluxul de fabricație;
 - autocontrolul/controlul extern;
 - controlul procesului;
 - controlul integral/controlul statistic;
 - controlul pe stand;
 - controlul inter operații.
 - în aval, controlul final:
 - pe stand;
 - la producător;
 - la expediere;
 - la instalare/punere în funcțiune;
 - după depanare/service.

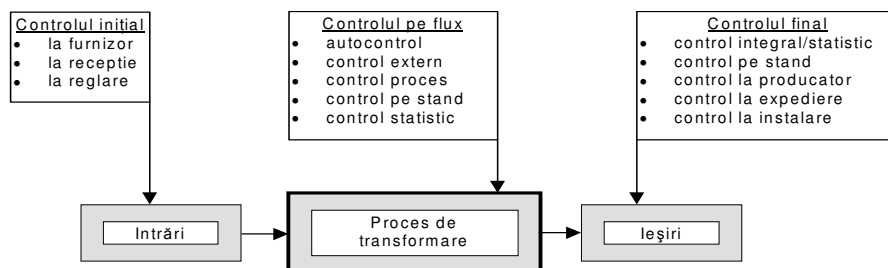


Fig. 14. 3. Clasificarea proceselor de control în raport cu procesul de transformare.

- după poziția în raport cu ciclul de viață al produsului se disting (fig. 14.4):
 - procese care au loc la producător;
 - procese care au loc la client (beneficiar);
 - procese care se desfășoară după casarea produsului.
- după gradul de automatizare al procesului de control se deosebesc:
 - controlul manual;
 - controlul parțial automatizat;
 - controlul integral automatizat.
- după numărul de produse controlate se deosebesc:
 - integral;
 - prin eșantionare, statistic.

- după complexitatea controlului se deosebesc:
 - autocontrolul;
 - controlul extern specializat;
 - auditul.
- după echipamentul utilizat se deosebesc:
 - controlul cu instrumente;
 - controlul cu aparate;
 - controlul cu mașini/instalații;
 - controlul pe standuri.
- după condițiile de testare ale produsului se deosebesc:
 - controlul în condiții uzinale;
 - controlul în condiții de laborator;
 - controlul în condiții simulate de funcționare;
 - controlul în condiții reale de funcționare.

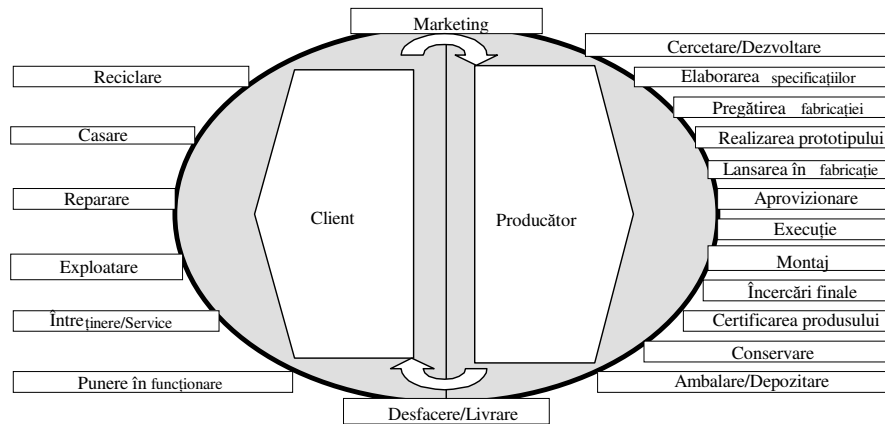


Fig. 14.4. Ciclul de viață al produsului hardware.

- după ceea ce se testează se distinge:
 - controlul caracteristicilor fizico-chimice;
 - controlul caracteristicilor mecanice de rezistență;
 - controlul caracteristicilor electro-mecanice;
 - controlul caracteristicilor estetice;
 - controlul caracteristicilor de exploatare;
 - controlul caracteristicilor de mentenanță;
 - controlul caracteristicilor ecologice.
- după modul de inspectare se deosebesc:
 - controlul distructiv:
 - pe epruvete;
 - pe produse de sacrificiu;
 - controlul nedistructiv.

- după gradul de răspândire a metodei de inspectare se disting:
 - controlul cu metode uzuale;
 - controlul cu metode speciale.

14.2.2. Controlul inițial (la recepție)

Controlul inițial se aplică produselor și materialelor aprovizionate, înainte de introducerea lor în fluxul de fabricație (procesul de transformare). Sistemul de verificare a produselor trebuie stabilit de comun acord cu furnizorul și trebuie clar precizat în comanda de aprovizionare. Verificarea produselor și a materialelor aprovizionate se poate face:

- pe baza sistemului de asigurare a calității care funcționează la furnizor (se solicită audituri de sistem sau documente care să certifice performanțele sistemului, evaluări efectuate de organisme independente recunoscute);
- pe baza interpretării înregistrărilor statistice ale controlului proceselor de fabricație;
- inspecție la furnizor înainte de livrare, în prezența reprezentanților beneficiarului;
- inspecție la beneficiar după livrare, în prezența reprezentanților furnizorului.

14.2.3. Controlul pe fluxul de fabricație

Controlul pe fluxul de fabricație se poate efectua în timpul operațiilor fiind un control în timp real (on-line), care permite reglarea ulterioară a mașinii/procesului, sau între operații (la sfârșitul unei operații). Controlul poate fi efectuat de către:

- operator (autocontrol);
- de către personal calificat (CTC);
- în ciclu automat de către o instalație sau mașină (control automat).

14.2.4. Controlul final

Controlul final se desfășoară după încheierea tuturor operațiilor de realizare a produsului. Controlul final trebuie să aibă în vedere *percepția globală* pe care clientul o are la contactul cu produsul. Aceasta înseamnă că se va acorda atenție și *activităților post-produție*, precum: conservarea, ambalarea, depozitarea, manipularea, prezentarea, desfacerea, consilierea, vânzarea, livrarea, instalarea, punerea în funcțiune, întreținerea și service-ul, care în mod obișnuit vând produsul și creează *imagea firmei* pe piață.

14.2.5. Controlul integral

Controlul integral presupune verificarea fiecărui produs sau piese în parte, bucată cu bucată. Se poate aplica la recepție, pe flux sau la final. De regulă este deosebit de laborios și duce la scăderea productivității. Se aplică în producția de serie mică și unicate și în cazul produselor a căror siguranță în funcționare este deosebit de importantă (avioane, nave, utilaj chimic, petrolier, nuclear, minier, militar, energetic). Opusul său este *controlul statistic* sau controlul prin eșantionare (selecționare).

14.2.6. Controlul statistic

Cronologic *controlul statistic* a apărut o dată cu dezvoltarea producției de serie mare și de masă, în anii '30 în S.U.A., ca răspuns la nevoia de creștere a productivității și de reducere a costurilor produselor, marcând trecerea la societatea de consum.

W.E. Deming, unul din părinții *calitologiei*, specialist în statistică, afirma în 1944: „În viața reală nu există constante. Există totuși un sistem cauzal constant. Rezultatele produse de un astfel de sistem cauzal pot varia într-o bandă largă sau, dimpotrivă, îngustă. Pe lângă variație, datele de ieșire ale unui astfel de sistem cauzal prezintă o caracteristică importantă, denumită stabilitate. De ce este nevoie să se aplice noțiunile de constanță și de stabilitate unui sistem cauzal care produce rezultate variabile? Deoarece același procentaj de rezultate variabile continuă să apară, în cadrul unor limite date, periodic, oră după oră, zi după zi, pe durata de operare a sistemului cauzal. Distribuția rezultatelor poate fi constantă sau stabilă. Când un proces de prelucrare se comportă ca un sistem cauzal constant, producând rezultate ale inspecțiilor care prezintă stabilitate, se spune că este sub control statistic. Graficul de control arată dacă procesul respectiv se află sau nu în limitele de control.”

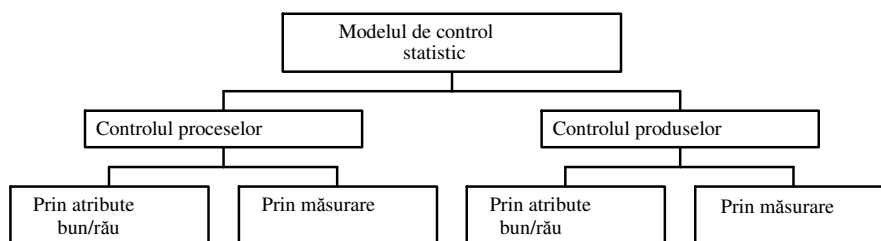


Fig. 14.5. Tipuri de control statistic.

Controlul statistic trebuie perceput ca un set de instrumente care pot influența deciziile manageriale legate de proiectare, producție și testare/încercare/inspecție. Controlul statistic în general necesită cooperarea

factorilor de răspundere din aceste trei funcții importante ale unei firme. De aceea, din acest punct de vedere, controlul statistic trebuie înțeles ca un ajutor managerial important.

Principalele instrumente de control statistic utilizate în producție sunt:

- *graficele de control Shewhart pentru caracteristicile de calitate măsurabile*. Acestea pot fi:

- grafice pentru variabile;
- grafice pentru medie și dispersie;
- grafice pentru media eșantioanelor și abaterea standard;
- *graficele de control Shewhart pentru fracțiunea respinsă* (graficul p);
- *graficele de control Shewhart pentru numărul de neconformități per unitate* (graficul c). Aceste grafice prezintă numărul total de defecte raportat la piesa inspectată. Dacă numărul de neconformități pentru o anumită piesă inspectată se situează în afara limitelor de control calculate sau dacă punctele sunt dispuse preferențial deși toate se află în limitele de control, atunci procesul se află în afara controlului și trebuie intervenit pentru a se preveni apariția defectelor;
- *procedura de eșantionare*.

14.3. ASIGURAREA CALITĂȚII

Conform standardului ISO 8402, *asigurarea calității* înseamnă ansamblul de acțiuni planificate și sistematice, menite a da *încrederea* corespunzătoare că un produs sau serviciu va satisface cerințele de calitate specificate.

Încrederea este completă numai dacă condițiile specificate reflectă toate exigențele utilizatorului. Asigurarea calității necesită o evaluare permanentă a factorilor care influențează gradul de adecvănță a proiectului, precum și verificări și audituri ale etapelor care alcătuiesc *ciclul de viață al unui produs*.

Dacă într-o organizație (firmă, companie, întreprindere, fabrică etc.) asigurarea calității este folosită ca instrument de lucru al conducerii, aceasta generează *încrederea internă*.

Dacă asigurarea calității este folosită în situații contractuale, aceasta generează *încrederea externă*.

Din punct de vedere istoric, asigurarea calității a apărut ulterior controlului statistic, din necesitatea de a economisi timp și mijloace. Astfel, dacă într-o organizație lucrurile sunt puse la punct și fiecare membru al său știe ce are de făcut, dacă produsul n este bun, atunci poate să existe încrederea că și produsul $n+1$ va fi de asemenea bun. Aceasta evoluție a modului de a privi calitatea și controlul acesteia a însemnat deplasarea atenției de la controlul particular al produsului la controlul general al managementului organizației furnizoare de produse sau prestatoare de servicii.

Asigurarea calității poate fi privită și drept o problemă de imagine a firmei,

astfel, orice prezentare a firmei și a produselor sau serviciilor furnizate de aceasta trebuie să facă referire și la problematica certificării calității.

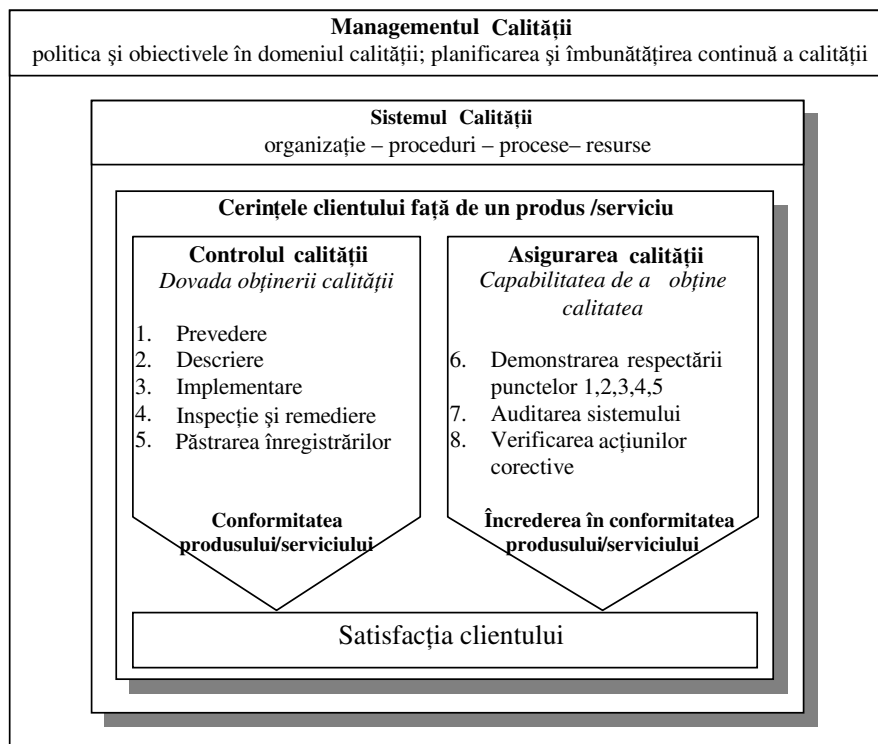


Fig. 14.6. Definirea asigurării calității.

14.3.1. Asigurarea calității în proiectare

Calitatea unui produs sau serviciu depinde în mod fundamental de activitatea de proiectare și concepție. Circa 80% din calitatea produsului sau serviciului este stabilită încă din concepție. Altfel spus, aptitudinea de a satisface cerințele exprimate sau subînțelese ale clientului față de un produs sau serviciu este dată de proiectant. Numai 20% din calitate mai poate fi influențată (în bine sau în rău) de execuție; rezultă, din cele arătate, că de activitatea proiectanților depinde succesul sau eșecul pe piață al unui produs sau serviciu.

În activitatea de proiectare și concepție trebuie inclusă și stabilirea temei de proiectare prin activități de analiză și de prognoză a pieței - *marketingul*. Numai dacă au fost identificate corect cerințele clienților și exigențele pieței, precum și prognozată evoluția ulterioară a acestora, avându-se în vedere decalajul care există

producție), precizarea cerințelor de control împreună cu specificațiile aferente (evaluarea raportului dintre acestea și satisfacerea cerințelor clientului), precizarea cerințelor de fiabilitate și de mentenabilitate, prezența documentației de utilizare și de service;

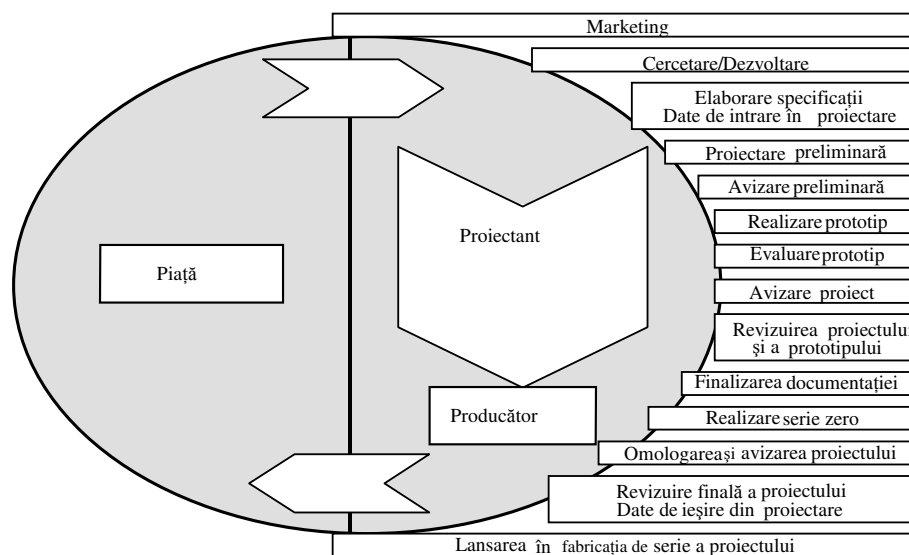


Fig. 14.8. Ciclul de realizare a unui proiect.

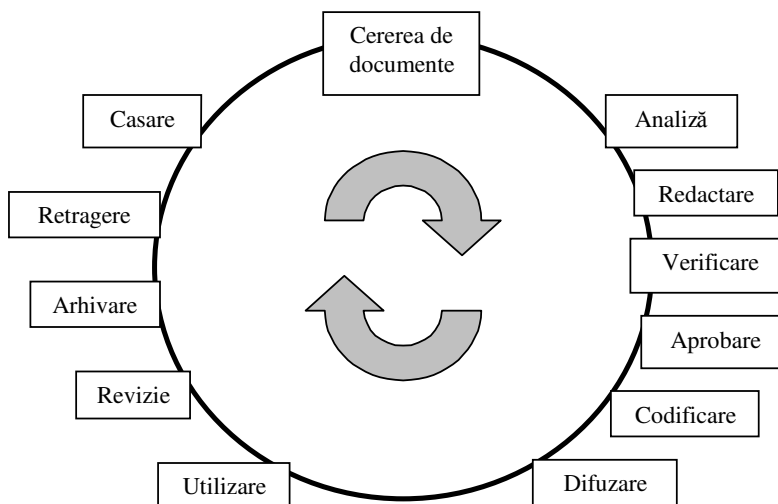


Fig. 14.9. Ciclul de viață al documentației.

- *modul de efectuare a încercărilor de omologare;*
- *modul de verificare a competențelor celor implicați în realizarea proiectului;*
- *modul de efectuare și de avizare a reviziilor proiectului;*
- *modul de actualizare a documentației de execuție, aflate în producție.*

14.3.2. Asigurarea calității în aprovizionare

În vederea realizării produselor sau serviciilor, orice firmă, întreprindere sau companie trebuie să se aprovizioneze cu o serie de materii prime, materiale, echipamente sau consumabile, ținând cont de faptul că nu este posibil ca în cadrul uneia și aceleași firme să se realizeze absolut toate produsele de care este nevoie pentru buna desfășurare a activității curente. Majoritatea materialelor aprovizionate contribuie la atingerea nivelului de calitate al produsului finit, de aceea, activitatea de aprovizionare trebuie ținută sub control.

Controlul aprovizionării, în conformitate cu standardele ISO 9000, se face prin:

- *evaluarea și selecția subcontractanților și a furnizorilor* (criterii avute în vedere: capacitatea furnizorilor de a îndeplini cerințele de calitate impuse produsului sau serviciului; disponibilitatea echipamentelor și a forței de muncă; viabilitatea comercială și financiară; capacitatea de producție și modul de respectare a termenelor; eficiența sistemului de asigurare a calității la furnizor);

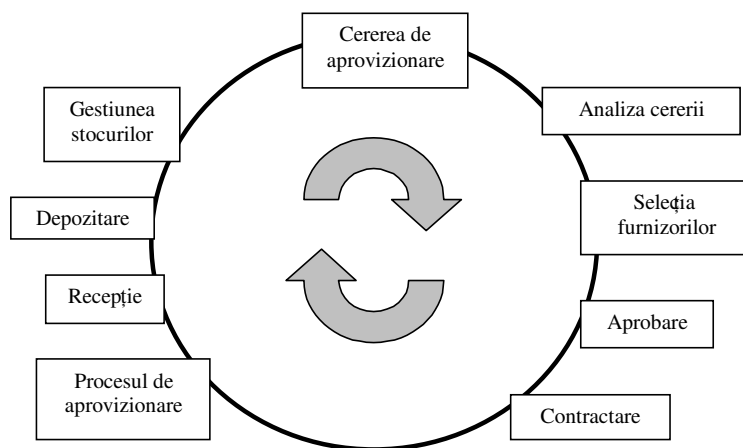


Fig. 14.10. Ciclul de aprovizionare.

- *însoțirea comenzilor și contractelor de aprovizionare cu date, specificații, proceduri și desene de execuție, care să descrie clar produsul sau serviciul comandat, ca și exigențele cerute furnizorului;*

- *întocmirea de proceduri referitoare la calitate*, destinate posibiloilor subcontractanți sau licitatori în timpul ofertării;
- *analizarea devizelor* prezentate de furnizori din perspectiva calității; clarificarea cerințelor proprii impuse furnizorilor selectați și stabilirea unui acord privind procedurile de asigurare a calității;
- *controlul produsului aprovizionat*;
- *asistența acordată subcontractanților sau furnizorilor* prin: instruire, consultanță și SDV-uri;
- *monitorizarea calității produsului și a sistemului de asigurare a calității la furnizor*;
- *analizarea performanțelor subcontractanților sau furnizorilor* după onorarea comenzilor.

14.3.3. Asigurarea calității în producție

Activitățile de producție cuprind fabricația componentelor și montarea acestora. Prin aceste activități se realizează fizic produsul proiectat în prealabil.

Asigurarea calității în producție include următoarele aspecte:

- stabilirea capacității proceselor tehnologice;
- inspectarea și supravegherea proceselor tehnologice;
- încercarea produselor în diferite faze importante;
- controlul proceselor de fabricație;
- întreținerea, calibrarea și gestionarea echipamentelor (utilaje, mașini și instalații de proces, SDV-uri și AMC-uri);
- identificarea, trasabilitatea și gestionarea materialelor și a produselor;
- controlul și supravegherea utilităților (apă, aer comprimat, gaz, energie electrică) și a factorilor de mediu (temperatură, umiditate, viteză relativă a aerului, curățenie, zgomot, vibrații, iluminat, noxe, radiații);
- analiza și controlul produselor neconforme;
- controlul documentelor.

Monitorizarea producției cuprinde:

- controlul intrărilor (materii prime și materiale, utilități, factori de mediu, informații);
- controlul circuitului productiv (identificarea materiilor prime, a pieselor și a documentelor);
- controlul echipamentelor de lucru;
- monitorizarea feed-back-ului în scopul îmbunătățirii procesului.

În fluxul de producție trebuie stabilite *puncte de control*, alese astfel încât să se obțină minimizarea efectelor erorilor și creșterea *eficienței proceselor*.

14.3.4. Asigurarea calității în testare/încercări finale

Încercările finale sunt deosebit de importante, întrucât de rezultatul lor (stabilirea măsurii în care produsul este conform cu specificațiile) depinde *eliberarea produsului în vederea comercializării*. La testele finale trebuie să se ia în considerare, pe de o parte, reglementările privind *răspunderea juridică asupra produsului fabricat sau comercializat*, iar, pe de altă parte, *totalitatea înregistrărilor calității* efectuate anterior (înregistrările efectuate de furnizor, inspecțiile de recepție, cele de pe fluxul de fabricație etc.). Pe baza datelor culese anterior, susținute de dovezi credibile (supervizate de compartimentul de asigurare a calității), volumul inspecțiilor finale poate fi redus la minimum, acestea fiind completate de toate celelalte inspecții premergătoare efectuate asupra materiilor prime, componentelor sau subansamblurilor produsului respectiv.

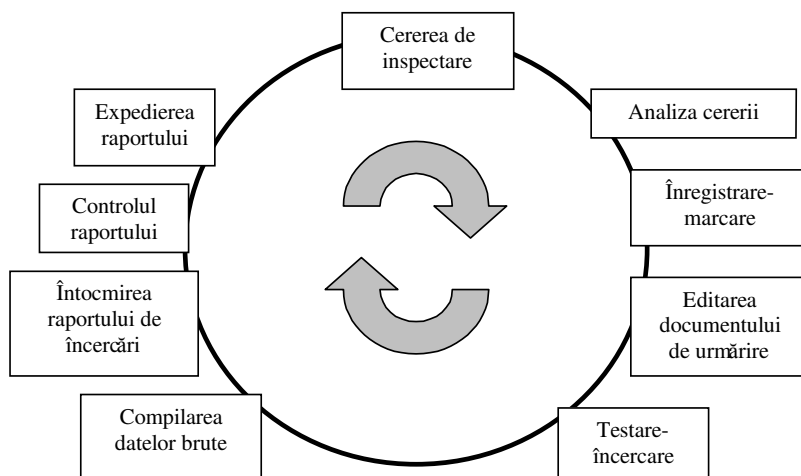


Fig. 14.11. Ciclul de inspecție-testare.

14.3.5. Asigurarea calității în activitățile post producție

Aceste activități cuprind de regulă: *conservarea, ambalarea, manipularea, depozitarea, identificarea, montajul și punerea în funcțiune* a unor produse fabricate anterior. Acestor activități trebuie să li se acorde o importanță la fel de mare ca și celor legate nemijlocit de realizarea produselor; un produs conform cu specificațiile poate fi compromis prin niște activități post producție necorespunzătoare.

Conservarea are ca scop menținerea caracteristicilor produsului după fabricare și până la punerea în funcțiune, pe parcursul manipulării, depozitării, transportului, livrării și montajului. Conservarea trebuie să asigure; protecția contra

coroziunii, protecția calității suprafețelor contra zgârierii, protecția contra deformării, spargerii, fisurării, lovirii, căderii, răsturnării, trântirii, ori strivirii accidentale a produsului. Un rol important în conservarea produsului revine ambalajului. În cazul produselor sensibile trebuie să se prevadă specificații privind conservarea, ambalarea, transportul, manipularea.

Ambalarea joacă un rol important, atât în conservarea produsului, cât și în atractivitatea acestuia față de client. Trebuie avut în vedere că primul contact al clientului cu produsul se face prin intermediul ambalajului, de atractivitatea acestuia depinzând în mare măsura vânzarea produsului.

Ambalajul trebuie să asigure:

- protecția produsului (ambalajul trebuie să fie suficient de solid, rezistent la factorii de mediu și la modul de transport și manipulare);
- să faciliteze transportul și manipularea produsului fără a-l deteriora (ambalajul trebuie să se încadreze în niște forme și dimensiuni tipizate, care corespund tipului de transport utilizat: europalet, transcontainere, cărucioare, elevatoare etc.);
- ambalajul trebuie să aibă marcat la loc vizibil semnele convenționale corespunzătoare instrucțiunilor de transport, manipulare și depozitare;
- să ofere informații suficiente asupra produsului;
- să atragă clientul (ambalajul se alege în raport cu piața de desfacere și tradiția cu care sunt obișnuiți clienții);
- să se înscrie într-un *circuit de protecție a mediului* (reciclare, recuperare, refolosire a materiale biodegradabile, nepoluante).

Identificarea este necesară pentru a se putea localiza produsul și a se determina traseul acestuia. Marcajele și etichetele trebuie să fie ușor lizibile și durabile. Între controlul final al produselor și livrarea la beneficiar marcajul trebuie să se păstreze, astfel încât să se permită oricând o inspecție suplimentară. Marcajul apare obligatoriu, atât pe ambalaj, cât și pe fiecare produs în parte. Adeseori, identificarea corespunzătoare a produsului este indispensabilă pentru operațiile de întreținere, service în garanție și post garanție, precum și la supravegherea în exploatare. Pentru produsele exportate sau importate, este necesară redactarea marcajelor în limba clientului.

Manipularea produselor trebuie specificată în documentele însoțitoare ale produselor și pe ambalaj, de regulă, prin semne convenționale, recunoscute internațional. Manipularea se face manual în cazul produselor de dimensiuni mici, ușoare, ambalate individual sau în colete mici și mecanizat în celelalte cazuri. Pentru a nu se deteriora produsele, este necesar ca să se respecte cu strictețe indicațiile furnizorului și ca să existe dotarea corespunzătoare (cărucioare, vagonete, electrocare, stivuitoare, lize, electropalane, macarale, poduri rulante etc.)

Depozitarea are drept scop: echilibrarea cantităților sau a sortimentelor livrate, concilierea termenelor între momentul ofertei și cel al onorării cererii, echilibrarea diferențelor dintre diversele secții de producție etc.

Din punct de vedere al asigurării calității, depozitarea trebuie să asigure:

- protecția produselor;
- condiții favorabile de recepție și de expediere a produselor;
- urmărirea produselor perisabile;
- controlul rotirii stocurilor;
- controlul substanțelor periculoase.

Montajul produsului la beneficiar trebuie să asigure:

- funcționarea produsului la parametri și în condițiile stabilite de producător;

- menținerea performanțelor produsului;

- furnizorul trebuie să asigure instrucțiuni scrise pentru montaj (în caietul de sarcini);

- în cazul unor produse complexe, furnizorul trebuie să asigure echipe specializate pentru montaj la sediul beneficiarului;

- proiectantul produsului trebuie să aibă în vedere adoptarea acelor soluții constructive care să prevină montajul incorect.

Punerea în funcțiune, întreținerea și activitatea service. Asigurarea calității acestor activități și, implicit, a produsului trebuie să aibă în vedere:

- evidența intervențiilor;

- gestiunea și supravegherea metrologică a AMC-urilor și a SDV-urilor utilizate la depanare;

- folosirea de piese de schimb originale, noi;

- personal de intervenție calificat (în unele cazuri acesta trebuie să fie și certificat în specialitate);

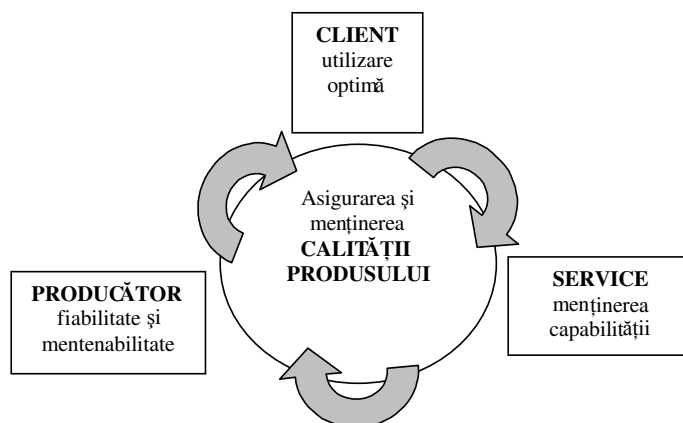


Fig. 14.12. Triada producător-client-service.

- întocmirea de proceduri de analiză și diagnosticare a defectelor produselor aflate în service;

- monitorizarea produselor vândute, atât a celor aflate în garanție, cât și post garanție;
- supravegherea și gestionarea eficientă a circuitului informațional (sesizările clienților și observațiile depanatorilor să ajungă cât mai rapid la proiectantul produsului, în vederea îmbunătățirii proiectului și a tehnologiilor de execuție și testare).

În triada *producător-client-service* producătorul este răspunzător pentru asigurarea fiabilității și mentenabilității produsului, utilizatorul pentru folosirea optimă a produsului cumpărat, iar service-ul este răspunzător pentru menținerea capabilității produsului. Împreună, toți își aduc contribuția la asigurarea și menținerea calității produsului (fig. 14.12).

14.4. METODE DE INSPECTARE A PRODUSELOR MATERIALE (HARDWARE)

Specific produselor materiale sunt proprietățile funcționale. Acestea sunt definite ca suma de relații care se stabilesc între materialul din care este confecționată piesa și fenomenele din mediul în care se găsește sau funcționează piesa respectivă. Proprietățile funcționale pot fi relativ ușor măsurabile, iar gradul în care acestea satisfac cerințele impuse prin prescripțiile tehnice de execuție exprimă tocmai *nivelul de calitate* al produsului respectiv.

14.4.1. Metode de inspectare distructivă

Aceste metode sunt utilizate pentru determinarea unor proprietăți ale materialelor din care sunt confecționate piesele. În majoritatea cazurilor sunt utilizate piese de probă, numite *epruvete*, care sunt eşantioane prelevate din materialul pieselor respective. Epruvetele au o anumită mărime și formă, care sunt standardizate, astfel încât să permită interpretarea corectă a rezultatelor încercării. Prelevarea epruvetelor se poate face: fie din deșeurile rămase de la prelucrarea piesei respective, din mostrele extrase la elaborarea materialului, din probe executate o dată cu fabricarea piesei respective sau din piese de sacrificiu.

Excepție de la cazurile în care sunt utilizate epruvete fac încercările de *anduranță*, caz în care sunt utilizate piese, subansamble, mașini sau aparate reale, în condiții de funcționare reale sau simulate, încercările desfășurându-se pe standuri de probă, în poligoane sau pe piste de încercare (de exemplu: testarea motoarelor, a autovehiculelor, a aeronavelor, a prototipurilor etc.).

Întrucât principalele metode de inspectare distructivă au fost descrise anterior, în capitolul 2 al prezentei lucrări, în prezentul capitol sunt doar reamintite (tabelul 14.1) fiind detaliate numai *încercările de mediu*.

Tabelul 14.1. Metode de inspectare distructivă

Nr. crt.	Grupa/Destinația	Denumirea	Descriere la
1	Încercări de determinare a caracteristicilor fizico-chimice	determinarea compoziției chimice	2.4.1.
		determinarea microstructurii	2.4.2.
		determinarea macrostructurii	2.4.2.
		determinarea proprietăților fizice (chimice, magnetice, electrice, optice, acustice, nucleare, cuantice, mecanice etc.)	2.4.3.1.
2	Încercări de rezistență mecanică	încercarea la rupere (tracțiune, compresiune, încovoiere, torsiune, forfecare)	2.4.3.3.a.-e.
		încercarea la oboseală	2.4.3.3.h.
		încercarea la fluaj	2.4.3.3.i.
		încercarea la încovoiere prin șoc	2.4.3.3.g.
		determinarea durității	2.4.3.3.f.
		încercări tribologice	-
3	Încercări de rezistență la acțiunea mediului	testarea la coroziune	2.4.3.1.
		testarea la iradiere	-
4	Încercări tehnologice	determinarea turnabilității	2.4.4.1.
		determinarea deformabilității	2.4.4.2.
		determinarea așchiabilității	2.4.4.3.
		determinarea sudabilității	2.4.4.4.
		determinarea călibilității	2.4.4.5.
5	Încercări funcționale	încercări de prototip	-
		teste de duranță	-

Încercările de mediu sunt destinate să demonstreze că o probă este aptă să reziste și să funcționeze în condiții de mediu determinate. Încercările se pot face fie prin expunerea produsului la condițiile de mediu respective (reale sau simulate), fie prin testarea produsului la efectele condițiilor de mediu. Reproducerea fidelă a condițiilor reale de mediu este practic imposibilă, iar, de cele mai multe ori, condițiile reale de utilizare ale produsului nu sunt complet cunoscute. Din aceste cauze încercările climatice sunt accelerate, prin creșterea solicitărilor reale. Principalele efecte ale factorilor de mediu sunt trecute în revistă în tabelul 14.2.

Tabelul 14.2. Efectele factorilor de mediu luați separat

Factorul de mediu	Efecte	Defecte rezultate
Temperatura scăzută	Fragilizare; Formarea gheții ; Creșteri de vâscozitate, solidificare; Pierderea rezistenței mecanice; Contrații fizice	Defecte ale izolațiilor, fisurări, defectări mecanice, creșterea uzurii părților mobile, defecte ale etanșărilor și armăturilor

Tabelul 14.2. (continuare)

	ridică	Îmbătrânire termică, oxidare; fisurare, reacții chimice; Înmuiere, topire, sublimare; Reducerea vâscozității, evaporare; Dilatare	Defecte ale izolațiilor, defectări mecanice, creșterea tensiunilor mecanice, uzura părților mobile datorită dilatării sau pierderii proprietăților lubrifiante
	variații rapide	Șoc termic Încălziri diferențiate	Defecte mecanice, fisuri, crăpături, deteriorarea garniturilor, scurgeri
Presiune	scăzută	Dilatare Scăderea rigidității dielectrice a aerului Efluvii electrice, formare de ozon Reducerea răcirii	Degradări mecanice, crăpături, defecte de etanșitate, supraîncălziri
	ridică	Compresiune, deformare	Degradări mecanice, fisurare, defecte de etanșitate
Umiditate relativă	scăzută	Pierdere a apei Fragilizare Pierdere rezistenței mecanice Contrație Creșterea abraziunii între contactele mobile	Degradări mecanice, fisurare
	ridică	Absorbția și adsorbția de umiditate, umflare, pierdere rezistenței mecanice, reacții chimice, coroziune, electroliză, creșterea conductivității izolanților	Rupturi, defecte ale izolațiilor, degradări mecanice
Radiație solară		Reacții chimice și fotochimice Deteriorarea suprafeței Fragilizare Decolorare, formare de ozon, Încălzire, încălzire diferențiată și tensiuni mecanice	Defecte ale izolațiilor, similar cu temperatura ridicată
Atmosferă corozivă		Reacții chimice, coroziune, electroliză Deteriorarea suprafeței Creșterea conductivității Creșterea rezistenței de contact	Creșterea uzurii, defecte mecanice, defecte electrice
Praf și nisip		Uzură, eroziune, ancrasări Depuneri de materiale Deteriorarea suprafeței	Creșterea uzurii, defecte mecanice, defecte electrice
Vânt		Aplicarea unor forțe Uzură, eroziune, ancrasări Depuneri de materiale Inducerea de vibrații	Deformări de structură, degradări mecanice
Ploaie		Absorbție de apă Șoc termic Eroziune, coroziune	Defecte electrice, fisurare, crăpături, deteriorarea suprafeței
Grindină		Eroziune Șoc termic Deformare mecanică	Deformarea structurii, deteriorări ale suprafețelor

Tabelul 14.2. (continuare)

Zăpadă, gheață	Solicitări mecanice Absorbție de apă Șoc termic	Deformarea structurii, eroziune, coroziune
Ozon	Oxidare rapidă Fragilizare, scăderea rigidității dielectrice a aerului	Defecte electrice, defecte mecanice, ruperi, fisuri
Accelerații, vibrații, șocuri	Tensiuni mecanice, uzură Rezonanță	Defecte mecanice, creșterea uzurii părților mobile, deformarea structurii
Iradieră	Ionizarea materialelor Deplasarea atomilor din rețeaua cristalină Efecte termice	Scăderea proprietăților mecanice, scăderea conductivității electrice și termice
Mucegaiuri	Scăderea caracteristicilor mecanice Modificări ale proprietăților fizice Îmbătrânirea materialului de bază	Deteriorarea izolației, variația proprietăților electrice, defecte mecanice

14.4.2. Metode de inspectare nedistructivă

Acest tip de metode prezintă avantajul că aplicarea lor nu afectează caracteristicile produsului inspectat. Din această cauză, ele au o largă răspândire în toate ramurile economice: industrie, construcții, agricultură, cercetare.

Tabelul 14.3. Metode de inspectare nedistructivă

Nr. crt.	Grupa/Destinația	Utilizare	Denumirea	Descriere la
1	Diagnoza externă a pieselor	determinarea culorii	controlul optico-vizual controlul colorimetric	- -
		determinarea rugozității	controlul optico-vizual	1.2.3.2.d
		determinarea formei și a volumului	controlul dimensional	1.2.3.2.a-c
			controlul holografic	2.4.5.6
			controlul prin cântărire	-
			controlul optico-vizual	-
		determinarea defectelor de suprafață	controlul cu radiații penetrante	2.4.2.2.a
			controlul cu ultrasunete	2.4.2.2.b
			controlul cu pulberi magnetice	2.4.2.2.c
			controlul cu lichide penetrante	2.4.2.2.d
			controlul prin curenți turbionari	2.4.5.1
			controlul tomografic	2.4.5.3
			controlul termografic	2.4.5.4
			controlul cu microunde	2.4.5.5
			controlul holografic	2.4.5.6

Tabelul 14.3. (continuare)

2	Diagnoza internă a pieselor	determinarea defectelor interne	controlul cu radiații penetrante	2.4.2.2.a
			controlul cu ultrasunete	2.4.2.2.b
			controlul cu pulberi magnetice	2.4.2.2.c
			controlul cu lichide penetrante	2.4.2.2.d
			controlul prin curenți turbionari	2.4.5.1
			controlul tomografic	2.4.5.3
			controlul termografic	2.4.5.4
			controlul cu microunde	2.4.5.5
3	Proгноza piesei (durată de viață, comportare în funcționare)	determinarea descriptorilor calității (durabilitate, fiabilitate, capabilitate, disponibilitate, mentenabilitate, operabilitate, siguranța în funcționare)	modele fizice și matematice de descriere și evaluare calitativă și cantitativă a cauzelor și efectelor defectelor	-
			modele statistice	-
			metode previzionale (AMDEC, arborele de defectare)	-

Întrucât principalele metode de inspectare nedistructivă au fost descrise anterior, în capitolul 2 al prezentei lucrări, aici prezentăm doar un tabel recapitulativ.

14.4.3. Inspectarea automată

În producția de serie se preferă utilizarea metodelor de inspecție nedistructivă integrate în *sisteme automate de inspecție*, care au avantajul scurtării timpului neproductiv, în condiții de fiabilitate ridicată a controlului.

Un sistem automat de inspecție poate utiliza una sau mai multe metode de inspectare nedistructivă, care sunt dezvoltate în funcție de cazul concret al aplicației.

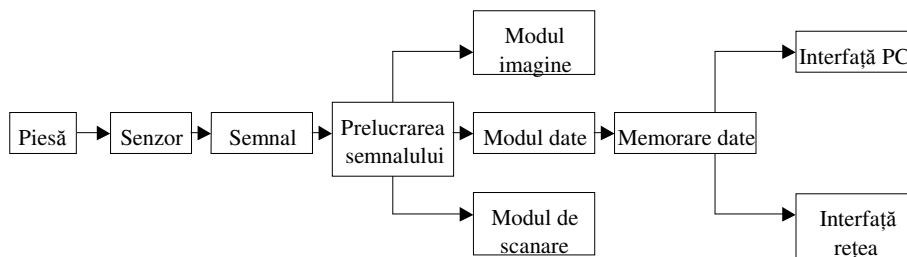


Fig. 14.13. Schema bloc a unui sistem de inspecție automat.

Piesa este inspectată cu ajutorul unor *senzori* specifici metodei de control (*optico-vizual, emisie acustică, ultrasunete, radiații penetrante* etc.), semnalul este preluat și prelucrat, este comparat cu *semnalul de referință* (memorat în prealabil în *banca de date de referință*) și se comandă *dispozitivele de sortare a pieselor*, în raport cu *verdictul controlului*. Rezultatul este memorat, în vederea prelucrării în continuare a rezultatelor controlului și optimizării procesului care a generat piesele inspectate.

14.5. METODE DE INSPECTARE A PRODUSELOR CU SUPORT MATERIAL (SOFTWARE)

Specific acestor produse este lipsa unui material din care este confecționat produsul, materialul acestuia având numai rolul de suport. În acest caz, prin testarea unor proprietăți ale materialului suport nu pot fi trase concluzii asupra proprietăților funcționale ale produsului și, în consecință, nici asupra nivelului calitativ al produsului respectiv.

În aceste situații, se recurge la *controlul preventiv*, prin punerea la punct în detaliu a cadrului de desfășurare a producției, astfel încât, prin controlul tehnico-organizatoric al fiecărei etape de realizare a produsului, adică a întregului proces de realizare a produsului, să fie prevenită apariția produselor neconforme (similar cu controlul activității de proiectare și a se vedea asigurarea calitatii în proiectare).

Conform standardului SR ISO 9000-3 din 1995 *Ghid pentru aplicarea ISO 9001 la dezvoltarea, livrarea și mentenanța software-ului*, sunt definite următoarele elemente:

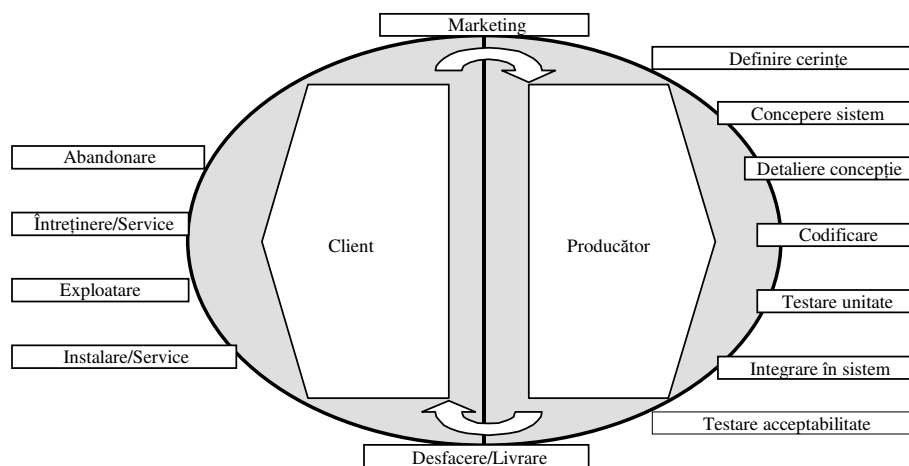


Fig. 14.14. Ciclul de viață al produsului software.

- *software*: creație intelectuală care cuprinde programe, proceduri, reguli și orice documentație asociată referitoare la funcționarea unui sistem de prelucrare a datelor; un software este independent de suportul pe care este înregistrat;
- *produs software*: ansamblul complet format din programe, proceduri și documentația asociată pentru calculator, precum și datele destinate să fie livrate unui utilizator;
- *verificare* (pentru software): procesul de evaluare a produselor aflate într-o fază dată, pentru a se asigura precizia și compatibilitatea față de produsele și standardele furnizate ca date de intrare pentru această fază.

14.6. METODE DE INSPECTARE A SERVICIILOR

Serviciile pot fi definite ca rezultate ale activităților desfășurate la *interfața client/furnizor*, precum și alte altor activități interne ale furnizorului, destinate satisfacerii cerințelor clientului. Inițial, termenul de servicii includea numai acele activități desfășurate la interfața dintre client și prestator; însă, o dată cu impunerea managementului calității totale în cadrul firmelor, diversele compartimente funcționale ale acestora au început a fi tratate independent, conform principiului „next process is a consumer” (următorul proces pe fluxul tehnologic este un consumator/client). O cale de viabilizare a firmelor integrate este externalizarea unor servicii, fapt ce conduce la lărgirea gamei de servicii oferite pe piață. Pot exista servicii independente, furnizate ca atare, sau dependente de un anumit produs, pe care îl însoțesc (în acest caz serviciile completează atractivitatea produsului pentru piață).

Deosebirile dintre un produs și un serviciu pot fi enunțate astfel:

- *imaterialitatea și intangibilitatea*: serviciului nu i se pot asocia caracteristici obiective palpabile, imaginea serviciului este subiectivă;
- *multicoplitatea*: serviciul presupune mai multe etape diferite sau complementare, care concură la ofertarea serviciului;
- *perisabilitatea în timp*: produsul este durabil, în timp ce serviciul este furnizat (prestat) la un anumit moment; se consideră că producerea și consumul serviciului se fac simultan.
- *variabilitatea*: serviciul depinde în mare măsură de competența, experiența, conștiinciozitatea, probitatea morală și renumele prestatorului;
- *integrarea clientului*: clientul participă la producerea și consumarea serviciului în mod direct (servicii de sănătate, de educație și de instruire, de cosmetică și coafură, de *fitness*, masaj, *body-building*) sau indirect (alimentație publică, turism, servicii bancare, administrație, servicii IT, servicii de întreținere și reparații, servicii de transport, încărcare-descărcare, curățenie-menaj etc.).

În industrie pot fi identificate următoarele tipuri de servicii, corespunzătoare compartimentelor funcționale ale unei întreprinderi, conform

tabelului 14.4. Se poate observa că unele dintre servicii însoțesc produsul, facilitând realizarea (proiectarea și execuția) sau vânzarea acestuia, iar altele se referă la buna funcționare a firmei și la relațiile ei cu mediul extern (acționari, clienți, comunitate locală, furnizori, stat și societate).

Tabelul 14.4. Tipuri de servicii existente in industrie

Nr. crt.	Tipul serviciului	Denumirea serviciului
1	Servicii de marketing	Analiza pieței Chestionare clienți Reclamă
2	Servicii de proiectare	Documentare Editare Redactare Distribuție Arhivare
3	Servicii manageriale	Consultanță Secretariat Protocol
4	Servicii în producție	Transport Deservire mașini, utilaje, locuri de muncă Întreținere mașini, utilaje, locuri de muncă Asistență tehnică în execuție Menținerea curățeniei Asigurarea utilităților Depozitare
5	Servicii post-producție	Transport Depozitare
6	Servicii de aprovizionare	Selectare furnizori Asistență furnizori Transport, livrare, recepție
7	Servicii de desfacere	Vânzări Asistență clienți Transport, livrare
8	Servicii post-desfacere	Punere în funcțiune Instruire și asistență clienți Urmărire reclamații și sesizări Întreținere Service
9	Servicii comerciale	Contractare Facturare
10	Servicii financiar-contabile	Controlling Urmărirea producției și a stocurilor Gestiune fonduri fixe Gestiune fonduri circulante Normarea muncii Urmărirea costurilor
11	Servicii administrative și de personal	Selecția și angajarea personalului Scolarizare/perfecționare personal Protecția muncii Asistența socială

Tabelul 14.4. (continuare)

12	Servicii de asigurare a calității	Urmărirea costurilor calității Audituri Controlul documentelor Asistența de specialitate
13	Servicii de control	Încercări finale Recepție materiale Încercări pe flux Control statistic Control documente și înregistrări
14	Servicii de consultanță	Studii de fezabilitate Studii de marketing

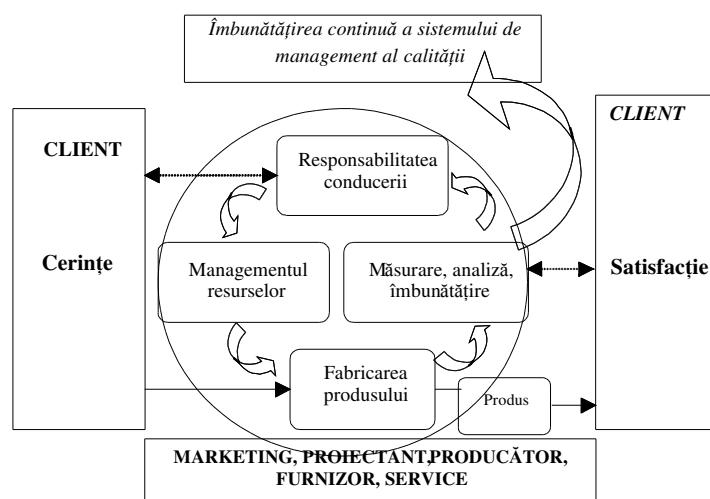


Fig.14.15. Abordarea calității serviciului din perspectiva procesului de bază:
 → activități care adaugă valoare serviciului; - → fluxul informațional.

În majoritatea cazurilor, controlul caracteristicilor serviciului și ale prestării acestuia poate fi realizat numai prin controlul procesului de prestare a serviciului. Desfășurându-se la interfața client/furnizor, orice neconformitate (abatere de la calitatea prescrisă) este imediat și nemijlocit sesizată de către client. Din această cauză, măsurarea și controlul procesului sunt absolut esențiale (controlul pe flux și nu controlul final).

Tabelul 14.5. Abordarea serviciului din perspectiva procesului

Tipul serviciului	Intrări	Elementele serviciului	Funcția	Rezultate
Spital	Pacienți	Medici, asistenți medicali, infirmieri, medicamente, echipamente, infrastructură	Tratament și vindecare	Persoane sănătoase

Tabelul 14.5. (continuare)

Restaurant	Clienți	Alimente, băuturi, ospătari, picoli, ambianță	Servitul mesei, odihna	Clienți satisfăcuți
Universitate	Studenți	Profesori, material didactic, publicații, cursuri, seminarii, săli de curs, laboratoare, biblioteci, cămine, cantine	Dobândirea de competențe și exercițiu, formarea profesională.	Persoane educate, competente
Magazin	Clienți	Expunere, bunuri, vânzători	Atragerea clienților, desfacerea produselor	Clienți satisfăcuți

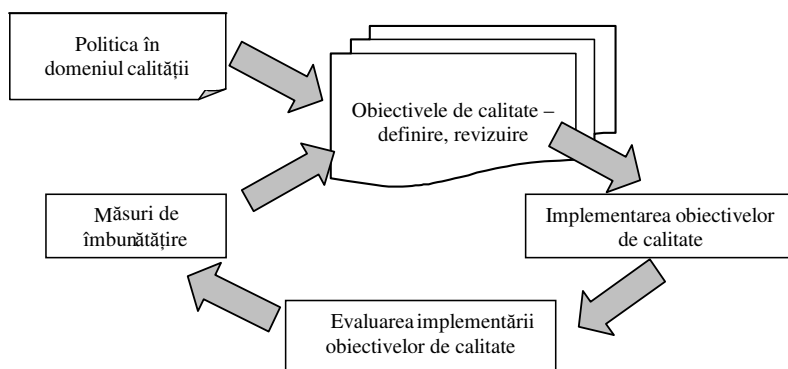


Fig. 14.16. Armonizarea cerințelor de calitate cu cererea pieței.

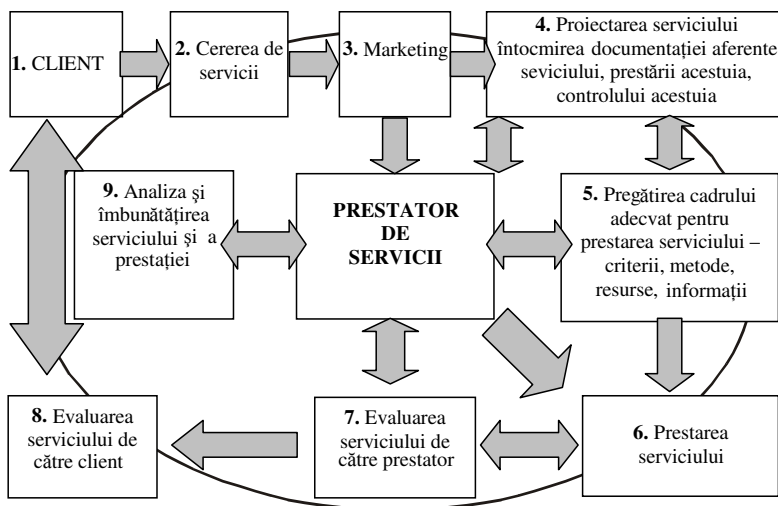


Fig. 14.17. Abordarea calității serviciului din perspectiva buclei calității serviciului.

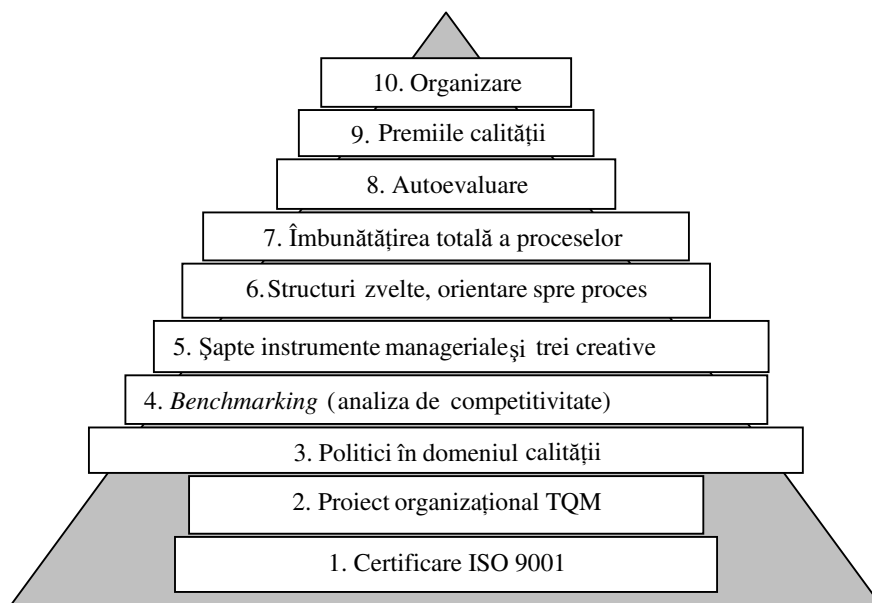


Fig. 14.18. Treptele spre excelență.

14.7. STABILIREA TEHNOLOGIEI DE CONTROL

14.7.1. Principii generale

Când se tratează despre calitate și controlul/inspecția acesteia, trebuie mai întâi să se răspundă la următoarele cinci întrebări:

- ce se inspectează ?
- când se inspectează?
- cum se inspectează (după ce procedură, în raport cu care specificații, cu ce mijloace de lucru)?
- care sunt unitățile de măsură folosite ?
- care sunt criteriile de acceptare/respingere?

În scopul eficientizării proceselor de control, tehnologul trebuie să aibă în vedere următoarele:

- proiectantul trebuie să specifice în documentația de execuție *zonele* produsului care sunt *critice pentru obținerea calității*;
- inspecția să se *limiteze* la acele zone ale produsului care sunt critice pentru calitate;
- cu precădere se va verifica existența *defectelor tipice* induse de procedeele tehnologice utilizate la fabricarea produsului;

- controlul să fie *fracționat*, adică să se inspecteze de fiecare dată numai acele caracteristici ale produsului care au fost create sau modificate la operația tehnologică curentă;
- *productivitatea controlului* trebuie să se încadreze în productivitatea de execuție a produsului respectiv;
- *mijloacele de control* trebuie alese astfel încât să poată verifica mărimea abaterilor specificate;
- rezultatele procesului de control trebuie să se concretizeze în *valori calitative și cantitative* care se înscriu într-un document de înregistrare (buletin de măsurători);
- documentul de înregistrare trebuie să asigure *trasabilitatea*, adică identificarea sigură a produsului, a executantului și a mijloacelor utilizate, precum și a momentului la care s-au efectuat înregistrările.

14.7.2. Studiul specificațiilor

Specificațiile răspund la întrebările:

- ce se verifică;
- în raport cu ce date de referință;
- care sunt toleranțele admise;
- care sunt criteriile de defect admisibil.

Specificațiile sunt proprii unui produs sau familii de produse. Specificațiile pot fi sub forma unor norme tehnice de ramură, norme interne, caiete de sarcini, desene de execuție, desene de montaj, specificații contractuale etc.

Pe baza specificațiilor se întocmește *tema de inspecție*, care include indicatorii de calitate care trebuie verificați, valorile de referință, momentul inspecției, condițiile de încercare, caracterul producției.

Tehnologia de control se întocmește ținând seama de tema de inspecție.

Controlabilitatea produsului este un concept asemănător tehnologicității, ce exprimă măsura în care proiectantul și tehnologul produsului au ținut seama la elaborarea proiectului constructiv și a specificațiilor aferente, de ușurința verificării datelor de execuție, a conformității produsului și a componentelor sale. Controlabilitatea produsului se realizează practic prin controlabilitatea proiectului și a tehnologiei de control și execuție.

Controlabilitatea produsului trebuie să cuprindă:

- înscrierea în documentație a clasificării defectelor/erorilor induse de tehnologiile de execuție, montaj și control;
- capacitatea de verificare a specificațiilor;
- întocmirea planului de control în acord cu tehnologia de execuție și montaj;
- definirea organizării și conducerii fabricației.

14.7.3. Alegerea metodei de inspectare

Metoda de inspectare se alege în raport de tema de inspectare, de dotarea tehnică disponibilă, de criterii de eficiență și de productivitate. Pentru încercările de tip sau lot, în funcție de specificații, pot fi utilizate metode de testare distructivă pe epruvete sau produse de sacrificiu (tabelul 14.1); pentru controlul integral sau cel statistic se utilizează metode de testare nedistructivă (tabelul 14.2).

Frecvent, în producția de serie, se utilizează dispozitive de control la temă (calibre limitative) sau standuri de probă, care simulează funcționarea reală a produsului.

Proiectarea acestor mijloace dedicate de control se face în colaborare cu tehnologul produsului, ca parte integrantă a pregătirii fabricației – realizarea SDV-urilor (scule, dispozitive, verificatoare) și a AMC-urilor (aparatură de măsură și control).

14.7.4. Întocmirea procedurilor de control

Procesele de control și inspecție trebuie planificate corespunzător cerințelor formulate în specificații. În cazul în care se lucrează într-un sistem de competență ridicată (certificare ISO 9001-9003 sau similar), trebuie să existe *proceduri* detaliate de control, testare, inspecție. Nivelul de control ales depinde de tipul produsului și de cerințele clientului, care au fost stipulate contractual. În cazul produselor simple sunt suficiente proceduri de control tip (de exemplu, pe categorii de procedee de semifabricare: pentru piese turnate, forjate, sudate, prelucrate prin așchiere, sinterizate). În cazul produselor complexe, utilizarea procedurilor tip va fi completată de proceduri speciale, mai amănunțite.

O procedură de control trebuie să conțină:

- identificarea și controlul documentelor;
- produsul/serviciul/procesul/proiectul căruia îi este aplicabilă procedura în speță;
- etapele, operațiile, stadiile, momentele în care se aplică procedura;
- mijloacele de lucru utilizate;
- modul de lucru, parametrii de proces;
- personalul care aplică procedura, nivelul de competență;
- caracteristicile care se verifică;
- tipul de control ce trebuie efectuat (statistic sau integral), strategia de control;
- criteriile de acceptare/respingere;
- documentele de înregistrare, sistemul de evidență și de arhivare a înregistrărilor;
- modul de tratare a neconformităților.

Pentru a fi citită și înțeleasă, o procedură nu trebuie să conțină mai mult de 15 pagini.

14.7.5. Întocmirea planului calității

Planul calității (planul de control) este documentul care precizează practicile, resursele și succesiunea activităților specifice referitoare la calitate, relevante pentru un anumit produs, proiect sau contract.

Planul calității se întocmește pentru produse, servicii sau procese complexe, de importanță deosebită. Când nu este cerut expres prin specificații sau contractual se poate întocmi numai o tehnologie simplificată de control. Planul calității este integrat în planul general al firmei și este menționat în manualul calității al firmei – atunci când există un sistem certificat de management al calității.

Un plan al calității se referă la părțile *manualului calității* aplicabile într-un anumit caz, pentru un proces, produs sau serviciu. În funcție de obiectivele planului, se pot utiliza denumiri precum: plan de asigurare a calității sau plan de management al calității.

Atunci când un furnizor nu are un sistem al calității, se poate compensa acest lucru (încrederea clienților în capacitatea furnizorilor) prin *impunerea contractuală* a unui plan al calității pentru categoria de produse ce urmează a fi achiziționate.

Planul calității trebuie să definească:

- obiectivele de calitate urmărite (cerințele clienților transpuse în caracteristicile tehnice ale produsului);
- definirea și repartizarea responsabilităților și autorității pentru fiecare fază de execuție a proiectului;
- procedurile, metodele și instrucțiunile de lucru aplicabile cazului în speță;
- încercările, inspecțiile, examinările, testările și auditurile prevăzute pentru fiecare fază a proiectului;
- periodicitatea și momentele efectuării încercărilor;
- eventualele puncte de oprire ale traseului tehnologic, specificarea condițiilor contractuale;
- modalitatea de revizuire și adaptare a planului calității.

Detalii tehnice privind întocmirea planului calității pot fi obținute din standardul SR ISO 10005: 1996, *Managementul calității. Ghid pentru planurile calității*.

14.7.6. Utilizarea, supravegherea și gestionarea mijloacelor de control

Conform standardului ISO 9001 punctul 4.11, referitor la echipamentele de control, măsurare și încercare, fabricantul de produse trebuie să răspundă urmă-

toarelor cerințe:

- să identifice măsurătorile care trebuie efectuate, precizia cerută și să aleagă corespunzător echipamentele de control necesare;
- să identifice echipamentele și dispozitivele de control care pot afecta calitatea produsului și să le etaloneze/regleze la intervale de timp prescrise, în raport cu etaloane de referință;
- să stabilească, să documenteze și să administreze procedurile de etalonare, incluzând detalii referitoare la tipul de echipament, identificarea acestuia, frecvența și metoda de verificare, criteriile de acceptare și acțiunile corective;
- să se asigure că aparatura de control, încercare și măsurare funcționează în parametrii corespunzători;
- să asigure identificarea aparaturii de control prin aplicarea unui marcaj adecvat, care să evidențieze totodată stadiul etalonării;
- să păstreze înregistrările referitoare la etalonarea echipamentelor de inspecție, măsurare și încercare;
- să evalueze și să documenteze validitatea rezultatelor inspecțiilor și încercărilor anterioare atunci când echipamentele sunt găsite în afara limitelor stabilite la etalonare;
- să se asigure că există condițiile de mediu adecvate pentru etalonările, inspecțiile, măsurătorile și încercările care se efectuează;
- să se asigure că manipularea, conservarea și depozitarea echipamentelor de inspecție, măsurare și încercare se efectuează astfel încât să fie menținute exactitatea și aptitudinea de utilizare;
- să protejeze mijloacele de inspecție, măsurare și încercare, inclusiv hardware-ul și software-ul pentru încercare, împotriva ajustărilor care ar putea invalida reglajele de etalonare.

14.8. TENDINȚE ȘI PERSPECTIVE ÎN CONTROLUL PRODUSELOR

14.8.1. Fiabilitatea previzională

Fiabilitatea este o componentă de bază a calității și un important criteriu în proiectarea constructivă a produselor. Ea caracterizează comportarea produsului în timpul utilizării sale. Exemplificând, se spune că rezistența unui lanț este dată de rezistența zalei celei mai slabe a acestuia.

În general, defectarea unui produs poate interveni ca urmare a unei *defectări catalectice* (scoaterea din uz brusc, subită: ruperea unei transmisii, arderea unei componente electronice) sau *progresive* (efectele fenomenului de uzare: creșterea jocurilor ajustajelor, creșterea rezistenței electrice a componentelor electronice).

Caracteristicile de fiabilitate cele mai utilizate sunt:

- rata defectării λ
- media timpului de bună funcționare MTBF.

Rata defectării λ se exprimă prin raportul dintre numărul de defectări ale unei componente și durata de funcționare continuă (sau numărul de utilizări). Rata defectării variază în timp, în raport cu ciclul de viață al produsului respectiv (fig. 14.16).

Media timpului de bună funcționare MTBF se exprimă prin intervalul mediu de timp scurs între două defecțiuni consecutive ale aceluiași produs. În anumite condiții, atunci când se face înlocuirea componentelor defecte, între cele două caracteristici de fiabilitate există relația:

$$MTBF = 1/\lambda \quad (14.1)$$

Determinarea fiabilității se poate face pe baza datelor de funcționare a produsului – *fiabilitate operațională*, care are în vedere: numărul de produse returnate în garanție, numărul intervențiilor de service, tipul și frecvența defectelor apărute.

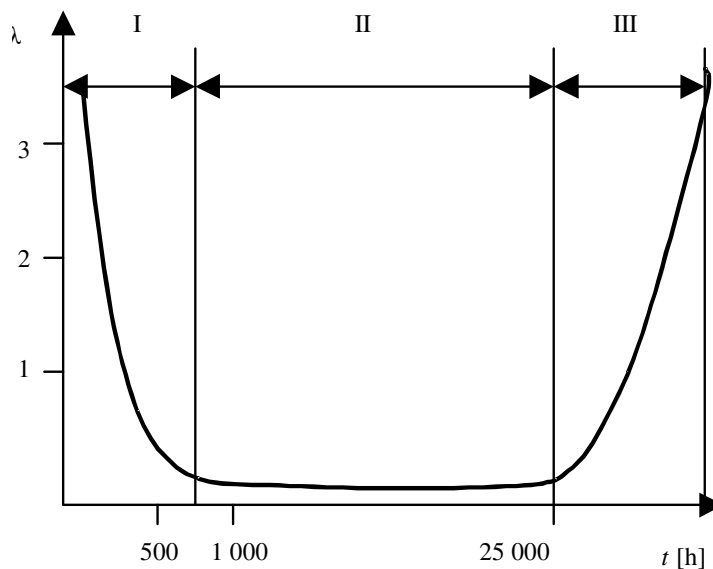


Fig. 14.18. Rata defectării pe durata ciclului de viață al produsului:
I – perioada de rodaj; II – perioada de funcționare; III – perioada de scoatere din uz.

Determinarea fiabilității prin testarea produsului în laborator – *fiabilitate experimentală*, se face în scopul verificării nivelului *fiabilității previzionale* (calculate în faza de proiectare).

Principii ale proiectării fiabile:

- simplitatea constructivă;
- utilizarea componentelor sigure, deja verificate și validate;
- considerarea eforturilor și a rezistenței materialului – în special la oboseală și degradare în timp, abordarea probabilistă;
- redundanța;
- monitorizarea factorilor de mediu (șocuri și vibrații, temperatură, coroziune);
- identificarea și eliminarea modurilor de defectare critice (FMECA);
- utilizarea componentelor cu autodepanare (senzori și dispozitive de comutație);
- utilizarea elementelor de scanare, monitorizare și depanare (inclusiv software);
- utilizarea întreținerii planificate preventive;
- evaluarea toleranțelor și a lanțului de dimensiuni (execuție, mediu de funcționare, solicitări, îmbătrânire);
- aspecte ergonomice (ergonomie, interfața om-mașină, rolul persoanei în sistem, *fiabilitatea umană*).

14.8.2. Evaluarea rapidă

Spre deosebire de testele efectuate pentru verificarea conformității produselor cu specificațiile, *accelerated testing*, testarea urmărește identificarea *defectelor latente*, care pot cauza defecțiuni și afecta fiabilitatea produsului.

Testarea se face la regimuri mai dure decât cele normale de utilizare, simulându-se efectul de îmbătrânire a materialului și stimulând posibilele cauze de defectare, astfel încât acestea să genereze efecte sesizabile.

Accelerated testing se utilizează în faza de proiectare/dezvoltare pentru simularea comportării în funcționare a produsului, identificării precoce a defectelor latente și eliminării acestora prin optimizarea proiectului.

Testarea intensivă este o *strategie de evaluare rapidă* a produsului în faza de prototip, pentru identificarea punctelor slabe, care folosește metode din gama încercărilor distructive pentru solicitarea produsului, precum și metode distructive și nedistructive pentru analiza rezultatelor și culegerea datelor.

Evaluarea rapidă este menită să reducă la minimum timpul de testare a prototipului – eficiență și productivitate maximă a încercărilor – și să ofere date pentru îmbunătățirea proiectului într-o cursă tot mai strânsă de răspuns pe piață.

Evaluarea avariilor trebuie să ia în considerare atât cedarea produsului testat, cât și comportarea sistemului utilizat pentru testare, precum și efectele speciale induse de suprasolicitare.

Schema procesului de evaluare rapidă se prezintă în figura 14.19.

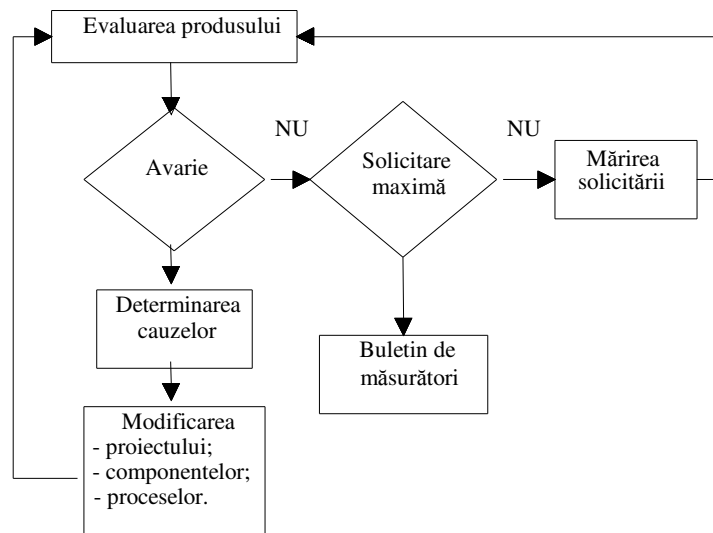


Fig. 14.19. Schema procesului de evaluare rapidă.



TEHNOLOGII ECOLOGICE

15.1. DEZVOLTAREA DURABILĂ

Trăim într-o epocă de conștientizare a importanței respectării mediului înconjurător, în care:

- au fost constatate unele modificări (nu se știe deocamdată cât sunt de ireversibile) climatice globale,
- rezervele de materii prime și energie sunt epuizabile;
- biodiversitatea este amenințată, deja unele specii de plante și animale au dispărut;
- tot mai adesea – din considerente de eficiență economică imediată – se lucrează „la limita tehnologiei”, fapt ce induce riscuri crescute de accidente, cu efecte catastrofale asupra habitatului;
- deșeurile industriale constituie încă o problemă;
- există mari decalaje tehnologice între statele bogate și cele sărace.

Toate aceste probleme demonstrează că sistemul economic este în conflict cu sistemul natural al planetei, putând conduce la declin economic, iar pe termen lung la afectarea civilizației. Creșterea economică conduce inevitabil la erodarea bazei pe care este construit sistemul economic. Se cunosc exemple din istorie de civilizații dispărute (cea sumeriană, civilizația maya) datorită degradării condițiilor de mediu în care s-au dezvoltat.

Progresul tehnologic rapid conduce la accelerarea istoriei, depășind capacitatea instituțiilor societății de a face față situațiilor. Creșterea fără precedent a populației și a dezvoltării economice conduc la conflicte tot mai accentuate între

economia aflată în expansiune și limitele naturale ale planetei. Soluția nu este dacă cunoaștem ceea ce este de făcut sau dacă avem tehnologiile prin care să facem, ci dacă instituțiile societății sunt capabile să implementeze schimbarea la timp.

Răspunsul la toate aceste probleme este conceptul de *dezvoltare durabilă* – dreptul generațiilor viitoare la condiții de dezvoltare cel puțin la fel de bune ca ale generației noastre, drept asigurat prin obligația generației noastre de a păstra și de a reface, după caz, aceste condiții de mediu.

Agenda 21 a fost primul plan global de acțiune pentru dezvoltare durabilă care a integrat preocupările de mediu, cele economice și cele sociale într-un cadru politic unic. Documentul, adoptat la conferința la vârf a Națiunilor Unite de la Rio de Janeiro în 1992, conține peste 2 500 recomandări și propuneri privind unele modele de reducere a risipei și consumurilor, de combatere a sărăciei, protejare a atmosferei, a oceanelor și a biodiversității, precum și de promovare a agriculturii durabile.

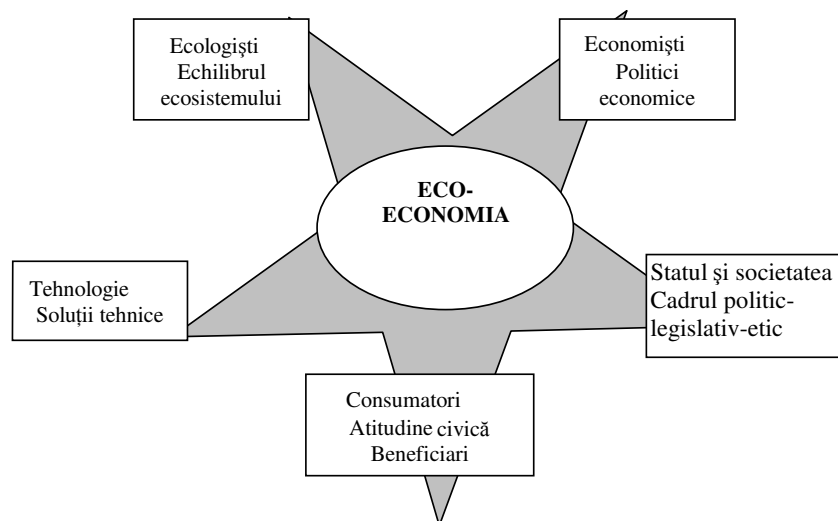


Fig. 15.1. Partenerii sistemului eco-economic.

Propunerile cuprinse în *Agenda 21* rămân în continuare actuale. Ele au fost completate și îmbunătățite pe parcursul timpului la diverse reuniuni importante ale ONU privind populația, dezvoltarea socială, rolul femeii, dezvoltarea urbană, securitatea alimentară.

O nouă reuniune la vârf a ONU asupra problematicii dezvoltării durabile urmează să aibă loc în septembrie 2002 la Johannesburg, Republica Sud Africană. De la această conferință se așteaptă o nouă angajare a guvernelor lumii în parteneriatul global, menit să implementeze recomandările *Agendei 21* și să pună astfel bazele unui *viitor durabil* al omenirii.

O nouă economie, o *eco-economie*, reclamă ca principiile ecologice să determine cadrul în care se formulează politicile economice, acceptând ideea că economia este o *componentă a ecosistemului* terestru. Figura 15.1 prezintă rolurile principalilor parteneri în implementarea și gestionarea noii economii.

Specialiștii în ecologie înțeleg cel mai bine că toate activitățile, inclusiv cele economice, depind de ecosistemul planetei, un complex de ființe care trăiesc împreună, interacționând unele cu altele și cu mediul de viață. Toate speciile trăiesc într-un echilibru fragil, la baza căruia stau procese interactive, precum: lanțul trofic, ciclul alimentară, ciclul hidrologic, sistemul climatic.

Economiștii știu cum să transpună obiectivele în politici, ei se ghidează după legile impuse de piață, nu percep întotdeauna limitele ecosistemului și amploarea conflictului declanșat de creșterea economică. Piața este adesea înșelătoare, atâta vreme cât prețurile ei nu includ și cheltuielile induse de mediu.

Tehnologii au sarcini deosebit de importante, ei fiind în prima linie a rezolvării problemelor, tehnologia fiind, pe de o parte, cauza problemelor, dar, pe de altă parte, tot ea are capacitatea de a oferi soluțiile de rezolvare a problemelor de mediu. Nu întâmplător, se constată în ultimii ani că orientarea către problemele de mediu apare tocmai în domeniile care au cel mai mare impact asupra mediului: chimie, metalurgie, energetică, industria extractivă, transporturi, materiale de construcții.

Se cunosc deja restructurărilor care sunt necesare:

- renunțarea la modelul economic bazat pe combustibili fosili, automobil și societate de consum;
- utilizarea resurselor energetice regenerabile, de tip energie solară și hidrogen;
- generalizarea transportului urban bazat pe vehicule pe șine și biciclete;
- crearea unei economii bazate pe reutilizare și reciclare.

Statul și societatea creează cadrul politic legislativ, respectiv formativ etic, în care sunt lăsați să acționeze agenții economici și populația. Impunerea unor norme stricte pentru condițiile de mediu, preferabil armonizate la nivel regional și internațional, sunt deosebit de importante în limitarea cauzelor de poluare. Foarte importantă este verificarea îndeplinirii standardelor de mediu și sancționarea tuturor acelor care încalcă normele în vigoare, știut fiind că nu se poate conduce fără a se controla, fără a exista un feed-back.

Consumatorii, utilizatorii și beneficiarii produselor și serviciilor pot impune, corespunzător unui anumit nivel de conștiință și în raport cu o scară de valori, o anumită atitudine de promovare a proceselor și produselor ecologice pe piață. În acest caz, trebuie avute în vedere întotdeauna și anumite limite de tip accesibilitate și oportunitate, legate de puterea economică a consumatorilor, raportul calitate/preț fiind un criteriu eliminatoriu care poate impune un produs ieftin în detrimentul altuia ecologic, dar inaccesibil ca preț.

În majoritatea cazurilor, prețul produselor include doar cheltuielile legate

de fabricare și desfacere, la care se adaugă profitul și taxele. Costurile de mediu nu sunt incluse în preț; ele sunt *externalizate* în raport cu fabricantul, fiind suportate fie de către client, în utilizarea sau scoaterea din funcțiune a produsului, fie de către societatea în ansamblu, cheltuielile de prevenire și combatere a poluării, de tratare a deșeurilor. Din această cauză, clientul nu are viziunea globală asupra produsului respectiv, neștiind ce să aleagă, iar producătorul nu este stimulat să realizeze produse ecologice. În unele state dezvoltate s-au introdus taxe de mediu, care se regăsesc în prețul de vânzare al produsului. Taxele iau în considerare impactul pe care produsul îl are, pe întreaga durată de viață, asupra mediului (randamentul de funcționare, deșeurile pe care le generează, fiabilitatea, problemele pe care le pune casarea și reciclarea etc.). Taxele se pot adresa atât produsului, cât și ambalajului; este important ca taxele de mediu să fie diferențiate de la un produs la altul și nu egale pentru toate produsele, astfel încât să se realizeze și o informare reală a clienților asupra impactului de mediu. Un client astfel informat va putea alege în cunoștință de cauză produsul pe care dorește să îl achiziționeze. Prin introducerea taxelor de mediu se produce *internalizarea costurilor* pentru producător.

Abordarea Worldwatch Institute (www.worldwatch.org) vede securitatea ecologică drept o componentă importantă a securității naționale. Acest fapt implică o redistribuire a alocațiilor bugetare între apărare și protecția mediului.

Dezvoltarea durabilă impune echilibrul pe termen lung al societății umane. Strategiile pentru implementarea dezvoltării durabile cuprind: stabilizarea creșterii demografice, creșterea eficienței energetice, dezvoltarea resurselor de energie regenerabilă, conservarea rezervelor naturale, protejarea pământului și a sistemelor biologice, reciclarea materialelor.

Tabelul 15.1. Strategii de implementare a dezvoltării durabile

Strategia	Semnificația actuală	Potențialul de dezvoltare
Reciclarea	Materiale și produse reciclabile	Integrarea reciclării la nivelul fiecărei etape a proceselor tehnologice, acoperind fiecare produs și toate tipurile de deșeuri
Determinarea eficienței	Definită drept consum material pe unitate de produs/serviciu, măsurată la ieșirea din fabrică	Definită drept consum material pe utilitate, măsurată pe întregul ciclu de viață al produsului
Materiale de înlocuire	Materiale de sinteză, realizate din resurse neregenerabile	Materiale sintetizate din resurse regenerabile, cu grad redus de toxicitate
Dezvoltarea serviciilor	Limitată la domenii în afara agriculturii și industriilor extractive și prelucrătoare	Regândirea tuturor firmelor din toate domeniile ca potențiale furnizoare de servicii în scopul reducerii consumurilor materiale
Saturația pieței	Ignorată	Evaluarea nevoilor consumatorilor și determinarea unor criterii de reducere a cererii de consum

Creșterea economică în condiții de dezvoltare durabilă nu înseamnă creșterea consumurilor de materiale și energie. Ea înseamnă utilizare rațională,

reducerea pierderilor, reducerea deșeurilor. Tot mai mult economia mondială trebuie să se asemeze unui lac, unui ecosistem închis, autonom, care își folosește propriile resurse, inclusiv deșeurile și nu unui fluviu, care curge într-o direcție, de la exploatarea resurselor naturale spre poluarea mediului. Potrivit Academiei Naționale de Științe din SUA, peste 94% din materialele extrase anual ajung deșeuri în decurs de numai câteva luni.

Tabelul 15.1 trece în revistă diverse strategii care pot fi utilizate pentru implementarea dezvoltării durabile într-o economie bazată pe consumul de materiale.

15.2. EFICIENȚA UTILIZĂRII MATERIALELOR

Progresul tehnologic duce la reducerea gabaritului și masei produselor în condițiile creșterii performanțelor acestora (o privire generală este prezentată în tabelul 15.2). Se observă că nu întotdeauna reducerea masei produselor aduce pe global o economie de materiale, după cum nici înlocuirea unor materiale nu are ca efect reducerea poluării mediului.

Reducerea cantităților de materiale utilizate la fabricarea produselor poate ajunge până la 90% în următorii 50 de ani în statele dezvoltate ale lumii. În același timp, cererea de materiale crește însă în țările în curs de dezvoltare datorită, pe de o parte, tehnologiilor învechite, iar, pe de altă parte, nevoilor în creștere ale populației pentru satisfacerea unui standard de viață tot mai ridicat.

Tabelul 15.2. Exemple de efecte induse de înlocuirea materialelor

Produsul	Eficiența	Dificultăți
Piese auto din mase plastice	Utilizarea lor a crescut cu 26% între 1980-1994 Reducerea masei autovehiculului cu 6%	Reciclare anevoioasă a peste 25 mase plastice diferite
Ambalaje metalice	Reducerea masei proprii cu 30% în ultimii 20 de ani	Ambalaje de unică folosință, utilizate în cantități de masă
Acumulatori cu Pb	Reducerea masei proprii cu 30% în ultimii 20 de ani	Extinderea utilizării acumulatorilor la diferite bunuri electrocasnice și scule de mână
Anvelope	Anvelopele radiale sunt cu 25% mai ușoare și cu 100% mai durabile	Reciclare anevoioasă datorită inserției metalice
Telefoane mobile	Reducerea masei proprii de 10 ori între 1991-1996	Creșterea abonaților de circa 8 ori, noile aparate vândute s-au adăugat celor existente fără să le înlocuiască.

Din punct de vedere al protecției mediului este importantă reducerea cantităților de materiale exploatate, prelucrate și vehiculate anual. Acest lucru se

poate face fie prin îmbunătățirea concepției și a proiectării produsului (reduceri limitate, dependente de progresul tehnologiilor), fie prin regândirea întregii structuri industriale (reduceri însemnate). O structură industrială axată pe servicii utilizează cu mult mai puține resurse naturale decât una bazată pe producție. Într-o economie bazată pe servicii, firmele fac profit nu vânzând bunuri (ca de exemplu, mașini de spălat sau automobile), ci furnizând serviciile care ar fi produse cu aceste bunuri (curățarea rufelor, respectiv transportul) sau servicii legate de exploatarea bunurilor respective (furnizarea consumabilelor, întreținere, service, preluarea bunurilor defecte, înlocuirea bunurilor uzate fizic sau moral etc.). Studii recente arată că înlocuirea mașinilor de spălat casnice cu servicii de spălare și curățare a rufelor în regim industrial poate conduce la economisirea resurselor între 10 și 80 de ori, datorită economiei de apă și detergenți, respectiv prin reducerea volumului produselor existente pe piață și a celor care trebuie casate.

Multe firme și-au modificat domeniul de activitate din producția și desfacerea de bunuri în producția și închirierea acelorași bunuri (*leasing*). Această tendință a determinat implicarea mai mare a producătorilor în exploatarea produselor proprii, conducând atât la creșterea durabilității și a fiabilității, cât și la reciclarea pe scară largă a produselor, cu efecte benefice asupra mediului.

Simbioza industrială este un concept promovat de firme daneze, potrivit căruia deșeurile rezultate dintr-o firmă devin intrări pentru firma următoare, și așa mai departe, firmele fiind complementare, impactul asupra mediului fiind diminuat.

Eficiența utilizării materialelor trebuie analizată ținând seama de întregul ciclu de viață al produsului, luându-se în calcul și caracteristici, precum durabilitatea și reciclabilitatea. De exemplu, dublarea duratei de viață a unui autoturism nu înseamnă o creștere a eficienței utilizării materialelor pentru fabrica producătoare, dar are impact asupra resurselor înglobate în el și asupra deșeurilor pe care acesta le generează prin funcționare. Sub aceste aspecte, eficiența utilizării resurselor se va dubla, respectiv cantitatea de deșeuri se va reduce la jumătate.

Înlocuirea bateriilor Ni-Cd cu baterii Ni-Me a condus la reducerea, pe de o parte, a deșeurilor toxice de Cd, iar, pe de altă parte, la mărirea duratei de viață a bateriilor, fapt ce a condus, de asemenea, la reducerea cantității de Ni utilizate pentru fabricarea bateriilor, respectiv la reducerea deșeurilor de Ni provenite din baterii uzate.

Eficiența utilizării materialelor crește prin repararea, reciclarea și reutilizarea produselor.

Diverse servicii care oferă închirierea de bunuri constituie soluții actuale de utilizare eficientă a materialelor, având ca efect limitarea producției excesive de bunuri dintr-o anumită categorie. Sunt vizate îndeosebi acele domenii în care are loc o înnoire rapidă a tehnologiilor, unde clienții sunt interesați să folosească produse de ultimă generație, dar pe care nu au posibilitatea să le achiziționeze. Unele dintre acestea sunt detaliate mai jos.

Car-sharing – utilizarea unui autoturism de către mai mulți beneficiari prin

împărțirea costurilor – este o soluție aplicată în multe state dezvoltate la problema aglomerației, a întârzierilor în trafic și a poluării mediului.

Tools libraries – centre pentru închiriat scule de mână – este o soluție promovată în Statele Unite, adresată celor care efectuează diverse lucrări ocazional pentru a-i scuti de eforturi financiare mari și pentru a se limita producția excesivă.

Atractivitatea pentru utilizarea materialelor la prima prelucrare se datorează existenței unor subvenții guvernamentale și nu unei rentabilități efective. Regândirea subvențiilor, punerea accentului nu pe exploatarea resurselor naturale, ci pe protecția mediului și tratarea deșeurilor conduce la implementarea dezvoltării durabile. Se pot acorda facilități, de exemplu, pentru: procentajul în materiale reciclate din structura produselor, reciclarea hârtiei, refolosirea ambalajelor, prelucrarea deșeurilor menajere.

15.3. MARCAJUL ECOLOGIC

Marcarea ecologică a produselor (*ecolabelling*) este destinată informării corecte a consumatorilor, pentru ca aceștia să poată alege în cunoștință de cauză și să își impună astfel o anumită atitudine civică față de problemele de mediu. Se pot marca atât produse, cât și procese sau servicii.

Marca de mediu se înregistrează ca oricare altă marcă comercială, fiind protejată. Proprietarul mărcii de mediu este Ministerul Mediului.

Marcajul ecologic este un instrument de marketing, destinat să convingă consumatorul că un produs, proces sau serviciu are, pe lângă caracteristicile obișnuite funcționale și prețul de vânzare, și un impact bine determinat asupra sănătății și mediului. Marcajul ecologic contribuie la crearea imaginii de piață a unei firme, a unui proces, produs sau serviciu. Obligatoritatea marcajului ecologic oferă o imagine clară asupra politicii unui guvern în domeniul mediului și sănătății populației.

Marcajul ecologic este folosit în multe sectoare economice pentru identificarea:

- eficienței energetice a aparatelor electrocasnice (clase de consum A-E);
- lemnului provenind din păduri administrate ecologic;
- peștelui din crescătorii ecologice;
- alimentelor provenind din ferme administrate ecologic;
- energiei produse din resurse regenerabile.

La stabilirea marcajului ecologic trebuie avute în vedere următoarele etape:

- selecția categoriilor de produse care urmează a fi marcate;
- evaluarea impactului de mediu al produselor din perspectiva ciclului lor de viață;
- stabilirea unor criterii ecologice necesare evaluării performanțelor produsului;

- îmbunătățirea continuă a întregului proces de marcare.

Obiectivul marcării este limitarea semnificativă a efectelor produselor asupra mediului.

Analiza ciclului de viață a produsului se face determinând impactul asupra mediului, sănătății și societății pentru fiecare etapă din existența produsului, pornind de la extracția materiilor prime, la prelucrarea acestora, la sursele de energie folosite, la funcționarea și exploatarea produsului, la repararea și întreținerea acestuia și terminând cu casarea și reciclarea, recuperarea, reutilizarea materialelor și energiei înglobate în produs.

Analiza ciclului de viață a produsului contribuie și la selectarea categoriilor de produse supuse marcării, prin evidențierea acelor bunuri cu impact major asupra sănătății, mediului și societății.

Un produs marcat ecologic este mai scump decât unul fără marcaj, pentru că aplicarea marcajului semnifică și internalizarea cheltuielilor de mediu la producător.

Reducerea impactului defavorabil asupra puterii de cumpărare a consumatorilor impus de marcajul ecologic se poate face printr-o redistribuire a taxelor fiscale. Sistemul fiscal trebuie să ia în considerare internalizarea costurilor de mediu la producător, care are drept consecință reducerea corespunzătoare a costurilor de mediu ale statului. Se impune deci o reducere a impozitelor pe veniturile contribuabililor, care să corespundă efectului internalizării costurilor de mediu și să compenseze reducerea puterii de cumpărare aferentă marcării ecologice. Această regândire a sistemului fiscal este un instrument de implementare a politicii guvernamentale în domeniul mediului.

Marcajul de mediu este un instrument de educare și orientare a atitudinii consumatorului, prin care poate acționa consumatorul, și care completează celelalte mijloace economice de implementare a politicii de mediu, prin care acționează statul: subvenții, taxe, impozite, penalizări.

15.4. TEHNOLOGII ECOLOGICE

Tehnologiile ecologice trebuie să ofere soluții pentru implementarea dezvoltării durabile, răspunzând principalelor probleme și anume:

- limitarea cantității de materiale folosite în economie prin recircularea continuă a acestora;
- eliminarea deșeurilor din procesele industriale;
- conservarea energiei;
- înlocuirea materialelor toxice și a celor greu reciclabile;
- conservarea factorilor de mediu;
- conservarea biodiversității.

Orice tehnologie trebuie să fie evaluată din punct de vedere al impactului

său asupra mediului, determinându-se clar care sunt riscurile de mediu.

Alegerea uneia sau alteia dintre tehnologii implică o analiză multicriterială, ponderea diverselor criterii având o dinamică evolutivă. Tehnologia cuprinde un ansamblu de procese tehnologice împreună cu utilajele, instalațiile și spațiile aferente desfășurării proceselor. Caracteristicile unei tehnologii sunt:

- condițiile specifice proceselor tehnologice componente;
- caracteristicile tehnice ale instalațiilor și utilajelor aferente;
- forma de energie necesară;
- natura materiilor prime;
- eficiența de transformare a proceselor;
- accesibilitatea tehnică și financiară;
- cerințele de forță de muncă;
- impactul asupra mediului.

Tehnologiile orientate sunt acele tehnologii care determină reducerea consumului de energie primară și a impactului asupra mediului, în condițiile menținerii unui nivel ridicat de calitate și de productivitate. Tehnologiile orientate sunt alternative la cele tradiționale, fiind de preferat pentru reabilitarea și modernizarea unor obiective industriale existente. Majoritatea tehnologiilor orientate sunt așa numitele *tehnologii electrice* – care folosesc ca sursă de energie electricitatea în locul combustibililor solizi, gazoși sau lichizi (tabelul 15.3).

Tabelul 15.3. Exemple de aplicare a tehnologiilor electrice

Domeniul	Tehnologia		Procesul tehnologic
	tradițională	electrică	
Industrie	Arzătoare cu gaze	Arc electric	Ardere
	Cuptoare cu gaze	Încălzire cu inducție sau rezistivă	Tratamente termice
	Abur	Încălzire cu rezistoare	Modelarea cauciucului, vulcanizare
	Cuptoare cu gaze	Cuptoare cu microunde	Uscare (biscuiți, pudre, hârtie, bumbac, lână)
	Abur	Cuptoare cu microunde	Uscare (paste făinoase, patiserie)
	Încălzire cu gaze	Cuptoare cu infraroșii	Uscare vopsitorii
	Încălzire cu gaze	Pompe de căldură	Industria alimentară, uscarea lemnului, textilelor, pieilor
	Turbocompresoare	Compresie mecanică	Distilarea alcoolului, zahărului, fabricarea conservelor, hârtiei
	Celule cu Hg	Membrane de înlocuire	Electroliza NaCl
	Aer fierbinte	Cuțit de aer	Curățirea pieselor metalice, uscarea textilelor
Agricultură	Termoficare	Pompe de căldură	Încălzire sere, grajduri
	Uscătoare cu combustibili	Pompe de căldură	Uscare furaje, porumb, orez
	Termoficare	Compresie mecanică	Uscare plante medicinale, uscarea reziduuri sfeclă
	Evaporatoare	Membrane	Sucuri concentrate
	Încălzire radiantă	Instalații cu infraroșii	Încălzirea incubatoarelor

Tabelul 15.3. (continuare)

Servicii, uz casnic	Încălzire cu gaze sau abur	Pompe de căldură	Încălzire apă caldă menajeră,
	Mașini de gătit cu gaze	Cuptoare cu microunde	Încălzirea semipreparatelor în restaurante

Tehnologiile electrice prezintă următoarele avantaje față de tehnologiile tradiționale:

- randamente ridicate ale proceselor de transformare;
- pierderi reduse la transportul și distribuția energiei;
- reducerea costurilor de mediu;
- reducerea forței de muncă prin automatizarea proceselor;
- reducerea consumului de materii prime și materiale;
- cheltuieli reduse de exploatare;
- îmbunătățirea condițiilor de muncă.

Eficiența energetică a înlocuirii unei tehnologii tradiționale cu una orientată se poate calcula cu formula coeficientului de substituție c :

$$c = \frac{W_{qi} - W_{qs}}{W_{es} - W_{ei}}, \quad (15.1)$$

unde: W_{qi} este energia furnizată de combustibilul necesar în tehnologia tradițională în MJ; W_{qs} - energia furnizată de combustibilul necesar în tehnologia orientată în MJ; W_{es} - energia electrică necesară în tehnologia orientată în kWh; W_{ei} - energia electrică necesară în tehnologia tradițională în kWh.

Se consideră că înlocuirea tehnologiei este eficientă din punct de vedere energetic pentru valori ale coeficientului de substituție mai mari de 10,5.

Cleaner production – producția curată – constă în aplicarea continuă asupra proceselor, produselor, serviciilor a unei strategii preventive integrate de mediu cu scopul de a crește eficiența globală și de a reduce riscurile pentru oameni și mediu.

Pentru procese, *producția curată* constă în conservarea materiilor prime, a apei și energiei, eliminarea materiilor prime toxice și a celor periculoase, precum și în reducerea dozelor și toxicității emisiilor și deșeurilor la sursă, în timpul desfășurării proceselor.

Pentru produse, *producția curată* constă în reducerea impactului asupra mediului, sănătății și securității produselor pe întregul lor ciclu de viață, de la extragerea materiilor prime, fabricație și utilizare și până la casarea și reciclarea produselor.

Pentru servicii, *producția curată* constă în includerea cerințelor de mediu în conceperea și furnizarea serviciului.

Producția curată este un concept introdus de Programul Națiunilor Unite pentru Mediu (UNEP) în anul 1989, ca o nouă abordare a conservării resurselor și

managementului de mediu. Obiectivul urmărit este promovarea conceptului ca o strategie de dezvoltare a firmelor menită să îmbunătățească performanțele economice simultan cu protecția mediului. Prin implementarea conceptului se are în vedere reducerea cheltuielilor firmei legate de deșeuri, noxe, impact asupra sănătății și a mediului, precum și crearea de noi piețe de desfacere. *Producția curată* oferă avantaje multiple, pentru mediu, consumator și salariat, îmbunătățind eficiența, profitabilitatea și competitivitatea.

Producția curată este o mentalitate care arată cum bunurile și serviciile pot fi produse cu minimum de impact asupra mediului, în limitele tehnologice și economice actuale.

Deosebirea dintre *controlul poluării* și *producția curată* constă în momentul aplicării. *Controlul poluării* se face după eveniment, tratându-se efectele, în timp ce *producția curată* se aplică preventiv, limitându-se cauza.

Adoptarea conceptului de *producție curată* s-a făcut sub forma unei declarații internaționale, cu rol de recomandare ONU. Declarația recomandă promovarea următoarelor principii de aplicare a conceptului:

- implicarea conducerii;
- conștientizarea, educarea, instruirea;
- integrarea;
- cercetarea științifică și dezvoltarea tehnologică;
- comunicarea;
- implementarea.

Nivelele de angajare în implementarea declarației sunt: guvernamental (național), firme (producători și furnizori), organizații de sprijin (societatea civilă, universități, consumatori).

Principiul implicării conducerii ține seama că fiecare organizație are o arie proprie de influență. Firmele pot influența consumatorii, comunitățile locale, furnizorii și competitorii. Asumarea declarației implică atragerea și convingerea acționarilor să adopte practici durabile de producție și de consum. Producția durabilă include ca principale strategii de sprijin a producției curate: eco-eficiența, eco-productivitatea, prevenirea poluării.

Principiul conștientizării, educării, instruirii ține seama că în fiecare organizație există un potențial uriaș, atât la nivel managerial, cât și al angajaților pentru crearea de idei și mijloace noi de îmbunătățire a performanțelor de mediu, care trebuie puse în valoare. Realizarea de programe de conștientizare la nivelul firmei atrage atenția acționarilor asupra importanței problemelor de mediu. Educarea oferă mijloacele de gândire și de acțiune. Instruirea este menită să transpună în practică ideile și soluțiile. Scopul acțiunilor este de a integra producția curată în toate activitățile legate de dezvoltarea resurselor umane. Includerea conceptelor referitoare la strategii de prevenire în educația viitoarei forțe de muncă este soluția pentru a schimba atitudini, comportamente, mentalități și de a crea un mediu fertil de acțiune. Colaborarea firmelor cu elevii, studenții și cadrele didactice

din universități în vederea elaborării unui plan curricular bazat pe cerințele curente oferă un sprijin prețios pentru calificarea noii generații de salariați.

Principiul integrării ține seama că eficiența implementării unei noi strategii în fiecare organizație și se bazează pe implementarea concurențială de sus în jos la nivelul fiecărui compartiment funcțional. Scopul acestei acțiuni este de a integra conceptul de producție curată în fiecare compartiment și activitate din organizație, astfel încât să devină o parte integrantă a activităților zilnice. Un sistem de management de mediu este un instrument curent în industrie și administrație. Implementarea unui sistem de management de mediu facilitează punerea în practică a conceptului de producție curată, oferindu-i acestuia o infrastructură coerentă. Complementar, au fost dezvoltate și pot fi utilizate și alte instrumente pentru identificarea oportunităților și a perspectivelor activităților zilnice, a noilor considerații și a potențialului de identificare a noilor măsuri preventive.

Principiul cercetării științifice și dezvoltării tehnologice ține seama că strategiile tradiționale sunt epuizate ca soluții la problemele actuale, când accentul se pune pe strategii de prevenire. Transformarea strategiilor trebuie începută la nivelul cercetării științifice și dezvoltării tehnologice, inclusiv de dezvoltare a politicilor de afaceri și guvernamentale. Obiectivul acestui principiu este de a realiza mult cu resurse minime. Accentul se pune pe dezvoltarea mondială a produsului, ținând seama că toți consumatorii sunt interesați de originea produselor achiziționate. Economia ciclului de viață a produsului (*life-cycle economy*) cuprinde strategiile de dezvoltare durabilă a produselor, cum ar fi evaluarea ciclului de viață și proiectarea ecologică (*design for environment*). Politicile guvernamentale impun tot mai mult industriei să își asume o responsabilitate crescută pentru produsele furnizate pe întregul lor ciclu de viață.

Principiul comunicării ține seama de faptul că dialogul și comunicarea, în general, este calea cea mai bună de promovare a unui produs, serviciu și chiar a unei strategii de prevenire, cum este producția curată. Intensificarea dialogului cu acționarii poate fi recompensată multilateral: crește motivația internă a firmei, îmbunătățește imaginea publică a firmei, crește încrederea acționarilor și îi influențează pozitiv.

Principiul implementării ține seama că perfecționarea oricărei practici necesită monitorizarea și cuantificarea rezultatelor, astfel încât să existe indicații privind evoluția. *Producția curată* este o strategie care poate fi utilizată în cadrul sistemului de management de mediu în scopul îmbunătățirii continue a performanțelor sistemului. Investițiile în *producția curată* au fost riscante în trecut datorită duratelor mari de amortizare, lipsei unor principii contabile pentru determinarea beneficiilor asupra mediului, lipsei unor cerințe cadru pentru politicile guvernamentale și ale firmei. Trebuie identificate tehnologii, politici și metode de măsurare corespunzătoare, care să facă atractive investițiile în *producția curată*. Parteneriatul cu alți semnatori ai declarației și cu biroul UNEP

poate lămuri utilitatea, crește eficiența, îmbunătățește implementarea principiilor declarației și asigură feed-backul pentru UNEP.

Eco-eficiența a fost definită de World Business Council for Sustainable Development (WBCSD) în 1992 drept: „furnizarea de bunuri și servicii competitive ca preț, care satisfac cerințele clienților și aduc calitate vieții, reducându-se progresiv impactul ecologic și consumul de resurse pe întreg ciclul de viață, la un nivel cel puțin corespunzător capacității estimate a planetei”.

Diferența față de *producția curată* constă în modalitatea de abordare a aceleiași probleme. *Eco-eficiența* pornește de la procese eficiente economic, cu impact pozitiv asupra mediului, în timp ce *producția curată* pornește de la procese eficiente ecologic, care aduc beneficii economice.

Prevenirea poluării are practic aceeași semnificație cu *producția curată*, diferența dintre ele fiind de aria geografică de circulație a termenilor: primul termen este definit de US Environment Protection Agency (EPA) în 1980 drept: „prevenirea sau reducerea deșeurilor la sursă, inclusiv practicile de conservare a resurselor naturale, prin reducerea poluanților datorită creșterii eficienței de utilizare a materiilor prime, energiei, apei și solului” și are circulație în America de Nord, în timp ce, *producția curată* este un termen cu circulație în restul globului.

Minimizarea deșeurilor (*waste minimization*) este un concept introdus de EPA în 1988: „reducerea la sursă a deșeurilor și a risipei prin modificări ale intrărilor de materii prime, a tehnologiilor, a practicilor și a concepției produselor”. Reciclarea prin reutilizare directă după reclamații este, de asemenea, considerată drept o tehnică de minimizare, dar are o prioritate mai mică decât prevenirea sau minimizarea deșeurilor.

Frecvent, *prevenirea poluării* și *minimizarea deșeurilor* sunt termeni folosiți complementar. *Prevenirea poluării* înseamnă în primul rând eliminarea deșeurilor prin reducerea lor la sursă; *minimizarea deșeurilor* este un termen mai larg, care include reciclarea și alte metode de reducere a cantității de deșeuri care trebuie tratate/depozitate.

Eco-productivitatea (*green productivity*) este un termen folosit de Asian Productivity Organization (APO) pentru a defini contribuția organizației la *producția durabilă*; un program omonim a fost lansat de APO în 1994. Ca și *producția curată*, *eco-productivitatea* este o strategie de intensificare a productivității și a performanțelor de mediu pentru întreaga dezvoltare socio-economică.

Ecologie industrială/metabolism industrial sunt concepte pentru noul model al producției industriale, strâns legate de conceptul de *producție curată*. *Ecologia industrială* și *metabolismul industrial* studiază sistemele industriale și activitățile economice, precum și legăturile acestora cu sistemele naturii, în scopul de a imita modul de reciclare a materialelor utilizat de ecosisteme – managementul fluxului de materiale este o preocupare principală a acestor abordări.

Principalele elemente ale *ecologiei industriale* și ale *metabolismului*

industrial sunt:

- crearea unui ecosistem industrial, maximizarea utilizării în producție a materialelor reciclate, optimizarea utilizării unor materiale care înglobează energie, minimizarea surselor de deșeuri, reevaluarea deșeurilor ca materii prime pentru alte procese;
- echilibrarea intrărilor și ieșirilor din sistemele industriale în raport cu capacitatea ecosistemelor; înțelegerea capacității sistemelor naturale de a interacționa cu deșeurile și substanțele toxice în situații obișnuite și în catastrofe;
- dematerializarea intrărilor în sistemele industriale; reducerea intensității materiale și energetice a producției industriale;
- îmbunătățirea modelului metabolic al proceselor industriale și a utilizării materialelor; reducerea sau simplificarea proceselor industriale după modelul celor naturale;
- modele sistemice pentru utilizarea energiei, promovarea dezvoltării unui sistem energetic care să funcționeze ca o parte a ecosistemului industrial și care să nu genereze un impact negativ asupra mediului (cum au sistemele energetice clasice);
- alinierea politicilor la o perspectivă pe termen lung asupra evoluției sistemelor industriale (popoarele colaborează la integrarea politicilor economice și a celor de mediu).

15.5. CONSUMUL DURABIL

În 1985, Adunarea Generală a ONU a adoptat *Liniile directoare privind protecția consumatorului*, Rezoluția 39/248, din 9.05.1985. Acest document a pus bazele, la scară planetară, a cadrului politic, stabilind ce pot să întreprindă guvernele pentru securitatea, apărarea intereselor economice, calitatea și distribuția bunurilor și serviciilor, educarea și informarea consumatorilor, răspunderea privind produsul și despăgubirea consumatorilor.

Documentul se adresează în special țărilor în curs de dezvoltare, pentru sprijinirea acestora în punerea bazelor și perfecționarea politicilor, a legislației și structurilor privind *protecția consumatorului*, după modelul și bunele practici existente în statele dezvoltate.

Ulterior, o dată cu dezvoltarea problematicii protecției mediului, a apărut necesitatea promovării unui nou model de consum care să susțină *dezvoltarea durabilă*. *Agenda 21* a inclus un capitol dedicat schimbării modelului de consum, considerându-se că producția și consumul sunt inexorabil legate, un termen al ecuației dezvoltării durabile fiind producția, iar celălalt consumul (figura 15.2).

Fără efortul concertat al guvernelor, mediului de afaceri și societății civile de a impune un nou model de consum durabil, degradarea mediului înconjurător cauzată de modelul clasic de consum se va înrăutăți o dată cu trecerea timpului.

Modelul societății de consum, dezvoltată pe baza creșterii economice și prosperității postbelice a jucat un rol central în fundamentul politic, economic și psiho-social al societății occidentale, a constituit o bază pentru stabilitatea și consensul politic. Acest model a constituit idealul de dezvoltare și progres pentru țările în curs de dezvoltare decenii de-a rândul, fiind la baza mirajului occidental. Astăzi este recunoscut faptul că practicile societății de consum au condus la degradarea condițiilor de mediu și că se impune, în consecință, schimbarea modelului de consum.

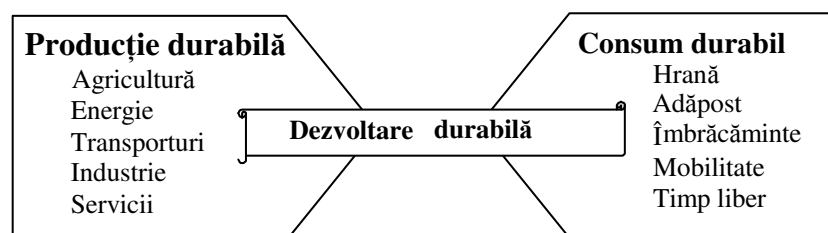


Fig. 15.2. Termenii ecuației dezvoltării durabile.

ONU a redactat în 1998, cu sprijinul comitetului economic și social (ECOSOC) liniile directoare pentru implementarea noului model de consum durabil pentru consumatorul global. La baza acestui document au stat liniile directoare anterioare, elaborate în 1985, pentru protecția consumatorului, revizuite din perspectiva dezvoltării durabile și a globalizării economiei mondiale.

Principalele obiective promovate de liniile directoare sunt:

- sprijinirea statelor pentru realizarea unei protecții adecvate a populației consumatoare;
- stimularea modelelor de producție și distribuție care răspund cerințelor și dorinței consumatorilor;
- încurajarea comportamentului etic față de consumatori al producătorilor, distribuitorilor și furnizorilor de bunuri și servicii;
- sprijinul statelor în limitarea comportamentelor abuzive în afaceri ale firmelor naționale sau internaționale care afectează consumatorii;
- facilitarea dezvoltării de grupuri independente de consumatori;
- continuarea cooperării internaționale în domeniul protecției consumatorului;
- încurajarea dezvoltării condițiilor de piață care să asigure consumatorului ofertă bogată la prețuri scăzute.

Se poate afirma că protecția consumatorului este o parte integrantă a protecției mediului și a vieții, ca și protecția și securitatea muncii. În plus, într-o economie de piață liberă, atitudinea consumatorului poate impune cererea și influența oferta, determinând astfel dezvoltarea economică.

Cerințele legitime ale consumatorilor cărora le răspund liniile directoare

sunt:

- protecția consumatorilor împotriva riscurilor la adresa sănătății și a securității lor;
- promovarea și protecția intereselor economice ale consumatorilor;
- accesul consumatorilor la informații adecvate, care să le permită să opteze în cunoștință de cauză, în raport cu nevoile proprii;
- educarea consumatorilor;
- accesibilitatea și eficiența despăgubirii consumatorilor;
- libertatea de asociere a consumatorilor în scopul apărării intereselor lor și a participării la procesele decizionale care îi afectează;
- promovarea modelelor de consum durabil.

Consumul durabil înseamnă satisfacerea nevoilor generațiilor prezente și a celor viitoare pentru bunuri și servicii utilizând modalități durabile din punct de vedere economic, social și al protecției mediului.

Responsabilitatea pentru consumul durabil revine guvernului, mediului de afaceri, fiecărui membru și organizații a societății civile, sindicatelor, organizațiilor consumatorilor și celor pentru protecția mediului etc. (figura 15.3).

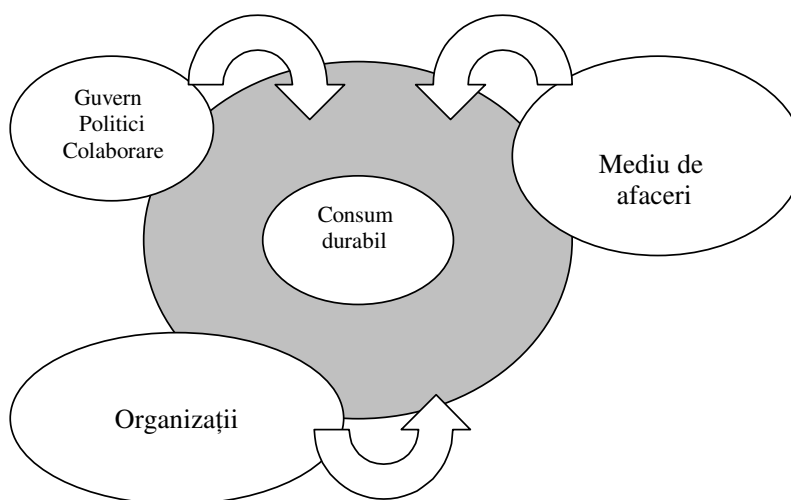


Fig. 15.3. Responsabilitățile privind consumului durabil.

Rolul primordial în implemetarea consumului durabil îl au guvernele, prin crearea infrastructurii politice, sociale și economice pentru dezvoltarea mediului de afaceri și a societății civile.

Responsabilitățile guvernelor în implemetarea consumului durabil:

- politicile guvernamentale trebuie să aibă în vedere eliminarea subvențiilor care promovează modele neadecvate de consum și producție;

- promovarea consumului durabil trebuie să contribuie la eradicarea sărăciei, satisfacerea nevoilor de bază ale tuturor membrilor societății și la reducerea decalajelor de dezvoltare dintre regiuni geografice și state;
- să sprijine proiectarea, dezvoltarea și utilizarea produselor și serviciilor care sunt eficiente din punct de vedere al utilizării resurselor și energiei, care nu sunt toxice și sunt sigure, luând în considerare întreg ciclul de viață, de la extragerea materiilor prime, producție, distribuție, utilizare, la casare și reciclare. Strategiile de îmbunătățire a produsului includ: extinderea ciclului de viață, ușurința reparării, a reutilizării și reciclării;
- să sprijine eforturile de inovare ale firmelor mici și mijlocii care dezvoltă și comercializează produse și servicii care promovează consumul durabil;
- să sprijine conservarea energiei și dezvoltarea resurselor energetice regenerabile;
- să sprijine dezvoltarea și utilizarea standardelor de mediu naționale și internaționale referitoare la procese, produse și servicii, inclusiv la impactul pe piață și competitivitate. Standardele de mediu nu trebuie să constituie restricții comerciale nejustificate;
- să încurajeze, să dezvolte și să sprijine efectuarea independentă a încercărilor de mediu pentru produse, precum și cooperarea internațională în testarea comună și dezvoltarea de proceduri unificate de testare;
- să elimine sau să limiteze strict utilizarea substanțelor toxice, periculoase pentru mediu, precum cele incluse în *Convenția de la Basel*. Substanțele noi, potențial periculoase, trebuie testate cu prioritate privind impactul pe termen lung asupra mediului, înainte de a fi introduse în consum. Guvernele trebuie, pe termen lung, să încurajeze dezvoltarea de materiale ecologice alternative, precum și să promoveze pe termen scurt utilizarea unor materiale mai puțin nocive. Ca mijloace de promovare sunt recomandate facilitățile fiscale și participarea la cooperarea internațională în dezvoltarea și transferul tehnologic;
- să promoveze conștientizarea beneficiilor consumului și producției durabile asupra stării de sănătate, ținând cont atât de efectele directe asupra indivizilor, cât și de efectele colective asupra mediului;
- să încurajeze, în parteneriat cu alte organizații, transformarea modelelor de consum nedurabil prin dezvoltarea și utilizarea serviciilor și a noilor tehnologii, inclusiv a tehnologiilor informației și a comunicării, care pot veni în întâmpinarea nevoilor consumatorilor, reducând poluarea și consumul de resurse naturale;
- să creeze sau să întărească agențiile specializate în reglementarea diferitelor domenii ale consumului durabil. Periodic trebuie să analizeze și să revizuiască eficiența unor astfel de agenții, astfel încât să se asigure utilizarea celor mai bune practici în protecția consumatorilor, evaluarea condițiilor de mediu și perfecționarea reglementărilor în vigoare. Agențiile guvernamentale trebuie să lucreze în cooperare cu organizațiile consumatorilor;

- să ia măsuri ca prețurilor produselor și serviciilor să reflecte costurile de mediu și să promoveze consumul durabil. Guvernele trebuie să promoveze analiza exhaustivă a costurilor și a beneficiilor legate de protecția mediului, internalizarea costurilor de mediu și utilizarea instrumentelor economice care țin seama de principii precum: poluatorul plătește și, respectiv, utilizatorul suportă costurile resurselor. Guvernele trebuie să considere și diferențierea prețurilor, astfel încât populația dezavantajată să își poată satisface nevoile de bază;

- să facă uz de întreaga gamă a instrumentelor economice pentru promovarea consumului durabil. Sistemul de taxe trebuie astfel conceput și implementat încât să asigure favorizarea practicilor durabile;

- să implementeze contabilizarea resurselor naturale, astfel încât să se reflecte impactul modelului și politicilor de consum și producție asupra mediului. Guvernele, în cooperare cu mediul de afaceri și cu alte grupuri, trebuie să dezvolte indicatori comparabili, metodologii și bănci de date pentru măsurarea progreselor făcute în dezvoltarea consumului durabil la toate nivelele, inclusiv casnic. Aceste informații trebuie să fie publice;

- să promoveze *transporturi durabile*, prin: reducerea utilizării autovehiculelor în orașe, reducerea deplasărilor inutile de mărfuri, promovarea sistemelor eficiente de transport public, promovarea vehiculelor mai eficiente energetic și mai puțin poluante. Guvernele trebuie să dezvolte și să implementeze standarde pentru calitatea aerului și să coopereze cu industria de autovehicule în dezvoltarea și implementarea de standarde pentru emisiile motoarelor și economia de combustibili;

- să dezvolte planificarea și dezvoltarea urbană pentru a asigura un adăpost durabil și infrastructură pentru toți, având grijă de persoanele dezavantajate. În domeniul construcțiilor trebuie să promoveze utilizarea materialelor ecologice, conservarea terenurilor și a energiei;

- să preia inițiativa, împreună cu agențiile internaționale, în introducerea practicilor durabile în activitatea proprie și, în special, în politicile de procurare și achiziție. Achizițiile guvernamentale trebuie să încurajeze dezvoltarea și utilizarea de produse și servicii ecologice;

- să preia și să promoveze, împreună cu organizațiile internaționale, studierea comportamentului consumatorilor și a posibilelor influențe defavorabile asupra mediului, pentru a identifica mijloace de a face mai durabil modelul de consum o dată cu satisfacerea nevoilor de bază ale întregii populații.

Responsabilitățile mediului de afaceri în implemetarea consumului durabil:

- să promoveze consumul durabil prin conceperea, proiectarea și dezvoltarea acelor produse și servicii ecologice;

- să producă și să distribuie acele bunuri și servicii ecologice, într-un mod ecologic;

- să repare, întrețină și recicleze produsele prin procese și tehnologii ecologice;

- să promoveze acele procese și tehnologii ecologice, eficiente energetic și cu consum mic de materii prime;
- să asigure tratarea corespunzătoare a deșeurilor;
- să conserve energia și terenul;
- să informeze corect și complet consumatorii asupra proceselor, produselor și serviciilor furnizate și a riscurilor de mediu;
- să internalizeze costurile de mediu în prețul produselor și serviciilor;
- să coopereze cu ceilalți factori ai societății implicați în protecția mediului, dezvoltarea durabilă, producția și consumul durabil.

Responsabilitățile organizațiilor consumatorilor și a celor de mediu în implemetarea consumului durabil sunt:

- să asigure reprezentarea și promovarea participării publice la dezbaterile privind consumul durabil;
- să asigure informarea corectă și completă a consumatorilor;
- să colaboreze cu ceilalți factori ai societății, implicați în protecția mediului, dezvoltarea durabilă, producția și consumul durabil.

15.7. AUDITUL DE MEDIU

Analiza de impact ecologic oferă o bază de date pentru luarea deciziilor, conștientizează și responsabilizează salariații asupra importanței problemelor de mediu, identifică mijloacele și posibilitățile de economisire a resurselor, permite conducerii să identifice și să recompenseze performanțele de mediu, avertizează asupra punctelor critice.

În raport cu obiectul și momentul analizei, se pot distinge următoarele tipuri de audituri:

- analiza de perspectivă (*scoping audit*);
- analiza locală (*site audit*);
- analiza globală (*corporate audit*);
- analiza conformității (*compliance audit*);
- analiza preluării (*take-over audit*);
- analiza activității (*activity audit*);
- analiza problemelor (*issue audit*);
- analiza furnizorului (*supplier audit*);
- evaluarea impactului asupra mediu (*environmental impact assessment*).

Termenul audit desemnează un examen complex, menit să scoată în evidență legătura care există între ceea ce s-a declarat și ceea ce s-a realizat efectiv (corespondența dintre documente, strategii și rezultate, fapte).

Auditul de mediu al unei organizații este destinat certificării managementului de mediu, în vederea recunoașterii performanțelor organizației

respective. Certificarea de mediu este importantă în domenii critice pentru protejarea naturii, activități turistice în zone protejate, în industria chimică, în industria extractivă, în industria alimentară.

Tendința actuală este de a se integra certificarea de mediu în evaluarea globală a managementului organizațiilor.



ANALIZA ECOTEHNOLOGICĂ A PROCESULUI TEHNOLOGIC

16.1. NOȚIUNI GENERALE

Ecotehnologia ca știința a aplicării științelor cu scopul transformării substanței în bunuri cu o anumită utilitate socială în condițiile unei dezvoltări durabile presupune mai întâi cunoașterea întregului traseu tehnologic al substanței de la starea naturală (rocă, minereu etc) la produsul finit intrat în exploatare, având apoi următoarele obiective:

- identificarea fiecărei etape a procesului tehnologic în care apare un anumit impact asupra mediului;
- identificarea momentului în care se produce impactul asupra mediului;
- stabilirea coeficientului de poluare;
- determinarea gradului optim de reducere a poluării;
- stabilirea de metode de prevenire a impactului negativ asupra mediului, produs de etapa respectivă, la momentul respectiv;
- stabilirea de noi metode de reducere a impactului asupra mediului sau de poluare zero dacă este posibil.

Pentru o proiectare corespunzătoare se pleacă întotdeauna de la rolul funcțional al produsului care trebuie să fie *intr-o armonie cu mediul* și să aibă un impact cât mai mic asupra sa. Produsul este rezultatul unui proces tehnologic, desfășurat într-una sau mai multe locații și care, pentru început, este ca o cutie neagră (fig 16.1) în care există un flux de ieșire care, aproape în totalitate conduce la o poluare mai mare sau mai mică asupra mediului. De aceea, fiecare etapă a procesului tehnologic trebuie cunoscută foarte bine în desfășurarea logică a transformărilor și a impactului de etapă asupra mediului, pentru a proiecta **procesul ecotehnologic**, desfășurat în aceleași locații, dar cu impact redus sau dacă este posibil impact zero asupra mediului (fig. 16.2). Se observă că la oricare proces tehnologic apar produsul, energie disipată și deșeurile care sunt principalele elemente de poluare a mediului, de aceea scopul procesului ecotehnologic este acela de a face poluarea cât mai redusă sau chiar zero prin apariția de ecoproduse și deseuri biodegradabile (dacă este posibil).

Pentru aceasta trebuie avute în vedere următoarele:

- **Soarta Terrei** este în mâinile noastre;

- **Energia** este componenta *vitala* a civilizației, fără de care nu se poate vorbi de viață, dar care are întotdeauna și o componentă care poluează mai mult sau mai puțin;

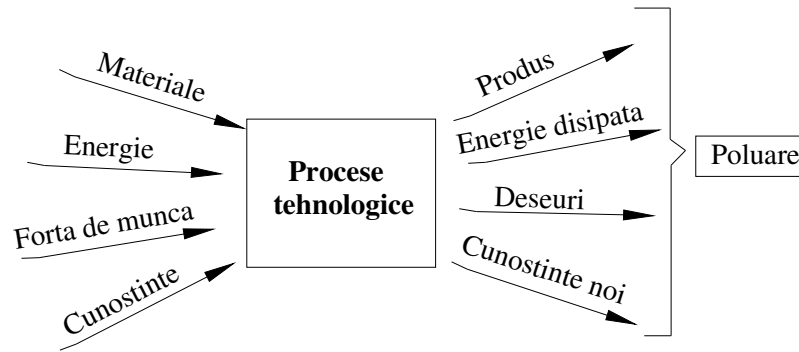


Fig. 16.1. Fluxul de intrare și de ieșire într-un proces tehnologic.

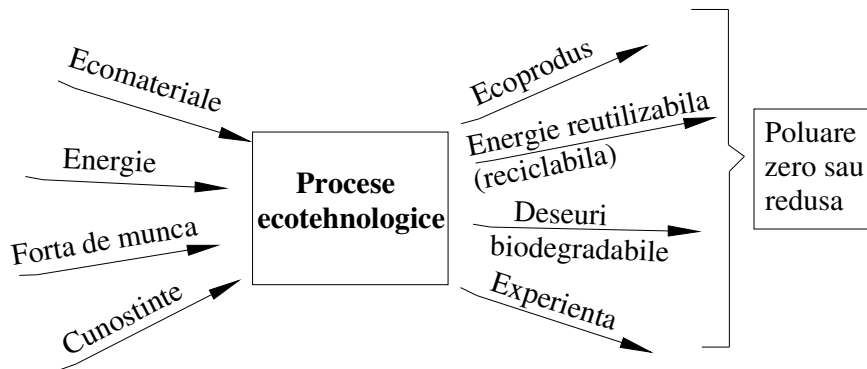


Fig. 16.2. Fluxul de intrare și de ieșire într-un proces ecotehnologic.

- **Mediul ambiant** este componenta *esențială* a vieții;
- **Apa, aerul și solul** sunt componentele *esențiale* de întreținere și dezvoltare a vieții. Ele reprezintă *factorii de mediu* care pot fi puternic alterați datorită industrializării forțelor, haotice, necontrolate și sub zodia profitului material imediat (fig 16.3);
- **Resursele regenerabile și neregenerabile** reprezintă *capitalul natural* al dezvoltării vieții pe Terra;
- **Calitatea vieții** este conceptul cheie al existenței și este rezultatul convergenței perspectivelor *sociologice, ecotehnologice și juridice*, cu referire atât la mediul social cât și la mediul natural;
- **Calitatea mediului** este conceptul cheie al *menținerii vieții* pe Terra și este rezultatul convergenței perspectivelor *biologice, ecotehnologice și juridice*, cu referire atât la mediul natural cât și la cel artificial (fig. 16.4).

- **Impactul asupra mediului** este multitudinea de probleme care trebuie cunoscute inițial și luate în considerare în proiectarea etapelor fiecărui proces ecotehnologic, deoarece prin el se înțelege:

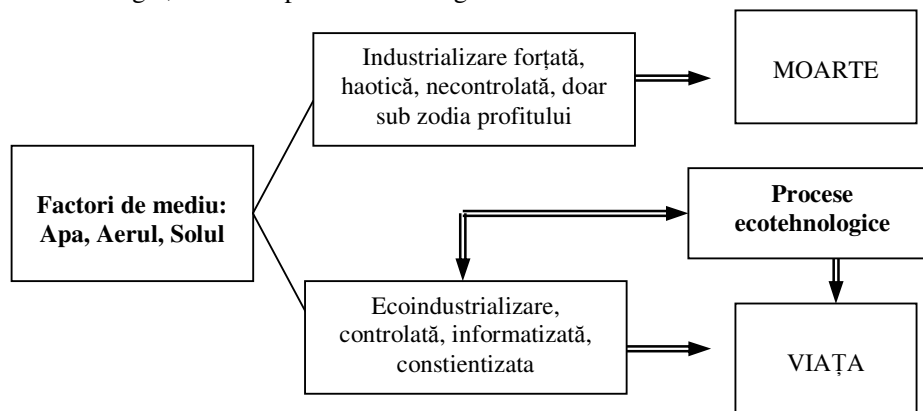


Fig 16.3. Factorii de mediu și locul proceselor ecotehnologice

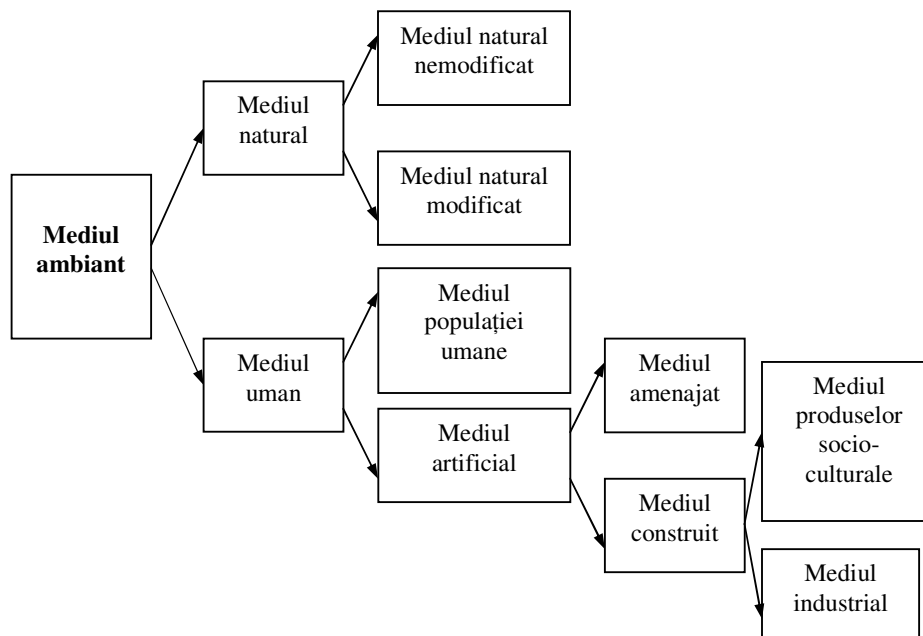


Fig 16.4. Structura globală a mediului.

- modificarea negativă considerabilă (caracteristicile fizice, chimice sau structurale) a componentelor mediului natural (fig.16.5). Principalii poluanți ai aerului se prezintă în figura 16.6., principalele zone în care apa devine inutilizabilă sunt prezentate în figura 16.7, iar pentru sol, în figura 16.8.

- diminuarea diversității biologice;

- modificarea negativă considerabilă a productivității ecosistemelor naturale și entropizate;

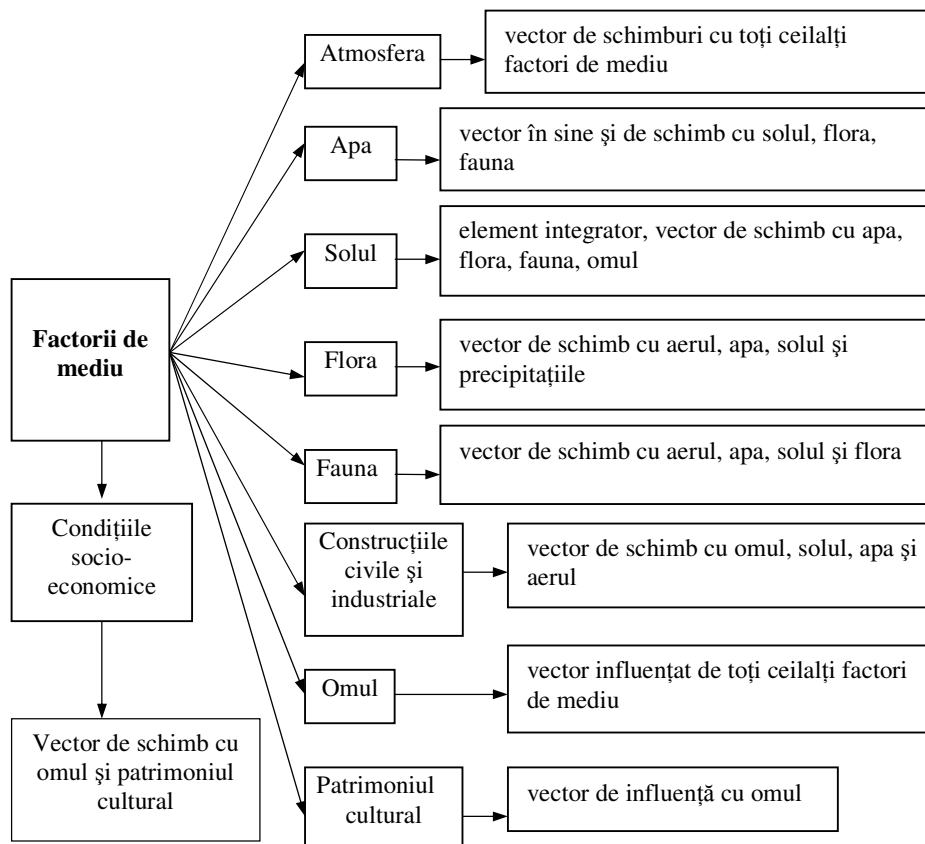


Fig 16.5. Componentele mediului ambient.

- deteriorarea echilibrului ecologic, reducerea considerabilă a calității vieții sau deteriorarea structurii antropizate, cauzată în principal de poluarea apelor, aerului și solului. Principalele cauze ale deteriorării echilibrului ecologic se prezintă în figura 16.9.

- poluare, vine de la latinescul *polluero- ere* care înseamnă a murdări, a pângări, a profana. Este acțiunea prin care omul își murdărește propriul său mediu de viață. Este o lege naturală. Principalele categorii de poluări sunt, din punct de vedere al naturii și al mediului de manifestare, prezentate în figura 16.10.

- supraexploatarea resurselor naturale, gestionarea, folosirea sau planificarea teritorială necorespunzătoare a acestora, ce poate apărea în prezentul imediat sau să aibă o probabilitate ridicată de manifestare în viitor;

- **Poluantul**, potrivit legii nr. 137 / 1976, reprezintă „*orice substanță solidă, lichidă, gazoasă sau sub formă de vapori, ori energie (radiație electromagnetică, termică, ionizată, fonică sau vibrații.) care, introdusă în mediu*

, modifică echilibrul constituenților acestuia și al organismelor vii și aduce daune bunurilor materiale”.

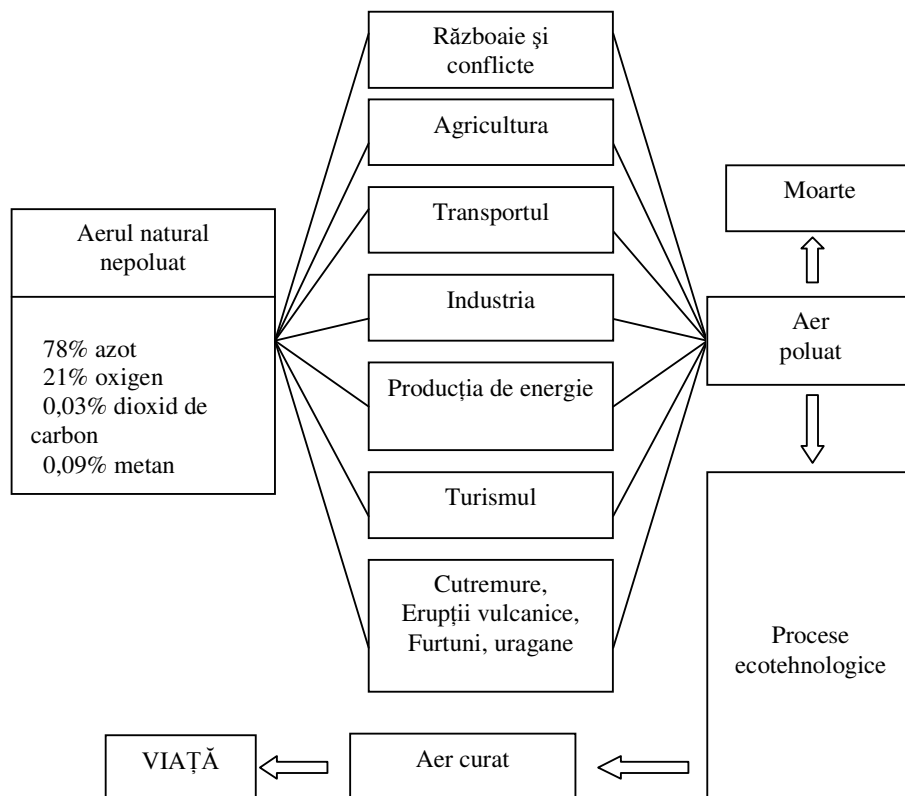


Fig. 16.6. Principalii poluatori ai aerului natural.

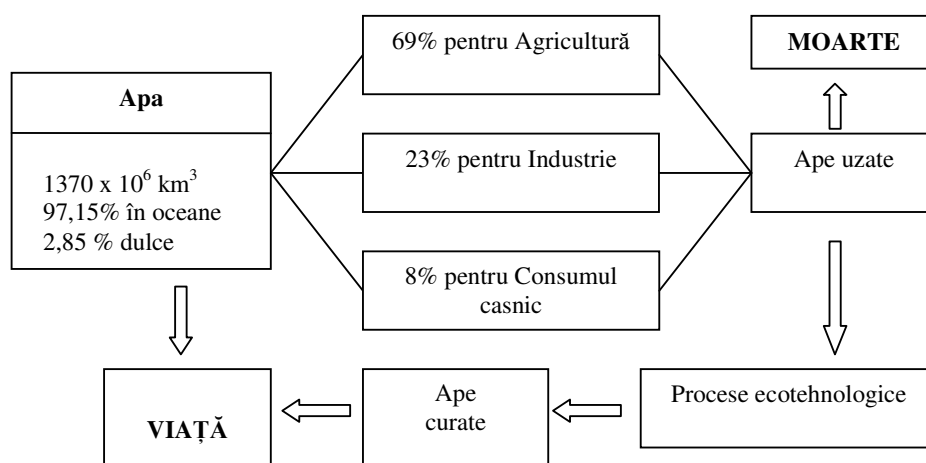


Fig 16.7. Principalele zone în care apa devine inutilizabilă.

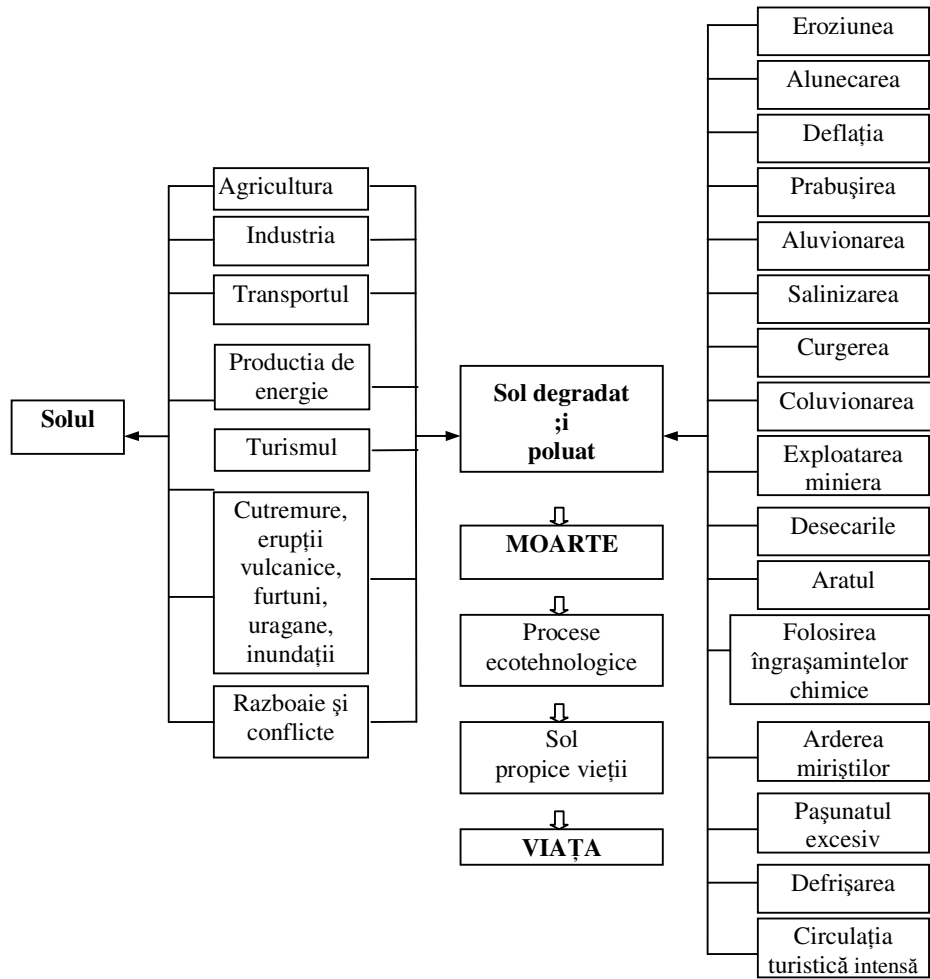


Fig 16.8. Principalele zone de poluare a solurilor.

Poluanții pot fi: *primari* (emisii directe produse de surse identificate sau identificabile) și poluanți *secundari* (produși prin interacțiunea a doi sau mai mulți poluanți sau prin reacția cu anumiți substituenți ai mediului). Efectele acțiunii poluanților asupra mediului sunt: *directe* (se manifesta prin creșterea valorilor unor mărimi preexistente în mediu sau prin introducerea unor mărimi noi, ca de exemplu creșterea concentrațiilor de CO_2 sau produselor de fisiune) și *indirecte* (apar datorită unor modificări declanșate de poluanții primari sau de efectele directe);

- **Emisia** reprezintă eliberarea directă sau indirectă de substanță, vibrații, caldură sau zgomot, în aer, în apa sau sol din surse punctiforme sau difuze ale unor instalații;

- **Imisia** este poluarea înregistrată de un anumit receptor (omul, factorii de

mediu, bunuri etc) la o anumită distanță de sursă și după o anumită perioadă de la generare, datorită variației acestora din cauze spațio-temporare;

- **Instalația** este o unitate tehnică staționară sau mobilă în/cu care se desfășoară o activitate de orice natură ce poate avea efect asupra emisiilor, imisiilor și respectiv poluării.

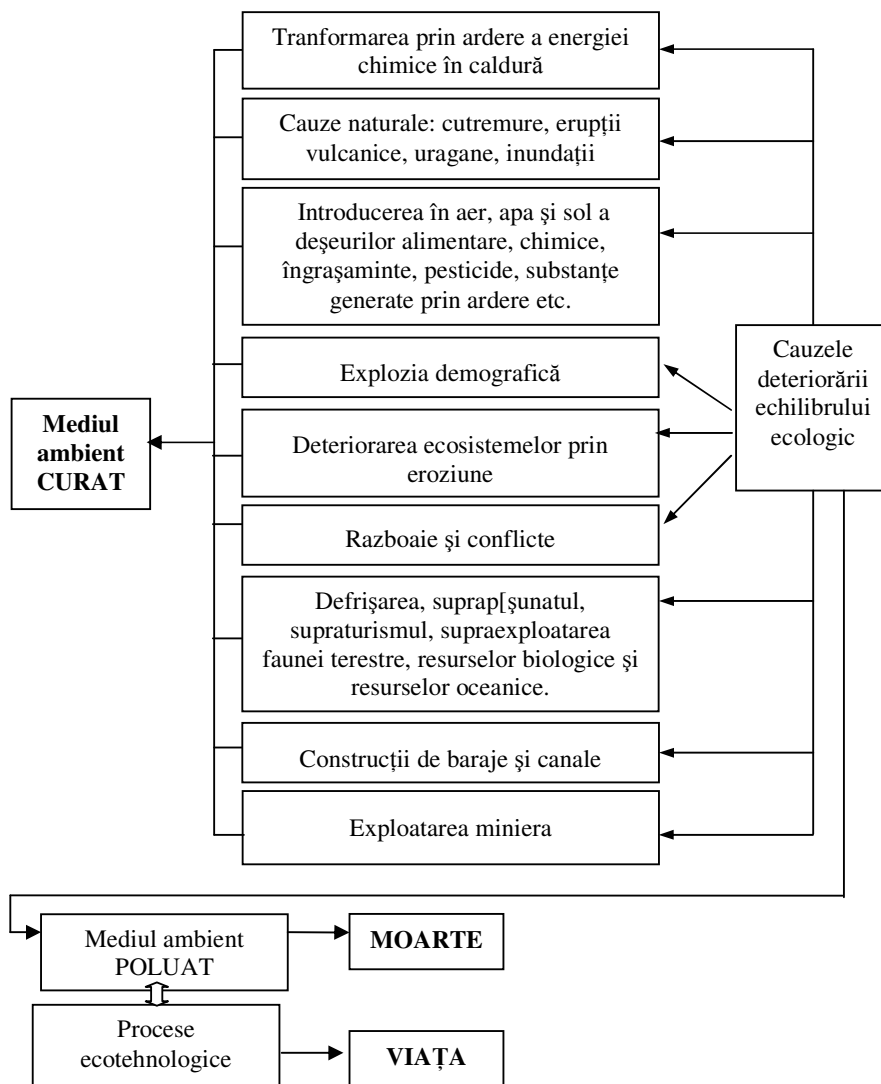


Fig 16.9. Principalele cauze ale deteriorării echilibrului ecologic.

Principalele tipuri de poluare sunt produse de *instalațiile industriale* așa cum se vede din figura 16.11. Pentru a reduce impactul asupra mediului și pentru a face posibilă poluarea zero, procesele ecotehnologice trebuie să aibă în vedere în primul

rând instalațiile industriale ce participă la transformarea substanței naturale, din stare inutilizabilă în stare prelucrată. Câteva din soluțiile ce trebuie adoptate se prezintă în figura 16.12;

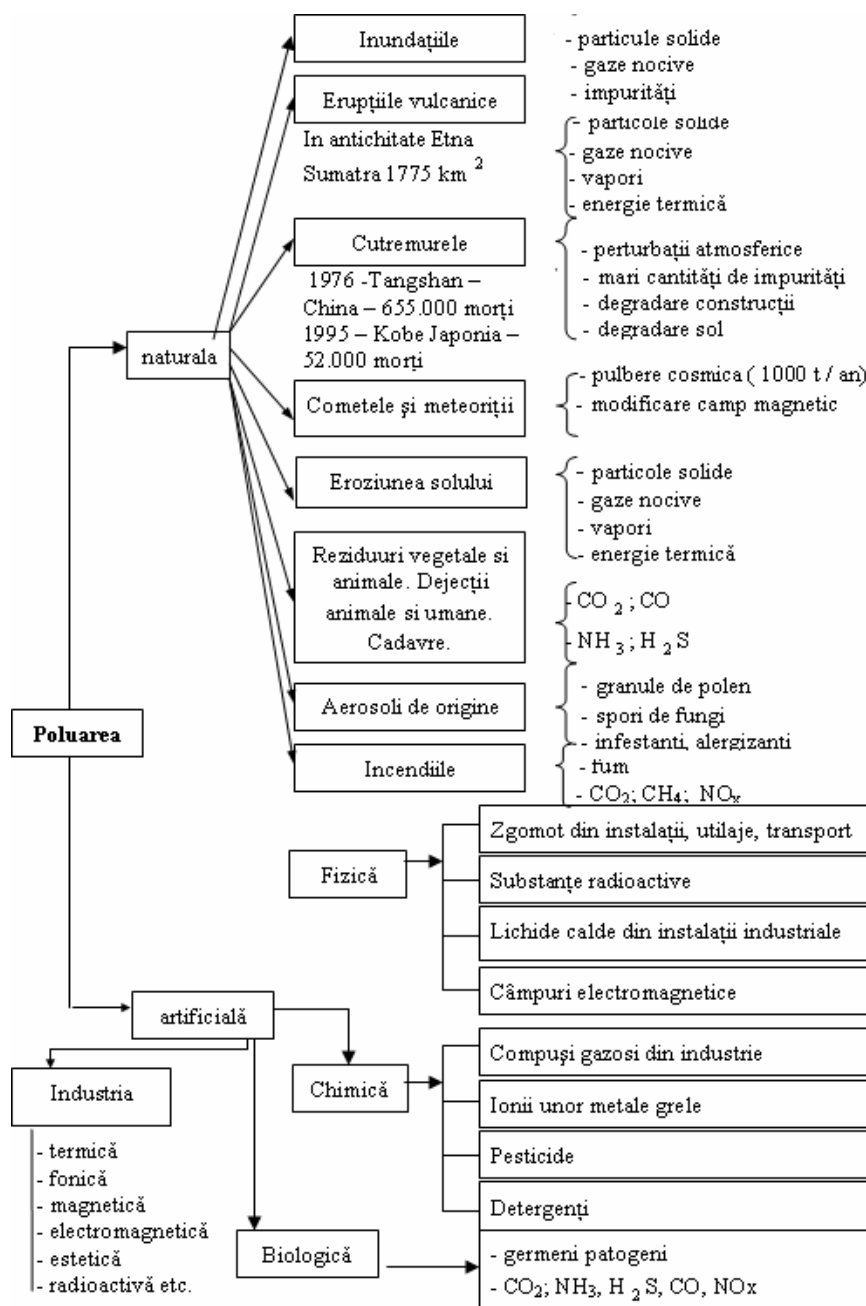


Fig 16.10. Principalele categorii de poluare.

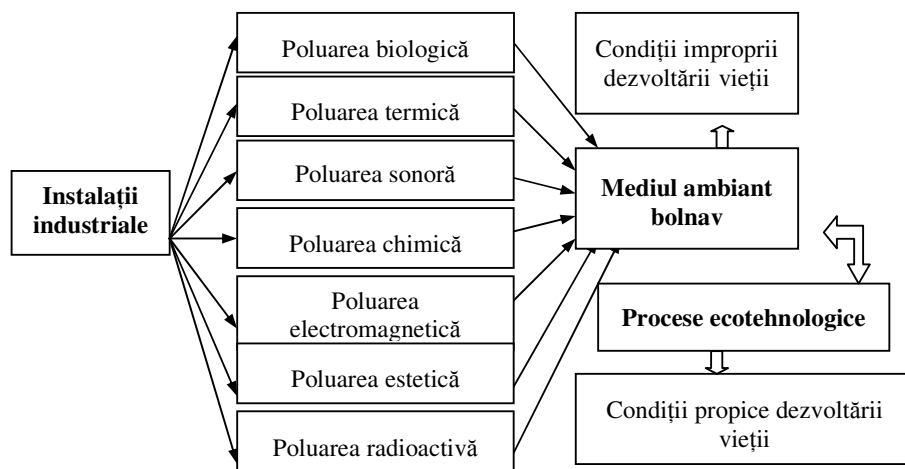


Fig 16.11. Tipuri de poluare produse de instalațiile industriale.



Fig 16.12. Rolul proceselor ecotehnologice și câteva din soluțiile ce trebuie adoptate în privința instalațiilor industriale ce produc poluarea mediului.

– **Materialele procesate într-un flux tehnologic** sunt toate substanțele ce fac obiectul activităților tehnologice de realizare a unui produs, serviciu sau de petrecere a timpului liber. Materialele pot fi *primare, intermediare sau secundare* (fig. 16.13).

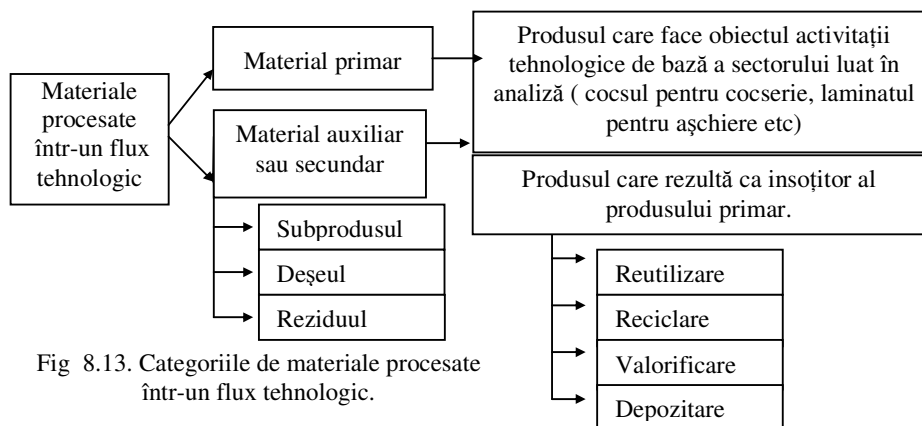


Fig 8.13. Categoriile de materiale procesate într-un flux tehnologic.

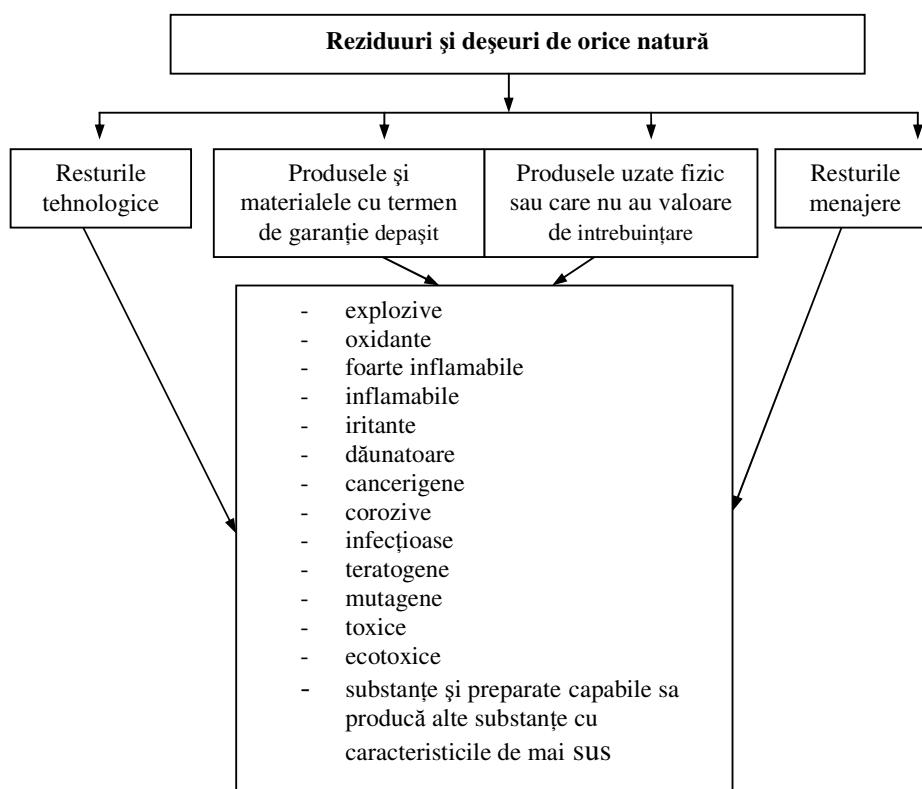


Fig 16.14. Clasificarea reziduurilor și deșeurilor după proprietățile care le fac periculoase pentru sănătate și viață.

– **Reziduurile si deșeurile de orice natura** sunt substanțele sau energia fabricate sau provenite din procesele tehnologice de fabricație, prestări servicii sau alte procese care implică risc semnificativ pentru sănătate sau mediu. În funcție de proprietățile care le fac periculoase reziduurile si deșeurile se clasifică conform figurii 16.14.

– **Conturul industrial** este spațiul în care are loc procesul de fabricație de realizare a produsului (conturul tehnologic), spațiul în care se precizează destinația produselor primare și auxiliare (conturul sectorial) și spațiul în care are loc definitivarea gradelor de prelucrare a produselor și schimburile de produse auxiliare între sectoare (conturul fluxului integrat);

– **Mediul protejat**, înseamnă mediul (natural și antropic) *ferit* de influențele negative prin descoperirea și eliminarea cauzelor, atenuarea și chiar neutralizarea efectelor poluării spre binele comunității.

– **Ingineria socială**, specializare care se ocupă de optimizarea impactului politicilor, tehnologiilor și echipamentelor industriale asupra calității vieții (consecințele sociale ale noilor tehnologii – responsabilitatea socială a corporațiilor).

16.2. ELEMENTE DE BAZĂ ÎN PROIECTAREA PROCESULUI ECOTEHNOLOGIC

Pentru a putea proiecta procesul ecotehlogic cu toate datele necesare este utilă cunoașterea mai întâi a traseului tehnologic corespunzător procesului ce se vrea realizat. O schemă de principiu pentru o diagramă flux a procesului tehnologic de realizare a unui produs se prezintă în figura 16.15. Pentru a putea calcula coeficientul de poluare, pentru a determina gradul optim de reducerea poluării și pentru a putea întocmi **traseul ecotehlogic** trebuie cunoscute etapele și momentele în care se produce impactul de mediu. Acestea vor fi marcate cu un asterisc (*) în toate schemele folosite în continuare.

Principalele etape în proiectarea procesului tehnologic sunt:

1° *Stabilirea rolului funcțional al produsului* (proiectarea unui produs care să îndeplinească un anumit rol funcțional) – se face folosind analiza morfofuncțională a suprafețelor (vezi Tratat de Tehnologia Materialelor – Ed. Academiei, București 2002, pag 61);

2° *Alegerea materialului optim pentru confecționarea produsului* – se face folosind metoda de analiză a valorilor optime (vezi Tratat de Tehnologia Materialelor – Ed. Academiei, București 2002, pag 241); Materialul din care se confecționează produsul este elementul cel mai important din punct de vedere al impactului asupra mediului deoarece elaborarea materialului este etapa cea mai poluantă din traseul tehnologic al unui produs. De aceea, pentru a face posibilă calcularea coeficientului de poluare introdus de această etapă trebuie ținut cont de mai multe cunoștințe.

În general, pentru obținerea unui material se pornește de la minereul corespunzător care mai întâi se supune unor operații de *preparare* care, în general

se fac după o schemă de principiu de forma celor prezentate în figurile 16.16.... 16.20. Se vede așadar că în afară de prima și ultima etapă de preparare, toate celelalte etape au un impact foarte mare asupra mediului. Se calculează apoi coeficientul de poluare la preparare Cpp, cu relația:

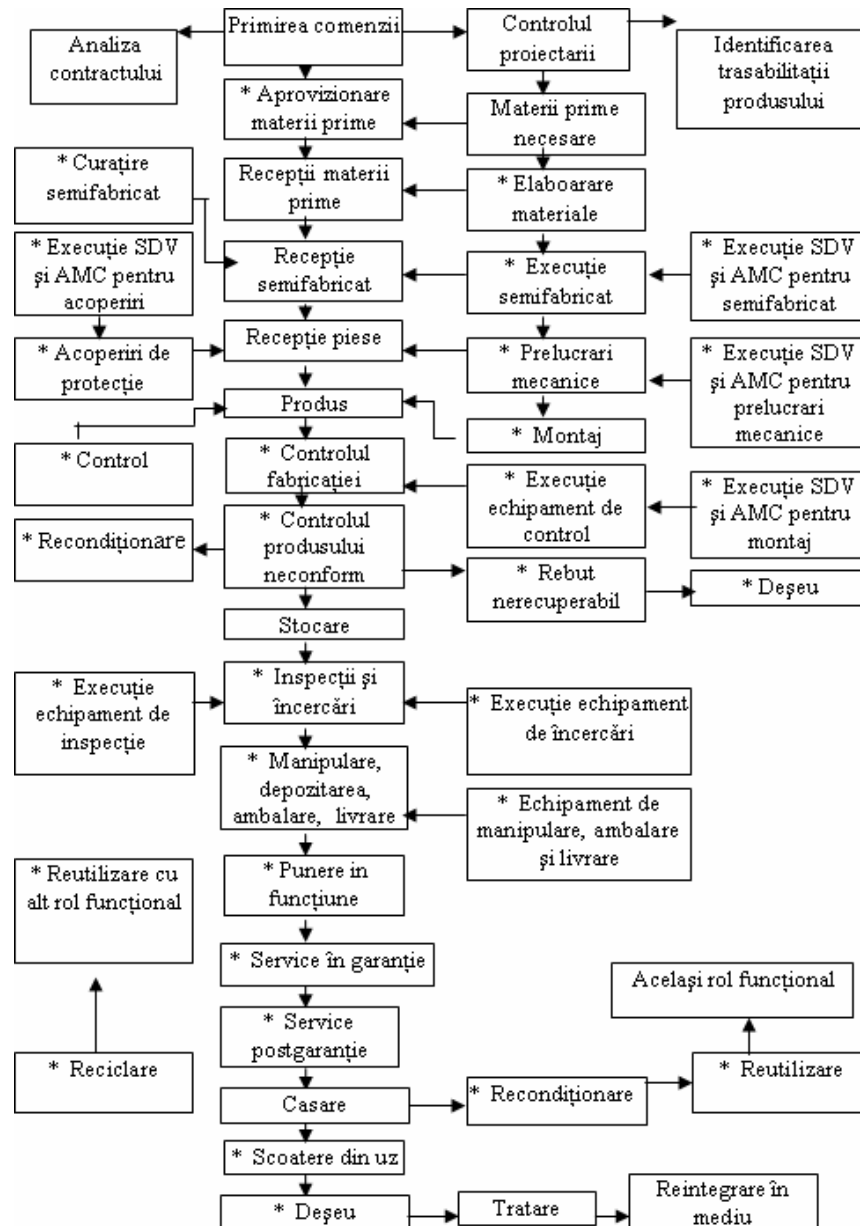


Fig 16.15. Scheme de principiu a diagramei flux a procesului tehnologic de realizare a unui produs (* - etapele și momentele de impact asupra mediului).

$$C_{pp} = Q_{tp} \cdot Q_{com} = (Q_{pa} + Q_{pl} + Q_{ps}) Q_{com} [t \text{ emisii}] \quad (16.1)$$

în care: Q_{com} este cantitatea de minereu concentrat obținut prin preparare din minereu primar;

Q_{pa} – cantitatea de materiale ce poluează atmosfera;

Q_{pl} – cantitatea de material ce poluează apa;

Q_{ps} – cantitatea de materiale ce poluează solul;

Q_{tp} – cantitatea totală de substanță poluantă;

Q_{pa} , Q_{pl} și Q_{ps} se exprimă în tone emisii/tona de minereu preparat.

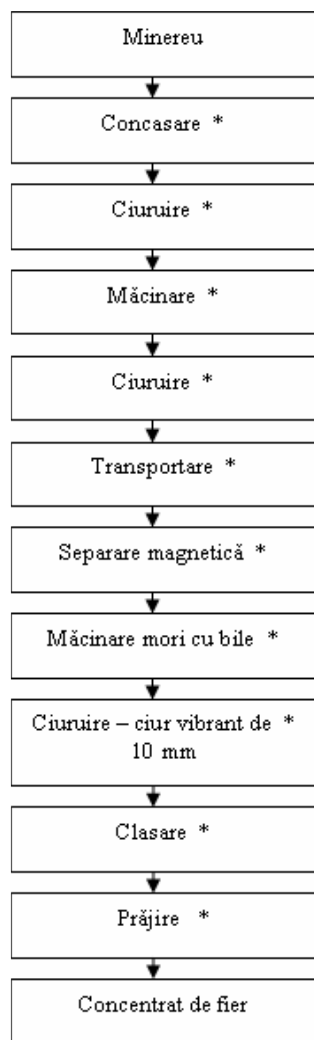


Fig 16.16. Schema de principiu a preparării unui minereu de fier (* - etape și surse de poluare).

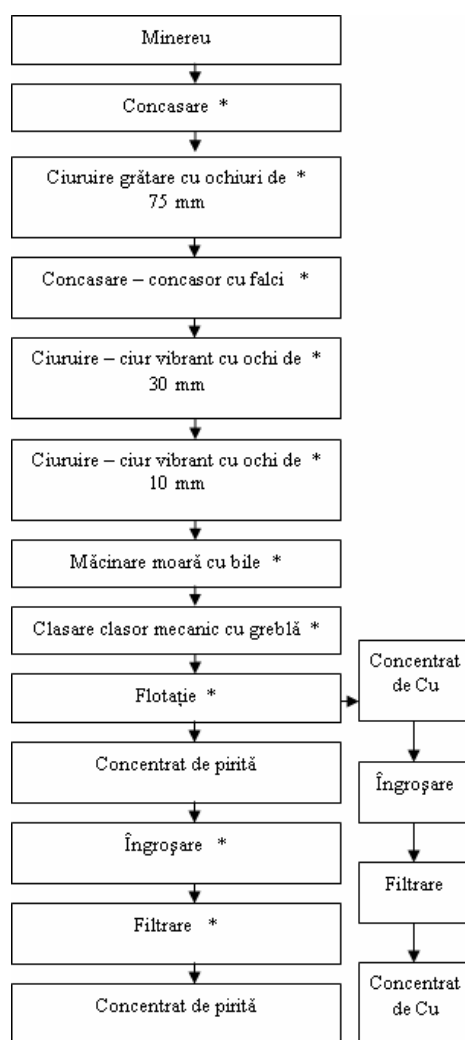


Fig 16.17. Schema de principiu a preparării unui minereu de cupru (* - etape și surse de poluare).

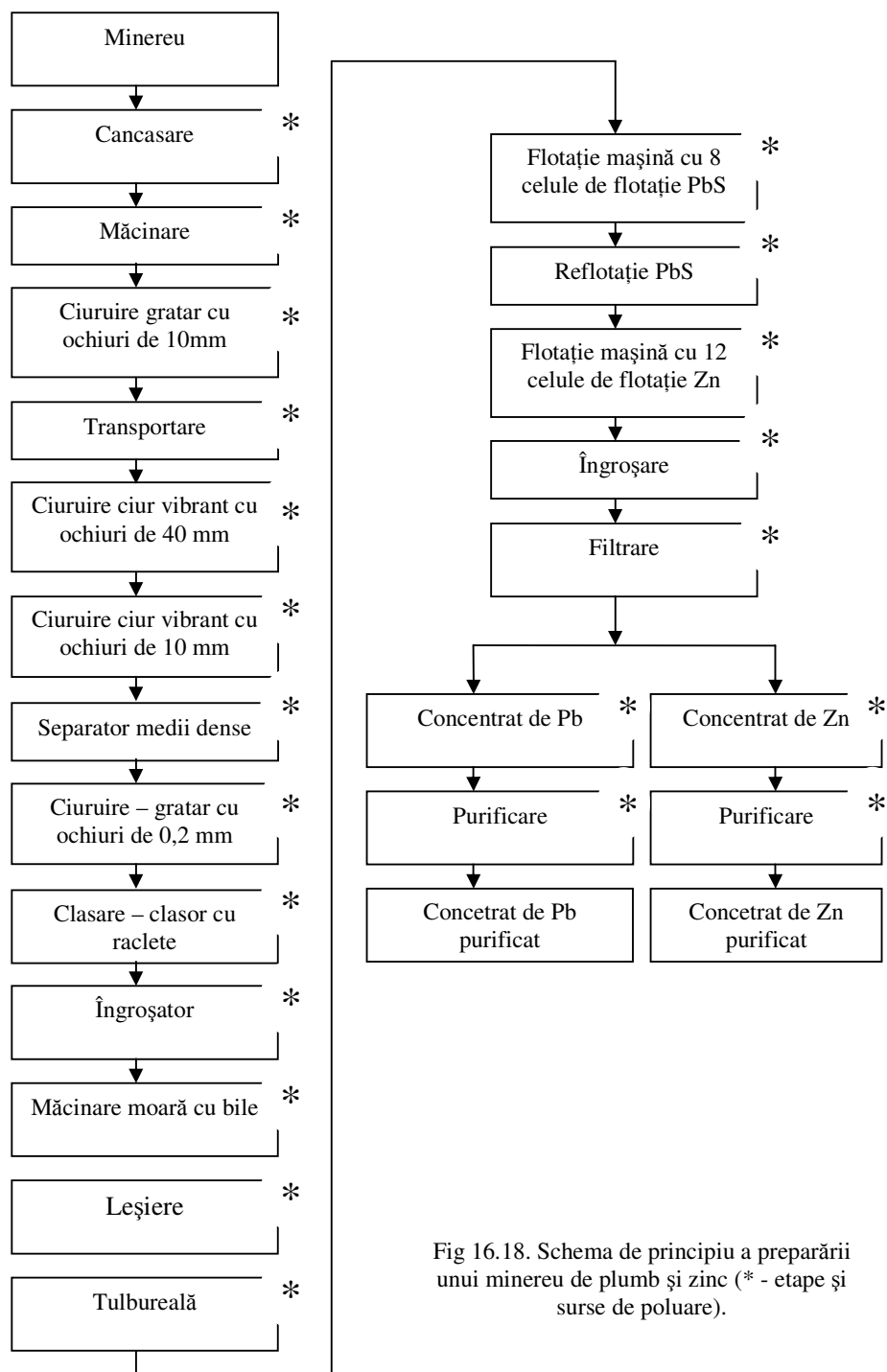


Fig 16.18. Schema de principiu a preparării unui minereu de plumb și zinc (* - etape și surse de poluare).

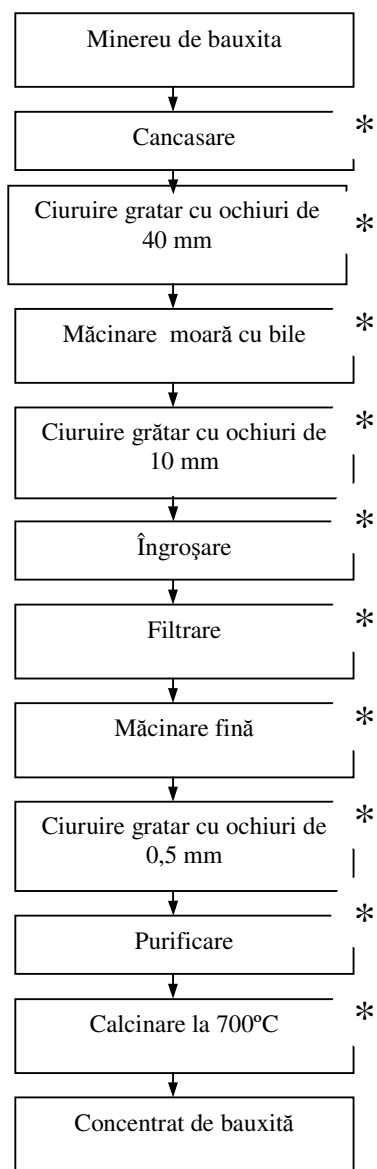


Fig 16.19. Schema de principiu a preparării unui minereu de aluminiu (* - etape și surse de poluare).

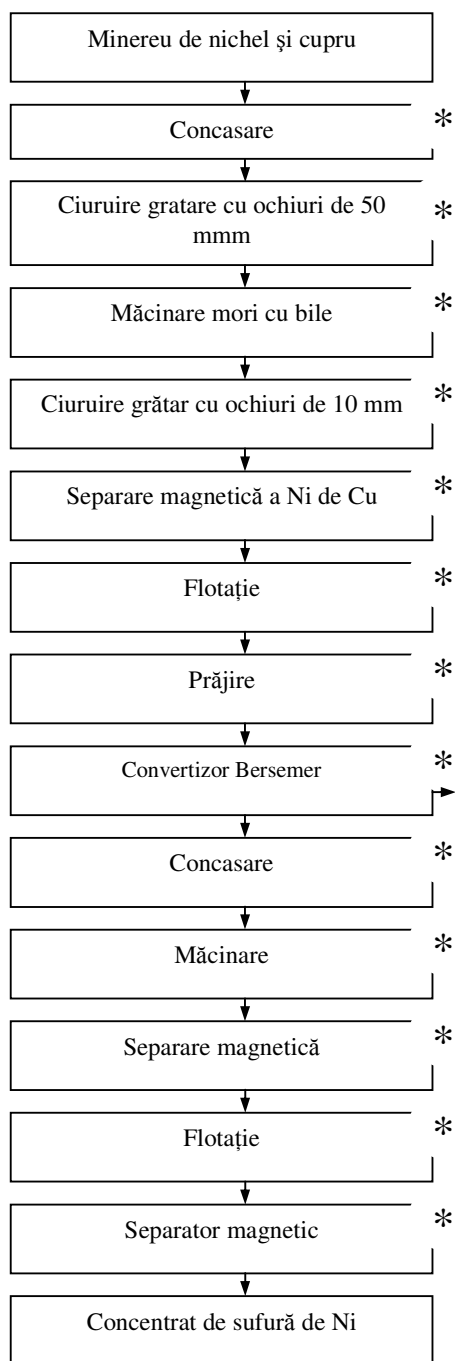


Fig 16.20. Schema de principiu a preparării unui minereu de nichel (* - etape și surse de poluare).

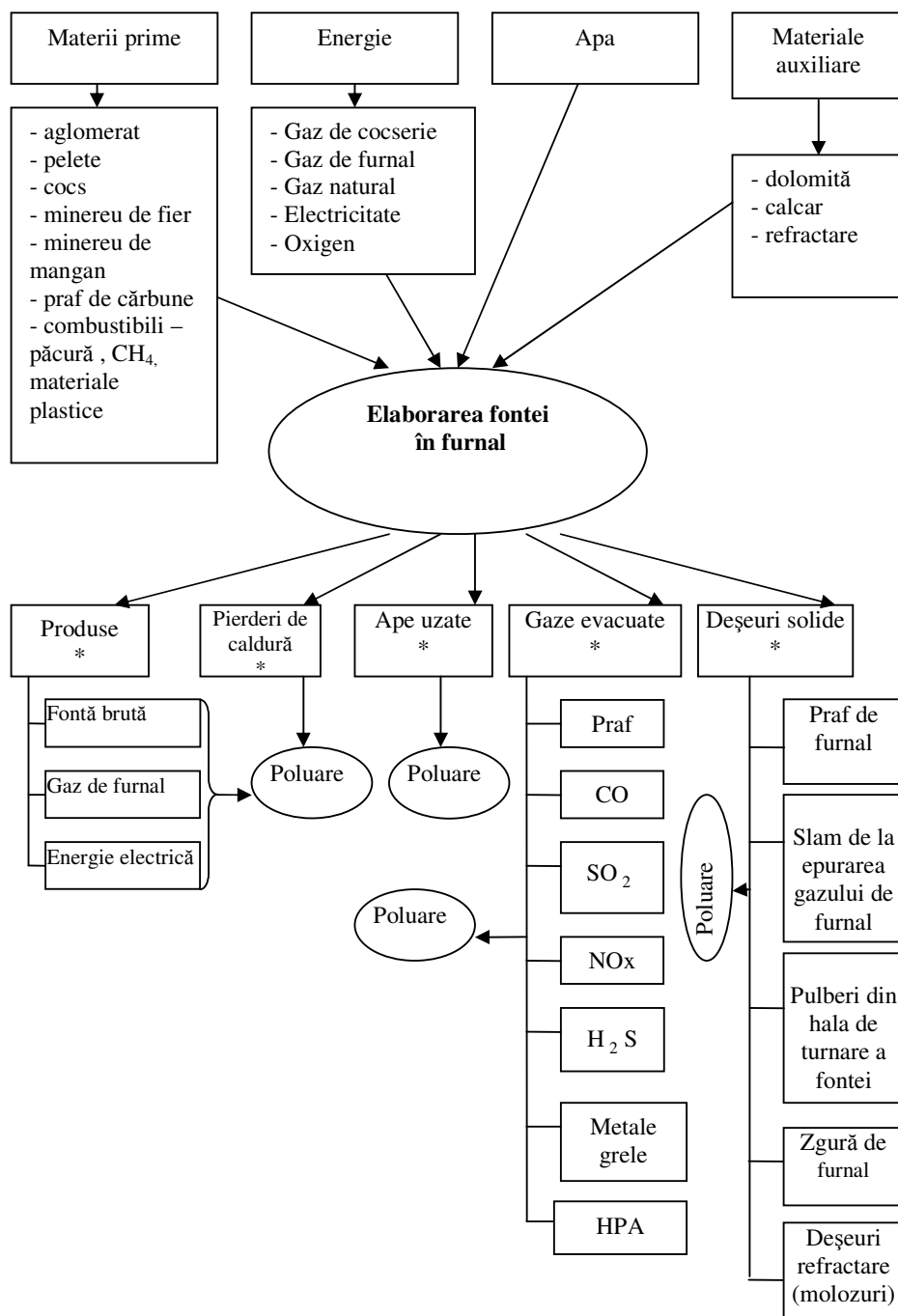


Fig 16.21. Fluxul de materiale și poluarea la elaborarea fontei în furnal
 (* - etapele și sursele de poluate).

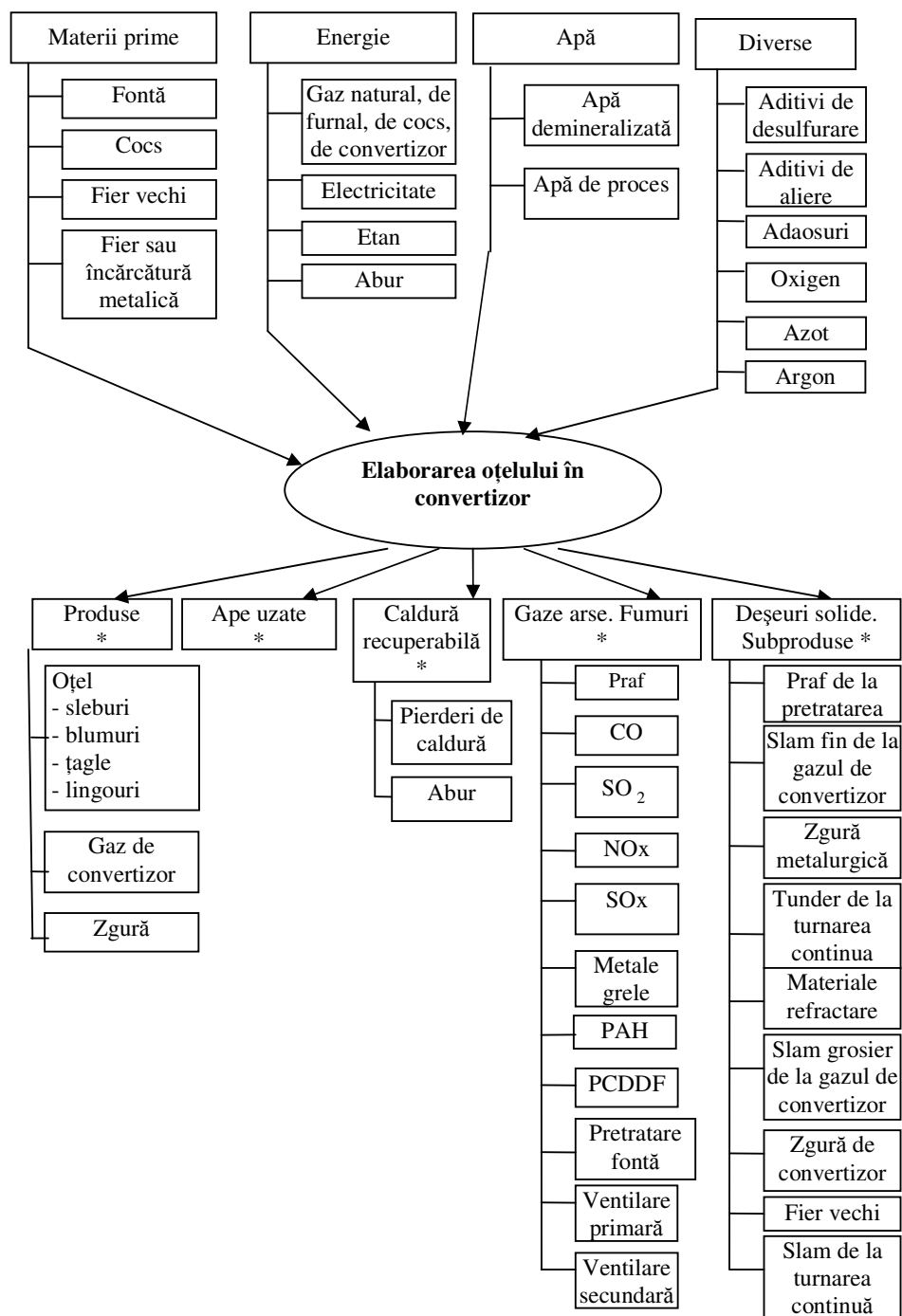


Fig 16.22.a. Procesul de elaborare a oțelului în convertizor și sursele de poluare
(* - etapele și sursele poluante).

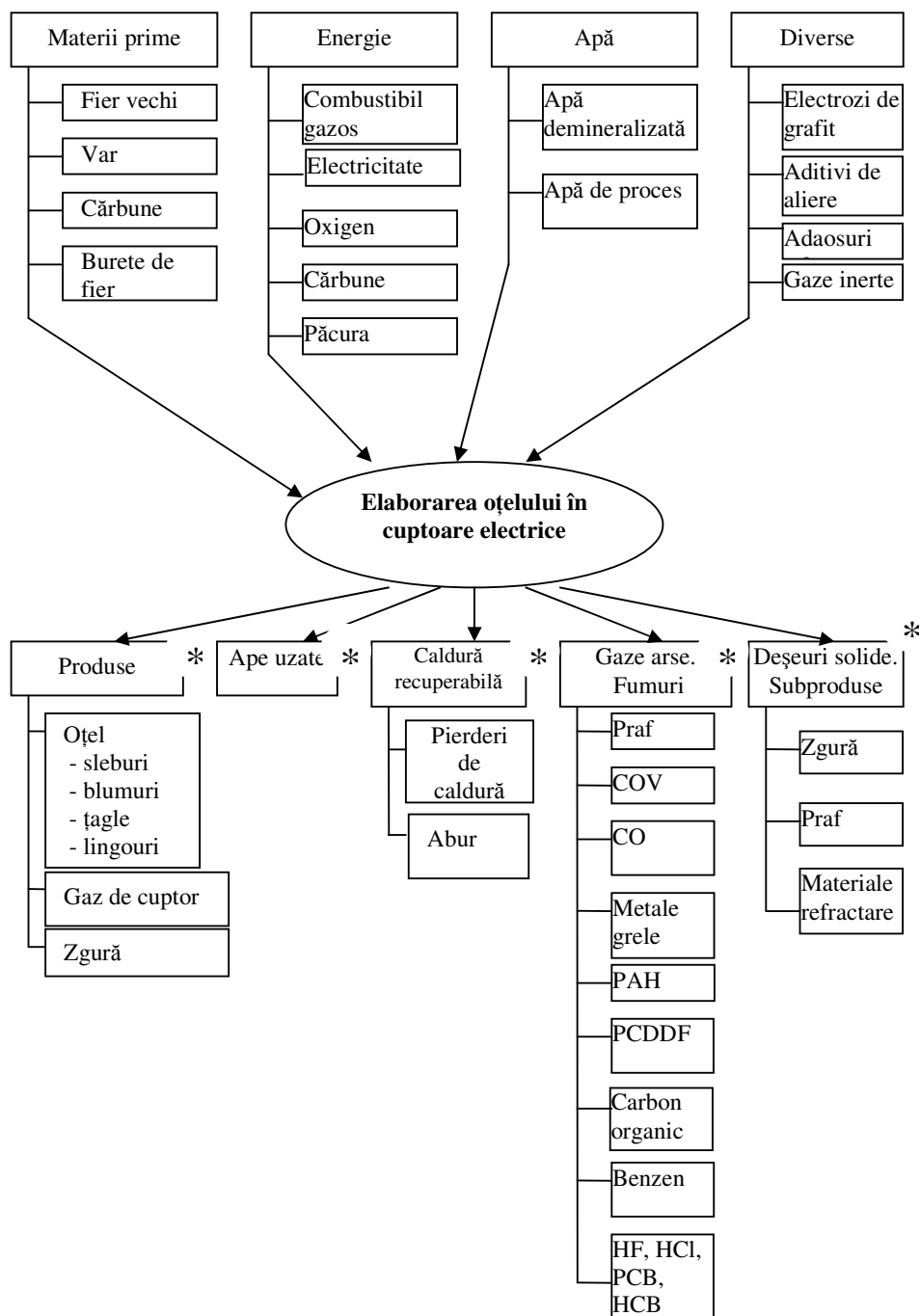


Fig. 16.22.b. Procesul de elaborare a oțelului în cuptoare electrice
(* - etapele poluante).

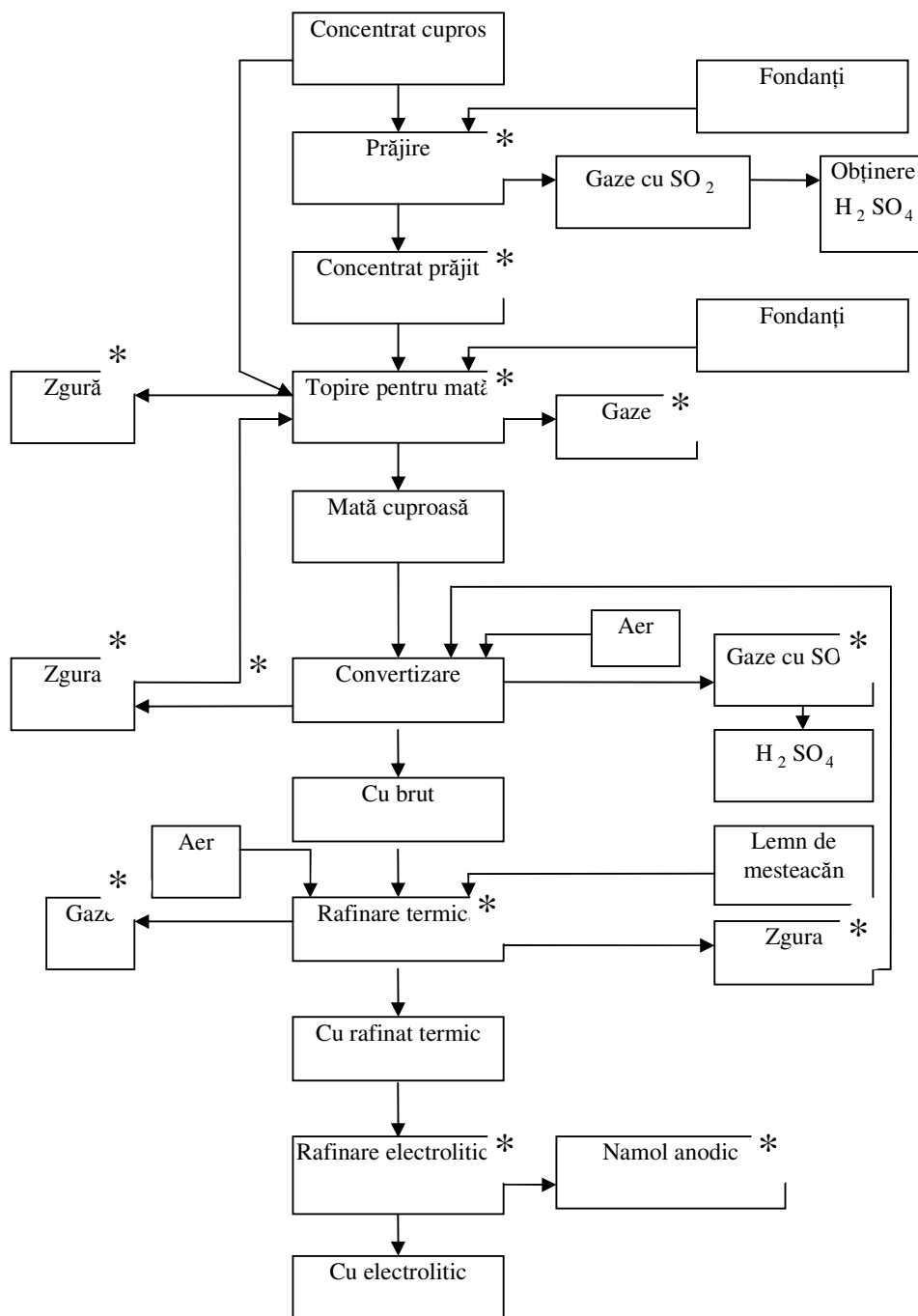


Fig 16.23. Schema de obținere a Cu din concentratele sulfuroase de cupru
(* - etapele și sursele de poluare).

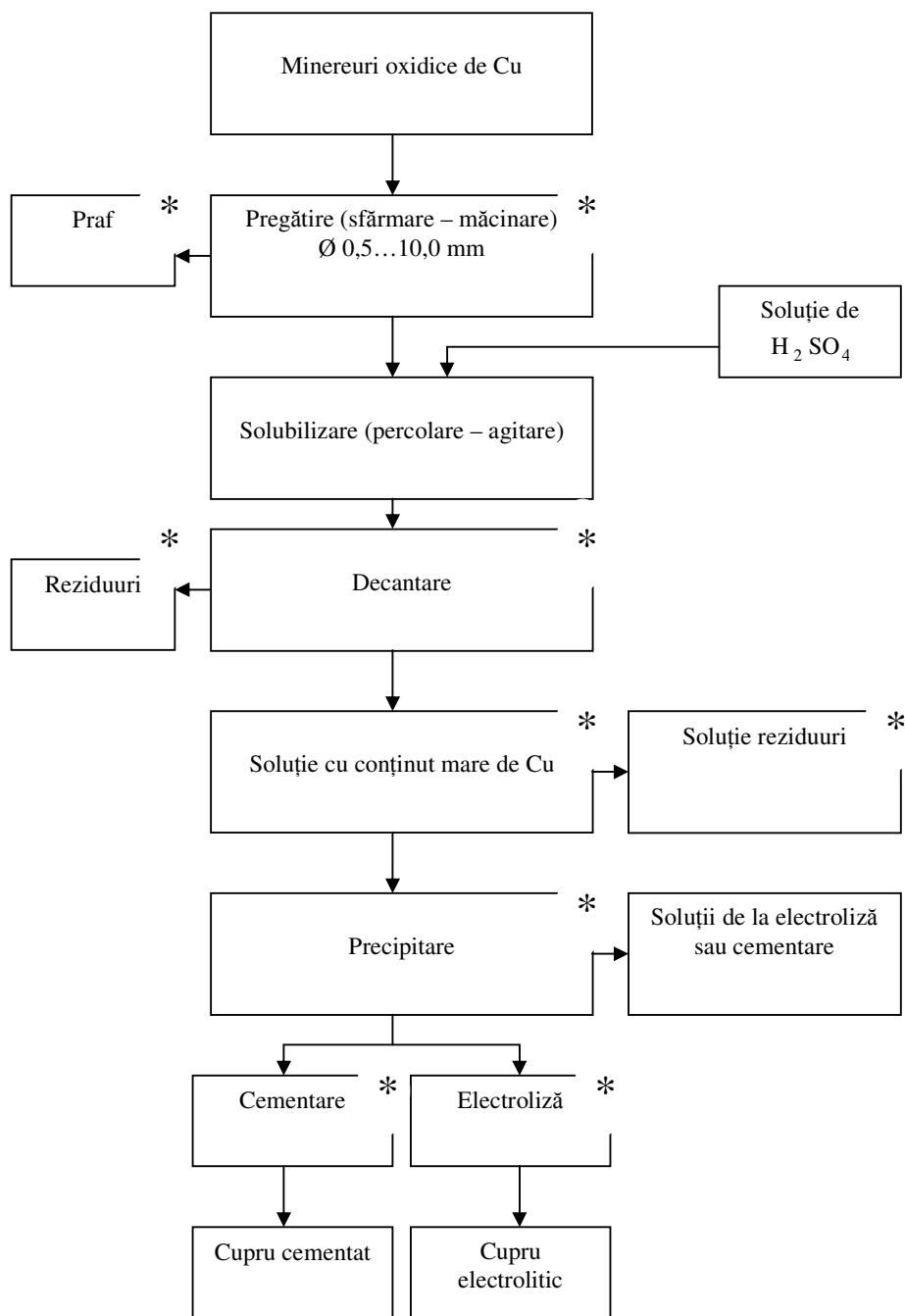


Fig 16.24. Schema de principiu la extracția metalurgică a cuprului
(* - etapele poluante).

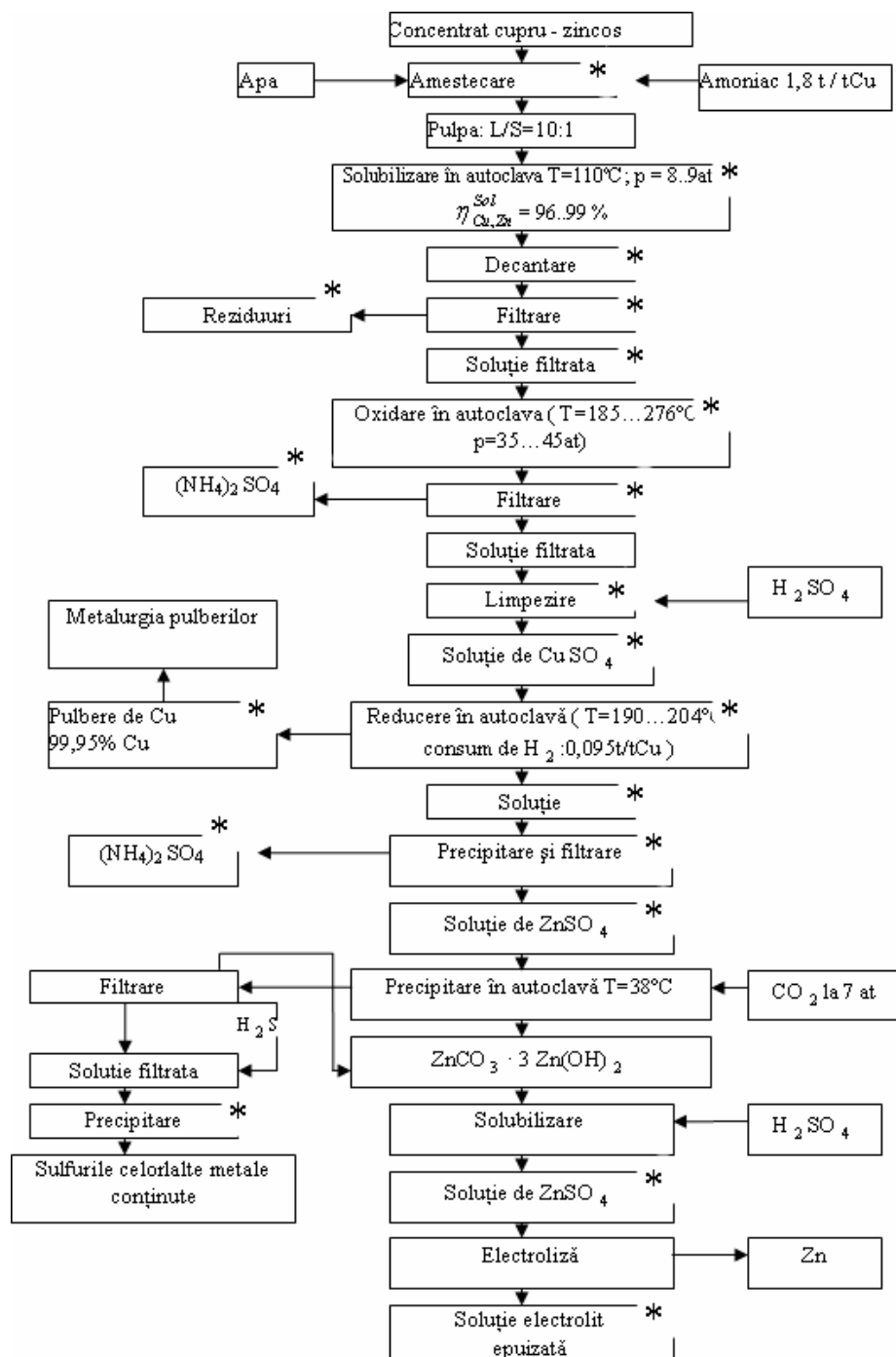


Fig. 16.25. Schema de obținere a cuprului și zincului din concentratele complexe (* - etapele și sursele de poluare).

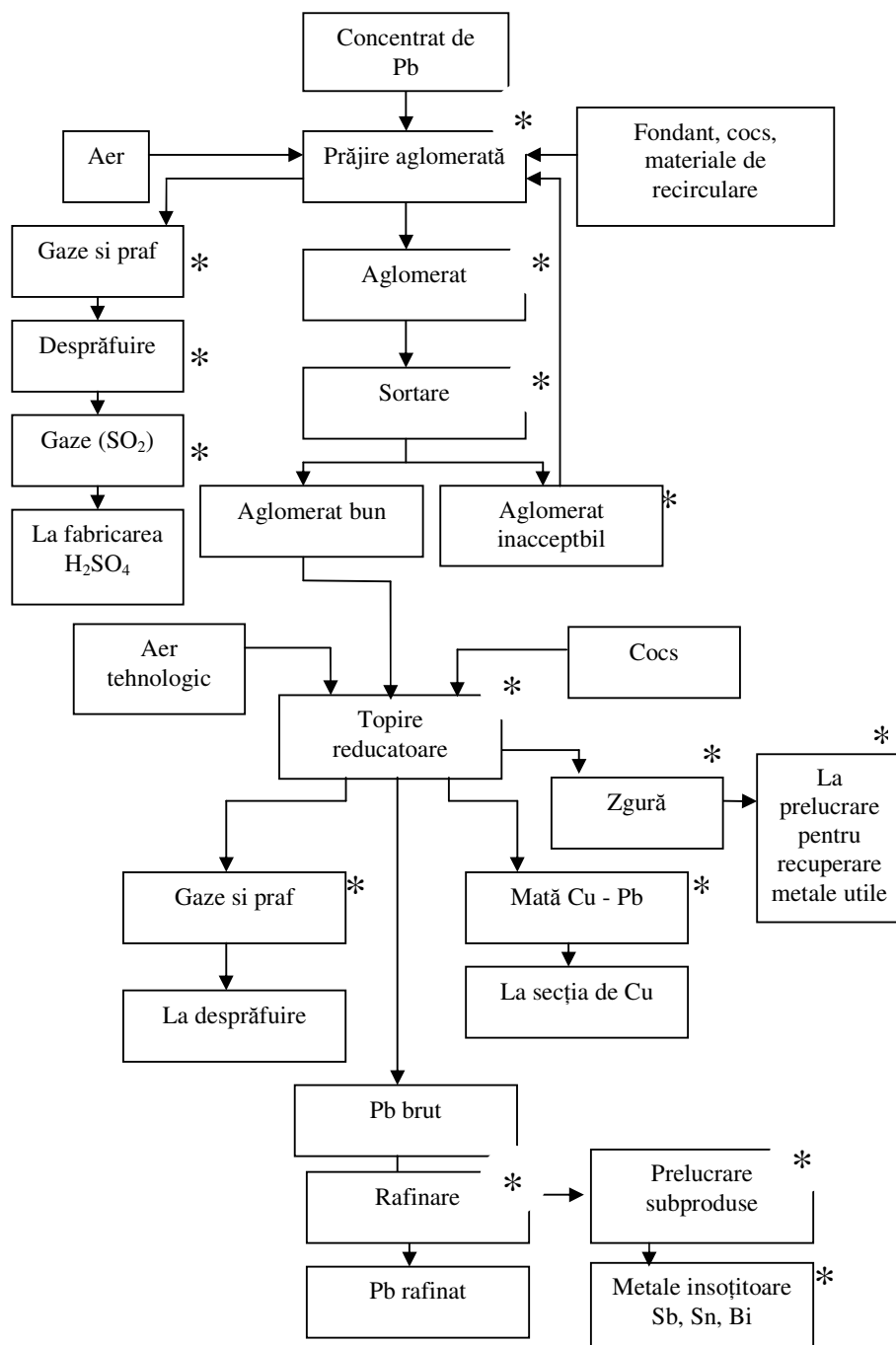


Fig 16.26. Schema de principiu de obținere a Pb prin topire reducatoare
 (* - etapele și sursele de poluare).

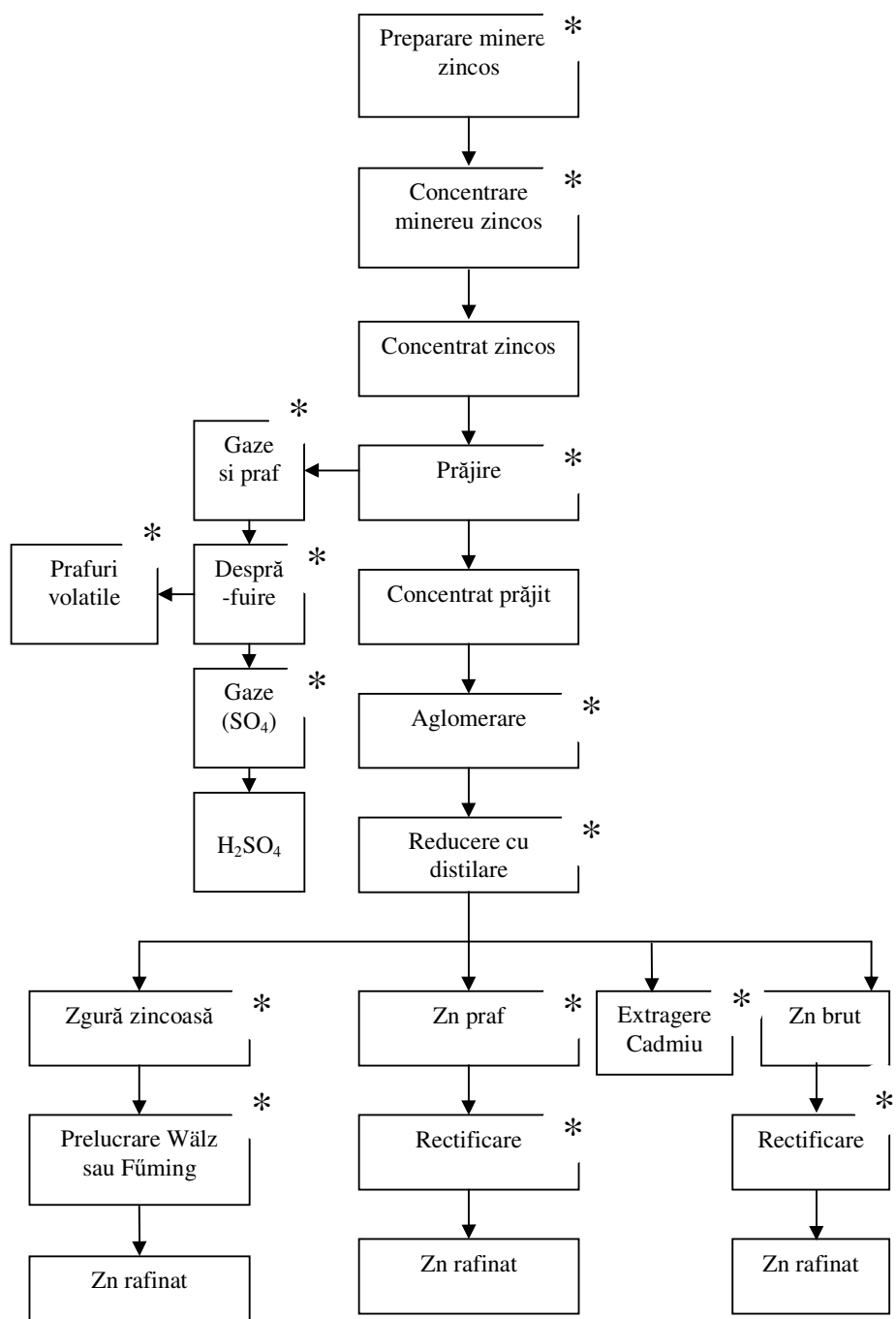


Fig 16.27. Schema obtinerii Zn prin procedeul pirometalurgic clasic
 (* - etapele și sursele de poluare).

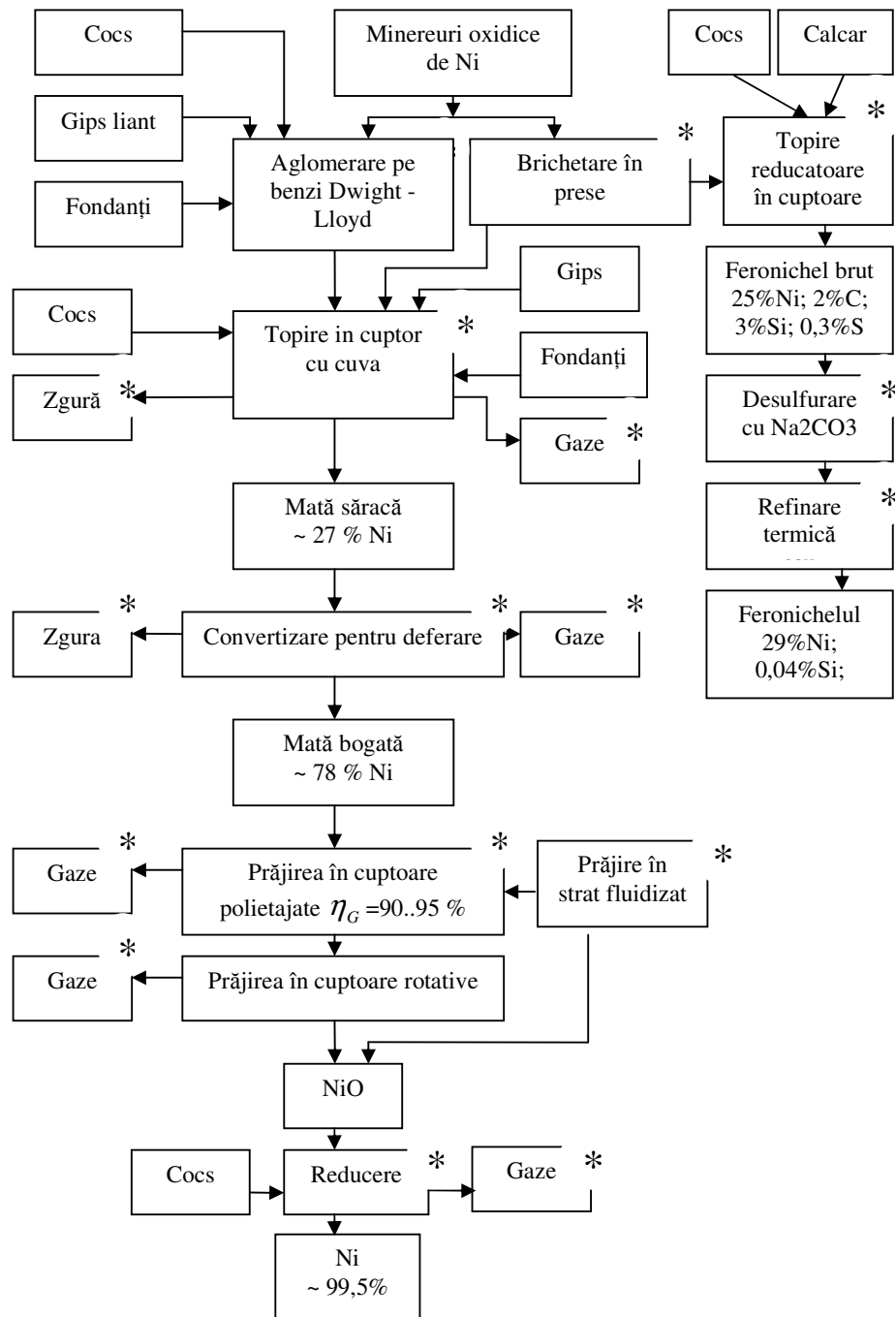


Fig 16.28. Schema de obtinere a Ni din minereuri oxidice de Ni
(* - etapele și sursele de poluare).

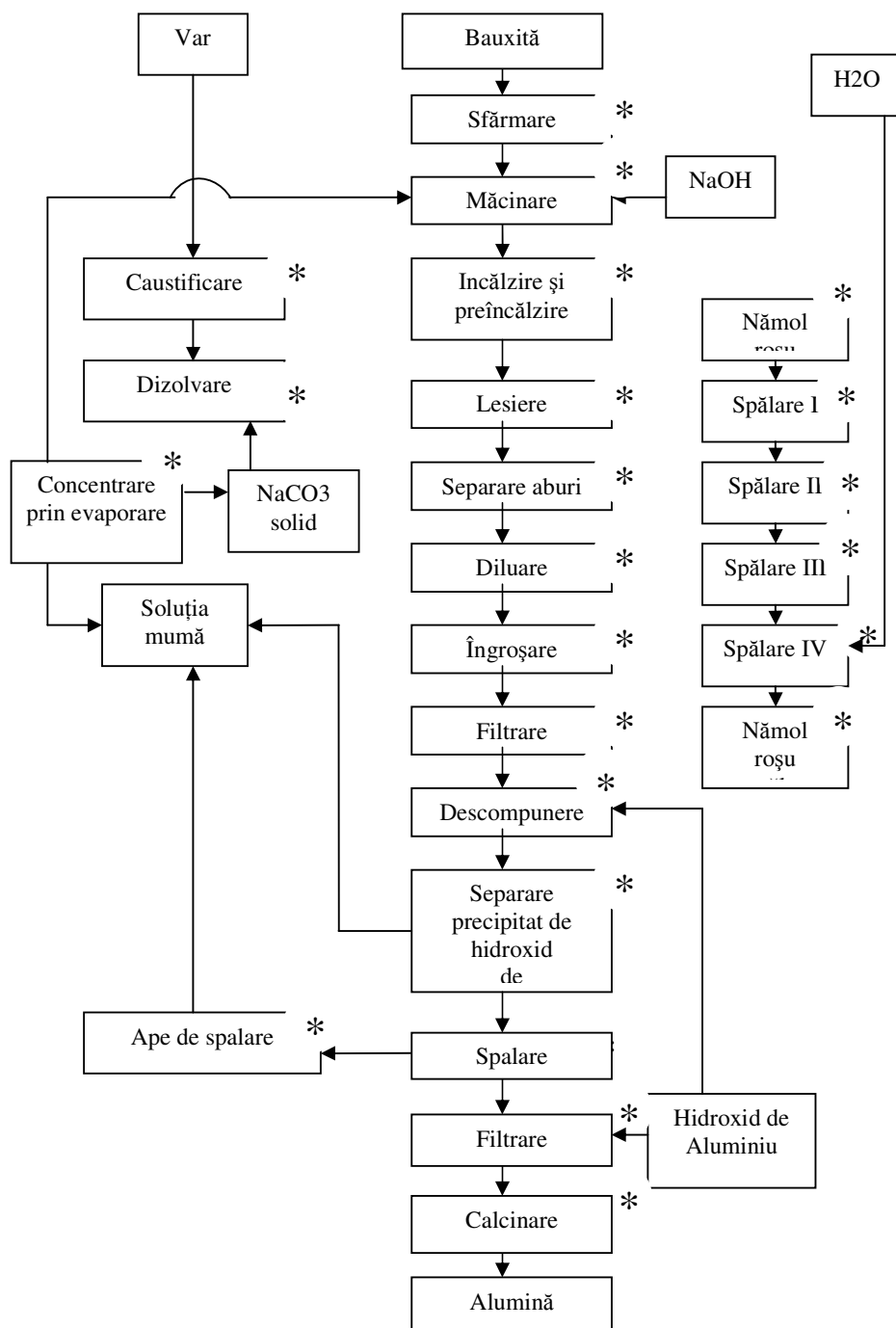


Fig 16.29. Schema obținerii aluminiului după tehnologia Bayer
 (* - etapele și sursele de poluare).

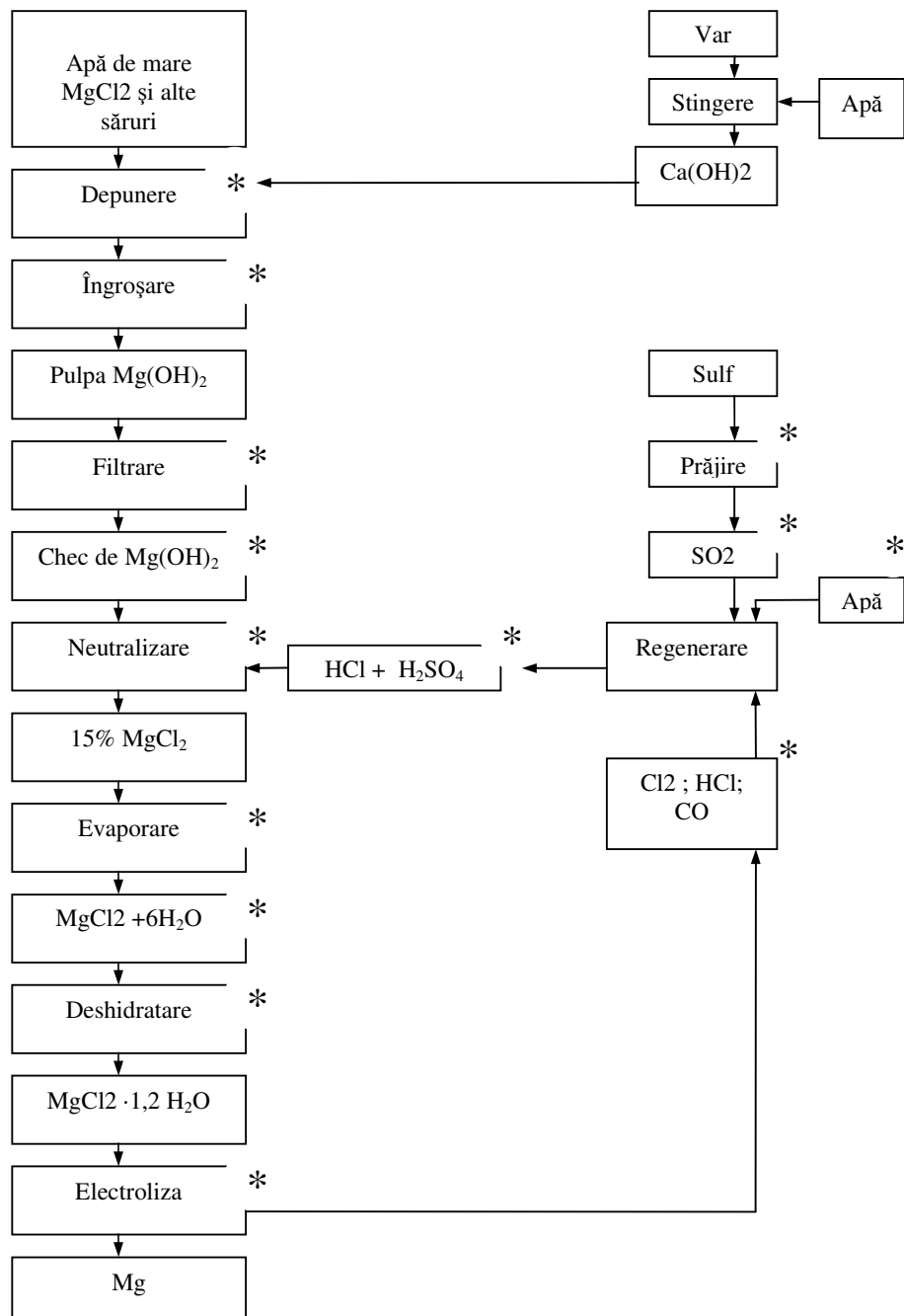


Fig 16.30 . Schema obținerii magneziului
 (* - etapele și sursele de poluare).

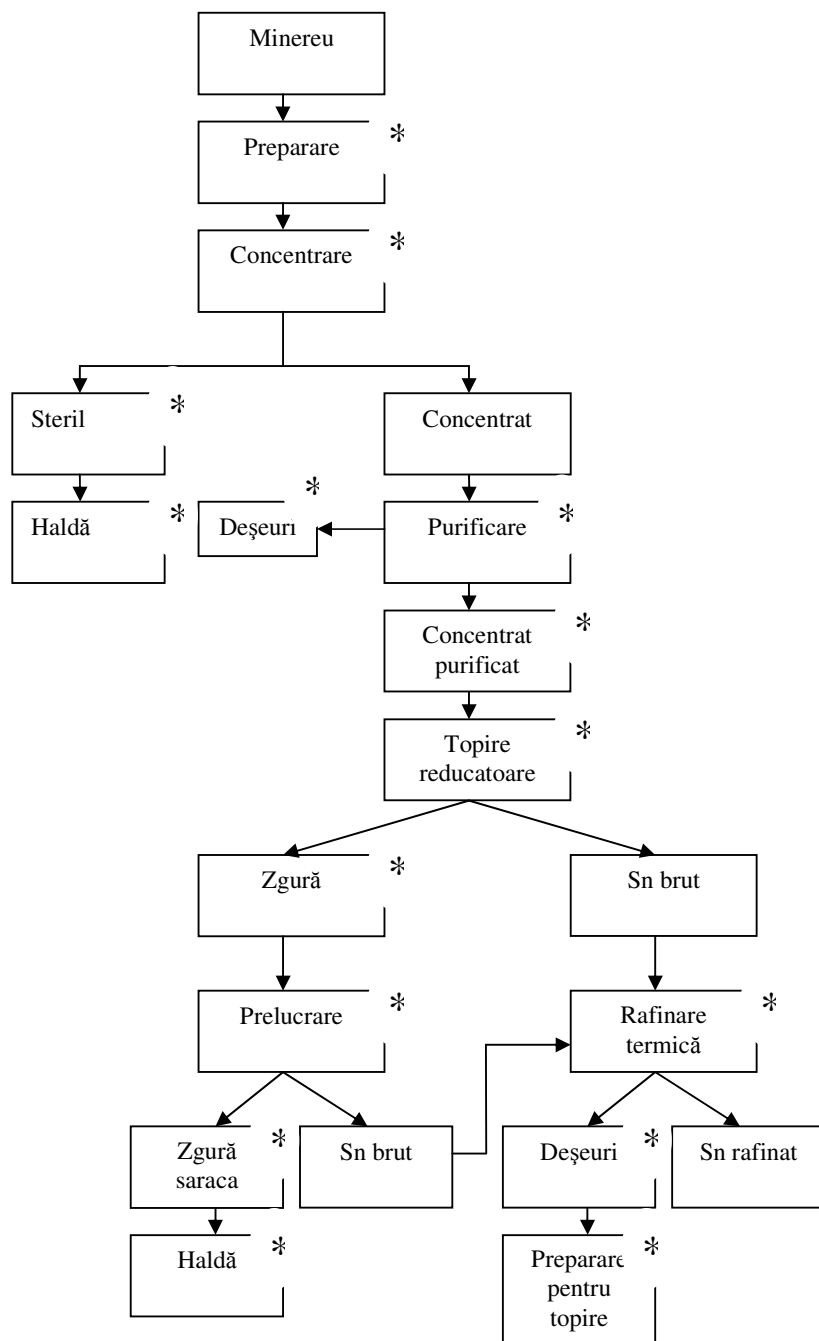


Fig 16.31. Schema obținerii Sn din minereuri cu Sn
(* - etapele și sursele de poluare).

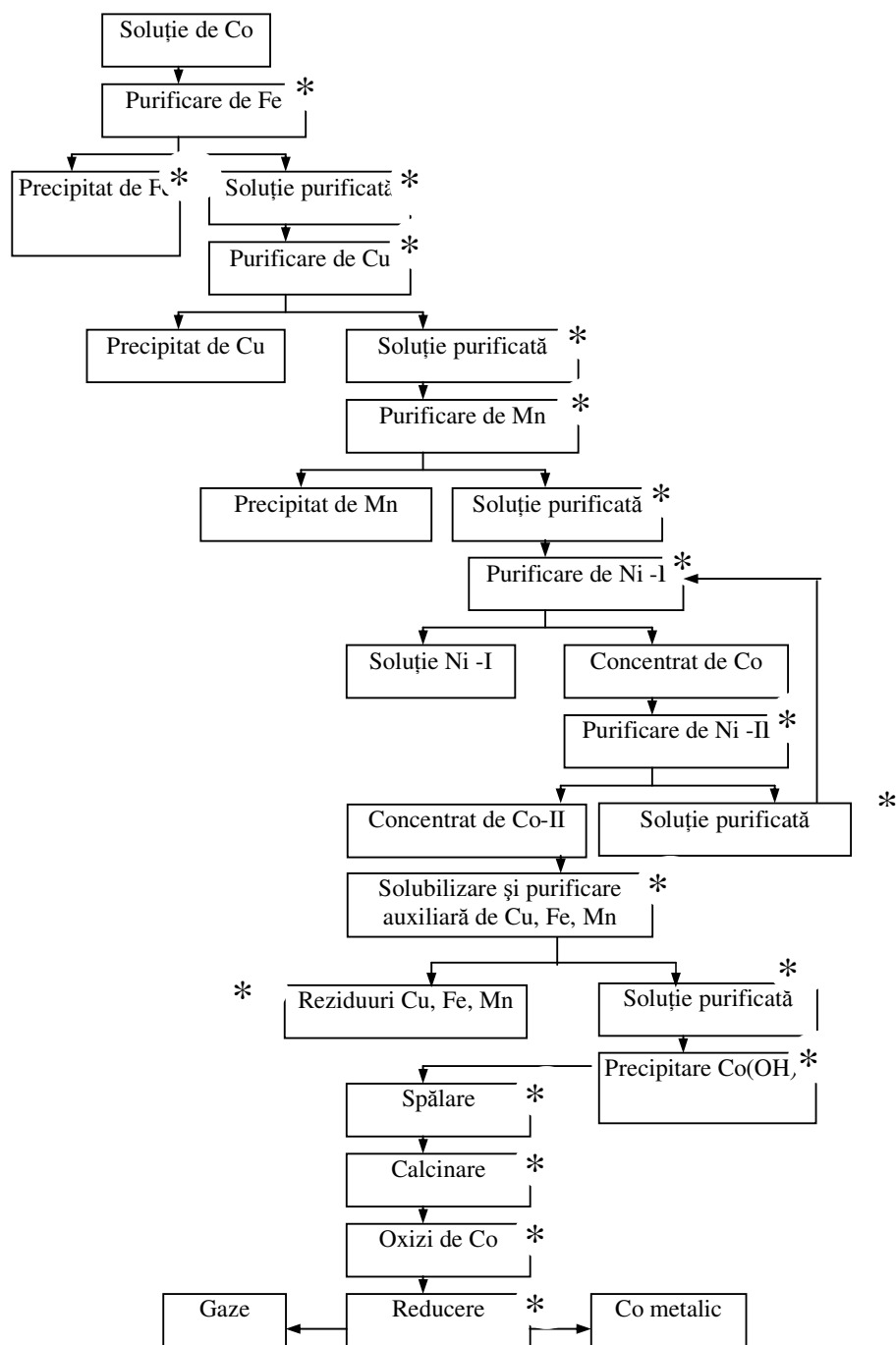


Fig. 16.32. Schema obținerii Co metalic din minereuri complexe (* - etapele și sursele de poluare).

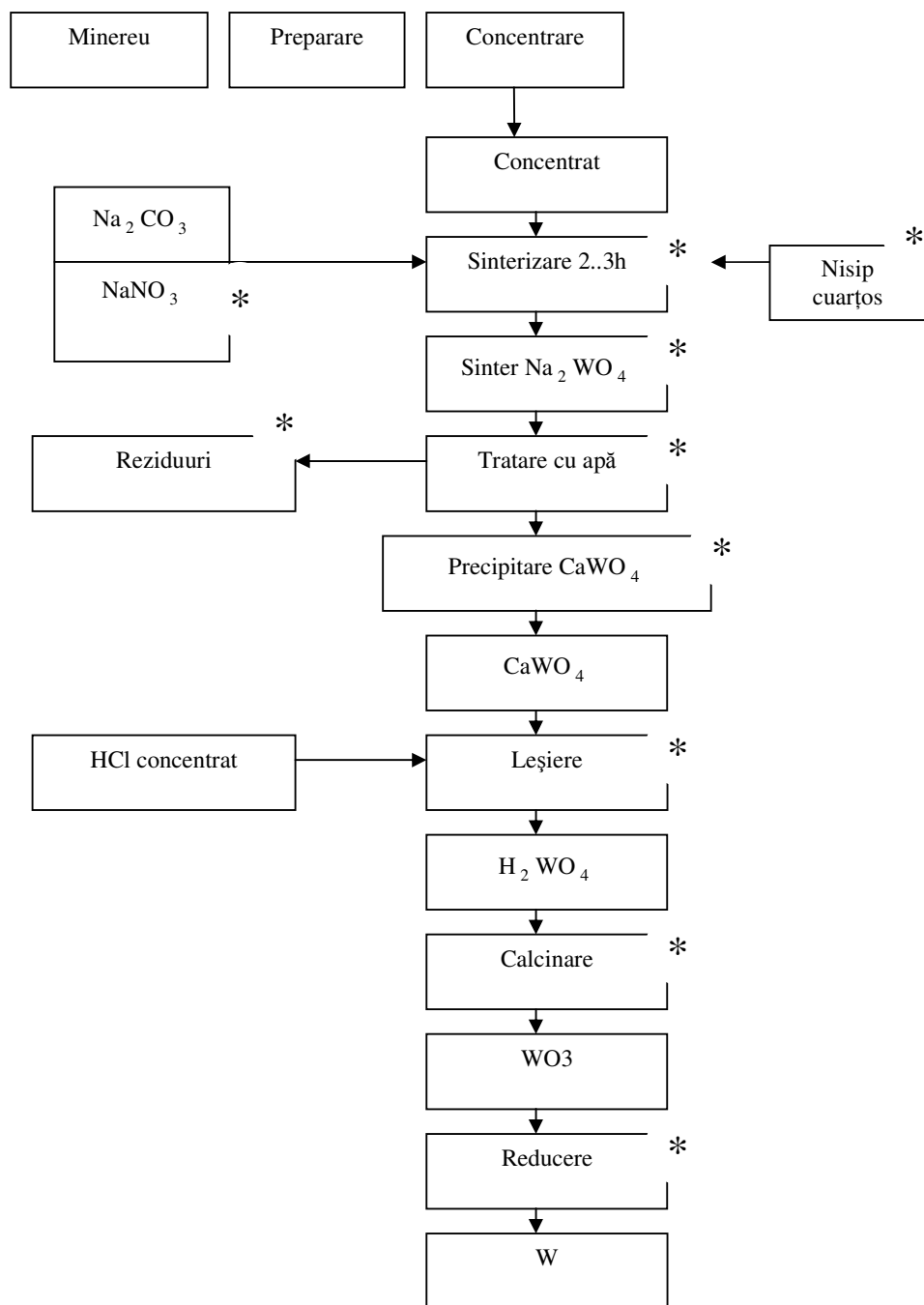


Fig 16.33. Schema de obținere a wolframului prin sinterizare alcalină
(* - etapele și sursele de poluare).

De exemplu, cantitatea de emisii și subproduse poluante pentru obținerea unei tone de oțel sunt date în tabelul 16.1. Cum producția mondială de oțel este de aproximativ 840 Mt/an (milioane de tone pe an), ce reprezintă o cantitate totală de emisii Q_{te} pentru siderurgia mondială a oțelului dată de relația:

$$Q_{te} = 840 \text{ Mt oțel/an} \times 25\,650 \text{ t emisii / t oțel} = 21\,546 \text{ [Mt emisii / an]} \quad (16.2.)$$

Deoarece producția românească este de aproximativ 5Mt / an ea reprezintă o cantitate totală de emisii pentru siderurgia de oțel dată de expresia:

$$Q_{te} = 5 \text{ Mt oțel / an} \times 25\,650 \text{ t emisii / t oțel} = 13 \text{ [Mt emisii / an]} \quad (16.3)$$

Cunoscând cantitatea de emisii și subproduse poluante pentru elaborarea unei tone de material se poate determina coeficientul de poluare aferent elaborării materialului C_{pe} , care intră în produs, cu relația:

$$C_{pe} = Q_{te} \cdot Q_{mu} \text{ [t emisii]} \quad (16.4)$$

În care: Q_{te} – cantitatea totală de emisii și subproduse poluate, exprimată în Kg / t material elaborat; Q_{mu} – cantitatea de material util.

Tabelul 16.1. Emisii și subproduse poluante la elaborarea unei tone de oțel [kg/t oțel].

Nr. crt.	Emisia sau subprodusul	U.M.	Cantitatea (max)
1	Praf în aer	kg / t oțel	0,64
2	CO	kg / t oțel	28
3	SO ₂	kg / t oțel	1,83
4	NO _x	kg / t oțel	1,35
5	CO ₂	kg / t oțel	2040
6	Gaze arse (altele)	kg / t oțel	23 000
7	Zgură	kg / t oțel	455
8	Namol	kg / t oțel	58
9	Praf depus	kg / t oțel	30
10	Alte depuneri	kg / t oțel	8
11	Refractare	kg / t oțel	4
12	Apă uzată	kg / t oțel	20
13	Uleiuri	kg / t oțel	0,8
TOTAL		kg / t oțel	25 650

Poluanții relevanți pentru emisiile în aer datorită elaborării materialelor se prezintă în tabelul 16.2; pentru emisiile în apă – tabelul 16.3 și pentru emisiile în sol, în tabelul 16.4.

De exemplu, emisiile de CO și CO₂, în t/an la un combinat cu o producție de 5 milioane t oțel/an, cât este producția României se prezintă în tabelul 16.5, iar emisiile de NO_x, pentru un combinat siderurgic integrat se prezintă în figura 16.34.

Zonele și etapele în care se formează NOx sunt date în figura 16.35.

Efectele poluării aerului, în timpul elaborării de materiale, asupra omului se prezintă în figura 16.36.

Emisiile de cadmiu în mediu în timpul proceselor de elaborare se dau în tabelul 16.6, iar efectele poluării toxice cu câteva metale asupra sănătății se dau tabelul 16.7.

Tabelul 16.2. Poluanții relevanți pentru emisiile în aer.

Nr. crt.	Poluant	Coeserie	Aglomerare	Furnale și oțelarie	Laminare la cald	Forje	Acoperiri metalice	Turnatorie
1	CH ₄	X						
2	CO	X	X	X	X	X	X	X
3	CO ₂	X		X	X	X		X
4	NH ₂	X						X
5	MNVOC	X	X	X				X
6	N ₂ O	X			X	X		
7	NOx	X	X	X	X	X	X	X
8	SOx	X	X	X	X	X	X	X
9	As și compușii săi	X	X	X	X	X	X	X
10	Cd și compușii săi	X	X	X	X	X	X	X
11	Cr și compușii săi	X	X	X	X	X	X	X
12	Cu și compușii săi	X	X	X	X	X	X	X
13	Ni și compușii săi	X	X	X	X	X	X	X
14	Pb și compușii săi	X	X	X	X	X	X	X
15	Zn și compușii săi		X	X	X	X	X	
16	Hexalorobenzen (HCB)			X	X			X
17	Dioxina și furani (PCDD+Furani)		X					
18	Benzen	X	X	X				X
19	Hidrocarburi aromatice policiclice		X	X			X	
20	Cloruri și compuși aromatici	X	X	X		X	X	X
21	Fluoruri și compuși anorganici		X	X		X		X
22	HCN	X						X
23	PM 10	X	X	X				X

MNVOC = compuși organici volatili nemetalici

Tabelul 16.3. Poluanții relevanți pentru emisia în apă.

Nr. Crt.	Poluant	Cocserie	Aglomerare	Furnale și oțelărie	Laminare E T	Forje	Acoperiri	Turnătorie
1	Total azot	X		X	X			
2	Total fosfat	X		X	X			X
3	Cd și compușii săi		X	X	X	X	X	X
4	Cr și compușii săi		X	X	X			X
5	Cu și compușii săi		X	X				X
6	As și compușii săi							X
7	Hg și compușii săi		X			X	X	
8	Ni și compușii săi		X			X		X
9	Pb și compușii săi		X	X	X	X	X	X
10	Zn și compușii săi		X	X	X	X	X	X
11	Sn și compușii săi		X	X	X	X	X	X
12	Compușii organici halogenați (AOX)		X	X	X	X	X	X
13	Fenoli	X						X
14	Hidrocarburi aromatice policiclice	X	X	X	X	X	X	X
15	Carbon organic total (TOC)	X	X	X	X	X	X	X
16	Cloruri		X	X	X	X	X	X
17	Cianuri	X	X	X	X			X
18	Fluoruri		X	X	X	X	X	X

Tabelul 16.4. Poluanții relevanți pentru emisiile în sol.

Nr. Crt.	Metale	Alte elemente	Hidrocarburi aromatice polinucleare (III)
1	Antimoniu (Sb)	Cianuri libere	Antracene
2	Argint (Ag)	Cianuri complexe	Benzoantracene
3	Arseniu (As)	Sulfocianați	Benzofluoranten
4	Bariu (Ba)	Fluor (F)	Benzoperilen
5	Beriliu (Be)	Brom (Br)	Benzopiren
6	Bor solubil (B)	Sulf (elementar)	Chisen
7	Cadmium (Cd)	Sulfuri	Fluoranten
8	Cobalt (Co)	Sulfati	Indeno (1,2,3,) piren
9	Crom (Cr) total, hexavalent	-	Naftalină
10	Cupru (Cu)	I – Hidrocarburi aromatice mononucleare	Fenantren
11	Mangan (Mn)	Benzen	Piren

Tabelul 16.4. (Continuare)

12	Mercur (Hg)	Etilbenzen	IV – hidrocarburi din petrol
13	Molibden (Mo)	Toluen	I – clorbenzen, clorfenoli
14	Nichel (Ni)	Xilen	II – bifenili policlorurati
15	Plumb (Pb)	-	PCB 28
16	Seleniu (Se)	Pesticide organo clorurate	PCB 52
17	Staniu (Sn)	ΣDDT	PCB 101
18	Talin (Tl)	DDT	PCB 118
19	Vanadiu (V)	DDE	PCB 138
20	Zinc (Zn)	DDD	PCB 153
21		HCH	PCB 180
22		α - HCH	III – policlordibenzen diene(PCDD)
23		β - HCH	Policlordibenzen freani (PCDF)
24		γ - HCH	
25		δ - HCH	Hidroxilbenzeni
26		II - triazinice	

Tabelul 16.5. Emisiile de CO si CO₂ în [t/an], la un combinat cu o producție de 6 milioane de tone oțel /an.

	Emisia de CO [t CO / an]	[%]	Emisii de CO ₂ [t CO ₂ /an]
Cocserie	38 400	7,8	1.200.000
Aglomerare	382 700	77,8	1.440.000
Furnal	17 500	3,5	3.000.000
Oțelarie	26 400	5,4	840.000
Refractare	2000	0,4	230.000
Reparații	2400	4,9	487.000
Transport	1000	0,2	1.500
Total	492 000	100	7.198.500

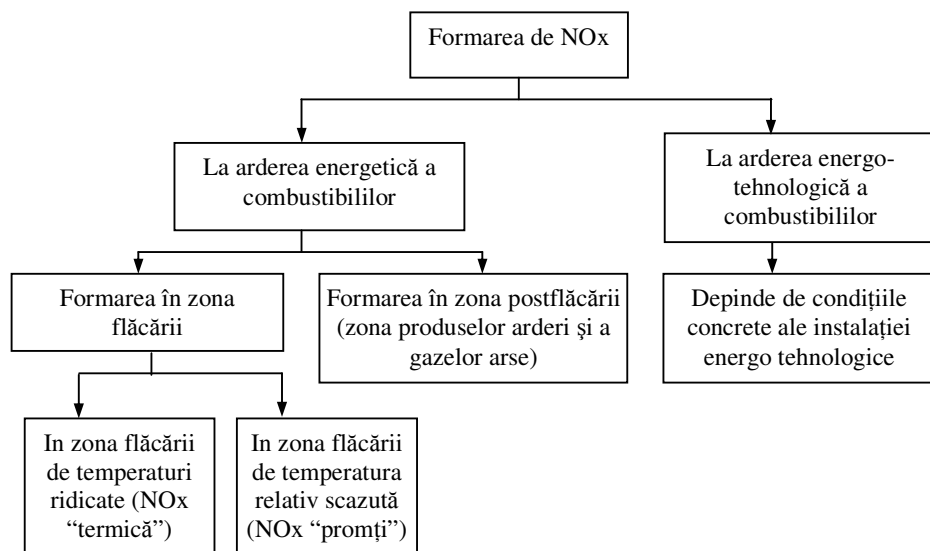


Fig 16.35 Formarea oxizilor de azot (NOx).

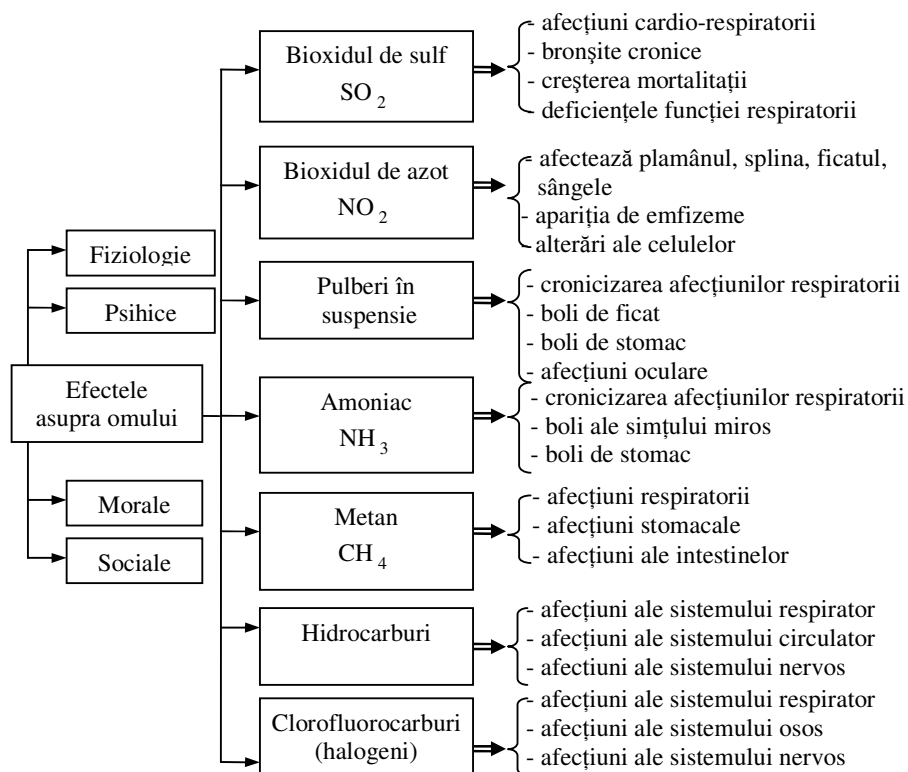


Fig 16.36. Efectele poluării aerului asupra omului.

Tabelul 16.6. Emisii de Cd în mediu.

	Producția totală [mii tone]	Emisie totală [t · cadmiu]	Emisie în aer [t · cadmiu]	Emisie în ape reziduale [t · cadmiu]
Industrii producătoare și utilizatoare de Cd				
Metalurgia Cd-Zn-Pb și prăjirea piritei	3000 (Zn + Pb)	351	30	112
Industria utilizatoare de Cd	4565	81	5	21
Industria neutilizatoare de Cd				
Cărbune de pământ	239000	400	60	-
Lignit	34000	86	15	-
Petrol	282000	5	5	-
Fontă	89000	290..390	89..300	-
Oțel	126000	460..600	130..200	-
Zgură Thomas	800(P ₂ O ₅)	(37) 1770	370	-
Fosfați	12400	270	Urme	-
Metalurgia Cu	970	20	5	-
Deșeuri				
Gunoaie comunale	8800	800..900	30	-
Nămoluri biologice	5000	70..900	30	-
Gunoaie industriale	140000	150..250	-	-
Industria extractivă	Foarte mult	-	60..140	-
Cuptoare vechi de prăjire (Zn-Pb)	-	20..30	-	20..30

Infestarea organismului cu Cd se face prin intermediul alimentelor, apei potabile și aerului. Doza asimilată de organism este de 1,9717..5,235 μ g/ locuitor zonă industrială. Spre comparare – fumarea a 10 țigari / zi ridică doza cu 0,7 μ g Cd, astfel că la 50..60 ani, organismul fumătorului este de 2..4 ori mai infectat decât al nefumătorului.

Tabelul 16.7. Efectele poluării toxice cu metale.

Nr. crt.	Poluant	Efectele principale asupra sănătății
1	As	Forme de cancer, boli de piele, efecte hematologice, anemie
2	Cd	Disfuncții cronice respiratorii, afecțiuni renale, formațiuni infecțioase (chiar maligne)
3	Cr	Forme de cancer, dermatite, formațiuni infecțioase stomacale
4	Pb	Afectarea sistemelor hematologice și sistemului nervos, vătămarea ficatului

Tabelul 16.7. (Continuare)

5	Hg	Acțiune toxică asupra sistemului nervos, inclusiv crize de pierdere a cunoștinței, deteriorarea funcțiilor senzoriale, insuficiența hepatică
6	Ni	Îmbolnăviri respiratorii, inclusiv astmă, atacarea sistemului nervos, insuficiențe congenitale și de creștere
7	V	Afectarea sistemului respirator, inclusiv astmă, atacarea sistemului nervos, schimbarea compoziției sângelui

3 ° *Alegerea semifabricatului inițial* – se face în funcție de: configurația geometrică; greutatea și dimensiunile de gabarit ale produsului; volumul de producție; posibilitățile de mecanizare, automatizare și robotizare; natura materialului cu proprietăți tehnologice și economice ale acestuia; precizia geometrică impusă de rolul funcțional; gradul de netezime al suprafețelor; utilajele necesare existente sau posibil de procurat.

Cele mai des întâlnite semifabricate sunt cele obținute *prin deformare plastică la cald* (laminare, tragere, extrudare, forjare liberă, forjare în matrită, ambutisare, îndoire etc). Dacă semifabricatul ales este obținut prin deformare plastică la cald, sursele de poluare care trebuie luate în considerare se vad în figura 16.37. Și aici se constată că are loc o poluare intensă atât a aerului cât și a apei și a solului. Dacă semifabricatul ales este obținut prin deformare plastică la rece (laminare, extrudare, tragere, trefilare, forjare liberă, forjare în matrită, îndoire, refulare, ambutisare, fasonare etc) atunci sursele de poluare sunt cele prezentate în fig 16.38. și aici se observă o însemnată poluare a atmosferei, apei și solului. De exemplu, emisia globală de CO₂ pentru o tonă de laminat obținută într-un combinat metalurgic integrat se prezintă în tabelul 16.8., iar unele surse cancerigene sunt reprezentate de emisiile date de cuptoarele de încălzire (în tabelul 16.9. sunt date emisiile de ben(a)-pirena, în t / an, ca principală sursă cancerigenă).

Tabelul 16.8. Emisia globală de CO₂ [kg CO₂ / t laminat]

Flux tehnologic	Furnal+LD (inclusiv cocserie)	Corex + reducere directă + CAE	Fier vechi + CAE
Emisie directă, kg CO ₂ / t	1900	1400	140
Emisie indirectă	100	770	520
Emisie totală	2000	2170	660

Tabelul 16.9. Cantitatea de ben(a) – pirenă emisă într-un combinat integrat [t/an]

Sursa de emisie	Cantitate [t/an]	Cantitate [%]
Uzina cocso-chimica	0,770	7,22
Aglomerare	0,040	3,70
Furnal	0,002	0,20
Oțelarie	0,187	17,50
Laminoare	0,041	3,80
Refractare și var	0,003	0,30
Reparații caje laminare	0,003	0,30
Centrala termo-electrica	0,021	2,00
Total	1,067	100%

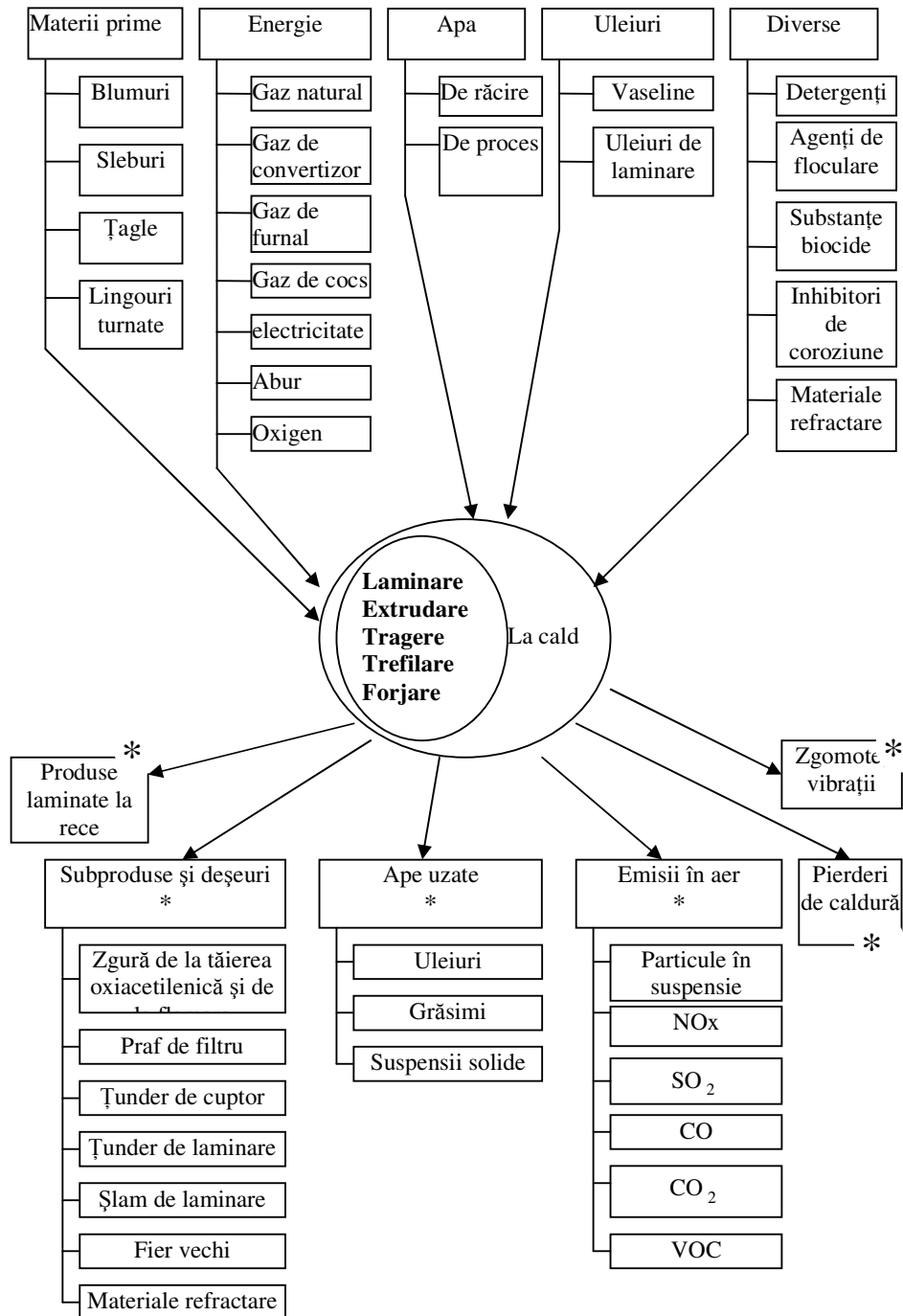


Fig 16.37. Procedeele de deformare plastică la cald și sursele de poluare (* - etapele și sursele de poluare).

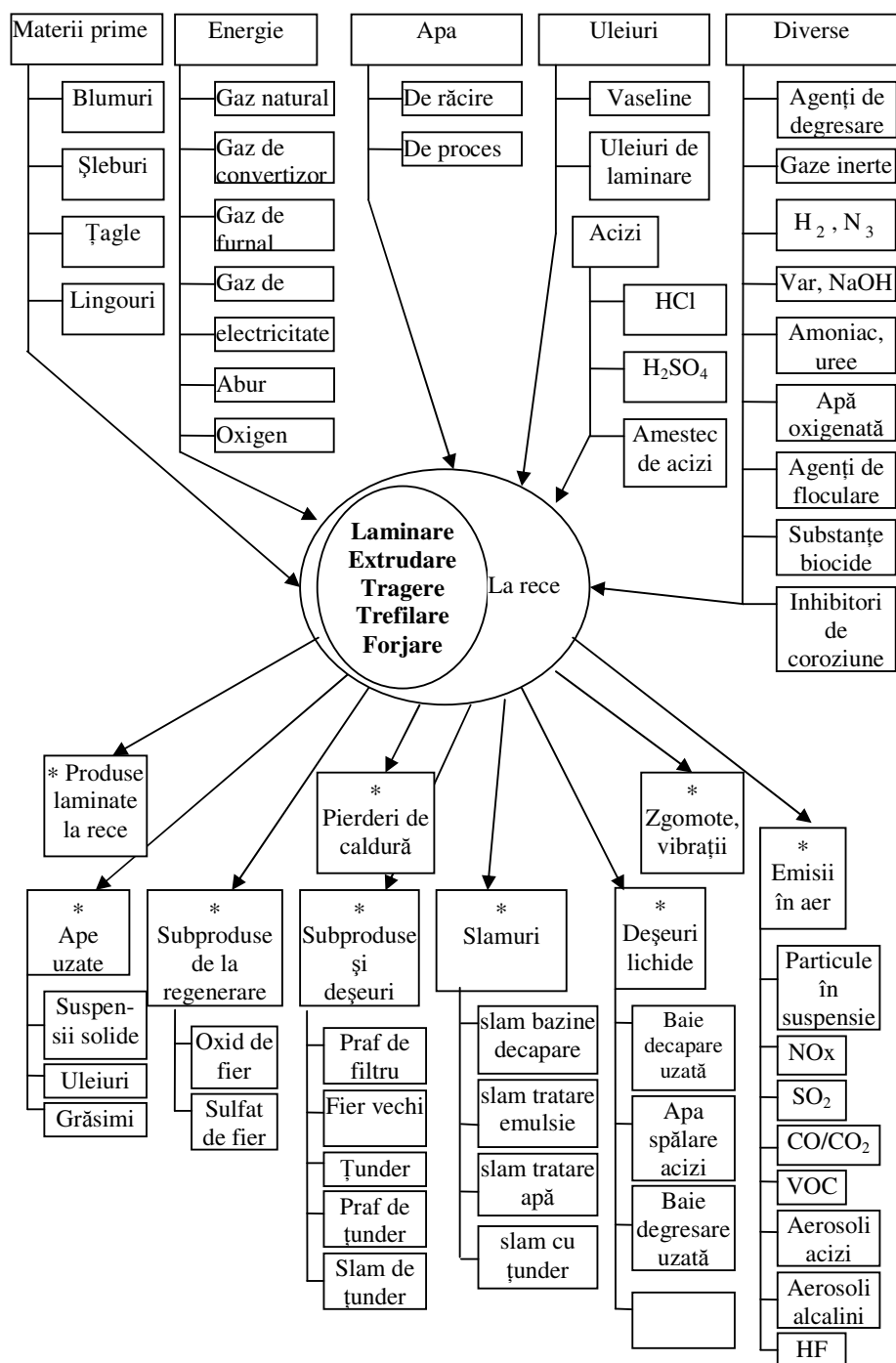


Fig 16.38. Procese de deformare plastică la rece și sursele de poluare (* - etapele și sursele de poluare).

Piese cu configurație geometrică complexă care nu sunt supuse la solicitări mari în exploatare se execută de regulă din semifabricate turnate din fontă, iar piesele cu configurație geometrică complexă, care lucrează în condiții de exploatare grele și suportă solicitări mari se execută din semifabricate turnate din oțeluri. Principalele etape și surse de poluare în cazul obținerii unui semifabricat turnat în forme temporare din amestec de formare obișnuit (cel mai des întâlnit) se prezintă în figura 16.39.

Fiecare din etapele în care există asterisc poluează aerul, apa și solul mai mult sau mai puțin, în funcție de tehnologia de realizare a etapei. De exemplu, prepararea amestecului de formare sau de miez introduce următoarele surse de poluare (fig. 16.40).

Piese care nu au o configurație complexă și necesită un anumit fibraj, sub aspectul continuității, omogenității și solicitărilor se recomandă a se executa din semifabricate forjate sau matrițate (cele matrițate se folosesc pentru producția de serie mare sau masa).

Piese de dimensiuni mici sau mari, de configurație complexă, în producție de serie mică sau unicate se recomandă a fi executate din semifabricatele forjate sau turnate folosind asamblarea prin sudare.

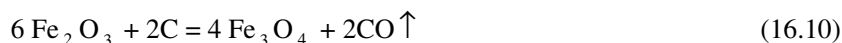
Asamblarea prin sudare este un procedeu tehnologic puternic poluant mai ales al atmosferei și al solului. De exemplu, realizarea unor piese prin sudarea manuală cu arc electric cu electrod învelit presupune următoarele etape tehnologice și surse de poluare (fig 16.41).

Formarea de CO în procesul de sudare are loc mai ales la arderea învelișului electrozilor și a fluxurilor folosite, după următoarele reacții:

- la temperaturi mai mari de 570 °C:



- la temperaturi mai mici de 570 °C:



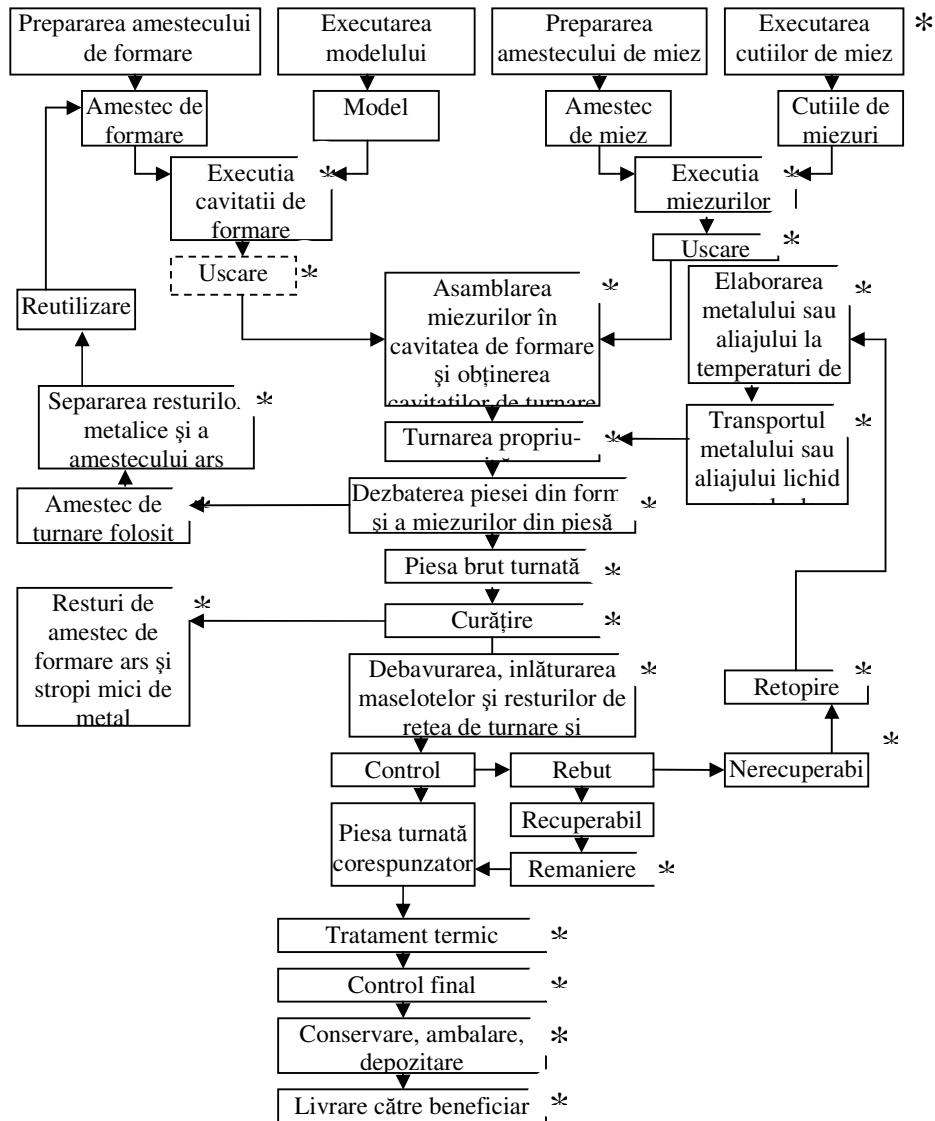


Fig 16.39. Schema de principiu a procesului tehnologic de turnare în forme temporare din amestec de formare obișnuit și sursele de poluare (* - etapele și sursele de poluare).

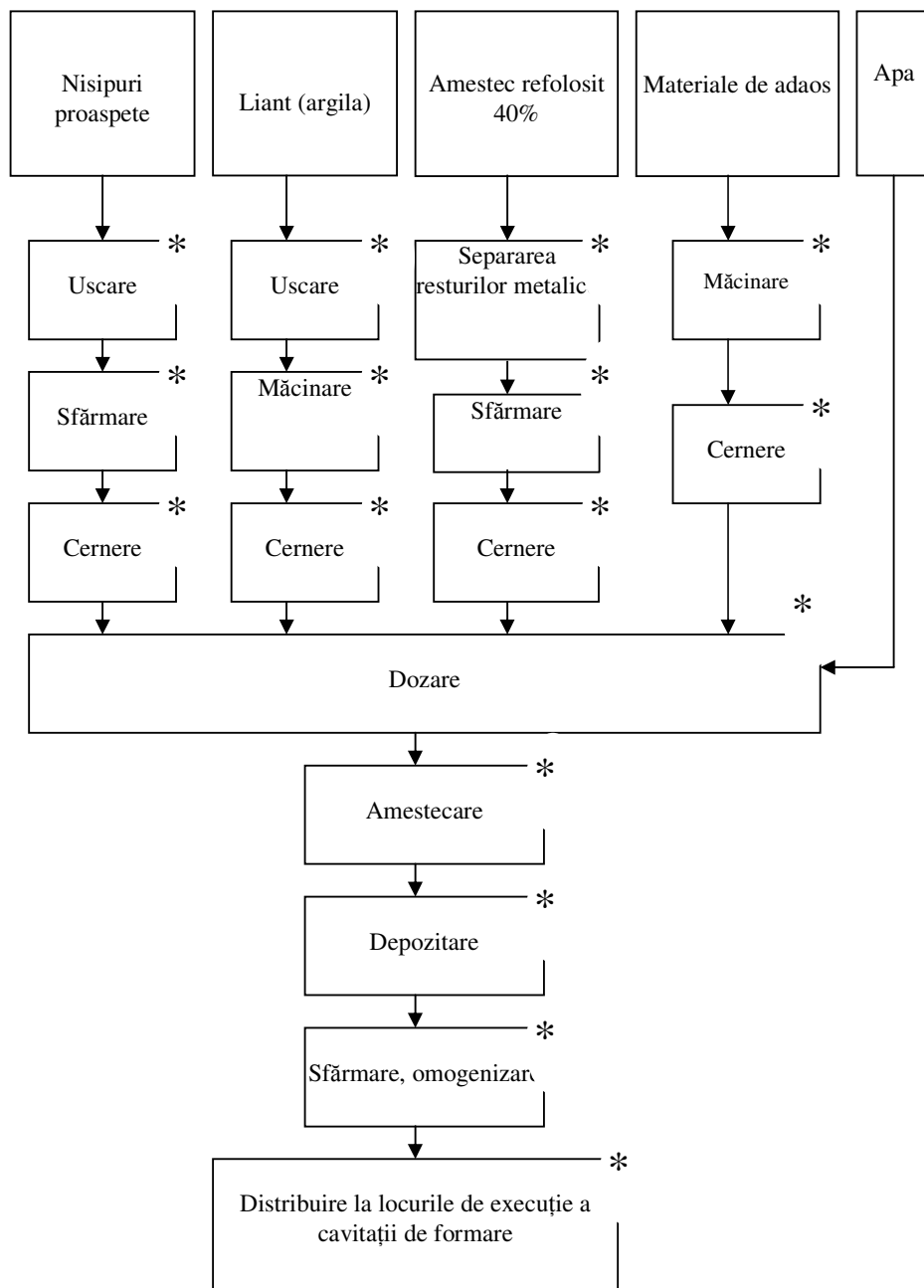


Fig 16.40. Schema preparării amestecului de formare obișnuit și sursele de poluare (* - etapele și sursele de poluare).

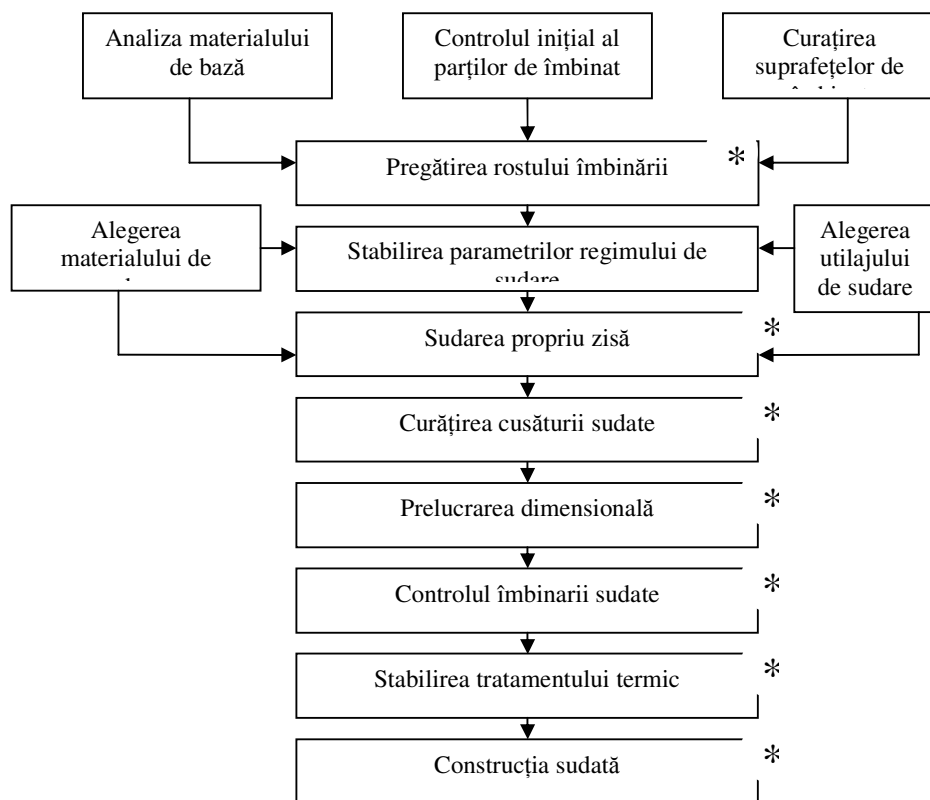
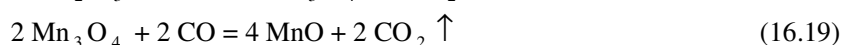


Fig 16.41. Procesul tehnologic de sudare și etapele în care apare poluarea mediului (* - etapele și sursele de poluare).

Formarea de CO_2 în procesele de sudare are loc mai ales la formarea băii de sudură în urma topirii materialului de adaos și a materialului de bază, după următoarele reacții:



Câteva valori ale emisiilor de CO_2 se prezintă în tabelul 16.9.

Tabelul 16.9. Emisiile de CO₂, la cateva procedee de sudare

Procedeul	Emisiile de CO ₂ [t CO ₂ / t cusătură sudată]	
	minim	maxim
Sudarea manuală cu arc electric	0,280	0,50
Sudarea automată sub strat de flux	0,175	0,21
Sudarea în mediu protector de gaze	0,205	0,24
Sudarea cu falcară oxigaz	0,312	0,55

Formarea de NO_x are loc la formarea băii de sudură și la turnare după următoarele reacții:



Un bilanț al formării de NO_x se prezintă în tabelul 16.10.

Tabelul 16.10. Emisii de NO_x, la câteva procedee tehnologice, în gNO_x/t oțel.

Sectia	gNO _x /t _{otel}
Aglomerare (Preparare)	1064
Cocserie	441
Furnal	30
Oțelarie	22
Laminare	166
Turnare	110
Sudare	154

Formarea de compuși ai Sulfului are loc atât în procesul de turnare și sudare dar și în secțiile de deformare plastică, după reacțiile:



Cei mai răspândiți compuși ai sulfului evacuate în atmosferă sunt: dioxidul de sulf (SO₂); carbonilsulfura (COS); sulfura de carbon (CS₂); sulfura de hidrogen

(H₂S) și dimetilsulfura ((CH₃)₂S)

Câteva valori ale emisiilor de SO₂ se prezintă în tabelul 16.11.

Tabelul 16.11. Valori ale emisiilor de SO₂, în Kg/t produs

Sectia	Emisia de SO ₂ [kg SO ₂ /t produs]
Preparare	0,64
Cocserie	1,06
Furnal	0,11
Cuptor LD elaborare oțel	0,02
Cuptor electric elaborare oțel	0,03
Laminare	0,16
Turnare	0,22
Sudare	0,13

Cunoscând semifabricatul folosit pentru realizarea produsului se poate calcula coeficientul de poluare introdus de semifabricat C_{ps}, cu relația:

$$C_{ps} = Q_{ts} \cdot M_{su} = (Q_{sa} + Q_{sl} + Q_{ss})M_{su} \text{ [tone emisii]} \quad (16.37')$$

în care: Q_{ts} este cantitatea totală de substanță poluantă introdusă de semifabricat; Q_{sa} – cantitatea de substanță ce poluează aerul la elaborarea semifabricatului; Q_{sl} – cantitatea de substanță ce poluează apa la elaborarea semifabricatelor; Q_{ss} – cantitatea de substanță ce poluează solul la elaborarea semifabricatelor; M_{su} – masa utilă a semifabricatului, în tone; Q_{sa} + Q_{sl} + Q_{ss} se exprimă în tone emisii /tonă de semifabricat util.

Tot în etapa de elaborare materiale și elaborare semifabricat apare o poluare accentuată a apelor de către poluanții metalurgici prezenți în mediul apos aflat circumscris conturului tehnologic. Cei mai importanți factori poluanți sunt:

- **aparitia ceții**, constituie un proces important, aflat în zona mecanismelor de poluare a mediului tehnologico-hidraulic. Concentrațiile în apă lichidă într-o ceață este de 10⁻⁴l de apă pe m³ aer, în timp ce concentrațiile de ioni și de acizi este de 10...50 ori mai mari decât la apele din ploi. Picăturile de ceață se formează practic prin condensarea umidității pe nuclee de condensare răspândite de particule solide și aerosoli. Ceața provoacă creșterea concentrației poluanților;

- **nașterea aerosolilor** este un fenomen poluant în mediul apos existent în interiorul sau în afara conturului tehnologic. Aerosolii reprezintă conglomerate în sisteme lichid-solid sau solid-solid dispersate într-un mediu gazos, format prin: *coalescență*, în cazul particulelor fine, și *coagulare* în cazul particulelor groșiere. Aerosolii pot conține pe lângă poluanții gazoși o cantitate importantă de compuși atmosferici care în final se depun sub formă de depozite umede sau uscate pe suprafața pământului. Dimensiunile particulelor sunt cuprinse între 0,01...100μm. Distribuția schematică a aerosolilor se prezintă în figura 16.42.. Compuși acizi și neutri (sulfati de amoniu, nitrati de amoniu) sunt prezenți în aerosolii fini, în timp ce aerosolii de dimensiuni mai mari sunt în general alcalini, fini, formați din particule provenite din sol și din cenuși. În aerosoli sunt susținute metalele grele, numeroși compuși organici, hidrocarburi policiclice aromate și alți compuși toxici, cum ar fi nitrofenolii.

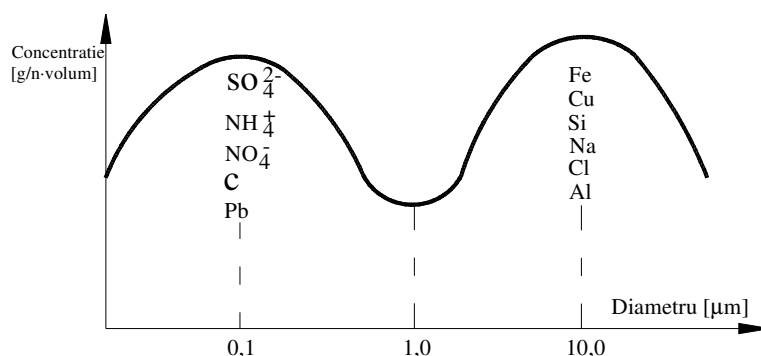
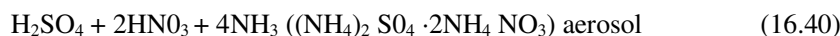


Fig. 16. 42. Distribuția schematică a aerosolilor.

Racții de formare aerosoli



- **formarea smogului.** Smogul este caz particular de aerosoli. Exista două tipuri de smog:

- *smog de tip londonez* (arderea cărbunilor și a păcurii) – o negura densă cu impurități particulare de funingine și SO_2 ;

- *smog de tip Los Angeles*, care determină o iritare intensă a căilor respiratorii și a ochilor, accelerează coroziunea metalelor și distrugerea clădirilor. Este datorat prezenței ozonului și peroxinitraților.

4° Curățirea, decaparea, degresarea sunt etape foarte importante în proiectarea și realizarea oricăror produse deoarece înainte de oricare operație tehnologică pretențioasă trebuie executată curățirea, decaparea și degresarea suprafețelor. Sunt foarte multe situații când curățirea se face prin diferite metode: clasice manuale (ciocăniri, șpăcluire); mecanizate (pick-hammer, perii de sarma, sablare-alicare); speciale (curățirea chimică, electrochimică, prin vibrație, cu plasma, cu laser, cu ultrasunete, cu flacăra și material abraziv, termică, electrochimică, cu jet de apă, cu flăcări etc.). Fiecare din aceste metode are un impact mai mare sau mai mic asupra mediului, în funcție de metodele folosite și de operațiile tehnologice viitoare, pentru că există o mare diferență între curățirea suprafețelor în vederea sudării și curățirea suprafețelor în vederea acoperirilor de protecție, sau între curățirea suprafețelor pieselor turnate după dezbatere și curățirea suprafețelor instrumentelor medicale. Spre înțelegerea complexității problemei, în figura 16.43. se prezintă etapele și sursele de poluare la decaparea cu acid clorhidric, iar în figura 16.44 etapele și sursele de poluare la decaparea cu acid

sulfuric.

În funcție de modul cu se face aceasta operație de curățire, decapare și degresare se poate calcula coeficientul de poluare C_{pcd} , introdus de această operație cu relația:

$$C_{pcd} = Q_{ptc} \cdot M_u = (Q_{pca} + Q_{pcl} + Q_{pcs}) \cdot M_u \text{ [t emisii]} \quad (16.43)$$

în care: Q_{ptc} este cantitatea totală de substanța poluantă ce apare în operația de curățire, decapare, degresare; Q_{pca} - cantitatea de substanța poluantă a atmosferei ce apare la curățire, decapare, degresare; Q_{pcl} - cantitatea de substanță poluantă a apei ce apare în operația de curățire, decapare, degresare; Q_{pcs} - cantitatea de substanță poluantă a solului ce apare în operația de curățire, decapare, degresare; M_u - masa utilă a semifabricatului sau a piesei - semifabricat.

5^o *Prelucrările mecanice* sunt operații foarte importante la care sunt supuse semifabricatele turnate, deformate plastic sau sudate, în urma cărora se obțin dimensiunile finale și precizia geometrică cerută de rolul funcțional.

Aceste prelucrări se fac pentru a obține anumită precizie de formă și de poziție și o anumită rugozitate pentru fiecare suprafață ce mărginește piesa în spațiu. Principalele operații de prelucrări mecanice prin așchiere sunt: strunjirea, rabotarea, mortezarea, frezarea, găurirea, lărgirea, adâncirea, alezarea, teșirea, lamarea, tarodarea, broșarea, rectificarea, honuirea, lepuirea, supranetezirea, și rodarea.

Fiecare operație se execută pe echipamente tehnologice specifice, cu SDV-uri corespunzătoare și în anumite secții de lucru (anumiți parametri ai procesului, folosind anumite substanțe și emulsii de răcire sau accelerare a procesului de așchiere, dezvoltându-se anumite temperaturi). În cadrul acestor operații apar o serie de substanțe care poluează aerul, apa sau solul într-o măsură mai mare sau mai mică, aceasta depinzând de condițiile în care se desfășoară procesul de așchiere. De exemplu, în cazul prelucrării prin așchiere apar o serie de *compusi organici volatili* (COV) așa cum se vede în tabelul 16.12, care pot avea efecte directe asupra sănătății și asupra mediului, prin nocivitatea intrinsecă și unele proprietăți fizico-chimice, sau indirecte, prin degradarea aerului (poluarea fotochimică și efectul de seră).

Valorile maxime ce nu pot fi depășite, pentru apărarea sănătății populației și care țin seama și de subiecții cu risc ridicat (copii, insuficiente respiratorii, persoane în vârstă) sunt prezentate în tabelul 16.13.

În procesul de prelucrări mecanice mai apar vapori și picături datorită utilizării emulsiilor de diferite categorii. În general, termenul de vapori se referă la picături de lichid de mărime microscopică (sub $10 \mu m$). Dacă diametrul este mai mare de 10 se consideră că este cu aerosol pulverizat sau pur și simplu picături. Aceste picături se formează lângă bule care explodează, lângă pulverizatoare, dar mai ales lângă distribuitoarele care stropesc cu emulsie.

Cunoscând aceste elemente se poate determina coeficientul de poluare introdus de prelucrările mecanice C_{pm} , care se poate calcula cu relația:

$$C_{pm} = Q_{ipm} \cdot M_u = (Q_{pma} + Q_{pml} + Q_{pms}) M_u \text{ [t emisii]} \quad (16.44)$$

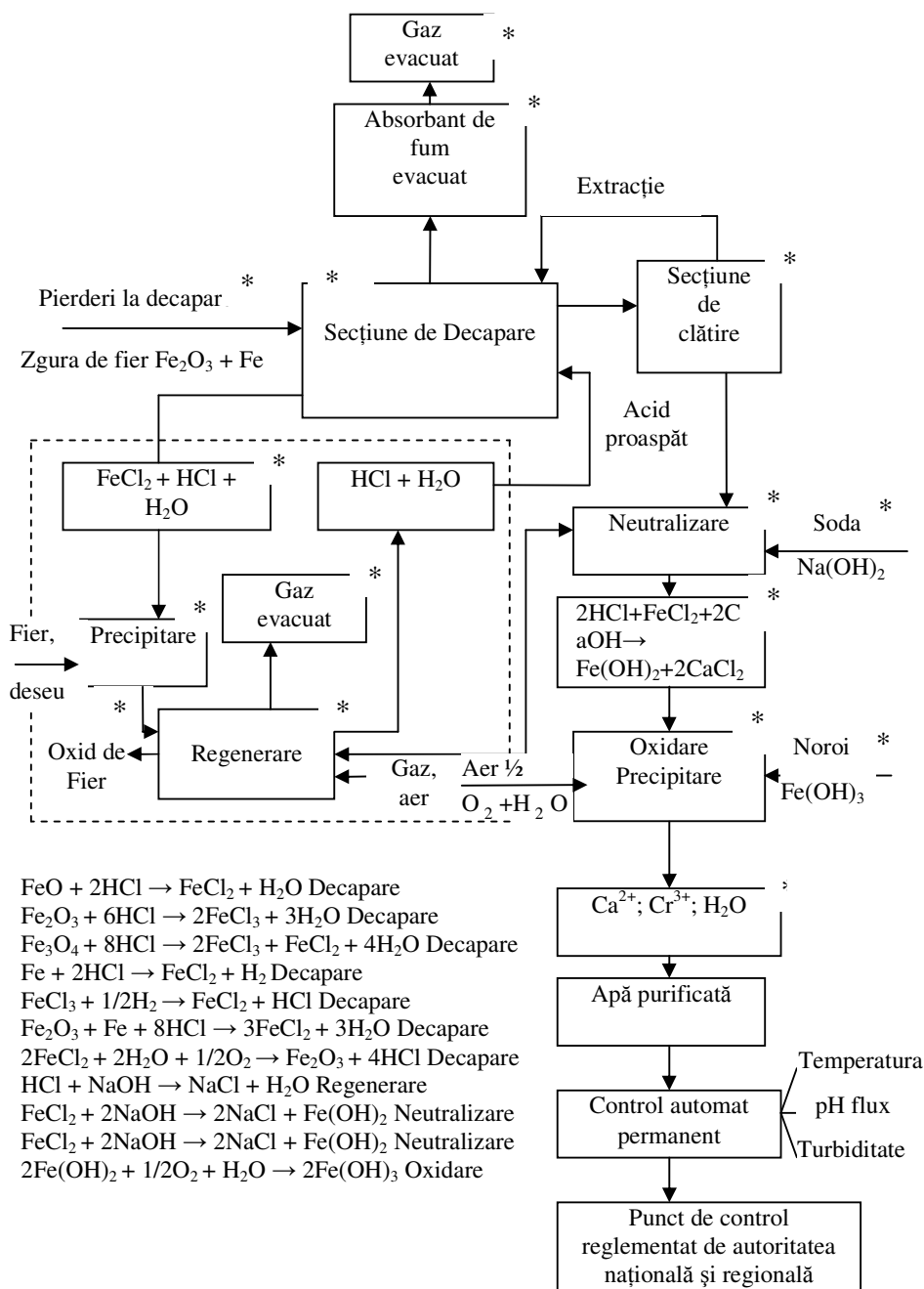
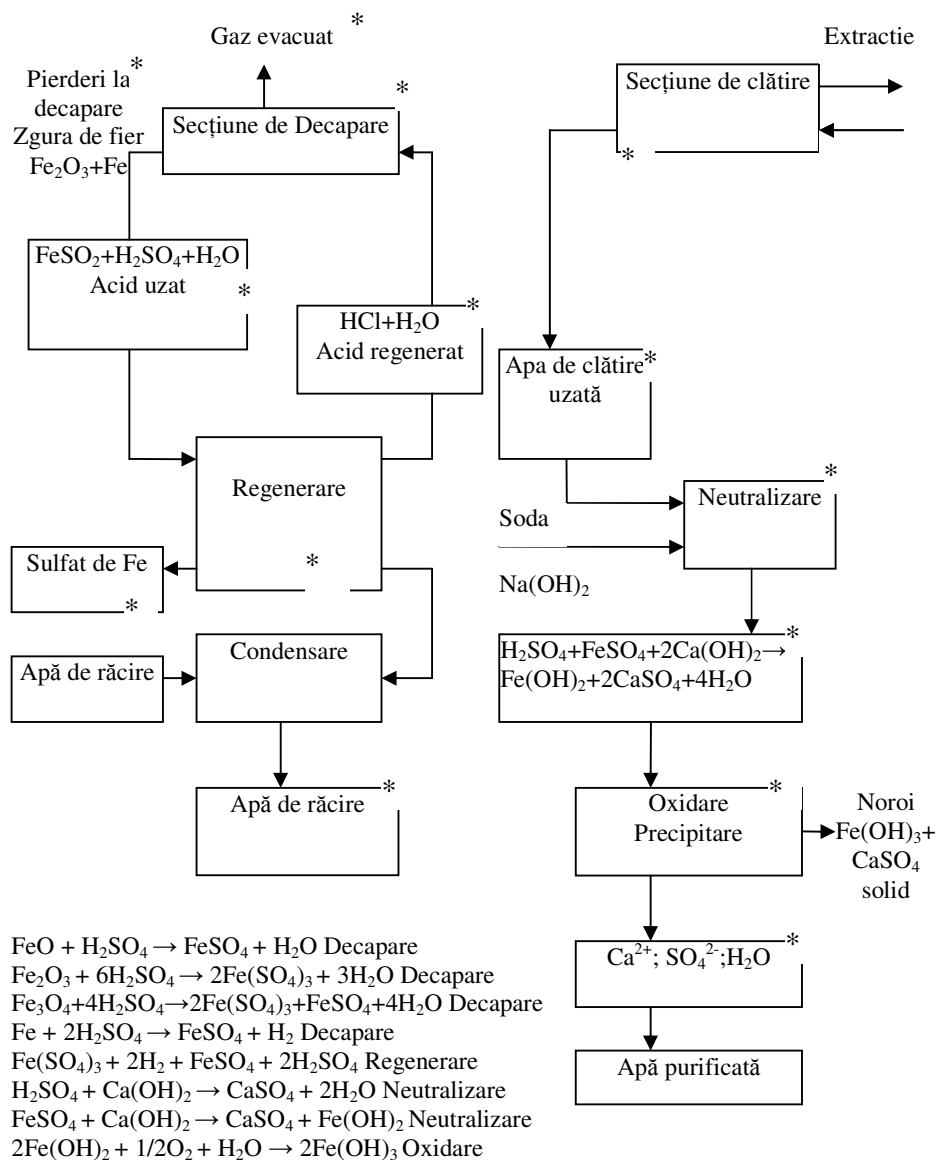


Fig. 16.43. Decaparea cu HCl și sursele de poluare; (* - etapele și sursa de poluare).

Fig. 16.44. Decaparea cu H_2SO_4 și sursele de poluare(* - etapele și sursa de poluare).

Tabelul 16.12. Compuși organici volatili (COV) care apar la prelucrările prin aşchiere.

Compuși clorurați	Componenți cu azot	Compuși sulfurati	Compuși aromatici	Compuși cu metale grele
Acid cloracetic	Nitrobenzen	Tioli, tioetan	Acroleină	Compuși alchilați cu Pb
Cloracetaldehida	Nitrocresol		Bifenil, cresol	
½ Clormetan	Nitrofenol		Toluen	
Clortoluen, C8	Nitrotoluen		Diizocianat	
Cloretilen, 2/3C8			2 furaldehidă	
4 – clor etan			Fenol piridină	
¾ cloretilena			0-toluidină	
CCl ₄			Xilenol	
Alți compuși	Acetaldehidă, acid acrilic, acid formic, metilacrilat, anilină, dietilenamină, 1,4 – dioxină, etilenamină, metilcilați, metilamină			

Tabelul 16.13. Valorile maxime de substanțe cu risc de iritare mucoase respiratorii.

Compuși	Valori maxime date de OMS	Durata de expunere
1-2 dicloretan	0,7 mg/m ³	24 h
Dicloretan	3mg/ m ³	24 h
Formaldehidă	100µg/ m ³	30 minute
Stiren	800µg/ m ³	24 h
Tetracloretilenă	5µg/ m ³	24 h
Toluen	8µg/ m ³	24 h
Tricloretilenă	11µg/ m ³	24 h

în care: Q_{tpm} este cantitatea totală de substanța poluantă ce apare la prelucrările mecanice, în t emisii/t de produs;

Q_{pma} - cantitatea de substanța poluantă a aerului ce apare la prelucrările mecanice, în t emisii/t de produs;

Q_{pml} - cantitatea de substanța poluantă a apei ce apare la prelucrările mecanice, în t emisii/t de produs;

Q_{pms} - cantitatea de substanța poluantă a solului ce apare la prelucrările mecanice, în t emisii/t de produs;

M_u – catitatea de substanță utilă folosită la realizarea produsului, în tone.

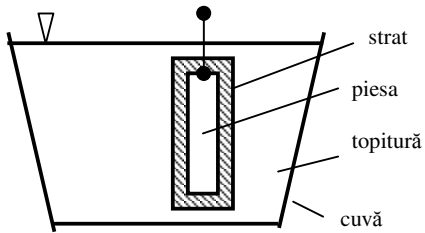
6° *Acoperirile de protecție* sunt acele operații prin care pe suprafețele pieselor se depune un strat foarte fin de anumite substanțe având drept scop creșterea rezistenței la coroziune a produsului. Sunt mai multe tipuri de coroziuni ce conduc la degradarea proceselor sau produselor, astfel: coroziunea uniformă (generalizată), coroziunea galvanică, coroziunea în crevașă (interstițială), coroziunea în pitting,

coroziunea intercristalină, coroziunea selectivă, coroziunea prin eroziune, coroziunea propriu-zisă, coroziunea prin fricțiune, coroziunea fisurantă etc. Deteriorarea și degradarea produselor pot fi prevenite prin tratamente de condiționare, prin lucrări de întreținere curentă, prin inspecții și evaluări periodice urmate de intervenții precise. Această protecție se poate face prin: tratamentele de suprafață; tratamentele termice; acoperirile de protecție și anumite tehnologii speciale. Cea mai des întâlnită metodă este *metalizarea*, care are foarte multe utilizări (tabelul 16.14). În cadrul acestor metalizări apar o serie de factori poluanți atât pentru aer, cât și pentru apă și sol.

Tabelul 16.14. Câteva scheme de metalizare.

Denumirea	Schema de principiu	Utilizări
Metalizări din baie galvanică		Cromare dură; Liant galvanic pentru scule diamantate; Cromare; Nichelare; Argintare; Aurire; Cadmiere; Cuprare; Zincare.
Metalizări prin deformare plastică – placări		Placarea prin laminare; Placarea prin extrudare; Placarea prin explozie; Placarea prin tragere.
Placarea prin lipire cu adezivi		Folii placate pentru electrotehnică; Folii pentru ambalaje; Restaurarea monumentelor și a obiectelor de artă
Metalizări prin sinterizare		Scule aşchietoare acoperite cu carburi cu liant de cobalt; Scule diamantate cu liant de cupru

Tabelul 16.14. (Continuare)

Metalizări prin imersie		Metalizări prin cufundare – zincarea la cald; Metalizări prin turnare; Metalizări prin turnare centrifugală.
-------------------------	---	--

Procesul de galvanizare și sursele de poluare sunt prezentate în figura 8.45.

Cunoscând modul cum se face acoperirea de protecție se cunosc și factorii cu impact asupra mediului, prin urmare se poate determina coeficientul de poluare introdus de acoperirea de protecție C_{pap} , cu relația:

$$C_{pap} = Q_{pt} \cdot M_n = (Q_{papa} + Q_{papl} + Q_{paps}) M_n \quad [\text{t emisii}] \quad (16.45)$$

în care: Q_{pt} - cantitatea totală de substanța poluantă; Q_{papa} - cantitatea de substanța poluantă introdusă în aer în cadrul operației de acoperire de protecție; Q_{papl} - cantitatea de substanța poluantă a apei introdusă în apa în cadrul operației de acoperire de protecție; M_n - masa utilă a piesei.

7° *Tratamentele termice* sunt operații tehnologice la care se supune orice produs, în funcție de caracteristicile pe care trebuie să le aibă, atât în timpul proceselor de transformare pe care le suferă materialul din care este confecționat produsul cât și în timpul exploatării produsului.

Orice tratament termic reprezintă o *succesiune de încălziri și răciri controlate* aplicate unui material metalic în stare solidă în vederea modificării structurii, și corespunzător, a proprietăților funcționale și tehnologice, într-un sens dinainte stabilit. Tratamentele termice sunt puternic poluante atât ale aerului, cât și ale apei și solului deoarece în timpul unui tratament termic materialul suferă un ciclu termic de încălzire-menținere-răcire în anumite medii, având drept rezultat o serie de substanțe cu un impact mai mare sau mai mic asupra mediului.

De exemplu, procesul tehnologic general de realizare a unui tratament termic presupune parcurgerea etapelor prezentate în figura 16.46., în care se văd și momentele și sursele de poluare (marcate cu *) care apar. Procesul tehnologic de tratament termic și gradul de impact asupra mediului sunt funcție de natura transformărilor structurale ce trebuie să le sufere materialul și de proprietățile funcționale și tehnologice pe care trebuie să le aibă produsul în urma procesului de tratament termic. Cele mai des întâlnite tratamente termice sunt: recoacerea de omogenizare; recoacerea de regenerare; recoacerea de recristalizare; recoacerea de detensionare; recoacerea pentru îmbunătățirea prelucrabilității prin aşchiere; recoacerea de maleabilizare; călirea; îmbătrânirea; revenirea; călirea superficială; globulizarea; îmbunătățirea; perlitizarea; tratamentele termochimice (carburarea; cementarea, nitrurarea, carbonitrarea, cianurarea, alumizarea, borizarea etc).

Fiecare tip de tratament termic presupune un anumit proces tehnologic și un

anumit echipament tehnologic corespunzător, fiecare având un impact diferit asupra mediului. De exemplu, dacă se ia în considerare doar impactul substanțelor emise în atmosferă (tabelul 16.15.) se pot vedea categoriile de efecte la care pot conduce aceste emisii, neluând în considerare impactul substanțelor emise în apa sau în sol.

Tabelul 16.15. Impactul substanțelor emise în atmosfera într-o secție de tratamente termice.

<i>Categoria de efecte</i>	<i>Emisiile poluante</i>
Efecte acide	SO ₂ ; NO _x ; HCl; H ₂ SO ₄ ; NH ₃ ; HCN; HNO ₃
Contaminarea solului și apelor	Metale grele. Poluanți organici persistenți. Soluții de diferite categorii.
Distrugerea stratului de ozon	Clorofluorocarbonați
Efectul de seră	CO ₂ ; CH ₄ ; N ₂ O; SF ₆ ; HFC; PFC; CO; COVNM; NO _x ; SO ₂ ; HCl; NH ₃
Sănătatea populației	SO ₂ ; NO _x ; COVNM; CO; HCl; praf, metale grele, aerosoli etc.

Pentru a determina gradul de impact asupra mediului al unui proces tehnologic de tratament termic se determina coeficientul de poluare C_{pt} introdus de tratamentul termic, folosind relația:

$$C_{pt} = Q_{pt} \cdot N_{pe} = (Q_{pta} + Q_{ptl} + Q_{pts}) \cdot N_{pt} \quad [\text{kg emisii}] \quad (16.46)$$

În care: Q_{pt} este cantitatea totală de substanțe poluante ce apar în timpul tratamentului termic al unui produs, în kg emisii/produs;

Q_{pta} - cantitatea de substanță poluantă a aerului, ce apare în timpul tratamentului termic, în kg emisii/produs;

Q_{ptl} - cantitatea de substanță poluantă a apei, ce apare în timpul tratamentului termic, în kg emisii/produs;

Q_{pts} - cantitatea de substanță poluantă a solului, ce apare în timpul tratamentului termic, în kg emisii/produs;

N_{pt} - numărul de produse tratate termic, în kg emisii/produs;

8 °Repararea, recondiționarea, reciclarea – sunt operații tehnologice care apar în general după scoaterea din uz a produsului (casarea produsului) după un anumit număr de ore de funcționare în regim normal (cazul reparațiilor curente sau reparațiilor capitale) sau după un anumit număr de ore funcționale la parametrii necorespunzători).

În general, reparațiile presupun un anumit proces tehnologic, folosirea unor echipamente specializate și a unor materiale corespunzătoare astfel că, impactul

asupra mediului este mai mare sau mai mic în funcție de natura operațiilor și mai ales de produsul care se repară.

Procesul tehnologic de reparare cuprinde totalitatea lucrărilor și operațiilor care se execută pentru repararea unui echipament sau instalații (fig. 16.47) și anume:

- pregătirea de fabricație;
- producerea anticipată a pieselor de schimb;
- aducerea instalației în secția de reparații (dacă este cazul);
- demontarea instalației, a ansamblurilor și a subansamblurilor, cu marcarea ordinii demontării acestora;
- curățirea, decaparea și degresarea pieselor demontate;
- inspectarea pieselor demontate și constatarea defectelor;
- sortarea pieselor;
- stabilirea dimensiunilor pieselor care se recondiționează și a celor care se execută din nou ținând seama de eliminarea sau compensarea uzurii;
- executarea pieselor;
- ajustarea și montarea pieselor pe subansamble;
- reglarea pieselor și subansamblelor pe instalație;
- vopsirea instalației (dacă este cazul);
- rodajul instalației;
- testarea instalației în vederea recepției;
- transportul și instalarea instalației;
- repunerea în funcțiune;
- recepția la beneficiar.

Pentru fiecare tip de instalație sau mașină și tip de reparație în parte se stabilește câte un *proces tehnologic tip*, proces tehnologic ce are un impact asupra mediului aproape la fel ca cel de fabricație. Se vede în figura 16.47 ca există numeroase etape și momente ale procesului de reparare în care are loc un impact asupra mediului chiar mai mare decât în procesul de fabricație deoarece, de exemplu, reparația înseamnă o refabricație în producție individuală chiar dacă fabricația a fost o producție de serie mare sau de masă.

Recondiționarea unui produs se face fie pentru a îndeplini același rol funcțional (de exemplu, un arbore cotit dintr-un motor cu explozie rămâne tot arbore cotit în același motor cu explozie) sau pentru un alt rol funcțional (arborele cotit poate fi folosit într-un alt motor unde solicitarea este mult mai mică sau într-un ansamblu unde transformă mișcarea de rotație în mișcare de translație).

Recondiționarea se face de regula prin procedee care conduc la *remediarea defectelor*, putând fi chiar parte a proceselor de fabricație.

În general, tehnologiile de remediere a defectelor se pot aplica și pentru recondiționarea pieselor (fig. 16.48).

Compensarea uzurii face parte dintre tehnologiile specifice recondiționării. Compensarea se face prin introducerea unor piese suplimentare (bucșe – pentru alezaje, respectiv manșoane – pentru arbori, șaibe, spire de arc, plăcuțe etc.) asamblarea acestora făcându-se prin presare la cald sau la rece (fretare).

Exemple de tehnologii de recondiționare curent folosite în industria

constructoare de masini se prezinta în tabelele 16.16...16.21.

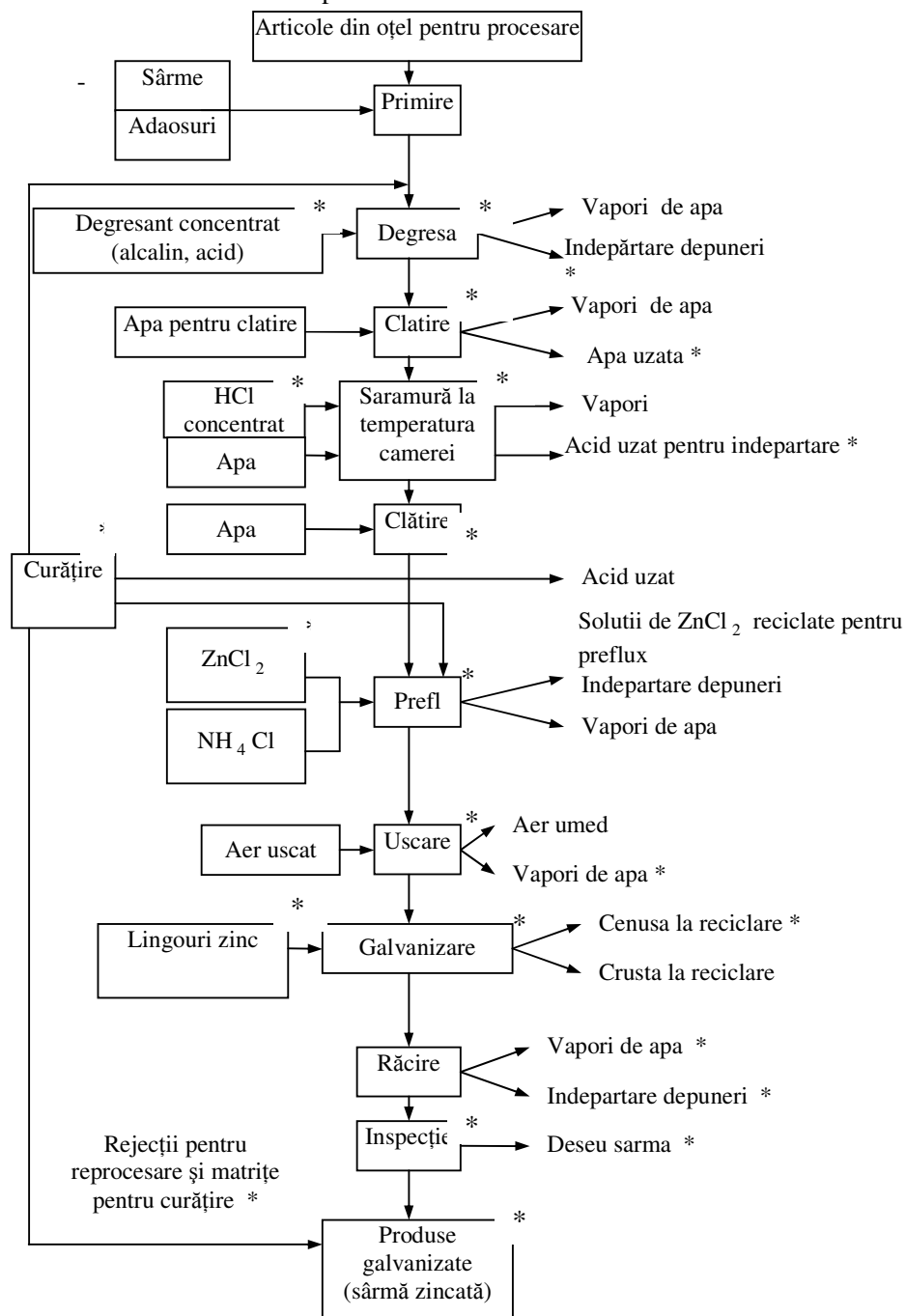


Fig 16.45. Procesul de galvanizare (sârmă zincată) și sursele de poluare (* - etapele și sursele de poluare).

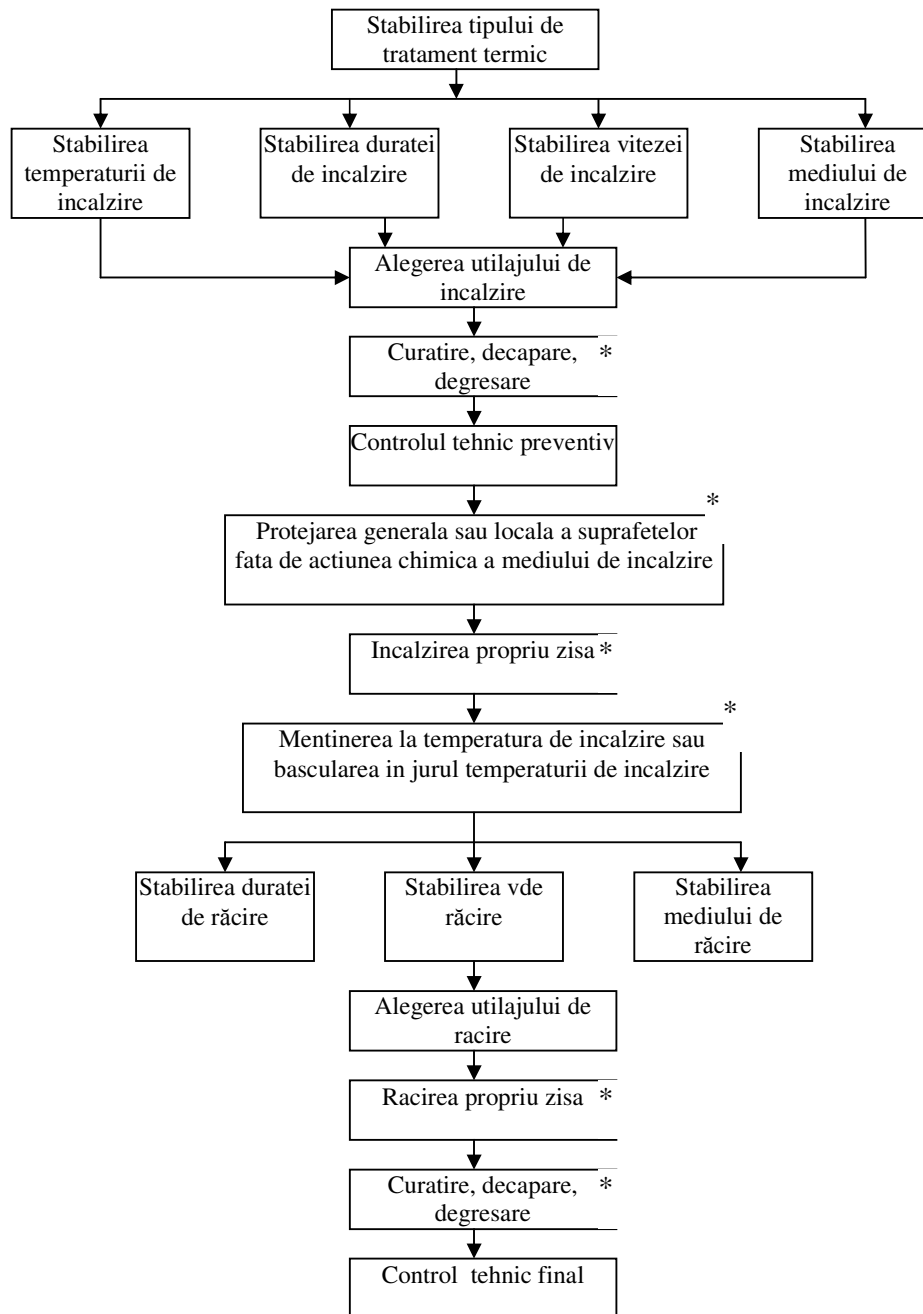


Fig 16.46. Schema de principiu a unui tratament termic și momentele de impact asupra mediului (* - etapele și sursele de poluare).

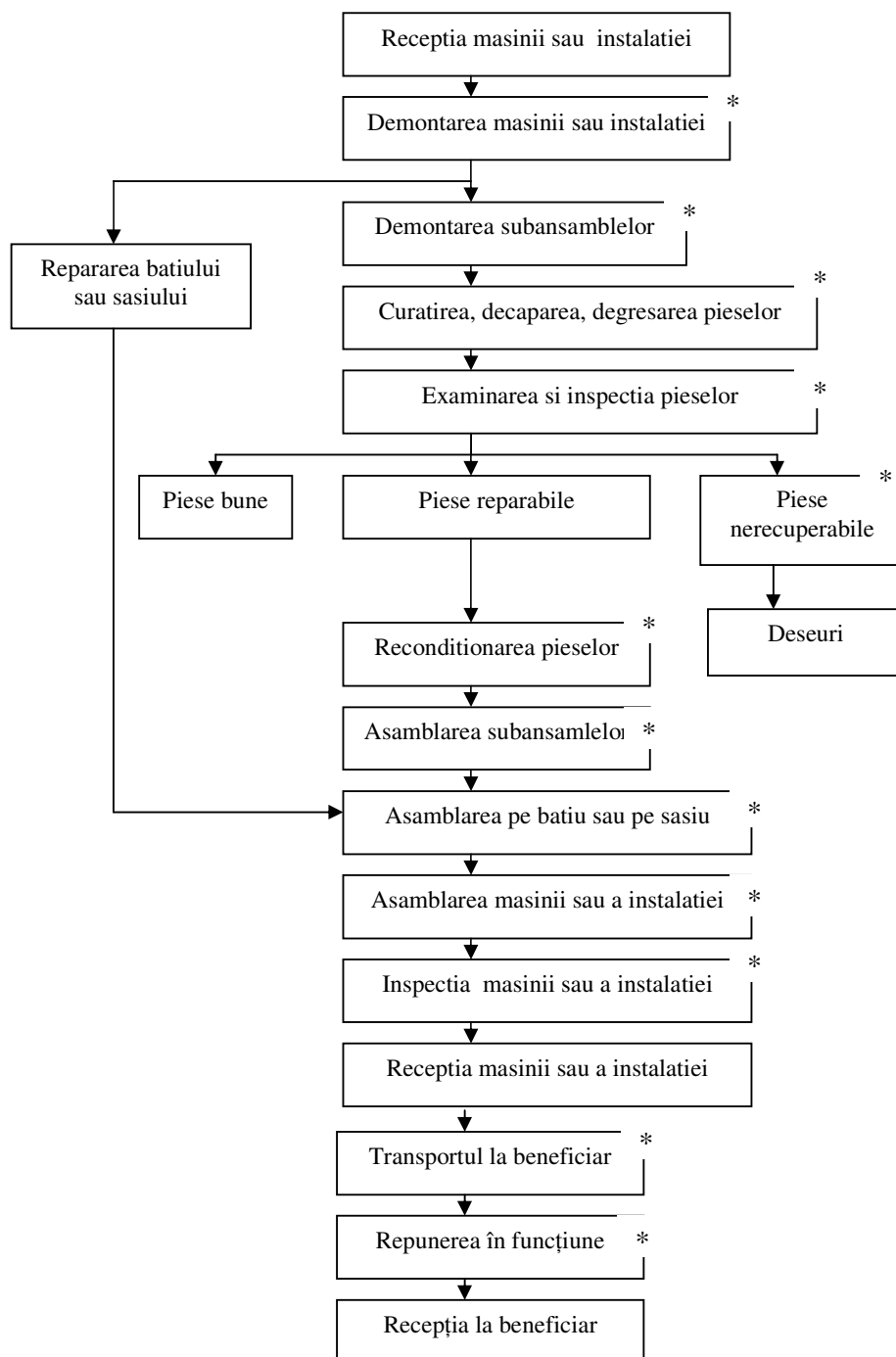


Fig 16.47. Procesul tehnologic tip al unei reparații capitale și etapele în care apare un impact asupra mediului (* - momentele și etapele în care apare poluarea mediului).

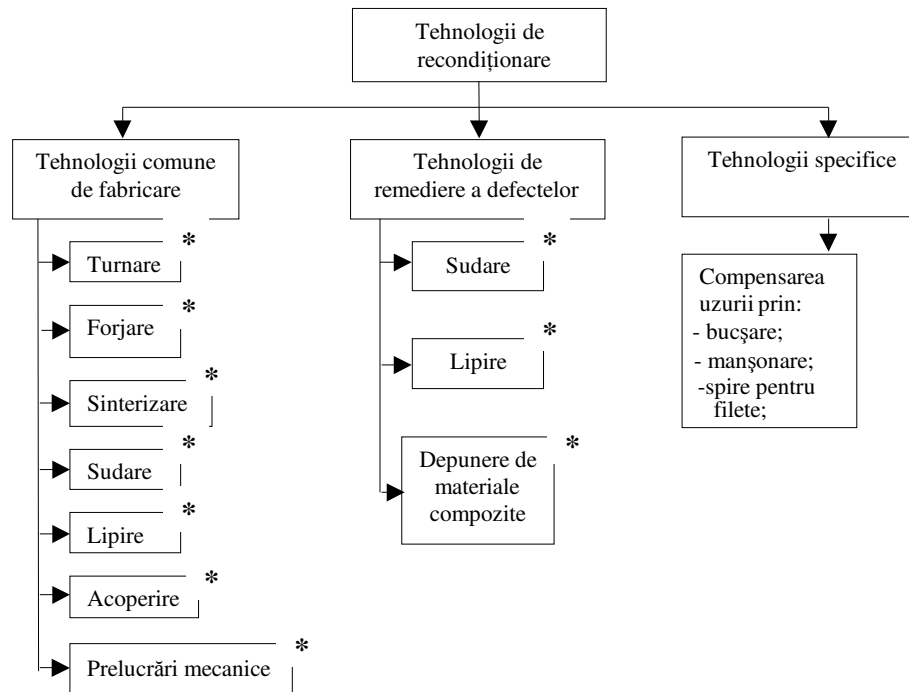


Fig. 16.48. Cateva tehnologii de recondiționare și zonele în care apare impactul asupra mediului (*).

Tabelul 16.16. Tehnologii de recondiționare curente.

Metoda	Procedeu/Operații	Aplicații la recondiționarea
0	1	2
Răstrângerea	Îndreptarea	Arborilor
	Mandrinarea	Alezajelor
	Refularea	Canelurilor, tacheților, butucilor, bieletelor, furcilor cardanice
	Retrângerea	Suprafețelor interioare ale: furcilor cardanice, alezajelor fuzetelor etc.
	Moletarea	Arborilor, manșoanelor.
Deformare plastică superficială	Fretarea	Asamblarea cu strângere a compensatoarelor de uzură (bușare, manșonare)
	Sablarea cu alicie	Elementelor de structură
	Ecrusarea centrifugală cu bile	Ghidajelor
	Rularea cu bile sau role	Ghidajelor
	Tasarea cu broșe	Alezajelor
	Calibrarea	Bieletelor
	Detensionarea prin percuție	Zonelor cu tensiuni: racordări, suduri, muchii, caneluri, canale de pană etc.

Tabelul 16.16. (continuare)

Sudare	Încărcarea cu arc electric	Pieselor din oțel, astuparea fisurilor
	Încărcarea oxi-gaz	Pieselor din oțel cu pereți subțiri
	Încărcarea prin vibrocontact	Majoritatea pieselor din oțel
Lipire	Lipirea moale	Pieselor din aliaje neferoase
	Brazarea	Pieselor din oțel, pieselor din materiale diferite
	Lipirea cu adezivi	Astuparea fisurilor, îmbunătățirea etanșeității
Metalizare prin pulverizare termică	Cu arc electric și pulbere	Compensarea uzurii dimensionale, permite modificarea compoziției materialului de aport
	Cu arc electric și sârmă	Cel mai accesibil procedeu, larg răspândit
	Cu plasmă și pulbere	Pieselor din oțel aliat
	Oxi-gaz și sârmă	Straturi de acoperire omogene
	Oxi-gaz și pulbere	Permite metalizarea carburilor metalice
	Cu laser și pulbere	Depunerea materialelor greu fuzibile
	Prin detonație	Depunerea materialelor greu fuzibile, a lubrifianților solizi, a straturilor anticorozive
Metalizare prin pulverizare la rece	Spray	Permite intervenția rapidă, asigură menținerea în funcționare de avarie până la remedierea defectiunii
Metalizare prin depunere electrochimică	Cromarea dură	Compensarea uzurii dimensionale, rezistență la uzare
	Cromarea poroasă	Cămășile de cilindri, segmentii; asigură reținerea lubrifianțului
	Oțelizarea	Compensarea uzurii dimensionale a: arborilor, camelor, bușelor, inelelor, carcaselor, transmisiilor etc.
	Cuprarea	Straturi antifricțiune
	Nichelarea dură	Înlocuiește cromarea dură; straturi cu tenacitate mai mare
	Stanarea	Pistoanelor și segmentilor din fontă, straturi antifricțiune
Prelucrări prin așchiere	Rabotarea	Pregătirea suprafețelor pentru încărcare sau metalizare
	Mortezarea	Butucilor și bușelor profilate
	Strunjirea	Arborilor, bușelor, manșoanelor, pregătirea suprafețelor pentru metalizare
	Frezarea	Corectarea abaterilor de formă
	Găurirea	Pregătirea suprafețelor
	Alezarea	Corectarea abaterilor de formă
	Broșarea	Butucilor, bușelor și lagărelor
	Rectificarea	Corectarea abaterilor de formă
	Honuirea	Finisarea suprafețelor interioare a cilindrilor și cămășilor de cilindru
	Lepuirea	Finisarea suprafețelor
	Polizarea	Finisarea suprafețelor
	Răzuirea	Asigurarea contactului alunecător
Prelucrări prin microașchiere	Cu laser	Durificarea și finisarea suprafețelor
	Cu fascicul de electroni	Microprelucrări ale alezajelor
	Cu ultrasunete	Microprelucrări ale alezajelor
	Electrochimic	Finisarea materialelor extradure

Tabelul 16.16. (continuare)

Depunere de materiale nemetalice	Electroeroziune	Prelucrarea materialelor dure
	Electromecanic	Arborilor, fuzetelor, pieselor tratate termic
	Materiale compozite	Compensarea uzurii dimensionale, astuparea fisurilor, îmbunătățirea etanșeității
	Pulverizarea termică a maselor plastice	Carcase, suportți, bare expuse coroziunii
	Sticlă solubilă	Umplerea porilor, îmbunătățirea etanșeității
	Bazalt	Bucșe pentru lagăre, ghidaje, îmbunătățirea rezistenței la coroziune

Reconditionarea pieselor se utilizează curent la repararea:

- autovehiculelor și tractoarelor (motoare, cutii de viteze, transmisii, pompe etc.);
- masinilor unelte și roboților industriali (mecanism de reglare, arbori principali, lagăre, mecanism de transformare, cutii de viteze, sisteme hidraulice, cuplaje și frâne, ghidaje, elemente de structură, scule etc.);
- instalațiilor din sectorul energetic (cazane, turbo și hidroagregate, mori de cărbune, injectoare, instalații de alimentare și evacuare etc.);
- utilajelor din industria materialelor de construcții (cupatoare fixe și rotative, mori de măcinare, amestecătoare, benzi transportoare, sortatoare, dozatoare etc.);
- utilajelor din industria extractivă (instalații de foraj, excavatoare, încărcătoare, instalații de tratare a minereurilor etc.);

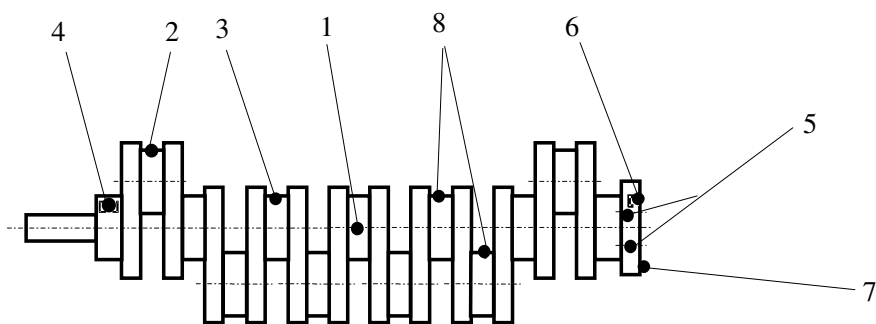


Fig. 16.49. Localizarea deteriorărilor arborelui cotit:

- 1 - încovoierea; 2 - uzura în lungime a manetoanelor; 3 - uzura în lungime a fusului palierului central; 4 - uzura canalului de pană al pinionului de distribuție; 5 - deteriorarea filetului de prindere a volantului; 6 - uzura locașului de ghidare; 7 - bătaia frontală; 8 - abaterile dimensionale și de formă ale fusurilor manetoanelor și palierului.

Tabelul 16.17. Tehnologia de recondiționare a arborilor cotiți.

Defectul	Tehnologia de recondiționare
1 - Încovoierea arborelui	Îndreptare la rece pe presă cu sprijinirea arborelui cu palierul marginal pe prisme.

Tabelul 16.17. (continuare)

2 - Uzura în lungime a fusurilor manetoane	- Cromarea dură, urmată de rectificare la cota nominală și netezire prin rulare; - Încărcarea prin metalizare cu pulverizare termică, urmată de rectificare frontală la cota nominală.
3 - Uzura în lungime a fusului palier central	- Rectificarea suprafețelor frontale ale fusului la una din cotele de reparație, urmată de montarea inelelor de compensare corespunzătoare treptei de reparație; - Încărcarea prin metalizare cu pulverizare termică, urmată de rectificare frontală la cota nominală.
4 - Uzura canalului de pană al pinionului de distribuție	- Frezarea canalului la o cotă de reparație; - Frezarea unui alt canal, plasat la 90° față de cel uzat, atât în arbore, cât și în butucul pinionului de distribuție, avându-se grijă să nu se modifice reglajul distribuției.
5 - Deteriorarea filetului găurilor de prindere ale volantului	Lărgirea găurilor urmată de filetarea lor.
6 - Uzura locașului pentru ghidarea arborelui primar al cutiei de viteze	- Dacă este montat un rulment de ghidare locașul se cromează dur și se rectifică la cota nominală; - Dacă este o bucsă de ghidare se alezează locașul la cota nominală și se înlocuiește bucsa de ghidare.
7 - Bătaia suprafeței frontale a flanșei	Se rectifică suprafața frontală ținând seama de grosimea minimă admisibilă a flanșei.
8 - Uzura, ovalitatea și conicitatea fusurilor manetoane și a celor paliere	- Rectificarea fusurilor manetoane la cota de reparație, urmată de lustruirea și refacerea razelor de racordare; - Încărcarea fusurilor prin cromare dură sau metalizare prin pulverizare termică, urmată de rectificarea la cota nominală sau la cota de reparație și lustruire.

Tabelul 16.18. Tehnologia de recondiționare a arborilor mașinilor-unelte.

Defectul	Tehnologia de recondiționare
Deteriorarea găurilor de centrare	Recondiționare pe strung.
Uzura fusurilor	- Încărcarea prin metalizare prin pulverizare termică; prin cromare sau oțelizare, sau prin sudare, urmată de rectificare la cota nominală și ecruisare; - Bucșare sau manșonare, urmată de rectificare, ecruisare și lustruire.
Fisuri ale fusurilor și umerilor acestora	- Determinarea fisurilor prin control defectoscopic cu lichide penetrante și ultrasunete; - Rectificarea zonelor deteriorate fără încărcare, pentru defecte care nu depășesc 0,25 mm pe rază, sau strunjirea pentru eliminarea zonelor cu defecte, urmată de încărcare și de rectificare.
Încovoierea arborelui	- Îndreptare la rece pe presă hidraulică sau cu șurub, cu sprijinirea arborelui pe prisme. Arborii cu diametru mai mare de 50 mm se îndreaptă numai la cald.
Abateri de formă	- Rectificarea zonelor deteriorate fără încărcare, pentru abateri care nu depășesc 0,25 mm pe rază, sau încărcarea urmată de rectificare.

Tabelul 16.19. Tehnologia derecondiționare a șuruburilor de mișcare.

Defectul	Tehnologia de recondiționare
Deteriorarea găurilor de centrare	- Recondiționare pe strung.
Abateri de formă (excentricitate, ovalitate, conicitate)	- Recondiționare pe strung, folosind un dispozitiv special de îndreptare.
Uzura fusurilor	- Încălcarea prin metalizare prin pulverizare termică; prin cromare sau oțelizare, sau prin sudare, urmată de rectificare la cota nominală și ecruisare.
Abateri de la profilul filetului	- Adâncirea filetului fără a se atinge flancurile, urmată de rectificarea diametrului exterior și de finisarea flacurilor filetului.

Tabelul 16.20. Tehnologia de recondiționare a chiulaselor.

Defectul	Tehnologia de recondiționare
1- Fisuri, crăpături pe suprafețele exterioare	- Sudare cu arc; - Sudare cu flacăra; - Lipire cu rășini epoxidice, urmată de verificarea la etanșitate a chiulasei la 0,4 MPa.
2 - Scurgeri de apă prin găurile de trecere ale prezoanelor de prindere	- Alezarea găurilor, urmată de introducerea presată a unei bușe de trecere. Se verifică etanșitatea prin proba hidrolică la 0,4 MPa.
3 - Deformarea suprafeței de așezare pe blocul motor	Frezarea și rectificarea suprafeței de așezare.
4 - Uzura suprafețelor interioare a ghidurilor, supapelor de admisie și de evacuare	- Înlocuirea ghidurilor uzate, urmată de alezarea lor la cota de reparație; - Alezarea ghidurilor uzate și utilizarea unor supape cu diametrul țije mărit prin cromare.
5 - Uzura locașelor ghidurilor supapelor de admisie și de evacuare	- Alezarea locașurilor, urmată de asamblarea prin presare a unor ghiduri cu diametrul exterior majorat.
6 - Uzura suprafețelor de așezare a supapelor de admisie sau de evacuare	- Frezarea și rectificarea suprafeței de așezare; - Asamblarea prin fretare a unui nou scaun de supapă, urmată de rectificarea conică a suprafeței de așezare, urmată de rodarea suprafeței cu supapa corespunzătoare.
7 - Uzura locașului scaunului supapelor de admisie sau de evacuare	- Alezarea locașului la cotă majorată, urmată de asamblarea prin fretare a unui nou scaun de supapă, având diametrul exterior majorat corespunzător.
8 - Uzura suprafeței de așezare a injectorului	- Teșirea suprafeței de așezare.
9 - Deformarea suprafeței de asamblare cu colectorul de admisie sau de evacuare	- Frezarea și rectificarea suprafeței de așezare.
10 - Deteriorarea filetelor găurilor de fixare	- Lărgirea găurii, urmată de refiletare la cota majorată; - Depunerea de material prin sudare cu flacăra, urmată de găurire și filetare la cota nominală.

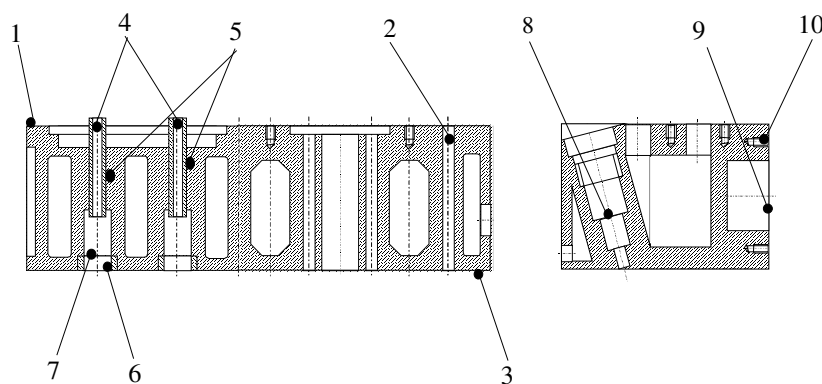


Fig. 16.50. Localizarea deteriorărilor chiulasei:

- 1 - deteriorarea suprafeței exterioare; 2 - scurgeri de apă prin găurile prezoanelor;
 3 - deformarea suprafeței de așezare; 4 - uzura suprafeței interioare a ghidurilor supapelor;
 5 - uzura locașelor ghidurilor supapelor; 6 - uzura suprafețelor de așezare a supapelor;
 7 - uzura locașelor scaunelor supapelor; 8 - uzura suprafețelor de așezare a injectoarelor;
 9 - uzura suprafeței de așezare a colectorului; 10 - deteriorarea filetelor de fixare.

Tabelul 16.21. Tehnologia de recondiționare a lagărelor de alunecare.

Defectul	Tehnologia de recondiționare
Mărirea jocului ajustajului fus-lagăr	- Ajustarea cuzinetului în corpul lagărului și pe fus; - Încărcarea prin sudare sau metalizare, urmată de strunjire și rectificare la cota nominală – pentru bucșele din oțel.
Abateri de formă	- Alezarea corpului lagărului și a cuzinetului asamblat la cotele de reparație.
Deteriorarea suprafeței de contact (gripare, pitting)	- Curățarea suprafeței prin alezare sau strunjire fină, depunerea unui strat compensator, finisarea suprafeței de contact; - Înlocuirea cuzinetului și finisarea suprafeței de contact.
Deteriorarea materialului antifricțiune (exfoliere, topire)	- Curățarea suprafeței prin alezare sau strunjire fină, depunerea stratului antifricțiune, finisarea suprafeței de contact; - Înlocuirea cuzinetului și finisarea suprafeței de contact.
Fisurarea corpului lagărului	- Curățarea zonei deteriorate, urmată de sudare sau lipire cu adezivi epoxidici.

Limitele utilizării tehnologiilor de recondiționare sunt date de factori: tehnici, tehnologici, ecologici economici și organizatorici (tab. 16.22).

Decizia managerială trebuie să fie fundamentată ținând seama de complexul acestor factori.

Factorii tehnici care influențează utilizarea tehnologiilor de recondiționare sunt: rezistența la uzare, funcționalitatea, durabilitatea, rezistența mecanică și interschimbabilitatea.

Factorii tehnologici care influențează utilizarea tehnologiilor de recondiționare sunt: productivitatea, costurile (operațiilor de bază, ale celor auxiliare și celor totale), accesibilitatea procedeului și caracterul producției (tabelul 16.22).

Tabelul 16.22. Limitele tehnologice ale unor procedee de recondiționare.

Procedeele de depunere	Productivitatea [kg/h]	Duritatea stratului depus [daN/mm ²]	Uniformitatea stratului depus [mm]	Aplicabilitate la o uzură de... [mm]
Sudare cu flăcără	0,8-1	300-400	0,5-2	<3
Sudare cu arc cu electrozi înveliți	1-3	300-400	1-2	<6
Sudare cu arc cu electrod de grafit	0,8-1	600-800	0,5-1,5	<2,5
Sudare MIG	8	400-600	0,5-1,5	<6
Sudare WIG	2,5-3,5	420-530	0,5-1,5	<3
Sudare MAG	1,7-8	170-500	0,5-1,5	<6
Sudare sub flux	10-40	350-500	0,5-2	>0,5
Sudare cu plasmă	3,15	360-650	0,1-1	0,5
Sudare cu electrod bandă	3	400-600	0,05	<0,5
Pulverizare termică	2-14	280-600	0,5-1	>0,6
Cromare dură	0,04	400-1200	0,5	<0,3

Factorii economici care influențează utilizarea tehnologiilor de recondiționare sunt: cheltuielile pentru realizarea unei piese noi, durabilitatea piesei noi și a celei recondiționate, cheltuielile pentru recondiționarea unei piese, mărimea seriei de fabricație etc.

Factorii ecologici care influențează utilizarea tehnologiilor de recondiționare sunt toți factorii poluanți ai aerului, apei sau solului ce apar pe parcursul procesului tehnologic de recondiționare.

Factorii organizatorici care influențează utilizarea tehnologiilor de recondiționare sunt: specificul de activitate a firmei care beneficiază de piesele recondiționate, strategia managerială, existența unor compartimente specializate, accesibilitatea procedeelelor de recondiționare și a cooperării între firme, frecvența intervențiilor etc.

Proiectarea pentru reciclare (design for reuse, design for disassembly, design for remanufacture, green product design) este un concept constructiv care stă la baza ecotehnologiilor contemporane. Produsele trebuie să fie concepute astfel încât să poată fi incluse cu ușurință într-un circuit de reciclare după scoaterea lor din funcțiune. Circuitul de reciclare poate include: colectarea, depozitarea, sortarea, demontarea, recondiționarea (refabricarea), actualizarea (*up-grade*), reintroducerea produsului în circuitul de utilizare, tratarea și depozitarea deșeurilor (fig. 16.51).

Pentru a se permite reciclarea ușoară a produselor și a componentelor acestora, la conceperea produselor, proiectantul trebuie să aibă în vedere satisfacerea următoarelor cerințe:

- reciclarea materialelor, separarea componentelor în raport cu materialul acestora, reutilizarea ușoară a materialelor;
- folosirea unor materiale ecologice, pentru care este pusă la punct o tehnologie de recuperare, tratare, reciclare;

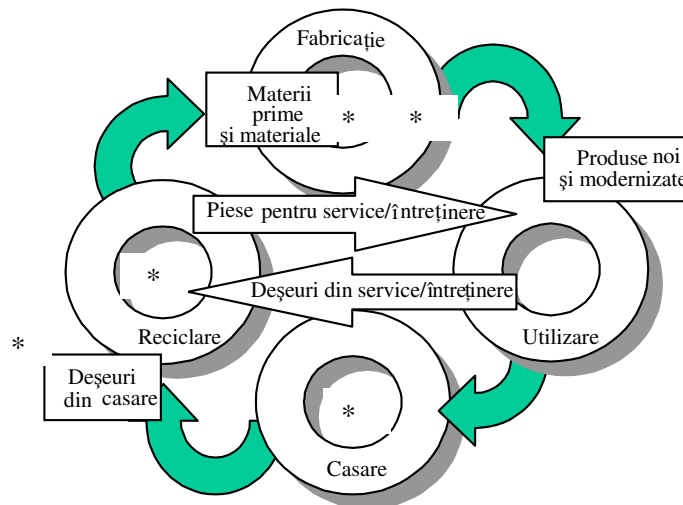


Fig. 16.51. Locul reciclării în ciclul de viață al produsului și zonele în care apare poluarea (*).

- procedee de reprelucrare a componentelor;
- separarea componentelor de formă exterioară cu rol estetic (elemente de estetică care se pot modifica în funcție de modă) de cele de structură și cele funcționale;
- utilizarea unor asamblări demontabile pentru componentele schimbabile;
- modularizarea produselor și a componentelor;
- normalizarea și tipizarea componentelor și produselor;
- controlabilitatea componentelor și ansamblelor;
- diminuarea uzurii (prevederea de piese de uzură, utilizarea de materiale rezistente la uzare etc.);
- mentenabilitatea (tehnologii de reparare și de întreținere, instrucțiuni de exploatare și de întreținere);
- întreținere cât mai simplă și ușoară;
- posibilitatea de a se verifica și sorta componentele după coduri;
- accesibilitatea componentelor în vederea demontării ușoare;
- rezistență la coroziune și la degradare pe întreaga durată de viață a produsului;
- posibilitatea de montare și respectiv de demontare ușoară și rapidă;
- posibilitatea de curățire ușoară;
- posibilitatea de manevrare (cârlige de ridicare, mânere etc.);
- posibilitatea de a reprelucra componentele (rezerve de material – adaosuri de reprelucrare etc.)

Proiectarea compatibilă este o soluție constructivă inclusă conceptului de proiectare pentru reutilizare, care permite recondiționarea ușoară a produselor. O serie de produse este *compatibilă* atunci când este posibilă *interschimbabilitatea*

componentelor și când dezvoltări ulterioare ale produsului se pot face utilizând o *platformă de bază comună*. De exemplu, calculatoarele personale sunt concepute pe o platformă comună, care permite actualizări ulterioare și în același timp produsele realizate de diverse firme sunt compatibile între ele (compatibile cu *modelul IBM*). Marile firme de autoturisme lucrează de asemenea pe platforme tehnice comune pentru modelele de aceeași categorie (WV, Skoda, Seat, Audi; Renault, Nissan, Dacia). În acest ultim exemplu, proiectarea compatibilă vizează reducerea cheltuielilor de cercetare științifică și de dezvoltare tehnologică în cadrul concernului, creșterea eficienței prin mărirea *stabilității producției* și scurtarea timpului de răspuns pe piață.

Compatibilitatea dintre produse se realizează prin modularizare și tipizare.

Modularizarea constă în conceperea produselor sub forma unor ansamble de module, comune unei clase. Modulele corespund grupelor constructive și funcționale ale produsului respectiv.

De exemplu, o mașină unealtă poate fi realizată fie ca un proiect unicat, din componente special proiectate și executate sau, dimpotrivă, din elemente modulare, care pot fi folosite și la realizarea altor tipuri de mașini: motoare de acționare, batiuri, montanți, mese, ghidaje, dispozitive de prindere, cutii de viteze, cutii de avansuri, capete de prelucrare, instalații electrice, hidraulice, de ungere, de evacuare a așchiilor, de alimentare cu piese etc.

Modularizarea permite:

- o proiectare, o fabricație și o mentenanță ușoară, apelându-se la componente existente, accesibile și foarte bine cunoscute de personalul de exploatare și service;
- o eficiență crescută a producției
- o viteză mare de răspuns la cerințele pieței, reducerea la minimum a termenelor de onorare a contractelor.

Fabricația modulelor se poate face în producție de serie mare și de masă, în timp ce, prin asamblarea diferită a modulelor, combinată cu un minimum de elemente individualizate, se pot realiza produse unicate, la temă. Modularizarea se aplică la nivelul firmei.

Tipizarea constă în restrângerea gamei de dimensiuni de execuție a produselor și a componentelor acestora, în scopul simplificării fabricației și a volumului documentației aferente. Tipizarea poate fi realizată la nivelul firmei, la nivelul ramurii industriale sau la nivel național.

Tipizarea poate fi implementată prin norme și standarde (de exemplu, șirul de numere normale utilizate în proiectarea rapoartelor de transmitere, gama de ajustaje, diametrele nominale ale conductelor și elementelor hidraulice, formatele de desen și cele tipografice, gabaritul elementelor de construcții, gabaritul ambalajelor, paletelor și containerelor etc.).

Figura 16.52 prezintă aplicarea reciclării la produsele de larg consum, respectiv bunurilor industriale. Ambele tipuri de produse parcurg tehnologii similare de recondiționare, efectul economic generat de reutilizare este diferit, în funcție de complexitatea și utilitatea produsului respectiv. În cazul bunurilor de larg consum este importantă înlocuirea produsului defect, în timp ce, pentru

bunurile industriale este importantă modernizarea produsului și uneori posibilitatea de a achiziționa produse de tehnologie ridicată la prețuri reduse (piața *second-hand*).

O practică frecventă de reutilizare a materialelor este de a se folosi piesele uzate de dimensiuni mari drept semifabricate pentru execuția altor piese de dimensiuni mai mici. Astfel, din cilindri de laminor uzați se pot prelucra: roți dințate, pinioane, arbori, tije, coloane, cilindri, role, nicovale, cuplaje etc. Avantajele acestei practici, față de utilizarea materialelor noi, sunt: reducerea consumului energetic cu 15 - 45%, reducerea consumului de material cu 6 - 8%, diminuarea costurilor cu 10 - 35%, reducerea volumului deșeurilor cu 75 - 80%.

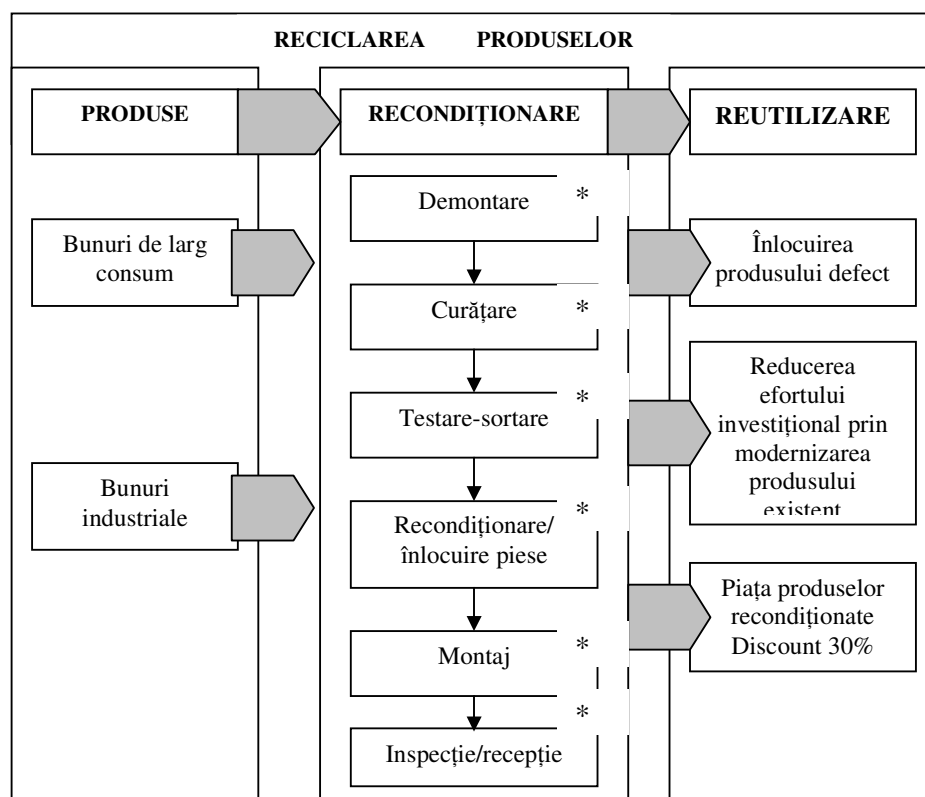


Fig. 16.52. Etapele și utilitatea reciclării (* - etapele cu poluare intensă).

În urma fabricării și a reciclării produselor sunt generate *deșeuri*. Acestea trebuie să fie introduse într-un circuit de recuperare, astfel încât să nu se provoace efecte negative asupra mediului și, în același timp, să fie recuperate energia și cheltuielile generate de existența acestor deșeuri.

În figura 16.53 este exemplificat un circuit de recuperare a deșeurilor provenite ca urmare a scoaterii din uz a produselor casnice și a anumitor categorii de produse industriale și agricole.

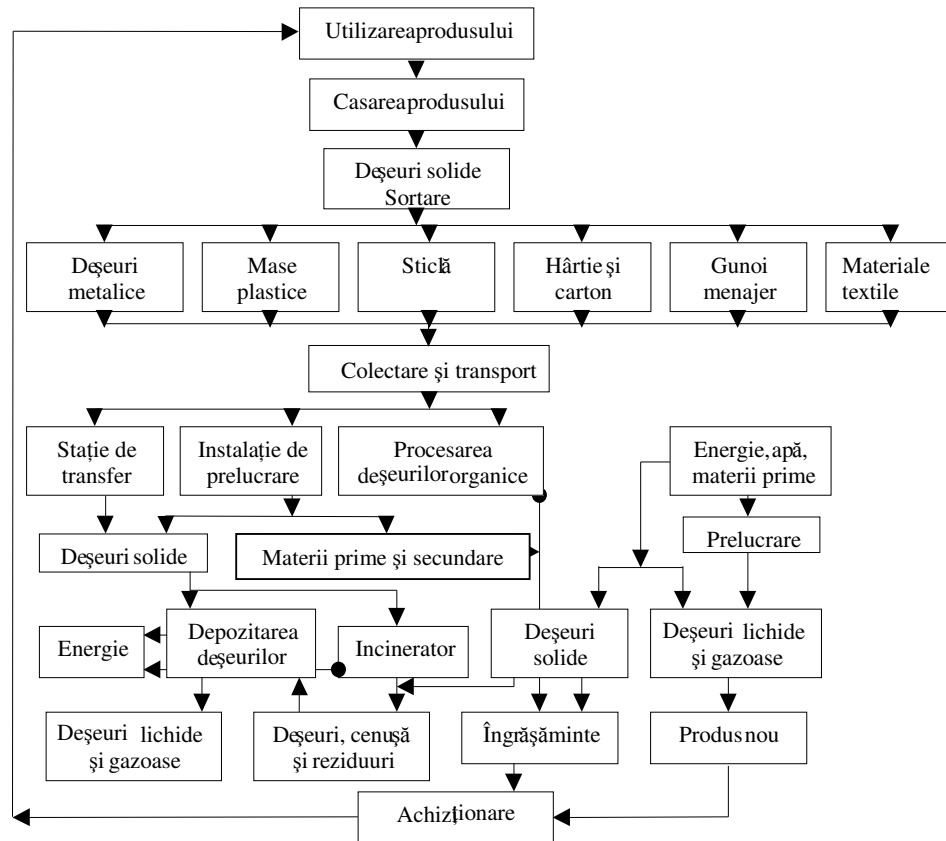


Fig. 16.53.. Circuitul de recuperare a deșeurilor.

Circuitul de recuperare trebuie să înceapă chiar de la utilizator, care prin casarea produsului devine generator de deșeuri. La generatorul de deșeuri trebuie să se facă sortarea deșeurilor pe categorii de recuperare, stabilite împreună cu firma care se ocupă cu colectarea, transportul și prelucrarea acestor deșeuri. Modalitatea de depozitare, colectare și transport trebuie să ajute și să încurajeze atitudinea civică și ecologică a generatorului de deșeuri.

Categoriile de recuperare sunt:

- deșeuri voluminoase nemetalice (mobilă, saltele etc.);
- deșeuri textile;
- deșeuri de hârtie și carton;
- deșeuri de sticlă;
- deșeuri de mase plastice (ambalaje);
- deșeuri de cauciuc (anvelope);
- deșeuri speciale (baterii, acumulatori, medicamente, substanțe toxice, lubrifianti);
- deșeuri metalice;

- deșeuri complexe care necesită la rândul lor separarea și sortarea (autoturisme, aparate electrocasnice etc.);
- deșeuri menajere vegetale și animale;
- deșeuri din construcții (moloz, beton, asfalt).

Circuitele de recuperare sunt diferite pentru fiecare categorie în parte. Din punct de vedere economic este eficient să se prelucreze numai deșeurile sortate. Cele nesortate pot fi cel mult depozitate, degradarea lor naturală făcându-se cu viteze diferite și fără a se putea recupera materialele sau energia înglobată în produs. Depozitarea deșeurilor necesită cheltuieli de depozitare și de administrare, extinse pe mai multe zeci de ani de funcționare a depozitului.

Pentru a aprecia gradul de poluare al acestor operații (reparare, recondiționare, reciclare) se procedează la calculul coeficientului de poluare C_{prrr} , introdus de recuperare, reciclare, recondiționare cu relația:

$$C_{prrr} = Q_{tp} \cdot M_{nr} = (Q_{pra} + Q_{prl} + Q_{prs}) N_{pr} \quad [\text{kg emisii}] \quad (16.47)$$

În care: Q_{tp} este cantitatea totală de substanță poluantă, exprimată în emisii, kg substanță recondiționată, reciclată;

Q_{pra} - cantitatea de substanță ce poluează aerul în cadrul operațiilor de reparare, recondiționare, reciclare, în kg emisii/kg;

Q_{prl} - cantitatea de substanță ce poluează apa în cadrul operațiilor de reparare, recondiționare, reciclare, în kg emisii/kg;

Q_{prs} - cantitatea de substanță ce poluează solul în cadrul operațiilor de reparare, recondiționare, reciclare, în kg emisii/kg;

N_{pr} - număr de produse reparate, recondiționate, reciclate;

M_{ur} - masa de material util, rezultat în urma reparării, recondiționării, reciclării, exprimată în kg.

Controlul și inspectia produselor

Controlul nu constituie în sine un proces care să adauge plus-valoare produsului controlat; *el este menit să ateste fie buna desfășurare a proceselor de fabricare, fie conformitatea unui produs cu specificațiile sale.*

Rezultatele controlului pot influența deciziile manageriale, tehnologice, constructive de concepție, de execuție, de exploatare și de mentenanță, controlul constituind o buclă de feed-back.

Din punct de vedere economic, controlul constituie un *timp* de lucru *neproductiv* , care crește cheltuielile de fabricație. Sub acest aspect, controlul trebuie limitat la un strict absolut necesar.

Controlul produselor presupune determinarea prin inspectare/testare a anumitor caracteristici și performanțe ale unui produs (analiză, măsurare), compararea lor cu niște specificații tehnice și tehnologice, care au fost prescrise pentru acel produs (comparare), clasificarea sau sortarea produselor pe clase de calitate (decizie) și stabilirea unor acțiuni corective sau preventive (concluzii).

Specificațiile pot fi impuse prin: clauze contractuale de către beneficiar,

norme interne ale firmei, norme de ramură industrială, norme ale organismelor de certificare produse, standarde, legislația națională sau internațională.

Controlul produselor era cunoscut în trecut în întreprinderi sub titulatura de „Control Tehnic de Calitate - CTC”. Astăzi această denumire este deja depășită, o dată cu apariția și generalizarea standardelor de calitate din seria ISO 9 000.

Conform vocabularului calității, standardul ISO 8 402 din 1995, definește *calitatea* unui produs sau serviciu ca fiind „ansamblul de proprietăți și caracteristici ale unui produs sau serviciu care îi conferă acestuia aptitudinea de a satisface necesitățile exprimate sau implicite”.

Calitatea este așadar privită ca o *valoare de întrebuințare*, ca măsură a utilității unui produs sau serviciu, percepută numai în măsura în care ansamblul de proprietăți și caracteristici ale produsului reușesc să rezolve problemele clientului, răspunzând așteptărilor acestuia.

Un produs/serviciu poate avea din punct de vedere ingineresc orice performanțe, chiar și extraordinare, dar el nu va fi perceput de către client drept un produs de calitate decât în momentul în care produsul/serviciul este util pentru rezolvarea unei probleme a clientului, răspunzând strict cerințelor exprimate în contract sau celor subînțelese. Revine specialistilor în marketing dificila misiune de a prospecta piața și de a exprima în date tehnico-economice așteptările potențialilor clienți în raport cu un produs sau serviciu.

După standardul ISO 8 402, *produsul* sau *serviciul* este definit ca „rezultat al activităților sau proceselor (produse hardware sau software) sau o activitate sau proces în sine - prestarea unui serviciu sau aplicarea unui procedeu de fabricație”.

Conform standardul ISO 8 402, termenul „calitate” nu trebuie utilizat pentru exprimarea unui grad superlativ - nivel de excelență, și nici cu sens cantitativ în evaluările tehnice. În aceste cazuri trebuie să se folosească un calificativ, ca de exemplu: „calitate relativă”, atunci când produsele sunt clasificate după superlativul lor sau prin comparație; respectiv: „nivelul calității” și „măsura calității”, atunci când evaluări tehnice precise sunt efectuate și exprimate cantitativ.

După standardul ISO 8 402, *controlul calității* este definit ca: „totalitatea tehnicilor și activităților cu caracter operațional, care au drept scop atât urmărirea (monitorizarea) unui proces, cât și eliminarea cauzelor performanțelor necorespunzătoare, în vederea îndeplinirii cerințelor de calitate”.

În standardul ISO 8 402 se regăsește și ceea ce era îndeobște cunoscut, în mod tradițional, drept CTC, denumit însă de acum înainte *inspecție* - „activități precum măsurarea, examinarea, testarea uneia sau mai multor caracteristici ale unui produs sau serviciu și compararea acestora cu cerințele specificate, în vederea stabilirii conformității produsului sau serviciului cu specificațiile respective”.

Problema realizării unor produse de calitate, a lucrului bine făcut de prima dată, este impusă din considerente de eficiență economică. Astfel se constată o creștere (datorată crizei de materii prime și energie, a globalizării piețelor de desfacere) a ponderii costului intrărilor (materii prime, energie, piese și subansamble, servicii - care sunt achiziționate de întreprinderi) în procesul de fabricație, care poate ajunge la peste 50% din costul ieșirilor (produse finite, piese de schimb, servicii). În acest caz, pentru supraviețuirea întreprinderii, este imperios

necesară reducerea drastică a cheltuielilor de fabricație (prin reducerea duratei de fabricație, a volumului stocurilor, a întârzierilor, a remedierilor și a înlocuirilor, a birocrăției inutile; adică prin perfecționarea și optimizarea organizării). În același timp, este necesară o creștere a exigenței față de calitatea intrărilor printr-o colaborare riguroasă cu furnizorii.

În epoca actuală, scopul controlului este de a economisi munca prin prevenirea apariției *neconformităților* și nu de a o risipi prin remedierea produselor neconforme. Controlul trebuie să ofere nu numai informații despre conformitatea produsului cu specificațiile; el trebuie să identifice cauzele apariției neconformităților și să propună acțiuni corective și preventive. Din perspectiva actuală, calitatea înglobează patru componente principale (figura 16.54), legate de traseul de fabricație și utilizare a produsului: *concepție, execuție, utilizare, service*.

La toate cele patru componente apare un impact asupra mediului într-o masura mai mare sau mai mica, gradul de poluare depinzand de natura si tipul produsului, respectiv procesului tehnologic.

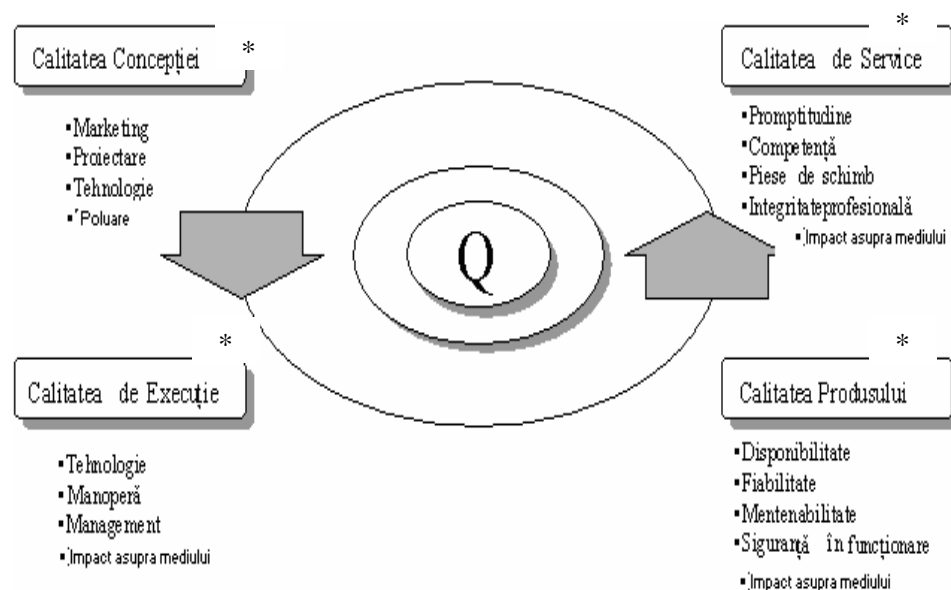


Fig. 16.54. Componentele calității și zonele de impact asupra mediului (* - zonele de poluare).

Din perspectiva produsului, calitatea se definește prin următorii indicatori:

- *capabilitatea* este capacitatea produsului de a îndeplini cerințele;
- *fiabilitatea* este capacitatea produsului de a îndeplini funcțiile cerute, în condiții de utilizare specificate și într-o perioadă de timp determinată;
- *disponibilitatea* este capacitatea produsului de a satisface misiunea sa într-o perioadă de timp determinată;
- *mentenabilitatea* este capacitatea produsului de a fi repus în funcțiune într-o perioadă de timp determinată;

- *siguranța în funcționare* este capacitatea produsului de a nu afecta mediul și viața;
- *operabilitatea* este capacitatea produsului de a fi operabil de către beneficiar într-o perioadă de timp determinată;
- *durabilitatea* exprimă durata de viață a produsului.

După cum s-a arătat mai înainte, astăzi termenul *calitate* apare în diverse definiții și concepte. În figura 16.55. este sintetizată o structură de legătură și de ierarhizare recapitulativă a diversilor termeni din familia calității:

- *inspecția calității* este nivelul de bază, operațional (CTC-ul clasic);
- *controlul calității* este nivelul următor de integrare a tehnicilor și metodelor operaționale;
- *asigurarea calității* generează încrederea internă și externă în capacitatea firmei de a crea calitatea;
- *sistemul calității* este infrastructura necesară implementării managementului calității;
- *managementul calității* este funcția managerială care implementează politica firmei în domeniul calității;
- *politica în domeniul calității* este strategia firmei referitoare la calitate;

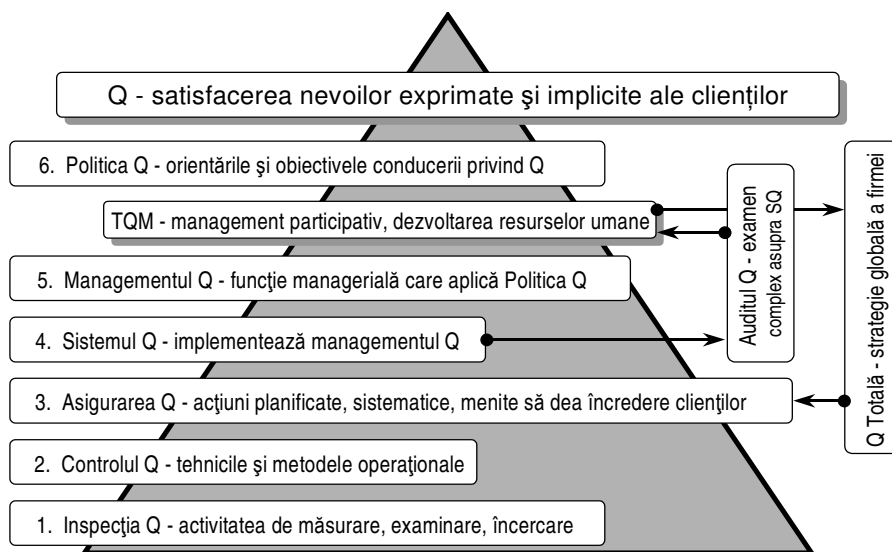


Fig. 16.55. Definirea noțiunilor referitoare la calitate.

- *managementul calității totale* (TQM) este un concept de restructurare a managementului contemporan, care pune accentul pe rentabilizarea firmei pe termen lung, utilizând ca principale pârghii managementul participativ, calitatea, dezvoltarea și eficientizarea resurselor umane;

- *calitatea totală* este strategia globală a firmei de eficientizare a întregii activități prin calitate;

- *auditul calității* este examenul complex prin care se certifică sistemul

calității;

- *calitatea* exprimă valoarea de întrebuințare a produselor și serviciilor.

Clasificarea proceselor de control se poate face după mai multe criterii și anume:

- după poziția față de procesul de transformare se deosebesc (fig. 16.56):
- în amonte, controlul inițial, care se face:
 - la furnizor;
 - la recepția produselor;
 - la reglarea mașinilor și SDV-urilor.
- în timpul desfășurării procesului:
 - controlul pe fluxul de fabricație;
 - autocontrolul/controlul extern;
 - controlul procesului;
 - controlul integral/controlul statistic;
 - controlul pe stand;
 - controlul inter operații.
- în aval, controlul final:
 - pe stand;
 - la producător;
 - la expediere;
 - la instalare/punere în funcțiune;
 - după depanare/service.

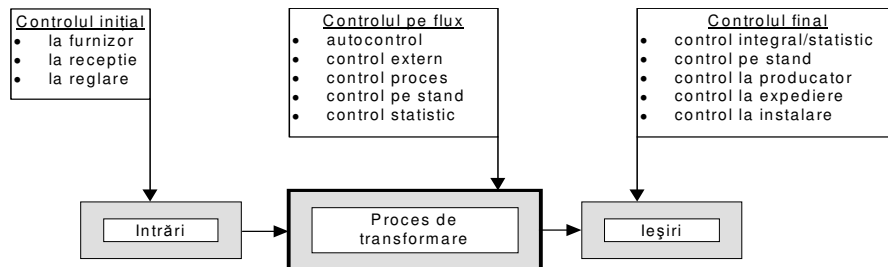


Fig. 16.56. Clasificarea proceselor de control în raport cu procesul de transformare.

- după poziția în raport cu ciclul de viață al produsului se disting (fig. 16.57):
 - procese care au loc la producător;
 - procese care au loc la client (beneficiar);
 - procese care se desfășoară după casarea produsului.
- după gradul de automatizare al procesului de control se deosebesc:
 - controlul manual;
 - controlul parțial automatizat;
 - controlul integral automatizat.
- după numărul de produse controlate se deosebesc:
 - integral;
 - prin eșantionare, statistic.
- după complexitatea controlului se deosebesc:

- autocontrolul;
- controlul extern specializat;
- auditul.
- după echipamentul utilizat se deosebesc:
 - controlul cu instrumente;
 - controlul cu aparate;
 - controlul cu mașini/instalații;
 - controlul pe standuri.
- după condițiile de testare ale produsului se deosebesc:
 - controlul în condiții uzinale;
 - controlul în condiții de laborator;
 - controlul în condiții simulate de funcționare;
 - controlul în condiții reale de funcționare.

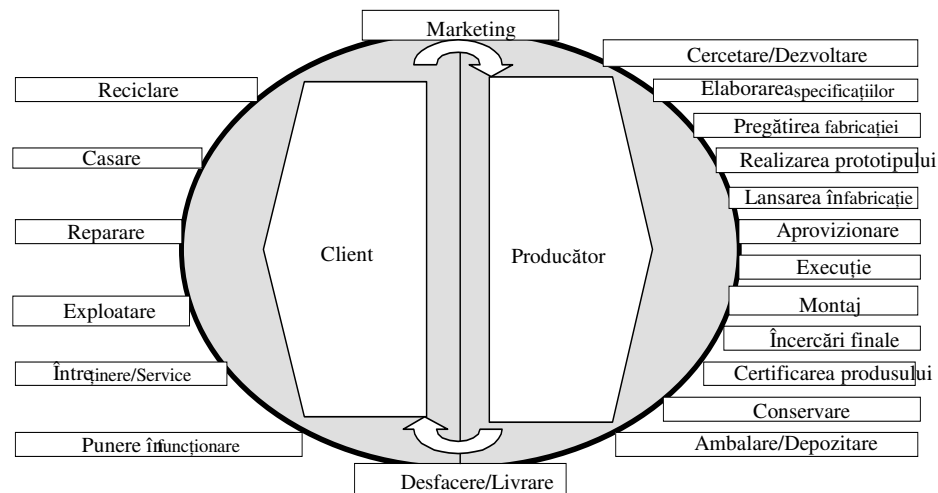


Fig. 16.57. Ciclul de viață al produsului hardware.

- după ceea ce se testează se disting:
 - controlul caracteristicilor fizico-chimice;
 - controlul caracteristicilor mecanice de rezistență;
 - controlul caracteristicilor electro-mecanice;
 - controlul caracteristicilor estetice;
 - controlul caracteristicilor de exploatare;
 - controlul caracteristicilor de mentenanță;
 - controlul caracteristicilor ecologice.
- după modul de inspectare se deosebesc:
 - controlul distructiv:
 - pe epruvete;
 - pe produse de sacrificiu;
 - controlul nedistructiv.
- după gradul de răspândire a metodei de inspectare se disting:
 - controlul cu metode uzuale;

- controlul cu metode speciale.

Controlul inițial se aplică produselor și materialelor aprovizionate, înainte de introducerea lor în fluxul de fabricație (procesul de transformare). Sistemul de verificare a produselor trebuie stabilit de comun acord cu furnizorul și trebuie clar precizat în comanda de aprovizionare. Verificarea produselor și a materialelor aprovizionate se poate face:

- pe baza sistemului de asigurare a calității care funcționează la furnizor (se solicită audituri de sistem sau documente care să certifice performanțele sistemului, evaluări efectuate de organisme independente recunoscute);
- pe baza interpretării înregistrărilor statistice ale controlului proceselor de fabricație;
- inspecție la furnizor înainte de livrare, în prezența reprezentanților beneficiarului;
- inspecție la beneficiar după livrare, în prezența reprezentanților furnizorului.

Controlul pe fluxul de fabricație se poate efectua în timpul operațiilor fiind un control în timp real (on-line), care permite reglarea ulterioară a mașinii/procesului, sau între operații (la sfârșitul unei operații). Controlul poate fi efectuat de către:

- operator (autocontrol);
- de către personal calificat (CTC);
- în ciclu automat de către o instalație sau mașină (control automat).

Controlul final se desfășoară după încheierea tuturor operațiilor de realizare a produsului. Controlul final trebuie să aibă în vedere *percepția globală* pe care clientul o are la contactul cu produsul. Aceasta înseamnă că se va acorda atenție și *activităților post-produție*, precum: conservarea, ambalarea, depozitarea, manipularea, prezentarea, desfacerea, consilierea, vânzarea, livrarea, instalarea, punerea în funcțiune, întreținerea și service-ul, care în mod obișnuit vând produsul și creează *imaginea firmei* pe piață.

Controlul integral presupune verificarea fiecărui produs sau piese în parte, bucată cu bucată. Se poate aplica la recepție, pe flux sau la final. De regulă este deosebit de laborios și duce la scăderea productivității. Se aplică în producția de serie mică și unicate și în cazul produselor a căror siguranță în funcționare este deosebit de importantă (avioane, nave, utilaj chimic, petrolier, nuclear, minier, militar, energetic). Opusul său este *controlul statistic* sau controlul prin eșantionare (selecționare).

Cronologic *controlul statistic* a apărut o dată cu dezvoltarea producției de serie mare și de masă, în anii '30 în S.U.A., ca răspuns la nevoia de creștere a productivității și de reducere a costurilor produselor, marcând trecerea la societatea de consum.

W.E. Deming, unul din părinții *calitologiei*, specialist în statistică, afirma în 1944: „În viața reală nu există constante. Există totuși un sistem cauzal constant. Rezultatele produse de un astfel de sistem cauzal pot varia într-o bandă largă sau, dimpotrivă, îngustă. Pe lângă variație, datele de ieșire ale unui astfel de sistem cauzal prezintă o caracteristică importantă, denumită stabilitate. De ce este nevoie

să se aplice noțiunile de constanță și de stabilitate unui sistem cauzal care produce rezultate variabile? Deoarece același procentaj de rezultate variabile continuă să apară, în cadrul unor limite date, periodic, oră după oră, zi după zi, pe durata de operare a sistemului cauzal. Distribuția rezultatelor poate fi constantă sau stabilă. Când un proces de prelucrare se comportă ca un sistem cauzal constant, producând rezultate ale inspecțiilor care prezintă stabilitate, se spune că este sub control statistic. Graficul de control arată dacă procesul respectiv se află sau nu în limitele de control.”

Controlul statistic trebuie perceput ca un set de instrumente care pot influența deciziile manageriale legate de proiectare, producție și testare/încercare/inspecție. Controlul statistic în general necesită cooperarea factorilor de răspundere din aceste trei funcții importante ale unei firme. De aceea, din acest punct de vedere, controlul statistic trebuie înțeles ca un ajutor managerial important (fig 16.58).

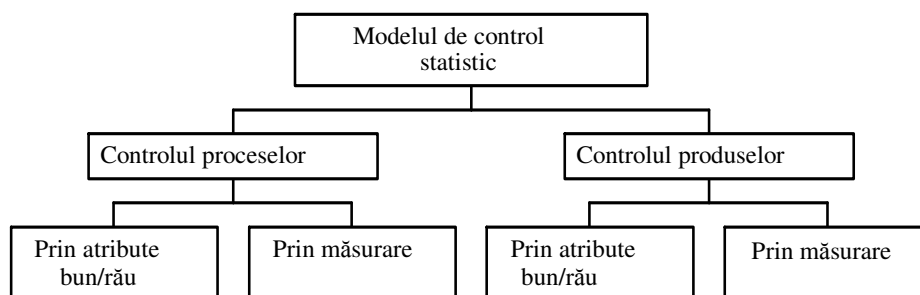


Fig. 16.58. Tipuri de control statistic.

Principalele instrumente de control statistic utilizate în producție sunt:

- *graficele de control Shewhart pentru caracteristicile de calitate măsurabile*. Acestea pot fi:

- grafice pentru variabile;
- grafice pentru medie și dispersie;
- grafice pentru media eșantioanelor și abaterea standard;
- *graficele de control Shewhart pentru fracțiunea respinsă* (graficul p);
- *graficele de control Shewhart pentru numărul de neconformități per unitate* (graficul c). Aceste grafice prezintă numărul total de defecte raportat la piesa inspectată. Dacă numărul de neconformități pentru o anumită piesă inspectată se situează în afara limitelor de control calculate sau dacă punctele sunt dispuse preferențial deși toate se află în limitele de control, atunci procesul se află în afara controlului și trebuie intervenit pentru a se preveni apariția defectelor;

- *procedura de eșantionare*.

Conform standardului ISO 8402, *asigurarea calității* înseamnă ansamblul de acțiuni planificate și sistematice, menite a da *încrederea* corespunzătoare că un produs sau serviciu va satisface cerințele de calitate specificate.

Încrederea este completă numai dacă condițiile specificate reflectă toate exigențele utilizatorului. Asigurarea calității necesită o evaluare permanentă a

factorilor care influențează gradul de adecvanță a proiectului, precum și verificări și audituri ale etapelor care alcătuiesc *ciclul de viață al unui produs*.

Dacă într-o organizație (firmă, companie, întreprindere, fabrică etc.) asigurarea calității este folosită ca instrument de lucru al conducerii, aceasta generează *încrederea internă*.

Dacă asigurarea calității este folosită în situații contractuale, aceasta generează *încrederea externă*.

Din punct de vedere istoric, asigurarea calității a apărut ulterior controlului statistic, din necesitatea de a economisi timp și mijloace. Astfel, dacă într-o organizație lucrurile sunt puse la punct și fiecare membru al său știe ce are de făcut, dacă produsul n este bun, atunci poate să existe încrederea că și produsul $n+1$ va fi de asemenea bun. Aceasta evoluție a modului de a privi calitatea și controlul acesteia a însemnat deplasarea atenției de la controlul particular al produsului la controlul general al managementului organizației furnizoare de produse sau prestatoare de servicii.

Asigurarea calității poate fi privită și drept o problemă de imagine a firmei, astfel, orice prezentare a firmei și a produselor sau serviciilor furnizate de aceasta trebuie să facă referire și la problematica certificării calității (fig 16.59).

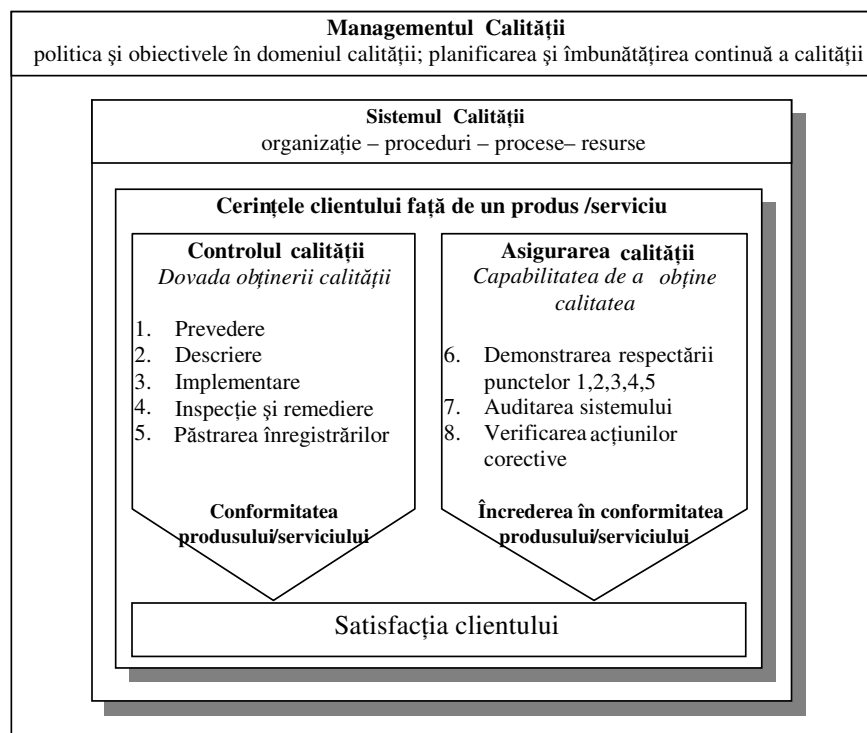


Fig. 16.59. Definirea asigurării calității.

Calitatea unui produs sau serviciu depinde în mod fundamental de activitatea de proiectare și concepție. Circa 80% din calitatea produsului sau serviciului este

stabilită încă din concepție. Altfel spus, aptitudinea de a satisface cerințele exprimate sau subînțelese ale clientului față de un produs sau serviciu este dată de proiectant. Numai 20% din calitate mai poate fi influențată (în bine sau în rău) de execuție; rezultă, din cele arătate, că de activitatea proiectanților depinde succesul sau eșecul pe piață al unui produs sau serviciu.

În activitatea de proiectare și concepție trebuie inclusă și stabilirea temei de proiectare prin activități de analiză și de prognoză a pieței - *marketingul*. Numai dacă au fost identificate corect cerințele clienților și exigențele pieței, precum și prognozată evoluția ulterioară a acestora, avându-se în vedere decalajul care există între momentul cererii și cel al ofertării produsului spre vânzare, se poate trece la activitatea de proiectare propriu-zisă.

Controlul activității de proiectare are în vedere supravegherea ciclului de realizare a unui proiect, de la analiza și formularea cerințelor pieței (*datele de intrare* în proiect), până la darea în execuție a proiectului (*datele de ieșire* din proiectare), așa cum se vede în figura 16.60. În această activitate trebuie incluse *proiectarea tehnologică* și *pregătirea fabricației* (selecționarea procedeelor de fabricație, stabilirea parametrilor de proces, stabilirea tehnologiei de control, proiectarea și realizarea SDV-urilor specifice).

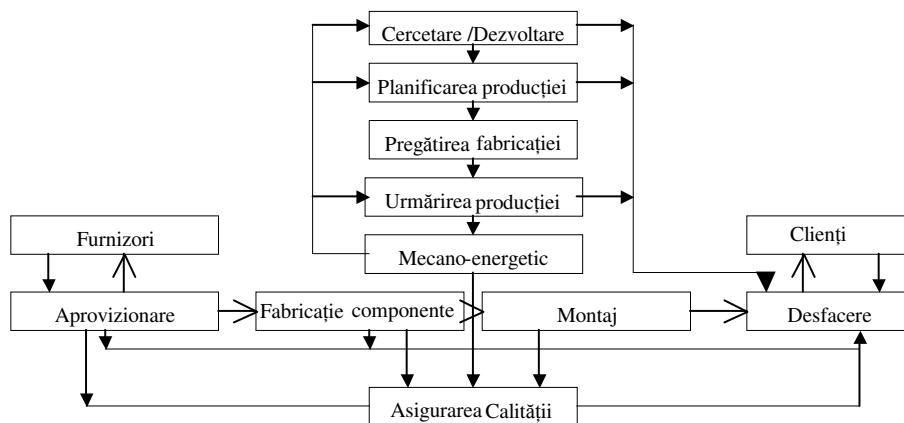


Fig. 16.60. Circuitele asigurării calității:
→ fluxul material; → fluxul informațional.

Supravegherea etapelor proiectării se poate realiza practic în baza unor proceduri specifice, care trebuie să ofere răspuns la următoarele aspecte:

- *planificarea prealabilă a proiectării*; planul de proiectare astfel întocmit trebuie să conțină: identificarea activităților de concepție și proiectare, precizarea cerințelor de competențe și de resurse pentru fiecare activitate, distribuția responsabilităților pentru fiecare activitate;
- *evaluarea și aprobarea planului de proiectare*;
- *definirea interfețelor cu celelalte compartimente* ale firmei, necesare pentru fiecare activitate inclusă în plan;

- modul de obținere a datelor de intrare pentru proiectare;
- modul de prezentare a datelor de ieșire din proiectare, necesare pentru execuție;
- proiectul trebuie să includă clar specificate: cerințele clientului, cerințele de siguranță în funcționare, cerințele impuse de reglementări legale în vigoare (fig 16.61.);

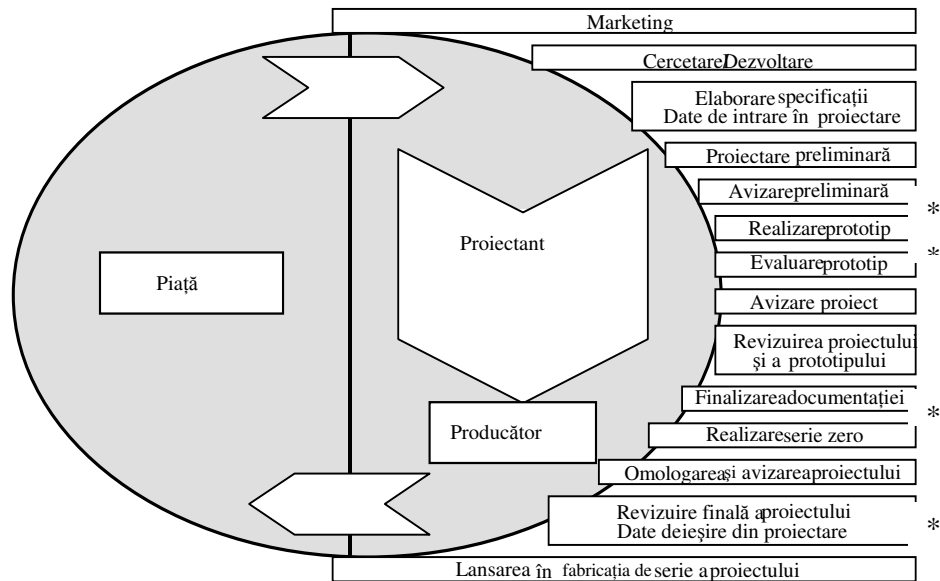


Fig. 16.61.. Ciclul de realizare a unui proiect și momentele de impact asupra mediului (*).

- *modul de verificare și de avizare a proiectelor*, care să includă drept criterii: ușurința fabricației (accesibilitatea și eficiența utilizării echipamentelor din producție), precizarea cerințelor de control împreună cu specificațiile aferente (evaluarea raportului dintre acestea și satisfacerea cerințelor clientului), precizarea cerințelor de fiabilitate și de mentenabilitate, prezența documentației de utilizare și de service (fig 16.62.);

- *modul de efectuare a încercărilor de omologare;*
- *modul de verificare a competențelor celor implicați în realizarea proiectului;*
- *modul de efectuare și de avizare a reviziilor proiectului;*
- *modul de actualizare a documentației de execuție, aflate în producție.*

În vederea realizării produselor sau serviciilor, orice firmă, întreprindere sau companie trebuie să se aprovizioneze cu o serie de materii prime, materiale, echipamente sau consumabile, ținând cont de faptul că nu este posibil ca în cadrul uneia și aceleași firme să se realizeze absolut toate produsele de care este nevoie pentru buna desfășurare a activității curente. Majoritatea materialelor aprovizionate contribuie la atingerea nivelului de calitate al produsului finit, de aceea, activitatea de aprovizionare trebuie ținută sub control (fig 16.63).

Controlul aprovizionării, în conformitate cu standardele ISO 9000, se face prin:

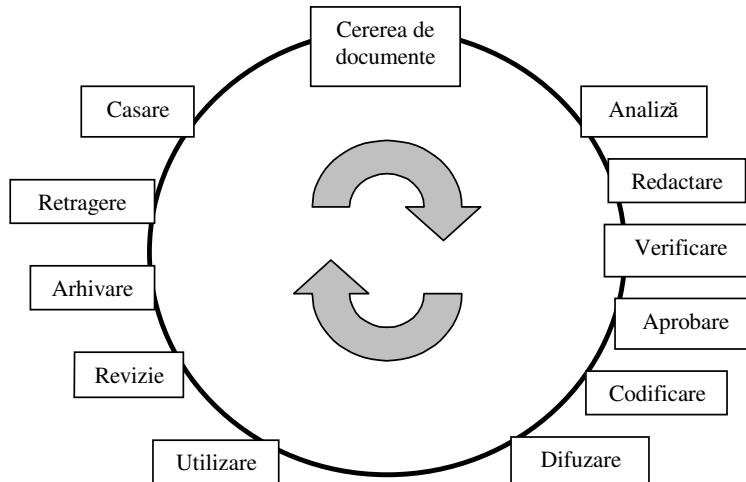


Fig. 16.62. Ciclul de viață al documentației.

- *evaluarea și selecția subcontractanților și a furnizorilor* (criterii avute în vedere: capacitatea furnizorilor de a îndeplini cerințele de calitate impuse produsului sau serviciului; disponibilitatea echipamentelor și a forței de muncă; viabilitatea comercială și financiară; capacitatea de producție și modul de respectare a termenelor; eficiența sistemului de asigurare a calității la furnizor);

- *însoțirea comenzilor și contractelor de aprovizionare cu date, specificații, proceduri și desene de execuție, care să descrie clar produsul sau serviciul comandat, ca și exigențele cerute furnizorului;*

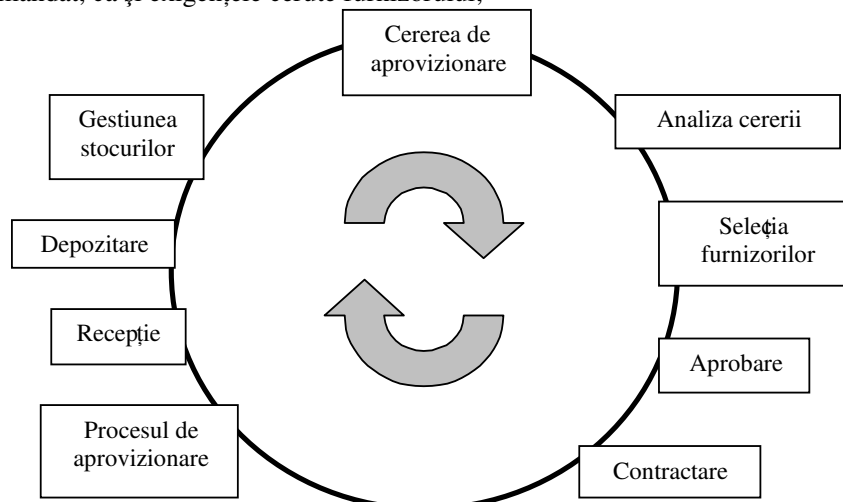


Fig. 16.63. Ciclul de aprovizionare.

- *întocmirea de proceduri referitoare la calitate*, destinate posibililor subcontractanți sau licitatori în timpul ofertării;
- *analizarea devizelor* prezentate de furnizori din perspectiva calității; clarificarea cerințelor proprii impuse furnizorilor selectați și stabilirea unui acord privind procedurile de asigurare a calității;
- *controlul produsului aprovizionat*;
- *asistența acordată subcontractanților sau furnizorilor* prin: instruire, consultanță și SDV-uri;
- *monitorizarea calității produsului și a sistemului de asigurare a calității la furnizor*;
- *analizarea performanțelor subcontractanților sau furnizorilor* după onorarea comenzilor.

Activitățile de producție cuprind fabricația componentelor și montarea acestora. Prin aceste activități se realizează fizic produsul proiectat în prealabil.

Asigurarea calității în producție include următoarele aspecte:

- stabilirea capacității proceselor tehnologice;
- inspectarea și supravegherea proceselor tehnologice;
- încercarea produselor în diferite faze importante;
- controlul proceselor de fabricație;
- întreținerea, calibrarea și gestionarea echipamentelor (utilaje, mașini și instalații de proces, SDV-uri și AMC-uri);
- identificarea, trasabilitatea și gestionarea materialelor și a produselor;
- controlul și supravegherea utilităților (apă, aer comprimat, gaz, energie electrică) și a factorilor de mediu (temperatură, umiditate, viteză relativă a aerului, curățenie, zgomot, vibrații, iluminat, noxe, radiații);
- analiza și controlul produselor neconforme;
- controlul documentelor.

Monitorizarea producției cuprinde:

- controlul intrărilor (materii prime și materiale, utilități, factori de mediu, informații);
- controlul circuitului productiv (identificarea materiilor prime, a pieselor și a documentelor);
- controlul echipamentelor de lucru;
- monitorizarea feed-back-ului în scopul îmbunătățirii procesului.

În fluxul de producție trebuie stabilite *puncte de control*, alese astfel încât să se obțină minimizarea efectelor erorilor și creșterea *eficienței proceselor*.

Încercările finale sunt deosebit de importante, întrucât de rezultatul lor (stabilirea măsurii în care produsul este conform cu specificațiile) depinde *eliberarea produsului în vederea comercializării*. La testele finale trebuie să se ia în considerare, pe de o parte, reglementările privind *răspunderea juridică asupra produsului fabricat sau comercializat*, iar, pe de altă parte, *totalitatea înregistrărilor calității* efectuate anterior (înregistrările efectuate de furnizor, inspecțiile de recepție, cele de pe fluxul de fabricație etc.). Pe baza datelor culese anterior, susținute de dovezi credibile (supervizate de compartimentul de asigurare a calității), volumul inspecțiilor finale poate fi redus la minimum, acestea fiind

completate de toate celelalte inspectii premergatoare efectuate asupra materiilor prime, componentelor sau subansamblurilor produsului respectiv (fig 16.64).

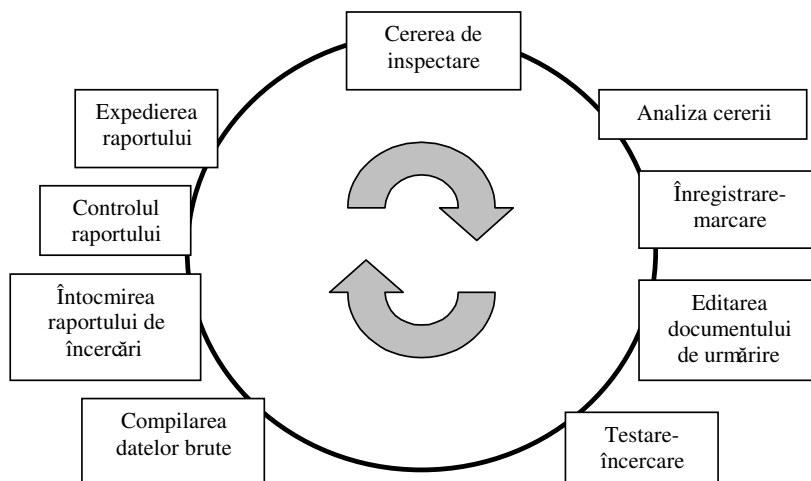


Fig. 16.64. Ciclul de inspecție-testare.

Aceste activități cuprind de regulă: *conservarea, ambalarea, manipularea, depozitarea, identificarea, montajul și punerea în funcțiune* a unor produse fabricate anterior. Acestor activități trebuie să li se acorde o importanță la fel de mare ca și celor legate nemijlocit de realizarea produselor; un produs conform cu specificațiile poate fi compromis prin niște activități post producție necorespunzătoare.

Conservarea are ca scop menținerea caracteristicilor produsului după fabricare și până la punerea în funcțiune, pe parcursul manipulării, depozitării, transportului, livrării și montajului. Conservarea trebuie să asigure; protecția contra coroziunii, protecția calității suprafețelor contra zgârierii, protecția contra deformării, spargerii, fisurării, lovirii, căderii, răsturnării, trântirii, ori strivirii accidentale a produsului. Un rol important în conservarea produsului revine ambalajului. În cazul produselor sensibile trebuie să se prevadă specificații privind conservarea, ambalarea, transportul, manipularea.

Ambalarea joacă un rol important, atât în conservarea produsului, cât și în atractivitatea acestuia față de client. Trebuie avut în vedere că primul contact al clientului cu produsul se face prin intermediul ambalajului, de atractivitatea acestuia depinzând în mare măsura vânzarea produsului.

Ambalajul trebuie să asigure:

- protecția produsului (ambalajul trebuie să fie suficient de solid, rezistent la factorii de mediu și la modul de transport și manipulare);
- să faciliteze transportul și manipularea produsului fără a-l deteriora (ambalajul trebuie să se încadreze în niște forme și dimensiuni tipizate, care corespund tipului de transport utilizat: europalet, transcontainere, cărucioare, elevatoare etc.);

- ambalajul trebuie să aibă marcat la loc vizibil semnele convenționale corespunzătoare instrucțiunilor de transport, manipulare și depozitare;
- să ofere informații suficiente asupra produsului;
- să atragă clientul (ambalajul se alege în raport cu piața de desfacere și tradiția cu care sunt obișnuiți clienții);
- să se înscrie într-un *circuit de protecție a mediului* (reciclare, recuperare, refolosire a materiale biodegradabile, nepoluante).

Identificarea este necesară pentru a se putea localiza produsul și a se determina traseul acestuia. Marcajele și etichetele trebuie să fie ușor lizibile și durabile. Între controlul final al produselor și livrarea la beneficiar marcajul trebuie să se păstreze, astfel încât să se permită oricând o inspecție suplimentară. Marcajul apare obligatoriu, atât pe ambalaj, cât și pe fiecare produs în parte. Adeseori, identificarea corespunzătoare a produsului este indispensabilă pentru operațiile de întreținere, service în garanție și post garanție, precum și la supravegherea în exploatare. Pentru produsele exportate sau importate, este necesară redactarea marcajelor în limba clientului.

Manipularea produselor trebuie specificată în documentele însoțitoare ale produselor și pe ambalaj, de regulă, prin semne convenționale, recunoscute internațional. Manipularea se face manual în cazul produselor de dimensiuni mici, ușoare, ambalate individual sau în colete mici și mecanizat în celelalte cazuri. Pentru a nu se deteriora produsele, este necesar ca să se respecte cu strictețe indicațiile furnizorului și ca să existe dotarea corespunzătoare (cărucioare, vagonete, electrocare, stivuitoare, lize, electropalane, macarale, poduri rulante etc.)

Depozitarea are drept scop: echilibrarea cantităților sau a sortimentelor livrate, concilierea termenelor între momentul ofertei și cel al onorării cererii, echilibrarea diferențelor dintre diversele secții de producție etc.

Din punct de vedere al asigurării calității, depozitarea trebuie să asigure:

- protecția produselor;
- condiții favorabile de recepție și de expediere a produselor;
- urmărirea produselor perisabile;
- controlul rotirii stocurilor;
- controlul substanțelor periculoase.

Montajul produsului la beneficiar trebuie să asigure:

- funcționarea produsului la parametri și în condițiile stabilite de producător;
- menținerea performanțelor produsului;
- furnizorul trebuie să asigure instrucțiuni scrise pentru montaj (în caietul de sarcini);
- în cazul unor produse complexe, furnizorul trebuie să asigure echipe specializate pentru montaj la sediul beneficiarului;
- proiectantul produsului trebuie să aibă în vedere adoptarea acelor soluții constructive care să prevină montajul incorect.

Punerea în funcțiune, întreținerea și activitatea service. Asigurarea calității acestor activități și, implicit, a produsului trebuie să aibă în vedere (fig 16.65):

- evidența intervențiilor;

- gestiunea și supravegherea metrologică a AMC-urilor și a SDV-urilor utilizate la depanare;
- folosirea de piese de schimb originale, noi;
- personal de intervenție calificat (în unele cazuri acesta trebuie să fie și certificat în specialitate);
- întocmirea de proceduri de analiză și diagnosticare a defectelor produselor aflate în service;
- monitorizarea produselor vândute, atât a celor aflate în garanție, cât și post garanție;
- supravegherea și gestionarea eficientă a circuitului informațional (sesizările clienților și observațiile depanatorilor să ajungă cât mai rapid la proiectantul produsului, în vederea îmbunătățirii proiectului și a tehnologiilor de execuție și testare).

În triada *producător-client-service* producătorul este răspunzător pentru asigurarea fiabilității și mentenabilității produsului, utilizatorul pentru folosirea optimă a produsului cumpărat, iar service-ul este răspunzător pentru menținerea capabilității produsului. Împreună, toți își aduc contribuția la asigurarea și menținerea calității produsului (fig. 16.65).

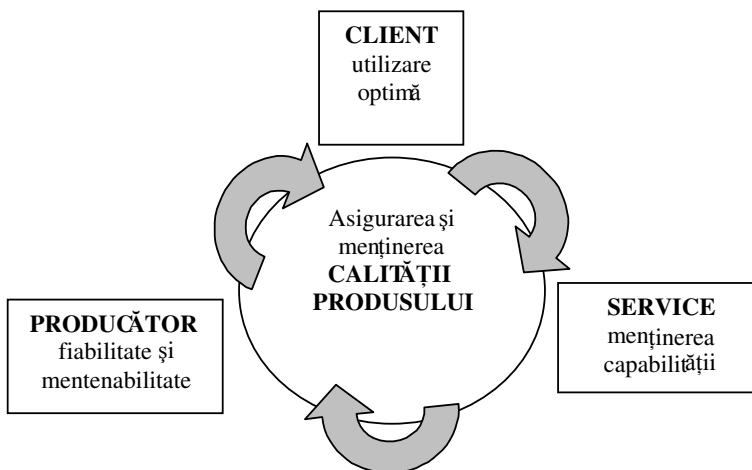


Fig. 16.65. Triada producător-client-service.

Specific produselor materiale sunt proprietățile funcționale. Acestea sunt definite ca suma de relații care se stabilesc între materialul din care este confecționată piesa și fenomenele din mediul în care se găsește sau funcționează piesa respectivă. Proprietățile funcționale pot fi relativ ușor măsurabile, iar gradul în care acestea satisfac cerințele impuse prin prescripțiile tehnice de execuție exprimă tocmai *nivelul de calitate* al produsului respectiv.

Metodele de inspectare distructivă sunt utilizate pentru determinarea unor proprietăți ale materialelor din care sunt confecționate piesele. În majoritatea cazurilor sunt utilizate piese de probă, numite *epruvete*, care sunt eșantioane

prelevate din materialul pieselor respective. Epruvetele au o anumită mărime și formă, care sunt standardizate, astfel încât să permită interpretarea corectă a rezultatelor încercării. Prelevarea epruvetelor se poate face: fie din deșeurile rămase de la prelucrarea piesei respective, din mostrele extrase la elaborarea materialului, din probe executate o dată cu fabricarea piesei respective sau din piese de sacrificiu.

Excepție de la cazurile în care sunt utilizate epruvete fac încercările de *anduranță*, caz în care sunt utilizate piese, subansamble, mașini sau aparate reale, în condiții de funcționare reale sau simulate, încercările desfășurându-se pe standuri de probă, în poligoane sau pe piste de încercare (de exemplu: testarea motoarelor, a autovehiculelor, a aeronavelor, a prototipurilor etc.).

Întrucât principalele metode de inspectare distructivă sunt cunoscute, în prezentul capitol sunt doar reamintite (tab. 16.23.) fiind detaliate numai *încercările de mediu*.

Tabelul 16.23. Metode de inspectare distructivă.

Nr. crt.	Grupa/Destinația	Denumirea	Descriere în Tratat de tehnologia Materialelor
1	Încercări de determinare a caracteristicilor fizico-chimice	determinarea compoziției chimice	2.4.1.
		determinarea microstructurii	2.4.2.
		determinarea macrostructurii	2.4.2.
		determinarea proprietăților fizice (chimice, magnetice, electrice, optice, acustice, nucleare, cuantice, mecanice etc.)	2.4.3.1.
2	Încercări de rezistență mecanică	încercarea la rupere (tracțiune, compresiune, încovoiere, torsiune, forfecare)	2.4.3.3.a.-e.
		încercarea la oboseală	2.4.3.3.h.
		încercarea la fluaj	2.4.3.3.i.
		încercarea la încovoiere prin șoc	2.4.3.3.g.
		determinarea durtății	2.4.3.3.f.
		încercări tribologice	-
3	Încercări de rezistență la acțiunea mediului	testarea la coroziune	2.4.3.1.
		testarea la iradiere	-
4	Încercări tehnologice	determinarea turnabilității	2.4.4.1.
		determinarea deformabilității	2.4.4.2.
		determinarea așchiabilității	2.4.4.3.
		determinarea sudabilității	2.4.4.4.
		determinarea călibilității	2.4.4.5.
5	Încercări funcționale	încercări de prototip	-
		teste de anduranță	-

Încercările de mediu sunt destinate să demonstreze că o probă este aptă să reziste și să funcționeze în condiții de mediu determinate. Încercările se pot face fie

prin expunerea produsului la condițiile de mediu respective (reale sau simulate), fie prin testarea produsului la efectele condițiilor de mediu. Reproducerea fidelă a condițiilor reale de mediu este practic imposibilă, iar, de cele mai multe ori, condițiile reale de utilizare ale produsului nu sunt complet cunoscute. Din aceste cauze încercările climatice sunt accelerate, prin creșterea solicitărilor reale. Principalele efecte ale factorilor de mediu sunt trecute în revistă în tabelul 16.24.

Tabelul 16.24. Efectele factorilor de mediu luați separați.

Factorul de mediu		Efecte	Defecte rezultate
Temperatura	scăzută	Fragilizare; Formarea gheții ; Creșteri de vâscozitate, solidificare; Pierderea rezistenței mecanice; Contrații fizice	Defecte ale izolațiilor, fisurări, defectări mecanice, creșterea uzurii părților mobile, defecte ale etanșărilor și armăturilor
	ridică	Îmbătrânire termică, oxidare; fisurare, reacții chimice; Înmuiere, topire, sublimare; Reducerea vâscozității, evaporare; Dilatare	Defecte ale izolațiilor, defectări mecanice, creșterea tensiunilor mecanice, uzura părților mobile datorită dilatării sau pierderii proprietăților lubrifiante
	variații rapide	Șoc termic Încălziri diferențiate	Defecte mecanice, fisuri, crăpături, deteriorarea garniturilor, scurgeri
Presiune	scăzută	Dilatare Scăderea rigidității dielectrice a aerului Efluvii electrice, formare de ozon Reducerea răcirii	Degradări mecanice, crăpături, defecte de etanșeitate, supraîncălziri
	ridică	Compresiune, deformare	Degradări mecanice, fisurare, defecte de etanșeitate
Umiditate relativă	scăzută	Pierderea apei Fragilizare Pierderea rezistenței mecanice Contrație Creșterea abraziunii între contactele mobile	Degradări mecanice, fisurare
	ridică	Absorbția și adsorbția de umiditate, umflare, pierderea rezistenței mecanice, reacții chimice, coroziune, electroliză, creșterea conductivității izolanților	Rupturi, defecte ale izolațiilor, degradări mecanice
Radiație solară		Reacții chimice și fotochimice Deteriorarea suprafeței Fragilizare Decolorare, formare de ozon, Încălzire, încălzire diferențiată și tensiuni mecanice	Defecte ale izolațiilor, similar cu temperatura ridicată

Tabelul 16.24. (continuare)

Atmosferă corozivă	Reacții chimice, coroziune, electroliză Deteriorarea suprafeței Creșterea conductivității Creșterea rezistenței de contact	Creșterea uzurii, defecte mecanice, defecte electrice
Praf și nisip	Uzură, eroziune, ancrasări Depuneri de materiale Deteriorarea suprafeței	Creșterea uzurii, defecte mecanice, defecte electrice
Vânt	Aplicarea unor forțe Uzură, eroziune, ancrasări Depuneri de materiale Inducerea de vibrații	Deformări de structură, degradări mecanice
Ploaie	Absorbție de apă Șoc termic Eroziune, coroziune	Defecte electrice, fisurare, crăpături, deteriorarea suprafeței
Grindină	Eroziune Șoc termic Deformare mecanică	Deformarea structurii, deteriorări ale suprafețelor
Zăpadă, gheață	Solicitări mecanice Absorbție de apă Șoc termic	Deformarea structurii, eroziune, coroziune
Ozon	Oxidare rapidă Fragilizare, scăderea rigidității dielectrice a aerului	Defecte electrice, defecte mecanice, ruperi, fisuri
Accelerații, vibrații, șocuri	Tensiuni mecanice, uzură Rezonanță	Defecte mecanice, creșterea uzurii părților mobile, deformarea structurii
Iradieră	Ionizarea materialelor Deplasarea atomilor din rețeaua cristalină Efecte termice	Scăderea proprietăților mecanice, scăderea conductivității electrice și termice
Mucegaiuri	Scăderea caracteristicilor mecanice Modificări ale proprietăților fizice Îmbătrânirea materialului de bază	Deteriorarea izolației, variația proprietăților electrice, defecte mecanice

Metodele de inspectare nedistructivă prezintă avantajul că aplicarea lor nu afectează caracteristicile produsului inspectat. Din această cauză, ele au o largă răspândire în toate ramurile economice: industrie, construcții, agricultură, cercetare (tab. 16.25).

Tabelul 16.25. Metode de inspectare nedistructivă.

Nr. crt.	Grupa/Destinația	Utilizare	Denumirea	Descriere în Tratat de Tehnologia Materialelor
1.	Diagnoza externă a pieselor	determinarea culorii	controlul optico-vizual	-
			controlul colorimetric	-
		determinarea rugozității	controlul optico-vizual	1.2.3.2.d

Tabelul 16.25. (continuare)

		determinarea formei și a volumului determinarea defectelor de suprafață	controlul dimensional	1.2.3.2.a-c
			controlul holografic	2.4.5.6
			controlul prin cântărire	-
			controlul optico-vizual	-
			controlul cu radiații penetrante	2.4.2.2.a
			controlul cu ultrasunete	2.4.2.2.b
			controlul cu pulberi magnetice	2.4.2.2.c
			controlul cu lichide penetrante	2.4.2.2.d
			controlul prin curenți turbionari	2.4.5.1
			controlul tomografic	2.4.5.3
			controlul termografic	2.4.5.4
			controlul cu microunde	2.4.5.5
2.	Diagnoza internă a pieselor	determinarea defectelor interne	controlul cu radiații penetrante	2.4.2.2.a
			controlul cu ultrasunete	2.4.2.2.b
			controlul cu pulberi magnetice	2.4.2.2.c
			controlul cu lichide penetrante	2.4.2.2.d
			controlul prin curenți turbionari	2.4.5.1
			controlul tomografic	2.4.5.3
			controlul termografic	2.4.5.4
			controlul cu microunde	2.4.5.5
3.	Proгноza piesei (durată de viață, comportare în funcționare)	determinarea descriptorilor calității (durabilitate, fiabilitate, capabilitate, disponibilitate, mentenabilitate, operabilitate, siguranța în funcționare)	modele fizice și matematice de descriere și evaluare calitativă și cantitativă a cauzelor și efectelor defectelor	-
			modele statistice	-
			metode previzionale (AMDEC, arborele de defectare)	-

În producția de serie se preferă utilizarea metodelor de inspecție nedistructivă integrate în *sisteme automate de inspecție*, care au avantajul scurtării timpului neproductiv, în condiții de fiabilitate ridicată a controlului.

Un sistem automat de inspecție poate utiliza una sau mai multe metode de inspectare nedistructivă, care sunt dezvoltate în funcție de cazul concret al aplicației (fig 16.66.).

Piesa este inspectată cu ajutorul unor *senzori* specifici metodei de control (*optico-vizual, emisie acustică, ultrasunete, radiații penetrante* etc.), semnalul este preluat și prelucrat, este comparat cu *semnalul de referință* (memorat în prealabil în

banca de date de referință) și se comandă dispozitivele de sortare a pieselor, în raport cu verdictul controlului. Rezultatul este memorat, în vederea prelucrării în continuare a rezultatelor controlului și optimizării procesului care a generat piesele

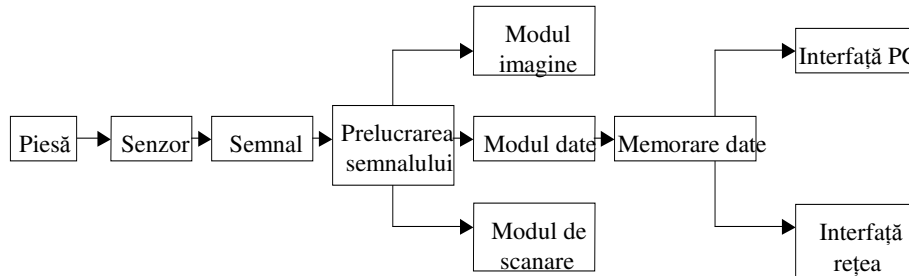


Fig. 16.66. Schema bloc a unui sistem de inspecție automat.

inspectate. Metodele de inspectare a produselor cu suport material (software) sunt definite de metodele prezentate mai sus.

Specific acestor produse este lipsa unui material din care este confecționat produsul, materialul acestuia având numai rolul de suport. În acest caz, prin testarea unor proprietăți ale materialului suport nu pot fi trase concluzii asupra proprietăților funcționale ale produsului și, în consecință, nici asupra nivelului calitativ al produsului respectiv (fig 16.67).

În aceste situații, se recurge la *controlul preventiv*, prin punerea la punct în detaliu a cadrului de desfășurare a producției, astfel încât, prin controlul tehnico-organizatoric al fiecărei etape de realizare a produsului, adică a întregului proces de realizare a produsului, să fie prevenită apariția produselor neconforme (similar cu controlul activității de proiectare și a se vedea asigurarea calitatii în proiectare).

Conform standardului SR ISO 9000-3 din 1995 *Ghid pentru aplicarea ISO 9001 la dezvoltarea, livrarea și mentenanța software-ului*, sunt definite următoarele elemente:

- *software*: creație intelectuală care cuprinde programe, proceduri, reguli și orice documentație asociată referitoare la funcționarea unui sistem de prelucrare a datelor; un software este independent de suportul pe care este înregistrat;

- *produs software*: ansamblul complet format din programe, proceduri și documentația asociată pentru calculator, precum și datele destinate să fie livrate unui utilizator;

- *verificare* (pentru software): procesul de evaluare a produselor aflate într-o fază dată, pentru a se asigura precizia și compatibilitatea față de produsele și standardele furnizate ca date de intrare pentru această fază.

Pentru servicii sunt metode de inspectare specifice serviciilor.

Serviciile pot fi definite ca rezultate ale activităților desfășurate la *interfața client/furnizor*, precum și alte altor activități interne ale furnizorului, destinate satisfacerii cerințelor clientului. Inițial, termenul de servicii includea numai acele activități desfășurate la interfața dintre client și prestator; însă, o dată cu impunerea managementului calității totale în cadrul firmelor, diversele compartimente

funcționale ale acestora au început a fi tratate independent, conform principiului „next process is a consumer” (următorul proces pe fluxul tehnologic este un consumator/client). O cale de viabilizare a firmelor integrate este externalizarea unor servicii, fapt ce conduce la lărgirea gamei de servicii oferite pe piață.

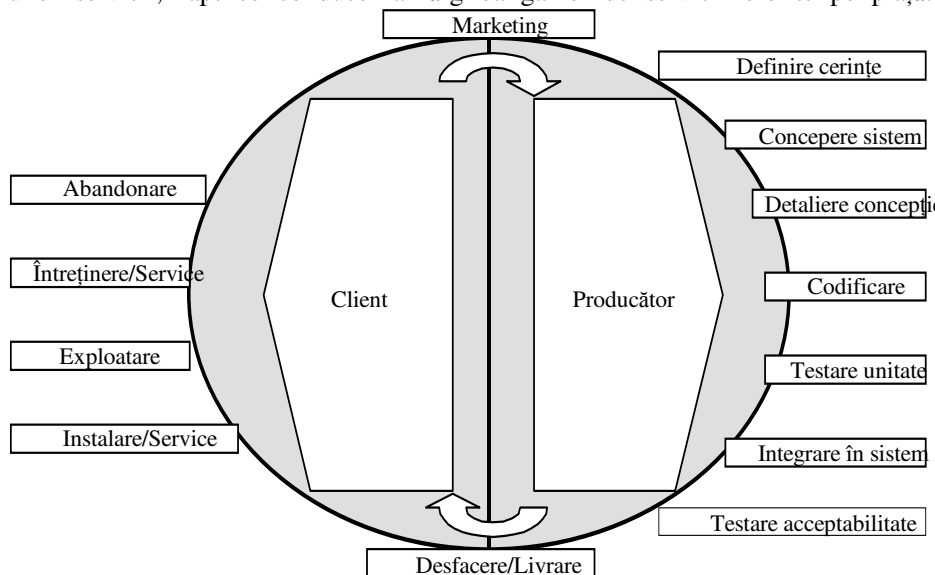


Fig. 16.67. Ciclul de viață al produsului software.

Pot exista servicii independente, furnizate ca atare, sau dependente de un anumit produs, pe care îl însoțesc (în acest caz serviciile completează atractivitatea produsului pentru piață).

Deosebiriile dintre un produs și un serviciu pot fi enunțate astfel:

- *imaterialitatea și intangibilitatea*: serviciului nu i se pot asocia caracteristici obiective palpabile, imaginea serviciului este subiectivă;
- *multiciplitatea*: serviciul presupune mai multe etape diferite sau complementare, care concură la ofertarea serviciului;
- *perisabilitatea în timp*: produsul este durabil, în timp ce serviciul este furnizat (prestat) la un anumit moment; se consideră că producerea și consumul serviciului se fac simultan.
- *variabilitatea*: serviciul depinde în mare măsură de competența, experiența, conștiinciozitatea, probitatea morală și renumele prestatorului;
- *integrarea clientului*: clientul participă la producerea și consumarea serviciului în mod direct (servicii de sănătate, de educație și de instruire, de cosmetică și coafură, de *fitness*, masaj, *body-building*) sau indirect (alimentație publică, turism, servicii bancare, administrație, servicii IT, servicii de întreținere și reparații, servicii de transport, încărcare-descărcare, curățenie-menaj etc.).

În industrie pot fi identificate următoarele tipuri de servicii, corespunzătoare compartimentelor funcționale ale unei întreprinderi, conform tabelului 16.26. Se poate observa că unele dintre servicii însoțesc produsul,

facilitând realizarea (proiectarea și execuția) sau vânzarea acestuia, iar altele se referă la buna funcționare a firmei și la relațiile ei cu mediul extern (acționari, clienți, comunitate locală, furnizori, stat și societate).

Tabelul 16.26. Tipuri de servicii existente in industrie.

Nr. crt.	Tipul serviciului	Denumirea serviciului
1	Servicii de marketing	Analiza pieței Chestionare clienți Reclamă
2	Servicii de proiectare	Documentare Editare Redactare Distribuție Arhivare
3	Servicii manageriale	Consultanță Secretariat Protocol
4	Servicii în producție	Transport Deservire mașini, utilaje, locuri de muncă Întreținere mașini, utilaje, locuri de muncă Asistență tehnică în execuție Menținerea curățeniei Asigurarea utilităților Depozitare
5	Servicii post-producție	Transport; Depozitare
6	Servicii de aprovizionare	Selectare furnizori Asistență furnizori Transport, livrare, recepție
7	Servicii de desfacere	Vânzări Asistență clienți Transport, livrare
8	Servicii post-desfacere	Punere în funcțiune Instruire și asistență clienți Urmărire reclamații și sesizări Întreținere Service
9	Servicii comerciale	Contractare Facturare
10	Servicii financiar-contabile	Controlling Urmărirea producției și a stocurilor Gestiune fonduri fixe Gestiune fonduri circulante Normarea muncii Urmărirea costurilor
11	Servicii administrative și de personal	Selecția și angajarea personalului Scolarizare/perfecționare personal Protecția muncii Asistența socială
12	Servicii de asigurare a calității	Urmărirea costurilor calității Audituri Controlul documentelor Asistența de specialitate

Tabelul 16.26. (Continuare)

13	Servicii de control	Încercări finale Recepție materiale Încercări pe flux Control statistic Control documente și înregistrări
14	Servicii de consultanță	Studii de fezabilitate Studii de marketing

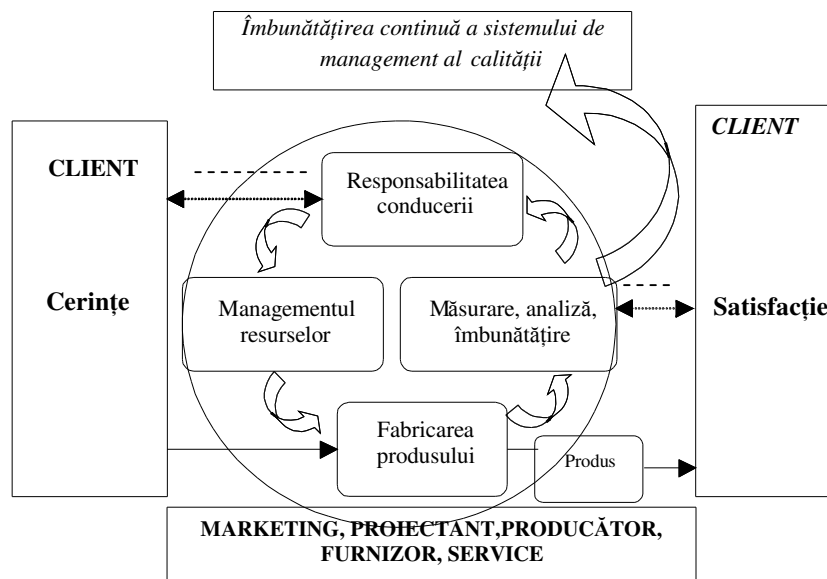


Fig. 16.68.. Abordarea calității serviciului din perspectiva procesului de bază:
 —→activități care adaugă valoare serviciului; – →fluxul informațional.

În majoritatea cazurilor, controlul caracteristicilor serviciului și ale prestării acestuia poate fi realizat numai prin controlul procesului de prestare a serviciului (tab.16.27). Desfășurându-se la interfața client/furnizor, orice neconformitate (abatere de la calitatea prescrisă) este imediat și nemijlocit sesizată de către client. Din această cauză, măsurarea și controlul procesului sunt absolut esențiale (controlul pe flux și nu controlul final).

Tabelul 16.27. Abordarea serviciului din perspectiva procesului.

Tipul serviciului	Intrări	Elementele serviciului	Funcția	Rezultate
Spital	Pacienți	Medici, asistenți medicali, infirmieri, medicamente, echipamente, infrastructură	Tratament și vindecare	Persoane sănătoase
Restaurant	Clienți	Alimente, băuturi, ospătari, picoli, ambianță	Servitul mesei, odihna	Clienți satisfăcuți

Tabelul 16.27. (continuare)

Universitate	Studenți	Profesori, material didactic, publicații, cursuri, seminarii, săli de curs, laboratoare, biblioteci, cămine, cantine	Dobândirea de competențe și exercițiu, formarea profesională	Persoane educate, competente
Magazin	Clienți	Expunere, bunuri, vânzători	Atragerea clienților, desfacerea produselor	Clienți satisfăcuți

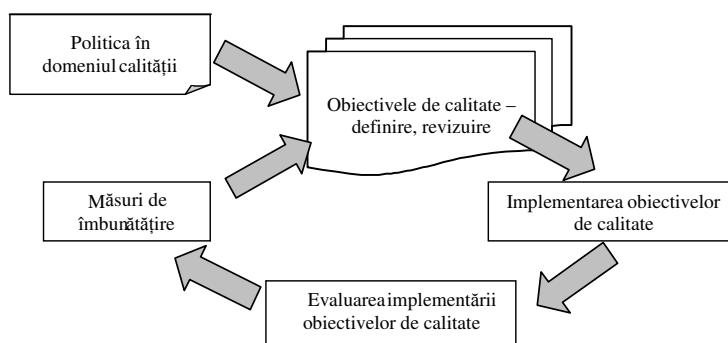


Fig. 16.69. Armonizarea cerințelor de calitate cu cererea pieței.

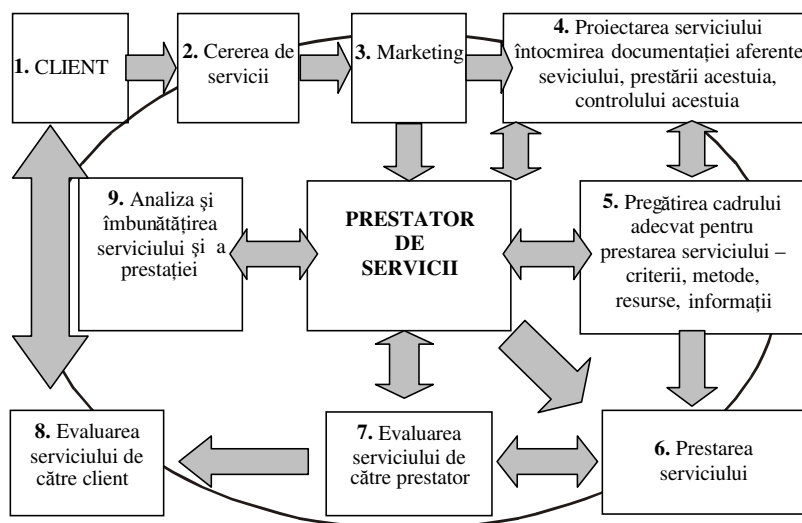


Fig. 16.70. Abordarea calității serviciului din perspectiva buclei calității serviciului.

Când se tratează despre calitate și controlul/inspecția acesteia, trebuie mai întâi să se răspundă la următoarele cinci întrebări:

- ce se inspectează ?
- când se inspectează?
- cum se inspectează (după ce procedură, în raport cu care specificații, cu ce mijloace de lucru)?

- care sunt unitățile de măsură folosite ?
- care sunt criteriile de acceptare/respingere?

În scopul eficientizării proceselor de control, tehnologul trebuie să aibă în vedere următoarele:

- proiectantul trebuie să specifice în documentația de execuție *zonele*

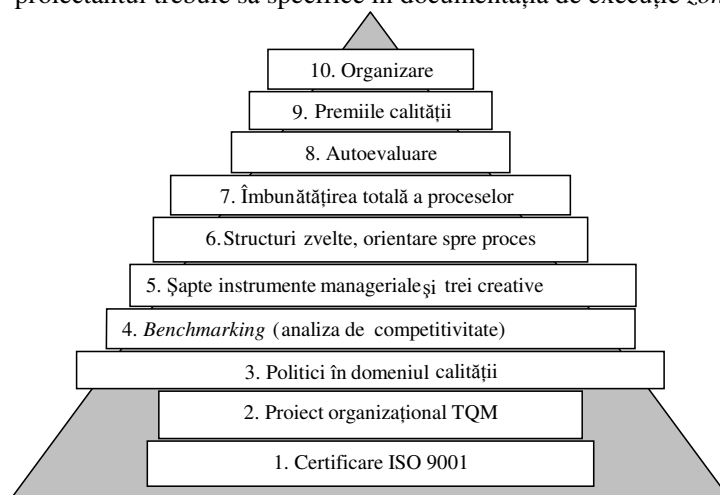


Fig. 16.71. Treptele spre excelență.

produsului care sunt critice pentru obținerea calității;

- inspecția să se *limiteze* la acele zone ale produsului care sunt critice pentru calitate;
- cu precădere se va verifica existența *defectelor tipice* induse de procedeele tehnologice utilizate la fabricarea produsului;
- controlul să fie *fracționat*, adică să se inspecteze de fiecare dată numai acele caracteristici ale produsului care au fost create sau modificate la operația tehnologică curentă;
- *productivitatea controlului* trebuie să se încadreze în productivitatea de execuție a produsului respectiv;
- *mijloacele de control* trebuie alese astfel încât să poată verifica mărimea abaterilor specificate;
- rezultatele procesului de control trebuie să se concretizeze în *valori calitative și cantitative* care se înscriu într-un document de înregistrare (buletin de măsurători);
- documentul de înregistrare trebuie să asigure *trasabilitatea*, adică identificarea sigură a produsului, a executantului și a mijloacelor utilizate, precum și a momentului la care s-au efectuat înregistrările.

În mod asemănător, *specificațiile* răspund la întrebările:

- ce se verifică;
- în raport cu ce date de referință;
- care sunt toleranțele admise;
- care sunt criteriile de defect admisibil.

Specificațiile sunt proprii unui produs sau familii de produse. Specificațiile pot fi sub forma unor norme tehnice de ramură, norme interne, caiete de sarcini, desene de execuție, desene de montaj, specificații contractuale etc.

Pe baza specificațiilor se întocmește *tema de inspecție*, care include indicatorii de calitate care trebuie verificați, valorile de referință, momentul inspecției, condițiile de încercare, caracterul producției.

Tehnologia de control se întocmește ținând seama de tema de inspecție.

Controlabilitatea produsului este un concept asemănător tehnologicității, ce exprimă măsura în care proiectantul și tehnologul produsului au ținut seama la elaborarea proiectului constructiv și a specificațiilor aferente, de ușurința verificării datelor de execuție, a conformității produsului și a componentelor sale. Controlabilitatea produsului se realizează practic prin controlabilitatea proiectului și a tehnologiei de control și execuție.

Controlabilitatea produsului trebuie să cuprindă:

- înscrierea în documentație a clasificării defectelor/erorilor induse de tehnologiile de execuție, montaj și control;
- capacitatea de verificare a specificațiilor;
- întocmirea planului de control în acord cu tehnologia de execuție și montaj;
- definirea organizării și conducerii fabricației.

Metoda de inspectare se alege în raport de tema de inspectare, de dotarea tehnică disponibilă, de criterii de eficiență și de productivitate. Pentru încercările de tip sau lot, în funcție de specificații, pot fi utilizate metode de testare distructivă pe epruvete sau produse de sacrificiu (tabelul 14.1); pentru controlul integral sau cel statistic se utilizează metode de testare nedistructivă (tabelul 14.2).

Frecvent, în producția de serie, se utilizează dispozitive de control la temă (calibre limitative) sau standuri de probă, care simulează funcționarea reală a produsului.

Proiectarea acestor mijloace dedicate de control se face în colaborare cu tehnologul produsului, ca parte integrantă a pregătirii fabricației – realizarea SDV-urilor (scule, dispozitive, verificatoare) și a AMC-urilor (aparatură de măsură și control).

Procesele de control și inspecție trebuie planificate corespunzător cerințelor formulate în specificații. În cazul în care se lucrează într-un sistem de competență ridicată (certificare ISO 9001-9003 sau similar), trebuie să existe *proceduri* detaliate de control, testare, inspecție. Nivelul de control ales depinde de tipul produsului și de cerințele clientului, care au fost stipulate contractual. În cazul produselor simple sunt suficiente proceduri de control tip (de exemplu, pe categorii de procedee de semifabricare: pentru piese turnate, forjate, sudate, prelucrate prin aşchiere, sinterizate). În cazul produselor complexe, utilizarea procedurilor tip va fi completată de proceduri speciale, mai amănunțite.

O procedură de control trebuie să conțină:

- identificarea și controlul documentelor;
- produsul/serviciul/procesul/proiectul căruia îi este aplicabilă procedura în speță;

- etapele, operațiile, stadiile, momentele în care se aplică procedura;
- mijloacele de lucru utilizate;
- modul de lucru, parametrii de proces;
- personalul care aplică procedura, nivelul de competență;
- caracteristicile care se verifică;
- tipul de control ce trebuie efectuat (statistic sau integral), strategia de control;
- criteriile de acceptare/respingere;
- documentele de înregistrare, sistemul de evidență și de arhivare a înregistrărilor;
- modul de tratare a neconformităților.

În final, pentru a vedea impactul asupra mediului introdus de operațiile de control sau de inspecție se calculează coeficientul de poluare total C_{pt} , folosind o expresie de forma:

$$C_{cp} = Q_{pt} \cdot M_u = (Q_{pca} + Q_{pcl} + Q_{pcs}) M_{pc} \quad [\text{kg emisii}] \quad (16.47)$$

în care: Q_{cp} este cantitatea totală de substanță poluantă ce apare în timpul operațiilor de control sau inspecție, în kg emisii /kg substanță controlată; Q_{pca} – cantitatea de substanță poluantă a aerului ce apare în timpul procesului de control sau inspecție, în kg emisii /kg substanță controlată; Q_{pcl} – cantitatea de substanță poluantă a apei ce apare în procesul de control sau inspecție, în kg emisii /kg substanță controlată, Q_{pcs} – cantitatea de substanță poluantă a solului ce apare în timpul operațiilor de control sau inspecție, în kg emisii /kg substanță controlată; M_u – masa de substanță controlată, în kg.

Observație! Celelalte etape din diagrama flux a procesului tehnologic de realizare a unui produs au un impact mai mic asupra mediului, unele dintre ele au chiar impact zero. De aceea, pentru a cuprinde într-un mod cât mai eficient și concludent impactul lor asupra poluării mediului înconjurător, se poate lua pentru coeficientul de poluare auxiliar C_{pax} , o valoare dată de expresia:

$$C_{pax} = C_{pe} \cdot (0,001..0,01) \quad [\text{kg emisii}] \quad (16.48)$$

În care: C_{pe} este coeficientul de poluare introdus la elaborarea materialului din care este confecționat produsul.

16.3. DETERMINAREA COEFICIENTULUI DE POLUARE TOTAL C_{pt}

Cunoscând coeficienții de poluare introduși în fiecare etapă a procesului tehnologic de realizare a produsului se poate determina coeficientul de poluare total C_{pt} , cu relația:

$$C_{pt} = C_{pp} + C_{pe} + C_{ps} + C_{pcd} + C_{pm} + C_{pap} + C_{ptt} + C_{prrr} + C_{pc} + C_{pax} \quad [\text{kg emisii}] \quad (16.49)$$

în care: C_{pp} - este coeficientul de poluare introdus la prepararea minereurilor; C_{pe} - coeficientul de poluare introdus la elaborarea materialului; C_{ps} - coeficient de poluare introdus la elaborarea semifabricatului; C_{pcd} - coeficient de poluare introdus la operațiile de curățire, decapare, degrosare; C_{pm} - coeficient de poluare introdus la prelucrările mecanice; C_{pap} - coeficient de poluare introdus la acoperirile de protecție; C_{ptt} - coeficient de poluare introdus de tratamentele termice; C_{prrr} - coeficient de poluare introdus de reparare, recondiționare, reciclare; C_{pc} - coeficient de poluare introdus de controlul (inspecția) produsului; C_{pax} - coeficient de poluare introdus de celelalte etape ale diagramei flux a procesului tehnologic.

În funcție de mărimea coeficientului de poluare trebuie luate și măsurile de prevenire sau de reducere a impactului asupra mediului, astfel:

- dacă $C_{pt} \geq 10 G_u$, poluarea este foarte gravă și trebuie luate măsuri urgente de prevenire și reducere a poluării;
- dacă $5 G_n \leq C_{pt} < 10 G_u$, poluarea este gravă, măsurile de prevenire și reducere fiind absolut necesare;
- dacă $30 G_n \leq C_{pt} < 5 G_u$, poluarea este mare și se impun măsuri de prevenire și reducere;
- dacă $C_{pt} < 30 G_u$, poluarea este în limitele de alertă, fiind necesare planuri de prevenire și reducere a poluării;
- dacă $0,5 G_u \leq C_{pt} < 3,0 G_u$, poluarea este acceptabilă.

S-a notat cu G_u - greutatea de material util, ce compune produsul final.

Evident că această grilă este valabilă în majoritatea proceselor tehnologice industriale. Există însă domenii în care valorile de comparație de mai sus se modifică substanțial funcție de natura substanțelor poluante și mai ales de efectele pe care substanțele poluante le au asupra mediului.

În întreaga lume poluarea a ajuns la cote alarmante, iar în unele zone ale lumii a devenit catastrofală. Cantitatea de deșeuri a ajuns la cote uluitoare, încât cineva de pe altă planetă ar putea crede că Terra este „locuită” de deșeuri.

Ne-am găsit dușmanii - aceia suntem NOI!

Ne căutăm prietenii - sperăm să fim NOI!

Pentru asta trebuie înțeles că PREVENIREA POLUĂRII este opțiunea pentru menținerea vieții în acest secol sau dacă nu – dispariția vieții pe Terra.

În timp ce operațiile de debarasare și valorificare, prin recondiționare, reutilizare și reciclare a deșeurilor cresc, aplicarea măsurilor de prevenire a poluării

trebuie să se impună cât mai repede și eficient.

Prevenirea generării deșeurilor este astăzi stimulată de industrie, legislație și de creșterea beneficiilor legate de manipularea deșeurilor, începând de la sursă. Legile de prevenire a poluării fac parte din politica națională, admitând că „deșeurile trebuie eliminate de la sursă cât de mult posibil, în timp ce producții poluanți, a căror apariție nu poate fi prevenită, trebuie reciclați”.

Există următoarea ierarhie în managementul deșeurilor:

- **reducerea sursei**, care înseamnă eliminarea sau evitarea pe cât posibil a deșeurilor, folosind tehnologii noi (ecotehnologii) proiectând produse noi cu același rol funcțional dar care să genereze o cantitate cât mai mică de deșeuri iar ele să fie pe cât posibil regenerabile.

- **valorificarea deșeurilor**, care presupune folosirea, re folosirea prin recuperare, recondiționare, reciclare chiar la instalațiile sursă (la locul producerii deșeurilor) sau la instalațiile de tratare a deșeurilor;

- **tratarea deșeurilor**, care implică descompunerea sau detoxificarea lor în alte materiale, care sunt mai puțin sau deloc toxice, prin metode fizice, chimice, biologice sau printr-o combinație a acestor metode;

- **debarasarea finală**, care se aplică la acele reziduuri fără o utilizare posibilă și constă în îngroparea, folosirea ca îngrășământ, aruncarea lor în oceane și injecția prin puțuri de adâncime.

În tabelul 16.27 se prezintă evoluția managementului deșeurilor, unde se poate observa cum acesta a început să se orienteze de la activități de control până prin 1985, spre activități de prevenire a poluării.

Tabelul 16.27. Evoluția managementului deșeurilor.

Înainte de 1945	Fără control
1945-1960	Control la nivel scăzut
1960-1970	Control de nivel ridicat
1970-1975	Control de nivel ridicat
1975-1980	Control mai sofisticat
1980-1985	Se naște managementul de reducere a deșeurilor
1985-1990	Managementul de reducere a deșeurilor
1990-1995	Programe formale de prevenire a poluării
1995-2000	Acceptarea pe scară largă a prevenirii poluării
După 2000	Măsuri globale de management al deșeurilor

Una din cele mai importante și prompte consecințe a activității de prevenire a poluării va fi *analiza ciclului de viață a produsului* și procedurile standardizate de *calcul ale costurilor ciclului de viață a produsului*.

Elementul de bază în analiza ciclului de viață (ACV) sau LCA – Life-Cycle Assessment) este evaluarea. ACV trebuie privită ca un proces de evaluare a efectelor asupra mediului, în ciclul de viață complet, al unui produs, proces sau activitate.

Ciclul de viață al unui produs poate fi descris prin următoarele stări:

- material brut (materialul în stare primară);
- prelucrarea de elaborare și semifabricare;

- prelucrarea dimensională;
- asamblarea;
- consumul și exploatarea;
- recondiționarea /reciclarea;
- retragerea (casarea);
- debarasarea.

Scopul fundamental al analizei ciclului de viață este să promoveze *dezvoltarea durabilă* la nivel local, regional sau global.

Principiile pentru realizarea unei dezvoltări durabile trebuie să includă:

- *folosirea durabilă a resurselor*, care înseamnă conservarea resurselor, minimizarea consumului de resurse de unică folosință și folosirea de practici durabile pentru utilizarea resurselor de unică folosință. În afara energiei solare, toate celelalte resurse de energie sunt epuizabile. Epuizarea resurselor de unică folosință și folosirea peste măsură a celorlalte resurse limitează disponibilitatea lor pentru generațiile viitoare;

- *menținerea structurii și a funcțiilor ecosistemului*, trebuie să fie grija fundamentală a tuturor deoarece menținerea sănătății diverselor specii și a funcțiilor lor ecologice înseamnă menținerea sănătății Pământului, respectiv a sănătății umane;

- *justiția mediului*, conține elementele cheie: *sănătatea mediului, echitatea mediului și politica mediului*. O mare provocare în dezvoltarea durabilă este realizarea justiției mediului, între generații și societăți. Poluarea planetei și consumul peste limită al resurselor, astfel încât să restrângă accesul generațiilor viitoare la un confort rezonabil, transferă iresponsabil problema către generațiile viitoare și aceasta, numai pentru realizarea unor câștiguri imediate. Acest conflict între generații este amplificat și de inegalitățile enorme în ceea ce privește distribuția de resurse nu numai între țări ci și în interiorul frontierelor naționale.

Ciclul de viață ia în considerare costurile activității (fabricare, prestare servicii, reciclare etc.) ținând cont și de potențiala degradare a mediului și de consumul de energie. Ia în considerare toate costurile proiectului, de la achiziționarea materiei brute până la aruncarea produsului respectiv (fig. 16.72).

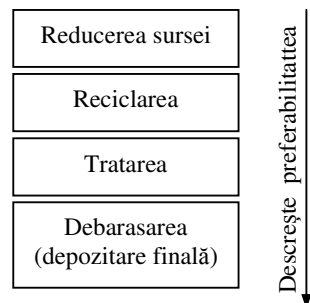


Fig. 16.72. Clasificarea metodelor de prevenire a poluării.

Metoda preferată de prevenire a poluării este *reducerea sursei*, deoarece ea se adresează sursei poluatoare, înainte de producerea poluării.

Reducerea surse înseamnă „orice practică de reducere a cantității de substanțe periculoase, poluante sau contaminante, care urmează să fie debarasate în

mediul înconjurător, înainte de reciclare, tratare sau debarasare”. Reciclarea se referă la re folosirea de materiale, care ar trebui aruncate sau tratate ca deșeuri (de exemplu, reîncărcarea bateriilor). O schemă detaliată a celor două tehnici de prevenire a poluării se prezintă în figura 16.73.

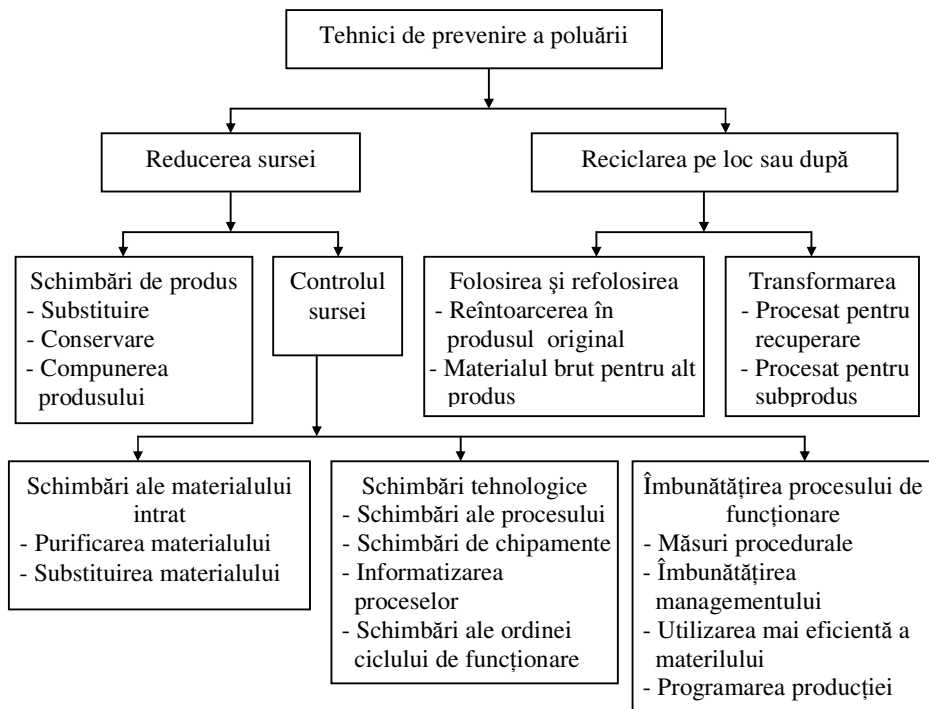


Fig. 16.73. Tehnici de prevenire a poluării.

Pentru a proiecta și implementa un program de prevenire a poluării, toate sursele de generare a acestora trebuie să fie bine analizate și evaluate.

Se face deci o **analiză a mediilor** care implică o abordare multilaterală (nu trebuie să se ia în considerare numai o sursă de poluare în toate mediile ce ar putea fi contaminate (aer, apă, sol) ci toate sursele de poluare aferente acelei activități). Asta presupune ca un poluant al unui mediu să nu fie transferat în alt mediu (din apă în sol sau din aer în apă).

Analiza ciclului de viață realizează:

- un inventar al materialelor și energiei folosite, a debarasărilor în mediu, în toate fazele vieții unui produs, proces sau activitate;
- analiză a potențialelor efecte asupra mediului datorate energiei, resurselor materiale și a debarasării în mediu;
- o analiză a schimbărilor necesare îmbunătățirii produsului sau procesului respectiv, pentru a răspunde cerințelor de mediu.

Procedura de evaluare a prevenirii poluării se prezintă în figura 16.74.

Planificarea și organizarea se face de o echipă de acțiune care-și selecționează un lider. Echipa de acțiune trebuie să fie capabilă să identifice

alternative pentru reducerea poluării și să fie conștientă de piedicile inerente ce ar putea să apară în timpul procesului.

Evaluarea are drept scop strângerea datelor necesare identificării și analizei oportunităților de reducere a poluării. Pentru o evaluare corectă sunt necesare mai multe surse de informații (fig.16.75).

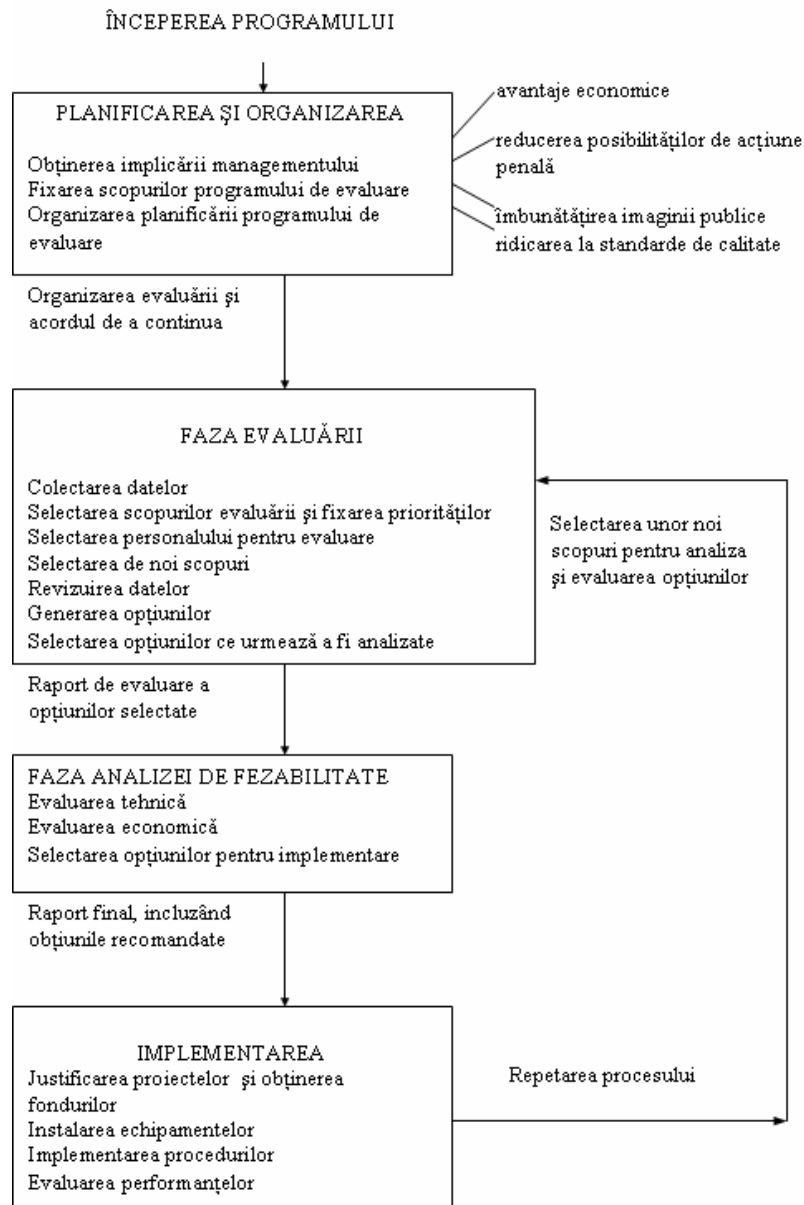


Fig. 16.74. Procedura de evaluare în prevenirea poluării.

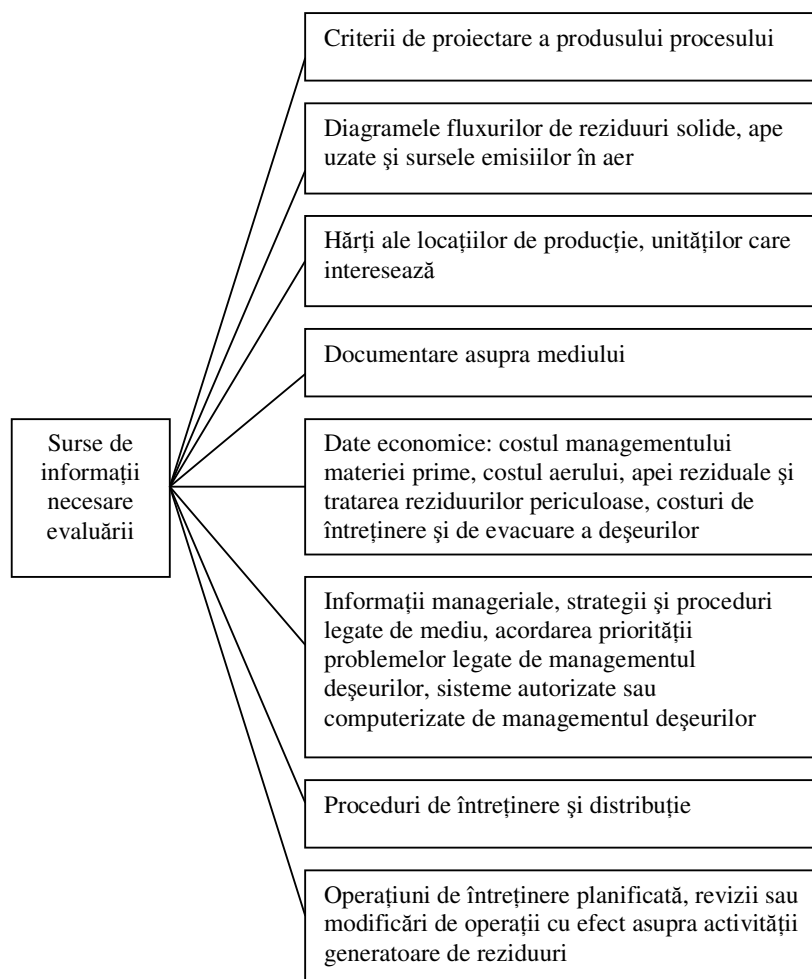


Fig. 16.75. Sursele de informații necesare unei evaluări.

Studiul de fezabilitate ia în considerare mai multe considerente tehnice și economice (fig. 16.76).

Implementarea presupune justificarea, obținerea fondurilor și introducerea programului de prevenire a poluării în manageriatul și operarea zilnică a obiectivului analizat. Dezvoltarea cu succes și implementarea oricărui program de prevenire a poluării cere și o cunoaștere foarte bună a oportunităților actuale și a noilor descoperiri în domeniu (fig. 16.77).

Din păcate există și bariere în prevenirea poluării și aceasta pentru că inginerul de multe ori găsește soluții mai economice dar nu mai ecotehnologice. Totuși, opinia și evoluția actuală a societății, schimbările tehnologice și progresul tehnic continuu vor face ca inginerii, oamenii de știință și oficialități guvernamentale să-și schimbe total atitudinea față de mediu și față de politica de

prevenire a poluării.

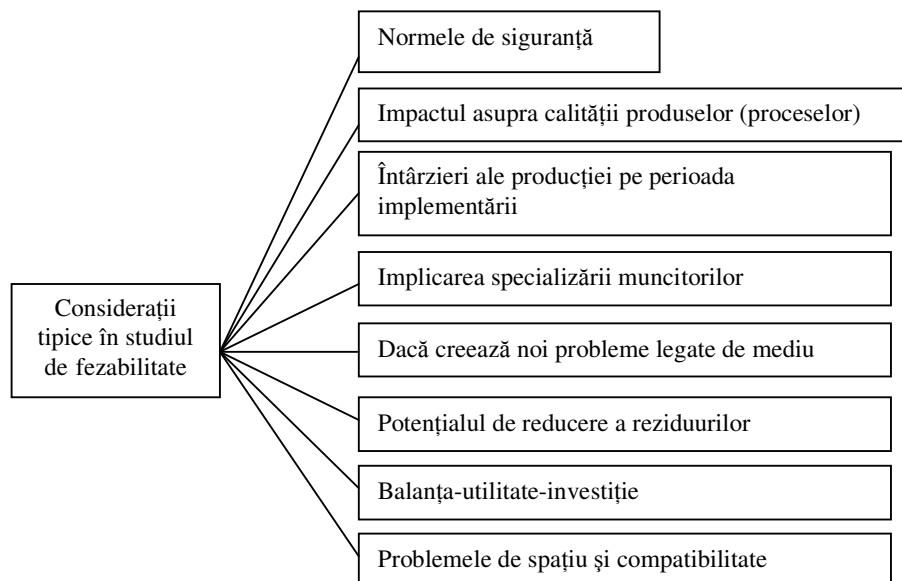


Fig. 16.76. Considerente tehnice și economice în efectuarea studiului de fezabilitate

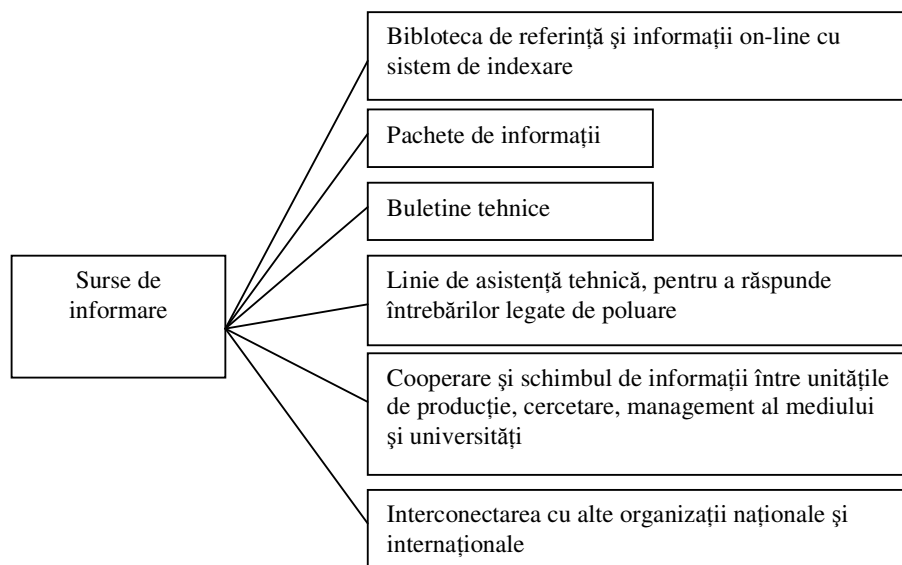


Fig. 16.77. Sursele de informare folosite într-un program de prevenire a poluării.

Principalele bariere în prevenirea poluării se prezintă în figura 16.78.

Sunt însă și multe argumente pentru programul de prevenire a poluării. Câteva stimulente de prevenire a poluării se prezintă în figura 16.79.

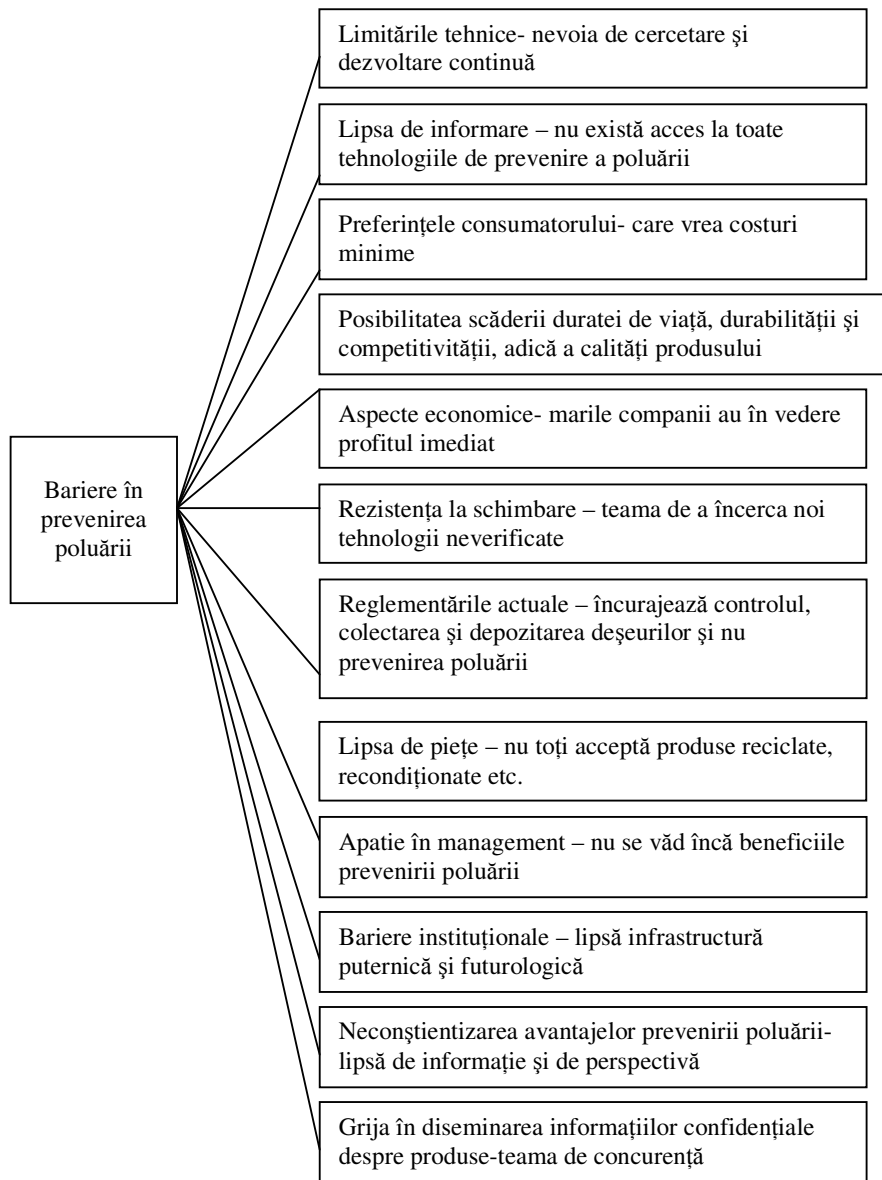


Fig. 16.78. Principalele bariere în calea prevenirii poluării.

Stadiul ISO14000 evidențiază impactul produselor asupra mediului, în fiecare din etapele ciclului de viață începând cu momentul concepției-proiectării, trecând prin aprovizionarea cu materii prime și energie și până la reintegrarea lor în natură (fig. 16.79). Evaluarea performanțelor de mediu este un procedeu de management intern care furnizează organizației/firmei informații destinate luării deciziilor referitoare la menținerea și îmbunătățirea aspectelor de mediu.

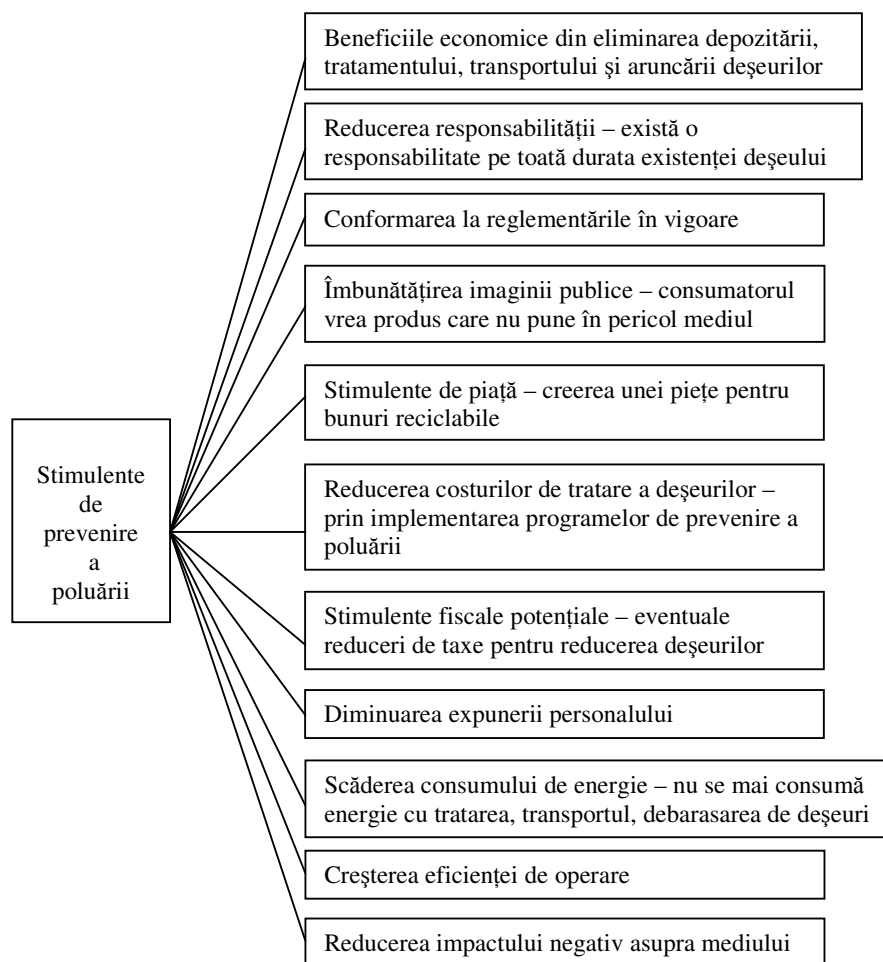


Fig. 16.79. Câteva din stimulentele de prevenire a poluării.

Aceasta implică stabilirea indicatorilor specifici, culegerea și analiza datelor, evaluarea informațiilor în raport cu obiectivele avute și ținerea sub control a sistemului de management de mediu.

Pentru performanța de mediu standardul ISO/DIS 031 prevede următoarele tipuri de indicatori:

- indicatori privind performanța de management;
- indicatori privind performanța operațională;
- indicatori privind situația de mediu.

Analiza ciclului de viață a produselor, în viziunea standardelor ISO 14 000, are ca scop evidențierea impactului produselor asupra mediului, în fiecare din etapele acestui ciclu și anume din momentul concepției - proiectării, trecând prin aprovizionarea cu materii prime și energie și, în continuare, prin etapele de producție, distribuție, utilizare și post-utilizare. În etapa de post-utilizare trebuie

asigurată reutilizarea sau reintegrarea lor în natură.

Standardele care definesc analiza ciclului de viață a produselor (ISO 14 040), oferă recomandări privind metodologia acestei analize (ISO 14 041), principii de evaluare a impactului de mediu în etapele ciclului de viață (ISO 14 042), precum și a progreselor înregistrate (ISO 14 043).

Analiza este astfel concepută încât să reprezinte un instrument de fundamentare a deciziilor în elaborarea planului strategic al unei organizații, pentru proiectarea proceselor, produselor și evaluarea metodelor alternative de fabricație, din perspectiva exigențelor ecologice pe care trebuie să le satisfacă.

Analiza ciclului de viață poate servi, în egală măsură, ca bază pentru marcarea ecologică, sau pentru stabilirea indicatorilor de evaluare a impactului de mediu al produselor.

Cu prilejul acestei analize pot fi luate în considerare o serie de aspecte de mediu, cum ar fi:

- poluarea aerului prin emisia de gaze toxice;
- contribuția la efectul de seră și ploi acide, impactul asupra stratului de ozon;
- utilizarea/poluarea apei din pânzele freatice, cantitatea și calitatea apelor reziduale, impactul asupra sistemelor de tratare, utilizarea apei de răcire cu implicații termice asupra receptorilor;
- consumul de energie (electrică, gaze, petrol etc.);
- degradarea peisajului eroziunea solului, degradarea pădurilor;
- emisiile de zgomote, vibrații, praf și particule;
- explozii, deversări diverse, deșeuri solide, deșeuri periculoase.

Definitivarea standardelor ISO 14 000, referitoare la analiza ciclului de viață a produselor, a fost dificilă datorită complexității unei asemenea analize și lipsei instrumentelor metodologice necesare pentru evaluarea impactului de mediu în ceea ce privește procesele și produsele.

Standardul ISO 14 001 este un document care stabilește cerințele pentru implementarea unui sistem de management de mediu. A fost elaborat pentru a putea fi aplicat tuturor firmelor, de orice tip și mărime, cu posibilitatea de a fi adaptat la diverse condiții geografice, culturale și sociale. Scopul general al acestui standard internațional este de a susține protecția mediului și de a preveni poluarea.

Domeniul de aplicare

Prezentul Standard este aplicabil oricărei firme care dorește:

- să implementeze, să mențină și să îmbunătățească un sistem de management de mediu;
- să se asigure de conformitatea cu politica de mediu declarată;
- să demonstreze această conformitate altora.

Cerințele sistemului de management de mediu specificate în standardul ISO 14 001, nu trebuie stabilite în mod independent de elementele sistemului de management care funcționează la nivelul unei firme. Conform acestui standard funcțiile de bază ale SMM la nivel de organizație sunt:

- să asigure o abordare structurată și sistematică a problematicii de mediu;
- să realizeze controlul diferitelor aspecte de mediu;

- să asigure concordanța cu legislația;
- să introducă performanțe de mediu;
- să valorifice experiența favorabilă (compatibilitate, interoperabilitate) oferită de sistemele de management al calității.

SMM folosește aceste funcții într-o rețea de acțiuni de management, proceduri, documentații și înregistrări, având ca scop:

- să identifice și să controleze aspectele negative ale activităților care afectează mediul;
- să identifice și să controleze aspectele negative ale activităților care afectează mediul;
- să identifice oportunitățile semnificative de protecție a mediului;
- să identifice cerințele relevante de compensare a daunelor produse mediului;
- să stabilească politica organizației pentru promovarea unui mediu sănătos și a bazei pentru managementul de mediu;
- să stabilească prioritățile privind obiectivele și acțiunile necesare în vederea realizării acestora;
- să monitorizeze și să evalueze performanțele efective ale SMM, inclusiv promovarea modalităților de ameliorare și adaptare la condiții de cerințe aflate în evoluție.

În tabelul 16.28 sunt date o serie de precizări care scot în evidență importanța acestui standard.

Tabelul 16.28. Precizări privind semnificația standardului ISO 14 001.

Criteriul	Ce este ISO 14 001	Ce nu este ISO 14 001
Ca document	Este un standard recunoscut pe plan internațional, nu are caracter obligatoriu.	Nu este o lege și prin urmare nu are caracter obligatoriu în nici o țară și nici o zonă geografică a lumii.
Ca relație cu legislațiile de mediu naționale	Este un document care pretinde respectarea legislațiilor naționale, incluzând legi, norme, regulamente etc.	Nu este un document care să modifice legislațiile naționale sau care să impună condiții, limite de emisii, praguri de reglementare suplimentare față de cele prevăzute de normele naționale.
Din punct de vedere al aplicabilității	Este un standard internațional, care poate fi aplicat, dacă se dorește, în orice țară pentru orice tip de activitate (industrială sau nu) și pentru organizații de orice mărime. Permite implementarea unui SMM la nivelul unei părți din activitățile organizației, desfășurate pe un anumit amplasament.	Nu este un document înglobat într-o convenție internațională, iar obligativitatea implementării lui nu este impusă de nici o lege, din nici o țară.

Tabelul 16.28.(continuare)

Ca instrument	Este un document de referință pe baza căruia se poate construi un SMM bazat pe îmbunătățirea continuă a performanțelor de mediu ale unei organizații.	Nu este un mijloc de sancționare a organizației în cazul nerespectării prevederilor legale.
Din punct de vedere al comunicării	Este un sistem de reguli și prevederi care permit structurarea unei comunicări interne/externe, sensibilizarea personalului și tratarea eficientă a unor solicitări externe pertinente.	Nu este un document care să oblige la comunicarea (publicarea) rezultatelor și performanțelor de mediu ale organizației în exterior. Textul nu pretinde nici comunicarea externă, aceasta fiind doar voluntară.
Din puncte de vedere al nerespectării exigențelor	Este un document care formulează un set de cerințe a căror îndeplinire permite certificarea sistemului. În caz de nerespectare a acestor condiții, organizația respectivă își poate pierde certificarea.	Nu este un document cu putere de lege, deci nerespectarea exigențelor sale nu expune organizația la consecințe juridice sau la tipuri de daune legale.

În perspectivă, impactul standardelor din seria 14 000 va fi semnificativ. Aceste standarde vor înregistra un succes comparabil cu cel al standardelor din seris 9 000, atât la nivelul organizației, cât și la nivel național și internațional:

- la nivelul organizațiilor, vor deveni nucleul unui program complet de protecție a mediului, contribuind la îmbunătățirea continuă a activității oricărei organizații și asigurarea progresului ei global, prin îmbunătățirea performanțelor de mediu;

- la nivel național, vor influența pozitiv politicile guvernamentale referitoare la protecția mediului, oferind soluții complementare reglementărilor în domeniu, pentru ținerea sub control a operatorilor economici;

- la nivel internațional, vor facilita tranzacțiile comerciale, oferind mai multă încredere în capacitatea organizațiilor din diferite țări de a realiza produse care pe întregul lor ciclu de viață vor avea un impact ambiental minim.

Tabelul 16.29. Standarde de mediu din seria ISO 14 000 (1999).

Standard ISO	Titlu
ISO 14 001/1996	Sisteme de management de mediu - Specificații și ghid de utilizare
ISO 14 004/1996	Sisteme de management de mediu – Ghid general privind principii, sisteme și tehnici de aplicare (implementare)
ISO 14 010/1996	Ghid pentru auditul de mediu - principii generale
ISO 14 011/1996	Ghid pentru auditul de mediu - Proceduri de audit - Auditarea sistemelor de management de mediu
ISO 14 012/1996	Ghid pentru audit de mediu - Criterii de calificare pentru auditorii de mediu
ISO/WD 14015/1997	Evaluarea de mediu a amplasamentelor și entităților
ISO 14 020/1998	Etichete și declarații de mediu
ISO 14 021/1999	Marcări și declarații de mediu – Declarații de mediu pe proprie răspundere

Tabelul 16.29.(continuare)

ISO 14 024/1998	Marcări și declarații de mediu – Etichetare de mediu de Tip I – Principii directe și proceduri
ISO/WD/TR 14025	Marcări și declarații de mediu – Etichetare de mediu de Tip III – Principii directe și proceduri
ISO/DIS 14 031/1999	Management de mediu – Evaluarea performanței de mediu – Ghid
ISO/TR 14032/1999	Management de mediu – Exemple privind evaluarea performanței de mediu
ISO 14 040/1997	Analiza ciclului de viață a produsului – Principii și practici generale
ISO 14 041/1998	Analiza ciclului de viață a produsului – Definiția obiectivului și a domeniului utilizat
ISO/CD 14042/1999	Management de mediu - Analiza ciclului de viață a produsului – Evaluarea impactului de mediu în etapele ciclului de viață a produsului
ISO/DIS 14043/1999	Management de mediu - Analiza ciclului de viață a produsului – Interpretarea ciclului de viață a produsului
ISO/TR 14047/1999	Management de mediu - Analiza ciclului de viață a produsului – Interpretarea ciclului de viață a produsului
ISO/TR 14048/1999	Management de mediu - Analiza ciclului de viață a produsului – Exemple care ilustrează aplicarea ISO 14 042
ISO/TR 14049/1999	Exemple care ilustrează aplicarea ISO 14 041
ISO 14050/1998	Management de mediu – Vocabular
ISO/TR 14061/1998	Material de referință informativ în sprijinul utilizării ISO 14 001 și ISO 14 004 de către organismele forestiere
ISO Guide 64/1997	Ghid pentru introducerea aspectelor de mediu în standardele de produs din domeniul forestier

Un rol important în prevenirea poluării îl are **progresul tehnic**, care rămâne factorul cheie al dezvoltării economice cu menținerea calității mediului ambiant. Progresul tehnic, ca factor de prevenire a poluării și de reducere a acesteia poate interveni în diferitele faze ale procesului de producție, conform schemei din figura 16.80.

Se observă că progresul tehnic acționează direct la nivelul factorilor de producție, conducând la prevenirea poluării și *indirect* la nivelul monitorizării, tratării și eliminării deșeurilor, conducând la reducerea poluării.

Prin urmare, prevenirea poluării prin procesul tehnologic proiectat trebuie să se încadreze în **politica de mediu** a firmei. Politica de mediu a unei firme (conform principiului de management de mediu din carta de Dezvoltare Durabilă) presupune *recunoașterea managementului de mediu ca prioritate în cadrul firmei și ca factor cheie pentru o dezvoltare durabilă*.

În cazul implementării unui sistem de management de mediu, potrivit standardului ISO 14001, politica de mediu trebuie definită de conducerea organizației și să îndeplinească o serie de condiții (fig. 16.81).

După cum se observă politica de mediu a unei firme trebuie să includă trei angajamente:

- angajamentul de conformitate cu legislația de mediu;
- angajamentul de prevenire a poluării;
- angajamentul de îmbunătățire continuă a politicii de mediu, într-o

relație strânsă cu obiectivele stabilite (fig. 16.82).

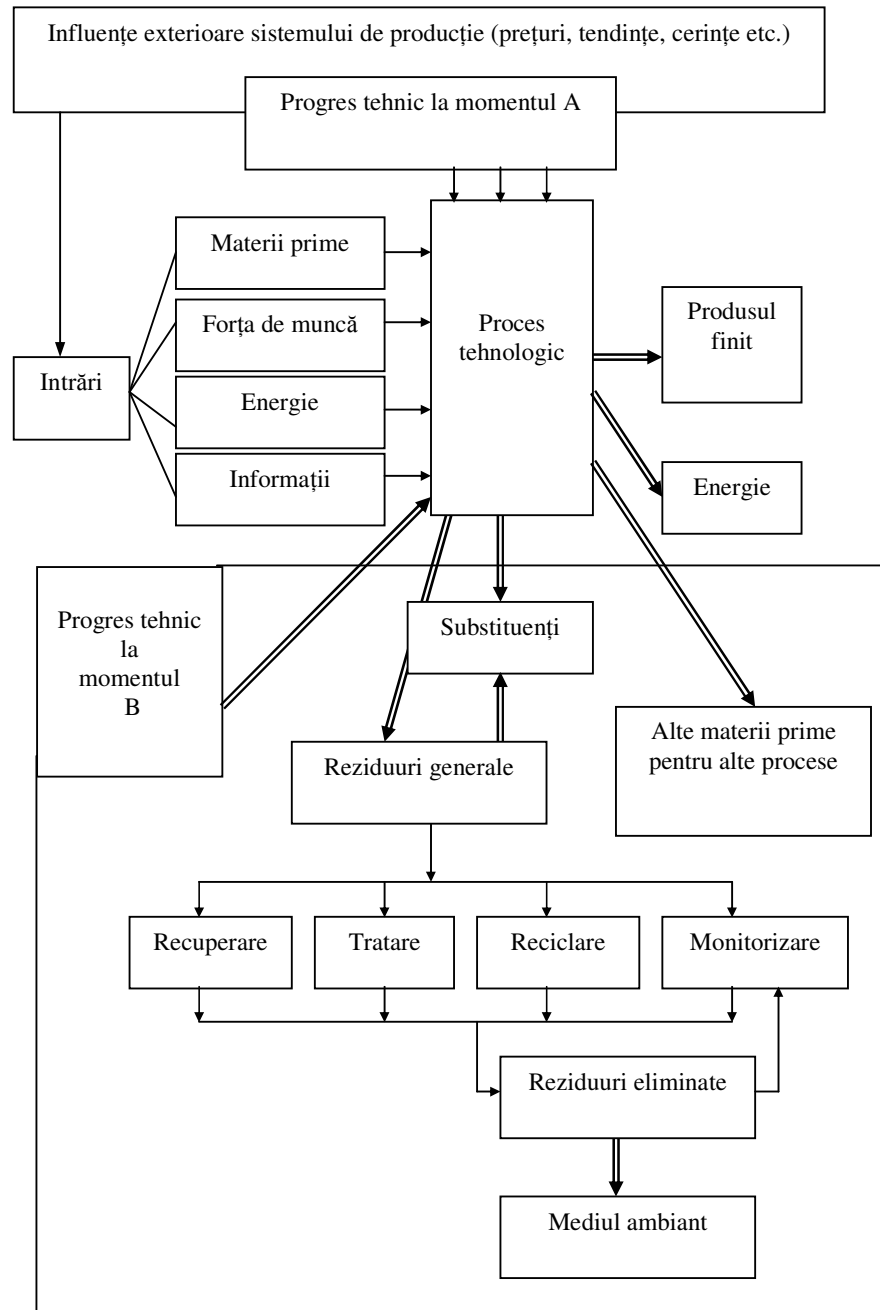


Fig. 16.80. Funcțiile progresului tehnic în procesul de prevenire și reducere a poluării mediului.

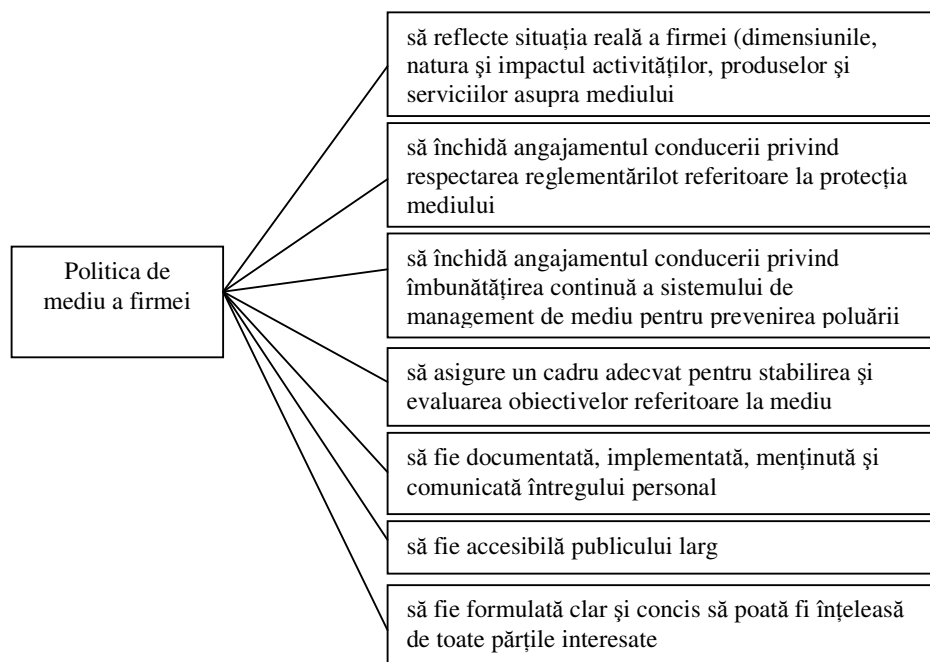


Fig. 16.81. Politica de mediu a unei firme.

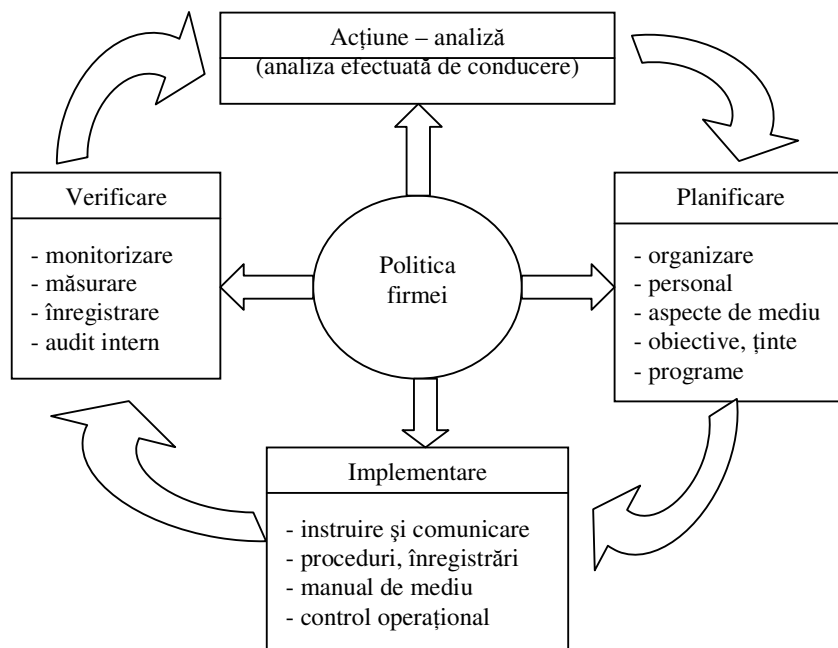


Fig. 16.82. Sistemul de management de mediu într-o evoluție ciclică de îmbunătățire continuă.

16.4. DETERMINAREA GRADULUI OPTIM DE REDUCERE A POLUĂRII

Poluarea zero este un vis. Reducerea totală a poluării nu este posibilă nici tehnologic, nici economic, deoarece presupune cheltuieli antipoluante insuportabile de orice economie dezvoltată.

Trebuie găsită o cale de armonizare a intereselor producătorilor care urmăresc profituri imediate, a intereselor întregii societăți, care dorește să trăiască într-un mediu nepoluant. Pentru aceasta se determină un **optimum economic** luând în considerare **cheltuielile pentru dezvoltare** (fig. 16.83) și beneficiile depoluării. Se consideră gradul optim de reducere a poluării, punctul n_o , în care diferența dintre cele două curbe a și b este maximă (acolo unde $t_a\alpha = t_b\beta$).

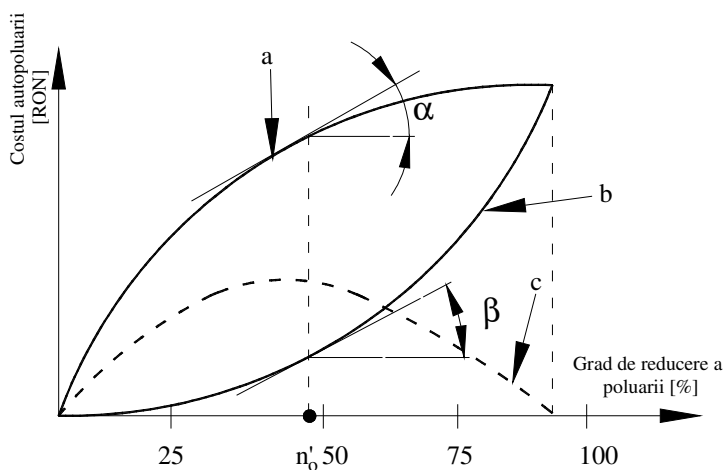


Fig. 16.83. Determinarea gradului optim de reducere a poluării:
a – costul total al prevenirii sau al depoluării; c – diferența dintre cele două curbe;
 n_o – gradul optim de reducere a poluării.

Această analiză nu este întotdeauna ușor de făcut deoarece pagubele produse de poluare sunt mai greu de cuantificat decât cheltuielile legate de introducerea unor tehnologii noi de producție, de prevenire a poluării sau de reducere a poluării. Oricum, un studiu privind reducerea poluării este mai ușor de făcut la nivelul întregii economii decât la nivelul unei instalații industriale, unde se poate face o analiză de forma prezentată în figura 16.84.

Ar trebui ca $n_o' = n_o$ dar de cele mai multe ori este imposibilă estimarea corectă a pierderilor datorate poluării.

Mai aproape de realitate este abordarea luând în considerare gradul de interes al societății de a plăti depoluarea pentru a realiza un anumit grad de puritate a mediului înconjurător. Pentru a nu simți efectele poluării societatea este dispusă să suporte cheltuielile de depoluare C_d (fig. 16.85).

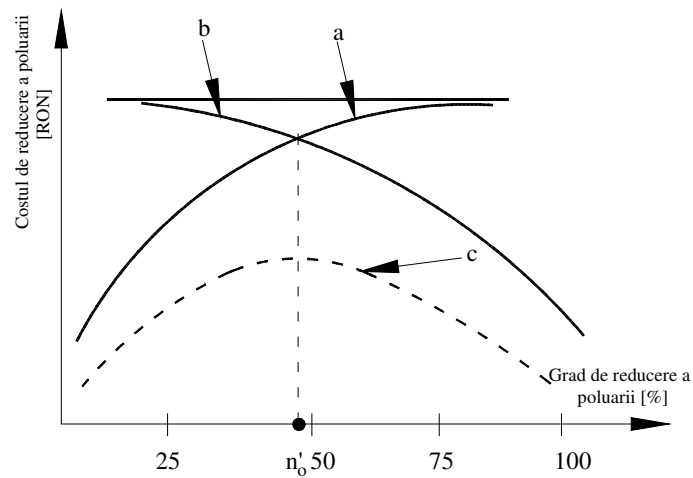


Fig. 16.84. Determinarea pierderilor cauzate de poluare:
 a - cheltuieli cu prevenirea poluării sau reducerea poluării; b – pierderile datorate poluării; c – suma celor două curbe a și b; n_0 – gradul optim de reducere a poluării.

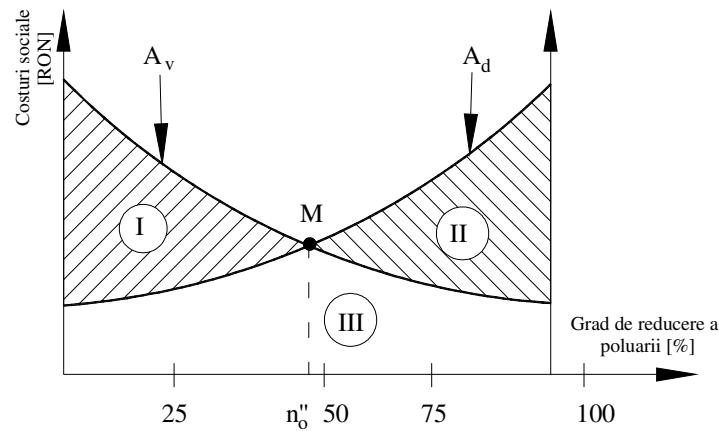


Fig. 16.85. Gradul de reducere a poluării în funcție de costurile și utilitățile sociale:
 C_d – cheltuieli pentru reducerea poluării; A_v – utilitatea socială/avantajul reducerii poluării;
 n_0'' - gradul optim de reducere a poluării.

Pe măsură ce gradul de reducere a poluării crește avantajul/utilitatea socială (A_v) pentru care societatea este dispusă să plătească contribuții suplimentare descrește, iar cheltuielile pentru reducerea poluării (C_d) cresc. Din analiza zonelor ce apar în figura 16.85 se pot trage următoarele concluzii:

- în zona I sunt cele mai mari avantaje deoarece se văd avantajele reducerii poluării;
- în zona II se înregistrează pierderi mari deoarece poluarea este deja redusă iar cheltuielile cresc;

- în punctul M se realizează gradul optim de reducere a poluării.

Pentru o optimizare a etapei este necesară îndeplinirea condiției:

$$n_o = n_o' = n_o'' \quad (16.50)$$

În țările dezvoltate, investițiile alocate pentru protecția mediului dețin ponderi însemnate, diferențiate pe ramuri industriale. Tehnologiile noi, de reducere sau prevenire a poluării dețin 1,2% din PIB iar pierderile, ca urmare a faptului că nu se iau măsuri antipoluante mai consistente, sunt de aproximativ 5% din PIB.

Se poate determina și un interval de timp t_{opt} pentru realizarea unui optimum economic privind reducerea poluării, folosind o relație de forma:

$$t_{opt} = \frac{C_{am}(t) - C_{am}(t_o)}{\alpha \cdot C_{pp} - \beta C_{rp}} \text{ [ani]} \quad (16.51)$$

în care : C_{am} este capacitatea de asimilare a mediului în urma efectuării cheltuielilor pentru reducerea poluării existente; C_{rp} – cheltuieli cu reducerea poluării existente la timpul t ; C_{pp} – cheltuieli făcute pentru prevenirea poluării și menținerii ei în limitele standard; α și β - coeficienți ce exprimă creșterea capacității de asimilare respectiv de încadrare în limitele standard, raportați la unitatea monetară cheltuită; t_o și t – momentul de timp inițial și respectiv, de perspectivă.

Pentru o proiectare corectă a unui proces tehnologic sau a unei activități cu impact asupra mediului este necesară cunoașterea în fiecare etapă a acestuia a indicatorului de calitate a mediului. Acest indicator I_{cm} se poate calcula la nivelul fiecărui poluant i , cu relația.

$$I_{cm_i} = \frac{CMA_i - C_{ef_i}}{C_{max_i} - CMA_i} \text{ [%]} \quad (16.52)$$

în care: I_{cm_i} este indicatorul de calitate a mediului datorat poluantului „i”; CMA_i – concentrația maximă admisibilă în poluant „i”; C_{ef_i} – concentrația efectivă, la momentul calculării, în poluant „i”; C_{max} – concentrația maximă în poluant „i” ce conduce la degradarea inevitabilă a mediului.

Acest indicator are valorile cuprinse între 0 (când poluarea este maximă și inevitabilă) și 1 (când mediul este curat).

Indicatorul calității mediului se poate calcula și ca sumă a tuturor poluanților „p” din mediul respectiv, cu relația:

$$I_{cm_t} = \sum_{i=1}^p \frac{CMA_i - C_{ef_i}}{C_{max_i} - CMA_i} \quad (16.53)$$

în care: I_{cm_t} este indicatorul de calitate a mediului datorat tuturor poluanților „p” existenți în mediu la momentul calculării.

În concluzie se poate spune că la proiectarea oricărui ecoproduct, oricărui ecoproces de prestare servicii sau oricărei activități rezultate în urma unui ecoproces tehnologic trebuie avute în vedere următoarele elemente:

- planul calității;
- traseul tehnologic;
- diagrama flux a procesului tehnologic;

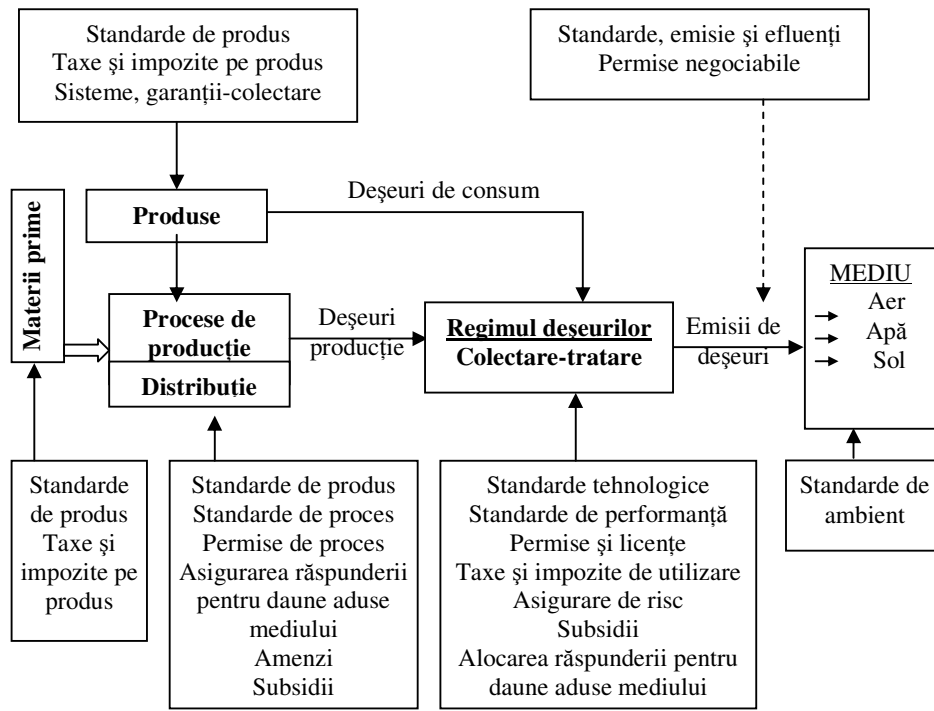


Fig. 16.86. Conexiunea standardelor și a instrumentelor economice și juridice.

- etapele și momentele de impact asupra mediului;
- natura substanțelor poluante;
- modul de acțiune asupra mediului al substanțelor poluante;
- coeficientul de poluare în fiecare etapă și coeficientul total de poluare pentru a stabili măsurile necesare îndeplinirii obiectivelor stabilite și anume:
- modificările procesului tehnologic în vederea transformării lui într-un proces ecotehnologic;
- înlocuirea fazelor sau operațiilor cu poluare mare;
- indicatorul de calitate al mediului;
- măsurile de prevenire a poluării în fiecare etapă de desfășurare a procesului tehnologic;
- măsurile de reducere a poluării în fiecare etapă de desfășurare a procesului tehnologic;
- posibilitățile înlocuirii unor substanțe poluante sau periculoase cu alte substanțe mai puțin poluante sau periculoase;
- măsurile de recuperare, tratare și reciclare a reziduurilor secundare;
- măsurile de recondiționare și reciclare a deșeurilor;
- măsurile de reintegrare în mediu a deșeurilor;
- costurile cu reducerea poluării;

- costurile cu prevenirea poluării;
- conexiunea standardelor și a instrumentelor economice și juridice (fig. 16.86);
- costurile implementării unui sistem de management de mediu.

Numai printr-o astfel de abordare, societatea industrială-consumatoare exponențială de resurse naturale și deci de poluare a mediului, trebuie să treacă masiv la o societate informațională-creatoare exponențială de inteligență, pentru a trece apoi la societatea cunoașterii și în final la societatea conștientizată.

Numai o persoană informată și conștientă de valoarea informației poate deveni prin comportament un ajutor esențial în salvarea mediului și respectiv a Vieții pe Terra!



CONSIDERAȚII PRIVIND ELABORAREA UNUI MODEL GENERAL AL UNEI ORGANIZAȚII ECOTEHNOLOGICE, ABORDARE SISTEMICĂ

Proiectarea procesului ecotehnologic pentru fiecare produs și pentru fiecare transformare de substanță ce se desfășoară într-un centru economic și realizarea bilanțului ecotehnologic sunt două deziderate ale viitorului apropiat deoarece ele pot conduce la transformarea oricărui centru economic într-o organizație ecologică, ca parte importantă a unei eco-economii.

17.1 ORGANIZAȚIA ECOTEHNOLOGICĂ

Sarcina realizării concordanței între tendințele creșterii populației, a dorinței de dezvoltare continuă a organizației și necesitatea de protejare a mediului poate fi îndeplinită numai printr-o abordare care încurajează dezvoltarea și care susține în același timp și mediul.

Dezvoltarea organizațiilor ecotehnologice reprezintă o nouă abordare a dezvoltării industriale, care permite organizațiilor să asigure beneficii economice și sociale pentru generația actuală fără a compromite capacitatea generațiilor viitoare de a-și îndeplini propriile cerințe și fără a dăuna proceselor ecotehnologice fundamentale.

Din această definiție decurge faptul că orice degradare semnificativă a proceselor ecotehnologice, datorată organizației nu este durabilă pe termen lung.

Pentru realizarea dezvoltării durabile a organizației trebuie îndeplinite trei criterii:

- protejarea eco-capacității, adică menținerea capacității ecosistemelor de a funcționa în ciuda existenței poluării;
- utilizarea eficientă a resurselor umane, materiale și energetice;
- asigurarea unei distribuții echitabile între națiuni atât a bunurilor furnizate de dezvoltarea organizațiilor cât și a greutăților produse prin degradarea mediului înconjurător.

Conceptul de eco-capacitate prezintă două aspecte:

- elasticitatea sistemului, adică menținerea modelelor comportamentale în fața perturbărilor externe;

- capacitatea sistemului de a rămâne stabil, adică menținerea echilibrului, ca răspuns la fluctuațiile de mediu.

Pentru analiza în cauză, primul aspect este de interes.

Protejarea biosferei împotriva activităților legate de organizație, reprezintă un criteriu fundamental pentru dezvoltarea durabilă. Este însă foarte dificil de măsurat, datorită multiplelor sale dimensiuni.

Protejarea biosferei presupune:

- stabilizarea acesteia în fața amenințărilor de tipul gazelor cu efect de seră și a substanțelor cu capacitate distructivă asupra păturii de ozon;
- menținerea capacității de susținere a sistemelor naturale (păduri, terenuri agricole, iazuri piscicole);
- protejarea capacității asimilative a aerului, apei și solului în raport cu emisiile și eliminarea deșeurilor.

Un alt aspect care îngreunează rezolvarea problemei este cel al dezvoltării continue a cunoașterii științifice și totodată a incertitudinii care înconjoară aceste cunoștințe, în momentul în care este necesară luarea deciziei.

Datorită complexității problemei ridicate de protejarea biosferei, se impune respectarea unor strategii de protecție. Există două strategii principale (United Nations Industrial Development Organization, 2002):

- **Păstrarea emisiilor și evacuărilor anuale de deșeuri generate de activitățile organizațiilor în limitele standardelor de mediu. Standardele de mediu**, stabilesc concentrațiile acceptabile ale diversilor poluanți în mediul înconjurător. Aceste standarde sunt fundamentate pe efectele pe care le au substanțele poluante asupra sănătății umane, florei și faunei și adeseori variază, în special în ceea ce privește cantitatea apei, deoarece depind de utilizările pe care le are corpul de apă receptor (pentru râurile care constituie surse de apă de băut, standardele sunt mult mai restrictive). Acest tip de standarde este dificil de elaborat datorită informațiilor științifice inadecvate, în special a celor legate de concentrațiile scăzute ale chimicalelor toxice. Suplimentar, ele sunt și dificil de implementat, deoarece este nevoie de procese de modelare complexe, pentru a relaționa evacuările și emisiile industriale de concentrațiile ambiante globale.

La **nivel național și internațional** există standarde ambiante pentru poluanții obișnuiți, cum sunt particulele solide și SO₂ și pentru câțiva poluanți toxici, cum sunt metalele grele și anumiți compuși organici.

Ca o alternativă la standardele ambiante, au fost elaborate standardele de descărcare. Standardele de descărcare sunt exprimate în termenii concentrației substanței poluante în curentul efluent, sau în termenii cantității permise de substanță poluantă evacuată pe unitatea de materie primă sau produs finit. Aceste standarde, care au evoluat în ultimii ani, sunt determinate în baza tehnologiilor disponibile și a considerațiilor economice. Deși ele elimină problema relaționării emisiilor sau evacuărilor cu concentrațiile ambiante, standardele de descărcare pot reduce evacuările de poluanți într-o măsură mai mare sau mai redusă decât este necesar pentru protejarea mediului;

- **Stabilizarea și reducerea încărcăturii totale a poluanților, de importanță**

regională și locală

Această strategie, care se naște în prezent în lumina problemelor de mediu globale și regionale, este mult mai restrictivă. Ea cunoaște limitele științei în a determina concentrații acceptabile pentru poluanții care au efecte ireversibile asupra mediului. Poluanții în cauză sunt cei asociați problemelor globale și regionale, în special în ceea ce privește încălzirea globală a Terrei, epuizarea stratului de ozon și depozitățile acide și a celor care provoacă deteriorarea ecosistemelor acvatice (metalele grele toxice și hidrocarburile clorurate). Scopul elaborării standardelor încărcăturii totale de poluanți este acela de a reduce încărcătura poluantă asupra mediului, la un nivel mai scăzut decât cel al standardelor ambiante.

Îndeplinirea cerințelor standardelor încărcăturii totale de poluanți reprezintă o strategie mult mai costisitoare și îndelungată, dar și o strategie mai importantă, deoarece va impune limitări mai restrictive decât standardele ambiante. Standardele încărcăturii totale de poluanți solicită nivele mai reduse ale evacuărilor de poluanți, astfel încât să poată fi protejat stratul de ozon, stabilizat sistemul climatic și ciclurile cheie ale carbonului, oxigenului, azotului și sulfului.

Este important să se admită faptul că pentru realizarea dezvoltării durabile a organizațiilor nu este suficientă reducerea continuă a emisiilor poluante pe unitatea de produs. Emisiile trebuie reduse în termeni absoluți, pentru organizația privită ca un întreg. Pe termen lung aceasta implică:

- înlocuirea masivă a combustibililor fosili (în special a cărbunelui) cu resursele regenerabile (energia solară, biomasa);
- închiderea ciclurilor de materiale și produse prin intermediul unor procese și produse optime.
- **Eco-Eficiența.** Preocuparea predominantă a dezvoltării durabile este protejarea mediului natural. Această protecție trebuie însă făcută într-o manieră eficientă.

Astfel, dacă există alternative de menținere a eco-capacității, trebuie aleasă cea soluție care minimizează input-ul (spre exemplu de energie) pe unitatea de produs, sau care maximizează numărul de produse pe un input dat. Aceasta derivă din faptul că noțiunea de dezvoltare este esențială pentru dezvoltarea durabilă a organizației, iar dezvoltarea la rândul său implică creșterea nivelului de trai, cel puțin în sens larg. Așa cum o atestă istoria economiei, dezvoltarea economică prin intermediul proceselor transformării materiilor prime în produse a constituit multă vreme calea către standarde mai înalte de viață. Din acest motiv, politicile organizațiilor trebuie să fie consistente cu realizarea celei mai eficiente conversii a materiilor prime în produse.

- **Echitatea** Problema echității îmbracă multiple aspecte.
 - **Distribuția echitabilă a bunurilor furnizate de dezvoltarea cunoscută de organizație și a greutăților produse prin degradarea mediului înconjurător.**
 - **Abordarea problemei la scară globală.**
 - **Echitatea între generații.**

Impactul uman asupra mediului natural depinde în mod fundamental de

interacțiunea existentă între populație, creșterea economică și tehnologie. El poate fi pus în evidență de următoarea identitate:

$$\text{Poluare} = \frac{\text{Poluare}}{\text{PIB}} \times \frac{\text{PIB}}{\text{Populație}} \times \text{Populație} . \quad (17.1)$$

în care: $\frac{\text{Poluare}}{\text{PIB}}$ este intensitatea poluării; $\frac{\text{PIB}}{\text{Populație}}$ - gradul de dezvoltare

În această relație, poluarea, înțeleasă ca degradare a mediului apare ca produs al populației, funcție de nivelul veniturilor (termenul PIB pe cap de locuitor) și intensității poluării provocată de producție (termenul Poluare/PIB).

- **Conceptul de ecoproducție** evoluează din conceptele anterioare de tehnologie curată și tehnologie fără deșeuri sau cu producerea redusă de deșeuri. Conceptul mai vechi de tehnologie curată era privit în 1979 de Comisia Comunității Europene ca având trei scopuri distincte, dar complementare:
- mai puțini poluanți evacuați în mediu natural (apă, aer, sol);
- mai puține deșeuri (tehnologie fără deșeuri sau cu producere redusă de deșeuri);
- cerere mai scăzută de resurse naturale (apă, energie și materii prime).

Deși nu există încă o definiție unanim agreată a ecoproducției, ca de altfel nici pentru dezvoltarea durabilă, există un oarecare consens exprimat cu ocazia Seminarului pentru promovarea producțiilor curate, organizat de Programul Națiunilor Unite pentru Mediu.

Ecoproducția reprezintă o abordare globală a protecției mediului, care cuprinde toate fazele procesului de producție sau ale ciclului de viață al produselor, având obiectivul de a preveni și minimiza riscurile pe termen lung și scurt pentru oameni și mediu. Ecoproducția este benefică pentru mediu, deoarece reduce poluarea. De asemenea, organizațiile ecotehnologice care urmează acest tip de abordare preventivă a poluării, au câteva beneficii directe, cum sunt.

- realizarea unei economii de costuri prin reducerea risipei de materii prime și energie;
- îmbunătățirea eficienței organizației;
- realizarea unei mai bune calități a produselor, deoarece funcționarea organizației este mai ușor de anticipat;
- recuperarea anumitor materii irosite.

Ecoproducția necesită:

- aplicarea expertizei;
- îmbunătățirea tehnologiei;
- schimbarea atitudinilor.

Prin noua abordare care se naște în managementul mediului, prioritățile managementului poluanților sunt complet răsturnate. Astfel, prima prioritate ierarhică este prevenirea poluării, cum sunt modificările proceselor și ale produselor, reciclarea și recuperarea la locul producției, înainte de luarea măsurilor de reducere a poluării. Această nouă ierarhie arată în felul următor:

- prevenire;

- reducere;
- reutilizare și reciclare;
- tratare cu recuperare de energie și materiale;
- tratare;
- depozitare finală.

Această abordare a managementului mediului se dezvoltă datorită faptului că organizațiile ecotehnologice, și în special companiile progresiste:

- realizează faptul că noile priorități sunt mai puțin costisitoare și din acest motiv constituie o abordare mai profitabilă a managementului mediului;
- sunt conștiente de faptul că mai devreme sau mai târziu vor fi forțate de Guvern sau de presiunea publică să reducă presiunea poluării asupra mediului.

Etapale necesare pentru introducerea unui program de realizare a unei eco-producții într-o organizație pot fi sintetizate după cum urmează:

- Elaborarea și implementarea unei politici de mediu atotcuprinzătoare la nivelul corporației care să se axeze pe prevenirea poluării;
- Stabilirea unor obiective ale corporației, privind programul de introducere a ecoproducției, cu fixarea unei agende bine precizate;
- Alocarea responsabilităților, timpului și suportului financiar pentru întregul program;
- Implicarea angajaților la toate nivelele;
- Elaborarea de proceduri de contabilizare a reducerii de deșeuri în cadrul companiei și utilizarea acestora în mod regulat pentru a identifica, evalua și elimina deșeurile, la fiecare etapă a procesului productiv;
- Obținerea și utilizarea celor mai bune informații tehnice și de altă natură atât din interiorul, cât și din exteriorul companiei;
- Monitorizarea și evaluarea progresului programului;
- Informarea regulată a tuturor angajaților asupra progresului realizat de companie, în legătură cu producția curată în ultima lună, în ultimele șase luni, ultimul an sau ultimii cinci ani;
- Încurajarea și recompensarea eforturilor individuale și colective fructuoase, în implementarea producțiilor curate;
- Conștientizarea faptului că realizarea producției curate reprezintă o călătorie și nu o destinație. Modernizarea regulată a obiectivelor și orarilor de minimizare a cantității de deșeuri.

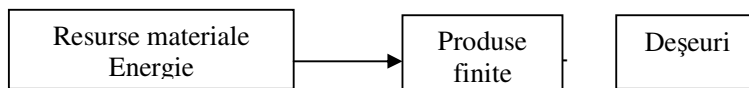
- Identificarea posibilităților de introducere a ecoproducției într-o organizație ecologică

Într-o organizație dată, este necesar să se studieze de unde anume provine poluarea, pentru a putea lua cele mai eficiente măsuri de remediere din punct de vedere economic. Una dintre modalități este aceea de contabilizare a deșeurilor, metodă care analizează în mod sistematic toate procesele și operațiile. Ideea care stă la baza acestei contabilizări este aceea că, orice materie primă care nu se

regăsește într-un produs, trebuie eliminată ca deșeu. Procedura de contabilizare identifică în mod sistematic aceste pierderi.

17.2. MODELUL TEORETIC DE DETERMINARE A POTENȚIALULUI POLUANT AL UNEI ORGANIZAȚII ECOTEHNOLOGICE

Baza determinării potențialului poluant o constituie deșeurile poluante, care rezultă pe fondul tehnologiilor actuale, din procesele de producție “liniare”.



Din sistemul de fabricație rezultă produse finite și subproduse de proces: materiale care se recuperează și se valorifică prin reciclare, deșeuri nepoluante, deșeuri poluante etc.

În cazul surselor energetice, ieșirile din proces sunt regăsite și sub forma resurselor energetice recuperabile și a pierderilor de apă poluată termic, căldura produselor finite, gaze calde evacuate la coș.

Pentru determinarea potențialului poluant al unei platforme industriale al unei zone, prezintă interes și acele produse finite (pesticide, îngrășăminte chimice azotoase, combustibili petrolieri cu aditivi etc.) care, prin utilizare, au impact negativ asupra mediului. La fel se întâmplă cu ambalajele nebiodegradabile sau cu detergenții pe bază de fosfați.

Pentru o platformă industrială contează nu numai cantitatea de substanțe poluante emise în mediu, ci și gradul de dispersare și timpul de remanență, de persistență a acestora pe suprafața respectivă, până când se deplasează sau sunt asimilate de ecosistem.

Calculul se poate face cu oarecare certitudine pe termen scurt, deoarece nu se modifică informațiile de intrare ale sistemului de fabricație (know-howul, regulamentul de fabricație, pregătirea și experiența personalului, brevetele, programele de calculator, calitatea materiilor prime, consumurile specifice, tehnologiile etc). Pentru întocmirea unui model se poate proceda astfel:

Se cuantifică pierderea de resurse naturale (materii prime, auxiliare, catalizatori etc.), regăsită și sub denumirea de subproduse de proces și notată cu $\Sigma\Delta M$ folosind expresia :

$$\Sigma\Delta M = \Sigma M_i - \Sigma M_e \quad (17.2)$$

în care: ΣM_i este cantitatea de resurse materiale introdusă în procesul de fabricație într-o unitate de timp; ΣM_e este cantitatea de resurse materiale regăsită în produsul finit.

Trebuie spus că, dacă unele materiale se reciclează sau se recuperează în vederea valorificării, $\Sigma\Delta M$ se modifică în mod corespunzător. De asemenea, din categoria subproduselor de proces, numai substanțele nocive se regăsesc în potențialul poluant al platformei industriale.

Se cuantifică cantitatea resurselor energetice disipată în factorii de mediu notată cu $\Sigma\Delta E$, folosind expresia:

$$\Sigma\Delta E = \Sigma E_i - \Sigma E_e \quad (17.3)$$

unde: ΣE_i este cantitatea totală de energie introdusă în sistem; ΣE_e este cantitatea echivalentă de energie regăsită în produsele finite (pentru desfășurarea reacțiilor chimice, pentru modificarea stării de agregare etc.).

La fel ca la materii prime, recuperarea parțială a energiei reziduale diminuează mărimea lui $\Sigma\Delta E$.

În ceea ce privește potențialul poluant al platformei industriale, interesează, în primul rând, energia evacuată sub forma apelor poluate termic.

După aceste precizări, $\Sigma\Delta M$ și $\Sigma\Delta E$ se identifică prin volumul reziduurilor de fabricație, poluante, evacuate în mediul înconjurător. În această aproximare, $\Sigma\Delta M$ și $\Sigma\Delta E$ pot servi la caracterizarea materialintensivității și energointensivității procesului tehnologic și al eficienței cu care societatea reușește să valorifice resursele naturale.

Mărimile M_i , E_i , M_e , E_e tipice fiecărui proces de fabricație, ajută la evidențierea rezervelor fiecărui proces față de stadiul tehnologiei moderne, iar $\Sigma\Delta M$ și $\Sigma\Delta E$ sunt și măsura gradului de încărcare a ecosistemului cu deșeuri poluante; (se asociază sistemului de fabricație un vector de timp care marchează evoluția sistemului. Pe acest vector se stabilește durata de viață a substanțelor eliminate în afara perimetrului platformei industriale, numită în literatura de specialitate persistență sau remanență în factorii de mediu, timpul de înjumătățire a dozei poluante).

Setul de indicatori de timp se completează cu durata acceptată pentru epuizarea resurselor naturale proprii (când este cazul). Conform regulilor ecotehnologiei se convine ca această durată să fie mai mare decât cea corespunzătoare unei generații umane, pentru a da răgazul găsirii resurselor alternative în cazul celor deficitare.

Timpul de persistență a substanțelor poluante în factorii de mediu T_m dă o dimensiune nouă potențialului poluant al platformelor industriale. El intervine și în calculul normării concentrației maxime admisibile C.M.A. a fiecărui poluant, estimând timpul necesar biodegradării substanței poluante evacuate în mediu.

La descrierea modelului teoretic trebuie implicate și informațiile intrate, generate de sistemul de fabricație și ieșite din acesta, făcându-se o legătură directă între “informatizarea” sistemului și reducerea cantității de noxe provocate de el.

În realizarea modelului se poate ține cont și de împrăștierea unor poluanți M_y la timpul t , pentru o producție Y , care se poate determina cu ajutorul relației:

$$M_y = \Sigma a_{it} \cdot s_{it} \cdot Y_t, \quad (17.4)$$

în care: Y_t este nivelul prevăzut al producției respective; s_{it} este partea de output din sectorul i ;

a_{it} - cantitatea de deșeuri (poluare) generate pe unitatea de output în sectorul i .

Grossman și Krueger (1993) au observat o relație între concentrațiile de CO_2 și nivelurile de venit pe cap de locuitor. De la revoluția industrială încoace, concentrațiile de CO_2 au crescut cu 25%. Ele sporesc o dată cu nivelul activității economice până se atinge un nivel de 4.000 – 14.000 de dolari pe locuitor, după care scad brusc.

Țările cu venituri mici au șansa (unică) să învețe din experiența țărilor dezvoltate și astfel să evite din greșelile săvârșite asupra mediului de acestea. Studiile arată că, pentru o țară cu un nivel dat al venitului per capital, calitatea mediului este mai bună decât pentru o alta, care era la același nivel în urmă cu zece ani.

Transferurile de tehnologie către țările în curs de dezvoltare ar putea să continue sau chiar să accelereze această tendință.

Cunoașterea potențialului poluant al unei platforme industriale este premisa necesară pentru elaborarea obiectivelor strategiei de dezvoltare și reducere a impactului ei asupra mediului, pentru alcătuirea programelor de refacere a mediului.

Indicatorii cu care se operează pentru evaluarea intensității poluării sunt:

- calitatea de deșeuri poluante, care se referă la substanțele chimice, radioactive, microbiologice sau la apele poluate termic;
- cantitatea echivalentă de poluanți, folosită atunci când numărul poluanților chimici este foarte mare, făcând dificilă aprecierea în timp a ansamblului fenomenului. În acest caz, se convine să se calculeze o cantitate echivalentă, prin intermediul C.M.A. a fiecăruia din agenții poluanți, în raport cu un poluant tipic considerat etalon (C.M.A. = 1).
- durata medie de viață a poluanților, determinată ca medie ponderată: cantitatea de poluanți cu duratele individuale ale poluanților.

Se consideră însă că această metodologie este perfectibilă deoarece:

- unitățile industriale nu urmăresc procesul de poluare al tuturor factorilor de mediu, îndeosebi a solului, a apelor freatice etc.;
- nu se utilizează controlul radioactivității produselor și subproduselor de proces microbiologic al apelor etc.;
- se urmăresc numai cantitățile de substanțe poluante provenite din procesele tehnologice. Sunt neglijate cele ce provin din activitatea magaziiilor, rampelor, depozitelor, atelierelor de întreținere, laboratoarelor, cantinelor, grupurilor sanitare, gospodăriilor anexe, accidentelor tehnologice etc.;
- nu există preocupări pentru inventarierea tuturor substanțelor nocive. Afirmatia se bazează pe faptul că, în condițiile actualelor tehnologii, la un nomenclator de 11.000 de produse, inclusiv unele tipodimensiuni rezultă câteva zeci de mii de subproduse de proces, din care numai circa 100 au fost testate și catalogate ca substanțe nocive, fiind incluse în normele de concentrație admisibilă în factorii de mediu;
- organizațiile guvernamentale controlează fenomenul de poluare industrială numai prin concentrațiile maxime admise, nu și prin cantități în mărime absolută, ceea ce face ca o unitate poluantă să

deverseze într-o apă de suprafață orice cantități de noxe, cu condiția ca apele reziduale evacuate de uzină să se încadreze în limitele C.M.A.;

- normele C.M.A. stabilite la un moment dat depind de informațiile acumulate până în acel moment, ulterior putând fi modificate. În plus normarea C.M.A. depinde de cunoașterea mecanismului poluării, dar și de disponibilitățile tehnice și economice de a reduce concentrația efluenților poluanți.

Obstacole în calea realizării unor organizații ecotehnologice

Din categoria obstacolelor întâlnite în calea realizării unei organizații ecotehnologice se pot enumera :

- rezistența manifestată față de ideile și abordările noi, pentru care personalul organizației nu are nici un fel de instruire formală. Proiectele demonstrative sunt esențiale pentru a arăta că ecoproducția poate funcționa și în țara noastră sau în compania noastră;
- lipsa de resurse financiare, conștientizare și instruire, experiență, informare și acces la cunoștințele existente;
- incertitudinile legate de informațiile adecvate, tehnologiile sau reglementările legale;
- politicile sau reglementările guvernamentale care se axează pe reducerea unui singur tip de poluant și care descurajează soluțiile inovatoare de reducere a poluării și cele care oferă stimulente pentru investițiile în tehnologiile de eliminare a poluării la capătul conductei;
- lipsa de familiarizare a inginerilor și consilierilor cu practicile și tehnicile producțiilor curate. Adeseori, aceștia nu acordă suficientă atenție îmbunătățirii autogospodăririi, a micilor modificări necesare la echipamentele existente, sau altor probleme mai puțin tehnice, care pot fi foarte eficiente economic;
- frica de a ocupa o posibilă poziție dezavantajoasă din punct de vedere competițional, datorită costurilor ridicate.

O organizație care adoptă un proces de ecoproducție, poate realiza unul sau mai multe dintre următoarele beneficii, în același timp cu reducerea poluării:

- economii de materii prime și energie;
- costuri mai scăzute de management al deșeurilor;
- calitatea îmbunătățită a produselor;
- productivitate crescută;
- reducerea riscurilor de boală a muncitorilor și a pericolelor asupra mediului;
- îmbunătățirea imaginii publice a întreprinderii.

17.3. ELABORAREA UNUI MODEL DE ORGANIZAȚIE ECOTEHNOLOGICĂ

17.3.1. Inițierea implementării modelului organizației ecotehnologice

Fiecare tip de organizație are specificul ei de organizare și funcționare și

din acest punct de vedere, este dificil să se recomande o metodologie comună, aplicabilă oriunde și oricând și al cărei succes este garantat întotdeauna. Deși consultanții dispun adeseori de metodologii proprii, uneori chiar foarte performante, bazate pe o bogată experiență profesională, totuși nu se poate spune că există o singură cale de reușită. În continuare se vor preciza câteva idei și indicații care să folosească celor ce doresc să implementeze sau să mențină un astfel de sistem.

17.3.1.1. Crearea unui climat al schimbării. În cadrul organizațiilor au loc o serie de schimbări; unele sunt de mică anvergură, influențând un individ sau un grup restrâns de indivizi, ca de exemplu schimbări mici în organizarea muncii la un loc de muncă; altele sunt de amploare mare, influențând organizația în ansamblu ei sau domenii majore ale acesteia, (ca de exemplu asimilarea unui nou produs sau implementarea unui nou sistem de management)

Schematic, procesul schimbării se prezintă în figura 17.1. O organizație trebuie să fie conștientă de presiunile existente pe piață și să dezvolte strategii corespunzătoare pentru a câștiga clienți pe baza criteriilor de competitivitate existente pe piață în acel moment.

Realitatea este că, doar criteriile de competitivitate conduc piața. Organizația nu poate modifica aceste criterii, iar mediul care creează presiunile externe nu se va modifica. De aceea, schimbarea trebuie să vină din partea organizației. În figura 17.2. se ilustrează consecințele rezultate în urma ignorării forțelor prezente pe piață și a evitării acțiunilor de schimbare.

Există nenumărate exemple de organizații care au plătit scump ignorarea modificării condițiilor piețelor ezitând sau refuzând să se adapteze la aceste schimbări. Schimbările sunt modificări reale care se aplică în orice parte componentă a organizației: planuri și programe de activitate, domeniul de acțiune al managementului, mașini și utilaje, echipamente, structura de organizare, oamenii înșiși etc.

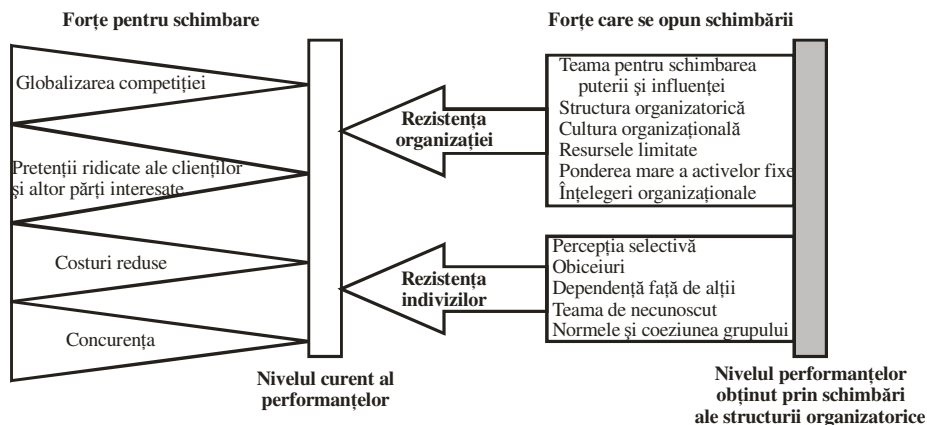


Fig. 17.1. Procesul schimbării organizaționale.

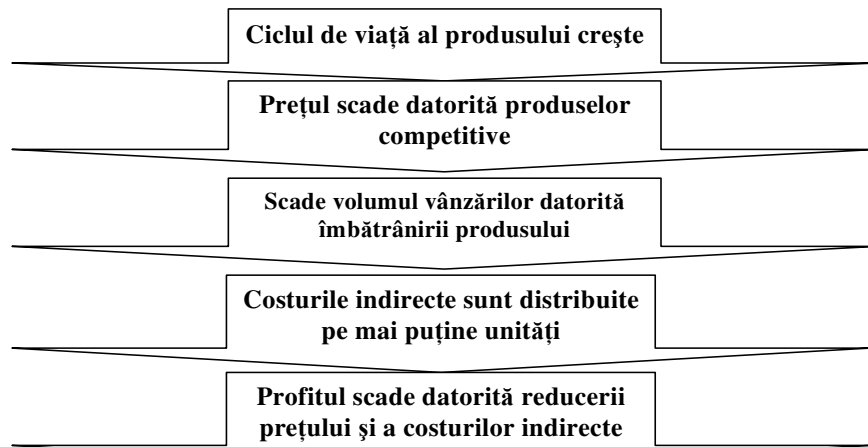


Fig. 17.2. Consecințele ignorării schimbării

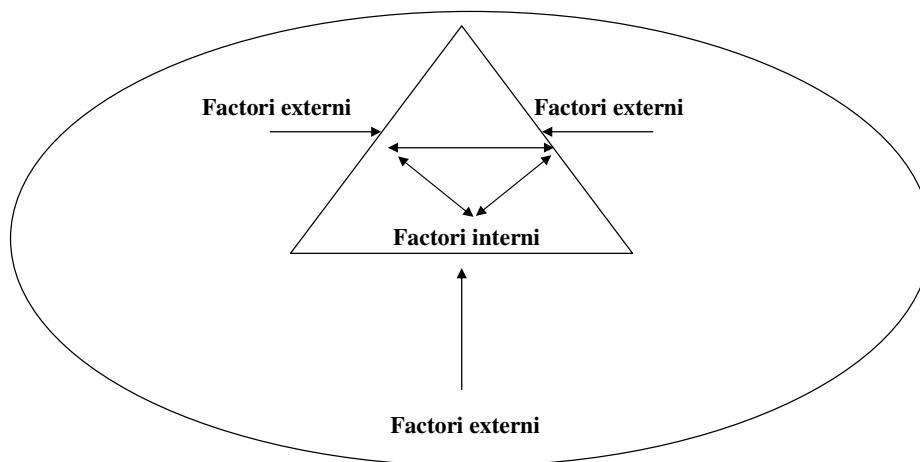


Fig. 17.3. Factorii interni și externi ai schimbării

În figura 17.3 se reprezintă schemele factorilor interni și externi care pot produce schimbări într-o organizație.

Factorii externi ai schimbării derivă din factorii mediului organizațional extern: general și specifici (fig. 17.1 și fig. 17.2).

17.3.1.2. Conștientizarea necesității implementării managementului mediului. Managerii din diverse organizații recunosc, în general, nevoia pentru schimbare, ca pe o modalitate de a face față presiunilor competitive, dar mulți nu înțeleg cum trebuie să fie implementată schimbarea.

Cheia către succes este de a integra angajații, rolurile și responsabilitățile acestora din cadrul organizației, în cadrul unei structuri de procese. O abordare bazată pe procese și începând cu declararea viziunii și misiunii, analizând factorii critici de succes și identificând procesele de bază, este cel mai eficient mod de angajare a personalului în procesul schimbării (tab. 17.1).

Tabelul 17.1. Acțiunile necesare schimbării

Valori	Acțiuni necesare
Atitudinea față de părțile interesate de performanțele de mediu.	Comunicarea rezultatelor studiilor asupra părților interesate către toți angajații; includerea gradului de satisfacție a acestora ca element cheie pentru planul de mediu; aprecierea și recompensarea individuală pentru un serviciu excepțional.
Munca în echipă și cooperarea.	Utilizarea extensivă a echipelor de îmbunătățire a calității; recompensarea membrilor echipei după sistemul de apreciere a activităților speciale.
Internalizarea relației client–furnizor.	Utilizarea conducerii calității mediului la nivel compartimental; încurajarea interacțiunii dintre compartimente.
Dirijarea tuturor indicatorilor în funcție de gradul de mulțumire a părților interesate.	Comunicarea acestui concept la toți angajații; satisfacerea părților interesate sunt obiectivele de vârf care relevă performanțele organizației.
Primordialitatea îmbunătățirilor pe termen lung față de ameliorările rapide.	Echipele să urmărească soluționarea problemelor bazate pe fapte; respingerea soluțiilor rapide care nu sunt susținute de date.
Faptele și datele sunt preferate în locul bănuielilor și prezumțiilor.	Pregătirea echipelor pentru soluționarea problemelor bazate pe fapte; sprijinirea echipelor de conducere pentru diagnosticare corectă, bazată pe date obiective.
Concentrarea pentru găsirea soluțiilor, nu a greșelilor.	Aprecierea acelor angajați care descoperă probleme noi și care lucrează la soluționarea lor.
Implicarea totală a angajaților.	Urmărirea îndeaproape a angajaților implicați; ușurarea eforturilor pentru obținerea calității și a performanțelor de mediu; aprecierea implicării angajaților în aprecierea culturii organizației.
Abordarea calității mediului în contextul organizației.	Structura sistemului de calitate trebuie integrată în cea existentă; stabilirea de obiective și planuri pe termen lung pentru calitatea mediului; demersul în domeniul calității mediului este un drum nou care trebuie urmat.
Orientarea spre o calitate a mediului este un proces intensiv.	Recrutarea și formarea personalului adecvat; popularizarea politicii în domeniul calității mediului în spiritul formării unei noi atitudini a personalului; aprecierea, promovarea și recompensarea personalului cu merite în domeniul calității mediului.
Promovarea unui spirit de angajare pentru mediu.	Implicarea totală a conducerii de vârf; disponibilizarea resurselor necesare; răbdare și perseverență în acțiune; afilierea la organizațiile locale, naționale și internaționale care au ca obiectiv calitatea mediului.

Managementul superior trebuie să înceapă dezvoltarea noii structuri orientate pe proces prin angajamentul la toate nivelurile respectând anumite etape. Punctul de start trebuie să fie o analiză generală a organizației și a transformărilor solicitate de echipa managerială. Prin realizarea acestei analize diagnostic asupra schimbărilor impuse, asupra problemelor care există și asupra domeniilor care

trebuie îmbunătățite, se obține un angajament inițial, vital pentru începerea procesului de transformare.

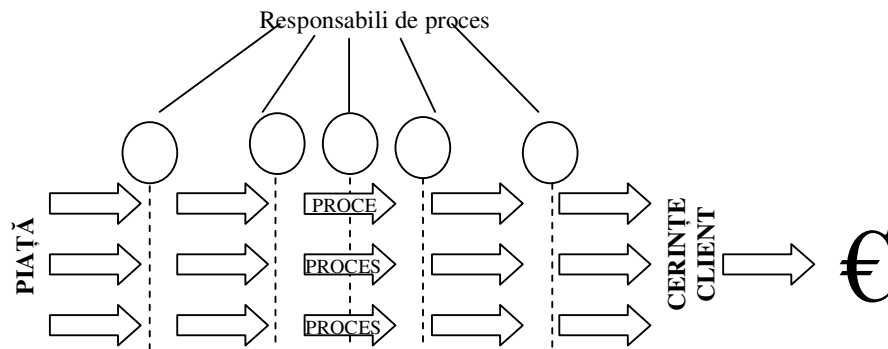


Fig. 17.4. Arhitectură de procese

Procesele de bază descriu ce se realizează sau ce trebuie să fie făcut astfel încât organizația să realizeze factorii de succes. Prima etapă în înțelegerea proceselor de bază este de a identifica o rețea, arhitectură de procese de același ordin de importanță (fig. 17.4).

Odată procesele de bază definite, este necesar ca pentru noua structură de procese să fie stabilite obiectivele, țintele și indicatorii de performanță. Este necesară, de asemenea, descompunerea proceselor de bază în subproces, activități și sarcini. O imagine asupra modului în care trebuie realizată structura de procese, se prezintă în fig. 17.5. Sarcinile sunt realizate de către indivizi. Angajatul trebuie să înțeleagă sarcina și poziția lui în ierarhia proceselor.

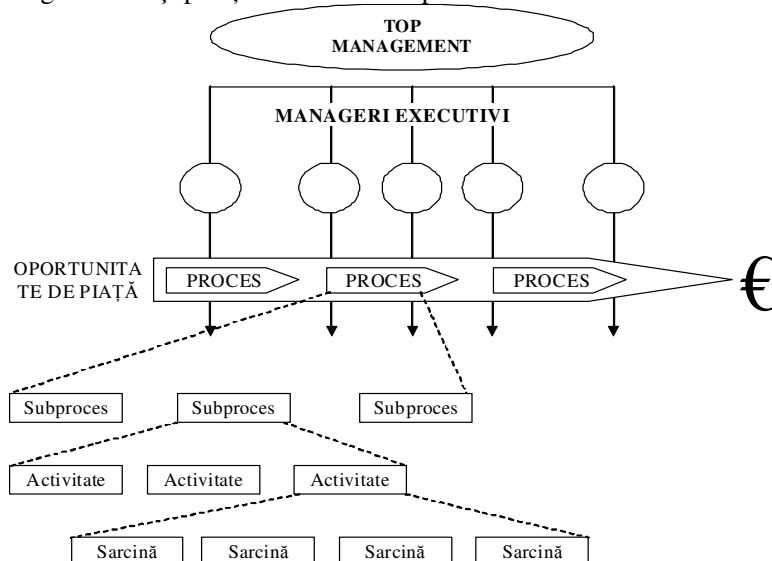


Fig. 17.5. Identificarea proceselor principale și descompunerea lor

17.3.1.3. Implementarea sistemului de managementul mediului în cadrul organizației ecotehnologice. Politica reprezintă doar cadrul pentru stabilirea obiectivelor și a țințelor de mediu specifice. Sunt, totuși, organisme de certificare care cer ca aceste obiective să fie incluse explicit în cadrul politicii.

Politicele de mediu ale organizației de tip IMM evidențiază îndeplinirea cerințelor din standardul ISO 14001 referitoare la prevenirea poluării, angajamentul de conformitate cu legislația, este documentată și poate oferi cadrul pentru stabilirea obiectivelor și țințelor de mediu. Auditul poate evidenția dacă ea corespunde naturii, dimensiunilor și impactului pe care activitățile, produsele și serviciile organizației le au asupra mediului, sau dacă este implementată, menținută și comunicată întregului personal.

Este indicat ca aspectele de mediu identificate încă de la început să reflecte cât mai complet situația reală din organizație în raport cu mediul.

Pentru a nu pierde din vedere aspectele esențiale, este indicat să se aibă în vedere pentru fiecare proces examinat schema prezentată în figura 17.6., care trebuie particularizată pentru fiecare proces analizat.

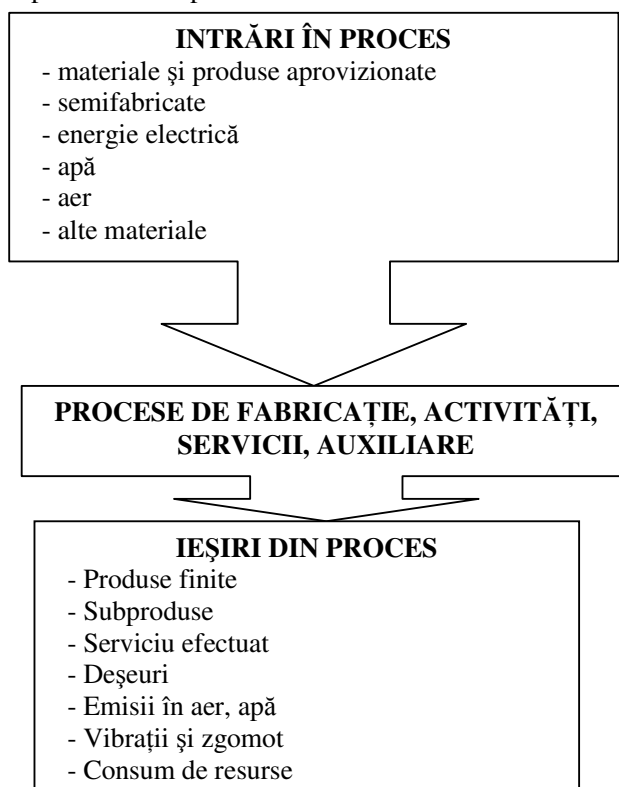


Fig. 17.6. Elemente de proces pentru planificarea de mediu.

- La stabilirea obiectivelor, țințelor și programelor de mediu trebuie să se aibă în vedere neapărat aspectele semnificative de mediu de aceea

trebuie parcursă succesiunea precizată în figura 17.1 și tabelele 17.2, 17.3 și 17.4.

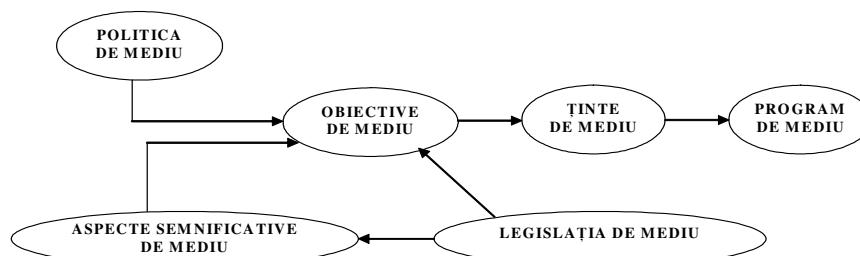


Fig. 17.7. Procesul planificării de mediu.

Tabelul 17.2. Propunere privind planificarea de mediu – abordare sistemică

Documente de lucru	Intrare	Activități analiză	Ieșire	Responsabil
0	1	2	3	4
Instr: * Identificarea aspecte de mediu * Cotare și eval. aspecte de mediu	* Legi, reglementări * Situația incidentelor de mediu * Sinopticile de fabricație * Tehnologiile * Chestionar sondare opinii părți interesate * Legi, reglementări	ASPECTE DE MEDIU * Identificarea aspectelor de mediu în raport cu: - produsele realizate; - procesele de fabricație; - activitățile desfășurate; - serviciile prestate ⇓ * Evaluarea și cotarea aspectelor de mediu identificate ⇓ * Selectarea aspectelor de mediu care au sau pot avea un impact semnificativ asupra mediului ⇓ Actualizarea aspectelor de mediu cu impact semnificativ, la modificarea datelor de intrare sau a cerințelor legale	* Fișa de identificare și evaluare aspecte de mediu specifice activității/producției/serviciilor (cu criterii de evaluare). * Lipsa aspectelor de mediu * Lipsa aspectelor de mediu semnificative * Lista aspectelor de mediu (actualizată)	* Echipa de identificare și evaluare a aspectelor de mediu * Responsabil de mediu

Tabelul 17.2. (Continuare)

0	1	2	3	4
		PREVEDERI LEGALE ȘI ALTE CERINȚE		
Instrucțiuni:	* Oferte, publicații legale	* Asigurarea accesului la legile și reglementările referitoare la mediu ↓	* Abonament la Monitorul Oficial Publicații de specialitate	Responsabil de mediu
* Asigurarea reglementărilor legale și a altor cerințe de mediu	* Legi și reglementări legale	* Analiza și identificarea cerințelor legale referitoare la aspectele de mediu aplicabile produselor/proceselor, activităților și serviciilor societății ↓	* Registru prevederi legale și alte cerințe	Echipa de analiză
* Analiza și actualizarea cerințelor de mediu	* Documente tehnice și comerciale	* Includerea cerințelor legale aplicabile în documentația de mediu referitoare la: - Obiective generale și specifice - Program de management de mediu - Control operațional al aspectelor de mediu aplicabile produselor/proceselor/activităților/serviciilor - Monitorizare și măsurare ↓	* Documente tehnice și comerciale cu cerințe de mediu	Funcțiunile responsabile
	* Legi reglementări, alte cerințe (actualizate)	* Evaluarea periodică (cel puțin o dată la 6 luni) a conformității documentației de mediu cu cerințele legale (legi, reglementări, hotărâri guvernamentale zonale sau locale)	* Documente de mediu actualizate	Responsabil de mediu

Tabelul 17.2. (Continuare)

0	1	2	3	4
		OBIECTIVELE ȘI ȚINTELE DE MEDIU		
<p>Instrucțiuni:</p> <p>* Stabilire obiective și program de mediu</p>	<p>* Politica de mediu</p> <p>* Legi, reglementări, hotărâri. guvernamentale, zonale, locale</p> <p>* Lista aspecte de mediu</p> <p>* Lista aspecte de mediu semnificative</p> <p>* Chestionar opinii părți interesate</p>	<p>* Stabilirea și documentarea obiectivelor și țințelor generale referitoare la mediu</p> <p style="text-align: center;">⇕</p> <p>* Stabilirea și documentarea obiectivelor derivate și țințelor referitoare la mediu</p> <p style="text-align: center;"><u>Observație!</u></p> <p>La stabilirea obiectivelor și țințelor de mediu trebuie luate în considerare următoarele aspecte:</p> <ul style="list-style-type: none"> - politica de mediu; - cerințele legale - aspectele de mediu semnificative - natura și aspectele tehnologice și operaționale ale proceselor de fabricație; - oportunitățile financiare; - cerințele comerciale referitoare la mediu, - punctul de vedere al tuturor părților interesate 	<p>* Planificarea și programarea obiectivelor și țințelor de mediu</p>	<p>Funcțiunile de conducere + Responsabil de mediu</p>

Tabelul 17.2. (Continuare)

0	1	2	3	4
		PROGRAM DE MANAGEMENT DE MEDIU		
Instrucțiuni: * Stabilire obiective și program de mediu	* Politica de mediu	* Elaborarea programelor necesare atingerii obiectivelor generale de mediu sub aspectele: - obiectivul derivat, ținta, indicatorul de performanță; - responsabilii, calendar de desfășurare și finalizare; - activități și mijloace necesare	* Planificarea și programarea obiectivelor și țăintelor de mediu	Funcțiunile de conducere
	* Legi, reglementări, hot. guvernamentale, zonale, locale			+
	* Lista aspecte de mediu			Responsabil de mediu
	* Lista aspecte de mediu semnificative			+
	* Chestionar opinii părți interesate	↓	* Planuri detaliate pe obiective și ținte	Funcțiunile implicate
	* Planuri detaliate pe obiective și ținte	* Elaborarea programelor necesare atingerii obiectivelor și țăintelor derivate și specifice sub aspectele: - obiectivul derivat și specific, ținta, indicatorul de performanță; - responsabilii, calendar de desfășurare și finalizare; - activități și mijloace necesare	* Rapoarte de analiză și actualizare a programului de mediu	
	* Rapoarte de analiză și actualizare a programului de mediu	↓		
		Urmărirea și actualizarea sistematică a modului în care se progresează sau sunt atinse obiectivele și țăintele de mediu: - prin analize anuale pentru obiectivele generale și derivate; - prin analize lunare pentru obiectivele și țăintele derivate și specifice.	* Planuri detaliate pe obiective și ținte (actualizate)	
		↓ Actualizarea obiectivelor și țăintelor în funcție de progresele realizate		

Propunere privind implementarea și funcționarea sistemului de managementul mediului – abordare sistemică.

Tabelul 17.3.

Documente de lucru	Intrare	Activități analiză	Ieșire	Responsabil
0	1	2	3	4
Instrucțiuni: Instrucțiuni și conștientizare personal	* Programe de instruire	EFFECTUAREA INSTRUIRII pentru - Dobândire cunoștințe, formare deprinderi și competență necesare ↓ EVALUAREA INSTRUIRII - Evaluarea cursurilor prin: - analiza efectuării instruirii - analiza eficienței instruirii prin testare înainte și după curs - analiza periodică a eficienței instruirii prin audit - Evaluarea lectorilor DA Instruirea a fost eficientă? NU PERSONAL INSTRUIT ȘI CALIFICAT CORESPUNZĂTOR CERINȚELOR POSTULUI ȘI AVÂND COMPETENȚA NECESARĂ MM	* PV formare fișa individuală. * Atestare * Diplome * Fișe evaluare * Chestionar de evaluare * Fișe de evaluare * Plan acțiuni corective	* Personalul organizației * Responsabil instruire * Responsabil instruire * Responsabil de mediu
	* Necesar de instruire și conștientizare * Criterii de evaluare * Criterii de evaluare a eficienței instruirii			

Tabelul 17.3. (Continuare)

0	1	2	3	4
Instrucțiuni: Instrucțiuni. și conștientizare personal	* Politica de mediu. Legi. Reglementări.	CONȘTIENTIZARE PRIVIND IMPORTANȚA CONFORMITĂȚII CU: <ul style="list-style-type: none"> - politica de mediu - procedurile MM. - Cerințele sistemului de MM prin: <ul style="list-style-type: none"> - instruire, afișe, discuții cu angajații - difuzare stație radioficare. ↓	* PV formare	* Funcțiunile manageriale * Responsabil instruire
	* Lista aspectelor de mediu semnificative	CONȘTIENTIZARE PRIVIND: <ul style="list-style-type: none"> - Impacturile semnificative ale activităților asupra mediului (reale/posibile) - Efectele benefice aduse mediului prin îmbunătățirea performanțelor individuale referitoare la mediu (afișe, discuții, publicații interne) ↓	* PV formare	* Responsabil de mediu
	* Programul anual de Instrucțiuni. a lucrătorilor de la punctele critice * Proceduri. Instrucțiuni operaționale de mediu	CONȘTIENTIZAREA PRIVIND ATRIBUȚIILE ȘI RESPONSABILITĂȚILE PENTRU CONFORMAREA CU: <ul style="list-style-type: none"> - cerințele referitoare la situații de urgență și capacitatea de răspuns prin: <ul style="list-style-type: none"> - instruire - reuniuni și discuții deschise ↓	* Plan acț. corective * PV formare * PV formare	* Responsabil de mediu * Responsabil instruire * Responsabil de mediu
		CONȘTIENTIZAREA CU PRIVIRE LA CONSECINȚELE POSIBILE ALE ABATERILOR DE LA PROCEDURILE OPERAȚIONALE SPECIFICATE	* Afișaje, panouri * Plăcuțe avertizoare	

Tabelul 17.3. (Continuare)

0	1	2	3	4
Instrucțiuni:	* Manual. Proceduri. instrucțiuni * Legi Reglementări Cerințe * Politica de mediu	COMUNICARE - Realizarea comunicării interne referitoare la aspectele de mediu și SMM ↓ - Realizarea comunicării externe referitoare la aspectele de mediu ↓ - Analiza și evaluarea eficienței de realizare a comunicării, prin audituri	* Sinopticele de comunicare	* Toate funcțiunile implicate * Responsabil de mediu
	* Instrucțiuni comunicare * Controlul documentelor	DOCUMENTAȚIA SISTEMULUI DE MANAGEMENT DE MEDIU - Structura elementelor esențiale ale Sistemului Managementului de Mediu ↓ - Stabilirea și menținerea documentației SMM - descrierea elementelor esențiale ale SMM și interacțiunea lor indicarea accesului la documentația conexă ↓ - Actualizarea procedurilor și instrucțiunilor sistemului de management al calității cu cerințele specifice sistemului de mediu IDENTIFICAREA, LOCALIZAREA ȘI STABILIREA DOCUMENTELOR ȘI A DATELOR CARE TREBUIE ȚINUTE SUB CONTROL ↓ ANALIZA, APROBAREA ȘI EMITEREA DOCUMENTELOR ȘI A DATELOR ȘI LOCUL DE UTILIZARE ↓ RETRAGEREA CONTROLATĂ A DOC. NEVALABILE SAU PERIMATE ↓ IDENTIFICAREA DOCUMENTELOR PERIMATE PĂSTRATE ÎN SCOPURI JURIDICE SAU DE CONSERVARE A TRASABILITĂȚII ↓ MODIFICAREA ȘI REVIZIA PERIODICĂ A DOCUMENTELOR ȘI A DATELOR	* Manual MM * Proceduri. Instrucțiuni * Alte doc. (înregistrări ș.a.) * Lista documentelor de referință * Documente (analizate și aprobate) * Opis, Lista docum. de ref. retrase * Documente identificate prin inscripționare: „Păstrat în scop juridic sau de conservare a trasabilității” *Proces Verbal formare	* Responsabil de mediu * Alte funcțiunile implicate * Funcțiunile implicate * Responsabil de mediu * Funcțiunile implicate * Responsabil de mediu

Tabelul 17.3. (Continuare)

0	1	2	3	4
		CONTROL OPERAȚIONAL		
Instrucțiuni:	* Fișa de identif. aspecte semnificative de mediu * Sinoptica de fabricație * Plan operații/fișe tehnologice * Legi. Reglementări. * Alte cerințe	- Identificarea proceselor și activităților asociate aspectelor de mediu semnificative ↓ - Reglementarea modului de control operațional al aspectelor de mediu semnificative care fac obiectul politicii și obiectivelor de mediu. ↓ - Stipularea criteriilor de operare sub aspectele: - aspectul semnificativ de mediu - indicator de măsurare și limite de acceptare - metoda de măsurare și frecvența - EIMI-ul utilizat - modul de înregistrare - planul de reacție - responsabilul ↓ - Menținerea controlului operațional asupra aspectelor de mediu semnificative prin: - monitorizarea caracteristicilor și parametrilor produselor, proceselor/activităților cu impact semnificativ asupra mediului - tratarea neconformităților și aplicarea acțiunilor corective necesare ↓ - Actualizare standard, caiete de sarcini cu cerințe de mediu pentru produse aprovizionate ↓ - Identificarea și transmiterea la furnizori a cerințelor referitoare la mediu pentru produse/serviciile achiziționate.	* Lista proceselor semnificative de mediu * Instrucțiuni operaționale de mediu * Criterii de mediu pentru procesele de fabric. * Grafice de urmărire caracteristici și parametri de mediu (fișe control X-R; Fișe precontrol X-R * Alte înregistrări * Lista documentelor de referință * Caiete de sarcini * Contracte * PV formare	* Responsabil de mediu + * Tehnologi de proces * Responsabil de mediu + * Tehnologi de proces * Operatori + * Inspectori de mediu * Responsabil de mediu + * Funcțiunile implicate * Responsabil aprovizionare
* Identificare aspecte semnificative de mediu				
* Controlul operațional al proceselor	* Instrucțiuni operaționale de mediu * Criterii de mediu pentru procesele de fabric			
* Instrucțiuni operaționale de mediu	* Lista aspectelor de mediu semnificative * Listă materiale aprovizionate * Proceduri. Instrucțiuni operaționale de mediu.			

Tabelul 17.3. (Continuare)

0	1	2	3	4
		PREGĂTIREA PENTRU SITUAȚII DE URGENȚĂ ȘI CAPACITATE DE RĂSPUNS		
Instrucțiuni:	* Fișa de identif. aspecte semnificative de mediu * Sinoptica de fabricație * Plan operații/fișe tehnologice * Lista punctelor critice unde pot proveni poluări accidentale	- Analiza aspectelor de mediu specifice produselor/proceselor/activităților, identificarea situațiilor de urgență sau a incidentelor de mediu și elaborarea programului. OBSERVAȚIE: Se ține seama de posibilele emisii/evacuări/efecte accidentale asupra mediului rezultate în urma unor condiții anormale de funcționare a unor potențiale accidente sau situații de urgență ⇓	* Program pentru situații de urgență și capacitate de răspuns	* Responsabil de mediu + * Tehnologi de proces
* Pregătire pentru situații de urgență				
	* Program de Instrucțiuni * Program pentru situații de urgență și capacitate de răspuns	- Instruirea personalului implicat și testarea periodică a modului de funcționare a planului stabilit pentru situații de urgență. ⇓	* PV instruire * Teste * Raport de analiză	* Responsabil de mediu + * Funcțiunile implicate
* Instrucțiuni operaționale	* Rapoarte de analiză (pt. sit. de urgență reale sau simulate) * Proceduri. Instrucțiuni operaționale de mediu.	- Simularea situațiilor de urgență și verificarea capacității de răspuns. ⇓ - Analiza și revizia modului reglementat de acțiune în situații de urgență, a răspunsurilor efective în aceste situații, precum și actualizarea programului de acțiune și a reglementărilor respective.	* Instrucțiuni operaționale (actualizate după cum este cazul)	* Responsabil de mediu + * Funcțiunile implicate

Tabelul 17.4. Propunere privind verificarea și corecția – abordare sistemică

Doc. lucru	Intrare	Activități analiză	Ieșire	Responsabil
0	1	2	3	4
Instrucțiuni:	* Sinoptica de fabricație * Planul de op. * Fișa tehnologică * Instrucțiuni operaționale de mediu * Criterii de mediu pentru procesele de fabricație * Proceduri. Instrucțiuni operaționale de mediu.	MONITORIZARE ȘI MĂSURARE - Identificarea operațiilor și activităților care au impact semnificativ asupra mediului ↓ - Definirea și asigurarea documentației la locul de utilizare pentru monitorizarea și măsurarea caracteristicilor produsului/procesului care au impact semnificativ asupra mediului ↓ - Asigurarea echipamentelor de măsurare adecvate: - prin identificarea celor necesare - prin evaluare și etalonare periodică - prin păstrarea lor în condiții adecvate ↓ - Măsurarea caracteristicilor produselor/proceselor care au impact semnificativ asupra mediului ↓ - Înregistrarea și păstrarea adecvată a datelor măsurătorilor de monitorizare ↓ - Analiza și evaluarea periodică (cel puțin la 6 luni o dată) a conformității caracteristicilor produselor/procesului cu impact asupra mediului, în raport cu legile și reglementările de mediu în vigoare.	* Fișa de identificare aspecte semnificative de mediu * Instrucțiuni operaționale de mediu * Criterii de mediu pentru procesele de fabricație * Mijloace de măsurare adecvate * Fișe: X-R; X-MR; Fișe de precontrol; Fișe de control operațional * Raport de analiză	* Responsabil de mediu + * Tehnologi de proces * Funcțiuni manageriale * Operatori. Inspectori de mediu * Responsabil de mediu + * Funcțiunile implicate * Responsabil de mediu + * Funcțiunile implicate
* Instrucțiuni operaționale				

Tabelul 17.4. (Continuare)

0	1	2	3	4
		TRATAREA NECONFORMITĂȚILOR DE MEDIU		
Instrucțiuni:	* Instrucțiuni și criterii de operare	Identificarea neconformității intervenite: <ul style="list-style-type: none"> - la primirea, depozitarea sau manipularea materialelor sau produselor; - în cursul proceselor de fabricație sau a serviciilor efectuate; - la întreținerea utilajelor care pot genera impacturi asupra mediului; - la colectarea, depozitarea sau reutilizarea deșeurilor și a ambalajelor; - la manipularea substanțelor periculoase și toxice; - la neutralizarea sau tratarea efluenților sau a emisiilor în atmosferă, apă pe sol și subsol; - la utilizarea corectă a resurselor; - la desfășurarea activităților care pot avea impact asupra mediului; - în alte situații specifice. ↓	* Raport de neconformitate	* Operatori. Inspectori de mediu * Responsabil de mediu + * Tehnologi de proces
* Instrucțiuni operaționale	* Instrucțiuni operaționale de mediu * Criterii de mediu pentru procesele de fabricație			
Identificarea, analiza și tratarea neconformităților	* Raport de neconformitate * Proceduri. Instrucțiuni operaționale de mediu. * Raport de analiză	Analiza neconformității identificate pentru a determina: <ul style="list-style-type: none"> - gravitatea și amploarea impactului asupra mediului; - durata și mărimea zonei afectate; - cauzele producerii impactului; - responsabilitățile personalului implicat; - măsurile imediate pentru limitarea impactului sau pentru neutralizarea lui. ↓	* Raport de analiză	* Funcțiuni manageriale * Responsabil de mediu + .0 *Funcțiunile implicate * Responsabil de mediu + *Funcțiunile implicate
		Tratarea neconformității <ul style="list-style-type: none"> - prin limitarea efectului; - prin limitarea amplitudinii, gravității și a duratei impactului. 		

Tabelul 17.4. (Continuare)

0	1	2	3	4
Instrucțiuni:	* Raport de neconformitate	INIȚIEREA ȘI APLICAREA ACȚIUNILOR CORECTIVE ȘI/SAU PREVENTIVE Identificarea problemelor (prin analiza documentelor de referință): ↓ Investigarea și identificarea cauzelor neconformităților existente sau posibile . ↓ Căutarea și selectarea soluțiilor adecvate (OBSERVAȚIE *). OBSERVAȚIE *: <ol style="list-style-type: none"> 1. La stabilirea soluțiilor se ține seama de cerințele și reglementările de mediu. 2. Soluția adoptată trebuie să se bazeze pe metodologia de prevenire a impacturilor semnificative asupra mediului, care ține seama și de riscurile de poluare pe care le-ar putea aduce soluția găsită. 	* Raport 8D	* Operatori. Inspectori de mediu
* Instrucțiuni operaționale	* Diagrama cauză-efect		* Diagrama cauză-efect	* Responsabil de mediu
* Stabilirea, aplicarea și verificarea eficienței acțiunilor corective și preventive	* Diagrama cauză-efect	↓ Stabilirea acțiunilor corective și preventive, a responsabilităților, resurselor și termenelor (OBSERVAȚIE **). OBSERVAȚIE **: <p>Se va avea în vedere ca acțiunea corectivă/preventivă adoptată să conducă la eliminarea cauzelor neconformităților și la alte produse/procese similare.</p>	* Raport 8D	* Responsabil de mediu
	* Raport 8D	↓ Punerea în aplicare a acțiunilor stabilite	* Raport 8D (completat pentru aplicare)	* Responsabil de mediu
	* Raport 8D	↓ Verificarea aplicării acțiunilor și prezentarea rezultatelor funcțiunii responsabile cu evaluarea eficacității.	* Raport 8D (completat pentru verificare eficacitate)	* Funcțiunile implicate
		↓ Analiza și evaluarea eficacității.	* Instruc. mediu	* Responsabil de mediu
		↓ Modificarea corespunzătoare a reglementărilor sistemului calității.	* Criterii de mediu (actualizate)	

Tabelul 17.4. (Continuare)

0	1	2	3	4
Instrucțiuni:	* Proceduri. * Instrucțiuni operaționale de mediu	CONTROLUL ÎNREGISTRĂRILOR Identificarea înregistrărilor - Completare lizibilă - Denumire, formă, cod, datare, stabilirea responsabilităților de aprobare - Avizare, aprobare, emitere - Ediție și evoluția ei OBSERVAȚIE: - Înregistrările trebuie să permită regăsirea informațiilor privind activitatea, produsul sau serviciul implicat	* Formulare înregistrări	* Responsabil de mediu + *Funcțiuni implicate
		* Controlul înregistrărilor * Înregistrări ↓ Colectarea și indexarea ↓ Asigurarea accesului la înregistrări ↓ Îndosărirea documentelor: - Identificarea rapidă, ușoară a tipului de documentație. - Regăsirea rapidă și facilă a acestora. - Protecția împotriva riscului de deteriorare/pierdere ↓ Păstrarea documentelor OBSERVAȚIE: Documentele se păstrează pentru: - regăsirea istoricului informațiilor - demonstrarea conformității cu condițiile specificate a face dovada funcționării eficiente a sistemului MM ↓ ARHIVARE - În condiții de mediu corespunzătoare - Pentru prevenirea pierderii/distrugerii - Pentru regăsirea istoricului ↓ Retragerea / distrugerea sau Păstrarea		
	* Dosare, înregistrări * Opis dosar * Bibliorafturi identif. * Bibliorafturi identif.		* Dosare, înregistrări * Opis dosar * Bibliorafturi identif. Rafturi, dulapuri pentru documente Rafturi, dulapuri pentru documente	* Responsabil de mediu + *Funcțiuni implicate * Responsabil de mediu + *Funcțiuni implicate * Responsabil de mediu + *Funcțiuni implicate

17.3.1.4. Cerințe referitoare la analiza efectuată de conducere. Este esențial ca analizele efectuate de management să se desfășoare cu rigurozitate la

termenele planificate în mod periodic. Aceste analize trebuie să se bazeze, totdeauna, pe anumite date de intrare clar stabilite, care să evidențieze modul de funcționare a sistemului, gradul de îndeplinire a obiectivelor și țințelor stabilite, problemele întâmpinate, neconformitățile constatate, devierile de la demersul planificat și de la țințele propuse. Trebuie ca analiza aspectelor precizate mai sus să se facă întotdeauna cu funcțiunile implicate și cu cele care pot oferi soluții, dar și cu cele care vor avea responsabilități în punerea în aplicare a acțiunilor ce se vor stabili. Prezența reprezentantului conducerii pentru managementul de mediu este întotdeauna necesară.

Analizele efectuate de conducere pot fi mult mai eficiente dacă se bazează pe rezultatele obținute de una sau mai multe echipe de lucru, care au aplicat anterior tehnici de identificare a cauzelor care au dus la apariția problemelor de mediu, a neconformităților, impacturilor nedorite sau la devieri de la obiectivele stabilite.

Întotdeauna analizele efectuate de conducere trebuie să ducă la anumite decizii, respectiv la acțiuni corective și preventive, sau care să confirme, să corecteze sau să generalizeze unele acțiuni luate anterior. Aceste rezultate trebuie să fie întotdeauna documentate pe formulare care să permită o trasabilitate a acestora. Cu ocazia următoarei reuniuni de analiză trebuie verificată neapărat aplicarea și eficiența măsurilor stabilite. Acolo unde se constată nerealizări sau ineficiență trebuie neapărat luate măsuri de corectare.

Trebuie folosite analizele conducerii și, în special, deciziile luate cu aceste ocazii pentru a răspunde și a fi în spiritul pozitiv de continuă îmbunătățire pe care îl promovează standardul.

În sensul celor precizate mai sus, trebuie avute în vedere toate pârgھیile pe care standardul le oferă și chiar cele care vizează actualizări ale politicii, obiectivelor și țințelor de mediu.

17.4. REALIZAREA UNUI MODEL GENERAL AL UNEI ORGANIZAȚII ECOTEHNOLOGICE

Rolul activ al unei organizații industriale în procesul de dezvoltare a economiei naționale se realizează prin atribuțiile sale în domeniile prezentate în figura 17.8.

17.4.1. Generalități

Referitor la acestea se fac următoarele precizări:

- În domeniul stabilirii indicatorilor economici, al executării și controlului îndeplinirii lor, atribuțiile se împart în două mari grupe:

- Privind elaborarea și fundamentarea indicatorilor economici, unde organizația industrială realizează dimensionarea judicioasă a economiei, ținând seama de misiunea ei și obiectivele strategice stabilite. Pentru buna funcționare a acestor indicatori economici, organizația asigură:

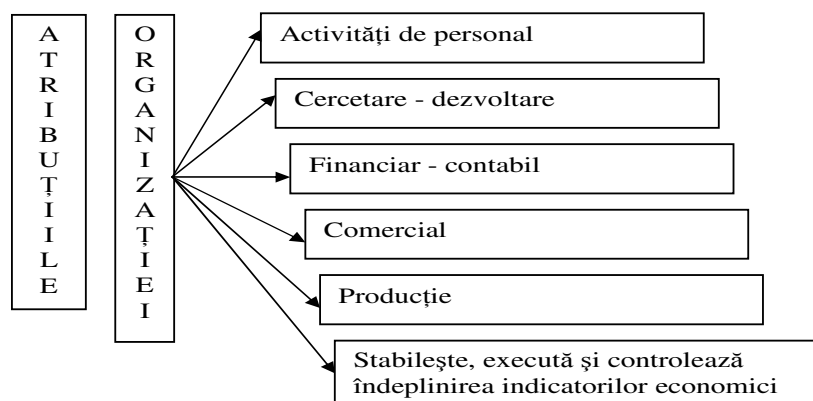


Fig. 17.8. Principalele atribuții ale organizației în cadrul economiilor moderne.

- studierea și cunoașterea temeinică a pieței interne și externe;
- contractarea întregii producții;
- valorificarea la maximum a potențialului productiv prin utilizarea integrală a capacității de producție;
- asigurarea folosirii raționale a forței de muncă și lărgirea profilului de fabricație;
- elaborarea, directă sau cu institute de profil, de studii și prognoze privind dezvoltarea de perspectivă;
- elaborarea programelor speciale pe diferitele probleme și stabilirea sarcinilor ce revin subunităților de producție, secțiilor, atelierelor ș.a.
- Privind execuția indicatorilor economici, organizația:
 - urmărește îndeplinirea ritmică și integrală a acestora;
 - ține evidența statistică a realizării producției și a folosirii capacităților de producție ca și a celorlalți indicatori.
- În domeniul producției, organizația are atribuțiile:
 - asigură încadrarea în consumurile normate de materiale și valorificarea superioară a acestora;
 - organizează și asigură îndeplinirea programelor de producție în condiții de eficiență ridicată;
 - asigură realizarea ritmică a producției, livrarea produselor în corelare cu termenele contractuale precum și realizarea sarcinilor de cooperare în producție;
 - asigură executarea producției la parametrii calitativi stabiliți;
 - organizează controlul tehnic de calitate;
 - stabilește lucrările de mică mecanizare;
 - ia măsuri pentru reducerea consumurilor specifice, optimizarea stocurilor de valori materiale și eliminarea cheltuielilor neeconomice;
 - folosește rațional, întreține, repară și modernizează mijloacele fixe;
 - asigură încărcarea optimă a capacităților de producție;

- ia măsuri pentru realizarea parametrilor proiectați ai produselor;
- stabilește și întreprinde măsuri pentru creșterea producției;
- asigură alimentarea cu diferitele tipuri de energie și folosirea rațională a instalațiilor energetice;
- aplică normele de protecție și igienă a muncii ș.a.
- În domeniul *comercial*, organizația are atribuții ce se pot încadra în trei grupe:
 - Aprovizionarea tehnico-materială.
 - elaborarea și fundamentarea programului de aprovizionare tehnico-materială;
 - asigurarea bazei materiale necesare realizării în bune condiții a sarcinilor de plan;
 - încheierea contractelor economice și realizarea aprovizionării la termenele necesare;
 - elaborează norme de stoc pentru materialele necesare;
 - ia măsuri pentru preîntâmpinarea formării de stocuri supranormative și pentru valorificarea operativă a celor disponibile;
 - asigură recepția materialelor, depozitarea și conservarea lor ș.a.
 - Marketing și desfacere.
 - încheie contracte economice și urmărește executarea întocmai a acestora;
 - urmărește livrarea produselor la termenele și în condițiile prevăzute în contracte;
 - participă la prospectarea pieței interne și externe în scopul cunoașterii cerințelor consumatorilor;
 - asigură reclama, participă la expoziții și târguri, elaborează și difuzează cataloage comerciale;
 - ia măsuri pentru introducerea -în fabricație numai a produselor care au asigurată desfacerea prin contracte sau comenzi ferme;
 - organizează și urmărește în exploatare instalațiile și utilajele livrate;
 - realizează activități de „service”;
 - rezolvă reclamațiile referitoare la calitatea producției, cantitatea și termenele de livrare ș .a.
 - Comerțul exterior și cooperarea economică internațională:
 - încheie contracte cu beneficiarii externi, asigurând fundamentarea indicatorilor economici pentru export pe bază de contracte, contracte-cadru, comenzi sau convenții;
 - acționează pentru asigurarea necesarului de comenzi și contracte pe perioade cât mai lungi, intrarea în raporturi de cooperare cu întreprinderi și firme din alte țări;
 - se ocupă cu organizarea corespunzătoare a producției destinate exportului, de realizarea și livrarea fondului de marfa destinat beneficiarilor externi;

- participă singură sau împreună cu organizațiile specializate de comerț exterior la prospectarea pieței externe, la negocierea și încheierea contractelor ferme, contractelor-cadru, comenzilor sau convențiilor pentru producția de export, participând la cooperarea în producție cu firme și organizații din străinătate;
- urmărește permanent creșterea eficienței financiar- valutare a operațiilor de comerț exterior;
- rezolvă reclamațiile referitoare la calitatea și cantitatea producției, termene de livrare ș.a.
- În domeniul financiar-contabil, atribuțiile se încadrează în două grupe:
- Întocmirea și execuția bugetului de venituri și cheltuieli:
 - elaborează bugetul de venituri și cheltuieli, urmărind să-și acopere din veniturile obținute cheltuielile și să obțină beneficii;
 - elaborează propuneri pentru planul de credite și de casă;
 - efectuează studii și analize în vederea creșterii eficienței folosirii mijloacelor fixe, sporirii beneficiilor, accelerării vitezei de rotație a mijloacelor circulante;
 - stabilește nivelul stocurilor de materii prime, materiale, produse;
 - ia măsuri pentru executarea întocmai a bugetului de venituri și cheltuieli și crearea resurselor financiare necesare pentru acoperirea costurilor de producție și de circulație, desfășurarea normală a activității economice, constituirea fondurilor proprii, rambursarea creditelor bancare precum și menținerea echilibrului între venituri și cheltuieli.
- Alte atribuții:
 - urmărește situația valorilor materiale;
 - organizează și exercită controlul financiar-preventiv și controlul gestionar de fond asupra gospodăririi mijloace-lor materiale și bănești;
 - organizează și conduce contabilitatea, întocmind bilanțul contabil și situația principalilor indicatori economico-financiari;
 - stabilește prețuri și tarife la produsele și serviciile executate;
 - face inventarierea bunurilor din patrimoniul ei
- În domeniul cercetării și dezvoltării, atribuțiile organizației se împart în trei grupe:
 - Cercetarea științifică, ingineria tehnologică și introducerea progresului tehnic, unde:
 - elaborează în colaborare cu institutele de cercetare și proiectare de profil:
 - planuri proprii de cercetare științifică, inginerie tehnologică și de introducere a progresului tehnic;
 - studii, documentații și proiecte privind realizarea de produse noi și modernizarea celor existente, dezvoltarea și modernizarea utilajelor, reutilări, extinderi de capacități, perfecționări de tehnologii ș.a.;

- aplică în producție și valorifică studiile și cercetările științifice;
- organizează activitatea de cercetare și introducerea progresului tehnic, normele de consum de materiale și normele de muncă;
- organizează activitatea de invenții și inovații;
- asigură informarea, documentarea și propaganda tehnico-științifică.
- Pentru investiții și construcții.
 - elaborează planurile de investiții, de finanțare și creditare a acestora;
 - asigură din timp, potrivit legislației existente, documentațiile tehnico-economice necesare;
 - încheie contracte de antrepriză și contracte de livrare a utilajelor, corelate cu termenele de punere în funcțiune;
 - urmărește realizarea obiectivelor de investiții și aprobă recepția investițiilor care intră în componența sa.
- Organizarea conducerii, a producției și a muncii presupune:
 - efectuarea de studii privind perfecționarea structurii organizatorice;
 - organizarea pe baze științifice a activității de conducere și de producție;
 - realizarea sistemului informațional;
 - perfecționarea regulamentelor în vigoare;
 - aplicarea celor mai modeme și eficiente metode de organizare, programare și urmărire, de optimizare a fluxurilor de fabricație;
 - îmbunătățirea organizării și normării muncii, organizarea rațională a locurilor de muncă și a muncii pe schimburi;
 - aplicarea studiilor și proiectelor de organizare ș.a.
- În domeniul activităților de personal:
 - asigură evidența cadrelor și aplicarea unor criterii obiective de apreciere anuală;
 - organizează orientarea profesională, selecționarea, încadrarea în muncă și promovarea personalului;
 - stabilește indicatorii referitori la asigurarea, pregătirea și perfecționarea forței de muncă pe meserii și specialități;
 - organizează perfecționarea pregătirii personalului muncitor;
 - asigură baza materială a unităților școlare, dotarea acestora și cadrele de specialitate necesare;
 - asigură salarizarea personalului, aplicarea formelor de stimulare materială;
 - ia măsuri pentru îmbunătățirea condițiilor de muncă, prevenirea accidentelor de muncă, folosirea rațională a forței de muncă și respectarea disciplinei muncii;
 - ia măsuri pentru organizarea activității cu caracter administrativ, pentru înființarea de cantine, creșe, grădinițe, grupuri sociale, pentru asigurarea asistenței medicale, a spațiului locativ, a bazei materiale pentru acțiuni cultural-sportive, întocmirea dosarelor de

pensii, luarea de măsuri față de persoanele care au comis abateri s.a.

Evaluarea compatibilităților dintre activitatea organizației industriale și restricțiile ecotehnologice înseamnă, în ultimă instanță, formularea unui diagnostic global în sensul precizat, care se poate baza pe șase grile de analiză:

- importanța rezervată problemelor de mediu în strategia generală a organizației;
- reflectarea problemelor de mediu în strategia de comunicare și de marketing,
- reflectarea problemelor de mediu în strategia de producție;
- reflectarea problemelor de mediu în strategia de asigurare cu resurse umane;
- reflectarea problemelor de mediu în strategia juridică și financiară;
- reflectarea problemelor de mediu în strategia cercetare-dezvoltare.

Se propune următorul conținut al grilelor de analiză, structurat pe cinci niveluri de reprezentare a fenomenelor și proceselor de mediu, în efortul general și, pe domenii, la nivel de organizație ecotehnologică (tab. 17.5, 17.6, 17.7, 17.8 și 17.9).

Tabelul 17.5. Locul conservării mediului în strategia generală a organizației:

Nivel de prezentare(elemente)	1	2	3	4	5
1. Nivelul ierarhic de asumare a responsabilităților de mediu			*		
2. Ponderea cheltuielilor pentru mediu (mai puțin investiții) în bugetul organizației				*	
3. Investiții pentru conservarea mediului			*		
4. Importanța acordată politicii de comunicare internă în managementul mediului					*
14. Importanța politicii de comunicare externă în managementul mediului					*
6. Importanța acordată creșterii numărului susținătorilor ecologizării activității					*
7. Distribuirea eficientă (eficace și economicoasă) a responsabilităților de mediu				*	
8. Perceperea necesității ecologizării activității pentru mediul intern organizației				*	
9. Perceperea necesității ecologizării activității pentru mediul extern organizației				*	
10. Ponderea problemelor de mediu în activitatea de cercetare-dezvoltare.				*	
Nivel de prezentare(elemente)	$Msg = (\sum Ei/50) \cdot 100$ $Ei = \text{nivelul de reprezentare a elementului } i$				

$$Msg = (41/50) \cdot 100 = 82\%$$

17.4.2. Locul conservării mediului în strategia generală a organizației

Evaluarea importanței globale acordate conservării mediului strategia generală (Msg) a organizației (tab. 17.5), are ca punct de plecare nivelul ierarhic de asumare a responsabilităților de mediu, practica înregistrând în acest sens mai multe situații:

- asumarea responsabilităților de către managerul general;

- asumarea responsabilităților de către un compartiment:
 - relațiile cu publicul;
 - supravegherea și verificarea calității producției;
 - asigurarea securității în desfășurarea proceselor tehnico-productive
- asumarea responsabilităților de către mai multe compartimente;
- asumarea responsabilităților de către un compartiment specializat.

17.4.3. Strategia de comunicare și marketing

Deoarece comunicarea în managementul mediului este un proces continuu, se apreciază că instituția cea mai vizată este aceea a organizației, pentru care proiectarea noțiunii de protecție a mediului în planul imaginii prezintă numeroase avantaje. Delimitate, din punct de vedere al sistemului de referință, comunicarea internă și externă în managementul mediului se află într-o relație de feed-back, deoarece comunicarea internă dă consistență mecanismului de transmitere a imaginii, sporind eficiența comunicării externe. Ponderea cea mai importantă trebuie să o aibă comunicarea internă, fiind necesară difuzarea oricărei informații, mai întâi în mediul social intern, și apoi în cel extern, ca o condiție a valorificării competențelor instituției în cauză, a experienței dobândite în timp (tab. 17.6.).

Tabelul 17.6. Strategia de comunicare și marketing

Nivel de reprezentare (elemente)	1	2	3	4	5
1. Obiectivele ecologizării activității sunt clar formulate?					*
2. Intenționați să măriți numărul adepților unei activități				*	
3. Solicitați partenerilor un comportament și o eficacitate în concordanță cu obiectivele ecologizării?				*	
4. Actualele produse (servicii) obținute pot beneficia de o			*		
14. Aveți în vedere obținerea unor produse cu „etichetă verde”?					*
6. Alocați prin buget resurse pentru comunicarea externă cu clienții, în legătură cu caracteristicile ecotehnologice ale produselor(serviciilor)?				*	
7. Dispuneți de o cartă verde în relațiile cu furnizorii?				*	
8. Intenționați să modificați structura produselor (serviciilor) într-un sens favorabil mediului ținând cont de:					*
- public?					
- clienți ?					*
- furnizori ?					*
- asiguratorii ?		*			
- acționari ?		*			
- colaboratori ?			*		

9. Cât de mare este efortul de comunicare externă (în afara clienților) „verde”?			*		
10. Dispuneți de mijloace pentru prognozarea parametrilor ecologici ai produselor (serviciilor) realizate?		*			
Reflectarea problemelor de mediu în strategia de comunicare și de marketing (Mcm)	$Mcm = (\sum E_i / 75) * 100$ E_i = nivelul de reprezentare a elementului i				

$$Mcm = (56/65) * 100 = 74.66 \approx 75\%$$

17.4.4. Reflectarea problemelor de mediu în strategia de producție

Se determină folosind nivelul de reprezentare (elementele) cuprins în tabelul 17.7.

Tabelul 17.7. Reflectarea problemelor de mediu în strategia de producție

Nivelul de reprezentare (elemente)	1	2	3	4	5
1. Securitatea activității reprezintă unul din obiectivele prioritare?					*
2. Dispuneți de structuri organizatorice și mijloace pentru promovarea calității totale?					*
3. Procesele tehnologice sunt concepute în concordanță cu restricțiile ecotehnologice?				*	
4. Colaboratorii sunt formați și informați pentru asumarea responsabilităților de mediu?					*
14. Organizația dispune de un plan de investiții decurgând din legislația de mediu corespunzătoare specificului activității sale?					*
6. Aveți în vedere poziția organizației pe piața concurențială a tehnologiilor de transformare utilizate?					*
7. Ce loc ocupă organizația în domeniul utilizării tehnologiilor curate ?				*	
8. Ce rol au studiile de impact în procesul de integrare al politicii de mediu în politica generală a organizației?				*	
9. Dispuneți de un sistem de analiză chiar și pentru situațiile de criză ecologică mai puțin grave?			*		
Nivelul de reprezentare (elemente)	1	2	3	4	5
10. Aveți un manual cuprinzând, în forma explicită, măsurile de securitate și întreținere pentru zona de desfășurare a activității?					*
11. Sunt aplicate în practică măsurile și instrucțiunile de securitate și întreținere a zonei de impact ?					*
12. Serviciul intern de securitate privind activitatea realizează o evidență obiectivă a impactului sistemului tehnico-productiv asupra mediului?				*	
13. Structurile organizației cu responsabilități în domeniul calității iau în calcul calitatea vieții în sens larg?				*	

14. Se realizează periodic o analiza a punctelor „slabe” și „forte” în materie de încadrare a activității organizației în restricțiile ecotehnologice?					*
114. Decizia de a investi, reflecta și posibila evoluție a opiniei publice și a reglementărilor legate de conservarea mediului ?					*
Reflectarea problemelor de mediu în strategia de producție (Mp)	$Mp = (\sum Ei / 75) * 100$ Ei = nivelul de reprezentare a elementului 1				

$$Mp = (68/75) * 100 = 90,66 \approx 91\%$$

17.4.5. Reflectarea problemelor de mediu în strategia de asigurare cu resurse umane

Fiecare organizație trebuie să aibă în organizație pe cineva responsabil cu problemele de mediu și aspectele de conformare, în funcție de mărimea fabricii și de natura afaceri. Această poziție poate să nu fie o responsabilitate permanentă. Liderii de mediu trebuie selecționați după capacitățile dovedite și nu numiți în funcție pentru că erau disponibili. Conducerea organizației trebuie să înțeleagă că această persoană va reprezenta organizația în relațiile cu autoritățile și va răspunde de obținerea informațiilor pentru diverse rapoarte interne și externe. Deoarece conducerea trebuie să-și asume responsabilitatea legală finală pentru aceste rapoarte, are nevoie de o persoană pe care să se poată baza. Candidatul trebuie selecționat pentru integritatea sa și abilitatea demonstrată de a rezolva cu acuratețe diferite situații.

Tabelul 17.8. Reflectarea problemelor de mediu în strategia de asigurare cu resurse umane.

Nivelul de reprezentare (elemente)	1	2	3	4	5
1. La nivel de organizație, politica de mediu se reflectă în politica asigurării cu resurse umane ?			*		
2. Colaboratorii promovează din proprie inițiativă obiectivele politicii			*		
3. Criteriul ecologic face parte din sistemul criteriilor de alegere a subordonaților ?	*				
4. Formarea, informarea colaboratorilor în materie de mediu reprezintă un efort material și financiar consecvent?			*		
14. Importanța preocupărilor de conservare a mediului se reflectă în stabilirea structurilor ierarhice?			*		
6. Putem vorbi de o responsabilitate generalizată a problemelor de mediu la nivel de organizație?				*	
7. La nivelul structurilor de conducere este responsabilizată perceperea riscurilor ecotehnologice generate de activitatea organizației?					*
8. În caz de accident tehnic, există un plan de acțiune care să mobilizeze toți colaboratorii?					*
9. În caz de criză nontehnică, există un plan de acțiune pentru ansamblul colaboratorilor în scopul salvării mediului?			*		

10. Descrierea posturilor colaboratorilor reflectă experiența unor accidente și rezultatele cercetării în domeniul mediului?			*		
Reflectarea problemelor de mediu în strategia de asigurare cu resurse umane (Mru)	$Mru = (\sum Ei / 50) * 100$ Ei = nivelul de reprezentare a elementului i				

$$Mru = (34/50) * 100 = 68\%$$

17.4.6. Reflectarea problemelor de mediu în strategia juridică și financiară (tab. 17.9):

Principalele acte normative în vigoare cu referire la protecția mediului sunt:

- Legea 73/2000 - Legea Fondului pentru mediu;
- Ordinul 340/2000, pentru aprobarea Nomenclatorului de lucrări și servicii, care se prestează de către autoritățile pentru protecția mediului în regim de tarificare și cuantumul tarifelor aferente;
- Legea 107/1996 - Legea Apelor;
- Ordinul 125/1996 - Procedura de reglementare a activităților economico-sociale cu impact asupra mediului;
- Ordinul 756/1997, pentru aprobarea 'Reglementarii privind evaluarea poluării mediului;
- Ordinul 278/1996, pentru aprobarea Regulamentului de atestare pentru elaborarea studiilor de impact asupra mediului și a bilanșurilor de mediu;
- Ordinul 699/1999, pentru aprobarea Procedurii și competențelor de emitere a avizelor și autorizațiilor de gospodărire a apelor;
- Legea 8/1991, pentru ratificarea Convenției asupra poluării atmosferice transfrontaliere la distanțe lungi, încheiate la Geneva, la 13 noiembrie 1979;
- Legea 84/1993, pentru aderarea României la Convenția privind protecția stratului de ozon, adoptată la Viena, la 22 martie 1985, și la Protocolul privind substanțele care epuizează stratul de ozon, adoptat la Montreal, la 16 septembrie 1987, și pentru acceptarea. Amendamentului la Protocolul de la Montreal privind substanțele care epuizează stratul de ozon, adoptat la cea de-a doua reuniune a partidelor de la Londra, din 27-29 iunie 1990;
- Legea 24/1994, pentru ratificarea Convenției cadru a Națiunilor Unite asupra schimbărilor climatice, semnată la Rio de Janeiro la 5 iunie 1992.

Conform Legii 137/1995 - Legea Protecției Mediului, principiile și elementele strategice în scopul asigurării unei dezvoltări durabile sunt:

- Principiul precauției în luarea deciziilor;
- Principiul prevenirii riscurilor ecotehnologice și a producerii daunelor;

- Principiul conservării biodiversității și a ecosistemelor specifice cadrului biogeografic natural;
- Principiul poluatorul plătește;
- Menținerea, ameliorarea calității mediului și reconstrucția zonelor deteriorate;
- Crearea sistemului național de monitorizare integrată a mediului.
- Protecția apelor de suprafață și subterane, și menținerea și ameliorarea calității și productivității naturale ale acestora, în scopul evitării unor efecte negative asupra mediului, sănătății umane și bunurilor materiale.

Persoanele fizice și juridice au următoarele obligații:

- să ceară acordul și/sau autorizația de mediu pentru activitățile prevăzute. Sunt exceptate de la autorizare puțurile forate la adâncimi până la 50 m, pentru satisfacerea cerințelor gospodăriilor individuale;
- să respecte standardele de emisie și de calitate a apelor, prevederile din acordul și din autorizația de mediu și să pună la dispoziție laboratoarelor autorizate, la termenele stabilite, probele de apă pentru analiză;
- să asigure, la cererea autorităților pentru protecția mediului, diminuarea, modificarea sau încetarea activității generatoare de poluare, să asigure măsuri și dotări speciale pentru izolarea și protecția fonică a surselor generatoare de zgomot și vibrații, să verifice eficiența acestora și să pună în exploatare numai pe cele care nu depășesc pragul fonic admis;
- să asigure sisteme proprii de supraveghere a instalațiilor și proceselor tehnologice, pentru analiza și controlul poluanților pe raza de incidență activităților desfășurate și evidența rezultatelor, în scopul prevenirii și evitării riscurilor tehnologice și eliberărilor accidentale de poluanți în mediu, raportează lunar rezultatele supravegherii mediului autorității competente pentru protecția mediului.

Se pedepsește cu închisoare de la 2 la 7 ani:

- eliberarea acordului și/sau autorizația de mediu, fără documentația completă obligatorie;
- prezentarea în studiile și analizele de impact, a unor studii și analize false;
- introducerea în țara a unor deșeuri sau substanțe periculoase în scopul depozitării și/sau distrugerii;
- nesupunerea la testare a oricărei substanțe noi din țară sau străinătate;
- omisiunea de a raporta prompt despre orice accident major;
- aplicarea necorespunzătoare sau neluarea măsurilor de intervenție în caz de accident nuclear;
- provocare cu bună știință de poluare, prin evacuarea sau scufundarea directă în apele naturale ;
- refuzul intervenției în cazul poluării accidentale a apelor.

Tabelul 17.9. Reflectarea problemelor de mediu în strategia juridică și financiară

Nivelul de reprezentare (elemente)	1	2	3	4	5
1. Respectarea reglementarilor de mediu, la nivel de organizație, reprezintă o responsabilitate la cel mai înalt nivel ierarhic?					*
2. Există, la nivel de organizație, un sistem propriu de audit juridic pe probleme de mediu?				*	
3. Sunt definite responsabilitățile: morală, penală, civilă, administrativă în caz de criză ecologică?			*		
4. Există un plan de acțiune în caz de criză ecologică?				*	
14. Organizația are capacitatea de a finanța oricând o expertiză în domeniul juridic și al reglementărilor pe probleme de mediu?				*	
6. Există preocupare pentru actualizarea obiectivelor ecotehnologice ale organizației în termeni financiari?				*	
7. Obiectivele managementului mediului sunt decise, la cel mai înalt nivel ierarhic din organizație?					*
8. Există un plan pe termen mediu și lung al acțiunilor de menținere a calității mediului?					*
9. În diagrama relațiilor funcționale sunt reprezentate și cele aparținând contabilității de mediu?					*
10. Raportul anual privind activitatea întreprinderii prevede și un capital mediu?					*
Reflectarea problemelor de mediu în strategia juridică și financiară(Mjf)	$Mjf = (\sum Ei / 50) * 100$ Ei = nivelul de reprezentare a elementului i				

$$Mjf = (44/50) \times 100 = 88\%$$

17.4.7. Reflectarea problemelor de mediu în strategia de cercetare-dezvoltare

În cazul organizației, departamentul de cercetare-dezvoltare nu funcționează la cei mai înalți parametri. În fiecare lună se realizează monitorizarea emisiilor în cazul aerului - acest lucru este făcut de către o firmă specializată în această privință. În cazul apelor, monitorizarea este făcută tot de către o firmă specializată, dar zilnic este controlată apa în laboratorul propriu.

Tabelul 17.10

Nivel de reprezentare (elemente)	1	2	3	4	5
1. Tehnicile și tehnologiile utilizate în prezent sunt inofensive pentru mediu?			*		
2. Există, la nivelul organizației, resurse tehnologice de îmbunătățire a performanței ecotehnologice?				*	
3. Grijă pentru mediu reprezintă principalul mobil al activității de cercetare-dezvoltare?				*	
4. Restricțiile în obținerea licențelor/brevetelor prezintă o marjă redusă de manevră în favoarea mediului?		*			
5 Raportul preț/tehnologie este favorabil unei politici de mediu?					*

6. Există un plan de dezvoltare a tehnicilor și tehnologiilor „verzi”?					*
7. Cunoașteți impactul tehnologiilor utilizate în condiții normale				*	
8. În condiții de criză?				*	
9. Vă preocupă tehnologiile/tehnicele cele mai avansate în					*
10. Putem înțelege ca structura tehnologică este influențată de cerințele externe(organizației) în materie de managementul mediului?				*	
Reflectarea problemelor de mediu în strategia de cercetare-dezvoltare (Mcd)	$Mcd = (\sum Ei / 50) * 100$ $Ei = \text{nivelul de reprezentare a elementului } i$				

$$Mcd = (40/50) \times 100 = 80\%$$

În cadrul organizației se prezintă un diagnostic global privind importanța acordată politicii de mediu în strategia organizației (tab. 17.11) și curba normală de reflectare a politicii de mediu în figura 17.9

Tabelul 17.11. importanța acordată politicii de mediu

Domeniul	Nivelul de reprezentare	
1. Strategia generală	82	$a = 0.17$
2. Strategia de comunicare	79	$a = 0.16$
3. Strategia de producție	91	$a = 0.19$
4. Strategia de asigurare cu resurse umane	68	$a = 0.14$
14. Strategia juridică și financiară	88	$a = 0.18$
6. Strategia de cercetare-dezvoltare	80	$a = 0.16$
Diagnosticul global (Mg)	$Mg = \sum Ajm_j / 6$ $M_j = \text{importanța acordată politicii de mediu}$ $A_j = \text{importanța domeniului } j \text{ în raport cu problemele de mediu.}$	

$$Mg = 13.6\%$$

Concluzii:

În urma grilelor rezolvate în cadrul organizației, se observă că: punctajul cel mai mare a fost obținut de strategia de producție - acest lucru este foarte important, deoarece în orice organizație este necesar să se obțină o producție cât mai mare pentru ca firma să obțină profiturile scontate.

Locul doi a fost ocupat de strategia juridică și financiară cu nivel de reprezentare de 88, acest lucru relevă faptul că societatea respectă legile statului având o grijă deosebită în acest sens.

Pe locul trei se află strategia generală cu nivel de reprezentare 82, urmat pe locul patru de strategia de comunicare - relevând un interes crescut față de comunicare, cu implicații atât în comunicarea internă, cât și în comunicarea

externă, deoarece comunicarea internă dă consistență mecanismului de transmitere a imaginii, sporind eficiența comunicării externe.

Ultimul loc este ocupat de strategia de asigurare cu resurse umane, acest lucru este datorat angajărilor.

Din graficul prezentat mai sus, se observă următorul aspect: curba reală de reflectare a politicii de mediu se apropie foarte mult de curba normală de reflectare a politicii de mediu.

Zona de importanță și reprezentanță scăzută a fost obținută de strategia de asigurare cu resurse umane. Strategia de comunicare s-a încadrat în zona de reprezentare medie și în zona de importanță scăzută.

Strategia de producție s-a încadrat în zona de importanță majoră și în zona de reprezentare puternică.

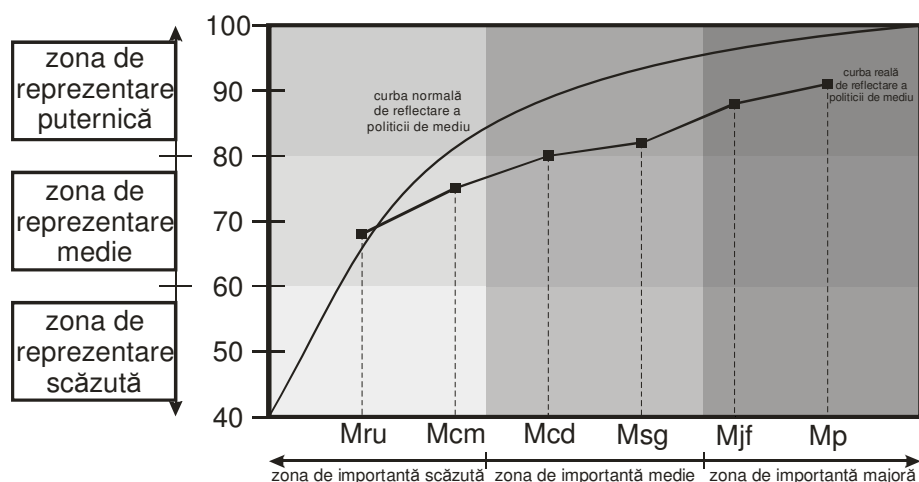


Fig. 17.9 Curba normală de reflectare a politicii de mediu

17.5. CÂTEVA PROPUNERI PRIVIND DIRECȚIILE DE DEZVOLTARE ȘI TRANSFORMARE A UNEI ORGANIZAȚII ÎNTR-O ORGANIZAȚIE ECOTEHNOLOGICĂ

17.5.1. Acțiuni în domeniul mediului

Dezvoltarea durabilă a organizației ecotehnologice nu poate fi realizată doar prin efortul organizației, ci necesită participarea tuturor sectoarelor societății. Guvernul are de jucat un rol important, prin intermediul legilor, reglementărilor, sistemelor de impunere a taxelor și alte măsuri.

Principalele activități pe care ar putea să le efectueze Guvernul în scopul gestionării organizațiilor ecotehnologice pe baze durabile sunt:

- utilizarea reglementărilor de comandă și control și a stimulentei economice pentru a forța industria să internalizeze costul depreciării

- mediului, făcând din acest motiv poluatorul (și în final consumatorul) să plătească;
- elaborarea de planuri și adoptarea de politici care să încurajeze organizațiile ecotehnologice să utilizeze factorii de mediu și resursele naturale în mod adecvat, fără a influența în mod negativ productivitatea;
 - efectuarea sau sponsorizarea cercetărilor din domeniul mediului;
 - colectarea și diseminarea datelor semnificative, referitoare la emisiile poluante și a efectelor acestora asupra sănătății umane și a mediului, în scopul de a crea conștientizarea publică asupra problemelor și o cerere de produse și servicii nepericuloase pentru mediu;
 - participarea la acordurile internaționale destinate reducerii poluării, care provoacă efecte transfrontalieră.

Rolul reglementărilor din domeniul mediului este acela de a schimba comportamentul organizației ecotehnologice, în scopul reducerii pagubelor produse asupra mediului. În terminologia de mediu, programele de reglementări sunt numite adesea programe de comandă și control.

Programele de comandă și control eficiente realizează următoarele:

- stabilesc standardele pentru organizația ecotehnologică, care precizează activitățile necesare de control al poluării sau cantitatea permisă de poluanți evacuați;
- emit autorizații care precizează cerințele de mediu pentru fiecare organizației ecotehnologice sau amplasamentul acesteia;
- supraveghează conformarea organizației ecotehnologice cu cerințele impuse prin autorizație. Activitatea poate fi îndeplinită prin auto monitoringul organizațiilor, inspecții independente, plângerile cetățenilor și/sau monitoringul ambiental;
- aplică condițiile din autorizație, utilizând sancțiunile neformale, administrative, civile și penale.

Standardele de mediu se pot defini în trei moduri:

- **Standarde tehnologice.** Acestea solicită organizației să reducă evacuările de poluanți, în baza performanțelor așteptate de la tehnologia disponibilă, dar nu consideră efectele asupra mediului. Funcționarii guvernamentali preferă de obicei standardele bazate pe tehnologie, deoarece acestea sunt ușor de urmărit. Organizația ecotehnologică le consideră de obicei prea costisitoare pentru rezultatele realizate;
- **Standarde ambiante.** Acestea solicită organizației ecotehnologice să reducă evacuările de poluanți până la limita impusă de atingerea unui nivel prestabilit al concentrației. Funcționarii guvernamentali consideră că procedurile care leagă evacuările de poluanți de standardele ambiante, precum și atribuirea de responsabilități surselor de poluare individuale sunt dificile și costisitoare. Organizația ecotehnologică preferă standardele ambientale deoarece orientează resursele mai sărace către probleme mai serioase;

- **Standarde bazate pe beneficiu.** Acestea solicită organizației ecotehnologice să reducă evacuările de poluanți numai în măsura în care ar exista un echilibru rezonabil între beneficiile și costurile măsurilor aplicate. Funcționarii guvernamentali găsesc dificilă elaborarea de standarde bazate pe beneficiu datorită necesarului mare de date ce trebuie colectate și analizate. Organizația încurajează acest tip de standarde.

Una dintre criticile care sunt aduse abordării reglementărilor de comandă și control este aceea că accentuarea unui factor de mediu unic (apă sau aer sau, sol) poate conduce la generarea de noi probleme pentru mediu.

Astfel:

- reducerea cu succes a problemelor de poluare locală a aerului sau apei, a contribuit adeseori la deplasarea problemei deșeurilor pe pământ: poluanții extrași din aer sau apă au fost evacuați în gropi de deșeurii sau în iazuri de decantare;
- rezolvarea problemei poluării aerului în anumite zone, prin construirea de coșuri înalte (diluție) a condus la apariția de depuneri acide la mari distanțe. Ca urmare, după 1990 mai multe țări au luat măsuri organizatorice și legislative de schimbare, care vor crea posibilitatea instituțiilor de a utiliza abordarea de tip multi media în scopul managementului de mediu.

Există câteva argumente pentru abordarea de tip multi media față de abordarea de tip comandă și control:

- organizația ecotehnologică poate alege opțiunea care are costul cel mai scăzut. Inginerii sunt de părere că o abordare integrată a reducerii tuturor tipurilor de evacuări a poluanților dintr-o fabrică este mai puțin costisitoare decât tratarea separată a eliberării lor în apă, aer sau sol;
- se pot stabili priorități. O abordare integrată permite compararea riscurilor de mediu cu costul reducerii poluării. Aceasta permite de asemenea, atribuirea de resurse sărace problemelor cu cel mai mare potențial de reducere a pagubelor;
- sistemele de administrare sunt mai simple. O abordare integrată necesită o singură autorizație, care să acopere toți factorii de mediu;
- se promovează cooperarea cu celelalte politici sectoriale. O abordare integrată este un argument convingător că toate sectoarele (energetic, transporturi și de fabricație) constituie surse de poluare legate de activitatea organizației și că toate ministerele importante trebuie să conlucreze pentru rezolvarea acestor probleme.

Impunerea reglementărilor de comandă și control asupra organizației ecotehnologice, constituie un proces contestat, care implică adeseori costurile legale substanțiale și multe amânări. Dacă reprezentanții organizației ecotehnologice sunt dornici să coopereze, Guvernul poate negocia înțelegeri planificate. O înțelegere planificată reprezintă o garanție a organizației ecotehnologice de a îndeplini obiective de mediu care sunt acceptabile pentru guvern. Această metodă funcționează bine în sectoarele care posedă relativ puține

organizații, dar de mare capacitate (United Nations Industrial Development Organization, 2002).

Politicile economice stimulative care pot reduce poluarea includ:

- taxele pentru poluare. Guvernul stabilește o amendă sau o taxă pentru poluanți, dar permite ca nivelul evacuării de poluanți să varieze. Formele obișnuite ale acestor plăți sunt amenzile, sau taxele impuse emisiilor sau efluenților, plătite de întreprinderile care evacuează poluanți în stațiile de tratare publice;
- permisele comercializabile. Guvernul stabilește o limită a nivelului de poluare pentru fiecare permis emis. Permisele se bucură de dreptul de proprietate și constituie bunuri comercializabile pe piață între părți. Prețului unui permis i se permite să fluctueze în funcțiile de condițiile pieței;
- subvențiile. Subvențiile pot îmbrăca multiple forme, incluzând donații, împrumuturi cu dobânzi sub valoarea pieței și deprecierea accelerată. Deși acest tip de stimulent furnizează un motiv economic de reducere a evacuărilor de poluanți, el violează principiul poluatorul plătește și, în cazul donațiilor, creează o tendință de supra-construire a instalațiilor de reducere a poluării;
- constrângerile. Acestea sunt de obicei constituite din amenzi impuse pentru nerespectarea condițiilor prevăzute în autorizația pentru evacuarea poluanților. Atribuirea automată a amenzilor scutește timpul pierdut pentru negocierea cu poluatorii. Amenzile pentru neconformare nu reprezintă adevărate stimulente economice, deoarece ele nu sunt deliberate și nici lipsite de coerciție ca acțiunile întâlnite pe piețele particulare.

Stimulentele economice pot:

- să promoveze soluțiile cu costuri minime pentru rezolvarea problemelor de mediu;
- să stimuleze dezvoltarea tehnologiei de prevenire/control al poluării în sectorul privat;
- să furnizeze guvernului o sursă de venituri pentru a sprijini programele de prevenire și control al poluării;
- să furnizeze flexibilitate în alegerea tehnologiei de prevenire și control al poluării;
- să micșoreze cantitatea de documente referitoare la reglementările de mediu.

Politicile de alegere a amplasamentelor organizațiilor ecotehnologice, pot contribui la minimizarea daunelor aduse mediului, de exemplu, prin interzicerea amplasării organizațiilor poluante în locuri dens populate, sau în locuri istorice.

Politicile de alegere a amplasamentelor pot de asemenea minimiza pagubele aduse mediului, prin încurajarea organizației ecotehnologice, în special a celor mici și mijlocii de a-și alege amplasamentul în zonele în care pot dispune de facilități de evacuare a apelor uzate, cu un sistem comun de tratare și de sisteme de colectare și reciclare a deșeurilor solide la un preț rezonabil.

Acțiunile care încurajează direct producțiile curate includ:

- legi și regulamente care atribuie prioritate prevenirii poluării în raport cu metoda de tratare la capătul conductei;
- proceduri negociate de conformare cu normele de mediu, care încurajează minimizarea cantității de deșeuri;
- stabilirea prețului integral al energiei, apei și materiilor prime;
- privatizarea organizațiilor ecotehnologice din sectorul public;
- furnizarea de informații asupra metodelor de minimizare a deșeurilor;
- finanțarea producțiilor curate cu titlu demonstrativ.

Acțiunile care prin reducerea poluării încurajează în mod indirect producțiile curate includ:

- strategiile naționale pentru dezvoltarea durabilă, (Agenda 21) care abordează în mod realist problemele organizațiilor ecotehnologice ca și ale altor sectoare;
- programe de reglementări în domeniul mediului (standarde, autorizații, monitoring, activități de conformare și aplicare), dispunând de suport tehnic și financiar suficient;
- realizarea unui echilibru adecvat între activitățile de reglementare centralizată și descentralizată;
- stimulente economice aplicate evacuărilor de poluanți;
- introducerea autorizațiilor de tip multi-mediu (aer, apă și sol);
- publicarea informațiilor referitoare la eliberările de poluanți de către organizațiile ecotehnologice individuale;
- publicarea de date referitoare la efectele poluanților asupra sănătății umane și mediului.

Acțiunile guvernamentale care descurajează producțiile curate includ:

- subvențiile pentru utilizarea energiei, apei și a altor resurse;
- restricțiile de import, care favorizează tehnologiile indigene de tratare la capătul conductei;

17.5.2. Propunerea unui program de prevenire a poluării în cadrul unei organizații în vederea transformării în organizație ecotehnologică

Prevenirea poluării reprezintă utilizarea materialelor, proceselor sau practicilor care realizează reducerea sau eliminarea generării de poluanți sau deșeuri la sursă. Prevenirea include atât practicile care reduc utilizarea materialelor periculoase sau nepericuloase, a energiei, apei sau a altor resurse, ca și a celor care protejează resursele naturale prin conservare, sau o utilizare mai eficientă.

Un program de prevenire a poluării ridică problema tuturor tipurilor de deșeuri.

Un program eficient de prevenire a poluării trebuie:

- să reducă riscul de răspundere civilă sau penală;
- să reducă costurile de funcționare;
- să îmbunătățească morala și participarea angajaților;
- să sporească imaginea companiei în cadrul comunității;

- să protejeze sănătatea umană și mediul.

În cazul prevenirii poluării, obiectivele naționale de mediu coincid cu interesele economice ale organizației și presupun:

- Reducerea riscului de răspundere civilă sau penală.
- Reglementările din domeniul mediului
- Răspunderea civilă
- Reducerea costurilor de funcționare.
- Costurile de materiale
- Costurile de management și depozitare a deșeurilor
- Costurile de producție
- Costurile de energie
- Costurile de curățire a întreprinderii
- Îmbunătățirea imaginii întreprinderii